


ANATOMÍA

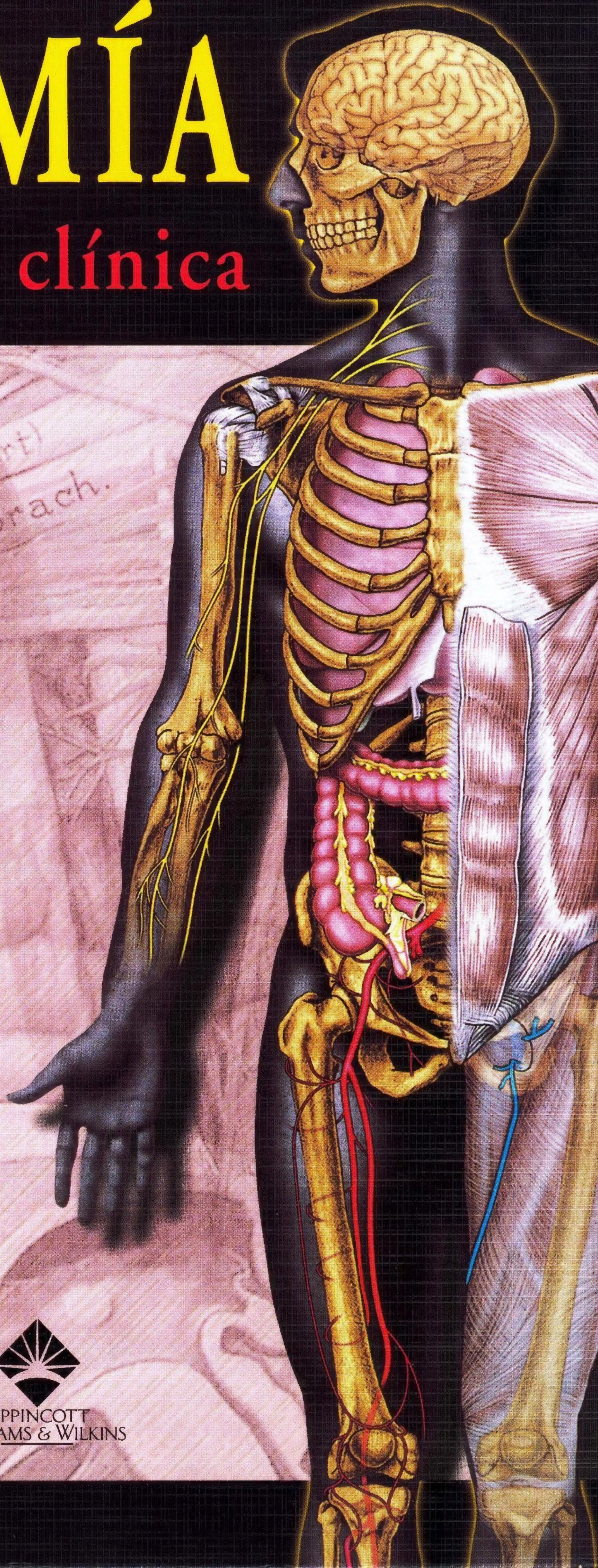
con orientación clínica

CUARTA EDICIÓN

KEITH L. MOORE
ARTHUR F. DALLEY

EDITORIAL MEDICA
panamericana

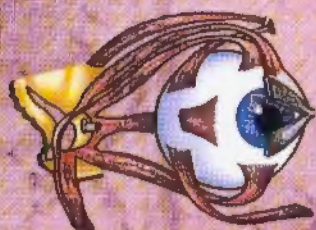

LIPPINCOTT
WILLIAMS & WILKINS



ANATOMÍA

con orientación clínica

CUARTA EDICIÓN



El libro de texto de anatomía más vendido del mundo ha mejorado

Keith L. Moore, PhD y Arthur F. Dalley II, PhD, ofrecen, con esta cuarta edición de **Anatomía con orientación clínica**, un acceso rápido y sencillo a la información esencial que un estudiante debe conocer sobre la anatomía.

Un formato asequible, con un estilo consagrado, para combinar la información vital más reciente

- Nuevo programa de artes gráficas, creado especialmente para este tratado —y completado con las figuras clásicas del *Atlas de anatomía de Grant*— con lo que se reduce el número de referencias cruzadas y se establece una mejor correlación entre texto y gráficos.
- Mayor número de cuadros, muchos con ilustraciones, sobre músculos, nervios, arterias y otras estructuras.
- Comentarios clínicos adicionales, “recuadros azules” e ilustraciones clínicas, fotografías e imágenes diagnósticas.
- Más información sobre anatomía de superficie, resaltada mediante recuadros en color.
- Amplia y actualizada cobertura de las técnicas modernas de imagen, resaltadas mediante recuadros en color al final de cada capítulo.
- Nuevos casos clínicos, comentados al final de cada capítulo.
- Índice temático funcional con enumeración de los epígrafes y recuadros, incluida una lista de los comentarios clínicos.

¡No es ninguna sorpresa oír comentarios como éstos!

“Los recuadros de correlación clínica, como de costumbre, son formidables. ¡Es lo que más me gusta de esta obra! La información que los clínicos llevan a las clases de la facultad está incluida en todos los recuadros azules”

Estudiante de Medicina

“Con el nuevo diseño, resultará muy difícil, si no imposible, encontrar un libro mejor de anatomía”

Facultad (de Podología)

“...Está muy claro, para mí, que la cuarta edición de este tratado no tendrá ningún rival para la enseñanza de esta disciplina a los nuevos estudiantes de Medicina”

Facultad de Medicina

“...Texto claro, legible, descriptivo, no condensado. Continúa siendo la opción primera más adecuada para el aprendizaje de esta materia para la mayoría de los estudiantes de Medicina”

Facultad de Medicina

ISBN: 950-06-1574-6
84-7903-534-X



9 789500 615747



9 788479 035341

Anatomía

con orientación

clínica

CUARTA EDICIÓN

Introducción

1 / Tórax

2 / Abdomen

3 / Pelvis
y perine

4 / Tronco

5 / Miembro
inferior

6 / Miembro
superior

7 / Cabeza

8 / Cuello

9 / Miembros
craneales

Índice

Introducción

Incisiones y heridas cutáneas
Marcas de estiramiento de la piel
Huesos accesorios
Huesos heterotópicos
Traumatismos y lesiones óseas
Osteoporosis
Punción esternal
Crecimiento óseo y medición de la edad ósea
Necrosis avascular
Efectos de la enfermedad y de la dieta sobre el crecimiento óseo
Desplazamiento y separación de las epífisis
Articulaciones del cráneo neonatal
Enfermedad articular degenerativa
Artroscopia
Crecimiento y regeneración del músculo esquelético
Pruebas musculares
Hipertrofia del miocardio e infarto del miocardio
Hipertrofia e hiperplasia del músculo liso
Arteriosclerosis y cardiopatía isquémica
Venas varicosas
Linfangitis, linfadenitis y linfedema
Lesión encefálica o medular
Rizotomía
Degeneración nerviosa periférica e isquemia nerviosa

Capítulo 1

Dolor torácico
Fracturas costales y traumatismos asociados
Toracotomía e injerto óseo
Costillas supernumerarias
Función protectora y variación de los cartílagos costales
Efecto del aneurisma aórtico sobre las vértebras
Apófisis xifoides óseas
Fracturas esternales
Esternotomía media
Biopsia esternal
Anomalías del esternón
Diferencias sexuales del esternón
Luxación de las costillas
Separación de las costillas
Parálisis del diafragma
Cambios de las glándulas mamarias
Cuadrantes mamarios
Carcinoma de la mama
Polimastia, politelia y amastia

Cáncer de la mama masculina
Ginecomastia
Síndrome de la abertura torácica
Disnea – dificultad respiratoria
Herpes zóster
Toracocentesis
Bloqueo nervioso intercostal
Lesiones de la pleura cervical y del vértice pulmonar
Lesión de otras zonas de la pleura
Colapso pulmonar
Neumotórax, hidrotórax y hemotórax
Pleurectomía
Pleuritis (pleuresía)
Variaciones de los lóbulos pulmonares
Aspecto de los pulmones
Auscultación y percusión pulmonares
Flotación pulmonar
Cáncer del vértice pulmonar
Aspiración de cuerpos extraños
Broncoscopia
Resecciones pulmonares
Asma bronquial
Tromboembolia pulmonar
Inhalación de partículas de carbono y de irritantes
Adherencia pleural
Carcinoma bronquiolar
Carcinoma broncogénico
Lesiones de la pleura
Plano de las vísceras en relación con las divisiones medias-tínicas
Mediastinoscopia y biopsias mediastínicas
Ensanchamiento mediastínico
Significado quirúrgico del seno pericárdico transversal
Exposición de la VCI y de la VCS
Pericarditis, derrame pericárdico y taponamiento cardíaco
Anomalías de la posición cardíaca
Percusión cardíaca
Embriología de la aurícula derecha
Comunicaciones interauriculares
Comunicaciones interventriculares
Estenosis de la válvula pulmonar
Insuficiencia de la válvula pulmonar
Ictus o accidente cerebrovascular
Insuficiencia valvular y soplos cardíacos
Estenosis mitral
Estenosis aórtica congénita
Aneurisma de la aorta ascendente
Base para nombrar las válvulas aórtica y pulmonar
Variaciones de las arterias coronarias

Aterosclerosis coronaria e infarto de miocardio
 Angina de pecho
 Injerto de derivación coronaria
 Angioplastia coronaria
 Lesión del nódulo auriculoventricular y del fascículo auriculoventricular
 Electrocardiografía
 Marcapasos cardíaco artificial
 Reanimación cardíaca
 Fibrilación cardíaca
 Desfibrilación cardíaca
 Dolor cardíaco referido
 Cambios del timo con la edad
 Posición de la vena braquiocefálica en los niños
 Variaciones de las ramas del arco de la aorta
 Anomalías del arco aórtico
 Coartación de aorta
 Lesión de los nervios laríngeos recurrentes
 Obstrucción esofágica
 Desgarro del conducto torácico
 Variaciones del conducto torácico
 Vías alternativas de retorno venoso al corazón

Capítulo 2

Enfermedades y dolor abdominales
 Localización de las estructuras según los cuadrantes abdominales
 Sutura de las incisiones cutáneas abdominales
 Abdomen globuloso
 Exploración física de la pared abdominal
 Hernias abdominales
 Palpación de la pared anterolateral del abdomen
 Reflejos abdominales superficiales
 Incisiones quirúrgicas del abdomen
 Hernia incisional
 Lesión de los nervios de la pared anterolateral del abdomen
 Peritonitis
 Hernia supravesical externa
 Permeabilidad postnatal de la vena umbilical
 Palpación del anillo inguinal en un varón adulto
 Anestesia del escroto
 Criptorquidia (ausencia de descenso de los testículos)
 Hidrocele
 Hematocele
 Quistes y hernias del conducto de Nuck
 Epididimitis y orquitis
 Espermatocoele y quiste epididimario
 Varicocele
 Cáncer del testículo y del escroto
 Cáncer del útero y del labio mayor
 Reflejo cremastérico
 Vestigios de los conductos genitales embrionarios
 Vasectomía
 Hernias inguinales
 Obstrucción de las trompas uterinas

Peritonitis, ascitis, paracentesis e inyección intraperitoneal
 Perforación intestinal
 Flujo del exudado inflamatorio
 Adherencias peritoneales y adherenciotomía
 Ascitis
 Paracentesis abdominal
 Funciones del omento mayor
 Abscesificación
 Diseminación de los líquidos patológicos
 Flujo del líquido ascítico y del pus
 Líquido en la bolsa omental
 Intestino en la bolsa omental
 Lesión de la arteria cística
 Varices esofágicas
 Cáncer esofágico
 Pirosis
 Desplazamiento del estómago
 Hernia hiatal o de hiato
 Hernia diafragmática congénita
 Espasmo pilórico
 Estenosis pilórica hipertrófica congénita
 Carcinoma gástrico
 Gastrectomía
 Úlceras gástricas
 Dolor referido visceral
 Hernias paraduodenales
 Úlceras duodenales
 Cálculos biliares en el duodeno
 Cambios mesoduodenales con el desarrollo
 Breve repaso de la embriología intestinal
 Isquemia intestinal
 Divertículo ileal
 Posición del apéndice
 Apendicitis
 Apendicectomía
 Laparoscopia
 Colon ascendente móvil
 Colitis, colectomía, ileostomía y colostomía
 Colonoscopia (coloscopia)
 Rotura del bazo
 Esplenectomía
 Bazo/s accesorio/s
 Biopsia esplénica con aguja y esplenoportografía
 Obstrucción de la ampolla hepatopancreática
 Tejido pancreático accesorio
 Pancreatitis
 Pancreatectomías
 Rotura del páncreas
 Cáncer de páncreas
 Abscesos subfrénicos
 Lobectomías y segmentectomías hepáticas
 Arterias hepáticas aberrantes
 Variaciones en las relaciones de las arterias hepáticas
 Formación inusitada de la porta
 Biopsia hepática
 Rotura hepática

Hepatomegalia
 Cirrosis hepática
 Trasplante de hígado
 Infundíbulo de la vesícula biliar
 Vesícula biliar móvil
 Variaciones de los conductos cístico y hepático
 Conductos hepáticos accesorios
 Impacto de los cálculos biliares
 Colectomía
 Anastomosis portosistémicas
 Hipertensión portal
 Derivaciones portosistémicas
 Neumografía retroperitoneal
 Absceso perirrenal
 Nefroptosis
 Trasplante de riñón
 Quistes renales
 Dolor en la región pararenal
 Vasos renales accesorios
 Cálculos renales y ureterales
 Malformaciones congénitas de los riñones y de los uréteres
 Sección del nervio frénico
 Hipo
 Dolor referido del diafragma
 Rotura del diafragma y herniación visceral
 Hernia diafragmática congénita
 Absceso del psoas
 Dolor abdominal posterior
 Simpatomía lumbar parcial
 Pulsaciones de la aorta y aneurisma de la aorta abdominal
 Vías colaterales de la sangre venosa abdominopélvica

Capítulo 3

Diferencias sexuales entre las pelvis
 Fracturas de la pelvis
 Espondilólisis y espondilolistesis
 Relajación de las articulaciones y ligamentos de la pelvis durante el embarazo
 Lesión del suelo de la pelvis
 Lesión de los nervios pélvicos
 Ligadura de la arteria ilíaca interna
 Lesión iatrogénica de los uréteres
 Lesiones ureterales
 Cálculos ureterales
 Cistocele o hernia de la vejiga urinaria
 Cistotomía subprapúbica
 Cistoscopia
 Esterilización masculina
 Abscesos de las vesículas seminales
 Aumento de tamaño de la próstata
 Distensión de la vagina
 Exploración de la vagina
 Cuidados, laparoscopia y culdocentesis
 Cáncer de cuello uterino
 Anestesia para el parto

Cambios uterinos con la edad
 Exploración del útero
 Histerectomía
 Infecciones del aparato genital femenino
 Salpingografía
 Endoscopia
 Ligadura de las trompas uterinas
 Embarazo tubárico (ectópico)
 Vestigios de los conductos embrionarios
 Lesión del uréter
 Tacto rectal
 Resección rectal
 Alteración del cuerpo perineal
 Episiotomía
 Rotura de la uretra masculina y extravasación de la orina
 Estructuras de la bolsa perineal profunda
 Referencia clínica importante
 Fisuras anales y abscesos perianales
 Prolapso hemorroidal
 Sondaje o cateterismo uretral
 Distensión del escroto
 Palpación de los testículos
 Erección, emisión y eyaculación
 Hipospadias
 Fimosis, parafimosis y circuncisión
 Lesiones perineales durante el parto
 Vaginismo
 Circuncisión femenina
 Dilatación de la uretra
 Infección de las glándulas vestibulares mayores
 Bloqueos pudendo e ilioinguinal
 Incontinencia anorrectal
 Traumatismo vulvar

Capítulo 4

Dolor de espalda o dorsalgia
 Las variaciones vertebrales
 Curvaturas anormales de la columna vertebral
 Luxación de las vértebras cervicales
 Fractura y luxación del axis
 Anestesia epidural caudal
 Fusión anormal de las vértebras
 Estenosis espinal lumbar
 Anomalías vertebrales
 Herniación del núcleo pulposo
 Lesión y enfermedad de las articulaciones interapofisarias
 Fractura del diente
 Rotura del ligamento transversal del atlas
 Rotura de los ligamentos alares
 Osificación de la membrana atlanto-occipital posterior
 Compresión del ganglio espinal C2
 Fracturas y luxaciones vertebrales
 Distensiones y esguinces del dorso
 Isquemia del tronco del encéfalo
 Compresión de las raíces de los nervios lumbares

Desarrollo de las meninges y del espacio subaracnoideo
 Punción lumbar
 Bloqueo espinal
 Bloqueo epidural
 Isquemia de la médula espinal
 Lesiones de la médula espinal

Capítulo 5

Lesiones del miembro inferior
 Lesiones de la cadera
 Coxa vara y coxa valga
 Epifisiólisis de la cabeza femoral
 Pruebas de viabilidad fetal
 Fracturas del fémur
 Pruebas de viabilidad fetal
 Fracturas de la tibia
 Las fracturas de las placas epifisarias
 Las fracturas del peroné
 Injertos óseos
 Fracturas del calcáneo
 Fracturas del cuello astragalino
 Fracturas de los metatarsianos
 Hueso triangular
 Fractura de los sesamoideos
 Venas varicosas, trombosis y tromboflebitis
 Injertos de vena safena
 Venoclisis safena y lesión del nervio safeno
 Adenopatías inguinales
 Bloqueo anestésico regional de los miembros inferiores
 Variaciones de los nervios cutáneos
 Anomalías de la función sensitiva
 Contusiones de la cadera y del muslo
 Absceso del psoas
 Genu valgum y genu varum
 Parálisis del músculo cuádriceps femoral
 Condromalacia rotuliana
 Luxación rotuliana
 Fracturas de la rótula
 Extirpación de la rótula
 Osificación anómala de la rótula
 Reflejo rotuliano
 Trasplante del músculo grácil
 Tirón inguinal
 Lesión del músculo aproximador largo
 Palpación de la arteria femoral
 Canulación de la arteria femoral
 Laceración de la arteria femoral
 Arteria obturatriz accesoria
 Denominación errónea y potencialmente mortal
 Variz safena
 Localización de la vena femoral
 Canulación de la vena femoral
 Hernia femoral
 Bursitis isquiática
 Bursitis trocantérica

Lesión del nervio glúteo superior
 Bloqueo anestésico del nervio ciático
 Lesión del nervio ciático
 Inyecciones intraglúteas
 Hematoma glúteo
 Lesión de la innervación del músculo bíceps femoral
 Variaciones en la longitud de los músculos femorales posteriores
 Lesión de los músculos femorales posteriores
 Abscesos y tumores poplíteos
 Pulso poplíteo
 Aneurisma poplíteo
 Lesión del nervio tibial
 Síndromes compartimentales de la pierna
 Distensión del músculo tibial anterior
 Atrapamiento del nervio peroneo profundo
 Atrapamiento del nervio peroneo superficial
 Lesión del nervio peroneo común
 Avulsión del tubérculo del V metatarsiano
 Centros secundarios de osificación del pie
 Fabela del músculo gastrocnemio
 Tendinitis calcánea
 Rotura del tendón calcáneo
 Reflejo calcáneo o aquileo
 Distensión del músculo gastrocnemio
 Bursitis calcánea
 Retorno venoso de la pierna
 Músculo sóleo accesorio
 Pulso tibial posterior
 Fascitis plantar
 Contusión del músculo extensor corto de los dedos
 Injertos del nervio sural
 Bloqueo anestésico del nervio peroneo superficial
 Reflejo plantar
 Atrapamiento del nervio plantar medial
 Palpación del pulso dorsal del pie
 Heridas punzantes de la planta del pie
 Infecciones del pie
 Linfadenopatía
 Linfangiografía
 Fracturas del cuello del fémur
 Sustitución quirúrgica de la cadera
 Necrosis de la cabeza femoral de los niños
 Luxación de la cadera
 Lesiones de la rodilla
 Artroscopia de la rodilla
 Síndrome femororrotuliano
 Aspiración de la cavidad articular de la rodilla
 Bursitis de la rodilla
 Quistes poplíteos
 Deformidades de la rodilla
 Sustitución de la rodilla
 Lesiones del tobillo
 Atrapamiento del nervio tibial
 Hallux valgus
 Dedo en martillo

Dedos del pie en garra
Pie plano
Pie zambo

Capítulo 6

Lesiones del miembro superior
Variaciones de la clavícula
Fractura de la clavícula
Osificación de la clavícula
Osificación anómala de la clavícula
Fractura de la escápula
Fractura del húmero
Fractura del radio y del cúbito
Fractura del escafoides
Fractura del hueso ganchoso
Fractura de los metacarpianos
Fractura de las falanges
Punción venosa del miembro superior
Ausencia de los músculos pectorales
Parálisis del músculo serrato anterior
Triángulo de auscultación
Lesión del nervio toracodorsal
Lesión del nervio dorsal de la escápula
Lesión del nervio axilar
Lesiones del manguito de los rotadores
Bursitis subacromial
Compresión de la arteria axilar
Anastomosis arteriales de la escápula
Aneurisma de la arteria axilar
Lesión de la vena axilar
Expansión de la vena axilar
Adenopatías axilares
Diseccción de los ganglios axilares
Variaciones del plexo braquial
Lesiones del plexo braquial
Bloqueo del plexo braquial
Tendinitis bicipital
Luxación del tendón de la cabeza larga del músculo bíceps
Rotura del tendón de la cabeza larga del músculo bíceps
Fractura-luxación de la epífisis proximal del húmero
Medición de la presión arterial
Palpación del pulso braquial
Compresión de la arteria braquial
Obstrucción o laceración de la arteria braquial
Fractura del cuerpo humeral
Lesión del nervio musculocutáneo
Lesión del nervio radial
Punción venosa
Tendinitis del codo o epicondilitis lateral
Dedo en martillo o de béisbol
Fractura del olécranon (del codo)
Fractura del escafoides
Quiste sinovial de la muñeca
División alta de la arteria braquial
Arteria cubital superficial

Medición de la frecuencia del pulso
Variaciones en el origen de la arteria radial
Variaciones de las venas de la fosa cubital
Comunicaciones entre los nervios mediano y cubital
Lesión del nervio mediano
Síndrome del pronador
Lesión del nervio cubital
Síndrome del túnel cubital
Lesión del nervio radial
Contractura de la fascia palmar de Dupuytren
Infecciones de la mano
Tenosinovitis
Laceración de los arcos arteriales de la palma
Isquemia de los dedos
Lesiones del nervio mediano
Síndrome del túnel carpiano
Laceración de la muñeca
Traumatismo del nervio mediano
Lesión del nervio cubital
Síndrome del conducto de Guyon
Parálisis del ciclista
Lesión del nervio radial
Dermatoglifia
Heridas e incisiones palmares
Luxación de la articulación esternoclavicular
Anquilosis de la articulación esternoclavicular
Luxación de la articulación acromioclavicular
Tendinitis calcificada del músculo supraespinoso
Lesiones del manguito de los rotadores
Luxación de la articulación escapulohumeral
Lesión del nervio axilar
Desgarros del labio glenoideo
Capsulitis adhesiva de la articulación escapulohumeral
Bursitis del codo
Avulsión del epicóndilo medial
Luxación del codo
Subluxación y luxación de la cabeza radial
Fracturas de la muñeca
Pulgar del montador de toros
Pulgar del esquiador o del portero de fútbol

Capítulo 7

Traumatismos craneales
Lesión de los arcos superciliares
Sofoco malar
Las fracturas de los maxilares y de los huesos asociados
Las fracturas de la mandíbula
Resorción de hueso alveolar
Fracturas de la calota
El desarrollo del cráneo
Cambios de la cara con la edad
Obliteración de las suturas craneales
Cambios del cráneo con la edad
Craneosinóstosis y deformidades craneales
Laceraciones e incisiones de la cara

Aleteo nasal	Desprendimiento de retina
Lesión del nervio facial	Abrasiones y desgarros de la córnea
Bloqueo del nervio infraorbitario	Úlceras y trasplantes de córnea
Bloqueo del nervio alveolar inferior	Presbicia y cataratas
Bloqueos de los nervios mentoniano e incisivo	Hemorragia en la cámara anterior
Bloqueo del nervio bucal	Ojo artificial
Neuralgia del trigémino	Parálisis del nervio oculomotor
Lesiones del nervio trigémino	Síndrome de Horner
Herpes zóster	Parálisis de los músculos extraoculares
Exploración de la función sensitiva del nervio trigémino	Glaucoma
Lesiones de los ramos del nervio facial	Obstrucción de la arteria central de la retina
Compresión de la arteria facial	Obstrucción de la vena central de la retina
Los pulsos de las arterias faciales	Bloqueo del nervio mandibular
Tromboflebitis de la vena facial	Bloqueo del nervio alveolar inferior
Carcinoma epidermoide del labio	Luxación de la articulación temporomandibular
Lesión quirúrgica del nervio facial	Artrosis de la articulación temporomandibular
Infección de la glándula parótida	Hendidura labial
Sialografía	Carcinoma labial
Taponamiento del conducto parotídeo	Cianosis labial
Glándula parótida accesoria	Frenillo labial grande
Lesión del cuero cabelludo	Gingivitis
Las infecciones del cuero cabelludo	Caries dental
Laceraciones del cuero cabelludo	Pulpitis y absceso dental
Estenosis de la arteria carótida interna	Extracción de una pieza dentaria
Quistes sebáceos	Recesión gingival
Cefalohematoma	Enfermedad periodontal
Colgajos óseos	Bloqueo del nervio nasopalatino
Herniación tentorial	Bloqueo del nervio palatino mayor
Protrusión del diafragma selar	Hendidura palatina
Obstrucción de las venas cerebrales y de los senos venosos de la duramadre	Reflejo nauseoso
Metástasis de células tumorales en los senos de la duramadre	Parálisis del músculo geniogloso
Fracturas de la base del cráneo	Lesión del nervio hipogloso
Cefaleas con origen en la duramadre	Absorción sublingual de los medicamentos
Leptomeningitis	Carcinoma lingual
Lesiones craneales y hemorragia intracraneal	Frenulectomía
Lesiones cerebrales	Quiste del conducto tirogloso
Punción cisternal	Glándula tiroides aberrante
Hidrocefalia	Parotiditis
Fístulas de líquido cefalorraquídeo	Absceso de la glándula parótida
Anastomosis de las arterias cerebrales y embolia cerebral	Extirpación de la glándula submandibular
Variaciones del circuito arterial del cerebro	Sialografía
Ictus o accidentes cerebrovasculares	Fracturas nasales
Infarto cerebral	Desviación del tabique nasal
Ataques isquémicos transitorios	Rinorrea de líquido cefalorraquídeo
Fractura de la órbita	Rinitis
Equimosis periorbitaria	Epistaxis
Tumores orbitarios	Sinusitis
Lesión de los nervios que se distribuyen en los párpados	Variación de los senos frontales
Inflamación de las glándulas palpebrales	Infección de las celdas etmoidales
Hiperemia conjuntival	Infección de los senos maxilares
Hemorragia subconjuntival	Relación entre los dientes y el seno maxilar
Reflejo fotomotor de la pupila	Transiluminación sinusal
Desarrollo de la retina	Lesión del oído externo
Oftalmoscopia	Examen otoscópico
Edema de papila	Otitis externa
	Perforación de la membrana timpánica

Otitis media
Mastoiditis
Otalgia
Obstrucción de la trompa auditiva
Parálisis del músculo estapedio
Cinetosis
Mareos y sordera
Síndrome de Ménière
Sordera para los tonos altos
Barotraumatismo ótico

Capítulo 8

Dolor cervical
Propagación de las infecciones por el cuello
Parálisis del músculo platisma
Tortícolis congénita
Tortícolis espasmódica
Punción de la vena subclavia
Punción de la vena yugular interna
Lesión de la vena yugular externa
Prominencia de la vena yugular externa
Lesiones de la raíz espinal del XI nervio craneal
Lesión del nervio frénico
Bloqueos nerviosos del triángulo posterior
Lesión del nervio supraescapular
Ligadura de la arteria carótida externa
Diseccción quirúrgica del triángulo carotídeo
Enderectomía carotídea
Pulso carotídeo
Palpación de la arteria carótida
Función de los cuerpos carotídeos
Pulso yugular interno
Punción de la vena yugular interna
Bloqueo del ganglio cervicotorácico
Lesión cervical del tronco simpático
Arteria tiroidea media
Quiste del conducto tirogloso
Glándula tiroides ectópica
Tejido tiroideo glandular accesorio
Lóbulo piramidal de la glándula tiroides
Aumento de tamaño de la glándula tiroides
Tiroidectomía
Lesión de los nervios laríngeos recurrentes
Lesión del nervio laríngeo externo
Extirpación inadvertida de las glándulas paratiroides
Fracturas del esqueleto de la laringe

Laringoscopia
Maniobra de Valsalva
Aspiración de cuerpos extraños
Lesión de los nervios laríngeos
Bloqueo del nervio laríngeo superior
Cáncer de la laringe
Cambios de la laringe con el envejecimiento
Traqueostomía
Cuerpos extraños en la laringofaringe
Fístula del receso piriforme
Amigdalectomía
Adenoiditis
Fístula branquial
Senos y quistes branquiales
Traumatismos esofágicos
Fístula traqueoesofágica
Cáncer esofágico
Zonas de los traumatismos cervicales perforantes
Diseccciones radicales de cuello

Capítulo 9

Lesiones de los nervios craneales
Anosmia o pérdida del sentido de la olfacción
Alucinaciones olfatorias y "crisis uncinadas"
Edema de papila
Neuritis óptica
Defectos de los campos visuales
Parálisis del nervio oculomotor
Compresión del nervio oculomotor
Aneurisma de la arteria cerebral posterior o de la arteria cerebelosa superior
Lesión del nervio troclear
Lesión del nervio trigémino
Lesión del nervio abducens
Lesión del nervio facial
Lesiones del nervio vestibulococlear
Sordera
Neurinoma acústico
Traumatismos y vértigos
Síndrome de Ménière
Enfermedad vestibular
Lesiones del nervio glossofaríngeo
Neuralgia glossofaríngea
Lesiones del nervio vago
Lesión de la raíz espinal del nervio accesorio
Lesión del nervio hipogloso

Prefacio / ix

Agradecimientos / xi

Créditos de las figuras / xv

Lista de recuadros azules / xix

Introducción a la anatomía con orientación clínica

Métodos para el estudio de la anatomía / 2

Anatomía regional / 2

Anatomía sistémica / 3

Anatomía clínica / 4

Terminología anatómica / 4

Posición anatómica / 4

Planos anatómicos / 5

Términos de relación y comparación / 6

Términos de lateralidad / 8

Términos de movimiento / 8

Estructura terminológica / 9

Abreviaturas terminológicas / 9

Variedades anatómicas / 12

Piel y fascias / 12

Sistema esquelético / 14

Huesos / 15

Articulaciones / 22

Sistema muscular / 27

Músculo esquelético / 27

Músculo cardíaco / 33

Músculo liso / 33

Aparato cardiovascular / 33

Arterias / 33

Venas / 36

Capilares / 36

Sistema linfático / 37

Sistema nervioso / 39

Sistema nervioso central / 39

Sistema nervioso periférico / 42

Sistema nervioso somático / 44

Sistema nervioso autónomo / 44

o Técnicas de imagen / 54

Radiografía / 54

Tomografía computarizada / 55

Ecografía / 55

Resonancia magnética / 58

Técnicas de medicina nuclear / 59

Tórax

Pared torácica / 64

Fascia de la pared torácica / 64

Esqueleto de la pared torácica / 64

Articulaciones de la pared torácica / 70

Movimientos de la pared torácica / 72

Gándula mamaria / 74

Orificios torácicos / 82

Músculos de la pared torácica / 82

Nervios de la pared torácica / 88

Vascularización de la pared torácica / 91

o Anatomía de superficie de la pared torácica / 93

Cavidad y vísceras torácicas / 96

Peuras y pulmones / 96

o Anatomía de superficie de la peura y de los pulmones / 116

Mediastino / 117

o Anatomía de superficie del corazón / 144

o Imágenes de tórax / 161

Radiografía / 161

Ecocardiografía / 165

Tomografía computarizada y resonancia magnética / 165

Estudio de casos clínicos / 167

Comentario a los casos / 171

Abdomen

Cavidad abdominal / 178

Pared anterolateral de abdomen / 181

Fascia de la pared anterolateral del abdomen / 182

Músculos de la pared anterolateral de abdomen / 183

Nervios de la pared anterolateral de abdomen / 190

Vasos de la pared anterolateral del abdomen / 191

Cara interna de la pared anterolateral de abdomen / 195

Región inguinal / 196

o Anatomía de superficie de la pared anterolateral de abdomen / 211

Pertoneo y cavidad peritoneal / 212

Embriología de la cavidad peritoneal / 214

Términos descriptivos de las porciones de peritoneo / 216

Subdivisiones de la cavidad peritoneal / 219

Vísceras abdominales / 222

Esófago / 222

Estómago / 230

◉ Anatomía de superficie del estómago / 236

Intestino delgado / 241

Intestino grueso / 253

El bazo / 260

Páncreas / 262

◉ Anatomía de superficie del bazo
y el páncreas / 267

Hígado / 268

◉ Anatomía de superficie del hígado / 276

Conductos biliares y vesícula biliar / 277

Vena porta y anastomosis portosistémicas / 282

Riñones, uréteres y glándulas suprarrenales / 284

◉ Anatomía de superficie de los riñones
y uréteres / 287

Diafragma torácico / 293

Vasos y nervios del diafragma / 295

Orificios diafragmáticos / 299

Acciones del diafragma / 300

Pared posterior del abdomen / 301

Fascia de la pared posterior del abdomen / 301

Músculos de la pared posterior del abdomen / 304

Nervios de la pared posterior del abdomen / 304

Arterias de la pared posterior del abdomen / 308

◉ Anatomía de superficie de la aorta
abdominal / 310

Venas de la pared posterior del abdomen / 312

Linfáticos de la pared posterior del abdomen / 314

◉ Imágenes del abdomen / 314

Estudio de casos clínicos / 326

Comentario a los casos / 331

3 La pelvis y el perineo

La pelvis / 340

La pelvis ósea / 341

Orientación de la pelvis / 344

Articulaciones y ligamentos de la pelvis / 347

Las paredes y el suelo de la pelvis / 349

Los nervios de la pelvis / 353

Las arterias pélvicas / 357

Las venas de la pelvis / 363

Cavidad y vísceras pélvicas / 363

Órganos urinarios / 363

Órganos genitales masculinos internos / 373

Órganos genitales internos femeninos / 378

Fascia pélvica / 386

El perineo / 397

La fascia perineal / 399

Bolsa perineal superficial / 402

Bolsa perineal profunda / 402

El diafragma de la pelvis / 402

El perineo masculino / 409

El perineo femenino / 419

◉ Imágenes médicas de la pelvis y del periné / 426

Radiografía / 426

Ecografía / 427

Tomografía computarizada / 428

Resonancia magnética / 429

Estudio de casos clínicos / 432

Comentario a los casos / 435

4 El dorso del tronco

La columna vertebral / 440

Curvaturas de la columna vertebral / 443

Estructura y función de las vértebras / 444

Características regionales de las vértebras / 446

Osificación de las vértebras / 455

Articulaciones de la columna vertebral / 457

◉ Anatomía de superficie de la columna
vertebral / 471

Vascularización de la columna vertebral / 474

Los músculos del dorso del tronco / 474

Los músculos extrínsecos o superficiales
del dorso / 474

Los músculos intrínsecos o profundos del dorso
del tronco / 475

◉ Anatomía de superficie del dorso del tronco / 482

Los músculos suboccipitales y profundos
del cuello / 482

La médula espinal y las meninges / 483

Estructura de los nervios espinales / 483

Las meninges espinales y el líquido
cefalorraquídeo / 488

Vascularización de la médula espinal / 496

◉ Imágenes médicas del dorso del tronco / 498

Radiografía / 498

Mielografía / 498

Tomografía computarizada / 500

Resonancia magnética / 500

Estudio de casos clínicos / 504

Comentario a los casos / 507

5 El miembro inferior

Los huesos del miembro inferior / 514

El hueso coxal / 515

El fémur / 519

La tibia y el peroné / 522

Los huesos del pie / 525

◉ Anatomía de superficie de los huesos
del miembro inferior / 528

La fascia, los vasos y los nervios del miembro
inferior / 533

Drenaje venoso del miembro inferior / 535

El drenaje linfático del miembro inferior / 538

Inervación cutánea del miembro inferior / 539

La organización de los músculos femorales / 541

Los músculos anteriores del muslo / 541

Los músculos mediales del muslo / 548

La región glútea / 561

Los ligamentos glúteos / 561

Los músculos glúteos / 561

Los nervios glúteos / 566

Las arterias glúteas / 572

Las venas glúteas / 572

Los músculos femorales posteriores / 574

Músculo semitendinoso / 576

Músculo semimembranoso / 576

Músculo biceps femoral / 576

- o Anatomía de superficie de la región glútea y del muslo / 577

La fosa poplítea / 583

Fascia de la fosa poplítea / 584

Vasos sanguíneos de la fosa poplítea / 585

Nervios de la fosa poplítea / 585

Ganglios linfáticos de la fosa poplítea / 586

La perna / 586

El compartimento anterior de la perna / 586

El compartimento lateral de la pierna / 593

El compartimento posterior de la perna / 598

- o Anatomía de superficie de la perna / 604

El pie / 605

Pel del pie / 606

Fascia profunda de pie / 606

Los músculos de pie / 607

Los nervios de pie / 607

Arterias del pie / 614

Drenaje venoso de pie / 616

Drenaje linfático de pie / 617

Las articulaciones del miembro inferior / 617

La articulación coxofemoral o de la cadera / 617

La articulación de la rodilla / 629

Las articulaciones tibioperoneas / 643

La articulación del tobillo / 646

Las articulaciones del pie / 649

Los arcos del pie / 649

- o Anatomía de superficie del tobillo y del pie / 655

La postura y la marcha / 657**o Imágenes médicas del miembro inferior / 659**

Radiografía / 659

Arteriografía / 662

Tomografía computarizada / 663

Resonancia magnética / 663

Estudio de casos clínicos / 666**Comentario a los casos / 670****El miembro superior****Los huesos del miembro superior / 678**

La clavícula / 678

La escápula / 681

El húmero / 682

El cúbito / 684

El radio / 684

Los huesos de la mano / 687

- o Anatomía de superficie de los huesos de miembro superior / 689

Las estructuras superficiales del miembro superior / 693

La fascia de miembro superior / 693

Los nervios cutáneos del miembro superior / 693

Las venas superficiales del miembro superior / 697

El drenaje linfático de miembro superior / 699

Los músculos toracoapendiculares anteriores del miembro superior / 700**Los músculos toracoapendiculares posteriores y escapulo-humerales / 703**

Los músculos toracoapendiculares posteriores superficiales (extrínsecos del hombro) / 703

Los músculos toracoapendiculares profundos (extrínsecos del hombro) / 707

Los músculos escapulo-humerales (intrínsecos de hombro) / 707

La axila / 711

La arteria axilar / 711

La vena axilar / 714

Los ganglios linfáticos axilares / 715

El plexo braquial / 717

- o Anatomía de superficie de la región pectoral y de dorso / 728

El brazo / 730

Los músculos del brazo / 730

La arteria braquial / 734

Las venas del brazo / 738

Los nervios del brazo / 739

La fosa cubital / 741

- o Anatomía de superficie de brazo y de la fosa cubital / 745

El antebrazo / 746

Los compartimentos del antebrazo / 747

Los músculos del antebrazo / 749

Las arterias del antebrazo / 765

Las venas del antebrazo / 770

Los nervios del antebrazo / 771

- o Anatomía de superficie del antebrazo / 776

La mano / 777

La fascia palmar / 778

Los músculos de la mano / 780

Los tendones flexores de los músculos extrínsecos de la mano / 786

Las arterias de la mano / 786

Las venas de la mano / 789

Los nervios de la mano / 789

- o Anatomía de superficie de la mano / 793

Las articulaciones del miembro superior / 796

La articulación esternoclavicular / 796

La articulación acromioclavicular / 799

La articulación escapulo-humeral (hombro) / 803

La articulación de codo / 810

La articulación radiocubital proximal / 815

La articulación radiocubital distal / 818

La articulación de la muñeca / 818

- Las articulaciones intercarpianas / 822
- Las articulaciones carpometacarpiana
e intermetacarpiana / 824
- Las articulaciones metacarpofalángicas
e interfalángicas / 824
- ◊ **Imágenes médicas del miembro superior / 825**
 - Radiografía / 825
 - Ecografía / 830
 - Arteriografía / 831
 - Tomografía computarizada / 831
 - Resonancia magnética / 833
- Estudio de casos clínicos / 834
- Comentario a los casos / 839

La cabeza

- El cráneo / 848
 - La cara anterior del cráneo / 850
 - Cara lateral del cráneo / 854
 - Cara posterior del cráneo / 855
 - Cara superior del cráneo / 855
 - Cara externa de la base del cráneo / 855
 - Cara interna de la base del cráneo / 858
 - Paredes de la cavidad craneal / 863
- La cara / 866
 - Los músculos de la cara / 866
 - Los nervios de la cara / 873
 - La vascularización de la cara / 881
 - La glándula parótida / 885
- El cuero cabelludo / 888
 - Las capas del cuero cabelludo / 888
 - Los nervios del cuero cabelludo / 889
 - La vascularización del cuero cabelludo / 889
- Las meninges craneales / 892
 - La duramadre / 892
 - La piamadre y la aracnoides / 902
 - Los espacios meníngeos / 902
- El encéfalo / 904
 - Las porciones del encéfalo / 904
 - El sistema ventricular del encéfalo / 906
 - La vascularización del encéfalo / 910
 - El drenaje venoso del encéfalo / 915
- La órbita / 915
 - Los párpados y el aparato lacrimal / 917
 - El contenido de la órbita / 920
 - Los músculos de la órbita / 925
 - La inervación de la órbita / 929
 - La vascularización de la órbita / 930
 - ◊ **Anatomía de superficie del globo ocular, párpados
y aparato lacrimal / 932**
- La región temporal / 933
 - La fosa temporal / 933
 - La fosa infratemporal / 934
- La articulación temporomandibular (ATM) / 940
- La región oral / 944
 - La cavidad oral / 944

- Los labios, las mejillas y las encías / 945
- Los dientes / 948
- El paladar / 952
- La lengua / 957
- Las glándulas salivares / 965
- La fosa pterigopalatina / 967
 - El contenido de la fosa pterigopalatina / 967
- La nariz / 968
 - La porción externa de la nariz / 969
 - Las cavidades nasales / 972
 - Los senos paranasales / 976
- El oído / 980
 - El oído externo / 980
 - El oído medio / 985
 - El oído interno / 989
- ◊ **Imágenes médicas de la cabeza / 995**
 - Radiografía / 995
 - Tomografía computarizada / 999
 - Resonancia magnética / 999
 - Ecografía / 999
- Estudio de casos clínicos / 1002
- Comentario a los casos / 1006

El cuello

- Los huesos del cuello / 1015
 - Las vértebras cervicales / 1015
 - El hueso hioides / 1016
- La fascia del cuello / 1017
 - La fascia cervical superficial / 1017
 - La fascia cervical profunda / 1017
- Los músculos superficiales y laterales del cuello / 1019
 - El músculo platisma / 1019
 - El músculo esternocleidomastoideo / 1020
 - El músculo trapecio / 1021
- Los triángulos del cuello / 1022
 - El triángulo cervical posterior / 1023
 - El triángulo cervical anterior / 1033
 - ◊ **Anatomía de superficie de los triángulos
del cuello / 1042**
- Las estructuras profundas del cuello / 1043
 - Músculos prevertebrales / 1043
 - Raíz del cuello / 1044
- Las vísceras del cuello / 1050
 - La capa endocrina de las vísceras cervicales / 1050
 - La capa respiratoria de las vísceras cervicales / 1057
 - La capa alimentaria de las vísceras cervicales / 1069
- Los vasos linfáticos del cuello / 1082
 - ◊ **Anatomía de superficie del cuello / 1083**
- ◊ **Imágenes médicas del cuello / 1086**
 - Radiografía / 1086
 - Tomografía computarizada / 1087
 - Resonancia magnética / 1087
 - Ecografía / 1089
- Estudio de casos clínicos / 1091
- Comentario a los casos / 1096

Resumen de los nervios craneales

Descripción de los nervios craneales / **1104**

El nervio olfatorio (NC I) / **1105**

El nervio óptico (NC II) / **1110**

El nervio oculomotor (NC III) / **1114**

El nervio troclear (NC IV) / **1115**

El nervio trigémino (NC V) / **1116**

El nervio abducens (NC VI) / **1118**

El nervio facial (NC VII) / **1120**

 Función motora branquial / **1120**

 Sensibilidad general / **1120**

 Gusto (sentido especial) / **1120**

El nervio vestibulococlear (NC VIII) / **1124**

El nervio glosofaríngeo (NC IX) / **1125**

 Sensibilidad (visceral general) / **1126**

 Gusto (sensibilidad especial) / **1126**

 Función motora branquial / **1126**

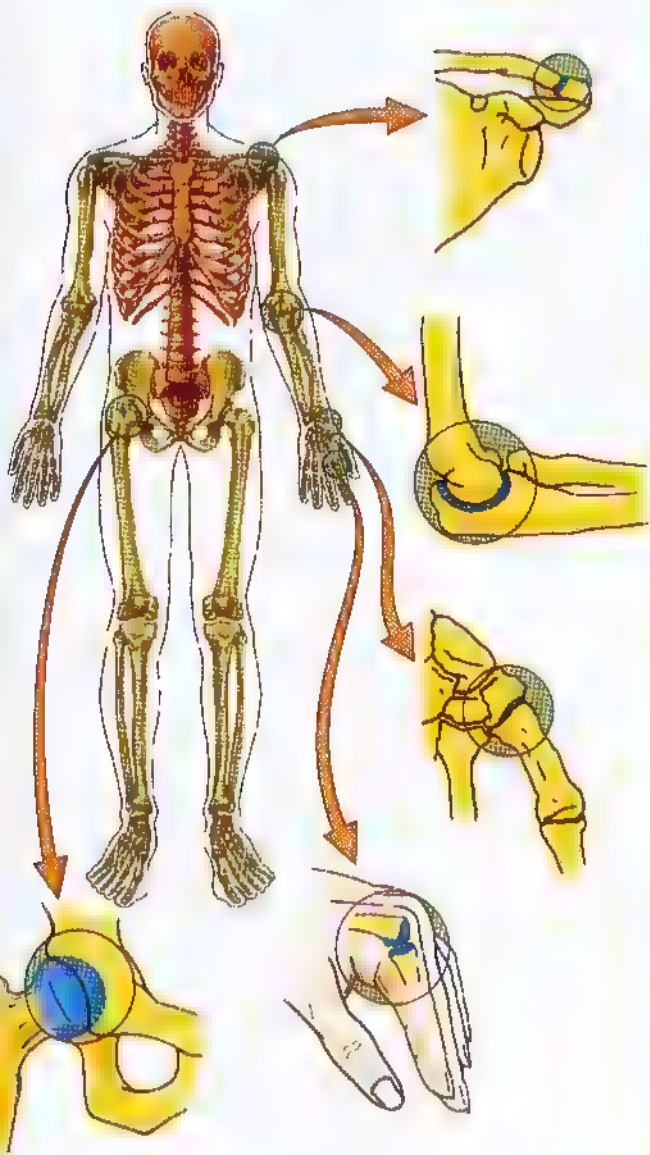
El nervio vago (NC X) / **1128**

El nervio accesorio (NC XI) / **1130**

El nervio hipogloso (NC XII) / **1131**

Índice / **1135**

Introduzione al trattamento con celastrol allergico



La anatomía, estudio de la estructura y de la función corporales, es una de las ciencias médicas básicas más antiguas. Su estudio formal se inició en Egipto (aproximadamente 500 a.C.). Las primeras descripciones anatómicas se escribieron sobre papiros (juncos de papel) entre los años 3000 y 2500 a.C. (Persaud, 1984). Mucho más tarde, *Hipócrates* (460-377 a.C.) enseñaba anatomía humana en Grecia. A Hipócrates se le considera el padre de la medicina y el fundador de la ciencia anatómica. Además del *Juramento Hipocrático*, escribió varias obras sobre anatomía. En una de ellas afirmaba: "La naturaleza del cuerpo es el origen de la ciencia médica." *Aristóteles* (384-322 a.C.) fue el primero que utilizó el término de *anatome*, voz griega que significa "cortar o separar". El término latino *dissecare* posee un significado parecido.

La obra maestra de Vesalio *De Humani Corporis Fabrica*, publicada en 1543, marcó una nueva era en la historia de la medicina. De repente, el estudio de la anatomía se convirtió en una disciplina objetiva, basada en observaciones directas, así como en principios científicos. *Jerónimo Fabricio* (1537-1619) construyó en 1594 el famoso anfiteatro anatómico de Padua. Fue uno de los maestros de *William Harvey* y se cree que el descubrimiento de las válvulas venosas por Fabricio permitió que Harvey descubriera la circulación de la sangre. La publicación del libro *Exercitatio Anatomica De Motu Cordis et Sanguinis in Animalibus* de Harvey en 1628, sobre el movimiento del corazón y la circulación de la sangre en los animales, representa un hito en la historia de la medicina (Persaud, 1997). Las disecciones humanas constituyeron un rasgo notable de las escuelas europeas de medicina del siglo XVII, y muchas ciudades establecieron museos de anatomía.

En los siglos XVIII y XIX los anatomistas editaron tratados excelentes y lujosos atlas con ilustraciones, donde se presentaban las nuevas normas para la representación del cuerpo humano. La escasez de cadáveres para la disección y las clases de anatomía obligaron a la obtención de cuerpos humanos por medios ilícitos. Los profanadores profesionales de tumbas proveían de cadáveres a las escuelas de anatomía e incluso llegaban a matar a las víctimas. Los propios estudiantes de medicina y sus profesores participaron en el robo de cadáveres (Persaud, 1997). El Parlamento británico aprobó la *Ley de Anatomía* en 1832 y estableció las disposiciones legales para que las escuelas de medicina recibieran cuerpos no reclamados o donados para los estudios de anatomía. Este sistema allanó el camino para las legislaciones de la misma índole de otros países.

Métodos para el estudio de la anatomía

En esta obra se trata, en esencia, la *anatomía humana macroscópica*, es decir, el examen de las estructuras corporales que se puede efectuar sin un microscopio. Los tres métodos bási-

cos para el estudio de la anatomía son: regional, sistémico y clínico.

- La **anatomía regional** (anatomía topográfica) es un método para el estudio del cuerpo por regiones, como el tórax o el abdomen. La anatomía de superficie constituye un elemento esencial para el estudio de la anatomía regional. Los recuadros de *anatomía de superficie* de esta obra ofrecen una información visible sobre las estructuras que se sitúan debajo de la piel y las que se perciben al tacto (palpables), como, por ejemplo, el hígado.
- La **anatomía sistémica** es un método para el estudio del cuerpo por sistemas, por ejemplo, el sistema o aparato circulatorio y el reproductor.
- La **anatomía clínica** destaca la estructura y la función, así como sus relaciones con el ejercicio de la medicina y otras ciencias de la salud. Los *recuadros de correlación clínica* de este libro muestran las aplicaciones prácticas de la anatomía (pág. 13).

Estos métodos para el estudio de la anatomía dan una visión tridimensional de las estructuras orgánicas.

Anatomía regional

La **anatomía regional** es el estudio de las regiones corporales (fig. I.1). Este método se ocupa de las relaciones estructurales entre las partes del cuerpo situadas en la región examinada. La mayoría de los cursos de laboratorio se basan en *disecciones regionales* (p. ej., del tórax). La computadora representa una herramienta valiosa para la enseñanza de la anatomía regional (Cahill y Leonard, 1997), porque facilita algunos aspectos de la docencia, como la visualización de la tomografía computarizada (TC), la resonancia magnética (RM), la manipulación de las reproducciones anatómicas tridimensionales y las separaciones por capas de los tejidos disecados. Las *prosecciones*, es decir, disecciones preparadas con esmero para exponer las estructuras anatómicas, también resultan útiles; sin embargo, el aprendizaje mejora y la capacidad de retención aumenta al máximo cuando el estudio se combina con la experiencia de la disección (Mutyla y Cahill, 1996).

Durante la disección se observan, palpan y mueven las partes del cuerpo. En 1770, el *Dr. William Hunter*, un prestigioso anatomista y obstetra escocés, señaló:

La disección sola nos enseña dónde podemos cortar o inspeccionar el organismo vivo con tranquilidad y prontitud.

La **anatomía de superficie** constituye un método para el examen anatómico del cuerpo vivo en reposo o durante la acción. Se puede aprender mucho observando la superficie del cuerpo y las estructuras subyacentes. El objetivo de este método consiste en visualizar (crear imágenes mentales diferentes) las estructuras palpables bajo la piel. Por ejemplo, ante un sujeto con una herida punzante, el médico debería ver las estructuras profundas que podrían encontrarse dañadas. El conocimiento de la anatomía de superficie ahorra la

Leyenda		
Cabeza/cuello	Tórax	Abdomen
Miembro inferior	Dorso	Miembro superior
Pelvis/períneo		

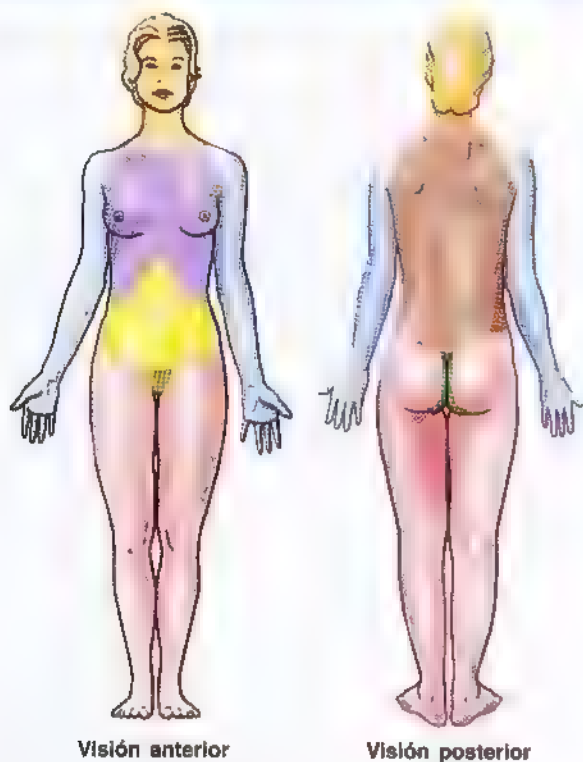


Figura 1.1. Regiones corporales. Todas las descripciones se expresan con relación a la posición anatómica que se ilustra

memorización inútil de hechos, porque el cuerpo está siempre al alcance para la observación y la palpación.

La *exploración física* de un sujeto es una aplicación clínica de la anatomía de superficie. La palpación representa una técnica clínica para el examen de la anatomía viva. Así, la *palpación de los pulsos arteriales* forma parte de toda exploración física. Usted aprenderá el manejo de instrumentos para observar distintas regiones del cuerpo, como el *ofalmoescopio* para el estudio de los ojos, o para escuchar algunas partes del cuerpo (p. ej., el *estetoscopio* para auscultar el corazón y los pulmones). Asimismo, empleará un *martillo de reflejos* para el estudio funcional de los nervios y de los músculos. Cuando lea los recuadros de anatomía de superficie del texto, procure asociar la anatomía viva con la que usted aprenda en las conferencias y clases prácticas.

Anatomía sistémica

La anatomía sistémica consiste en el estudio de los sistemas o aparatos corporales. Estos sistemas y sus ramas de estudio (entre paréntesis) son:

- El *sistema de tegumentos (dermatología)* consta de la piel (*integumentum* en latín, es decir, cubierta) y sus anejos:

el pelo, las uñas y las glándulas sudoríparas, por ejemplo. La piel, un órgano sensitivo extenso, crea una cubierta protectora que envuelve el cuerpo.

- El *sistema esquelético (osteología)* se compone de los huesos y de los cartílagos; da soporte al cuerpo y sirve para que los músculos creen el movimiento al actuar sobre ellos. Además, protege órganos vitales, como el corazón, los pulmones o los órganos de la pelvis.
- El *sistema articular (artrología)* está formado por las articulaciones y los ligamentos asociados que conectan las partes óseas del sistema esquelético y permiten los movimientos. Por eso, gran parte de los sistemas esquelético, articular y muscular constituye el *aparato locomotor* y se coordina para lograr la locomoción. Las estructuras responsables de la locomoción son los músculos, los huesos, las articulaciones y los ligamentos de los miembros, así como las arterias, las venas y los nervios, que aportan el oxígeno y los nutrientes, eliminan los desechos y estimulan a las primeras.
- El *sistema muscular (miología)* consta de músculos que se contraen para mover las partes del cuerpo (p. ej., los huesos que se articulan en las uniones articulares o articulaciones).
- El *sistema nervioso (neurología)* está integrado por el *sistema nervioso central* (encéfalo y médula espinal) y el *sistema nervioso periférico* (nervios craneales y medulares), junto con las terminaciones motoras y sensitivas. El sistema nervioso controla y coordina las funciones de órganos como el corazón y otras estructuras (p. ej., músculos) y relaciona el cuerpo con el medio.
- El *aparato o sistema circulatorio (angiología)* se compone de los aparatos cardiovascular y linfático, que funcionan de modo paralelo. El *aparato cardiovascular* consta del corazón y de los vasos sanguíneos que impelen y conducen la sangre por el organismo. El *sistema linfático* es una red de vasos que elimina el exceso del líquido intersticial (linfa) del compartimiento extracelular, lo filtra por los ganglios linfáticos y lo devuelve al torrente sanguíneo.
- El *aparato digestivo o alimentario (gastroenterología)* se compone de los órganos que se ocupan de la ingestión, masticación, deglución, digestión y absorción de los alimentos, así como de la eliminación de las heces (residuo sólido) que sobran una vez absorbidos los nutrientes.
- El *aparato o sistema respiratorio (neumología)* consta de las vías respiratorias y de los pulmones, que suministran el oxígeno al cuerpo y eliminan el dióxido de carbono.
- El *aparato o sistema urinario (urología)* está integrado por los riñones, uréteres, vejiga urinaria y uretra, que filtran la sangre para luego producir, transportar, almacenar y eliminar de forma intermitente la orina (desecho líquido), respectivamente.
- El *aparato reproductor o genital (ginecología en la mujer y andrología en el varón)* se compone de los genitales (p. ej.,

ovarios, testículos y genitales externos) que intervienen en la reproducción.

- El *sistema endocrino (endocrinología)* lo forman glándulas carentes de conductos, como la glándula tiroides, que producen hormonas. Las hormonas son conducidas por el aparato circulatorio hasta todas las regiones del organismo. Estas glándulas modifican el metabolismo y otros procesos, como el ciclo menstrual.

Anatomía clínica

La anatomía clínica pone de relieve la estructura y la función del cuerpo que tienen interés para el ejercicio de la medicina, estomatología y ciencias relacionadas de la salud. Incorpora los métodos regional y sistémico para el estudio de la anatomía y destaca sus aplicaciones clínicas. Las técnicas de *endoscopia e imagen* (p. ej., examen del interior del estómago) también enseñan la anatomía viva. La anatomía clínica resulta extraordinariamente atractiva por el énfasis que pone en los problemas clínicos. Los *estudios de casos* y las *preguntas con orientación clínica*, que forman parte esencial de esta obra, integran también el método anatómico clínico para el estudio de la anatomía.

Terminología anatomicomédica

La anatomía y la medicina poseen un vocabulario internacional. Es posible que usted conozca los términos comunes de los componentes y regiones del cuerpo humano, pero deberá aprender la nomenclatura correcta (axila en lugar de sobaco y clavícula en lugar de hueso largo del cuello, por ejemplo), porque facilita una comunicación precisa entre los profesionales sanitarios del mundo entero y también los estudiantes de las ciencias básicas y aplicadas de la salud. De todos modos, también deberá conocer los nombres comunes para que entienda a los pacientes cuando describan sus molestias. Por otro lado, conviene que usted emplee términos que ellos puedan entender cuando les explique los problemas médicos.

La terminología de este libro se adapta a la nueva *Terminología Anatómica: Terminología Anatómica Internacional* (Comité Federativo de Terminología Anatómica, 1998), que es la obra de referencia sobre léxico anatómico. Los términos anatómicos de la obra inglesa se expresan en latín, pero, en general, se añaden también los equivalentes ingleses (p. ej., el músculo del hombro, *musculus deltoideus*, es el músculo deltoides; en inglés, *deltoid muscle*). Por desgracia, la terminología que se utiliza en los hospitales difiere en muchos casos de la oficial. Como esta discrepancia causa confusión, el texto aclara los términos más confusos, señalando las designaciones no oficiales cuando se utiliza dicho término por vez primera, por ejemplo, *trompa auditiva* (trompa de Eustaquio) o *arteria torácica interna* (arteria mamaria interna). Los *epónimos*, términos que aluden al nombre de personas, no se emplean en la nueva termino-

logía porque no aportan pista alguna sobre el tipo o la localización de las estructuras afectadas. Además, algunos epónimos no son muy precisos desde el punto de vista histórico; así, Poupart no fue el primer anatomista que describió el ligamento inguinal (ligamento de Poupart). De cualquier forma, los epónimos habituales aparecen (en este libro) cuando se utiliza el término por vez primera, para evitar la ambigüedad (p. ej., *ángulo esternal* [ángulo de Louis]). Obsérvese que el término epónimo no indica que dicho ángulo se encuentre en el esternón.

La terminología anatómica incluye una gran parte de la terminología médica. Usted necesita expresarse con claridad para que le entiendan y ha de emplear los términos apropiados de la manera correcta. La mayoría de ellos provienen del latín y del griego y, por este motivo, el lenguaje médico parece al principio difícil. Sin embargo, a medida que conozca el origen de los términos, empezará a entender su significado (Squires, 1986; Willis, 1995). Por ejemplo, el término *caduca* se utiliza para describir la túnica del útero gestante y proviene del latín (significa “caída”). Este término resulta apropiado porque el endometrio se desprende (cae) o se expulsa después de que nace el bebé, de la misma manera que caen las hojas de los árboles caducos cuando concluye el verano.

Para describir el cuerpo humano de una forma clara y señalar la posición de sus partes y órganos, los anatomistas de todo el mundo acordaron emplear los mismos términos descriptivos de posición y dirección. Como los clínicos también usan las mismas palabras, conviene aprenderlas bien. Ejercite su uso para que sepa lo que dice cuando describa las partes del cuerpo en la historia clínica o durante la exposición de un caso clínico.

Posición anatómica

Todas las descripciones anatómicas se expresan con relación a la posición anatómica, para evitar cualquier ambigüedad (fig. 1.1). La posición anatómica es aquella en la que la persona permanece de pie, cualquiera que sea su posición real, de la siguiente forma:

- La cabeza, los ojos y los dedos de los pies se dirigen en sentido anterior (hacia delante).
- Los miembros superiores cuelgan con las palmas mirando en dirección anterior (al frente).
- Los miembros inferiores y los pies se dirigen hacia delante.

Esta es la posición anatómica adoptada en todo el mundo para las descripciones anatomicomédicas. Partiendo de esta posición, se puede relacionar cualquier parte del cuerpo con las demás. Si bien la gravedad determina un desplazamiento inferior de las vísceras erectas, muchas veces es necesario describir la posición de los órganos en la posición de decúbito supino, porque ésta es la que adoptan la mayoría de las personas durante la exploración. Por eso, visualice mentalmente la posición anatómica siempre que

describa a un paciente (o un cadáver) tumbado sobre uno de los lados, en decúbito supino (tumbado con la cara mirando hacia arriba) o en decúbito prono (tumbado con la cara hacia abajo).

Planos anatómicos

Las descripciones anatómicas se sustentan en cuatro planos imaginarios (medio, sagital, coronal y horizontal) que atraviesan el cuerpo en la posición anatómica (fig. 1.2):

- El **plano medio** es el plano vertical que atraviesa el cuerpo en sentido longitudinal y lo divide en dos mitades, derecha e izquierda. El *plano sagital medio* es un término superfluo para indicar el plano medio (O'Rahilly, 1997). La denominación parasagital que utilizan los neuroanatomistas y los neurólogos tampoco es necesaria, porque todo plano paralelo al mediano es, por definición, sagital. Un plano que se aproxime al medio es *paramediano*.
- Los **planos sagitales** son planos verticales que atraviesan el cuerpo de forma *paralela al plano medio*. Conviene disponer de un punto de referencia y nominar la estructura cordada por el plano al que se hace mención; por ejemplo, un plano sagital que pase por el punto central de la clavícula.

- Los **planos coronales** son planos verticales que atraviesan el cuerpo de forma *perpendicular al plano medio* y los dividen en las porciones anterior (frontal) y posterior (dorsal).
- Los **planos horizontales (transversales)** atraviesan el cuerpo de forma *perpendicular a los planos medio y coronal*. Un plano horizontal divide el cuerpo en una parte superior (craneal) y otra inferior (caudal). Conviene tomar un punto de referencia para identificar el nivel del plano, por ejemplo "plano horizontal umbilical". Los radiólogos hablan de planos transaxiales o simplemente *axiales* para hacer referencia a los planos horizontales perpendiculares al eje longitudinal del cuerpo y de los miembros.

De ordinario, las secciones de los planos coronales y horizontales son simétricas y atraviesan los elementos derecho e izquierdo de las estructuras pares, es decir, permiten cierta comparación. El número de planos sagitales, coronales y horizontales es ilimitado. La utilidad esencial de los planos anatómicos radica en la descripción de secciones.

Los anatomistas crean secciones anatómicas del cuerpo y de sus regiones (fig. 1.3) y los clínicos las elaboran mediante imágenes planares, como la TC, para describir y visualizar las estructuras internas. Las secciones ofrecen imágenes del cuerpo, como si estuviera cortado o seccionado a lo largo de planos concretos.

- Las **secciones longitudinales** discurren a lo largo del eje longitudinal del cuerpo o de cualquiera de sus partes; este

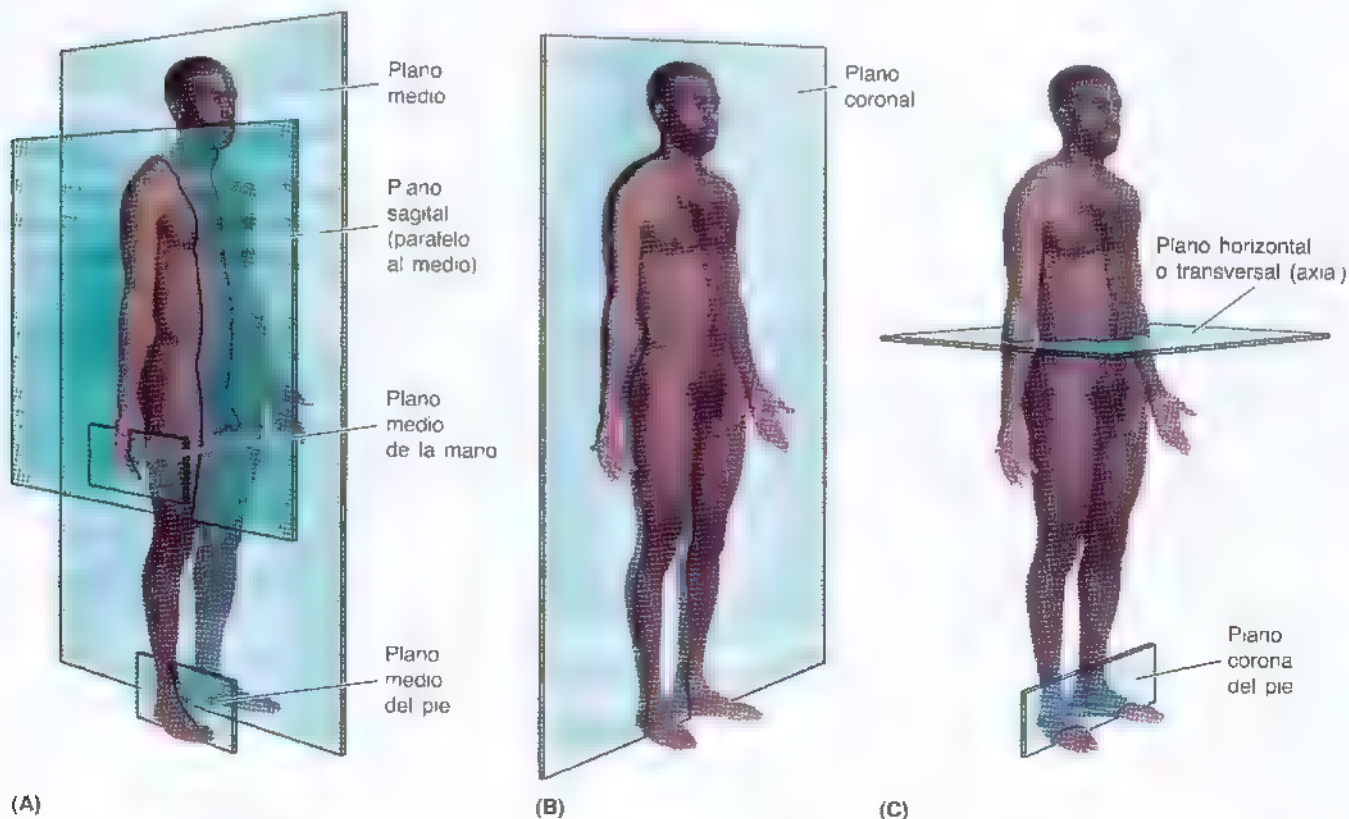


Figura 1.2. Planos anatómicos. Se ilustran los planos principales de referencia del cuerpo humano

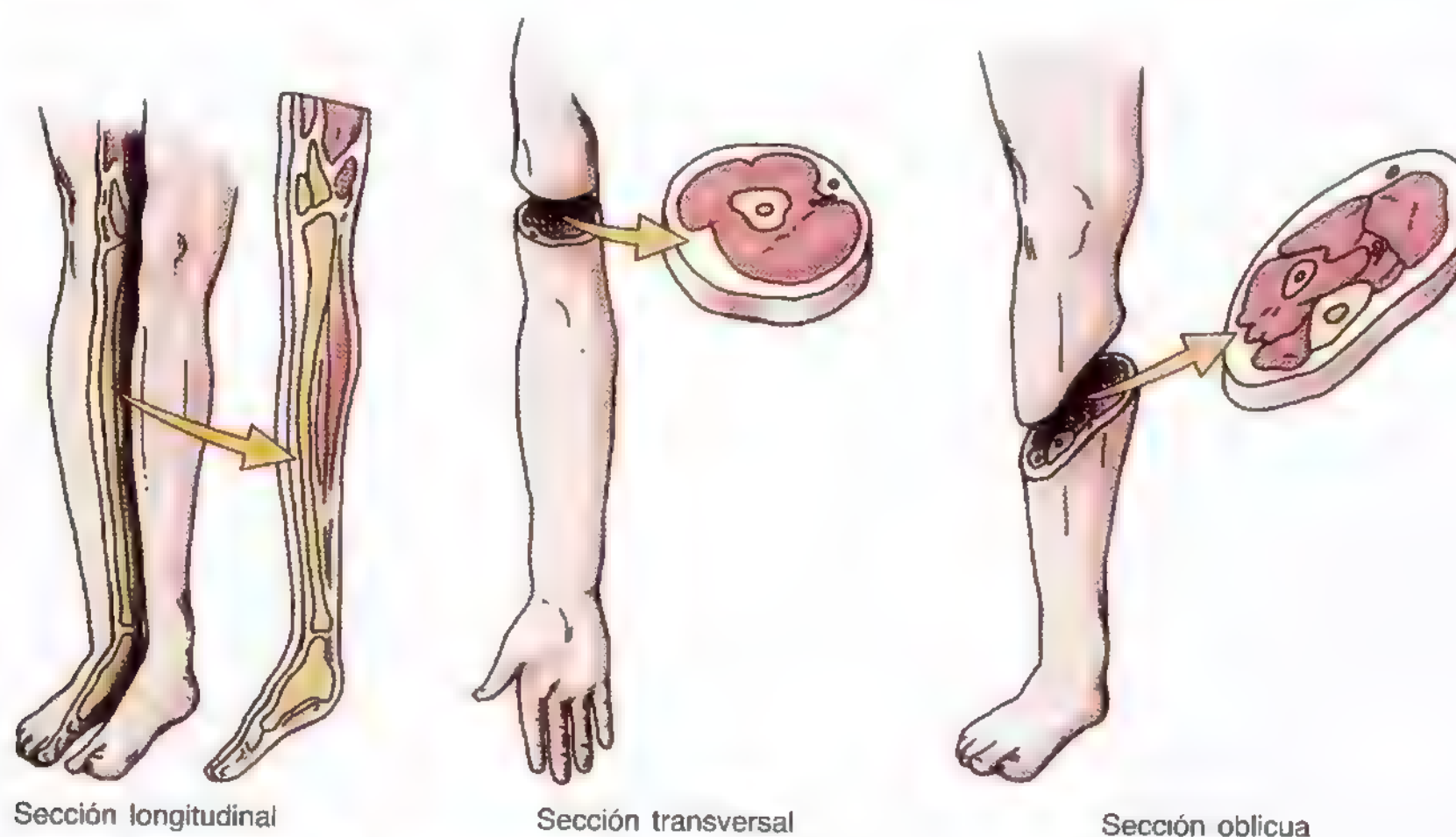


Figura 1.3. Secciones de los miembros. Las secciones se obtienen a través de cortes anatómicos o técnicas de imagen.

término se aplica con independencia de la posición del cuerpo.

- Las **secciones transversales** son “rodajas” del cuerpo o de sus regiones que se cortan de forma perpendicular al eje longitudinal del cuerpo o de la región concreta; los cortes transversales del pie se practican en el plano coronal (fig. 1.2C).
- Las **secciones oblicuas** son cortes del cuerpo o de sus regiones que no siguen uno de los planos anatómicos antedichos. En la práctica, muchas imágenes radiológicas y secciones anatómicas no se sitúan de manera precisa en los planos sagital, coronal u horizontal, sino más bien en un plano algo oblicuo.

Términos de relación y comparación

Las relaciones entre las partes del cuerpo, en la posición anatómica, se describen con diversos adjetivos, dispuestos en forma de parejas de antónimos; con ellos se compara la posición relativa de dos estructuras (fig. 1.4).

Superficial, intermedio y profundo son términos que se utilizan en las disecciones para describir la posición de una estructura, como un músculo, con respecto a otras, como la piel y los huesos.

Medial es una voz que indica que una determinada estructura (en su posición anatómica), como el dedo meñique de la mano, está próxima o más cercana al plano medio. En cambio, **lateral** señala que dicha estructura, por ejemplo, el primer dedo de la mano, el pulgar, se encuentra más alejada del plano medio. Los términos lateral y medial no son sinónimos de *externo* (exterior) e *interno* (interior). Externo e interno significan que se aleja o se acerca al centro de un órgano o cavidad, respectivamente.

Posterior denota la superficie dorsal del cuerpo o que se aproxima a ella. Como las personas se mantienen erguidas, el término **dorsal** (utilizado para describir la espalda de los animales cuadrúpedos) se puede intercambiar con posterior, y, de hecho, los embriólogos y los neuroanatomistas lo prefieren (p. ej., astas dorsales de la sustancia gris de la médula espinal). **Anterior** denota la superficie frontal del cuerpo y equivale a **ventral**. Los neuroanatomistas prefieren ventral porque puede aplicarse tanto a los seres humanos como a los animales que se emplean para los estudios neuroanatómicos. A menudo se emplea *rostral* en lugar de anterior cuando se describen determinadas partes del encéfalo; quiere decir que se dirige al *rostrum* (en latín significa pico o nariz); sin embargo, en el ser humano indica que se aproxima a la parte anterior de la cabeza (p. ej., el lóbulo frontal del cerebro es rostral al cerebelo).

Inferior se refiere a una estructura situada en la proximidad de las plantas de los pies. **Caudal** hace referencia a la cola (en latín, *cauda*) y es un término direccional útil para hacer mención de la región caudal del tronco, representada por el cóccix, pequeño hueso situado en el extremo inferior (caudal) de la columna vertebral. El término caudal se utiliza en embriología, porque el embrión posee cola hasta la mitad de la octava semana (Moore y Persaud, 1998). **Superior** alude a toda estructura que se acerque al vértice del cráneo. **Craneal** es lo que tiene relación con el cráneo y representa un término direccional útil para referirse a la cabeza.

Los **términos combinados** describen posiciones intermedias, como, por ejemplo:

- **Inferomedial** significa que se acerca a los pies y al plano medio; por ejemplo, la parte anterior de las costillas tiene una dirección inferomedial.

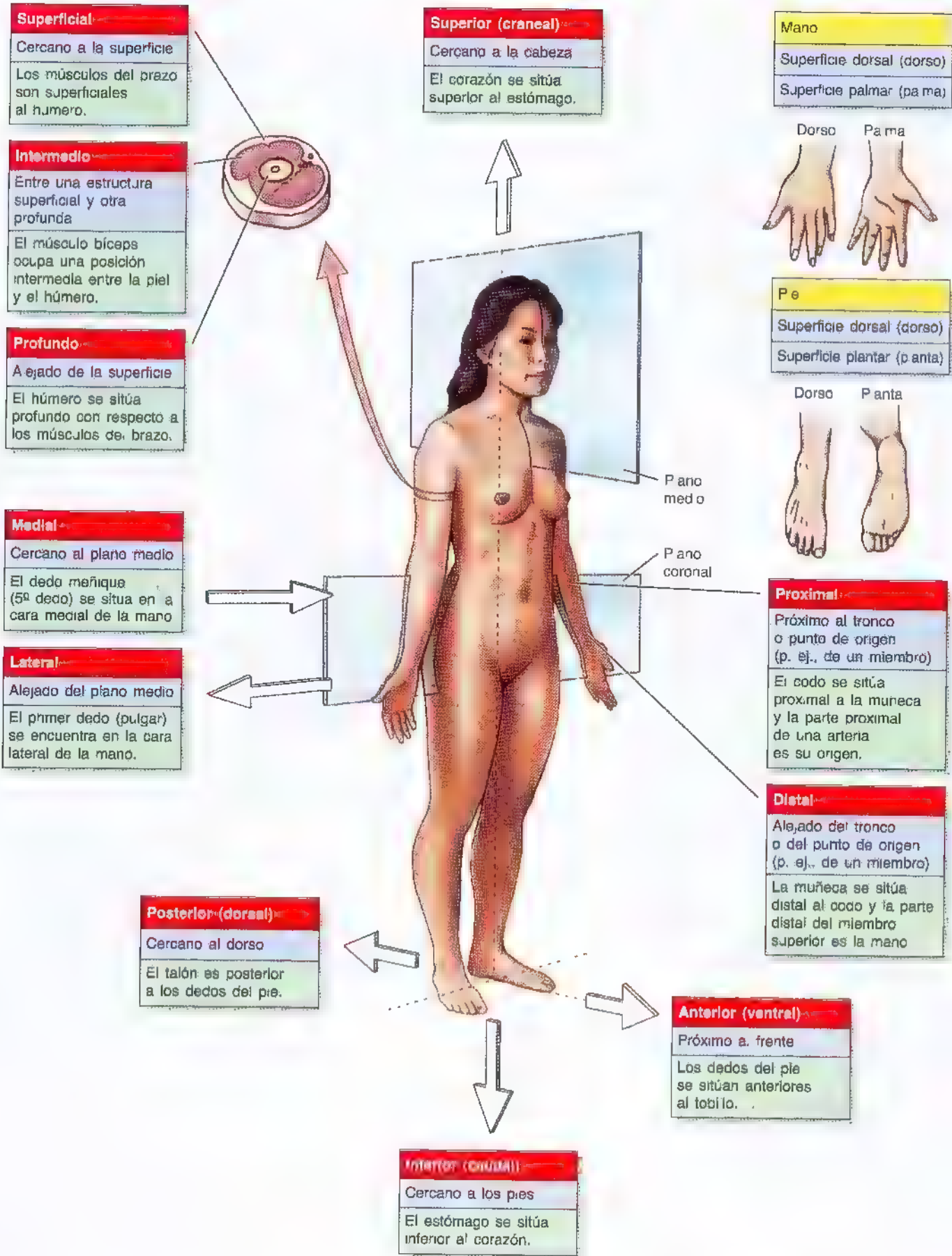


Figura 1.4. Términos de relación y comparación. Estos términos describen la posición relativa de cada estructura

- *Superolateral* quiere decir que se acerca a la cabeza y se aleja del plano medio.

Proximal y **distal** son otros términos direccionales que se usan para comparar posiciones cercanas a la inserción (proximal) o al origen de un miembro o estructura, o bien alejadas de la inserción (distal) o del origen.

Dorso se refiere a la cara dorsal de cualquier parte que sobresalga del organismo en sentido anterior, como el *dorso de la lengua, del pene o del pie*. Es más fácil comprender por qué estas superficies se denominan dorsales si se piensa en un animal plantígrado que camine sobre las plantas, como el oso. La **planta** indica la cara inferior del pie, que suele mantenerse en contacto con el suelo al caminar con el pie desnudo. La **palma** hace referencia a la concavidad de la mano, propia del pulgar y de los dedos, y es la cara opuesta al dorso de la mano.

Términos de lateralidad

Las estructuras pares cuentan con elementos derecho e izquierdo (p. ej., los riñones) y son *bilaterales*, mientras que las que sólo se encuentran en uno de los lados (p. ej., el bazo) son *unilaterales*.

Ipsolateral significa al mismo lado del cuerpo; el pulgar derecho y el dedo gordo derecho son ipsolaterales, por ejemplo.

Contralateral quiere decir al lado opuesto del cuerpo; la mano derecha es contralateral a la izquierda.

Términos de movimiento

Existen varios términos que describen los movimientos de los miembros y otras partes del cuerpo (fig. 1.5). Los movimientos tienen lugar en las articulaciones, donde se unen dos o más huesos o cartílagos entre sí.

La **flexión** significa doblar o *reducir el ángulo* entre los huesos o partes del organismo. La flexión del miembro superior por el codo es anterior, y la flexión del miembro inferior por la rodilla, posterior. La **dorsiflexión** describe la flexión del tobillo que ocurre al subir cuestas o levantar los dedos del suelo. La **flexión plantar** es aquella en la que el pie o los dedos se doblan hacia la cara plantar (p. ej., al levantarse sobre la punta de los dedos).

La **extensión** indica el enderezamiento o *aumento del ángulo* entre los huesos o partes del cuerpo. La extensión suele ocurrir en dirección posterior, si bien la del miembro inferior sobre la rodilla es anterior. La extensión de un miembro o parte del mismo más allá del límite normal —**hiperextensión** (sobrecextensión)— puede causar una lesión como el “latigazo” (p. ej., hiperextensión del cuello durante una colisión automovilística trasera). Existe una excepción notable en el tobillo: cuando se extiende el pie se produce una **flexión** plantar (p. ej., al levantarse sobre la punta de los dedos).

La **separación** (**abducción**) indica el alejamiento de una estructura situada en el plano coronal (p. ej., cuando se sepa-

ra el miembro superior del tronco) con relación al plano medio. La **separación de los dedos** (de la mano o del pie) significa el alejamiento de los dedos entre sí; los dedos de la mano se separan del tercero o dedo medio, y los del pie, del segundo.

La **aproximación** (**aducción**) indica el acercamiento de una estructura situada en el plano coronal en dirección al plano medio (p. ej., al llevar los brazos al tronco). La **aproximación de los dedos** se refiere al acercamiento de ellos hacia el plano medio de la mano; los demás dedos se aproximan al tercero (dedo medio).

Si mira atentamente la uña del pulgar (lateral, en lugar de posterior, en posición anatómica) comprobará que el pulgar gira 90° con respecto a los demás dedos. Por consiguiente, el pulgar:

- Se flexiona y extiende en el plano coronal.
- Se separa y aproxima en el plano sagital.

La **rotación** quiere decir el giro o revolución de una parte del cuerpo alrededor de su eje longitudinal, como sucede al girar la cabeza a un lado. La **rotación medial** (rotación interna) aproxima la cara anterior de un miembro al plano medio, mientras que la **rotación lateral** (rotación externa) aleja la cara anterior del plano medio.

La **circunducción** es un movimiento circular que combina la flexión, extensión, separación y aproximación, de tal suerte que el extremo distal de la estructura efectúa un círculo. La circunducción puede suceder en cualquier articulación que disponga de todos los movimientos anteriores (p. ej., la cadera).

La **oposición** es el movimiento por el que la yema del primer dedo (pulgar) entra en contacto con otra yema digital. Este movimiento se utiliza para pellizcar, abrochar el botón de la camisa o alzar una taza de té por el asa. La **reposición** describe el movimiento que realiza el primer dedo desde la posición de oposición hasta su posición anatómica.

La **protrusión** es un movimiento anterior, como el que efectúa la mandíbula al levantar el mentón. La **retrusión** es un movimiento posterior, como el que se efectúa al encoger la mandíbula. Los términos **protracción** y **retracción**, similares, suelen utilizarse para los movimientos anterior y posterior del hombro.

La **elevación** levanta o desplaza una estructura en sentido superior, como sucede al encogerse de hombros. La **depresión** baja o desplaza una estructura en sentido inferior, como ocurre al descender los hombros en una posición erecta y relajada.

La **eversión** significa el alejamiento de la planta del pie del plano medio (giro lateral de la planta). Cuando el pie se halla totalmente evertido, también muestra una flexión dorsal. La **inversión** mueve la planta del pie hacia el plano medio (la planta mira en dirección medial). Cuando el pie está totalmente invertido también presenta una flexión plantar.

La **pronación** es un movimiento del antebrazo y de la mano, por el que el radio rota medialmente sobre su eje

longitudinal, de forma que la palma de la mano mira en dirección posterior, y el dorso, en dirección anterior. Cuando se flexiona el codo, la pronación hace que la palma de la mano mire a la cara inferior (p. ej., al colocar las palmas sobre una mesa). Si se aplica al pie, la pronación significa la combinación de eversion y separación que determina un descenso del borde medial del pie. La **supinación** es el movimiento del antebrazo y de la mano, por el que el radio gira lateralmente sobre su eje longitudinal, de suerte que el dorso de la mano mira en sentido posterior, y la palma, en sentido anterior (p. ej., al llevarlos a la posición anatómica). Cuando se flexiona el codo, la supinación mueve la palma de la mano de forma que mira en dirección superior. La supinación del pie suele comprender movimientos de elevación del borde medial.

Estructura terminológica

La anatomía es una ciencia descriptiva y exige la nominación de muchas estructuras y apófisis del cuerpo. Los estudiantes que inician los estudios de anatomía suelen verse desbordados por la multitud de nuevos términos anatómico-médicos. Por suerte, existen libros que ayudan a conocer el léxico (Squires, 1986; Willis, 1995). Muchos términos denotan la forma, el tamaño, la localización, la función o la semejanza de las estructuras entre sí.

Algunos músculos poseen nombres descriptivos que indican sus características esenciales: el *músculo deltoides* que cubre el extremo del hombro tiene forma triangular, como el símbolo *delta*, cuarta letra del alfabeto griego. El sufijo *-oide* significa "afín"; por eso, deltoides quiere decir "afín a la delta". *Biceps* y *triceps* son sinónimos, respectivamente, de dos y tres cabezas. El nombre de algunos músculos se adapta a su forma; por ejemplo, el *músculo piriforme* tiene forma de pera. Otros se denominan según su localización. El *músculo temporal* se encuentra en la región temporal (sien) del cráneo. A veces, el músculo se describe por su acción: por ejemplo, el músculo *elevador de la escápula* eleva la escápula (que significa hoja del hombro en latín). Por consiguiente, existen razones lógicas tras los nombres de los músculos y de otras partes del cuerpo, y si se conoce su significado y se reflexiona sobre él a medida que se lee y se disecciona, desaparecen los problemas para recordar la nomenclatura.

Abreviaturas terminológicas

Las abreviaturas terminológicas sirven a la brevedad en las historias clínicas y también en este y otros libros, como en las tablas de músculos, arterias o nervios e incluso al hablar. Las abreviaturas clínicas se emplean en las charlas y descripciones sobre los signos y síntomas. Aprender a utilizarlas también acelera la toma de notas. A continuación se muestran algunas abreviaturas anatómicas y clínicas comunes (modificadas de: A clinical anatomy curriculum for the medical student of the 21st century. Gross anatomy. *Clin Anat* 9:71-99, 1996,

a, aa.	arteria, arterias
AD	aurícula derecha del corazón
AI	aurícula izquierda del corazón
AIT	ataque isquémico transitorio; pérdida brusca de la función neurológica causada por un período breve de irrigación inadecuada del cerebro
AMI o VMI	arteria o vena mesentérica inferior
ant.	anterior
Ao.	aorta
AP	anteroposterior
ARM	angiografía por resonancia magnética
artic.	articulación
asc.	ascendente
ATM	articulación temporomandibular (articulación de la mandíbula)
AV	auriculovertebral o arteriovenoso, según el contexto
C1-C7(8)	vértebras cervicales (C1-C7)/segmentos medulares y nervios espinales (C1-C8)
CA	cáncer, carcinoma
Co.	cóccix/segmento medular coccígeo; nervio espinal coccígeo
com.	común
D	derecha (p. ej., en una radiografía)
desc.	descendente
EC	enfermedad coronaria
ECG	electrocardiograma; electrocardiografía
EEG	electroencefalograma
EID	espacio intercostal derecho
EII	espacio intercostal izquierdo; el latido de la punta del corazón suele auscultarse y palparse en el cuarto o quinto EII
EMG	electromiograma; electromiografía
ext.	extensor/externo
EID	fosa ilíaca derecha
EII	fosa ilíaca izquierda
FIV	fecundación <i>in vitro</i>
fl.	flexor
FPD	flexor profundo de los dedos
FSD	flexor superficial de los dedos
G.	griego (p. ej., en G. <i>zyon</i> , yugo)
GI	gastrointestinal (p. ej., tracto GI)
h.	hueso
HD	hipocondrio derecho
HI	hipocondrio izquierdo
I	izquierda
IF	interfalángico (p. ej., articulación IF de los dedos)
IFD	interfalángica distal (p. ej., articulación IFD de los dedos)
IFP	interfalángica proximal (p. ej., articulación IFP de los dedos)
IM	infarto de miocardio; muerte de parte del miocardio (músculo del corazón)

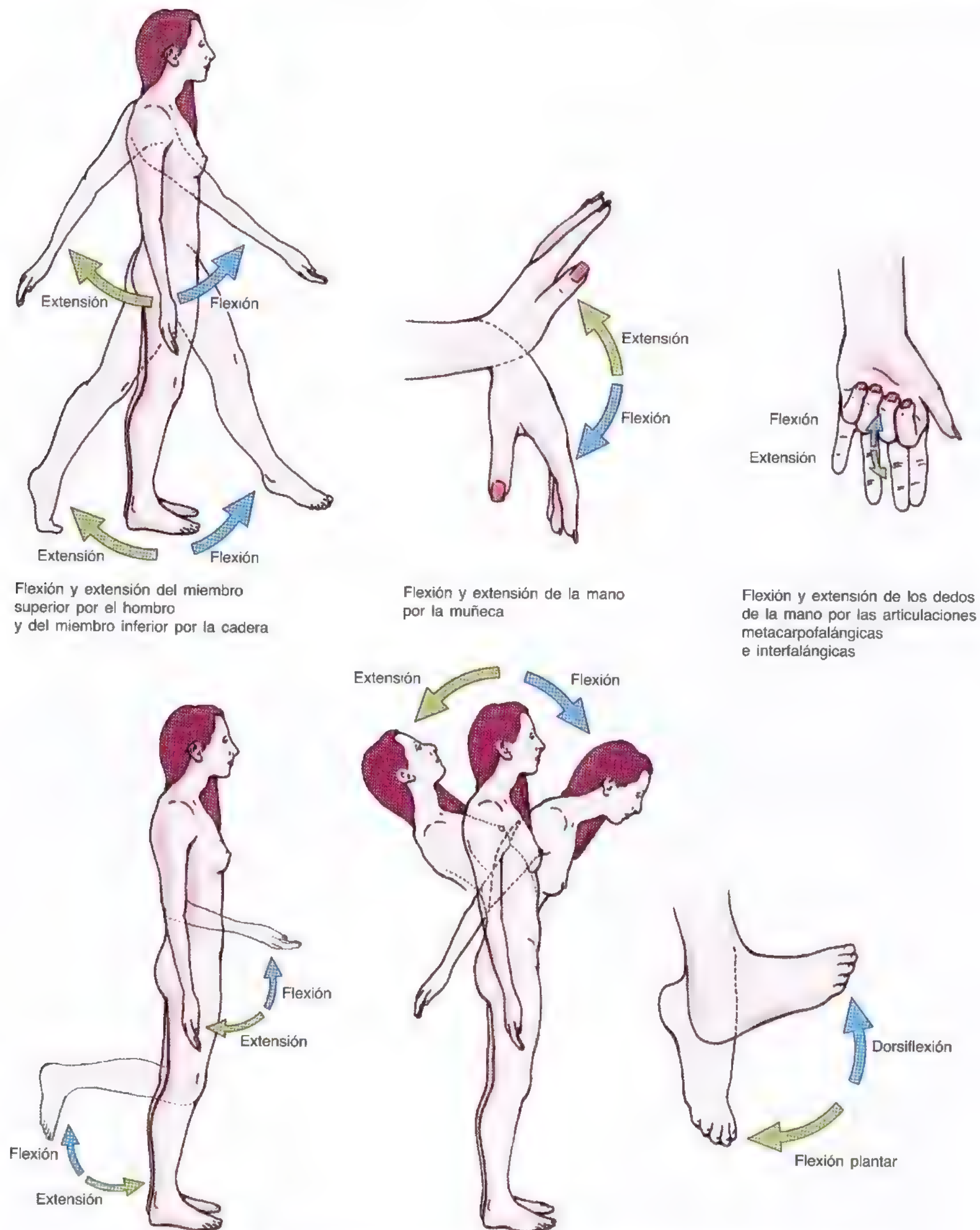
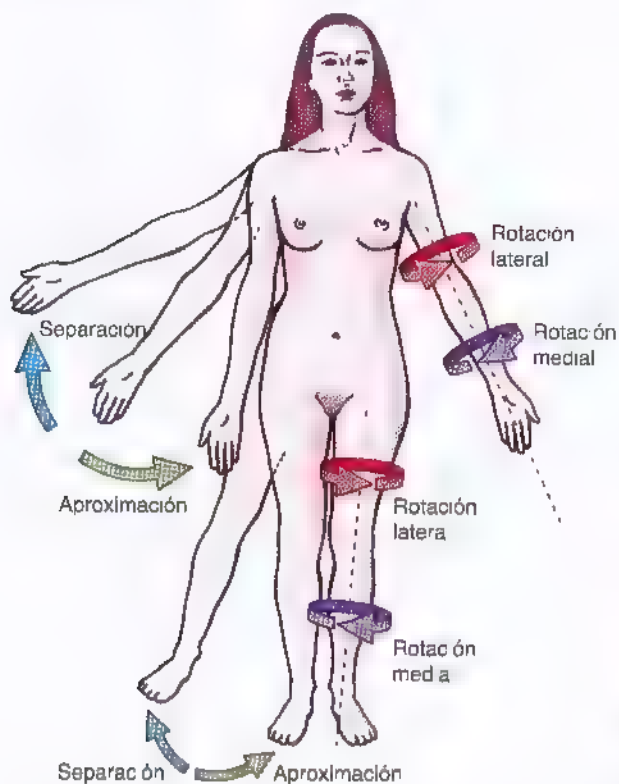


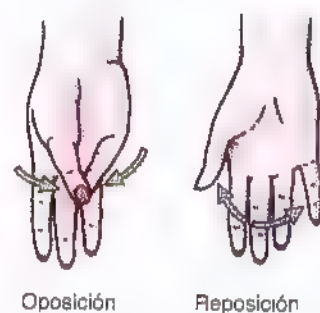
Figura I.5. Términos de movimiento. Estos términos describen los movimientos de los miembros y de otras regiones del cuerpo; los movimientos se originan en las articulaciones donde se unen dos o más huesos entre sí.



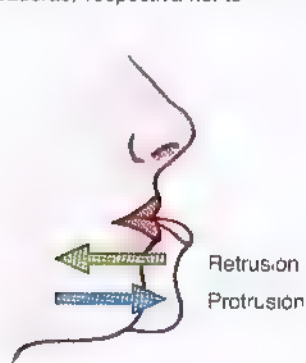
Separación y aproximación de los miembros derechos y rotación de los izquierdos por los hombros y caderas, respectivamente



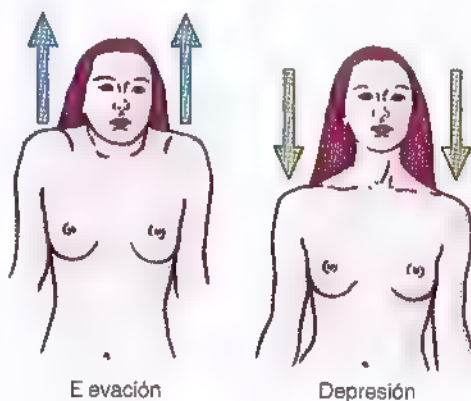
Circunducción (movimiento circular) del miembro inferior por la cadera



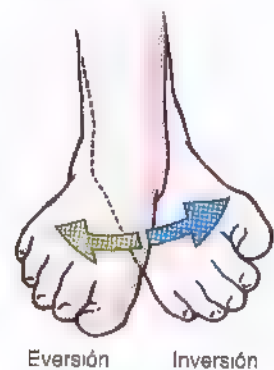
Oposición y reposición de pulgar y del dedo meñique



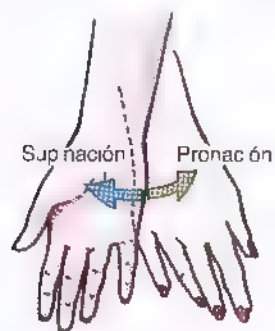
Protrusión y retrusión de los maxilares por la articulación temporomandibular



Elevación y depresión de los hombros



Inversión y eversión de pie por las articulaciones subastragálica y transversa de tarso



IML	columna o núcleo intermedio lateral
inf.	inferior
int.	interno
IP	inyección intraperitoneal
IV	interventricular, intervertebral, según el contexto
I.V.	intravenoso o por vía intravenosa
L.	Latín (p. ej., L. <i>cauda</i> , cola)
LAM	línea axilar media
lat.	lateral
LCR	líquido cefalorraquídeo
LEM	línea esternal media
lig., lig.	ligamento, ligamentos
LMC	línea medioclavicular
m., mm.	músculo, músculos (si se ve claramente el músculo en la ilustración o imagen médica, suele omitirse la abreviatura)
MCF	metacarpofalángica (p. ej., articulación MCF del pulgar)
med.	medial
MTF	metatarsofalángica (p. ej., articulación MTF del pie)
n., nn.	nervio, nervios
NC	nervio craneal (p. ej., NC VII, nervio facial)
p. ej.	por ejemplo
PA	posteroanterior
PL	punción lumbar del espacio subaracnoideo de la cisterna lumbar para obtener una muestra de LCR
post.	posterior
r., rr.	rama, ramas
RM	resonancia magnética
S1-S5	vértebras/segmentos medulares/nervios espinales sacros
SA	sinoauricular; se refiere al seno venoso del corazón primitivo
SN	esternocleidomastoideo (músculo del cuello)
SNA	sistema nervioso autónomo
SNC	sistema nervioso central
SNP	sistema nervioso periférico
SNS	sistema nervioso somático
sup.	superior
supf.	superficial
T1-T2	vértebras/segmentos medulares/nervios espinales torácicos
TAC	tomografía axial computarizada
TC	tomografía computarizada
TyA	tonsilectomía y adenoidectomía
v., vv.	vena, venas
VCI	vena cava inferior
VCS	vena cava superior
VD	ventrículo derecho del corazón
VI	ventrículo izquierdo del corazón
VM	válvula mitral (válvula AV izquierda)
VMS	vena mesentérica superior

Variaciones anatómicas

Los libros de anatomía para los estudiantes noveles describen la estructura del cuerpo de la mayoría de las personas (aproximadamente el 70%). Muchos estudiantes se frustran porque los cuerpos que exploran o disecan no se ajustan al atlas o al texto que utilizan (Bergman y cols., 1988). A menudo, los estudiantes ignoran las variantes o dañan sin querer las estructuras tratando de que se adapten. Por eso, siempre que diseque o inspeccione muestras ya preparadas *esté atento a las variaciones anatómicas*. Dentro de un grupo aleatorio de personas, cada uno se diferencia de los demás por el aspecto físico. Los huesos del esqueleto no sólo varían en su morfología básica, sino también en otros detalles menores de la superficie. El tamaño, la forma y la morfología de las inserciones musculares varían de modo considerable. Por la misma razón se observa una gran variación en la ramificación de las venas, arterias y nervios. Las venas son las que más se ramifican, y los nervios, los que menos lo hacen. Para el diagnóstico y tratamiento médicos se necesita tomar en consideración estas variaciones individuales.

En la mayoría de los tratados se admite cierto grado de variación, pero la frecuencia suele variar entre los grupos humanos, y las variaciones recogidas en una población no siempre se aplican a otra. En clínica destacan determinadas variantes, como las que afectan al origen y trayecto de la arteria cística (véase el capítulo 2); si un cirujano opera sin conocerlas, desde luego tendrá problemas. En este texto *las variaciones de interés clínico se muestran en los recuadros de correlaciones clínicas*. Aparte las diferencias raciales y sexuales, los seres humanos exhiben una enorme variación genética, como la polidactilia (dedos de más). Cerca del 3% de los recién nacidos sufre una o más anomalías congénitas graves (Moore y Persaud, 1998). Los demás defectos (p. ej., atresia [bloqueo] del intestino) no se reconocen hasta que sobrevienen los síntomas. Los estudiantes suelen encontrar variaciones y malformaciones congénitas en los cadáveres; uno de los muchos valores de la disección es percibir estas variaciones y tener una noción de su frecuencia.

Piel y fascias

La piel está al alcance y, por eso, tiene mucha importancia en la exploración física. Se trata de uno de los mejores índices de salud general (Swartz, 1994). La piel provee:

- *Protección* al organismo frente al medio, abrasiones, pérdidas de líquidos (p. ej., en las quemaduras leves), sustancias nocivas y microorganismos invasores.
- *Regulación térmica* a través de las glándulas sudoríparas y de los vasos sanguíneos.
- *Sensibilidad* (p. ej., dolor) por vía de los nervios superficiales y sus terminaciones sensitivas.

La piel envuelve las estructuras orgánicas (p. ej., tejidos y órganos) y las sustancias vitales (sobre todo, líquidos).

La piel, el órgano mayor del cuerpo, está formada por (fig. 1.6):

- la **epidermis**, una capa superficial de células, y
- la **dermis**, una capa profunda de tejido conjuntivo.

Las capas profundas de la dermis contienen **folículos pilosos** con sus músculos lisos erectores del pelo y glándulas sebáceas. La contracción de los **músculos erectores del pelo** explica la erección capilar y la "carne de gallina". En general, los folículos se inclinan a un lado; precisamente, al lado donde apunta el pelo (el lugar por donde "sale" el pelo de la piel) se encuentran varias **glándulas sebáceas**. Por eso, cuando se contraen los músculos erectores, el pelo se endereza y se comprimen las glándulas sebáceas, lo que facilita la salida de su secreción oleosa a la superficie cutánea. Además, la piel contiene muchas **glándulas sudoríparas**. La eva-

poración del agua (sudor) de la piel por estas glándulas explica el **mecanismo termorregulador** para la disipación del calor.

La **epidermis avascular** se nutre de la **dermis vascularizada** subyacente. La epidermis carece de vasos sanguíneos y linfáticos, pero tanto esta capa como la **dérmica** son irrigadas por arterias que se extienden hasta el límite entre la dermis y el **tejido subcutáneo** (fascia superficial), creando un plexo profundo de arterias anastomosantes. La piel también se inerva por **terminaciones nerviosas aferentes**, sensibles al tacto, irritación (dolor) y temperatura.

La capa profunda de la dermis la compone un estrato denso de **colágeno** y **fibras elásticas** entrelazadas. Los paquetes de fibras de colágeno de la dermis suelen disponerse en hileras paralelas. Estas fibras dan el tono a la piel y explican la fuerza y dureza de la misma. Las fibras de colágeno confieren una tensión característica y provocan las arrugas lineales. Las **líneas de tensión** (líneas de tensión o de Langer) discurren, casi siempre, de forma longitudinal en los

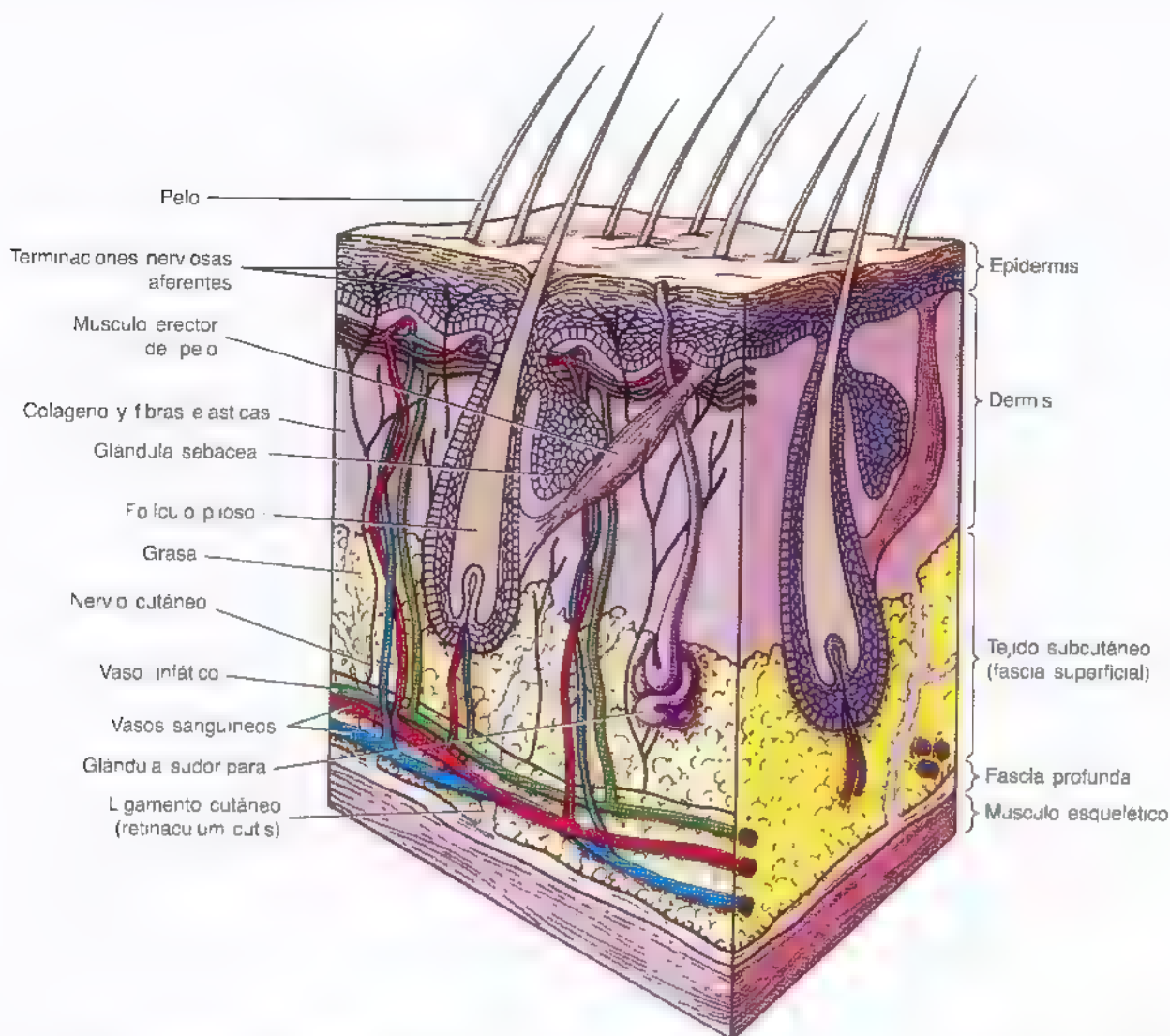


Figura 1.6. Esquema de la piel y de sus anejos. La disposición en capas de la cubierta cutánea y la inclusión de los pelos y de las glándulas en la piel y el tejido subcutáneo se muestran en la figura.

Incisiones y heridas cutáneas

Karl Langer, anatomista austriaco, estudió las líneas de tensión (escisión) en la piel de cadáveres y encontró que la piel está siempre sometida a tensión y que si se inciden las fibras colágenas de la dermis, la herida se abre. Varios años después se recomendó a los cirujanos que efectuaran las incisiones quirúrgicas de modo paralelo a las líneas de tensión. De ordinario, las incisiones cutáneas que siguen estas líneas curan perfectamente, con muy poco tejido cicatricial, porque las líneas de fuerza traccionan de las superficies cortadas. Si la incisión atraviesa la línea de tensión se rompen las fibras colágenas y ocurre una cicatrización excesiva (queloide). Las heridas punzantes de la piel, causadas por ejemplo por un piolet, suelen tener una forma de hendidura más que redondeada, porque el piolet separa las fibras de colágeno de la dermis y permite que se abra la herida. La dirección

de la herida indica la dirección predominante de las fibras situadas en la profundidad de las líneas de tensión.

Marcas de estiramiento de la piel

Las fibras colágenas y elásticas de la dermis crean una malla dura y flexible de tejido. La piel se puede distender mucho, por ejemplo la del abdomen durante el embarazo; sin embargo, si se estira demasiado se lesionan las fibras colágenas de la dermis. Las bandas de piel fina y arrugada, en principio rojas pero posteriormente de color púrpura y blanco (estrías de la gestación), aparecen sobre el abdomen, nalgas, muslos y mamas. Las estrías de distensión también se observan en personas obesas debido a la laxitud de la fascia y a la menor cohesión de las fibras de colágeno cuando se estira la piel. Este tipo de estrías desaparece, casi siempre, después de la gestación y del adelgazamiento, pero nunca de forma completa. ☺

miembros y circunferencial en el cuello y en el tronco (fig. I.7). Las líneas de tensión de los codos, rodillas, tobillos y muñecas son paralelas a los surcos transversales que aparecen cuando se flexionan los miembros; flexione la muñeca y verá cómo aparecen algunas.

El **tejido subcutáneo** se compone de tejido conjuntivo laxo y adiposo. Este tejido subcutáneo, tan variado, es un *regulador térmico* que protege a la piel de las prominencias óseas de las nalgas, por ejemplo. Situado entre la dermis y la fascia profunda subyacente, el tejido subcutáneo contiene glándulas sudoríparas, vasos sanguíneos, vasos linfáticos y **nervios cutáneos**. La distribución del tejido subcutáneo varía mucho en cada localización, incluso en una misma persona. Compare, por ejemplo, el tejido subcutáneo y su contenido adiposo de la cintura y los muslos con el de la parte anteromedial de la pierna (la espinilla, es decir, el borde anterior de la tibia). Considere que el tejido subcutáneo y la grasa se distribuyen de manera diferente según los sexos y el estado nutricional.

Los **ligamentos de la piel** (*L. retinacula cutis*), pequeñas bandas fibrosas en número abundante, se extienden por el tejido subcutáneo y unen la superficie profunda de la dermis a la fascia profunda situada por debajo. Estos ligamentos permiten mover la piel sobre las estructuras subyacentes. Los ligamentos cutáneos están particularmente desarrollados en la mama, donde forman los *ligamentos suspensorios*. Los ligamentos de la piel también destacan, aunque son más cortos, en las palmas y las plantas.

La **fascia profunda** es una capa densa y organizada de tejido conjuntivo que reviste estructuras profundas como los músculos (Gartner y Hiatt, 1997). Los grupos musculares de los miembros, de función pareja, se localizan dentro de compartimientos creados por la fascia profunda. Estos *compartimientos fasciales* pueden contener o dirigir la propagación de una infección o de un tumor. La contracción de los múscu-

los esqueléticos de los miembros comprime las venas y, junto con las válvulas venosas, mueve la sangre hacia el corazón (véase fig. I.21). La función de la fascia profunda de la *bomba musculovenosa* consiste en limitar la expansión extrínseca de los músculos durante la contracción. La contracción de los músculos dentro de la fascia que los rodea comprime las venas intramusculares, con lo que se bombea la sangre hacia el corazón. Las válvulas evitan el reflujo de la sangre.

Sistema esquelético

El esqueleto se compone de huesos y cartílagos (fig. I.8). El **hueso**, un tejido vivo, es un tipo de tejido conjuntivo duro, muy especializado, que forma la mayoría del esqueleto y es el tejido principal que sostiene el cuerpo. Los huesos confieren:

- Protección a las estructuras vitales.
- Apoyo al cuerpo.
- La base mecánica para el movimiento.
- Depósito de sales (p. ej., calcio).
- Fuente constante de nuevas células sanguíneas.

Los huesos tardan muchos años en crecer y madurar. Por ejemplo, el húmero (hueso del brazo) empieza a osificarse cuando termina el período embrionario (8 semanas); sin embargo, la osificación no se completa hasta que la persona alcanza los 20 años.

El **cartílago**, un tipo de tejido semirrígido y elástico, forma parte del esqueleto responsable del movimiento (p. ej., los cartílagos costales que insertan las costillas en el esternón). El cartílago no tiene irrigación capilar por sí mismo; por eso, las células reciben el oxígeno y los nutrientes a través de una larga difusión. Las superficies articulares de los

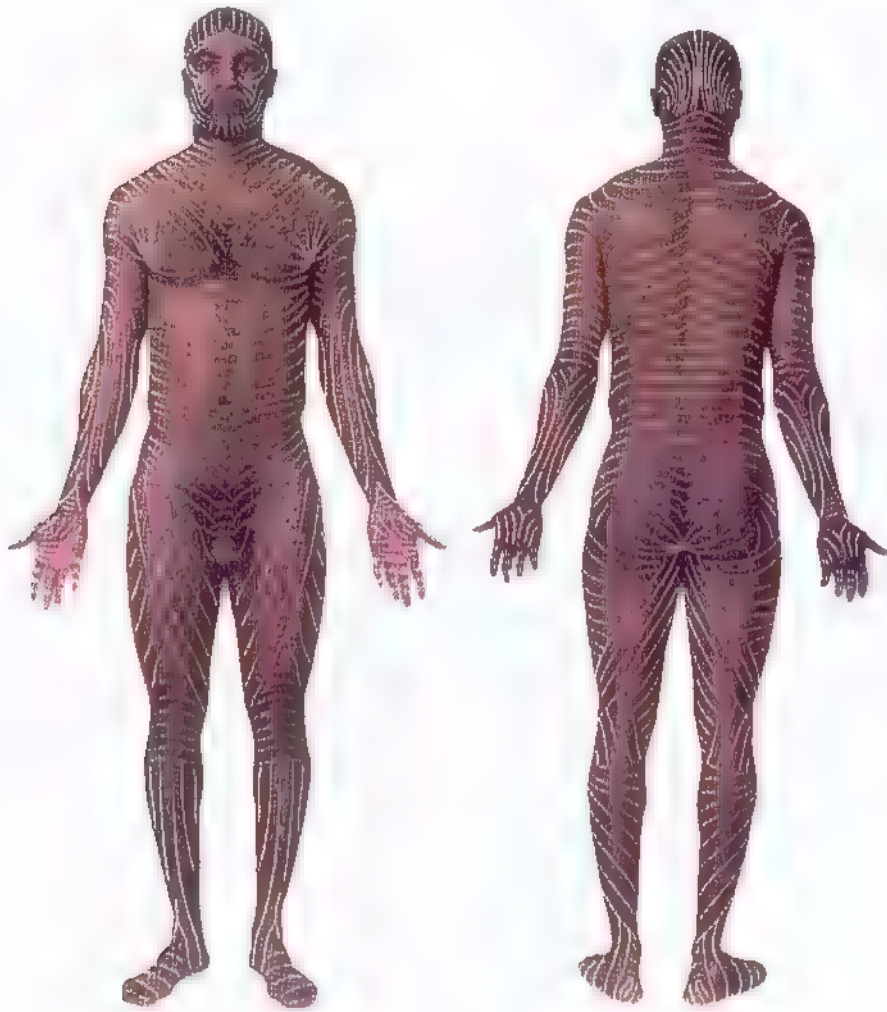


Figura 1.7. Dibujo esquemático de las líneas de tensión (de Langer) de la piel. Las incisiones quirúrgicas que siguen la dirección de estas líneas, paralelas al sentido predominante de los haces de fibras de colágeno de la dermis, tienden menos a abrirse.

huesos que contribuyen a las articulaciones sinoviales están revestidas por **cartílagos articulares**, que otorgan la superficie para el deslizamiento libre de los huesos de la articulación (véase fig. 1.13).

La proporción de hueso y cartílago del esqueleto se modifica con el crecimiento corporal: cuanto más joven es la persona, más contribuye el cartílago. Los huesos de un recién nacido son blandos y flexibles porque se componen casi en exclusiva de cartílago. El sistema esquelético consta de dos partes esenciales (fig. 1.8):

- El **esqueleto axial**, formado por los huesos de la cabeza (*cráneo*), cuello (*hueso hioides* y *vértebras cervicales*) y tronco (*costillas*, *esternón*, *vértebras* y *sacro*).
- El **esqueleto apendicular**, compuesto por los huesos de los miembros, incluidos los que forman las cinturas pectoral (hombro) y pélvica.

Huesos

Las diferencias entre los dos tipos de hueso, **compacto** y **esponjoso** (fig. 1.9), dependen del tamaño relativo de materia sólida, así como del número y tamaño de cavidades óseas. Todos los huesos tienen una capa superficial fina de hueso compacto alrededor de una masa central de hueso esponjoso, salvo una zona donde éste se ve sustituido por la cavi-

dad medular (*médula*). Dentro de esta cavidad de los huesos adultos, así como entre las trabéculas del hueso esponjoso, se forman las células y las plaquetas de la sangre (Ross y cols., 1994). El hueso compacto del **cuerpo** o **diáfisis**, que rodea la cavidad medular, se denomina *hueso cortical*. La arquitectura del hueso esponjoso y compacto varía según la función. El hueso compacto provee la fuerza para la carga. La cantidad de hueso compacto en los huesos largos, creados para la rigidez y la inserción de músculos y ligamentos, aumenta al máximo cerca del centro del cuerpo, donde más se puede combar. Además, los huesos largos muestran elevaciones (p. ej., bordes, crestas y tubérculos) que sirven de contrafuerte (apoyo) para la inserción de pesados músculos. Los huesos vivos tienen cierta elasticidad (flexibilidad) y mucha rigidez (dureza).

Clasificación de los huesos

Los huesos se clasifican según su forma.

- Los *huesos largos* son tubulares (p. ej., el húmero del brazo).
- Los *huesos cortos* son cuboidales y sólo se encuentran en el tobillo (tarso) y en la muñeca (carpo).
- Los *huesos planos* suelen cumplir funciones defensivas (p. ej., los huesos planos del cráneo protegen el encéfalo).

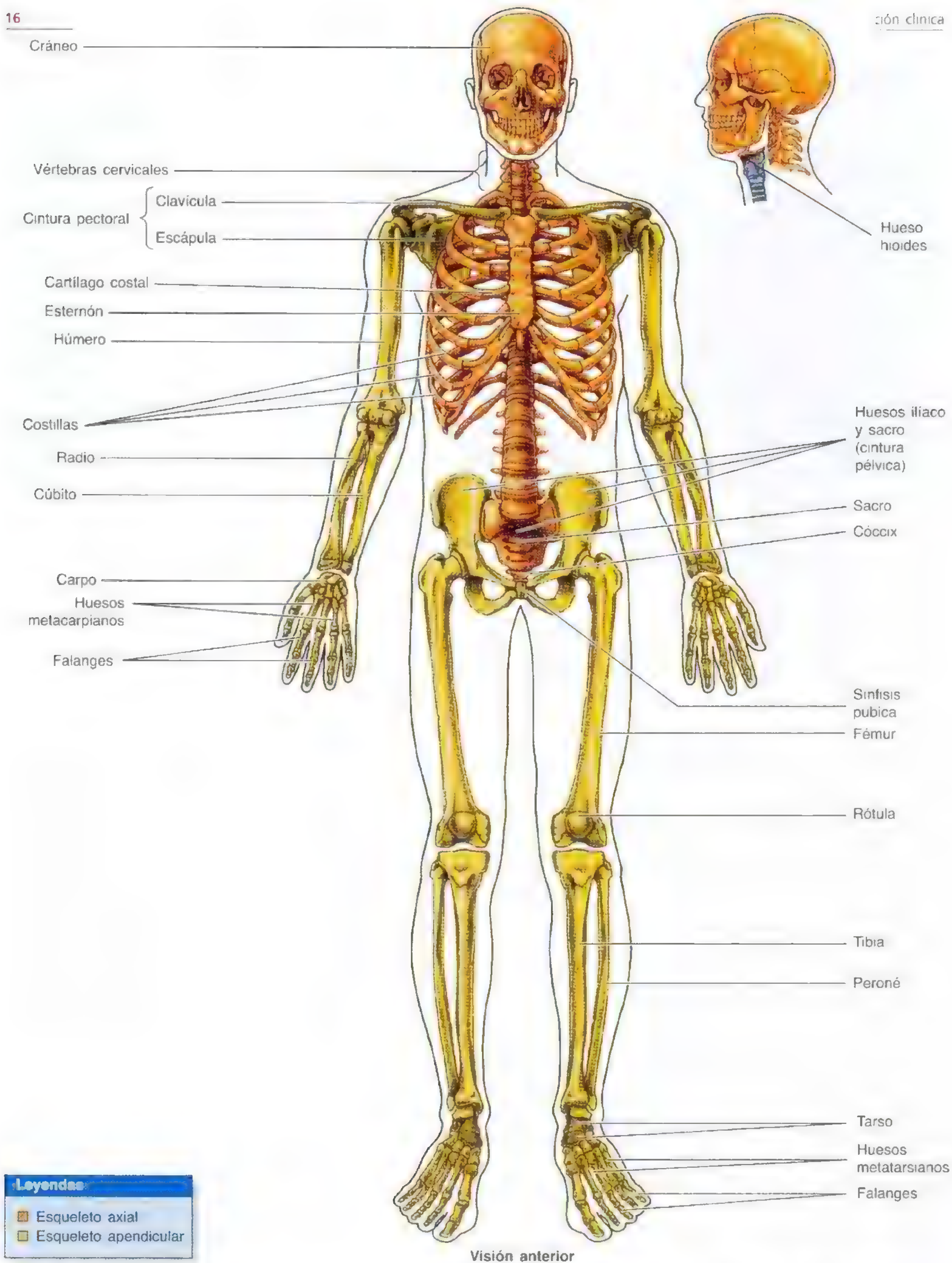
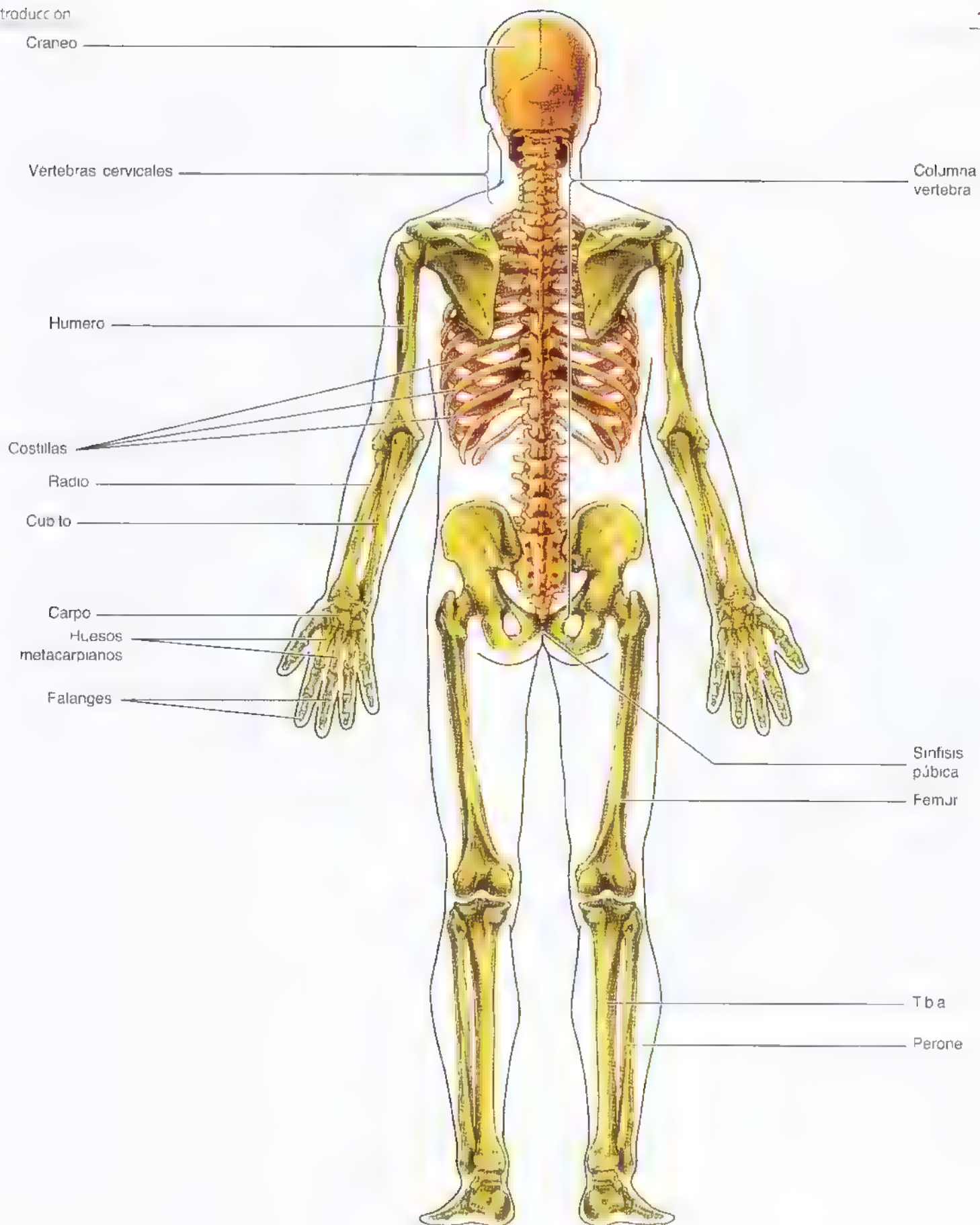


Figura I.8. Sistema esquelético. El esqueleto de la cabeza, cuello y tronco forma el esqueleto axial; el esqueleto de los miembros constituye el esqueleto apendicular.



Visión posterior

Traumatismos y lesiones óseas

Los huesos son órganos vivos que provocan dolor cuando se lesionan, sangran cuando se fracturan, se remodelan cuando son sometidos a esfuerzos y se modifican con la edad. Como otros órganos, los huesos tienen vasos sanguíneos, vasos linfáticos y nervios, y pueden padecer enfermedades. Todo hueso no utilizado, como el de un miembro paralítico, se *atrofia* (disminuye de tamaño). El hueso se puede absorber, como sucede con la mandíbula al extraer los dientes. Los huesos también se *hipertrofian* (aumentan de tamaño) cuando tienen que soportar un mayor peso durante períodos largos.

El traumatismo óseo (p. ej., durante un accidente) puede fracturar el hueso. Para que la fractura cicatrice correctamente, los fragmentos rotos deben aponerse hasta su posición normal. En esto consiste la *reducción de las fracturas*. Mientras cicatriza el hueso proliferan los fibroblastos (células de tejido conjuntivo) de la vecindad y segregan colágeno que forma un *collar calloso* que suelda los fragmentos óseos. El hueso se remodela por la zona de fractura y el callo se calcifica. Por último, se reabsorbe el callo, y en su lugar se forma hueso. Al cabo de varios meses no se aprecian indicios de la fractura, en particular en las personas jóvenes. Las fracturas son más corrientes en los niños que en los adultos, debido a la combinación de los huesos más finos en fase de crecimiento y de sus actividades sin control por otras personas. Por suerte, muchas de estas roturas son *fracturas en tallo verde* (fracturas incompletas por flexión del hueso). Las fracturas de los huesos en crecimiento cicatrizan con más rapidez que las de los huesos adultos.

Osteoporosis

Al envejecer, tanto los componentes orgánicos como inorgánicos del hueso disminuyen y aparece una *osteoporosis*, es decir, se reduce la cantidad de hueso (atrofia del tejido esquelético). Por eso, los huesos se tornan frágiles, pierden elasticidad y se rompen fácilmente.

Punción externa

El examen de la médula ósea ofrece una información valiosa para el estudio de las enfermedades hematológicas. El esternón se sitúa justo debajo de la piel (es decir, tiene una localización subcutánea) y es muy accesible; por eso, suele utilizarse para la recogida de médula ósea. Para la punción externa se introduce una aguja de gran calibre (diámetro) en el hueso cortical fino del esternón hasta llegar hasta el hueso esponjoso, y se aspira una *muestra de médula roja* (la médula que produce las células de la sangre) con una jeringa para su análisis en el laboratorio. El *trasplante de médula ósea* se aplica, a veces, para el tratamiento de la leucemia. ◻

- **Tuberosidad:** Gran elevación redondeada (p. ej., tuberosidad isquiática).

Desarrollo óseo

Todos los huesos provienen del *mesénquima* (tejido conjuntivo embrionario) a través de dos procesos diferentes: osificación intramembranosa (directamente del mesénquima) y osificación encondral (del cartílago proveniente del mesénquima). La histología del hueso es la misma de una u otra forma (Cormack, 1993; Gartner y Hiatt, 1997; Moore y Persaud, 1998).

- Para la *osificación intramembranosa* (formación del hueso membranoso) se crean modelos mesenquimatosos de hueso durante el período embrionario, y en el período fetal empieza la osificación directa del mesénquima.
- Para la *osificación encondral* (o formación de hueso cartilaginoso) se establecen modelos cartilaginosos de hueso a partir del mesénquima en el período fetal, y luego el hueso sustituye la mayor parte del cartílago.

Para comprender cómo crecen los huesos largos es preciso describir de forma sucinta la osificación encondral (fig. I.11).

Las células mesenquimatosas se condensan y diferencian hacia *condroblastos* —células del tejido cartilaginoso en fase de crecimiento y división— que forman un modelo de hueso cartilaginoso. El cartílago se calcifica (se impregna de sales de calcio) en la región central del molde y los capilares periósticos (capilares de la vaina fibrosa que rodean al molde) crecen dentro del cartílago calcificado del molde óseo y nutren su interior. Estos vasos sanguíneos, junto con las células *osteogénicas* (*formadoras de hueso*), crean un *esbozo perióstico* (fig. I.11A). Los capilares inician el *centro de osificación primaria*, denominado así porque el tejido óseo que forman sustituye casi todo el cartílago de la mayor parte del molde óseo. El cuerpo del hueso osificado a partir del centro de osificación primaria se conoce como *diáfisis* y crece con el desarrollo óseo.

La mayoría de los *centros de osificación secundaria* surgen en otras partes del hueso que se desarrolla después de nacer; las partes del hueso que se osifican a partir de estos centros son las *epífisis*. Los condrocitos del centro de la epífisis se hipertrofian y la *matriz ósea* (sustancia intercelular) situada entre ellos se calcifica y comienza a descomponerse. Las *arterias epifisarias* crecen dentro de las cavidades en formación, junto con las células osteogénicas asociadas. La zona ensanchada de la diáfisis, más próxima a la epífisis, es la *metáfisis*. Para que continúe el crecimiento, el hueso creado a partir del centro primario de la diáfisis no se une con el de los centros secundarios de la epífisis hasta que alcanza el tamaño del adulto. Por eso, mientras crece el hueso largo se interponen cartílagos de *crecimiento epifisario* entre la diáfisis y la epífisis (fig. I.11B). Estas placas de crecimiento acababan invadidas por hueso en cada uno de sus dos extremos, diafisario y epifisario. En el momento en que esto sucede se detiene el crecimiento óseo y la diáfisis se une a la epífisis. El ribete que se forma durante el proceso de fusión (*sinós-*

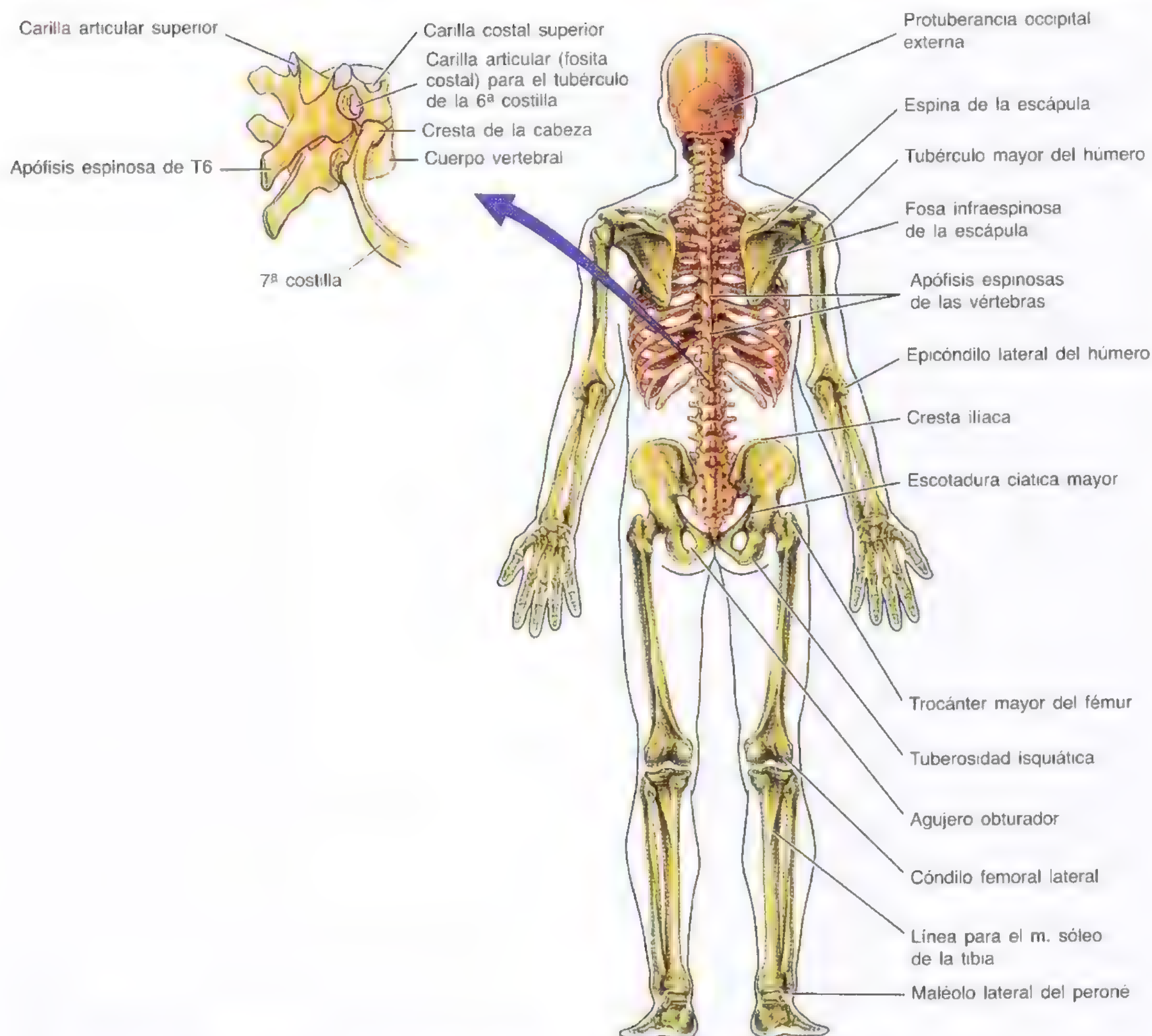


Figura I.10. Marcas y formaciones óseas. Las marcas aparecen en el lugar de inserción de los tendones, ligamentos y fascia. Existen otras formaciones que se relacionan con las articulaciones, el paso de los tendones o la provisión de un brazo mayor de palanca.

tosís) es muy denso y se aprecia en la radiografía como una **línea epifisaria**, que marca la zona de fusión entre la epífisis y la diáfisis en el momento en que cesa de crecer el hueso (fig. I.12). La fusión epifisaria de los huesos avanza de manera progresiva desde la pubertad hasta la madurez. La *osificación* de los huesos cortos es análoga a la del centro de osificación primaria de los huesos largos y sólo un hueso corto, el calcáneo (hueso del talón), dispone de un centro de osificación secundaria (Williams y cols., 1995).

Vascularización e inervación de los huesos

Las **arterias** penetran en los huesos por el **periostio** –membrana fibrosa de tejido conjuntivo que reviste el hueso– (fig. I.12). Las **arterias periósticas** entran por muchos lugares

para irrigar el hueso y también nutren el hueso compacto. Por eso, cuando se elimina el periostio, el hueso muere. Cerca del centro del hueso central, una **arteria nutricia** atraviesa de manera oblicua el hueso compacto para alimentar el hueso esponjoso y la médula ósea. Los extremos de los huesos se nutren de las **arterias metafisarias y epifisarias**.

Las **venas acompañan a las arterias a su paso por los orificios nutricios**. Muchas grandes venas abandonan también el hueso por orificios situados cerca de los extremos articulares. Los huesos que contienen médula ósea roja disponen de muchas venas grandes. Los **vasos linfáticos** abundan en el periostio.

Los **nervios acompañan a los vasos sanguíneos que nutren los huesos**. El periostio posee una inervación generosa de nervios sensitivos –**nervios periósticos**– que portan fibras de

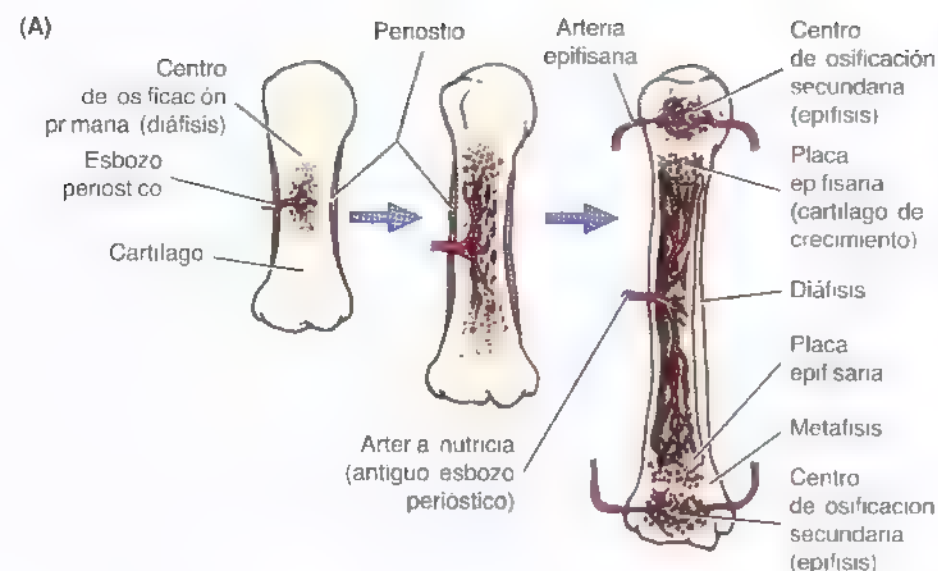


Figura 1.11. Desarrollo y crecimiento de un hueso largo. A. Formación de los centros de osificación primarios y secundarios. B. El crecimiento longitudinal tiene lugar a ambos lados de los cartílagos de crecimiento epifisarios (*flechas*). Para que el crecimiento prosiga, el hueso que se forma a partir del centro primario de la diáfisis no debe unirse al de los centros secundarios de las epifisis hasta que alcance el tamaño de adulto.

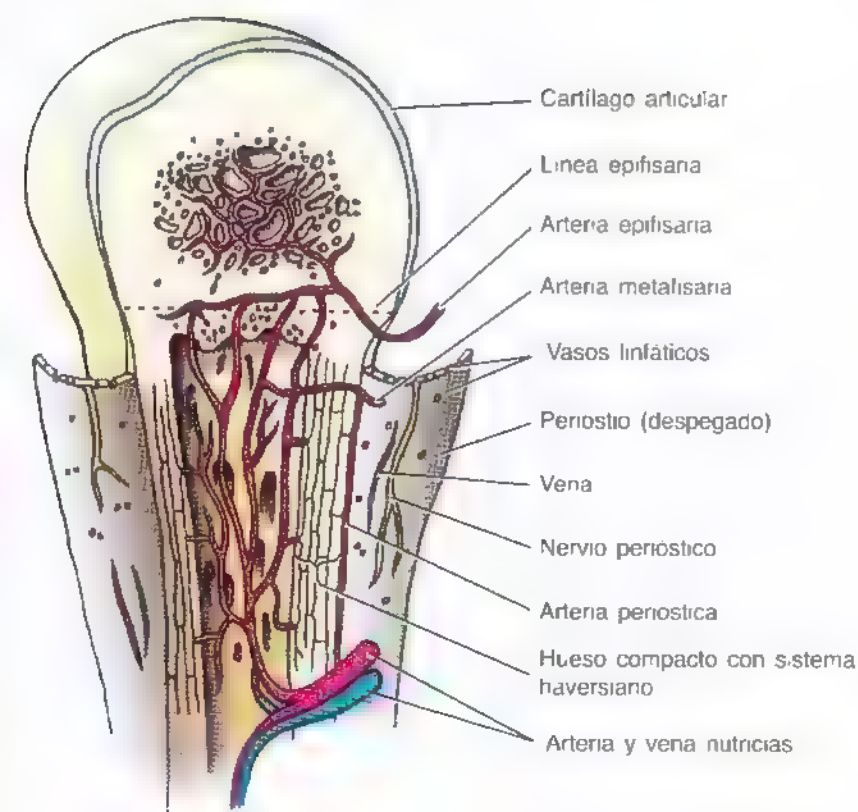
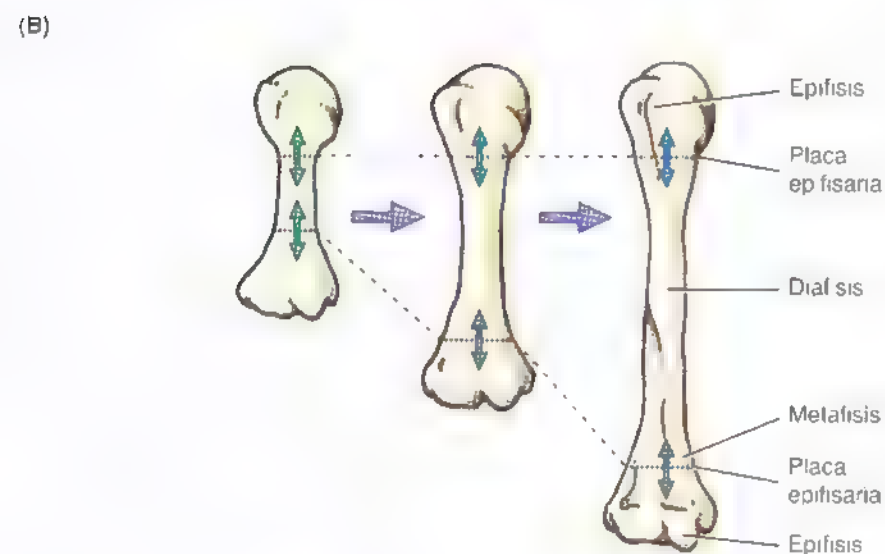


Figura 1.12. Vascularización e inervación de un hueso largo. La epifisis es irrigada por la arteria epifisaria y la diáfisis, metafisis y médula ósea de los huesos largos sobre todo por la gran arteria (o arterias) nutricia. Las arterias metafisaria y epifisaria perforan el hueso compacto y nutren el hueso esponjoso y la médula de los extremos óseos. Las ramas de las arterias periosteicas irrigan el periostio. El periostio contiene muchos nervios sensitivos, los nervios periosteicos. El hueso compacto se compone, en su mayor parte, de sistemas canaliculares haversianos (osteonas). El canal de Havers del sistema aloja uno o dos vasos sanguíneos para alimentar los osteocitos (células óseas).

dolor. El periostio es muy sensible al desgarro o a la tensión, lo que explica el dolor agudo de la fractura ósea. En cambio, el hueso apenas contiene terminaciones sensitivas. Los *nervios vasomotores* causan una constricción o dilatación de los vasos sanguíneos del interior del hueso y regulan el flujo por la médula ósea.

Articulaciones

La **articulación** es el lugar por donde se unen dos o más huesos o partes de los huesos del esqueleto. Su forma y función varían. Algunas no se mueven y otras lo hacen ligeramente. Por último, determinadas articulaciones, como el hombro, se mueven con toda libertad.

Clasificación de las articulaciones

Los tres tipos de articulaciones se clasifican según la manera o el tipo de material que une los huesos.

- Las articulaciones sinoviales están unidas por una cápsula articular que se extiende y cierra la cavidad. El cartílago articular tapiza las superficies de carga de los huesos. Las articulaciones sinoviales, como la rodilla, se caracterizan por una cavidad articular, encerrada por una cápsula que contiene líquido sinovial. Los huesos de la figura I.13A se han separado para mostrar la articulación; además, se ha inflado la cápsula articular. Por eso, la cavidad articular queda exagerada. De ordinario, se trata de un espacio virtual que contiene una pequeña cantidad de líquido sinovial. El periostio reviste los huesos y se mezcla con la cápsula fibrosa de las articulaciones en las que participan los huesos. Todas las estructuras internas de una articulación sinovial que no están tapizadas por el cartílago articular se cubren con la membrana sinovial. Los huesos se separan por la cavidad articular, pero se unen por una cápsula articular, es decir, *por una cápsula fibrosa revestida de membrana sinovial*.
- Las articulaciones fibrosas están unidas por tejido fibroso. El grado de movimiento de esta articulación depende, de ordinario, de la longitud de las fibras que unen

los huesos articulados. Las **suturas** craneales constituyen ejemplos de articulaciones fibrosas (fig. I.13B). Estos huesos están próximos y se entrelazan a lo largo de una línea ondulante o se superponen. La **sin-des-mosis** es un tipo de articulación fibrosa que une los huesos con una lámina de tejido fibroso, ya sea un ligamento, ya una membrana fibrosa. En consecuencia, se trata de una articulación con cierto movimiento. La **membrana interósea** del antebrazo es una hoja de tejido fibroso que une el radio y el cúbito en una sin-des-mosis. La **gónfosis** o sin-des-mosis dentoalveolar es un tipo de articulación fibrosa en el que una prolongación a modo de clavija se introduce dentro de una articulación sacular que existe entre la raíz del diente y la apófisis alveolar (alvéolo). La movilidad de esta articulación (diente móvil) denota un estado patológico que afecta a los tejidos dentales de sostén. Sin embargo, los movimientos microscópicos aportan información (a través del sentido propioceptivo) sobre la dureza con que se muerde o se ocluyen los dientes y si se ha quedado clavada una partícula entre ellos.

- Las articulaciones cartilaginosas están unidas por cartílago hialino o fibrocartílago. Los huesos de las articulaciones cartilaginosas primarias o sincondrosis se unen por cartílago hialino, que permite cierta flexión en las primeras épocas de la vida. Las articulaciones cartilaginosas primarias suelen ser uniones pasajeras, como las que se observan durante el desarrollo de un hueso largo (figs. I.11 y I.13C), en el que la epífisis y la diáfisis óseas están unidas por una *placa epifisaria*. Las articulaciones cartilaginosas primarias facilitan el crecimiento longitudinal de los huesos. Una vez que se alcanza dicho crecimiento, la placa epifisaria se transforma en hueso y la epífisis se une con la diáfisis. Las articulaciones cartilaginosas secundarias o sínfisis son robustas, muy poco móviles y están unidas por fibrocartílago. Los **discos fibrocartilaginosos intervertebrales** constan de tejido conjuntivo que une las vértebras entre sí. Todas estas articulaciones en conjunto confieren fortaleza y absorción de los choques, aparte de una flexibilidad considerable a la columna vertebral.

Crecimiento óseo y medición de la edad ósea

Para la medición en clínica, las ciencias forenses y la antropología tienen mucho interés el conocimiento de los lugares donde aparecen los centros de osificación, la cronología de su aparición, la velocidad respectiva de crecimiento y el momento donde se procede a la fusión (períodos de sinóstosis). La **edad ósea** representa un índice general de crecimiento durante la lactancia, infancia y adolescencia, y se estima a partir de la radiografía (imágenes negativas obtenidas en películas de rayos X). La edad de una persona se puede establecer por el estudio de los centros de osificación de los huesos. Los criterios básicos son:

- Aspecto del material calcificado de la diáfisis o epífisis.
- Desaparición de la línea oscura que representa el cartílago de crecimiento epifisario (la ausencia de esta línea indica que ya ha ocurrido la fusión epifisaria; la fusión tiene lugar en momentos concretos para cada epífisis).

La fusión de las epífisis con las diáfisis ocurre uno a dos años antes en las niñas que en los niños.

La determinación de la edad ósea ayuda a predecir la talla que alcanzarán los adolescentes, tanto en las fases iniciales como tardías, en la vida adulta (Behrman y cols., 1996). Además, la medición de la edad ósea permite saber la edad aproximada del esqueleto humano en casos medicolegales. ☉

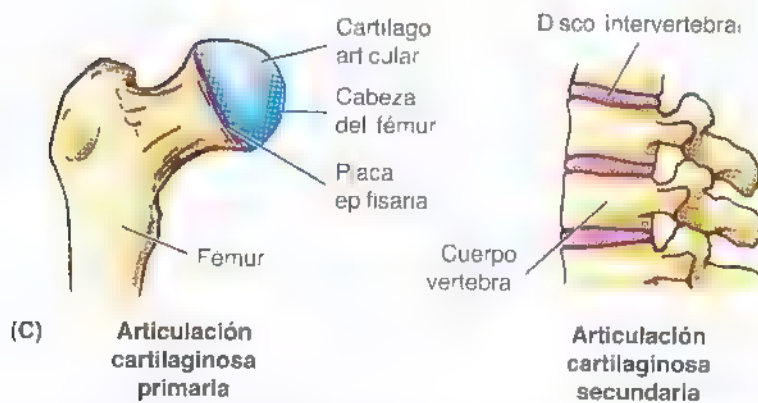
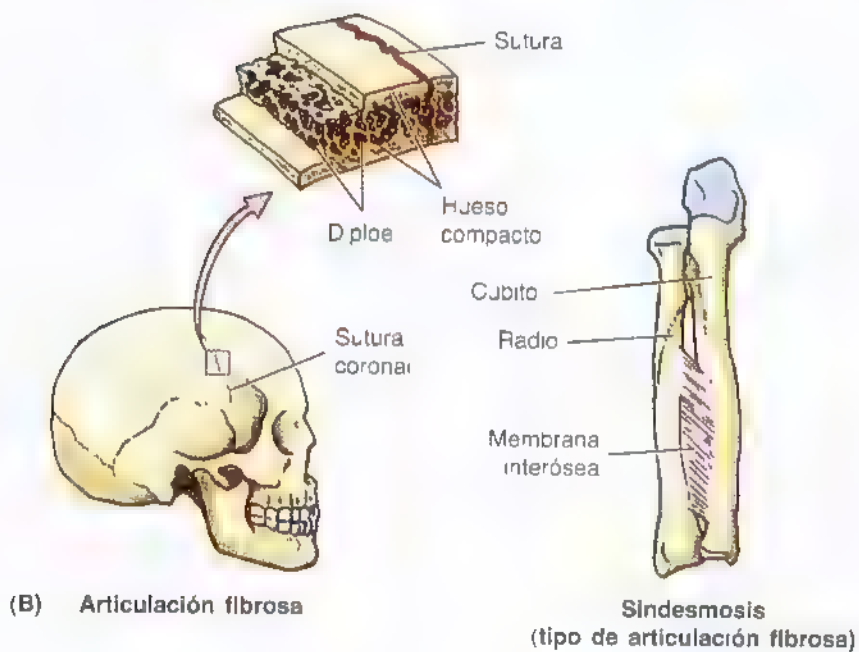
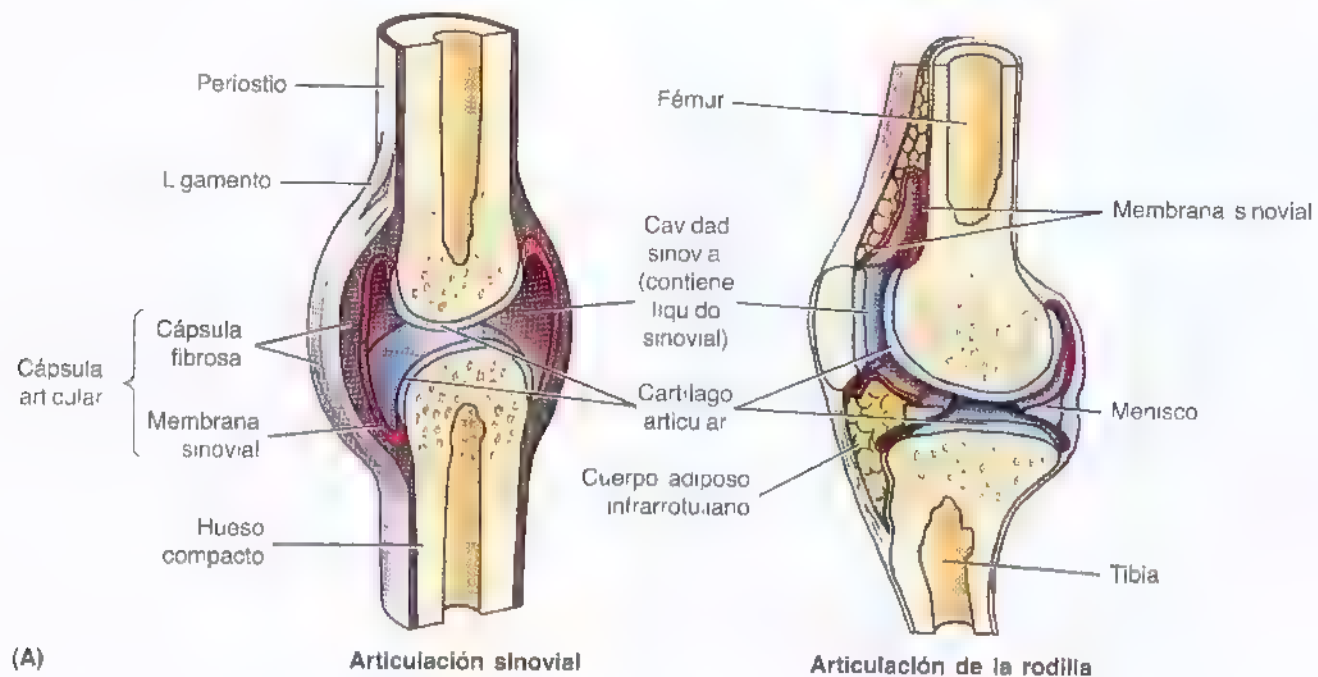


Figura 1.13. Diversos tipos de articulación. A. Articulación sinovial. B. Articulaciones fibrosas. C. Articulaciones cartilaginosa primaria y secundaria.

Necrosis avascular

La pérdida de la irrigación arterial de una epífisis o de otras partes del hueso causa la muerte del tejido óseo, es decir, la *necrosis avascular* (del G. *nekrosis*, que significa muerte). Después de cada fractura, pequeñas partes del hueso adyacente se necrosan. Sin embargo, en algunas fracturas ocurre una necrosis avascular de un gran fragmento óseo. Algunos trastornos clínicos de las epífisis infantiles se deben a una necrosis avascular de causa (etiología) desconocida y se denominan *ostecondrosis* (Salter, 1998).

Efectos de la enfermedad y de la dieta sobre el crecimiento óseo

Algunas enfermedades causan una fusión epifisaria pronta (tiempo de osificación) en comparación con la habitual para la edad cronológica de esa persona; otras retrasan la fusión. El esqueleto en crecimiento es vulnerable a enfermedades relativamente leves y pasajeras, así como a los períodos de desnutrición. Durante el ayuno y la enfermedad se retrasa la proliferación del cartílago metafisario, pero prosigue la degeneración de las células cartilaginosas de las columnas, con lo que se observa una línea densa de calcificación provisional. Estas líneas se osifican más adelante con trabéculas engrosadas (*líneas de detención del crecimiento*).

Desplazamiento y separación de las epífisis

Si no se conoce el crecimiento óseo ni el aspecto de los huesos en la radiografía u otras técnicas de imagen, a medida que progresa la edad, se puede interpretar por error que *un cartílago de crecimiento desplazado constituye una fractura* o que la separación de la epífisis corresponde a un fragmento fracturario. Si se conoce la edad del paciente y la localización de las epífisis se pueden evitar estos errores anatómicos. Los márgenes de la diáfisis y de la epífisis se curvan suavemente en la zona de la placa o cartílago epifisario. Las fracturas siempre dejan un margen nítido y a menudo irregular de hueso. Toda lesión que cause fracturas en adultos suele provocar desplazamiento de la epífisis en un niño. ◉

Las articulaciones sinoviales —las más comunes— otorgan libertad de movimientos a los huesos y son características de casi todas las articulaciones de los miembros. Su nombre proviene de la sustancia lubricante (líquido sinovial) contenida en la cavidad articular o sinovial, tapizada por una membrana sinovial o cartílago articular (fig. I.13A). La membrana sinovial se compone de tejido conjuntivo vascu-

larizado que produce el líquido sinovial. Los tres rasgos que distinguen la articulación sinovial son:

- Cavidad articular.
- Cartílago articular, que tapiza los extremos óseos.
- Cápsula articular (cápsula fibrosa revestida por membrana sinovial), que cierra las superficies articulares y la cavidad.

Las articulaciones sinoviales están, en general, reforzadas por *ligamentos accesorios*, bien separados (*extrínsecos*) o bien derivados, a modo de engrosamiento, de la cápsula articular (*intrínsecos*).

Algunas articulaciones sinoviales poseen otros rasgos característicos como los *discos articulares* fibrocartilaginosos, presentes en las superficies articulares incongruentes. Los seis grandes tipos de articulación sinovial se clasifican según la forma de la superficie articular o el tipo de movimiento (fig. I.14).

- Las articulaciones planas (p. ej., la articulación acromioclavicular entre el acromion de la escápula y la clavícula) abundan y suelen ser pequeñas. *Permiten un deslizamiento o movimientos deslizantes*. Las superficies oponentes de los huesos son planas o casi planas. La mayoría de las articulaciones planas facilita el movimiento en un solo plano (eje); por eso, se trata de *articulaciones uniaxiales*. El movimiento de las articulaciones planas está limitado por cápsulas articulares rígidas.
- Las articulaciones en bisagra se mueven en un plano (sagital) alrededor de un solo eje (uniaxial) que discurre de forma transversal entre los huesos (p. ej., codo). *Las articulaciones en bisagra sólo permiten la flexión y la extensión*. La cápsula articular es fina y laxa en la cara anterior y posterior, donde tiene lugar el movimiento, pero los huesos están unidos por ligamentos colaterales poderosos, situados a los lados.
- Las articulaciones en silla de montar son biaxiales y las caras oponentes se asemejan a una silla de montar (es decir, son cóncavas y convexas en las zonas donde se articulan). La articulación carpometacarpiana de la base del primer dedo (pulgar) es un ejemplo.
- Las articulaciones condíleas son también biaxiales y permiten el movimiento en los planos sagital y coronal (p. ej., las articulaciones metacarpofalángicas [nudillos]); sin embargo, el movimiento en uno de los ejes (sagital) suele ser mayor (más libre) que en el otro. Los dos ejes se sitúan en ángulos perpendiculares. Las articulaciones condíleas (como las de los nudillos) permiten la flexión y la extensión, la separación y la aproximación, y la circunducción.
- Las articulaciones esferoideas son *multiaxiales*; el movimiento tiene lugar en varios ejes y planos. Se trata de articulaciones muy móviles (p. ej., la cadera), en las que la superficie esférica de un hueso se mueve dentro de la cavidad del otro (p. ej., la cabeza del fémur se mueve

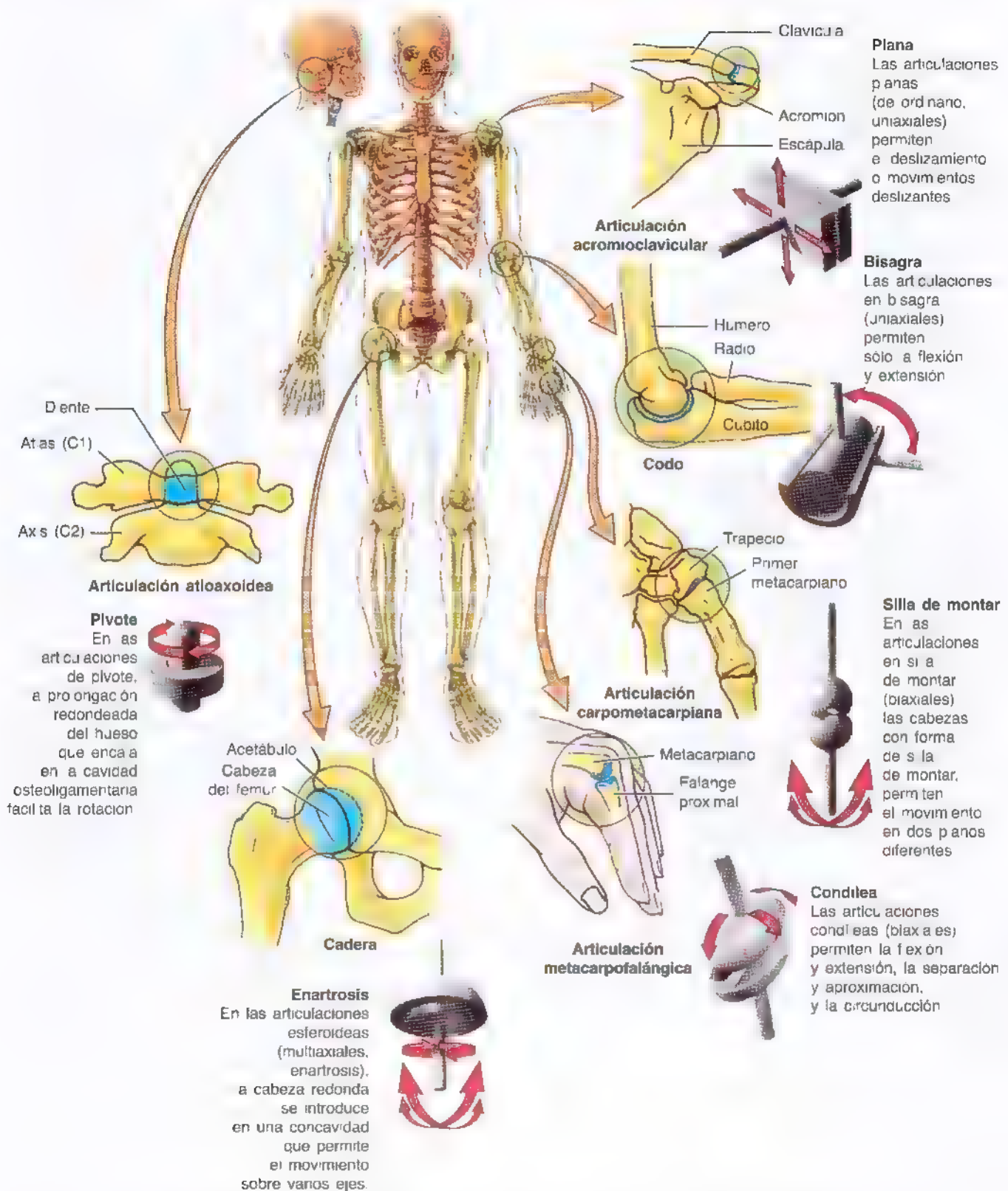


Figura 1.14. Tipos de articulación sinovial Las articulaciones sinoviales se clasifican según la forma de las superficies que se articulan o el tipo de movimiento que permiten. En este tipo de articulación los huesos se mueven libremente, uno sobre otro

Articulaciones del cráneo neonatal

Los huesos de la *calota* (bóveda craneal) de un recién nacido no están en contacto íntimo. Las suturas crean en estos lugares amplias zonas de tejido fibroso o *fontanelas*. La *fontanela anterior* es la más llamativa; el vulgo la denomina “punto blando” del bebé. Las fontanelas del recién nacido suelen palparse como crestas, por la superposición de los huesos craneales que moldean la calota a su paso por el canal del parto. En general, la fontanela anterior es plana. Una fontanela prominente puede revelar una hipertensión intracraneal, aunque la fontanela suele pronunciarse durante el llanto. Las pulsaciones de las fontanelas reflejan el pulso arterial. La fontanela deprimida indica, en ocasiones, la deshidratación del pequeño (Swartz, 1994).

Enfermedad articular degenerativa

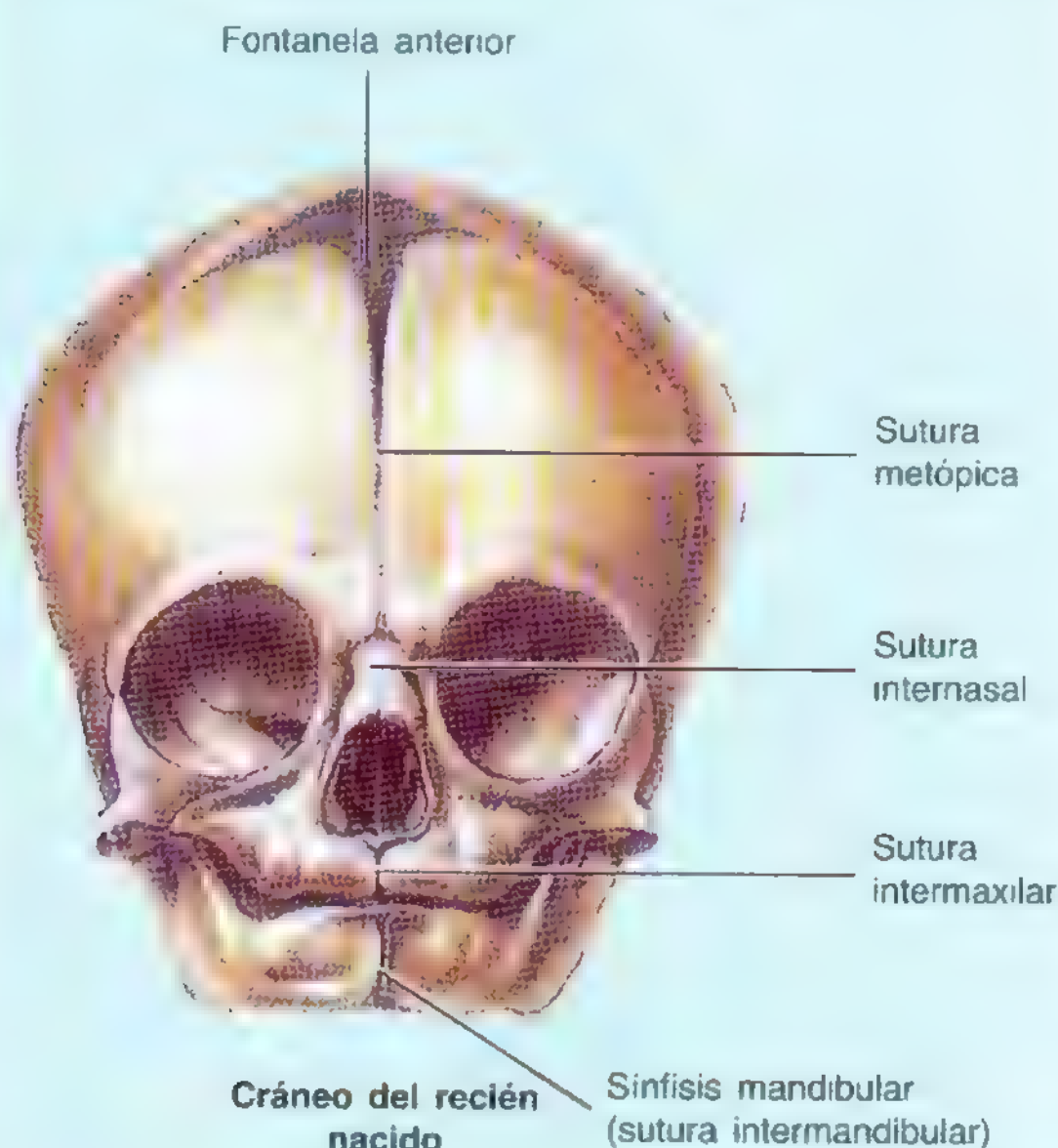
Al parecer, las articulaciones sinoviales están concebidas para resistir el desgaste, pero su uso excesivo con el paso

de los años provoca lesiones degenerativas. Resulta inevitable cierta destrucción durante actividades normales, como los paseos con un paso rápido, que desgastan los cartílagos articulares y a veces erosionan las caras articulares de los huesos. El envejecimiento normal del cartílago articular comienza en las primeras etapas de la edad adulta y progresa luego con lentitud por los extremos de los huesos que se articulan, en particular los de la cadera, rodilla, columna y manos (Salter, 1998). Estas *lesiones degenerativas irreversibles de las articulaciones* determinan que el cartílago articular absorba con menos eficiencia los choques y que disminuya la superficie lubricada. Por este motivo, la articulación se torna más vulnerable a la fricción repetida durante el movimiento articular. Estos cambios apenas causan síntomas en algunas personas, pero generan un dolor notable en otras.

La *enfermedad articular degenerativa* –artritis degenerativa, artrosis– suele acompañarse de rigidez, molestias y dolor. La *artrosis* afecta a muchas personas mayores; de ordinario, se trata de articulaciones que soportan el peso corporal (p. ej., caderas o rodillas). Muchas sustancias del torrente sanguíneo, normales o patológicas, penetran con facilidad en la cavidad articular. Por razones análogas, una infección traumática de una articulación puede seguirse de una *artritis* –inflamación de la articulación– y *septicemia* –intoxicación de la sangre.

Artroscopia

La cavidad de una articulación sinovial se puede examinar introduciendo una cánula y un pequeño telescopio (*artroscopio*). Este procedimiento quirúrgico, la *artroscopia*, permite al cirujano ortopeda examinar si la articulación está dañada (p. ej., desgarró del disco articular). Además, algunas intervenciones quirúrgicas se pueden efectuar mediante artroscopia (es decir, introduciendo instrumentos a través de pequeñas incisiones punzantes). Como el orificio que se precisa en la cápsula articular para introducir el artroscopio es pequeño, la curación después de este tipo de intervenciones es más rápida que con la cirugía articular tradicional. ◉



dentro del acetábulo del hueso ilíaco). Las articulaciones esferoideas o enartrosis permiten movimientos de flexión y extensión, separación y aproximación, rotación medial y lateral, y circunducción.

- Las **articulaciones de pivote** son uniaxiales y facilitan la rotación. En este caso, una prolongación redondeada de un hueso gira dentro de un manguito o anillo. Algunos ejemplos son la rotación del radio durante la pronación y la supinación (fig. 1.5), y la rotación del atlas (vértebra C1) alrededor de una prolongación digitiforme –el diente

(apófisis odontoides)– del axis (vértebra C2) durante la rotación de la cabeza por la articulación axoidea (figura 1.14).

Vascularización e inervación de las articulaciones

Las articulaciones reciben la sangre de las *arterias articulares* que emergen de los vasos que las rodean. Estas arterias suelen anastomosarse (comunicarse) para formar redes (“redes arteriales articulares”) que garantizan la irrigación de la articulación y de su interior en las distintas posiciones. Las *venas articulares* son venas comunicantes (*L. venae comitantes*) que

acompañan a las arterias y que, como éstas, se localizan en la cápsula articular, sobre todo en la membrana sinovial.

Las articulaciones disponen de una rica inervación; las terminaciones nerviosas se encuentran en la cápsula articular. Los nervios articulares son ramos de los nervios cutáneos que inervan la piel de las porciones distales de los miembros (manos y pies), los *nervios articulares* proceden de los nervios cutáneos. Sin embargo, la mayoría de los nervios articulares son ramos nerviosos que inervan los músculos que atraviesan y, por tanto, mueven la articulación. La *ley de Hilton* dice que los nervios de una articulación también inervan los músculos que mueven la articulación o la piel que cubre sus inserciones.

Las articulaciones transmiten la sensibilidad *propioceptiva*, es decir, información acerca de la sensación de movimiento o posición de las partes del cuerpo. La membrana sinovial es bastante poco sensible. La cápsula fibrosa y sus ligamentos contienen muchas fibras de dolor, lo que explica el dolor tan intenso cuando se lesiona una articulación. Las terminaciones nerviosas sensitivas responden a la torsión y estiramiento que tienen lugar durante algunos deportes, como el baloncesto. Las personas que sufren artritis saben que las articulaciones reciben una inervación generosa de terminaciones de dolor.

Sistema muscular

Las células musculares —llamadas a menudo fibras musculares, por su longitud y estrechez en la fase de relajación— producen las contracciones que mueven las partes del cuerpo, incluidos los órganos internos. El tejido conjuntivo asociado transporta fibras nerviosas y capilares al músculo al tiempo que lo envuelve en haces o fascículos. Los músculos también dan forma al cuerpo y generan calor. Se conocen tres tipos de músculo (tabla I.1):

- **Músculo esquelético:** Mueve los huesos y otras estructuras (p. ej., los ojos).
- **Músculo cardíaco** (miocardio): Forma la mayor parte de las paredes del corazón y las partes adyacentes de los grandes vasos, como la aorta.
- **Músculo liso:** Integra las paredes de la mayoría de los vasos y vísceras, mueve las sustancias a través de las vísceras como el intestino, y controla el movimiento de los vasos sanguíneos.

Músculo esquelético

La mayoría de los músculos esqueléticos se insertan de manera directa o indirecta a través de los tendones en huesos, cartílagos, ligamentos o fascias, o en una combinación de ellos. Algunos músculos esqueléticos se fijan a órganos (p. ej., el globo ocular), piel (como los músculos fasciales) o mucosas (músculos intrínsecos de la lengua).

Cuando se contrae y acorta un músculo, una de sus inserciones suele permanecer fija y la otra se desplaza. Las inserciones musculares se describen, de ordinario, como origen e inserción. El *origen* suele corresponder al extremo proximal del músculo, que permanece fijo durante la contracción y la *inserción*, al extremo distal movable. No obstante, algunos músculos actúan en ambas direcciones según las circunstancias. Por eso, en este libro se suele emplear los términos *proximal* y *distal* o *medial* y *lateral* para describir la mayoría de las inserciones musculares.


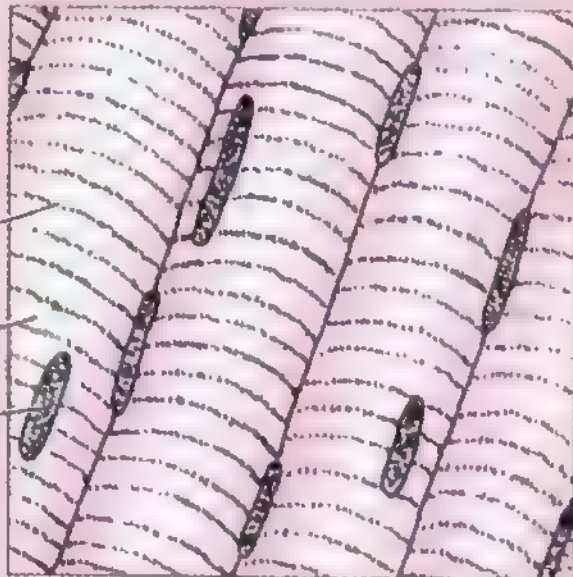
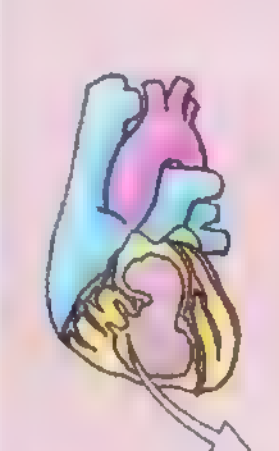


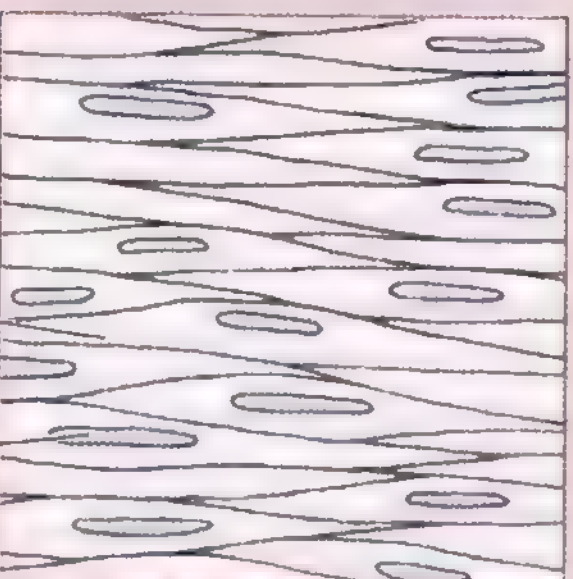
Los músculos esqueléticos mueven el esqueleto y otras partes del cuerpo. La figura I.15 ilustra los músculos esqueléticos principales, que suelen denominarse *músculos voluntarios*, ya que las personas pueden controlarlos, en general, con la voluntad; sin embargo, algunas de sus acciones son automáticas. Por ejemplo, el diafragma se contrae de forma automática, pero también se puede regular de forma voluntaria con una inspiración profunda. Los músculos esqueléticos también se denominan “estriados” por el aspecto rayado de sus células (fibras) en el microscopio.

Los músculos esqueléticos causan movimiento al acortarse; siempre tiran y nunca empujan; sin embargo, algunos fenómenos —como el “taponamiento de los oídos”, que iguala la presión atmosférica, o la bomba musculovenosa— se aprovechan de toda la expansión del vientre muscular durante la contracción.

La arquitectura y la forma del músculo esquelético varían. La porción carnosa es el **vientre muscular** (fig. I.16A). Algunos músculos son totalmente carnosos, pero la mayoría tienen **tendones** con los que se insertan al hueso. Cuando se habla de la longitud de un músculo se incluye tanto el vientre como los tendones; la longitud del músculo es, por tanto, la distancia entre las inserciones óseas. Algunos tendones crean unas hojas planas o **aponeurosis** (fig. I.16B) que fijan los músculos entre sí, como, por ejemplo, los músculos oblicuos de la pared anterolateral del abdomen (fig. I.15, visión anterior). La mayoría de los músculos se nombran según su función o según los huesos en los que se insertan (Squires, 1986). Por ejemplo, el músculo separador del dedo meñique separa el quinto dedo. El músculo esternocleidomastoideo (*cleido-clavícula*) se inserta por abajo en el esternón y en la clavícula, y por arriba, en la apófisis mastoides del hueso temporal del cráneo. Otros músculos se nombran según su posición (medial, lateral, anterior o posterior) o longitud (breve, largo). Los músculos se pueden describir o clasificar de acuerdo con su morfología (figs. I.15 y I.16). Por ejemplo:

- **Músculos planos:** Las fibras paralelas suelen disponer de una aponeurosis —p. ej., el músculo oblicuo externo.
- **Músculos penniformes:** Los fascículos se disponen en forma de pluma (*L. pennatus*, pluma) y pueden ser uni-, bi- o multipenniformes, como el músculo deltoides.
- **Músculo fusiforme:** Tienen forma de huso (vientre redondo y grueso y extremos afilados) —p. ej., el músculo bíceps braquial.

Tabla I.1. Tipos de músculo

Tipo de músculo	Localización	Aspecto	Tipo de actividad	Estimulación
 <p>Músculo esquelético ("estriado" o "voluntario")</p> 	<p>El músculo (p. ej., el biceps braquial) se inserta en el esqueleto y en la fascia de los miembros, paredes corporales y cabeza/cuello</p>	<p>Fibras cilíndricas grandes, muy largas, no ramificadas con estriaciones transversas dispuestas en haces paralelos; vanos núcleos situados en la periferia</p>	<p>Contracción poderosa, rápida e intermitente (fásica) sobre el tono basal; sirve, sobre todo, para producir movimiento o resistir la gravedad</p>	<p>Voluntaria (o refleja) por el sistema nervioso somático</p>
 <p>Músculo cardíaco</p> 	<p>Músculo del corazón (miocardio) y de las porciones adyacentes de los grandes vasos (aorta, vena cava)</p>	<p>Fibras ramificadas y anastomóticas, más cortas, con estriaciones transversas que discurren paralelas y se unen por los extremos a través de uniones complejas (discos intercalados); núcleo central solitario</p>	<p>Contracción poderosa, rápida, continua y rítmica; bombea la sangre del corazón</p>	<p>Involuntaria; estimulación y propagación intrínseca (miogénica); velocidad y fuerza de contracción modificadas por el sistema nervioso autónomo</p>
 <p>Músculo liso ("no estriado" o "involuntario")</p> 	<p>Paredes de vísceras y vasos sanguíneos, iris y cuerpo ciliar del ojo; se inserta en los folículos pilosos de la piel (músculo erector del pelo)</p>	<p>Fibras fusiformes aisladas o aglomeradas, de pequeño tamaño, sin estriaciones; núcleo central solitario</p>	<p>Contracción débil, lenta, rítmica o sostenida; sirve, sobre todo, para impulsar sustancias (peristaltismo) y restringir el flujo (vasoconstricción y actividad esfinteriana)</p>	<p>Involuntaria por el sistema nervioso autónomo</p>

Crecimiento y regeneración del músculo esquelético

Las fibras del músculo esquelético no se pueden dividir, pero se pueden reemplazar de forma individual por nuevas fibras musculares procedentes de las *células satélite del músculo esquelético*. Estas células se hallan dentro de las membranas basales de las fibras musculares y representan una fuente potencial de *mioblastos* –precursores de células musculares– que se unen entre sí para crear nuevas fibras de músculo esquelético en caso de necesidad (Cormack, 1993; Gartner y Hiatt, 1997). El número de nuevas fibras que se puede producir no basta para compensar las grandes degeneraciones o traumatismos musculares. Además, lejos de lograr una regeneración efectiva, el nuevo músculo esquelético se compone de una mezcla desorganizada de fibras musculares y tejido fibroso cicatricial. El músculo esquelético puede crecer en respuesta a un ejercicio agotador y frecuente, como sucede en los culturistas. El crecimiento obedece a la *hipertrofia* de las fibras existentes, pero no a la adición de nuevas fibras musculares. La hipertrofia alarga y aumenta la *miofibrilla* dentro de la fibra (fig. 1.17), con lo que incrementa el trabajo que puede desarrollar el músculo.

Pruebas musculares

Las pruebas musculares ayudan al examinador a diagnosticar las lesiones neurológicas. Existen dos métodos habituales de exploración:

- La persona ejecuta movimientos para resistir la acción del examinador. Por ejemplo, el sujeto mantiene el antebrazo flexionado mientras el examinador trata de extenderlo. Con esta técnica, el examinador puede calibrar la fuerza de la persona.
- El examinador efectúa movimientos, contra los que se resiste el sujeto. Para medir la flexión del antebrazo, el examinador ruega al sujeto que flexione el antebrazo y trata de oponer resistencia a ese movimiento. En general, la exploración muscular es bilateral y se realiza por parejas, para comparar los resultados.

La **electromiografía (EMG)**, o estimulación eléctrica de los músculos, constituye otro método para examinar la acción muscular (Basmajian y de DeLuca, 1985). El examinador coloca electrodos de superficie sobre el músculo y pide al sujeto que efectúe determinados movimientos; luego, amplía y registra las diferencias del potencial eléctrico de acción de los músculos. Un músculo normal en reposo sólo presenta una actividad basal (tono), que desaparece tan sólo durante el sueño profundo, la parálisis o durante la anestesia. Los músculos contraídos muestran picos variables de actividad fásica. El EMG permite analizar la actividad de cada músculo durante diferentes movimientos. El EMG también forma parte del programa terapéutico para restablecer la acción muscular. ⦿

- **Músculo cuadrado:** Posee cuatro lados iguales (L. *quadratus*, cuadrado) –p. ej., músculo pronador cuadrado.
- **Músculo circular o esfinteriano:** Rodea una abertura u orificio corporal y lo constriñe al contraerse –p. ej., el músculo orbicular de los ojos cierra los ojos.

La *unidad estructural del músculo es la fibra muscular*. La *unidad motora* es la unidad funcional compuesta por la motoneurona y las fibras musculares que inerva (fig. 1.17). Cuando el impulso nervioso alcanza la motoneurona de la médula espinal, se inicia otro impulso que determina la contracción simultánea de todas las fibras musculares inervadas por dicha unidad motora. El número de fibras musculares de cada unidad motora varía desde una a varios cientos. El número de fibras varía según el tamaño y la función del músculo. Las grandes unidades motoras, en las que una neurona inerva varios cientos de fibras musculares, radican en los grandes músculos del tronco y del fémur. Las unidades motoras sólo contienen escasas fibras en los pequeños músculos del ojo y de la mano, donde se requieren movimientos de precisión.

Los movimientos obedecen a la activación de un número progresivo de unidades motoras. Los músculos principales entran en acción con los movimientos del cuerpo.

- Los *agonistas* son los músculos principales que activan un determinado movimiento del cuerpo y se contraen de forma intensa para inducir el movimiento deseado.
- Los *antagonistas* son músculos que se oponen a la acción de los agonistas; cuando el agonista se contrae, el antagonista se relaja de manera progresiva e induce un movimiento suave.
- Los *sinergistas* evitan el movimiento de la articulación interpuesta cuando un agonista atraviesa más de una articulación; estos músculos completan la acción de los agonistas.
- Los *fijadores* anclan las partes proximales del miembro mientras se mueven las distales.

Un mismo músculo puede actuar como agonista, antagonista, sinergista o fijador, según las circunstancias.

Un músculo cuya tracción suela operar a lo largo del eje óseo sobre el que se inserta (p. ej., el braquiorradial, fig. 1.15, visión anterior) ejerce gran parte de su fuerza para mantener el contacto entre las superficies de la articulación que atraviesa (es decir, resiste las fuerzas de dislocación); estos músculos se colocan “en derivación o en paralelo”. Si el músculo tiene una orientación más transversal con relación

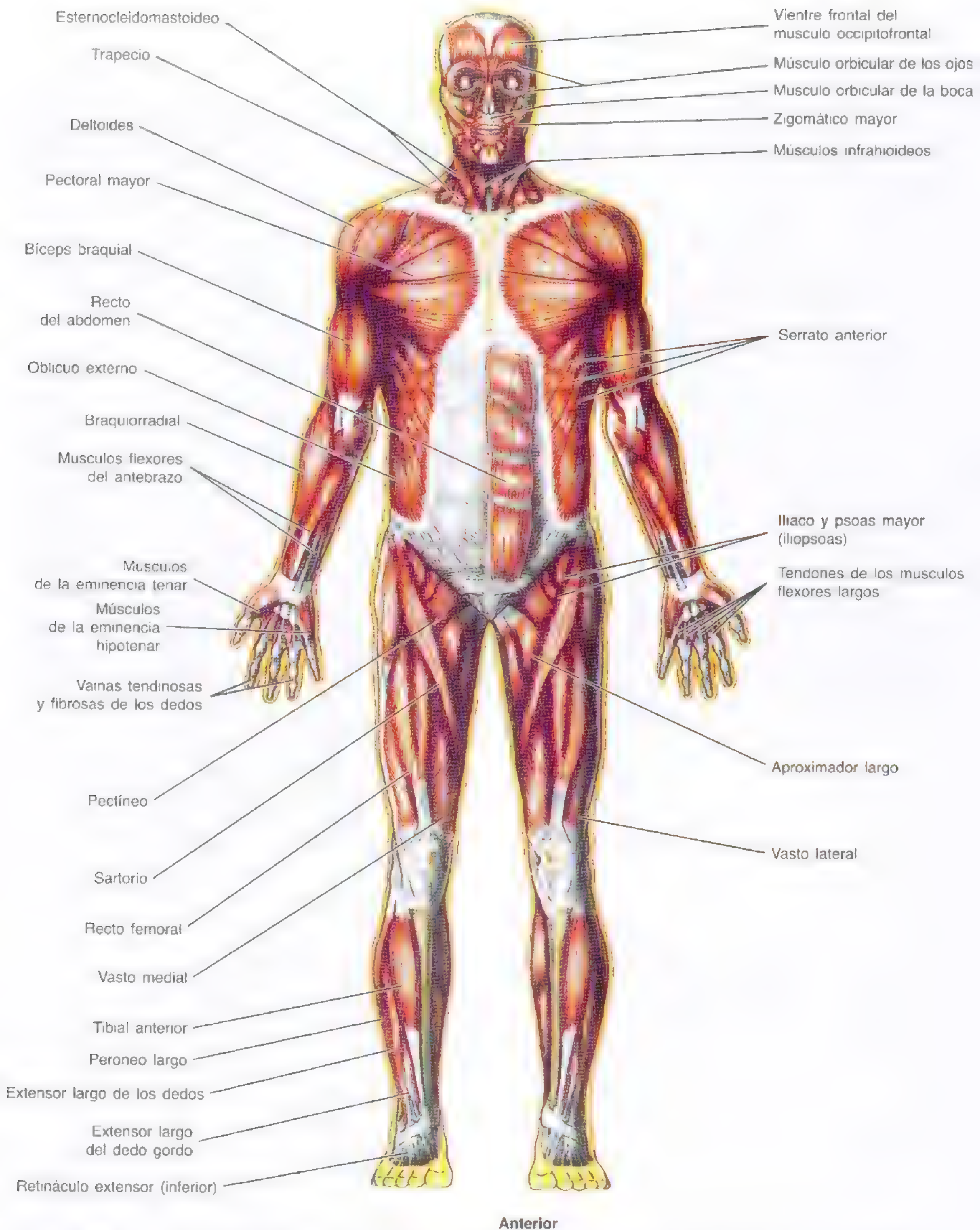
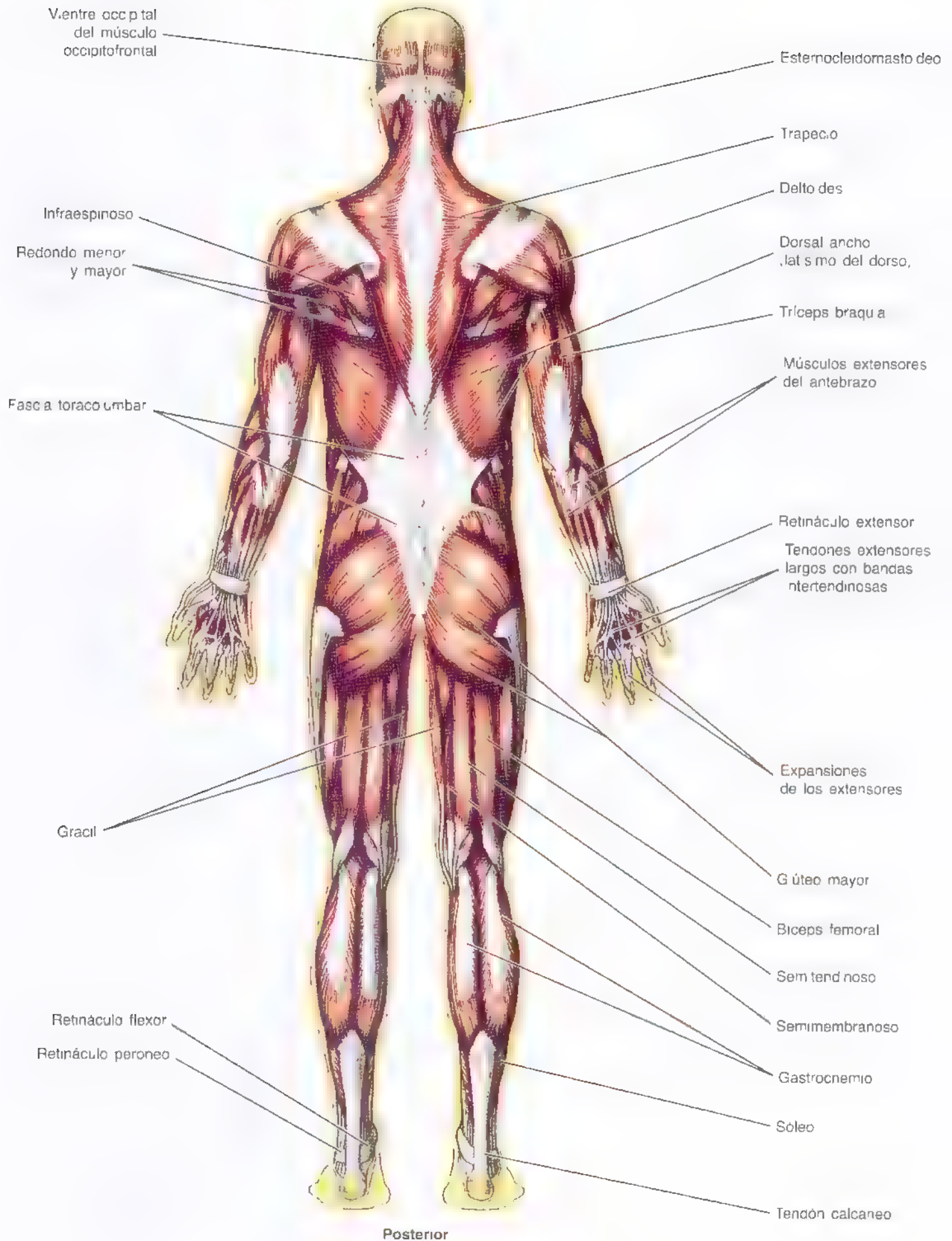


Figura 1.15. Músculos esqueléticos. La mayoría de estos músculos produce movimientos del esqueleto, pero algunos mueven otras partes (p. ej., los ojos, la boca y el cuero cabelludo). El músculo orbicular de los ojos rodea la boca y contribuye a la articulación y a la masticación. La lengua no tiene huesos ni articulaciones, aparte del hueso hioides, que le sirve de base pero es móvil.



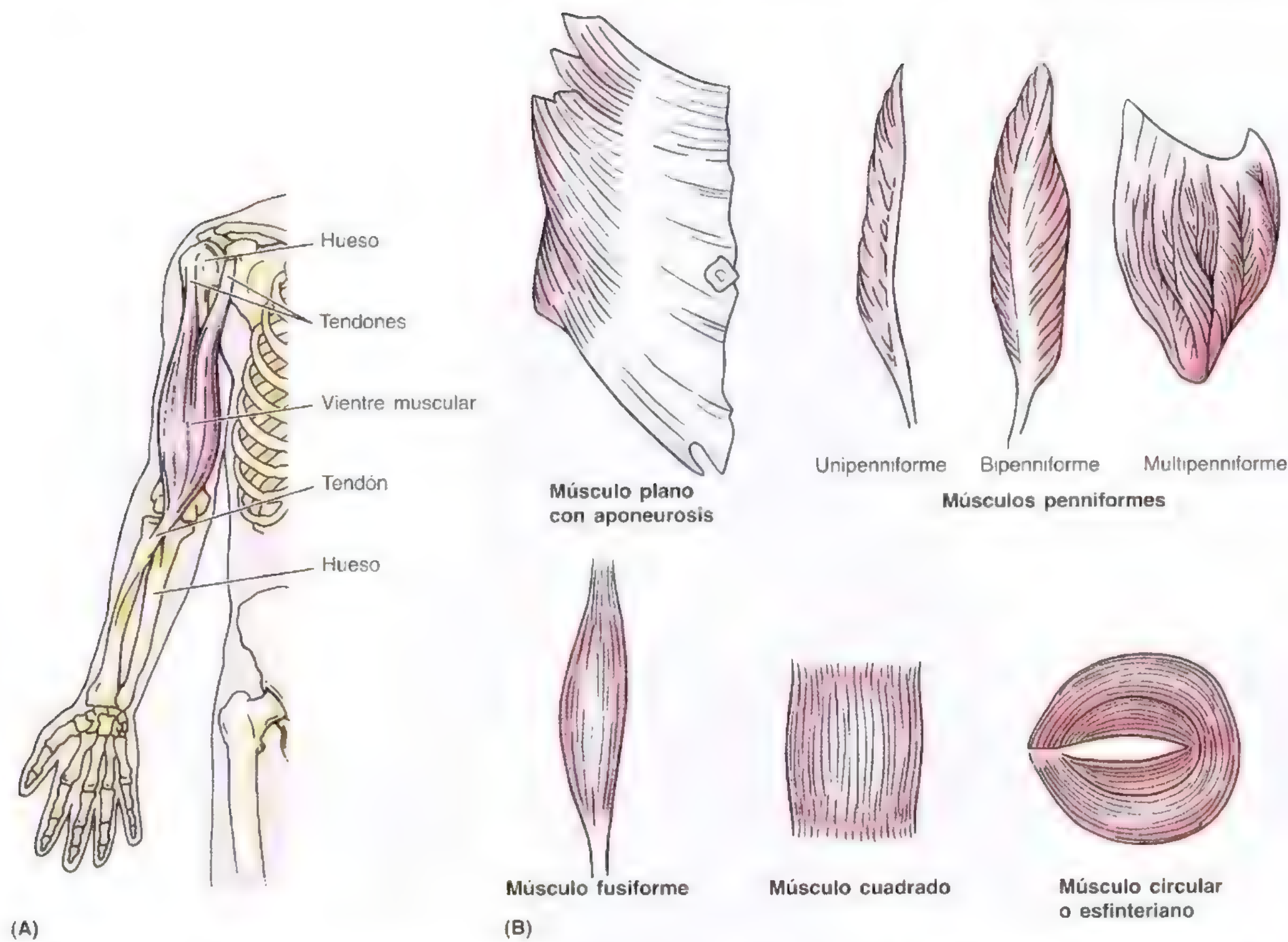


Figura I.16. Arquitectura y forma de los músculos esqueléticos. A. La porción carnosa de músculo es el vientre. En este ejemplo, los extremos proximal y distal del músculo se insertan en los huesos a través de tendones. La longitud de un músculo es la distancia entre sus inserciones óseas. B. Diversos tipos de músculo, cuya forma depende de la disposición de sus fibras.

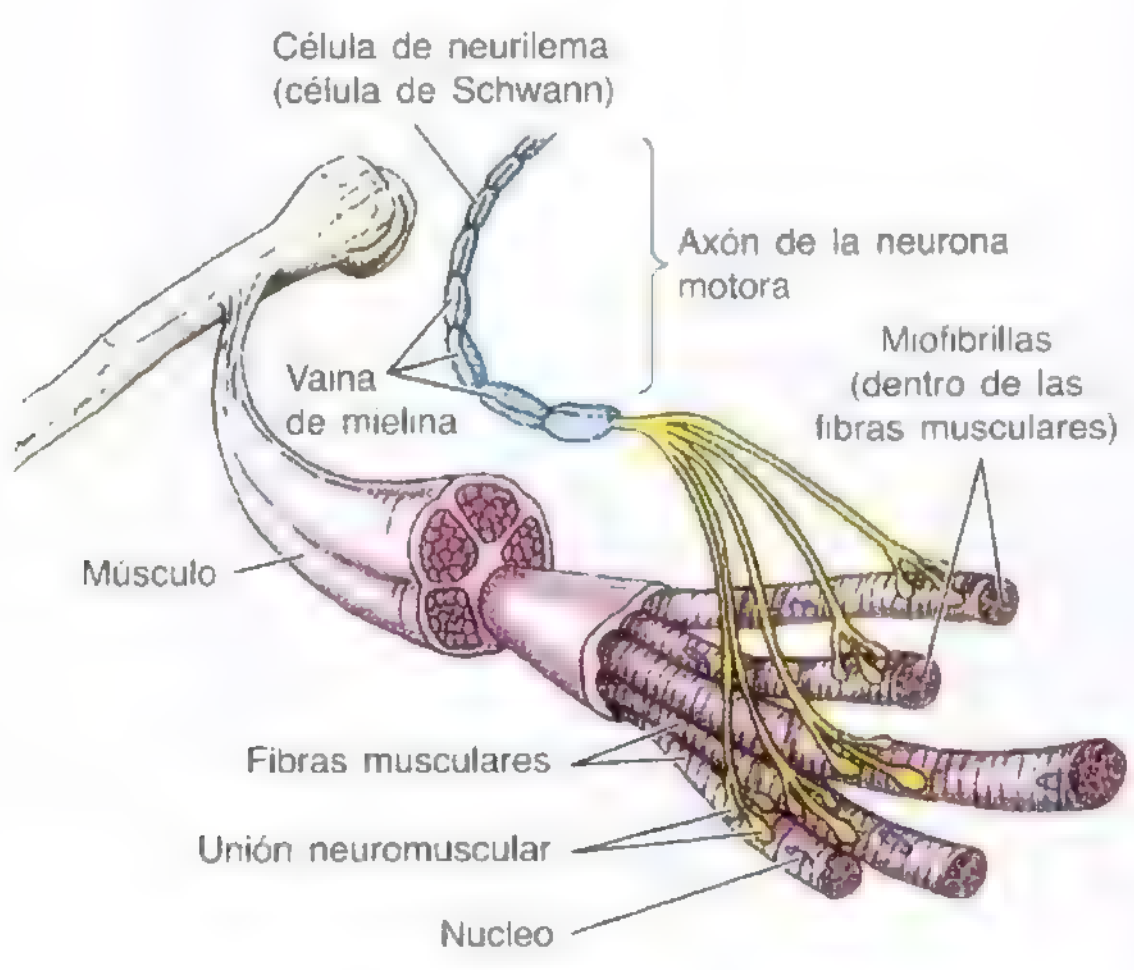


Figura I.17. Unidad motora. La unión del axón de la motoneurona y de todas las fibras musculares que inerva constituye la unidad motora.

al hueso que mueve (p. ej., el músculo bíceps braquial), puede efectuar movimientos rápidos y eficaces; estos músculos sirven para esfuerzos explosivos o de gran potencia.

Músculo cardíaco

El músculo cardíaco forma la pared muscular del corazón (es decir, el miocardio). Se observa también parte del músculo cardíaco en las paredes de la aorta, vena pulmonar y vena cava superior (VCS).

Las contracciones del músculo cardíaco no se hallan gobernadas por la voluntad. La frecuencia cardíaca la regula de forma intrínseca un *marcapasos* compuesto por fibras especiales de músculo cardíaco, controladas por el sistema nervioso autónomo (SNA) (pág. 44). Las fibras de músculo cardíaco son cadenas de células musculares unidas por sus extremos a través de uniones celulares (Cormack, 1993; Ross y cols., 1994; Gartner y Hiatt, 1997). El músculo cardíaco también es un tipo de músculo “estriado”, porque se ven bandas con el microscopio (tabla 1.1). Las fibras del múscu-

lo cardíaco poseen el mismo patrón general de estriación que las del músculo esquelético, pero son atravesadas de manera regular por **discos intercalados** (discos) —uniones terminotermiales especiales— propios de este tipo de fibras. En general, el término “estriado” se refiere al músculo esquelético voluntario. La mayoría de las células del músculo cardíaco poseen un solo núcleo, y algunas, dos.

Músculo liso

El músculo liso (tabla 1.1), así llamado por la falta de estriaciones de las fibras musculares tras el examen microscópico, forma gran parte de la cubierta o capa media (túnica media) de las paredes de la mayoría de los vasos sanguíneos (véase fig. 1.19) y la porción muscular de la pared del tubo digestivo. Además, el músculo liso se encuentra en la piel —músculo erector del pelo asociado con los folículos pilosos (fig. 1.6)— y en el ojo, donde controla el grosor del cristalino y el tamaño de la pupila. Como el músculo cardíaco, el liso está innervado por el SNA; por eso, se trata de un *músculo involuntario* que puede sufrir una contracción parcial durante largo tiempo. Este hecho ayuda a regular el tamaño de la luz de las estructuras tubulares. Las células del músculo liso se contraen de forma rítmica (ondas peristálticas) en las paredes del tubo digestivo, trompas uterinas y uréteres. Este proceso —*peristaltismo*— propulsa el contenido a lo largo de dichas estructuras tubulares.

Hipertrofia del miocardio e infarto de miocardio

La *hipertrofia compensadora del miocardio* responde a un incremento de la demanda y consiste en un aumento del tamaño de las fibras. Cuando se dañan las fibras del músculo cardíaco por la interrupción de la irrigación sanguínea, como sucede durante un ataque al corazón, el tejido se necrosa (muere) y el tejido fibroso cicatricial que surge da lugar al **infarto de miocardio** (IM), una zona de *necrosis miocárdica* (muerte patológica del tejido cardíaco). Las células musculares degeneradas no se reponen porque las células del músculo cardíaco no se pueden dividir. Además, no se dispone de ningún equivalente de las células satélite del músculo esquelético que fabrique nuevas fibras de músculo cardíaco.

Hipertrofia e hiperplasia del músculo liso

Las células del músculo liso sufren una hipertrofia compensadora cuando aumenta la demanda. Las células del músculo liso de la pared uterina del embarazo aumentan no sólo de tamaño, sino también de número (*hiperplasia*), porque conservan su capacidad para la división. Además, las nuevas células de músculo liso pueden surgir a partir de células diferenciadas de forma incompleta —*pericitos*— que se localizan a lo largo de los pequeños vasos sanguíneos (Cormack, 1993; Gartner y Hiatt, 1997). ◊

Aparato cardiovascular

El corazón y los vasos sanguíneos crean una red para el transporte de la sangre, el *aparato cardiovascular* (fig. 1.18). A través de este aparato, el corazón bombea la sangre por el extenso sistema vascular. La sangre transporta nutrientes, oxígeno y productos de desecho hacia y desde las células. Se conocen tres tipos de vasos sanguíneos: arterias, venas y capilares. La sangre abandona el corazón con gran presión y se distribuye por el organismo a través de un sistema ramificado de arterias de paredes gruesas (fig. 1.19). Los vasos finales —*arteriolas*— suministran la sangre oxigenada a los capilares, que forman el **lecho capilar** donde tiene lugar el intercambio de oxígeno, nutrientes, productos de desecho y otras sustancias con el líquido extracelular. La sangre del lecho capilar pasa a las **vénulas** de paredes finas, que parecen capilares anchos. Las vénulas drenan en pequeñas venas que se abren a otras de mayor calibre. Las venas más grandes, las venas cava superior e inferior, devuelven la sangre poco oxigenada al corazón.

Arterias

Las arterias llevan la sangre desde el corazón y la distribuyen por el cuerpo. La sangre pasa por arterias de calibre cada vez menor. Sus paredes poseen tres cubiertas o túnicas:

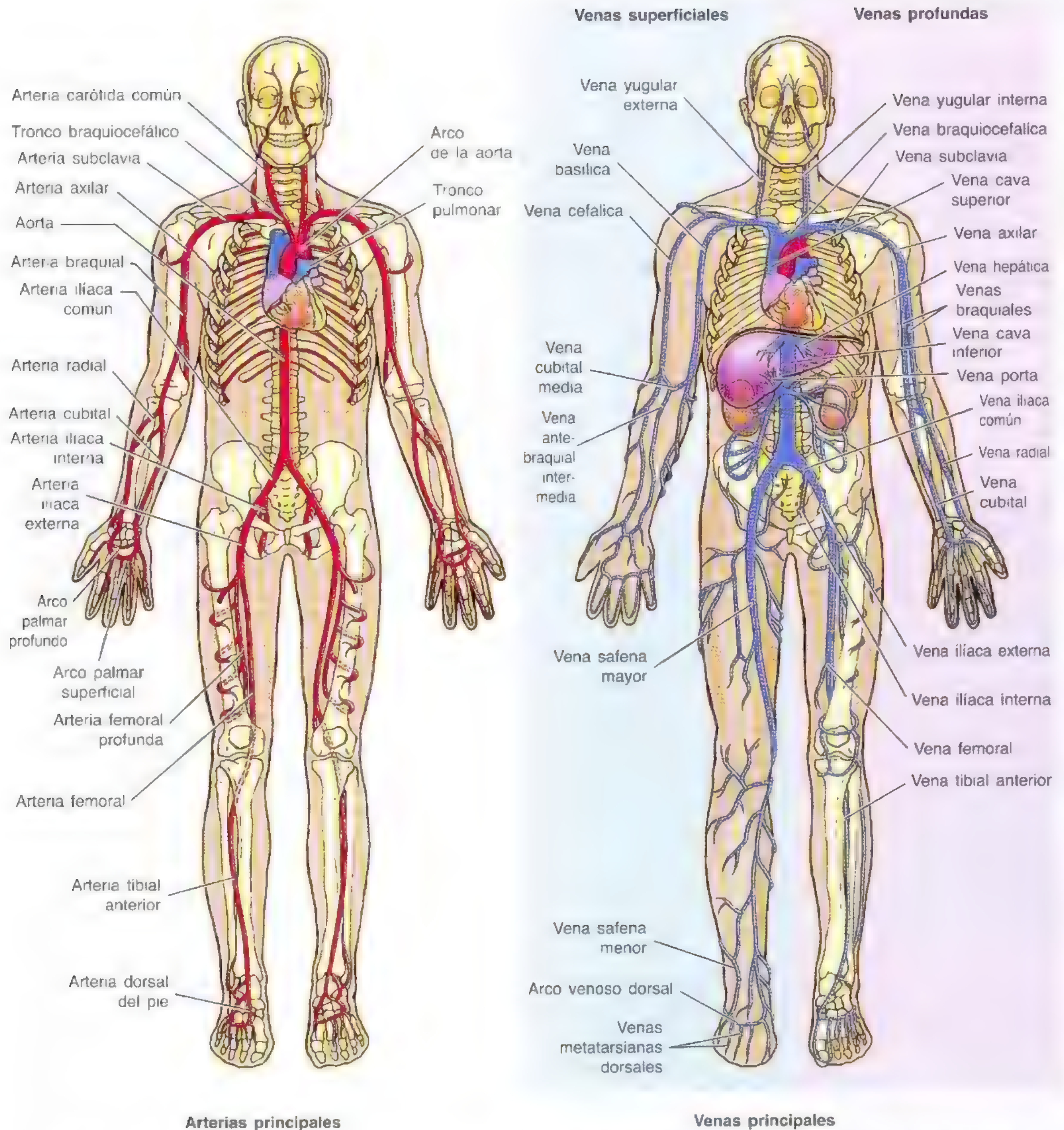


Figura 1.18. Aparato cardiovascular. El corazón y los vasos sanguíneos distribuyen la sangre por el organismo. La mayoría de las arterias lleva sangre oxigenada del corazón y la mayoría de las venas porta sangre desoxigenada al corazón, sin embargo, las arterias pulmonares que nacen del tronco pulmonar transportan sangre desoxigenada a los pulmones, y las venas pulmonares devuelven la sangre oxigenada de los pulmones al corazón.

- Túnica adventicia.
- Túnica media.
- Túnica íntima.

Los diferentes tipos de arterias se distinguen entre sí por el grosor y las diferencias en la composición de las cubier-

tas, en particular de la túnica media. El tamaño de la arteria varía de forma continua, es decir, las características morfológicas experimentan un cambio gradual de un tipo a otro (Gartner y Hiatt, 1977). Se conocen tres tipos de arterias:

Arteriosclerosis y cardiopatía isquémica

La enfermedad adquirida más común de las arterias es la **arteriosclerosis** (endurecimiento arterial), un grupo de enfermedades que se caracteriza por el engrosamiento y la pérdida de elasticidad de la pared arterial. La **aterosclerosis**, una variante frecuente de la arteriosclerosis, se acompaña del depósito de grasa (casi siempre, colesterol) en la pared arterial. El depósito de calcio crea luego las placas ateromatosas (**ateromas**), zonas amarillas bien delimitadas o tumefacciones de la superficie íntima de las arterias causadas por el depósito lipídico. La expansión de una lesión aterosclerótica sobre la túnica íntima de las arterias elásticas y musculares puede determinar un **trombo** (coágulo sanguíneo) que obstruya la arteria. Las secuelas de la ate-

rosclerosis son la **cardiopatía isquémica** por irrigación inadecuada y el **infarto de miocardio** (necrosis del músculo cardíaco y ataque al corazón), el ictus y la gangrena (p. ej., en las partes distales de los miembros). ○

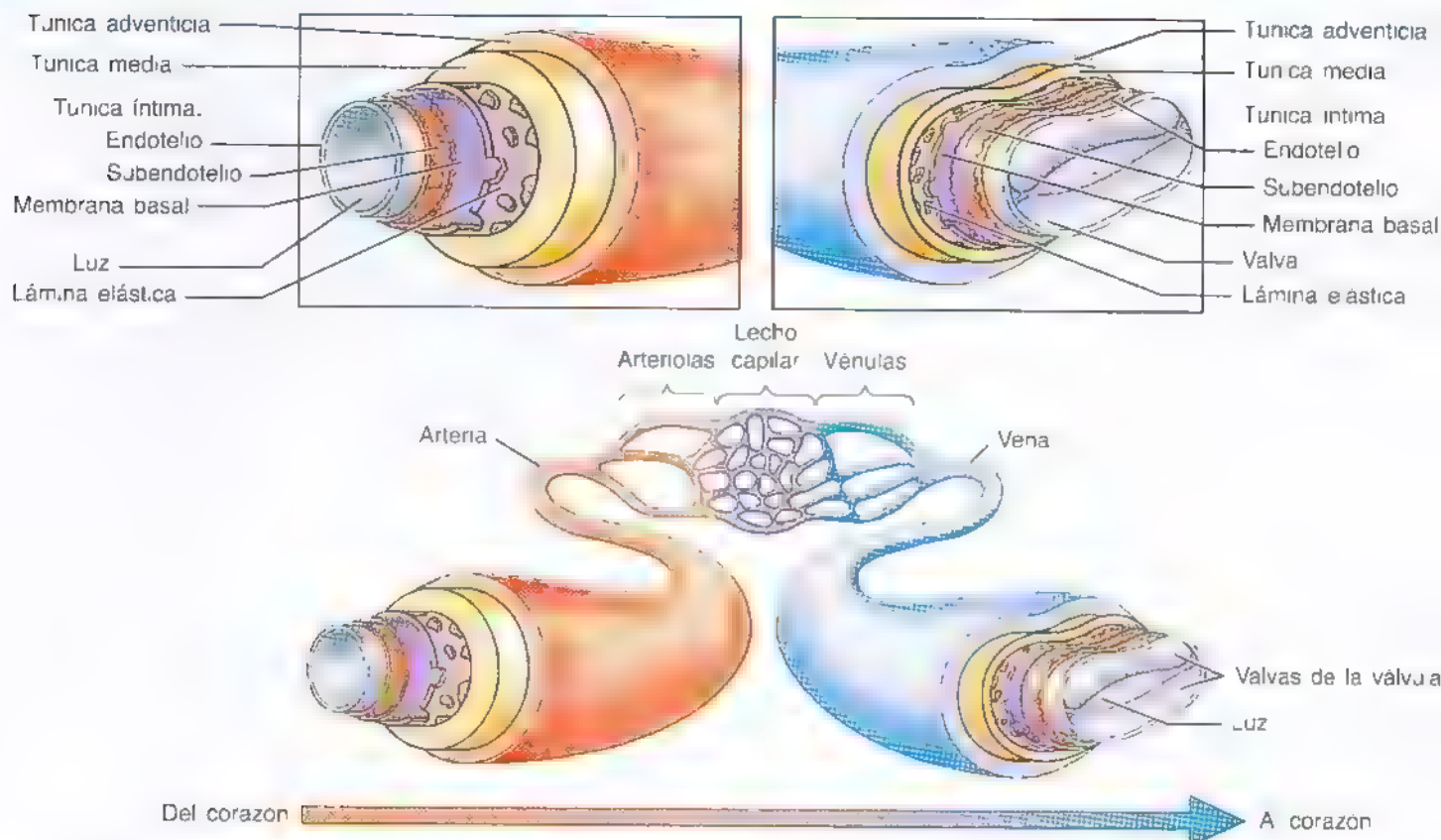
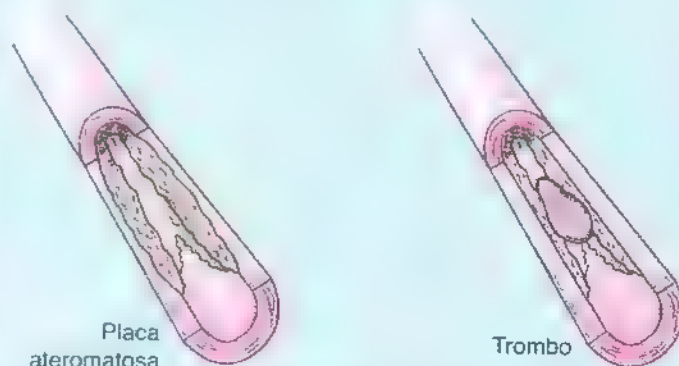


Figura 1.19. Estructura de los vasos sanguíneos. Las paredes de los vasos sanguíneos se componen de tres cubiertas concéntricas (L. *tunicae*). Las venas, dotadas de menos músculo, tienen paredes más finas que las arterias correspondientes y lúmenes amplios. La túnica media, que suele tener un aspecto aplanado en los cortes histológicos. La mayoría de las venas intermedias que retornan la sangre al corazón contra el efecto de la gravedad disponen de válvulas, que fragmentan las columnas de sangre y, si están congestionadas, reducen su flujo, impidiendo su escape al corazón.

- Las **arterias elásticas** (de conducción) son las de mayor tamaño; la aorta y las ramas que se originan del cayado (arco) constituyen buenos ejemplos. Entre contracción y contracción del corazón, el cuerpo mantiene la presión arterial dentro del sistema arterial merced a la elasticidad de estas arterias. Esta propiedad explica también que se expandan cuando se contrae el corazón y que regresen a la normalidad entre contracción y contracción cardíaca.
- Las **arterias musculares** (de distribución), como la femoral, reparten la sangre a las distintas porciones del organismo. Sus paredes constan, en esencia, de fibras musculares lisas con disposición circular, que constriñen la luz —espacios del interior de las arterias— al contraerse. *Las arterias musculares regulan el flujo de la sangre* por las distintas regiones, según las necesidades corporales.
- Las **arteriolas** son las de menor tamaño; poseen una luz bastante estrecha y paredes musculares gruesas. El grado de presión arterial dentro del aparato vascular está regulado, sobre todo, por el tono (dureza) del músculo liso de las paredes arteriolas. Si el tono es mayor que el normal aparece *hipertensión* (elevación de la presión arterial).

Venas

Las venas devuelven la sangre de los lechos capilares al corazón. Las *grandes venas pulmonares son atípicas, porque transportan sangre oxigenada* (de ordinario, se llama “sangre arterial”) desde los pulmones al corazón. La presión dentro del sistema venoso es menor y, por este motivo, las paredes venosas son más finas que las de las arterias concomitantes (fig. 1.19). Existen tres tamaños de venas: pequeñas, intermedias y grandes. Las más pequeñas son las *vénulas*. Estas afluentes se unen formando venas mayores que se agrupan en *plexos venosos*, como el **arco venoso dorsal** del pie (fig. 1.18). Las *venas intermedias de los miembros* y de otros lugares —donde el flujo de sangre se opone a la tracción de la gravedad— disponen de *válvulas* plegables que permiten que la sangre fluya en dirección al corazón, pero no en sentido contrario. Una *vena grande*, como la VCS, se caracteriza por haces anchos de músculo liso longitudinal y una túnica adventicia bien desarrollada.

Las venas tienden a ser dobles o múltiples. Las que acompañan a las arterias profundas —**venas satélite** (*L. vende comitantes*)— las rodean a modo de red irregular (fig. 1.20). Las venas satélite ocupan una *vaina vascular* relativamente inflexible que encierra la arteria a la que acompañan. Por esta razón, se estiran y aplanan cuando la arteria se expande durante la contracción cardíaca, lo que ayuda a impulsar la sangre venosa al corazón. Las venas sistémicas o de la circulación general muestran más variación que las arterias, y es frecuente observar *anastomosis* —comunicaciones naturales, directas o indirectas, entre dos venas— entre ellas. La expansión externa de los vientres de los músculos esqueléticos de los miembros durante la contracción, limitada por la fascia profunda, comprime las venas y “ordeña” la sangre en dirección superior, al corazón —**bomba musculovenosa**—

Venas varicosas

Cuando la pared de la vena pierde su elasticidad se debilita. Una vena debilitada se dilata bajo la presión que supone soportar una columna de sangre contra la gravedad. De aquí aparecen las *venas varicosas*, venas hinchadas y torsionadas de manera patológica, que suelen verse en las piernas. El calibre de las venas varicosas es mayor del normal y las valvas de la válvula no se llegan a juntar o se destruyen por la inflamación. Estas venas tienen *válvulas incompetentes* y, por eso, no fragmentan la columna de sangre que sube hacia el corazón, imponen una mayor presión sobre las paredes debilitadas y agudizan todavía más la varicosidad. Las venas varicosas también se observan en casos de degeneración de la fascia profunda. Esta fascia incompetente no logra contener la expansión de los músculos contraídos, y el resultado es la ineficacia de la bomba musculovenosa (fig. 1.21). ◀



Venas varicosas

(fig. 1.21). Las válvulas venosas detienen las columnas de sangre y alivian el exceso de presión de las zonas situadas en declive; con ello permiten que la sangre sólo fluya hacia el corazón. La congestión venosa que experimentan unos pies cansados y calientes al final de un día ajetreado mejora poniendo los pies en un banquillo, más altos que el tronco. Esta postura de los pies también facilita el retorno de la sangre al corazón.

Capilares

Los capilares son tubos endoteliales simples que conectan los sistemas arterial y venoso de la circulación. En general, se disponen en redes —**lechos capilares**— entre las arteriolas y vénulas (fig. 1.19). La sangre que fluye por los lechos capi-

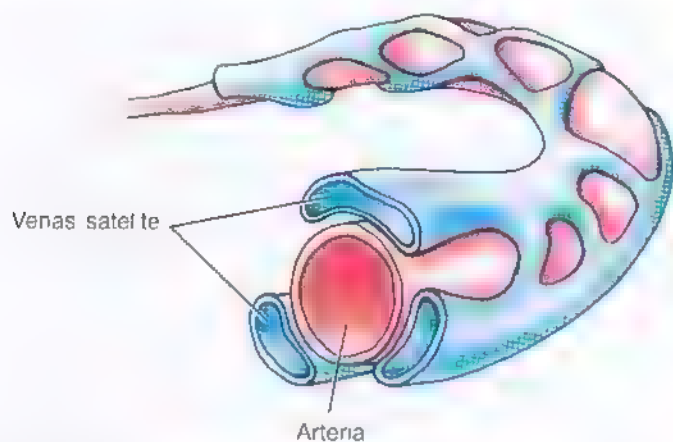


Figura 1.20. Venas satélite o concomitantes (L. *venae comitantes*). Si bien en la mayoría de las venas del tronco son venas solitarias grandes, las de los miembros se juntan en grupos de dos o más de menor tamaño (venas satélite), que acompañan a la arteria y comparten la misma vaina muscular. Las pulsaciones arteriales facilitan el retorno venoso ya que comprimen varias venas de menor tamaño, situadas dentro de la misma vaina.

la sangre llega desde las arteriolas y sale por las vénulas. Como la presión hidrostática de las arteriolas empuja la sangre por el lecho capilar, se intercambian oxígeno, nutrientes y otros materiales celulares con el tejido circundante. En algunas regiones, como los dedos, se advierten comunicaciones directas entre las pequeñas arterias y venas proximales a los lechos capilares que nutren y drenan. Los lugares de esta comunica-

ción —*anastomosis arteriovenosas (cortocircuitos AV)*— permiten el paso directo de la sangre arterial a la sangre venosa sin pasar por los capilares. La piel cuenta con muchos cortocircuitos AV, que desempeñan una misión esencial para conservar el calor corporal.

Sistema linfático

El sistema linfático forma parte del aparato circulatorio; el otro componente es el aparato cardiovascular. El sistema linfático es una vasta red de vasos linfáticos, comunicados con los ganglios linfáticos, pequeñas masas de tejido linfático (fig. 1.22). El sistema linfático recoge el tejido intersticial sobrante en forma de linfa y está dotado, además, de órganos linfáticos, como el bazo. El líquido intersticial que entra en el vaso linfático para su transporte es la linfa, que suele ser clara y acuosa y tiene los mismos constituyentes que el plasma sanguíneo. El sistema linfático se compone de los siguientes elementos:

- *Plexos linfáticos* o redes de vasos linfáticos muy pequeños —*capilares linfáticos*—, que se originan en los espacios intercelulares de la mayoría de los tejidos.
- *Vasos linfáticos*, que forman una red corporal a partir de los *plexos linfáticos*, a lo largo de los cuales se disponen los ganglios linfáticos.
- *Ganglios linfáticos*, por los que pasa la linfa en su camino hacia el sistema venoso.

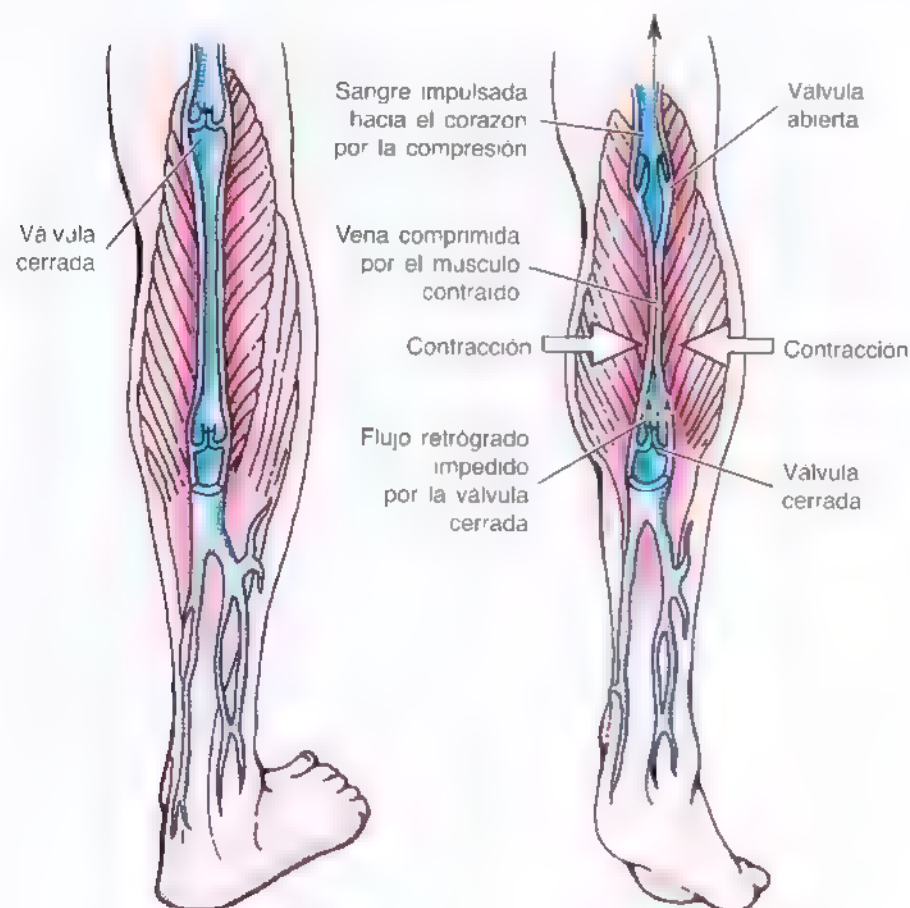


Figura 1.21. La bomba musculovenosa.

Las contracciones musculares de los miembros se coordinan con las válvulas venosas para desplazar la sangre al corazón. La expansión exterior de los vientres de los músculos contraídos se limita por la fascia profunda y genera una fuerza compresiva que propulsa la sangre contra la gravedad. Las flechas negras indican la dirección del flujo sanguíneo.

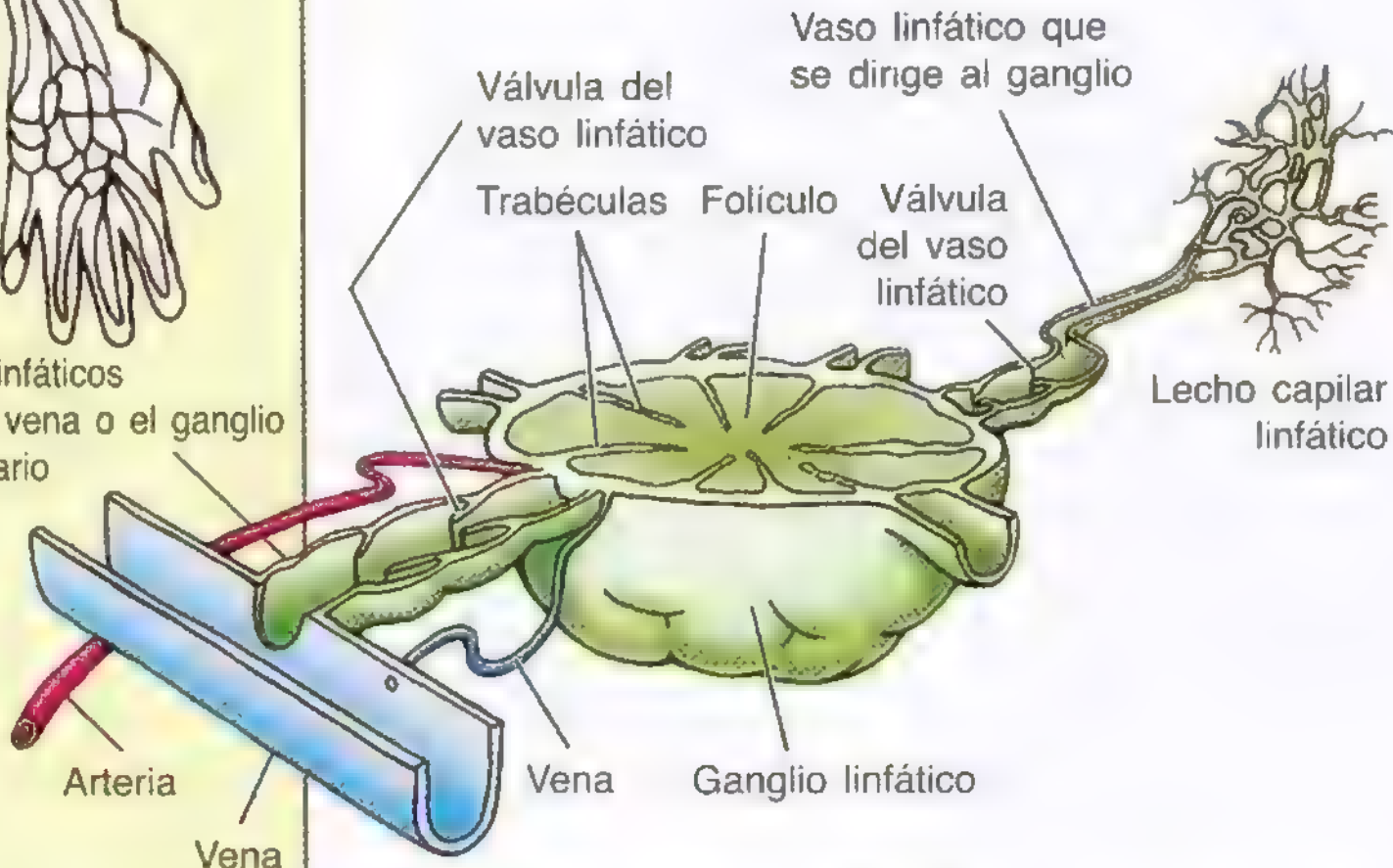
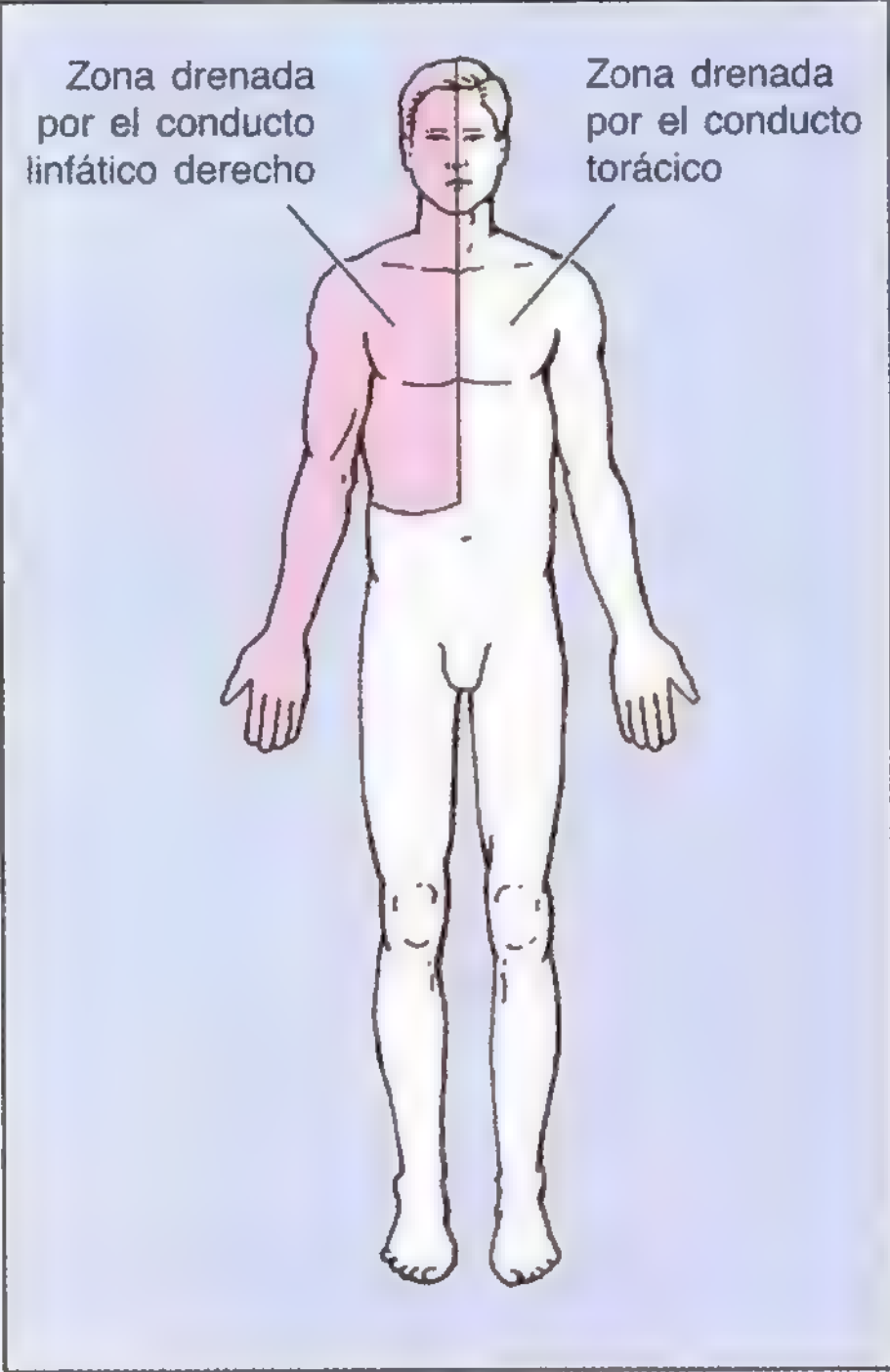
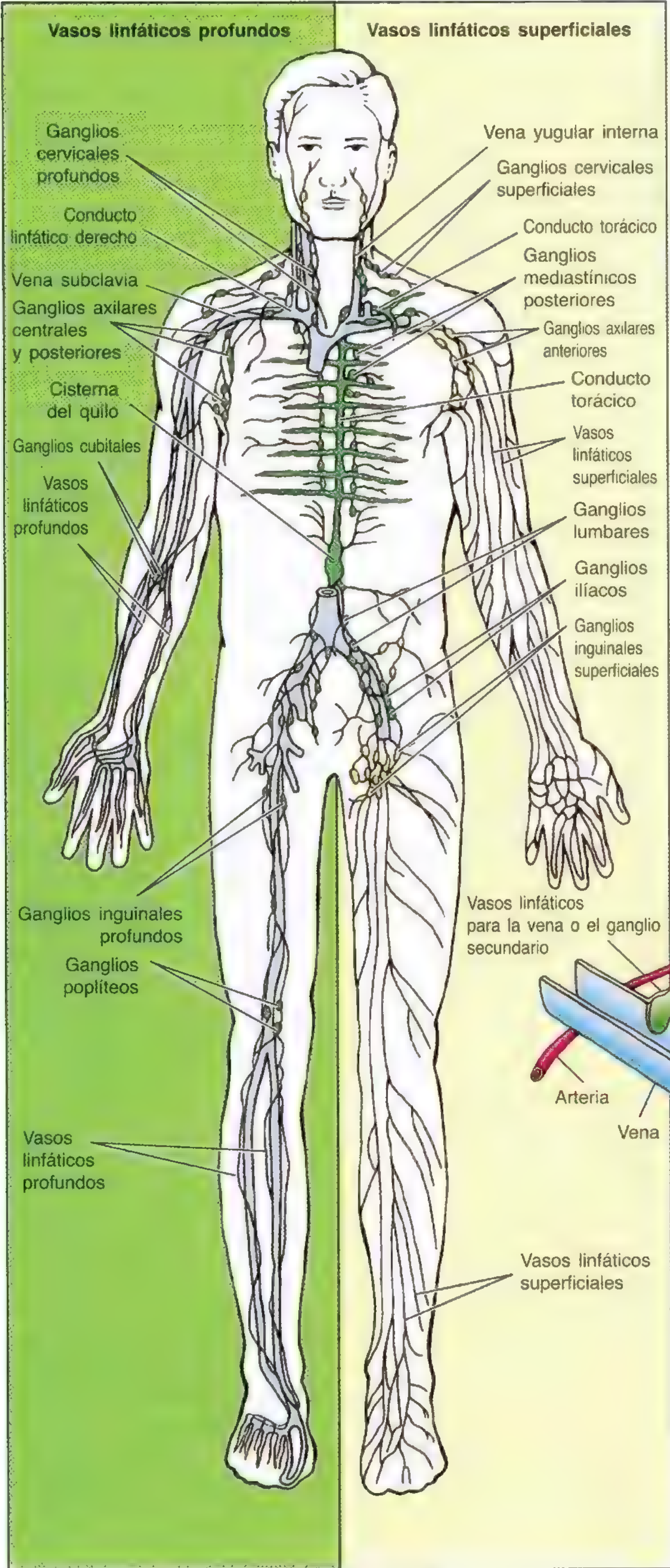


Figura 1.22. Sistema linfático. El sistema linfático, parte del aparato circulatorio, contiene vasos linfáticos, nódulos linfáticos, tejido linfático y órganos linfáticos, como el bazo. El *conducto torácico* drena en las venas situadas en el estrecho torácico superior. Los ganglios linfáticos tienen forma arriñonada y se disponen en el trayecto de los vasos linfáticos. Los folículos linfáticos son masas esféricas de células linfáticas del ganglio. De la cápsula del ganglio se extienden trabéculas de tejido conjuntivo que dan estructura al ganglio y conducen los grandes vasos sanguíneos. El *conducto linfático derecho* drena la linfa del lado derecho de la cabeza y del cuello, miembro superior derecho y región pectoral, así como hemitórax derecho (es decir, cuadrante superior derecho). El *conducto torácico* drena la linfa del resto del organismo.

Linfangitis, linfadenitis y linfedema

La linfangitis y la linfadenitis representan la inflamación de los vasos y ganglios linfáticos, respectivamente. Estos trastornos suceden cuando se afecta el sistema linfático durante la diseminación (metástasis) de las células cancerosas. El *linfedema* o acúmulo de líquido intersticial ocurre cuando no se drena la linfa de una región corporal. Por ejemplo, si se extirpan por vía quirúrgica los ganglios linfáticos cancerosos de la axila, puede aparecer un linfedema braquial. Los tumores de células sólidas penetran, a veces, en los vasos linfáticos y forman *émbolos celulares* (tapones) diminutos que se descomponen y emigran hasta los ganglios linfáticos regionales. De este modo, las células cancerosas se extienden por vía linfática a otros tejidos y órganos. ❖

- *Agregaciones de tejido linfático* en las paredes del tubo digestivo y en el bazo y el timo.
- *Linfocitos circulantes* originados en el *tejido linfático*, del tipo de ganglios linfáticos y bazo, y en el *tejido mieloide* de la médula ósea roja.

Después de atravesar uno o varios ganglios linfáticos, la linfa penetra en vasos linfáticos de mayor tamaño —*troncos linfáticos*— que se reúnen en el **conducto torácico** o en el **conducto linfático derecho** (fig. 1.22). El conducto torácico empieza en el abdomen en forma de saco —**cisterna del quilo**— y asciende por el tórax para desembocar en la unión entre las venas **yugular interna izquierda** y **subclavia izquierda** (ángulo venoso).

- El conducto linfático derecho drena la linfa del cuadrante superior derecho del cuerpo (lado derecho de la cabeza y cuello, miembro superior derecho y hemitórax derecho).
- El conducto torácico drena la linfa del resto del cuerpo.

Los **vasos linfáticos superficiales** se encuentran en la piel y el tejido subcutáneo (fig. 1.6). Estos vasos acaban drenando a los **vasos linfáticos profundos** de la fascia profunda situada entre los músculos y el tejido subcutáneo, que acompañan a los grandes vasos sanguíneos. La **misión de los vasos linfáticos** comprende:

- *Drenaje del líquido intersticial, recogida del plasma linfático* de los espacios tisulares y *transporte de la linfa* al sistema venoso.
- *Absorción y transporte de la grasa*: unos capilares linfáticos especiales (*quilíferos*) reciben toda la grasa absorbida del intestino y llevan el *quilo* a través del conducto torácico hasta el sistema venoso.
- *Creación de un mecanismo de defensa para el organismo*: cuando se drena la proteína extraña de una zona infectada, las células inmunitarias competentes o los linfocitos

producen anticuerpos específicos contra esa proteína y los envían a la zona infectada.

Sistema nervioso

El sistema nervioso permite que el organismo reaccione a los constantes cambios del medio interno y externo. Al mismo tiempo controla e integra las distintas actividades del cuerpo, como la circulación y la respiración. A efectos descriptivos, el sistema nervioso se divide:

- De forma estructural en el *sistema nervioso central* (SNC) y en el sistema nervioso periférico (SNP).
- De manera funcional en el *sistema nervioso somático* (SNS) y en el *sistema nervioso autónomo* (SNA).

El tejido nervioso se compone de dos grandes tipos de células: **neuronas** (células nerviosas) y **neuroglia** (células de glia), que dan apoyo a las neuronas.

La *neurona* es la *unidad estructural y funcional del sistema nervioso*, especializada en comunicaciones rápidas (fig. 1.23). Se compone de un cuerpo celular y de prolongaciones —**dendritas** y un **axón**— que llevan los impulsos hacia y desde el cuerpo celular, respectivamente. La **mielina** —capa de sustancias lipídicas y proteicas— crea una vaina mielínica alrededor de algunos axones para incrementar la velocidad de conducción de los impulsos. Las neuronas se comunican entre sí por las **sinapsis**, puntos de contacto interneuronal. La comunicación tiene lugar a través de **neurotransmisores**, sustancias químicas liberadas o secretadas por una neurona que excitan o inhiben a otra y continúan o terminan la cadena de impulsos o la respuesta a éstos.

La **neuroglia**, que abunda casi cinco veces más que las neuronas, consta de células no neuronales ni excitables que forman un componente importante (andamiaje) del tejido nervioso; sostiene, aísla y nutre a las neuronas. La neuroglia del SNC abarca las células de la oligodendroglia, los astrocitos, las células ependimarias y las células de la microglia de pequeño tamaño. La neuroglia del SNP contiene células satélite alrededor de las neuronas de los ganglios espinales (ganglios de la raíz dorsal) y las células del neurilema (Schwann), que crean la mielina y las vainas de neurilema que rodean las fibras nerviosas periféricas (fig. 1.26).

Sistema nervioso central

El SNC se compone del **encéfalo** y de la **médula espinal** (fig. 1.24). Las misiones principales del SNC son:

- Integrar y coordinar las señales nerviosas que entran y salen.
- Ejecutar las funciones intelectuales superiores, como el pensamiento y el aprendizaje.

La agrupación de cuerpos de células nerviosas dentro del SNC da origen a los **núcleos**. Un **tracto** es un paquete de

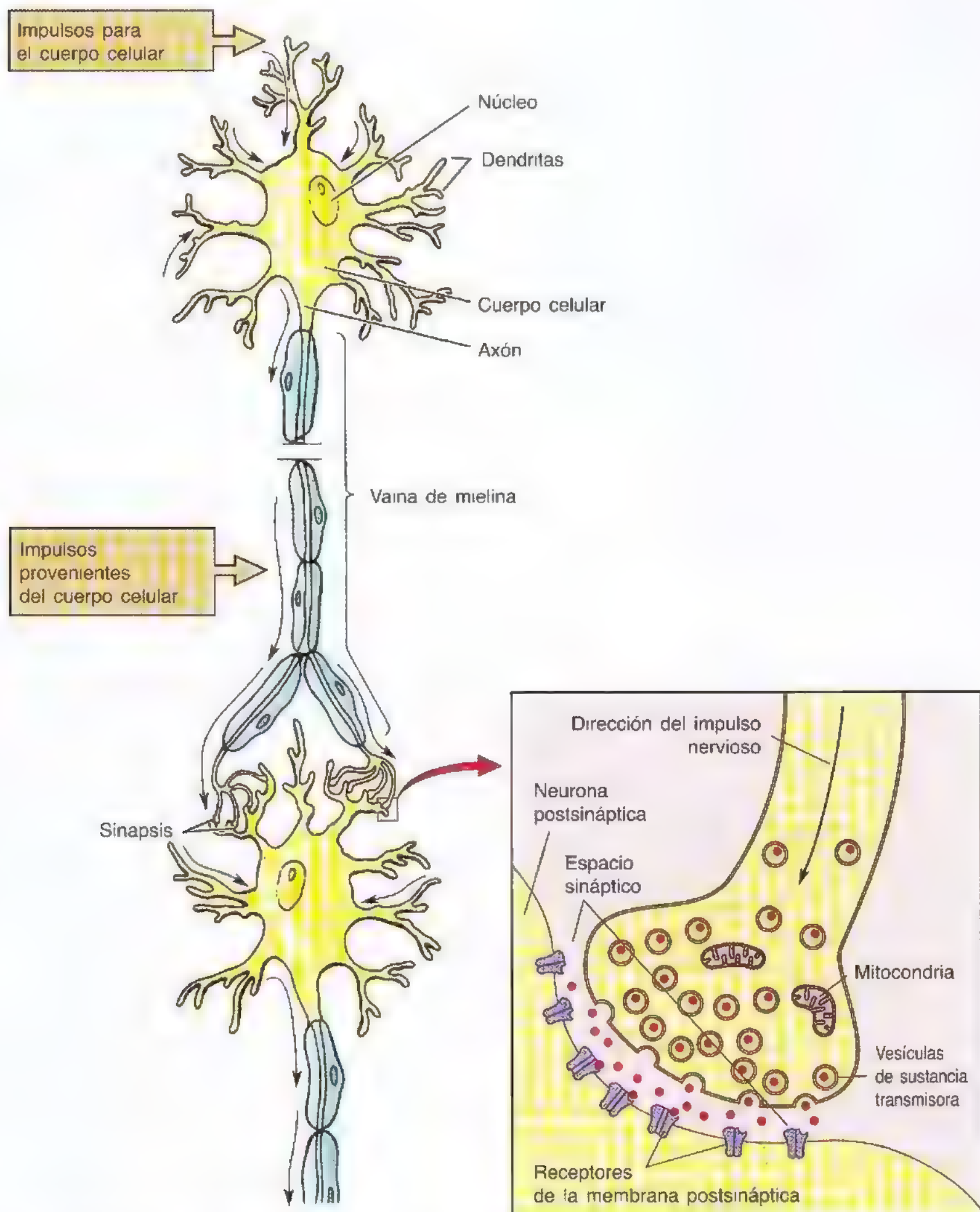


Figura 1.23. Estructura de una neurona motora (motoneurona). La neurona o célula nerviosa se compone de un cuerpo con un núcleo y dos tipos de prolongación: las dendritas y los axones. Los impulsos llegan al cuerpo a través de las dendritas (*flechas negras superiores*) y el axón transporta los impulsos del cuerpo celular (*flechas negras inferiores*). La neurona gobierna otras neuronas a través de los puntos de unión o sinapsis. La estructura detallada de la *sinapsis axodendrítica* se ilustra en el recuadro; las sustancias neurotransmisoras se difunden por el espacio estrecho (hendidura sináptica) entre las dos células y se unen a receptores.

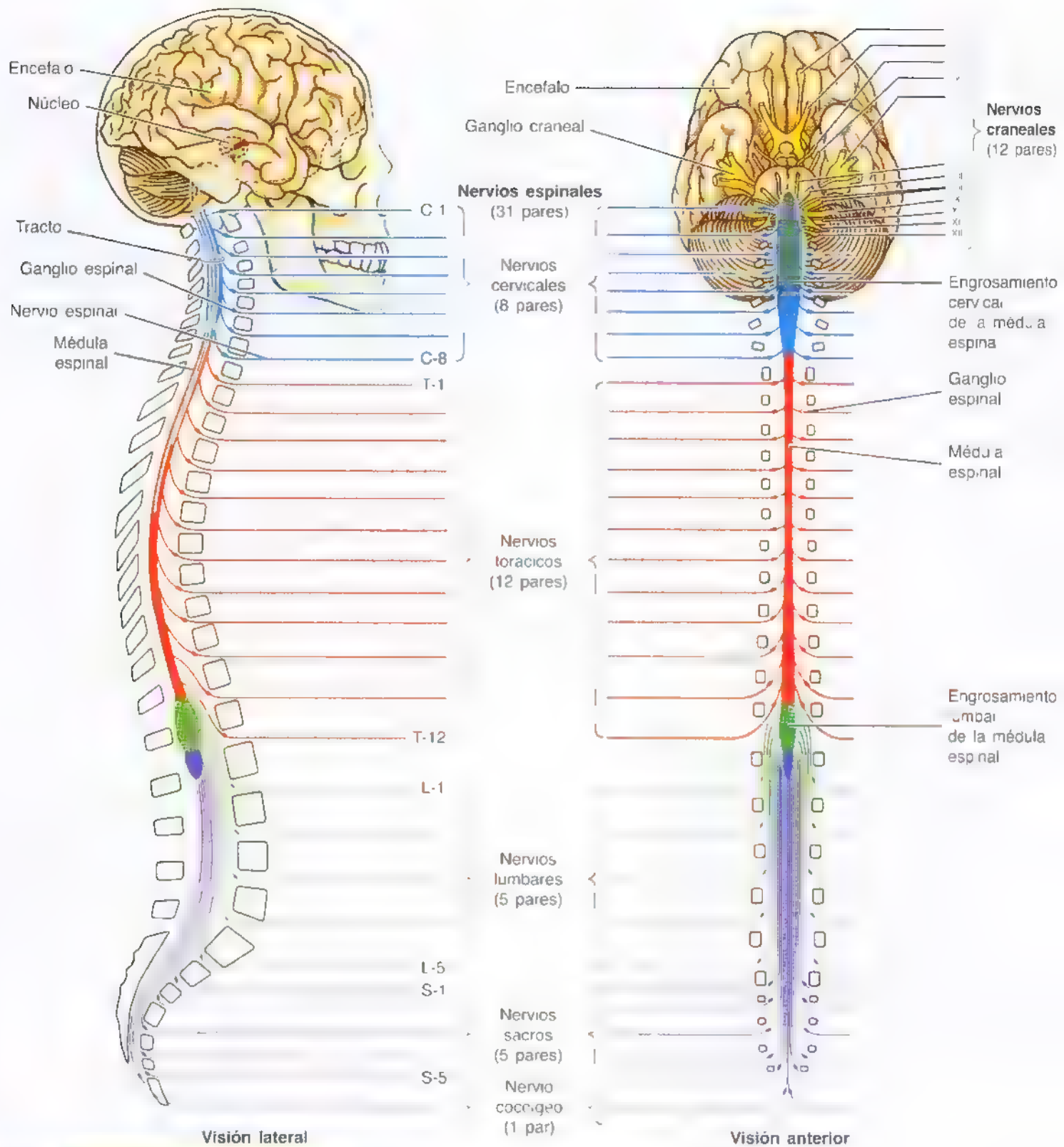


Figura 1.24. Organización básica del sistema nervioso. El encéfalo y la médula espinal constituyen el SNC. La agrupación de cuerpos neuronales en el SNC forma un núcleo. Una hilera de fibras nerviosas que comunica los núcleos vecinos o remotos del SNC forma un *tracto*. El SNC consta de fibras nerviosas y cuerpos situados fuera del SNC. Los nervios periféricos pueden ser craneales o espinales. La colección de nervios neuronales fuera del SNC da lugar al ganglio (p. ej., ganglio craneal o espinal).

fibras nerviosas (axones) que comunican núcleos vecinos o remotos del SNC.

Los cortes del encéfalo y de la médula espinal muestran una sustancia gris y otra blanca. Los cuerpos de las neuronas se encuentran dentro de la **sustancia gris** que constituyen; los sistemas de los tractos fibrosos de intercomunicación crean la **sustancia blanca** (fig. I.25). La sustancia gris tiene un aspecto parecido a una H incluida dentro de una matriz de la sustancia blanca en los cortes transversales de la médula espinal. Los puntos de apoyo de la H corresponden a las astas; por eso existen *astas grises dorsales (posteriores)* y *ventrales (anteriores)* derechas e izquierdas. Hay tres capas membranosas —la piamadre, la aracnoides y la duramadre, denominadas en conjunto **meninges**— que rodean y protegen el SNC, junto con el *líquido cefalorraquídeo* (LCR). El encéfalo y la médula espinal están revestidos de manera íntima por la capa más interna, una cubierta delicada y transparente, la **piamadre**. El LCR se sitúa entre la **piamadre** y la **aracnoides**; entre la **piamadre** y la **aracnoides** se extienden a través del LCR finos cordones membranosos. Por fuera de la **piamadre** y de la **aracnoides**

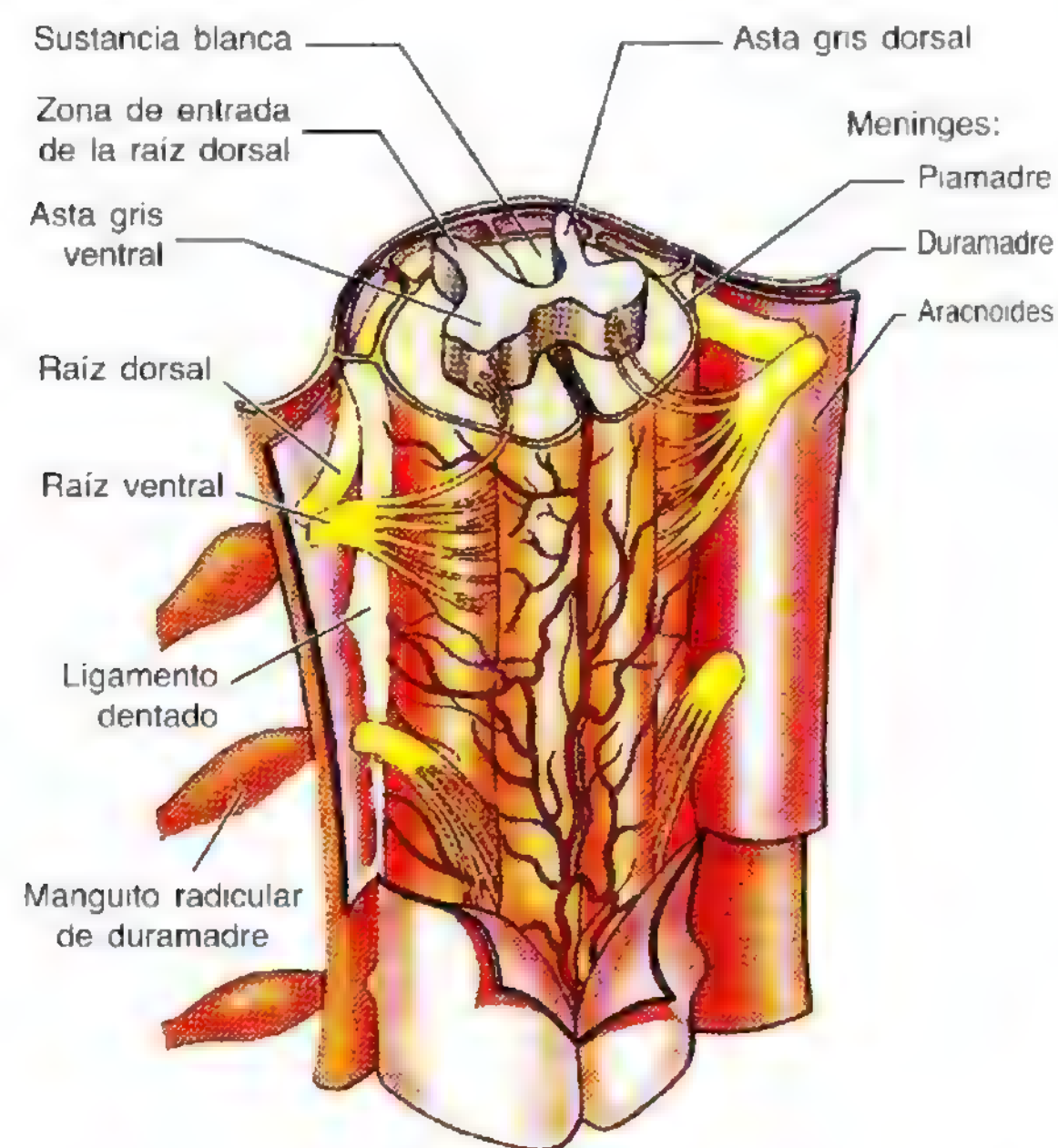


Figura I.25. Visión ventrolateral de la médula espinal y de las meninges o membranas que cubren la médula espinal. La duramadre y la aracnoides se han incidido y rechazado para mostrar las raíces dorsal y ventral y el ligamento dentado. La médula espinal se ha seccionado para ver las astas de la sustancia gris. Las membranas o cubiertas se extienden a lo largo de las raíces nerviosas hasta el lugar donde se juntan las raíces dorsal y ventral para formar los manguitos radiculares de duramadre que envuelven los ganglios sensitivos (raíz dorsal). Las cubiertas continúan en sentido distal en forma de una capa externa (epineurio) del nervio espinal (véase figura I.27)

Lesión encefálica o medular

Cuando ocurre una lesión del encéfalo o de la médula espinal, no suelen recuperarse los axones dañados. Sus muñones proximales comienzan a regenerar y envían yemas germinales hacia la zona de la lesión; sin embargo, este crecimiento se detiene después de unas dos semanas. Por eso, cuando se destruye un tracto del SNC se sigue de una incapacidad permanente. Si desea más detalles acerca de la degeneración y regeneración axonal del SNC, consulte las revisiones de Barr y Kiernan (1993) y de Hutchins y cols. (1997). ♦

se sitúa la **duramadre**, gruesa y fuerte, íntimamente adherida al hueso de la cara interna del neurocráneo.

Sistema nervioso periférico

El SNP se compone de fibras nerviosas y cuerpos celulares situados fuera del SNC que transmiten los impulsos hacia y desde el SNC (fig. I.24). El SNP lo forman nervios que comunican el SNC con la periferia. El paquete de fibras nerviosas (axones) del SNP, agrupado por una vaina de tejido conjuntivo, forma el **nervio periférico**, un cordón blanquecino robusto en las personas vivas. La agrupación de cuerpos de células nerviosas fuera del SNC se denomina ganglio; por ejemplo, **ganglio espinal**.

Los nervios periféricos pueden ser craneales o espinales. Existen 11 pares de **nervios craneales** que emergen del encéfalo; el duodécimo surge casi siempre de la porción superior de la médula espinal. Todos los nervios craneales abandonan la cavidad craneal a través de orificios (aberturas) craneales (G. *kranion*, cráneo). Las 31 parejas de **nervios espinales** (cervicales, torácicos, lumbares, sacros y coccígeos) emergen de la médula espinal y salen por los orificios intervertebrales de la columna.

El SNP se continúa, desde el punto de vista anatómico y funcional, con el SNC. Sus **fibras aferentes** o **sensitivas** llevan los impulsos nerviosos al SNC desde los órganos sensoriales (p. ej., los ojos) y desde los receptores sensitivos de las distintas regiones del cuerpo (p. ej., de la piel). Sus **fibras eferentes** o **motoras** transportan los impulsos nerviosos desde el SNC hasta los órganos efectores (músculos y glándulas).

La fibra nerviosa periférica (figs. I.26 y I.27) se compone de:

- Axón.
- Vaina de neurilema.
- Vaina endoneural de tejido conjuntivo.

La **vaina de neurilema** puede adoptar dos formas y crear dos categorías de fibras nerviosas:

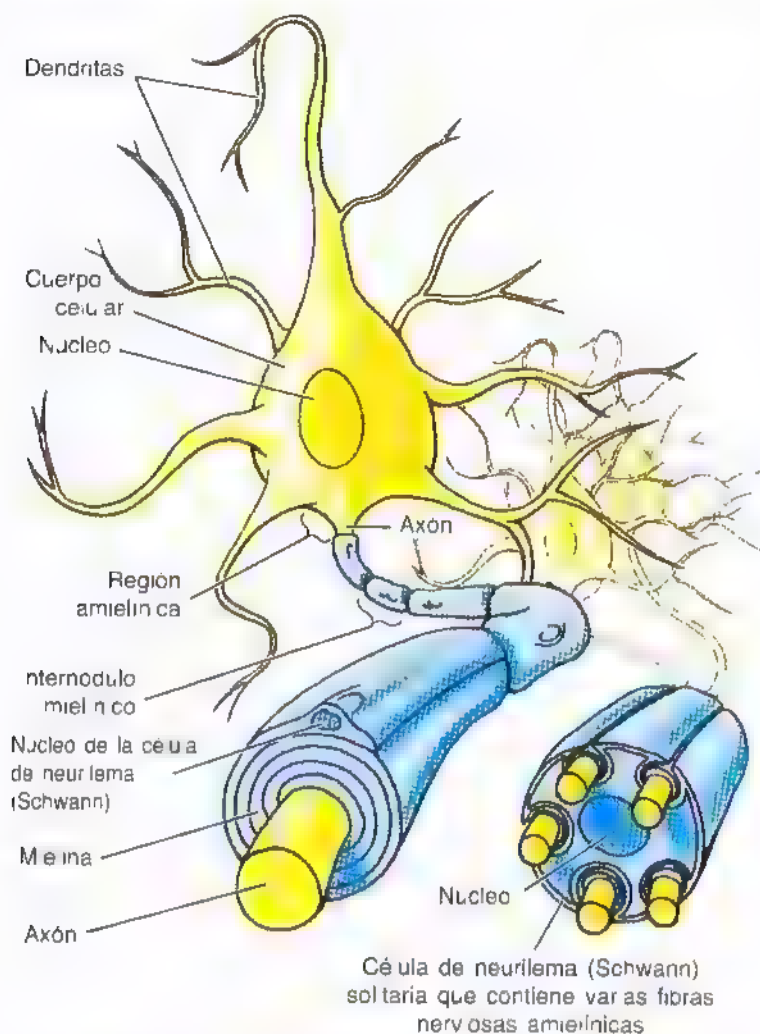


Figura 1.26. Fibras nerviosas periféricas mielínicas y amielínicas. Las fibras nerviosas mielínicas tienen una vaina de neurilema que consta de una serie continua de células de neurilema (Schwann), que rodean el axón y forman segmentos de vaina. Las interrupciones entre los segmentos son los nodos de Ranvier. Los segmentos de vaina entre los nodos adyacentes de Ranvier se denominan segmentos internodales o internódulos. Las fibras nerviosas amielínicas son envueltas en grupos por una sola célula de neurilema que no produce vaina.

- Las *fibras nerviosas mielínicas* tienen una vaina de neurilema que consta de una serie continua de células de neurilema (Schwann), que rodean un solo axón y forman vaina.
- Las *fibras nerviosas amielínicas* son encerradas en grupos por una sola célula de neurilema que no produce vaina; la mayoría de las fibras de los nervios cutáneos carecen de vaina.

Los nervios periféricos son muy robustos y elásticos, porque las fibras nerviosas están sostenidas y protegidas por tres cubiertas de tejido conjuntivo (fig. 1.27):

- **Endoneurio:** Vaina de tejido conjuntivo delicada, que rodea las células de neurilema y los axones.
- **Perineurio:** Encierra un paquete (fascículo) de fibras nerviosas periféricas y confiere una barrera eficaz frente a la penetración de sustancias extrañas dentro de las fibras.

- **Epineurio:** Gruesa vaina de tejido conjuntivo laxo que rodea y encierra los haces nerviosos y forma la cubierta más externa del nervio; contiene tejido adiposo, vasos sanguíneos y linfáticos.

El nervio periférico se parece mucho a un cable telefónico: los axones son los hilos aislados por la vaina de neurilema (células de Schwann) y el endoneurio; los hilos aislados son envueltos por el perineurio, y los haces se rodean, a su vez, del epineurio que forma la capa externa del "cable".

Los **nervios espinales** emergen de manera habitual de la médula espinal a partir de raicillas que convergen para formar dos raíces nerviosas (fig. 1.28).

- La *raíz ventral (anterior)* contiene fibras motoras que nacen en los cuerpos neuronales del asta ventral de la médula espinal.
- La *raíz dorsal (posterior)* lleva fibras sensitivas hacia el asta dorsal de la médula espinal.

Las raíces nerviosas dorsal y ventral se unen en un *nervio espinal mixto*, que de inmediato se divide en dos ramas: una *rama primaria dorsal (posterior)* y una *rama primaria ventral (anterior)*. Como ramificaciones del nervio espinal mixto, las ramas dorsal y ventral transportan nervios motores y sensitivos al igual que todas sus divisiones posteriores.

- Las ramas dorsales llevan fibras nerviosas a las articulaciones sinoviales de la columna vertebral, músculos profundos del dorso y piel suprayacente.
- Las ramas ventrales aportan fibras nerviosas al resto del organismo, mucho más extenso, es decir, las regiones anterior y lateral del tronco, y a los miembros superior e inferior que nacen de éste.

Los *componentes de un nervio espinal característico* (fig. 1.29) son:

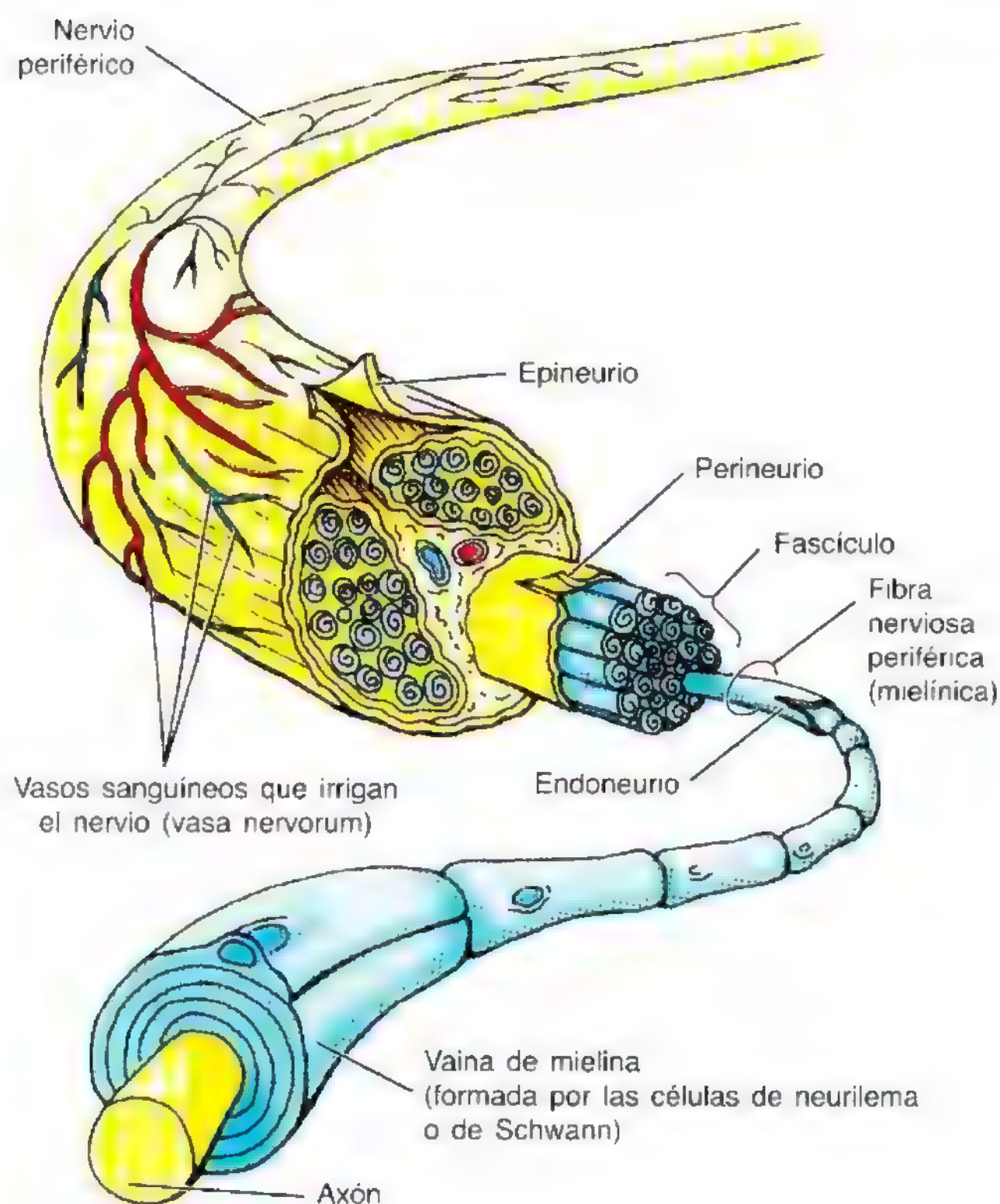
• Fibras somáticas:

- Las *fibras sensitivas generales (aférentes somáticas generales)* transmiten las sensaciones del cuerpo a la médula espinal; puede tratarse de sensaciones exteroceptivas (dolor, temperatura, tacto y presión) de la piel o de sensaciones de dolor y propiocepción de los músculos, tendones y articulaciones. La sensibilidad propioceptiva es inconsciente y comunica información acerca de la posición articular y de la tensión de los tendones y músculos, es decir, suministra datos sobre la orientación del cuerpo y de los miembros en el espacio.
- Las *fibras motoras somáticas (eferentes somáticas generales)* transmiten los impulsos a los músculos esqueléticos (voluntarios).

• Fibras sensitivas y motoras viscerales.

- Las *fibras sensitivas viscerales (aférentes viscerales generales)* transmiten sensaciones reflejas o de dolor de las membranas mucosas, glándulas y vasos sanguíneos.
- Las *fibras motoras viscerales (eferentes viscerales generales)* transmiten los impulsos al músculo liso (involuntario) y los tejidos glandulares. Existen dos variedades de

Figura 1.27. Disposición y envoltura de las fibras nerviosas mielínicas periféricas. Todos los nervios periféricos, salvo los más pequeños, se disponen en haces (fascículos), envueltos por el *epineurio*, una vaina de tejido conjuntivo. Cada pequeño haz de fibras nerviosas está rodeado, a su vez, de una vaina, el *perineurio*. Cada fibra nerviosa tiene una fina cubierta de tejido conjuntivo, el *endoneurio*. Las células de neurilema (Schwann) forman la vaina de mielina.



fibras –presinápticas y postsinápticas– que se agrupan para conducir los impulsos desde el SNC hasta el músculo liso o las glándulas. Todo ello se explica dentro del SNA (más adelante).

- Las cubiertas de tejido conjuntivo: Se ilustran en la figura 1.27.
- *Vasa nervorum*: Vasos sanguíneos que nutren los nervios.

Los dos tipos de fibras sensitivas –visceral y general– se originan en los cuerpos celulares de los ganglios espinales o los ganglios sensitivos de los nervios craneales (fig. 1.24).

Sistema nervioso somático

El SNS, compuesto por las partes somáticas del SNC y del SNP, se ocupa de la inervación sensitiva y motora de todas las regiones del cuerpo (G. *soma*), salvo las vísceras de las cavidades orgánicas, el músculo liso y las glándulas (fig. 1.29). El *sistema sensitivo somático* transmite la sensibilidad táctil, dolorosa, térmica y postural de los receptores sensitivos. El sistema motor somático facilita los movimientos voluntarios y reflejos con la contracción de los músculos esqueléticos, como sucede al tocar una plancha caliente.

Sistema nervioso autónomo

El SNA, que se describe clásicamente como el *sistema motor visceral* (fig. 1.29), se compone de fibras que inervan el

músculo involuntario (liso), el músculo cardíaco modificado (el tejido cardíaco intrínseco encargado de la estimulación y conducción de los impulsos) y las glándulas. Sin embargo, las fibras eferentes viscerales del SNA se acompañan de fibras aferentes viscerales. Como ramo aferente de los reflejos autónomos y conductor de los impulsos dolorosos viscerales, estas fibras también contribuyen a regular la función visceral. Por eso, algunos autores consideran que las fibras aferentes viscerales forman parte del SNA. En cualquier caso, estas fibras deben considerarse dentro de este sistema.

Las fibras nerviosas eferentes y los ganglios del SNA se organizan en dos sistemas o divisiones:

- división *simpática* (toracolumbar),
- división *parasimpática* (craneosacra).

La conducción de los impulsos desde el SNC hasta el órgano efector depende de una serie de dos neuronas en los dos sistemas. El cuerpo celular de la primera *neurona presináptica* o *preganglionar* se encuentra en la sustancia gris del SNC. Su fibra (axón) establece sinapsis sólo con los cuerpos celulares de las *neuronas postsinápticas* o *postganglionares*, la segunda neurona de la serie. Los cuerpos celulares de la segunda neurona radican en los ganglios autónomos situados fuera del SNC y las fibras terminan en los órganos efectores (músculo liso, músculo cardíaco especializado y glándulas).

La distinción anatómica entre las dos divisiones del SNA se basa, sobre todo, en la localización de los cuerpos celu-

Rizotomía

Las raíces dorsal y ventral son el único lugar por donde se separan las fibras motoras y sensitivas del nervio espinal; por tanto, sólo en este lugar puede el cirujano proceder a la sección selectiva de uno u otro elemento para aliviar el dolor refractario o la parálisis espástica.

Degeneración nerviosa periférica e isquemia nerviosa

Las neuronas del sistema nervioso adulto no proliferan, salvo las relacionadas con el sentido del olfato del epitelio olfatorio. Por eso, nunca se reponen las neuronas destruidas por enfermedad o traumatismos (Hutchins y cols., 1997). Cuando se aplastan o dañan los nervios periféricos, los axones degeneran, sobre todo, en sentido distal a la lesión, porque su supervivencia depende del cuerpo neuronal. Si se daña el axón pero se preserva el cuerpo celular, es posible la regeneración y la función en determinados casos. Las probabilidades de supervivencia mejoran cuando se comprime un nervio periférico. La compresión de un nervio suele causar **parestesias** (sensación de hormigueo), por ejemplo, al cruzar las piernas.

La **lesión nerviosa por aplastamiento** daña o destruye el axón de forma distal; sin embargo, los cuerpos neuronales suelen sobrevivir y las cubiertas de tejido conjuntivo del nervio permanecen intactas. No se requiere reparación quirúrgica de este tipo de lesión, porque la vaina intacta del tejido conjuntivo guía al axón en crecimiento hasta su destino. Cuando se daña un nervio periférico, la regeneración es menos probable. La germinación

tiene lugar por el extremo proximal del axón, pero es posible que el axón no alcance su objetivo distal.

Las **lesiones cortantes de los nervios** exigen la intervención quirúrgica, porque para que el axón se regenere es necesario aponer los extremos cortados mediante suturas epineurales. Hay que realinear, con la mayor exactitud posible, los haces de fibras nerviosas. La **degeneración anterógrada (waleriana)** es la degeneración de los axones desconectados de sus cuerpos celulares (Hutchins y cols., 1997). El proceso degenerativo afecta al axón y a la vaina de mielina, aunque dicha vaina no forme parte de la neurona dañada.

Cuando se altera la irrigación sanguínea del nervio por una compresión duradera de los *vasa nervorum* (fig. I.27), también ocurre una degeneración nerviosa. La isquemia prolongada de un nervio provoca un daño no menos grave del que se observa al aplastar o incluso cortar el nervio. El **síndrome de la noche del sábado**, denominado así por las intoxicaciones de los sujetos que "se caen redondos" dejando el brazo colgado de la silla o del borde de la cama, representa un ejemplo de parestesias más graves y, a menudo, permanentes. Este trastorno también puede obedecer al uso sostenido de un torniquete durante la intervención quirúrgica. Si la **isquemia** (irrigación sanguínea inadecuada) no se prolonga mucho, aparecen acorchamiento o parestesias pasajeras. Las **parestesias pasajeras** son conocidas por todo aquel que haya recibido una inyección de anestésico para una reparación dental. La compresión de un nervio también provoca parestesias pasajeras (p. ej., las personas que permanecen sentadas, con las piernas cruzadas en el suelo, o que lo hacen de manera prolongada en la misma posición, como en la taza del aseo). ○

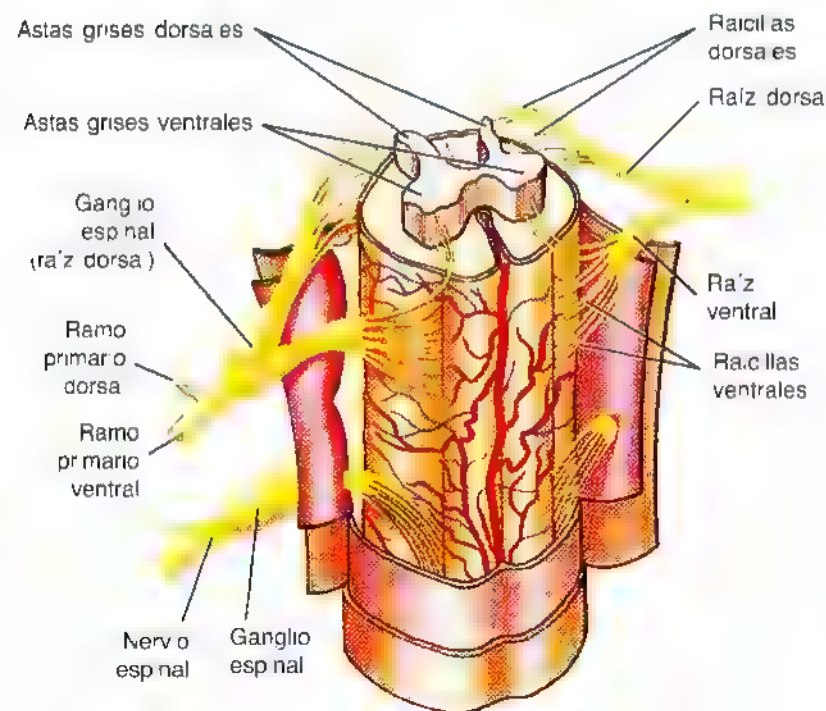


Figura I.28. Visión ventrolateral de la médula espinal. Se han incidido y rechazado las meninges para exponer la sustancia gris en forma de H de la médula espinal, así como las raíces dorsales y ventrales y las raíces de los dos nervios espinales. Las raíces dorsales y ventrales entran y abandonan las astas grises dorsal y ventral, respectivamente. Las raíces nerviosas dorsal y ventral se reúnen distalmente a un ganglio espinal (raíz dorsal) para crear el **nervio espinal mixto**, que de inmediato se divide en dos ramos primarios dorsal y ventral.

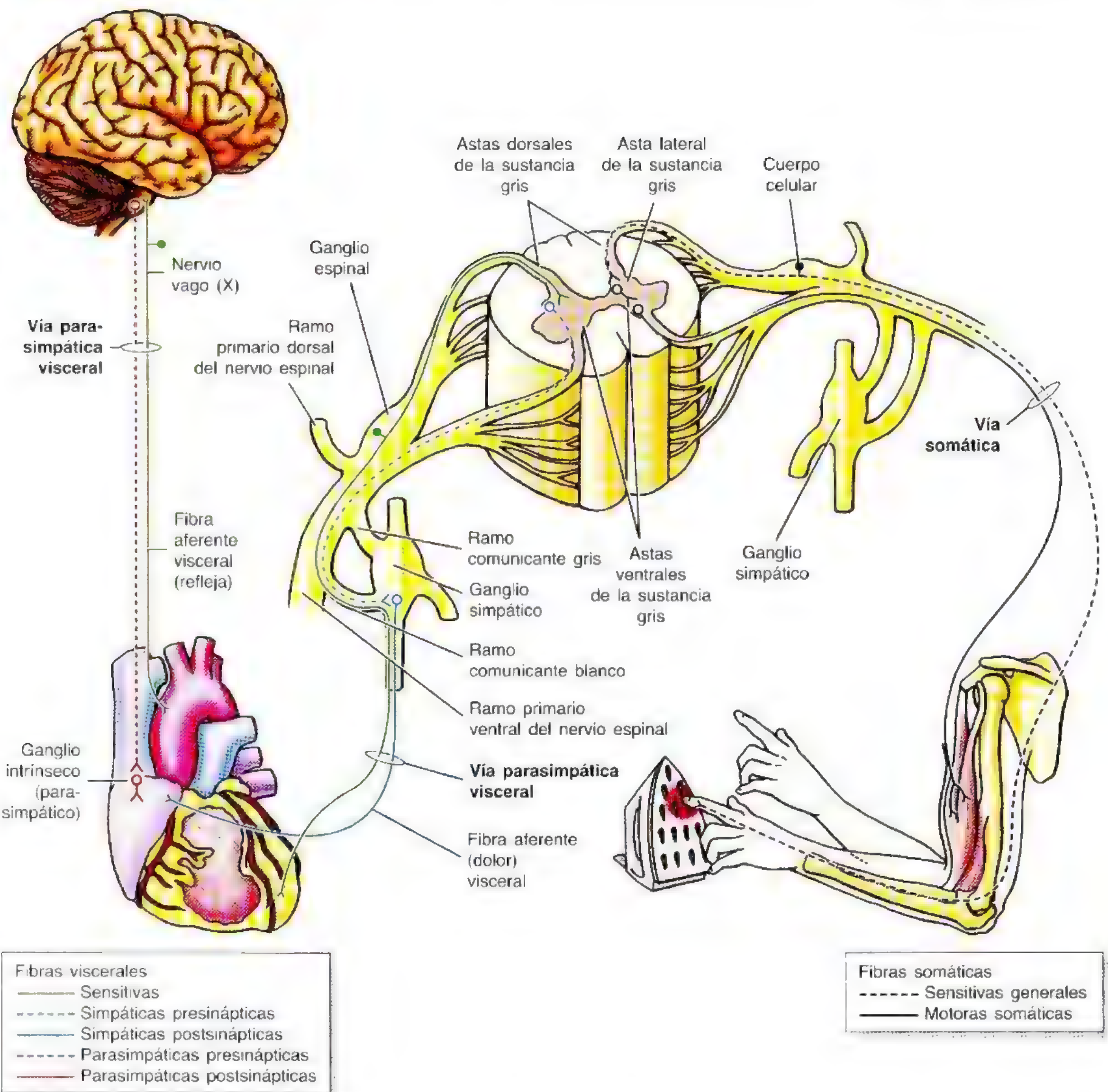


Figura I.29. Componentes de los nervios somáticos (espinales) y viscerales. Se ilustran las vías somática, simpática visceral y parasimpática visceral. El sistema motor simpático permite el movimiento voluntario y reflejo por la contracción de los músculos esqueléticos, como sucede al tocar una plancha caliente.

lares presinápticos. Una distinción funcional, con interés farmacológico para la práctica clínica, es que las neuronas postsinápticas de los dos sistemas suelen liberar sustancias neurotransmisoras diferentes: la división simpática produce *noradrenalina* (salvo en las glándulas sudoríparas), y la parasimpática, *acetilcolina*.

División simpática (toracolumbar) del SNA

Los cuerpos celulares de las neuronas presinápticas de la división simpática del SNA se encuentran en las columnas o

núcleos **intermediolaterales** (IML) de la médula espinal (fig. I.30). Los núcleos IML pares (derecho e izquierdo) forman parte de la sustancia gris, que se extiende entre el primer segmento torácico (T1) y el segundo o tercer segmentos lumbares (L2 o L3) de la médula. Los IML parecen pequeñas astas laterales de la sustancia gris, que adopta forma de H en los cortes horizontales de esta porción de la médula; se extienden a modo de prolongación de la travesía de la H entre las astas dorsal y ventral.

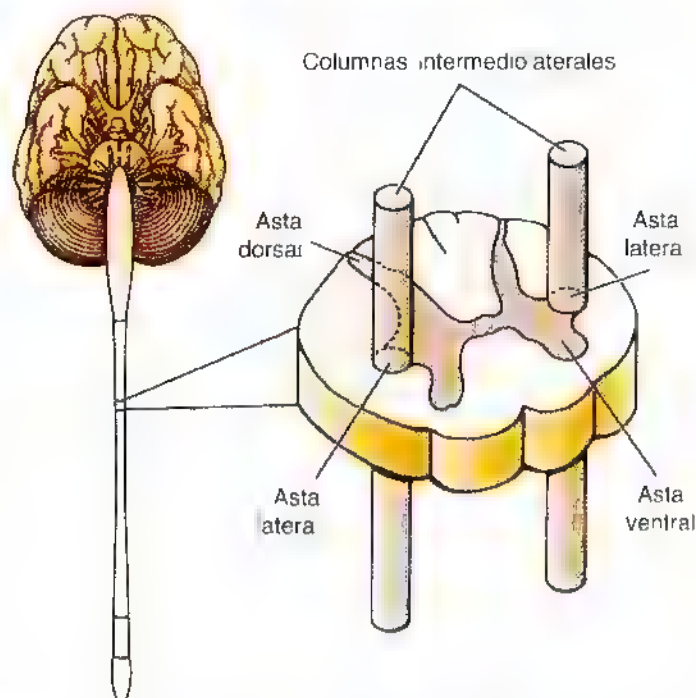


Figura 1.30. Columnas de células intermediolaterales (IML). Cada columna o núcleo IML constituye el asta lateral de la sustancia gris de los segmentos nodulares T1 a L2 o L3 y se compone de cuerpos celulares de las neuronas presinápticas del sistema nervioso simpático.

Los cuerpos celulares de las neuronas postsinápticas del sistema nervioso simpático se encuentran en dos lugares, los ganglios paravertebrales y los prevertebrales (fig. 1.31)

- Los **ganglios paravertebrales** se unen para formar los *troncos (cadenas) simpáticos* derecho e izquierdo a cada lado de la columna vertebral y se extienden en casi la totalidad de la columna. El ganglio paravertebral superior —**ganglio cervical superior** de cada tronco simpático— se encuentra en la base del cráneo. El **ganglio impar** se forma en la parte inferior cuando se unen los dos troncos a la altura del cóccix.
- Los **ganglios prevertebrales** se encuentran en plexos que rodean el origen de las principales ramas de la aorta abdominal, como los dos grandes **ganglios celíacos**, que rodean el origen del *tronco celíaco*, una arteria que procede de la aorta.

Como se trata de fibras motoras, los axones de las neuronas presinápticas abandonan la médula espinal por las raíces ventrales para reunirse con los ramos ventrales de los nervios espinales T1 a L2 o L3 (fig. 1.32). Casi inmediatamente después de penetrar en los ramos ventrales, todas las fibras simpáticas presinápticas abandonan los ramos ventrales primarios de estos nervios y pasan a los troncos simpáticos a través de ramos comunicantes blancos. Dentro de estos troncos simpáticos, las fibras presinápticas siguen una de estas tres trayectorias:

- Entrada con sinapsis inmediata con una neurona postsináptica del ganglio paravertebral de dicho nivel

- Ascenso o descenso por el tronco simpático hasta establecer sinapsis con una neurona postsináptica de un ganglio paravertebral superior o inferior.
- Paso por el tronco simpático sin establecer sinapsis y continuación hasta el nervio esplácnico abdominopélvico para alcanzar los ganglios prevertebrales.

Las *fibras simpáticas presinápticas* que llevan la innervación autónoma a la cabeza, cuello, pared corporal, miembros y cavidad torácica siguen una de las dos primeras trayectorias y establecen sinapsis con los ganglios paravertebrales. Las fibras simpáticas presinápticas que innervan las vísceras de la cavidad abdominopélvica eligen la tercera vía.

Las *fibras simpáticas postsinápticas* que se distribuyen dentro del cuello, pared corporal y miembros pasan de los ganglios paravertebrales de los troncos simpáticos a los ramos ventrales adyacentes de los nervios espinales (fig. 1.33) por los *ramos comunicantes grises*. Entran en todos los ramos del nervio espinal, incluidos los ramos primarios dorsales, para estimular la contracción de los vasos sanguíneos (vasomoción) y de los músculos erectores del pelo asociados al folículo piloso (pilomoción con aparición de "carne de gallina"), así como la sudoración (sudomoción). Las fibras simpáticas postsinápticas encargadas de estas funciones en la cabeza (y de la innervación del músculo dilatador del iris) tienen sus cuerpos celulares en el **ganglio cervical superior** situado en el extremo más alto del tronco simpático. Pasan a través de un *ramo arterial cefálico* para crear un **plexo nervioso periarterial** que sigue las divisiones de las arterias carótidas hasta alcanzar su destino.

Los **nervios esplácnicos** conducen fibras eferentes (autónomas) y aferentes a las vísceras de las cavidades corporales. Las fibras simpáticas postsinápticas destinadas a las vísceras de la cavidad torácica (p. ej., corazón, pulmones y esófago) atraviesan los *nervios esplácnicos cardiopulmonares* hasta entrar en los plexos cardíaco, pulmonar y esofágico (fig. 1.32). Las fibras simpáticas presinápticas responsables de la innervación de las vísceras abdominopélvicas (p. ej., estómago o intestinos) pasan a los ganglios prevertebrales a través de los *nervios esplácnicos abdominopélvicos* (los nervios esplácnicos mayor, menor, mínimo y lumbar) (figs. 1.32-1.34). Todas las fibras simpáticas presinápticas de los *nervios esplácnicos abdominopélvicos*, salvo las encargadas de innervar las glándulas suprarrenales, establecen sinapsis ahí. Las fibras postsinápticas de los ganglios prevertebrales crean plexos periarteriales que llegan hasta su destino siguiendo las divisiones de la aorta abdominal.

Las fibras simpáticas presinápticas pasan de los ganglios prevertebrales (celíacos) para terminar en las células de la médula suprarrenal (fig. 1.34). Las células medulares suprarrenales actúan a modo de neurona postsináptica especial, y en lugar de liberar la sustancia neurotransmisora a las células del órgano efector específico, la liberan al torrente sanguíneo para que circule por el organismo generando una respuesta simpática amplia.

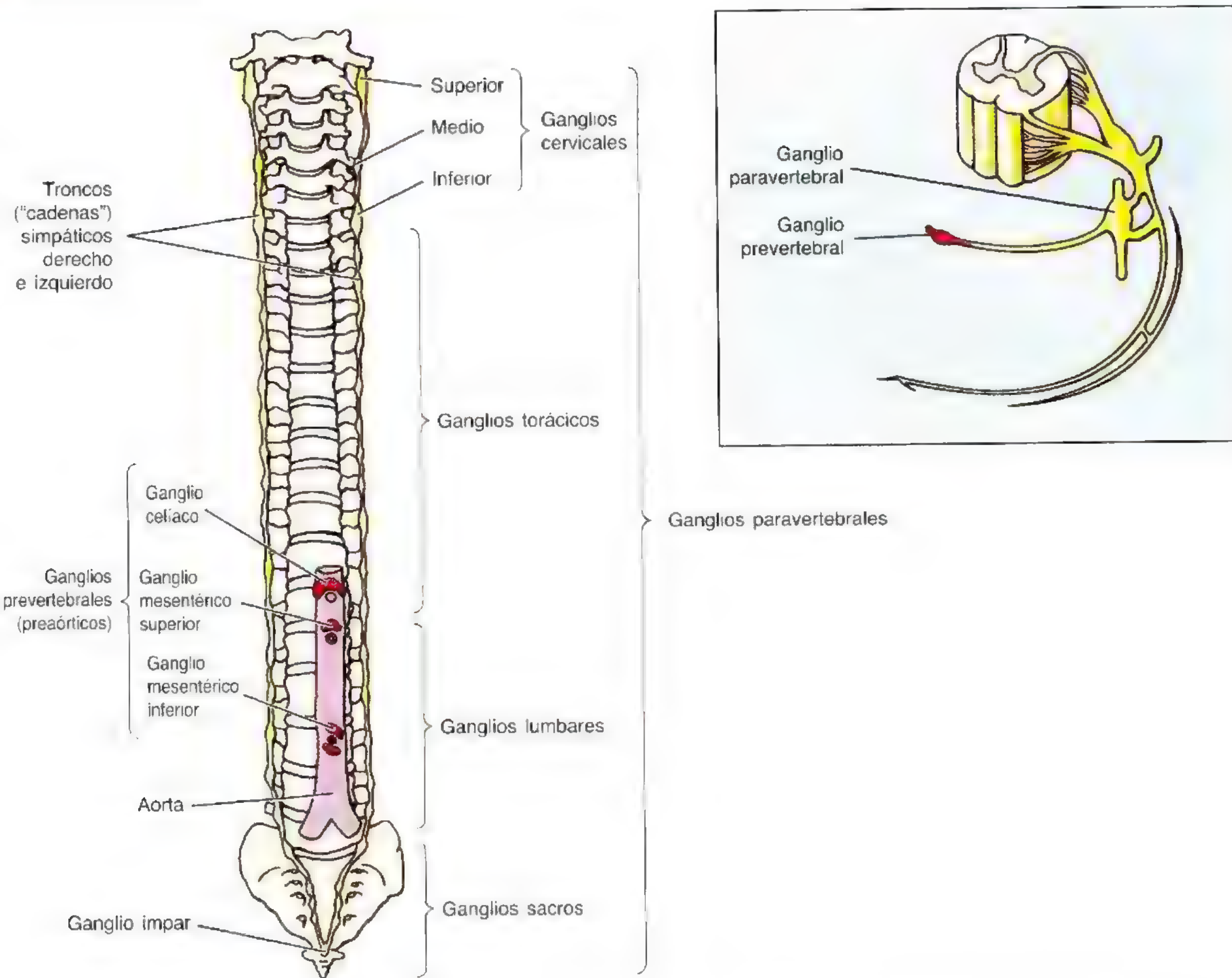


Figura 1.31. Sistema nervioso simpático. Los ganglios paravertebrales se asocian con todos los nervios espinales, pero en el cuello los ocho nervios cervicales comparten tres ganglios, el superior, el medio y el inferior. Los ganglios paravertebrales se unen para formar los troncos (cadenas) simpáticos derecho e izquierdo a cada lado de la columna vertebral. Los ganglios prevertebrales (preaórticos) forman plexos que rodean el origen de las ramas principales de la aorta abdominal, como la arteria celiaca, e intervienen de manera concreta en la innervación de las vísceras abdominopélvicas (órganos internos como el estómago o el intestino)

Como se describió anteriormente, las fibras simpáticas forman parte de casi todos los ramos de los nervios espinales. Por este y otros mecanismos se extienden e inervan todos los vasos sanguíneos, glándulas sudoríparas y muchas otras estructuras corporales. Así pues, el sistema nervioso simpático alcanza casi todas las regiones del organismo, con la rara excepción de los tejidos avasculares, como el cartílago y las uñas.

División parasimpática (craneosacra) del SNA

Los cuerpos neuronales parasimpáticos presinápticos se encuentran en dos lugares del SNC y sus fibras lo abandonan por dos vías (fig. 1.35):

- En la sustancia gris del tronco encefálico, las fibras abandonan el SNC dentro de los nervios craneales III, VII, IX y X; estas fibras constituyen el *flujo parasimpático craneal eferente*.
- En la sustancia gris de los segmentos sacros de la médula espinal (S2 a S4), las fibras abandonan el SNC por las raíces ventrales de los nervios espinales S2 a S4 y los nervios espláncnicos pélvicos que parten de sus ramos ventrales; estas fibras constituyen el *flujo parasimpático sacro eferente*.

No debe extrañar que el flujo eferente craneal done la innervación parasimpática a la cabeza y el sacro, a las vísceras pélvicas. No obstante, la innervación de las vísceras toraco-

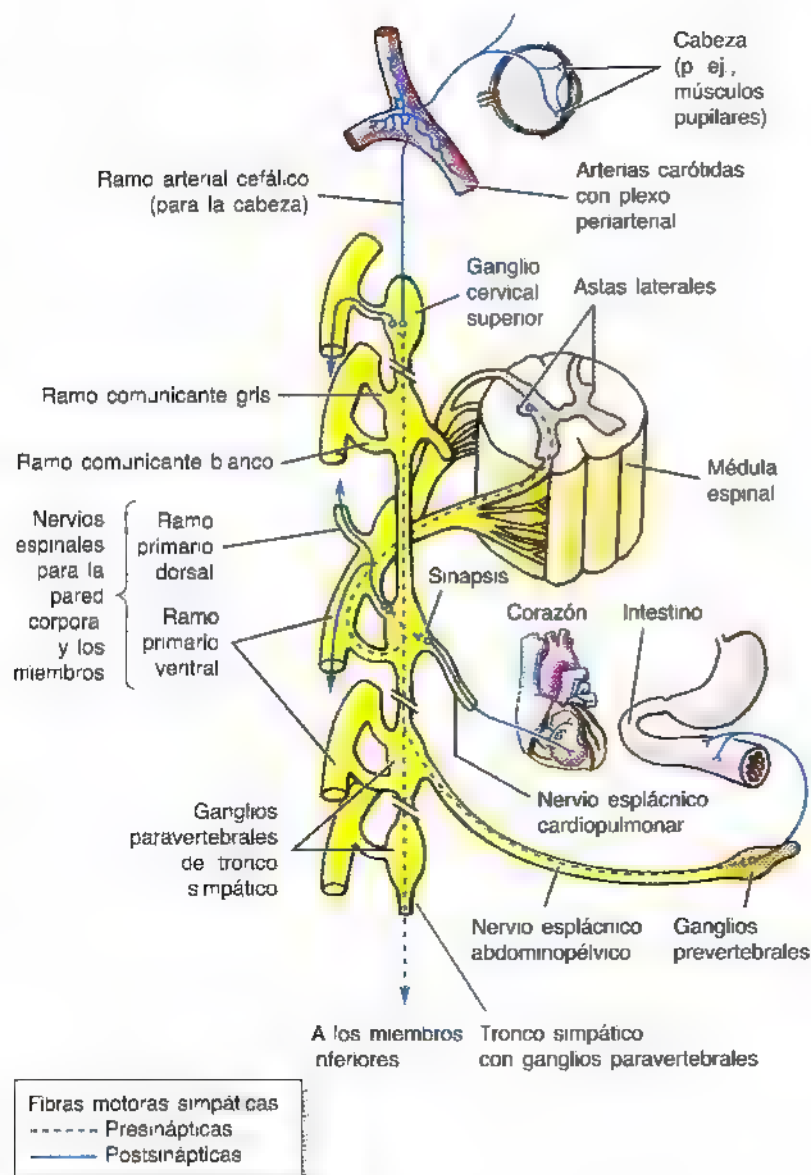


Figura 1.32. Trayecto seguido por las fibras motoras simpáticas. Las fibras presinápticas de los troncos simpáticos siguen una de estas tres vías: 1) penetran y establecen sinapsis de inmediato con una neurona postsináptica del ganglio paravertebral del mismo nivel, 2) ascienden o descienden por el tronco simpático hasta establecer sinapsis con una neurona postsináptica de un ganglio paravertebral superior o inferior o 3) atraviesan el tronco simpático sin hacer sinapsis y continúan por el nervio espláncnico abdominopélvico hasta llegar al ganglio prevertebral.

abdominales proviene sobre todo del tracto craneal a través del nervio vago (NC X). Este nervio inerva todas las vísceras torácicas y la mayor parte del tubo digestivo, desde el esófago hasta casi todo el intestino grueso (llega hasta la flexura cólica izquierda). El parasimpático sacro sólo se encarga del colon descendente y sigmoide y del recto.

Con independencia de la influencia tan amplia del sistema parasimpático craneal, este sistema es mucho más restringido que el simpático en su distribución. El sistema parasimpático sólo se distribuye por la cabeza, cavidades viscerales del tronco y tejidos eréctiles de los genitales externos. Con excepción de estos últimos, no alcanza la pared corporal ni los miembros y, con la salvedad de las partes iniciales de los ramos ventrales de los nervios espinales S2 a S4, sus fibras no integran los nervios espinales ni sus ramas.

En la cabeza existen cuatro parejas de ganglios parasimpáticos (se detallan en los capítulos 7 y 9). En el resto del

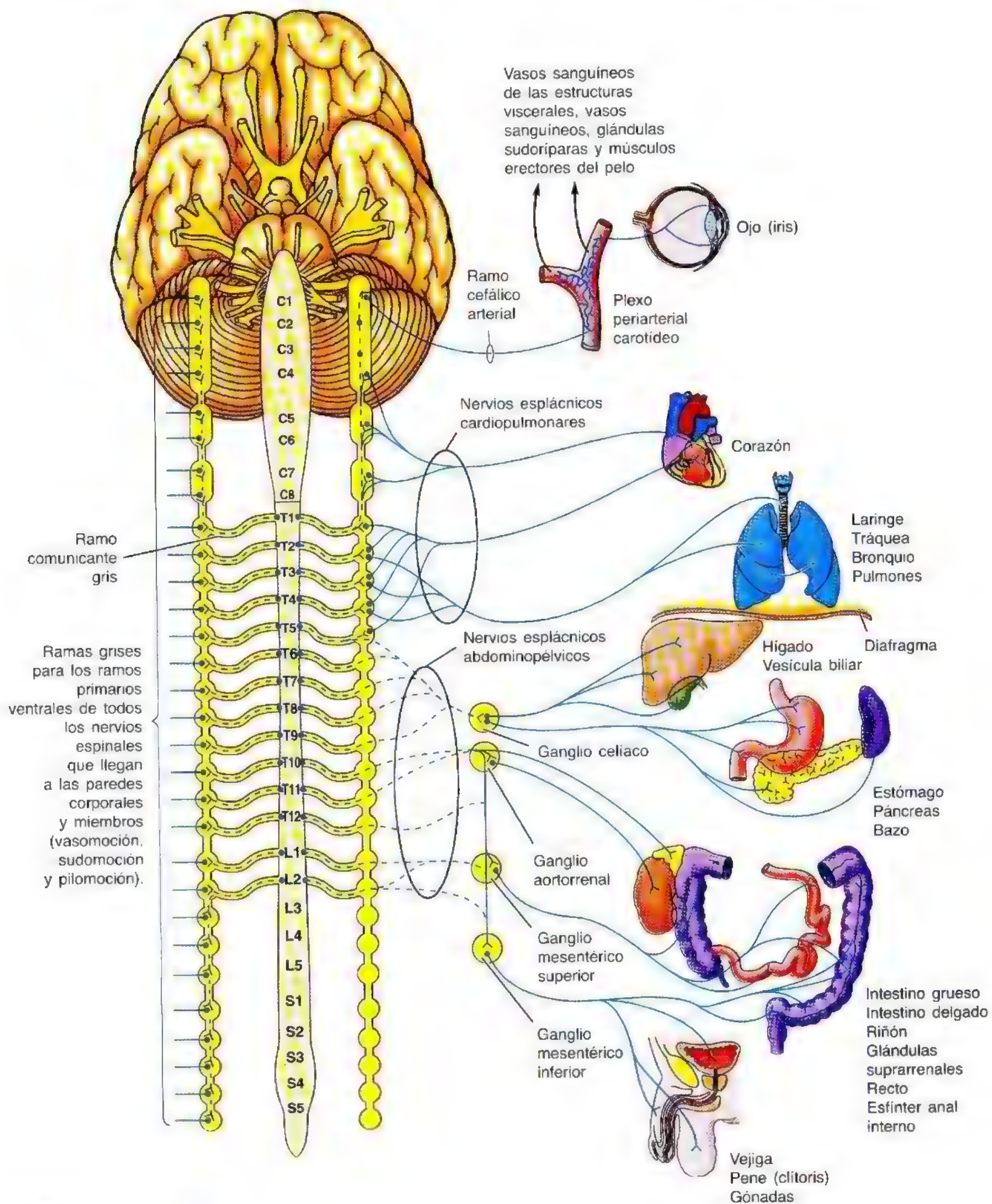
organismo, las fibras parasimpáticas presinápticas establecen sinapsis con los cuerpos celulares postsinápticos que se encuentran de manera solitaria dentro o sobre la pared de los órganos efector (*ganglios intrínsecos o entéricos*).

Funciones de las divisiones del SNA

Tanto los sistemas simpático como parasimpático se encargan de la inervación involuntaria, a menudo de las mismas estructuras, pero poseen efectos diferentes (muchas veces, opuestos) aunque coordinados (figs. 1.33 y 1.34, tabla 1.2). En general, el sistema simpático es catabólico (consume energía) y permite al organismo afrontar el estrés, como cuando el cuerpo se prepara para "huir o pelear". El sistema parasimpático es, ante todo, un sistema homeostático o anabólico (ahorrador de energía), que fomenta procesos sosegados y ordenados, del tipo de los que permiten al cuerpo "alimentarse y asimilar". En la tabla 1.2 se resumen las funciones concretas del SNA y de sus divisiones.

Distribución parietal

Distribución visceral



Fibras simpáticas
 ----- Presinápticas
 ————— Postsinápticas

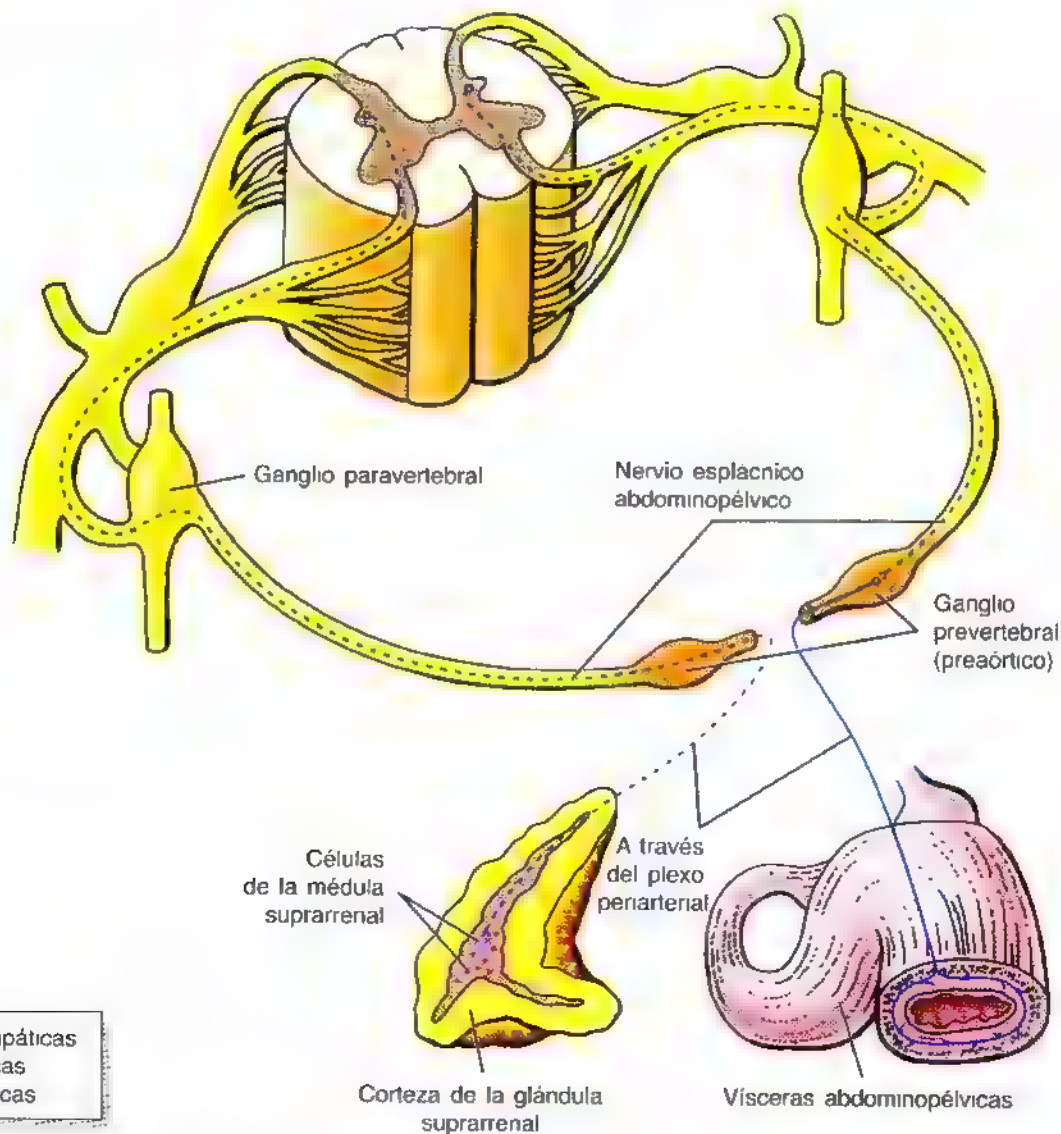


Figura 1.34. Inervación simpática de la médula suprarrenal. La inervación simpática de esta glándula es excepcional. Las células secretoras de la médula son neuronas simpáticas postsinápticas que carecen de axones y dendritas. Por eso la médula suprarrenal recibe la inervación directa de las neuronas simpáticas presinápticas. Los neurotransmisores elaborados por las células medulares se liberan al torrente sanguíneo y originan una respuesta simpática generalizada.

Figura 1.33. Distribución de las fibras nerviosas simpáticas postsinápticas. Las fibras destinadas al cuerpo y pared corporales y miembros pasan desde los ganglios paravertebrales de los troncos simpáticos hasta los ramos ventrales adyacentes de todos los nervios espinales por los ramos comunicantes grises. Todas las fibras simpáticas postsinápticas para la cabeza tienen su cuerpo celular en el ganglio cervical superior del tronco simpático y pasan por el ramo arterial cefálico para formar un plexo periarterial carotídeo. Los nervios esplácnicos llevan fibras eferentes (autónomas) y aferentes viscerales para las vísceras de las cavidades orgánicas. Las fibras simpáticas postsinápticas para las vísceras de la cavidad torácica (p. ej., el corazón) pasan por los nervios esplácnicos cardiopulmonares. Las fibras simpáticas presinápticas, encargadas de inervar las vísceras de la cavidad abdominopélvica (p. ej., el estómago), pasan a los ganglios prevertebrales por los nervios esplácnicos abdominopélvicos. Las fibras postsinápticas de los ganglios prevertebrales crean plexos periarteriales que siguen las ramas de la aorta abdominal hasta llegar a su destino.

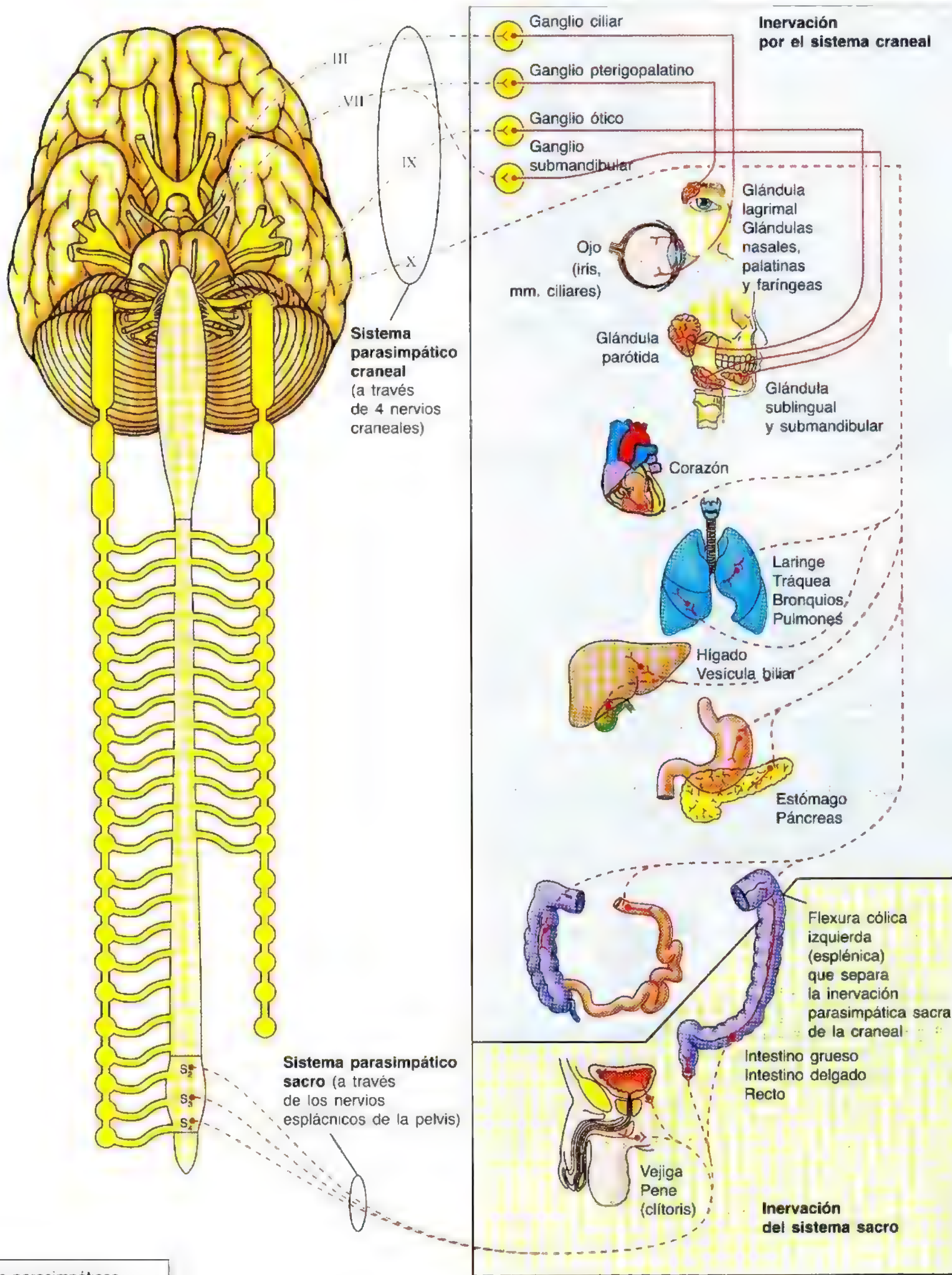


Tabla 1.2. Funciones del sistema nervioso autónomo (SNA)

Órgano, tracto o sistema		Efecto de la estimulación simpática ^a	Efecto de la estimulación parasimpática ^b
Ojos	Pupila	Dilata la pupila (aumenta el paso de luz para mejorar la agudeza remota)	Constríñe la pupila (protege la pupila de una luz muy brillante)
	Cuerpo ciliar		Contrae el músculo ciliar facilitando el engrosamiento del cristalino para la visión cercana (acomodación)
Piel	Músculo erector del pelo	Provoca el erizamiento del cabello ("piel de gallina")	Ningún efecto (no llega hasta la piel) ^c
	Vasos sanguíneos periféricos	Vasoconstricción (blaqueamiento de la piel, labios y coloración azul de las yemas de los dedos)	Ningún efecto (no llega hasta la piel) ^c
	Glándulas sudoríparas	Facilita la sudoración ^d	Ningún efecto (no llega hasta la piel) ^c
Otras glándulas	Glándulas lagrimales	Reduce ligeramente la secreción ^e	Promueve la secreción
	Glándulas salivares	Disminuye la secreción, que se torna más espesa y viscosa ^e	Propicia una secreción acuosa abundante
Corazón		Aumenta la velocidad y la fuerza de la contracción; inhibe el efecto del sistema parasimpático sobre los vasos coronarios, permitiendo su dilatación ^e	Disminuye la velocidad y la fuerza de contracción (ahorro de energía); constríñe los vasos coronarios cuando se reduce la demanda
Pulmones		Inhibe el efecto del sistema parasimpático y causa broncodilatación, así como reducción de las secreciones, lo que permite el máximo intercambio gaseoso	Constríñe los bronquios (ahorro de energía) y facilita la secreción bronquial
Tubo digestivo		Inhibe el peristaltismo y constríñe los vasos sanguíneos para que llegue la sangre al músculo esquelético; contrae el esfínter anal interno para facilitar la continencia fecal	Estimula el peristaltismo y la secreción de jugos digestivos Contrae el recto e inhibe el esfínter anal interno para la defecación
Hígado y vesícula biliar		Facilita la descomposición del glucógeno en glucosa (incrementa la energía)	Facilita el depósito y conservación del glucógeno, aumenta la secreción de bilis
Tracto urinario		La vasoconstricción de los vasos renales intensifica la producción de orina; contracción del esfínter interno de la vejiga para mantener la continencia urinaria	Inhibe la contracción de esfínter interno de la vejiga, contrae el músculo detrusor de la pared vesical para iniciar la micción
Aparato genital		Provoca la eyaculación y vasoconstricción, con lo que desaparece la erección	Determina la ingurgitación (erección) de los tejidos eréctiles de los genitales externos
Médula suprarrenal		Liberación de adrenalina a la sangre	Ningún efecto (no la inerva)

Principios generales básicos

^a En general, los efectos de la estimulación simpática son catabólicos y preparan el cuerpo para la "huida o la lucha"

^b En general, los efectos de la estimulación parasimpática son anabólicos y propician el funcionamiento normal y la conservación de energía

^c El sistema parasimpático sólo se distribuye por la cabeza, el cuello y las cavidades corporales (exceptuando los tejidos eréctiles de los genitales), por lo demás, no se encuentran fibras parasimpáticas en las paredes corporales ni en los miembros. En cambio, las fibras simpáticas se reparten por todas las regiones vascularizadas del organismo.

^d Con excepción de las glándulas sudoríparas, la secreción glandular recibe estimulación parasimpática.

^e Con excepción de las arterias coronarias, la estimulación simpática genera vasoconstricción, los efectos de la estimulación simpática glandular (con excepción de las glándulas sudoríparas) son la consecuencia indirecta de la vasoconstricción

Figura 1.35. División parasimpática (craneosacra) del SNA. Los cuerpos celulares parasimpáticos presinápticos se sitúan en el SNC y sus fibras lo abandonan por dos raíces: 1) en la sustancia gris del tronco encefálico las fibras salen del SNC con los nervios craneales III, V, VII, IX y X; estas fibras constituyen el flujo parasimpático eferente craneal; 2) en la sustancia gris de los segmentos sacros (S2-S4) de la médula espinal las fibras abandonan el SNC a través de las raíces ventrales de los nervios espinales S2 a S4 y de los nervios esplácnicos de la pelvis que provienen de sus ramos ventrales, estas fibras representan el flujo parasimpático sacro eferente. El sistema craneal se ocupa de la inervación parasimpática de la cabeza, el cuello y la mayor parte del tronco y el sacro, de las vísceras pélvicas

Sensibilidad visceral

Las fibras aferentes viscerales guardan una relación importante, tanto anatómica como funcional, con el SNA. En principio, casi nadie percibe las aferencias sensitivas de estas fibras que informan sobre el estado del medio orgánico interno. El SNC integra la información y suele poner en marcha reflejos viscerales, somáticos, o ambos a la vez. Los reflejos viscerales regulan la presión arterial y la química orgánica a través de modificaciones de algunas funciones, como la frecuencia cardíaca o respiratoria, y las resistencias vasculares. La sensibilidad visceral que llega a la conciencia suele clasificarse como dolor, de ordinario mal localizado, o bien puede percibirse como hambre o náuseas. Los cirujanos que operan a pacientes con anestesia local pueden manipular, cortar, pinzar o incluso quemar (cauterizar) las vísceras sin provocar ninguna sensación consciente. Sin embargo, cuando llega un estímulo adecuado, como cualquiera de los siguientes, ocurre un dolor real:

- Distensión repentina.
- Espasmos o contracciones fuertes.
- Irritantes químicos.
- Estimulación mecánica, sobre todo cuando el órgano se encuentra activo.
- Estados patológicos (en particular, isquemia) que reducen los umbrales de estimulación habituales.

En general, la actividad normal no provoca ninguna sensación, pero puede hacerlo si la irrigación sanguínea es inadecuada (isquemia). La mayoría de las sensaciones viscerales reflejas (inconscientes) y parte del dolor viajan por fibras aferentes viscerales, que acompañan en sentido retrógrado a las fibras parasimpáticas. Casi todos los impulsos dolorosos viscerales (del corazón y de la mayor parte de los órganos de la cavidad peritoneal) se dirigen al sistema nervioso central a lo largo de fibras aferentes viscerales que acompañan a las fibras simpáticas.

Técnicas de imagen

El conocimiento de las técnicas de imagen médica que suelen utilizarse en clínica permite diagnosticar las malformaciones congénitas, los tumores y las fracturas. Las más utilizadas en medicina son:

- Radiografía convencional (simple).
- TC.
- Ecografía.
- RM.
- Técnicas de medicina nuclear.

Usted debe aprender la interpretación de las imágenes que, junto con la anatomía de superficie, son las únicas visiones de la anatomía de un sujeto que se suelen obtener después del primer año de estudio. Las técnicas de imagen permiten observar las estructuras anatómicas de los seres vivos y estudiar los movimientos durante las actividades normales o patológicas (p. ej., corazón y estómago).

Radiografía

Wilhelm Roentgen, físico alemán laureado con el premio Nobel, descubrió los rayos X en 1895. Este descubrimiento nos ha permitido observar las estructuras vivas del esqueleto humano. Los huesos y las articulaciones se visualizan con facilidad en la radiografía. La anatomía radiológica es el estudio de la estructura y función del cuerpo humano con técnicas radiológicas. Es un elemento esencial de la anatomía y representa la base anatómica de la radiología, rama de las ciencias médicas que se ocupa del uso de la energía radiante para el diagnóstico

y tratamiento de las enfermedades. Si se conocen las estructuras normales de una radiografía es más fácil detectar las alteraciones causadas por la enfermedad y la lesión. La radiografía convencional (fig. I.36) se suele conocer en clínica como *simple*. La esencia del estudio radiológico es que un haz muy penetrante de rayos X transilumina al paciente y revela tejidos con diferentes densidades, que proporcionan imágenes con una diferente densidad de claridad y oscuridad en la película de rayos X. Un tejido u órgano con una masa relativamente densa (p. ej., hueso compacto) absorbe más rayos X que un tejido menos denso, como el hueso esponjoso (tabla. I.3). Por eso, un tejido u órgano denso provoca una zona de relativa transparencia en la película de rayos X, porque el número de rayos que alcanzan la emulsión de sales de plata y de gelatina de la película es menor. Así pues, en esta zona se revelan menos granos de plata cuando se procesa la película. Una sustancia muy densa es *radiopaca*, y otra de menor densidad, *radiotransparente*.

Según la nomenclatura radiológica básica, la radiografía posteroanterior (PA) de tórax es la proyección de referencia. En ella, los rayos X atraviesan al paciente desde la cara posterior (P) hasta la anterior (A). El tubo de rayos X se encuentra detrás del paciente, y la película, delante (fig. I.37A). La radiografía anteroposterior (AP) es

Tabla I.3. Principios básicos de la formación de imagen por rayos X.

Más radiolúcido	Aire	Más radiosensible
↑	Grasa	↑
↓	Agua y más tejidos	↓
Menos radiolúcido	Hueso esponjoso	Menos radiosensible
	Hueso compacto	

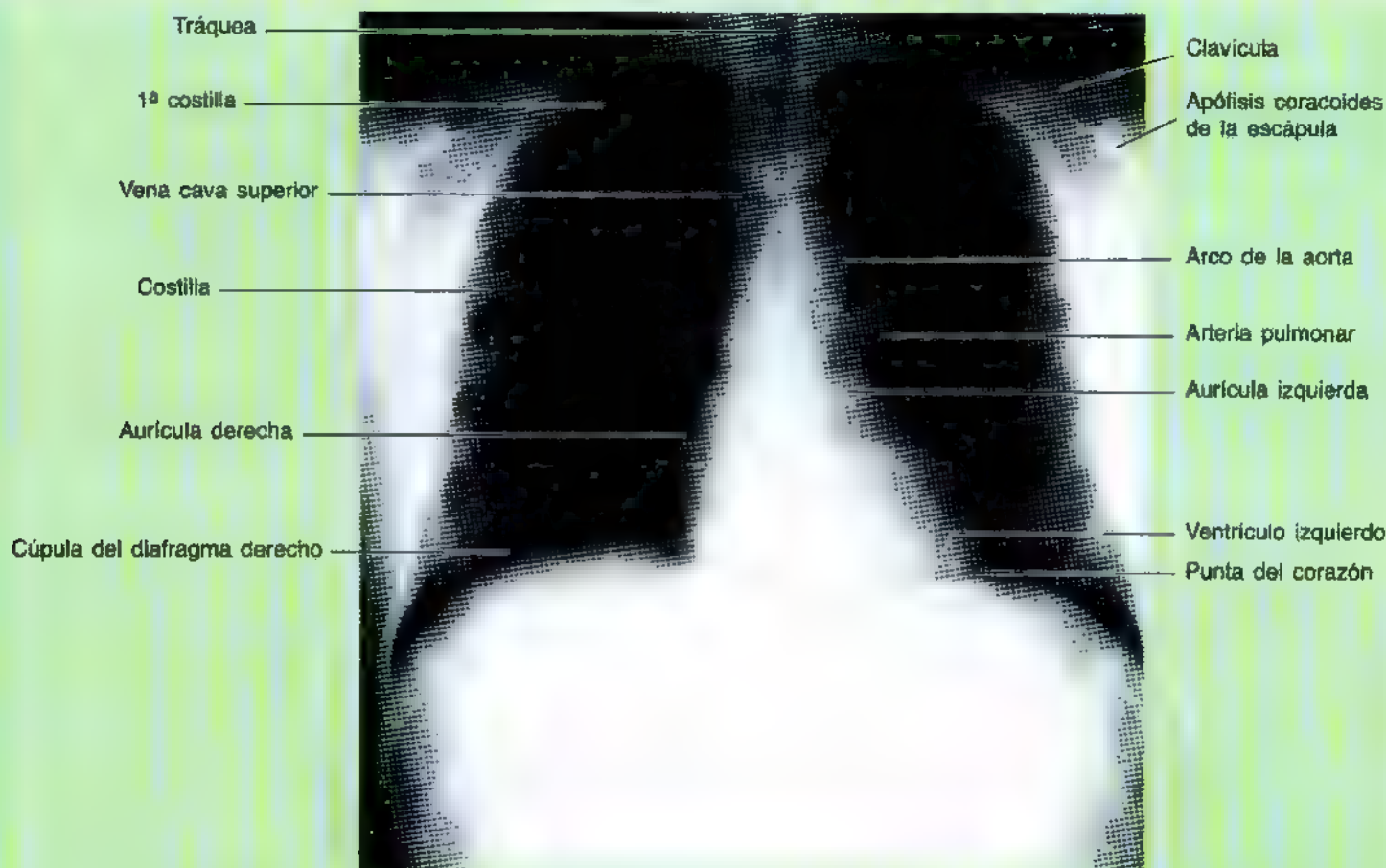


Figura 1.36. Radiografía de tórax en proyección posteroanterior (PA). Obsérvese el arco de la aorta, las partes del corazón y las cúpulas del diafragma; nótese que la cúpula del hemidiafragma derecho es más alta. (Cortesía del Dr. E.L. Lansdown, Profesor de Imagen Médica, Universidad de Toronto, Toronto, Ontario, Canadá.)

► aquella en la que los rayos X atraviesan al paciente desde la cara anterior (A) a la posterior (P), es decir, el tubo de rayos X se sitúa delante del paciente, y la película, detrás. La radiografía lateral se efectúa colocando el cuerpo del paciente próximo a la película de rayos X (fig. 1.37B). La introducción de los medios de contraste (sustancias radiopacas) permitió el estudio de la forma y función de los distintos órganos y cavidades, como el estómago y el intestino delgado tras la deglución de bario (fig. 1.38). La mayoría de los estudios radiológicos se efectúan en, al menos, dos proyecciones perpendiculares entre sí. Como cada radiografía ofrece una visión compuesta de los tejidos penetrados por el haz de rayos X, las estructuras se superponen entre sí. Debido a ello y a la falta de profundidad, se precisa casi siempre más de una proyección para reconocer y localizar de manera exacta una anomalía.

Tomografía computarizada

La TC presenta imágenes radiográficas del cuerpo que se asemejan a las secciones anatómicas transversales

(fig. 1.39). En este proceso, el haz de rayos X atraviesa el organismo conforme el tubo se mueve trazando un arco o un círculo alrededor del cuerpo. La cantidad de radiación absorbida por cada elemento de volumen del plano corporal elegido varía según la cantidad de grasa, tejido con densidad de agua y hueso de cada elemento. Se miden multitud de absorciones de energía lineal y se introducen en una computadora. Ésta ajusta las diferentes absorciones de energía lineal de cada punto dentro de la sección o plano barrido y muestra la imagen de TC impresa o en un tubo de rayos catódicos (pantalla). La imagen TC se corresponde bien con las radiografías, puesto que las zonas de gran absorción (p. ej., vértebras) son bastante transparentes, y aquellas con poca absorción, negras (tabla 1.3). La TC se visualiza siempre como si el explorador se pusiera a los pies del paciente, tumbado en decúbito supino.

Ecografía

La ecografía visualiza las estructuras superficiales o profundas del cuerpo mediante el registro de pulsos de . ►

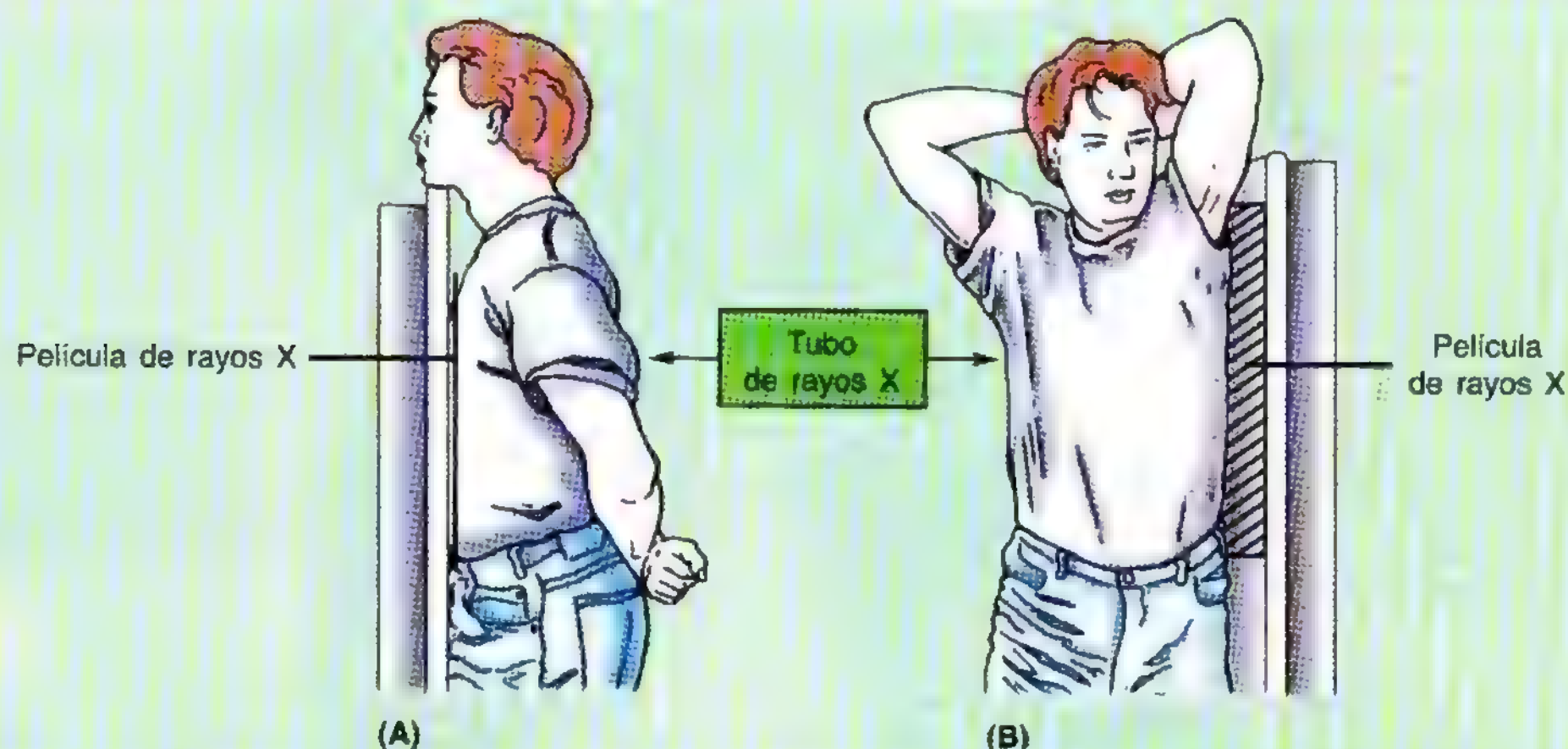


Figura 1.37. Orientación del tórax del enfermo para la radiografía. A. Para tomar una proyección posteroanterior (PA), los rayos X del tubo deben atravesar el tórax desde el dorso para alcanzar la película de rayos X situada delante de la persona. B. Para la proyección lateral, los rayos atraviesan el tórax por un lado y alcanzan la película situada al otro lado.

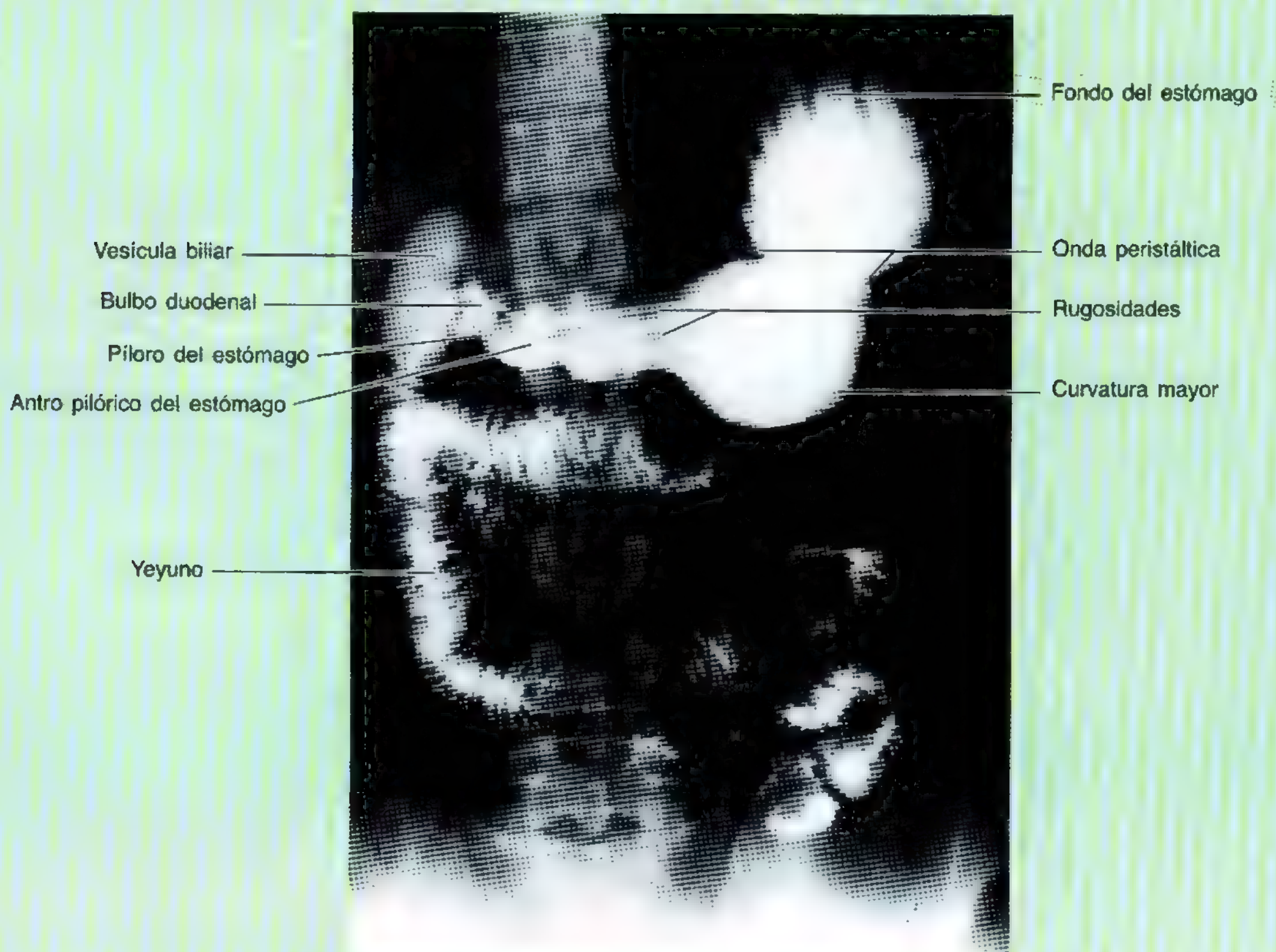


Figura 1.38. Radiografía del estómago, intestino delgado y vesícula biliar. Obsérvense los pliegues o rugosidades gástricas (pliegues longitudinales de la mucosa). Adviértase también la onda peristáltica que desplaza el contenido gástrico hacia el duodeno, íntimamente relacionado con la vesícula biliar. (Cortesía del Dr. J. Heslin, Toronto, Ontario, Canadá.)

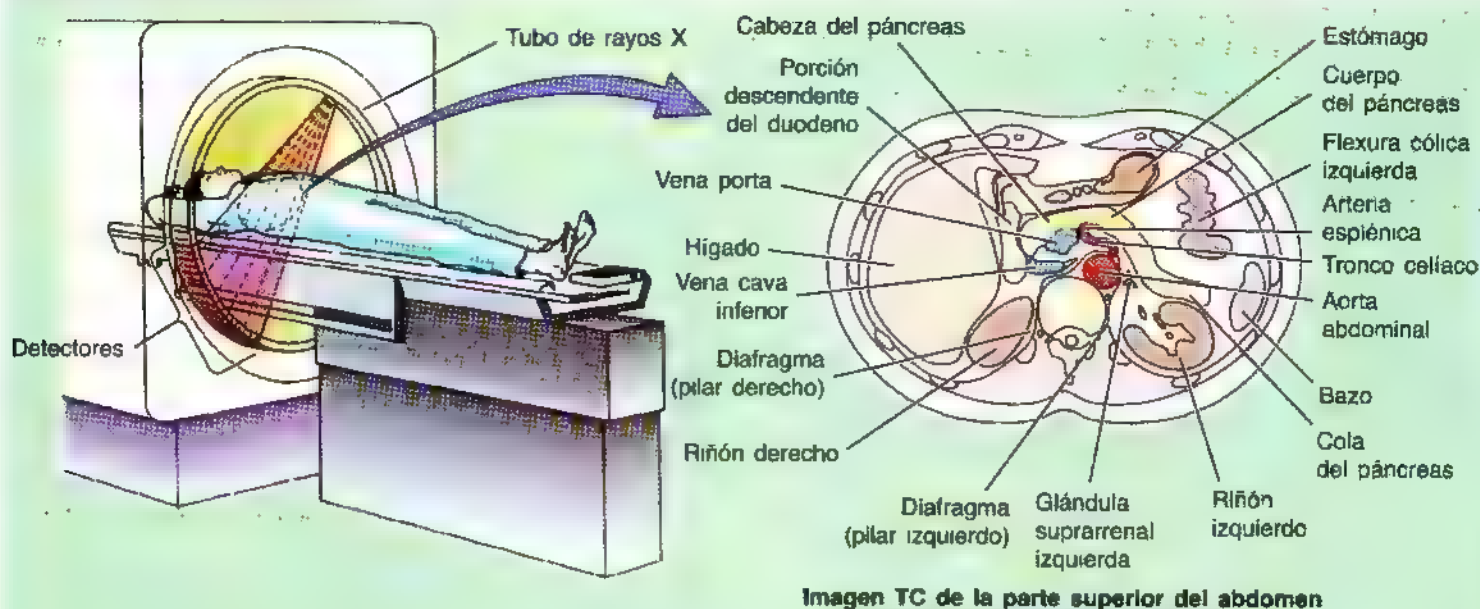


Figura 1.39. Técnica para obtener una TC de abdomen. El tubo de rayos X gira alrededor de la persona, dentro del escáner, y envía un haz de rayos X en abanico a través de la parte superior del abdomen, desde diversos ángulos. Los detectores de rayos X situados al otro lado del tubo miden la cantidad de radiación que atraviesa una sección horizontal del enfermo. La computadora reconstruye las imágenes TC obtenidas con diferentes tomas y produce la TC abdominal. La imagen se coloca, como si el explorador estuviera de pie viendo a la persona, desde los pies de la cama.

► ondas ultrasónicas reflejadas por los tejidos (fig. 1.40). La ecografía ofrece la ventaja de su menor coste con respecto a la TC y a la RM y la posibilidad de utilizar equipos portátiles; se puede efectuar en la consulta o a la cabecera del enfermo. El transductor en contacto con la piel genera ondas de sonido de gran frecuencia que atraviesan el organismo y reflejan las interfaces hísticas que se interponen entre los tejidos de diferentes características, como los tejidos blandos y el hueso. Los ecos corporales regresan al transductor y se transforman en energía eléctrica. Las señales eléctricas se registran y representan sobre una pantalla de TV a modo de imágenes transversales, que se ven en tiempo real y se registran como una imagen solitaria o sobre una cinta de vídeo.

La *ecografía Doppler* mide los desplazamientos de frecuencia entre las ondas ultrasónicas emitidas y sus ecos, y sirve para determinar la velocidad de objetos móviles. Esta técnica se basa en el principio del efecto Doppler. El *principio Doppler* sirve para visualizar la sangre en movimiento dentro de los vasos sanguíneos y representar el flujo sanguíneo en color, superpuesto en la imagen bidimensional transversal. Una ventaja enorme de la ecografía es la capacidad de obtener imágenes en tiempo real, mostrar el movimiento y su capacidad para incorporar información sonora de los vasos (Doppler).

La exploración de las vísceras pélvicas desde la superficie del abdomen exige la distensión completa de la vejiga, para que desplace las asas intestinales llenas de aire ►

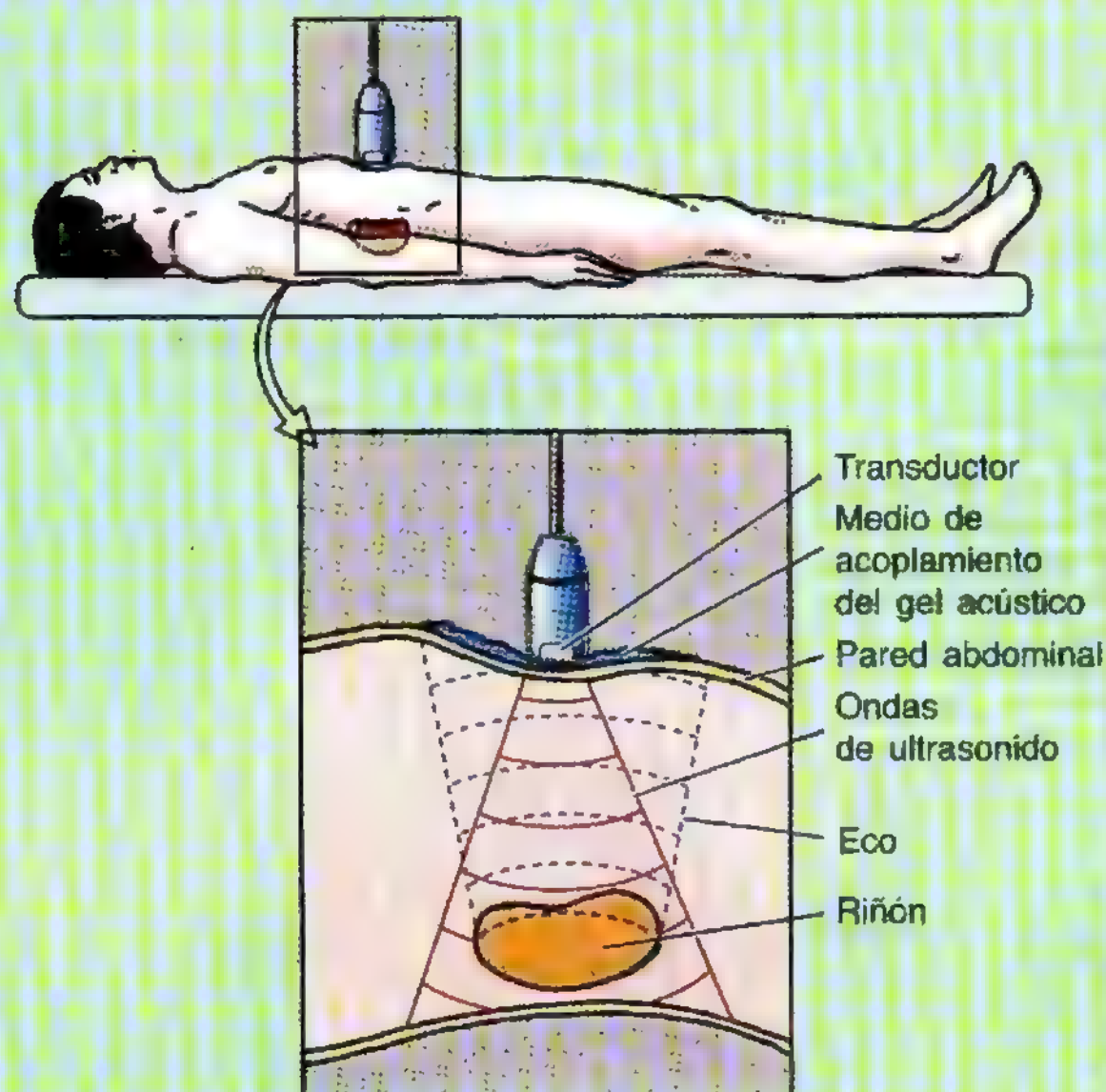


Figura 1.40. Técnica para la ecografía de la parte superior del abdomen. La imagen se obtiene por el eco que emiten las estructuras abdominales, de diferente densidad, de las sondas ultrasónicas. La imagen ecográfica del riñón derecho se ve en esta pantalla.

► de la pelvis y crear una ventana acústica que permita ver los órganos de la pelvis. La *ecografía transvaginal* consiste en colocar el transductor cerca del órgano que se desea explorar (p. ej., ovarios) y evita la grasa y el gas que absorben o reflejan las ondas ultrasónicas. El hueso refleja casi todas las ondas ultrasónicas y conduce mal el aire. Por eso, no se puede explorar el SNC y los pulmones de los adultos mediante ecografía.

El atractivo de la ecografía obstétrica reside en que se trata de un procedimiento incruento que suministra una información valiosa sobre el embarazo, indica si éste es intrauterino o extrauterino (ectópico) y si el embrión

está vivo (Callen, 1994). Se ha erigido como método de referencia para evaluar el crecimiento y desarrollo del embrión y feto. La medición del perímetro cefálico es un elemento esencial del crecimiento cefálico de los lactantes y niños y determina el tamaño de la cabeza fetal (Hadlock, 1994).

Resonancia magnética

La RM muestra imágenes corporales parecidas a la TC, pero diferencia mejor los tejidos. La RM ofrece mejores cortes anatómicos, sobre todo del encéfalo (fig. 1.41). ►

Figura 1.41. RM mediana de la cabeza. Se pueden ver muchos detalles del SNC. Se ilustran las estructuras de las cavidades nasal y bucal y la parte superior del cuello. Las zonas negras, de poca señal, superiores a las caras anterior y posterior de la cavidad nasal corresponden a los senos frontal y esfenoidal, llenos de aire. El paciente es sometido a un campo magnético intenso que alinea los protones libres del organismo. Estos protones alineados son "golpeados" por ondas de radio que emiten ondas de retroceso. Estas últimas ondas de radio las detecta un equipo de RM y se procesan con una computadora, que elabora la imagen RM. Con los datos recogidos, el equipo RM puede construir otras imágenes (p. ej., RM transversal, sagital y coronal de la cabeza).

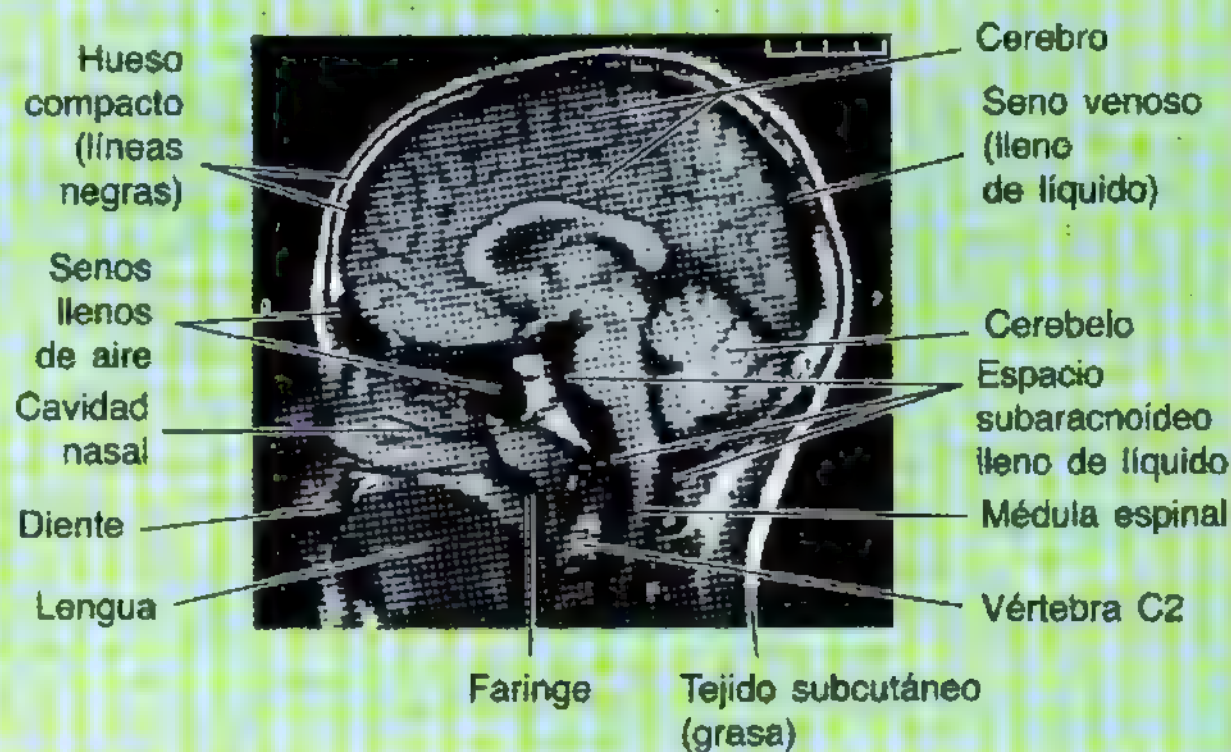




Figura 1.42. Gammagrafía ósea de la cabeza, el cuello, el tórax y la pelvis. Estas imágenes se pueden visualizar en conjunto o en secciones transversales

► Se mete al sujeto dentro de un escáner, con un campo magnético intenso y pulsado con ondas de radio. Las señales emitidas por el paciente se almacenan en una computadora y se reconstruyen para formar las distintas imágenes corporales. El aspecto de los tejidos en las imágenes puede variar controlando el modo de envío y recepción de los pulsos de radiofrecuencia.

Los protones libres, sometidos a alineación magnética, de los tejidos se excitan (golpean) con un pulso de ondas de radio que devuelve señales diminutas pero mensurables de energía. Por ejemplo, las regiones que emiten señales provienen de tejidos con gran densidad protónica, como la grasa o el agua. La señal del tejido depende, en esencia, de tres propiedades de los protones en una determinada región corporal. Estas se denominan relajación T1, relajación T2 y densidad protónica. Pese a que los líquidos tienen una elevada densidad de protones libres, los protones libres excitados de los líquidos en movimiento, como la sangre, tienden a desplazarse del campo porque golpean y emiten su señal y son sustituidos por protones no excitados. En consecuencia, los líquidos en movimiento parecen negros. La RM permite dibujar la anatomía en cualquier plano: transversal, medio, sagital, coronal e incluso planos oblicuos arbitrarios. Los aparatos de RM ofrecen buenas imágenes de la cabeza, el tórax, el abdomen y los miembros. El movimiento ha representado un problema, pero los aparatos rápidos actuales pueden visualizar incluso estructuras en movimiento, como el corazón y el flujo sanguíneo, en tiempo real.

Técnicas de medicina nuclear

Las técnicas de medicina nuclear ofrecen información sobre las cantidades mínimas de sustancias radiactivas introducidas en el cuerpo. Las técnicas de medicina nuclear revelan imágenes de órganos concretos después de la inyección intravenosa (I.V.) de una pequeña dosis de material radiactivo. El radioisótopo se combina con un compuesto que sea captado de modo selectivo por el órgano, por ejemplo, metilendifosfonato de tecnecio-99m (MDP). De ordinario, se utilizan difosfonatos, el más común es el MDP (fig. 1.42). Las imágenes se pueden ver completas o en secciones transversales, que se denominan SPECT (tomografía computarizada por emisión de fotones únicos). ◉

Bibliografía y lecturas recomendadas

Amadio PC: Reaffirming the importance of dissection. *Clin Anat* 9:136, 1996.

Barr ML, Kiernan JA: *The Human Nervous System: An Anatomical Viewpoint*, 6th ed. Philadelphia, JB Lippincott, 1993.

Basmajian JV, DeLuca CJ: *Muscles Alive: Their Functions Revealed by Electromyography*, 5th ed. Baltimore, Williams & Wilkins, 1985

- Behrman RE, Kliegman RM, Arvin AM (eds): *Nelson Textbook of Pediatrics*, 15th ed. Philadelphia, WB Saunders, 1996.
- Bergman RA, Thompson SA, Afifi AK, Saadeh FA: *Compendium of Human Anatomic Variation: Text, Atlas, and World Literature*. Baltimore, Urban & Schwarzenberg, 1988.
- Cahill DR, Leonard RJ: The role of computers and dissection in teaching anatomy: A comment. *Clin Anat* 10:140, 1997.
- Callen PW: *Ultrasonography in Obstetrics and Gynecology*, 3rd ed. Philadelphia, WB Saunders, 1994.
- Cormack DH: *Essential Histology*. Philadelphia, JB Lippincott, 1993.
- Federative Committee on Anatomical Terminology: *Terminologia Anatomica: International Anatomical Nomenclature*. Stuttgart, Thieme, 1998.
- Fitzgerald MJT: *Neuroanatomy. Basic and Clinical*, 2nd ed. London, Baillière Tindall, 1992.
- Gartner LP, Hiatt JL: *Color Textbook of Histology*. Philadelphia, WB Saunders, 1997.
- Gross AE: Orthopedic surgery: Adult. In Gross A, Gross P, Langer B (eds): *A Complete Guide for Patients and Their Families*. Toronto, Harper & Collins, 1989.
- Hadlock FP: Ultrasound determination of menstrual age. In Callen PW (ed): *Ultrasonography in Obstetrics and Gynecology*, 3rd ed. Philadelphia, WB Saunders, 1994.
- Haines DE: *Neuroanatomy. An Atlas of Structures, Sections, and Systems*, 4th ed. Baltimore, Williams & Wilkins, 1995.
- Haines DE (ed): *Fundamental Neuroscience*. New York, Churchill Livingstone, 1997.
- Hutchins JB, Naftel JP, Ard MD: The cell biology of neurons and glia. In Haines DE (ed): *Fundamental Neuroscience*. New York, Churchill Livingstone, 1997.
- Jones DJ: Reassessing the importance of dissection: A critique and elaboration. *Clin Anat* 10:123, 1997.
- Levi CS, Lyons EA, Schollenberg J, Bristowe JRB: The value of post void scans in the diagnosis of ruptured ectopic pregnancy. *J Ultrasound Med* 1:253, 1982.
- Moore KL: Anatomical terminology/clinical terminology. *Clin Anat* 1:7, 1988.
- Moore KL: Meaning of "Normal". *Clin Anat* 2:235, 1989.
- Moore KL, Persaud TVN: *The Developing Human: Clinically Oriented Embryology*, 6th ed. Philadelphia, WB Saunders, 1998.
- Mutyala S, Cahill DR: Catching up. *Clin Anat* 9:53, 1996.
- O'Rahilly R: Making planes plain. *Clin Anat* 10:129, 1997.
- Persaud TVN: *Early History of Human Anatomy From Antiquity to the Beginning of the Modern Era*. Springfield, Charles C Thomas, 1984.
- Persaud TVN: *A History of Anatomy. The Post-Vesalian Era*. Springfield, Charles C Thomas, 1997.
- Ross MH, Romrell LJ, Kaye G: *Histology. A Text and Atlas*, 3rd ed. Baltimore, Williams & Wilkins, 1994.
- Salter RB: *Textbook of Disorders and Injuries of the Musculoskeletal System*, 3rd ed. Baltimore, Williams & Wilkins, 1998.
- Squires B: *Basic Terms of Anatomy and Physiology*, 2nd ed. Toronto, WB Saunders, 1986.
- Stedman's Medical Dictionary*, 26th ed. Baltimore, Williams & Wilkins, 1995.
- Swartz MH: *Textbook of Physical Diagnosis, History and Examination*, 2nd ed. Philadelphia, WB Saunders, 1994.
- Williams PL, Bannister LH, Berry MM, Collins P, Dussek JE, Ferguson MWJ (eds): *Gray's Anatomy. The Anatomical Basis of Medicine and Surgery*, 38th ed. New York, Churchill Livingstone, 1995.
- Willis MC: *Medical Terminology: The Language of Health Care*. Baltimore, Williams & Wilkins, 1995.

I

Torax

El torax es la cavidad que contiene los pulmones y el corazón.

Está limitada superiormente por el cuello y inferiormente por el diafragma.

Se divide en tres partes: superior, inferior y media.

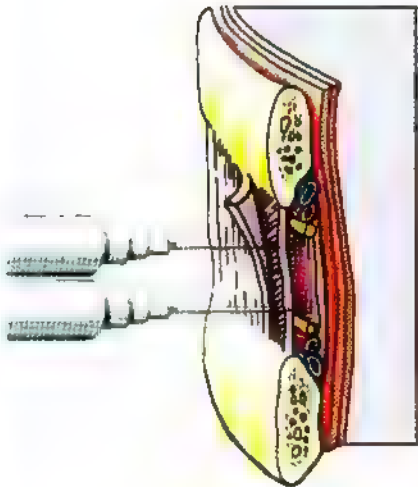
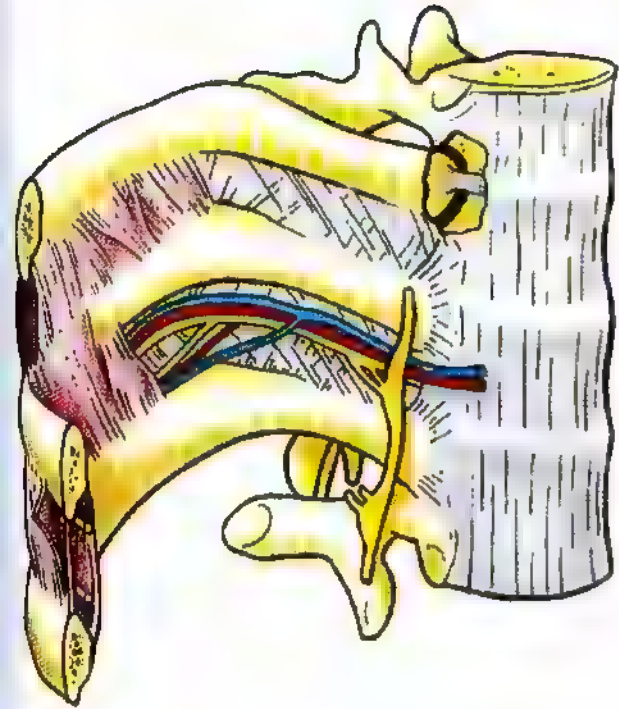
La parte superior se divide en dos: anterior y posterior.

La parte inferior se divide en dos: anterior y posterior.

La parte media se divide en dos: anterior y posterior.

La parte anterior se divide en dos: superior e inferior.

La parte posterior se divide en dos: superior e inferior.



El tórax es la parte superior del tronco y se sitúa entre el cuello y el abdomen. Está formado por 12 pares de costillas, el esternón, los cartílagos costales y 12 vértebras torácicas (fig. 1.1). Estas estructuras óseas y cartilaginosas forman la **caja torácica**, que rodea la **cavidad torácica** y da soporte a la *cintura pectoral (escapular)*. Junto con la piel y la fascia y músculos asociados, la caja torácica forma la **pared torácica**, que aloja y protege el contenido de la cavidad torácica –por ejemplo, el

corazón y los pulmones–, así como algunos órganos abdominales del tipo del hígado y el bazo. En la caja torácica se insertan los músculos del cuello, tórax, miembros superiores, abdomen y dorso. Los propios músculos del tórax elevan y deprimen la caja torácica durante la respiración. Como las estructuras más importantes del tórax –corazón, tráquea, pulmones y grandes vasos y la propia pared torácica– se mueven en todo momento, el tórax es una de las regiones más dinámicas del cuerpo.

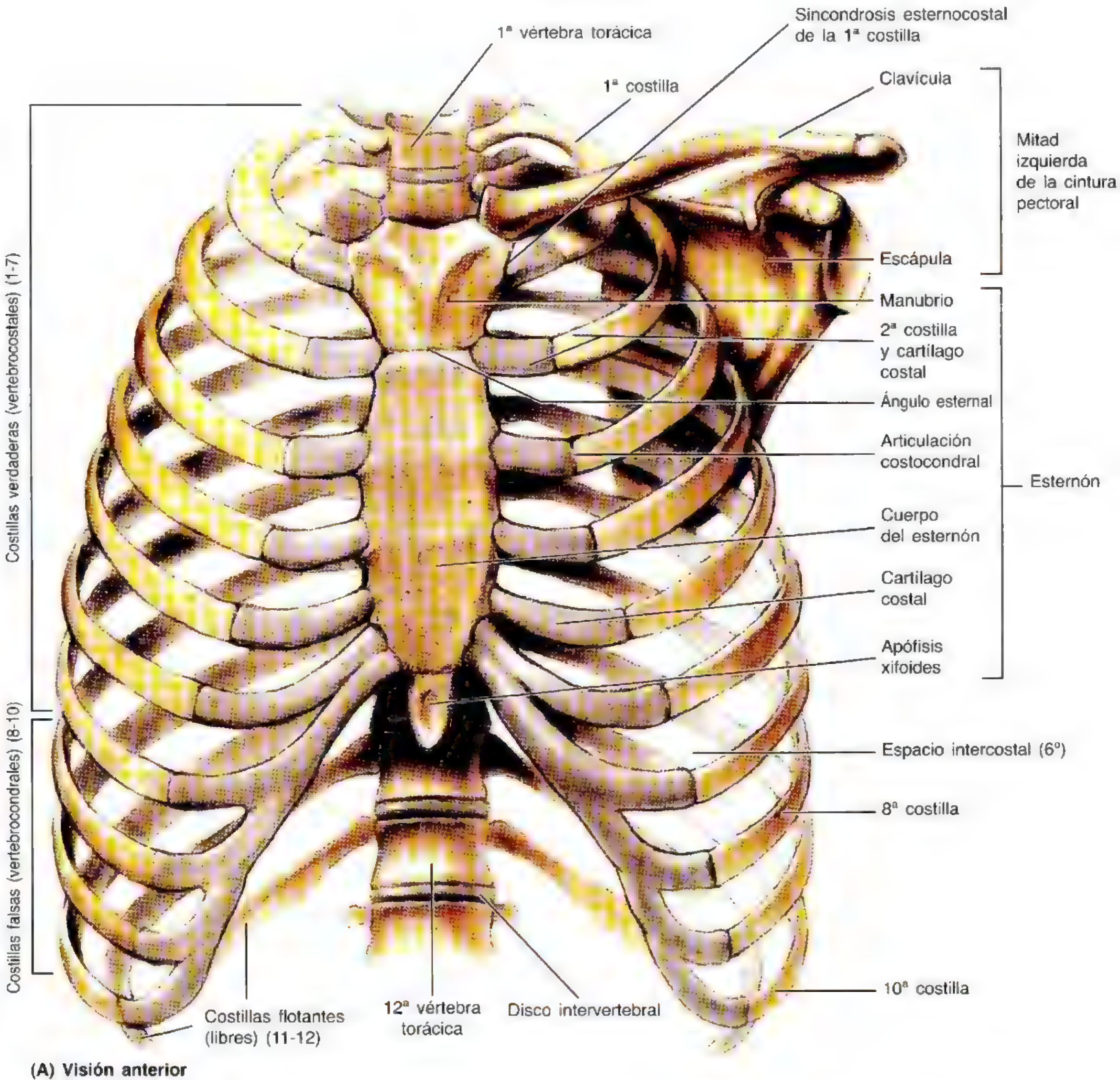
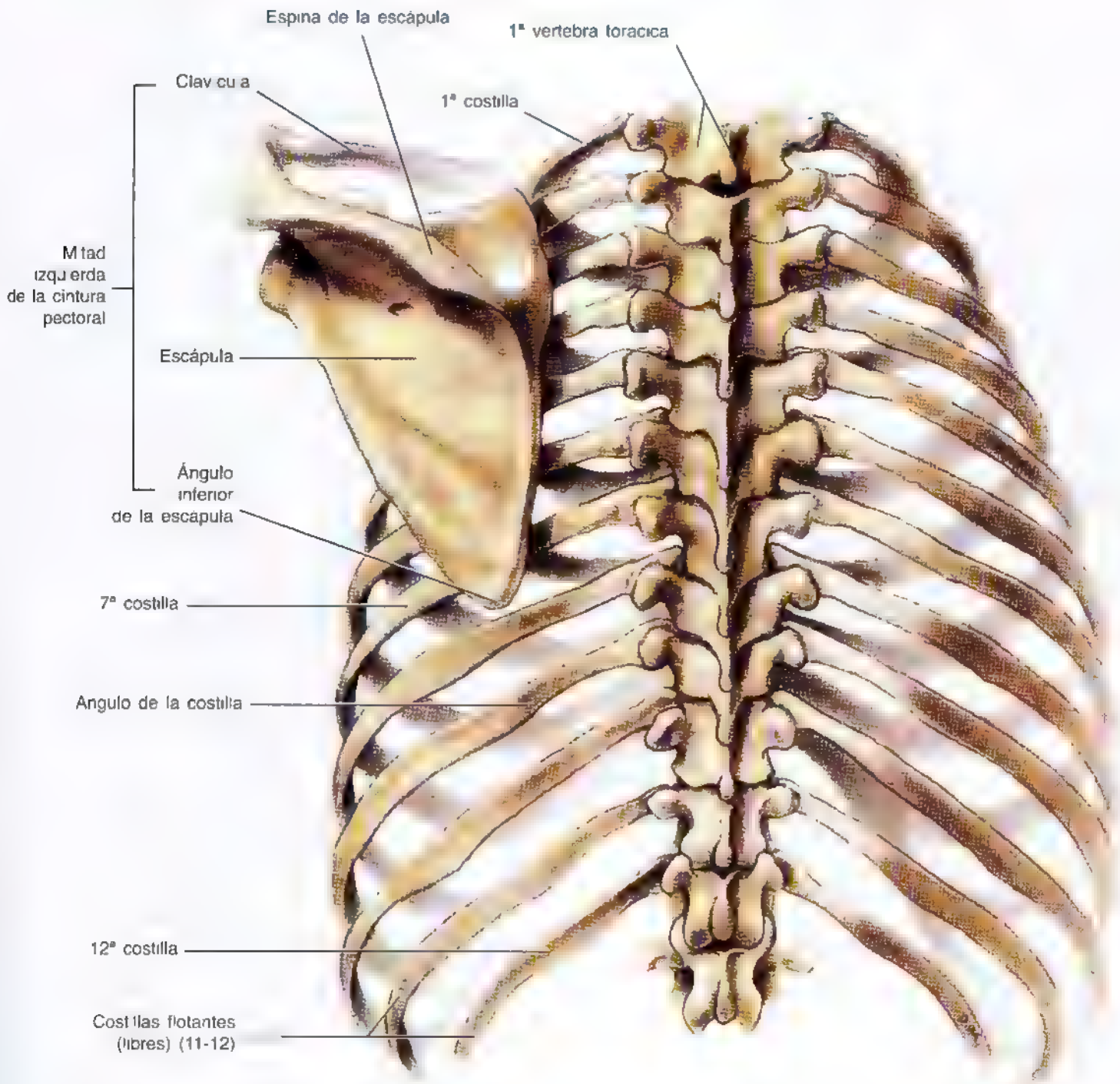


Figura 1.1. Esqueleto torácico. La caja torácica osteocartilaginosa contiene el esternón, 12 pares de costillas y cartílagos costales, y 12 vértebras torácicas y discos intervertebrales (IV). Las clavículas y la escápula forman la cintura pectoral (escapular).

Dolor torácico

El significado del dolor torácico varía mucho, de leve a muy grave. El dolor puede obedecer a enfermedades pulmonares, pero sin duda constituye el síntoma esencial de las enfermedades cardíacas (Swartz, 1994). Sin embargo, el dolor torácico también puede ser consecuencia de alteraciones del intestino, la vesícula biliar o el aparato locomotor. Siempre que se examine a un paciente con dolor torácico, lo más importante es separar las alteraciones graves de las causas leves y múltiples de dolor. Las personas que sufren un *ataque al corazón* suelen referir un dolor retroesternal "opresivo" (dentro del esternón) que no se calma con el reposo. ❖

aciones del intestino, la vesícula biliar o el aparato locomotor. Siempre que se examine a un paciente con dolor torácico, lo más importante es separar las alteraciones graves de las causas leves y múltiples de dolor. Las personas que sufren un *ataque al corazón* suelen referir un dolor retroesternal "opresivo" (dentro del esternón) que no se calma con el reposo. ❖



(B) Visión posterior

Figura 1.1. (Continuación)

Pared torácica

La caja torácica está cubierta por piel, fascia y músculos, incluidos los que insertan la cintura pectoral en el miembro y tronco. Las glándulas mamarias (*L. mammae*) se hallan en el tejido subcutáneo. La función de la pared torácica no sólo consiste en proteger el contenido de la cavidad torácica, sino también en proporcionar la función mecánica de la respiración. Con cada respiración, los músculos de la pared torácica –actúan en coordinación con el diafragma y los músculos de la pared abdominal– modifican el volumen de la cavidad: primero expanden la capacidad de la cavidad torácica y permiten la expansión pulmonar, y luego, sobre todo gracias a su relajación, reducen dicho volumen y obligan a los pulmones a expulsar el aire.

Fascia de la pared torácica

El *tejido subcutáneo* (*fascia superficial*, hipodermis) es una capa compuesta por tejido conjuntivo laxo e irregular, situado justo por debajo de la piel, que está íntimamente adherido a la piel a través de bandas gruesas, los ligamentos cutáneos (*retinacula cutis*). El tejido subcutáneo del tórax contiene una cantidad variable de grasa, glándulas sudoríparas, vasos sanguíneos y linfáticos, nervios cutáneos y, en la mujer madura, glándulas mamarias. La *fascia profunda* (fascia de revestimiento) es una membrana fibrosa delgada, carente de grasa, que suele ser densa y se inserta de manera laxa en el tejido subcutáneo y en la piel suprayacente. Reviste de cerca los músculos que forman el *epimisio*, una envoltura de tejido conjuntivo. La *fascia profunda* reviste los músculos y los tendones asociados hasta su inserción en los huesos, como las costillas, y se inserta, por sí misma, en el periostio. Algunas partes se denominan según el músculo que revisten, por ejemplo la fascia pectoral. La fascia profunda ayuda a mantener solidarias determinadas partes del tórax y ofrece una barrera contra las infecciones.

Esqueleto de la pared torácica

El esqueleto torácico forma la **caja torácica osteocartilaginosa** (fig. 1.1), que protege las vísceras torácicas y algunos órganos abdominales. El esqueleto torácico comprende:

- Doce pares de costillas y cartílagos costales.
- Doce vértebras torácicas y discos intervertebrales (IV).
- El esternón.

Las costillas y los cartílagos costales representan la mayor parte de la caja torácica.

Costillas y cartílagos costales

Las costillas (*L. costae*) son huesos curvos y planos que configuran la mayor parte de la caja torácica (figs. 1.1 y 1.2). Tienen un peso muy ligero, pero son extraordinariamente

elásticas. Cada costilla se compone de hueso esponjoso interior con **médula ósea** (tejido hematopoyético), productora de células sanguíneas. *Existen tres tipos de costillas:*

- **Costillas verdaderas (vertebrocostales)** (las 7 primeras), así denominadas porque se insertan directamente en el esternón a través de sus propios cartílagos costales.
- **Costillas falsas (vertebrocondrales)** (8ª a 10ª costillas). Los cartílagos se unen al de la costilla inmediatamente superior; por eso, su conexión con el esternón es indirecta.
- **Costillas flotantes (vertebrales, libres)** (11ª y 12ª costillas). Los cartílagos rudimentarios de estas costillas no se unen ni siquiera de forma indirecta con el esternón, sino que terminan en la musculatura abdominal posterior.

Las **costillas típicas** (3ª a 9ª) disponen de:

- **Cabeza**, con forma de cuña, y dos carillas separadas por la **cresta de la cabeza** (fig. 1.2): una carilla para la articulación con la vértebra del número correspondiente y otra para la vértebra superior.
- **Cuello**, que comunica la cabeza con el cuerpo a la altura del tubérculo.
- **Tubérculo** en la unión del cuello con el cuerpo. El tubérculo tiene una *porción articular* que se articula con la apófisis transversa correspondiente de la vértebra, y una *porción no articular* rugosa para la inserción del ligamento costotransversario.
- **Cuerpo**, delgado, plano y curvo, sobre todo por el **ángulo costal**, donde la costilla rota en sentido anterolateral; la **cara interna cóncava** tiene un surco costal que protege los nervios y vasos intercostales.

Las **costillas atípicas** (1ª, 2ª, 10ª a 12ª) son distintas (fig. 1.3):

- La **1ª costilla** es la más ancha (es decir, el cuerpo es el más amplio y casi horizontal), corta y también curva de las siete costillas verdaderas; sólo tiene una carilla en la cabeza para la articulación con la vértebra T1 y dos surcos transversales que atraviesan la cara superior para los vasos subclavios, separados por el **tubérculo** y la **cresta del escaleno**.
- La **2ª costilla** es más fina (el cuerpo tiene un aspecto más típico), menos curva y considerablemente más larga que la 1ª; dispone de dos carillas en la cabeza para la articulación con los cuerpos de las vértebras T1 y T2 y un tubérculo para la inserción muscular.
- Las **costillas 10ª a 12ª**, como la 1ª, tan sólo tienen una carilla en sus cabezas.
- La **11ª y 12ª costillas** son cortas y no cuentan con cuello ni con tubérculo.

Los **cartílagos costales** prolongan las costillas en sentido anterior y contribuyen a la elasticidad de la pared torácica. Su longitud aumenta en las primeras siete costillas y luego disminuye. Los siete primeros cartílagos (y a veces el 8º;

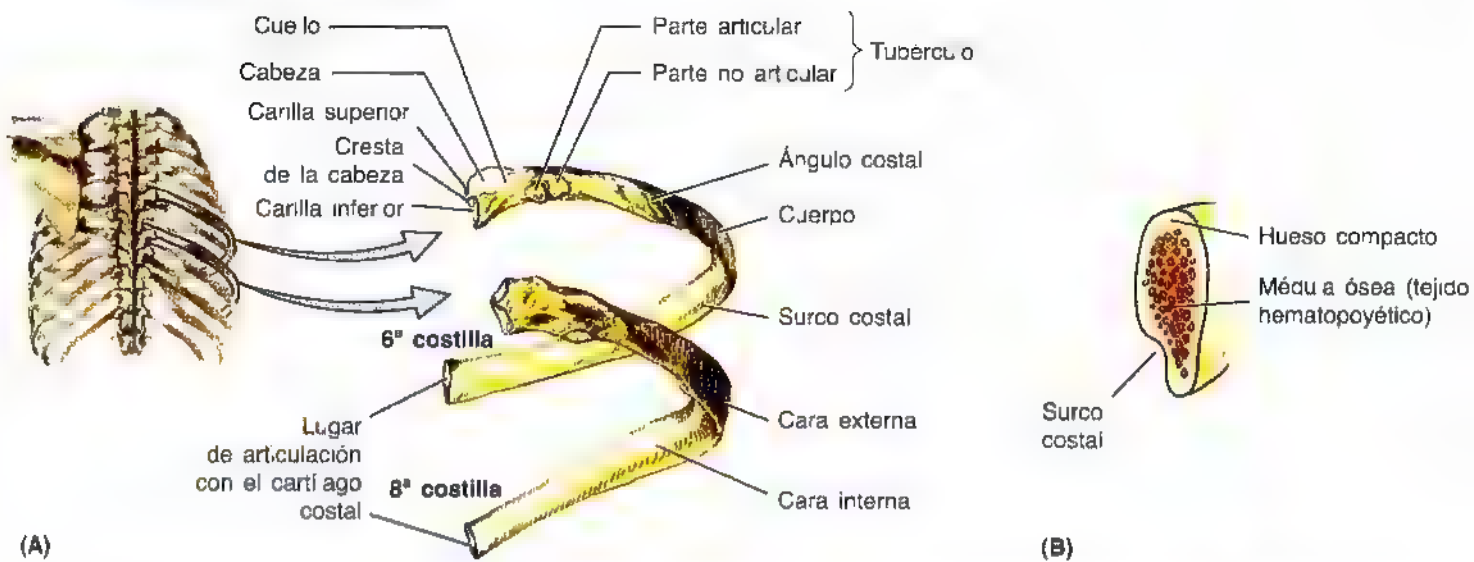


Figura 1.2. Costillas típicas. La 3ª a 9ª costillas poseen características comunes. **A.** Cada costilla se compone de cabeza, cuello, tubérculo y cuerpo. **B.** Sección transversal de la costilla.

véase fig. 1.16) se unen al esternón; el 8º, 9º y 10º se articulan con los cartílagos situados inmediatamente por encima. El 10º par de costillas también flota (libremente) en algunas personas. Los cartílagos de la 11ª y 12ª acaban en

su extremo anterior en un casquete. Los **espacios intercostales** separan las costillas y los cartílagos costales entre sí. Estos espacios están ocupados por los músculos, vasos y nervios intercostales.

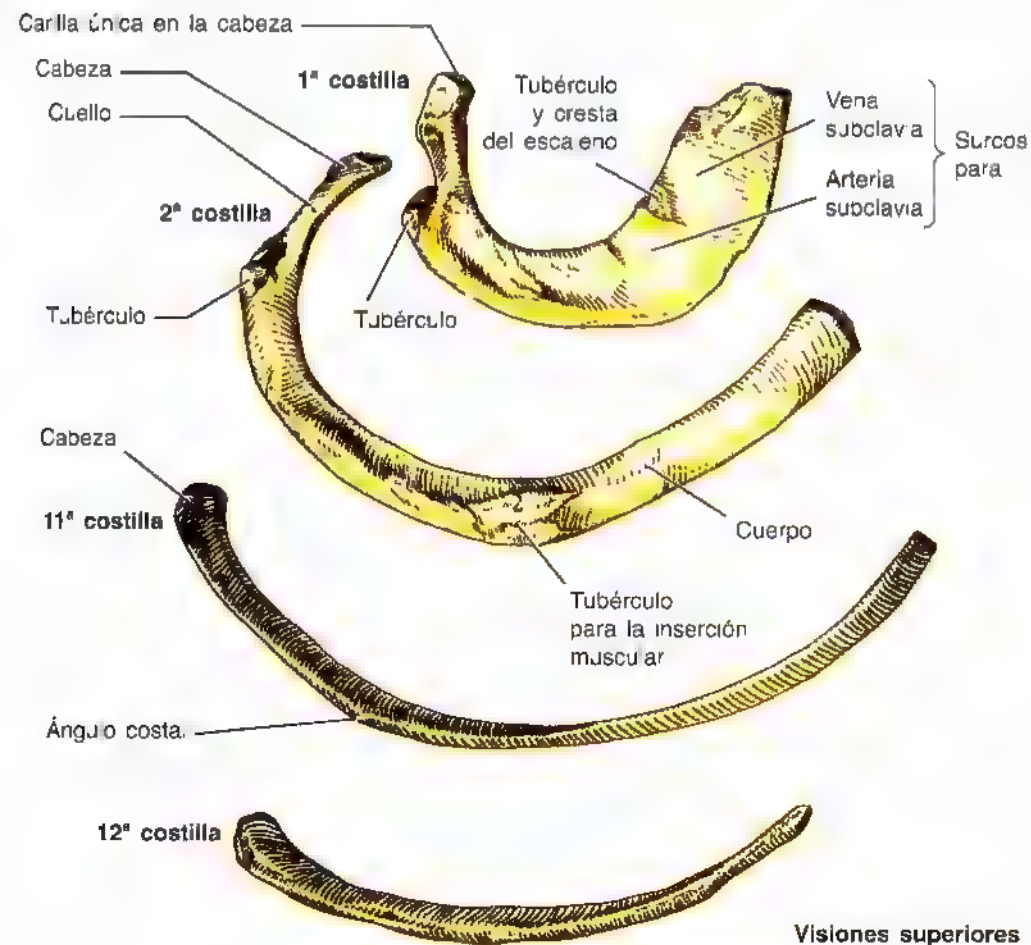


Figura 1.3. Costillas atípicas. Estas costillas se diferencian de las típicas. La 1ª costilla es corta y aplanada y el tubérculo se une con el ángulo. La 11ª y la 12ª carecen de cuello y tubérculos, y la 12ª es más corta que la mayoría de las costillas.

Fracturas costales y traumatismos asociados

La 1ª costilla, corta, ancha, posteroinferior a la clavícula, casi nunca se fractura porque está protegida (recuérdese que no se puede palpar). Sin embargo, cuando se fractura se pueden lesionar el *plexo nervioso braquial* y los *vasos subclavios*. La 1ª costilla tiene interés clínico por el número tan grande de estructuras que la atraviesan y se insertan en ella. Posee un **tubérculo prominente del escaleno** en su cara superior, donde se inserta el músculo escaleno anterior. Esta superficie también tiene dos finos surcos transversales, anterior y posterior al tubérculo, para la vena subclavia y para la arteria subclavia y el tronco inferior del plexo braquial, respectivamente.

Las costillas intermedias son las que más se fracturan. Las fracturas costales suelen producirse por golpes o lesiones indirectas de aplastamiento. La porción más débil de la costilla es la que se encuentra delante del ángulo. Sin embargo, un golpe violento puede fracturar la costilla en cualquier lugar, y el extremo fracturado puede lesionar órganos internos, como el pulmón, el bazo o ambos. Las fracturas costales inferiores desgarran a veces el diafragma e inducen una *hernia diafragmática* (véase el capítulo 2). Las fracturas costales duelen porque los fragmentos rotos se mueven con la respiración, la tos, la risa y el estornudo. El dolor costal también puede deberse a metástasis (extensión) de un cáncer de mama o de próstata. En la radiografía de tórax se ven estas metástasis.

El **aleteo torácico** ocurre cuando un segmento considerable de la pared torácica anterior o lateral se mueve libremente debido a las *fracturas costales múltiples*. Esta lesión permite un movimiento paradójico del segmento parietal libre (penetra con la inspiración y sale con la espiración). Se trata de una lesión muy dolorosa, que difi-

culta la ventilación pulmonar e influye en la oxigenación de la sangre. Para el tratamiento se suele fijar el segmento suelto con ganchos o alambres para que no pueda moverse.

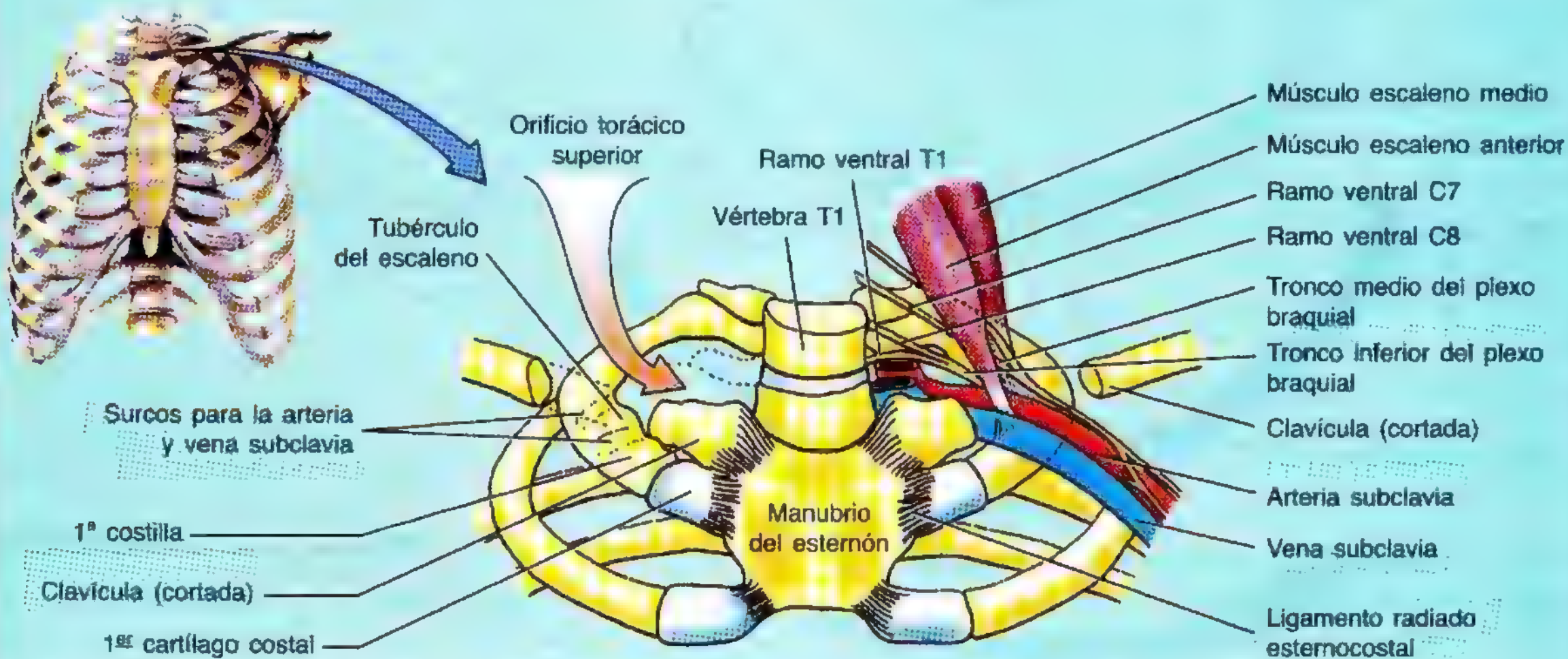
Toracotomía e injerto óseo

La creación quirúrgica de un orificio anterior en la pared torácica representa una *toracotomía anterior*. Los cortes en forma de H a través del pericondrio cartilaginoso permiten extraer segmentos del cartílago costal para acceder a la cavidad torácica. A veces, los cirujanos emplean un fragmento de costilla como injerto óseo autógeno en procedimientos como la reconstrucción de la mandíbula después de la extirpación tumoral.

Los cirujanos también cortan el periostio y extraen partes posteriores de la costilla —*toracotomía posterior*— para penetrar dentro de la cavidad torácica y extirpar, por ejemplo, un tumor pulmonar. Después de la operación, los fragmentos de costilla extraídos se regeneran a partir del periostio intacto, pero las costillas casi nunca adquieren su forma original.

Costillas supernumerarias

Lo normal es tener 12 costillas a cada lado, aunque este número puede aumentar por la presencia de costillas cervicales, lumbares o ambas, o disminuir por la ausencia del 12º par. Las costillas supernumerarias se deben a la retención y desarrollo de las apófisis costales de las vértebras cervicales y lumbares (Moore y Persaud, 1998). La parte distal de la apófisis transversa de estas vértebras emerge a partir de las apófisis costales. En algunas personas, estas apófisis crecen de manera inusitada, dando origen a costillas adicionales. ▶



► Las **costillas cervicales** (incidencia: 0,5-1%) se articulan con la vértebra C7, pero casi nunca se insertan en el esternón. Estas costillas pueden ser libres, articularse o fusionarse a la 1ª costilla, o insertarse en la 1ª a través de una banda fibrosa. Es frecuente detectar costillas cervicales entre personas asintomáticas, pero tienen importancia clínica porque pueden comprimir las fibras del tronco inferior del plexo braquial y provocar dolor o acorchamiento (parestias) en el hombro y en el miembro superior (*síndrome de la costilla cervical*, uno de los *síndromes del estrecho torácico*). El dolor en la mano es más intenso en el 4º y 5º dedos. A menudo, la banda fibrosa que comprime los nervios C8 y T1 o el tronco inferior del plexo braquial se extiende desde la costilla cervical a la 1ª costilla. La costilla cervical también puede comprimir la arteria subclavia y motiva un *dolor muscular isquémico* del miembro superior (el dolor se debe a la irrigación insuficiente de los músculos del miembro). Si el dolor es intenso, a veces hay que extirpar toda o parte de la costilla cervical. La compresión de la arteria subclavia por una costilla cervical u otra causa relacionada con el orificio torácico superior, puede hacer que disminuya el pulso cuando el miembro superior no se encuentra a un lado, sobre todo cuando se aumenta el ángulo

entre el cuello y el hombro. El pulso aumenta cuando se eleva el miembro (maniobra de Holzen).

Las **costillas lumbares** son más raras que las cervicales (véase el capítulo 4), pero revisten importancia clínica porque pueden confundir la identificación de los planos vertebrales en la radiografía y otras imágenes diagnósticas. Además, la fractura de una costilla lumbar se puede interpretar equivocadamente como la fractura de la apófisis transversa de la vértebra L1. Si la apófisis transversa lumbar parece inusualmente larga, puede tratarse de una costilla lumbar.

Función protectora y variación de los cartílagos costales

Los cartílagos costales confieren elasticidad a la caja torácica y evitan la fractura del esternón y de las costillas al recibir diferentes golpes. Dada la gran elasticidad de las costillas y de los cartílagos costales de los niños, la compresión torácica puede causar una lesión intratorácica, incluso sin que se fracture ninguna costilla. Los cartílagos costales de las personas mayores pierden su elasticidad y se tornan frágiles; se calcifican y se vuelven radiopacos (p. ej., en la radiografía). ◊

Vértebras torácicas

Las vértebras torácicas (figs. 1.4 y 1.5) son características porque disponen de los arcos costales (arcos neurales) y siete apófisis para las conexiones musculares y articulares. *Los rasgos especiales de las vértebras torácicas* comprenden:

- Fositas costales en los cuerpos para la articulación con las cabezas de las costillas.
- Fositas costales en las apófisis transversas para la articulación con los tubérculos de las costillas, salvo las dos o tres últimas vértebras torácicas.
- Apófisis espinosas largas.

A los lados de los cuerpos de las vértebras T2 a T9 se encuentran *dos fositas costales* —pequeñas superficies planas a cada lado del disco IV entre dos vértebras adyacentes que se articulan con una costilla—. La **fosita superior** del borde posterolateral superior del cuerpo vertebral se articula con la cabeza de su propia costilla (costilla del mismo número), y la **inferior**, situada en sentido posterolateral e inferior al cuerpo vertebral, se articula con la cabeza de la costilla inferior (el número de la costilla excede en una unidad el de la vértebra).

Las fositas costales de las demás vértebras varían algo.

- T1 posee una sola fosita para la cabeza de la 1ª costilla y otra para la porción craneal de la 2ª costilla.

- T10 sólo posee una fosita costal, que radica en parte en el cuerpo y en parte en el pedículo.
- T11 y T12 sólo disponen de una fosita costal en sus pedículos.

Las **apófisis espinosas** se proyectan desde los arcos vertebrales de las vértebras torácicas típicas, son largas y siguen una inclinación inferior (fig. 1.4D). Cubren los intervalos entre las **láminas** de las vértebras adyacentes e impiden que los objetos punzantes, como un cuchillo, penetren en el **conducto vertebral** y dañen la médula espinal.

Efecto del aneurisma aórtico sobre las vértebras

Los movimientos entre vértebras adyacentes son relativamente escasos en la región torácica, debido sobre todo a la presencia de la caja torácica. Esta limitación del movimiento otorga una rigidez relativa que protege el corazón y los pulmones. Los cuerpos de las vértebras T5 a T8 se relacionan con la aorta torácica; ésta suele aplanar sus caras laterales izquierdas. Cuando la aorta experimenta un **aneurisma** (dilatación localizada), los cuerpos de estas vértebras pueden manifestar una erosión parcial debido a la compresión aneurismática. Estas alteraciones óseas se ven en la radiografía. ◊

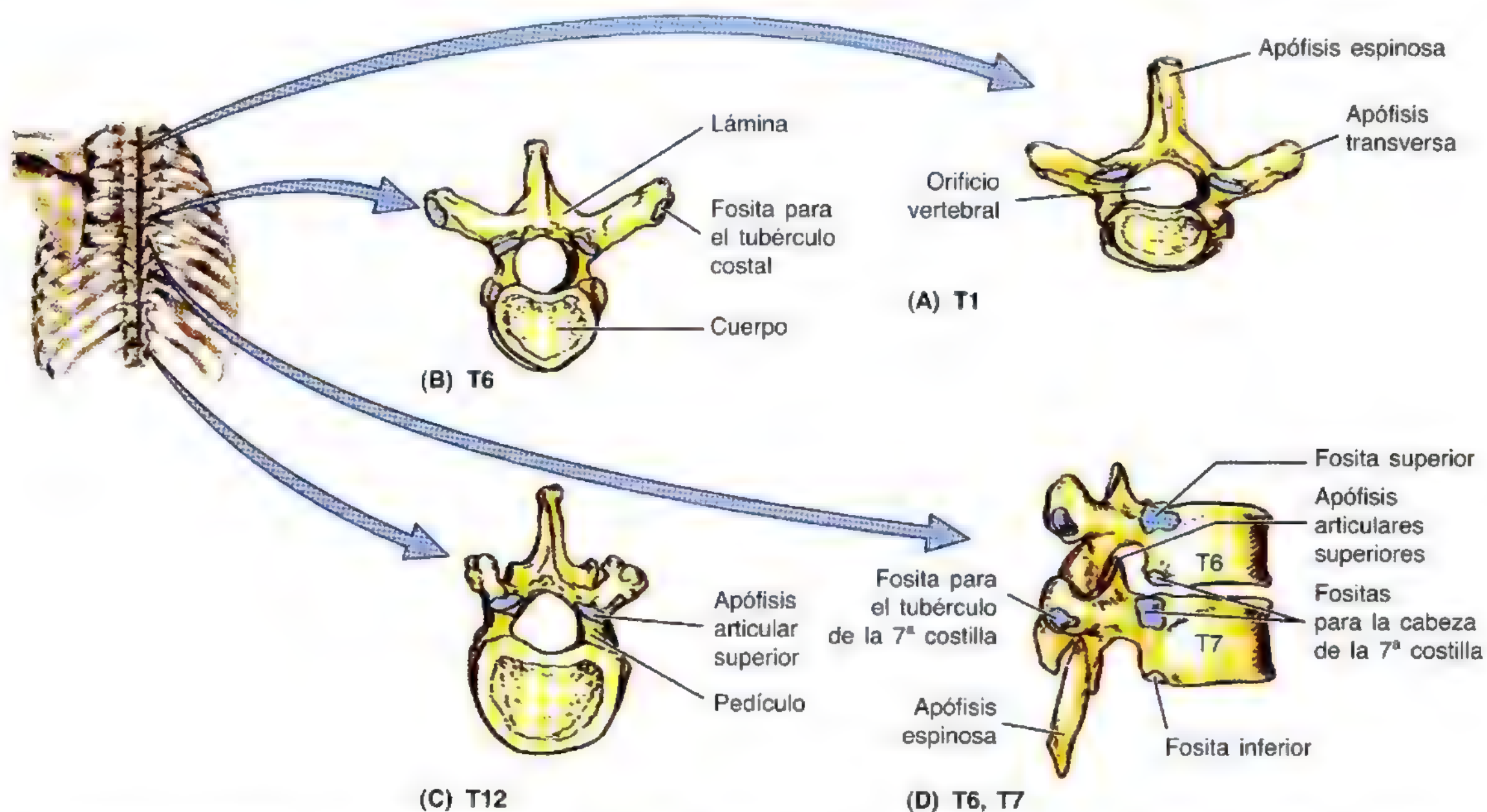


Figura 1.4. Vértebras torácicas típicas. Las vértebras T5 a T9 reúnen las características típicas de las vértebras torácicas. **A-C.** Visiones superiores. **D.** Visión lateral de las vértebras T6 y T7.

Articulaciones costovertebrales:

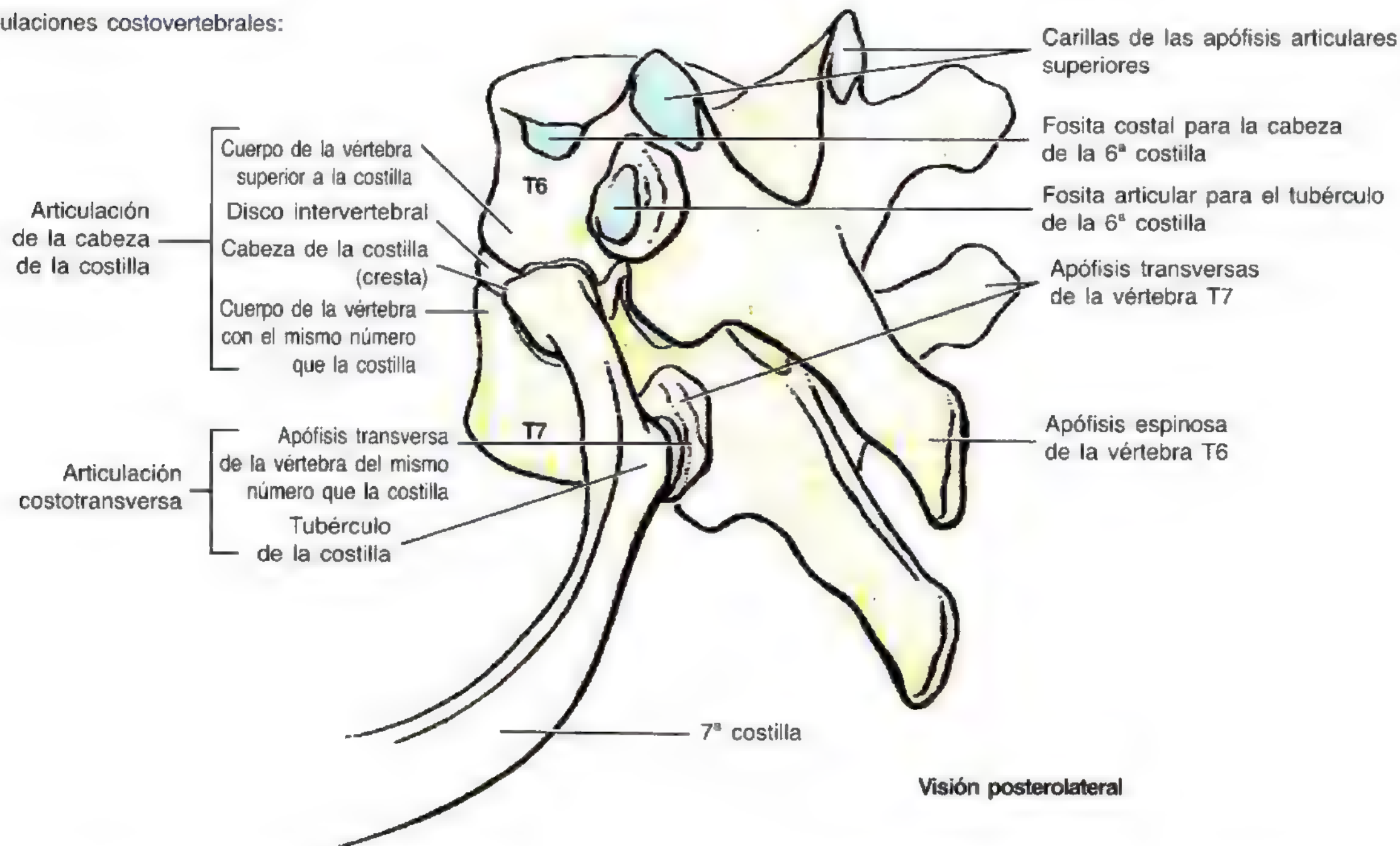


Figura 1.5. Articulaciones costovertebrales de una costilla típica. Las articulaciones costovertebrales comprenden la *articulación de la cabeza costal*, en la que la cabeza se articula con dos cuerpos vertebrales adyacentes y el disco intervertebral (IV), y la *costotransversa*, en la que el tubérculo de la costilla se articula con la apófisis transversa de una vértebra.

Esternón

El esternón (del G. *sternon*, tórax) es el hueso elongado y plano que forma la mitad de la parte anterior de la caja torácica (fig. 1.6). El esternón consta de tres partes: manubrio, cuerpo y apófisis xifoides.

El **manubrio** (que en latín significaba mango, como el mango de una espada; el cuerpo esternal sería la hoja) es un hueso relativamente triangular que se encuentra a la altura de los cuerpos de las vértebras T3 y T4. El manubrio es la porción más ancha y gruesa de las tres que configuran el esternón. El centro cóncavo del borde superior del manubrio, corresponde a la **escotadura yugular** (escotadura supraesternal). Ésta es una escotadura acusada en un esqueleto articulado (y en el ser vivo) por los extremos mediales (esternales) de las clavículas, que son demasiado grandes para las *escotaduras claviculares*, relativamente pequeñas, del manubrio que las recibe y forman las articulaciones esternoclaviculares. El cartílago costal de la primera costilla, inferolateral a la escotadura clavicular, se une al borde lateral del manubrio: *sincondrosis esternocostal* de la 1ª costilla (fig. 1.1A). El manubrio y el cuerpo esternal se sitúan en planos diferentes, superior e inferior a la **articulación manubrioesternal**; por eso, su unión crea un **ángulo esternal** prominente (de Louis). Esta referencia clínica palpable se encuentra *enfrente del 2º par de cartílagos costales*, a la altura del disco IV entre las vértebras T4 y T5. Como no se palpa la 1ª costilla, el número de costillas se cuenta en la exploración física a partir de la 2ª, adyacente al borde esternal subcutáneo y fácilmente accesible a la palpación (fig. 1.6A).

El **cuerpo del esternón** —más largo, estrecho y delgado que el manubrio— se encuentra a nivel de las vértebras T5

a T9 (fig. 1.6, A-C). Su anchura varía debido al “festoneado” de los bordes laterales por las **escotaduras costales**. En las personas jóvenes se observan claramente cuatro *esternébras*, segmentos primitivos del esternón. Las esternébras se articulan entre sí por las uniones cartilaginosas primarias (sincondrosis esternales). Estas articulaciones comienzan a fusionarse desde el extremo inferior entre la pubertad (madurez sexual) y los 25 años de vida. La superficie anterior y casi plana del esternón queda marcada en los adultos por tres **crestas transversales** variables (fig. 1.6A), que representan las líneas de fusión (sinóstosis) de las cuatro esternébras originalmente separadas.

La **apófisis xifoides** —la parte más pequeña y variable del esternón— es fina y elongada y se encuentra a la altura de la vértebra T10. La apófisis xifoides, aunque a menudo puntiaguda, puede ser roma, bifida, curva o inclinada a un lado o en sentido anterior. Tiene constitución cartilaginosa en las personas jóvenes, pero se osifica en mayor o menor medida a partir de los 40 años. La apófisis xifoides puede unirse al cuerpo esternal en las personas de edad avanzada.

La apófisis xifoides es una importante referencia en el plano medio, porque:

- Su unión con el **cuerpo esternal** a través de la articulación xifoesternal señala el límite inferior de la porción central de la cavidad torácica que se proyecta sobre la pared anterior; esta articulación es también el asiento del **ángulo infraesternal (subcostal)** del estrecho torácico inferior.
- Es una marca de la línea media del límite superior del hígado, el tendón central del diafragma y el borde inferior del corazón.

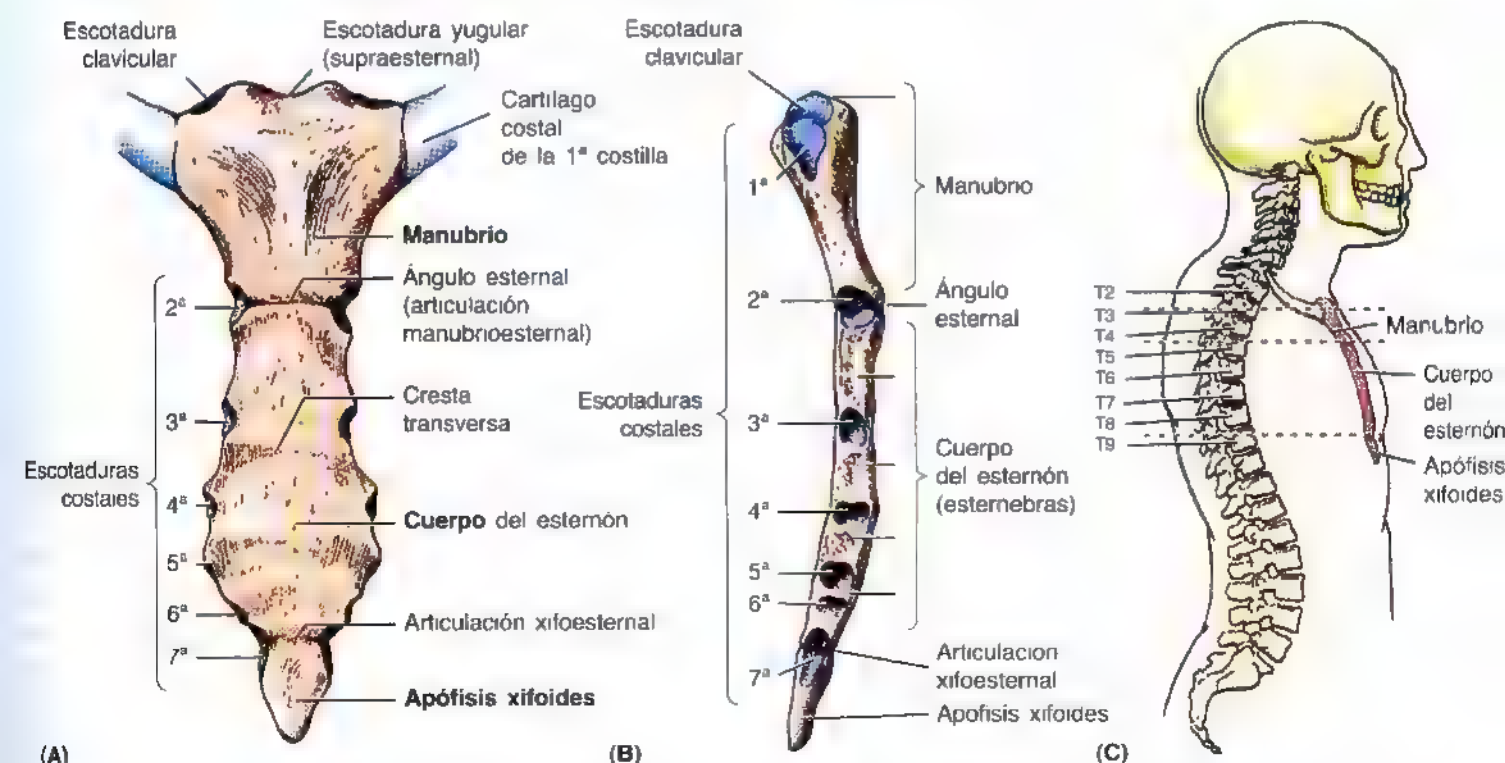


Figura 1.6. Esternón. A. Visión anterior B. Visión lateral Obsérvese el grosor del tercio superior del manubrio entre las escotaduras claviculares. C. Visión lateral Se muestra la relación entre el esternón y la columna vertebral

Apófisis xifoides óseas

No es raro que las personas, al alcanzar los 40 años, comprueben de manera repentina que sus apófisis xifoides se han osificado parcialmente y consulten al médico por un bulto duro que notan en la "boca del estómago" (*fosa epigástrica*). Al no haber notado nunca antes su apófisis xifoides, temen sufrir un "cáncer de estómago".

Fracturas esternales

Las fracturas del esternón no son comunes, a pesar de su ubicación subcutánea. Las lesiones por aplastamiento se producen después de una compresión traumática de la pared torácica en un accidente de tráfico, cuando el tórax del conductor es impelido contra la columna de dirección, por ejemplo. La colocación de bolsas de aire en los vehículos ha reducido el número de fracturas esternales. La *fractura* del cuerpo esternal suele ser *conminuta* (el esternón se rompe en varios fragmentos). No es frecuente que se desplacen los fragmentos óseos, porque el esternón está envuelto por una fascia profunda y también por la inserción esternal de los músculos pectorales mayores. El lugar más frecuente de fractura esternal es el ángulo del esternón, con la *luxación* consiguiente de la *articulación manubrioesternal*.

Esternotomía media

Para poder acceder a la cavidad torácica durante las intervenciones quirúrgicas del mediastino, por ejemplo, *para implantar un injerto de derivación de las arterias coronarias*, se divide ("incide") el esternón en el plano medio y se retrae. La flexibilidad de las costillas y de los cartílagos costales permite separar las mitades del esternón. La *incisión esternal* también favorece una buena exposición de los lóbulos superiores de los pulmones (p. ej., para la extirpación de tumores). Después de la cirugía se unen de nuevo las dos mitades del esternón con suturas de alambre.

Biopsia esternal

El cuerpo esternal sirve a menudo para la *biopsia con aguja de la médula ósea*, debido a su anchura y posición sub-


cutánea. La aguja perfora la capa cortical fina y penetra dentro del hueso esponjoso vascular. La biopsia esternal se usa mucho para extraer muestras de médula ósea para trasplante y detectar el cáncer metastásico y las *discrasias* (anomalías) *sanguíneas*.

Anomalías del esternón

A veces, las mitades no fusionadas del esternón fetal en desarrollo (barras esternales) no se unen por un defecto de la osificación. La *hendidura esternal completa* es rara; esta hendidura tan grave suele acompañarse de *ectopia cardíaca*, malformación congénita en la que el corazón se expone sobre la pared torácica debido a un desarrollo deficiente del esternón y del pericardio (Moore y Persaud, 1998). En general, se precisa material protésico para cerrar el defecto esternal. Las hendiduras esternales del manubrio y de la mitad superior del cuerpo de este hueso tienen forma de V o de U, y se pueden reparar en la lactancia mediante aposición directa y fijación de las mitades esternales cartilaginosas (Sabiston y Lyerly, 1994).

A veces se observa una perforación (*orificio esternal*) del cuerpo esternal debida a una mala osificación. No tiene ninguna repercusión clínica, pero debe conocerse para no confundirla en la radiografía de tórax con una herida por bala. En general, la apófisis xifoides de las personas mayores se encuentra perforada debido a una osificación incompleta, pero tampoco tiene importancia clínica. El vértice de la apófisis xifoides sobresale en el plano anterior, debajo de la piel, en los lactantes. Esta anomalía congénita puede persistir, pero casi nunca requiere corrección quirúrgica.

Diferencias sexuales del esternón

El cuerpo del esternón femenino suele ser más corto y fino. Estas diferencias sexuales son útiles para conocer el sexo del esqueleto humano (p. ej., en casos medicolegales y estudios antropológicos). 

Articulaciones de la pared torácica

Pese a la frecuencia con que se mueven las articulaciones de la pared torácica, por ejemplo durante la respiración, el arco de movimiento de cada articulación es reducido. Sin embargo, cualquier trastorno que reduzca la movilidad de estas articulaciones dificulta la respiración. Durante la respiración profunda se observan grandes excursiones de la caja torácica (anterior, superior o lateral). El enderezamiento del dorso

incrementa el diámetro anteroposterior (AP) del tórax. Las *articulaciones de la pared torácica* (tabla 1.1) ocurren entre:

- Vértebras (articulaciones IV).
- Costillas y vértebras (articulaciones costovertebrales: articulaciones de las cabezas costales y articulaciones costotransversas).
- Costillas y cartílagos costales (articulaciones costochondrales).

- Cartílagos costales (articulaciones intercondrales).
- Esternón y cartílagos costales (articulaciones esternocostales).
- Esternón y clavícula (articulaciones esternoclaviculares).
- Partes del esternón (articulaciones manubrioesternal y xifoesternal) de las personas jóvenes; la primera y a veces la última se fusionan casi siempre en las personas de mayor edad.

Las *articulaciones IV* entre los cuerpos de las vértebras adyacentes están unidas por los ligamentos longitudinales y los discos IV. Estas articulaciones se comentan con el dorso (véase el capítulo 4).

Articulaciones costovertebrales

La costilla típica se articula con la columna vertebral en dos lugares (fig. 1.7):

- Articulaciones de las cabezas costales.
- Articulaciones costotransversas.

Articulaciones de las cabezas costales. La cabeza de cada costilla típica se articula con las fositas costales de dos vértebras torácicas adyacentes (fig. 1.4) y el *disco IV*, situado entre ellas. La cabeza se articula con la parte superior de la vértebra correspondiente (del mismo número), la parte inferior de la vértebra superior y el disco adyacente que une ambas vértebras. Por ejemplo, la cabeza de la 6ª costilla se articula con la parte superior del cuerpo de la vértebra T6, la parte inferior de T5 y el disco comprendido entre ambas (fig. 1.7). La **cresta de la cabeza costal** se une al disco IV por un **ligamento intra-articular** que divide el espacio cerrado en dos cavidades sinoviales. Constituyen una excepción a esta disposición general de la articulación las cabezas de la 1ª, a veces de la 10ª y casi siempre de la 11ª y 12ª costillas, que sólo se articulan con sus cuerpos vertebrales (cuerpos del mismo número que la costilla). En este caso no existen ligamentos intraarticulares y tampoco se dividen las cavidades articulares.

Cada articulación está rodeada por una **cápsula articular**, que conecta la cabeza de la costilla con el perímetro de la cavidad articular. La cápsula fibrosa es más robusta por la cara anterior, donde forma el **ligamento radiado**, que se extiende en abanico desde el borde anterior de la cabeza costal hasta los lados de los cuerpos de dos vértebras y del disco IV, situado entre ellas. Las cabezas costales se relacionan de manera tan íntima con los cuerpos vertebrales, que sólo es posible un ligero movimiento deslizante en las articulaciones de las cabezas; no obstante, dicho movimiento provoca una excursión relativamente amplia del extremo distal (esternal o anterior) de la costilla.

Articulaciones costotransversarias. El tubérculo de una costilla típica se articula con la fosita costal transversa de la cara anterior del extremo de la apófisis transversa de su propia vértebra (fig. 1.7). Estas pequeñas articulaciones sinoviales están rodeadas por finas cápsulas articulares que se

insertan en los bordes de las fositas articulares. El **ligamento costotransverso** pasa desde el cuello de la costilla hasta la apófisis transversa, y el **ligamento costotransverso lateral**, desde el tubérculo de la costilla hasta la punta de la apófisis transversa; ambos ligamentos refuerzan las caras anterior y posterior, respectivamente, de la articulación. El **ligamento costotransverso superior** es una banda ancha que une la cresta del cuello de la costilla con la apófisis transversa superior a ella. La abertura entre este ligamento y la vértebra permite el paso del nervio espinal y la rama dorsal de la arteria intercostal. El ligamento costotransverso superior se puede dividir en un **ligamento costotransverso anterior**, robusto, y otro **posterior**, débil. Los ligamentos costotransversos robustos que unen estas articulaciones limitan sus movimientos a un ligero deslizamiento. Sin embargo, las carillas articulares de los tubérculos de las seis primeras costillas son convexas y encajan en las concavidades de las apófisis transversas (fig. 1.7C). En consecuencia, la rotación de las costillas se acompaña de cierta elevación y depresión de los extremos distales (esternales) de las costillas y del esternón en el plano sagital (fig. 1.8B). Las superficies articulares planas de los tubérculos y de las apófisis transversas de la 7ª a la 10ª costillas (fig. 1.7C) permiten cierto deslizamiento y pivote, con la elevación y depresión consiguientes de las costillas en el plano transversal (fig. 1.8A).

La 11ª y 12ª costillas flotantes no se articulan con las apófisis transversas y gozan, pues, de movimientos aún más libres.

Articulaciones costococondrales

Las articulaciones costococondrales son articulaciones *cartilagosas hialinas*. Cada costilla tiene una depresión cupuliforme en su extremo esternal, donde encaja el cartílago costal (tabla 1.1). La costilla y su cartílago se unen íntimamente por la continuidad del periostio costal con el pericondrio cartilaginoso. Estas articulaciones no suelen moverse.

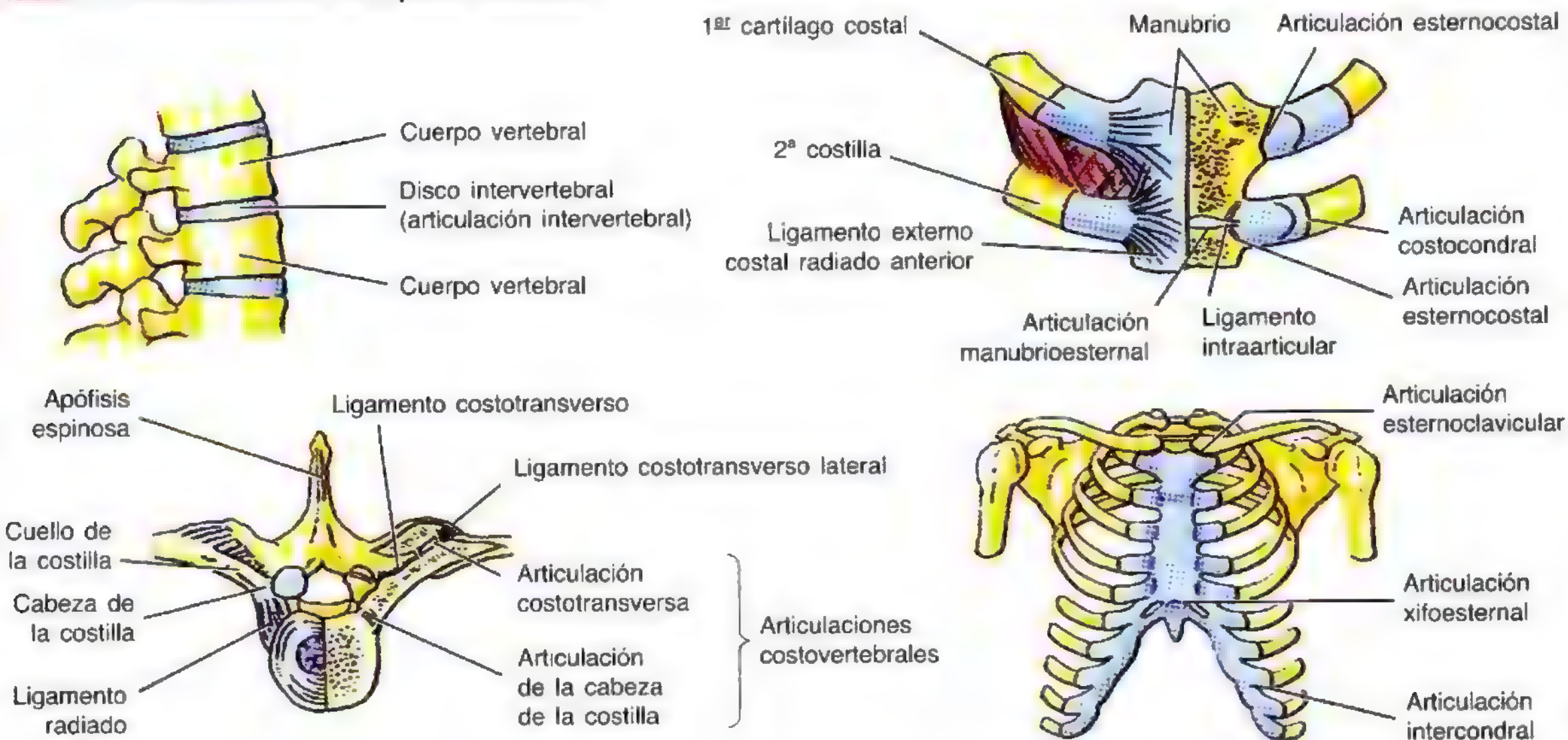
Articulaciones intercondrales

Las articulaciones entre los bordes adyacentes del 6º y 7º, 7º y 8º, y 8º y 9º cartílagos costales son *articulaciones sinoviales planas* (tabla 1.1). En general, cada una de estas articulaciones tiene una cavidad sinovial, cerrada por una **cápsula articular**. Las articulaciones están reforzadas por ligamentos intercondrales. La articulación entre el 9º y 10º cartílagos costales es una articulación fibrosa.

Articulaciones esternocostales

La 1ª a 7ª costillas se articulan por sus cartílagos costales con los bordes laterales del esternón de la forma siguiente (tabla 1.1):

- El 1º par de cartílagos se articula sólo con el manubrio.
- El 2º par de cartílagos se articula con el manubrio y el 1º segmento esternal (esternón).

Tabla 1.1. Articulaciones de la pared torácica

- El 3º a 5º pares de cartílagos se articulan con el 2º y 3º segmentos esternales.
- El 6º par de cartílagos se articula con el 4º segmento esternal sólo.

- El 7º par de cartílagos se articula con el 4º segmento esternal y la apófisis xifoides.

El 1º par de cartílagos costales se articula con el manubrio a través de **articulaciones cartilaginosas primarias** o sincondrosis. Los cartílagos se unen de forma directa al cartilago hialino por las depresiones del borde superolateral del manubrio. El 2º a 7º par de cartílagos costales se articula con el esternón por **articulaciones sinoviales** y se mueve durante la respiración. Las cápsulas articulares débiles de estas articulaciones están reforzadas (engrosadas) por la cara interior y posterior, formando los **ligamentos esternocostales** radiados. Éstos se prolongan con unas bandas membranosas anchas y finas que pasan de los cartílagos costales a las superficies anterior y posterior del esternón, formando una cubierta a modo de fieltro de esta placa ósea.

Luxación de las costillas

La luxación costal (*síndrome de la costilla deslizante*) es el desplazamiento de un cartilago costal esternal, es decir, la *luxación de una articulación esternocostal* o el desplazamiento de las articulaciones intercondrales. En los deportes de contacto son frecuentes estas luxaciones; entre las posibles complicaciones cabe citar la compresión o daño de los nervios, vasos y músculos adyacentes (Birrer, 1994). El desplazamiento de las articulaciones intercondrales suele ser unilateral y afecta a la 8ª, 9ª y 10ª costillas. Todo traumatismo con la fuerza suficiente para desplazar estas articulaciones suele dañar las estructuras subyacentes, como diafragma, hígado o ambas a la vez, y provoca un dolor intenso, en particular durante la inspiración profunda. La lesión determina que aparezca un bulto en la zona desplazada.

Separación de las costillas

La separación de las costillas se refiere a la *luxación de una articulación costocostal* entre la costilla y su cartilago costal. Las separaciones de la 3ª a la 10ª costillas suelen conllevar un desgarramiento pericondrial y perióstico. En consecuencia, la costilla se mueve hacia arriba y acabalga en la costilla superior, provocando dolor. ❖

Movimientos de la pared torácica

Los movimientos de la pared torácica y del diafragma durante la inspiración incrementan el volumen intratorácico y los diámetros del tórax (fig. 1.8A). Los cambios consecuentes de la presión hacen que el aire sea alternativamente introducido en los pulmones (inspiración) a través de la nariz, boca, laringe y tráquea, o expulsado de éstos (expiración) por los mismos conductos. El diafragma, los músculos intercostales y otros músculos se relajan durante la espiración pasiva, con lo que disminuye el volumen intratorácico y *aumenta la presión dentro del tórax*. El tejido elástico estirado de los pulmones retrocede y expulsa la mayor parte del aire. Al mismo tiempo se reduce la *presión intrabdominal*.

Tabla 1.1. (Continuación)

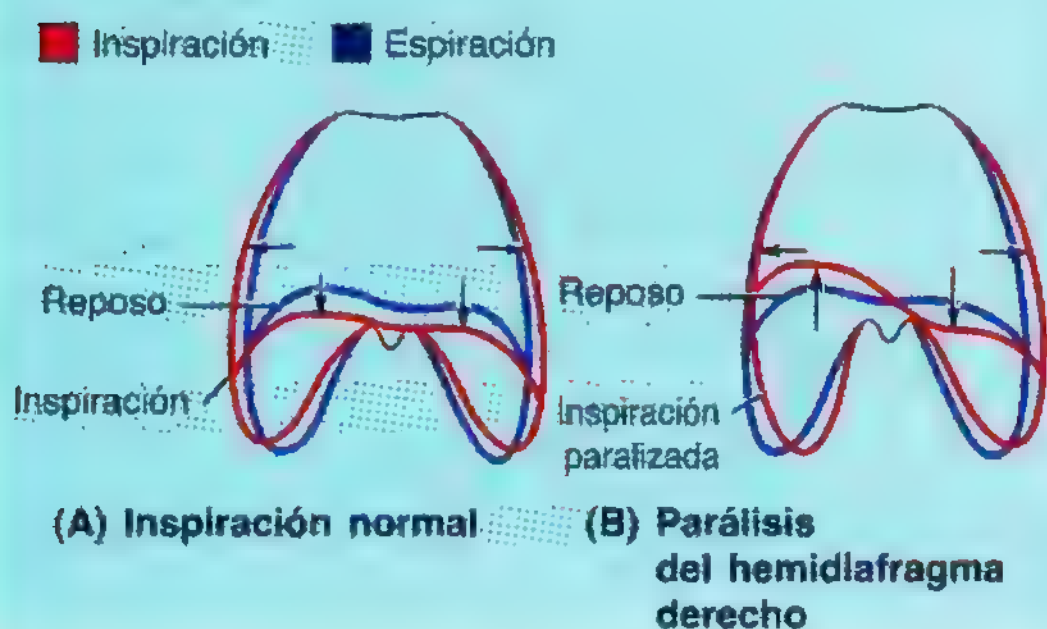
Articulación	Tipo	Articulaciones	Ligamentos	Comentarios
Intervertebral	Sínfisis (articulación cartilaginosa secundaria)	Cuerpos vertebrales adyacentes unidos por el disco	Longitudinal anterior y posterior	
Costovertebrales Articulaciones de la cabeza costal	Articulación sinovial plana	Cabeza de cada costilla con la fosita costal superior del cuerpo vertebral correspondiente y la fosita costal inferior del cuerpo vertebral superior	Ligamentos radiado e intraarticular de la cabeza de la costilla	Las cabezas de la 1ª, 11ª y 12ª costillas (a veces, 10ª) sólo se articulan con el cuerpo vertebral correspondiente
Costovertebral Costotransversa	Articulación sinovial plana	Articulación del tubérculo de la costilla con la apófisis transversa de la vértebra correspondiente	Costotransverso lateral y superior	La 11ª y 12ª costillas no se articulan con las apófisis transversas de las vértebras correspondientes.
Costocondral	Articulación cartilaginosa primaria	Articulación del extremo lateral del cartilago costal con el extremo esternal de la costilla	El cartilago y el hueso están unidos al periostio	En general, esta articulación no tiene movimiento
Intercondral	Articulación sinovial plana	Articulación entre los cartílagos costales de la 6ª-7ª, 7ª-8ª y 8ª-9ª costillas	Ligamentos intercondrales	La articulación entre los cartílagos costales de la 9ª y 10ª costillas es fibrosa
Esternocostal	1ª: articulación cartilaginosa primaria (sincondrosis) 2ª a 7ª: articulaciones sinoviales planas	Articulación de los primeros cartílagos costales con el manubrio del esternón Articulación del 2º al 7º pares de cartílagos costales con el esternón	Esternocostal radiado anterior y posterior	
Esternoclavicular	Articulación sinovial en silla de montar	Extremo esternal de la clavícula con manubrio del esternón y 1º cartilago costal	Ligamentos esternoclavicular anterior y posterior; ligamento costoclavicular	Esta articulación se divide en dos compartimientos por un disco articular
Manubrioesternal	Articulación cartilaginosa secundaria (sínfisis)	Articulación entre el manubrio y el cuerpo del esternón		Esta articulación suele fusionarse y transformarse en sinóstosis en las personas mayores
Xifoesternal	Articulación cartilaginosa primaria (sincondrosis)	Articulación entre la apófisis xifoides y el cuerpo del esternón		

El *diámetro vertical* (altura) de la parte central de la cavidad del tórax aumenta durante la inspiración porque el diafragma desciende y comprime las vísceras abdominales situadas debajo de él. En la espiración, el diámetro regresa a la normalidad, ya que el retroceso elástico de los pulmones determina una presión subatmosférica en las cavidades pleurales, entre los pulmones y la pared torácica. Como consecuencia de ello y de la ausencia de resistencia de las vísceras previamente comprimidas, las cúpulas del diafragma ascienden y reducen el diámetro vertical. El *diámetro transversal* del tórax aumenta un poco cuando se contraen los músculos intercostales, elevando las costillas (las zonas más laterales); este es un *movimiento parecido al de un asa de cubo*

(fig. 1.8B). El *diámetro AP* del tórax aumenta también de forma considerable cuando se contraen estos músculos: las costillas (en particular la 2ª a la 6ª) se mueven por las articulaciones costovertebrales sobre un eje que pasa a través del cuello o de las costillas y determina el levantamiento del extremo esternal de las costillas; este es el *movimiento en asa de bomba*. Como las costillas se inclinan hacia abajo, su elevación también provoca un movimiento anteroposterior del esternón, sobre todo del extremo inferior; la articulación manubrioesternal de las personas jóvenes se mueve ligeramente, porque aún no ha tenido lugar la sinóstosis. La combinación de todos estos movimientos desplaza la caja torácica en dirección anterior, superior y lateral (fig. 1.8C).

Parálisis del diafragma

La parálisis de la mitad del diafragma (hemidiafragma) por lesión de su inervación motora proveniente del *nervio frénico* no afecta a la otra mitad, porque cada cúpula recibe una inervación diferente. La parálisis del diafragma se nota en la radiografía por el movimiento paradójico del mismo. En lugar de descender con la inspiración, la cúpula paralizada es empujada hacia arriba por las vísceras abdominales comprimidas por la mitad no dañada; durante la espiración baja como consecuencia de la presión positiva pulmonar. ◉



Glándula mamaria

Los hombres y las mujeres tienen glándulas mamarias, y en condiciones normales sólo se desarrollan plenamente en las mujeres (fig. 1.9). Las **glándulas mamarias** tienen una misión reproductora accesoria para la mujer, y son estructuras rudimentarias y carentes de función para los hombres, ya que sólo existen unos pocos conductos de pequeño tamaño. En general, la mama masculina contiene poca grasa y el sistema glandular no se llega a desarrollar. Las mamas representan la estructura superficial más destacada de la pared torácica anterior, sobre todo en el sexo femenino. Las glándulas mamarias se localizan en el tejido subcutáneo y cubren los músculos pectorales (mayor y menor). La cantidad de grasa que rodea el tejido glandular establece el tamaño de las mamas. El **pezón** es el elemento que más sobresale de la glándula y está rodeado de una zona pigmentada y circular de piel, la **areola** (que significa área pequeña en latín).

Glándula mamaria femenina

La base más o menos circular (lecho) de la glándula mamaria femenina (figs. 1.9 y 1.10) se extiende:

- En sentido transversal, desde el borde lateral del esternón hasta la línea axilar media (LAM) (pág. 93).
- En sentido vertical, desde la 2ª hasta la 6ª costillas.

Una pequeña porción de la glándula mamaria se extiende a lo largo del borde inferolateral del músculo pectoral mayor

en dirección a la axila, originando la **cola axilar** (de Spence). Algunas mujeres descubren esta cola, sobre todo si aumenta de tamaño durante el ciclo menstrual, y manifiestan su temor a que pueda tratarse de una "masa" o ganglio linfático hipertrofiado.

Los dos tercios de la glándula reposan sobre la **fascia pectoral profunda** que cubre el músculo pectoral mayor; el otro tercio descansa en la fascia que cubre el músculo serrato anterior. Entre la glándula y la fascia pectoral profunda se encuentra un plano o espacio virtual de tejido conjuntivo laxo, el espacio (bolsa) **retromamario**. Este plano, que contiene una pequeña cantidad de grasa, permite cierto movimiento de la glándula sobre la fascia pectoral. La glándula mamaria se inserta con firmeza en la dermis de la piel que la cubre a través de ligamentos cutáneos (*retinacula cutis*), los llamados **ligamentos suspensorios** (de Cooper). Estas condensaciones fibrosas del estroma del tejido conjuntivo, que se encuentran perfectamente desarrolladas en la parte superior de la glándula, dan soporte a los lóbulos glandulares.

Durante la pubertad (de los 8 a los 15 años), las glándulas crecen con normalidad por el desarrollo de las mismas y el depósito progresivo de grasa. Las areolas y los pezones también aumentan. El tamaño y la forma de la mama proviene de factores genéticos, raciales y alimentarios. Los conductos galactóforos forman esbozos que dan origen a 15-20 lóbulos de tejido glandular, que constituyen la glándula. Cada lóbulo está drenado por un **conducto galactóforo** que suele desembocar de manera independiente en el pezón. Los conductos convergen hacia el pezón de forma parecida a los radios de una rueda de bicicleta. En la profundidad de la areola, cada conducto tiene una porción dilatada, el **seno galactóforo**, donde se acumula una pequeña gota de leche en las madres lactantes. Cuando el pequeño empieza a mamar, la compresión de la areola (y del seno galactóforo inferior) exprime las gotas acumuladas y anima al pequeño a continuar alimentándose mientras que el "reflejo de salida de la leche", mediado por las hormonas, prosigue y se segrega —no se succiona— la leche materna hacia la boca del bebé.

La areola contiene muchas **glándulas sebáceas** que aumentan durante el embarazo y segregan una sustancia oleosa que lubrica y protege la areola y el pezón, muy sensibles al dolor y la irritación cuando se inicia la experiencia de la lactancia entre la madre y su hijo. Los **pezones** son prominencias cónicas o cilíndricas situadas en el centro de la areola. Carecen de grasa, pelo y glándulas sudoríparas. Los pezones de las *mujeres nulíparas* jóvenes —que todavía no han tenido un hijo viable— suelen encontrarse a la altura del 4º espacio intercostal. Sin embargo, la posición de los pezones varía mucho en las mujeres, sobre todo en las *mulíparas*, es decir, aquellas que han alumbrado como mínimo dos niños viables. Por eso, los pezones no representan una referencia fiable del 4º espacio intercostal en una mujer adulta. La punta del pezón está fisurada y los conductos galactóforos se abren por él. Los pezones constan, en su mayor parte, de fibras de músculo liso con disposición circu-

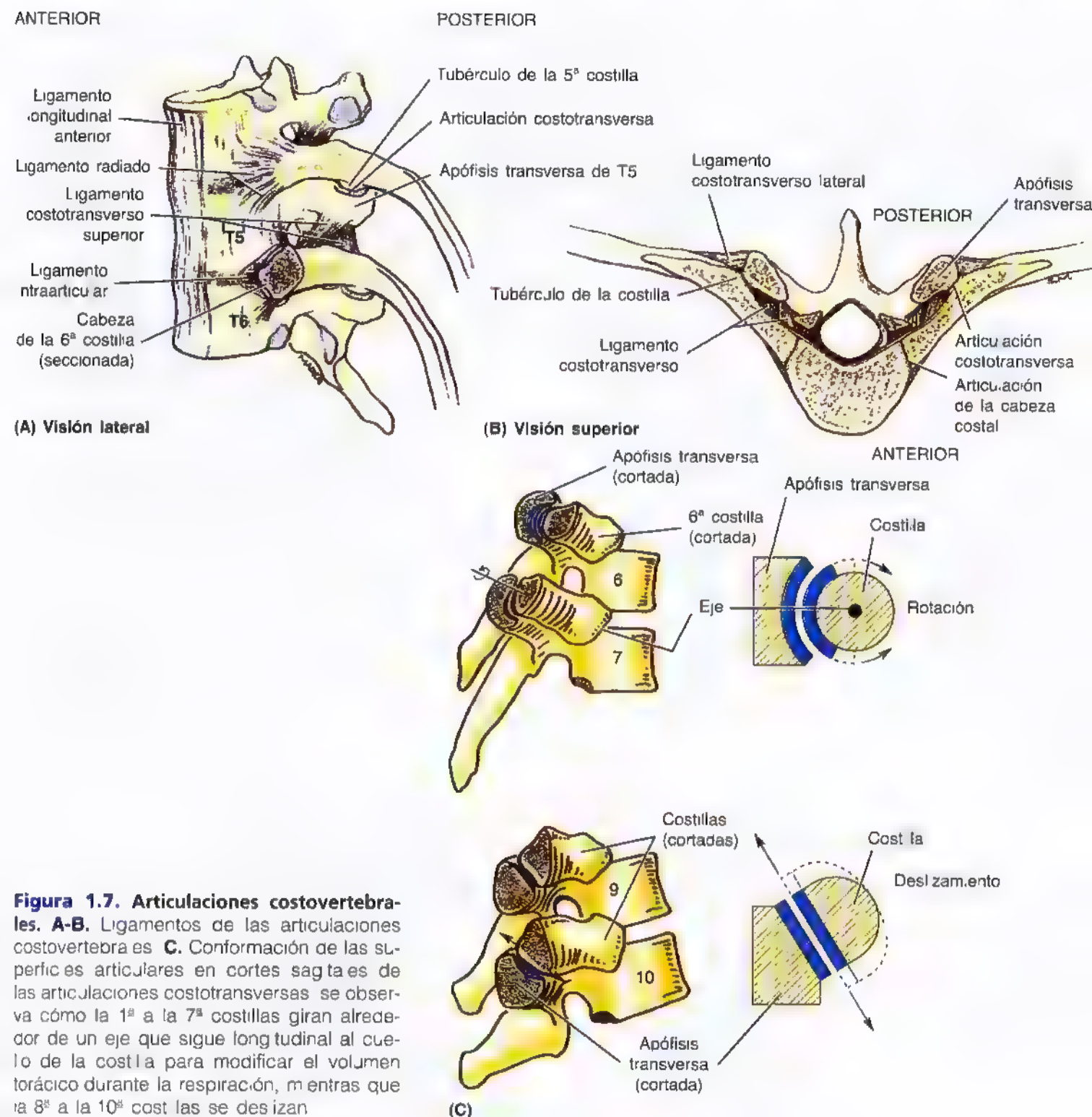


Figura 1.7. Articulaciones costovertebrales. A-B. Ligamentos de las articulaciones costovertebrales. **C.** Conformación de las superficies articulares en cortes sagitales de las articulaciones costotransversas se observa cómo la 1ª a la 7ª costillas giran alrededor de un eje que sigue longitudinal al cuello de la costilla para modificar el volumen torácico durante la respiración, mientras que la 8ª a la 10ª costillas se deslizan.

lar que comprimen los conductos galactóforos durante la lactancia y enderezan el pezón como respuesta a los estímulos; por ejemplo, cuando el niño empieza a succionar.

Las **glándulas mamarias** son glándulas sudoríparas modificadas; por eso carecen de cápsula o vaina especiales. El contorno redondeado y la mayor parte del volumen mamario se deben a los lóbulos adiposos, salvo durante el embarazo, momento en que la glándula mamaria crece y se forma nuevo tejido glandular. Los **alvéolos** que segregan la leche adoptan la forma de racimos de uva. La glándula mamaria

de la mayoría de las mujeres crece un poco durante el ciclo menstrual por el aumento de las hormonas gonadotropas (hormona folículoestimulante [FSH] y hormona luteinizante [LH]).

Vascularización de la glándula mamaria

La irrigación arterial de la glándula (fig. 1.11) proviene de:

- Ramas mamarias mediales de las ramas perforantes y ramas intercostales anteriores de la **arteria torácica interna**, que se origina en la subclavia.

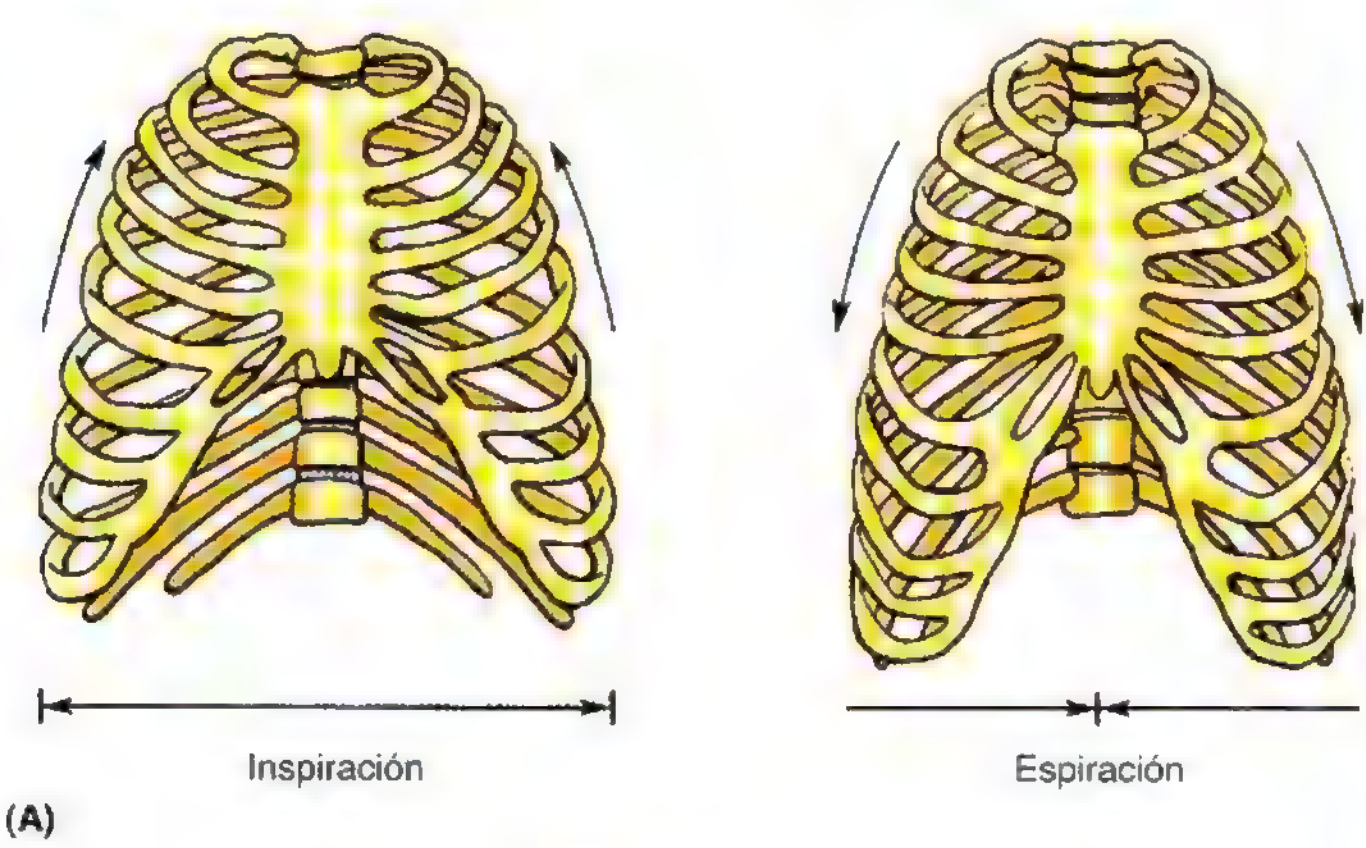


Figura 1.8. Movimientos de la pared torácica. **A.** Obsérvese cómo el tórax se ensancha durante la inspiración con la elevación de las costillas. **B.** Las porciones medias de las costillas inferiores se desplazan lateralmente cuando se elevan (movimiento en "asa de cubo"). Cuando las costillas superiores se elevan aumenta el diámetro anteroposterior (AP) del tórax (movimiento en "asa de bomba"), con una mayor excursión de la parte inferior. **C.** La combinación de los movimientos que tiene lugar durante la inspiración aumenta los diámetros AP y transversal de la caja torácica.

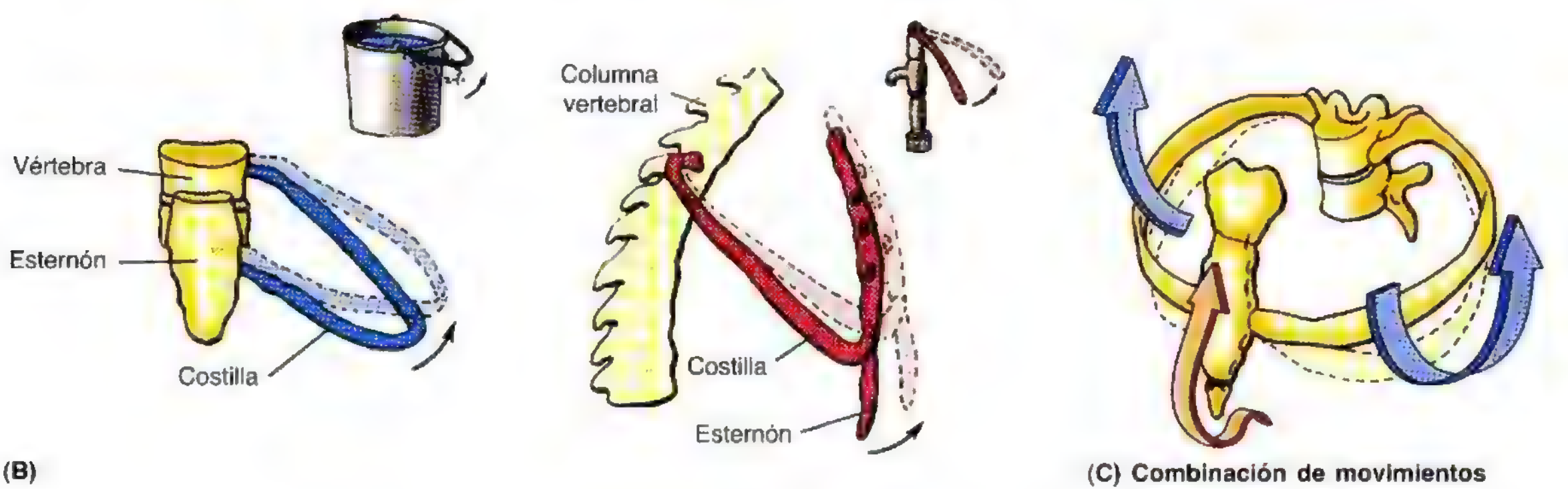


Figura 1.9. Disección superficial de la región pectoral femenina. En la parte izquierda se observa la glándula mamaria (tras extirpar la piel), que se extiende desde la 2ª hasta la 6ª costillas. También se aprecia la cola axilar que se prolonga hasta la axila. La glándula no lactante se compone sobre todo de grasa. En la derecha se observa la fascia pectoral profunda que cubre el músculo pectoral mayor. Notese que la glándula mamaria se sitúa en el tejido conjuntivo subcutáneo, o fascia superficial, entre la piel y la fascia profunda.

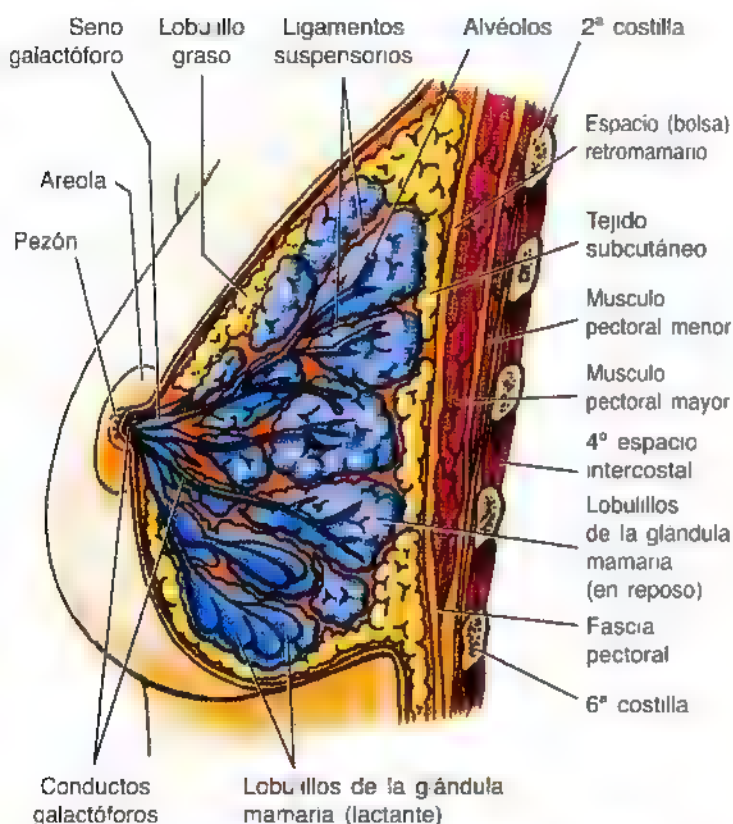


Figura 1.10. Sección sagital de la glándula mamaria y de la pared torácica anterior. La glándula se compone de tejido glandular y de tejido fibroso y adiposo, entre los lóbulos y lobulillos del tejido glandular, así como de vasos sanguíneos, vasos linfáticos y nervios. Los dos tercios superiores muestran un esquema de los ligamentos suspensorios y alvéolos de la mama, mientras que los lóbulos de la glándula mamaria se encuentran en reposo. En la parte inferior se muestran los lóbulos de una glándula mamaria lactante.

- **Arterias torácica lateral y toracoacromial**, ramas de la arteria axilar.
- **Arterias intercostales posteriores**, ramas de la aorta torácica que emergen en el 2º, 3º y 4º espacio intercostal.

Del drenaje venoso de la glándula mamaria se ocupa sobre todo la **vena axilar**, aunque parte lo conduce la **vena torácica interna**.

El drenaje linfático de la glándula tiene importancia en las metástasis de las células cancerosas. La linfa pasa del pezón, areola y lóbulos de la glándula hacia el **plexo linfático subareolar** (fig. 1.12), y desde ahí hasta:

- La mayor parte de la linfa (más del 75%), sobre todo la de los cuadrantes laterales, drena a los **ganglios linfáticos axilares**, en principio y sobre todo a los **ganglios pectorales (anteriores)**; sin embargo, parte de la linfa drena de manera directa a otros ganglios axilares o incluso a los ganglios interpectores, deltopectores, supraclaviculares o cervicales profundos inferiores.
- Gran parte de la linfa restante, sobre todo la de los cuadrantes mediales, drena a los **ganglios paraesternales** o a la glándula mamaria contralateral, mientras que la linfa de

Cambios de las glándulas mamarias

Los cambios del tipo de ramificación de los conductos galactóforos suceden en el tejido mamario durante los ciclos menstruales y el embarazo (Ferguson y cols., 1992). Las glándulas mamarias se preparan para la secreción en la mitad del embarazo, pero no producen leche hasta poco antes de que nazca el bebé. El **calostro**, un líquido cremoso blanco o amarillento, que precede a la leche, puede secretarse por los pezones en el último trimestre del embarazo y al principio de la lactancia. Se considera que el calostro contiene muchas proteínas, sustancias inmunitarias y un factor de crecimiento que influye en el intestino del pequeño.

Las glándulas mamarias suelen aumentar de tamaño y colgar de las **mujeres multiparas**. Las glándulas de las mujeres mayores son pequeñas y rugosas por la disminución del tejido adiposo y la atrofia del tejido glandular.

Cuadrantes mamarios

Para la localización anatómica y la descripción de los tumores se divide la superficie de la glándula en cuatro cuadrantes. Por ejemplo, las anotaciones del médico pueden indicar:

Se palpa una masa dura e irregular en el cuadrante superior interno de la mama, a las dos de la tarde, aproximadamente a 2,5 cm del borde areolar. ☉



los cuadrantes inferiores llega hasta la profundidad, a los ganglios frénicos inferiores (abdominales).

Los vasos linfáticos de la piel de la glándula, con excepción del pezón y de la areola, drenan a los ganglios axilares,

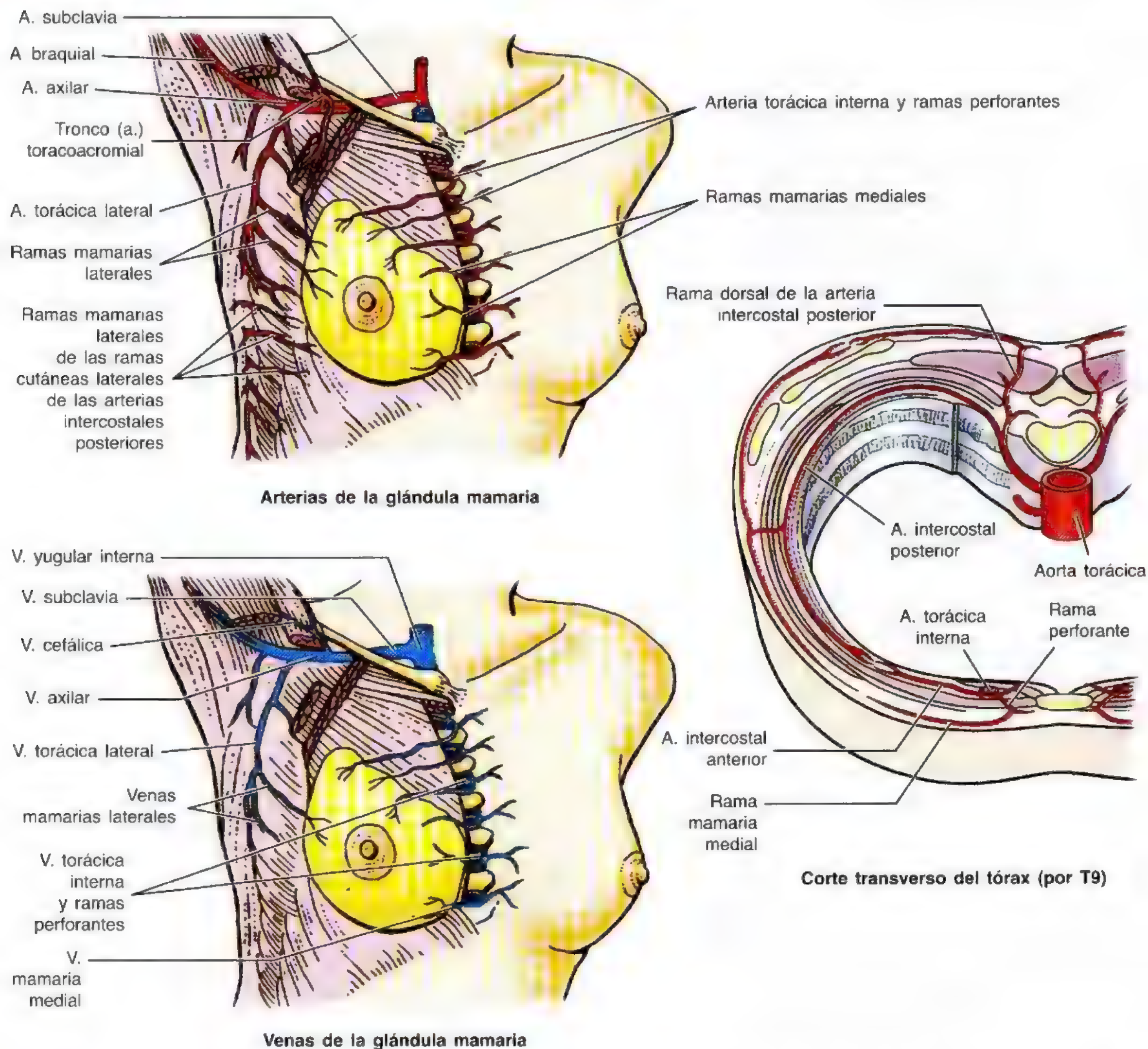


Figura 1.11. Vascularización de la glándula mamaria. La glándula mamaria está muy vascularizada y su irrigación corre a cargo en particular de ramas perforantes de la arteria torácica interna, diversas ramas de la arteria axilar sobre todo, de la arteria torácica lateral- y ramas que se originan en las arterias intercostales a su paso por la profundidad de la mama. El drenaje venoso se dirige (principalmente) a las venas axilares y torácicas internas.

cervicales profundos inferiores e infraclaviculares y también a los ganglios paraesternales de ambos lados.

La linfa de los ganglios axilares desemboca en los ganglios infraclaviculares y supraclaviculares y llega luego hasta el **tronco linfático subclavio**, que también drena la linfa del miembro superior. La linfa de los ganglios paraesternales ingresa en el **tronco broncomediastínico**, que drena las vísceras torácicas. La terminación de estos troncos linfáticos es variable. Tradicionalmente, estos troncos se agrupan entre sí y con el **tronco linfático yugular**, que drena la cabeza y cuello, para formar un **conducto linfático derecho** muy

corto, o bien terminan en el conducto torácico del lado izquierdo. No obstante, en muchos casos, si no en todos, los troncos desembocan de manera independiente en la *unión entre las venas yugular interna y subclavia* para formar las venas braquiocefálicas. En ocasiones desembocan en estas dos venas.

Nervios de la glándula mamaria

Los nervios de la glándula mamaria provienen de ramos cutáneos anteriores y laterales del **4º a 6º nervios intercostales** (fig. 1.13). Los ramos ventrales primarios de T1 a

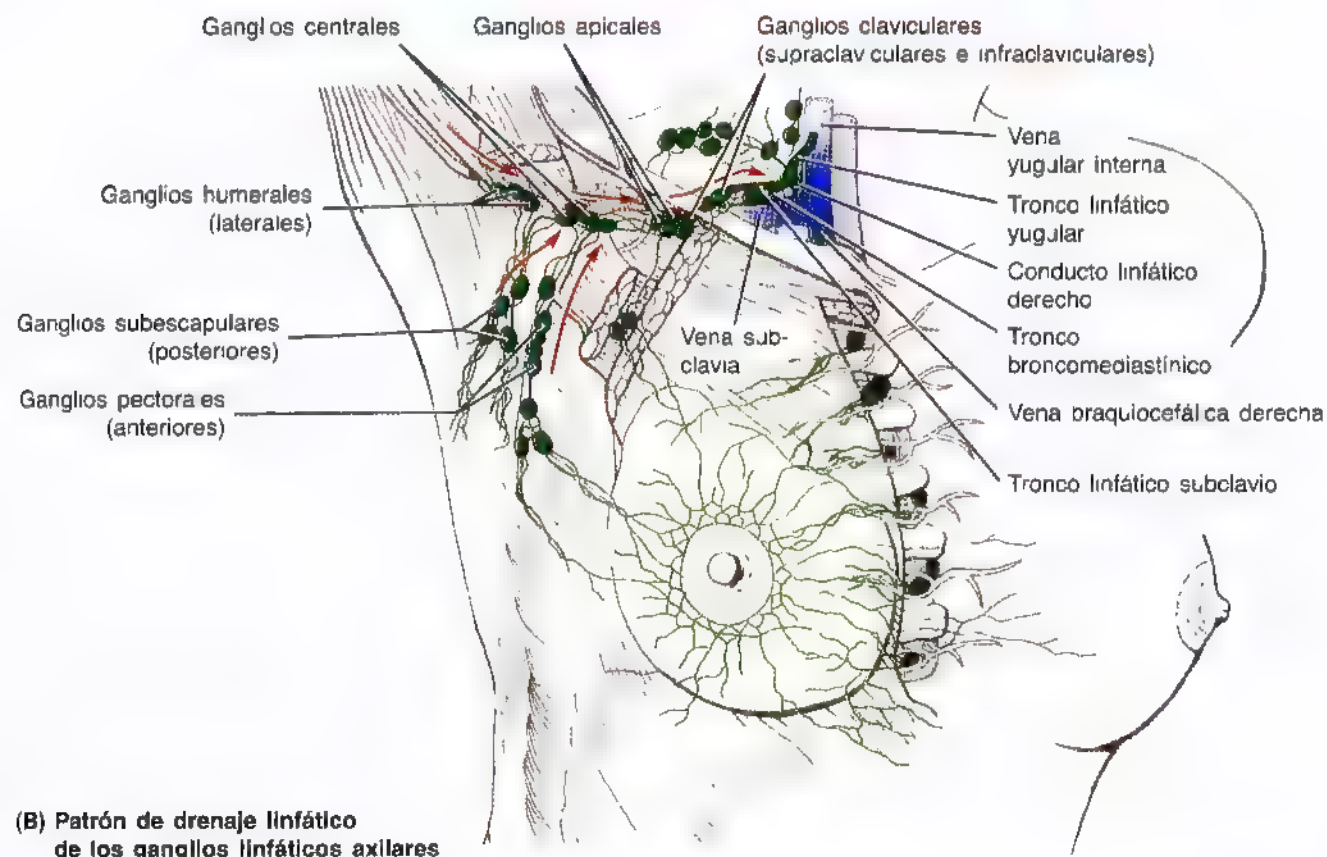
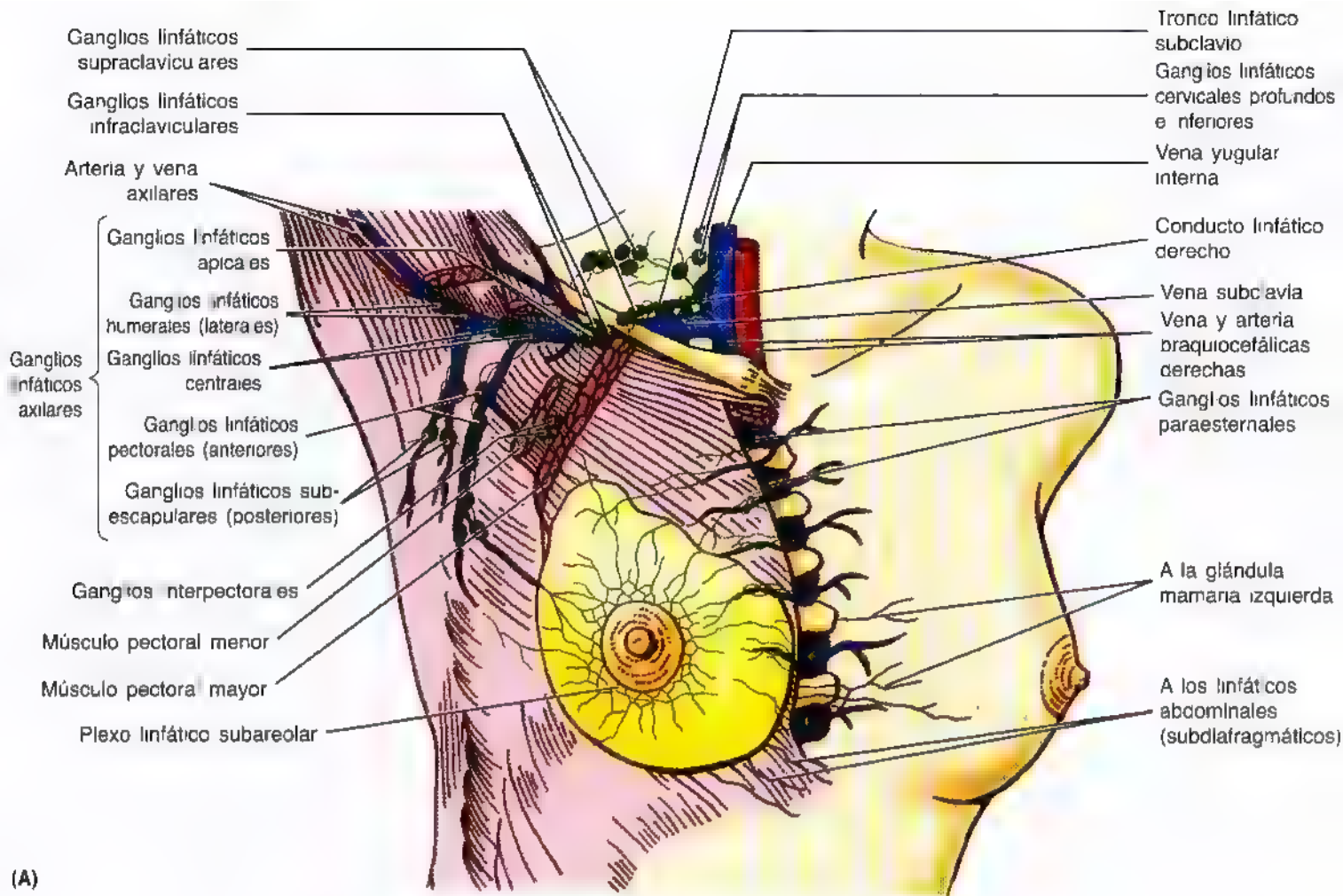


Figura 1.12. Drenaje linfático de la glándula mamaria. A. La mayor parte de la linfa drena a los ganglios linfáticos axilares. B. Las flechas rojas indican la dirección del flujo linfático desde los ganglios linfáticos axilares hasta el conducto linfático derecho.

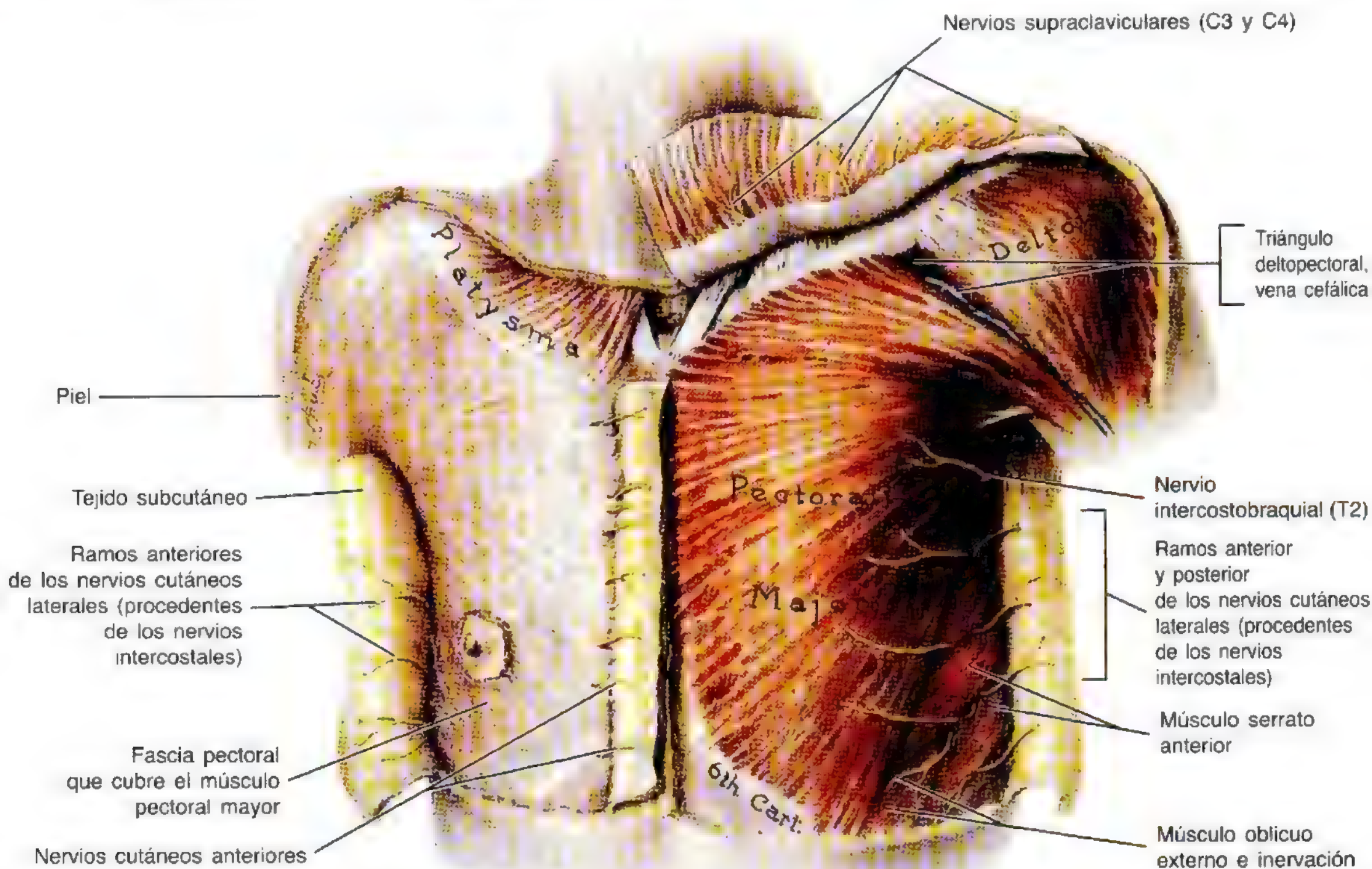


Figura 1.13. Disección superficial de la región pectoral masculina. El platismo (G. placa plana) se ha cortado en el lado derecho y se ha reflejado en el izquierdo, junto con los nervios supraclaviculares subyacentes. Obsérvese la fascia pelicular y profunda que cubre el músculo pectoral mayor derecho. Se ha extirpado la fascia de la izquierda para mostrar los nervios cutáneos.

T11 se denominan nervios intercostales porque discurren dentro de los espacios intercostales. Los ramos comunicantes comunican cada ramo ventral con un tronco simpático. Los ramos de los nervios intercostales atraviesan la fascia profunda que cubre el músculo pectoral mayor y llegan hasta

la piel, incluida la mama situada en el tejido subcutáneo sobre el músculo citado. Los ramos de los nervios intercostales conducen fibras sensitivas para la piel mamaria y fibras simpáticas para los vasos sanguíneos de la glándula mamaria y el músculo liso de la piel suprayacente y del pezón.

Carcinoma de la mama

Para predecir las metástasis del *carcinoma de mama* (**cáncer de mama**) es necesario comprender el drenaje linfático de esta glándula. Los carcinomas de la mama casi siempre son adenocarcinomas derivados del epitelio glandular de los conductos terminales de los lobulillos de las glándulas mamarias (Rubin y Farber, 1993). Las células cancerosas que penetran dentro del vaso linfático pasan por dos o tres grupos de ganglios antes de llegar a la circulación venosa.

La interferencia con el drenaje linfático de la mama por parte del cáncer puede desviar el pezón y dar un

aspecto coriáceo engrosado a la piel. La piel gruesa, con poros llamativos, que toma el aspecto de una piel de naranja (*signo de la piel de naranja*), obedece al edema (exceso de líquido en el tejido subcutáneo) causado por el taponamiento del drenaje linfático. Las depresiones mayores de la piel, causadas por la invasión cancerosa del tejido glandular y la fibrosis (degeneración fibrosa), explican el acortamiento de los ligamentos suspensorios. El *cáncer subareolar de mama* invierte el pezón por este mismo mecanismo.

Las venas intercostales posteriores drenan al *sistema venoso de la ázigos/hemiázigos* situado a lo largo de los cuerpos vertebrales (véase fig. 1.23), que desemboca ►

► en la vena cava superior (VCS). A través de esta vía, las células cancerosas se extienden desde la mama hasta las vértebras, y desde aquí hasta el cráneo y el encéfalo. Cuando las células del cáncer de mama invaden el espacio retromamario (fig. 1.10), se unen o invaden la fascia pectoral profunda que cubre el músculo pectoral mayor, o metastatizan a los ganglios interpectores, la glándula se eleva por la contracción del músculo. Este movimiento constituye un signo clínico de cáncer de mama avanzado. Para observar el movimiento ascendente, el médico debe indicar a la enferma que apoye las manos en las caderas y haga fuerza para tensar los músculos pectorales.

Los vasos linfáticos transportan células cancerosas de la mama a los ganglios linfáticos, sobre todo de la axila. Estas células se alojan en los ganglios y crean nidos de células tumorales (*metástasis*). Las comunicaciones abundantes entre las vías linfáticas y entre los ganglios axilares, cervicales y paraesternales explican la aparición de metástasis del cáncer de mama en los ganglios linfáticos supraclaviculares, la mama contralateral o el abdomen. Como los ganglios linfáticos axilares constituyen el asiento más común de las metástasis del cáncer de mama, el incremento de tamaño de estos ganglios, palpables, en la mujer sugiere un posible cáncer de mama y puede suponer la clave para la detección precoz. Sin embargo, la ausencia de adenopatías axilares no garantiza que no hayan ocurrido metástasis del cáncer de mama, puesto que las células malignas pueden pasar a otros ganglios, como los ganglios infraclaviculares y supraclaviculares.

La **mastectomía** (extirpación de la mama) no se practica con la misma frecuencia que en otras épocas para tratar el cáncer de mama. La *mastectomía simple* consiste en extirpar la glándula mamaria hasta el espacio retromamario. La *mastectomía radical* es un procedimiento quirúrgico más extenso, que se basa en extirpar la glándula mamaria, los músculos pectorales, el tejido adiposo, la fascia y todos los ganglios linfáticos de la axila y de la región pectoral. En la práctica clínica, muchas veces sólo se extirpa el tumor y el tejido que lo rodea; esta intervención se denomina *bulectomía* (extirpación local amplia).

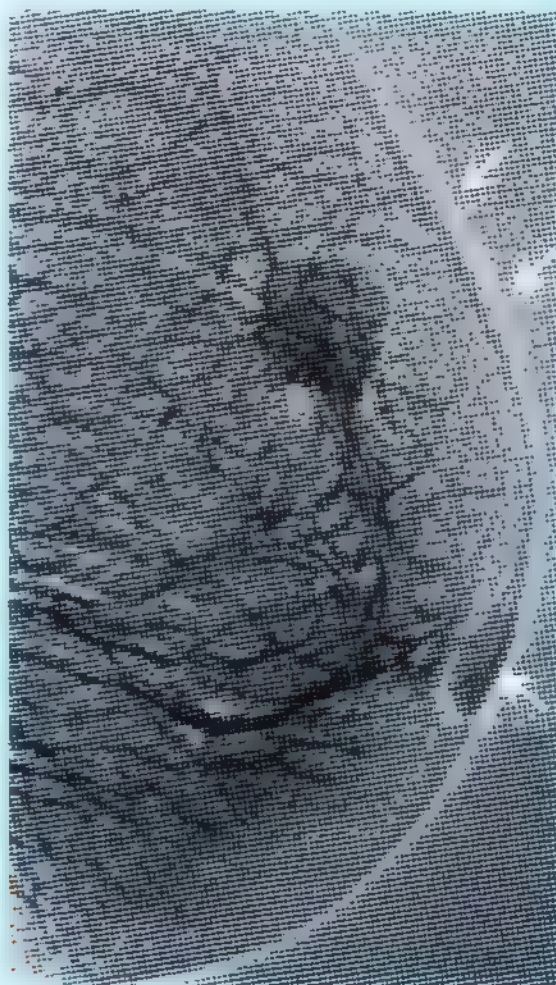


Carcinoma de mama inflamado

La **mamografía** (estudio radiológico de la glándula mamaria) representa una de las técnicas que se utilizan para detectar las masas mamarias. El carcinoma aparece como una gran densidad irregular en la **mamografía** (*flechas blancas* emparejadas). Nótese el engrosamiento de la piel que cubre la masa. La *flecha inferior* indica el pezón. La mamografía la solicita también el cirujano, como orientación para la extirpación de tumores, quistes y abscesos mamarios.

Polimastia, politelia y amastia

La **mama supernumeraria** (en número superior al normal) —*polimastia*— o el aumento del número de pezones (*politelia*) se observan por encima o por debajo de la glándula normal, y a veces, en la axila o en la pared anterior del abdomen. De ordinario, la glándula supernumeraria consta sólo de un pezón y areola rudimentarios, que se pueden confundir con un lunar (nevo) hasta que cambia de pigmentación durante el embarazo, a la par que los pezones normales. Sin embargo, también puede contener tejido glandular y crecer con la lactancia. Las glándulas accesorias se pueden encontrar en cualquier punto de la ►



Mamografía

► línea que se extiende desde la axila hasta la ingle, que es la posición de la cresta mamaria embrionaria ("línea láctea") de la que se desarrollan las mamas (Moore y Persaud, 1998) y donde crecen las glándulas mamarias de los animales que tienen más de dos. Se conocen también casos de ausencia de desarrollo de la mama (amastia) en cualquiera de los dos sexos, o de la presencia de pezón pero sin tejido glandular.

Cáncer de la mama masculina

Alrededor del 1,5% de los cánceres de mama afectan a los varones. Como en la mujer, el cáncer de mama del varón suele metastatizar a los ganglios linfáticos, huesos, pleura, pulmones, hígado y piel. El carcinoma de la mama afecta aproximadamente a 1.000 varones estadounidenses cada año (Swartz, 1994). La aparición de una masa subareolar visible o palpable o la secreción por el pezón pueden indicar un tumor maligno. El cáncer de la mama masculina

tiende a infiltrar la fascia pectoral profunda, el músculo pectoral mayor y el grupo apical de los ganglios linfáticos axilares. Pese a que el cáncer de mama es raro en los varones, sus secuelas son graves, porque no suele detectarse hasta que han ocurrido metástasis diseminadas, por ejemplo en los huesos.

Ginecomastia

El aumento de tamaño de la mama masculina —ginecomastia— se observa por lo común en la pubertad, pero puede también ocurrir con el envejecimiento o tras la toma de un medicamento (p. ej., después del tratamiento con dietilestilbestrol del cáncer de próstata). La ginecomastia también obedece a cambios en el metabolismo hepático de las hormonas sexuales (Swartz, 1994). Cerca del 40% de los varones con síndrome de Klinefelter (trisomía XXY) presenta ginecomastia después de la pubertad (Moore y Persaud, 1998). ♦

Orificios torácicos

La cavidad torácica se comunica con el cuello a través del orificio torácico superior (estrecho superior), y con la cavidad abdominal, a través del orificio torácico inferior (estrecho inferior) (fig. 1.14). El orificio torácico inferior está cerrado por el diafragma, que se arquea en dirección craneal dentro del tórax.

Orificio torácico superior

Las estructuras que entran o abandonan la cavidad torácica por el orificio torácico superior, oblicuo, con forma arriñonada, son la tráquea, el esófago, los nervios y los vasos que perfunden y drenan la cabeza, el cuello y los miembros superiores. El orificio torácico superior del adulto mide aproxi-

madamente 6,5 cm en sentido anteroposterior y 12,5 cm en sentido transversal. (Para que pueda visualizarse mejor este orificio, recuérdese que es sólo un poquito mayor del que se necesita para pasar un trocito de madera de 5 × 10 cm.) Debido a la inclinación oblicua de la primera pareja de costillas, el orificio desciende en sentido anterior. *El orificio torácico superior está limitado por:*

- La 1ª vértebra torácica (T1) (referencia posterior).
- La 1ª pareja de costillas y sus cartílagos costales.
- El borde superior del manubrio (referencia anterior).

Orificio torácico inferior

El orificio torácico inferior es bastante más espacioso que el superior; es grande y de contorno irregular (fig. 1.14). Sigue también una dirección oblicua, porque la pared torácica posterior es mucho más larga que la anterior. El estrecho torácico inferior está cerrado por el diafragma musculotendinoso, que separa las cavidades torácica y abdominal. Las estructuras que entran o salen del tórax hacia el abdomen atraviesan orificios diafragmáticos, como sucede con el esófago y la vena cava inferior (VCI), o pasan detrás del diafragma (p. ej., aorta). *El orificio torácico inferior está limitado por:*

- La 12ª vértebra torácica (referencia posterior).
- La 11ª y 12ª pareja de costillas.
- Los cartílagos costales de la 7ª a la 10ª costillas.
- La articulación xifoesternal (referencia anterior).

Síndrome del estrecho torácico

Los clínicos se refieren a la abertura torácica superior como "estrecho" torácico sin más, por la importancia de los nervios y arterias que pasan desde el tórax hacia la parte inferior del cuello y miembro superior a través de esta zona. Así pues, se conocen varios tipos de síndrome de la abertura torácica (Rowland, 1995). El *síndrome costoclavicular* (palidez y frialdad de la piel del miembro superior, con disminución del pulso radial) se debe a la compresión de la arteria subclavia entre la clavícula y la 1ª costilla. El *síndrome de la costilla cervical* es consecuencia de la compresión de las raíces nerviosas C8 y T1 y del tronco inferior del plexo braquial. El síndrome de la abertura torácica también se expone en el capítulo 6. ♦

Músculos de la pared torácica

Diversos músculos de la extremidad superior se insertan en las costillas (figs. 1.15-1.19) —como el pectoral mayor, pectoral menor, subclavio y serrato anterior—, al igual que los

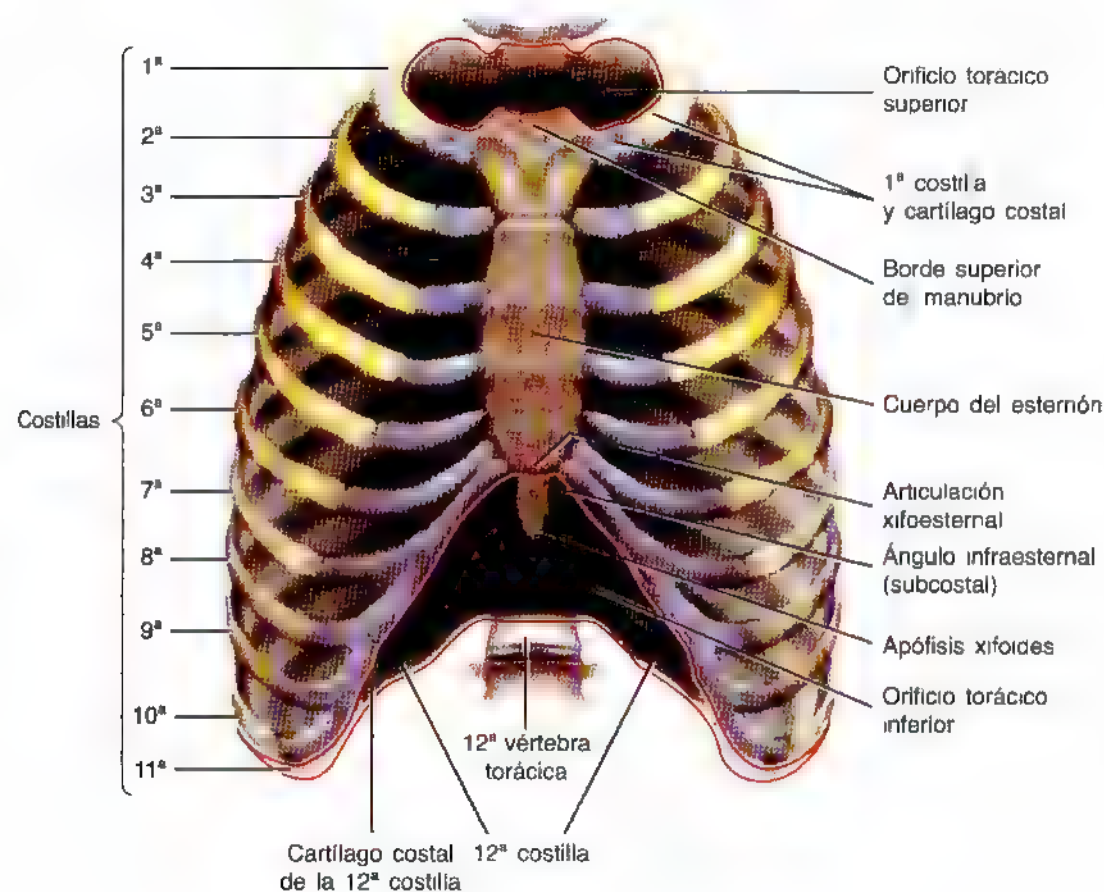


Figura 1.14. Orificios torácicos. La cavidad torácica se comunica con el compartimiento anterior (visceral) del cuello a través del orificio torácico superior (en clínica: estrecho torácico). El orificio torácico superior es la vía de paso entre la cavidad torácica y el cuello. El orificio torácico inferior permite la inserción del diafragma que separa la cavidad torácica de la abdominal; no obstante, el diafragma sobresale hacia arriba, por lo que las vísceras abdominales superiores (p.ej., el hígado) residen dentro de la caja torácica y reciben protección de ésta. Las estructuras torácicas deben atravesar el diafragma para comunicarse con el abdomen.

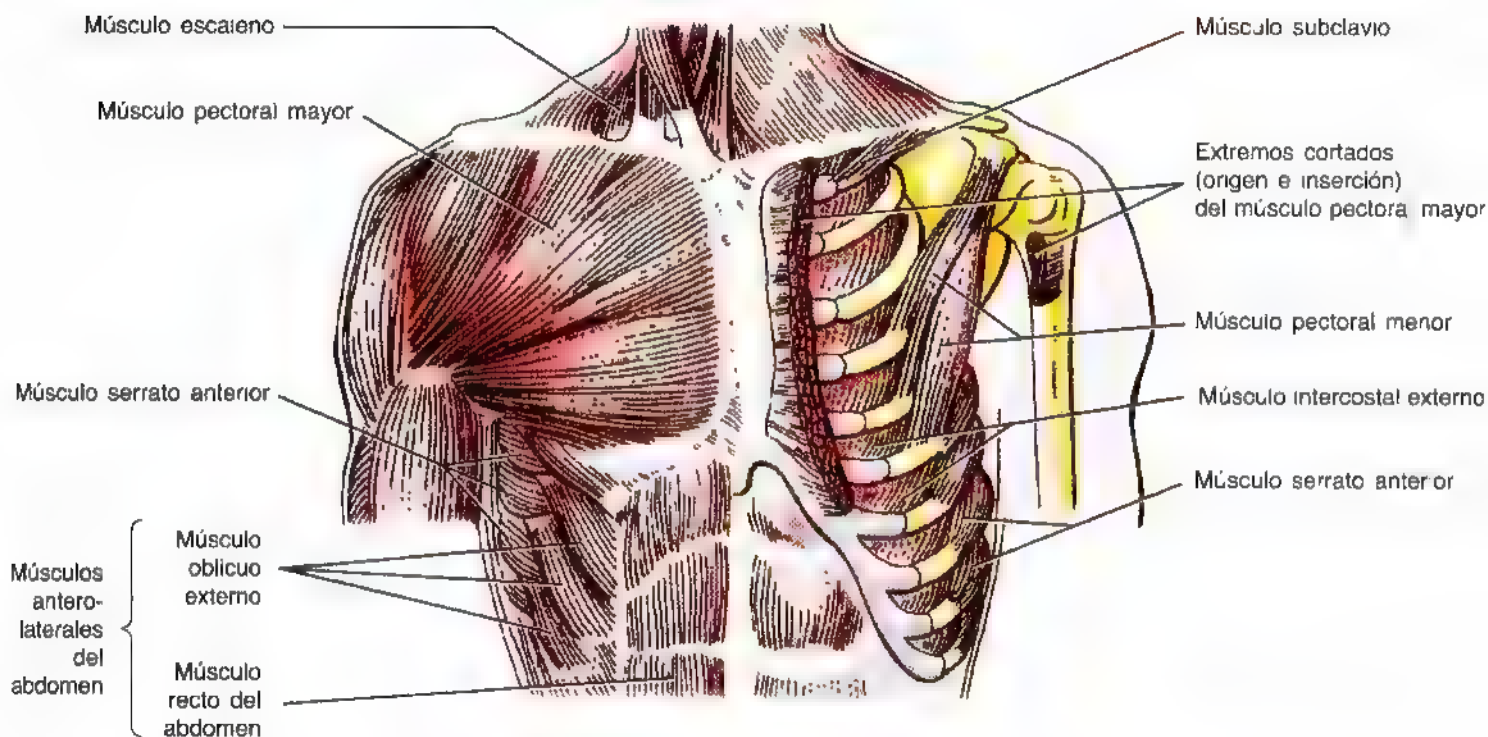


Figura 1.15. Músculos pectorales, intercostales externos y anterolaterales del abdomen. Se muestra asimismo una parte de los músculos escalenos que se extienden desde las dos primeras costillas hasta las apófisis transversas cervicales. Se ha extirpado el músculo pectoral mayor izquierdo para exponer los músculos pectoral menor, subclavio e intercostales externos.

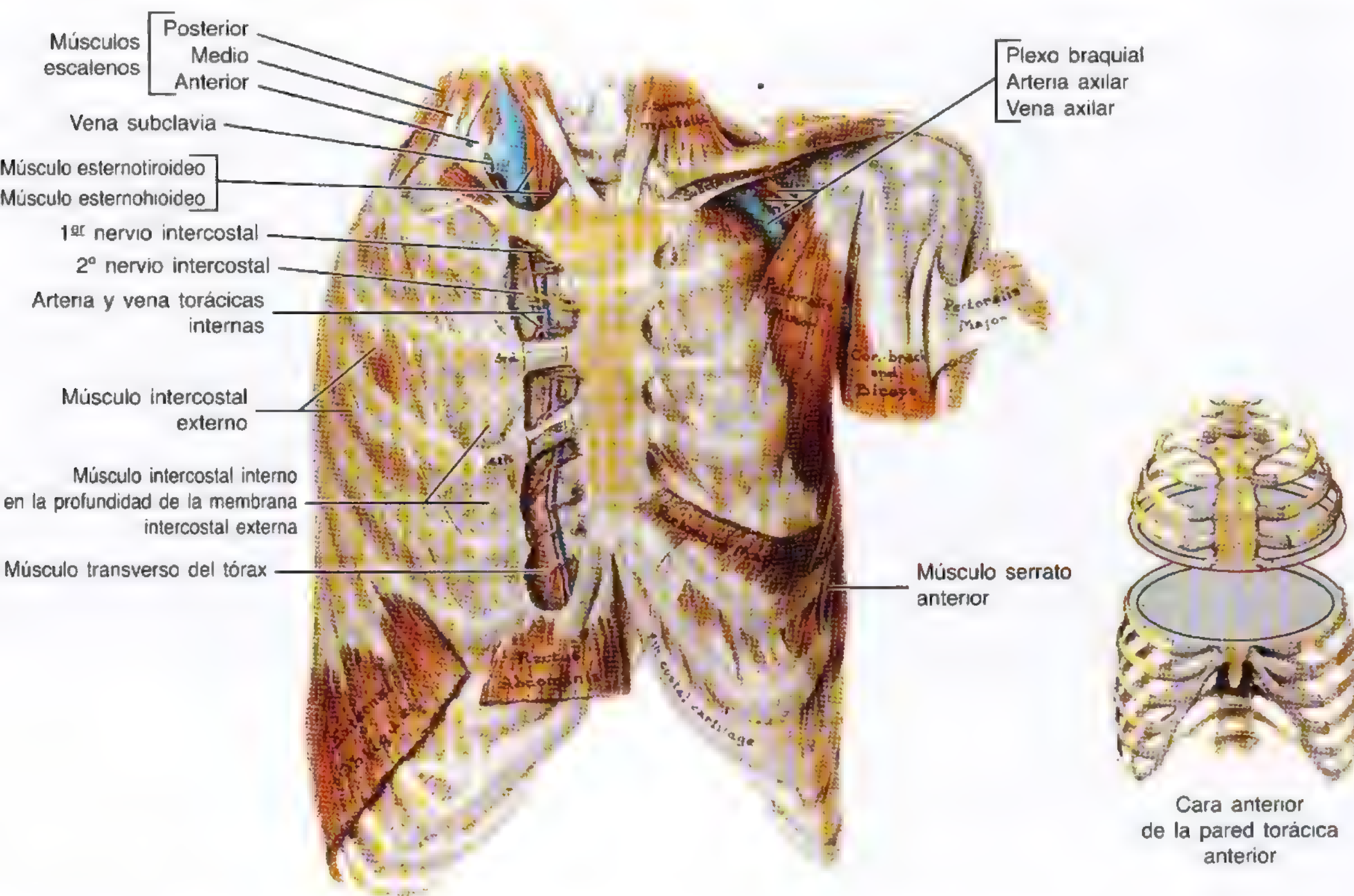


Figura 1.16. Disección de la cara anterior de la pared torácica anterior. Obsérvense los vasos torácicos internos, que discurren aproximadamente 1 cm laterales al borde del esternón, y los ganglios linfáticos paraesternales (dibujados en verde). La linfa de la porción medial de la glándula mamaria drena estos ganglios y es la vía por la que se extienden las células cancerosas de la mama hacia los pulmones y el mediastino (masa de tejidos y órganos que separa los pulmones). No es raro que la 8ª costilla se inserte en el esternón, como en esta preparación. Los cortes en H a través del pericondrio del 3º y 4º cartílagos costales sirvieron para extraer las piezas de cartilago que ilustran cómo se procede a la toracotomía.

músculos abdominales anterolaterales y algunos músculos del dorso y del cuello. Los **músculos pectorales** que cubren la pared torácica anterolateral suelen actuar sobre los miembros superiores (véase el capítulo 6); sin embargo, el **músculo pectoral mayor** y otros también actúan como músculos accesorios de la respiración, y contribuyen a expandir la cavidad torácica cuando se toma una inspiración profunda y

forzada (p. ej., después de una carrera de 100 metros). El **músculo serrato anterior** cubre la superficie lateral del tórax, rota la escápula (hoja del hombro en latín) y la sujeta a la pared torácica; también actúa como músculo accesorio de la respiración porque eleva las costillas. Los **músculos escalenos** pasan del cuello hasta la 1ª o 2ª costillas e igualmente son músculos accesorios de la respiración, porque elevan las costillas durante la inspiración forzada.

Disnea – dificultad respiratoria

Cuando un paciente con un problema respiratorio del tipo de *asma* o de *insuficiencia cardíaca* se fatiga al respirar, utiliza los músculos respiratorios accesorios para expandir más la cavidad torácica. Se apoya sobre una mesa para fijar la cintura escapular (clavículas y escápulas), de forma que estos músculos puedan actuar sobre las inserciones costales y expandir el tórax. ○

Los **músculos serratos posteriores** y elevadores de las costillas, intercostales, subcostales y transversos del tórax son músculos de la pared torácica. El *músculo serrato posterosuperior* se sitúa en la unión entre el cuello y el dorso. Se origina en la parte inferior del ligamento nuchal del cuello y en las apófisis espinosas de las vértebras C7 y T1 a T3. Este músculo sigue un curso inferolateral y se inserta en los bordes superiores de la 2ª a 4ª (o 5ª) costillas. El músculo serrato posterosuperior eleva las cuatro primeras costillas, aumenta el diámetro AP del tórax y levanta el esternón. El *músculo serrato posteroinferior* se sitúa en la unión entre las regiones

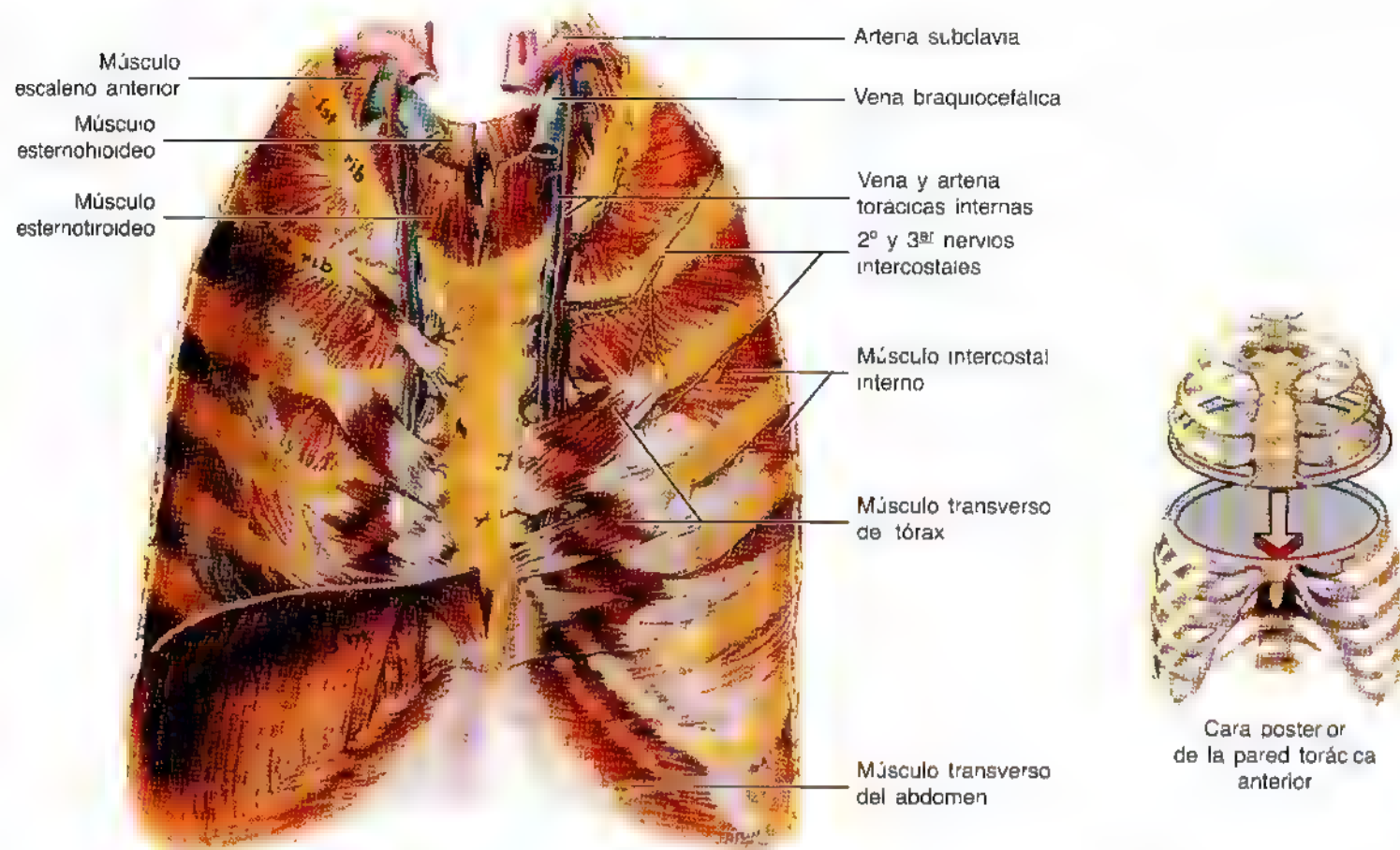


Figura 1.17. Disección de la cara posterior de la pared torácica anterior. Obsérvese el nacimiento de las arterias torácicas internas a partir de las arterias subclavas y las venas satélite. Como puede comprobarse por encima de 2º cartilago costal sólo existe una vena torácica interna a cada lado que desemboca en la vena braquiocéflica. Nótese la continuidad del músculo transverso de tórax con el músculo transverso de abdomen, inferior al diafragma.

torácica y lumbar (véase el capítulo 4). Se origina en las apófisis espinosas de las dos últimas vértebras torácicas y dos primeras vértebras lumbares. Sigue un trayecto superolateral y se inserta en los bordes inferiores de las tres o cuatro últimas costillas, cerca de sus ángulos. El músculo serrato posteroinferior deprime las últimas costillas y evita que sufran una tracción superior por efecto del diafragma.

Los **músculos elevadores de las costillas** se insertan en las apófisis transversas de las vértebras C7 y T1 a T11 (fig. 1.19), y después de trazar un camino inferolateral se insertan en las costillas, cerca de sus tubérculos. Como su propio nombre indica, estos 12 músculos con forma de abanico elevan las costillas, pero su función inspiratoria es relativamente menor.

Los **músculos intercostales** ocupan los espacios intercostales (véanse figs. 1.15-1.17; tabla 1.2). La capa superficial la componen los intercostales externos; la media, los intercostales internos, y la más profunda, los intercostales íntimos.

- Los **músculos intercostales externos** (11 pares) ocupan los espacios intercostales desde los tubérculos costales, por la cara posterior, hasta las uniones costocondrales, por la anterior (figs. 1.15, 1.16 y 1.18). En la parte anterior,

las fibras musculares son reemplazadas por **membranas intercostales externas** (fig. 1.18A). Estos músculos se dirigen en sentido inferoanterior desde la costilla situada por encima hasta la costilla inferior. Cada músculo se inserta por arriba en el borde inferior de la costilla anterior, y por abajo, en el borde superior de la costilla inferior. Estos músculos se continúan por la cara inferior con los *músculos oblicuos externos* de la pared anterolateral del abdomen. Los músculos intercostales externos —*músculos de la inspiración*— elevan las costillas.

- Los **músculos intercostales internos** (11 pares) discurren en la profundidad y perpendiculares a los intercostales externos (figs. 1.17 y 1.18). Sus fibras se dirigen en sentido inferoposterior desde el suelo de los surcos costales hasta los bordes superiores de las costillas situadas por debajo. Los intercostales internos se insertan en las diáfisis de las costillas y en sus cartílagos costales hasta llegar, por la cara anterior, al esternón y, por la posterior, a los ángulos de las costillas. Entre las costillas por la cara posterior y en una región medial al ángulo, los músculos intercostales internos son reemplazados por **membranas intercostales internas** (fig. 1.18A). Los intercostales internos inferiores se continúan con los *músculos oblicuos internos*

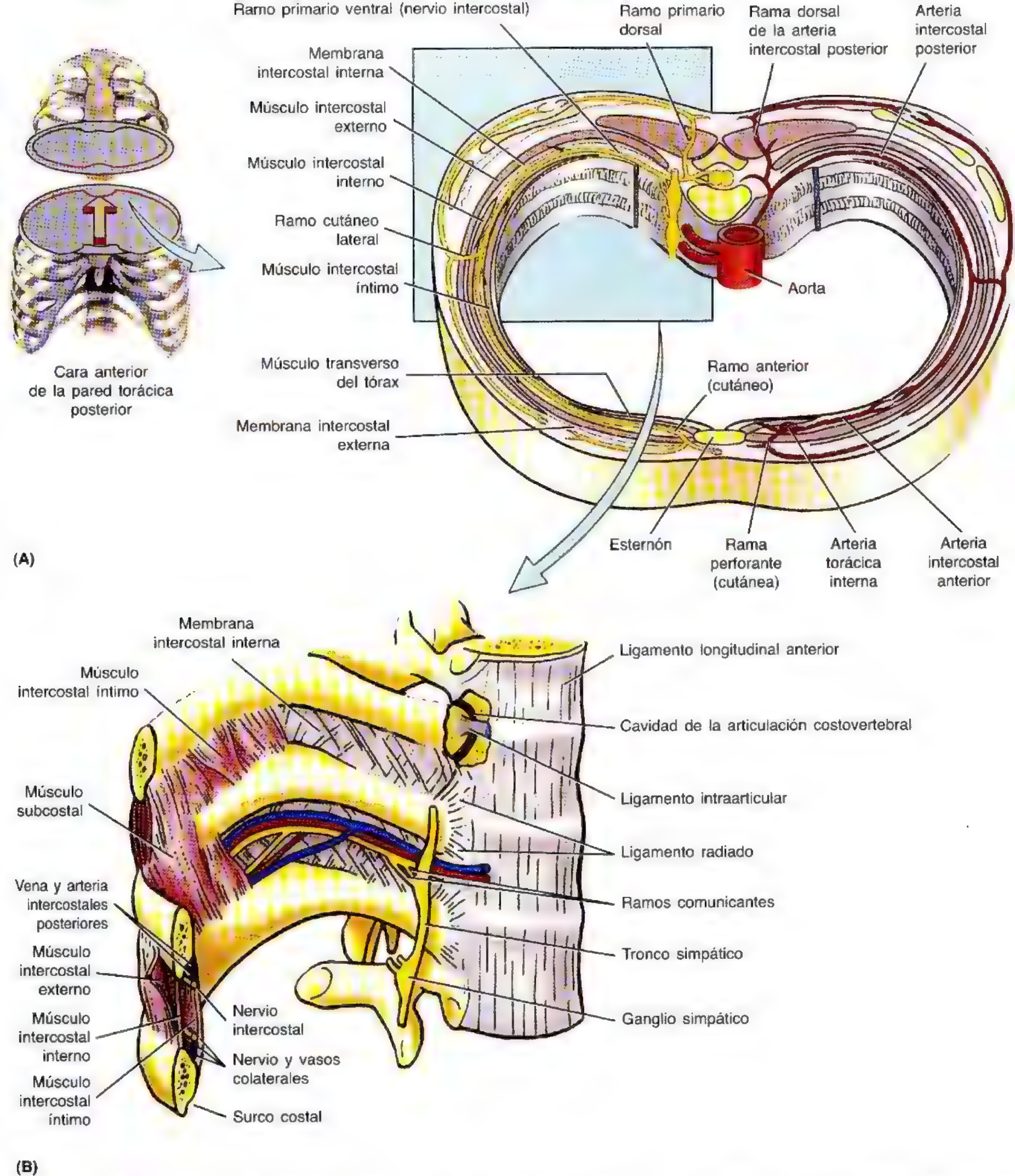


Figura 1.18. Contenido del espacio intercostal. **A.** Esta sección transversal esquemática se ha simplificado ilustrando los nervios, a la derecha, y las arterias, a la izquierda. Obsérvense las capas musculares intercostales y los nervios y vasos intercostales relacionados con ellas. **B.** Este dibujo ilustra el contenido de la parte posterior de un espacio intercostal y las cavidades de la articulación costovertebral. En el espacio intercostal superior se observa cómo el músculo intercostal íntimo atraviesa el espacio intercostal en forma de puente. También se observa que el músculo subcostal abarca dos espacios intercostales. Obsérvese el orden de las estructuras en el espacio intercostal diseccionado: **VAN** (Vena, Arteria y Nervio). Adviértase también el nervio y los vasos colaterales y la inserción de los nervios intercostales en el tronco simpático a través de ramos comunicantes.

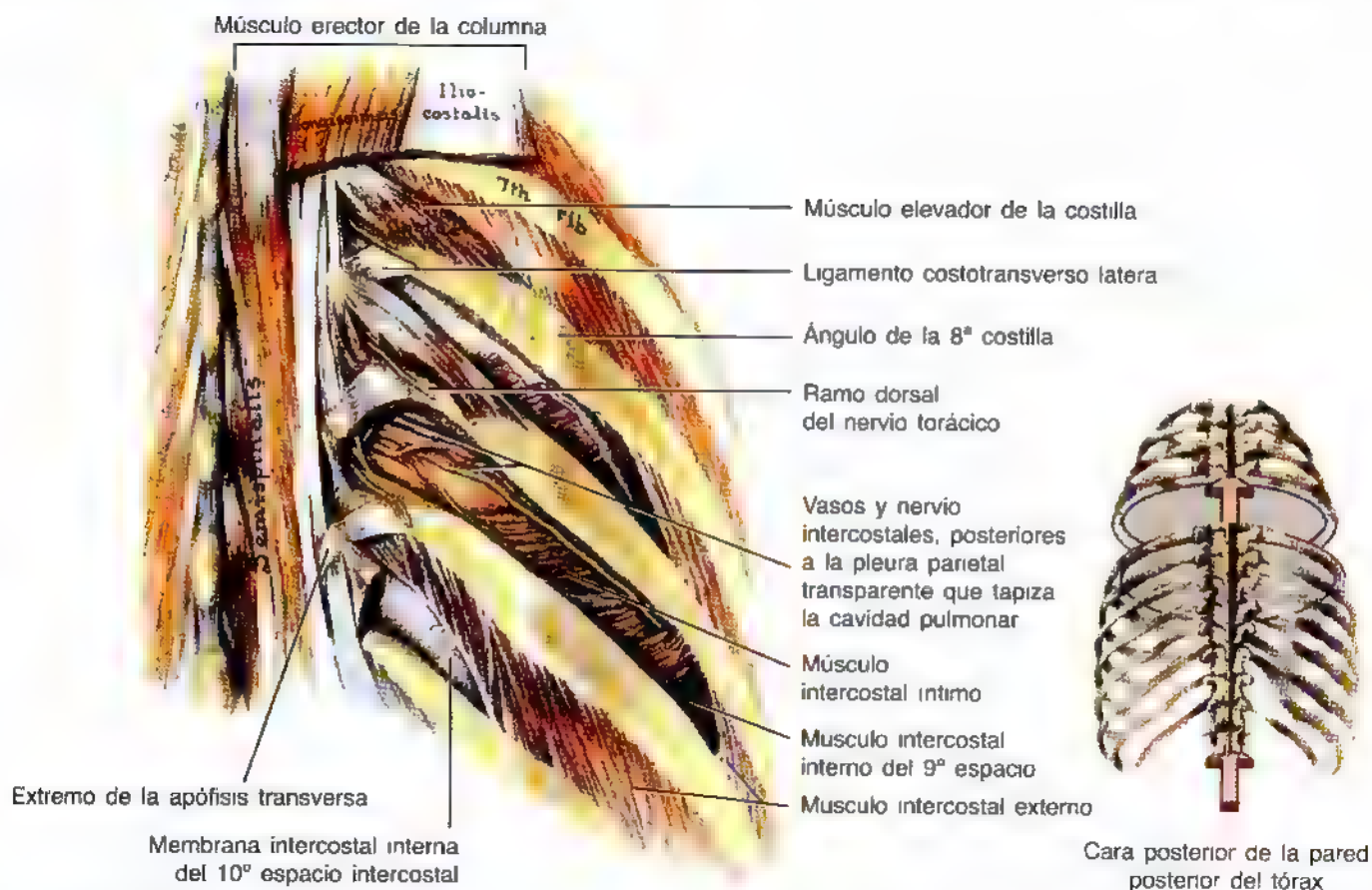


Figura 1.19. Disección de la parte posterior de la pared torácica. Los músculos iliocostal y longísimo (dos de los tres componentes de músculo erector de la columna vertebral) se han extirpado para exponer los músculos elevadores de las costillas. Asimismo, se han eliminado partes diversas del músculo intercostal externo de los espacios intercostales 8º a 10º para ver la membrana intercostal interna subyacente que se continúa con el músculo intercostal interno. Se ha retirado el músculo elevador de las costillas del 9º espacio intercostal para visualizar los vasos y nervios intercostales.

Tabla 1.2. Músculos de la pared torácica

Músculo	Inserción superior	Inserción inferior	Inervación	Acción principal*
Serrato posterosuperior	Ligamento nuchal, apófisis espinosas de las vértebras C7 a T3	Bordes superiores de la 2ª a 4ª costillas	2º a 5º nervios intercostales	Eleva las costillas
Serrato posteroinferior	Apófisis espinosas de las vértebras T11 a L2	Bordes inferiores de la 8ª a 12ª costillas, cerca de los ángulos	Ramos ventrales del 9º a 12º nervios espinales torácicos	Desciende las costillas
Elevador de las costillas	Apófisis transversas de T7 a T11	Costillas subyacentes entre el tubérculo y el ángulo	Ramos primarios dorsales de los nervios C8-T11	Eleva las costillas
Intercostal externo	Bordes inferiores de las costillas	Bordes superiores de las costillas	Nervio intercostal	Eleva las costillas
Intercostal interno				Desciende las costillas
Intercostal íntimo				Probablemente, eleva las costillas
Subcostal	Cara interna de las costillas inferiores, cerca de los ángulos	Bordes superiores de la 2ª o 3ª costillas		Eleva las costillas
Transverso del tórax	Cara posterior de la parte inferior del esternón	Cara interna del 2º-6º cartílagos costales		Desciende las costillas

* Todos los músculos intercostales mantienen los espacios costales rígidos y evitan que sobresalgan durante la espiración o que se introduzcan en la inspiración. La importancia de los músculos intercostales y de los músculos accesorios de la respiración para el movimiento de las costillas resulta difícil de interpretar, a pesar de múltiples estudios electromiográficos.

de la pared anterolateral del abdomen. Como los intercostales externos, los músculos intercostales internos son músculos inspiratorios.

- Los **músculos intercostales íntimos** se parecen a los intercostales internos; en realidad, constituyen la porción profunda de éstos. Los músculos intercostales íntimos se separan de los internos por los nervios y vasos intercostales (fig. 1.18). Estos músculos discurren entre las caras internas de las costillas adyacentes y ocupan las partes centrales de los espacios intercostales. No parece que su efecto difiera del de los músculos intercostales internos, pero tampoco se sabe a ciencia cierta.

Los **músculos subcostales** tienen un tamaño y morfología variables. Estas tiras musculares finas se extienden desde la cara interna del ángulo de una costilla hasta la cara interna de la costilla situada por debajo. Los músculos subcostales cruzan uno o dos espacios intercostales y siguen la misma trayectoria que los intercostales internos; se sitúan dentro de ellos (fig. 1.18B). Los músculos subcostales probablemente también elevan las costillas.

El **músculo transverso del tórax** consta de cuatro o cinco tiras que se insertan por la cara posterior en la cara posterior de la apófisis xifoides, parte inferior del cuerpo del esternón y cartílagos costales adyacentes (figs. 1.16 y 1.17). Siguen un curso superolateral hasta insertarse en el 2º a 6º cartílagos costales. El músculo transverso del tórax se continúa por la cara inferior con el músculo transverso abdominal, en la pared anterolateral. Al parecer, estos músculos ejercen una acción espiratoria mínima.

Nervios de la pared torácica

La pared torácica tiene 12 pares de nervios espinales torácicos. En cuanto abandonan los orificios IV, se dividen en los ramos primarios ventral y dorsal (fig. 1.18A). *Los ramos ventrales de los nervios T1 a T11 forman los nervios intercostales*, que se extienden a lo largo de los espacios intercostales. Los ramos ventrales de los nervios T12, inferiores a la 12ª costilla, forman los *nervios subcostales* (véase el capítulo 2). Los ramos dorsales de los nervios espinales torácicos siguen un trayecto posterior, inmediatamente lateral a las apófisis articulares de las vértebras (fig. 1.19), para innervar los huesos, articulaciones, músculos y piel del dorso torácico.

Los **nervios intercostales típicos** (3º a 6º) viajan por la cara posterior de los espacios intercostales, entre la pleura parietal (túnica serosa de la cavidad torácica) y la membrana intercostal interna (figs. 1.18 y 1.19). Al principio cruzan la cara interna de la membrana y del músculo intercostales internos cerca del centro del espacio intercostal. Cuando se acercan al ángulo de la costilla, el nervio transcurre entre los músculos intercostal interno e intercostal íntimo. En este lugar, el nervio intercostal penetra y está protegido por los **surcos costales** (fig. 1.18B), situándose justo inferior a las arterias intercostales. Los ramos colaterales de estos nervios emergen cerca del ángulo de la costilla e innervan los múscu-

los intercostales. Los nervios siguen una dirección anterior entre los músculos intercostales interno e íntimo y emiten ramos para estos y otros músculos, además de dar ramos cutáneos laterales cerca de la línea axilar media. En la cara anterior, los nervios aparecen en la superficie interna del músculo intercostal interno. Cerca del esternón, los nervios intercostales giran hacia delante y pasan entre los cartílagos costales a modo de ramos cutáneos anteriores.

Cada nervio espinal inerva una banda nítida de la piel, a través del ramo dorsal y de los ramos cutáneos lateral y anterior del ramo ventral; dicha banda se extiende desde la línea media posterior hasta la línea media anterior. Estas bandas de piel o **dermatomas** (fig. 1.20) están innervadas por fibras sensitivas de una sola raíz dorsal (por vía de los ramos dorsal y ventral del nervio espinal). Los dermatomas se disponen de forma segmentaria, ya que los nervios toracoabdominales nacen en los segmentos de la médula espinal (fig. 1.20, B y C). Los dermatomas más próximos, como T4, T5 y T6, se superponen mucho. De hecho, una lesión de un solo nervio espinal no siempre provoca un déficit sensitivo claro, dada la distribución solapada de los nervios adyacentes. Los médicos deben conocer la innervación segmentaria o dermatómica de la piel, para averiguar con la aguja si un determinado segmento de la médula espinal funciona con normalidad. El grupo de músculos innervados por la pareja de nervios intercostales es el **miotoma** (fig. 1.20A). *Los ramos musculares de los nervios intercostales típicos también llegan a los músculos subcostales, transversos del tórax, elevadores de las costillas y serratos posteriores. Los ramos de un nervio intercostal típico comprenden:*

- **Ramos comunicantes**, que comunican cada nervio intercostal con el tronco simpático ipsolateral (fig. 1.21). Las fibras presinápticas abandonan cada nervio por un ramo blanco y pasan a un **ganglio del tronco simpático**. Las fibras postsinápticas que llegan a la pared corporal y a los miembros abandonan los ganglios del tronco simpático a través de los ramos grises, y se unen al ramo ventral del nervio espinal más próximo, incluidos todos los nervios intercostales. Las fibras nerviosas simpáticas se reparten por todos los ramos de los nervios intercostales hasta los vasos sanguíneos, glándulas sudoríparas y músculo liso.
- **Ramos colaterales**, que se originan cerca de los ángulos costales para innervar los músculos intercostales.
- **Ramos cutáneos laterales**, que nacen más allá de los ángulos de las costillas y perforan los músculos intercostales interno y externo a mitad de su camino alrededor del tórax. Los ramos cutáneos laterales se dividen, a su vez, en los ramos anterior y posterior, que innervan la piel de las paredes torácica y abdominal.
- **Ramos cutáneos anteriores**, que innervan la piel de la cara anterior del tórax y del abdomen. Después de atravesar los músculos y membranas del espacio intercostal en la línea paraesternal, los ramos cutáneos anteriores se dividen en medial y lateral.

- **Ramos musculares**, que llegan hasta los músculos intercostales, subcostales, transversos del tórax, elevadores de las costillas y serratos posteriores.

Los dos primeros nervios intercostales son atípicos (fig. 1.16). Al principio de su trayecto pasan por la cara interna de la 1ª y 2ª costillas.

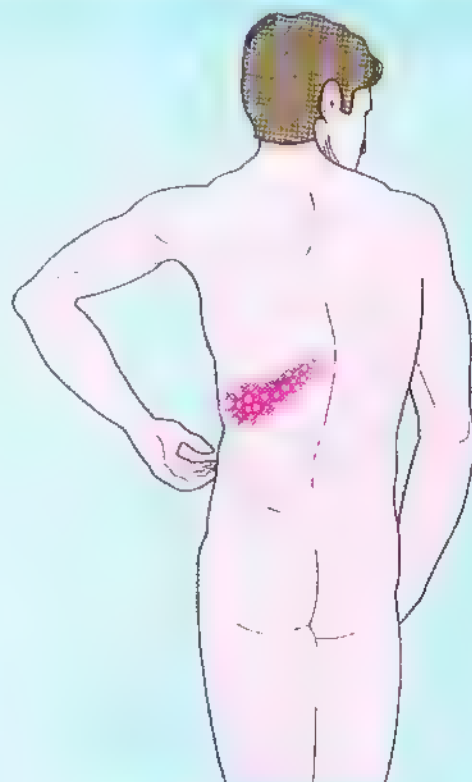
- El **1º nervio intercostal** no dispone de ramo cutáneo anterior y no suele tener un ramo cutáneo lateral. El ramo ventral del 1º nervio espinal torácico (T1) se divide en una gran parte, superior, y otra pequeña, inferior. La parte superior se junta al *plexo braquial*, plexo nervioso que inerva el miembro superior,

y la parte inferior se convierte en el 1º nervio intercostal.

- El **2º nervio intercostal** suele ser el mayor de los dos ramos de la división ventral del 2º nervio espinal torácico (T2); el ramo más pequeño también se une al plexo braquial. El ramo cutáneo lateral del 2º nervio intercostal –*nervio intercostobraquial*– emerge del 2º espacio intercostal en la línea axilar media, perfora el músculo serrato anterior y llega hasta la axila y el brazo. El nervio intercostobraquial suele irrigar el suelo –piel y tejido subcutáneo– de la axila y luego se comunica con el *nervio cutáneo braquial medial* para llegar hasta las superficies medial y posterior del brazo.

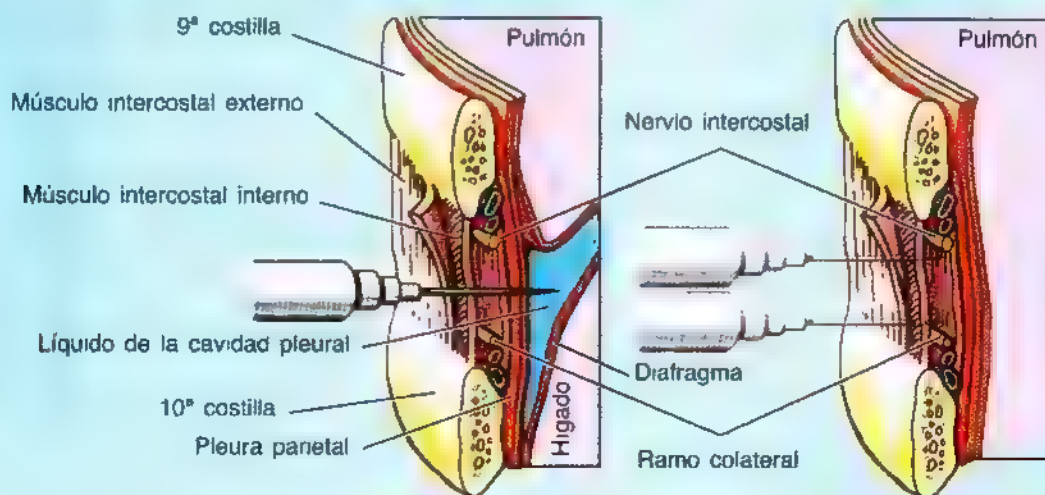
Herpes zóster

El *herpes zóster* provoca una lesión cutánea clásica, con distribución dermatómica –*culebrilla*– que provoca un dolor insoportable. El *herpes zóster* es una enfermedad vírica de los ganglios espinales. El virus invade el ganglio e induce un dolor punzante y urente en el dermatoma inervado por el nervio lesionado (fig. 1.20). La zona afectada de piel se torna eritematosa y aparece una erupción vesicular. El dolor puede preceder o seguir a la erupción cutánea. Aunque se trata en esencia de una *neuropatía sensitiva* –lesión anatomopatológica del nervio–, de un 0,5 a un 5,0% de las personas manifiestan una debilidad motora, casi siempre enfermos mayores con cáncer (Rowland, 1995). La debilidad muscular suele manifestarse en la misma distribución miotómica que el dolor dermatómico y la erupción vesicular.



Toracocentesis

En ocasiones se necesita introducir una aguja hipodérmica a través de un espacio intercostal hasta llegar a ►



(A) Técnica para la toracocentesis (en la línea axilar media)

(B) Bloqueo nervioso intercostal

► la cavidad pleural —*toracocentesis*— para obtener así una muestra de líquido o extraer sangre o pus. Para no dañar el nervio ni los vasos intercostales, la aguja debe introducirse por encima de la costilla, evitando las ramas colaterales. La aguja atraviesa los músculos intercostales y la pleura parietal (membrana serosa que tapiza la pared de la cavidad pleural) hasta alcanzar la cavidad pleural.

Bloqueo nervioso intercostal

La anestesia local de un espacio intercostal se logra inyectando un anestésico local alrededor de los nervios intercostales, entre la línea paravertebral —línea vertical correspondiente a los vértices de las apófisis transversas

de las vértebras— y la región donde se precisa la anestesia. Este procedimiento, el *bloqueo nervioso intercostal*, consiste en infiltrar un anestésico alrededor del tronco del nervio intercostal y de sus ramas colaterales (fig. 1.21B y pág. 89). El término “bloqueo” indica que se interrumpen (“bloquea”) las terminaciones nerviosas de la piel y la transmisión de los impulsos a través de los nervios sensitivos que conducen la información del dolor; el bloqueo tiene lugar antes de que los impulsos lleguen a la médula espinal y al cerebro. Como casi todas las zonas de la piel reciben inervación de dos nervios adyacentes, existe una superposición considerable entre las dermatomas vecinas. Por eso no se puede hacer que desaparezca toda la sensibilidad, a menos que se anestesié dos o más nervios intercostales. ⊕

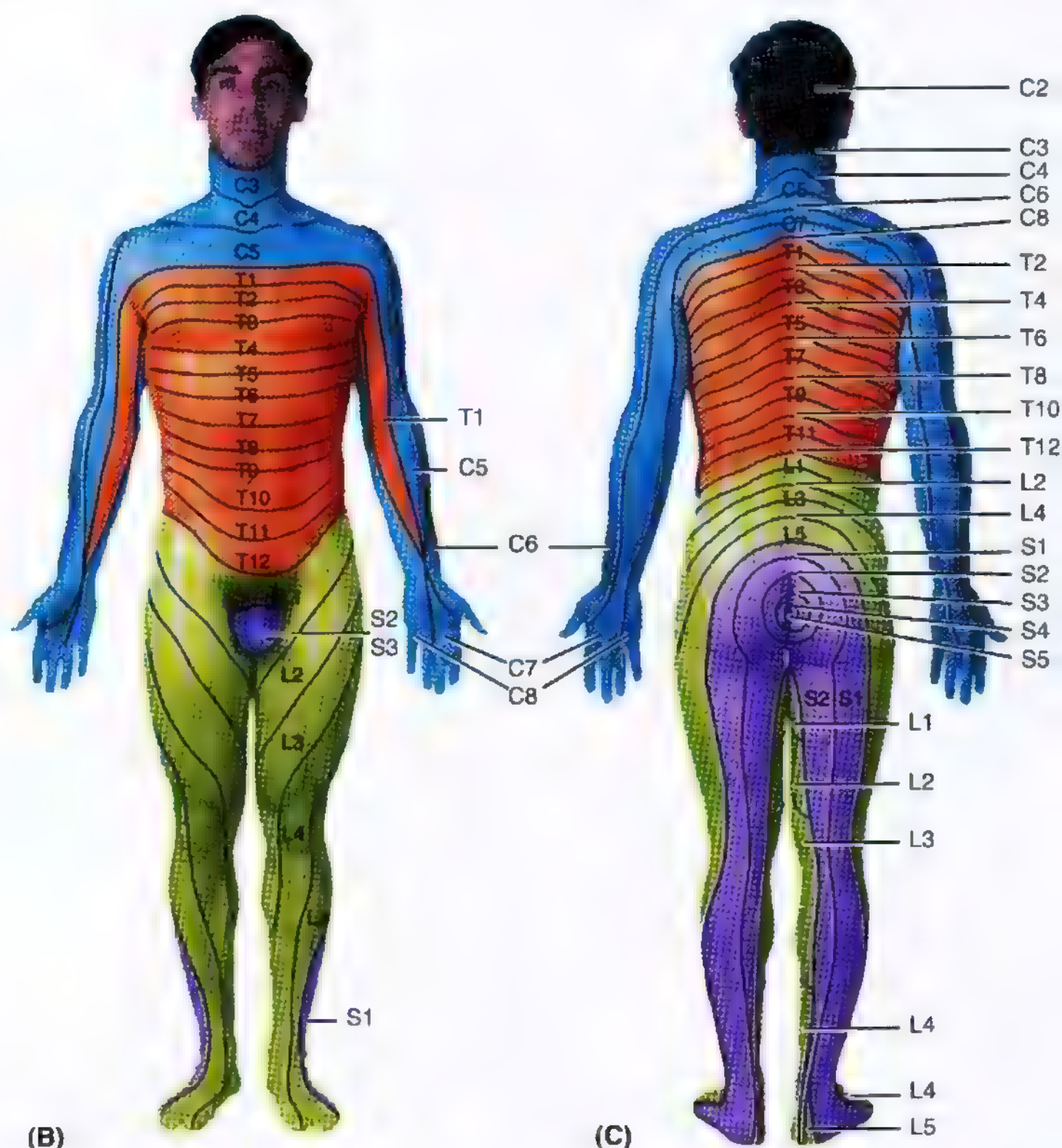
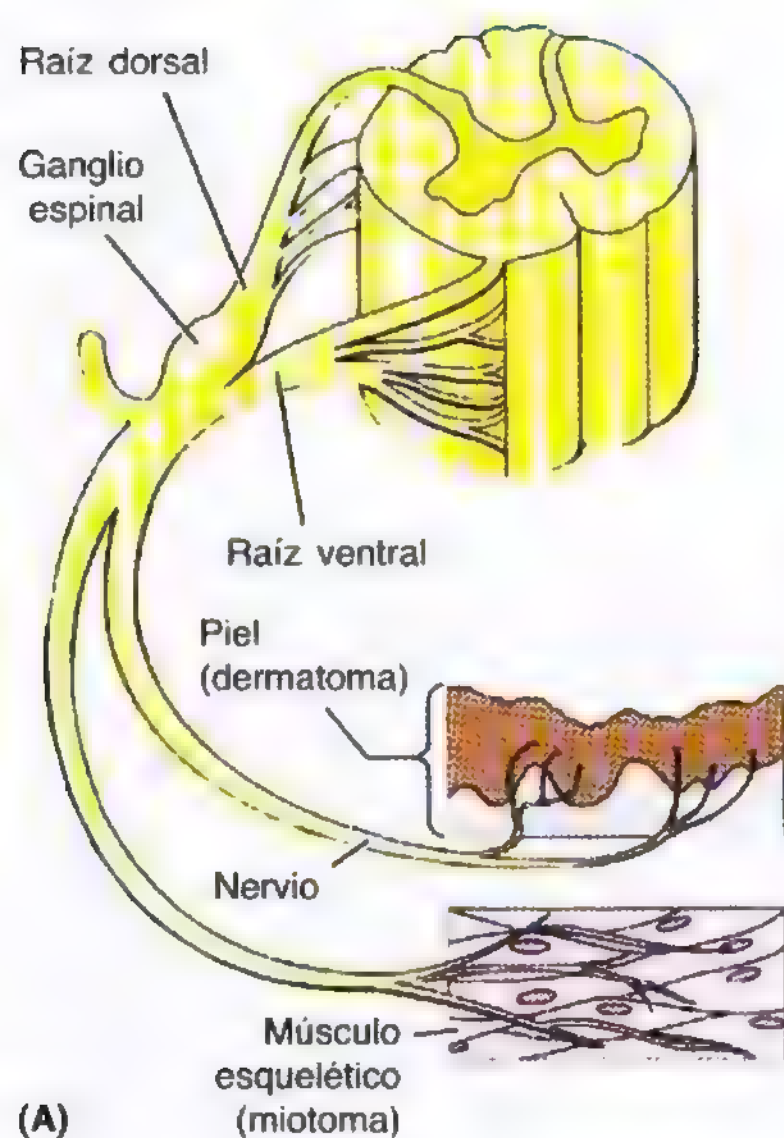


Figura 1.20. Dermatomas y miotomas. Los dermatomas son zonas de la piel inervadas por (un solo par de) nervios espinales o un segmento de la médula espinal. Con excepción de los miembros, los dermatomas siguen una disposición bastante segmentaria. El nervio C1 carece de componente aferente significativo y no inerva la piel. Los miotomas son grupos de músculos inervados por (un solo par de) nervios espinales o un segmento de la médula espinal. Los músculos reciben inervación de uno o más segmentos de la médula espinal.

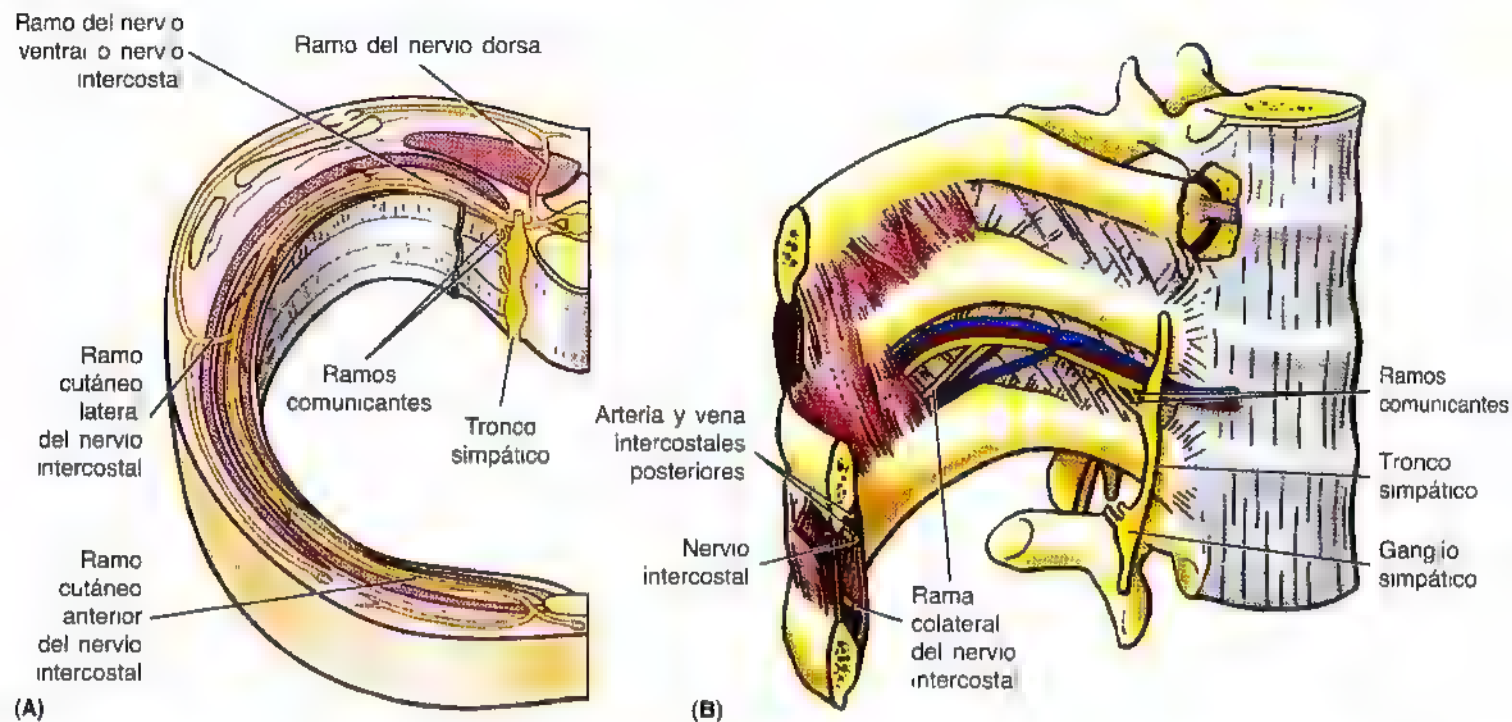


Figura 1.21. Nervios intercostales. A. El ramo del nervio dorsal o ramo primario dorsal nerva los músculos profundos de dorso y la piel adyacente a la columna. Los nervios intercostales son los ramos nerviosos ventrales o ramos primarios ventrales de los nervios espinales T1 a T11. Los nervios intercostales se insertan en el tronco celíaco a través de ramos comunicantes. B. Obsérvese la relación entre el nervio intercostal y los vasos intercostales.

Vascularización de la pared torácica

Arterias de la pared torácica

La irrigación arterial de la pared torácica (fig. 1.22, tabla 1.3) deriva de:

- La **aorta torácica**, a través de las arterias intercostales posteriores y subcostales.
- La **arteria subclavia**, a través de las arterias torácica interna e intercostal suprema (superior).
- La **arteria axilar**, a través de las arterias torácicas superior y lateral.

Las arterias intercostales viajan por la pared torácica entre las costillas. *Cada espacio intercostal está irrigado por tres arterias*, una gran arteria intercostal posterior (y su rama colateral) y un pequeño par de arterias intercostales anteriores.

- Las dos primeras arterias intercostales posteriores se originan en la **arteria intercostal suprema (superior)**, rama del tronco costocervical de la arteria subclavia. De ordinario, de la parte posterior de la arteria torácica nacen nueve pares de arterias intercostales posteriores y un par de arterias costales (fig. 1.22). Como la aorta se sitúa algo a la izquierda de la columna vertebral, las arterias intercostales derechas siguen un trayecto más largo que las izquierdas. Las arterias derechas cruzan las vértebras y pasan detrás del esófago, conducto torácico, vena ázigos (véase fig. 1.27) y pulmón y pleura derechos. Cada arteria intercostal posterior envía una rama dorsal que acompaña al ramo dorsal del nervio espinal para irrigar la médula espinal, la columna vertebral, los músculos del dorso

y la piel. Cada arteria también emite una pequeña rama colateral que cruza el espacio intercostal y discurre a lo largo del borde superior de la costilla. Las ramas terminal y colateral de cada arteria intercostal posterior se anastomosan en la cara anterior con las arterias intercostales anteriores (fig. 1.22A). La arteria intercostal posterior acompaña al nervio intercostal por el espacio intercostal. En la proximidad del ángulo de la costilla, la arteria penetra en el surco costal y se sitúa entre la vena y el nervio intercostales. Al principio, la arteria viaja entre la pleura parietal y la membrana intercostal interna (fig. 1.19), pero luego lo hace entre los músculos intercostal íntimo e interno.

- Las **arterias torácicas internas** (tradicionalmente, arterias mamarias internas) se originan en la raíz del cuello a partir de la cara inferior de las primeras porciones de las **arterias subclavias**. Cada arteria torácica interna desciende al tórax detrás de la clavícula y del 1º cartilago costal (figs. 1.16, 1.17 y 1.22). Se sitúa en la cara interna del tórax, ligeramente lateral al esternón y detrás de la pleura. Cerca de su origen, la arteria torácica interna es atravesada por el nervio frénico, el nervio del diafragma. Luego sigue un curso inferior dentro del tórax, posterior a los seis primeros cartilagos costales y a los músculos intercostales internos interpuestos. Después de descender más allá del 2º cartilago costal, la arteria torácica interna se dirige hacia delante, al músculo transvers del tórax (figs. 1.18A y 1.22C). Termina en el 6º espacio intercostal, ramificándose en las *arterias epigástrica superior y musculofrénica*.

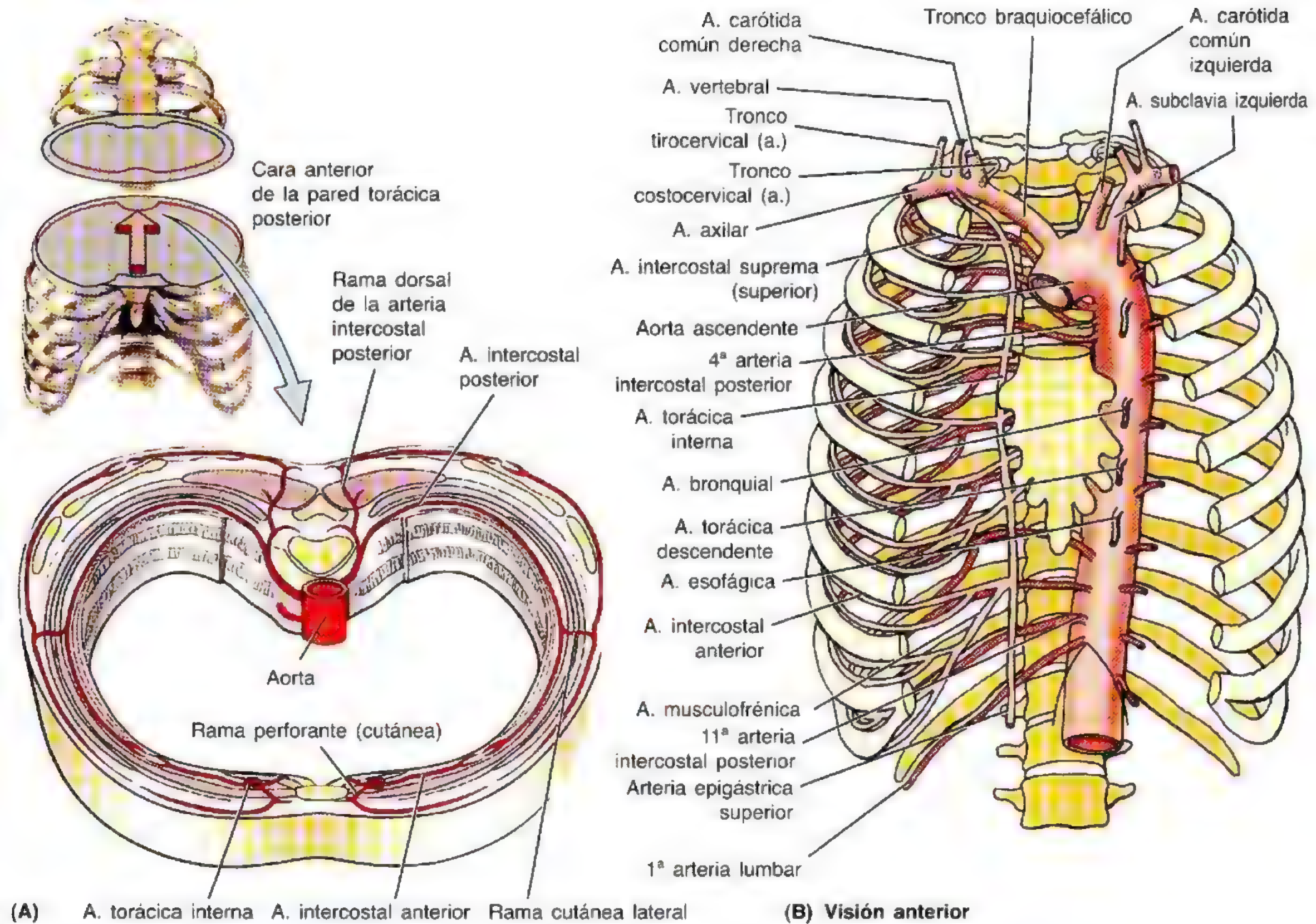


Figura 1.22. Arterias de la pared torácica. La irrigación arterial de la pared procede de: a) la aorta torácica, a través de las arterias intercostales posteriores y subcostales; b) la arteria axilar, y c) la arteria subclavia, a través de las arterias torácica interna e intercostal suprema (superior).

Tabla 1.3. Irrigación arterial de la pared torácica

Arteria	Origen	Trayecto	Distribución
Intercostal posterior	Arteria intercostal superior (1° y 2° espacios intercostales) y aorta torácica (espacios intercostales restantes)	Pasa entre los músculos intercostales interno e íntimo	Músculos intercostales y piel suprayacente, pleura parietal
Intercostal anterior	Arteria torácica interna (1°-6° espacios intercostales) y arterias musculofrénicas (7°-9° espacios intercostales)		
Torácica interna	Arteria subclavia	Pasa por debajo y lateral al esternón, entre los cartílagos costales y los músculos intercostales internos, y se divide en las arterias epigástricas superior y musculofrénica	A través de las arterias intercostales anteriores hasta los espacios intercostales 1°-6°
Subcostal	Aorta torácica	Discurre a lo largo del borde inferior de la 12ª costilla	Músculos de la pared anterolateral del abdomen

- El par de **arterias intercostales anteriores** irriga las partes anteriores de los nueve primeros espacios intercostales. Estas arterias circulan lateralmente, una cerca del borde inferior de la costilla superior y la otra cerca del borde superior de la costilla inferior. Las arterias intercostales anteriores que perfunden los seis primeros espacios intercostales derivan de las **arterias torácicas internas**. En su origen, las arterias que irrigan los dos primeros espacios intercostales se sitúan entre la pleura parietal y los músculos intercostales internos, mientras que las que se ocupan de los cuatro siguientes espacios intercostales se separan de la pleura por las tiras del músculo transverso del tórax. Las arterias que irrigan del 7º al 9º espacios intercostales provienen de las **arterias musculofrénicas**, también ramas de las arterias torácicas internas. Las arterias intercostales anteriores llegan hasta los músculos intercostales y envían ramas a través de ellos que irrigan los músculos pectorales, las glándulas mamarias y la piel. *Los dos últimos espacios intercostales no disponen de arterias*

intercostales anteriores, sino que reciben la nutrición de las arterias intercostales posteriores y de sus ramas colaterales.

Venas de la pared torácica

Las **venas intercostales** acompañan a las arterias y nervios intercostales y son las más profundas (superiores) de los surcos costales (figs. 1.21 y 1.23). A cada lado existen once **venas intercostales posteriores** y una **subcostal**. Las venas intercostales posteriores se anastomosan con las *venas intercostales anteriores* (afuentes de las venas torácicas internas). La mayoría de las venas intercostales posteriores drenan el **sistema venoso ázigos**, que lleva la sangre venosa hasta la VCS (págs. 97 y 159). En la región del 1º a 3º espacios intercostales, estas venas intercostales posteriores se agrupan en un tronco (vena intercostal superior) que suele drenar a la *vena braquiocéflica* correspondiente; no obstante, puede hacerlo a la VCS. Las **venas torácicas internas** son venas satélite (*L. venae comitantes*) de las arterias torácicas internas.

Anatomía de superficie de la pared torácica

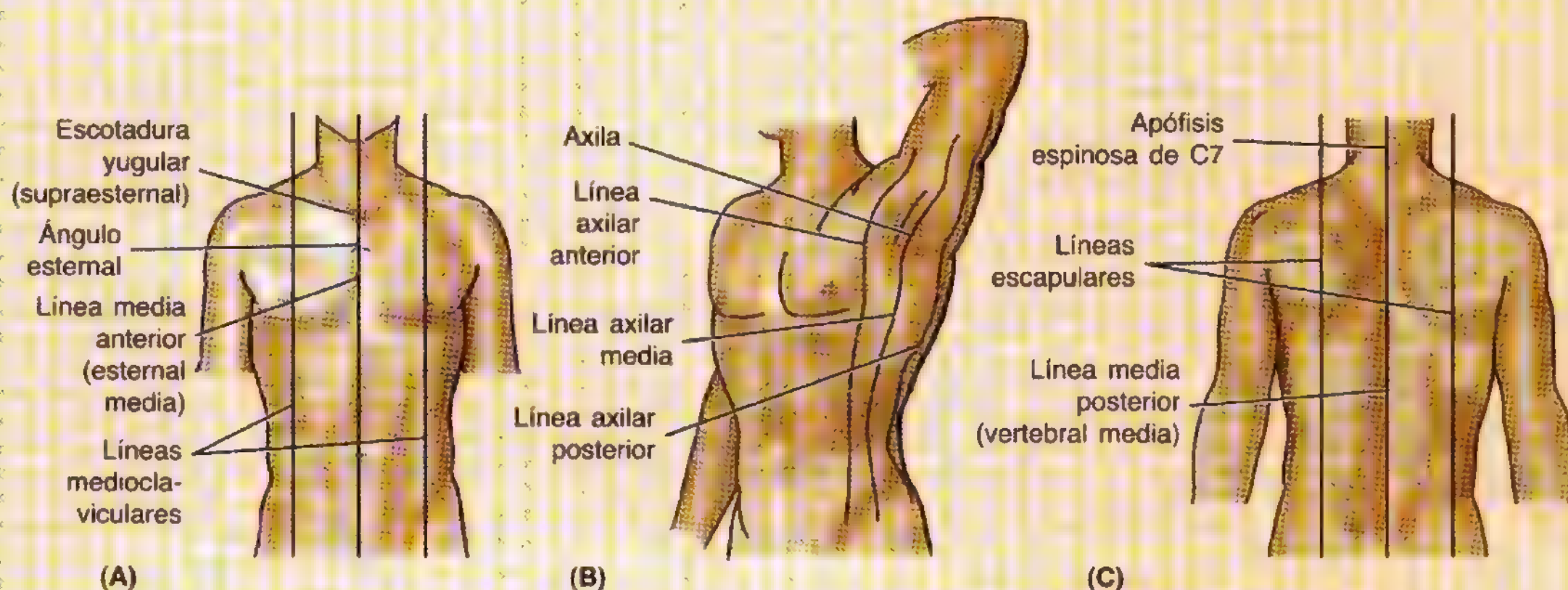
Existen varias líneas imaginarias que facilitan las descripciones anatómicas, la identificación de las regiones torácicas y la localización de lesiones como las heridas de bala:

- La **línea media anterior (esternal media)** indica la intersección del plano medio con la pared torácica anterior (A).
- La **línea medioclavicular (LMC)** pasa por el centro de cada clavícula, paralela a la línea media anterior.

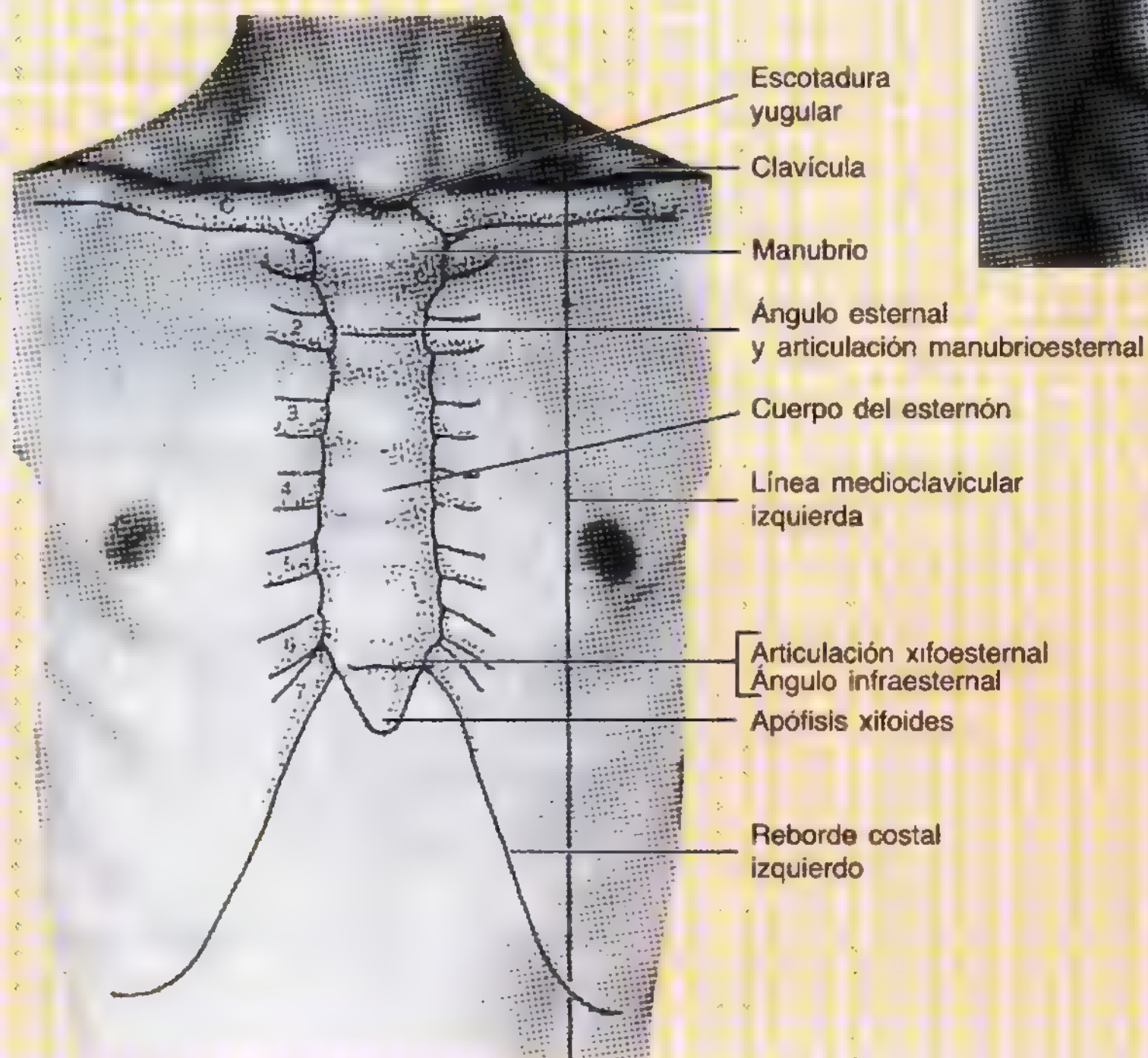
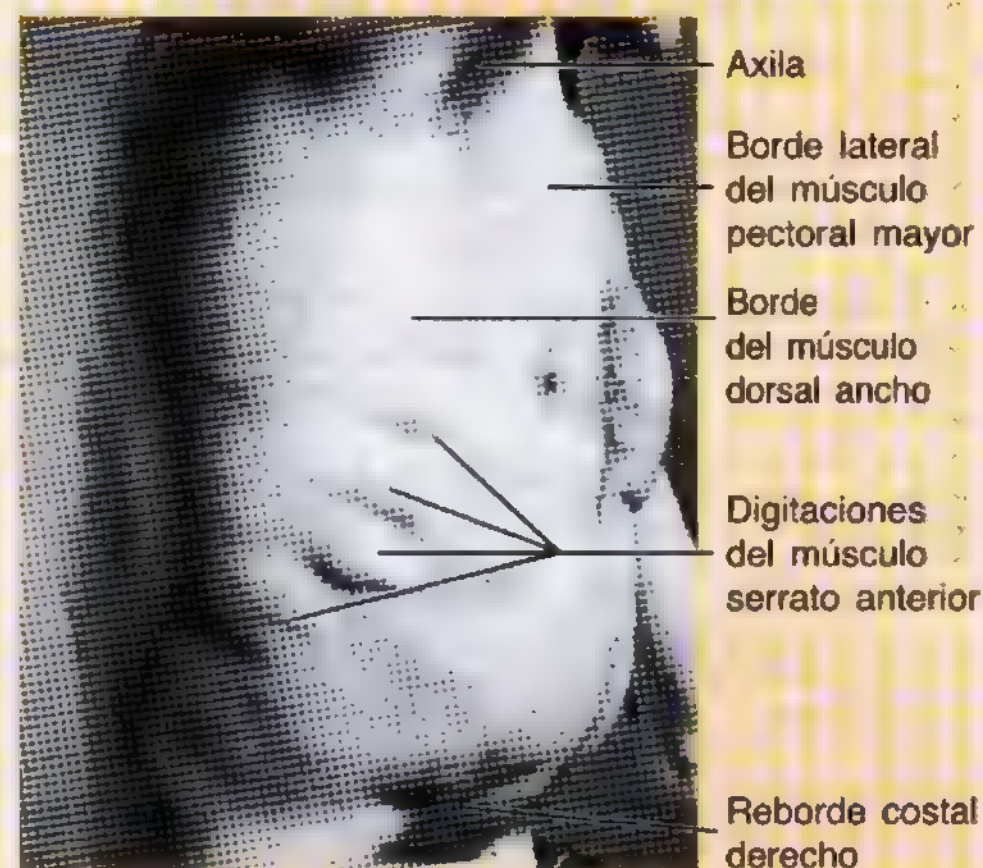
- La **línea axilar anterior** discurre vertical por el pliegue axilar anterior (B) que se forma por el borde del músculo pectoral, que se extiende desde el tórax hasta el húmero (hueso del brazo).
- La **línea axilar media** se dirige desde el vértice (parte más profunda) de la axila, paralela a la línea axilar anterior.
- La **línea axilar posterior**, también paralela a la anterior, sigue vertical por el pliegue axilar posterior formado por los músculos dorsal ancho y redondo mayor, que se extienden desde el dorso hasta el húmero.

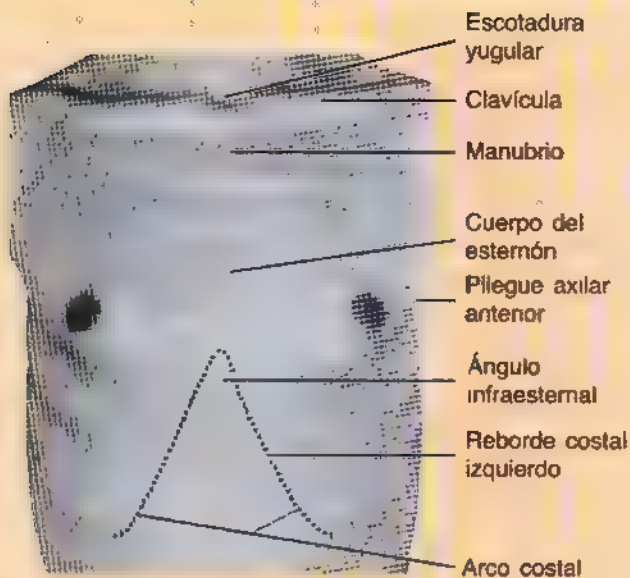
- La **línea media posterior (vertebral media, espinal media)** es una línea vertical trazada por los vértices de las apófisis espinosas vertebrales.

- Las **líneas escapulares** son paralelas a la línea media posterior y atraviesan los ángulos inferiores de las escápulas.



Las **clavículas** tienen una posición subcutánea y forman unas crestas óseas en la unión entre el tórax y el cuello. Se palpan fácilmente en toda su longitud, sobre todo en la zona donde sus extremos mediales se articulan con el manubrio del esternón.





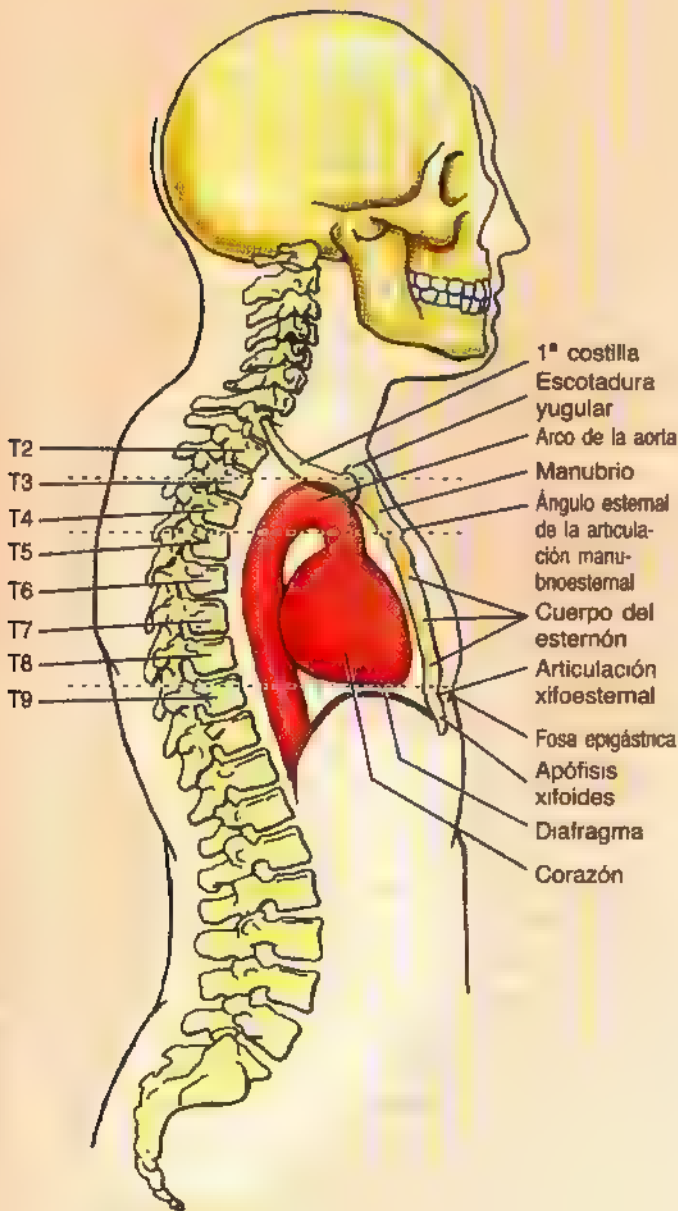
► El **esternón** tiene una posición subcutánea en la línea media anterior del tórax y se palpa en toda su longitud. La **escotadura yugular** del manubrio se palpa entre los extremos mediales prominentes de las clavículas. La escotadura se sitúa a nivel del borde inferior del cuerpo de la vértebra T2 y del espacio entre la 1ª y 2ª apófisis espinosa torácica.

El **manubrio**, de unos 4 cm de longitud, está situado a la altura de los cuerpos de las vértebras T3 y T4, anterior al arco de la aorta. El **ángulo esternal** se palpa y suele verse porque la *articulación manubrioesternal* entre el manubrio y el cuerpo esternal se desplaza ligeramente durante la respiración forzada. El ángulo esternal se encuentra a la altura del disco intervertebral T4/T5 y del espacio entre la 3ª y 4ª apófisis espinosa torácica. *El ángulo esternal está flanqueado por el 2º par de cartílagos costales.*

El manubrio cubre directamente la unión de las venas braquiocéfálicas para formar la VCS. Como es frecuente introducir catéteres en la VCS para la alimentación de enfermos en estado crítico y con otros fines (Ger y cols., 1996), hay que conocer la anatomía de superficie de esta gran vena. La VCS pasa por debajo del manubrio y de la articulación manubrioesternal, en su profundidad, y se queda a un través de dedo del borde derecho de las estructuras óseas. La VCS entra en la aurícula derecha del corazón enfrente del 3º cartílago costal derecho.

Para contar las costillas y los espacios intercostales en la cara anterior, se deslizan los dedos lateralmente a partir del ángulo esternal (2º cartílago costal) y se cuentan las costillas y los espacios moviendo los dedos en sentido inferolateral. El 1º espacio intercostal se sitúa inferior a la 1ª costilla; de la misma manera, los demás espacios se encuentran debajo de la costilla del número correspondiente. En la cara posterior, el extremo medial de la espina de la escápula cubre la 4ª costilla. Pálpese la espina escapular y dirija los dedos en sentido medial para tocar la 4ª costilla. Cuéntense las costillas por la cara inferior hasta llegar a la 8ª. Desplace los dedos lateralmente y pálpese el ángulo inferior de la escápula. Estas referencias de superficie permitirán contar las costillas en la cara posterior.

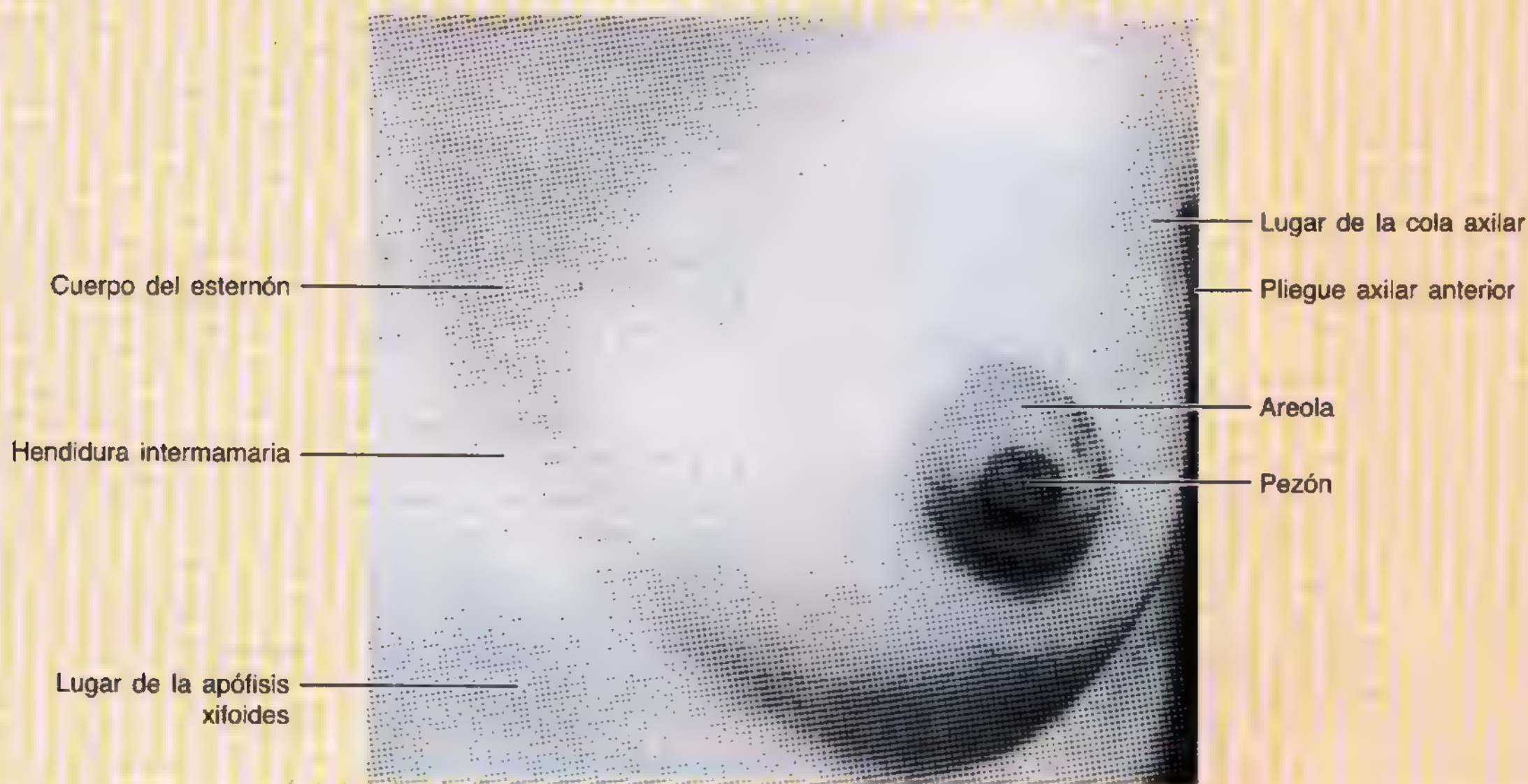
El **cuerpo del esternón** mide cerca de 10 cm, se sitúa anterior al borde derecho del corazón y las vértebras T5 a T9. La **hendidura intermamaria** (depresión en la línea media entre las dos glándulas mamarias femeninas maduras) cubre el cuerpo esternal. La **apófisis xifoides** se sitúa en una pequeña depresión —*fosa epigástrica*— donde los rebordes costales convergentes forman el **ángulo infraesternal**. Este ángulo sirve para colocar correctamente la mano en la cara inferior del cuerpo esternal para la reanimación cardiopulmonar (RCP). La *articulación xifoesternal*, que suele tener forma de cresta, se palpa a la altura del borde inferior de la vértebra T9.



► Los **rebordes costales**, creados por los bordes mediales del 7º al 10º cartílagos costales, se palpan fácilmente porque se extienden en sentido inferolateral a partir de la articulación xifoesternal. La parte superior del reborde costal está formada por el 7º cartílago costal, y la parte inferior, por el 8º a 10º cartílagos costales. Los rebordes costales forman los lados del ángulo infraesternal.

Las **glándulas mamarias** constituyen el rasgo de superficie más destacado de la pared torácica anterior, sobre todo en las mujeres. La norma es que el tamaño, la forma y la simetría de las glándulas femeninas –incluso de las dos glándulas de una misma persona– varíen; la excepción es lo contrario. La superficie superior aplanada no muestra unos límites claros con la superficie anterior de la pared; sin embargo, los bordes lateral e inferior están muy bien definidos. La región media entre las mamas es

la hendidura intermamaria. Muchas veces se observa un patrón venoso sobre las mamas, sobre todo durante el embarazo. El **pezón** está rodeado por una **areola** algo elevada y con pigmentación circular, cuyo color depende de la complexión femenina. La areola se oscurece durante el embarazo y conserva después una pigmentación oscura. La areola suele estar perforada por los orificios papulares de las **glándulas areolares** (glándulas sebáceas de la piel que forma la areola). A veces, uno o los dos pezones están invertidos; esta alteración congénita sin importancia dificulta la lactancia. El pezón se sitúa anterior al 4º espacio intercostal de los varones, aproximadamente a 10 cm de la línea media anterior (LMA). La posición del pezón en la mujer es tan variable, que no resulta una referencia de superficie válida para el 4º espacio intercostal. ☉



Cavidad y vísceras torácicas

La cavidad torácica reúne tres divisiones o compartimientos:

- Dos compartimientos laterales, las **cavidades pulmonares**, que contienen los pulmones y las pleuras (membranas de revestimiento).
- Un compartimiento central –el **mediastino**– que contiene otras estructuras torácicas: el corazón, las partes torácicas de los grandes vasos, las partes torácicas de la tráquea, el esófago, el timo y otras estructuras (p. ej., los ganglios linfáticos).

Las cavidades pulmonares están totalmente separadas entre sí y el pulmón ocupa, con la pleura, la mayor parte de dicha cavidad. El mediastino se extiende desde el orificio torácico superior hasta el diafragma (fig. 1.24):

Pleuras y pulmones

Para comprender la **relación entre** las pleuras y los pulmones, apriete un globo poco inflado con el puño (fig. 1.24). La zona de la pared del globo próxima a la piel del puño (que representa el pulmón) equivale a la pleura visceral; el resto del globo representa la pleura parietal. La cavidad que queda entre las paredes del globo es análoga a la cavidad pleural. En la muñeca (raíz del pulmón), las paredes interna y externa del globo se continúan, de la misma forma que lo hacen las caras visceral y parietal de la pleura, formando el saco pleural. Obsérvese que el pulmón está fuera, pero rodeado del saco pleural, de la misma manera que el puño queda rodeado, pero fuera del globo.

La ilustración de la parte inferior izquierda de la figura 1.24 también ayuda a comprender el desarrollo de los

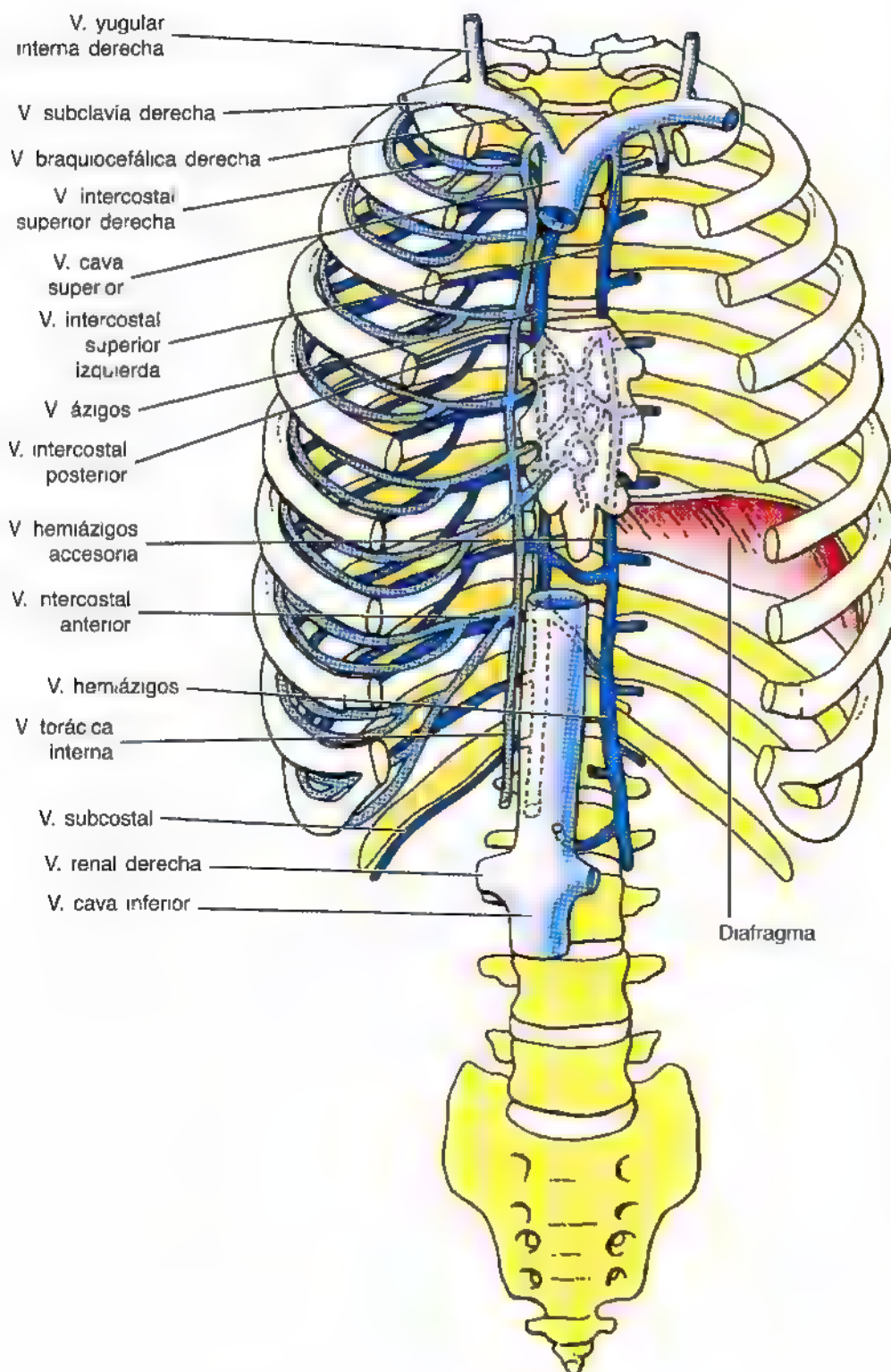


Figura 1.23. Venas de la pared torácica. Las venas intercostales acompañan a las arterias intercostales y se sitúan en la profundidad de los surcos costales. Existen once venas intercostales posteriores y una subcostal a cada lado. Las venas intercostales posteriores se anastomosan con las venas intercostales anteriores, afluentes de las venas torácicas internas. La mayoría de las venas intercostales posteriores drenan al sistema venoso de la ázigos, que conduce la sangre venosa hasta la vena cava superior.

pulmones y de las pleuras. En el período embrionario, los pulmones en desarrollo se invaginan (crecen hacia dentro) de los *canales pericardicoperitoneales*, los rudimentos (inicios) de las cavidades pleurales (Moore y Persaud, 1998). El epitelio celómico invaginado cubre los rudimentos pulmonares y se transforma en la *pleura visceral*, de la misma manera que el globo cubre el puño. El epitelio que tapiza las paredes de los canales pericardicoperitoneales forma la *pleura parietal*. La cavidad pleural se separa durante la embriogénesis de las cavidades pericárdica y peritoneal, pero existe un defecto diafragmático congénito, causante de la *hernia*

diafragmática, que comunica la cavidad peritoneal con una de las cavidades pleurales (casi siempre, la izquierda) y permite la herniación de las vísceras abdominales dentro del tórax (Moore y cols., 1994).

Pleuras

Cada pulmón está revestido y cerrado por un saco pleural seroso que se compone de dos membranas continuas, las pleuras (fig. 1.24):

- La **pleura visceral** (pleura pulmonar) reviste los pulmones, incluidas sus superficies dentro de las cisuras hori-

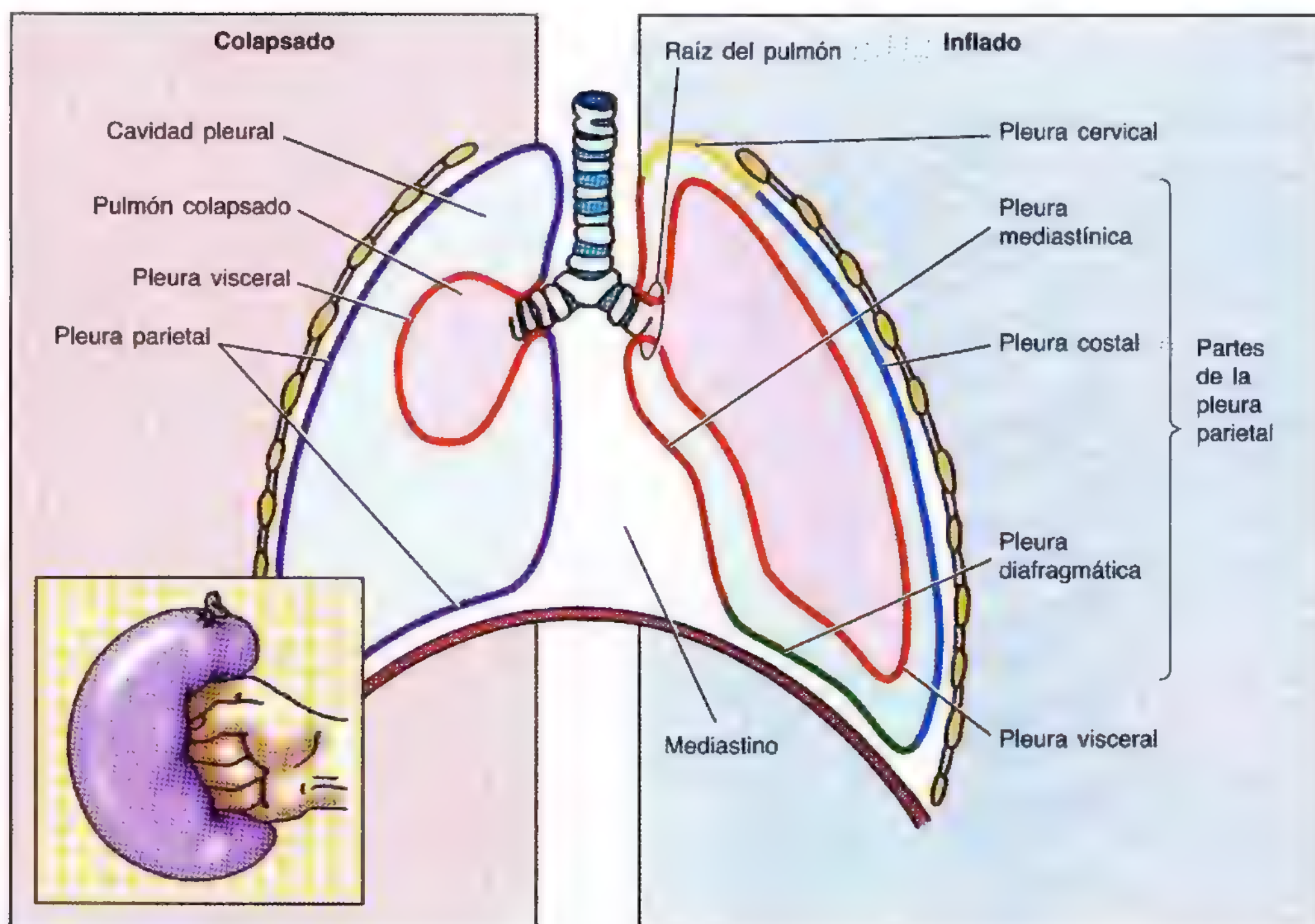


Figura 1.24. Pleura y pulmones. Cada pulmón está revestido por una membrana serosa que se dispone como un saco cerrado –la pleura– invaginado por los pulmones. El *recuadro* representa un puño invaginándose dentro de un globo poco hinchado para exponer la relación entre los pulmones (ilustrados por el puño) y las paredes del saco pleural (capas parietal y visceral de la pleura). La cavidad del saco pleural (cavidad pleural) se parece a la del globo. Cuando se infla el pulmón, las capas parietal y visceral de la pleura quedan separadas por un espacio seroso virtual lubricado, la cavidad pleural. Cuando ocurre una lesión de la pared torácica que permite la entrada de aire en la cavidad pleural, la elasticidad de los pulmones determina su colapso, de forma que toda la cavidad pleural se llena de aire (neumotórax). La raíz de los pulmones se compone de los vasos pulmonares y los bronquios principales.

zontal y oblicua; no se puede disecar (despegar) de los pulmones.

- La **pleura parietal** reviste las cavidades pulmonares.
- La **cavidad pleural** –espacio virtual entre las capas pleurales– contiene una lámina capilar del *líquido pleural seroso* que lubrica las caras pleurales y facilita el deslizamiento suave de las dos pleuras durante la respiración. Su tensión de superficie también facilita la cohesión y mantiene la superficie pulmonar en contacto con la pared torácica; por eso, el pulmón se expande y llena de aire cuando el tórax se expande, y todavía se aprecia cierto deslizamiento, el mismo que se observa cuando se mueve una capa de agua entre dos placas de vidrio.

La **pleura visceral** cubre íntimamente el pulmón y se adhiere a todas sus superficies (figs. 1.24 y 1.25). Confiere una superficie lisa y resbaladiza al pulmón, permitiéndole un movimiento libre sobre la pleura parietal. La pleura visceral se sumerge por las cisuras pulmonares, de manera que los lóbulos del pulmón también quedan recubiertos. La pleura visceral se continúa con la parietal por el **hilio pul-**

monar, lugar por donde entran y salen las estructuras que forman la raíz del pulmón (p. ej., el bronquio principal y los vasos pulmonares).

La **pleura parietal** tapiza las cavidades pulmonares y se adhiere, de este modo, a la pared torácica, el mediastino y el diafragma. *La pleura parietal se compone de cuatro partes* (figs. 1.24 y 1.25).

- La **pleura costal** cubre las superficies internas de la pared torácica.
- La **pleura mediastínica** cubre las caras laterales del mediastino, masa de tejidos y órganos que separan las cavidades y los sacos pleurales.
- La **pleura diafragmática** cubre la cara superior o torácica del diafragma a cada lado del mediastino.
- La **pleura cervical** (cúpula pleural) se extiende a través del orificio torácico superior hasta la raíz del cuello y crea una cúpula pleural sobre el vértice pulmonar (parte que se extiende por encima de la 1ª costilla).

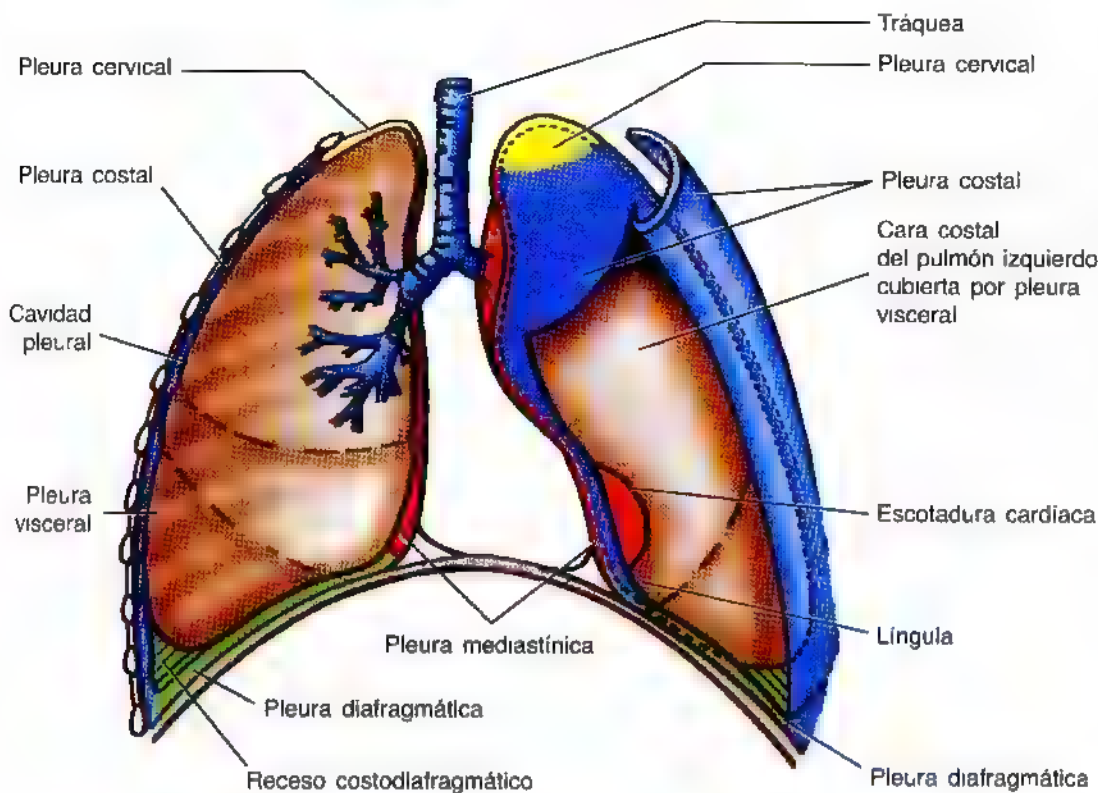


Figura 1.25. Partes de la pleura parietal. Las partes de la pleura parietal se denominan según la porción de la pared de la cavidad pulmonar que cubran. La pleura costal tapiza las costillas (pared torácica), la mediastínica, el mediastino, y la diafragmática, el diafragma y los plexos cervicales (cúpula pleura) que se extienden al cuello.

La **pleura costal** se separa de la cara interna de la pared torácica (esternón, costillas y cartílagos costales, músculos y membranas intercostales y lados de las vértebras torácicas) por la **fascia endotorácica**. Esta fina capa extrapleural de tejido conjuntivo laxo crea un plano natural de escisión para la separación quirúrgica de la pleura costal de la pared torácica, que permite al cirujano torácico mover e introducir instrumentos en la pared torácica, pero por fuera, es decir, evitando la posible infección derivada de la penetración en la cavidad pleural. La fascia endotorácica también forma una capa fina de tejido conjuntivo entre el diafragma y la pleura diafragmática.

La **pleura mediastínica** cubre el mediastino, espacio comprendido entre las cavidades pulmonares, y se continúa con la pleura costal por la cara anterior y posterior, la pleura diafragmática por la inferior y la pleura cervical por la superior en las líneas de reflexión pleural (fig. 1.25). Por encima de la *raíz pulmonar*, la pleura mediastínica es una lámina continua entre el esternón y la columna vertebral. En el **hilio pulmonar**, la pleura mediastínica pasa lateralmente y rodea las estructuras que componen la raíz (bronquio principal y vasos pulmonares, por ejemplo), continuándose con la pleura visceral. Por debajo de la raíz pulmonar, la pleura mediastínica pasa lateralmente, a modo de doble capa, desde la zona inmediatamente anterior al esófago hasta el pulmón, donde se continúa con la pleura visceral en forma de **ligamento pulmonar** (véanse figs. 1.28 y 1.29). Cuando se daña la raíz pulmonar y se extirpa el pulmón, esta doble capa de pleura "cuelga" de la raíz, como lo haría la manga larga de un traje chino que colgase del antebrazo.

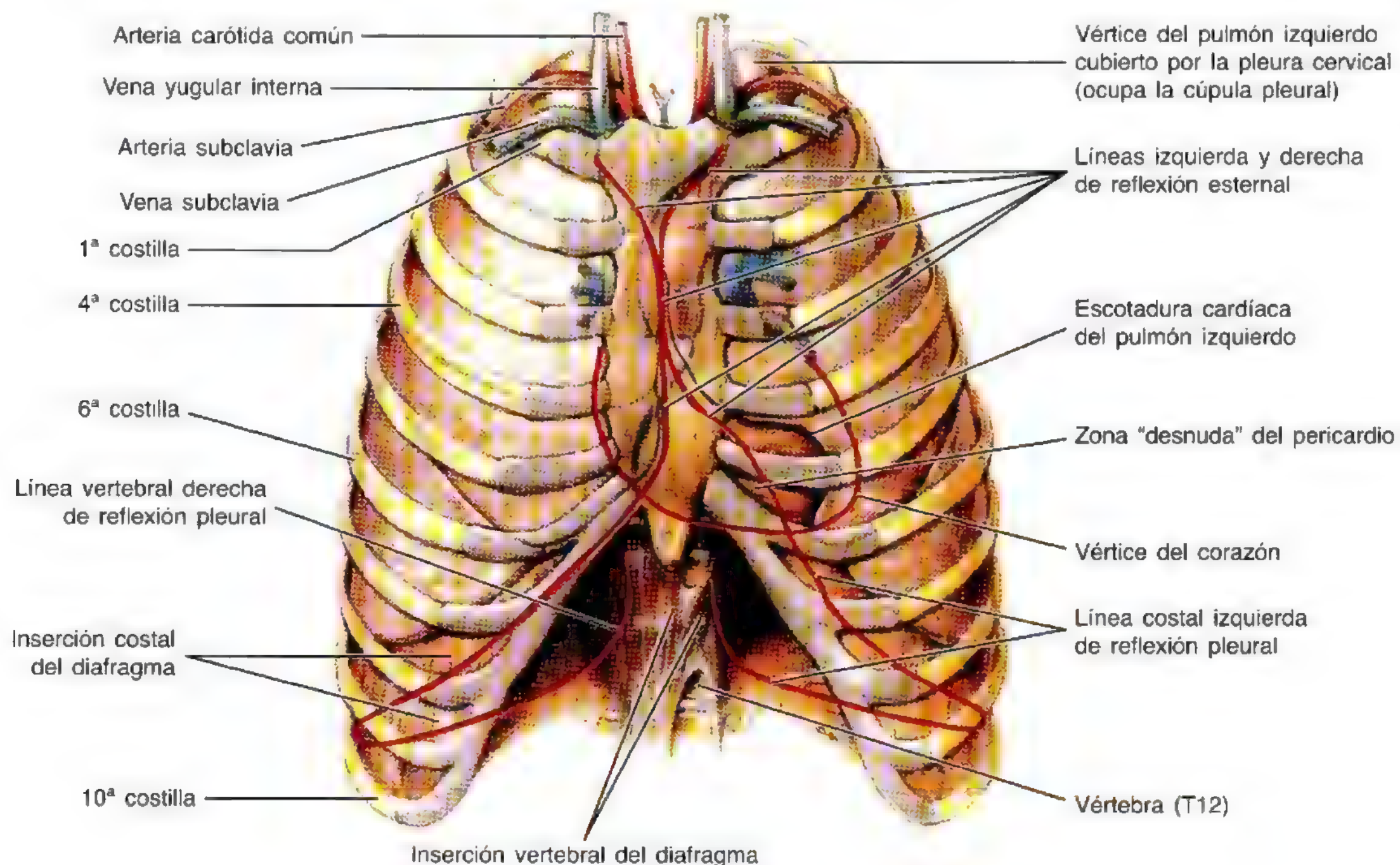
La **pleura diafragmática** es la parte de la pleura parietal que cubre la cara superior del diafragma, salvo en la zona

de las inserciones costales o donde se halla cubierta por el pericardio, membrana fibroscrosa que envuelve el corazón. La **fascia frenicopleural**, delgada capa de fascia endotorácica comunica la pleura diafragmática con las fibras musculares del diafragma.

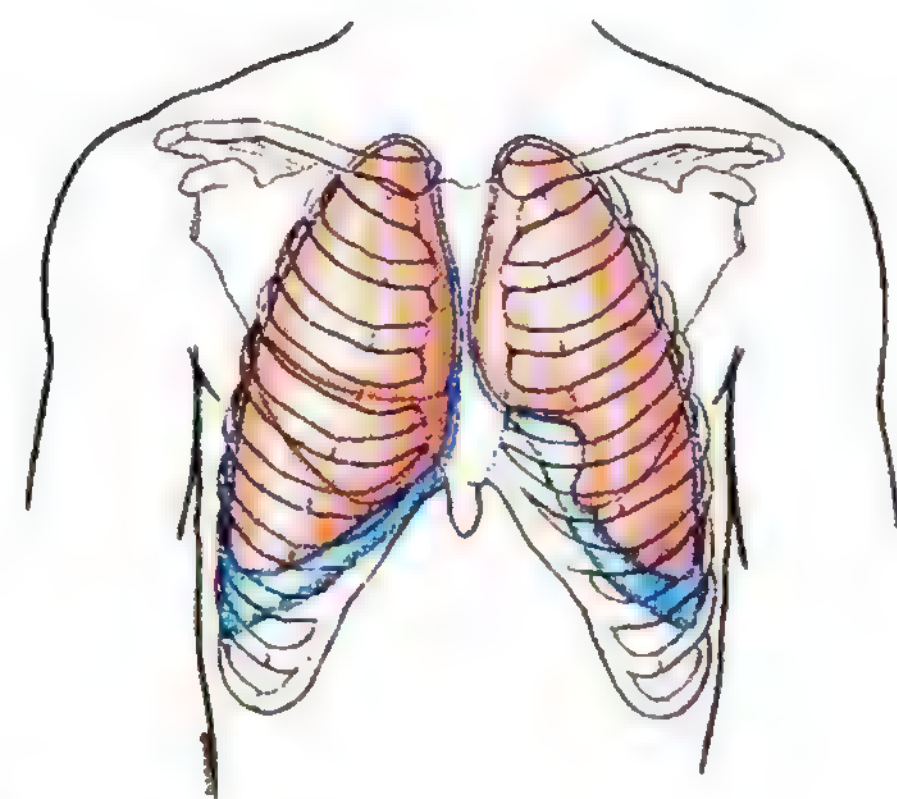
La **pleura cervical** es un casquete cupuliforme del saco pleural que continúa las capas costal y mediastínica de la pleura. La pleura cervical cubre el vértice del pulmón que se extiende por la cara superior más allá del orificio torácico superior y se introduce en la raíz del cuello (fig. 1.26A). El punto más alto de la pleura cervical se sitúa 2-3 cm superior al tercio medial de la clavícula, a la altura del cuello de la 1ª costilla (fig. 1.26B). La pleura cervical está reforzada por una prolongación de la fascia endotorácica —la **membrana suprapleural** (fascia de Sibson)—, que se inserta en el borde interno de la 1ª costilla y en la apófisis transversa de la vértebra C7.

Las líneas relativamente bruscas donde la pleura parietal cambia la dirección de una pared de la cavidad pleural a otra constituyen las **líneas de reflexión pleural** (figs. 1.26 y 1.27).

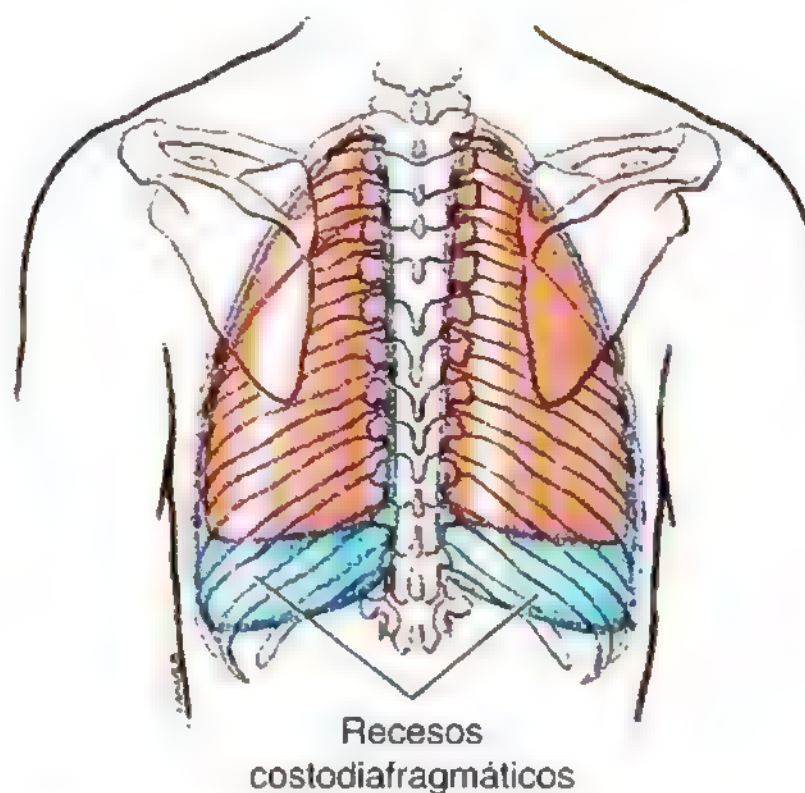
- La **línea esternal de reflexión pleural** es nítida o abrupta y aparece allí donde la pleura costal se continúa con la pleura mediastínica por la cara anterior.
- La **línea costal de reflexión pleural** también es nítida y se forma donde la pleura costal se sigue de la pleura diafragmática por la cara inferior.
- La **línea vertebral de reflexión pleural** es bastante más redonda y gradual, y aparece en el lugar donde la pleura costal prosigue con la mediastínica por la cara posterior.



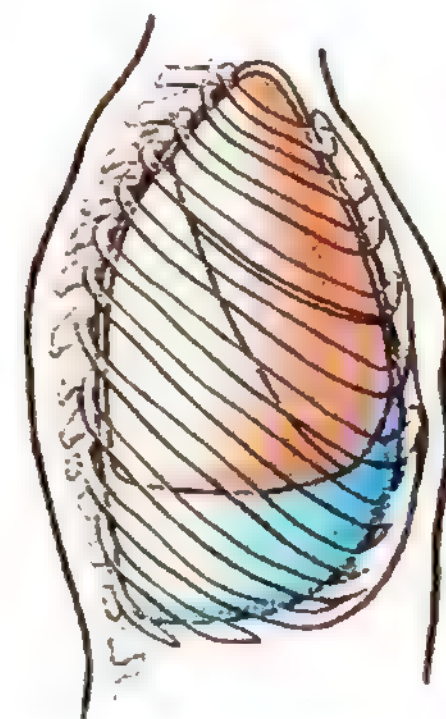
(A)



(B) Visión anterior

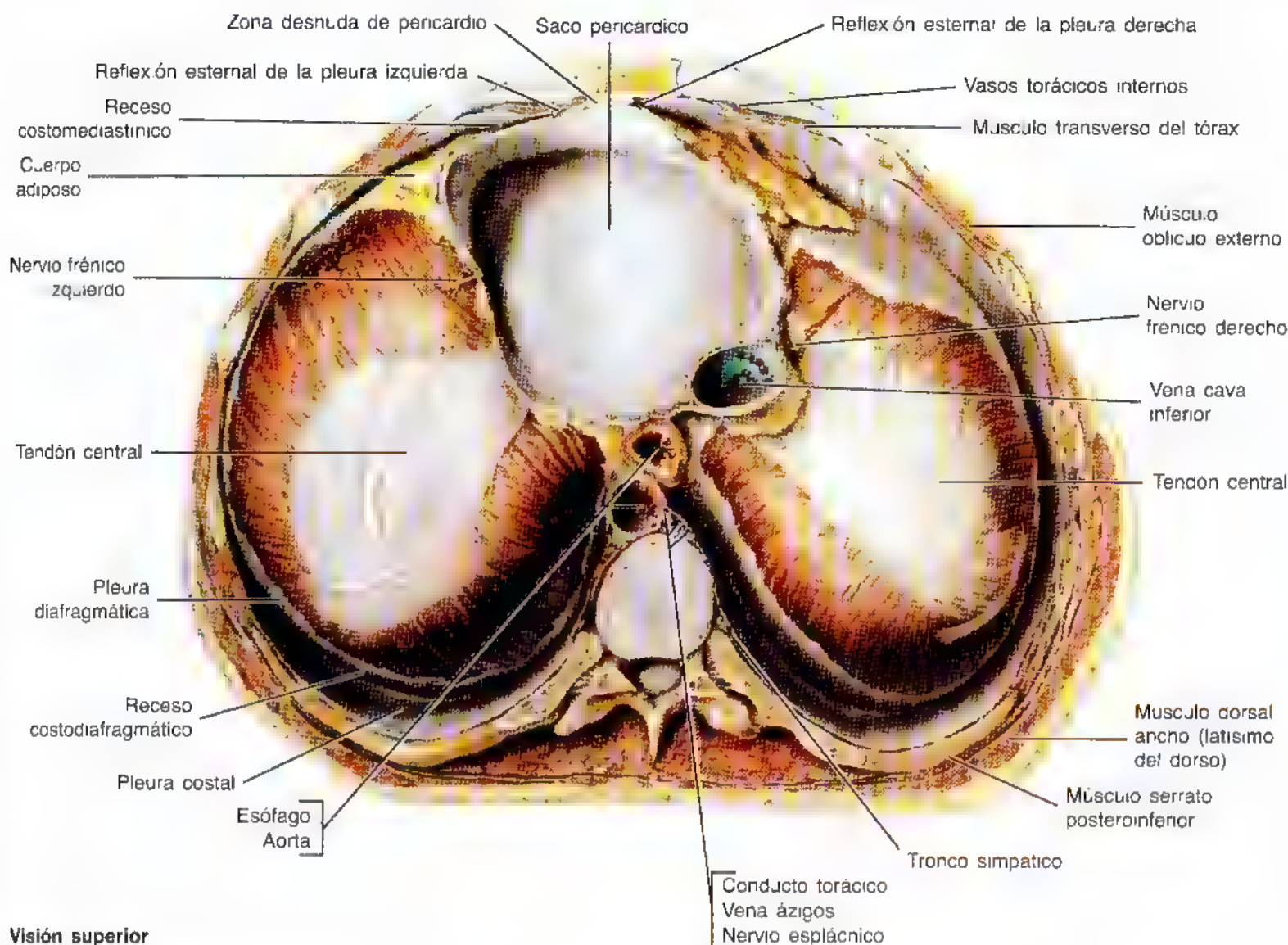


(C) Visión posterior



(D) Visión lateral

Figura 1.26. Contenido del tórax y esquema de la pleura y los pulmones. A. Obsérvense los vértices de los pulmones y la pleura cervical, que se extienden hasta el cuello. Nótese la escotadura cardíaca del pulmón izquierdo. Compruébese cómo la pleura parietal también se aleja del plano medio hacia la izquierda, en la región de la escotadura cardíaca, dejando una zona "desnuda", donde el saco pericárdico queda accesible para la punción con aguja sin atravesar el pulmón ni la cavidad pleural. Obsérvense también en B-D el contorno de la pleura parietal y de los pulmones durante la respiración tranquila y la falta de ocupación de los recesos costodiafragmáticos por los pulmones. Por eso, el exudado pleural se acumula cuando el cuerpo se queda en posición erguida. En A y en D se puede seguir el contorno de las cisuras oblicua y horizontal del pulmón derecho; se observa en particular que la cisura horizontal es paralela a la 4ª costilla.



Visión superior

Figura 1.27. Diafragma y saco pericárdico. Se ha extirpado la mayor parte de la pleura diafragmática. Obsérvese el saco pericárdico situado en la parte anterior y central del diafragma sobre todo a la izquierda. Advértese también los recesos costodiafragmático y costomediastínico y la zona “desnuda” del pericardio.

Las reflexiones esternales derecha e izquierda de la pleura se marcan con líneas que siguen un curso inferomedial desde las articulaciones esternocostales hasta la línea media anterior, a la altura del ángulo esternal. Aquí, los sacos pleurales establecen contacto e incluso llegan a superponerse ligeramente.

La *línea esternal de reflexión pleural del lado derecho* se dirige en sentido inferior por el plano medio hasta la cara posterior de la apófisis xifoides, donde gira lateralmente (fig. 1.24). La línea esternal izquierda de reflexión sigue un trayecto inferior por el plano medio hasta la altura del 4º cartilago costal. En este lugar pasa al borde izquierdo del esternón y se continúa, por abajo, hasta el 6º cartilago costal, dando una “escotadura” más fina que la escotadura cardíaca del pulmón; esta escotadura permite que una parte del pericardio (saco cardíaco) entre en contacto directo con la pared torácica anterior. Este hecho tiene importancia para la pericardiocentesis (pág. 121).

La *línea costal de reflexión pleural* pasa oblicua a través de la 8ª costilla por la LMC, la 10ª costilla por la LAM

y la 12ª costilla por su cuello o por debajo. La *línea vertebral de reflexión pleural* sigue paralela a la columna vertebral, discurriendo en un plano paravertebral desde T1 hasta T12.

Los pulmones no ocupan toda la cavidad pulmonar durante la espiración; por eso, la pleura diafragmática periférica establece contacto con las porciones más bajas de la pleura costal. Los espacios pleurales virtuales son, en este caso, los **recesos diafragmáticos** —“canalones” tapizados de pleura— que rodean la convexidad superior del diafragma dentro de la pared torácica (figs. 1.25 y 1.27). Existen unos recesos pleurales análogos, pero más pequeños, posteriores al esternón, donde la pleura costal entra en contacto con la mediastínica. Los espacios pleurales virtuales se denominan **recesos costomediastínicos**; el izquierdo puede ser mayor (estar menos ocupado) debido a la escotadura cardíaca del pulmón izquierdo. Los bordes inferiores de los pulmones se introducen en los recesos pleurales durante la inspiración profunda y se retraen con la espiración.

Lesiones de la pleura cervical y del vértice pulmonar

Dada la vertiente inferior de la primera pareja de costillas y de la abertura torácica superior que forman, la pleura cervical y el vértice de los pulmones se proyectan a través de este "orificio" hacia el cuello, posteriores a las inserciones inferiores de los músculos esternocleidomastoideos. Por consiguiente, en las heridas cervicales se pueden dañar los pulmones y los sacos pleurales. El aire penetra en la cavidad pleural y causa un *neumotórax*, que significa la presencia de aire (*G. pneuma*) en la cavidad pleural. La pleura cervical tiene un nivel algo más alto en los lactantes y niños pequeños, debido a la cortedad de su cuello. Por eso, la pleura resulta vulnerable a las lesiones en los primeros años de vida.

Lesión de otras zonas de la pleura

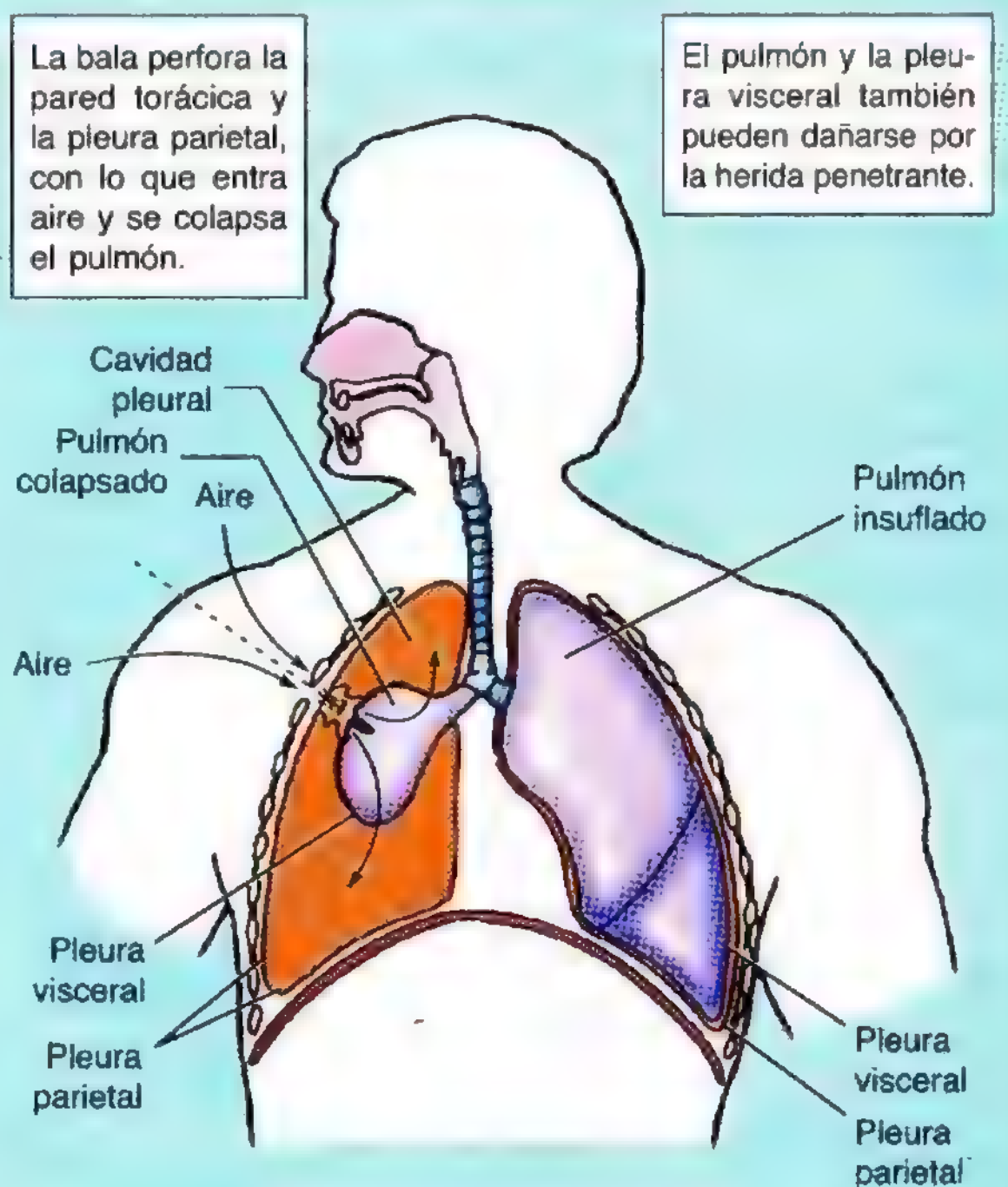
La pleura desciende inferior al reborde costal en tres regiones, donde la incisión abdominal puede lesionar de forma inadvertida el saco pleural: la parte derecha del ángulo infraesternal y los ángulos costovertebrales izquierdo y derecho. Las pequeñas zonas de pleura expuestas en los ángulos costovertebrales, inferomediales a la 12ª costilla, quedan posteriores a los polos superiores de los riñones. La pleura se puede ver dañada en este lugar por una incisión practicada en la pared abdominal posterior, por ejemplo para la exposición quirúrgica del riñón.

Colapso pulmonar

Cuando penetra una cantidad suficiente de aire en la cavidad pleural desaparece la tensión de superficie que mantiene adheridas las pleuras visceral y parietal (pulmón y pared torácica), y el pulmón se colapsa debido a su elasticidad intrínseca (retroceso elástico). Cuando el pulmón se colapsa, la cavidad pleural (de ordinario, un espacio virtual) se transforma en un espacio real. Un pulmón se puede colapsar, por ejemplo después de la cirugía, sin que se colapse el otro porque los sacos pleurales son diferentes. El *desgarro de un pulmón y de su pleura visceral* o la penetración de la pared torácica y de la pleura parietal provocan hemorragia y escape de aire dentro de la cavidad pleural. La cantidad de sangre y de aire que se acumula determina la magnitud del colapso pulmonar.

Neumotórax, hidrotórax y hemotórax

La entrada de aire dentro de la cavidad pleural (*neumotórax*) como consecuencia de una herida penetrante de la pleura parietal o de la rotura del pulmón por una bala, por ejemplo, ocasiona el colapso parcial del pulmón. Las fracturas costales también desgarran a veces la pleura pa-



rietal y causan hemotórax. El acúmulo de una cantidad importante de líquido dentro de la cavidad pleural (*hidrotórax*) puede obedecer a un *derrame pleural* (escape de líquido a la cavidad pleural). Cuando se produce una herida torácica pasa a veces sangre a la cavidad pleural (*hemotórax*). El hemotórax obedece más veces a lesiones de un gran vaso intercostal que a desgarros pulmonares.

Pleurectomía

La obliteración de la cavidad pleural por una enfermedad, como la *pleuritis* (inflamación de la pleura) o por la cirugía (*pleurectomía* o extirpación de parte de la pleura, por ejemplo) no tiene apenas consecuencias funcionales, pero puede ocasionar dolor durante el esfuerzo. Existen intervenciones (*pleurodesis*) para adherir las capas parietal y visceral de la pleura con un polvo ligeramente irritante. La pleurectomía y la pleurodesis tienen por objeto prevenir el *neumotórax espontáneo* recidivante secundario a enfermedad pulmonar.

Pleuritis (pleuresía)

Durante la inspiración y la espiración, las pleuras normales, lisas y húmedas, no hacen ningún ruido cuando se *auscultan los pulmones* (para oír el murmullo vesicular o de la respiración); sin embargo, si se inflama la pleura —*pleuritis* (pleuresía)—, la superficie pulmonar se torna ▶

► rugosa. La fracción resultante (*roce pleural*) se detecta con el estetoscopio. Las superficies inflamadas de la pleura provocan también una adherencia de las capas parietal y visceral (*adherencia pleural*). La pleuritis aguda

se caracteriza por un dolor exquisito y punzante, sobre todo con el esfuerzo, por ejemplo, al subir escaleras, que es cuando aumentan la frecuencia y profundidad de la respiración, aunque sea de forma leve. ◻

Pulmones

Los pulmones son los órganos vitales de la respiración. Su función principal consiste en oxigenar la sangre y conducir el aire inspirado hasta la proximidad de la sangre venosa de los capilares pulmonares. Pese a que los pulmones cadavéricos pueden parecer contraídos, con un tacto duro y descoloridos, los pulmones sanos de las personas vivas suelen ser ligeros, blandos y esponjosos. Además, poseen elasticidad y capacidad de retroceso, hasta aproximadamente un tercio de su tamaño, cuando se abre la cavidad torácica (fig. 1.24). Los pulmones están separados entre sí por el corazón, las vísceras y los grandes vasos del mediastino. Los pulmones se unen al corazón y la tráquea por las estructuras que componen las raíces pulmonares. La **raíz del pulmón** está

formada por las estructuras que entran y salen del pulmón por el hilio, el bronquio principal y los vasos pulmonares (figs. 1.28 y 1.29). La raíz está envuelta en su totalidad por las capas parietal y visceral de la pleura; existe un **manguito pleural** o mesoneumonio (mesenterio del pulmón). La raíz del pulmón conecta éste con la tráquea y el corazón. El **hilio pulmonar** es una zona situada en la superficie medial de cada pulmón, por donde las estructuras que forman la raíz —bronquio principal, vasos pulmonares, vasos bronquiales, vasos linfáticos y nervios— entran y salen del pulmón. El hilio se puede comparar con una zona terrestre por donde las raíces de la planta emergen del suelo.

Las cisuras oblicua y horizontal dividen los pulmones en lóbulos (fig. 1.30). *El pulmón derecho tiene tres lóbulos, y el*

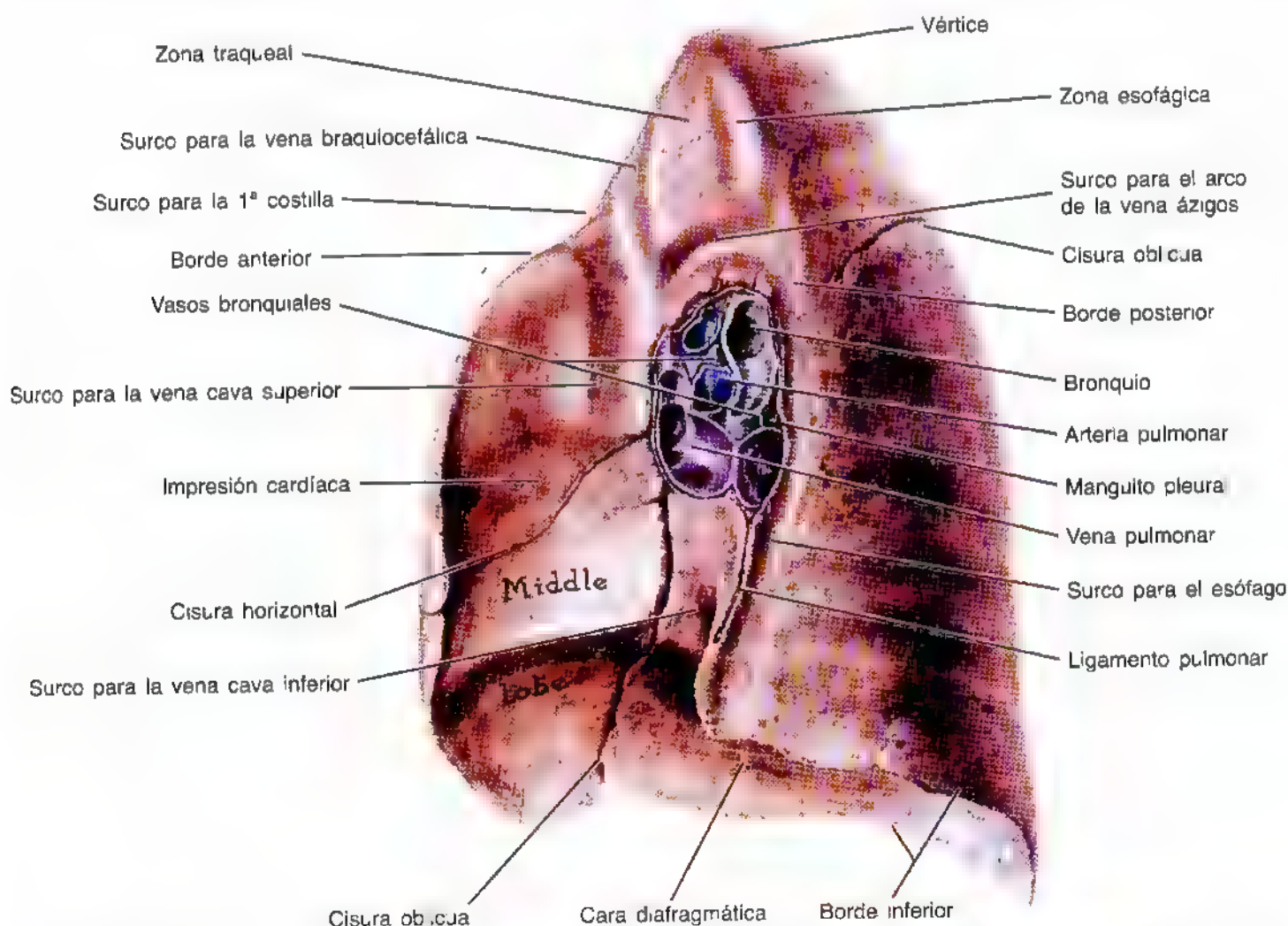


Figura 1.28. Cara mediastínica del pulmón derecho. Se aprecia la depresión piriforme, el hilio (entrada) del pulmón próximo al centro, que contiene los vasos pulmonares y los bronquios principales que forman la raíz del pulmón, por el hilio entran estas estructuras (cortadas en la figura) a los pulmones. Obsérvese que las venas pulmonares se sitúan en la parte más anterior e inferior del hilio y que el bronquio principal ocupa una posición central y posterior. En el pulmón derecho, el bronquio lobar superior (epiarteria) se sitúa a veces superior a la arteria pulmonar.

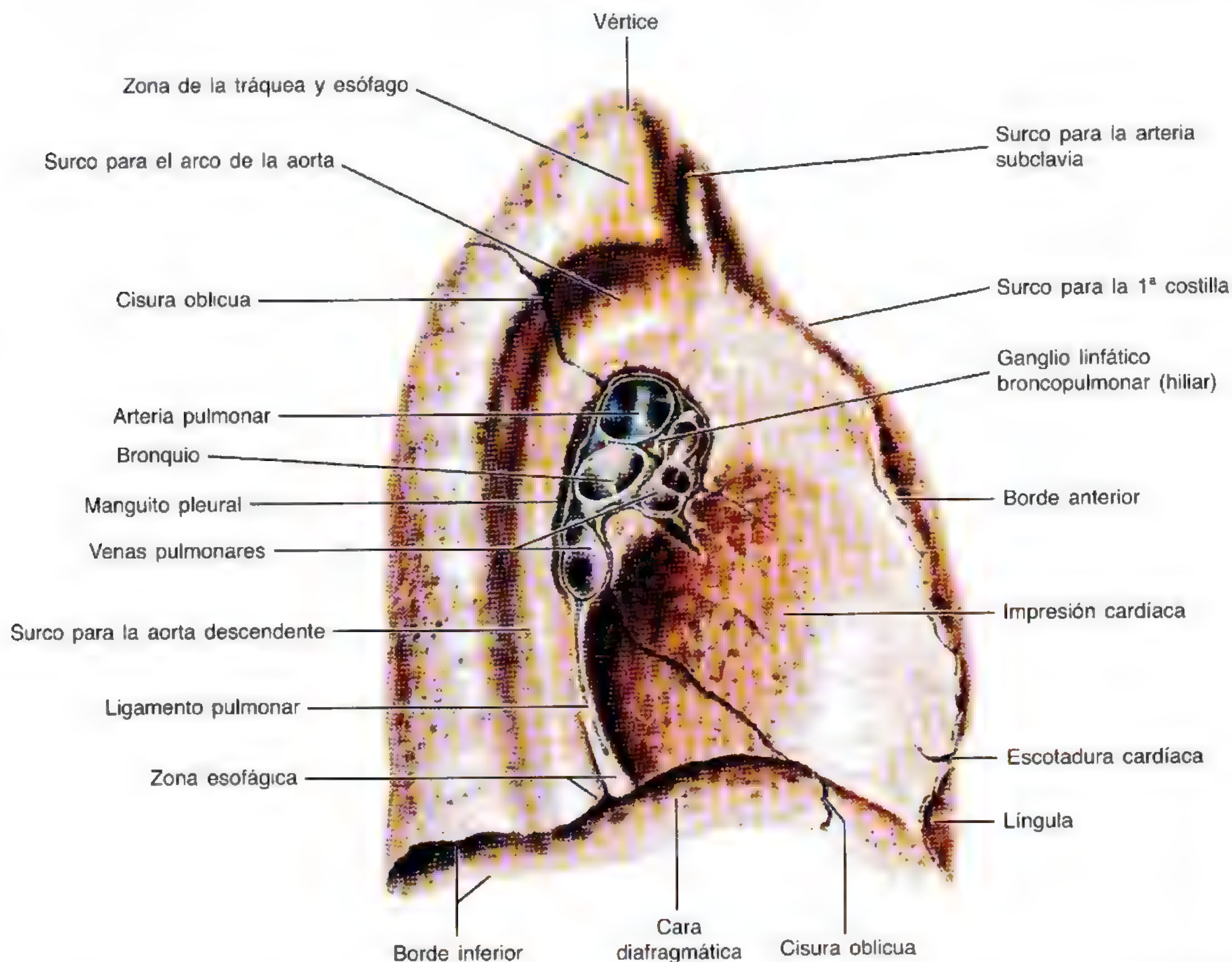


Figura 1.29. Cara mediastínica del pulmón izquierdo. Obsérvese en el centro el hilio pulmonar y su contenido, que forma la raíz pulmonar (cortada). En el hilio del pulmón izquierdo las venas pulmonares se sitúan en la parte más anterior e inferior, y el bronquio ocupa una posición central y posterior, como en el pulmón derecho. Sin embargo, en el hilio izquierdo la arteria pulmonar representa sin ninguna duda el componente más superior de la raíz pulmonar. Obsérvese también la continuación (reflexión) de la pleura parietal con la pleura visceral, que rodea la raíz y forma el ligamento pulmonar que desciende de la raíz. Examine la zona de contacto de la tráquea y del esófago y los surcos para el arco de la aorta y la aorta descendente. Se aprecia una gran impresión cardíaca. Las impresiones de estas estructuras desaparecen una vez extraídos los pulmones del tórax.

izquierdo, dos. El pulmón derecho es más grande y pesado que el izquierdo, pero más corto y ancho, porque la cúpula derecha del diafragma se eleva más y el corazón y el pericardio sobresalen más a la izquierda. El borde anterior del pulmón derecho es bastante recto, mientras que el del pulmón izquierdo tiene una profunda **escotadura cardíaca**. La escotadura cardíaca indenta sobre todo la cara anteroinferior del lóbulo superior del pulmón izquierdo y crea una prolongación fina, a modo de lengua, del lóbulo superior —la *lingula* (diminutivo de lengua en latín)—, que se extiende por debajo de la escotadura cardíaca y entra y sale del receso costomediastínico durante la inspiración y espiración. Cada pulmón tiene:

- Un *vértice* o extremo superior romo, que se eleva por encima de la 1ª costilla hasta la raíz del cuello y está cubierto por la pleura cervical.
- *Tres superficies* (costal, mediastínica y diafragmática).

- *Tres bordes* (anterior, inferior y posterior).

Los pulmones de un cadáver embalsamado —generalmente, con un tacto duro— muestran impresiones por contacto de las estructuras vecinas, como las costillas (figs. 1.28-1.30). Estas marcas dan una idea de las relaciones pulmonares; sin embargo, no se aprecian durante la cirugía ni tampoco en muestras de cadáveres recientes o de autopsia. La superficie mediastínica del pulmón derecho dispone de un *surco para el esófago* y de una *impresión cardíaca para el corazón*. La impresión cardíaca de la cara mediastínica del pulmón izquierdo es bastante mayor y se observa un surco prominente y continuo para el *arco de la aorta* y para la *aorta descendente (torácica)*, así como otro menor para el esófago. **Cada pulmón tiene tres superficies** (figs. 1.28-1.30):

- La *superficie costal*, adyacente al esternón, cartílagos costales y costillas.

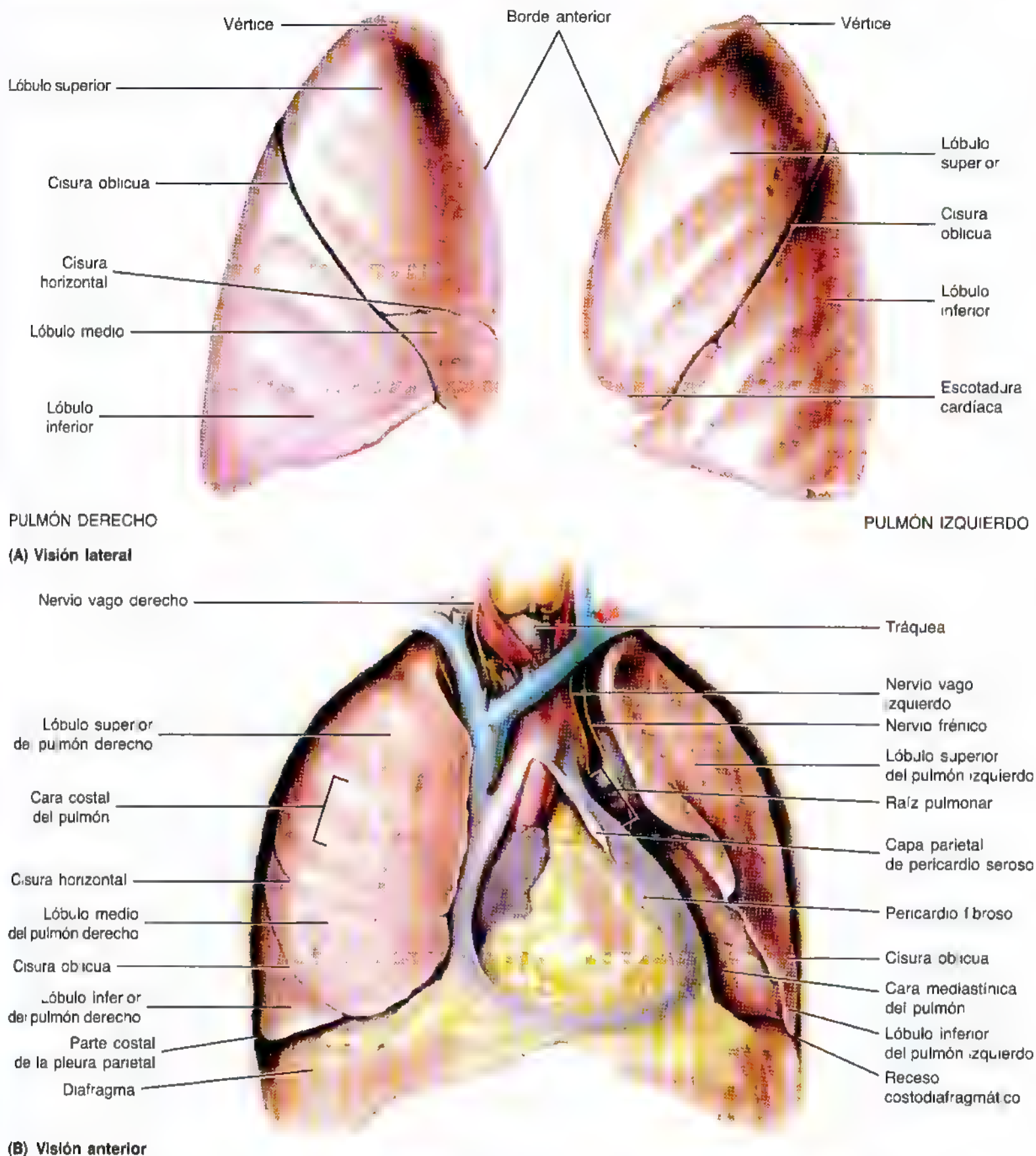


Figura 1.30. Pulmones y corazón. **A.** Los pulmones después de su extracción de las cavidades pulmonares. Obsérvense los tres lóbulos del pulmón derecho y los dos del izquierdo. Pese a su clara definición en estas muestras, las cisuras oblicua y horizontal pueden ser incompletas o faltar en algunas preparaciones. **B.** El corazón y los pulmones *in situ*. El pericardio fibroso se ha extirpado por la cara anterior para visualizar el corazón y los grandes vasos. Obsérvense que el pericardio fibroso está tapado por la capa parietal de pericardio seroso. Nótese también que el nervio frénico pasa delante de la raíz pulmonar, mientras que el vago (NC X) lo hace detrás.

- La *superficie mediastínica*, que comprende el hilio del pulmón y se relaciona medialmente con el mediastino y posteriormente con los lados de las vértebras.
- La *superficie diafragmática*, que reposa sobre la cúpula convexa del diafragma.

La **superficie costal del pulmón** es grande, lisa y convexa. Se relaciona con la pleura costal, que la separa de las costillas, cartílagos costales y músculos intercostales íntimos. La parte posterior de esta superficie guarda relación con los cuerpos de las vértebras torácicas y a veces se denomina parte vertebral de la superficie costal.

La **superficie mediastínica del pulmón** es cóncava, porque se relaciona con la parte central del mediastino que contiene el pericardio y el corazón. Como dos tercios del corazón se sitúan a la izquierda, la concavidad pericárdica, como parece lógico, es más profunda en el pulmón izquierdo. La superficie mediastínica comprende el hilio y, por tanto, recibe la raíz del pulmón, alrededor del cual la pleura forma un revestimiento o manguito pleural. El **ligamento pulmonar** cuelga por la cara inferior del manguito pleural que rodea la raíz pulmonar (figs. 1.28 y 1.29). Algunas personas tienen dificultades para visualizar la raíz del pulmón, el manguito pleural y el ligamento pulmonar. Colóquese otra bata de laboratorio de un tamaño mayor y separe los brazos. La raíz del pulmón se parece a su antebrazo y la

manga de la bata representa el manguito pleural. El ligamento pulmonar corresponde a la parte del mango que queda colgando de la muñeca y la muñeca, la mano y los dedos separados representan las estructuras ramificadas de la raíz, los bronquios y los vasos pulmonares.

La **cara diafragmática de los pulmones**, también cóncava (figs. 1.28-1.30), configura la *base de los pulmones* que se apoya sobre la cúpula diafragmática. La concavidad es mayor en el pulmón derecho, dada la posición más elevada de la cúpula diafragmática derecha, que cubre el hígado, órgano muy grande. La cara diafragmática está limitada, por la superficie lateral y posterior, por un borde fino y nítido (borde inferior) que se proyecta en el **receso costodiafragmático** de la pleura (fig. 1.30B). **Cada pulmón tiene tres bordes:**

- *Borde anterior*, donde se reúnen las superficies costal y mediastínica en la cara anterior; se solapa con el corazón. La *escotadura cardíaca* indenta este borde del pulmón izquierdo.
- *Borde inferior*, que circunscribe la cara diafragmática del pulmón y la separa de las superficies costal y mediastínica.
- *Borde posterior*, donde se reúnen las superficies costal y mediastínica en la cara posterior; es ancho y redondo y se encuentra en la cavidad a los lados de la región torácica de la columna vertebral.

Variaciones de los lóbulos pulmonares

A veces, una cisura accesoria divide uno de los pulmones o bien falta alguna cisura. Por ejemplo, en ocasiones el pulmón izquierdo tiene tres lóbulos, y el derecho, tan sólo dos. El lóbulo "accesorio" más común es el *lóbulo ázigos*, que se observa en el pulmón derecho de cerca del 1% de las personas. En estos casos, la vena ázigos se arquea sobre el vértice del pulmón derecho y no sobre el hilio derecho, aislando la porción medial del vértice como un lóbulo ázigos.

Aspecto de los pulmones

Los pulmones de los niños sanos y de los jóvenes no fumadores, que viven en un medio limpio (p. ej., los sherpas de las montañas del Himalaya), tienen un color rosa claro. En la mayoría de los adultos de las zonas urbanas o agrícolas, sobre todo en los que fuman, el color de los pulmones es más bien oscuro, por la acumulación de partículas de carbono y de polvo del aire y los irritantes inhalados con el tabaco. Sin embargo, los pulmones pueden tolerar una cantidad considerable de carbono sin sufrir ningún daño. Existen unas "células limpiadoras de polvo" (fagocitos) especiales que eliminan el carbono de las superficies de intercambio gaseoso y lo depositan en el tejido conjuntivo "inactivo", que da sostén al pulmón,

o bien en los ganglios linfáticos que drenan la linfa de los pulmones.

Auscultación y percusión pulmonares

La auscultación de los pulmones (colocar el estetoscopio para escuchar el sonido pulmonar) y la percusión pulmonar (golpear con los dedos el tórax que cubre los pulmones para conocer el sonido de los vértices pulmonares) deben siempre incluir la raíz del cuello. Cuando el clínico habla de auscultar la base de los pulmones no suele referirse a la cara diafragmática ni a la base anatómica, sino a la porción inferoposterior del lóbulo inferior. Para ello, el clínico aplica el estetoscopio sobre la pared torácica posterior a la altura de la 10ª vértebra torácica.

Flotación pulmonar

El pulmón sano y fresco siempre tiene un poco de aire, y por eso, cuando se extrae tejido pulmonar flota en el agua. En cambio, el pulmón dañado, lleno de líquido, los pulmones fetales y los pulmones de un recién nacido muerto, que jamás se han expandido, se sumergen dentro del agua. Los pulmones de un pequeño nacido vivo que fallece poco tiempo después del parto, también flotan. Estas observaciones tienen trascendencia medicolegal. ►

► para saber si un recién nacido nació muerto o si nació vivo y empezó a respirar.

Cáncer del vértice pulmonar

El cáncer de pulmón que daña el nervio frénico puede causar una parálisis hemidiafragmática. Dada la íntima

relación entre el *nervio laríngeo recurrente* y el vértice del pulmón (fig. 1.30B), este nervio puede verse afectado en los cánceres del vértice pulmonar. Dicha lesión suele causar ronquera por parálisis de los pliegues (cuerdas) vocales, puesto que el *nervio laríngeo recurrente* inerva todos los músculos de la laringe, excepto uno (véase el capítulo 8). ◉

Tráquea y bronquios principales

Los **bronquios principales**, uno para cada pulmón, siguen un curso inferolateral desde la bifurcación de la **tráquea**, a la altura del ángulo esternal, y pasan por el hilio de cada pulmón (fig. 1.31B). Las paredes de la tráquea y los bronquios se refuerzan con anillos de cartílago hialino con forma de herradura o de C.

- El **bronquio principal derecho** es más ancho, corto y vertical que el izquierdo a su paso por el hilio pulmonar.
- El **bronquio principal izquierdo** sigue un trayecto inferolateral, debajo del arco de la aorta y anterior al esófago y la aorta torácica hasta llegar al hilio pulmonar.

Los *bronquios principales penetran en los hilios pulmonares* y se ramifican de forma continua dentro de los pulmones, dando origen al **árbol bronquial**. Cada bronquio principal se divide en **bronquios lobares** (bronquios secundarios), dos a la izquierda y tres a la derecha, que se distribuyen en cada lóbulo pulmonar. Cada bronquio lobar se divide en varios **bronquios segmentarios** (terciarios), que se reparten por los segmentos broncopulmonares (figs. 1.31 y 1.32). El **segmento broncopulmonar**:

- Tiene forma piramidal; el vértice mira a la raíz pulmonar, y la base, a la cara pleural.
- Es la subdivisión mayor de cada lóbulo.

- Se separa de los segmentos adyacentes por tabiques de tejido conjuntivo.
- Recibe un bronquio segmentario (terciario) y una rama terciaria de la arteria pulmonar.
- Se denomina según el bronquio segmentario correspondiente.
- Está drenado por las porciones intersegmentarias de las venas pulmonares que se sitúan en el tejido conjuntivo interpuesto y drenan los segmentos adyacentes.
- Se puede extirpar por vía quirúrgica.

A partir de las ramas directas de los bronquios lobares, es decir, a partir de los bronquios segmentarios (fig. 1.31B), se forman 20 a 25 generaciones de ramas que acaban al final en los **bronquiolos terminales** (fig. 1.32). Cada bronquiolo terminal da origen a diversas generaciones de bronquiolos respiratorios y cada **bronquiolo respiratorio** termina en 2 a 11 **conductos alveolares** que, a su vez, emiten 5 ó 6 **sacos alveolares** revestidos por alvéolos. El **alvéolo** (pequeño espacio hueco en L.) es la unidad estructural básica para el intercambio gaseoso en los pulmones (Cormack, 1993; Gartner y Hiatt, 1997). Los alvéolos nuevos continúan formándose hasta aproximadamente los ocho años de edad, momento en el que se dispone de unos 300 millones de alvéolos (Moore y Persaud, 1998).

Aspiración de cuerpos extraños

Como el bronquio derecho es más ancho y corto y tiene una dirección más vertical que el izquierdo, los cuerpos extraños pueden pasar y alojarse en él o en una de sus ramas. Uno de los peligros que afrontan los dentistas es la aspiración de un cuerpo extraño, como una pieza dental, material de obturación o un pequeño instrumento. Dichos objetos casi siempre pasan al bronquio principal derecho. Para crear un entorno estéril y evitar la aspiración de objetos extraños, los dentistas introducen un fino dique de goma dentro de la cavidad bucal, por ejemplo cuando proceden a intervenir sobre el conducto radicular.

Broncoscopia

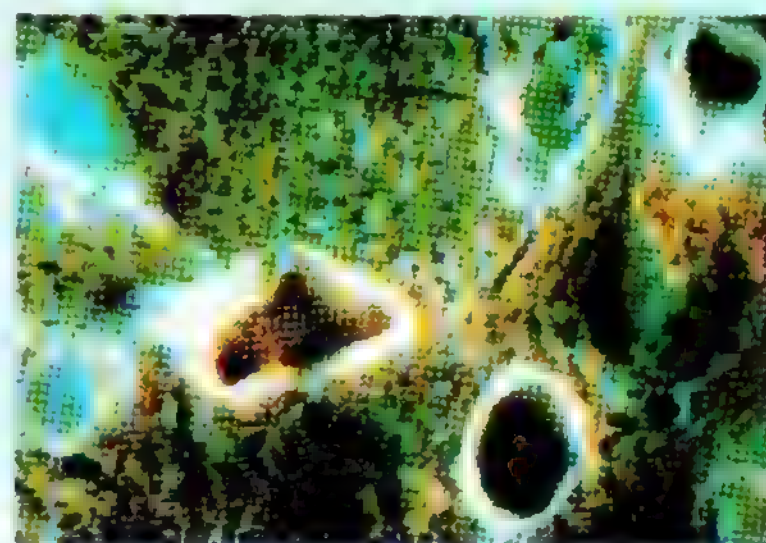
Cuando se **examinan** los bronquios con un *broncoscopio* se observa una cresta en forma de quilla —la **carina** (L. quilla de barco)— entre los orificios de los bronquios principales. La carina es una proyección cartilaginosa del último anillo traqueal. En general, se sitúa en un plano sagital y tiene un borde bastante definido. Si los ganglios linfáticos traqueobronquiales situados en el ángulo entre los bronquios principales crecen a causa de la presencia de células cancerosas procedentes de un *carcinoma broncogénico*, por ejemplo, se distorsiona la carina, que se ensancha en dirección posterior y queda inmóvil. Así pues, los cambios morfológicos de la carina constituyen signos ►

► diagnósticos importantes para el broncoscopista, que ayudan al diagnóstico diferencial de las enfermedades respiratorias.

La mucosa que cubre la carina es una de las regiones más sensibles del árbol traqueobronquial y se asocia con el *reflejo tusígeno*. Por ejemplo, cuando un niño aspira un cacahuete se ahoga y tose. Una vez que el cacahuete pasa la carina, el niño casi siempre deja de toser. La *bronquitis araquídica* química resultante (inflamación del bronquio), causada por las sustancias liberadas por el cacahuete (*L. arachis*), y el colapso pulmonar (*atelectasia*) distal al cuerpo extraño crean dificultad respiratoria (*disnea*). Además, durante el drenaje postural de los pulmones (se invierte la posición del paciente para “unirse con las fuerzas” de la gravedad), las secreciones pulmonares pasan a la carina y provocan tos, que ayuda a expulsarlas.

Resecciones pulmonares

El conocimiento de la anatomía de los segmentos broncopulmonares resulta esencial para una interpretación precisa de las radiografías y otras imágenes diagnósticas de los pulmones. El conocimiento de estos segmentos también es fundamental para la resección quirúrgica cuando están dañados. Los trastornos bronquiales y pulmonares, del tipo de los tumores o abscesos (colección de pus), suelen radicar en un segmento broncopulmonar,

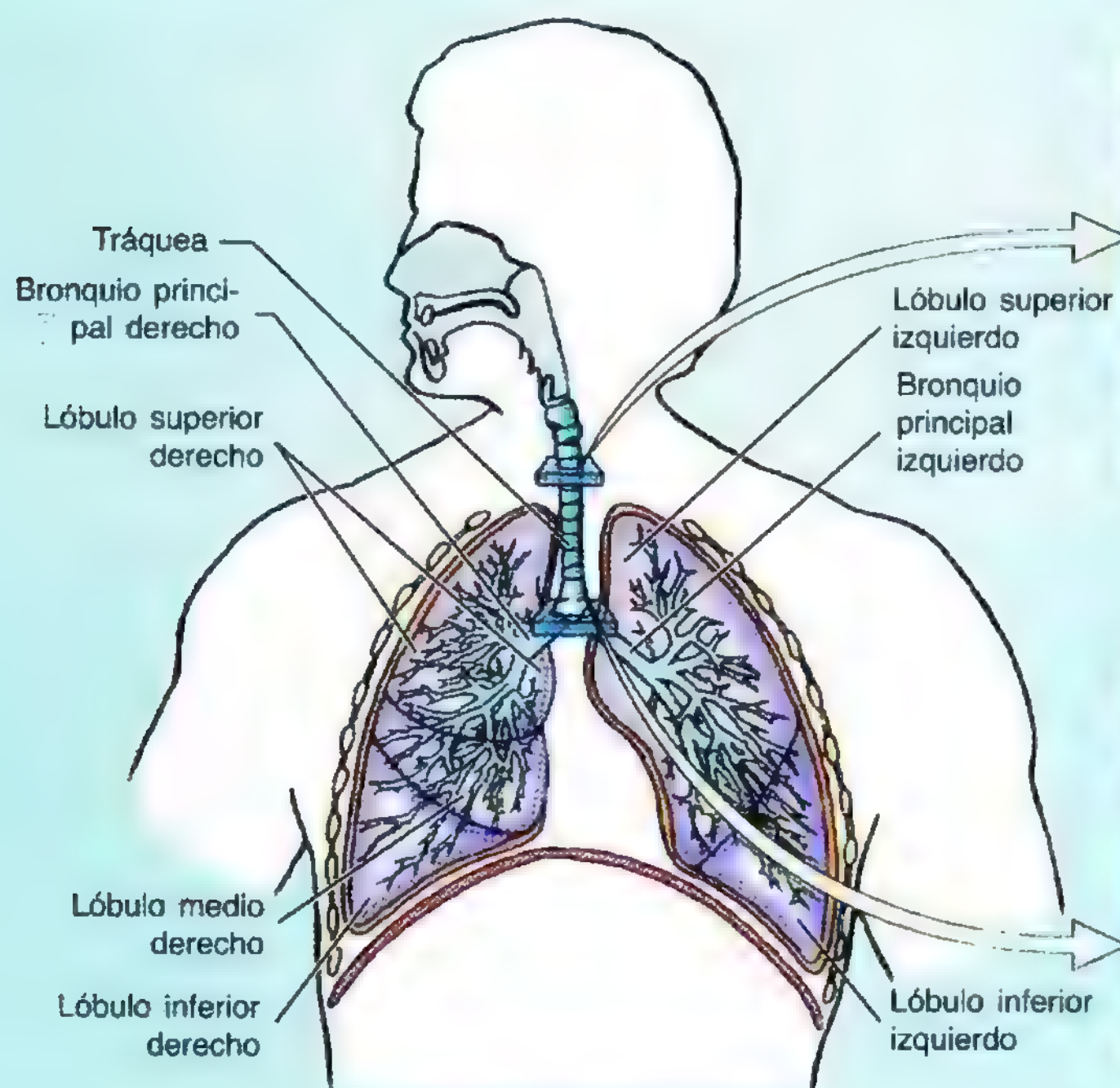


Asma bronquial (corte transversal del pulmón)

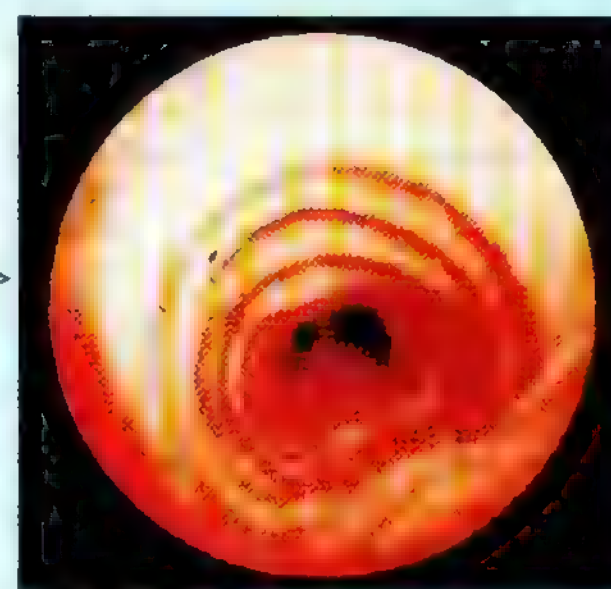
que se puede extirpar mediante cirugía. Durante el tratamiento del *cáncer de pulmón*, el cirujano puede extirpar todo el pulmón (*neumonectomía*), un lóbulo (*lobectomía*) o un segmento broncopulmonar (*segmentectomía*).

Asma bronquial

El asma bronquial es una enfermedad cada vez más corriente de los pulmones, que se caracteriza por un estrechamiento difuso de la vía respiratoria y que varía en muy poco tiempo; la recuperación ocurre de manera espontánea o con el tratamiento. El asma se debe a la contracción (espasmo) variable del músculo liso, al edema de la mucosa y al moco presente en la luz de los bronquios ►



(A)



(B) Visión broncoscópica de la tráquea



(C) Visión broncoscópica de la carina

► y bronquiolos. Estas variaciones son inducidas por la liberación local de sustancias *espasmógenas*, que provocan la contracción del músculo liso, y de sustancias vasoactivas, que modifican el tono y el calibre de los vasos sanguíneos (p. ej., histamina o prostaglandinas), durante un proceso alérgico. La ausencia de cartílagos en las paredes de los bronquiolos constituye un peligro potencial, porque permite la constricción de estas vías respiratorias y su práctico cierre cuando el tono de las células de múscu-

lo liso se exagera. El problema del trastorno asmático se relaciona más con la espiración que con la inspiración, porque los bronquiolos abiertos durante la inspiración también deben permanecer así en la espiración para que pueda salir rápidamente el aire, debido al retroceso elástico del tejido pulmonar. Por eso, durante la crisis asmática se observan más sibilancias ("pitos") y dificultad respiratoria con la expulsión del aire que con la inspiración (Cormack, 1993). ◻

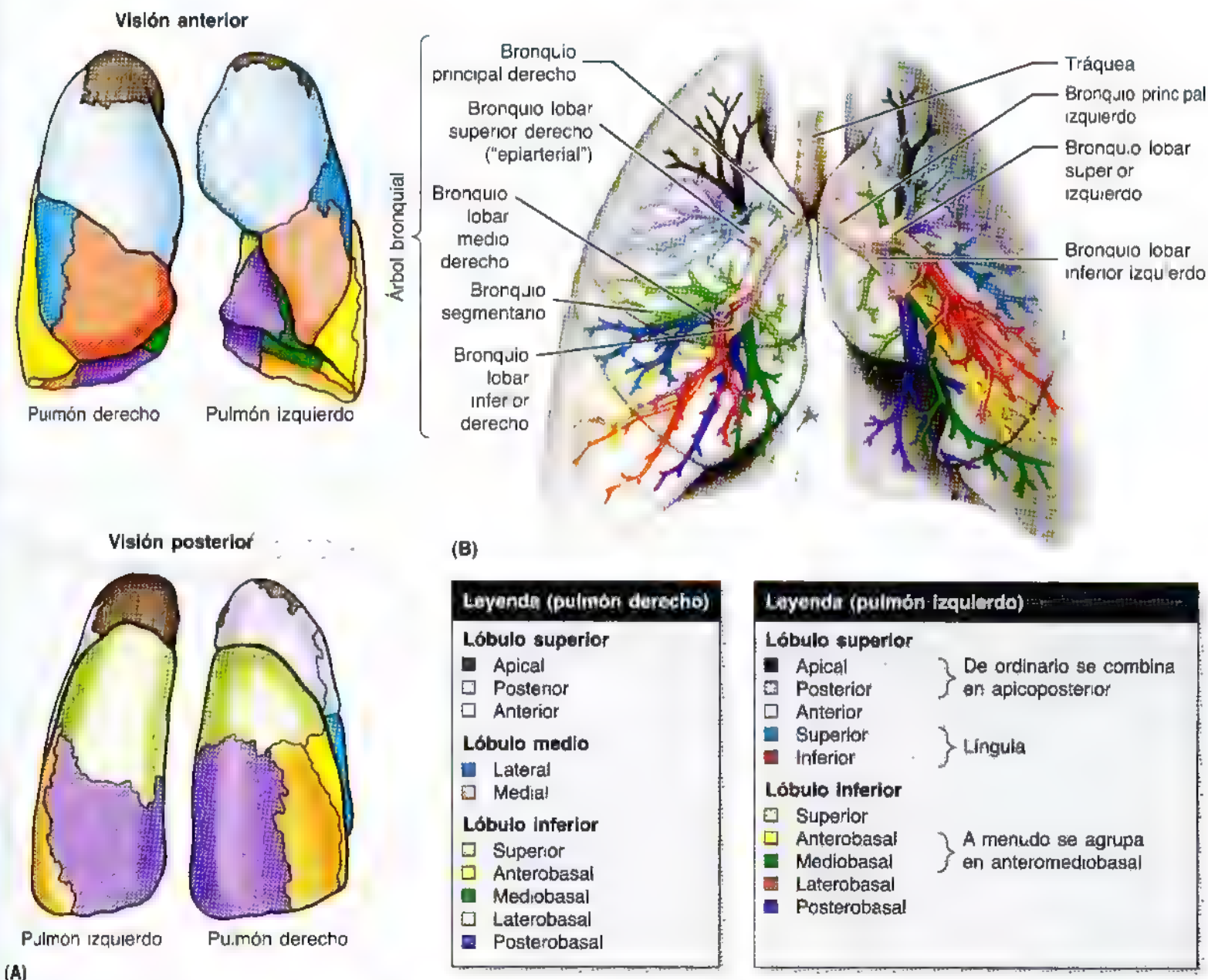


Figura 1.31. Tráquea, bronquios y segmentos broncopulmonares. **A.** Visiones anterior y posterior de los pulmones después de inyectar un color diferente de látex en cada bronquio segmentario (terciario) para ver los segmentos broncopulmonares. **B.** Obsérvese que el bronquio principal derecho sigue un trayecto más vertical y corto que el izquierdo. Pese a su localización posterior al borde anterior del pulmón, que no se aprecia en esta visión, el bronquio principal derecho emite el bronquio lobar superior derecho antes de pasar por el hilo pulmonar. Los bronquios lobares se dividen en bronquios segmentarios (coloreados), y cada uno de ellos se distribuye en el segmento broncopulmonar homónimo.

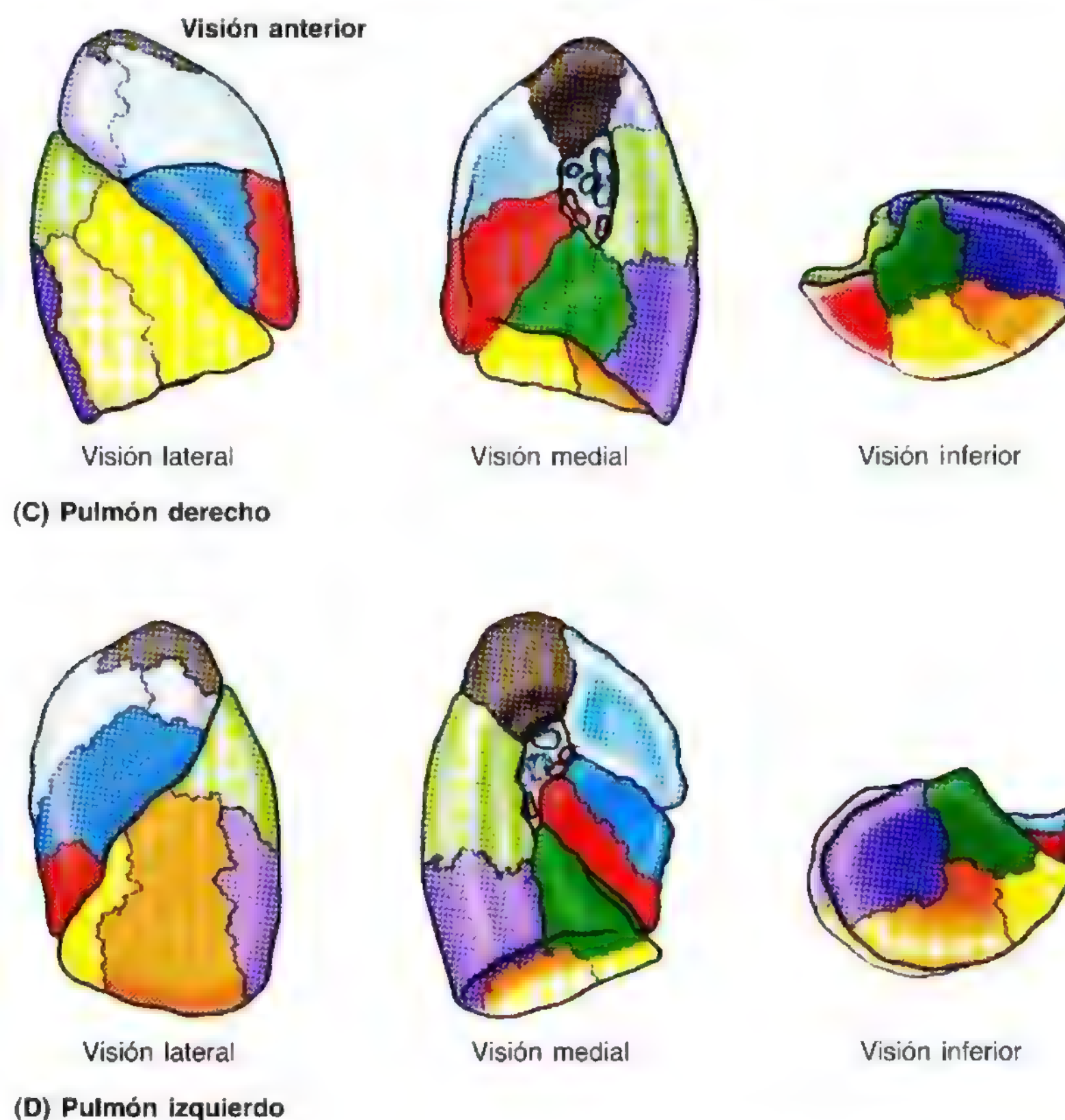


Figura 1.31. (Continuación) C-D. Segmentos broncopulmonares de los pulmones derecho e izquierdo en visión lateral, medial e inferior.

Vascularización y nervios de los pulmones y pleuras

Cada pulmón posee una gran **arteria pulmonar**, que lo perfunde, y dos **venas pulmonares**, que lo drenan (fig. 1.33). Las arterias pulmonares derecha e izquierda nacen en el **tronco pulmonar**, a la altura del ángulo esternal, y llevan sangre poco oxigenada ("venosa") a los pulmones para que se oxigene (por eso se suelen pintar en color azul, como las venas de las ilustraciones anatómicas). Cada arteria pulmonar forma parte de la raíz del pulmón correspondiente y emite la primera rama para el lóbulo superior antes de penetrar en el hilio. Dentro del pulmón, cada arteria desciende en sentido posterolateral hasta el bronquio principal y se divide en las **arterias lobares** y **segmentarias**. Por eso, una rama arterial llega a cada lóbulo y segmento broncopulmonar del pulmón, de ordinario por la cara anterior del bronquio correspondiente. Las arterias y los bronquios pulmonares están emparejados, se ramifican de forma simultánea y siguen trayectos paralelos.

Las **venas pulmonares**, dos a cada lado, llevan la sangre oxigenada ("arterial") de los pulmones a la aurícula izquierda del corazón (por eso se suelen pintar con un color rojo o púrpura, como las arterias de las ilustraciones anatómicas). Las venas que se originan en los capilares pulmonares

se unen para crear vasos cada vez mayores. Las partes intra-segmentarias de las venas pulmonares drenan la sangre de los segmentos broncopulmonares adyacentes hasta las zonas intersegmentarias de las venas pulmonares de los tabiques, que separan los segmentos. Las venas pulmonares siguen un trayecto independiente de las arterias y de los bronquios en su camino al hilio. Las venas de la pleura visceral drenan las venas pulmonares y las de la parietal se unen con las venas de la circulación sistémica en las partes adyacentes de la pared torácica.

Las **arterias bronquiales** aportan nutrición para las estructuras de la raíz de los pulmones, los tejidos de soporte pulmonar y la pleura visceral (fig. 1.34A). Las **arterias bronquiales izquierdas** se originan en la aorta torácica, pero la única **arteria bronquial derecha** puede nacer en:

- Una arteria intercostal posterosuperior.
- Un tronco común de la aorta torácica junto con la 3ª arteria intercostal posterior.
- Una arteria bronquial superior izquierda.

Las pequeñas arterias bronquiales dan ramas para la parte superior del esófago y luego pasan por las caras posteriores de los bronquios principales, a los que irrigan, así como a

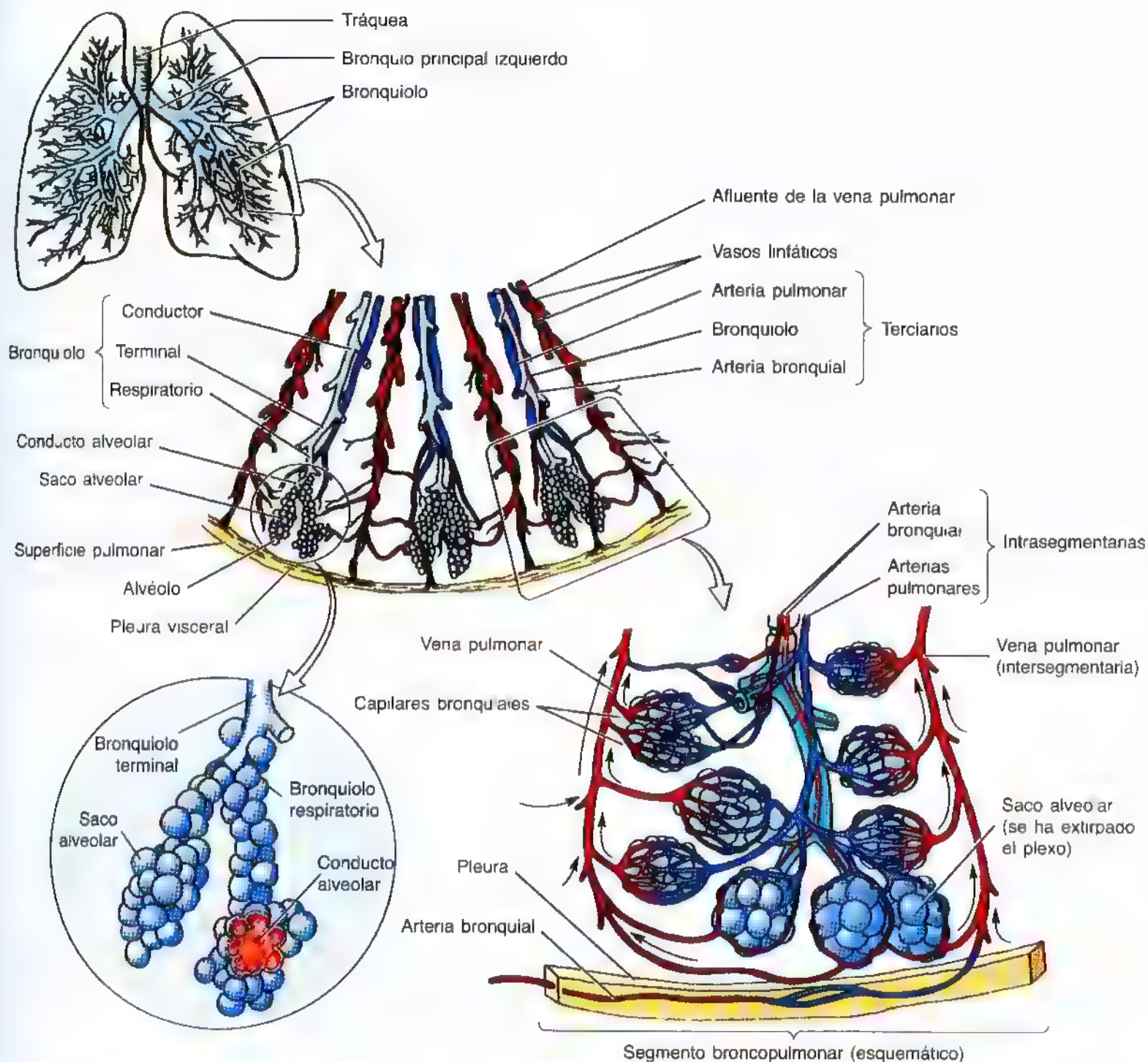


Figura 1.32. Estructura de los pulmones. El segmento broncopulmonar es la unidad estructural del pulmón. Unas 15 o más generaciones después de bronquio segmentario, cada bronquiolos terminal da lugar a varias generaciones de bronquiolos respiratorios, y cada uno de éstos a 5 o 6 sacos alveolares tapizados por alvéolos que son las estructuras básicas para el intercambio gaseoso. Cada arteria pulmonar intrasegmentaria, que lleva sangre poco oxigenada, termina en un plexo capilar en las paredes de los sacos alveolares y alvéolos donde se intercambian el O_2 y el CO_2 . Las venas pulmonares nacen de los capilares pulmonares, que drenan y siguen el curso de los tabiques situados entre los segmentos adyacentes; las venas transportan la sangre oxigenada al corazón.

sus ramas, hasta llegar a los bronquiolos respiratorios. Las ramas más distales de las arterias bronquiales se anastomosan con las ramas de las arterias pulmonares en las paredes de los bronquiolos y en la pleura visceral. La pleura parietal es irrigada por las arterias que perfunden la pared torácica (pág. 91).

Las **venas bronquiales** (fig. 1.34B) drenan sólo parte de la sangre que llega a los pulmones de las arterias bronquiales;

otra parte es drenada por las venas pulmonares, sobre todo las zonas más periféricas y la raíz distal del pulmón. La vena bronquial derecha drena a la **vena ázigos**, y la izquierda, a la **vena hemiázigos accesoria** o a la vena intercostal superior izquierda. Las venas bronquiales también reciben parte de sangre de las venas esofágicas.

Los **plexos linfáticos de los pulmones** se comunican con toda libertad (fig. 1.35).

Tromboembolia pulmonar

La obstrucción de una arteria pulmonar por un trombo (coágulo de sangre) representa una causa frecuente de morbilidad (enfermedad) y mortalidad (muerte). La *embolia* (tapón) de la arteria pulmonar sucede cuando un trombo, glóbulo de grasa o burbuja de aire viaja por la sangre procedente de una vena de la pierna, por ejemplo después de sufrir un traumatismo con fractura de la tibia, y llega a los pulmones a través de la sangre. El trombo atraviesa las cavidades derechas del corazón y se aloja en una arteria pulmonar. El trombo puede bloquear la arteria pulmonar –tromboembolia pulmonar (TEP)– o una de sus ramas. El resultado inmediato es la obstrucción parcial o completa de la irrigación sanguínea del pulmón. El taponamiento determina que un sector pulmonar reciba ventilación, pero no irrigación de sangre. Cuando un gran émbolo taponaa una arteria pulmonar, el enfermo sufre *dificultad respiratoria aguda*, debido a la reducción tan importante de la oxigenación de la sangre, y puede

fallecer en breves minutos. Un émbolo de tamaño intermedio puede taponar una arteria que irrigue un segmento broncopulmonar y causar un *infarto trombótico*, es decir, una zona de tejido necrótico (muerto).

Las personas activas suelen disponer de circulación colateral –irrigación sanguínea accesoria e indirecta–, que se amplía cuando ocurre una TEP, por lo que no es muy frecuente el infarto. Las anastomosis con las ramas de las arterias bronquiales abundan en la región de los bronquiolos terminales. En cambio, en las personas enfermas con alteraciones de la circulación pulmonar, del tipo de *congestión crónica*, la TEP suele provocar un infarto de pulmón. Cuando la privación de sangre afecta también a la pleura visceral, ésta se inflama (*pleuritis*) y se irrita, o se une a la pleura parietal sensible, causando dolor. El dolor de la pleura parietal se refiere a la zona de distribución cutánea de los nervios intercostales en la pared torácica, o en el caso de los nervios intercostales inferiores, a la cara anterior de la pared abdominal. ❖

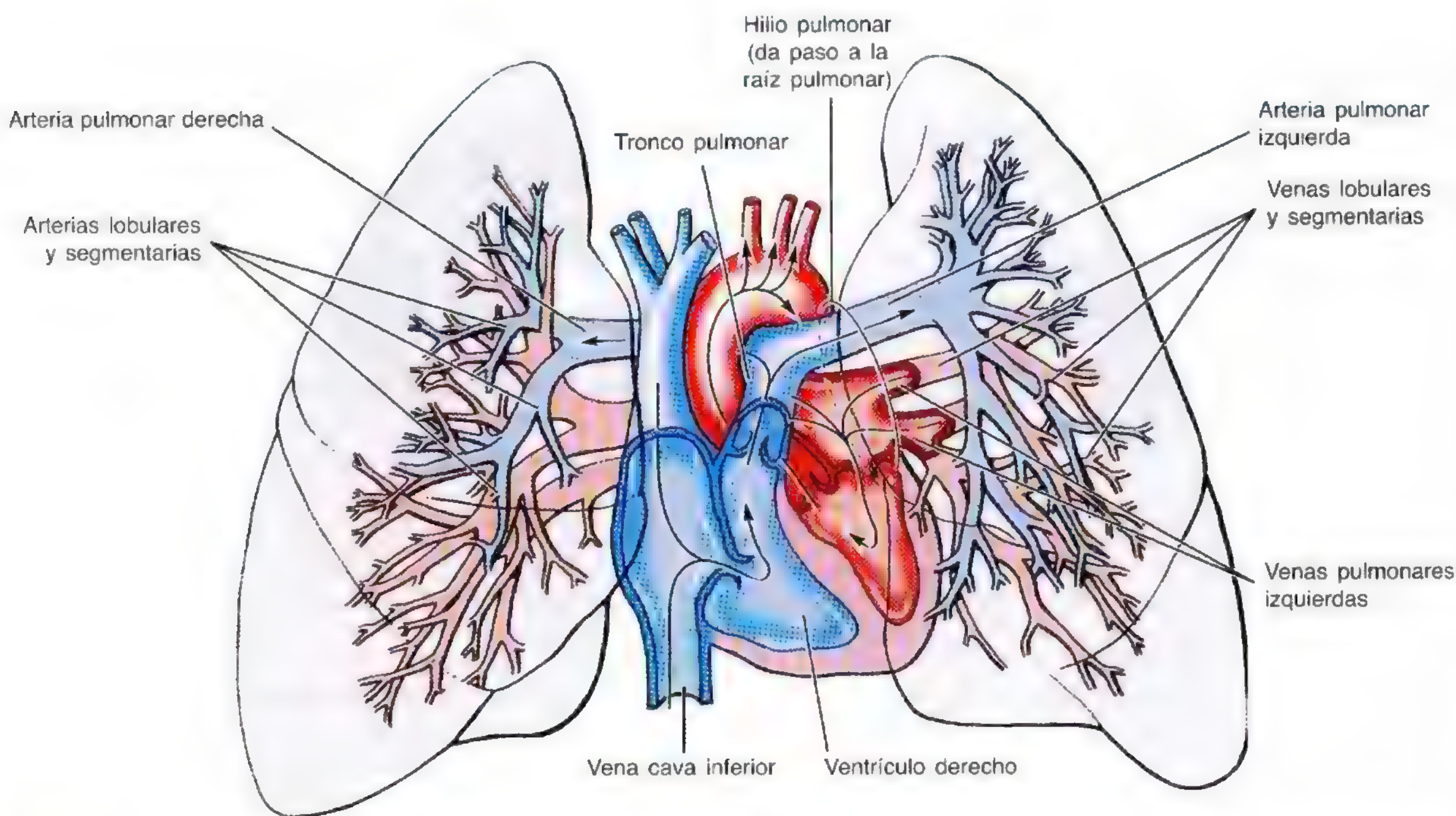


Figura 1.33. Circulación pulmonar. El tronco pulmonar del ventrículo derecho del corazón se divide en las arterias pulmonares derecha e izquierda, que llevan la sangre poco oxigenada a los pulmones. Las arterias pulmonares se subdividen en arterias lobares y segmentarias dentro de los pulmones. Después de atravesar los capilares pulmonares, donde sucede el intercambio gaseoso (O_2 y CO_2), la sangre drena a las venas pulmonares, que devuelven sangre oxigenada a la aurícula izquierda. Estos vasos de la raíz pulmonar entran y salen de los pulmones por el hilio. Obsérvese que la arteria pulmonar derecha pasa bajo el arco de la aorta hasta el pulmón derecho, y la izquierda queda completamente a la izquierda del arco.

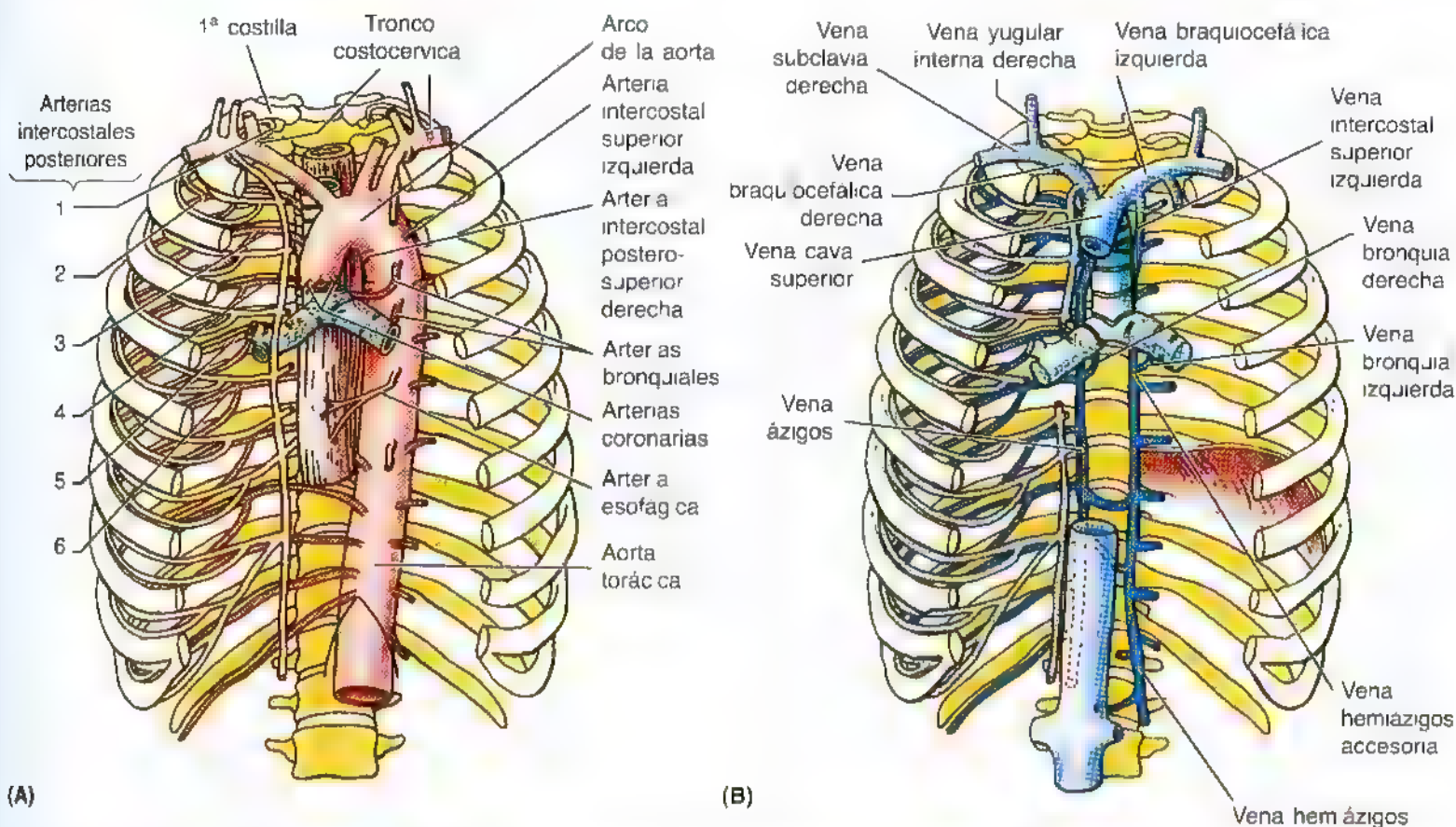


Figura 1.34. Arterias y venas bronquiales. **A.** Las arterias bronquiales nutren los tejidos de sostén de los pulmones y la pleura visceral. Estas arterias surgen de la aorta torácica, pero el origen de la arteria bronquial derecha varía. Puede nacer en a) una arteria intercostal posterosuperior, b) un tronco común de la aorta torácica con la 3ª arteria intercostal posterosuperior, o c) la arteria bronquial superior izquierda. **B.** Las venas bronquiales drenan parte de la sangre que llega a los pulmones desde las arterias bronquiales. El resto desemboca en las venas pulmonares. La vena bronquial derecha drena a la vena ázigos y la izquierda lo hace a la vena hemiazóigos accesoria o a la vena intercostal superior izquierda.

El **plexo linfático superficial (subpleural)** se sitúa en la profundidad de la pleura visceral y drena el parénquima (tejido) pulmonar y la pleura visceral. Los vasos linfáticos del plexo drenan a los **ganglios linfáticos broncopulmonares** (ganglios linfáticos hiliares) del hilio pulmonar.

El **plexo linfático profundo** está situado en la submucosa de los bronquios y en el tejido conjuntivo peribronquial. Se ocupa, sobre todo, del drenaje de las estructuras de la raíz pulmonar. Los vasos linfáticos de este plexo drenan al principio a los **ganglios linfáticos pulmonares** situados a lo largo de los bronquios lobares. Los vasos linfáticos de estos ganglios continúan siguiendo a los bronquios y vasos pulmonares hasta el hilio y el pulmón, y también desembocan en los **ganglios linfáticos broncopulmonares**. A partir de ahí, la linfa de los plexos linfáticos superficial y profundo drena a los **ganglios linfáticos traqueobronquiales** superior e inferior, situados por encima y por debajo de la bifurcación de la tráquea y de los bronquios principales, respectivamente. El pulmón derecho drena sobre todo a los grupos respectivos de ganglios del lado derecho y el lóbulo superior del pulmón izquierdo lo hace, en esencia, a los ganglios respectivos del lado izquierdo. Muchos, pero no todos, de los linfáticos del lóbulo inferior

del pulmón izquierdo desembocan en los ganglios traqueobronquiales superiores derechos; luego, la linfa continúa la vía derecha.

La linfa de los ganglios linfáticos traqueobronquiales llega hasta los **troncos linfáticos broncomediastínicos** derecho e izquierdo. Estos troncos suelen terminar a cada lado en la unión de las venas subclavia y yugular interna; no obstante, el tronco broncomediastínico derecho puede mezclarse primero con otros troncos linfáticos y converger para dar origen al **conducto linfático derecho**, muy corto. El tronco broncomediastínico izquierdo puede desembocar en el **conducto torácico**. La linfa de la pleura parietal drena los ganglios linfáticos de la pared torácica (intercostales, paraesternales, mediastínicos y frénicos). Algunos vasos linfáticos de la *pleura parietal cervical* desembocan en los ganglios linfáticos axilares.

Los **nervios de los pulmones y de la pleura visceral** proceden de los plexos pulmonares anterior y (sobre todo) posterior a las raíces pulmonares (fig. 1.36). Estas redes nerviosas contienen fibras parasimpáticas de los **nervios vagos** (NC X) y fibras simpáticas de los troncos simpáticos. Las **células ganglionares parasimpáticas**—cuerpos celulares de las neuronas parasimpáticas postsinápticas— se encuentran en

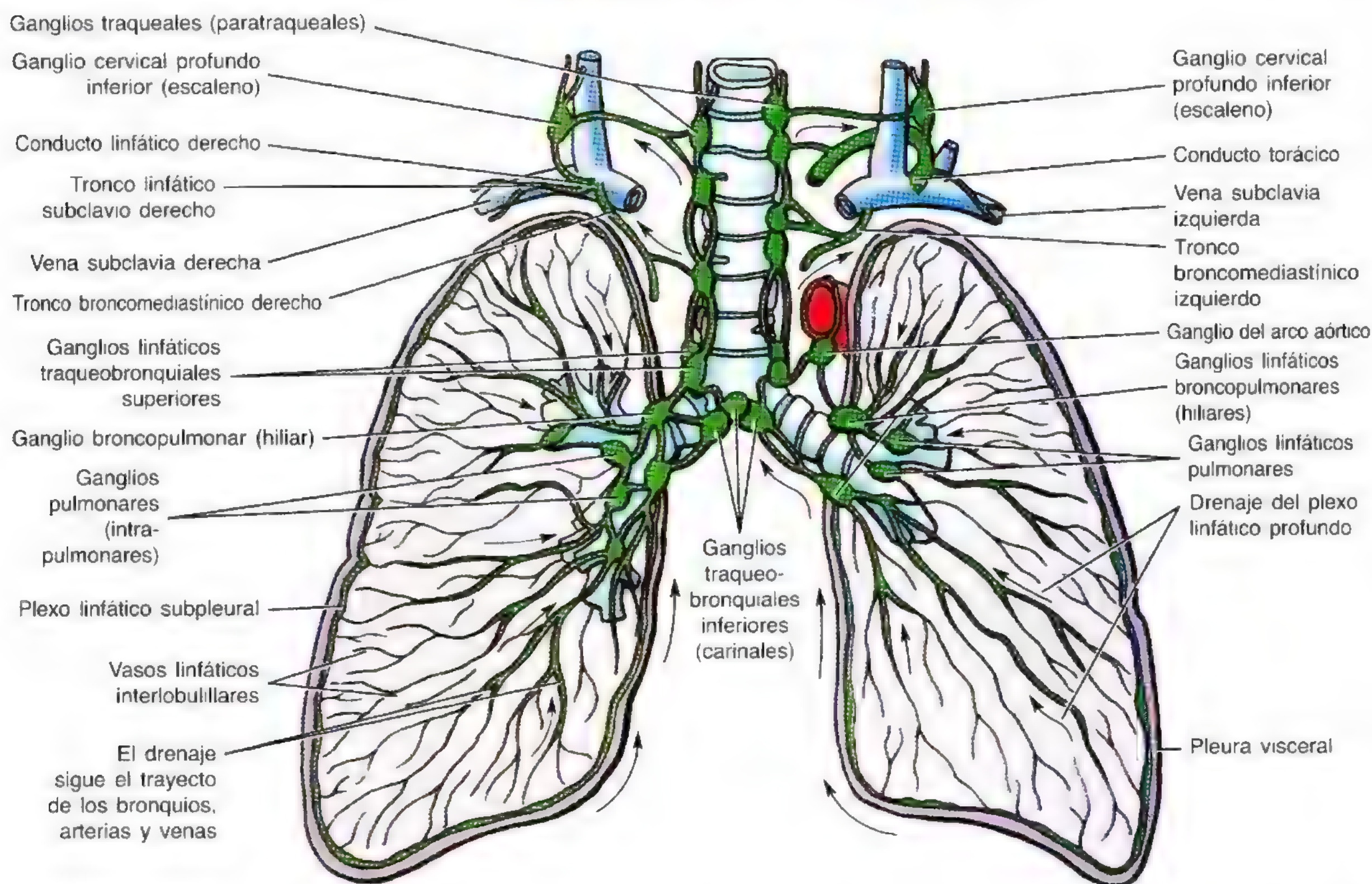


Figura 1.35. Drenaje linfático de los pulmones. Los vasos linfáticos se originan en los plexos linfáticos subpleurales, superficial y profundo. El plexo subpleural se sitúa en la profundidad de la pleura visceral y drena la linfa de la superficie de los pulmones hasta el hilio pulmonar, donde pasa a los ganglios linfáticos broncopulmonares (hiliares). El plexo profundo se encuentra en el pulmón y sigue los bronquios y los vasos pulmonares hasta la raíz pulmonar. La linfa pasa a través de los ganglios linfáticos pulmonares y llega hasta los ganglios broncopulmonares. Toda la linfa de los pulmones sale por la raíz pulmonar y llega hasta los ganglios traqueobronquiales (carinales) y los traqueobronquiales superiores. Desde aquí, la linfa sigue por diversos ganglios traqueales hasta los troncos broncomediastínicos.

los **plexos pulmonares** y a lo largo de las ramas del árbol bronquial. Las *células ganglionares simpáticas* –cuerpos celulares de las neuronas simpáticas postsinápticas– se sitúan en los *ganglios simpáticos paravertebrales* de los troncos simpáticos. Las fibras parasimpáticas de los nervios vagos trans-

miten impulsos motores al músculo liso del árbol bronquial (*broncoconstrictor*), inhibitorios a los vasos pulmonares (*vasodilatador*) y secretorios a las glándulas del árbol bronquial (*secretomotor*). Las fibras aferentes viscerales del NC X se distribuyen hacia:

Inhalación de partículas de carbono y de irritantes

La linfa de los pulmones transporta fagocitos que contienen partículas de carbono ingeridas del aire inspirado. Estas partículas colorean la superficie pulmonar y tiñen los ganglios linfáticos de un color gris moteado o negro en muchas personas, sobre todo en los fumadores o los habitantes de las zonas urbanas y agrícolas. La *tos del fumador* se debe a la inhalación de irritantes del tabaco.

Adherencia pleural

Si se adhieren las capas parietal y visceral de la pleura (*adherencia pleural*), los vasos linfáticos del pulmón y la pleura visceral pueden drenar a los ganglios axilares. La presencia de partículas de carbono en estos ganglios constituye un indicio de adherencia pleural.

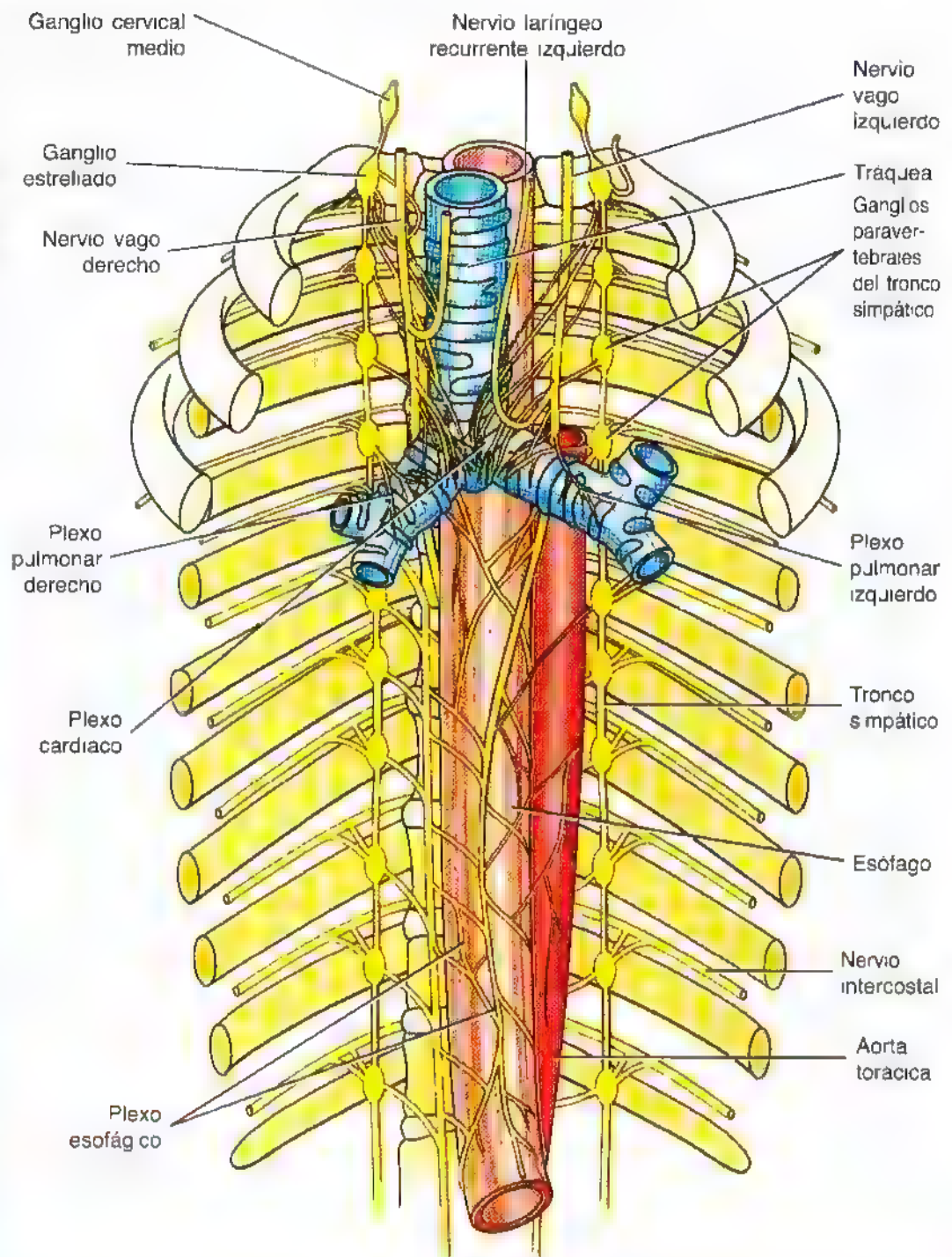
Carcinoma bronquiolar

El carcinoma bronquiolar es un tipo frecuente de cáncer de pulmón que se origina en el epitelio del árbol ►

Figura 1.36. Nervios de los pulmones y pleura visceral. Obsérvense los plexos pulmonares derecho e izquierdo situados delante y detrás de las raíces pulmonares, que reciben inervación simpática de los troncos simpáticos derecho e izquierdo así como parasimpática de los nervios vagos derecho e izquierdo (NC X). El nervio vago continúa hacia abajo tras emitir ramas para el plexo pulmonar posterior y para el plexo esofágico; a menudo pierde su identidad y se vuelve a agrupar en los troncos vagos anterior y posterior. Las ramas de los plexos pulmonares discurren a lo largo de los bronquios en dirección a los pulmones.



Carcinoma bronquiolar
crecimiento infiltrante



► bronquial. El **cáncer de pulmón** se debe, casi siempre, al tabaco (cigarrillos). El carcinoma bronquiolar suele metastatizar de manera extensa por la disposición de los vasos linfáticos. Las células tumorales pasan a la circulación general después de invadir la pared de un sinusoides o de una vénula pulmonares.

Carcinoma broncogénico

Este carcinoma de células escamosas o de células en avelana se origina en la mucosa de los grandes bronquios y determina una tos productiva y persistente o *hemoptisis* (presencia de sangre en el esputo). Las células malignas (células cancerosas) metastatizan de manera precoz a los ganglios linfáticos torácicos. Los asientos habituales de las

metástasis hematógenas (extensión por la sangre) de las células cancerosas del carcinoma broncogénico son el encéfalo, los huesos, los pulmones y las glándulas suprarrenales. Las células tumorales probablemente pasan a la circulación general tras invadir la pared de un sinusoides o vénula pulmonar, y luego circulan por las venas pulmonares, cavidades izquierdas del corazón y aorta hasta llegar hasta las estructuras mencionadas. A menudo, los ganglios linfáticos superiores a la clavícula (ganglios linfáticos supraclaviculares) aumentan de tamaño en el cáncer broncogénico debido a las metástasis tumorales. Por eso se considera que los *ganglios linfáticos supraclaviculares* son **ganglios centinela**, porque cuando aumentan de tamaño avisan al médico de una posible enfermedad maligna situada dentro del tórax o del abdomen. ☺

- La mucosa bronquial, donde quizá se ocupen del reflejo tusígeno.
- Los músculos bronquiales, que intervienen en la recepción de los estímulos de estiramiento.
- El tejido conjuntivo interalveolar, donde contribuyen a los reflejos de Hering-Breuer, mecanismo que tiende a limitar las excursiones respiratorias.
- Las arterias pulmonares, en forma de receptores de presión, y las venas pulmonares, en forma de quimiorreceptores.

Las fibras aferentes de la pleura visceral y de los bronquios pueden acompañar a las fibras simpáticas y mediar en

la respuesta nociceptiva a los estímulos dolorosos o traumáticos. Las *fibras simpáticas* resultan inhibitoras para el músculo bronquial (*broncodilatadoras*), motoras para los vasos pulmonares (*vasoconstrictoras*) e inhibitoras para las glándulas alveolares del árbol bronquial –células epiteliales secretoras de tipo II de los alvéolos– (fig. 1.32).

Los **nervios de la pleura parietal** provienen de los nervios intercostales y frénicos. La *pleura costal* y la parte periférica de la *pleura diafragmática* son inervadas por los **nervios intercostales**, que transmiten las sensibilidades táctil y dolorosa. La porción central de la pleura diafragmática y la *pleura mediastínica* están inervadas por los **nervios frénicos** (fig. 1.27).

Lesiones de la pleura

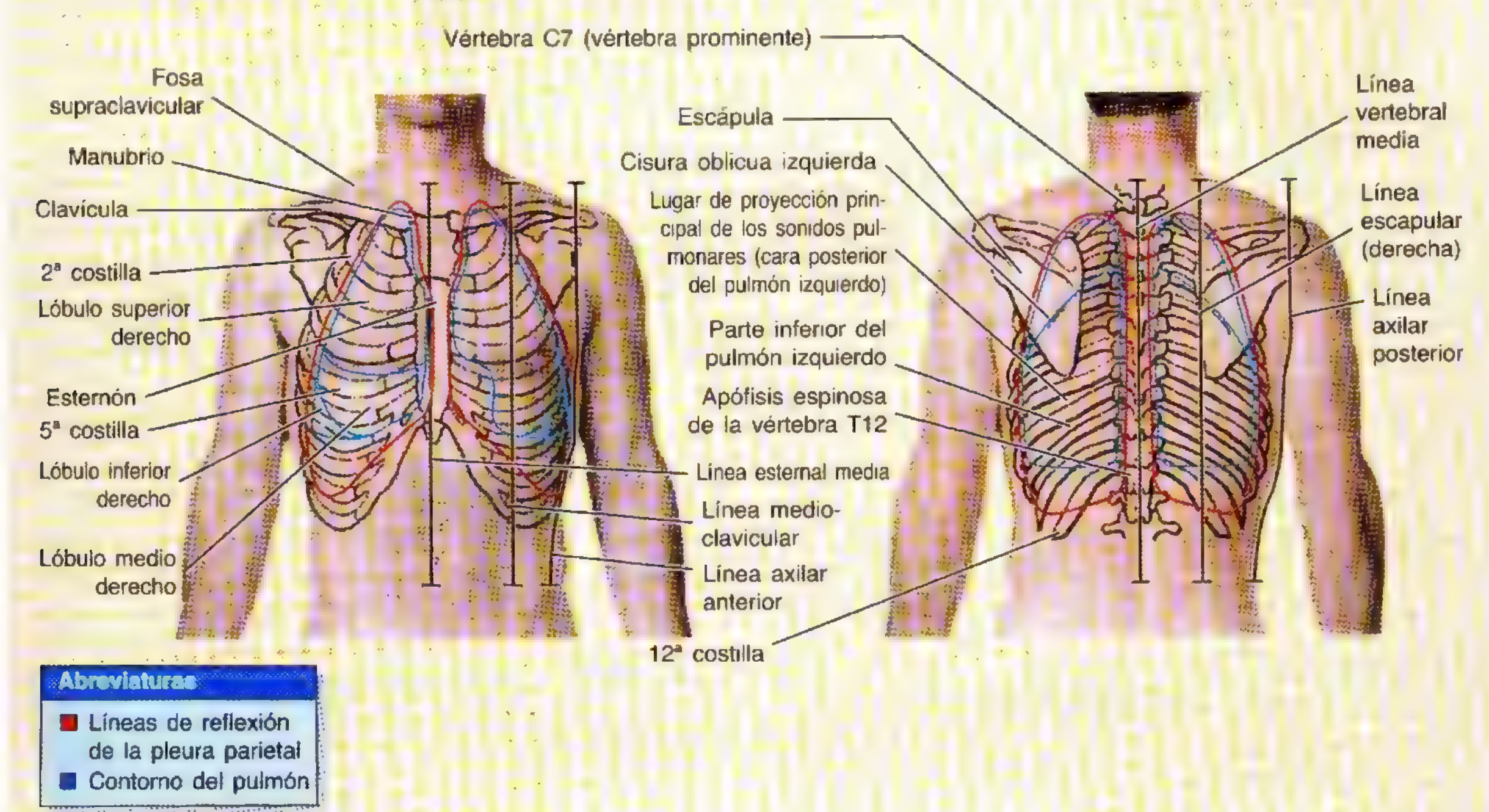
La pleura visceral no es sensible al dolor porque no recibe inervación sensitiva. La pleura parietal, en particular la costal, es exquisitamente sensible al dolor, porque tiene una rica inervación de ramos de los nervios intercostales y frénicos. La irritación de la pleura parietal causa dolor local y referido a las zonas inervadas por los mis-

mos segmentos de la médula. La irritación de las porciones costal y periférica de la pleura diafragmática ocasiona dolor local y referido a lo largo de los nervios intercostales que llegan a las paredes torácica y abdominal. La irritación de las zonas mediastínica y diafragmática central de la pleura parietal provoca dolor referido a la raíz del cuello y encima del hombro (dermatomas C3 a C5). ◉

Anatomía de superficie de la pleura y de los pulmones

Las pleuras cervicales y los vértices pulmonares atraviesan la apertura torácica superior y pasan a la fosa supracla-

vicular, situándose por encima y detrás de las clavículas, así como laterales a los tendones de los músculos esternocleidomastoideos (fig. 1.27). Los bordes anteriores de los pulmones se encuentran adyacentes a la línea anterior de reflexión de la pleura parietal, que alcanza, por la ►



► parte inferior, hasta el 4º cartílago costal. Aquí, el borde de reflexión pleural izquierdo se desplaza lateralmente, y luego, en sentido inferior, por la escotadura cardíaca, hasta llegar al 6º cartílago costal. El borde anterior del pulmón izquierdo se indenta de forma más acusada por la escotadura cardíaca. En el lado derecho, la reflexión pleural continúa en sentido inferior desde el 4º hasta el 6º cartílagos costales, siguiendo de cerca el borde anterior del pulmón derecho y paralelo a él. Tanto las reflexiones pleurales como los bordes anteriores de los pulmones pasan laterales a los sextos cartílagos costales. Las reflexiones pleurales alcanzan la línea medioclavicular a la altura del 8º cartílago costal; la 10ª costilla, en la línea axilar media, y la 12ª, en la *línea escapular*; sin embargo, los bordes inferiores de los pulmones alcanzan la línea

medioclavicular a la altura de la 6ª costilla; la línea axilar anterior, a la altura de la 8ª, y la escapular, a la altura de la 10ª, dirigiéndose hacia la apófisis espinosa de la vértebra T10. Luego continúan hasta la apófisis espinosa de la vértebra T12. Así pues, la pleura parietal suele extenderse unas dos costillas por debajo de los pulmones. La *cisura oblicua* de los pulmones se extiende desde el nivel de la apófisis espinosa de la vértebra T2, en la cara posterior, hasta el 6º cartílago costal, en la cara anterior, y coincide aproximadamente con el borde vertebral de la escápula cuando se eleva el miembro por encima de la cabeza (determinando una rotación lateral del ángulo inferior). La *cisura horizontal* del pulmón derecho se extiende en sentido anterior a partir de la cisura oblicua a lo largo de la 4ª costilla y del cartílago costal. ☉

Mediastino

El mediastino (que significa tabique medio en L.) está ocupado por una masa de tejido situada entre las dos cavidades pulmonares y es el *compartimiento central de la cavidad torácica* (fig. 1.37). Tapizado a cada lado por la pleura mediastínica, contiene todas las vísceras y estructuras torácicas, excepto los pulmones. El mediastino se extiende desde el orificio torácico superior hasta el diafragma por la cara inferior, y desde el esternón y los cartílagos costales por

delante hasta los cuerpos de las vértebras torácicas por detrás. El mediastino de las personas vivas es una zona muy móvil, porque lo componen sobre todo vísceras huecas (llenas de líquido o de aire), unidas sólo por tejido conjuntivo laxo, infiltrado en muchos casos de grasa. Las grandes estructuras del mediastino también están rodeadas de vasos sanguíneos y linfáticos, ganglios linfáticos, nervios y grasa. La laxitud del tejido conjuntivo y la elasticidad de los pulmones y de la pleura parietal a cada lado del mediastino, permiten que se acomode a los movimientos y cambios de volumen y pre-

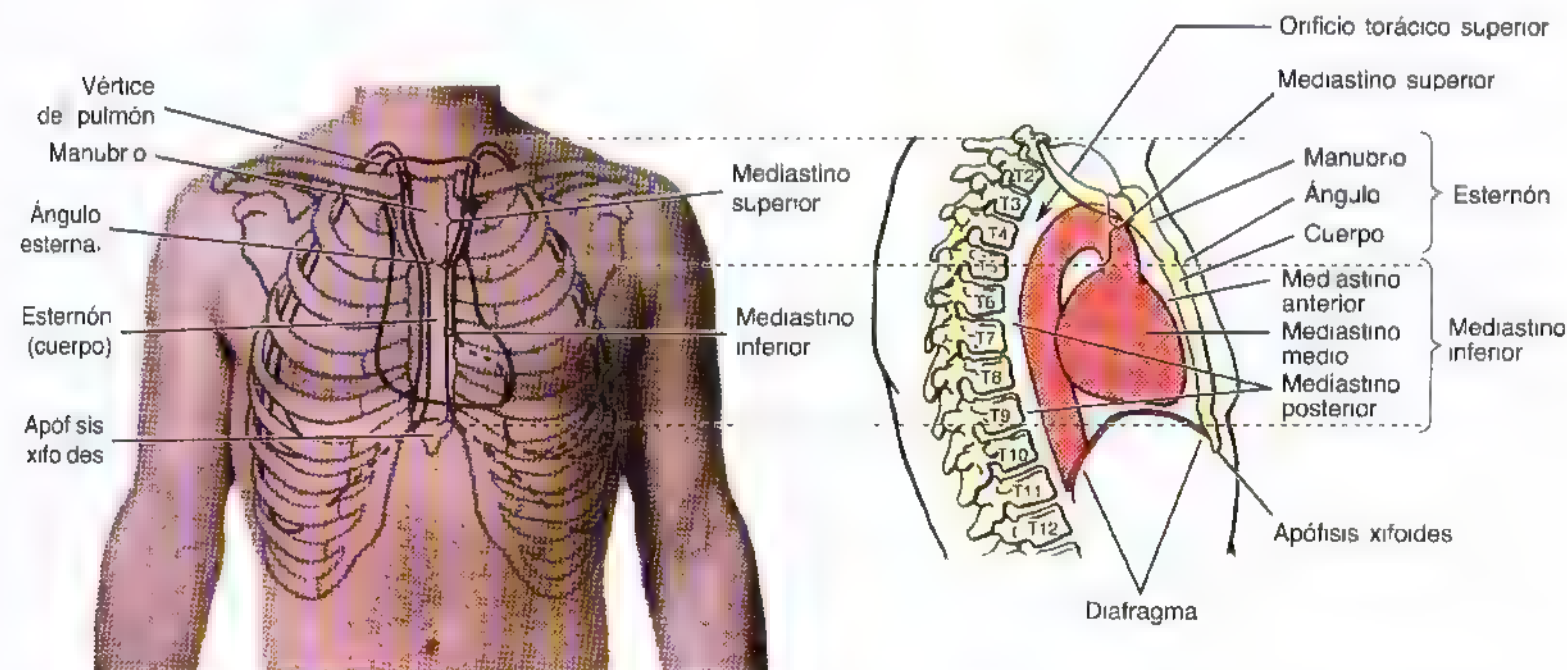


Figura 1.37. Corazón y mediastino medio. El mediastino medio se compone del pericardio fibroso y de su contenido (corazón y grandes vasos que entran y salen de este órgano). Las subdivisiones de mediastino se ilustran en el dibujo de la izquierda. Los planos viscerales con relación a las subdivisiones mediastínicas dependen de la posición que se adopte. Los que se muestran corresponden a una persona tumbada en decubito supino. Cuando adopta la bipedestación, la división entre los mediastinos superior e inferior, que pasa por el ángulo esternal y el disco intervertebral (IV) de las vértebras T4 y T5, corta la aorta ascendente y la bifurcación traqueal. En bipedestación, la división se establece por el arco de la aorta y la bifurcación traqueal queda debajo de este plano. Este cambio sucede porque el pericardio y su contenido se hunden al levantarse.

sión de la cavidad torácica, como los resultantes de los desplazamientos del diafragma, pared torácica y árbol traqueo-bronquial durante la respiración, las pulsaciones de las grandes arterias y el movimiento de los pulmones y el corazón. Este tejido conjuntivo se va tornando fibroso y rígido con la edad; por eso, las estructuras mediastínicas se desplazan menos.

Divisiones del mediastino

El mediastino se divide de manera arbitraria en superior e inferior, con fines descriptivos. El **mediastino superior** se

extiende desde el orificio torácico superior hasta un plano horizontal (a menudo denominado plano transverso del tórax) que comprende el **ángulo esternal** por delante y atraviesa más o menos la unión (disco IV) de las vértebras T4 y T5 por detrás (fig. 1.37). El **mediastino inferior**, comprendido entre este plano y el diafragma, se subdivide a su vez en anterior, medio y posterior por el pericardio. El *mediastino medio contiene el corazón y los grandes vasos*. Algunas estructuras, por ejemplo el esófago, tienen un trayecto vertical en el mediastino y, por consiguiente, se sitúan en más de un compartimiento mediastínico.

Planos de las vísceras en relación con las divisiones mediastínicas

La división entre el mediastino superior e inferior —*plano torácico transversal*— se define por estructuras óseas de la pared. El plano de las vísceras con respecto a las subdivisiones del mediastino depende de la postura que adopte la persona. Cuando ésta se encuentra tumbada en decúbito supino —o cuando se disecciona un cadáver—, el plano de las vísceras con respecto a las subdivisiones mediastínicas es el que se muestra en la figura 1.37. Las descripciones anatómicas enumeran de forma tradicional el plano de las vísceras como si la persona se encontrara en esta posición, es decir, tumbado en la cama o en la mesa del quirófano o de disección. En esta posición, las vísceras abdominales empujan las estructuras mediastínicas hacia arriba. Sin embargo, al levantarse o sentarse en posición erecta, los planos viscerales cambian (véase el esquema B). Esto sucede porque las estructuras blandas del mediastino (en particular, el pericardio y su contenido), el corazón y los grandes vasos y las vísceras abdominales

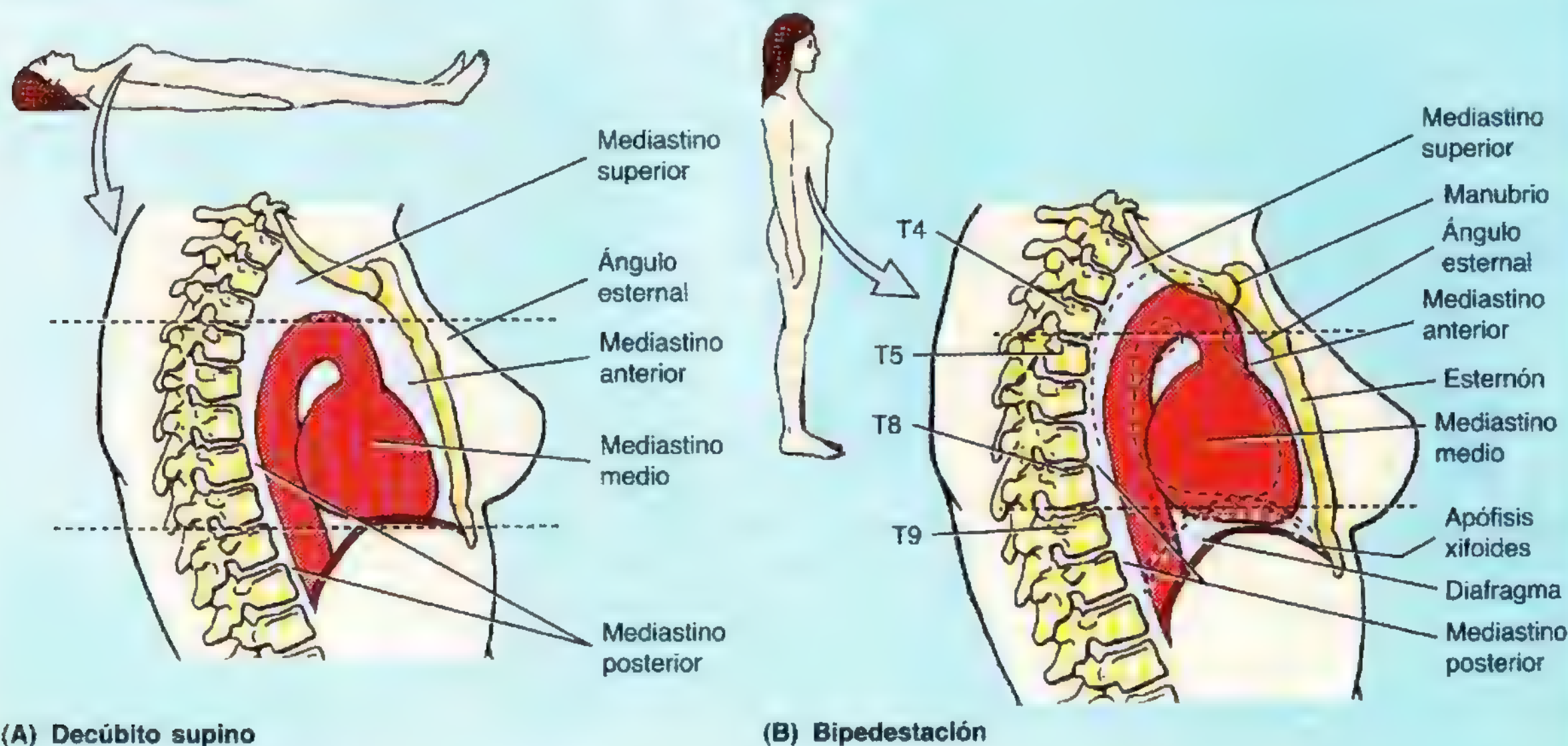
que los soportan descienden bajo el efecto de la gravedad. *En decúbito supino:*

- El arco de la aorta se sitúa superior al plano torácico transversal.
- El plano corta la bifurcación de la aorta.
- El tendón central del diafragma (o la superficie diafragmática o la prolongación inferior del corazón) queda a nivel de la articulación xifoesternal y de la vértebra T9.

En bipedestación o sedestación:

- El arco de la aorta es cortado por el plano torácico transversal.
- La bifurcación traqueal queda debajo del plano.
- El tendón central del diafragma puede bajar hasta la altura del centro de la apófisis xifoides y del disco intervertebral T9/T10.

Este movimiento de las estructuras mediastínicas se debe conocer para las exploraciones físicas y radiológicas.



Mediastinoscopia y biopsias mediastínicas

El *mediastinoscopia* permite al cirujano ver gran parte del mediastino y efectuar intervenciones de cirugía menor. Este instrumento tubular, con un dispositivo de iluminación, se introduce a través de una pequeña incisión en la raíz del cuello, justo encima del manubrio, cerca de la escotadura yugular. En la mediastinoscopia, el cirujano puede visualizar o tomar una biopsia de los ganglios linfáticos mediastínicos para saber si están invadidos por metástasis, por ejemplo procedentes de un carcinoma broncogénico. También se puede explorar el mediastino y tomar biopsia de una parte del cartílago costal.

Ensanchamiento mediastínico

Los radiólogos y los médicos de urgencia observan, en ocasiones, un ensanchamiento mediastínico en la radiografía de tórax (Sauerland, 1994). Cualquier estructura mediastínica puede contribuir a este ensanchamiento patológico que se observa, a menudo, tras un traumatismo con una colisión frontal que determina la hemorragia dentro del mediastino por el desgarro de grandes vasos, como la aorta o la VCS. Muchas veces, el *linfoma maligno* (cáncer del tejido linfático) provoca un ensanchamiento de los ganglios mediastínicos y del mediastino. El aumento de tamaño (hipertrofia) del corazón (se observa en la insuficiencia cardíaca congestiva) representa una causa frecuente de ensanchamiento del mediastino inferior. ❖

Pericardio

El mediastino medio contiene el pericardio, el corazón y las raíces de los grandes vasos (fig. 1.37) —aorta ascendente, tronco pulmonar y VCS— que entran y salen del corazón. El pericardio es un *saco fibroso de pared doble* que encierra el corazón y las raíces de los grandes vasos (figs. 1.30 y 1.38, tabla 1.4). La capa fibrosa externa y dura del saco —**pericardio fibroso**— se une al tendón central del diafragma por el **ligamento pericardicofrénico**. Por la cara anterior, el pericardio fibroso se inserta en el esternón a través de los **ligamentos esternopericárdicos**, de formación muy variable. En la cara posterior, el pericardio fibroso está unido a las estructuras del mediastino posterior por tejido conjuntivo laxo. Así pues, el corazón permanece relativamente anclado dentro del saco fibroso. La cara interna del pericardio fibroso está tapizada por una membrana serosa y brillante, la **capa parietal del pericardio seroso**. Esta capa se refleja

sobre el corazón y los grandes vasos (aorta, tronco y venas pulmonares y venas cavas) como **capa visceral del pericardio seroso**. El pericardio seroso se compone, en esencia, de mesotelio, una capa única de células aplanadas que forman un epitelio que tapiza la cara interna del pericardio fibroso y la cara externa del corazón.

El pericardio está gobernado por los movimientos del corazón y de los grandes vasos, el esternón y el diafragma, porque el pericardio fibroso:

- Se une a la túnica adventicia de los grandes vasos que entran y salen del corazón.
- Se inserta en la cara posterior del esternón a través de los ligamentos esternopericárdicos.
- Se une con el tendón central del diafragma.

El pericardio fibroso protege el corazón de un llenado repentino, porque es muy inflexible y se relaciona íntimamente con los grandes vasos que lo atraviesan por la parte

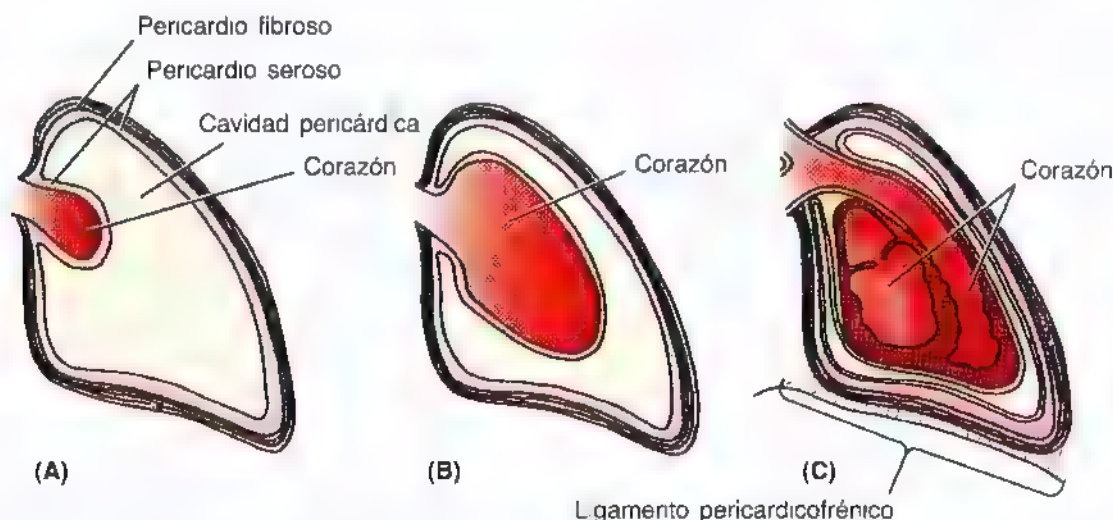
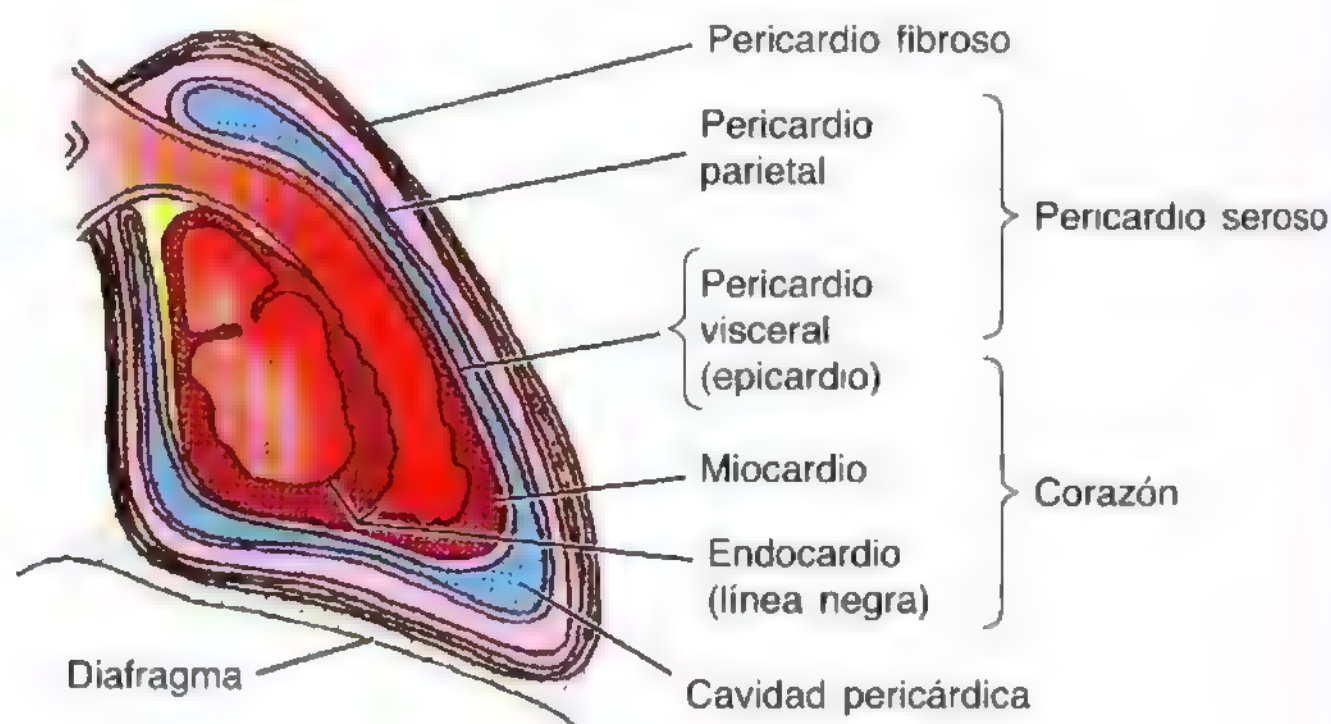


Figura 1.38. Pericardio y corazón. A. El corazón ocupa el mediastino medio y está envuelto por el pericardio que se compone de dos partes. El pericardio fibroso externo y duro estabiliza el corazón y evita que se dilate en exceso. Dentro del pericardio fibroso se encuentra un saco doble, el pericardio seroso. El corazón en desarrollo invagina a la pared del saco seroso (B) y cierra prácticamente la cavidad pericárdica (C), dejando tan sólo un espacio virtual. El pericardio está unido al tendón central del diafragma por el ligamento pericardicofrénico.

Tabla 1.4. Capas del pericardio y del corazón

Pericardio
Saco externo, denominado pericardio fibroso
Saco interno, denominado pericardio seroso:
Capa parietal: reviste el pericardio fibroso.
Capa visceral (se convierte en la capa externa de la pared cardíaca, el epicardio*).
Las capas parietal y visceral se continúan alrededor de las raíces de los grandes vasos.
La película de líquido de la cavidad pericárdica, comprendida entre las láminas visceral y parietal del pericardio seroso, permite el movimiento libre del corazón dentro del saco pericárdico.
Corazón
La pared del corazón se compone de tres tunicas (del plano superficial al profundo):
*Epicardio
Miocardio
Endocardio

**Corte sagital del corazón**

superior. La aorta ascendente arrastra el pericardio por la cara superior más allá del corazón, hasta la altura del ángulo esternal.

La **cavidad pericárdica** es un espacio virtual creado por las capas opuestas de las láminas parietal y visceral del pericardio seroso. En general, contiene una fina película de líquido que permite al corazón moverse y latir en un entorno sin fricciones. La **capa parietal del pericardio seroso** se une a la cara interna del pericardio fibroso. La **lámina visceral del pericardio seroso** forma el *epicardio* —cubierta externa de la pared cardíaca— y se refleja desde el corazón y los grandes vasos, para continuarse con la parietal del pericardio seroso, allí donde:

- La aorta y el tronco pulmonar salen del corazón; se puede introducir un dedo dentro del *seno pericárdico transverso*, situado detrás de estos grandes vasos y delante de la VCS.
- La VCS, la VCI y las venas pulmonares entran en el corazón; estos vasos están cubiertos en parte por pericardio seroso, que crea el *seno pericárdico oblicuo*.

Estos senos surgen durante el desarrollo del corazón como consecuencia del pliegue del tubo cardíaco primitivo. A medida que se pliega el tubo cardíaco, el extremo venoso se

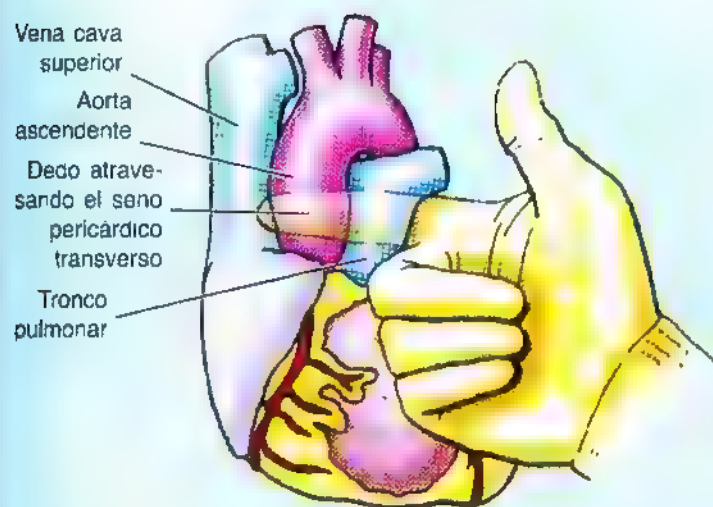
mueve en sentido posterosuperior (fig. 1.39), de suerte que queda adyacente al extremo arterial, del que sólo lo separa el **seno pericárdico transverso**, conducto transversal del saco pericárdico comprendido entre los orígenes de los grandes vasos (fig. 1.40). El seno transverso es posterior a las partes intrapericárdicas del tronco pulmonar y a la aorta ascendente y anterior a la VCS, así como superior a las aurículas cardíacas. A medida que se desarrollan y expanden las venas del corazón, la reflexión pericárdica que las rodea da origen al **seno pericárdico oblicuo**, un receso amplio con forma de bolsa de la cavidad pericárdica posterior a la base (cara posterior) del corazón. El seno oblicuo está limitado lateralmente por las reflexiones pericárdicas que rodean las venas pulmonares y la VCI, y posteriormente, por el pericardio que cubre la cara anterior del esófago. Al seno oblicuo se puede acceder por la cara inferior y deja pasar varios dedos; sin embargo, los dedos no pueden rodear las estructuras porque el seno es un fondo de saco ciego.

La **irrigación arterial del pericardio** (fig. 1.41) proviene, en particular, de una fina rama de la arteria torácica interna, la **arteria pericardicofrénica**, que suele acompañar o, al menos, seguir un curso paralelo al nervio frénico en su dirección al diafragma. Otras pequeñas ramas provienen de:

Significado quirúrgico del seno pericárdico transverso

El seno pericárdico transverso tiene una especial importancia para el cirujano cardíaco. Tras abrir el saco pericárdico por la cara anterior se puede pasar un dedo a través

del seno pericárdico transverso, por detrás de la aorta y del tronco pulmonar. Después de colocar unas pinzas quirúrgicas o una ligadura sobre estos vasos, introducir los tubos de la máquina de circulación extracorpórea y tensar la ligadura, el cirujano puede detener o derivar la circulación de la sangre por estas grandes arterias ►



► mientras procede a la cirugía cardíaca; por ejemplo, la *implantación de un injerto de derivación de la arteria coronaria*. La cirugía cardíaca tiene lugar con una máquina de circulación extracorpórea (Sabiston y Lyster, 1994).

Exposición de la VCI y de la VCS

Después de atravesar el diafragma, toda la porción torácica de la VCI (aproximadamente 2 cm) se encuentra dentro del pericardio. Por eso hay que abrir el saco pericárdico para exponer la parte superior de la VCI. Lo mismo sucede con la porción terminal de la VCS, que en parte se encuentra dentro y en parte fuera del saco pericárdico.

Pericarditis, derrame pericárdico y taponamiento cardíaco

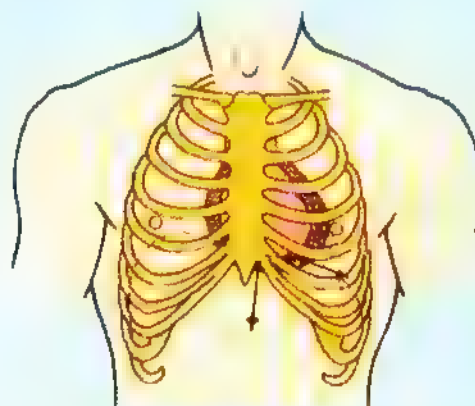
El pericardio puede dañarse en diversas enfermedades. La inflamación del pericardio (*pericarditis*) suele ocasionar dolor torácico, y algunas enfermedades inflamatorias provocan *derrame pericárdico* (paso de líquido de los capilares pericárdicos a la cavidad pericárdica). En consecuencia, se comprime el corazón (no se puede expandir ni llenar plenamente), que no funciona bien. La inflamación crónica y el engrosamiento pericárdico pueden terminar con la calcificación del pericardio, que daña gravemente la función del corazón (Sauerland, 1994). Los derrames pericárdicos no inflamatorios son frecuentes en la insuficiencia cardíaca congestiva, es decir, en el estado donde el corazón no bombea la sangre con el mismo ritmo que la recibe (es decir, no logra mantener la circulación sanguínea).

En general, las capas opuestas de pericardio seroso no emiten ningún ruido durante la auscultación. Sin embargo, la pericarditis determina una rugosidad de la superficie y la fricción consiguiente (*roce pericárdico por fricción*) se ausculta con el estetoscopio como el roce de fricción de la seda. Si el derrame pericárdico es extenso,

el líquido pericárdico excesivo no permite que el corazón se expanda lo suficiente y limita la entrada de sangre en los ventrículos. Este fenómeno —*taponamiento cardíaco* (compresión cardíaca)— es un estado potencialmente mortal, porque el pericardio fibroso es tosco e inelástico. En consecuencia, el volumen cardíaco va mermando cada vez más debido al líquido situado fuera del corazón, pero dentro de la cavidad pericárdica.

Las heridas punzantes que perforan el corazón determinan que pase sangre a la cavidad pericárdica —*hemopericardio*— y también provocan un taponamiento cardíaco. El hemopericardio obedece, asimismo, a la perforación de una zona debilitada de músculo cardíaco tras un ataque al corazón (*infarto de miocardio [IM]*). El taponamiento pericárdico puede incluso deberse al sangrado en el interior de la cavidad pericárdica después de una operación cardíaca. Cuando se acumula el líquido dentro de la cavidad pericárdica con rapidez, el corazón queda comprimido y la sangre no circula. Las venas de la cara y del cuello se ingurgitan por la congestión de la sangre, que empieza en el lugar donde la VCS entra en el pericardio.

La **pericardiocentesis** (drenaje del líquido de la cavidad pericárdica) se precisa, de ordinario, para aliviar el taponamiento cardíaco. Para retirar el exceso de líquido se introduce una aguja de amplio calibre por el 5º o 6º espacios intercostales, cerca del esternón. Este acceso al saco pericárdico resulta posible porque la escotadura cardíaca del pulmón izquierdo y la escotadura más fina del saco pleural izquierdo dejan parte del saco pericárdico expuesto, que corresponde a la "zona desnuda" del pericardio (figs. 1.26A y 1.27). Al saco pericárdico se puede llegar también desde el ángulo infraesternal, dirigiendo la aguja en sentido superoposterior. En este caso, la aguja evita el pulmón y la pleura y penetra en la cavidad pericárdica, pero *hay que evitar la punción de la arteria torácica interna*. El aire acumulado en los pacientes con *neumotórax*—presencia de aire o gas en la cavidad pleural— puede disecar los planos de tejido conjuntivo y llegar hasta el saco pericárdico, causando un *neumopericardio*, que se detecta en la radiografía (Sauerland, 1994). ◉



Pericardiocentesis

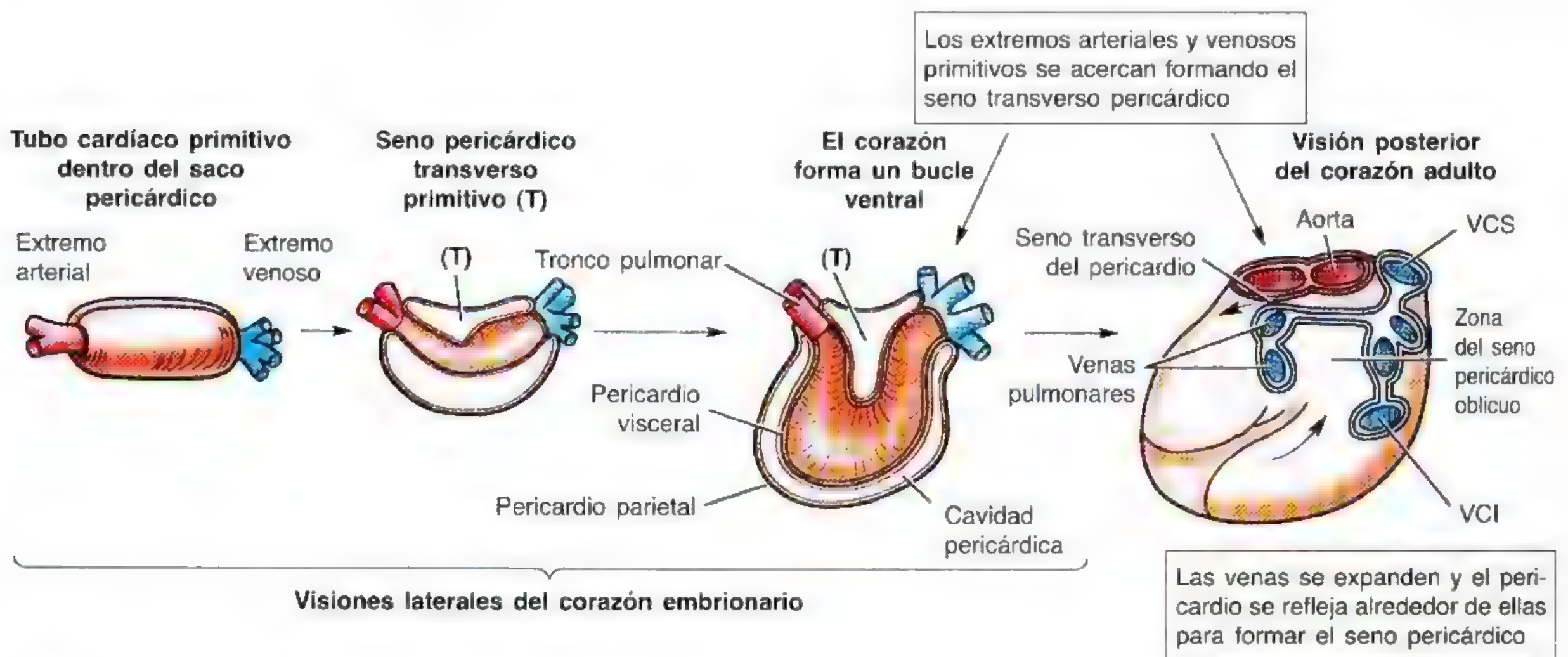


Figura 1.39. Desarrollo del corazón y del pericardio. El tubo cardíaco embrionario invagina el saco pericárdico de doble capa (de forma análoga a como se introduce una salchicha en un perrito caliente). El corazón primitivo forma después un bucle ventral, que aproxima los extremos arteriales y venosos primitivos y crea el seno pericárdico transverso (T) entre ellos. Las venas se expanden y se apartan. El pericardio se refleja alrededor de ellas para formar los límites del seno pericárdico oblicuo

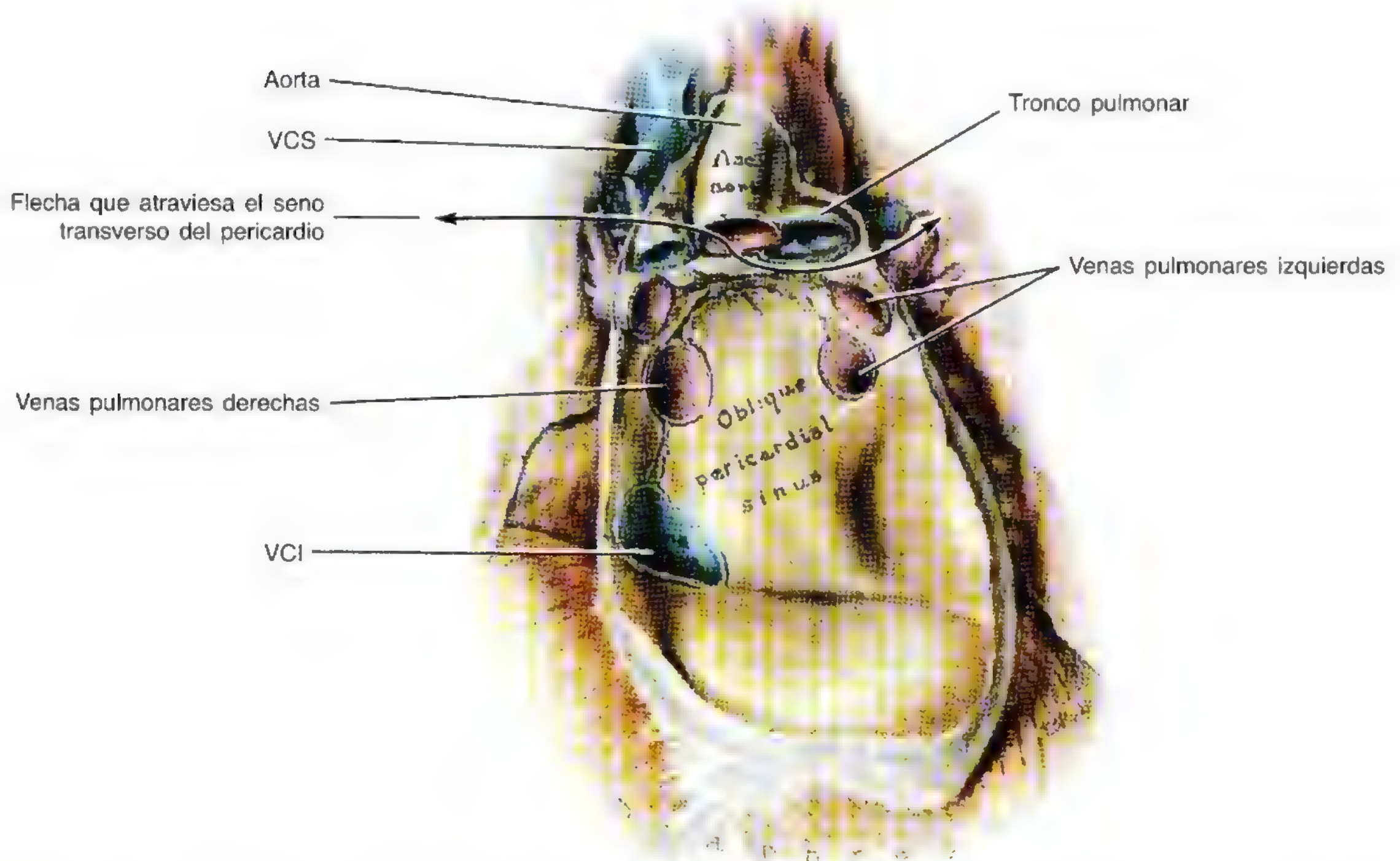


Figura 1.40. Interior del saco pericárdico. Para extraer el corazón de su saco es necesario seccionar ocho vasos. Obsérvese que el seno pericárdico oblicuo está circunscrito por cinco venas y que la vena cava superior (VCS) se halla en parte dentro y, en su mayor parte, fuera del pericardio. Nótese también que el vértice del saco pericárdico se acerca a la unión entre la aorta ascendente y el arco de la aorta. El seno transverso del pericardio limita por delante con el pericardio seroso, que cubre la cara posterior del tronco pulmonar y la aorta ascendente; por detrás, con el que cubre la VCS, y por debajo, con el pericardio visceral, que reviste las aurículas.

- La *arteria musculofrénica*, rama terminal de la arteria torácica interna.
- Las *arterias bronquiales, esofágicas y frénica superior*, ramas de la aorta torácica.
- Las *arterias coronarias* (sólo la capa visceral del pericardio seroso).

El **drenaje venoso del pericardio** (fig. 1.41) corre a cargo de:

- *Venas pericardicofrénicas*, afluentes de las venas braquiocefálicas (o torácicas internas).
- Diversas afluentes del *sistema venoso ázigos*.

La **inervación del pericardio** (fig. 1.41) proviene de:

- Los *nervios frénicos* (C3 a C5), fuente principal de las fibras sensitivas. La sensibilidad dolorosa conducida por los nervios frénicos se suele describir en la piel de la región supraclavicular ipsolateral (punta del hombro del mismo lado).
- Los *nervios vagos*, de función incierta.
- Los *troncos simpáticos* vasomotores.

El corazón y los grandes vasos

El corazón, de tamaño algo mayor que un puño cerrado, es una bomba muscular doble, autorregulada, cuyas piezas operan al unísono para impeler la sangre por todas las partes del organismo. El lado derecho del corazón recibe sangre poco oxigenada ("venosa") del organismo a través de la VCS y de la VCI, y la bombea por el tronco pulmonar hasta los pulmones para que se oxigene. El lado izquierdo recibe sangre bien oxigenada ("arterial") de los pulmones a través de las venas pulmonares, y la bombea por la aorta para que se distribuya por el cuerpo (fig. 1.42A). El corazón posee cua-

tro cavidades: **aurículas derecha e izquierda** y **ventrículos derecho e izquierdo**. Las aurículas son cámaras receptoras que bombean la sangre a los ventrículos, que son las cámaras de descarga.

Las acciones sincrónicas de bombeo de las dos bombas auriculoventriculares (AV) (cavidades derecha e izquierda) del corazón constituyen el **ciclo cardíaco** (fig. 1.42, B-F). Este ciclo comienza por un período de relajación ventricular (**diástole**) y termina con otro de contracción ventricular (**sístole**). Con el estetoscopio se auscultan dos tonos cardíacos: un sonido "lap", cuando la sangre pasa de las aurículas a los ventrículos, y un tono "dap", cuando los ventrículos se contraen e impulsan la sangre del corazón. Los tonos cardíacos se deben al cierre de las válvulas de un solo paso, que normalmente impiden que la sangre retroceda durante la contracción cardíaca.

La pared de cada cavidad cardíaca consta de tres capas (tabla 1.4):

- El **endocardio**, una capa interna fina (de endotelio y tejido conjuntivo subendotelial) o membrana de revestimiento del corazón, que también tapiza las válvulas.
- El **miocardio**, una capa media gruesa formada por músculo cardíaco.
- El **epicardio**, una capa fina (mesotelio) externa formada por la capa visceral del pericardio seroso.

Las paredes del corazón se componen, en su mayoría, de miocardio grueso, sobre todo las de los ventrículos.

Cuando se contraen los ventrículos se produce un movimiento de torsión por la orientación espiral de las fibras del músculo cardíaco. Con este movimiento la sangre es impulsada por el corazón. Las fibras musculares se anclan al *esqueleto fibroso del corazón*, una malla compleja de colágeno

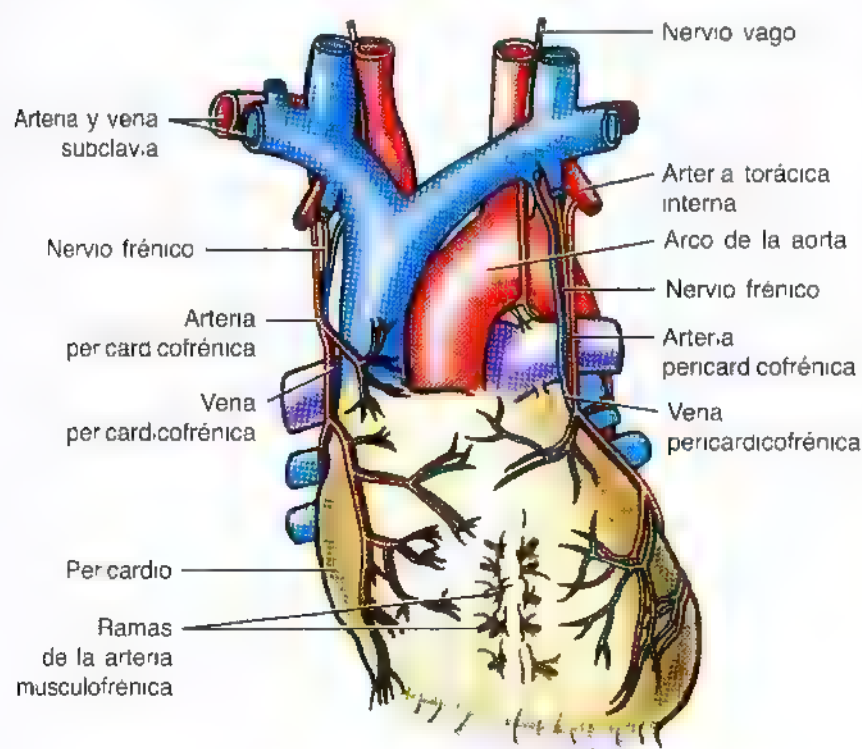


Figura 1.41. Irrigación arterial y drenaje venoso del pericardio. Las arterias del pericardio derivan de las arterias torácicas internas y de sus ramas musculofrénicas, así como de la aorta torácica. Las arterias pericardicofrénicas, finas ramas de las arterias torácicas internas, acompañan o siguen un curso paralelo a los nervios frénicos hasta el diafragma. Estas venas son afluentes de las braquiocefálicas. Se ilustran también los nervios vagos (NC X) y frénicos.



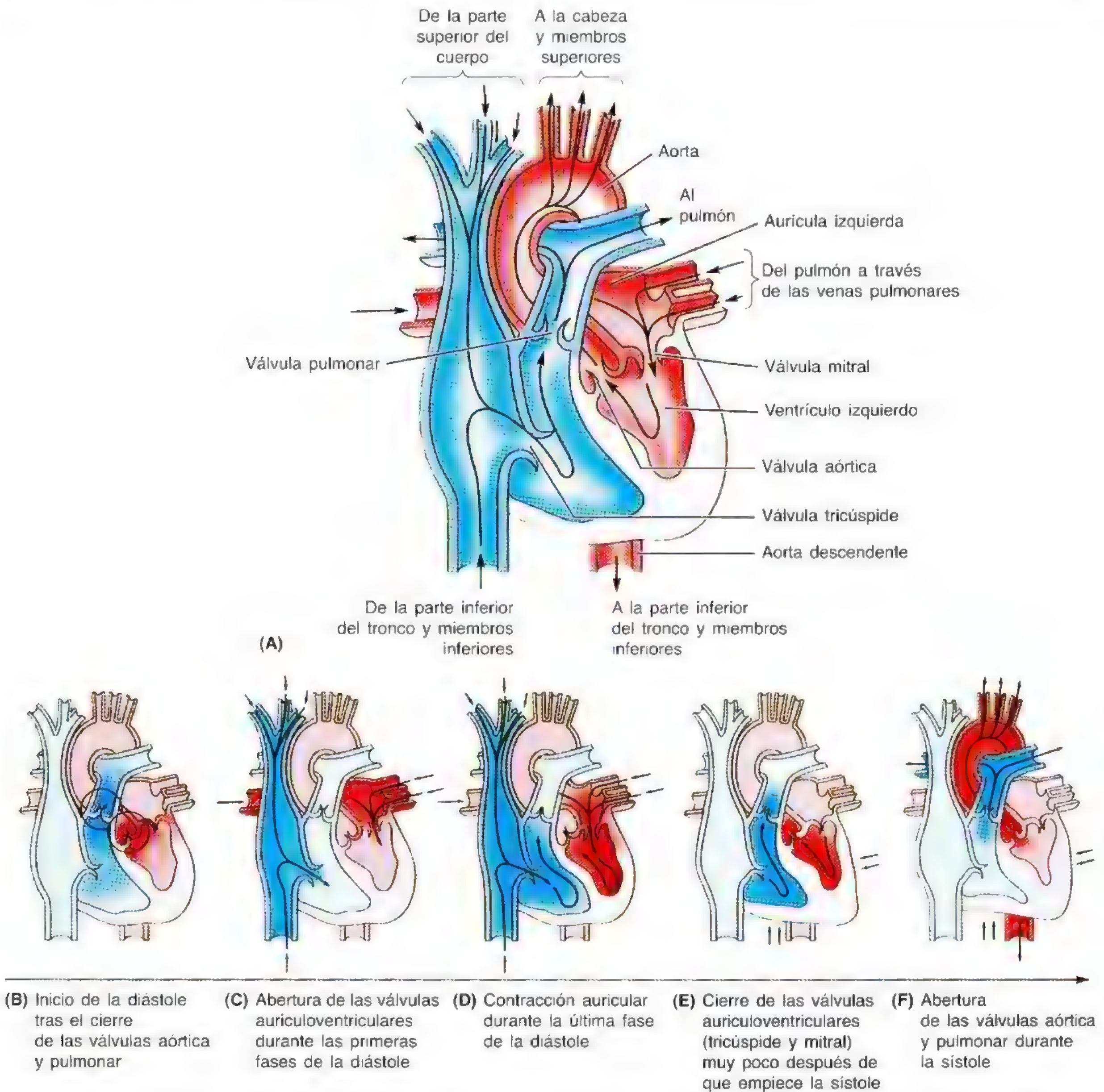


Figura 1.42. Ciclo cardíaco. El ciclo cardíaco describe el movimiento completo del corazón o el latido cardíaco y comprende el período que va desde el inicio de un latido cardíaco hasta el inicio del siguiente. Este ciclo consta de diástole (llenado ventricular) y sístole (vaciado ventricular).

denso que crea cuatro **anillos fibrosos** (del L. *annuli fibrosi*); estos anillos rodean los orificios valvulares, un **trígono fibroso** derecho e izquierdo, formado mediante conexión de los anillos, y las porciones membranosas de los tabiques interauricular e interventricular. El **esqueleto fibroso del corazón** (fig. 1.43):

- Mantiene abiertos los orificios de las válvulas AV y semilunares y evita su distensión por el volumen de sangre bombeado a su través.

- Proporciona inserciones a las valvas.
- Proporciona inserción (origen e inserción) al miocardio.
- Crea un “aislante” eléctrico, al separar los impulsos miocárdicos de las aurículas y de los ventrículos, de modo que se contraigan con independencia, y al rodear y dar paso a la porción inicial del haz AV.

El corazón y las raíces de los grandes vasos, envueltas por el saco pericárdico, se relacionan por la parte anterior con

el esternón, cartílagos costales y extremos mediales de la 3ª a 5ª costillas del lado izquierdo (fig. 1.44). El corazón y el saco pericárdico están situados de forma oblicua: aproxima-

damente dos tercios a la izquierda del plano medio y un tercio a la derecha. El corazón tiene forma de una pirámide inclinada, de tres lados, con la *punta* en el "suelo", dirigida

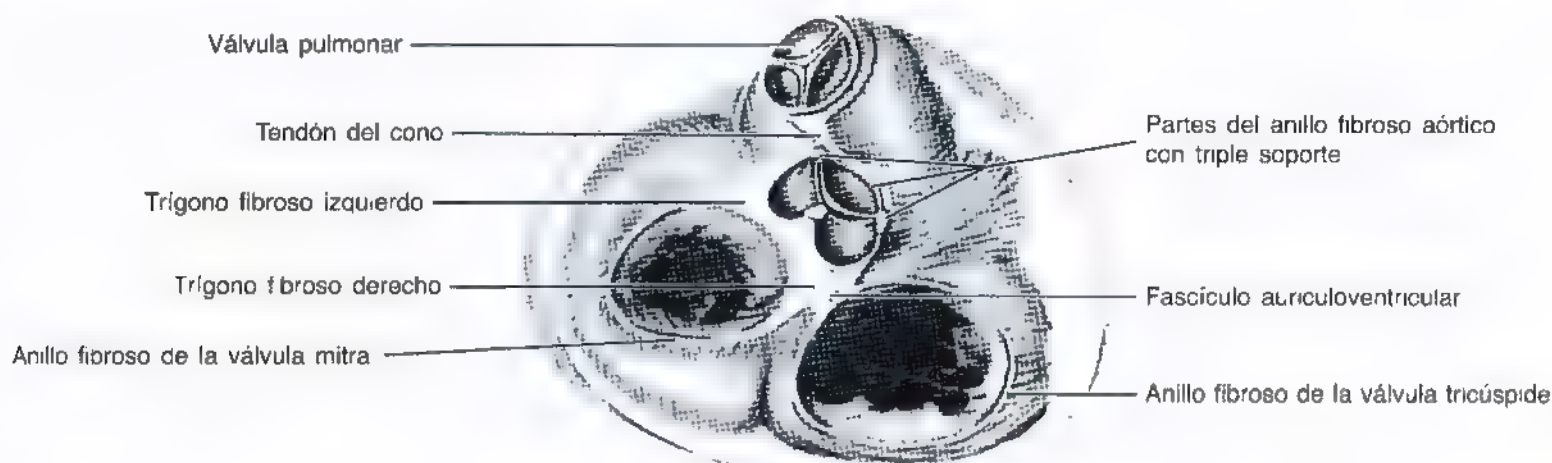


Figura 1.43. Esqueleto fibroso del corazón. Visión posterior. Se han extirpado las aurículas por el surco auriculoventricular, dejando los ventrículos y las válvulas. El esqueleto fibroso (en blanco) se compone de cuatro anillos fibrosos; cada uno rodea una válvula, dos trigonos y porciones membranosas de los tabiques interauricular e interventricular (no se muestran estos últimos).

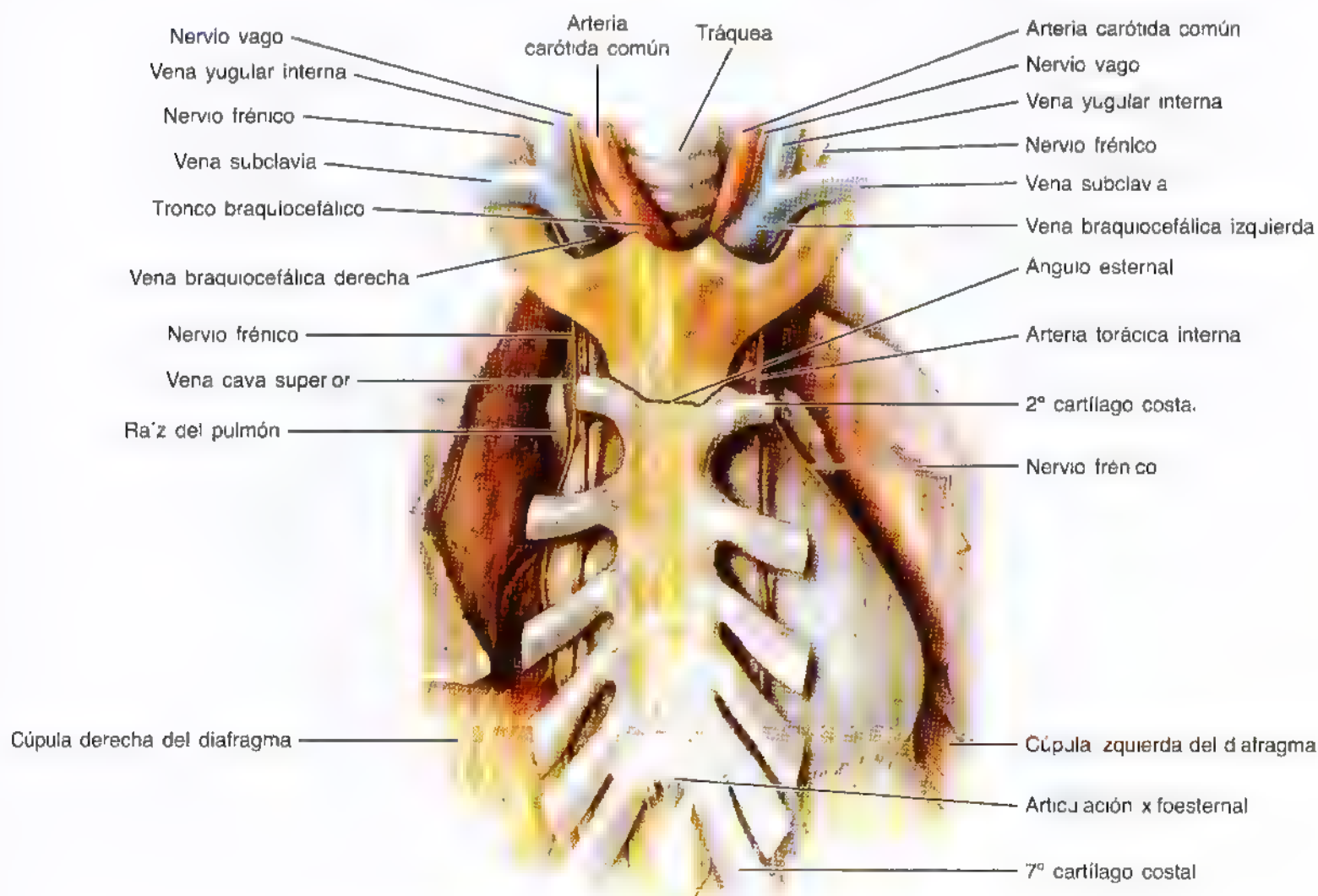


Figura 1.44. Relación entre el saco pericárdico y el esternón. Esta disección expone el saco pericárdico situado detrás del cuerpo del esternón desde la parte inmediatamente superior al ángulo esternal hasta la altura de la articulación xifoesternal. Obsérvese que aproximadamente un tercio del saco pericárdico queda a la derecha de la línea esternal media, y dos tercios, a la izquierda.

en sentido anterior e izquierdo; la *base*, opuesta a la punta y mirando, en general, a la cara posterior, y tres lados: la *cara diafragmática*, sobre la que descansa la pirámide; la *cara esternocostal*, anterior, y la *cara pulmonar*, que mira a la izquierda. La **base del corazón** (fig. 1.45, A y B):

- Es la cara posterior del corazón (opuesta a la punta), situada dentro del tórax.
- Está formada sobre todo por la aurícula izquierda y en menor medida por la derecha.

- Mira en dirección posterior a los cuerpos de las vértebras T6 a T9, de las que se separa por el pericardio, el seno pericárdico oblicuo, el esófago y la aorta.
- Se extiende en dirección superior hasta la bifurcación del tronco pulmonar, y por la parte inferior, hasta el surco coronario o AV.
- Recibe las venas pulmonares a los lados derecho e izquierdo de la aurícula izquierda, y las venas cavas superior e inferior, en los extremos superior e inferior de la aurícula derecha.

(A)

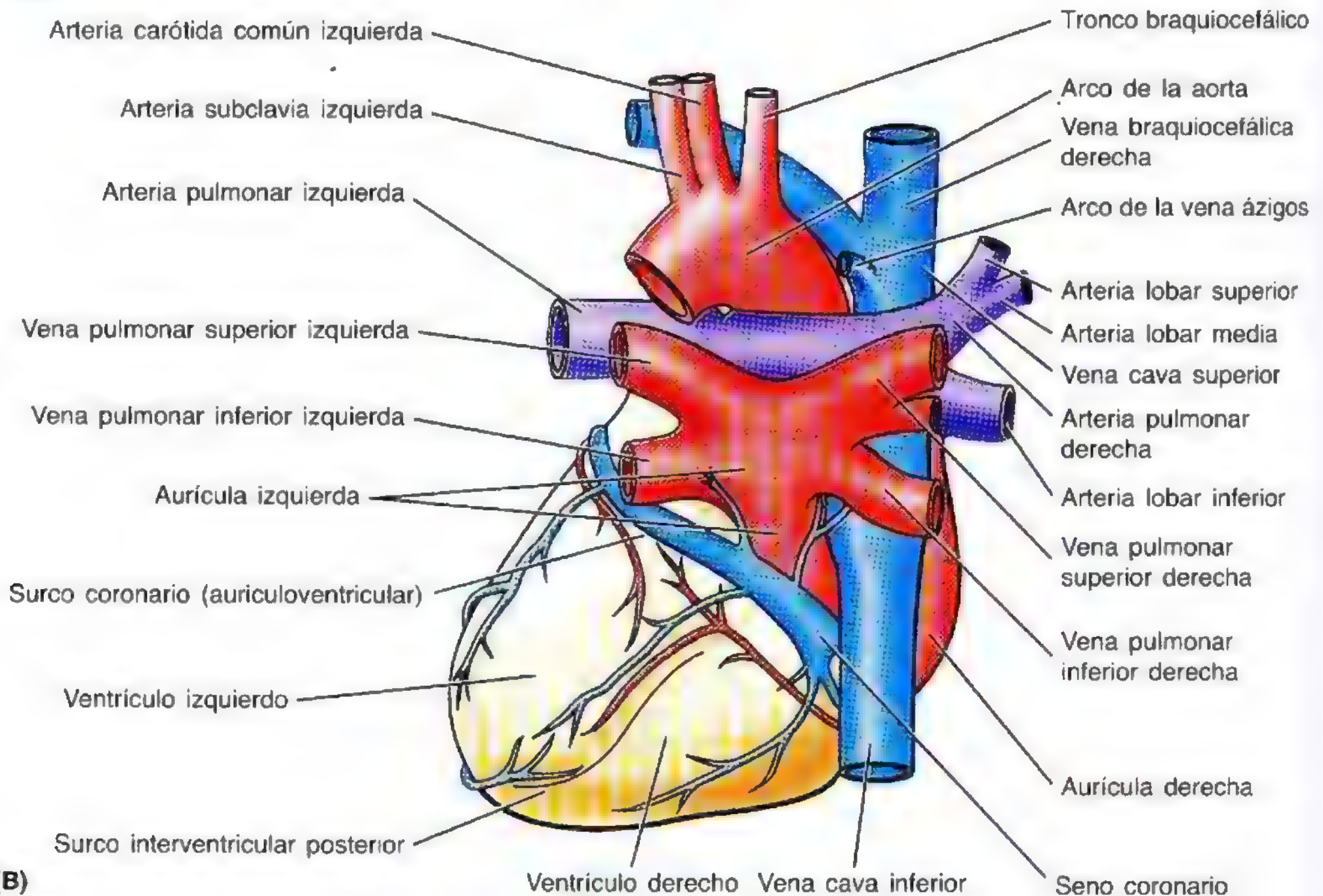
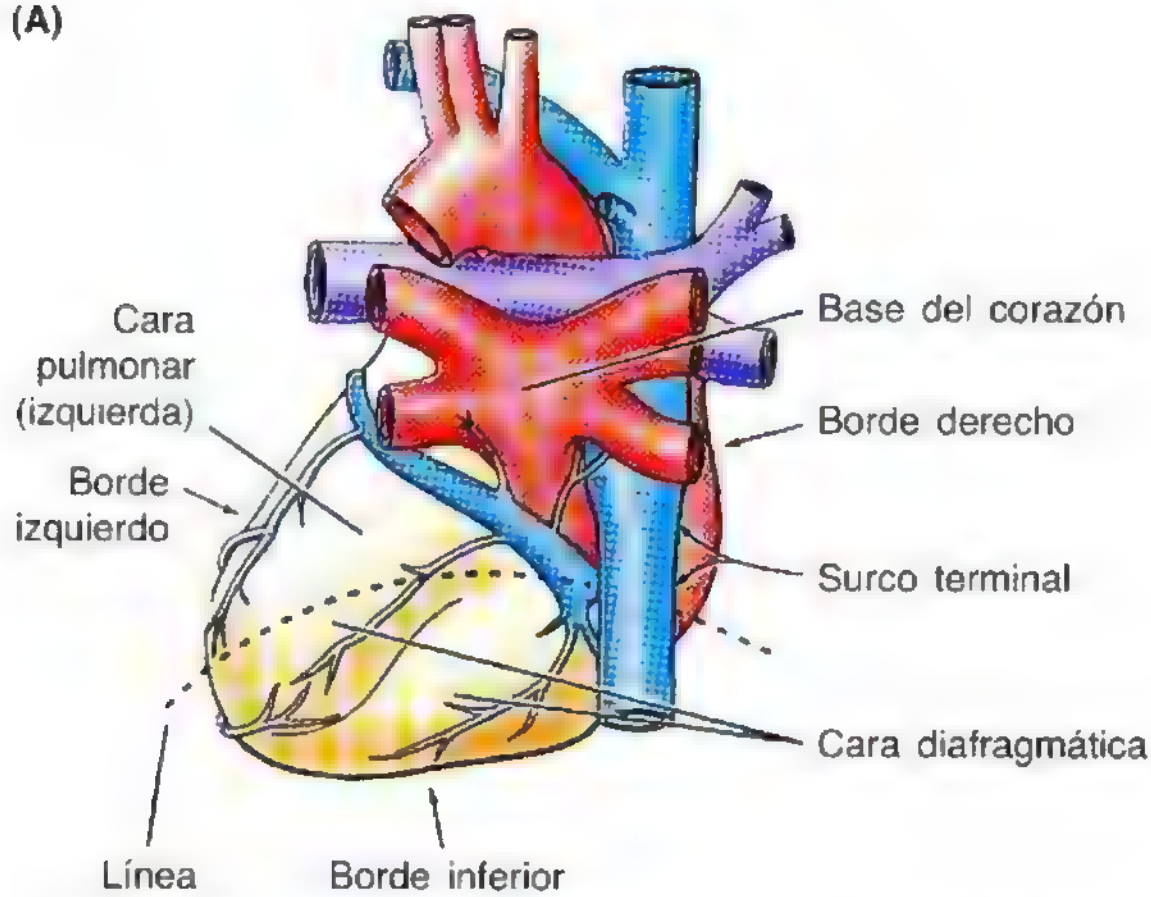


Figura 1.45. Partes, superficies y límites del corazón. Se muestra también la relación de los grandes vasos del corazón. **A-B.** Cara pulmonar (izquierda) del corazón y de los grandes vasos, que incluye la base y la cara diafragmática del corazón.

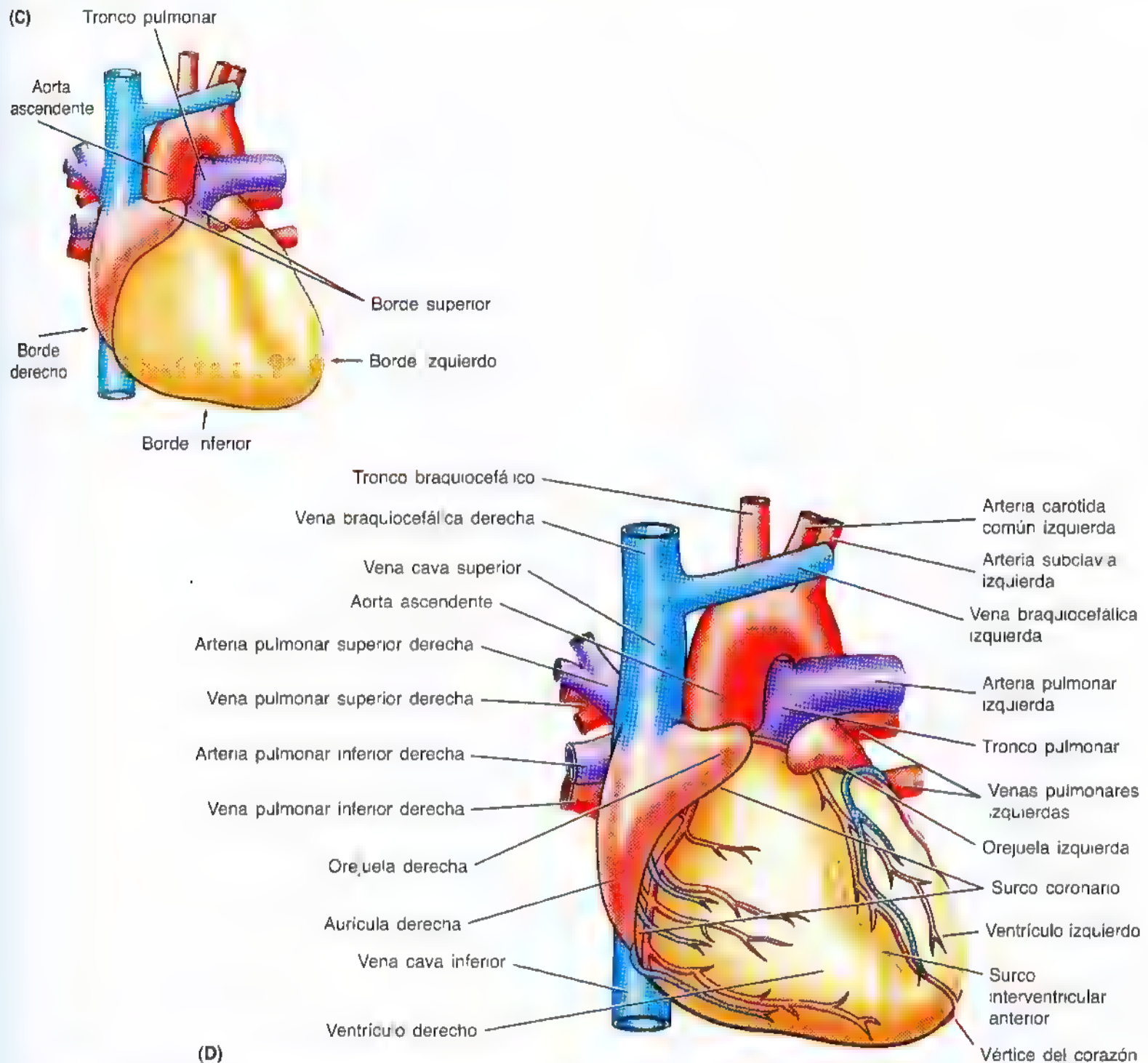


Figura 1.45. (Continuación) **C-D.** Cara esternocostal del corazón y de los grandes vasos. Se ve toda la orejuela derecha y gran parte de la aurícula derecha pero sólo una pequeña parte de la orejuela izquierda.

La **punta o vértice del corazón** (fig. 1.45D):

- Está formada por la porción inferolateral del ventrículo izquierdo.
- Se sitúa detrás del 5º espacio intercostal izquierdo en los adultos, generalmente a 9 cm (o aproximadamente un palmo) del plano medio.
- Es el lugar donde se alcanza la pulsación máxima del corazón (**latido de la punta**) (es decir, el lugar donde se puede observar o palpar el “latido del corazón” en la pared torácica).

Las **tres caras del corazón** (fig. 1.45, A-D) son:

- La **cara anterior (esternocostal)**, formada principalmente por el ventrículo derecho.
- La **cara diafragmática (inferior)**, configurada en esencia por el ventrículo izquierdo y en parte por el derecho; se relaciona básicamente con el tendón central del diafragma.
- La **cara pulmonar (izquierda)**, formada casi exclusivamente por el ventrículo izquierdo; ocupa la impresión cardíaca del pulmón izquierdo.

Los **cuatro bordes del corazón** se ven en las proyecciones anterior y posterior (fig. 1.45, *A* y *C*):

- El **borde derecho** (algo convexo) está formado por la aurícula derecha y se extiende entre la VCS y la VCI.
- El **borde inferior** (casi horizontal) lo compone principalmente el ventrículo derecho y menos el izquierdo.
- El **borde izquierdo** (casi horizontal) está formado sobre todo por el ventrículo izquierdo y parte de la aurícula izquierda.
- El **borde superior** lo forman la aurícula derecha e izquierda y las orejuelas en la proyección anterior; la aorta ascendente y el tronco pulmonar emergen del borde superior, mientras que la VCS entra por el lado derecho. Detrás de la aorta y del tronco pulmonar y delante de la VCS, el borde superior crea el límite inferior del seno transversal del pericardio.

El **tronco pulmonar**, de unos 5 cm de longitud y 3 cm de anchura, es la comunicación arterial del ventrículo derecho y se divide en las arterias pulmonares derecha e izquierda. El tronco pulmonar y las arterias llevan sangre poco oxigenada a los pulmones para su oxigenación (fig. 1.42*A*).

Aurícula derecha. Esta cavidad forma el borde derecho del corazón y recibe sangre venosa de la VCS, VCI y seno coronario (fig. 1.45, *B* y *D*). La **orejuela derecha**, que tiene forma de oreja, es una bolsa muscular cónica que se proyecta de la aurícula derecha en forma de salita adicional, que aumenta la capacidad de la aurícula en la zona donde se solapa con la aorta ascendente. El **interior de la aurícula derecha** (fig. 1.46 *A* y *B*):

- Tiene una parte posterior lisa, de paredes finas —**seno venoso**—, en la que desembocan las venas cavas (VCS y VCI) y el seno coronario, que traen la sangre poco oxigenada al corazón.

- Una pared anterior muscular y rugosa, compuesta por músculos pectíneos (del *L. muscoli pectinati*).
- Un orificio AV derecho, por el que la aurícula derecha vierte la sangre mal oxigenada que ha recibido hacia el ventrículo derecho.

Las partes lisa y rugosa de la pared auricular se separan externamente por un surco vertical fino, el **surco terminal** (fig. 1.45*A*), e internamente, por una cresta vertical, la **cresta terminal** (fig. 1.46*A*). *Arteria superior → inferior*

La VCS desemboca en la parte superior de la aurícula derecha, a la altura del 3^{er} cartílago costal derecho. La VCI desemboca en la parte inferior de la aurícula derecha, casi a la misma altura que la VCS (aproximadamente al nivel del 5^o cartílago costal). El **orificio del seno coronario** —un tronco venoso corto que drena la mayoría de las venas cardíacas— se sitúa entre el orificio AV derecho y el orificio de la VCI. El **tabique interauricular** que separa las aurículas muestra una depresión oval, del tamaño de la huella del pulgar, la **fosa oval** (del *L. fossa ovalis*), que es un resto del **agujero oval** (del *L. foramen ovale*) y de su válvula fetal (Moore y Persaud, 1998).

Ventrículo derecho. El ventrículo derecho da forma a la mayor parte de la cara anterior del corazón, una pequeña parte de la cara diafragmática y casi todo el borde inferior (fig. 1.46). Por arriba se afila a modo de cono arterial, el **cono arterioso** (infundíbulo), que termina con el tronco pulmonar (fig. 1.47). El interior del ventrículo derecho presenta elevaciones musculares irregulares, denominadas **trabéculas carnosas**. Existe una gruesa cresta muscular, la **cresta supraventricular**, que separa la pared muscular rugosa por donde entra sangre en la cavidad de la pared lisa del **cono arterioso**, por donde sale la sangre. La parte del ventrículo que recibe la sangre de la aurícula derecha por el **orificio AV derecho** (fig. 1.46*A*) se sitúa detrás del cuerpo del ester-

Anomalías de la posición cardíaca

Debido al pliegue anómalo del corazón embrionario, la posición del corazón puede invertirse por completo, de forma que el vértice se dirija al lado derecho y no al izquierdo —**dextrocardia** (Moore y Persaud, 1998)—. Esta anomalía congénita de la posición cardíaca es la más frecuente de todas, pero aun así resulta bastante rara. La dextrocardia se asocia con una posición especular de los grandes vasos y del arco de la aorta. Esta malformación puede constituir una parte de una transposición general de las vísceras torácicas y abdominales (*situs inversus*) o bien afectar únicamente al corazón (*dextrocardia aislada*). Cuando la dextrocardia se acompaña de *situs inversus*, la incidencia de otras cardiopatías es baja y el corazón casi siempre funciona bien; sin embargo, la anomalía congénita de la dextrocardia aislada se complica con graves alte-

raciones cardíacas, como transposición de los grandes vasos. Si desea conocer más detalles sobre el pronóstico y tratamiento de la dextrocardia consulte la revisión de Behrman y cols. (1996).

Percusión cardíaca

La percusión define la densidad y el tamaño del corazón. La técnica clásica de la percusión consiste en crear una vibración percutiendo el tórax con el dedo y escuchando y advirtiendo las diferencias en la conducción de la onda de sonido. La percusión se practica sobre el 3^{er}, 4^o y 5^o espacios intercostales, desde la línea axilar anterior izquierda hasta la línea axilar anterior derecha (Swartz, 1994). Normalmente, el tono de percusión cambia de la resonancia a la matidez (por la presencia del corazón) unos 6 cm lateral al borde esternal izquierdo. ◉

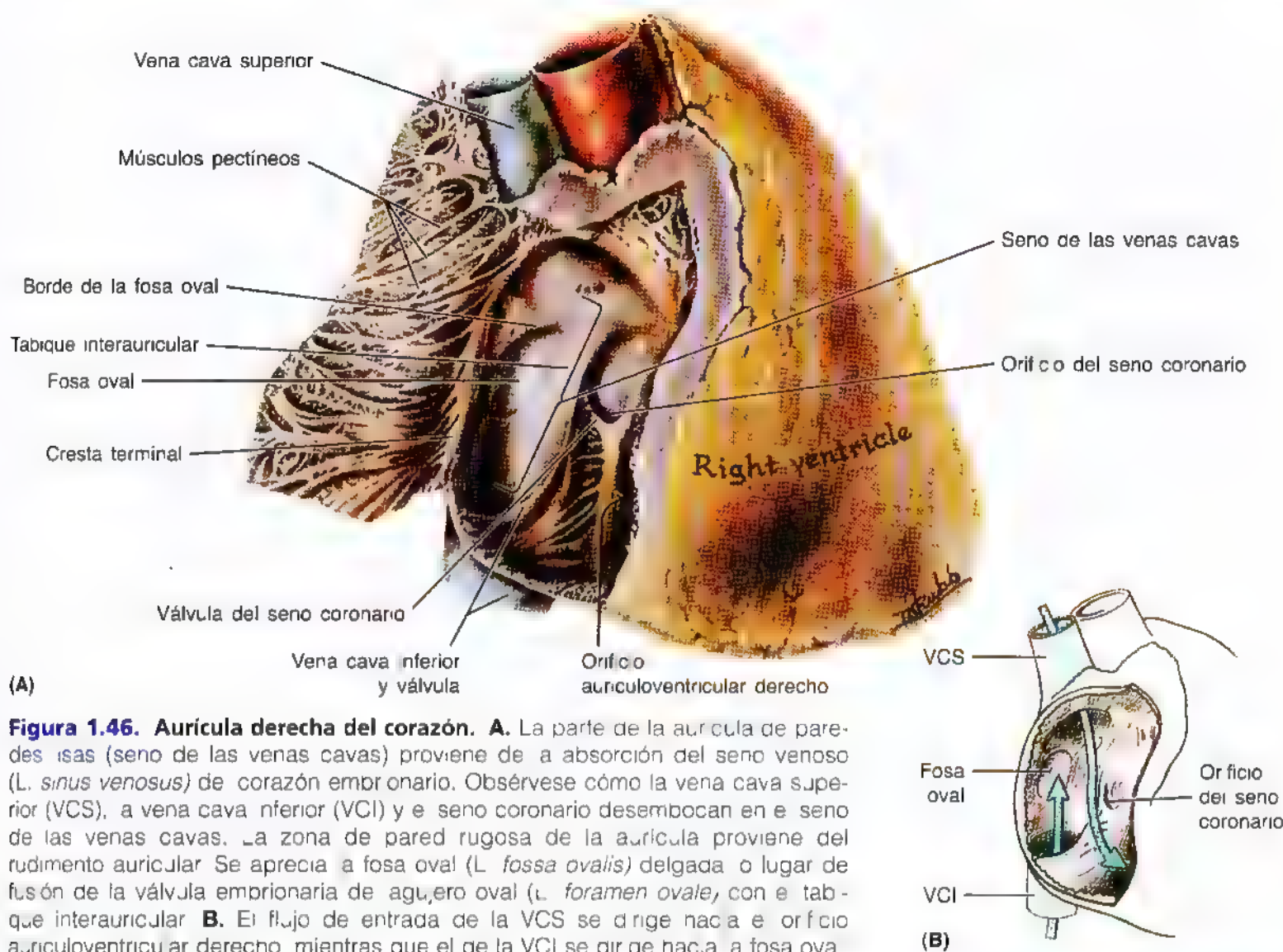


Figura 1.46. Aurícula derecha del corazón. **A.** La parte de la aurícula de paredes lisas (seno de las venas cavas) proviene de la absorción del seno venoso (*L. sinus venosus*) del corazón embrionario. Obsérvese cómo la vena cava superior (VCS), la vena cava inferior (VCI) y el seno coronario desembocan en el seno de las venas cavas. La zona de pared rugosa de la aurícula proviene del rudimento auricular. Se aprecia la fosa oval (*L. fossa ovalis*) delgada o lugar de fusión de la válvula embrionaria del agujero oval (*L. foramen ovale*), con el tabique interauricular. **B.** El flujo de entrada de la VCS se dirige hacia el orificio auriculoventricular derecho, mientras que el de la VCI se dirige hacia la fosa oval.

Embriología de la aurícula derecha

Si se comprende el desarrollo de la aurícula derecha es más fácil entender y recordar la anatomía del adulto (Moore y Persaud, 1998). La aurícula primitiva está representada en el adulto por la *orejuela derecha*. La aurícula definitiva crece por la incorporación de gran parte del *seno venoso* embrionario. El *seno coronario* también deriva del seno venoso. La porción del seno venoso que se incorpora al esbozo auricular se transforma en el **seno de las venas cavas** de la aurícula derecha del adulto, de paredes lisas (fig. 1.46A). La separación entre la aurícula primitiva —la orejuela del adulto— y el seno de las venas cavas —derivado del seno venoso— está marcada por fuera por el **surco terminal**, y por dentro, por la **cresta terminal**.

Antes de nacer, la válvula de la VCI dirige casi toda la sangre oxigenada que regresa a la placenta por la vena umbilical y la VCI hacia el **agujero oval** del tabique interauricular, por donde llega hasta la aurícula izquierda. El orificio oval dispone de una válvula “de charnela”, que

permite la derivación de la sangre de derecha a izquierda e impide la derivación de izquierda a derecha. Después de nacer, el agujero oval suele cerrarse, ya que su válvula se une con el tabique interauricular. El agujero oval cerrado queda representado en el tabique interauricular por la **fosa oval** deprimida. El **borde de la fosa oval** (*L. limbus fossae ovalis*) rodea la fosa. El suelo de la fosa está formado por la válvula del orificio oval. La **válvula rudimentaria** de la VCI, una semiluna de tejido, no funciona después del parto; su tamaño varía mucho y, en ocasiones, incluso falta.

Comunicaciones interauriculares

Las malformaciones congénitas del tabique interauricular —casi siempre adoptan la forma de cierre incompleto del foramen oval— se conocen como comunicaciones interauriculares (CIA). Entre un 15 y un 25% de los adultos (Moore y Persaud, 1998) presentan una zona permeable en la parte superior de la fosa oval, como se ►

► comprueba pasando una sonda. Estas pequeñas aberturas carecen de significado hemodinámico por sí mismas y no tienen ninguna repercusión clínica; no se deben considerar como variantes de CIA. Las CIA con repercusión clínica varían mucho de tamaño y localización y pueden manifestarse como parte de una cardiopatía congénita más compleja (Sabiston y Lyster, 1994). Las grandes CIA permiten que la sangre oxigenada de los pulmones pase de la aurícula izquierda, a través de la CIA, hasta la aurícula derecha, determinando un aumento de tamaño de la aurícula y del ventrículo derechos y una dilatación del tronco pulmonar. Este cortocircuito izquierda-derecha de la sangre sobrecarga el árbol vascular pulmonar y determina un aumento de tamaño (hipertrofia) de la aurícula y ventrículo derechos y de las arterias pulmonares. ◉

nón, a la altura del 4º y 5º espacios intercostales. El orificio AV derecho está rodeado de un anillo fibroso que forma parte del esqueleto fibroso del corazón. El anillo fibroso que rodea el orificio resiste la dilatación que podría ocurrir al pasar la sangre a presión.

La **válvula tricúspide** (fig. 1.48) protege el orificio AV derecho. Las bases de sus valvas se insertan en el anillo fibroso que rodea el orificio. Las **cuerdas tendinosas** (del L. *chordae tendineae*) se insertan en los bordes libres y caras ventriculares de las valvas anterior, posterior y septal, de forma parecida a las cuerdas de un paracaídas. Como las cuerdas se insertan en los lados adyacentes de dos valvas, impiden la separación de éstas, así como su inversión cuando se aplica tensión a las cuerdas a través de la contracción ventricular (sístole); en otras palabras, las valvas de la válvula tricúspide no prolapsan (se dirigen a la aurícula derecha) cuando aumenta la presión ventricular. Por esta razón, las valvas evitan la regurgitación de la sangre (retroceso de la sangre) desde el ventrículo derecho hasta la aurícula derecha.

Los **músculos papilares** (fig. 1.47) forman proyecciones cónicas; sus bases se insertan en la pared ventricular y en las cuerdas tendinosas que salen de sus vértices. En general, existen tres músculos papilares (anterior, posterior y septal) en el ventrículo derecho, cuyo nombre se corresponde con el de las valvas de la válvula tricúspide.

- El **músculo papilar anterior**, el mayor y más destacado de los tres, se origina en la pared anterior del ventrículo derecho. Sus cordones tendinosos se insertan en las valvas anterior y posterior de la válvula tricúspide.
- El **músculo papilar posterior**, más pequeño que el anterior, puede tener varias partes. El músculo papilar posterior nace de la pared inferior del ventrículo derecho y sus cuerdas tendinosas se insertan en las valvas posterior y septal de la válvula tricúspide.

- El **músculo papilar septal** procede del tabique intra-ventricular y sus cuerdas tendinosas se fijan en las valvas anterior y septal de la válvula tricúspide.

Los músculos papilares empiezan a contraerse antes de que lo haga el ventrículo derecho, enderezando las cuerdas tendinosas y juntando las valvas. La contracción se mantiene en la sístole, lo que evita el paso de sangre del ventrículo (regurgitación) a la aurícula derecha.

El **tabique interventricular** —compuesto por partes membranosas y musculares— es una partición robusta y oblicua entre los ventrículos derecho e izquierdo (fig. 1.47), que forma parte de las paredes de cada uno. La parte superoposterior del tabique es fina y membranosa y se continúa con el esqueleto fibroso del corazón (fig. 1.43), que configura la inmensa mayoría del tabique. La porción muscular es gruesa y protruye dentro de la cavidad del ventrículo derecho, dada la mayor presión de la sangre del ventrículo izquierdo. La **trabécula septomarginal** (banda moderadora) es un fascículo muscular curvo que discurre desde la parte inferior del tabique interventricular hasta la base del músculo papilar anterior. Esta trabécula tiene interés porque conduce parte de la **rama derecha del haz AV**, un componente del sistema cardíaco de conducción, hasta el músculo papilar anterior (fig. 1.53).

El **orificio AV derecho** es lo suficientemente grande para el paso de las yemas de tres dedos (fig. 1.46). Cuando se contrae la aurícula derecha, la sangre es impulsada por el orificio hasta el ventrículo derecho, y las valvas de la válvula tricúspide son apartadas como si fueran cortinas. La zona del ventrículo derecho por donde entra la sangre (*tracto de entrada*) se sitúa posterior, y la de salida por el tronco pulmonar (*tracto de salida*) es superior e izquierda. Por eso, la sangre recorre el ventrículo derecho en forma de U. El orificio (AV) de entrada y el orificio de salida (pulmonar) sólo se distancian unos 2 cm.

La **válvula pulmonar** (fig. 1.48) del vértice del cono arterioso se encuentra a la altura del 3º cartilago costal izquierdo. Cada una de las tres **valvas semilunares de la válvula pulmonar** (anterior, derecha e izquierda) tiene forma cóncava si se mira desde arriba. Las valvas se proyectan hacia la arteria, pero se aproximan a las paredes cuando la sangre sale del ventrículo derecho. Una vez que se relaja el ventrículo (**diástole**), el retroceso elástico de la pared del tronco pulmonar impulsa a la sangre de nuevo hacia el corazón. Sin embargo, las valvas se abren como bolsas, detienen el flujo sanguíneo y cierran por completo el orificio pulmonar, impidiendo que regrese una cantidad significativa de sangre al ventrículo derecho. La pared del tronco pulmonar, situada inmediatamente por encima de cada válvula, se dilata ligeramente para crear un seno pulmonar. Los **senos pulmonares** son dos espacios situados en el origen del tronco pulmonar, entre la pared dilatada del vaso y cada valva de la válvula pulmonar. La sangre del seno pulmonar impide que la valva se adhiera a la pared del tronco pulmonar y fomenta el cierre.

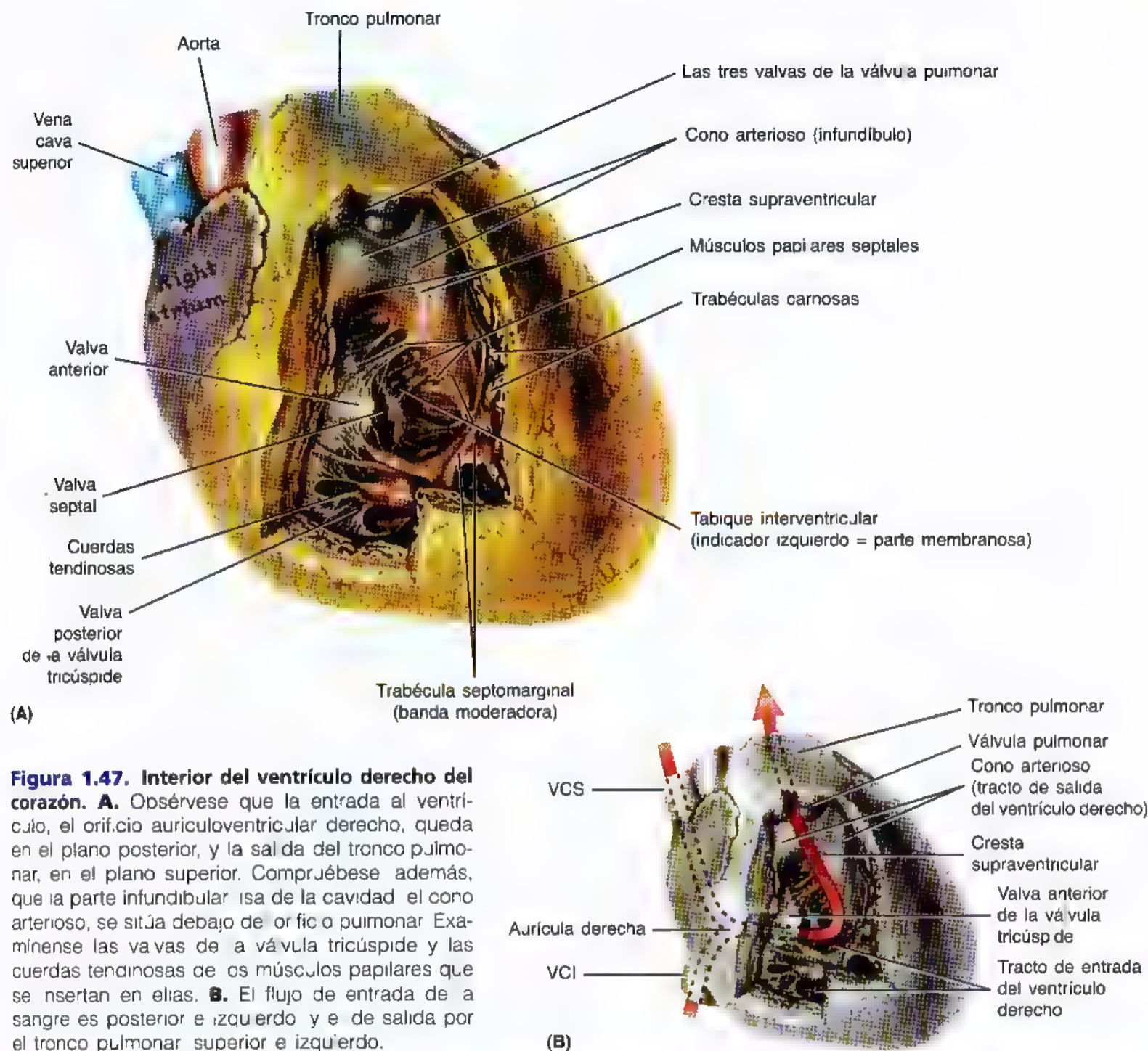


Figura 1.47. Interior del ventrículo derecho del corazón. **A.** Obsérvese que la entrada al ventrículo, el orificio auriculoventricular derecho, queda en el plano posterior, y la salida del tronco pulmonar, en el plano superior. Compruébese además, que la parte infundibular (isa de la cavidad) el cono arterioso, se sitúa debajo del orificio pulmonar. Examinense las valvas de la válvula tricúspide y las cuerdas tendinosas de los músculos papilares que se insertan en ellas. **B.** El flujo de entrada de la sangre es posterior e izquierdo y el de salida por el tronco pulmonar superior e izquierdo.

Comunicaciones interventriculares

La porción membranosa del tabique interventricular se origina de forma independiente a partir de una porción muscular y tiene un origen embriológico muy complejo (Moore y Persaud, 1998). Por eso, esta porción es el asiento habitual de las comunicaciones interventriculares (CIV). Esta malformación cardíaca congénita ocupa el primer lugar entre todas las anomalías cardíacas. La CIV aislada constituye cerca del 25% de todas las cardiopatías congénitas (Moore y Persaud, 1998). El tamaño del defecto varía desde 1 hasta 25 mm. La CIV determina un cortocircuito izquierda-derecha de la sangre a través de la abertura. Los grandes defectos aumentan el flujo

sanguíneo pulmonar y ocasionan enfermedades pulmonares graves (hipertensión pulmonar –aumento de la presión de las arterias pulmonares–), incluso *insuficiencia cardíaca*. Las CIV bastante más raras de la porción muscular del tabique suelen cerrarse de forma espontánea durante la infancia (Creasy y Resnik, 1994).

Estenosis de la válvula pulmonar

La *estenosis* (estrechez) de la *válvula pulmonar* obedece a la fusión de las valvas, que crean una cúpula con un orificio central estrecho. La *estenosis del infundíbulo pulmonar* obedece al desarrollo inadecuado del cono arterioso. Estos dos tipos de estenosis pulmonar inducen ▶

► una restricción del flujo de salida del ventrículo derecho y pueden asociarse. El grado de hipertrofia del ventrículo derecho resulta variable.

Insuficiencia de la válvula pulmonar

Los bordes libres de las valvas de la válvula pulmonar suelen ser delgados. Si se engruesan y tornan inflexibles

o se dañan por alguna enfermedad, la válvula no llega a cerrar del todo. La *válvula pulmonar incompetente* explica el retroceso de la sangre, sometida a elevada presión, hasta el ventrículo derecho durante la diástole. La regurgitación pulmonar se ausculta a través del estetoscopio como un **soplo cardíaco** —sonido cardíaco anómalo—, producido en este caso por la lesión de las valvas pulmonares. ◉

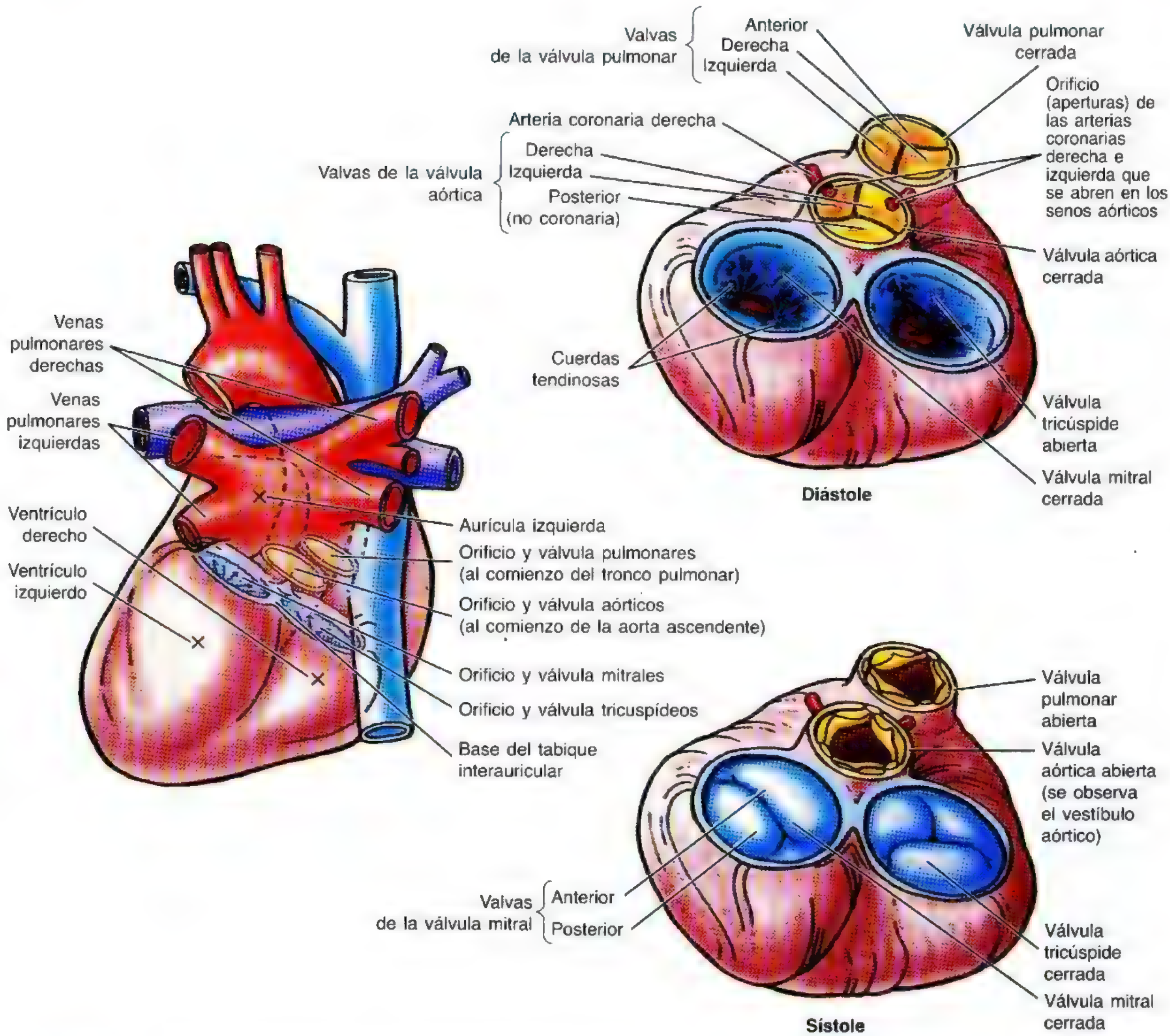


Figura 1.48. Válvulas del corazón y grandes vasos. Al comienzo de la diástole (llenado ventricular) se cierran las válvulas aórtica y pulmonar; poco después se abren las válvulas tricúspide y mitral (fig. 1.42). Al principio de la sístole (vaciado ventricular) se cierran las válvulas tricúspide y mitral y se abren las válvulas aórtica y pulmonar.

Aurícula izquierda. Esta cavidad cardíaca da forma a la mayor parte de la base del corazón (fig. 1.48). Las parejas de *venas pulmonares* derecha e izquierda, sin válvulas, entran en esta aurícula de paredes lisas. La *orejuela izquierda*, muscular y tubular, forma la parte superior del borde izquierdo del corazón (fig. 1.45D) y se superpone con la raíz del tronco pulmonar. La depresión semilunar del *tabique interauricular* indica el suelo de la fosa oval. El **interior de la aurícula izquierda** posee:

- Una parte mayor, de paredes lisas, y otra menor, muscular (orejuela), con músculos pectíneos.
- Cuatro venas pulmonares (dos superiores y dos inferiores) que penetran por su pared posterior.
- Una pared algo más gruesa que la de la aurícula derecha.
- Un tabique interauricular, con una pendiente posterior y derecha.
- Un orificio AV izquierdo, por el que la aurícula izquierda descarga la sangre oxigenada que recibe al ventrículo izquierdo.

La porción de la aurícula izquierda de paredes lisas se crea por la absorción de partes de las venas pulmonares embrionarias, mientras que la porción de paredes rugosas,

sobre todo de la orejuela, representa la parte izquierda del rudimento auricular (Moore y Persaud, 1998).

Ventrículo izquierdo. Esta cámara forma el vértice del corazón, casi toda la superficie y borde izquierdo (pulmonares) y la mayor parte de la cara diafragmática (figs. 1.45 y 1.49). Como la presión arterial es mucho más elevada en la circulación general que en la pulmonar, el ventrículo izquierdo trabaja más que el derecho. El **interior del ventrículo izquierdo** (figs. 1.48 y 1.49) dispone de:

- **Válvula mitral** de doble valva, que protege el orificio AV izquierdo.
- Paredes dos veces más gruesas que las del ventrículo derecho.
- Cavidad cónica más larga que la del ventrículo derecho.
- Paredes tapizadas, en su mayor parte, por una malla de **trabéculas carnosas**, más fina y numerosa que la del ventrículo derecho.
- **Músculos papilares** anterior y posterior mayores que los del ventrículo derecho, porque este ventrículo trabaja más a fondo.
- Tracto de salida superoanterior, creado por el *vestíbulo aórtico* de paredes lisas que termina con el orificio aórtico.

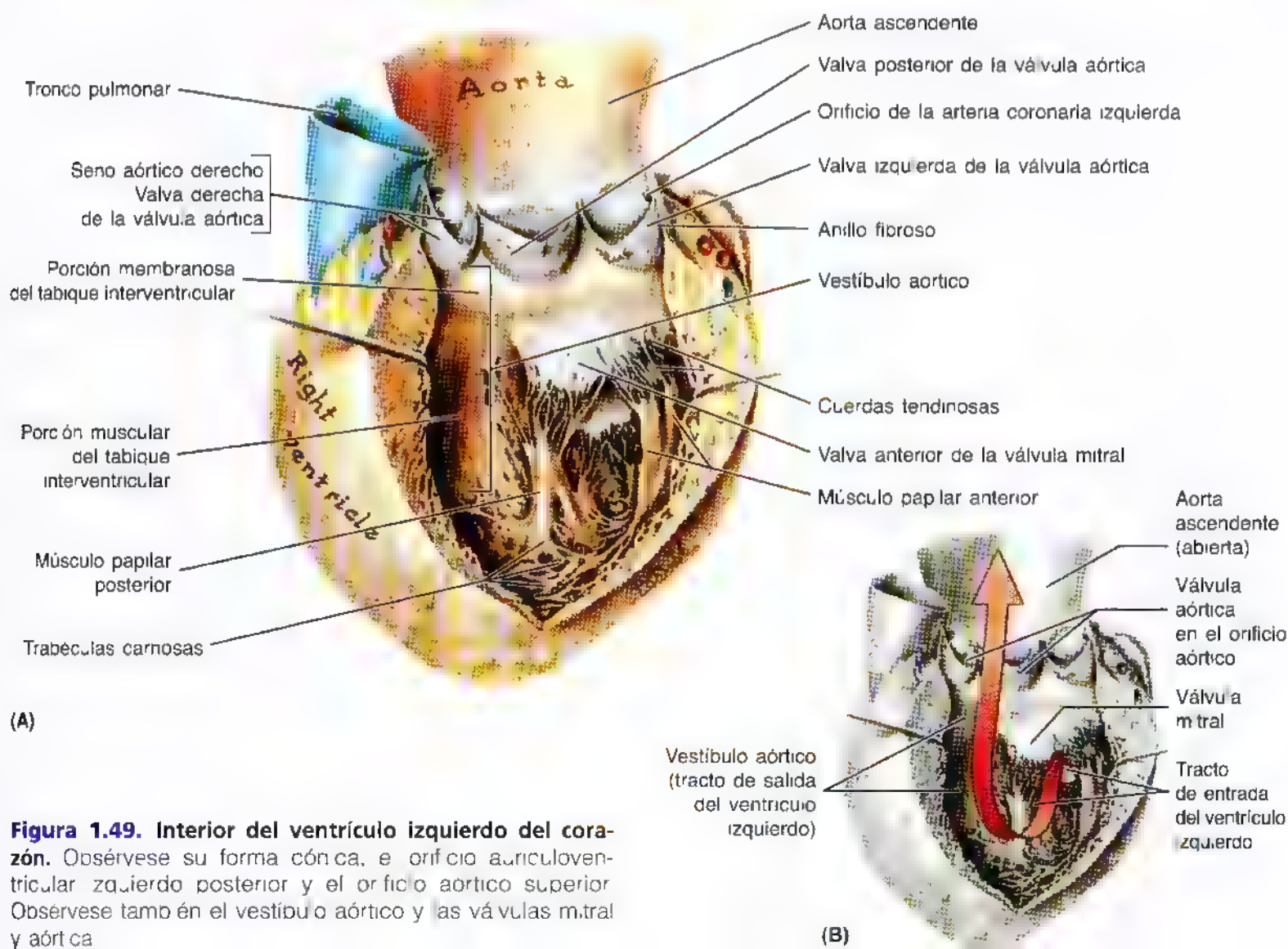


Figura 1.49. Interior del ventrículo izquierdo del corazón. Obsérvese su forma cónica, el orificio auriculoventricular izquierdo posterior y el orificio aórtico superior. Obsérvese también el vestíbulo aórtico y las válvulas mitral y aórtica.

- Un **orificio aórtico** (fig. 1.48), situado en la parte posterosuperior derecha y rodeado de un anillo fibroso, al que se insertan las *valvas* derecha, posterior e izquierda de la *válvula aórtica*.

La **aorta ascendente**, de unos 2,5 cm de diámetro, comienza en el orificio aórtico.

La **válvula mitral** tiene dos valvas, anterior y posterior. El adjetivo *mitral* proviene de la semejanza de esta válvula con la mitra episcopal. La válvula mitral se sitúa posterior al esternón, a la altura del 4º cartílago costal. Cada una de las válvulas recibe cuerdas tendinosas de más de un músculo papilar. Estos músculos y sus cuerdas tendinosas dan apo-

yo a la válvula mitral y permiten que las valvas resistan la presión que se genera durante las contracciones (bombeo) del ventrículo izquierdo. Las cuerdas tendinosas se tensan, impidiendo que las valvas sean desplazadas a la aurícula izquierda.

La **válvula aórtica** (figs. 1.49 y 1.50), de disposición oblicua, se sitúa posterior al lado izquierdo del esternón, a la altura del 3º espacio intercostal. Por encima de cada valva aparecen dilataciones de la pared aórtica (**senos aórticos**). La arteria coronaria derecha nace en el seno aórtico derecho; la arteria coronaria izquierda lo hace en el izquierdo, y no existe ninguna arteria que se origine en el seno aórtico posterior (no coronario).

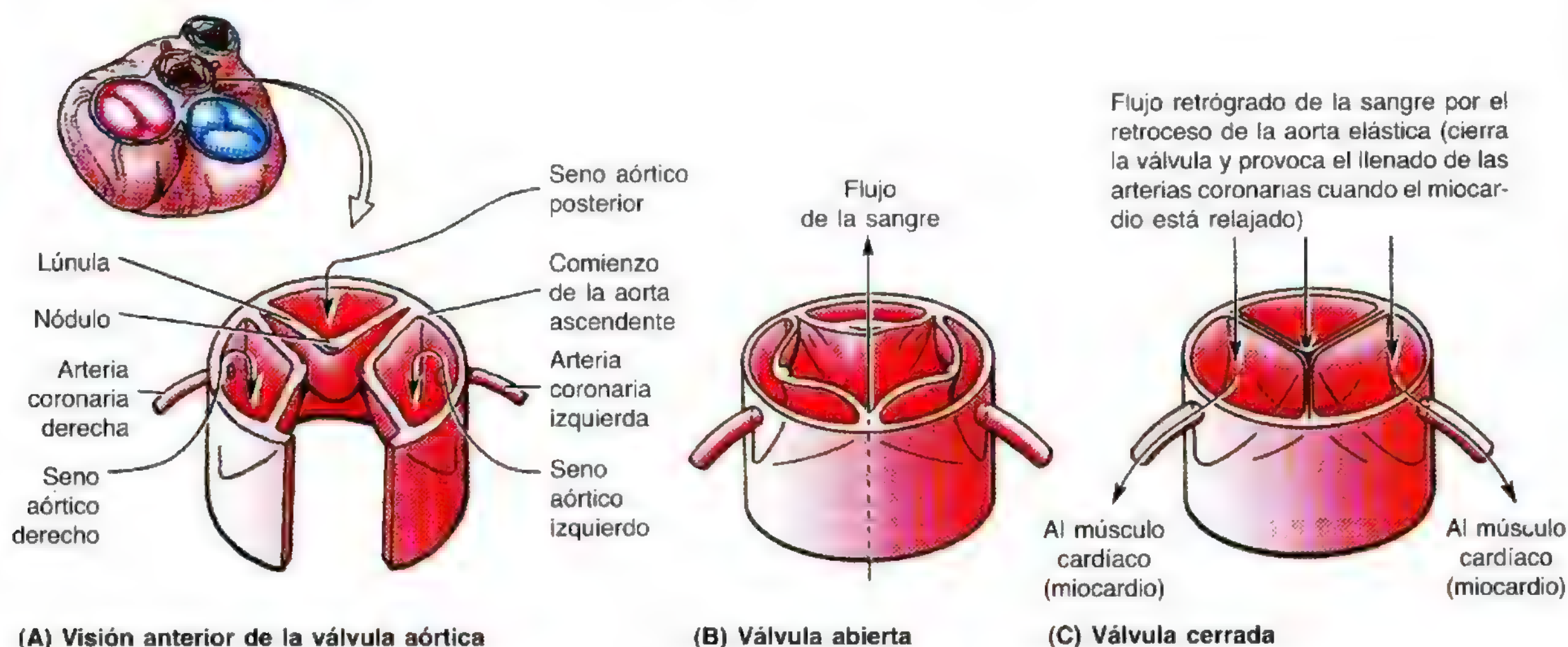


Figura 1.50. Válvula aórtica, senos aórticos y arterias coronarias. Como la válvula pulmonar, la válvula aórtica dispone de tres valvas semilunares: derecha, posterior e izquierda. Cada valva tiene un nódulo fibroso en el centro del borde libre y una zona fina de tejido conjuntivo, la lúnula, a cada lado del nódulo. Cuando se cierra la válvula se reúnen los nódulos y las lúnulas en el centro. Obsérvese que las arterias coronarias nacen en los senos aórticos, dilataciones entre la pared aórtica y la cara superior cóncava de cada una de las valvas semilunares de la válvula aórtica.

Ictus o accidente cerebrovascular

Los trombos (coágulos) se forman en las paredes de la aurícula izquierda en algunos tipos de cardiopatía. Si estos *trombos* se despegan o se fragmentan partes de ellos, pasan a la circulación general y taponan las arterias periféricas. La obstrucción de una arteria cerebral da lugar al *ictus* o accidente cerebrovascular (ACV), que paraliza partes del cuerpo previamente controladas por la región cerebral que ha sufrido daño (isquemia).

Insuficiencia valvular y soplos cardíacos

La válvula mitral es la que más se afecta de todas las válvulas del corazón. Los nódulos valvulares provocan un

flujo sanguíneo irregular (turbulento). Luego, las valvas dañadas presentan cicatrización y se acortan, originando **insuficiencia mitral** (funcionamiento defectuoso de la válvula mitral). Por este motivo, la sangre regurgita a la aurícula izquierda cuando se contrae el ventrículo izquierdo y se produce un *soplo cardíaco* característico. La energía turbulenta de las cavidades cardíacas y de los vasos de la sangre es la causa de los soplos (Swartz, 1994). La **insuficiencia aórtica** –funcionamiento defectuoso de la válvula aórtica– provoca regurgitación aórtica (retroceso de la sangre al ventrículo izquierdo), con el soplo cardíaco consiguiente y un *pulso que se colapsa* (pulso “saltón” que disminuye con rapidez). La obstrucción del flujo o paso de la sangre desde un vaso estrecho a otro de mayor calibre determina la turbulencia. La turbulencia crea ►

► pequeños *remolinos* que causan vibraciones, y éstas se auscultan como soplos. El *frémido* es una sensación vibratoria superficial que se palpa sobre la piel situada encima de la región turbulenta.

Estenosis mitral

La *estenosis valvular* avanzada (estrechamiento del orificio mitral) se caracteriza por un soplo audible, en particular en el vértice del corazón o algo medial a este punto (Willms y cols., 1994). Como la estenosis mitral es una enfermedad causada por obstrucción mecánica, se puede corregir sustituyendo la válvula por una *prótesis valvular* (Sabiston y Lysterly, 1994).

Estenosis aórtica congénita

La *estenosis aórtica congénita* alude a un grupo de anomalías que provocan una obstrucción al flujo que va del ventrículo izquierdo a la aorta. La estenosis suele afectar a la válvula aórtica, pero la lesión puede situarse por encima o por debajo de ella. En la estenosis aórtica, los bordes de la válvula suelen fusionarse en una cúpula con un pequeño orificio. La estenosis aórtica impone un mayor trabajo al corazón y determina una *hipertrofia del ventrículo izquierdo*.

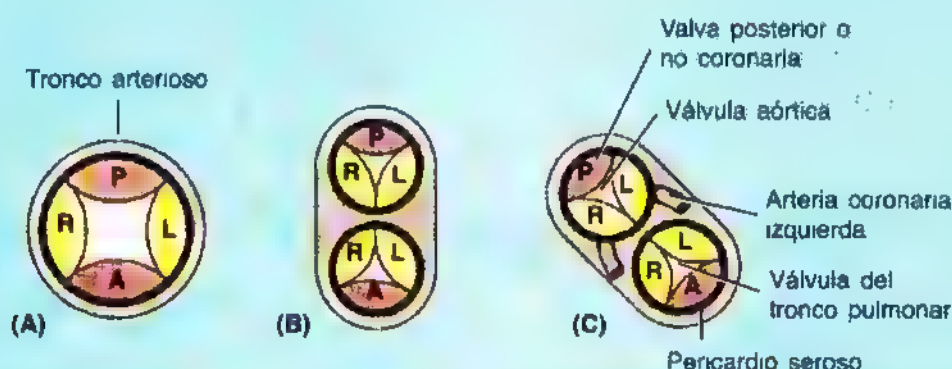
Aneurisma de la aorta ascendente

La porción distal de la aorta descendente recibe un fuerte impulso de la sangre cuando se contrae el ventrículo

izquierdo. Como la pared no está reforzada por pericardio fibroso, puede originarse un aneurisma (dilatación localizada). Los pacientes se quejan casi siempre de dolor torácico que se irradia a la espalda.

Base para nominar las válvulas aórtica y pulmonar

A continuación se explica la base embriológica para nominar las válvulas pulmonar y aórtica. El tronco arterioso, tronco arterial común de los dos ventrículos del corazón embrionario, tiene cuatro valvas (A). El tronco arterioso se divide en dos vasos, cada uno con su propia válvula (pulmonar y aórtica), que poseen tres valvas (B). El corazón rota parcialmente, de modo que el vértice se dirige a la izquierda y las valvas se disponen tal como se muestra en C. Por eso, las valvas reciben el nombre según su origen embriológico y no según su posición anatómica postnatal. Así, la válvula pulmonar dispone de valvas derecha, izquierda y posterior. De forma similar, los senos aórticos se denominan derecho, izquierdo y posterior. Esta terminología también se corresponde con la de las arterias coronarias: recuérdese que la arteria coronaria derecha nace en el seno aórtico derecho, superior a la valva aórtica derecha, y que la arteria coronaria izquierda tiene una relación similar con la valva y seno aórticos izquierdos. La valva y el seno posteriores no dan origen a ninguna arteria coronaria; por eso se conocen también como valva y seno "no coronarios".



Vascularización e inervación del corazón. Los vasos sanguíneos del corazón son las arterias coronarias y las venas cardíacas, que llevan y traen la sangre de la mayor parte del miocardio (figs. 1.51 y 1.52). El endocardio y parte del tejido subendocárdico situado justo por fuera del endocardio reciben oxígeno y nutrientes por difusión o a través de capilares, directamente de las cavidades cardíacas. Los vasos sanguíneos del corazón, incluidos casi siempre dentro de la grasa, siguen un trayecto superficial, en su mayor parte, bajo

el epicardio. Algunas partes de los vasos quedan dentro del miocardio. Los vasos sanguíneos del corazón reciben inervación simpática y parasimpática.

Irrigación arterial del corazón. Las **arterias coronarias** —las primeras ramas de la aorta— perfunden el miocardio y el epicardio del corazón. Las arterias coronarias derecha e izquierda nacen de los senos aórticos correspondientes de la parte proximal de la **aorta ascendente**, justo por encima de la válvula aórtica (figs. 1.50 y 1.51, tabla 1.5). Las arterias

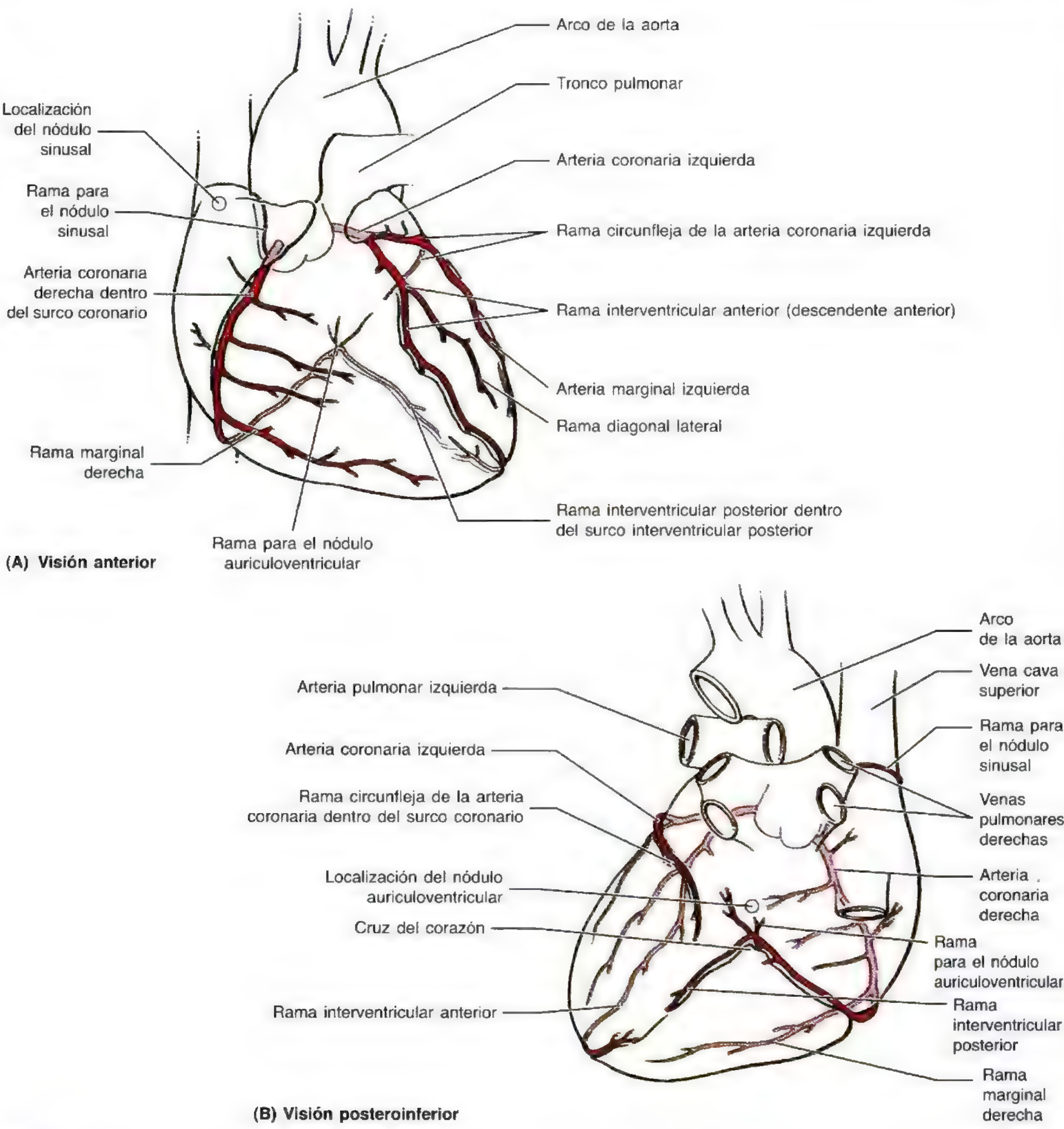


Figura 1.51. Arterias coronarias. A-B. Obsérvese que la arteria coronaria derecha (ACD) discurre por el surco auriculoventricular (coronario) hasta alcanzar la cara posterior del corazón, donde se anastomosa con la rama circunfleja de la arteria coronaria izquierda (ACI) (no se muestran las anastomosis en esta ilustración). Nada más empezar envía una arteria para el nódulo sinusal. **B.** Obsérvese también que la arteria coronaria izquierda se divide en una rama circunfleja que sigue un trayecto posterior para anastomosarse con la arteria coronaria derecha en la cara posterior del corazón, y una rama descendente anterior izquierda, o arteria interventricular anterior, que sigue el surco interventricular anterior hasta el vértice del corazón y gira luego hasta la cara posterior del corazón.

Tabla 1.5. Irrigación arterial del corazón

Arteria/rama	Origen	Trayectoria	Distribución	Anastomosis
Coronaria derecha	Seno aórtico derecho	Sigue el surco coronario (AV) entre las aurículas y los ventrículos	Aurícula derecha, nódulo sinusal y auriculoventricular y parte posterior del tabique interventricular	Ramas circunfleja e interventricular anterior de la arteria coronaria izquierda
Nódulo sinusal	Arteria coronaria derecha cerca del origen (60%)	Asciende hasta el nódulo sinusal	Tronco pulmonar y nódulo sinusal	
Marginal derecha	Arteria coronaria derecha	Pasa al borde inferior del corazón y vértice	Ventrículo derecho y vértice del corazón	Ramas nterventriculares
Interventricular posterior	Arteria coronaria derecha	Sigue desde el surco interventricular posterior hasta el vértice de corazón	Ventrículos derecho e izquierdo y tabique interventricular	Ramas circunfleja e interventricular anterior de la arteria coronaria izquierda
Nódulo auriculoventricular	Arteria coronaria derecha, cerca del origen de la arteria interventricular posterior	Pasa al nódulo auriculoventricular	Nódulo auriculoventricular	
Coronaria izquierda	Seno aórtico izquierdo	Discurre por el surco auriculoventricular y emite las ramas interventricular anterior y circunfleja	Gran parte de la aurícula y ventrículo zquierdos, tabique interventricular y fascículos auriculoventriculares; puede irrigar el nódulo auriculoventricular	Arteria coronaria derecha
Nódulo sinusal	Rama circunfleja (40%)	Asciende por la cara posterior de la aurícula izquierda hasta el nódulo sinusal	Aurícula derecha y nódulo sinusal	
Interventricular anterior	Arteria coronaria izquierda	Pasa por el surco interventricular anterior hasta el vértice del corazón	Ventrículos derecho e izquierdo y tabique interventricular	Rama interventricular posterior de la arteria coronaria derecha
Circunfleja	Arteria coronaria izquierda	Pasa a la izquierda por el surco auriculoventricular y se dirige a la cara posterior del corazón	Aurícula y ventrículo izquierdos	Arteria coronaria derecha
Marginal izquierda	Rama circunfleja	Sigue el borde izquierdo del corazón	Ventrículo izquierdo	Ramas interventriculares

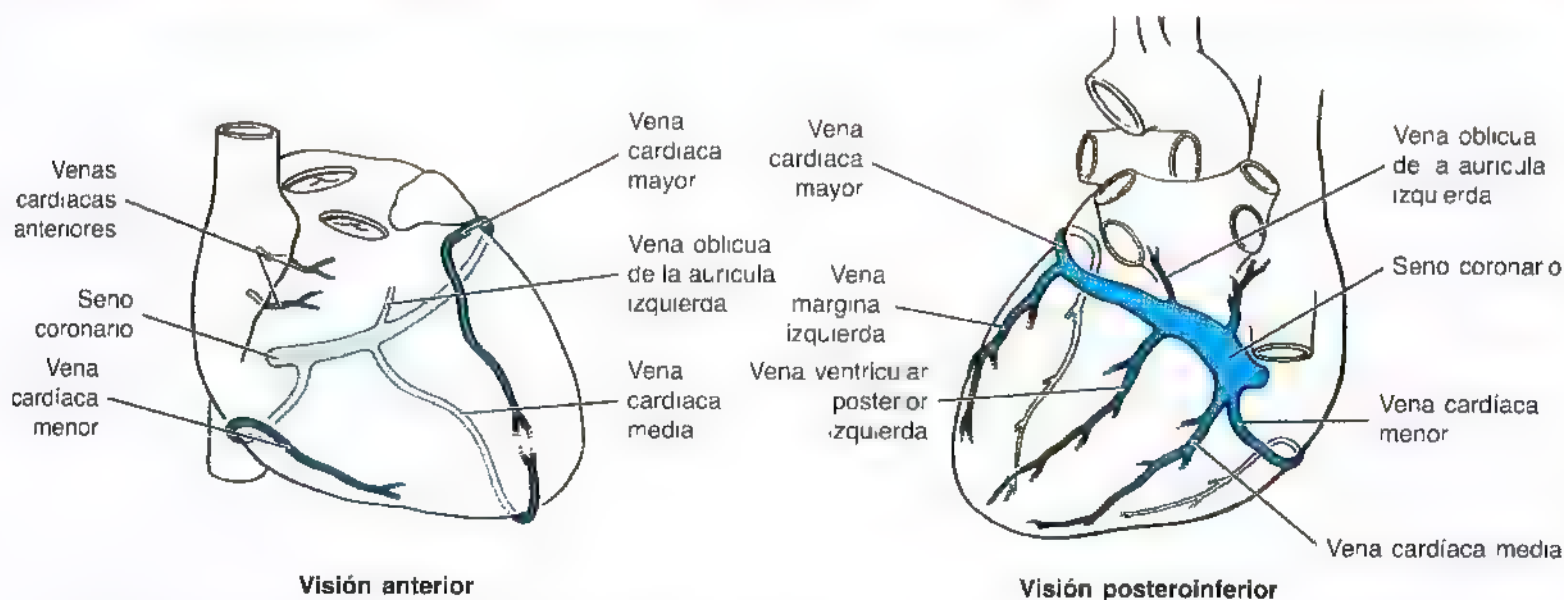


Figura 1.52. Venas cardíacas. El seno coronario vaso de drenaje principal del corazón vacía en la aurícula derecha. Las venas cardíacas mayor, media y menor, la vena oblicua de la aurícula izquierda y la vena ventricular posterior izquierda son las venas principales que desembocan en el seno venoso. Las venas cardíacas anteriores drenan directamente a la aurícula derecha.

coronarias irrigan las aurículas y los ventrículos, pero las ramas auriculares suelen ser pequeñas y no se ven con facilidad en un cadáver.

No existe ninguna línea clara que delimite la distribución ventricular de las arterias coronarias.

El dominio del sistema coronario se define por la arteria que da lugar a la rama interventricular posterior (arteria descendente posterior). Habitualmente domina la arteria coronaria derecha (fig. 1.51A), que perfunde la mayor parte de la cara diafragmática. La arteria coronaria izquierda domina en un 10% de las personas (fig. 1.51B) y en un 15% existe un codominio (véase el recuadro clínico sobre *Variaciones de las arterias coronarias*, en esta misma página).

La **arteria coronaria derecha** nace del seno aórtico derecho de la aorta ascendente (fig. 1.50) y se mete en el surco coronario o AV (*L. sulcus*). Cerca de su origen, esta arteria suele dar una rama ascendente para el **nódulo sinoauricular (sinusal) (SA)** que irriga el **nódulo SA** (fig. 1.51A). La arteria coronaria derecha desciende luego por el surco coronario y da la **rama marginal derecha** para el borde derecho del corazón en su trayecto hasta la punta del corazón (que no alcanza). Después de que nazca esta rama, la arteria coronaria derecha gira a la izquierda y prosigue en el surco coronario hasta la cara posterior del corazón. En la **cruz cardíaca** (*L. cross*) –unión de los tabiques y paredes de las cuatro cavidades cardíacas– nace la **rama para el nódulo AV**. Luego, la arteria coronaria derecha emite la gran arteria interventricular posterior, que desciende por el surco interventricular posterior hacia el vértice del corazón. La **rama interventricular posterior** perfunde los dos ventrículos y envía *ramas interventriculares* para el tabique interventricular. Cerca del vértice, la arteria coronaria derecha se anastomosa con las ramas circunfleja e interventricular anterior de la arteria coronaria izquierda. De ordinario, la **arteria coronaria derecha irriga:**

- La aurícula derecha.
- Casi todo el ventrículo derecho.
- Parte del ventrículo izquierdo (cara diafragmática).
- Parte del tabique AV (casi siempre, el tercio posterior).

- El nódulo sinusal (en cerca del 60% de las personas).
- El nódulo auriculoventricular (en cerca del 80% de las personas).

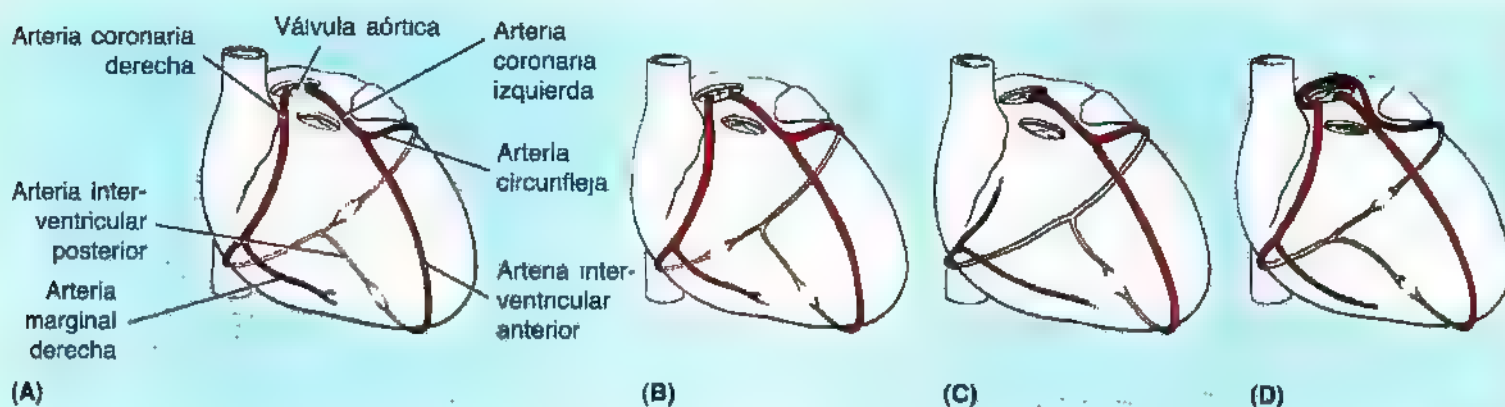
La **arteria coronaria izquierda** nace del **seno aórtico izquierdo** de la aorta ascendente (fig. 1.50) y pasa al seno coronario entre la orejuela izquierda y el tronco pulmonar. La **rama para el nódulo sinusal** surge de la arteria circunfleja (rama de la arteria coronaria izquierda) en un 40% de las personas, y asciende por la cara posterior de la aurícula izquierda hasta el nódulo sinusal. En el extremo izquierdo del surco coronario (fig. 1.51), la arteria coronaria izquierda se divide en dos ramas, una **interventricular anterior** (rama descendente anterior izquierda) y otra **circunfleja**. La rama interventricular anterior transcurre por el surco interventricular hasta el vértice del corazón, donde rodea el borde inferior para anastomosarse con la rama interventricular posterior de la arteria coronaria derecha. La rama interventricular anterior irriga los dos ventrículos y el tabique interventricular. En muchas personas, la rama interventricular anterior da una **rama lateral (diagonal)** que desciende por la cara anterior del corazón. La rama circunfleja, más pequeña, de la arteria coronaria izquierda sigue el surco coronario alrededor del borde izquierdo y llega hasta la cara posterior. La **arteria marginal izquierda**, rama de la circunfleja, sigue el borde izquierdo del corazón y perfunde el ventrículo izquierdo. La rama circunfleja de la arteria coronaria izquierda termina en la cara posterior del corazón y suele anastomosarse con la rama interventricular posterior de la coronaria derecha. De ordinario, la **arteria coronaria izquierda irriga:**

- La aurícula izquierda.
- Casi todo el ventrículo izquierdo.
- Parte del ventrículo derecho.
- La mayor parte del tabique interventricular (en general, los dos tercios anteriores), incluido el haz auriculoventricular del tejido de conducción, a través de las *ramas para el tabique interventricular*.
- El nódulo sinusal (en un 40% de las personas).

Variaciones de las arterias coronarias

Las variaciones en los patrones de ramificación de las arterias coronarias se ven a menudo. En la mayoría de las personas, las arterias coronarias derecha e izquierda se reparten por igual la irrigación sanguínea del corazón (A). En un 15% de los corazones, la arteria coronaria izquierda es la dominante, porque la rama interventricular posterior proviene de la arteria circunfleja (B). Algunas personas sólo tienen una arteria coronaria (C). En otras, la rama circunfleja proviene del seno aórtico derecho (D). Cerca del 4% de los sujetos dispone de una arteria coronaria accesoria.

Las ramas de las arterias coronarias se consideran terminales, es decir, irrigan regiones del miocardio sin solaparse ni anastomosarse con otras grandes ramas. Sin embargo, existen anastomosis entre las ramas de las arterias coronarias, subepicárdicas o miocárdicas y entre estas arterias y algunos vasos extracardíacos, como las arterias torácicas (Williams y cols., 1995). Los estudios clínicos demuestran que las anastomosis no pueden suministrar una circulación colateral con la rapidez suficiente para evitar las consecuencias de la obstrucción repentina de una arteria coronaria. La utilidad de estas anastomosis es mayor cuando la enfermedad coronaria se instaura de forma lenta y progresiva. ▶



Aterosclerosis coronaria e infarto de miocardio

Cuando se obstruye de manera brusca una gran arteria por un émbolo (del G., émbolos, tapón), la región del miocardio irrigada por el vaso ocluido se infarta (apenas recibe sangre) y degenera en seguida (es decir, el tejido muere o se necrosa). Toda zona de miocardio que ha sufrido necrosis constituye un infarto. La causa más común de la **cardiopatía isquémica** (isquemia significa falta de suficiente riego sanguíneo) es la insuficiencia coronaria producida por aterosclerosis de las arterias coronarias.

La **aterosclerosis coronaria** comienza en las primeras fases de la vida adulta y da lugar, poco a poco, a una estenosis de la luz de las arterias coronarias. La aterosclerosis explica el acúmulo de lípidos de las paredes internas de las arterias coronarias. Conforme avanza la aterosclerosis coronaria, se expanden los conductos colaterales que comunican una arteria coronaria con las demás, lo que permite una irrigación adecuada del corazón. A pesar de este mecanismo compensador, es posible que el miocardio no reciba suficiente oxígeno cuando se impone al corazón una mayor carga de trabajo. Por ejemplo, el ejercicio agotador aumenta la actividad del corazón y la demanda de oxígeno de este órgano. La insuficiencia de la irrigación sanguínea del corazón (*isquemia miocárdica*) puede provocar una zona de necrosis del miocardio, es decir, un infarto de miocardio.

Angina de pecho

Los enfermos con angina de pecho (dolor torácico) suelen describir este dolor constrictivo y grave como una opresión precordial. Este tipo de dolor torácico precordial se suele abreviar en clínica como **angina** para aludir al dolor intenso y, a menudo, constrictivo en el pecho. El estrés ocasiona constricción arterial y es una causa frecuente de angina. Otras causas comunes son el ejercicio agotador después de una comida pesada y la exposición repentina al frío. Cuando el alimento pasa al estómago aumenta el flujo sanguíneo hacia este órgano y otras partes del tubo digestivo. En consecuencia, parte de la sangre deriva de

otros órganos, incluido el corazón. *El dolor de la angina de pecho se alivia casi siempre con un reposo de uno a dos minutos.* Se puede administrar nitroglicerina por vía sublingual (se coloca el medicamento o se pulveriza debajo de la lengua para que se absorba por la mucosa bucal), porque dilata las arterias coronarias, aumenta la irrigación cardíaca y alivia de ordinario la angina de pecho.

El dolor causado por la isquemia y el infarto de miocardio suele ser más fuerte que el de la angina de pecho; *el dolor del infarto de miocardio no desaparece después de un reposo de uno a dos minutos.* El infarto puede también seguir al ejercicio exagerado de un sujeto con estenosis (estrechamiento) de las arterias coronarias. El músculo cardíaco sometido a esfuerzo necesita más oxígeno del que las arterias estenosadas le suministran; por eso, la zona isquémica del miocardio se infarta y ocurre un *ataque al corazón*. La obstrucción de cualquier rama de una arteria coronaria, salvo las más pequeñas, suele provocar la muerte de las fibras de músculo cardíaco que irriga. El músculo dañado se sustituye por tejido fibroso, que forma una cicatriz.

Injerto de derivación coronaria

Algunos pacientes con obstrucción de la circulación coronaria y angina de pecho grave son sometidos a una operación para injertar una derivación coronaria (si desea más detalles consulte la revisión de Goldman, 1989). Para ello se conecta un segmento de una vena a la aorta ascendente o a la porción proximal de una arteria coronaria, y el otro, a la arteria coronaria, en una zona distal a la estenosis. Para la cirugía de revascularización coronaria suele emplearse la *vena safena mayor*, porque tiene casi el mismo diámetro que las arterias coronarias, es fácil de disecar del miembro inferior y contiene porciones bastante largas con muy pocas válvulas o ramificaciones. El injerto coronario deriva la sangre de la aorta a una arteria coronaria estenosada y aumenta el flujo distal a la obstrucción. Dicho en términos sencillos, permite un atajo alrededor de la zona estenosada (estenosis arterial) o taponada (atresia arterial). La revascularización miocárdica también se puede lograr anastomosando una arteria torácica interna con la arteria coronaria dañada. . . . ►

Angioplastia coronaria

En algunas ocasiones, los cirujanos recurren a la *angioplastia coronaria transluminal percutánea*, que consiste en introducir un catéter en una arteria coronaria obstruida

con un pequeño globo inflable en su punta. Cuando el catéter alcanza la obstrucción se infla el globo y se distiende el vaso para aumentar el calibre de la luz. En otros casos se inyecta *trombocinasa* por el catéter; esta enzima disuelve el coágulo sanguíneo. ♦

Drenaje venoso del corazón. El corazón está drenado principalmente por venas que desembocan en el seno coronario y en parte por venas que vacían en la aurícula derecha (fig. 1.52). El **seno coronario**, la principal vena del corazón, es un canal venoso ancho que discurre de izquierda a derecha por la parte posterior del surco coronario. El seno coronario recibe la vena interventricular anterior o *vena cardíaca mayor* por el extremo izquierdo, y la vena interventricular posterior o *vena cardíaca media*, así como *pequeñas venas cardíacas*, por el extremo derecho. La *vena ventricular posterior izquierda* y la *vena marginal izquierda* también se abren al seno coronario.

La **vena cardíaca mayor** es el afluente principal del seno coronario. Comienza cerca del vértice cardíaco y sube con la rama interventricular anterior de la arteria coronaria izquierda. En el surco cardíaco gira a la izquierda y circula por el lado izquierdo del corazón con la rama circunfleja para alcanzar el seno coronario. La vena cardíaca mayor drena las zonas del corazón perfundidas por la arteria coronaria izquierda. Las *venas cardíacas media y menor* drenan la mayor parte de las zonas irrigadas por la arteria coronaria derecha.

La **vena oblicua de la aurícula izquierda** es un vaso pequeño, que apenas tiene importancia después del nacimiento; discurre por la pared posterior de la aurícula izquierda y se une con la vena cardíaca mayor para formar el seno coronario. La vena oblicua es un resto de la VCS izquierda embrionaria que a veces persiste en los adultos y sustituye o amplía la VCS izquierda.

Algunas **venas cardíacas anteriores** pequeñas nacen en la cara anterior del ventrículo derecho, cruzan el seno coronario y suelen drenar directamente a la aurícula derecha; a veces desembocan en la vena cardíaca menor.

Las **venas cardíacas mínimas** (L. *venae cordis minimae*) son vasos diminutos que nacen en los lechos capilares del miocardio y se abren directamente al corazón, sobre todo a las aurículas. Pese a su denominación de venas, se trata de comunicaciones, exentas de válvulas, con los lechos capilares del miocardio que pueden transportar sangre de las cavidades cardíacas al miocardio. Asimismo, ofrecen circulación colateral a partes de la musculatura cardíaca.

Drenaje linfático del corazón. Los vasos linfáticos del miocardio y del tejido conjuntivo subendocárdico pasan al *plexo linfático subepicárdico*. Los vasos de este plexo llegan al surco coronario y siguen las arterias coronarias. Un solo vaso linfático, creado por la unión de diversos vasos cardíacos, asciende entre el tronco pulmonar y la aurícula izquierda y desem-

boca en los *ganglios linfáticos traqueobronquiales* inferiores, casi siempre del lado derecho.

Sistema de conducción del corazón. La secuencia ordinaria del ciclo cardíaco se basa en la contracción coordinada de la aurícula y del ventrículo de cada lado del corazón como una sola bomba. El **sistema de conducción de los impulsos cardíacos** (fig. 1.53) —que *coordina el ciclo cardíaco* (fig. 1.42)— se compone de células de músculo cardíaco y de fibras de conducción muy especiales, que inician y conducen los impulsos con rapidez por el corazón. El tejido nodal desencadena el latido cardíaco y coordina la contracción de las cuatro cavidades.

El **nódulo sinusal** se sitúa anterolateral y en la inmediata profundidad del epicardio, en la unión de la VCS con la aurícula derecha, cerca del extremo superior del surco terminal. El nódulo sinusal —una colección pequeña de tejido nodal, fibras musculares cardíacas especializadas y tejido conjuntivo fibroblástico asociado— es el **marcapasos del corazón**. Este nódulo comienza y regula los impulsos para la contracción y suele mandar un impulso unas 70 veces por minuto en la mayoría de las personas. La señal de contracción del nódulo sinusal se extiende por la musculatura de las dos aurículas. El nódulo sinusal está perfundido por la arteria del nódulo sinusal, que suele ser rama de la arteria coronaria derecha, pero a veces nace en la izquierda. Además, el nódulo sinusal recibe inervación de las dos divisiones del sistema nervioso autónomo a través del *plexo cardíaco* (fig. 1.54). La estimulación nerviosa puede modificar la frecuencia de generación de los impulsos por el nódulo.

- La estimulación simpática acelera la frecuencia cardíaca.
- La estimulación parasimpática frena la frecuencia cardíaca.

El **nódulo auriculoventricular** es una colección más pequeña de tejido nodal situada en la región posteroinferior del tabique interauricular, cerca del orificio del seno coronario. La señal que genera el nódulo sinusal atraviesa las paredes de la aurícula derecha y se propaga por el músculo cardíaco (*conducción miógena*), que transmite rápidamente la señal del nódulo sinusal al nódulo auriculoventricular. Luego, este último distribuye la señal a los ventrículos por el **fascículo auriculoventricular**. La estimulación simpática acelera la conducción, y la parasimpática, la lentifica. El fascículo auriculoventricular, el único puente entre el miocardio auricular y el ventricular, pasa desde el nódulo auriculoventricular a través de un esqueleto fibroso y aislado del corazón y sigue la porción membranosa del tabique interventricular. En la unión entre las porciones membranosa y muscular del tabi-

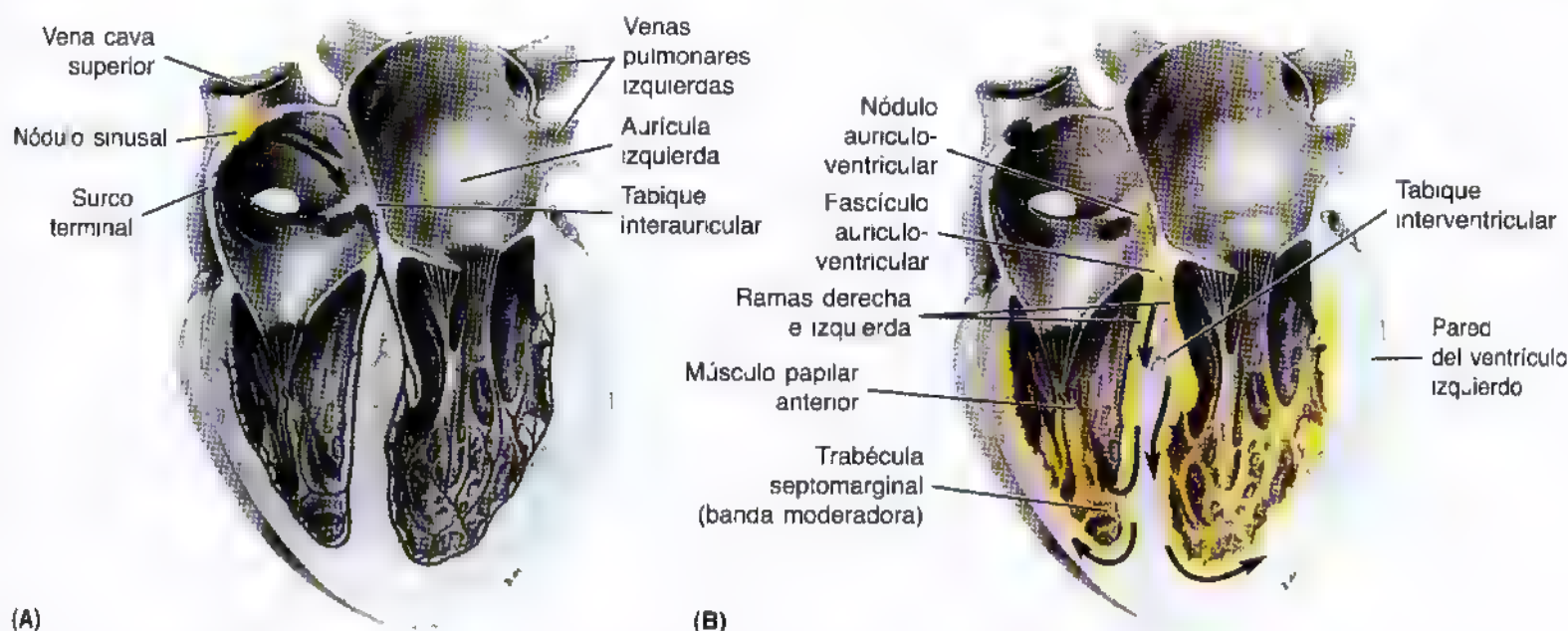


Figura 1.53. Sistema de conducción del corazón. El nódulo sinusal se encuentra en el extremo superior del surco (por dentro, cresta) terminal y el nódulo aurículoventricular en la parte inferior del tabique interauricular. El fascículo aurículoventricular comienza en el nódulo aurículoventricular y se divide en las ramas izquierda y derecha donde se unen las partes membranosa y muscular del tabique interventricular.

que, el fascículo se divide en las **ramas derecha e izquierda**. Las ramas continúan a cada lado del tabique interventricular muscular, en la profundidad del endocardio, y se dividen en **ramas subendocárdicas** (fibras de Purkinje), que se extienden por las paredes de los ventrículos respectivos. Las divisiones subendocárdicas de la rama derecha estimulan el músculo del tabique interventricular, el músculo papilar anterior a través de la trabécula septomarginal (banda moderadora) y la pared del ventrículo derecho. La rama izquierda se divide cerca de su origen en unos seis tractos más pequeños, que envían ramas subendocárdicas para la estimulación del tabique interventricular, los músculos papilares anterior y posterior y la pared del ventrículo izquierdo.

En un 80% de las personas, el nódulo aurículoventricular está perfundido por la *arteria del nódulo aurículoventricular*, la primera rama septal de la arteria coronaria derecha. Otras veces, esta arteria proviene de la coronaria izquierda. En general, el fascículo aurículoventricular y las ramas izquierda y derecha son perfundidas por ramas septales interventriculares procedentes de la división interventricular anterior de la arteria coronaria izquierda, pero la división posterior de la rama izquierda puede recibir sangre de las dos arterias coronarias.

Resumen del sistema cardíaco de conducción:

El nódulo sinusal inicia un impulso, que se conduce con rapidez por las fibras musculares cardíacas de las aurículas, que se contraen.

El impulso viaja por conducción miógena y se transmite enseguida del nódulo sinusal al nódulo aurículoventricular.

La señal es distribuida desde el nódulo aurículoventricular al fascículo aurículoventricular y sus ramas, derecha e izquierda, que pasan a cada lado del tabique inter-

ventricular, enviando otras ramas subendocárdicas más pequeñas a los músculos papilares y paredes de los ventrículos.

Inervación del corazón. El corazón está innervado por fibras nerviosas autónomas de los **plexos cardíacos** superficial y profundo (fig. 1.54; véase también fig. 1.58B). Estas redes nerviosas se sitúan por delante de la bifurcación traqueal y detrás de la aorta ascendente, así como encima de la bifurcación del tronco pulmonar.

La **inervación simpática** procede de las fibras presinápticas, cuyos cuerpos celulares residen en el asta lateral de los primeros cinco a seis segmentos torácicos de la médula, y de fibras simpáticas postsinápticas, cuyos cuerpos celulares se localizan en los ganglios paravertebrales cervicales y torácicos superiores de los troncos simpáticos. Las fibras postsinápticas terminan en los nódulos sinusal y aurículoventricular y se relacionan con las terminaciones de las fibras parasimpáticas de las arterias coronarias. *La estimulación simpática del tejido nodal acelera la frecuencia cardíaca y la fuerza de las contracciones cardíacas.* La estimulación simpática dilata (de forma indirecta) las arterias coronarias, al inhibir su constricción. De esta manera se aportan más oxígeno y nutrientes al miocardio durante los períodos de mayor actividad.

La **inervación parasimpática** proviene de las fibras presinápticas de los nervios vagos. Las fibras parasimpáticas postsinápticas también terminan en los nódulos sinusal y aurículoventricular y directamente en las arterias coronarias. Los cuerpos de las fibras postsinápticas constituyen ganglios intrínsecos en la vecindad de estas estructuras. *La estimulación de los nervios parasimpáticos retarda la frecuencia cardíaca, reduce la fuerza del latido cardíaco y constriñe las arterias coronarias, para ahorrar energía entre los períodos de mayor demanda.*

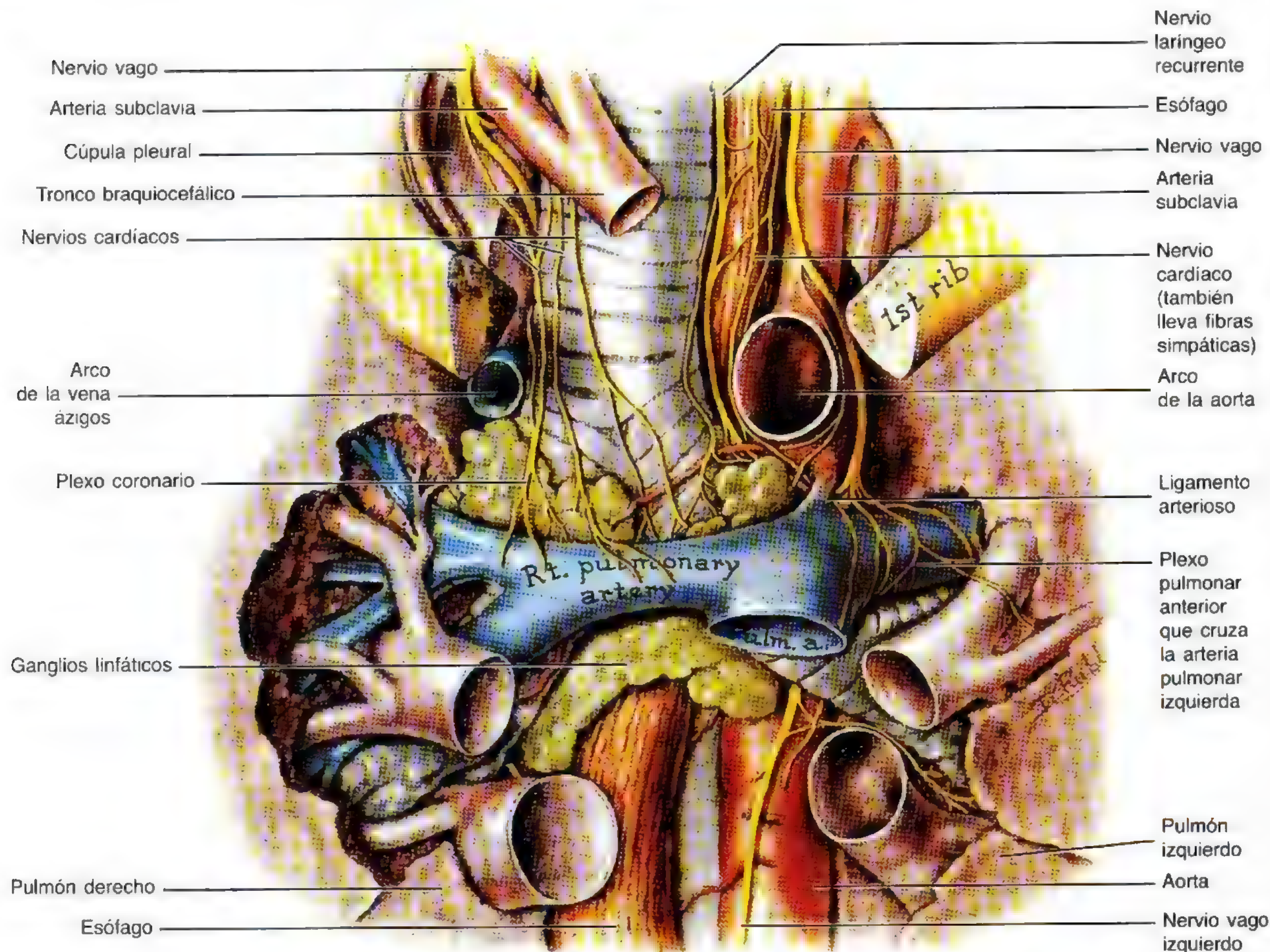


Figura 1.54. Disección del mediastino superior. Obsérvense las ramas cardíacas de los nervios vagos (NC X) y simpáticos que bajan a los lados de la tráquea y forman el plexo cardíaco. Pese a que se muestran apuestos sobre la tráquea, el plexo cardíaco se relaciona sobre todo con la aorta ascendente y los troncos pulmonares, que se han extirpado para visualizar el plexo.

Lesión del nódulo auriculoventricular y del fascículo auriculoventricular

Si se bloquea parte del sistema de conducción cardíaco (fig. 1.53) –p. ej., estenosis de la rama interventricular anterior (descendente anterior izquierda); que da origen a las ramas septales que irrigan el fascículo interventricular en la mayoría de las personas– puede ocurrir un **bloqueo cardíaco**. En este caso, los ventrículos se contraen de forma independiente, a su propio ritmo. A veces hay que implantar un *marcapasos* (regulador artificial del corazón). Las **zonas más frecuentes de oclusión** de las arterias coronarias comprenden:

- La rama interventricular anterior (descendente anterior izquierda) de la arteria coronaria izquierda.

- La rama circunfleja de la arteria coronaria izquierda.
- La arteria coronaria derecha y su rama interventricular posterior.

La lesión del sistema de conducción cardíaco, que suele obedecer a isquemia por *enfermedad de las arterias coronarias*, provoca alteraciones en la contracción del músculo cardíaco. Si se daña el nódulo auriculoventricular se produce un bloqueo cardíaco, porque la excitación de las aurículas no llega hasta los ventrículos. En consecuencia, los ventrículos empiezan a contraerse de forma independiente, con su propio ritmo, que es más lento que el de las aurículas. La lesión de alguna de las ramas del fascículo provoca un *bloqueo de rama*: la excitación pasa por la rama no afectada y determina la sístole ventricular. Luego, el impulso se extiende por el otro ventrículo, ►

► que determina una contracción sincrónica tardía. Cuando existe una CIA, el fascículo auriculoventricular suele quedar en el borde de la comunicación. Como es lógico, esta porción vital del sistema de conducción debe preservarse durante la reparación quirúrgica del defecto. La destrucción del fascículo auriculoventricular seccionaría el único eslabón fisiológico entre la musculatura auricular y ventricular.

Electrocardiografía

El tránsito de los impulsos del corazón desde el nódulo sinusal se puede amplificar y registrar como *electrocardiograma* (ECG). Las pruebas funcionales del corazón comprenden pruebas de esfuerzo (pruebas con una cinta ergométrica). Esta prueba suele efectuarse para comprobar las consecuencias de la posible enfermedad coronaria. Las *pruebas de esfuerzo* tienen mucha importancia para detectar las irregularidades del ritmo cardíaco. La frecuencia cardíaca, el ECG y la presión arterial se registran a medida que el paciente va ejercitándose contra una carga progresiva sobre un tapiz rodante. Los resultados revelan el esfuerzo máximo que puede tolerar sin problemas el corazón del enfermo.

Marcapasos cardíaco artificial

Algunas personas con un "bloqueo cardíaco" llevan implantado un marcapasos cardíaco (del tamaño aproximado de un reloj de bolsillo) por vía subcutánea. El marcapasos artificial se compone de un generador de impulsos

o compartimiento de la batería, un alambre y un electrodo. Los marcapasos cardíacos generan impulsos eléctricos que inician las contracciones ventriculares con una frecuencia predeterminada. El electrodo, conectado a un catéter, se introduce por una vena; su progresión se controla con un radioscopio o aparato que examina las estructuras profundas en el "tiempo real" (mientras se empuja el catéter) y las muestra en una pantalla. El terminal del electrodo del marcapasos se introduce por la VCS hasta la aurícula derecha, y se pasa a través de la válvula tricúspide hasta el ventrículo derecho. En este lugar, el electrodo se fija de manera consistente a una trabécula carnosa de la pared ventricular y establece contacto con el endocardio.

Reanimación cardíaca

En casi todas las paradas cardíacas, las personas que suministran los primeros auxilios proceden a la **reanimación cardiopulmonar** (RCP) para restablecer el gasto cardíaco y la ventilación pulmonar. Al aplicar una compresión firme sobre el tórax, en la parte inferior del cuerpo esternal (masaje cardíaco externo o cerrado), el esternón desciende en sentido posterior 4 a 5 cm. El aumento de la presión intratorácica empuja la sangre fuera del corazón y la impulsa por los grandes vasos. Cuando se libera la compresión externa y disminuye la presión intratorácica, el corazón vuelve a llenarse de sangre. Si el corazón deja de latir (**parada cardíaca**) durante la cirugía cardíaca, el cirujano puede intentar la reanimación mediante masaje cardíaco interno o directo. ►



Fibrilación cardíaca

La fibrilación consiste en múltiples contracciones o fasciculaciones rápidas de las fibras musculares, incluido el músculo cardíaco. En la *fibrilación auricular*, las contracciones regulares y rítmicas de las aurículas sanas son reemplazadas por fasciculaciones rápidas, irregulares, y no coordinadas de las distintas partes de las regiones auriculares. Los ventrículos responden con intervalos irregulares a los impulsos carentes de ritmo que reciben de las aurículas, pero la circulación suele mantenerse de forma satisfactoria. En la *fibrilación ventricular*, las contracciones ventriculares normales se sustituyen por movimientos de fasciculación rápida e irregular, sin que se bombee la sangre (es decir, no se mantiene la circulación general, ni siquiera la coronaria). El sistema de conducción cardíaco dañado no funciona con normalidad. En consecuencia, se instaura un patrón irregular de contracciones descoordinadas en los ventrículos, salvo en las zonas infartadas. La fibrilación ventricular es la *arritmia* más desestructurada de todas, y en su presencia, el corazón no impulsa la sangre. Este trastorno, si persiste, provoca la muerte.

Desfibrilación cardíaca

A través de la pared torácica y por medio de grandes electrodos (paletas) se puede aplicar un choque eléctrico al corazón. Con este choque cesa a veces todo movimiento del corazón, y unos minutos después, el corazón empieza a latir con más normalidad. Conforme se restablece la contracción coordinada y, por tanto, el bombeo cardíaco de la sangre, se observa cierto grado de circulación general (incluida la coronaria).

Dolor cardíaco referido

El corazón es insensible al tacto, incisión, frío y calor. Sin embargo, la isquemia y el acúmulo de productos

metabólicos estimulan las terminaciones dolorosas del miocardio. Las fibras dolorosas aferentes discurren por el centro, con los ramos cervicales medio e inferior, y sobre todo con los ramos cardíacos torácicos del tronco linfático. Los axones de estas neuronas sensitivas primarias penetran en los segmentos medulares T1 a T4 o T5, sobre todo del lado izquierdo.

El *dolor cardíaco referido* es un fenómeno por el que los estímulos nocivos, originados en el corazón, los percibe el paciente en una parte superficial del cuerpo, por ejemplo la piel del miembro superior. El dolor visceral se transmite por fibras aferentes viscerales que acompañan a las fibras simpáticas, y suele referirse a estructuras somáticas o regiones como el miembro superior, porque disponen de fibras aferentes cuyos cuerpos neuronales radican en el mismo ganglio espinal, así como de prolongaciones centrales que penetran en la médula espinal por las mismas raíces dorsales (Hardy y Naftel, 1997a).

El *dolor de la angina de pecho* se suele irradiar desde la región retroesternal y pectoral izquierda al hombro izquierdo y a la cara medial del brazo izquierdo. Esta parte del miembro recibe innervación del nervio cutáneo medial del brazo. Muchas veces, los ramos cutáneos laterales del 2º y 3º nervios intercostales se unen con el nervio cutáneo medial del brazo. Por eso, el dolor cardíaco se refiere al miembro superior, puesto que los segmentos medulares de estos nervios cutáneos (T1, T2 y T3) comparten también las terminaciones aferentes viscerales de las arterias coronarias.

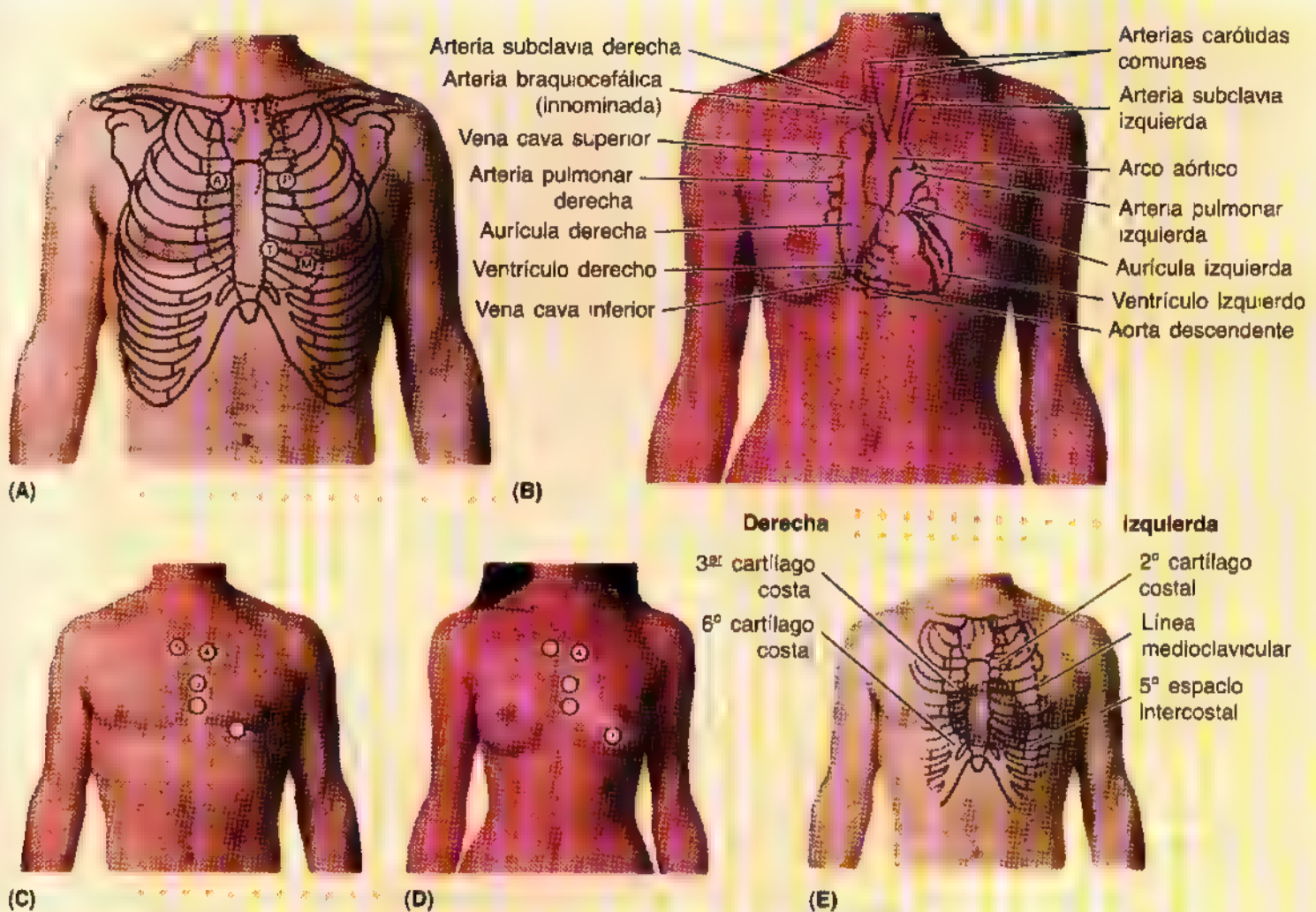
En ocasiones se establecen contactos sinápticos con las neuronas comisurales (conectoras) que transmiten los impulsos a las neuronas del lado derecho en zonas similares de la médula espinal. Este fenómeno explica por qué el dolor de origen cardíaco, pese a que casi siempre se refiera al lado izquierdo, pueda referirse al lado derecho, a ambos o a la espalda. ◊

Anatomía de superficie del corazón

El corazón y los grandes vasos se sitúan aproximadamente en el centro del tórax, rodeados lateral y posteriormente por los pulmones, y anteriormente, por el esternón y la porción central de la caja torácica. El **latido de la punta** o vértice es un impulso procedente del vértice del corazón, que es impelido contra la pared anterior del tórax al contraerse el ventrículo izquierdo. La localización del impulso del vértice depende de la posición y puede encontrarse en el 4º o 5º espacios intercostales, a 6-10 cm de la línea media. El contorno del corazón se puede

trazar sobre la cara anterior del tórax mediante estas referencias (E):

- El borde superior corresponde a una línea que comunica el borde inferior del 2º cartílago costal izquierdo con el borde superior del 3º cartílago costal derecho.
- El borde derecho corresponde a una línea trazada desde el 3º cartílago costal derecho hasta el 6º cartílago costal del mismo lado; este borde es ligeramente convexo a la derecha.
- El borde inferior corresponde a una línea que va desde el extremo inferior del borde derecho hasta un ►



Abreviaturas: focos de auscultación torácica

Ⓐ Foco aórtico	Ⓢ Foco mitral (5 ^o espacio intercostal izquierdo)
Ⓑ Foco pulmonar	Ⓓ Foco tricuspídeo (4 ^o espacio intercostal izquierdo)
Ⓒ Foco tricuspídeo	Ⓔ Foco pulmonar secundario (3 ^{er} espacio intercostal izquierdo)
Ⓓ Foco mitral	Ⓕ Foco pulmonar (borde esternal superior izquierdo)
	Ⓖ Foco aórtico (borde esternal superior derecho)

- punto del 5^o espacio intercostal próximo a la línea medioclavicular izquierda; el extremo izquierdo de esta línea corresponde a la posición del vértice y del latido de la punta.
- El borde izquierdo corresponde a una línea que comunica los extremos izquierdos de las líneas que representan los bordes superior e inferior.
- Las válvulas pulmonar, aórtica, mitral y tricúspide se sitúan posteriores al esternón; sin embargo, los tonos que emiten se auscultan mejor en los focos indicados.

Focos de auscultación

El interés del clínico en la anatomía de superficie del corazón y de las válvulas cardíacas obedece a la necesidad de auscultar los tonos valvulares. Los focos (A, C y D) están bastante alejados, de forma que los tonos emitidos por cualquier válvula se pueden distinguir con facilidad de los generados por las demás. La sangre tiende a transportar el sonido en la dirección de su flujo; por eso, cada foco se sitúa superficial a la cavidad o base por donde pasa la sangre y en línea directa con el orificio valvular. ☺

Mediastino superior

El mediastino superior se sitúa encima del plano torácico transversal que atraviesa el ángulo esternal y la unión (disco IV) de las vértebras T4 y T5 (fig. 1.55). El contenido esencial del mediastino superior, desde el plano anterior al posterior, es el siguiente (fig. 1.56, A y B):

- El timo, un órgano linfático.
- Los grandes vasos relacionados con el corazón y el pericardio:
 - Las venas braquiocefálicas.
 - La VCS.
 - El arco de la aorta y las raíces de sus ramas principales:

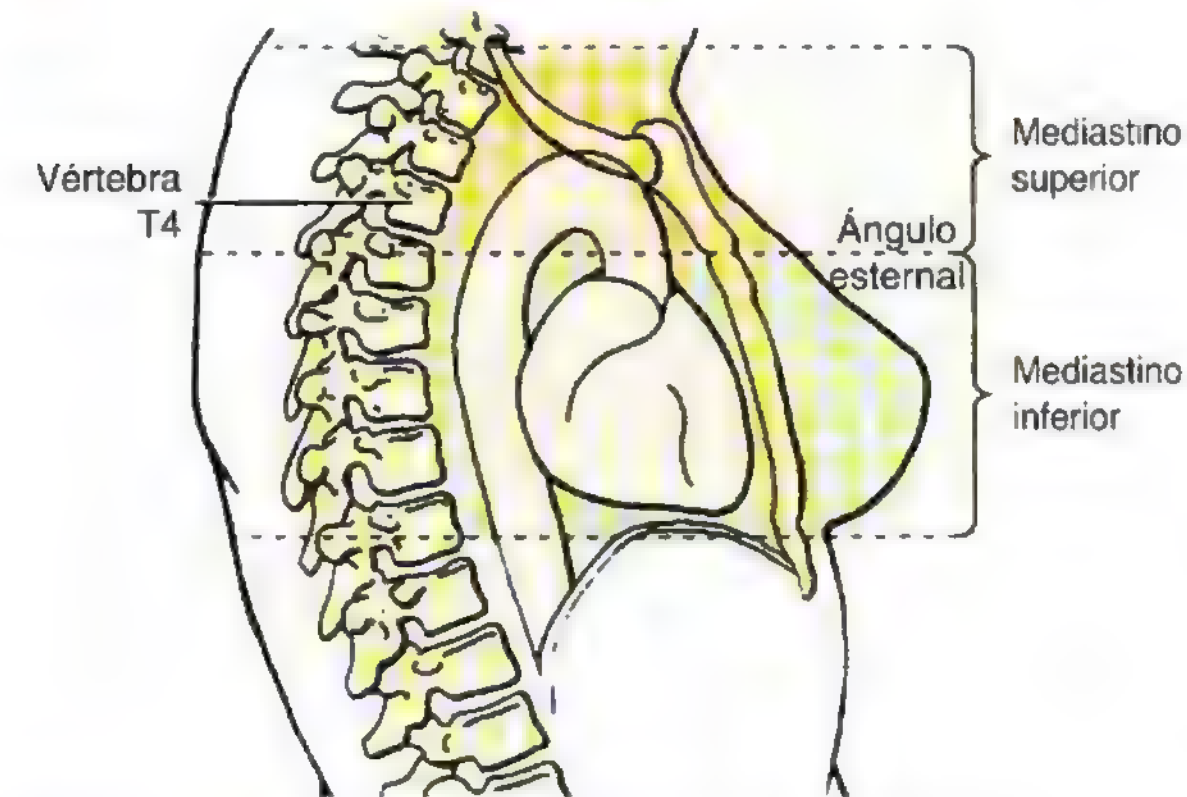
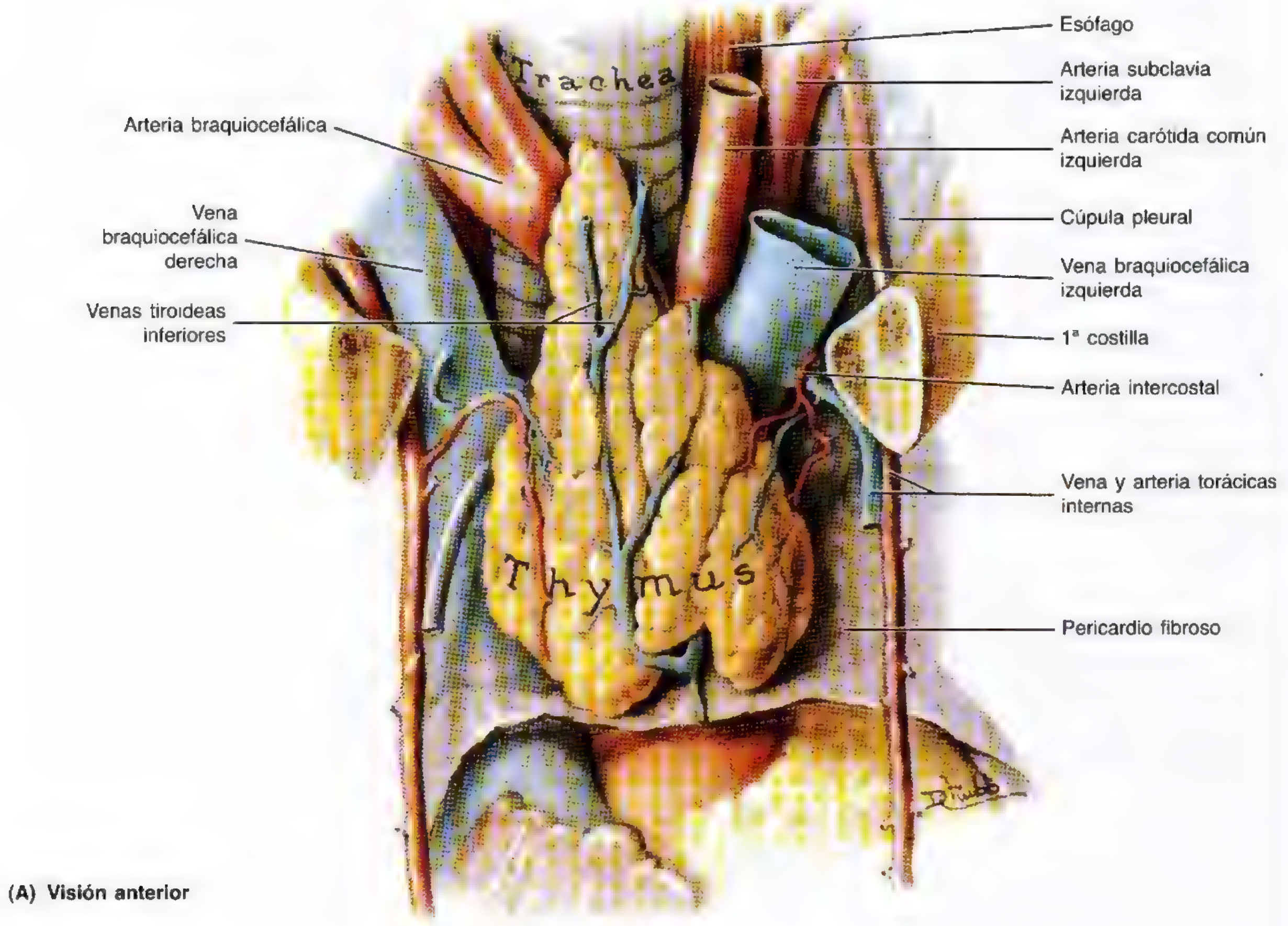


Figura 1.55. Mediastino superior. El mediastino superior se extiende por la parte inferior desde el orificio torácico superior hasta el plano torácico transverso, que atraviesa el ángulo esternal y el disco intervertebral (IV) de las vértebras T4 y T5.

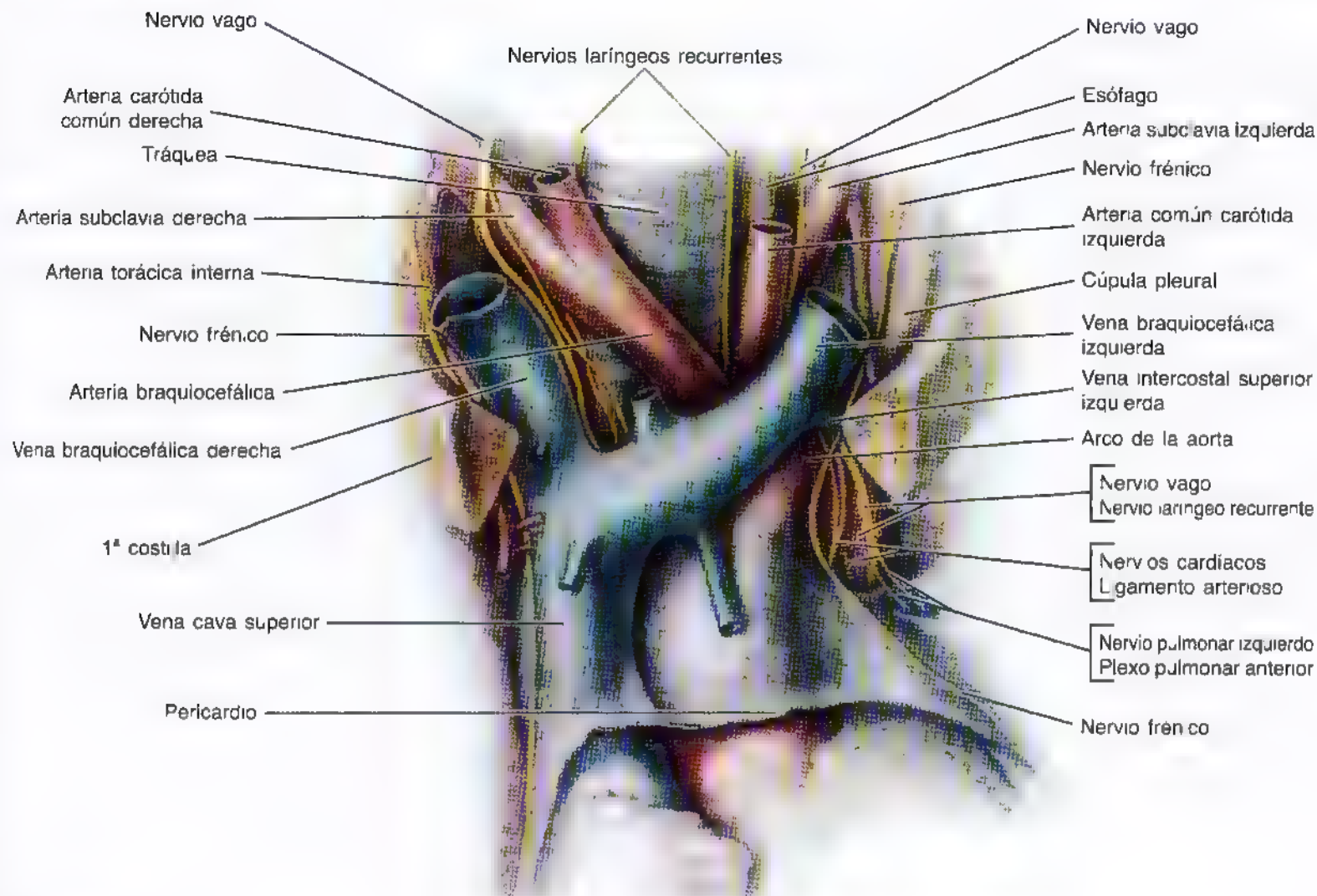
- El tronco braquiocefálico.
- La arteria carótida común izquierda.
- La arteria subclavia izquierda.
- Los nervios vago y frénico.
- El plexo nervioso cardíaco.
- El nervio laríngeo recurrente izquierdo.
- La tráquea.
- El esófago.
- El conducto torácico.
- Los músculos prevertebrales.

Timo. El timo, un órgano linfático primario, se localiza en la parte inferior del cuello y en la parte anterior del mediastino superior. Se sitúa posterior al manubrio y se extiende al mediastino anterior, delante del pericardio. Después de la pubertad, el timo sufre una involución progresiva y es reemplazado en su mayoría por grasa. La irrigación arterial abundante del timo proviene, en particular, de las ramas



(A) Visión anterior

Figura 1.56. Disecciones del mediastino superior. A. Disección superficial. Se han extirpado el esternón y las costillas, y se ha extraído la pleura. No es habitual observar un timo de este tamaño en un adulto.



(B) Visión anterior

Figura 1.56 (Continuación) **B.** Disección profunda de la raíz del cuello y de mediastino superior. Se ha extraído el timo. Obsérvese cómo el nervio vago derecho (NC X) cruza delante de la arteria subclavia derecha y delante del nervio laríngeo recurrente derecho, que discurre en dirección media hasta la tráquea y el esófago. Nótese que el nervio laríngeo recurrente izquierdo pasa por debajo y luego detrás del arco de la aorta y asciende entre la tráquea y el esófago para alcanzar la laringe.

intercostales anteriores y mediastínicas anteriores de la **arteria torácica interna**. Las **venas del timo** desembocan en las venas braquiocefálica izquierda, torácica interna y tiroidea inferior. Los **vasos linfáticos del timo** drenan a los ganglios linfáticos paraesternales, braquiocefálicos y traqueobronquiales.

Grandes vasos. Las venas braquiocefálicas se forman detrás de las articulaciones esternocostales por la unión entre las venas yugular interna y subclavia (fig. 1.56). A la altura del borde inferior del 1^{er} cartílago costal se unen las venas braquiocefálicas para formar la VCS. La **vena braquiocefálica izquierda** tiene una longitud mayor del doble que la

Cambios del timo con la edad

Los **lóbulos planos**, con forma esférica, del timo constituyen una característica prominente del mediastino superior durante la lactancia e infancia. El timo de algunos recién nacidos se extiende superiormente a través de la abertura torácica superior hasta el cuello y comprime la

tráquea. El timo desempeña una función decisiva para el desarrollo y mantenimiento del sistema inmunitario. Cuando se alcanza la pubertad, el tamaño relativo del timo empieza a disminuir, y al llegar a la vida adulta se encuentra prácticamente reemplazado por un tejido adiposo; muchas veces, ni siquiera se reconoce el timo, que, sin embargo, continúa produciendo linfocitos T. ◻

del lado derecho, porque pasa de la izquierda a la derecha, atravesando las caras anteriores de las raíces de las tres ramas principales del arco de la aorta, y deriva la sangre de la cabeza, cuello y miembro superior izquierdo hacia la aurícula derecha. El origen de la **vena braquiocefálica derecha** (es decir, la unión entre las venas yugular interna y subclavia derecha, el "ángulo venoso derecho") recibe linfa del conducto linfático derecho y el origen de la vena braquiocefálica izquierda ("ángulo venoso" izquierdo), linfa del conducto torácico (fig. 1.35).

La **VCS** retorna la sangre de todas las estructuras superiores al diafragma, con excepción de los pulmones y del corazón. Sigue un trayecto inferior y termina a la altura del 3^{er} cartílago costal, por donde ingresa en la aurícula derecha. La VCS radica a la derecha del mediastino superior, anterolateral a la tráquea y posterolateral a la aorta ascendente. El **nervio frénico derecho** se encuentra entre la VCS y la pleura mediastínica (fig. 1.56B). La mitad terminal de la VCS está en el mediastino medio, al lado de la aorta ascendente, y forma el límite posterior del seno pericárdico transverso.

El **arco de la aorta** (cayado de la aorta), la continuación curva de la aorta ascendente (fig. 1.57, tabla 1.6), se inicia detrás de la 2^a articulación esternocostal derecha, a la altura del ángulo esternal, y sigue un trayecto convexo superoposterior e izquierdo. El arco de la aorta asciende delante de la arteria pulmonar derecha y de la bifurcación traqueal, para alcanzar su vértice a la izquierda de la tráquea y del esófago, a su paso por la raíz del pulmón izquierdo. El arco desciende por el lado izquierdo del cuerpo de la vértebra T4.

El arco de la aorta termina convirtiéndose en la aorta torácica, detrás de la 2^a articulación esternocostal izquierda. Obsérvese que el arco de la vena ázigos ocupa la posición correspondiente a la derecha de la tráquea, sobre la raíz del

pulmón derecho, pero su contenido fluye en dirección contraria (fig. 1.54).

El **ligamento arterioso**, resto del conducto arterioso fetal (Moore y Persaud, 1998), pasa desde la raíz de la arteria pulmonar izquierda hasta la cara inferior del arco de la aorta (figs. 1.54 y 1.56B). El **nervio laríngeo recurrente izquierdo** se dobla debajo del arco de la aorta, al lado del ligamento arterioso, y asciende entre la tráquea y el esófago (fig. 1.58A). Las *ramas habituales del arco de la aorta* (figs. 1.57 y 1.58A) son:

- Tronco braquiocefálico.
- Arteria carótida común izquierda.
- Arteria subclavia izquierda.

El **tronco braquiocefálico**, la 1^a y más grande rama del arco aórtico, surge detrás del manubrio y se sitúa anterior a la tráquea y posterior a la vena braquiocefálica izquierda. Asciende en dirección superolateral hasta llegar al lado derecho de la tráquea y la articulación esternoclavicular derecha, donde se divide en las arterias carótida común derecha y subclavia derecha.

La **arteria carótida común izquierda**, 2^a rama del arco, emerge detrás del manubrio, ligeramente posterior y a la izquierda del tronco braquiocefálico, y asciende anterior a la arteria subclavia izquierda; al principio pasa delante de la tráquea y luego a su izquierda. Entra en el cuello detrás de la articulación esternoclavicular izquierda.

La **arteria subclavia izquierda**, 3^a rama del arco, nace de la parte posterior del arco, justo detrás de la arteria carótida común izquierda. Asciende lateral a la tráquea y a la arteria carótida común por el mediastino superior; no envía ramas mediastínicas. Cuando abandona el tórax para pasar a la raíz de cuello se sitúa detrás de la articulación esternoclavicular izquierda.

Figura 1.57. Patrón común de ramificación del arco de la aorta (en un 65% de las personas). La rama más grande (*TB*) se origina del comienzo del arco y se divide en dos ramas (*SD* y *CD*). La siguiente arteria (*CI*) se origina en la parte superior del arco. La 3^a rama (*SI*) surge del arco aproximadamente 1 cm distal a la carótida.

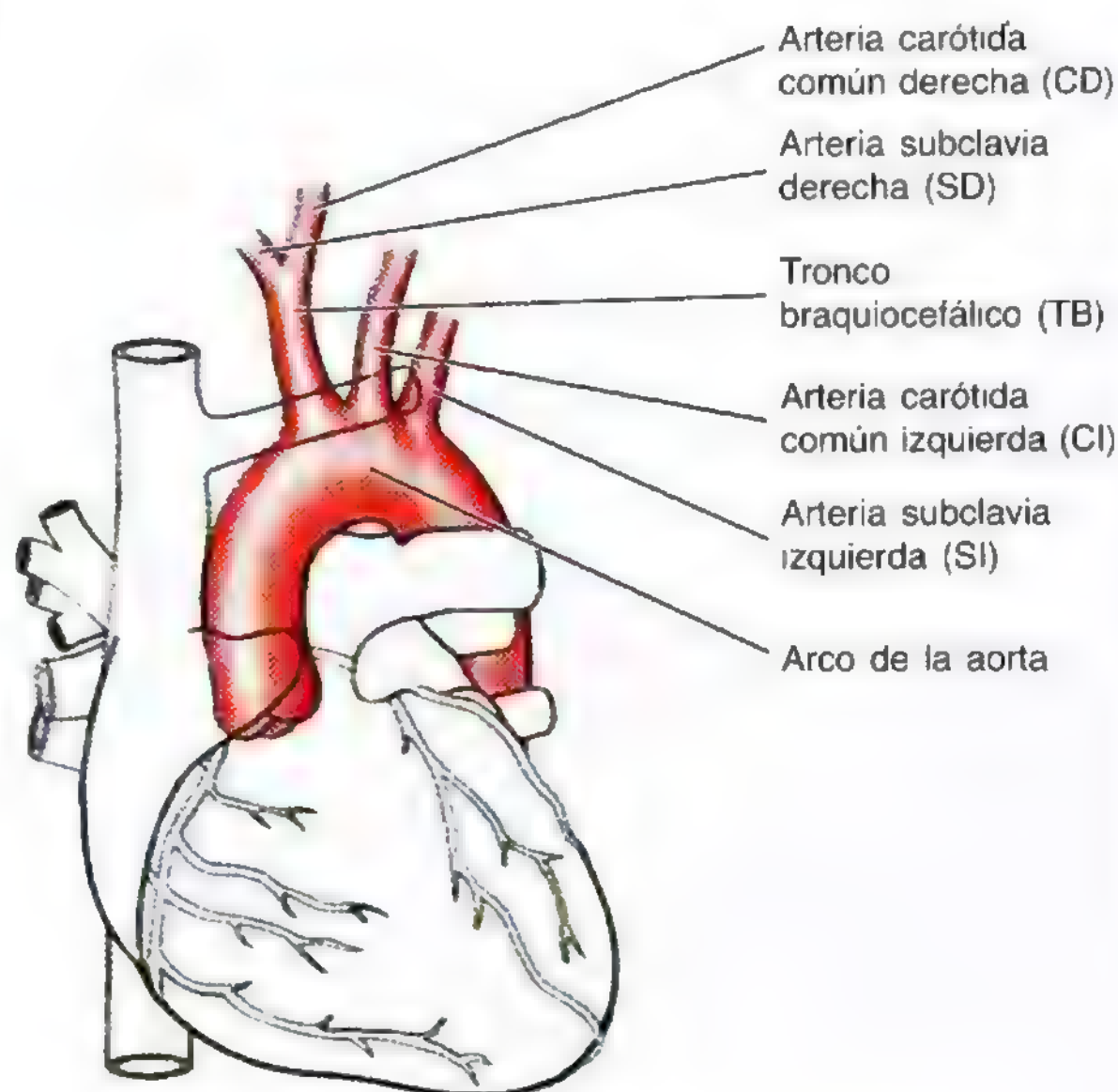
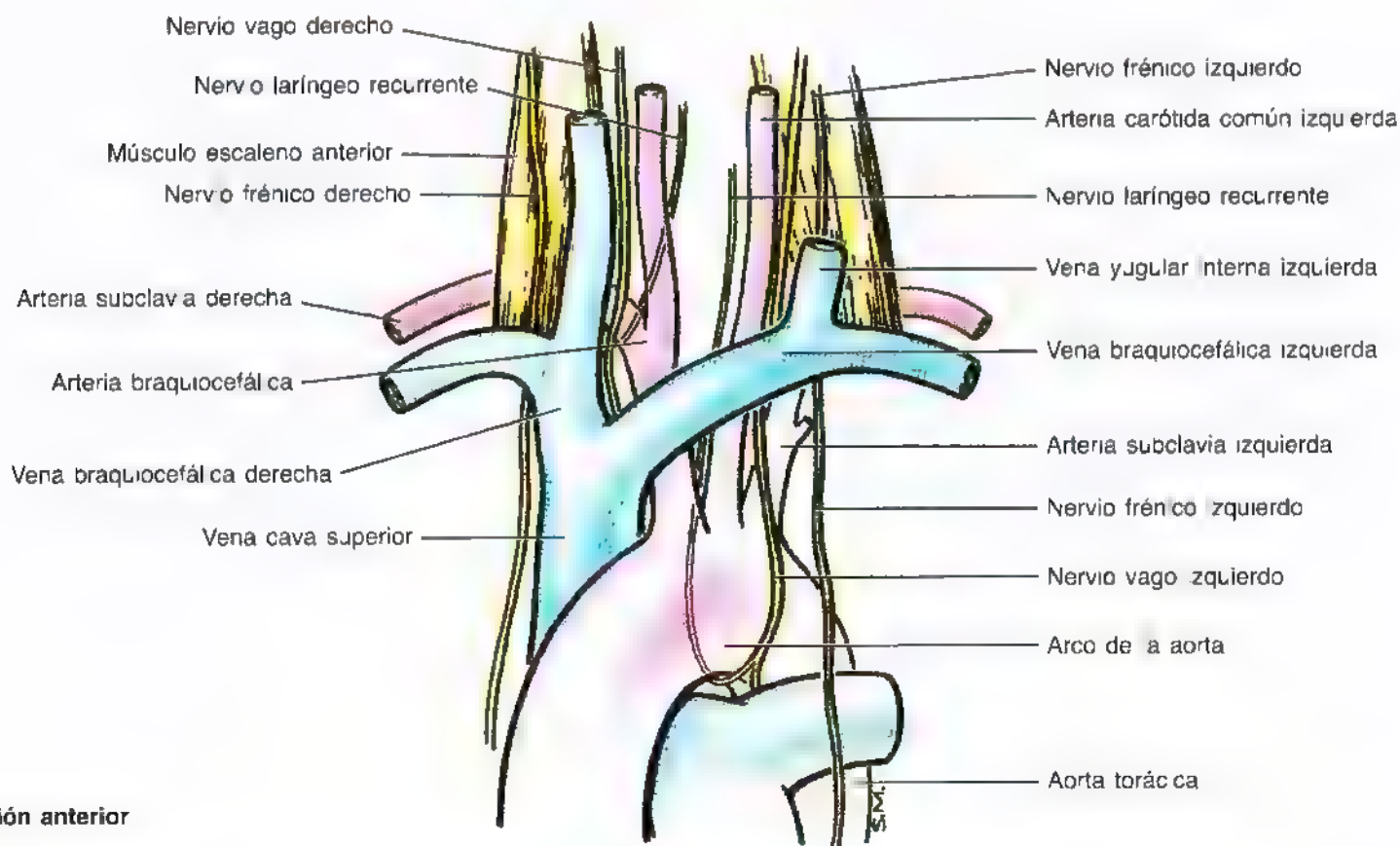


Tabla 1.6. Aorta y sus ramas torácicas

Arteria	Origen	Trayectoria	Ramas
Aorta ascendente	Orificio aórtico del ventrículo izquierdo	Asciende aproximadamente 5 cm hasta el ángulo esternal, donde se convierte en el arco de la aorta	Arterias coronarias derecha e izquierda
Arco de la aorta	Continuación de la aorta ascendente	Sigue un arco posterior por la cara izquierda de la tráquea y del esófago, y superior al bronquio principal izquierdo	Braquiocefálica, carótida común izquierda, subclavia izquierda
Aorta torácica	Continuación del arco de la aorta	Desciende por el mediastino posterior a la izquierda de la columna vertebral y se desplaza poco a poco a la derecha, para situarse en el plano medio cuando atraviesa el hiato aórtico	Arterias intercostales posteriores, subcostales, algunas arterias frénicas y ramas viscerales (p. ej., esofágicas)
Intercostales posteriores	Cara posterior de la aorta torácica	Pasa lateral y luego anterior, paralela a las costillas	Ramas cutáneas lateral y anterior
Bronquiales (1-2 ramas)	Cara anterior de la aorta o de la arteria intercostal posterior	Sigue el árbol traqueobronquial	Tejido bronquial y peribronquial pleura visceral
Esofágicas (4-5 ramas)	Cara anterior de la aorta torácica	Discurre anterior al esófago	Para el esófago
Frénicas superiores (número variable)	Caras anteriores de la aorta torácica	Nace en el hiato aórtico y pasa a la cara superior del diafragma	Para el diafragma

**(A) Visión anterior****Figura 1.58. Grandes vasos y nervios. A.** Relaciones entre los grandes vasos y nervios en la parte inferior del cuello y mediastino superior

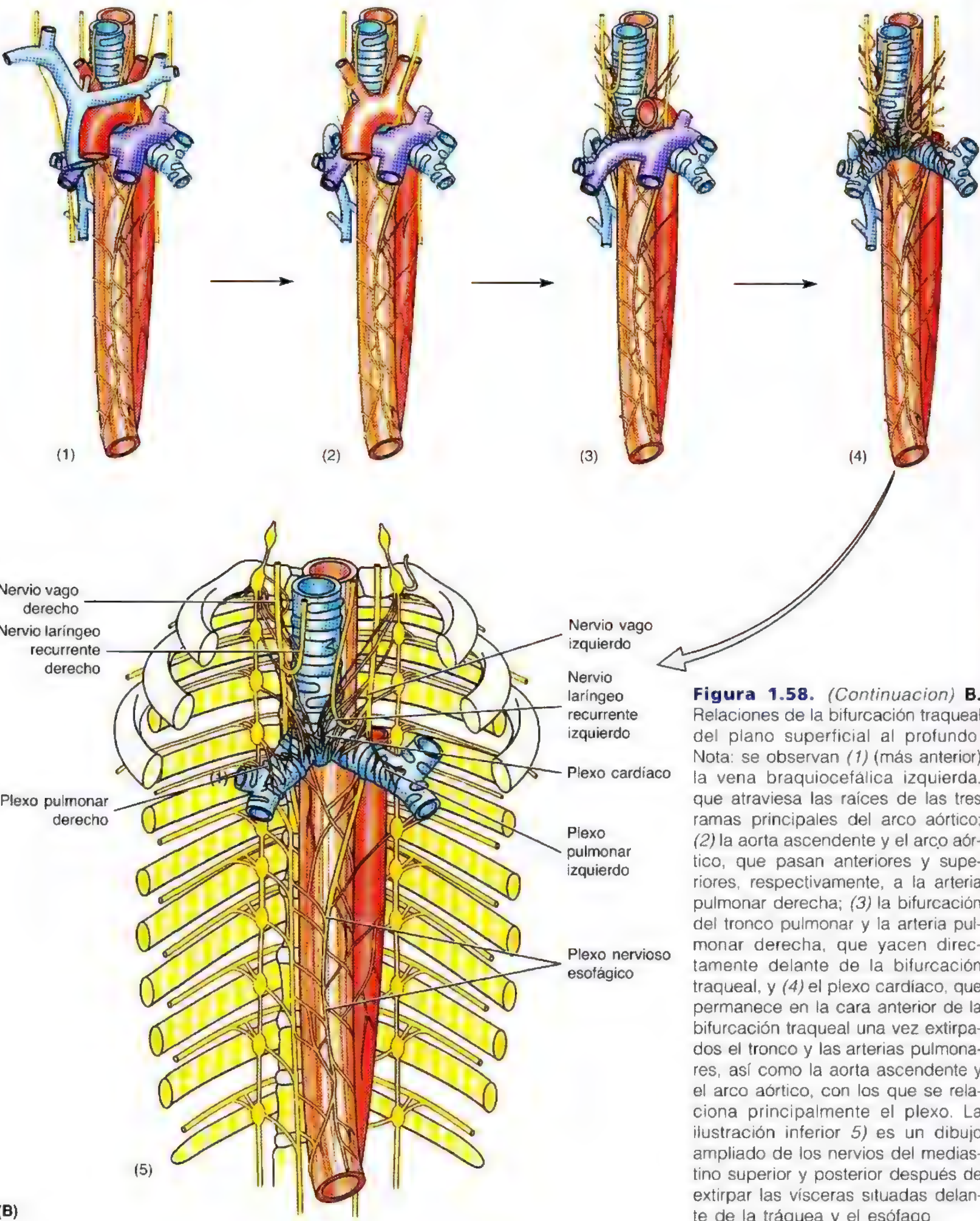


Figura 1.58. (Continuación) B. Relaciones de la bifurcación traqueal del plano superficial al profundo. Nota: se observan (1) (más anterior) la vena braquiocéfálica izquierda, que atraviesa las raíces de las tres ramas principales del arco aórtico; (2) la aorta ascendente y el arco aórtico, que pasan anteriores y superiores, respectivamente, a la arteria pulmonar derecha; (3) la bifurcación del tronco pulmonar y la arteria pulmonar derecha, que yacen directamente delante de la bifurcación traqueal, y (4) el plexo cardíaco, que permanece en la cara anterior de la bifurcación traqueal una vez extirpados el tronco y las arterias pulmonares, así como la aorta ascendente y el arco aórtico, con los que se relaciona principalmente el plexo. La ilustración inferior 5) es un dibujo ampliado de los nervios del mediastino superior y posterior después de extirpar las vísceras situadas delante de la tráquea y el esófago

Posición de la vena braquiocefálica en los niños

La vena braquiocefálica se forma y, en principio, discurre por la parte inferior del cuello, más que por el mediastino superior, de algunos niños. Esto se debe a que el cuello infantil es bastante corto. La posible localización alta de esta vena debe recordarse cuando se proceda a una *traqueostomía* (creación de un orificio traqueal [véase el capítulo 8] para aliviar una obstrucción respiratoria alta y facilitar la ventilación pulmonar).

Variaciones de las ramas del arco de la aorta

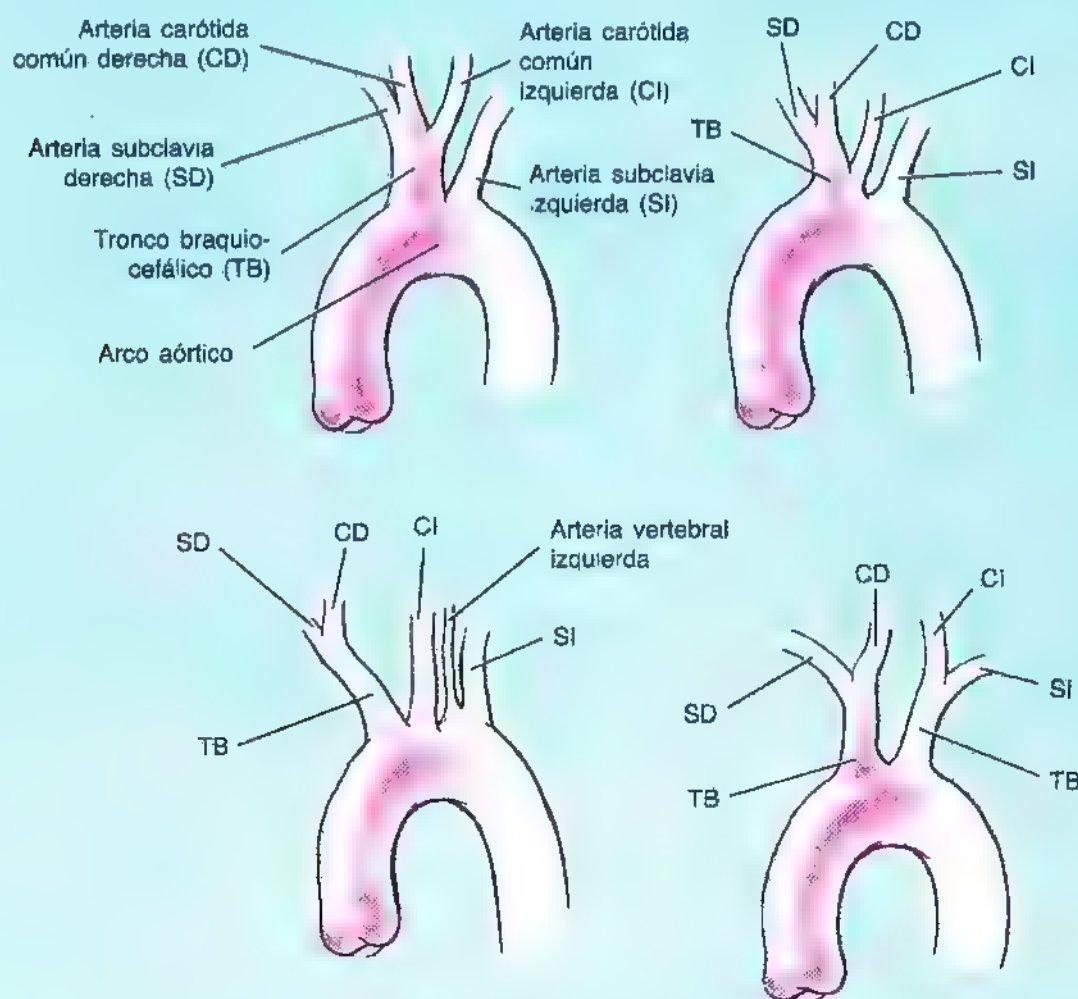
El patrón habitual de ramificación del arco aórtico, que se ilustra en la figura 1.57, se observa en un 65% de las personas. Las variaciones del origen de las ramas del arco aórtico son bastante comunes. La arteria carótida común izquierda nace del tronco braquiocefálico en un 27% de los sujetos. En un 2,5% no se llega a formar el tronco braquiocefálico; en estas personas, cada una de las cuatro arterias (arterias comunes y subclavias derechas o izquierdas) nacen de forma independiente del arco aórtico. La

arteria vertebral izquierda proviene del arco aórtico en un 5% de las personas. Tanto los troncos braquiocefálico derecho como izquierdo se originan en el arco en un 1,2% de los sujetos. Si desea una descripción de otras variantes del origen de las ramas del arco aórtico consulte el artículo de Bergman y cols. (1988).

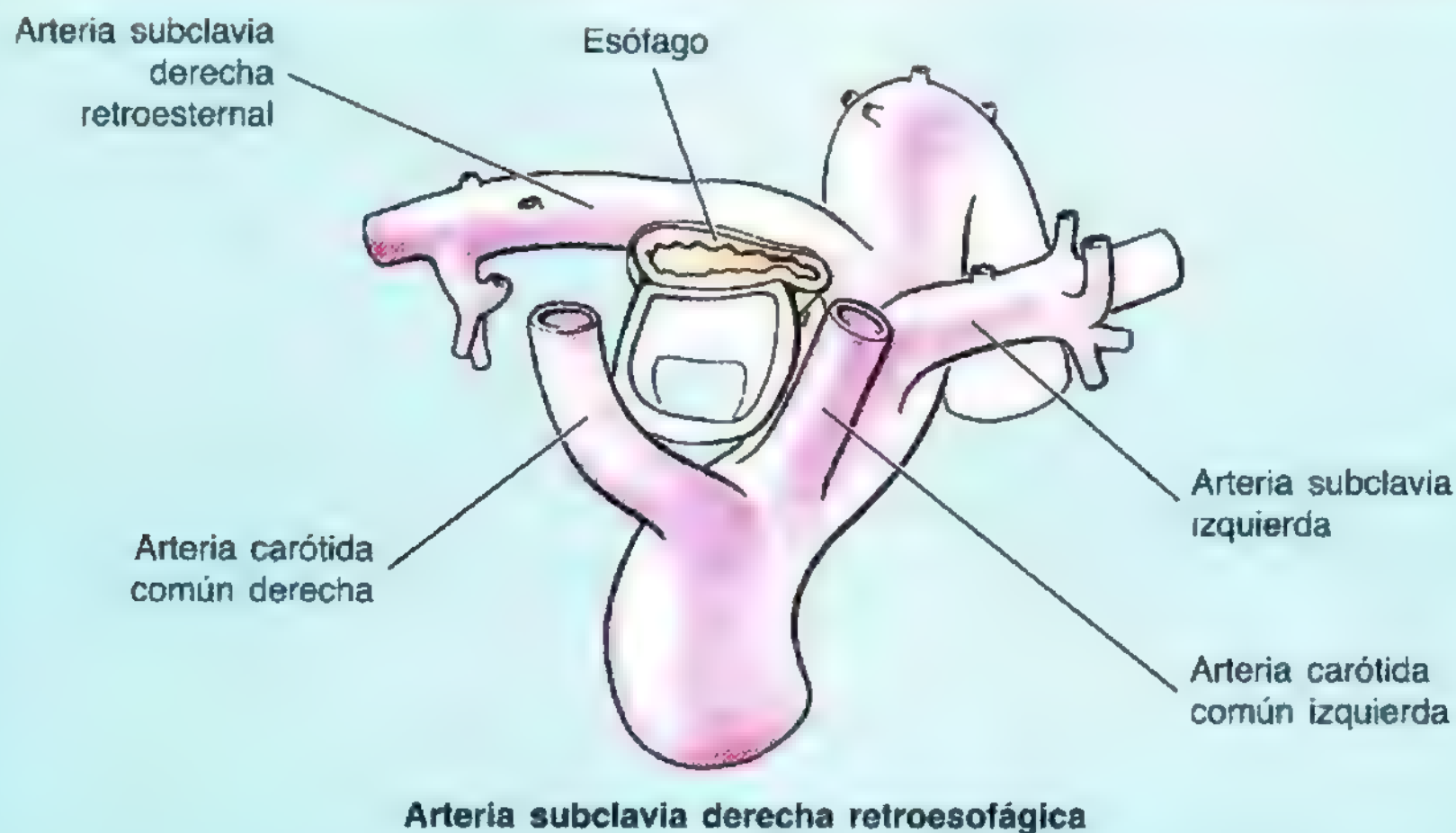
En ciertos casos, la última rama (la más izquierda) del arco aórtico es una **arteria subclavia derecha retroesofágica**. Esta arteria cruza detrás del esófago para alcanzar el miembro superior derecho y puede comprimir el esófago, causando una dificultad para la deglución (*disfagia*). Más raramente, una arteria accesoria para la glándula tiroidea, la *arteria tiroidea media* (L. *thyroidea ima*), nace en el arco de la aorta o en la arteria braquiocefálica. Como asciende delante de la tráquea, los cirujanos deben tener cuidado siempre que procedan a un abordaje traqueal medio.

Anomalías del arco aórtico

La porción superior del arco aórtico suele quedar 2,5 cm por debajo del borde superior del manubrio, pero puede situarse en un plano más superior o inferior. A veces, el arco aórtico se incurva sobre la raíz del pulmón derecho y pasa debajo de ella, creando un **arco aórtico** ▶



Variaciones en el origen de las ramas del arco aórtico

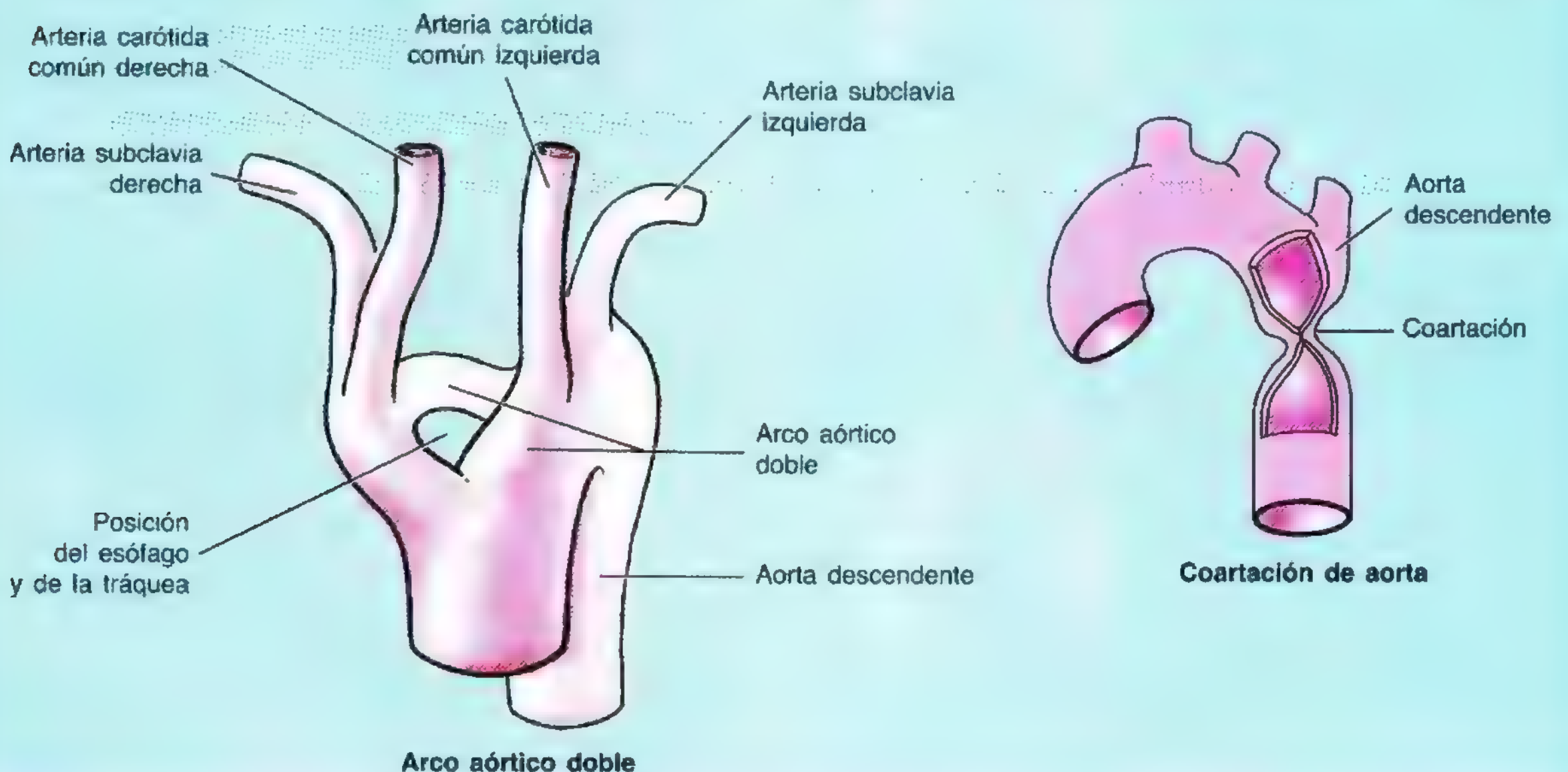


► **derecho.** En otras ocasiones, el arco anómalo, tras pasar por encima de la raíz del pulmón derecho, sigue posterior al esófago hasta alcanzar su posición habitual en el lado izquierdo. Aun más raramente, un **arco aórtico doble** crea un anillo vascular alrededor del esófago y de la tráquea. Si la tráquea se comprime y se dificulta la respiración, es necesario proceder, en ocasiones, a la sección quirúrgica del anillo vascular. El *aneurisma (dilatación localizada)* del arco aórtico también puede comprimir la tráquea y el esófago y ocasionar dificultades para la respiración y la deglución.

Coartación de aorta

En esta malformación congénita, la aorta descendente presenta un estrechamiento anómalo (estenosis), que reduce

el calibre de la luz aórtica y causa una obstrucción al flujo que llega a la parte inferior del cuerpo. El lugar más común de la contracción aislada está próximo a la zona de inserción del conducto o ligamento arterioso (Moore y Persaud, 1998; Sabiston y Lyster, 1994). Si la coartación es inferior al conducto o ligamento arterioso (coartación postductal), se establece de ordinario una buena circulación colateral entre las porciones proximal y distal de la aorta a través de las arterias torácicas intercostales e interna. Este tipo de coartación es compatible con muchos años de vida, porque la circulación colateral transporta la sangre hasta la aorta descendente, situada por debajo de la estenosis. Los vasos colaterales pueden dilatarse tanto, que provocan pulsaciones notables en los espacios intercostales y erosionan las superficies adyacentes de las costillas, como se ve en las radiografías de tórax. ◊



Nervios del mediastino superior. Los *nervios vagos* surgen a ambos lados del bulbo raquídeo, salen del cráneo y descienden por la cara posterolateral del cuello hasta las arterias carótidas comunes (fig. 1.58A, tabla 1.7). Cada nervio entra en el mediastino superior detrás de la articulación esternoclavicular respectiva y de la vena braquiocefálica.

El **nervio vago derecho** entra en el tórax delante de la arteria subclavia derecha, donde origina el **nervio laríngeo recurrente derecho**. Este nervio se dobla alrededor de la arteria subclavia derecha y asciende entre la tráquea y el esófago para inervar la laringe. El nervio vago derecho sigue un trayecto posteroinferior por el mediastino superior, a la derecha de la tráquea. Luego pasa detrás de la vena braquiocefálica derecha, VCS y raíz del pulmón derecho. Aquí se dividen muchas ramas que forman el **plexo pulmonar** (fig. 1.58B). En general, el nervio vago derecho abandona el plexo en forma de un solo nervio y pasa al esófago, donde se ramifica de nuevo y emite fibras para el **plexo nervioso esofágico**. El nervio

vago derecho también da nervios que integran el **plexo cardíaco**.

El **nervio vago izquierdo** desciende por el cuello detrás de la arteria carótida común izquierda (fig. 1.58A). Penetra en el mediastino entre la arteria carótida común izquierda y la arteria subclavia izquierda. Cuando alcanza el lado izquierdo del arco aórtico, el nervio vago izquierdo diverge posterior al nervio frénico izquierdo. Se separa lateralmente del nervio frénico por la *vena intercostal superior izquierda*. Cuando el nervio vago izquierdo traza una curva medial por el borde inferior del arco aórtico da el **nervio laríngeo recurrente izquierdo**. Este nervio pasa debajo del arco aórtico, justo lateral al ligamento arterioso, y asciende hasta la laringe por el surco que crean la tráquea y el esófago. El nervio vago izquierdo discurre detrás de la raíz del pulmón izquierdo, donde se descompone en múltiples ramas que dan origen al **plexo pulmonar izquierdo** (fig. 1.58B). El nervio abandona este plexo como un solo tronco y llega hasta el esófago, donde se une a las fibras del vago derecho dentro del plexo nervioso esofágico.

Tabla 1.7. Nervios del tórax

Nervio	Origen	Trayectoria	Distribución
Vago (NC X)	Ocho a 10 raicillas del bulbo raquídeo	Entra en el mediastino superior detrás de la articulación esternoclavicular y de la vena braquiocefálica; da el nervio laríngeo recurrente y prosigue hasta el abdomen	Plexo pulmonar, plexo esofágico y plexo cardíaco
Frénico	Ramos ventrales de los nervios C3 a C5	Pasa por el estrecho torácico superior y viaja entre la pleura mediastínica y el pericardio	Porción central del diafragma
Intercostal	Ramos ventrales de los nervios T1 a T11	Discurre por los espacios intercostales entre las capas interna e íntima de los músculos intercostales	Músculos y piel del espacio intercostal, los nervios inferiores inervan los músculos y la piel de la pared anterolateral del abdomen
Subcostal	Ramo ventral del nervio T12	Sigue el borde inferior de la 12ª costilla y pasa a la pared abdominal	Pared del abdomen y piel de la región glútea
Laríngeo recurrente	Nervio vago	Rodea la zona subclavia derecha en el lado izquierdo rodea el arco de la aorta y asciende por el surco traqueoesofágico	Músculos intrínsecos de la laringe (salvo el cricotiroideo); sensibilidad por debajo de las cuerdas vocales
Plexo cardíaco	Ramos cervicales y cardíacos del nervio vago y tronco simpático	Desde el arco de la aorta y la cara posterior del corazón se extienden fibras a lo largo de las arterias coronarias y para el nódulo sinusal	Los impulsos llegan al nódulo sinusal; las fibras parasimpáticas reducen la frecuencia cardíaca, reducen la fuerza de contracción y constriñen las arterias coronarias; las fibras simpáticas ejercen el efecto contrario
Plexo pulmonar	Nervio vago y tronco simpático	Se forma en la raíz del pulmón y se extiende a lo largo de las subdivisiones bronquiales	Las fibras parasimpáticas constriñen los bronquiolos y las simpáticas, los dilatan
Plexo esofágico	Nervio vago, ganglios simpáticos, nervio esplácnico mayor	Los nervios vagos y simpáticos forman un plexo alrededor del esófago, distal a la bifurcación traqueal.	Fibras vagales y simpáticas para el músculo liso y las glándulas de los dos tercios inferiores del esófago

Lesión de los nervios laríngeos recurrentes

Los nervios laríngeos recurrentes inervan todos los músculos intrínsecos de la laringe, excepto uno. Por eso, cualquier procedimiento de exploración (p. ej., *mediastinotomía*) o enfermedad del mediastino superior puede dañar estos nervios y afectar a la voz. Como el nervio larígeo recurrente izquierdo se incurva alrededor del arco aórtico y asciende entre la tráquea y el esófago, puede dañarse en caso de carcinoma broncogénico o esofágico, de ensanchamiento de los ganglios linfáticos mediastínicos o *aneurisma del arco aórtico*. En este último trastorno, el nervio se ve distendido por el arco dilatado. ⚡

Los **nervios frénicos** (fig. 1.58A) inervan el diafragma; cerca de un tercio de sus fibras transmiten la sensibilidad del diafragma. Cada nervio entra por el mediastino superior

entre la arteria subclavia y el origen de la vena braquiocefálica (tabla 1.7). El hecho de que los nervios frénicos discurren delante de las raíces pulmonares ofrece una clave esencial para diferenciarlos de los nervios vagos, que pasan por detrás de estas raíces.

El **nervio frénico derecho** circula por el lado derecho de la vena braquiocefálica derecha, VCS y pericardio que recubre la aurícula derecha. También viaja por delante de la raíz del pulmón derecho y desciende a la derecha de la VCI hasta el diafragma, al que perfora cerca del orificio de la vena cava.

El **nervio frénico izquierdo** desciende entre las arterias subclavia izquierda y carótida común izquierda. Atraviesa la cara izquierda del arco de la aorta, delante del nervio vago izquierdo, y pasa sobre la vena intercostal superior izquierda. Luego desciende delante de la raíz del pulmón izquierdo y sigue la dirección del pericardio, superficial a la aurícula y el ventrículo izquierdos; perfora el diafragma a la izquierda del pericardio.

Tráquea. La tráquea desciende delante del esófago y pasa al mediastino superior, inclinándose algo, a la derecha del plano medio (fig. 1.59). La cara posterior de la tráquea es

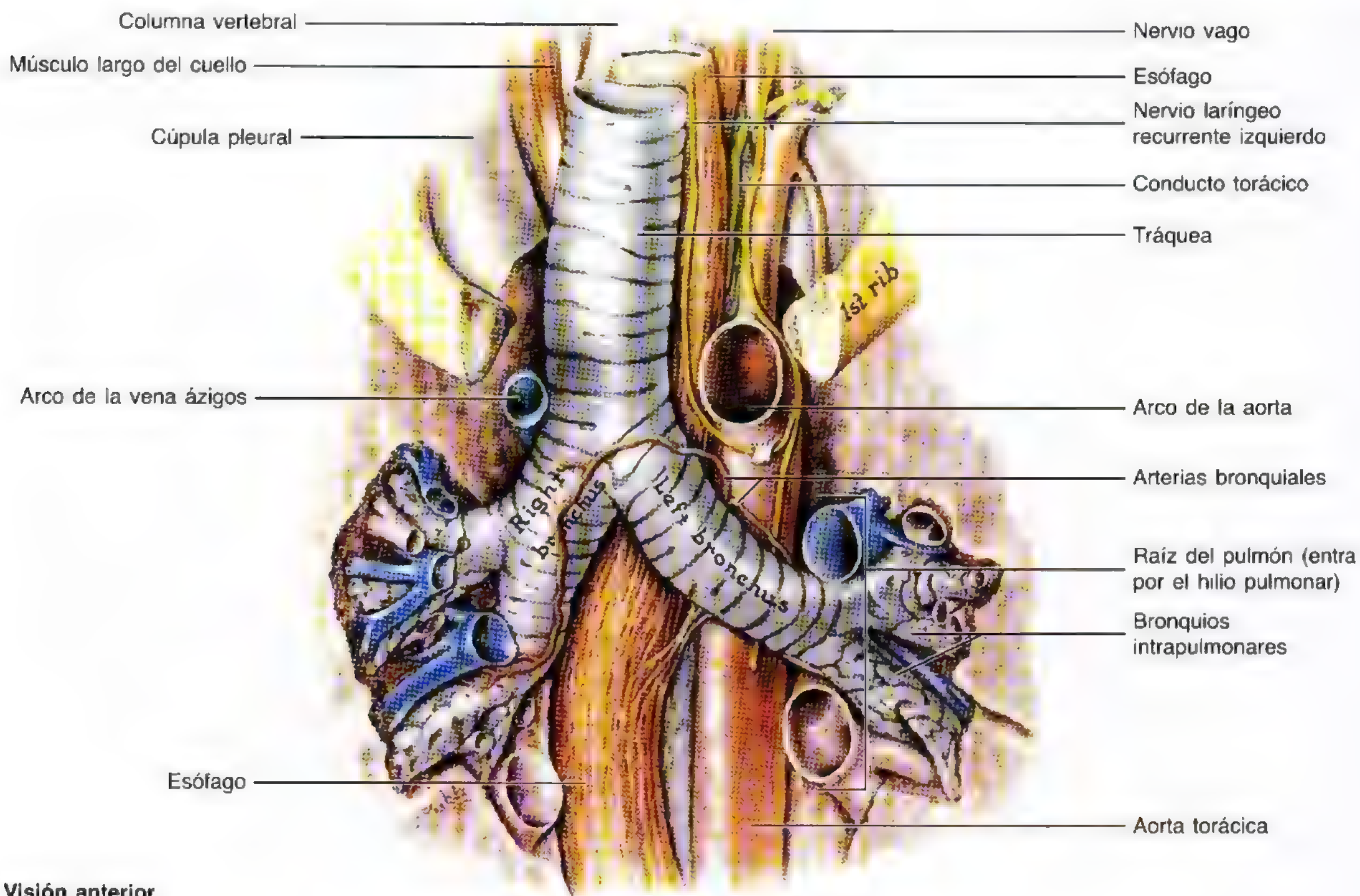


Figura 1.59. Disección profunda del mediastino superior. Obsérvense las cuatro estructuras paralelas: tráquea, esófago, nervio larígeo recurrente izquierdo y conducto torácico. Nótese que el bronquio principal derecho es más vertical, corto y ancho que el izquierdo. El trayecto de la arteria bronquial derecha es anómalo; en general, pasa detrás del bronquio principal.

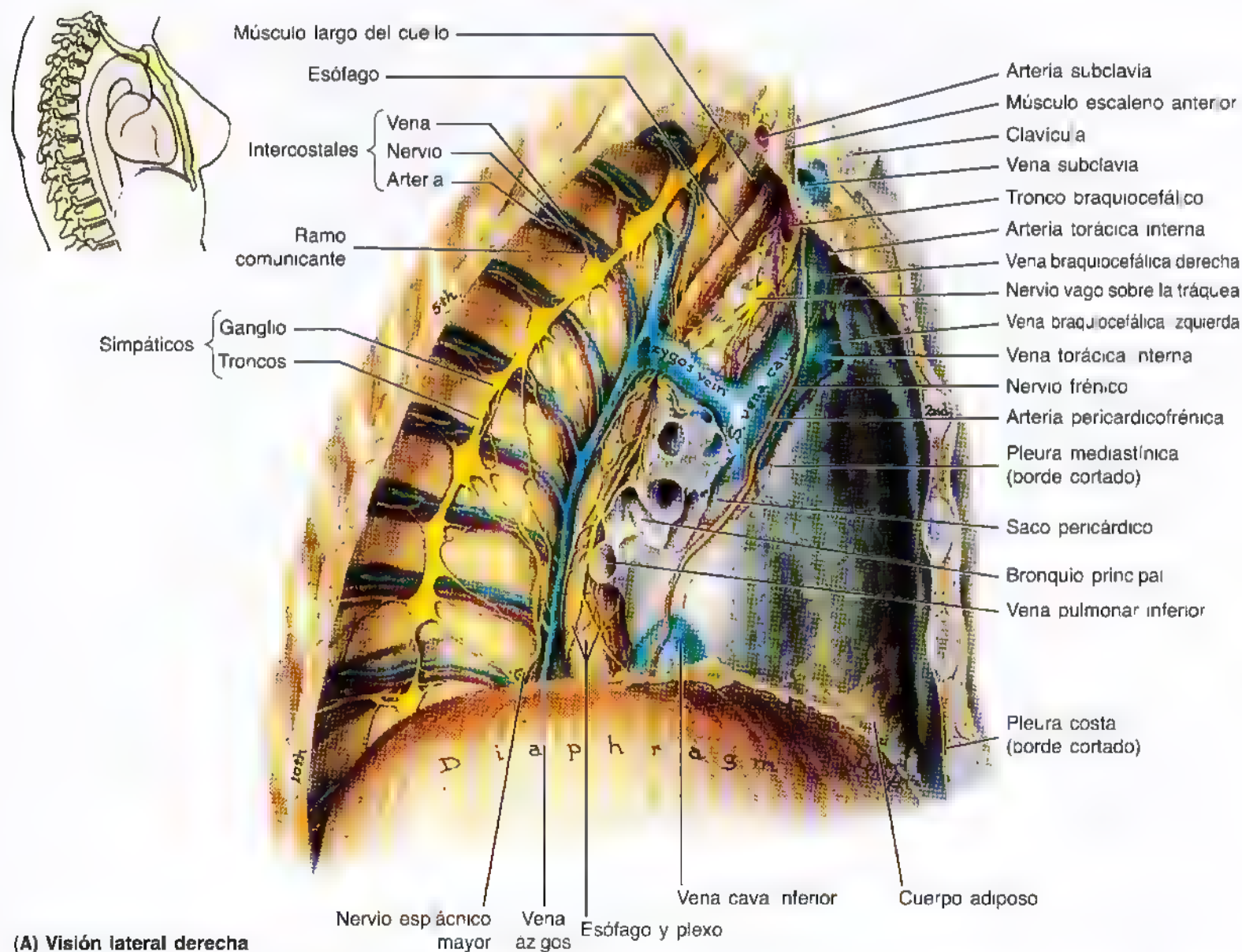
plana (zona de aposición esofágica). La tráquea termina en el ángulo esternal, bifurcándose en los bronquios principales derecho e izquierdo. La tráquea acaba por encima del nivel cardíaco y no forma parte del mediastino posterior.

Esófago. El esófago es un tubo fibromuscular que se extiende desde la faringe hasta el estómago. Suele aplanarse en sentido anteroposterior (figs. 1.59 y 1.60). Penetra en el mediastino superior entre la tráquea y la columna vertebral, situándose delante de los cuerpos de las vértebras T1 a T4. Al principio se inclina hacia la izquierda, pero es desplazado hacia el plano medio por el arco de la aorta (enfrente de la raíz del pulmón izquierdo). Dentro del mediastino superior, el **conducto torácico** suele quedar a la izquierda del diafragma, en la profundidad (medial) del arco de la aorta (fig. 1.60B). Por debajo del arco, el esófago se inclina otra vez a la izquierda a medida que se aproxima y atraviesa el **hiato esofágico** del diafragma.

Mediastino posterior

El mediastino posterior se localiza anterior a las vértebras T5 a T12, posterior al pericardio y diafragma y entre la pleura parietal de los dos pulmones. El *mediastino posterior* contiene:

- La aorta torácica.
- El conducto torácico.
- Los ganglios linfáticos mediastínicos posteriores (p. ej., ganglios traqueobronquiales).
- Las venas ázigos y hemιάzigos.
- El esófago.
- El plexo esofágico.
- Los troncos simpáticos torácicos.
- Los nervios espláncnicos torácicos.



(A) Visión lateral derecha

Figura 1.60. Disecciones del mediastino. A. Lado derecho. Se ha extirpado la mayor parte de la pleura costal y mediastínica para visualizar las estructuras subyacentes. Obsérvese que este lado del mediastino, el lado "azul", está dominado por el arco de la vena ázigos, la vena cava superior (VCS) y la aurícula derecha.

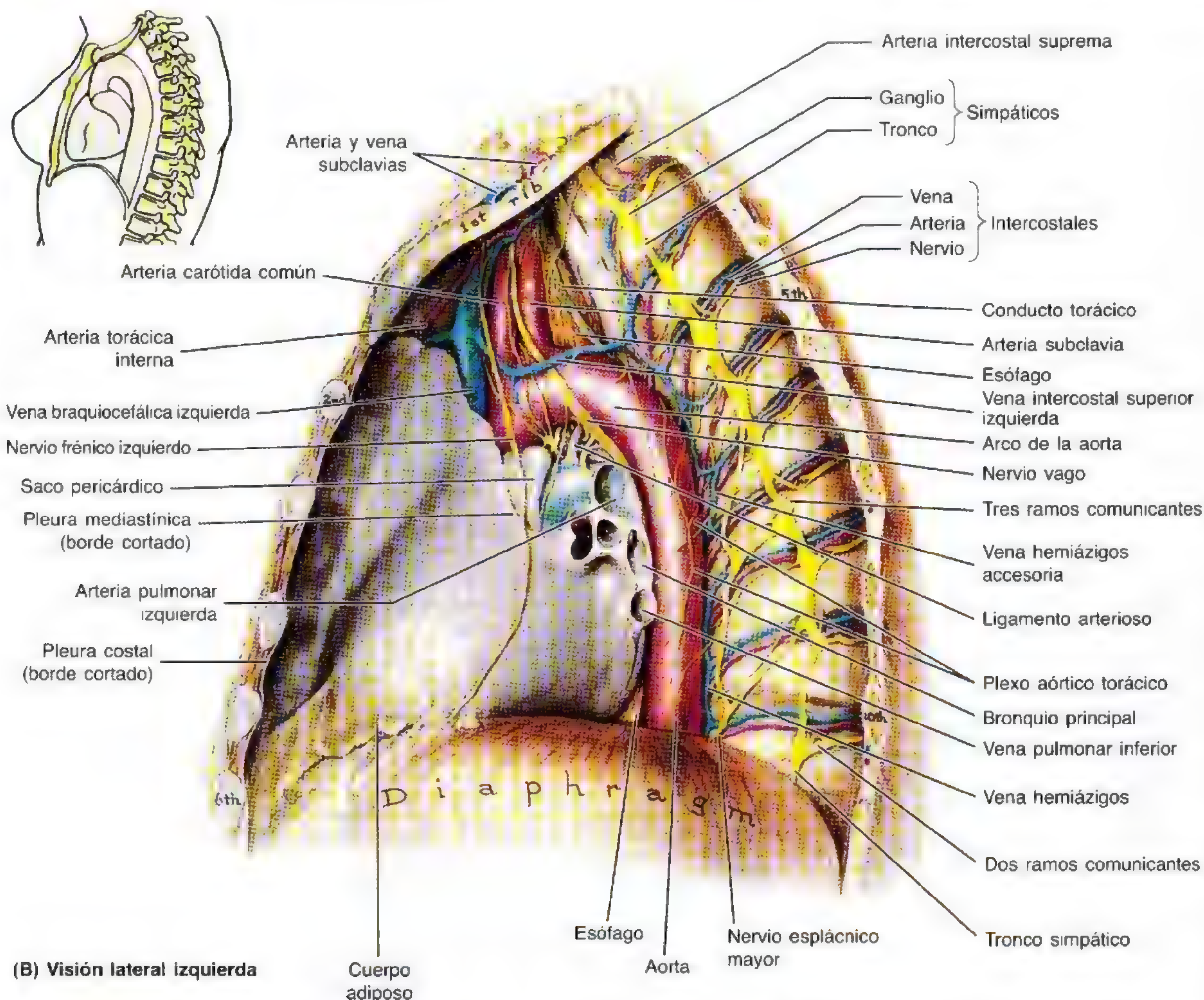


Figura 1.60. (Continuación) **B.** Lado izquierdo. Obsérvese que este lado del mediastino, "el lado rojo", está dominado por el arco aórtico, la aorta torácica y las arterias carótida común y subclavia izquierdas. El tronco simpático se une a los nervios intercostales a través de ramos comunicantes; la vena intercostal superior izquierda, que drena los 2 o 3 espacios intercostales superiores, pasa por la cara anterior para desembocar en la vena braquiocéflica izquierda.

Aorta torácica. La aorta torácica —porción torácica de la aorta descendente— es la continuación del arco de la aorta (figs. 1.60B y 1.61, tabla 1.6). Se origina a la izquierda del borde inferior del cuerpo de la vértebra T4 y desciende por el mediastino posterior a la izquierda de las vértebras T5 a T12. En su descenso se aproxima al plano medio y desplaza el esófago a la derecha. El **plexo aórtico torácico** (fig. 1.60B), una red nerviosa autónoma, la rodea. La aorta torácica es posterior a la raíz del pulmón izquierdo (fig. 1.59), pericardio y esófago, y termina —cambia su nombre por el de aorta abdominal— delante del borde inferior de la vértebra T12; pasa al abdomen por el **hiato** (orificio) **aórtico** del diafragma. El conducto torácico y la vena ázigos descienden a su derecha y la acompañan por este hiato

(fig. 1.61). Las **ramas (arterias) que se originan de la aorta torácica** (fig. 1.62, tabla 1.6) son:

- Bronquiales.
- Pericárdicas.
- Intercostales posteriores.
- Frénicas superiores.
- Esofágicas.
- Mediastínicas.
- Subcostales.

Las **arterias bronquiales** constan de un vaso derecho y otros dos izquierdos, de pequeño tamaño. Las arterias bronquiales perfunden la tráquea, los bronquios, el tejido pulmonar y los ganglios linfáticos. Las **arterias pericárdi-**

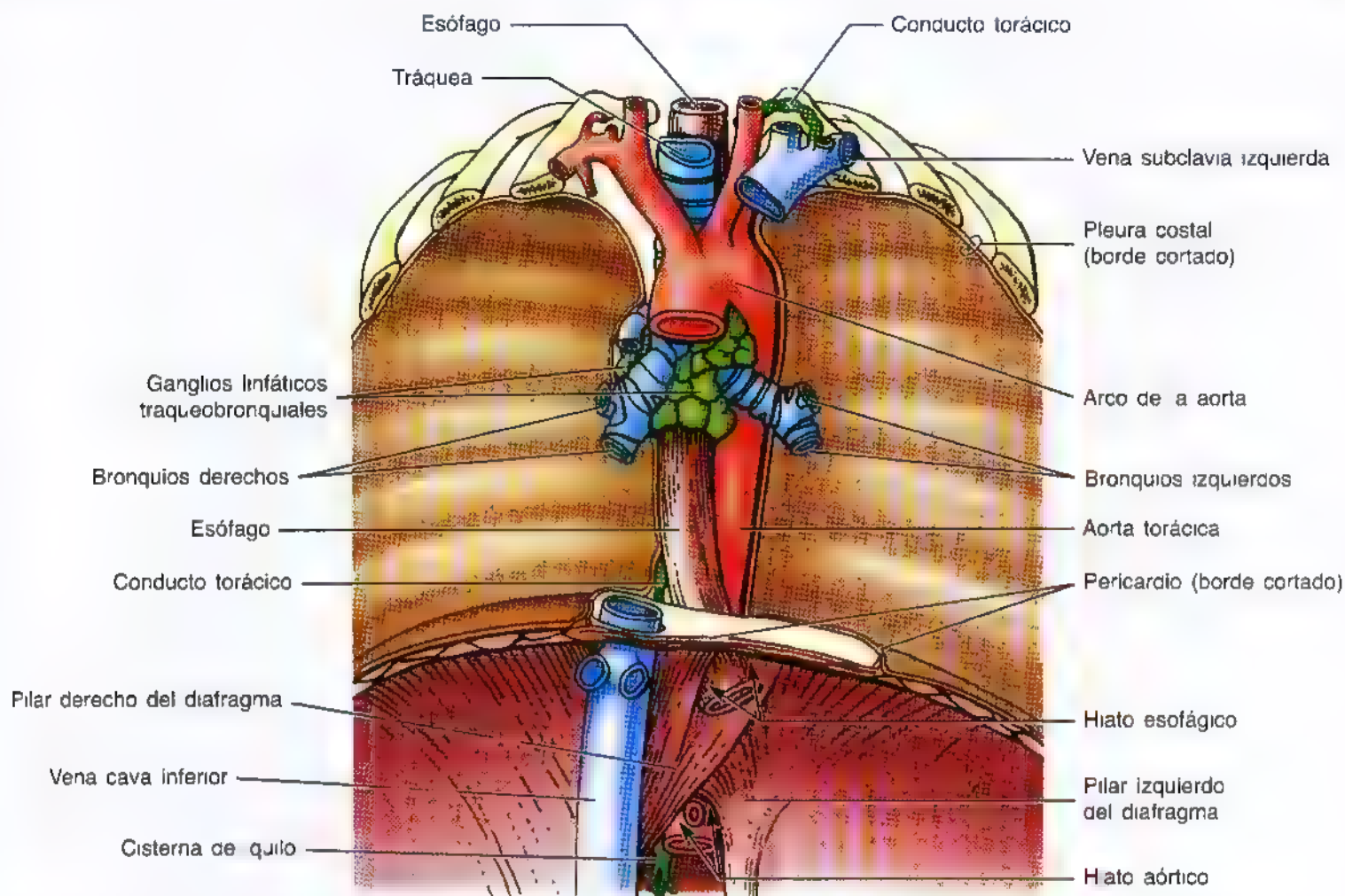


Figura 1.61. Visión anterior del esófago, tráquea, bronquios principales y aorta. Obsérvese que el arco de la aorta se curva posteriormente a la izquierda de la tráquea y del esófago. Además, el pilar derecho del diafragma es más grande y largo que el izquierdo y se divide para envolver el esófago. Asimismo, en esta preparación, el conducto torácico desemboca en la vena subclavia izquierda.

cas emiten ramas para el pericardio. Las **arterias intercostales posteriores** (nueve pares) pasan a los espacios intercostales 3º a 11º. Las **arterias frénicas superiores** llegan hasta la cara posterior del diafragma, donde se anastomosan con las ramas musculofrénica y pericardicofrénica de la arteria torácica interna. En general, dos **arterias esofágicas** irrigan el tercio medio del esófago. Las **arterias mediastínicas** son pequeñas y perfunden los ganglios linfáticos y otros tejidos del mediastino posterior. Las **arterias subcostales** que pasan al abdomen se disponen en serie con las intercostales.

Esófago. El esófago desciende por el mediastino posterior desde el superior y pasa detrás y a la derecha del arco de la aorta (fig. 1.61), así como posterior al pericardio y aurícula izquierda. El esófago constituye la relación posterior fundamental de la base del corazón. Luego se desvía a la izquierda y atraviesa el **hiato esofágico** del diafragma a la altura de la vértebra T10, delante de la aorta. El esófago puede tener tres impresiones o "constricciones" en su porción torácica, que se manifiestan como estrecheces de la luz en una radiografía de tórax oblicua tomada después de la

deglución de bario. El esófago es comprimido por tres estructuras:

- El arco aórtico.
- El bronquio principal izquierdo.
- El diafragma.

El esófago vacío no muestra ninguna constricción, pero cuando se expande durante el llenado, las estructuras anteriores comprimen sus paredes.

Obstrucción esofágica

Las impresiones que causan en el esófago las estructuras vecinas tienen interés clínico por el tránsito más lento de las sustancias a su paso. Las impresiones se corresponden con las zonas donde más suelen quedar atrapados los objetos extraños deglutidos, y donde pueden aparecer estenosis tras la ingestión accidental de un líquido cáustico, como la lejía. ○

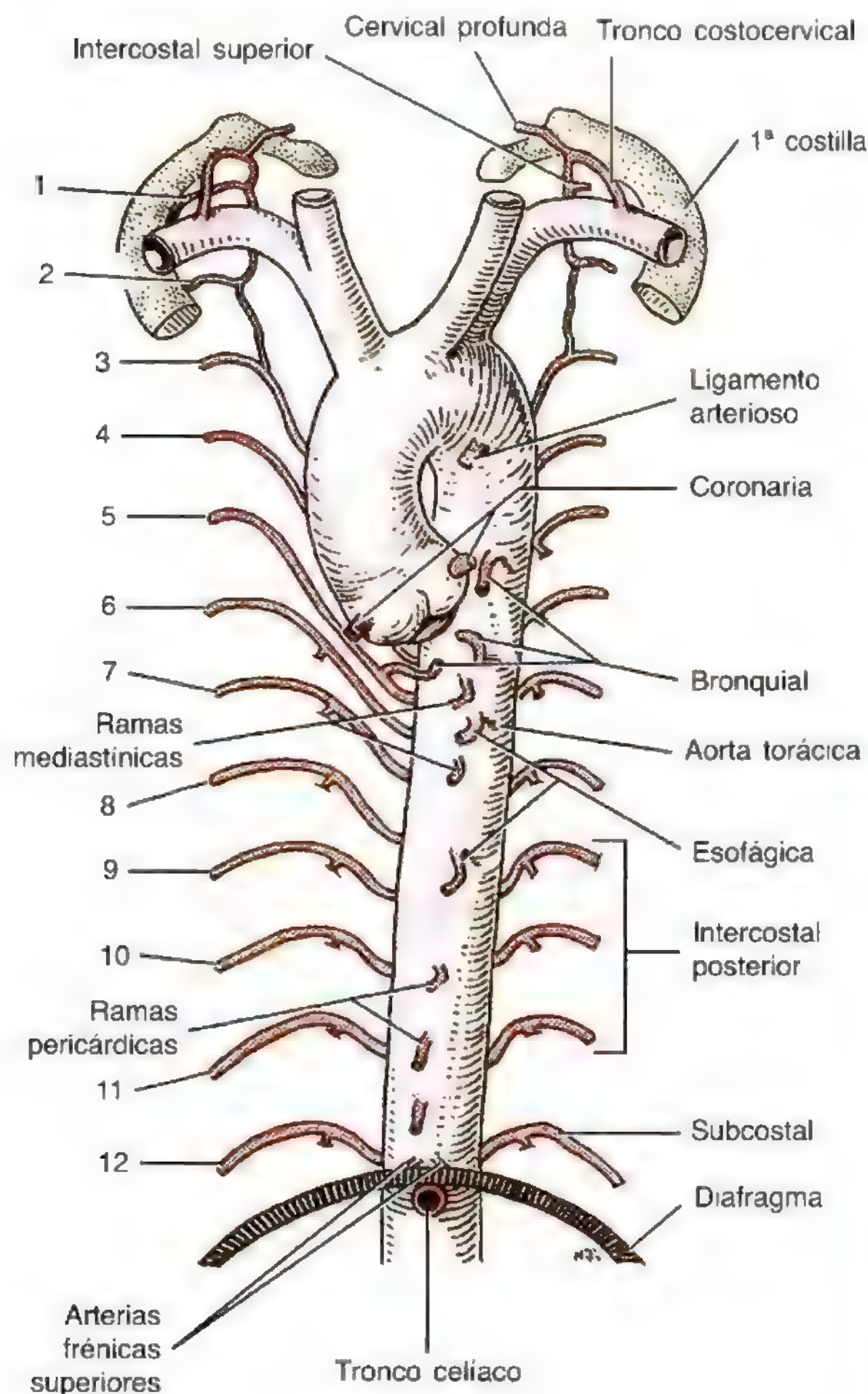


Figura 1.62. Ramas de la aorta torácica. Las arterias frénicas superiores, que emergen de la porción inferior de la aorta torácica, perfunden el diafragma. Los números 1 a 12 indican las arterias intercostales posteriores

Conducto torácico. El conducto torácico se sitúa en la cara anterior de los cuerpos de las últimas siete vértebras torácicas (fig. 1.63). Se trata del canal linfático mayor del organismo. El conducto torácico transporta la mayor parte de la linfa del organismo hasta el sistema venoso (linfa de los miembros inferiores, cavidad pélvica, cavidad abdominal, hemitórax izquierdo, lado izquierdo de la cabeza y cuello y miembro inferior izquierdo, es decir, todo el organismo, salvo el cuadrante superior derecho). El conducto torácico se origina en la **cisterna del quilo** (*L. cisterna chyli*) del abdomen y asciende a través del hiato aórtico del diafragma (fig. 1.61). El conducto torácico suele tener una pared fina y de color blanco mate; es frecuente su aspecto arrosariado por la cantidad de válvulas que posee. Asciende por el mediastino posterior, entre la aorta torácica a su izquierda, la vena ázigos a su derecha, el esófago por delante y los

cuerpos vertebrales por detrás. El conducto torácico se cruza a la izquierda a la altura de las vértebras T4, T5 o T6, detrás del esófago, y asciende hasta el mediastino superior. El conducto torácico recibe ramas de varios troncos colectores, a través de los espacios intercostales medio y superior de ambos lados. También recibe ramas de las estructuras mediastínicas superiores. Cuando termina suele acoger los troncos linfáticos yugular, subclavio y broncomediastínico (aunque cualquiera o todos estos vasos pueden terminar de forma independiente). El conducto torácico suele drenar al sistema venoso cerca de la unión entre las venas yugular interna y subclavia izquierda, es decir, en el "ángulo venoso" izquierdo o en el origen de la vena braquiocefálica izquierda (fig. 1.63), pero puede también drenar a la vena subclavia izquierda como se ilustra en la figura 1.61.

Desgarro del conducto torácico

Como las paredes del conducto torácico son finas e incolores, resulta difícil de reconocer. En consecuencia, se puede dañar de forma inadvertida durante una exploración o intervención quirúrgica sobre el mediastino posterior. El desgarro del conducto torácico durante un accidente o la cirugía pulmonar determina el escape de linfa a la cavidad torácica en cantidades que varían desde 75 a 200 ml por hora (Woodburne y Burkel, 1994). La linfa (quilo) también puede pasar a la cavidad pleural y producir un *quilotórax*. Este líquido se extrae mediante punción con aguja o mediante toracocentesis (pág. 89), pero a veces es necesario ligar el conducto torácico. Entonces, la linfa retorna al sistema venoso por otros conductos linfáticos, que se unen al conducto torácico por encima de la ligadura.

Variaciones del conducto torácico

Es frecuente observar variaciones del conducto torácico, porque la porción superior del mismo representa el miembro original izquierdo de una pareja de vasos embrionarios (Moore y Persaud, 1998). A veces se aprecian dos conductos torácicos separados por una pequeña distancia. ◻

Vasos y ganglios linfáticos del mediastino posterior.

La aorta torácica y sus ramas se expusieron con anterioridad. Los ganglios linfáticos mediastínicos posteriores (fig. 1.63) se encuentran posteriores al pericardio, donde se relacionan con el esófago y la aorta torácica. Existen varios ganglios posteriores a la parte inferior del esófago, así como (hasta ocho) anteriores y laterales a él. Los ganglios linfáticos mediastínicos posteriores reciben linfa del esófago, cara posterior del pericardio y diafragma y espacios intercostales posteriores centrales.

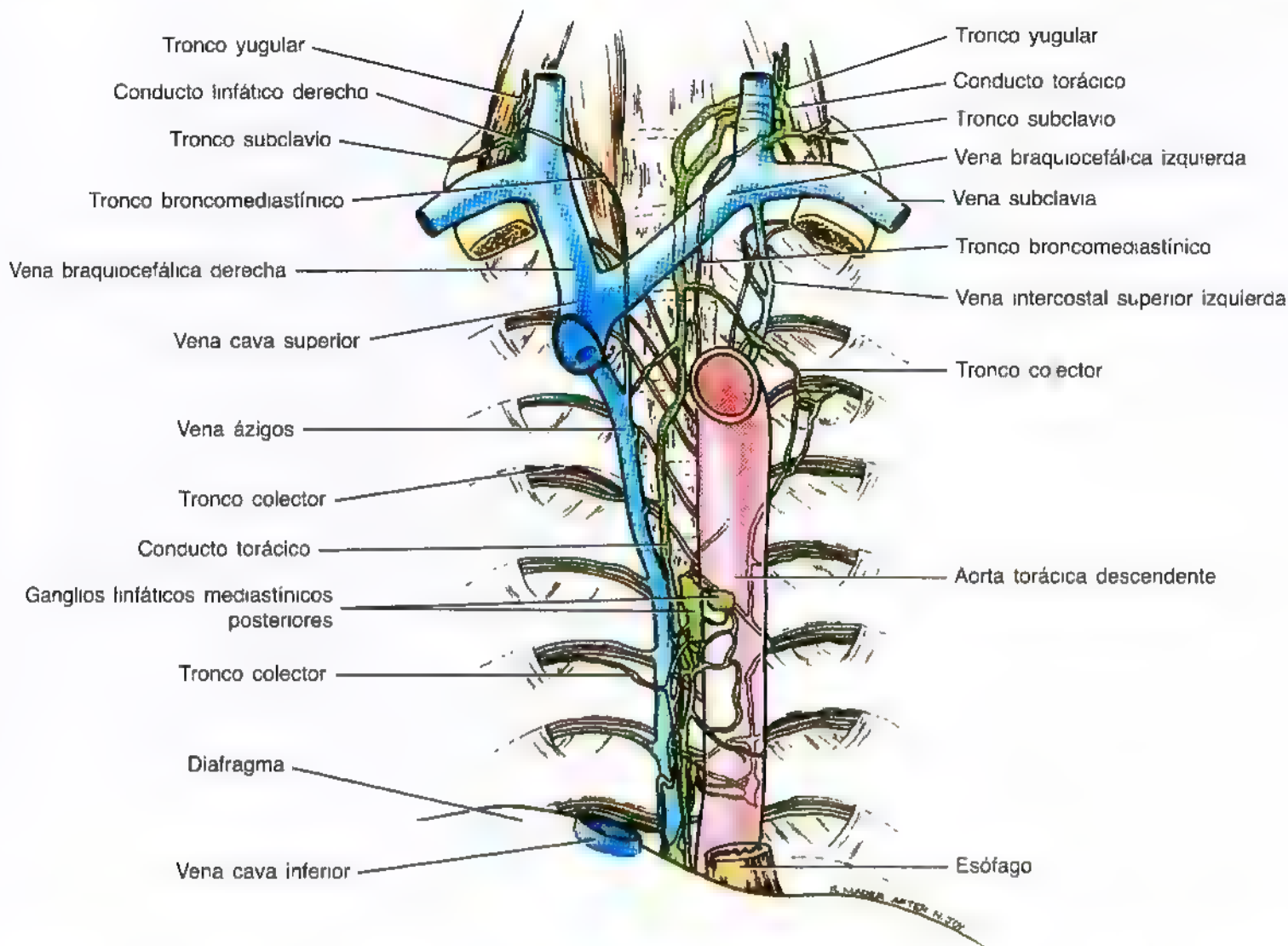


Figura 1.63. Conducto torácico y troncos broncomediastínicos. La aorta torácica se ha traccionado a guisa a la izquierda y la vena ázigos a la derecha para visualizar el conducto torácico, que asciende por la columna vertebral entre la vena ázigos y la aorta torácica descendente. Aproximadamente en la unión entre el mediastino posterior y superior (disco intervertebral T4/T5), el conducto torácico se gira a la izquierda y continúa ascendiendo hasta el cuello, donde se arquea lateralmente para desembocar cerca o en el ángulo de unión entre las venas yugular interna y subclavia ("ángulo venoso" izquierdo). Obsérvese, además, que el conducto torácico recibe ramas de los espacios intercostales de ambos lados a través de varios troncos colectores y ramas de las estructuras mediastínicas posteriores. Cuando está próximo a la desembocadura, el conducto torácico recibe los troncos yugular, subclavio y broncomediastínico. El conducto linfático derecho se forma por la unión entre los troncos yugular, subclavio y broncomediastínico derechos.

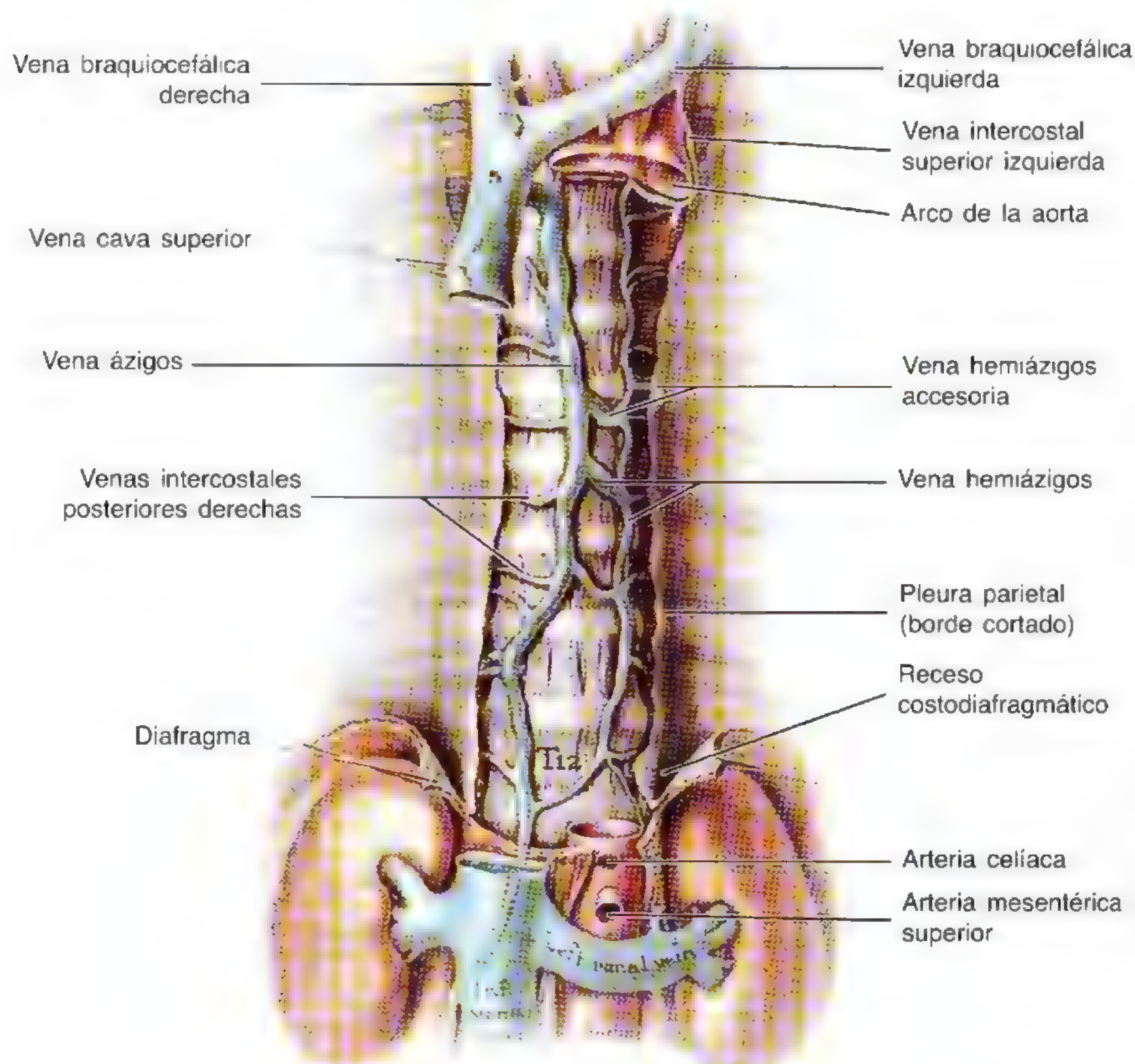
El **sistema venoso ázigos**, a cada lado de la columna vertebral, drena el dorso y las paredes toracoabdominales (fig. 1.64), así como las vísceras mediastínicas. Este sistema es muy variable no sólo en su origen, sino también en su trayecto, afluentes, anastomosis y terminación. La **vena ázigos** (ázigos significa par) y su afluente principal, la **vena hemiázigos**, suelen nacer de "raíces" o anastomosis de la cara posterior de la VCI o de la vena renal, respectivamente, que se unen a venas lumbares ascendentes.

La **vena ázigos** forma una vía colateral entre la VCS y la VCI, y drena la sangre de las paredes posteriores del tórax y del abdomen. Asciende por el mediastino posterior, cerca del lado derecho de los cuerpos de las últimas ocho vértebras torácicas. Se arquea sobre la cara superior de la raíz del pulmón derecho para unirse con la VCS, de forma análoga

al paso del arco de la aorta sobre la raíz del pulmón izquierdo. Además de las **venas intercostales posteriores**, la vena ázigos se comunica con los plexos venosos vertebrales que drenan el dorso, vértebras y estructuras del conducto raquídeo (véase el capítulo 4). La vena ázigos también recibe venas mediastínicas, esofágicas y bronquiales.

La **vena hemiázigos** nace a la izquierda, en la unión entre las venas subcostal izquierda y lumbar ascendente. Sube por el lado izquierdo de la columna vertebral, detrás de la aorta torácica, y llega hasta la vértebra T9. Aquí se cruza al lado derecho, detrás de la aorta, conducto torácico y esófago, para unirse a la vena ázigos. La vena hemiázigos recibe las tres últimas venas intercostales posteriores, las venas esofágicas inferiores y varias venas mediastínicas de pequeño tamaño.

Figura 1.64. Sistema venoso ázigos. Obsérvese que la vena ázigos comunica directamente la vena cava inferior (VCI) con la superior (VCS). Las venas ázigos y hemiázigos se continúan también por la cara inferior (debajo del diafragma) con las venas lumbares ascendentes (no se muestran en la figura).



La **vena hemiázigos accesoria** comienza en el extremo medial del 4º o 5º espacios intercostales y desciende por el lado izquierdo de la columna vertebral, desde T5 a T8. Recibe afluentes de las venas en el 4º a 8º espacios intercostales y, a veces, de las venas bronquiales izquierdas. Cruza las vértebras T7 o T8, detrás de la aorta torácica y del conducto torácico, para unirse con la vena ázigos. A veces, la hemiázigos accesoria se une a la hemiázigos y desemboca, con ésta, en la ázigos. La vena hemiázigos accesoria suele comunicarse con la vena intercostal superior izquierda, como

ilustra la figura 1.64. La vena intercostal superior izquierda, que drena el 1º a 3º espacios intercostales, puede comunicarse con la vena hemiázigos accesoria, pero casi siempre drena en la vena braquiocefálica izquierda.

Nervios del mediastino posterior. Los troncos simpáticos y sus ganglios asociados forman gran parte del sistema nervioso autónomo (fig. 1.65, tabla 1.7). Los **troncos simpáticos torácicos** se continúan con los cervicales y lumbares. Los troncos torácicos residen sobre las cabezas de las costillas en la parte superior del tórax, las articu-

Vías alternativas de retorno venoso al corazón

Las venas ázigos, hemiázigos y hemiázigos accesoria representan vías alternativas de drenaje venoso de las regiones torácica, abdominal y dorsal cuando sucede una *obstrucción de la VCI*. La vena ázigos accesoria de algunas personas sigue un curso paralelo al de la vena ázigos principal del lado derecho. A veces no se observa ningún sistema venoso hemiázigos. Una variación con interés

clínico, aunque poco común, consiste en que el sistema de la ázigos recibe toda la sangre de la VCI, salvo la del hígado. El sistema ázigos de estas personas drena casi toda la sangre inferior al diafragma, con excepción de la del tubo digestivo. Si la VCS obstruye por encima de la entrada de la vena ázigos, la sangre puede drenar por abajo en las venas de la pared abdominal y regresar a la aurícula derecha a través de la VCI del sistema venoso de la ázigos. •

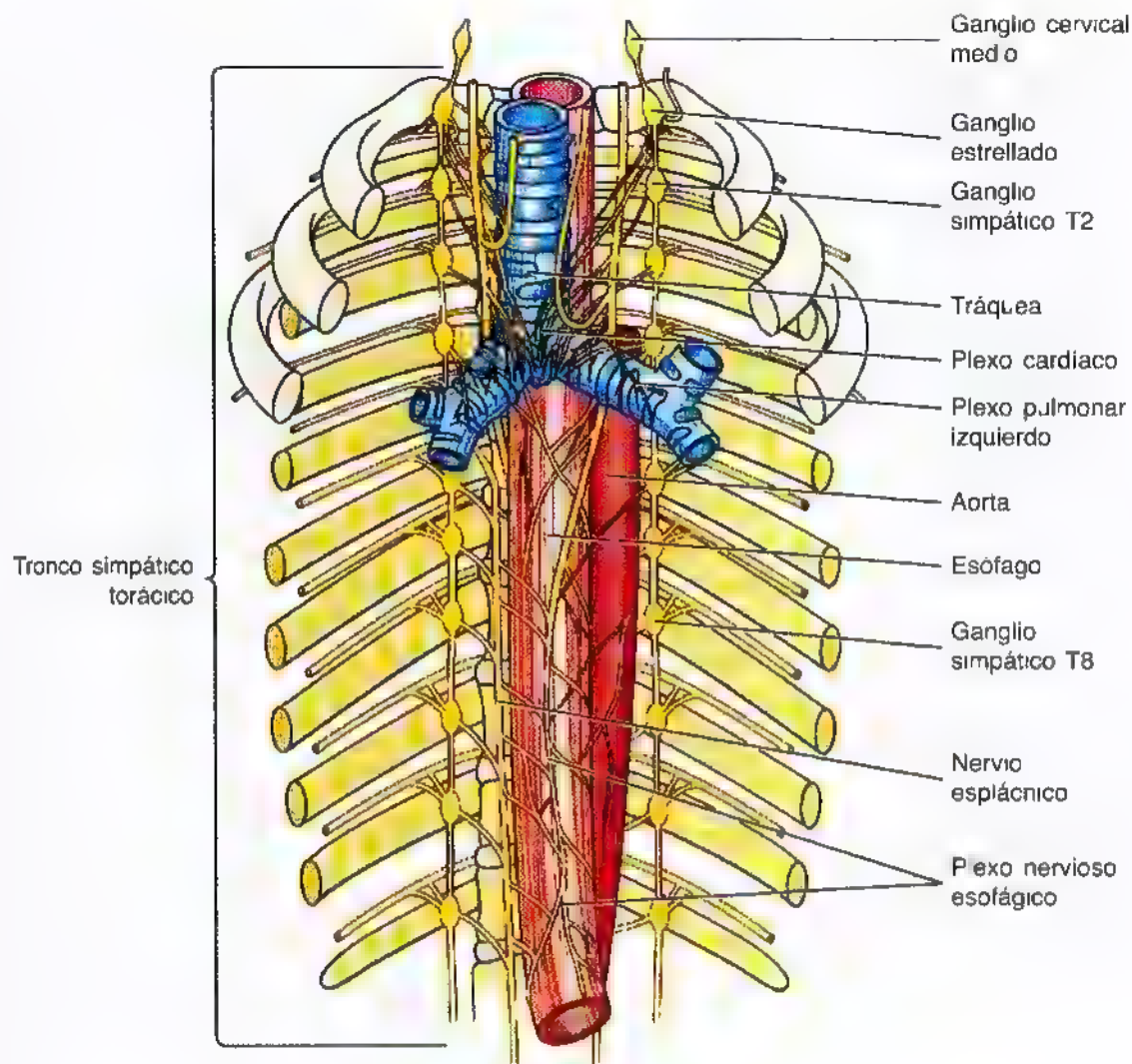


Figura 1.65. Nervios autónomos del mediastino superior y posterior. Obsérvense los troncos simpáticos torácicos y el ganglio estrellado cervicotorácico que se forma por la fusión del ganglio torácico inferior y del 1º ganglio torácico. A menudo, el 2º ganglio es mayor que los demás.

laciones costovertebrales en el plano torácico medio y los lados de los cuerpos vertebrales en la parte inferior del tórax. Los **nervios espláncnicos torácicos inferiores**—también conocidos como nervios espláncnicos mayor, menor y mínimo— integran los nervios espláncnicos abdominopélvicos, porque inervan las vísceras situadas debajo del diafragma. Constan de fibras presinápticas de los ganglios simpáticos 5º a 12º, que atraviesan el diafragma y establecen sinapsis con los ganglios prevertebrales del abdomen. Llevan la inervación simpática a la mayoría de las vísceras abdominales. Estos nervios espláncnicos se comentan más detenidamente en el capítulo del abdomen (véase el capítulo 2).

Mediastino anterior

El mediastino anterior, la división más pequeña del mediastino, se localiza entre el cuerpo del esternón y los músculos transversos del tórax por delante y el pericardio por detrás. Se continúa con el mediastino superior por el ángulo esternal y está limitado por la parte inferior por el diafragma. El mediastino anterior se compone de tejido conjuntivo laxo (*ligamentos esternopericárdicos*), grasa, vasos linfáticos y algunos ganglios linfáticos, así como ramas de los vasos torácicos internos. El mediastino anterior de los niños o mayores contiene la parte inferior del timo. De manera excepcional, esta glándula puede extenderse hasta la altura del 4º cartílago costal.

Imágenes del tórax

Las técnicas principales de imagen para el estudio del tórax son la radiografía, la ecocardiografía, la tomografía computarizada y la resonancia magnética (RM).

Radiografía

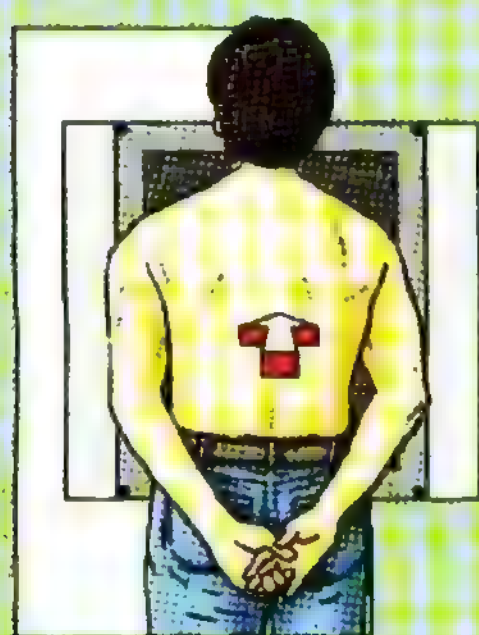
La radiografía de tórax más solicitada es la **proyección posteroanterior (PA)** (fig. 1.66). El radiólogo o el técnico piden al paciente que se coloque con la cara ▶

► anterior del tórax frente al cartucho de la película de rayos X y gire los hombros por delante, para que las escápulas se alejen de la porción de los vértices pulmonares (fig. 1.66A). El enfermo debe inspirar profundamente y mantener la respiración. Con la inspiración profunda, las cúpulas diafragmáticas descienden, los pulmones se llenan de aire (su radiotransparencia aumenta) y las porciones costodiafragmáticas de los pulmones entran en sus recesos costodiafragmáticos. En las proyecciones PA, casi todas las costillas se visualizan perfectamente contra el fondo de los pulmones, relativamente transparentes. Las costillas inferiores suelen enmascarse por el diafragma y el contenido superior del abdomen (p. ej., hígado), dependiendo de la fase respiratoria en la que se tome la radio-

grafía. En general, la proyección PA sólo permite ver los bordes laterales del manubrio. Más raramente se detectan costillas cervicales, costillas ausentes, costillas en horquilla y costillas fusionadas. A veces, los cartílagos costales de las personas mayores están calcificados, en particular los de los cartílagos inferiores.

Para las **radiografías laterales** se pega la cara lateral del tórax al cartucho de la película y se elevan los miembros superiores por encima de la cabeza. Las radiografías laterales permiten visualizar mejor una lesión o una anomalía confinada en uno de los lados del tórax.

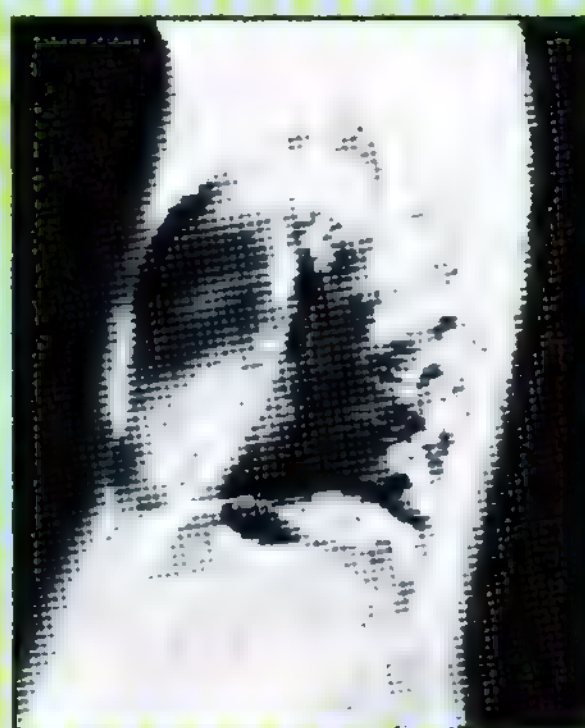
La **radiografía PA** es una mezcla de las imágenes emitidas por los tejidos blandos y los huesos de la pared torácica. Los tejidos blandos, incluidas las glándulas



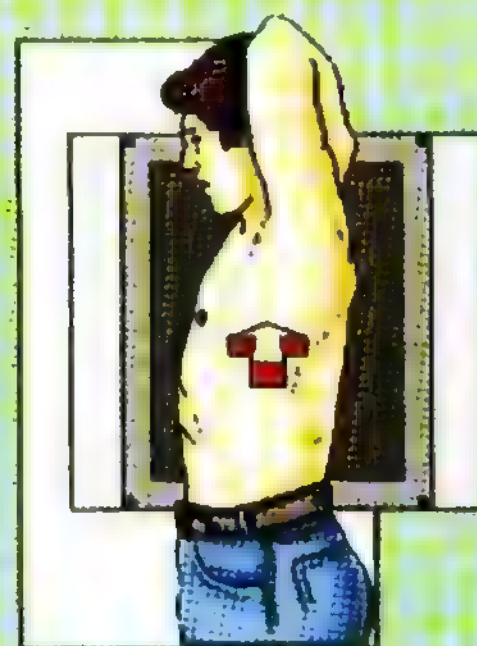
(A)



(B) Radiografía PA de tórax (vista en posición AP)

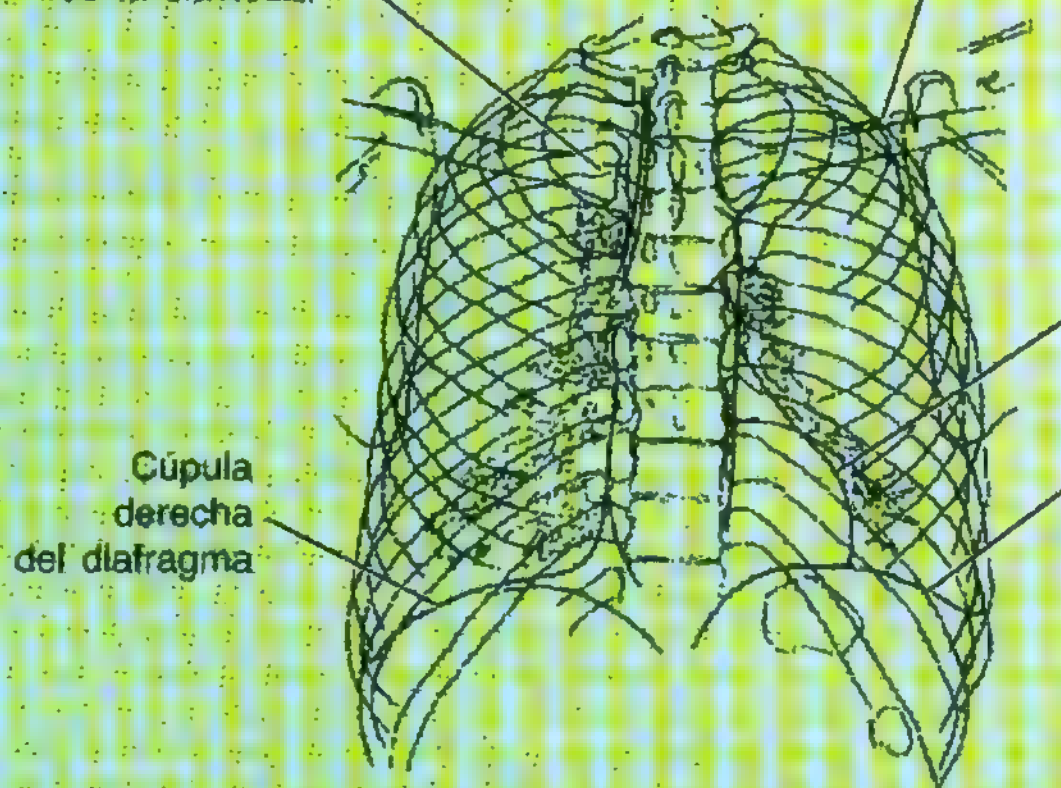


(D) Radiografía lateral de tórax



(E)

Extremo esternal
(medial)
de la clavícula



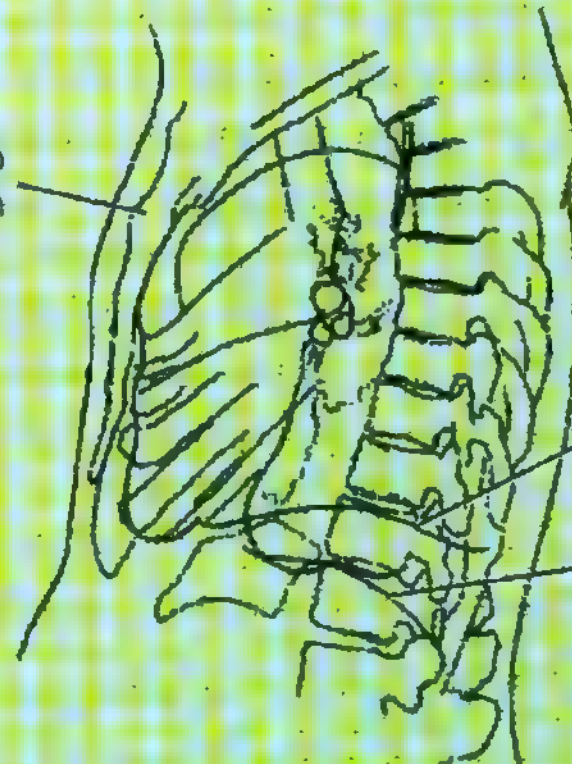
(C) Dibujo esquemático de la radiografía PA

Sombra de la clavícula

Pared del ventrículo izquierdo

Cúpula izquierda del diafragma

Cuerpo del esternón



(F) Dibujo esquemático de la radiografía lateral

Figura 1.66. Radiografías de tórax. A. Orientación del tórax con respecto a la placa y el haz de rayos X (flecha) para la radiografía posteroanterior (PA). B. Radiografía PA de tórax. C. Esquema que identifica las principales estructuras visibles en la radiografía PA. La cúpula derecha suele elevarse más que la izquierda. D. Radiografía lateral de tórax. E. Orientación del tórax con respecto a la placa y el haz de rayos X (flecha) para la radiografía lateral. F. Esquema que muestra las estructuras que se ven en la radiografía lateral.

► **mamarias**, arrojan sombras de densidad variable según su composición y grosor. Paralelamente a los bordes superiores de las clavículas, se observan sombras de la piel y tejidos subcutáneos que cubren estos huesos. Las clavículas, las costillas y las vértebras cervicales y torácicas superiores se ven en esta proyección. Las demás vértebras torácicas se encuentran más o menos veladas por el esternón y el mediastino. En la radiografía lateral de tórax (fig. 1.66D) se ven las vértebras torácicas medias e inferiores, aunque están parcialmente borradas por las costillas. Asimismo, se ven las tres partes del esternón. En las proyecciones PA se separan las **cúpulas derecha e izquierda del diafragma** por el tendón central, oculto por el corazón. La cúpula derecha del diafragma, creada por el hígado subyacente, suele quedar aproximadamente medio espacio intercostal por encima de la izquierda. En una proyección lateral suelen verse las dos cúpulas, que forman un arco superior desde el esternón. Los **pulmones**, de densidad baja y bastante transparentes, se distinguen de las estructuras vecinas. Los pulmones tienen una densidad radiológica parecida a la del aire y, por eso, dan zonas radiotransparentes pareadas. En las proyecciones PA, los pulmones quedan oscurecidos debajo de las cúpulas diafragmáticas y por delante y detrás del mediastino. Las zonas oscurecidas en la proyección PA suelen verse en la radiografía lateral. Las **arterias pulmonares** se ven en el hilo de cada pulmón. Los **vasos intrapulmonares** tienen un calibre algo mayor en los lóbulos inferiores. Los cortes transversales de los bronquios, llenos de aire, muestran centros transparentes y paredes finas.

El **corazón** arroja la mayor parte de la sombra radiopaca central en las proyecciones PA (fig. 1.66B), pero no se distinguen sus cavidades. El conocimiento de las estructuras que crean la sombra o **silueta cardiovascular** (fig. 1.67A) tienen interés, porque las modificaciones de la silueta pueden indicar anomalías o enfermedades funcionales. En una proyección AP, los bordes de la silueta cardiovascular corresponden a éstos:

• **Borde derecho:** vena braquiocéfálica derecha, VCS, aurícula derecha y VCI.

• **Borde izquierdo:** porción terminal del arco aórtico (botón aórtico), tronco pulmonar, aurícula izquierda y ventrículo izquierdo.

La porción inferior de la silueta cardiovascular corresponde a la región del vértice. El vértice anatómico característico, cuando aparece, suele quedar inferior a la sombra del diafragma. Los tres tipos principales de silueta cardiovascular son (fig. 1.67B):

- **Transversa:** se observa en personas obesas, mujeres embarazadas y lactantes.
- **Oblicua:** característica de la mayoría de las personas.
- **Vertical:** en sujetos con tórax estrechos.

Radioscopia

Los movimientos de los diferentes órganos (p. ej., corazón, pulmones y diafragma) se pueden estudiar con la radioscopia. En este caso, los rayos X impactan sobre la pantalla de entrada de un tubo intensificador de la imagen, acoplado a un monitor de televisión. Este sistema de televisión con intensificador de la imagen ofrece una mayor resolución y una menor exposición radiactiva.

Broncografía

La broncografía —exploración radiológica del árbol traqueobronquial después de introducir un material radiopaco aceitoso (en aerosol o goteo)— se utiliza ahora muy poco, ya que la tomografía computarizada (TC) de gran resolución y la broncoscopia la han sustituido.

Cateterismo cardíaco

Para el cateterismo cardíaco se introduce un catéter radiopaco en una vena periférica y se pasa, bajo control radioscópico, hasta la aurícula derecha, ventrículo derecho, tronco pulmonar y arterias pulmonares, respectivamente. Con esta técnica se pueden registrar las presiones

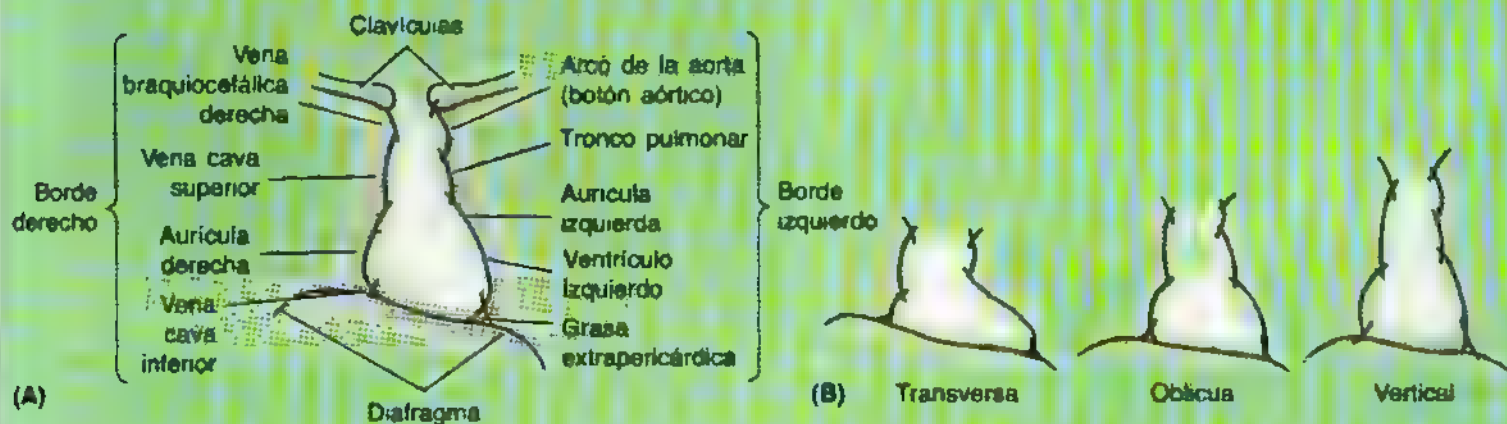


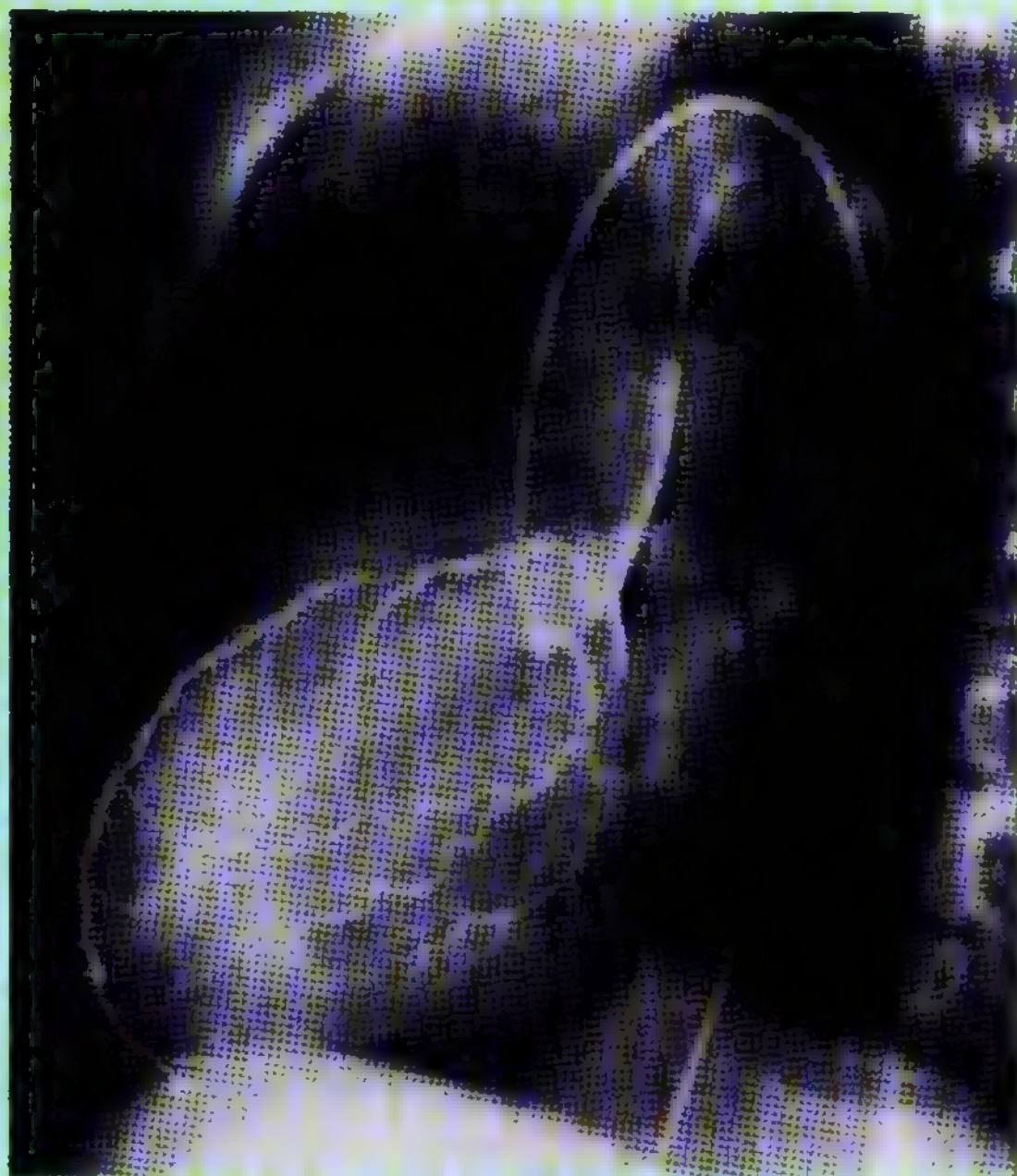
Figura 1.67. Sombras cardiovasculares (siluetas mediastínicas). A. Composición de los bordes de la silueta cardiovascular. B. Tipos de siluetas cardiovasculares.

► dentro del corazón y tomar muestras de sangre. Si se inyecta un medio de contraste radiopaco se puede seguir su tránsito por el corazón y los grandes vasos, mediante tomas seriadas de la película radiológica. Otra posibilidad consiste en la **cinerradiografía**, que visualiza el flujo del colorante "en tiempo real". Estas dos técnicas permiten

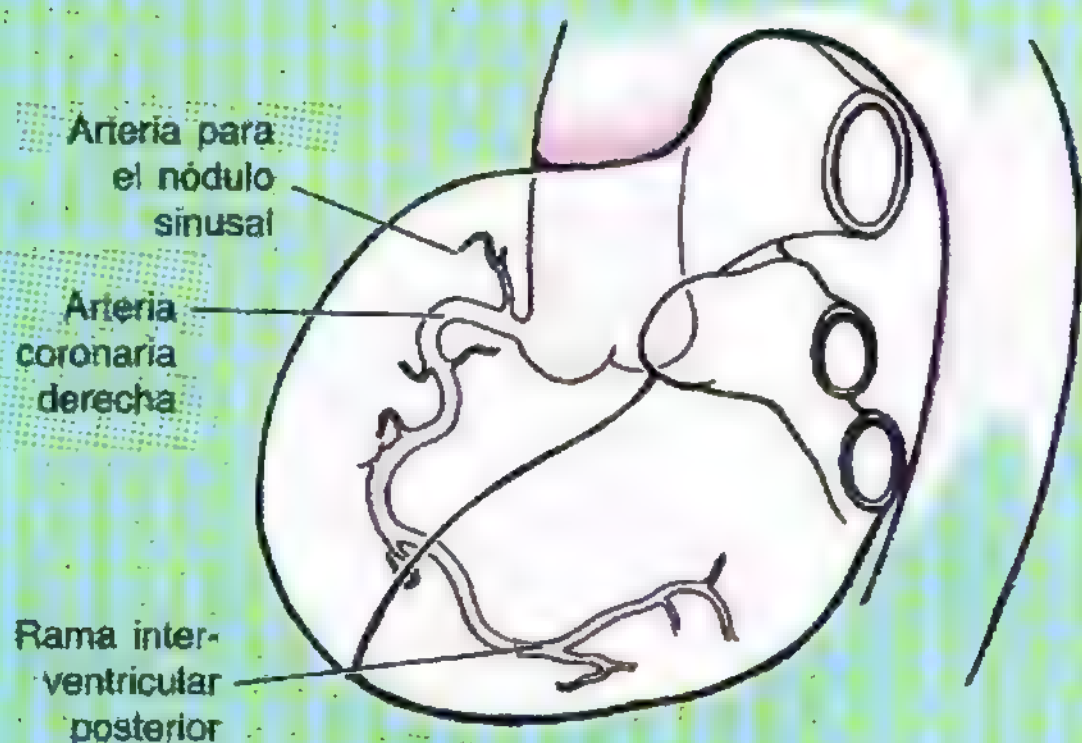
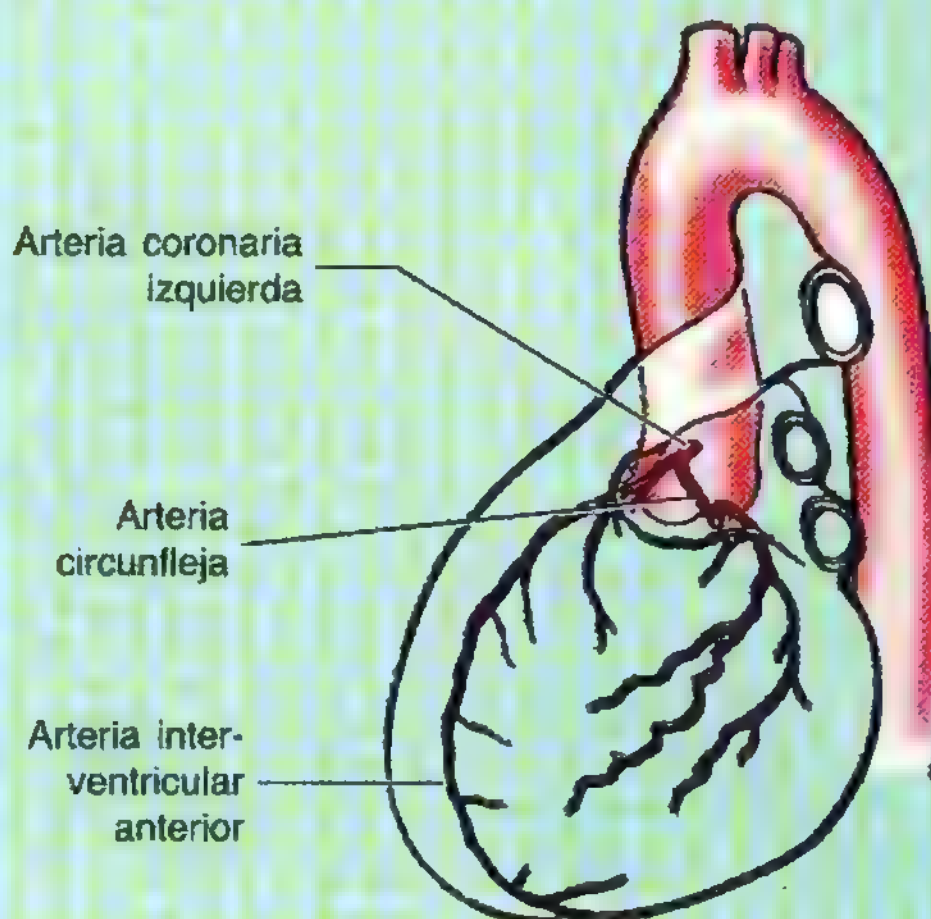
estudiar la circulación por el corazón funcionando y ayudan a la investigación de las cardiopatías congénitas.

Angiografía coronaria

La angiografía coronaria permite visualizar las arterias coronarias (fig. 1.68). Se pasa un catéter largo y ►



(A) Visión lateral izquierda



(B) Visión oblicua anterior izquierda

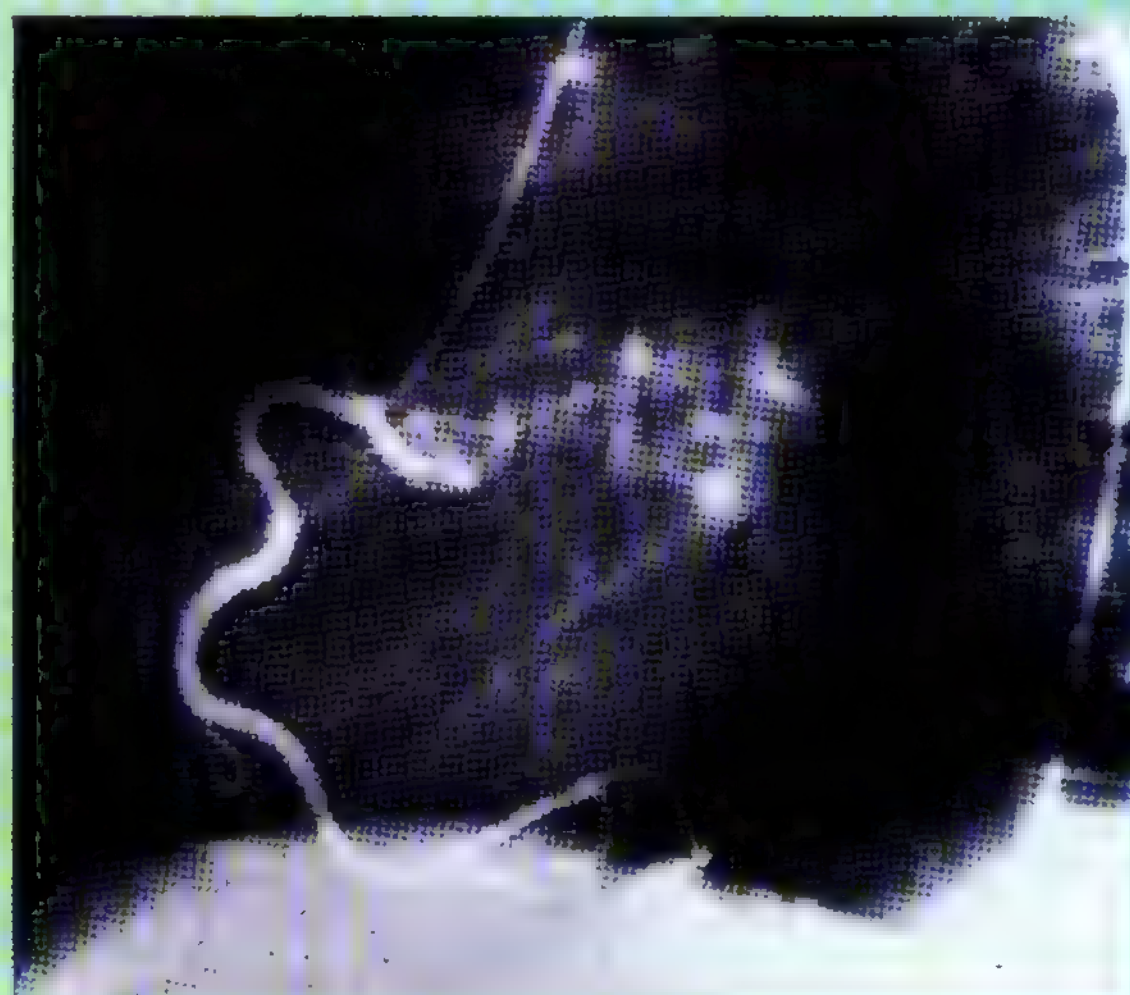


Figura 1.68. Coronariografía. El dibujo de orientación muestra el trayecto de la arteria coronaria izquierda que se ilustra en la arteriografía (A). Obsérvese la posición del catéter en la aorta ascendente y el arco de la aorta. B. Obsérvese la arteria del nódulo sinusal que emerge de la arteria coronaria derecha. (Cortesía del Dr. I. Morrow, Departamento de Radiología, Centro de Ciencias de la Salud, Universidad de Manitoba, Winnipeg, Manitoba, Canadá.)

► estrecho por las arterias femoral (del muslo) o braquial (brazo) hasta la aorta ascendente. Con control radioscópico se coloca la punta del catéter justo dentro del orificio de una arteria coronaria. Se inyecta una pequeña cantidad de contraste radiopaco y se toman cine-radiografías que revelan la luz arterial y sus ramas, así como las posibles zonas de estenosis. De forma similar se puede proceder a un **angiograma aórtico** inyectando un contraste radiopaco en la aorta y en los orificios de las arterias que nacen del arco aórtico (fig. 1.69).

Ecocardiografía

La ecocardiografía (ecografía del corazón) es un método para el registro gráfico de la posición y movimiento del corazón por el eco obtenido de los haces de ondas ultrasónicas dirigidos a través de la pared torácica. La ecocardiografía delimita las estenosis y regurgitaciones valvulares, sobre todo en las paredes cardíacas izquierdas. Con esta técnica se detectan cantidades tan pequeñas como 20 ml de sangre en la cavidad pericárdica, por ejemplo por un derrame pericárdico. La *ecocardiografía Doppler* es una técnica que registra el flujo de la sangre por el corazón y los grandes vasos.

Tomografía computarizada y resonancia magnética

La TC y la RM se utilizan a menudo para explorar el tórax (figs. 1.70 y 1.71). La TC se combina a veces con la mamografía para detectar el cáncer de mama. Antes de tomar las imágenes de TC se inyecta por vía intravenosa un medio de contraste yodado. Como las células del cáncer de mama poseen una afinidad inusitada por el yoduro, resulta fácil reconocerlas. La TC es una técnica más rápida y menos costosa, pero la RM detecta y delimita mejor las lesiones. Los *cortes de TC* muestran una sección horizontal de lo que encontraría el médico si examinara el cuerpo del paciente sobre una camilla de exploración, colocándose a los pies de éste. Por eso, el borde lateral izquierdo de la imagen corresponde a la superficie lateral izquierda del cuerpo del enfermo. La RM permite construir imágenes diversas de secciones transversas, sagitales, oblicuas o coronales del cuerpo. La TC y la RM se utilizan, sobre todo, como complementos de la radiografía convencional cuando se desea una imagen sensible de gran contraste. La TC se utiliza más que la RM por razones de costo, velocidad y disponibilidad.

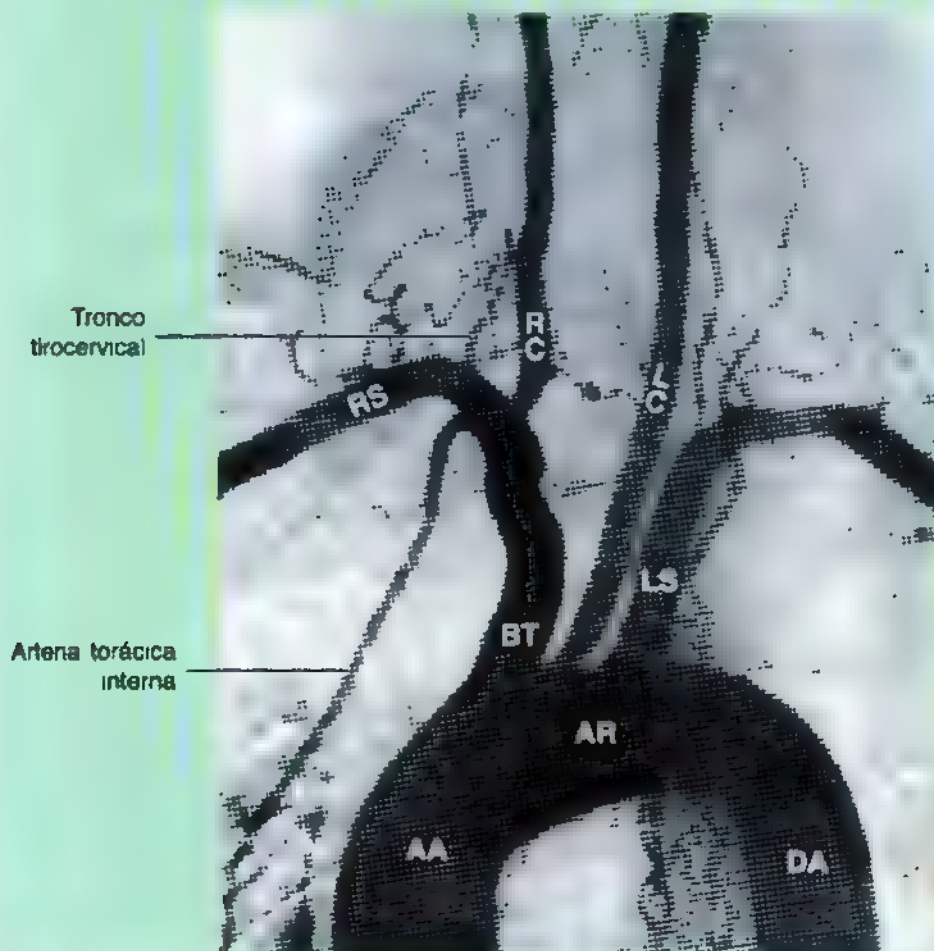


Figura 1.69. Angiograma aórtico.

Obsérvese la aorta ascendente (AA), el arco de la aorta (AR), la aorta torácica descendente (DA), el tronco braquiocéfálico (BT) que se ramifica en las arterias subclavia derecha (RS) y carótida común derecha (RC). Las arterias subclavia izquierda (LS) y carótida común izquierda (LC) nacen directamente del arco de la aorta. (Cortesía de Dr E L Lansdown Profesor de Imagen Médica, Universidad de Toronto, Toronto, Ontario, Canadá)

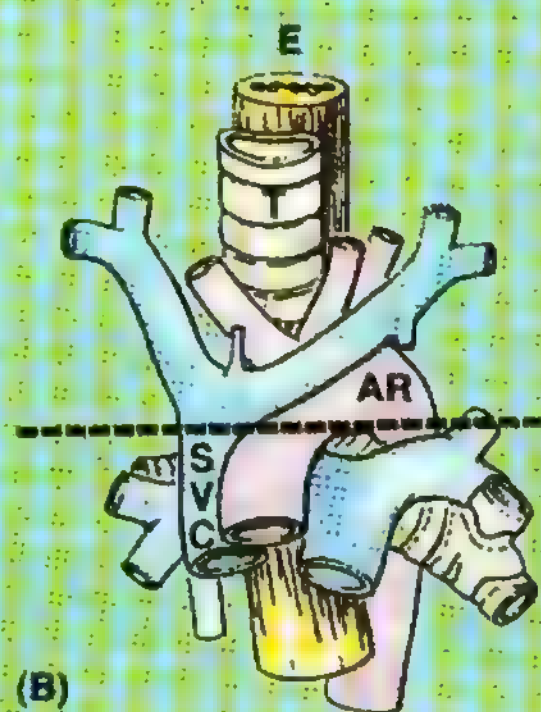
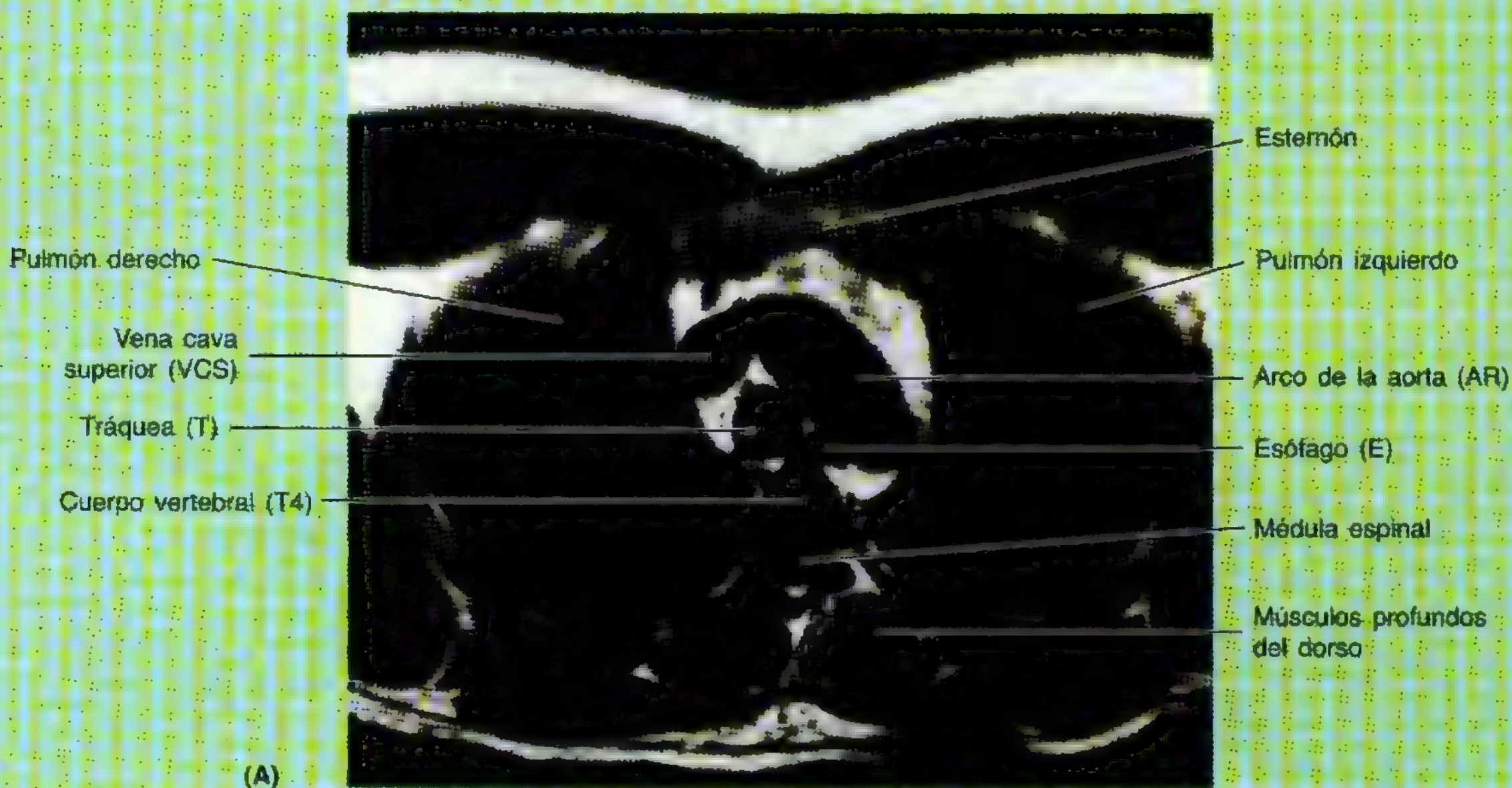
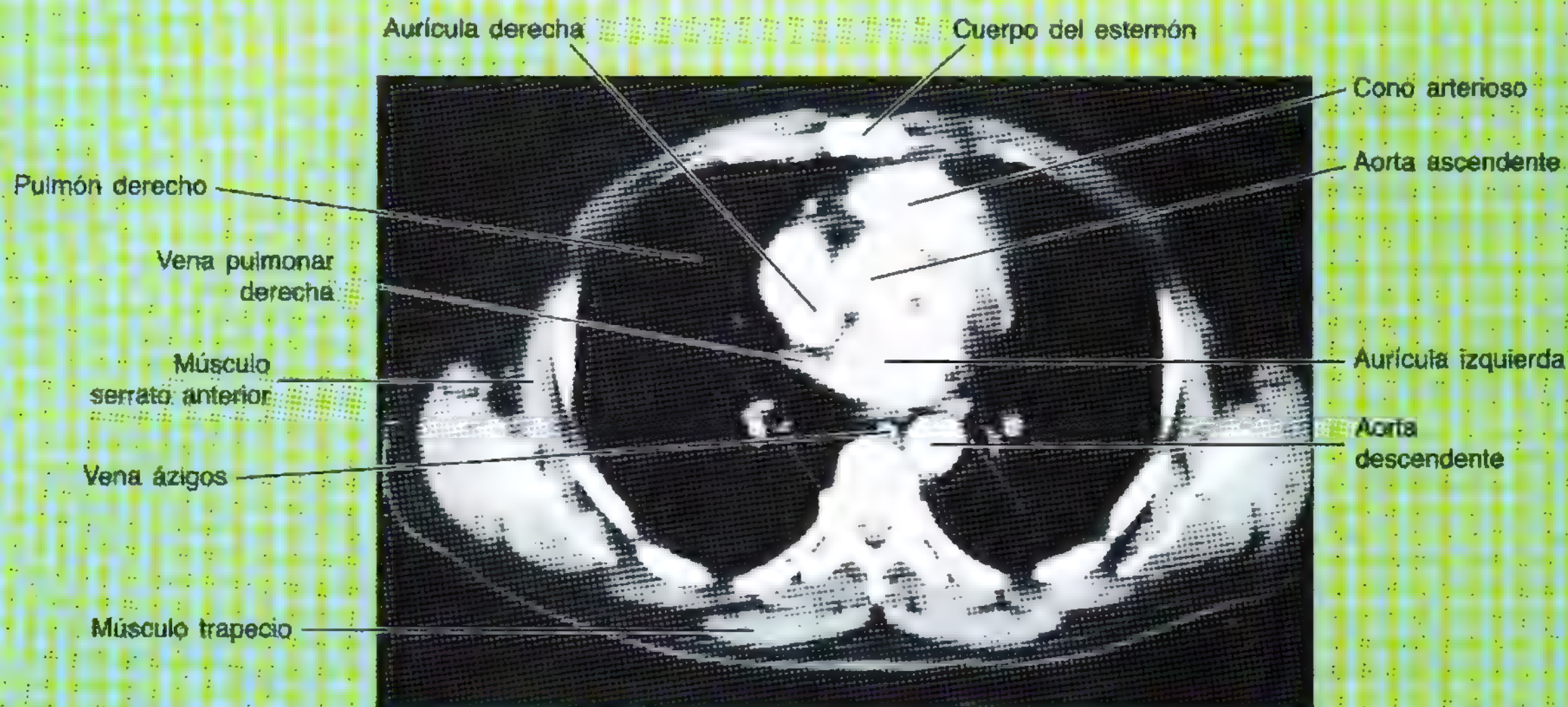


Figura 1.71. RM transversa de tórax. A. RM transversa del mediastino superior por el arco de la aorta. (Cortesía del Dr. W. Kucharczyk, Director de Imagen Médica, Universidad de Toronto y Director Clínico del Centro de Resonancia Magnética Tri-hospitalario, Toronto, Ontario, Canadá.) **B.** Diagrama que ilustra el plano de la RM.

ESTUDIO DE CASOS CLÍNICOS

Caso 1.1

Varón joven con una herida punzante en el tórax, tras caído en seguida al hospital. La herida punzante se localiza en el 3^{er} espacio intercostal izquierdo justo lateral al esternón. El médico de urgencias señaló que las venas de la cara y el cuello se encontraban ingurgitadas.

Problemas clinicoanatómicos

- ¿Qué estructuras vitales se pueden haber lesionado?
- ¿Cuál es la causa más probable de la ingurgitación venosa cervical y facial?
- ¿Qué procedimiento clínico urgente habría que efectuar antes de trasladarlo al quirófano?

Estos problemas se comentan en la página 171

Caso 1.2

Durante la exploración física de una muchacha de 12 años, un médico joven no logró detectar el latido cardíaco. Sin embargo, el pulso radial era normal. Después de meditar largo tiempo, el médico logró detectar el latido normal del corazón.

Problemas clinicoanatómicos

- ¿Dónde debería el médico auscultar, en principio, el latido de la punta cardíaca?
- ¿Qué anomalía congénita de corazón podría explicar que no se detectara el latido de la punta en el hemitórax izquierdo?
- ¿En qué otro lugar se podría detectar el latido de la punta?

Estos problemas se exponen en la página 171

Caso 1.3

Una fumadora inveterada de 42 años consulta a su médico por alteraciones de la voz, adelgazamiento intenso, tos persistente y esputo teñido de sangre. Se solicitan una broncoscopia y radiografías de tórax. En la broncoscopia se encuentra una *distorsión de la carina*. En las radiografías de tórax y en la biopsia posterior se detectó un carcinoma broncogénico del lóbulo superior del pulmón izquierdo.

Problemas clinicoanatómicos

- Ante estos signos y síntomas, ¿dónde metastatizaron las células cancerosas del tumor?
- ¿Qué otros ganglios linfáticos superficiales podrían estar aumentados de tamaño y palparse?
- ¿Cuál es la causa más probable de las alteraciones de la voz?
- ¿Por qué se distorsiona la carina?

Estos problemas se comentan en la página 171

Caso 1.4

Mujer de 46 años que consulta al médico por notar un bulto duro e indoloro en la mama izquierda. El médico advirtió en la exploración física un bulto situado en el cuadrante superoexterno de la mama, así como depresión y engrosamiento de la piel de dicho cuadrante. Por otro lado, el pezón izquierdo se situaba claramente más alto que el derecho. Al palpar la axila se encontraron adenopatías duras (ganglios linfáticos aumentados de tamaño). Se estableció el diagnóstico de carcinoma de mama.

Problemas clinicoanatómicos

- ¿Hacia dónde transporta la mayor parte de la linfa del cuadrante superoexterno izquierdo de la mama casi todas las células cancerosas?
- ¿Hacia qué otros ganglios linfáticos podría la linfa llevar las células cancerosas?
- ¿Cuál es la causa del engrosamiento y la depresión de la piel, así como de la elevación del pezón?

Estos problemas se abordan en la página 171

Caso 1.5

Mujer de 45 años que, mientras jugaba al tenis, presenta un colapso repentino. Se queja de dolor intenso en el tórax y el brazo izquierdo. Su compañera la traslada inmediatamente al hospital.

Problemas clinicoanatómicos

- ¿Cuál podría ser la causa del dolor torácico y braquial de esta mujer?
- ¿Por qué la mujer notó dolor por la cara interna del brazo izquierdo?
- ¿Se suele referir el dolor visceral del tórax al brazo izquierdo?

Estos problemas se comentan en la página 171

Caso 1.6

Una mujer recibe una puñalada en la parte inferior y lateral derecha del cuello. La herida punzante se sitúa unos 2,5 cm superior al tercio medial de la clavícula. Poco después de controlar la hemorragia, la enferma empieza a respirar de forma rápida y la persona paraseguro le suministra oxígeno. En la exploración física se detecta un desplazamiento significativo de la punta de la lengua a la izquierda y en la auscultación apenas se escucha el murmullo vesicular del hemitórax derecho.

Problemas clinicoanatómicos

- ¿Qué estructuras se han podido lesionar?
- ¿Qué lesiones provocan un desplazamiento de la punta de la lengua a la izquierda?

- ¿Qué procedimiento habría que efectuar para rectificar la posición anómala del corazón?
- ¿Qué estructuras se pueden lesionar durante este procedimiento?

Estos problemas se comentan en la página 172.

Caso 1.7

Un varón de 62 años consulta al médico por dificultad respiratoria. Durante la exploración física, el médico palpa la tráquea del enfermo en la escotadura yugular. Al parecer, la tráquea se desplaza de forma anómala durante la sístole cardíaca. En el estudio radiológico se detecta un *aneurisma del arco aórtico*.

Problemas clinicoanatómicos

- ¿Qué es un aneurisma del arco aórtico?
- ¿Por qué esta anomalía es tan frecuente en las personas mayores?
- ¿Qué estructuras puede comprimir el aneurisma?
- ¿Por qué se desplaza la tráquea de forma anormal durante la sístole cardíaca?

Estos problemas se exponen en la página 172.

Caso 1.8

Mientras sostenía una discusión acalorada con un cliente, una ejecutiva de 48 años experimentó un dolor retroesternal repentino y opresivo en el tórax, que se irradió por la cara medial del brazo izquierdo. El cliente le ayudó a acomodarse en un sofá, mientras la mujer trataba de aliviar el dolor retorciéndose, estirándose y eructando. La secretaria la encontró pálida, sudorosa y retorcida de dolor, por lo que llamó al médico y a una ambulancia. El equipo de la ambulancia le administró oxígeno y la trasladó de inmediato al hospital, donde ingresó en la unidad de cuidados intensivos (UCI). Se mantuvo bajo observación, con monitorización del ECG, para la detección de posibles arritmias mortales. La presión arterial era baja (signo de *shock*).

Durante la anamnesis, el residente encontró que la paciente había sufrido ataques previos de dolor retroesternal durante el estrés, que se resistía a describir como dolor. Ella indicaba que la molestia solía desaparecer con el reposo. Cuando el médico residente le pidió que describiera el dolor actual, dijo que era el dolor más intenso que había sentido jamás, y cerró el puño para indicar su naturaleza torturante. Afirmó que cuando notó el dolor tuvo una sensación de debilidad y náuseas. En la auscultación, el médico encontró una arritmia ocasional. El ECG también era anormal.

Diagnóstico. *Infarto agudo de miocardio (IAM)* causado por aterosclerosis coronaria, que provocó una isquemia del miocardio.

Problemas clinicoanatómicos

- Defina el infarto agudo de miocardio y la aterosclerosis coronaria.

- Explique la base anatómica del dolor referido por esta paciente en el lado izquierdo del tórax, hombro y cara medial del brazo.

Estos problemas se explican en la página 172.

Caso 1.9

Un varón de 58 años, que ha residido en una zona industrial toda su vida, consulta al médico porque al toser emitió sangre (*hemoptisis*) y además presenta dificultad respiratoria (*disnea*) durante el ejercicio. El médico averigua que el paciente ha sido fumador de muchos cigarrillos durante más de 40 años y lleva varios años con una "tos del fumador". El paciente refiere que la disnea y la tos han empeorado en los últimos meses. Hace aproximadamente 3 semanas advirtió que el esputo tenía estrías de sangre y señaló que había sufrido dolor torácico (*angina de pecho*) en el lado izquierdo del tórax en ese momento. En la exploración física se palpan adenopatías supraclaviculares mediales izquierdas, de una consistencia más dura de lo habitual. El murmullo vesicular y la resonancia en el hemitórax izquierdo se encuentran más apagados que en el derecho. El médico solicita una radiografía de tórax.

Informe del radiólogo. Se aprecia borramiento (oscurecimiento) del hilio del pulmón derecho por una masa. No se reconoce el contorno mediastínico izquierdo normal, por encima del hilio, y el resto del pulmón izquierdo presenta cierta radiotransparencia. El mediastino se encuentra desviado a la izquierda. Probablemente, estas alteraciones obedezcan a un tumor maligno situado en el bronquio del lóbulo superior izquierdo, con metástasis en los ganglios linfáticos del hilio ipsolateral.

Broncoscopia. Al examinar el interior de los bronquios principales, bajo anestesia local, con un broncoscopio, el otorrinolaringólogo observa una masa que obstruye parte del origen del bronquio del lóbulo superior izquierdo. Toma una biopsia del tumor con el broncoscopio. Asimismo, toma una muestra de las adenopatías supraclaviculares para su examen microscópico.

Mediastinoscopia. El examen del mediastino con un mediastinoscopio, introducido a través de una incisión supraesternal bajo anestesia, revela adenopatías traqueobronquiales. El cirujano toma una biopsia de estos ganglios a través del mediastinoscopio.

Informe de anatomía patológica. La muestra de biopsia bronquial contiene un carcinoma broncogénico. Las muestras de las adenopatías supraclaviculares no revelan una invasión tumoral clara, pero los ganglios linfáticos mediastínicos contienen numerosas células malignas (cancerosas).

Diagnóstico. *Carcinoma broncogénico* con metástasis en los ganglios linfáticos del mediastino.

Problemas clinicoanatómicos

- Basándose en su conocimiento de las relaciones anatómicas entre los bronquios y los pulmones, indique qué estructuras podrían afectarse por la extensión directa de un tumor maligno del bronquio.

- ¿Dónde cabría esperar que metastatizaran las células tumorales a través de la linfa y de la sangre?
- ¿Qué particularidad reúne el drenaje linfático del lóbulo inferior del pulmón izquierdo?
- Explique la base anatómica más verosímil de las metástasis cerebrales de un carcinoma broncogénico

Estos problemas se comentan en la página 172

Caso 1.10

Durante una discusión violenta con su esposa, un hombre de 44 años, ebrio, recibe una puñalada con un cuchillo de mondar con un filo de 9 cm de longitud. El cuchillo penetra en el 4º espacio intercostal izquierdo, cerca del borde esternal. En el momento de su llegada al servicio de urgencias de hospital, el enfermo estaba semiinconsciente, con *shock* y una respiración jadeante. Pocos instantes después se queda inconsciente y fallece. El médico forense practica la autopsia.

Informe de la autopsia. La defunción se debió a las pérdidas hemáticas excesivas y al taponamiento cardíaco causado por la herida punzante.

Problemas clinicoanatómicos

- Con sus conocimientos de la anatomía y superficie del tórax, ¿qué órgano u órganos podría haber punccionado el cuchillo?
- ¿En qué lugar se acumuló la sangre?
- Exponga el taponamiento cardíaco y por qué este trastorno causó, con toda probabilidad, la muerte de este hombre.

Estos problemas se comentan en la página 173.

Caso 1.11

Un varón delgado y de talle baja, con miembros espigados (*hábito gracil*), de 42 años, se queja de dificultades respiratorias recientes durante el ejercicio (*disnea de esfuerzo*) y de extraordinario cansancio. Afirma que casi siempre se ha encontrado bien hasta el último año cuando empezó a sufrir varias infecciones respiratorias. En la exploración física se encuentra un matado prominente de ventrículo derecho. En el 2º y 3º espacios intercostales izquierdos se ausculta un *soplo mesosistólico* de intensidad moderada en el borde esternal. El ECG revela signos que sugieren una hipertrofia ventricular derecha. Se solicitan radiografías PA y lateral del tórax y una angiografía coronaria.

Informe de radiología. En las radiografías se aprecia un aumento de tamaño de las cavidades derechas del corazón, en particular del tracto de salida del ventrículo derecho; un botón aórtico pequeño, tronco pulmonar y arterias pulmonares dilatadas y aumento de la trama vascular pulmonar. Durante el cateterismo de las cavidades derechas, el catéter pasó fácilmente de la aurícula derecha a la izquierda. Se tomaron muestras seriadas de sangre para determinar la saturación de oxígeno a medida que se retrocede el catéter de la aurícula izquierda hacia la derecha y, finalmente, por la

VCI. En estos estudios se observó un aumento de la saturación de oxígeno de la sangre auricular derecha, en comparación con la de la VCI. En las determinaciones seriadas de las presiones se encontraron presiones desiguales en las aurículas (algo más alta en la izquierda).

Diagnóstico. Comunicación interauricular (CIA) de tipo *ostium secundum* con cortocircuito de la sangre de izquierda a derecha.

Problemas clinicoanatómicos

- ¿Es posible que este hombre naciera con la CIA?
- ¿En qué otros lugares podría aparecer un defecto de tapique interauricular?
- ¿De qué otras complicaciones cree usted que podría padecer este enfermo debido a la derivación de la sangre de izquierda a derecha?

Estos problemas se exponen en la página 174.

Caso 1.12

Un pequeño de 16 meses empezó a ahogarse mientras ayudaba a su madre a limpiar los restos de la fiesta de la noche anterior. Creyendo que se habría tragado algo, la madre lo colocó sobre el antebrazo y le dio varios golpes en la espalda. Pese a que aparentemente mejoró algo, no tardó nada en volver a toser. Al notar la madre las dificultades respiratorias del pequeño, llamó a la pediatra, que le pidió que se reuniera con ella en el hospital. Al preguntar si el niño había ingerido algo cuando empezó a ahogarse, la madre replicó: "Nada, pero podría haberse tomado algo de lo que cayó al suelo por la noche, por ejemplo un cacahuete".

Exploración física. La exploración física revela la *dificultad respiratoria* del pequeño, caracterizada por tos y disnea. Al continuar la exploración, la pediatra notó el movimiento limitado del hemitórax derecho. En la auscultación se escuchaba un *murmullo vesicular apagado* en el pulmón derecho, tanto en la cara anterior como posterior. Durante la percusión, la pediatra creyó notar cierta *hiperresonancia del pulmón derecho*. Solicitó un estudio radioscópico del tórax y proyecciones en inspiración y espiración.

Informe de radiología. Se aprecia hiperinsuflación de los lóbulos medio e inferior del pulmón derecho, con desplazamiento del corazón y de otras estructuras mediastínicas a la izquierda, que disminuye con la inspiración. Es muy probable que exista un cuerpo extraño alojado en el bronquio del lóbulo medio derecho, justo debajo del origen del bronquio del lóbulo superior.

Broncoscopia. Se explora el interior del árbol bronquial bajo anestesia general con un broncoscopio. Se aprecia un cuerpo extraño en el bronquio del lóbulo medio derecho, en el lugar sugerido por el radiólogo. El broncoscopista extrae el objeto con cierta dificultad, valiéndose de unas pinzas introducidas por el broncoscopio. El objeto extraño era un gran cacahuete.

Diagnóstico. Obstrucción bronquial por la aspiración de un cacahuete.

Problemas clinicoanatómicos

- ¿Cuál es la base embriológica y anatómica por la que los cuerpos extraños pasan al bronquio principal derecho y afectan a los lóbulos medio e inferior de este pulmón?
- Si no se hubiera extraído el cacahuete se habrían colapsado los lóbulos medio e inferior del pulmón derecho del pequeño. Justifique por qué se colapsa el pulmón.
- ¿Cuál es el aspecto de los lóbulos atelectásicos en la radiografía?
- ¿Qué efecto ejercería la atelectasia sobre la posición del corazón, otras estructuras mediastínicas y el diafragma?

Estos problemas se abordan en la página 174.

Caso 1.13

Una niña de 10 años es llevada a la policlínica envuelta en una sábana. La enfermera la lleva de inmediato a la sala de exploración y llama al médico. Mientras la enfermera prepara a la niña para la exploración física, comprueba que tiene tiritona (escalofríos) y que se sujeta el lado derecho del tórax. Al mismo tiempo advierte que respira con rapidez (*taquipnea*) y de manera superficial. La niña tiene una tos pertinaz y arroja algo de esputo con un material mucoso teñido de sangre. La temperatura es de 41,5 °C, y la frecuencia del pulso, de 115. Al percutir el tórax, el médico aprecia matidez en la zona posteroinferior derecha, y en la auscultación, una abolición del murmullo vesicular del hemitórax derecho, así como roce pleural. Al pedir a la niña que describa el dolor, dice que es un dolor agudo y punzante, que empeora con la respiración profunda, la tos o el estornudo. Al preguntarle dónde notó por vez primera el dolor, se lleva la mano a la parte inferior del tórax derecho. Cuando se le indica si ha tenido dolor en algún otro sitio, señala la región umbilical y el hombro derecho. El médico pide un hemograma completo, un cultivo de esputo y radiografías de tórax en decúbito prono y bipedestación.

Informe de laboratorio. El recuento de leucocitos está elevado (*leucocitosis*) y en el esputo se ven muchos neumococos.

Informe de radiología. Existe una zona de consolidación (pulmón no ventilado) en la parte posterior de la base o cara diafragmática del pulmón derecho. Asimismo se observa cierto desplazamiento del corazón y de otras estructuras mediastínicas al lado derecho.

Diagnóstico. Pleuritis causada por *neumonía neumocócica*.

Problemas clinicoanatómicos

- ¿Cuál es la función de las pleuras?
- Comente la pleuritis y el derrame pleural.
- ¿Cómo se extrae pus de la cavidad pleural?
- Aplicando sus conocimientos sobre la inervación pleural, explique por qué el dolor se refiere al lado derecho del tórax, la región periumbilical y el hombro derecho.
- Explique la base anatómica por la que puede ocurrir una ligera desviación del corazón y de otras estructuras mediastínicas en la neumonía.

Estos problemas se explican en la página 174.

Caso 1.14

Durante un largo viaje en coche, una mujer de 38 años experimenta una molestia retroesternal, dolor en el hemitórax derecho y falta de aire. Señala que ha notado una sensación de náusea y ha empezado a desvanecerse (*síncope*). Pensando que podía sufrir un ataque al corazón, su marido la ha llevado al hospital.

Exploración física. El médico aprecia signos de *shock* y respiración rápida (*taquipnea*). Al mismo tiempo, observa unas venas dolorosas e hinchadas (*venas varicosas*), particularmente en el muslo y la pantorrilla derechas (signos y síntomas de *tromboflebitis*). Durante la anamnesis se recogen antecedentes de venas varicosas y dolorosas en los miembros inferiores desde hace tiempo, que se agudizaron de forma extrema durante el viaje reciente en automóvil. Además, la mujer ha tomado píldoras anticonceptivas durante unos 9 años. Al explorar los pulmones se observan algunos *crepitantes atelectásicos* húmedos (ruidos de crepitación pasajeros) en el hemitórax derecho. En la auscultación también se detecta un roce pleural derecho. La exploración cardíaca revela *taquicardia* (aceleración del latido cardíaco) y *arritmia* (irregularidad del latido cardíaco). En el ECG se detecta cierta sobrecarga de las cavidades derechas. Se solicitan radiografías de tórax, arteriografía pulmonar, gammagrafía pulmonar y radioscopia.

Informe de radiología. En la radiografía se apreció un incremento de la transparencia del pulmón derecho. La radioscopia pulmonar revela la ausencia o pulsación deficiente de la rama descendente de la arteria pulmonar derecha, con anemia relativa al pulmón derecho; ello sugiere una *tromboembolia pulmonar (TEP)*. Las gammagrafías obtenidas después de la inyección intravenosa de micropartículas de albúmina humana marcadas con yodo radiactivo (¹³¹I) revelan la práctica inexistencia de irrigación del pulmón derecho.

Diagnóstico. *TEP* por desprendimiento de un trombo de una vena varicosa del miembro inferior.

Problemas clinicoanatómicos

- ¿Cómo piensa que el radiólogo inyectó el material de contraste en el ventrículo derecho de la paciente durante la arteriografía pulmonar?
- ¿Cuáles son los principales factores que contribuyen a la trombogénesis y embolia pulmonar?
- ¿Cuál es probablemente la causa de la molestia retroesternal intensa y dolor en el hombro de esta mujer?

Estos problemas se comentan en la página 175.

Caso 1.15

Durante la exploración física de una muchacha de 15 años, previa a un campamento de verano, se ausculta un soplo "en maquinaria" en el 2º espacio intercostal, cerca del borde esternal izquierdo. Durante la palpación, el médico nota una vibración continua (frémito) en ese mismo lugar. El resto de la exploración física es normal. La muchacha afirma que se

na encontrado siempre bien, pero que se "fatiga" antes que las demás compañeras. Después de consultar con los padres y un cardiólogo, el médico de familia decide solicitar otras pruebas. Pide una radiografía PA y lateral de tórax y un cateterismo cardíaco.

Informe de radiología. Las radiografías de tórax revelan ligero aumento de tamaño del ventrículo izquierdo con discreta prominencia de la arteria pulmonar y del botón aórtico. En el ECG aparece una hipertrofia ventricular izquierda moderada. Seguidamente se procede a cateterismo. Se introduce el catéter por la vena femoral y la VCI hasta la cavícula izquierda, ventrículo derecho y tronco pulmonar. Se inyecta una pequeña cantidad de contraste a través de la punta del catéter en la aorta torácica. Luego se retrae el catéter a la aurícula derecha y se procede a una angiocardiógrafía de cavidades derechas, que revela que estas cavidades son, en esencia, normales. Se pasa otro catéter por la arteria femoral hasta la aorta ascendente y se inyecta medio de contraste en su interior (aortografía). La aorta ascendente y el arco aórtico parecen normales, pero las arterias pulmonares izquierda y derecha, así como la aorta torácica, están opacificadas. Estos estudios demuestran la presencia de un *conducto arterioso permeable (CAP)*.

Diagnóstico. Cortocircuito izquierda-derecha a través de un CAP.

Problemas clínicoanatómicos

- Comente la posición del conducto arterioso y su origen embriológico, su función prenatal y su cierre después del nacimiento.
- ¿Cuál es la causa del soplo en maquinaria tan característico y de la hipertrofia del ventrículo izquierdo?
- ¿Cómo cree que se podría evitar este cortocircuito izquierda-derecha?
- ¿Qué trastorno clínico podría causar la derivación izquierda-derecha a través del conducto arterioso?

Estos problemas se abordan en la página 175.

COMENTARIO A LOS CASOS

Caso 1.1

El cuchillo pinchó el *saco pericárdico* y el ventrículo derecho. Las heridas punzantes que atraviesan el corazón determinan que la sangre pase a la cavidad pericárdica y provoque un *hemopericardio* y *taponamiento cardíaco*. Conforme se acumula la sangre en el *saco pericárdico* la capacidad del corazón para expandirse y llenarse de sangre con cada contracción va mermando progresivamente y se altera la circulación. Las venas de la cara se ingurgitan por la compresión y acúmulo (retrógrada) de la sangre en la vena cava superior, que a su vez, impide el retorno venoso de la cabeza y del cuello. La *pericardiocentesis* se llevó a cabo, sin duda, para extraer sangre de la cavidad pericárdica y aliviar el taponamiento, con el fin de que el corazón se expandiera más para recibir la sangre. Probablemente se introdujo una

aguja de gran calibre por el 5° o el 6° espacios intercostales izquierdos para aspirar la sangre.

Caso 1.2

Normalemente el médico trata de escuchar el latido de la punta con el estetoscopio en el 5° espacio intercostal izquierdo media a la línea interavicular. En otras palabras, algo inferomedial al pezón en una muchacha de 12 años. La *dextrocardia*, anomalía congénita de la posición cardíaca, explicaría que no se detectara el latido de la punta a la izquierda. En una persona con este tipo de malformación el latido máximo se escucharía en el 5° espacio intercostal derecho a la derecha del extremo inferior del esternón.

Caso 1.3

El *carcinoma broncogénico* (carcinoma originado en la mucosa de los bronquios) metastatizó desde luego, a los *ganglios linfáticos broncomediastínicos* izquierdos. De ordinario, también aumentan de tamaño los ganglios linfáticos supraclaviculares y se palpan cuando existe un carcinoma broncogénico. Por ello, a estos ganglios linfáticos se los denomina *ganglios centinela*. El aumento de tamaño de los ganglios broncomediastínicos puede comprimir el *nervio laríngeo recurrente* izquierdo. En este caso, la compresión nerviosa provocó una parálisis del plegue vocal izquierdo (vease el capítulo 8). Esto explica la alteración vocal de la paciente. La *distorsión de la canna* hallada en la broncoscopia obedecía al aumento de tamaño de los ganglios linfáticos traqueobronquiales, situados en el ángulo entre los bronquios principales.

Caso 1.4

La mayoría de las células cancerosas del cuadrante superior izquierdo de la mama viajan con la linfa hasta los ganglios linfáticos axilares, sobre todo hasta los ganglios pectorales. La linfa también puede llevar algunas células cancerosas a los ganglios linfáticos supraclaviculares e infraclaviculares. Si se obstruye el drenaje linfático de la mama por las células cancerosas invasoras ocurre un *edema* (acúmulo de líquido en los tejidos) que otorga a la piel un aspecto engrosado y con depresiones finas que se ha comparado con el de la piel de naranja o con el del cuero porcino. Las depresiones localizadas de la piel (grandes fositas de tamaño de la yema del dedo o mayores) la retracción del pezón, o ambas anomalías ocurren cuando el cáncer invade los ligamentos suspensorios, el tejido glandular o los conductos galactóforos. La evacuación de toda la mama que levanta el pezón dañado por encima de la contraateria, se debe a la entrada de células cancerosas en el espacio retromamario y la fascia pectoral profunda y los ganglios interpectores.

Caso 1.5

El intenso dolor en el tórax y en el brazo obedece, con toda probabilidad, a la obstrucción repentina de una arteria coronaria. El ejercicio agotador durante el juego de tenis aumentó la actividad del corazón y la necesidad de oxígeno. La

irrigación sanguínea inadecuada del corazón (*isquemia del miocardio*) provocó un infarto de miocardio. El dolor visceral del corazón se transmite por fibras aferentes viscerales que acompañan a las fibras simpáticas, y suele referirse a las estructuras somáticas, como el brazo izquierdo (dolor referido). Las fibras aferentes viscerales entran en la médula espinal por las mismas raíces dorsales que las fibras somáticas sensitivas. Aunque el dolor suele referirse al brazo izquierdo, también puede hacerlo al brazo derecho, a ambos, al cuello y al mentón o a la espalda.

Caso 1.6

Las estructuras que pueden haberse dañado son la arteria y vena subclavias derechas, la membrana suprapleural, la pleura cervical y el vértice pulmonar. La lesión de los vasos subclavios y de la pleura parietal provoca un acúmulo de aire y de sangre en la cavidad pleural (*neumotórax* y *hemo-tórax*). A su vez, este trastorno determina un colapso parcial o total del pulmón derecho (*atelectasia*). Si se acumula una cantidad de aire o de sangre suficiente para incrementar el volumen de la cavidad pulmonar derecha, el mediastino, una estructura blanda se desvía (incluido el corazón) a la izquierda (desviación mediastínica). Probablemente, se procedió a una *toracocentesis*, seguida de la inserción de un tubo torácico (de drenaje) con válvula para extraer la sangre de la cavidad pleural y permitir que el pulmón se insufla. Los nervios y vasos intercostales pueden dañarse durante la toracocentesis.

Caso 1.7

El aneurisma del arco aórtico es una dilatación de la pared de la aorta. Se trata de una anomalía común en las personas mayores con enfermedad arterial y en determinados trastornos congénitos. El arco aórtico se sitúa detrás del manubrio y sigue un trayecto superoposterior hacia la izquierda, delante de la tráquea. Luego, el arco desciende a la izquierda de la tráquea. Por eso puede comprimir la tráquea y el esófago, y crear dificultades para la respiración (disnea) y para la deglución. Durante la sístole ventricular (contracción y vaciamiento), la sangre es impulsada hacia la aorta ascendente y el arco aórtico, con lo que el aneurisma aumenta de tamaño y, en consecuencia, también lo hace la compresión traqueal y esofágica. El movimiento anómalo ("tirón") de la tráquea durante la sístole se palpa en la escotadura yugular.

Caso 1.8

El *infarto agudo de miocardio* es una enfermedad del miocardio que se caracteriza por necrosis del músculo ventricular, y se debe a la obstrucción repentina de parte de la circulación coronaria. El bloqueo de una arteria coronaria determina una disfunción de la bomba cardíaca. Si se afecta una gran rama de una arteria coronaria, la zona infartada es tan extensa, que se altera gravemente la función del corazón y el sujeto muere. El infarto de miocardio también puede obedecer al esfuerzo exagerado (p. ej., correr para tomar el autobús) si la persona tiene arterias coronarias estenóticas.

El *ateroma* (o placa de ateroma) es un depósito graso que produce una tumefacción de la superficie endotelial del vaso sanguíneo. La ulceración del ateroma explica el desprendimiento de restos ateromatosos que circulan por la arteria coronaria hasta que alcanzan la zona de estenosis. Al taponar el vaso, la sangre no llega al miocardio y se produce un infarto, salvo que se disponga de una buena circulación colateral con anterioridad.

Existen anastomosis entre las terminaciones de las arterias coronarias derecha e izquierda dentro del surco coronario, y entre las ramas interventriculares alrededor del vértice en un 10% de los corazones aparentemente sanos. La mayoría, si no todos los corazones pueden presentar este tipo de circulación colateral. Cuando la obstrucción coronaria es lenta, la circulación colateral tiene tiempo para aumentar la irrigación del miocardio en caso de que suceda un episodio potencialmente isquémico. En consecuencia, no siempre ocurre un infarto. Cuando sucede un taponamiento repentino de una gran rama coronaria resulta casi inevitable el infarto, si bien la extensión del daño depende de la magnitud de los canales anastomóticos colaterales.

Cuando se obstruyen grandes ramas de ambas arterias coronarias, para irrigar el corazón el organismo se vale en ocasiones de una circulación colateral extracardiaca. Estas vías colaterales comunican las arterias coronarias con los *vasa vasorum* de la túnica adventicia de la aorta y con las arterias pulmonares, así como con ramas de las arterias torácicas internas, bronquiales y frénicas. La inversión del flujo de las venas cardíacas anteriores y mínimas (*venae cordis minimae*) puede llevar la sangre luminal a los lechos capilares del miocardio de algunas regiones, y aportar un flujo colateral complementario. Sin embargo, a menos que estas colaterales se dilaten como respuesta a la *cardiopatía isquémica* previa, no es probable que proporcionen suficiente sangre al corazón durante un episodio agudo y, por tanto, prevengan el infarto.

El síntoma predominante del infarto es el dolor visceral profundo. Las fibras dolorosas aferentes del corazón se dirigen centralmente por los ramos cervicales medios e inferiores, y por los ramos torácicos superiores de los troncos simpáticos del cuello y del tórax. Las prolongaciones centrales (axones) de las neuronas sensitivas primarias entran en los segmentos medulares T1 a T4 o T5 del lado izquierdo. El dolor de origen cardíaco suele referirse al hemitórax izquierdo y a lo largo de la cara medial del brazo y del antebrazo. Estas son las zonas del cuerpo que envían impulsos sensitivos a los mismos ganglios espinales y segmentos medulares que reciben la sensibilidad cardíaca. El *dolor visceral referido es la percepción del dolor visceral* en zonas cutáneas alejadas del órgano dañado.

Caso 1.9

Debido a las relaciones anatómicas con el bronquio y los pulmones, algunos cánceres broncogénicos se extienden a la pared torácica, diafragma y mediastino. La lesión de un nervio frénico puede causar parálisis hemidiafragmática. La infiltración directa de las pleuras explica el *derrame* en la cavidad *pleural*. Este exudado pleural puede ser sanguino-

ento y contener células malignas descamadas. Dada la estrecha relación entre los nervios aríngicos recurrentes y los vértices pulmonares, también pueden dañarse en los cánceres de esta región pulmonar. Los tumores apicales suelen causar ronquera por parálisis de los pliegues vocales.

Todo tumor de vértice pulmonar con invasión local puede afectar a los nervios espinales torácicos superiores, la cadena simpática torácica y el ganglio cervicotorácico (estreado) determinando un *síndrome de Horner* (véase el capítulo 8). En estos casos el dolor suele afectar al hombro y al axila. La invasión de los ganglios linfáticos mediastínicos obedece a la diseminación linfática de las células cancerosas. Los vasos linfáticos de los pulmones se organizan en los plexos superficial y profundo que acompañan a los pequeños vasos sanguíneos. Después la linfa drena hacia los ganglios linfáticos broncopulmonares del n.º 7. A medida que estos ganglios aumentan de tamaño crece también el n.º pulmonar, que adopta un aspecto de masa. El aumento de estas metástasis comprime los bronquios y dificulta la ventilación pulmonar. Las adenopatías broncopulmonares drenan a los grupos inferior y superior de los ganglios traqueobronquiales situados en los ángulos entre la tráquea y los bronquios. Forman parte del grupo mediastínico de ganglios linfáticos que se dispersa por todo el mediastino.

En clínica, el grupo inferior de ganglios traqueobronquiales se conoce de ordinario como ganglios de la carina, por su relación con la carina traqueal. El aplastamiento y la fijación de la carina pueden acompañar al carcinoma broncogénico si éste metastatiza en los ganglios de la carina. Estas anomalías se detectan en la broncoscopia y en la radiografía. El aumento de tamaño de los ganglios linfáticos mediastínicos puede indentar el esófago hecho que se advierte en la radiografía efectuada después de que el paciente degluta una emulsión de sulfato de bario. Dado que la linfa de los vasos de la pleura parietal costal alcanza los ganglios linfáticos paraesternales a través de los vasos linfáticos intercostales, la *diseminación linfangítica del carcinoma broncogénico* puede también invadir estos ganglios. La linfa de todo el pulmón derecho drena a los ganglios traqueobronquiales derechos, y la mayor parte de la linfa del pulmón izquierdo lo hace a los ganglios de mismo lado. Sin embargo, parte de la linfa del lóbulo inferior izquierdo drena a los ganglios del lado derecho. Por eso, las células tumorales de los ganglios linfáticos traqueobronquiales de lado derecho pueden proceder, a través de la diseminación linfangítica del lóbulo inferior izquierdo.

Los troncos broncomediastínicos derecho e izquierdo drenan la linfa de las vísceras y de los ganglios linfáticos torácicos. El tronco broncomediastínico derecho se puede unir al conducto linfático derecho, y el izquierdo, al conducto torácico, pero en general desembocan de forma independiente en la unión entre las venas yugular interna y subclava ("ángulo venoso") de cada lado. Así pues, la linfa de los pulmones y de las pleuras, que contiene células tumorales, llega hasta el sistema venoso y el corazón. Una vez pasada la circulación pulmonar la sangre regresa al corazón para distribuirse por el resto del organismo. Los lugares más co-

munes de metástasis hematogena del carcinoma broncogénico son los ganglios linfáticos, los pulmones, el encéfalo, los huesos y las glándulas suprarrenales. Muchas veces los ganglios linfáticos supracavculares mediales en particular del lado izquierdo aumentan de tamaño y se endurecen por la presencia de células tumorales.

La base anatómica de la extensión de los ganglios supracavculares (centineal) es que la linfa circula en sentido craneal desde las vísceras torácicas y abdominales por los troncos broncomediastínicos y el conducto torácico hasta alcanzar el sistema venoso. El flujo retrógrado de la linfa del conducto torácico puede llevar las células a los ganglios supracavculares profundos situados detrás de los músculos esternocleidomastoideos. Este fenómeno probablemente explica por qué se afectan más a menudo los ganglios del lado izquierdo. El encéfalo es un asiento común de carcinoma broncogénico diseminado por vía hematogena. Las células tumorales sin duda penetran en la sangre a través de la pared de un capilar o vénula pulmonar y son transportadas hasta el encéfalo por los sistemas de la arteria carótida interna y de la arteria vertebral. Una vez dentro del cráneo las células tumorales posiblemente atraviesan las células endoteliales de los capilares y penetran dentro del encéfalo.

Si bien la mayoría de las células cancerosas de pulmón llegan hasta el encéfalo sin duda por el sistema arterial, otras lo hacen por el sistema venoso. Se ha propuesto que la tos pertinaz y el aumento de tamaño de los ganglios linfáticos mediastínicos comprimen las venas cava superior e inferior dificultando el retorno venoso y determinando que la sangre que drenan los bronquios inverta su flujo y pase por las venas bronquiales hacia el sistema venoso de la aorta. Desde aquí, las células sanguíneas y tumorales podrían llegar hasta los plexos venosos vertebrales extradurales o epidurales externos que rodean la duramadre espinal. Como este plexo se comunica con los senos venosos de la duramadre craneal, las células tumorales podrían llegar hasta el encéfalo. El tránsito de células tumorales por las venas de la columna vertebral también explica la frecuencia de las metástasis vertebrales.

Caso 1.10

El cucllo, que penetró en el 4º espacio intercostal izquierdo cerca del borde esternal, no perforó el pulmón izquierdo porque la escotadura cardíaca se encuentra en este borde anterior. Posiblemente el cucllo cortó la capa parietal de la pleura del pulmón izquierdo y luego atravesó el cono arterioso de ventrículo derecho y el vestíbulo aórtico de ventrículo izquierdo, inmediatamente debajo del orificio aórtico. La sangre de ambos ventrículos pasó a través de las heridas citadas a saco pericárdico. A medida que se acumuló la sangre en la cavidad pericárdica se produjo un edema una grave compresión del corazón y obstrucción al flujo ventricular (*taponamiento cardíaco*). La compresión aumentó hasta que excedió la presión de estas grandes venas, impidiendo el retorno venoso al corazón y la salida de sangre del corazón a los pulmones. Ello explica el *shock* del paciente y su respiración jadeante antes de morir.

Caso 1.11

La CIA es una malformación congénita, porque se trata de un defecto del tabique interauricular que surge durante la formación embrionaria del corazón. La forma más frecuente de CIA es la *CIA de tipo ostium secundum*, así denominada porque deriva de un desarrollo anómalo del orificio oval y del tabique secundario (en L. *septum secundum*) (Moore y Persaud, 1998). El tabique primario (en L. *septum primum*) y los tabiques secundarios suelen unirse de modo que no queda ninguna abertura entre la aurícula derecha e izquierda. El lugar de la abertura prenatal, donde ocurren la mayoría de los defectos, está representado por la fosa oval de la aurícula derecha del adulto.

La derivación izquierda-derecha de la sangre se debe a que la presión en la aurícula izquierda excede la de la derecha durante la mayor parte del ciclo cardíaco. Por eso, parte de la sangre del paciente da dos vueltas por los pulmones. Como resultado de este cortocircuito, la carga impuesta al ventrículo derecho aumenta y éste presenta una hipertrofia de su pared muscular (aumenta de tamaño). Las cavidades de la aurícula derecha, ventrículo derecho y la arteria pulmonar se dilatan para acumular el exceso de sangre.

Durante los primeros 40 años, la mayoría de los pacientes con CIA tienen una tolerancia moderada o buena al esfuerzo, pese a que el orificio del tabique interauricular suele medir de 2 a 4 cm de diámetro. En general, los pacientes con CIA no manifiestan *cianosis* (color azulado de la piel). La *enfermedad vascular pulmonar* (arteriosclerosis) suele cursar con un aumento de la presión en la arteria pulmonar, sobre todo si ocurren infecciones respiratorias repetidas. Por último, se instaura una hipertensión pulmonar grave, que aumenta más la presión en la aurícula derecha que en la izquierda, invierte el cortocircuito y provoca cianosis, discapacidad grave e insuficiencia cardíaca.

Caso 1.12

Como el bronquio principal derecho es más ancho, corto y vertical que el izquierdo, los cuerpos extraños pasan más veces al bronquio derecho que al izquierdo. Los cuerpos extraños que suelen detectarse son frutos secos, objetos pequeños, alfileres, lápices y material dental (p. ej., parte de un diente restaurado). Los lóbulos medio e inferior derechos se afectan en muchas ocasiones porque el bronquio del lóbulo inferior derecho se encuentra alineado con el bronquio principal derecho, y porque el cuerpo extraño suele alojarse en el bronquio proximal ("intermedio") del lóbulo inferior, por encima del origen del bronquio del lóbulo medio.

Cuando ocurre la obstrucción completa de un bronquio principal, todo el pulmón acaba colapsándose y se transforma en un *pulmón atelectásico*, es decir, sin aire. La ausencia de aire en los pulmones, como consecuencia de la absorción del aire alveolar, se denomina *atelectasia*. El colapso pulmonar sucede cuando el aire (es decir, el oxígeno y el nitrógeno) de la porción atrapada del pulmón es absorbido por la sangre que perfunde el pulmón. Dependiendo del lugar de la obstrucción, el colapso puede afectar a todo el pulmón, un lóbulo o un segmento broncopulmonar. Como el

pulmón colapsado es un tejido de densidad blanda, los pulmones, lóbulos o segmentos atelectásicos aparecen como sombras densas y homogéneas en la radiografía, en contraste con el pulmón normal, lleno de aire, que es relativamente transparente y se muestra oscuro en la radiografía. Cuando ocurre una atelectasia de un segmento considerable del pulmón y la pared torácica se encuentra intacta, de forma que no se acumula aire ni sangre dentro de la cavidad pleural, el corazón y el mediastino son atraídos hacia el lugar del colapso y permanecen allí durante la inspiración y la espiración. El diafragma del lado normal se desplaza de la forma habitual, mientras que el del lado contrario apenas se mueve.

Caso 1.13

Las pleuras parietal y visceral se continúan entre sí alrededor y por debajo de la raíz pulmonar. En condiciones normales, estas capas permanecen en contacto durante todas las fases de la respiración. El espacio virtual entre ellas (cavidad pleural) contiene una película capilar de líquido. Por lo común, la pleura visceral se desliza suavemente sobre la parietal durante la respiración y facilita el movimiento de los pulmones. Cuando se inflaman las pleuras (*pleuritis*), las caras pleurales se tornan rugosas, y el roce de las mismas produce dolor y una fricción audible (*roce pleural*) en la auscultación.

Como este es un espacio, en principio, *virtual*, la cavidad pleural no suele verse en las radiografías, salvo que se deposite aire, líquido, pus o sangre entre las hojas visceral y parietal de la pleura. Si el proceso inflamatorio de este caso no se hubiera tratado, habría ocurrido un *derrame pleural* seroso a partir de los vasos sanguíneos que perfunden la pleura. El *exudado pleural* se deposita en la cavidad pleural y se ve en las radiografías como una densidad más o menos homogénea que borra los límites normales del pulmón. Los grandes derrames pleurales se acompañan de una desviación del corazón y de otras estructuras mediastínicas al lado contrario. Si la pleura inflamada se infecta, se acumula pus dentro de la cavidad (*empiema*). El empiema de pequeño tamaño se puede drenar mediante toracocentesis, insertando una aguja de gran calibre a través del 7º espacio intercostal posterior, entre las líneas axilar anterior y media, a lo largo del borde superior de la 8ª costilla. La inserción de la aguja por encima del borde superior de la costilla evita la lesión de los nervios y vasos intercostales. En los demás casos, la aguja se introduce por el 8º o 9º espacios intercostales, posteriores a la línea media axilar.

La pleura parietal, en particular la porción costal, es sensible al dolor, mientras que la pleura visceral no lo es. Las fibras aferentes de las terminaciones dolorosas de la pleura costal y de la pleura de la zona periférica del diafragma, son conducidas a través de la pared torácica como ramificaciones finas de los nervios intercostales. La irritación de las terminaciones nerviosas de la pleura, provocada por la fricción de las láminas inflamadas, sobre todo durante la inspiración, ocasiona un dolor punzante. El *dolor referido* de la pleura se localiza en las paredes torácica y abdominal, zonas de la piel inervadas por los nervios intercostales.

El dolor periumbilical se justifica porque el territorio cutáneo (dermatoma) que nerva el 10º nervio intercostal encierra el ombligo.

La pleura mediastínica y la pleura de la porción central del diafragma reciben nervación de fibras sensitivas del nervio frénico (C3, C4 y C5). La irritación de estas zonas de la pleura como en el caso que nos ocupa estimula las terminaciones nerviosas del nervio frénico y provoca un dolor que se refiere a la raíz de cuello y al hombro. Estas zonas de la piel son nervadas por los nervios supraclaviculares (C3 y C4) que provienen de dos de los segmentos medulares que dan origen al nervio frénico. El corazón y las estructuras mediastínicas se desvían al ser afectado de la neumonía (inflamación pulmonar), y ocupan el espacio creado por la ligera pérdida de volumen de tejido pulmonar consolidado debido a la pérdida del aire alveolar. Si ocurre derrame pleural o empiema, el corazón y las estructuras mediastínicas son desplazadas hacia el lado contrario por el suero o pus acumulado respectivamente.

Caso 1.14

La TEP constituye una causa importante de morbilidad (enfermedad) y mortalidad (muerte) en los pacientes confinados en la cama, mujeres embarazadas o mujeres que toman la píldora anticonceptiva durante mucho tiempo. En este caso, es probable que el trombo se desprendiera de la vena safena mayor o de una de sus afluentes. En un 90% de los casos de TEP, el trombo desprendido (coágulo de sangre) constituye el *émbolo* (masa que taponan un vaso sanguíneo). En este caso concreto el émbolo llegó hasta la circulación pulmonar y provocó una obstrucción completa o casi completa de la rama descendente de la arteria pulmonar derecha. Así se explican las alteraciones respiratorias y hemodinámicas (por ejemplo, disnea, taquipnea, arritmia y taquicardia).

Los tres factores que contribuyen a la *trombogénesis* (formación del trombo) son la congestión o estasis, las alteraciones de la pared vascular y las alteraciones de la coagulación de la sangre. La tromboembolia se asocia a diversas anomalías (por ejemplo, embarazo, fracturas de la pelvis, fracturas de los miembros inferiores, cirugía abdominal y consumo de anticonceptivos orales). Sin duda, el largo viaje en automóvil con el cinturón de seguridad alrededor del abdomen y el consumo de píldoras anticonceptivas contribuyeron a la trombogénesis en esta paciente.

Probablemente, el radiólogo visualizó el ventrículo derecho durante el cateterismo de las cavidades, el catéter radiopaco se introdujo por la vena femoral izquierda justo debajo del ligamento inguinal. Luego siguió, con ayuda de la radioscopia, hasta la VC auricular derecha y ventrículo derecho. Las molestias torácicas de esta mujer se debían, sin duda, a la sobrecarga del hemocardio derecho y a la distensión de la arteria pulmonar izquierda y de sus ramas. Como se obstruyó la arteria pulmonar derecha, casi toda la sangre pasó por la arteria pulmonar izquierda. Cuando el pulmón derecho deja de recibir la irrigación necesaria de sangre, se producen alteraciones del tejido pleural y pulmonar. En vista del *roce pleural*, probablemente parte de

dolor torácico pleurítico obedezca a la irritación de las terminaciones nerviosas de la pleura costal. El dolor referido se notó en la pared torácica, zona de piel nervada por los nervios intercostales.

Caso 1.15

El conducto arterioso es un vaso fetal que comunica a arteria pulmonar izquierda con el arco aórtico inmediatamente distal al origen de la arteria subclava. Al nacer el diámetro del conducto arterioso es igual o mayor que el de la arteria pulmonar o el de la aorta. La función prenatal del conducto arterioso radica en que la mayor parte de la sangre de la arteria pulmonar izquierda evita los pulmones, todavía no insuflados. Como las resistencias vasculares pulmonares al paso de la sangre por los pulmones no insuflados son bastante altas, y las resistencias de la aorta torácica y abdominal emborronar y de las arterias umbilicales es bastante bajas, la sangre fluye con facilidad desde la arteria pulmonar hasta el arco aórtico y la aorta torácica. Esta derivación de la sangre constituye un atajo para que la sangre fetal pase por las arterias umbilicales hacia la placenta, lugar donde se oxigena.

La permeabilidad del conducto arterioso después del período perinatal es una malformación congénita relativamente común que ocurre una vez cada 3 000 partos, y es más frecuente en el sexo femenino. La persistencia del conducto arterioso es la malformación más corriente, que se asocia con la rubéola materna en las primeras fases de la gestación. Si bien en esta malformación casi siempre aparece de manera aislada, puede coexistir con otras.

El soplo característico continuo, en maquinaria, de tono alto, obedece al flujo turbulento de la sangre por un vaso de gran presión (aorta) hacia otro de menor presión (arteria pulmonar) a través del conducto arterioso. Como durante la sístole y la diástole se produce un gradiente de presión, el soplo es continuo. La derivación izquierda-derecha aumenta el trabajo del ventrículo izquierdo y, en consecuencia, éste aumenta de tamaño y sus paredes se engruesan. La aurícula izquierda también puede aumentar de tamaño como consecuencia del mayor volumen de sangre que retorna de los pulmones.

La persistencia del conducto arterioso puede provocar insuficiencia cardíaca y edema de pulmón en los niños prematuros, pero también es compatible con la supervivencia hasta la vida adulta en la mayoría de las ocasiones. No obstante, dado que la causa principal de muerte entre los adultos por esta malformación es la insuficiencia cardíaca o la endocarditis bacteriana (inflamación de endocardio del corazón, sus válvulas y los grandes vasos), de ordinario se procede a la ligadura del conducto arterioso.

La enfermedad vascular pulmonar (*arteriosclerosis*) se puede establecer en los pacientes con persistencia del conducto arterioso. En estos casos, el aumento de las resistencias vasculares pulmonares genera una mayor presión dentro del ventrículo derecho y de la arteria pulmonar. Esta presión invierte el flujo de sangre por el conducto arterioso (es decir, derecha-izquierda). Por eso la sangre poco ox-

genada se desvía de la arteria pulmonar izquierda hacia el arco aórtico y la aorta torácica.

Como el conducto arterioso desemboca en el arco aórtico, distal al origen de la arteria subclavia izquierda, los dedos de los pies (pero no los de las manos) se tornan

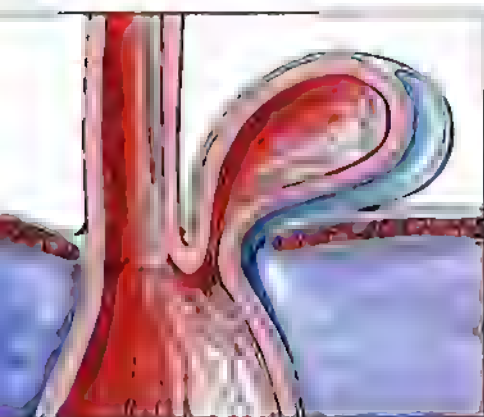
cianóticos (azulados, por la falta de oxígeno) y con deformidad en palillo de tambor (se ensanchan y engruesan). El descubrimiento de cianosis en los dedos de los pies, pero no en los de las manos, se conoce como *cianosis diferencial*.

Bibliografía y lecturas recomendadas

- Anderson RH, Becker AE: *Cardiac Anatomy*. London, Gower, 1987.
- Behrman RE, Kliegman RM, Arvin AM (eds): *Nelson Textbook of Pediatrics*, 15th ed. Philadelphia, WB Saunders, 1996.
- Bergman RA, Thompson SA, Afifi AK, Saadeh FA: *Compendium of Human Anatomic Variation: Text, Atlas and World Literature*. Baltimore, Urban & Schwarzenberg, 1988.
- Birrer RB (ed): *Sports Medicine for the Primary Care Physician*, 2nd ed. Boca Raton, CRC Press, 1994.
- Cahill DR, Orland MJ, Miller G: *Atlas of Human Cross-Sectional Anatomy with CT and MR Images*, 3rd ed. New York, Wiley-Liss, 1995.
- Clemente CD (ed): *Gray's Anatomy of the Human Body*, 30th American ed. Philadelphia, Lea & Febiger, 1985.
- Cormack DH: *Essential Histology*. Philadelphia, JB Lippincott, 1993.
- Creasy RK, Resnik R: *Maternal-Fetal Medicine*, 3rd ed. Philadelphia, WB Saunders, 1994.
- Davies MF, Anderson RH, Becker AE: *The Conduction System of the Heart*. London, Butterworths, 1983.
- Ellis H: *Clinical Anatomy. A revision and applied anatomy for clinical students*, 8th ed. Oxford, Blackwell Scientific Publications, 1992.
- Ferguson JE, Schor AM, Howell A, Ferguson MW: Changes in the extracellular matrix of the normal breast during the menstrual cycle. *Cell Tissue Res* 268:167-177, 1992.
- Gartner LP, Hiatt JL: *Color Textbook of Histology*. Philadelphia, WB Saunders, 1997.
- Ger R, Abrahams P, Olson T: *Essentials of Clinical Anatomy*, 3rd ed. New York, Parthenon Publishing Group, 1996.
- Ginsberg RJ: Thoracic surgery. In Gross A, Gross P, Langer B (eds): *Surgery: A Complete Guide for Patients and Their Friends*. Toronto, Harper & Collins, 1989.
- Goldman BS: Cardiovascular surgery. In Gross A, Gross P, Langer B (eds): *Surgery: A Complete Guide for Patients and Their Friends*. Toronto, Harper & Collins, 1989.
- Haagensen CD: *Diseases of the Breast*, 3rd ed. Philadelphia, WB Saunders, 1986.
- Haines DE (ed): *Fundamental Neuroscience*. New York, Churchill Livingstone, 1997.
- Hardy SGP, Naftel JP: Viscerosensory pathways. In Haines DE (ed): *Fundamental Neuroscience*. New York, Churchill Livingstone, 1997a.
- Hardy SCP, Naftel JP: Neurosensory pathways. In Haines DE (ed): *Fundamental Neuroscience*. New York, Churchill Livingstone, 1997b.
- Martin EJ: Incidence of bifidity and related rib abnormalities in Samoans. *Am J Phys Anthropol* 18:179-187, 1960.
- Moore KL, Persaud TVN: *The Developing Human. Clinically Oriented Embryology*, 6th ed. Philadelphia, WB Saunders, 1998.
- Moore KL, Persaud TVN, Shiota K: *Color Atlas of Clinical Embryology*. Philadelphia, WB Saunders, 1994.
- Ross RS, Lesch M, Braunwald E: Acute myocardial infarction. In Thorn GW, Adams RD, Braunwald E, Isselbacher KE, Petersdorf G (eds): *Harrison's Principles of Internal Medicine*, 1th ed. New York, McGraw-Hill, 1983.
- Ross MH, Romrell LJ, Kaye G: *Histology. A Text and Atlas*, 3rd ed. Baltimore, Williams & Wilkins, 1994.
- Rowland LP (ed): *Merritt's Textbook of Neurology*, 10th ed. Baltimore, Williams & Wilkins, 1995.
- Rubin E, Farber JL (eds): *Pathology*, 2nd ed. Philadelphia, JB Lippincott, 1993.
- Sabiston DC Jr, Lyerly HK: *Sabiston Essentials of Surgery*, 2nd ed. Philadelphia, WB Saunders, 1994.
- Sauerland EK: *Grant's Dissector*, 11th ed. Baltimore, Williams & Wilkins, 1994.
- Swartz MH: *Textbook of Physical Diagnosis. History and Examination*, 2nd ed. Philadelphia, WB Saunders, 1994.
- Swartz MA, Moore ME: *Medical Emergency Manual Differential Diagnosis and Treatment*, 3rd ed. Baltimore, Williams & Wilkins, 1983.
- Tandler J: The development of the heart. In Keibel F, Mall FP (eds): *Manual of Human Embryology*. Philadelphia, JB Lippincott, 1912.
- Williams PL, Bannister LH, Berry MM, Collins P, Dyson M, Dussek JE, Fergusson MWJ (eds): *Gray's Anatomy*, 38th ed. Edinburgh, Churchill Livingstone, 1995.
- Willms JL, Schneiderman H, Algranati PS: *Physical Diagnosis Beside Evaluation of Diagnosis and Function*. Baltimore, Williams & Wilkins, 1994.
- Woodburne RT, Burkel WE: *Essentials of Human Anatomy*, 9th ed. New York, Oxford University Press, 1994.

2

Abdomen



Cavidad abdominal / 178

Pared anterolateral
del Abdomen / 181

Peritoneo y cavidad peritoneal / 212

Visceras abdominales / 222

Diaphragma torácico / 233

Pared posterior del Abdomen / 301

Intupestos del Abdomen / 314

Forma y caracteres de los riñones / 326

Comentario a los cinco / 331

El abdomen –la parte del tronco comprendida entre el tórax y la pelvis– tiene paredes musculotendinosas, salvo en la cara posterior, donde la pared la forman las vértebras lumbares y los discos intervertebrales (véase la fig. 2.3). La pared abdominal encierra la cavidad abdominal, que contiene la cavidad peritoneal y las vísceras (significa partes blandas u órganos internos en latín) abdominales, como el estómago, los intestinos y el hígado, así como vasos sanguíneos, vasos linfáticos y nervios.

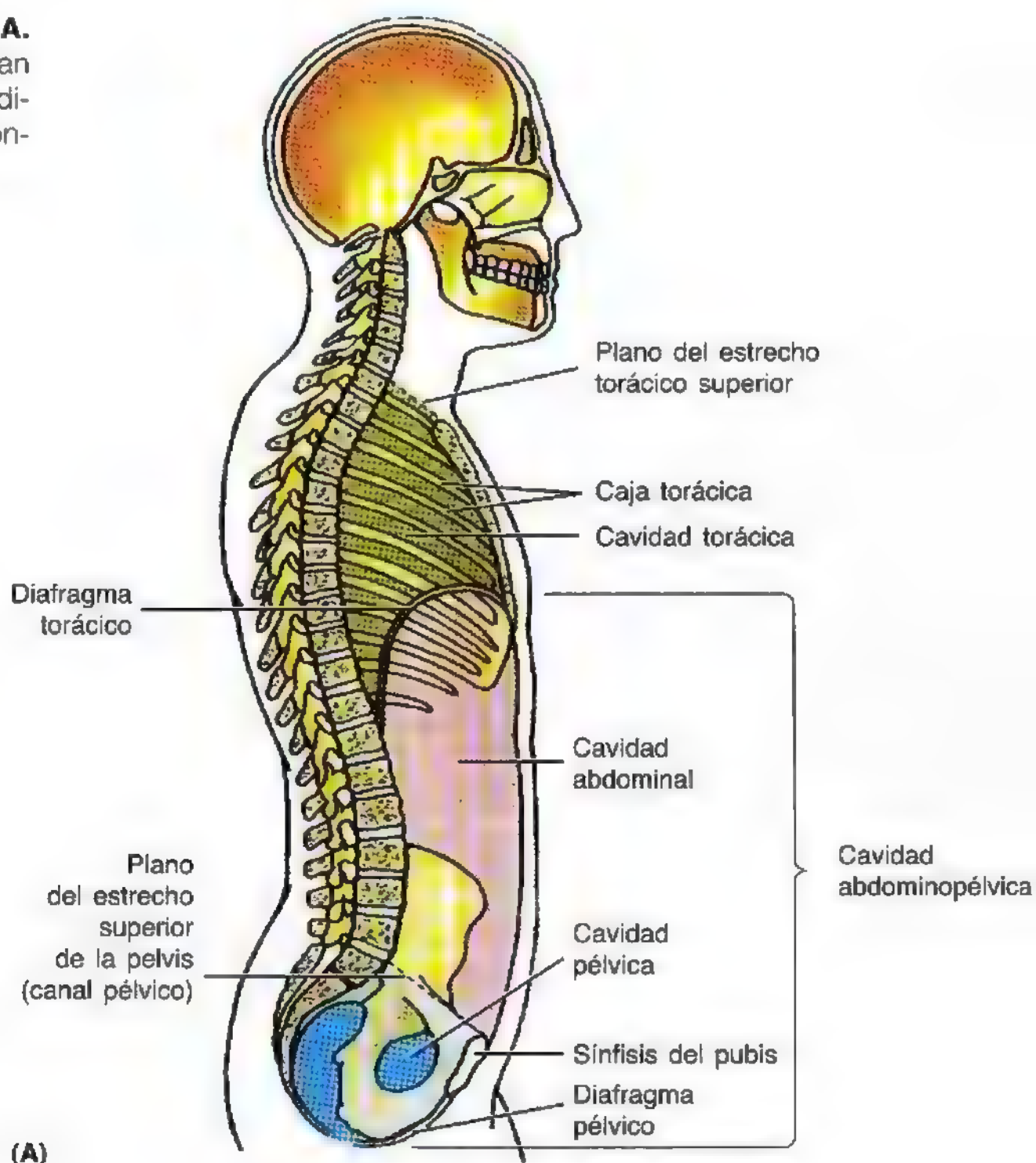
Cavidad abdominal

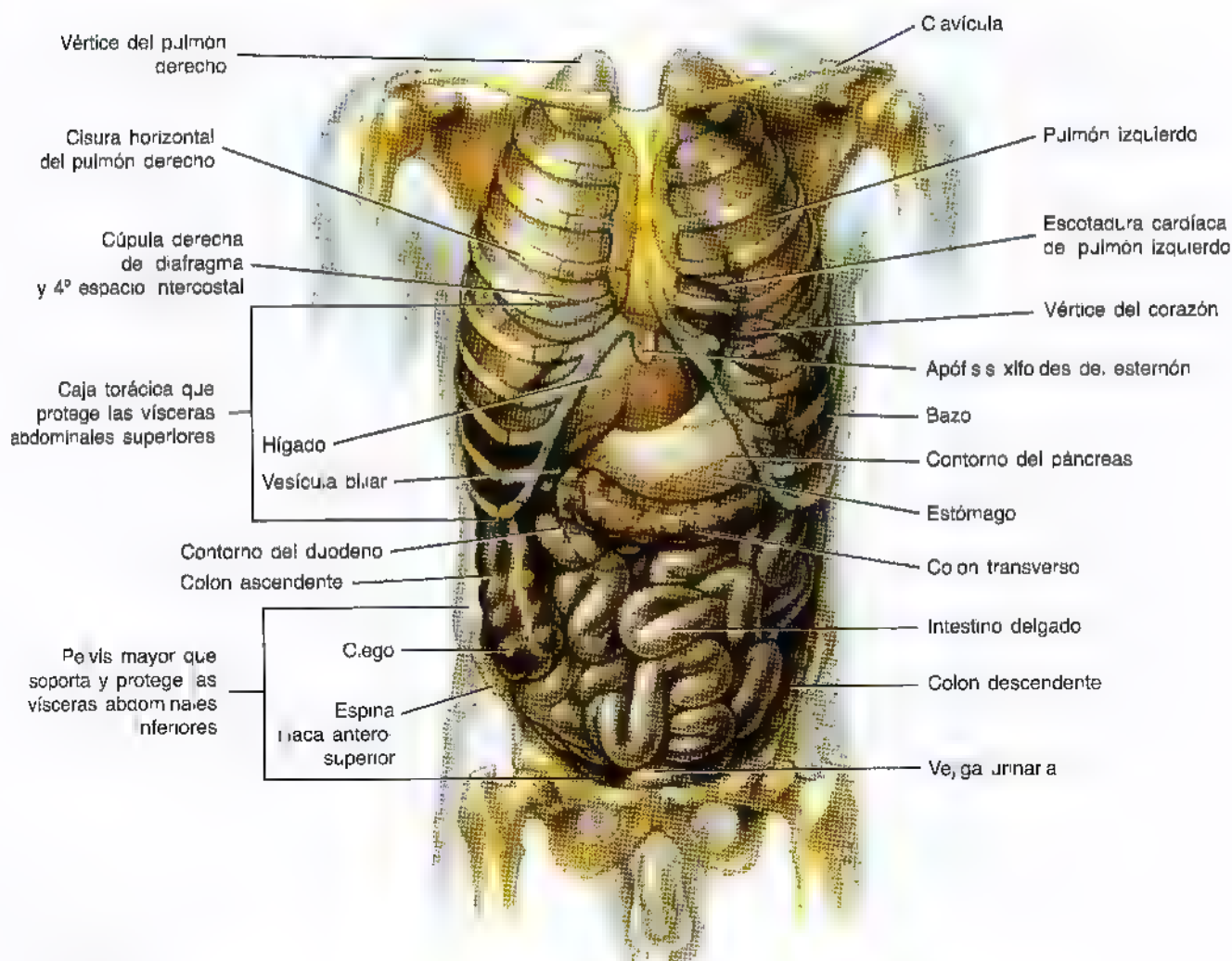
La cavidad abdominal forma la parte superior y principal de la **cavidad abdominopélvica** (fig. 2.1A), comprendida entre el **diafragma torácico** y el **estrecho superior de la pelvis**. El diafragma constituye el techo de la cavidad abdominal; ésta no tiene un suelo propiamente dicho, sino que se continúa con la **cavidad pélvica**. La cavidad abdominal se extiende en el plano superior hasta la **caja torácica** (caja costal) osteocartilaginosa, es decir, hasta el 4º espacio intercostal (fig. 2.1B). Por eso, parte de los órganos abdominales –el bazo, el hígado, parte de los riñones y el estómago–

está protegida por la caja torácica. La pelvis mayor (porción ampliada de la pelvis situada por encima del estrecho pélvico superior) da soporte y protege, en parte, las vísceras abdominales inferiores (parte del íleon, ciego y colon sigmoide). La cavidad abdominal contiene el peritoneo, una membrana serosa que reviste la cavidad abdominopélvica y tapiza la mayoría de los órganos, así como cantidades variables de grasa, la mayoría de los órganos de la digestión (estómago, intestinos, hígado, vesícula biliar y páncreas) y parte del aparato genitourinario (riñones y uréteres), además del bazo. En resumen, la *cavidad abdominal*:

- Forma la mayor parte de la cavidad abdominopélvica.
- Está situada entre el diafragma y el estrecho superior de la pelvis.
- Queda separada de la cavidad torácica por el diafragma torácico.
- Se continúa en el plano inferior con la cavidad pélvica.
- Está cubierta por la caja torácica en la parte superior.
- Está soportada y protegida en parte por la pelvis mayor en la zona inferior.
- Es un espacio rodeado de la pared abdominal, formada por varias capas.

Figura 2.1. Cavidad abdominopélvica. A. Corte medio del cuerpo, en el que se aprecian las cavidades abdominal y pélvica, como subdivisiones de la cavidad abdominopélvica continua.





(B) Visión anterior

Figura 2.1. (Continuación) B. Esquema de las vísceras torácicas y abdominales *in situ*.

- Aloja la mayoría de los órganos de la digestión, el bazo, los riñones y la mayor parte de los uréteres.

Los clínicos describen *nueve regiones de la cavidad abdominal para localizar los órganos o los dolores abdominales* (fig. 2.2A, tabla 2.1). Estas nueve regiones están delimitadas por cuatro planos (fig. 2.2B):

- Dos horizontales (planos subcostal y transtubercular).
- Dos verticales (planos medioclaviculares).

Para las descripciones clínicas generales se pueden establecer *cuatro cuadrantes abdominales, definidos por dos planos* (fig. 2.2C):

- Uno horizontal (plano transumbilical).
- Otro vertical (plano medio).

Para sintetizar, los planos horizontales son:

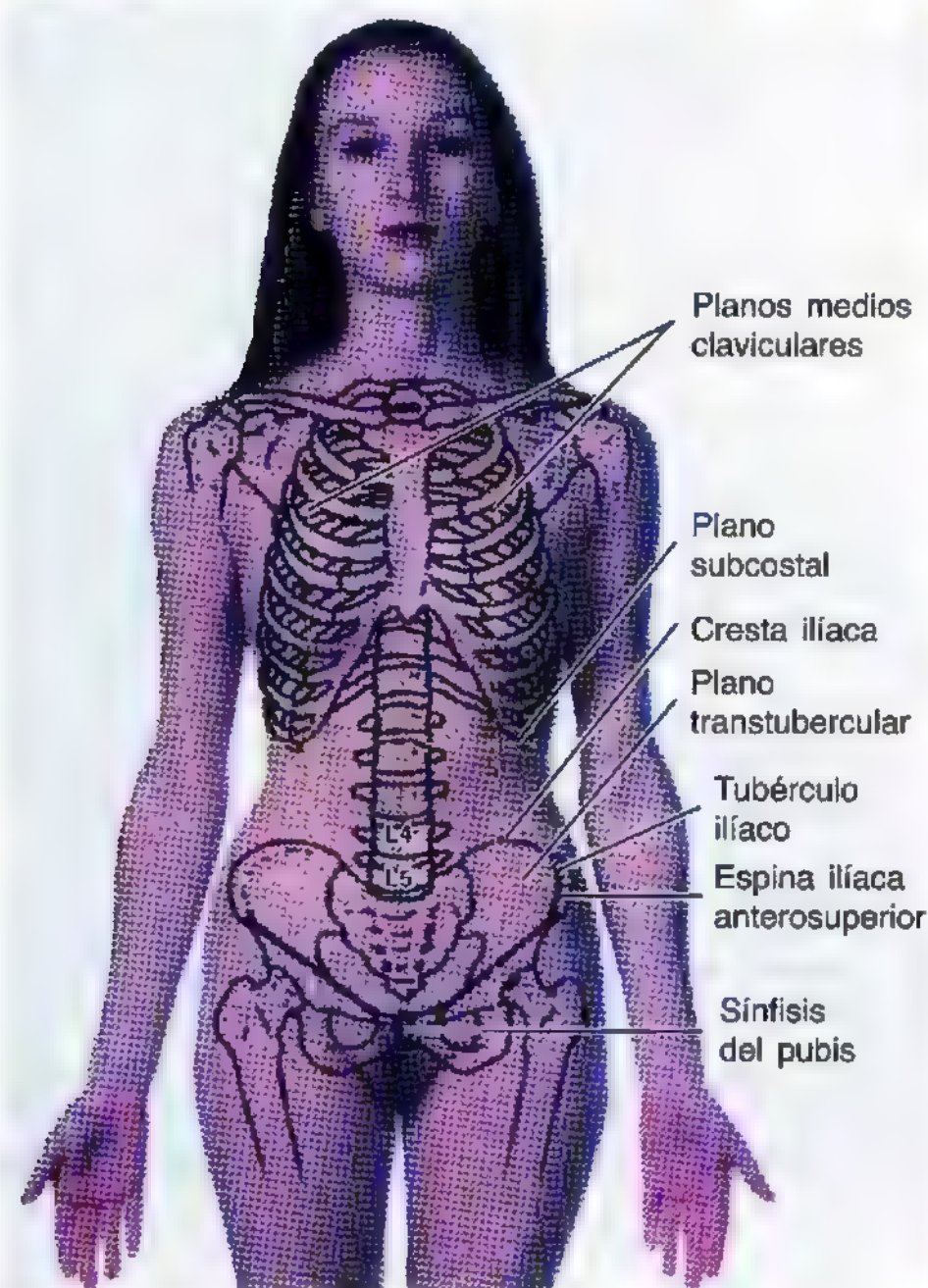
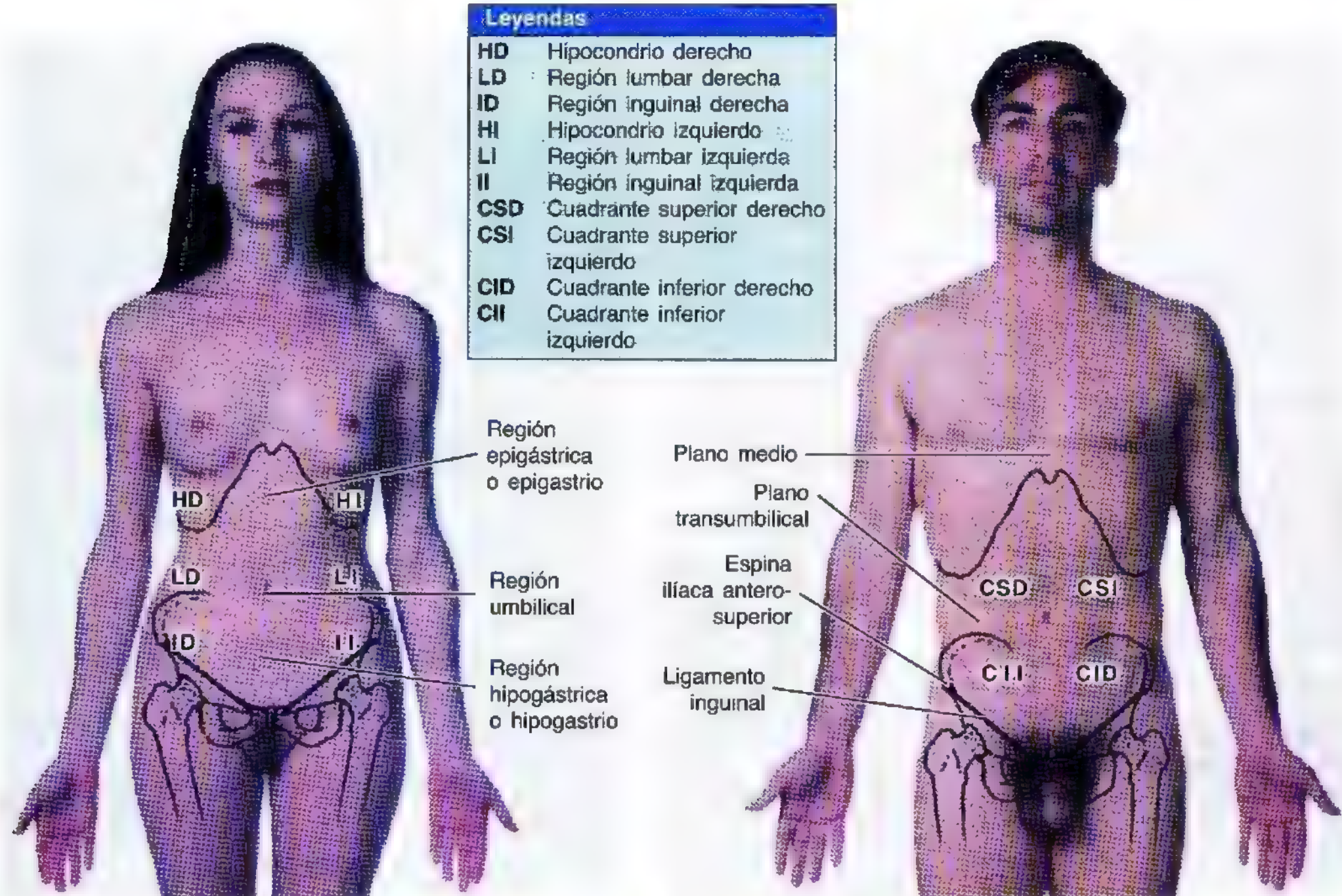
- El **plano subcostal**, que pasa por el borde inferior del 10º cartílago costal a cada lado.

- El **plano transtubercular**, que pasa por los tubérculos ilíacos y el cuerpo de la vértebra L5; estos tubérculos —situados aproximadamente 5 cm detrás de las espinas ilíacas anterosuperiores— se palpan en la mayoría de los casos.

- **Plano transumbilical**, que pasa por el ombligo y el disco intervertebral entre las vértebras L3 y L4.

Los planos verticales corresponden a:

- Los **planos medioclaviculares**, que pasan por el punto central de las clavículas (aproximadamente a 9 cm de la línea media) hasta los puntos que cortan el centro de la ingle, puntos centrales de las líneas que unen las espinas ilíacas anterosuperiores con el borde superior de la sínfisis del pubis.
- El **plano medio**, que pasa longitudinal por el cuerpo y lo divide en las mitades derecha e izquierda.



(B) Planos abdominales de referencia

Cuadrante superior derecho (CSD) Hígado: lóbulo derecho Vesícula biliar Estómago: píloro Duodeno: porciones 1-3 Páncreas: cabeza Glándula suprarrenal derecha Riñón derecho Flexura cólica derecha (hepática) Colon ascendente: porción superior Colon transverso: mitad derecha	Cuadrante superior izquierdo (CSI) Hígado: lóbulo izquierdo Bazo Estómago Yeyuno e ileon proximal Páncreas: cuerpo y cola Riñón izquierdo Glándula suprarrenal izquierda Flexura cólica izquierda (esplénica) Colon transverso: mitad izquierda Colon descendente: porción superior
Cuadrante inferior derecho (CID) Ciego Apéndice vermiforme Casi todo el ileon Colon ascendente: porción inferior Ovario derecho Trompa uterina derecha Uréter derecho: porción abdominal Cordón espermático derecho: porción abdominal Útero (si está aumentado de tamaño) Vejiga urinaria (si está muy llena)	Cuadrante inferior izquierdo (CII) Colon sigmoide Colon descendente: porción inferior Ovario izquierdo Trompa uterina izquierda Uréter izquierdo: porción abdominal Cordón espermático izquierdo: porción abdominal Útero (si está aumentado de tamaño) Vejiga urinaria (si está muy llena)

Tabla 2.1. Localización de las estructuras abdominales por cuadrantes

Enfermedades y dolor abdominales

Las enfermedades del abdomen son frecuentes y, a menudo, graves. El dolor es un síntoma habitual de enfermedad abdominal; por ejemplo, el dolor de la *apendicitis* (inflamación del apéndice) empieza de manera generalizada, especialmente en la región epigástrica. Luego, el dolor se desplaza al ombligo y termina localizándose en el cuadrante inferior derecho. La *apendicitis* ocupa uno de los primeros lugares en la lista de enfermedades causantes de hospitalización y representa la causa principal de dolor abdominal. La *apendicectomía*—extirpación quirúrgica del apéndice— es la causa más común de cirugía urgente del abdomen en la infancia y adolescencia; sin embargo, cualquier órgano del abdomen puede sufrir enfermedad o daño. Si se rompe una víscera gastrointestinal, su contenido irritante penetra en la cavidad peritoneal, ocasiona *peritonitis* (inflamación del peritoneo) y un dolor intenso.

Localización de las estructuras según los cuadrantes abdominales

Es importante saber qué órganos se sitúan en cada cuadrante abdominal, para auscultar, percutir o palpar dicho órgano (tabla 2.1). El conocimiento de la localización orgánica también resulta esencial para anotar los hallazgos de la exploración física. Por ejemplo, parte de una historia clínica característica podría ser:

Cicatriz paramediana, de buen aspecto, con una pequeña herniación central, fácilmente reducible, en el cuadrante superior derecho. Asimismo, se observa una masa dura en esta región, que hace sospechar un posible cáncer del píloro gástrico, la cabeza del páncreas o el colon transverso.

Pared anterolateral del abdomen

Aunque la pared abdominal es continua, se subdivide en una *zona anterior*, otras *laterales derecha e izquierda* (flancos) y la *zona posterior* (fig. 2.3). La pared anterolateral del abdomen se extiende desde la caja torácica hasta la pelvis. La mayor parte de esta pared es musculotendinosa. Los límites entre la zona anterior y lateral no están definidos. Por eso, suele utilizarse el término combinado *pared anterolateral del abdomen*, porque algunas estructuras, como los músculos y los nervios cutáneos, se encuentran en una y otra zonas.

Durante la exploración física se inspecciona, palpa, percute y ausculta la pared anterolateral. Los cirujanos suelen incidir esta pared durante la cirugía abdominal. La *pared abdominal anterolateral está limitada* (fig. 2.4):

- En el plano superior, por los cartílagos de la 7ª a la 10ª costillas y por la apófisis xifoides del esternón.
- En el plano inferior, por el ligamento inguinal y los huesos de la pelvis.

La pared consta de piel y tejido subcutáneo (fascia superficial), compuesto en su mayoría por grasa, músculos, fascia profunda, fascia/grasa endoabdominal y peritoneo parietal. La piel se une de manera laxa al tejido subcutáneo, salvo en el ombligo, donde lo hace de manera consistente.

La mayor porción de la parte anterolateral consta de tres capas musculotendinosas; cada una dispone de fibras que

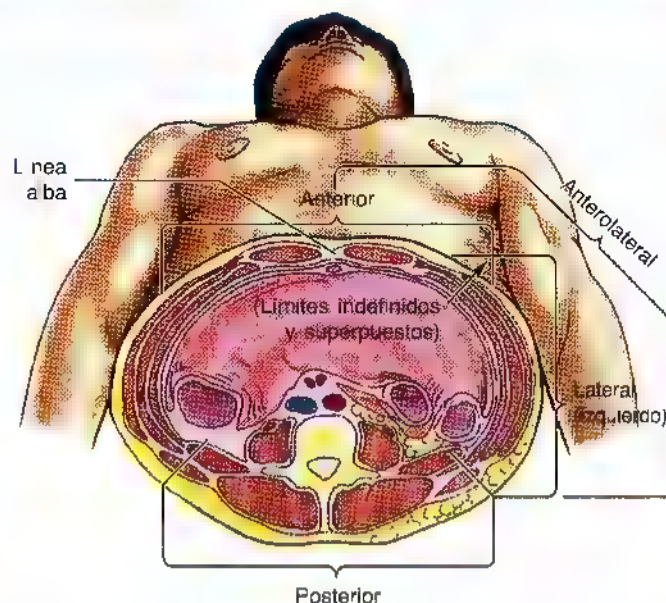


Figura 2.3. Subdivisiones de la pared abdominal. Corte transversal esquemático de abdomen donde se aprecian distintos componentes de la pared. También se muestra parte de componente abdominal como el intestino y los grandes vasos.

discurren en sentido diferente. Esta estructura triple se parece a la de los espacios intercostales del tórax (véase el capítulo 1).

Figura 2.2. Regiones de la pared abdominal. A. División de la pared en nueve regiones. B. Los planos de referencia abdominales verticales y horizontales dividen la pared en nueve regiones. C. División de la pared en cuatro cuadrantes. Las subdivisiones más sencillas y utilizadas.

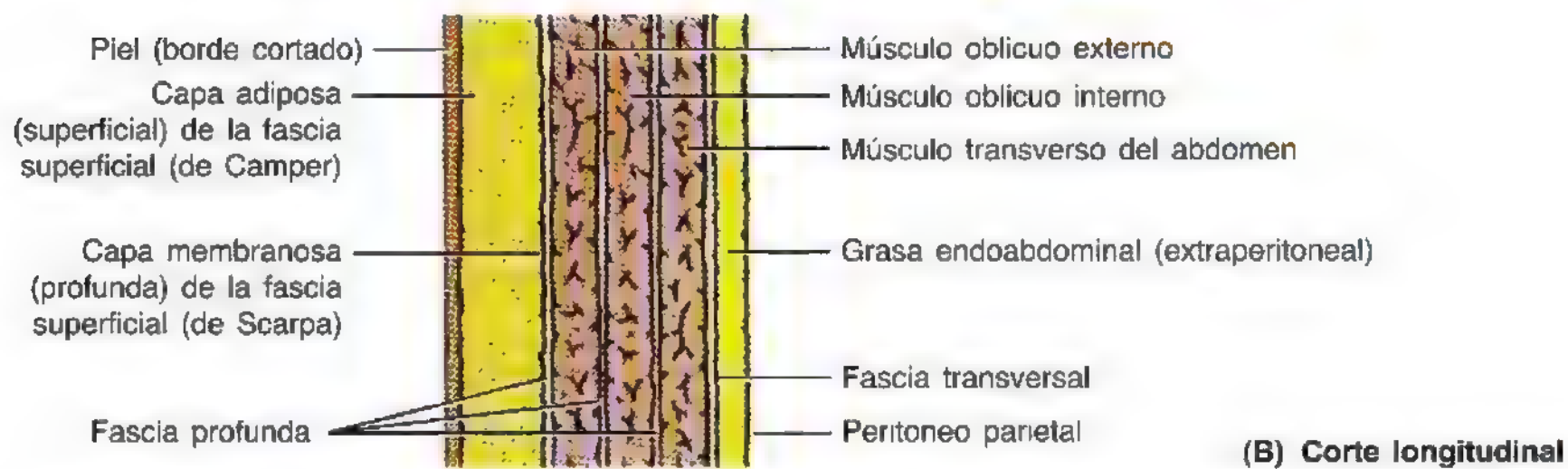
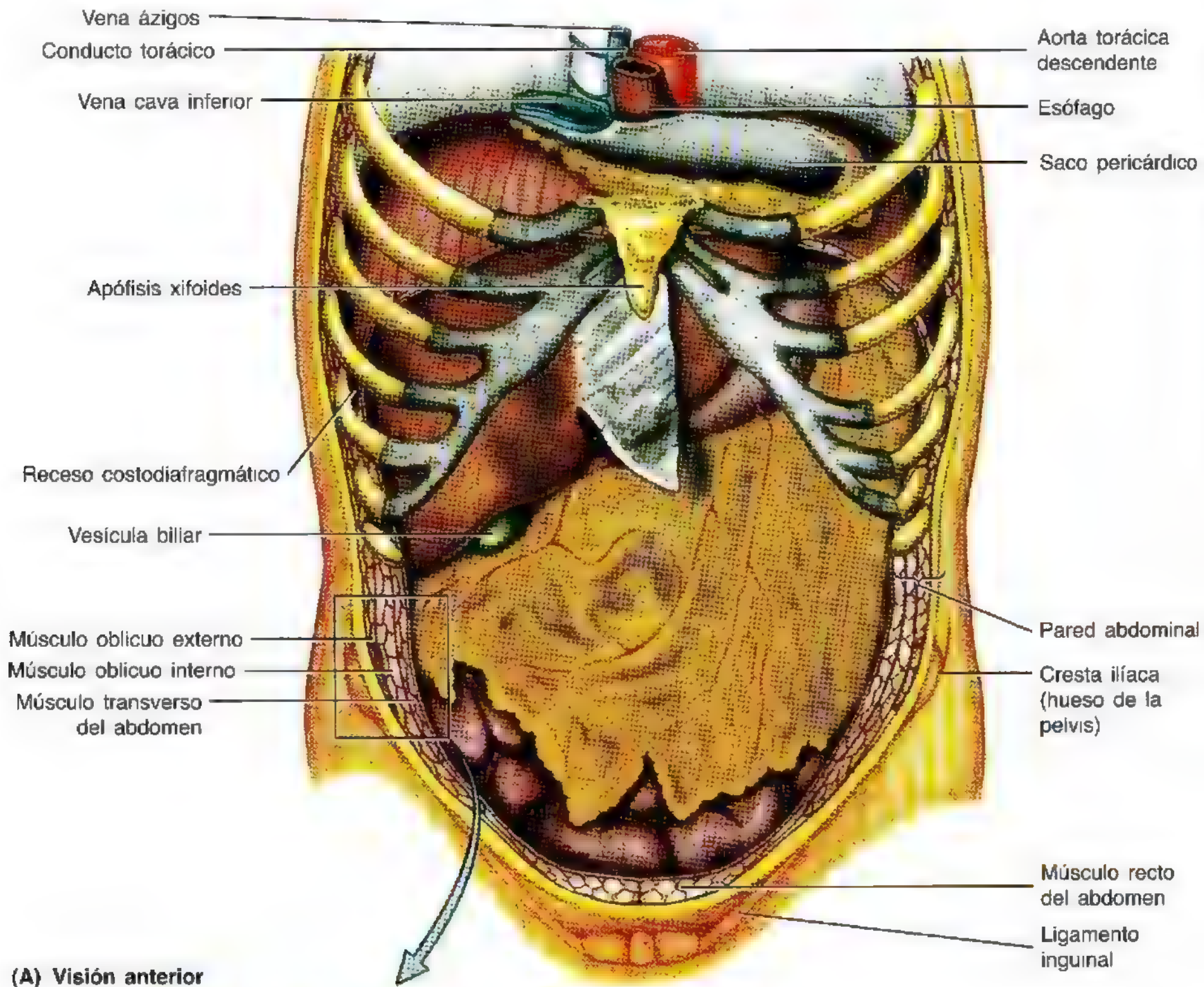


Figura 2.4. Contenido abdominal sin modificar y capas de la pared anterolateral del abdomen. **A.** Se han seccionado las paredes torácica anterior y abdominal. Casi todo el intestino está cubierto por el omento mayor, con forma de delantal, un pliegue peritoneal que cuelga del estómago. Casi todo el hígado y el estómago se hallan cubiertos por la caja torácica. **B.** Se ilustran las capas de la pared abdominal.

Fascia de la pared anterolateral del abdomen

El tejido subcutáneo que cubre la mayor parte de la pared se compone de una capa de tejido conjuntivo con una cantidad variable de grasa (fig. 2.4). En la obesidad patológica, esta capa de grasa es bastante gruesa y suele formar uno o más pliegues irregulares (panículo adiposo). En la parte

inferior de la pared, el tejido subcutáneo se compone de dos capas:

- Una **capa grasa** (superficial) (fascia de Camper).
- Una **capa membranosa** (profunda) (fascia de Scarpa).

La capa de fascia profunda envuelve el músculo oblicuo externo y no se desprende fácilmente de él. La **fascia profunda** del abdomen es muy delgada y está representada úni-

camente por el epimísio (vaina fibrosa) de la mayoría de los músculos superficiales. Existe una lámina membranosa, bastante dura, la **fascia transversal**, que reviste casi toda la pared abdominal. Esta fascia cubre la superficie profunda del músculo transverso del abdomen y su aponeurosis; las caras derecha e izquierda de la fascia se continúan en la profundidad de la **línea alba** (fig. 2.3). El **peritoneo parietal** queda por dentro de la fascia transversa y separado de ésta por una cantidad variable de **grasa endoabdominal (extra-peritoneal)** (fig. 2.4).

Sutura de las incisiones cutáneas abdominales

Cuando se cierran las incisiones de la piel abdominal, los cirujanos incluyen la capa membranosa del tejido subcutáneo, debido a su fortaleza. Entre esta capa y la fascia profunda que cubre los músculos recto del abdomen y oblicuo externo queda un espacio virtual donde puede acumularse el líquido (p. ej., la orina tras una rotura uretral). Aunque no existe ninguna barrera (aparte de la gravitatoria) que impida que el líquido siga ascendiendo por este espacio, no se puede extender hasta el muslo porque la capa membranosa del tejido subcutáneo se une con la fascia profunda del muslo (fascia lata) en una línea que queda aproximadamente 2,5 cm por debajo y paralela al ligamento inguinal. Para colocar las prótesis después de reparar las hernias inguinales se emplea un espacio virtual comprendido entre la fascia transversa y el peritoneo parietal *espacio de Bogros* (Skandalakis y cols., 1995). ☘

Músculos de la pared anterolateral del abdomen

Existen cinco músculos en la pared anterolateral del abdomen (figs. 2.5-2.7): tres músculos planos y dos verticales. La tabla 2.2 enumera sus inserciones, la inervación y sus acciones principales. *Los tres músculos planos de la pared anterolateral del abdomen son:*

- El **músculo oblicuo externo**, músculo superficial que se origina en las costillas intermedias e inferiores mediante tiras musculares que se interdigitan con las del músculo serrato anterior, un músculo pectoral; las fibras del músculo oblicuo externo siguen una dirección inferomedial.
- El **músculo oblicuo interno**, músculo intermedio cuyas fibras se disponen horizontales a la altura de la espina iliaca anterosuperior; estas fibras tienen una dirección oblicua superior por encima de este plano y oblicua inferior por debajo.
- El **músculo transverso del abdomen**, el más interno cuyas fibras siguen un trayecto más o menos transversa, salvo las más inferiores

Los tres músculos planos terminan en la cara anterior en una aponeurosis laminar y fuerte. Las aponeurosis de estos músculos se entrelazan en la **línea alba** con las de la cara opuesta para formar una vaina tendinosa tosca y aponeurótica del **músculo recto** (figs. 2.5 y 2.8). La decusación y entrelazado de las aponeurosis de la vaina del recto tiene lugar no sólo de un lado a otro, sino también de la superficie a la profundidad.

Los dos músculos verticales de la pared anterolateral del abdomen se hallan dentro de la vaina del músculo recto:

- El **músculo recto del abdomen**.
- El **músculo piramidal**.

La vaina del recto también contiene las **arterias** y **venas epigástricas** superior e inferior, vasos linfáticos y los **ramos primarios ventrales** de los nervios T7 a T12.

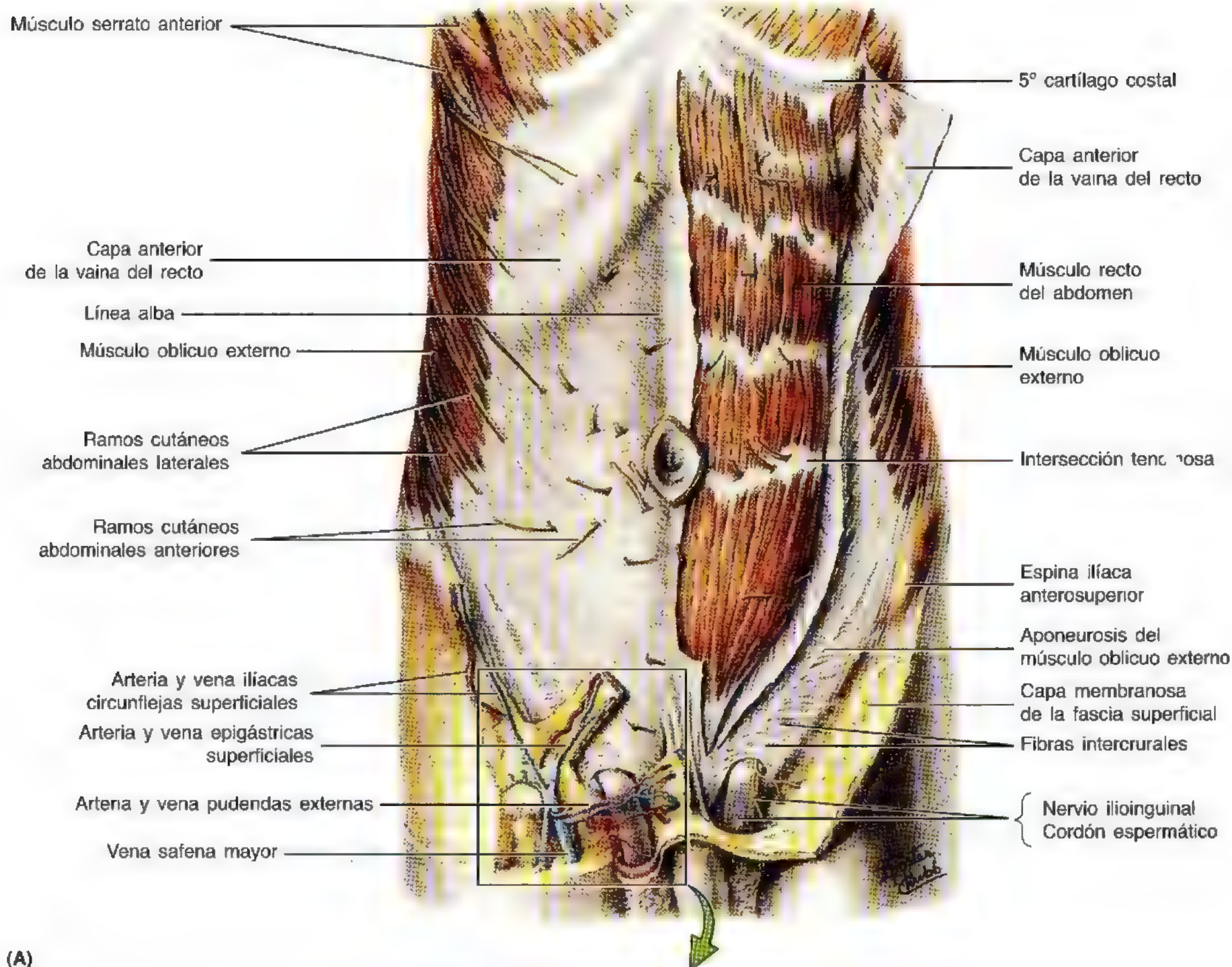
El piramidal es un pequeño músculo triangular, que falta en cerca del 20% de las personas. Se sitúa delante de la parte inferior del músculo recto del abdomen y se inserta en la cara anterior del pubis y en el ligamento púbico anterior. Termina en la **línea alba**, una banda fibrosa que tiene una longitud variable encima de la sínfisis del pubis. El músculo piramidal tensa la línea alba; cuando existe, los cirujanos utilizan la inserción del músculo piramidal de la línea alba como referencia para la incisión precisa en la línea media de abdomen (Skandalakis y cols., 1995).

Músculo oblicuo externo

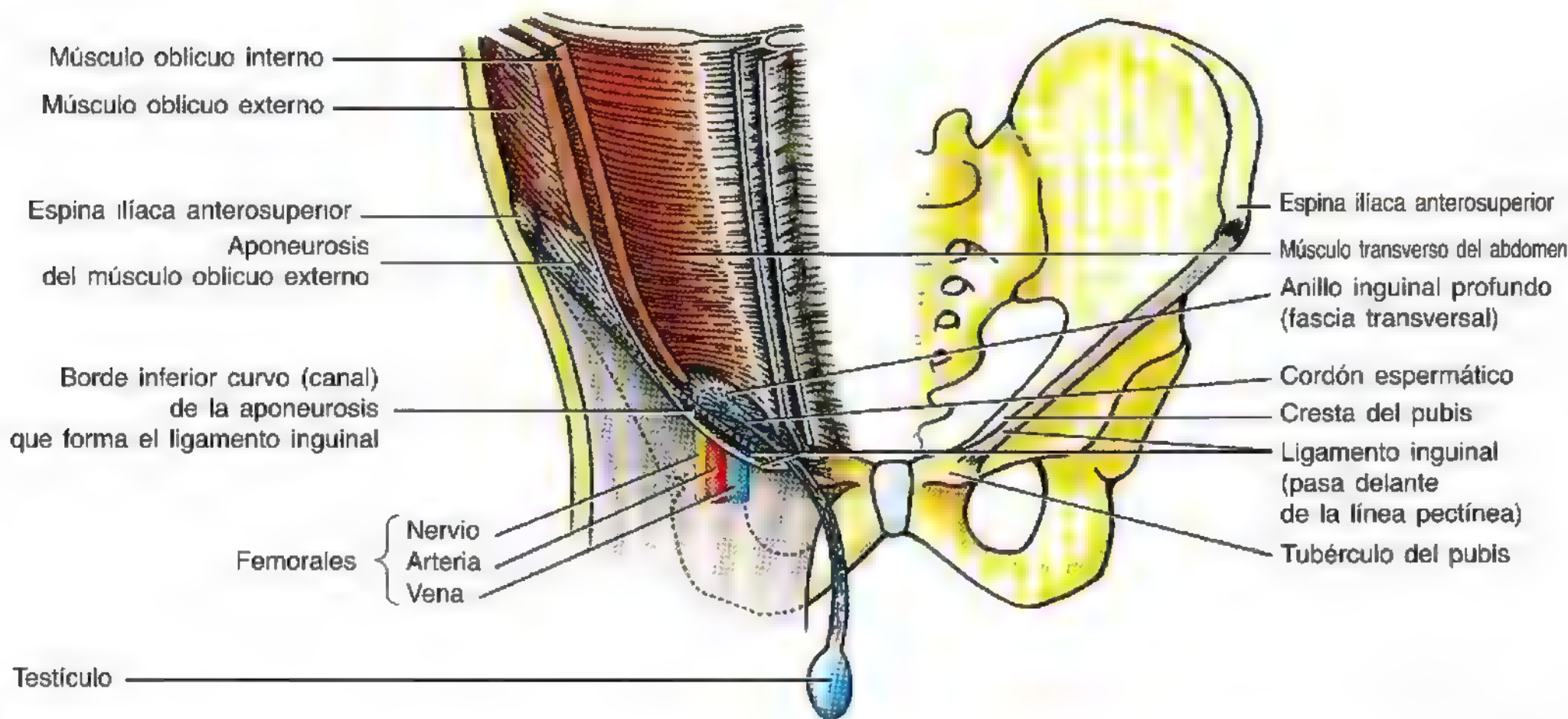
El músculo oblicuo externo es el más grande y superficial de los tres músculos anterolaterales planos de abdomen (fig. 2.5). Su porción muscular contribuye a la parte anterolateral de la pared del abdomen, y su aponeurosis, a la parte anterior. La mayoría de las fibras del músculo oblicuo externo sigue un curso inferomedial, en la misma dirección que los dedos cuando se introducen en los bolsillos. Las inserciones, la inervación y las acciones principales de este músculo se enumeran en la tabla 2.2. Como las fibras siguen una dirección inferomedial, se transforman en la aponeurosis cerca de la línea medioclavicular (LMC) y forman una lámina de fibras tendinosas que se decusan en la línea alba. La aponeurosis del oblicuo externo se inserta medial al tubérculo del pubis en la **cresta púbica**. Por abajo, el borde inferior de la aponeurosis del oblicuo externo se engruesa y se repliega sobre sí mismo para crear el **ligamento inguinal**, una banda fibrosa que se extiende entre la **espina iliaca anterosuperior** y el **tubérculo del pubis** (fig. 2.5B). El ligamento inguinal no es, por tanto, una estructura libre. Cuando se repliega sobre sí mismo se incurva, creando un surco que forma el suelo del conducto inguinal. Parte de las fibras del ligamento inguinal sigue hacia arriba, cruza la línea alba y se mezcla con las fibras inferiores de la aponeurosis contralateral. Estas fibras dan lugar al **ligamento inguinal reflejo** (fig. 2.6).

Músculo oblicuo interno

El elemento intermedio de los tres músculos abdominales planos, el músculo oblicuo interno, es una fina lámina



(A)



(B)

Figura 2.5. Pared anterolateral del abdomen. **A.** Disección superficial. La capa anterior de la vaina del recto se refleja en el lado izquierdo. Obsérvense los nervios cutáneos anteriores (T7 a T12) que perforan el músculo recto del abdomen y la capa anterior de la vaina del recto. **B.** Esquema de la pared que muestra los tres músculos planos del abdomen y la formación del ligamento inguinal.

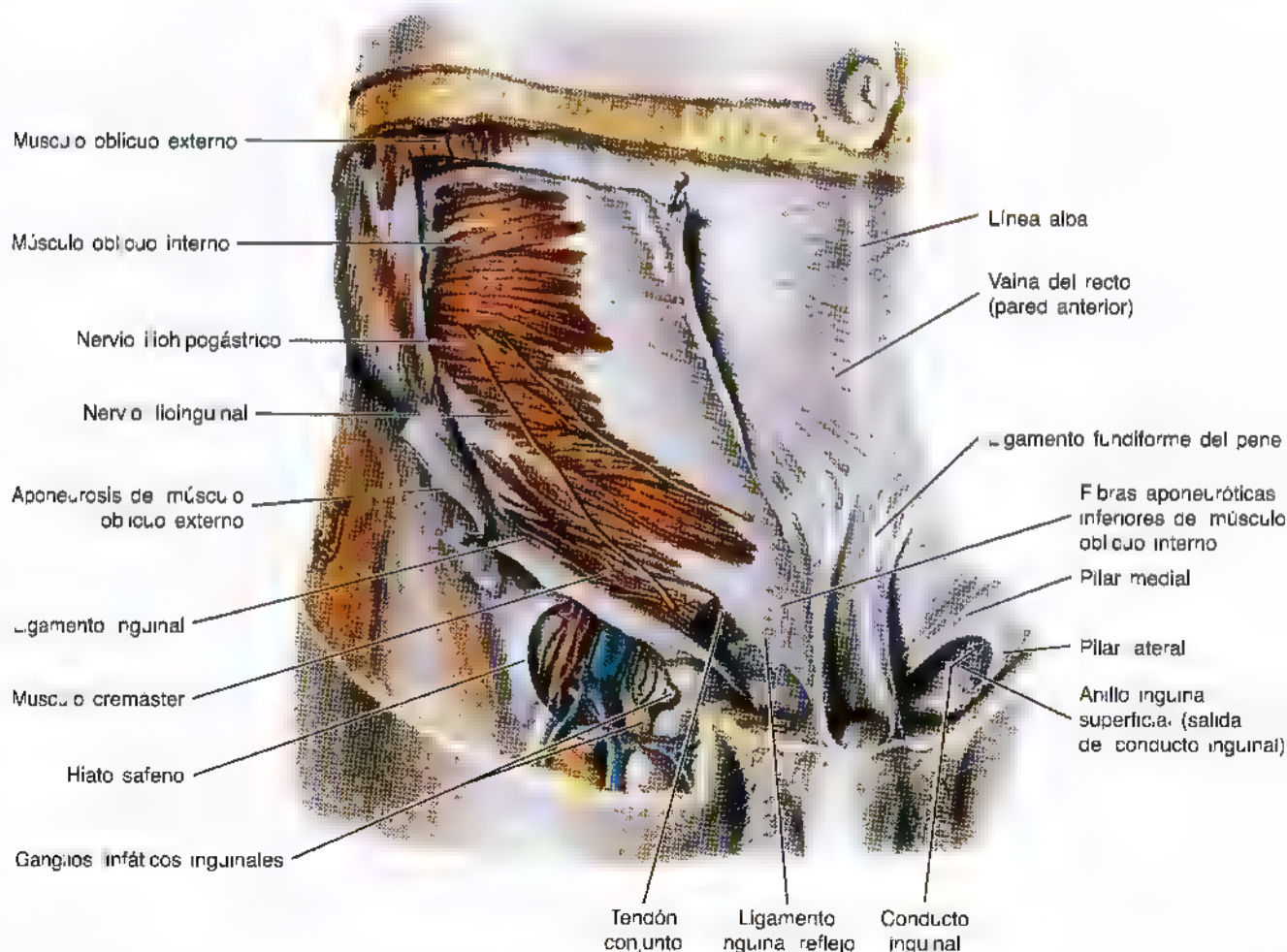


Figura 2.6. Región inguinal masculina. La aponeurosis del músculo oblicuo externo se ha seccionado en parte y se ha cortado el cordón espermático y extraído del conducto inguinal. El ligamento inguinal reflejo está creado por las fibras aponeuróticas del músculo oblicuo externo. Obsérvense los nervios iliohipogástrico e ilioinguinal (ramos del primer nervio lumbar) que pasan entre los músculos oblicuos externo e interno. El nervio ilioinguinal se puede dañar durante la reparación de una hernia inguinal.

músculo que se abre a modo de abanico en el sentido anteroposterior (figs. 2.6-2.8). Las fibras también se transforman en aponeuróticas casi en la misma línea (medioclavicular) que las del oblicuo externo, y contribuyen a crear la vaina del recto. Las fibras aponeuróticas inferiores del oblicuo interno se arquean sobre el **cordón espermático** a su paso por el **conducto inguinal**. Luego, descienden debajo del **anillo inguinal superficial** (fig. 2.6) para insertarse en la cresta del pubis y en la línea pectínea (fig. 2.5B), una cresta nítida que continúa la rama superior del pubis. Las fibras tendinosas mediales más inferiores del oblicuo interno se unen con las fibras aponeuróticas del músculo transverso del abdomen, situado en la profundidad, para formar el **tendón conjunto**, que desciende para insertarse en la cresta del pubis y en la línea pectínea. La tabla 2.2 indica las inserciones, la inervación y las acciones principales del músculo oblicuo interno.

Entre los músculos oblicuo interno y transverso del abdomen se sitúa un **plano neurovascular** que corresponde a

un plano similar de los espacios intercostales. En las dos regiones, este plano está comprendido entre las capas musculares intermedia y profunda (figs. 2.4-2.7). *El plano neurovascular de la pared anterolateral del abdomen contiene:*

- Los nervios toracoabdominales, ramos abdominales anteriores (cutáneos) de los ramos primarios ventrales (nervios intercostales) de T7 a T11.
- El nervio subcostal, un gran ramo ventral del nervio T12.
- Los nervios iliohipogástrico e ilioinguinal, ramos de una división ventral del nervio L1.
- Las arterias intercostales inferiores, subcostales y lumbares.
- La arteria ilíaca circunfleja profunda, rama de la arteria ilíaca externa.

En la parte anterior de la pared abdominal, los nervios y los vasos abandonan el plano neurovascular para situarse en otro más superficial.

Músculo transverso del abdomen

Las fibras del músculo transverso del abdomen —el más interno de los tres músculos abdominales planos (fig. 2.7)— se dirigen en sentido más o menos transversal, salvo las inferiores, que tienen un trayecto paralelo al del músculo oblicuo interno. Las fibras del músculo transverso del abdomen terminan en una aponeurosis que contribuye a formar la vaina del recto (fig. 2.8). La tabla 2.2 contiene las inserciones, la inervación y las acciones principales del músculo transverso del abdomen.

Músculo recto del abdomen

Esta cinta muscular larga y ancha que compone el músculo recto del abdomen representa el principal músculo vertical de la pared anterior (fig. 2.5A). La tabla 2.2 indica sus inserciones, inervación y acciones principales. Los músculos rectos, emparejados y separados por la línea alba, se encuentran unidos en la parte inferior. El músculo recto del abdomen tiene una anchura superior triple de la del plano inferior; por arriba es ancho y fino, y por abajo, estrecho y grueso. La mayor parte del músculo recto del abdomen está ence-

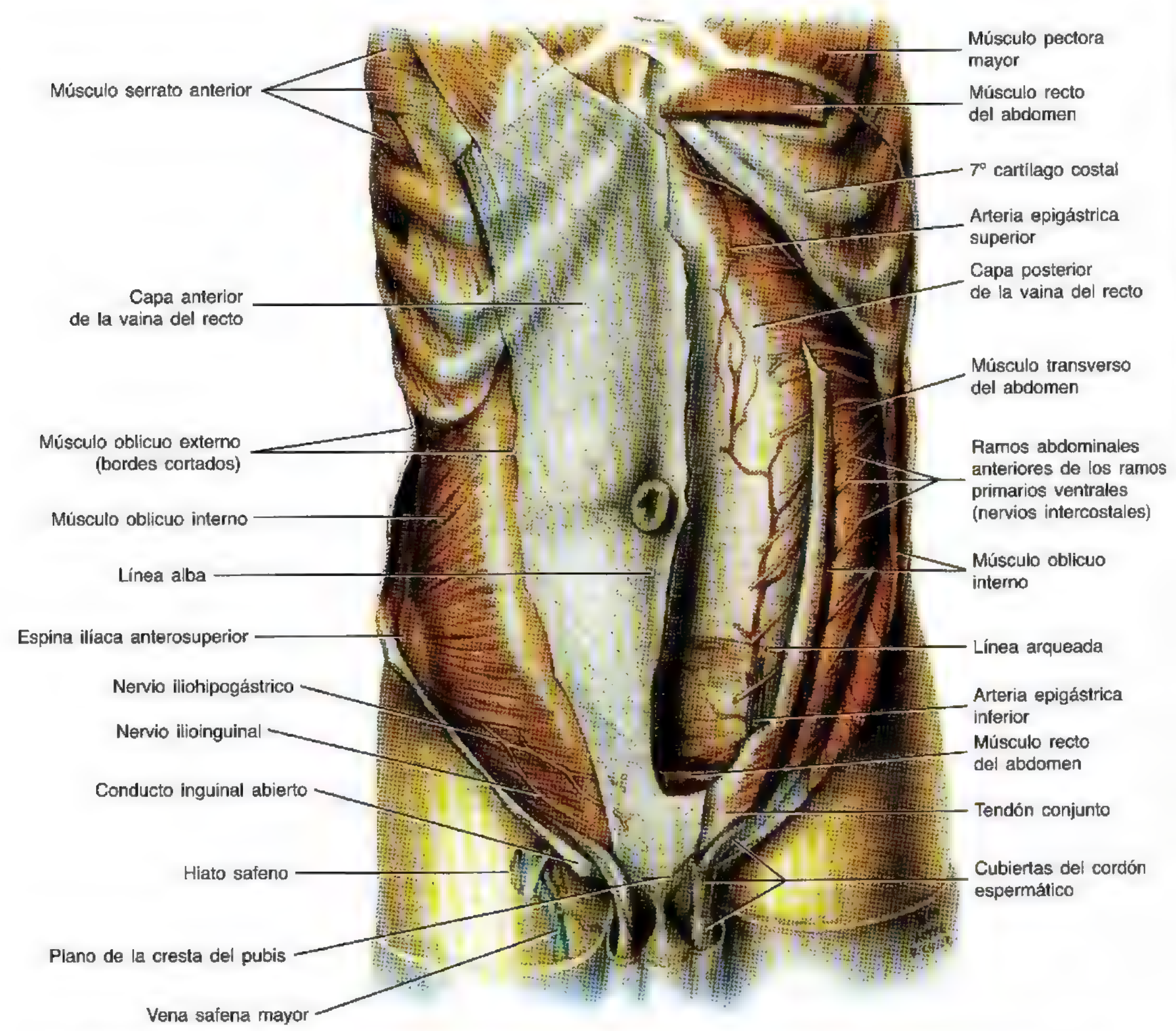


Figura 2.7. Disección profunda de la pared anterolateral del abdomen. Se ha extirpado casi todo el músculo oblicuo externo del lado derecho. Se ha extirpado también el músculo recto del abdomen y se ha dividido el músculo oblicuo interno del lado izquierdo. Obsérvese la anastomosis entre las arterias epigástricas superior e inferior que une de manera indirecta las arterias de los miembros superiores e inferiores.

Tabla 2.2. Músculos de la pared anterolateral del abdomen

Músculo	Origen	Inserción	Inervación	Acción principal
Oblicuo externo	Caras externas de la 5ª-12ª costillas	Línea alba, tubérculo del pubis y mitad anterior de la cresta ilíaca	Nervios toracoabdominales (6 últimos nervios torácicos) y nervio subcostal	Comprime y soporta las vísceras abdominales ^a , flexiona y rota el tronco
Oblicuo interno	Fascia toracolumbar, dos tercios anteriores de la cresta ilíaca y mitad lateral del ligamento inguinal	Bordes inferiores de la 10ª-12ª costillas, línea alba y línea pectínea a través del tendón conjunto	Nervios toracoabdominales (ramos ventrales de los últimos 6 nervios torácicos y primeros nervios lumbares)	
Transverso del abdomen	Caras internas del 7º-12º cartilago costal, fascia toracolumbar, cresta ilíaca y tercio lateral del ligamento inguinal	Línea alba con aponeurosis de músculo oblicuo interno, cresta del pubis y línea pectínea a través del tendón conjunto		Comprime y soporta las vísceras abdominales ^a
Recto del abdomen	Sínfisis del pubis y cresta del pubis	Apófisis xifoides y 5º-7º cartilago costal	Nervios toracoabdominales (ramos ventrales de los últimos 6 nervios torácicos)	Flexiona el tronco (vértebras lumbares) y comprime las vísceras abdominales ^a

Casi el 80% de las personas tiene un músculo insignificante piramidal situado en la vaina de recto, anterior a la porción más inferior del músculo recto del abdomen. Se extiende desde la cresta del pubis del hueso hasta a línea alba. Este pequeño músculo tracciona de la línea alba hacia abajo.

^a Al actuar de esta manera ejerce una acción antagonista de diafragma y propicia la espiración.

rada en la vaina del recto (figs. 2.7 y 2.8B). El músculo recto se inserta transversalmente en la lámina anterior de la vaina del recto a través de tres o más **intersecciones tendinosas** (fig. 2.5A). Cuando este músculo se tensa, las porciones musculares comprendidas entre las intersecciones tendinosas sobresalen en los sujetos musculosos. Las intersecciones marcadas por surcos de la piel entre las prominencias musculares—suelen situarse a la altura de la apófisis xifoides, el ombligo y en la zona intermedia entre ambos.

La **vaina del recto** (figs. 2.6-2.8) es un compartimiento fibroso robusto e incompleto de los músculos recto y piramidal del abdomen, formada por la decusación e interdigitación de las aponeurosis de los músculos planos del abdomen. Los dos tercios superiores de la aponeurosis del oblicuo interno se dividen en dos capas o láminas por el borde lateral del músculo recto del abdomen; una lámina discurre anterior al músculo, y la otra, posterior a él. La lámina anterior se une a la aponeurosis del oblicuo externo para dar la capa anterior de la vaina del recto. La lámina posterior se une a la aponeurosis del músculo transverso del abdomen y forma la capa posterior de la vaina del recto. Las fibras de las capas anterior y posterior de la vaina se entrelazan en la línea media anterior formando la compleja **línea alba**.

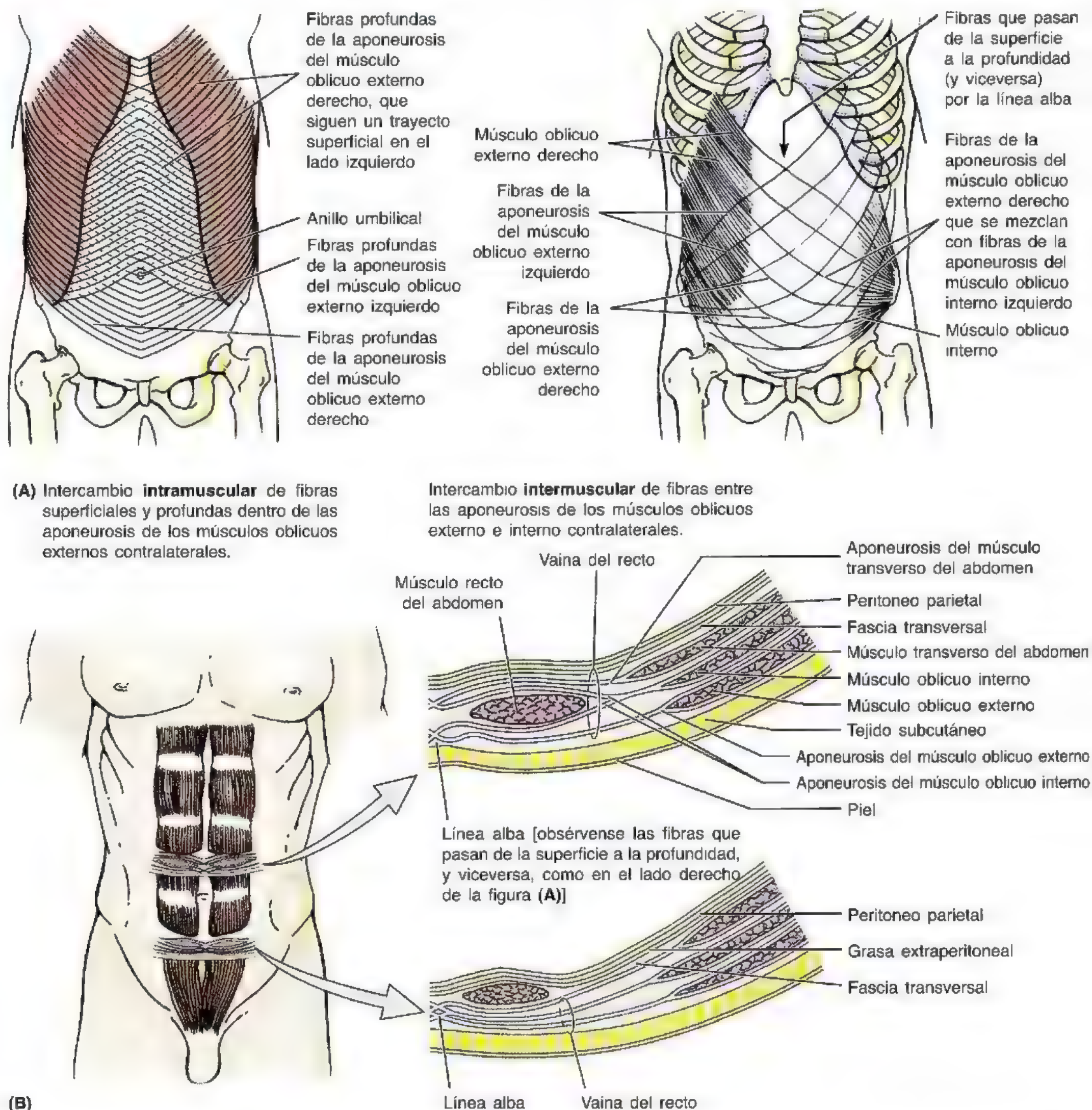
La **vaina del recto** posee:

- Una **capa anterior**, formada por la aponeurosis entrelazada del músculo oblicuo y externo y la lámina anterior de la aponeurosis del oblicuo interno.
- Una **capa posterior**, consistente en la lámina posterior fusionada de las aponeurosis de los músculos oblicuo interno y transverso del abdomen; el cuarto inferior de esta capa es deficitario porque toda la aponeurosis de los tres músculos planos pasa delante del músculo recto del abdomen, dejando que la cara posterior del músculo quede en contacto con la fascia transversal.

- Una **línea semiesférica**—la **línea arqueada**—, que delimita la transición entre la pared posterior aponeurótica de la vaina que cubre los tres cuartos superiores del músculo y la fascia transversa que cubre el cuarto inferior.

La capa posterior de la vaina del recto falta por encima del reborde costal, porque el músculo transverso del abdomen pasa por dentro de los cartílagos costales y el músculo oblicuo interno se inserta en el reborde costal. Por eso, por encima del reborde costal, el músculo recto del abdomen se apone directamente a la pared torácica (fig. 2.5A). El cuarto inferior de la vaina del recto también falta, porque la aponeurosis del oblicuo interno no se divide en este lugar para encerrar el músculo recto del abdomen. El límite inferior de la capa posterior de la vaina del recto está indicado por la línea arqueada, que define el lugar donde la lámina posterior del músculo oblicuo interno y la aponeurosis del músculo transverso del abdomen forman parte de la vaina anterior del recto, y dejan sólo la fascia transversa, bastante fina, para cubrir el músculo recto del abdomen en la cara posterior (fig. 2.8B). Debajo de la línea arqueada, en general a un tercio de la distancia del ombligo a la cresta púbica, las aponeurosis de los tres músculos planos pasan delante del músculo recto del abdomen para crear la lámina anterior de la vaina del recto.

La **línea alba** (figs. 2.7 y 2.8)—banda fibrosa que se erige verticalmente por toda la pared anterior del abdomen—recibe las inserciones de los músculos oblicuos y transverso del abdomen. Este **rafe** (significa sutura o ribete en griego) tendinoso se estrecha debajo del ombligo y se ensancha por encima de él. La línea alba transporta pequeños vasos y nervios a la piel. En las personas musculadas y delgadas se aprecia un surco en la piel que recubre la línea alba. En la parte central, por debajo del ombligo, la línea alba contiene el **anillo umbilical**, un defecto de la línea alba por el que



pasan los vasos umbilicales fetales hacia y desde el cordón umbilical y la placenta. Todas las capas de la pared anterolateral del abdomen se unen en el ombligo. A medida que se acumula grasa en el tejido subcutáneo después del nacimiento, la piel se levanta alrededor del anillo umbilical y el ombligo se deprime. Este hecho ocurre a los 7-14 días del parto, cuando se “desprende” el cordón umbilical atrófico.

Funciones y acciones de los músculos anterolaterales del abdomen

Los músculos de la pared anterolateral del abdomen:

- Crean un fuerte soporte expansible para la pared anterolateral.
- Protegen las vísceras abdominales de lesiones, como las causadas por golpes bajos durante el boxeo.

- Comprimen el contenido abdominal.
- Ayudan a mantener o elevan la presión dentro del abdomen y, al hacerlo, se oponen al diafragma y provocan la espiración.
- Mueven el tronco y ayudan a mantener la postura.

Los músculos oblicuo y transverso, al actuar de manera conjunta y bilateral, crean una cintura muscular que ejerce una compresión firme sobre las vísceras abdominales. El músculo recto del abdomen apenas interviene en esta acción.

Los músculos del abdomen, cuando actúan de manera combinada, comprimen las vísceras abdominales y elevan el diafragma durante la respiración. Cuando se contrae el diafragma, la pared anterolateral del abdomen se expande, ya que sus músculos se relajan para dar cabida a órganos, como el hígado, que son desplazados en sentido inferior. Cuando el diafragma se relaja, la pared se deprime por la contracción muscular. Las acciones combinadas de los músculos anterolaterales ayudan a expulsar el aire durante la espiración y a

generar la fuerza necesaria para la defecación (evacuación del material fecal por el recto), micción (emisión de orina) y parto. Los músculos anterolaterales del abdomen también participan en los movimientos del tronco a través de las vértebras lumbares y en la regulación de la inclinación de la pelvis en posición erecta (mantenimiento de la postura). Por eso, el enderezamiento de la musculatura anterolateral de la pared del abdomen mejora la bipedestación y la sedestación. El músculo recto del abdomen es un poderoso flexor de la región torácica y, en particular, de la región lumbar de la columna vertebral, ya que tracciona del reborde costal anterior y de la cresta púbica y las aproxima. Los músculos oblicuos del abdomen también ayudan a los movimientos del tronco, sobre todo a la flexión lateral y la rotación de la columna lumbar y de la parte inferior de la columna torácica. El músculo transverso del abdomen probablemente no ejerce ningún efecto notable sobre la columna vertebral (Williams y cols., 1995).

Abdomen globuloso

El abdomen globuloso es un dato normal de los lactantes y niños pequeños, porque sus tubos digestivos contienen mucho aire. Además, sus cavidades abdominales anterolaterales crecen y los músculos abdominales no han adquirido todavía toda la fuerza. El hígado relativamente grande del lactante o del niño pequeño también explica parte de esta prominencia. Un adulto de peso normal, bien entrenado, muestra un abdomen plano o escafoideo cuando se encuentra en decúbito supino. Durante el embarazo, el abdomen sobresale por el crecimiento fetal, sobre todo cuando el bebé se encuentra "bajo". El abdomen también se expande en ambos sexos si se deposita una cantidad exagerada de grasa o se acumulan heces, líquidos por ejemplo en la *ascitis* (acúmulo de líquido seroso en la cavidad peritoneal), o flatos (gas dentro del tubo digestivo). Las cinco causas más comunes de abdomen globuloso empiezan en inglés por la letra "f": *fat* (grasa), *feces* (heces), *feto*, *flato* y *fluid* (líquido).

La eversión umbilical constituye, a veces, un signo de aumento de la presión dentro del abdomen, casi siempre por ascitis o por una gran masa (p. ej., tumor, feto, organomegalia, por ejemplo, hepatomegalia). La *liposucción* representa un método quirúrgico para extirpar la grasa subcutánea no deseada con un tubo de aspiración insertado por vía percutánea y una gran presión de vacío. Los tubos se introducen por vía subcutánea a través de pequeñas incisiones en la piel.

Con el envejecimiento, la laxitud de la musculatura anterolateral del abdomen contribuye a su prominencia. Los tumores y las organomegalias (aumento del tamaño de los órganos, por ejemplo, esplenomegalia) también provocan un abdomen globuloso. Conforme crece el ab-

domen se adelgazan los músculos anterolaterales (atrofia), crece la piel y se alargan los nervios y los vasos sanguíneos. A menudo, se observan líneas o estrías rojizas y elongadas en la piel abdominal de las mujeres embarazadas (*estrias gravidicas*), personas obesas y enfermos con ascitis crónica. Estas "marcas de estiramiento" se van tornando poco a poco en líneas finas cicatriciales —*lineae albican-tes*— que constituyen bandas blancas, pálidas o ligeramente azuladas.

Si la musculatura anterior del abdomen no se desarrolla bien, se atrofia o el tono no basta para resistir el mayor peso del abdomen globuloso sobre la pelvis anterior, la pelvis se inclina hacia delante por las caderas al levantarse (el pubis desciende y el sacro asciende), ocasionando una *lordosis*, es decir, una curvatura convexa exagerada de la región lumbar. (Véase el capítulo 4, *Dorso*, que contiene más detalles.)

Exploración física de la pared abdominal

Para que la pared anterolateral del abdomen se relaje de manera adecuada, el médico procede a la exploración física del abdomen con el enfermo en decúbito supino y los muslos y rodillas semiflexionados. En caso contrario, la fascia profunda de los muslos tira de la capa membranosa del tejido subcutáneo abdominal y tensa la pared del abdomen.

Hernias abdominales

La pared anterolateral del abdomen puede ser el asiento de hernias. La mayoría de las hernias ocurren en las ►

► regiones inguinal, umbilical y epigástrica. (Las hernias inguinales se exponen en las páginas 209-211.) Las *hernias umbilicales* son frecuentes entre los recién nacidos, porque la pared anterior del abdomen es bastante débil a nivel del anillo umbilical, sobre todo en los pequeños con bajo peso al nacer. Se trata, de ordinario, de pequeñas hernias umbilicales, que aparecen por un aumento de la presión intrabdominal, dada la debilidad y cierre incompleto de la pared anterior del abdomen tras la ligadura del cordón umbilical al nacer. La herniación tiene lugar

por el *anillo umbilical*, abertura de la línea alba. Las *hernias umbilicales adquiridas* suelen observarse en mujeres y personas obesas. La grasa extraperitoneal, el peritoneo, o ambos, protruyen por el saco herniario. La *hernia epigástrica* –hernia de la región epigástrica a través de la línea alba– ocurre en la línea media, entre la apófisis xifoides y el ombligo. Suele afectar a personas mayores de 40 años y se acompaña casi siempre de obesidad. El saco herniario, compuesto por peritoneo, está tapizado sólo por la piel y el tejido subcutáneo adiposo. ◻

Nervios de la pared anterolateral del abdomen

La piel y los músculos de la pared anterolateral del abdomen (fig. 2.9, tabla 2.3) están inervados principalmente por:

- Los nervios toracoabdominales (antiguos nervios intercostales inferiores), ramos abdominales (cutáneos) anteriores de los ramos primarios ventrales de los últimos seis nervios torácicos (T7 a T11).

- Los nervios subcostales (T12).
- Los nervios iliohipogástrico e ilioinguinal (L1).

Los **nervios toracoabdominales** siguen un trayecto infero-anterior desde el espacio intercostal y discurren por el plano neurovascular entre los músculos oblicuo interno y transverso del abdomen para inervar la piel y los músculos abdominales. Los ramos cutáneos anteriores del abdomen perforan la vaina del recto a corta distancia del plano medio. *Los ramos cutáneos anteriores abdominales de los nervios toracoabdominales*

Figura 2.9. Ilustración esquemática de la distribución de los nervios toracoabdominales. Estos nervios constituyen los ramos ventrales de los nervios espinales T7 a T11 e inervan los músculos anterolaterales y la piel que los cubre. Estos nervios son completados por los ramos terminales anteriores del nervio subcostal y por un ramo del nervio iliohipogástrico del plexo lumbar. Después de atravesar los músculos proporcionan la sensibilidad cutánea.

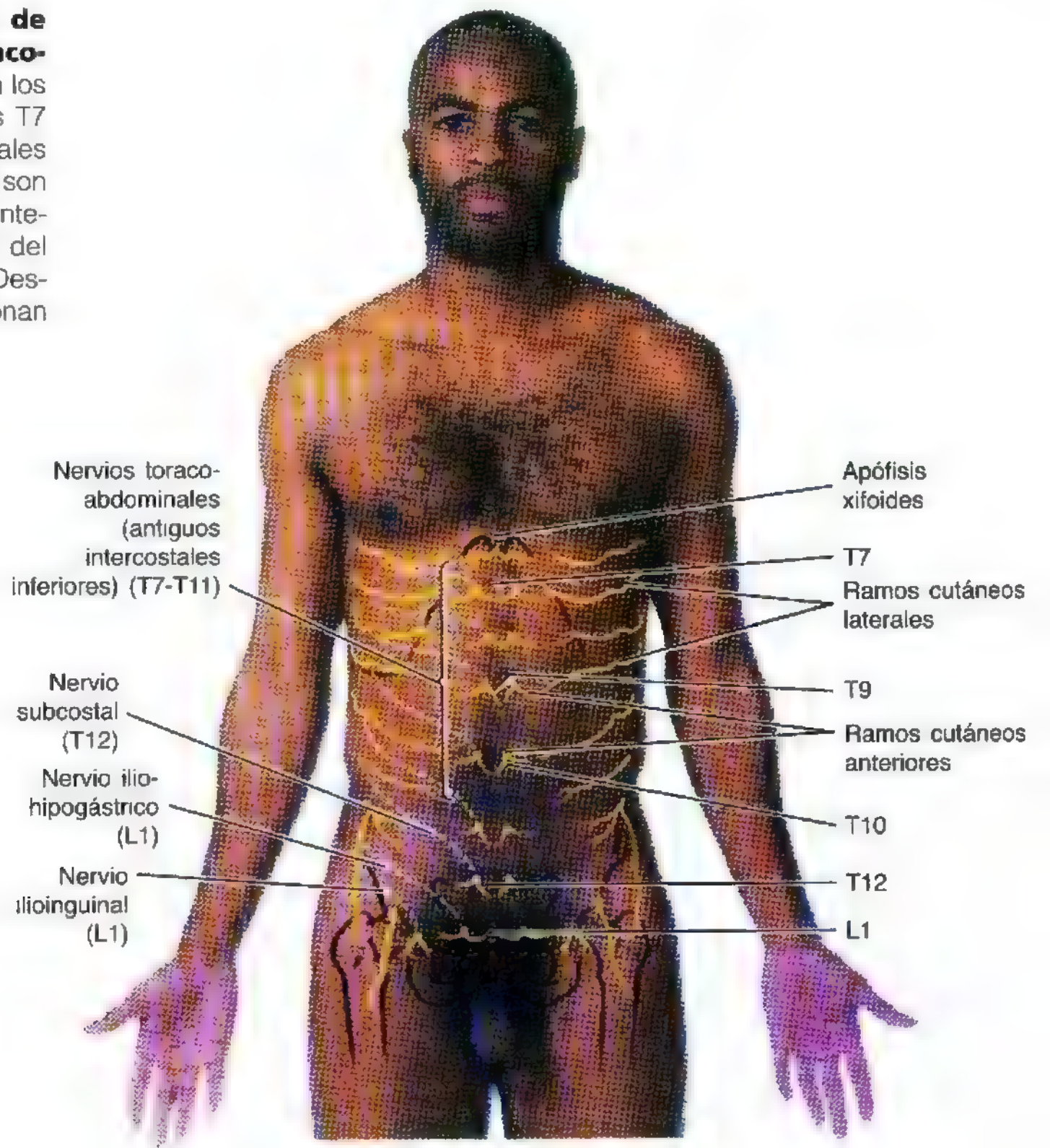


Tabla 2.3. Nervios de la pared anterolateral del abdomen

Nervio	Origen	Trayectoria	Distribución
Toracoabdominal (T7-T11)	Continuación de los nervios intercostales inferiores	Discurre entre a 2ª y 3ª capas de los músculos abdominales	Músculos anteriores del abdomen y piel que los cubre; zona periférica de diafragma
Subcostal (T12)	Ramo ventral del 12º nervio torácico	Discurre a lo largo del borde inferior de la 12ª costilla	Cinta más baja del músculo oblicuo externo y piel que cubre la espina iliaca anterosuperior y la cadera
Iliohipoabdominal (L1)	Principalmente del ramo ventral del 1º nervio lumbar	Atraviesa el músculo transverso del abdomen; los ramos atraviesan a aponeurosis del músculo oblicuo externo	Piel de la región hipogástrica y de la cresta iliaca; músculo oblicuo interno y transverso del abdomen
Ilioinguinal (L1)	Ramo ventral del 1º nervio lumbar	Pasa entre la 2ª y 3ª capas de los músculos abdominales y a través del conducto inguinal	Piel del escroto o labio mayor, monte del pubis y cara medial adyacente del muslo; músculo oblicuo interno y transverso del abdomen

- T7 a T9 inervan la piel supraumbilical;
- T10 inerva la piel periumbilical;
- T11 más los ramos cutáneos de los nervios subcostal (T12), iliohipogástrico e ilioinguinal (L1) inervan la piel infraumbilical.

Durante su trayecto por la pared, los nervios toracoabdominales, subcostales e iliohipogástricos se anastomosan entre sí.

Vasos de la pared anterolateral del abdomen

Los vasos sanguíneos de la pared anterolateral del abdomen (fig. 2.10) comprenden:

- Los *epigástricos superiores*, derivados de los vasos torácicos internos.
- Los *epigástricos inferiores* y los *ilíacos circunflejos* profundos, procedentes de los vasos ilíacos externos.
- Los *ilíacos circunflejos superficiales* y los *epigástricos superficiales*, originados en la arteria femoral y la vena safena mayor.
- *Ramas anteriores y colaterales de los vasos intercostales posteriores* de los espacios intercostales 10 y 11 y de las ramas anteriores de los *vasos subcostales*.

- *Ramas de los vasos musculofrénicos* de los vasos torácicos internos.

La tabla 2.4 resume la vascularización arterial de la pared anterolateral del abdomen.

La **arteria epigástrica superior** es la continuación directa de la arteria torácica interna. Entra en la vaina del recto por la cara superior, a través de la capa posterior, e irriga la parte superior del músculo recto del abdomen; se anastomosa con la arteria epigástrica inferior.

La **arteria epigástrica inferior** nace en la arteria ilíaca externa, justo encima del ligamento inguinal. Sigue un curso superior por la fascia transversa y entra en la vaina del recto debajo de la línea arqueada. Sus ramas penetran en la parte baja del músculo recto del abdomen y se anastomosan con las de la arteria epigástrica superior cerca de la región umbilical.

Drenaje linfático de la pared anterolateral del abdomen (fig. 2.10):

- Los vasos linfáticos superficiales acompañan a las arterias subcutáneas; los situados encima del ombligo drenan, en esencia, a los *ganglios linfáticos axilares*; sin embargo, algunos lo hacen a los ganglios linfáticos paraesternales. Los vasos linfáticos superficiales infraumbilicales drenan a los *ganglios linfáticos inguinales superficiales*.
- Los vasos linfáticos profundos acompañan a las venas profundas y drenan a los ganglios linfáticos ilíacos externo, ilíacos comunes y lumbares (aórticos laterales).

Palpación de la pared anterolateral del abdomen

Para palpar la pared del abdomen es importante tener las manos calientes, porque con las manos frías se tensan los músculos anterolaterales del abdomen y se producen espasmos involuntarios (*defensa*) de los músculos. La *defensa* intensa tiene lugar cuando se palpa un órgano (como el apéndice) inflamado y constituye, por sí misma,

un signo clínico de importancia. Los espasmos musculares involuntarios tratan de proteger las vísceras de la compresión, que resulta dolorosa en caso de infección abdominal. La inervación habitual de la piel y de los músculos de la pared explica por qué suceden estos espasmos. Algunos enfermos tienden a colocar las manos detrás de la cabeza cuando se encuentran en decúbito supino, con lo que también se tensan los músculos y se dificulta la exploración. La colocación de los miembros superiores a ▶

► los lados y de una almohada bajo las rodillas tiende a relajar la musculatura anterolateral del abdomen.

Reflejos abdominales superficiales

Los médicos y los cirujanos exploran los reflejos de la pared abdominal para determinar si existe una enfermedad, como la apendicitis. La pared abdominal constituye la única protección para la mayoría de los órganos abdominales. Por eso, reacciona cuando un órgano enferma o se daña. En decúbito supino y con la musculatura relajada, los reflejos abdominales superficiales se desencadenan friccionando el ombligo con rapidez y en el plano horizontal, desde la cara lateral a la medial. En general, se nota una contracción de los músculos abdominales; este reflejo puede faltar en las personas obesas. De manera análoga, la lesión de la piel abdominal determina una contracción refleja rápida de los músculos abdominales.

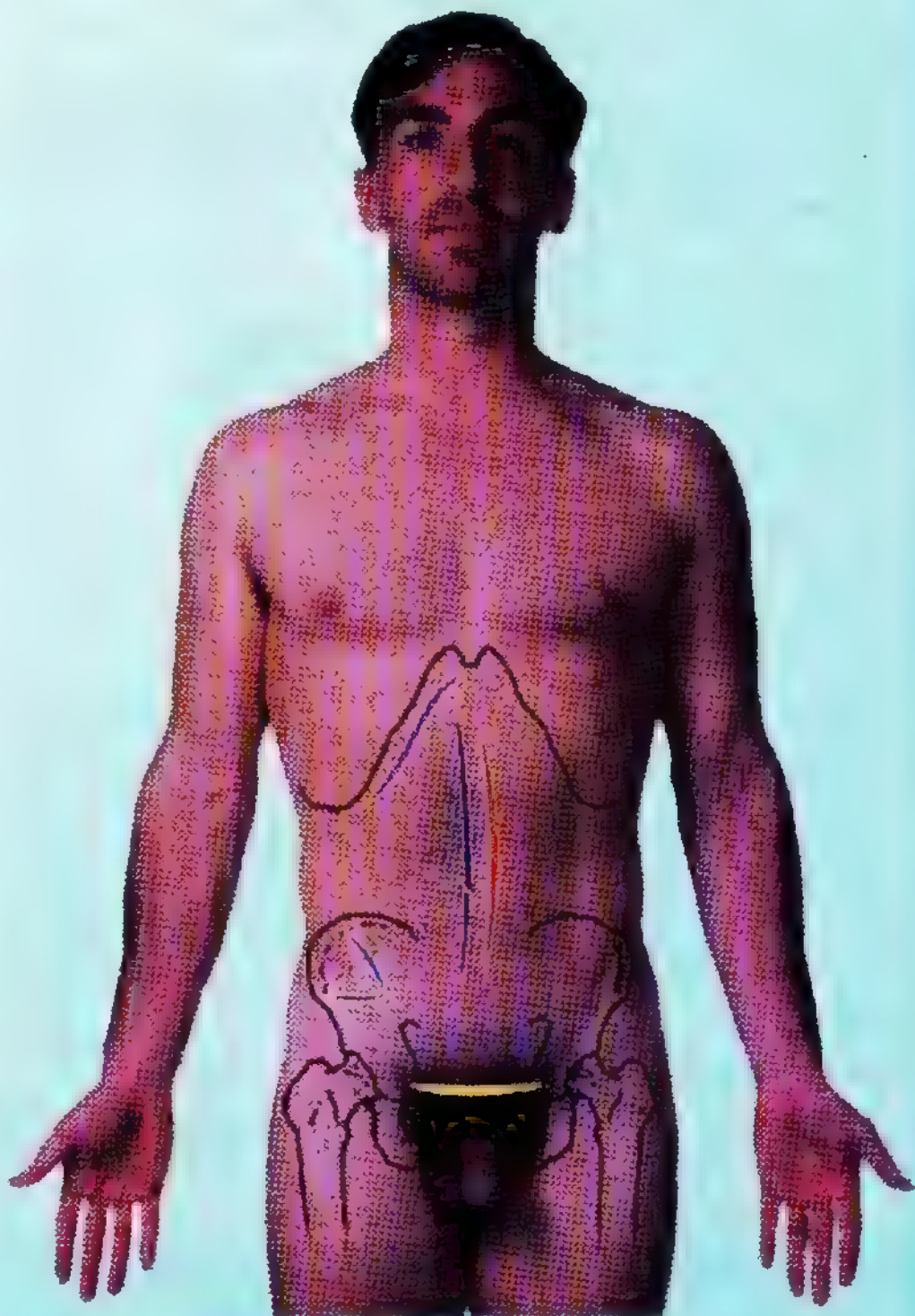
Incisiones quirúrgicas del abdomen

Los cirujanos utilizan varias incisiones para acceder a la cavidad abdominal. En la medida de lo posible, las incisiones deben seguir las líneas de tensión (líneas de Langer) de la piel (consúltese la *Introducción*, que contiene una descripción e ilustración de estas líneas). Se ha de escoger la incisión que permita una exposición adecuada y, de paso, el mejor efecto estético posible. La ubicación de la incisión también depende del tipo de cirugía, la localización del órgano u órganos a los que el cirujano desee llegar, los límites óseos o cartilagosos, la evitación de los nervios (sobre todo, motores), el mantenimiento de la irrigación sanguínea y la minimización de la lesión muscular y de la fascia de la pared, sin olvidar nunca una cicatrización favorable. Por eso, antes de proceder a la incisión, el cirujano debe evaluar la dirección de las fibras musculares y la posición de las aponeurosis y los nervios. En consecuencia, en la práctica se efectúan diversas incisiones; cada una tiene sus ventajas y limitaciones concretas.

En lugar de seccionar los músculos, causando una necrosis (muerte) irreversible de las fibras musculares, el cirujano los divide en la dirección de (entre) sus fibras. El músculo recto del abdomen es una excepción, ya que se puede seccionar, puesto que sus fibras musculares recorren distancias cortas entre las inscripciones tendinosas y su inervación segmentaria discurre por la parte lateral de la vaina del recto. Por eso, resulta fácil localizar y preservar los nervios. El cirujano escoge la parte de la pared anterolateral del abdomen que ofrece un acceso más cómodo al órgano deseado, con el menor daño de la inervación muscular. Se retraen los músculos y las vísceras, sin alejarlos de su nutrición neurovascular. Si se secciona un nervio motor se paralizan las fibras musculares que inerva y se debilita la pared anterolateral del abdomen. No obs-

tante, dado que las zonas de inervación se superponen entre los nervios de la pared anterolateral del abdomen, en general se pueden cortar una o dos ramas nerviosas sin que apenas desaparezca la inervación motora de los músculos ni la sensibilidad cutánea. Existe muy poca o ninguna comunicación entre los nervios del borde lateral de músculo recto del abdomen y la línea media anterior. Seguidamente se indican las incisiones quirúrgicas habituales.

Las **incisiones medias o de la línea media** se pueden efectuar con rapidez sin seccionar los músculos, los grandes vasos sanguíneos ni los nervios. Estas incisiones cortan el tejido fibroso de la línea alba, por encima o por debajo del ombligo, o por ambos sitios. Como la línea alba sólo lleva pequeños vasos y nervios a la piel, la incisión de la línea media es relativamente incruenta y evita los ►



Leyenda

- Incisión media
- Incisión paramediana izquierda
- Incisión en parrilla (con separación de los músculos)
- Incisión de Pfannenstiel (suprapúbica)
- Incisión transversa (abdominal)
- Incisión subcostal

► grandes nervios; sin embargo, las incisiones muestran, en algunos casos, una grasa abundante y muy vascularizada. A la inversa, debido a su irrigación relativamente escasa, la línea alba se puede necrosar y degenerar con posterioridad a la incisión si no se alinean correctamente los bordes durante la sutura. Las incisiones medias se pueden practicar a lo largo de cualquier parte o distancia de la línea alba desde la apófisis xifoides hasta el pubis. Por eso, sirven para los procedimientos de exploración. Las incisiones medias bajas (infraumbilicales) se emplean muchas veces para llegar hasta las vísceras pélvicas femeninas.

Las **incisiones paramedianas** (lateral, izquierda o derecha, al plano medio) se efectúan en el plano sagital y pueden extenderse desde el reborde costal hasta la línea de inserción del vello púbico. Las incisiones cortan la capa anterior de la vaina del recto; el músculo se libera y retrae lateralmente para prevenir la tensión y la lesión de los vasos sanguíneos y nervios. Las capas posteriores de la vaina del recto y el peritoneo se inciden, después, para pasar a la cavidad peritoneal.

Las **incisiones "en parrilla" (con separación muscular)** se usan muchas veces para la apendicectomía. La *incisión oblicua de McBurney* queda aproximadamente 2,5 cm superomedial a la espina ilíaca anterosuperior (*punto de McBurney*). Esta incisión ya no es tan popular como la incisión casi transversa por la línea del pliegue de la piel. En cualquiera de los casos, se incide la aponeurosis del músculo oblicuo externo en sentido inferomedial, en la dirección de sus fibras, y se retrae. Las fibras musculoponeuróticas de los músculos oblicuo interno y transversos del abdomen se separan después según la dirección de sus fibras y se rechazan. El *nervio iliohipogástrico*, situado en la profundidad del músculo oblicuo inferior, se identifica y preserva. Si se opera con cuidado, no se secciona ninguna fibra musculoponeurótica en toda la exposición; por tanto, cuando se cierra la incisión se aponen de nuevo las fibras musculares, y la pared abdominal sigue tan robusta como antes después de la operación. Si la incisión es relativamente pequeña y se aplica con cuidado, ofrece un acceso satisfactorio y evita el corte, desgarró y estiramiento nerviosos.

Las **incisiones de Pfannenstiel (suprapúbicas)** se practican en la línea de inserción del vello púbico. Estas incisiones (horizontal con ligera convexidad) se emplean en la mayoría de las operaciones ginecológicas y obstétricas (p. ej., para la cesárea, extracción de un embarazo tubárico). La línea alba y las capas anteriores de la vaina del recto se seccionan y resecan por la cara superior; los músculos rectos se rechazan lateralmente o se dividen por sus porciones tendinosas, lo que permite reinsertarlos sin dañar las fibras musculares. Asimismo, se identifican los nervios iliohipogástrico e ilioinguinal y se preservan.

Las **incisiones transversas** a través de la capa anterior de la vaina del recto y del propio músculo recto del abdo-

men ofrecen un acceso adecuado y causan el mínimo daño a la innervación de este músculo. El músculo se puede seccionar transversalmente sin graves problemas, porque la nueva banda transversa, una vez que se reúnen los segmentos musculares, se asemeja a una intersección tendinosa. Las incisiones transversas no deben efectuarse por las intersecciones tendinosas, porque los nervios cutáneos y las ramas de los vasos epigástricos superiores perforan estas regiones fibrosas de músculo. Las incisiones transversas son más útiles encima del ombligo. Se pueden ampliar lateralmente todo lo necesario para mejorar la exposición, pero no resultan útiles para los procedimientos diagnósticos porque parece difícil la extensión superior y la inferior.

Las **incisiones subcostales** facilitan el acceso a la vesícula y árbol biliares en el lado derecho y al bazo en el lado izquierdo. Se practica una incisión paralela, pero como mínimo 2,5 cm inferior al reborde costal, para evitar el 7º y 8º nervios espinales torácicos (fig. 2.9).

Las **incisiones pararectales e inguinales** comportan un **alto riesgo**. Las *incisiones pararectales* a lo largo del borde lateral de la vaina del recto se desaconsejan, porque es fácil seccionar el nervio que abastece el músculo recto del abdomen. La irrigación sanguínea de la arteria epigástrica inferior también se puede alterar. Las *incisiones inguinales* para la reparación de las hernias pueden dañar el nervio ilioinguinal de forma directa o incluirlo de manera inadvertida en la sutura al cerrar la incisión. En estos casos, el enfermo nota dolor en el dermatoma L1, que comprende el escroto (o el labio mayor).

Muchas intervenciones de cirugía abdominopélvica se practican con el endoscopio (cirugía mínimamente cruenta), a través de perforaciones diminutas de la pared abdominal que permiten el paso de los instrumentos para la cirugía remota; de esta manera se han sustituido las grandes incisiones convencionales. Así pues, la posibilidad de contaminación a través de la herida abierta y del tiempo necesario para la cicatrización se reducen al mínimo.

Hernia incisional

La **hernia incisional** es una protrusión del omento (pliegue del peritoneo) o de algún órgano a través de la incisión quirúrgica. Los cirujanos que efectúan incisiones, basadas en sus conocimientos profundos de la anatomía de la pared anterolateral del abdomen, afrontan a veces este problema. Sin embargo, si las capas muscular y aponeurótica del abdomen no cicatrizan correctamente puede ocurrir una hernia incisional. Las infecciones, la obstrucción intestinal y la obesidad representan factores predisponentes para las hernias incisionales. ►

Lesión de los nervios de la pared anterolateral del abdomen

Como los nervios espinales torácicos inferiores (T11 y T12) y los nervios iliohipogástrico e ilioinguinal (L1) inervan la musculatura de la región inguinal, la lesión de estas estructuras durante la cirugía o un traumatismo abdominal puede debilitar la musculatura inguinal y predisponer a las hernias inguinales directas (págs. 209-211). El *nervio ilioinguinal* emite ramos motores para las fibras del músculo oblicuo interno que se insertan en el borde lateral del tendón conjunto. La división de este nervio paraliza estas fibras y debilita el tendón conjunto, con lo que puede aparecer una hernia inguinal directa.

Peritonitis

La inflamación del peritoneo, que tapiza la cavidad abdominal y cubre vísceras como el estómago, provoca dolor en la piel suprayacente y un incremento del tono de la musculatura anterolateral del abdomen. La respiración se acompaña, normalmente, de movimientos rítmicos de la pared anterolateral del abdomen. Si el abdomen se reduce de tamaño conforme se expande el tórax (*ritmo abdominotorácico paradójico*) y existe rigidez muscular, puede tratarse de una peritonitis o neumonía (inflamación de los pulmones). Uno de los signos especiales de la exploración física de una persona con *abdomen agudo* (dolor abdominal intenso) es el espasmo de los músculos *abdominales anterolaterales* —*defensa*—, es decir, una rigidez muscular en tabla que no se puede suprimir con la voluntad. En la página 214 se comenta la peritonitis con más detalle.

Figura 2.10. Arterias y vasos linfáticos de la pared anterolateral del abdomen. Las ramas cutáneas laterales de las arterias intercostales y subcostales acompañan a los nervios cutáneos. Las ramas cutáneas anteriores también proceden de las arterias epigástricas superior e inferior. Casi todos los vasos linfáticos superficiales, superiores al ombligo, drenan en los ganglios linfáticos axilares; algunos lo hacen en los ganglios paraesternales. Los vasos linfáticos superficiales, infraumbilicales, drenan en los ganglios inguinales superficiales.

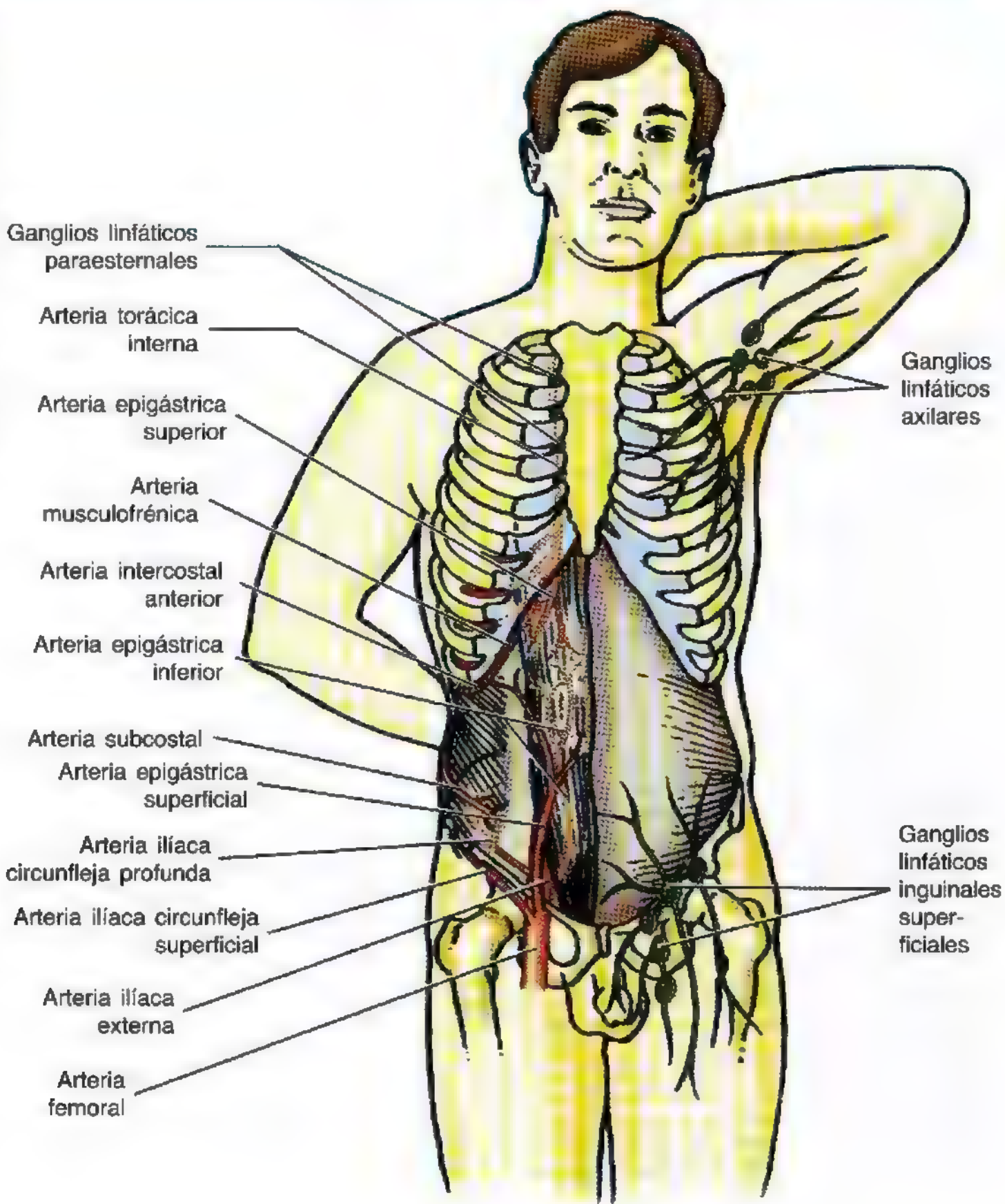


Tabla 2.4. Arterias de la pared anterolateral del abdomen

Arteria	Origen	Trayectoria	Distribución
Epigástrica superior	Arteria torácica interna	Desciende en la profundidad de la vaina del recto hasta el músculo recto de abdomen	Músculo recto del abdomen y porción superior de la pared anterolateral del abdomen
Epigástrica inferior	Arteria iliaca externa	Discurre por la cara superior y entra en la vaina del recto; pasa en la profundidad del músculo recto del abdomen	Músculo recto del abdomen y porción medial de la pared anterolateral del abdomen
Iliaca circunfleja profunda		Discurre por la cara profunda de la pared anterior del abdomen, para ir al ligamento inguinal	Músculo iliaco y porción inferior de la pared anterolateral del abdomen
Iliaca circunfleja superficial	Arteria femoral	Viaja por la fascia superficial a lo largo del ligamento inguinal	Tejido subcutáneo y piel que cubre la porción inferior de la pared anterolateral del abdomen
Epigástrica superficial		Viaja por la fascia superficial hacia el ombligo	Tejido subcutáneo y piel que cubre la región suprapúbica

Cara interna de la pared anterolateral del abdomen

La cara interna (posterior) de la pared anterolateral del abdomen está cubierta por **peritoneo parietal** (fig. 2.11). La porción infraumbilical de esta cara tiene varios pliegues peritoneales, algunos de ellos con esbozos de los vasos que transportaron sangre desde y hacia el feto (Moore y Persaud, 1998). Los **cinco pliegues peritoneales umbilicales** —dos a cada lado y uno en el plano medio— se dirigen hacia el ombligo:

- El **pliegue umbilical medio** se extiende desde el vértice de la vejiga urinaria hasta el ombligo y cubre el **ligamento umbilical medio**, resto del uraco (tallo alantoides reducido) que une el vértice de la vejiga fetal con el ombligo (Moore y Persaud, 1998).
- Dos **pliegues umbilicales mediales**, laterales al pliegue umbilical medio, cubren los **ligamentos umbilicales mediales**, restos de las arterias umbilicales fetales obstruidas.
- Dos **pliegues umbilicales laterales**, laterales a los pliegues umbilicales mediales, cubren los **vasos epigástricos inferiores**, que sangran si se seccionan.

Las depresiones laterales a los pliegues umbilicales son las **fosas peritoneales**, que constituyen un lugar de herniación potencial. La localización de una hernia en alguna de estas fosas determina la clasificación de la misma. *Las fosas poco profundas situadas entre los pliegues umbilicales son:*

- Las **fosas supravesicales** entre los pliegues umbilicales mediano y medial, que se crean por la reflexión del peritoneo de la pared anterior del abdomen sobre la vejiga. Éstas constituyen lugares potenciales para las hernias supravesicales externas, raras. La altura de las fosas supravesicales asciende y desciende con el llenado y vaciado de la vejiga.
- Las **fosas inguinales mediales** comprendidas entre los pliegues umbilicales medial y lateral (estas zonas también

se denominan *triángulos inguinales*, que constituyen el lugar potencial para las hernias inguinales directas, no demasiado frecuentes.

- Las **fosas inguinales laterales**, laterales a los pliegues umbilicales laterales, contienen los anillos inguinales profundos y constituyen el asiento potencial de la hernia más común de la pared inferior del abdomen, la *hernia inguinal indirecta*. (Consulte las páginas 209-211, donde se exponen las hernias inguinales.)

La parte supraumbilical de la cara interna de la pared anterior del abdomen tiene una reflexión peritoneal, orientada en el plano sagital: **ligamento falciforme**, que se extiende desde la pared superoanterior del abdomen hasta el hígado (*L. ligamentum teres*) y encierra el ligamento redondo del hígado en su borde inferior libre. El **ligamento redondo** es un resto fibroso de la vena umbilical, que se extiende en vida prenatal desde el ombligo hasta el hígado (Moore y Persaud, 1998).

Hernia supravesical externa

La **hernia supravesical externa** emerge de la cavidad peritoneal por la fosa supravesical. El lugar de esta hernia se encuentra medial al de la hernia inguinal directa (págs. 209-211). El nervio iliohipogástrico corre peligro de dañarse durante la reparación de este tipo de hernia.

Permeabilidad postnatal de la vena umbilical

Antes del nacimiento la vena umbilical transporta sangre bien oxigenada, rica en nutrientes, de la placenta al feto (Moore y Persaud, 1998). Aunque a menudo se indica que la vena umbilical "obstruida" forma ▶

► el ligamento redondo del hígado, esta vena se mantiene permeable durante cierto tiempo después del nacimiento, y sirve para el *cateterismo venoso umbilical* como medio para la exanguinotransfusión en las primeras fases de la lactancia; por ejemplo, en los pequeños con *eritroblastosis fetal* o *enfermedad hemolítica fetal* (Behrman y cols., 1996). ◉

Región inguinal

La región inguinal (ingle) es una importante zona quirúrgica porque constituye el asiento de las hernias inguinales. Estas hernias suceden en los dos sexos, pero sobre todo en el masculino. La región inguinal es una zona débil de la parte inferior de la pared anterolateral del abdomen, sobre todo en los varones, porque es el lugar de paso del cordón espermático a través del conducto inguinal.

Conducto inguinal

El conducto inguinal del adulto es un paso oblicuo, de dirección inferomedial (mide unos 4 cm de longitud), situado en la parte inferior de la pared anterolateral del abdomen. Discurre paralelo y algo por encima (2-4 cm) de la mitad medial del **ligamento inguinal** (figs. 2.12 y 2.13). Este conducto está ocupado, sobre todo, por el **cordón espermático** en los varones y por el **ligamento redondo del útero** en las mujeres. Se trata de estructuras funcionales, con desarrollo embriológico diferente, que aparecen en la misma ubicación. El conducto inguinal también contiene vasos sanguíneos y linfáticos, así como el **nervio ilioinguinal** en ambos sexos. *El conducto inguinal dispone de un orificio en cada extremo.*

- El **anillo inguinal profundo (interno)** (entrada al conducto inguinal) es el lugar donde se *evagina la fascia transversa*, aproximadamente 1,25 cm por encima del centro del ligamento inguinal, y *lateral a la arteria epigástrica*

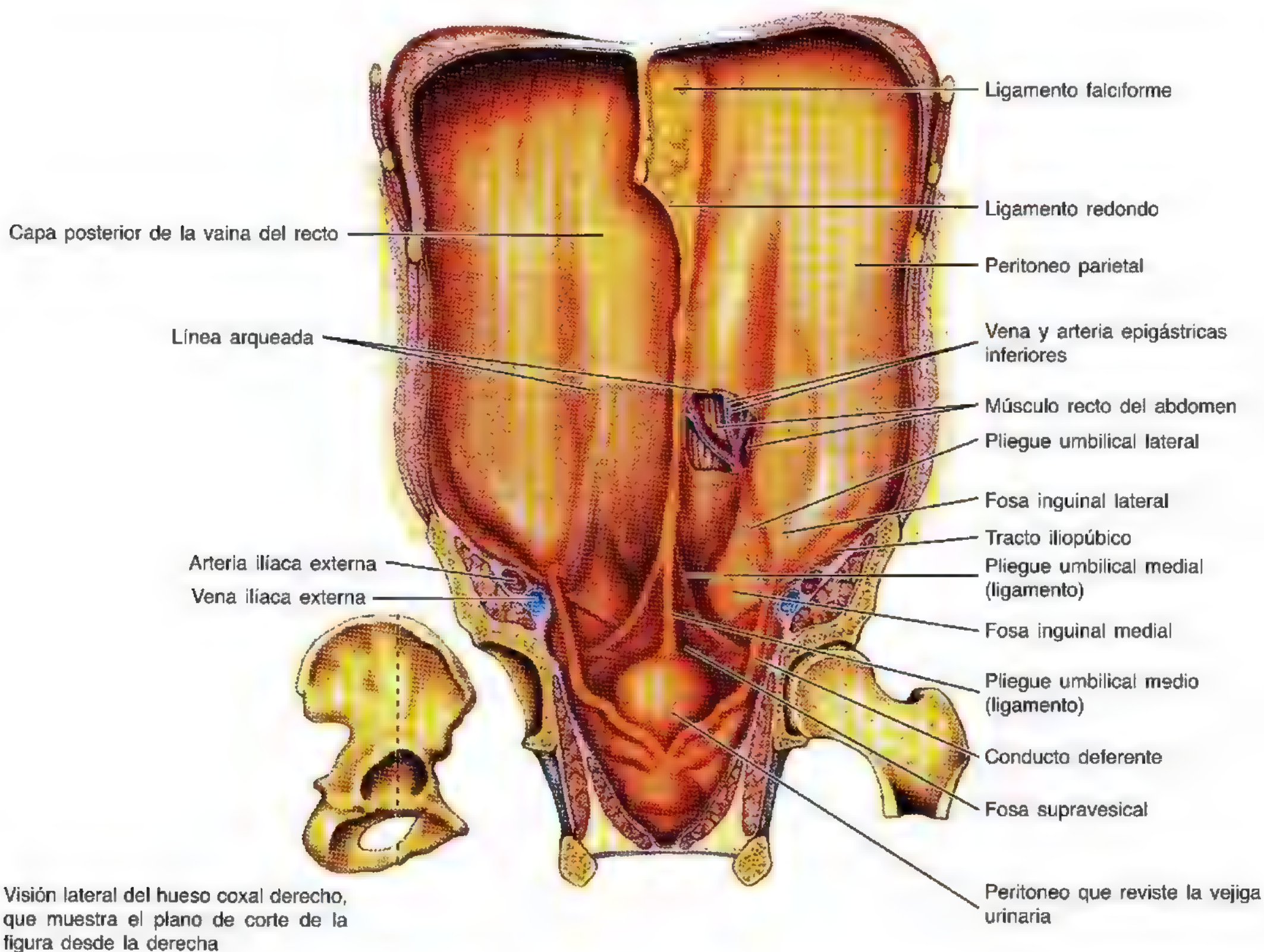
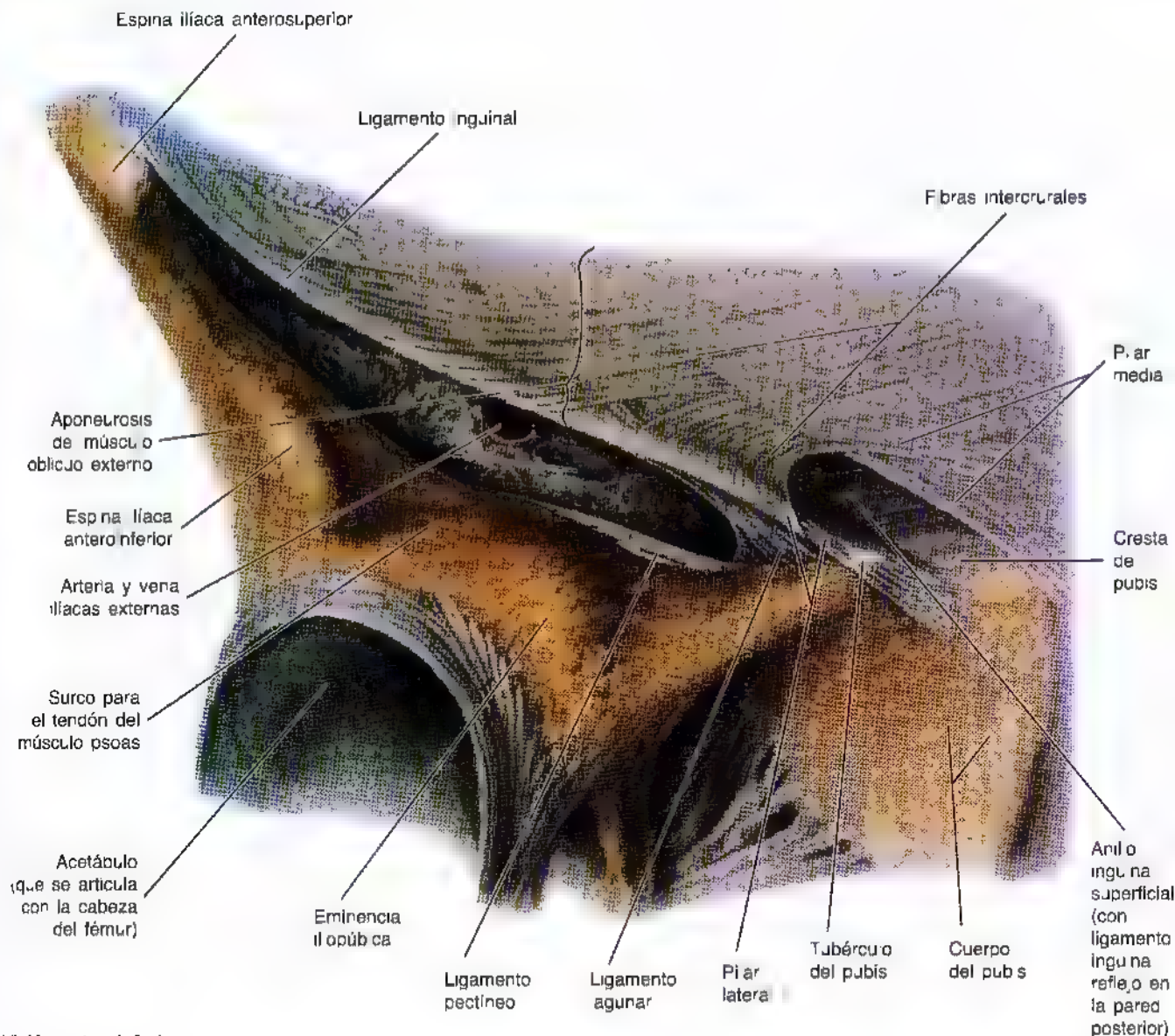


Figura 2.11. Cara posterior de la pared anterolateral del abdomen de un varón. Obsérvense los ligamentos, los pliegues y las fosas. Nótese que los pliegues umbilicales laterales cubren los vasos sanguíneos epigástricos inferiores: naturalmente, si se cortan estos pliegues se produce un sangrado.



Visión anteroinferior

Figura 2.12. Ligamento inguinal. Obsérvese que este ligamento está formado por las fibras inferiores invertidas de la aponeurosis de músculo oblicuo externo. Nótese el anillo inguinal superficial, el orificio en la ranura de la aponeurosis del músculo oblicuo externo por el que emergen el cordón espermático del varón y el ligamento redondo de la mujer del conducto inguinal.

inferior. El anillo inguinal profundo representa el comienzo de una evaginación de la fascia transversa, que crea un orificio (la entrada a una caverna) por el que pasan el conducto deferente, o el ligamento redondo del útero en las mujeres, y los vasos gonadales. La fascia transversa se continúa con el conducto, originando la cubierta más interna (fascia interna) de las estructuras que atraviesan el conducto.

- El **anillo inguinal superficial (externo)** (salida del conducto inguinal) es una hendidura situada entre las fibras diagonales de la aponeurosis del músculo oblicuo externo, *superolaterales al tubérculo del pubis*, por el que emergen

el cordón espermático o el ligamento redondo de la mujer del conducto inguinal. Los bordes lateral y medial del anillo superficial, creados por la ranura aponeurótica, se denominan *pilares* (*L. leglike parts*). El **pilar lateral** se inserta en el tubérculo del pubis, y el **medial**, en la cresta púbica. Las fibras que proceden del ligamento inguinal, laterales al anillo superficial, se arquean en dirección superolateral; estas **fibras intercrurales** impiden que los pilares se alejen entre sí (es decir, evitan que se expanda la "ranura" aponeurótica).

El conducto inguinal tiene dos paredes (anterior y posterior), un techo y un suelo (figs. 2.12 y 2.13).

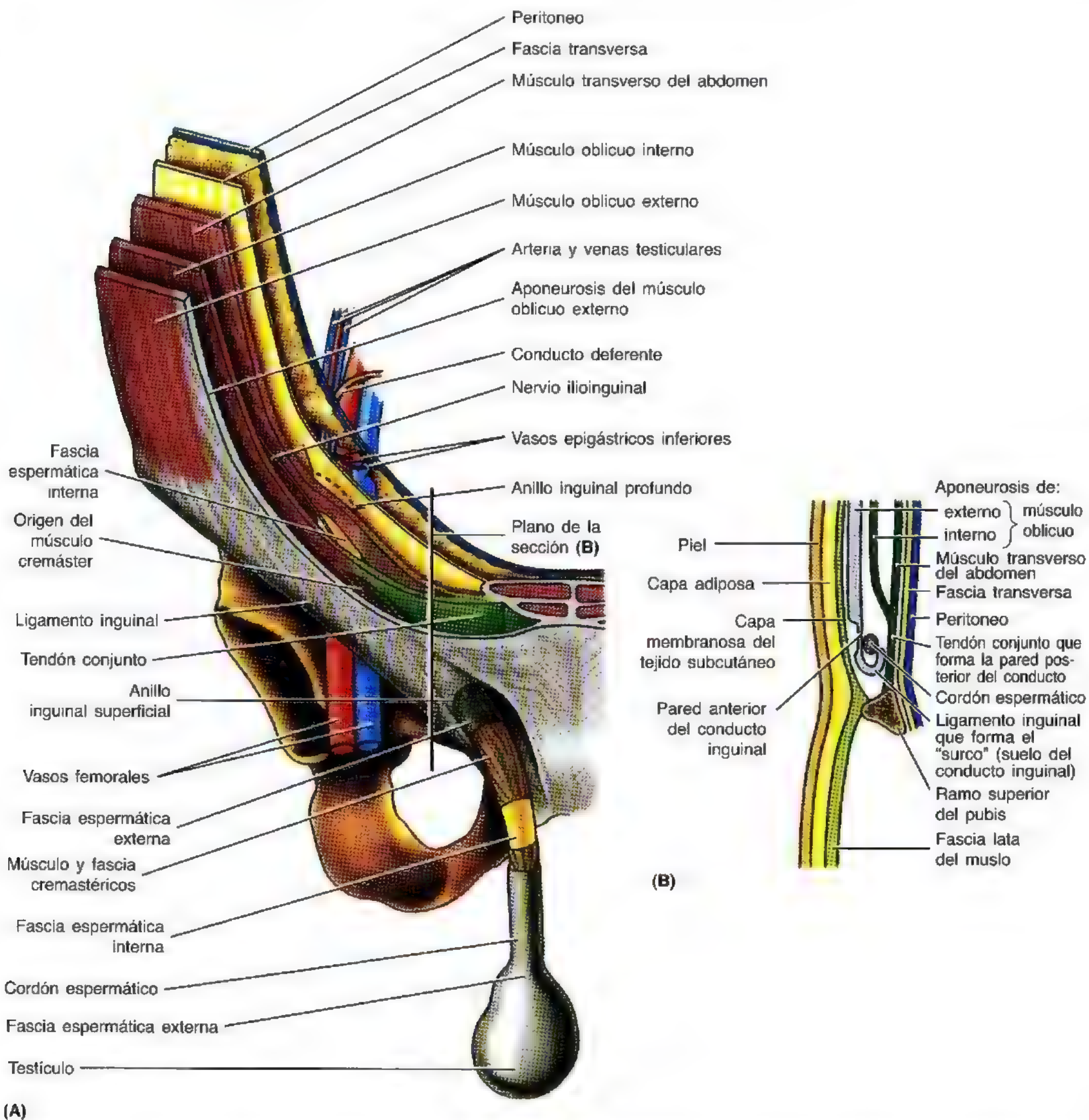


Figura 2.13. Conducto inguinal, cordón espermático y testículo. **A.** Obsérvense las capas de la pared abdominal y cómo las cubiertas del cordón espermático y del testículo proceden de ellas. Nótese también el tránsito del cordón espermático y del nervio ilioinguinal por el conducto inguinal. Examínese el tendón conjunto, el tendón común de los músculos transverso del abdomen y oblicuo interno; suele tener un aspecto muscular más que aponeurótico, como se observa en esta figura, y puede estar poco desarrollado. Forma la pared posterior de la porción medial del conducto inguinal. **B.** Corte sagital de la pared anterior del abdomen y del conducto inguinal por el plano que se ilustra en (A).

- **Pared anterior:** está formada, sobre todo, por la *aponeurosis del oblicuo externo*; la parte lateral de la pared se refuerza con fibras del músculo oblicuo interno.
- **Pared posterior:** la forma principalmente la *fascia transversa*; la parte medial de la pared queda reforzada por el **tendón conjunto** (hoz inguinal), que es la unión de las

inserciones públicas de las aponeurosis de los músculos oblicuo interno y transversal del abdomen en un mismo tendón.

- **Techo:** constituido por las *fibras arqueadas de los músculos oblicuo interno y transversal del abdomen*.
- **Suelo:** formado por la cara superior del ligamento inguinal incurvado, que forma un delgado surco (fig. 2.5B); en casi toda la parte medial está reforzado por el *ligamento lagunar*, una parte reflejada o prolongación de la cara profunda del ligamento inguinal hasta la línea pectínea (fig. 2.12).

El **tracto iliopúbico** (arco crural profundo) es el borde inferior engrosado de la fascia transversa, que aparece como banda fibrosa y discurre paralelo y posterior (profundo) al ligamento inguinal. El tracto iliopúbico —sólo se visualiza cuando se mira la región inguinal desde dentro— contribuye a la pared posterior del conducto inguinal, porque conecta los vasos iliofemorales externos del arco iliopectíneo con la rama superior del pubis (fig. 2.11).

El **tracto iliopúbico delimita el borde inferior del anillo inguinal profundo** y el borde superomedial del conducto femoral (que contiene los vasos femorales). Se trata de una valiosa referencia para la reparación laparoscópica de la hernia inguinal (Skandalakis y cols., 1995).

Desarrollo del conducto inguinal. Los testículos se desarrollan en el tejido conjuntivo extraperitoneal de la región lumbar superior de la pared posterior del abdomen (fig. 2.14A). El **gubernáculo** es un cordón fibroso que conecta el esbozo **testicular** a la pared anterolateral del abdomen por el lugar del futuro anillo profundo del conducto inguinal (Moore y Persaud, 1998). Un divertículo peritoneal —el **proceso vaginal**— atraviesa el conducto inguinal en fase de desarrollo, llevando capas de músculo y de fascia de la pared anterolateral del abdomen antes de penetrar en el **escroto primordial**. A las 12 semanas de vida embrionaria, el testículo ya ha emigrado a la pelvis y a las 28 semanas (7^o mes) se encuentra cerca del anillo inguinal profundo en fase de desarrollo (fig. 2.14B). El testículo empieza a pasar por el conducto inguinal —formado por el proceso vaginal— durante la 28^a semana y tarda unos tres días en hacerlo. Unas cuatro semanas más tarde, el testículo penetra en el escroto (fig. 2.14C). Al igual que el testículo, su conducto (**el conducto deferente**) y sus vasos y nervios también descienden, envueltos en prolongaciones musculofasciales de la pared anterior del abdomen, que explican la presencia de estructuras derivadas en el escroto del adulto: la **fascia espermática** interna y externa y el **músculo cremáster** (fig. 2.13). El tallo del proceso vaginal casi siempre degenera; sin embargo, su porción sacular distal crea la **túnica vaginal del testículo**, vaina serosa para el testículo y el epidídimo. El gubernáculo está representado en la vida postnatal por el **ligamento escrotal**, que se extiende desde el testículo hasta la piel del escroto.

Los **ovarios** también se desarrollan en la región lumbar superior de la pared posterior del abdomen y emigran a la pared lateral de la pelvis (fig. 2.15, A-C). El proceso vaginal del peritoneo atraviesa la fascia transversa por el lugar del anillo inguinal profundo del conducto inguinal, igual que en el varón, y protruye en forma de labio mayor. El **gubernáculo**, un cordón fibroso que conecta el ovario y el esbozo uterino con el labio mayor en desarrollo, se transforma en las siguientes estructuras del adulto:

- El **ligamento ovárico**, entre el ovario y el útero.
- El **ligamento redondo**, entre el útero y el labio mayor.

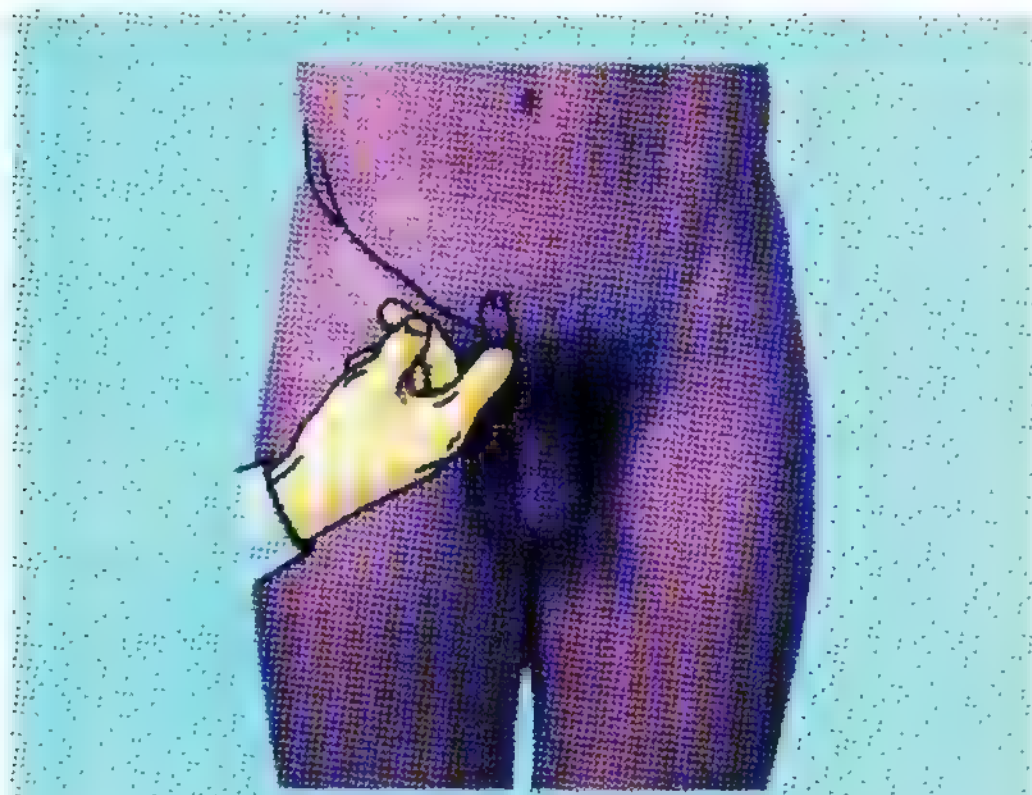
Debido a la inserción de los ligamentos ováricos en el útero, los ovarios no descienden hasta la región inguinal, pero el ligamento redondo atraviesa el conducto inguinal y se inserta en el tejido subcutáneo del labio mayor (fig. 2.15, B-C).

El proceso vaginal suele desaparecer en el 6^o mes de vida fetal; en el artículo de Moore y Persaud (1998) se revisa la embriología del aparato genital femenino. Los conductos inguinales femeninos son más estrechos que los masculinos, y los conductos de los lactantes de ambos sexos son más cortos y bastante menos oblicuos que los de los adultos. Los anillos inguinales superficiales de los lactantes quedan casi inmediatamente anteriores a los anillos inguinales profundos.

Aumento de la presión intrabdominal. Los anillos inguinales profundo y superficial del adulto no se superponen debido al recorrido oblicuo del conducto inguinal. Por eso, el incremento de la presión dentro del abdomen actúa sobre el conducto inguinal, empujando la pared posterior del conducto contra la pared anterior y enderezando la pared, es decir, reduciendo la probabilidad de herniación hasta que la presión supera el efecto resistente de este mecanismo. Además, la contracción del músculo oblicuo externo aproxima la pared anterior del conducto a la posterior. La contracción de los músculos oblicuo interno y transversal del abdomen determinan un descenso del techo del conducto y constriñen su contenido.

Palpación del anillo inguinal de un varón adulto

El anillo inguinal superficial se palpa superolateral al tubérculo del pubis, invaginando la piel de la parte superior del escroto con el dedo índice. El dedo del examinador sigue al cordón espermático, superolateral al anillo inguinal superficial. Si el anillo está dilatado deja que el dedo pase sin causar dolor. En caso de hernia se nota un impulso repentino en la yema del dedo cuando se le pide al paciente que tosa (Swartz, 1994). Las características de la hernia inguinal se exponen en las páginas 209-211.



► Dirigiendo la cara palmar del dedo contra la pared anterior del abdomen se puede notar el *anillo inguinal profundo* como una depresión cutánea superior al ligamento inguinal, 2-4 cm superolateral al tubérculo del pubis (Willms y cols., 1994). ◉

Cordón espermático

El cordón espermático suspende el testículo en el escroto y contiene estructuras que se dirigen y retornan del testículo (fig. 2.13). *El cordón espermático:*

- Comienza en el anillo inguinal profundo, lateral a los vasos epigástricos inferiores.
- Atraviesa el conducto inguinal.
- Sale por el anillo inguinal superficial.
- Termina en el escroto, por el borde posterior del testículo.

El cordón espermático está rodeado de cubiertas fasciales derivadas de la pared anterolateral del abdomen merced al desarrollo prenatal.

Las cubiertas del cordón espermático (figs. 2.13 y 2.16, tabla 2.5) *son:*

- La **fascia espermática interna**, derivada de la fascia transversa.
- La **fascia cremastérica**, derivada de la fascia de las caras superficial y profunda del músculo oblicuo interno.
- La **fascia espermática externa**, procedente de la aponeurosis del músculo oblicuo externo.

La fascia cremastérica contiene bucles del **músculo cremáster**, que se crea por los subfascículos más inferiores del músculo oblicuo interno a partir del ligamento inguinal. *El músculo cremáster eleva de modo reflejo el testículo dentro del escroto*, sobre todo con el frío. En un ambiente cálido, por ejemplo en un baño con agua caliente, el músculo cremáster se relaja y el testículo desciende hasta la profundidad del escroto. Estas dos respuestas obedecen al intento de

regular la temperatura testicular para la *espermato-genia* (formación de espermatoцитos), que precisa una temperatura constante, en torno a un grado menos que la temperatura central del cuerpo. El músculo cremáster está inervado por el ramo genital del nervio genitofemoral (L1, L2), derivado del plexo lumbar.

Los *componentes del cordón espermático* (figs. 2.16 y 2.17) *son:*

- El **conducto deferente**, un tubo muscular que mide cerca de 45 cm y lleva los espermatoцитos desde el **epidídimo** hasta el conducto eyaculador.
- La **arteria testicular**, procedente de la aorta, que irriga el testículo y el epidídimo.
- La **arteria del conducto deferente**, procedente de la arteria vesical inferior.
- La **arteria cremastérica**, originada en la **arteria epigástrica inferior**.
- El **plexo pampiniforme**, una red venosa formada hasta por 12 venas, que drena a las venas testiculares derecha o izquierda.
- Las **fibras nerviosas simpáticas** situadas sobre las arterias y las fibras simpáticas y parasimpáticas transportadas por el conducto deferente.
- El **ramo genital del nervio genitofemoral**, que inerva el músculo cremáster.
- Los **vasos linfáticos** que drenan el testículo y otras estructuras íntimamente relacionadas y se dirigen a los ganglios linfáticos lumbares.

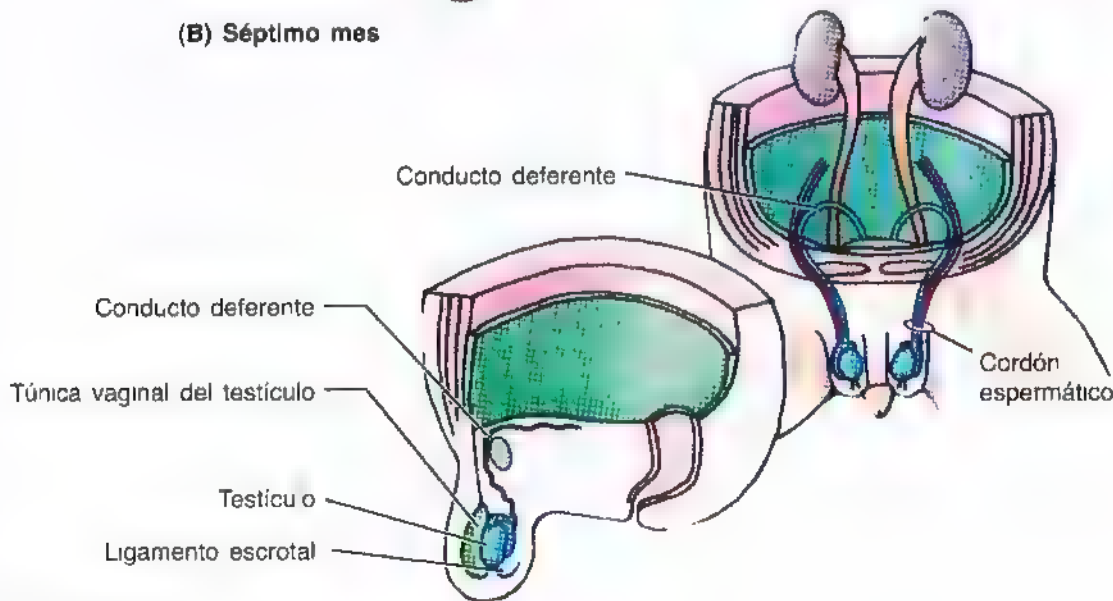
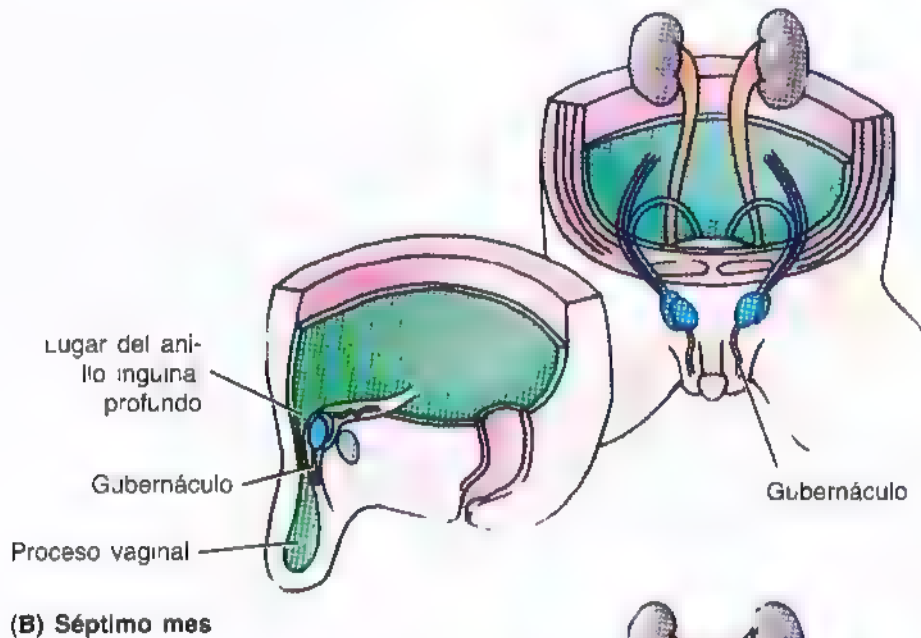
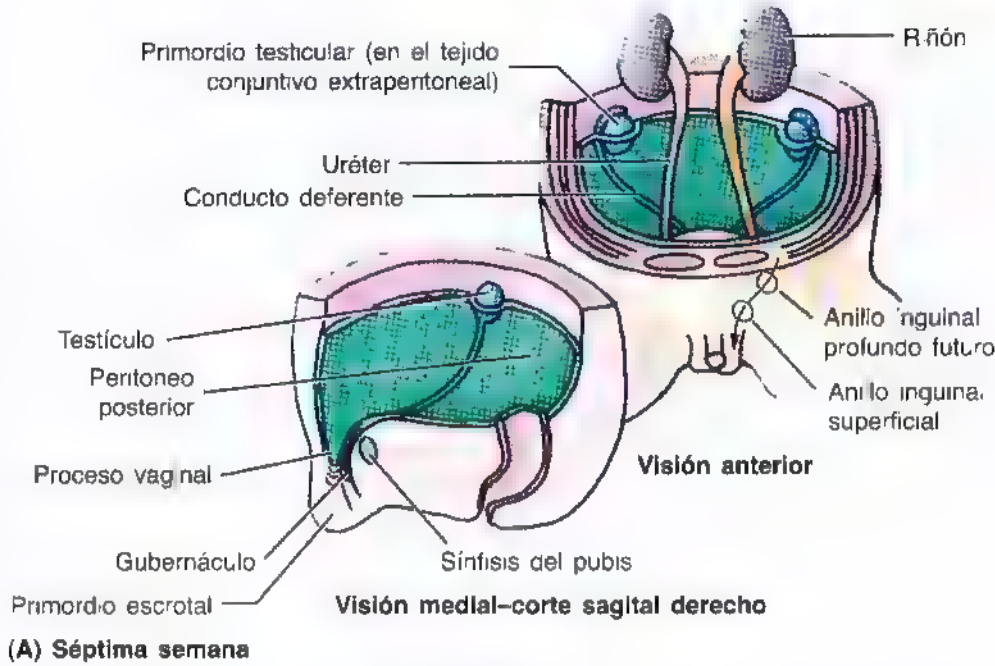
Escroto

El escroto es un saco cutáneo formado por dos capas (fig. 2.16, tabla 2.5): la piel, muy pigmentada, y la **fascia dartos**, íntimamente relacionada, una capa de fibras de músculo liso que justifica el aspecto rugoso del escroto. Como el **músculo dartos** se inserta en la piel, su contracción determina que el escroto se arrugue con el frío, para así regular la pérdida de calor a través de la piel.

El escroto está dividido por dentro por el *tabique escrotal* en los compartimientos derecho e izquierdo, y por fuera, por el *rafe escrotal* (véase el capítulo 3), una cresta cutánea que marca la línea de fusión de las *tumefacciones labioescrotales* embrionarias (Moore y Persaud, 1998). La fascia dartos superficial del escroto no posee grasa y se continúa por la cara anterior con la **capa membranosa del tejido subcutáneo** (fascia de Scarpa) de la pared anterolateral del abdomen, y por la cara posterior, con el *tejido subcutáneo del perineo* (fascia de Colles, prolongación de la capa membranosa del tejido subcutáneo en el perineo).

El *desarrollo del escroto* guarda una estrecha relación con la formación de los conductos inguinales. El escroto surge a partir de las *tumefacciones labioescrotales*, dos evaginaciones cutáneas de la pared anterior del abdomen que se unen para dar una bolsa cutánea péndula, el escroto (Moore y

Figura 2.14. Dibujos esquemáticos que ilustran la formación de los conductos inguinales y el descenso de los testículos. **A.** Embrión de 7 semanas con el testículo antes del descenso por la pared dorsal del abdomen. **B.** Feto de 28 semanas; el proceso vaginal y el testículo atraviesan el conducto inguinal. El proceso vaginal arrastra consigo las capas fasciales de la pared abdominal. Obsérvese que el testículo pasa detrás del proceso vaginal y no a su través. **C.** Recién nacido después de la obliteración del tallo del proceso vaginal. El resto del proceso vaginal forma la túnica vaginal del testículo y el esbozo del gubernáculo. el ligamento escrotal



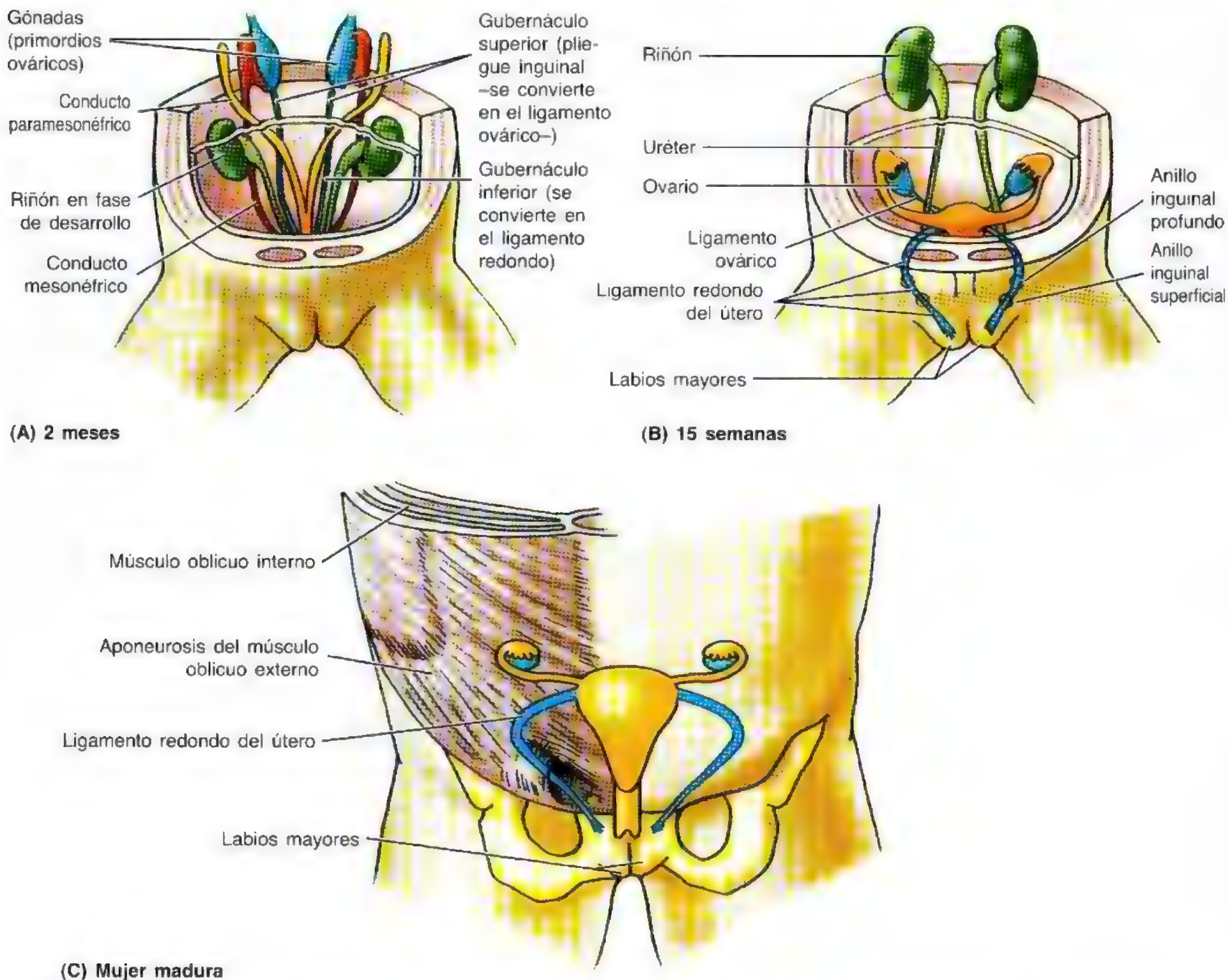


Figura 2.15. Dibujos esquemáticos de la formación del conducto inguinal femenino. **A.** Las gónadas indiferenciadas (primordios ováricos) se sitúan a los 2 meses en la pared dorsal del abdomen. **B.** Los ovarios han descendido, a las 15 semanas, hasta la pelvis mayor. El gubernáculo se ha convertido en el ligamento ovárico y el ligamento redondo del útero. El proceso vaginal (no ilustrado en la figura) forma el conducto inguinal a cada lado, al igual que en el feto masculino, y el ligamento redondo pasa a su través y se inserta en el tejido subcutáneo del labio mayor. **C.** En la mujer madura, el proceso vaginal degenera, pero el ligamento redondo y el nervio ilioinguinal (no se muestra) atraviesan el conducto inguinal.

Persaud, 1998). En una fase posterior del período fetal, los testículos y los cordones espermáticos entran en el escroto.

La irrigación arterial del escroto (fig. 2.17) proviene de:

- Una rama perineal de la **arteria pudenda interna**, que forma las **arterias escrotales posteriores**.
- Ramas pudendas externas de la **arteria femoral**, que forman las **arterias escrotales anteriores**.
- Una rama cremastérica de la **arteria epigástrica inferior**.

Las **venas escrotales** acompañan a las arterias. Los vasos linfáticos del escroto drenan a los **ganglios linfáticos inguinales superficiales**.

Los **nervios escrotales** son:

- Un ramo genital del **nervio genitofemoral** (L1, L2), que inerva la cara anterolateral del escroto.
- Los **nervios escrotales anteriores** —ramos del **nervio ilioinguinal** (L1)—, que inervan la cara anterior del escroto.
- Los **nervios escrotales posteriores** —divisiones de un ramo perineal del **nervio pudendo** (S2 a S4)—, que inervan la cara posterior del escroto.
- Ramos perineales del **nervio cutáneo femoral posterior** (S2, S3), que inerva la cara inferior del escroto.

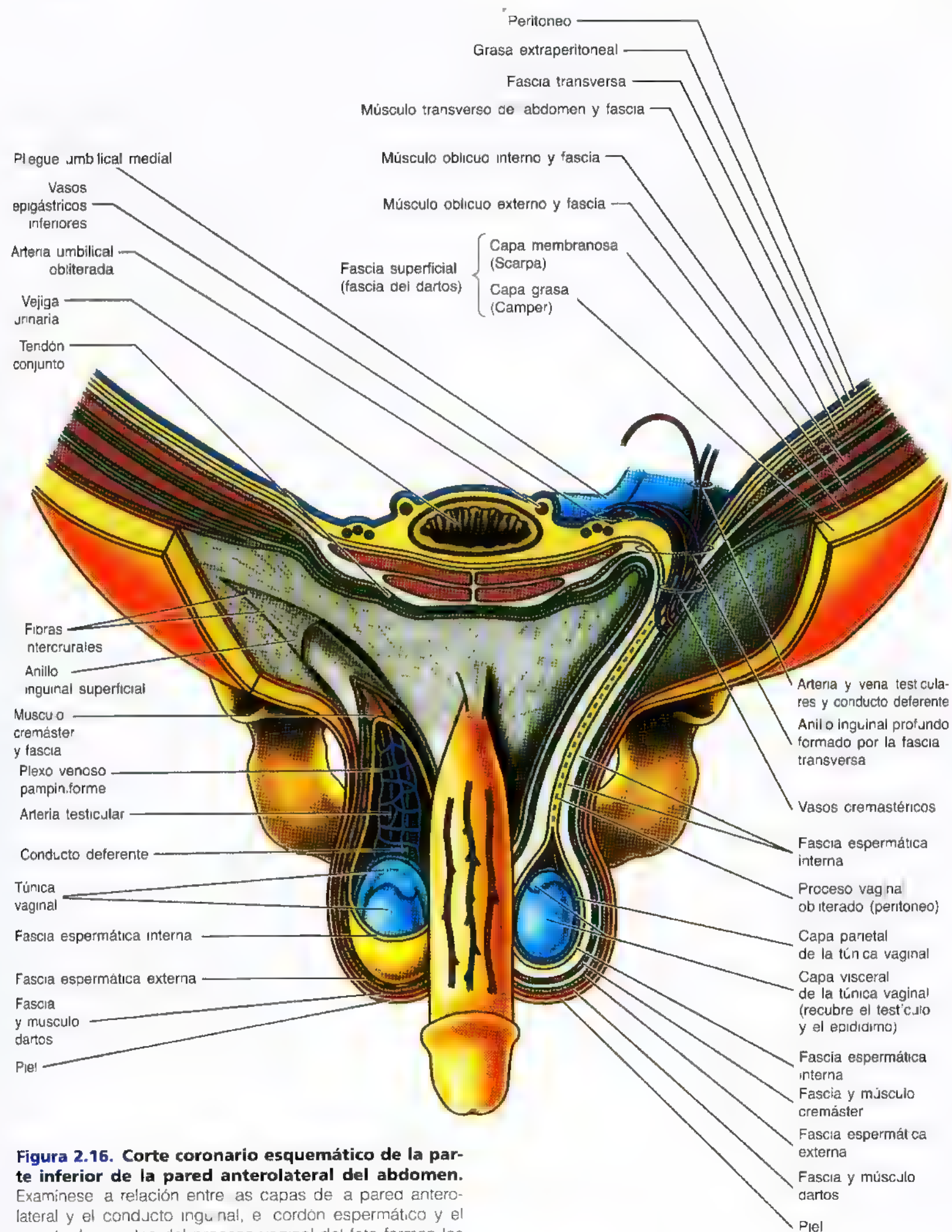
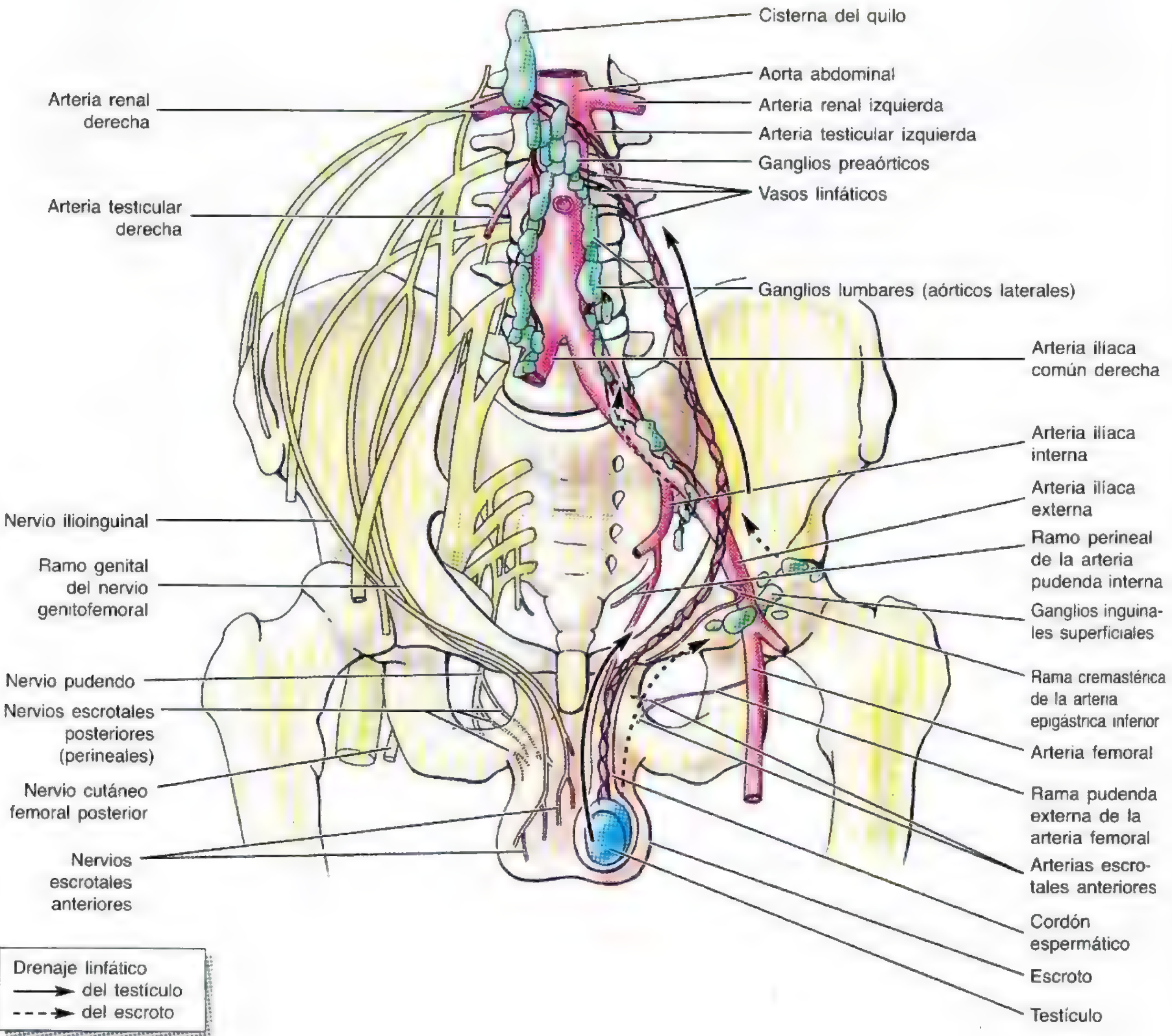


Figura 2.16. Corte coronario esquemático de la parte inferior de la pared anterolateral del abdomen. Examínese a relación entre las capas de la pared anterolateral y el conducto inguinal, e cordón espermático y el escroto. Los restos del proceso vaginal del feto forman las capas parietal y visceral de la túnica vaginal del testículo.

Tabla 2.5. Capas correspondientes de la pared anterior del abdomen, cordón espermático y escroto

Capas de la pared anterior del abdomen	Escroto y cubiertas testiculares	Cubiertas del cordón espermático
Piel	Piel	Escroto (y tabique escrotal)
Tejido subcutáneo o fascia superficial	Fascia superficial (dartos) y músculo dartos	
Aponeurosis del músculo oblicuo externo	Fascia espermática externa	Fascia espermática externa
Músculo oblicuo interno	Músculo cremáster	Músculo cremáster
Fascia de las capas superficial y profunda del músculo oblicuo interno	Fascia cremastérica	Fascia cremastérica
Músculo transverso del abdomen		
Fascia transversa	Fascia espermática interna	Fascia espermática interna
Grasa extraperitoneal		
Peritoneo	Túnica vaginal	Proceso vaginal obliterado



Anestesia del escroto

El tercio anterior del escroto recibe inervación del segmento L1 de la médula a través del nervio ilioinguinal y los dos tercios posteriores, sobre todo, del segmento espinal S3 a través de los nervios perineales y cutáneo femoral posterior. Por eso, para anestesiarse la cara anterior del escroto debe inyectarse el anestésico espinal en un plano más alto que cuando se anestesia la cara posterior del escroto. ◊

Epidídimo

El epidídimo está formado por diminutas contorsiones del *conducto del epidídimo*, que se compactan con tanta intensidad que parecen crear una estructura sólida. El **epidídimo** se sitúa en la cara posterior del testículo (fig. 2.18), cubierto por la túnica vaginal, salvo en el borde posterior. El conducto contorneado del epidídimo se va reduciendo progresivamente de tamaño desde que sale de la cabeza, en la parte superior del testículo, hasta que llega a la cola. El **conducto deferente** comienza en la cola del epidídimo como continuación del conducto epididimario (fig. 2.18B). Los **conductillos eferentes** transportan los espermatoцитos de la **red testicular** al epidídimo para su almacenamiento. La red testicular es una red de conductos situados en la terminación de los túbulos (seminíferos) rectos. *El epidídimo consta de:*

- Una **cabeza** o parte superior expandida, compuesta por lobulillos, que, a su vez, los forman las terminaciones espirales de 12 a 14 *conductillos eferentes*.
- Un **cuerpo**, que se compone del *conducto* contorsionado del epidídimo.
- Una **cola**, que se continúa con el conducto deferente, que transporta los espermatoцитos del epidídimo al conducto eyaculador para su expulsión en la uretra prostática (véase el capítulo 3).

Testículo

El testículo (G. *orchis*) es un órgano ovalado, suspendido en el escroto del cordón espermático. De ordinario, el testículo izquierdo queda suspendido (cuelga) más bajo que el derecho. Los testículos están cubiertos de una túnica fibrosa rosca —la **túnica albugínea**— (fig. 2.18B). El testículo produce los **espermatoцитos** y también hormonas, sobre todo testosterona. Los espermatoцитos se forman en los largos y

contorneados **túbulos seminíferos**, que están unidos por túbulos rectos a la **red testicular**.

La cara de cada testículo está cubierta por una **capa visceral de la túnica vaginal**, salvo en la zona donde el testículo se inserta al epidídimo y al cordón espermático. La túnica vaginal es un saco peritoneal cerrado que rodea en parte el testículo y constituye la porción distal ocluida del proceso vaginal embrionario (fig. 2.14). La capa visceral de la túnica vaginal se apone íntimamente al testículo, epidídimo y parte inferior del conducto deferente. El receso en forma de ranura de la túnica vaginal —**seno del epidídimo**— se sitúa entre el cuerpo del epidídimo y la cara posterolateral del testículo (fig. 2.18A). La **capa parietal de la túnica vaginal**, adyacente a la fascia espermática interna, es más extensa que la visceral y se extiende por la cara superior en un trayecto corto hasta la porción distal del cordón espermático. Una pequeña cantidad de líquido en la cavidad de la túnica vaginal separa las capas visceral y parietal y permite el movimiento libre del testículo dentro del escroto.

Las **arterias testiculares**, largas y finas (figs. 2.17 y 2.18B), nacen de la cara anterolateral de la *aorta abdominal*, justo debajo de las *arterias renales*. Tienen un curso retroperitoneal (exterior o posterior al peritoneo) y oblicuo y cruzan los uréteres y las porciones inferiores de las *arterias ilíacas externas* hasta alcanzar los *anillos inguinales profundos*. Entran en los conductos inguinales por los anillos profundos, atraviesan los conductos, salen por los anillos inguinales superficiales y se introducen en los cordones espermáticos para irrigar los testículos. La arteria testicular o alguna de sus ramas se anastomosan con la arteria del conducto deferente.

Las **venas testiculares** emergen del testículo y del epidídimo y forman una red venosa, el **plexo pampiniforme**, constituida por 8 a 12 venas situadas delante del conducto deferente, que rodea la arteria testicular del cordón espermático. *El plexo pampiniforme integra el sistema termorregulador de los testículos* y ayuda a que esta glándula conserve una temperatura constante. La vena testicular izquierda se origina en el plexo pampiniforme y desemboca en la vena renal izquierda; la vena testicular derecha tiene un origen y curso semejantes, pero desemboca en la vena cava inferior (VCI).

El *drenaje linfático de los testículos* llega a los **ganglios linfáticos lumbares (aórticos laterales)** y **preaórticos** (fig. 2.17). Los *nervios autónomos testiculares* nacen en el *plexo testicular* de la arteria testicular, que contiene fibras parasimpáticas vagales y fibras simpáticas del segmento medular T7.

Figura 2.17. Irrigación arterial y drenaje linfático del testículo y del escroto. El nervio pudendo, ramo del plexo sacro, nace de los ramos primarios ventrales de S2, S3 y S4. Este nervio forma parte del sistema nervioso somático. La figura ilustra cómo inerva el escroto. Obsérvese la arteria testicular larga y delgada que nace de la aorta abdominal, inferior a las arterias renales. El trayecto largo de la arteria por el abdomen y el conducto inguinal se debe al descenso del testículo fetal desde la pared dorsal del abdomen hasta el escroto. Obsérvese la diferencia de drenaje linfático entre el testículo y el escroto, que tiene importancia clínica (pág. 208).

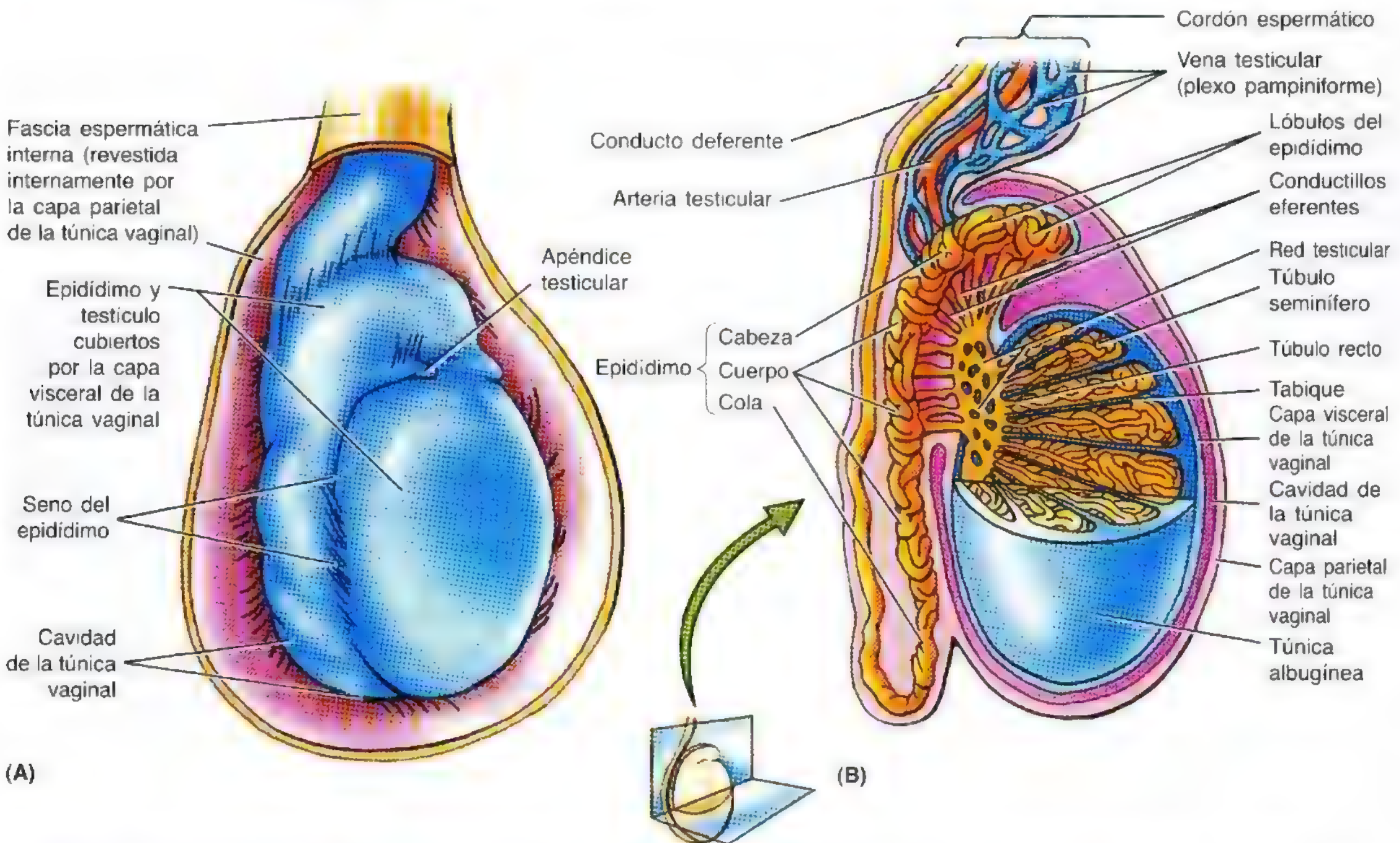


Figura 2.18. Cordón espermático, epidídimo y testículo. **A.** Visión lateral que muestra la porción distal del cordón espermático, epidídimo y la mayoría del testículo cubiertos por dos capas de la túnica vaginal: la lámina visceral, que proporciona una túnica íntima, y la capa parietal externa, que reviste la fascia espermática interna (seccionada y expuesta). Las dos capas están separadas por la cavidad [ilustrada en (B)] de la túnica vaginal. **B.** Corte vertical esquemático del cordón espermático, epidídimo y testículo. Obsérvese cómo el epidídimo representa, en esencia, un conducto contorneado e irregular que se continúa en forma del conducto deferente. Se ilustran también los demás elementos del cordón espermático.

Criptorquidia (ausencia de descenso de los testículos)

Las palabras *orchis* (testículo en griego) y *kryptos* (escondido en griego) explican el término de *criptorquidia*. Los testículos de un 3% de los pequeños nacidos a término y de un 30% de los prematuros no se encuentran descendidos (Moore y Persaud, 1998). Si un testículo no desciende o se retrae (se mete para dentro), se habla de *criptorquidia*. El testículo no descendido se sitúa en algún punto del recorrido normal que hace para su descenso prenatal, casi siempre en el conducto inguinal. La criptorquidia tiene importancia por la posibilidad de que surja un tumor maligno en el testículo.

Hidrocele

El hidrocele es la presencia de un exceso de líquido dentro del *proceso vaginal persistente*. Esta malformación congénita puede acompañarse de una hernia inguinal indirecta (pág. 209). El acúmulo de líquido obedece a la secreción de una cantidad patológica de líquido seroso de la capa visceral de la túnica vaginal. El tamaño del hidrocele depende del grado de persistencia del proceso vaginal. El **hidrocele testicular (A)** se limita al escroto y distiende la túnica vaginal. El **hidrocele del cordón (B)** queda confinado al cordón espermático y distiende la porción persistente del rallo del proceso vaginal. El hidrocele congénito del cordón y del testículo puede comunicarse con la cavidad peritoneal. Para detectar el hidrocele se ▶

requiere la *transiluminación*, procedimiento durante el cual se aplica una luz brillante al lado engrosado del escroto en un cuarto oscuro. La transmisión de la luz con un destello rojo indica un exceso del líquido seroso dentro del escroto. Muchos lactantes recién nacidos presentan líquido peritoneal residual en la túnica vaginal; sin embargo, este líquido suele absorberse durante el primer año. Algunos estados patológicos, como las lesiones o la inflamación del epidídimo, también determinan hidrocele del adulto, es decir, un acúmulo de líquido seroso en la túnica vaginal del testículo.

Hematocele

El *hematocele testicular* (C) es una colección de sangre en la túnica vaginal (p. ej., por la rotura de ramas de la arteria testicular debida a un traumatismo testicular). El traumatismo ocasiona a veces un *hematoma* escrotal, testicular o combinado (acúmulo de sangre, generalmente coagulada, en un lugar extravascular). La sangre no se transilumina y, por eso, la transiluminación separa el hematocele o el hematoma de un hidrocele. El *hematocele testicular* también se asocia con un hematocele escrotal por el derrame de sangre al tejido escrotal.

Quistes y hernias del conducto de Nuck

Los restos del proceso vaginal de las lactantes de sexo femenino pueden aumentar de tamaño y crear quistes dentro del conducto inguinal. La persistencia del proceso vaginal femenino, que atraviesa el conducto inguinal —*conducto de Nuck*—, puede sobresalir en la porción anterior del labio mayor y transformarse en una hernia inguinal indirecta.

Epididimitis y orquitis

La *epididimitis* o inflamación del epidídimo es la causa más común de tumefacción escrotal dolorosa. La *epididimitis* y la *orquitis* (inflamación testicular) pueden complicar la parotiditis, una enfermedad contagiosa aguda. Los testículos y el epidídimo aumentan de tamaño y muestran un intenso dolor.

Espermatocele y quiste epididimario

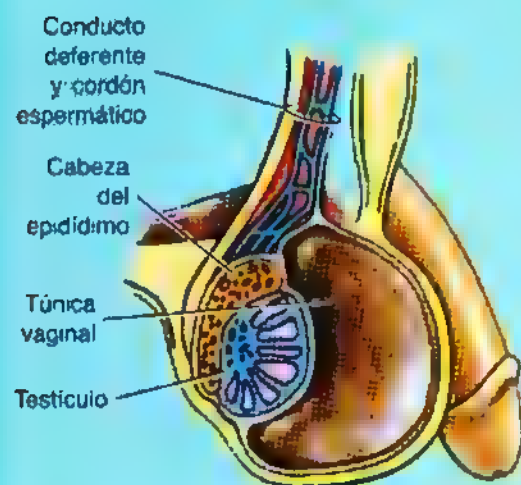
El *espermatocele* es un quiste de retención (colección de líquido) del epidídimo (A), casi siempre cerca de su cabeza. Los espermatoceles contienen un líquido lechoso y suelen ser asintomáticos. El *quiste epididimario* es una colección de líquido en cualquier lugar del epidídimo (B).

Varicocele

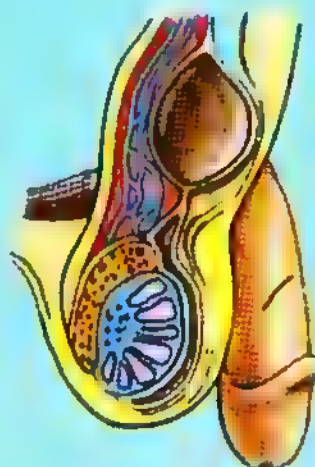
El plexo pampiniforme venoso se dilata (varices) y se torna tortuoso, originando un varicocele que suele verse sólo cuando el hombre se levanta o hace algún esfuerzo abdominal; este aumento de tamaño desaparece, casi siempre, con el decúbito. Los varicoceles obedecen, de ordinario, a válvulas defectuosas de la vena testicular. El varicocele se palpa como un saco de gusanos. Los problemas renales o de la vena renal determinan una distensión de las venas pampiniformes, sobre todo del lado izquierdo. Por eso es necesario descartar una causa renal del varicocele u otra etiología abdominal, sobre todo si el aumento de tamaño es asimétrico.

Cáncer del testículo y del escroto

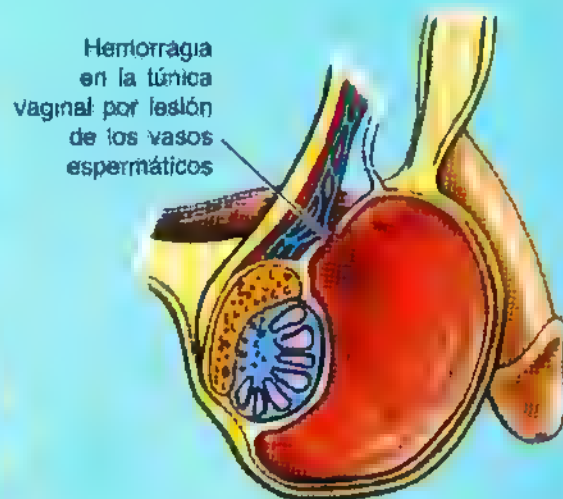
Como los testículos descienden desde la pared posterior del abdomen hasta el escroto durante la vida fetal, ▶



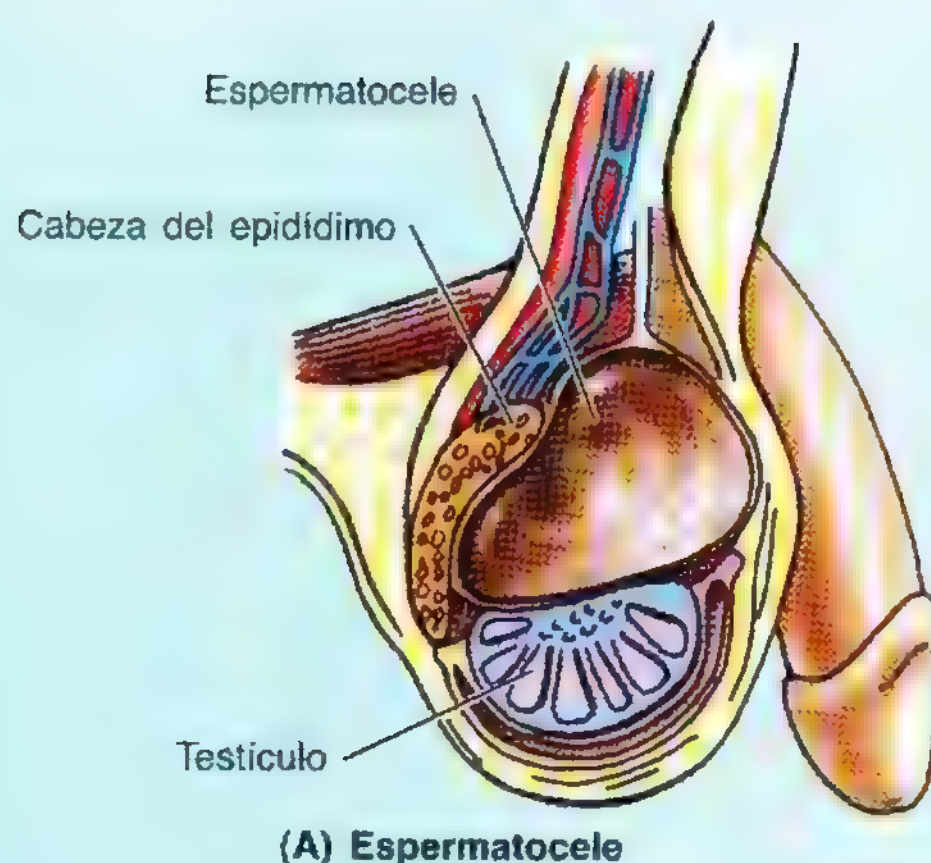
(A) Hidrocele testicular



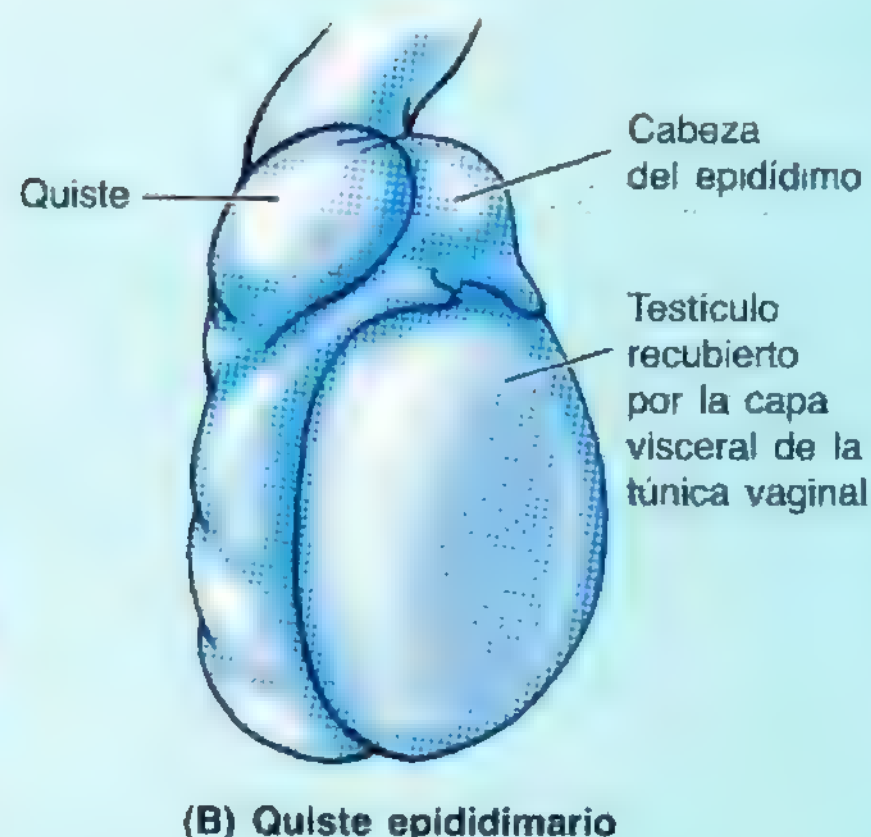
(B) Hidrocele del cordón espermático



(C) Hematocele del testículo



(A) Espermatocelo



(B) Quiste epididimario

► su drenaje linfático difiere del escrotal, puesto que el escroto es una evaginación de la piel anterolateral del abdomen (fig. 2.17). Así pues,

- el **cáncer testicular** metastatiza en los *ganglios linfáticos lumbares*, que radican justo debajo de las venas renales;
- el **cáncer escrotal** metastatiza en los *ganglios linfáticos inguinales superficiales*, que residen en el tejido subcutáneo, debajo del ligamento inguinal, y a lo largo de la porción terminal de la vena safena mayor.

Cáncer del útero y del labio mayor

Las metástasis linfáticas del **cáncer** suelen discurrir por las vías linfáticas, paralelas al drenaje venoso del órgano asiento del tumor primario. Así ocurre en el caso del útero; sin embargo, algunos vasos linfáticos siguen el curso del ligamento redondo por el conducto inguinal, y por eso, aunque resulta menos común, las células metastásicas del cáncer de útero (sobre todo, de los tumores adyacentes a la inserción proximal del ligamento redondo) se pueden extender desde el útero al labio mayor (lugar de inserción distal del ligamento redondo, estructura homóloga al escroto en el desarrollo) y desde aquí a los ganglios inguinales superficiales, que reciben la linfa de la piel del perineo (incluidos los labios genitales).

Reflejo cremastérico

La contracción del músculo cremáster se induce tocando ligeramente la piel de la cara medial de la parte superior del muslo con un hisopo o depresor lingual. Esta zona de la piel está inervada por el nervio ilioinguinal. La rápida elevación del testículo del mismo lado constituye el *reflejo cremastérico*. Este reflejo es muy activo en los niños;

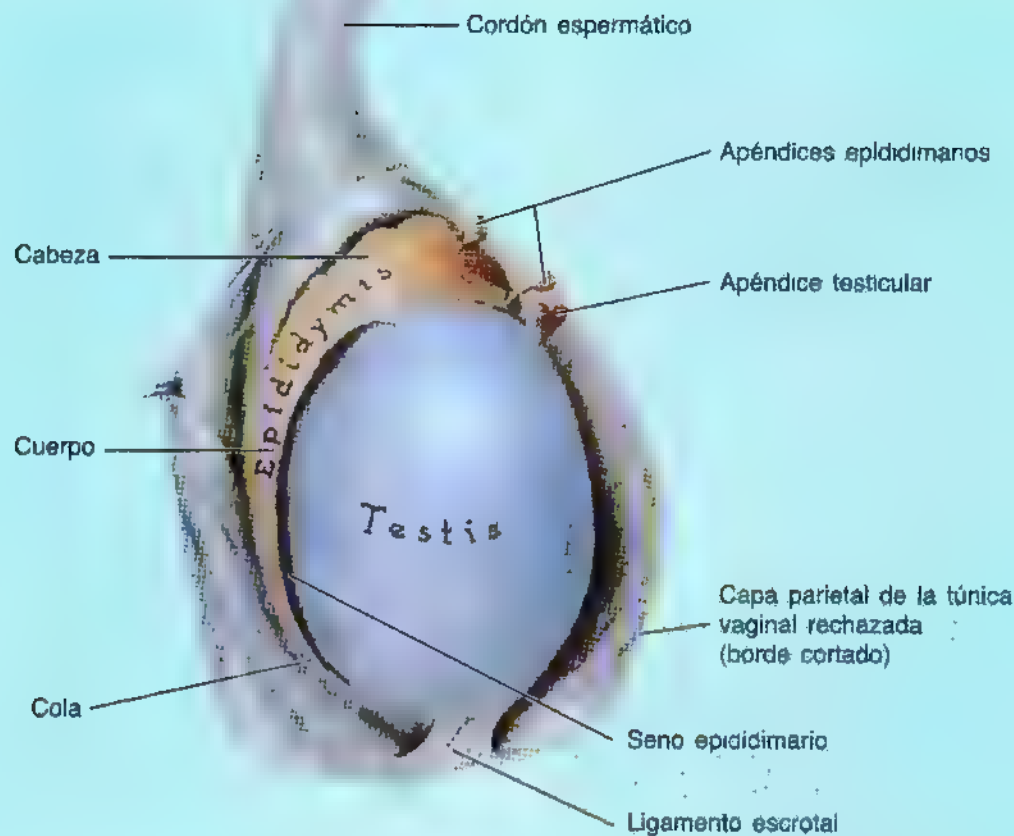
por eso, los reflejos cremastéricos hiperactivos pueden simular la ausencia de descenso testicular. El reflejo hiperactivo desaparece si el niño se sienta con las piernas cruzadas o adopta una posición en cuclillas. Si los testículos están descendidos deben palparse en el escroto.

Vestigios de los conductos genitales embrionarios

Cuando se abre la túnica vaginal pueden observarse rudimentos embrionarios en los extremos superiores del testículo y del epidídimo. Estas estructuras son pequeños vestigios de los conductos genitales del embrión (Moore y Persaud, 1998). Se observan muy pocas veces, salvo que ocurran alteraciones patológicas. El *apéndice testicular* es un resto vesicular del extremo craneal del conducto paramesonéfrico, el conducto genital femenino embrionario que forma la mitad del útero. Se adhiere al polo superior del testículo. Los *apéndices epididimarios* son restos del extremo craneal del conducto mesonéfrico, el conducto genital masculino embrionario que forma el conducto deferente y está adherido a la cabeza del epidídimo. Esta porción del conducto, junto con los túbulos mesonéfricos acompañantes, suele formar los conductillos eferentes y el epidídimo.

Vasectomía

La extirpación bilateral de un segmento del *conducto deferente* —**vasectomía**— sirve para inducir la esterilidad masculina. Para proceder a la vasectomía, también denominada **deferentectomía**, se identifica el conducto por su consistencia dura y se aísla a cada lado, incidiendo la pared superanterior del escroto. Se colocan dobles ligaduras en cada conducto y luego se secciona el conducto entre las ligaduras; así pues, los dos extremos ►



► de la incisión quedan ligados. El espermatozoide ya no puede pasar a la uretra y, por tanto, degenera dentro del epidídimo y del conducto deferente. Sin embargo, se siguen eyaculando las secreciones de las glándulas genitales auxiliares (vesículas seminales, glándulas bulbouretrales y próstata).

Hernias inguinales

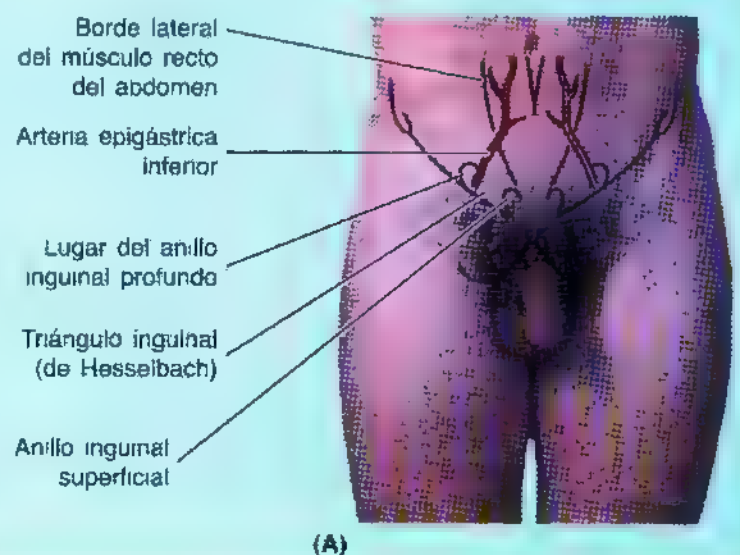
La hernia ("rotura") inguinal es una protrusión del peritoneo parietal y de las vísceras, como el intestino delgado, o de parte de ellas a través de una abertura normal o anormal de la cavidad a la que pertenecen. Casi todas las hernias son reducibles, es decir, pueden regresar a su posición normal en la cavidad peritoneal mediante la manipulación pertinente. *Cerca del 90% de las hernias abdominales suceden en la región inguinal*; los dos tipos fundamentales son las hernias inguinales indirectas y las directas. Casi un 75% de las hernias son indirectas.

La hernia inguinal indirecta (congénita):

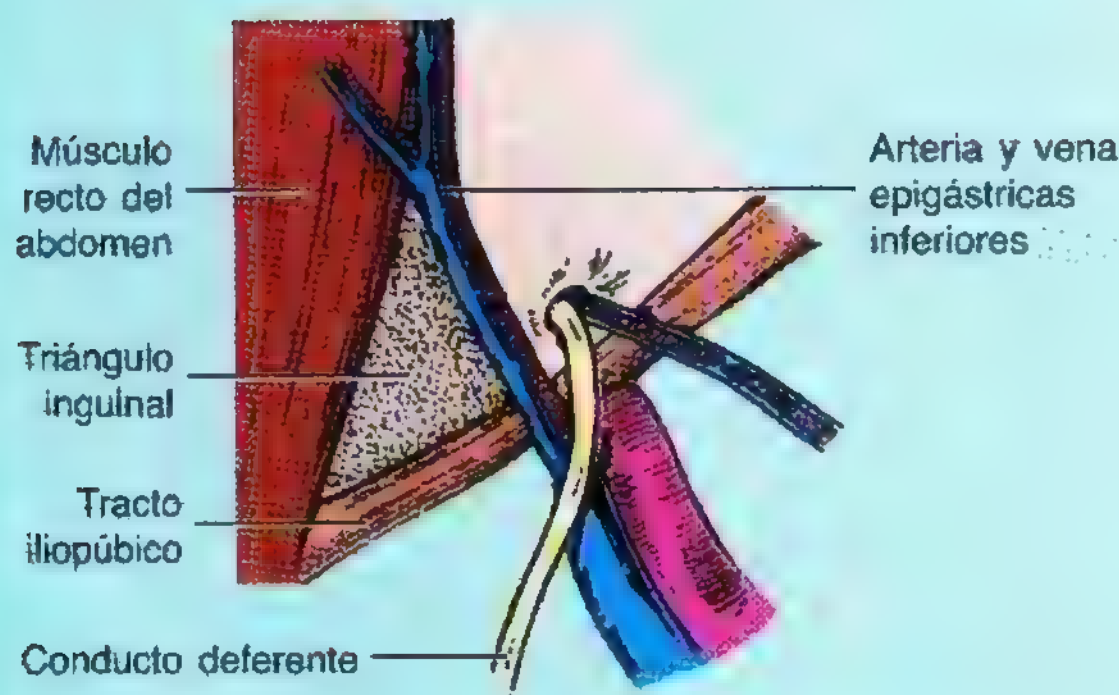
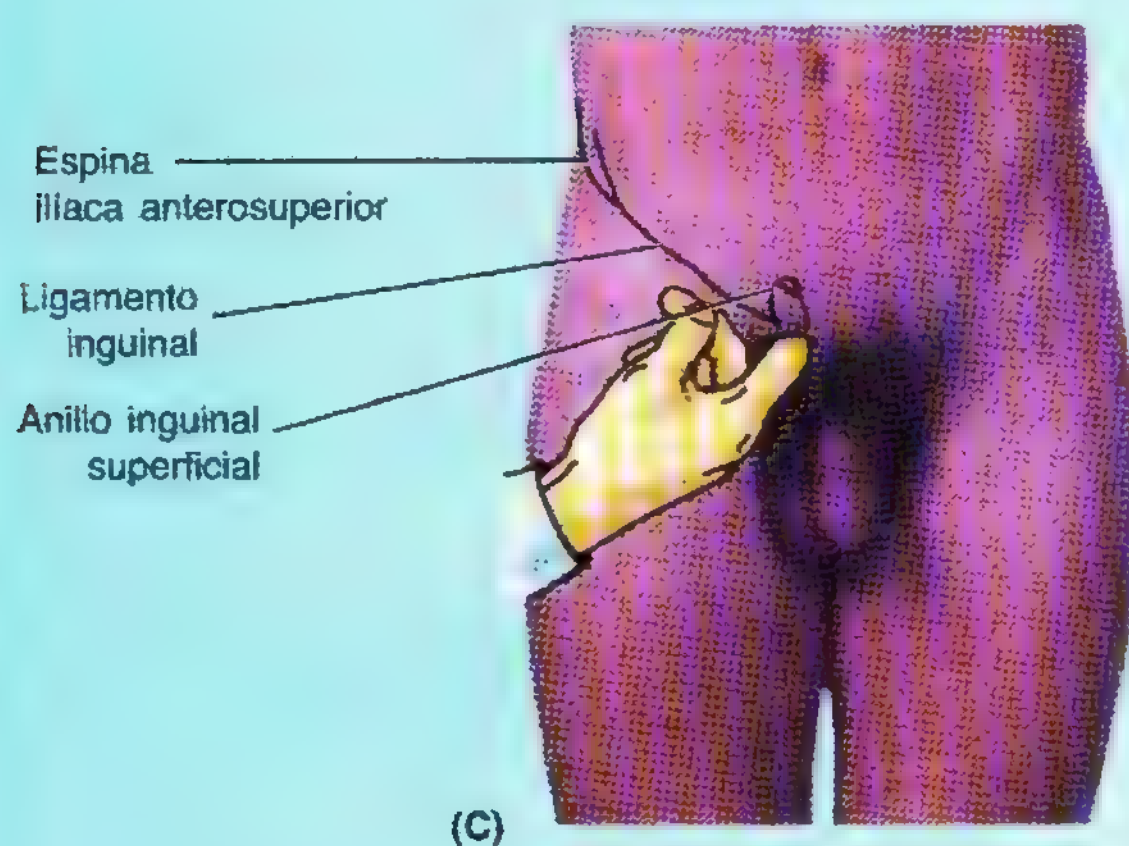
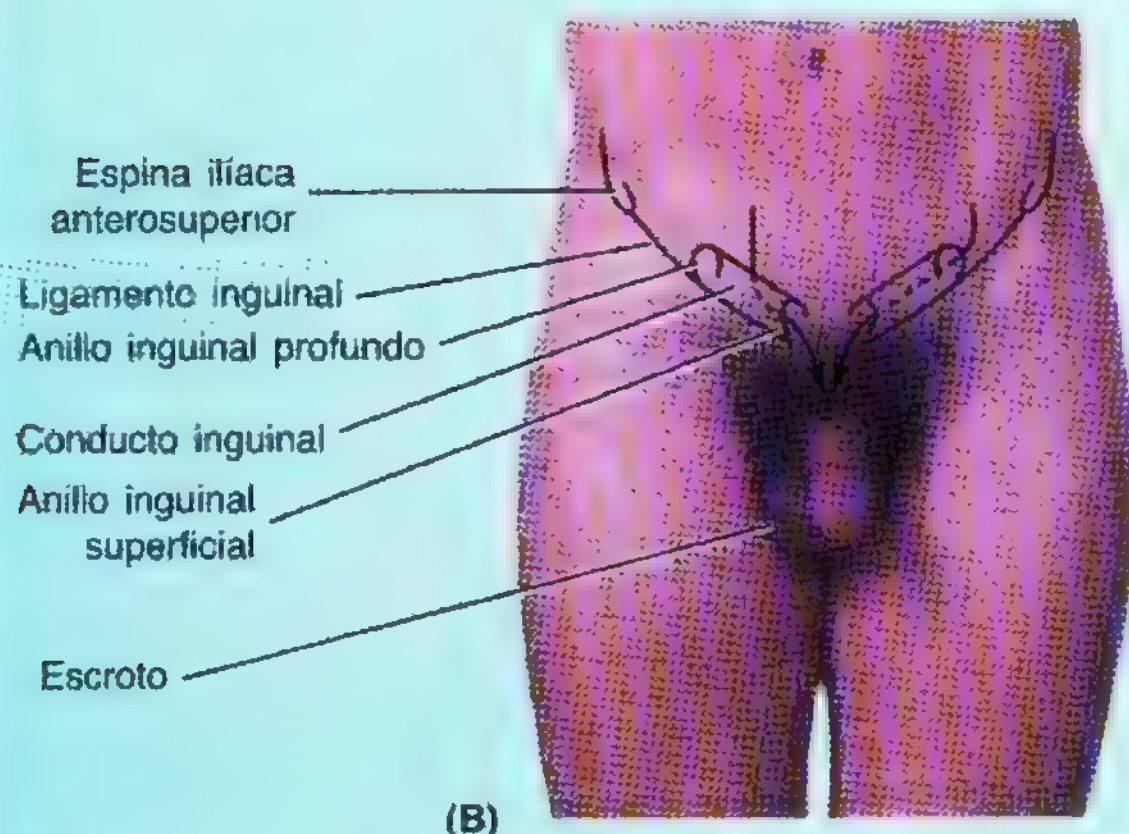
- Es la más común de todas las hernias abdominales.
- Abandona la cavidad abdominal, **lateral a los vasos epigástricos inferiores**, y penetra en el anillo inguinal profundo (A).

- Dispone de un **saco herniario**, formado por un proceso vaginal persistente y las tres cubiertas fasciales del cordón espermático.
- Atraviesa todo el conducto inguinal (B).
- Sale por el anillo inguinal superficial.
- Entra casi siempre en el escroto.

La palpación de la hernia inguinal indirecta se lleva a cabo con la misma técnica que la de los anillos inguinales (pág. 199).



Hernia inguinal directa Hernia inguinal indirecta



(D) Visión posterior de la pared anterior derecha del abdomen

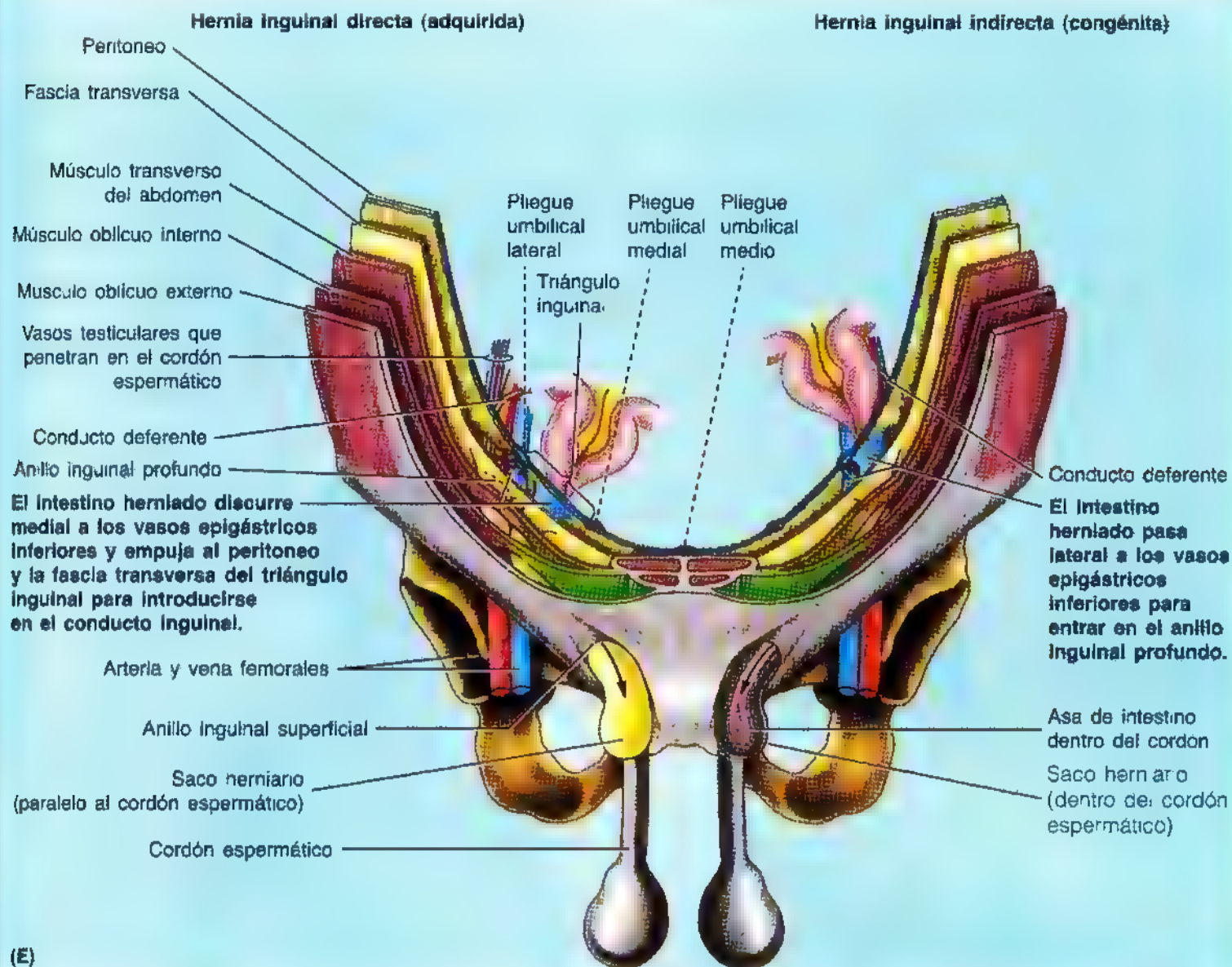
► En condiciones normales, la mayor parte del proceso vaginal desaparece antes de nacer, salvo el de la porción distal que forma la túnica vaginal del testículo (fig. 2.16). La porción peritoneal del saco herniario de la hernia inguinal indirecta está formada por el proceso vaginal persistente. Si todo el saco del proceso vaginal persiste, la hernia se extiende hasta el escroto, por encima del testículo, creando una hernia inguinal indirecta completa (E).

Las hernias inguinales indirectas también pueden afectar a las mujeres; sin embargo, son unas 20 veces más comunes en los hombres. Si persiste el proceso vaginal de la mujer crea una pequeña bolsa peritoneal —conducto de Nuck— en el conducto inguinal que puede pasar al labio mayor. Parte del intestino delgado se hernia a veces dentro de la bolsa y a través del conducto inguinal, creando una hernia inguinal indirecta y un bulto en el labio mayor.

La hernia inguinal directa (adquirida):

- Sale de la cavidad abdominal **medial a la arteria epigástrica inferior (A y E)**.
- Protruye por una zona de debilidad relativa de la pared posterior del conducto inguinal.
- Tiene un saco herniario constituido por fascia transversa.
- Queda fuera del proceso vaginal, que se suele obliterar, paralelo al cordón espermático, y fuera de la cubierta o dos cubiertas fasciales internas del cordón.
- No atraviesa todo el conducto inguinal, ya que de ordinario sólo pasa por la porción más medial (extremo inferior) adyacente al anillo inguinal superficial.
- Protruye por el **triángulo inguinal (Hesselbach)**, situado entre la arteria epigástrica inferior en el plano superolateral, el músculo recto del abdomen en el medial y el ligamento inguinal en el inferior (D).
- Emerge por o alrededor del tendón conjunto para llegar hasta el anillo inguinal superficial y contrae una cubierta externa de la fascia espermática externa, dentro o paralela a la del propio cordón (E).
- Casi nunca pasa al escroto; sin embargo, cuando lo hace discurre lateral al cordón espermático, en la profundidad de la piel y de la fascia dartos.

Para palpar una hernia inguinal indirecta se coloca la cara palmar del índice o del dedo medio sobre el triángulo inguinal, y se pide a la persona que tosa o que haga un esfuerzo abdominal. En caso de que exista hernia se nota un impulso forzado contra la yema del dedo. El dedo también se puede colocar en el anillo inguinal superficial; si existe una hernia directa se nota un impulso repentino en la cara lateral del dedo cuando la persona tose o hace un esfuerzo abdominal. ◊



Anatomía de superficie de la pared anterolateral del abdomen

El **ombligo** es un rasgo inequívoco de la pared anterolateral del abdomen y representa el punto de referencia del plano transumbilical. Esta indentación rugosa de la piel del centro de la pared anterior del abdomen se encuentra, de modo característico, a la altura del disco intervertebral L3/L4; sin embargo, su posición depende de la cantidad de grasa subcutánea presente. La **fosa epigástrica** (boca del estómago) es una ligera depresión de la región epigástrica, justo debajo de la **apófisis xifoides**. Esta fosa —asiento de gran dolor causado por un síntoma esofágico, como la pirosis— llama particularmente la atención en decúbito supino, porque los órganos abdominales se aplanan y empujan la pared anterolateral del abdomen en dirección posterior. El 7º a 10º cartílagos costales de cada lado están unidos y sus bordes mediales

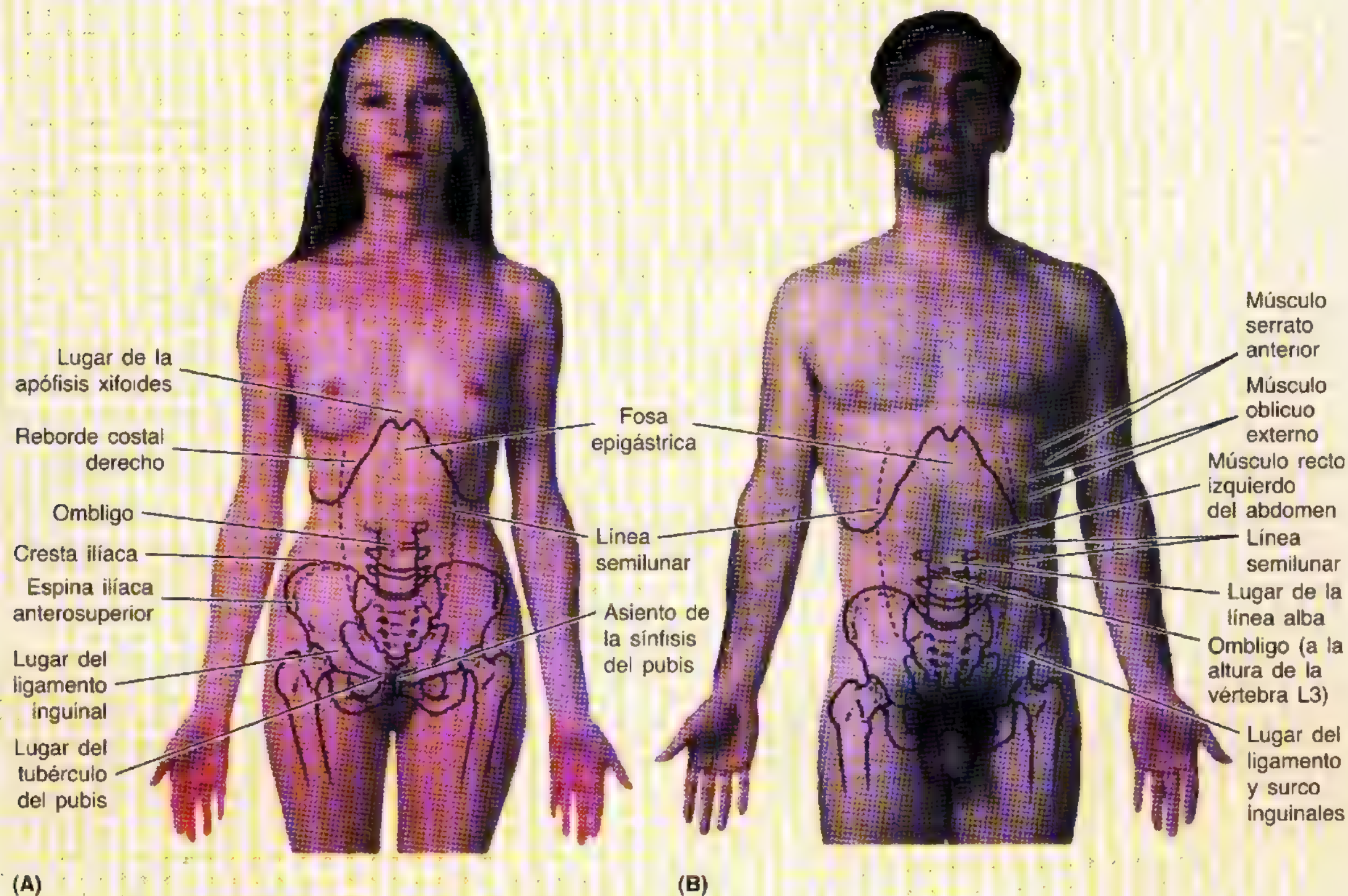
forman el **reborde costal**. Cuando una persona se tumba en decúbito supino se puede ver cómo la pared abdominal asciende y desciende con la respiración: asciende con la inspiración y desciende con la espiración. Los músculos rectos del abdomen se pueden palpar y observar si la persona, en decúbito supino, eleva la cabeza y los hombros contra cierta resistencia.

La localización de la **línea alba** se ve por el surco vertical superficial a este rafe. El surco suele ser evidente porque la línea alba mide casi 1 cm entre las dos porciones del **músculo recto del abdomen**, por encima del ombligo. Debajo del ombligo, la línea alba tiene un trayecto lineal y no está marcada por ningún surco. En algunas mujeres embarazadas, sobre todo las de pelo oscuro y color moreno, aparece una línea muy pigmentada —la **línea negra**— en la línea media, externa a la línea alba. Después del embarazo desaparece el color de esta línea. La **sínfisis del pubis** es una articulación cartilaginosa que se ►

► palpa como una resistencia dura en el plano medio, distal a la línea alba. La **cresta iliaca**, a la altura de la vértebra L4, se palpa con facilidad mientras se extiende en sentido posterior desde la **espinia iliaca anterosuperior**.

Las **líneas semilunares** son impresiones lineales, algo curvas, de la piel que se extienden desde el reborde costal inferior, cerca del 9º cartílago costal, hasta los **tubérculos del pubis**. Estos surcos cutáneos semilunares (a 5-8 cm de la línea media) tienen interés clínico, porque son paralelos a los bordes laterales de la vaina del recto. En general, no se efectúan incisiones a lo largo de las líneas semilunares, porque se interrumpirían muchos de los nervios

que llegan hasta el músculo recto. Los surcos cutáneos también cubren las *intersecciones tendinosas* del músculo recto del abdomen, que se ven con claridad en las personas con un músculo recto bien desarrollado. Los vientres de los músculos **serrato anterior** y **oblicuo externo**, que se entrelazan, también se ven con facilidad. El asiento del ligamento inguinal queda reflejado por el **surco inguinal**, un pliegue de la piel paralelo y algo inferior al ligamento inguinal, que se visualiza fácilmente pidiendo a la persona que deje colgar la pierna en el suelo mientras permanece tumbada en decúbito supino sobre la camilla de exploración. El surco inguinal marca la división entre la pared anterolateral del abdomen y el muslo. ☉



Peritoneo y cavidad peritoneal

El **peritoneo** —una membrana serosa transparente, brillante y continua— tapiza la cavidad abdominopélvica y envuelve las vísceras (órganos). *El peritoneo se compone de dos capas continuas* (fig. 2.19):

- El **peritoneo parietal** reviste la cara interna de la pared abdominopélvica.
- El **peritoneo visceral** envuelve vísceras, como el estómago y los intestinos.

Las dos capas de peritoneo se componen de *mesotelio*, una sola capa de células epiteliales escamosas. El peritoneo parietal recibe la misma irrigación e inervación que la región de la pared que tapiza. El peritoneo visceral y los órganos que recubre reciben la misma irrigación e inervación.

El peritoneo y las vísceras se hallan dentro de la cavidad abdominal. La cavidad peritoneal no contiene ningún órgano y normalmente se encuentra vacía, con excepción de una fina película de líquido que humedece las superficies peritoneales. *La relación entre las vísceras y el peritoneo se ajusta a estas normas:*

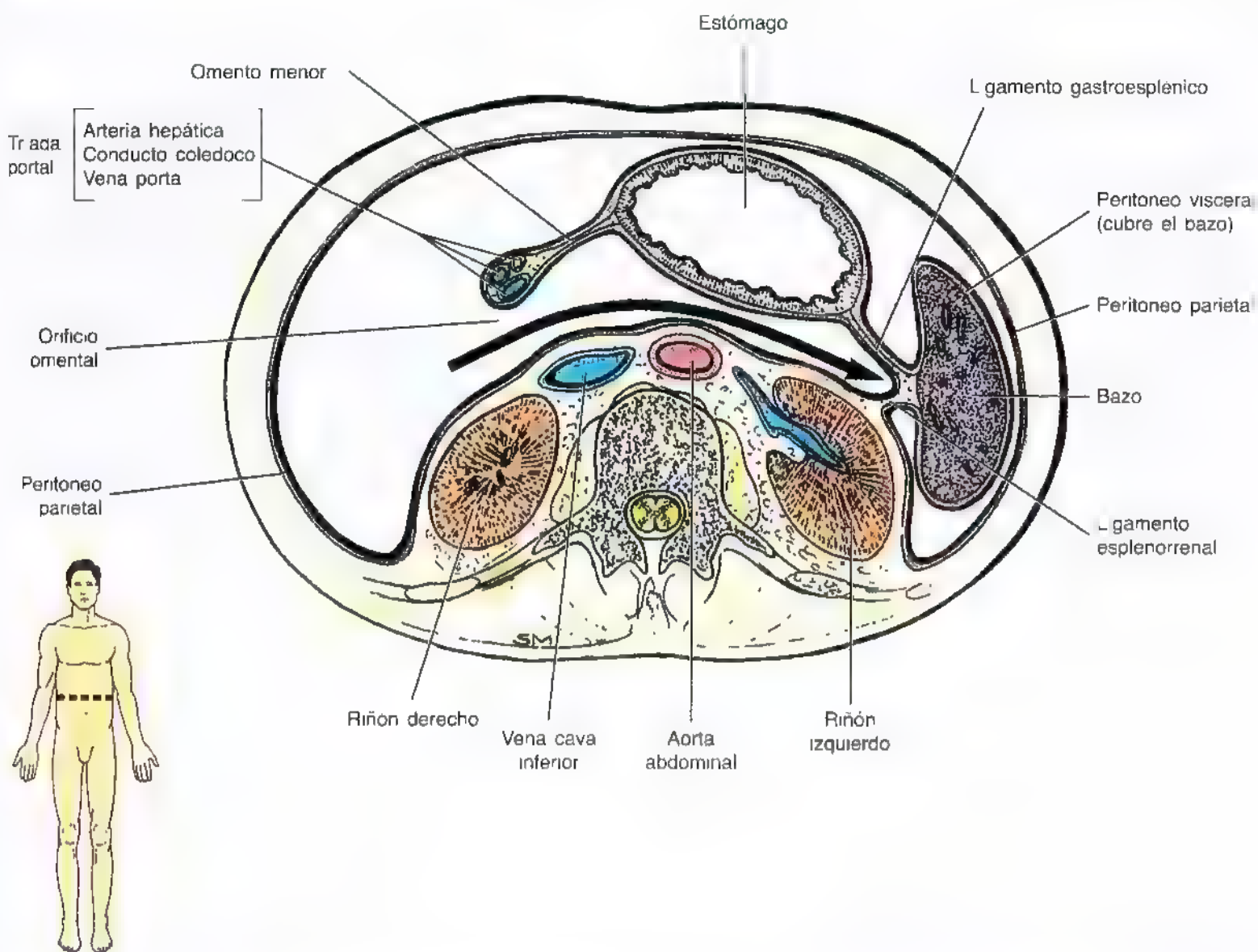


Figura 2.19. Corte transversal del abdomen. Se ha cortado el abdomen por un plano superior. Obsérvese el orificio omental (epiploico) y la extensión horizontal de la bolsa omental (epiplo menor). La flecha negra pasa desde el omento mayor, a través del orificio omental y penetra en toda la extensión de la bolsa omental.

- Los *órganos intraperitoneales* se hallan casi enteramente cubiertos por peritoneo visceral (p. ej., el estómago y el bazo). En este caso, “intraperitoneal” *no* significa dentro de la cavidad peritoneal (aunque este término se utilice en clínica cuando se inyectan sustancias dentro de la cavidad). Los órganos intraperitoneales se invaginan, de forma conceptual o casi literal, dentro del saco cerrado, como cuando se presiona un globo inflado con el puño (véase la exposición sobre la pleura del capítulo 1).
- Los *órganos extraperitoneales o retroperitoneales* también se sitúan fuera de la cavidad peritoneal —exteriores o posteriores al peritoneo parietal— y sólo están cubiertos en parte por peritoneo (casi siempre, sólo una de las caras); los órganos como los riñones se encuentran entre el peritoneo parietal y la pared posterior del abdomen y sólo presentan peritoneo parietal en sus caras anteriores (salvo que se interponga la grasa).

La **cavidad peritoneal** está dentro de la cavidad abdominal, que se continúa con la cavidad pélvica. La *cavidad peritoneal es un espacio virtual, de grosor capilar, entre las capas parietal y visceral del peritoneo*. No contiene órganos, pero sí una fina película de **líquido peritoneal** que lubrica las superficies peritoneales y permite que las vísceras se desplacen entre sí sin fricciones, aparte de los movimientos de la digestión. Además de lubricar las superficies viscerales, el líquido peritoneal contiene leucocitos y anticuerpos que resisten las infecciones. El líquido peritoneal es absorbido por los vasos linfáticos de la cara inferior del diafragma. *La cavidad peritoneal está completamente cerrada en los varones*, pero se comunica en las mujeres con el exterior del organismo a través de las trompas uterinas, la cavidad uterina y la vagina. Esta comunicación constituye una vía potencial de infección desde el exterior.

Obstrucción de las trompas uterinas

Existe una técnica para verificar la permeabilidad de las trompas uterinas (*histerosalpingografía*), donde se inyecta aire o colorante radiopaco en la cavidad uterina, que debe fluir normalmente por las trompas uterinas hasta la cavidad peritoneal (véase fig. 3.52A). Si el aire o el colorante no llegan hasta la cavidad abdominal significa que las trompas uterinas están obstruidas (p. ej., por enfermedad inflamatoria).

Peritonitis, ascitis, paracentesis e inyección intraperitoneal

El peritoneo es una estructura bien inervada y, por eso, los enfermos sometidos a cirugía abdominal experimen-

tan más dolor con las incisiones cruentas y grandes que con las pequeñas incisiones laparoscópicas o la cirugía vaginal. Cuando ocurre una lesión del abdomen por una herida punzante, por ejemplo, o una infección secundaria a la perforación del apéndice se inflama el peritoneo (**peritonitis**). El peritoneo exuda líquido y células como respuesta a la lesión o infección. El exceso de líquido de la cavidad peritoneal —**ascitis**— se puede extraer mediante **paracentesis** (punción quirúrgica de la cavidad peritoneal para la aspiración de líquido).

El peritoneo tiene una superficie extensa; por eso, el líquido inyectado en su interior se absorbe con rapidez. Esta es la razón por la que se pueden inyectar algunos anestésicos, como soluciones de compuestos barbitúricos, en la cavidad peritoneal mediante *inyección intraperitoneal (IP)*. ○

Embriología de la cavidad peritoneal

En las primeras fases de su desarrollo, la cavidad embrionaria (celoma intraembrionario) está tapizada por el *mesodermo*, un esbozo del peritoneo (Moore y Persaud, 1998). En una etapa algo posterior, el esbozo de la cavidad abdominal se reviste de *peritoneo parietal*, procedente del mesodermo, que forma un saco cerrado. La luz del saco peritoneal es la *cavidad peritoneal*. Conforme se desarrollan los órganos invaginan (hacen prominencia) en grado variable el saco peritoneal y adquieren una túnica peritoneal, el *peritoneo visceral*. Una víscera (órgano) como el riñón sobresale sólo de forma parcial en la cavidad peritoneal; por eso es un órgano básicamente retroperitoneal, siempre queda fuera de la cavidad peritoneal, detrás de la túnica peritoneal que tapiza la cavidad abdominal. Otras vísceras, como el estómago y el bazo, protruyen totalmente dentro del saco peritoneal y están casi totalmente envueltas por el *peritoneo visceral*. Estas vísceras están conectadas a la pared del abdomen por un *mesenterio* de longitud variable, que se compone de dos capas de peritoneo, con una lámina fina de tejido conjuntivo laxo entre ellas. Las vísceras con mesenterio, como sucede con la mayoría del intestino delgado, se mueven y el grado de movilidad depende de la longitud del mesenterio.

A medida que los órganos se invaginan dentro del saco peritoneal, sus vasos sanguíneos, nervios y linfáticos permanecen comunicados con las fuentes o destinos extraperitoneales (de ordinario, retroperitoneales), de suerte que estas estructuras comunicantes se sitúan entre las capas del peritoneo que forman los mesenterios. Al principio, todo el esbozo intestinal queda suspendido por el centro de la cavidad peritoneal por un mesenterio dorsal insertado a la línea media de la pared corporal posterior. A medida que crecen los órganos van reduciendo el tamaño de la cavidad perito-

neal, hasta que sólo constituye un espacio virtual entre las láminas parietal y visceral del peritoneo. En consecuencia, algunas porciones del intestino llegan a aponerse sobre la pared posterior del abdomen y su mesenterio dorsal va disminuyendo progresivamente de tamaño, debido a la compresión de los órganos suprayacentes (fig. 2.20, A-D). Por ejemplo, durante el desarrollo, la masa helicoidal y creciente del intestino delgado empuja la parte del intestino que se transformará en el colon descendente al lado izquierdo, y presiona su mesenterio contra la pared posterior del abdomen. El mesenterio queda retenido ahí hasta que la capa de peritoneo que creó el lado izquierdo del mesenterio y la parte del peritoneo visceral del colon que se apone a la pared, se fusionan con el peritoneo parietal de la pared. De esta manera, el colon queda fijo a la pared posterior del abdomen en el lado izquierdo y la cubierta peritoneal sólo reviste su cara anterior. Así pues, el colon descendente (al igual que el colon ascendente del lado derecho) es una estructura *secundariamente retroperitoneal*, pese a que en un momento anterior fuera intraperitoneal.

Las capas del peritoneo que se unen en ese momento crean una *fascia de fusión*, un plano de tejido conjuntivo donde continúan residiendo los nervios y vasos sanguíneos del colon descendente. En definitiva, el colon descendente del adulto se puede liberar de la pared posterior (movilizar por vía quirúrgica), incidiendo el peritoneo a lo largo del borde lateral del colon descendente y procediendo después a la disección roma por el plano de la fascia de fusión, elevando las estructuras neurovasculares de la pared posterior hasta alcanzar la línea media. Para movilizar el colon ascendente, del lado derecho, se puede seguir un procedimiento parecido.

Aunque algunas porciones del aparato digestivo y de los órganos asociados se tornen secundariamente retroperitoneales (p. ej., la mayor parte del duodeno y del páncreas, así

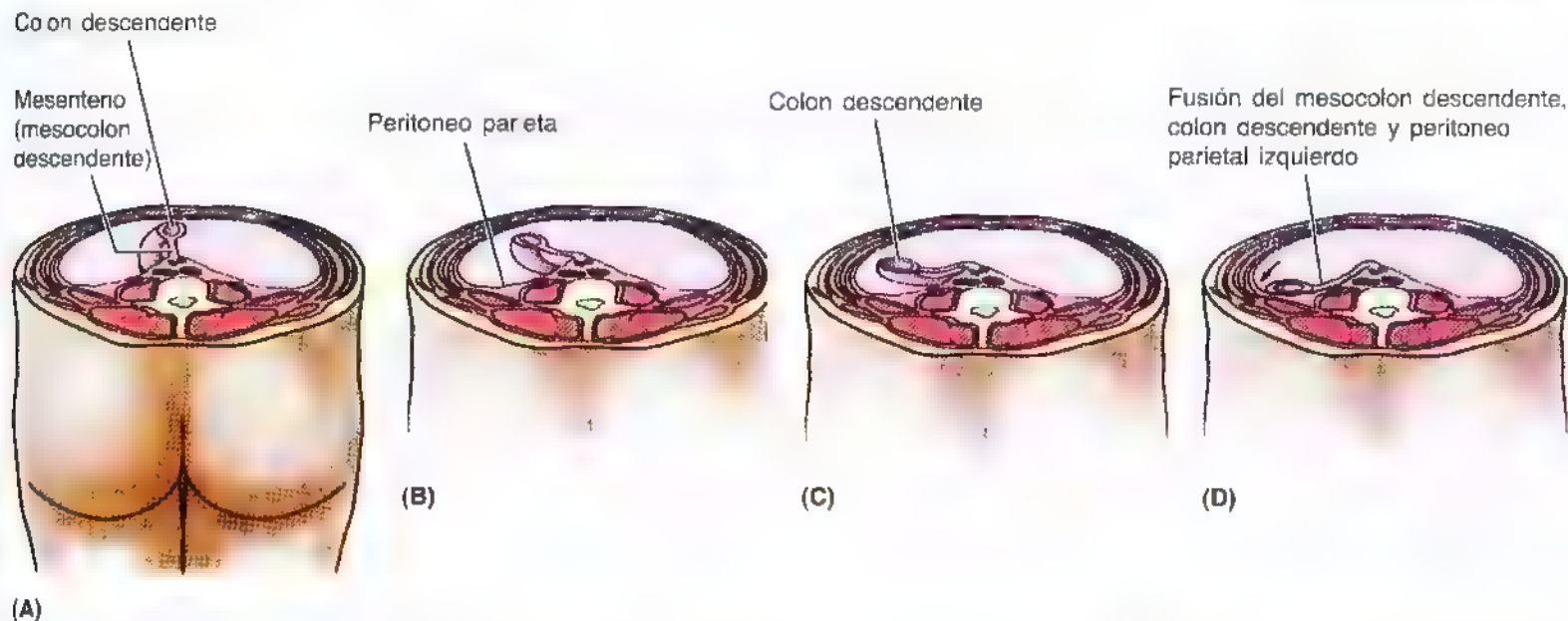


Figura 2.20. Estadios de absorción del mesocolon descendente. A-D. El mesocolon se fusiona de manera gradual con el peritoneo parietal y el colon descendente se torna retroperitoneo —externo o posterior al peritoneo— como se ilustra en (D). La flecha indica el canal paracólico y el lugar donde se practican incisiones para movilizar el colon en la cirugía. A veces, el colon descendente conserva un mesenterio corto, parecido al que se ilustra en el estadio (C), sobre todo si el colon se encuentra en la fosa ilíaca.

como las porciones ascendente y descendente del colon), cubiertas por peritoneo sólo en la cara anterior, las demás porciones y algunos órganos (p. ej., el colon sigmoide y el bazo) conservan un mesenterio corto. Sin embargo, las raíces

de los mesenterios cortos no permanecen adheridas a la línea media, sino que se desvían a la izquierda o a la derecha por un proceso de fusión similar al descrito para el colon descendente.

Perforación intestinal

Cuando una herida penetrante perfora el peritoneo, el contenido intestinal gaseoso y de otra naturaleza pasa a la cavidad peritoneal y se inicia una peritonitis. Este estado doloroso se acompaña de la exudación de suero, fibrina, células y pus a la cavidad peritoneal. Además del intenso dolor abdominal, espontáneo y con la palpación, se observan náuseas, vómitos, fiebre y estreñimiento. Como el dolor intenso empeora con el movimiento, los enfermos con peritonitis suelen permanecer con las rodillas flexionadas para relajar la musculatura anterolateral del abdomen y reducir la presión y el dolor en su interior.

Flujo del exudado inflamatorio

El líquido peritoneal infectado que acompaña a la perforación orgánica y a la peritonitis sigue un curso inferior a lo largo de los canales paracólicos (véase fig. 2.23B) hasta la cavidad pélvica, donde las toxinas se absorben con lentitud. Para facilitar el flujo del exudado se suele colocar a los pacientes con peritonitis en posición sedente con un ángulo de 45°.

Adherencias peritoneales y adherenciotomía

Si el peritoneo sufre daño por una herida punzante, parte de las capas parietal y visceral inflamadas se pueden adherir por el proceso inflamatorio. Las *adherencias* (tejido cicatricial) también se forman después de la cirugía abdominal (p. ej., perforación del apéndice) y provocan complicaciones, del tipo de obstrucción intestinal, en un 2% de los enfermos. La *adherenciotomía* consiste en la disolución quirúrgica de las adherencias. Durante la disección de cadáveres es frecuente observar adherencias (véase fig. 2.32B).

Ascitis

En determinadas condiciones patológicas, como la peritonitis y la congestión venosa portal, se observa derrame y acúmulo de líquido seroso. La cavidad peritoneal de estos pacientes se distiende con varios litros de líquido anómalo (*ascitis*). Las metástasis extensas de células cancerosas en las vísceras abdominales provocan la exudación de líquido y células de las vénulas; en este caso, el líquido ascítico contiene células cancerosas y se tiñe muchas veces de sangre.

Paracentesis abdominal

El exceso de líquido de la cavidad peritoneal debe extraerse, en ocasiones, mediante *paracentesis*. Tras inyectar un anestésico local se introduce una aguja o trocar y una

cánula a través de la pared anterolateral del abdomen hasta la cavidad peritoneal; el instrumento se puede pasar por la línea alba, por ejemplo. La aguja se introduce por encima de la vejiga urinaria vacía en una posición que no dañe la arteria epigástrica inferior. Ⓢ

Términos descriptivos de las porciones del peritoneo

Se han utilizado diversos términos para describir las porciones del peritoneo que comunican unos órganos con otros o con la pared abdominal.

El **mesenterio** (fig. 2.21A) es una doble capa de peritoneo resultado de la invaginación del peritoneo por un órgano, que constituye la prolongación del peritoneo visceral y parietal y permite la comunicación neurovascular entre el órgano y la pared corporal. El mesenterio comunica el órgano con la pared posterior del abdomen (p. ej., mesenterio del intestino delgado). El mesenterio del intestino grueso se denomina **mesocolon** (fig. 2.21B). Los mesenterios poseen un cilindro de tejido conjuntivo que contiene los vasos san-

guíneos y linfáticos, los nervios, los ganglios linfáticos y la grasa.

El **omento** (epiplón) es una prolongación bilaminar o pliegue de peritoneo que pasa desde el estómago y la parte proximal del duodeno hasta los órganos adyacentes de la cavidad abdominal o hacia la pared del abdomen (fig. 2.21, A-E).

- El **omento menor** comunica la curvatura menor del estómago y la porción proximal del duodeno al hígado.
- El **omento mayor** es un pliegue peritoneal prominente que cuelga a modo de delantal de la curvatura mayor del estómago y de la porción proximal del duodeno. Después de descender se repliega para insertarse en la cara anterior del colon transverso y en su mesenterio.

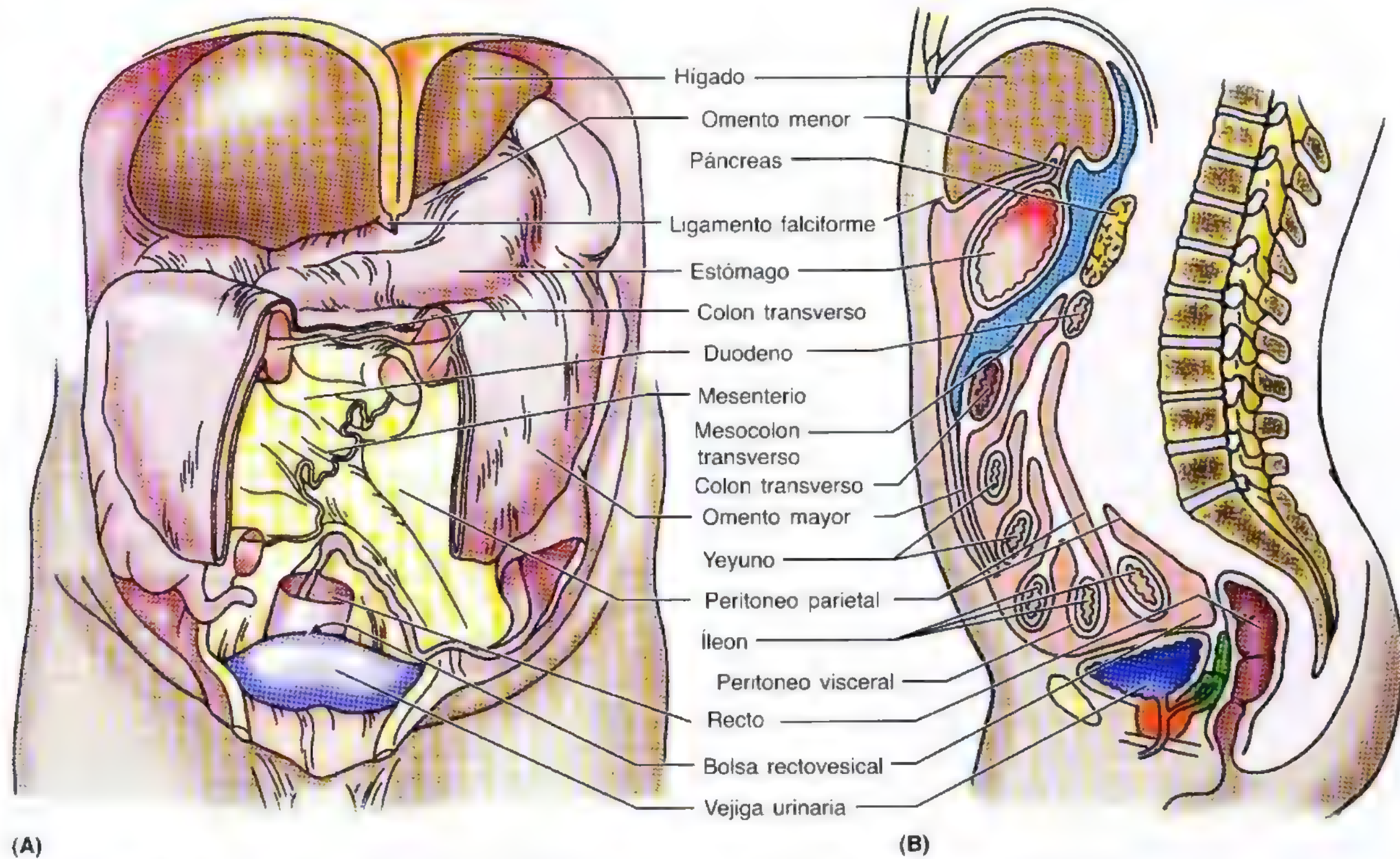


Figura 2.21. Partes principales del peritoneo. A. Visión anterior de la cavidad peritoneal abierta. Se han seccionado partes del omento mayor, del colon transverso y del intestino delgado para visualizar las estructuras profundas y las capas de las estructuras mesentéricas. El mesenterio del yeyuno y del íleon (intestino delgado) y el mesocolon sigmoide se han cortado en la proximidad de sus inserciones parietales. B. Corte sagital de la cavidad abdominopelvica de un varón que muestra las relaciones de las inserciones peritoneales.

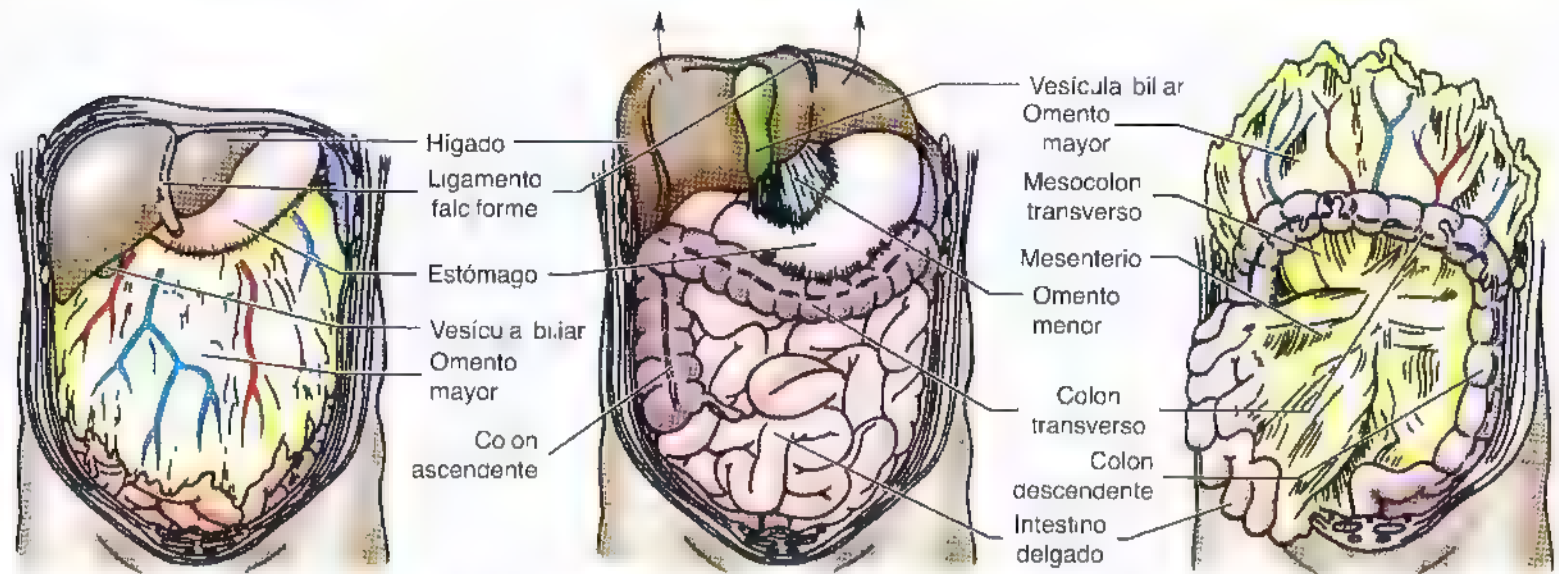


Figura 2.21. (Continuación) **C.** El omento mayor aparece en su posición normal cubriendo a mayoría de las vísceras abdominales. **D.** El omento menor que conecta el hígado con la curvatura menor del estómago se muestra después de rechazar el hígado y la vesícula biliar hacia arriba. El omento mayor se ha extendido de la curvatura mayor del estómago para mostrar los intestinos. **E.** El omento mayor se ha rechazado hacia arriba y el intestino delgado se ha retraído a la derecha para ver el mesenterio del intestino delgado. Obsérvese también el mesenterio del colon transverso (mesocolon transverso).

El **ligamento peritoneal** consta de una doble capa de peritoneo que comunica los órganos entre sí o con la pared del abdomen. *El hígado se conecta con:*

- La pared anterior del abdomen por el **ligamento falciforme** (fig. 2.22).
- El estómago por el **ligamento gastrohepático** (porción membranosa del omento menor).
- El duodeno por el **ligamento hepatoduodenal** (borde libre y engrosado del omento menor que lleva la triada portal: vena porta, arteria hepática y conducto biliar).

Los ligamentos gastrohepático y hepatoduodenal son prolongaciones del omento menor y sólo se separan para mayor comodidad descriptiva.

El estómago se comunica con:

- La cara inferior del diafragma a través del **ligamento gastrofrénico**.
- El bazo por medio del **ligamento gastroesplénico** que se refleja sobre el hilio esplénico.
- El colon transverso a través del **ligamento gastrocólico** (porción del omento mayor parecida a un delantal).

El omento mayor y el ligamento gastroesplénico se continúan entre sí y sólo se separan a efectos descriptivos.

El **pliegue peritoneal** es una reflexión del peritoneo, que se eleva de la pared del abdomen por los vasos sanguíneos, conductos y vasos fetales obliterados subyacentes (p. ej., los *pliegues umbilicales* medial y lateral de la cara interna de la pared anterolateral del abdomen). Algunos pliegues peritoneales contienen vasos sanguíneos y sangran si se seccionan,

como los pliegues umbilicales laterales, que contienen las arterias epigástricas inferiores (pág. 195).

El **receso** o fosa **peritoneal** es una bolsa de peritoneo que se crea por un pliegue peritoneal (p. ej., el receso inferior de la bolsa omental entre las capas del omento mayor y las fosas supravesical y umbilical entre los pliegues umbilicales).

Funciones del omento mayor

El omento mayor, grande y cargado de grasa, impide que el peritoneo visceral se adhiera al parietal, que reviste la pared anterolateral del abdomen. Tiene mucha movilidad y se mueve alrededor de la cavidad peritoneal con los desplazamientos peristálticos viscerales. El omento mayor envuelve los órganos inflamados, como el apéndice, delimitándolos y protegiéndolos de otras vísceras. Por este motivo, el omento mayor se denomina, a menudo, "policia del abdomen". Por eso es frecuente que al penetrar en la cavidad peritoneal, tanto para la disección como para la cirugía, se encuentre el omento muy desplazado de su posición "habitual", que suele dibujarse en las ilustraciones anatómicas. El omento mayor también amortigua los órganos abdominales y los defiende de las lesiones, aparte de crear un aislante que evita la pérdida de calor corporal.

Abscesificación

La perforación de una úlcera duodenal, la rotura de la vesícula biliar o la perforación del apéndice pueden determinar un *exudado purulento circunscrito* en el recesso subfrénico. El absceso queda contenido por abajo por las adherencias (véase "Absceso subfrénico", en la pág. 269).

Diseminación de los líquidos patológicos

Los recessos peritoneales tienen importancia clínica por la diseminación de los líquidos patológicos como el pus, producto de la inflamación. Los recessos determinan la extensión y dirección en que se extienden los líquidos que pasan a la cavidad peritoneal cuando se altera o daña un órgano (véanse también las págs. 215 y 219). ➔

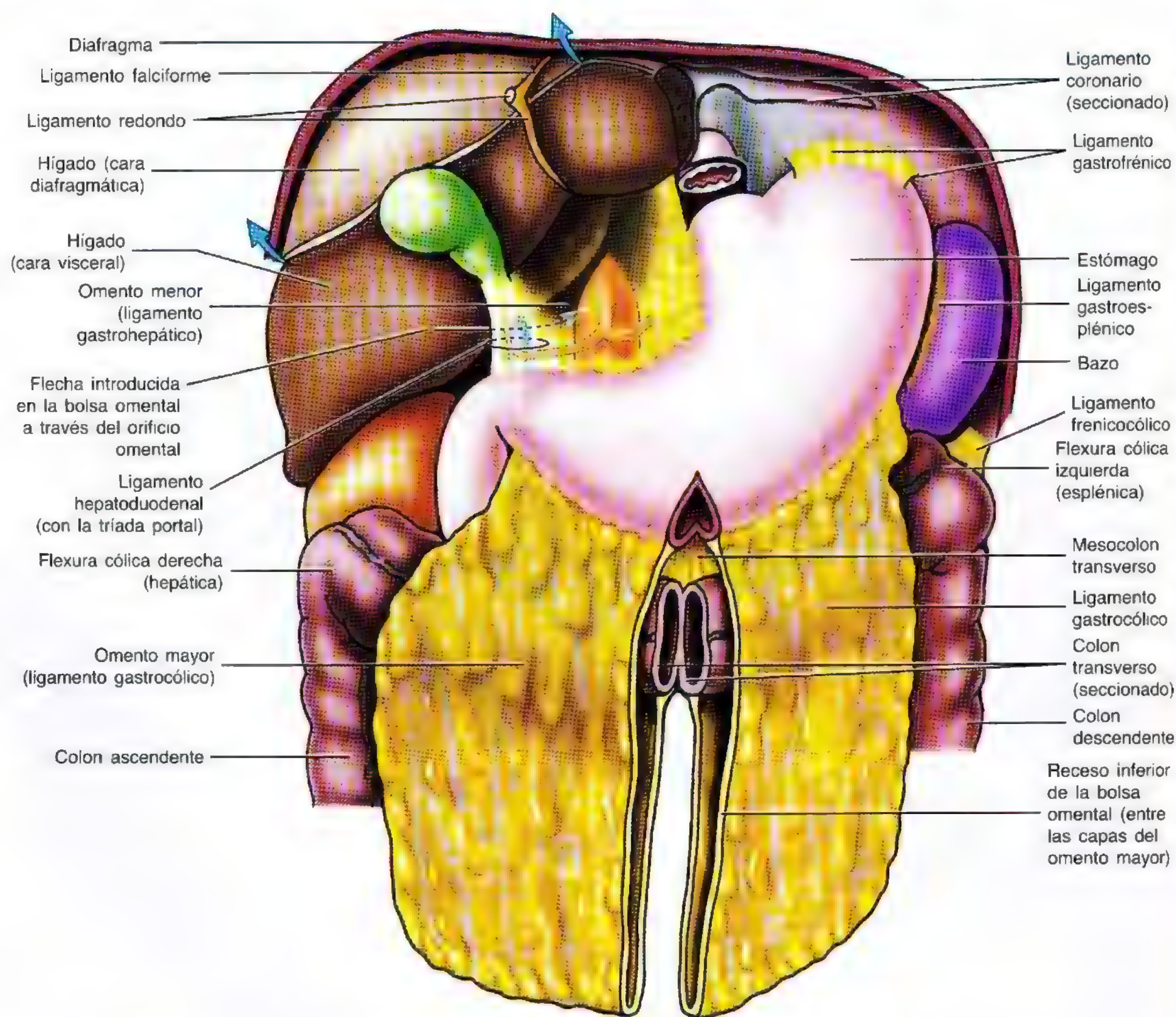


Figura 2.22. Porciones de los omentos mayor y menor. Las flechas señalan que las inserciones del hígado han sido seccionadas; el hígado y la vesícula biliar se han rechazado hacia arriba. La porción central del omento mayor se ha cortado para observar su relación con el colon transverso y mesocolon. El omento mayor consta de los ligamentos gastrofrénico, gastroesplénico y gastrocólico; todos se originan en la curvatura mayor del estómago. Obsérvese el borde libre del ligamento hepatoduodenal (porción del omento menor) que contiene la triada portal: arteria hepática, conducto colédoco y vena porta.

Subdivisiones de la cavidad peritoneal

Conforme los órganos fetales adquieren sus posiciones definitivas, la cavidad peritoneal queda dividida en los **sacos peritoneales mayor y menor** (fig. 2.23A):

- El **saco mayor** es la porción principal y más grande de la cavidad peritoneal.
- El **saco menor** o **bolsa omental** queda detrás del estómago y las estructuras vecinas.

Cuando se practica una incisión quirúrgica por la pared anterolateral del abdomen se penetra en el saco mayor.

El **mesocolon transvers** –mesenterio del colon transvers– divide el saco mayor en:

- Un **compartimiento supracólico**, que contiene el estómago, el hígado y el bazo.
- Un **compartimiento infracólico**, que contiene el intestino delgado, así como el colon ascendente y descendente.

El compartimiento infracólico se sitúa posterior al omento mayor y se divide en los espacios infracólicos derecho e izquierdo por el **mesenterio del intestino delgado** (fig. 2.23B). Existe una comunicación libre entre los compartimientos supracólico e infracólico a través de los **canales paracólicos** (surcos, recesos, fosas), es decir, surcos comprendidos entre la cara lateral del colon ascendente o descendente y la pared posterolateral del abdomen.

Flujo del líquido ascítico y del pus

Los *canales paracólicos son muy importantes en clínica*, porque constituyen la vía para el flujo del líquido ascítico y la diseminación de las infecciones intraperitoneales. El material purulento (que contiene pus) del abdomen puede migrar por los canales paracólicos hacia la pelvis, sobre todo en posición erecta; por el contrario, las infecciones de la pelvis se pueden extender en sentido superior a un receso subfrénico situado bajo el diafragma (pág. 269), sobre todo si la persona se tumba en decúbito supino. De manera análoga, los canales paracólicos representan la vía para la diseminación de las células tumorales descamadas de la superficie ulcerada de un tumor, que pasan a la cavidad peritoneal. ○

La **bolsa omental** es una cavidad extensa, con forma de saco, que radica posterior al estómago y las estructuras adyacentes y al omento menor (figs. 2.23A, 2.24 y 2.25). *La bolsa omental tiene:*

- Un **receso superior**, limitado por arriba por el diafragma y las capas posteriores del ligamento coronario del hígado.
- Un **receso inferior**, entre la porción superior de las capas del omento mayor.

La bolsa omental facilita el movimiento libre del estómago sobre las estructuras posteriores e inferiores a él, porque las paredes anterior y posterior de la bolsa omental se deslizan suavemente entre sí. La mayor parte del receso inferior de la bolsa es un espacio virtual, sellado con respecto a la porción principal de la bolsa omental posterior al estómago tras la adherencia de las capas anterior y posterior del omento mayor (fig. 2.25B). La bolsa omental se comunica con el saco peritoneal mayor a través del **orificio omental** (orificio epiploico u orificio de Winslow), una abertura situada detrás del borde libre del omento menor (ligamento hepatoduodenal). El orificio omental se puede localizar metiendo un dedo a lo largo de la vesícula biliar hasta llegar al borde libre del omento menor (fig. 2.24A). En general, se pueden introducir dos dedos en el orificio omental. *Los límites del orificio omental son* (fig. 2.24B):

- *Anteriores:* vena porta, arteria hepática y conducto biliar, contenidos en el ligamento hepatoduodenal (borde libre del omento menor).
- *Posteriores:* VCI y pilar derecho del diafragma, cubierto por el peritoneo parietal (se trata de estructuras retroperitoneales).
- *Superior:* lóbulo caudado del hígado, cubierto por peritoneo visceral.
- *Inferiores:* porción superior o primera parte del duodeno, vena porta, arteria hepática y conducto biliar.

Líquido en la bolsa omental

La perforación de la pared posterior del estómago determina el paso de su contenido líquido a la bolsa omental. La inflamación o lesión del páncreas también explica que llegue líquido pancreático a la bolsa y provoque un *seudoquist*e pancreático.

Intestino en la bolsa omental

Aunque no es frecuente, un asa de intestino delgado puede penetrar en la bolsa omental por el orificio omental y quedar estrangulada por los bordes del orificio. Como no se puede incidir ninguno de los límites del orificio, porque contiene vasos sanguíneos, hay que descomprimir el intestino tumefacto con una aguja para que pueda regresar al omento mayor a través del orificio omental.

Lesión de la arteria cística

La arteria **cística** se puede lesionar de manera accidental durante la *colecistectomía* (extirpación de la vesícula biliar). El cirujano puede controlar la hemorragia comprimiendo la arteria hepática entre el índice, situado en el orificio omental, y el pulgar, situado en su pared anterior (fig. 2.24). Este procedimiento sirve al cirujano para conocer la arteria sangrante y pinzarla. ○

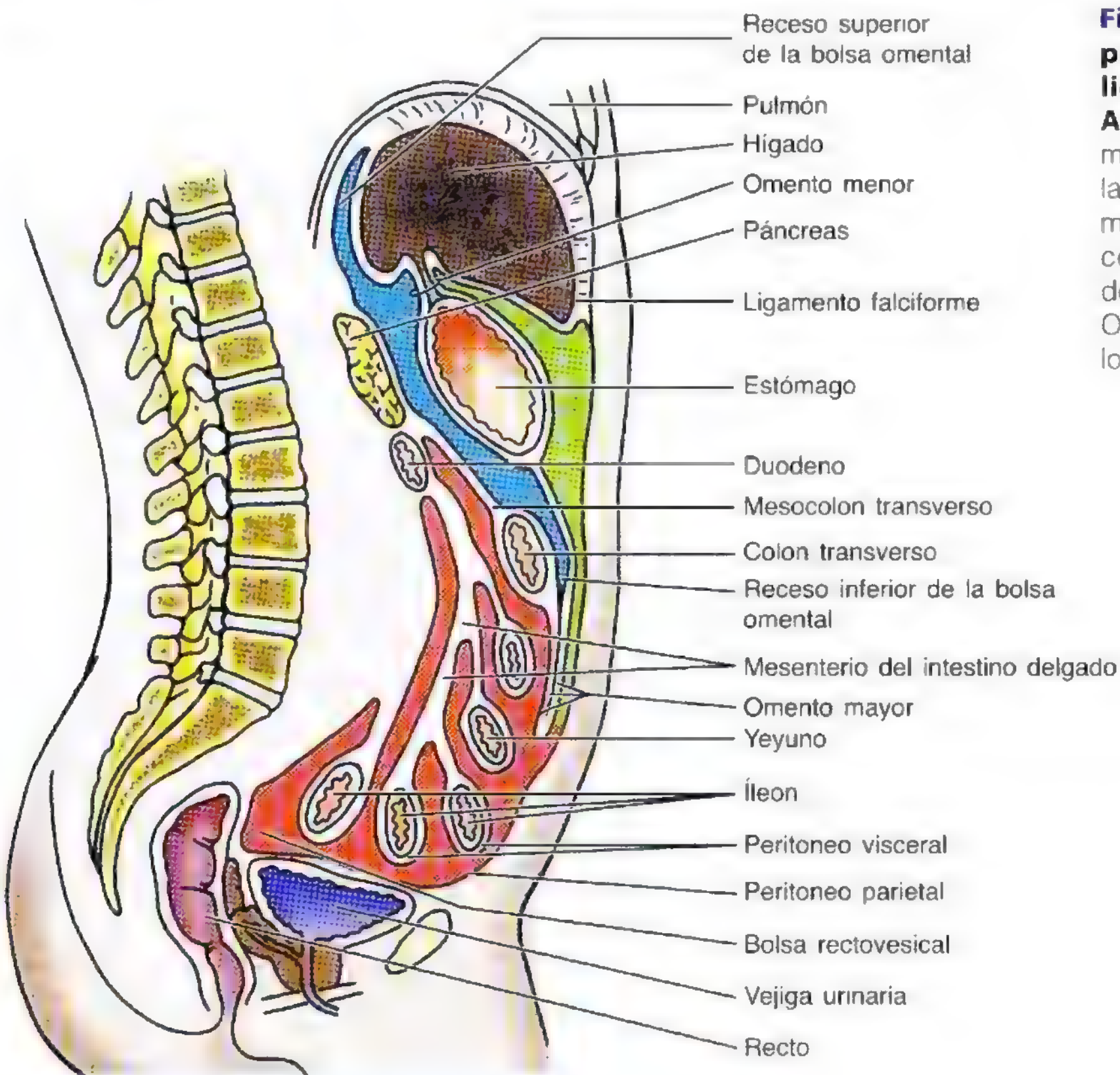
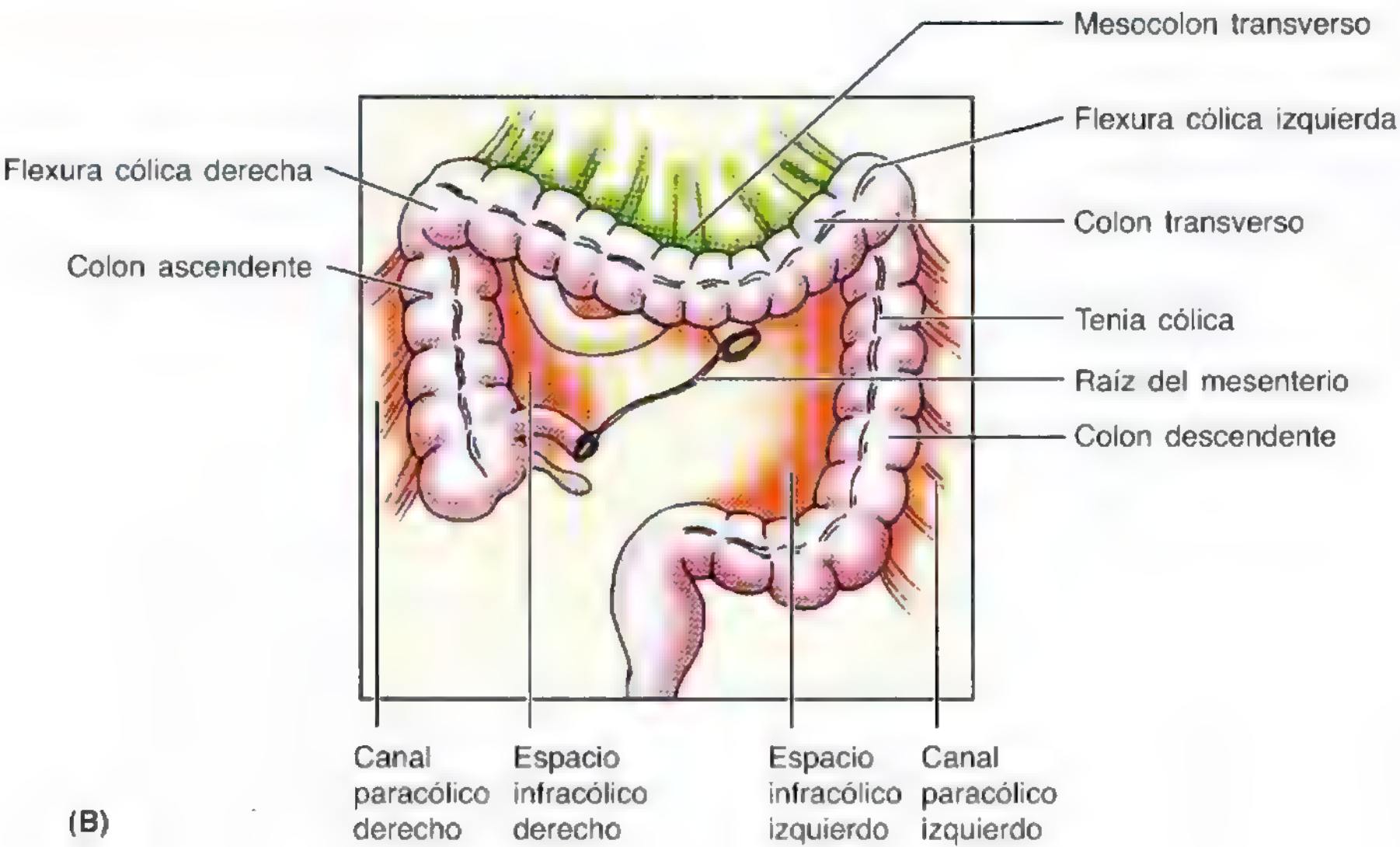


Figura 2.23. Bolsa omental (epiploica) y compartimiento supracólico e infracólico del saco mayor. **A.** Sección sagital de la cavidad abdominopélvica que muestra las vísceras y la disposición del peritoneo y de los mesenterios. **B.** Compartimiento supracólico e infracólico del saco mayor después de extirpar el omento mayor. Obsérvense los espacios infracólicos y los canales paracólicos.

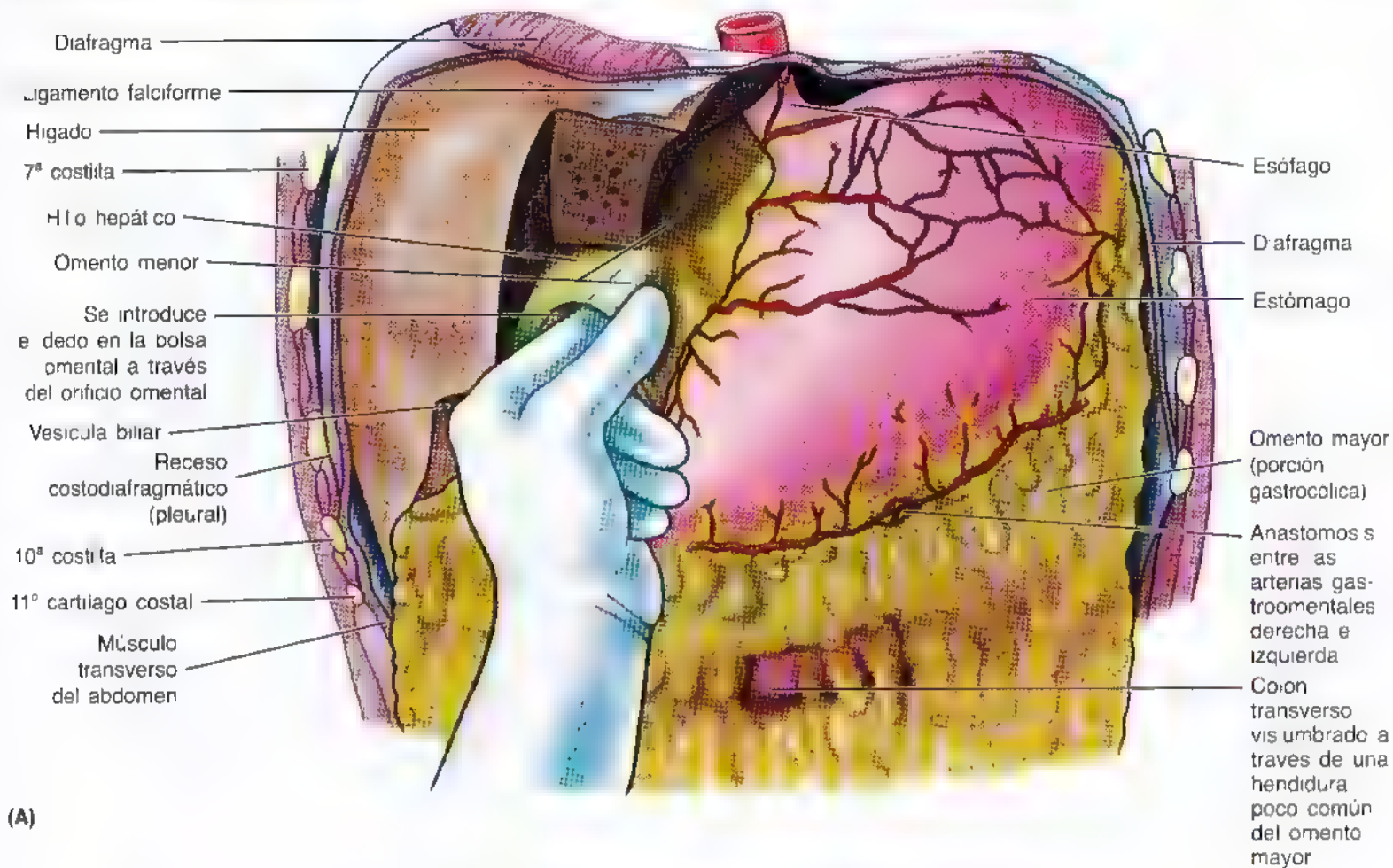
Leyenda

Compartimiento supracólico (saco mayor)	Bolsa omental (saco menor)	Compartimiento infracólico (saco mayor)
---	----------------------------	---

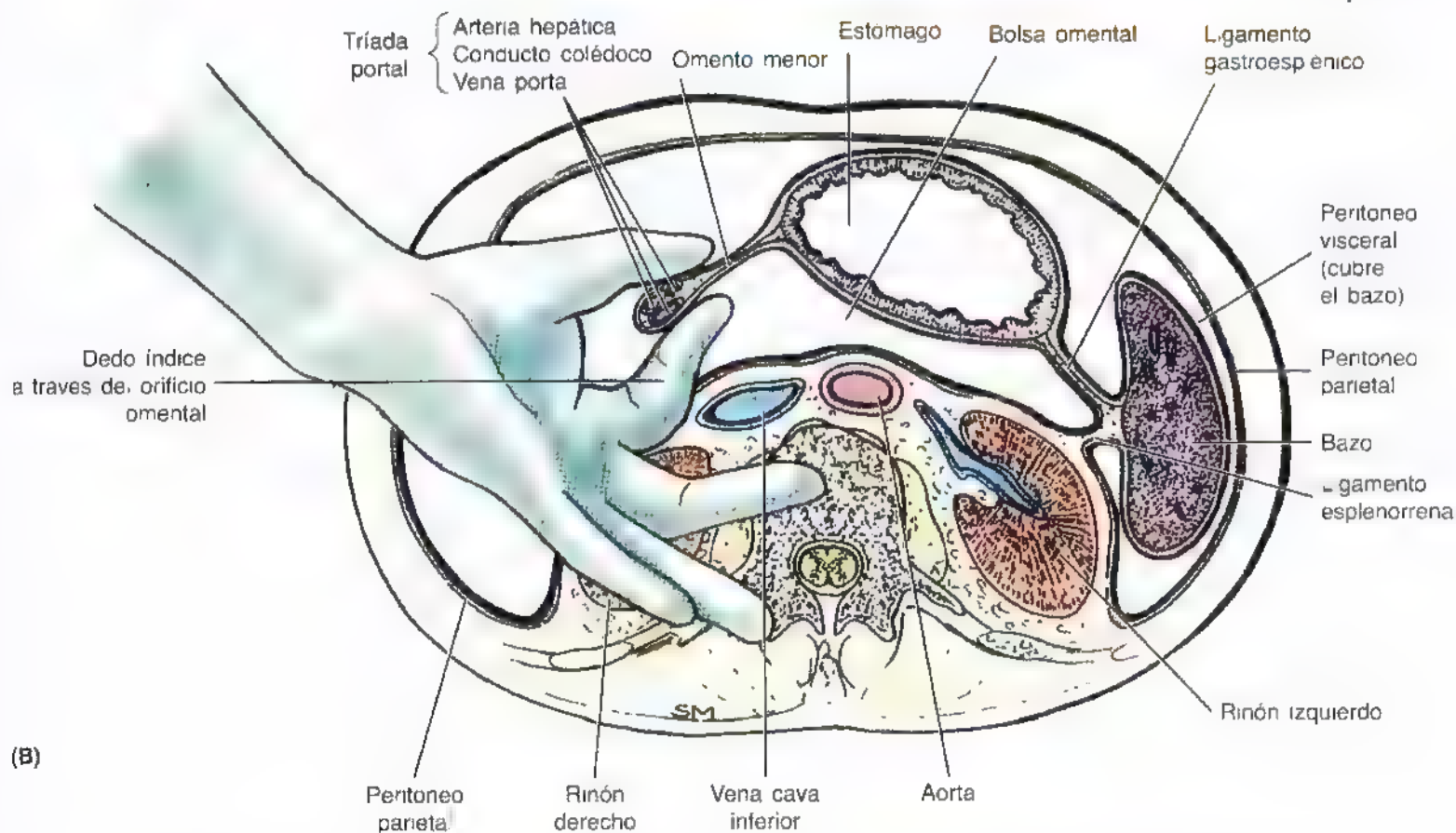
(A)



(B)



(A)



(B)

Figura 2.24. Orificio omental (epiploico) y bolsa omental. A. El dedo índice pasa desde el saco mayor hasta la bolsa omental (saco menor) a través del orificio omental. B. La arteria hepática queda comprimida entre el dedo índice, situado en el orificio omental, y el pulgar colocado en la pared anterior de dicho orificio. La compresión de la arteria hepática está indicada cuando ocurre una hemorragia por la arteria quística durante la colecistectomía (extirpación de la vesícula biliar).

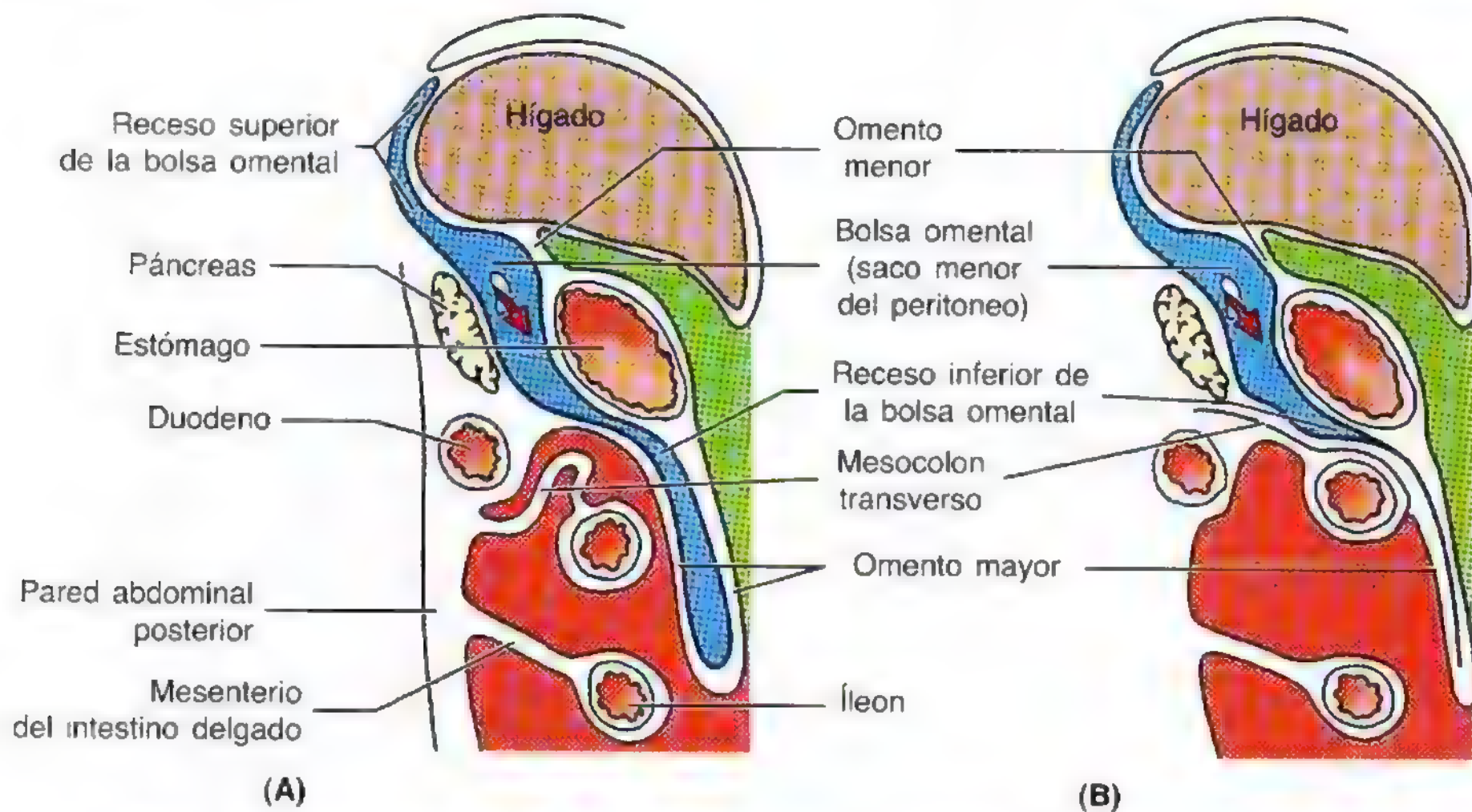


Figura 2.25. Paredes y recesos de la bolsa omental (epiploica). Cortes sagitales. **A.** Sección del abdomen de un lactante, que ilustra cómo la bolsa omental (saco menor) es una porción aislada de la cavidad peritoneal, situada detrás del estómago, que se extiende por arriba hasta el hígado y el diafragma (receso superior de la bolsa omental), y por abajo, entre las capas del omento mayor (receso inferior de la bolsa omental). **B.** Corte del abdomen de un adulto después de la fusión de las capas del omento mayor. Obsérvese que el receso inferior de la bolsa omental se extiende ahora por abajo sólo hasta el colon transversal, debido a la fusión de las capas del omento mayor. Las flechas rojas de (A) y (B) atraviesan el orificio omental desde el saco mayor hasta la bolsa omental (saco menor).

Vísceras abdominales

Las principales vísceras del abdomen son la porción terminal del esófago, el estómago, los intestinos, el bazo, el páncreas, el hígado, la vesícula biliar, los riñones y las glándulas suprarrenales (figs. 2.26 y 2.27). Antes de examinar estos órganos y su relación con los omentos, recuérdese que el hígado, el estómago y el bazo rellenan prácticamente las cúpulas del diafragma y, de este modo, reciben protección de la parte inferior de la caja torácica al indentarse en la cavidad torácica. Obsérvese también que el **ligamento falciforme** se inserta, casi siempre, a lo largo de una línea continua en la pared anterior del abdomen y alcanza, por el plano inferior, el ombligo; divide el hígado en las porciones derecha e izquierda. El **omento mayor**, cargado de grasa cuando se encuentra en la posición "habitual", tapa casi todo el intestino y la vesícula biliar se proyecta por debajo del borde nítido del hígado (fig. 2.27A).

El alimento pasa de la boca y la faringe al **esófago** y al **estómago**, donde se mezcla con las secreciones gástricas. La **digestión** tiene lugar sobre todo en el estómago y el duodeno. El **peristaltismo** —ondas de contracción anular que comienzan en la parte central del estómago y se mueven lentamente hacia el **píloro**— permite la mezcla de la masa alimentaria masticada con los jugos gástricos, y ayuda a vaciar el contenido del estómago al duodeno.

La absorción de los compuestos químicos sucede sobre todo en el intestino delgado, un tubo enrollado de 5 a 6 metros de longitud formado por el **duodeno**, el **yeyuno** y

el **íleon**. El yeyuno y el íleon también gozan de peristaltismo; sin embargo, no se intensifica a menos que ocurra una obstrucción. El estómago se continúa con el duodeno, que recibe los orificios de desembocadura de los conductos del **páncreas** y del **hígado** (glándulas principales del aparato digestivo).

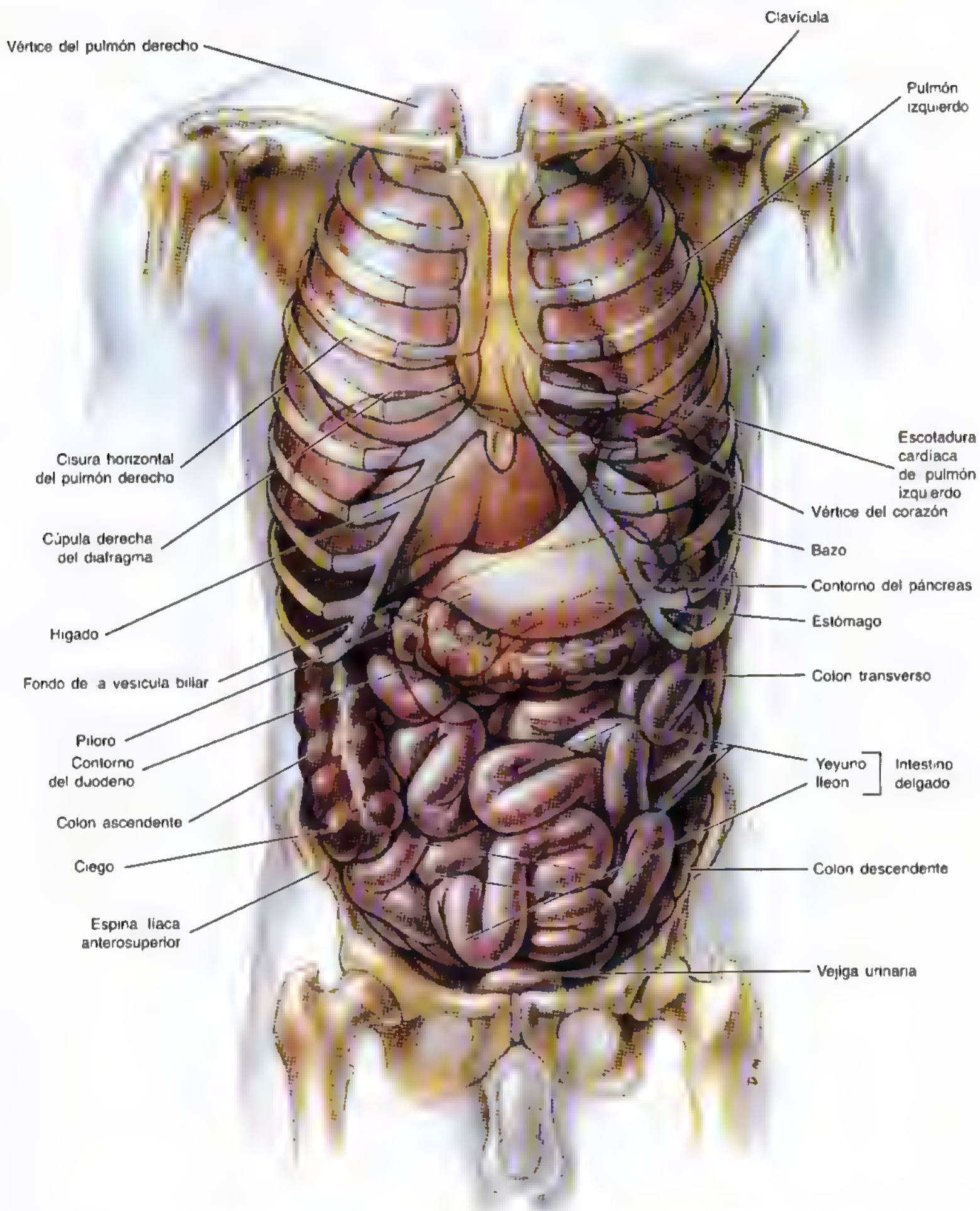
El intestino grueso se compone del **ciego**, que recibe el íleon terminal; el **apéndice vermiforme**; el **colon** (ascendente, transversal, descendente y sigmoide); el **recto**, y el **conducto anal**, que termina en el **ano**. El colon ascendente reabsorbe la mayor parte del agua. Las heces (excrementos) se forman en el colon descendente y sigmoide y se acumulan en el recto antes de la defecación. El esófago, el estómago y el intestino constituyen el tubo digestivo y provienen del intestino anterior, medio y posterior primitivos.

La **irrigación arterial del aparato digestivo** (fig. 2.28A) procede de la **aorta abdominal**. Las tres grandes ramas de la aorta que irrigan el intestino son el **tronco celíaco** y las **arterias mesentéricas superior e inferior**.

La **vena porta** (fig. 2.28B) —formada por la unión entre las venas mesentérica superior y esplénica— es el conducto principal del **sistema venoso portal**, que recoge la sangre de la parte abdominal del tracto digestivo, páncreas, bazo y la mayor parte de la vesícula biliar y la transporta al hígado.

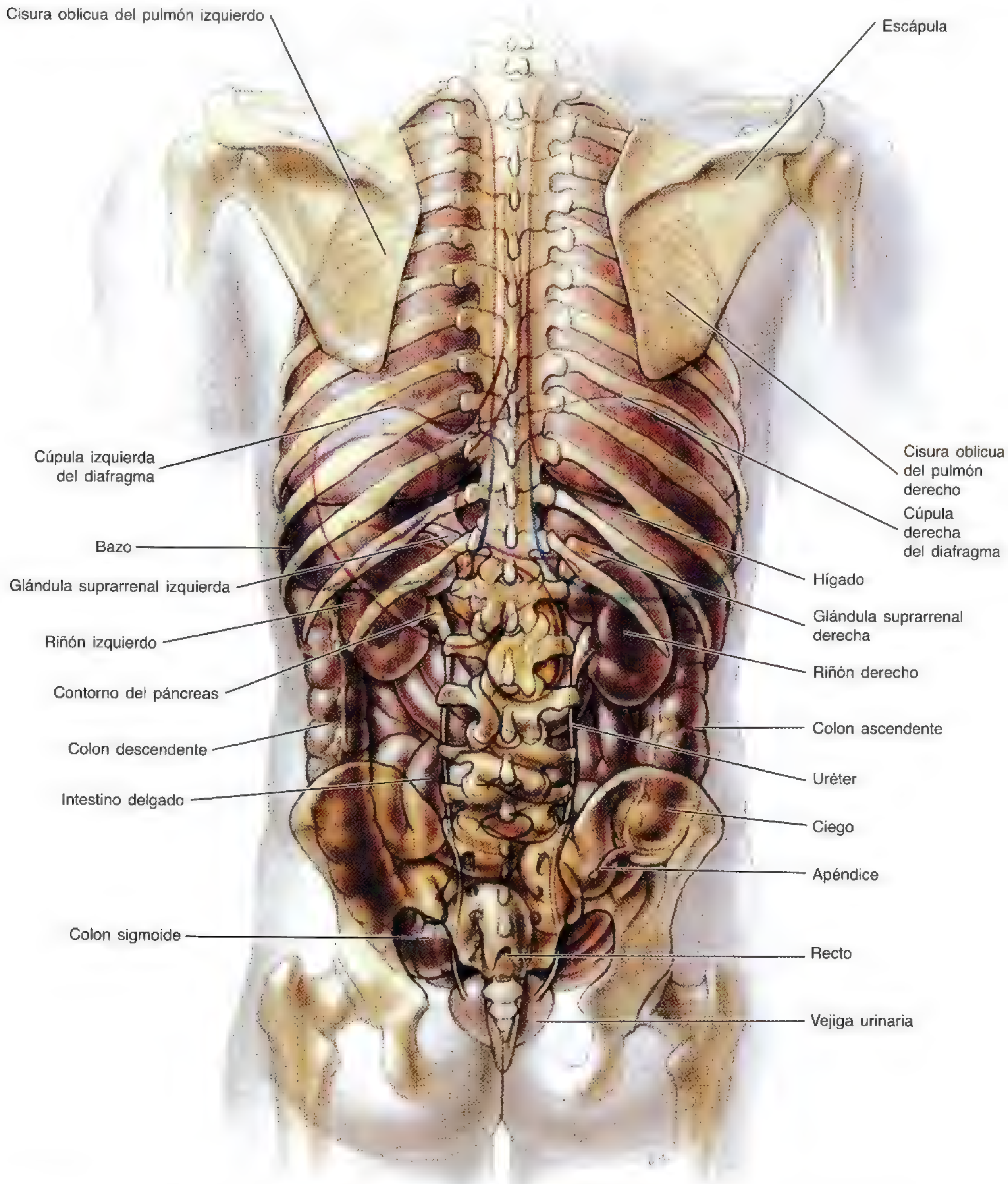
Esófago

El esófago es un tubo muscular (mide aproximadamente 25 cm), con un diámetro medio de 2 cm, que se *extiende*



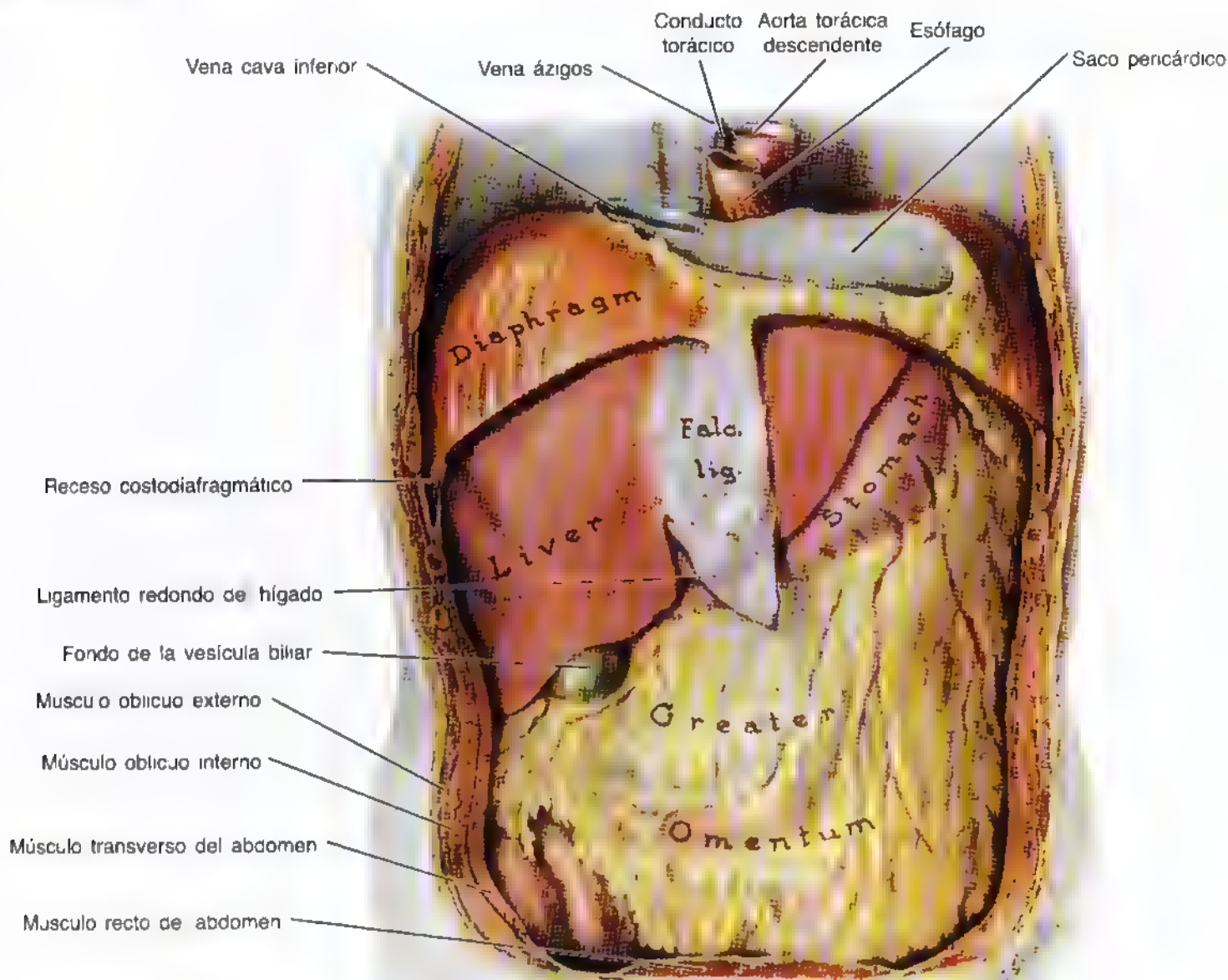
(A) Visión anterior

Figura 2.26. Esquema de las vísceras abdominales y torácicas. A-B. Se observa cómo algunos órganos abdominales se extienden en el plano superior dentro de la caja torácica que los protege. A mismo tiempo se ve que una gran parte del intestino delgado reside en la pelvis y que el riñón derecho es más bajo que el izquierdo; esto se debe al volumen que ocupa el hígado en el lado derecho.



(B) Visión posterior

Figura 2.26. (Continuación) El apéndice se proyecta en dirección posterior e inferomedial hacia el estrecho superior de la pelvis; por eso sólo se ve en la visión posterior.



(A)

Figura 2.27. Contenido abdominal intacto. A. Si se han seccionado las paredes anteriores de abdomen y del tórax. El fondo de la vesícula biliar se proyecta debajo del borde inferior y nitido del hígado. La inserción del ligamento faloforme (*Lig. falc.*) en la pared anterior del abdomen se ha seccionado. Este ligamento explica que el hígado se resista al desplazamiento hacia a derecha.

desde la faringe hasta el estómago (fig. 2.29, A-C). Cuando se examina con el radioscopio después de administrar una papilla de bario, el esófago muestra, de ordinario, cuatro constricciones en los lugares donde las estructuras vecinas producen una indentación (Williams y cols., 1995):

- Al comienzo, a unos 15 cm de los dientes incisivos, se encuentra el *esfínter esofágico superior*, así denominado en clínica y provocado por el músculo cricofaríngeo (véase el capítulo 8).
- En la zona de cruce con el arco aórtico, a 22,5 cm de los dientes incisivos.
- En la zona de cruce con el bronquio principal izquierdo, a 27,5 cm de los dientes incisivos.

- En la zona de tránsito por el diafragma, a unos 40 cm de los dientes incisivos (en clínica se conoce como *esfínter esofágico inferior*).

Estos datos tienen interés clínico cuando se introducen instrumentos por el esófago y hasta el estómago (Williams y cols., 1995). La porción abdominal corta del esófago se extiende desde el diafragma hasta el orificio del cardias del estómago (fig. 2.29C). La función del esófago es transportar el alimento desde la faringe hasta el estómago. **El esófago:**

- Sigue la curva de la columna vertebral en su descenso por el cuello y el mediastino, partición media de la cavidad torácica (véase el capítulo 1).

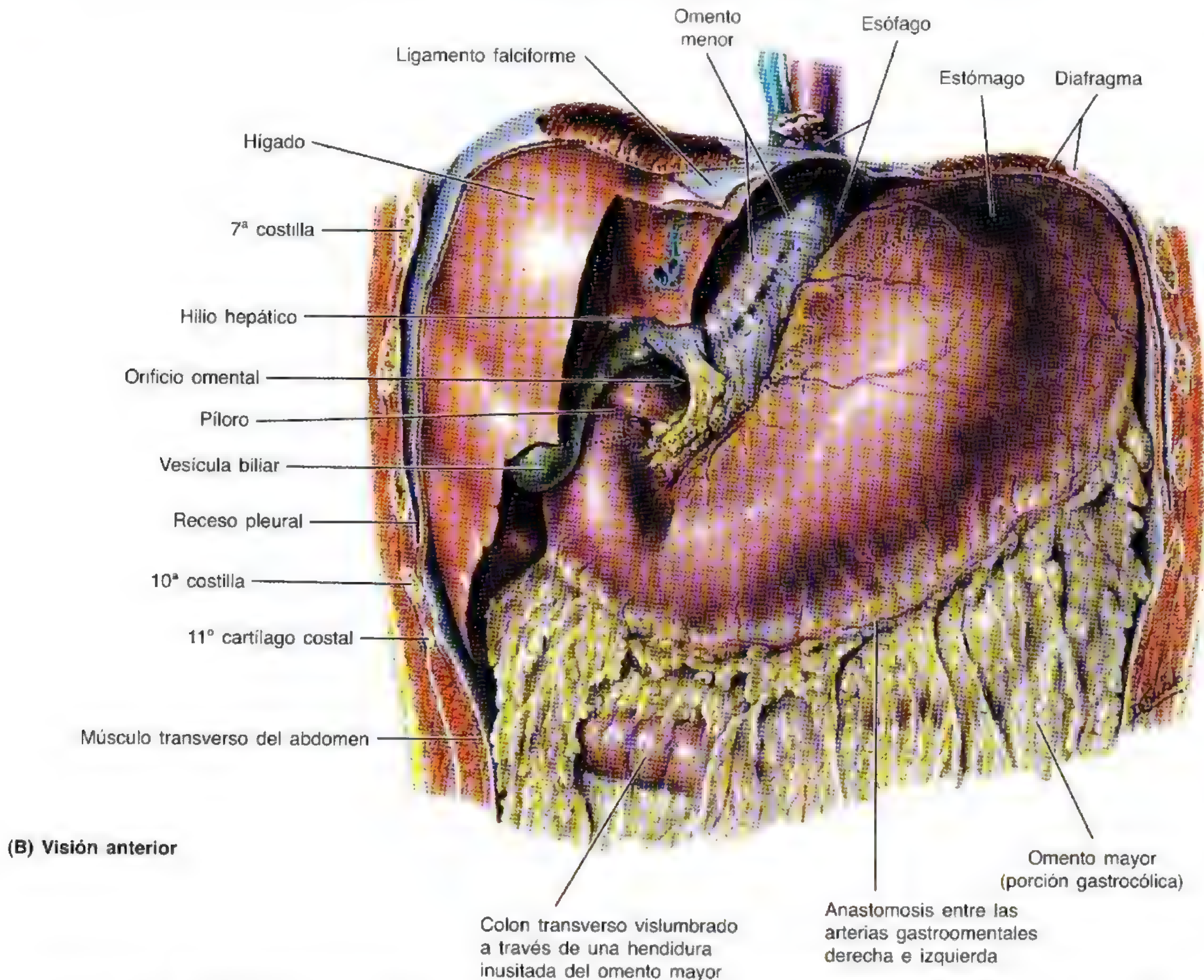


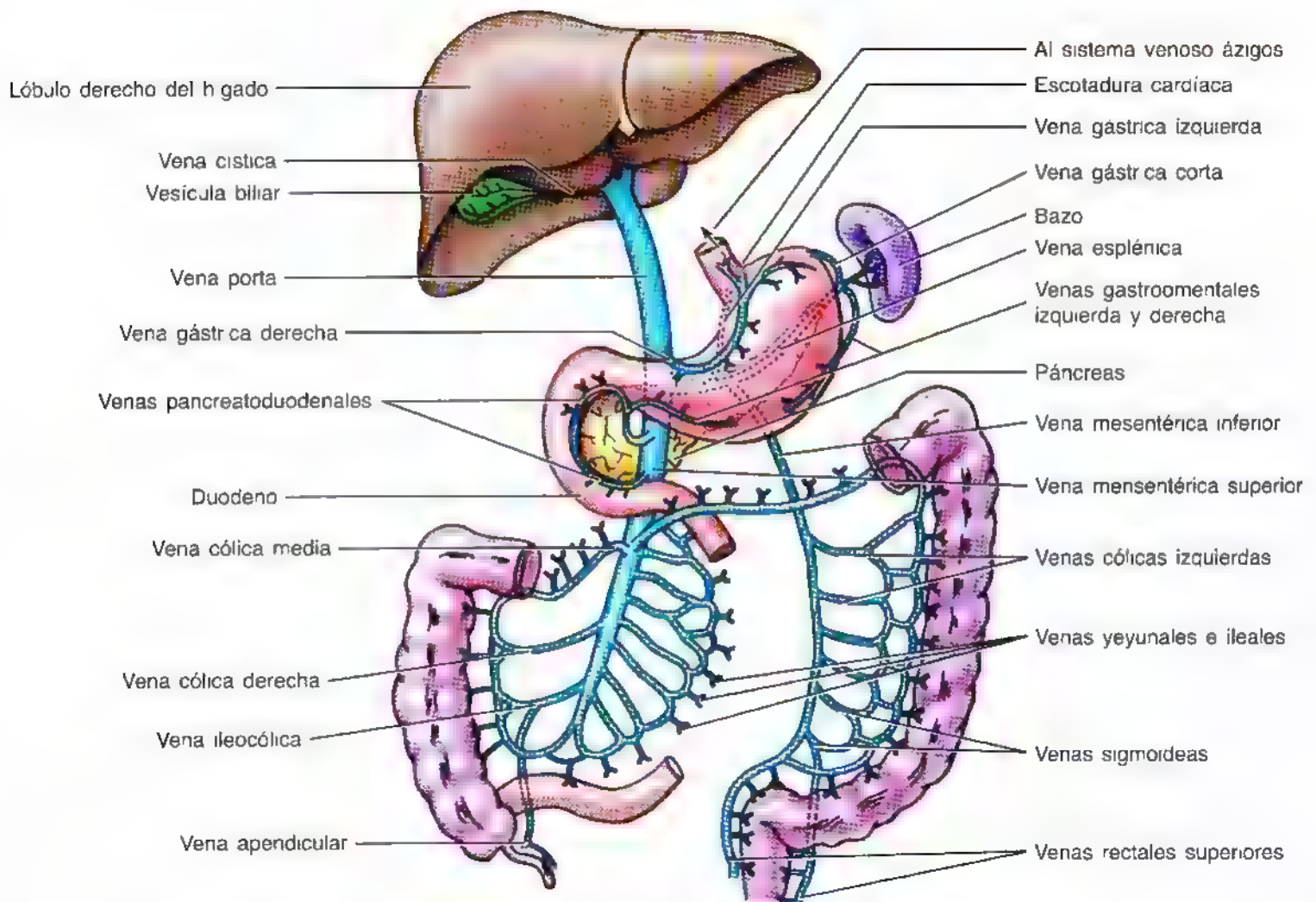
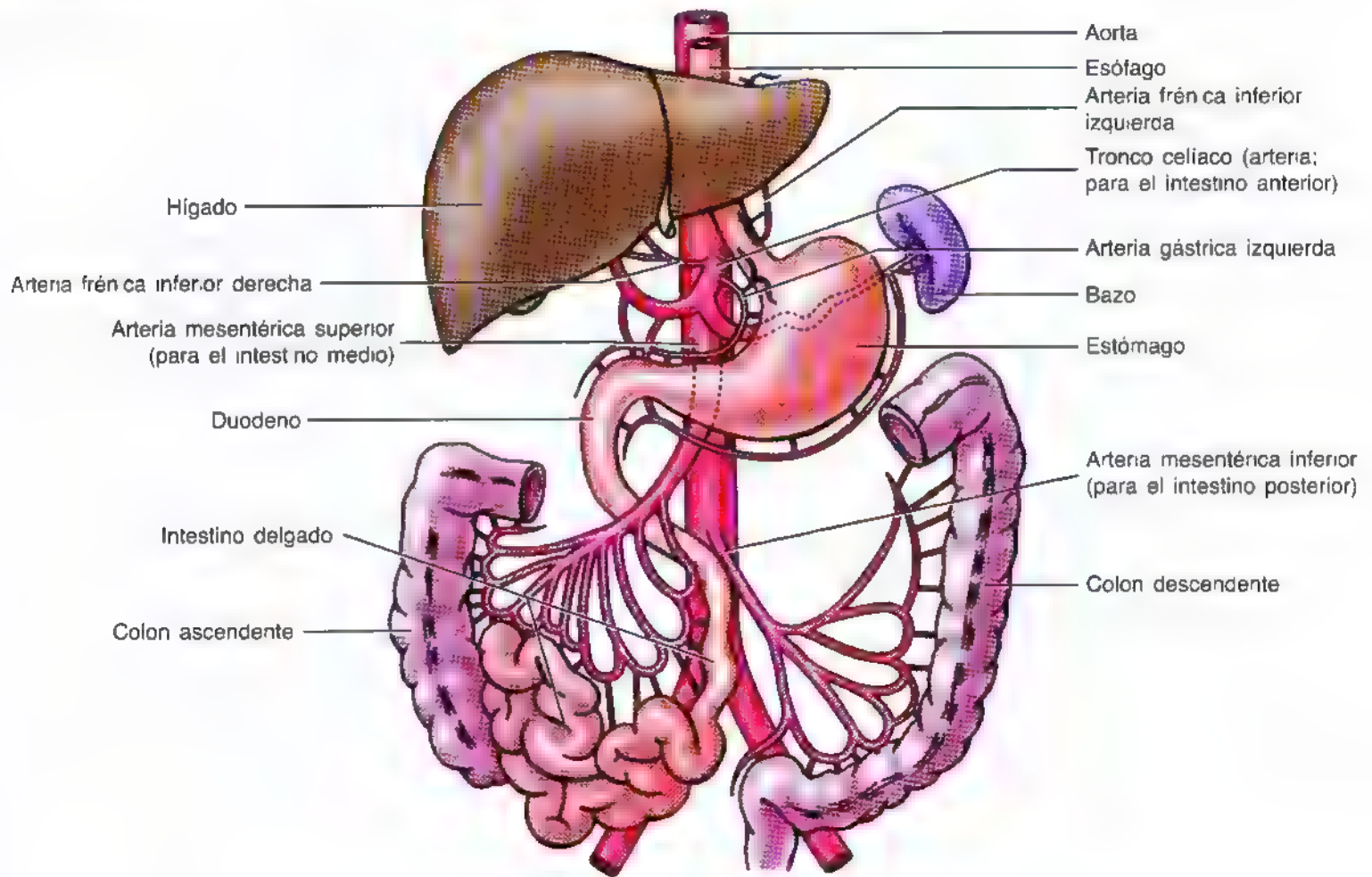
Figura 2.27. (Continuación) **B.** Estómago y omentos mayor y menor. Se ha seccionado la parte izquierda del hígado (la posición del hígado intacto se marca con la *línea de puntos*) y se ha insuflado el estómago. Obsérvese también el orificio omental (epiploico), que es la entrada del saco mayor en la bolsa omental.

- Atraviesa el **hiato esofágico** elíptico por el pilar muscular derecho del diafragma, justo a la izquierda del plano medio, a la altura de la vértebra T10.
- Termina en el estómago, a la altura del **cardias** (fig. 2.29C), a la izquierda de la línea media, por un plano que pasa por el 7º cartilago costal izquierdo y la vértebra T11.
- Está rodeado distalmente por el **plexo nervioso esofágico** (fig. 2.30).
- Es un órgano retroperitoneal, aunque sus caras anterior y lateral estén revestidas de peritoneo.

El esófago tiene unas **capas musculares** circular interna y **longitudinal** externa (fig. 2.29B). En el tercio superior, la capa externa se compone de **músculo esquelético**; en el tercio inferior, de **músculo liso**, y en el tercio medio, de ambos tipos de músculo.

El alimento pasa rápidamente por el esófago, debido al efecto peristáltico de su musculatura. El esófago se inserta en los bordes del hiato esofágico del diafragma a través del **ligamento frenicoesofágico** (fig. 2.29C), una prolongación de la fascia diafragmática inferior. Este ligamento permite un movimiento independiente al diafragma y esófago durante la respiración y la deglución.

Figura 2.28. Irrigación arterial y drenaje venoso del tubo digestivo. **A.** Irrigación arterial. **B.** Drenaje venoso. La vena porta drena la sangre poco oxigenada y rica en nutrientes del tubo digestivo, bazo, páncreas y vesícula biliar hacia el hígado. La *flecha negra* indica la comunicación de la vena esofágica con el sistema venoso ázigos.



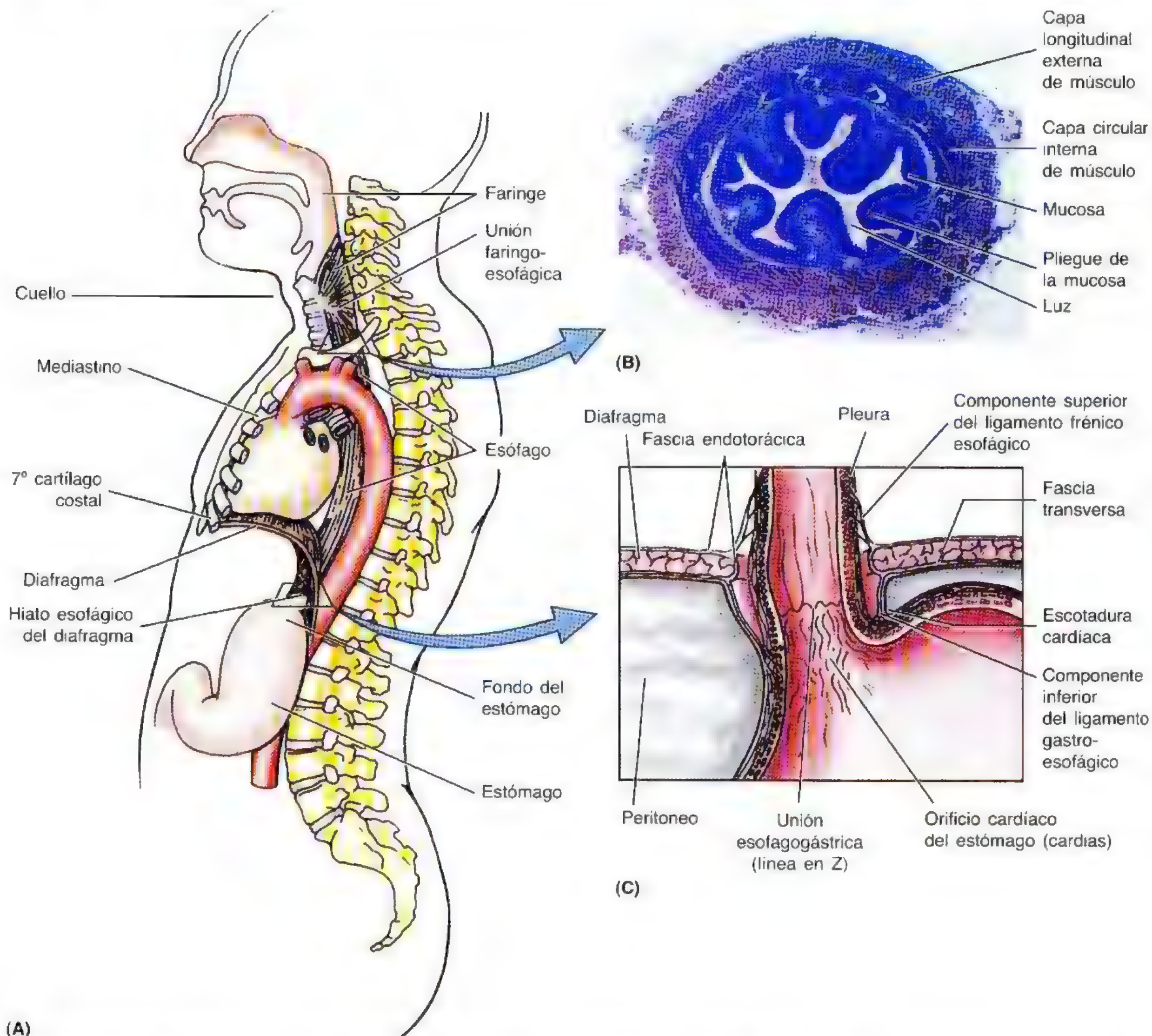


Figura 2.29. Esófago y estructuras relacionadas. **A.** Dibujo esquemático de la cabeza, cuello y tronco en una visión lateral que ilustra el esófago y las estructuras relacionadas con él. El esófago desciende detrás de la tráquea y abandona el tórax por el hiato esofágico del diafragma. **B.** Corte transversal del esófago, donde aparecen las capas musculares y la estructura microscópica de su pared. **C.** Sección coronal del esófago, diafragma y estómago (porción superior). Obsérvese el ligamento frenicoesofágico, que conecta el esófago de manera flexible al diafragma; limita el movimiento del esófago y permite cierta movilidad durante la deglución y la respiración.

La porción abdominal del esófago, corta, con forma de trompeta —mide aproximadamente 1,25 cm—, pasa desde el hiato esofágico situado en el pilar derecho del diafragma hasta el estómago. El borde derecho del esófago se continúa con la curvatura menor del estómago; sin embargo, el borde izquierdo queda separado del fondo del estómago por la **escotadura cardíaca** (fig. 2.29C). La **unión esofagogástrica** queda a la izquierda de la vértebra T11 en el plano horizontal que pasa por el extremo de la apófisis xifoides.

Los cirujanos y los endoscopistas denominan **línea Z** —una línea irregular donde la mucosa esofágica se torna bruscamente en gástrica— a la **unión esofagogástrica**. En la unión, la musculatura diafragmática que crea el hiato del esófago se comporta como un **esfínter esofágico** fisiológico, que se contrae y se relaja. Los estudios radiológicos revelan que el alimento se detiene momentáneamente en este lugar y que el mecanismo esfinteriano evita, de ordinario, el reflujo del contenido gástrico hacia el esófago. Si no se toma alimen-

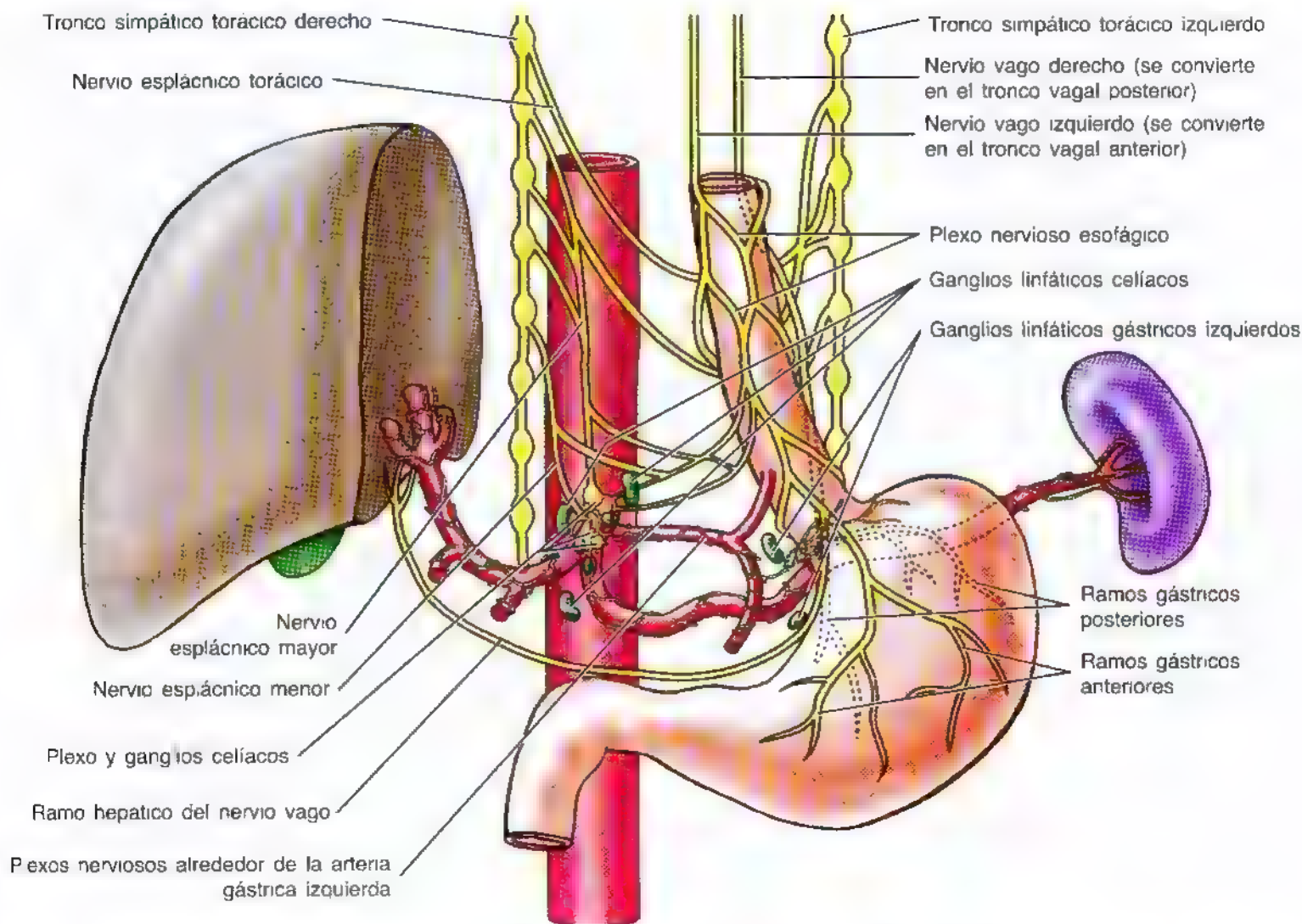


Figura 2.30. Nervios y vasos linfáticos del estómago y del hígado. Se observan los ramos de los troncos vagales anterior y posterior para estos órganos. A medida que alcanzan el extremo distal del esófago, cada nervio vago (NC X) se divide en varios ramos y se produce un intercambio de ramos entre ambos lados para formar el plexo esofágico. Obsérvense también los nervios simpáticos, que nervian estos órganos a través de los plexos perivasculares del plexo celíaco. Los vasos linfáticos de estómago se disponen de forma parecida a las arterias (si bien el flujo ocurre en la dirección contraria). La linfa del estómago y de la porción abdominal del esófago drena a los ganglios linfáticos celíacos y gástricos.

ro, la luz queda habitualmente colapsada por encima de este nivel para evitar que el alimento o los jugos gástricos regurgiten hacia el esófago.

La **irrigación arterial** de la porción abdominal del esófago procede de la **arteria gástrica izquierda**, rama del tronco celíaco, y de la **arteria frénica inferior izquierda** (fig. 2.28A). El **drenaje venoso** se dirige al **sistema venoso portal**, a través de la **vena gástrica izquierda**, y al sistema venoso general, a través de las venas esofágicas que desembocan en la **vena ázigos** (fig. 2.28B).

El **drenaje linfático** de la porción abdominal del esófago llega a los **ganglios linfáticos gástricos izquierdos** (fig. 2.30); los vasos linfáticos eferentes de estos ganglios drenan, en esencia, a los **ganglios linfáticos celíacos**. La **innervación** proviene de los **troncos vagales** (que se transforman en los nervios gástricos anterior y posterior), los **troncos simpáticos torácicos**, los **nervios esplácnicos mayor y menor** y el **plexo nervioso esofágico** que rodea las arterias gástrica izquierda y frénica inferior (fig. 2.30).

Varices esofágicas

En la **hipertensión portal**—aumento anómalo de la presión en el sistema venoso portal—, un volumen anormalmente grande de la sangre elude el hígado y provoca un aumento de tamaño de las venas esofágicas que forman **varices esofágicas**, es decir, conductos colaterales que se pueden romper ocasionando una grave hemorragia. Las varices esofágicas suelen observarse en alcohólicos con **cirrosis hepática** (págs. 276 y 284).

Cáncer esofágico

La incidencia del **cáncer esofágico** en Norteamérica es reducida; sin embargo, el inicio de dificultades para la deglución (**disfagia**) en toda persona mayor de 45 años (sobre todo, varón) obliga a sospechar un cáncer de esófago. Con el **esofagoscopio**, un tubo de fibra ►

► óptica bastante delgado y móvil, el médico puede proceder a la *esofagoscopia* y observar y tomar una biopsia del tumor. Las células cancerosas de un tumor situado en la porción abdominal del esófago suelen metastatizar en los *ganglios linfáticos gástricos izquierdos* (fig. 2.30); sin embargo, algunas células pasan al conducto torácico y llegan al sistema venoso general.

Pirosis

La *pirosis* (*ardor*) es el tipo de molestia o dolor retrosternal más común del esófago. Esta sensación de ardor

en la porción abdominal del esófago suele acompañarse de regurgitación de pequeñas cantidades del alimento o del líquido gástrico hacia el esófago. La *pirosis* (que significa ardor en griego) puede acompañarse de una *hernia del hiato esofágico o de hiato* (págs. 231-232). Como indica este nombre común, la *pirosis* se suele percibir como una sensación “torácica (y no abdominal)”. Ya se indicó en el capítulo 1 que la identificación de la naturaleza y el origen del dolor torácico es una de las tareas más difíciles para el diagnóstico en medicina. ☛

Estómago

El estómago es la parte dilatada del tubo digestivo comprendida entre el esófago y el intestino delgado. La forma del estómago se parece, en la mayoría de las personas, a la de la letra J; sin embargo, la forma y la posición del estómago varían en las distintas personas e incluso en un mismo sujeto debido a los movimientos diafragmáticos que acompañan a la respiración, el contenido del estómago y la posición de la persona (p. ej., tumbado o de pie).

El estómago actúa como depósito y mezclador de alimentos; su función principal es la digestión enzimática. El *jugo gástrico* va transformando poco a poco la masa de alimento en una mezcla líquida —*quimo*— que pasa con bastante rapi-

dez al duodeno. El estómago vacío tiene un calibre muy poco mayor que el del intestino grueso, pero se puede expandir de manera considerable y albergar de 2 a 3 litros de alimento. El estómago de un recién nacido, del tamaño aproximado de un limón, puede acoger hasta 30 mL de leche.

Partes del estómago

El estómago (fig. 2.31, A-C) tiene cuatro partes (cardias, fondo, cuerpo y porción pilórica) y dos curvaturas.

- El **cardias** es la parte que rodea el orificio de este nombre.
- El **fondo** es la parte dilatada superior que se relaciona con la cúpula izquierda del diafragma y está limitada, en la parte inferior, por el plano horizontal del **cardias**. La

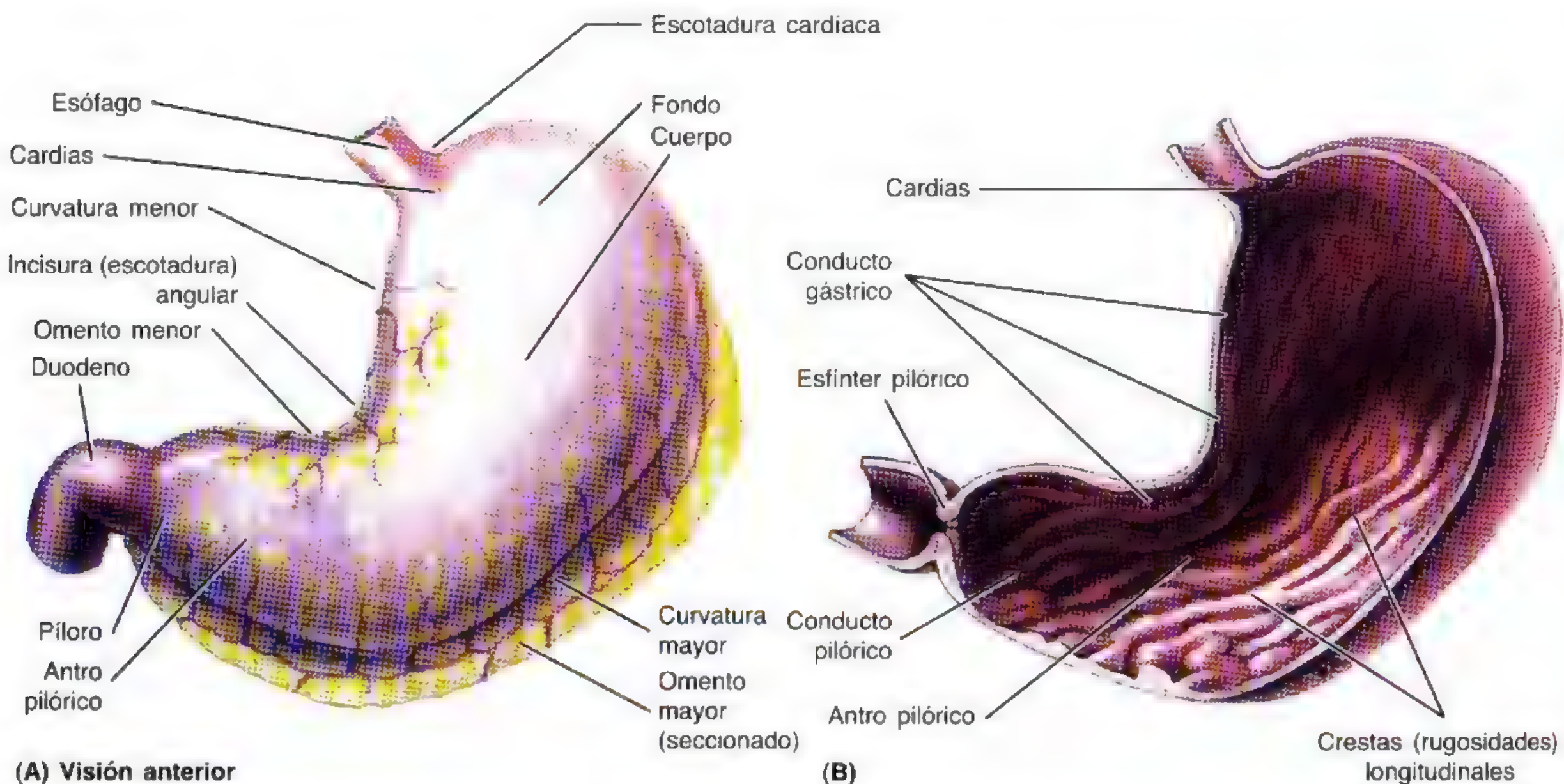


Figura 2.31. Porción abdominal del esófago, estómago y porción proximal del duodeno. A. Visión lateral de la cara externa. Las arterias omentales irrigan el estómago. **B.** Cara interna (membrana mucosa).

Se ven los pliegues gástricos longitudinales o rugosidades del estómago. A lo largo de la curvatura menor se extienden varios pliegues longitudinales de la mucosa desde el esófago hasta el píloro, que forman el conducto gástrico por donde pasan los líquidos



Figura 2.31. (Continuación) **C.** Píloro. Es la porción terminal de estómago, muy constreñida. El orificio pilórico es la abertura distal del conducto pilórico en el duodeno

parte superior del fondo suele llegar hasta el 5º espacio intercostal izquierdo. La **escotadura cardíaca** radica entre el esófago y el fondo. El fondo puede dilatarse por la presencia de gas, líquidos, alimentos o cualquier combinación de ellos.

- El **cuerpo** está comprendido entre el fondo y el antro pilórico.
- La **porción pilórica** es la región infundibular del estómago; la parte ancha, o **antro pilórico**, termina en el **conducto pilórico**, la parte estrecha. El **píloro** (región esfinteriana distal de la porción pilórica) se engruesa para dar el **esfínter pilórico**, que controla la descarga del contenido gástrico en el duodeno a través del **orificio pilórico**.
- La **curvatura menor** forma el borde cóncavo más corto del estómago; la **incisura** (escotadura) **angular** es una indentación nítida situada aproximadamente a dos tercios de la curvatura menor, que indica la unión entre el cuerpo y la porción pilórica del estómago.

Desplazamiento del estómago

Los pseudoquistes pancreáticos y los abscesos de la bolsa omental pueden empujar el estómago en sentido anterior. Este desplazamiento suele verse en las radiografías laterales del estómago y en otras imágenes diagnósticas, como la tomografía computarizada (TC). Tras la *pancreatitis* (inflamación del páncreas), la pared posterior del estómago puede adherirse a parte de la pared posterior de la bolsa omental, que cubre el páncreas. Esta adherencia tiene lugar por la íntima relación de la pared posterior del estómago con el páncreas.

Hernia hiatal o de hiato

La hernia hiatal o de hiato es una protrusión de parte del estómago en el mediastino, a través del hiato esofágico del diafragma. Las hernias suelen afectar a personas de edad avanzada, quizá por el debilitamiento de la porción

- La **curvatura mayor** forma el borde convexo más largo del estómago.

Cuando la presión intragástrica supera la resistencia del esfínter pilórico tiene lugar el vaciamiento intermitente del estómago.

El **píloro** (portero en griego) protege el orificio pilórico; su pared es más gruesa, porque contiene más músculo liso circular. La capa media de la lámina muscular externa está muy engrosada porque forma el **esfínter pilórico** (fig. 2.31B). Normalmente, el píloro tiene una contracción tónica; se encuentra cerrado, salvo cuando evacua el *quimo* (jugo en griego), contenido semilíquido del estómago. El *peristaltismo gástrico*, que tiene lugar en intervalos irregulares, pasa el quimo por el conducto pilórico y el orificio pilórico hasta el intestino delgado para continuar la mezcla, la digestión y la absorción.

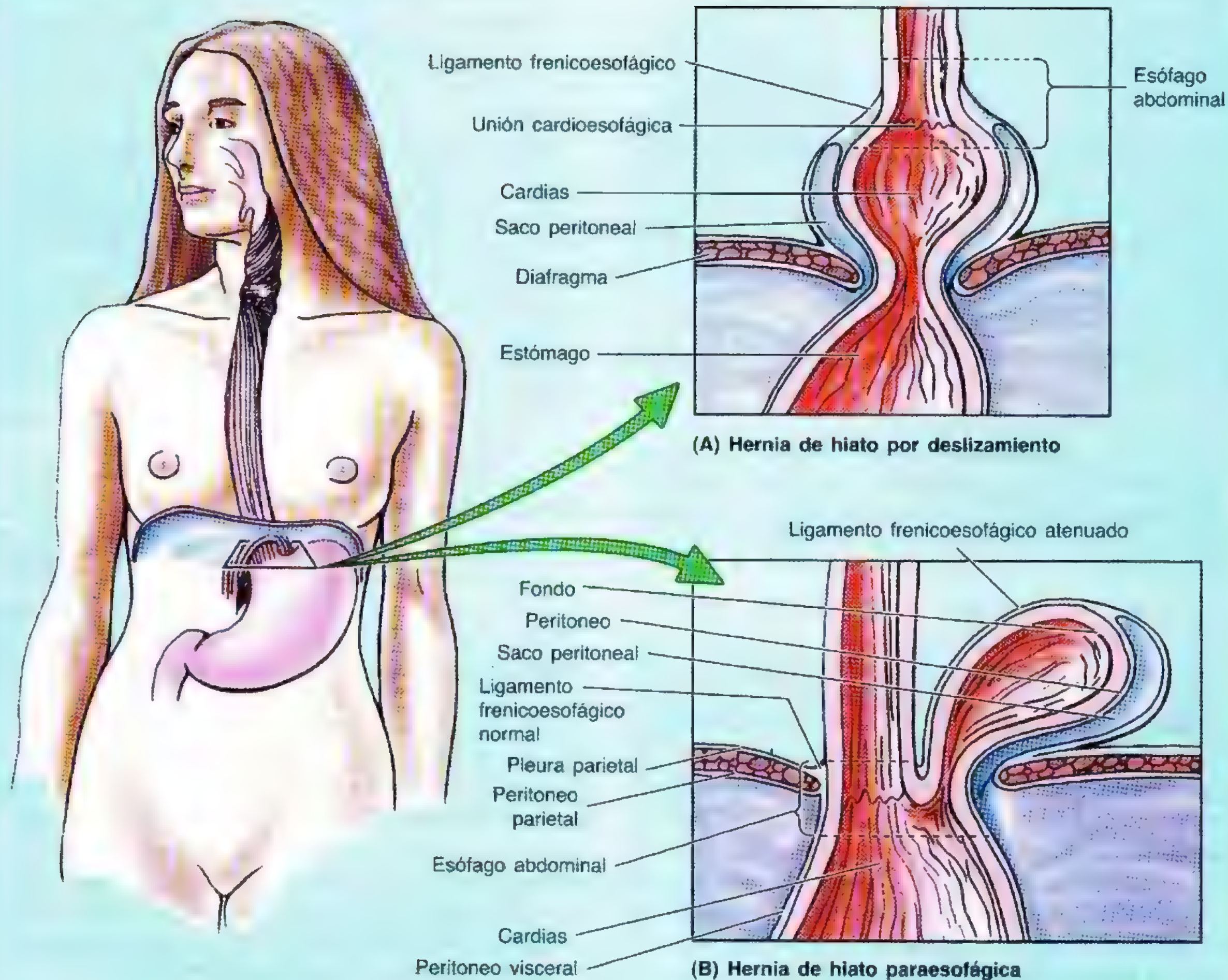
Interior del estómago

La superficie lisa de la mucosa gástrica —capa mucosa del estómago— tiene un color rojizo o pardo en vida, salvo en la porción pilórica, donde parece rosada. Cuando se contrae la mucosa gástrica aparecen crestas longitudinales, **pliegues o rugosidades gástricas** (fig. 2.31B); éstos se acentúan sobre todo en la porción pilórica y a lo largo de la curvatura mayor. Durante la deglución se crea un **conducto** (surco) **gástrico** de forma pasajera entre los pliegues gástricos longitudinales de la mucosa de la curvatura menor. También se puede observar en la radiografía y en la endoscopia. El conducto gástrico se establece por la inserción tenaz de la mucosa gástrica a la capa muscular, que no posee ninguna capa oblicua en este lugar. La saliva y pequeñas cantidades masticadas del alimento, así como otros líquidos, pasan por el conducto gástrico hasta el conducto pilórico.

muscular del diafragma y el ensanchamiento del hiato esofágico. Las hernias causan bastantes molestias y dolor. Aunque en clínica se distinguen diversos tipos de hernias de hiato (Skandalakis y cols., 1995), las dos principales son la *hernia por deslizamiento* y la *hernia paraesofágica*.

En la **hernia de hiato por deslizamiento** (A), la porción abdominal del esófago, el cardias y partes del fondo gástrico se deslizan en dirección superior a través del hiato esofágico para introducirse en el tórax, sobre todo cuando la persona se tumba o flexiona el tronco. A veces se produce cierta regurgitación del contenido gástrico hacia el esófago, porque el efecto de pinzamiento del pilar derecho del diafragma sobre el extremo inferior del esófago se debilita.

La **hernia de hiato paraesofágica** (B) es más rara; el cardias se mantiene en su posición normal, pero se extiende una bolsa del peritoneo, que muchas veces contiene parte del fondo, por el hiato esofágico, anterior al esófago. En estos casos no suele producirse regurgitación del ▶



► contenido gástrico, porque el orificio cardíaco sigue en su posición normal.

Hernia diafragmática congénita

En la hernia diafragmática congénita, una parte del estómago y del intestino se hernia a través de un *gran de-*

fecto posterolateral del diafragma. Este tipo de hernia ocurre aproximadamente en uno de cada 2.200 recién nacidos. Esta hernia congénita obedece al complejo desarrollo del diafragma (Moore y Persaud, 1998). La tasa de mortalidad de estos lactantes es elevada (aproximadamente del 76%) debido a la hipoplasia pulmonar. ◉

Relaciones del estómago

El *estómago* está cubierto por el *peritoneo*, salvo en el lugar donde los vasos sanguíneos circulan por sus curvaturas y en una pequeña región posterior al orificio del cardias. Las dos capas del omento menor se prolongan alrededor del estómago y abandonan la curvatura mayor en forma de omento mayor (figs. 2.23, 2.25 y 2.32).

- El estómago se relaciona en la cara anterior con el **diafragma**, el lóbulo izquierdo del hígado y la pared anterior del abdomen.

- En la cara posterior, el estómago se relaciona con la **bolsa omental** y el páncreas; la cara posterior del estómago forma la mayor parte de la pared anterior de la bolsa omental.

El **lecho gástrico**, donde reposa el estómago en decúbito supino, lo forman estructuras de la pared posterior de la bolsa omental. *El lecho gástrico está configurado desde el plano superior al inferior* (fig. 2.32) por:

- La cúpula izquierda del diafragma.
- El bazo.

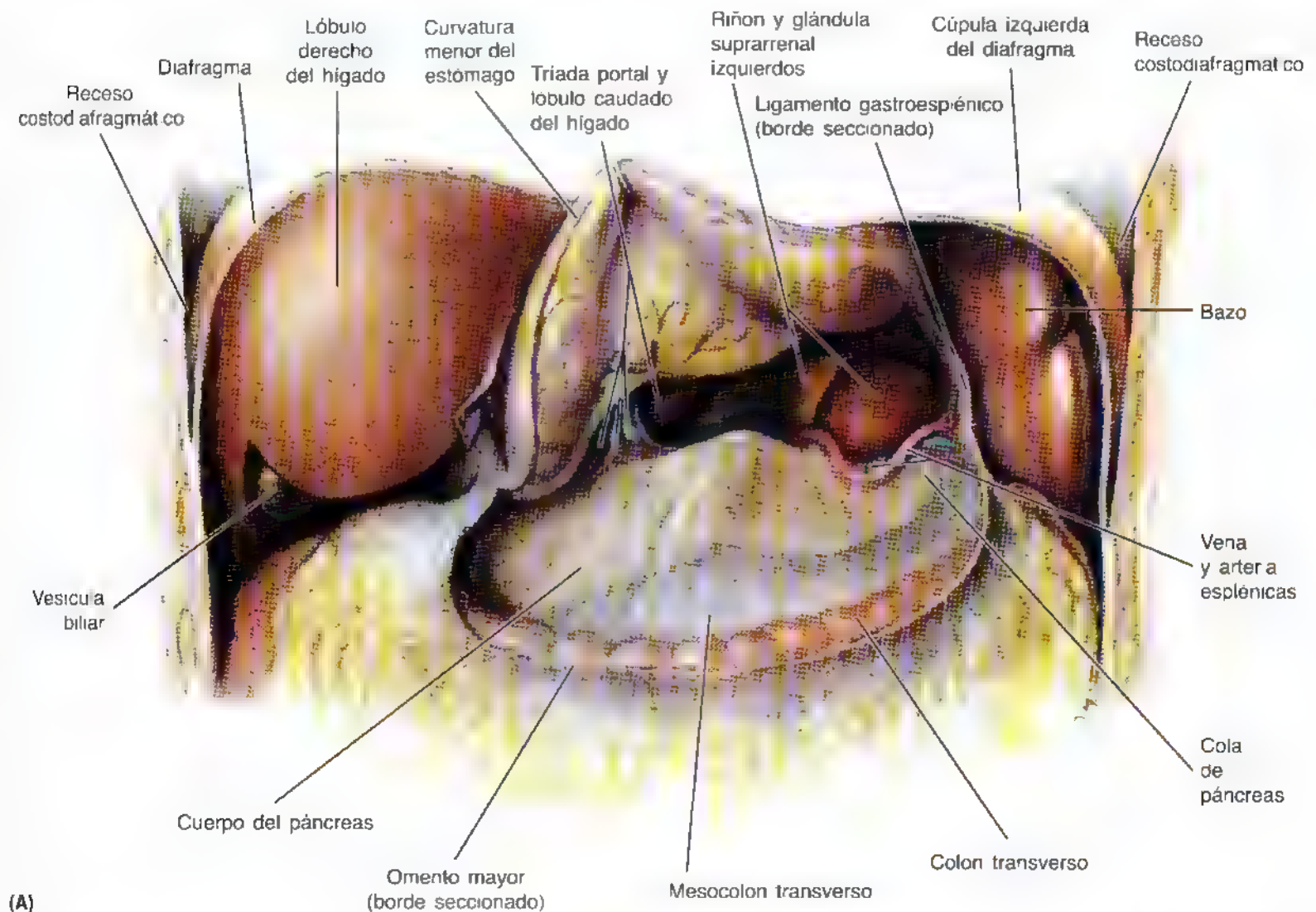


Figura 2.32. Bolsa omental (epiploica) y lecho gástrico. A. Relaciones de la bolsa omental. El omento mayor y el ligamento gastroesplénico se han seccionado a lo largo de la curvatura menor del estómago y el estómago se ha rechazado hacia arriba. Obsérvese la triada portal en la raíz inferior del ligamento duodenal (borde libre del omento menor)

- El riñón y la glándula suprarrenal izquierdos.
- La arteria esplénica.
- El páncreas.
- El mesocolon y colon transversos.

Vasos y nervios del estómago

El estómago dispone de abundante vascularización arterial (fig. 2.33A, tabla 2.6). Las arterias gástricas nacen en el tronco celíaco y en sus ramas.

- **Arteria gástrica izquierda:** se origina directamente en el tronco celíaco y discurre por el omento menor hasta el cardias, para girar bruscamente y continuar a lo largo de la curvatura menor del estómago y anastomosarse con la arteria gástrica derecha.
- **Arteria gástrica derecha:** en general, nace en la arteria hepática y se dirige a la izquierda por la curvatura menor, para anastomosarse con la arteria gástrica izquierda.
- **Arteria gastroomental derecha (arteria gastroepiploica):** se origina como una de las ramas terminales de la arteria

gastroduodenal, se dirige a la izquierda a lo largo de la curvatura menor y se anastomosa con la arteria gastroomental izquierda.

- **Arteria gastroomental izquierda:** nace de la arteria esplénica y sigue por la curvatura mayor, para anastomosarse con la arteria gastroomental derecha.
- **Arterias gástricas cortas (cuatro a cinco):** se originan en la porción distal de la arteria esplénica o en las ramas esplénicas y llegan hasta el fondo del estómago.

Las venas gástricas tienen una posición y curso paralelos a los de las arterias (fig. 2.33B). Las venas gástricas derecha e izquierda drenan a la vena porta y las venas gástricas cortas, así como la vena gastroomental izquierda desembocan en la vena esplénica, que se une a la vena mesentérica superior (VMS) para dar la vena porta. La vena gastroomental derecha vacía en la vena mesentérica superior. Existe una vena prepilórica que asciende por el píloro hasta la vena gástrica derecha. Como esta vena se ve con claridad en los seres vivos, los cirujanos se sirven de ella para identificar el píloro.

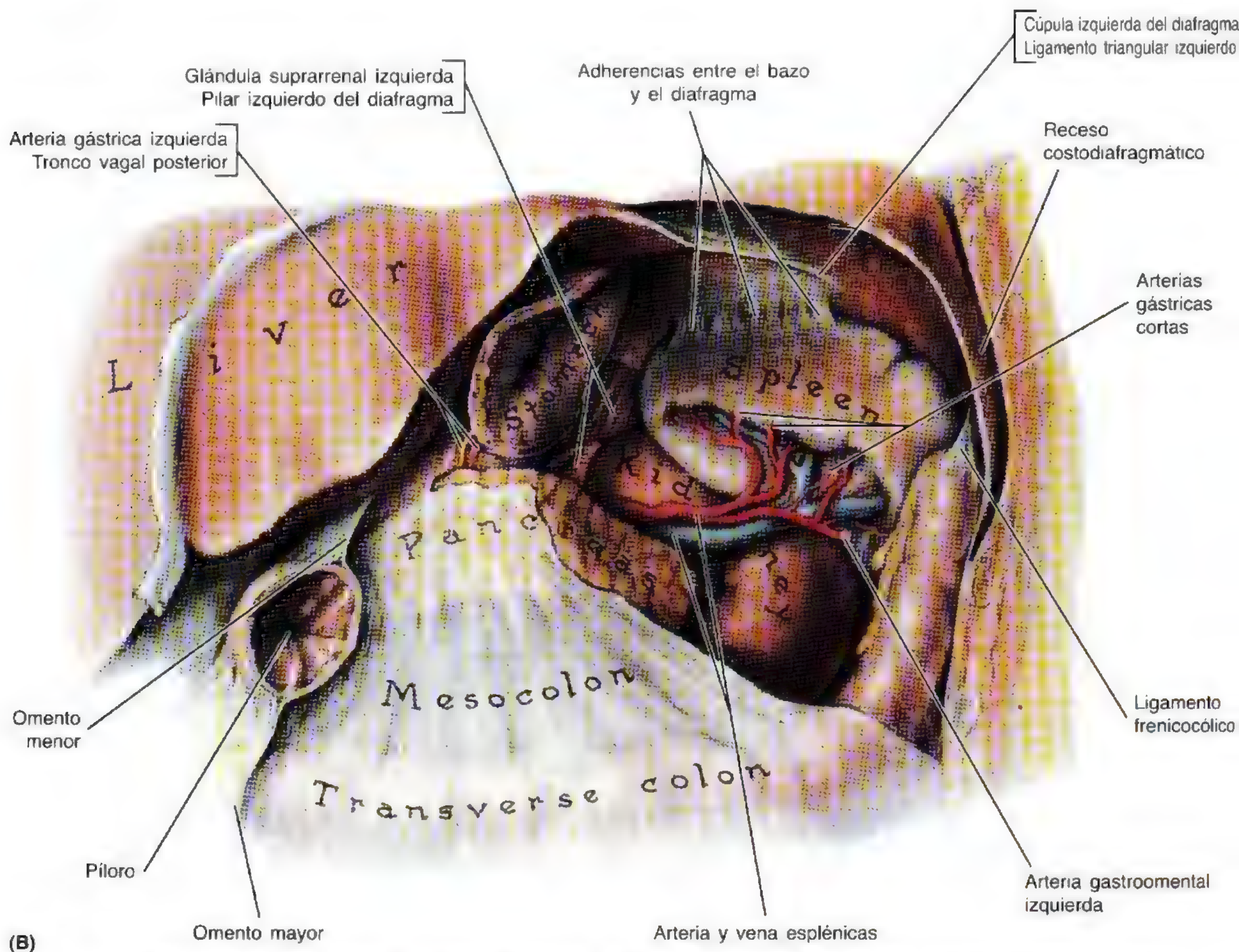


Figura 2.32. (Continuación) **B.** Lecho gástrico. Se han extirpado el estómago y la mayor parte del omento menor, así como casi todo el peritoneo de la pared posterior de la bolsa omental, que cubre el lecho gástrico, para visualizar los órganos de este lecho

Los **vasos linfáticos gástricos** (fig. 2.34A) acompañan a las arterias a lo largo de las curvaturas mayor y menor del estómago. Drenan la linfa de las caras anterior y posterior y la llevan a las curvaturas, donde se encuentran los **ganglios linfáticos gástricos y gastroommentales**. Los vasos eferentes de estos ganglios acompañan a las grandes arterias hasta los **ganglios linfáticos celíacos**. *A continuación se resume el drenaje linfático del estómago:*

- La linfa de los dos tercios superiores del estómago drena por los vasos gástricos derecho e izquierdo hasta los **ganglios gástricos**; la linfa del fondo y de la parte superior del cuerpo del estómago también drena, a lo largo de las arterias gástricas cortas y vasos gastroommentales izquierdos, en los **ganglios pancreatoesplénicos**.
- La linfa de los dos tercios derechos del tercio inferior del estómago drena, a lo largo de los vasos gastroommentales derechos, en los **ganglios pilóricos**.
- La linfa del tercio izquierdo de la curvatura mayor drena, a lo largo de los vasos gástricos cortos y esplénicos, en los **ganglios pancreatoduodenales**.

La **inervación parasimpática del estómago** (fig. 2.34B) procede de los *troncos vagales anterior y posterior* y de sus ramos, que penetran en el estómago por el hiato esofágico. El **tronco vagal anterior**, derivado en esencia del nervio vago izquierdo (NC X), suele penetrar en el abdomen como un solo ramo, situado en la cara anterior del esófago. Se dirige a la curvatura menor del estómago, donde emite ramos hepáticos y duodenales que abandonan el estómago con el ligamento hepatoduodenal. El resto del tronco vagal anterior continúa por la curvatura menor, dando ramos gástricos anteriores. El **tronco vagal posterior**, de mayor tamaño, procede sobre todo del nervio vago derecho, entra en el abdomen por la cara posterior del esófago y pasa a la curvatura menor del estómago. El tronco vagal posterior da

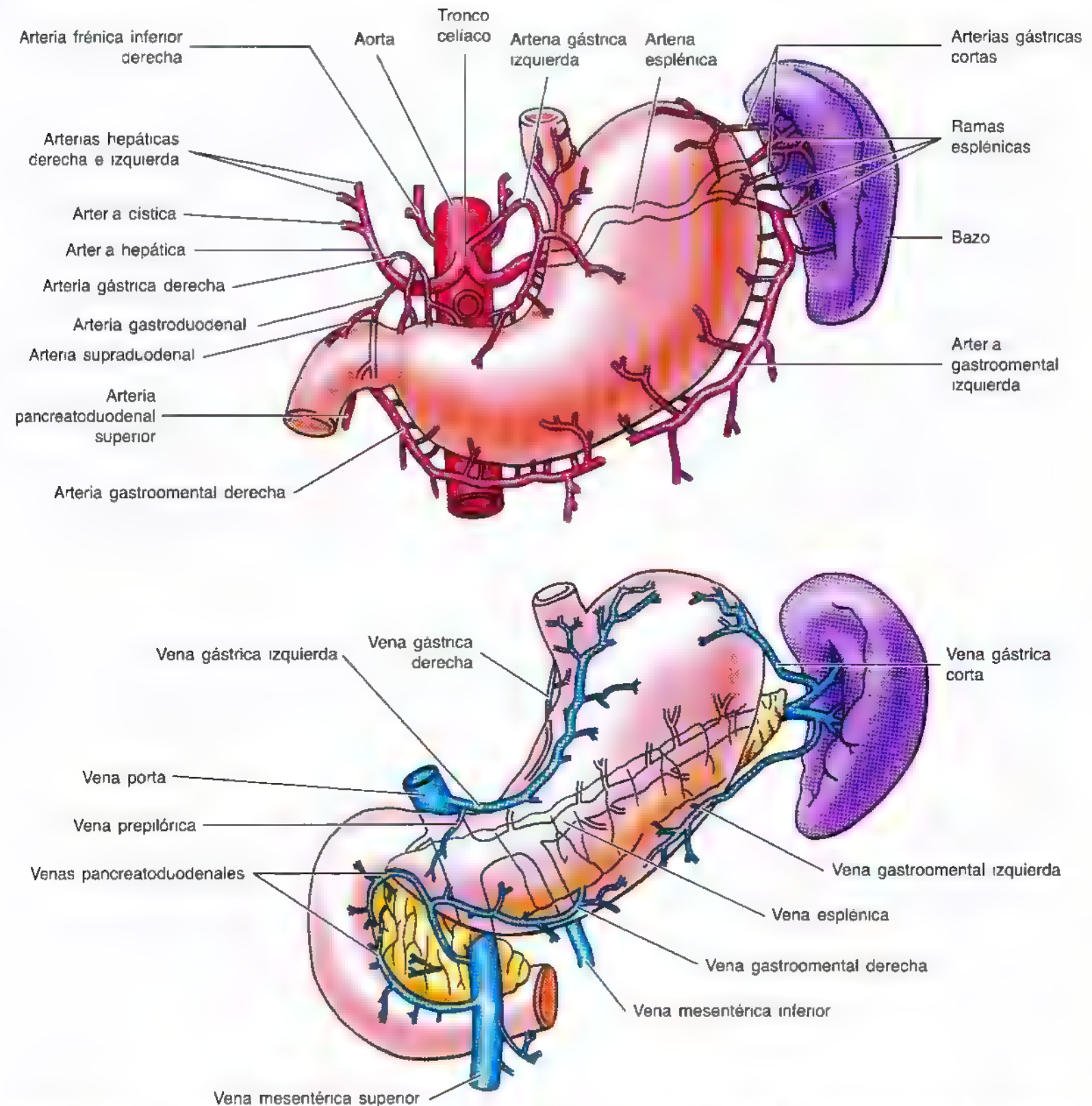


Figura 2.33. Arterias y venas del estómago y el bazo. A. Irrigación arterial. El estómago recibe la irrigación sanguínea principal de ramas del tronco celiaco. El fondo del estómago es perfundido por arterias gástricas cortas que nacen en la arteria esplénica. La arteria esplénica, la rama más grande del tronco celiaco, sigue un trayecto tortuoso hasta el hilio esplénico y se divide en las ramas (esplénicas) terminales. **B.** Drenaje venoso. El drenaje del estómago desemboca de manera directa o indirecta en la vena porta. La vena esplénica suele recibir la vena mesentérica inferior (VMI) y se une con la vena mesentérica superior (VMS) para formar la vena porta, como se ilustra en esta figura.

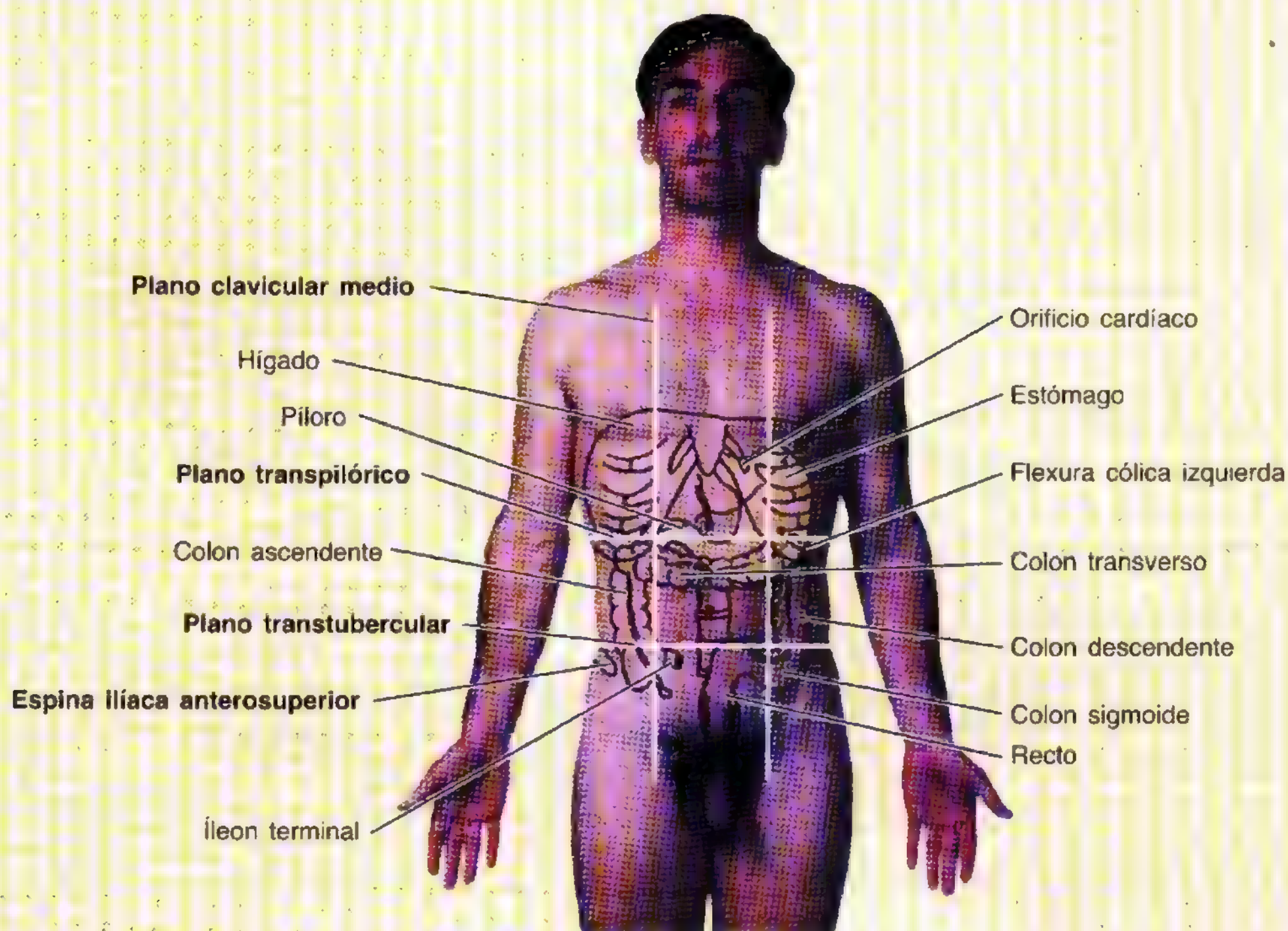
ramos para las caras anterior y posterior del estómago. Emite un ramo celiaco que se dirige al *plexo celiaco* y luego continúa por la curvatura menor, dando ramos gástricos posteriores.

La innervación simpática del estómago, procedente de los segmentos T6 a T9 de la médula espinal, pasa al **plexo celiaco** por el **nervio esplénico mayor** y se distribuye por los plexos que rodean las arterias gástricas y gastroomentales.

Anatomía de superficie del estómago

Las marcas de superficie del estómago varían, porque su tamaño y posición cambian según las circunstancias (p. ej., después de una comida copiosa). En decúbito supino, el estómago radica casi siempre en los cuadrantes superiores derecho e izquierdo, o en las regiones epigástrica, umbilical, hipocondrio izquierdo y región lumbar, como se ilustra en la fotografía. En posición erecta, el estómago se desplaza hacia abajo. El cuerpo del estómago puede alcanzar la pelvis de una persona asténica (delgada, débil). El estómago está cubierto, en parte, por el colon transversal, cerca de la flexura cólica izquierda. Las marcas de superficie del estómago son:

- El *orificio del cardias*, que suele situarse posterior al 7º cartílago costal izquierdo, a 2-4 cm del plano medio, a la altura de la vértebra T11.
- El *fondo*, que suele quedar posterior a la 5ª costilla izquierda en el plano medio clavicular.
- La *curvatura mayor*, que pasa por debajo y a la izquierda y llega hasta el 10º cartílago izquierdo, antes de girar en dirección medial hasta el antro pilórico.
- La *curvatura menor*, que pasa desde el lado derecho del cardias hasta el antro pilórico; la porción más inferior de la curvatura se caracteriza por la *incisura (esco- tadura) angular*, que queda justo a la izquierda de la línea media.
- En decúbito supino, la *porción pilórica* del estómago suele encontrarse a la altura de los novenos cartílagos costales y de la vértebra L1; el orificio pilórico queda aproximadamente 1,25 cm a la izquierda de la línea media.
- En posición erecta, el *píloro* suele situarse a la derecha; su posición varía desde las vértebras L2 a L4. ◉



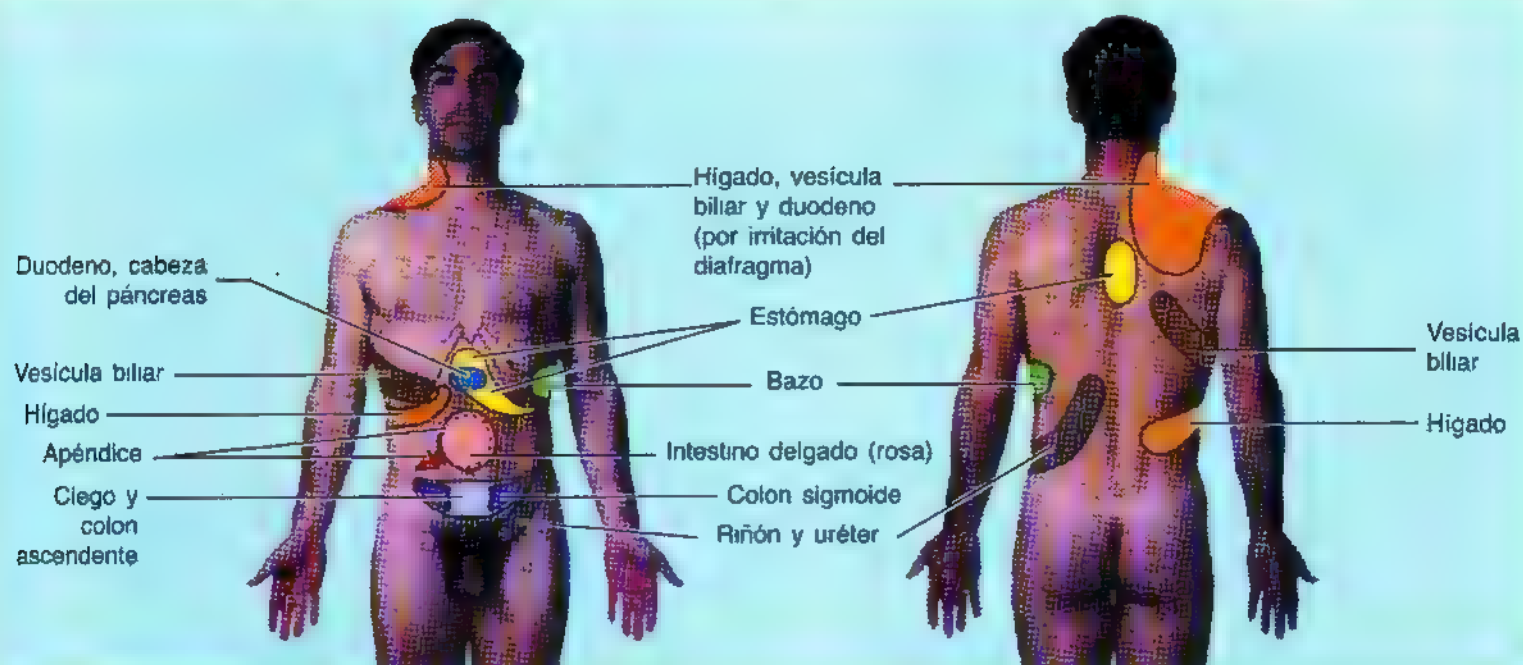
Espasmo pilórico

La contracción espasmódica del píloro afecta a algunos lactantes, de ordinario entre 2 y 12 semanas de vida. El espasmo pilórico se caracteriza por la incapacidad de las fibras de músculo liso, que rodean el conducto pilórico, para relajarse con normalidad. Por esta razón, el alimento no pasa fácilmente del estómago al duodeno y el estó-

mago se llena en exceso, con lo que aparecen vómitos en muchos casos.

Estenosis pilórica hipertrófica congénita

Este engrosamiento notable del músculo liso del píloro afecta a prácticamente 1 de cada 150 varones recién ►



Órgano	Inervación	Médula espinal	Lugar referido y ejemplo clínico
Estómago	Troncos vagales anterior y posterior. Las fibras simpáticas presinápticas alcanzan los ganglios celíacos y otros a través de los nervios espláncnicos mayores.	T6-T9 o T10	Regiones epigástrica e hipocondrio izquierdo (p. ej., úlcera péptica gástrica)
Duodeno	Nervios vagos. Las fibras simpáticas presinápticas alcanzan los ganglios celíacos y mesentéricos superiores a través de los nervios espláncnicos mayores.	T5-T9 o T10	Región epigástrica (p. ej., úlcera péptica duodenal). Hombro derecho, si se perfora la úlcera
Cabeza del páncreas	Troncos vagales posteriores. Las fibras simpáticas presinápticas alcanzan el ganglio celíaco a través de los nervios espláncnicos mayores.	T8-T9	Porción inferior de la región epigástrica (p. ej., pancreatitis)
Intestino delgado (yeyuno e íleon)	Arteria esplénica, en el hilo esplénico	T5-T9	Región periumbilical (p. ej., obstrucción intestinal aguda)
Colon	Nervios vagos. Las fibras simpáticas presinápticas alcanzan los ganglios celíacos, mesentéricos superiores y mesentéricos inferiores a través de los nervios espláncnicos mayores. La inervación parasimpática del colon distal proviene de los nervios espláncnicos de la pelvis a través de los nervios hipogástricos y del plexo hipogástrico inferior.	T10-T12 (colon proximal) L1-L3 (colon distal)	Región hipogástrica (p. ej., colitis ulcerosa). Cuadrante inferior izquierdo (p. ej., sigmoiditis)
Bazo	Plexo celíaco, sobre todo a partir del nervio esplácnico mayor	T6-T8	Hipocondrio izquierdo (p. ej., infarto esplénico)
Apéndice	Nervios simpáticos y parasimpáticos del plexo mesentérico superior. Las fibras nerviosas aferentes acompañan a los nervios simpáticos hasta el segmento medular T10.	T10	Región periumbilical y luego cuadrante inferior derecho (p. ej., apendicitis)
Vesícula biliar e hígado	Los nervios provienen del plexo celíaco (simpático) nervio vago (parasimpático) y nervio frenico derecho (sensitivo)	T6-T9	Región epigástrica y luego hipocondrio derecho; puede causar dolor en la pared posterior del torax o en el hombro derecho por irritación del diafragma
Riñón y uréteres	Los nervios surgen del plexo renal y se componen de fibras simpáticas, parasimpáticas y aferentes viscerales de los nervios espláncnicos torácicos y lumbares y de los nervios vagos.	T11-T12	Fosa lumbar, flanco (cuadrante lumbar) con extensión a la ingle y los genitales (p. ej., cálculos renales o ureterales)

El dolor se percibe como procedente de las zonas inervadas por los nervios somáticos, que entran en la médula espinal por el mismo segmento que los nervios sensitivos del órgano desencadenante del dolor. Pese a que las zonas de dolor no coinciden siempre con las que se ilustran, aportan una clave a clínica para saber qué órgano se encuentra afectado.

► nacidos y a 1 de cada 750 niñas recién nacidas (Moore y Persaud, 1998). El píloro, elongado e hipertrófico, tiene consistencia dura y el conducto pilórico presenta una estenosis (estrechamiento) intensa. La porción proximal del estómago se dilata de manera secundaria debido a la obstrucción pilórica. Si bien se ignora la causa de la *estenosis pilórica hipertrófica congénita*, al parecer los factores genéticos intervienen, dada la gran incidencia de este trastorno entre gemelos monocigotos.

Carcinoma gástrico

Si el cuerpo o la porción pilórica del estómago contienen un tumor maligno se puede palpar una masa. La incidencia del cáncer gástrico es mayor en algunos países (p. ej., Escandinavia) que en otros (p. ej., Norteamérica). Además, este tipo de cáncer es más común en los varones. Se ignoran los factores etiológicos, si bien esta enfermedad maligna parece relacionarse con la alimentación. Desde que se desarrollaron los endoscopios de fibra flexible, la gastroscopia es un procedimiento común. Mediante la **gastroscopia**, el médico puede inspeccionar la mucosa del estómago, llena de aire, y observar las lesiones gástricas, aparte de tomar muestras para biopsia. El drenaje linfático extenso del estómago y la imposibilidad de extirpar todos los ganglios linfáticos crean un problema quirúrgico. Los ganglios situados a lo largo de los vasos esplénicos se pueden extirpar si se extrae el bazo, los ligamentos gastroesplénico y esplenorrenal y el cuerpo y la cola del páncreas. Los ganglios linfáticos de los vasos gastromentales dañados se pueden extirpar resecando el omento mayor; sin embargo, resulta difícil extirpar los ganglios aórticos y celíacos y los que rodean la cabeza del páncreas.

Gastrectomía

La *gastrectomía total* —extirpación de todo el estómago— no es muy frecuente. La *gastrectomía parcial* —extirpación de parte del estómago— se realiza para resecar una región del estómago afectada por un carcinoma, por ejemplo, o para extirpar el antro pilórico en algunos casos de *enfermedad ulcerosa péptica*. Como las anastomosis de las arterias que perfunden el estómago aportan una buena circulación colateral, se pueden ligar una o más arterias durante esta intervención sin que se afecte apenas la vascularización del resto del estómago. Cuando se extrae el antro pilórico, por ejemplo, se incide el omento mayor de forma paralela e inferior a la arteria gastrointestinal derecha, lo que exige la ligadura de todas las ramas omentales de esta arteria. Sin embargo, el omento no degenera, porque las anastomosis con otras arterias, como las ramas omentales de la arteria gastrointestinal izquierda, permanecen intactas. La gastrectomía parcial para la extirpación

de un carcinoma suele exigir, además, la resección de todos los ganglios linfáticos regionales afectados. Como el cáncer suele empezar en la región pilórica, es muy importante extirpar los **ganglios linfáticos pilóricos** —y los **ganglios gastromentales** derechos, que también reciben el drenaje linfático de esta región—. A medida que se extiende el cáncer gástrico, la diseminación linfática de las células malignas llega hasta los **ganglios celíacos**, adonde drenan todos los ganglios gástricos.

Úlceras gástricas

La secreción de ácido por las células parietales del estómago está gobernada, en gran parte, por los nervios vagos; por eso, la **vagotomía** —sección de los troncos vagales por el hiato esofágico— se aplica en algunos casos de **úlcera péptica** (lesión de la mucosa gástrica asociada casi siempre a la presencia de *Helicobacter pylori*) para reducir la producción de ácido. Según demuestran las investigaciones, 9 de cada 10 úlceras gástricas obedecen a la infección por *H. pylori*, que se puede tratar con antibióticos. En general, el moco recubre la mucosa y establece una barrera entre el ácido y las células de la mucosa. A veces, la protección es inadecuada y el jugo gástrico erosiona la mucosa y provoca una úlcera. Si la úlcera erosiona alguna de las arterias gástricas puede ocurrir una hemorragia con peligro para la vida. La *vagotomía* se puede ejecutar junto con la resección de la zona ulcerada (*antrectomía* o resección del antro pilórico). Durante la **vagotomía selectiva**, el estómago está desnervado, pero las ramas vagales para el píloro, árbol biliar, intestino y plexo celíaco se conservan. La *vagotomía de células parietales* persigue una desnervación aún más específica de la zona donde radican las células parietales (Sabiston y Lysterly, 1994; Skandalakis y cols., 1995), con la esperanza de que se alteren las células productoras de ácido mientras que se conserven otras estructuras abdominales inervadas por el nervio vago.

La *úlcera gástrica posterior* puede erosionar la pared del estómago y llegar al páncreas, causando dolor referido a la espalda. En estos casos, la *erosión de la arteria esplénica* provoca una grave hemorragia en la cavidad peritoneal. Los impulsos de dolor del estómago son conducidos por fibras aferentes viscerales que acompañan a los nervios simpáticos. Este es un hecho evidente, porque el dolor de la úlcera péptica recidivante puede persistir después de la vagotomía completa, mientras que los enfermos sometidos a simpatectomía bilateral pueden no sufrir dolor alguno tras la perforación de una úlcera péptica.

Dolor visceral referido

El dolor es una sensación desagradable que acompaña al daño hístico real o potencial y está mediado por fibras nerviosas específicas que llegan al encéfalo, donde se pue-

de modificar su apreciación consciente. El *dolor orgánico* que nace en un órgano, como el estómago, varía desde sordo hasta intenso; sin embargo, el dolor se localiza mal. Este dolor irradia al dermatoma correspondiente, que recibe las fibras aferentes viscerales del órgano afectado. El *dolor visceral referido*, por ejemplo de una úlcera gástrica, reside en la región hipogástrica porque el estómago es innervado por aferencias del dolor que llegan hasta los ganglios sensitivos espinales T7 y T8, y hasta los segmentos medulares correspondientes a través del nervio esplácnico mayor. El encéfalo interpreta que el dolor se debe a una irritación de la piel de la región epigástrica, que también recibe innervación de los mismos ganglios sensitivos y segmentos medulares.

El dolor que nace en el peritoneo parietal es de tipo somático y suele resultar intenso. El origen se puede localizar. La base anatómica para localizar el dolor se sustenta en que el peritoneo parietal está innervado por fibras sensitivas somáticas a través de nervios torácicos, mientras que una víscera como el apéndice está innervada por fibras aferentes viscerales del nervio esplácnico menor. *La inflamación del peritoneo parietal provoca una sensibilidad extraordinaria al estiramiento.* Cuando se aplica compresión digital sobre la pared anterolateral del abdomen en la zona inflamada, el peritoneo parietal se distiende. Cuando se retira el dedo de manera repentina suele experimentarse un dolor local extremo (*dolor de rebote*). ◊

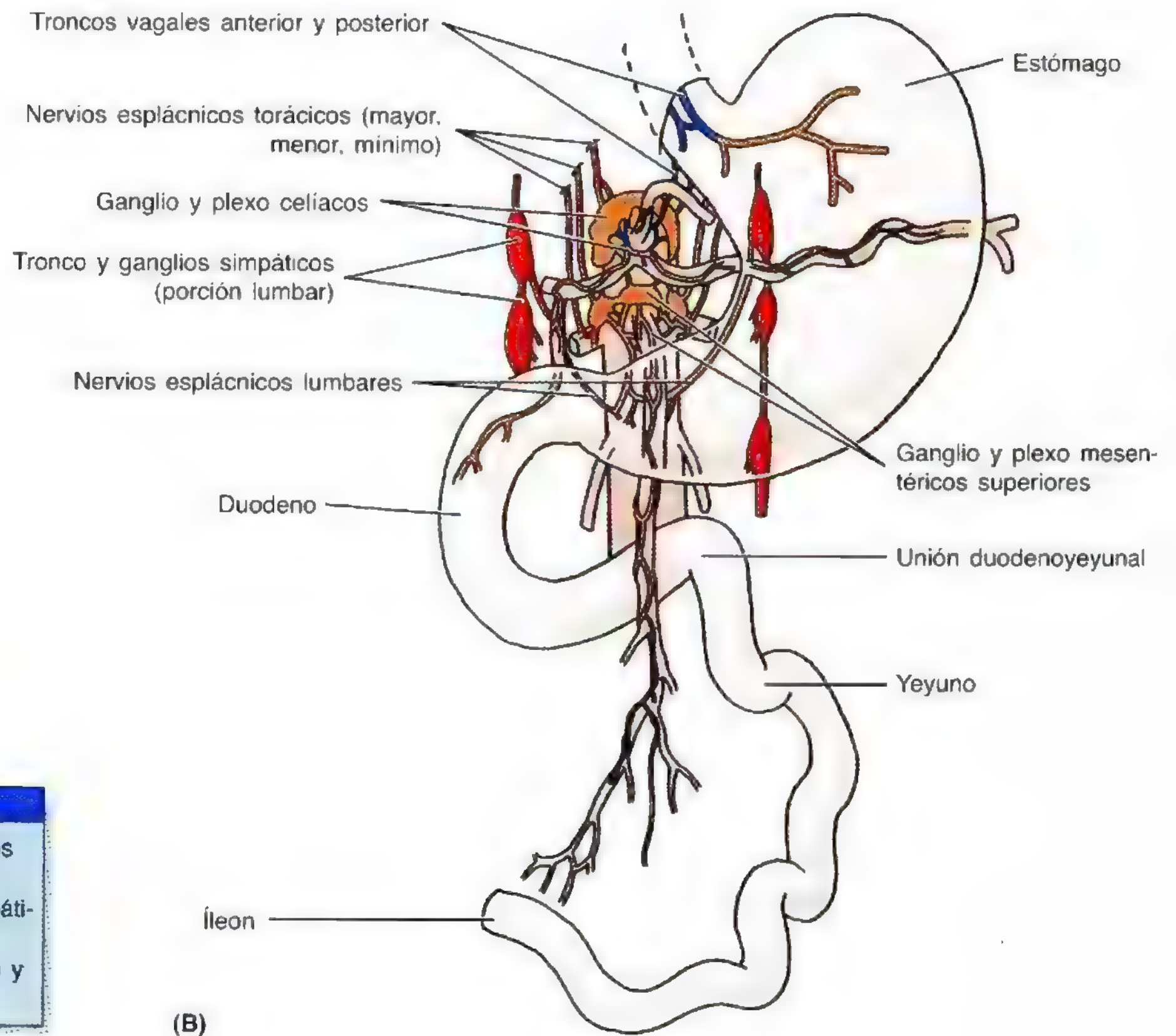
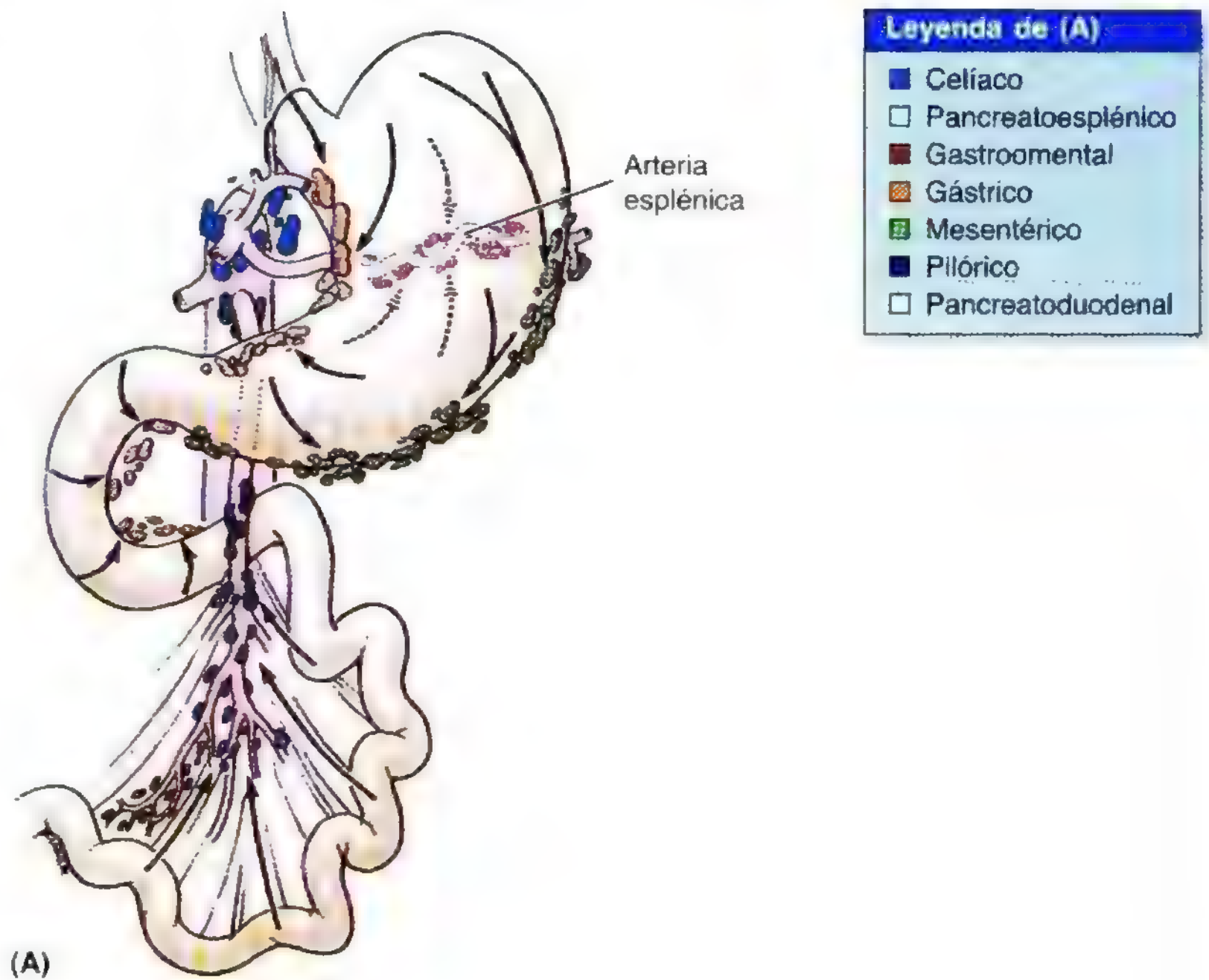
Tabla 2.6. Irrigación arterial del esófago, estómago, duodeno, hígado, vesícula biliar, páncreas y bazo

Arteria	Origen	Trayecto	Distribución
Celiaca	Aorta abdominal, justo distal al hiato aórtico del diafragma	Se divide en seguida en las arterias gástrica izquierda, esplénica y hepática común	Irriga el esófago, el estómago, el duodeno (proximal al conducto colédoco), el hígado y el árbol biliar, así como el páncreas
Gástrica izquierda	Tronco celiaco	Asciende por el retroperitoneo hasta el hiato esofágico, donde discurre entre las capas del ligamento hepatogástrico	Porción distal del esófago y curvatura menor del estómago
Esplénica	Tronco celiaco	Trayecto retroperitoneal a lo largo del borde superior del páncreas, luego pasa entre las capas del ligamento esplenorrenal hasta el hilio esplénico	Cuerpo del páncreas, bazo y curvatura mayor del estómago
Gastroesplénica (gastroepiploica)	Arteria esplénica, en el hilio esplénico	Discurre entre las capas del ligamento gastroesplénico hasta la curvatura mayor del estómago	Porción izquierda de la curvatura mayor del estómago
Gástrica corta (n = 4-5)	Arteria esplénica, en el hilio esplénico	Discurre entre las capas del ligamento gastroesplénico hasta el fondo del estómago	Fondo del estómago
Hepática ^a	Tronco celiaco	Sigue un trayecto retroperitoneal para alcanzar el ligamento hepatoduodenal y discurre entre sus capas hasta el hilio hepático; se divide en las arterias hepáticas derecha e izquierda	Hígado, vesícula biliar, estómago, páncreas, duodeno y lóbulos respectivos del hígado
Cística	Arteria hepática derecha	Nace dentro del ligamento hepatoduodenal	Vesícula biliar y conducto cístico
Gástrica derecha	Arteria hepática	Discurre entre las capas del ligamento hepatogástrico	Porción derecha de la curvatura menor del estómago
Gastrooduodenal	Arteria hepática	Desciende por el retroperitoneo, posterior a la unión gastrooduodenal	Estómago, páncreas, primera porción del duodeno y porción distal del conducto colédoco
Gastroesplénica (gastroepiploica)	Arteria gastroduodenal	Discurre entre las capas del omento mayor hasta la curvatura mayor del estómago	Porción derecha de la curvatura mayor del estómago
Pancreatoduodenales superiores anterior y posterior	Arteria gastroduodenal	Desciende sobre la cabeza del páncreas	Porción proximal del duodeno y cabeza del páncreas
Pancreatoduodenales inferiores anterior y posterior	Arteria mesentérica superior	Asciende por el retroperitoneo sobre la cabeza del páncreas	Porción distal del duodeno y cabeza del páncreas

^a A efectos descriptivos, la arteria hepática suele dividirse en la arteria hepática común desde su origen hasta el de la arteria gastroduodenal, y el resto de vaso se denomina arteria hepática propiamente dicha.

Figura 2.34. Drenaje linfático e inervación del estómago y del intestino delgado.

A. Drenaje linfático. Las flechas indican la dirección del flujo linfático hacia los ganglios. **B. Inervación.** Los nervios son tanto parasimpáticos, a través de los nervios vagos (NC X), como simpáticos (procedentes del plexo celiaco). El estómago está inervado por el plexo celiaco, a través de los plexos periarteriales situados en las arterias del estómago. Las fibras simpáticas presinápticas alcanzan los ganglios celiaco y otros a través de los nervios esplácnicos. Las fibras post-sinápticas se dirigen, después, a los vasos sanguíneos y a la musculatura del estómago. El intestino delgado está inervado por fibras autónomas y aferentes de los plexos celiaco y mesentérico superior



Intestino delgado

El intestino delgado, que consta de duodeno, yeyuno e íleon (fig. 2.35), se extiende desde el píloro hasta la unión ileocecal, lugar donde el íleon se comunica con el ciego, primera parte del intestino grueso. El píloro vacía el contenido del estómago en el duodeno, primera de las tres partes del intestino delgado.

Duodeno

El duodeno —la primera y la más corta de las tres partes del intestino delgado— es también la más ancha y adherida. El duodeno sigue un trayecto en forma de C alrededor de la cabeza del páncreas (fig. 2.36). El duodeno comienza en el píloro, en el lado derecho, y termina en la **unión duodenoyeyunal**, a la izquierda. Esta unión tiene lugar cerca del plano de la vértebra L2, 2-3 cm a la izquierda de la línea media. La unión suele adoptar la forma de un ángulo agudo, la **flexura duodenoyeyunal**. Casi todo el duodeno está fijado mediante peritoneo a las estructuras de la pared posterior del abdomen y se considera, en parte, retroperitoneal. El duodeno se divide en cuatro porciones (tabla 2.7):

- La **porción superior (1ª)** es corta (aproximadamente 5 cm) y queda anterolateral al cuerpo de la vértebra L1.
- La **porción descendente (2ª)** es más larga (7-10 cm) y desciende a la derecha de las vértebras L1 a L3.
- La **porción horizontal (3ª)** mide 6 a 8 cm de longitud y cruza la vértebra L3.
- La **porción ascendente (4ª)** es corta (5 cm) y comienza a la izquierda de la vértebra L3 para elevarse hasta el borde superior de la vértebra L2.

Los primeros 2 cm de la porción superior (primera) del duodeno —inmediatamente distal al píloro— tienen mesenterio y se movilizan. Esta parte libre es la **ampolla** (bulbo duodenal), que tiene un aspecto distinto del resto del duodeno cuando se observa con medio de contraste en una radiografía.

Los 3 cm distales de la porción superior y las otras tres porciones del duodeno no disponen de mesenterio y son inmóviles, porque se sitúan en un plano retroperitoneal. Las relaciones principales del duodeno se esbozan en la tabla 2.7 y se ilustran en la figura 2.36.

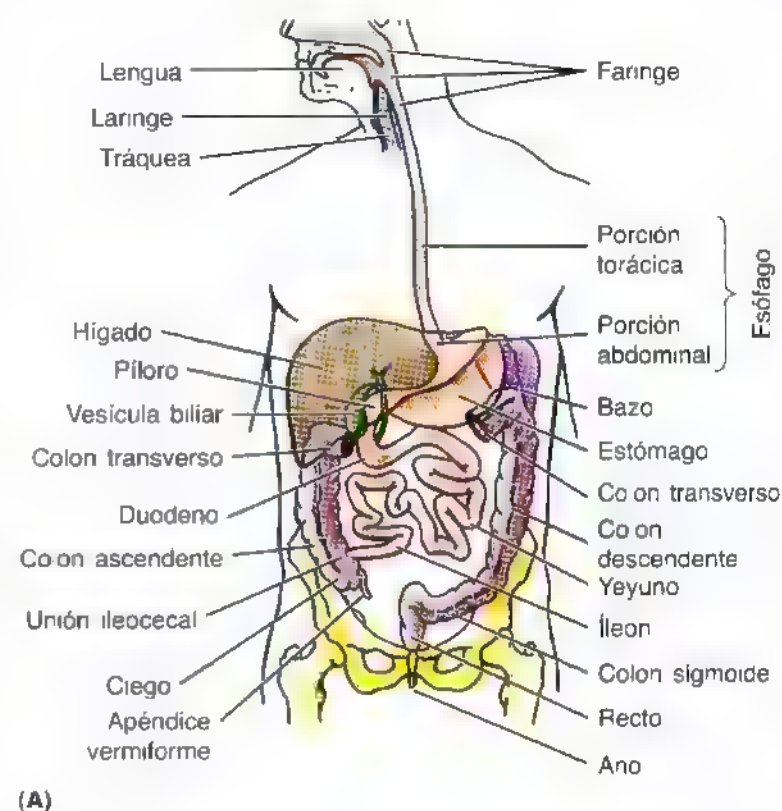
La **porción superior (primera) del duodeno** asciende desde el píloro y se superpone con el hígado y la vesícula biliar. El peritoneo cubre la cara anterior, pero no la posterior, salvo la ampolla (los primeros 2 cm que se unen al píloro). En la porción proximal se inserta arriba el **ligamento hepatoduodenal** (parte del omento menor), mientras que el omento mayor se inserta abajo (fig. 2.22). Posterior a la porción superior del duodeno se encuentran la vena porta, el conducto biliar, la arteria gastroduodenal y la VCI.

La **porción descendente (segunda) del duodeno** se dirige abajo, incurvándose sobre la cabeza del páncreas. Al principio se encuentra a la derecha, paralela a la VCI. Los **conductos biliar y pancreático** desembocan en su pared

posteromedial. Estos conductos normalmente se unen para formar la **ampolla hepatopancreática**, que se abre en la cima de una eminencia situada posteromedial en el duodeno descendente, la **papila mayor del duodeno**. La porción descendente del duodeno es completamente retroperitoneal. La cara anterior de los tercios proximal y distal está íntimamente revestida de peritoneo; sin embargo, el peritoneo se refleja del tercio medio para crear la doble capa de mesenterio del colon transverso o mesocolon transverso.

La **porción inferior u horizontal (tercera) del duodeno** discurre de forma transversal hacia la izquierda, cruzando la VCI, la aorta y la vértebra L3. Esta porción es atravesada por la **arteria (AMS) y vena mesentéricas superiores** y la raíz del mesenterio del yeyuno e íleon (fig. 2.36B). Superior a ella se encuentra la cabeza del páncreas y su gancho. La cara anterior de la porción horizontal está cubierta de peritoneo, salvo en la zona donde se cruza con los vasos mesentéricos superiores y la raíz del mesenterio. En la cara posterior se separa de la columna vertebral por el músculo psoas mayor derecho, la VCI, la aorta y los vasos testicular u ovárico derechos.

La **porción ascendente (cuarta) del duodeno** se eleva por la cara izquierda de la aorta hasta alcanzar el borde inferior del cuerpo del páncreas. Entonces se curva hacia delante para unirse con el duodeno en la **unión duodenoyeyunal**, que parte en ángulo agudo **flexura duodenoyeyunal**— y está reforzada por la inserción de un **músculo suspensorio del duodeno** (ligamento de Treitz). Este músculo se compone de



(A)

Figura 2.35. Intestino delgado y grueso in situ. A. Orientación esquemática del aparato digestivo, que se extiende desde los labios hasta el ano. B. Intestino delgado y grueso C. Región ileocecal con irrigación arterial (véase pag. 238)

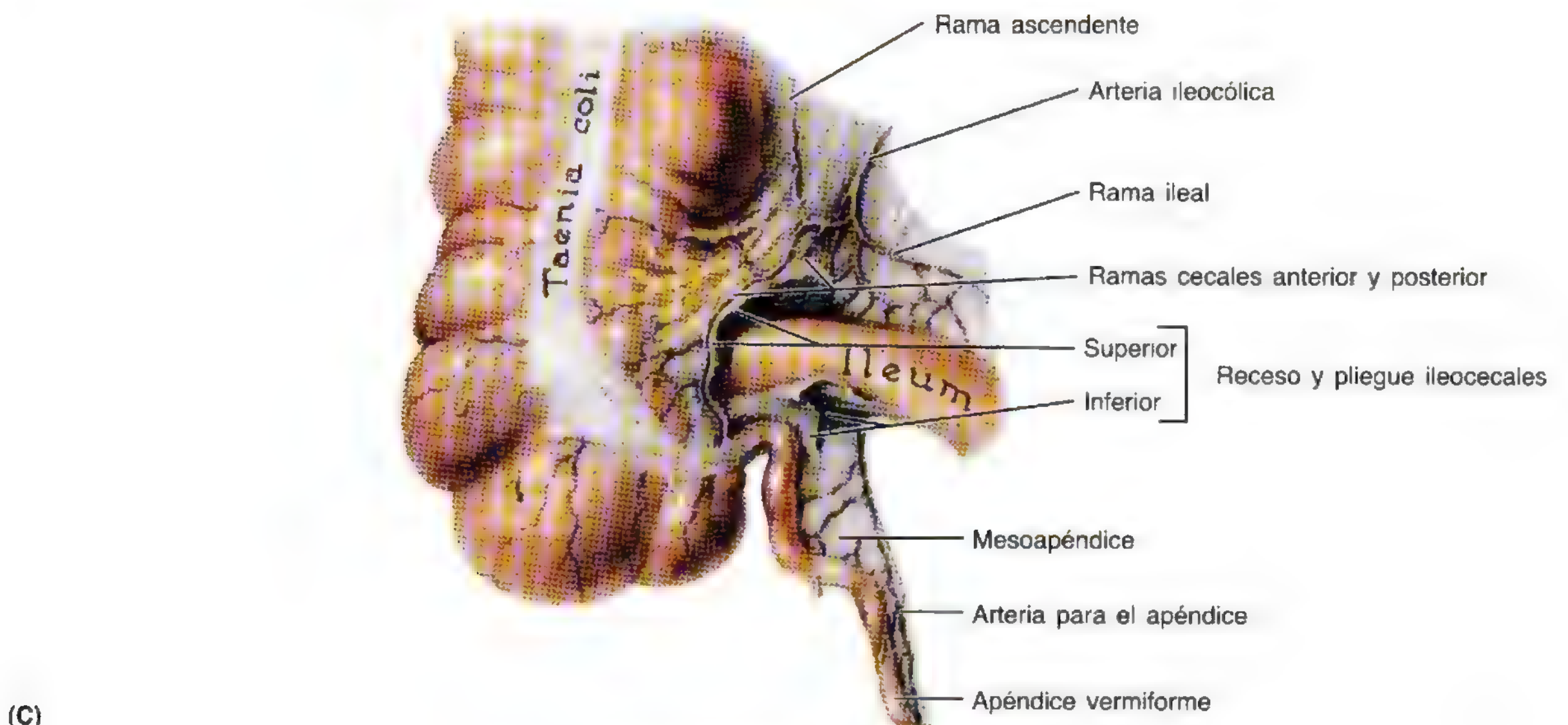
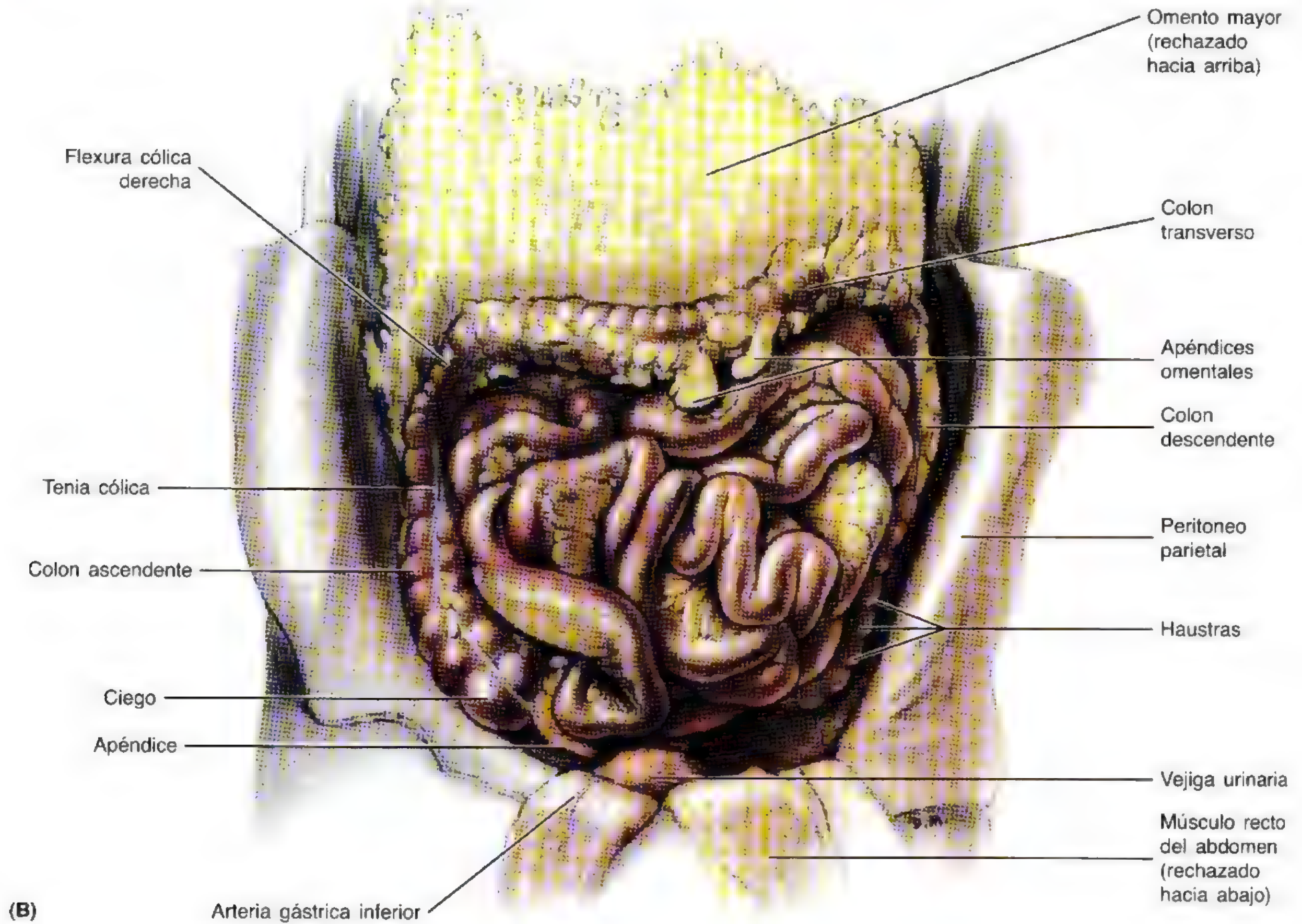


Figura 2.35. (Continuación)

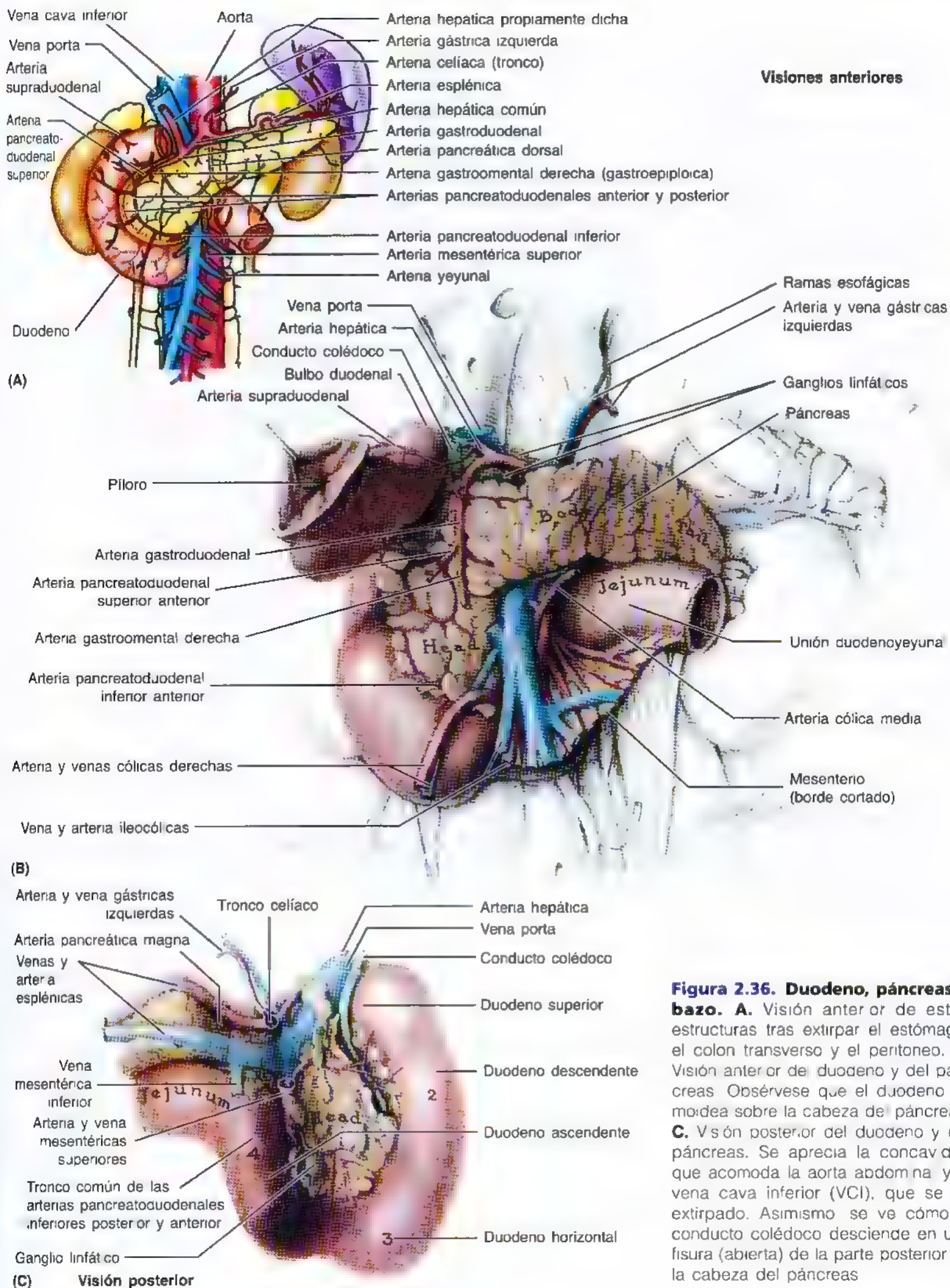
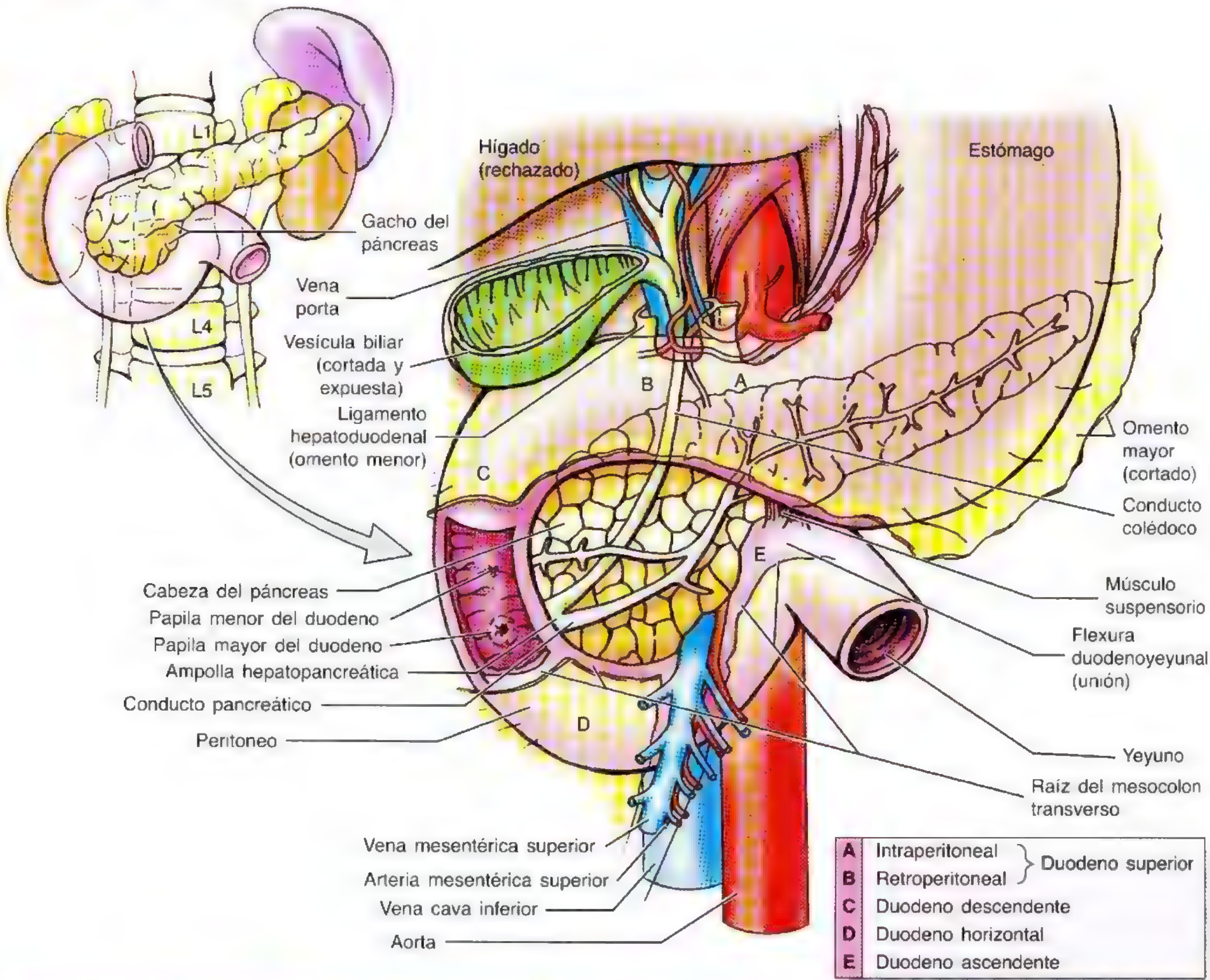


Figura 2.36. Duodeno, páncreas y bazo. **A.** Visión anterior de estas estructuras tras extirpar el estómago el colon transverso y el peritoneo. **B.** Visión anterior del duodeno y del páncreas. Obsérvese que el duodeno se mordea sobre la cabeza del páncreas. **C.** Visión posterior del duodeno y del páncreas. Se aprecia la concavidad que acomoda la aorta abdominal y a vena cava inferior (VCI), que se ha extirpado. Asimismo se ve cómo el conducto colédoco desciende en una fisura (abierto) de la parte posterior de la cabeza del páncreas.

Tabla 2.7. Relaciones del duodeno



Porción del duodeno	Anterior	Posterior	Medial	Superior	Inferior	Nivel vertebral
Superior (1ª porción)	Peritoneo Vesícula biliar Lóbulo cuadrado del hígado	Conducto colédoco Arteria gastroduodenal Vena porta Vena cava inferior		Cuello de la vesícula biliar	Cuello del páncreas	Anterolateral a la vértebra L1
Descendente (2ª porción)	Colon transverso Mesocolon transverso Asas de intestino delgado	Hilio del riñón derecho Vasos renales Uréter Músculo psoas mayor	Cabeza del páncreas Conducto pancreático Conducto colédoco			A la derecha de las vértebras L2-L3
Horizontal (3ª porción)	Arteria mesentérica superior Vena mesentérica superior Asas de intestino delgado	Músculo psoas mayor derecho Vena cava inferior Aorta Uréter derecho		Cabeza y gancho del páncreas Vasos mesentéricos superiores		Anterior a la vértebra L3
Ascendente (4ª porción)	Comienzo de la raíz del mesenterio Asas de yeyuno	Músculo psoas mayor izquierdo Borde izquierdo de la aorta	Cabeza del páncreas	Cuerpo del páncreas		A la izquierda de la vértebra L3

una cinta de músculo esquelético del diafragma y de una banda fibromuscular de músculo liso de la tercera y cuarta porciones duodenales. La contracción de este músculo ensancha el ángulo de la flexura y facilita el movimiento del contenido intestinal. El músculo suspensorio pasa detrás del páncreas y de la vena esplénica y delante de la vena renal izquierda.

Hernias paraduodenales

Alrededor de la unión duodenoyeyunal se encuentran dos o tres pliegues y fosas (recessos) inconstantes. El *pliegue y la fosa paraduodenales* son grandes y quedan a la izquierda de la porción ascendente (cuarta) del duodeno. Si se introduce un asa de intestino en esta fosa se puede estrangular. Durante la reparación de las *hernias paraduodenales* conviene no lesionar las ramas de la arteria y vena mesentéricas inferiores ni las ramas ascendentes de la arteria cólica izquierda, que guardan relación con el pliegue y la fosa paraduodenales. ♦

Las **arterias duodenales** nacen en el tronco celiaco y en la AMS (fig. 2.36). El tronco celiaco, a través de la **arteria gastroduodenal** y de su rama —la **arteria pancreatoduodenal superior**—, perfunde la zona de duodeno proximal a la desembocadura del conducto biliar en la porción descendente (segunda). La AMS, por medio de su rama, la **arteria pancreatoduodenal inferior**, irriga la zona de duodeno distal a la desembocadura del conducto biliar. Las arterias pancreatoduodenales radican en la curva entre el duodeno

y la cabeza del páncreas y perfunden ambas estructuras. La anastomosis de las arterias pancreatoduodenales superior e inferior, que sucede cerca del plano de desembocadura del conducto biliar o, según opinan algunos autores, en la unión de las porciones descendente y horizontal del duodeno, representa una anastomosis entre las arterias celiaca y mesentérica superior. *La irrigación del tubo digestivo experimenta una importante transición:*

- En la zona proximal (que se extiende desde la porción abdominal del esófago), la sangre proviene del tronco celiaco.
- En la zona distal (que se extiende hasta la flexura cólica izquierda), la sangre procede de la AMS.

Esta transición de la irrigación arterial tiene un origen embriológico (Moore y Persaud, 1998).

Las **venas duodenales** siguen a las arterias y drenan en la **vena porta**, en parte de forma directa y en parte indirecta, a través de las venas mesentéricas superior y esplénica.

Los **vasos linfáticos del duodeno** siguen a las arterias. Los *vasos linfáticos anteriores del duodeno* drenan en los **ganglios linfáticos pancreatoduodenales**, ubicados a lo largo de las arterias pancreatoduodenales superior e inferior, y en los **ganglios linfáticos pilóricos**, que se sitúan a lo largo de la arteria gastroduodenal (fig. 2.37). Los *vasos linfáticos posteriores* pasan detrás de la cabeza del páncreas y drenan en los **ganglios linfáticos mesentéricos superiores**. Los vasos linfáticos eferentes de los ganglios linfáticos duodenales drenan en los **ganglios linfáticos celiacos**.

Los *nervios duodenales* (fig. 2.37) se originan en los **nervios vagos y simpáticos**, procedentes de los plexos celiaco y mesentérico superior, que llegan con las arterias pancreatoduodenales.

Úlceras duodenales

La mayoría (95%) de las erosiones inflamatorias de la pared duodenal —*úlceras duodenales*— se encuentran en la pared posterior de la porción superior (primera) del duodeno. A veces, la úlcera perfora la pared duodenal y facilita la salida del contenido a la cavidad peritoneal, con la *peritonitis* consiguiente. Como la porción superior del duodeno se relaciona íntimamente con el hígado y la vesícula biliar, cualquiera de estos órganos se puede adherir y ulcerar por la úlcera duodenal. La *erosión de la arteria gastroduodenal* por una úlcera duodenal situada en la cara posterior de la porción superior del duodeno provoca una hemorragia intensa en la cavidad peritoneal y peritonitis.

Cálculos biliares en el duodeno

La proximidad de la porción superior del duodeno con la vesícula biliar explica por qué se puede ulcerar un

cálculo biliar desde el fondo vesicular erosionado y pasar al duodeno perforado. Dada la íntima relación entre el páncreas y el duodeno, esta glándula también se puede ver invadida por una úlcera duodenal posterior.

Cambios mesoduodenales con el desarrollo

Durante el período fetal inicial, todo el duodeno tiene mesenterio (Moore y Persaud, 1998); sin embargo, la mayor parte del mesenterio se une con la pared abdominal posterior debido a la compresión del colon transversal suprayacente. Como el mesoduodeno se inserta de forma secundaria en la pared (a través de la formación de una *fascia de fusión*, véase pág. 214), el duodeno y el páncreas, íntimamente asociados, se pueden separar (movilizar) quirúrgicamente de las vísceras retroperitoneales situadas por debajo que afectan al duodeno, sin poner en peligro la irrigación del riñón ni del uréter. ♦

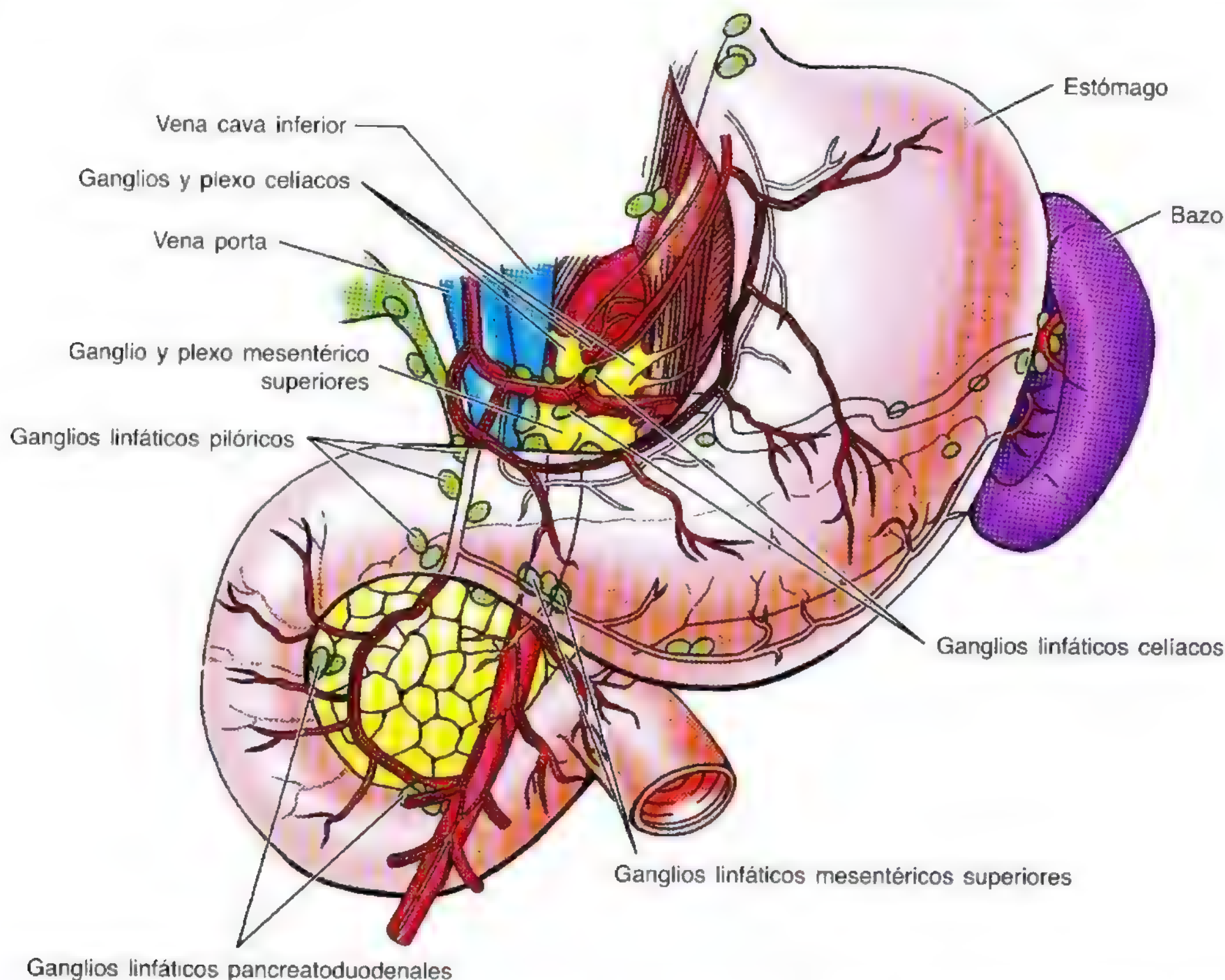


Figura 2.37. Drenaje linfático del duodeno, del páncreas y del bazo. La relación posicional estrecha entre estos órganos explica por qué la irrigación arterial y el drenaje linfático son compartidos de forma íntegra o parcial. Los ganglios linfáticos más relacionados con el duodeno y el páncreas son los pancreatoduodenales, pilóricos y mesentéricos superiores. La linfa del bazo drena a los ganglios linfáticos pancreatoesplénicos y mesentéricos superiores.

Yeyuno e íleon

El **yeyuno** empieza en la flexura duodenoyeyunal y el **íleon** termina en la **unión ileocecal**, zona donde se juntan el íleon terminal y el ciego (fig. 2.38). El yeyuno y el íleon miden de 6 a 7 metros; el yeyuno representa las dos quintas partes, y el íleon, unas tres quintas partes. *La mayoría del yeyuno se localiza en el cuadrante superior izquierdo, mientras que la mayor parte del íleon lo hace en el cuadrante inferior derecho.* El íleon terminal suele situarse en la pelvis, desde donde asciende para desembocar en la cara medial del ciego. Pese a que no existe una clara línea que delimite el yeyuno del íleon, poseen características diferentes, con la consecuente repercusión quirúrgica (fig. 2.38, tabla 2.8).

El **mesenterio** —un pliegue peritoneal con forma de abanico— inserta el yeyuno y el íleon a la pared posterior del abdomen (fig. 2.39A). La **raíz (origen) del mesenterio** (de unos 15 cm de longitud) se dirige en sentido oblicuo, inferior y a la derecha. Se extiende desde la unión duodenoyeyunal, a la izquierda de la vértebra L2, hasta la unión ileocólica y la articulación sacroilíaca derecha. La anchura media del mesenterio, desde su raíz hasta el borde intesti-

nal, es de 20 cm. *La raíz del mesenterio cruza (de forma sucesiva):*

- Las porciones ascendente y horizontal del duodeno.
- La aorta abdominal.
- La vena cava inferior.
- El uréter derecho.
- El músculo psoas mayor derecho.
- Los vasos testicular u ovárico derechos.

Entre las dos capas del mesenterio se encuentran los vasos mesentéricos superiores, los ganglios linfáticos, una cantidad variable de grasa y los nervios autónomos.

La **arteria mesentérica superior** perfunde el yeyuno y el íleon (fig. 2.39, A-B, tabla 2.9). Esta arteria suele provenir de la aorta abdominal, a la altura de la vértebra L1, casi 1 cm por debajo del tronco celíaco, y discurre entre las capas del mesenterio; emite 15 a 18 ramas para el yeyuno y el íleon. Las arterias se unen formando bucles o arcadas —**arcadas arteriales**— que originan las arterias o **vasos rectos**.

La **vena mesentérica superior** (fig. 2.39B) drena el yeyuno y el íleon; se sitúa anterior y a la derecha de la arteria,

Tabla 2.8. Características distintivas del yeyuno e íleon de las personas vivas

Característica	Yeyuno	Íleon
Color	Rojo oscuro	Rosa pálido
Calibre	2-4 cm	2-3 cm
Pared	Gruesa y pesada	Fina y delgada
Vascularización	Mayor	Menor
Vasos rectos	Largos	Cortos
Arcadas	Algunos bucles grandes	Muchos bucles cortos
Grasa mesentérica	Menos	Más
Plegues circulares	Grandes, altos y densos	Bajos y escasos; ausentes en la porción dista.
Ganglios linfáticos (placas de Peyer)	Escasos	Numerosos

en la raíz del mesenterio. Esta vena desemboca detrás del cuello del páncreas, uniéndose a la vena esplénica para formar la vena porta (fig. 2.36, B-C).

Los vasos linfáticos especializados que absorben la grasa —**vasos quilíferos**— de las vellosidades intestinales (proyecciones de la membrana mucosa de 0,15 a 1,5 mm de longitud) vacían un líquido de aspecto lechoso a los plexos linfáticos de las paredes del yeyuno y del íleon. Estos vasos linfáticos pasan entre las capas del mesenterio; *los ganglios linfáticos mesentéricos* (fig. 2.40) *se encuentran*:

- Cerca de la pared intestinal.
- Entre las arcadas arteriales.
- A lo largo de la porción proximal de la arteria mesentérica superior.

Los vasos linfáticos eferentes de los ganglios linfáticos mesentéricos drenan en los **ganglios linfáticos mesentéricos superiores**. Los vasos linfáticos del íleon terminal siguen la rama ileal de la arteria ileocólica hasta llegar a los **ganglios linfáticos ileocólicos**.

La arteria mesentérica superior y sus ramas están rodeadas de un *plexo nervioso perivascular*, por el que los nervios llegan hasta las porciones del intestino irrigadas por la arteria. **Las fibras simpáticas de los nervios destinados al yeyuno y al íleon se originan en los segmentos T5 a T9 de la médula espinal** (fig. 2.41) y alcanzan el *plexo celiaco* a través de los *troncos simpáticos* y de los *nervios esplácnicos torácicos (mayor y menor)*. Las fibras simpáticas presinápticas establecen sinapsis con los cuerpos celulares de las neuronas simpáticas postsinápticas de los *ganglios celiaco y mesentérico*

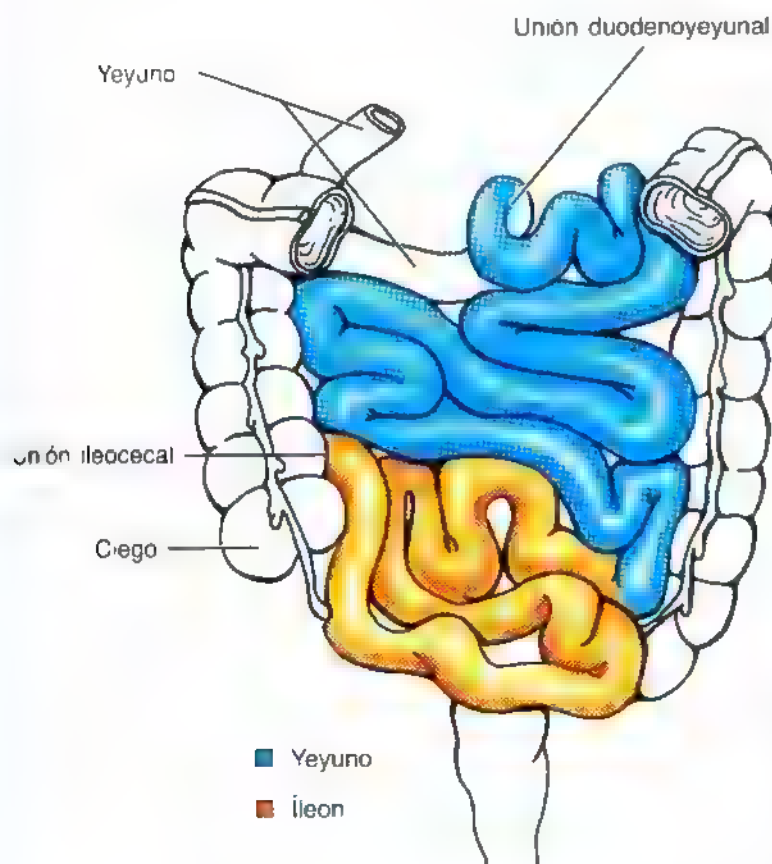


Figura 2.38. Yeyuno e íleon. Este dibujo esquemático muestra cómo el duodeno comienza en la flexura duodenoyeyunal y cómo el íleon termina en el ciego. El término combinado "yeyunoíleon" se utiliza a veces para denotar la ausencia de una línea externa clara de demarcación entre el yeyuno y el íleon.

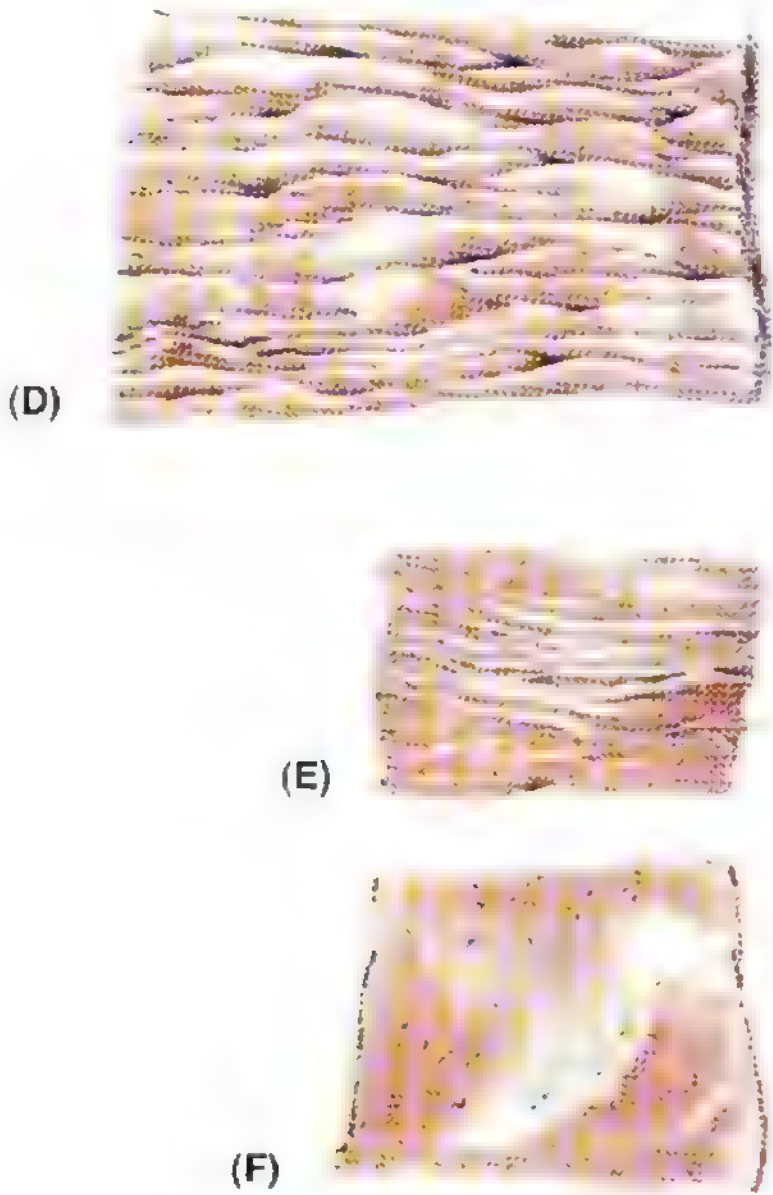
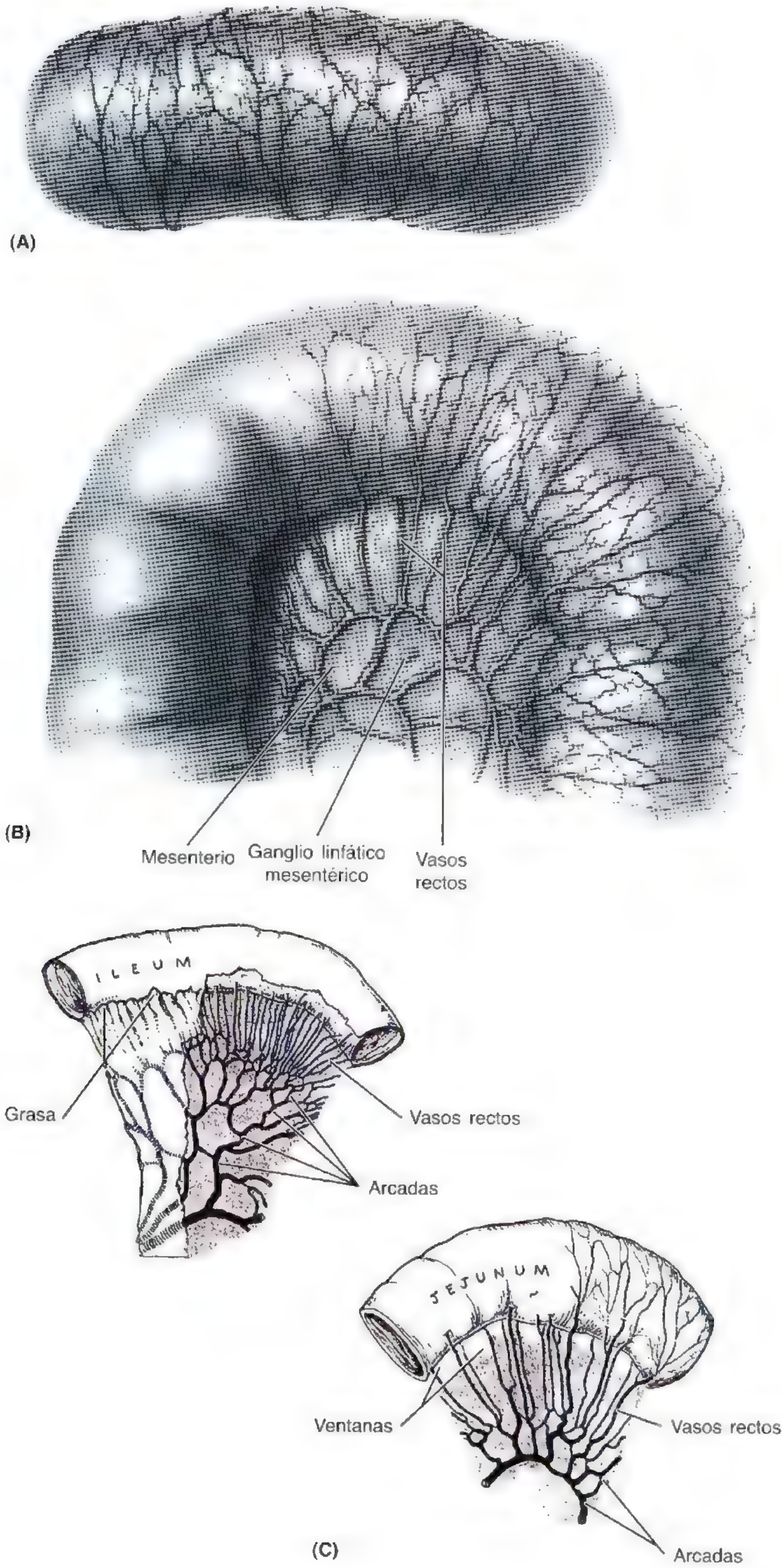
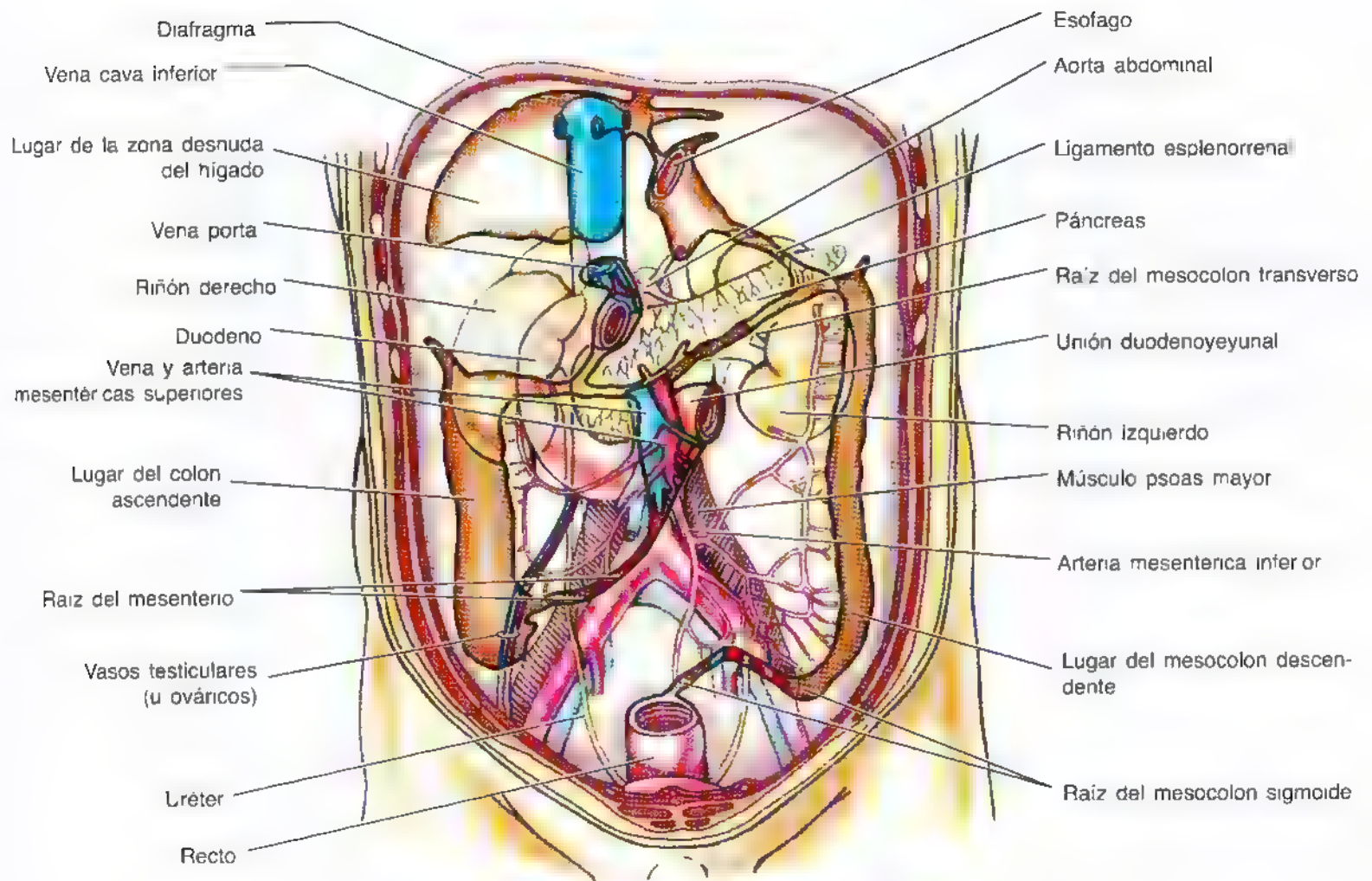
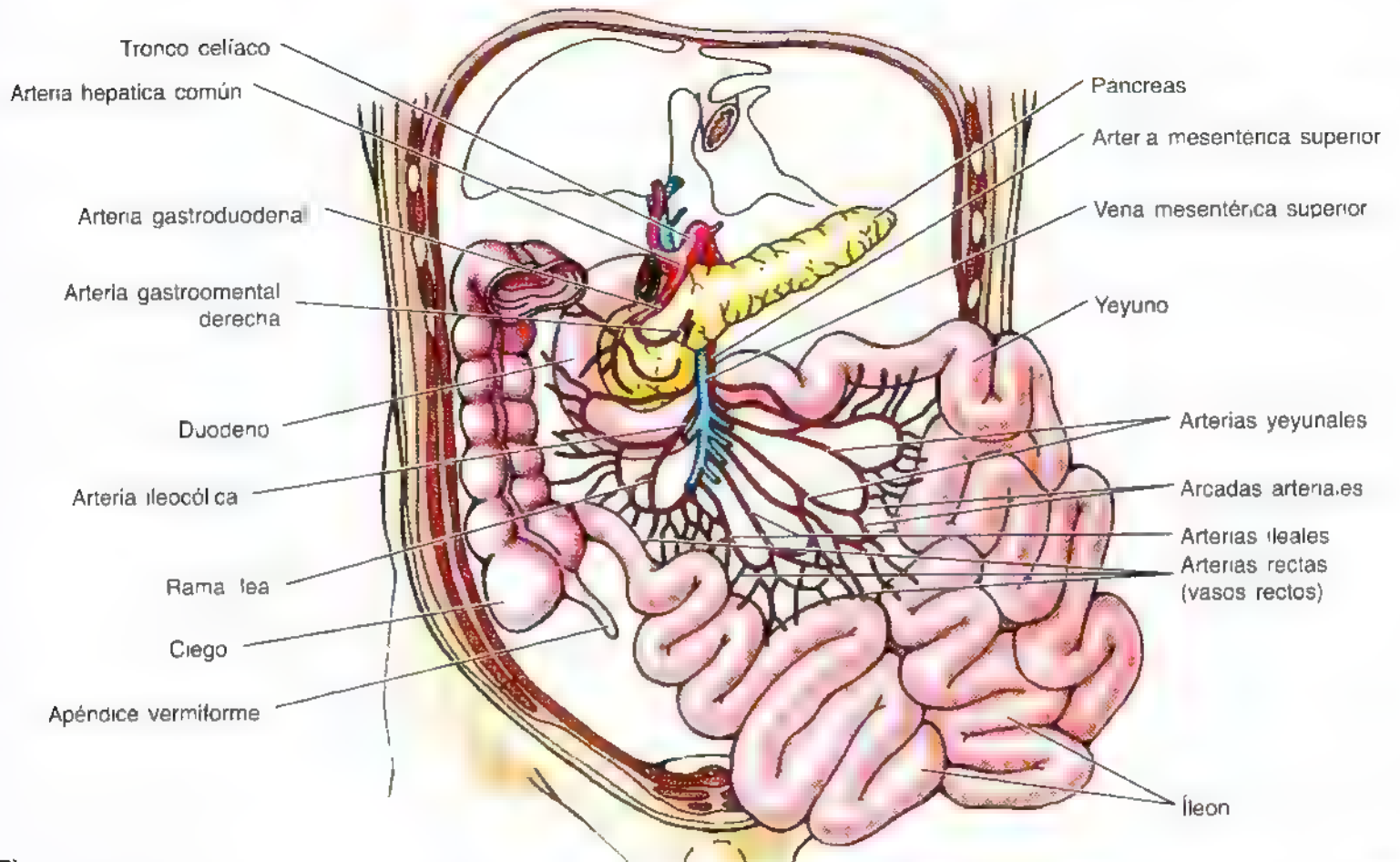


Figura 2.38. (Continuación) **A.** Borde antimesentérico del yeyuno, donde se aprecia la irrigación arterial. **B.** Arterias del mesenterio y de la pared del yeyuno. **C.** Arterias del yeyuno e ileon. Las arcadas arteriales del ileon son más complejas, y los vasos rectos, más cortos que en el yeyuno. **D-F.** Segmentos de yeyuno e ileon que revelan las diferencias de su interior. **D** ilustra los grandes, elevados y densos pliegues circulares del yeyuno proximal. **E** muestra que estos pliegues circulares son bajos y escasean en el ileon proximal. **F** ilustra la ausencia de pliegues circulares en el íleon terminal y la presencia de nódulos linfáticos visibles a través de su pared.



(A)



(B)

Figura 2.39. Irrigación arterial y mesenterio del intestino. **A.** Irrigación arterial de intestino grueso. Las raíces (seccionadas) del mesocolon transverso y del mesocolon sigmoide y el mesenterio del yeyuno e íleon también se muestran. **B.** Irrigación arterial y drenaje venoso del intestino delgado. Obsérvense las arcadas arteriales y las arterias rectas (vasos rectos). Se ve también cómo la arteria mesentérica superior (AMS) perfunde el yeyuno e íleon y cómo la vena mesentérica superior (VMS) lleva la sangre del intestino a la vena porta.

Figura 2.40. Ganglios linfáticos mesentéricos.

Los ganglios linfáticos mesentéricos superiores forman un sistema por el que los ganglios centrales de la raíz de la arteria mesentérica superior (AMS) reciben la linfa de los ganglios linfáticos mesentéricos, ileocólicos y cólicos derechos y medios. Como se ve, el mayor número de ganglios se sitúa adyacente al intestino, y el menor, a lo largo de las arterias. Los vasos eferentes de los ganglios linfáticos celiacos y mesentéricos superiores crean el tronco linfático intestinal, que suele desembocar en el tronco lumbar izquierdo, pero en el 25% de las personas drena a la cisterna del quilo

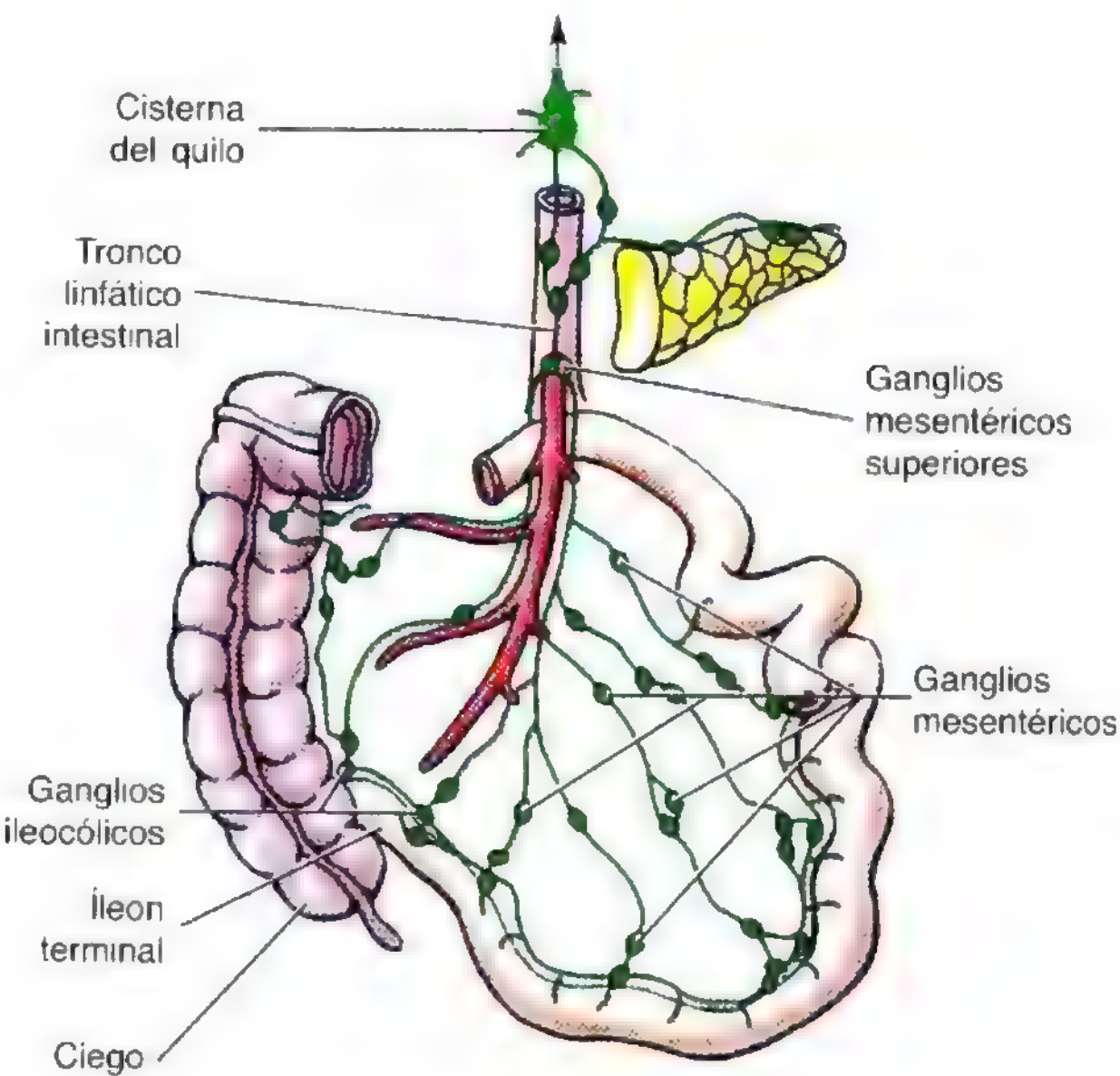


Tabla 2.9. Irrigación arterial de los intestinos

Arteria	Origen	Trayecto	Distribución
Mesentérica superior	Aorta abdominal	Discurre por la raíz del mesenterio hasta la unión ileocecal	Parte del tubo digestivo derivada del intestino medio
Intestinal (n = 15-18)	Arteria mesentérica superior	Pasa entre las dos capas de mesenterio	Yeyuno e íleon
Cólica media	Arteria mesentérica superior	Asciende por el retroperitoneo y discurre entre las capas del mesocolon transversos	Colon transversos
Cólica derecha	Arteria mesentérica superior	Pasa por el retroperitoneo para llegar al colon ascendente	Colon ascendente
Ileocólica	Rama terminal de la arteria mesentérica inferior	Discurre a lo largo de la raíz del mesenterio y la divide en ramas ileales y cólicas	Íleon, ciego y colon ascendente
Apendicular	Arteria ileocólica	Pasa entre las capas del mesoapéndice	Apéndice vermiforme
Mesentérica inferior	Aorta abdominal	Desciende por el retroperitoneo a la izquierda de la aorta abdominal	Irriga parte del tubo digestivo derivado del intestino posterior
Cólica izquierda	Arteria mesentérica inferior	Pasa por el retroperitoneo hacia la izquierda del colon descendente	Colon descendente
Sigmoidea (n = 3-4)	Arteria mesentérica inferior	Pasa por el retroperitoneo hacia la izquierda del colon descendente	Colon descendente y sigmoide
Rectal superior	Rama terminal de la arteria mesentérica inferior	Pasa por el retroperitoneo y desciende por el retroperitoneo hasta el recto	Parte proximal del recto
Rectal media	Arteria iliaca interna	Pasa por el retroperitoneo hasta el recto	Parte media del recto
Rectal inferior	Arteria pudenda interna	Cruza la fosa isquioanal para llegar al recto	Parte distal del recto y conducto anal

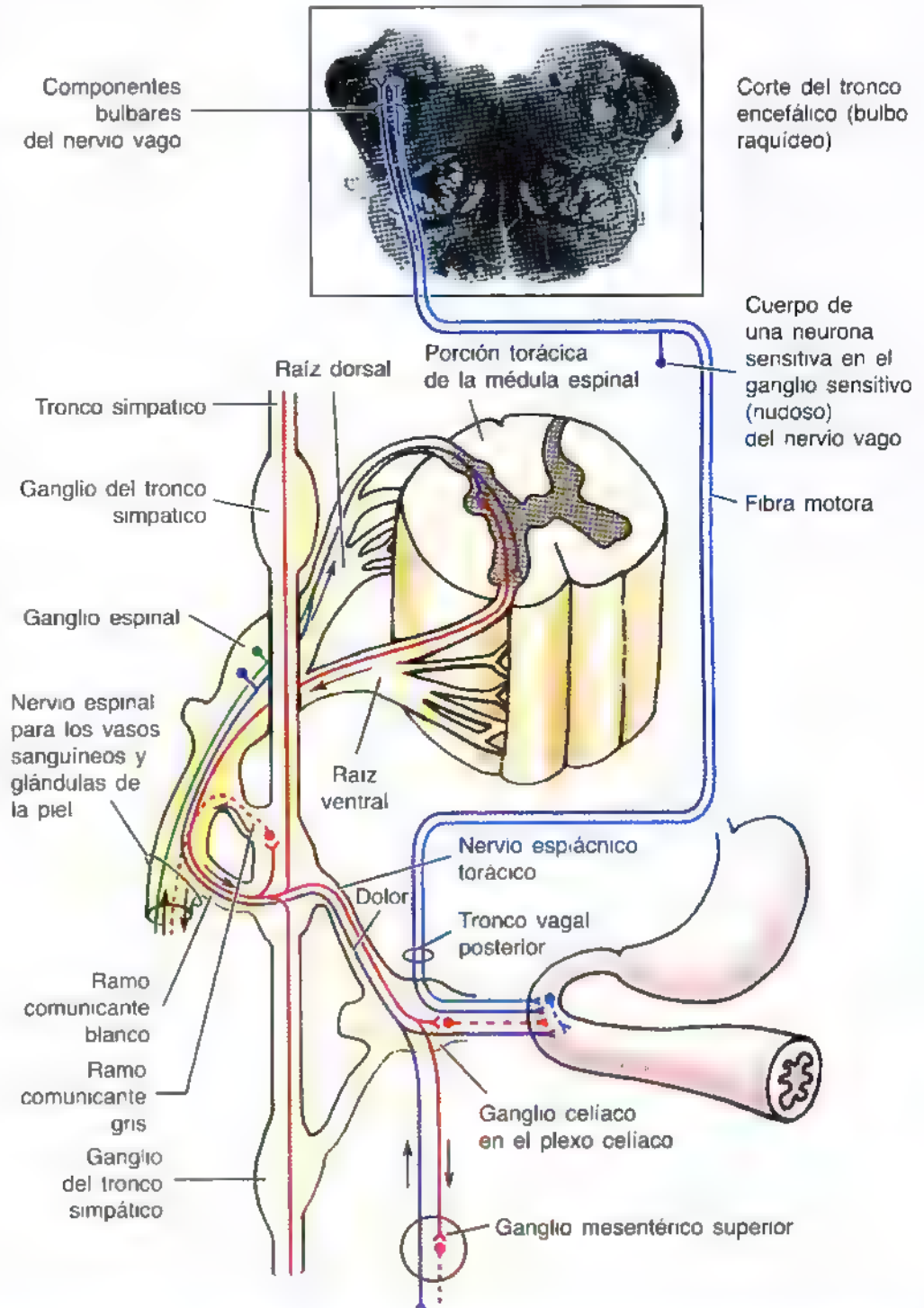
superior (prevertebral). Las fibras parasimpáticas de los nervios que se dirigen al yeyuno y al íleon provienen de los troncos vagales posteriores. Las fibras parasimpáticas presinápticas hacen sinapsis con las neuronas parasimpáticas postsinápticas de los plexos mientérico y submucoso de la pared intestinal.

En general, la estimulación simpática reduce la motilidad y la secreción intestinales y actúa como vasoconstrictor, reduciendo o deteniendo la digestión y disponiendo la san-

gre (y la energía) para "la huida o la lucha". La estimulación parasimpática incrementa la motilidad y la secreción del intestino y restaura la actividad digestiva después de una reacción simpática. El intestino delgado también dispone de fibras sensitivas (aférentes viscerales). El intestino carece de sensibilidad para la mayoría de los estímulos dolorosos, incluida la sección y las quemaduras; sin embargo, responde a la distensión, que se percibe a modo de cólico (dolor espasmódico del abdomen).

Figura 2.41. Inervación del intestino delgado.

Los nervios simpáticos originados en los segmentos medulares T5 a T9 llegan al plexo celíaco a través de los troncos simpáticos y de los nervios espláncnicos mayores. Las fibras simpáticas presinápticas establecen sinapsis en los ganglios celíacos y mesentéricos superiores. Las fibras postsinápticas acompañan a las arterias hasta el intestino. Las fibras aferentes contienen fibras de dolor y fibras relacionadas con la regulación de los movimientos y la secreción. El intestino es insensible a la mayoría de los estímulos dolorosos, incluida la incisión y la quemadura, sin embargo resulta sensible a la distensión, que se percibe como "caambre" o cólico. Los nervios parasimpáticos (vagos) provienen del bulbo raquídeo. Los nervios intestinales derivan del tronco vagal posterior. Las fibras presinápticas establecen sinapsis con las neuronas postsinápticas intrínsecas de la pared intestinal.



Leyendas

Fibras simpáticas

— Presinápticas
 - - - Postsinápticas

Fibras parasimpáticas

— Presinápticas
 - - - Postsinápticas

— Fibras aferentes viscerales
 — Fibras aferentes somáticas

Breve repaso de la embriología intestinal

La disposición del intestino del adulto se explica mejor si se examina el desarrollo embriológico. El intestino primitivo comprende el intestino anterior, el intestino medio y el intestino posterior (Moore y Persaud, 1998). El dolor que se origina en las estructuras derivadas del intestino anterior —esófago, estómago, páncreas, duodeno, hígado y árbol biliar— se localiza en la región epigástrica; el que proviene del intestino medio —intestino delgado distal al conducto colédoco, ciego, apéndice, colon ascendente y la mayor parte del colon transverso— lo hace en la región periumbilical. El dolor que nace de las estructuras del intestino posterior —porción distal del colon transverso, colon descendente, colon sigmoide y recto— se percibe en la región hipogástrica.

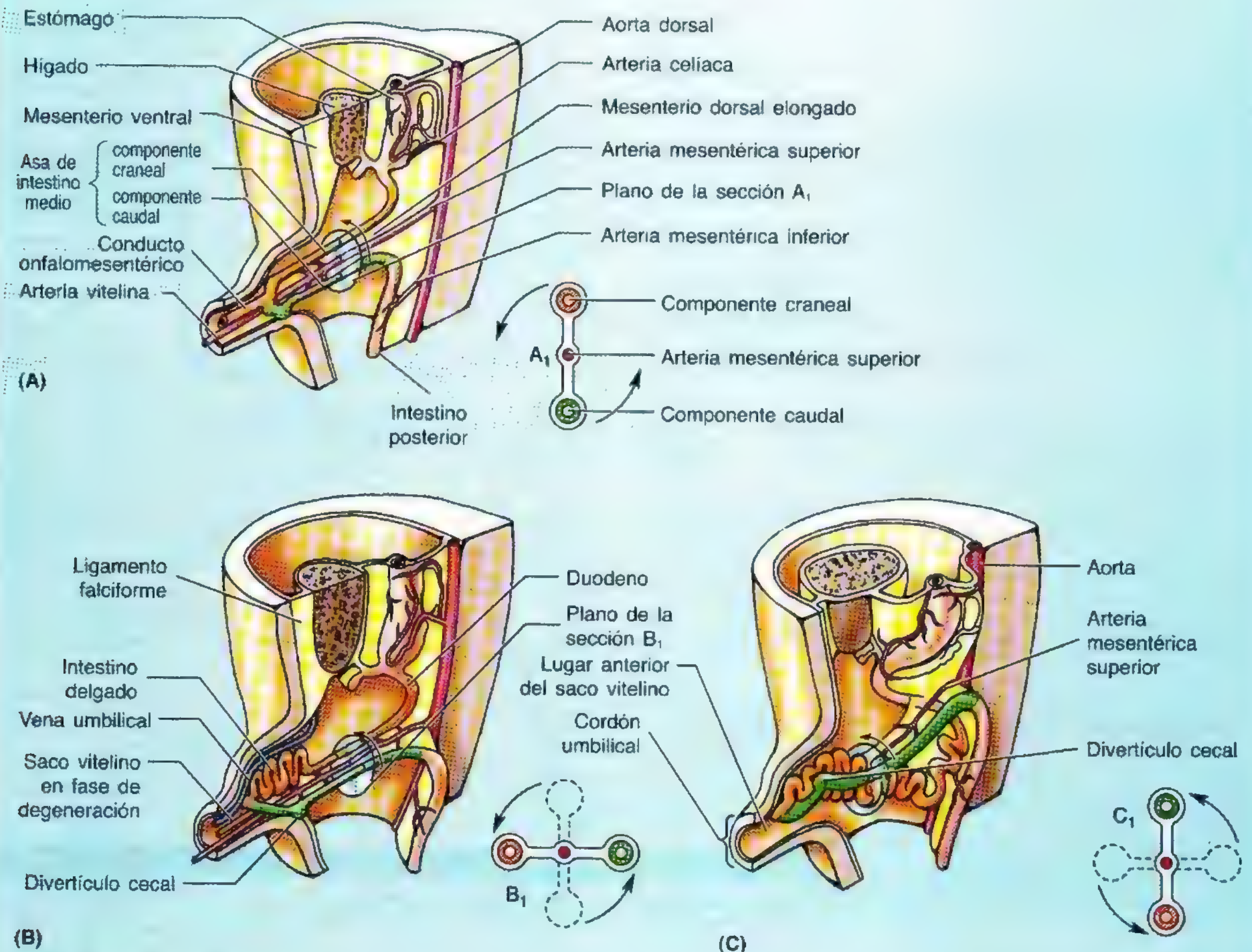
Durante algunas semanas, el intestino medio, en fase de crecimiento rápido, perfundido por la arteria mesentérica superior, se hernia de manera fisiológica en la por-

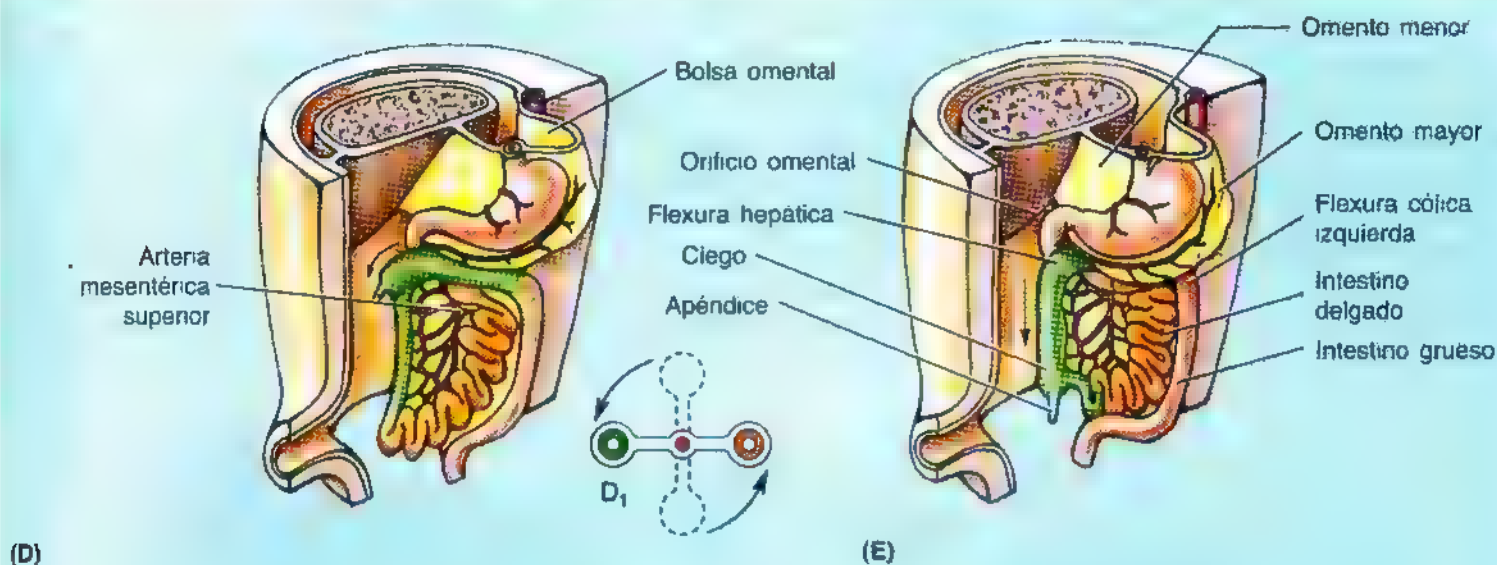
ción proximal del cordón umbilical (A). Se inserta en el saco vitelino a través del conducto onfalomesentérico. A su retorno a la cavidad abdominal, el intestino medio gira 270° alrededor del eje de la arteria mesentérica superior (B-C). Conforme disminuye el tamaño relativo del hígado y de los riñones, el intestino medio regresa a la cavidad peritoneal, porque dispone de más espacios. A medida que las porciones del intestino alcanzan su posición definitiva, sus inserciones mesentéricas se modifican (D-E). Algunos mesenterios se acortan y otros desaparecen (p. ej., casi todo el mesenterio duodenal). La mal rotación del intestino medio causa diversas anomalías congénitas, como vólvulo (torsión) del intestino. Si desea más detalles consulte la obra de Moore y Persaud (1998).

Isquemia intestinal

La obstrucción de los vasos rectos por un émbolo (del G. *émbolos*, que significa tapón) determina una *isquemia* —deficiencia del riego sanguíneo— de la parte afectada ►

Rotación del Intestino medio





► del intestino. Si la isquemia es intensa tiene lugar una necrosis del segmento lesionado e *ileo* (obstrucción del intestino de tipo paralítico). *El ileo se acompaña de dolor cólico agudo*, junto con distensión abdominal, vómitos y, muchas veces, fiebre y deshidratación. Si se diagnostica precozmente este estado (p. ej., mediante una *arteriografía mesentérica superior*) se puede resolver quirúrgicamente la obstrucción vascular.

Divertículo ileal

El divertículo ileal (de Meckel) es una anomalía congénita que se ve en el 1 al 2% de las personas (véase fig. 2.43B).

En general, se trata de un resto de la porción proximal del conducto onfalomesentérico embrionario, que aparece como una bolsa digitiforme (de 3 a 6 cm de longitud). Se sitúa siempre en el borde antimesentérico del íleon —lugar donde se inserta el conducto onfalomesentérico y el borde de inserción del mesenterio—. El divertículo suele localizarse a 40 cm de la unión ileocecal de los lactantes y a 50 cm de la de los adultos, y puede estar libre (74%) o insertarse en el cordón umbilical (26%). El divertículo ileal se puede inflamar y causar dolor, que simula el de una apendicitis. Si desea más comentarios o ilustraciones sobre los distintos tipos de divertículo ileal, véase la fig. 2.43B y las obras de Moore y cols. (1994) y Moore y Persaud (1998).

Intestino grueso

El intestino grueso se compone del **ciego**; el **apéndice**; el **colon** ascendente, transverso, descendente y sigmoide; el **recto** y el **conducto anal** (fig. 2.42). *El intestino grueso se diferencia del delgado por:*

- Las **tenias cólicas**, tres bandas musculares gruesas.
- Las **haustros**, formaciones saculares del colon comprendidas entre las tenias.
- Los **apéndices omentales** (epiploicos), pequeñas proyecciones grasas del omento.
- El **calibre**: el diámetro interno es mucho mayor.

Las tres tenias cólicas (banda de fibras musculares) constituyen la mayor parte del músculo longitudinal del intestino grueso, excepto en el recto. Como las tenias son más cortas que el intestino, el colon tiene la forma sacular característica que adoptan las haustros. *No existen tenias en el apéndice ni en el recto*; éstas comienzan en la base del apéndice y siguen por el intestino grueso hasta la unión recto-sigmoide.

El ciego y el apéndice

El **ciego** —la primera porción del intestino grueso que se continúa con el colon ascendente— es una *bolsa intestinal ciega* (de aproximadamente 7,5 cm de longitud y anchura), ubicada en el cuadrante inferior derecho; se sitúa en la fosa ilíaca, debajo de la unión entre el íleon terminal y el ciego (figs. 2.42 y 2.43, A-D). Si se distiende con heces o gas, el ciego se puede palpar a través de la pared anterolateral del abdomen. El ciego, que suele quedar a 2,5 cm del ligamento inguinal, está envuelto casi en su totalidad por el peritoneo y no se puede levantar libremente; sin embargo, *el ciego no tiene mesenterio*. Debido a esta libertad relativa, puede desplazarse de la fosa ilíaca, pero suele confinarse a la pared lateral del abdomen a través de uno o más **pliegues cecales** de peritoneo (fig. 2.43C). El íleon terminal penetra en el ciego de forma oblicua y, en parte, se invagina en su interior. Tradicionalmente y de acuerdo con estudios cadavéricos, se ha dicho que produce pliegues encima y debajo del **orificio ileocecal**, que forma la **válvula ileocecal** (fig. 2.43A). Estos pliegues se reúnen a los lados formando crestas, el frenillo de la válvula. Cuando se distiende el ciego (y, por definición,

cuando se contrae), el **frenillo** se tensa, cierra la válvula e impide el reflujo del ciego al íleon. Sin embargo, las observaciones directas mediante endoscopia de seres vivos no corroboran esta descripción. El músculo circular está poco desarrollado alrededor del orificio; por tanto, no parece que la válvula ejerza ningún tipo de acción esfinteriana, en el sentido de controlar el tránsito del contenido intestinal del íleon hacia el ciego. El orificio suele encontrarse cerrado por una contracción tónica, pese a que desde el lado cecal adopte una forma papilar. Desde luego, la válvula previene segura-

mente el reflujo del ciego hacia el íleon, puesto que las contracciones impelen el contenido hacia el colon ascendente y transverso (Magee y Dalley, 1986).

El **apéndice** vermiforme (*vermis* significa gusano en latín), un divertículo intestinal ciego (de 6 a 10 cm de longitud), se origina en la cara posteromedial del ciego, debajo de la unión ileocecal. Dispone de un mesenterio triangular corto, el **mesoapéndice**, que proviene de la cara posterior de mesenterio del íleon terminal (fig. 2.42). El mesoapéndice se inserta en el ciego y en la porción proximal del apén-

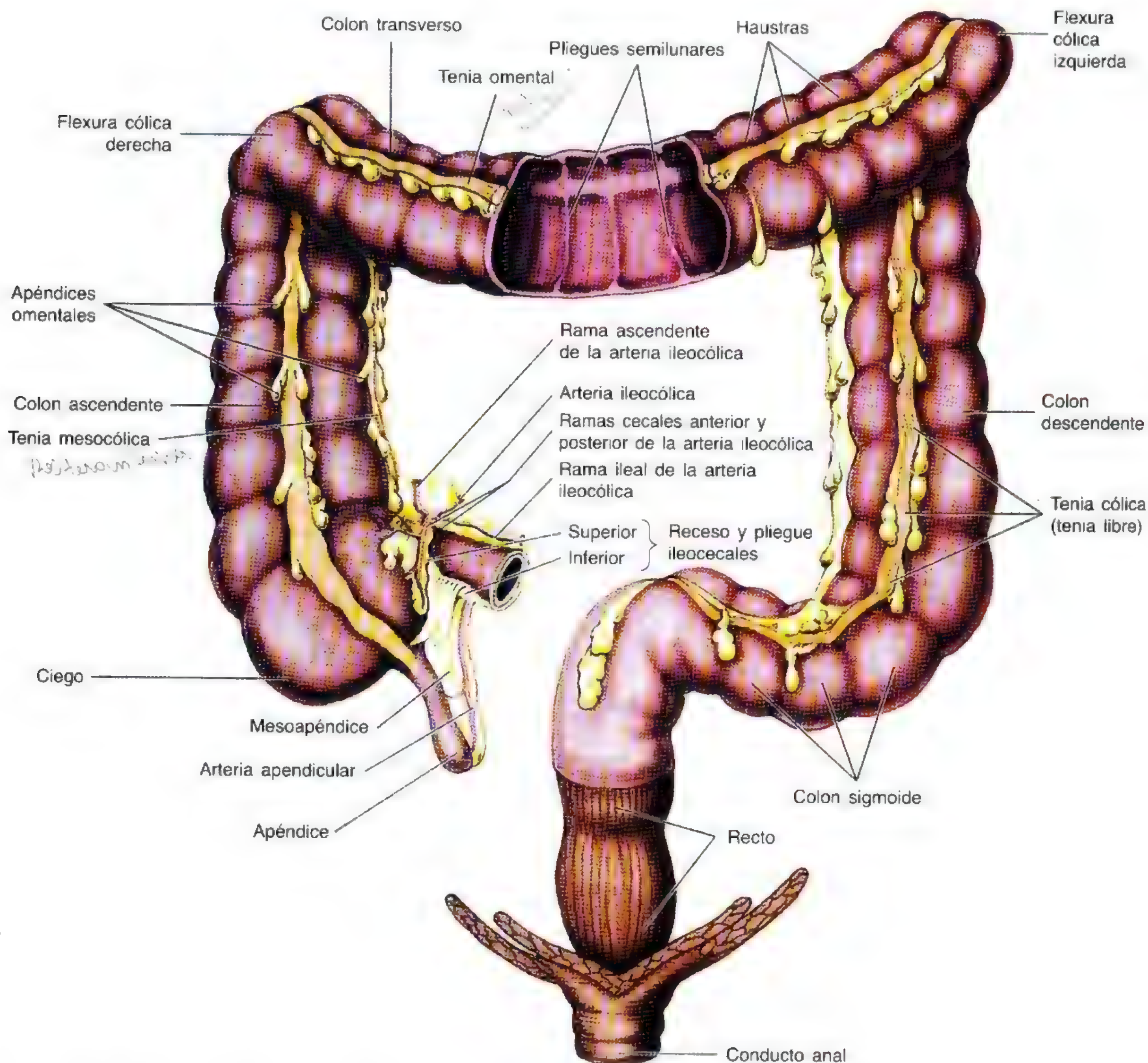


Figura 2.42. Íleon terminal e intestino grueso (se incluye el apéndice). Se ilustran la mucosa, la musculatura, las haustras y los apéndices omentales (epiploicos). Como puede verse, el recto no contiene tenias cólicas (bandas engrosadas de músculo longitudinal) ni apéndices omentales. La túnica muscular longitudinal crea bandas abruptas, difusas, cada vez más anchas, que se tornan en una capa longitudinal continua en el recto. Los apéndices omentales son pequeñas masas adiposas, encerradas por peritoneo, que se extienden desde la superficie externa del colon

dice. La posición de este apéndice varía, aunque de ordinario es retrocecal (fig. 2.43D).

El ciego está irrigado por la **arteria ileocólica**, rama terminal de la arteria mesentérica superior (fig. 2.44A, tabla 2.9). El apéndice está perfundido por la **arteria apendicular**, rama de la arteria ileocólica. Una afluyente de la vena mesentérica superior, la **vena ileocólica**, drena la sangre del ciego y del apéndice (fig. 2.44B).

Los **vasos linfáticos** del ciego y del apéndice drenan en los ganglios linfáticos del mesoapéndice y en los **ganglios linfáticos ileocólicos**, situados a lo largo de la **arteria ileocólica** (fig. 2.45A). Los vasos linfáticos eferentes pasan a los **ganglios linfáticos mesentéricos superiores**.

La **inervación del ciego y del apéndice** deriva de los nervios simpáticos y parasimpáticos del **plexo mesentérico superior** (fig. 2.45B). Las **fibras nerviosas simpáticas** se originan en la porción torácica inferior de la médula espinal, y las **parasimpáticas**, en los nervios vagos. Las fibras nerviosas aferentes del apéndice acompañan a los nervios simpáticos hasta el segmento medular T10.

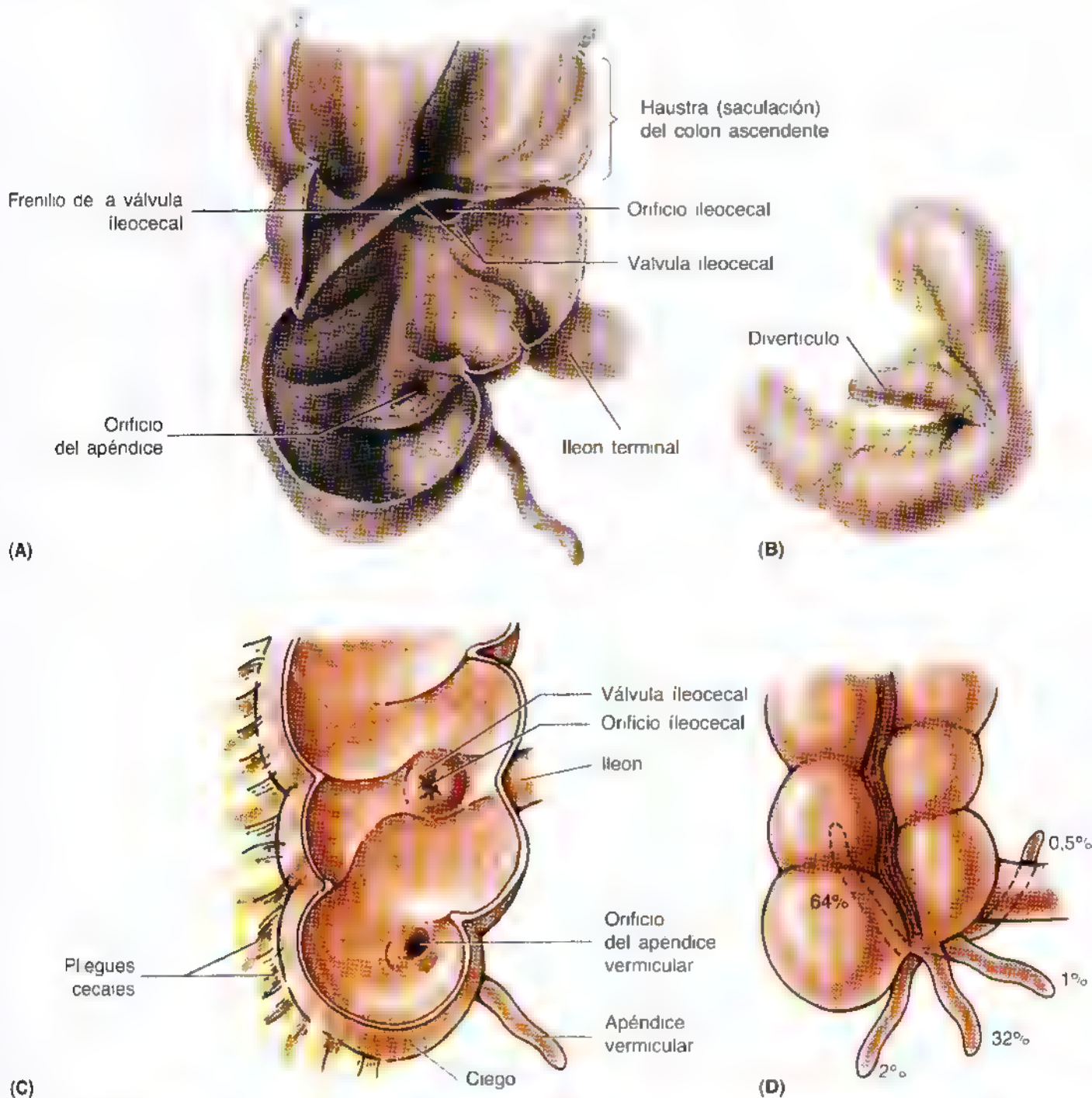
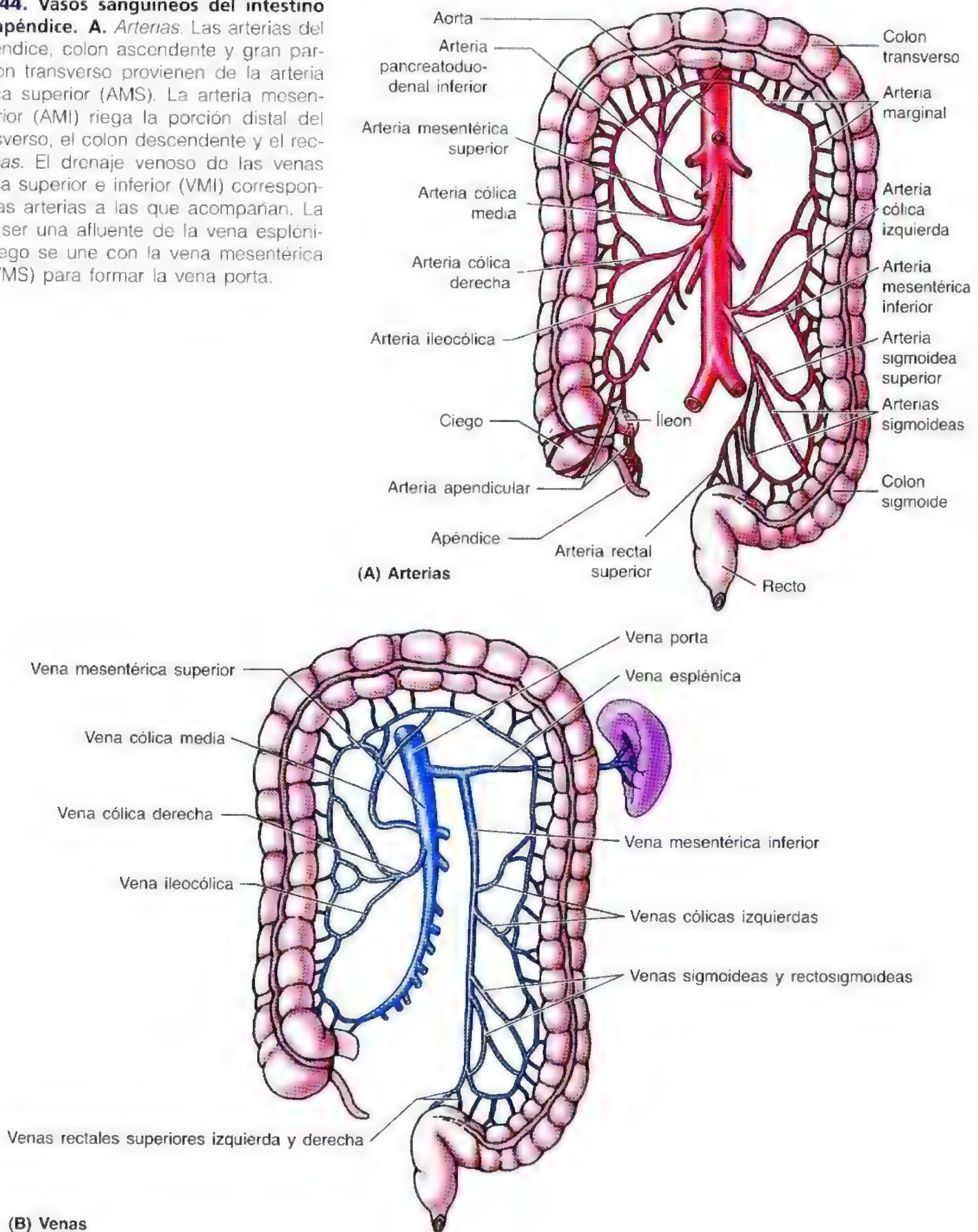
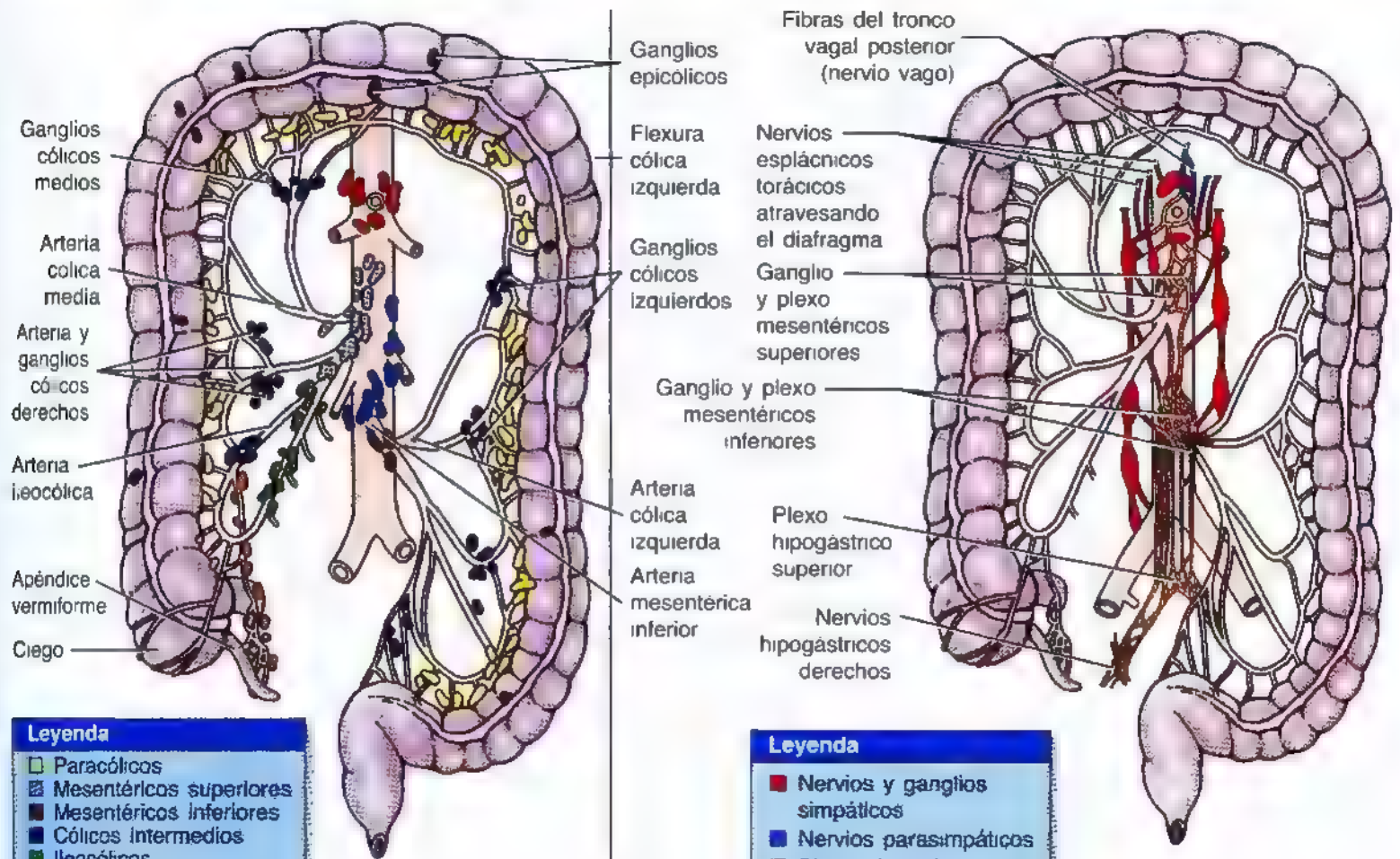


Figura 2.43. Íleon terminal, ciego y apéndice. **A.** El ciego se llenó de aire hasta sacarlo. Se abrió y se barnizó. Se ilustran la válvula ileocecal y el orificio ileocecal. El frenillo es un pliegue que se aprecia mejor en los cadáveres que discurre desde la válvula ileocecal a lo largo de la pared de la unión cecocolica. **B.** Se aprecia un divertículo ileal (divertículo de Meckel) que se proyecta desde el fondo mesentérico del intestino. **C.** Representación de interior del ciego que exhibe el aspecto endoscópico (vivo) de la válvula ileocecal. **D.** Diagrama con la frecuencia aproximada de las distintas localizaciones del apéndice, según un análisis de 10 000 casos.

Figura 2.44. Vasos sanguíneos del intestino grueso y apéndice. A. Arterias. Las arterias del ciego, apéndice, colon ascendente y gran parte del colon transverso provienen de la arteria mesentérica superior (AMS). La arteria mesentérica inferior (AMI) riega la porción distal del colon transverso, el colon descendente y el recto. **B. Venas.** El drenaje venoso de las venas mesentérica superior e inferior (VMI) corresponde al de las arterias a las que acompañan. La VMI suele ser una afluente de la vena esplénica, que luego se une con la vena mesentérica superior (VMS) para formar la vena porta.



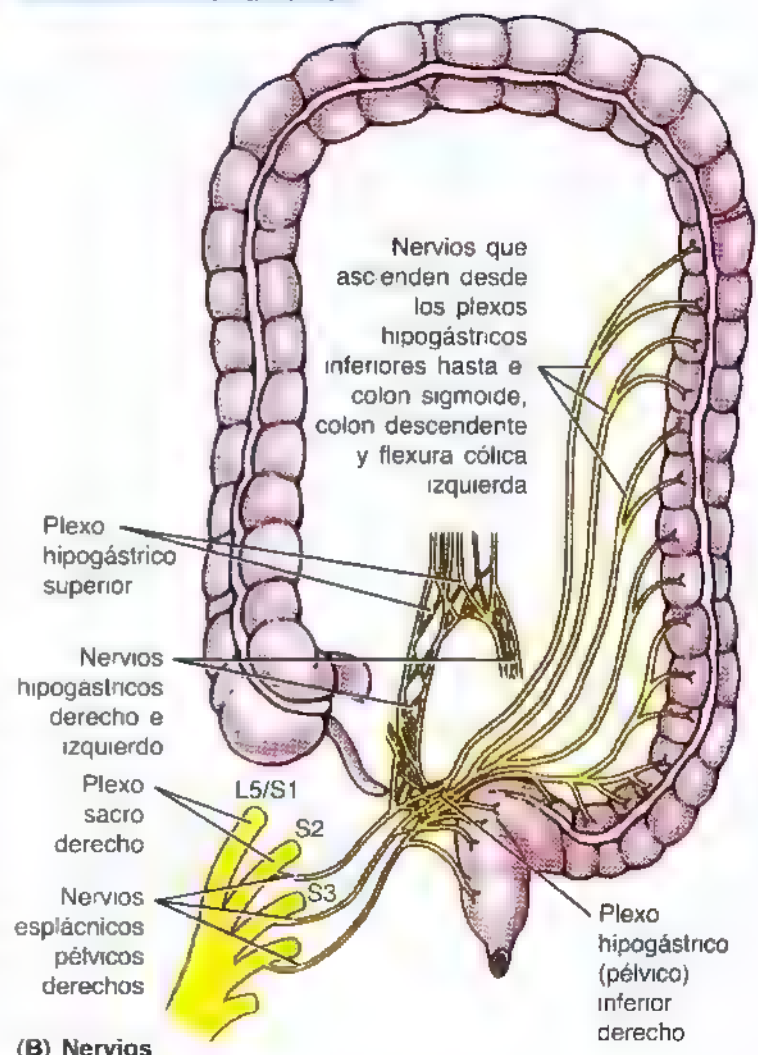


(A) Ganglios linfáticos

Figura 2.45. Linfáticos e inervación del intestino grueso.

A. Ganglios linfáticos Desde cualquier zona del intestino grueso, la linfa fluye de manera secuencial hacia a) los ganglios epicólicos, situados directamente sobre el intestino; b) los ganglios paracólicos, a lo largo del borde mesentérico; c) los ganglios (meso-)cólicos intermedios, a lo largo de las arterias cólicas (ileocólica, cólicas derecha media e izquierda), y luego hasta d) los ganglios mesentéricos superior e inferior, que suelen drenar a troncos intestinales que desembocan en la cisterna del quilo.

B. Nervios. Las fibras presinápticas de los segmentos medulares T10 a L2 pasan por los nervios espláncnicos torácicos y lumbares hasta las neuronas postsinápticas de los ganglios (prevertebrales) superior e inferior. Las fibras simpáticas postsinápticas viajan con las arterias cólicas hasta el intestino. Las fibras parasimpáticas presinápticas de los nervios vagos (NC X) también circulan a lo largo de las arterias cólicas hasta el ciego, el colon ascendente y casi todo el colon transverso. Las fibras parasimpáticas presinápticas de los segmentos S2 a S4 pasan por los nervios espláncnicos de la pelvis hasta los plexos hipogástricos (pélvicos) inferiores, y continúan con los nervios que ascienden de sendos plexos izquierdo y derecho (sólo se muestra el del lado derecho) hasta alcanzar el colon sigmoide, el colon descendente y la mayor parte del colon de la porción distal del colon transverso. Las fibras de dolor de casi todo el intestino grueso siguen a las fibras simpáticas con un trayecto retrógrado, hasta los ganglios sensitivos de los nervios espinales T10 a L2; las fibras de dolor de la porción distal del colon sigmoide y del recto acompañan a las fibras parasimpáticas, por vía retrógrada, hasta los ganglios sensitivos de los nervios espinales S2 a S4.



(B) Nervios

Posición del apéndice

El *apéndice retrocecal* se extiende por la cara superior hasta la flexura cólica derecha y suele quedar libre; no obstante, a veces se encuentra debajo de la cubierta peritoneal del ciego, donde suele unirse a él, o en la pared posterior del abdomen. El apéndice puede proyectarse hacia abajo o atravesar el estrecho superior de la pelvis. La posición anatómica del apéndice determina los síntomas y el lugar del espasmo muscular, así como del dolor cuando se inflama el apéndice. La base del apéndice radica en la profundidad de un punto que queda a un tercio de la línea oblicua que une la espina iliaca anterosuperior con el ombligo (*punto espinoumbilical* o de *McBurney*).

Apendicitis

La inflamación aguda del apéndice constituye una causa frecuente de *abdomen agudo*, es decir, de dolor abdominal intenso y repentino. La compresión digital sobre el punto espinoumbilical (McBurney) incita el dolor muscular abdominal más intenso. La apendicitis de los jóvenes suele obedecer a hiperplasia de los folículos linfáticos del apéndice, que obstruye la luz. En las personas mayores, la obstrucción se debe de ordinario a un *fecalito* (coprolito), una concreción que se forma alrededor de un núcleo de materia fecal. Cuando las secreciones del apéndice no pueden salir, el apéndice se hincha y estira el peritoneo visceral. El dolor de la apendicitis suele empezar de manera vaga en la región periumbilical, porque las fibras aferentes del dolor penetran en la médula espinal a la altura de T10. Luego, el dolor se intensifica en el cuadrante inferior derecho por la irritación del peritoneo parietal, que tapiza la pared posterior del abdomen. Al extender el muslo sobre la cadera se desencadena el dolor.

La infección aguda del apéndice puede provocar *trombosis* (coagulación de la sangre) de la arteria apendicular, con la consiguiente isquemia, gangrena (muerte hística) y perforación del apéndice con inflamación aguda. La **rotura del apéndice** da lugar a una infección del peritoneo (*peritonitis*), aumento del dolor abdominal, náuseas y vómitos y *rigidez* (muscular) *abdominal*. La flexión del muslo derecho mejora el dolor porque relaja el músculo psoas derecho, que flexiona el muslo por la cadera.

Apendicectomía

El apéndice se suele extirpar a través de una incisión en parrilla (con separación de los músculos), centrada en el punto de McBurney del cuadrante inferior derecho. La incisión se suele efectuar en este punto, perpendicular a la línea que une la espina iliaca anterosuperior con el ombligo (pág. 192). El cirujano puede elegir el lugar de incisión. La descripción siguiente se refiere a la anatomía clínica de la apendicectomía y no a la técnica. Si no se ve bien el apéndice se sigue una de las tenias cólicas, hasta llegar a su base. El apéndice nace de la convergencia de las tres tenias cólicas. Tras la incisión de la piel se incide la aponeurosis del oblicuo externo siguiendo las líneas de sus fibras. Luego se procede a la misma altura de los músculos oblicuo interno y transversal del abdomen y del peritoneo. Se lleva el ciego dentro de la herida quirúrgica y se liga con firmeza y secciona el mesoapéndice que contiene los vasos apendiculares. La base del apéndice se ata, se extirpa el apéndice y se cauteriza, de ordinario, su muñón, que se invagina en el ciego. Luego se cierra la incisión por capas. Para más detalles sobre la apendicectomía consulte algún tratado quirúrgico, como el de Sabiston y Lierly (1994) o el de Skandalakis y cols. (1995).

En los raros casos de *malrotación intestinal* o fracaso para el descenso del ciego, el apéndice no se encuentra en el cuadrante inferior derecho (Moore y Persaud, 1998). Si el ciego se eleva (*ciego subhepático*), el apéndice queda en la región hipocondríaca derecha y el dolor se localiza ahí, pero no en el cuadrante inferior derecho.

Laparoscopia

Ante un diagnóstico poco claro, el examen del contenido abdominal con un *laparoscopia*, que se introduce por una pequeña incisión de la pared anterolateral del abdomen, resulta muy útil para diferenciar la apendicitis aguda de otras causas de dolor abdominal, incluida la enfermedad pélvica inflamatoria (Sabiston y Lierly, 1994). Los ginecólogos han utilizado desde hace muchos años la laparoscopia para examinar el dolor hipogástrico agudo (Soper, 1993). Además, la laparoscopia se emplea para extirpar la vesícula biliar y el apéndice y para tratar la obstrucción abdominal. +

Colon

El colon se describe en cuatro partes —ascendente, transversal, descendente y sigmoide—, que se suceden formando un arco (fig. 2.42). El colon se sitúa primero a la derecha del intestino delgado; luego, por encima y delante; después, a la izquierda, y, por último, por debajo.

El **colon ascendente** —la segunda porción del intestino grueso— se extiende por la parte superior, a la derecha de la cavidad abdominal, desde el ciego hasta el lóbulo derecho

del hígado (fig. 2.42), donde gira a la izquierda en la **flexura cólica derecha** (flexura hepática). El colon ascendente es más estrecho que el ciego y se encuentra en un *plano retroperitoneal*, a la derecha de la pared posterior del abdomen. El colon ascendente está cubierto de peritoneo por delante y a los lados, aunque dispone de un mesenterio corto en cerca de un 25% de las personas. El colon ascendente se separa de la pared anterolateral del abdomen por el omento mayor.

De la **irrigación arterial** del colon ascendente y de la flexura cólica derecha se encargan ramas de la arteria mesentérica superior, las **arterias ileocólica y cólica derecha** (fig. 2.44A, tabla 2.9). La rama derecha de la arteria cólica media suele anastomosarse con la arteria cólica derecha. Las afluentes de la vena mesentérica superior, las **venas ileocólica y cólica derecha**, drenan la sangre del colon ascendente (fig. 2.44B). Los vasos linfáticos drenan primero la linfa en los **ganglios linfáticos epicólico y paracólico**; luego, en los **ileocólicos y cólico derecho intermedio**, y, por último, en los **mesentéricos superiores** (fig. 2.45A). Los nervios para el colon ascendente llegan desde el **plexo nervioso mesentérico superior** (fig. 2.45B).

Colon ascendente móvil

Si la porción inferior del colon ascendente cuenta con mesenterio, el ciego y la porción proximal del colon se mueven de manera anormal. Este estado, que afecta aproximadamente al 11% de los sujetos, puede determinar un **vólvulo del colon**, es decir, una obstrucción del íleon causada por la torsión. La **cecopexia** evita el vólvulo y la posible obstrucción cólica. Durante este procedimiento de fijación se sutura una tenia cólica del ciego y de la porción proximal del colon ascendente a la pared abdominal. ○

El **colon transverso** (mide aproximadamente 45 cm de longitud) es la porción más grande y móvil del intestino grueso (fig. 2.42). Cruza el abdomen desde la **flexura cólica derecha** hasta la **flexura cólica izquierda**, donde se dobla hacia abajo, transformándose en el colon descendente. La **flexura cólica izquierda** (flexura esplénica) —de ordinario, más superior, aguda y menos móvil que la flexura cólica derecha— se sitúa delante de la porción inferior del riñón izquierdo y se inserta en el diafragma a través del **ligamento frenicocólico** (fig. 2.22). El mesenterio del colon transverso —**mesocolon transverso**— hace un bucle descendente, casi siempre debajo de las crestas ilíacas, y se adhiere o une a la pared posterior de la bolsa omental. La **raíz del mesocolon transverso** (fig. 2.39A) se sitúa a lo largo del borde inferior del páncreas y se continúa con el peritoneo parietal por la cara posterior. Como el colon transverso se mueve con toda libertad, su posición varía, pero suele colgar a la altura del ombligo. De todas maneras, en las personas altas y delgadas el colon transverso puede sumergirse dentro de la pelvis.

La **irrigación arterial del colon transverso** deriva sobre todo de la **arteria cólica media** (fig. 2.44A, tabla 2.9), rama de la arteria mesentérica superior; sin embargo, también recibe irrigación de las **arterias cólicas derecha e izquierda**. El **drenaje venoso del colon transverso** corre a cargo de la **vena mesentérica superior**. Del **drenaje linfático del colon transverso** se encargan los **ganglios linfáticos cólicos medios**, que, a su vez, drenan a los **ganglios linfáticos mesentéricos**

superiores (fig. 2.45A). Los **nervios del colon transverso** proceden del **plexo mesentérico superior** y siguen a las arterias cólicas derecha y media (fig. 2.45B). Estos nervios transmiten fibras nerviosas simpáticas y parasimpáticas (vagales). Los **nervios** que derivan del **plexo mesentérico inferior** acompañan a la arteria cólica izquierda.

El **colon descendente** sigue un trayecto retroperitoneal desde la flexura cólica izquierda hasta la fosa ilíaca izquierda, donde se continúa con el colon sigmoide (fig. 2.42). El peritoneo cubre el colon por delante y a los lados y lo une a la pared posterior del abdomen. Pese a que el colon descendente, sobre todo el de la fosa ilíaca, es un órgano retroperitoneal, un 33% de las personas tienen un mesenterio corto; no obstante, no suele medir lo suficiente para determinar un vólvulo del colon. Mientras desciende, el colon pasa delante del borde lateral del riñón izquierdo. Como sucede con el colon ascendente, el colon descendente tiene un canal paracólico en su cara lateral.

El **colon sigmoide** se caracteriza por un asa en forma de S, de longitud variable (suele medir 40 cm), y une el colon descendente con el recto (fig. 2.42). El colon sigmoide se extiende desde la fosa ilíaca hasta el tercer segmento sacro, donde se une al recto. La terminación de las tenias cólicas, a unos 15 cm del ano, indica la **unión rectosigmoide**. El colon sigmoide suele disponer de un mesenterio largo y, por tanto, de una gran libertad de movimientos, sobre todo en su porción media. La **raíz del mesocolon sigmoide** tiene una inserción en forma de V invertida, que se extiende primero medial y superior por los vasos ilíacos externos y después medial e inferior, desde la bifurcación de los vasos ilíacos comunes hasta la cara anterior del sacro. El **uréter izquierdo** y la división de la arteria ilíaca común izquierda se sitúan retroperitoneales y posteriores al vértice de la raíz del mesocolon sigmoide. Los **apéndices omentales** del colon sigmoide son largos; desaparecen cuando termina el mesenterio sigmoide (fig. 2.42). Las tenias cólicas también desaparecen a medida que el músculo longitudinal de la pared del colon se ensancha para crear una capa completa en el recto.

La **irrigación arterial del colon descendente y sigmoide** proviene de las **arterias cólica izquierda y sigmoide superior**, ramas de la **arteria mesentérica inferior** (fig. 2.44A, tabla 2.9). Las arterias sigmoides descienden de manera oblicua a la izquierda y se dividen en las ramas ascendente y descendente. La rama más superior de la arteria sigmoide superior se anastomosa con la rama descendente de la arteria cólica izquierda y forma parte de la arteria marginal del colon. La **vena mesentérica inferior** (VMI) retorna la sangre del colon descendente y sigmoide y desemboca en la vena esplénica, y luego, en la vena porta, que termina en el hígado.

Los **vasos linfáticos del colon descendente y sigmoide** pasan a los ganglios epicólico y paracólico, y luego, a través de los **ganglios cólicos intermedios**, situados a lo largo de la arteria cólica izquierda (fig. 2.45A). Desde aquí, la linfa llega a los **ganglios mesentéricos inferiores** que rodean la arteria mesentérica inferior. Sin embargo, la linfa de la flexura có-

lica izquierda puede también drenar a los **ganglios mesentéricos superiores**.

La *inervación simpática del colon descendente y sigmoide* deriva de la porción lumbar del tronco simpático y del **plexo hipogástrico superior**, a través de los plexos situados en la arteria mesentérica inferior y en sus ramas (fig. 2.45B). La *inervación parasimpática* proviene de los **nervios esplácnicos de la pelvis**.

Colitis, colectomía, ileostomía y colostomía

La inflamación crónica del colon (*colitis ulcerosa*) se caracteriza por una inflamación y ulceración intensas del colon y del recto. La *colectomía* de algunos pacientes consiste en extirpar el íleon terminal y el colon, y también el recto y el conducto anal. Luego se construye una *ileostomía* para crear una comunicación entre el íleon y la piel de la pared anterolateral del abdomen. A veces se efectúa una *colostomía* para crear una comunicación entre el colon y un orificio artificial de la piel. La *sigmoidostomía* crea un ano artificial, esta-

Recto y conducto anal

El recto —la porción terminal fija del intestino grueso— se continúa con el colon sigmoide a la altura de la vértebra S3. Se unen por el extremo inferior del mesenterio del colon sigmoide (fig. 2.42). El recto se continúa en la cara inferior con el conducto anal. Estas porciones del intestino grueso se describen, junto con la pelvis, en el capítulo 3.

bleciendo una comunicación cutánea con el colon sigmoide.

Colonoscopia (coloscopia)

El interior del colon se puede observar con un endoscopio elongado, casi siempre un *colonoscopio* de fibra óptica. El endoscopio es un tubo flexible que se introduce por el colon hasta el ano y recto. La mayoría de los tumores del intestino grueso ocurre en el recto; aproximadamente el 12% de ellos aparecen cerca de la unión rectosigmoidea. El interior del colon sigmoide se puede ver con un *sigmoidoscopio*. ➔

El bazo

El bazo, el mayor de los órganos linfáticos, es una estructura móvil. De color habitualmente púrpura, el bazo adopta una posición intraperitoneal en el cuadrante superoizquierdo del abdomen (figs. 2.46 y 2.47). El bazo está totalmente rodeado de peritoneo, salvo por el **hilio**, donde las ramas esplénicas de la arteria y vena esplénicas entran y salen. Por la cara posterior se relaciona con la 9ª a 11ª costillas izquierdas, de las que se separa por el diafragma y el *receso costodiafragmático*, prolongación a modo de hendidura de la cavidad pleural entre el diafragma y la parte inferior de la caja torácica (véase el capítulo 1). El bazo no suele descender más allá de la región costal, sino que reposa en la flexura cólica izquierda. **El bazo se relaciona:**

- Con el estómago por la cara anterior.
- Con la porción izquierda del diafragma, que lo separa de la pleura, pulmón y 9ª a 11ª costillas por la cara posterior.
- Con la flexura cólica izquierda por la cara inferior.
- Con el riñón izquierdo por la cara medial.

El tamaño, el peso y la forma del bazo varían mucho; sin embargo, suele medir 12 cm de longitud y 7 cm de anchura, es decir, adopta más o menos el tamaño y la forma del puño cerrado.

La *cara diafragmática del bazo* tiene una curva convexa que se adapta a la concavidad del diafragma. Los bordes anterior y superior del bazo son nítidos y, a menudo, mella-

dos, mientras que los bordes posterior e inferior se encuentran redondeados.

De ordinario, el bazo contiene una gran cantidad de sangre, que se expulsa periódicamente a la circulación por el efecto del músculo liso de su cápsula y de las trabéculas. El gran tamaño de la arteria (o vena) esplénica revela el volumen de sangre que atraviesa los capilares y senos del bazo.

La fina *cápsula del bazo* se compone de tejido conjuntivo fibroelástico denso e irregular, con alguna célula muscular lisa. La cápsula está engrosada en el hilio esplénico. Las *trabéculas* internas, que nacen de la cara profunda de la cápsula, transportan vasos sanguíneos hacia y desde el parénquima o “pulpa” esplénica (sustancia del bazo).

El bazo hace contacto con la pared posterior del estómago y se comunica con su curvatura mayor a través del **ligamento gastroesplénico**, así como con el riñón izquierdo por el **ligamento esplenorrenal** (pág. 221). Estos ligamentos, que contienen vasos esplénicos, se insertan en el hilio esplénico por la cara medial. Salvo el hilio, donde tienen lugar estas reflexiones peritoneales, el bazo está íntimamente revestido de peritoneo. El **hilio esplénico** suele establecer contacto con la cola del páncreas y representa el límite izquierdo de la bolsa omental.

La **arteria esplénica** —la rama mayor del tronco celíaco— sigue un curso tortuoso, posterior a la bolsa omental, anterior al riñón izquierdo y a lo largo del borde superior del páncreas (figs. 2.47A y 2.48A). Entre las capas del ligamento

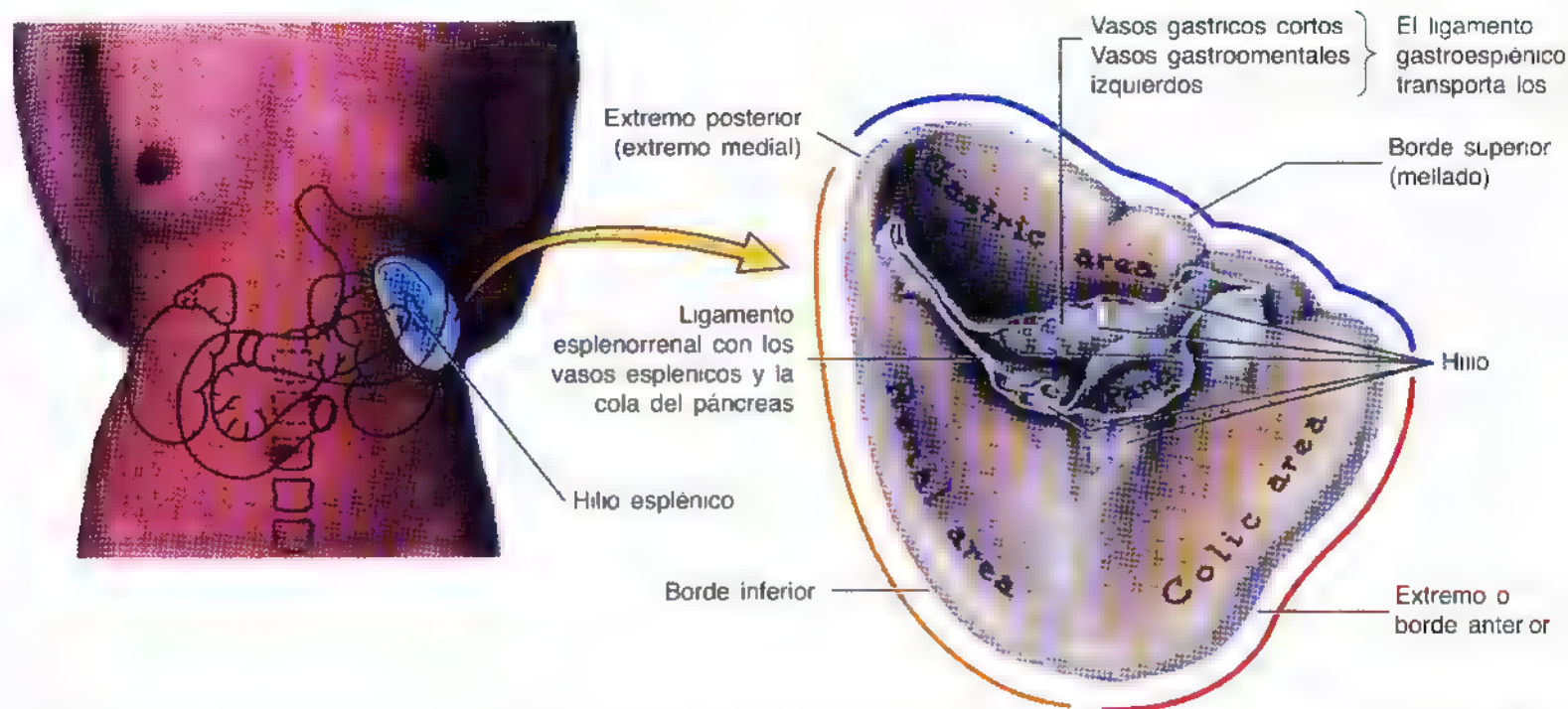


Figura 2.46. Cara visceral del bazo. La ilustración de la izquierda se ofrece a modo de orientación y presenta la anatomía de superficie del bazo y de los órganos relacionados. Observense las escotaduras características del borde superior y las impresiones creadas por las estructuras que contactan con el bazo (Panc = páncreas).

esplenorrenal, la arteria esplénica se divide en cinco o más ramas que penetran por el hilio. La ausencia de anastomosis de los vasos arteriales del bazo explica la formación de segmentos vasculares –dos en el 84% de los bazos y tres en el resto– con planos avasculares interpuestos.

La **vena esplénica** se forma por varias afluentes que emergen del hilio (figs. 2.47A y 2.48B). Se une a la vena mesentérica inferior y viaja detrás del cuerpo y la cola del páncreas en la mayor parte de su trayecto. La vena esplénica se

une con la vena mesentérica superior, detrás del cuello del páncreas, para formar la **vena porta**.

Los **vasos linfáticos esplénicos** abandonan los ganglios linfáticos del hilio y llegan hasta los **ganglios pancreatoesplénicos** (fig. 2.49A). Éstos se relacionan con la cara posterior y borde superior del páncreas. Los **nervios del bazo** derivan del **plexo celiaco** (fig. 2.49B), se distribuyen sobre todo por las ramas de la arteria esplénica y cumplen una función vasomotora.

Rotura del bazo

El bazo, aunque bien protegido por la 9ª a la 12ª costillas, es el órgano abdominal que más veces se lesiona cuando un traumatismo intenso sobre el lado izquierdo causa la fractura de una o más de la 9ª a la 12ª costillas. Las contusiones sobre otras regiones del abdomen que provocan un aumento brusco y llamativo de la presión intrabdominal (p. ej., el impacto contra el volante del automóvil o los manillares de la bicicleta) también pueden romper el bazo. El bazo, cuando se rompe, sangra mucho, porque su cápsula es fina, y el parénquima, blando y pulposo. La rotura del bazo provoca una hemorragia intraperitoneal intensa y *shock*.

Esplenectomía

La reparación del bazo roto es muy complicada y, por eso, a menudo se procede a la esplenectomía para evitar que la persona fallezca desangrada. La extirpación parcial del bazo se sigue de una regeneración rápida. De hecho,

la esplenectomía total no provoca efectos graves, sobre todo en los adultos, porque se cree que las funciones del bazo son asumidas por otros órganos reticuloendoteliales. Cuando el bazo sufre una enfermedad, por ejemplo una leucemia granulocítica (aumento de leucocitos), su tamaño puede multiplicarse por 10 o más (*esplenomegalia*: aumento del tamaño del bazo).

Bazo/s accesorio/s

Cerca del hilio pueden aparecer uno o más bazos de pequeño tamaño, que se alojan en parte o en su totalidad en la cola del páncreas. En la mayoría de las personas afectadas sólo se ve un bazo accesorio que, por fuera, parece un ganglio linfático. Los bazos accesorios ocurren a menudo (10%) y suelen tener un diámetro de 1 cm (varía de 0,2 a 10 cm). Asimismo, es frecuente que el bazo accesorio se localice entre las capas del ligamento gastroesplénico. El conocimiento de la posible presencia del bazo accesorio tiene interés porque, si no se extirpa mediante ▶

- esplenectomía, pueden persistir los síntomas que motivaron la extirpación (p. ej., *anemia de origen esplénico*).

Biopsia esplénica con aguja y esplenopografía

La relación del receso costodiafrágico de la cavidad pleural con el bazo tiene interés clínico (véase el capítulo 1).

Este espacio virtual desciende hasta la altura de la 10ª costilla en la línea axilar media. Su existencia debe recordarse para la *biopsia esplénica con aguja* o para la inyección de material radiopaco en el bazo, con el fin de visualizar la vena porta (*esplenopografía*). Si no se tiene cuidado, este material puede pasar a la cavidad pleural e inducir una *pleuritis* (inflamación de la pleura). ◉

Páncreas

El páncreas —una glándula digestiva accesoria y elongada— tiene una posición retroperitoneal y cruza transversalmente la pared posterior del abdomen, detrás del estómago, entre el duodeno, a la derecha, y el bazo, a la izquierda (fig. 2.47). El mesocolon transversal se inserta en su borde anterior. El páncreas produce:

- Una secreción exocrina (*jugo pancreático* de las células acinares) que penetra en el duodeno por los conductos pancreáticos principal y accesorio.
- Secreciones endocrinas (*glucagón* e *insulina* de los islotes pancreáticos [de Langerhans]) que pasan a la sangre (fig. 2.47D).

A efectos descriptivos, el páncreas se divide en cuatro zonas: cabeza, cuello, cuerpo y cola.

La **cabeza del páncreas** —la porción expandida de la glándula— está abrazada por la curva en C del duodeno, situado a la derecha de los vasos mesentéricos superiores. La cabeza se inserta de manera firme en la cara medial de las porciones descendente y horizontal del duodeno. El **gancho**, una proyección de la parte inferior de la cabeza, se extiende medialmente a la izquierda, posterior a la arteria mesentérica superior (fig. 2.48). La cabeza del páncreas reposa por la cara posterior sobre:

- La vena cava inferior.
- La arteria y venas renales derechas.
- La vena renal izquierda.

En su camino para abrirse en la porción descendente del duodeno, el **conducto biliar** radica en un surco de la cara posterosuperior de la cabeza o se embute dentro de ella (fig. 2.47B).

El **cuello del páncreas** es corto (1,5-2 cm) y oculta los vasos mesentéricos superiores, que forman un surco en su cara posterior (fig. 2.36, B-C). La cara anterior del cuello, revestida de peritoneo, se encuentra adyacente al **píloro** gástrico. La vena mesentérica superior se une a la esplénica detrás del cuello para formar la vena porta.

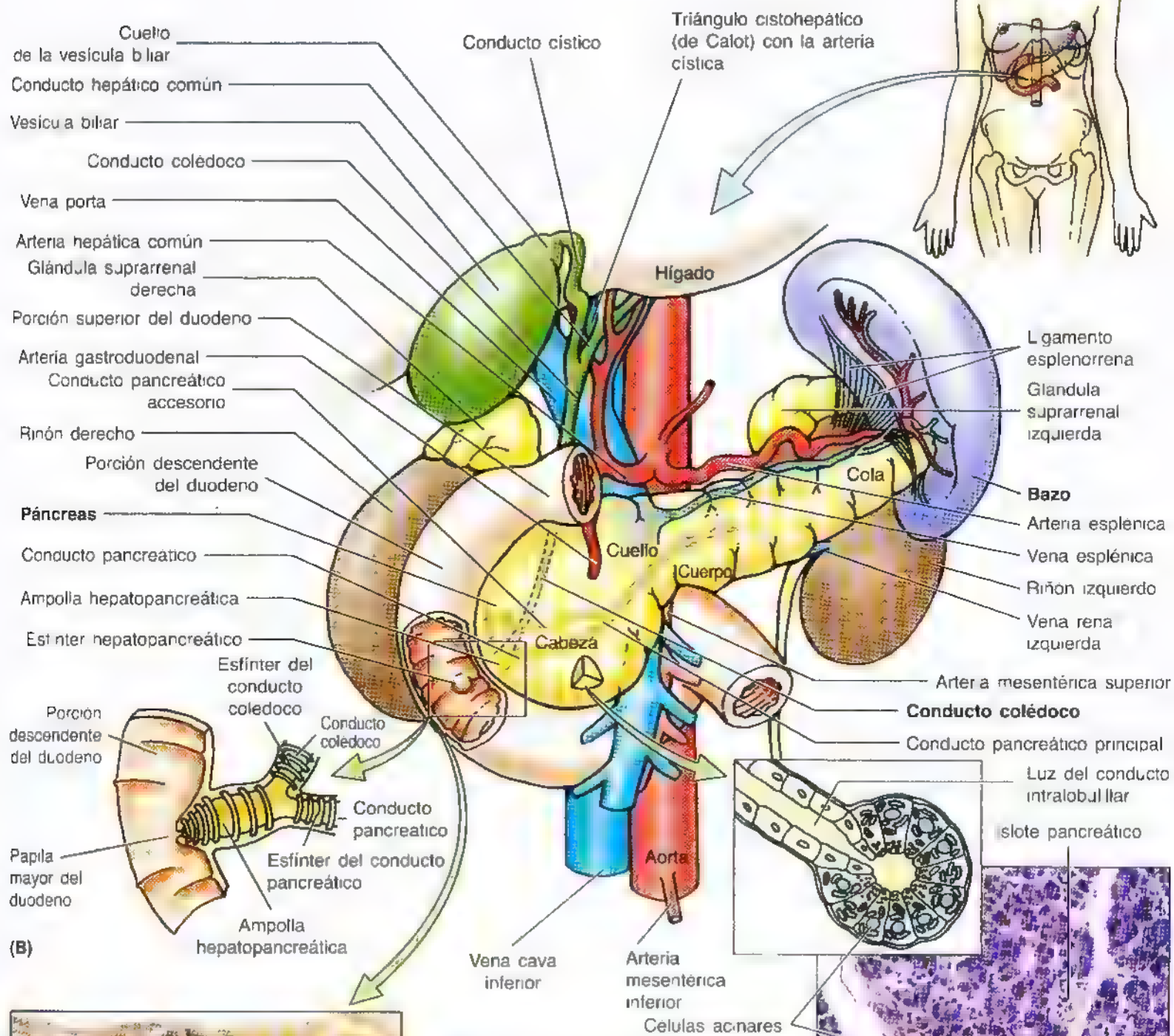
El **cuerpo del páncreas** continúa el cuello y se sitúa a la izquierda de los vasos mesentéricos superiores, cruza la aorta y la vértebra L2 detrás de la bolsa omental. La cara anterior del cuerpo del páncreas —cubierta de peritoneo— se encuentra en el suelo de la bolsa omental y forma parte del lecho gástrico. La cara posterior del cuerpo del páncreas (fig. 2.47A) carece de peritoneo y establece contacto con:

- La aorta.
- La arteria mesentérica superior.
- La glándula suprarrenal izquierda.
- El riñón izquierdo y los vasos renales.

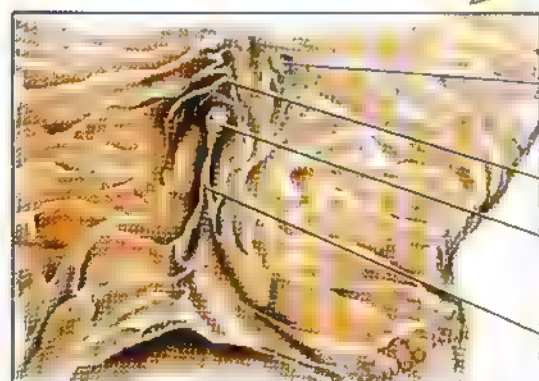
La **cola del páncreas** radica anterior al riñón izquierdo, donde se relaciona estrechamente con el hilio esplénico y la flexura cólica izquierda. La cola es bastante móvil y discurre entre las capas del **ligamento esplenorrenal**, junto con los vasos esplénicos (figs. 2.46 y 2.47A). La punta de la cola suele ser roma y gira en sentido superior.

Figura 2.47. Páncreas, duodeno, conductos biliares y bazo. **A.** Páncreas, conductos biliares extrahepáticos, conductos pancreáticos y duodeno. El conducto colédoco, después de descender detrás de la porción superior del duodeno y del conducto pancreático accesorio, se une al conducto pancreático principal. **B.** Entrada de los conductos colédoco y pancreático en el duodeno por la ampolla hepatopancreática, dilatación dentro de la papila mayor del duodeno donde suelen desembocar los conductos colédoco y pancreático principal. Obsérvense los esfínteres de músculo liso que rodean ambos conductos, colédoco y pancreático, y la ampolla hepatopancreática. **C.** Interior de la porción descendente (segunda) del duodeno con las papilas mayor y menor. Se aprecia una capucha sobre la papila mayor, donde termina la ampolla hepatopancreática. El conducto colédoco y el conducto pancreático principal desembocan de forma independiente en la papila del 5% de las personas. El conducto pancreático accesorio se abre en la papila menor del duodeno. **D.** Dibujo que muestra la estructura del tejido acinar (productor de enzimas). Bajo la ilustración se ofrece una microfotografía del páncreas con los acinos secretores y un islote pancreático.

(A)

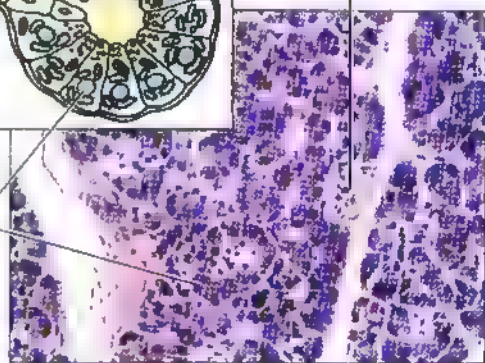


(B)



(C)

(D)



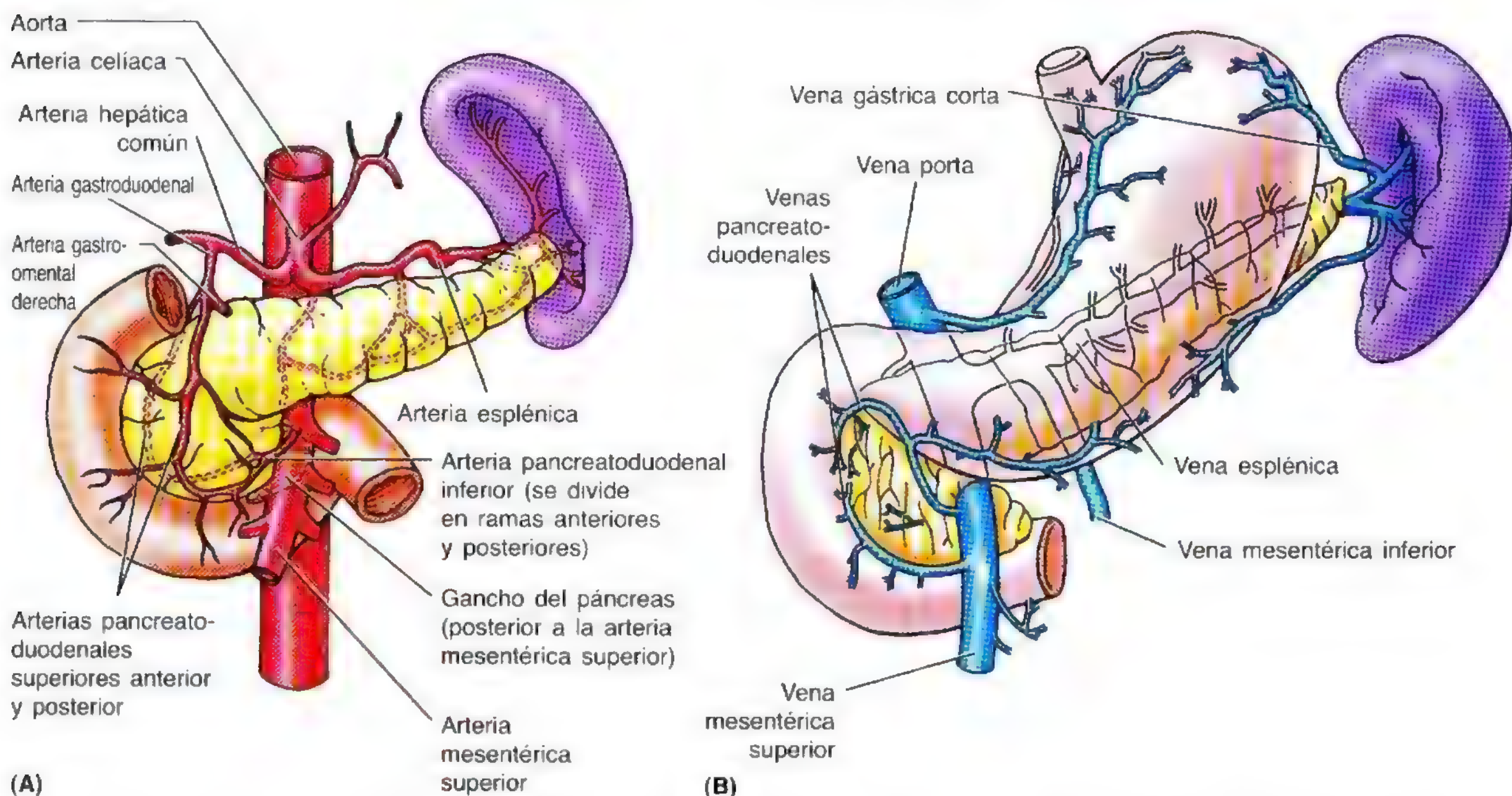


Figura 2.48. Irrigación arterial y drenaje venoso del páncreas. Dada la estrecha relación entre el páncreas y el duodeno, comparten todos o casi todos los vasos sanguíneos. **A. Arterias.** **B. Venas.** Las venas acompañan a las arterias que perfunden el páncreas

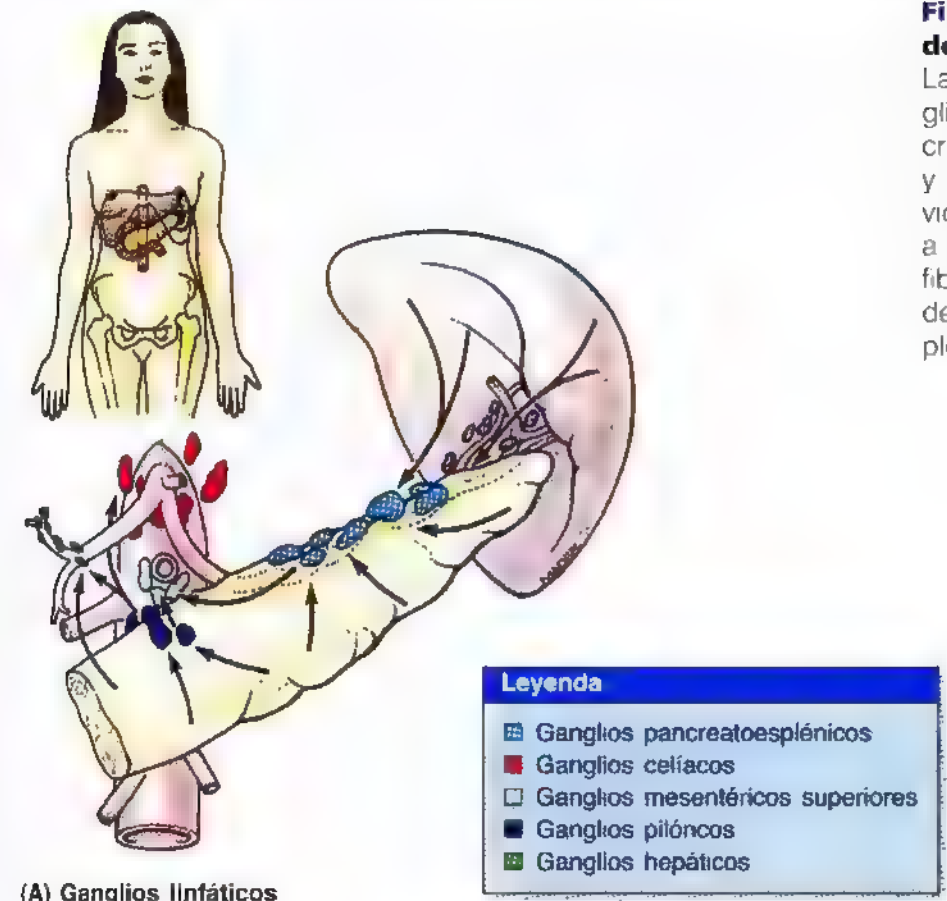
El **conducto pancreático principal** comienza en la cola del páncreas y sigue por el parénquima glandular hasta la cabeza, donde dobla hacia abajo y se relaciona estrechamente con el conducto biliar (fig. 2.47, A-B). El conducto pancreático principal y el conducto biliar se unen formando una **ampolla hepatopancreática** corta y dilatada, que se abre en la porción descendente del duodeno, en la cima de la *papila mayor del duodeno* (fig. 2.47, B-C). El **esfínter del conducto pancreático** (alrededor de la porción terminal del conducto), el **esfínter del conducto biliar** (alrededor de la porción terminal de este conducto) y el **esfínter hepatopancreático** (esfínter de Oddi) –alrededor de la ampolla hepatopancreática– son esfínteres de músculo liso que controlan el flujo de la bilis y del jugo pancreático hacia el duodeno.

El **conducto pancreático accesorio** (fig. 2.47A) drena el gancho y la parte inferior de la cabeza del páncreas y desemboca en el duodeno en la cima de la *papila menor del duodeno* (fig. 2.47C). De ordinario, el conducto accesorio (60%) se comunica con el conducto pancreático principal. A veces, el conducto pancreático principal es más pequeño que el accesorio y no hay conexión entre ambos. En estas personas, el conducto accesorio lleva la mayor parte del jugo pancreático. Estas variaciones de los conductos pancreáticos se explican por la fusión o la ausencia de fusión durante el desarrollo pancreático (Moore y Persaud, 1998).

Las **arterias pancreáticas** provienen, en esencia, de ramas de la **arteria esplénica**, muy tortuosa, que forma varias arca-das con las ramas pancreáticas de las **arterias gastroduode-nal y mesentérica superior** (fig. 2.48A). Hasta 10 ramas de la arteria esplénica perfunden el cuerpo y la cola del páncreas. Las **arterias pancreatoduodenales superiores** anterior y posterior, ramas de la arteria gastroduodenal, y las **arterias pancreatoduodenales inferiores** anterior y poste-rior, ramas de la arteria mesentérica superior, irrigan la cabe-za. Las **venas pancreáticas** correspondientes son afluentes de las divisiones esplénica y mesentérica superior de la vena porta; sin embargo, la mayor parte de ellas drena en la **vena esplénica** (fig. 2.48B).

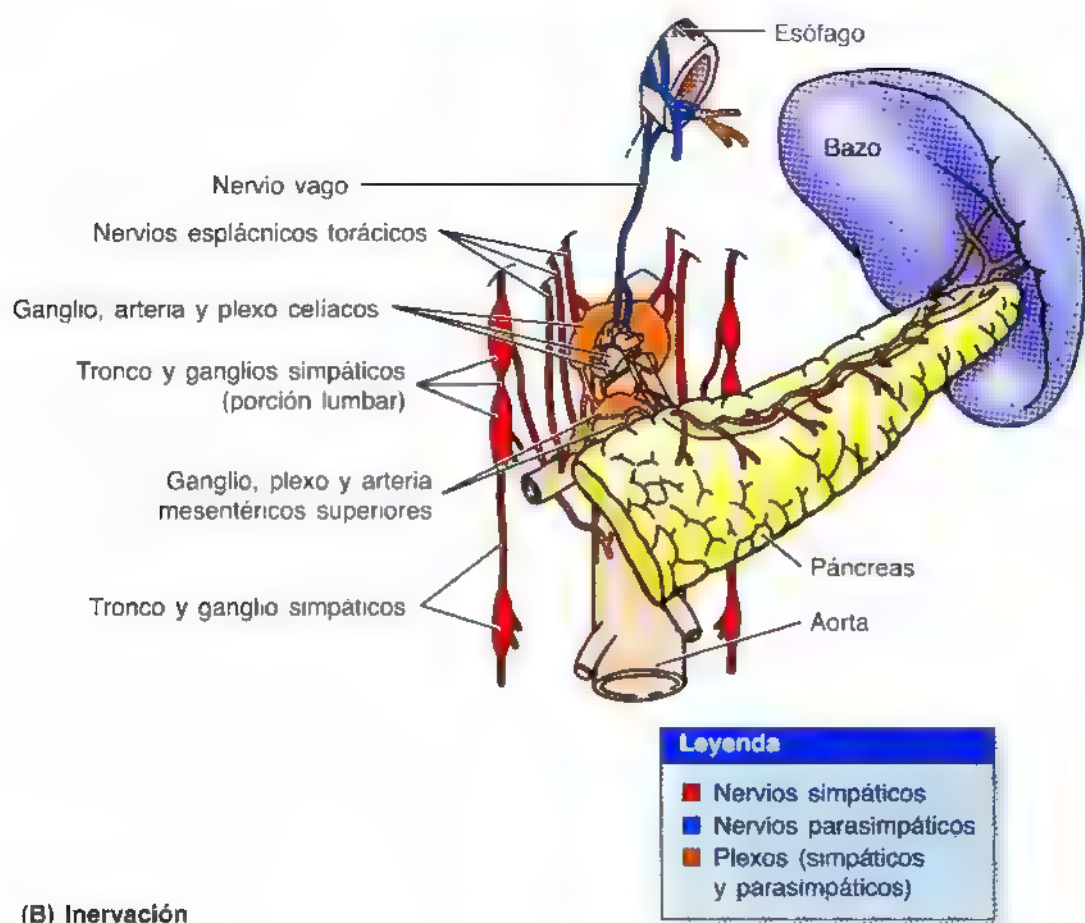
Los **vasos linfáticos del páncreas** acompañan a los san-güíneos (fig. 2.49A). La mayoría de ellos terminan en los **ganglios pancreatoesplénicos** situados a lo largo de la arte-ria esplénica, pero algunos lo hacen en los *ganglios pilóricos*. Los vasos eferentes de estos ganglios drenan a los **ganglios linfáticos celíacos, hepáticos y mesentéricos superiores**.

Los **nervios del páncreas** provienen de los nervios **vagos y esplácnicos torácicos** que atraviesan el diafragma (fig. 2.49B, tabla 2.10). Las fibras parasimpáticas y simpáticas alcanzan el páncreas pasando por las arterias del **plexo celí-aco y plexo mesentérico superior**. Tienen función vaso-motora (fibra simpática) y parenquimatosa (fibras simpáti-cas y parenquimatosas para las células acinares e islotes pancreáticos).



(A) Ganglios linfáticos

Figura 2.49. Drenaje linfático e inervación del páncreas y del bazo. **A. Ganglios linfáticos** Las flechas indican el flujo de la linfa hacia los ganglios linfáticos **B. Inervación.** Los nervios del páncreas son nervios autónomos de los plexos celiaco y mesentérico superior. La densa red de fibras nerviosas pasa desde el plexo celiaco hasta el bazo, a lo largo de la arteria esplénica. Casi todas son fibras simpáticas postsinápticas para el músculo liso de la cápsula, las trabéculas y los vasos intraesplénicos



(B) Inervación

Tabla 2.10. Nervios esplácnicos

Nervios esplácnicos	Tipo de fibra autónoma	Sistema	Origen	Destino
A) Cardiopulmonar	Postsináptica	Simpático	Troncos simpáticos cervical y torácico superior	Cavidad torácica (visceras situadas encima del diafragma)
B) Abdominopélvico	Presináptica	Simpático	Tronco simpático torácico inferior y abdominal	Cavidad abdominopélvica (los ganglios prevertebrales suministran fibras para las visceras debajo del diafragma)
1. Torácico inferior: a) Mayor b) Menor c) Mínimo			Tronco simpático torácico: a) T5-T9 o T10 b) T10-T11 c) T12	Ganglios prevertebrales a) Ganglios celiacos b) Ganglios mesentéricos superiores c) Ganglios aorticorrenales
2. Lumbar			Tronco simpático abdominal	Ganglios mesentéricos inferiores y ganglios de los plexos intermesentérico e hipogástrico
C) Pélvico	Presináptica	Parasimpático	Ramos ventrales de los nervios espinales S2-S4	Ganglios intrínsecos del colon descendente y sigmoide, recto y visceras pélvicas

* Los nervios esplácnicos pueden también llevar fibras aferentes viscerales que no forman parte del sistema nervioso autónomo.

Obstrucción de la ampolla hepatopancreática

Como el conducto pancreático principal se une al colédoco para formar la ampolla hepatopancreática y desemboca en la pared del duodeno, un *cálculo biliar* que atravesara los conductos biliares extrahepáticos podría alojarse en el extremo distal constreñido de la ampolla, que se abre en la cima de la papila mayor del duodeno (fig. 2.47, A-B). En este caso, se taponarían tanto el árbol biliar como los conductos pancreáticos, y ni la bilis ni el jugo pancreático llegarían al duodeno. Sin embargo, la bilis puede retroceder y pasar al conducto pancreático. Este tipo de reflujo biliar obedece, algunas veces, a *espasmos del esfínter hepatopancreático*. En condiciones normales, el esfínter del conducto pancreático impide el reflujo de la bilis hacia el conducto pancreático, pero si se taponan la ampolla hepatopancreática, el esfínter del conducto pancreático, débil, no logra resistir la presión exagerada de la bilis en la ampolla hepatopancreática.

Tejido pancreático accesorio

No es extraño que aparezca tejido pancreático en el estómago, duodeno, íleon o divertículo ileal; sin embargo, los

lugares habituales son el estómago y el duodeno. El tejido pancreático accesorio contiene a veces células de los islotes que producen glucagón e insulina.

Pancreatitis

Si se taponan el conducto pancreático se puede inflamar el páncreas (*pancreatitis*). El reflujo de bilis de la ampolla hepatopancreática hacia el conducto pancreático puede constituir otra causa de pancreatitis. La tumefacción de la cabeza del páncreas (secundaria a la inflamación) puede obstruir el conducto pancreático principal y ocasionar una pancreatitis del cuerpo y cola del páncreas. Si el conducto pancreático accesorio se comunica con el conducto pancreático principal y desemboca en el duodeno, puede compensar la obstrucción del conducto pancreático principal y el espasmo del esfínter hepatopancreático.

Pancreatectomías

Para tratar las pancreatitis crónicas de algunos enfermos se extirpa casi todo el páncreas. Las relaciones anatómicas y la irrigación sanguínea de la cabeza del páncreas, conducto colédoco y duodeno impide extraer toda la ▶

► cabeza del páncreas (Skandalakis y cols., 1995). De ordinario queda un ribete de páncreas a lo largo del borde medial del duodeno, para preservar la irrigación sanguínea duodenal.

Rotura del páncreas

Las lesiones pancreáticas se producen por una compresión repentina, intensa y forzada del abdomen, como puede ser el cinturón de seguridad en un accidente de tráfico. Como el páncreas es un órgano transversal, la columna vertebral actúa a modo de yunque y la fuerza traumática rompe el páncreas. La rotura del páncreas suele comportar un desgarramiento del sistema ductal y determina la entrada de jugo pancreático en el parénquima glandular y en los tejidos adyacentes. La digestión del tejido pancreático y de otros por el jugo pancreático causa dolor.

Cáncer de páncreas

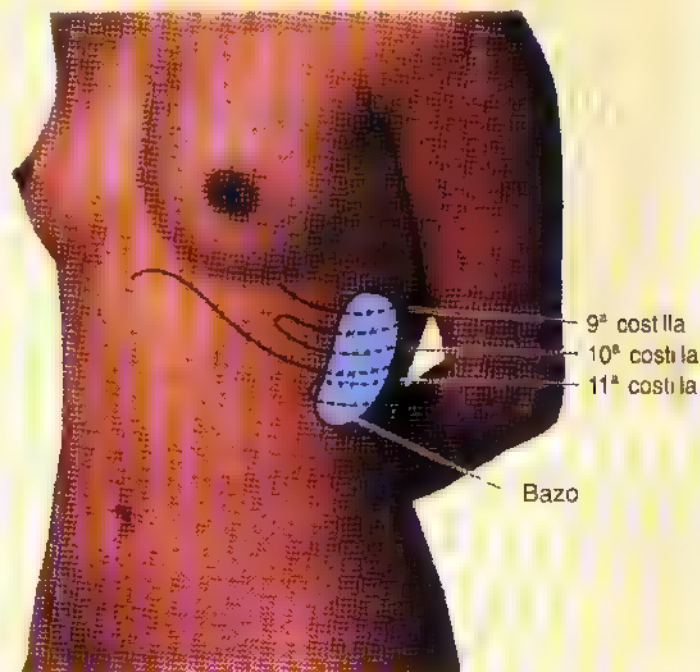
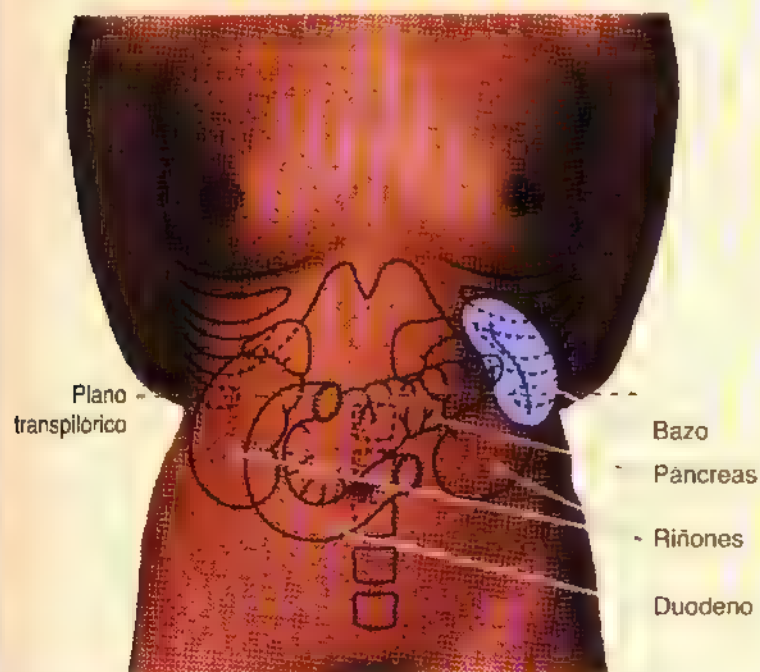
El cáncer de la cabeza de páncreas justifica muchos casos de obstrucción extrahepática del árbol biliar. Dadas las relaciones posteriores del páncreas, el cáncer de la cabeza suele comprimir y obstruir el conducto colédoco, la ampolla hepatopancreática, o ambos. Este estado provoca una *ictericia obstructiva*, con la retención consiguiente de pigmentos biliares, aumento de tamaño de la vesícula biliar e ictericia, tinción amarilla de la mayoría de los tejidos corporales, piel, mucosas y conjuntiva. Cerca del 90% de los enfermos con cáncer de páncreas sufren *adenocarcinoma de los conductillos*. El dolor intenso en la espalda sucede a menudo. El cáncer del cuello y el cuerpo del páncreas puede inducir una obstrucción portal o de la vena cava inferior, porque el páncreas cubre estas grandes venas (fig. 2.47B). ◊

Anatomía de superficie del bazo y el páncreas

El bazo es un órgano superficial, situado en el hipocóndrio izquierdo, entre la 9ª y 11ª costillas. Su cara costal es convexa para adaptarse a los cuerpos incurvados de estos huesos elongados y planos. En decúbito, el eje longitudinal del bazo sigue casi paralelo al eje longitudinal de la 10ª costilla; en una proyección oblicua anterior izquierda (OAI), el eje longitudinal es paralelo a la línea de la mirada. En condiciones normales, el bazo no se extiende por debajo del reborde costal izquierdo, y por eso casi nunca se palpa a través de la pared anterolateral del abdomen, salvo que aumente de

tamaño. Cuando se endurece y crece hasta aproximadamente el triple de su tamaño habitual se desplaza por debajo del reborde costal inferior, y su borde superior, mellado, adopta una posición inferomedial. El borde mellado ayuda a saber que se trata del bazo, porque durante la palpación de la esplenomegalia suelen notarse las muescas del bazo si el sujeto toma una inspiración profunda.

El **cuello del páncreas** cubre la 1ª y 2ª vértebras lumbares en el plano transpilórico. Su cabeza queda a la derecha y debajo de este plano, y el cuerpo y la cola, a la izquierda y por encima. Como el páncreas se encuentra en la profundidad de la cavidad abdominal, detrás del estómago y de la bolsa omental, no suele palparse. ◊



Hígado

El hígado —la glándula mayor del organismo— pesa alrededor de 1.500 g y representa cerca de un cuarentavo del peso corporal del adulto. Situado en los cuadrantes superiores derecho e izquierdo (sobre todo, en el derecho), debajo del diafragma, está separado por éste de la pleura, pulmones, pericardio y corazón (fig. 2.50). Además de sus múltiples actividades metabólicas, el hígado deposita glucógeno y

segrega bilis. La bilis pasa del hígado a los *conductos hepáticos derecho e izquierdo*, que se unen para formar el *conducto hepático común*; éste, a su vez, se une con el *conducto cístico* para dar el *conducto colédoco o biliar*. Aparte de almacenar la bilis, la vesícula biliar la concentra, absorbiendo agua y sales. Cuando el alimento llega al duodeno, la vesícula biliar envía la bilis concentrada por los conductos cístico y colédoco hasta el duodeno.

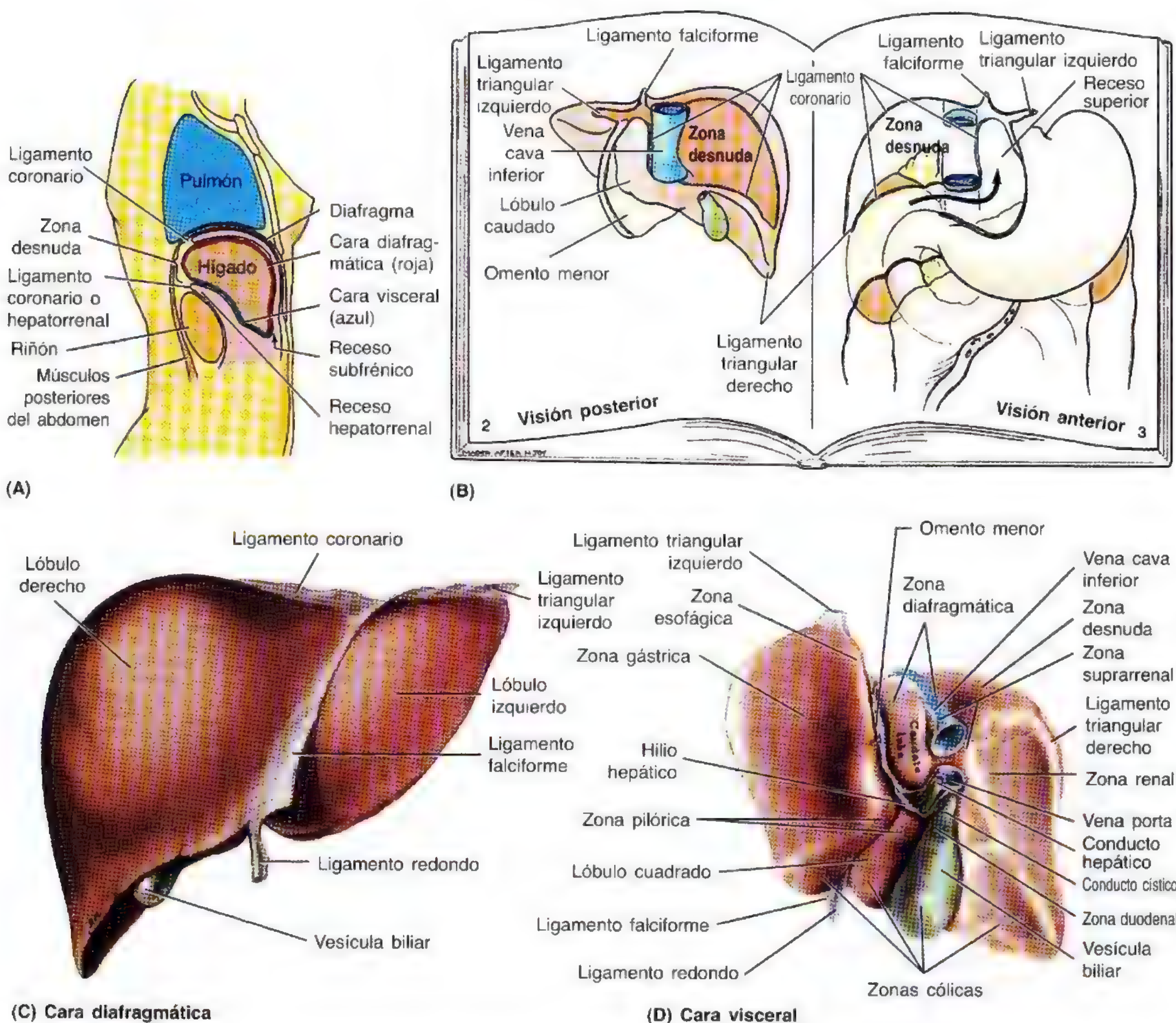


Figura 2.50. Caras y ligamentos peritoneales del hígado. **A.** Esquema sagital del diafragma, hígado y riñón derecho. Obsérvense las caras y los recesos del hígado. **B.** Diagrama de los ligamentos peritoneales del hígado. Las inserciones del hígado se han cortado y se ha girado el hígado a la derecha, como cuando se pasa la página de un libro. **C.** Porción anterior de la cara diafragmática del hígado. La cara diafragmática tiene forma abovedada y se adapta a la cara inferior del diafragma. Esta cara es muy extensa y se divide en porciones superior, anterior (se muestra aquí), derecha y posterior. **D.** Cara visceral del hígado. En posición anatómica, esta cara tiene una orientación inferior, posterior y a la derecha. Obsérvense las impresiones que las estructuras con las que contacta el hígado generan en su superficie.

Caras del hígado

El hígado tiene una **cara diafragmática** (anterior, superior y en parte posterior) y otra **visceral** (posteroinferior), separadas por delante por un borde inferior nítido (fig. 2.50A).

La **cara diafragmática del hígado** es lisa y tiene forma de cúpula, en la zona donde se relaciona con la concavidad de la cara inferior del diafragma (fig. 2.50C). Sin embargo, la cara diafragmática está bastante separada del diafragma por los **recesos subfrénicos** o espacios comprendidos entre la parte anterior del hígado y el diafragma. Los recesos subfrénicos quedan separados en los recesos derecho e izquierdo por el ligamento falciforme (fig. 2.50, B-D). El **receso hepatorenal** (bolsa hepatorenal, bolsa de Morison) es un receso profundo de la cavidad peritoneal situado a la derecha, que se extiende en sentido superior entre el hígado, por delante, y el riñón y la glándula suprarrenal, por detrás. El receso hepatorenal es una parte de la cavidad peritoneal que se crea por efecto de la gravedad. En decúbito supino, el líquido que drena la bolsa omental fluye hasta este receso. El receso hepatorenal se comunica por delante con el receso subfrénico derecho. Recuértese que, en condiciones normales, todos los recesos de la cavidad peritoneal son únicamente espacios virtuales, que tan sólo contienen la cantidad suficiente de líquido peritoneal para lubricar las membranas adyacentes.

La cara diafragmática del hígado está cubierta por el peritoneo visceral, salvo la posterior, que corresponde a la **zona desnuda del hígado** (fig. 2.50, A, B y C), por donde

entra en contacto con el diafragma. La zona desnuda está delimitada por la reflexión del peritoneo desde el diafragma en forma de las capas anterior (superior) y posterior (inferior) del **ligamento coronario**. Estas capas se unen a la derecha para formar el **ligamento triangular derecho** y divergen a la izquierda para envolver la zona triangular desnuda. La capa anterior del ligamento coronario se continúa a la izquierda con la capa derecha del ligamento falciforme, y la capa posterior, con la capa derecha del omento menor. Las capas izquierdas del ligamento falciforme y del omento menor se unen para dar el **ligamento triangular izquierdo**.

La **cara visceral del hígado** está cubierta de peritoneo (fig. 2.50D), salvo en el *lecho de la vesícula biliar* y en el **hilio hepático**, lugar por donde los vasos y conductos entran y salen del hígado. *La cara visceral se relaciona con estas estructuras:*

- La cara anterior derecha del estómago: **zonas gástrica y pilórica**.
- La porción superior (primera) del duodeno: **zona duodenal**.
- El omento menor.
- La vesícula biliar.
- La flexura cólica derecha y el colon transversal derecho: **zona cólica**.
- El riñón derecho y la glándula suprarrenal: **zonas renal y suprarrenal**.

Abscesos subfrénicos

La peritonitis puede motivar la aparición de abscesos localizados en distintas zonas de la cavidad peritoneal. Un lugar frecuente donde se almacena el pus es el receso o espacio subfrénico. Los abscesos subfrénicos son mucho más comunes en el lado derecho, debido a la frecuencia de roturas apendiculares y perforaciones de úlceras duodenales. Como los recesos subfrénicos derecho e izquierdo se continúan con el receso hepatorenal (las partes situa-

das más en declive [dependientes de la gravedad] de la cavidad peritoneal en decúbito supino), el pus del absceso subfrénico puede drenar a uno de los recesos hepatorenales, sobre todo si el enfermo está encamado. En general, el absceso subfrénico se drena mediante una incisión inferior al lecho de la 12ª costilla (Ellis, 1992) o a su través, para evitar que se comuniquen con la pleura o el peritoneo. Muchas veces, los abscesos subfrénicos anteriores se drenan mediante una incisión subcostal, inferior y paralela al reborde costal derecho. ☛

Partes funcionales del hígado

El hígado se divide, desde el punto de vista funcional, en dos partes independientes, derecha e izquierda (lóbulos portales), de tamaño aproximadamente equivalente (figs. 2.51 y 2.53A). Cada parte dispone de su propia irrigación de la arteria hepática y de la vena porta, y su propio drenaje venoso y biliar. La parte derecha del hígado queda delimitada, en la cara visceral de la izquierda, por la fosa de la vesícula biliar en la cara inferior y la de la vena cava inferior en la cara superior. Una línea imaginaria que se dirige desde el fondo de la vesícula hasta la vena cava inferior, por la cara diafragmática, separa las dos partes.

Tanto las partes derecha como izquierda del hígado disponen de divisiones mediales y laterales; las del hígado izquierdo están separadas por el ligamento falciforme (en la terminología antigua se consideraba que el segmento lateral era el lóbulo izquierdo anatómico). Según la terminología actual, la parte izquierda del hígado comprende el **lóbulo caudado** y casi todo el **lóbulo cuadrado** (fig. 2.51A). El lóbulo izquierdo anatómico queda separado de estos lóbulos en la cara visceral por la *fisura del ligamento redondo* y por la *fisura del ligamento venoso* (fig. 2.51B), y en la cara diafragmática, por la inserción del ligamento falciforme.

El **ligamento redondo** del hígado es el resto fibroso de la *vena umbilical* que transportaba la sangre bien oxigenada y rica en nutrientes de la placenta al feto. La vena umbilical de los lactantes se mantiene permeable durante un tiempo. En los sujetos con *hipertensión portal* (aumento anormal de la presión en el sistema nervioso portal), las venas paraumbilicales que circulan por el ligamento redondo pueden aumentar de tamaño. El **ligamento venoso** es el resto fibroso del *conducto venoso* fetal que derivaba la sangre de la vena umbilical a la vena cava inferior, eludiendo el hígado (Moore y Persaud, 1998).

El **hilio hepático** es una fisura transversa de la cara visceral del hígado situada entre los lóbulos caudado y cuadrado (fig. 2.50D), por donde entran la vena porta y la arteria hepática y salen los conductos hepáticos. Por el hilio hepático pasan:

- La vena porta.
- La arteria hepática.
- El plexo nervioso hepático.
- Los conductos hepáticos.
- Los vasos linfáticos.

Relaciones peritoneales del hígado

El **omento menor**, que envuelve la **triada portal** (fig. 2.52) —conducto colédoco, arteria hepática y vena porta—, pasa desde el hígado hasta la curvatura menor del estómago y los primeros 2 cm de la porción superior (primera) del duodeno. El borde libre y grueso del omento menor —se extiende entre el hilio hepático y el duodeno (**ligamento hepatoduodenal**)— encierra la triada portal, algunos ganglios linfáticos, vasos linfáticos y el plexo nervioso hepático. El resto del omento menor, con forma de lámina, el **ligamento hepatogástrico**, se extiende entre el surco del ligamento venoso del hígado y la curvatura menor del estómago.

Vasos y nervios hepáticos

El hígado recibe sangre de dos fuentes (fig. 2.52):

- *La vena porta* (70%).
- *La arteria hepática* (30%).

La **vena porta**, una vena corta y ancha, se forma por la unión entre las venas mesentérica superior y esplénica, detrás del cuello del páncreas, asciende delante de la vena cava inferior y se divide en el extremo derecho del hilio hepático en las ramas derecha e izquierda, que luego continúan subdividiéndose dentro del hígado. La **arteria hepática**, rama del tronco celiaco (fig. 2.49A), se puede dividir en:

- *La arteria hepática común*, del tronco celiaco hasta el origen de la arteria gastroduodenal.
- *La arteria hepática propiamente dicha*, desde el origen de la arteria gastroduodenal hasta su bifurcación en las ramas (arterias) derecha e izquierda.

La arteria hepática lleva sangre bien oxigenada de la aorta, y la *vena porta*, sangre poco oxigenada, pero con abundantes nutrientes del tubo digestivo (salvo de la porción inferior del conducto anal), hasta los sinusoides hepáticos. La arteria hepática y la vena porta se termina dividiendo en las ramas derecha e izquierda en o cerca del **hilio hepático**; estas divisiones se dirigen a las partes derecha e izquierda del hígado, respectivamente. Dentro de cada porción, las ramificaciones primarias de la vena porta y de la arteria hepática tienen la consistencia suficiente para crear **segmentos vasculares** (fig. 2.53). El plano horizontal que pasa por el lóbulo derecho y la división lateral del lóbulo izquierdo, más el lóbulo caudado, dividen el hígado en ocho segmentos vasculares. El lóbulo izquierdo se compone de los segmentos 1 a 4, y el lóbulo derecho, de los segmentos 5 a 8. Entre los segmentos se disponen las venas hepáticas, de distribución y función intersegmentaria, que drenan partes de los segmentos adyacentes. Las venas hepáticas, creadas por la unión de las venas centrales del hígado, desembocan en la vena cava inferior, justo debajo del diafragma. La desembocadura de estas venas en la vena cava inferior ayuda a mantener el hígado en su posición.

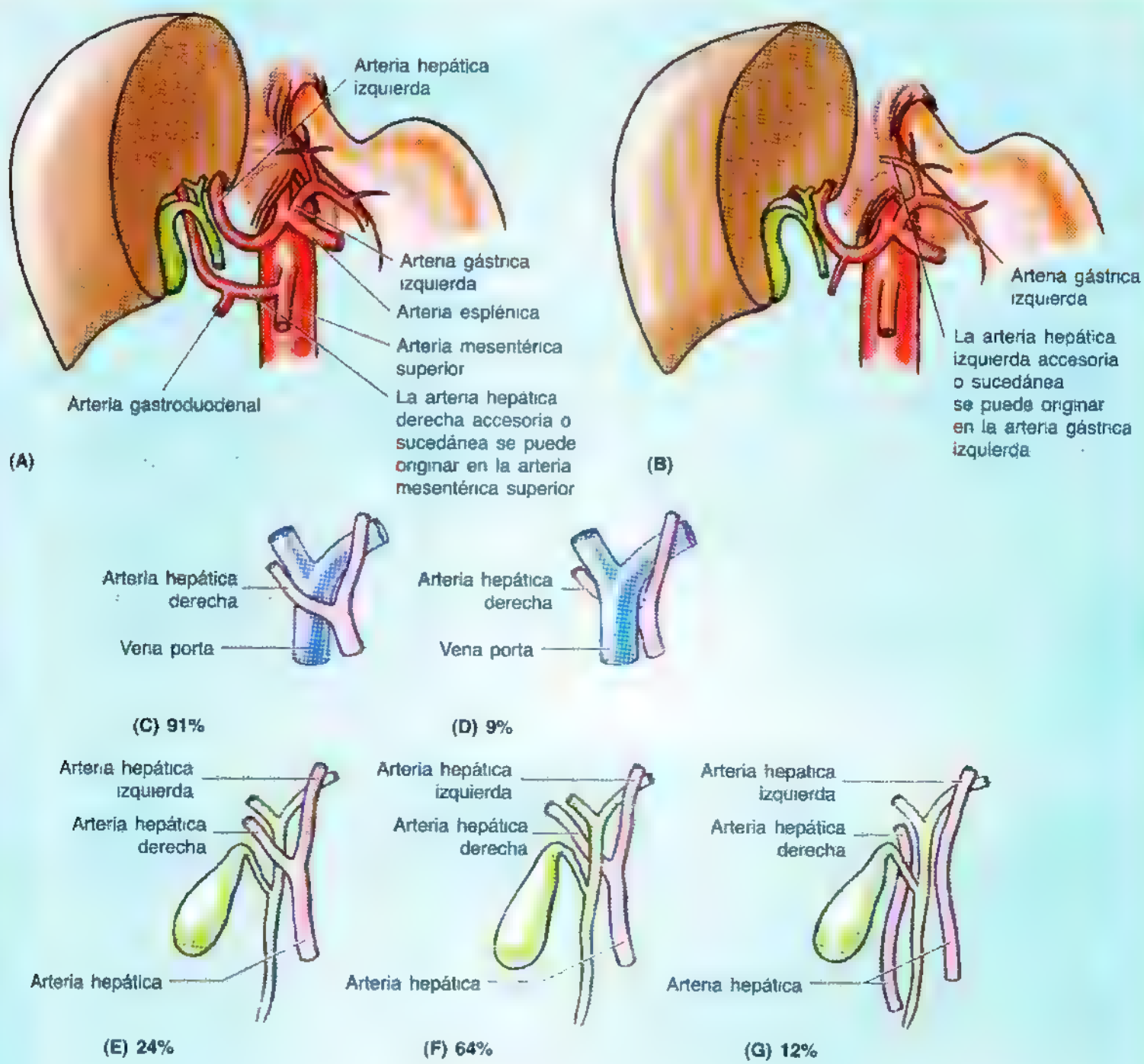
Lobectomías y segmentectomías hepáticas

Cuando se comprobó que las arterias y los conductos hepáticos derecho e izquierdo, así como las ramas de las venas porta derecha e izquierda no se comunicaban, se hizo posible la práctica de **lobectomías hepáticas** —extracción de la parte derecha o izquierda del hígado— sin un sangrado excesivo. La mayoría de los traumatismos hepáticos afectan a la parte derecha. Hace poco, sobre todo desde que se introdujo el bisturí cauterizador y la cirugía con láser, se empezaron a efectuar **segmentectomías**. Si una lesión o tumor graves afectan a un segmento

o segmentos adyacentes es posible resear (extirpar) sólo el o los segmentos afectados: *segmentectomía*. Las venas hepáticas intersegmentarias sirven de guía para los planos interlobulillares; sin embargo, también constituyen una importante fuente de sangrado, que debe afrontar el cirujano. No obstante, ante una lesión más extensa, que pueda dejar grandes zonas del hígado sin vascularización, sigue precisándose la lobectomía.

Arterias hepáticas aberrantes

Una de las variantes más habituales de la arteria hepática derecha o izquierda, que nace como rama terminal ►



► de la arteria hepática propiamente dicha, puede verse sustituida en parte o en su totalidad por una arteria aberrante (accesoria o sucedánea) de otro origen (A-B). El origen más común de la **arteria hepática izquierda aberrante** es la arteria gástrica izquierda, y el de la **arteria hepática derecha aberrante**, la arteria mesentérica superior.

Variaciones en las relaciones de las arterias hepáticas

La arteria hepática derecha cruza delante de la vena porta de la mayoría de las personas, pero a veces lo hace detrás (C-D). En general, la arteria hepática derecha sigue

posterior al conducto hepático común, pero en ocasiones pasa delante de este conducto (E-G).

Formación inusitada de la porta

De ordinario, la vena porta se forma posterior al cuello del páncreas por la unión entre las venas mesentérica superior y esplénica, y asciende anterior a la vena cava inferior. La vena mesentérica inferior de un tercio de las personas se une a la confluencia de las venas mesentérica superior y esplénica; así pues, las tres venas forman la vena porta. En la mayoría de los sujetos, la VMI se anastomosa con la vena esplénica (60%) o con la vena mesentérica superior (40%). ◉

Figura 2.51. Lóbulos anatómicos del hígado. A.

Visión esquemática posterior de los cuatro lóbulos anatómicos (no funcionales) del hígado según la descripción tradicional. La terminología actual (*terminología anatomica*) hace referencia a las partes funcionales derecha e izquierda del hígado, delimitadas por una línea que pasa por la fosa de la vesícula biliar hasta la vena cava inferior (VCI). **B.** Visión esquemática posterior. El ligamento redondo del hígado es el resto obliterado de la vena umbilical fetal. El ligamento venoso es el resto fibroso del conducto venoso que derivaba la sangre de la vena umbilical a la vena VCI.

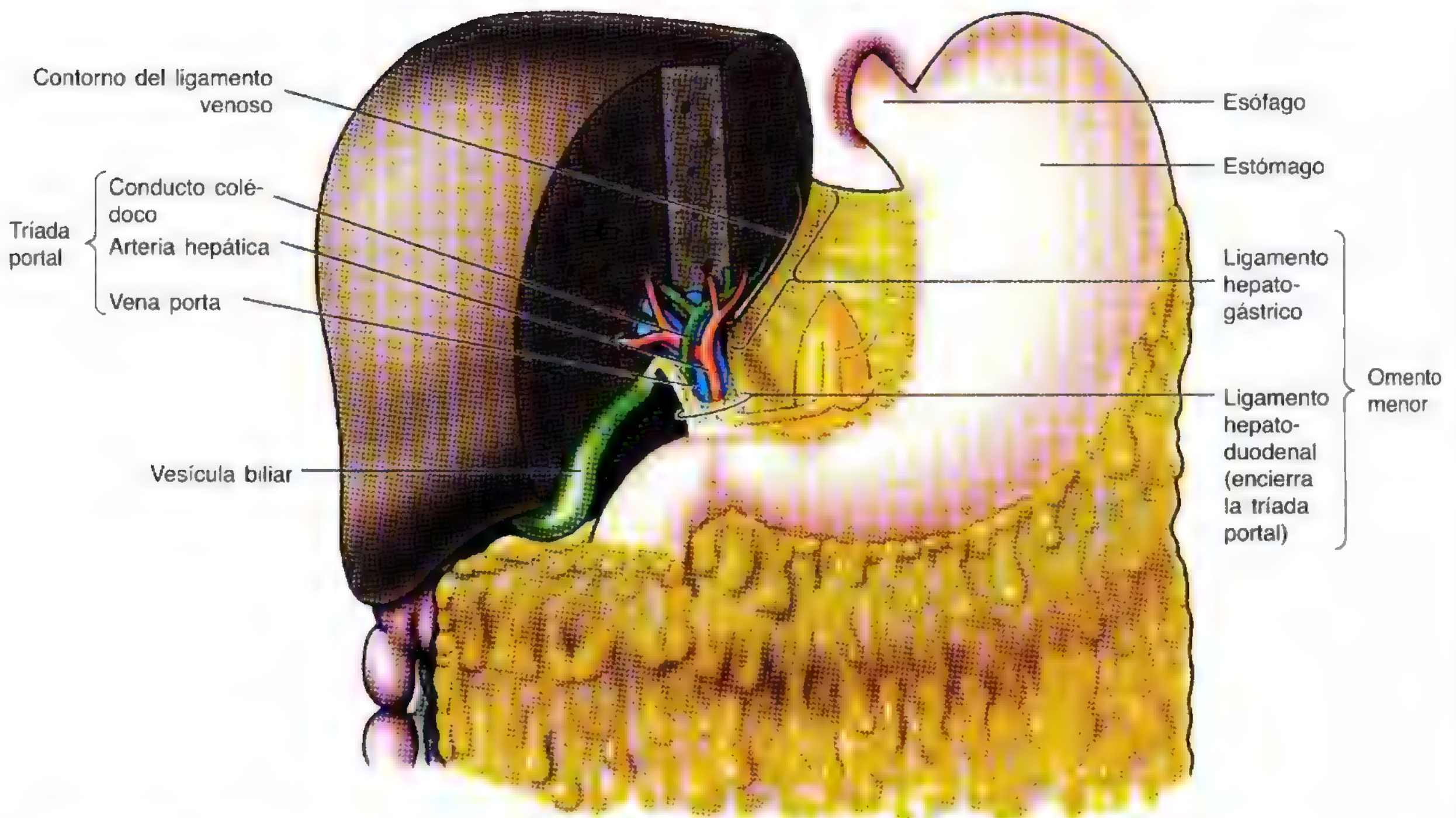
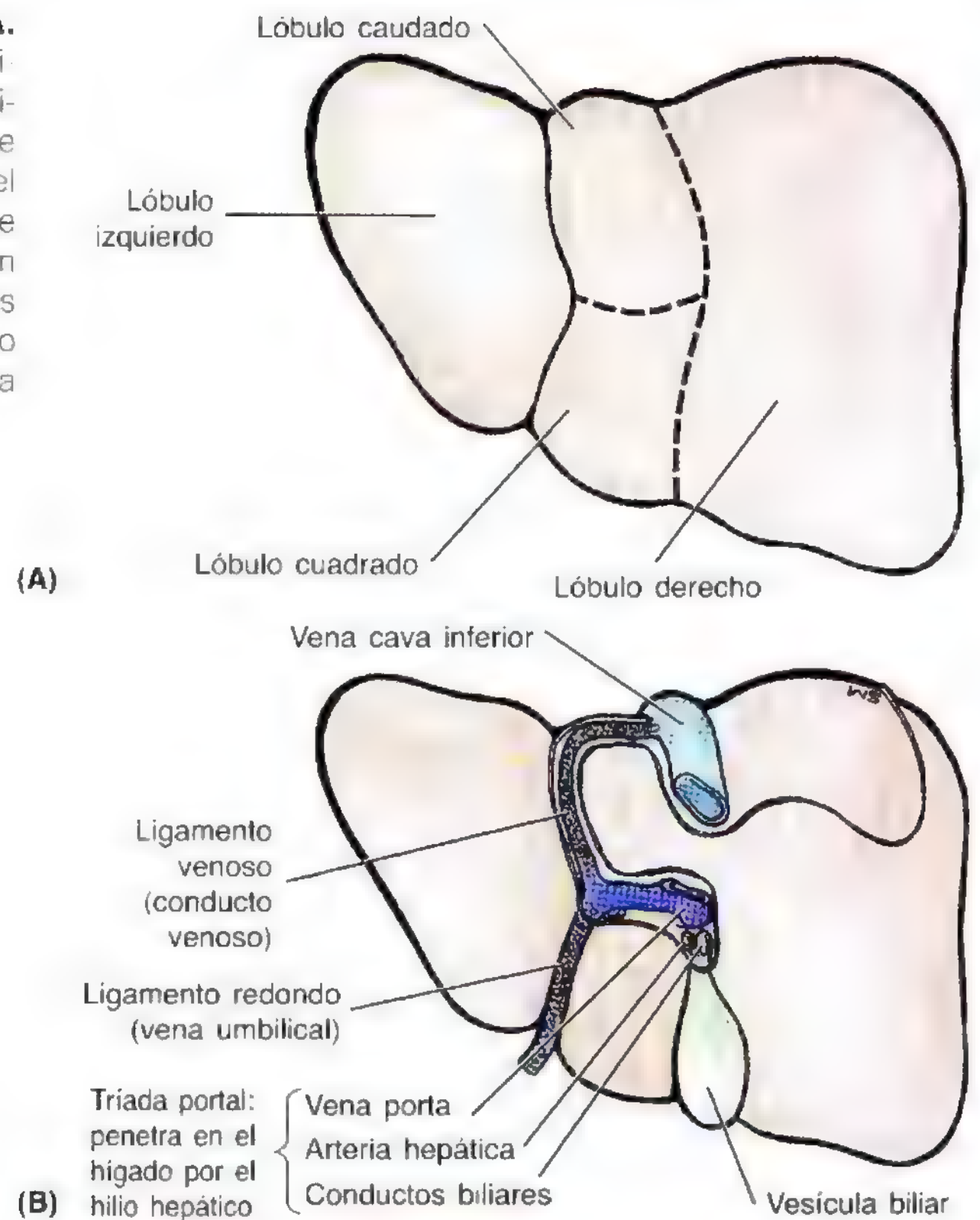
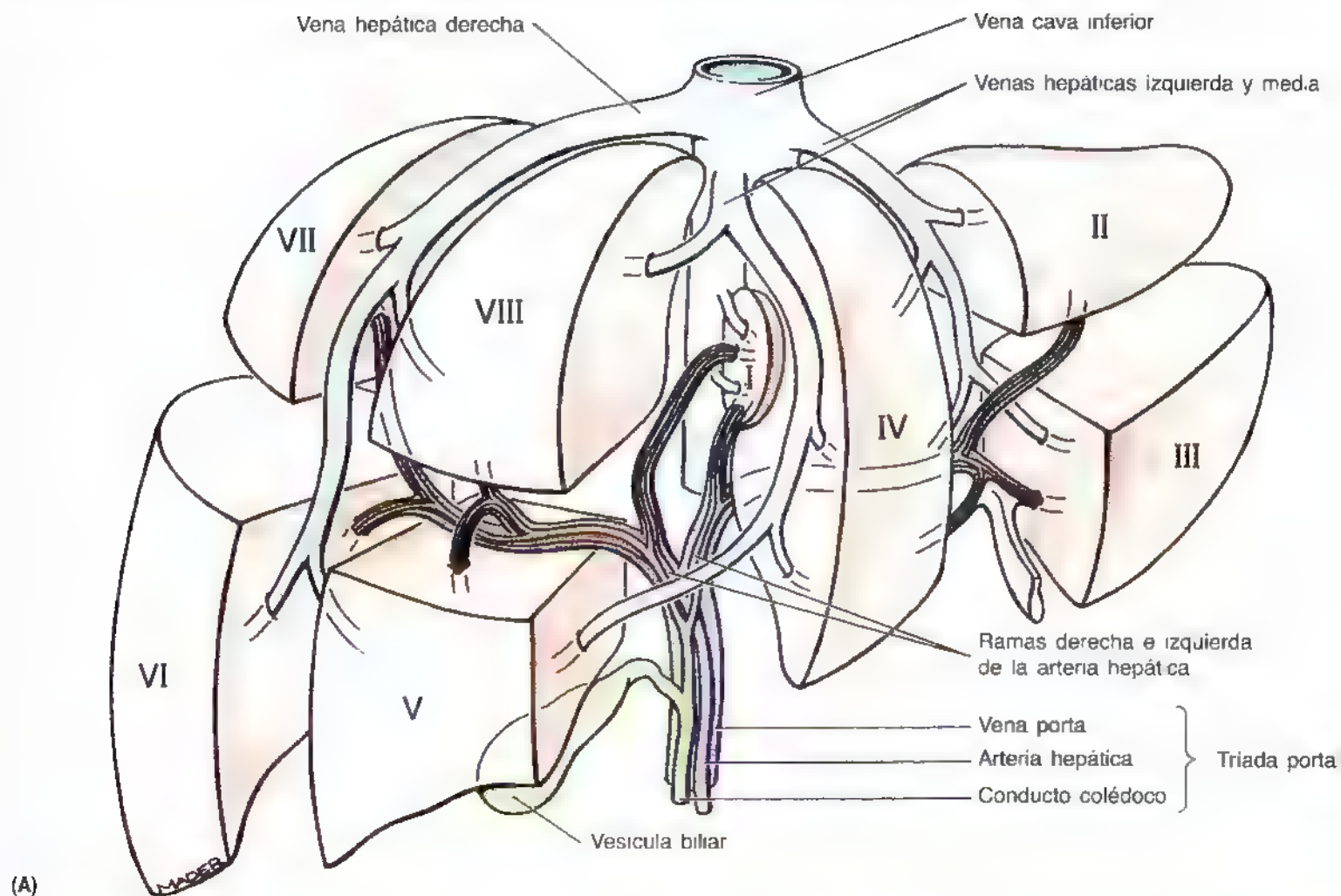


Figura 2.52. Omento menor y triada portal. Se han practicado dos cortes sagitales por el hígado y se han unido mediante un corte coronal. Obsérvese la triada portal dentro de las capas del ligamento hepatoduodenal-, que pasa al hígado por el hilio hepático (fig. 2 50D) La arteria hepática discurre entre las capas del ligamento hepatogástrico. Cuando ocurre un sangrado por la arteria cística, rama de la arteria hepática derecha, la hemorragia se puede detener comprimiendo la arteria hepática (como se ilustra en la figura 2 24).



Esquema para la nomenclatura de las subdivisiones hepáticas

Término anatómico	Lóbulo derecho		Lóbulo izquierdo		Lóbulo caudado	
	Parte derecha del hígado [lóbulo portal derecho*]		Parte izquierda del hígado [lóbulo portal izquierdo*]		Parte posterior del hígado	
	División lateral derecha	División medial derecha	División medial izquierda	División lateral izquierda	[Lóbulo caudado derecho*]	[Lóbulo caudado izquierdo*]
Término funcional/quirúrgico**	Segmento lateral posterior Segmento VII [zona posterosuperior]	Segmento medial posterior Segmento VIII [zona anterosuperior]	[Zona superior medial]	Segmento lateral Segmento II [zona superior lateral]	Segmento posterior Segmento I	
	Segmento lateral anterior derecho Segmento VI [zona posteroinferior]	Segmento medial anterior Segmento V [zona anteroinferior]	Segmento medial Segmento IV [Zona inferior medial = lóbulo cuadrado]	Segmento anterior lateral izquierdo Segmento III [zona inferior lateral]		

** Las denominaciones de la tabla y de la figura reflejan la nueva terminología anatómica. Terminología anatómica internacional. La terminología antigua aparece entre corchetes.

* Según el esquema de la terminología antigua, el lóbulo caudado se dividía en dos mitades, derecha e izquierda, y

• la mitad derecha del lóbulo caudado se consideraba una subdivisión del lóbulo portal derecho,

• la mitad izquierda del lóbulo caudado se consideraba una subdivisión del lóbulo portal izquierdo.

Figura 2.53. Segmentación hepática. A. La segmentación del hígado se basa en las divisiones principales de la arteria hepática, vena porta y conductos hepáticos concomitantes. Cada segmento del hígado recibe una rama de la arteria hepática y de la vena porta, y es drenado por una división del conducto biliar. Las venas hepáticas intersegmentarias se disponen entre los segmentos, en su camino hacia la vena cava inferior (VCI).

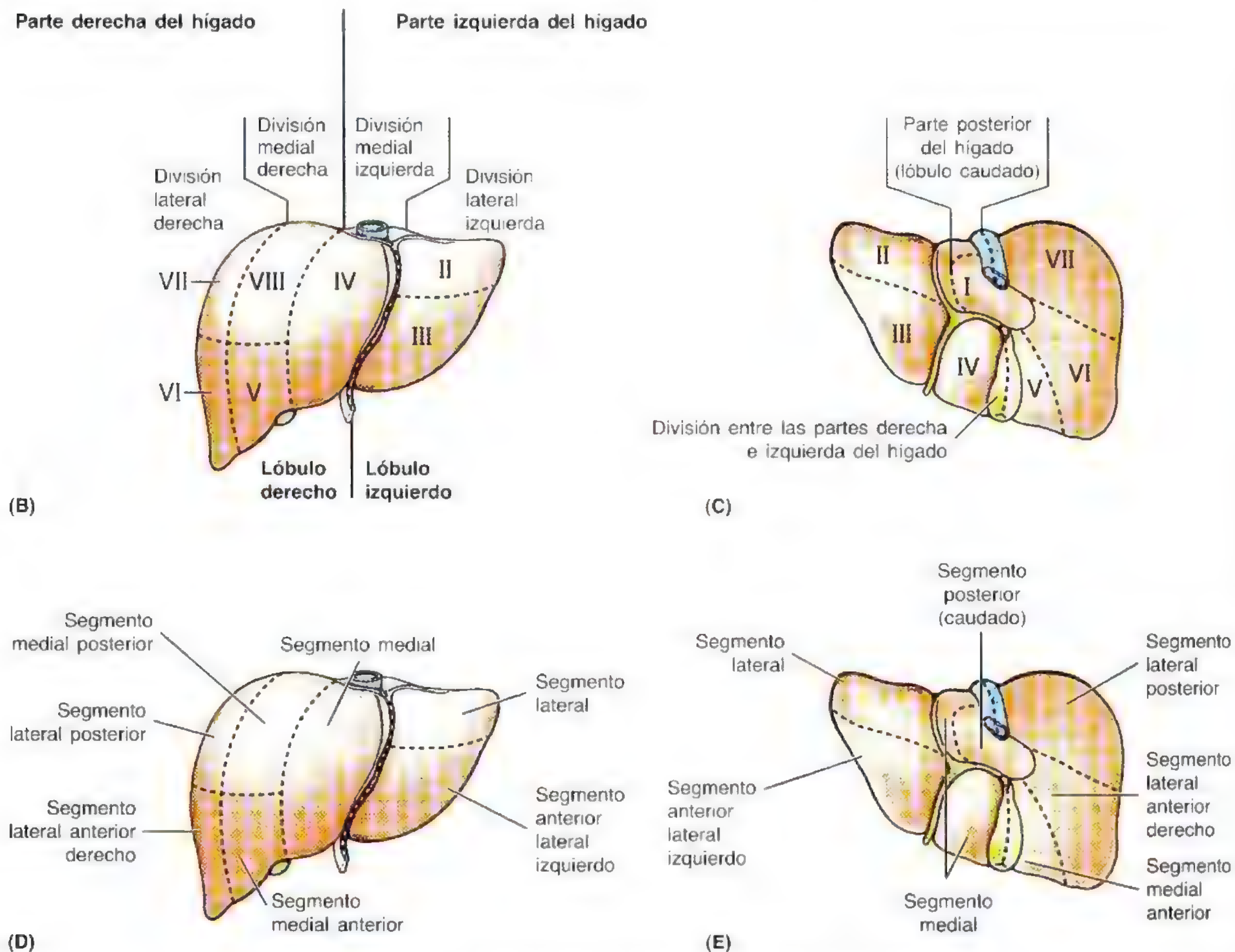


Figura 2.53. (Continuación) **B-E.** Subdivisiones del hígado

El hígado es un gran órgano productor de linfa: de una cuarta parte a la mitad de la linfa del conducto torácico proviene del hígado. Los **vasos linfáticos del hígado** aparecen como *vasos linfáticos superficiales* en la cápsula fibrosa subperitoneal del hígado (cápsula de Glisson), que forma la cubierta externa, o como *linfáticos profundos* en el tejido conjuntivo que acompaña a las ramificaciones de la tríada portal y de las venas hepáticas. Los linfáticos superficiales de las caras anteriores de la superficie diafragmática y visceral y los vasos linfáticos profundos que acompañan a las tríadas portales convergen hacia el hilio hepático y drenan los **ganglios linfáticos hepáticos** dispersos por los vasos y conductos hepáticos del omento menor. Los vasos linfáticos eferentes de los ganglios hepáticos drenan a los **ganglios celíacos**, que, a su vez, desembocan en la **cisterna del quilo** (L. *cisterna chyli*), saco dilatado del extremo inferior del conducto torácico. Los linfáticos superficiales de las caras posteriores de las superficies diafragmática y visceral del hígado drenan a la zona desnuda del hígado. Desde aquí pasan a los **ganglios linfáticos frénicos** o se unen a los linfáticos profundos que acompañan a las venas hepáticas que convergen en la vena cava inferior; con esta gran vena atraviesan el diafragma

hasta llegar a los **ganglios linfáticos mediastínicos posteriores**. Los vasos eferentes de estos ganglios se unen a los conductos linfáticos derecho y torácico. *Algunos vasos linfáticos siguen vías diferentes.*

- Desde la cara posterior del lóbulo izquierdo hasta el hiato esofágico del diafragma, para terminar en los **ganglios linfáticos gástricos izquierdos** (fig. 2.54A).
- Desde la cara diafragmática central anterior, a lo largo del ligamento falciforme, hasta los **ganglios linfáticos paraesternales**.
- A lo largo del **ligamento redondo** del hígado, hasta el ombligo y los linfáticos de la pared anterior del abdomen.

Los **nervios del hígado** proceden del **plexo nervioso hepático** (fig. 2.54B), el más grande de los derivados del plexo celíaco. El plexo hepático acompaña a las ramas de la arteria hepática y de la vena porta hasta el hígado, y se compone de fibras simpáticas del plexo celíaco y de fibras parasimpáticas de los troncos vagales anterior y posterior. Las fibras nerviosas acompañan a los vasos y conductos biliares de la tríada portal del hígado. Aparte de la vasoconstricción, no se conoce bien su función.

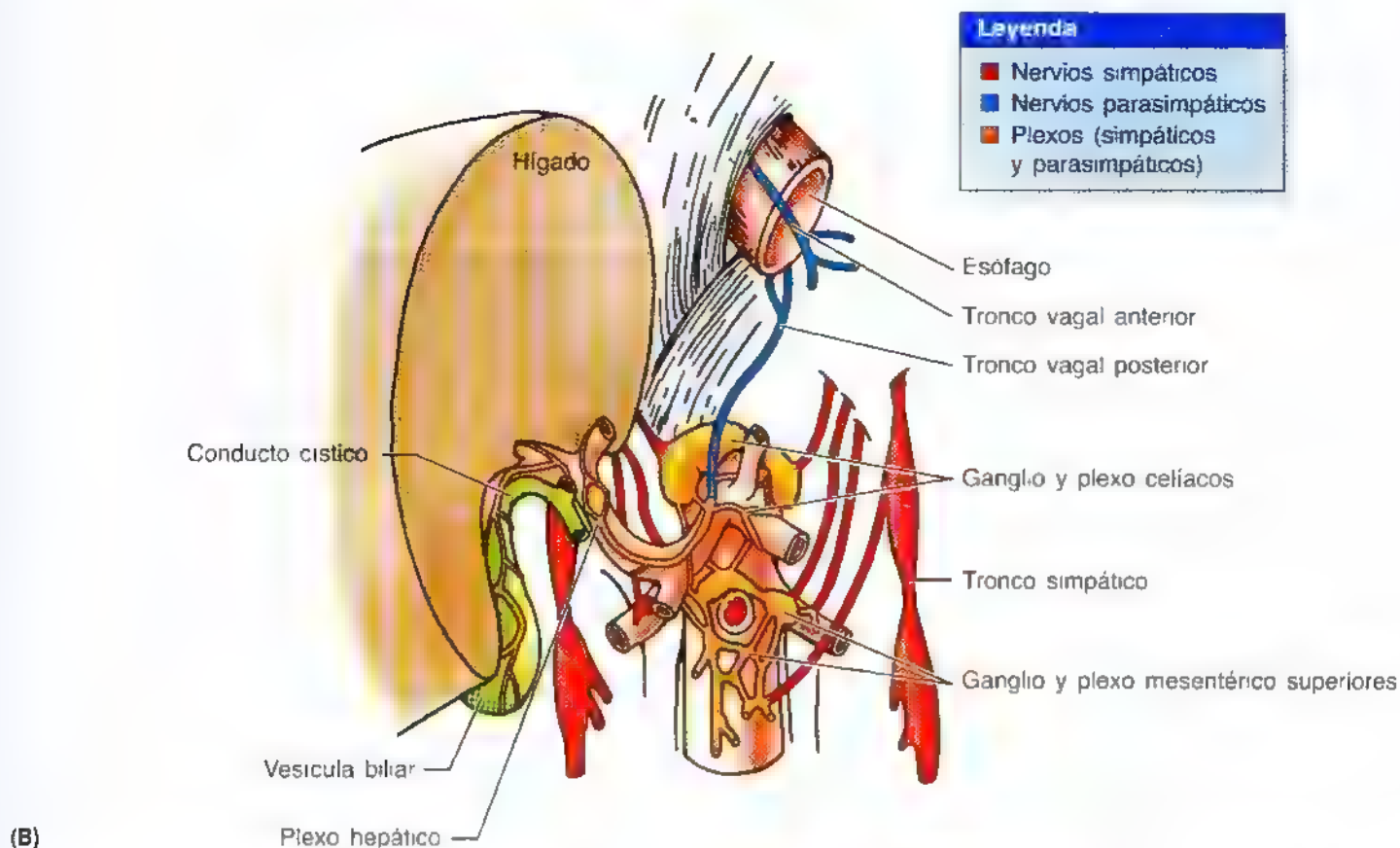
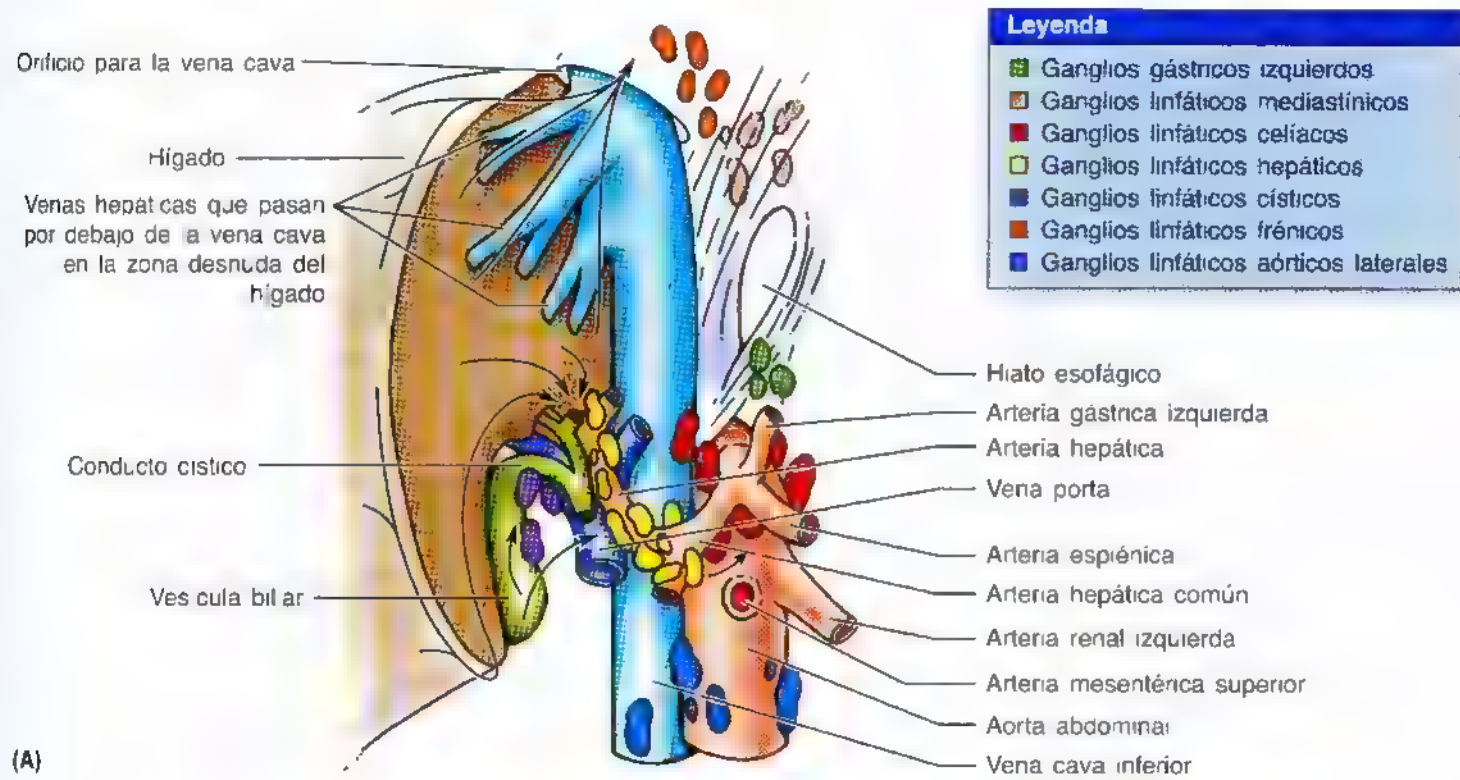


Figura 2.54. Drenaje linfático e innervación del hígado. A. Ganglios linfáticos. Recuérdese que la linfa de la cara posterior (superficial y profunda) fluye hacia la zona desnuda para ingresar en los ganglios linfáticos frénicos, o pasa con la vena cava inferior (VCI) a través del orificio diafragmático para la vena cava hasta a canchazar los ganglios mediastínicos, la linfa de las caras anterior e inferior (superficial y profunda) fluye hacia el hígado hasta los ganglios linfáticos hepáticos del omento menor. **B. Nervios y plexos.** Los nervios del hígado derivan del plexo hepático, el más grande de los que emergen del plexo celiaco. El plexo hepático acompaña a las ramas de la arteria hepática y de la vena porta hasta el hígado y se compone de fibras simpáticas del plexo celiaco y fibras parasimpáticas de los troncos vagales anterior y posterior.

Biopsia hepática

La biopsia hepática sirve para extraer tejido hepático con fines diagnósticos. La punción con aguja suele efectuarse a través del 10º espacio intercostal derecho en la línea axilar media. Antes de que el médico efectúe la biopsia conviene que el sujeto aguante la respiración después de una espiración forzada para reducir el receso costodiafrágico (fig. 2.60, pág. 286) y, con ello, las posibilidades de lesionar el pulmón y contaminar la cavidad pleural.

Rotura hepática

El hígado se rompe con facilidad porque es un órgano grande, fijo y friable (se desintegra en seguida). Muchas veces, el hígado sufre el desgarró de una costilla fracturada que perfora el diafragma. Dada la rica vascularización y la friabilidad del hígado, los desgarró suelen inducir hemorragias considerables y dolor en el cuadrante superior derecho. En estos casos, el cirujano ha de saber si debe extirpar el material extraño y el tejido contaminado desvitalizado mediante disección o proceder a una resección segmentaria.

Hepatomegalia

Muchas enfermedades (como la insuficiencia cardíaca) determinan un aumento de tamaño del hígado o *hepatomegalia*. Si el tamaño del hígado alcanza proporciones masivas, su borde inferior puede llegar hasta el estrecho superior de la pelvis, en el cuadrante inferior derecho del abdomen. Los tumores también aumentan el tamaño del hígado. El hígado es un asiento común de *carcinoma metastásico*, es decir, de cáncer diseminado a partir de órganos drenados por el sistema venoso portal. Las células cancerosas también pueden pasar al hígado desde el tórax, en particular desde la mama derecha, por las comunicaciones entre los ganglios linfáticos torácicos y los vasos linfáticos que drenan la zona desnuda del hígado.

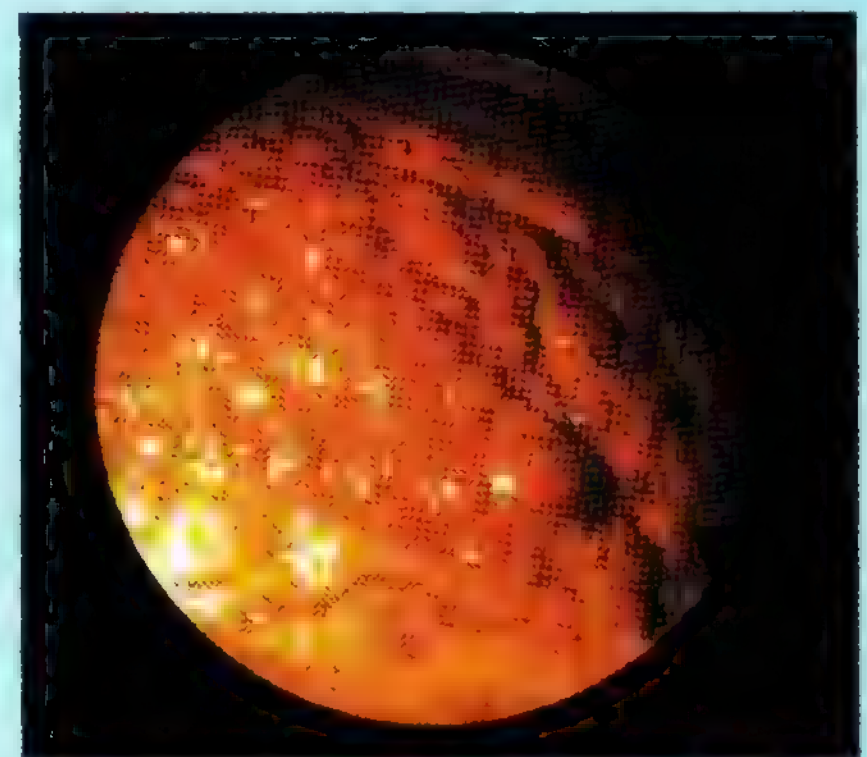
Cirrosis hepática

La *cirrosis hepática* se caracteriza por la destrucción progresiva de los hepatocitos (células del parénquima hepá-

tico) y su sustitución por tejido fibroso. La cirrosis, la causa más común de *hipertensión portal* de todas las que se conocen, suele afectar a personas que padecen *etilismo crónico*. La *cirrosis etílica* se caracteriza por un aumento de tamaño del hígado como consecuencia de las alteraciones grasas y la fibrosis. La superficie del hígado cirrótico tiene un aspecto nodular, lo que explica el término descriptivo coloquial de "hígado en clavo". El tejido fibroso rodea los vasos sanguíneos y los conductos biliares intrahepáticos, y otorga al hígado una consistencia dura que impide la circulación sanguínea. El tratamiento de la cirrosis se basa, a veces, en anastomosis entre los sistemas portal y venoso general. La *derivación portocava* consiste en anastomosar la vena porta con la vena cava inferior. Véase la obra de Skandalakis y cols. (1995), donde se describen las demás derivaciones portosistémicas.

Trasplante de hígado

Las personas con una hepatopatía terminal, del tipo de una *cirrosis etílica grave*, deciden a veces que se les extirpe el hígado y se sustituya por un hígado normal. Con este procedimiento se puede aliviar la hipertensión portal y restablecer la función del hígado; sin embargo, algunos necesitan una inmunosupresión farmacológica indefinida. ○

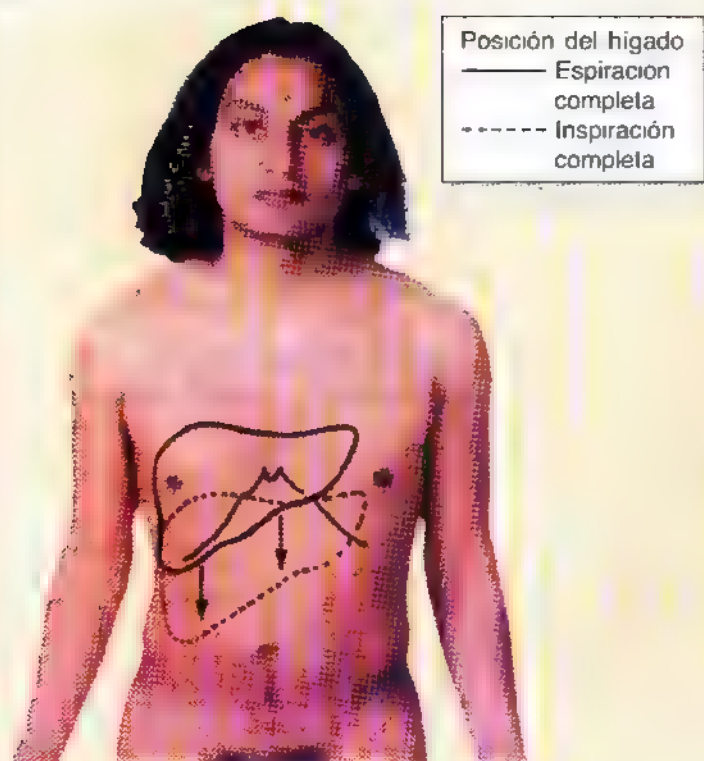


Cirrosis hepática de tipo micronodular (visión endoscópica)

Anatomía de superficie del hígado

El hígado se ubica sobre todo en el cuadrante superior del abdomen, donde se oculta y protege por la cavidad torácica y el diafragma. El hígado normal yace en la pro-

fundidad de la 7ª a 11ª costillas del lado derecho y atraviesa la línea media hacia el pezón izquierdo. Por eso, el hígado ocupa la mayor parte del hipocondrio derecho, el epigastrio y se prolonga hasta el hipocondrio izquierdo. El hígado baja más en posición erecta, por efecto de ►



► la gravedad. Su borde inferior nítido sigue el reborde costal derecho. Cuando se le pide al sujeto que tome una inspiración profunda se puede palpar el hígado por el desplazamiento inferior del diafragma y del hígado. Un método para palpar el hígado consiste en colocar la mano izquierda en la zona posterior, entre la 12ª costilla derecha y la cresta ilíaca del sujeto. Luego se pone la mano derecha en el cuadrante superior derecho del enfermo, paralela y lateral al músculo recto abdominal. Se le pide al sujeto que tome una inspiración profunda, mientras el examinador comprime el abdomen en sentido posterosuperior con la mano derecha y tira en sentido anterior con la izquierda. Véase el libro de Willms y cols. (1994), donde se ilustran con fotografías este y otros métodos de palpación del hígado. ☉

Conductos biliares y vesícula biliar

La función digestiva del hígado consiste en producir bilis, una secreción verde amarillenta, al duodeno. *La bilis se fabrica en el hígado y se deposita en la vesícula biliar*, que la libera cuando penetra grasa en el duodeno. La bilis emulsiona la grasa y la distribuye por el intestino distal para su digestión y absorción posteriores.

El tejido hepático normal, cuando se secciona, se describe de modo tradicional como *lobulillos hepáticos* hexagonales (fig. 2.55A). Cada lobulillo tiene una **vena central**, que discurre por el centro, desde donde se irradian los **sinusoides** (grandes capilares) y las láminas de hepatocitos (células hepáticas) hacia un perímetro imaginario, extrapolado a partir de las **triadas portales interlobulillares** (vena porta, arteria hepática y conductillo biliar circundante). Pese a que de ordinario se consideran como unidades anatómicas del hígado, los "lobulillos" hepáticos no son entidades estructurales; más bien, el patrón lobulillar es una consecuencia fisiológica de los gradientes de presión, que se altera en casos de enfermedad. Como el conductillo biliar no ocupa una posición central, el lobulillo hepático no representa una unidad funcional, como sucede con los acinos de otras glándulas. Sin embargo, el lobulillo hepático es un concepto perfectamente consolidado y ayuda a la descripción. Los hepatocitos segregan la bilis en los **canalículos biliares** que se crean entre ellos. Estos canalículos drenan hacia los pequeños *conductillos biliares interlobulillares* y después hacia otros conductillos colectores de mayor tamaño de la triada portal intrahepática, que se unen para formar los conductos hepáticos derecho e izquierdo (fig. 2.55B). Los **conductos hepáticos derecho e izquierdo** drenan los lóbulos derecho e izquierdo del hígado, respectivamente. Poco después de abandonar el hilio

hepático, los conductos hepáticos derecho e izquierdo se unen en el **conducto hepático común**; éste recibe el **conducto cístico** por la derecha y con él forma el **conducto colédoco** (parte de la triada portal extrahepática del omento menor), que conduce la bilis hasta el duodeno.

Conducto colédoco

El **conducto colédoco** (antiguamente denominado conducto biliar común) se crea en el borde libre del omento menor por la unión del **conducto cístico** con el **conducto hepático común** (fig. 2.55B). La longitud del colédoco varía de 5 a 15 cm, según donde se una el conducto cístico al conducto hepático común. El conducto colédoco desciende posterior a la porción superior (primera) del duodeno y reside en un surco de la cara posterior de la cabeza del páncreas. El conducto colédoco entra en contacto con el **conducto pancreático principal**, a la izquierda de la porción descendente (segunda) del duodeno. Estos conductos siguen un trayecto oblicuo por la pared de esta porción duodenal, uniéndose para crear la **ampolla hepatopancreática** (ampolla de Vater), una dilatación dentro de la papila mayor del duodeno. El extremo distal de la ampolla desemboca en el duodeno por la **papila mayor** (fig. 2.47). El músculo circular que rodea el extremo distal del conducto colédoco se engruesa para formar el **esfínter del colédoco**. Cuando este esfínter se contrae, la bilis no puede pasar a la ampolla ni al duodeno; por eso, la bilis se estanca y regresa por el conducto cístico hasta la **vesícula biliar**, donde se concentra y almacena. Las *arterias que perfunden el conducto colédoco* (fig. 2.56) son:

- La **arteria cística**, que irriga la porción proximal del conducto.

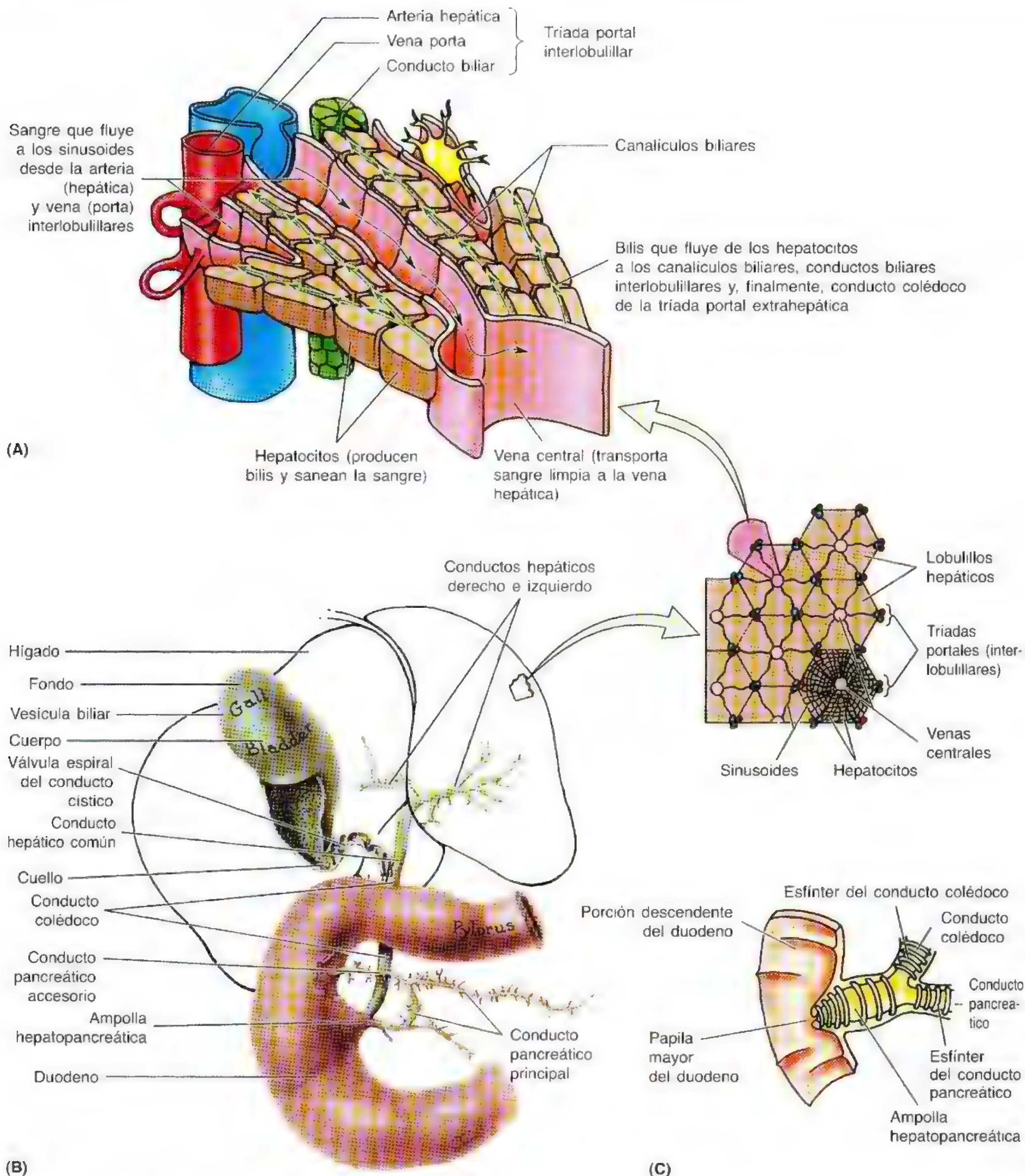
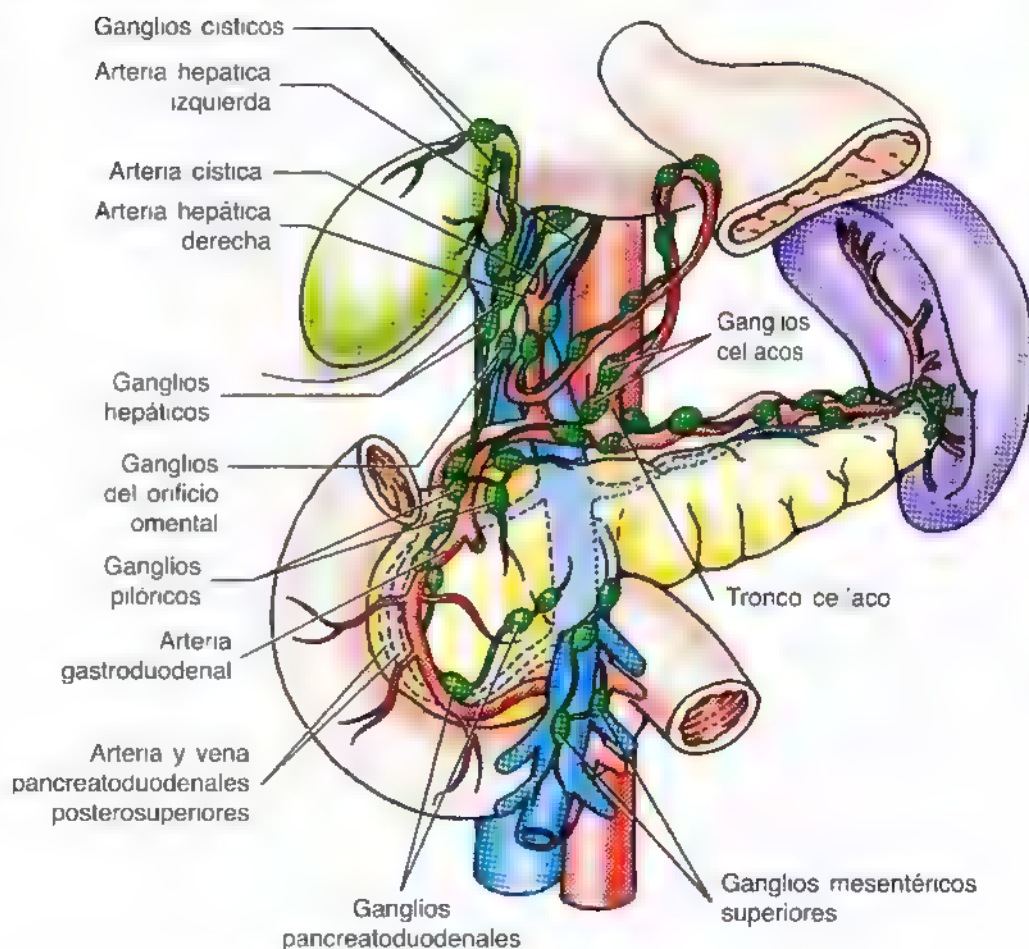


Figura 2.55. Flujo de la sangre y de la bilis por el hígado. **A.** Vision esquemática de una pequeña parte de un lobulillo hepático, que ilustra los componentes de la triada portal interlobulillar y la posición de los sinusoides y los canaliculos biliares. Debajo de este dibujo se ofrece un esquema de un corte hepático para mostrar el patrón hexagonal de los lobulillos. **B.** Conductos biliares extrahepáticos, vesícula biliar y conductos pancreáticos. **C.** Entrada del conducto colédoco y del conducto pancreático en la ampolla hepatopancreática, que desemboca en la porción descendente del duodeno.

Figura 2.56. Drenaje linfático de la vesícula biliar y del conducto colédoco. La linfa pasa de los ganglios císticos y hepáticos y del ganglio del orificio omental (epiploico) a los ganglios linfáticos celíacos que rodean el tronco celíaco. Los vasos linfáticos de la vesícula biliar y de los conductos biliares se anastomosan por arriba con los del hígado, y por abajo, con los del páncreas.



- La **arteria hepática derecha**, que irriga la parte central del conducto.
- La **arteria pancreatoduodenal posterosuperior** y la **arteria gastroduodenal**, que irrigan la porción retroduodenal del conducto.

Las **venas** de la parte proximal del conducto colédoco y de los conductos hepáticos suelen entrar directamente en el hígado. La **vena pancreatoduodenal posterosuperior** (fig. 2.56) drena la porción distal del conducto colédoco y desemboca en la vena porta o en alguna de sus afluentes.

Los **vasos linfáticos del conducto colédoco** pasan a los **ganglios linfáticos císticos**, cerca del cuello de la vesícula, el **ganglio del orificio omental** y los **ganglios linfáticos hepáticos** (fig. 2.56). Los vasos linfáticos eferentes del conducto colédoco llegan hasta los **ganglios linfáticos celíacos**.

Vesícula biliar

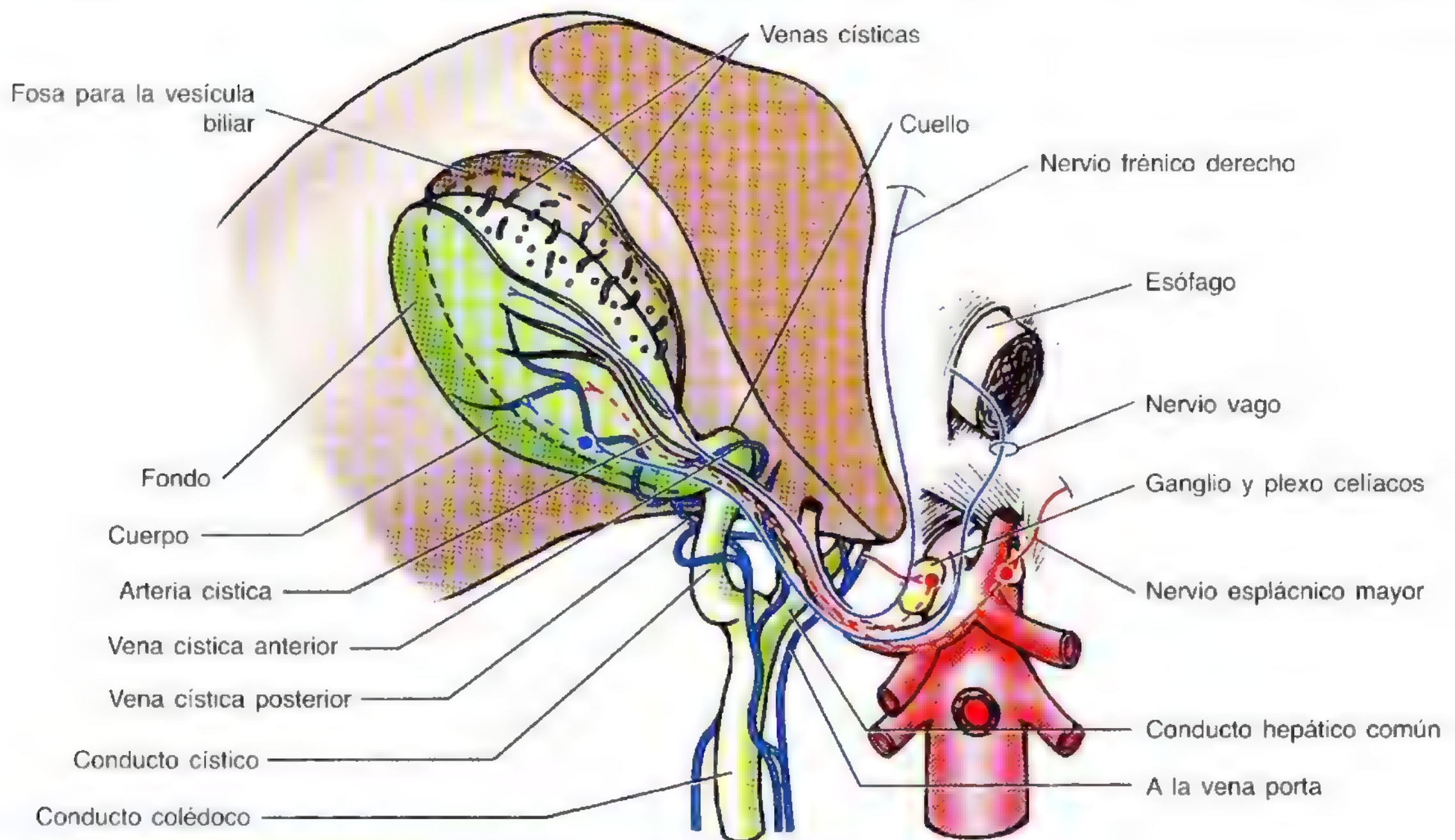
La vesícula biliar (de 7 a 10 cm de longitud) se encuentra en la **fosa de la vesícula biliar** de la cara visceral del hígado (figs. 2.50D, 2.56 y 2.57). Esta delgada fosa se sitúa en la unión entre los lóbulos derecho e izquierdo del hígado. La relación entre la vesícula biliar y el duodeno es tan estrecha, que la porción superior (primera) del duodeno suele teñirse de bilis en los cadáveres. La vesícula biliar, con forma de pera, tiene una capacidad de hasta 50 mL de bilis. El peritoneo rodea totalmente el fondo de la vesícula biliar y une su cuerpo y cuello al hígado. La cara hepática de la vesícula biliar se apoya al hígado por el tejido conjuntivo

de la cápsula fibrosa del hígado. *La vesícula biliar tiene tres partes* (figs. 2.55B y 2.57).

- El **fondo** o extremo ancho se proyecta desde el borde inferior del hígado y suele situarse en el vértice del 9º cartilago costal derecho, en la línea medioclavicular (fig. 2.26A).
- El **cuerpo** contacta con la cara visceral del hígado, el colon transverso y la porción superior del duodeno.
- El **cuello** es estrecho, afilado y se dirige hacia el hilio hepático. La mucosa del cuello se torsiona creando un pliegue —la **válvula espiral** (fig. 2.55B)— que mantiene abierto el conducto cístico, para que la bilis pueda pasar fácilmente a la vesícula en los momentos en que se cierra el extremo distal del colédoco por el esfínter de este conducto o el esfínter hepatopancreático, o para dejar que la bilis pase al duodeno cuando se contrae la vesícula. El cuello de la vesícula se dobla en forma de S y se une al conducto cístico.

El **conducto cístico** (mide aproximadamente 4 cm de longitud) comunica el cuello de la vesícula con el conducto hepático común (figs. 2.55B y 2.57). El conducto pasa entre las capas del omento menor, casi siempre paralelo al conducto hepático común, al que se une para formar el colédoco.

La **arteria cística**, que perfunde la vesícula biliar y el conducto cístico (figs. 2.56 y 2.58A), suele originarse en la arteria hepática derecha, en el ángulo formado por el conducto hepático común y el conducto cístico. Son frecuentes las



Leyendas

Fibras simpáticas

- Presinápticas
- - - Postsinápticas

Fibras parasimpáticas

- Presinápticas
- - - Postsinápticas

- Nervio frénico derecho (sensitivo)

Figura 2.57. Nervios y venas del hígado y del árbol biliar. Los nervios destacan a lo largo de la arteria hepática, vena porta y conducto colédoco. La inervación simpática del hígado y del árbol biliar es vasomotora. Las venas del cuello de la vesícula biliar se anastomosan con las situadas a lo largo de los conductos cístico y colédoco. Desde la vesícula biliar hasta el hígado pasan pequeñas venas císticas.

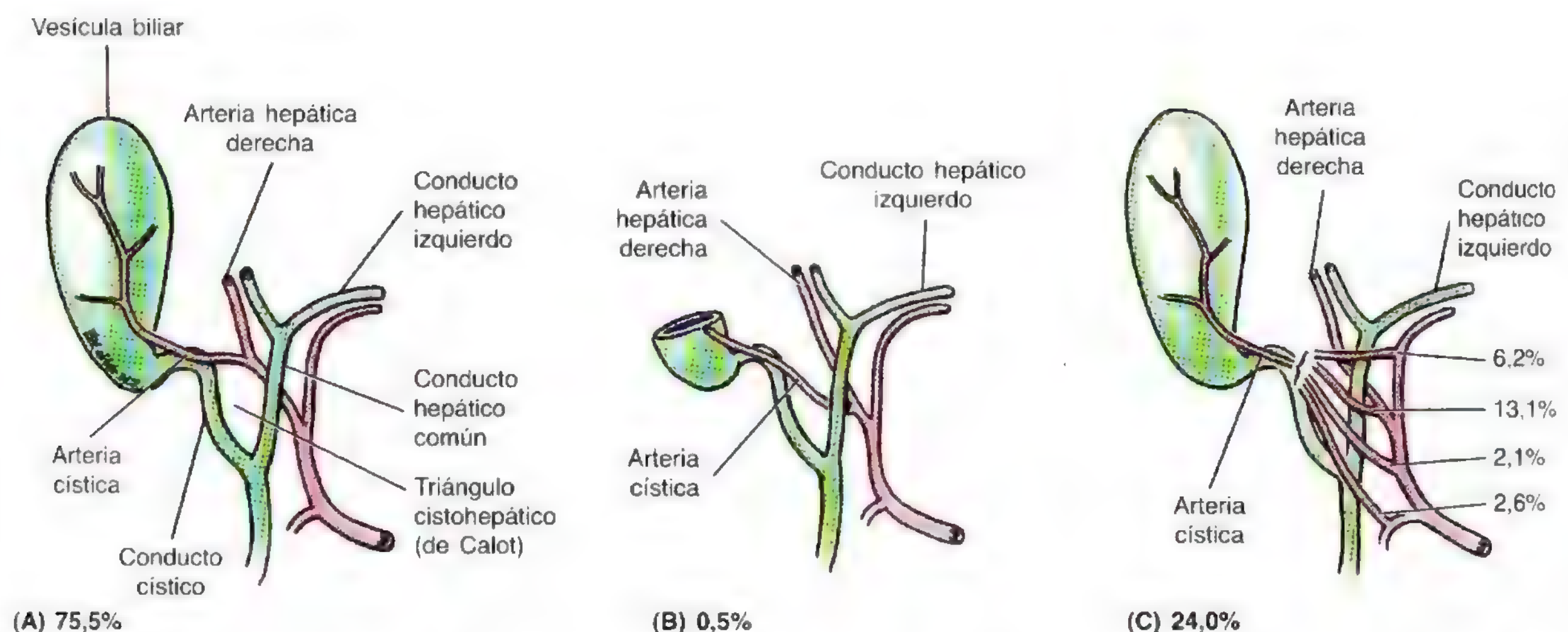


Figura 2.58. Variación del origen y trayectoria de la arteria cística. La arteria cística suele nacer en la arteria hepática derecha, en el triángulo cistohepático (de Calot), y está formado por la arteria cística, el conducto cístico y el conducto hepático común (fig. 2.47A). Las variaciones del origen y la trayectoria de la arteria cística se observan en el 24,5% de las personas (Daseler y cols., 1947) y tienen interés clínico durante la colecistectomía (extirpación quirúrgica de la vesícula biliar).

variaciones del origen y trayecto de la arteria cística (fig. 2.58, B-C).

Las **venas císticas**, que drenan los conductos biliares y el cuello de la vesícula, penetran directamente en el hígado o drenan a la vena porta, o bien se unen a las venas que drenan los conductos hepáticos y la parte superior del conducto colédoco (fig. 2.57). Las venas del fondo y del cuerpo pasan directamente a la cara visceral del hígado y drenan a los sinusoides hepáticos.

Infundíbulo de la vesícula biliar

En los estados patológicos de la vesícula se observa una dilatación o bolsa en la unión entre el cuello de la vesícula y el conducto cístico, es decir, en el *infundíbulo de la vesícula* (bolsa de Hartmann). Cuando esta bolsa aumenta de tamaño, el conducto cístico se origina en la cara superior izquierda y no en lo que parece el vértice de la vesícula. Los cálculos biliares suelen recogerse en el infundíbulo (ampolla). Si se perfora una úlcera péptica duodenal puede crearse una vía falsa entre el infundíbulo y la porción superior del duodeno, que permite el paso de los cálculos biliares al duodeno.

Vesícula biliar móvil

La vesícula biliar dispone de un mesenterio corto en cerca del 4% de los sujetos. Estas vesículas biliares están sometidas a torsión e infartos vasculares (insuficiencia repentina de la irrigación arterial o venosa).

Variaciones de los conductos cístico y hepático

A veces, el conducto cístico discurre a lo largo del conducto hepático común y se adhiere mucho a él. El conducto cístico puede ser corto o incluso faltar. En algunas personas se produce una discreta unión entre los conduc-

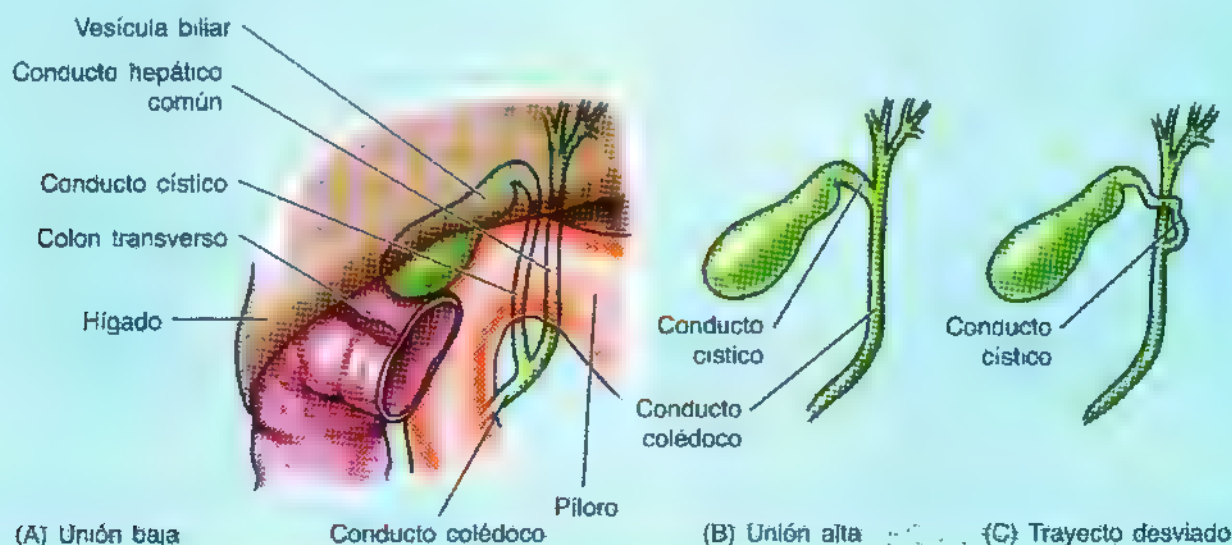
El *drenaje linfático de la vesícula biliar* se dirige a los **ganglios hepáticos** (fig. 2.56), casi siempre a través de los **ganglios císticos** situados cerca del cuello de la vesícula. Los vasos linfáticos eferentes de estos ganglios llegan hasta los **ganglios celiacos**.

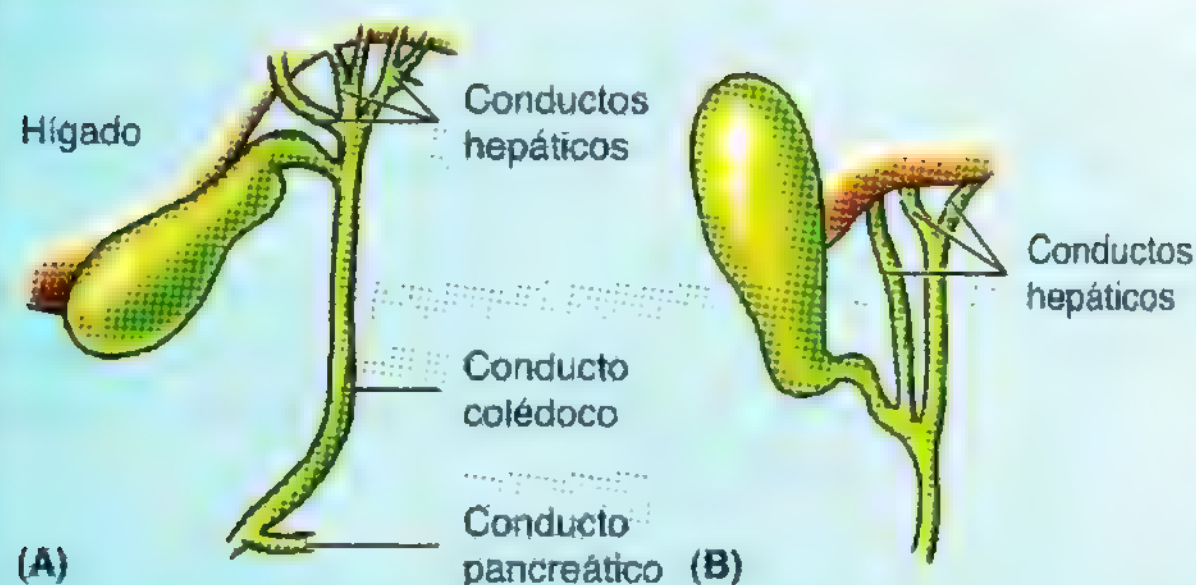
Los *nervios para la vesícula biliar y el conducto cístico* (fig. 2.57) viajan a lo largo de la arteria cística desde el **plexo celiaco** (simpático), el **nervio vago** (parasimpático) y el **nervio frénico derecho** (sensitivo).

tos cístico y hepático común (A); el resultado es que el conducto colédoco es más corto y queda posterior a la porción superior (primera) del duodeno o incluso inferior a ella. Cuando la unión es baja, los dos conductos pueden comunicarse a través de tejido fibroso, lo que dificulta el pinzamiento del conducto cístico sin dañar el conducto hepático común. A veces se aprecia una unión alta de los conductos cístico y hepático común, cerca del hilio hepático (B). En otros casos, el conducto cístico rodea a modo de espiral el conducto hepático común por la cara anterior antes de unirse en la cara izquierda (C). Es necesario que el cirujano conozca estas variantes en la formación del conducto colédoco para ligar el conducto cístico durante la *colecistectomía* (extracción de la vesícula biliar).

Conductos hepáticos accesorios

Los conductos hepáticos accesorios (aberrantes) se observan a menudo, pero pueden aumentar el riesgo de la colecistectomía. Un conducto accesorio es un conducto segmentario normal que se une al sistema biliar fuera del hígado, en lugar de en él (A-B). Como drena un segmento de hígado normal, emite bilis si se secciona de manera inadvertida durante la cirugía (Skandalakis y cols., 1995). De entre 95 vesículas y conductos biliares examinados (Agur, 1991), siete presentaban conductos accesorios; cuatro se habían unido al conducto hepático común cerca de los conductos císticos; dos, al conducto cístico, ▶





► y uno era un conducto de anastomosis entre el conducto cístico y el conducto hepático común.

Impacto de los cálculos biliares

El extremo distal de la ampolla hepatopancreática es la porción más estrecha de los conductos biliares y el asiento más asiduo para que impacten los cálculos biliares. El infundíbulo de la vesícula biliar (bolsa de Hartmann) es otro lugar común de impacto. Los cálculos biliares pueden alojarse igualmente en los conductos hepáticos. La ecografía y la TC constituyen técnicas incruentas para localizar los cálculos. El cálculo también puede alojarse en el conducto cístico y producir un *cólico biliar* (dolor en la región epigástrica). Cuando se relaja la vesícula biliar, el cálculo puede retroceder de nuevo a la vesícula. Si el cálculo tapona el conducto cístico ocurre una *colecistitis* (inflamación de la vesícula biliar) por el acúmulo de bilis, que determina un aumento de tamaño de la vesícula. El dolor aparece en la región hipogástrica y luego se desplaza hasta el hipocondrio derecho, a la altura del 9º cartílago costal y del borde lateral de la vaina del recto

(marcado por la línea semilunar). La inflamación de la vesícula biliar provoca dolor en la pared posterior del tórax o en el hombro derecho, debido a la irritación diafragmática. Si la bilis no puede salir de la vesícula biliar pasa a la sangre y provoca *ictericia* (se expone en la pág. 266).

Colecistectomía

Las personas con un **cólico biliar** grave –dolor espasmódico intenso en el cuadrante superior derecho del abdomen debido al impacto de un cálculo biliar en el conducto cístico y a la inflamación aguda de la vesícula biliar (colecistitis)– son sometidas, a veces, a extirpación de la vesícula. La *colecistectomía laparoscópica* reemplaza en muchos casos a la cirugía abierta; para más detalles sobre esta técnica consúltese la obra de Skandalakis y cols. (1995). La disección del **triángulo cistohepático** (triángulo de Calot) –limitado por la arteria cística, el conducto cístico y el conducto hepático común (fig. 2.58A)– en las primeras fases de la colecistectomía protege a estas estructuras tan importantes, en caso de que ocurran variaciones anatómicas. *Los errores durante la cirugía de la vesícula provienen, casi siempre, de la incapacidad para conocer las variantes comunes en la anatomía del árbol biliar, sobre todo de la irrigación.* Antes de dividir ningún órgano y extirpar la vesícula biliar, el cirujano debe identificar los tres conductos biliares y las arterias cística y hepática. De ordinario, la arteria hepática derecha, que se puede lesionar durante la cirugía, debe localizarse antes de ligar la arteria cística. *La lesión del conducto colédoco representa una complicación grave de la colecistectomía, que supuestamente afecta a 1 de cada 600 casos; el riesgo parece algo mayor con la colecistectomía* (Sabiston y Lysterly, 1994). ◊

Vena porta y anastomosis portosistémicas

La **vena porta** es el conducto principal del **sistema venoso portal** (figs. 2.52 y 2.59). Recoge una sangre poco oxigenada, pero con muchos nutrientes, de la porción abdominal del tubo digestivo, incluidos la vesícula biliar, el páncreas y el bazo, y la transporta hasta el hígado. Ahí se ramifica para acabar en capilares expandidos que se conocen como **sinusoides venosos del hígado** (fig. 2.55A).

El sistema venoso portal se comunica con el sistema venoso general en los siguientes lugares (fig. 2.59):

- Con las **venas esofágicas**, que drenan a la **vena ázigos** (sistema general) o a la **vena gástrica izquierda** (sistema portal); cuando se dilatan aparecen *varices esofágicas*.
- Con las **venas rectales**: las venas inferior y media drenan a la vena cava inferior (sistema general), y la vena rectal superior se continúa como la vena mesentérica inferior (sistema portal). Las venas submucosas afectadas suelen

dilatarse (aspecto varicoso), incluso en los recién nacidos; cuando la mucosa que los contiene se prolapsa aparecen las *hemorroides*. (El aspecto varicoso de las venas y la aparición de hemorroides no se relaciona con la hipertensión portal, como suele afirmarse.)

- Las **venas paraumbilicales** de la pared anterior del abdomen (sistema portal) se anastomosan con las **venas epigástricas superficiales** (sistema general); cuando se dilatan, estas venas ocasionan la figura de una cabeza de medusa: venas varicosas que se irradian desde el ombligo (véase el recuadro clínico sobre hipertensión portal de la pág. 283).
- Ramificaciones de las **venas cólicas** (sistema portal) que se anastomosan con venas retroperitoneales (sistema general).

Las venas paraumbilicales se extienden a lo largo del ligamento redondo por el ligamento falciforme y el ligamento umbilical medio en el pliegue umbilical medio. Estas pequeñas venas establecen anastomosis entre las venas de la pared anterior del abdomen y las venas porta e ílica interna.

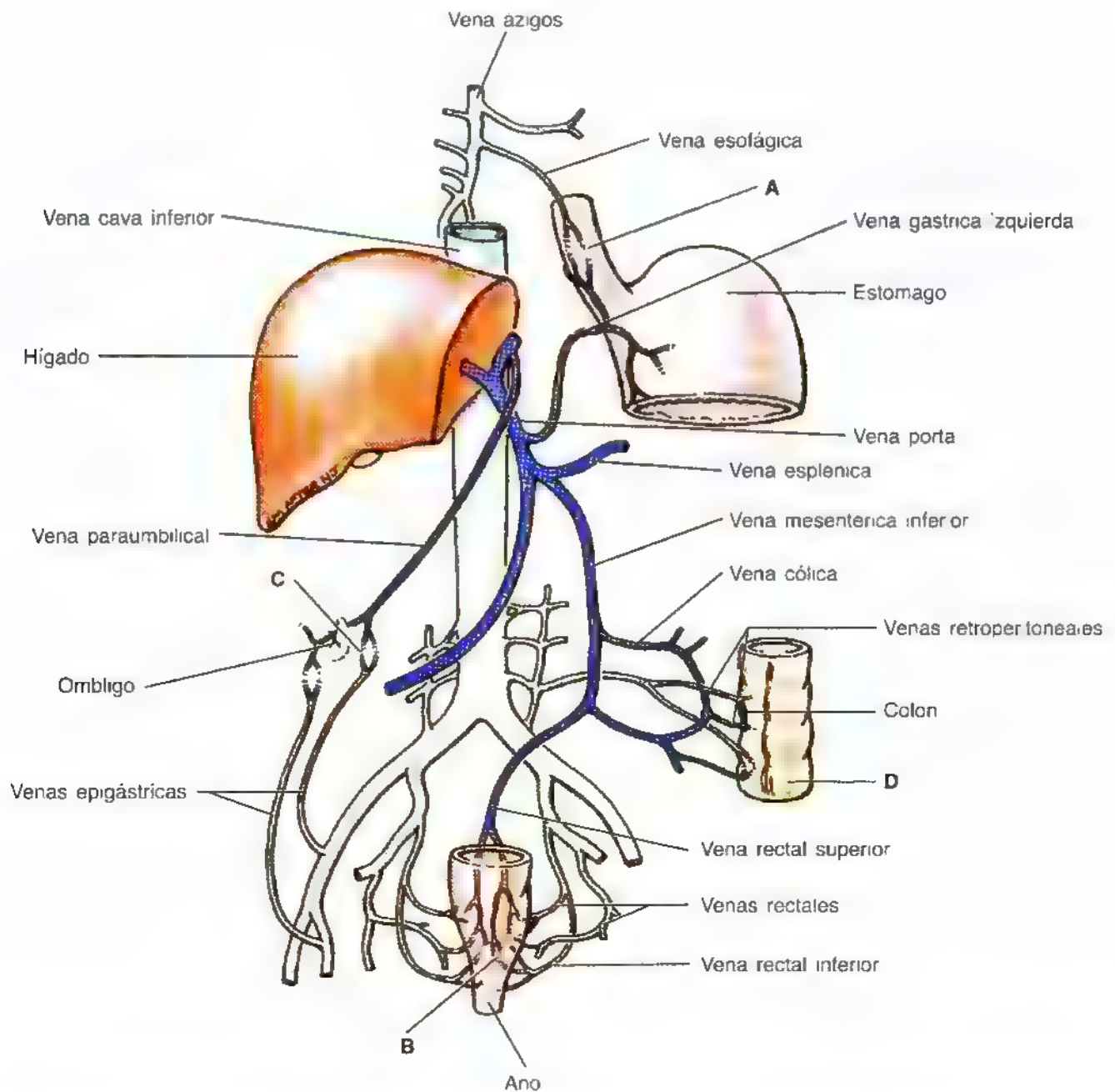


Figura 2.59. Anastomosis portosistémicas. Estas comunicaciones permiten la circulación colateral en casos de obstrucción de las venas hepáticas o de la vena porta. En este diagrama las afluentes de la porta aparecen en un color azul oscuro y las venas de la circulación general, en azul claro. **A-D.** Indica los lugares de anastomosis. **A.** Entre las venas esofágicas que drenan a la vena azigos (general) y la vena gástrica izquierda (porta) si se dilatan se denominan varices esofágicas. **B.** Entre los vasos rectales, las venas rectales inferior y media drenan a la vena cava inferior (VC) (general) y la vena rectal superior desemboca en la vena mesenterica inferior (VMI) (porta); cuando se dilatan se transforman en hemorroides. **C.** Las venas paraumbilicales (porta) se anastomosan con pequeñas venas epigástricas de la pared anterior del abdomen (general); puede aparecer la figura en cabeza de medusa (pág. 284). **D.** Pequeñas ramas de las venas cólicas (porta) se anastomosan con las venas retroperitoneales generales.

Anastomosis portosistémicas

Las comunicaciones entre el sistema venoso portal y el sistema venoso general tienen mucho interés clínico si sucede un **taponamiento venoso portal intra- o extra-hepático**. Si se reduce u obstruye la circulación portal por una enfermedad o por una compresión tumoral, la sangre del tubo digestivo puede todavía alcanzar las cavidades derechas del corazón a través de la vena cava infe-

rior por medio de varias ramas colaterales. Estas vías alternativas son factibles porque la vena porta y sus afluentes no contienen válvulas; por eso, la sangre puede fluir en dirección inversa hacia la vena cava inferior.

Hipertensión portal

Cuando la cicatrización y la fibrosis de la cirrosis obstruyen la vena porta del hígado aumenta su presión y la ►

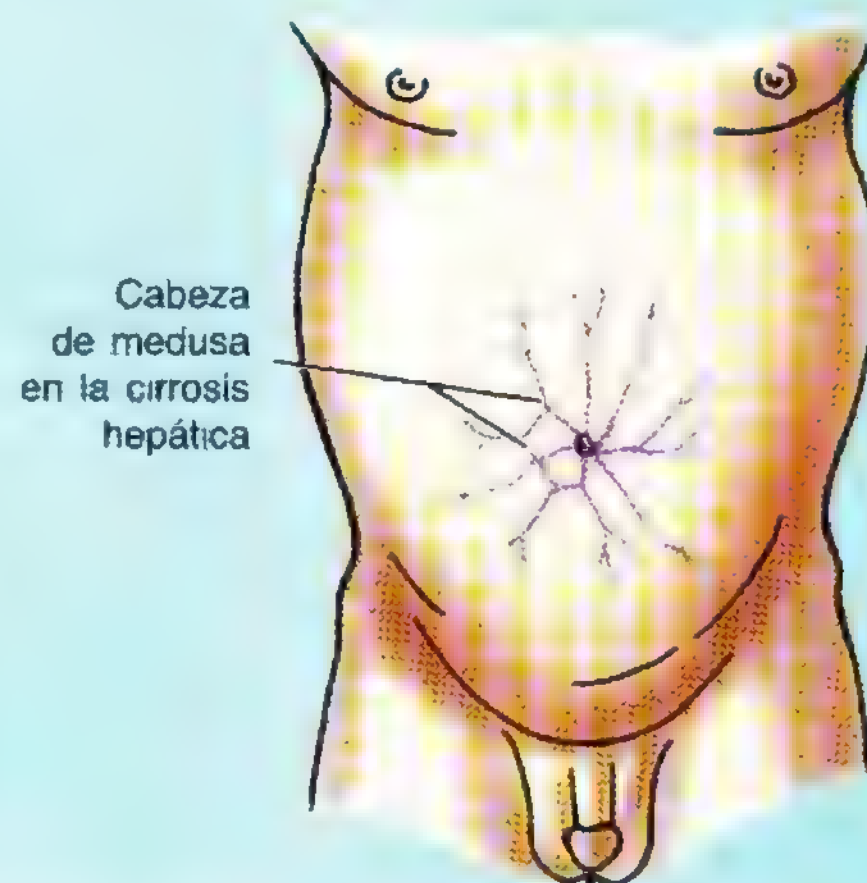
► de sus afluentes, originándose *hipertensión portal*. En los lugares de anastomosis entre las venas porta y sistémicas, la hipertensión portal crea *venas varicosas* y ensanchadas, y dirige el flujo de sangre del sistema portal al sistema venoso general. Las venas pueden dilatarse tanto, que sus paredes se rompan, ocasionando así una hemorragia.

La *hemorragia por varices esofágicas (venas dilatadas) de la porción del extremo distal del esófago resulta muchas veces grave e incluso mortal*. En los casos de obstrucción portal grave, aun las venas paraumbilicales se tornan varicosas y remedan pequeñas serpientes que se irradian debajo de la piel periumbilical. Este estado suele denominarse *cabeza de medusa*, por su semejanza con las serpientes que cubrieron la cabeza de Medusa, uno de los personajes de la mitología griega.

Derivaciones portosistémicas

El método habitual para reducir la hipertensión portal consiste en derivar la sangre del sistema venoso portal al sistema general, estableciendo comunicaciones entre la vena porta y la vena cava inferior. Esta *anastomosis portocava o derivación portosistémica* puede efectuarse en las

zonas donde los vasos de uno y otro sistemas se sitúan próximos entre sí, detrás del hígado. Otra vía para reducir la presión portal es comunicar la vena esplénica con la vena renal izquierda después de la esplenectomía (*anastomosis o derivación esplenorrenal*). Para conocer mejor la descripción de la anatomía de superficie de la pancreatitis véase Skandalakis y cols. (1995). ◊



Riñones, uréteres y glándulas suprarrenales

Los **riñones** ocupan una posición retroperitoneal en la pared posterior del abdomen (fig. 2.60). Estos órganos urinarios depuran el exceso de agua, sales y los desechos del metabolismo proteico de la sangre, al tiempo que devuelven los nutrientes y las sustancias químicas a la sangre. Los riñones transportan los productos de desecho de la sangre a la orina a través de los uréteres, y desde aquí, a la vejiga urinaria. Los **uréteres** siguen una trayectoria inferior desde los riñones y cruzan el borde del estrecho superior de la pelvis por la bifurcación de las arterias ilíacas comunes. Luego continúan por la pared lateral de la pelvis y llegan a la **vejiga urinaria**. La cara superomedial de cada riñón contacta, de ordinario, con una **glándula suprarrenal** encerrada en una cápsula fibrosa y un cojinete de *grasa perirrenal* (figs. 2.61 y 2.62). Un tabique delicado de **fascia renal** separa estas glándulas de los riñones, de manera que no suelen estar conectados entre sí. La función de las glándulas suprarrenales, como parte del sistema endocrino, es totalmente distinta de la de los riñones. Estas glándulas segregan corticoides y andrógenos y sintetizan las hormonas epinefrina y norepinefrina.

La **grasa perirrenal**, procedente de la extraperitoneal, se continúa por el **hilio renal** con la grasa del **seno renal** (fig. 2.61B). Por fuera de la fascia renal se encuentra la **grasa pararrenal**, en particular detrás del riñón; la fascia renal envía haces de colágeno a través de la grasa. Estos haces de colágeno, la fascia renal y el tejido graso perirrenal y pararrenal, junto con el anclaje que proporcionan los vasos renales y el

uréter, sostienen los riñones en una posición relativamente fija. Sin embargo, los riñones se mueven con la respiración y cuando se pasa del decúbito supino a la posición erecta, o viceversa. En general, la movilidad renal alcanza 3 cm, aproximadamente la altura de un cuerpo vertebral. En el plano superior, la fascia renal se continúa con la fascia de la cara interna del diafragma (fascia diafragmática); por eso, las glándulas suprarrenales se insertan sobre todo en el diafragma. Por debajo, las dos capas se unen (si acaso) de manera muy laxa.

Neumografía retroperitoneal

La inserción laxa de las capas anterior y posterior de la fascia renal se ha demostrado con este procedimiento clínico radiológico, que consiste en inyectar aire en el tejido adiposo presacro que asciende por la grasa retroperitoneal y se introduce en la fascia renal, dibujando los contornos del riñón y de la glándula suprarrenal. Este procedimiento ha sido prácticamente sustituido por las técnicas modernas de imagen con sección transversal, del tipo de TC, RM y ecografía.

Absceso perirrenal

Las inserciones de la fascia renal indican la vía de extensión de los abscesos perirrenales. Por ejemplo, la fascia del hilio renal se inserta en los vasos renales y en el uréter, y suele impedir que el pus se extienda ►

► a la parte contralateral. Sin embargo, el pus del absceso (o la sangre de un riñón lesionado) puede buscar su camino hacia la pelvis, entre la lámina insertada por delante y por detrás de la fascia pélvica.

Nefroptosis

Como las capas de la fascia renal no se unen de manera íntima por la cara inferior, que no ofrece resistencia, los riñones con movilidad anormal pueden desplazarse más de los 3 cm habituales en posición erecta. Cuando los riñones descienden, las glándulas suprarrenales permanecen en su posición, porque se encuentran dentro de un compartimiento fascial diferente y se hallan más adhe-

ridas al diafragma. La *nefroptosis* ("riñón caído") se diferencia del *riñón ectópico* (cambio congénito de posición del riñón) porque el uréter tiene una longitud normal, lo que demuestra el enrollamiento o acodamiento laxo, porque disminuye la distancia con la vejiga urinaria. Los acodamientos carecen de importancia. Al parecer, los síntomas de dolor intermitente en la región lumbar, que se alivian con el decúbito, obedecen a la tracción sobre los vasos renales. La falta de soporte inferior de los riñones en la región lumbar es uno de los motivos por los que los riñones trasplantados se colocan en la fosa ilíaca de la pelvis mayor (otras razones para ubicarlos aquí son la disponibilidad de los grandes vasos sanguíneos y el acceso más cómodo a la vejiga urinaria vecina). ◉

Riñones

Los riñones, ovalados, ocupan una posición retroperitoneal en la pared posterior del abdomen; cada uno se encuentra a un lado de la columna vertebral, a la altura de las vértebras T12 a L3 (figs. 2.60 y 2.62). *El riñón derecho suele quedar algo inferior al izquierdo*, por el mayor tamaño del lóbulo derecho del hígado. Los riñones tienen un aspecto rojizo-pardo en vida y miden aproximadamente 10 cm de longitud, 5 cm de anchura y 2,5 cm de grosor. Por la cara superior, los riñones se relacionan con el diafragma, que los separa de las cavidades pleurales y del 12º par de costillas. En un plano más inferior, el riñón se relaciona con el *músculo cuadrado lumbar* por su cara posterior (figs. 2.60 y 2.61). El nervio y los vasos subcostales y los nervios iliohipogástrico e ilioinguinal descienden diagonalmente por la cara posterior de los riñones. El hígado, el duodeno y el colon ascendente se sitúan anteriores al riñón derecho (fig. 2.63). El riñón derecho se separa del hígado por el *receso hepatorenal*. El *riñón izquierdo* se relaciona con el estómago, el bazo, el páncreas, el yeyuno y el colon descendente.

Trasplante de riñón

Se puede extraer el riñón del donante sin dañar la glándula suprarrenal, debido al fino tabique de fascia renal que separa uno de otra. El trasplante renal es una operación consolidada en estos momentos para tratar casos especiales de insuficiencia renal crónica. El riñón se trasplanta en la fosa ilíaca de la pelvis mayor. La arteria y la vena renales se conectan a la arteria y la vena ilíaca externas, respectivamente, y el uréter se sutura a la vejiga urinaria.

Quistes renales

Los quistes renales múltiples o solitarios constituyen un hallazgo frecuente en la disección de cadáveres. La

En el borde medial cóncavo de cada riñón se encuentra una hendidura vertical —**hilio renal**—, donde penetra la arteria renal y salen la vena y la pelvis renales (fig. 2.64A). En el hilio, la **vena renal** se encuentra anterior a la **arteria renal**, que, a su vez, está delante de la pelvis renal. El hilio renal representa la entrada a un espacio intrarrenal —**seno renal** (fig. 2.64B)— ocupado por la pelvis renal, los cálices, los vasos y nervios y una cantidad variable de grasa (fig. 2.64, C-D). Cada riñón posee caras anterior y superior, bordes medial y lateral y polos superior e inferior. El borde lateral es convexo, y el medial, cóncavo, en el lugar donde se encuentran el seno y la pelvis renales. El borde medial indentado otorga al riñón el aspecto de judía.

Los **uréteres** son conductos musculares (de 25 a 30 cm de longitud) con luces estrechas, que llevan la orina de los riñones a la vejiga urinaria (figs. 2.60 y 2.64). Las porciones abdominales de los uréteres se adhieren íntimamente al peritoneo parietal y tienen un trayecto retroperitoneal. Como se observa en la radiografía tras la inyección de contraste, *los uréteres presentan constricciones normales y variables en tres lugares:*

enfermedad poliquística del riñón adulto es una causa importante de la insuficiencia renal, que se hereda como rasgo autosómico dominante. Los riñones aumentan mucho de tamaño y se encuentran deformados por quistes que alcanzan dimensiones de hasta 5 cm.

Dolor en la región pararenal

La relación estrecha entre los riñones y el músculo psoas mayor explica por qué la extensión de las caderas puede aumentar el dolor causado por la inflamación en la región pararenal. Estos músculos flexionan el muslo por la cadera. ◉

- En la unión del uréter con la pelvis renal.
- En el lugar donde el uréter cruza el plano del estrecho superior de la pelvis.
- A su paso por la pared de la vejiga urinaria.

Estas zonas de constricción constituyen lugares potenciales de obstrucción por los cálculos ureterales (renales).

La **pelvis renal** es una expansión aplanada, infundibular, del extremo superior del uréter (fig. 2.64, B-D). El vértice de la pelvis renal se continúa con el uréter. La pelvis renal

recibe dos o tres **cálices mayores**, cada uno de los cuales se divide en dos o tres **cálices menores**. Cada cáliz menor está indentado por la **papila renal**, el vértice de la *pirámide renal*.

En los seres vivos, la pelvis renal y sus cálices suelen estar colapsados (vacíos). Los lóbulos del riñón los forman las pirámides y la corteza asociada con ellas. Los lóbulos se ven en las caras externas de los riñones fetales y sus marcas pueden persistir durante algún tiempo después del nacimiento (Moore y Persaud, 1998).

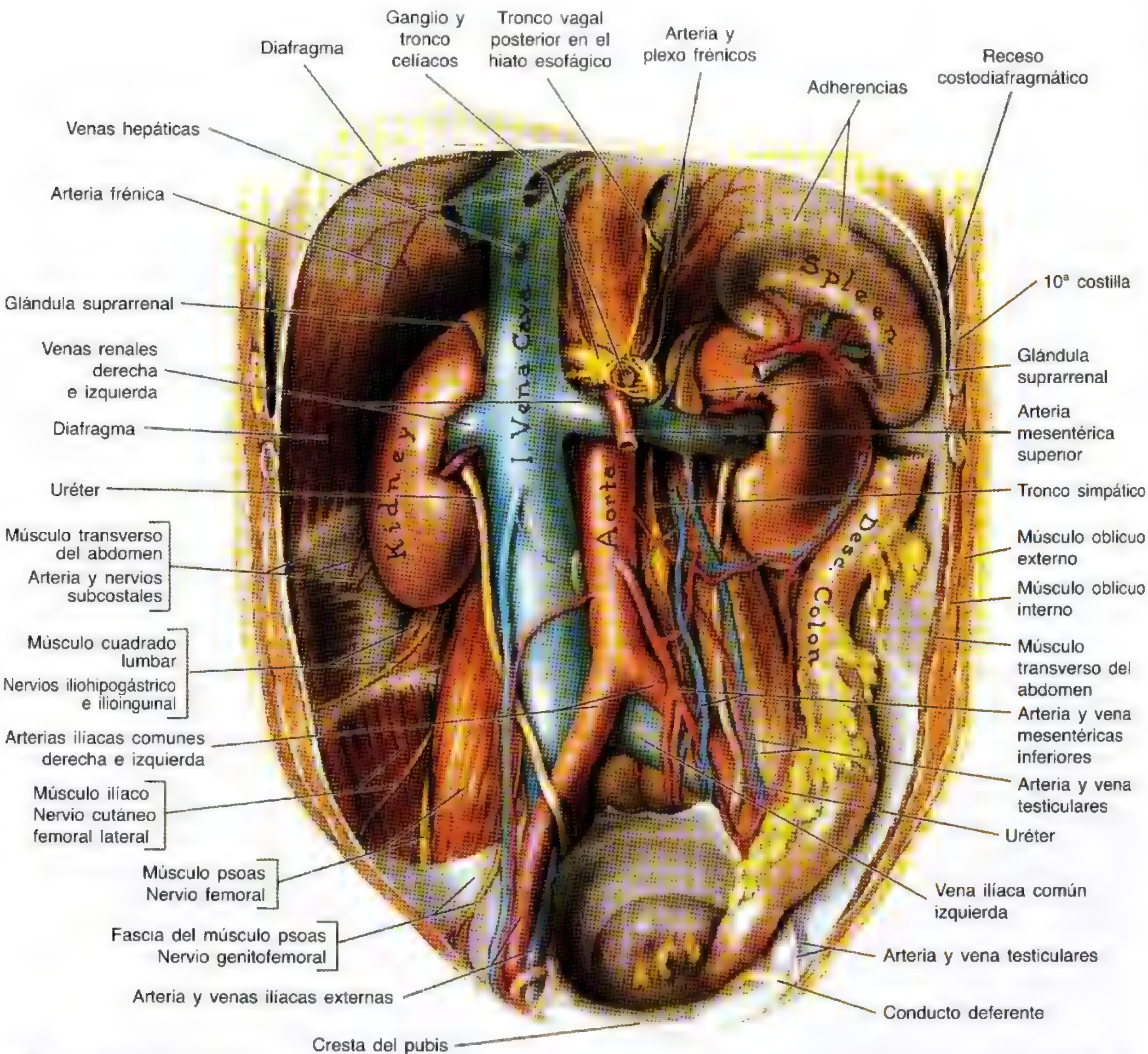


Figura 2.60. Pared posterior del abdomen con los grandes vasos, riñones y glándulas suprarrenales. Se ha extirpado la mayoría de la fascia. Como se ve, el uréter cruza la arteria ilíaca externa, inmediatamente después de la bifurcación de la iliaca común, y los vasos testiculares pasan delante del uréter y se unen al conducto deferente para atravesar el conducto inguinal. Nótese que las arterias renales no se visualizan porque se sitúan posteriores a las venas renales. Obsérvese también que la vena renal izquierda queda comprimida entre la aorta por detrás y la arteria mesentérica superior (AMS), que soporta el peso del intestino.

Las **arterias para el uréter** (fig. 2.65) provienen sobre todo de:

- Las arterias renales.
- Las arterias testiculares u ováricas.
- La aorta abdominal.

Sin embargo, las arterias pueden nacer de las arterias ilíaca común, ilíaca interna, vesical inferior (sexo masculino) y uterina (sexo femenino). Cuando las arterias alcanzan el uréter se dividen en ramas ascendentes y descendentes. La anastomosis longitudinal entre estas ramas de la pared ureteral es satisfactoria.

Las **venas de los uréteres** drenan a las venas renales y testiculares u ováricas (fig. 2.65). Los *vasos linfáticos del uréter* se unen a los vasos colectores renales o pasan directa-

mente a los **ganglios linfáticos lumbares (aórticos)** y a los **ganglios linfáticos ilíacos comunes** (véase la fig. 2.67). El drenaje linfático de las porciones pélvicas de los uréteres llega hasta los **ganglios linfáticos ilíacos comunes**, externos e **internos**.

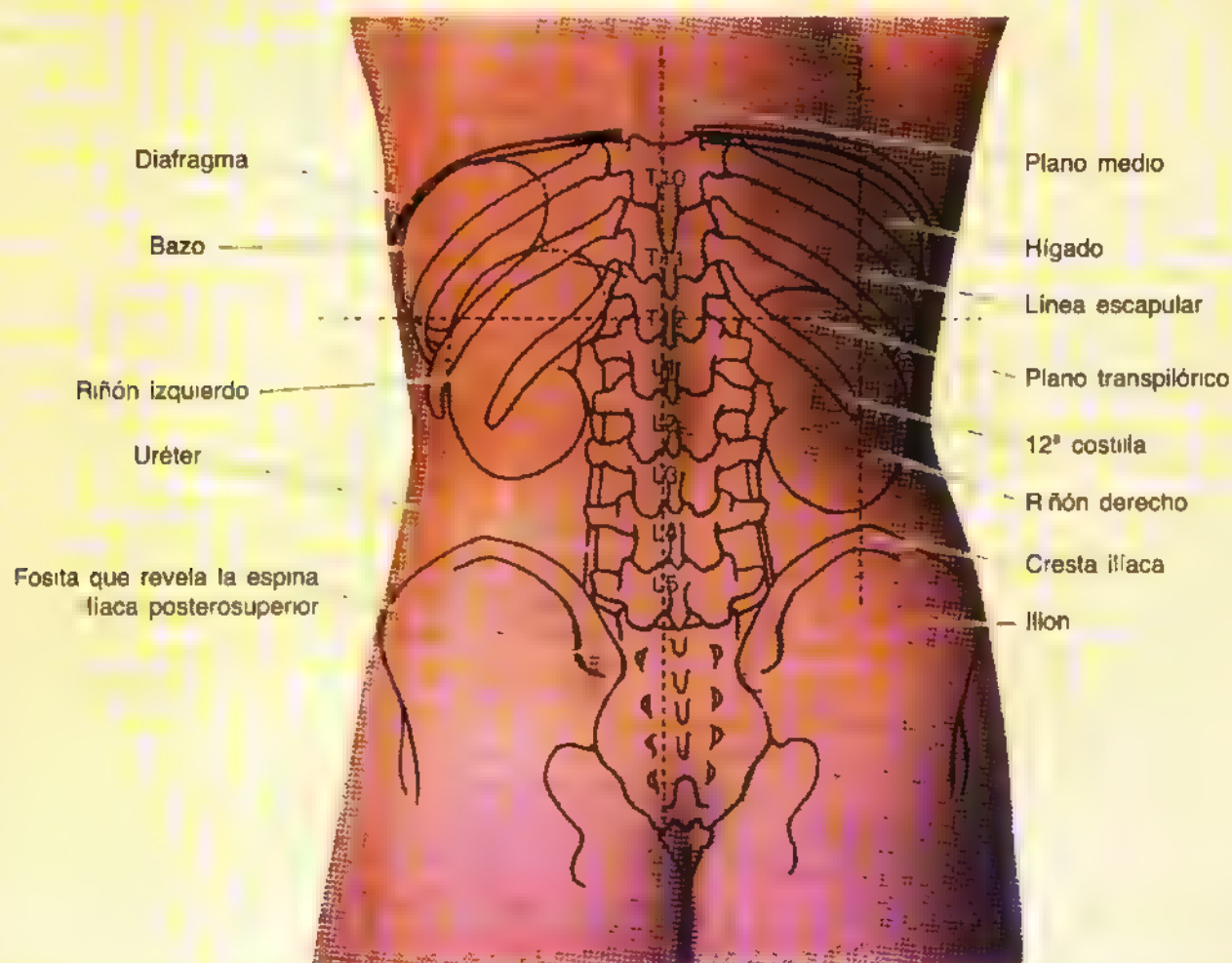
Los **nervios de los uréteres** proceden de los plexos renal, aórtico e hipogástrico superior e inferior (fig. 2.66B). Las fibras aferentes viscerales que llevan la sensación dolorosa (p. ej., por una obstrucción con la distensión consiguiente) siguen de manera retrógrada a las fibras simpáticas hasta los ganglios espinales y los segmentos T11 a L2. El dolor ureteral se suele referir al cuadrante inferior ipsolateral de la pared inferior del abdomen y, en particular, a la ingle (véase el recuadro clínico "Cálculos renales y ureterales", pág. 293).

Anatomía de superficie de los riñones y uréteres

El hilio del riñón izquierdo está cerca del plano transpilórico, a unos 5 cm del plano medio. El plano transpilórico pasa por el polo superior del riñón derecho, que queda unos 2,5 cm más bajo que el polo izquierdo. En la cara posterior, los polos superiores de los riñones se sitúan en la profundidad de la 11ª y 12ª costillas. La altura de los riñones se modifica con la respiración y los cambios pos-

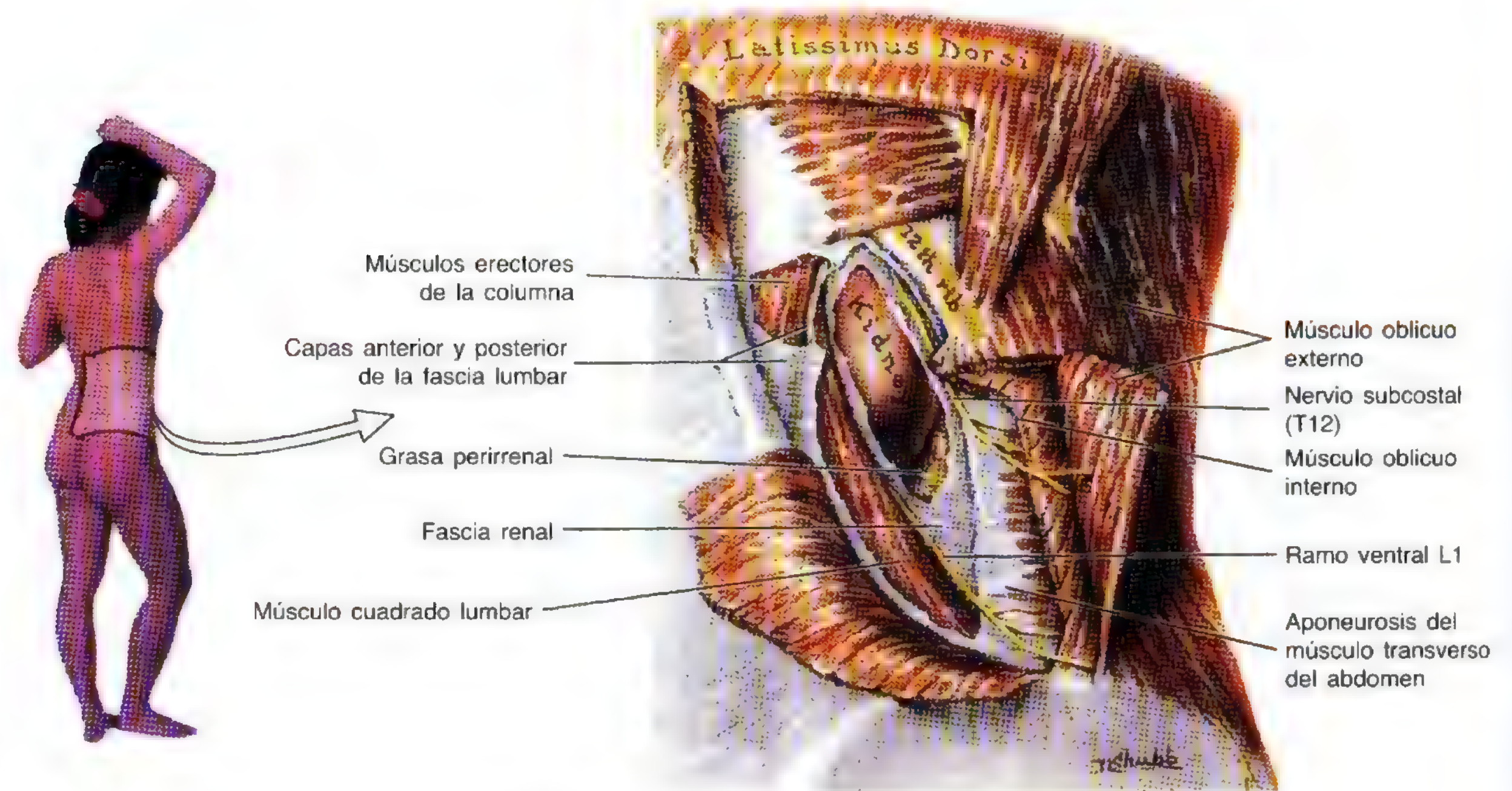
turales. Cada riñón se desplaza alrededor de 3 cm en el plano vertical con el movimiento del diafragma (durante la inspiración profunda). Como el abordaje quirúrgico más corriente de los riñones tiene lugar por la pared posterior del abdomen, conviene saber que el polo inferior del riñón derecho se sitúa aproximadamente un través de dedo por encima de la cresta ilíaca.

En las personas muy musculosas u obesas no llegan a palpase los riñones. En la mayoría de los adultos se puede palpar el polo inferior del riñón derecho mediante ►

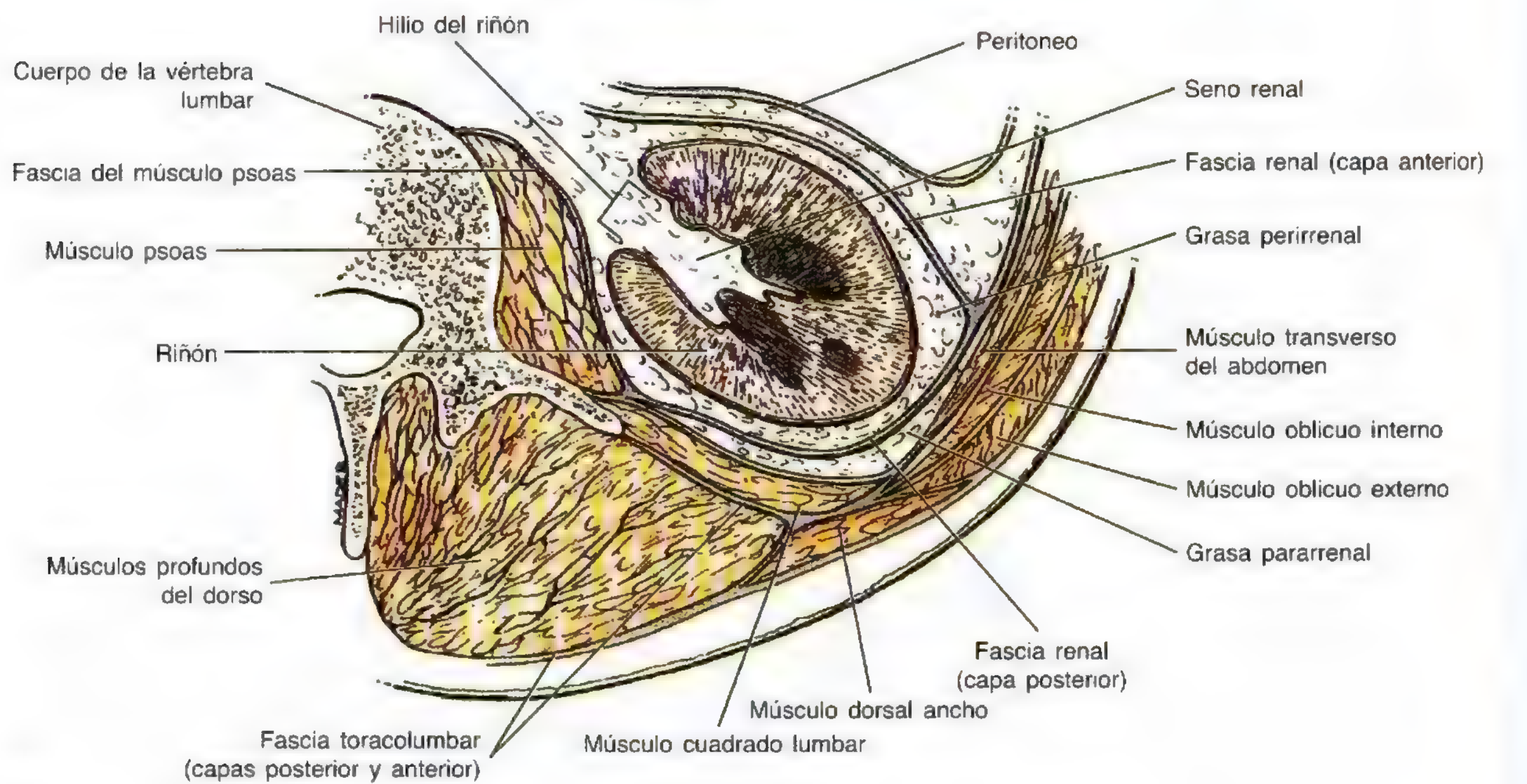


► exploración bimanual: se nota una masa dura, lisa y algo redondeada, que desciende durante la inspiración. La palpación del riñón derecho es posible porque baja 1-2 cm más que el izquierdo. Para palpar los riñones se comprime el flanco –parte lateral del cuerpo entre las cos-

tillas y la pelvis– por delante con una mano y con la otra se palpa el riñón en la profundidad del reborde costal. El riñón izquierdo no suele palparse, salvo que aumente de tamaño o exista una masa retroperitoneal que lo desplace en sentido inferior. ◉



(A) Visión posterolateral



(B)

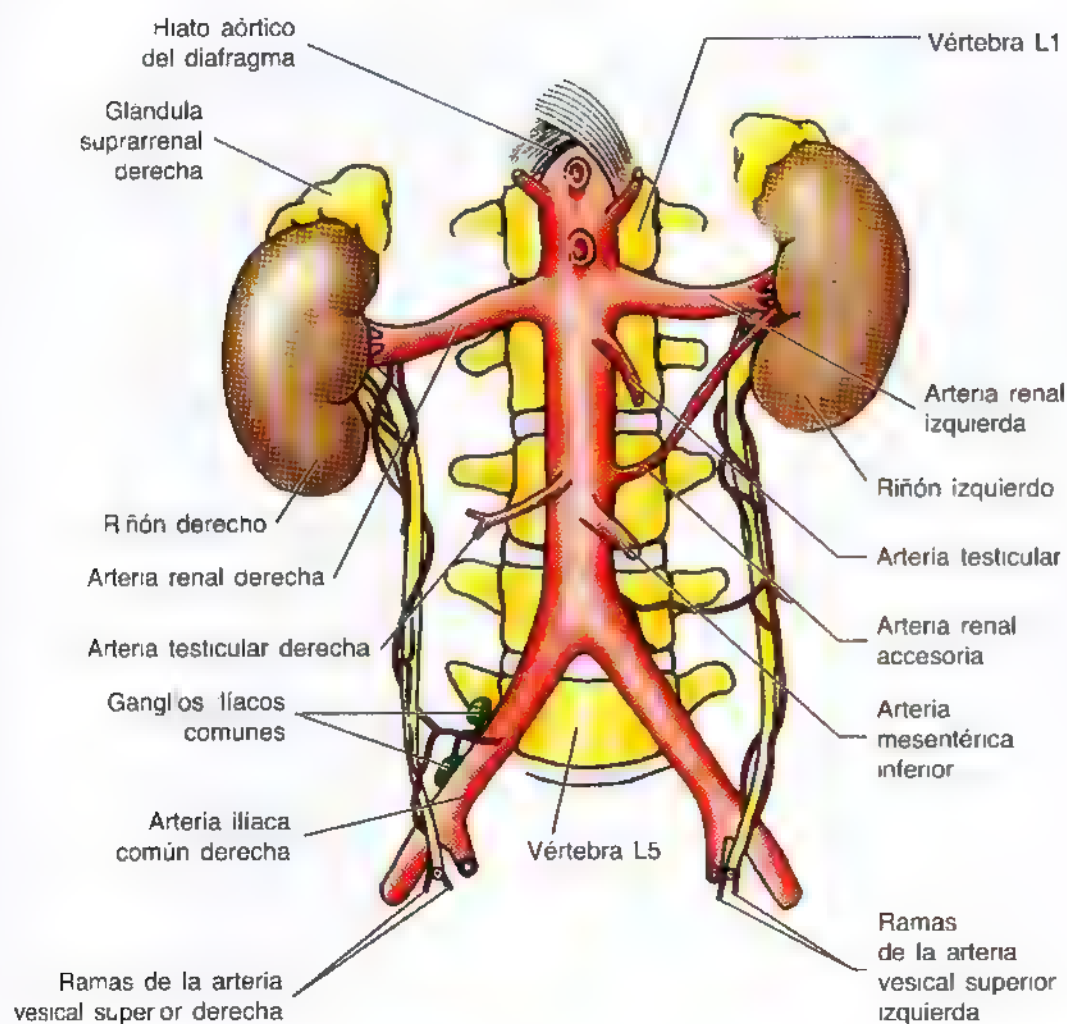


Figura 2.62. Irrigación arterial de los riñones y de los uréteres. Se observa la relación de la aorta abdominal con la columna vertebral y también la irrigación arterial de los riñones y uréteres. Como se ve existe una arteria renal izquierda accesoria. Es frecuente encontrar varias arterias renales, que suelen penetrar por el hilio renal, como se muestra en esta figura. Las arterias renales extrañales procedentes de la arteria renal o de la aorta pueden entrar por la cara externa del riñón, habitualmente por los polos. Su presencia constituye un riesgo en las operaciones quirúrgicas renales.

Glándulas suprarrenales

Las glándulas suprarrenales se encuentran entre las caras superomediales de los riñones y el diafragma (fig. 2.65), donde se rodean de un tejido conjuntivo que contiene abundante grasa perirrenal. Estas glándulas están envueltas por una fascia renal, a través de la cual se insertan en el diafragma; sin embargo, del riñón las separa un tejido fibroso. *La forma y las relaciones de las glándulas suprarrenales difieren a ambos lados.*

- La glándula derecha triangular radica anterior al diafragma y establece contacto con la vena cava inferior en la parte anteromedial (fig. 2.60), y con el hígado, en la cara anterolateral.
- La glándula izquierda semilunar se relaciona con el bazo, el estómago, el páncreas y el pilar izquierdo del diafragma.

Los bordes mediales de las glándulas suprarrenales se distancian unos 4 a 5 cm. En esta zona y de derecha a izquierda se encuentran la vena cava inferior, el pilar derecho del diafragma, el ganglio celíaco, el tronco celíaco, la arteria mesentérica superior y el pilar izquierdo del diafragma.

Cada glándula suprarrenal, envuelta por una cápsula fibrosa y un cojín adiposo, contiene dos partes: la corteza suprarrenal y la médula suprarrenal. Estas partes tienen un origen embriológico diferente, así como funciones distintas (Moore y Persaud, 1998).

La **corteza suprarrenal** deriva del mesodermo y segrega corticoides y andrógenos. Estas hormonas determinan que los riñones retengan sodio y agua en respuesta al estrés, con lo que aumenta el volumen sanguíneo y la presión arterial. Además, influyen en músculos y órganos como el corazón y los pulmones.

Figura 2.61. Cara externa de la pared posterior derecha del abdomen, donde se aprecia el abordaje lumbar del riñón y las relaciones entre los músculos y la fascia. A. Al seccionar la aponeurosis posterior del

músculo transverso del abdomen entre los nervios subcostal e iliohipogástrico lateral a borde lateral oblicuo de músculo cuadrado lumbar, se expone la grasa retroperitoneal que rodea el riñón. La fascia renal está dentro de esta grasa. La grasa situada dentro de la fascia renal se denomina cápsula renal (grasa perirrenal); la grasa situada fuera de la cápsula es la grasa pararrenal (vease una fase anterior de la disección en la fig. 2.73). B. Corte transversal del riñón, que muestra las relaciones con los músculos y la fascia. Como la fascia renal rodea el riñón en forma de una vaina independiente, es necesario incidir dicha fascia para toda operación quirúrgica sobre el riñón, tanto se efectúe un abordaje anterior como posterior.

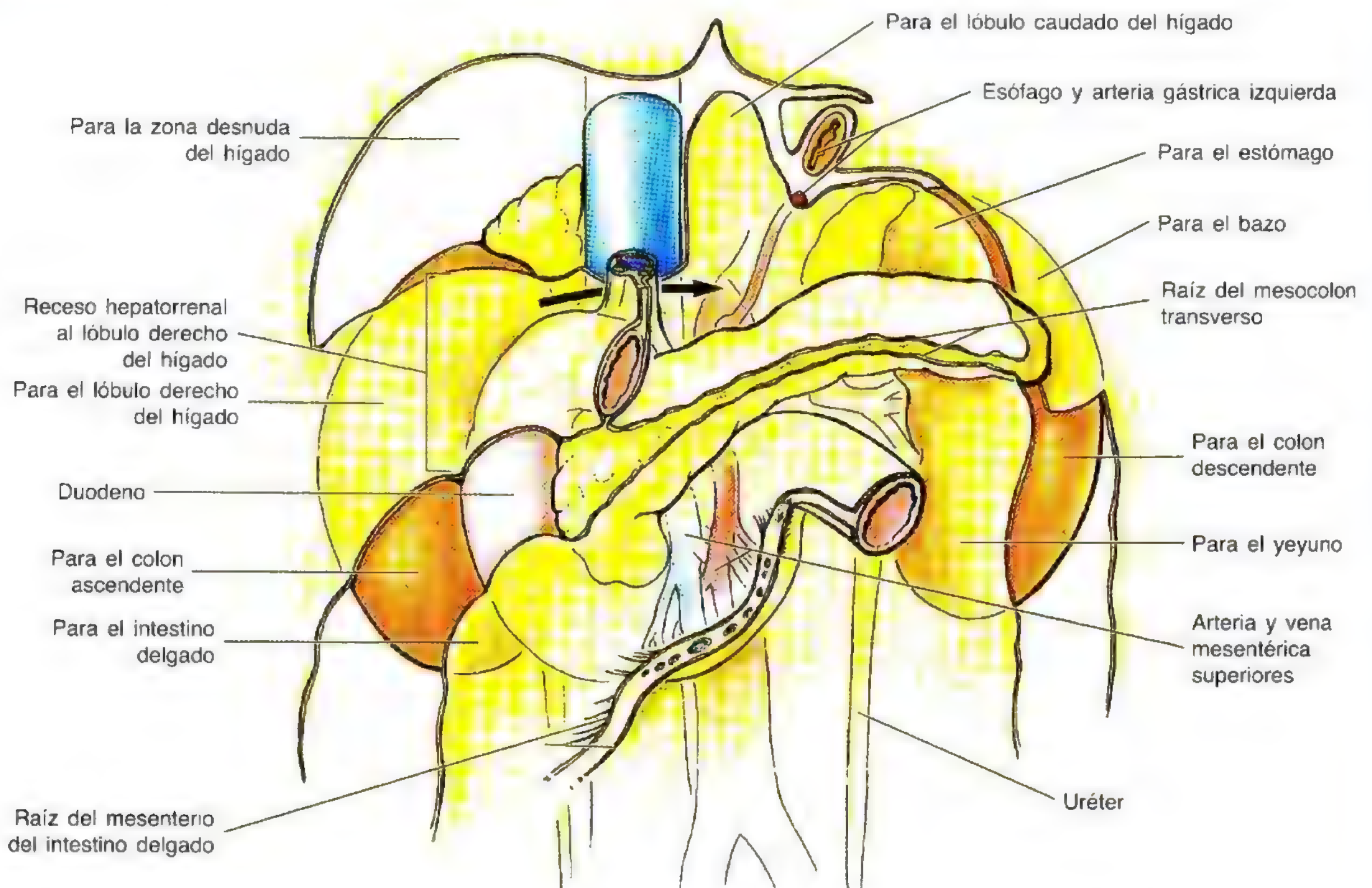


Figura 2.63. Relaciones anteriores de los riñones, páncreas y duodeno. Se aprecian las relaciones entre los riñones y las glándulas suprarrenales, el hígado, el colon, el duodeno, el estómago, el páncreas y el bazo. Como se ve, la glándula suprarrenal derecha se encuentra a la altura del orificio omental (epiploico), marcado con una *flecha negra*.

La **médula suprarrenal** es una masa de tejido nervioso —permeada con capilares y sinusoides— que deriva de las células de la cresta neural asociadas con el sistema nervioso simpático. Las *células cromafines* de la médula se relacionan con las neuronas de los ganglios simpáticos (postsinápticas), tanto por su origen (células de la cresta neural) como por su función (fig. 2.66). Estas células segregan catecolaminas (en su mayoría, epinefrina) al torrente sanguíneo cuando reciben señales de las neuronas presinápticas (Naftel y Hardy, 1997). Las poderosas hormonas medulares epinefrina (adrenalina) y norepinefrina (noradrenalina) activan el organismo para el estado de huida o lucha ante un estrés traumático. Asimismo, aumentan la frecuencia cardíaca y la presión arterial, dilatan los bronquiolos y modifican los patrones de irrigación para mejorar la capacidad de alerta. Las hormonas medulares también contribuyen a la hipertensión.

Vasos sanguíneos de los riñones y las glándulas suprarrenales. Las arterias renales surgen a la altura del disco intervertebral L1-L2 (figs. 2.62 y 2.65). La **arteria renal derecha**, más larga, pasa detrás de la vena cava inferior. De forma característica, cada arteria se divide cerca del hilio en

cinco arterias segmentarias, que son arterias terminales (es decir, no se anastomosan). *Las arterias segmentarias se distribuyen de esta manera por los segmentos del riñón* (fig. 2.66):

- El segmento superior (apical) está perfundido por la **arteria segmentaria superior (apical)**; los segmentos anterosuperior y anteroinferior reciben sangre de las arterias **segmentaria anterosuperior** y **segmentaria anteroinferior** y el segmento inferior de la **arteria segmentaria inferior**. Estas arterias se originan de la rama anterior de la arteria renal.
- La **arteria segmentaria posterior**, que procede de una prolongación de la rama posterior de la arteria renal, irriga el segmento posterior del riñón.

La función endocrina de las glándulas suprarrenales explica su abundante vascularización. Las **arterias suprarrenales** (fig. 2.65) se ramifican libremente antes de entrar en cada glándula, de suerte que la cápsula que reviste toda la superficie glandular es penetrada por 50 a 60 arterias. *Las glándulas suprarrenales están perfundidas por:*

- Las **arterias suprarrenales superiores** (de 6 a 8), procedentes de la arteria frénica inferior.

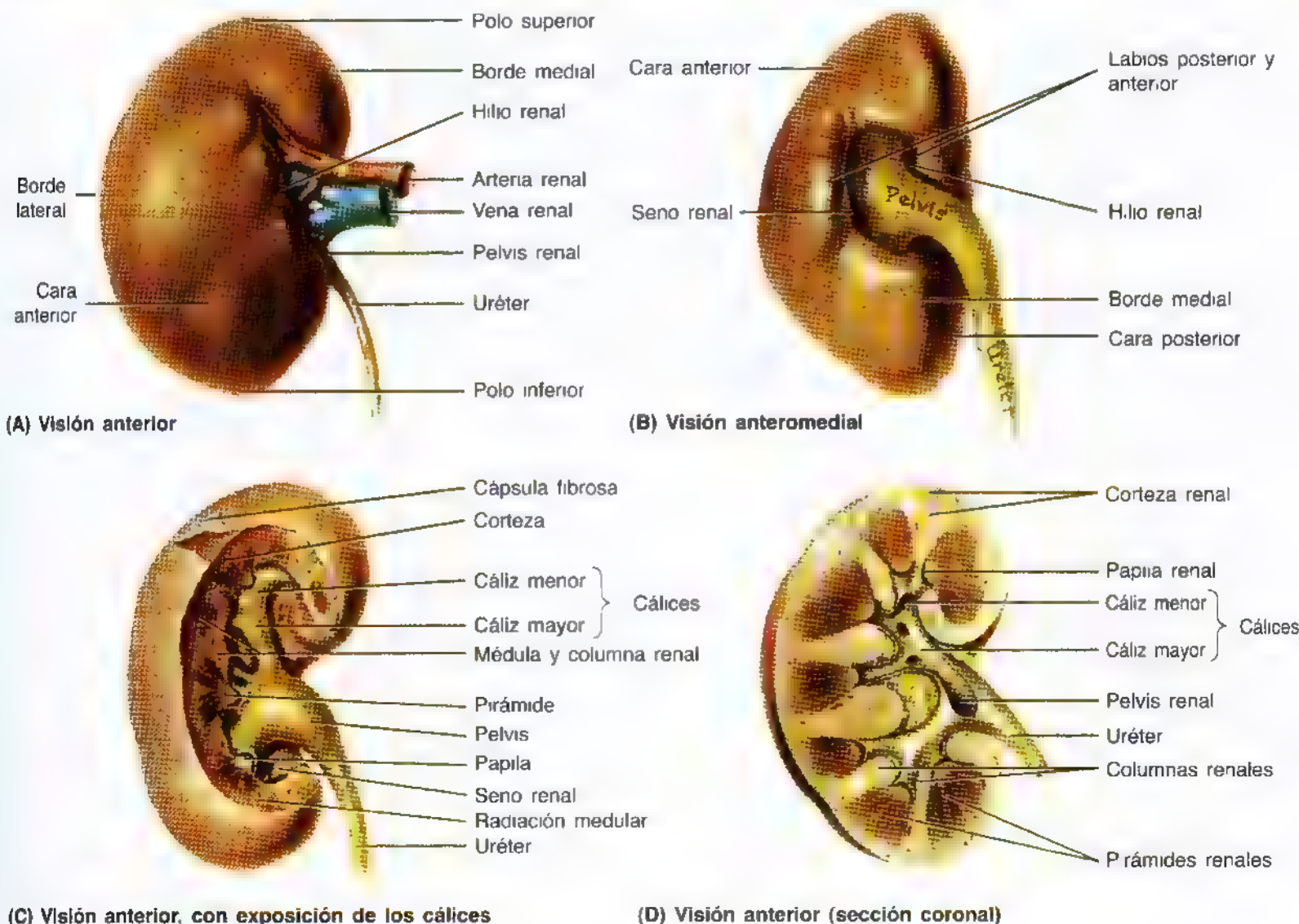


Figura 2.64. Aspecto externo e interno de los riñones. **A.** Visión anterior del riñón derecho. Se observa el orden de las estructuras que atraviesan el hilio renal. **B.** Seno renal visto a través del hilio renal. Como se observa en este recuadro y en **A**, el seno renal contiene la pelvis y los vasos renales. **C.** El labio anterior del hilio renal se ha seccionado para exponer la pelvis renal y los cálices situados dentro de seno renal. **D.** Corte coronal del riñón, que muestra su estructura interna. Las pirámides renales contienen los tubos colectores y forman la médula del riñón. La corteza contiene los corpúsculos renales. Obsérvese que los vértices romos de las pirámides (papias renales) se proyectan hacia los cálices menores, descargando la orina, que pasa luego a los cálices mayores y a la pelvis renal.

- Las **arterias suprarrenales medias** (una o más), derivadas de la aorta abdominal, cerca del origen de la arteria mesentérica superior.
- Las **arterias suprarrenales inferiores** (una o más), procedentes de la arteria renal.

Varias **venas renales** drenan el riñón y se unen en grado variable para formar la **vena renal**. Las venas renales se sitúan anteriores a las arterias renales, y la vena renal izquierda, más larga, discurre delante de la aorta. Cada vena renal drena en la vena cava inferior. El drenaje venoso de la glándula suprarrenal llega hasta una gran **vena suprarrenal** (fig. 2.65). La vena suprarrenal derecha, más corta, desemboca en la vena cava inferior, mientras que la izquierda, más larga, se une casi siempre a la vena frénica inferior y drena en la vena renal izquierda.

Los **vasos linfáticos renales** siguen a las venas renales y drenan en los **ganglios linfáticos lumbares (aórticos)** (fig. 2.67A). Los vasos linfáticos de la parte superior del uréter se unen, en ocasiones, a los del riñón o pasan directamente a los ganglios lumbares. Los linfáticos de la porción media del uréter suelen drenar a los **ganglios ilíacos comunes**, mientras que los de la parte inferior del riñón drenan a los **ganglios ilíacos comunes**, externos o internos. Los **vasos linfáticos suprarrenales** provienen de un plexo profundo de la cápsula glandular y de otro de la médula. La linfa pasa a los **ganglios linfáticos lumbares**. De las glándulas suprarrenales salen multitud de vasos linfáticos.

Nervios de los riñones y de las glándulas suprarrenales. Los nervios de los riñones proceden del plexo renal y constan de fibras simpáticas y parasimpáticas (fig. 2.67B).

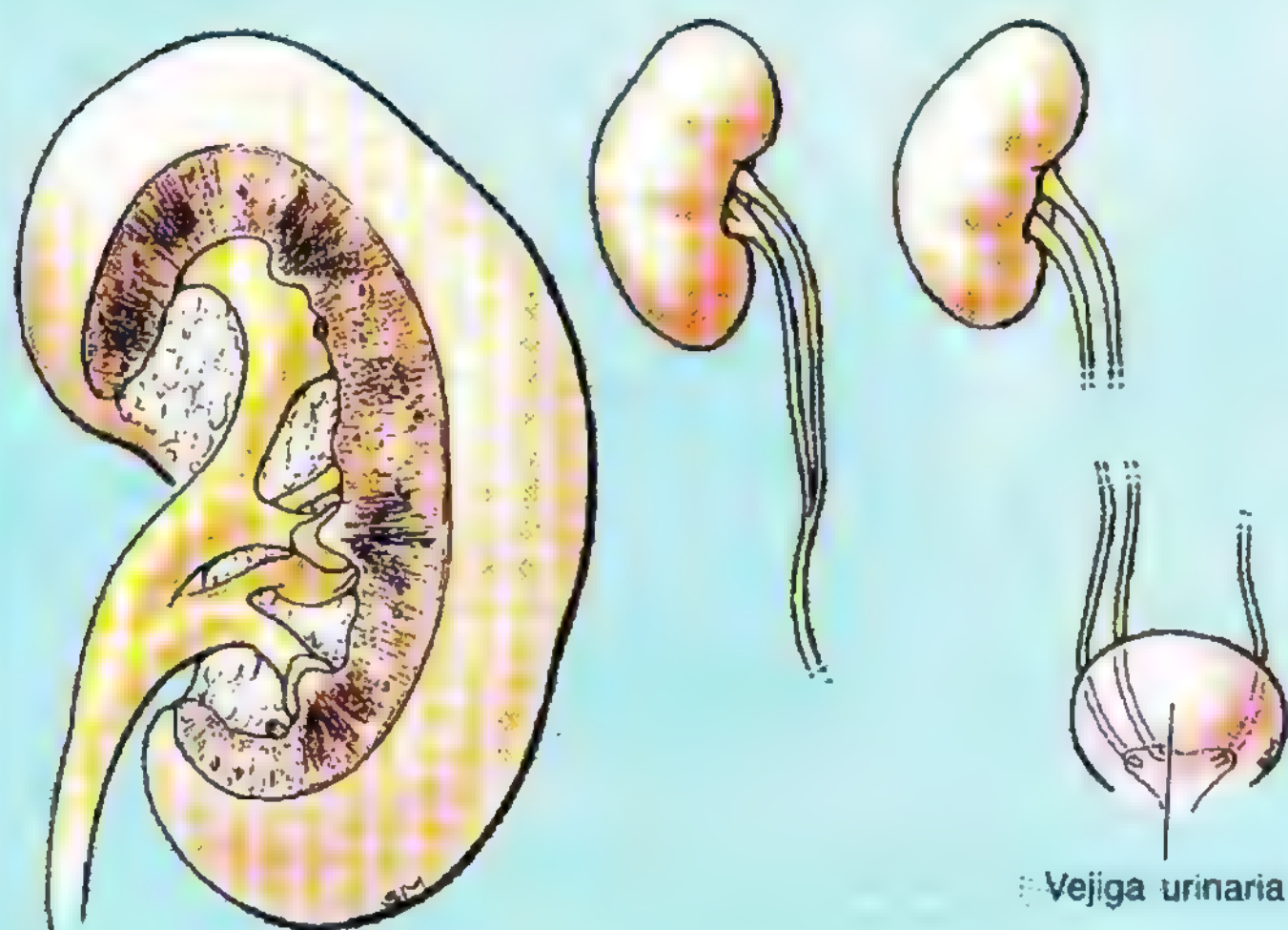
El **plexo renal** está innervado por fibras de los nervios espláncnicos torácicos (sobre todo, del mínimo). Las glándulas suprarrenales poseen una innervación rica del **plexo celíaco** y de los nervios espláncnicos torácicos. Los nervios son,

en esencia, fibras simpáticas presinápticas miélicas que derivan del asta lateral de la médula espinal, y se distribuyen hasta las células cromafines de la médula suprarrenal (fig. 2.67C).

Vasos renales accesorios

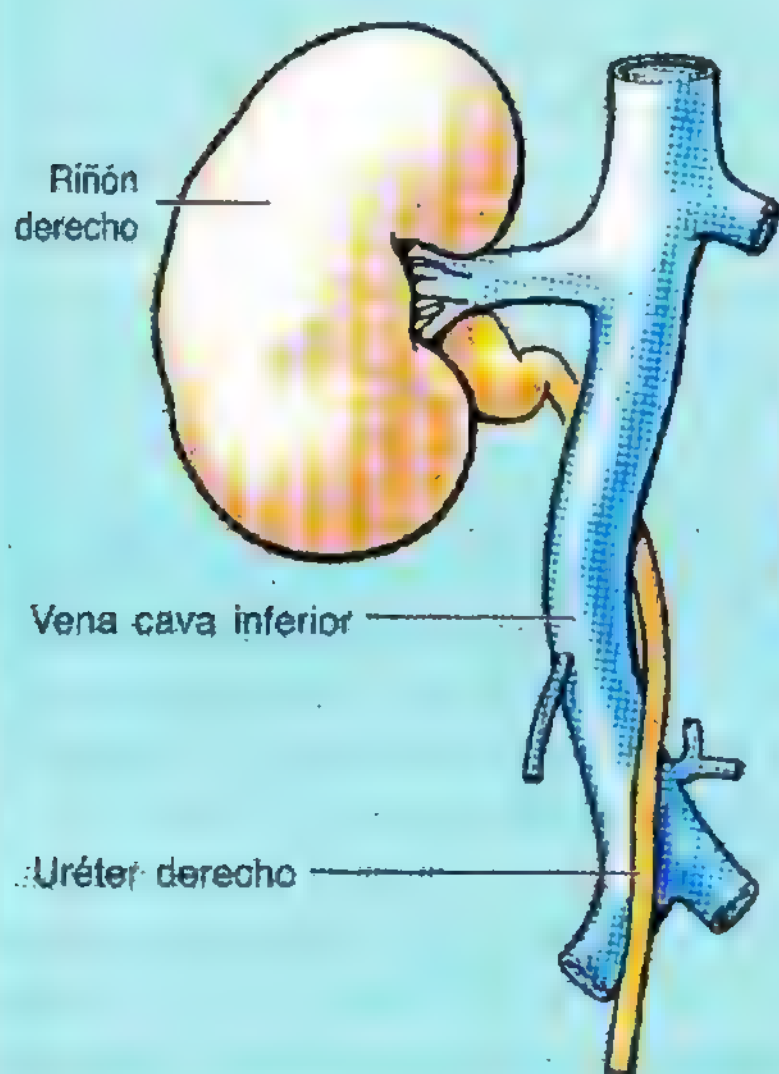
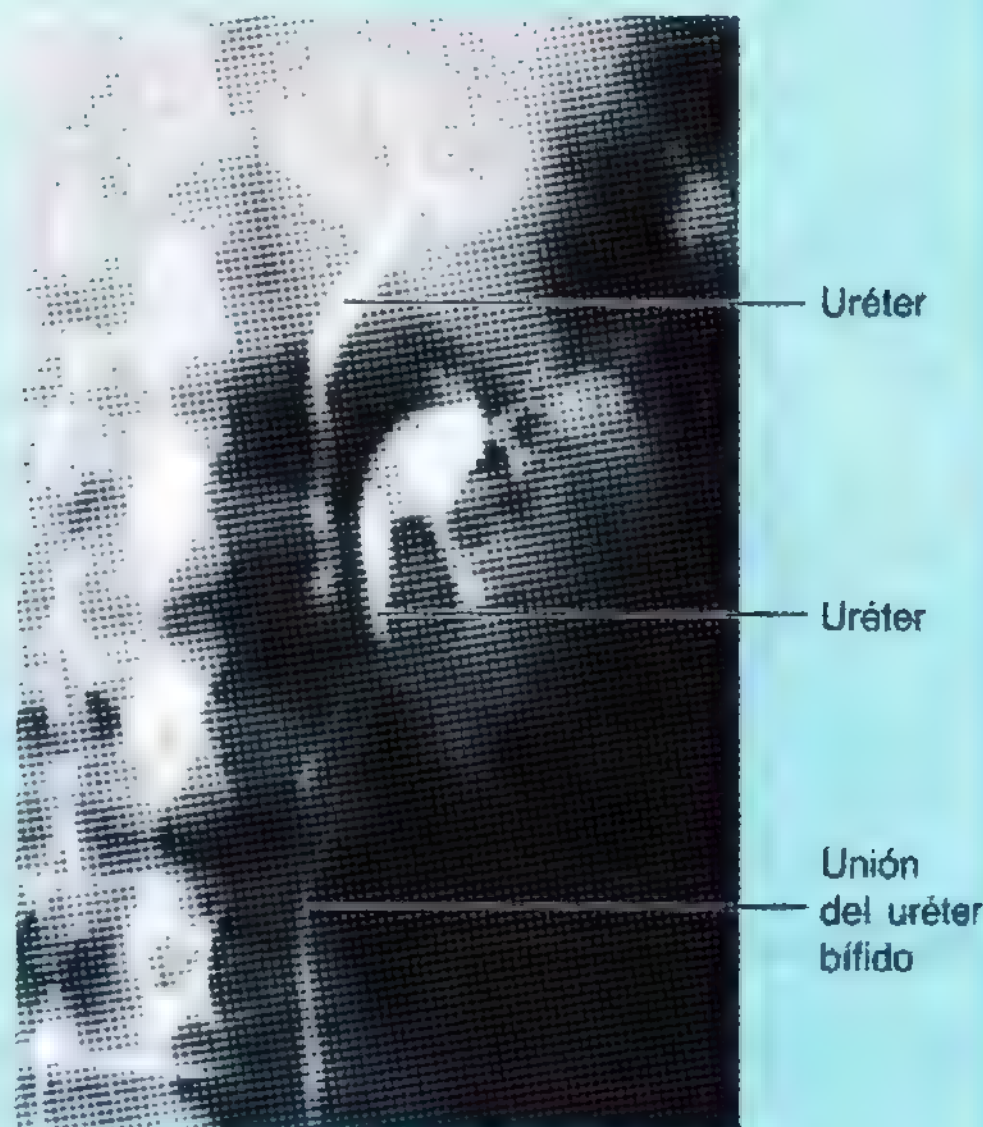
Durante su ascenso hasta alcanzar la posición definitiva, los riñones embrionarios reciben la irrigación renal y el drenaje venoso de vasos cada vez más altos (Moore y Persaud, 1998). En general, los vasos inferiores degeneran a

medida que los superiores se encargan de la irrigación y del drenaje venoso. Si no llegan a degenerar estos vasos aparecen *arterias y venas renales accesorias* (que se denominan "arterias y venas polares" cuando entran o salen por los polos del riñón). Las variaciones de número y

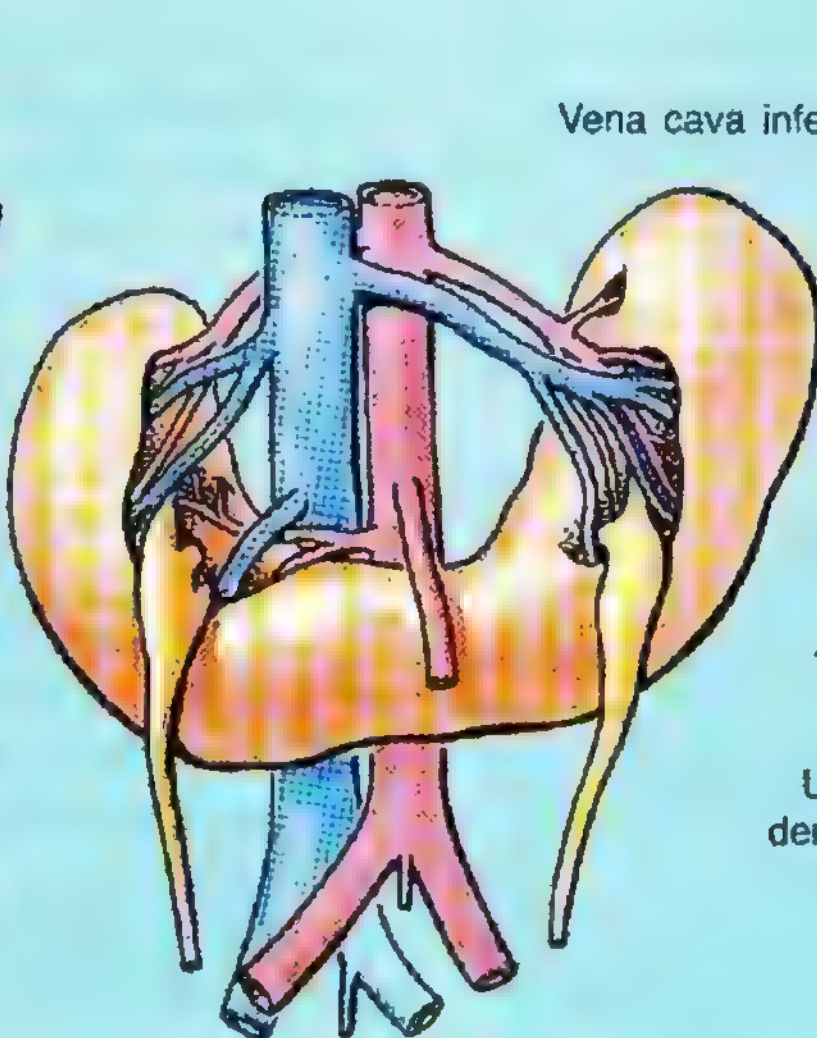


(A) Pelvis renal bifida

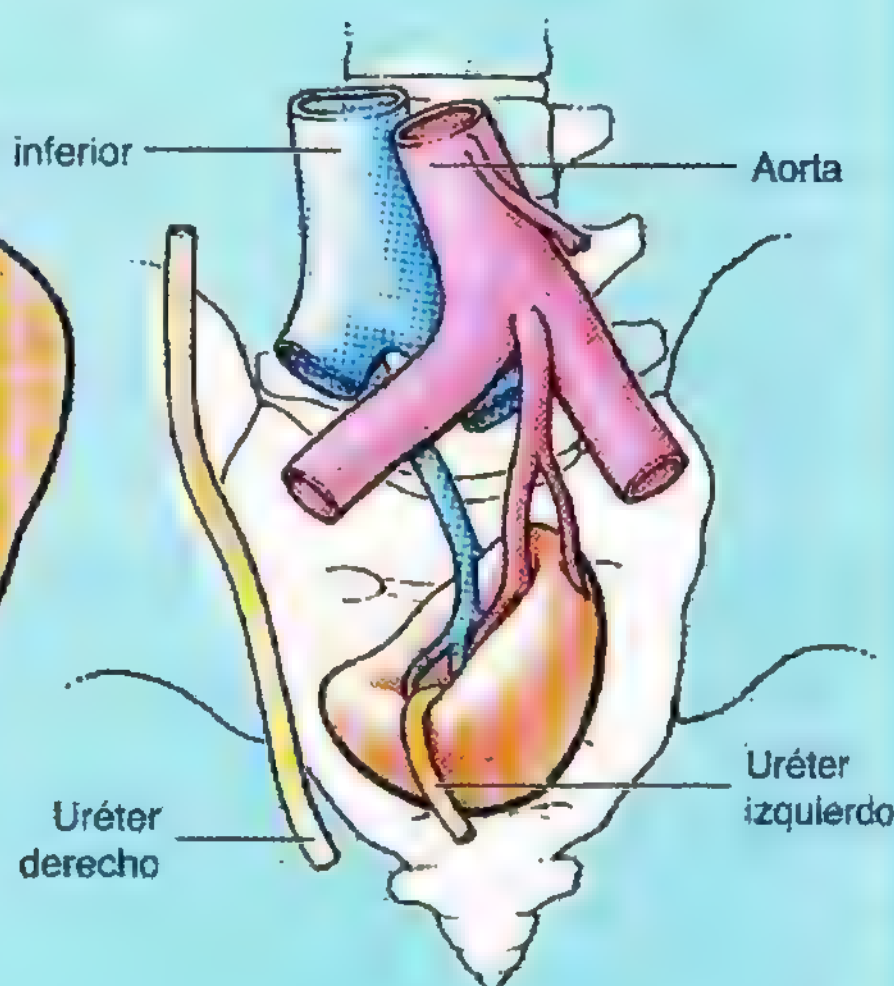
(B) Uréter bifido y duplicación ureteral unilateral



(C) Uréter retrocavo



(D) Riñón en herradura



(E) Ectopia pélvica del riñón

- posición de estos vasos ocurren en un 25% de las personas.

Cálculos renales y ureterales

Los cálculos (significa piedra en latín) pueden localizarse en los cálices de los riñones, uréteres o vejiga urinaria. Un *cálculo renal* (piedra renal) puede pasar del riñón a la pelvis renal, y de aquí, al uréter, distendiendo este tubo muscular en exceso. El *cálculo ureteral* provoca un dolor rítmico o intenso —*cólico ureteral*— a medida que las ondas de contracción lo impulsan gradualmente por el uréter. El cálculo puede inducir una obstrucción completa o intermitente del flujo urinario. Según el nivel de la obstrucción, que varía, el dolor se puede referir a:

- La región lumbar.
- La región hipogástrica.
- Los genitales externos.
- Los testículos.

El cólico ureteral suele ser un dolor agudo y punzante que sigue el trayecto del uréter.

El dolor se refiere a las zonas de la piel inervadas por los segmentos medulares y los ganglios sensitivos que también inervan el uréter, sobre todo los de T11 a L2. *El dolor sigue una dirección inferoanterior, desde la fosa lumbar hasta la ingle.* La fosa lumbar es la parte lateral y dorsal comprendida entre las costillas y la pelvis. El dolor puede extenderse hasta la cara anterior y proximal del muslo, proyectándose por el nervio genitofemoral (L1, L2), el escroto masculino y los labios mayores femeninos. Estas regiones de la piel reciben la inervación de los segmentos T11 a L2 de la médula, que también inervan la piel abdominal que cubre el uréter.

Los cálculos ureterales se pueden visualizar y extraer con un *nefroscoipo*, instrumento que se introduce a través de una pequeña incisión. Existe otra técnica, la *litotricia*, que consiste en pasar una onda de choque a través del

cuerpo, que descompone el cálculo en pequeños fragmentos que se evacúan finalmente con la orina.

Malformaciones congénitas de los riñones y de los uréteres

La *pelvis renal y el uréter bifidos* son relativamente frecuentes (A-B). Estas malformaciones se deben a la división del divertículo metanéfrico o germen ureteral, esbozo de la pelvis renal y del uréter (Moore y Persaud, 1998). El grado de duplicación ureteral depende de la integridad de la división embrionaria del germen ureteral. La pelvis renal y el uréter bifidos pueden tener carácter unilateral o bilateral; sin embargo, no es frecuente que desemboken por separado en la vejiga. La división incompleta del germen ureteral provoca el *uréter bifido*, y la división completa, un *riñón supernumerario*. El *uréter retrocavo* (C) es una malformación rara; el uréter sale del riñón y pasa detrás de la vena cava inferior.

Cuando empiezan a formarse, los riñones están cerca de la pelvis. Los polos inferiores (menos veces, los superiores) de los riñones de 1 de cada 600 fetos se unen, dando un *riñón en herradura* (D). Este riñón, con forma de U, suele situarse a la altura de las vértebras L3 a L5 porque no asciende de la manera habitual, debido a que lo impide la raíz de la *arteria mesentérica inferior*. El riñón en herradura no suele dar ningún síntoma, pero las anomalías asociadas del riñón y de la pelvis renal pueden causar una obstrucción ureteral.

A veces, el riñón embrionario de uno o de ambos lados no asciende por el abdomen, sino que se sitúa delante del sacro. La posibilidad de *ectopia pélvica* del riñón (E), aunque rara, evita la confusión con un tumor pélvico y con la posterior extracción. El riñón pélvico de una mujer también se puede lesionar o sufrir obstrucción durante el parto. Los riñones pélvicos suelen recibir la irrigación sanguínea de las arterias ilíacas comunes. ◊

Diafragma torácico

El diafragma es una partición musculotendinosa, con forma de cúpula, que separa las cavidades torácica y abdominal. Su cara superior, básicamente convexa, mira a la cavidad torácica, y la cara inferior, cóncava, a la cavidad abdominal (fig. 2.68A). El diafragma, *el músculo principal de la inspiración*, desciende durante la inspiración; sin embargo, sólo la parte central se desplaza, porque la periférica, como origen fijo del músculo, se inserta en el borde inferior de la caja torácica y en las vértebras lumbares superiores. El **pericardio**, que contiene el corazón, ocupa la parte central del diafragma y lo deprime ligeramente (fig. 2.68B). El diafragma se incurva hacia arriba por las cúpulas derecha e izquierda:

de ordinario, la derecha es más alta que la izquierda. Durante la espiración, la cúpula derecha alcanza la 5ª costilla y la izquierda llega hasta el 5º espacio intercostal. *La altura de las cúpulas diafragmáticas varía según:*

- La fase respiratoria (inspiración o espiración).
- La postura (p. ej., decúbito supino o bipedestación).
- El tamaño o el grado de distensión de las vísceras abdominales.

La porción muscular del diafragma se sitúa en la periferia y las fibras convergen radialmente en la parte aponeurótica trifoliácea: el **tendón central**. El tendón central no dispone de inserciones óseas y está dividido de forma incompleta en tres hojas, que se parecen a un trébol ancho. Aunque situado

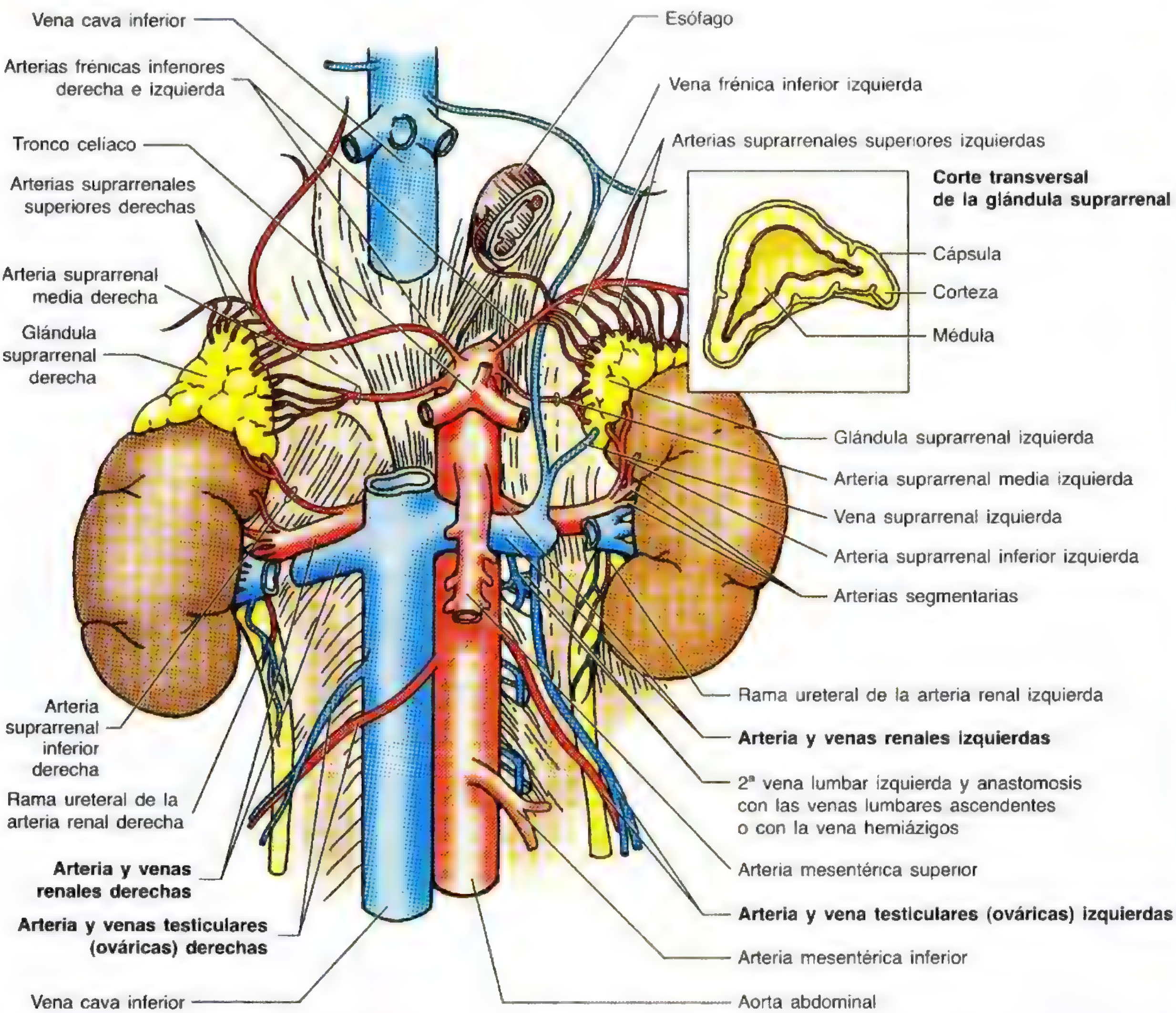


Figura 2.65. Grandes vasos, glándulas suprarrenales y riñones. Se observa el tronco celiaco porque se ha extirpado el plexo y los ganglios celiacos que lo rodean. La vena cava inferior (VCI) se ha seccionado y su porción superior se ha elevado con respecto a la posición normal. Las venas renales se han cortado y los riñones se han desplazado lateralmente. En la figura 2.60 se indican las relaciones normales de los riñones y de las glándulas suprarrenales con los grandes vasos. La estructura macroscópica de las glándulas suprarrenales y su abundante irrigación arterial quedan ilustradas en esta figura. El corte transversal de la glándula suprarrenal muestra que se compone de dos porciones diferentes, la corteza y la médula, que constituyen dos glándulas endocrinas independientes que se relacionan de manera estrecha durante el desarrollo embrionario.

cerca del centro diafragmático, el tendón central se aproxima más a la parte anterior del tórax. El **orificio de la vena cava**, por el que pasa la porción terminal de la vena cava inferior hasta el corazón, perfora el tendón central. La parte muscular circundante del diafragma crea una lámina continua; sin embargo, a efectos descriptivos, se dividirá en tres partes, según sus inserciones periféricas:

- Una **parte esternal**, compuesta por dos cintas musculares que se insertan en la cara posterior de la apófisis xifoides; esta parte no siempre se observa.

- Una **parte costal**, formada por cintas musculares anchas que se insertan en las caras internas de los últimos seis cartílagos costales y en las costillas adyacentes a cada lado; las partes costales forman las cúpulas derecha e izquierda.
- Una **parte lumbar**, que se origina de dos arcos aponeuróticos –los *ligamentos arqueados medial y lateral*– y de las tres primeras vértebras lumbares; la porción lumbar da origen a los pilares musculares derecho e izquierdo, que ascienden hasta el tendón central.

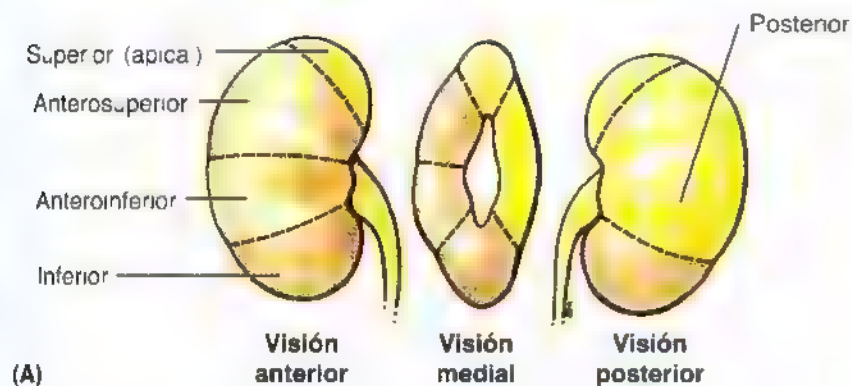
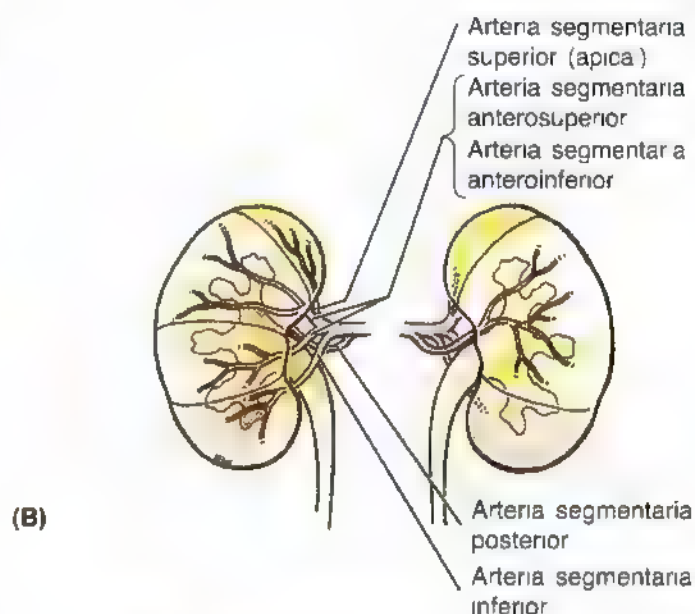
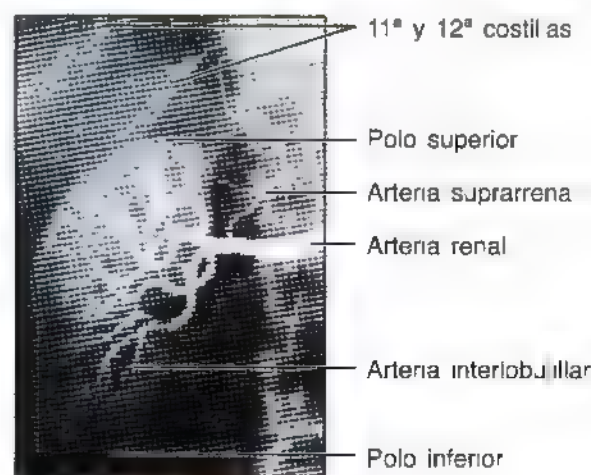


Figura 2.66. Segmentos renales y arterias segmentarias.

A. Segmentos renales. El riñón tiene cinco segmentos, de acuerdo con su irrigación arterial: superior (apical), anterosuperior, anteroinferior e inferior y posterior. **B.** Arterias segmentarias. Sólo las arterias superior e inferior perfunden todas las capas del riñón. La arteria posterior llega hasta este segmento tras cruzar la pevis renal por encima. **C.** Arteriografía renal. De forma característica la arteria renal se divide en cinco ramas, cada una para sendos segmentos renales. La arteria segmentaria da una arteria lobular para cada pirámide, ésta se divide en dos o tres arterias interlobulares que discurren entre las pirámides. Cerca de la unión entre la médula y la corteza salen las arterias arqueadas en ángulo recto del tronco original. Las arterias arqueadas no se anastomosan. A partir de las arterias arqueadas (y a veces de las interlobulares) surgen arterias interlobulillares que llegan hasta la corteza; las arteriolas de las que emergen los glomérulos provienen principalmente de estas arterias interlobulillares. Aunque las venas de riñón se anastomosan de forma libre, las arterias segmentarias son arterias terminales. (Cortesía del Dr. E.L. Lansdown, Profesor de Imagen Médica, Universidad de Toronto, Toronto, Ontario, Canadá.)



(B)



(C)

Los **pilares diafragmáticos** son haces musculotendinosos que nacen de la cara anterior de los cuerpos de las tres primeras vértebras lumbares, el ligamento longitudinal anterior y los discos intervertebrales.

El **pilar derecho**, más grande y largo que el izquierdo, surge de las tres a cuatro primeras vértebras lumbares; el **pilar izquierdo** se origina en las dos o tres primeras. Como se sitúa a la izquierda de la línea media, resulta sorprendente que el **hiato esofágico** sea una formación del pilar derecho; sin embargo, si se siguen por la cara inferior las fibras musculares que delimitan cada lado del hiato, se verá que pasan a la derecha del hiato aórtico. El **hiato aórtico** está formado por los pilares derecho e izquierdo y el **ligamento arqueado medio** fibroso, que los une conforme se arquea sobre la cara anterior de la aorta. El diafragma también se inserta a cada lado en los **ligamentos arqueados medial y lateral**, que son engrosamientos de la fascia que cubre los músculos psoas mayor y cuadrado lumbar, respectivamente. Los **ligamentos frenicopericárdicos** reúnen el tendón central del diafragma (tendón aponeurótico fino y fuerte de todas las fibras musculares del diafragma) con la cara inferior del **pericardio** fibroso (fig. 2.68B), la parte fuerte y externa del **saco pericárdico** fibroso que encierra el corazón.

Vasos y nervios del diafragma

Las arterias del diafragma se ramifican en sus caras superior e inferior. Las arterias que perfunden la cara superior del diafragma (fig. 2.69) son:

- Las **arterias pericardicofrénicas y musculofrénicas**, ramas de la arteria torácica interna.
- Las **arterias frénicas superiores**, que provienen de la aorta torácica.

Las arterias que irrigan la cara inferior del diafragma son las **arterias frénicas inferiores**, que casi siempre constituyen las primeras ramas de la **aorta abdominal** (fig. 2.69B, tabla 2.11); sin embargo, a veces surgen del tronco celiaco.

Las venas que drenan la cara superior del diafragma son las **venas pericardicofrénicas y musculofrénicas**, que desembocan en las **venas torácicas internas**, y en el lado derecho, una **vena frénica superior** que drena en la vena cava inferior. Algunas venas de la curvatura posterior del diafragma drenan a las **venas ázigos y hemiázigos** (véase el capítulo 1). Las venas frénicas inferiores drenan la sangre venosa de la cara inferior del diafragma. La **vena frénica inferior derecha** suele desembocar en la vena cava inferior, mientras que la **vena frénica izquierda** casi siempre es doble: una rama pasa delante del hiato esofágico, para terminar en la vena cava

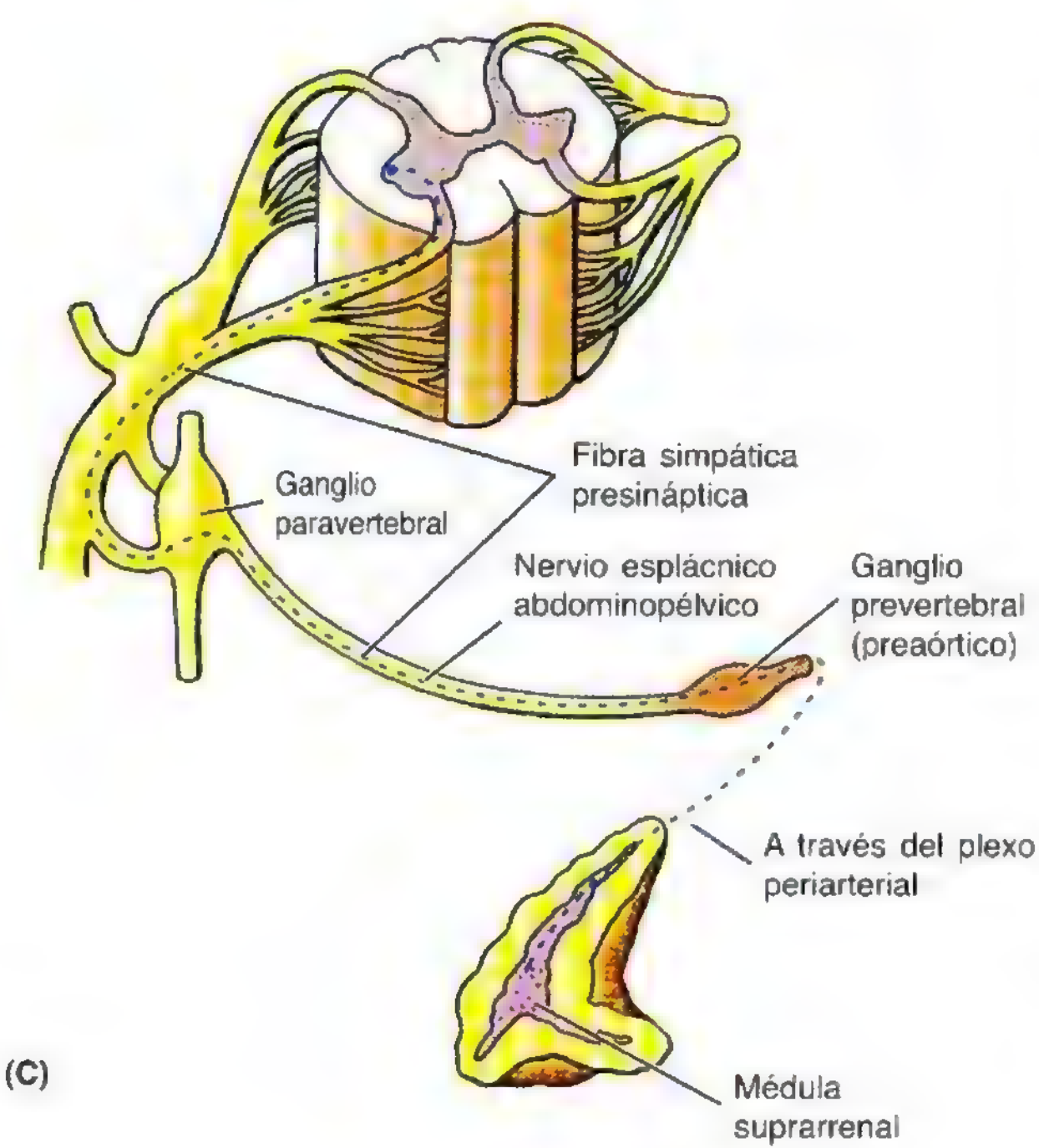
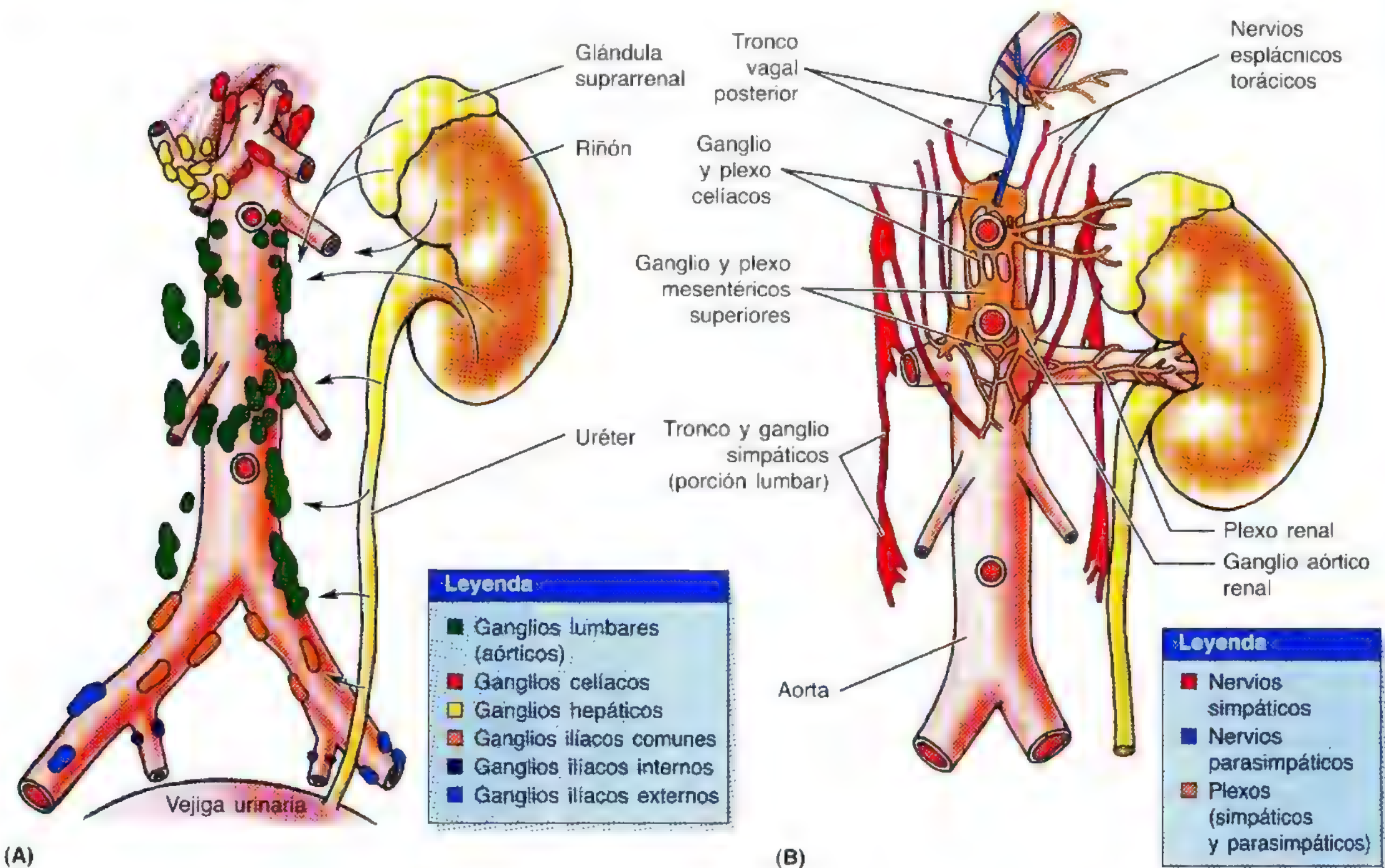


Figura 2.67. Linfáticos y nervios de los riñones y glándulas suprarrenales. **A.** Los vasos linfáticos de los riñones forman tres plexos: uno en la sustancia renal, otro bajo la cápsula fibrosa y el último en la grasa perirrenal. Del hilio renal emergen cuatro o cinco troncos linfáticos, a los que se unen los vasos de la cápsula (*flechas*). Los vasos linfáticos siguen la vena renal en su trayecto hacia los ganglios lumbares (aórticos). La linfa de las glándulas suprarrenales también drena a los ganglios lumbares. El drenaje linfático de los uréteres se ilustra en la figura. Los ganglios lumbares desembocan en los troncos lumbares que llevan la linfa a la cisterna del quilo. **B.** Los nervios de los riñones y de las glándulas suprarrenales provienen del plexo celíaco, los nervios esplácnicos menor y mínimo y el ganglio aórtico renal. La inervación eferente principal del riñón es vasomotora y los nervios autónomos inervan las arteriolas aferentes y eferentes. **C.** Los nervios de las glándulas suprarrenales se originan en los nervios esplácnicos torácicos (mayor, menor y mínimo); parte de los nervios esplácnicos abdominopélvicos conduce fibras simpáticas presinápticas que atraviesan los ganglios paravertebrales sin establecer sinapsis con los ganglios prevertebrales. Solamente en el caso de la médula suprarrenal, las fibras presinápticas también atraviesan los ganglios prevertebrales sin establecer sinapsis, y terminan directamente sobre las células secretoras de la médula suprarrenal.

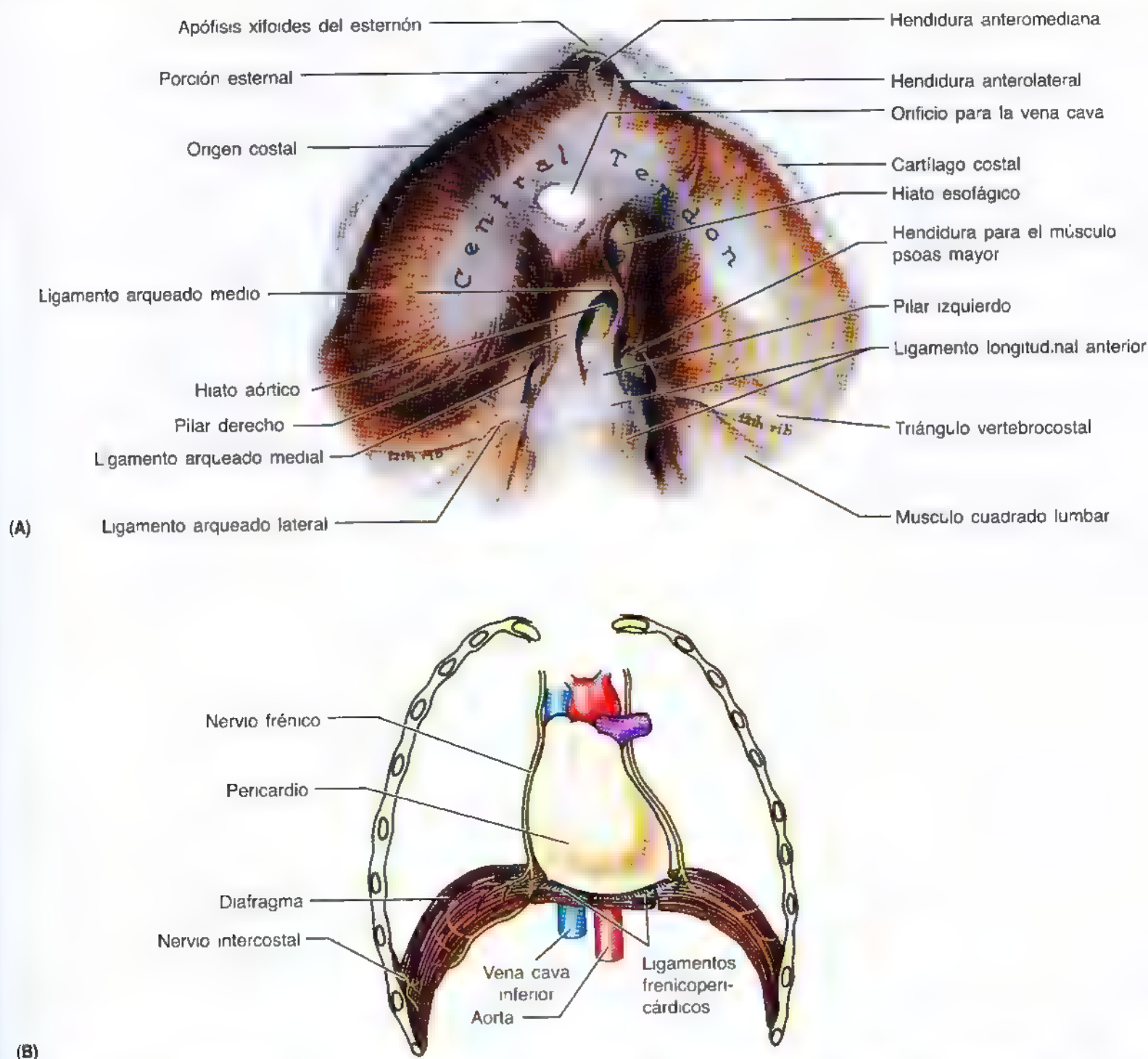


Figura 2.68. El diafragma y su inervación. **A.** Inserciones musculares (visión inferior). Se aprecian los orígenes musculares del diafragma y el tendón central a modo de trebo, que es la inserción aponeurótica de las fibras musculares diafragmáticas. **B.** Inervación. Cada nervio frénico (C3 a C5) es el único nervio motor de cada hemidiafragma, además lleva la sensibilidad de cada hemidiafragma, incluida la pleura por la parte superior y el peritoneo por la inferior. Los últimos nervios intercostales conducen la sensibilidad del borde periférico del diafragma. Los ligamentos frenicopericárdicos insertan el pericardio fibroso al diafragma.

inferior, y la otra, más posterior, suele unirse a la vena supra-renal izquierda.

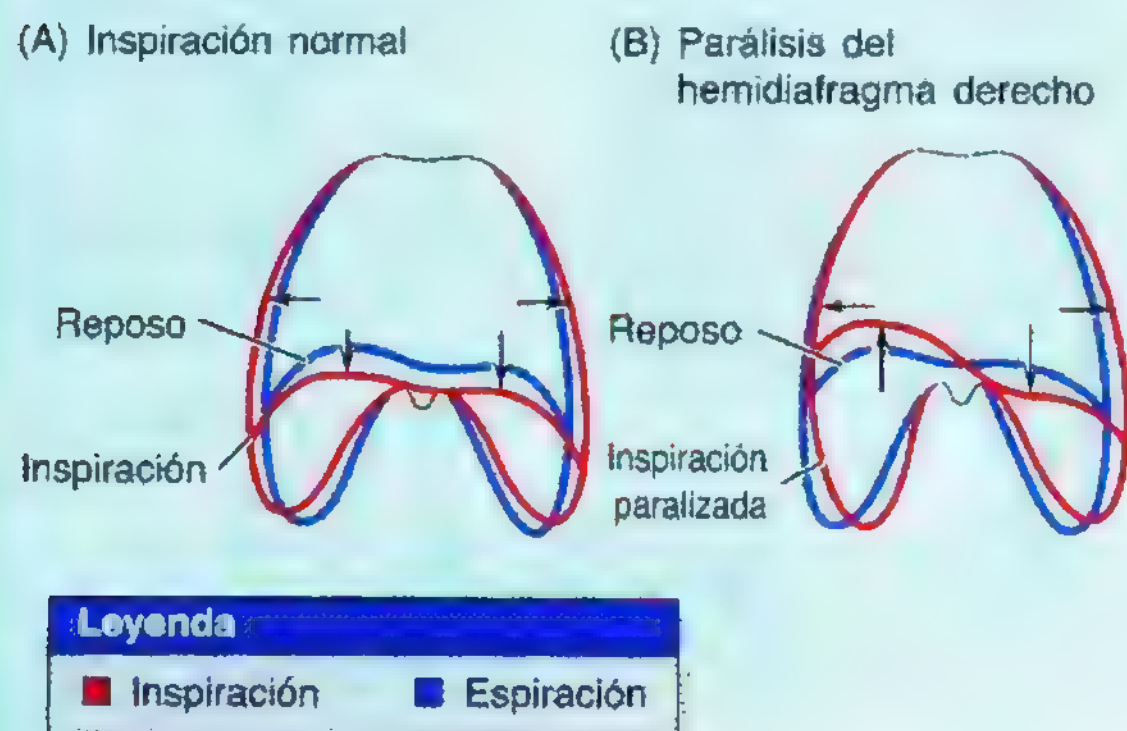
El **plexo linfático** de las caras torácica y abdominal del diafragma se comunica con plena libertad (fig. 2.70A). Los **ganglios linfáticos diafragmáticos anteriores y posteriores** se encuentran en la cara torácica del diafragma. La linfa de estos ganglios drena hacia los **ganglios paraesternales, mediastínicos posteriores y frénicos**. Los vasos linfáticos de la cara abdominal del diafragma drenan a los **ganglios lumbares superiores, diafragmáticos y frénicos**. Los vasos linfáticos se aglomeran en la cara inferior del diafragma y

constituyen el mecanismo principal para la absorción del líquido peritoneal y de las sustancias introducidas mediante inyección IP.

Toda la inervación motora del diafragma proviene de los **nervios frénicos**; cada nervio se distribuye por un hemidiafragma y proviene de los ramos ventrales de los segmentos medulares C3 a C5 (fig. 2.70B). Los nervios frénicos también emiten fibras sensitivas (dolor y propiocepción) para la mayor parte del diafragma. Las porciones periféricas del diafragma reciben la inervación sensitiva de los **nervios intercostales** (últimos 6 o 7 nervios) y **subcostales**.

Sección del nervio frénico

La sección del nervio frénico en el cuello determina una parálisis completa y atrofia eventual de la porción muscular del hemidiafragma correspondiente, excepto en las personas que disponen de un nervio frénico accesorio (véase el capítulo 8). La *parálisis hemidiafragmática* se



reconoce en la radiografía por la elevación permanente y el movimiento paradójico de la hoja diafragmática. En lugar de descender con la inspiración, sube por el aumento de la presión intrabdominal secundario al descenso del hemidiafragma contralateral no paralizado.

Hipo

El hipo consiste en contracciones espasmódicas e involuntarias del diafragma, que provocan inhalaciones súbitas que, a su vez, se interrumpen en seguida por el cierre espasmódico de la glotis —abertura de la laringe—, que controla la entrada del aire y emite un ruido característico. El hipo obedece a múltiples causas, como indigestión, irritación del diafragma, alcoholismo, lesiones cerebrales y lesiones torácicas y abdominales, que dañan los nervios frénicos. El hipo se debe a la irritación de las terminaciones nerviosas aferentes o eferentes, o de los centros bulbares del tronco encefálico que controlan los músculos de la respiración, sobre todo el diafragma. ○

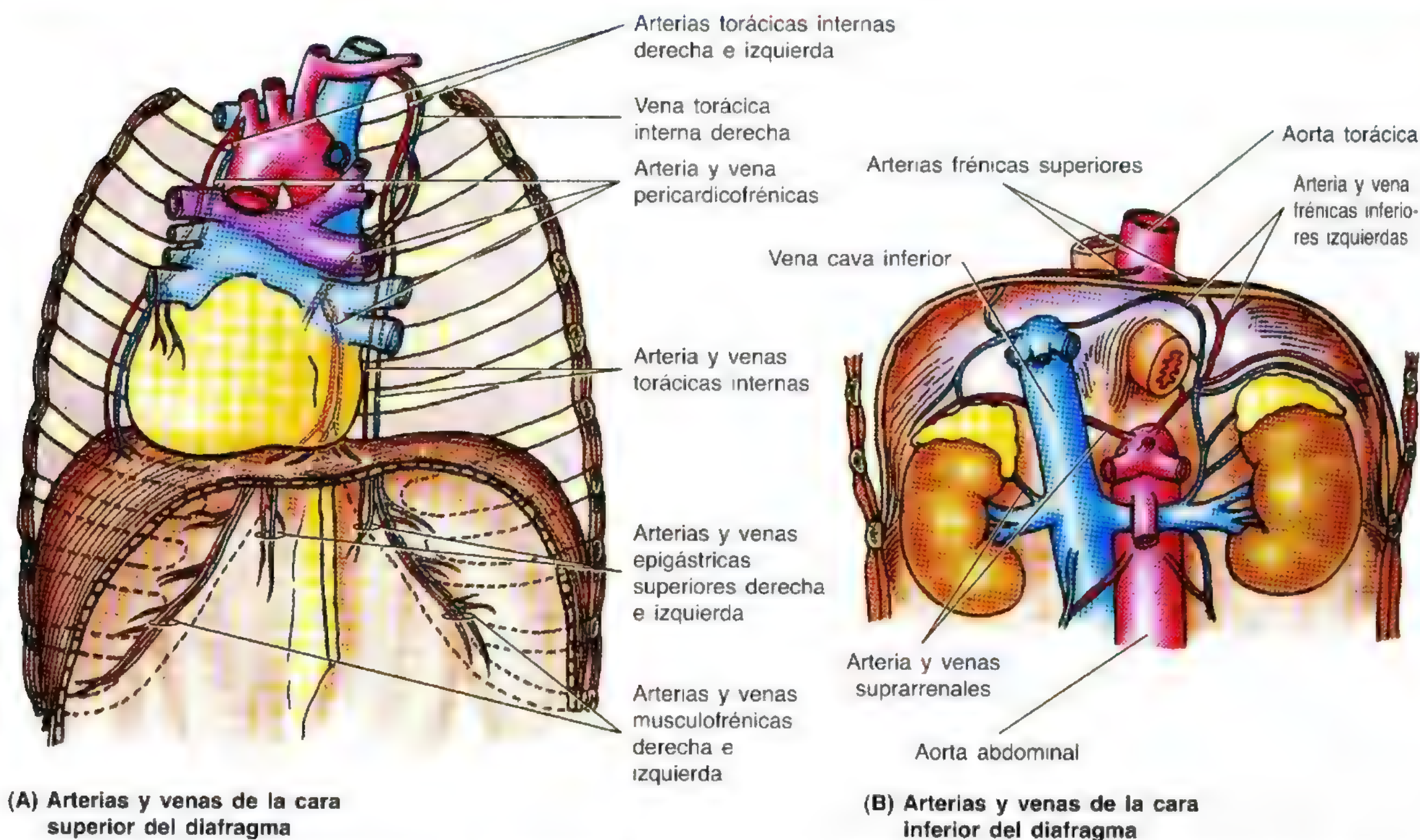


Figura 2.69. Vasos sanguíneos del diafragma. A. Las arterias y las venas de la cara superior del diafragma derivan de las arterias y venas pericardiofrénicas y musculofrénicas (ramas de la arteria y vena torácicas internas) y de las arterias frénicas superiores [pequeñas ramas, como se ilustra en (B) de la aorta]. B. Las arterias y venas frénicas inferiores perfunden y drenan la sangre de la cara inferior del diafragma. Las arterias frénicas inferiores suelen representar las primeras ramas de la aorta abdominal, pero pueden emerger como ramas del tronco celiaco. La vena frénica inferior derecha desemboca en la vena cava inferior (VCI); la vena frénica inferior izquierda suele ser doble: una rama (anterior) termina en la VCI, y la otra (posterior), en la vena renal o suprarenal izquierda. Las dos venas pueden anastomosarse entre sí, como en este caso.

Tabla 2.11. Vasos y nervios del diafragma

Vasos y nervios	Cara superior del diafragma	Cara inferior del diafragma
Irrigación arterial	Arterias frénicas superiores de la aorta torácica Arterias musculofrénicas y pericardiofrénicas de las arterias torácicas internas	Arterias frénicas inferiores de la aorta abdominal
Drenaje venoso	Las venas musculofrénicas y pericardiofrénicas drenan en las venas torácicas internas; la vena frénica superior (derecha) desemboca en la vena cava inferior	Venas frénicas inferiores; la vena derecha desemboca en la vena cava inferior la vena izquierda es doble y drena en la vena cava inferior y en la vena suprarrenal
Drenaje linfático	Los ganglios linfáticos diafragmáticos desembocan en los ganglios frénicos, y después, en los mediastínicos paraesternales y posteriores	Ganglios lumbares superiores, los plexos linfáticos de las caras superior e inferior se comunican de manera libre
Inervación	Inervación motora: nervios frénicos (C3-C5) Inervación sensitiva: centro a cargo de los nervios frénicos (C3-C5), periferia a cargo de los nervios intercostales (T5-T11) y subcostales (T12)	

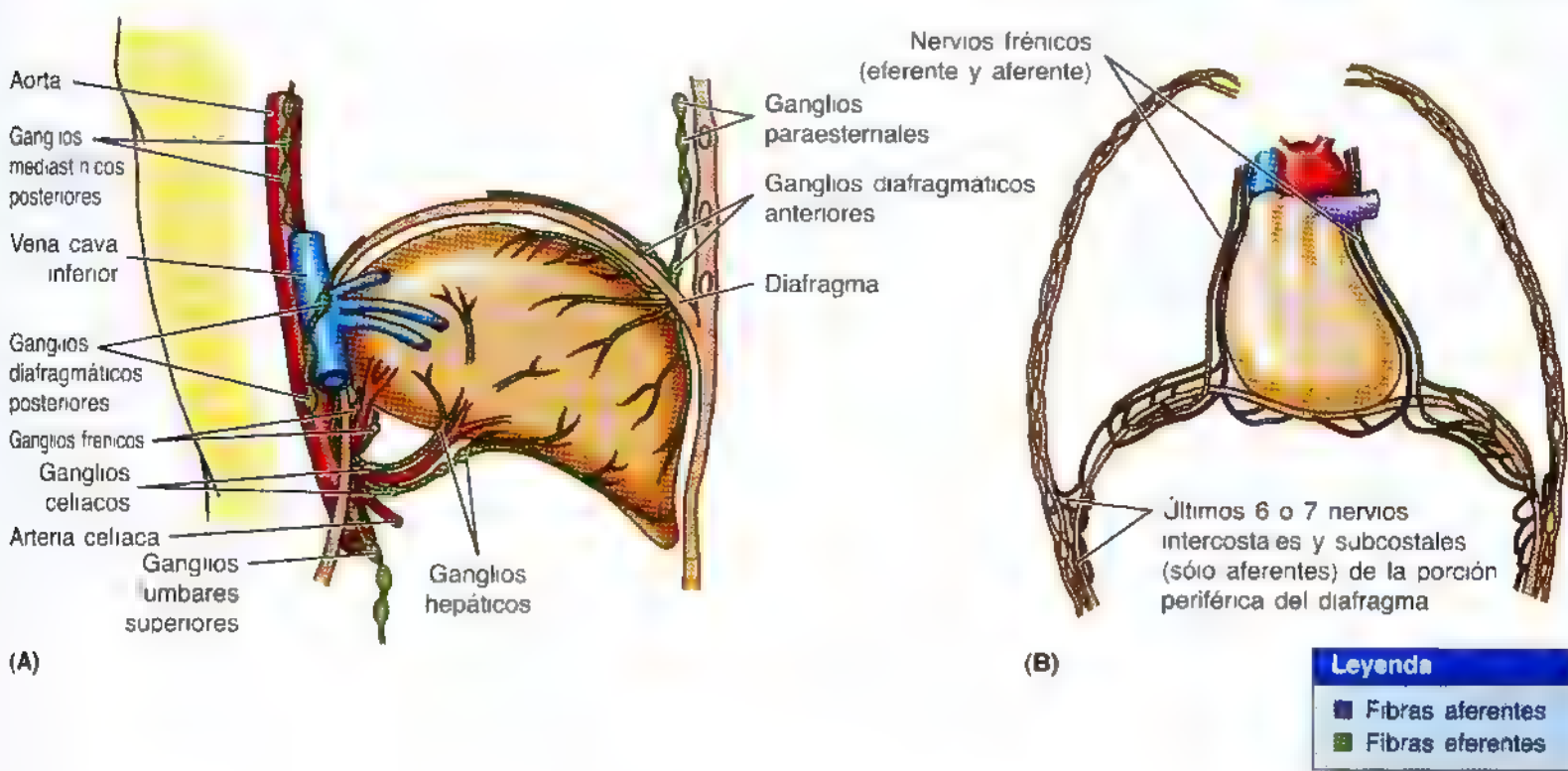


Figura 2.70. Vasos linfáticos y nervios del diafragma. **A.** Los linfáticos se forman en dos plexos: uno de la cara torácica del diafragma y el otro de la cara abdominal; se comunican de manera libre. La linfa de la cara torácica del diafragma pasa a los ganglios diafragmáticos anteriores y posteriores; el drenaje anterior continúa hasta los ganglios paraesternales y el posterior hasta los ganglios mediastínicos frénicos y posteriores. El drenaje linfático de la cara abdominal desemboca en los ganglios diafragmáticos anteriores, frénicos y lumbares superiores. **B.** El nervio frénico (procedente de los nervios espinales C3 a C5) es el único nervio motor del diafragma. También envía fibras sensitivas de la parte central del diafragma. Los 6 o 7 últimos nervios intercostales y subcostales llevan fibras sensitivas de la zona periférica del diafragma.

Orificios diafragmáticos

Los orificios diafragmáticos (aberturas, orificios, hiatos) permiten el paso de estructuras (vasos sanguíneos y linfáticos y nervios) del tórax al abdomen, y viceversa (figs. 2.68 y 2.71). *Los tres grandes orificios para la vena cava inferior, el esófago y la aorta corresponden a:*

- Orificio para la vena cava.

- Hiato esofágico.
- Hiato aórtico.

Orificio para la vena cava

El orificio para la vena cava es una abertura del tendón central, sobre todo para la vena cava inferior. Por el orificio de esta vena pasan también ramos terminales del nervio frénico

derecho y algunos vasos linfáticos que se dirigen desde el hígado hasta los ganglios frénicos medios y mediastínicos. El orificio de la vena cava se sitúa a la derecha del plano medio, en la unión de las hojas derecha y media del tendón. El orificio de la vena cava, el más superior de los tres orificios diafragmáticos, se encuentra a la altura del disco intervertebral T8/T9 (fig. 2.71). La vena cava inferior se adhiere al borde del orificio; por eso, cuando se contrae el diafragma durante la inspiración, aumenta el calibre del orificio y se dilata la VCI. Estos cambios facilitan el flujo sanguíneo al corazón a través de esta gran vena.

Hiato (abertura) esofágico

El hiato esofágico es un orificio ovalado para el esófago situado en el músculo del pilar derecho del diafragma, a la altura de la vértebra T10. El hiato esofágico también transporta los troncos vagales anterior y posterior, las ramas esofágicas de los vasos gástricos izquierdos y algunos vasos linfáticos. Las fibras del pilar del lecho del diafragma se decusan distales al hiato y forman un esfínter muscular para el esófago, que lo constriñe cuando se contrae el diafragma. El hiato esofágico queda superior y a la izquierda del hiato aórtico. En casi todos los casos (70%), los dos bordes del hiato están formados por paquetes musculares del pilar derecho. Sin embargo, a veces (30%) un paquete muscular superficial del pilar izquierdo contribuye a la creación del borde derecho del hiato.

Hiato (abertura) aórtico

El hiato aórtico es un orificio posterior al diafragma por el que pasa la aorta. Como la aorta no perfora el diafragma, su flujo no se afecta con los movimientos de la respiración. La aorta pasa entre los pilares del diafragma, detrás del ligamento arqueado medio, situado a la altura del borde inferior

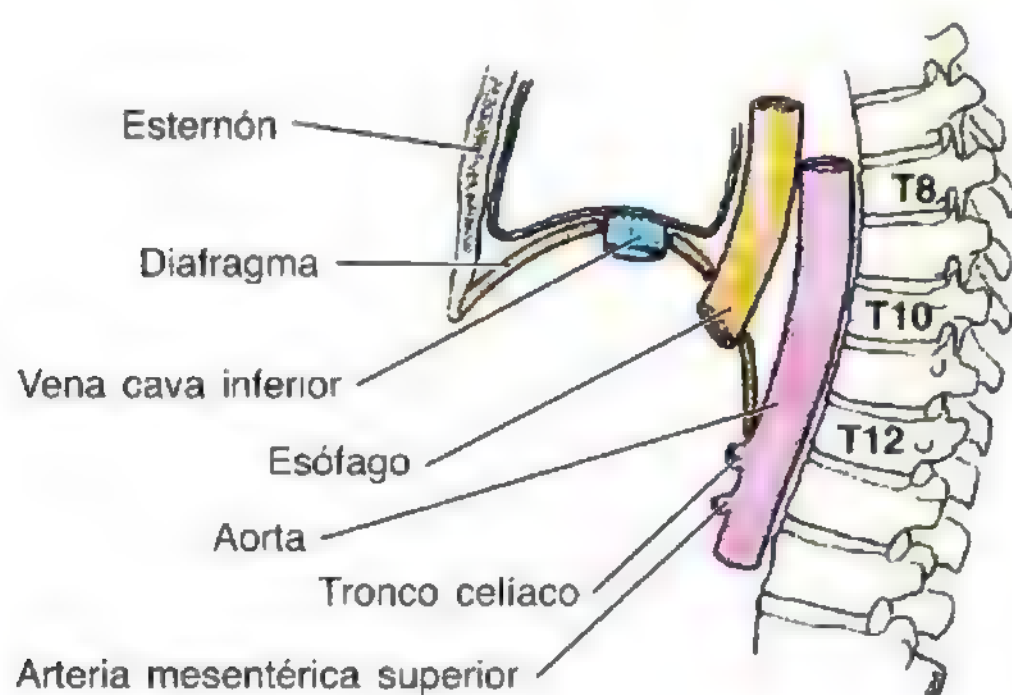


Figura 2.71. Aberturas del diafragma. El diafragma contiene tres grandes aberturas para el paso de estructuras esenciales desde el tórax hacia el abdomen, o viceversa. El orificio para la vena cava inferior (VCI), el más anterior, se encuentra a la altura de T8 y a la derecha de la línea media; el hiato esofágico, intermedio, está a la altura de T10, a la izquierda de la línea media; por último, el hiato aórtico pasa detrás de la inserción vertebral del diafragma, en la línea media, a la altura de T12 (véase también fig. 2.68A).

de la vértebra T12. Por el orificio aórtico también pasan el conducto torácico y a veces la vena ázigos.

Otros orificios diafragmáticos

Además de los tres orificios principales, existe un pequeño orificio, el *foramen esternocostal*, entre las inserciones esternal y costal del diafragma. Por este orificio pasan vasos linfáticos de la cara diafragmática del hígado y los vasos epigástricos superiores. Los troncos simpáticos se introducen en la profundidad del ligamento arqueado medial. Existen dos pequeños orificios en cada pilar del diafragma: uno transmite el nervio esplácnico mayor, y el otro, el nervio esplácnico menor.

Acciones del diafragma

Cuando el diafragma se contrae, su cúpula se desplaza hacia abajo, de forma que se aplanar algo la convexidad diafragmática. Si bien este movimiento se describe muchas veces como “descenso del diafragma”, sólo descienden las cúpulas; la periferia permanece insertada en las costillas y cartílagos de las últimas seis costillas. A medida que desciende el diafragma, empuja hacia abajo las vísceras abdominales. Con ello aumenta el volumen de la cavidad torácica y disminuye la presión intratorácica, con lo que pasa el aire a los pulmones. Además, el volumen de la cavidad abdominal se reduce ligeramente y la presión intrabdominal aumenta algo. Los movimientos del diafragma son importantes para la circulación, porque el incremento de la presión intrabdominal y la disminución de la presión intratorácica ayudan al retorno venoso al corazón. Cuando se contrae el diafragma y comprime las vísceras abdominales, la sangre de la vena cava inferior es impelida de manera forzosa hacia el corazón.

El diafragma alcanza su nivel más alto cuando la persona se encuentra en decúbito supino (con la mitad superior del cuerpo en declive –*posición de Trendelenburg*). Cuando una persona se coloca en decúbito supino, las vísceras abdominales empujan el diafragma hacia la cavidad torácica en sentido superior. Cuando la persona se tumba sobre uno de los lados, el hemidiafragma se eleva hasta un nivel superior por la fuerza de pulsión de las vísceras de dicho lado. A la inversa, el diafragma asume un nivel más bajo cuando la persona se sienta o se levanta. Por este motivo, las personas con *disnea* (dificultad respiratoria) prefieren sentarse y no permanecer tumbados.

Dolor referido del diafragma

El dolor del diafragma se irradia a dos regiones distintas, debido a las diferencias en la inervación sensitiva del diafragma (tabla 2.11). El dolor provocado por la irritación de la pleura diafragmática o del peritoneo diafragmático se refiere al hombro, zona de la piel ▶

► **inervada** por los segmentos C3 a C5 de la médula espinal (pág. 237). Estos segmentos también aportan ramos ventrales a los nervios frénicos. La irritación de las regiones periféricas del diafragma, inervadas por los nervios intercostales inferiores, tiene un carácter más localizado y se refiere a la piel que cubre el reborde costal en la pared anterolateral del abdomen.

Rotura del diafragma y herniación visceral

La rotura del diafragma con herniación visceral se observa cuando aumenta de manera brusca la presión intratorácica o intrabdominal. La etiología más común de esta lesión es un traumatismo grave del tórax o del abdomen durante un accidente de tráfico. La mayoría de las roturas diafragmáticas afectan al lado izquierdo (95%), por la debilidad congénita del mismo (Moore y Persaud, 1998). El orificio de la musculatura diafragmática suele quedar medial a las fibras musculares más bajas, que nacen en la 12ª costilla. En esta región, las fascias superior e inferior forman el diafragma. El defecto de este *triángulo vertebrocostal* (fig. 2.68A) varía de tamaño. Las estructuras siguientes se pueden herniar dentro del tórax en caso de *hernia diafragmática traumática*:

- Estómago.
- Intestino.
- Mesenterio.
- Bazo.

La *hernia hiatal o de hiato*, protrusión de parte del estómago dentro del tórax, a través del hiato esofágico, ya se ha comentado (pág. 231). Las estructuras que pasan por el hiato esofágico (troncos vagales, vasos frénicos inferiores izquierdos, ramas esofágicas de los vasos gástricos izquierdos) se pueden lesionar durante las intervenciones quirúrgicas sobre el hiato esofágico (p. ej., reparación de una hernia de hiato).

Hernia diafragmática congénita

El defecto posterolateral del diafragma es la única malformación congénita relativamente común del diafragma (Moore y Persaud, 1998). Este defecto afecta aproximadamente a 1 de cada 2.200 recién nacidos y se asocia con una *hernia diafragmática congénita* (herniación del contenido abdominal dentro de la cavidad torácica). Las dificultades respiratorias indefinidas que acompañan a esta anomalía se deben a la inhibición del desarrollo y de la insuflación pulmonares. ❖

Pared posterior del abdomen

La pared posterior del abdomen (figs. 2.72-2.74) se compone, en esencia, de las siguientes estructuras, enumeradas de la capa profunda (posterior) a la superficial (anterior):

- Las cinco vértebras lumbares y los correspondientes discos intervertebrales.
- Los músculos posteriores de la pared abdominal: psoas, cuadrado lumbar, ilíaco, transverso del abdomen y oblicuos.
- El plexo lumbar, compuesto por ramos ventrales de los nervios espinales lumbares.
- La fascia, incluida la fascia toracolumbar.
- El diafragma, que contribuye a la parte superior de la pared posterior.
- La grasa, los nervios, los vasos sanguíneos (p. ej., aorta y VCI) y los ganglios linfáticos.

Fascia de la pared posterior del abdomen

La pared posterior del abdomen está cubierta por una capa continua de fascia endoabdominal, situada entre el peritoneo parietal y los músculos (figs. 2.72 y 2.73). La fascia que tapiza la pared posterior del abdomen se continúa con la

fascia transversa, que reviste el músculo transverso del abdomen. Es costumbre nombrar la fascia según la estructura que revista.

La **fascia del psoas**, que cubre el músculo psoas mayor (**vaina del psoas**), se inserta medialmente en las vértebras lumbares y en el reborde del estrecho superior de la pelvis (fig. 2.72). La fascia del psoas (vaina) muestra un engrosamiento superior para dar el **ligamento arqueado medial** (fig. 2.68A). La fascia del psoas se une lateralmente con las **fascias del músculo cuadrado lumbar y toracolumbar**. Debajo de la cresta ilíaca, la fascia del músculo psoas se continúa con la parte de la fascia ilíaca que cubre el músculo ilíaco. La fascia del psoas también se une con la fascia que reviste el músculo cuadrado lumbar.

La **fascia del cuadrado lumbar**, que reviste este músculo, es una capa membranosa densa que se continúa lateralmente con la capa anterior de la fascia toracolumbar (fig. 2.72). La fascia del cuadrado lumbar se inserta en las caras anteriores de las apófisis transversas de las vértebras lumbares, la cresta ilíaca y la 12ª costilla, y se continúa con la fascia transversa. La fascia del músculo cuadrado lumbar muestra un engrosamiento superior que da los **ligamentos arqueados laterales** y se adhiere, por la cara inferior, a los ligamentos iliolumbares.

La **fascia toracolumbar** es una lámina fascial extensa que se divide en las capas anterior y posterior que envuelven los músculos profundos del dorso (figs. 2.72 y 2.73). Es fina y

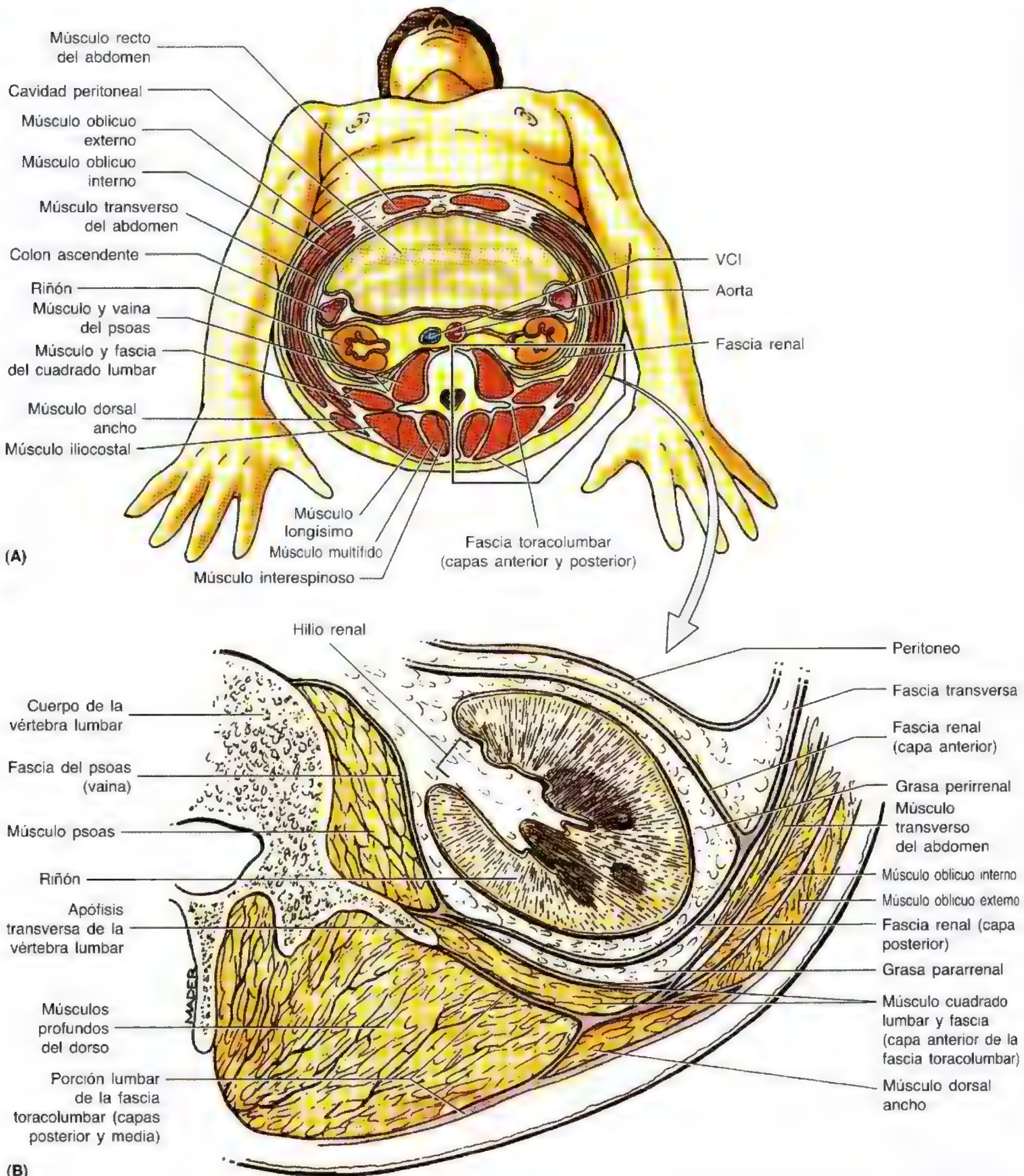


Figura 2.72. Corte transverso del abdomen por el hilio renal. A. Se ilustran las relaciones de los músculos, fascia y paredes abdominales. Asimismo, se exponen las relaciones con los riñones. La pared anterior consta del músculo recto del abdomen y de la aponeurosis de los tres músculos abdominales planos: oblicuo externo, oblicuo interno y transverso del abdomen. Las paredes laterales las forman los músculos planos del abdomen y, en parte, los músculos y los huesos ilíacos (véase fig. 2.74A). La pared posterior del abdomen está configurada por los cuerpos de las cinco vértebras lumbares, los discos intervertebrales correspondientes, los músculos psoas y cuadrado lumbar y, en parte, los músculos ilíacos y los huesos coxales. **B.** Corte transversal del riñón: relaciones con los músculos y la fascia de la pared posterior del abdomen.

transparente en las zonas donde cubre las partes torácicas de los músculos profundos, pero gruesa y robusta en la región lumbar. La parte lumbar de la fascia toracolumbar, que se

extiende entre la 12ª costilla y la cresta ilíaca, se inserta lateralmente en los músculos oblicuo interno y transverso del abdomen.

Absceso del psoas

Si bien la prevalencia de la *tuberculosis* ha disminuido considerablemente, ha resurgido una cepa resistente a los antibióticos. La infección se puede extender a las vértebras por la sangre (*diseminación hematógena*), sobre todo en la infancia. El absceso causado por la tuberculosis en la región lumbar tiende a extenderse desde las vértebras a la vaina del psoas, donde provoca un *absceso del psoas*. Por eso, la fascia del músculo psoas muestra un engrosamiento y se transforma en un tubo robusto. El pus del absceso del psoas se dirige hacia abajo, a lo largo del músculo, dentro de este tubo fascial, hasta el estrecho

superior de la pelvis y en la profundidad del ligamento inguinal. El pus suele emerger a la superficie en la porción superior del muslo. El pus también puede alcanzar la vaina del psoas, al pasar desde el mediastino posterior, si se dañan las vértebras torácicas.

La parte inferior de la *fascia iliaca* suele estar tensa y levanta un pliegue que llega a la cara interna de la cresta ilíaca. La parte superior de esta fascia es laxa y forma una bolsa *-fosa iliacosubfascial-* posterior al pliegue mencionado. Parte del intestino grueso, como el ciego o el apéndice, a la derecha, o el colon sigmoide, a la izquierda, pueden quedar atrapados en la fosa, con el consiguiente e intenso dolor. ♦

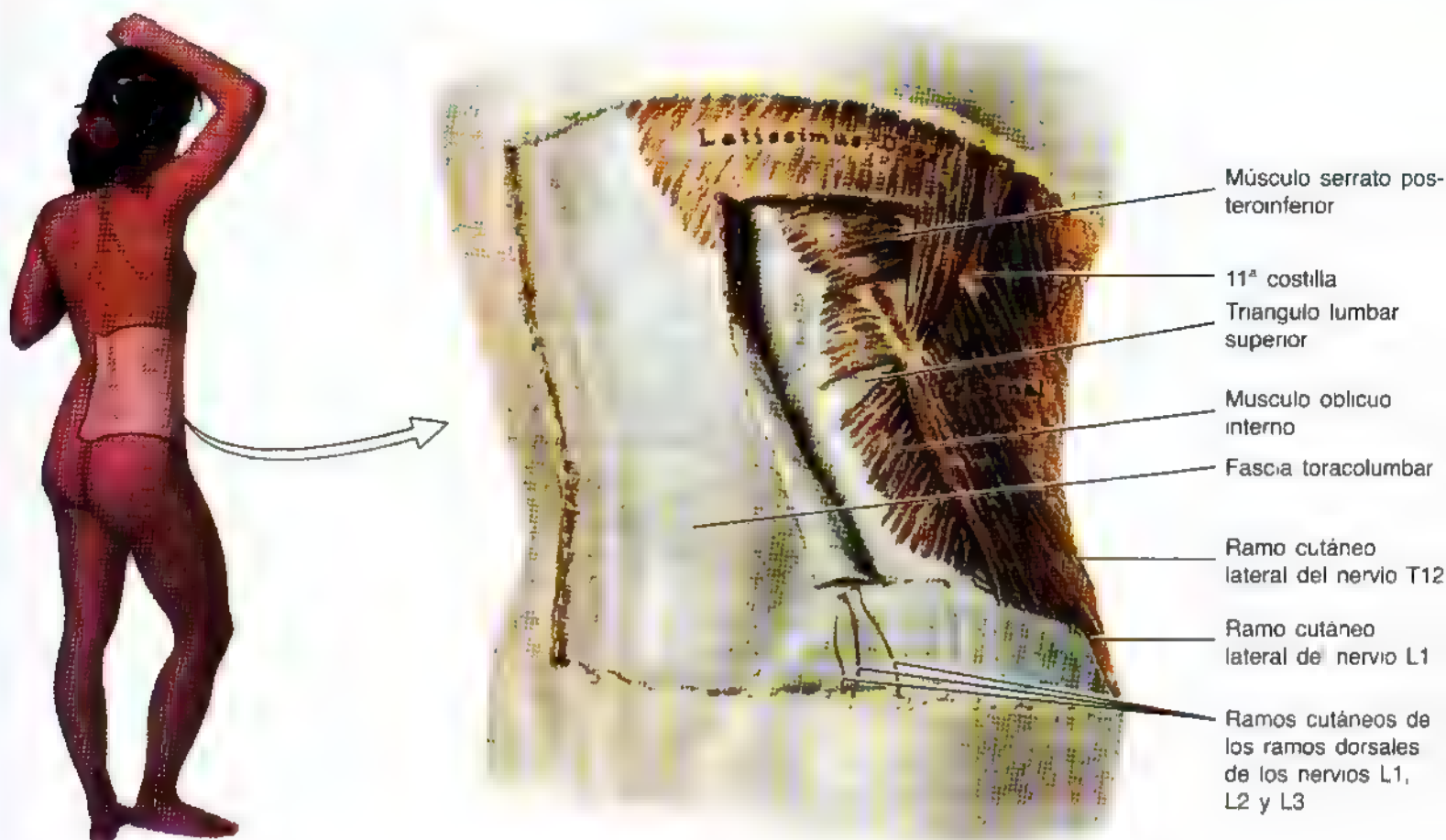


Figura 2.73. Visión posterolateral de la pared posterior del abdomen. Se ha rechazado parte del músculo dorsal ancho. Obsérvese el borde posterior libre del músculo oblicuo externo que se extiende desde la punta de la 12ª costilla hasta el punto medio de la cresta ilíaca. Como se ve, la capa posterior robusta de la fascia toracolumbar cubre los músculos profundos del dorso. La fascia se inserta en los ángulos de las costillas, en las apófisis espinosas de las vértebras torácicas, lumbares y sacras, en las apófisis transversas de las vértebras lumbares; en el borde inferior de la 12ª costilla, y en la cresta ilíaca, así como en diversos ligamentos

Músculos de la pared posterior del abdomen

Los músculos pareados principales de la pared posterior del abdomen (fig. 2.74) son:

- El **músculo psoas** mayor, que tiene un curso inferolateral.
- El **músculo ilíaco**, que reposa sobre las caras laterales de la parte inferior del músculo psoas mayor.
- El **músculo cuadrado lumbar**, adyacente a las apófisis transversas de las vértebras lumbares y lateral a las partes superiores del músculo psoas mayor.

La tabla 2.12 enumera las inserciones, inervación y acciones principales de estos músculos.

Psoas mayor

El músculo psoas mayor, largo, grueso y fusiforme, radica lateral a las vértebras lumbares. *Psoas* es un vocablo griego que significa “músculo del lomo” (los carniceros hablan de lomo para referirse al músculo psoas de los animales). El músculo psoas tiene un trayecto inferolateral, profundo al ligamento inguinal, y llega hasta el trocánter menor del fémur (véase el capítulo 4). El plexo nervioso lumbar está incluido en la parte posterior del músculo psoas, anterior a las apófisis transversas lumbares (fig. 2.74A).

Ilíaco

El músculo ilíaco es un gran músculo triangular que recorre la cara lateral de la parte inferior del músculo psoas mayor. Este músculo se extiende por la articulación sacroilíaca y se inserta en los dos tercios superiores de la fosa ilíaca. Casi todas sus fibras se unen al tendón del músculo psoas mayor; los músculos psoas e ilíaco forman el músculo **iliopsoas**, el principal flexor del muslo. También estabiliza la cadera y ayuda a mantener la postura erecta por medio de esta articulación.

Cuadrado lumbar

El músculo cuadrado lumbar es una lámina muscular gruesa situada en la pared posterior del abdomen (figs. 2.72 y 2.74). Se sitúa adyacente a las apófisis transversas lumbares y es más ancho por la parte inferior. Próximo a la 12ª costilla, el músculo cuadrado lumbar es atravesado por el **ligamento arqueado lateral**. El *nervio subcostal* pasa detrás de este ligamento y sigue un trayecto inferolateral en el músculo cuadrado lumbar. Las *ramas del plexo lumbar* discurren en la parte inferior y anterior de este músculo.

Dolor abdominal posterior

El músculo iliopsoas guarda importantes y extensas relaciones clínicas con los riñones, uréteres, ciego, apéndice, colon sigmoide, páncreas, ganglios linfáticos lumbares y nervios de la pared posterior del abdomen. Cuando se altera cualquiera de estas estructuras, el movimiento del músculo iliopsoas suele causar dolor. Si se sospecha una inflamación intrabdominal es necesario efectuar la **prueba del músculo iliopsoas**. Se pide a la persona que se tumbe sobre el lado no afectado y que extienda el muslo del lado afectado contra la resistencia que opone la mano del explorador (Swartz, 1994). Si aparece dolor con esta maniobra se habla de un *signo positivo del psoas*. Cuando se inflama el apéndice de forma aguda aparece un signo positivo del psoas derecho. Como el músculo psoas está apuesto a la columna vertebral y el músculo ilíaco cruza la articulación sacroilíaca, las enfermedades de las articulaciones intervertebrales y sacroilíacas pueden inducir un *espasmo del músculo iliopsoas* (reflejo protector). El *adenocarcinoma de páncreas* en fase avanzada invade los músculos y los nervios de la pared posterior del abdomen y provoca un dolor insoportable, debido a la estrecha relación del páncreas con la pared posterior del abdomen. ○

Nervios de la pared posterior del abdomen

La pared posterior del abdomen contiene nervios somáticos y autónomos.

Nervios somáticos de la pared posterior del abdomen

Los **nervios subcostales** —ramos ventrales de T12— se originan en el tórax, se dirigen al abdomen, posteriores a los ligamentos arqueados laterales, y pasan en sentido inferolateral por la cara anterior del músculo cuadrado lumbar (fig. 2.74). Atraviesan los músculos transverso del abdomen y oblicuo interno, para inervar el músculo oblicuo externo y la piel de la pared anterolateral del abdomen.

Los **nervios lumbares** llegan desde la médula por los orificios intervertebrales inferiores a las vértebras correspondientes, donde se dividen en los ramos primarios dorsal y ventral. Cada ramo contiene fibras sensitivas y motoras. Los

Figura 2.74. Músculos y nervios de la pared posterior del abdomen. **A.** Se ha extirpado la mayor parte del músculo psoas mayor derecho para exponer el plexo nervioso lumbar, formado por los ramos ventrales de los primeros cuatro nervios lumbares; el plexo se halla dentro del músculo psoas mayor. **B.** Inervación autónoma del abdomen. Los nervios simpáticos y parasimpáticos se mezclan dentro de la red abundante de plexos nerviosos anterior a la aorta. Los dos tipos de fibras se distribuyen por diversos caminos en las paredes de la rama de la aorta abdominal hasta llegar a su destino.



Tabla 2.12. Músculos principales de la pared posterior del abdomen

Músculo	Inserción superior	Inserción inferior	Inervación	Acción principal
Psoas mayor	Apófisis transversas de las vértebras lumbares; caras laterales de los cuerpos de las vértebras T12-L5 y discos intervertebrales respectivos	Por un robusto tendón en el trocánter menor del fémur	Plexo lumbar, a través de ramos ventrales de los nervios L2-L4	Cuando se contrae en dirección inferior junto con el músculo iliaco flexiona el muslo; cuando se contrae en dirección superior flexiona lateralmente la columna vertebral; se utiliza para equilibrar el tronco. Al sentarse, se contrae en dirección inferior con el músculo iliaco para flexionar el tronco
Iliaco	Dos tercios superiores de la fosa iliaca, ala del sacro y ligamentos sacroilíacos anteriores	El trocánter menor del fémur y la parte de diáfisis situada debajo, así como en el tendón del músculo psoas mayor	Nervio femoral (L2-L4)	Flexiona el muslo y estabiliza la cadera; actúa con el músculo psoas mayor
Cuadrado lumbar	Mitad medial del borde inferior de la 12ª costilla y vértices de las apófisis transversas lumbares	Ligamento iliolumbar y labio interno de la cresta ilíaca	Ramos ventrales de T12 y nervios L1-L4	Extiende y flexiona lateralmente la columna vertebral; fija la 12ª costilla durante la inspiración

ramos primarios dorsales se dirigen a la cara posterior para inervar los músculos y la piel del dorso, mientras que los ramos primarios ventrales llegan hasta el músculo psoas mayor y se comunican con los troncos simpáticos a través de ramos comunicantes.

El **plexo nervioso lumbar** se encuentra en la parte posterior del músculo psoas mayor, anterior a las apófisis transversas lumbares (fig. 274A). Esta red nerviosa se compone de los ramos ventrales de los nervios L1 a L4. Todos estos ramos reciben ramos comunicantes grises de los troncos simpáticos y los dos nervios superiores envían ramos comunicantes blancos para estos troncos. *Los nervios siguientes son ramos del plexo lumbar; los tres más grandes se enumeran en primer lugar:*

- El **nervio obturador** (L2 a L4) emerge del borde medial del músculo psoas mayor y pasa a través de la pelvis hasta la cara medial del muslo, donde inerva los músculos aproximadores.
- El **nervio femoral** (L2 a L4) emerge del borde lateral del músculo psoas mayor e inerva el músculo iliaco; se dirige en la profundidad del ligamento inguinal hasta la cara anterior del muslo, donde inerva los músculos flexores de la cadera y extensores de la rodilla.
- El **tronco lumbosacro** (L4, L5) pasa sobre el ala del sacro y desciende hasta la pelvis para contribuir a la formación del plexo sacro junto con los ramos ventrales de los nervios S1 a S4.
- Los **nervios ilioinguinal e iliohipogástrico** (L1) proceden del ramo ventral de L1 y penetran en el abdomen detrás de los ligamentos arqueados mediales; siguen un trayecto inferolateral, anterior al músculo cuadrado lumbar. Perforan los músculos transversos del abdomen,

cerca de las espinas ilíacas anterosuperiores, y atraviesan los músculos oblicuo interno y externo para dirigirse hasta la piel de las regiones suprapúbica e inguinal (los dos nervios también envían ramos para la musculatura del abdomen).

- El **nervio genitofemoral** (L1, L2) perfora la superficie anterior del músculo psoas mayor y desciende en la profundidad de la fascia del psoas; se divide lateral a las arterias ilíaca común y externa en los ramos femoral y genital.
- El **nervio cutáneo femoral lateral** (L2, L3) sigue un curso inferolateral sobre el músculo iliaco y penetra en el muslo, detrás del ligamento inguinal, justo medial a la espina ilíaca anterosuperior; inerva la piel de la cara anterolateral del muslo.

Nervios autónomos de la pared posterior del abdomen

Los nervios autónomos del abdomen se componen de un nervio craneal (el vago) y diversos nervios espláncnicos, que suministran fibras simpáticas y parasimpáticas presinápticas a los plexos nerviosos y ganglios simpáticos situados en la aorta abdominal y en las prolongaciones periarteriales de estos plexos que llegan hasta las vísceras abdominales, donde se encuentran los ganglios parasimpáticos intrínsecos (fig. 2.74B, tabla 2.10).

La *parte simpática del sistema nervioso autónomo del abdomen* consta de lo siguiente:

- Los nervios espláncnicos abdominopélvicos de los troncos simpáticos torácico y abdominal.
- Los ganglios simpáticos prevertebrales.
- Los plexos autónomos abdominales.
- Los plexos periarteriales.

Los plexos son mixtos y compartidos por el sistema nervioso parasimpático y las fibras aferentes viscerales.

Los **nervios espláncnicos abdominopélvicos** representan la fuente de inervación simpática para la cavidad abdominopélvica. Las fibras simpáticas presinápticas que transportan provienen de los cuerpos celulares de la columna intermedio-lateral o del asta lateral de la sustancia gris de los segmentos medulares T7 a L2 o L3. Las fibras atraviesan sucesivamente las raíces y los ramos ventrales y los ramos comunicantes blancos de los nervios torácicos y primeros lumbares, hasta llegar a los troncos simpáticos. Al pasar por los ganglios paravertebrales de estos troncos, sin hacer sinapsis, llegan a los nervios espláncnicos abdominopélvicos, que los transportan hasta los ganglios prevertebrales de la cavidad abdominal. *Los nervios espláncnicos abdominopélvicos comprenden:*

- Los nervios espláncnicos torácicos inferiores (nervios espláncnicos mayor, menor y mínimo) de la porción torácica de los troncos simpáticos.
- Los nervios espláncnicos lumbares de la porción lumbar de los troncos simpáticos.

Los **nervios espláncnicos torácicos inferiores** representan el suministro principal de fibras simpáticas presinápticas para las vísceras abdominales. Los **nervios espláncnicos mayor** (originado en el tronco simpático de T5 a T9 o T10), **menor** (T10 y T11) y **mínimo** (T12) son los nervios torácicos específicos que provienen de la porción torácica de los troncos simpáticos y atraviesan el pilar correspondiente del diafragma, llevando fibras simpáticas presinápticas para los ganglios celiaco, mesentérico superior y aórtico renal (prevertebral).

Los **nervios espláncnicos lumbares** proceden de la porción abdominal de los troncos simpáticos. Los troncos simpáticos se extienden hasta el abdomen desde el tórax y pasan detrás de los ligamentos arqueados mediales del diafragma (fig. 2.74A). Se sitúan sobre las caras anterolaterales de los cuerpos de las vértebras lumbares en un surco formado por el músculo psoas mayor vecino. La porción abdominal de los troncos se compone de cuatro **ganglios simpáticos lumbares (paravertebrales)** y de las fibras que los comunican entre sí. Lateralmente, estos troncos reciben ramos comunicantes blancos de los ramos espinales de L1, L2 y a veces L3, y envían ramos comunicantes grises para los ramos ventrales adyacentes. Medialmente, los troncos simpáticos abdominales emiten tres o cuatro nervios espláncnicos lumbares, que pasan a los **plexos intermesentérico, mesentérico inferior e hipogástrico superior**, transportando fibras simpáticas presinápticas a los ganglios prevertebrales asociados.

Los cuerpos celulares de las neuronas simpáticas postsinápticas constituyen los principales ganglios prevertebrales, que se aglomeran sobre las raíces de las ramas principales de la aorta abdominal —*ganglios celiaco, aorticorrenal, mesentérico superior y mesentérico inferior*— y los ganglios prevertebrales menores, innominados, que se encuentran dentro de los plexos intermesentérico e hipogástrico superior. Éstos establecen la sinapsis entre las neuronas presinápticas y pos-

tsinápticas que tienen lugar en los ganglios prevertebrales. Las fibras simpáticas postsinápticas pasan desde los ganglios prevertebrales hasta las vísceras abdominales a través de los plexos periarteriales que acompañan a las ramas de la aorta abdominal. La inervación simpática del abdomen, como la de otros lugares, se encarga sobre todo de la vasoconstricción. Por lo que respecta al tubo digestivo, inhibe (retrasa o detiene) el peristaltismo.

Las fibras aferentes viscerales que llevan sensaciones de dolor acompañan a las fibras simpáticas (motoras viscerales); los impulsos dolorosos pasan por vía retrógrada a las fibras motoras a lo largo de los nervios espláncnicos y llegan al tronco simpático. De nuevo, a través de los ramos comunicantes blancos, se dirigen a los ramos ventrales de los nervios espinales, y por ahí llegan a la raíz dorsal de los ganglios sensitivos espinales.

La *porción parasimpática del sistema nervioso autónomo del abdomen* (fig. 2.74B, tabla 2.10) se compone de lo siguiente:

- Los troncos vagales anterior y posterior.
- Los nervios espláncnicos de la pelvis.
- Los plexos nerviosos autónomos del abdomen.
- Los plexos nerviosos periarteriales.
- Los ganglios parasimpáticos intrínsecos (entéricos).

Los plexos nerviosos son mixtos, es decir, compartidos por el sistema nervioso simpático y las fibras aferentes viscerales.

Los **troncos vagales anterior y posterior** representan la continuación de los nervios vagos izquierdo y derecho, que emergen del plexo esofágico y atraviesan el hiato esofágico por las caras anterior y posterior del esófago y del estómago (figs. 2.30 y 2.74). Los nervios vagos llevan fibras parasimpáticas presinápticas y fibras aferentes viscerales (sobre todo, para las sensaciones inconscientes asociadas con los reflejos) hacia los plexos aórticos abdominales y plexos periarteriales, que se extienden con las ramas de la aorta.

Los **nervios espláncnicos de la pelvis** se diferencian de los demás nervios espláncnicos porque:

- No se relacionan en absoluto con los troncos simpáticos.
- Proviene directamente de los ramos ventrales de los nervios espinales S2 a S4.
- Llevan fibras parasimpáticas presinápticas hasta el plexo hipogástrico inferior (pélvico).

Las fibras presinápticas terminan en los cuerpos celulares aislados y dispersos de las neuronas postsinápticas, que descansan o radican dentro de las vísceras abdominales constituyendo ganglios intrínsecos.

Las fibras parasimpáticas presinápticas y las fibras aferentes viscerales reflejas, conducidas por los nervios vagos, llegan hasta los ganglios intrínsecos de la parte inferior del esófago, del estómago, del intestino delgado (incluido el duodeno) y del colon ascendente y la mayor parte del transversal; las transportadas por los nervios espláncnicos de la pelvis inervan las porciones descendente y sigmoide del colon, del recto y de los órganos de la pelvis. Por lo que

respecta al tubo digestivo, los nervios vagos suministran la inervación parasimpática del músculo liso y de las glándulas del intestino hasta la flexura cólica izquierda, y los nervios espláncnicos de la pelvis, el resto.

Los **plexos autónomos del abdomen** son redes nerviosas que constan de fibras simpáticas y parasimpáticas que rodean la aorta abdominal y sus grandes ramas. Los plexos celíaco, mesentérico superior y mesentérico inferior están conectados entre sí. Los **ganglios simpáticos prevertebrales** se dispersan por los plexos celíaco y mesentérico. Los **ganglios parasimpáticos intrínsecos**, como el **plexo mientérico** (plexo de Auerbach) de la túnica muscular del estómago y del intestino, se localizan en las paredes viscerales.

El **plexo celíaco** (plexo solar), que rodea la raíz del tronco celíaco arterial, contiene *ganglios celíacos* irregulares a ambos lados (de aproximadamente 2 cm de longitud) que se unen, por los planos superior e inferior, con el tronco celíaco. La *raíz parasimpática* del plexo celíaco es una rama del *tronco vagal posterior* que contiene fibras de los nervios vagos derecho e izquierdo. Las *raíces simpáticas* del plexo son los nervios espláncnicos mayor y menor.

El **plexo** y el ganglio o ganglios **mesentéricos superiores** rodean el origen de la arteria mesentérica superior. El plexo tiene una raíz mediana y dos laterales. La primera es un ramo del plexo celíaco y las laterales provienen de los nervios espláncnicos menor y mínimo, aunque a veces contribuye también el primer ganglio lumbar del tronco simpático.

El **plexo mesentérico inferior** rodea la arteria mesentérica inferior y emite divisiones para sus ramos. Recibe una raíz medial del plexo intermesentérico y raíces laterales de los ganglios lumbares de los troncos simpáticos. A veces se observa también un *ganglio mesentérico inferior*, justo debajo de la raíz de la arteria mesentérica inferior.

El **plexo intermesentérico** forma parte del plexo nervioso aórtico entre las arterias mesentéricas superior e inferior. Da lugar a los plexos renal, testicular u ovárico y ureteral.

El **plexo hipogástrico superior** se continúa con el plexo intermesentérico y el plexo mesentérico inferior y se sitúa delante de la porción inferior de la aorta abdominal, en su bifurcación. Los **nervios hipogástricos** derecho e izquierdo unen el plexo hipogástrico superior con el plexo hipogástrico inferior. El plexo hipogástrico superior suministra las fibras para los *plexos ureteral y testicular* y un plexo para cada arteria ilíaca común.

El **plexo hipogástrico inferior** aparece a cada lado con un nervio hipogástrico procedente del plexo hipogástrico superior. Los plexos derecho e izquierdo se sitúan a los lados del recto, el cuello uterino y la vejiga urinaria. Estos plexos reciben pequeñas ramas de los ganglios simpáticos sacros superiores y de las fibras parasimpáticas sacras eferentes de los nervios espinales S2 a S4 (*nervios espláncnicos pélvicos [parasimpáticos]*). Las prolongaciones del plexo hipogástrico inferior emiten fibras autónomas que viajan con los vasos sanguíneos y forman plexos viscerales de las vísceras pélvicas (p. ej., *plexos rectal y vesical*).

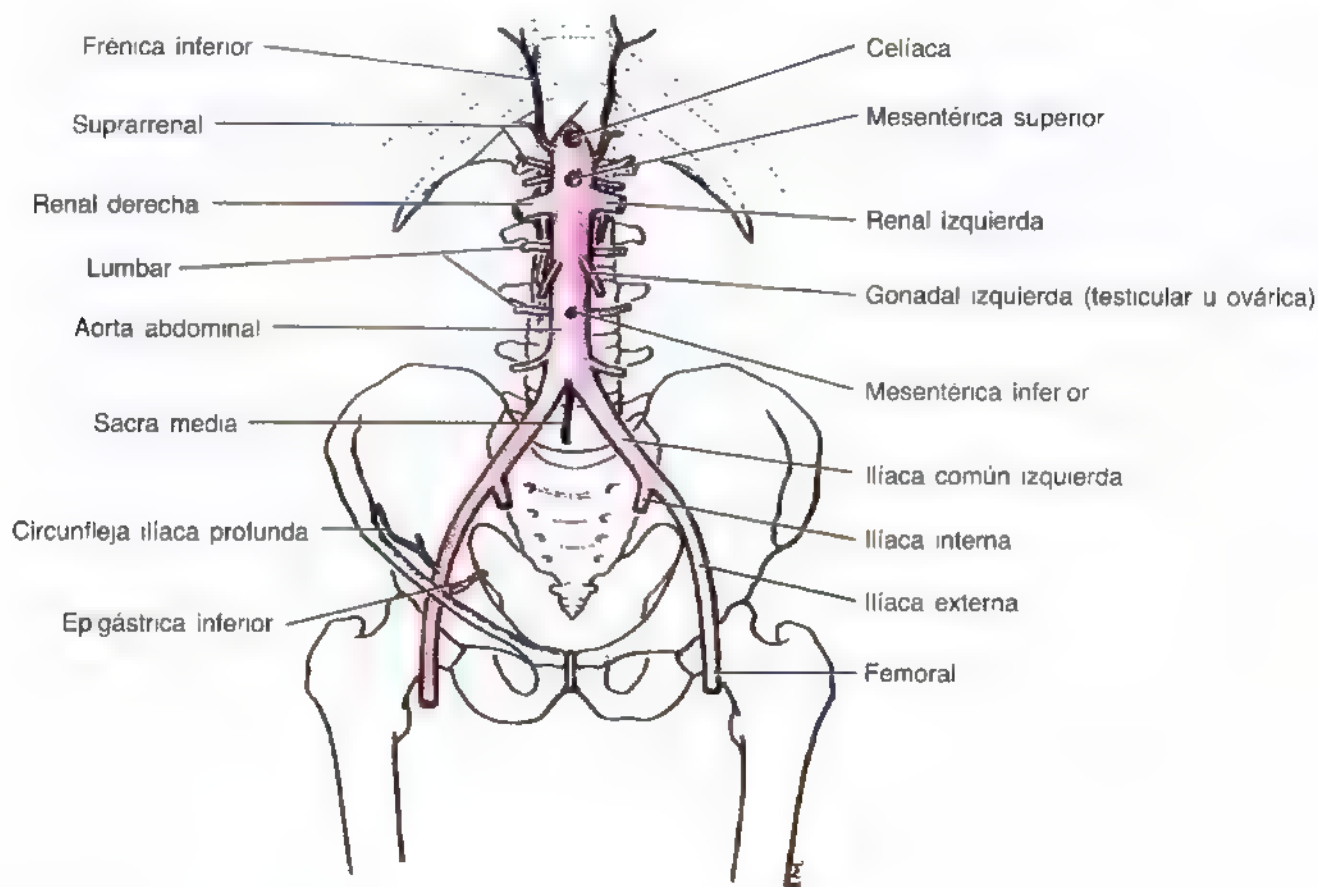
Sympatectomía lumbar parcial

El tratamiento de algunos pacientes con enfermedad arterial de los miembros inferiores se basa en una *sympatectomía lumbar parcial*, es decir, en la extirpación quirúrgica de dos o más ganglios simpáticos lumbares mediante división de sus ramos comunicantes. El acceso quirúrgico a los troncos simpáticos suele seguir un abordaje extraperitoneal lateral, porque los troncos simpáticos se sitúan en el retroperitoneo, en el tejido graso extraperitoneal (fig. 2.74). El cirujano divide los músculos de la pared anterior del abdomen y lleva el peritoneo en dirección medial y anterior para exponer el borde medial del músculo psoas mayor, donde se dispone el tronco simpático. El tronco izquierdo suele estar algo solapado por la aorta. El tronco simpático derecho está cubierto por la vena cava inferior. La relación íntima entre los troncos simpáticos y la aorta, así como la vena cava inferior, explica por qué se pueden dañar estos grandes vasos durante la sympatectomía lumbar. Por eso, el cirujano los debe rechazar con cuidado para exponer los troncos simpáticos, que suelen encontrarse en el surco formado por el músculo psoas mayor en la cara lateral y los cuerpos vertebrales lumbares en la medial. Estos troncos están ocultos muchas veces por la grasa y el tejido linfático. Recordando que no resulta sencillo identificar los troncos simpáticos, conviene no extirpar de manera inadvertida parte de:

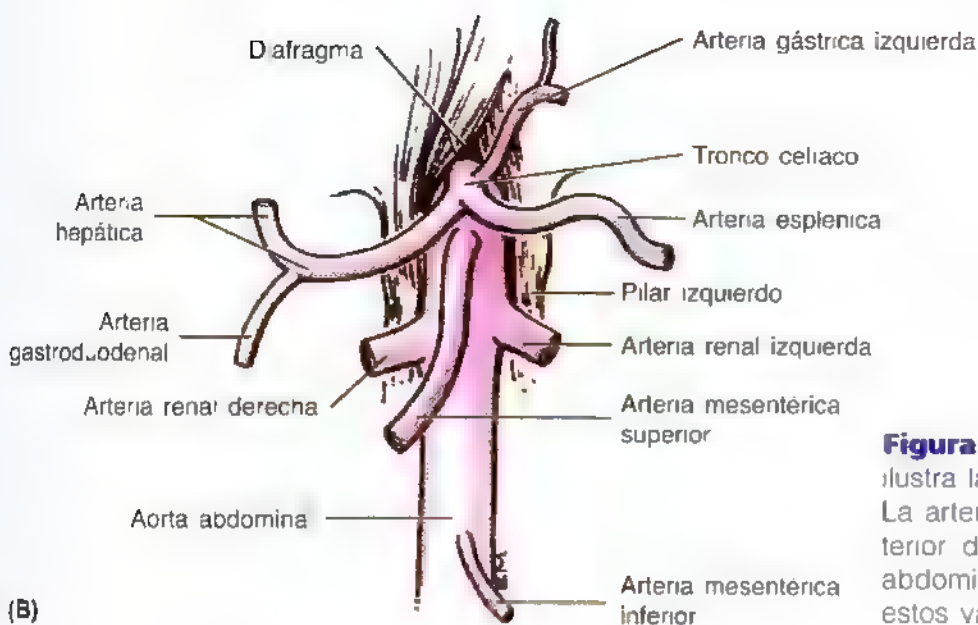
- El nervio genitofemoral.
- Los linfáticos lumbares.
- El uréter. ⦿

Arterias de la pared posterior del abdomen

La mayoría de las arterias que irrigan la pared posterior del abdomen nacen en la **aorta abdominal** (fig. 2.75A); las arterias subcostales se originan en la aorta torácica y se distribuyen por debajo de la 12ª costilla. La aorta abdominal —que mide aproximadamente 13 cm— comienza en el hiato aórtico del diafragma, a la altura de la vértebra T12, y termina a la altura de la vértebra L4, dividiéndose en las arterias ilíacas comunes derecha e izquierda. El *plano de bifurcación aórtica* queda 2-3 cm por debajo y a la izquierda del ombligo, a la altura de las crestas ilíacas. Las **arterias ilíacas comunes** divergen y discurren inferolateralmente, siguiendo el borde medial de los músculos psoas, hasta el estrecho superior de la pelvis. Aquí, cada arteria ilíaca se divide en las **arterias ilíacas interna y externa**. La primera entra en la pelvis y su trayectoria y ramas se exponen en el capítulo 3. La arteria ilíaca externa sigue al músculo iliopsoas. Justo antes de abandonar el abdomen, la arteria ilíaca



(A)



(B)

Figura 2.75. Aorta abdominal. **A.** Este diagrama ilustra la relación entre la aorta y la columna vertebral. La arteria sacra media suele emerger de a cara posterior de la aorta. **B.** Ramas principales de la aorta abdominal. Los plexos nerviosos autónomos viajan con estos vasos hasta las vísceras (fig. 2.74B).

externa da origen a las arterias **epigástrica inferior** y **circunfleja iliaca profunda**, que inervan la pared anterolateral del abdomen.

Relaciones de la aorta abdominal

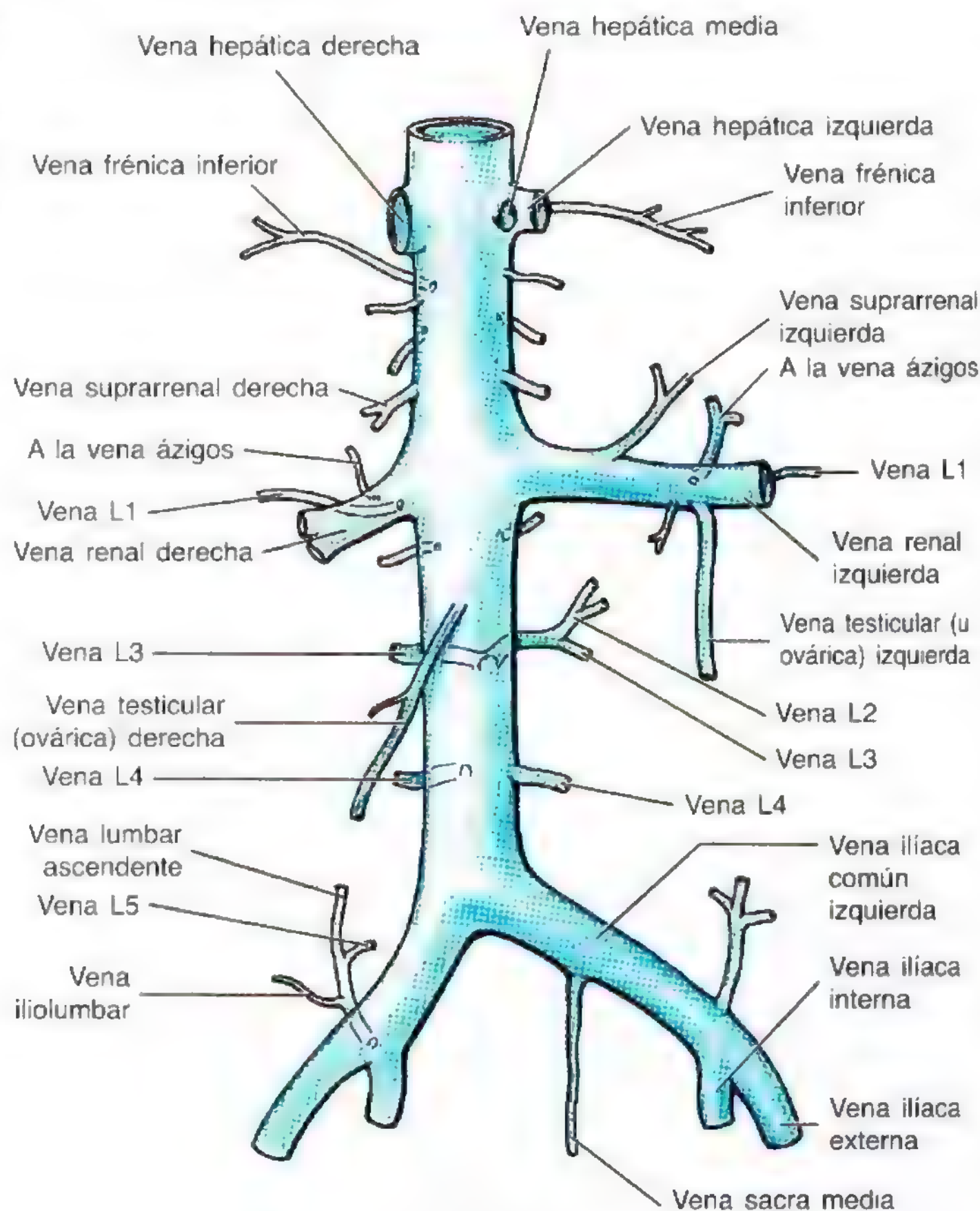
Las relaciones anteriores más importantes de la aorta abdominal, del plano superior al inferior, son:

- El plexo y el ganglio celiacos (fig. 2.74).
- El cuerpo del páncreas.
- Las venas esplénica y renal izquierda (figs. 2.63 y 2.76).

- La porción horizontal del duodeno.
- Las asas del intestino delgado.

La aorta abdominal desciende delante de los cuerpos de las vértebras T12 a L4. La vena lumbar izquierda pasa detrás de la aorta hasta alcanzar la vena inferior (fig. 2.76). *A la derecha*, la aorta se relaciona con la vena ázigos, la cisterna del quilo, el conducto torácico, el pilar derecho del diafragma y el ganglio celiaco derecho. *A la izquierda*, la aorta se relaciona con el pilar izquierdo del diafragma y el ganglio celiaco izquierdo.

Figura 2.76. Vena cava inferior y sus afluentes. La vena cava inferior (VCI) se forma por la unión de las venas ilíacas comunes. Como se ve, la vena renal izquierda es más larga que la derecha, porque debe cruzar la línea media, mientras que la vena testicular izquierda termina en la vena renal izquierda. En cambio, la del lado derecho desemboca en la vena cava inferior.



Ramas de la aorta abdominal

Las ramas de la aorta abdominal (fig. 2.75) se pueden describir como viscerales y parietales y pares o impares.

Las **ramas viscerales impares** se originan en los siguientes planos vertebrales:

- Tronco celíaco (T12).
- Arteria mesentérica superior (L1).
- Arteria mesentérica inferior (L3).
- Las **ramas viscerales pares** comprenden:
- Las arterias suprarrenales (L1).
- Las arterias renales (L1).
- Las arterias gonadales, ováricas o testiculares (L2).

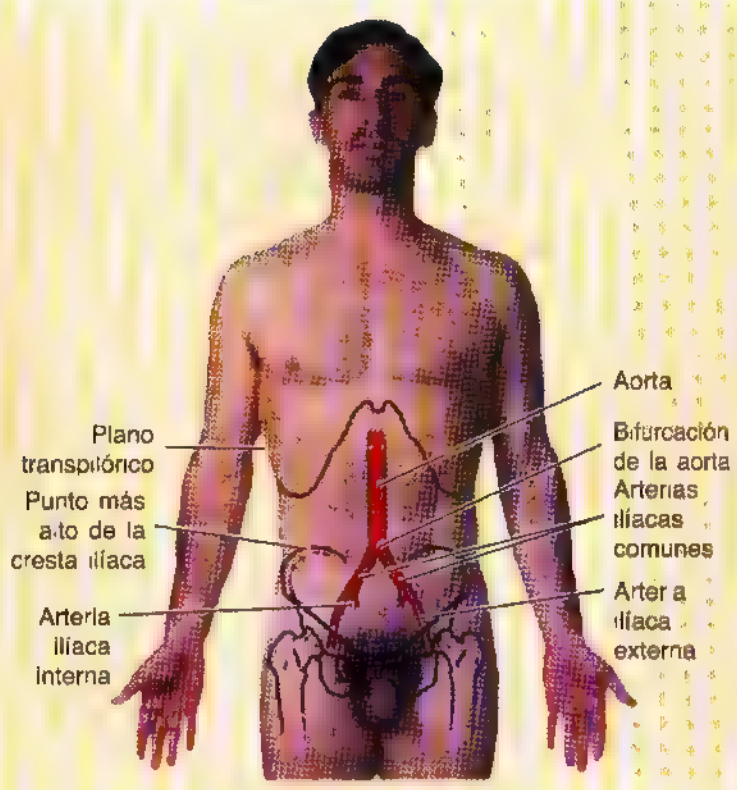
Las **ramas parietales pares** son:

- Las arterias subcostales que entran en el abdomen, posteriores a los ligamentos arqueados laterales, junto con los nervios subcostales (T12).
- Las arterias frénicas inferiores que se originan justo debajo del diafragma.
- Las arterias lumbares que pasan alrededor de los lados de las cuatro primeras vértebras lumbares.

La *rama parietal impar* es la arteria sacra media que nace en la bifurcación de la aorta.

Anatomía de superficie de la aorta abdominal

La aorta abdominal se podría representar en la pared anterior del abdomen por una banda (de aproximadamente 2 cm de ancho) que se extendiera desde un punto medio, aproximadamente 2,5 cm superior al plano transpilórico, hasta un punto algo inferior y a la izquierda del ombligo. Este punto indica el nivel de bifurcación de la aorta en las arterias ilíacas comunes. El lugar de bifurcación de la aorta también se indica justo a la izquierda del punto central de la línea que une los puntos más altos de las crestas ilíacas. Esta línea resulta útil para el examen de las personas obesas, ya que el ombligo no constituye una referencia de superficie fiable. ◊

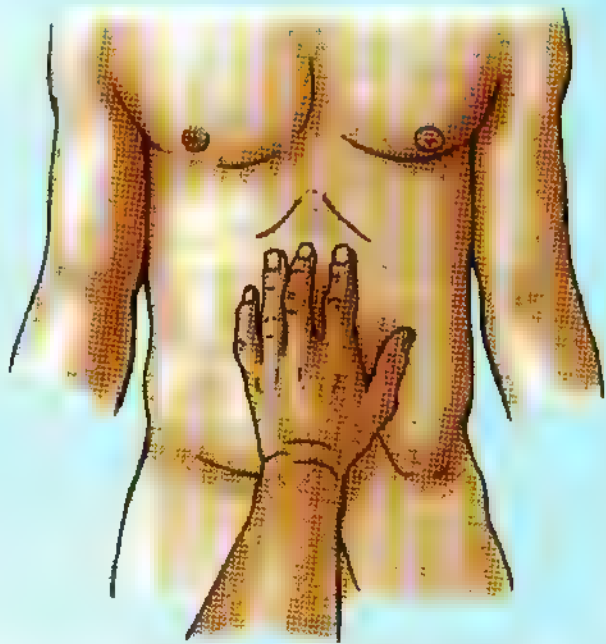
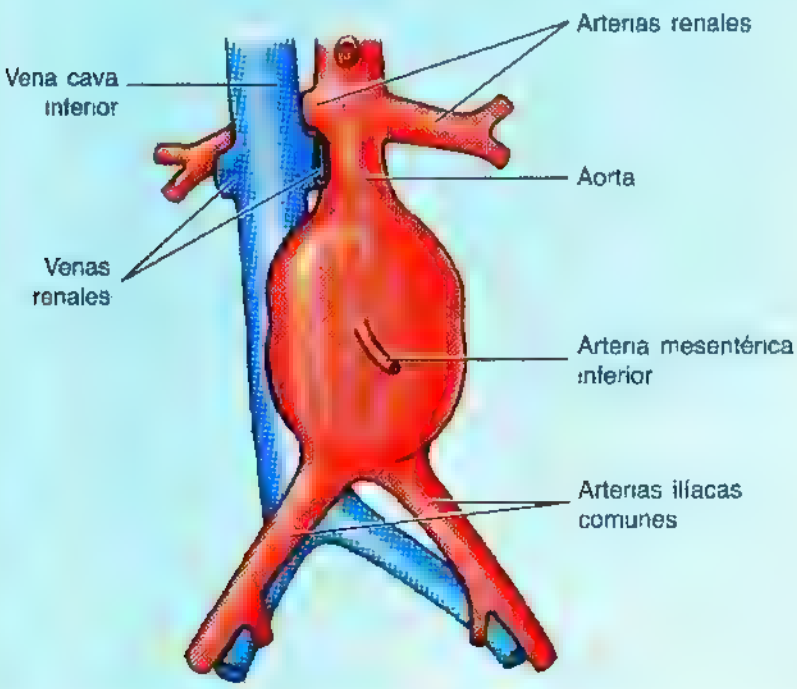


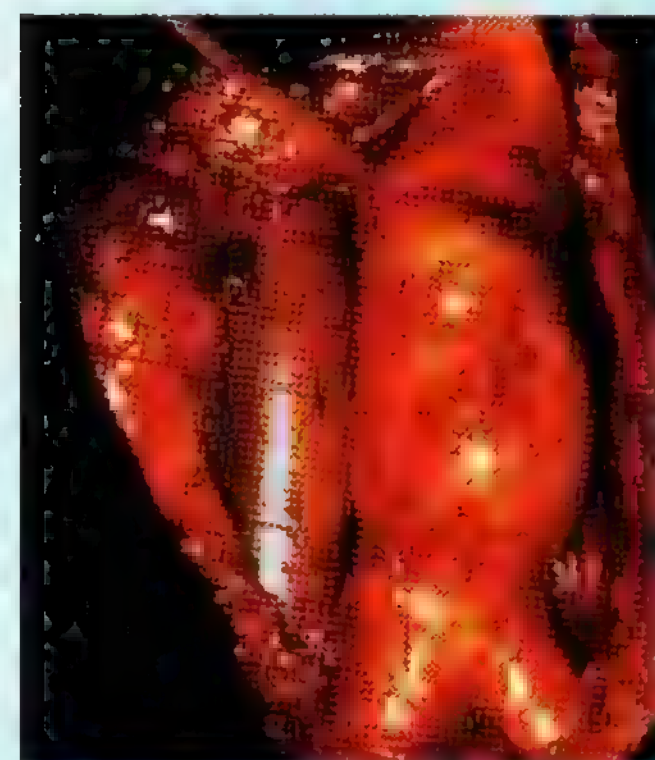
Pulsaciones de la aorta y aneurisma de la aorta abdominal

Como la aorta queda detrás del páncreas y del estómago, un tumor de estos órganos puede transmitir las pulsaciones de la aorta, que se confundirían con un **aneurisma de la aorta abdominal**, es decir, un ensanchamiento localizado de la aorta (A). La palpación profunda del meso-

gastrio permite detectar a veces un aneurisma (B-C), que suele obedecer a una debilidad congénita o adquirida de la pared arterial. Las pulsaciones de los grandes aneurismas se detectan a la izquierda de la línea media; la masa pulsátil se desplaza fácilmente de lado a lado. En caso de duda, el diagnóstico se confirma con una ecografía.

La rotura aguda del aneurisma de la aorta abdominal se acompaña de un intenso dolor en el abdomen o ▶





► en el dorso. Si no se diagnostica, la tasa de mortalidad del aneurisma se aproxima al 90% debido a las cuantiosas pérdidas hemáticas (Swartz, 1994).

Los cirujanos pueden reparar el aneurisma (D) abriéndolo e introduciendo un injerto protésico (por ejemplo, de Dacron) y suturando la pared de la aorta aneurismática al injerto para protegerla.

Cuando se relaja la pared anterior del abdomen, sobre todo de los niños y adultos delgados, la porción inferior de la aorta abdominal puede quedar comprimida contra el cuerpo de la vértebra L4, por la compresión firme que ejerce la pared sobre el ombligo (C). Esta compresión se puede aplicar para controlar el sangrado de la pelvis o de los miembros inferiores. ⊕

Venas de la pared posterior del abdomen

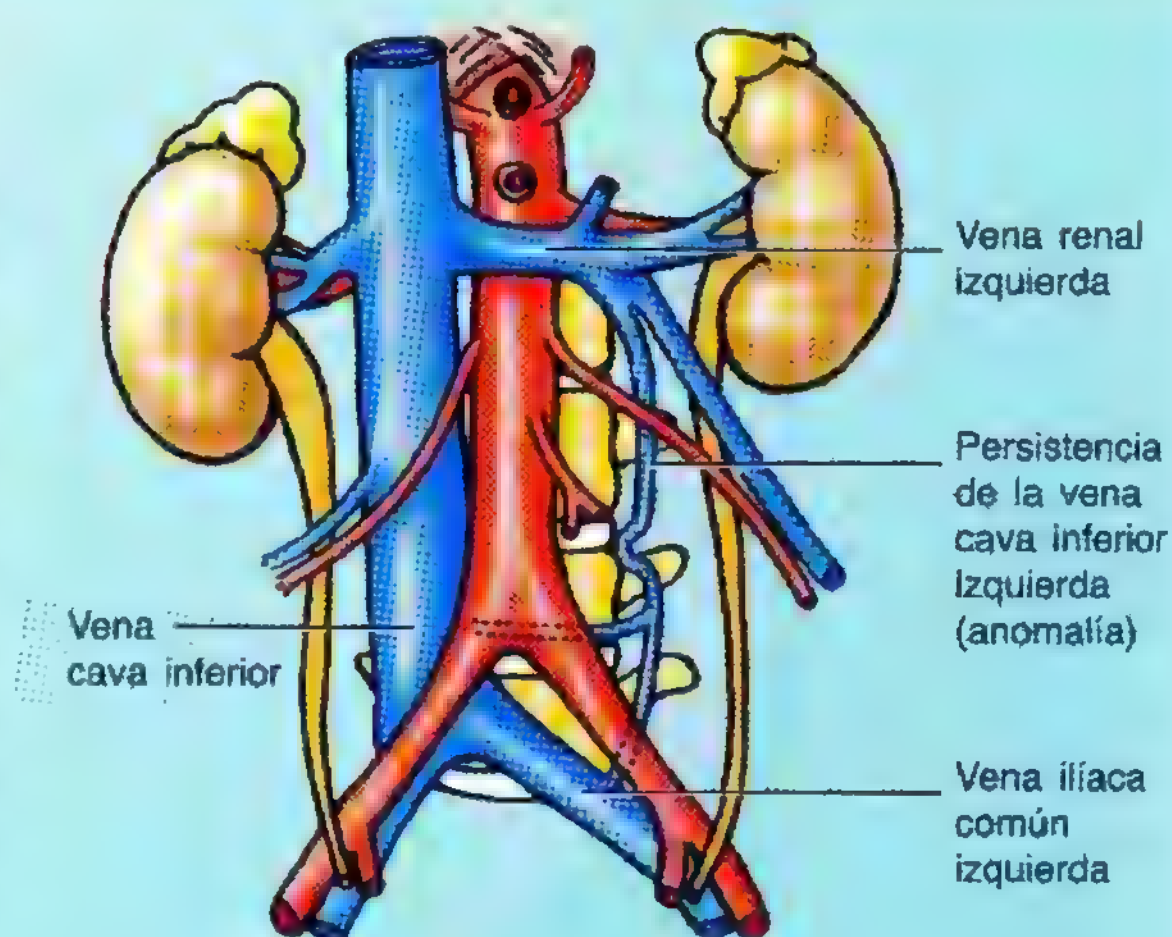
Las venas de la pared posterior del abdomen son afluentes de la vena cava inferior, salvo la vena testicular u ovárica izquierda, que desemboca en la vena renal antes de hacerlo en la vena cava inferior (fig. 2.76). La vena cava inferior (VCI), la más grande del organismo, no tiene válvulas, salvo

una, no funcionante y variable, en su orificio de entrada en la aurícula derecha del corazón. La vena cava inferior devuelve la sangre poco oxigenada de los miembros inferiores, casi toda la del dorso, de las paredes abdominales y de las vísceras abdominopélvicas. La sangre de las vísceras abdominales pasa por el *sistema venoso portal* y el hígado antes de llegar a la vena cava inferior a través de las **venas hepáticas**.

Vías colaterales de la sangre venosa abdominopélvica

La sangre venosa puede regresar al corazón a través de tres vías colaterales, formadas por venas del tronco carentes de válvulas, cuando se obstruye o liga la vena cava inferior.

- Las *venas epigástricas inferiores*, afluentes de las venas ilíacas externas del sistema de la cava inferior, se anastomosan en la vaina del recto con las *venas epigástricas superiores*, que, a su vez, drenan hacia las venas torácicas internas del sistema de la vena cava superior.
- La segunda vía colateral radica en las *venas epigástricas superficiales* o *ilíacas circunflejas superficiales*, que normalmente desembocan en la vena safena mayor del sistema de la vena cava inferior; aquellas venas se anastomosan en los tejidos subcutáneos de la pared anterolateral del abdomen con una de las afluentes de la vena axilar, de ordinario la *vena torácica lateral*. Cuando se obstruye la vena cava inferior, esta vía colateral subcutánea —denominada *vena toracoepigástrica*— adquiere particular importancia.



- La tercera vía colateral consiste en el *plexo venoso epidural* dentro de la columna vertebral (ilustrado y expuesto en el capítulo 3), que se comunica con las ►

► **venas lumbares** del sistema de la cava inferior y las afluentes del *sistema venoso ázigos*, que forma parte del territorio de la cava superior.

La porción inferior de la vena cava inferior tiene un desarrollo embrionario complejo, porque se forma a partir de porciones de tres grupos de venas embrionarias (Moore y Persaud, 1998). Por eso, las anomalías de la

vena cava inferior son bastante frecuentes y casi todas ellas, como la *persistencia de la vena cava inferior izquierda*, suceden por debajo de las venas renales. Estas malformaciones se deben a la persistencia de venas embrionarias en el lado izquierdo, que suelen desaparecer. Cuando está presente la vena cava inferior izquierda pueden cruzar a la derecha, a la altura de los riñones. ○

La *vena cava inferior* comienza delante de la *vértebra L5*, por la unión de las *venas ilíacas comunes*. Dicha unión sucede unos 2,5 cm a la derecha del plano medio, inferior a la bifurcación de la aorta y posterior a la porción proximal de la arteria ilíaca común derecha (fig. 2.60). La vena cava inferior asciende a la derecha de los cuerpos vertebrales L3 a L5 y sobre el músculo psoas mayor derecho, a la derecha de la aorta. Esta vena abandona el abdomen por el *orificio de la vena cava* del diafragma y penetra en el tórax. La porción abdominal de la vena cava inferior —mide aproximadamente 7 cm más que la aorta abdominal— recoge la sangre

poco oxigenada de los miembros inferiores y la sangre no portal del abdomen y de la pelvis. Casi toda la sangre del tubo digestivo la recoge el sistema portal y llega, por medio de las venas hepáticas, hasta la vena cava inferior.

Las **afluentes de la vena cava inferior** (fig. 2.76) corresponden a las ramas de la aorta abdominal:

- Las venas ilíacas comunes, formadas por la unión entre las venas ilíacas externa e interna.
- Las venas lumbares 3ª (L3) y 4ª (L4).
- La vena testicular u ovárica derecha.

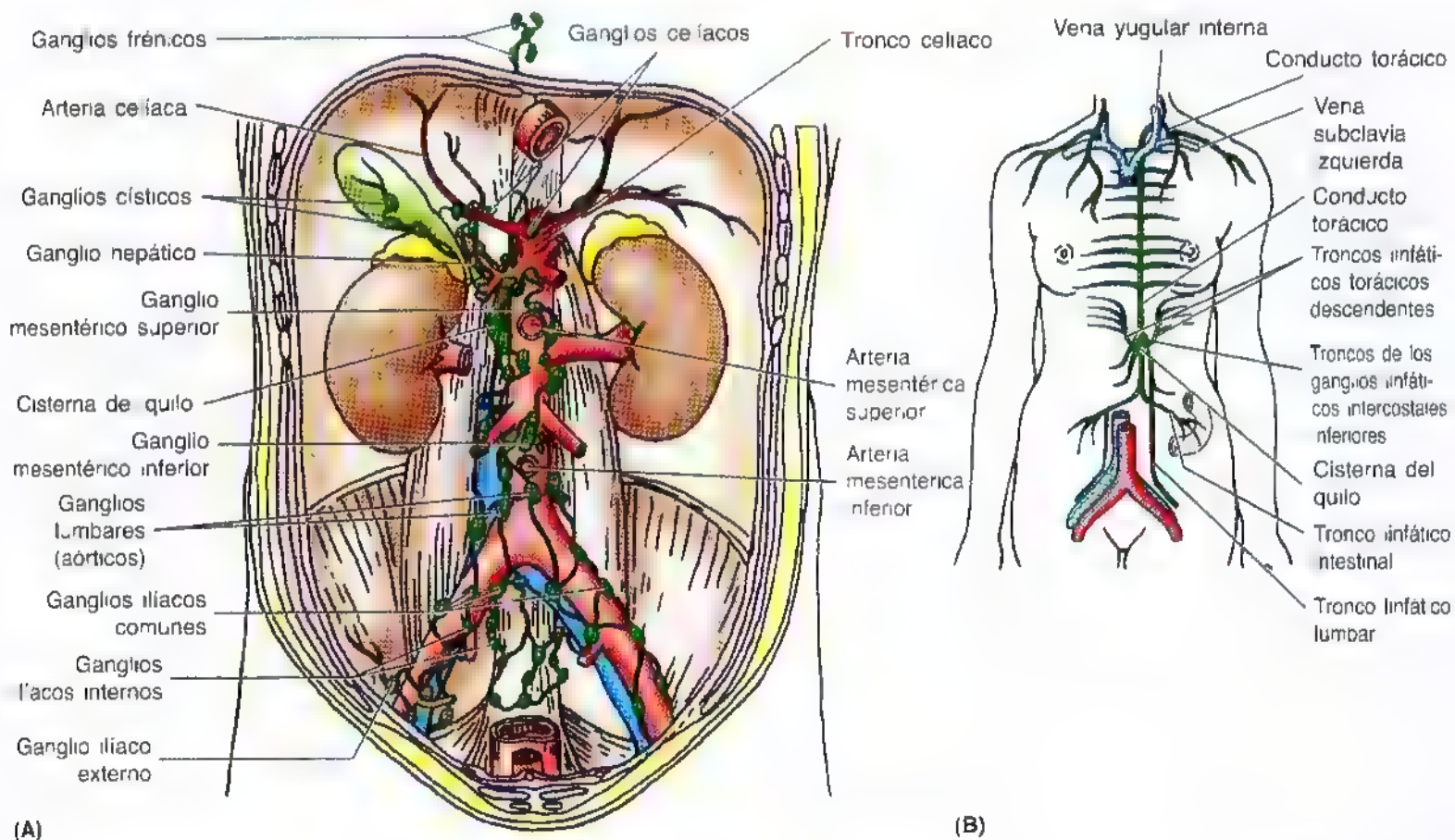


Figura 2.77. Drenaje linfático de la pared posterior del abdomen y troncos linfáticos del abdomen. **A.** Ganglios linfáticos parietales. Los ganglios ilíacos externos, ilíacos comunes y lumbares (aórticos) se sitúan en una cadena continua a lo largo de la aorta abdominal y de sus ramas, que recibe la linfa de la pared posterior del abdomen y el drenaje eferente de los ganglios linfáticos de las vísceras abdominales y miembros inferiores. **B.** Troncos linfáticos del abdomen. El conducto torácico empieza detrás de la aorta a la altura de la aorta por la convergencia de troncos linfáticos que pueden o no formar la cisterna del quilo. Los troncos linfáticos convergentes son los troncos lumbares pares y los troncos linfáticos intestinales y un par de troncos linfáticos torácicos descendentes. En esencia, todo el drenaje linfático profundo de la mitad inferior del cuerpo converge en el abdomen para ingresar al conducto torácico, que lleva la linfa al sistema venoso al lugar donde convergen las venas yugular y subclavia izquierdas.

- Las venas renales.
- Las venas lumbares ascendentes (ázigos/hemiázigos).
- La vena suprarrenal derecha.
- Las venas frénicas inferiores.
- Las venas hepáticas.

La vena testicular u ovárica izquierda y la vena suprarrenal izquierda suelen drenar a la vena renal izquierda. Las venas lumbar ascendente y ázigos comunican las venas cavas inferior y superior de manera directa o indirecta (véase el capítulo 1).

Linfáticos de la pared posterior del abdomen

Los vasos y los ganglios linfáticos se sitúan a lo largo de la aorta, la vena cava inferior y los vasos ilíacos (fig. 2.77A). Los **ganglios linfáticos ilíacos comunes** reciben la linfa de los ganglios linfáticos ilíacos externo e interno. La linfa de los ganglios linfáticos ilíacos comunes llega hasta los **ganglios linfáticos lumbares (aórticos)**. La linfa del tubo digestivo, hígado, bazo y páncreas pasa a lo largo de las arterias celiaca y mesentéricas superior e inferior hasta los **ganglios preaórticos** (ganglios celiaco y mesentérico superior e inferior), dispersos alrededor del nacimiento de estas arterias en la aorta. Los vasos eferentes de estos ganglios forman **troncos linfáticos intestinales**, solitarios o múltiples, que participan en la confluencia de los troncos linfáticos que dan origen al conducto torácico (fig. 2.77B). Los **ganglios linfáticos lumbares (aórticos)** residen a ambos lados de la aorta y en la vena cava inferior. Estos ganglios reciben la

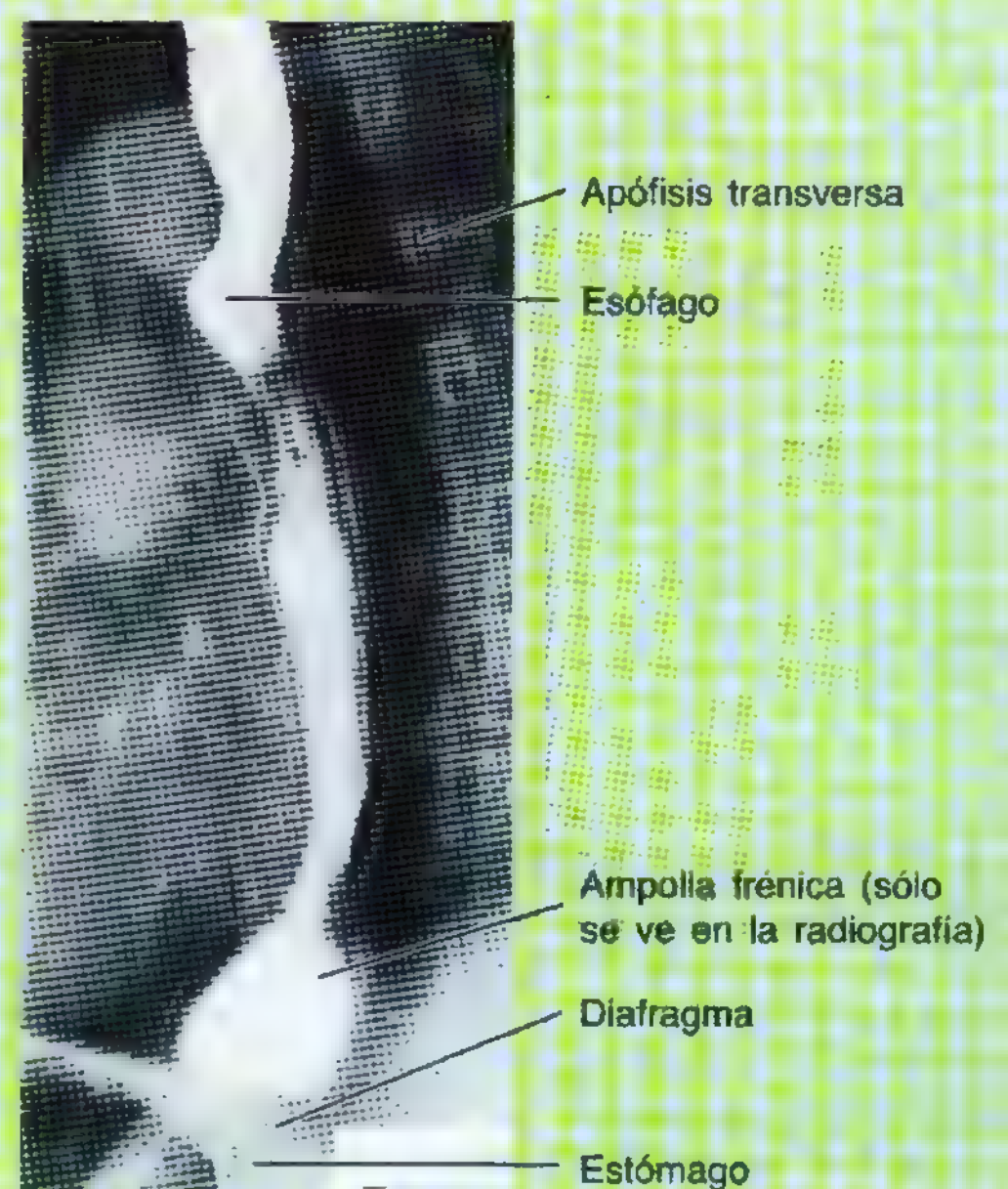
linfa directamente de la pared posterior del abdomen, riñones, uréteres, testículos y ovarios, útero y trompas uterinas. También toman la linfa del colon descendente, pelvis y miembros inferiores a través de los **ganglios mesentérico inferior e ilíaco común**. Los vasos linfáticos eferentes de los grandes ganglios lumbares forman los **troncos linfáticos lumbares** derecho e izquierdo.

El extremo inferior del **conducto torácico** radica anterior a los cuerpos de las vértebras L1 y L2, entre el pilar derecho del diafragma y la aorta. El conducto torácico empieza con la convergencia de los principales conductos linfáticos del abdomen, que sólo en un pequeño porcentaje de personas adopta la forma habitualmente descrita de saco o dilatación de paredes finas (**cisterna del quilo**). Las cisternas del quilo tienen un tamaño y forma muy variables. En general, a este nivel se observa una simple convergencia o una unión plexiforme de los troncos linfáticos lumbares derecho e izquierdo, o los troncos linfáticos intestinales y una pareja de **troncos linfáticos torácicos descendentes**, que transportan la linfa de los últimos seis espacios intercostales de cada lado. Así pues, prácticamente todo el drenaje linfático de la mitad inferior del cuerpo (drenaje linfático profundo inferior al plano diafragmático) y todo el drenaje superficial situado bajo el ombligo convergen en el abdomen, para desembocar en el principio del conducto torácico. El conducto torácico asciende por el hiato aórtico del diafragma al mediastino posterior, donde recoge más drenaje linfático parietal y visceral, sobre todo del cuadrante superior izquierdo del cuerpo, y acaba desembocando en el sistema venoso (fig. 2.77B), en la unión entre las **venas subclavia izquierda y yugular interna** (ángulo venoso izquierdo).

Imágenes del abdomen

Las radiografías de abdomen muestran las relaciones anatómicas anormales de los órganos, como las causadas por tumores. Además, la radiografía revela la presencia de gas y calcificaciones en el intestino. Los patrones anómalos del gas intestinal indican la dilatación del intestino grueso o una perforación intestinal. La anatomía del esófago y de tubo digestivo se puede visualizar en la radiografía después de la ingestión de una *papilla de bario*, un medio de contraste compuesto por una mezcla de sulfato de bario y agua. El estudio del tubo digestivo también ►

Figura 2.78. Radiografía del esófago después de la deglución de bario. Proyección oblicua posterior izquierda (OPI). Obsérvense las "constricciones" (impresiones) normales causadas por el arco de la aorta y el bronquio principal izquierdo. La ampolla frénica, que sólo se ve en la radiografía, es la porción distensible del esófago, inmediatamente superior al diafragma. (Cortesía del Dr. E.L. Lansdown, Profesor de Imagen Médica, Universidad de Toronto, Toronto, Ontario, Canadá.)



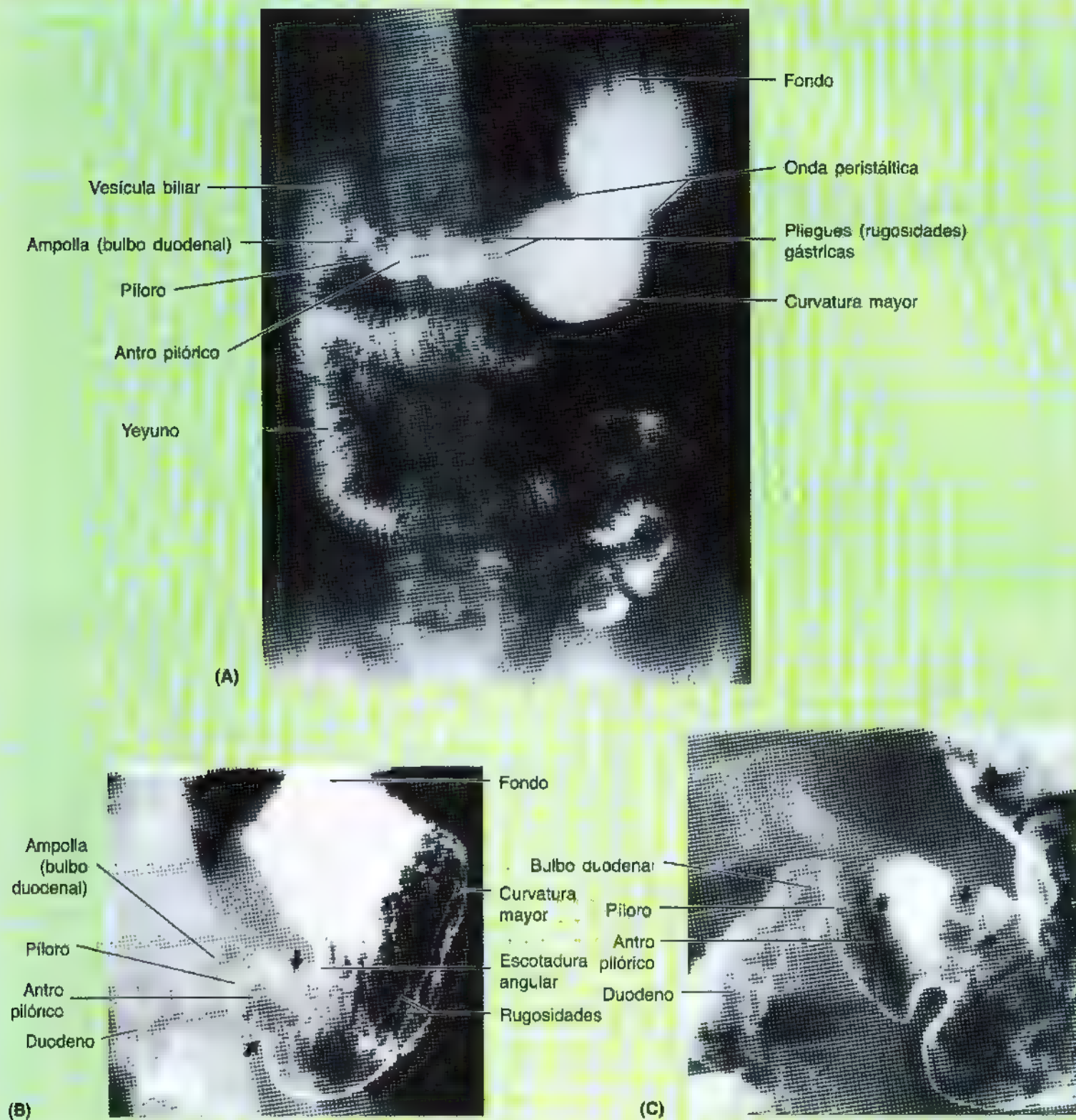


Figura 2.79. Radiografías del estómago, intestino delgado y vesícula biliar. **A.** Obsérvese la onda peristáltica del estómago y de los pliegues (rugosidades) gástricas longitudinales de la mucosa. **B.** Estómago e intestino delgado después de la ingestión de bario. Se advierte la onda peristáltica (*puntas de flecha*), el píloro, el bulbo duodenal y el aspecto plumoso del bario en el intestino delgado. Asimismo, se aprecia la relación entre la vesícula biliar y la ampolla duodenal (bulbo duodenal) en la porción superior (primera) del duodeno. **C.** Radiografía de la región pilórica de estómago y de la porción superior del duodeno. (A), Cortesía del Dr. J. Helson, Toronto, Ontario, Canadá; B-C, Cortesía del Dr. E.L. Lansdown. Profesor de Imagen Médica, Universidad de Toronto, Toronto, Ontario, Canadá.)

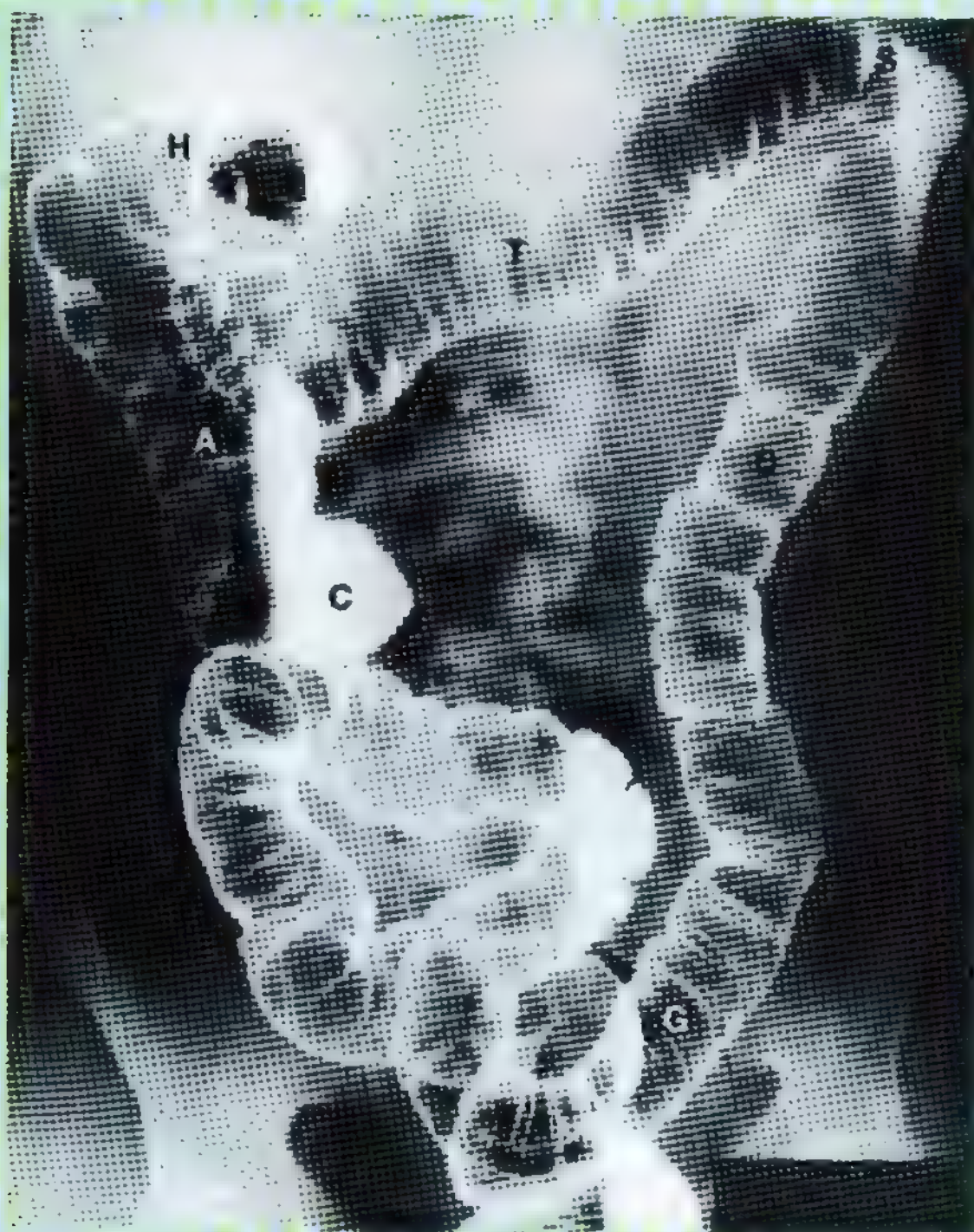
► se puede realizar con ayuda del radioscopio y completar con cineradiografía, cinta de vídeo y radiografías. Estos procedimientos facilitan la detección de anomalías del esófago, estómago e intestino por el radiólogo, así como de lesiones de las estructuras adyacentes que desplazan estos órganos. Casi todos los primeros datos sobre la forma, posición y movimiento del esófago, estómago e intestino provienen de estudios baritados.

Las ondas peristálticas del esófago se ven como contracciones anulares que impulsan el bario hacia el estómago (fig. 2.78). Una vez que se distiende el estómago empiezan las ondas peristálticas circulares en el cuerpo del estómago, que se dirigen hacia el conducto pilórico, donde se detienen. El gas del fondo del estómago se ve con facilidad, encima de la sombra del bario (fig. 2.79). Cuando se abre y cierra el esfínter pilórico, la porción proximal del duodeno se expande para formar la **ampolla** o bulbo duodenal. El contorno del bario en la porción superior del duodeno es liso, en las demás tiene

un aspecto plumoso por los pliegues circulares del duodeno.

Para examinar el colon se aplica un enema de bario después de limpiar el intestino de la materia fecal con un enema de limpieza. Las radiografías revelan las típicas **haustros** (fig. 2.80, A-B). El examen del colon con un solo contraste pone de manifiesto sus distintas porciones; el **recto** dilatado se ilustra perfectamente. En las fases crónicas de la *colitis* (inflamación del colon) se atrofia la mucosa y desaparece el típico patrón de las haustras. El contorno de las haustras se acentúa con el método del doble contraste: el bario es evacuado por el paciente y el aire se inyecta a través del conducto anal para distender el colon, que sigue tapizado por una fina capa de bario (fig. 2.80A).

Se dispone de multitud de métodos radiológicos para estudiar la estructura y la función de los conductos biliares y de la vesícula biliar en clínica; cada uno tiene sus propios criterios, ventajas e inconvenientes. El estudio ►



(A) Visión anteroposterior



(B)

Figura 2.80. Enema opaco del colon y RM del intestino. A. Doble contraste. El bario recubre las paredes del colon, distendido con el aire, y ofrece una imagen vívida de la mucosa y de las haustras. (Cortesía del Dr. C.S. Ho, Profesor de Imagen Médica, Universidad de Toronto, Toronto, Ontario, Canadá.) B. Contraste simple. El colon se rellena con un enema opaco (de bario). Se observa la flexura cólica derecha. (Cortesía del Dr. E.L. Lansdown, Profesor de Imagen Médica, Universidad de Toronto, Toronto, Ontario, Canadá.)

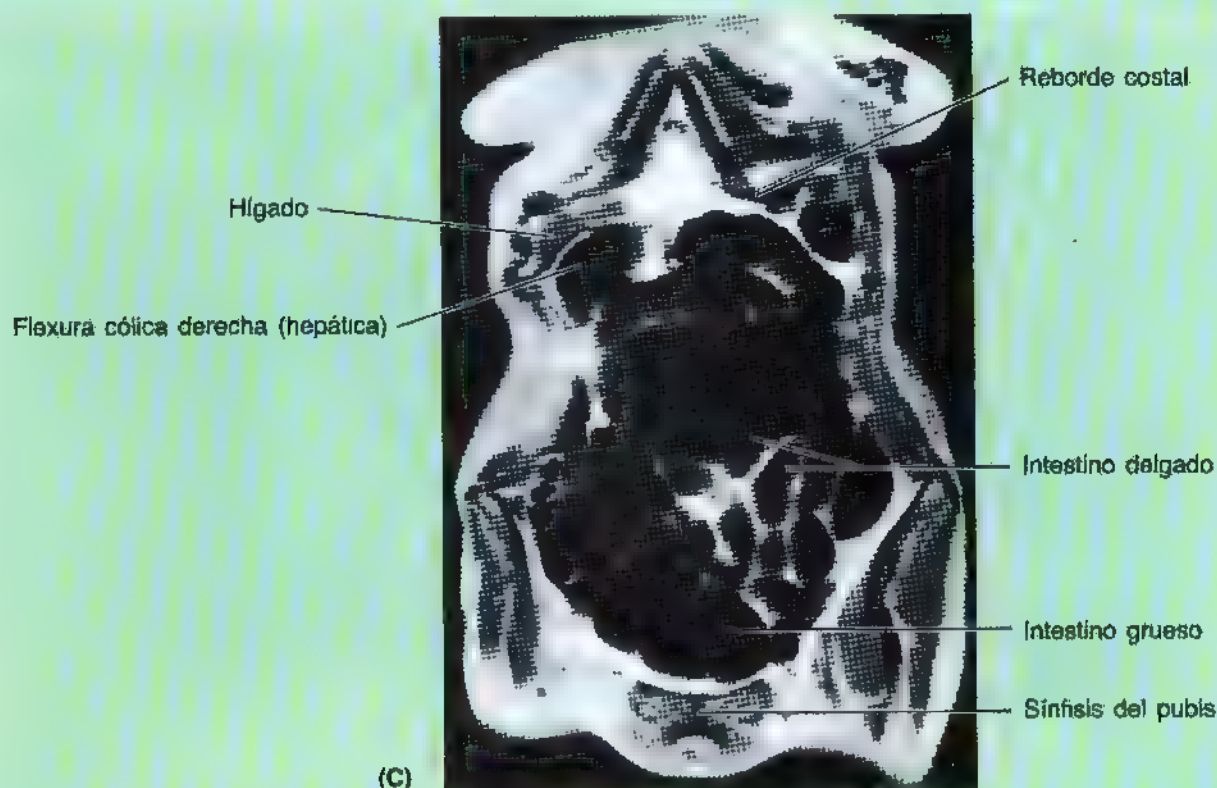


Figura 2.80. (Continuación). **C.** RM coronal de la parte inferior de la caja torácica y del abdomen. (Cortesía del Dr. W. Kucharczyk, Profesor y Director de Imagen Médica, Universidad de Toronto, y Director clínico del Centro Trihospitalario de Resonancia, Toronto, Ontario, Canadá.) C: ciego, A: colon ascendente, H: flexura cólica derecha o hepática, T: colon transverso; S: flexura cólica izquierda o esplénica; D: colon descendente; G: colon sigmoide; R: recto; U: haustra.

► radiológico de los conductos biliares en el momento de la cirugía (colangiografía preoperatoria, fig. 2.81A) representa un procedimiento importante para todos los enfermos sometidos a **colecistectomía**, con el que se establece la presencia y la localización de los cálculos en el árbol biliar y se comprueba si se han extraído todos los cálculos y si no queda ninguna obstrucción. Para inyectar el colorante radiopaco se introduce directamente un tubo en el sistema ductal biliar.

La **colangiopancreatografía retrógrada endoscópica** (CPRE, fig. 2.81B) se ha convertido en el procedimiento de referencia para el diagnóstico de las enfermedades pancreáticas y biliares. Después de pasar el endoscopio de fibra óptica por la boca, esófago y estómago, llega hasta el duodeno; a continuación se inserta una cánula en la papila mayor del duodeno y se empuja con control radioscópico hasta el conducto deseado (conducto colédoco o conducto pancreático), donde se inyecta el medio de contraste radiológico. Existe un método radiológico para el estudio de la anatomía y la función de la vesícula biliar que se ha utilizado durante más de ocho decenios (fig. 2.81C). Este procedimiento —**colecistografía oral o intravenosa**— permite conocer la función de la vesícula biliar, así como mostrar su localización y forma. En realidad, esta técnica ha sido prácticamente sustituida por la

ecografía y la **gammagrafía biliar**. Esta última es una prueba de función dinámica que se parece mucho a la **colecistografía**, pero se basa en la utilización de isótopos y marcadores radiactivos.

La **ecografía** y la **TC** del abdomen, así como la **resonancia magnética (RM)**, también sirven para el estudio de las vísceras abdominales (figs. 2.82-2.86). Como la RM aporta una diferenciación más clara entre los tejidos blandos, sus imágenes son más precisas. Se puede reconstruir una imagen en casi cualquier plano después de la exploración.

La **arteriografía abdominal** —radiografía después de inyectar material radiopaco directamente en la circulación sanguínea— revela las alteraciones de las arterias abdominales, del tipo de coágulos de sangre (fig. 2.87). La **gammagrafía** es útil para la detección de las hemorragias digestivas bajas. Si el resultado de la gammagrafía es positivo, se puede efectuar después una arteriografía.

La anatomía radiológica de los riñones y de los uréteres se puede examinar mediante una **urografía o pielografía intravenosa** (fig. 2.88). El medio de contraste, inyectado por vía intravenosa, se elimina por los riñones. Para la **pielografía retrógrada** se inyecta medio de contraste en los uréteres, que asciende hasta rellenar las pelvis y cálices de los riñones. ○

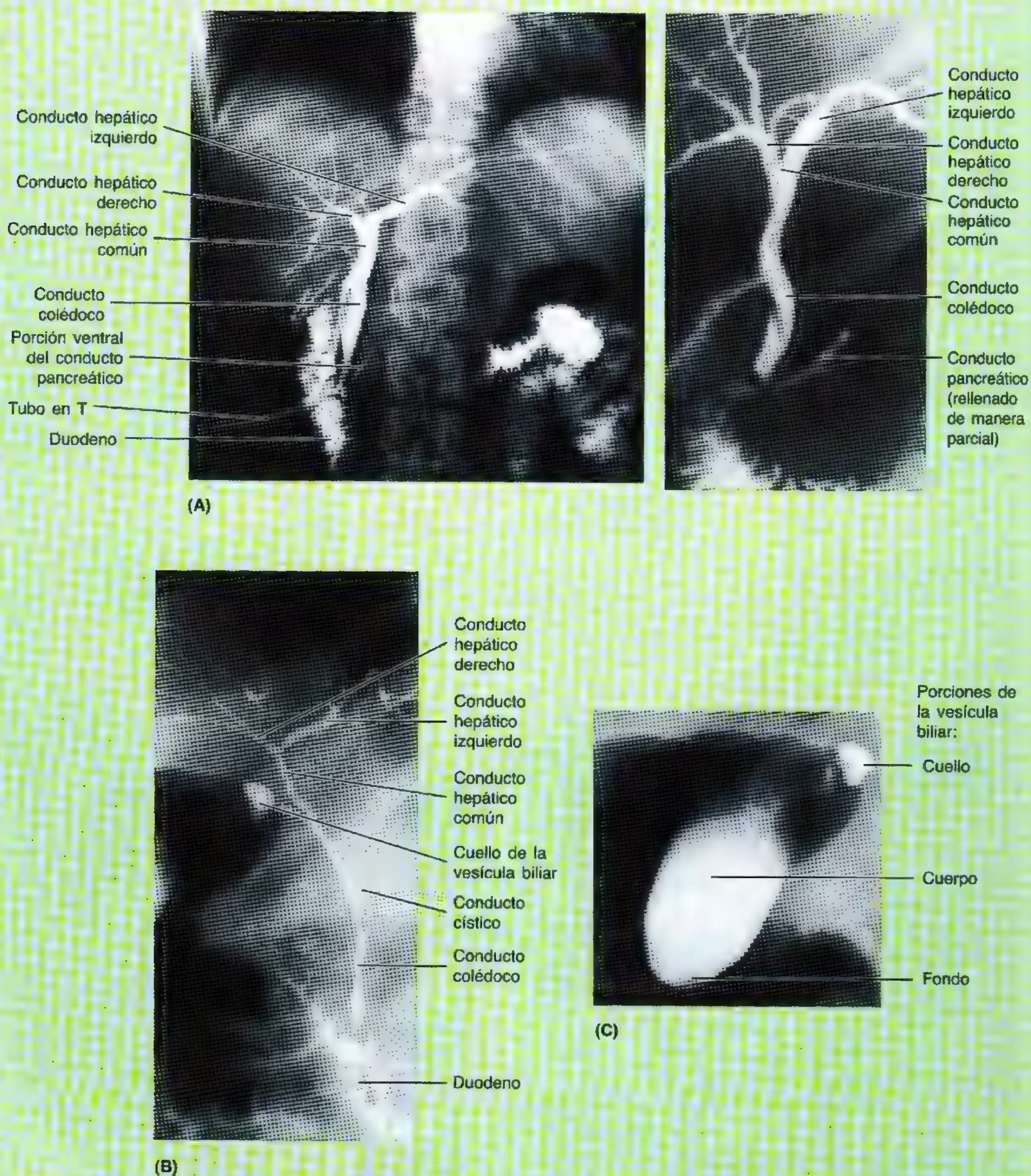


Figura 2.81. Radiografías de los conductos biliares y de la vesícula biliar. **A.** Después de una colicistectomía abierta se inyectó un medio de contraste a través del tubo en T introducido en los conductos biliares (Cortesía del Dr. J. Helsin, Toronto, Ontario, Canadá.) **B-C.** Colangiografía retrógrada endoscópica de la vesícula biliar y de los conductos biliares. El conducto cístico suele situarse a la derecha del conducto hepático común y se une a él justo encima de la porción superior del duodeno. El trayecto y la longitud del conducto cístico varían. (Cortesía del Dr. G.B. Haber, Profesor ayudante de Medicina, Universidad de Toronto, Toronto, Ontario, Canadá.)

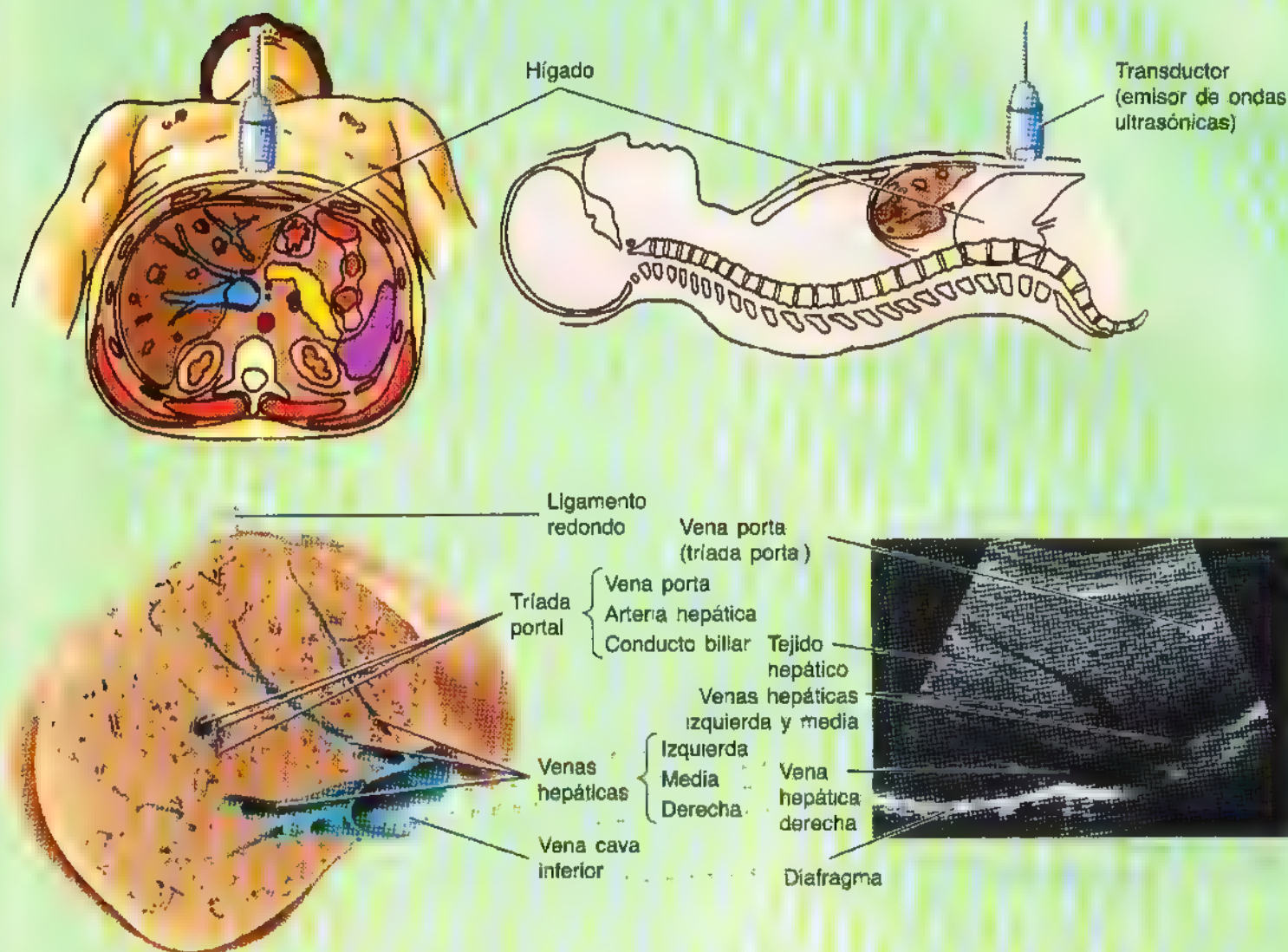
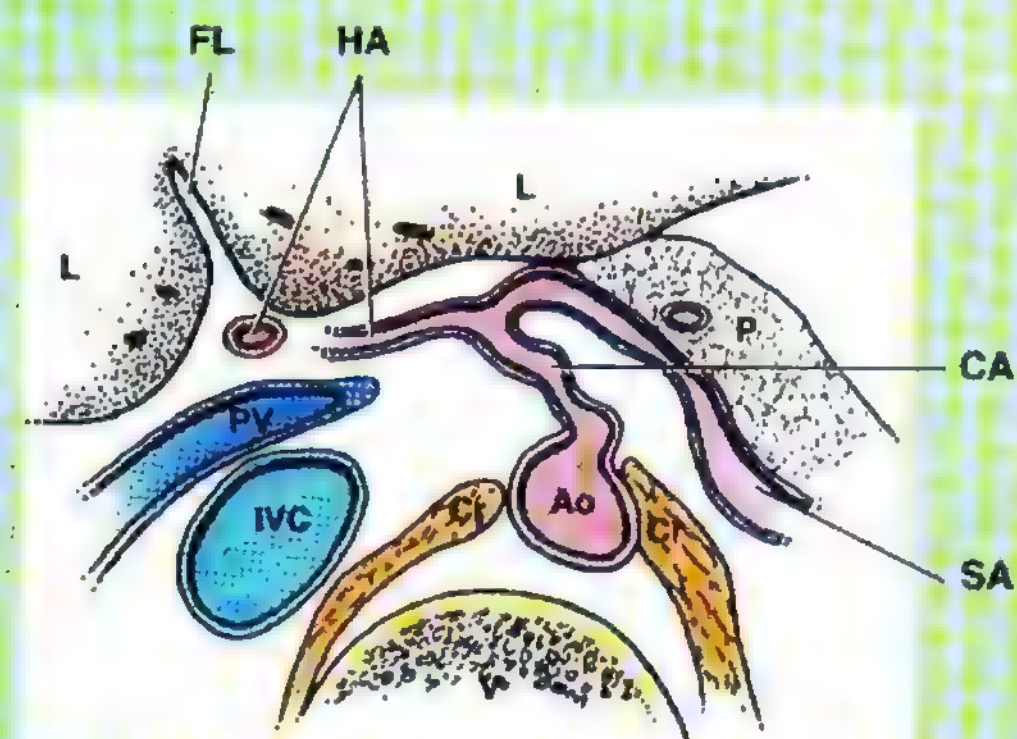


Figura 2.82. Ecografía del abdomen. Los dibujos orientativos (A) muestran la posición del transductor en la pared anterior de abdomen. Corte anatómico transversal (B) e imagen ecográfica (C) del hígado, donde se aprecian las venas hepáticas (Cortesía del Dr. A.M. Arenson, Profesor ayudante de imagen Médica, Universidad de Toronto, Toronto, Ontario, Canadá.)

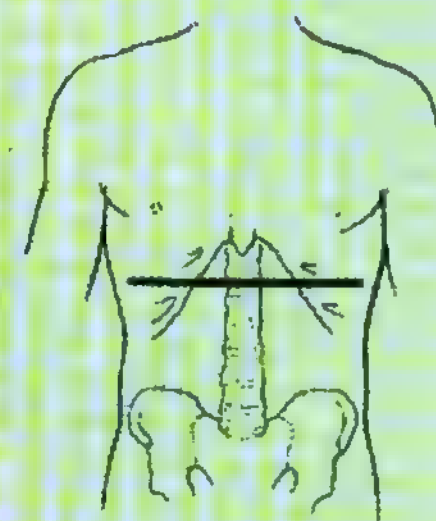


(A)

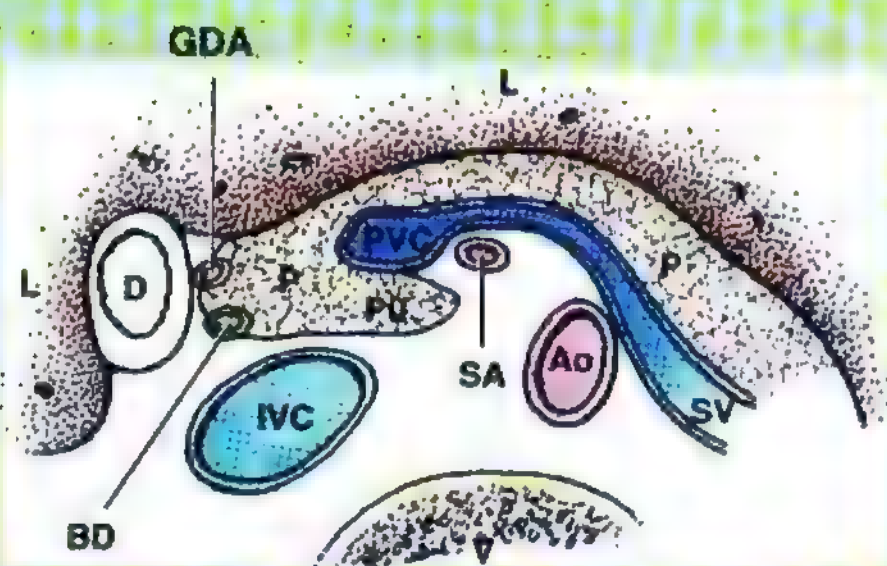
I



II

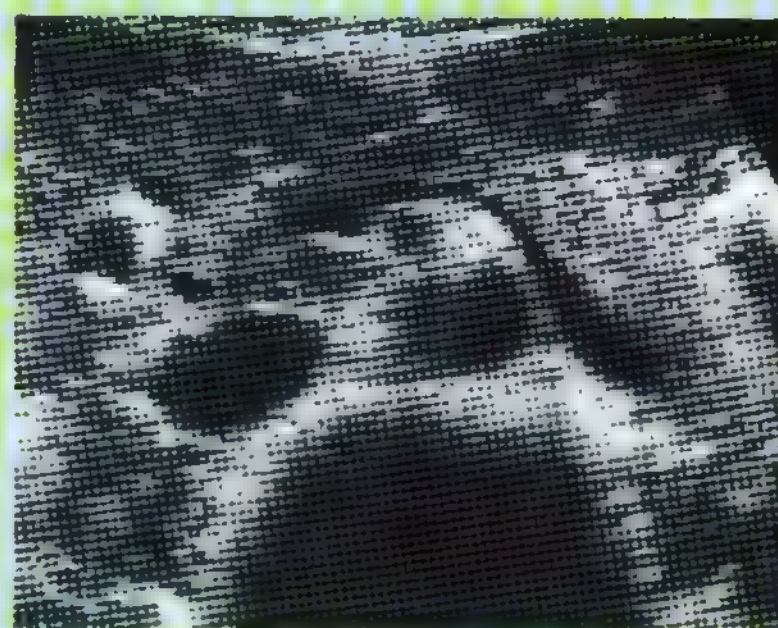


III

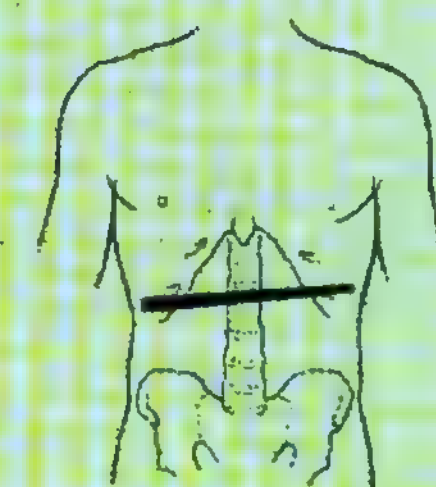


(B)

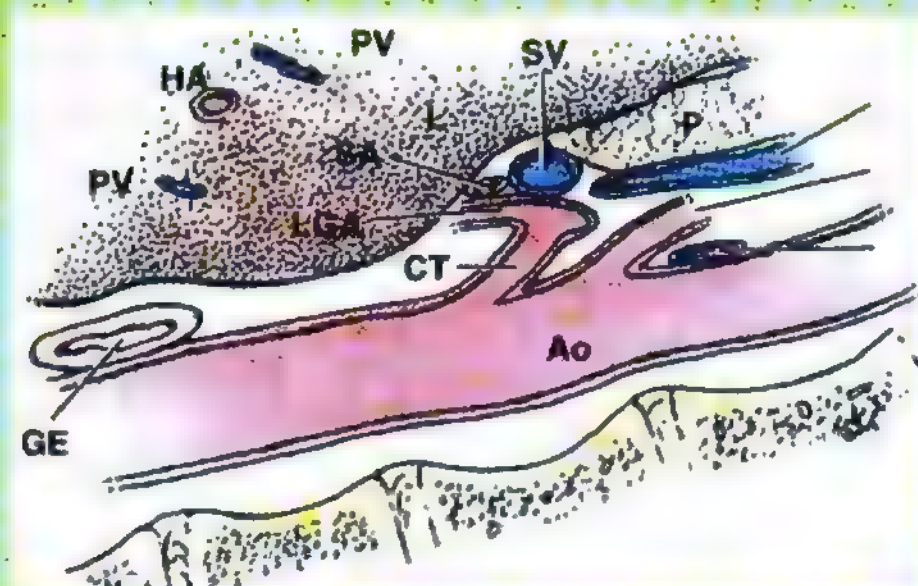
I



II

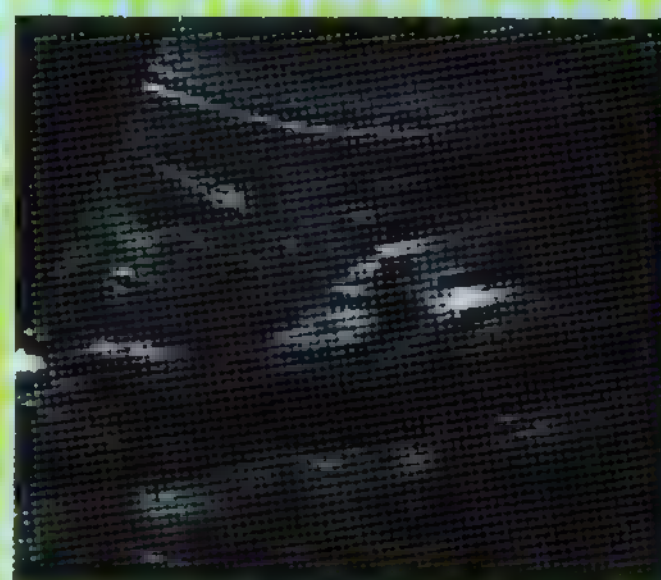


III

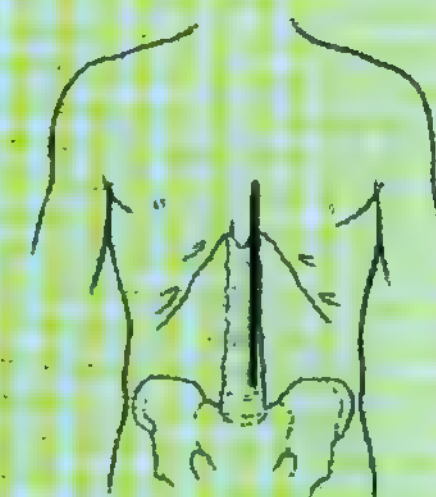


(C)

I



II



III

Figura 2.83. Ecografía del abdomen. A. Corte transversal por el tronco celiaco. B. Corte transversal por el páncreas. C. Corte sagital por la aorta. (Cortesía del Dr. A.M. Arenson, Profesor ayudante de Imagen Médica, Universidad de Toronto, Toronto, Ontario, Canadá.)

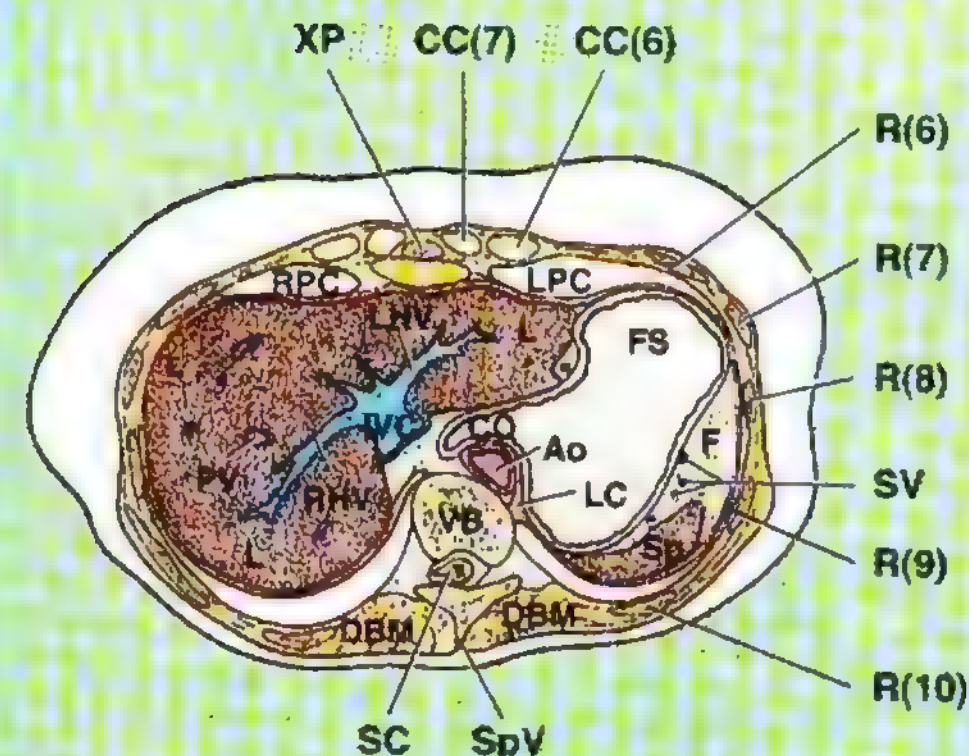
Ao	Aorta	LGA	Arteria gástrica izquierda
BD	Conducto biliar	LRV	Vena renal izquierda
CA	Arteria celiaca	P	Páncreas
Cr	Pilar del diafragma	Pu	Gancho del páncreas
CT	Tronco celiaco	PV	Vena porta
D	Duodeno	PVC	Confluencia venosa portal
FL	Ligamento falciforme	SA	Arteria esplénica
GDA	Arteria gastroduodenal	SMA	Arteria mesentérica superior
GE	Unión gastroesofágica	SMV	Vena mesentérica superior
HA	Arteria hepática	SV	Vena esplénica
IVC	Vena cava inferior	V	Vértebra
L	Hígado		



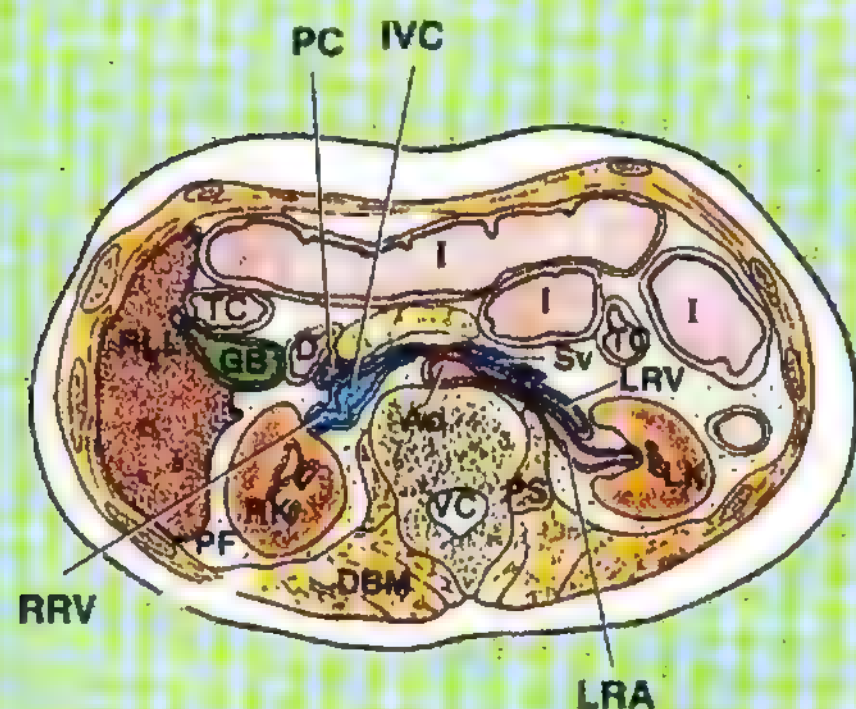
Figura 2.84. Cortes TC del abdomen por segmentos cada vez más bajos, que muestran las vísceras y los vasos sanguíneos. (Cortesía de Dr. Tom White, Departamento de Radiología Centro de Ciencias de la Salud, Universidad de Tennessee, Memphis, TN.)

Figura 2.85. Cortes RM transversales del abdomen.

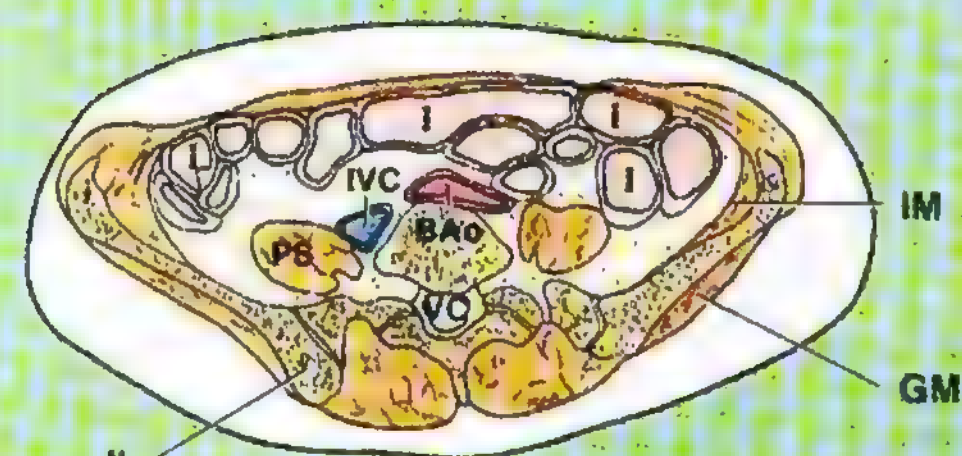
(Cortesía del Dr. W. Kucharczyk, Profesor y Director de Imagen Médica, Universidad de Toronto; Director Clínico del Centro Trihospitalario de Resonancia, Toronto, Ontario, Canadá.)



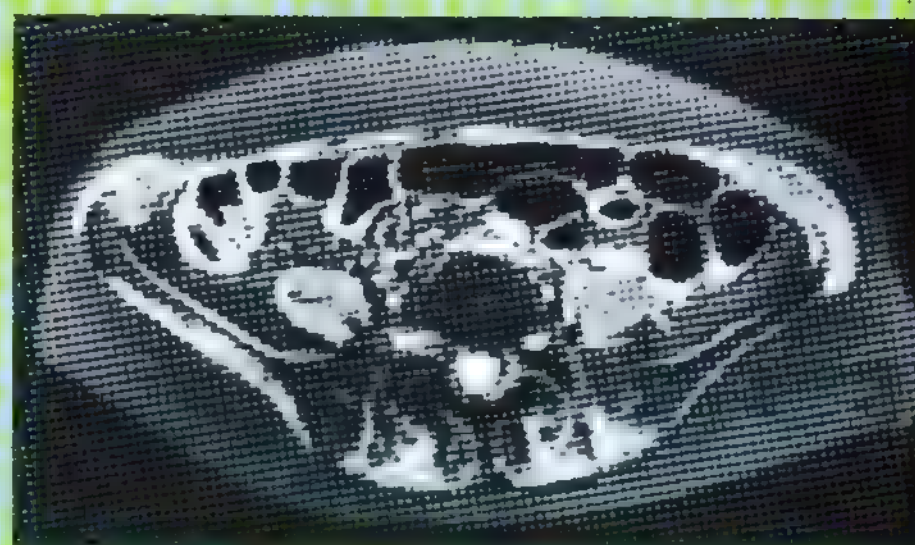
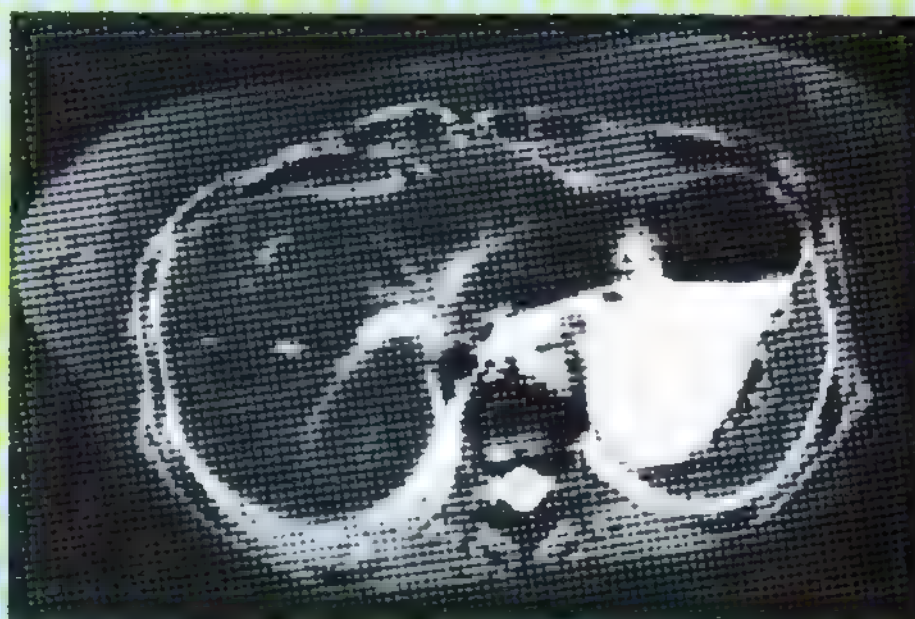
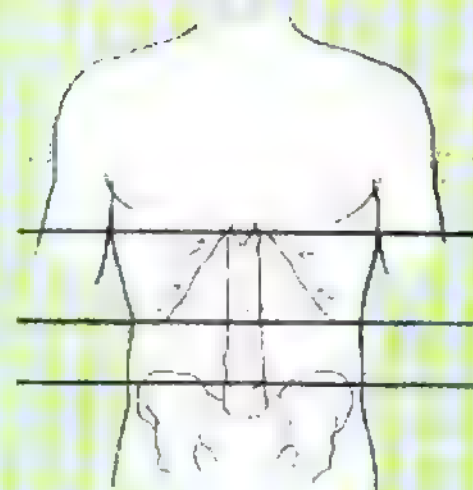
(A) I II



(B) I II



(C) I II



Ao	Aorta
BAo	Bifurcación de la aorta
CC	Cartilago costal
CO	Cardias
D	Duodeno
DBM	Músculos profundos del dorso
F	Grasa
FS	Fondo del estómago
GB	Vesícula biliar
GM	Músculo glúteo medio
I	Intestino
II	Ilion
IM	Músculo iliaco
IVC	Vena cava inferior
L	Hígado
LC	Pilar izquierdo
LHV	Vena hepática izquierda
LK	Riñón izquierdo
LPC	Cavidad pleural izquierda
LRA	Vena cava inferior
LRV	Vena renal izquierda
P	Páncreas
PC	Confluencia portal
PF	Grasa perirrenal
PS	Músculo psoas
PV	Vena (triada) porta
R	Costilla
RHV	Vena hepática derecha
RK	Riñón derecho
RLL	Lóbulo derecho del hígado
RPC	Cavidad pleural derecha
RRV	Vena renal derecha
SC	Médula espinal
Sp	Bazo
SpV	Apófisis espinosa vertebral
Sv	Vena esplénica
SV	Vasos esplénicos
TC	Colon transversal
VB	Cuerpo vertebral
VC	Conducto vertebral
XP	Apófisis xifoides

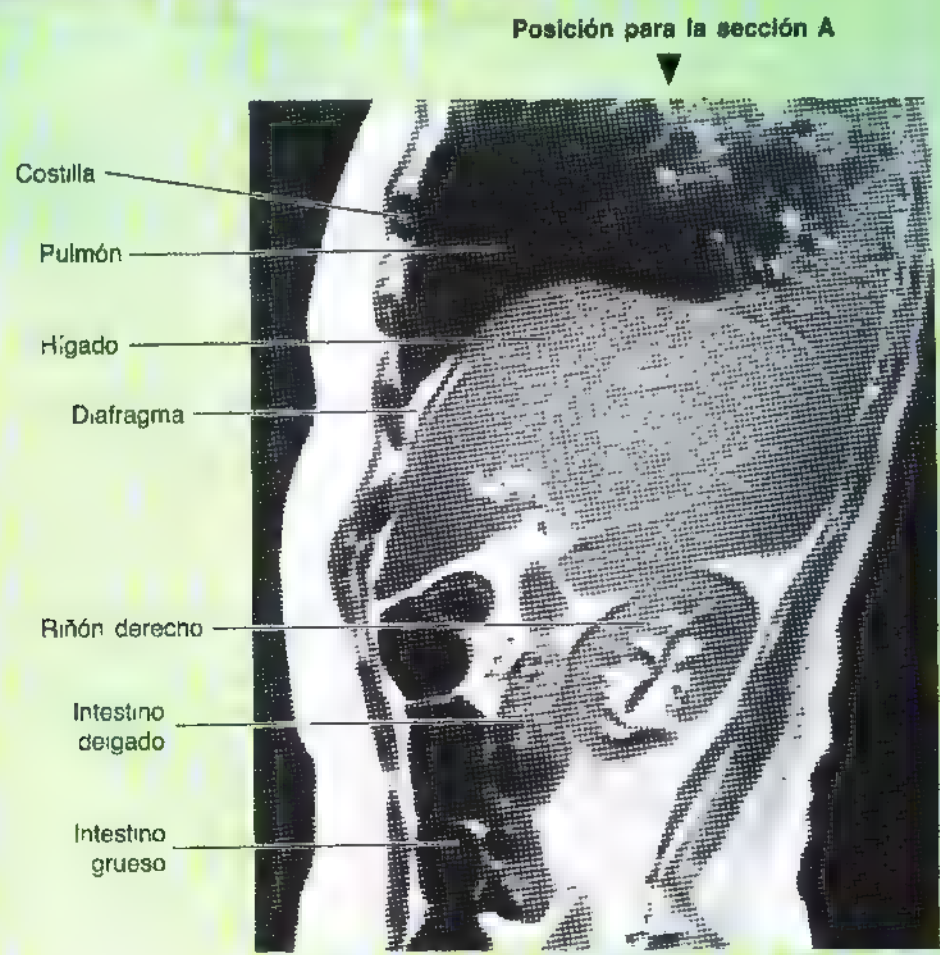
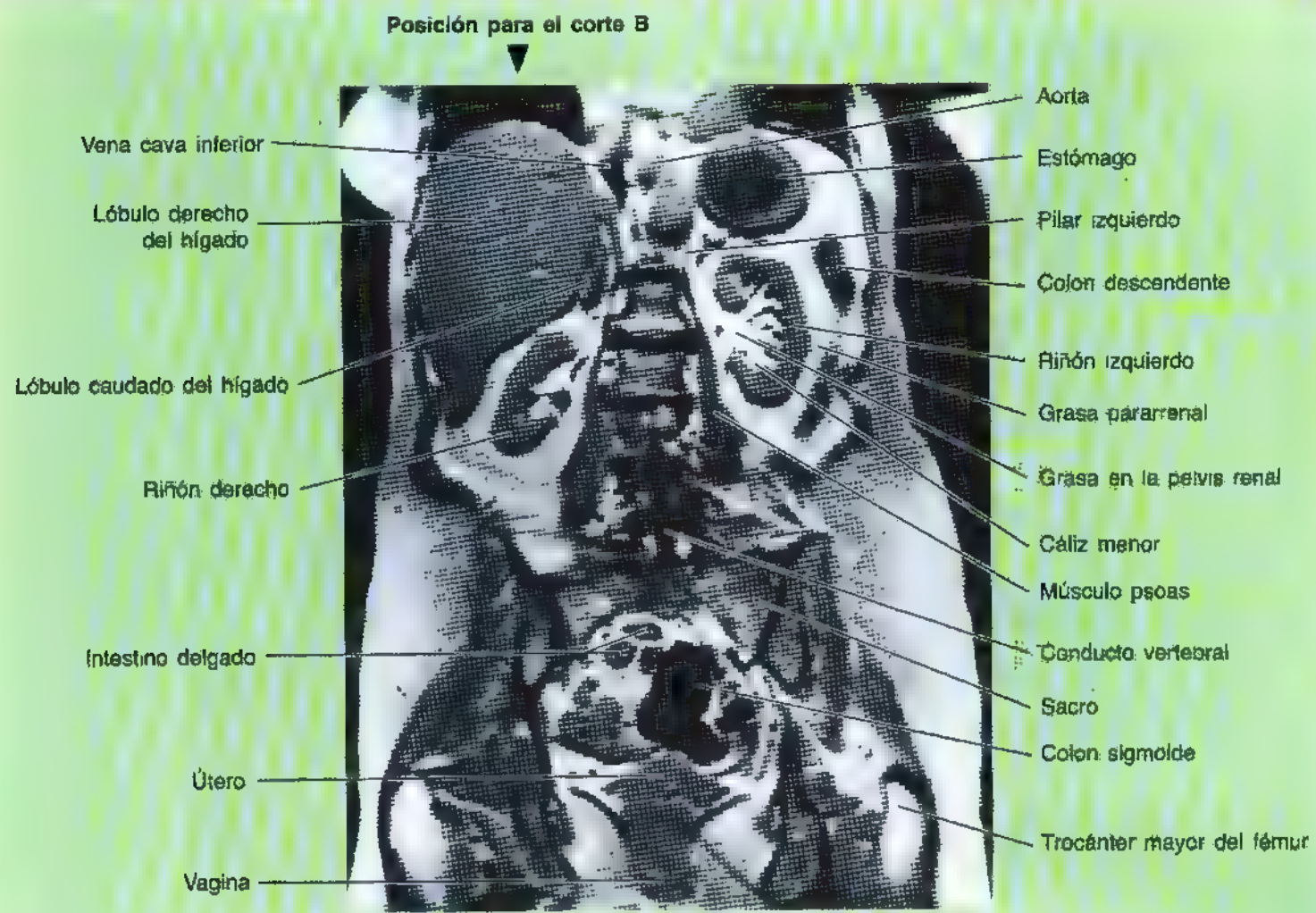


Figura 2.86. RM del abdomen y de la pelvis. A. Sección coronal. **B.** Sección sagital. Obsérvese que la posición del plano para la sección B se ilustra en (A), y viceversa. (Cortesía del Dr. W. Kucharczyk, Profesor y Director de Imagen Médica, Universidad de Toronto; Director Clínico del Centro Trihospitalario de Resonancia, Toronto, Ontario, Canadá.)

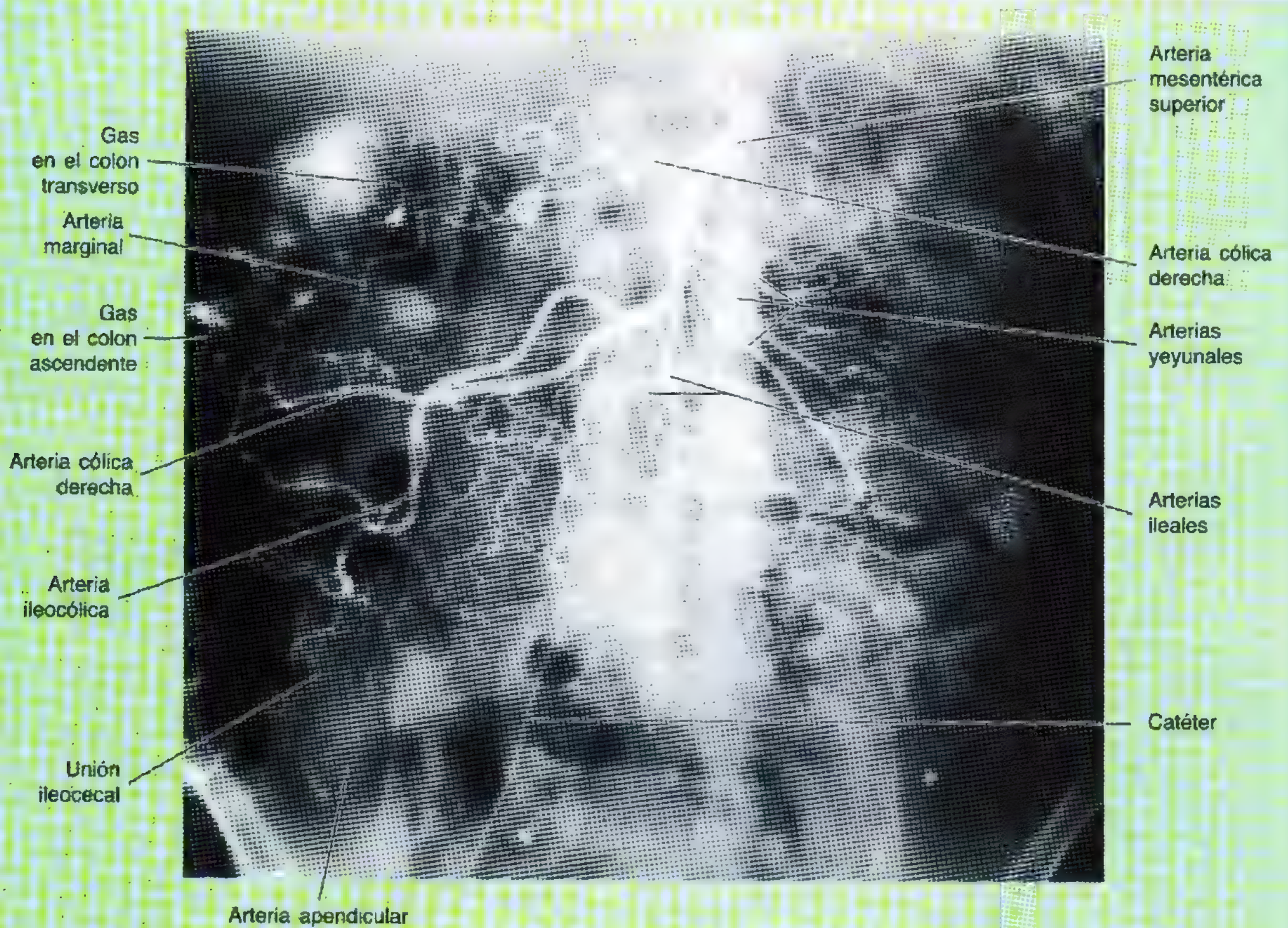


Figura 2.87. Arteriografía mesentérica superior. Se ha inyectado un colorante radiopaco en la arteria por medio de un catéter introducido en la arteria femoral, que llega desde las arterias ilíacas y la aorta hasta el lugar de origen de la arteria mesentérica superior (AMS). (Cortesía del Dr. E.L. Lansdown, Profesor de Imagen Médica, Universidad de Toronto, Toronto, Ontario, Canadá.)

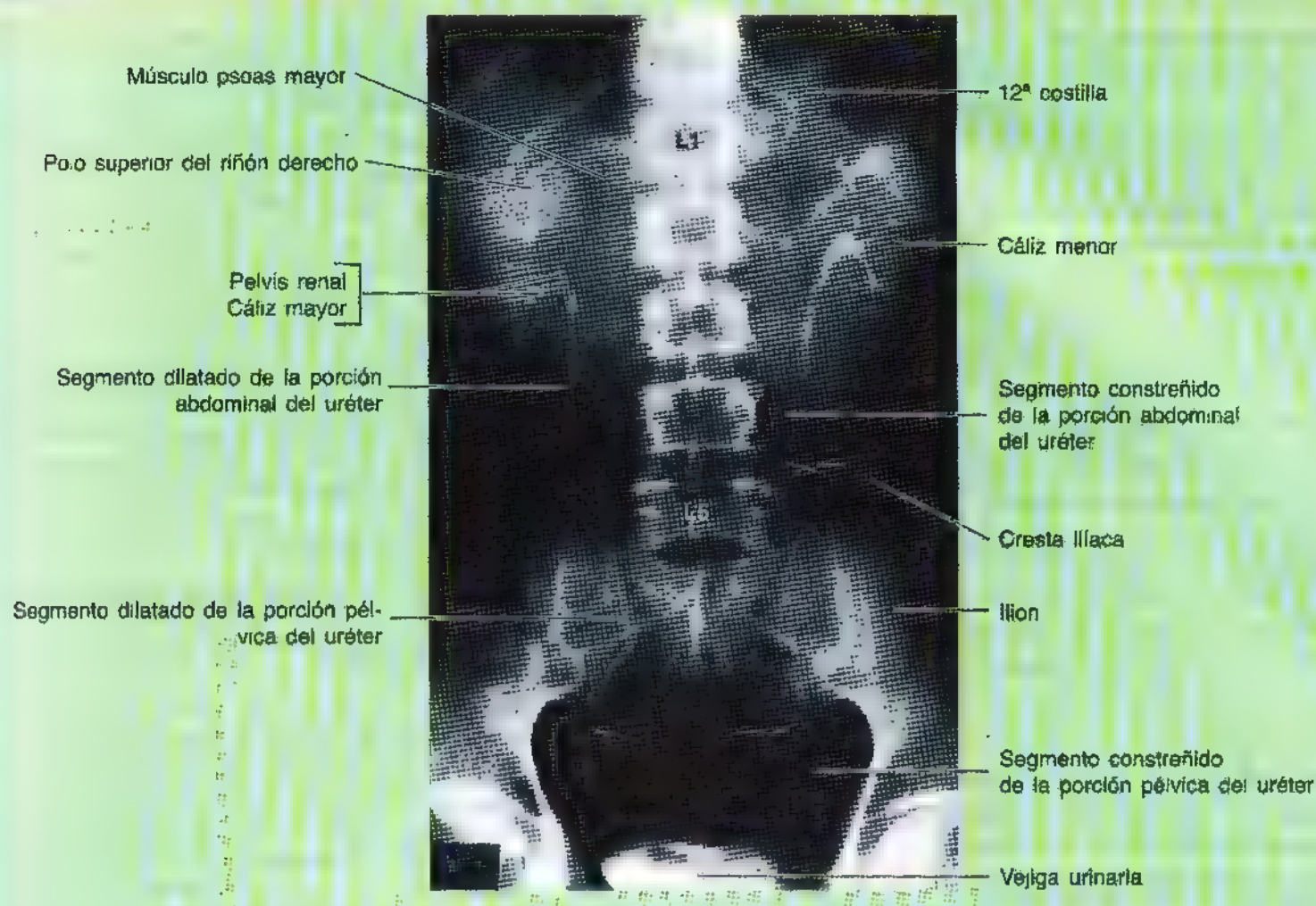


Figura 2.88. Urografía (pielografía) intravenosa. El medio de contraste se inyectó por vía intravenosa y se concentró y eliminó por los riñones. Esta proyección anteroposterior (AP) muestra los cálices, las pelvis renales y los uréteres dibujados por el medio de contraste que rellena sus luces. Obsérvese la diferencia de forma y el nivel de las pelvis renales, así como las constricciones y dilataciones de los uréteres como consecuencia de las contracciones peristálticas de sus paredes musculares lisas. Las flechas indican las estenosis lumenares debidas a contracciones peristálticas. (Cortesía del Dr. John Campbell, Departamento de Imagen Médica, Centro médico Sunnybrook, Universidad de Toronto, Toronto, Ontario, Canadá.)

ESTUDIO DE CASOS CLÍNICOS

Caso 2.1

Un estudiante de medicina de tercer año es invitado por un cirujano para asistir a una cirugía de exploración abdominal de un enfermo con obstrucción intestinal. Mientras el cirujano y el estudiante se lavan las manos, el cirujano le pregunta qué tipo de incisión abdominal sería la adecuada. Tras una larga pausa, el estudiante sugiere una incisión pararectal. El cirujano no está conforme con la propuesta y le formula las preguntas siguientes.

Problemas clinicoanatómicos

- Desde el punto de vista anatómico, ¿por qué no resulta adecuada la incisión pararectal?
- Basándose en sus conocimientos anatómicos sobre las estructuras de la pared anterolateral del abdomen, ¿qué otro tipo de incisión vertical consideraría más idónea?
- ¿Por qué piensa que es mejor este tipo de incisión?

Estos problemas se comentan en la página 331.

Caso 2.2

Durante una apendicectomía, el médico residente de cirugía pregunta a un estudiante de medicina de los últimos años estas cuestiones.

Problemas clinicoanatómicos

- Cuando se efectúa una incisión transversa en la pared anterolateral del abdomen para una apendicectomía, ¿qué nervio se debe identificar y preservar?
- ¿Dónde podría encontrarse este nervio?
- ¿Qué podría ocurrir si se seccionara este nervio?

Esos problemas se comentan en la página 331.

Caso 2.3

Un hombre obeso refiere acorchamiento, ardor y sensaciones de hormigueo (*parestesias*), así como dolor en la cara lateral del muslo después de la reparación laparoscópica de una hernia inguinal. En la sesión quirúrgica se formularon estas preguntas.

Problemas clinicoanatómicos

- ¿Qué nervio inerva la piel de la cara anterolateral del muslo?
- ¿Qué variación anatómica de este nervio podría justificar estos síntomas parestésicos?
- ¿Qué error quirúrgico podría causar el dolor de este hombre?

Estos problemas se comentan en la página 331.

Caso 2.4

En la exploración física de un lactante con una infección periumbilical grave se aprecian adenopatías en las axilas e ingles.

Problemas clinicoanatómicos

- ¿Qué otras regiones, además del abdomen, exploraría en busca de infección?
- ¿Cómo se explica la linfadenitis de este pequeño?

Estos problemas se comentan en la página 331.

Caso 2.5

Durante la exploración física del abdomen de un paciente, el médico que lo atiende le pregunta cuál es la referencia fundamental del abdomen. Usted le dice que la vértebra L1 es una referencia clásica del abdomen. A continuación, el médico le pregunta lo siguiente.

Problemas clinicoanatómicos

- ¿Por qué la vértebra L1 tiene tanta importancia anatómica y quirúrgica?
- ¿Cómo se localiza la marca de superficie de esta vértebra?

Estos problemas se comentan en la página 331.

Caso 2.6

El médico de atención primaria remite al cirujano a un varón para una vasectomía. Al saber que usted es un estudiante de medicina de tercer año, el médico de familia le formula algunas preguntas.

Problemas clinicoanatómicos

- ¿Qué componente del cordón espermático se palpa con facilidad?
- ¿Dónde se palpa esta estructura?
- ¿Se puede palpar siempre esta estructura?

Estos problemas se comentan en la página 331.

Caso 2.7

Durante una sesión clínica se pasa visita a una mujer con una hernia inguinal indirecta. El médico afirma que la hernia inguinal indirecta es casi 20 veces más común en los varones.

Problemas clinicoanatómicos

- ¿Cuál es la causa de esta diferencia sexual en la frecuencia de este tipo de hernia?
- ¿Por dónde sobresale la hernia en las mujeres?

Estos problemas se comentan en la página 331.

Caso 2.8

Al observar una colecistectomía efectuada mediante cirugía abdominal, el cirujano advierte un sangrado intenso. El flujo de la sangre cesa de inmediato y los vasos sanguíneos se cauterizan.

Problemas clinicoanatómicos

- ¿Cuál es el modo más rápido de controlar la hemorragia durante la colecistectomía sin utilizar las pinzas?
- ¿Qué otro procedimiento quirúrgico se emplea para extirpar la vesícula biliar?

Estos problemas se comentan en la página 331

Caso 2.9

Una mujer de 49 años refiere ataques repetidos de dolor en el cuadrante superior derecho del abdomen después de las comidas grasas. El dolor del último ataque duró más de 6 horas y se extendió al hombro derecho y a vértice de la escápula derecha.

Problemas clinicoanatómicos

- ¿Cómo explicaría el dolor en el cuadrante superior derecho?
- ¿Por qué el dolor se refiere al hombro y al dorso?

Estos problemas se comentan en la página 331

Caso 2.10

Un joven que salió despedido de su moto se queja de un fuerte dolor en el lado izquierdo y se sujeta las últimas costillas con la mano. En los estudios radiológicos se aprecian fracturas de la 10ª y 11ª costillas.

Problemas clinicoanatómicos

- ¿Qué órgano de abdomen se ha podido lesionar con más facilidad?
- ¿Cómo se controla la hemorragia grave de este órgano?
- ¿Por qué este órgano es tan vulnerable a la lesión?
- ¿Puede lesionarse este órgano después de un traumatismo contuso en otras regiones del abdomen?

Estos problemas se comentan en la página 332

Caso 2.11

Un varón de 55 años notifica a su médico de atención primaria que ha notado una tumefacción sólida en el escroto. El bulto resultó ser un carcinoma avanzado de testículo.

Problemas clinicoanatómicos

- ¿Dónde examinaría si existe una diseminación metastásica de las células cancerosas?
- ¿Puede estar afectada la piel de escroto?

Estos problemas se comentan en la página 332

Caso 2.12

Una mujer de 43 años refiere síntomas de adelgazamiento, molestias abdominales vagas, ictericia obstructiva y dolor que se irradia al dorso. Se establece el diagnóstico de adenocarcinoma de páncreas.

Problemas clinicoanatómicos

- Con sus conocimientos anatómicos de las relaciones del páncreas, ¿en qué zona de la glándula cree que se localiza el cáncer?
- ¿Dónde piensa que se encontrarían metástasis de tumor en este caso?

Estos problemas se comentan en la página 332.

Caso 2.13

Un varón de 23 años ingresa en el hospital con dolor abdominal intenso y fiebre febrícula. Al principio el dolor abdominal era generalizado y luego lo notó sobre todo en la boca de estómago (epigastrio) y se agudizó alrededor del ombligo. En la exploración se observa dolor en el cuadrante inferior derecho y signo de rebote.

Problemas clinicoanatómicos

- De acuerdo con sus conocimientos anatómicos, ¿cuál cree usted que es la causa de este dolor?
- Explique por qué cambia la localización del dolor.
- ¿Cuál es la causa habitual de este tipo de dolor?

Estos problemas se comentan en la página 332

Caso 2.14

Durante una pelea fuera de bar, un hombre recibe un rodillazo en la ingle. El dolor le dobla debido a su intensidad. Además, el hombre afirma sentir náuseas.

Problemas clinicoanatómicos

- ¿En qué otro lugar podría sentir dolor este hombre?
- Explique por qué nota el dolor en esta zona.
- ¿Qué error quirúrgico podría causar el dolor de este hombre?

Estos problemas se comentan en la página 332

Caso 2.15

Una contable de 32 años comenta a su médico que tiene un dolor y ardor en la "boca de estómago" desde hace aproximadamente 2 semanas. Durante la anamnesis, la mujer indica que el dolor suele empezar dos horas después de las comidas y desaparece si toma algo de comer o bebe un vaso de leche. Aparte de una ligera molestia en el cuadrante superior derecho, justo lateral a la apofisis xifóides, los resultados de la exploración física son normales. El médico sospecha una úlcera péptica y solicita pruebas para *Helicobacter pylori*, radiografías del abdomen y estudios del tubo digestivo alto. Posteriormente se procede a una endoscopia del estómago y de la parte superior del duodeno.

Informe de radiología. Las radiografías son normales pero en los estudios esofagogastroduodenales se observa una úlcera péptica con ligera deformación del bulbo o ampolla duodenal.

Informe de bacteriología. En la biopsia de la mucosa duodenal se encontró la bacteria *Helicobacter pylori*.

Diagnóstico. Úlcera duodenal péptica activa

Tratamiento. En principio, la paciente respondió de manera satisfactoria al tratamiento médico con antiácidos, dieta blanda, abstinencia del tabaco y del alcohol y tratamiento antibiótico. Pese a que siguió las instrucciones del facultativo durante cerca de dos meses, empezó a trabajar de nuevo muchas horas, volvió a fumar y a consumir grandes cantidades de café y de alcohol. Los síntomas reaparecieron y, en ocasiones, se acompañaron de vómitos y el dolor era intenso. Una noche comenzó con un dolor agudo en el epigastrio, vómitos y se desmayó. Inmediatamente después fue trasladada al hospital.

Exploración física. Dolor extremo, rigidez abdominal y signo de rebote. Durante la anamnesis, la enferma indicó que la úlcera se había reactivado y que había arrojado sangre con el vómito.

Tratamiento quirúrgico. Se procedió a la cirugía de urgencia y se observó una úlcera duodenal perforada, que se resecó. Existía una peritonitis química generalizada debido al escape de bilis y del contenido del tubo digestivo hacia la cavidad peritoneal.

Problemas clinicoanatómicos

- ¿Qué estructuras íntimamente relacionadas con la porción superior del duodeno se podrían erosionar tras la perforación de una úlcera duodenal?
- Indique la anomalía congénita del ileon donde puede aparecer una úlcera péptica.
- Explique la base anatómica del dolor abdominal en los cuadrantes derechos superior o inferior.
- ¿Qué nervios se pueden dañar durante las intervenciones quirúrgicas destinadas a reducir la secreción de ácido por las células parietales del estómago?

Estos problemas se comentan en la página 332.

Caso 2.16

A su regreso del trabajo, un oficinista de 42 años nota un dolor repentino y brusco en el lado izquierdo. El dolor es tan insoportable, que le dobla en una horrible agonía. Un compañero del trabajo le traslada al hospital. El médico le pide que describa cómo empezó el dolor, y el enfermo señala que primero notó un ligero dolor entre las costillas y el hueso coxal, que fue aumentando progresivamente, hasta el punto de que le saltaron las lágrimas. Como afirma, este dolor insoportable lleva unos 30 minutos y luego desapareció bruscamente. Dice que el dolor aparece y desaparece, pero que parece desplazarse hacia las ingles.

Exploración física. El médico advierte cierto dolor durante la palpación y defensa (espasmo muscular) en el cuadrante inferior izquierdo, pero no rigidez. Al palpar en profundidad la zona dolorosa y retirar bruscamente la mano, en lugar de acentuarse el dolor, el enfermo parece sentirse aliviado de que el médico no continúe con la palpación (ausencia de signo o dolor de rebote). Por entonces, el enfermo indicó que el dolor se localizaba en la ingle y el escroto izquierdos, así como a lo largo de la cara medial del muslo. El médico

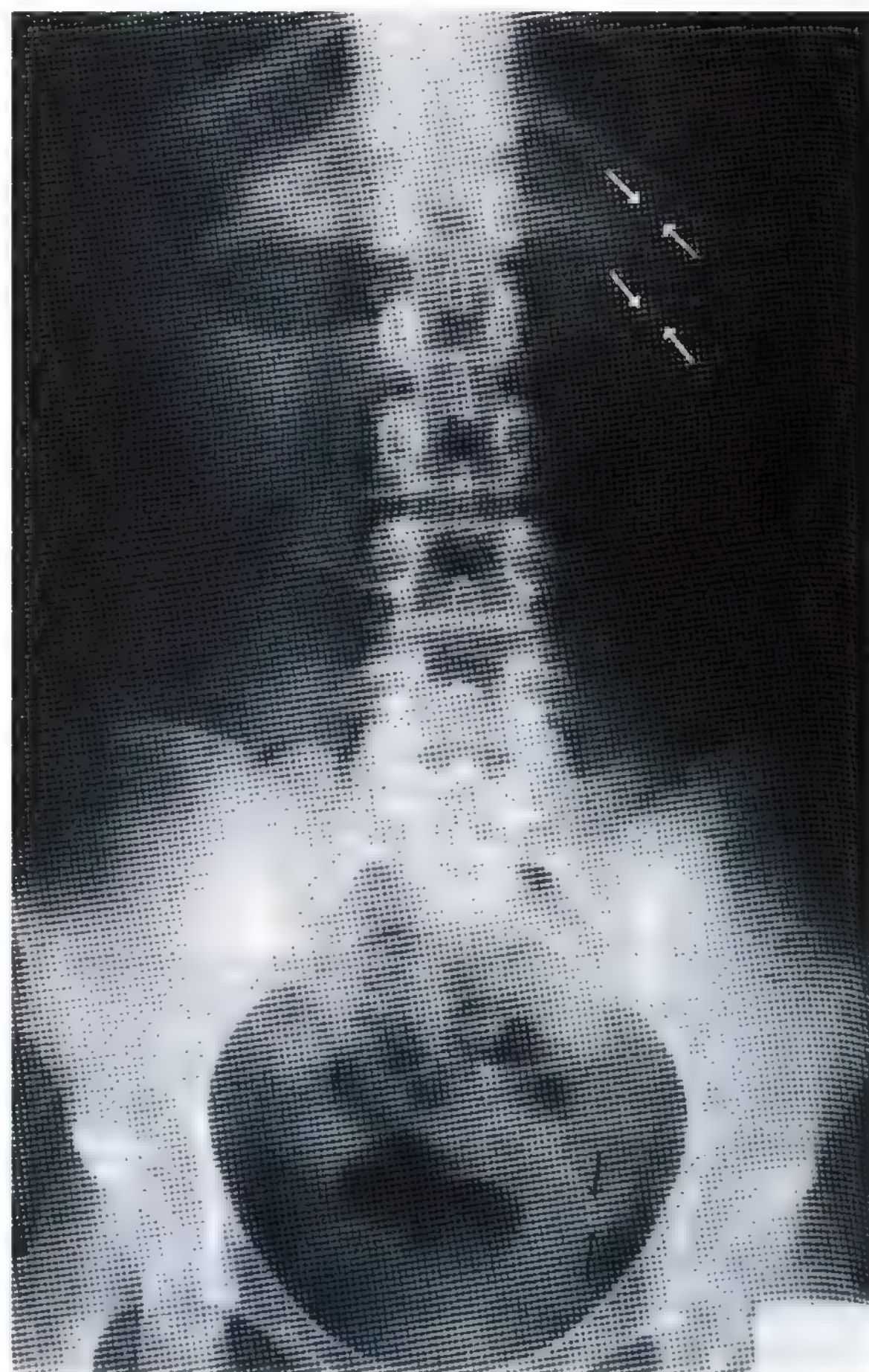
observó que el testículo izquierdo presentaba un intensísimo dolor y se encontraba retraído. Al pedir al enfermo que orinara un poco para tomar una muestra, dijo que tenía dificultad y dolor al orinar (*disuria*). La enfermera refirió que la orina del paciente contenía sangre (*hematuria*). Pese a que el médico estaba seguro de que este paciente estaba eliminando un cálculo ureteral, solicitó una radiografía de abdomen para ver el riñón derecho, el uréter y la vejiga urinaria.

Informe de radiología. Se ven pequeños cálculos ureterales (renales) en la porción superior derecha del uréter izquierdo y en la vejiga urinaria.

Diagnóstico. Cálculos ureterales en el uréter izquierdo y cálculos renales en la vejiga urinaria.

Problemas clinicoanatómicos

- ¿Cuál es la causa más probable del ataque inicial de dolor insoportable de este enfermo?
- Basándose en sus conocimientos sobre el uréter, ¿en qué otros lugares cree usted que podría quedarse atrapado el cálculo ureteral?



Cálculos de riñón (flechas) en el uréter y la vejiga

- Explique la exacerbación intermitente de dolor y la migración del mismo
 - Exponga brevemente el dolor referido del uréter
- Estos problemas se exponen en la página 333

Caso 2.17

Un muchacho de 14 años nota dolor en la ingle derecha al tratar de levantar un objeto pesado. Al observar que le aparecía un bulto en la zona del dolor decidió tumbarse. El bulto desapareció en seguida y regresó a su casa. Luego, al sonarse la nariz, el dolor regresó y reapareció la tumefacción en la ingle derecha. Temiendo que se hubiera "roto" algo, su padre concertó una cita con el médico de familia.

Exploración física. El médico introdujo el dedo índice en el escroto de muchacho, encima del testículo derecho, hasta el anillo inguinal superficial, siguiendo el cordón espermático. No notó nada hasta que le pidió al niño que tosiera, entonces sintió un impulso en la yema del dedo. Cuando el muchacho se colocó en decúbito prono el bulto desapareció, y al pedirle que comprimiera el abdomen, apareció un bulto de tamaño de una ciruela en la ingle derecha, encima del ligamento inguinal.

Diagnóstico. Hernia inguinal indirecta

Problemas clinicoanatómicos

- ¿Qué es una hernia inguinal indirecta? Explique la base embriológica de este tipo de hernia
- ¿Qué capas del cordón espermático cubren el saco herniario?
- ¿Qué estructuras pueden dañarse durante la cirugía reparadora de una hernia inguinal indirecta?
- ¿Se observa este tipo de hernia en las mujeres?

Estos problemas se comentan en la página 333

Caso 2.18

Una estudiante de medicina casada, de 22 años, se despertó una mañana con una sensación diferente. Se encontraba anoréxica (no tenía apetito) y con dolores abdominales espasmódicos. Como coincidía con la fecha prevista de la menstruación pensó que los espasmos eran el inicio de su menstruación, habitualmente dolorosa (*dismenorrea*). Pero como no había tenido la última regla consideró que podría tratarse de los primeros síntomas de la rotura de un embarazo ectópico. Tenía un poco de fiebre y se sentía mareada por eso decidió quedarse en la cama. El dolor empezó a localizarse en seguida alrededor del abdomen. Por la noche el dolor se había desplazado al cuadrante inferior derecho por lo que sospechó una apendicitis aguda. Como el dolor era tan intenso su marido decidió tras acararla a hospital.

Exploración física. El médico encontró una temperatura corporal ligeramente elevada y una aceleración de la frecuencia del pulso. Al pedirle que señalara dónde empezó el dolor, la paciente marcó con un círculo la región umbilical.

Al indicar dónde sentía dolor en ese momento se llevó el dedo al punto de McBurney. Durante la palpación suave de abdomen el médico notó una rigidez localizada (*espasmo muscular*) y dolor con la palpación de cuadrante inferior derecho. Al retirar con rapidez la mano de la zona de McBurney, la enferma se retorció de dolor (dolor de rebote). El médico solicitó un hemograma.

Informe de laboratorio. Elevación anormal de número de leucocitos (*leucocitosis*)

Diagnóstico. Apendicitis aguda.

Problemas clinicoanatómicos

- ¿Qué tipo de incisión podría efectuar el cirujano para exponer el apéndice?
- Comente la base anatómica de estas incisiones
- ¿Cómo localizaría usted el punto de McBurney que sirve como guía para la incisión cutánea? ¿Qué parte del apéndice suele situarse en la profundidad de este punto?
- Con sus conocimientos sobre disección ¿cómo cree usted que debería exponerse el apéndice de esta paciente?
- ¿Dónde cree usted que encontraría el apéndice en este caso?
- ¿Qué posición de apéndice inflamado puede causar dolor pélvico o rectal?
- Comente el dolor referido del apéndice.
- ¿Qué otra inflamación de una estructura diferente causa un dolor parecido al del apéndice en el cuadrante inferior derecho?
- ¿Se puede extirpar el apéndice mediante laparoscopia? En caso afirmativo, ¿cómo cree usted que se procedería?

Estos problemas se exponen en la página 333

Caso 2.19

Un hombre obeso de 58 años con antecedentes de pirosis, alteraciones de la función gástrica (*dyspepsia*) y eructación después de las comidas pesadas se queja de un dolor epigástrico reciente. Según indica, el dolor empezó debajo del esternón (*dolor retrosternal*) y en el tórax. Dice que el dolor se agudiza después de la cena, sobre todo cuando se agacha. Temiendo que el dolor torácico pudiera representar un ataque al corazón, su esposa le insistió en que consultara al médico.

Exploración física. Al preguntarle si ha notado alguna otra molestia el enfermo dice que a veces le sube hasta la boca una sensación de acidez o amargura (*reflujo gástrico*) sobre todo cuando se agacha para atarse los cordones de los zapatos. Asimismo dice que últimamente ha tenido varios episodios de hipo y que nota cierta dificultad para la deglución. El médico solicita un ECG y estudios radiológicos y ecográficos.

Informe de cardiología. El ECG no muestra ningún signo de cardiopatía.

Informe de radiología. La radiografía de abdomen da un resultado negativo pero el examen radioscópico de tórax revela una zona de contorno redondo llena de gas y líquido en la porción inferior del mediastino posterior. Al deglutir

la papilla de bario se observa cómo la emulsión pasa a este espacio, que se identifica como la región gastroesofágica. No se aprecian signos radiológicos de úlcera péptica gástrica ni duodenal. En la ecografía se comprueba que una parte del estómago ha atravesado el hiato esofágico del diafragma al pedirle al paciente que se toque los pies.

Diagnóstico. Hernia de hiato por deslizamiento

Problemas clinicoanatómicos

- ¿Qué es una hernia diafragmática?
- ¿Tiene la hernia diafragmática una base embriológica? ¿Suele encontrarse desde el nacimiento?
- ¿Cuál es la causa del dolor epigástrico del paciente?
- Con sus conocimientos de anatomía, ¿qué estructuras cree que podrían dañarse durante la reparación quirúrgica de una hernia de hiato?

Estos problemas se abordan en la página 334.

Caso 2.20

Una mujer de 40 años con sobrepeso es trasladada en seguida al hospital con un intenso dolor cólico en el cuadrante superior derecho del abdomen. Al preguntarle dónde empezó el dolor se lleva el dedo a la región epigástrica. Cuando se le pide que señale dónde se encuentra ahora el dolor, se lleva los dedos debajo de las costillas derechas (hipocondrio) y a la parte derecha del dorso. Afirma que el dolor lo tiene cerca de la parte inferior de la escápula (ángulo inferior). Al continuar el interrogatorio señala que este dolor agudo en la línea media apareció tras una comida copiosa, con alimentos grasos, y que notó náuseas y luego vomitó. El dolor aumentó de manera gradual.

Exploración física. Durante la palpación suave del abdomen de esta paciente, el médico observó rigidez y dolor de rebote en el cuadrante superior derecho, sobre todo durante la inspiración. Luego, solicitó estudio radiológico, incluida la ecografía.

Informe de radiología. Se observa un pequeño cálculo (cálculo biliar) en la porción proximal del conducto cístico, y el tamaño de la vesícula biliar está muy aumentado.

Diagnóstico. Cólico biliar por impacto de un cálculo en el conducto cístico.

Problemas clinicoanatómicos

- ¿Qué es un cálculo biliar?
- ¿De qué material se componen estos cálculos?
- Explique la base anatómica del dolor de esta paciente en a) la región epigástrica; b) el hipocondrio derecho, y c) la región infraescapular.
- ¿Queda separada la vesícula biliar del hígado por el peritoneo? ¿Qué estructuras pueden dañarse durante la colecistectomía?
- ¿Cómo cree que se procede a la colecistectomía laparoscópica?

Estos problemas se comentan en la página 335.

Caso 2.21

Un mecánico de 54 años ingresa en el hospital con un dolor epigástrico intenso y vómitos de sangre (*hematemesis*). Es evidente que ha bebido mucho alcohol.

Exploración física. La sangre vomitada tiene un color rojo brillante. En la anamnesis, el paciente afirma que ha sufrido hemorragias digestivas altas en otras ocasiones (*rotura de varices esofágicas*), pero nunca como ahora. La presión arterial está reducida, y la frecuencia del pulso, acelerada. La piel y las conjuntivas tienen un color ligeramente amarillo (*ictericia*). Los ojos parecen algo hundidos. Se observan *arañas vasculares* (arteriolas ramificadas) en las mejillas, cuello, hombros y miembros superiores. El abdomen del paciente es globuloso, está lleno de líquido (*ascitis*) y cuelga péndulo. Durante la palpación se observa cierto aumento de tamaño del hígado (*hepatomegalia*) y del bazo (*esplenomegalia*). Del ombligo emergen a modo de radios varias venas varicosas azuladas y dilatadas (*cabeza de medusa*). Durante la rectoscopia se observan hemorroides internas. Al interrogar al paciente, éste señala que ha visto alguna vez sangre con la deposición, de aspecto negro y brillante.

Diagnóstico. Cirrosis etílica

Problemas clinicoanatómicos

- Comente la base anatómica de la hematemesis, varices esofágicas, hemorroides, deposiciones sanguinolentas y cabeza de medusa de este hombre.
- ¿Cuál es la causa más probable de la ascitis y de la esplenomegalia?
- Desde una base anatómica, ¿cómo podría, en su opinión, reducirse la presión del sistema portal?

Estos problemas se exponen en la página 335.

Caso 2.22

El motivo de consulta de un varón de 54 años es una tumefacción ovalada en la ingle izquierda. Dice que este bulto indoloro crece cuando tose y desaparece cuando se tumba.

Exploración física. Durante la exploración del paciente en bipedestación, el médico introduce el dedo hasta el anillo inguinal superficial izquierdo del varón. Nota una sensación, como si el dedo pasara directamente al abdomen y no por el conducto inguinal. Cuando el paciente tose, el médico nota un impulso contundente sobre la cara lateral del dedo, que se apoya en la pared posterior del conducto inguinal. Al pedirle al enfermo que se tumbe, la masa se reduce de inmediato. A continuación, el médico coloca el dedo sobre el *triángulo inguinal* y pide al enfermo que se suene la nariz. En ese momento, el médico palpa una masa que emerge por la porción inferior de este triángulo.

Diagnóstico. Hernia inguinal directa.

Problemas clinicoanatómicos

- Explique qué significa el término "hernia inguinal directa".
- ¿En qué se diferencia esta hernia de la hernia inguinal indirecta?

- ¿Tiene la hernia inguinal directa una base embriológica?
- ¿Ocurre este tipo de lesión a cualquier edad?
- ¿Cuál es la relación entre la hernia inguinal directa y la arteria epigástrica inferior? ¿Difiere esta relación de la que existe con la hernia inguinal indirecta?
- ¿Qué lesión inadvertida de los nervios de la pared abdominal durante la cirugía puede predisponer a la hernia inguinal?

Estos problemas se comentan en la página 336

COMENTARIO A LOS CASOS

Caso 2.1

La incisión pararecta no es aconsejable porque secciona la innervación del músculo recto del abdomen. Estos nervios segmentarios entran en la cara profunda del músculo cerca de su borde lateral. La sección de varios de estos nervios puede ocasionar una parálisis del músculo recto con debilidad de la pared anterior del abdomen. Además también se puede alterar la irrigación desde la arteria epigástrica inferior. Es preferible una incisión paramediana porque el músculo recto se rechaza a un lado para evitar que se tensen estos nervios y vasos sanguíneos. Al liberar la tracción, el músculo intacto salva la incisión por la vaina del recto (Skandalakis y cols., 1995).

Caso 2.2

Hay que identificar y preservar el nervio nonipogástrico, que se puede seccionar con la incisión transversa para la apendicectomía. Este nervio perfora la porción posterior de músculo transverso del abdomen y se divide entre este músculo y el oblicuo interno, en ramos cutáneos laterales y anteriores y ramos musculares para estos dos músculos. La debilidad muscular resultante de la sección del nervio liohipogástrico puede predisponer a la hernia inguinal directa.

Caso 2.3

El nervio cutáneo femoral lateral (ramo de los nervios lumbares 2º y 3º) nervia a pie de la cara anterolateral y lateral de muslo. Este nervio pasa detrás o a través del gamento inguinal, cerca de 1 cm medial a la espina ilíaca anterosuperior. El ramo anterior perfora la fascia lata y transmite la sensibilidad cutánea de la cara lateral de muslo. La cincha de la mesa de quirófano que cruza la espina ilíaca anterosuperior puede comprimir y dañar el nervio cutáneo lateral femoral y provocar una neuritis sensitiva, conocida como *meralgia parestésica* (Rowland, 1995). Una sutura o clip quirúrgico que se introduzca demasiado cerca de la espina ilíaca anterosuperior también puede dañar el nervio cutáneo femoral lateral.

Caso 2.4

Hay que comprobar si existe una infección en los miembros superior o inferior, porque la linfa de las extremidades drena a los ganglios axilares y inguinales respectivamente. Los vasos

linfáticos de los dos cuadrantes superiores de la pared anterolateral del abdomen también drenan a los ganglios linfáticos pectorales y axilares subescapulares. Parte de la linfa de los cuadrantes supraumbilicales drena a los ganglios paraesternales. Los vasos linfáticos de los dos cuadrantes inferiores de la pared anterolateral del abdomen drenan a los ganglios inguinales superficiales.

Caso 2.5

La vértebra L1 es una referencia clásica del abdomen, porque indica el nivel del *plano transpilórico*, el plano horizontal básico del abdomen, debido a su relación con multitud de estructuras abdominales. El plano transpilórico biseca a línea que une la escotadura yugular con la sínfisis del pubis. Este plano atraviesa la vértebra L1, los extremos de los novenos cartílagos costales, el fondo de la vesícula biliar, el cuerpo del páncreas, la vena esplénica, el origen de la arteria mesentérica superior, la unión duodenoeyunal, la raíz del mesocolon transversal y los hilos renales. Pese a su nombre, el píloro del estómago no suele quedar en este plano en los seres vivos.

Caso 2.6

El conducto deferente se nota fácilmente en la parte superior del escroto como un cordón duro (de 2 a 4 mm de diámetro) comprendido entre el púgar y el índice. Este conducto tiene la consistencia de un tubo de plástico duro. A veces no se palpa el conducto de un lado por aplasia o displasia. Esta anomalía se asocia en muchos casos con agenesia renal ipsilateral (ausencia del riñón del mismo lado).

Caso 2.7

El proceso vaginal suele desaparecer pero si persiste crea un saco herniario potencial por donde puede penetrar un asa de intestino. El saco puede penetrar en el escroto o el labio mayor. La hernia inguinal indirecta es más común en los varones, porque el testículo atraviesa el conducto inguinal y crea una zona potencialmente débil en la pared anterior del abdomen. El conducto inguinal de la mujer no está muy bien desarrollado, por eso la herniación de un asa de intestino en su interior o hasta los labios mayores resulta rara.

Caso 2.8

La hemorragia se puede controlar comprimiendo la arteria hepática —origen de la arteria cística— entre el dedo índice y el púgar, en la pared anterior del orificio omental. La colestectomía laparoscópica es hoy bastante común; la vesícula biliar se extrae con instrumentos (ağunos dotados de un visor) que se introducen a través de pequeñas incisiones. En la actualidad representa el tratamiento quirúrgico preferido (Sabiston y Jeyrly, 1994).

Caso 2.9

Los ataques recurrentes de dolor en el cuadrante superior derecho *colico biliar* son típicos de la obstrucción intermi-

tente del conducto cístico por un cálculo biliar. El dolor referido al hombro y la escápula derechas se deben a la *colecistitis aguda* (inflamación repentina de la vesícula biliar). El fondo de la vesícula biliar inflamada contacta con la pared anterior del abdomen, cerca del extremo del 9° cartilago costal, e irrita el peritoneo de la cara inferior del diafragma. Como consecuencia, el dolor se refiere al hombro y a la zona claviclar por medio de los nervios supraclaviculares (C3 y C4), que inervan la piel que cubre estas regiones.

Caso 2.10

El bazo es el órgano abdominal que más veces se daña. La hemorragia esplénica grave se controla fácilmente con la esplenectomía. El bazo tiene una cápsula fina y es un órgano blando, friable y muy vascularizado. Por eso se rompe tan fácilmente (p. ej., por fracturas costales). Los traumatismos contusos sobre otras regiones del abdomen, que provocan un aumento súbito e intenso de la presión intrabdominal, también pueden romper el bazo (p. ej., por el empalamiento del volante durante un accidente de tráfico).

Caso 2.11

Las células malignas del carcinoma testicular metastatizan en los ganglios linfáticos lumbares por diseminación. Debido a las comunicaciones cruzadas, las células tumorales pueden aparecer a ambos lados (Ellis, 1992). Los ganglios linfáticos inguinales no se afectan, salvo que el tumor ulcere la piel del escroto y se introduzca por los vasos linfáticos escrotales, que drenan a los ganglios inguinales superficiales. Los tumores testiculares avanzados pueden metastatizar en el hígado y en los ganglios linfáticos mediastínicos y cervicales.

Caso 2.12

Probablemente, el adenocarcinoma radicaba en la cabeza del páncreas, debido a la ictericia obstructiva. Dadas las relaciones posteriores de la cabeza, el tumor puede provocar una ictericia obstructiva por compresión del colédoco, situado en un surco en la porción derecha de la glándula o embutido en su interior. Las metástasis de las células tumorales aparecerían en los ganglios linfáticos pancreatoesplénicos y pilóricos y, sin duda, también en los ganglios celíacos, mesentéricos superiores y lumbares, que reciben la linfa de la cabeza del páncreas.

Caso 2.13

La historia clínica y los datos de la exploración física sugieren una *apendicitis aguda*. La inflamación aguda del apéndice constituye una causa frecuente de dolor abdominal agudo (*abdomen agudo*). La compresión digital sobre el punto de McBurney suele provocar el dolor máximo durante la palpación. La *apendicitis* obedece, casi siempre, a la obstrucción del apéndice, que suele endurecerse por la materia fecal. Si las secreciones del apéndice no tienen salida, el órgano se hincha y distiende el peritoneo visceral. El dolor de la *apendicitis aguda* suele empezar de manera vaga en

la región periumbilical, porque las fibras dolorosas aferentes entran en la médula a la altura de T10. Luego se establece un dolor intenso en el cuadrante inferior derecho por la irritación del peritoneo parietal de la pared posterior del abdomen. Este dolor se desencadena extendiendo el muslo sobre la cadera.

Caso 2.14

El dolor inespecífico, acompañado de náuseas, se nota en el abdomen, sobre todo en la región periumbilical, porque los testículos fetales se desarrollan como órganos abdominales en la región lumbar alta. Los testículos descienden hasta la región inguinal en el periodo fetal tardío y entran en el escroto antes del nacimiento. La inervación del testículo procede aproximadamente de los tres últimos segmentos torácicos y primeros lumbares de la médula espinal. La inervación simpática se origina en el segmento medular T10. El dolor testicular suele referirse a las regiones torácicas inferiores o lumbares superiores. El dermatoma T10 se encuentra en la región umbilical.

Caso 2.15

La úlcera péptica es una ulceración de la mucosa gástrica o duodenal. Las úlceras pépticas son comunes en el estómago (*úlceras gástricas*) y en el duodeno (*úlceras duodenales*). En general, se encuentran en los últimos 3 cm del píloro. Las úlceras pépticas, gástricas y duodenales muestran tendencia a sangrar. A veces, los órganos y los vasos adyacentes al duodeno, casi siempre el páncreas, se adhieren a la úlcera y son erosionados por ella; por ejemplo, una úlcera penetrante posterior puede erosionar la arteria gastroduodenal o alguna de sus ramas y provocar una hemorragia súbita y masiva, que puede resultar mortal. Las úlceras pépticas ocurren a veces en un divertículo ileal (de Meckel), resto del conducto onfalomesentérico insertado en el íleon. La pared de este divertículo contiene en ocasiones tejido gástrico secretor de ácido e inductor de úlceras.

El dolor de la úlcera gástrica péptica se refiere a la región epigástrica y al hipocondrio izquierdo, porque el estómago tiene aferencias dolorosas que alcanzan los segmentos medulares T7 y T8 a través del nervio esplácnico mayor (tabla 2.12). El dolor de la úlcera péptica duodenal se refiere a la región hipogástrica de la pared anterior del abdomen, porque tanto el duodeno como esta zona de la piel son inervados por los nervios espinales T9 y T10. Cuando se perfora una úlcera péptica duodenal puede haber dolor en todo el abdomen. A veces, el canal paracólico que acompaña al colon ascendente puede actuar como vierteaguas y dirigir el material inflamado hacia la fosa iliaca derecha. Así se explica por qué el dolor de la perforación anterior de la úlcera duodenal puede localizarse en los cuadrantes derechos superior e inferior.

Como los nervios vagos controlan casi toda la secreción de ácido por las células parietales del estómago, la sección de estos nervios (*vagotomía*) a su entrada en el abdomen sirve para reducir la producción de ácido. Muchas veces, sólo se seccionan las ramas gástricas de los nervios vagos

(*vagotomía selectiva*) para evitar los efectos adversos sobre otros órganos (p. ej., dilatación de la vesícula biliar). La vagotomía se puede combinar con la resección de la zona ulcerada y de la porción del estómago secretora de ácido. En la mayoría de los casos, las bacterias *H. pylori* causantes de la úlcera se logran erradicar con los antibióticos y no es necesario el tratamiento quirúrgico.

Caso 2.16

Sin duda, el primer ataque de dolor insoportable de este enfermo se debió a tránsito del cálculo renal desde la pelvis renal hasta el extremo superior del uréter derecho. Los cálculos se componen de sales, ácidos orgánicos u orgánicos o de otros materiales. Los cálculos cuyo tamaño excede el de la luz ureteral (aproximadamente 3 mm), provocan un dolor intenso cuando el uréter trata de eliminarlos. El dolor se desliza en sentido inferomedial, siguiendo el tránsito ureteral del cálculo. Es muy probable que este enfermo experimentara el dolor intenso cuando el cálculo se quedó atrapado de manera pasajera en el uréter debido a la angustación de esta estructura a su paso por el estrecho superior de la pelvis, y más tarde a su paso a través de la vejiga urinaria. La luz del uréter se estrecha en su extremo inferior en un lugar de obstrucción frecuente. El dolor cesa cuando el cálculo entra en la vejiga urinaria, aunque las molestias en el trayecto del uréter suelen persistir durante algún tiempo.

El dolor ureteral es producido por el paso del cálculo a través del uréter. El uréter es un tubo muscular, cuyas contracciones peristálticas evan la orina desde el riñón hasta la vejiga urinaria por eso cuando se distiende por el cálculo ocurre dolor y se detiene el paso de la orina. La capa de músculo liso del uréter experimenta, en condiciones normales contracciones peristálticas desde el extremo superior a inferior. A medida que la onda peristáltica se aproxima a la obstrucción la contracción forzada de músculo liso provoca una distensión excesiva del uréter entre la onda y el cálculo. Esta distensión de uréter induce un dolor intensísimo. A medida que aumenta la distensión, el dolor se agudiza.

Las fibras aferentes de dolor de uréter viajan con el nervio esplácnico menor. Las aferencias entran en los segmentos L1 y L2 de la médula espinal, y el dolor se nota en las zonas cutáneas inervadas por los nervios intercostales inferiores (T11 y T12), los nervios epigástrico e umbilical (L1) y el nervio genitofemoral (L1 y L2). Estas son las mismas regiones de la médula que inervan el uréter (T11 a L2). Por eso, el dolor comienza en la región lateral y se irradia a la ingle y al escroto. La retracción del testículo por el músculo cremáster y el dolor en la cara medial de la parte anterior del muslo indican que los ramos genitales y femorales de nervio genitofemoral (L1 y L2) están afectados.

El cólico ureteral obedece a la distensión del uréter que estimula las aferencias dolorosas de su pared. Como no existe peritonitis tampoco se aprecia rigidez ni signo de rebote. En caso de peritonitis la compresión manual de la pared abdominal y la liberación rápida de la misma provoca dolor (en el momento en que los músculos de abdomen regresan como un resorte a su posición inicial arrastrando al peritoneo inflamado). Por eso el signo o dolor de rebote

abdominal ayuda a diferenciar el cólico ureteral del cólico
intestinal y de la apendicitis

Caso 2.17

La hernia inguinal indirecta es una evaginación de saco peritoneal que entra en el anillo inguinal profundo, atraviesa el conducto inguinal y sale por el anillo inguinal superficial. La base embriológica de la hernia inguinal indirecta es la persistencia de todo o parte de *proceso vaginal*, un divertículo embrionario del peritoneo que empuja la pared abdominal para crear el conducto inguinal. El proceso vaginal arrastra, en su evaginación, todas las capas de la pared abdominal; estas capas se convierten en los varones en las cubiertas del cordón espermático.

El saco herniario (antiguo proceso vaginal) puede variar desde un saco corto que no se prolonga más allá de anillo superficial hasta otro que se extiende a escroto o labio mayor. Este saco se continúa con la túnica vaginal en los varones. La persistencia del proceso vaginal predispone a las hernias inguinales indirectas porque crea una debilidad en la región inguinal de la pared anterolateral del abdomen. Además, forma un saco herniario donde se puede introducir el contenido abdominal (casi siempre un asa de intestino) cuando aumenta la presión dentro del abdomen, como sucede con el esfuerzo para levantar un objeto pesado. Una vez que el anillo inguinal profundo se dilata por la herniación del intestino, la tos puede reproducir la hernia. Esta es la base de la prueba que se efectúa durante la exploración física y en la cual el explorador introduce un dedo por el anillo superficial del conducto inguinal y pide al enfermo que tosa.

Quando se repara por vía quirúrgica una hernia inguinal indirecta se puede dañar el ramo genital del *nervio genitofemoral*, porque atraviesa el conducto inguinal de ambos sexos y emerge por el anillo inguinal superficial. El nervio ilioinguinal también puede quedar atrapado durante la reparación de la hernia: este nervio da sensibilidad a la zona superomedial del muslo, pie situada encima de la raíz del pene y parte de escroto o labios mayores. Si se lesiona el nervio es muy probable que ocurra una anestesia en estas regiones de la pie. Si se construye el nervio por una sutura también se observa un dolor neurítico postoperatorio en el escroto. Como el conducto deferente se sitúa inmediatamente posterior al saco herniario, puede dañarse al liberar, ligar y extirpar el saco. Como el saco herniario está dentro del cordón espermático, también se puede lesionar el plexo venoso pampiniforme y la arteria testicular con lo que se daña la circulación del testículo. La lesión de los vasos del cordón espermático también puede inducir una atrofia del testículo del mismo lado.

La hernia inguinal indirecta también afecta, aunque menos veces, a las mujeres si persiste el proceso vaginal. La hernia provoca la aparición de un bulto en el labio mayor.

Caso 2.18

El tipo de incisión cutánea para la apendicectomía depende del tipo de paciente, la certidumbre diagnóstica y las pre-

ferencias del cirujano. Se puede efectuar una incisión en la línea media, una incisión transversa en el cuadrante inferior derecho, por encima del músculo recto abdominal, o una incisión en parrilla, con separación de los planos musculares. El centro de la incisión en parrilla radica en el punto de McBurney, que es la unión entre los tercios lateral y medio de una línea que va desde la espina iliaca anterosuperior hasta el ombligo. Este punto se sitúa encima de la base del apéndice de la mayoría de las personas. Después de la incisión cutánea y del tejido subcutáneo se incide la aponeurosis del músculo oblicuo externo siguiendo la dirección de sus fibras. Luego se separan los otros dos músculos planos de la pared anterior del abdomen (oblicuo interno y transversal del abdomen), en la misma dirección de sus fibras, para evitar la lesión de los nervios que los inervan. Las fibras del músculo oblicuo externo tienen un curso inferoanterior; las del oblicuo interno se extienden en abanico en sentido superomedial, medial e inferomedial, y las del transversal del abdomen también se abren en abanico en dirección inferomedial sobre las costillas, cresta iliaca y ligamento inguinal, para terminar en una aponeurosis. La incisión en parrilla parece correcta, porque se retrae y divide cada capa muscular en la dirección de sus fibras y no es necesario cortarlas. Como cada capa muscular sigue una dirección diferente, la incisión queda perfectamente protegida, una vez que las capas retraídas se devuelven a su posición normal.

Luego se inciden la fascia transversa y el peritoneo parietal para exponer el ciego. La base del apéndice está marcada por el punto de convergencia de las tres tenias cólicas. Si se sigue distalmente una de las tenias se llega a la base del apéndice. La localización exacta del dolor es el lugar de máximo dolor espontáneo y con la palpación, que varía de una persona a otra (Sabiston y Lyster, 1994).

Las variaciones en la longitud y posición del apéndice explican la diversidad de signos y síntomas de la apendicitis. Por ejemplo, el lugar de máximo dolor en los casos de apéndice retrocecal puede ser un punto superomedial a la espina iliaca anterosuperior e incluso llegar, por la parte superior, hasta el plano transumbilical. Si el apéndice es largo (10-15 cm) y se prolonga hasta la pelvis menor, el dolor podría simular la irritación peritoneal causada por una rotura de un embarazo ectópico en una mujer. Como el apéndice cruza el músculo psoas mayor, el sujeto suele flexionar el muslo derecho para aliviar el dolor. Por eso la hiperextensión del muslo (*prueba del psoas*) causa dolor, porque estira el músculo y la fascia inflamada. El dolor con la palpación del lado derecho durante el tacto rectal puede indicar también una inflamación pélvica de un apéndice.

En principio, el dolor habitual de la apendicitis aguda se refiere a la región preumbilical del abdomen, y luego se desplaza hasta el cuadrante inferior derecho. Las fibras nerviosas aferentes del apéndice viajan con el nervio esplácnico menor y los impulsos entran en el segmento medular T10. Como los impulsos de la piel de la región preumbilical también llegan a esta zona de la médula, el dolor se interpreta como somático y no como visceral, quizá porque los impulsos de origen cutáneo se transmiten con más frecuencia al cerebro.

El desplazamiento del dolor al cuadrante inferior derecho obedece a la irritación del peritoneo parietal, casi siempre de la pared posterior del abdomen. Las fibras aferentes de esta región del peritoneo y de la piel viajan con los nervios intercostales inferiores y subcostales. El dolor durante la palpación se explica por la estimulación de los receptores dolorosos de la piel y del peritoneo, mientras que el aumento del dolor con la palpación, que se observa en el lado derecho de la *bolsa rectouterina* (bolsa vesical del varón), es causado por la irritación del peritoneo parietal de esta bolsa. Cuando se deprime la pared del abdomen y se libera luego la compresión, el sujeto suele retorcerse de dolor, porque con el retroceso de la musculatura abdominal se arrastra también el peritoneo inflamado.

Si se le hubiera extirpado ya el apéndice a esta mujer, un divertículo ileal (de Meckel) inflamado podría dar signos y síntomas parecidos a los de la apendicitis. El divertículo ileal representa un resto de la porción proximal del conducto onfalomesentérico y se manifiesta como una proyección digital desde el borde antimesentérico del íleon. Para extirpar el apéndice de algunos sujetos se puede recurrir a la laparoscopia (véase la obra de Skandalakis y cols., 1995, que describe la *apendicectomía laparoscópica*). Cuando el diagnóstico no es muy seguro se puede recurrir a la laparoscopia para examinar otras vísceras abdominales. Si el apéndice está inflamado se introduce un trócar (instrumento punzante dotado de cánula) a través de la pared anterolateral del abdomen. Se pasa una ligadura a través de un pequeño trócar y se liga el apéndice para retraerlo y cauterizar su base, así como los vasos apendiculares, con el electrocauterio.

Caso 2.19

La hernia diafragmática es una herniación de las vísceras abdominales dentro de la cavidad torácica a través de un orificio del diafragma. La *hernia de hiato* es común, sobre todo en las personas mayores. En general, la región gastroesofágica se hernia a través del hiato esofágico dentro de la porción inferior del tórax. La hernia de hiato suele ser un trastorno adquirido, pero la dilatación congénita del hiato esofágico predispone a esta anomalía. Como el pilar derecho pasa a la izquierda del plano medio, el hiato esofágico y la hernia quedan a la izquierda de la línea media, aunque se hallen dentro del pilar derecho.

Los dos tipos principales de hernia hiatal o de hiato son la *hernia por deslizamiento* y la *hernia paraesofágica*. Algunas hernias muestran rasgos de los dos tipos y se conocen como *hernias de hiato mixtas*. La región torácica de la columna vertebral se acorta con la edad, debido a la desecación (deshidratación) de los discos intervertebrales, mientras que la grasa abdominal suele aumentar en las edades intermedias de la vida. Estos dos elementos favorecen la aparición de hernias de hiato. Casi todas las molestias de este enfermo (pirosis, eructos, regurgitación y dolor epigástrico) obedecen a la irritación de la mucosa esofágica por el reflujo del jugo gástrico. El efecto irritante del jugo gástrico provoca un espasmo esofágico, causante de disfagia y dolor retrosternal.

Las terminaciones dolorosas del esófago son estimuladas por las contracciones forzadas del músculo liso de la pared del esófago. El dolor de origen gastroesofágico se refiere a las regiones epigástrica y retrosternal, regiones cutáneas de referencia de estas vísceras. Como por el hiato esofágico también pasan los nervios vagos y las ramas esofágicas de los vasos gástricos izquierdos, hay que proteger estas estructuras de la lesión cuando se reparan estas hernias de hiato por vía quirúrgica.

Caso 2.20

Las mujeres obesas de edad mediana, que han tenido varios hijos, son más propensas a la enfermedad de la vesícula biliar. Los cálculos biliares son más comunes en las mujeres mayores de 20 años, pero no necesariamente a partir de los 50. En casi la mitad de los sujetos, los cálculos biliares siguen un curso silencioso (asintomático). Un cálculo biliar es una concreción dentro de la vesícula biliar, conducto cístico o conducto colédoco que se compone sobre todo de cristales de colesterol. El dolor se agudiza cuando el cálculo biliar queda atrapado en los conductos cístico o colédoco. El dolor repentino e intenso en la región epigástrica se debe a enclavamiento del cálculo en el conducto cístico. El *cólico biliar* es un dolor característico de la obstrucción intermitente del conducto cístico por un cálculo.

El dolor referido al cuadrante superior derecho y a la región escapular del mismo lado se debe a la inflamación de la vesícula biliar y a la distensión del conducto cístico. Los impulsos nerviosos se dirigen al sistema nervioso central a través del nervio espácnico mayor derecho, y entran en la médula por las raíces dorsales de los nervios T7 y T8. El dolor referido visceral se percibe en el cuadrante superior derecho del abdomen y en la región infraescapular derecha, porque la fuente de los estímulos que llegan a esta región medular se interpreta erróneamente como cutánea. Muchas veces, la vesícula biliar inflamada irrita el peritoneo que cubre la porción periférica del diafragma y determina un dolor parietal referido al hipocóndrio derecho (tabla 2.7). Los nervios intercostales inferiores inervan esta parte del peritoneo. En otros casos se irrita el peritoneo que cubre el diafragma y el dolor se refiere al hombro derecho, porque la zona central del peritoneo está inervada por fibras sensitivas de los nervios frénicos. La pleura de la región escapulohumeral se inerva por los nervios supraclaviculares (C3 y C4), el mismo segmento de la médula que recibe aferentes dolorosos de la porción central del diafragma.

Cuando la grasa entra en el duodeno, la *colecistocinina* determina una contracción de la vesícula. En este caso, es probable que la vesícula biliar de esta mujer se contrajera de manera vigorosa después de la comida grasa y exprimió un cálculo hacia el conducto cístico. La *colecistitis aguda* se acompaña del impacto de un cálculo en el conducto cístico en un gran porcentaje de casos. El cálculo impactado provoca una distensión repentina de la vesícula que dificulta la vascularización arterial, así como el drenaje venoso y linfático. En general, el peritoneo no separa la vesícula biliar del hígado. La vesícula biliar radica en una fosa de la cara visceral del lóbulo derecho. El peritoneo de esta cara

hepática pasa sobre la cara inferior de la vesícula biliar. La rigidez abdominal detectada en este caso se debe a las contracciones involuntarias de los músculos de la pared anterolateral del abdomen, en particular del músculo recto. Este espasmo muscular supone una respuesta refleja a la estimulación de las terminaciones nerviosas del peritoneo, debido a la dilatación de la vesícula.

Existen muchas variaciones anatómicas de la vesícula biliar y del conducto cístico, así como de las arterias que los perfunden. Por eso, los cirujanos deben averiguar el patrón anatómico e identificar los conductos cístico, colédoco y hepático, así como las arterias cística y hepática antes de dividir el conducto cístico y su arteria. A veces existen ramas císticas accesorias de las arterias hepáticas, por eso puede ocurrir una hemorragia inesperada durante la colecistectomía. La hemorragia de la colecistectomía se controla comprimiendo la arteria hepática entre el pulgar y el índice colocados en la pared anterior de la bolsa omental.

Hoy se utiliza la *colecistectomía laparoscópica* en muchos casos, porque se puede dar el alta hospitalaria a los pocos días y el enfermo regresa a la actividad habitual en una semana. En primer lugar se infunde dióxido de carbono en la cavidad peritoneal para crear un espacio peritoneal donde se pueda trabajar. Se introducen cuatro trócares a través de la pared anterolateral del abdomen en distintas posiciones para poder insertar instrumentos quirúrgicos (veanse los detalles en Skandalakis y cols., 1995). Los cirujanos visualizan el campo quirúrgico a través de monitores de video y localizan el conducto y la arteria císticas, los controlan con clips y los seccionan. Luego disecan la vesícula a partir de la fosa de la vesícula y la extraen. Hay que extremar la precaución para no dañar el conducto colédoco ni los vasos que lo acompañan durante esta intervención.

Caso 2.21

La *cirrosis hepática* es una enfermedad caracterizada por la destrucción progresiva de las células parenquimatosas del hígado. Estas células son sustituidas por tejido fibroso que se contrae y endurece. El tejido fibroso rodea los vasos sanguíneos intrahepáticos y las ramificaciones biliares. A medida que avanza el proceso, la circulación de la sangre por las ramas de la vena porta y la de la biliar por las raíces biliares del hígado se ve obstaculizada. Conforme se eleva la presión de la vena porta (*hipertensión portal*), el hígado se torna más dependiente de la arteria hepática para su irrigación y aumenta la presión dentro de la vena porta con lo que se invierte el flujo en las anastomosis portocavas habituales y la sangre portal pasa a la circulación general. Como estas venas anastomóticas no suelen tener válvulas, pueden conducir sangre en cualquier dirección. Este flujo retrógrado determina un aumento de las venas (*venas varicosas*) que forman anastomosis en el extremo inferior del esófago (*varices esofágicas*) y extremo inferior de recto y del conducto anal (*hemorroides*), y alrededor del ombligo (*cabeza de medusa*).

Dada la presión que se ejerce durante la deglución y la defecación, las varices esofágicas y las hemorroides, res-

pectivamente, se pueden romper. La rotura provoca vómitos sanguinolentos o hemorragia anal. Las hemorroides internas son varicosidades de las afluentes de la vena rectal superior. La sangre también puede pasar en dirección retrógrada a las venas paraumbilicales a través de la vena del ligamento redondo. Las venas paraumbilicales se tornan varicosas y forman una *cabeza de medusa* (patrón venoso radial en el ombligo) en la hipertensión portal.

Las ramificaciones de la vena porta son comprimidas por la contracción del tejido fibroso de los canales portales en la *cirrosis hepática*. Se produce entonces un incremento en la presión de las venas esplénica y mesentérica superior e inferior. El líquido sale de los lechos capilares drenados por estas venas y llega a la cavidad peritoneal. El acúmulo de líquido en la cavidad peritoneal se denomina ascitis. El bazo suele aumentar de tamaño (*esplenomegalia*) en la cirrosis hepática debido al incremento de la presión en la vena esplénica. Como el sistema portal no dispone de válvulas, la presión en la vena esplénica es igual a la de la vena porta. Un método frecuente para reducir la presión portal consiste en derivar la sangre de la vena porta hacia la vena cava inferior a través de anastomosis creadas por vía quirúrgica (*anastomosis portocava*). De forma similar, la vena esplénica se puede anastomosar con la vena renal izquierda (*anastomosis esplenorrenal*).

Caso 2.22

La *hernia inguinal directa* entra dentro del conducto inguinal a través de su pared posterior, mientras que la *hernia inguinal indirecta* se introduce en el conducto inguinal a través del anillo inguinal profundo. La hernia inguinal directa es mucho más rara que la indirecta; las dos son más comunes en los varones. La hernia inguinal directa suele ser un trastorno adquirido, que afecta a hombres de más de 40 años.

El saco de la hernia inguinal directa está formado por peritoneo que reviste la pared anterolateral del abdomen. El saco sobresale por el triángulo inguinal. Este triángulo limita por la cara medial con el borde lateral del músculo recto del abdomen; por la cara inferior, con el ligamento inguinal,

y por la cara lateral, con la arteria epigástrica inferior. La hernia puede sobresalir por la pared del abdomen y escapar del abdomen por la cara lateral del tendón conjunto, para introducirse a través de la pared posterior del conducto inguinal. En este caso, el saco herniario está cubierto de fascia transversa, músculo cremáster, fascia cremastérica y fascia espermática externa. A veces, el saco herniario es empujado por las fibras del tendón conjunto y pasa al anillo inguinal superficial. En este caso, el saco herniario está cubierto de fascia transversa, tendón conjunto y fascia espermática externa.

Las hernias inguinales directas suelen sobresalir por la cara anterior a través de la porción inferior del triángulo inguinal y se extienden hacia el anillo inguinal superficial, pero pueden atravesar este anillo y llegar hasta el escroto o labio mayor. La hernia directa es un trastorno adquirido por la debilidad de la pared anterior del abdomen (p. ej., por la debilidad de la fascia transversa y la atrofia del tendón conjunto). No se conoce la base embriológica de este tipo de hernia.

El tipo de hernia inguinal (directa o indirecta) se puede averiguar a menudo por la relación entre el saco herniario y la arteria epigástrica inferior. Las pulsaciones de esta arteria se perciben con la yema del dedo del examinador introducido en el conducto inguinal. El cuello del saco herniario se encuentra en el triángulo inguinal en la hernia inguinal directa, *medial a la arteria epigástrica inferior*; en cambio, en la hernia inguinal indirecta, el cuello del saco herniario se halla en el anillo inguinal profundo, lateral a la arteria epigástrica inferior.

Como los nervios intercostales inferiores y los nervios iliohipogástrico e ilioinguinal derivados del primer nervio lumbar inervan la musculatura abdominal, su lesión durante la cirugía o un accidente puede debilitar los músculos de la región inguinal y predisponer a la aparición de una hernia inguinal directa. El nervio ilioinguinal también emite ramos motores para las fibras del músculo oblicuo interno, que se insertan en el borde lateral del tendón conjunto. La sección de este nervio paraliza estas fibras y relaja el tendón conjunto, con lo que puede resultar una hernia inguinal directa.

Bibliografía y lecturas recomendadas

Agur AMR: *Grant's Atlas of Anatomy*, 9th ed. Baltimore, Williams & Wilkins, 1991.

Behrman RE, Kliegman RM, Arvin AM (eds): *Textbook of Pediatrics*, 15th ed. Philadelphia, WB Saunders, 1996.

Daseler EH, Anson BJ, Hambley WC, Reimann AF: The cystic artery and constituents of the hepatic pedicle. *Surg Gynecol Obstet* 85:47, 1947.

Ellis H: A revision and applied anatomy for clinical students. In *Clinical Anatomy*, 8th ed. Oxford, Blackwell Scientific Publications, 1992.

Ger R, Abrahams P, Olson TR: *Essentials of Clinical Anatomy*, 2nd ed. London, Parthenon Publishing Group, 1996.

Haines DE (ed): *Fundamental Neuroscience*. Churchill Livingstone, New York, 1997.

Magee DF, Dalley AF (eds): Digestion and the structure and function of the gut. In *Karger Continuing Education Series*, Volume 8. Basel, S Karger AG, 1986.

Moore KL, Agur AMR: *Essential Clinical Anatomy*. Baltimore, Williams & Wilkins, 1995.

Moore KL, Persaud TVN: *The Developing Human. Clinically Oriented Embryology*, 6th ed. Philadelphia, WB Saunders, 1998.

Naftel JP, Hardy SGP: Visceral motor pathways. In Haines DE (ed): *Fundamental Neuroscience*. New York, Churchill Livingstone, 1997.

Rowland LP: *Merritt's Textbook of Neurology*, 9th ed. Baltimore, Williams & Wilkins, 1995.

Sabiston DC Jr, Lyerly H (eds): *Sabiston Essentials of Surgery*, 2nd ed. Philadelphia, WB Saunders, 1994.

Sabiston DC Jr, Lyerly H (eds): *Textbook of Surgery. Pocket Companion*, 2nd ed. Philadelphia, WB Saunders, 1997.

- Schochat SJ: Inguinal hernias. In Behrman et al. (eds): *Nelson Textbook of Pediatrics*, 15th ed. Philadelphia, WB Saunders, 1996.
- Skandalakis JE, Skandalakis PN, Skandalakis JL: *Surgical Anatomy and Technique. A Pocket Manual*. New York, Springer-Verlag, 1995.
- Soper DF: Upper genital tract infections. In Copeland LJ (ed): *Textbook of Gynecology*. Philadelphia, WB Saunders, 1993.
- Swartz MH: History and examination. In *Textbook of Physical Diagnosis*, 2nd ed. Philadelphia, WB Saunders, 1994.
- Wakley CPG: The position of the vermiform appendix as ascertained by the analysis of 10,000 cases. *J Anat* 67:277, 1933.
- Williams PL, Bannister LH, Berry MM, Collins P, et al. (eds): The anatomical basis of medicine and surgery. *Gray's Anatomy*, 38th ed. New York, Churchill Livingstone, 1995.
- Willms JL, Schneiderman H, Algranati PS: *Physical Diagnosis. Bedside Evaluation of Diagnosis and Function*. Baltimore, Williams & Wilkins, 1994.

3

La pelvis y el perineo



Exposición / 140

Exposición y exposición / 140

Exposición / 140

Exposición / 140

Exposición / 140

Exposición / 140

La pelvis (que significa jofaina en latín) es la parte del tronco inferoposterior al abdomen y el lugar de transición del tronco a las extremidades inferiores (fig. 3.1A). La pelvis ósea es un anillo, con forma de jofaina, formado por huesos que protegen las porciones distales de los tractos intestinal y urinario y los genitales internos. La cavidad abdominopélvica se extiende por arriba hasta la caja torácica, y por abajo, hasta la pelvis. Aunque esta cavidad está muy protegida en sus porciones superior e inferior, las heridas perforantes del tórax y de la pelvis pueden penetrar en la cavidad abdominopélvica y en su contenido. El eje pélvico es una línea curva hipotética que une el punto central de cada uno de los cuatro planos de la pelvis y marca el centro de la cavidad pélvica en cada plano. La forma del eje de la pelvis y su profundidad dispar entre los contornos anterior y posterior de la cavidad son factores importantes para entender el mecanismo de tránsito fetal por el conducto pélvico (Williams y cols., 1995).

El **perineo** es la zona del tronco comprendida entre los muslos y las nalgas, que se extiende desde el cóccix hasta el pubis, y, al mismo tiempo, un *compartimiento* fino, situado en la profundidad de esta zona, inferior al **suelo de la pelvis**, constituido por el **diafragma pélvico** (fig. 3.1, B y C). El perineo masculino contiene el pene, el escroto y el ano, y el femenino, la vulva (genitales externos) y el ano.

La pelvis

La pelvis está rodeada de paredes óseas, ligamentosas y musculares. La **cavidad pélvica**, con forma de infundíbulo, es un espacio limitado a los lados por hueso, que se continúa con la cavidad abdominal y tiene una angulación posterior con relación a ésta (fig. 3.1, A y C). La cavidad pélvica contiene la vejiga urinaria, las porciones terminales de los uréteres, los órganos genitales de la pelvis, el recto, vasos sanguíneos, vasos linfáticos y nervios. El límite superior de

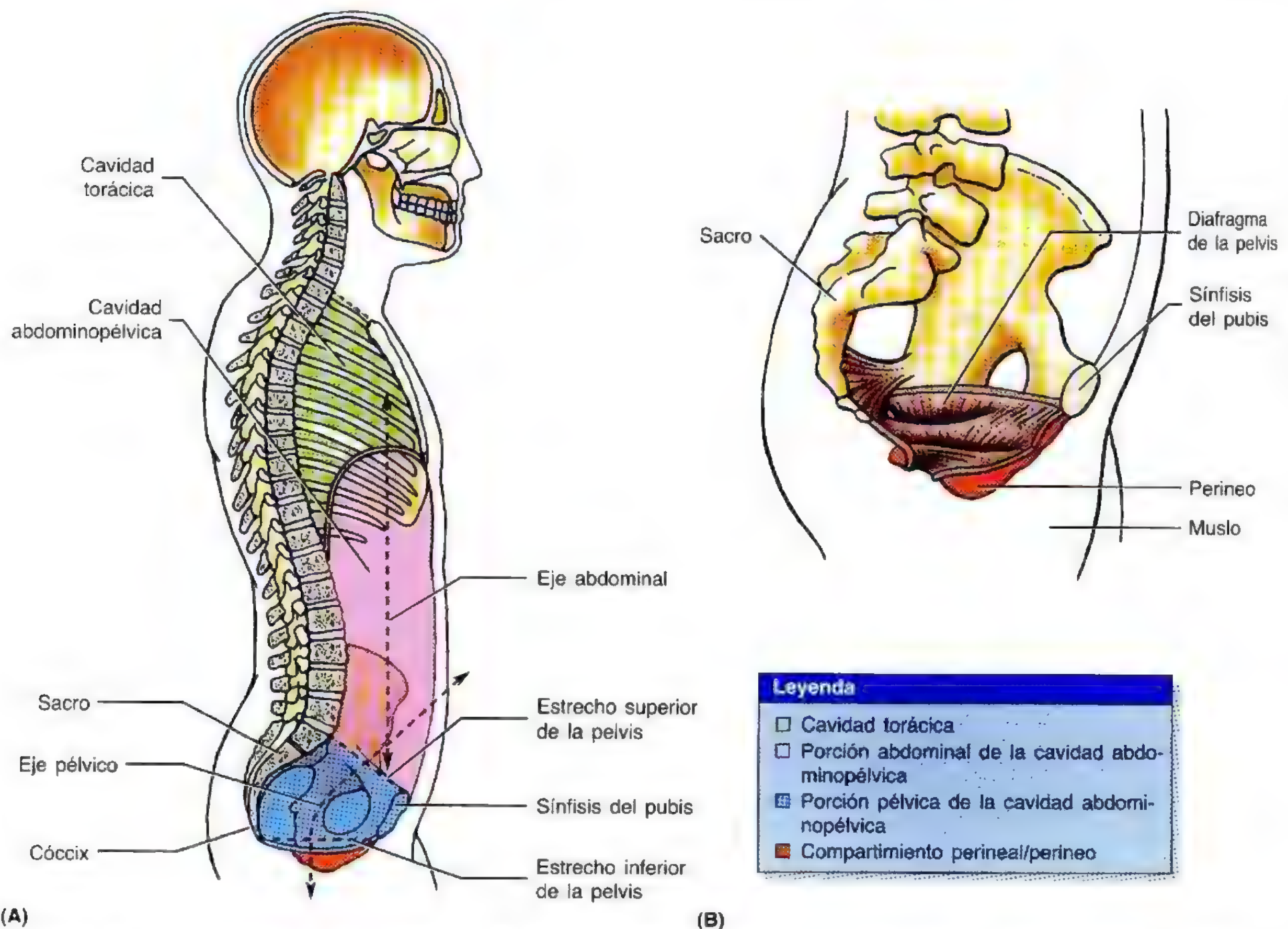


Figura 3.1. Cavidad toracoabdominal. A. Corte mediano del tronco, que ilustra la relación entre las cavidades torácica y abdominopélvica. El estrecho superior de la pelvis es un orificio que da entrada a la pelvis menor o verdadera. El estrecho inferior de la pelvis es el orificio inferior de la pelvis menor.

B. Visión lateral y esquemática de la pelvis, donde aparece el diafragma de la pelvis que separa la cavidad pélvica del perineo y forma el suelo de la pelvis.

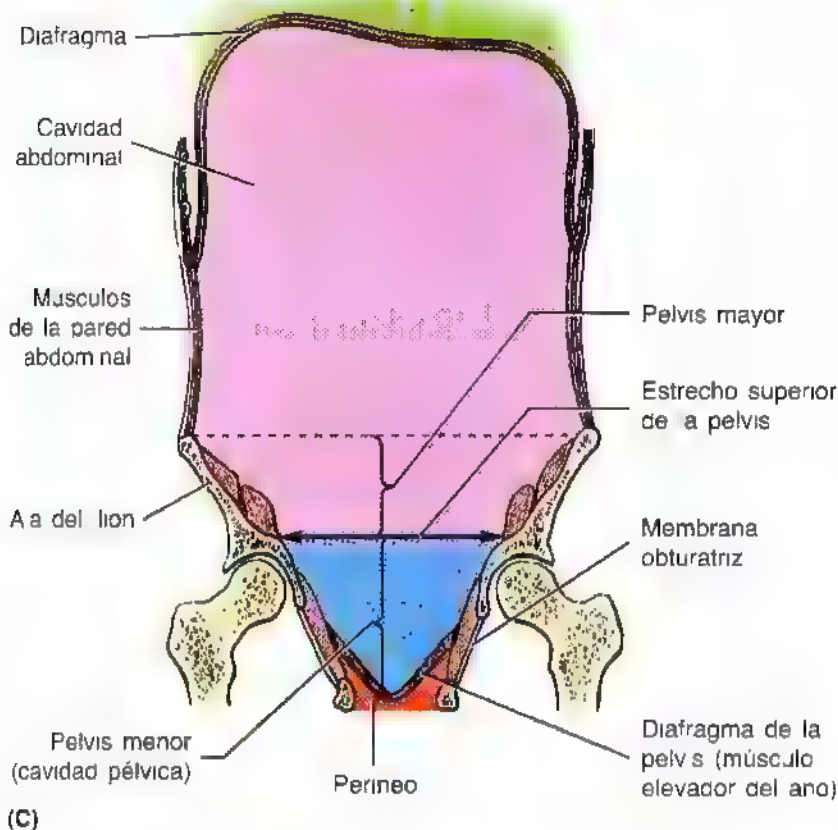


Figura 3.1. (Continuación) **C.** Corte corona esquemático de la cavidad abdominopélvica. Obsérvese que el plano del estrecho superior de la pelvis (flecha de doble cabeza) separa la pelvis mayor —parte de la cavidad abdominal— de la pelvis menor o cavidad pélvica.

la cavidad pélvica es el **estrecho superior de la pelvis**. La pelvis está limitada por abajo por el **estrecho inferior de la pelvis**, cerrado por el **diafragma pélvico** musculofascial; en la parte posterior, por el **cóccix**, y en la anterior, por la **sínfisis del pubis** (fig. 3.1, *A* y *B*). Pese a su continuidad, las cavidades abdominal y pélvica se describen de forma independiente con fines expositivos y regionales.

La pelvis ósea

La pelvis ósea (esqueleto de la pelvis) es robusta y sus principales funciones consisten en transmitir el peso de la mitad superior del cuerpo del esqueleto axial al apendicular inferior, así como resistir las fuerzas de compresión y otras derivadas del soporte corporal, junto con la provisión de inserciones para músculos poderosos (Williams y cols., 1995). *La pelvis ósea de las personas maduras está formada por cuatro huesos* (fig. 3.2):

- Los **huesos coxales**, dos grandes huesos, de forma irregular, cada uno de los cuales se desarrolla a partir de la fusión de otros tres: *ilion*, *isquion* y *pubis*.
- El **sacro**, creado por la fusión de cinco vértebras sacras, originalmente independientes.
- El **cóccix**, formado por la fusión de cuatro vértebras coccígeas rudimentarias; a veces, la primera vértebra sacra se separa de las demás y, por tanto, contribuye a formar el esqueleto de este vestigio caudal.

Los **huesos ilíacos** (huesos coxales; huesos innominados) de los lactantes y niños constan de tres huesos diferentes,

unidos por un cartílago en el **acetábulo** (fig. 3.2*B*), depresión en forma de copa de la cara lateral del hueso coxal que se articula con la cabeza del fémur (hueso del muslo) (fig. 3.3*A*). El ilion, el isquion y el pubis se unen en la pubertad para formar el hueso coxal.

Los huesos coxales se unen por la sínfisis del pubis en la cara anterior, y con el sacro en la posterior, para formar la cintura pélvica (fig. 3.2*A*), que:

- Se articula con el sacro por las articulaciones sacroilíacas.
- Tiene una estructura maciza para resistir el estrés.
- Transmite los impulsos de la columna vertebral a los miembros inferiores.

La cintura pélvica —formada por los huesos coxales y el sacro— se inserta en los miembros inferiores.

El **ilion** es la parte superior, aplanada, que se abre en forma de abanico del hueso coxal (fig. 3.2, *A-C*). El **ala** del ilion representa el semicírculo del abanico, y el cuerpo, el mango. El **cuerpo** del ilion ayuda a crear el acetábulo. La **cresta ilíaca**, el borde del abanico, tiene una curva que sigue el contorno del ala entre las **espinas ilíacas anterosuperior** y **posterosuperior**. La porción cóncava anterior del ilion forma la **fosa ilíaca**.

El **isquion** tiene un cuerpo y un ramo. El **cuerpo** del isquion ayuda a crear el acetábulo, y el **ramo**, el **orificio obturador** (fig. 3.2, *B* y *C*). La enorme protuberancia postero-inferior del isquion es la **tuberosidad isquiática**; la pequeña proyección puntiaguda posterior, cercana a la unión entre el ramo y el cuerpo, es la **esпина ciática**. La concavidad entre la espina ciática y la tuberosidad isquiática corresponde



Figura 3.2. Pelvis ósea. **A.** Los huesos de la pelvis. Obsérvese que el esqueleto de la pelvis está creado por los dos huesos coxales en la parte anterior y lateral, y por el sacro y el cóccix en la posterior. **B.** Visión lateral del hueso coxal de un niño. Como puede apreciarse, en posición anatómica, la esquina iliaca anterosuperior y la cara anterior del pubis se sitúan en el mismo plano vertical. El hueso coxal se compone a su vez de tres: ilion, isquion y pubis, que se reúnen en el acetábulo, con forma de copa. Como puede observarse, los huesos no están unidos a esta edad, sino que se unen a través de un cartílago trirradial a lo largo de una línea en forma de Y (azul). La fusión se completa, de ordinario, a los 23 años. **C.** Visión medial del hueso coxal derecho en posición anatómica.

El **pubis** es un hueso angular, con un **ramo superior**, que ayuda a formar el acetábulo, y otro **inferior**, que con-

tribuye a crear el orificio obturador (fig. 3.2, *B* y *C*). El engrosamiento de la porción superior del **cuerpo** del pubis corresponde a la **cresta del pubis**, que termina lateralmente en una eminencia denominada **tubérculo del pubis** (fig. 3.2*A*). La porción lateral del ramo superior tiene una

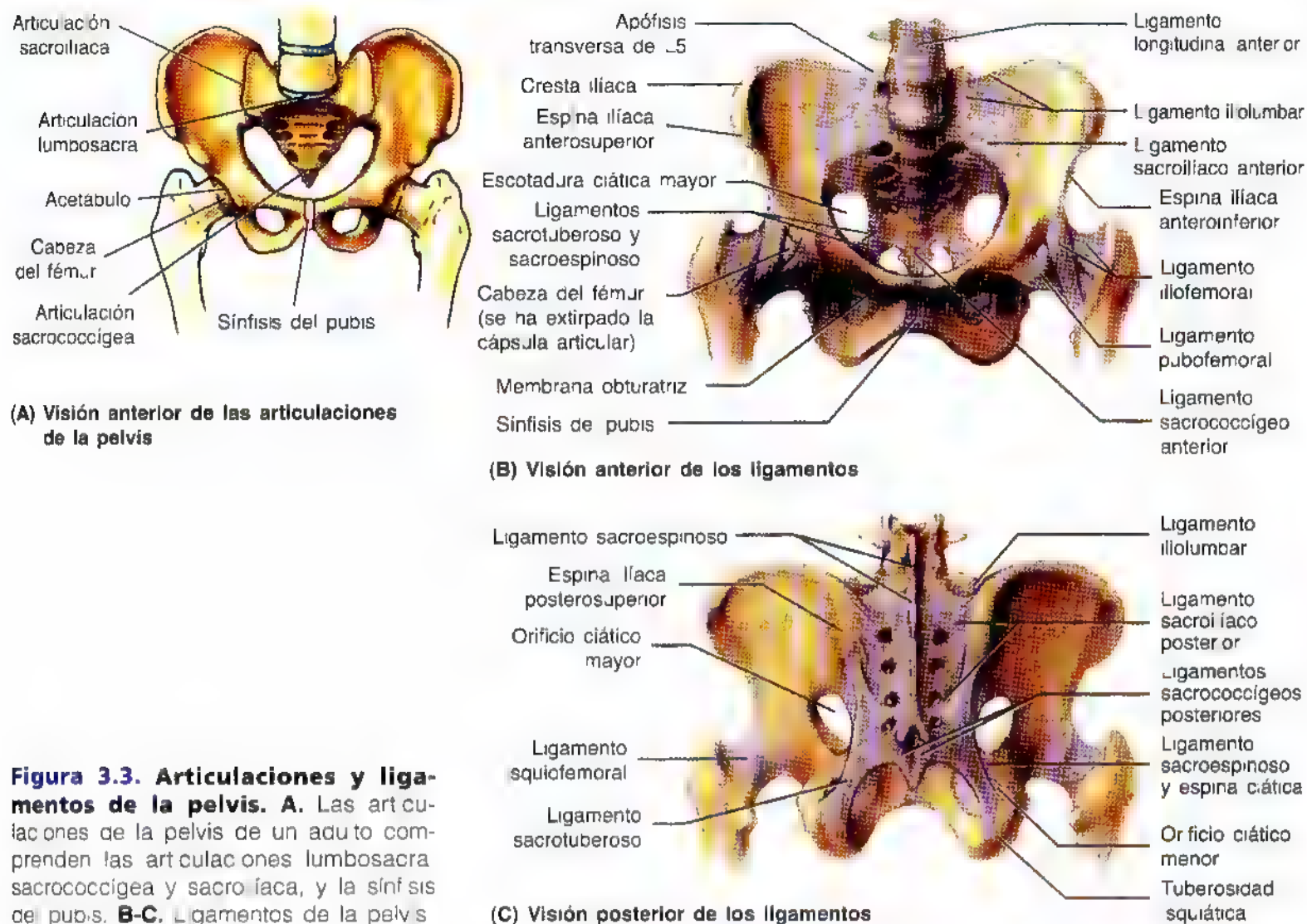


Figura 3.3. Articulaciones y ligamentos de la pelvis. A. Las articulaciones de la pelvis de un adulto comprenden las articulaciones lumbosacra sacrococcígea y sacroiliaca, y la sínfisis del pubis. B-C. Ligamentos de la pelvis

cresta oblicua, que es la **cresta pectínea** (línea pectínea del pubis).

La pelvis ósea se divide en pelvis mayor o falsa y pelvis menor o verdadera, por un plano oblicuo que atraviesa el **promontorio del sacro** por detrás y las **líneas terminales**. El **estrecho superior de la pelvis** queda definido por el plano de las líneas terminales (fig. 3.2A). El **arco del pubis** está formado por los ramos conjuntos del pubis y del isquion de ambos lados. Estos ramos se reúnen en la **sínfisis del pubis** para formar el **ángulo subpúbico** (tabla 3.1), que se puede medir introduciendo los dedos en la vagina durante la exploración física.

La **pelvis mayor** (falsa):

- Queda encima del estrecho superior de la pelvis.
- Contiene algunas vísceras abdominales (p. ej., íleon y colon sigmoide).
- Limita con la pared abdominal por delante, las fosas ilíacas en la cara posterolateral y las vértebras L5 y S1 en el plano posterior.

La cavidad de la pelvis mayor es la porción inferior de la cavidad abdominal (fig. 3.1C).

La **pelvis menor** (verdadera):

- Está situada entre los estrechos superior e inferior de la pelvis.

- Contiene las vísceras pélvicas: vejiga urinaria y órganos de la reproducción, como útero y ovarios.
- Limita con las caras pélvicas de los huesos ilíacos, sacro y cóccix.
- Limita con el diafragma pélvico musculofascial por la cara inferior.
- Tiene una enorme significación obstétrica y ginecológica.

La cavidad de la pelvis menor es la cavidad pélvica verdadera que forma la porción inferior de la cavidad abdominopélvica (fig. 3.1C).

El **estrecho superior de la pelvis** separa la pelvis mayor de la menor (figs. 3.1, A y C, y 3.2A, tabla 3.1). El estrecho superior de la pelvis está delimitado por un borde. El plano oblicuo del borde de la pelvis forma un ángulo aproximado de 55° con la horizontal. Este plano coincide con la línea que une el **promontorio del sacro** con el borde superior de la **sínfisis del pubis**. Esta línea constituye el diámetro anteroposterior o conjugado del estrecho superior de la pelvis, que *limita*:

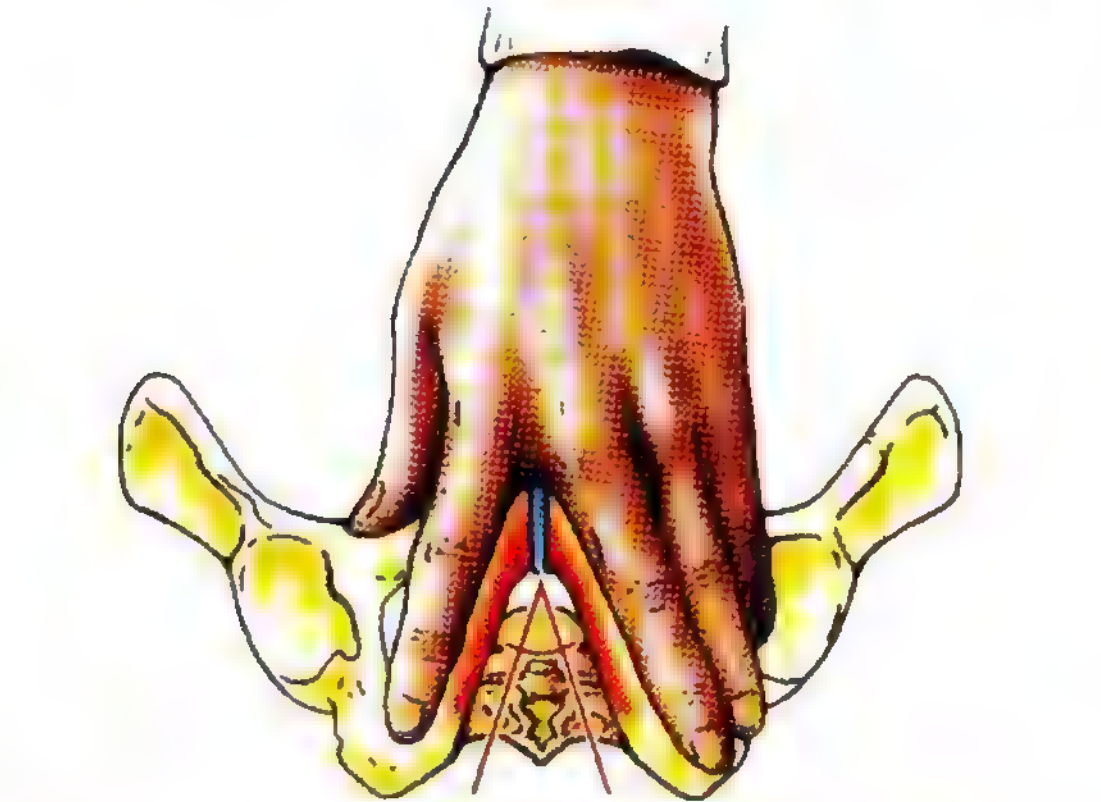
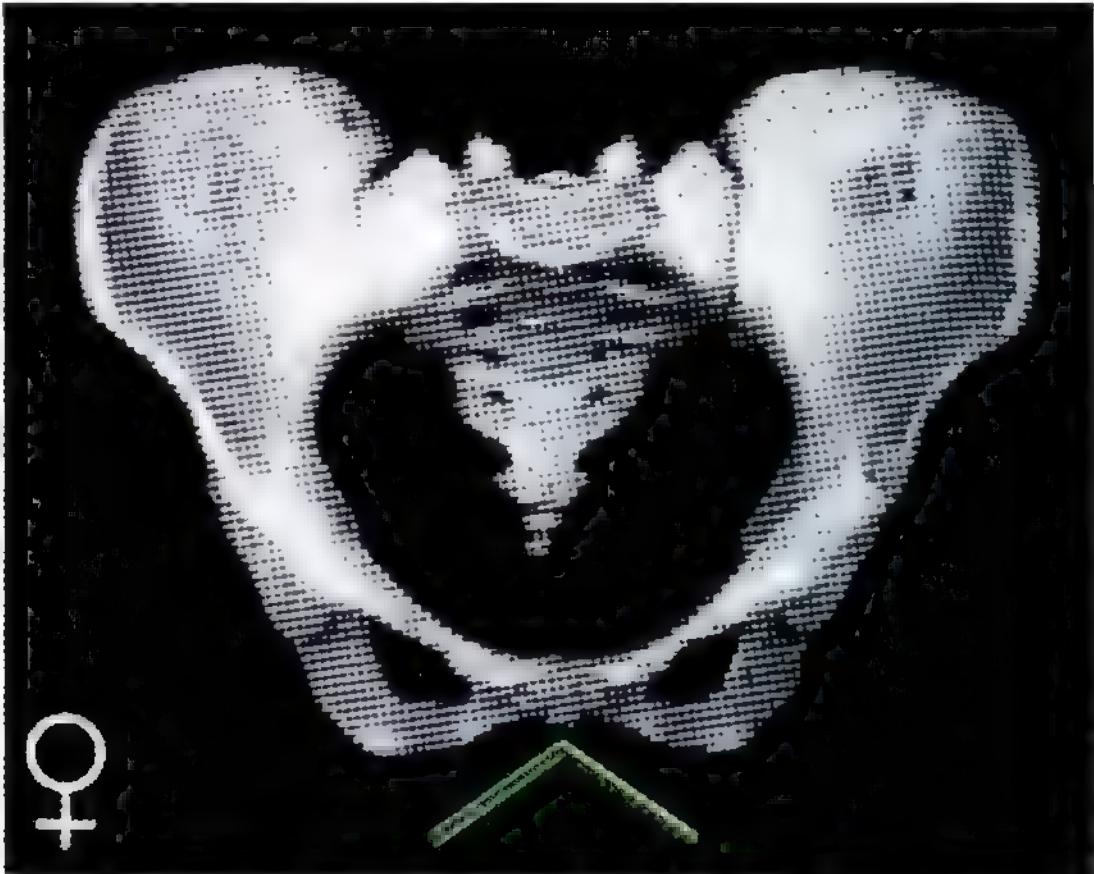
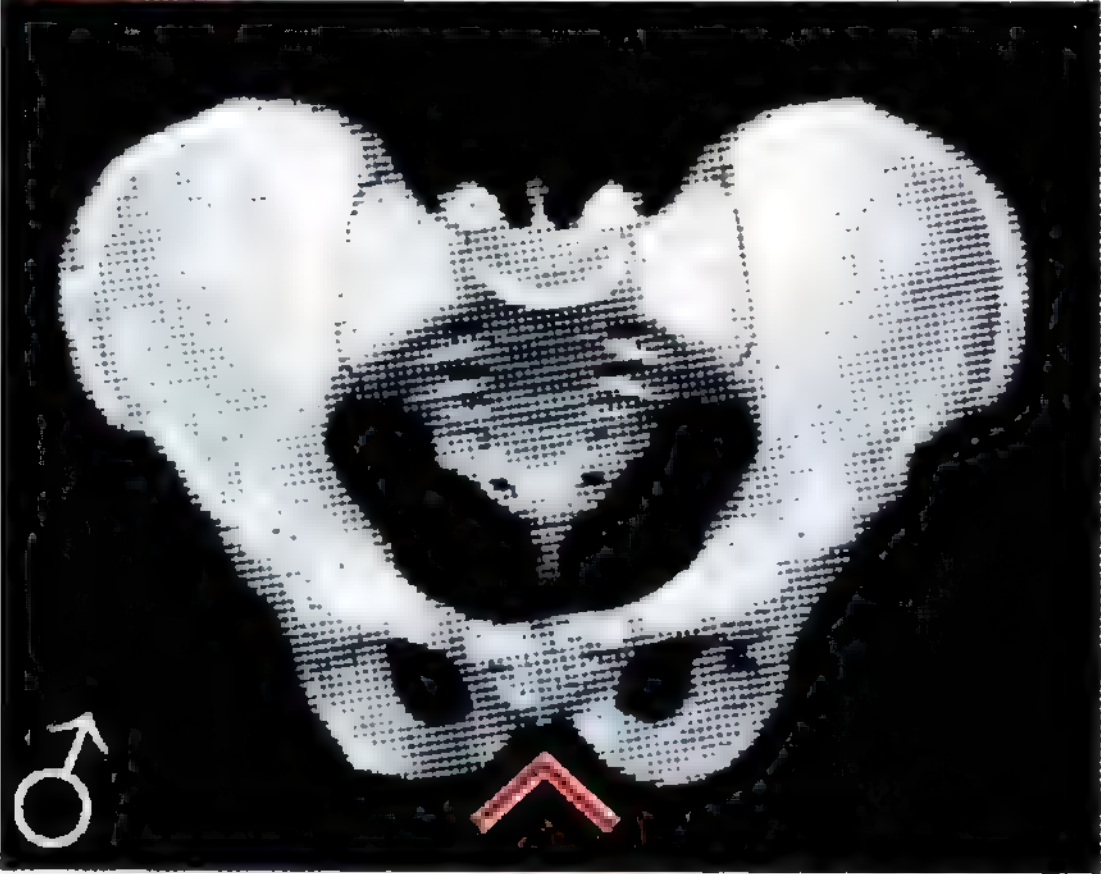
- Con el borde superior de la sínfisis del pubis por arriba.
- Con el borde posterior de la cresta del pubis.
- Con la cresta pectínea.
- Con la línea arqueada del ilion.
- Con el borde anterior del ala del sacro.

- Con el promontorio del sacro.
El estrecho inferior de la pelvis limita:
- Con el borde inferior de la sínfisis del pubis por arriba.
- Con los ramos inferiores del pubis y las tuberosidades isquiáticas por la cara anterolateral.
- Con los ligamentos sacrotuberosos por la cara posterolateral (fig. 3.3, B y C).
- Con el vértice del cóccix por la cara posterior.

Orientación de la pelvis

Cuando una persona se encuentra en posición anatómica, las espinas ilíacas anterosuperiores y la cara anterior de la sínfisis del pubis quedan en el mismo plano vertical (fig. 3.2B). Además, el **conducto pélvico** –tránsito del estrecho superior al inferior de la pelvis– sigue una curva oblicua posterior con relación a la cavidad abdominal y el tronco (fig. 3.1A).

Tabla 3.1. Comparación entre las pelvis óseas masculina y femenina



(A)

(B)

Pelvis ósea	Masculina (♂)	Femenina (♀)
Estructura general	Gruesa y pesada	Fina y ligera
Pelvis mayor	Profunda	Delgada
Pelvis menor	Estrecha y profunda	Ancha y delgada
Estrecho superior de la pelvis	Forma de corazón	Forma ovalada y redonda
Estrecho inferior de la pelvis	Relativamente pequeña	Relativamente grande
Arco del pubis y ángulo subpúbico	Estrecho	Ancho
Orificio obturador	Redondo	Ovalado
Acetábulo	Grande	Pequeño

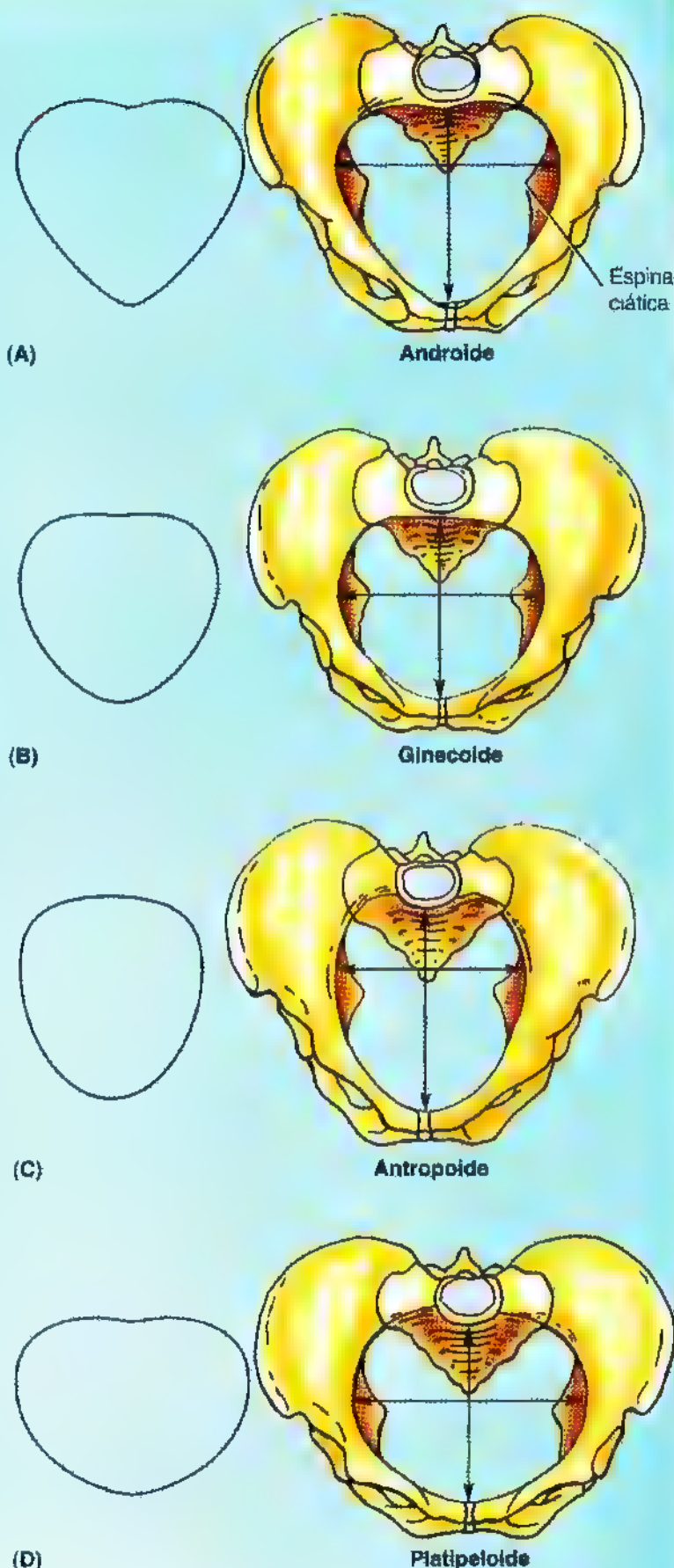
Diferencias sexuales entre las pelvis

Las pelvis masculina y femenina difieren en distintos aspectos (tabla 3.1). Estas diferencias sexuales se relacionan con la función. La función principal de la pelvis es la locomotora *en los dos sexos*, es decir, la capacidad para trasladarse de un lado a otro. Las diferencias sexuales obedecen sobre todo a la constitución más pesada y a la mayor masa muscular de la mayoría de los varones, y a la adaptación de la pelvis femenina —en particular, de la pelvis menor— para el parto.

La **pelvis masculina** es más pesada y gruesa que la femenina y suele tener unas marcas óseas más llamativas. Por el contrario, la **pelvis femenina** es más ancha, fina y posee unos estrechos superior e inferior más grandes. El **arco púbico** se forma por los ramos conjuntos del pubis y del isquion de ambos lados. Estos ramos se reúnen en las sínfisis del pubis para dar el ángulo subpúbico, que puede medirse en la exploración física. El **ángulo subpúbico** casi es recto en las mujeres, pero mide mucho menos en los varones (aproximadamente 60°). Cuando la vagina deja pasar tres dedos, de un lado al otro, significa que el ángulo subpúbico tiene la dimensión suficiente para permitir que pase la cabeza del feto una vez que salga por el estrecho inferior de la pelvis.

Pese a que las diferencias anatómicas entre la pelvis masculina y femenina suelen ser claras, la pelvis de una persona determinada puede mostrar rasgos del sexo opuesto. Los tipos de pelvis que se ilustran en A y C son los más frecuentes en los varones; los de B y A corresponden a mujeres blancas; los de B y C, a mujeres negras, y el tipo D es raro en ambos sexos. La **pelvis ginecoide** (B) es la habitual en las mujeres. La pelvis androide (masculina o infundibular) puede representar un riesgo para las mujeres durante el parto vaginal del feto. Las dimensiones y la forma del estrecho superior de la pelvis tienen importancia, porque la cabeza del feto pasa a la pelvis menor, a través de esta abertura, durante el trabajo del parto. La dimensión de la pelvis menor es de capital interés en obstetricia, porque durante el parto vaginal el feto atraviesa este **conducto pélvico** óseo (canal del parto). Para conocer la capacidad de la pelvis femenina para la procreación, se pueden anotar los diámetros de la pelvis menor a partir de una radiografía o de la exploración ginecológica. La pelvis ginecoide posee una característica forma ovalada con un diámetro máximo transversal. Las espinas ciáticas se hallan siempre enfrente una de la otra y la distancia entre ellas constituye la parte más estrecha del conducto pélvico. El diámetro anteroposterior u obstétrico (conjugado verdadero) pasa desde el borde superior de la sínfisis del pubis hasta el centro del promontorio sacro.

En la **medicina forense** —que se ocupa de aplicar los conocimientos médicos y anatómicos con fines legales— la identificación de los restos del esqueleto humano obligan, casi siempre, al diagnóstico del sexo. Uno de los fo-



cos principales de atención es la pelvis, puesto que las diferencias sexuales suelen verse con claridad. De hecho, aun partes aisladas de la pelvis ayudan a establecer el diagnóstico.

Fracturas de la pelvis

La compresión anteroposterior de la pelvis tiene lugar durante "accidentes por aplastamiento" (p. ej., cuando un objeto pesado cae sobre la pelvis). Este tipo de traumatismos suele *fracturar los ramos del pubis*. Cuando la pelvis sufre una compresión lateral se aproximan el acetábulo y el ilion de cada lado, que pueden romperse. Algunas fracturas de la pelvis obedecen a la avulsión ósea provocada por los robustos ligamentos posteriores de la pelvis relacionados con las articulaciones sacroilíacas (fig. 3.3).

Las fracturas de la pelvis se producen por traumatismos directos de los huesos de la pelvis, por ejemplo en un accidente de tráfico (A), o cuando se transmiten las fuerzas a estos huesos desde los miembros inferiores en caídas sobre los pies (B). *Las zonas débiles de la pelvis son:*

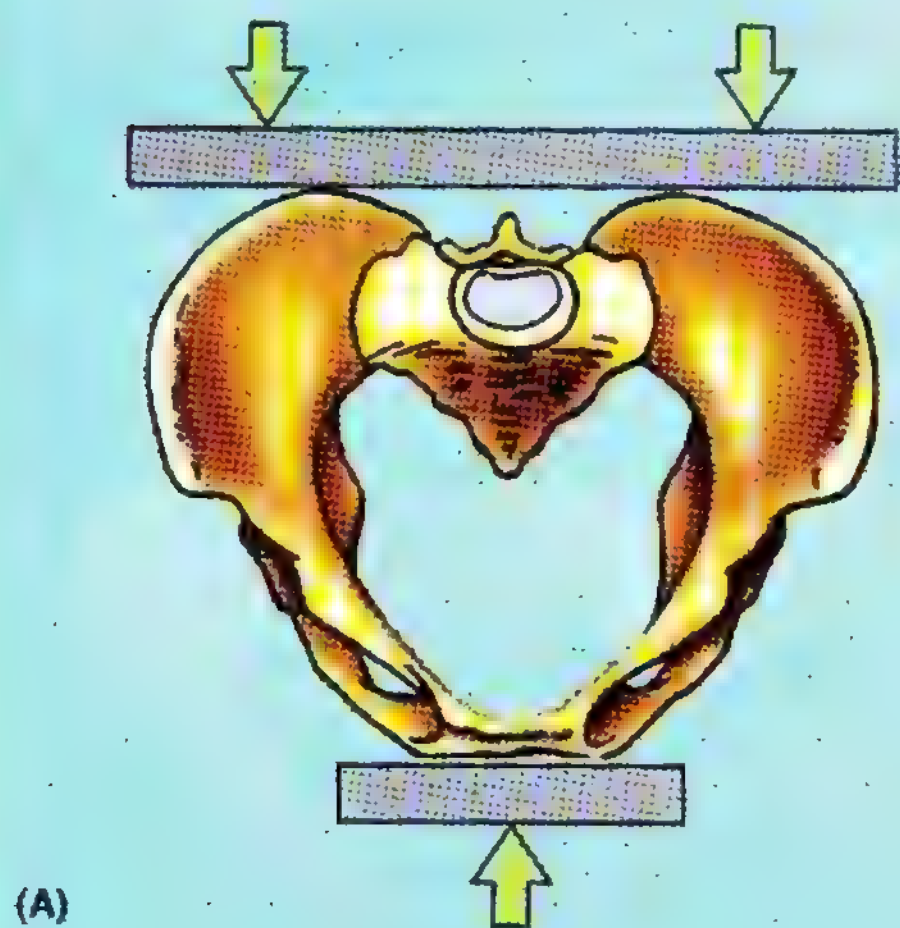
- Los ramos del pubis.

- Los acetábulos (o la zona inmediata vecina).
- La región de la articulación sacroilíaca.
- Las alas del ilion.

La fractura suele suceder en una zona débil de la pelvis (p. ej., a través de los ramos que delimitan el orificio obturador).

Las fracturas de la pelvis pueden lesionar los tejidos blandos de la pelvis, los vasos sanguíneos, los nervios y los órganos de la pelvis. Las fracturas de la zona puboobturadora son bastante frecuentes y suelen complicarse debido a su relación con la vejiga urinaria y la uretra, que pueden perforarse o desgarrarse. *Las caídas sobre los pies o las nalgas, por ejemplo, desde una escalera alta provocan las siguientes lesiones:*

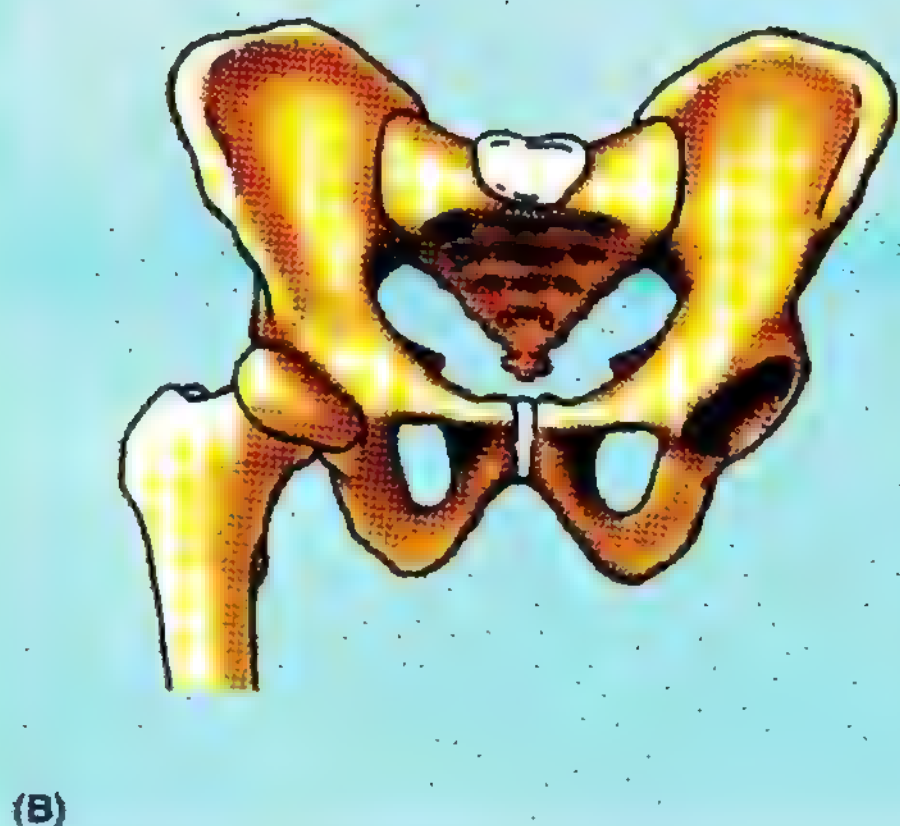
- Posible fractura de los ramos del pubis.



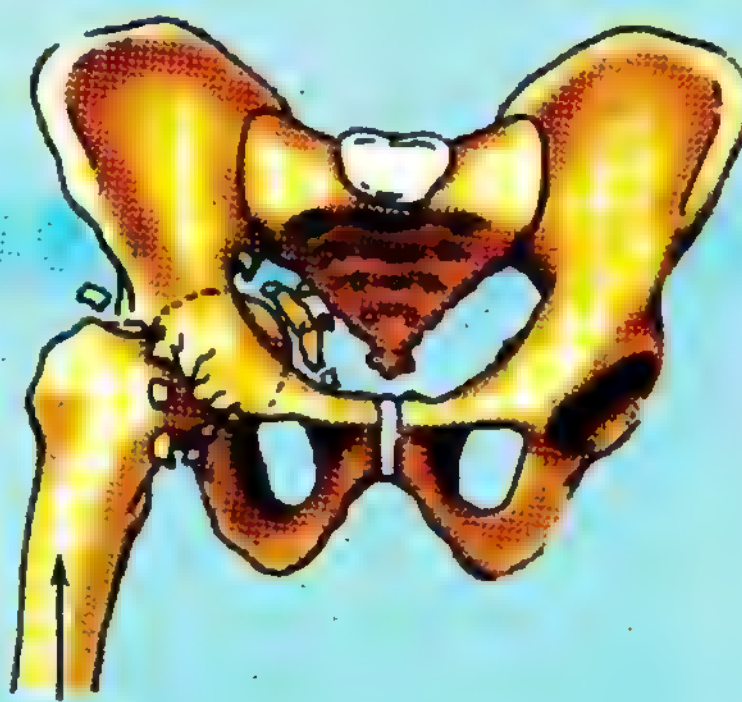
La fractura doble y continua del anillo pélvico anterior provoca inestabilidad, pero muy poco desplazamiento. Es muy probable la lesión visceral (sobre todo, genitourinaria).



Fractura de los cuatro ramos del pubis (lesión por silla de montar)



Fractura central del acetábulo, con luxación pélvica de la cabeza femoral.



Fractura del acetábulo

- Posible lesión del acetábulo o del cartílago.
- Posible perforación del acetábulo por la cabeza del fémur —hueso que se extiende desde la pelvis a la rodilla— dentro de la cavidad pélvica, con lesión de las vísceras, nervios y vasos de la pelvis.

Articulaciones y ligamentos de la pelvis

Las articulaciones de la pelvis son las articulaciones lumbosacra, sacrococcígea, sacroilíaca y la sínfisis del pubis (fig. 3.3). Existen ligamentos robustos que soportan y fortalecen estas articulaciones.

Espondilólisis y espondilolistesis

La *espondilólisis*, una enfermedad degenerativa causada por un desarrollo deficitario de la cara articular de la vértebra, afecta a la región lumbar inferior de un 5% de los adultos norteamericanos blancos. Es más frecuente en determinadas razas (p. ej., los inuit canadienses). Las personas con espondilólisis padecen un *defecto del arco vertebral (neural)* —la proyección posterior del cuerpo vertebral— entre las caras superior e inferior. Cuando el defecto es bilateral, la vértebra L5 se divide en dos fragmentos. Si se separan los fragmentos, la anomalía se torna en *espondilolistesis* (desplazamiento anterior del cuerpo de la vértebra L5 sobre el sacro). El desplazamiento del frag-

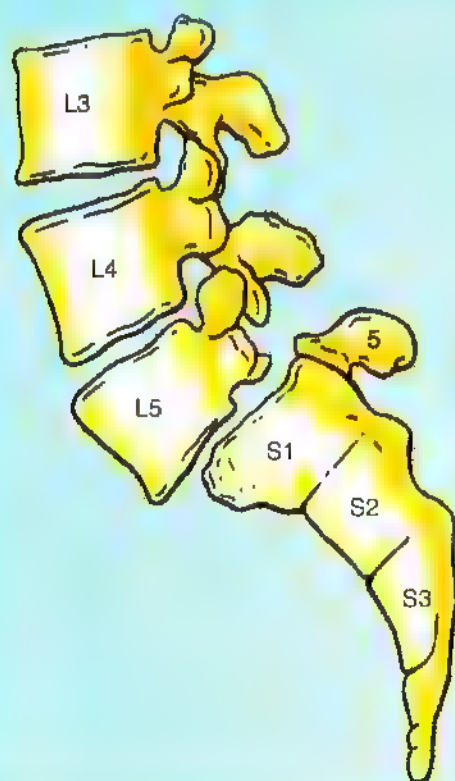
El acetábulo de las personas menores de 17 años se puede fracturar por el *cartílago trirradiado* (*se irradia en tres direcciones*) en las tres zonas de crecimiento (fig. 3.2B), o bien desgarrándose por los bordes óseos acetabulares. ◉

Articulaciones lumbosacras

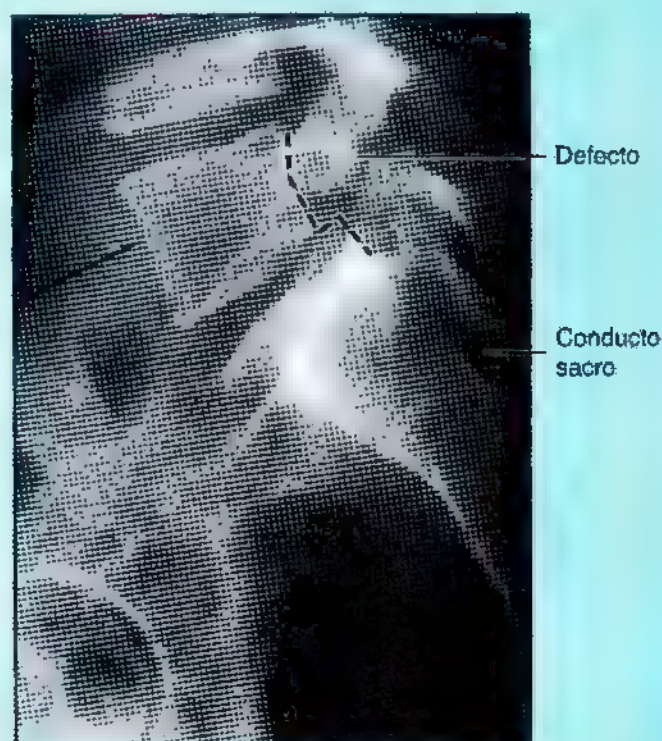
Las vértebras L5 y S1 se articulan por la **articulación intervertebral (IV)** anterior, formada por el disco intervertebral (fig. 3.3A) y por dos **articulaciones interapofisarias** entre las apófisis articulares (auriculares) de estas vértebras. Las caras articulares de la vértebra S1 miran en sentido posteromedial e impiden que la vértebra L5 se deslice hacia delan-

terio anterior de la vértebra L5 reduce el diámetro anteroposterior del estrecho superior de la pelvis y puede dificultar el parto. La espondilolistesis de L5 también puede comprimir los nervios espinales a su entrada en el conducto sacro, provocando dolor de espalda.

Los obstetras exploran la *espondilolistesis* moviendo los dedos por las apófisis espinosas lumbares. Una apófisis L5 muy prominente indica que la parte anterior de la vértebra L5 y la columna vertebral situada por encima se han desplazado hacia delante con respecto al sacro. Para confirmar el diagnóstico se solicita un estudio de imagen, por ejemplo una resonancia magnética sagital, y se mide el diámetro anteroposterior del estrecho superior de la pelvis. ◉



(B)



La línea de trazos sigue los bordes posteriores de L5 y del sacro

te. Los **ligamentos iliolumbares** unen los iliones con la vértebra L5 (fig. 3.3, *B* y *C*).

Articulación sacrococcígea

Esta articulación cartilaginosa secundaria (fig. 3.3*A*) tiene un disco intervertebral. El fibrocartilago y los ligamentos unen el vértice del sacro con la base del cóccix. Los **ligamentos sacrococcígeos** anterior y posterior son cordones largos que refuerzan la articulación, de manera parecida al efecto de los ligamentos longitudinales anterior y posterior para las vértebras situadas por encima (fig. 3.3, *B* y *C*).

Articulaciones sacroilíacas

Se trata de articulaciones sinoviales fuertes, que soportan el peso, entre las caras auriculares, con forma de oreja, del sacro y del ilion (figs. 3.3-3.5). Estas caras presentan elevaciones y depresiones irregulares que facilitan la unión interósea. El sacro está suspendido entre los huesos coxales y unido de manera firme a ellos por los **ligamentos interóseos** y **sacroilíacos** (figs. 3.3, *B* y *C*, y 3.4*A*). Las articulaciones sacroilíacas difieren de casi todas las articulaciones sinoviales porque poseen poca movilidad, ya que se dedican a transmitir el peso de la mayor parte del cuerpo a los huesos coxales.

El movimiento de las articulaciones sacroilíacas se limita por la interdigitación entre los huesos de la articulación y los gruesos **ligamentos** interóseo y **sacroilíaco** posterior. El movimiento se restringe a un ligero deslizamiento y a rotación (fig. 3.4*C*), salvo cuando se acomete una fuerza considerable, por ejemplo después de un salto desde cierta altura. En este caso, la fuerza se transmite desde las vértebras lumbares al extremo superior del sacro, que tiende a rotar hacia delante. Esta rotación se contrapesa con las caras auriculares entrelazadas y con los poderosos ligamentos de refuerzo, en particular los ligamentos sacrotuberoso y sacroespinoso, que

unen el sacro al isquion (figs. 3.3, *B* y *C*, y 3.4, *A-C*). Los **ligamentos sacrotuberosos** y **sacroespinosos** sólo permiten un movimiento ascendente limitado del extremo inferior del sacro, y otorgan elasticidad a la región sacroilíaca cuando aumenta bruscamente el peso sobre la columna vertebral (después de saltar desde una tapia, por ejemplo).

Sínfisis del pubis

Esta articulación cartilaginosa secundaria se crea por la unión de los cuerpos del pubis en el plano medio (figs. 3.3 y 3.5*A*). El disco fibrocartilaginoso interpúbico de la sínfisis suele ser más espeso en el sexo femenino. Los ligamentos que unen los huesos muestran un refuerzo superior e inferior para dar los ligamentos púbicos superior e inferior (arqueado), respectivamente. El **ligamento púbico superior** conecta la parte superior del cuerpo del pubis y se extiende lateralmente hasta los tubérculos del pubis. El **ligamento púbico inferior** (fig. 3.5*A*) es un arco grueso de fibras que conecta los bordes de la articulación, redondea el ángulo subpúbico entre los ramos inferiores del pubis y forma el borde superior del arco púbico (fig. 3.2*A*). Las fibras tendinosas que se decusan de los músculos recto del abdomen y oblicuo externo también refuerzan la sínfisis del pubis por la cara anterior (véase el capítulo 2).

Relajación de las articulaciones y ligamentos de la pelvis durante el embarazo

Las articulaciones y los ligamentos de la pelvis se relajan durante el embarazo, con lo que aumentan los ▶

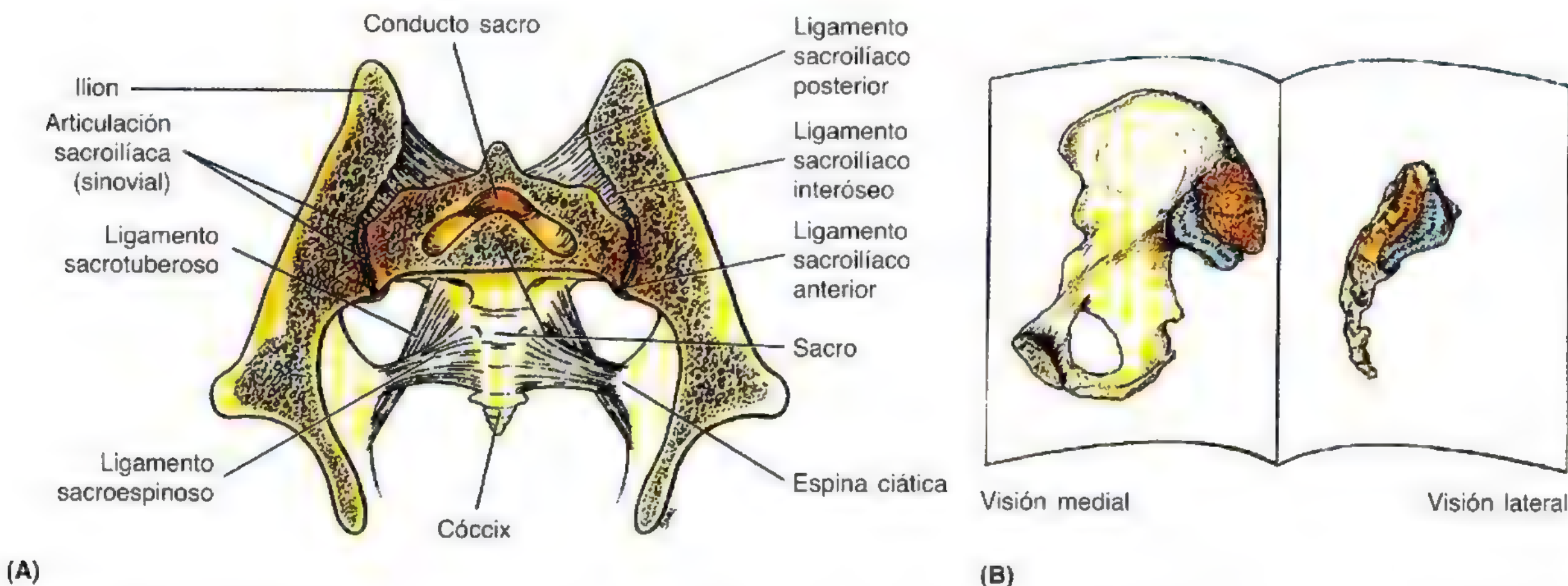


Figura 3.4. Articulaciones y ligamentos sacroilíacos. **A.** Visión anterior de la mitad posterior de la pelvis, en un corte coronal, que muestra estas articulaciones en una orientación sagital. Como puede observarse, los poderosos ligamentos sacroilíacos interóseos se sitúan en la profundidad (anteroinferiores) del ligamento sacroilíaco posterior, y se componen de fibras cortas que comunican la tuberosidad del sacro con el ilion. **B.** Caras auriculares de las articulaciones sacroilíacas.

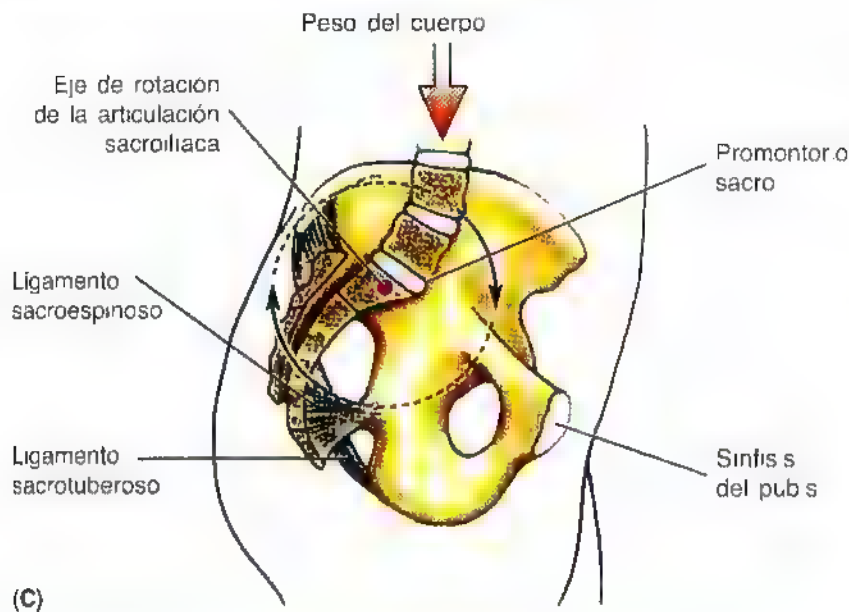


Figura 3.4. (Continuación) **C.** Dibujo para ilustrar el eje de rotación de la articulación sacroilíaca. El peso del cuerpo se transmite por el sacro, de ante de eje de rotación, y tiende a empujar a parte superior del sacro hacia abajo, haciendo que la parte inferior gire hacia arriba. A esta tendencia se oponen los poderosos ligamentos sacrotuberoso y sacroespinoso. El peso es transmitido desde el esqueleto axial hasta los dos iliones y luego a los fémures (hueso de muslo) durante la bipedestación, y a las tuberosidades isquiáticas durante la sedestación.

► **movimientos de la pelvis.** La relajación inducida por el aumento de las hormonas sexuales y la presencia de la hormona *relaxina* facilita movimientos más amplios entre las partes inferiores de la columna vertebral y la pelvis. El mecanismo de unión sacroilíaca pierde algo de eficacia, porque la relajación permite una mayor rotación de la pelvis y un pequeño incremento de los diámetros pélvicos durante el parto. La consistencia del disco interpubico también disminuye, con lo que aumenta la distancia entre los huesos del pubis.

El cóccix se mueve en sentido posterior durante el parto. Todos estos cambios de la pelvis determinan un aumento de hasta el 10-15% de los diámetros (en su mayoría, transversales) que facilitan el paso del feto por el conducto pélvico. El diámetro que no se altera es el diámetro (conjugado) verdadero entre el promontorio sacro y la cara posterosuperior de la sínfisis del pubis. ◻

Las paredes y el suelo de la pelvis

La pared de la pelvis se divide en una pared anterior, dos laterales, una posterior y un suelo (figs. 3.1, 3.2, 3.5 y 3.6, tabla 3.2).

Pared anterior de la pelvis

La pared anterior de la pelvis (en realidad, anteroinferior en esta posición anatómica) está formada principalmente por los cuerpos y ramos de los huesos púbicos y por la sínfisis del pubis.

Paredes laterales de la pelvis

El esqueleto óseo de las paredes laterales de la pelvis lo forman los huesos coxales y el orificio obturador, que se

cierra por la membrana obturatriz. Los **músculos obturadores internos** cubren y, por tanto, almohadillan la mayor parte de las paredes laterales de la pelvis (figs. 3.5, C y D, y 3.6B). Medialmente a estos músculos se sitúan los nervios y vasos obturadores y otras ramas de los vasos ilíacos internos. Cada músculo obturador interno sigue un curso posterior desde la pelvis menor, a través del *orificio ciático menor*, y gira bruscamente hacia el plano lateral para insertarse en el trocánter mayor del fémur (véase el capítulo 5).

Pared posterior de la pelvis

La pared posterior de la pelvis (en realidad, se parece más al techo de la pelvis en la posición anatómica) está formada por el sacro y el cóccix, las porciones adyacentes de los iliones y las articulaciones sacroilíacas, así como los ligamentos asociados (fig. 3.5, A y D). Los **músculos piriformes** cubren y, por tanto, amortiguan esta pared por la cara posterolateral. Cada músculo abandona la pelvis menor a través del *orificio ciático mayor* para insertarse en el borde superior del trocánter mayor del fémur (véase el capítulo 5). Medialmente a los músculos piriformes se encuentran los nervios del *plexo sacro*; estos músculos forman un "lecho muscular" para esta red nerviosa.

El suelo de la pelvis

El suelo de la pelvis está formado por el diafragma pélvico, de aspecto infundibular, que se compone de los músculos elevador del ano y cóccigeo y de las fascias que cubren las caras superior e inferior de estos músculos (figs. 3.5A y 3.6, A y B, tabla 3.2). *El diafragma pélvico se extiende entre el pubis, por la cara anterior, y el cóccix, por la posterior, así como de una pared pélvica lateral a la otra.* Por eso, el diafragma pélvico tiene el aspecto de un infundíbulo, suspendido de estas inserciones. El músculo elevador del ano —una ancha lámina muscular— es el músculo más grande e importante del suelo de la pelvis. Sus distintas porciones se desig-

nan según la dirección e inserción de las fibras. El músculo **elevador del ano** se inserta en la cara interna de la pelvis menor y forma casi todo el suelo de la pelvis. *El músculo elevador del ano se compone de tres partes* (figs. 3.5, A y D, y 3.6, tabla 3.2):

- El músculo **pubococcígeo**, la porción principal del músculo elevador del ano, nace en la cara posterior del cuerpo del pubis y se dirige casi horizontal a la cara posterior.
- El músculo **puborrectal**, que se compone de la porción más medial y engrosada del músculo pubococcígeo, se une con su pareja del lado opuesto para formar un asa muscular en U que se dirige posterior a la unión ano-rectal (fig. 3.7).
- El músculo **iliococcígeo**, la parte posterior del músculo elevador del ano, es un músculo fino y, de ordinario, poco desarrollado.

El músculo elevador del ano:

- Crea un asa muscular que da soporte a las vísceras abdominopélvicas.
- Resiste las elevaciones de la presión intrabdominal.
- Ayuda a mantener las vísceras pélvicas en su posición.

Cuando actúan de forma conjunta, las distintas partes del músculo elevador del ano levantan el suelo de la pelvis y ayudan a los músculos anterolaterales del abdomen a comprimir el contenido abdominal y pélvico. Esta acción es importante para la espiración forzada, la tos, el estornudo, los vómitos, la micción, la deposición y la fijación del tronco durante los movimientos más fuertes de los miembros superiores (p. ej., para levantar objetos pesados). El músculo elevador del ano también cumple importantes funciones de regulación voluntaria de la micción, continencia fecal (a través del músculo puborrectal), defecación y soporte uterino.

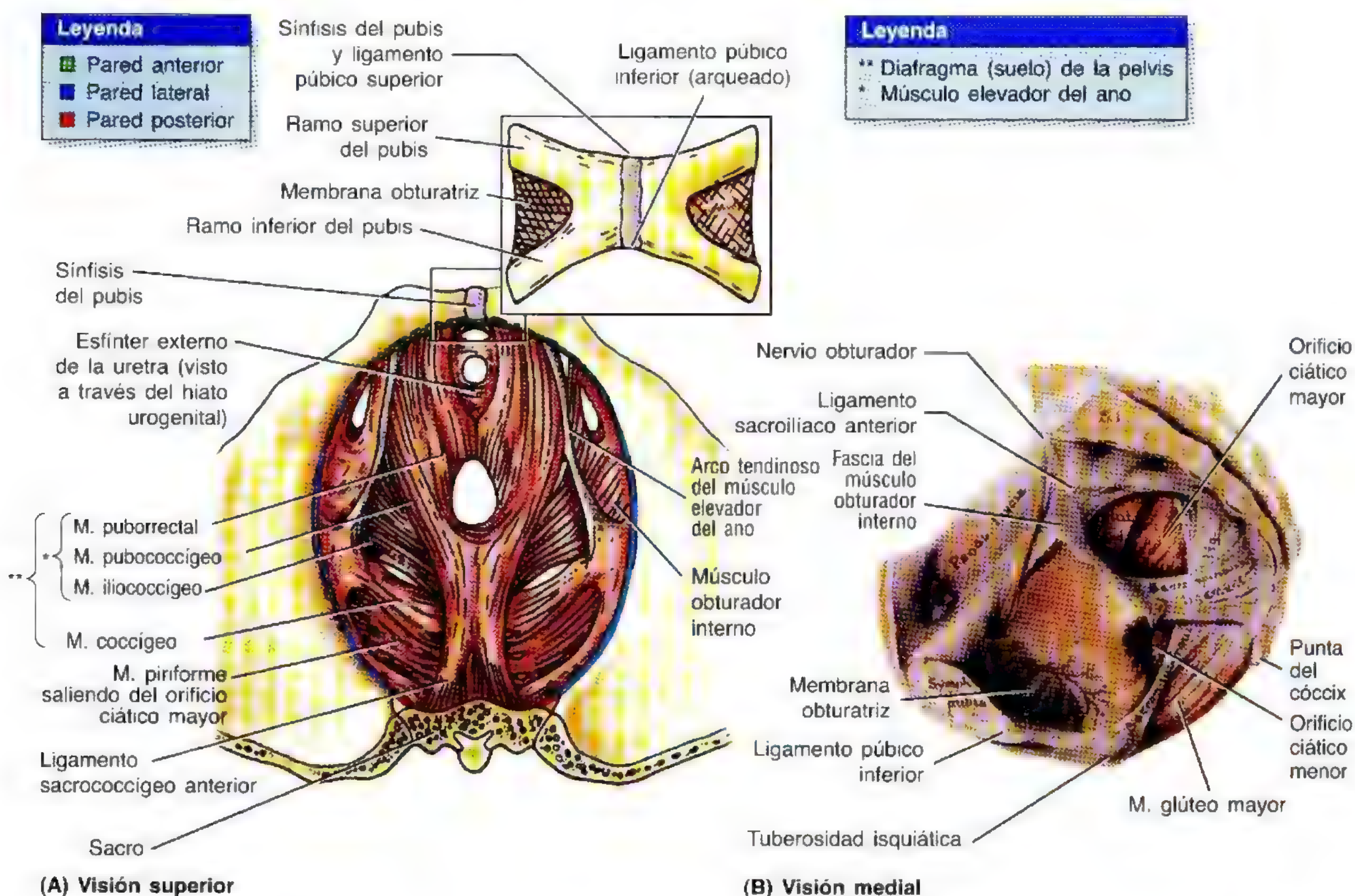


Figura 3.5. Suelo y paredes de la pelvis. A. Suelo de la pelvis femenina B. Paredes de la pelvis menor. Obsérvese el pubis por delante, el sacro y el cóccix por detrás, el cóccix y la parte inferior del sacro insertada en la tuberosidad isquiática a través del ligamento sacrotuberoso y a la espina ciática por el mismo ligamento en la zona posterolateral, y la porción superior del sacro unida al ilion por el ligamento sacroiliaco anterior. La fascia del músculo obturador y el músculo obturador interno se han extirpado para exponer el isquion y la membrana obturatriz, compuesta por robustas fibras entrelazadas que llenan el orificio obturador.

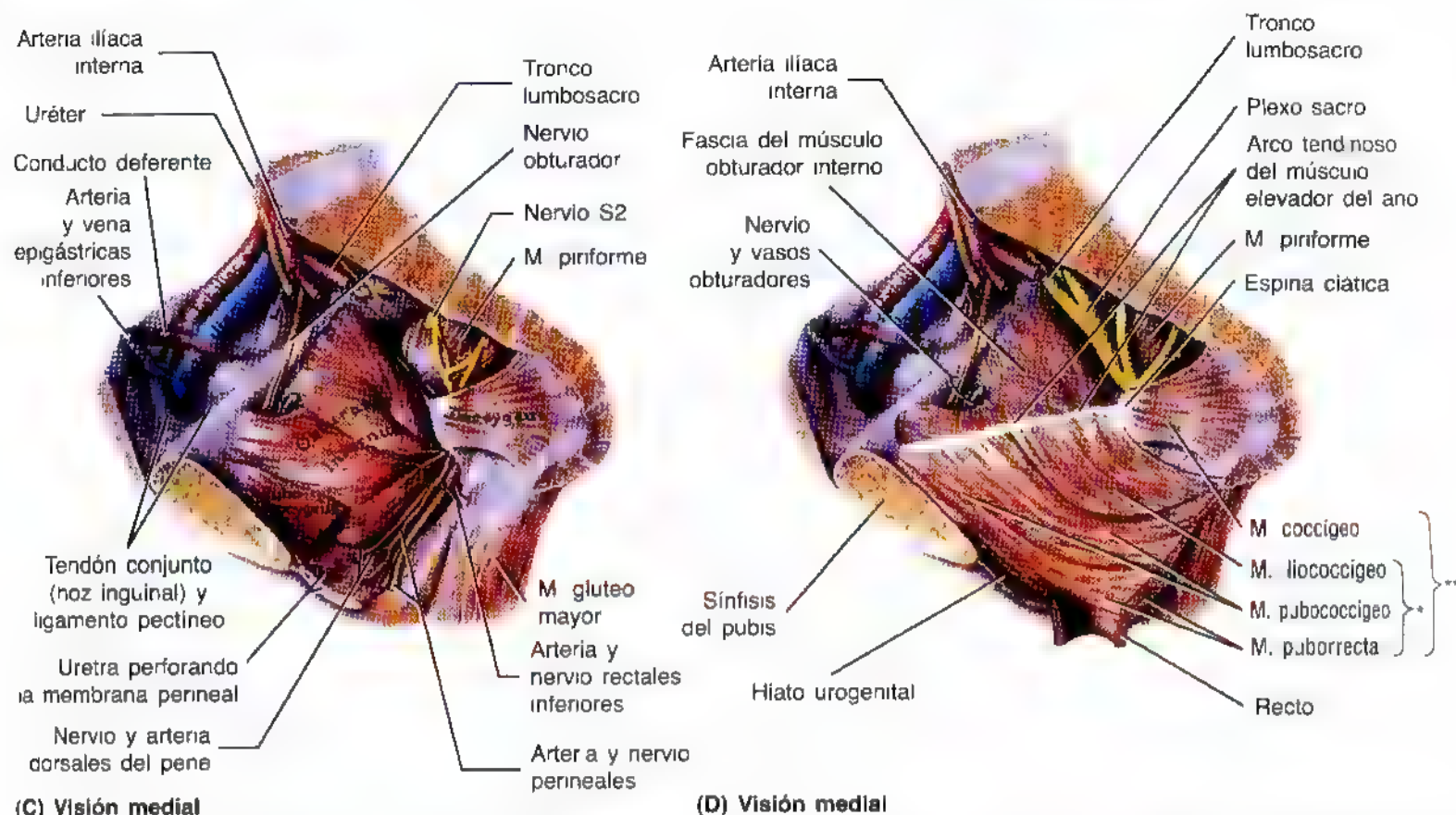


Figura 3.5. (Continuación) **C.** Músculos de la pelvis menor. Obsérvese que el músculo obturador interno acolcha la pared lateral de la pelvis y converge para salir en dirección posterior (véase **B**) por el orificio ciático menor. **D.** Suelo de la pelvis masculina, donde se ve cómo el músculo pubocóccigeo –porción principal del músculo elevador de ano– emerge de la cara posterior del cuerpo de la pelvis y del arco tendinoso del músculo elevador del ano para dirigirse en sentido posterior al cóccix.

Tabla 3.2. Músculos de las paredes de la pelvis

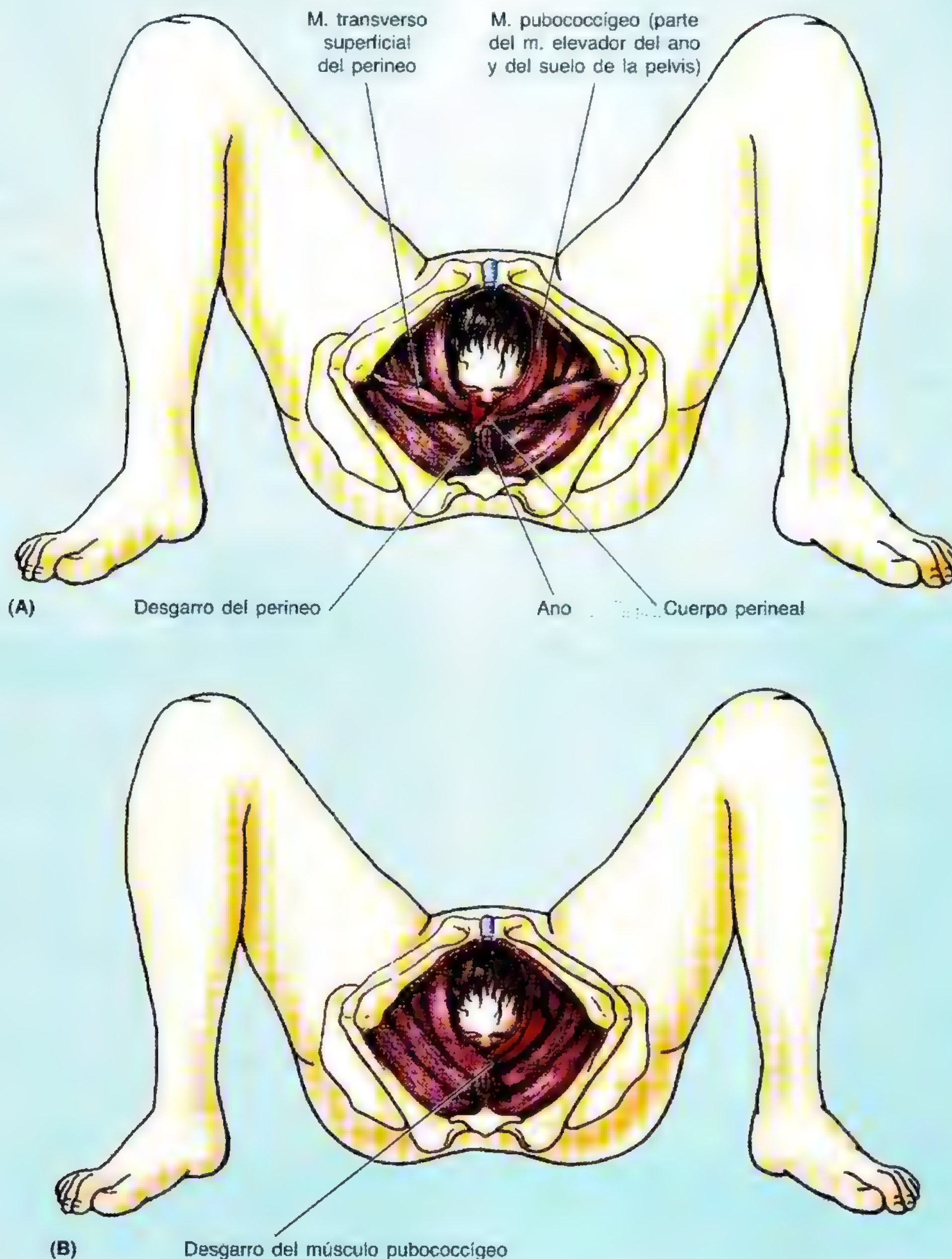
Músculo	Inserción proximal	Inserción distal	Inervación	Acción principal
Pared lateral				
Obturador interno	Caras pélvicas del ilion y del isquion; membrana obturatriz	Trocánter mayor del fémur	Nervio para el músculo obturador interno (L5, S1 y S2)	Rota lateralmente el muslo; ayuda a sujetar la cabeza del fémur dentro del acetábulo
Pared posterior				
Piriforme	Cara pélvica del 2º y 4º segmentos sacros; borde superior de la escotadura ciática mayor y ligamento sacrotuberoso	Trocánter mayor del fémur	Ramos ventrales de S1 y S2	Rota lateralmente el muslo; separa el muslo; contribuye a sujetar la cabeza del fémur dentro del acetábulo
Suelo de la pelvis				
Elevador del ano (pubocóccigeo, puborrectal e iliocóccigeo) ^a	Cuerpo del pubis, arco tendinoso de la fascia del músculo obturador y espina ciática	Cuerpo penneal, cóccix, ligamento anocóccigeo, paredes de la próstata o de la vagina, recto y conducto anal	Nervio para el músculo elevador del ano (ramos de S4) y nervio anal (rectal) inferior, así como plexo cóccigeo	Ayuda a sujetar las vísceras pélvicas y resistir los incrementos de la presión intrabdominal
Cóccigeo (isquiocóccigeo) ^a	Espina ciática	Extremo inferior del sacro	Ramos de los nervios S4 y S5	Forman una pequeña parte del diafragma de la pelvis que da apoyo a las vísceras pélvicas; flexiona el cóccix

^a Diafragma de la pelvis

Lesión del suelo de la pelvis

El suelo de la pelvis soporta la cabeza del feto durante el parto, mientras se dilata el cuello del útero para dar paso al feto. El perineo, el músculo elevador del ano y la fascia de la pelvis se pueden lesionar durante el parto (A); de ordinario se desgarra el músculo pubococcígeo, la porción principal del elevador del ano (B). Este músculo tiene importancia, porque rodea y fija la uretra, la vagina y

el conducto anal. El debilitamiento del músculo elevador del ano y de la fascia pélvica, resultante del estiramiento o desgarro durante el parto, puede modificar la posición del cuello de la vejiga y de la uretra. Estos cambios provocan, a veces, *incontinencia urinaria de estrés*, que se caracteriza por el goteo de orina cuando aumenta la presión intrabdominal durante la tos o al levantar objetos, por ejemplo. ❖



Los nervios de la pelvis

La pelvis está **inervada sobre todo** por los *nervios sacros y coccígeos* y la *porción pélvica del sistema nervioso autónomo*. Los *músculos piriforme y coccígeo* forman un *lecho* para los *plexos sacro y coccígeo* (fig. 3.8A). Los *ramos ventrales de los nervios S2 y S3* emergen entre las *digitaciones de estos músculos*. La *parte descendente del nervio L4* se une con el *ramo ventral del nervio L5* para formar el *grueso tronco lumbosacro y acordonado* (fig. 3.5C). Éste sigue un

curso inferior, anterior al ala del sacro, donde el *tronco lumbosacro* se une con el *plexo sacro*.

Plexo sacro

El *plexo sacro* se sitúa en la *pared posterior de la pelvis menor* (figs. 3.5D y 3.8A, tabla 3.3), donde se relaciona íntimamente con la *cara anterior del músculo piriforme*. *Los dos grandes nervios del plexo sacro* —el *ciático* y el *pudendo*— quedan por fuera de la *fascia pélvica parietal*. La mayoría

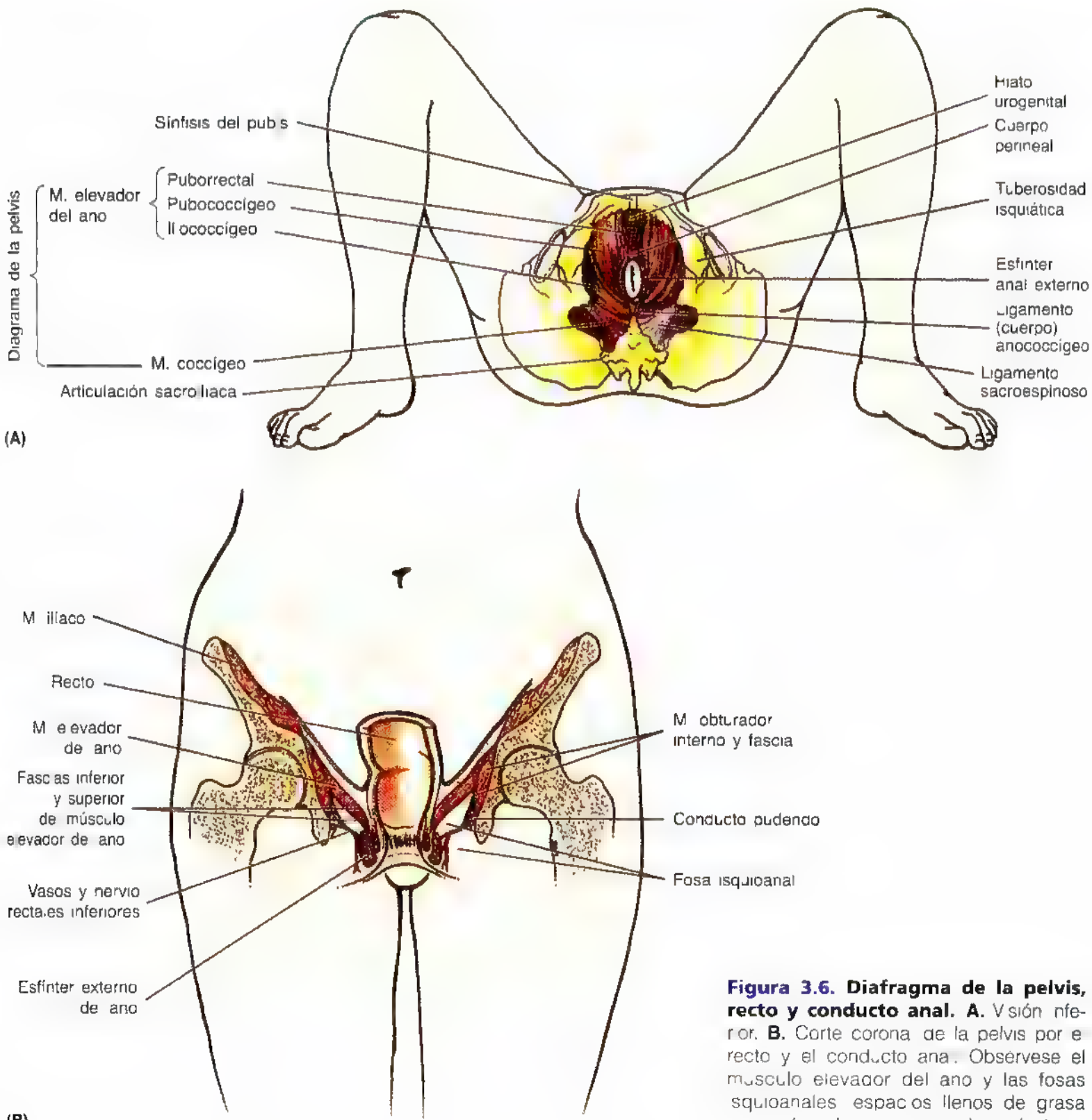
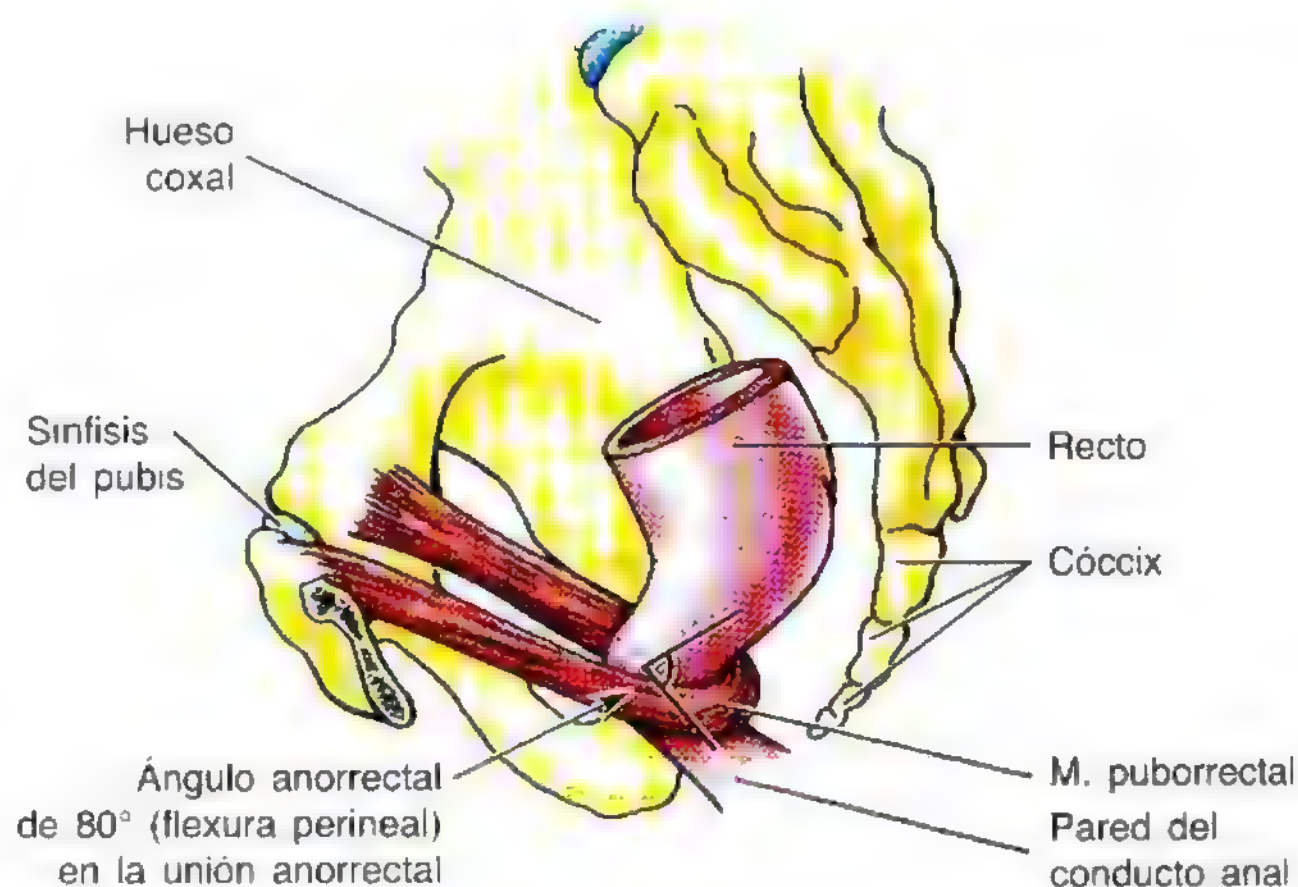


Figura 3.6. Diafragma de la pelvis, recto y conducto anal. A. *Visión inferior.* B. *Corte corona de la pelvis por el recto y el conducto anal.* Observe el *músculo elevador del ano* y las *fosas squioanales* —espacios llenos de grasa que rodean las paredes del conducto

Figura 3.7. Músculo puborrectal. Obsérvese que esta porción del músculo elevador del ano se une con la contralateral para formar un bucle en U alrededor de la unión anorrectal. El músculo puborrectal explica el ángulo anorrectal (flexura perineal), tan importante para mantener la continencia fecal. La relajación de este músculo durante la defecación provoca el enderezamiento de la unión anorrectal.



de las ramas del plexo sacro abandona la pelvis por el orificio ciático mayor.

El **nervio ciático** —el nervio más grande y ancho del cuerpo— lo forman los ramos ventrales de L4 a S3, que convergen en la superficie anterior del músculo piriforme. En general, el nervio ciático pasa por el *orificio ciático mayor*, inferior al músculo piriforme, para entrar en la región glútea (nalgas). Luego desciende por la cara posterior del muslo para inervar la cara posterior del miembro inferior (véase el capítulo 5).

El **nervio pudendo** deriva de las divisiones anteriores de los ramos ventrales de S2 a S4. Acompaña a la arteria pudenda interna y sale de la pelvis por el orificio ciático mayor, entre los músculos piriforme y coccígeo. El *nervio pudendo*

El **nervio pudendo** deriva de las divisiones anteriores de los ramos ventrales de S2 a S4. Acompaña a la arteria pudenda interna y sale de la pelvis por el orificio ciático mayor, entre los músculos piriforme y coccígeo. El *nervio pudendo*

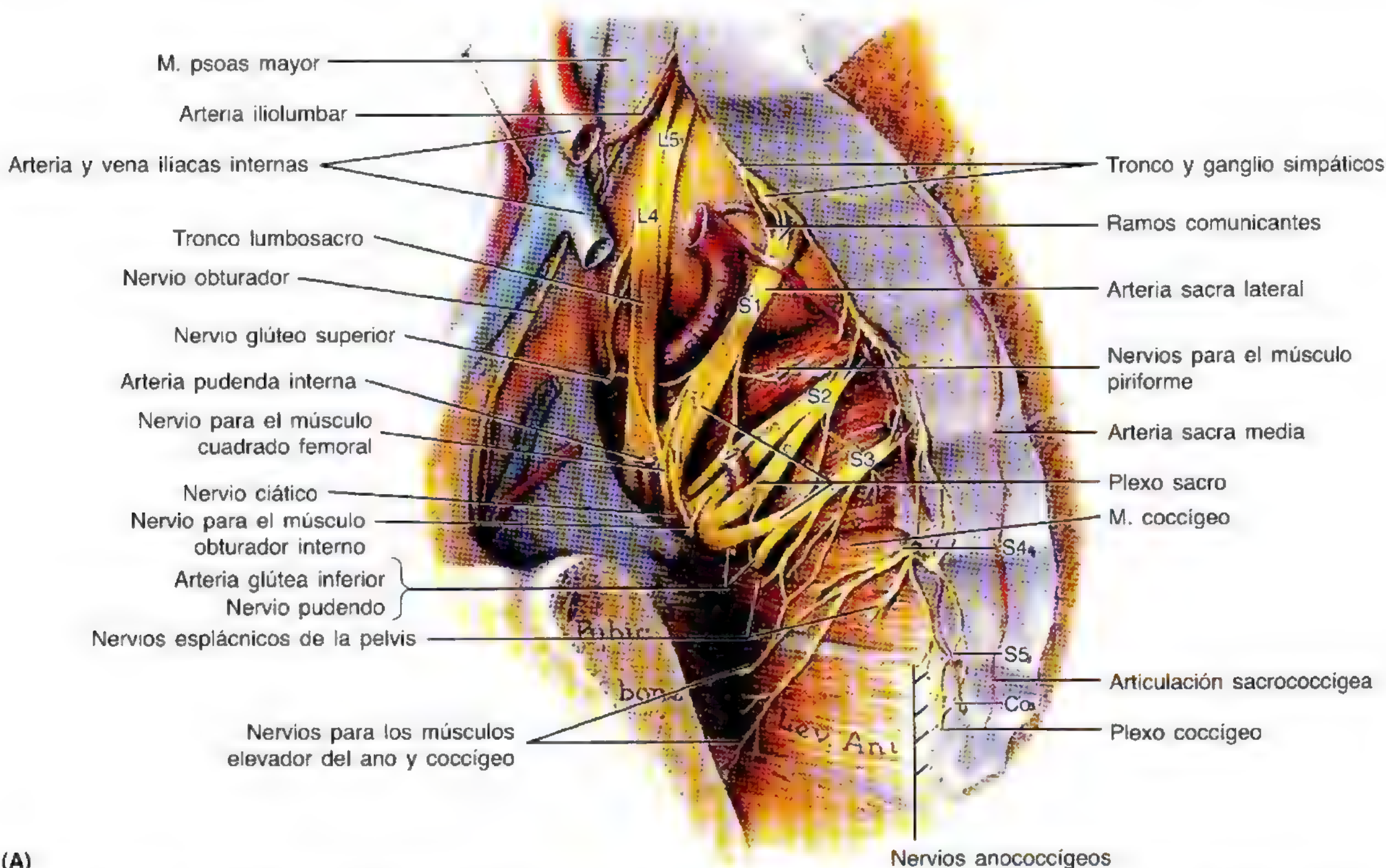


Figura 3.8. Nervios y plexos nerviosos de la pelvis. A. Nervios somáticos (plexos nerviosos sacros y coccígeos) y porción pélvica del tronco simpático. Pese a su localización pélvica, la mayoría de los nervios que se ilustran participan en la inervación del nervio inferior más que de las estructuras pélvicas.

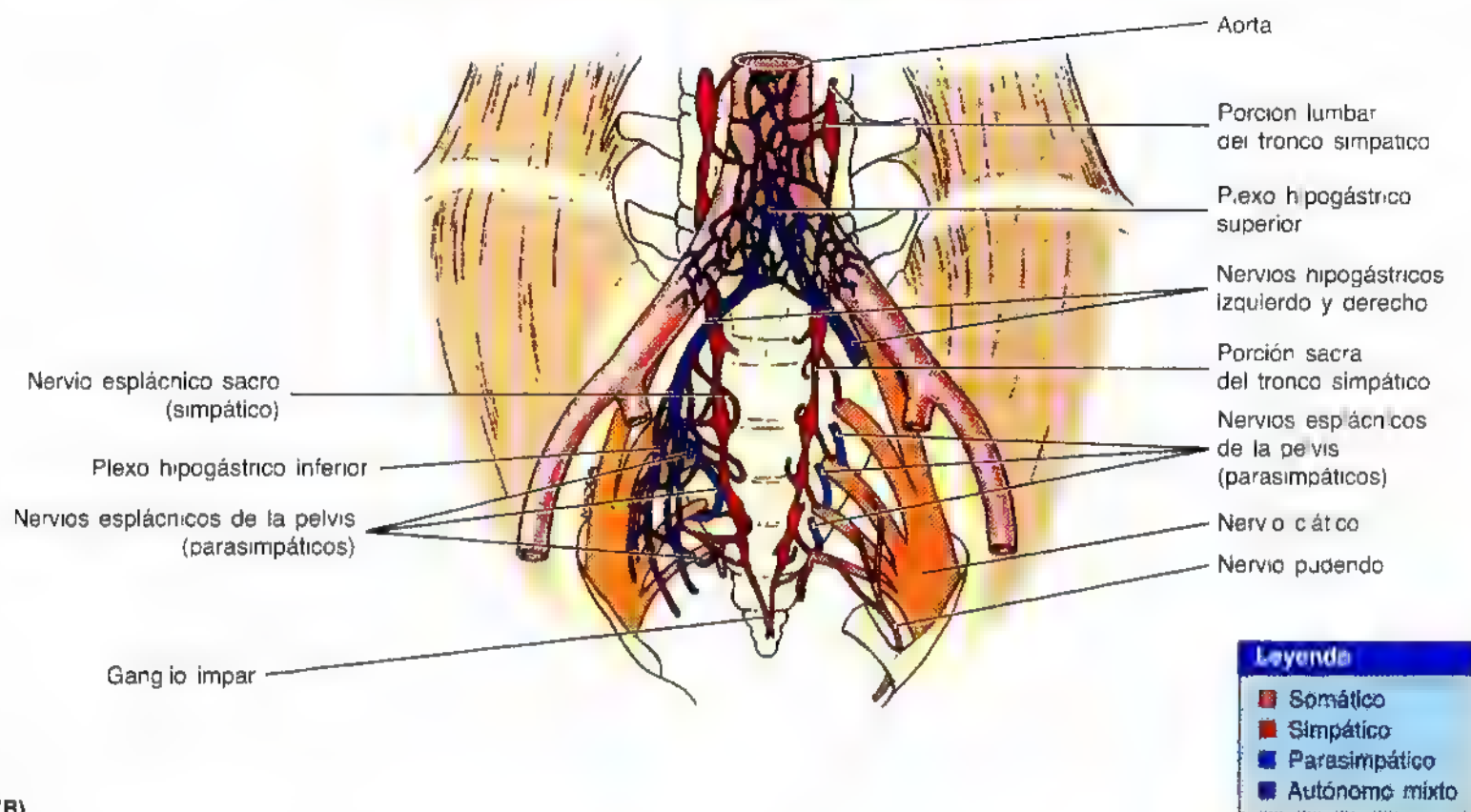


Figura 3.8. (Continuación) **B.** Nervios autónomos. Obsérvense los plexos hipogástricos superior e inferior y los nervios hipogástricos izquierdo y derecho que unen el plexo hipogástrico superior con el inferior. Los plexos de la pelvis (incluido el gran plexo hipogástrico inferior) se componen de fibras simpáticas y parasimpáticas.

—el nervio principal del perineo y el nervio sensitivo más importante de los genitales externos— da la vuelta alrededor de la espina ciática y del ligamento sacro, y pasa al perineo por el orificio ciático menor. Inerva la piel y los músculos del perineo, y como termina en forma del nervio dorsal del pene o del clítoris, representa el principal nervio sensitivo de los genitales externos.

El **nervio glúteo superior** procede de las divisiones posteriores de los ramos ventrales de L4 a S1 y abandona la pelvis por el orificio ciático mayor, situado encima del músculo piriforme. Inerva dos músculos de la región glútea —los músculos glúteos medio y menor—, así como el músculo tensor de la fascia lata (véase el capítulo 5).

El **nervio glúteo inferior** procede de las divisiones posteriores de los ramos ventrales de L5 a S2 y sale de la pelvis por el orificio ciático mayor, debajo del músculo piriforme, superficial al nervio ciático. Acompaña a la arteria glútea inferior y se descompone en varios ramos que inervan el músculo glúteo mayor, situado por encima (véase el capítulo 5).

Nervio obturador

El nervio obturador nace del *plexo lumbar* (L2-L4) en el abdomen (pelvis mayor) y pasa a la pelvis menor (figs. 3.5D y 3.8A). Sigue por la grasa extraperitoneal a lo largo de la pared lateral de la pelvis hasta el *conducto obturador*, donde se divide en las porciones anterior y posterior que salen de la pelvis por este conducto e inervan los músculos mediales

del muslo (véase el capítulo 5). El conducto obturador es una abertura en la membrana obturatriz (que rellena el orificio obturador) por la que los nervios obturadores pasan desde la cavidad pélvica al muslo.

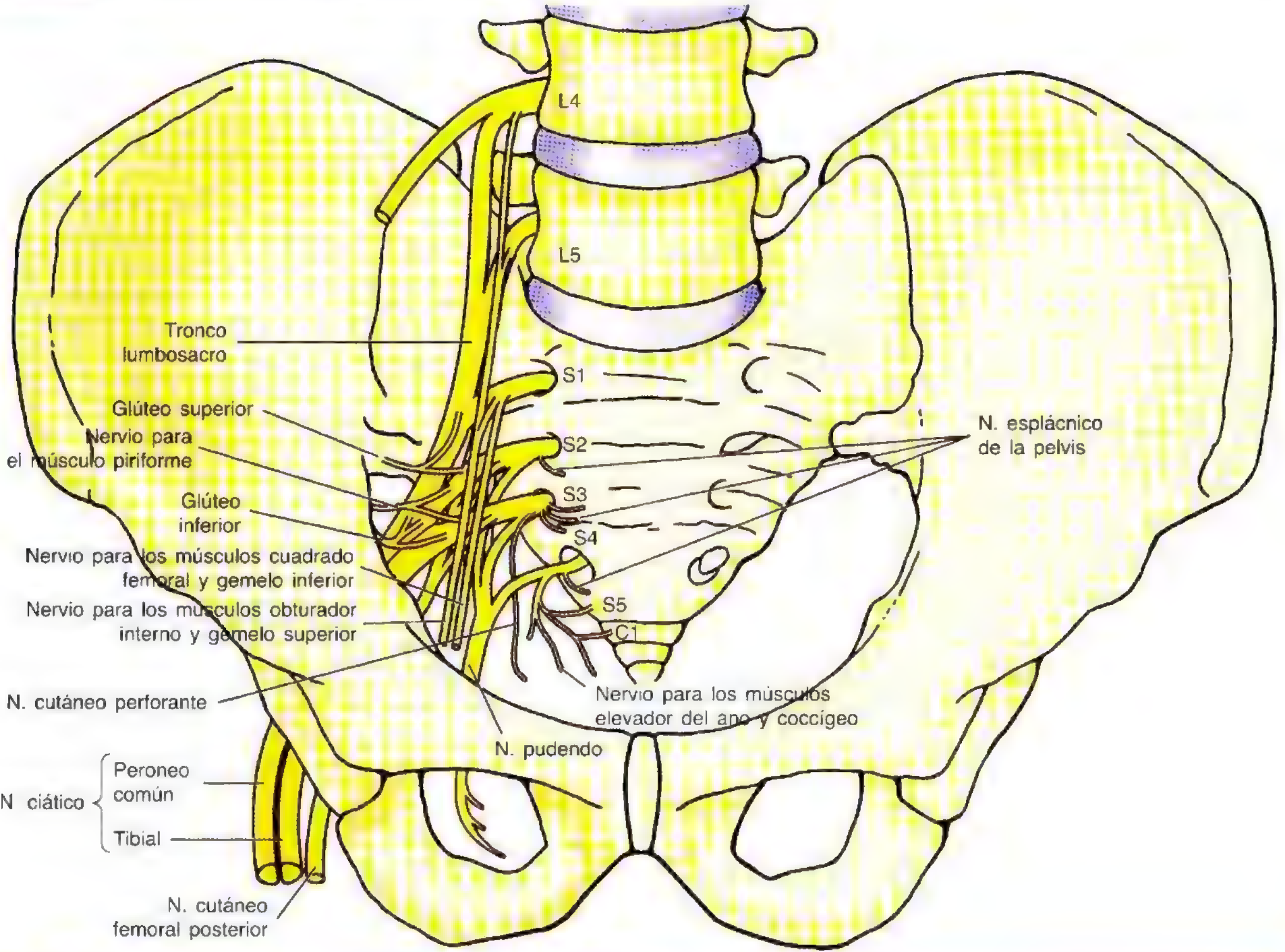
Lesión de los nervios pélvicos

La cabeza fetal puede comprimir el plexo sacro materno durante el parto, causando dolor en los miembros inferiores. El **nervio obturador** es más vulnerable a la lesión durante la cirugía (p. ej., durante la extirpación de adenopatías tumorales de la pared lateral de la pelvis). La lesión de este nervio provoca espasmos dolorosos en los músculos aproximadores del muslo y déficit sensitivos en la cara medial del muslo (véase el capítulo 5). ◻

Plexo coccígeo

El plexo coccígeo es una pequeña red de fibras nerviosas formada por los ramos ventrales de S4 y S5 y por los **nervios coccígeos** (fig. 3.8A). Se sitúa en la cara pélvica del músculo coccígeo e inerva este músculo, parte del músculo elevador del ano y la articulación sacrococcígea. Los **nervios anococcígeos**, que se originan en este plexo, perforan el ligamento sacrotuberoso y se distribuyen en una pequeña zona de la piel coccígea.

Tabla 3.3. Nervios de los plexos sacro y coccigeo



Nervio	Origen	Distribución
Ciático	L4, L5, S1, S2, S3	Ramos articulares para la cadera y musculares para los flexores de la rodilla situados en el fémur y para todos los músculos de la pierna y el pie
Glúteo superior	L4, L5, S1	Músculos glúteo medio y menor
Glúteo inferior	L5, S1, S2	Músculo glúteo mayor
N. para el m. piriforme	S1, S2	Músculo piriforme
N. para los músculos cuadra- do femoral y gemelo inferior	L4, L5, S1	Músculos cuadrado femoral y gemelo inferior
N. para los músculos cuadra- do femoral y gemelo superior	L5, S1, S2	Músculos cuadrado femoral y gemelo superior
Pudendo	S2, S3, S4	Estructuras perineales: ramos sensitivos para los genitales; ramos musculares para los músculos del perineo, esfínter externo de la uretra y esfínter anal externo
N. para los músculos eleva- dor del ano y coccígeo	S3, S4	Músculos elevador del ano y coccígeo
Cutáneo femoral posterior	S2, S3	Ramos cutáneos para las nalgas y caras superomedial y superoposterior del muslo
Cutáneo perforante	S2, S3	Ramos cutáneos para la porción medial de las nalgas
Esplácnico de la pelvis	S2, S3, S4	Visceras pélvicas a través de los plexos hipogástrico inferior y pélvico

Nervios autónomos de la pelvis

Los **troncos simpáticos sacros** representan la continuación inferior de los troncos simpáticos lumbares (fig. 3.8, *A y B*). El tamaño de cada uno de los troncos sacros es menor que el de los troncos lumbares; suelen contener cuatro ganglios simpáticos. Los troncos sacros descienden por la cara pélvica del sacro, justo medial a los orificios sacros de la pelvis, y convergen para formar el pequeño **ganglio impar** (ganglio cóccigeo) mediano, anterior al cóccix. Los troncos simpáticos sacros descienden detrás del recto, por el tejido conjuntivo extraperitoneal, y envían ramos comunicantes grises a cada uno de los ramos ventrales de los nervios sacros y cóccigeos. Asimismo, mandan pequeños ramos para la arteria sacra media y el plexo hipogástrico inferior. *La función primordial de los troncos simpáticos sacros consiste en proporcionar fibras postsinápticas para el plexo sacro, que se encarga de la innervación simpática del miembro inferior* (fibras vasomotoras, pilomotoras y sudomotoras).

Los **plexos hipogástricos** (superior e inferior) son redes de nervios autónomos. La porción principal del **plexo hipogástrico superior** se sitúa justo debajo de la bifurcación aórtica (fig. 3.8*B*) y desciende hasta la pelvis. Este plexo es la prolongación inferior del **plexo intermesentérico** (véase el capítulo 2), que también recibe los nervios espláncnicos L3 y L4. Los ramos del plexo hipogástrico superior entran en la pelvis y descienden delante del sacro como **nervios hipogástricos** izquierdo y derecho. Estos nervios bajan lateralmente al recto junto con las *vainas hipogástricas* (véase exposición siguiente sobre fascia pélvica) en los varones, y se abren en abanico a modo de **plexos hipogástricos inferiores**. Las prolongaciones de estos plexos, que se conocen de forma colectiva como **plexos pélvicos**, pasan a la próstata, vesículas seminales (glándulas seminales) y caras inferolaterales de la vejiga urinaria. El cuello uterino y los lados del fórnix vaginal ocupan el lugar de la próstata y de las vesículas seminales en relación con estos plexos.

Los **nervios espláncnicos pélvicos** (fig. 3.8*B*, tabla 3.3) contienen fibras parasimpáticas procedentes de los segmen-

tos medulares S2, S3 y S4 y fibras aferentes viscerales de los cuerpos celulares de los ganglios espinales de los correspondientes nervios espinales. En general, el tercer nervio sacro es el que más contribuye. Los nervios espláncnicos de la pelvis se unen con los nervios hipogástricos para formar los plexos hipogástricos inferiores (y pélvicos). Por eso, los **plexos hipogástricos inferiores** contienen tanto fibras simpáticas como parasimpáticas, que pasan a lo largo de las ramas de las arterias ilíacas internas para crear subplexos (rectal, visceral, uterovaginal) en las vísceras de la pelvis.

Las arterias pélvicas

Cuatro grandes arterias entran en la pelvis menor. Las arterias ilíacas internas y ováricas son pares, y las arterias sacra media y rectal superior, impares.

Arteria iliaca interna


Cada arteria ilíaca interna, de unos 4 cm de longitud, empieza delante de la articulación sacroilíaca, en la bifurcación de la **arteria ilíaca común**, y desciende posterior al orificio ciático mayor. *La arteria ilíaca interna es la arteria de la pelvis*, pero emite también ramas para las nalgas, la región medial del muslo y el perineo. La arteria ilíaca interna perfunde la mayor parte de las vísceras de la pelvis y también la porción musculoesquelética de la pelvis y la región glútea (figs. 3.9 y 3.10, tabla 3.4).

La arteria ilíaca interna empieza en el disco intervertebral L5/S1, lugar donde se cruza con el uréter (fig. 3.10*C*). Se separa de la articulación sacroilíaca por la vena ilíaca interna y el tronco lumbosacro. La arteria ilíaca interna se dirige posteromedial a la pelvis menor, medial a la vena ilíaca externa y el nervio obturador y lateral al peritoneo. Son frecuentes las variaciones, pero la arteria ilíaca interna suele terminar en el borde superior del orificio ciático mayor, dividiéndose en las ramas (troncos) anterior y posterior. Las ramificaciones de la división anterior son, en su mayoría, viscerales (es decir, para la vejiga urinaria, recto y órganos

Ligadura de la arteria iliaca interna

A veces se liga la arteria ilíaca interna para controlar la hemorragia pélvica. La ligadura no detiene el flujo de sangre, sino que reduce la presión arterial, permitiendo la hemostasia (cese del sangrado). Debido a las tres anastomosis arteriales (de la rama lumbar a la iliolumbar, de la sacra media a la sacra lateral y de la rectal superior a la rectal media), el flujo sanguíneo arterial se mantiene, pero se invierte. De esta manera se conserva una buena irrigación de las vísceras pélvicas, región glútea y genitales.

Lesión iatrogénica de los uréteres

El hecho de que la arteria uterina se cruce delante y por encima del uréter, cerca de la parte lateral del fórnix vaginal, tiene importancia clínica. Cabe el riesgo de pinzar, ligar o dañar de manera inadvertida el uréter durante la **histerectomía** (extirpación del útero), cuando se liga la arteria uterina. El lugar de cruce entre la arteria uterina y el uréter se sitúa a unos 2 cm por encima de la espina ciática. El uréter izquierdo es más vulnerable porque pasa cerca de la cara lateral del cuello uterino. El uréter también se puede dañar si se ligan los vasos ováricos durante la **ovariectomía** (extirpación del ovario), porque estas estructuras se aproximan en el momento en que cruzan el estrecho superior de la pelvis. 

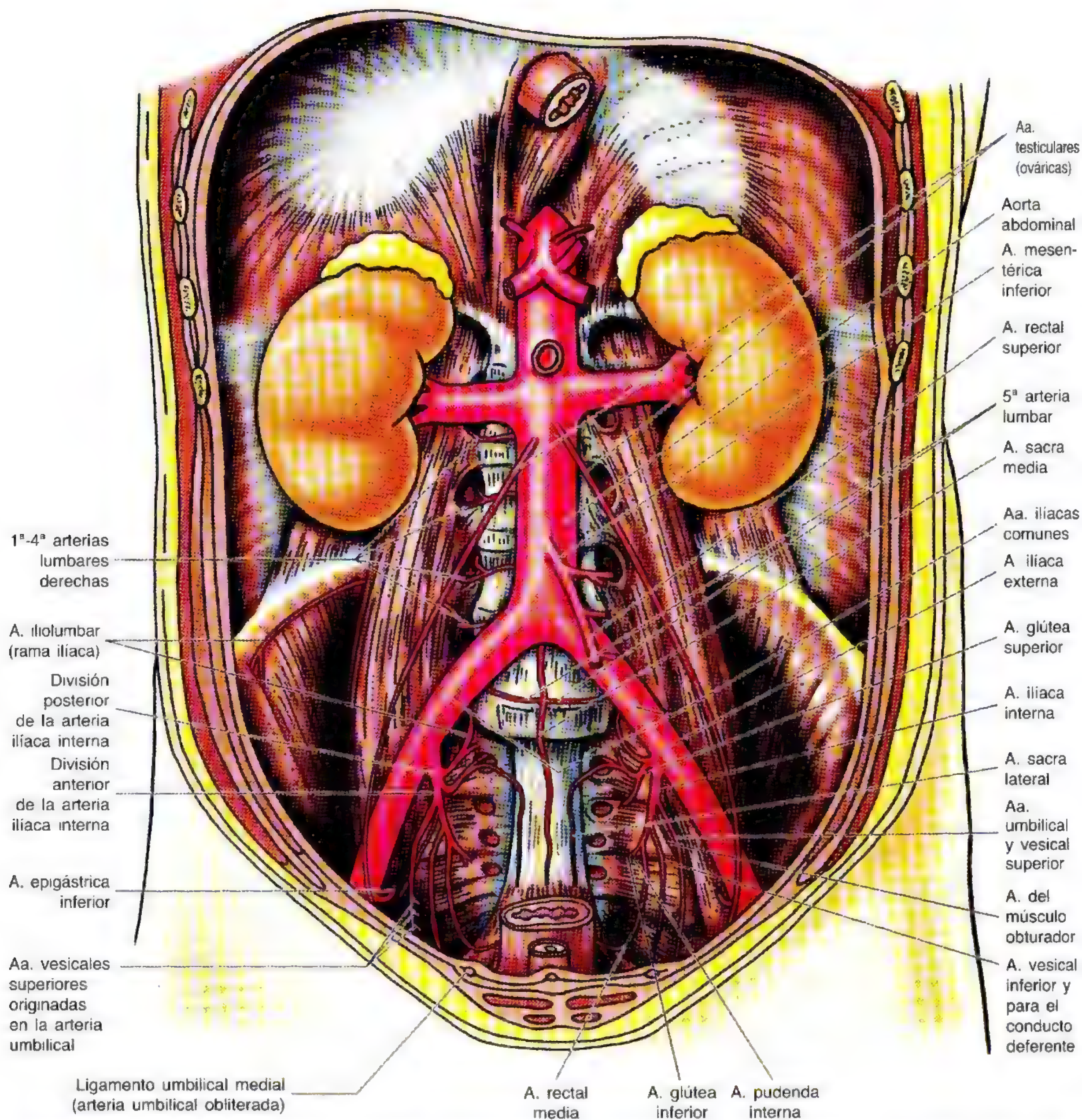
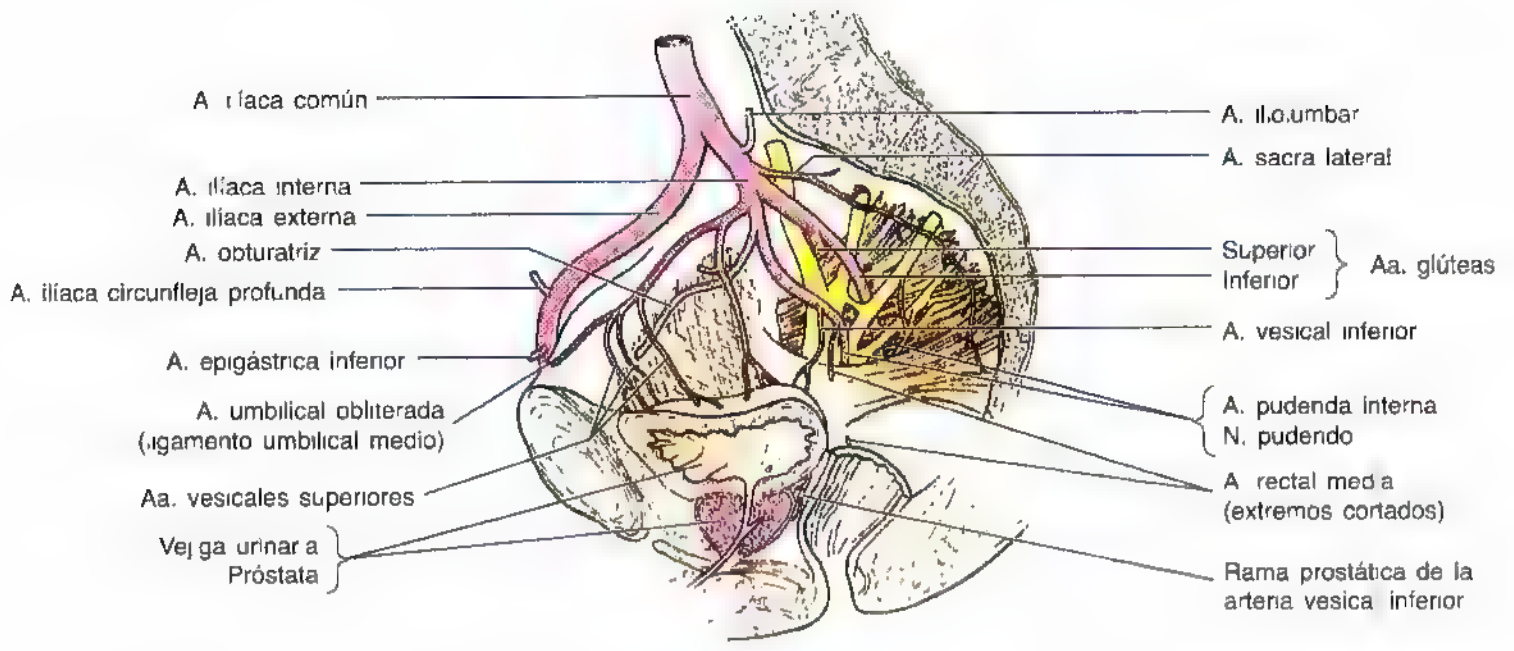
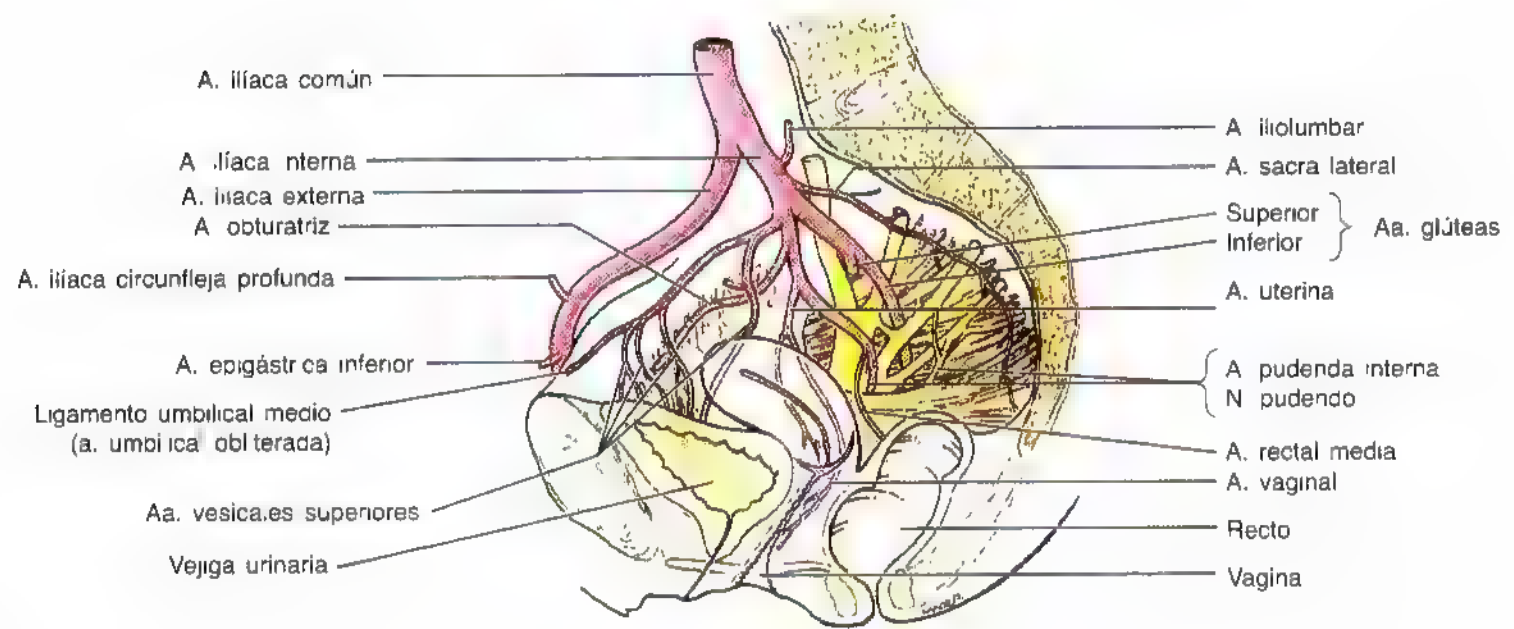


Figura 3.9. Arterias abdominopélvicas. Obsérvese el origen abdominal alto de las arterias gonadales (testiculares u ováricas). Las gónadas (testículos u ovarios) se desarrollan cerca de los riñones y reciben su vascularización de la aorta abdominal. Descienden a su posición pélvica/perineal antes de nacer, conservando toda la vascularización abdominal. Las arterias ilíacas internas que irrigan la mayor parte de la pelvis, se originan en las arterias ilíacas comunes, delante de las articulaciones sacroilíacas, a la altura del disco intervertebral L5-S1. Las arterias ilíacas internas suelen dividirse en dos grandes ramas, anterior y posterior.

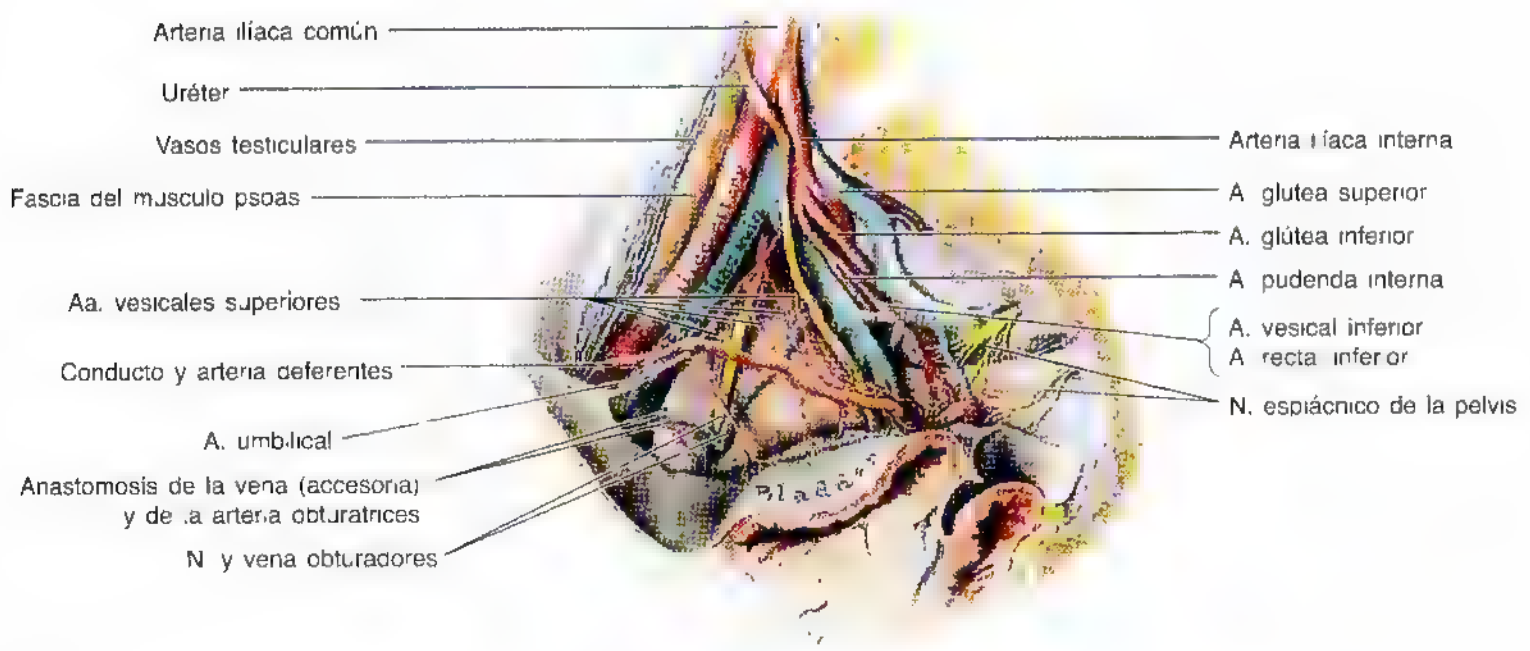
Figura 3.10. Arterias ilíacas y sus ramas. **A.** Disección de la pared lateral de una pelvis masculina. Obsérvese cómo la arteria ilíaca común termina en dos ramas –las arterias ilíacas externa e interna–, pero no posee colaterales. **B.** Arterias ilíacas internas y sus divisiones en una mujer. **C.** Disección de la pared lateral de una pelvis masculina. Obsérvese cómo el uréter y el conducto deferente siguen un trayecto subperitoneal a través de los vasos ilíacos externos, la arteria umbilical y el nervio y los vasos obturadores. En esta muestra, la arteria obturatriz muestra una variación frecuente (nace en la arteria epigástrica inferior). Es importante que los cirujanos que operan en esta zona conozcan esta variedad, que afecta a 1 de cada 5 personas.



(A)



(B)



(C)

Tabla 3.4. Las arterias de la pelvis

Arteria	Origen	Trayecto	Distribución
Gonadal: testicular (♂) u ovárica (♀)	Aorta abdominal	Desciende por el retroperitoneo; la arteria testicular pasa al escroto por el conducto inguinal; la arteria ovárica cruza el estrecho superior de la pelvis con una dirección medial en el ligamento suspensorio del ovario	Testículo (♂) u ovario (♀)
Rectal superior	Prolongación de la arteria mesentérica inferior	Cruza los vasos ilíacos comunes izquierdo y derecho y desciende a la pelvis entre las capas del mesocolon sigmoide	Porción superior del recto; se anastomosa con las arterias rectales media e inferior
Sacra media	Cara posterior de la aorta abdominal	Desciende en la línea media sobre las vértebras L4 y L5, así como sobre el sacro y el cóccix	Últimas vértebras lumbares, sacro y cóccix
Íliaca interna	Íliaca común	Pasa por el borde superior de la pelvis hasta alcanzar la cavidad pélvica	Irrigación principal de los órganos de la pelvis, músculos, glúteos y perineo
División anterior de la íliaca interna	Arteria íliaca interna	Pasa por delante y se divide en ramas viscerales y en la arteria obturatriz	Vísceras y músculos de la pelvis situados en el compartimiento medial del muslo
Umbilical	División anterior de la íliaca interna	Se oblitera, transformándose en el ligamento umbilical medial después de recorrer una corta distancia en la pelvis, donde da lugar a las arterias vesicales superiores	Caras superiores de la vejiga urinaria; a veces, arteria para el conducto deferente (en los varones)
Vesical superior	Porción permeable (proximal) de la arteria umbilical	De ordinario, varias; estas arterias llegan a la cara superior de la vejiga urinaria	Cara superior de la vejiga urinaria, porción pélvica del uréter
Obturatriz	División anterior de la íliaca interna	Sigue un curso anteroinferior en la pared lateral de la pelvis para salir por el conducto obturador	Músculos de la pelvis, arteria nutricia para el ilion, la cabeza del fémur y los músculos del compartimiento medial del fémur
Vesical inferior (♂)	División anterior de la íliaca interna	Viaja por el retroperitoneo hasta la cara inferior de la vejiga urinaria masculina	Cara inferior de la vejiga urinaria, conducto deferente, vesícula seminal y próstata
Arteria para el conducto deferente (♂)	Vesical inferior (o superior)	Sigue por el retroperitoneo hasta el conducto deferente	Conducto deferente
Ramas prostáticas (♂)	Arteria vesical inferior	Desciende en la cara posterolateral de la próstata	Próstata
Uterina (♀)	División anterior de la íliaca interna	Sigue un curso medial en la base del ligamento ancho, encima del ligamento cardinal, y cruza sobre el uréter a ambos lados del útero	Útero, ligamentos uterinos, trompa uterina y vagina
Vaginal (♀)	Arteria uterina	Emerge lateral al uréter y desciende debajo de él hasta la cara lateral de la vagina	Vagina; ramas para la porción inferior de la vejiga urinaria y la terminación del uréter
Pudenda interna	División anterior de la íliaca interna	Abandona la pelvis por el orificio ciático mayor y entra en el perineo (fosa isquioanal) atravesando el orificio ciático menor	Arteria principal para el perineo, incluyendo los músculos y la piel de los triángulos anal y urogenital; cuerpos eréctiles
Rectal media	División anterior de la íliaca interna	Desciende en la pelvis hasta la porción inferior del recto	Vesículas seminales y porción inferior del recto
Glútea inferior	División anterior de la íliaca interna	Abandona la pelvis por el orificio ciático mayor y pasa por debajo del músculo piriforme	Diafragma de la pelvis (músculos cocciógeo y elevador del ano), piriforme, cuadrado femoral, porción más alta de los músculos femorales posteriores, glúteo mayor, nervio ciático
División posterior de la íliaca interna	Íliaca interna	Pasa detrás y emite ramas parietales	Pared de la pelvis y región glútea
Iliolumbar	División posterior de la íliaca interna	Asciende delante de la articulación sacroilíaca y detrás de los vasos ilíacos comunes y del músculo psoas mayor	M. psoas mayor, ilíaco y cuadrado lumbar, cola de caballo del conducto vertebral
Sacra lateral (superior e inferior)	División posterior de la íliaca interna	Discurre por la cara medial del músculo piriforme y envía ramas para los orificios sacros de la pelvis	M. piriforme, estructuras del conducto sacro, músculo erector de la columna y piel suprayacente
Glútea superior	División posterior de la íliaca interna	Abandona la pelvis por el orificio ciático mayor y pasa por encima del músculo piriforme	M. piriforme, los 3 músculos glúteos y músculo tensor de la fascia lata

reproductores). Asimismo, existen dos ramas parietales que llegan a las nalgas y al muslo. La disposición de las ramas viscerales varía.

A continuación se describen las ramas de la división anterior de la arteria iliaca interna (figs. 3.9-3.11).

Arteria umbilical. Este vaso sigue un curso anteroinferior, entre la vejiga urinaria y la pared lateral de la pelvis. Envía una **arteria** (o arterias) **vesical superior**, que emite (o nace en forma de) numerosas ramas para el fondo de la vejiga urinaria. Antes de nacer, la arteria umbilical lleva la sangre del feto a la placenta para que se reoxigene. Después del nacimiento, las porciones distales se atrofian y forman cordones fibrosos, los **ligamentos umbilicales mediales** (figs. 3.9 y 3.10, *A* y *B*). Éstos levantan unos pliegues de peritoneo, los **pliegues umbilicales mediales**, que discurren en la cara profunda de la pared anterior del abdomen (véase el capítulo 2).

Arteria obturatriz. El origen de este vaso sanguíneo varía; suele nacer cerca de la arteria umbilical, donde se cruza con el uréter. Luego sigue un trayecto anteroinferior sobre la fascia obturadora de la pared lateral de la pelvis y pasa entre el nervio y la vena obturadores. A continuación abandona la pelvis por el **conducto obturador** y perfunde los músculos del muslo. La arteria obturatriz envía ramas musculares dentro de la pelvis, así como una arteria nutricia para el ilion y una rama púbica. La **rama púbica** nace justo donde la arteria obturatriz abandona la pelvis. Ascende por la cara pélvica del pubis para anastomosarse con la rama del lado contrario y la rama púbica de la **arteria epigástrica inferior**, que proviene de la arteria iliaca externa. Existe una variante común (20%) de **arteria obturatriz aberrante**, que surge de la arteria epigástrica inferior y desciende hasta la pelvis por la vía habitual de la rama pélvica (Williams y cols., 1995). La distribución extrapélvica de la arteria obturatriz se describe junto con el miembro inferior (véase el capítulo 5).

Arteria vesical inferior. Este vaso sanguíneo sólo se observa en el sexo masculino (fig. 3.10*A*). La arteria vesical inferior llega al fondo de la vejiga urinaria para irrigar las vesículas seminales, la próstata, el fondo de la vejiga y la porción inferior del uréter. Las ramas para el conducto deferente (vaso deferente) y la próstata son la **arteria del conducto deferente** y la **arteria prostática**. La arteria del conducto deferente puede originarse en la arteria vesical superior.

Arteria rectal media. La arteria rectal media nace a veces de forma independiente de la arteria iliaca interna, o bien junto con la arteria vesical inferior o la arteria pudenda interna. La arteria rectal media irriga la porción inferior del recto y se anastomosa con las arterias rectales superior e inferior. Asimismo, se distribuye por las vesículas seminales, próstata y vagina.

Arteria vaginal. Este vaso es el homólogo femenino de la arteria vesical inferior de los varones. Sigue un curso anterior y pasa por los lados de la vagina (figs. 3.10*B* y 3.11*B*), emitiendo numerosas ramas para las caras anterior y posterior de la vagina, porciones posteroinferiores de la vejiga uri-

naria y porción pélvica de la uretra. Se anastomosa con la rama vaginal de la arteria uterina.

Arteria uterina. Este vaso suele originarse de forma independiente y directa de la arteria iliaca interna (fig. 3.10*B*), pero puede nacer en la arteria umbilical. Es el homólogo femenino de la arteria del conducto deferente masculino. Desciende por la pared lateral de la pelvis, anterior a la arteria iliaca interna, y penetra en la raíz del ligamento ancho, donde pasa por encima de la porción lateral del **fórnix** de la vagina hasta alcanzar el borde lateral del útero (fig. 3.11, *A* y *B*).

La arteria uterina pasa delante y encima del uréter, cerca de la porción lateral del fórnix vaginal. Al llegar a los lados del cuello uterino, la arteria uterina se divide en una gran rama superior que perfunde el cuerpo y el fondo del útero, y una rama vaginal más pequeña que se distribuye por el cuello uterino y la vagina. La arteria uterina tiene un curso tortuoso por el borde lateral del útero y termina en el lugar donde las ramas ováricas y tubáricas se anastomosan con las ramas ováricas y tubáricas de la arteria ovárica, entre las capas del ligamento ancho.

Arteria pudenda interna. Este vaso, de mayor tamaño en el sexo masculino, sigue un trayecto inferolateral, delante del músculo piriforme y del plexo sacro (fig. 3.10). Abandona la pelvis entre los músculos piriforme y cocelgeo, pasando por la porción inferior del **orificio ciático mayor**. La arteria pudenda interna rodea luego la cara posterior de la espina ciática o el ligamento sacroespinoso, y llega a la **fosa isquioanal** a través del orificio ciático menor. La arteria pudenda interna, junto con las venas pudendas internas y los ramos del nervio pudendo, atraviesa el conducto pudendo de la pared lateral de la fosa isquioanal (fig. 3.6*B*). A medida que emerge del conducto pudendo, medial a la tuberosidad isquiática, la arteria pudenda interna se divide en sus ramas terminales: *las arterias profunda y dorsal del pene o del clitoris*.

Arteria glútea inferior. Este vaso sigue un curso posterior entre los nervios sacros (en general, S2 y S3) y abandona la pelvis por la porción inferior del **orificio ciático mayor**, debajo del músculo piriforme. Inerva los músculos y la piel de las nalgas y la cara posterior del muslo.

Las tres arterias siguientes son ramas de la división posterior de la arteria iliaca interna.

Arteria glútea superior. Este gran vaso tiene un curso posterior, entre el tronco lumbosacro y el ramo ventral del nervio S1 (fig. 3.10). Abandona la pelvis por la porción superior del **orificio ciático mayor**, encima del músculo piriforme, para inervar los músculos glúteos de las nalgas.

Arteria iliolumbar. Este vaso se dirige en sentido superolateral y recurrente hacia la fosa iliaca (fig. 3.10, *A* y *B*). Dentro de la fosa iliaca, la arteria iliolumbar se bifurca en una **rama iliaca** que perfunde el músculo iliaco y el ilion, y en una **rama lumbar** que irriga los músculos psoas mayor y cuadrado lumbar.

Arterias sacras laterales. Estos vasos sanguíneos, casi siempre uno superior y otro inferior a cada lado, surgen a

veces de un mismo tronco (fig. 3.10, *A* y *B*). Las arterias sacras laterales pasan mediales y descienden delante de los ramos sacros ventrales, emitiendo pequeñas ramas que atraviesan los orificios sacros anteriores y *perfundan las meninges*

espinales, que rodean las raíces de los nervios sacros. Algunas ramas de estas arterias pasan desde el conducto sacro a través de los orificios sacros posteriores para irrigar los músculos erectores de la columna y la piel que cubre el sacro.

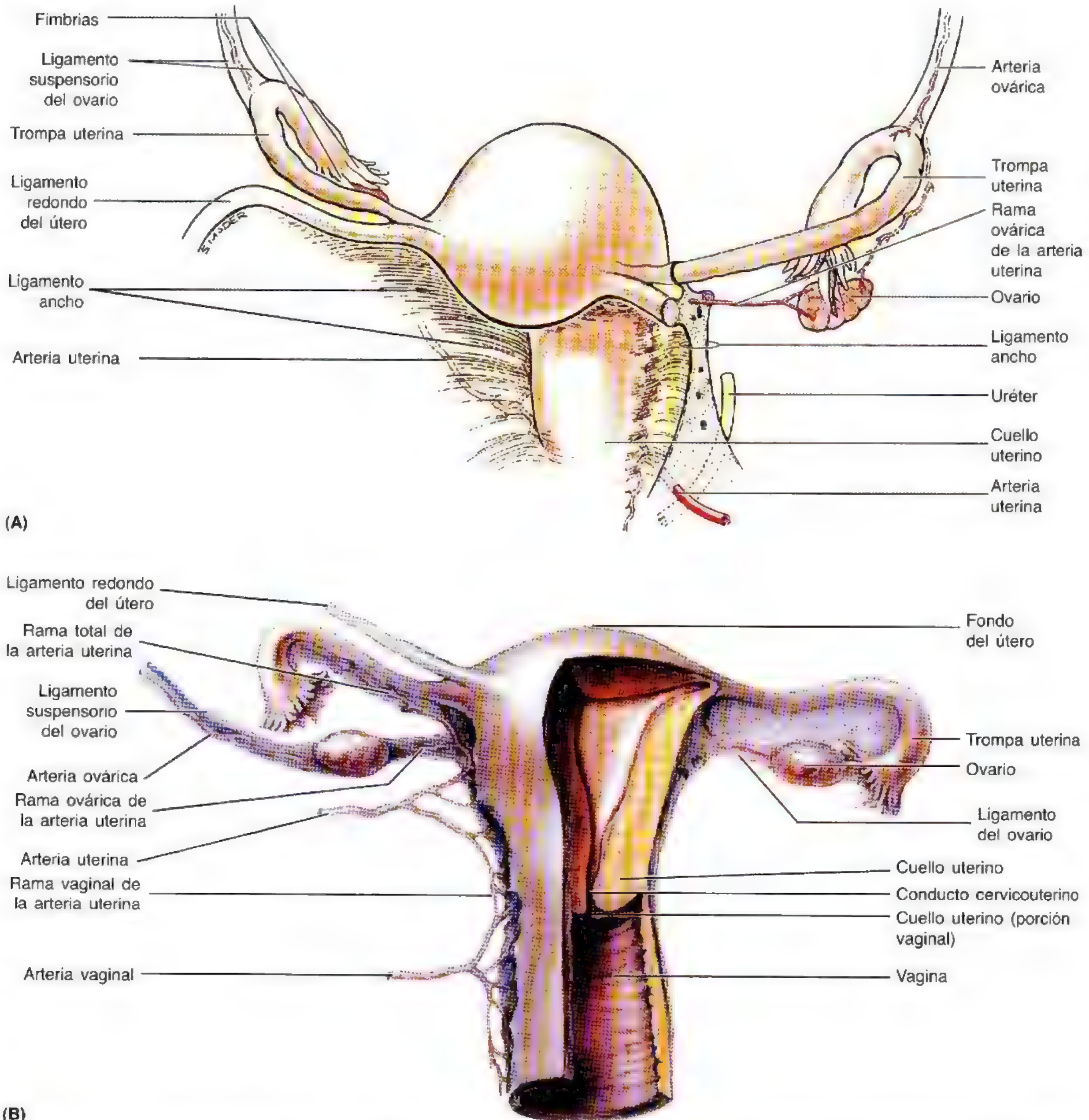


Figura 3.11. Ligamento ancho e irrigación arterial del útero, la vagina y los ovarios. **A.** Corte paramediano del ligamento ancho izquierdo, que ilustra la estructura de este mesenterio del útero. **B.** Visión anterior de los órganos genitales internos femeninos tras extirpar la mayor parte del ligamento (es decir, el mesometrio). Parte de las paredes uterina y vaginal se han seccionado para mostrar su estructura. Obsérvese la anastomosis entre las ramas ováricas de las arterias ovárica y uterina, y entre la rama vaginal de la arteria uterina y la arteria vaginal. Estas comunicaciones suceden entre las capas del ligamento ancho [véase (A)].

Arteria ovárica

La arteria ovárica nace de la aorta abdominal, debajo de la arteria renal, pero bastante por encima de la arteria mesentérica inferior. En su trayecto inferior, *la arteria ovárica se adhiere al peritoneo parietal y pasa delante del uréter en la pared posterior del abdomen, emitiendo casi siempre ramas para él*. Cuando entra en la pelvis menor cruza el origen de los vasos ilíacos externos y sigue luego medial por el ligamento suspensorio del ovario, hasta alcanzar la porción superolateral del ligamento ancho, dividiéndose en una rama ovárica y otra tubárica que perfunden, respectivamente, el ovario y la trompa uterina (fig. 3.11). Estas ramas se anastomosan con las ramas correspondientes de la arteria uterina.

Arteria sacra media

Esta pequeña arteria impar suele originarse en la cara posterior de la aorta abdominal, justo encima de su bifurcación, pero puede hacerlo en la cara anterior (fig. 3.9). Este vaso pasa delante de los cuerpos de la última o dos últimas vértebras lumbares, el sacro y el cóccix, y termina en una serie de bucles anastomóticos. Antes de que la arteria sacra media penetre en la pelvis menor, suele dar la pareja de *las quintas arterias lumbares*. Conforme desciende sobre el sacro, la arteria sacra media envía pequeñas ramas parietales (sacras laterales) que se anastomosan con las arterias sacras laterales. Asimismo, manda algunas ramas viscerales diminutas para la porción posterior del recto, que se anastomosan con las arterias rectales superior y media. La arteria sacra media constituye el extremo caudal de la aorta dorsal embrionaria, cuyo tamaño disminuye a medida que desaparece la cola del embrión.

Arteria rectal superior

Este vaso sanguíneo representa la continuación directa de la arteria mesentérica inferior (fig. 3.9), cruza los vasos ilíacos comunes izquierdos y desciende por el mesocolon sigmoide hasta la pelvis menor. A la altura de la vértebra S3, la arteria rectal superior se divide en dos ramas que descienden a cada lado del recto y llegan a irrigar hasta el esfínter anal interno. La arteria rectal superior se anastomosa con ramas de la arteria rectal media (una rama de la arteria ilíaca interna) y con la arteria rectal inferior (una rama de la arteria pudenda interna).

Las venas de la pelvis

La pelvis está drenada sobre todo por las **venas ilíacas internas** y por sus afluentes (fig. 3.12), pero también se observa cierto drenaje a través de las venas rectales superiores, sacras medias y ováricas. Parte de la sangre de la pelvis también se dirige a los *plexos venosos vertebrales internos* (véase el capítulo 4).

La **vena ilíaca interna** se une a la vena ilíaca externa para formar la vena ilíaca común, que se une con su homónima a la altura de la vértebra L5 para formar la **vena cava inferior** (fig. 3.12A). La vena ilíaca interna se sitúa posteroinfe-

rior a la arteria ilíaca interna, y sus afluentes se asemejan a las ramas arteriales, salvo que ninguna vena acompaña a las arterias umbilicales entre la pelvis y el ombligo.

Las **venas iliolumbares** suelen drenar a las ilíacas comunes. Las **venas glúteas superiores**, las venas concomitantes de las arterias glúteas superiores, son las mayores afluentes de las venas ilíacas internas, salvo durante el embarazo, donde las venas uterinas aumentan más de tamaño.

Los **plexos venosos de la pelvis** están formados por la unión de las venas de la pelvis (fig. 3.12, B y C). Estas *redes venosas intercomunicantes* tienen mucho interés clínico. Los distintos plexos (rectal, vesical, prostático, uterino y vaginal) se unen y drenan principalmente a la **vena ilíaca interna**, pero algunos lo hacen a la vena mesentérica inferior a través de la vena rectal superior, o bien al plexo venoso vertebral interno a través de las venas sacras laterales.

Cavidad y vísceras pélvicas

Las vísceras pélvicas comprenden la vejiga urinaria y parte de los uréteres y aparato reproductor, así como la porción inferior del tubo digestivo (recto). Pese a que el colon sigmoide y algunas porciones del intestino delgado se extienden hasta la cavidad pélvica, no son vísceras de la pelvis. El colon sigmoide se continúa con el recto, delante de la vértebra S3.

Órganos urinarios

Los órganos urinarios de la pelvis son:

- Los uréteres, que llevan la orina de los riñones.
- La vejiga urinaria, que almacena la orina de forma pasajera.
- La uretra, que lleva la orina de la vejiga urinaria al exterior.

Uréteres

Los uréteres son tubos musculares que miden de 25 a 30 cm de longitud y comunican los riñones con la vejiga urinaria (fig. 3.13); drenan el producto elaborado por los riñones (orina) hacia su depósito transitorio. Los uréteres son estructuras retroperitoneales, cuya mitad superior se encuentra en el abdomen y cuya mitad inferior radica en la pelvis. En el momento en que los uréteres abandonan el abdomen y penetran en la pelvis menor, atraviesan el estrecho superior de la pelvis. La porción pélvica del uréter comienza en el lugar donde se cruza con la bifurcación de la arteria ilíaca común o donde empieza la arteria ilíaca externa (fig. 3.13A). El uréter sigue una dirección posteroinferior en las paredes laterales de la pelvis, por fuera del peritoneo pélvico parietal, delante de las arterias ilíacas internas. Luego toma una curva anteromedial, superior al músculo elevador del ano, para entrar en la vejiga urinaria. El extremo inferior de cada uréter está rodeado por el **plexo venoso vesical** (fig. 3.12, B y C). Los uréteres siguen un trayecto oblicuo a través de

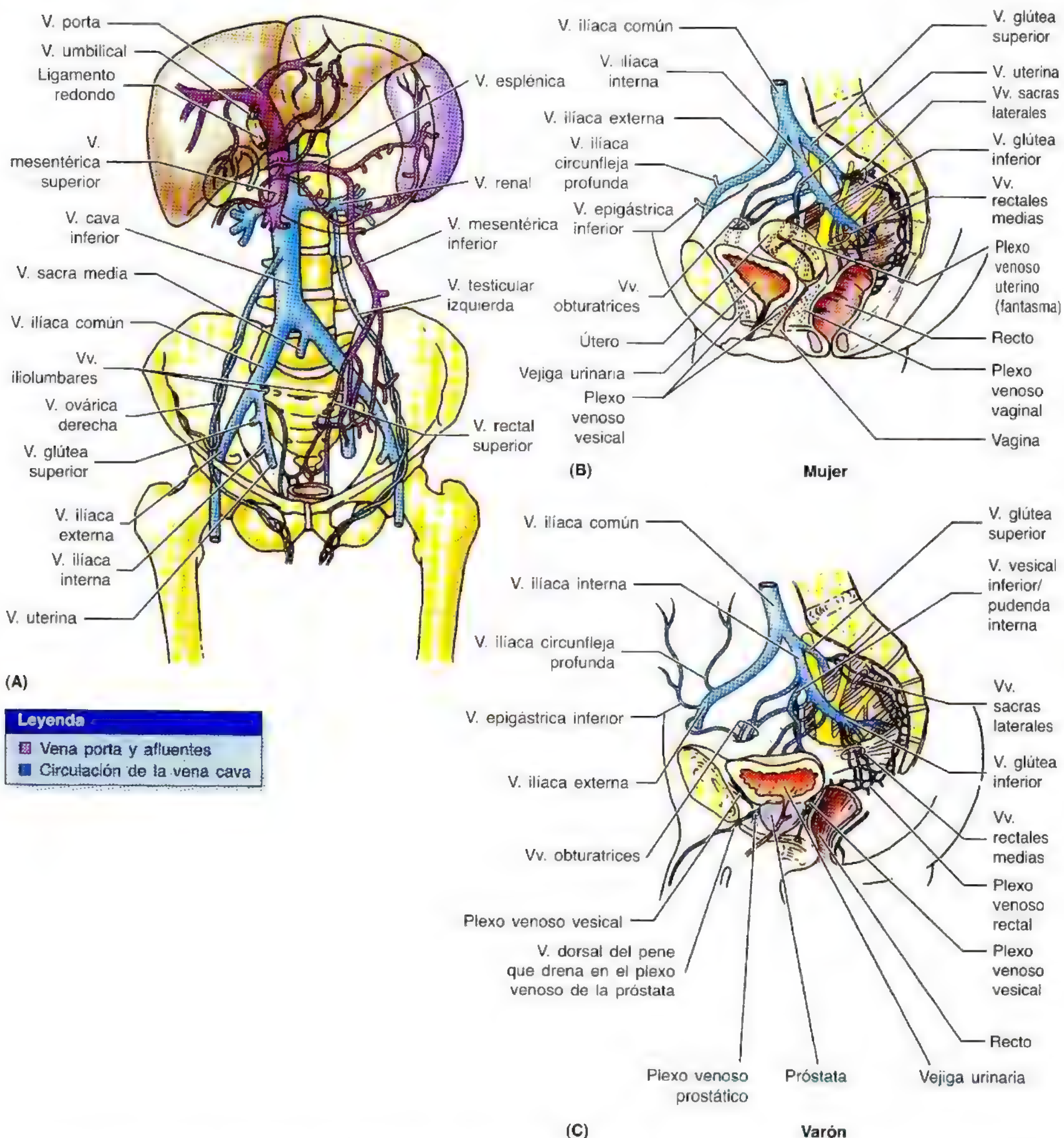


Figura 3.12. Venas de la pelvis. **A.** Visión anterior de la cavidad abdominopélvica con los sistemas venosos portal y general (venas cavas). Dadas las anastomosis entre estos dos sistemas (portosistémicas o porto-cava), en la hipertensión portal –que sucede en la cirrosis hepática (véase el capítulo 2)– la caudalosa sangre portal, que no puede drenar libremente a través del hígado, trata de atravesar estas anastomosis relativamente pequeñas y las diminutas venas anastomóticas se ingurgitan, dilatan, tornan varicosas y, en última instancia, acaban por romperse. **B.** Venas de la pelvis y plexos venosos en la disección de una pelvis femenina. **C.** Venas de la pelvis y plexos venosos en la disección de una pelvis masculina

una hendidura de la pared muscular de la vejiga urinaria. Este paso oblicuo por la pared vesical crea una "válvula de charnela" unilateral; las contracciones de la musculatura vesical actúan como esfínter, evitando que la orina refluya hacia los uréteres cuando se vacía la vejiga.

En el varón, la única estructura que pasa entre el uréter y el peritoneo es el **conducto deferente**, conducto secretor del testículo que representa la continuación distal del epidídimo (fig. 3.13B). El uréter se sitúa posterolateral al conducto deferente y entra por el ángulo posterosuperior de la vejiga, justo encima de la *vesícula seminal*.

En la mujer, el uréter pasa medial al origen de la arteria uterina y continúa hasta la altura de la espina ciática, donde la arteria uterina lo cruza por encima. Luego se dirige pegado a la porción lateral del fórnix vaginal para penetrar por el ángulo posterosuperior de la vejiga.

Irrigación arterial de los uréteres. Las arterias ilíacas común e internas irrigan las porciones pélvicas de los uréteres (fig. 3.13, tabla 3.4). Las arterias que más veces irrigan las porciones pélvicas de los uréteres en la mujer provienen de ramas de las **arterias uterinas**. Existen buenas anastomosis entre estas ramas. El origen de este tipo de rama en el varón es la **arteria vesical inferior**.

Drenaje venoso y linfático de los uréteres. Las venas ureterales acompañan a las arterias y tienen los mismos nombres. La linfa drena a los ganglios linfáticos lumbares (aórticos laterales), ilíacos comunes, ilíacos externos e ilíacos internos (fig. 3.14A).

Inervación de los uréteres. Los nervios ureterales derivan de los *plexos autónomos* adyacentes (renal, aórtico, hipogástricos superior e inferior). Las fibras (dolorosas) aferentes de los uréteres acompañan por vía retrógrada a las fibras simpáticas hasta los ganglios espinales y los segmentos medulares T11 a L1 o L2 (fig. 3.14B). El *dolor ureteral* suele referirse al cuadrante inferior ipsilateral del abdomen, sobre todo a la ingle.

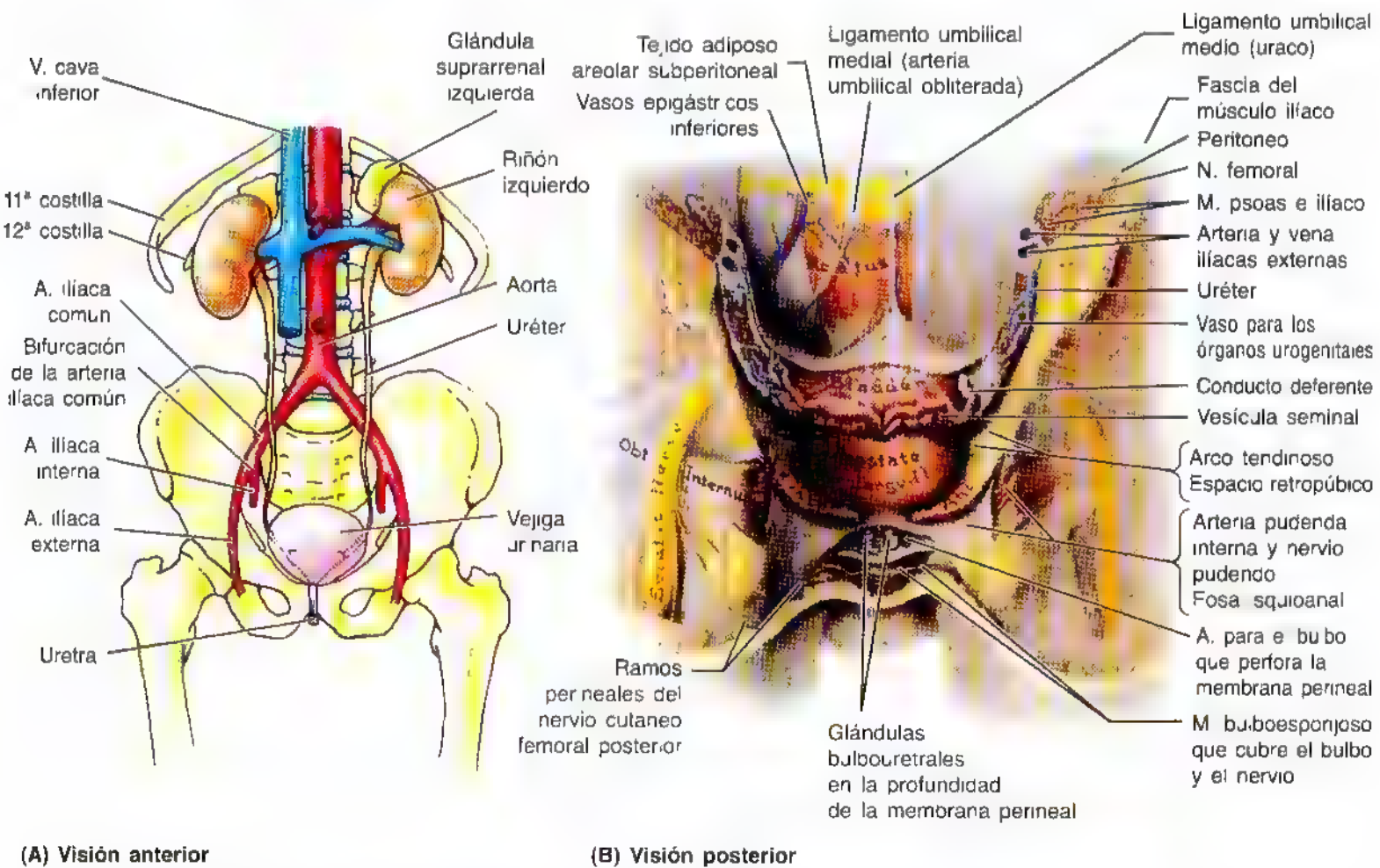


Figura 3.13. Visceras genitourinarias masculinas. A. Aparato urinario y principales vasos sanguíneos **B.** Corte coronal de una disección de la pelvis masculina anterior a recto se trata de una visión posterior de la pelvis anterior. Obsérvese cómo el ligamento umbilical medio (arteria umbilical obliterada) y el ligamento umbilical medio (resto del uraco fetal) al igual que la vejiga urinaria, se encuentran en el tejido adiposo areolar subperitoneal. Examine el músculo elevador del ano y sus cubiertas fasciales, que separan el espacio retropúbico pélvico de las fosas isquioanales perineales. Como puede comprobarse los bordes anteriores libres del músculo elevador de ano se separan por una abertura, el *hiato urogenital*, por la que pasa la uretra (y en la mujer, también la vagina).

Lesiones ureterales

Los uréteres se pueden dañar durante la cirugía ginecológica, por ejemplo la histerectomía total (Morris y Burke, 1993), por su proximidad con los genitales internos. Los dos lugares más frecuentes de lesión son:

- El estrecho superior de la pelvis, donde el uréter se acerca a los vasos ováricos.
- El lugar donde la arteria uterina se cruza con el uréter a los lados del cuello uterino.

La identificación de los uréteres en todo su trayecto pélvico constituye una medida preventiva esencial. El uréter se puede dañar por sección, aplastamiento, acodamiento, ligadura o isquemia del plexo vascular (Hatch, 1993).

Cálculos ureterales

Los uréteres son tubos musculares expansibles que se dilatan en caso de obstrucción. La obstrucción aguda suele obedecer a un **cálculo ureteral**; si bien el paso de los cálculos más pequeños no suele causar dolor, los de mayor tamaño provocan un dolor intenso. Los síntomas y la gravedad dependen de la localización, el tipo y el tamaño del cálculo y de si se trata de un cálculo liso o con espículas. El dolor causado por el cálculo se denomina *cólico* (porque se parece al dolor del colon) y obedece al hiperperis-

taltismo ureteral por encima del nivel de obstrucción. Los cálculos ureterales ocasionan una obstrucción completa o intermitente del flujo urinario. La obstrucción puede ocurrir en cualquier zona del uréter, pero suele hacerlo allí donde el uréter sufre una constricción anatómica:

- En la unión de los uréteres con la pelvis renal.
- En el lugar de cruce de la arteria iliaca externa por el estrecho superior de la pelvis.
- A su paso por la pared de la vejiga urinaria.

La presencia de cálculos se confirma, de ordinario, en una radiografía de abdomen o bien en una pielografía intravenosa (véase el capítulo 2).

Los cálculos ureterales se pueden extraer de tres maneras diferentes: cirugía abierta, cirugía endoscópica y litotricia. La *cirugía abierta* no es frecuente, porque los cálculos se suelen extraer mediante endoscopia o litotricia. Para la *cirugía endoscópica* se introduce un cistoscopio por la uretra dentro de la vejiga (pág. 373). El *cistoscopio* posee una luz, una lente y varios dispositivos (p. ej., para agarrar el cálculo). Se puede insertar otro instrumento, un *ureteroscopio*, a través del cistoscopio e introducirlo por el uréter para asir el cálculo. Los cálculos también se pueden descomponer con una sonda ultrasónica que se introduce por el ureteroscopio. La *litotricia* se basa en el uso de ondas de choque para romper el cálculo en pequeños fragmentos que puedan eliminarse con la orina. ♦

Vejiga urinaria

La vejiga urinaria, una víscera hueca con paredes musculares robustas, se caracteriza por su distensibilidad. La vejiga urinaria es un depósito pasajero de orina, cuyo tamaño, forma, posición y relaciones varían según su contenido y el estado de las vísceras adyacentes. Cuando se vacía, la vejiga urinaria del adulto se sitúa en la pelvis menor, posterior y algo superior a los huesos del pubis. Queda separada de estos huesos por el **espacio retropúbico** virtual y se encuentra debajo del peritoneo; se apoya en el suelo de la pelvis (fig. 3.15). La vejiga está bastante libre dentro del tejido graso subcutáneo extraperitoneal, salvo por el cuello, donde se sujeta con fuerza por los *ligamentos puboprostáticos* de los varones y los *ligamentos pubovesicales* de las mujeres.

Cuando la vejiga de los lactantes y de los niños se encuentra vacía se sitúa dentro del abdomen (fig. 3.16A). La vejiga suele pasar a la pelvis mayor a los 6 años; sin embargo, no llega a entrar completamente en la pelvis menor hasta después de la pubertad. La vejiga vacía de un adulto se encuentra casi exclusivamente en la pelvis menor, debajo del peritoneo, apoyada sobre el suelo de la pelvis detrás de la sínfisis púbica (fig. 3.16B). A medida que se llena la vejiga, asciende por el tejido graso extraperitoneal de la pared anterior del abdomen y pasa a la pelvis mayor. Una vejiga llena puede ascender hasta la altura del ombligo.

La vejiga siempre contiene algo de orina y suele adoptar una forma más o menos redonda. En cambio, la vejiga vacía tiene una morfología tetraédrica (fig. 3.16B), caracterizada por:

- Vértice
- Cuerpo
- Fondo
- Cuello
- Úvula.

El estudio de la vejiga contraída y vacía de un cadáver permite describir cuatro superficies: superior, inferolateral y posterior.

El **vértice de la vejiga** (extremo anterior) apunta hacia el borde superior de la sínfisis del pubis. El **cuerpo de la vejiga** es la parte situada entre el vértice y el fondo. La base o el **fondo de la vejiga** está formada por la pared posterior, algo convexa. El fondo y las superficies inferolaterales se reúnen en el **cuello de la vejiga**. La **úvula vesical** es una ligera proyección del **trígono de la vejiga** (fig. 3.17), que suele destacar más en los varones de edad avanzada.

Las dos superficies inferolaterales contactan con la fascia que cubre el músculo elevador del ano (fig. 3.16C). El fondo de la vejiga se relaciona con el recto en los *varones* (fig. 3.15A) y está íntimamente adherido a la pared anterior de la vagina *femenina* (fig. 3.15B).

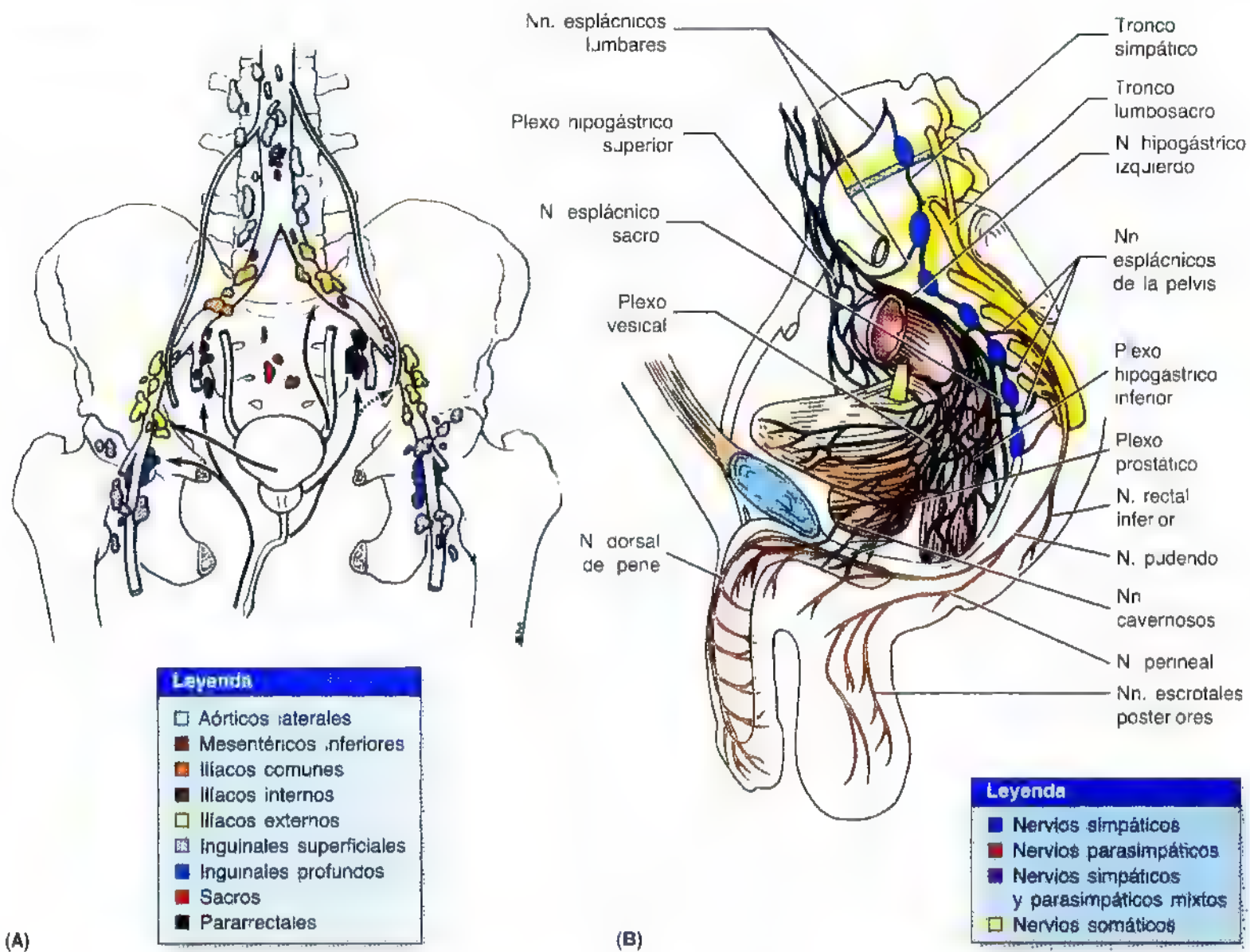


Figura 3.14. Drenaje linfático e innervación autónoma de la pelvis. A. Drenaje linfático de los uréteres, la vejiga urinaria y la uretra. Las flechas indican la dirección del flujo linfático a los ganglios linfáticos. B. Nervios autónomos de la pelvis y ramos para las estructuras perineales.

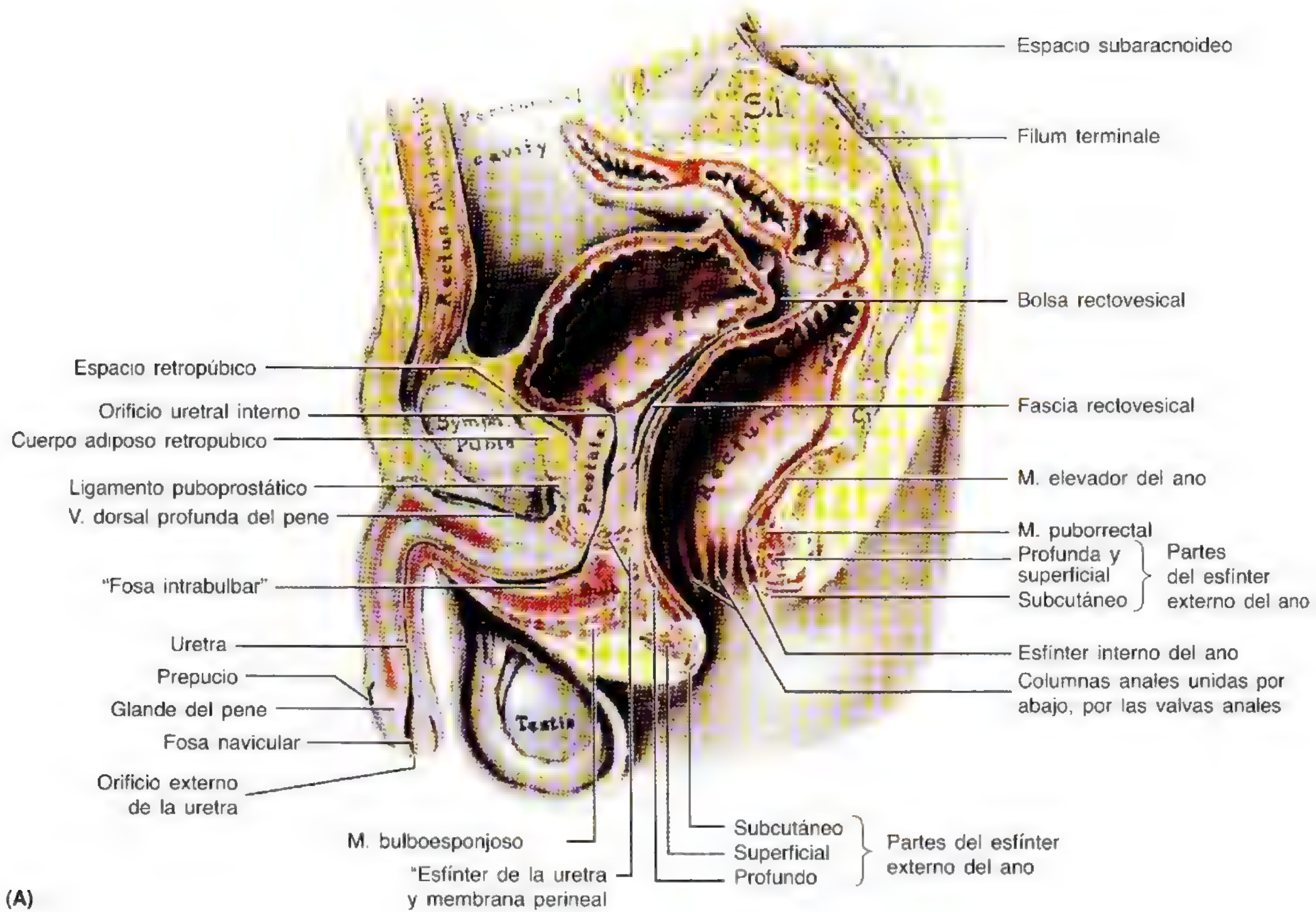
El **lecho vesical** se configura, a cada lado, por los huesos del pubis y por los músculos obturador interno y elevador del ano (fig. 3.16C), y en la cara posterior, por el recto o la vagina (fig. 3.15). La vejiga está envuelta por un tejido conjuntivo laxo, la **fascia vesical**. La pared de la vejiga se compone, sobre todo, del **músculo detrusor**. En la proximidad del cuello de la vejiga masculina, las fibras musculares crean el **esfínter interno** involuntario. Algunas se disponen de modo radial y contribuyen a abrir el **orificio uretral interno**. Las fibras musculares del cuello de la vejiga masculina se continúan con el tejido fibromuscular de la próstata, mientras que en las mujeres estas fibras se prolongan con las fibras musculares de la pared de la uretra. Los **orificios uretrales** y el orificio uretral interno se sitúan en los ángulos del **trígono vesical** (figs. 3.16C y 3.17). Los uréteres se dirigen oblicuos a través de la pared vesical en sentido inferomedial. Todo incremento de la presión vesical comprime las paredes de los uréteres e impide que la vejiga refluya hacia ellos.

En los varones, el peritoneo pasa (fig. 3.15A):

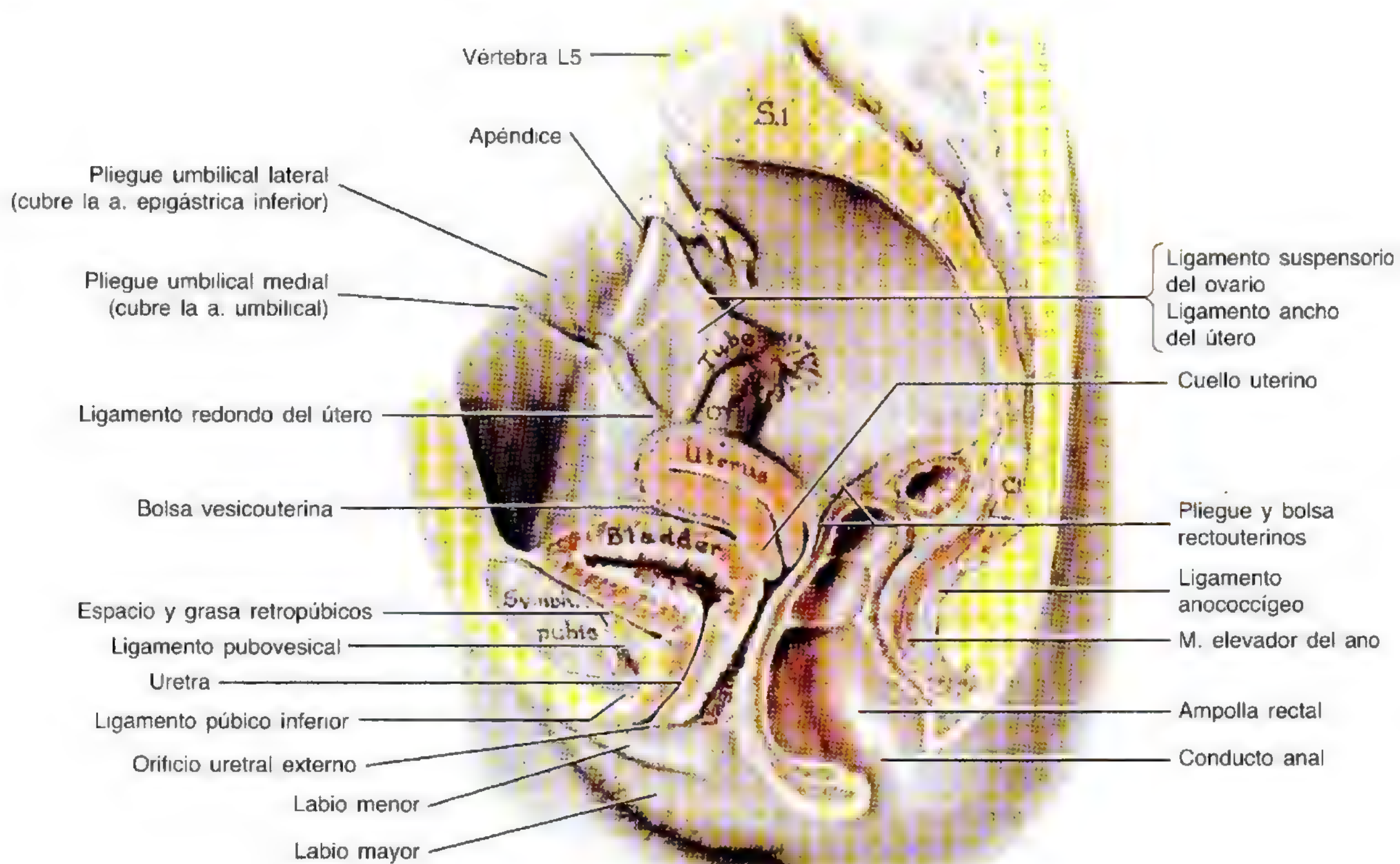
- Desde la pared anterior del abdomen.
- Encima del pubis.
- A lo largo de la cara anterior de la vejiga urinaria.
- Por la parte inferior, en la cara posterior de la vejiga urinaria.
- Sobre los extremos superiores de las vesículas seminales.
- En la cara posterior, para tapizar la *bolsa rectovesical* y cubrir la porción superior del recto.
- En la cara posterosuperior, para transformarse en el mesocolon sigmoide.

En las mujeres, el peritoneo pasa (fig. 3.15B):

- Desde la pared anterior del abdomen.
- Encima del pubis.
- A lo largo de la cara anterior de la vejiga urinaria.
- Desde la vejiga hasta el útero, creando la *bolsa vesicouterina*.



(A)



(B)

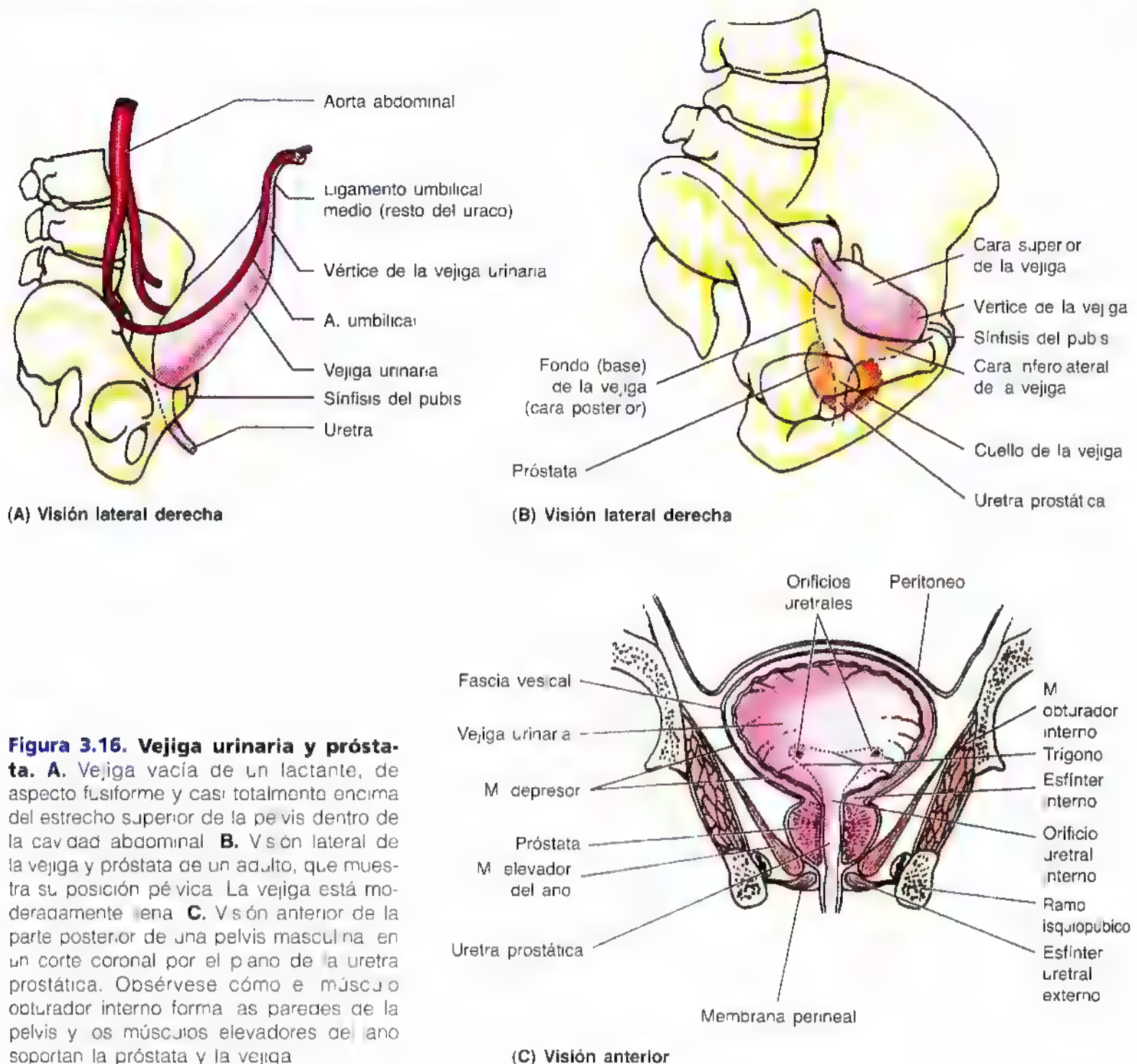


Figura 3.16. Vejiga urinaria y próstata. **A.** Vejiga vacía de un lactante, de aspecto fusiforme y casi totalmente encima del estrecho superior de la pelvis dentro de la cavidad abdominal. **B.** Visión lateral de la vejiga y próstata de un adulto, que muestra su posición pévica. La vejiga está moderadamente llena. **C.** Visión anterior de la parte posterior de una pelvis masculina en un corte coronal por el plano de la uretra prostática. Obsérvese cómo el músculo obturador interno forma las paredes de la pelvis y los músculos elevadores del ano soportan la próstata y la vejiga.

Figura 3.15. Cortes medios de pelvis masculina y femenina. **A.** Pelvis masculina. Obsérvese cómo la vejiga urinaria, algo distendida, descansa sobre el recto y la uretra prostática desciende verticalmente a través de la próstata, algo alargada. La disposición de la vejiga de este sujeto normalmente tiene una posición anterior, sobre el hueso de pubis [véase (B)], y se extiende hacia arriba, entre el músculo recto de abdomen y el peritoneo a medida que se va llenando—resulta inflada y determina una amplia fosa supravescical, así como una bolsa (fosa) rectovesical, a la vez de situación posterior. **B.** Pelvis femenina. Se ha cortado el útero por el mismo plano medio y se ha representado como si coincidiera con el plano medio del cuerpo, hecho que rara vez sucede. Obsérvese la trompa uterina, el ovario y el útero, doblados sobre sí mismos (anteflexión) en la unión de cuerpo con el cuello e inclinado hacia adelante (anteversión) de manera que su masa descansa sobre la vejiga. Tanto (A) como (B) ilustran muestras cadavéricas en las que el recto y el conducto anal se encuentran fijos en una posición después de la muerte debido a la falta de tono muscular. Esta posición refleja sobre todo la del recto y el conducto anal vivos durante la defecación: el músculo puborrectal se relaja, permitiendo que se enderece el ángulo anorrectal; la ampolla rectal está claramente descendida en (B) debido a la relajación del músculo elevador del ano; en las dos muestras los esfínteres anales relajados permiten una amplia separación del conducto anal. Todos estos cambios suceden durante el paso de las heces por el conducto anal.

- Sobre el fondo y el cuerpo del útero, la parte posterior del fómix y la pared de la vagina.
- Entre el recto y el útero, creando la *bolsa rectouterina*.
- Sobre las caras anterior y lateral del recto.
- En la cara poserosuperior, para convertirse en el mesocolon sigmoide.

La **bolsa vesicouterina** del peritoneo, entre la vejiga y el útero, está vacía, salvo cuando el útero se inclina en sentido posterior (retroversión); en esta circunstancia puede contener un asa intestinal.

Irrigación arterial de la vejiga. Las arterias principales que nutren la vejiga provienen de las arterias ilíacas internas (fig. 3.10, tabla 3.4). Las **arterias vesicales superiores** irrigan las porciones anterosuperiores de la vejiga. Las **arterias vesicales inferiores** de los varones llegan al fondo y al cuello vesicales. En las mujeres, las **arterias vaginales** sustituyen a las arterias vesicales inferiores y emiten pequeñas ramas para las porciones posteroinferiores de la vejiga (fig. 3.10B). Las arterias obturatriz y glútea inferior también dan pequeñas ramas para la vejiga.

Drenaje venoso y linfático de la vejiga. Las venas llevan los mismos nombres que las arterias y son afluentes de las venas ilíacas internas. En el varón, el plexo venoso vesical se une al **plexo venoso prostático** (fig. 3.12C) y envuelve el fondo de la vejiga y la próstata, las vesículas seminales, el conducto deferente y los extremos inferiores de los uréteres. Recibe sangre de la vena dorsal profunda del pene, que drena al plexo venoso prostático. El **plexo venoso vesical** desemboca, sobre todo, en las venas ilíacas internas a través de las vesicales inferiores; sin embargo, puede hacerlo en los *plexos venosos vertebrales internos* por vía de las venas sacras (véase el capítulo 4). Los plexos venosos vesicales de las mujeres envuelven la porción pélvica de la uretra y el cuello de la vejiga, y reciben sangre de la vena dorsal del clítoris; se comunican con el *plexo venoso vaginal o uterovaginal* (fig. 3.12B).

Los **vasos linfáticos** abandonan la cara superior de la vejiga en ambos sexos y llegan hasta los **ganglios linfáticos ilíacos externos** (fig. 3.14A), mientras que los del fondo se dirigen a los **ganglios ilíacos internos**. Algunos vasos del cuello o de la vejiga drenan a los ganglios sacros o ilíacos comunes.

Inervación de la vejiga. Las fibras parasimpáticas para la vejiga proceden de los **nervios esplácnicos de la pelvis** (fig. 3.14B). Ejercen un efecto motor sobre el músculo detrusor e inhibitorio sobre el esfínter interno. Por eso, cuando se estimulan las fibras aferentes viscerales con el estímulo, la vejiga se contrae de manera refleja, el esfínter interno se relaja y fluye orina por la uretra. Con la educación esfinteriana se logra suprimir este reflejo si uno no desea orinar. Las *fibras simpáticas* para la vejiga provienen de los nervios T11 a L2. Los nervios que llegan a la vejiga forman el *plexo nervioso vesical*, que consta de fibras tanto simpáticas como parasimpáticas. Este plexo, uno de los plexos nerviosos de la pelvis, se continúa con el *plexo hipogástrico in-*

ferior. Las fibras sensitivas de la vejiga son viscerales; las aferencias reflejas siguen el trayecto de las fibras parasimpáticas, como lo hacen las que transmiten la sensación de dolor (como consecuencia de la sobredistensión) desde la porción interna de la vejiga. Las fibras de dolor de la cara superior (techo de la vejiga) discurren con las fibras simpáticas, de forma retrógrada, hasta los ganglios espinales de T11 a L2.

Uretra masculina

La uretra masculina es un tubo muscular (de 18 a 20 cm) que conduce la orina desde el **orificio uretral interno** de la vejiga hasta el **orificio uretral externo**, situado en la punta del glande del pene (fig. 3.15A). La uretra también es el lugar por donde sale el semen (esperma y secreciones glandulares). En el estado flácido (no eréctil), la uretra muestra una doble curvatura. *A efectos descriptivos, se divide en cuatro porciones* (figs. 3.15A y 3.17):

- La uretra del cuello vesical (uretra preprostática).
- La uretra prostática.
- La porción intermedia de la uretra (uretra membranosa).
- La uretra esponjosa.

Las dos últimas partes se describen luego con el perineo (pág. 409).

La **uretra del cuello vesical** o preprostática (de 1 a 1,5 cm de longitud) se extiende casi vertical desde el cuello de la vejiga hasta la cara superior de la próstata.

La **uretra prostática** (de 4 cm de longitud) se continúa con la uretra del cuello vesical (figs. 3.16, B y C, y 3.17) y *desciende a través de la próstata* —más próxima a la cara anterior que a la posterior—, formando una suave curva de concavidad anterior. La uretra prostática —*la porción más ancha y dilatada de todas*— termina en el momento en que se rodea por completo del esfínter uretral externo. La cara interna de la pared posterior de la uretra prostática es bastante llamativa (fig. 3.17). La porción más elevada es la **cresta uretral**, una cresta media que posee un surco —**el seno prostático**— a cada lado. La mayoría de los pequeños conductos prostáticos se abre en estos senos. En la parte central de la cresta se observa el **colículo seminal**, una eminencia redonda con un orificio en hendidura que se abre a un pequeño fondo de saco, el **utrículo prostático** (fig. 3.18). El utrículo prostático es un vestigio del conducto uterovaginal que, en la mujer, constituye el esbozo del útero y una parte de la vagina (Moore y Persaud, 1998). Se observa una abertura diminuta, en forma de hendidura, de un **conducto eyaculador** sobre o justo dentro del orificio para el utrículo prostático.

La **porción intermedia de la uretra** (parte membranosa) es aquella que atraviesa el esfínter uretral externo y la membrana perineal (véase fig. 3.21). La porción intermedia corta, que se extiende de la uretra prostática a la esponjosa, es la parte más estrecha y menos distensible de la uretra.

Irrigación arterial de la uretra masculina. Las dos porciones proximales de la uretra son irrigadas por las

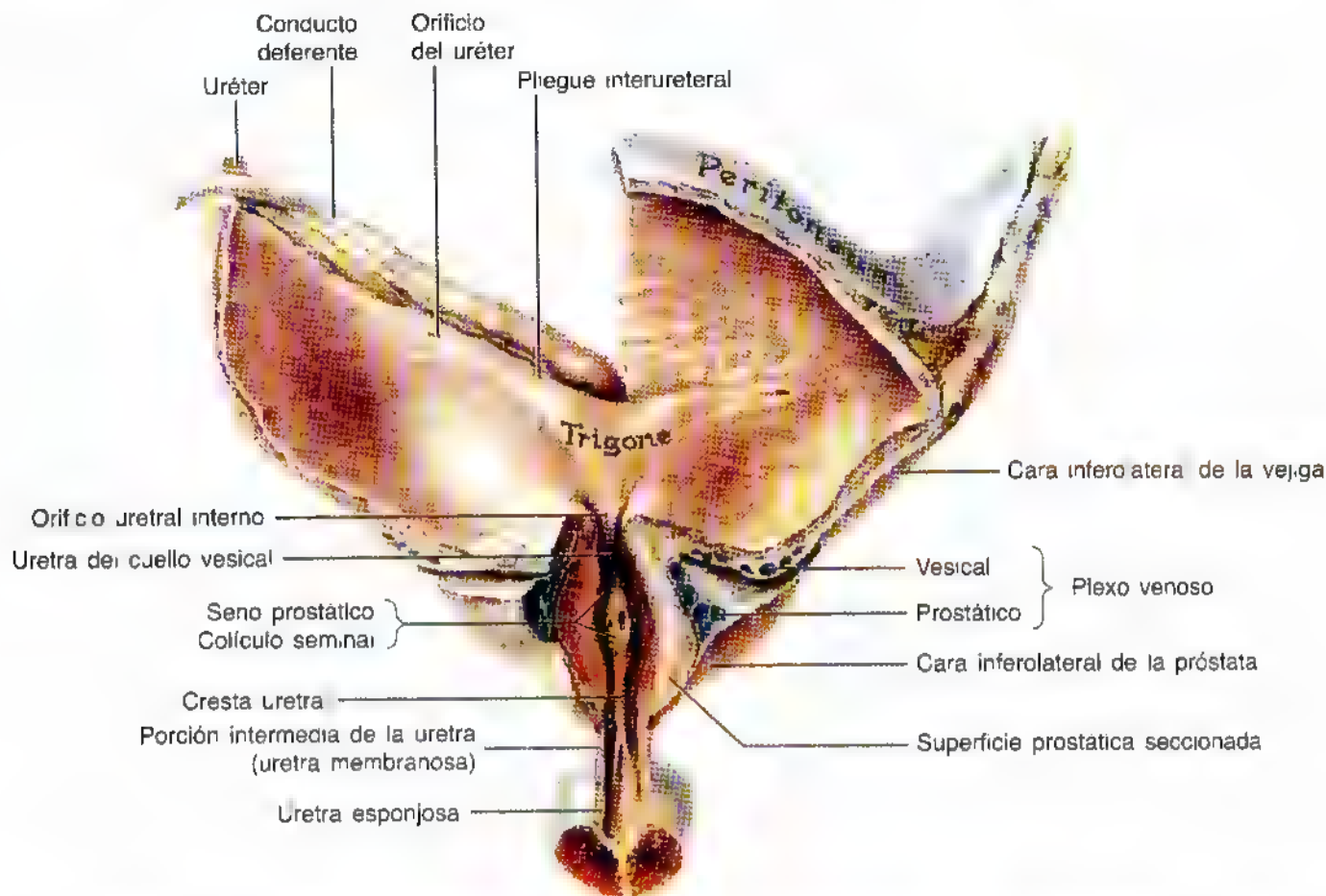


Figura 3.17. Interior de la vejiga y uretra masculinas. Las partes anteriores de la vejiga urinaria, próstata y uretra se han seccionado. Luego se cortó con el bisturí la pared posterior de la vejiga por el borde superior del uréter y pliegue interureteral derechos. Este pliegue une los ureteres a lo largo del límite superior del trigono. Obsérvese la ligera penitid detrás del orificio uretral interno (en la punta de la línea indicadora de este orificio) que si se exagera se convierte en la juba vesical. Esta pequeña proyección se debe al lobulo medio (mediano) de la próstata. Obsérvese la desembocadura ovaada del utrículo prostático (no marcada) en la cima del colículo seminal y el orificio del conducto eyaculador a cada lado del utrículo. Notese también la cresta uretral anormalmente larga, que se extiende en un plano más alto de lo habitual y se bifurca algo más abajo de lo acostumbrado. Por último se advierte como la fascia prostática encierra el plexo venoso prostático.

ramas prostáticas de las arterias vesicales inferiores medias (fig. 3.10, *A* y *C*).

Drenaje venoso y linfático de la uretra masculina. Las venas de las dos porciones proximales de la uretra acompañan a las arterias y tienen nombres parecidos (fig. 3.12, *A* y *C*). Los vasos linfáticos se dirigen sobre todo a los **ganglios ilíacos internos** (fig. 3.14*A*); algunos desembocan en los ganglios ilíacos externos.

Inervación de la uretra masculina. Los nervios derivan del nervio pudendo y del **plexo prostático** del sistema nervioso autónomo (fig. 3.14*B*). Este plexo se origina en la parte inferior del plexo hipogástrico inferior.

Uretra femenina

La uretra femenina (mide aproximadamente 4 cm de longitud y 6 mm de diámetro) sigue un curso anteroinferior desde el **orificio uretral interno** de la vejiga urinaria (fig. 3.15*B*), posterior y después inferior a la sínfisis del pubis. El orificio uretral externo se encuentra en el vestíbulo de la vagina, directamente delante del orificio de la vagina. La uretra es anterior a la vagina, y su eje, paralelo al de ésta.

La uretra, junto con la vagina, atraviesa el diafragma de la pelvis, el esfínter uretral externo y la membrana perineal. Las glándulas uretrales se localizan sobre todo en la porción superior de la uretra. Existe un grupo de glándulas a cada lado —las *glándulas parauretrales*— homólogas a la próstata. Estas glándulas llevan un conducto parauretral común que desemboca (uno a cada lado) cerca del orificio uretral externo. La mitad inferior de la uretra se encuentra en el perineo y se comenta luego dentro de esta sección.

Irrigación arterial de la uretra femenina. Las arterias pudenda interna y vaginal irrigan la uretra femenina (fig. 3.10*B*).

Drenaje venoso y linfático de la uretra femenina. Las venas acompañan a las arterias y se nombran de forma similar (fig. 3.12*B*). La mayoría de los vasos linfáticos de la uretra llegan hasta los **ganglios sacros e ilíacos internos** (fig. 3.14*A*). Algunos vasos desembocan en los ganglios inguinales.

Inervación de la uretra femenina. Los nervios para la uretra provienen del *nervio pudendo*. La mayoría de las aferencias de la uretra discurren por los nervios espláncnicos de la pelvis, como en el varón (fig. 3.14*B*).

Cistocèle o hernia de la vejiga urinaria

La pérdida del soporte vesical en las mujeres, por lesión de los músculos perineales o de la fascia asociada, puede provocar una herniación de la vejiga dentro de la pared vaginal (A). El cistocèle también puede deberse a un prolapso de las vísceras pélvicas, secundario a una lesión del suelo de la pelvis durante el parto.

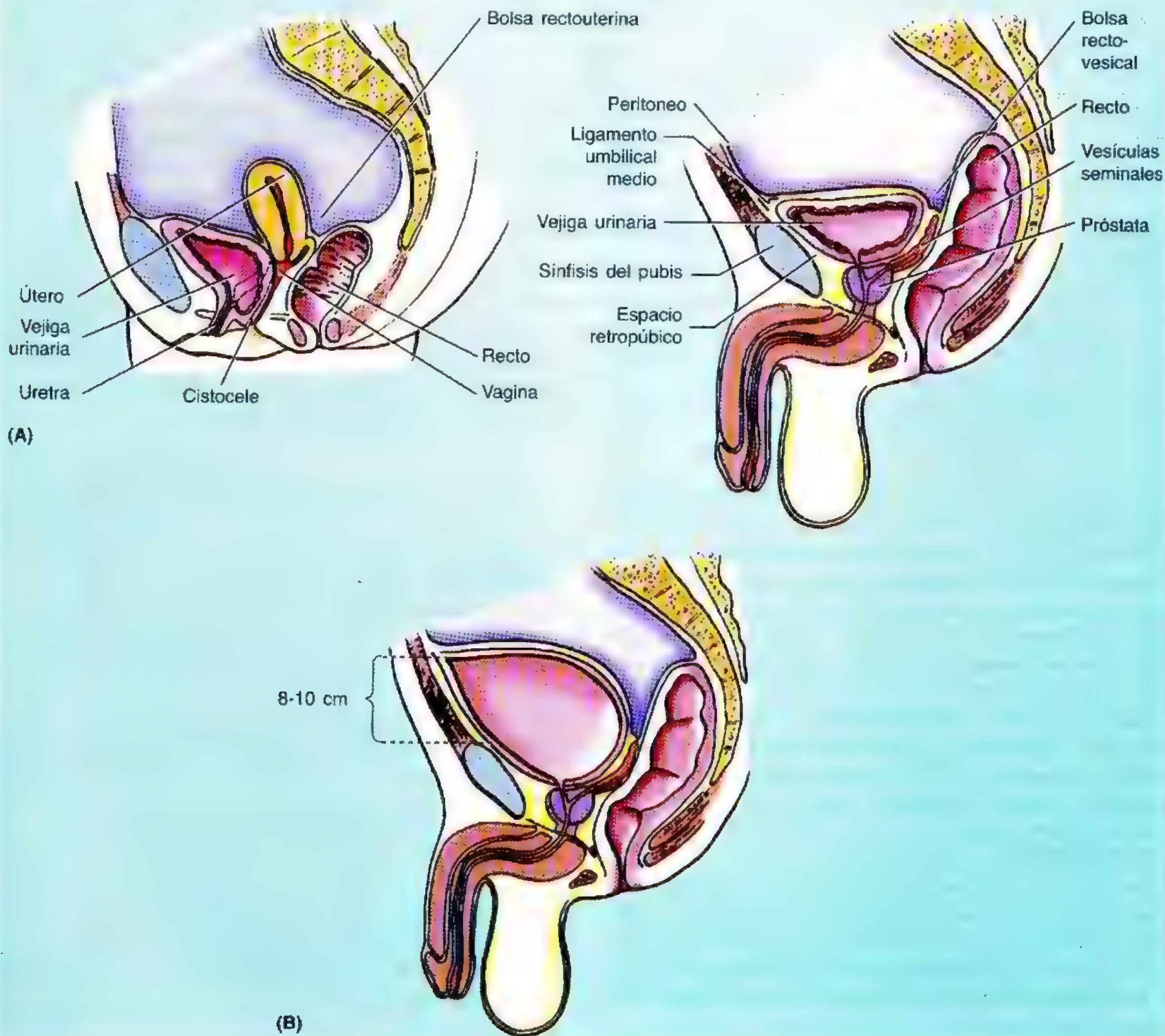
Cistotomía suprapúbica

Conforme se llena la vejiga, se extiende hacia arriba, encima de la sínfisis del pubis y a lo largo de la pared anterior del abdomen. Si se distiende en exceso, la vejiga puede levantarse hasta el ombligo (B). En este caso, se

introduce entre el peritoneo parietal y la pared anterior del abdomen.

La vejiga se coloca adyacente a la pared sin interposición peritoneal. Por eso es posible pinchar la vejiga distendida —*cistotomía suprapúbica*— o abordarla quirúrgicamente por encima de la sínfisis del pubis, para introducir catéteres permanentes o instrumentos sin seccionar el peritoneo ni penetrar en la cavidad peritoneal. Los cálculos urinarios, los cuerpos extraños y algunos tumores de pequeño tamaño también se pueden extirpar de la vejiga a través de una incisión suprapúbica y extraperitoneal.

Debido a la posición superior de la vejiga distendida, se puede perforar en caso de traumatismo de la parte inferior de la pared anterior del abdomen o durante fracturas de la pelvis. La rotura motiva, en ocasiones, el escape extra- o intraperitoneal de la orina. La rotura de la parte

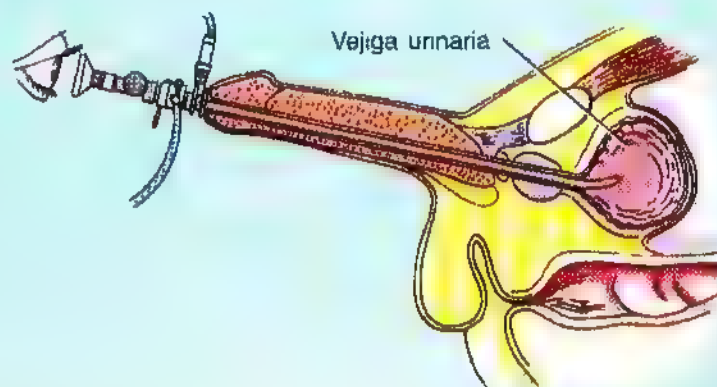


► superior de la vejiga suele desgarrar el peritoneo y causar una *extravasación (paso) de orina a la cavidad peritoneal*. La rotura posterior de la vejiga suele determinar el paso extraperitoneal de la orina hacia el perineo.

Cistoscopia

El interior de la vejiga urinaria y sus tres orificios se pueden examinar con un *cistoscopio*, un endoscopio tubular,

con luz, que se introduce por la uretra. El cistoscopio se compone de una luz, una lente y diversos dispositivos para sujetar, extirpar, cortar o cauterizar. Para la *resección transuretral de un tumor* se pasa un instrumento a la vejiga urinaria a través de la uretra. Con una corriente eléctrica de alta frecuencia se rompe el tumor en pequeños fragmentos que se elimina de la vejiga, lavándola con suero. ◉



Órganos genitales masculinos internos

Los órganos genitales masculinos internos comprenden los testículos, los epidídimos, los conductos deferentes, las vesículas seminales, los conductos eyaculadores, la próstata y las glándulas bulbouretrales (fig. 3.19). Los testículos y los epidídimos se describieron en el capítulo 2.

Conducto deferente

El conducto deferente (en latín, *ductus deferens, vas deferens*) es la prolongación del conducto del epidídimo (fig. 3.19). El conducto deferente:

- Empieza en la cola del epidídimo.
- Ascende por el cordón espermático.

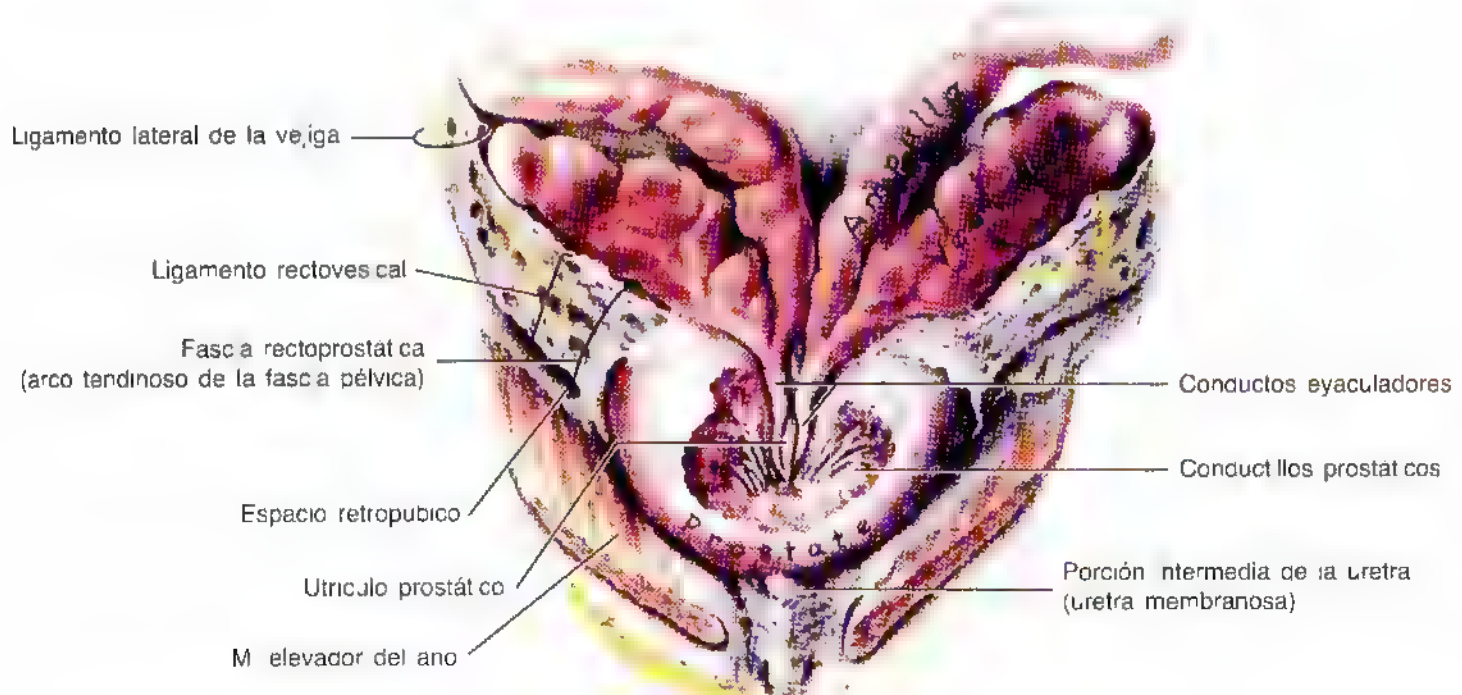


Figura 3.18. Disección de la parte posterior de la próstata, ligamento lateral de la vejiga y fascia rectoprostatíca. Obsérvense los conductos eyaculadores derecho e izquierdo que se forman con la fusión del conducto de la vesícula seminal y del conducto deferente. Nótese el utrículo prostático rudimentario que queda entre los conductos eyaculadores.

- Atraviesa el conducto inguinal.
- Cruza los vasos ilíacos externos y entra en la pelvis.
- Pasa por la pared lateral de la pelvis, situándose fuera del peritoneo parietal.
- Termina uniéndose al conducto de la vesícula seminal para dar el conducto eyaculador.

Durante su trayecto no se interpone ninguna otra estructura entre el conducto deferente y el peritoneo.

El conducto deferente se cruza con el uréter, por encima de éste, cerca del ángulo posterolateral de la vejiga, discutiéndose entre el uréter y el peritoneo hasta alcanzar el fondo de la vejiga. La relación del conducto deferente con el

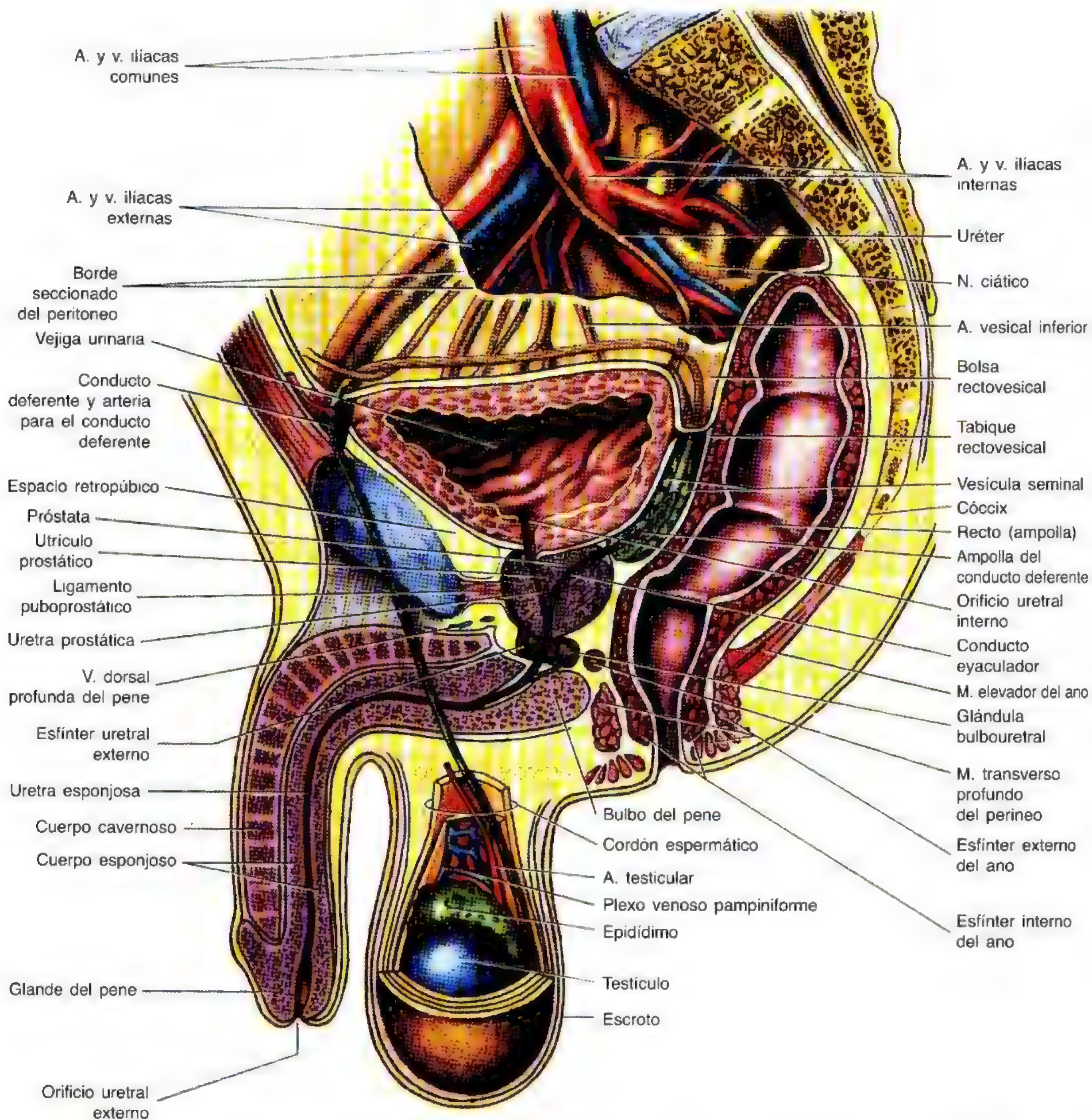


Figura 3.19. Corte medio de la pelvis y del perineo masculinos. Obsérvense los órganos genitales: testículos, epidídimo, conducto deferente, conducto eyaculador y pene, con las estructuras glandulares accesorias: vesícula seminal, próstata y glándula bulbouretral. El cordón espermático comunica el testículo con la cavidad abdominal; el testículo se sitúa en una bolsa musculocutánea exterior, el escroto.

uréter masculino se parece, aunque su importancia clínica sea menor, a la de la arteria uterina con el uréter femenino. El fundamento embriológico de esta relación se ilustra en la figura 3.20. Detrás de la vejiga, el conducto deferente se sitúa primero encima de la vesícula seminal y luego desciende medial al uréter y a la vesícula seminal (fig. 3.19). Al llegar aquí, el conducto deferente se ensancha para dar la **ampolla del conducto deferente**. Después se estrecha y se une al conducto de la vesícula seminal, formando el **conducto eyaculador**.

Irrigación arterial del conducto deferente. La diminuta **arteria del conducto deferente** nace, de ordinario, en la arteria vesical inferior (fig. 3.19) y termina anastomosándose con la arteria testicular, detrás del testículo.

Drenaje venoso y linfático del conducto deferente. Las venas acompañan a las arterias y llevan nombres semejantes (fig. 3.12C). Los vasos linfáticos del conducto deferente terminan en los **ganglios ilíacos externos** (fig. 3.14A).

Inervación del conducto deferente. Los nervios del conducto deferente son ramos del **plexo hipogástrico inferior** (fig. 3.14B). El conducto tiene una rica inervación de fibras nerviosas autónomas, que facilita su rápida contracción para la expulsión del espermatozoos durante la eyaculación.

Esterilización masculina

El método más común de esterilización masculina es la **deferentectomía**, conocida popularmente como **vasectomía**. Durante esta intervención se liga o se extirpa parte del conducto deferente a través de una incisión practicada en la parte superior del escroto. Por eso, el líquido que se eyacula posteriormente por las vesículas seminales, próstata y glándulas bulbouretrales no contiene espermatozoos. Los espermatozoos no expulsados degeneran en el epidídimo y en la parte proximal del conducto deferente. Por regla general se puede **invertir la deferentectomía** en casos favorables (pacientes menores de 30 años, siempre que se practique en los 7 años siguientes a la cirugía). Para ello se reinsertan los extremos seccionados del conducto deferente con un microscopio quirúrgico. ○

Vesículas seminales

Cada una de las vesículas seminales representa una estructura elongada (de unos 5 cm de longitud), que se encuentra entre el fondo de la vejiga y el recto (figs. 3.19 y 3.21). Las vesículas seminales, glándulas oblicuas superiores a la próstata, no almacenan espermatozoos como sugiere su nombre, sino que segregan un líquido alcalino espeso que se mezcla con el espermatozoos a su paso por los conductos eyaculadores y la uretra. Los extremos superiores de las vesículas seminales están tapizados de peritoneo y se encuentran

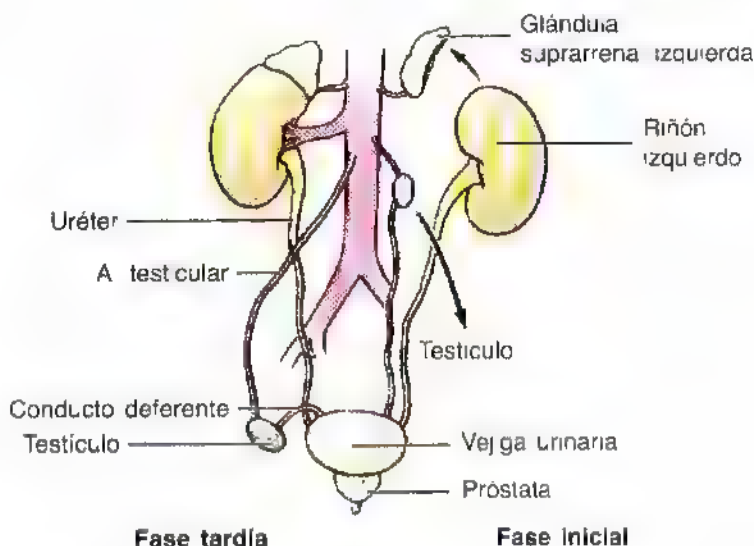


Figura 3.20. Trayecto del uréter en el abdomen y en la pelvis. Este diagrama explica cómo el uréter es atravesado, en su desarrollo, por los vasos testiculares en el abdomen y por el conducto deferente en la pelvis.

detrás de los uréteres, allí donde el peritoneo de la **bolsa rectovesical** los separa del recto. Los extremos inferiores de las vesículas seminales se relacionan íntimamente con el recto, y sólo quedan separados de él por el **tabique rectovesical**, una partición membranosa (fig. 3.19). El conducto de la vesícula seminal se une al conducto deferente para formar el **conducto eyaculador**.

Irrigación arterial de las vesículas seminales. Las arterias para las vesículas seminales (fig. 3.10, A y C) proceden de las arterias vesical inferior y rectal media.

Drenaje venoso y linfático de las vesículas seminales. Las venas acompañan a las arterias del mismo nombre (fig. 3.12C). Los ganglios ilíacos, sobre todo los **ilíacos internos** (fig. 3.14A), reciben la linfa de las vesículas seminales.

Inervación de las vesículas seminales. Las paredes de estas vesículas contienen un plexo de fibras nerviosas y algunos ganglios simpáticos (fig. 3.14B). Las fibras simpáticas presinápticas atraviesan los **nervios lumbar superior e hipogástrico**, y las fibras parasimpáticas presinápticas, los **nervios espláncnicos de la pelvis**, hasta alcanzar los **plexos hipogástricos inferiores (pélvicos)**.

Abscesos de las vesículas seminales

La colección local de pus (absceso) en la vesícula seminal puede romperse a la cavidad peritoneal. Durante el tacto rectal se palpa la vesícula seminal aumentada de tamaño. También se puede practicar un masaje para expulsar sus secreciones y examinar con el microscopio si contienen, por ejemplo, **gonococos** (los microorganismos causantes de la **gonorrea**). ○

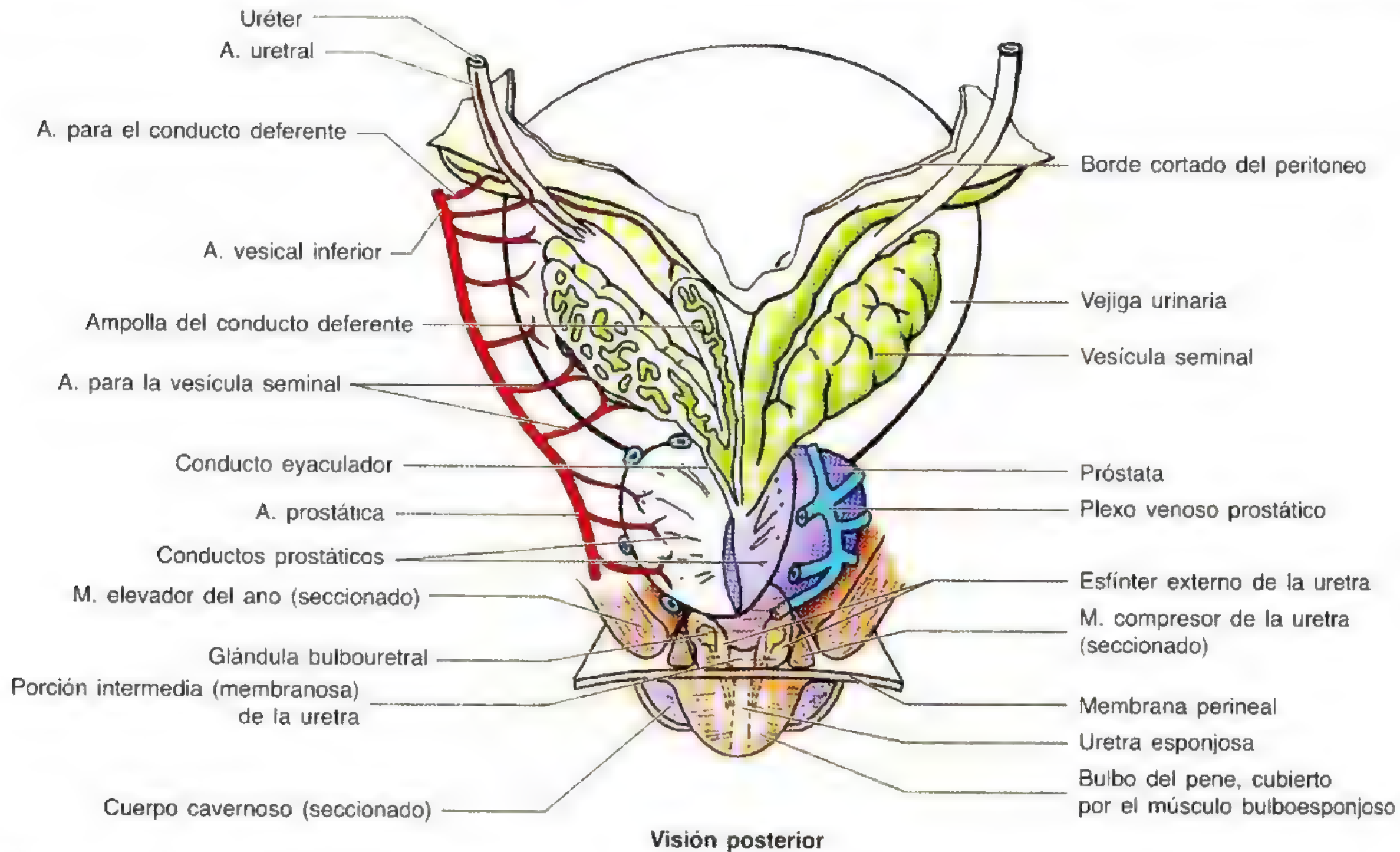


Figura 3.21. Vejiga urinaria, vesículas seminales, porciones terminales de los conductos deferentes y próstata.

Se han disecado y expuesto la vesícula seminal izquierda y la ampolla del conducto deferente. Se ha seccionado también parte de la próstata para visualizar el conducto eyaculador. Obsérvese la membrana perineal, situada entre los genitales externos y la parte profunda del perineo (receso anterior de la fosa isquioanal). Es atravesada por la uretra, los conductos de las glándulas bulbouretrales, las arterias dorsal y profunda del pene, los nervios cavernosos y el nervio dorsal del pene.

Conductos eyaculadores

Cada conducto eyaculador es un tubo fino que surge por la unión del conducto de una vesícula seminal con el conducto deferente (figs. 3.19 y 3.21). Los conductos eyaculadores (miden aproximadamente 2,5 cm de longitud) nacen cerca del cuello de la vejiga y discurren muy próximos a su paso anteroinferior por la porción posterior de la próstata y a los lados del utrículo prostático. Los conductos eyaculadores convergen para unirse en el colículo seminal a través de pequeñas hendiduras o justo dentro del orificio del utrículo prostático (figs. 3.17 y 3.18).

Irrigación arterial de los conductos eyaculadores. Las arterias de los conductos deferentes, casi siempre ramas de las arterias vesicales inferiores, irrigan los conductos eyaculadores (fig. 3.19).

Drenaje venoso y linfático de los conductos eyaculadores. Las venas se unen a los plexos venosos prostático y vesical (fig. 3.12C). Los vasos linfáticos drenan a los ganglios ilíacos externos (fig. 3.14A).

Inervación de los conductos eyaculadores. Los nervios de los conductos eyaculadores provienen del plexo hipogástrico inferior (fig. 3.14B).

Próstata

La próstata (de aproximadamente 3 cm de longitud) es la glándula accesoria mayor del aparato reproductor masculino (figs. 3.15A y 3.16, B y C). La porción glandular constituye casi dos tercios de la próstata y el tercio restante es fibromuscular. La próstata, dura, del tamaño de una avellana, rodea la uretra prostática y posee una cápsula fibrosa densa, envuelta por una vaina prostática fibrosa que se continúa con los ligamentos puboprostáticos. La próstata posee:

- Una base íntimamente relacionada con el cuello de la vejiga.
- Un vértice en contacto con la fascia de la cara superior del esfínter uretral y con los músculos perineales profundos.
- Una cara muscular anterior, compuesta en su mayoría por fibras musculares transversales, que se continúa por dentro con el esfínter uretral y que se separa de la sínfisis del pubis por la grasa retroperitoneal del espacio retropúbico.
- Una cara posterior relacionada con la ampolla del recto.
- Caras inferolaterales relacionadas con el músculo elevador de ano.

Aunque no se distinguen de manera clara, tradicionalmente se han descrito los siguientes lóbulos de la próstata (figs. 3.19 y 3.21):

- El lóbulo anterior, o istmo, queda delante de la uretra. Es fibromuscular y las fibras musculares representan la prolongación superior del músculo esfínter de la uretra; contiene muy poco o ningún tejido glandular.
- El lóbulo posterior, situado detrás de la uretra y debajo de los conductos eyaculadores, se palpa fácilmente mediante tacto rectal.
- Los lóbulos laterales, a cada lado de la uretra, forman la porción mayor de la próstata.
- El lóbulo medio (mediano) queda entre la uretra y los conductos eyaculadores y se relaciona estrechamente con el cuello de la vejiga.

Algunos autores, sobre todo los ecografistas, dividen la próstata en zonas periférica y central (interna). La zona central se puede asimilar con el lóbulo medio. Dentro de cada lóbulo existen cuatro lobulillos, que se definen por la disposición de los conductos y del tejido conjuntivo.

Los **conductos prostáticos** (de 20 a 30) se abren principalmente a los surcos —*senos prostáticos*— situados a cada

lado del colículo seminal en la pared posterior de la uretra prostática (fig. 3.17). El líquido prostático, una secreción lechosa y fina, aporta cerca del 20% del volumen del semen, mezcla de secreciones producidas por los testículos, las vesículas seminales, la próstata y las glándulas bulbouretrales.

Irrigación arterial de la próstata. Las arterias prostáticas son ramas, sobre todo, de la arteria iliaca interna (fig. 3.10, A y C), en particular las **arterias vesicales inferiores**, pero también las arterias pudenda y rectal media.

Drenaje venoso y linfático de la próstata. Las venas se unen para formar un plexo a los lados y en la base de la próstata (figs. 3.10 C y 3.21). Este **plexo venoso prostático**, entre la cápsula fibrosa de la próstata y la vaina prostática, drena a las **venas ilíacas internas**. El plexo venoso prostático se continúa en la parte superior con el plexo venoso vesical, y en la posterior, con el **plexo venoso vertebral interno**. Los **vasos linfáticos** (fig. 3.14A) terminan, en general, en los **ganglios ilíacos interno y sacro**.

Inervación de la próstata. Las fibras parasimpáticas nacen en los **nervios espláncnicos de la pelvis** (S2 a S4), y las simpáticas, en el **plexo hipogástrico inferior** (fig. 3.14B).

Aumento de tamaño de la próstata

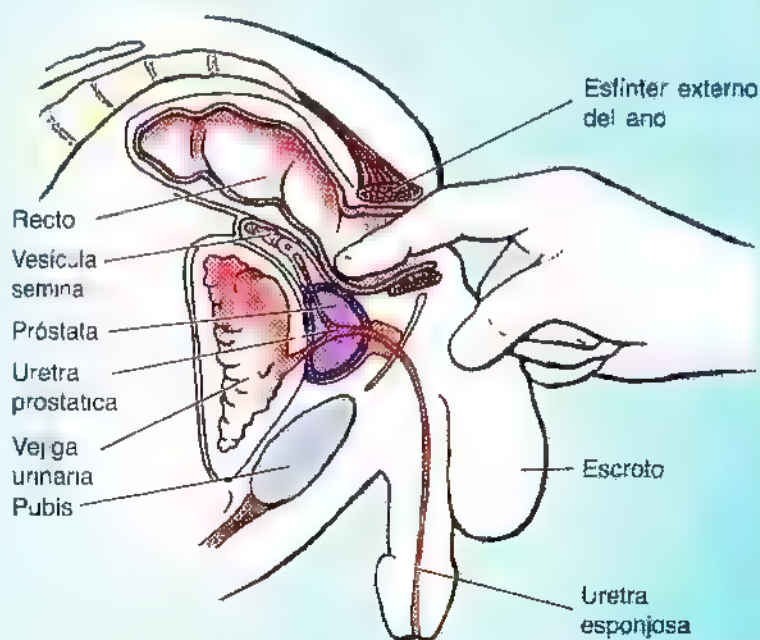
La próstata tiene un innegable interés médico, porque a partir de edades medianas suele experimentar un aumento benigno de tamaño —*hipertrofia prostática*—. La próstata hipertrofica se proyecta dentro de la vejiga urinaria e impide la micción, al alterar la uretra prostática. Casi siempre, el lóbulo que más crece es el lóbulo medio, que obstruye el orificio uretral interno. Cuanto más esfuerzo hace la persona, más obstruye la próstata a la uretra (Williams y cols., 1995).

La próstata se puede explorar mediante *tacto rectal*. La capacidad de palpar la próstata depende de la plenitud vesical. Una vejiga llena ofrece resistencia, sujeta la glándula y permite palparla más fácilmente. La *hipertrofia prostática benigna* afecta a un gran número de varones de edad avanzada y es una causa frecuente de obstrucción uretral, que se caracteriza por *nicturia* (necesidad de orinar por la noche), *disuria* (dificultad o dolor durante la micción) y *tenesmo* (deseo imperioso de orinar).

El **cáncer de próstata** es frecuente en los varones mayores de 55 años. Durante el tacto rectal, la próstata cancerosa se nota dura y, a menudo, irregular. En los estadios más avanzados, las **células cancerosas metastatizan a los ganglios linfáticos ilíacos internos y sacros**, y después, a ganglios más remotos y a los huesos. Dada la íntima relación entre la próstata y la uretra prostática, la obstrucción se puede aliviar con un **resectoscopio**, un aparato que se introduce por el orificio uretral externo y la uretra esponjosa hasta la uretra prostática. Durante la resección prostática de toda

o parte de la próstata (*prostatectomía*) se extirpa la zona hipertrofiada.

En los casos más graves se extrae toda la próstata, junto con los vesículos seminales, los conductos eyaculadores y las porciones terminales deferentes del conducto. Las técnicas utilizadas para preservar los nervios y los vasos sanguíneos del pene, que pasan al lado de la próstata, han mejorado las posibilidades de que estos enfermos conserven la función sexual después de la cirugía, así como de un control urinario normal tras la intervención. ◊



Glándulas bulbouretrales

Las dos glándulas bulbouretrales, del tamaño de un guisante, se sitúan posterolaterales a la porción intermedia (membranosa) de la uretra (figs. 3.19 y 3.21). Los conductos de las glándulas bulbouretrales atraviesan la fascia inferior del músculo esfínter de la uretra (membrana perineal), junto con la uretra, y desembocan a través de diminutos orificios en la parte próxima de la uretra esponjosa del bulbo del pene. Esta secreción mucosa pasa a la uretra durante la excitación sexual.

Órganos genitales internos femeninos

Los órganos genitales internos femeninos comprenden la vagina, el útero, las trompas uterinas y los ovarios.

Vagina

La vagina, un tubo musculomembranoso (de 7 a 9 cm de longitud), se extiende desde el cuello del útero hasta el **vestíbulo de la vagina**, hendidura entre los labios menores (figs. 3.22 y 3.23). El extremo superior de la vagina rodea el cuello del útero, y el inferior atraviesa en sentido ante-

roinferior el suelo de la pelvis para desembocar en el vestíbulo. La vagina:

- Sirve de conducto excretor del flujo menstrual.
- Constituye la porción inferior del conducto pélvico (del parto).
- Recibe el pene y el material eyaculado durante el coito.
- Se comunica por arriba con el *conducto cervical* —conducto fusiforme que se extiende desde el istmo del útero hasta el orificio externo del útero— y por abajo con el vestíbulo de la vagina.

De ordinario, la vagina está colapsada, por lo que sus paredes anterior y posterior contactan, salvo por el extremo superior, donde el cuello las separa. La vagina se sitúa detrás de la uretra y de la vejiga urinaria y delante del recto (fig. 3.23), y pasa entre los márgenes mediales de los músculos elevadores del ano. El **fórnix vaginal**, saco que rodea el cuello del útero, dispone de las porciones anterior, posterior y lateral. *La parte posterior del fórnix es la más profunda y se relaciona íntimamente con la bolsa rectouterina.* Cuatro músculos comprimen la vagina y actúan como esfínteres: pubovaginal, esfínter externo de la uretra, esfínter

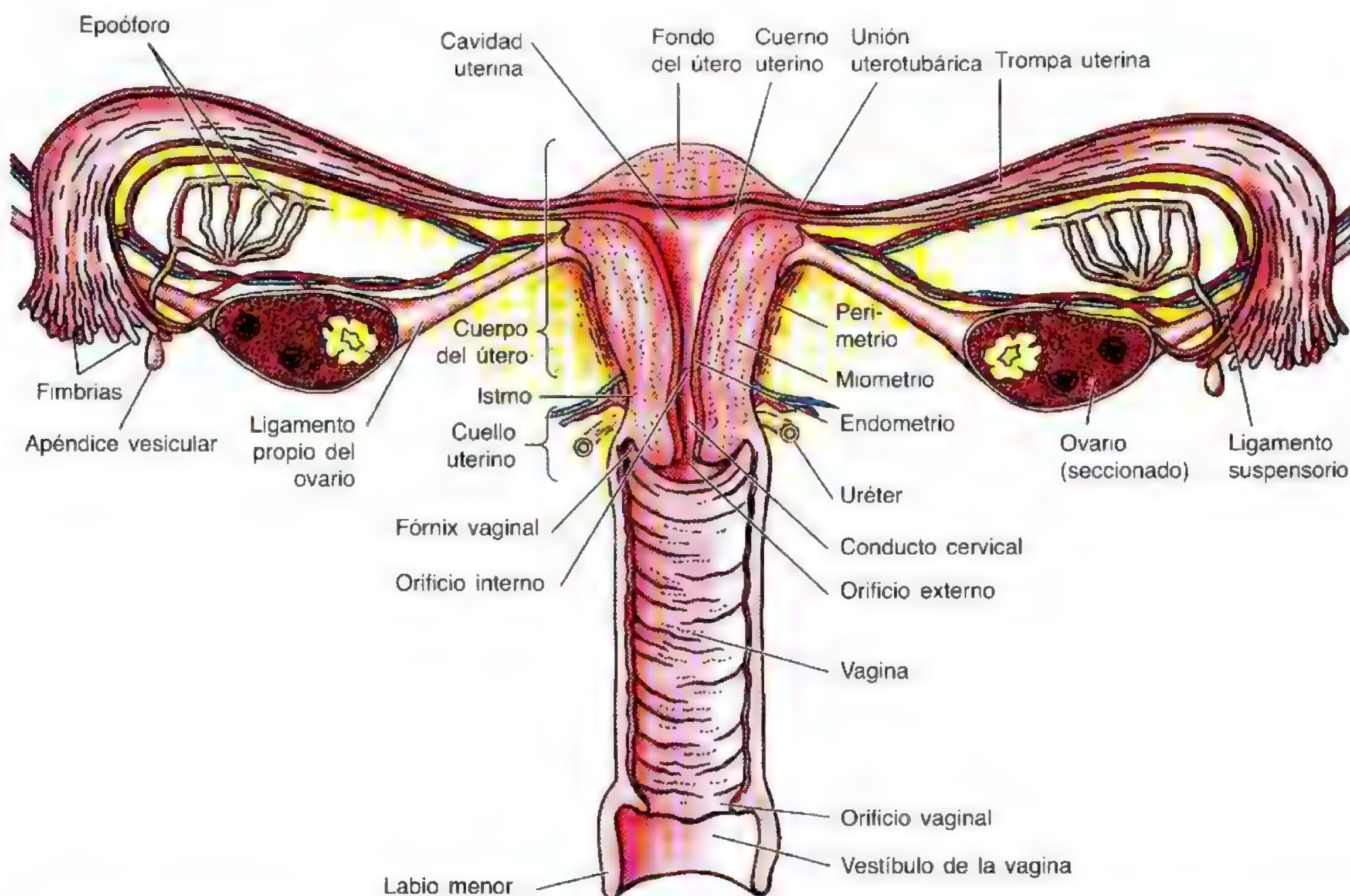


Figura 3.22. Esquema de un corte coronal de los órganos genitales internos femeninos. Obsérvense las partes del útero; las paredes uterina y vaginal, el cuello uterino y la cavidad uterina. Se aprecian también la trompa uterina y el ligamento propio del ovario, que se insertan de forma conjunta en la pared lateral del útero. El epoóforo es una colección de túbulos rudimentarios del mesosálpinx (mesenterio de la trompa uterina). El epoóforo y el apéndice vesicular son vestigios del mesonefros embrionario.

uretrovaginal y bulboesponjoso (fig. 3.24). *La vagina se relaciona:*

- Por delante, con la base de la vejiga y la uretra.
- A los lados, con los msculos elevadores del ano, la fascia visceral de la pelvis y los urteres.
- Por detrs (del plano inferior al superior), con el conducto anal, el recto y la bolsa rectouterina.

Irrigacin arterial de la vagina. Las arterias que irrigan la parte superior de la vagina proceden de las **arterias uterinas** (fig. 3.25); las **arterias vaginales** que nutren las porciones media e inferior de la vagina provienen de la **arteria rectal media** y de la **arteria pudenda interna**.

Drenaje venoso y linftico de la vagina. Las venas vaginales crean los **plexos venosos vaginales** a los lados de la vagina y dentro de la mucosa vaginal (fig. 3.25). Estas venas se continan con el plexo venoso uterino en forma de **plexo venoso uterovaginal**, que desemboca en las venas ilacas inter-

nas a travs de la vena uterina. Este plexo tambin se comunica con los plexos venosos vesical y rectal. *Los vasos linfticos vaginales* (fig. 3.26A) *drenan a distintos ganglios segn las partes de la vagina:*

- La parte superior desemboca en los ganglios ilacos internos y externos.
- La parte media, en los ganglios ilacos internos.
- La parte inferior, en los ganglios sacros e ilacos comunes, as como en los ganglios inguinales superficiales.

Inervacin de la vagina. Casi toda la vagina (de tres cuartos a cuatro quintos superiores) recibe una inervacin visceral (fig. 3.26B). Los nervios de esta porcin de la vagina nacen en el **plexo uterovaginal**, que viaja con la arteria uterina en la unin de la base del ligamento ancho peritoneal con la parte superior del ligamento fascial transverso del cuello uterino. El plexo uterovaginal es uno de los plexos plvicos que se extiende hasta las vsceras plvicas desde el plexo

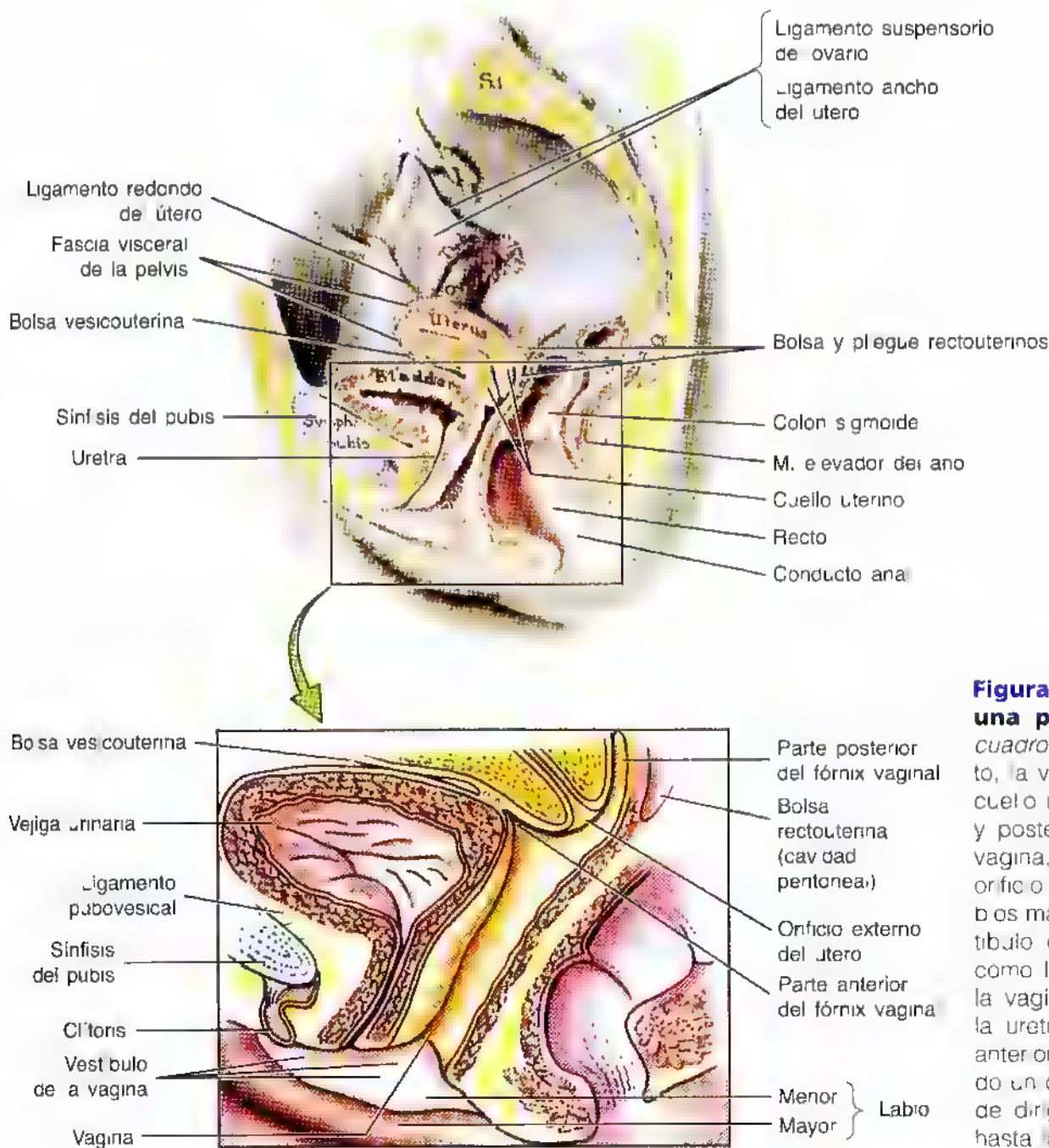


Figura 3.23. Corte medio de una pelvis femenina. El recuadro muestra a mayor aumento, la vejiga urinaria, la uretra, el cuello uterino, las partes anterior y posterior del frnix vaginal, la vagina, la bolsa rectouterina, el orificio externo del tero, los labios mayores y menores y el vestibulo de la vagina. Obsrvase como los ejes de la uretra y de la vagina son paralelos y cmo la uretra se adhiere a la pared anterior de la vagina. Introduciendo un dedo en la vagina se puede dirigir mejor la sonda uretral hasta la vejiga urinaria.

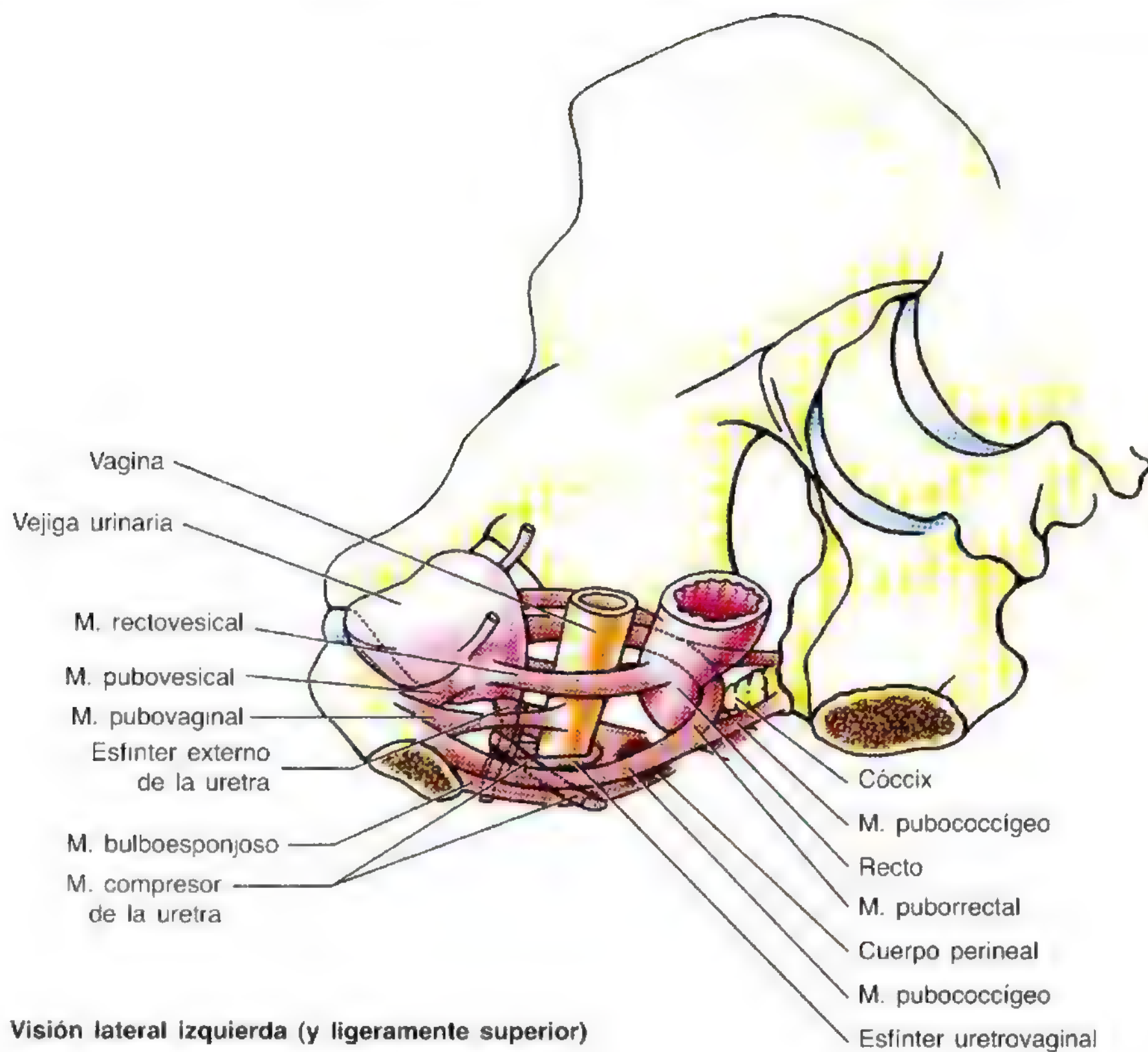


Figura 3.24. Músculos compresores de la uretra y de la vagina.

Cuatro músculos comprimen la vagina y actúan como esfínteres: pubovaginal, esfínter externo de la uretra (sobre todo, la parte uretrovaginal del esfínter) y bulboesponjoso. El músculo compresor de la uretra y el esfínter externo de la uretra comprimen la uretra

Visión lateral izquierda (y ligeramente superior)

hipogástrico inferior. Las fibras simpáticas, parasimpáticas y aferentes viscerales pasan a través de este plexo. La *inervación simpática* nace en los segmentos torácicos inferiores y pasa a través de los *nervios espláncnicos lumbares* y de los plexos intermesentérico/hipogástrico. La *inervación parasimpática* se origina en los segmentos medulares S2 a S4 y atraviesa los *nervios espláncnicos de la pelvis*, hasta llegar al plexo hipogástrico inferior/utero vaginal. Las fibras aferentes de esta parte de la vagina acompañan a las fibras parasimpáticas por los plexos utero vaginal e hipogástrico inferior y los ner-

vios espláncnicos de la pelvis, hasta alcanzar los cuerpos celulares situados en los ganglios espinales de S2, S3 y S4.

Sólo el quinto o el cuarto inferiores de la vagina reciben una innervación somática. La innervación de esta parte de la vagina proviene de un ramo perineal profundo del **nervio pudendo**, que porta fibras simpáticas y aferentes, pero ninguna parasimpática. *Sólo esta porción, con innervación somática, es sensible al tacto y a la temperatura*, si bien las fibras aferentes somáticas también tienen sus cuerpos neuronales en los ganglios espinales de S2 a S4.

Distensión de la vagina

El feto puede distender de forma llamativa la vagina durante el parto, sobre todo en dirección anteroposterior. La distensión lateral queda limitada por las espigas ciáticas, que se proyectan en sentido posteromedial, y los ligamentos sacroespinosos, que se extienden desde estas espigas hasta los bordes laterales del sacro y del cóccix.

Exploración de la vagina

El interior de la vagina y del cuello uterino se puede examinar con un *especulo vaginal* (A y C). El cuello uterino,

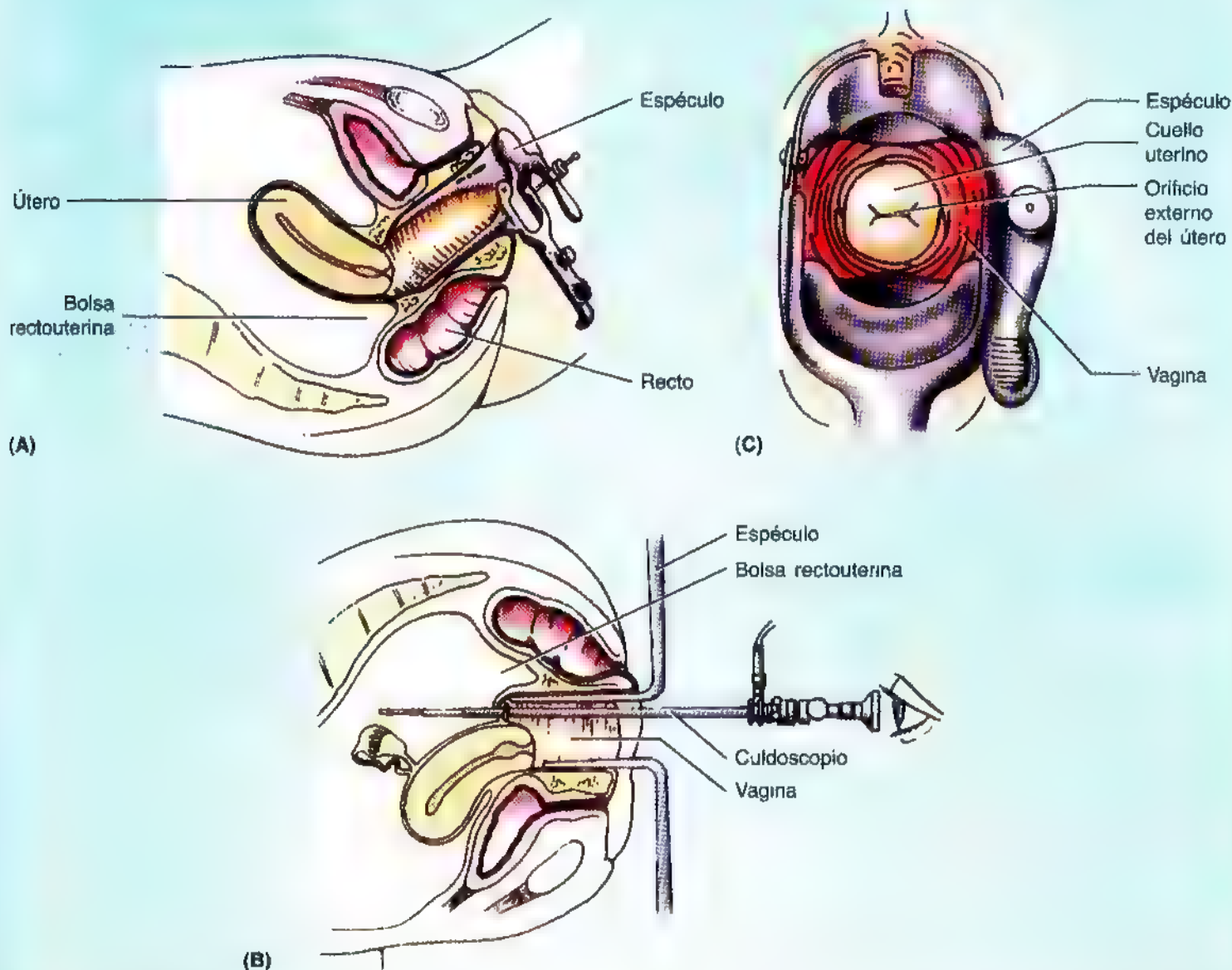
las espigas ciáticas y el promontorio sacro también se pueden palpar mediante un tacto vaginal o rectal. Las pulsaciones de las arterias uterinas se palpan, asimismo, en las porciones laterales del fórnix, así como las irregularidades de los ovarios (del tipo de quiste).

Culdoscopia, laparoscopia y culdocentesis

El *culdoscopia* —un instrumento endoscópico— se introduce por la parte posterior del fórnix vaginal (B) para explorar los ovarios y las trompas uterinas (p. ej., descartar ►

► un embarazo tubárico). La *laparoscopia* prácticamente ha sustituido a la *culdoscopia*, porque ofrece una mayor flexibilidad para la cirugía y una mejor visualización de los órganos pélvicos. Además, el riesgo de contaminación bacteriana de la cavidad peritoneal es menor. Los absce-

sos pélvicos de la bolsa rectouterina se pueden drenar a través de una incisión practicada en la parte posterior del fórnix vaginal (*culdocentesis*). De forma similar, se puede aspirar líquido de la cavidad peritoneal (p. ej., sangre) mediante esta técnica. ⚙



Útero

El útero —una víscera muscular hueca, de paredes gruesas y forma de pera— se sitúa en la pelvis menor; de ordinario, el cuerpo se apoya en la parte superior de la vejiga urinaria y el cuello del útero se sitúa entre la vejiga urinaria y el recto (figs. 3.23, 3.25 y 3.27). El útero de la mujer adulta suele presentar *anteversión* (inclinación anterosuperior con respecto al eje de la vagina— y *anteflexión* (el cuerpo uterino se flexiona o dobla en sentido anterior con respecto al cuello del útero), de forma que su masa se apoya en la vejiga.

La posición del útero cambia con el grado de plenitud de la vejiga y del recto. Aunque el tamaño varía mucho, el útero mide cerca de 7,5 cm de longitud, 5 cm de anchura y

2 cm de grosor, y pesa unos 90 gramos. Durante el embarazo, el útero crece mucho para alojar al feto. *El útero se divide en dos grandes partes* (fig. 3.22): el cuerpo y el cuello:

- El **cuerpo**, que constituye los dos tercios superiores, dispone de dos partes:
- El **fondo** o parte redondeada del cuerpo, situada por encima de los orificios de las trompas uterinas.
- El **istmo** o región relativamente estrecha del cuerpo (longitud aproximada de 1 cm), justo encima del cuello del útero.
- El **cuello del útero**, porción inferior cilíndrica y estrecha que hace prominencia en la porción más alta de la vagina.

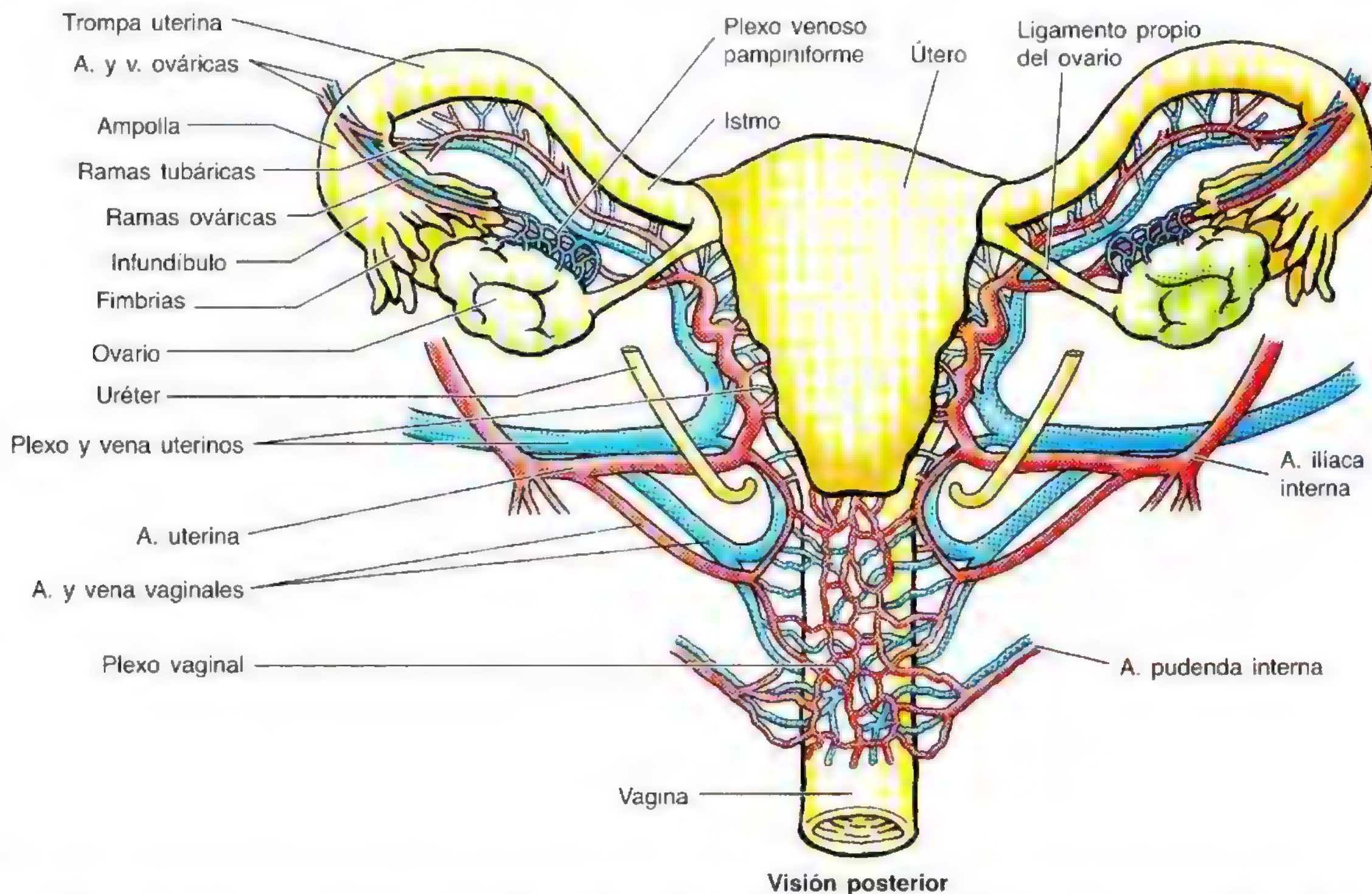


Figura 3.25. Irrigación y drenaje venoso del útero, vagina y ovarios. El ligamento ancho del útero se ha extirpado para ver la arteria ovárica, que nace en la aorta, y la arteria uterina que se origina en la arteria iliaca interna e irrigan el ovario, la trompa uterina y el útero. Obsérvense, asimismo, las ramas anastomosantes tubáricas y ováricas dentro del ligamento ancho (extirpado). Aparecen también el plexo pampiniforme, la vena ovárica y el plexo y la vena uterinos.

El útero es el lugar donde se desarrolla el embrión y el feto. Durante el embarazo crece considerablemente de tamaño.

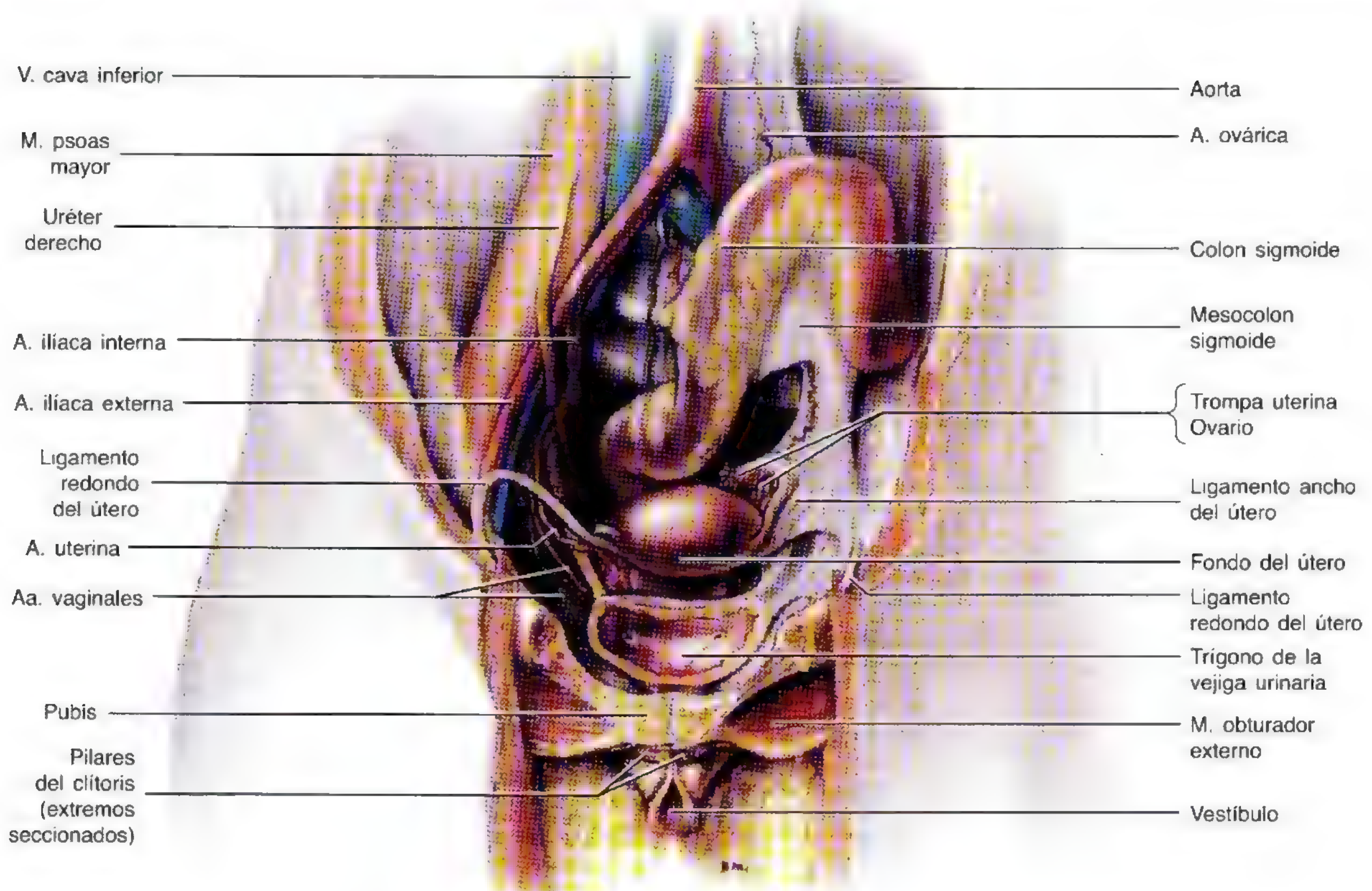
El **cuerpo del útero** se sitúa entre las capas del ligamento ancho y se mueve con plena libertad. Tiene dos caras: vesical (relacionada con la vejiga) e intestinal. Los **cuernos uterinos** son las regiones superolaterales por donde entran las trompas uterinas (fig. 3.27A). En la mujer premenopáusica postpúber, el cuerpo constituye los dos tercios piriformes superiores del útero. Durante la infancia, así como después

de la menopausia, el cuerpo y el cuello tienen casi la misma longitud (altura), mientras que el cuello tiene un mayor diámetro (grosor). La **cavidad uterina**, muy estrecha, mide unos 6 cm de longitud desde el *orificio externo* del útero hasta la pared del fondo.

El **cuello del útero** —de unos 2,5 cm de longitud en la mujer adulta no embarazada— se divide en las porciones supravaginal y vaginal. La *porción supravaginal* queda separada de la vejiga por delante a través de un tejido conjuntivo laxo, y del recto por detrás por la **bolsa rectouterina**

Figura 3.26. Drenaje linfático e inervación de la pelvis femenina. **A.** Drenaje linfático del útero y de las trompas uterinas. Las flechas indican la dirección de la linfa a los ganglios linfáticos. **B.** Inervación del útero, trompas uterinas y vagina. Obsérvense el origen de los nervios espláncnicos parasimpáticos de la pelvis en los ramos primarios ventrales de S2, S3 y S4, que suministran fibras motoras para el útero y la vagina y fibras vasodilatadoras para el tejido eréctil del clitoris y del bulbo vestibular. Se aprecian, asimismo, las fibras simpáticas presinápticas que atraviesan el tronco simpático y pasan por los nervios espláncnicos lumbares hasta hacer sinapsis con las fibras postsinápticas, que viajan con los plexos hipogástricos superior e inferior hasta las vísceras de la pelvis. Las fibras aferentes que conducen el dolor de las estructuras intraperitoneales (como el cuerpo y el fondo uterinos) emigran con las fibras simpáticas hasta los ganglios espinales T12 a L2. Las fibras aferentes que llevan las sensaciones de dolor desde las estructuras subperitoneales, como el cuello uterino y la vagina (es decir, el canal del parto), discurren con las fibras parasimpáticas hasta los ganglios espinales S2 a S4. La sensibilidad somática del orificio vaginal también llega hasta los ganglios S2 a S4. Las contracciones musculares del útero se hallan sometidas, asimismo, a control hormonal.





(A) Visión anterosuperior

Figura 3.27. Hipogastrio y pelvis femeninos. A. Disección de los órganos genitales femeninos y corte coronal de la vejiga urinaria y de la parte anterior de la pelvis. Se han extirpado parte del ramo superior y de los cuerpos del pubis y la cara anterior de la vejiga urinaria. Asimismo, y en el lado derecho, se han extirpado la trompa uterina, el ovario, el ligamento ancho y el peritoneo del lado derecho que cubre la pared lateral de la pelvis. Estas estructuras se pueden examinar en el lado izquierdo.

(fig. 3.23). La *porción vaginal*, redondeada, se extiende dentro de la vagina y se comunica con ella a través del orificio externo. El *conducto cervicouterino* es más ancho en su porción media y se comunica con la cavidad uterina a través del orificio interno, y con la vagina, a través del orificio externo (fig. 3.22).

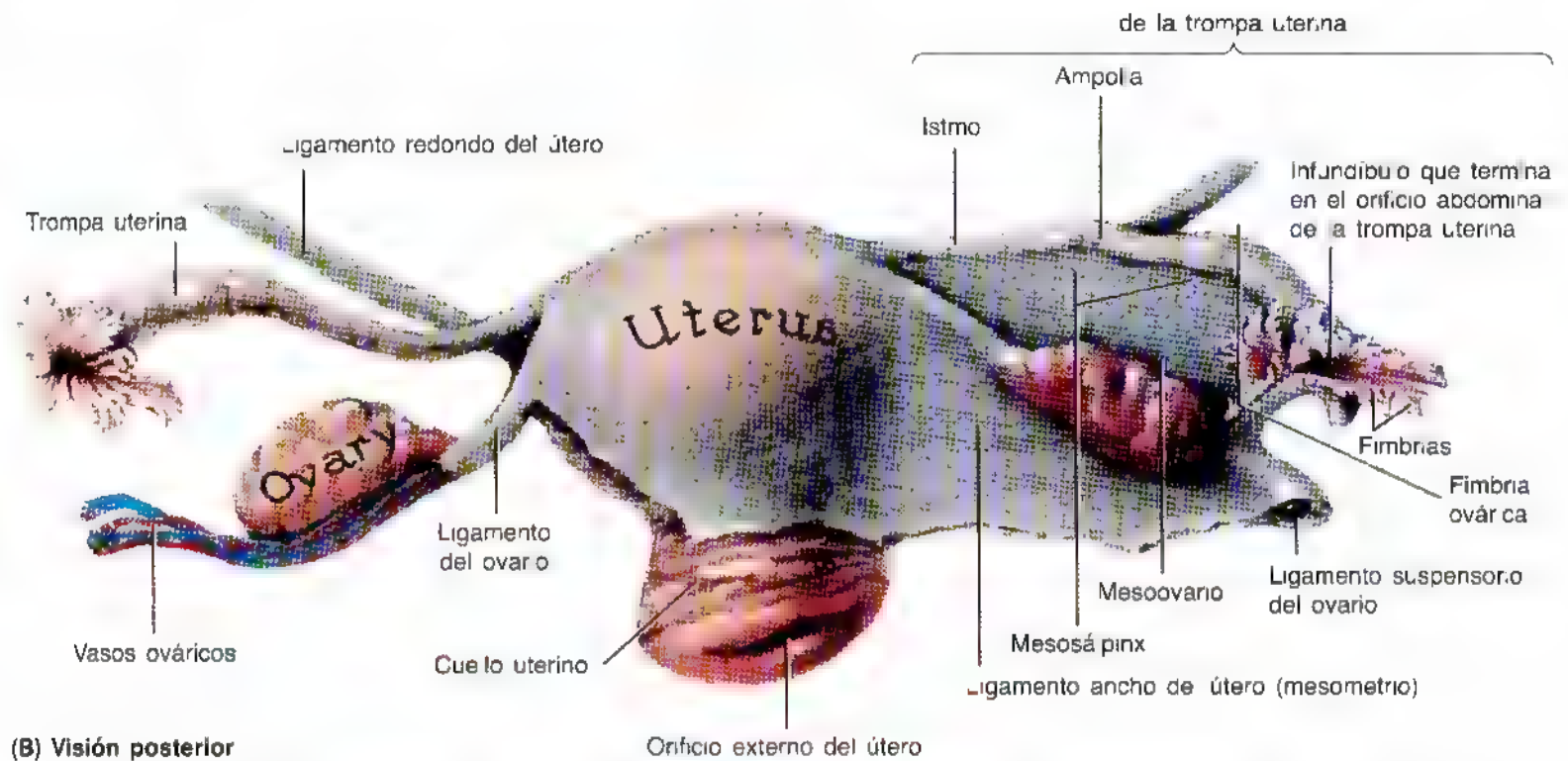
El **ligamento propio del ovario** se inserta en el útero, posteroinferior a la unión uterotubárica. El **ligamento redondo del útero** (en latín, *ligamentum teres*) se inserta por delante y debajo de esta unión. La *pared del cuero uterino se compone de tres capas*:

- El **perimetrio** —la cubierta serosa externa— consta de peritoneo reforzado con una fina capa de tejido conjuntivo.
- El **miometrio** —la cubierta muscular media— se distiende mucho (pero se adelgaza) durante el embarazo; las ramas principales de los vasos sanguíneos y nervios del útero se localizan en el miometrio.

- El **endometrio** —la cubierta mucosa interna— está muy adherido al miometrio subyacente.

La cantidad de tejido muscular del cuello uterino es considerablemente menor que la del cuerpo. El cuello es una estructura, en su mayor parte, fibrosa, compuesta principalmente por colágeno, así como por una pequeña cantidad de músculo liso y elastina.

El **ligamento ancho del útero** es una doble capa de peritoneo (mesenterio) que se extiende desde los lados del útero hasta las paredes laterales y el suelo de la pelvis (fig. 3.27). El ligamento ancho ayuda a mantener el útero en su posición. Las dos capas de ligamento ancho se continúan entre sí por un borde libre que rodea la trompa uterina. A los lados, el peritoneo del ligamento ancho se prolonga en la parte superior sobre los vasos sanguíneos en forma del **ligamento suspensorio del ovario** (fig. 3.27B). El *ligamento propio del ovario* se sitúa posterosuperior, y el *ligamento redondo del útero*, anteroinferior, entre las capas del liga-



(B) Visión posterior

Figura 3.27. (Continuación) B. Visión posterior de los genitales internos femeninos: útero, ovario, trompas uterinas y estructuras anejas. El ligamento ancho del lado izquierdo se ha extirpado.

mento ancho. La parte del ligamento ancho por la que se suspende el ovario es el **mesovario**. La parte del ligamento ancho que forma el mesenterio de la trompa uterina constituye el **mesosápinx**. La parte principal del ligamento ancho, el mesenterio del útero o **mesometrio**, se sitúa debajo del mesosápinx y del mesovario.

El útero es una estructura densa, situada en el centro de la cavidad pélvica. *Los principales soportes del útero*, que lo sustentan en su posición, son pasivos y activos (dinámicos). El soporte dinámico proviene del **diafragma pélvico**. Su tono al sentarse y levantarse y la contracción activa durante los períodos donde aumenta la presión dentro del abdomen (estornudo, tos, etc.) se transmiten al útero a través de los *órganos pélvicos circundantes y de la fascia endopélvica*, donde se encuentra embutido. El soporte pasivo del cuerpo uterino procede de la *posición del útero*, es decir, del modo en que el útero, de ordinario en anteversión y anteflexión, se apoya sobre la parte superior de la vejiga. Cuando aumenta la presión dentro del abdomen, el útero es comprimido contra la vejiga, en lugar de ser impulsado a través de la vagina, como ocurriría si el útero se situara encima de ésta. *El cuello del útero es la porción menos móvil del útero, debido al soporte pasivo que recibe de las condensaciones de la fascia endopélvica ("ligamentos") insertadas en él*, que incluso contienen músculo liso.

- Los **ligamentos transversales del cuello uterino (cardinales)** se extienden desde el cuello uterino y las porciones laterales del fórnix vaginal hasta las paredes laterales de la pelvis.
- Los **ligamentos uterosacros** pasan por encima y algo posteriores, desde los lados del cuello uterino hasta el cen-

tro del sacro; estos ligamentos se palpan durante el tacto rectal.

En conjunto, estos soportes pasivos y activos mantienen el útero centrado dentro de la cavidad pélvica y evitan la tendencia del útero a caerse o a ser impulsado a través del tubo hueco creado por la vagina (*prolapso uterino*).

Relaciones de útero. El peritoneo cubre el útero por delante y por arriba (fig. 3.23), salvo en la porción vaginal del cuello uterino. El peritoneo se refleja por delante desde el útero hacia la vejiga, y en la parte posterior, sobre la porción posterior del fórnix vaginal hasta el recto. En la cara anterior, el cuerpo uterino se separa de la vejiga por la bolsa vesicouterina, lugar donde el peritoneo uterino se refleja sobre el borde posterior de la cara superior de la vejiga. En la parte posterior, el cuerpo uterino y la porción supravaginal del cuello se separan del cuello sigmoide por una capa de peritoneo, así como de la cavidad peritoneal y del recto por la **bolsa rectouterina**. A los lados, la arteria uterina cruza el uréter, por encima, cerca del cuello uterino (fig. 3.25).

Resumen sobre las relaciones del útero:

- *En la cara anterior* (anteroinferior en la posición normal de anteversión), con la bolsa vesicouterina y la cara superior de la vejiga; la porción supravaginal del cuello uterino se relaciona con la vejiga y queda separada de ésta solo por un tejido conjuntivo fibroso.
- *En la parte posterior*, con la bolsa rectouterina, que contiene asas de intestino, y con la cara anterior del recto; sólo la fascia pélvica visceral protege frente al aumento de la presión dentro del abdomen.

- *A los lados*, con el ligamento ancho peritoneal y los ligamentos fasciales transversos del cuello uterino (cardinales) y los uréteres; los uréteres siguen un curso anterior, ligeramente superior a la porción lateral del fórnix vaginal e inferior a las arterias uterinas, casi siempre situadas 2 cm laterales a la porción supravaginal del cuello uterino.

Irrigación arterial del útero. La irrigación sanguínea del útero proviene, en particular, de las arterias uterinas, con un pequeño aporte complementario de las arterias ováricas (fig. 3.25).

Drenaje venoso linfático del útero. Las venas uterinas entran en los ligamentos anchos con las arterias y forman un **plexo venoso uterino** a cada lado del cuello del útero (fig. 3.25). Las venas del plexo uterino drenan a las **venas ilíacas internas**. *Los vasos linfáticos uterinos siguen tres grandes vías* (fig. 3.26A):

- La mayoría de los vasos del fondo pasan a los ganglios lumbares, pero algunos lo hacen a los ganglios ilíacos externos, o discurren por el ligamento redondo del útero hasta los ganglios inguinales superficiales.
- Los vasos del cuerpo uterino pasan dentro del ligamento ancho hasta los ganglios ilíacos externos.
- Los vasos del cuello uterino pasan hasta los ganglios ilíacos internos y sacro.

Inervación del útero. Los nervios para el útero derivan del plexo uterovaginal, que viaja con la arteria uterina en la unión de la base del ligamento ancho peritoneal y de la porción superior del ligamento transversal fascial del cuello uterino. El **plexo uterovaginal** es uno de los plexos pélvicos que se extienden desde el **plexo hipogástrico inferior** hasta las vísceras de la pelvis (fig. 3.26B). Las fibras simpáticas, parasimpáticas y aferentes viscerales atraviesan este plexo. La *inervación simpática* se origina en los segmentos torácicos inferiores de la médula espinal y atraviesa los nervios esplácnicos lumbares, así como la serie de plexos intermesentéricos/hipogástricos. La *inervación parasimpática* nace en los segmentos S2 a S4 y atraviesa los **nervios esplácnicos de la pelvis** hasta el plexo hipogástrico inferior/uterovaginal. La inervación aferente de las partes superior (intraperitoneal: fondo y cuerpo) e inferior (subperitoneal: sobre todo, cervical) del útero difiere en su disposición y origen. Las fibras aferentes que transmiten los impulsos de dolor desde el fondo uterino intraperitoneal y desde el cuerpo siguen por vía retrógrada la inervación simpática y pasan a través de los plexos uterovaginal, hipogástricos inferior y superior e intermesentérico, para alcanzar más tarde los cuerpos neuronales de los ganglios torácicos inferiores/lumbares superiores por vía de los nervios esplácnicos lumbares, troncos simpáticos

lumbares y ramos comunicantes grises. Las fibras aferentes que conducen los impulsos de dolor desde el cuello uterino subperitoneal (así como todas las fibras aferentes del útero no relacionadas con el dolor) acompañan por vía retrógrada a las fibras parasimpáticas, a través de los plexos uterovaginal e hipogástrico inferior y de los nervios esplácnicos de la pelvis, para alcanzar los cuerpos neuronales de los ganglios espinales de S2 a S4.

Fascia pélvica

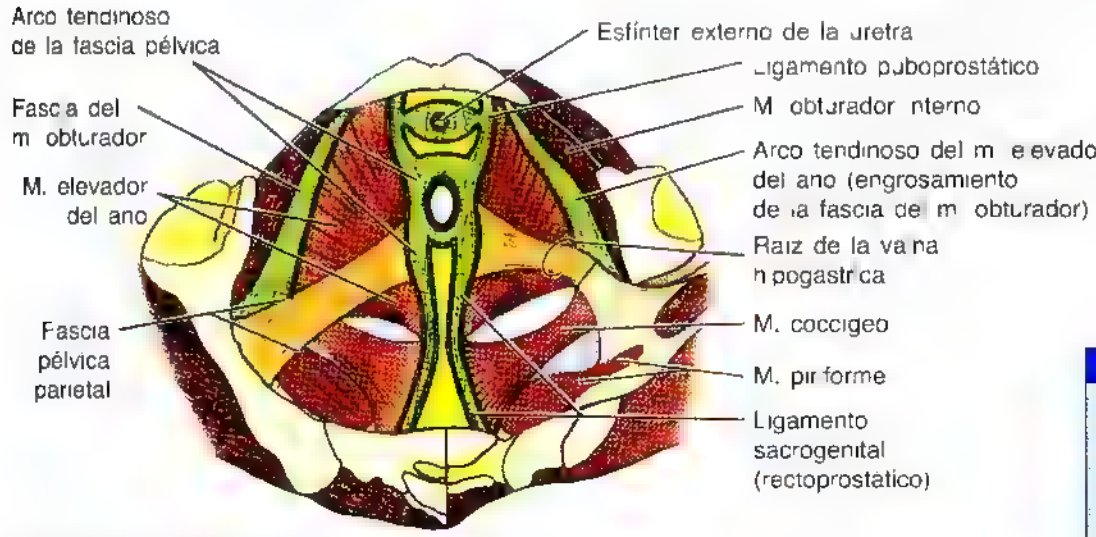
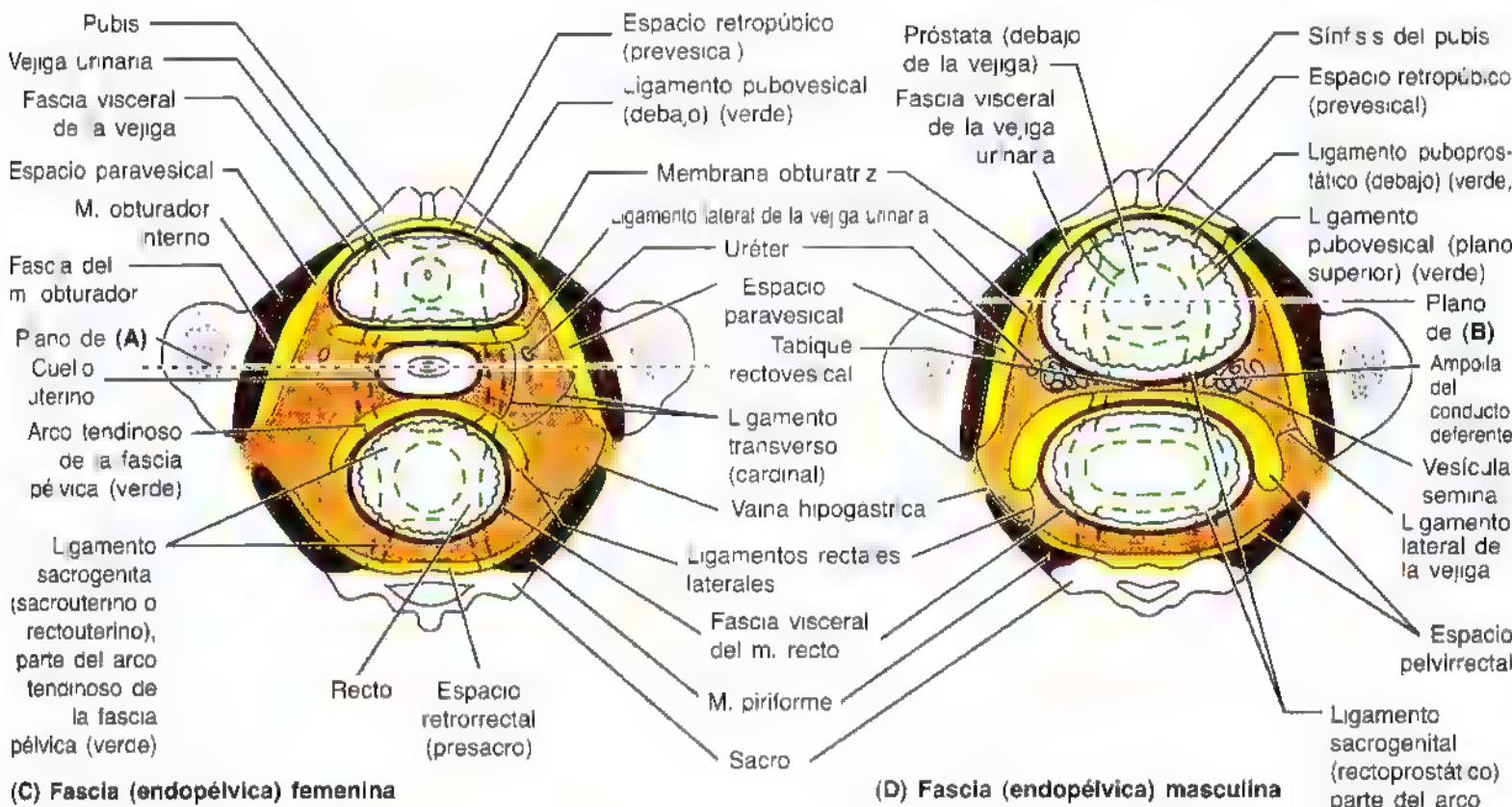
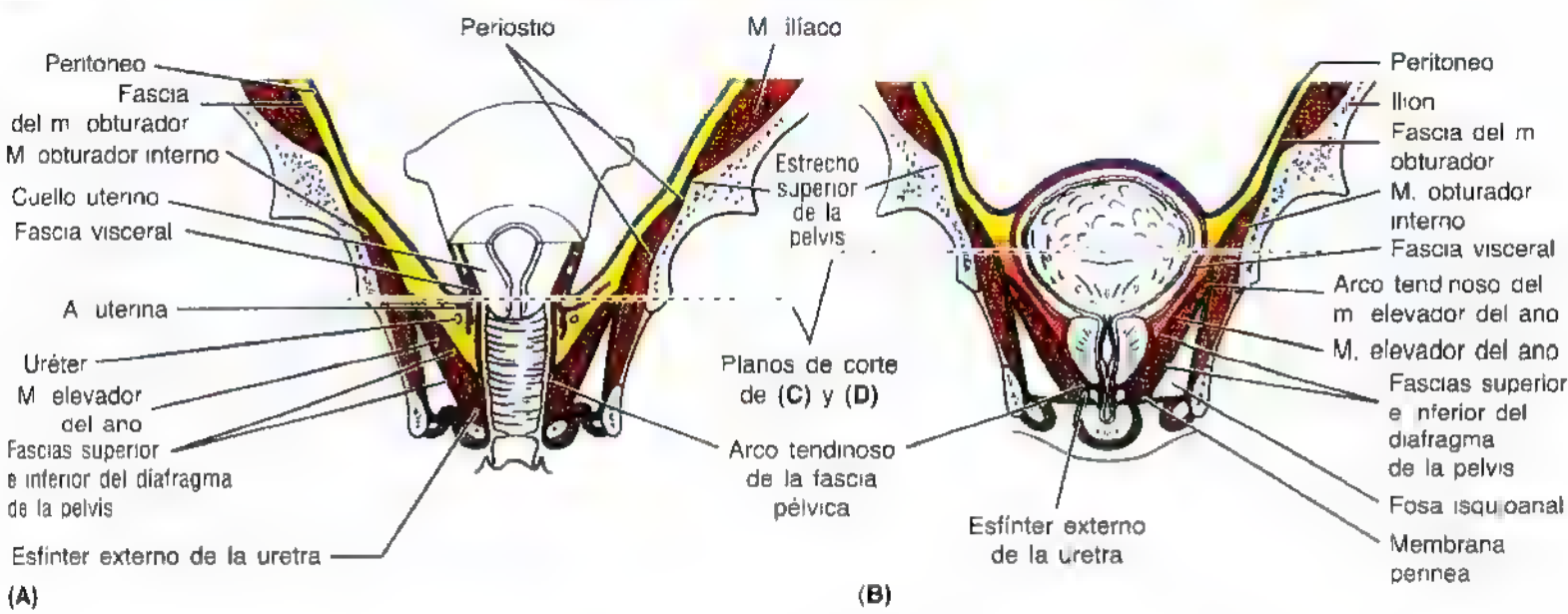
La fascia pélvica es un tejido conjuntivo que ocupa todo el espacio entre el peritoneo membranoso y las paredes musculares y el suelo pélvico no ocupado por órganos de la pelvis. Esta "capa" es una prolongación de una fascia endoabdominal bastante fina que se encuentra entre las paredes musculares del abdomen y el peritoneo por la parte superior. De forma tradicional, se ha descrito que la fascia pélvica tiene componentes parietal y visceral (fig. 3.28). Este concepto sólo resulta útil para la comprensión o la comunicación.

La **fascia pélvica parietal** es una capa membranosa de espesor variable que reviste la cara interna (profunda o pélvica) de los músculos que forman las paredes y el suelo de la pelvis (fig. 3.28A). La fascia pélvica parietal cubre, por tanto, las caras pélvicas de los músculos obturador interno, piriforme, coccígeo, elevador del ano y parte de los músculos esfínteres de la uretra (fig. 3.28, C-E). Las porciones concretas de la fascia parietal se nombran según el músculo que tapicen (p. ej., fascia del obturador).

La **fascia pélvica visceral** comprende la fascia membranosa que envuelve directamente los órganos de la pelvis y forma la adventicia correspondiente. Las capas membranosas, parietal y visceral, se prolongan en el lugar donde los órganos penetran en el suelo de la pelvis. En esa zona, la fascia parietal se engruesa y crea el **arco tendinoso de la fascia pélvica**, una banda bilateral continua que discurre desde la pelvis hasta el sacro a lo largo del suelo de la pelvis, adyacente a las vísceras. La porción más anterior de este arco o banda tendinosa (*ligamento puboprostático* de los varones o *ligamento pubovesical* de las mujeres) comunica la próstata con el pubis del varón, o la base de la vejiga con el pubis femenino. La porción más posterior de la banda sigue a modo de **ligamentos sacrogenitales** desde el sacro, rodeando la cara lateral del recto, hasta insertarse en la próstata masculina o en la vagina femenina.

De ordinario, el tejido conjuntivo abundante que queda entre estas dos capas membranosas se ha considerado parte de la fascia visceral, pero algunos autores creen que algunos elementos son parietales. En principio, lo mejor es consi-

Figura 3.28. Fascia pélvica: fascia endopélvica y ligamentos fasciales. **A.** Corte coronal de una pelvis femenina, que ilustra la fascia pélvica. **B.** Corte coronal de una pelvis masculina, que muestra la fascia pélvica. **C.** Corte transversal de la pelvis por el plano indicado en (A), que ilustra la fascia (endopélvica) femenina. **D.** Corte coronal de la pelvis por el plano de (B), que muestra la fascia (endopélvica) masculina. **E.** Ligamentos fasciales pélvicos adyacentes al suelo de la pelvis masculina.



Leyendas	
	Fascia areolar laxa
	Fascia ligamentosa
	Fascia visceral
	Fascia parietal
	Peritoneo
Fascia endopélvica	

derar que esta fascia remanente es tan sólo una *fascia endopélvica* extraperitoneal o *subperitoneal* (fig. 3.28, *C* y *D*), que se continúa con las fascias membranosas parietal y visceral. Esta fascia conforma una matriz de tejido conjuntivo o un material para envolver las vísceras pélvicas (fig. 3.28, *B* y *C*). Su densidad y contenido varían mucho. Parte de la fascia es un tejido arcolar (graso) sumamente laxo, desprovisto de casi todo, salvo pequeños vasos linfáticos y nutricios. Durante la disección y la cirugía es muy fácil que los dedos se introduzcan en este tejido laxo (p. ej., entre el pubis y la vejiga por delante, o entre el sacro y el recto por detrás), creando espacios reales mediante disección roma. Estos “espacios virtuales”, que en condiciones normales se componen sólo de una capa de tejido adiposo laxo, son los espacios *retropúbico* (o *prevesical*, que se extiende posterolateralmente como espacio *paravesical*) y *retrorectal* (o *presacro*). La presencia de tejido conjuntivo laxo en este lugar permite acomodar la expansión de la vejiga urinaria y de la ampolla rectal a medida que se van llenando.

Si bien estos tipos de fascia endopélvica no difieren mucho en su aspecto macroscópico, otras partes de la fascia endopélvica poseen una consistencia mucho más fibrosa, contienen abundantes fibras de colágeno y elásticas y, en opinión de algunos autores, algunas fibras musculares lisas. Estas porciones se suelen denominar “condensaciones fasciales” o “ligamentos” pélvicos. Por ejemplo, durante la disección, si se introducen los dedos de una mano en el espacio retropúbico y los de la otra en el espacio presacro y se procura aproximarlos por la pared lateral de la pelvis, se verá que no pueden reunirse ni pasar de un espacio al otro. Se encuentran en la denominada *vaina hipogástrica*, una banda espesa de fascia pélvica condensada, que no sólo es una barrera de separación de estos dos espacios virtuales, sino que da paso a casi todos los vasos y nervios que van desde la pared lateral de la pelvis hasta las vísceras pélvicas, junto con los uréteres y, en los varones, el conducto deferente. Conforme se extiende medialmente a partir de la pared lateral, la vaina hipogástrica se divide en tres láminas (“hojas” o “alas”) que pasan hacia o entre los órganos de la pelvis portando estructuras neurovasculares y soporte. Debido a esta última función, también se conocen como liga-

mentos. La lámina más anterior, el *ligamento lateral de la vejiga*, pasa a la vejiga llevando las arterias y venas vesicales superiores. La lámina más posterior pasa al recto con la arteria y la vena rectales medias.

La lámina media crea una partición fascial bastante delgada en el varón —el *tabique rectovesical* (fig. 3.28*B*)— entre la cara posterior de la vejiga y la próstata por delante y el recto por detrás. La lámina media de la mujer es la más consistente de las tres y pasa medial al cuello del útero y la vagina en forma del *ligamento transverso del cuello uterino* (*cardinal*), también conocido como *ligamento lateral del cuello uterino* o de *Mackenrodt* (fig. 3.28*C*). En su porción más alta, en la base del ligamento ancho peritoneal, la arteria uterina se dirige en sentido transversal hacia el cuello del útero, mientras que los uréteres discurren inmediatamente debajo en su trayecto a los lados del cuello uterino y en dirección a la vejiga. Esta relación (“el agua que pasa debajo del puente”) tiene importancia para los cirujanos que ligan la arteria uterina, por ejemplo durante la histerectomía (extirpación quirúrgica de útero). El **ligamento transverso del cuello uterino** y el mecanismo habitual de apoyo del útero en la parte superior de la vejiga constituyen el principal apoyo pasivo del útero. Los músculos perineales confieren un soporte dinámico al útero al contraerse durante los episodios en que aumenta la presión dentro del abdomen (estornudo, tos, etc.). Los soportes pasivo y dinámico explican por qué el útero no tiende a descender ni es empujado a través del tubo hueco que configura la vagina (prolapso uterino). El ligamento transverso del cuello uterino tiene un contenido fibroso suficiente para fijar amplios bucles de sutura durante la reparación quirúrgica.

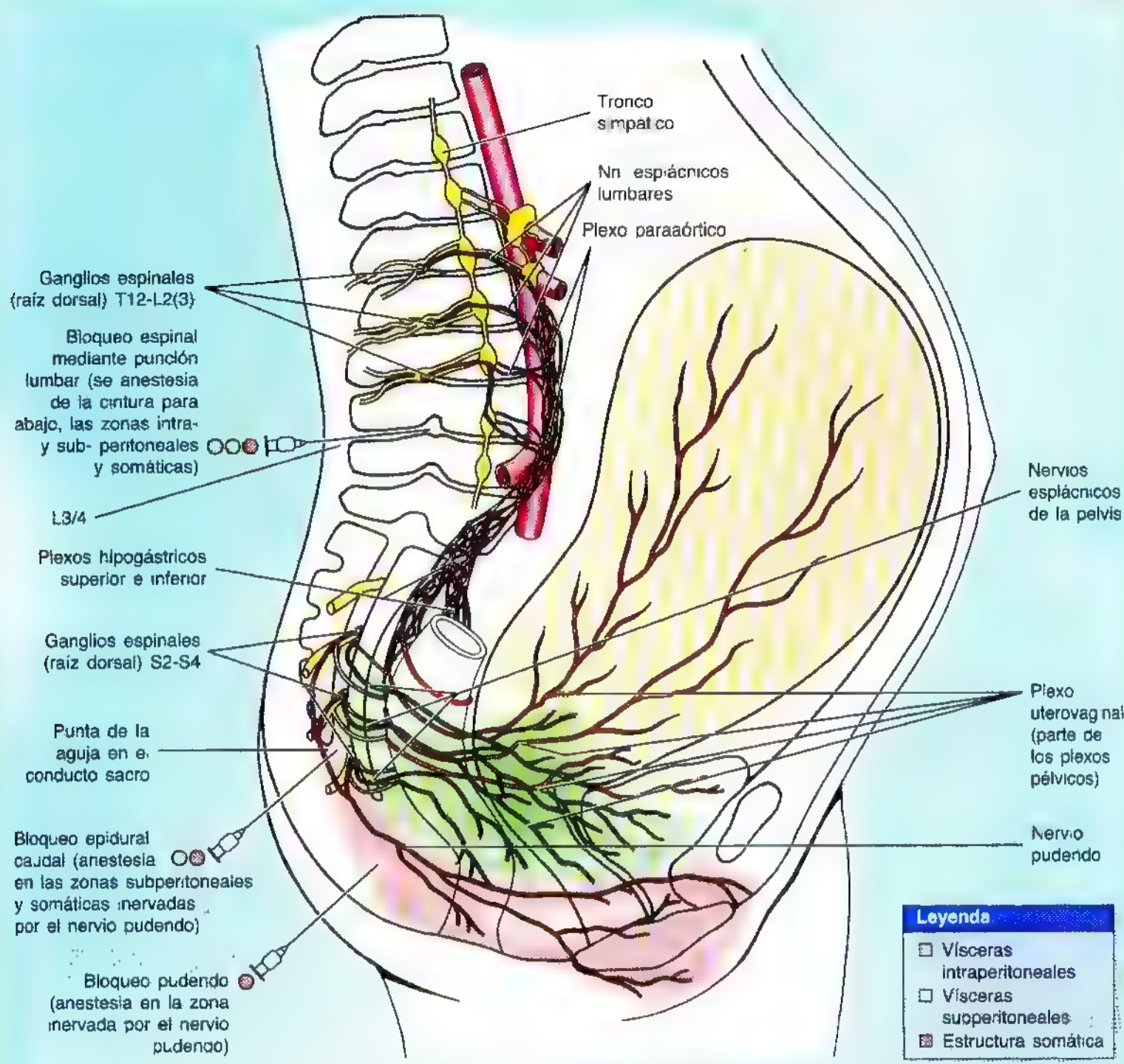
Además de las fosas isquianales (fig. 3.28*B*), existe un importante *espacio pelvirrectal* quirúrgico y virtual en el tejido conjuntivo extraperitoneal laxo, por encima del músculo elevador del ano (fig. 3.28*D*). Los *ligamentos rectales laterales* lo dividen en una región anterior y otra posterior, que comunica el recto con la fascia pélvica parietal que tapiza el sacro a la altura de los orificios pélvicos S2 a S4. Las arterias y los plexos rectales están incluidos en los ligamentos laterales.

Cáncer de cuello uterino

El cáncer de cuello uterino constituía la principal causa de muerte de las mujeres norteamericanas antes de 1940 (Krebs, 1993). El descenso de la incidencia y del número de mujeres fallecidas por cáncer cervicouterino se debe a la accesibilidad del cuello uterino para la visualización directa y a los estudios citológicos e histológicos (tinciones de Papanicolaou), que permitieron detectar los estados premalignos (Copeland, 1993; Morris y Burke, 1993).

Anestesia para el parto

Las mujeres disponen de diversas opciones para reducir el dolor y las molestias que experimentan durante el parto. La **anestesia general** ofrece ventajas para las intervenciones urgentes o las mujeres que la prefieren sobre la anestesia local. Como la mujer se encuentra inconsciente, el clínico ha de vigilar y regular la respiración materna, así como la función cardíaca materna y fetal. Las mujeres que prefieren la **anestesia local** —del tipo del bloqueo espinal, pudiendo o epidural caudal— suelen ►



► participar de manera activa (p. ej., utilizan el método Lamaze) y son conscientes de que, con sus contracciones uterinas, “empujan” y ayudan a expulsar el feto, pero tampoco desean experimentar el dolor del parto.

La anestesia general induce una inconsciencia de la madre, que no se entera del parto ni del alumbramiento. El alumbramiento sucede de manera pasiva, bajo el control de las hormonas maternas y con la ayuda de un obstetra. La madre se ahorra dolor y molestias, pero no asiste a los primeros momentos de la vida de su hijo.

El **bloqueo espinal** –se introduce un anestésico en el espacio subaracnoideo (leptomeningeo) a la altura de

L3/L4 con una aguja– anestesia prácticamente todas las estructuras situadas bajo la cintura. El perineo, el suelo de la pelvis y el canal del parto quedan anestesiados y desaparecen momentáneamente las funciones motora y sensitiva de los miembros inferiores, así como la sensibilidad de las contracciones uterinas. La madre está consciente, pero se requiere una monitorización electrónica de las contracciones uterinas. Si el trabajo del parto se prolonga o el grado de anestesia se revela inadecuado, resulta difícil, o a veces imposible, volver a aplicar el anestésico. Como el anestésico es más denso que el líquido cefalorraquídeo, se queda en el espacio subaracnoideo bajo ►

► mientras la mujer se encuentra inclinada. El anestésico circula por el espacio subaracnoideo cerebral cuando la mujer se tumba después del parto. Una secuela frecuente de la anestesia espinal es la cefalea intensa.

Para el **bloqueo pudendo** se inyecta el anestésico cerca del nervio pudendo, a su salida por el orificio ciático mayor y a su entrada por el orificio ciático menor (es decir, el lugar de paso sobre la espina ciática). Se produce una anestesia específica de los dermatomas S2 a S4 (la mayor parte del perineo) y del cuarto inferior de la vagina. No se bloquea el dolor de la parte superior del canal del parto (cuello uterino y parte superior de la vagina), de modo que la madre nota las contracciones del útero. El anestésico se puede reinyectar, pero resulta molesto y obliga a utilizar un instrumento cortante muy próximo a la cabeza del bebé.

El **bloqueo epidural caudal** es una modalidad muy popular para el parto de las mujeres que deseen colaborar activamente en él. Debe aplicarse antes del parto real y no es posible cuando éste se precipita. El anestésico se administra a través de un catéter permanente en el *conducto sacro* (véase el capítulo 4), lo que permite repetir su aplicación si se desea una anestesia más profunda o prolongada. Dentro del conducto sacro, el anestésico baña las raíces de los nervios espinales S2 a S4, que contienen las fibras dolorosas del cuello uterino y de la parte superior de la vagina y de las fibras aferentes del nervio pudendo. Por esta razón, todo el canal del parto, el suelo de la pelvis y la mayor parte del perineo quedan anestesiados, pero no suelen afectarse los miembros inferiores. Las fibras dolorosas del fondo y del cuerpo uterinos ascienden hasta los niveles torácicos bajos y lumbares altos; éstas y todas las fibras superiores no se afectan con el anestésico, de modo que la madre percibe las contracciones uterinas. La anestesia epidural no causa "la cefalea de la punción", porque el espacio epidural vertebral no se continúa con el craneal (véase el capítulo 4).

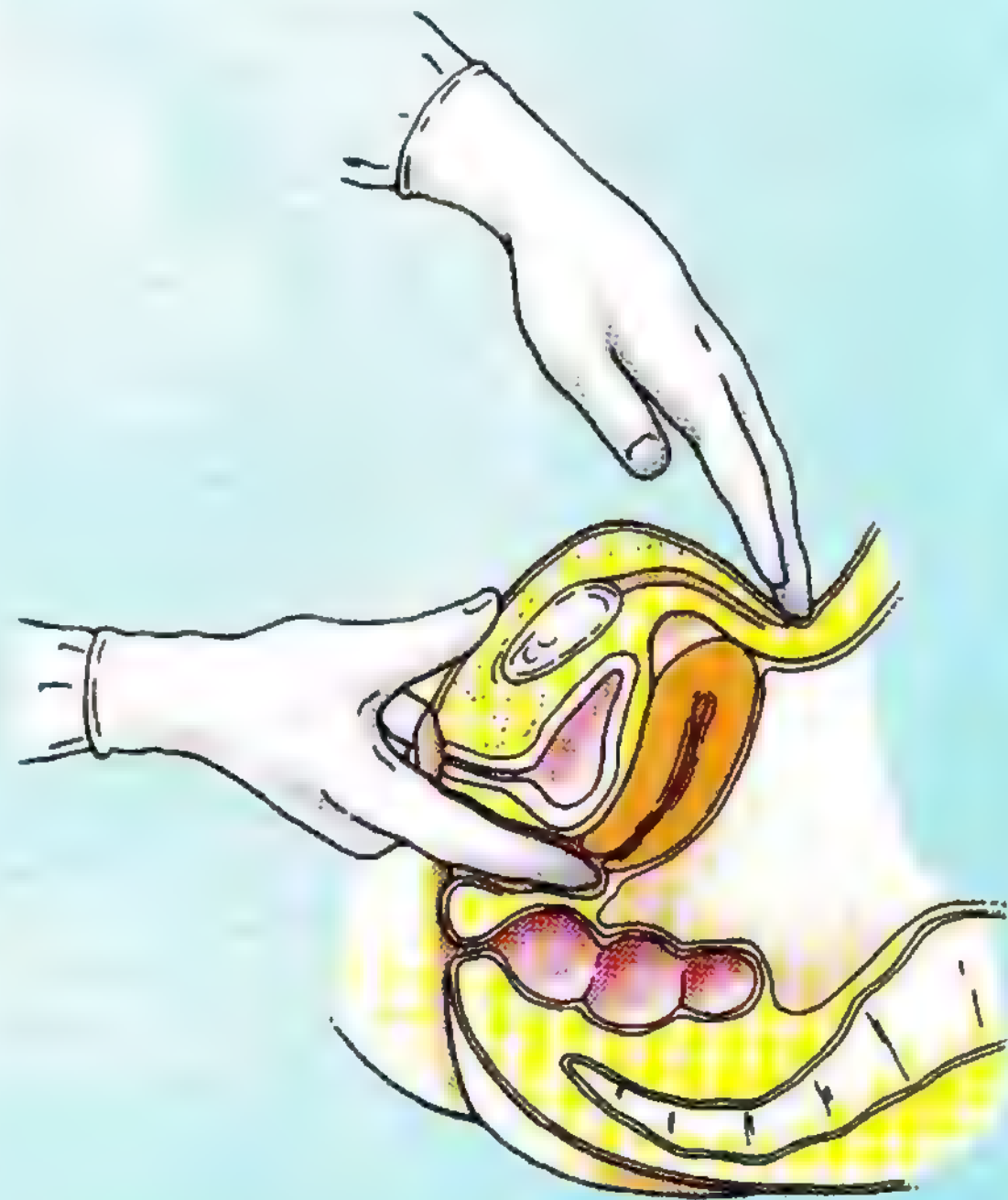
Cambios uterinos con la edad

El útero de una niña es relativamente grande al nacer y tiene las proporciones del adulto (el cuerpo ocupa dos tercios, y el cuello, un tercio), debido al efecto de las hormonas maternas adultas antes del parto. Pocas semanas después del parto, el útero adopta las dimensiones y proporciones infantiles. Dadas las pequeñas dimensiones de la cavidad pélvica durante la lactancia, el útero es, sobre todo, un órgano abdominal, con un cuello bastante grande (casi la mitad de todo el útero) a lo largo de la infancia. En la pubertad, el útero (sobre todo, el cuerpo) crece con rapidez. En la menopausia (de los 46 a los 52 años), en cambio, disminuye. La fusión incompleta de los conductos paramesonéfricos embrionarios determina

una serie de anomalías congénitas (p. ej., duplicación uterina; véase fig. 3.52B) (Moore y Persaud, 1998).

Exploración del útero

El útero se puede explorar mediante palpación bimanual. Se introducen dos dedos de la mano derecha en la parte superior de la vagina y con la otra mano se comprime en sentido inferoposterior la pared anterior de la zona púbica del abdomen. De este modo se pueden determinar el tamaño y otras características del útero (p. ej., si el útero se encuentra en su posición normal de anteversión). Cuando tiene lugar el reblandecimiento del istmo uterino (*signo de Hegar*), se nota como si el cuello se separara del cuerpo uterino. El reblandecimiento del istmo uterino constituye un signo precoz de embarazo.



Histerectomía

La histerectomía (extirpación del útero) se ejecuta a través de la pared anterior del abdomen o por la vagina. Como la arteria uterina se cruza delante y encima del uréter, cerca de la parte lateral del fórnix vaginal, cabe el peligro de pinzar o dañar de manera inadvertida el uréter al ligar esta arteria. El lugar de cruce entre la arteria y el uréter se encuentra unos 2 cm por encima de la espina ciática. El uréter izquierdo es muy vulnerable, porque discurre muy cerca de la cara lateral del cuello uterino. ◉

Trompas uterinas

Las trompas uterinas (antiguas trompas de Falopio) se extienden lateralmente desde los cuernos uterinos y se abren en la cavidad peritoneal cerca de los ovarios (fig. 3.27). Las trompas uterinas (de unos 10 cm de longitud) se encuentran en el *mesosálpinx* formado por los bordes libres de los ligamentos anchos. En una disposición "ideal", como la que suele ilustrarse, las trompas se extienden de manera simétrica en dirección posterolateral hacia las paredes laterales de la pelvis, donde se arquean por encima y delante de los ovarios sobre el ligamento ancho, dispuesto de manera horizontal. En la realidad, como sucede en un estudio ecográfico, las trompas suelen colocarse de forma asimétrica y una o la otra suelen quedar por encima e incluso detrás del útero.

Las trompas uterinas se pueden dividir en cuatro porciones, desde la cara lateral a la medial (fig. 3.27B):

- El **infundíbulo** es el extremo distal, con forma de embudo, que se abre en la cavidad peritoneal a través del **orificio abdominal**; las prolongaciones digitiformes del extremo fimbriado del infundíbulo —**fimbrias**— se extienden sobre la cara medial del ovario; sobre el polo superior del ovario se inserta una gran *fimbria ovárica*.

Infecciones del aparato genital femenino

Como el aparato genital femenino se comunica con la cavidad peritoneal a través de los orificios abdominales de la trompa, las infecciones de la vagina, útero y trompas pueden causar una peritonitis. A la inversa, la inflamación de la trompa (*salpingitis*) puede obedecer a infecciones extendidas desde la cavidad peritoneal. *La obstrucción de las trompas uterinas constituye una causa importantísima de esterilidad femenina*, que suele ser el resultado de infecciones pélvicas causantes de *salpingitis*.

Salpingografía

La permeabilidad de las trompas uterinas se puede investigar mediante *salpingografía*, procedimiento radiográfico que consiste en inyectar material radiopaco hidrosoluble dentro del útero —*histerosalpingografía*— (véase fig. 3.52A). Este material pasa a las trompas uterinas y, si éstas se encuentran permeables, se dirige desde el orificio abdominal de la trompa hasta la cavidad peritoneal.

Endoscopia

La permeabilidad de las trompas uterinas también se puede evaluar mediante *endoscopia*, es decir, la exploración del interior de las trompas con una herramienta especial, un *endoscopio*, que se inserta a través de la vagina y del útero (*histeroscopia*).

- La **ampolla**, la porción más ancha y larga, comienza en el extremo medial del infundíbulo; los ovocitos expulsados del ovario suelen fecundarse en la ampolla.
- El **istmo**, una porción de paredes gruesas, penetra en el cuerno uterino.
- La **parte uterina** es un segmento intramural corto que atraviesa la pared del útero (fig. 3.22) y se abre a la cavidad uterina a través del orificio uterino.

Irrigación arterial de las trompas uterinas. La ramas tubáricas nacen como ramas terminales anastomóticas de las **arterias uterinas y ováricas** (fig. 3.25).

Drenaje venoso y linfático de las trompas uterinas. Las venas tubáricas drenan en las venas ováricas y en el **plexo venoso uterino** (fig. 3.25). Los vasos linfáticos drenan en los **ganglios lumbares** (fig. 3.26A).

Inervación de las trompas uterinas. La inervación proviene, en parte, del *plexo ovárico* y, en parte, del *plexo uterino* (fig. 3.26B). Las fibras aferentes ascienden por el plexo ovárico y los nervios espláncnicos lumbares hasta los cuerpos celulares de los ganglios espinales T11 a L1.

Ligadura de las trompas uterinas

La ligadura de las trompas uterinas, método quirúrgico de control de la natalidad, resulta muy segura. Los óvulos expulsados por los ovarios, que pasan a las trompas de estas mujeres, mueren y desaparecen en seguida. La mayoría de las esterilizaciones quirúrgicas tienen lugar mediante ligadura tubárica abdominal o por laparoscopia. La *ligadura tubárica abdominal* suele efectuarse a través de una incisión suprapúbica reducida, justo en la línea de inserción del vello púbico. La *ligadura tubárica laparoscópica* se efectúa con un laparoscopio, que se parece a un pequeño telescopio con una potente luz que se inserta a través de una pequeña incisión siempre cerca del ombligo.

Embarazo tubárico (ectópico)

Algunas mujeres albergan una colección de pus en la trompa uterina (*piosálpinx*), y la trompa queda, en parte, obstruida por las adherencias. En estos casos —pese a que el espermatozoo haya salvado esta zona—, el cigoto en fase de división no siempre puede atravesar la trompa y llegar al útero. El blastocisto se implanta en la mucosa de la trompa uterina y se obtiene un *embarazo tubárico ectópico*. Aunque la implantación puede ocurrir en cualquier parte de la trompa, el lugar más común es la ampolla. *El embarazo tubárico es la variante más común de embarazo ectópico* y ocurre en casi 1 de cada 250 embarazos en Norteamérica (Moore y Persaud, 1998). Si no se diagnostica a tiempo, el embarazo tubárico puede provocar una rotura de la trompa uterina, con hemorragia dentro de la ▶

► cavidad abdominopélvica, en las 8 primeras semanas de gestación. La rotura tubárica y la hemorragia grave concomitante suponen una amenaza para la vida de la madre y provocan la muerte del embrión. El apéndice, situado a la derecha, suele estar cerca del ovario y de la trompa uterina. Esta relación tan estrecha explica por qué la *rotura de un embarazo tubárico*, con la peritonitis asociada, se puede confundir con una apendicitis aguda. En los dos casos, el peritoneo parietal se inflama en el mismo lugar y el dolor se refiere a la fosa ilíaca derecha.

Vestigios de los conductos embrionarios

A veces, el mesosálpinx comprendido entre la trompa uterina y el ovario contiene vestigios embrionarios

(fig. 3.22). El *epoóforo* se crea a partir de vestigios de los túbulos mesonéfricos del *mesonefros*, riñón embrionario transitorio (Moore y Persaud, 1998). Puede también existir un *conducto persistente del epoóforo* (conducto de Gartner), vestigio del conducto mesonéfrico que forma el conducto deferente y el conducto eyaculador masculino. En la mujer éste se localiza entre las capas del ligamento ancho, a cualquier lado del útero o de la vagina. A veces se inserta un *apéndice vesicular* al infundíbulo de la trompa uterina, como vestigio del extremo craneal del conducto mesonéfrico que forma el *conducto del epidídimo* (Moore y Persaud, 1998). Aunque estas estructuras vestigiales suelen tener, en general, un interés embriológico y morfológico, a veces acumulan líquido y forman quistes (p. ej., quistes del conducto de Gartner). ◉

Ovarios

Los ovarios son glándulas con forma de almendra situadas cerca de las paredes laterales de la pelvis y suspendidas por el mesovario del ligamento ancho (fig. 3.27, A y B). Antes de la pubertad, la superficie del ovario está cubierta por una capa lisa de epitelio ovárico de superficie —una sola capa de células cuboidales— que otorga a la superficie un aspecto grisáceo mate, que contrasta con la superficie brillante del mesovario peritoneal adyacente, con el que se continúa. Después de la pubertad, la superficie se va esclerosando de manera progresiva y se distorsiona debido a la rotura repetida de los folículos ováricos y a la descarga de los ovocitos (óvulos) durante la ovulación. La esclerosis es menor en las mujeres que consumen anticonceptivos orales anovulatorios.

El extremo distal del ovario se comunica con la pared lateral de la pelvis a través del **ligamento suspensorio del ovario**. Este ligamento conduce los vasos ováricos, los vasos linfáticos y los nervios hacia y desde el ovario, y constituye la parte lateral del mesovario del ligamento ancho. El ovario también se inserta en el útero por el **ligamento propio del ovario** que discurre dentro del mesovario. Este ligamento es un resto de la porción más alta del gubernáculo ovárico del feto (véase el capítulo 2, fig. 2.15). El ligamento propio del ovario comunica el extremo proximal (uterino) del ovario al ángulo lateral del útero, justo debajo de la entrada de la trompa uterina. Como el ovario está suspendido en la cavidad peritoneal y su superficie no se cubre de peritoneo, el ovocito expulsado durante la ovulación pasa a la cavidad peritoneal. Sin embargo, la vida intraperitoneal es muy corta, porque suele quedar atrapado por las fimbrias del infundíbulo de la trompa uterina y es arrastrado hacia la ampolla, donde puede ser fecundado.

Irrigación arterial de los ovarios. Las arterias ováricas nacen en la aorta abdominal (fig. 3.27A) y descienden a lo largo de la pared posterior del abdomen. Cruzan, por el estrecho superior de la pelvis, los vasos ilíacos externos y

penetran en los ligamentos suspensorios (fig. 3.27B). La **arteria ovárica** termina bifurcándose en las ramas ovárica y tubárica que atraviesan el mesovario en dirección al ovario (fig. 3.25). Las dos ramas se anastomosan con las ramas correspondientes de la arteria uterina.

Drenaje venoso y linfático de los ovarios. Las venas que drenan el ovario forman un **plexo pampiniforme** (parecido a una zarza) en el ligamento ancho, cerca del ovario y de la trompa uterina (fig. 3.25). Las venas del plexo se unen para crear una **vena ovárica** única, que abandona la pelvis menor con la arteria ovárica. La vena ovárica derecha asciende hasta desembocar en la *vena cava inferior*, mientras que la izquierda lo hace en la *vena renal izquierda*. Los **vasos linfáticos** siguen a los vasos sanguíneos ováricos y se unen a los de las trompas uterinas y el fondo de útero en su ascenso hasta los *ganglios lumbares* (fig. 3.26A).

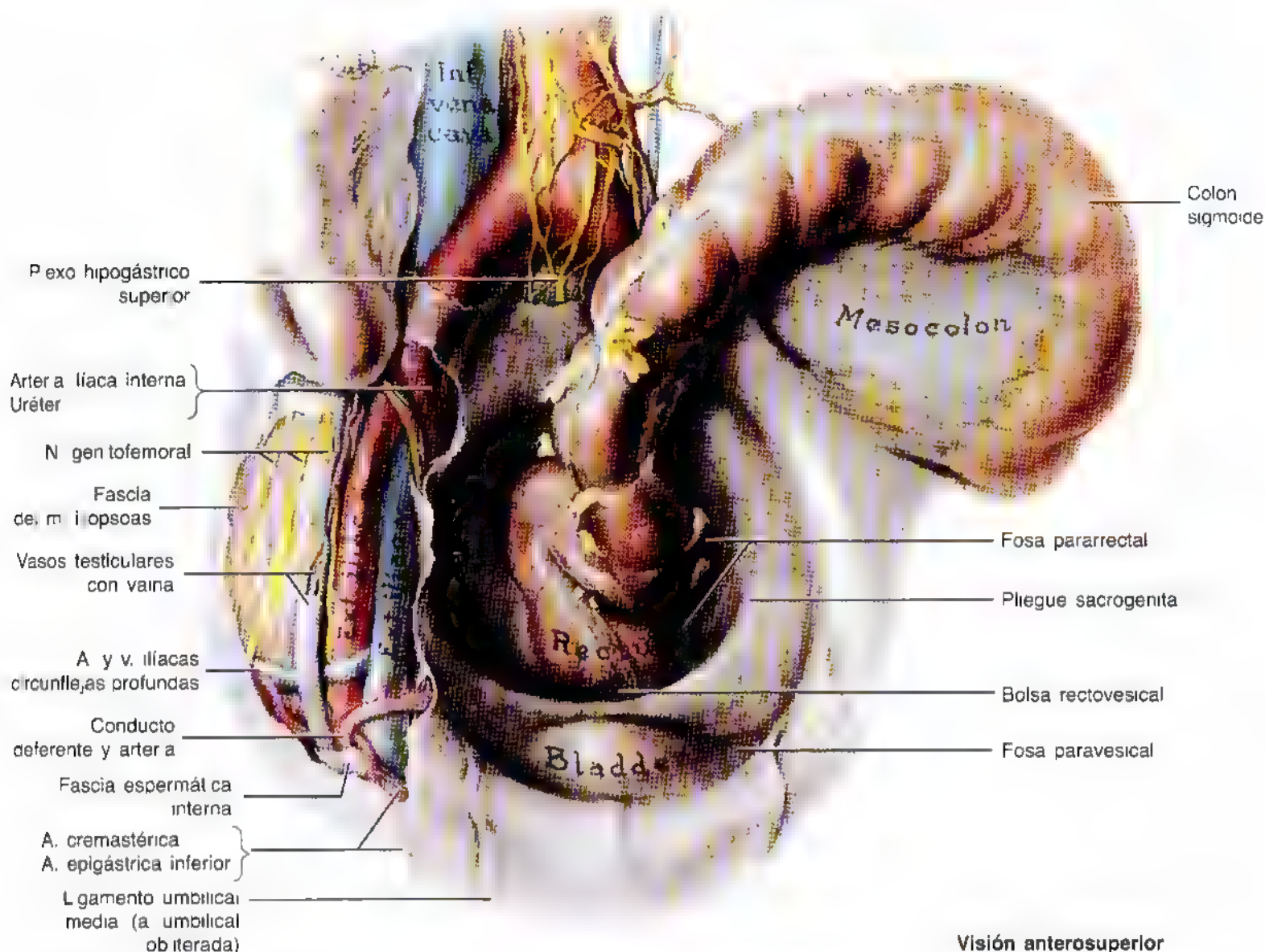
Inervación de los ovarios. Los nervios descienden a lo largo de los vasos ováricos del *plexo ovárico*, que se comunica con el plexo uterino (fig. 3.26B). Las fibras parasimpáticas del plexo derivan de los nervios vagos (NC X). Las fibras aferentes del ovario penetran en la médula a través del nervio T10.

Lesión del uréter

El uréter puede dañarse si se ligan los vasos ováricos durante la ovariectomía; por ejemplo, porque estas estructuras están muy próximas a su paso por el estrecho superior de la pelvis. El uréter se sitúa medial a los vasos ováricos (fig. 3.25). ◉

Recto

El recto es la parte del tubo digestivo que se continúa con el colon sigmoide en la zona proximal (fig. 3.29) y con el



Visión anterosuperior

Figura 3.29. Pelvis masculina y entorno. La disección muestra el plexo hipogástrico superior que reside en la bifurcación de la aorta abdominal. Obsérvese cómo el uréter derecho discurre en la profundidad (exterior) del peritoneo, cruza los vasos ilíacos externos y desciende de ante de la arteria iliaca interna.

conducto anal en la distal. La *unión rectosigmoidea* queda delante de la vértebra S3. En este lugar, las tenias del colon sigmoide se abren formando una capa longitudinal externa y continua de músculo liso y se interrumpen los apéndices omentales grasos (véase el capítulo 2, fig. 2.42). El recto sigue la curva del sacro y del cóccix, formando la *flexura sacra*. El recto termina delante y debajo de la punta del cóccix con una curva posteroinferior abrupta –la *flexura anorrectal*– tras perforar el diafragma pélvico (músculo elevador del ano), para transformarse en el conducto anal. Esta **flexura anorrectal**, de casi 80°, supone un mecanismo importante de continencia fecal, que se mantiene por el tono del músculo puborrectal durante el estado de reposo y por su contracción activa durante el peristaltismo si no se desea defecar. El recto adopta la forma de S en una proyección lateral, debido a las flexuras de la unión rectosigmoidea por arriba y a la unión anorrectal por abajo. Si se ve desde la cara anterior, el recto presenta tres *flexuras laterales* nítidas (*superior, intermedia e inferior*) por la presencia de tres plie-

gues internos (*pliegues rectales transversos*, de la mucosa y submucosa, que cubren las porciones engrosadas de la capa de músculo circular de la pared rectal (fig. 3.30B). La porción terminal dilatada del recto, que se sitúa directamente encima, apoyada en el diafragma de la pelvis (músculo elevador del ano) y en el ligamento anococcígeo, es la **ampolla rectal** (figs. 3.15B y 3.29). La ampolla recibe y aloja la masa fecal que se acumula hasta su expulsión durante la defecación. La capacidad de la ampolla para relajarse y acomodar el material fecal inicial y el posterior es otro elemento esencial que mantiene la continencia fecal.

El peritoneo cubre las caras anterior y lateral del tercio superior del recto, sólo la cara anterior del tercio medio y nada del tercio inferior, porque es una estructura subperitoneal (tabla 3.5). El peritoneo masculino se refleja desde el recto hasta la pared posterior de la vejiga, donde forma el suelo de la **bolsa rectovesical**. El peritoneo femenino se refleja desde el recto hasta la parte posterior del fórnix vaginal, donde configura el suelo de la **bolsa rectouterina** (fondo

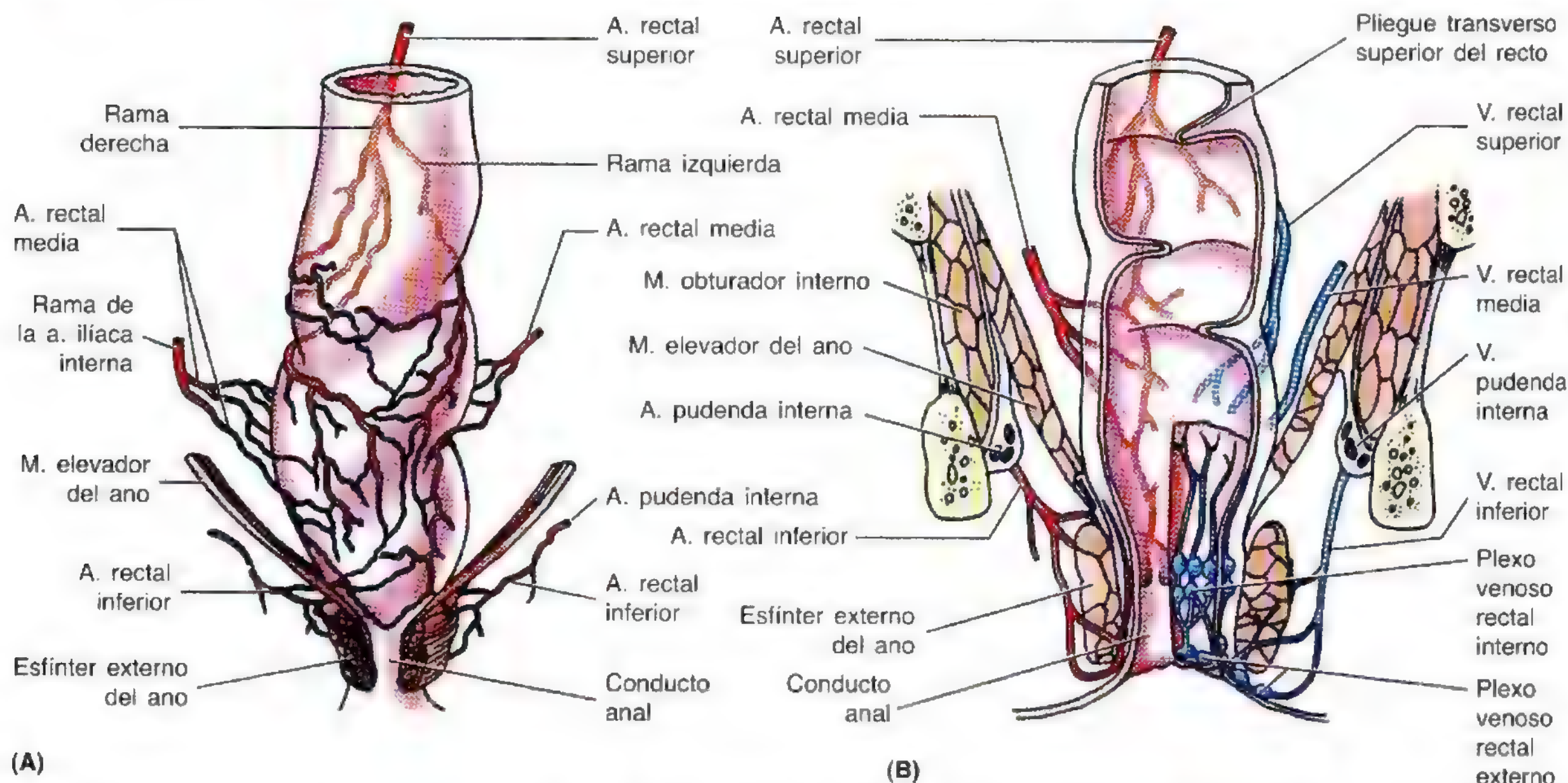


Figura 3.30. Arterias y venas del recto y del conducto anal. **A.** Visión anterior de las arterias. En esta muestra aparecen dos arterias rectales medias derechas. A pesar de su nombre, las arterias rectales inferiores, ramas de las arterias pudendas internas, irrigan sobre todo el conducto anal. Obsérvense las tres flexuras laterales abruptas del recto, que reflejan el modo en que la luz atraviesa los pliegues transversos de la cara interna del recto [se muestran en (B)]. **B.** Sección coronal del recto y del conducto anal con la irrigación arterial y el drenaje venoso. Obsérvense los plexos venosos "rectales" internos y externos (más relacionados con el conducto anal). Se aprecian también las flexuras y los pliegues transversales del recto que ayudan a soportar el peso de las heces.

de saco). Las reflexiones laterales del peritoneo de ambos sexos desde el tercio superior del recto forman las **fosas pararrectales** (fig. 3.29), que permiten la distensión rectal con las heces.

El recto descansa, por la parte posterior, en las tres últimas vértebras sacras y en el cóccix, el ligamento anococcígeo, los vasos sacros medios y los extremos inferiores de los troncos simpáticos y plexos sacros. El recto *masculino* se relaciona, por la parte anterior, con el fondo de la vejiga urinaria, las porciones terminales de los uréteres, los conductos deferentes, las vesículas seminales y la próstata (fig. 3.19). El *tabique rectovesical* se encuentra entre el fondo de la vejiga y la ampolla del recto, y se asocia de manera íntima con las vesículas seminales y la próstata. El recto *femenino* se relaciona, por la parte anterior, con la vagina y queda separado de la parte posterior del fórnix y del cuello uterino por la *bolsa rectouterina* (fig. 3.23). El tabique rectovaginal débil, situado debajo de esta bolsa, separa la mitad superior de la pared posterior de la vagina del recto.

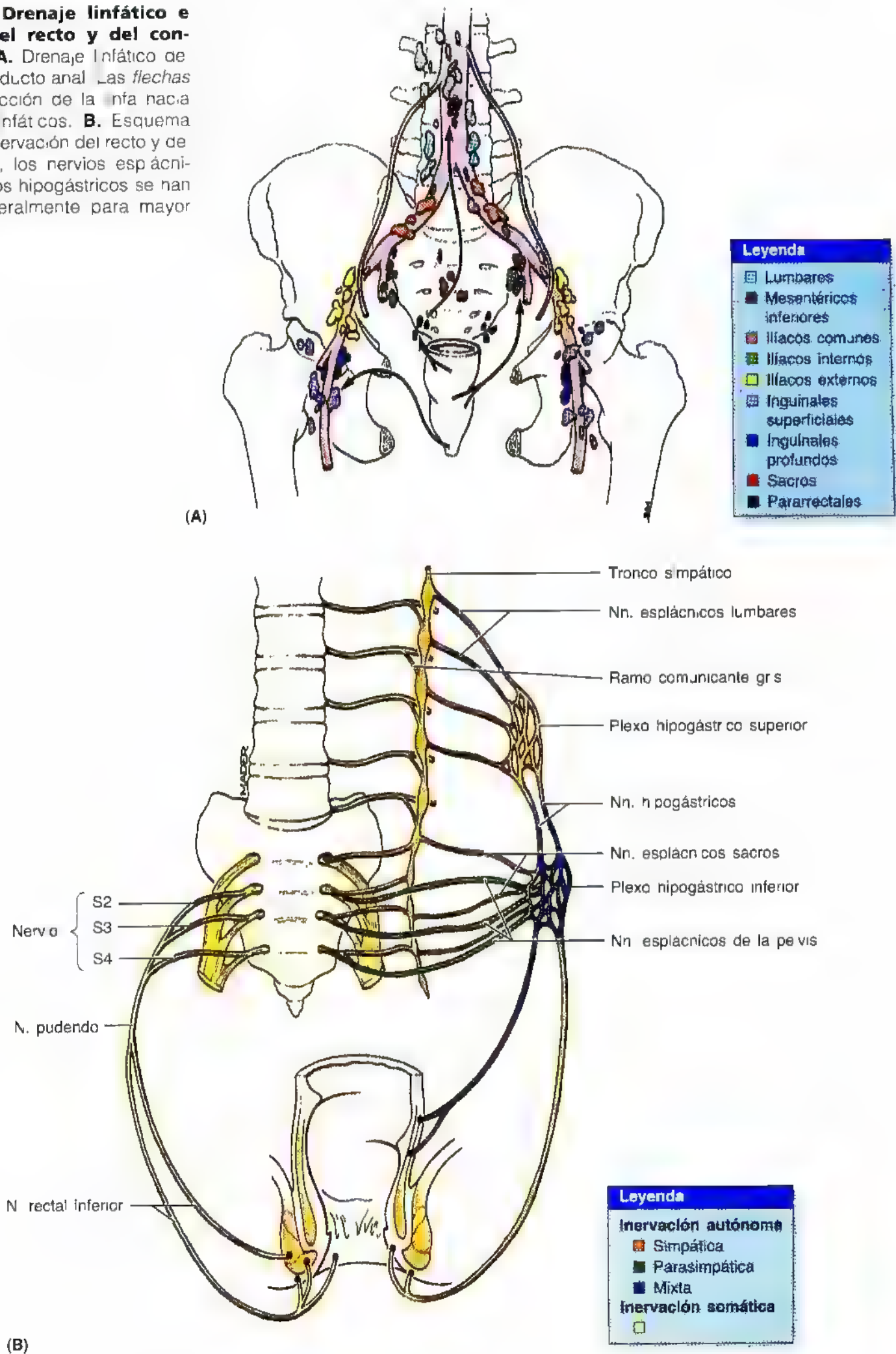
Irrigación arterial del recto. La *arteria rectal superior* —prolongación de la arteria mesentérica inferior— irriga la porción proximal del recto (fig. 3.30). Las dos *arterias rectales medias* —suelen originarse en las arterias vesicales inferiores— irrigan las porciones media e inferior del recto, mientras que las *arterias rectales inferiores* —nacen de las arterias pudendas internas— irrigan la unión anorrectal y el conducto anal.

Drenaje venoso y linfático del recto. La sangre del recto drena hacia las venas rectales superior, media e inferior (fig. 3.30B). En la pared del conducto anal suceden anastomosis entre las venas del territorio portal y general. Como la vena rectal superior drena al sistema venoso portal y las venas rectales media e inferior lo hacen a la circulación general, estas anastomosis constituyen una zona importante de comunicación portocava (véase el capítulo 2, fig. 2.83). El plexo venoso rectal submucoso rodea el recto y se comunica con el plexo venoso vesical de los varones y el plexo venoso uterovaginal de las mujeres. El **plexo venoso rectal** se compone de dos partes (fig. 3.30B): el plexo venoso rectal interno, situado en la profundidad inmediata de la mucosa de la unión anorrectal, y el plexo venoso rectal externo, subcutáneo, situado por fuera de la pared muscular del recto.

Los vasos linfáticos de la mitad superior del recto ascienden por los vasos rectales superiores hasta los **ganglios pararrectales** (fig. 3.31A); luego llegan a los ganglios linfáticos de la porción inferior del mesenterio del colon sigmoide, y desde aquí, hasta los **ganglios mesentéricos inferiores y lumbares**. Los vasos linfáticos de la mitad inferior del recto ascienden con las arterias rectales medias y desembocan en los **ganglios ilíacos internos**.

Inervación del recto. La inervación del recto proviene de los sistemas simpático y parasimpático (fig. 3.31B). La inervación simpática del recto procede de la porción lum-

Figura 3.31. Drenaje linfático e inervación del recto y del conducto anal. **A.** Drenaje linfático de recto y del conducto anal. Las flechas indican la dirección de la linfa hacia los ganglios linfáticos. **B.** Esquema que ilustra la inervación del recto y de conducto anal, los nervios espinales y los plexos hipogástricos se han rechazado lateralmente para mayor claridad



bar del tronco simpático y del plexo hipogástrico superior, a través de los plexos situados en las ramas de la arteria mesentérica inferior. La inervación parasimpática deriva de los nervios espláncnicos de la pelvis. Las fibras de estos ner-

vios pasan a los plexos hipogástricos inferiores izquierdo y derecho para inervar el recto. Las fibras aferentes viscerales o sensitivas también se unen a estos plexos y alcanzan la médula a través de los nervios espláncnicos de la pelvis.

Tacto rectal

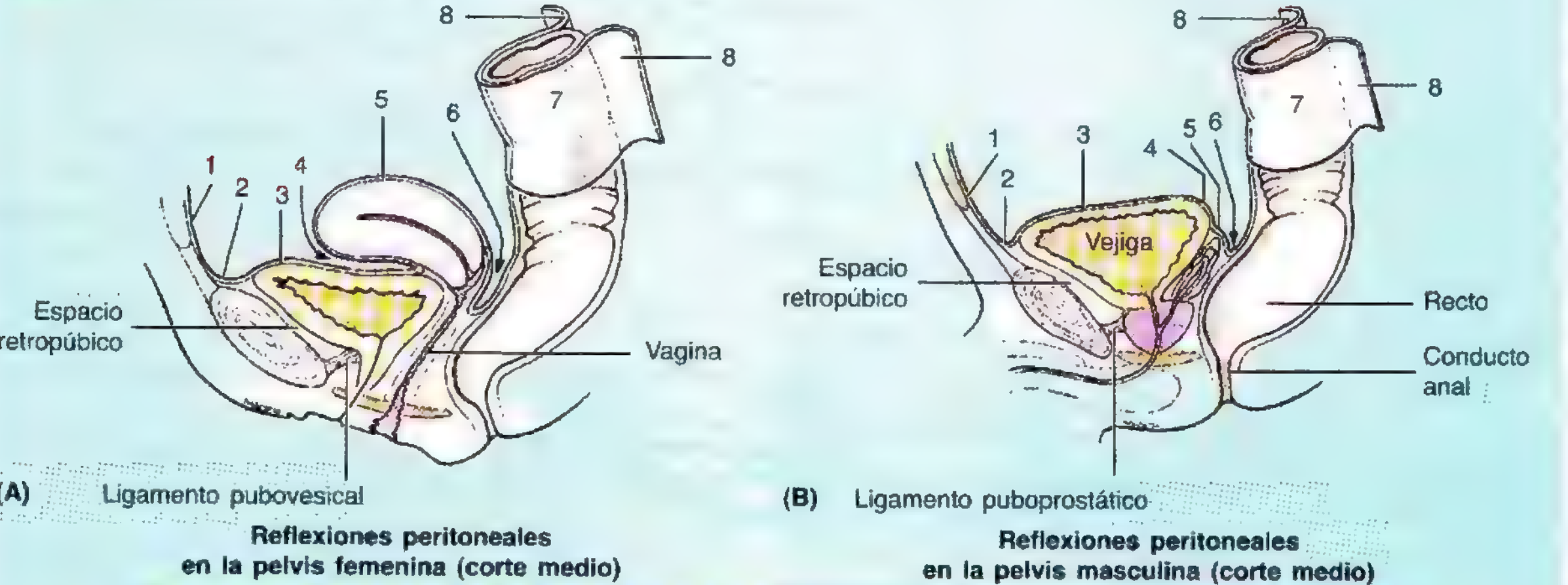
Muchas de las estructuras relacionadas con la parte anteroinferior del recto se pueden palpar a través de sus paredes (p. ej., la próstata y las vesículas seminales de los varones y el cuello uterino de las mujeres). Las caras pélvicas del sacro y del cóccix también se palpan en ambos sexos. Las espinas ciáticas y las tuberosidades isquiáticas son otras estructuras que se pueden explorar. Asimismo, durante el tacto pueden encontrarse adenopatías ilíacas internas, engrosamiento patológico de los uréteres, edema en las fosas isquioanales (p. ej., abscesos isquioanales y contenido anómalo de la bolsa rectovesical masculina o de la bolsa rectouterina femenina). Con el tacto rectal se puede observar dolor durante la palpación del apéndice inflamado, si desciende hasta la pelvis menor (fosa pararectal). La cara interna del recto se explora con el *rectoscopio*, instrumento que permite además tomar biopsias de

las lesiones. Durante la inserción del *sigmoidoscopio* hay que recordar las curvaturas del recto y su flexión aguda en la unión rectosigmoidea, para no molestar de forma innecesaria al enfermo. El operador también debe conocer *los pliegues rectales transversales, que suponen una referencia útil para el procedimiento* y que pueden impedir, de forma temporal, el paso de este instrumento.

Resección rectal

Cuando se extirpe el recto masculino (p. ej., para el tratamiento del cáncer) hay que localizar el plano del tabique rectovesical (tabique fascial que se extiende hacia arriba desde el cuerpo perineal) para separar la próstata y la uretra del recto. De esta manera, estos órganos no se dañan durante la cirugía. ◊

Tabla 3.5. Peritoneo que tapiza los órganos de la pelvis



Mujer	Varón
<div>El peritoneo pasa:<ul style="list-style-type: none">• Desde la pared anterior del abdomen (1)• Por encima del pubis (2)• En la cara superior de la vejiga urinaria (3)• Desde la vejiga hasta el útero, creando la bolsa vesicouterina (4)• Sobre el fondo y el cuerpo del útero, la parte posterior del fórnix y toda la vagina (5)• Entre el recto y el útero, creando la bolsa rectouterina (6)• Sobre las caras anteriores y laterales del recto (7)• En la cara posterior para convertirse en el mesocolon sigmoide (8)</div>	<div>El peritoneo pasa:<ul style="list-style-type: none">• Desde la pared anterior del abdomen (1)• Por encima del pubis (2)• En la cara superior de la vejiga urinaria (3)• 2 cm por debajo de la cara posterior de la vejiga urinaria (4)• Sobre los extremos superiores de las vesículas seminales (5)• Por la cara posterior, para tapizar la bolsa rectovesical (6)• Para tapizar el recto (7)• En la cara posterior para convertirse en el mesocolon sigmoide (8)</div>

El perineo

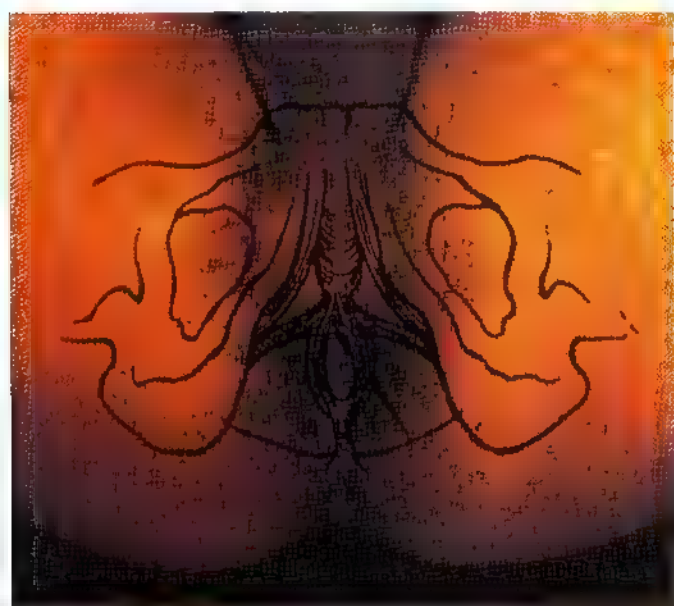
El perineo se refiere tanto a la superficie externa como a un "compartimiento" delicado del cuerpo humano. El compartimiento perineal queda debajo del estrecho inferior de la pelvis y separado de la cavidad pélvica por el diafragma de la pelvis; éste lo forman los músculos elevador del ano y cóccigeo, y posee unos límites osteofibrosos. En posición anatómica, el perineo (zona perineal) es una región estrecha comprendida entre las porciones proximales de los muslos; sin embargo, cuando se separan los miembros inferiores, el perineo es una zona romboidal, que se extiende desde el monte del pubis por delante, las caras mediales (internas) de los muslos a los lados y los pliegues glúteos y el extremo superior de la hendidura glútea por la parte posterior (fig. 3.32). Algunos obstetras aplican el

término de perineo a una región más restringida, la zona comprendida entre la vagina y el ano. *Las estructuras osteofibrosas que marcan los límites del perineo (compartimiento perineal) (fig. 3.33) son:*

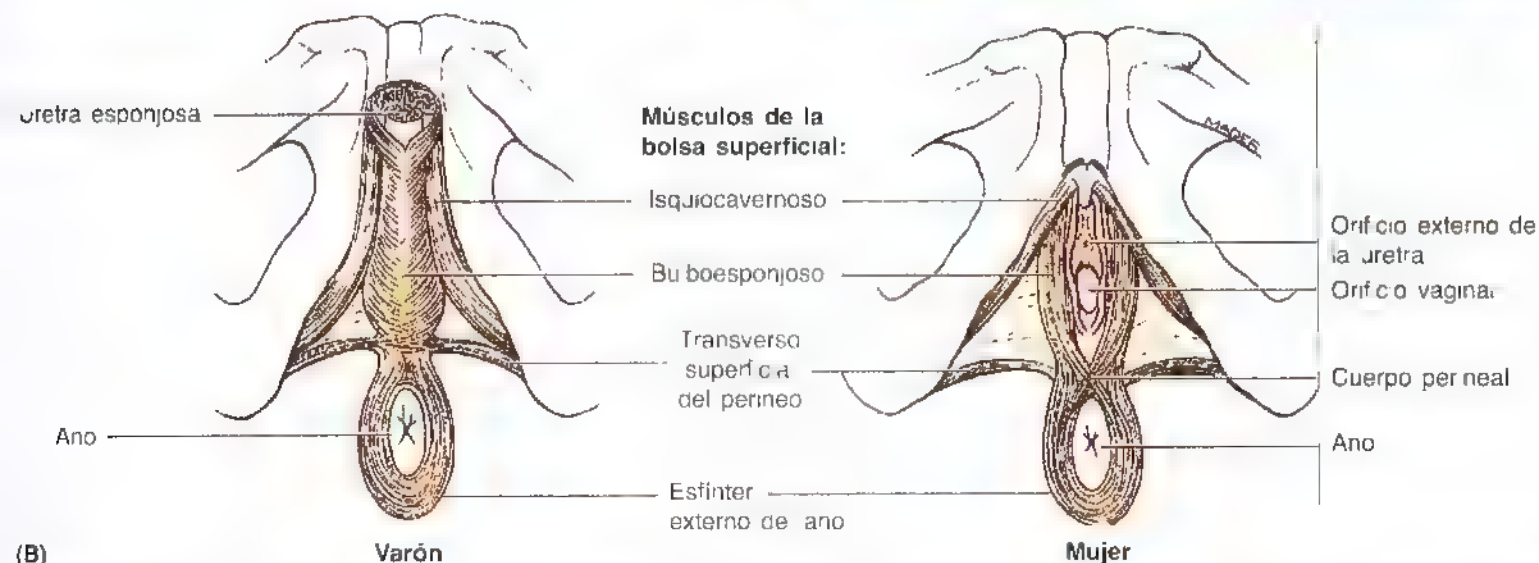
- La sínfisis del pubis por delante.
- Los ramos inferiores del pubis y los ramos isquiáticos por la zona anterolateral.
- Las tuberosidades isquiáticas a los lados.
- Los ligamentos sacrotuberosos en la zona posterolateral.
- La parte más baja, el sacro y el cóccix.

Existe una línea transversal que une los extremos anteriores de las tuberosidades isquiáticas y divide el perineo en dos triángulos (fig. 3.33A):

- El **triángulo anal**, que contiene el ano, queda detrás de esta línea.



(A)



(B)

Varón

Mujer

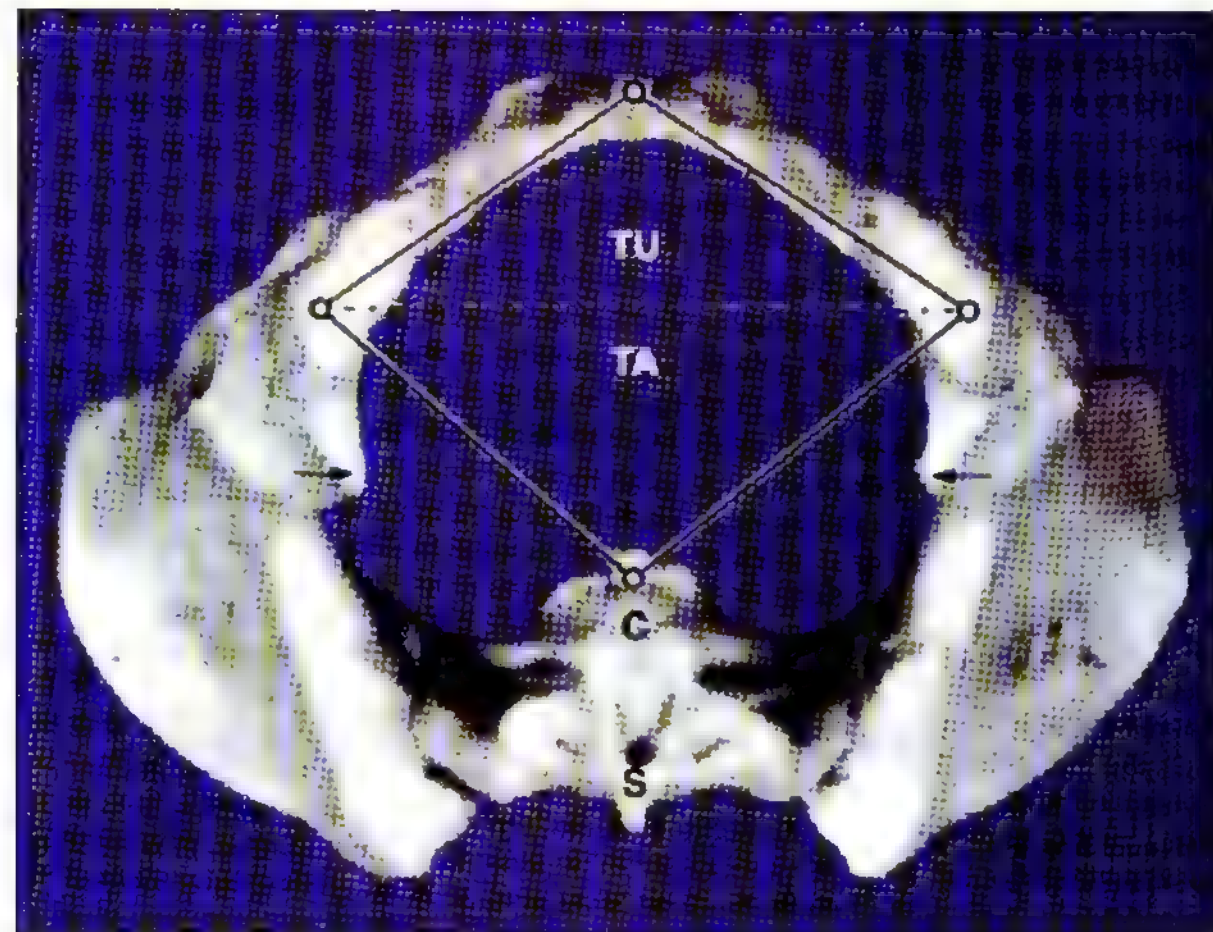
Figura 3.32. Perineo masculino y femenino. A. Proyecciones superficiales de los límites óseos y estructuras del compartimiento perineo. El pene (parte del perineo) no se muestra. **B.** Músculos de la bolsa (espacio) perineal.

Figura 3.33. Estrecho inferior de la pelvis femenina (A) y masculina (B). Obsérvese la diferencia sexual en cuanto al tamaño del estrecho inferior de la pelvis (EIP). La visión de la pelvis femenina es la que tiene el obstetra en su mente cuando explora a la paciente en la camilla. En los ángulos del EIP se encuentran la sínfisis del pubis (SP), el cóccix (C) y las tuberosidades isquiáticas (TI). En (A), la *línea blanca transversal de trazos* entre las tuberosidades isquiáticas (TI) derecha e izquierda divide el perineo romboidal en dos triángulos: el triángulo urogenital (TU) y el triángulo anal (TA). Las *flechas* indican las espinas ciáticas. Obsérvese cómo el sacro (S) se mete en forma de cuña entre los huesos coxales.

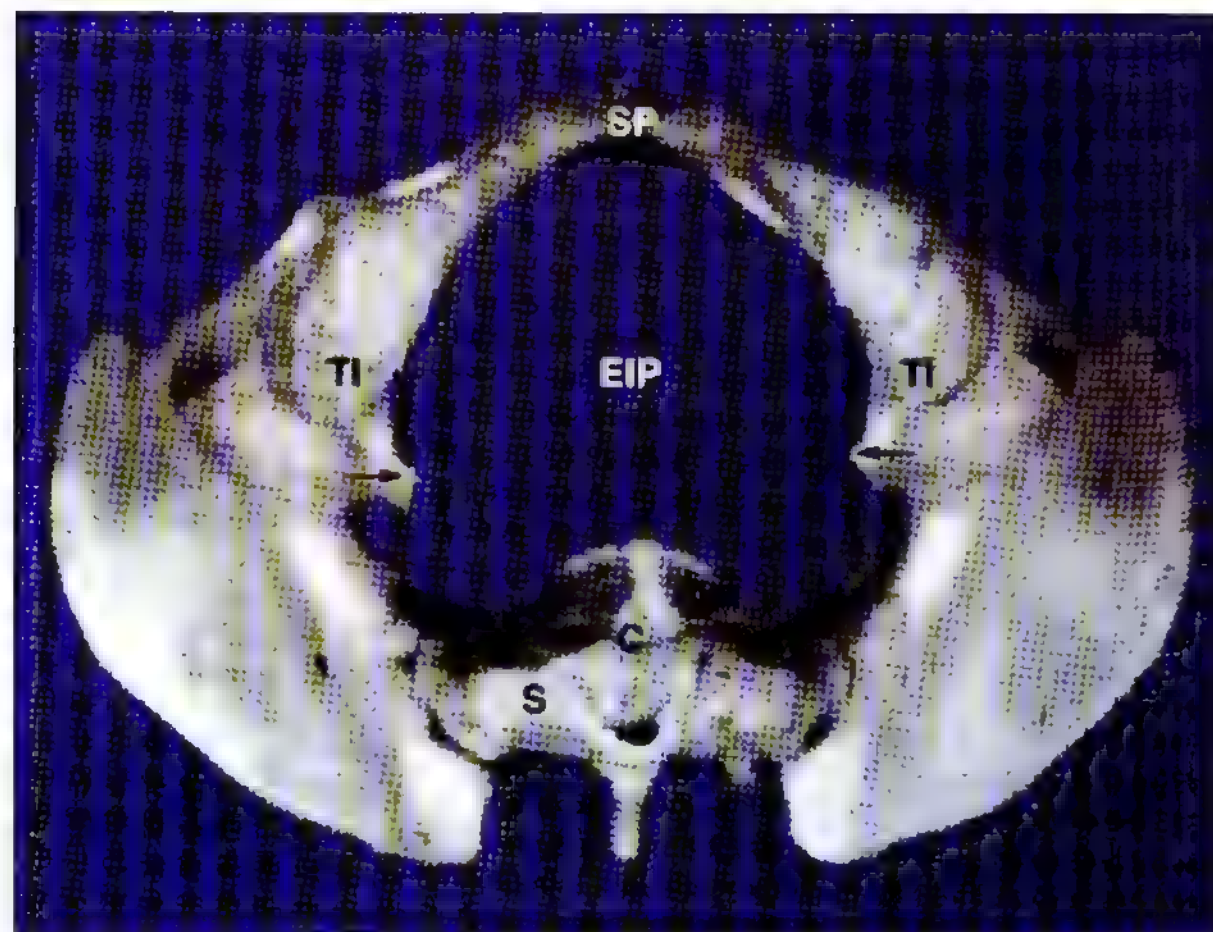
- El **triángulo urogenital**, que contiene la raíz del escroto y el pene en los varones y los genitales externos en las mujeres (fig. 3.32), se encuentra delante de esta línea.

El punto central de la línea que une las tuberosidades isquiáticas corresponde al centro del perineo, situado encima del **cuerpo perineal**, lugar de inserción de los músculos del perineo.

La **membrana perineal**, una lámina fina de fascia resistente y profunda, se extiende entre los dos lados del arco del pubis y cubre la parte anterior del estrecho inferior de la pelvis (fig. 3.34C). Justo encima de la membrana perineal (en su cara posterior), los *músculos transversos profundos del perineo* siguen una disposición transversal por la cara posterior de la membrana perineal. El esfínter externo de la uretra rodea la uretra, sobre el centro de la membrana perineal.



(A) Mujer



(B) Varón

El **cuerpo perineal** es una masa fibromuscular irregular, situada en el plano medio, entre el conducto anal y la membrana perineal (figs. 3.32 y 3.34E). El cuerpo perineal contiene fibras colágenas y elásticas, así como músculo esquelético y liso. El cuerpo perineal es el lugar donde convergen varios músculos (Wendell-Smith, 1995):

- Bulboesponjoso.
- Esfínter externo del ano.
- Músculos transversos superficial y profundo del perineo.

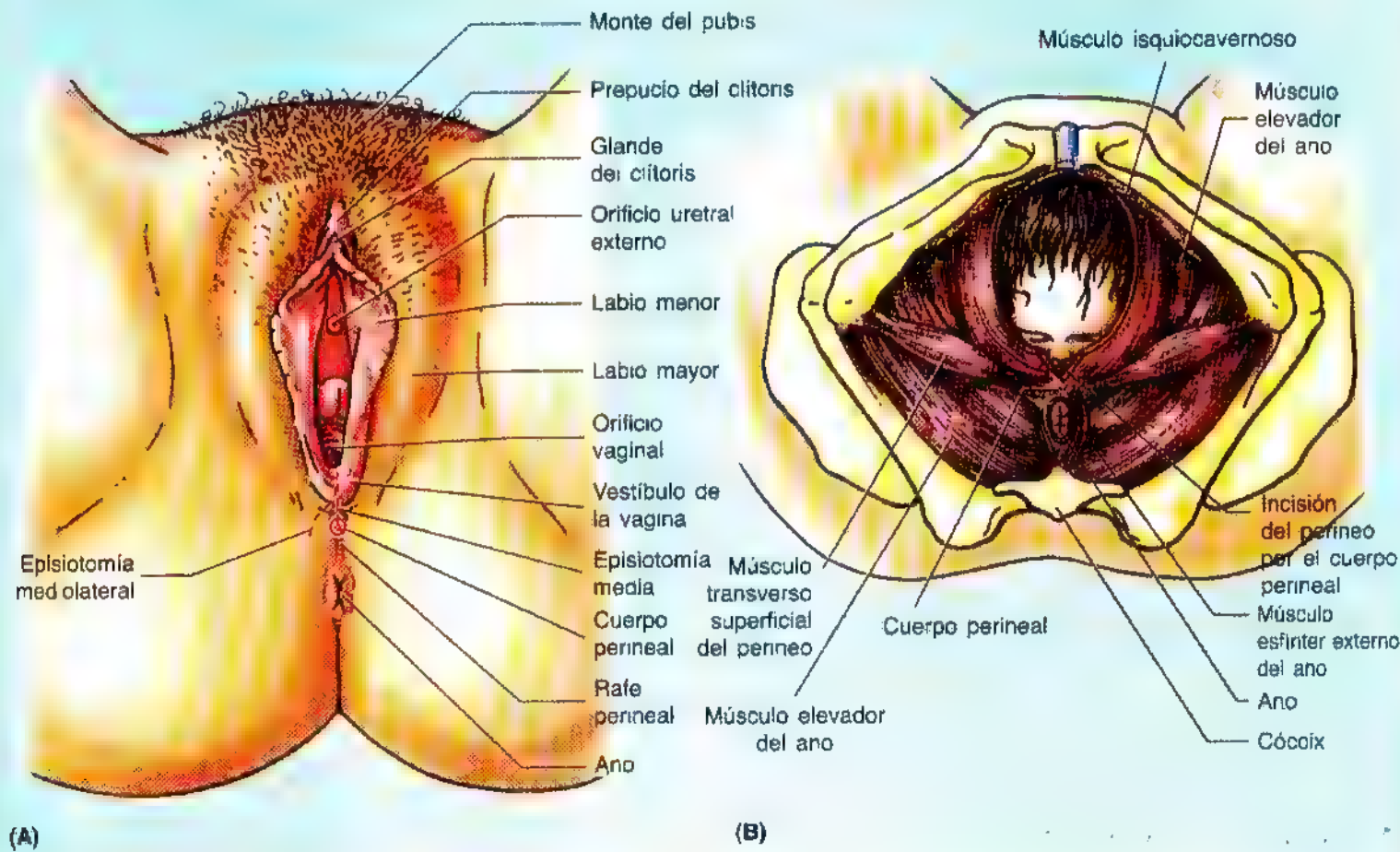
El cuerpo perineal reside en la profundidad de la piel y del tejido subcutáneo, detrás del vestíbulo vaginal o bulbo del pene y delante del ano y del conducto anal. El cuerpo perineal se inserta en el borde posterior de la **membrana perineal**, que radica entre los genitales externos y la bolsa o espacio perineal profundos (fig. 3.34D). El cuerpo perineal tiene un tamaño y consistencia variables, con muy poca grasa en la profundidad de la piel que lo recubre.

Alteración del cuerpo perineal

El cuerpo perineal es una estructura muy importante en las mujeres, porque constituye el apoyo último de las vísceras pélvicas. El estiramiento o el desgarro de esta inserción de los músculos perineales ocurren a veces durante el parto, con lo que desaparece el soporte de la porción inferior de la pared posterior de la vagina. En consecuencia, la vagina puede asomar (*prolapso*) por el orificio vaginal. El cuerpo perineal también puede alterarse por traumatismos, enfermedades inflamatorias e infecciones que provocan una *fistula* (conducto anómalo) y se comunica con el vestíbulo vaginal. La atenuación del cuerpo perineal, junto con la diástasis (separación) de los componentes puborrectal y pubococcígeo del músculo elevador del ano, pueden determinar un *rectocele* o protrusión herniaria de parte del recto en la pared vaginal.

Episiotomía

Durante la cirugía y el parto vaginales suele procederse a la episiotomía –incisión quirúrgica del perineo y de la pared inferior y posterior de la vagina– para aumentar el orificio vaginal y evitar un desgarro irregular de los músculos del perineo. El cuerpo perineal es la estructura principal que se incide durante la *episiotomía media* para el parto. También se efectúan episiotomías mediolaterales. (“Mediolateral” es un término inadecuado; en realidad, se trata de una incisión que, al principio, se efectúa por el plano medio y luego se continúa lateralmente en sentido posterior.) Pese a que se ha debatido mucho sobre la aplicación sistemática de la episiotomía profiláctica, muchos obstetras consideran que la episiotomía reduce la prevalencia de atenuación excesiva del cuerpo perineal y el traumatismo sobre el diafragma de la pelvis y la musculatura perineal. ♦



La fascia perineal¹

La fascia perineal se compone de las capas superficial y profunda (fig. 3.35). El tejido subcutáneo del perineo, o *fascia*

perineal superficial, como el de la parte inferior y anterior de la pared del abdomen (véase el capítulo 2), consta de una capa superficial grasa y de una capa (profunda) membranosa (*fascia de Colles*). En las mujeres, la capa superficial grasa se continúa por delante con los labios mayores (fig. 3.35A), y desde aquí, con el monte del pubis y la capa superficial grasa del abdomen (*fascia de Camper*). La capa superficial grasa está muy reducida en el triángulo urogenital *masculino*, y en el pene y el escroto se sustituye por músculo

¹ La terminología que se emplea en esta sección es la recomendada por el *Federative Committee on Anatomical Terminology* (FCAT) en 1998; sin embargo, como muchos clínicos utilizan eponimos al hablar de perineo, los autores han incluido los eponimos más usuales entre paréntesis, para que todos los lectores entiendan los nuevos términos.

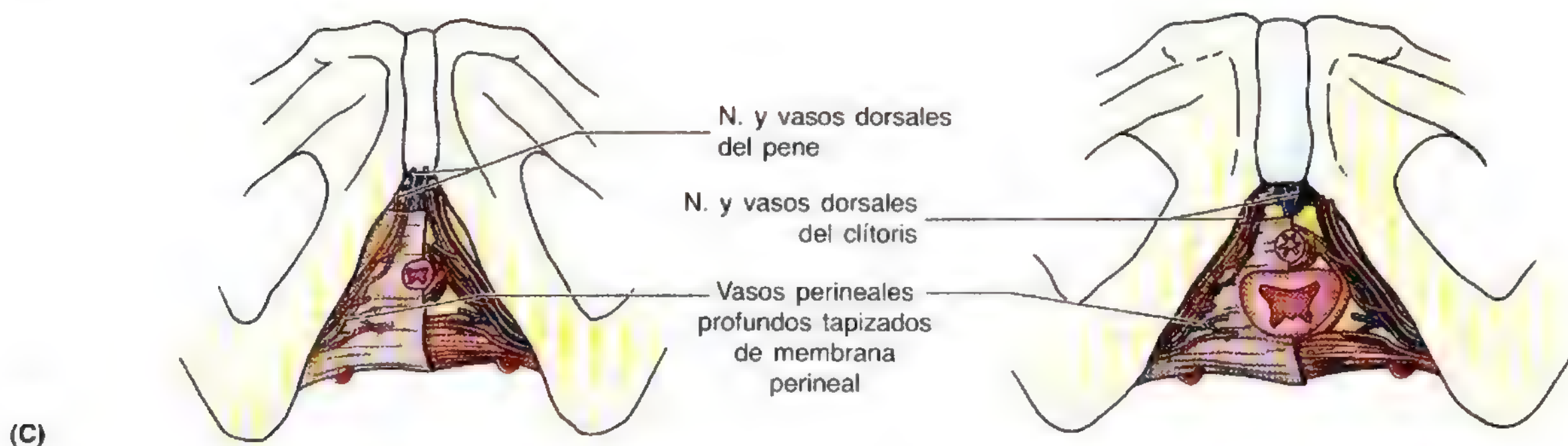
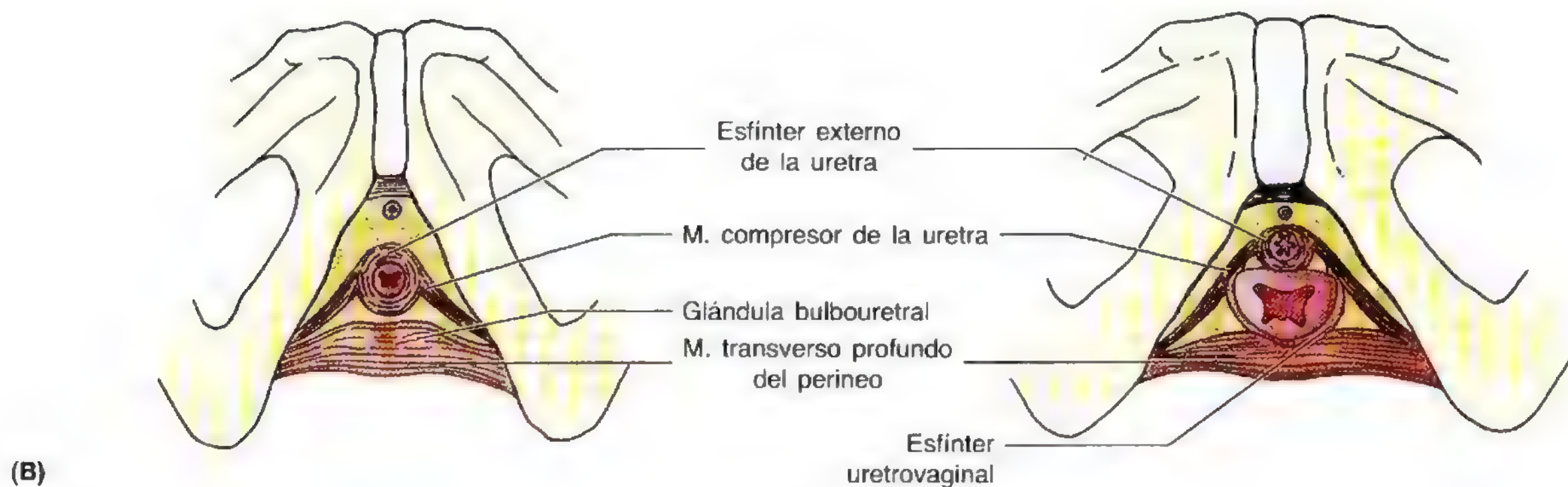
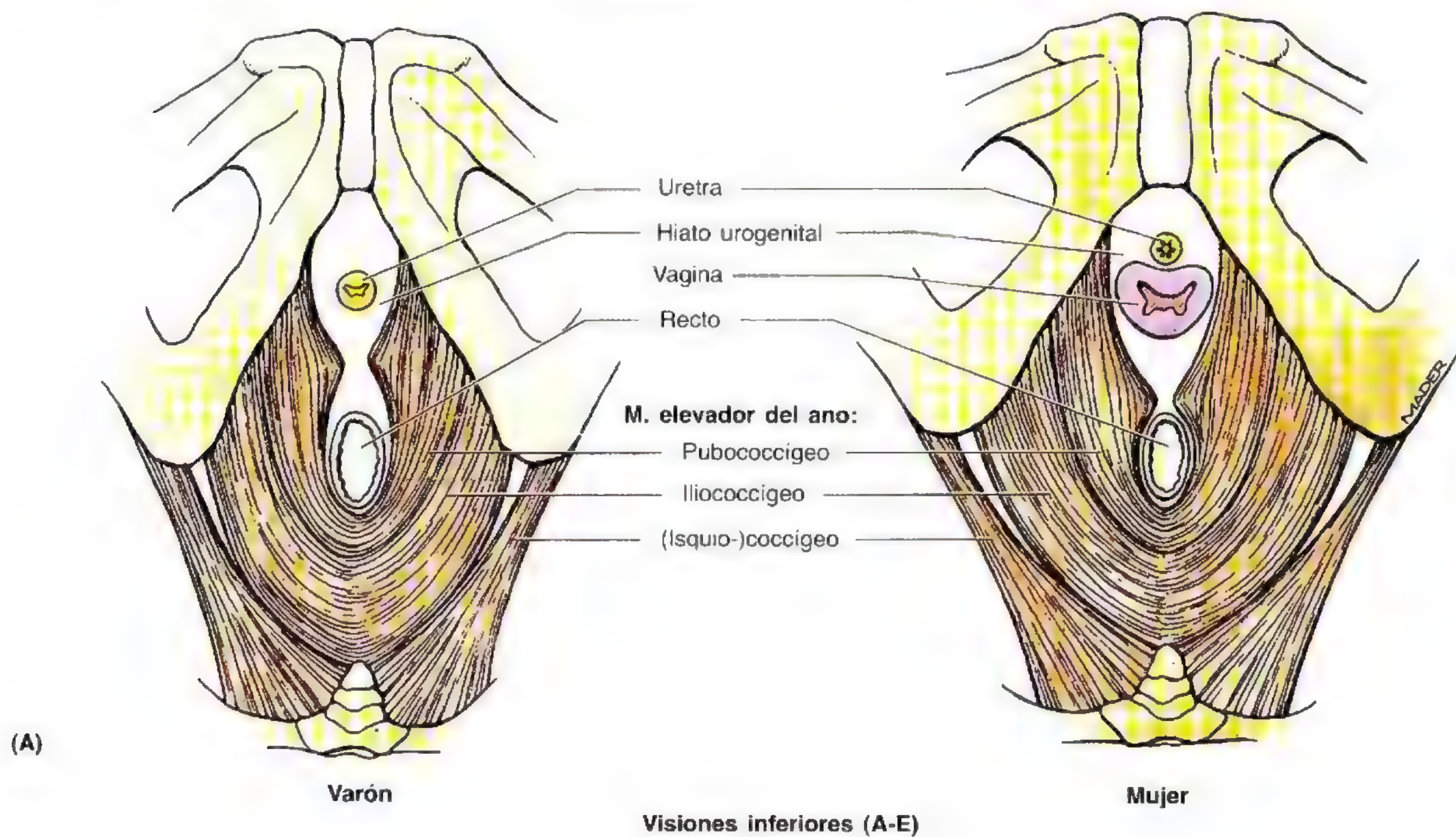


Figura 3.34. Capas del perineo masculino y femenino.

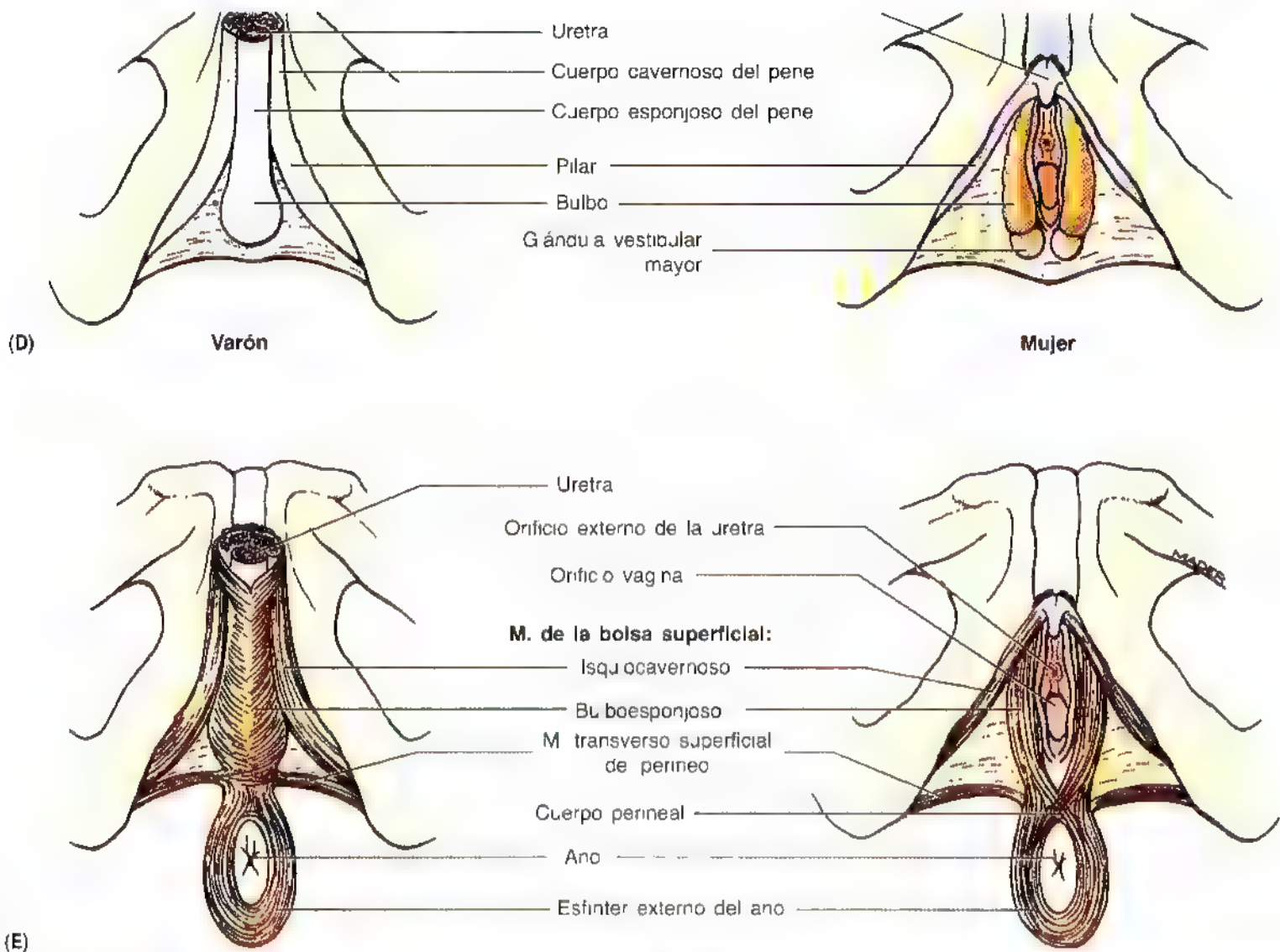


Figura 3.34. (Continuación) Estos diagramas esquemáticos muestran la disposición de las capas de perineo, desde el plano profundo (A) a superficial (E). En (A) el estrecho inferior de la pelvis está prácticamente ocupado por el diafragma de la pelvis (músculos elevador del ano y cóccigeo) que forman el techo del compartimento perineal. La uretra (y la vagina de las mujeres) atraviesa el hiato urogenital por delante y el recto por detrás. El esfínter externo de la uretra y los músculos transversos profundos del perineo (B) también se encuentran dentro del hiato urogenital que se cierra por abajo por la membrana perineal; ésta se extiende entre los ramos isquiopúbicos (C). Debajo de la membrana perineal se encuentra la bolsa o espacio perineal superficial, que contiene los cuerpos eréctiles (D), y los músculos asociados con ellos (E).

liso (dartos). Entre el escroto y los muslos (fig. 3.35B) se continúa con el tejido subcutáneo del abdomen, y en la parte posterior, con una capa similar de la región anal (cuerpo adiposo isquioanal). La *capa (profunda) membranosa de la fascia perineal superficial* se inserta, por la parte posterior, en el borde posterior de la membrana perineal y en el cuerpo perineal. Lateralmente se inserta en la fascia lata (fascia profunda) de la parte más alta de la cara medial del muslo. Por delante, la capa membranosa de la fascia perineal superficial se continúa con la fascia dartos del escroto; sin embargo, la capa membranosa se continúa a cada lado y delante del escroto con la capa membranosa del abdomen (fascia de Scarpa). La capa membranosa de la mujer pasa por encima de la capa adiposa que forma los labios mayores y se con-

tinúa con la capa membranosa de la fascia subcutánea del abdomen.

La *fascia perineal profunda* (fascia o revestimiento de Gallaudet) tapiza íntimamente los músculos isquiocavernoso, bulboesponjoso y transverso superficial del perineo. También se inserta lateralmente en el ramo isquiopúbico, por encima de la inserción de la capa membranosa de la fascia perineal superficial. Por delante se une con el ligamento suspensorio del pene (véase fig. 3.43) y se continúa con la fascia profunda que recubre el músculo oblicuo externo del abdomen y la vaina del músculo recto. La fascia perineal profunda se fusiona con el ligamento suspensorio del clítoris en las mujeres, y con la fascia profunda del abdomen en los varones.

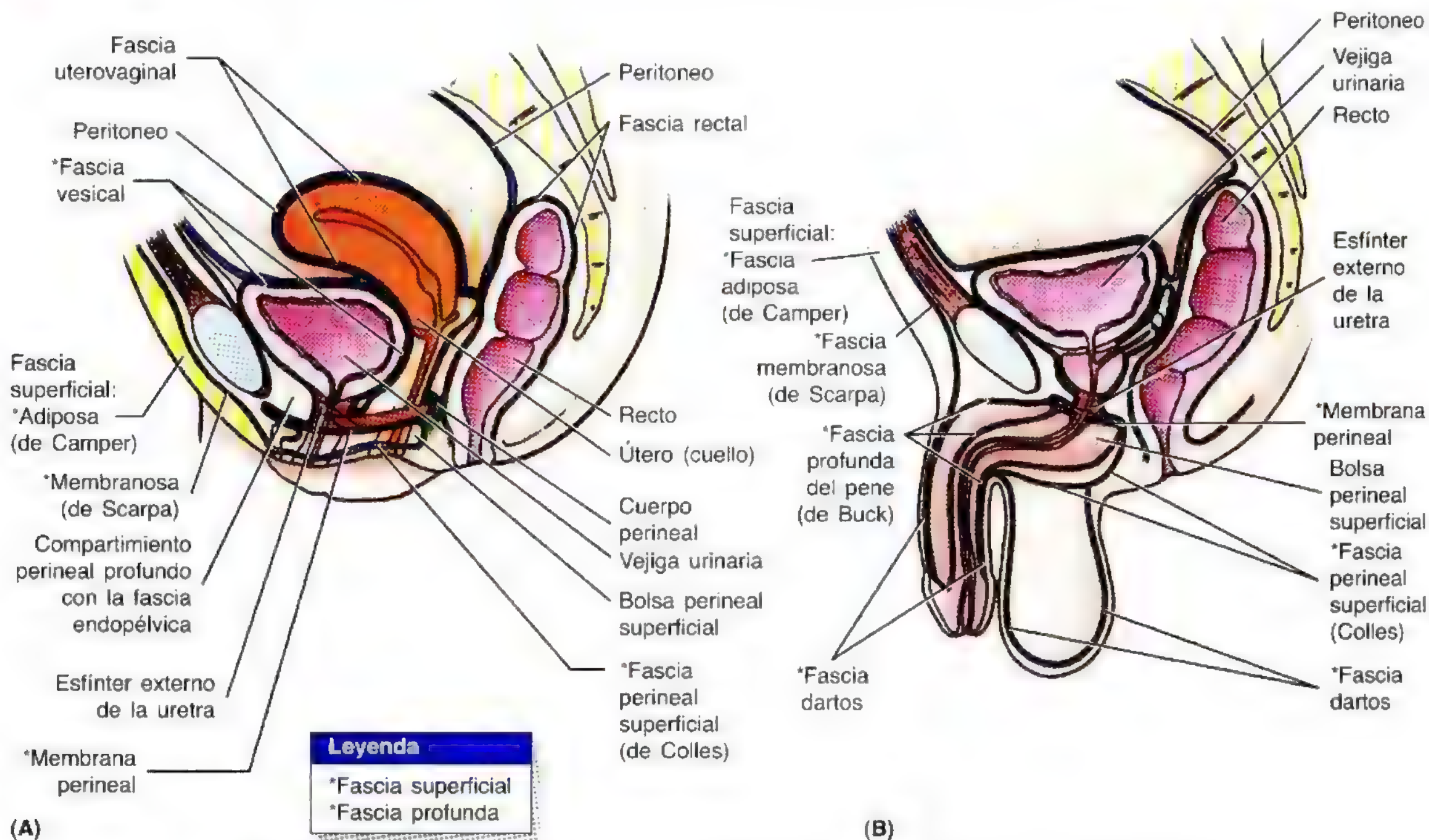


Figura 3.35. Fascias de la pelvis y del perineo. Cortes medios. **A.** Mujer. **B.** Varón

Bolsa perineal superficial

La bolsa (compartimiento) perineal superficial es un espacio virtual entre la capa membranosa del tejido subcutáneo y la membrana perineal (fig. 3.32). *La bolsa perineal superficial de los varones contiene:*

- La raíz (bulbo y pilares) del pene y los músculos concomitantes (isquiocavernoso y bulboesponjoso).
- La porción proximal de la uretra esponjosa.
- Los músculos transversos superficiales del perineo.
- Las ramas de los vasos pudendos internos.
- Los ramos de los nervios pudendos (nervios perineales).

La bolsa perineal superficial de las mujeres contiene:

- La raíz (pilares) del clítoris y el músculo asociado (isquiocavernoso).
- Los bulbos del vestíbulo y el músculo circundante (bulboesponjoso).
- Los músculos transversos superficiales del perineo.
- Los vasos y los nervios relacionados (ramas de los vasos pudendos internos, nervios perineales).
- Las glándulas vestibulares mayores.

Bolsa perineal profunda

La bolsa (espacio) perineal profunda no es un compartimiento cerrado, porque se abre en la parte superior. Esta bolsa

y los músculos urogenitales profundos delimitan, por abajo, con la membrana perineal; no obstante, la bolsa se extiende por arriba en forma de los recesos anteriores de la fosa isquioanal. *La bolsa perineal profunda de los varones contiene:*

- La porción intermedia (membranosa) de la uretra.
- El músculo esfínter externo de la uretra.
- Las glándulas bulbouretrales.
- Los músculos transversos profundos del perineo.
- Los vasos y los nervios relacionados.

La bolsa perineal profunda de las mujeres contiene:

- La porción proximal de la uretra.
- El músculo esfínter externo de la uretra.
- Los músculos transversos profundos del perineo.
- Los vasos y nervios relacionados.

El diafragma de la pelvis

El diafragma de la pelvis, que se compone de los músculos elevador del ano y coccígeo, junto con la fascia situada por encima y por debajo de ellos, *separa la cavidad pélvica del perineo* (fig. 3.36A). El diafragma pélvico configura el suelo de la cavidad pélvica, con forma de embudo o hamaca, y la pendiente medial de la raíz de cada fosa isquioanal, con forma de V invertida.

Fosas isquioanales

Las fosas isquioanales (antiguas fosas isquiorrectales) que rodean la pared del conducto anal son grandes espacios, cuneiformes, tapizados por una fascia, comprendidos entre la piel de la región anal y el diafragma de la pelvis (figs. 3.36B y 3.37). El vértice de cada fosa se encuentra en la parte superior, donde los músculos elevadores del ano nacen de la fascia del músculo obturador; las fosas isquioanales, anchas por la parte inferior y estrechas por la superior, están rellenas de tejido adiposo y tejido conjuntivo laxo. Las dos fosas isquioanales se comunican a través del *espacio postanal profundo* sobre el *ligamento (cuerpo) anococcígeo*, una masa fibrosa localizada entre el conducto anal y la punta del cóccix (fig. 3.36A). *Cada fosa isquioanal delimita:*

- A los lados, con el isquion y la porción inferior del músculo obturador interno, cubierta por la fascia del músculo obturador.
- En la cara medial, con el conducto anal, hacia el que desciende el músculo elevador del ano y que se halla rodeado por el músculo esfínter externo del ano.
- En la cara posterior, con el ligamento sacrotuberoso y el músculo glúteo mayor.
- En la cara anterior, con el esfínter externo de la uretra y los músculos transversos profundos del perineo y sus fascias. Estas porciones de las fosas, situadas encima de la membrana perineal, se conocen como *recesos anteriores de las fosas isquioanales*.

Las fosas isquioanales son atravesadas por bandas fibrosas resistentes y están llenas de grasa; la grasa crea los *cuerpos adiposos de las fosas isquioanales*. Estos cuerpos adiposos soportan el conducto anal, pero se desplazan fácilmente para que el conducto anal se expanda durante el paso de las heces.

Las paredes laterales de las fosas isquioanales contienen los *vasos pudendos internos* y los *nervios pudendos* (fig. 3.37). Por detrás, estos vasos y el nervio dan origen a los vasos y nervios rectales inferiores, respectivamente, que cruzan las fosas isquioanales y se asoman a la superficie para innervar el esfínter externo del ano y la piel perianal. Otros dos nervios cutáneos, un ramo perforante de S2 y S3 y un ramo perineal de S4, cruzan también las fosas isquioanales.

Conducto pudendo

El conducto pudendo es un espacio situado dentro de la fascia del músculo obturador, que recubre la cara medial del músculo obturador interno y tapiza la pared lateral de la fosa isquioanal (fig. 3.37). La arteria y la vena pudendas internas, el nervio pudendo y el nervio para el músculo obturador interno entran en este conducto por la escotadura ciática menor, debajo de la espina ciática.

El **nervio pudendo** da casi toda la inervación perineal. Cerca del extremo distal del conducto pudendo, el nervio pudendo se divide emitiendo nervios perineales (fig. 3.38) y luego se continúa como el nervio dorsal del pene o del clítoris. Estos nervios se dirigen, por delante, a cada lado de la prolongación de la arteria pudenda interna.

Los **nervios perineales** superficiales dan ramos escrotales o labiales y el **nervio perineal profundo** innerva los músculos de las bolsas perineales profunda y superficial, la piel del vestíbulo de la vagina y la mucosa de la parte más inferior de la vagina. El **nervio rectal inferior** nace en el nervio pudendo, a la entrada del conducto pudendo, y cruza la fosa isquioanal hasta llegar al ano. El nervio rectal inferior innerva el esfínter externo del ano y la piel perianal y se comunica con los nervios escrotales o labiales posteriores y los nervios perineales. El **nervio dorsal del pene o del clítoris**, un ramo sensitivo del nervio pudendo, discurre a través de la bolsa perineal profunda hasta alcanzar su zona de inervación.

Conducto anal

El conducto anal es la porción terminal del intestino grueso y se extiende desde la cara superior del diafragma de la pelvis hasta el ano (fig. 3.37). El conducto anal (de 2,5 a 3,5 cm de longitud) comienza donde la ampolla rectal se estrecha, a la altura del bucle en forma de U creado por el músculo rectal (fig. 3.7). El conducto anal termina en el ano, es decir, en la salida del tubo digestivo al exterior. El conducto anal, rodeado de los esfínteres interno y externo del ano, desciende en sentido posteroinferior entre el ligamento anococcígeo y el cuerpo perineal. El conducto anal se colapsa, salvo durante el paso de las heces. Los dos esfínteres deben relajarse para que ocurra la defecación.

El **esfínter externo del ano** es un gran esfínter voluntario, que forma una banda ancha a cada lado de los dos tercios inferiores del conducto anal (fig. 3.37). Este esfínter se funde, por la cara posterior, con el músculo puborrectal y está innervado, sobre todo, por S4 a través del nervio rectal inferior (fig. 3.38).

El **esfínter interno del ano** (fig. 3.37) es un esfínter involuntario que rodea los dos tercios superiores del conducto anal. Se trata de un engrosamiento de la capa de músculo circular y está innervado por fibras parasimpáticas que viajan por los *nervios espláncnicos de la pelvis*. El esfínter tiene una contracción tónica durante la mayor parte del tiempo, para evitar el paso de líquido o de flato; sin embargo, se relaja con la presión de las heces o del gas que distiende la ampolla rectal, y obliga a la contracción voluntaria del músculo puborrectal y del esfínter externo del ano si no se desea la defecación.

Dentro del conducto anal, la mitad superior de la mucosa se caracteriza por una serie de crestas longitudinales o **columnas anales**. Estas columnas contienen las ramas terminales de la arteria y vena rectales superiores. La **unión anorrectal**, señalada por los extremos superiores de las columnas anales, es el lugar donde el recto se junta con el conducto anal. En este punto, la ampolla rectal ancha se estrecha de forma súbita a su paso por el diafragma de la pelvis. Los extremos inferiores de las columnas anales están unidos por **valvas anales**. Encima de estas valvas se encuentran pequeños **recesos o senos anales**. Los senos anales exudan una mucosidad tras su compresión por las heces; el moco facilita

Rotura de la uretra masculina y extravasación de la orina

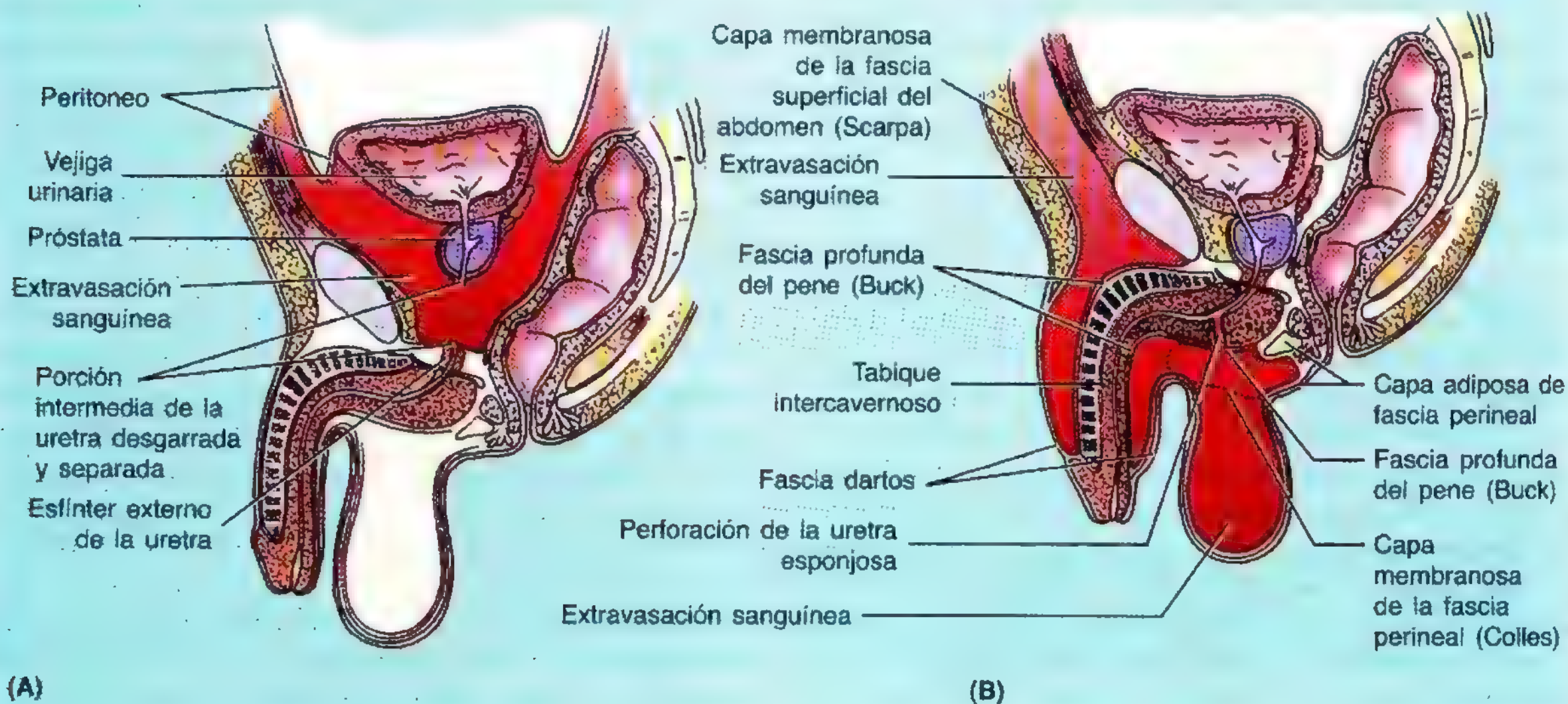
Las *fracturas de la pelvis ósea*, en particular las resultantes de la separación de la sínfisis del pubis y de los ligamentos puboprostáticos, suelen romper la **parte intermedia de la uretra**. La rotura de esta parte de la uretra provoca la extravasación de orina y de sangre hacia la bolsa perineal profunda (A), que sigue un curso superior y extraperitoneal alrededor de la próstata y de la vejiga urinaria.

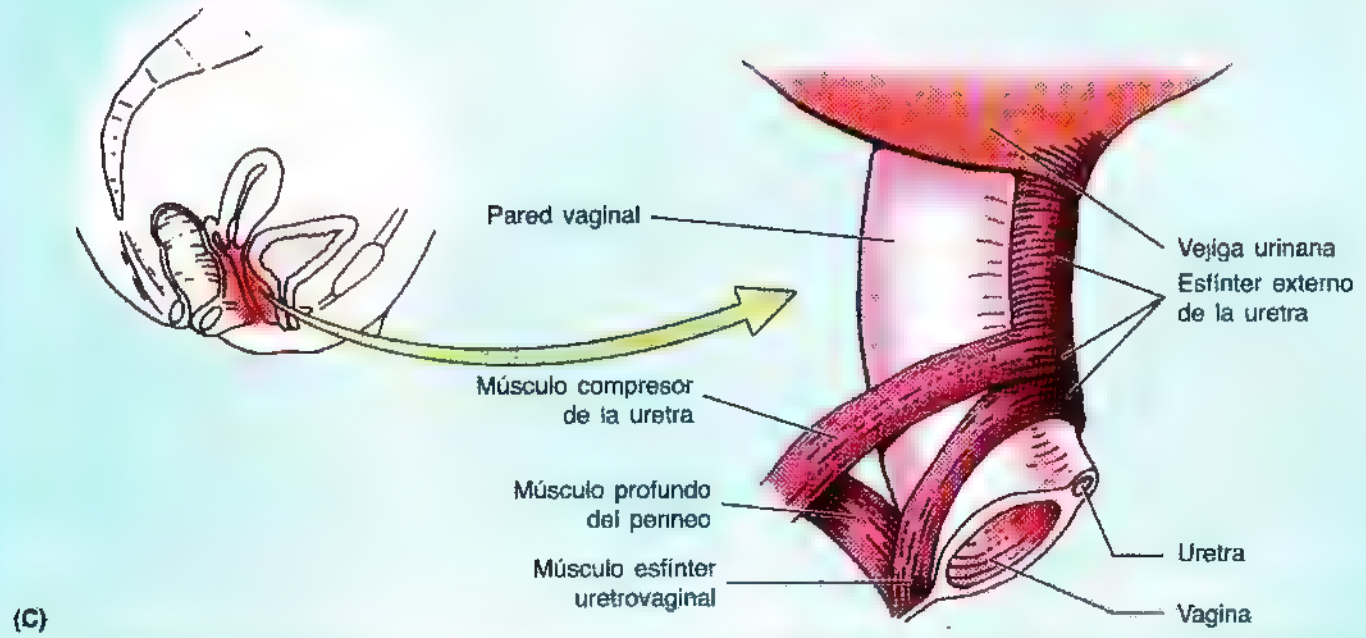
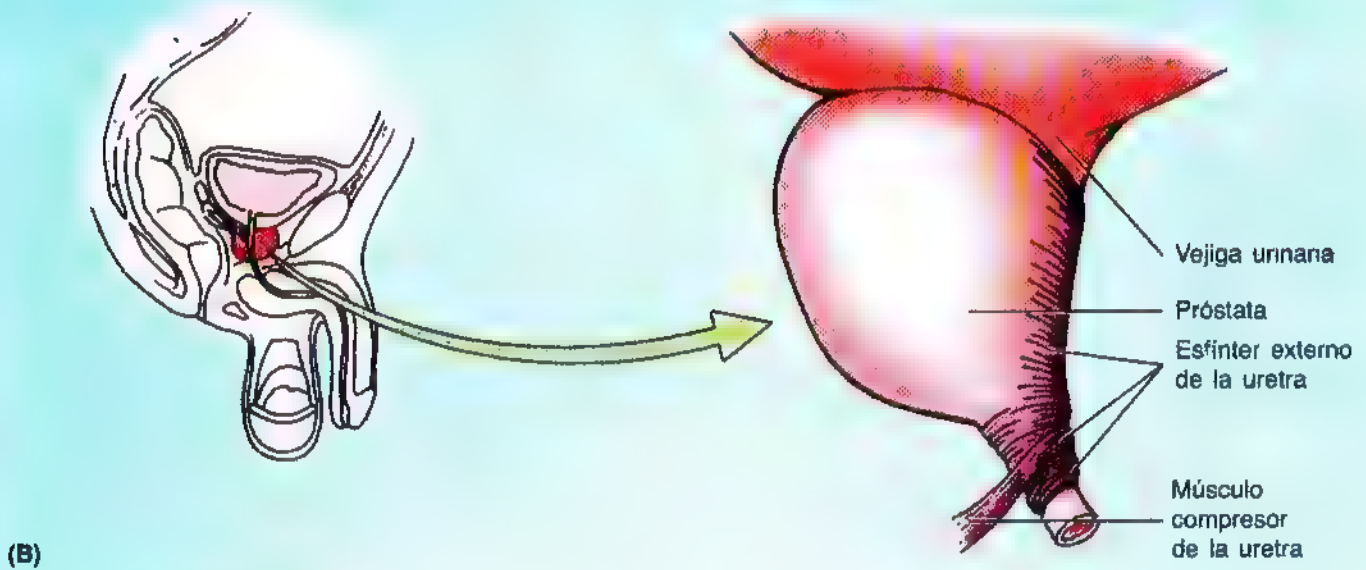
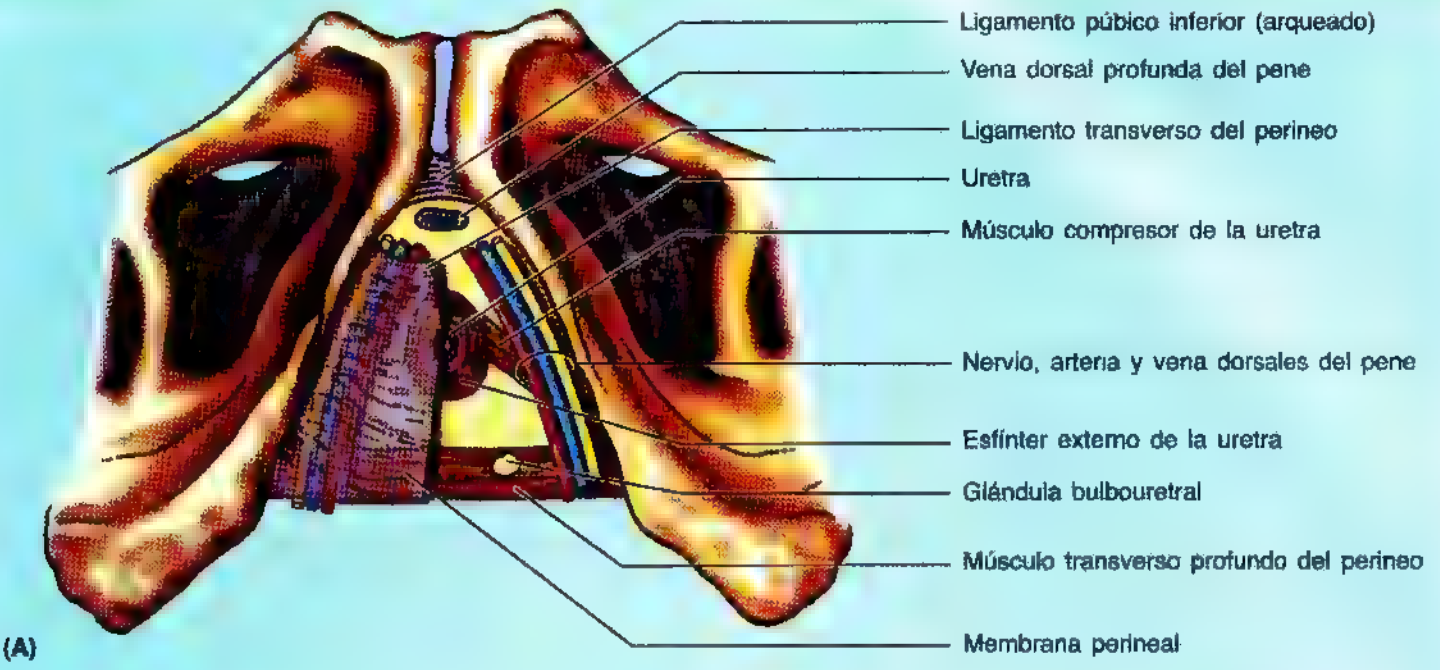
El *asiento más frecuente de rotura de la uretra esponjosa* y de extravasación de la orina es el bulbo del pene (B). Esta lesión suele obedecer a un golpe súbito sobre el perineo ("lesión por la silla de montar"), como sucede al caer sobre una barra metálica o, menos veces, por la inserción incorrecta ("falsa vía") de una sonda o dispositivo transuretral que no salva el ángulo uretral del bulbo del pene. La rotura del cuerpo esponjoso y de la uretra esponjosa determina el paso de orina (extravasación) al espacio perineal superficial. Las inserciones de la fascia perineal establecen la dirección que toma la orina extravasada; de aquí que la orina pueda pasar al tejido conjuntivo laxo del escroto, alrededor del pene, y por encima, en la profundidad de la capa membranosa del tejido conjuntivo subcutáneo de la pared anteroinferior del abdomen. La orina no puede llegar muy lejos, hasta el muslo, porque la capa membranosa de la fascia perineal superficial se une con la fascia lata que envuelve los músculos femorales, justo distal al ligamento inguinal. Además, la orina tampoco se dirige en sentido posterior hacia el triángulo anal, ya que las capas superficial y profunda de la fascia perineal se continúan entre sí alrededor de los músculos superficiales del perineo y con el borde posterior de la

membrana perineal interpuesta. La rotura de un vaso sanguíneo a la bolsa perineal superficial, secundaria a traumatismo, provoca una contención semejante de la sangre dentro de la bolsa perineal superficial.

Estructuras de la bolsa perineal profunda

De forma tradicional, se ha descrito un diafragma urogenital (UG) triangular y trilaminar como principal constituyente de la bolsa perineal profunda (pág. 405). Si bien las descripciones clásicas parecen justas si sólo se contempla la cara superficial de las estructuras que ocupa la bolsa profunda (A), el concepto tradicional de un diafragma plano y, en esencia, bidimensional resulta erróneo. Según este concepto, el diafragma UG se compone de la membrana perineal (fascia inferior del diafragma UG) en la base y de una "fascia superior del diafragma UG" en la parte superior; entre ellas aparece una lámina muscular plana que consta de una uretra disciforme y esfinteriana situada enfrente de un músculo transverso profundo del perineo asimismo bidimensional. Las descripciones de la membrana perineal y de los músculos transversos profundos del perineo masculino sólo parecen sustentadas por las pruebas reunidas; los músculos transversos profundos del perineo femenino se componen sobre todo de músculo liso (Wendell-Smith, 1995). La *membrana perineal*, robusta, se extiende entre los ramos isquiopúbicos y separa las bolsas perineales superficial y profunda; de hecho, es el soporte pasivo y último de las vísceras pélvicas. Justo encima de la mitad posterior de la membrana perineal se encuentra el *músculo transverso profundo del perineo*, plano, laminar, que, una vez desarrollado, brinda un soporte ►





► dinámico para las vísceras pélvicas. Sin embargo, como describió Oelrich (1980), el músculo esfínter de la uretra no es una estructura plana, y la única "fascia superior" es la fascia intrínseca del músculo esfínter externo de la uretra.

El *esfínter externo de la uretra* es una estructura más tubular y crateriforme que discal; en los varones, sólo una parte del músculo reviste de forma circular (esfínter verdadero) la parte intermedia (membranosa) de la uretra, debajo de la próstata (B). La parte mayor, crateriforme, se extiende verticalmente hasta la base de la vejiga, desplazando a la próstata y tapizando la uretra prostática sólo por delante o por la cara anterolateral. Aparentemente, este primordio muscular se establece en toda la longitud de la uretra antes de que se desarrolle la próstata. Como la próstata emerge de las glándulas uretrales, el músculo se atrofia o queda desplazado en sentido posterior y posterolateral por la glándula prostática. Existe cierta controversia acerca de si esta parte del músculo comprime o dilata la uretra prostática.

En la mujer, el esfínter externo de la uretra es, en términos rigurosos, un esfínter "urogenital" según Oelrich (1983). Una vez más, este autor describe una parte que forma un verdadero esfínter anular alrededor de la uretra (C), pero que posee varias partes adicionales que se extienden de ella; una parte superior que se prolonga hasta la base de la vejiga; una subdivisión que, al parecer, se extiende inferolateralmente al ramo isquiático a cada lado (músculo compresor de la uretra), y, por último, una parte a modo de banda que rodea la vagina y la uretra (esfínter uretrovaginal). Tanto en el hombre como en la mujer, la musculatura descrita, más que apoyarse en el plano del músculo profundo del perineo, se orienta de hecho perpendicular a él. Otros autores han corroborado casi toda la descripción de Oelrich, pero rechazan que rodee la uretra femenina, y afirman que el músculo no es capaz de actuar con esfínter. Además, insisten en que la sección del nervio perineal, que inerva el "esfínter", no provoca incontinencia, aunque ello quizá se deba a la innervación por otras fuentes. ◉

la evacuación de las heces del conducto anal. El límite inferior de las valvas anales, con forma de peine, crea una línea irregular —la **línea pectínea**—, que denota la unión de la parte superior del conducto anal (derivada del intestino posterior embrionario) con la parte inferior (derivada del proctodeo embrionario). La parte del conducto anal situada por encima de la línea pectínea difiere de la parte inferior en su irrigación arterial, innervación, así como drenaje venoso y linfático. Estas diferencias obedecen a los distintos orígenes

embriológicos de las porciones superior e inferior del conducto anal (Moore y Persaud, 1998).

Irrigación arterial del conducto anal. La *arteria rectal superior* irriga la parte del conducto anal situada encima de la línea pectínea (fig. 3.30A). Las dos *arterias rectales inferiores* nutren la porción inferior del conducto anal, así como los músculos circundantes y la piel. Las *arterias rectales medias* colaboran en la irrigación del conducto anal, al crear anastomosis con las arterias rectales superior e inferior.

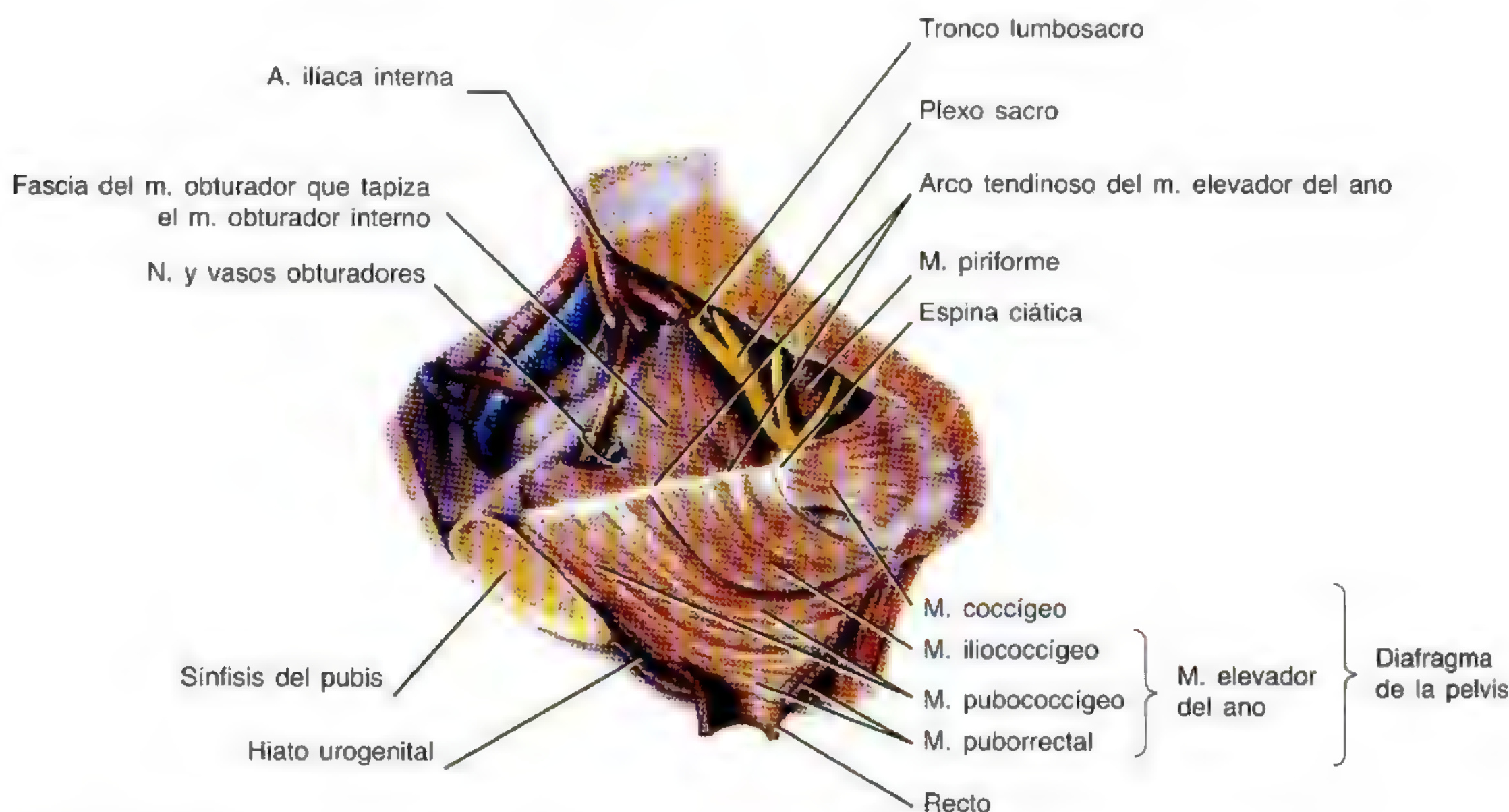


Figura 3.36. Diafragma de la pelvis y fosas isquioanales. A. Suelo de la pelvis masculina.

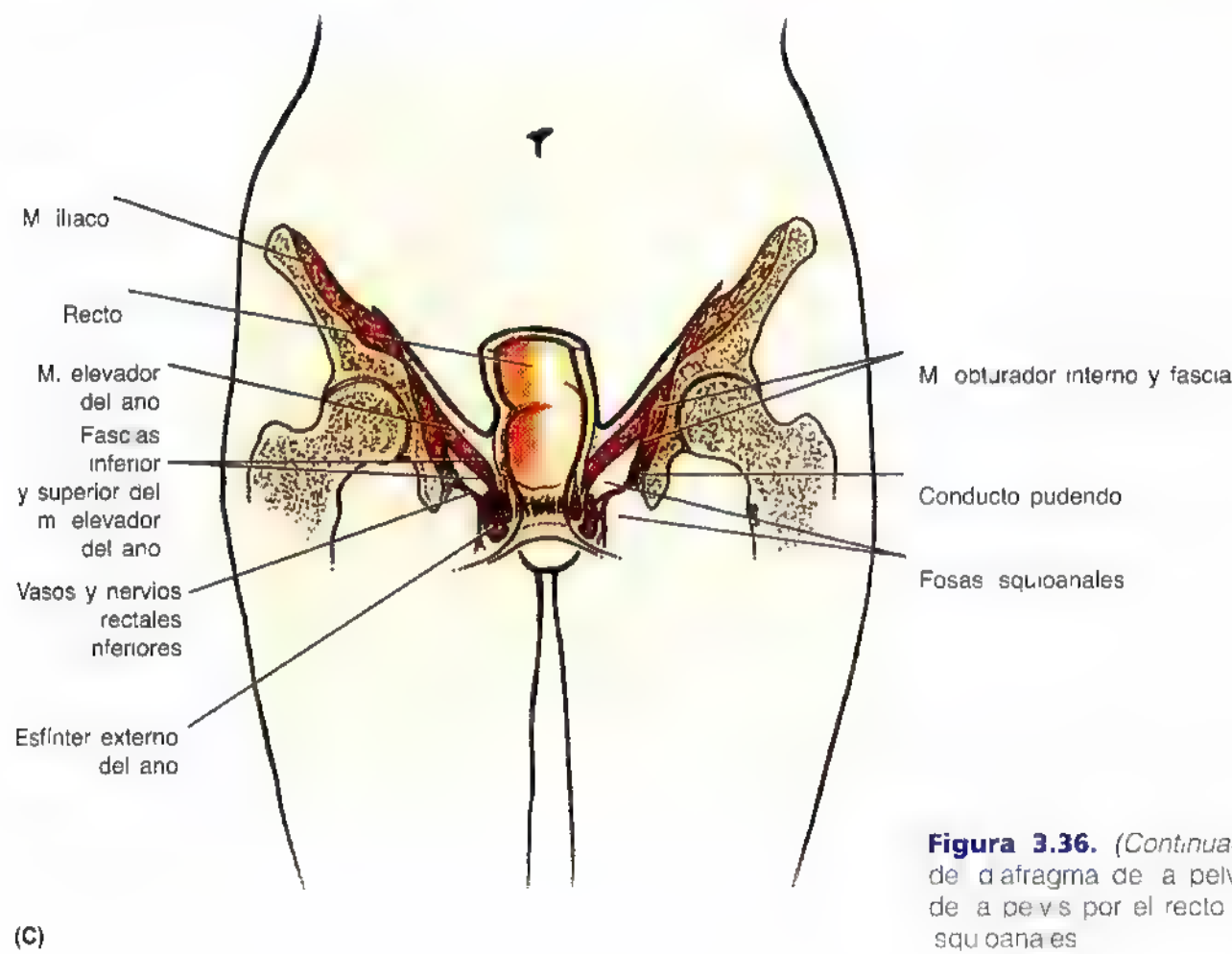
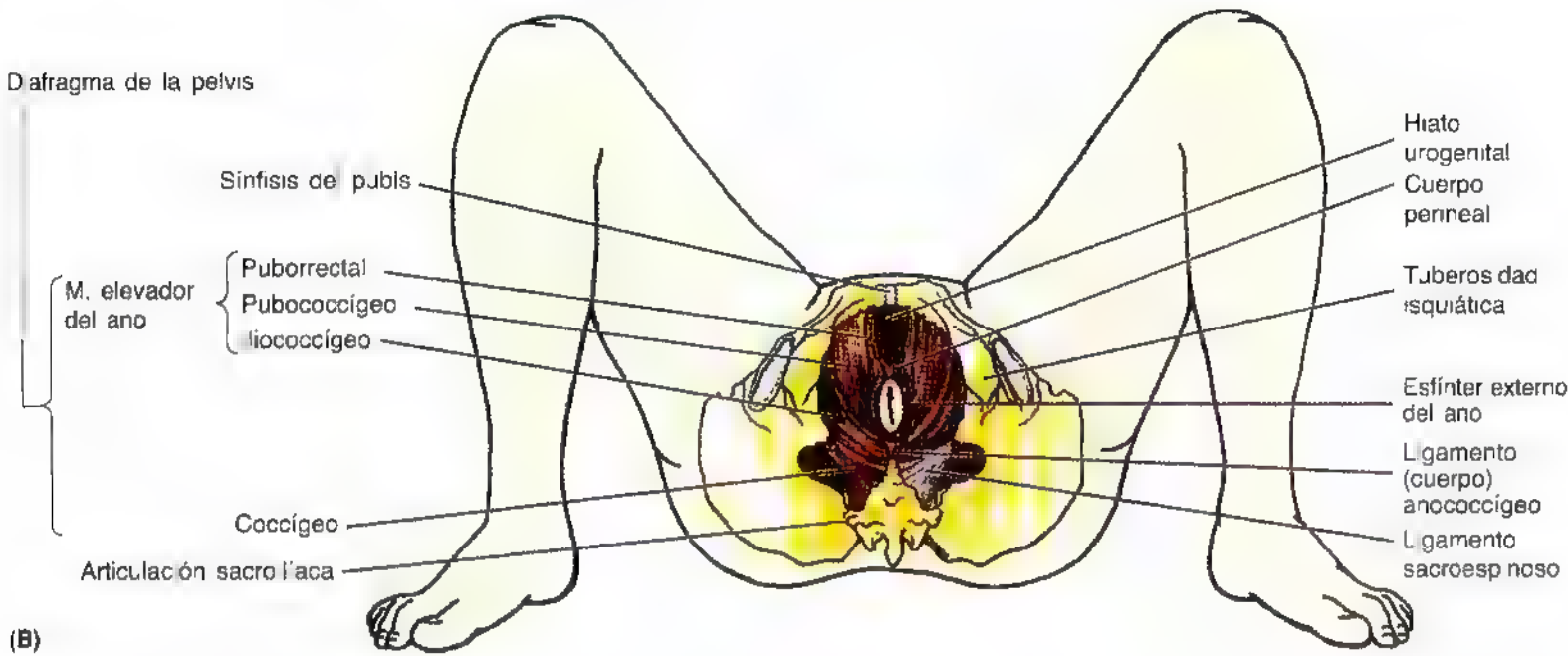


Figura 3.36. (Continuación) **B.** Visión inferior de diafragma de la pelvis. **C.** Sección coronal de la pelvis por el recto, conducto anal y fosas squigoanales.

Drenaje venoso y linfático del conducto anal. El plexo venoso rectal interno drena en ambas direcciones desde el plano de la línea pectínea. Por encima de esta línea, el plexo rectal interno drena sobre todo a la **vena rectal superior** –afluente de la vena mesentérica inferior– y al sistema portal (fig. 3.30B). Debajo de esta línea, el plexo rectal interno drena a las **venas rectales inferiores** –afuentes del sistema de la cava– alrededor del margen del esfínter externo del ano. Las **venas rectales medias** –afuentes de las venas ilíacas in-

ternas– drenan sobre todo la muscular externa de la ampolla y crean anastomosis con las venas rectales superior e inferior. Encima de la línea pectínea, los vasos linfáticos drenan a los **ganglios ilíacos internos** y, a través de éstos, a los ganglios ilíacos comunes y lumbares (fig. 3.31A). Por debajo de la línea pectínea, los vasos linfáticos drenan a los **ganglios inguinales superficiales**. **Inervación del conducto anal.** La inervación para la parte del conducto anal situada por encima de la línea pectínea

es visceral y procede del **plexo hipogástrico inferior** (fibras simpáticas y parasimpáticas [fig. 3.31 B]). La parte superior del conducto anal sólo muestra sensibilidad para el estiramiento. La *inervación de la parte del conducto anal situada*

debajo de la línea pectínea es de tipo somático y proviene de los **nervios rectales inferiores**, ramos del nervio pudendo. Por eso, esta parte del conducto anal es sensible al dolor, al tacto y a la temperatura.

Referencia clínica importante

La **línea pectínea** (también denominada línea dentada o mucocutánea por algunos clínicos) constituye una referencia de sumo interés, porque se ve y se acerca al plano donde suceden algunos cambios anatómicos importantes ya mencionados (p. ej., en la *inervación del conducto anal*).

Fisuras anales y abscesos perianales

En ocasiones, las fosas isquioanales representan el asiento de infecciones que pueden ocasionar **abscesos isquioanales (A)**. Se trata de colecciones de pus que causan molestias y dolores. Las infecciones pueden alcanzar las fosas isquioanales por distintos caminos:

- Después de una **criptitis** (inflamación de los senos anales).
- Por extensión de un absceso pelvirrectal.
- Después de un desgarro de la mucosa anal.
- Por una herida penetrante en la región anal.

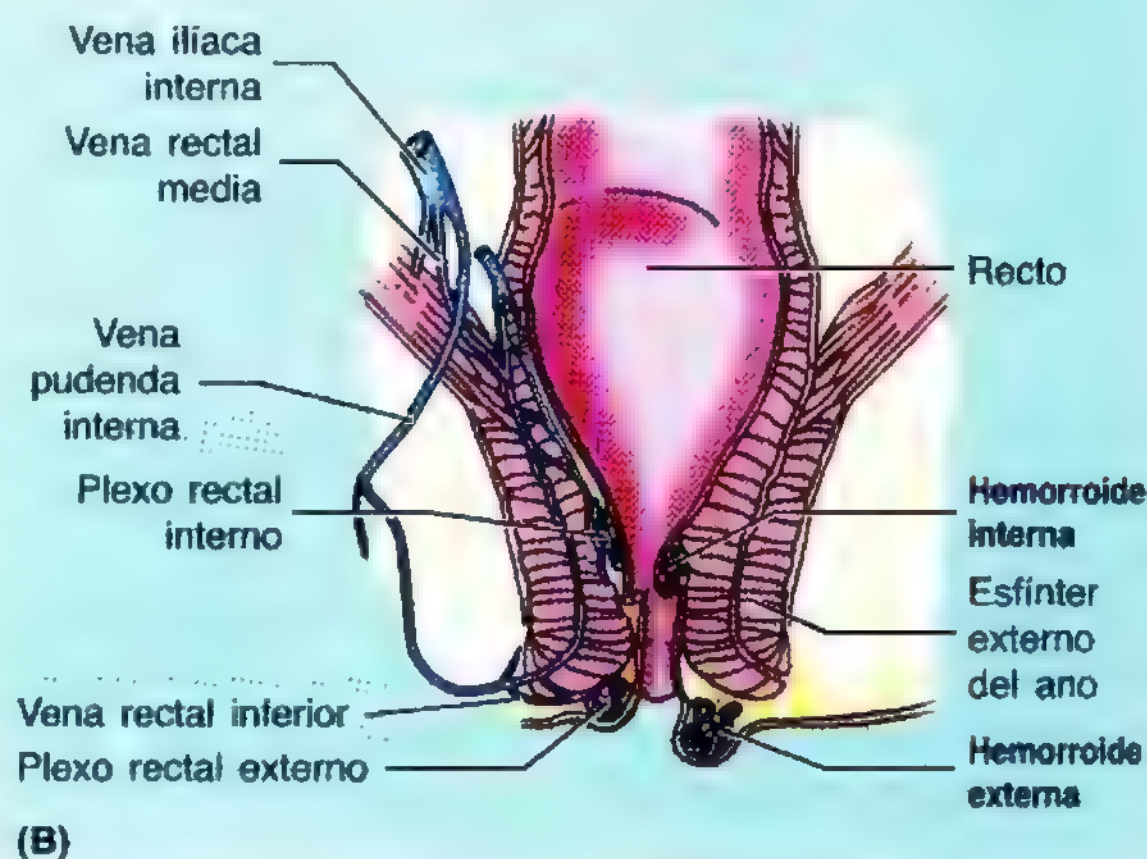
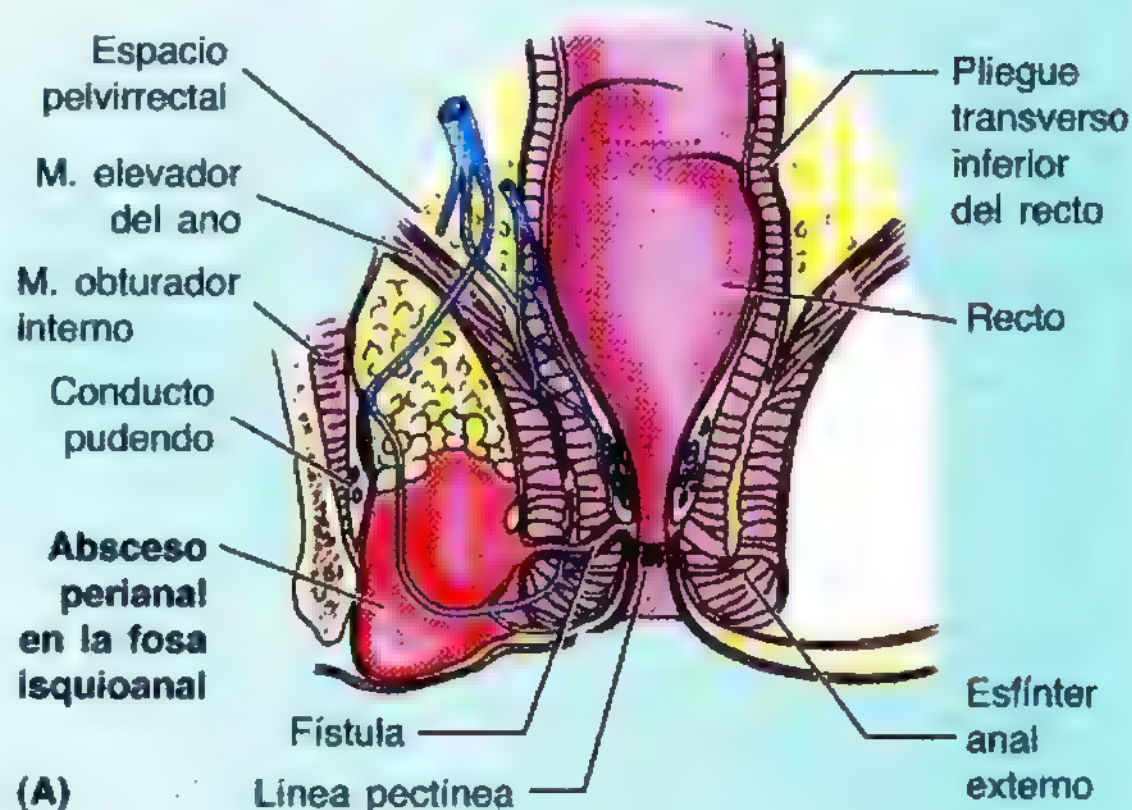
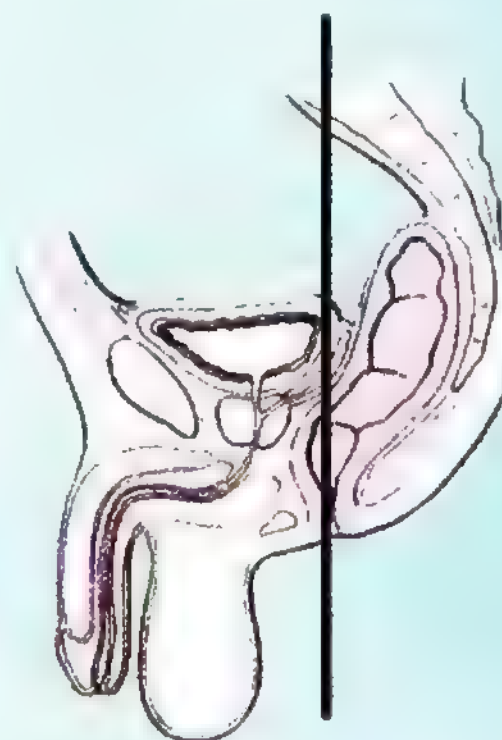
Los signos diagnósticos del absceso isquioanal consisten en plenitud y dolor espontáneo entre el ano y la tuberosidad isquiática. El absceso perianal puede drenar de manera espontánea hacia el conducto anal, recto o piel perianal.

Como las fosas isquioanales se comunican, en la parte posterior, a través del **espacio postglúteo profundo**, el absceso de una fosa se puede extender a la otra y crear un absceso en "herradura" alrededor de la cara posterior del conducto anal. Las valvas y la mucosa anales se pueden desgarrar por las heces endurecidas de las personas con estreñimiento crónico. La **fisura anal** (lesión en forma de hendidura) suele localizarse en la línea media posterior, debajo de las valvas anales. Produce dolor, porque esta es una zona inervada por fibras sensitivas de los nervios rectales inferiores. El **absceso perianal** puede seguir a la infección de las fisuras anales y la infección se extiende a las fosas isquioanales, dando origen a **abscesos isquioanales**, o bien a la pelvis, provocando **abscesos pelvirrectales**. La **fistula anal** obedece, a veces, a la diseminación de una infección anal y de las criptas (**criptitis**). Uno de los extremos de este conducto anómalo (fistula) se abre en el **conducto anal**, y el otro, en un absceso de la fosa isquioanal o en la piel perianal.

Prolapso hemorroidal

Las **hemorroides internas** ("almorranas") son prolapsos de la mucosa rectal que contienen las venas, normalmente

dilatadas, del **plexo venoso rectal interno (B)**. Las hemorroides internas se deben, en principio, a una rotura ►



► de la capa muscular mucosa, capa de músculo liso situado debajo de la mucosa. Las hemorroides internas que asoman por el conducto anal suelen comprimirse por los esfínteres contraídos, que impiden el flujo de sangre. En consecuencia, tienden a estrangular las hemorroides, que se ulceran. Las *hemorroides externas* son trombosis (coágulos de sangre) de las venas del *plexo venoso rectal externo*, tapizadas por la piel. Los factores que predisponen a las hemorroides comprenden el embarazo, el estreñimiento crónico y todo trastorno que aumente la presión intrabdominal.

Las anastomosis entre las venas rectales superior, media e inferior forman importantes comunicaciones clínicas entre los sistemas venosos portal y general (véase el capítulo 2, fig. 2.59). La vena rectal superior drena hacia la vena mesentérica inferior, mientras que las venas rectales media e inferior lo hacen en el sistema general (vena cava inferior). Todo aumento patológico de la presión dentro del sistema portal, carente de válvulas, determina un

aumento del tamaño de las venas rectales superiores, que a su vez aumentan el flujo sanguíneo por el plexo venoso rectal inferior.

En la *hipertensión portal*, que se observa en la *cirrosis hepática*, las venas anastomóticas del conducto anal y de otras zonas se tornan varicosas. Las del esófago manifiestan una tendencia especial a la rotura. Es muy importante recordar que las venas de los plexos rectales *suelen* parecer varicosas (dilatadas y tortuosas) —incluso en los recién nacidos—, y que las hemorroides internas ocurren, casi siempre, *sin* que exista hipertensión portal.

Como los nervios autónomos innervan el conducto anal por encima de la línea pectínea, la incisión o inserción de una aguja en esta zona no provoca dolor. Sin embargo, *la parte del conducto anal situada debajo de la línea pectínea es sensible* (p. ej., al pinchazo con una aguja hipodérmica), porque está innervada por los *nervios rectales inferiores*, que contienen fibras sensitivas. ◉

El perineo masculino

El perineo masculino contiene:

- El conducto anal.
- Las porciones intermedia y esponjosa de la uretra.
- La raíz del pene y el escroto.

Uretra

La uretra del cuello vesical (uretra preprostática) y la uretra prostática, las dos primeras partes de la uretra masculina, se describen junto con la pelvis (pág. 374).

La **porción intermedia (membranosa) de la uretra** es la más corta (1-2 cm) y estrecha de la uretra, salvo en el orificio uretral externo. Comienza en el vértice de la próstata y termina en el bulbo del pene, donde se prolonga con la **uretra esponjosa** (fig. 3.39). La porción intermedia de la uretra atraviesa la bolsa perineal profunda, rodeada del esfínter externo de la uretra y de la membrana perineal. Posterolateral a esta porción de la uretra se encuentran las pequeñas *glándulas bulbouretrales* (glándulas de Cowper) y sus delgados conductos, que se abren en la porción proximal de la uretra esponjosa.

La **uretra esponjosa**, la más larga (15-16 cm), pasa por el bulbo y el cuerpo esponjoso del pene. Comienza en el extremo distal de la parte intermedia de la uretra y termina en el **orificio externo de la uretra**, la parte más estrecha de todas (fig. 3.39). La luz de la uretra esponjosa mide aproximadamente 5 mm de diámetro. Sin embargo, se expande en el bulbo del pene, formando la **fosa intrabulbar**, y en el glande, creando la **fosa navicular**. Los delgados **conductos de las glándulas bulbouretrales** se abren a cada lado en la parte proximal de la uretra esponjosa; los orificios de estos conductos son muy pequeños. También se observan

orificios diminutos de los conductos de las **glándulas uretrales**, secretoras de moco, en la uretra esponjosa.

Irrigación arterial de las dos partes distales de la uretra. La irrigación arterial de las partes intermedia y esponjosa de la uretra proviene de ramas de la arteria pudenda interna (figs. 3.34C y 3.37, tabla 3.6).

Drenaje venoso y linfático de las porciones intermedia y esponjosa de la uretra. Las venas que acompañan a las arterias se nombran de forma parecida. Los vasos linfáticos de la parte intermedia de la uretra drenan, principalmente, a los **ganglios ilíacos internos** (fig. 3.40); la mayoría de los vasos de la uretra esponjosa llegan hasta los **ganglios inguinales profundos**, pero parte de la linfa se dirige a los ganglios ilíacos externos.

Inervación de las partes intermedia y esponjosa de la uretra. Los nervios son ramos del **nervio pudendo** (figs. 3.26 y 3.38). La mayoría de las fibras aferentes de estas partes de la uretra discurren por los **nervios esplácnicos de la pelvis**. Los nervios del *plexo nervioso prostático*, que nacen en el **plexo hipogástrico inferior**, se dirigen hacia estas partes de la uretra.

Sondaje o cateterismo uretral

El cateterismo uretral se lleva a cabo para drenar la orina de una persona que no puede orinar. Asimismo, permite irrigar la vejiga urinaria y obtener una muestra de orina no contaminada. Cuando se introducen catéteres y sondas uretrales —instrumentos ligeramente cónicos para explorar y dilatar la uretra constreñida— *conviene tener en cuenta las curvas* ►

► *de la uretra.* Justo distal a la membrana perineal, la uretra esponjosa está bien cubierta por abajo y detrás por los tejidos eréctiles del bulbo del pene; sin embargo, un pequeño segmento de la parte intermedia de la uretra queda desprotegido. Como la pared de la uretra es fina, hay que vencer este ángulo para llegar a la porción intermedia de la uretra esponjosa; durante la inserción de los catéteres y sondas uretrales se puede romper la uretra. La parte intermedia —la menos distensible— tiene un curso inferoanterior a su paso a través del esfínter uretral externo. En la zona proximal, la uretra

prostática se curva ligeramente, con una concavidad anterior.

La *estenosis uretral* puede obedecer a traumatismos externos del pene o a infecciones de la uretra. Se emplean *sondas uretrales* para dilatar la uretra estenosada en estos casos. La uretra esponjosa se expande lo suficiente para permitir el paso de un instrumento de unos 8 mm de diámetro. El orificio uretral externo es la zona más estrecha y menos distensible de la uretra; por eso, todo instrumento que pase por este orificio suele atravesar las demás partes de la uretra. ◊

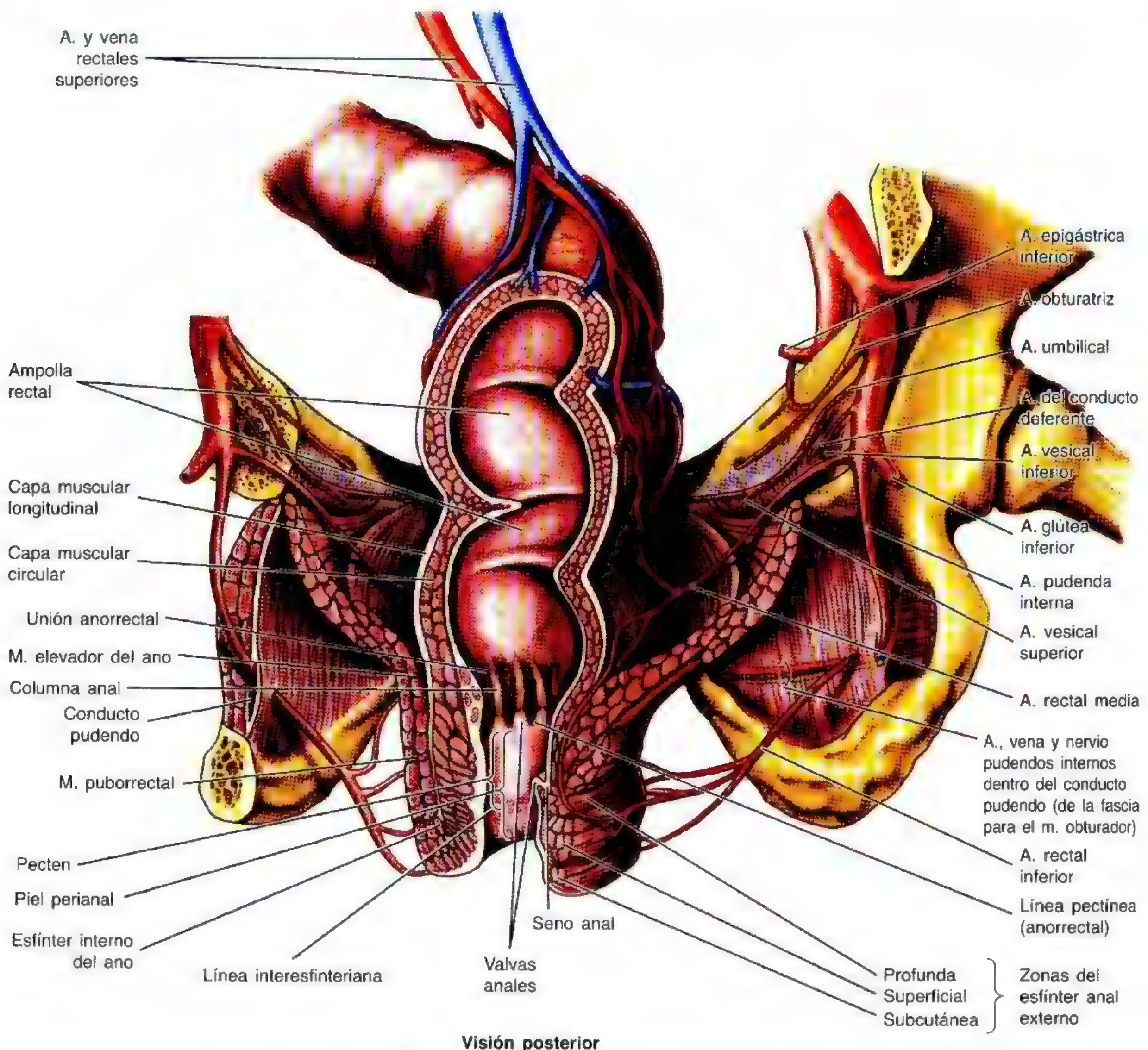


Figura 3.37. Visión posterior del recto, conducto anal y conducto pudendo. Obsérvese el conducto pudendo —espacio situado dentro de la fascia del músculo obturador que tapiza la cara medial del músculo obturador interno y la pared lateral de la fosa isquioanal— que conduce los vasos y nervios pudendos.

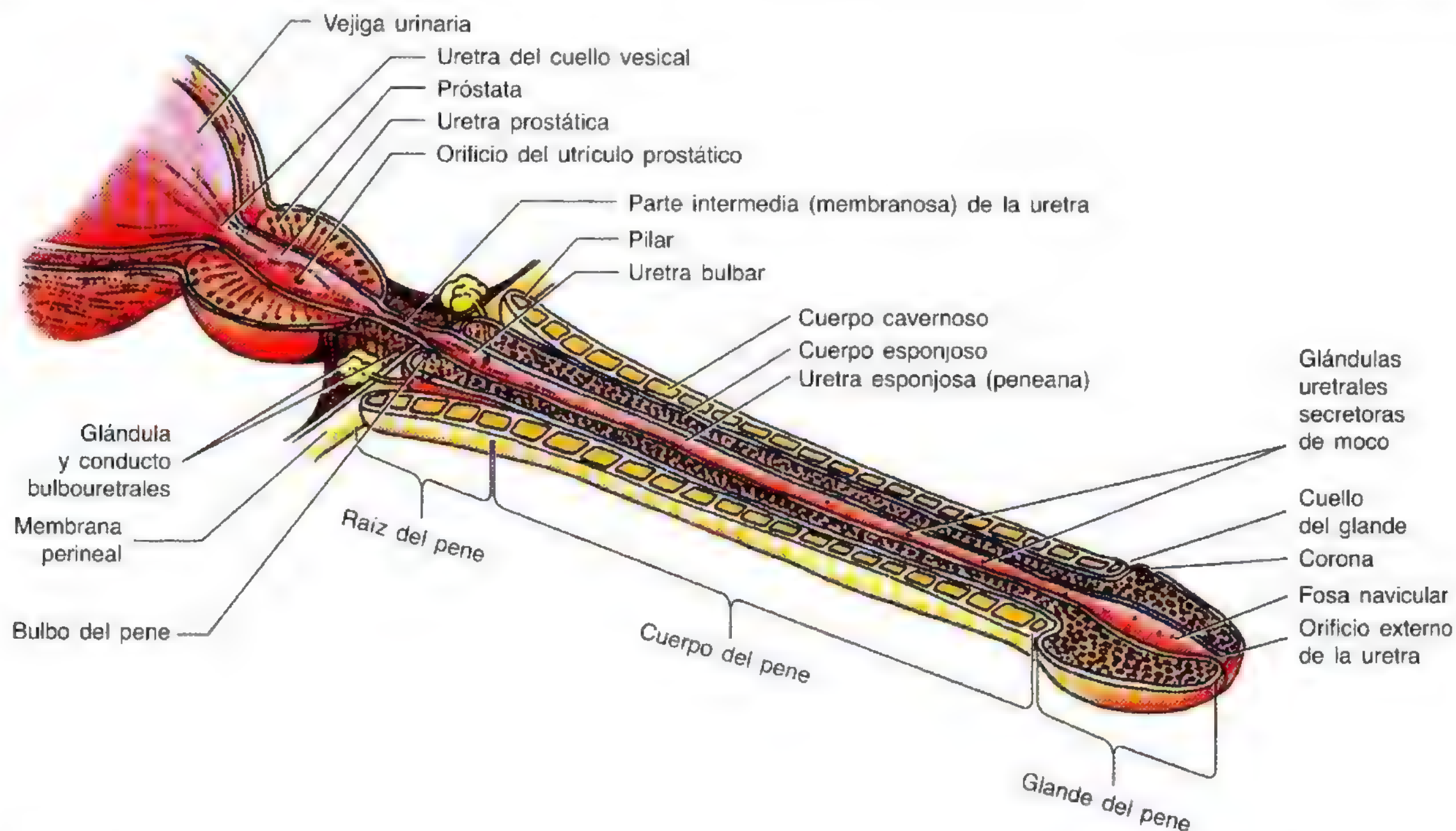


Figura 3.39. La uretra masculina y las estructuras anejas. Obsérvense las cuatro porciones de la uretra: la uretra del cuello vesical, la uretra prostática, la parte intermedia (uretra membranosa) y la uretra esponjosa. Se advierten, asimismo, los conductos de las glándulas bulbouretrales que se abren en la parte proximal de la uretra esponjosa. Como es fácil comprobar, la uretra no tiene un calibre uniforme: el orificio externo de la uretra y la parte intermedia (membranosa) son las zonas más estrechas. Si se logra una posición "recta" se facilita el paso de una sonda o de otro dispositivo transuretral.

Figura 3.40. Drenaje linfático del pene, uretra esponjosa y escroto. Las flechas indican la dirección de la linfa hacia los ganglios linfáticos.

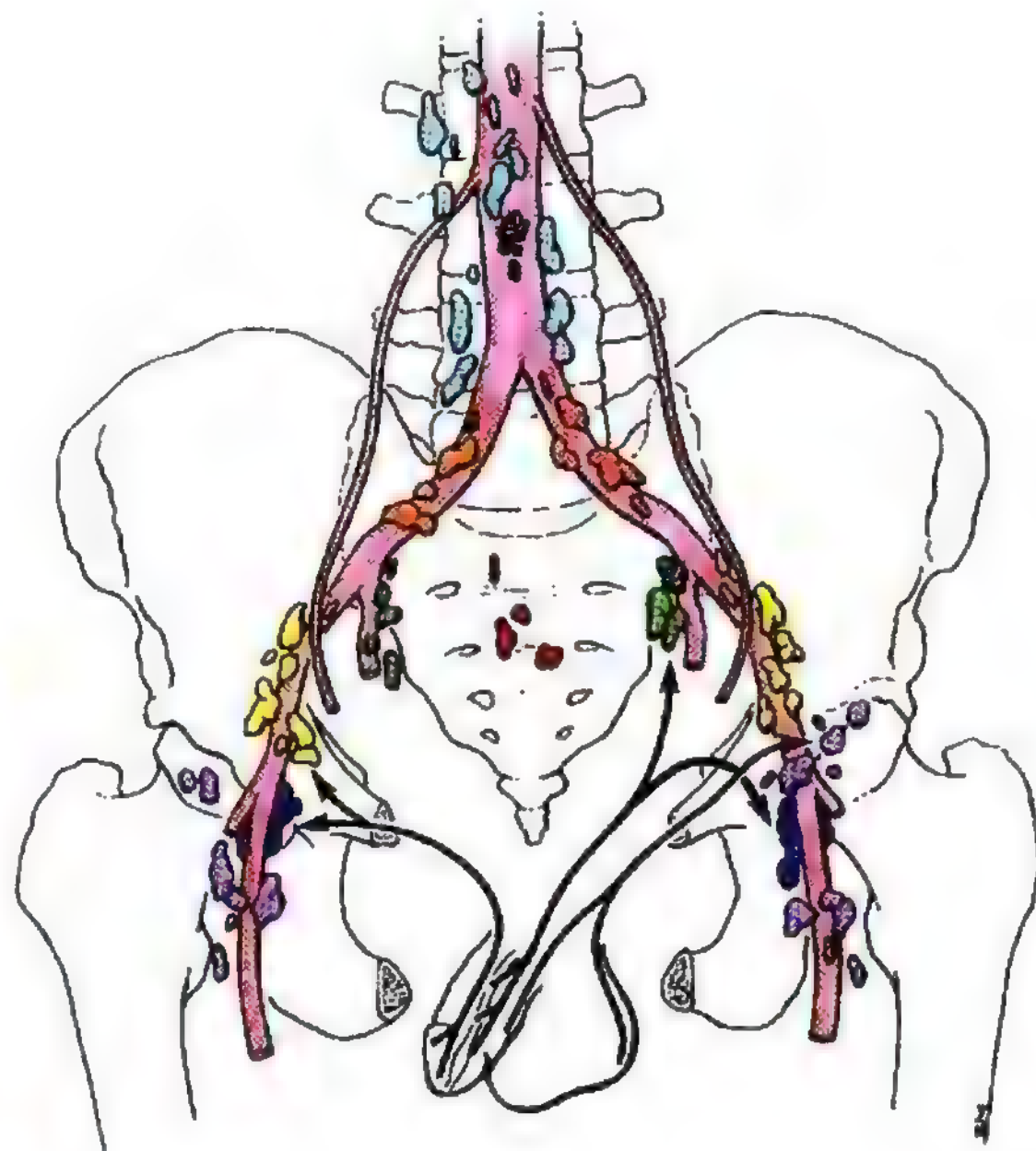
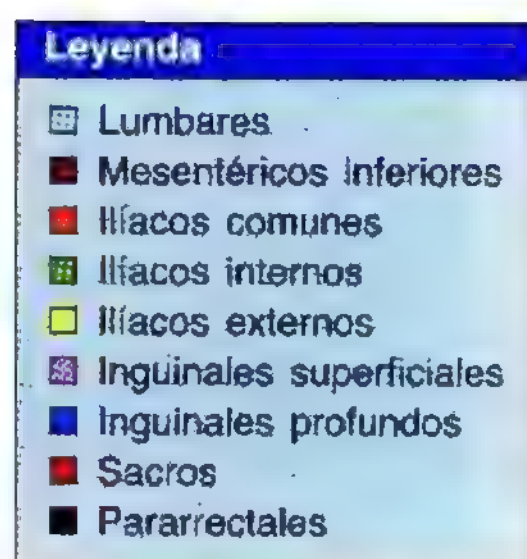
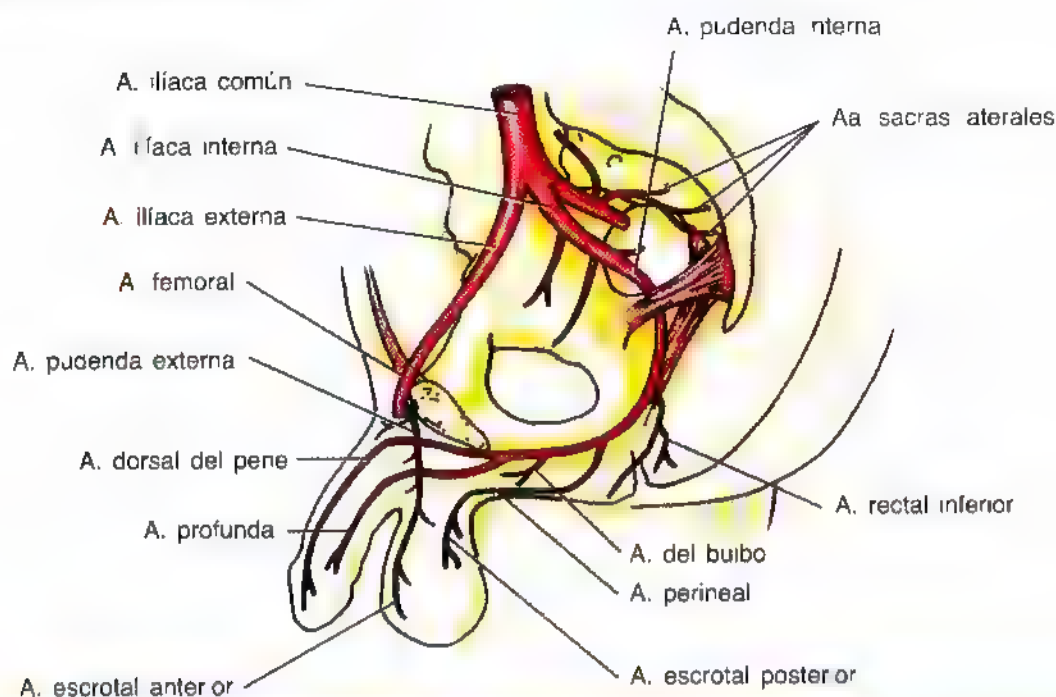


Tabla 3.6. Irrigación arterial del perineo



Arteria	Origen	Trayecto	Distribución
Pudenda interna	A. iliaca interna	Abandona la pelvis por el orificio ciático mayor; da la vuelta por la espina ciática y pasa al perineo a través del orificio ciático menor hasta llegar al conducto pudendo	Pene y órganos genitales externos
Rectal inferior	A. pudenda interna	Abandona el conducto pudendo y cruza la fosa isquioanal hasta llegar al conducto anal	Porción distal del conducto anal
Perineal	A. pudenda interna	Abandona el conducto pudendo y entra en el espacio perineal superficial	Irriga los músculos superficiales del perineo y el escroto
Escrotal o labial posterior	Ramas terminales de la arteria perineal	Discurre por la fascia superficial de la parte posterior del escroto o del labio mayor	Piel de escroto o del labio mayor
A. del bulbo del pene o del vestíbulo o de la vagina	A. pudenda interna	Perfora la membrana perineal para llegar al bulbo del pene o al vestíbulo de la vagina	Irriga el bulbo del pene o el vestíbulo y la glándula bulbouretral (varón) o la glándula vestibular mayor (mujer)
A. profunda del pene o del clitoris	Rama terminal de la arteria pudenda interna	Perfora la membrana perineal hasta llegar a los cuerpos cavernosos del pene o del clitoris	Irriga el tejido eréctil del pene o del clitoris
A. dorsal del pene o del clitoris	Rama terminal de la arteria pudenda interna	Perfora la membrana perineal y pasa a través del ligamento suspensorio del pene o del clitoris para dirigirse por el dorso del pene o del clitoris	Piel del pene y del tejido eréctil del pene o del clitoris
Ramas pudenda externa, superficial y profunda	A. femoral	Pasa medianamente por el muslo hasta el escroto o labios mayores	Genitales externos y parte superomedial del muslo

Pene

El pene es el órgano masculino de la cópula y el lugar común de salida de la orina y del semen (figs. 3.39, 3.41 y 3.42). El pene consta de **raíz**, **cuerpo** y **glande**. Se compone de tres cuerpos cilíndricos de tejido cavernoso eréctil —los **cuerpos cavernosos** y el **cuerpo esponjoso**—, rodeados de una cápsula fibrosa, la **túnica albugínea** (fig. 3.41C). Superficial a esta cápsula se encuentra la fas-

cia profunda del pene (fascia de Buck), prolongación de la fascia perineal profunda que forma una cubierta membranosa robusta para los cuerpos cavernosos y el cuerpo esponjoso, uniéndolos entre sí. El **cuerpo esponjoso** contiene la uretra esponjosa. Los dos **cuerpos cavernosos** están unidos entre sí en el plano medio, salvo por la cara posterior, donde se separan para formar los **pilares del pene** (fig. 3.42B).

La **raíz del pene**, la porción insertada, consta de los pilares, el bulbo y los músculos isquiocavernoso y bulboesponjoso. La raíz se encuentra en la bolsa perineal superficial, entre la membrana perineal por arriba y la fascia perineal por abajo. Los **pilares** y el **bulbo** del pene contienen masas de tejido eréctil. Cada pilar se inserta en la porción inferior de la cara interna del ramo isquiático correspondiente (fig. 3.32), delante de la tuberosidad isquiática. La porción posterior engrosada del **bulbo del pene** es atravesada, por arriba, por la porción intermedia de la uretra (fig. 3.42A).

El **cuerpo del pene** (figs. 3.39 y 3.41B) es la parte libre y péndula en estado flácido. Con excepción de algunas fibras del músculo bulboesponjoso, próximas a la raíz del pene y del isquiocavernoso que abraza los pilares, el cuerpo (tallo) del pene carece de músculos. El pene se compone de piel

fina, tejido conjuntivo, vasos sanguíneos y linfáticos, fascia, cuerpos cavernosos y el cuerpo esponjoso que contiene la uretra esponjosa (fig. 3.41C). El cuerpo esponjoso se expande en la zona distal para dar el **glande del pene** (fig. 3.42B), estructura cónica que configura la cabeza del pene. El margen del glande se proyecta más allá de los extremos de los cuerpos cavernosos, formando la **corona del glande** (fig. 3.41, B y D). La corona rebasa una zona de constricción con un surco oblicuo —el **cuello del glande**— que separa el glande del cuerpo del pene. El orificio hendido de la uretra esponjosa, el **orificio (meato) externo de la uretra**, está cerca de la punta del glande.

La piel del pene es fina, oscura y se comunica con la túnica albugínea a través de un tejido conjuntivo laxo. En el cuello del glande, la piel y la fascia del pene se prolon-

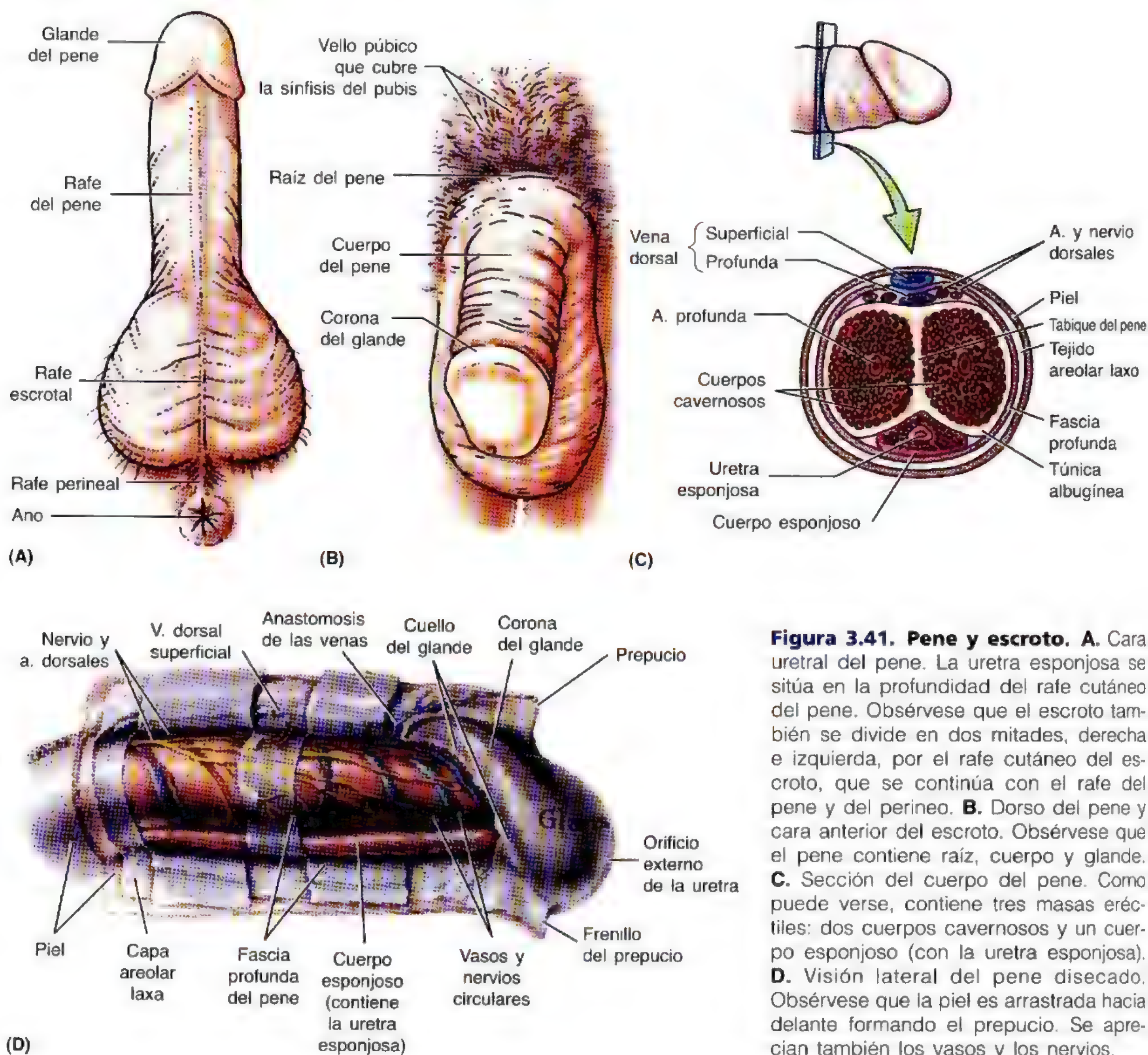


Figura 3.41. Pene y escroto. **A.** Cara uretral del pene. La uretra esponjosa se sitúa en la profundidad del rafe cutáneo del pene. Obsérvese que el escroto también se divide en dos mitades, derecha e izquierda, por el rafe cutáneo del escroto, que se continúa con el rafe del pene y del perineo. **B.** Dorso del pene y cara anterior del escroto. Obsérvese que el pene contiene raíz, cuerpo y glande. **C.** Sección del cuerpo del pene. Como puede verse, contiene tres masas eréctiles: dos cuerpos cavernosos y un cuerpo esponjoso (con la uretra esponjosa). **D.** Visión lateral del pene disecado. Obsérvese que la piel es arrastrada hacia delante formando el prepucio. Se aprecian también los vasos y los nervios.



Figura 3.42. Periné masculino y estructura del pene.
A. Disección del perineo. Obsérvese cómo el ano está rodeado por el esfínter externo del ano, que deja una fosa isquianal a cada lado. Se advierte el nervio anal (rectal) inferior, ramificado a partir del nervio pudendo, a la entrada del conducto pudendo, con el ramo perineal de S4 inervando el esfínter externo del ano. **B.** Estructura del pene. El cuerpo esponjoso se separa de los cuerpos cavernosos. Las flexuras naturales del pene quedan preservadas. Obsérvese cómo el glande del pene encaja en forma de capuchón sobre los extremos romos de los cuerpos cavernosos.

gan a modo de una doble capa de piel, el **prepucio**, que cubre el glande de manera variable. El **frenillo del prepucio** es un pliegue medio que pasa de la capa profunda del prepucio a la superficie uretral del glande (fig. 3.41D).

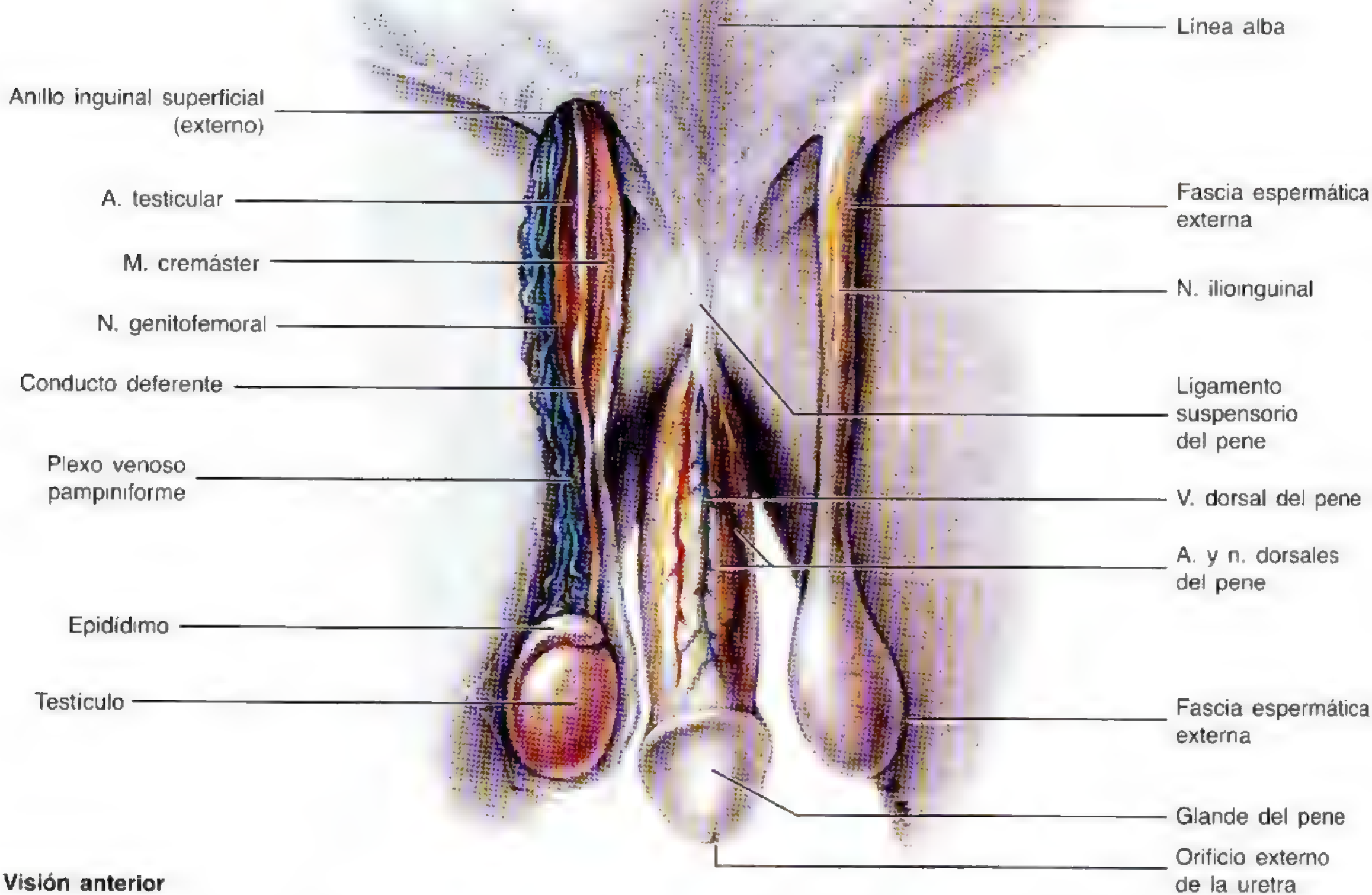
El **ligamento suspensorio del pene** es una condensación de la fascia profunda que surge de la cara anterior de la sínfisis del pubis (fig. 3.43). Este ligamento pasa por debajo y se escinde, creando un bucle que se inserta en la fascia profunda del pene, donde se unen la raíz y el cuerpo. El **ligamento en fronda del pene** es una banda de fibras elásticas del tejido subcutáneo que se extiende desde la línea alba, encima de la sínfisis del pubis, y se divide para rodear el pene antes de insertarse en la fascia del pene.

Los **músculos perineales superficiales** (fig. 3.42A, tabla 3.7) son:

- El músculo transverso superficial del perineo.
- El músculo bulboesponjoso.
- El músculo isquiocavernoso,

Estos músculos se encuentran en la bolsa perineal superficial y son inervados por los nervios perineales.

Los **músculos transversos superficiales del perineo** son tiras musculares delgadas que se dirigen en sentido transversal delante del ano. Cada músculo se extiende desde la tuberosidad isquiática hasta el cuerpo perineal, región donde se interdigitan las fibras del músculo bulboesponjoso por



Visión anterior

Figura 3.43. Vasos y nervios del dorso del pene y contenido del cordón espermático. Disección del pene y del cordón espermático para visualizar los vasos y nervios. La piel –incluido el escroto– se ha extirpado. La fascia superficial (dartos) que cubre el pene también se ha extirpado para exponer la vena dorsal profunda en la línea media y las arterias y nervios dorsales bilaterales del pene. Obsérvese el ligamento suspensorio y triangular del pene, que se inserta en la sínfisis del pubis y se une con la fascia profunda del pene.

delante, el esfínter externo del ano por detrás y los músculos superficiales del perineo a los lados.

Los **músculos bulboesponjosos** se localizan en el plano medio del perineo, anteriores al ano. Las dos porciones simétricas están unidas por un rafe tendinoso medio, bajo el bulbo del pene. Estos músculos nacen de este rafe y del cuerpo perineal. *El músculo bulboesponjoso crea un esfínter que comprime el bulbo del pene y el cuerpo esponjoso*, facilitando el vaciamiento por la uretra esponjosa de la orina residual o del semen. Las fibras anteriores del músculo bulboesponjoso, que rodean la zona más próxima del cuerpo del pene, también contribuyen a la erección, al elevar la presión del tejido eréctil en la raíz del pene. Al mismo tiempo, comprimen la vena dorsal profunda del pene e impiden el drenaje venoso de los espacios cavernosos, propiciando el aumento de tamaño y la turgencia del pene.

Los **músculos isquiocavernosos** rodean los pilares de la raíz del pene. Cada músculo se origina en la *cara interna de la tuberosidad isquiática* y en el *ramo isquiático* y discurre delante de la raíz del pene, insertándose en los lados y en

la cara ventral del pilar y en la membrana perineal. *Los músculos isquiocavernosos impulsan la sangre de los espacios cavernosos de los pilares a las porciones distales de los cuerpos cavernosos*, aumentando la turgencia del pene. La contracción de los músculos isquiocavernosos también comprime la vena dorsal profunda del pene, a la salida de la cruz, cortando el retorno venoso del pene y manteniendo de este modo la erección.

Irrigación arterial del pene. El pene está irrigado, sobre todo, por ramas de las **arterias pudendas internas** (figs. 3.41, C y D, y 3.43, tabla 3.6).

- *Las arterias dorsales* discurren por el intervalo entre los cuerpos cavernosos, a cada lado de la vena dorsal profunda, e irrigan el tejido fibroso que rodea los cuerpos y la piel del pene.
- *Las arterias profundas* perforan los pilares y viajan dentro de los cuerpos cavernosos para nutrir el tejido eréctil de estas estructuras.
- *La arteria del bulbo del pene* irriga la porción posterior del cuerpo esponjoso y la glándula bulbouretral.

Tabla 3.7. Músculos del perineo

Músculo	Origen	Inserción	Inervación	Acción principal
Esfínter externo del ano	Piel y fascia que rodea el ano y el cóccix a través del ligamento anococcígeo	Cuerpo perineal	Nervio anal inferior	Cierra el conducto anal; actúa con el músculo bulbospongioso para apoyar y fijar el cuerpo perineal
Bulbospongioso	Varón: rafe medio, cara ventral del bulbo del pene y cuerpo perineal Mujer: cuerpo perineal	Varón: cuerpos esponjosos y cavernosos y fascia del bulbo del pene Mujer: fascia del cuerpo cavernoso	Ramo profundo del nervio perineal, división del nervio pudendo	Colabora con el esfínter externo del ano para apoyar/fijar el cuerpo perineal Varón: comprime el bulbo del pene para expulsar las últimas gotas de orina o semen; contribuye a la erección, impulsando la sangre dentro del cuerpo del pene y comprimiendo las venas de salida Mujer: "esfínter" de la vagina que ayuda a la erección del clítoris
Isquiocavernoso	Cara interna del ramo isquiopúbico y tuberosidad isquiática	Pilar del pene o de clítoris		Mantiene la erección del pene o del clítoris al comprimir las venas de salida e impulsar la sangre dentro del cuerpo del pene o del clítoris
M. transverso superficial del perineo		Cuerpo perineal		Apoya y fija el cuerpo perineal (sólo la pelvis) para sujetar las vísceras abdominopélvicas y luchar contra los incrementos de la presión dentro del abdomen
Músculo transverso profundo del perineo		Rafe medio, cuerpo perineal y esfínter externo del ano		
Esfínter externo del ano		Rodea la uretra; en los varones asciende también por la cara anterior de la próstata; en la mujer, algunas fibras encierran incluso la vagina (esfínter uretrovagina.)		Comprime la uretra para mantener la continencia urinaria; en la mujer, la parte del esfínter uretrovaginal también comprime la vagina

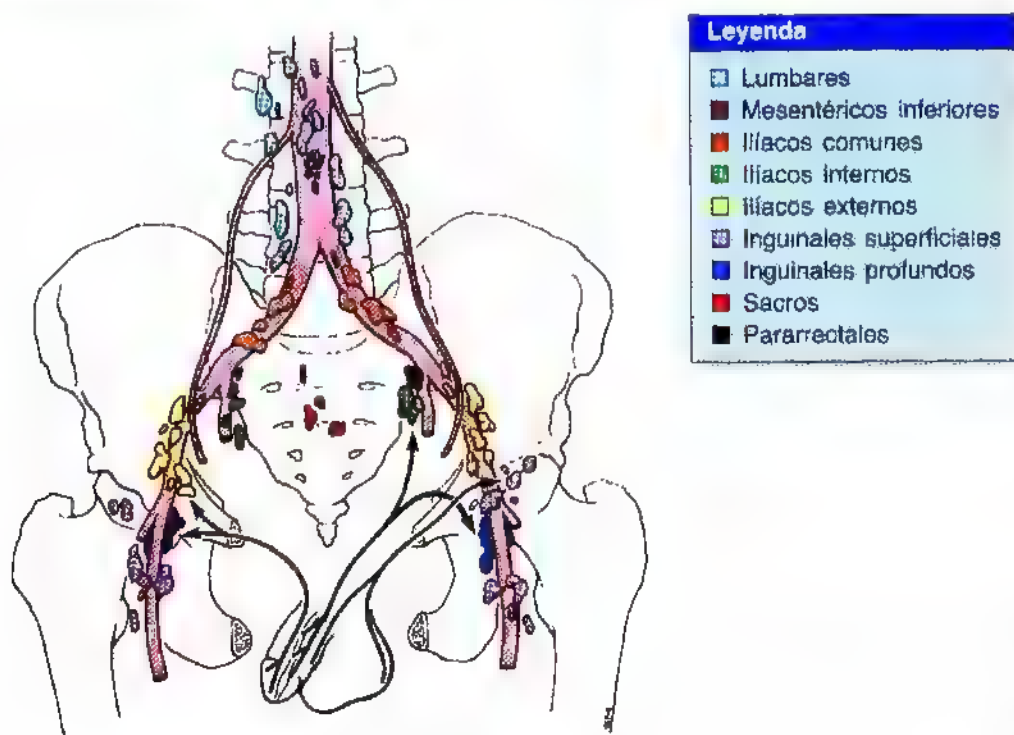


Figura 3.44. Drenaje linfático del pene y del escroto. Las flechas indican la dirección de la linfa a los ganglios linfáticos.

Las ramas superficiales y profundas de las **arterias pudendas externas** irrigan la piel del pene y se anastomosan con ramas de las arterias pudendas internas.

Las **arterias profundas del pene** son los vasos principales que nutren los espacios cavernosos del tejido eréctil de los cuerpos cavernosos y contribuyen, por tanto, a la erección. Emiten numerosas ramas que desembocan directamente en los espacios cavernosos. Cuando el pene se encuentra flácido, estas arterias están enrolladas y, por eso, se denominan *arterias helicinas* (del G. *helix*, que significa espiral).

Drenaje venoso y linfático del pene. La sangre de los espacios cavernosos está drenada por un plexo venoso que se une a la **vena dorsal profunda del pene** en la fascia profunda (fig. 3.41 C). Esta vena pasa en la profundidad del ligamento arqueado del pubis y se une al plexo venoso **prostático**. La sangre de las cubiertas superficiales del pene

drena a la **vena dorsal superficial**, que desemboca en la **vena pudenda externa superficial**. Parte de la sangre pasa también a la vena pudenda lateral. Los **ganglios inguinales superficiales** reciben la mayor parte de la linfa del pene (fig. 3.44).

Inervación del pene. Los nervios provienen de los segmentos medulares S2 a S4 a través del **nervio pudendo** y de los plexos pélvicos. El **nervio dorsal del pene** —ramo terminal del nervio pudendo (fig. 3.45)— nace en el conducto pudendo y discurre hacia delante, hasta la bolsa perineal profunda. Luego se dirige al dorso del pene, pasando lateral a la arteria dorsal (fig. 3.41 C). Inerva la piel y el glande del pene. En el pene confluyen muchas terminaciones nerviosas sensitivas —sobre todo en el glande— y, por eso, es sensible. Los ramos del *nervio ilioinguinal* inervan la piel de la raíz del pene.

Erección, emisión y eyaculación

Cuando se estimula eróticamente a un varón, las anastomosis arteriovenosas —por donde normalmente la sangre elude los espacios virtuales “vacíos” o senos de los cuerpos cavernosos— se cierran. El músculo liso de las trabéculas fibrosas y de las arterias helicinas se relaja como consecuencia de la *estimulación parasimpática* (de S2 a S4 a través de los nervios cavernosos del *plexo nervioso prostático*). En consecuencia, las arterias helicinas se enderezan, sus calibres aumentan y permiten que la sangre fluya hacia los espacios cavernosos de los cuerpos del pene, que se dilatan. Los músculos bulboesponjoso e isquiocavernoso comprimen los plexos venosos situados en la periferia de los cuerpos cavernosos e impiden el retorno de la sangre venosa. En resumen, los cuerpos cavernosos y el cuerpo esponjoso aumentan de tamaño, se vuelven rígidos y ocurre la erección del pene.

Durante la *emisión* se libera el semen (esperma y secreciones glandulares) a la uretra prostática a través de los conductos eyaculadores después del peristaltismo de los conductos deferentes y de las vesículas seminales. La emisión es una respuesta simpática (nervios L1 y L2). Las secreciones prostáticas se suman al semen cuando se contrae el músculo liso de la próstata.

Durante la *eyaculación* se expulsa el semen de la uretra por el orificio externo de la uretra. La eyaculación es el resultado de lo siguiente:

- El cierre del esfínter vesical en el cuello de la vejiga por efecto simpático (nervios L1 y L2).
- La contracción del músculo uretral, respuesta parasimpática (nervios S2 a S4).
- La contracción de los músculos bulboesponjosos por efecto de los nervios pudendos (S2 a S4).

Tras la eyaculación, el pene regresa de manera gradual al estado de flacidez, como consecuencia de la estimula-

ción simpática que constriñe el músculo liso de las arterias helicinas. Los músculos bulboesponjoso e isquiocavernoso se relajan, dejando que pase más sangre hacia las venas. La sangre es drenada lentamente desde los espacios cavernosos de los cuerpos del pene hacia la vena dorsal profunda.

Hipospadias

El hipospadias es una malformación congénita frecuente del pene, que ocurre en uno de cada 500 recién nacidos. En su forma más sencilla, el *hipospadias glandular*, el orificio externo de la uretra se encuentra en la cara ventral del glande del pene. El defecto radica, en otros bebés, en la piel y la pared ventral de la uretra esponjosa. Por eso, el orificio externo de la uretra se sitúa en la cara uretral del pene. El hipospadias se debe a la ausencia de fusión de los pliegues urogenitales durante el desarrollo fetal temprano (Moore y Persaud, 1998).

Fimosis, parafimosis y circuncisión

El prepucio del pene suele tener elasticidad suficiente para retraerse sobre el glande. Sin embargo, el de algunos varones se ajusta en exceso sobre el glande y no se puede retraer con facilidad —*fimosis*— o en absoluto. Como el prepucio dispone de glándulas sebáceas modificadas, las secreciones oleosas, de consistencia caseosa —*esmegma*—, se acumulan en el *saco prepucial* situado entre el glande y el prepucio y producen una irritación. La retracción del prepucio sobre el glande de algunos varones constriñe de tal manera el cuello del glande, que dificulta el drenaje de la sangre y del líquido intersticial. En los pacientes con este trastorno —*parafimosis*— el glande puede aumentar hasta tal punto de tamaño, que no puede retraerse el prepucio sobre él. En estas circunstancias suele estar indicada ▶

► la circuncisión. La *circuncisión* –extirpación quirúrgica del prepucio– es la operación de cirugía menor que más veces se practica a los lactantes del sexo masculino. Si bien se trata de una práctica religiosa entre los musulma-

nes e israelitas, suele efectuarse de manera sistemática por motivos no religiosos (en general, de carácter higiénico) en Norteamérica. La circuncisión de los adultos se practica, de ordinario, en casos de fimosis o parafimosis. ❊

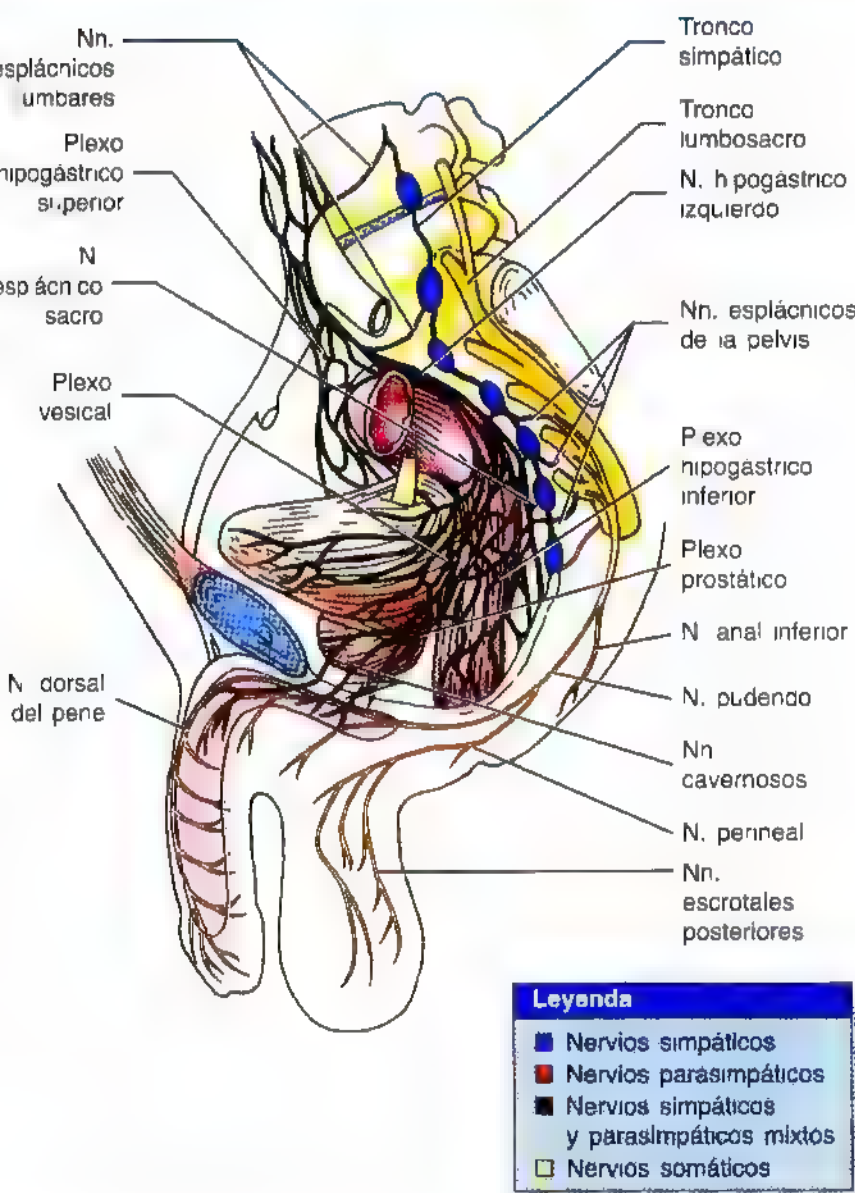


Figura 3.45. Nervios autónomos de la pelvis.

Obsérvense el tronco simpático, el tronco lumbosacro, los plexos hipogástricos, los nervios esplácnicos sacros y pélvicos y el nervio dorsal del pene. Los nervios cavernosos siguen un curso distinto de nervio pudendo y son los únicos que conducen fibras parasimpáticas fuera de las cavidades corporales. Terminan en las anastomosis arteriovenosas y en las arterias hecimas que, una vez estimuladas, provocan la erección del pene.

El perineo femenino

El perineo –compartimiento perineal fino, situado debajo del diafragma de la pelvis– posee los mismos límites óseos que el estrecho inferior de la pelvis (figs. 3.33A y 3.34A). El perineo (zona o región perineal, está delimitado por:

- El monte del pubis.
- Las caras mediales (internas) de los muslos.
- Los pliegues glúteos.
- La hendidura glútea.

El perineo contiene la vulva (genitales externos) y el ano. Desde el punto de vista clínico, el término perineo queda

restringido a la región situada entre los orificios anal y vaginal.

Genitales externos femeninos

Los genitales externos femeninos (figs. 3.46 y 3.47) son:

- El monte del pubis.
- Los labios mayores.
- Los labios menores.
- El clítoris.
- El vestíbulo de la vagina.
- Los bulbos del vestíbulo.
- Las glándulas vestibulares mayores.

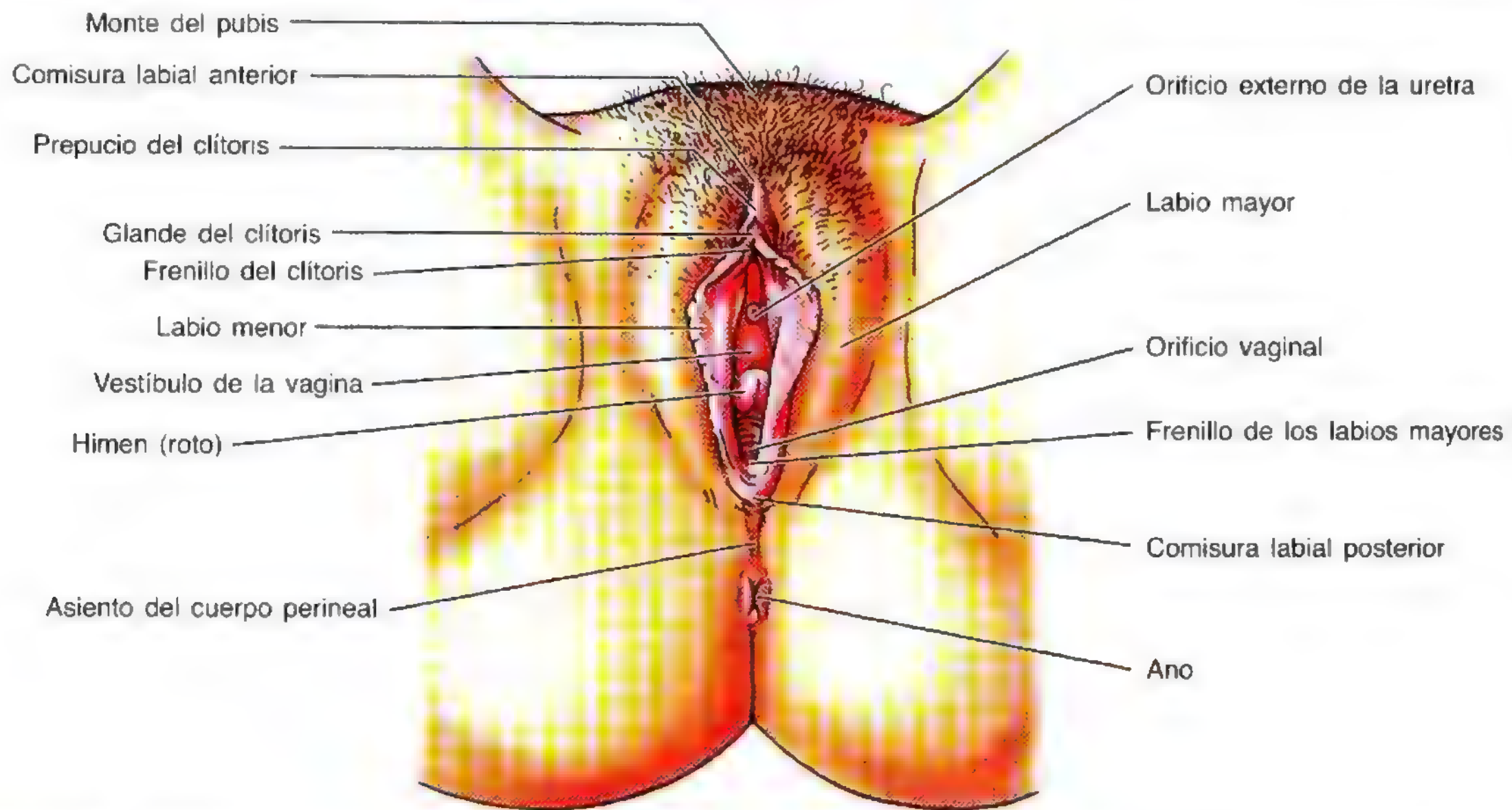


Figura 3.46. Genitales externos femeninos. Se han separado los labios mayores y menores para mostrar el vestíbulo de la vagina, donde desembocan el orificio externo de la uretra y el orificio vaginal.

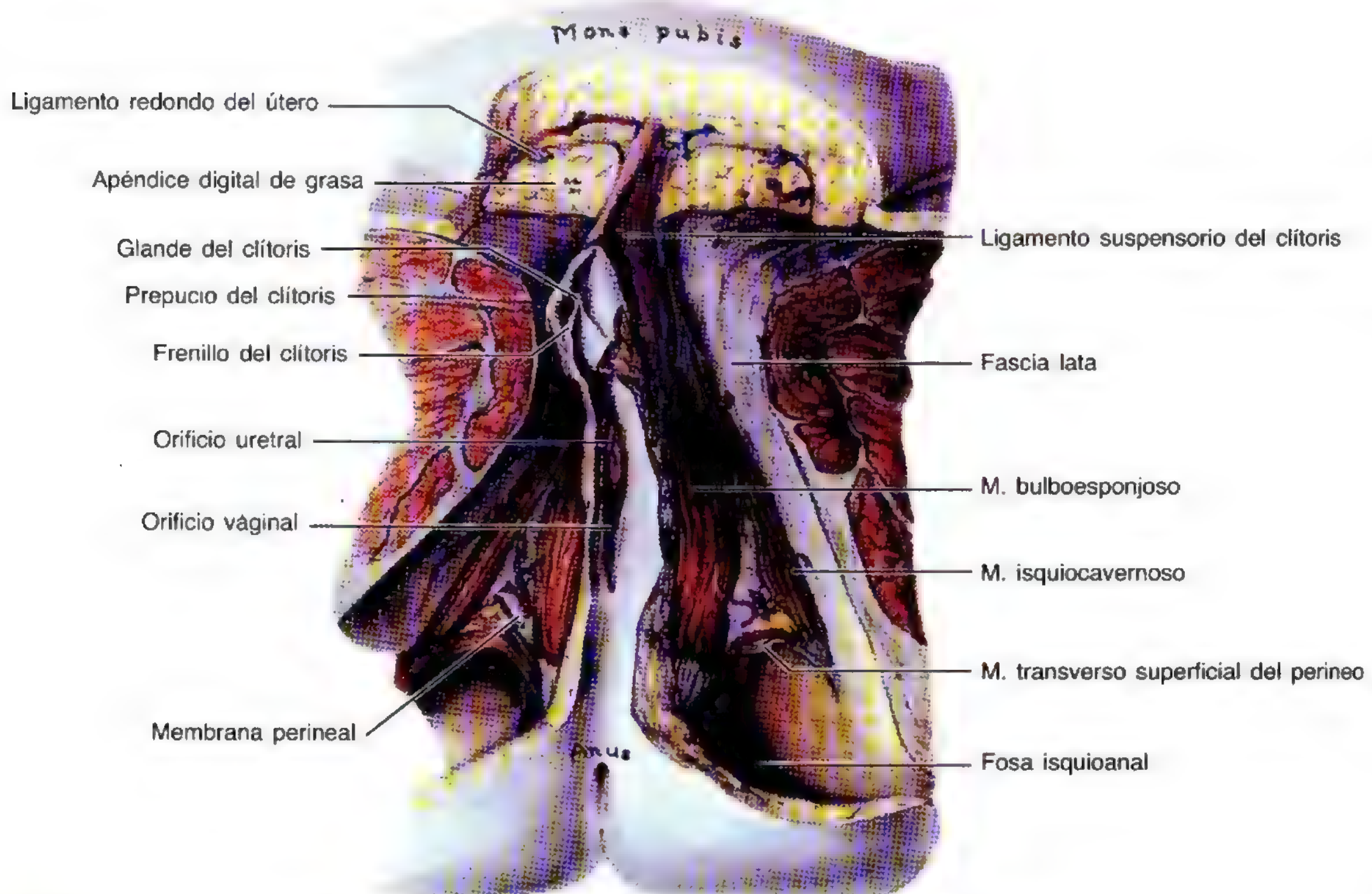


Figura 3.47. Periné femenino. A. Disección. Obsérvese el grosor del tejido adiposo superficial del monte del pubis y los apéndices digitales y encapsulados de la grasa situada en la profundidad, que llena gran parte de los labios mayores. Como puede advertirse, el prepucio del clítoris cubre esta estructura a modo de capucha. Las fosas isquioanales aparecen a los lados del conducto anal.

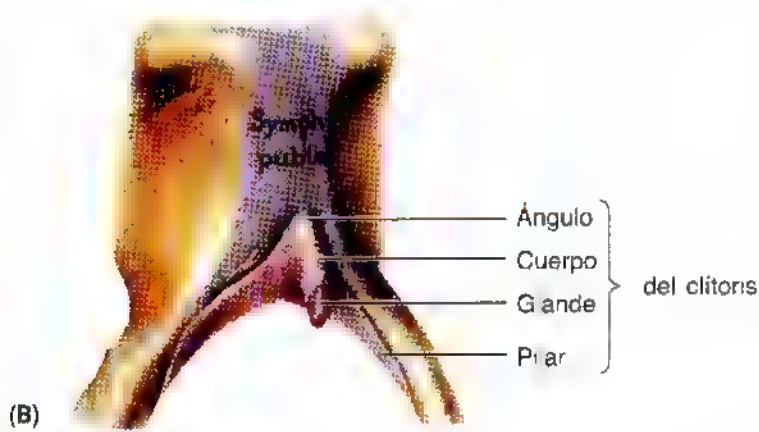


Figura 3.47. (Continuación) **B.** Clitoris aislado después de extraer el tejido blando circundante mediante disección.

La **vulva** incluye todas estas partes y actúa:

- Como tejido sensitivo y eréctil para la excitación sexual y el coito.
- Para dirigir el flujo de la orina.
- Para evitar la entrada de material extraño en el tracto urogenital.

El monte del pubis. El monte del pubis es una prominencia adiposa, redondeada, situada delante de la sínfisis del pubis, los tubérculos púbicos y los ramos superiores del pubis. La eminencia está formada por una masa de tejido adiposo subcutáneo. La superficie de este montículo se continúa con la pared anterior del abdomen. Después de la pubertad, el monte del pubis se cubre de un vello tosco. La cantidad de grasa aumenta en la pubertad y disminuye después de la menopausia.

Los labios mayores. Los labios mayores son pliegues llamativos de la piel que limitan la hendidura pudenda y protegen, de modo indirecto, los orificios uretral y vaginal. Cada labio mayor —lleno, en gran parte, de una “prolongación digital” de tejido subcutáneo laxo que contiene músculo liso, la terminación del ligamento redondo del útero (véase fig. 3.49) y grasa— sigue un trayecto inferoposterior desde el monte del pubis hasta el ano. Los labios quedan a los lados de la **hendidura pudenda**. La cara externa de los labios de la mujer adulta está tapizada de una piel pigmentada, que contiene muchas glándulas sebáceas, y cubierta de un vello pubiano crespo. La cara interna de los labios es lisa, rosada y carece de vello. Los labios son más gruesos por delante, donde se unen para formar la **comisura anterior**. En la cara posterior también se unen en las mujeres nulíparas (aquellas que no han parido ningún hijo), formando una cresta —la **comisura posterior**— que cubre el cuerpo perineal y representa el límite posterior de la vulva. Esta comisura suele desaparecer después del primer parto vaginal.

Los labios menores. Los labios menores son pliegues de piel lampiña, sin grasa, situados a los lados de la hendidura pudenda, dentro de los labios mayores; estos pliegues rodean el **vestíbulo de la vagina**. Disponen de un núcleo de tejido conjuntivo esponjoso que contiene tejido eréctil y muchos

vasitos sanguíneos. Los labios menores siguen un trayecto posterolateral desde el clitoris, alrededor del orificio uretral externo y del orificio vaginal. Los labios menores de las mujeres jóvenes, en particular de las vírgenes, se comunican por un pequeño pliegue, el **frenillo de los labios menores**. Pese a que la cara interna de cada labio menor se compone de una piel fina y húmeda, tiene el típico color rosáceo de las membranas mucosas y contiene muchas glándulas sebáceas y terminaciones nerviosas sensitivas.

El clitoris. El clitoris es un órgano eréctil situado en la reunión de los labios menores por delante. El clitoris consta de una **raíz** y de un **cuerpo**, que está integrado por dos pilares, dos cuerpos cavernosos y un **glándula del clitoris**, cubierto por un prepucio (fig. 3.48). En conjunto, el cuerpo y el glándula del clitoris miden unos 2 cm de longitud y tienen un diámetro menor de 1 cm. La porción más interna de los labios menores pasa delante del clitoris y crea el **prepucio** del clitoris. Existe una porción más posterior o profunda de los labios menores, que se dirige detrás del clitoris y forma el **frenillo** del clitoris. A diferencia del pene, el clitoris no tiene una relación funcional con la uretra ni con la micción, y sólo actúa como órgano de excitación sexual. El clitoris aumenta de tamaño con la estimulación táctil y es muy sensible. El glándula del clitoris es la porción mejor innervada del clitoris.

El vestíbulo. El vestíbulo es el espacio situado entre los labios menores, que contiene los orificios de la uretra y de la vagina, y los conductos de las glándulas vestibulares mayores y menores (fig. 3.46). El **orificio uretral externo** se sitúa 2 a 3 cm por detrás y debajo del glándula del clitoris y delante del orificio vaginal. A cada lado del orificio externo de la uretra se encuentran los orificios de desembocadura de los conductos de las **glándulas parauretrales**. El tamaño y el aspecto del **orificio vaginal** varían según el estado del **himen**, un delgado pliegue de mucosa que rodea el orificio vaginal. Después del parto sólo se ven restos mínimos del himen —*carúnculas himenales*—. Estos restos delimitan la vulva de la vagina.

Los bulbos del vestíbulo. Los bulbos del vestíbulo son masas pares de **tejido eréctil elongado**, de unos 3 cm de longitud (fig. 3.48). Los bulbos se sitúan a los lados del orificio vaginal, cubiertos por los músculos bulboesponjosos. Estas estructuras son homólogas del bulbo del pene y del cuerpo esponjoso.

Las glándulas vestibulares. Las glándulas vestibulares mayores, de unos 0,5 cm de diámetro, se encuentran a cada lado del vestíbulo, detrás y a los lados del orificio vaginal (fig. 3.48). Las **glándulas vestibulares mayores** son redondas u ovaladas y están cubiertas, en parte, por los **bulbos del vestíbulo** en la cara posterior; como los bulbos, se encuentran rodeadas de forma parcial por los músculos bulboesponjosos. Los conductos finos de estas glándulas se dirigen, en la profundidad de los bulbos del vestíbulo, para abrirse en el vestíbulo a cada lado del orificio vaginal. Estas glándulas segregan moco al vestíbulo durante la fase de excitación sexual. Las **glándulas vestibulares menores** son

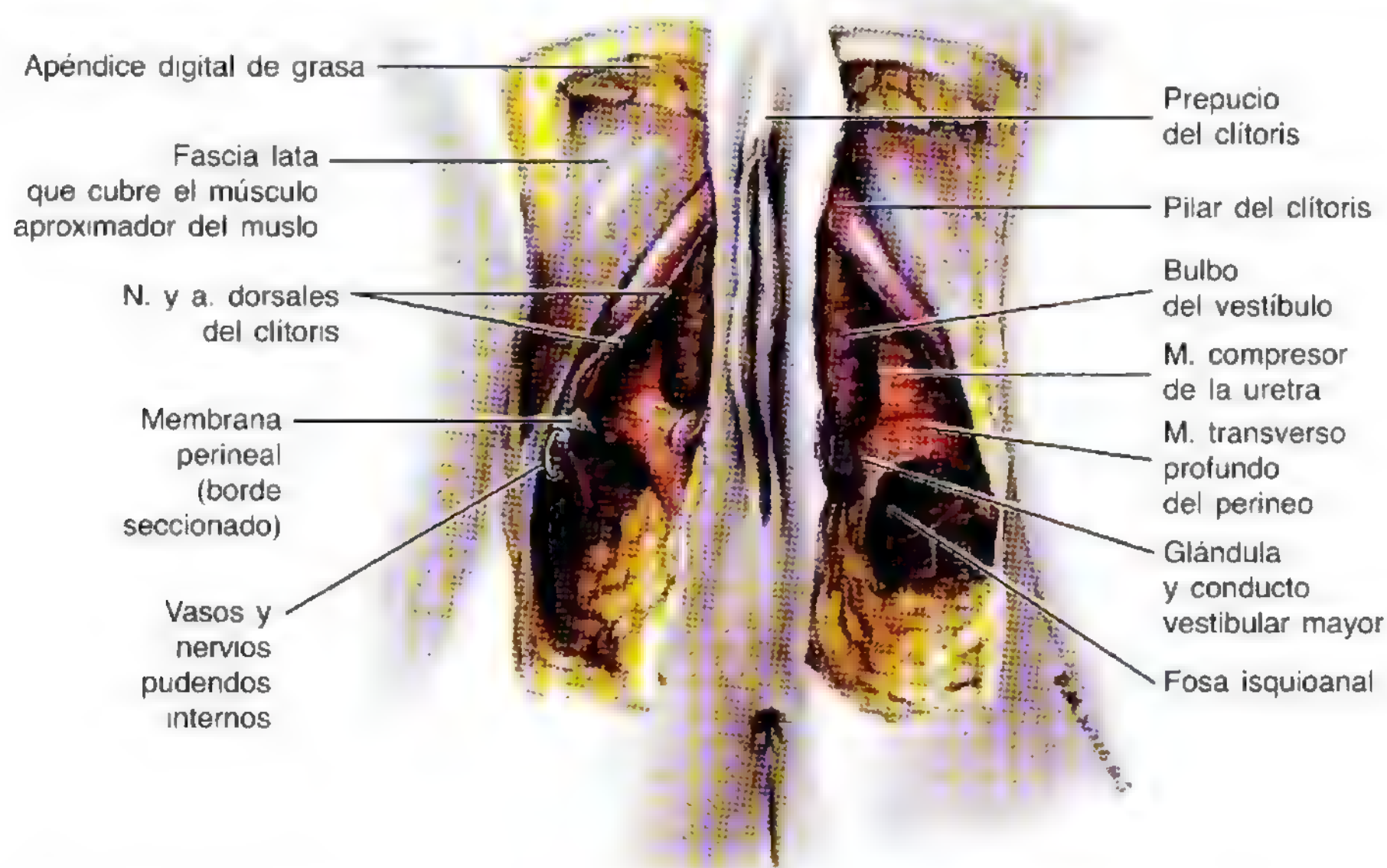


Figura 3.48. Periné femenino. En esta disección se ven los bulbos del vestíbulo, las glándulas vestibulares mayores y sus conductos y las fosas isquioanales. Obsérvense los vasos y nervios pudendos internos.

pequeñas glándulas, situadas a cada lado del vestíbulo, que se abren entre los orificios uretral y vaginal. Estas glándulas segregan moco al vestíbulo, que humedece los labios genitales y el vestíbulo.

La fascia y los músculos del perineo

La *fascia superficial del perineo* consta de una capa adiposa y de una capa membranosa de tejido conjuntivo subcutá-

neo. Estas capas se continúan con los labios mayores. La capa profunda de la fascia se inserta medialmente en la sínfisis del pubis y lateralmente en el cuerpo del pubis.

Los **músculos superficiales del perineo** (figs. 3.34 y 3.41) comprenden:

- El músculo superficial transverso del perineo.
- El músculo isquiocavernoso.
- El músculo bulboesponjoso.

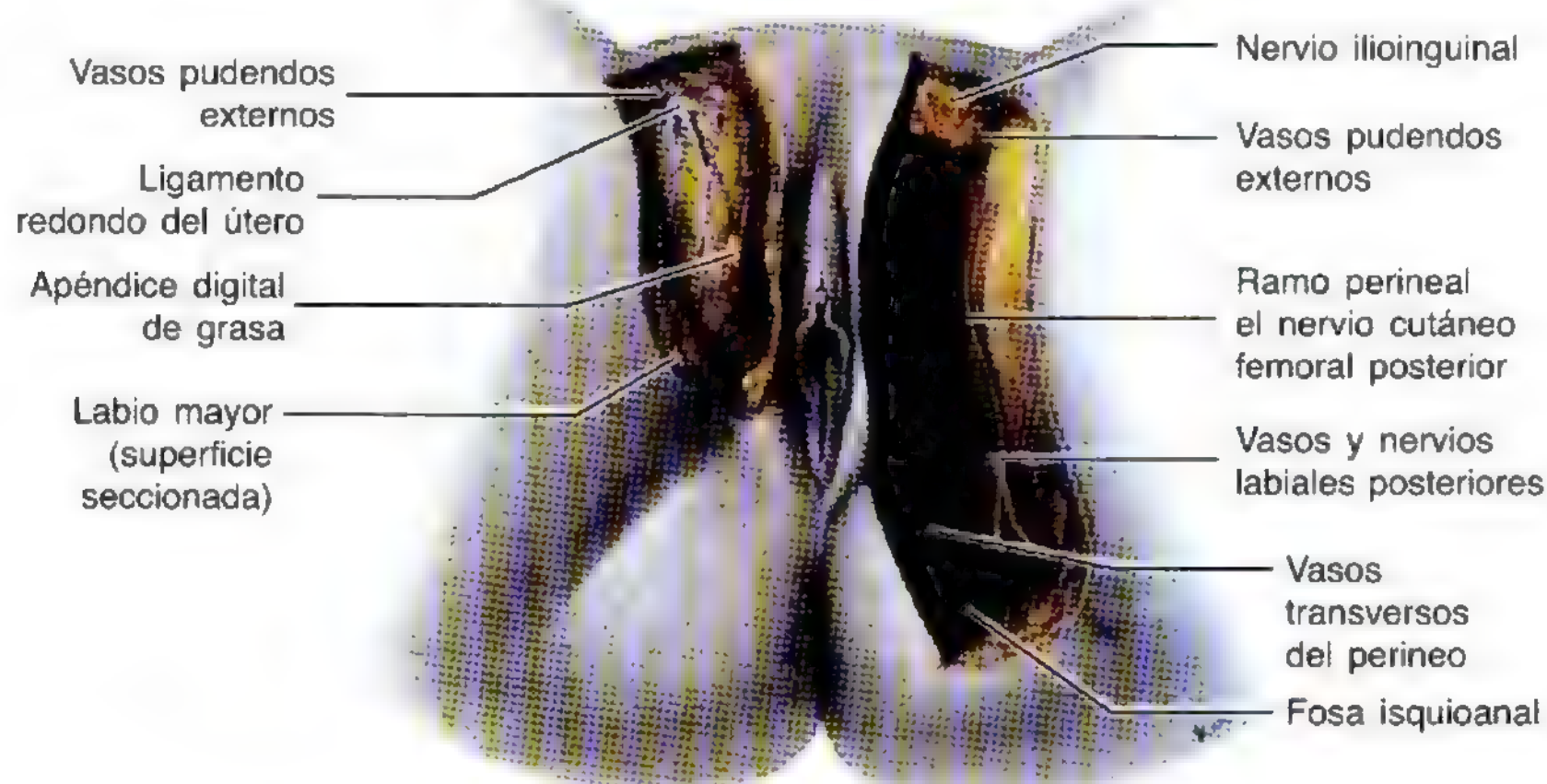


Figura 3.49. Periné femenino. Obsérvense los vasos y nervios labiales posteriores (S2 y S3), unidos por el ramo perineal del nervio cutáneo femoral posterior (S1 a S3), que discurre por delante casi hasta el monte del pubis. Como puede apreciarse, los vasos se anastomosan, en este lugar, con los vasos pudendos externos, y los nervios se reúnen con el nervio ilioinguinal (L1).

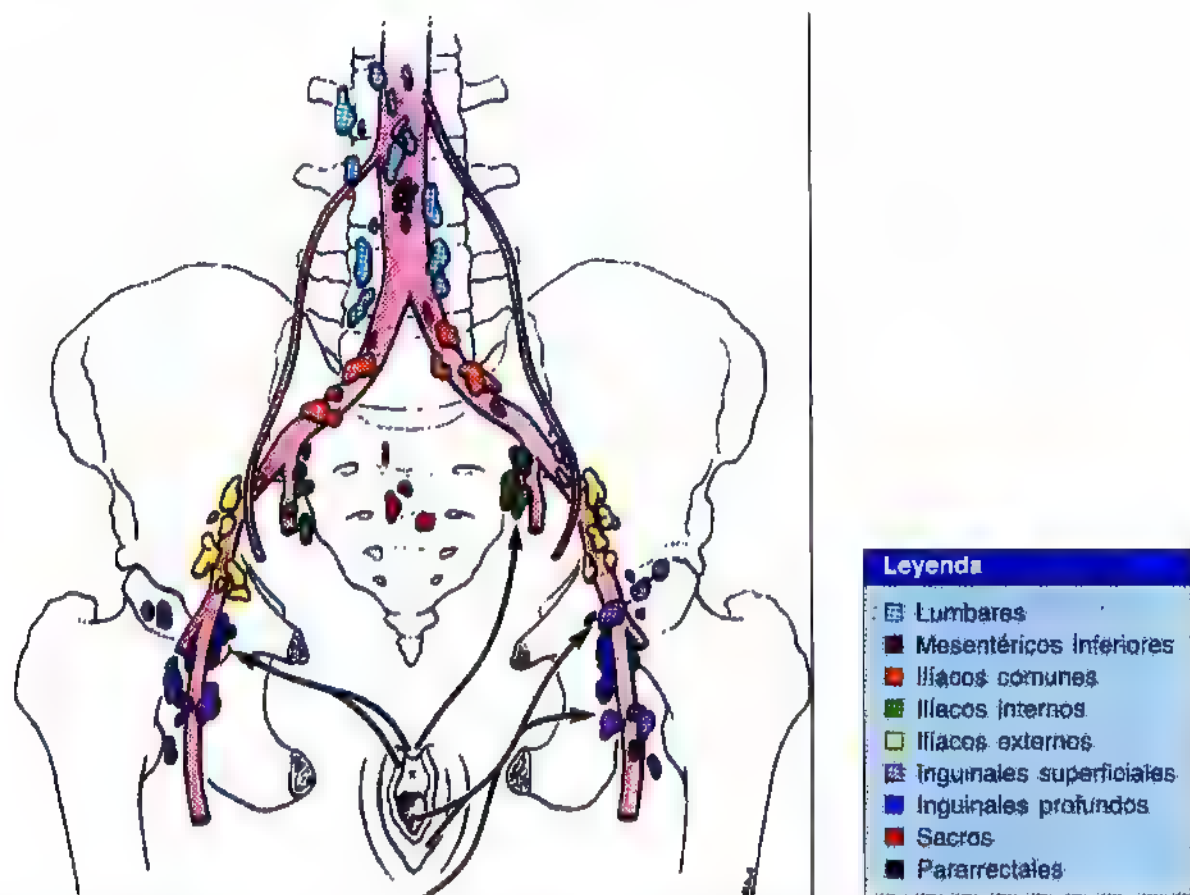


Figura 3.50. Drenaje linfático de la vulva. Las flechas indican la dirección de la linfa hacia los ganglios linfáticos

El músculo **transverso superficial del perineo**, fino, pasa por la base de la bolsa perineal superficial desde el ramo isquiático hasta el cuerpo perineal. El músculo **isquiocavernoso**, otro músculo fino, se inserta en el ramo isquiático y rodea de forma parcial el pilar del clítoris. El músculo **bulboesponjoso**, músculo ancho y delgado, está separado del músculo contralateral por la vagina. Nace en el cuerpo perineal, discurre alrededor de la vagina y se inserta en el clítoris. En su trayecto cubre el bulbo del vestíbulo y la glándula vestibular mayor. Los músculos bulboesponjosos cuando se contraen simultáneamente estrechan ligeramente la vagina.

El **cuerpo perineal** es una estructura fibromuscular que soporta la pared posterior de la vagina y representa el centro de una "traviesa" musculofibrosa que configura el *soporte final de las vísceras pélvicas*. El cuerpo perineal se encuentra entre la porción inferior de la vagina y el conducto anal, y se mantiene en posición por la inserción de los músculos perineales y elevador del ano, los otros componentes de la "traviesa".

Irrigación arterial de la vulva. La vulva tiene una vascularización arterial generosa, proveniente de las **arterias pudendas externas** y de una arteria pudenda interna a cada lado (figs. 3.48 y 3.49). La **arteria pudenda interna** irriga

la piel, los órganos sexuales y los músculos perineales. Las arterias labiales son ramas de la arteria pudenda interna, al igual que las del clítoris.

Drenaje venoso y linfático de la vulva. Las venas labiales son afluentes de las venas pudendas internas y las venas concomitantes de la arteria pudenda interna. La ingurgitación venosa durante la fase de excitación sexual aumenta el tamaño y la consistencia del clítoris y de los bulbos del vestíbulo. El clítoris se endurece y, en un 10% de las mujeres, experimenta un alargamiento notable. La vulva contiene una red cuantiosa de vasos linfáticos que se dirigen lateralmente hasta los *ganglios inguinales superficiales* (fig. 3.50).

La inervación de la vulva. Los nervios para la vulva son los nervios labiales anteriores (ramos del **nervio ilioinguinal**); el ramo genital del **nervio genitofemoral** (ramo perineal del **nervio cutáneo femoral**), y los nervios labiales posteriores (ramos del **nervio perineal inferior** y, en la mujer, ramo terminal mayor del **nervio pudendo**) (fig. 3.49, tabla 3.3). *La estimulación parasimpática determina:*

- Un aumento de la secreción vaginal.
- Una erección del clítoris.
- Una ingurgitación del tejido eréctil de los bulbos del vestíbulo.

Lesiones perineales durante el parto

El desgarro del cuerpo perineal durante el parto puede provocar una debilidad permanente del diafragma de la pelvis. El parto espontáneo de un lactante, sin la asistencia del médico, ocasiona a veces un grave desgarro del tercio inferior de la pared posterior de la vagina, el cuerpo perineal y la piel que lo recubre. Cuando se advierte con claridad que el perineo puede desgarrarse durante el parto se practica una incisión quirúrgica –*episiotomía*– (pág. 399).

Vaginismo

Los músculos bulboesponjoso y transverso del perineo probablemente son responsables del vaginismo (espasmos involuntarios de los músculos perivaginales y elevador del ano). En sus formas más leves se caracteriza por *dispareunia* (dolor durante el coito), pero en las más graves impide la penetración vaginal y, al parecer, representa una causa de matrimonios no consumados (Fromm, 1993).

Circuncisión femenina

Pese a su carácter ilegal y rechazado activamente en la actualidad por la mayoría de los países, la circuncisión femenina sigue practicándose en muchas culturas, sobre todo africanas. Si la operación se efectúa durante la infancia, se extirpa el prepucio del clítoris, pero también parte del clítoris y de los labios menores. Se cree que esta intervención antiestética inhibe la excitación y la gratificación sexuales.

Dilatación de la uretra

La uretra femenina es distensible, porque contiene mucho tejido elástico; además de músculo liso. Se puede dilatar fácilmente sin lesionarse; por esta razón, resulta más fácil pasar un catéter o cistoscopio por la uretra femenina que por la masculina. Sin embargo, la femenina se infecta con más facilidad, porque está abierta al exterior a través del vestíbulo de la vagina.

Infección de las glándulas vestibulares mayores

De ordinario, las glándulas vestibulares mayores no se palpan, sino sólo cuando están infectadas. La obstrucción

del conducto de la glándula vestibular predispone a la infección glandular. La glándula vestibular mayor es el asiento o el origen de la mayoría de los adenocarcinomas vulvares. La *bartolinitis* –inflamación de las glándulas vestibulares mayores (glándulas de Bartolino)– puede obedecer a multitud de microorganismos patógenos. Las glándulas infectadas crecen hasta un diámetro de 4 a 5 cm y sobresalen por la pared del recto. La obstrucción del conducto de la glándula vestibular, sin infección, puede motivar un acúmulo de mucina (quiste de Bartolino).

Bloqueos pudendo e ilioinguinal

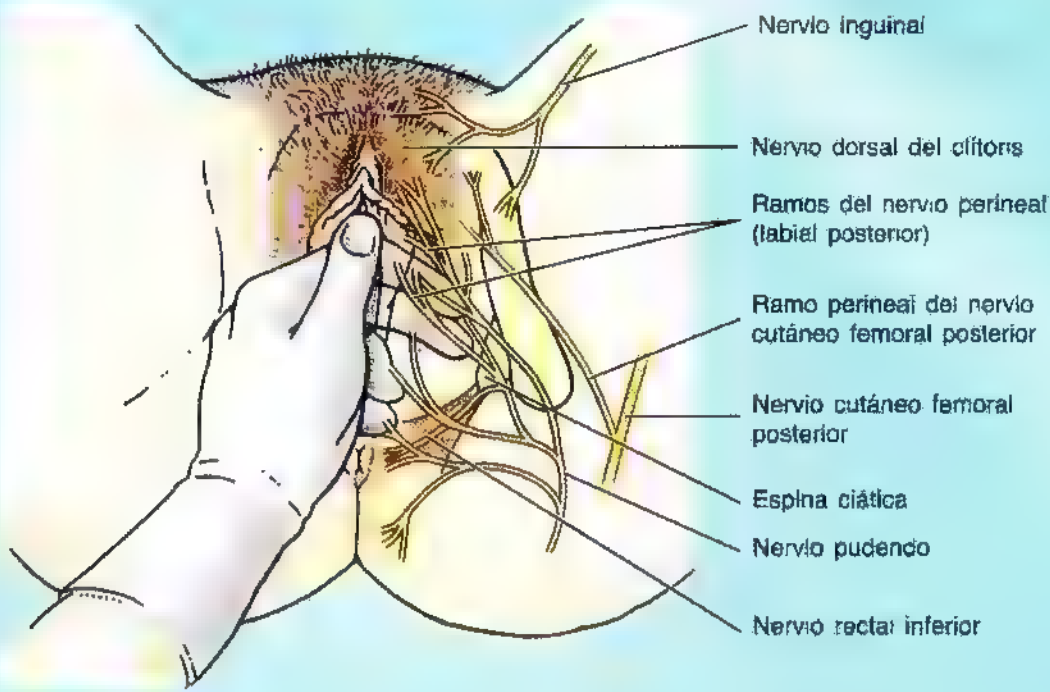
Para aliviar el dolor que sufre la madre durante el parto se procede a la *anestesia con bloqueo del nervio pudendo*; se inyecta un anestésico local en los tejidos que rodean el nervio pudendo (A). La inyección tiene lugar en el punto donde el nervio pudendo cruza la cara lateral del ligamento sacroespinoso, cerca de su inserción en la espina ciática. Para abolir la sensibilidad de la parte anterior del perineo se efectúa un bloqueo *ilioinguinal* (B). Si la mujer continúa quejándose de dolor después de aplicar un bloqueo pudendo o pudendo e ilioinguinal correctos, la razón suele estribar en la innervación solapada por un ramo perineal del nervio cutáneo femoral posterior. Si desea conocer otros tipos de anestesia para el parto consulte la página 388.

Incontinencia anorrectal

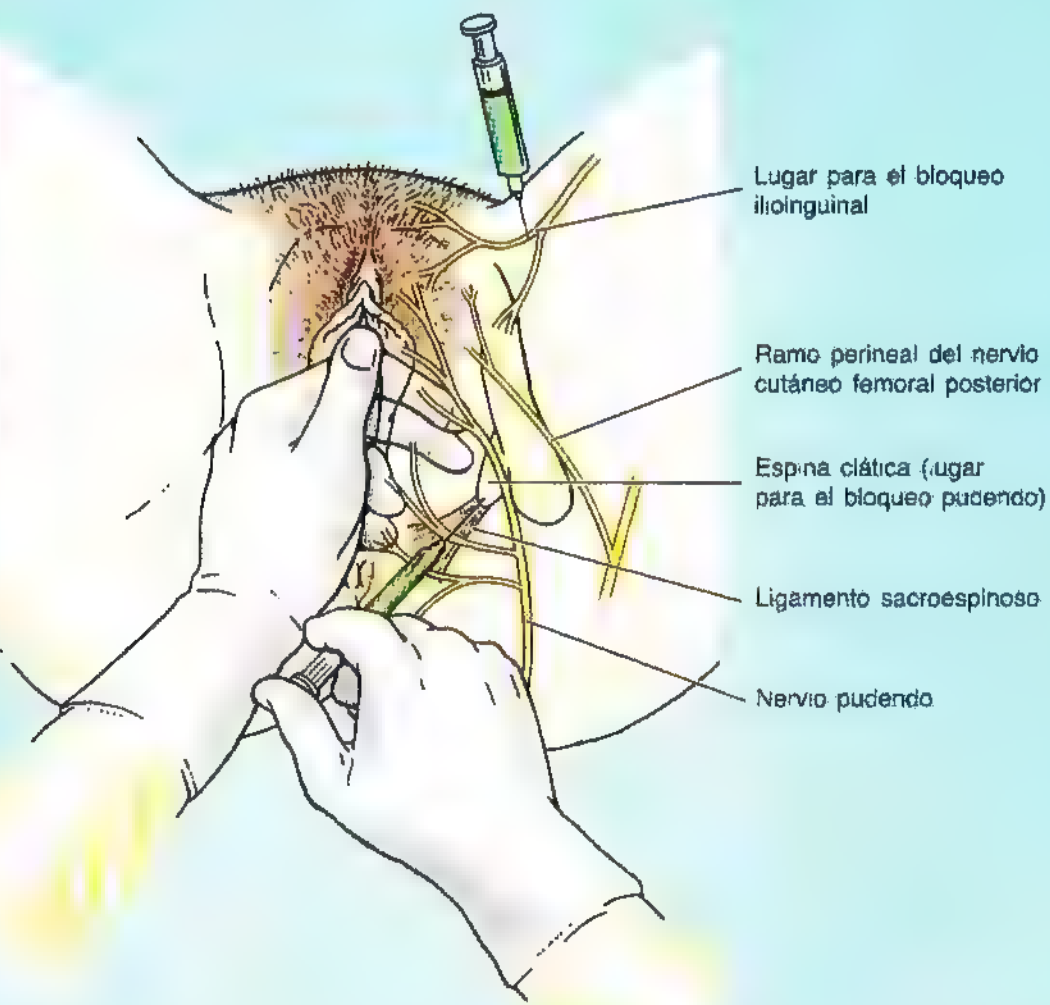
El estiramiento del o de los nervios pudendos durante un parto traumático puede ocasionar una *lesión del nervio pudendo* e incontinencia anorrectal.

Traumatismo vulvar

Los bulbos del vestíbulo, estructuras muy vascularizadas, pueden sufrir una rotura vascular postraumática (p. ej., lesiones deportivas, por ejemplo al saltar vallas, agresiones sexuales o lesiones obstétricas). Muchas veces, estas lesiones provocan hematomas vulvares, por ejemplo, en los labios mayores. ❖



(A)



(B)

Imágenes médicas de la pelvis y el perineo

Para el diagnóstico de las enfermedades y fracturas de la pelvis y para valorar las anomalías congénitas y adquiridas de la pelvis y de sus órganos se utilizan diversas técnicas diagnósticas de imagen.

Radiografía

La radiografía simple de la pelvis (fig. 3.51A) se emplea a menudo como estudio inicial de los pacientes con sín-

tomas de enfermedad pélvica (cálculos ureterales y obstrucción intestinal). También se utiliza para examinar el feto y medir el diámetro del estrecho superior de la pelvis. Los medios de contraste mejoran la visualización de los órganos y vasos de la pelvis.

La *histerosalpingografía* consiste en la inyección de un colorante radiopaco en la cavidad y trompas uterinas, y sirve para mostrar la anatomía y la permeabilidad tubáricas (fig. 3.52A), así como para detectar las anomalías uterinas y de la trompa (p. ej., útero bicornes) (fig. 3.52C).

La *arteriografía* o visualización de las arterias mediante los rayos X después de inyectar un medio de

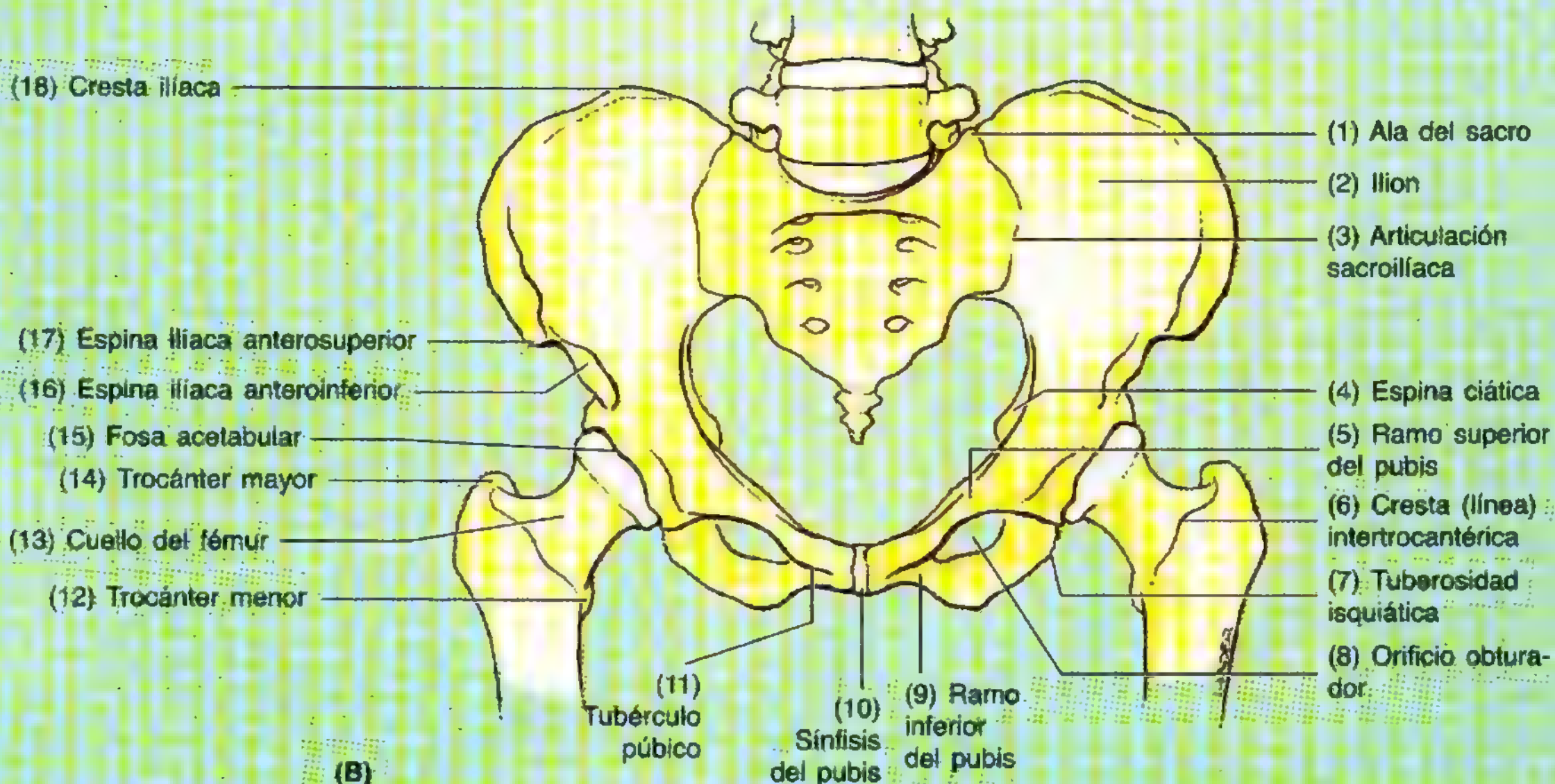
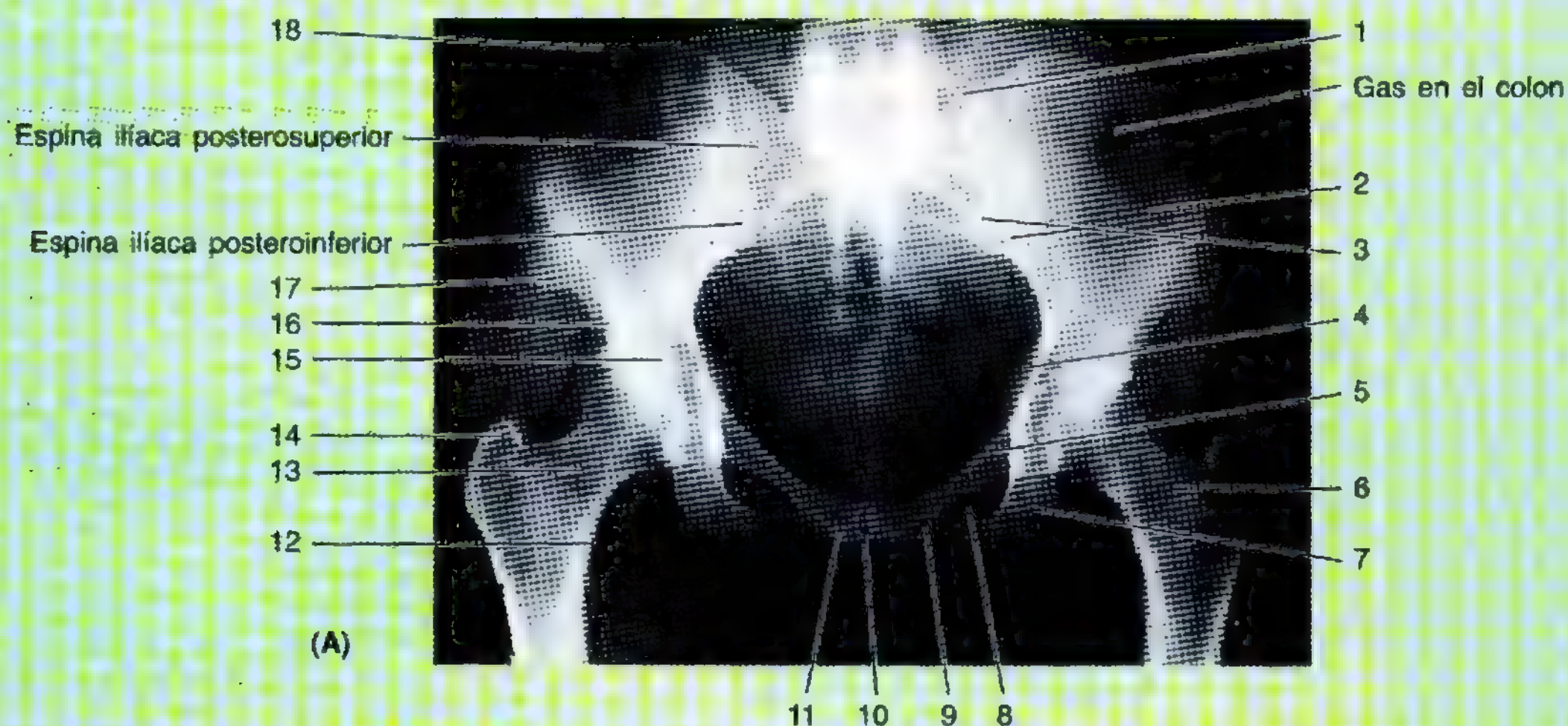


Figura 3.51. Radiografía de la pelvis. A. Proyección anteroposterior (AP) de la pelvis femenina. Obsérvese el gran ángulo subpúbico y la separación de las espinas ciáticas. (Cortesía del Dr. E. L. Lansdown, Prof. de Imagen Médica, Universidad de Toronto, Toronto, Ontario, Canadá.) B. Diagrama de la pelvis ósea.

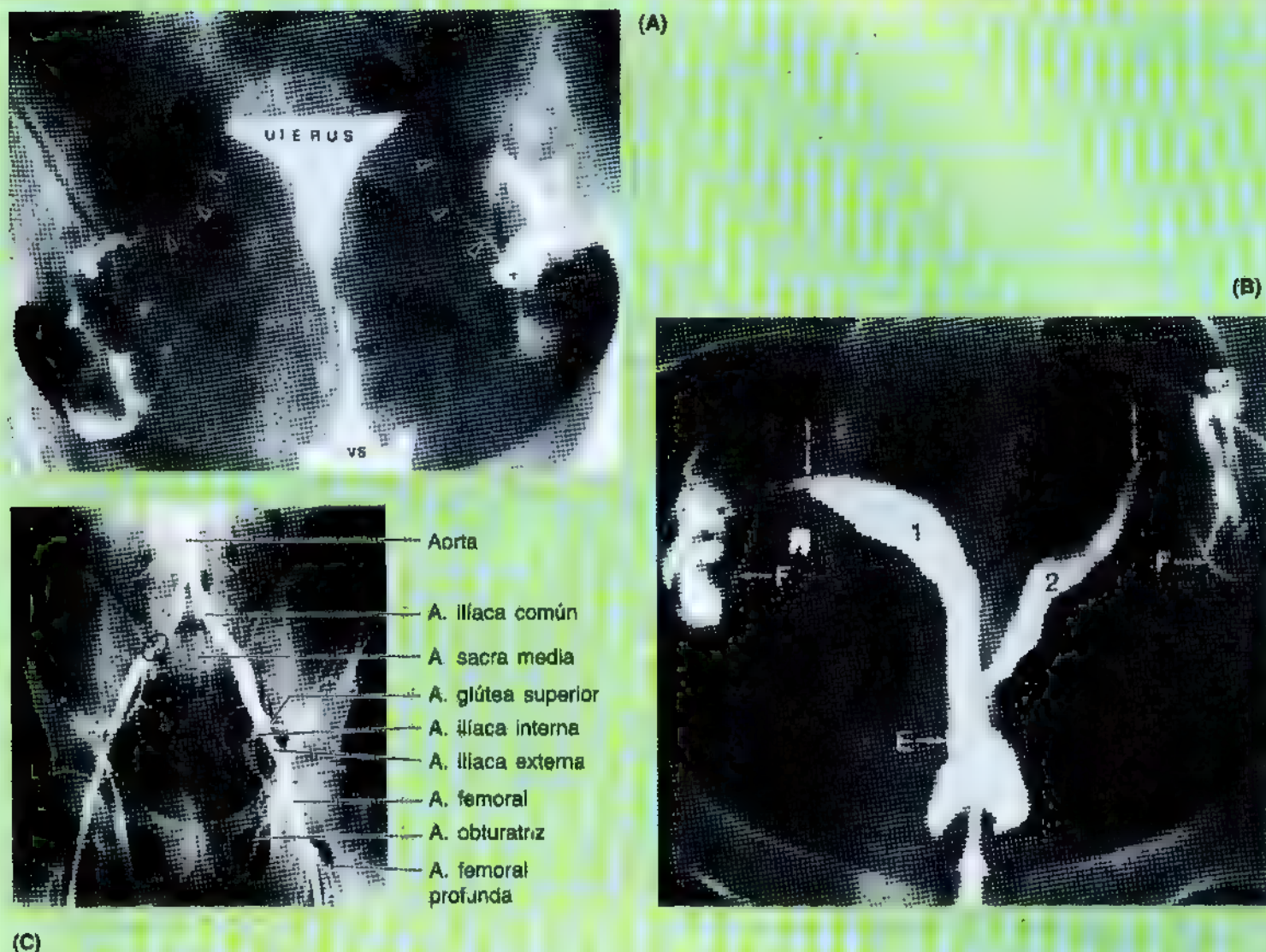


Figura 3.52. Radiografía del útero y de las trompas uterinas (histerosalpingografía). Se ha inyectado material radiopaco en el útero a través del orificio externo del útero (A). El medio de contraste ha emigrado por la cavidad uterina triangular y las trompas uterinas (*cabezas de flecha*) hasta pasar a las fosas pararrectales de la cavidad peritoneal (lateral a las *cabezas de flecha*). (C) Indica que el catéter se encuentra en el conducto cervical. Esta radiografía muestra cómo el tracto genital femenino se comunica directamente con la cavidad peritoneal y supone, por tanto, una vía potencial para la diseminación de toda infección de la vagina y del útero.

B. Histerosalpingografía que muestra un útero bicornue. 1 y 2, cavidad uterina; I, istmo de la trompa; E, conducto cervical; F, trompa uterina. (Cortesía de C. E. Stuart y David F. Reid. *En* Copeland LJ. *Textbook of Gynecology*. Philadelphia, WB Saunders, 1993.) **C.** Arteriografía iliaca. Se ha inyectado un colorante radiopaco en la porción lumbar de la aorta. Obsérvense a) la bifurcación de la aorta en las arterias ilíacas comunes derecha e izquierda (delante de L4); b) la bifurcación de las arterias ilíacas comunes en las ilíacas interna y externa (delante de la articulación sacroiliaca, a la altura del disco lumbosacro), c) el círculo del arteriograma indica una zona de estrechamiento (estenosis) de la arteria ilíaca común. (Cortesía del Dr. D. Sniderman, Prof. Ayudante de Imagen Médica, Universidad de Toronto, Toronto, Ontario, Canadá.)

► contraste radiopaco se emplea para dibujar las arterias de la pelvis (fig. 3.52B).

Ecografía

La ecografía sirve para la exploración obstétrica y para la evaluación inicial de los problemas pélvicos, como los estudios iniciales de los enfermos con alto riesgo de carcinoma o la evaluación de las malformaciones congénitas. La ecografía transabdominal exige que la vejiga esté total-

mente distendida para que desplace las asas intestinales de la pelvis y se disponga de una ventana acústica por la que se pueda observar la anatomía pélvica. Con la introducción de la ecografía transectal y transvaginal ha mejorado la resolución de las estructuras pélvicas (fig. 3.53). La ecografía transvaginal y transectal permite colocar la sonda más cerca de las estructuras que se desea explorar, con lo que mejora la resolución de éstas. Por ejemplo, se pueden distinguir los embarazos intrauterinos 7 a 10 días antes que con la ecografía transabdominal. ►

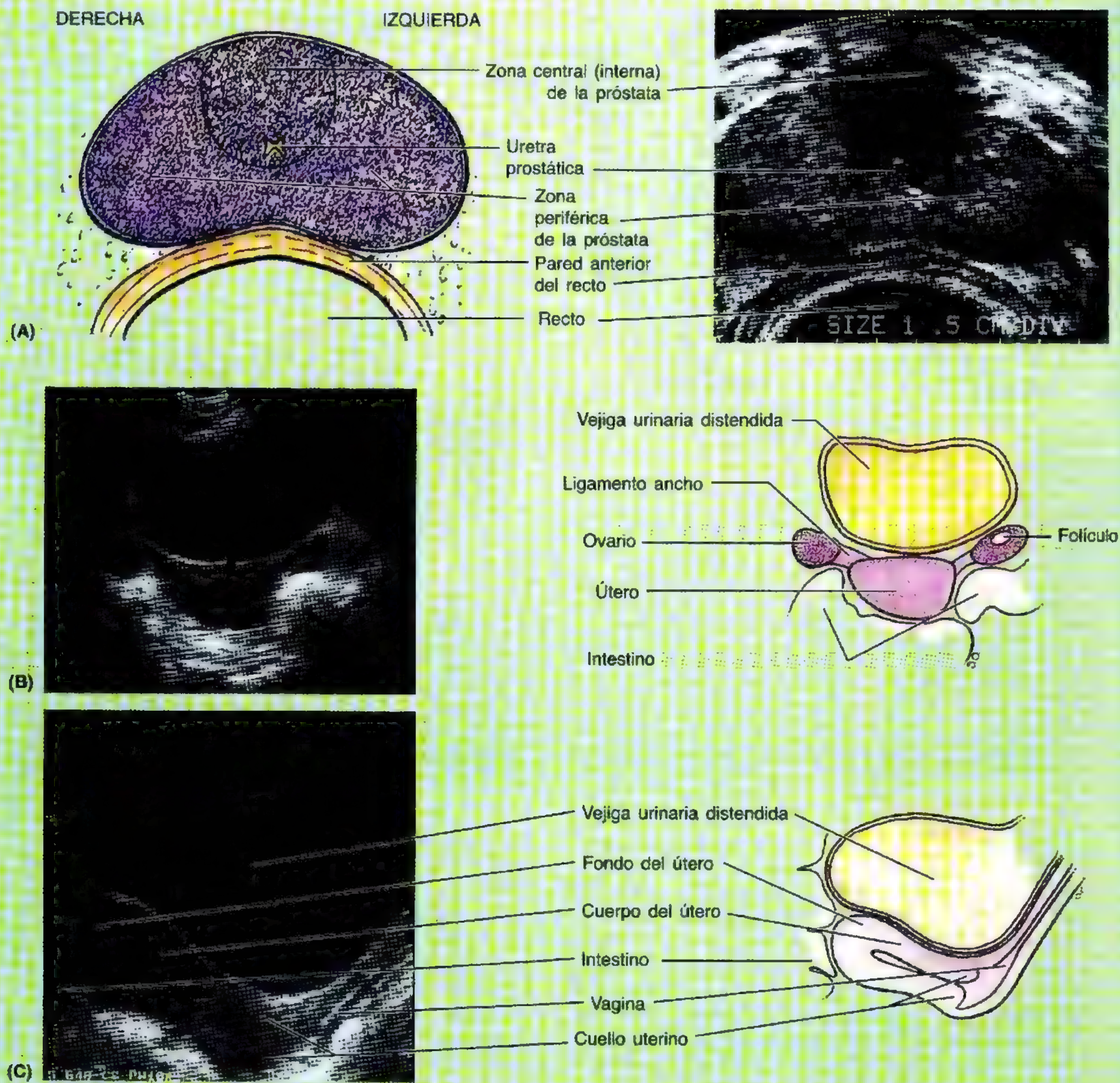


Figura 3.53. Imágenes ecográficas. Imagen transversal (transrectal) a la derecha, con dibujo orientativo a la izquierda (A). La sonda se introdujo en el recto para visualizar la próstata, situada por delante. Los conductos de las glándulas de la zona periférica se abren a los senos prostáticos, mientras que los de las glándulas de la zona central (interna) lo hacen a los senos prostáticos y al colículo seminal. B. Imagen transversal de una pelvis femenina, a la izquierda, y diagrama de la imagen ecográfica, a la derecha. C. Ecografía sagital, a la izquierda, con diagrama orientativo, a la derecha. (Cortesía del Dr. A. M. Arenson, Prof. Ayudante de Imagen Médica, Universidad de Toronto, Toronto, Ontario, Canadá.)

Tomografía computarizada

La anatomía de la pelvis se ve muy bien con la tomografía computarizada (TC). La presencia de grasa extra-peritoneal y la ausencia relativa de artefactos del movimiento explican la excelente resolución de esta técnica

(fig. 3.54). La *tomografía axial* —la TC supone una tomografía transversal al eje corporal— suele resultar satisfactoria; sin embargo, la transformación de las imágenes en los planos sagital y coronal puede aportar una información complementaria. La TC representa una



Figura 3.54. Imágenes de TC transversal de la pelvis. A. Pelvis masculina. B. Pelvis femenina. (Cortesía del Dr. Donald R. Cahill, Departamento de Anatomía, Facultad de Medicina Mayo, Rochester, MN)

► modalidad importante para evaluar la extensión local de los tumores y detectar las metástasis. Asimismo, se muestra precisa en la detección de los abscesos postoperatorios.

Resonancia magnética

La RM permite una evaluación excelente de las estructuras de la pelvis (figs. 3.55 y 3.56). Entre sus ventajas se cuentan:

- Ausencia de radiaciones ionizantes.

- Imágenes multiplanares, que permiten una resolución espacial superior en los planos anatómicos oblicuos, sagitales y otros.
- Las resoluciones del contraste del tejido blando son mejores que con otras técnicas.
- Los vasos sanguíneos se pueden visualizar sin necesidad de material de contraste.

La RM dibuja de una manera extraordinaria el útero y los ovarios (fig. 3.57) y permite, además, identificar los tumores (p. ej., el mioma, una neoplasia benigna) y malformaciones congénitas del tipo del útero bicornue. ☺

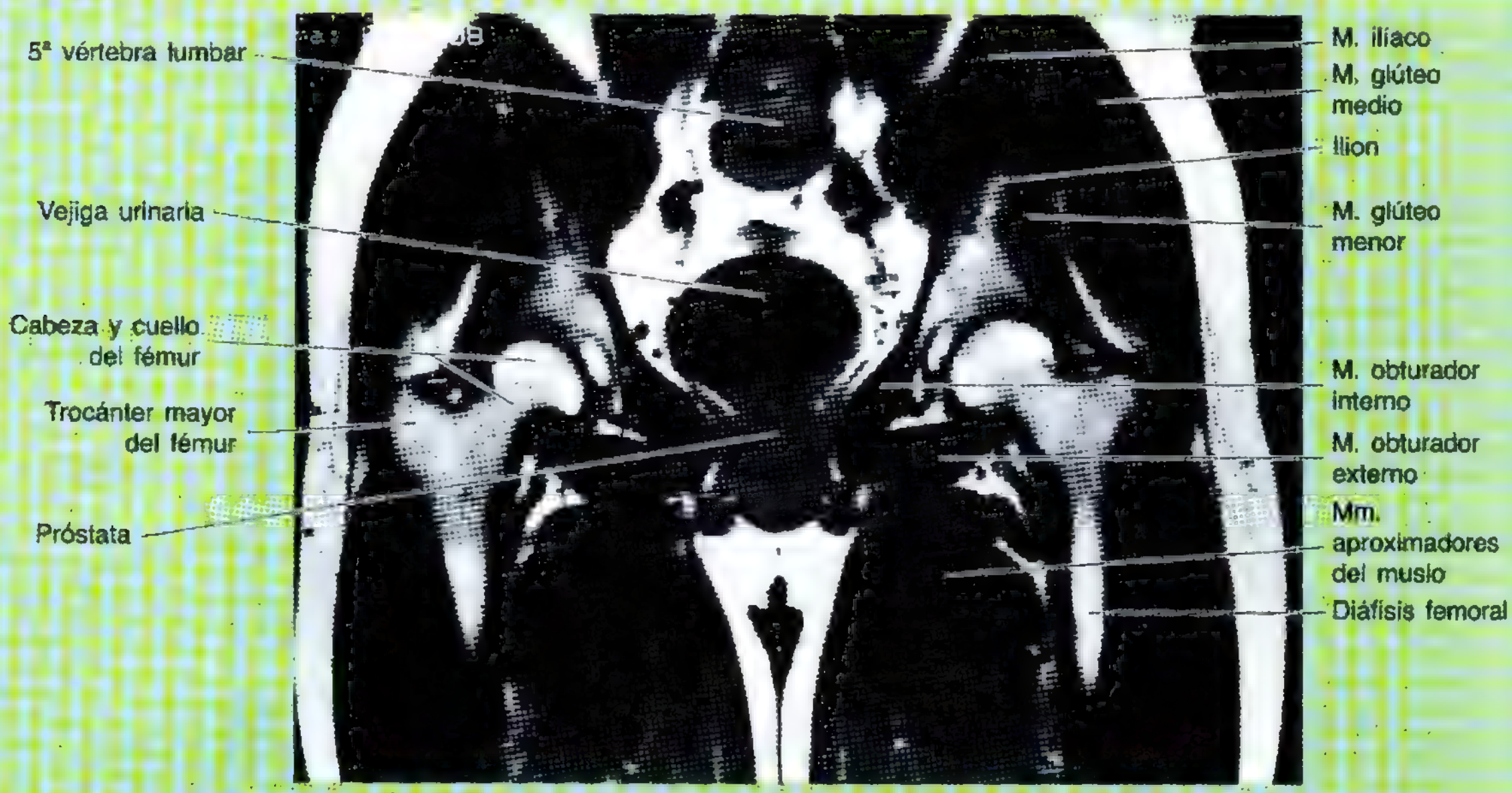


Figura 3.55. RM coronal de la pelvis masculina. (Cortesía del Dr. W. Kucharczyk, Prof. y Director, Departamento de Imagen Médica, Universidad de Toronto, y Director Clínico del Centro de Resonancia Trihospitalario, Toronto, Ontario, Canadá.)



Figura 3.56. RM de la pelvis femenina. En el ángulo superior izquierdo se muestra un dibujo orientativo, y en A-B, RM coronales.



(A) Corte medio ← Plano del corte coronal (debajo)



(B) Sección coronal ← Plano del corte medio (arriba)

Figura 3.57. RM de la pelvis femenina. RM media (parte superior) y corona (parte inferior) de la vejiga urinaria, cuerpo uterino, vagina e intestino. Compárese la sección coronal con la muestra diseccionada de la figura 3.27A (Cortesía de la Dra. Shirley McCarthy, Departamento de Radiología diagnóstica, Universidad de Yale y Hospital de Yale-New Haven, New Haven, CT.)

ESTUDIO DE CASOS CLÍNICOS

Caso 3.1

Se trata de una mujer, a quien se informó de que padecía un tumor maligno de la vulva y de que era necesario extirpar todos los ganglios linfáticos afectados para evitar que las células cancerosas se extendieran a otros lugares.

Problemas clinicoanatómicos

- ¿En qué ganglios linfáticos podrían metastatizar las células malignas?
- Si el clitoris estuviera afectado por el tumor, ¿en qué otros lugares podrían metastatizar las células cancerosas?

Estos problemas se comentan en la página 435.

Caso 3.2

Varón de 48 años que refiere "almorranas", así como la emisión frecuente de heces teñidas de sangre. Asimismo, le comunica al médico que nota unas prominencias anales durante los esfuerzos de la defecación. Tras la exploración física, el médico le indica que sufre *hemorroides internas*.

Problemas clinicoanatómicos

- ¿Qué son las hemorroides internas?
- Explique la base anatómica de los problemas médicos de este hombre

Estos problemas se comentan en la página 435.

Caso 3.3

Se aplica una inyección de un anestésico alrededor del nervio pudendo para aliviar el dolor de la vulva de una parturienta. La mujer continúa quejándose de dolor.

Problemas clinicoanatómicos

- Suponiendo que la inyección se aplicara correctamente, ¿por qué cree usted que el bloqueo pudendo no evitó el dolor que sufría esta paciente en los labios mayores?
- ¿Cómo completaría la analgesia labial?

Estos problemas se comentan en la página 435.

Caso 3.4

Una gimnasta se cayó durante sus ejercicios sobre la barra de equilibrio. Más adelante se comprobó que presentaba un gran hematoma en los labios genitales.

Problemas clinicoanatómicos

- ¿Por qué esta zona de la vulva es más sensible a este tipo de lesión?
- ¿Qué arterias irrigan los labios mayores?

Estos problemas se comentan en la página 435.

Caso 3.5

Un varón de 62 años refiere al médico que las deposiciones están teñidas de sangre y que no suele evacuar por completo el recto. Además, nota dolor en la parte posterior del muslo y debilidad en los músculos femorales posteriores. El tacto rectal, con exploración del conducto anal y de la parte anterior del recto, reveló un tumor en la pared posterior del recto.

Problemas clinicoanatómicos

- ¿Qué plexo nervioso comprimido por el tumor rectal podría causar el dolor en la cara posterior del muslo?
- ¿Cuál es el nervio que, en principio, pudo afectarse con más probabilidad?

Estos problemas se comentan en la página 435.

Caso 3.6

Mujer que refiere problemas para defecar. Según comenta al médico, puede defecar si se comprime la vagina con los dedos y empuja hacia atrás. En la historia clínica se recogen antecedentes de un parto complicado.

Problemas clinicoanatómicos

- ¿Qué tipo de prolapso genital podría causar problemas para la defecación?
- ¿Cuál es la causa de este trastorno?

Estos problemas se comentan en la página 435.

Caso 3.7

Poco después del parto, una mujer acude al médico por una tumefacción dolorosa en la región perianal.

Problemas clinicoanatómicos

- ¿Qué fosa relacionada con el conducto anal podría causar la tumefacción perianal?
- ¿Qué vasos pueden romperse y provocar un acúmulo de sangre en esta fosa después del parto?

Estos problemas se comentan en la página 435.

Caso 3.8

La radiografía de la pelvis de un varón que sufrió un accidente de tráfico revela fracturas y extravasación de la orina. Para controlar la hemorragia pélvica intensa se liga la arteria ilíaca de uno de los lados.

Problemas clinicoanatómicos

- ¿Qué órgano pélvico se ha podido perforar?
- ¿La ligadura de la arteria ilíaca interna podría afectar gravemente la irrigación de las vísceras pélvicas?

Estos problemas se comentan en la página 435.

Caso 3.9

Un hombre de 25 años, que había tomado mucha cerveza, recibe una patada en la parte inferior del hipogastrio. Noto un dolor intenso, así como una prominencia en el abdomen. Después de su traslado al hospital se efectuó un tacto rectal que reveló una tumefacción posterior de una bolsa relacionada con el recto.

Problemas clinicoanatómicos

- ¿Cuál es la bolsa tumefacta y dónde se localiza?
- ¿Cuál fue la causa del edema abdominal?
- ¿Cuál es la estructura que, con toda probabilidad, se dañó y provocó la tumefacción?

Estos problemas se comentan en la página 435.

Caso 3.10

Una mujer, con dos partos vaginales complicados, consultó a su médico por una incontinencia urinaria de estrés. Se le prescribieron ejercicios pélvicos para tratar el problema.

Problemas clinicoanatómicos

- ¿Qué músculos podrían participar en la rehabilitación física de esta paciente?
- ¿Cuál es la causa habitual de la incontinencia urinaria de estrés en las mujeres que han tenido hijos?

Estos problemas se comentan en la página 436.

Caso 3.11

Un hombre de 70 años que sufrió un cáncer de próstata hace dos años, tratado mediante prostatectomía, se queja de dolor en la espalda. En las radiografías aparecen metástasis en las vértebras lumbares.

Problemas clinicoanatómicos

- Con sus conocimientos anatómicos de la próstata, ¿cómo cree usted que llegaron las células cancerosas hasta la espalda?
- ¿En qué otros lugares podrían extenderse las células cancerosas?

Estos problemas se comentan en la página 436.

Caso 3.12

Un varón de 68 años con antecedentes de enfermedad prostática, indicó al médico de urgencias que llevaba 7 horas sin orinar y tenía dolor intensísimo. Como las tentativas para sondarlo no dieron resultado, el urólogo decidió adiviar la presión vesical introduciendo un tubo suprapúbico en la vejiga.

Problemas clinicoanatómicos

- ¿Cuál fue la causa del acúmulo de la orina en la vejiga de este paciente?
- ¿A través de qué estructuras pasó el tubo suprapúbico?
- ¿Podría haber penetrado el tubo en la cavidad peritoneal?

- Si la vejiga se hubiera perforado antes de insertar el tubo, ¿adónde habría pasado la orina?

Estos problemas se comentan en la página 436.

Caso 3.13

Un hombre de 25 años ebrio se vio involucrado en un accidente de tráfico. Posteriormente se quejaba de intenso dolor hipogástrico, así como de orinar sangre. En el estudio radiológico se observaron varias fracturas de la pelvis.

Problemas clinicoanatómicos

- ¿Qué tipo de fractura cree usted que sufrió este paciente?
- ¿Qué fracturas podrían justificar la hematuria?

Estos problemas se comentan en la página 436.

Caso 3.14

Una mujer de 23 años lleva casi 24 horas de parto. La corona de la cabeza fetal se ve a través del orificio vaginal. El obstetra, temiendo que puedan desgarrarse las estructuras perineales, decidió efectuar una episiotomía mediolateral para ensanchar la abertura inferior del canal del parto.

Problemas clinicoanatómicos

- ¿Qué estructuras perineales se seccionaron, con toda probabilidad, durante la intervención?
- ¿Qué estructuras podrían haberse dañado si se hubiera permitido que el perineo se desgarrara de manera incontrolada?
- En las laceraciones perineales graves, ¿qué músculo o músculos se pueden desgarrar?

Estos problemas se comentan en la página 436.

Caso 3.15

Obrero de la construcción de 31 años que al trabajar sobre una viga de acero cae sobre ella, quedando a horcajadas. Refiere un dolor muy intenso como consecuencia de traumatismo testicular y perineal. Más adelante observa una tumefacción y cambio de coloración del escroto, y al tratar de orinar sólo se le escapan unas gotas de orina sanguinolenta. Por este motivo es trasladado al departamento de urgencias del hospital más cercano. El médico, después de explorar al paciente, consulta al urólogo, quien ordena un estudio radiológico de la uretra y de la vejiga urinaria.

Informe del radiólogo. El estudio radiológico revela una rotura de la uretra esponjosa inmediatamente por debajo de la fascia inferior de esfínter externo de la uretra y de los músculos transversos profundos del perineo. El uretrograma muestra una *extravasación* (sacada) del material de contraste fuera de la uretra, hacia los tejidos perineales adyacentes.

Diagnóstico. Rotura de la porción proximal de la uretra esponjosa con extravasación de orina hacia los tejidos circundantes.

Problemas clinicoanatómicos

- Al tratar de orinar el paciente, prácticamente no salía orina del orificio externo de la uretra. ¿Hacia dónde se escapó la orina?
- Explique por qué la orina extravasada no puede pasar hacia la cara posterior, lateral, ni tampoco a la pelvis menor.

Estos problemas se comentan en la página 436.

Caso 3.16

Varón de 49 años que consulta por dolor espontáneo y a la palpación en el lado derecho del ano. Este dolor aumenta con la defecación y al sentarse. Este enfermo refiere antecedentes de hemorroides y sospecha que se trata de una recidiva de este problema. Después de explicar sus síntomas y efectuar la historia clínica, el médico inspecciona el recto y el conducto del ano. Al solicitar al paciente que haga fuerzas como para defecar, aparecen las hemorroides internas prolapsadas. Durante una exploración digital cuidadosa del conducto anal y del recto, el médico aprecia cierta tumefacción de la fosa isquioanal derecha. Al comprimir esta zona edematosa se produce un intenso dolor.

Diagnóstico. Hemorroides internas prolapsadas y absceso isquioanal.

Tratamiento. El absceso, el problema más importante, fue drenado a través de una incisión en la piel entre el ano y la tuberosidad isquiática.

Problemas clinicoanatómicos

- Diferencie entre hemorroides internas y externas.
- ¿Qué es un absceso isquioanal?
- ¿Qué nervio es más vulnerable a la lesión durante el tratamiento quirúrgico del absceso isquiorrectal?
- Si se lesionara este nervio, ¿qué estructura o estructuras sufrirían una desnervación parcial?

Estos problemas se comentan en la página 436.

Caso 3.17

Mujer de 40 años, inconsciente, que es trasladada inmediatamente al hospital tras haber sufrido múltiples traumatismos durante un accidente de tráfico. En primer lugar se aseguró la permeabilidad de la vía aérea, introduciendo un tubo endotraqueal; luego se iniciaron medidas de emergencia para controlar la hemorragia y combatir el *shock*. Una vez estabilizada la situación clínica general de la paciente, se efectuaron radiografías de las regiones traumatizadas. Al no haber orinado la enferma desde el ingreso, se efectuó un cateterismo vesical. La presencia de sangre junto con la orina (*hematuria*) sugería la rotura de la vejiga urinaria. Por este motivo se inyectó una solución de contraste diluida en la vejiga a través del catéter y se efectuaron radiografías de la pelvis y del abdomen.

Informe del radiólogo. Fractura de los ramos púbicos de ambos lados. El cistograma muestra extravasación del material de contraste por la cara superior de la vejiga.

Diagnóstico. Fractura de pelvis y rotura de la vejiga urinaria.

Problemas clinicoanatómicos

- ¿Hacia dónde se dirige la orina extravasada?
- ¿Qué estructura recubre la cara superior de la vejiga urinaria?
- Con sus conocimientos anatómicos, indique qué vía abordaría el cirujano para reparar la vejiga rota.

Estos problemas se comentan en la página 437.

Caso 3.18

Mujer de 28 años, en su primer embarazo (*primigrávida*) que refiere contracciones uterinas dolorosas al final de la gestación, que aparecen por la noche y ceden por la mañana (*falso dolor*). Esta mujer llamó a su médico para decirle que creía que el parto era inminente. Unos días después observó una secreción de moco y algo de sangre. Al indicarle al obstetra que los "dolores" (*contracciones uterinas*) aparecían cada 10 minutos, aquél le indicó que acudiera inmediatamente al hospital.

Después de su ingreso, el médico efectuó una palpación del cuello uterino y comunicó al médico interno que el orificio uterino tenía una dilatación de una yema de dedo y que la paciente se encontraba en la *primera fase del parto* (periodo de dilatación del orificio uterino). Posteriormente, la enferma expulsó una gran cantidad de líquido (rotura de las membranas fetales). En el momento en que se inició la *segunda fase del parto* (período expulsivo, que comienza por la dilatación completa del cuello y termina con el parto del bebé), el dolor se acentuó considerablemente. Aunque esta mujer había deseado tener un parto natural sin anestesia, no fue capaz de soportar el dolor. Por eso se la administró medicación analgésica.

Al comprobar que las contracciones se producían cada 2 minutos y duraban 40 a 60 segundos, fue llevada al partorio y colocada en la mesa de parto. En el momento en que la cabeza fetal estaba dilatando el canal del parto, la parturienta ponía cara de gran sufrimiento. El obstetra optó por efectuar una episiotomía media, al prever el posible desgarro perineal. Para ello aplicó una inyección intradérmica de anestésico en el perineo de la paciente. A pesar de que el anestésico local facilitó una incisión indolora, no pudo mitigar el dolor tan intenso del parto. Por este motivo, el obstetra decidió efectuar un bloqueo bilateral del nervio pudendo. Después, la paciente pasó a la *tercera fase del parto* (que se inicia tras el parto del niño y acaba con la expulsión de la placenta y de las membranas fetales).

Problemas clinicoanatómicos

- ¿Qué estructuras se inciden habitualmente durante una episiotomía media?
- ¿Cuál es la principal estructura incidida en esta intervención y por qué cree que la incisión resulta beneficiosa?
- Enumere las estructuras inervadas por el nervio pudendo.

- Aplicando sus conocimientos anatómicos de este nervio, ¿dónde piensa que inyectó el obstetra el anestésico para realizar el bloqueo del nervio pudendo?
 - Cuando se requiere una anestesia perineal completa, ¿qué otros ramos nerviosos habría que bloquear?
- Estos problemas se comentan en la página 437

Caso 3.19

Al explorar a un niño se detecta una malformación congénita de pene conocida como hipospadias. La uretra se abre justo proximal al lugar donde el frenillo inserta, de ordinario, el prepucio en la cara ventral del pene. Se observa una ligera indentación en la zona donde normalmente se sitúa el orificio uretral externo. Además se aprecia una ligera curvatura ventral del pene. La micción, en principio parece normal, salvo que gotea algo de orina cuando el niño orina de pie, mojándose la ropa y los zapatos.

Problemas clinicoanatómicos

- ¿Cuál es la base biológica de hipospadias?
- ¿De qué tipo de hipospadias se trata en este caso?
- Comente su etiología y otros tipos de hipospadias.
- ¿Cree usted que este trastorno podría dificultar más adelante la función reproductora?

Estos problemas se comentan en la página 437

COMENTARIO A LOS CASOS

Caso 3.1

El drenaje linfático principal de la vulva se dirige a los ganglios inguinales superficiales. Si el carcinoma afecta a clítoris, las células malignas metastatizarían a los ganglios inguinales superficiales y profundos.

Caso 3.2

Las hemorroides (almorranas) que afectan a un 35% de la población, son prolapso de la mucosa que contienen las venas del plexo venoso rectal interno, normalmente dilatadas. Este plexo se sitúa en o cerca de la unión anorrectal. Al principio, las hemorroides se quedan confinadas dentro del conducto anal, pero según aumentan de tamaño asoman por el conducto anal durante la defecación y suelen regresar una vez completada la deposición. En los casos más graves la hemorroide puede quedar fuera del ano. Las hemorroides internas no causan dolor porque la mucosa que tapiza las varicosidades está inervada por fibras aferentes viscerales que acompañan a los nervios autónomos. En general tampoco son sensibles al tacto aunque durante los esfuerzos se puede notar dolor. Las venas varicosas obedecen a la descomposición o debilidad congénita de la capa muscular de la mucosa.

Caso 3.3

La inervación tan generosa de la vulva por los nervios ilio-inguinal, genitofemoral y cutáneo femoral posterior explica el

fracaso habitual de la analgesia labial tras el bloqueo local del nervio pudendo. Para que desaparezca la mayor parte del dolor habría que bloquear estos otros nervios.

Caso 3.4

La gran vascularización de los bulbos del vestíbulo justifica la sensibilidad de los labios mayores a los traumatismos. La perforación de los vasos sanguíneos provoca hemorragia y la aparición de un hematoma. Los labios mayores y los bulbos del vestíbulo están irrigados por ramas de las arterias pudendas externa e interna.

Caso 3.5

Un tumor rectal (p.e., un carcinoma avanzado) podría comprimir el plexo sacro situado detrás del recto. El nervio ciático, el gran nervio del miembro inferior, surge en el plexo sacro y desciende por la cara posterior del muslo. El término *ciática* se utiliza para describir el dolor causado por la irritación o compresión del nervio ciático.

Caso 3.6

El rectocele produce dificultades para la defecación en las mujeres cuyo recto se hernia hacia la vagina. Este trastorno tiene lugar cuando aparece un prolapso de la pared vaginal posterior. El desgarramiento y la compresión de los tejidos que soportan la pelvis tal como sucede muchas veces en los partos vaginales, puede dañar el suelo de la pelvis, en particular el cuerpo perineal y el músculo elevador del ano, con el prolapso consiguiente de la pared posterior de la vagina.

Caso 3.7

Las fosas isquioanales están íntimamente relacionadas con el conducto anal. El pus o la sangre se pueden acumular y provocan una tumefacción de esta fosa. La rotura de los vasos rectales inferiores, que atraviesan la fosa isquioanal, causan hematoma isquioanal. El traumatismo proviene de un parto complicado o bien de infecciones secundarias a una episiotomía medioateral.

Caso 3.8

La rotura de la vejiga urinaria suele ocurrir cuando se fractura la pevis, con lo que la orina penetra en la cavidad peritoneal. La ligadura de la arteria iliaca interna para controlar la hemorragia pélvica no coarta el flujo de sangre, pero reduce la presión diferencial. La irrigación se mantiene en la arteria, pero se invierte, debido a tres anastomosis arteriales esenciales (de la arteria lumbar a la lumbal de la sacra media a la sacra lateral y de la rectal superior a la recta media).

Caso 3.9

Conforme se llena la vejiga de orina se alza en el abdomen, sobre la pevis. Un golpe fuerte en la parte baja y anterior del abdomen puede romper la vejiga urinaria, determinando

do un escape de orina a la cavidad peritoneal. Si el paciente se encuentra de pie, la orina se acumularía en la bolsa rectovesical, entre el recto y la vejiga. La prominencia de la bolsa vesical se puede palpar mediante tacto rectal.

Caso 3.10

La incontinencia urinaria de estrés suele obedecer a una lesión de la fascia y de los músculos que forman el diafragma de la pelvis (p. ej., el músculo elevador del ano). Este es, a veces, el resultado de un parto complicado con estiramiento de los músculos que soportan el cuello de la vejiga urinaria. La contracción y relajación alternas de los músculos perineales (*ejercicios de Kegel*) fortalecen el diafragma de la pelvis y el esfínter externo de la uretra. De esta manera, aumenta la presión uretral en reposo y se puede restablecer al ángulo uretrovesical normal.

Caso 3.11

Las células cancerosas del carcinoma de próstata probablemente llegaron a la espalda a través del sistema venoso. El plexo venoso prostático drena a las venas ilíacas internas y a los plexos venosos vertebrales, sobre todo al plexo venoso vertebral interno. Las células cancerosas invaden la columna vertebral y pueden también llegar, por arriba, a los plexos venosos vertebrales e incluso a los senos venosos de la duramadre y huesos del cráneo.

Caso 3.12

Desde luego, la próstata aumentada de tamaño obstruía la uretra de este hombre e impedía que la orina fluyera desde la vejiga. El tubo suprapúbico se introduce por encima del pubis, a través de las capas de la pared anterior del abdomen, pero no perfora el peritoneo parietal ni la cavidad peritoneal, porque a medida que se llena la vejiga de orina, se eleva dentro del abdomen y levanta el peritoneo de la pared anterior. En la mayoría de los casos, la vejiga se rompe dentro del peritoneo. La orina y la sangre escapan a la cavidad peritoneal.

Caso 3.13

Este joven probablemente se fracturó la pelvis y la vejiga se perforó por una esquirla ósea. Su estado de embriaguez sugiere que la vejiga estaba llena y que ocurrió una *rotura extraperitoneal* de la misma. Por eso, la orina quedaría entre la pared anterior del abdomen y la vejiga. La sangre de la vejiga perforada podría entrar en la uretra y eliminarse con la orina (*hematuria*).

Caso 3.14

Durante la episiotomía mediolateral se suelen seccionar estas estructuras: piel perineal, pared posterior de la vagina, cuerpo perineal e inserción del bulboesponjoso. La episiotomía se lleva a cabo cuando parece inevitable la laceración del perineo, y pretende proteger la fascia que apoya a la vejiga urinaria, la uretra y el recto. Si se permitiera el desgarramiento espontáneo en cualquier dirección, se desgarrarían los

músculos del perineo, el esfínter externo del ano, el músculo elevador del ano y la pared del recto. La episiotomía supone un corte limpio, alejado de las estructuras más importantes. Si se permitiera el desgarramiento incontrolado del perineo, podría desgarrarse el músculo elevador del ano que forma el diafragma de la pelvis. De este modo, empeora el soporte perineal de los órganos de la pelvis y se produce en fases posteriores un contorno irregular del suelo de la pelvis. Este trastorno crea dificultades para el control vesical (*incontinencia urinaria*) y puede constituir la base de un prolapso ulterior de la vejiga urinaria (cistocele).

Caso 3.15

La rotura traumática de la uretra esponjosa a nivel del bulbo del pene determinó la extravasación superficial o subcutánea de la orina cuando este varón intentó orinar. La orina de la uretra desgarrada pasaría al perineo, superficial a la membrana perineal, pero en la profundidad de la capa membranosa de la fascia superficial del perineo. La orina del espacio superficial del perineo se dirigiría hacia abajo por el tejido conjuntivo laxo del escroto, hacia delante dentro del pene y hacia arriba por la pared abdominal anterior. La membrana perineal y el tejido subcutáneo del perineo se insertan íntimamente en los ramos isquiopúbicos. Por eso la orina no puede pasar hacia atrás, porque estas dos túnicas se continúan entre sí alrededor de los músculos transversos superficiales del perineo. La orina tampoco puede escaparse lateralmente, ya que estas dos túnicas están conectadas a los ramos del pubis y el isquion. Tampoco se puede extender a la pelvis menor, porque la apertura de esta cavidad está cerrada por la membrana perineal. Por último, tampoco se introduce en el muslo, porque la capa membranosa del tejido subcutáneo de la pared abdominal anterior se une con la fascia lata, inmediatamente distal al ligamento inguinal. La fascia lata es la fascia tan robusta que envuelve los músculos femorales.

Caso 3.16

Las *hemorroides internas* son prolapsos de la mucosa que contienen venas con un aspecto normalmente varicoso del plexo venoso rectal interno que drena la sangre del conducto anal. Las hemorroides obedecen a una desestructuración de la capa muscular de la mucosa. Estas venas suelen ser afluentes de la vena rectal superior que, a su vez, drena a la vena mesentérica inferior, perteneciente al sistema venoso portal. Las afluentes de la vena rectal superior nacen en el plexo rectal interno situado en las columnas anales. Normalmente tienen un aspecto varicoso (dilatado y tortuoso), incluso en los recién nacidos. Las hemorroides internas están cubiertas por la membrana mucosa. Al principio quedan confinadas al conducto anal, pero a medida que aumentan de tamaño, pueden protruir por el conducto durante los esfuerzos de la defecación. Es frecuente que las hemorroides internas sangren.

Las *hemorroides externas* son trombosis (coágulos de sangre) de las afluentes de la vena rectal inferior del plexo rectal externo que drena la parte inferior del conducto anal.

Las hemorroides externas están cubiertas por piel y producen dolor, que suele remitir en unas horas generalmente por rotura de las hemorroides. Los anestésicos locales y los baños calientes aportan alivio en muchos casos.

Los *abscesos perianales* suelen obedecer a una lesión de la mucosa anal por material fecal endurecido. La inflamación de los senos anales se conoce con el nombre de *criptitis*. La infección puede diseminarse por pequeñas grietas o lesiones de la mucosa anal y pasar a la pared de ano hasta la fosa isquioanal, causando un *absceso isquioanal*. La fosa isquioanal es un espacio en forma de cuña, lateral al ano y al músculo elevador del ano. El componente principal de las fosas isquioanales es grasa. Las ramas de los nervios y de los vasos (nervio pudendo, vasos pudendos internos y nervio para el músculo obturador interno) entran en la fosa isquioanal a través del orificio cóctico menor.

El nervio pudendo y los vasos pudendos internos pasan al conducto pudendo situado en la pared lateral de la fosa isquioanal. El *nervio rectal inferior* abandona el conducto pudendo y se dirige anteromedial y superficial por la fosa isquioanal. Llega hasta el esfínter externo del ano y lo inerva. Se puede dañar durante la cirugía de la fosa isquioanal. La lesión del nervio rectal inferior determina una alteración del esfínter anal voluntario.

Caso 3.17

La orina que se escapa por la cara superior de la vejiga urinaria rota de esta paciente pasa a la cavidad peritoneal. Las fracturas de la pelvis se complican a veces con una rotura vesical, pero las radiografías indicaban que esta rotura probablemente no se debió a un fragmento óseo punzante. Con toda seguridad la vejiga sufrió rotura por el mismo golpe que comprimó la sínfisis del pubis y fracturó la pelvis. La vejiga distendida es mucho más vulnerable a la rotura por la cara superior cuando se aplica un traumatismo no penetrante.

La cara superior de la vejiga se halla casi completamente cubierta por el peritoneo. En la mujer el peritoneo se refleja sobre el útero hasta la unión del cuerpo con el cuello formando la *bolsa vesicouterina*. Los pacientes con una rotura intraperitoneal de la vejiga suelen desarrollar signos y síntomas de irritación peritoneal. La *peritonitis séptica* se produce cuando la orina contiene gérmenes patógenos. A medida que se acumula la orina en la cavidad peritoneal se detecta matidez en los surcos pericólicos al percutir el abdomen. Esta matidez del lado izquierdo desaparece al colocar al enfermo en decubito lateral derecho y viceversa. Este hallazgo indica la presencia de líquido libre en la cavidad peritoneal como consecuencia de una rotura visceral.

Probablemente, la vía de abordaje de la vejiga urinaria para la reparación quirúrgica de la rotura de la pared superior sería la suprapúbica. La vejiga queda separada de los huesos del pubis por una delgada túnica de tejido conjuntivo laxo que contiene a veces grasa. Cuando la vejiga está llena la cara anteroinferior se halla en contacto con la pared abdominal anterior sin que se interponga el peritoneo.

Caso 3.18

Para la episiotomía media se comienza la incisión por el frenillo de los labios menores y se extiende a través de la piel a la mucosa vaginal, el cuerpo perineal y el músculo superficial del perineo. El cuerpo perineal es la principal estructura que se incide durante este tipo de episiotomía. Muchos consideran que este procedimiento reduce la prevalencia de atenuación excesiva del cuerpo perineal, y también los traumatismos sobre los diafragmas pévico y urogenital.

El *nervio pudendo* que emerge del plexo sacro (S2, S3 y S4), es el principal nervio de perineo y emite ramos motores y sensitivos para esta región, además de portar fibras simpáticas postsinápticas al perineo. El nervio pudendo de las mujeres se divide en el nervio perineal y en el nervio dorsal del clitoris. Los nervios superficiales de perineo emiten dos nervios labiales posteriores y el nervio profundo del perineo da tantos ramos sensitivos como pequeños nervios musculares terminales. Los ramos musculares entran en las bolsas perineales superficial y profunda para innervar los músculos de estas bolsas y el bubo del vestíbulo. El nervio dorsal del clitoris es de carácter sensitivo e inerva el prepucio y el glande del clitoris, así como la piel vecina.

Cuando se bloquea el nervio pudendo por vía perineal, la referencia ósea principal es la *espina cóccica*. Se palpa esta espina colocando a la paciente en posición de litotomía. En este caso, el nervio pudendo entra en el conducto pudendo antes de distribuirse por el perineo, de manera que se "condensa" en un lugar concreto. Se introduce la aguja por la vagina, pero también se puede introducir a través de la piel y dirigirla con el dedo introducido en la vagina. Como estos procedimientos suelen efectuarse justo antes de parto vaginal, el dedo sirve, además, como barrera entre la punta de la aguja y el cuero cabelludo del niño, puesto que la cabeza del bebé está encajada en ese momento en la pelvis menor. Si se precisa anestesia perineal completa, hay que anestesiarse también los ramos genitales de los nervios genitofemorales ilioinguinal y el ramo perineal del nervio cutáneo femoral posterior, mediante una inyección a lo largo del borde lateral de los labios mayores.

Caso 3.19

El orificio externo de la uretra de uno de cada 300 lactantes varones se sitúa en la cara anterior del pene. En general el defecto radica en el glande como sucedía en este caso. En los demás pacientes, el orificio se sitúa en el cuerpo del pene (hipospadias peneano) o en el perineo (hipospadias penoescrotal).

La base embriológica de hipospadias glandular y peneano es la incapacidad de los *pliegues urogenitales* para unirse en la cara anterior del pene en fase de desarrollo y crear la uretra esponjosa. La orina no sale por la punta del pene sino por un orificio situado en la cara anterior del mismo.

La base embriológica de hipospadias escrotal es la ausencia de fusión de los pliegues labioescrotales para crear el escroto. No se comprende bien la causa del hipospadias, pero se ha propuesto una *etiología multifactorial* (es decir, la participación de factores genéticos y ambientales). Los

familiares cercanos de los pacientes con hipospadias corren más riesgo de padecer esta anomalía que la población general. En general, se piensa que el hipospadias se asocia con la producción inadecuada de andrógenos por los testículos fetales. Las diferencias en la cronología y el grado de insuficiencia hormonal justifican, sin duda, los distintos tipos de hipospadias.

Como el orificio uretral no se encuentra en la punta del glande y se produce un arqueamiento ventral del pene, que

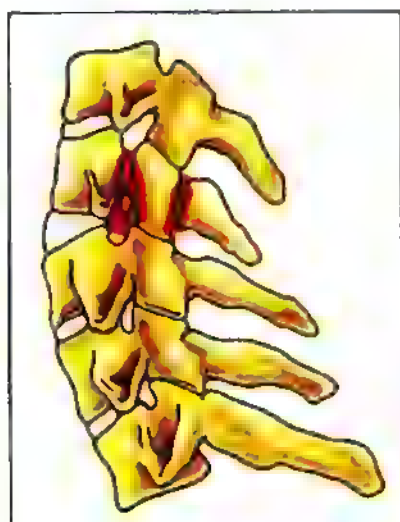
es más marcado cuando tiene lugar la erección, resulta difícil que las personas con esta malformación se reproduzcan. A veces, el grado de curvatura es tan intenso durante la erección, que es imposible la penetración vaginal y la inseminación natural. La corrección quirúrgica de este defecto para obtener un pene recto y reparar la uretra (*urethroplastia*) se recomendaron en este caso antes de que el niño se escolarizara, para que pudiera orinar en la posición normal de bipedestación y lograra reproducirse más adelante.

Bibliografía y lecturas recomendadas

- Ayoub SF: Anatomy of the external anal sphincter in man. *Acta Anat* 105:25, 1979.
- Behrman RE, Kliegman RM, Arvin AM (eds): *Nelson Textbook of Pediatrics*, 15th ed. Philadelphia, WB Saunders, 1996.
- Cahill DR, Orland MJ, Miller G: *Atlas of Human Cross-Sectional Anatomy*, 3rd ed. New York, Wiley-Liss, 1994.
- Copeland LJ (ed): *Textbook of Gynecology*. Philadelphia, WB Saunders, 1993.
- Dellenbach P, et al.: The transvaginal method for oocyte retrieval. An update on our experience (1984-1987). In Jones HW Jr, Schrader C (eds): *In Vitro Fertilization and Other Assisted Reproduction*. New York, Annals of the New York Academy of Sciences, vol. 541, p. 111, 1988a.
- Dellenbach P, Forrier A, Moreau L, Rouard M, Badoc E: Direct intraperitoneal insemination. New treatment for cervical and unexplained infertility. In Jones HW Jr, Schrader C (eds): *In Vitro Fertilization and Other Assisted Reproduction*. New York, Annals of the New York Academy of Sciences, vol. 541, p. 761, 1988b.
- Ellis H: *Clinical Anatomy. A Revision and Applied Anatomy for Clinical Students*, 8th ed. Oxford, Blackwell Scientific Publications, 1992.
- Farrow GA: Urology. In Gross A, Gross P, Langer B (eds): *Surgery. A Complete Guide for Patients and Their Families*. Toronto, Harper & Collins, 1989.
- Fromm LM: Psychological aspects of gynecology. In Copeland LJ (ed): *Textbook of Gynecology*. Philadelphia, WB Saunders, 1993.
- Hannah WJ: Obstetrics and gynecology. In Gross A, Gross P, Langer B (eds): *Surgery. A Complete Guide for Patients and Their Families*. Toronto, Harper & Collins, 1989.
- Hatch K: Urinary tract injury and fistula. In Copeland LJ (ed): *Textbook of Gynecology*. Philadelphia, WB Saunders, 1993.
- Healey JF Jr, Hodge J: *Surgical Anatomy*, 2nd ed. Toronto, BC Decker, 1990.
- Krebs H-B: Premalignant lesions of the cervix. In Copeland LJ (ed): *Textbook of Gynecology*. Philadelphia, WB Saunders, 1993.
- Moore KL, Persaud TVN: *The Developing Human. Clinically Oriented Embryology*, 6th ed. Philadelphia, WB Saunders, 1998.
- Morris M, Burke TW: Cervical cancer. In Copeland LJ (ed): *Textbook of Gynecology*. Philadelphia, WB Saunders, 1993.
- Oelrich TM: The urethral sphincter muscle in the male. *Am J Anat* 158:229, 1980.
- Oelrich TM: The striated urogenital sphincter muscle in the female. *Anat Rec* 205:223, 1983.
- O'Rahilly R: *Gardner-Gray-O'Rahilly Anatomy. A Regional Study of Human Structure*, 5th ed. Philadelphia, WB Saunders, 1986.
- Stormont TJ, Cahill DR, King BF, Myers RP: Fascias of the male external genitalia and perineum. *Clin Anat* 7:115, 1994.
- Wendell-Smith CP, Wilson PM: The vulva, vagina, and urethra and the musculature of the pelvic floor. In Phillip E, Setchell M, Ginsburg J (eds): *Scientific Foundations of Obstetrics and Gynecology*. Oxford, Butterworth-Heinemann, 1991.
- Wendell-Smith CP: Muscles and fasciae of the pelvis. In Williams PL, Bannister LH, Berry MM, Collins P, Dussek JE, Fergusson MWJ (eds): *Gray's Anatomy*, 38th ed. Edinburgh, Churchill-Livingstone, 1995.
- Williams PL, Bannister LH, Berry MM, Collins P, Dussek JE, Fergusson MWJ (eds): *Gray's Anatomy*, 38th ed. Edinburgh, Churchill Livingstone, 1995.
- Woodburne RD, Burkel WE: *Essentials of Human Anatomy*, 9th ed. New York, Oxford University Press, 1994.

4

El dorso del tronco



La columna vertebral / 440

Los procesos del dorso del tronco / 474

La meninges y las meninges / 483

El sistema nervioso del dorso del tronco / 496

El sistema nervioso del dorso del tronco / 504

El sistema nervioso del dorso del tronco / 507

El dorso o cara posterior del tronco, bajo el cuello y encima de las nalgas, es la región corporal donde se insertan la cabeza, el cuello y los miembros. Debido a su íntima relación con el tronco, el dorso del cuello y los músculos cervicales posteriores y profundos, así como las vértebras, también se describen en este capítulo. *El término dorso del tronco comprende:*

- La piel.
- El tejido subcutáneo, capa de tejido conjuntivo irregular y laxo formado por tejido adiposo, que contiene nervios y vasos cutáneos, fascia profunda y músculos, junto con sus vasos y nervios.
- Los ligamentos y la columna vertebral.
- La médula espinal y las meninges, es decir, las tres membranas que tapizan la médula espinal.
- Las costillas (de la región torácica).
- Diversos nervios y vasos sanguíneos.

El estudio de los tejidos blandos del dorso debe ir precedido de un examen de la columna vertebral y de los discos intervertebrales (IV) fibrocartilaginosos que se interponen entre los cuerpos de las vértebras adyacentes.

La columna vertebral

La columna vertebral –se extiende desde el cráneo hasta la punta o vértice del cóccix– *forma el esqueleto del cuello y del dorso del tronco y la parte principal del esqueleto axial* (huesos articulados del cráneo, columna vertebral, costillas y esternón). La mayoría de las columnas vertebrales de los adultos miden de 72 a 75 cm de longitud, y una cuarta parte de ésta se debe a los **discos IV** fibrocartilaginosos, que separan y unen entre sí las vértebras (fig. 4.1). *La columna vertebral:*

- Protege la médula espinal y los nervios espinales.
- Soporta el peso del cuerpo.
- Proporciona un eje en parte rígido y en parte flexible para el cuerpo y un pivote para la cabeza.
- Desempeña una importante misión en la postura y en la locomoción, es decir, el movimiento de un lado a otro.

Dolor de espalda o dorsalgia

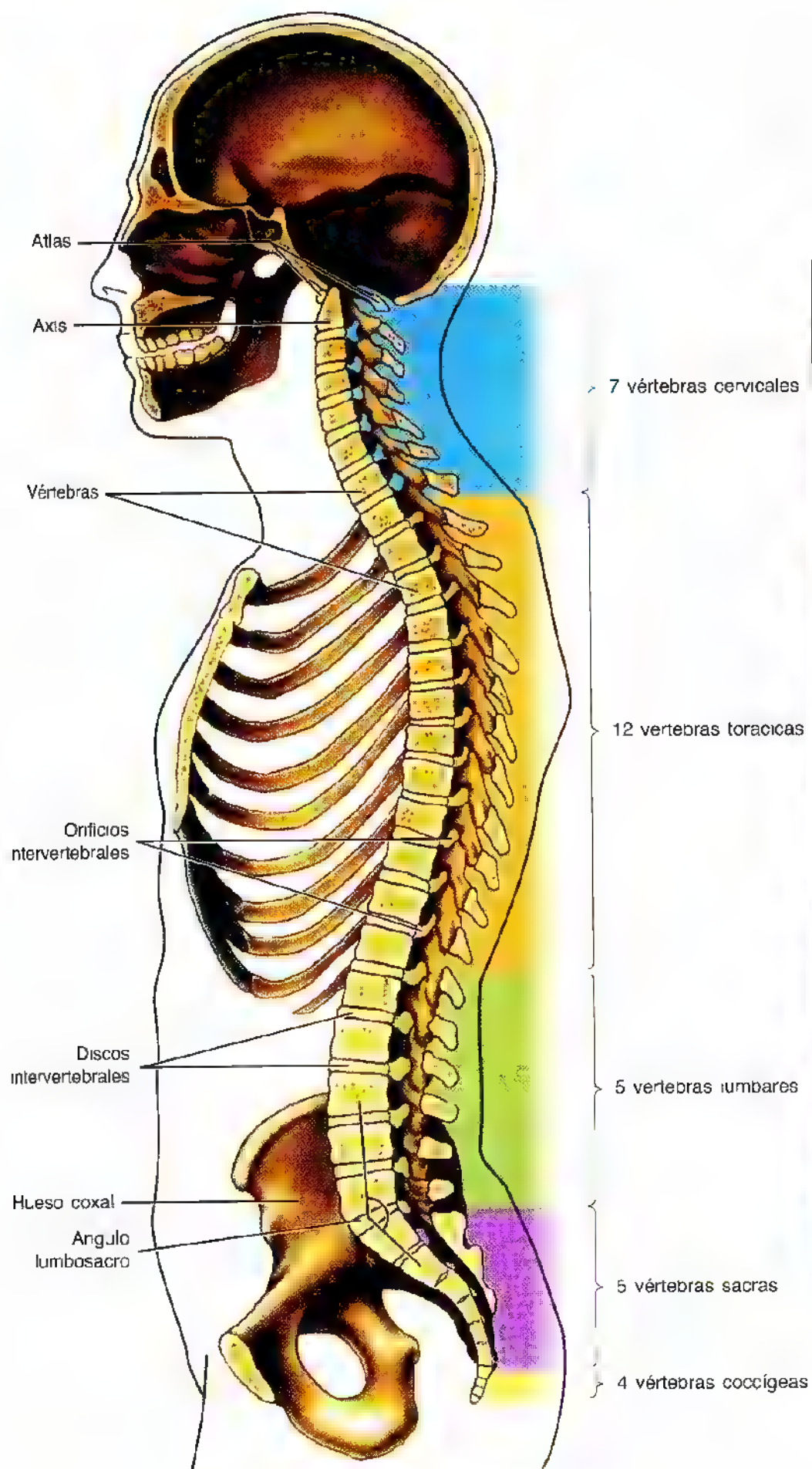
Las zonas del cuello y del dorso del tronco, en las que la columna vertebral se mueve con mayor libertad –las regiones cervical y lumbar–, constituyen el asiento más común de dolor invalidante. Cerca del 10% de la población consulta al médico o al quiropráctico cada año por un dolor de espalda. La *dorsalgia* es un término inespecífico que denota dolor en el dorso. A lo largo de la vida, más del 80% de las personas padece molestias en el dorso. La *lumbalgia* o *lumbago*, la molestia más corriente, suele ocurrir entre el 3^{er} y 6^o decenio de la vida. Las *lesiones del dorso* son frecuentes en los deportes de competición, así como en los accidentes industriales y de tráfico.

La anatomía del dorso del tronco es compleja y el dolor obedece a múltiples causas. Para el diagnóstico y tratamiento de la dorsalgia se requiere un profundo conocimiento de la estructura y de la función del dorso. En caso de lesión grave, el examinador ha de procurar no inducir mayores daños. Por ejemplo, si una persona que ha sufrido un traumatismo se queja de dolor en la espalda y no puede mover los miembros, podría haberse fracturado la columna vertebral. Si se flexiona el cuello o se coloca a la persona dañada en una silla, podría lesionarse la médula espinal. *La movilización incorrecta de una persona traumatizada puede transformar una lesión inestable sin déficit neurológico en otra con un déficit que ocasione una invalidez permanente.* ➔

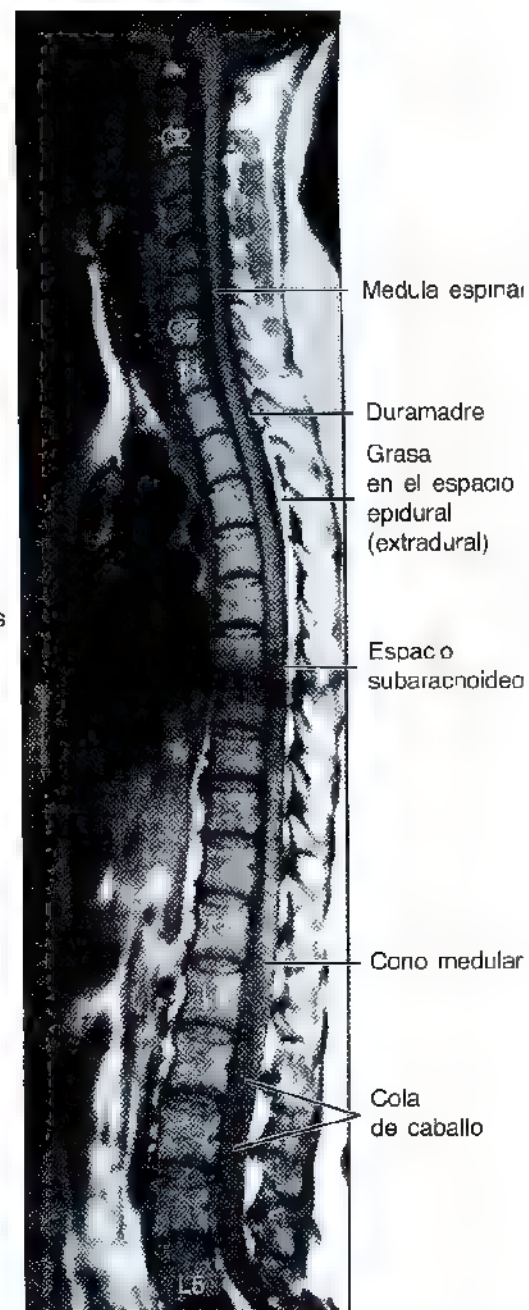
La columna vertebral de un adulto consta, de ordinario, de 33 vértebras, dispuestas en 5 regiones: 7 cervicales, 12 torácicas, 5 lumbares, 5 sacras y 4 coccígeas (fig. 4.2).

El **ángulo lumbosacro** se forma por la unión de los ejes largos de la región lumbar de la columna vertebral y del sacro. *El movimiento se produce sólo entre 24 vértebras:* 7 cervicales, 12 torácicas y 5 lumbares. Las 5 vértebras sacras están unidas en los adultos y forman el **sacro**, y las 4 coccígeas se unen para dar el **cóccix**. Las vértebras se van tornando cada vez mayores a medida que desciende la

Figura 4.1. La columna vertebral, la médula espinal y las meninges. **A.** Visión esquemática lateral de la columna vertebral con sus curvaturas normales; del ángulo lumbosacro, y de la relación con el cráneo, la caja torácica y el hueso de la cadera. Obsérvense los orificios intervertebrales (IV) por donde salen los nervios espinales del conducto vertebral (espinal). **B.** RM sagital que muestra la médula espinal y la cola de caballo dentro del conducto vertebral. El cono medular es el extremo inferior, con forma de cuña, de la médula espinal, que suele terminar a la altura de L1/L2. La duramadre –cubierta externa de la médula espinal (*gris*)– queda separada de la médula espinal por el espacio subaracnoideo (leptomeníngeo) (*en negro*), lleno del LCR, y de la pared del conducto vertebral por el espacio epidural o extradural, que contiene grasa semilíquida (*en blanco*) y venas de paredes finas (no se ven en esta imagen). (Cortesía del Dr. W. Kucharczyk, Director de Imagen Médica, Facultad de Medicina, Universidad de Toronto y Director Clínico del Centro de Resonancia Trihospitalaria, Toronto, Ontario, Canadá.)

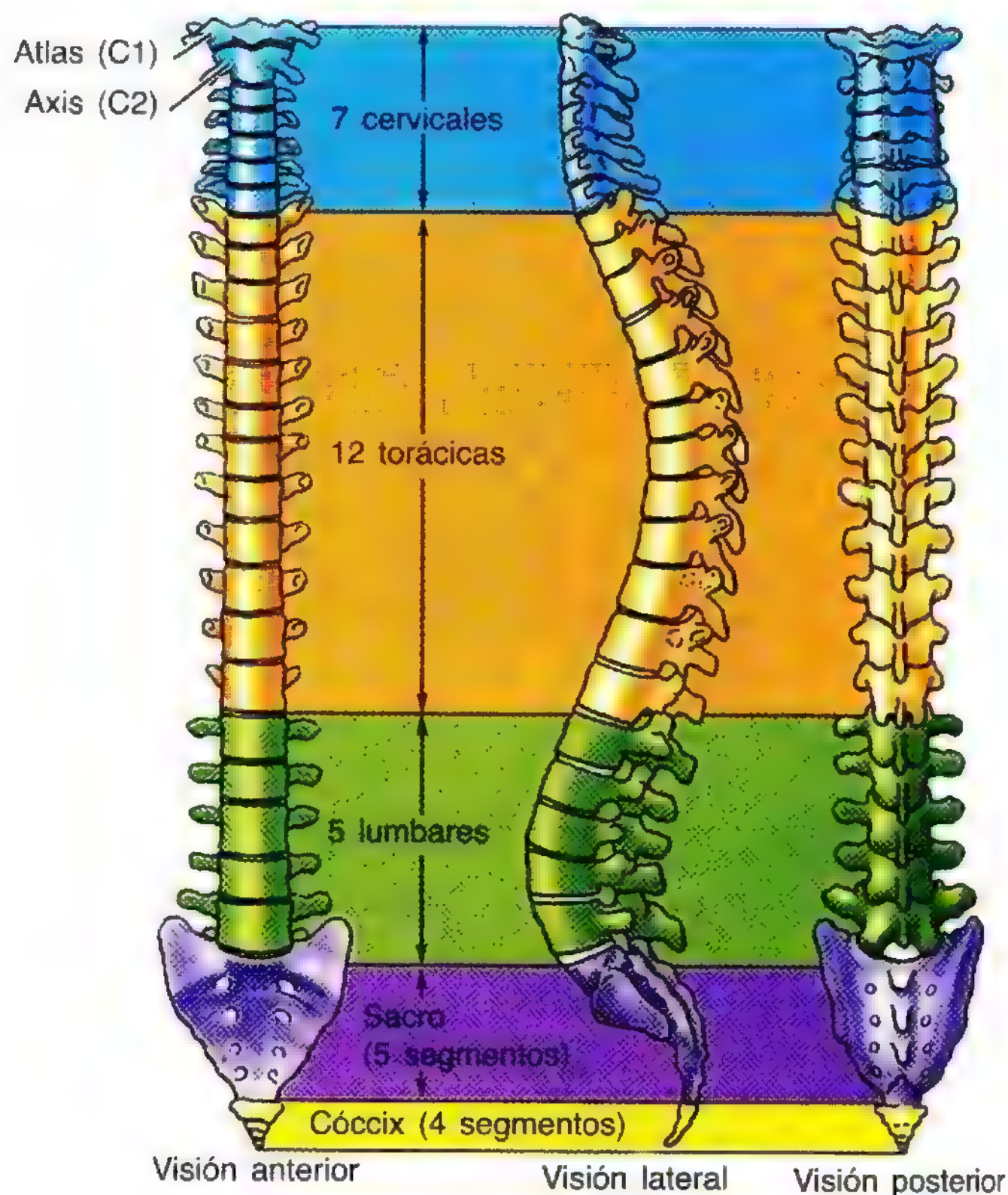


(A)



(B)

Figura 4.2. Tres proyecciones de la columna vertebral. Se ven las cinco regiones de la columna vertebral. Obsérvese, asimismo, que existen 24 vértebras presacras diferentes y que los cinco segmentos (vértebras) sacros se unen para formar el sacro. Los cuatro segmentos coccígeos se unen en fases avanzadas de la vida para formar el cóccix. La visión lateral izquierda revela las curvaturas normales de la columna vertebral.



columna vertebral hasta el sacro, y luego merman hacia la punta del cóccix. Estas diferencias estructurales obedecen a que las vértebras sucesivas soportan un peso corporal cada vez mayor según desciende la columna, hasta que dicho peso se transmite, en la cintura pélvica, a las articulaciones sacroilíacas.

La columna vertebral es flexible porque se compone de muchos huesos bastante pequeños, las **vértebras**, separados por los discos IV elásticos. Las 24 vértebras cervicales, torá-

cicas y lumbares también se unen a través de articulaciones sinoviales que facilitan y controlan la flexibilidad de la columna vertebral. Pese a que el movimiento entre dos vértebras adyacentes es pequeño, en conjunto las vértebras y los discos IV que los unen forman una columna extraordinariamente flexible, pero con la rigidez necesaria, que protege la médula espinal encerrada en su interior. La forma y la fuerza de las vértebras y los discos IV, los ligamentos y los músculos confieren estabilidad a la columna vertebral.

Las variaciones vertebrales

Los estudios con múltiples esqueletos señalan que del 88 al 90% de las columnas vertebrales tienen un número normal de vértebras encima del sacro. El aumento de la longitud de la región presacra de la columna vertebral incrementa la tensión sobre la parte inferior de la región lumbar, debido al mayor brazo de palanca.

Las variaciones vertebrales dependen de la raza, el sexo y los factores del desarrollo (genético y ambiental). La mayoría de las personas tiene 33 vértebras, pero algunas poseen 32 o 34 por errores en el desarrollo. El aumento del número de vértebras es más común en los varones, y la reducción, en las mujeres. La variación en el número de vértebras se observa con más frecuencia en algunas razas. *A veces, esta variación adquiere interés clínico, pero en la*

mayoría de los casos se detecta mediante técnicas de imagen, radiografías o tomografías computarizadas (TC), o bien durante disecciones o autopsias de personas sin antecedentes de problemas de espalda.

De cualquier forma, siempre que se describa una lesión (p. ej., cuando se notifique el lugar de la fractura vertebral) se aconseja prudencia. Para contar las vértebras hay que empezar por la base del cuello. *El número de vértebras cervicales (siete) es constante;* sin embargo, las variaciones numéricas de las vértebras torácicas, lumbares, sacras y coccígeas afectan casi al 5% de personas, por otra parte, sanas. Siempre que se analice una variación numérica hay que agrupar las regiones torácica y lumbar, porque algunas personas tienen más de cinco vértebras lumbares y, para compensar, disminuye el número de vértebras torácicas. ◉

Curvaturas de la columna vertebral

La columna vertebral del adulto posee 4 curvaturas: cervical, torácica, lumbar y sacra (fig. 4.3). Las curvaturas otorgan un soporte flexible (con la elasticidad suficiente para absorber los choques) al cuerpo. Las curvaturas torácica y sacra (pélvica) tienen concavidad anterior, y las curvaturas cervical y lumbar, posterior. Las curvaturas torácica y sacra son **curvaturas primarias** que aparecen durante el período fetal. Las curvaturas primarias obedecen a diferencias de altura entre las partes anterior y posterior de las vértebras. Compárense las curvaturas de la figura 4.3 y nótese cómo las curvaturas primarias se hallan en la misma dirección que las curvaturas principales de la columna vertebral fetal. Las curvaturas cervical y lumbar son **curvaturas secundarias** que comienzan a aparecer en el período fetal, pero no se evidencian hasta la lactancia. Las curvaturas secundarias obedecen, sobre todo, a las diferencias de espesor entre las porciones anterior y posterior de los discos intervertebrales.

La **curvatura cervical** se hace prominente cuando el lactante comienza a mantener la cabeza erecta. La **curvatura torácica** se debe a la ligera morfología en cuna de los cuer-

pos vertebrales torácicos. La **curvatura lumbar** se manifiesta cuando el lactante comienza a andar y asume la posición erecta. Esta curvatura, que suele ser más acusada en las mujeres, termina en el **ángulo lumbosacro**, formado en la unión de la vértebra L5 con el sacro (fig. 4.1A). La **curvatura sacra** también difiere en los dos sexos.

Curvaturas anormales de la columna vertebral

Para detectar una curvatura anormal de la columna vertebral, la persona examinada debe permanecer de pie en posición anatómica. Se inspecciona el perfil de la columna vertebral por el lado (A) y luego por la cara posterior (D). Si la persona se flexiona hacia delante se observa su capacidad para la flexión directa y si la columna se queda nivelada en dicha posición (E). Las curvaturas anormales de algunas personas se deben a anomalías del desarrollo, pero en otros casos obedecen a procesos patológicos, como la *osteoporosis*.

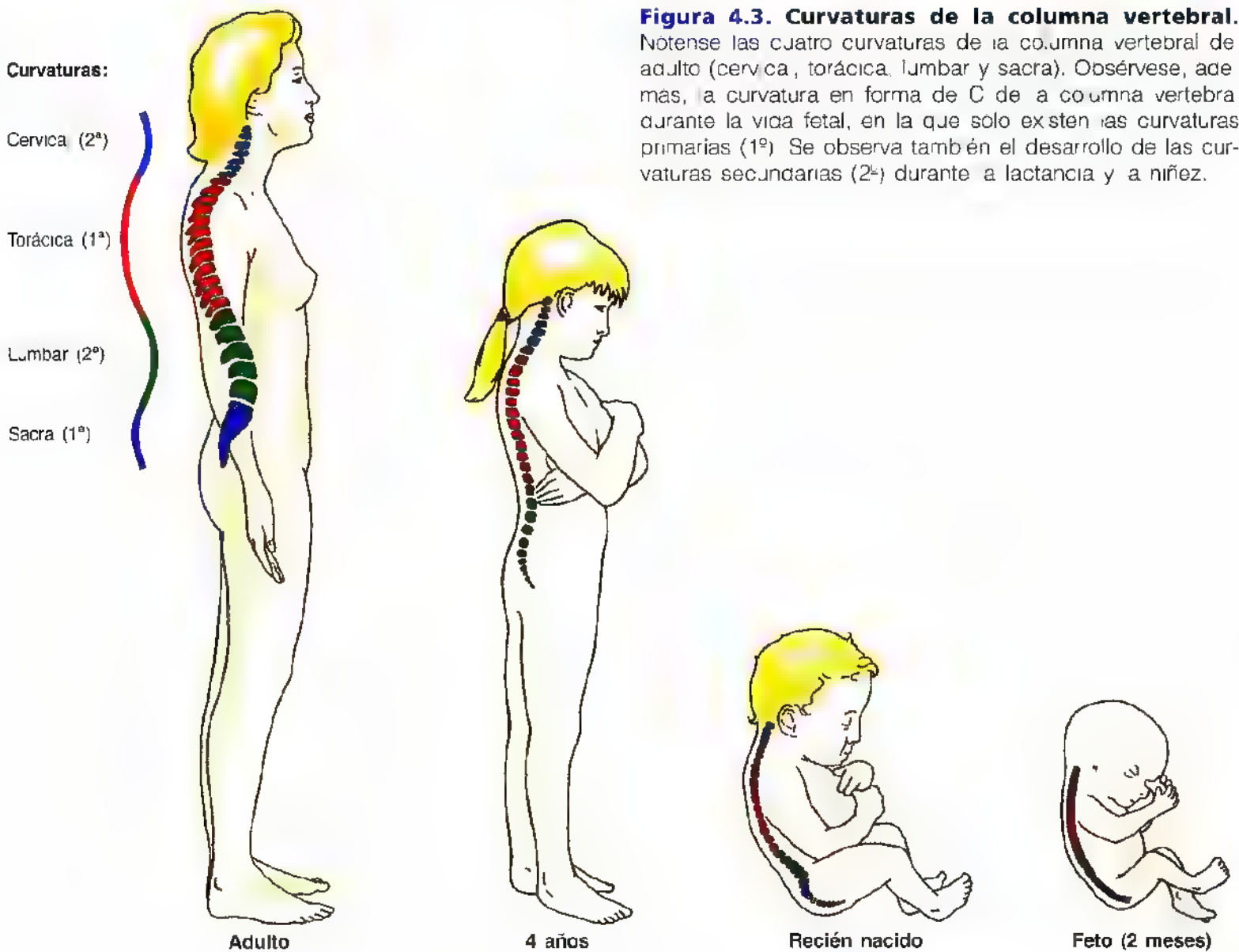
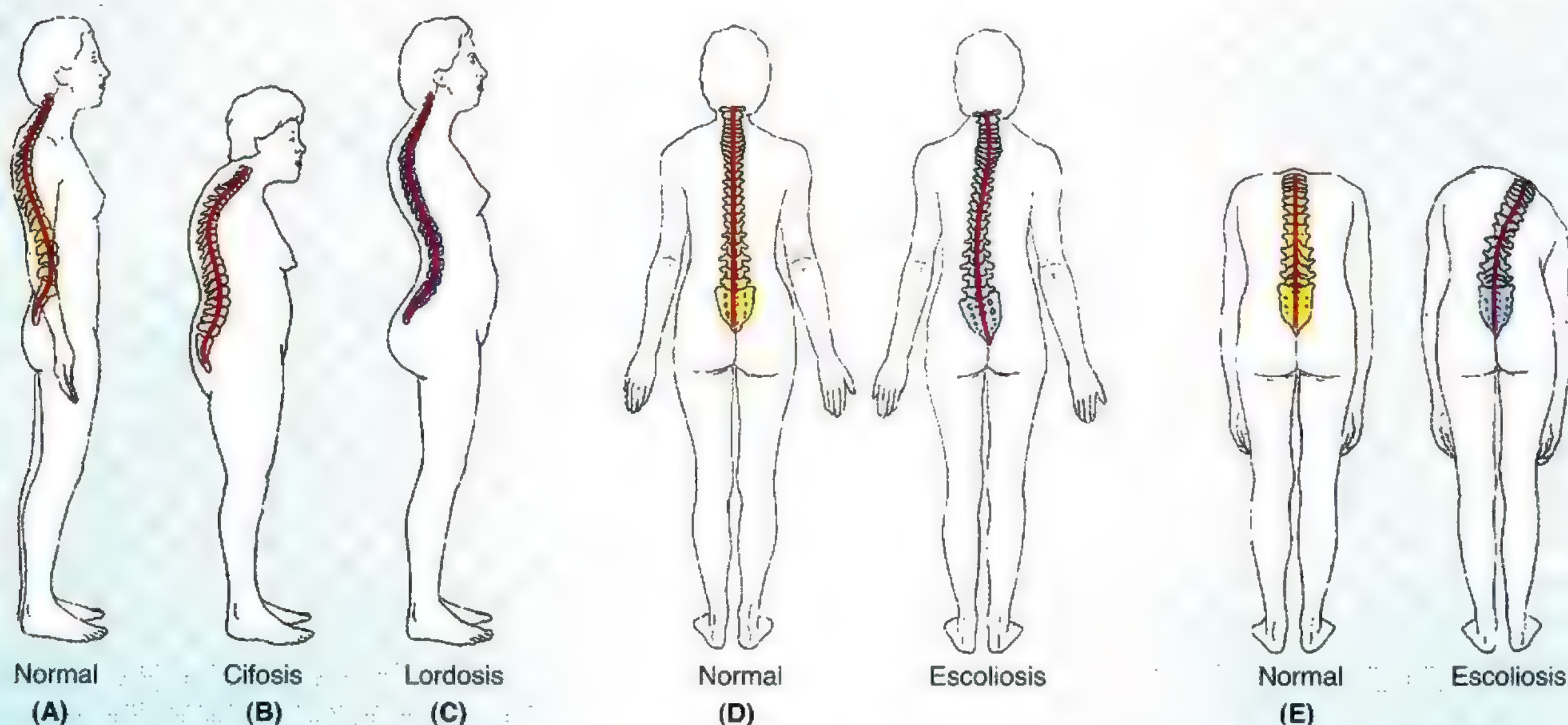


Figura 4.3. Curvaturas de la columna vertebral. Nótese las cuatro curvaturas de la columna vertebral de adulto (cervical, torácica, lumbar y sacra). Obsérvese, además, la curvatura en forma de C de la columna vertebral durante la vida fetal, en la que solo existen las curvaturas primarias (1ª). Se observa también el desarrollo de las curvaturas secundarias (2ª) durante la lactancia y la niñez.



► es decir, una reducción de la calidad del hueso o una atrofia del tejido óseo.

La **cifosis** (joroba) se caracteriza por un *incremento anómalo de la curvatura torácica*; la columna vertebral se curva por la cara posterior (B). Esta anomalía puede deberse a una erosión de la parte anterior de una o más vértebras (p. ej., debido a la desmineralización resultante de la osteoporosis). La *joroba de las viudas* es un nombre coloquial para definir la cifosis de las mujeres mayores, causada por fracturas en cuña de las vértebras torácicas secundaria a osteoporosis; sin embargo, la cifosis afecta a las personas mayores de ambos sexos (Swartz, 1994). La erosión progresiva y el colapso vertebral también provoca un descenso general de la talla. La cifosis aumenta el diámetro anteroposterior (AP) del tórax.

La **lordosis** se caracteriza por una *rotación anterior de la pelvis* (la parte superior del sacro toma una inclinación anteroinferior) por las caderas, que causa un aumento anómalo de la curvatura lumbar. La columna vertebral se incurva hacia delante (C). Esta *deformidad anómala por extensión* suele acompañarse de una debilidad de la musculatura del tronco, en particular de la musculatura anterolateral del abdomen. Para compensar las alteraciones de la línea gravitatoria normal, *las mujeres experimentan una lordosis pasajera durante la fase final del embarazo*. Esta curvatura lordótica puede ocasionar lumbago, pero la molestia desaparece de ordinario poco después del parto. *La obesidad también es causa de lordosis y lumbago*

en ambos sexos, por el mayor peso del contenido abdominal, situado delante de la línea gravitatoria. El adelgazamiento corrige este tipo de lordosis.

La **escoliosis** (dorso curvo) se caracteriza por una *curvatura lateral anormal que se acompaña de rotación vertebral* (D y E). Las apófisis espinosas se dirigen a la concavidad de la curvatura normal y, con la flexión anterior, las costillas rotan hacia atrás (protruyen) por el lado de mayor convexidad. *La escoliosis es la deformidad más común de la columna vertebral en las muchachas*. La debilidad asimétrica de la musculatura intrínseca del dorso (*escoliosis miopática*), la ausencia de desarrollo de una hemivértebra (*mitad de la vértebra*) y la discrepancia en la longitud de los miembros inferiores son causas de escoliosis. Si la longitud de los miembros inferiores no es la misma, la inclinación compensatoria de la pelvis puede motivar una *escoliosis estática* funcional. Cuando se levanta la persona, la inclinación evidente hacia un lado puede constituir un signo de escoliosis secundaria a una herniación del disco intervertebral. La *escoliosis habitual* se debe supuestamente al hábito de sentarse o permanecer de pie en una postura inadecuada. Si la escoliosis es exclusivamente postural, desaparece con la flexión máxima de la columna vertebral.

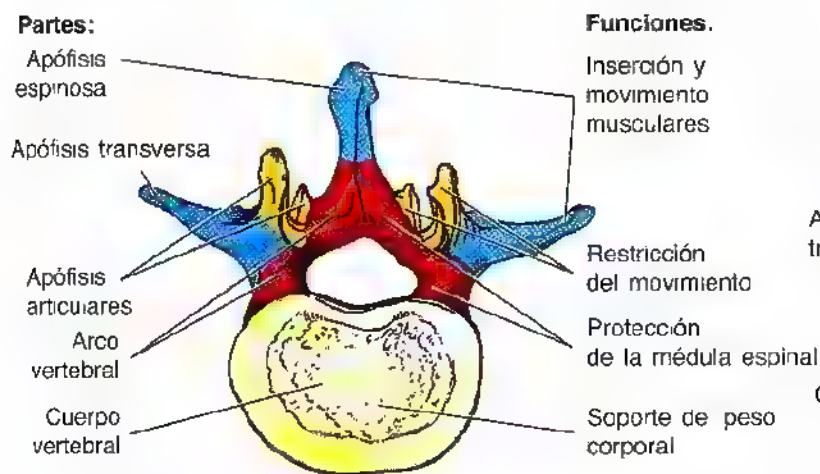
En ocasiones se aprecia una **cifoscoliosis** –cifosis combinada con escoliosis–, en la que el diámetro AP anómalo restringe de manera intensa la expansión torácica y pulmonar (Swartz, 1994). ◉

Estructura y función de las vértebras

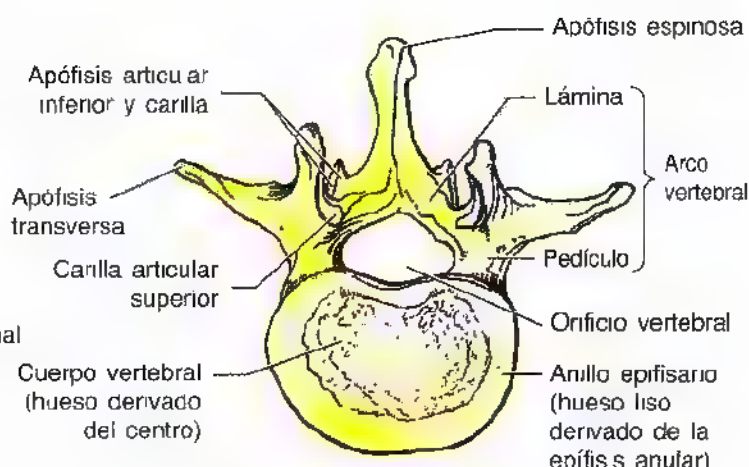
Las vértebras varían de tamaño y de otras características de una región a otra de la columna y, en menor grado, dentro de cada región. *Una vértebra típica* (fig. 4.4) *se compone de lo siguiente:*

- Cuerpo vertebral.
- Arco vertebral (neural).
- Siete apófisis.

Las vértebras típicas varían de tamaño y de otros aspectos de una región a otra, pero su estructura fundamental se mantiene.



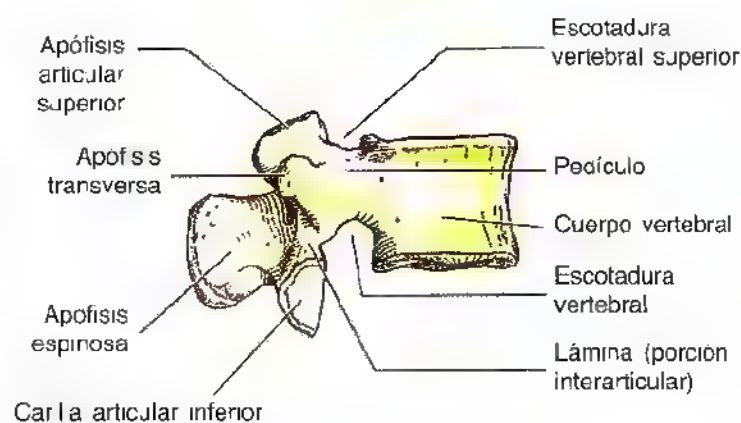
(A) Visión superior



(B) Visión superior

Figura 4.4. Partes y funciones de las vértebras típicas. A. Componentes funcionales de una vértebra, las funciones de los componentes coloreados se enumeran a la derecha de la figura B. Visión superior de una vértebra típica (L2). Las partes principales constan de cuerpo, arco vertebral (neura) y 7 apófisis C. Visión lateral de la vértebra L2.

Obsérvese la pequeña escotadura vertebral encima del pedículo y la escotadura vertebral inferior, más ancha. Cuando se articulan dos vértebras, las escotaduras superior e inferior, junto con el disco intervertebral, que las une, crean un orificio intervertebral (IV) (fig. 4.1A) para el paso del nervio espinal y de los vasos concomitantes. Además, cada apófisis articular posee una cara articular (cara articular tapada en vida, con cartílago articular, en la que tiene lugar el contacto con las caras articulares de las vértebras adyacentes)



(C) Visión lateral

El **cuerpo vertebral** es la porción anterior con mayor masa del hueso, que otorga la fortaleza a la columna vertebral y soporta el peso del cuerpo (fig. 4.4A). Los cuerpos vertebrales, especialmente desde T4 hacia abajo, van aumentando progresivamente de tamaño para soportar el peso cada vez mayor del cuerpo. En las muestras esqueléticas secas del laboratorio y de los museos falta el cartílago hialino que cubre la mayor parte de los extremos superior e inferior del cuerpo vertebral y el hueso parece esponjoso, salvo en la periferia, donde el anillo epifisario de hueso liso — el **anillo epifisario** (derivado de la epífisis anular)— se une al cuerpo (fig. 4.4B). A medida que crecen las vértebras, las placas epifisarias hialinas crean la zona por donde el cuerpo vertebral crece en altura (véase “Huesos” en el capítulo de Introducción). Las **placas de crecimiento epifisario**, además de actuar como zonas de crecimiento, probablemente protegen de alguna manera los cuerpos vertebrales y permiten la difusión del líquido entre el disco IV y los capilares del cuerpo vertebral. En la pubertad aparece un segundo centro de osificación a los márgenes de cada placa de crecimiento —que forma un anillo epifisario a partir de *epífisis anular* (véase fig. 4.11, B y C)—. Las epífisis superior e inferior suelen unirse con el cuerpo vertebral al principio de la vida adulta (aproximadamente a los 25 años). El **centro** es el lugar principal de osificación de la masa central del cuerpo vertebral

(fig. 4.4B); por eso, los términos *centro* y *cuerpo* no son sinónimos. El centro representa algo menos que un cuerpo vertebral.

El **arco vertebral** se encuentra detrás del cuerpo de la vértebra y forma parte de ésta; lo constituyen los pedículos derecho e izquierdo y las láminas (fig. 4.4B). Los **pedículos** son apófisis cortas y macizas que unen el arco vertebral con el cuerpo de la vértebra. Los pedículos se proyectan en sentido posterior para reunirse con dos placas anchas y planas de hueso, las **láminas**. El arco vertebral y la cara posterior del cuerpo vertebral forman las paredes del **orificio vertebral**. La sucesión de los orificios vertebrales de la columna articulada da origen al **conducto vertebral** (conducto medular), que contiene la médula espinal, las meninges, grasa, las raíces de los nervios espinales y los vasos (fig. 4.1B). Las **escotaduras vertebrales** son indentaciones creadas por la proyección del cuerpo y de las apófisis articulares situadas encima y debajo del pedículo (fig. 4.4C). Las escotaduras vertebrales superior e inferior de las vértebras adyacentes contribuyen a formar los **orificios intervertebrales** (fig. 4.1A), que dan paso a las raíces de los nervios espinales y a los nervios concomitantes y contienen los ganglios espinales (ganglios de la raíz dorsal).

Del arco vertebral de una vértebra típica emergen 7 apófisis (fig. 4.4A):

- Una **apófisis espinosa**, que se proyecta en sentido posterior, desde el arco vertebral en la unión de las láminas, y se superpone con la vértebra siguiente.
- Dos **apófisis transversas**, que se proyectan posterolateralmente a partir de las uniones entre los pedículos y las láminas.
- Cuatro **apófisis articulares** (del griego *zygapophyses*) —dos superiores y dos inferiores—, que también nacen en las uniones entre los pedículos y las láminas.

Tres de estas apófisis —las dos transversas y la espinosa— se proyectan desde el arco vertebral y ofrecen lugares para la inserción de los músculos profundos del dorso, además de servir de palanca para que los músculos muevan las vértebras.

Las cuatro apófisis articulares se proyectan en sentido superior e inferior, respectivamente, a partir del arco vertebral y se aponen con las apófisis correspondientes de las vértebras superior e inferior. Su función consiste en restringir determinados movimientos (fig. 4.4A) o, por lo menos, regular los movimientos permitidos. Las apófisis articulares también impiden que las vértebras se deslicen hacia delante. Cuando se levanta el cuerpo desde una posición flexionada, las apófisis articulares soportan momentáneamente el peso. Las apófisis articulares inferiores de la vértebra L5 soportan el peso, incluso en la posición erecta.

Características regionales de las vértebras

Las vértebras de las diferentes regiones de la columna vertebral presentan algunas modificaciones con respecto a las típicas. En general, las vértebras de cada región se reconocen por sus rasgos especiales (p. ej., las vértebras cervicales se caracterizan por la presencia de orificios en las apófisis transversas). Además, algunas vértebras reúnen propiedades peculiares; *por ejemplo, la vértebra C7 posee una apófisis espinosa larga que crea una prominencia bajo la piel*, sobre todo cuando se flexiona el cuello. Pase su dedo a lo largo de la línea media en la cara posterior del cuello hasta que note la apófisis espinosa prominente de C7.

La **dirección de las carillas articulares** de las apófisis vertebrales articulares establece el sentido del movimiento del tronco que puede efectuarse en una región concreta (fig. 4.4B). Por ejemplo, las carillas articulares de las vértebras torácicas propician la flexión lateral y la rotación de la columna vertebral. Las variaciones en la forma y el tamaño del conducto vertebral tienen lugar porque la médula espinal de las regiones cervical y lumbar se ensancha para poder inervar los miembros.

Vértebras cervicales

Las *vértebras cervicales conforman el esqueleto óseo del cuello* (figs. 4.1 y 4.2). Las vértebras cervicales, las más pequeñas de las 24 vértebras móviles, se encuentran entre el cráneo y

el tórax. Las vértebras cervicales son huesos bastante pequeños, que soportan menos peso que las vértebras situadas por debajo. El rasgo propio de cada vértebra cervical es el **orificio transversario ovalado**. Estos orificios son más pequeños en C7 que en las demás vértebras cervicales; a veces, no se observan estos orificios (fig. 4.5, tabla 4.1). Las *arterias vertebrales atraviesan los orificios transversarios*, salvo los de C7, por donde sólo pasan pequeñas venas vertebrales accesorias. Las apófisis transversas de las vértebras cervicales terminan lateralmente en dos proyecciones, los **tubérculos anterior y posterior**. Los grandes tubérculos anteriores de C6 se denominan **tubérculos carotídeos**, porque a veces se comprimen las arterias carótidas comunes contra ellos para controlar la hemorragia de estos vasos.

Las vértebras C3 a C7 se caracterizan por grandes orificios vertebrales, debido al engrosamiento cervical de la médula espinal, que inerva los miembros superiores (véase fig. 4.28). Los bordes superiores de los cuerpos de estas vértebras se encuentran levantados por la cara posterior, sobre todo a los lados, y deprimidos por la anterior. Estos bordes elevados constituyen las *apófisis semilunares* (véase fig. 4.14). Las apófisis espinosas de las vértebras C3 a C6 son cortas y, casi siempre, bífidas en las personas blancas, pero no tanto en las negras. *La vértebra C7 es prominente y se caracteriza por una apófisis espinosa larga*; debido a esta prominencia, también se denomina a la vértebra C7 **vértebra prominente**.

Las vértebras C1 y C2 son atípicas. La C1 o **atlas** es un hueso anular. En la figura 4.5 se observa cómo el atlas es la vértebra cervical más ancha. Debido a que soporta el cráneo, recibió el nombre de Atlas, personaje de la mitología griega, que soportaba la tierra sobre sus hombros. Sobre las **caras articulares superiores** cóncavas y arriñonadas de C1 (fig. 4.6B) se apoyan dos grandes protuberancias de los lados del orificio magno, los **cóndilos occipitales** (fig. 4.6A). A

Tabla 4.1. Vértebras cervicales típicas (C3-C7)^a

Parte	Características distintivas
Cuerpo	Pequeño y más ancho de lado a lado que en sentido anteroposterior; la cara superior es cóncava, y la inferior, convexa
Orificio vertebral	Grande y triangular
Apófisis transversas	Orificios transversarios; pequeños o ausentes en C7; las arterias vertebrales y los plexos venoso y simpático concomitantes atraviesan los orificios, salvo C7, que sólo lleva pequeñas venas vertebrales accesorias; tubérculos anterior y posterior
Apófisis articulares	Las carillas articulares ascienden en dirección posterior; las carillas inferiores bajan en sentido anterior, y las carillas que miran de modo oblicuo quedan prácticamente horizontales en esta región
Apófisis espinosa	Corta (C3-C5) y bífida (C3-C5); la apófisis de C6 es larga, pero la de C7 lo es más (por esta razón, C7 se conoce como vértebra prominente)

^a Las vértebras C1 y C2 son atípicas.

través de estos cóndilos se transmite el peso de la cabeza a la columna vertebral. El atlas carece de apófisis espinosa y de cuerpo, y está constituido por los **arcos anterior** y **posterior**, cada uno de ellos con un tubérculo y una masa lateral. El arco posterior, que corresponde a la lámina de una vértebra típica, tiene un **surco profundo para la arteria vertebral** en su cara superior (fig. 4.6B). Este surco también está ocupado por el 1^{er} nervio cervical.

La **vértebra C2** o **axis** es la más robusta de todas las cervicales, porque C1, que soporta el cráneo, gira sobre ella cuando una persona agita la cabeza, por ejemplo. El axis dispone de dos caras planas y grandes, las **carillas articulares superiores**, sobre las que rota el atlas (fig. 4.6C). El ras-

go diferencial del axis es el **diente** (apófisis odontoides) como que se proyecta desde el cuerpo hacia arriba. El diente se mantiene en esta posición merced al **ligamento transverso del atlas**, que impide el desplazamiento horizontal de esta vértebra. C2 posee una gran apófisis espinosa bifida (fig. 4.6D), que se palpa en la profundidad del **surco de la nuca** o surco posterior del cuello.

El motivo por el que las vértebras C1 y C2 son atípicas es porque parte del cuerpo de C1 se transmite al cuerpo de C2. La parte del cuerpo que queda en C1 está constituida por el arco anterior de C1. La parte del cuerpo de C1 que se transmite a C2 se transforma en el diente. Este es el pivote sobre el que rota C1 (que soporta la cabeza).

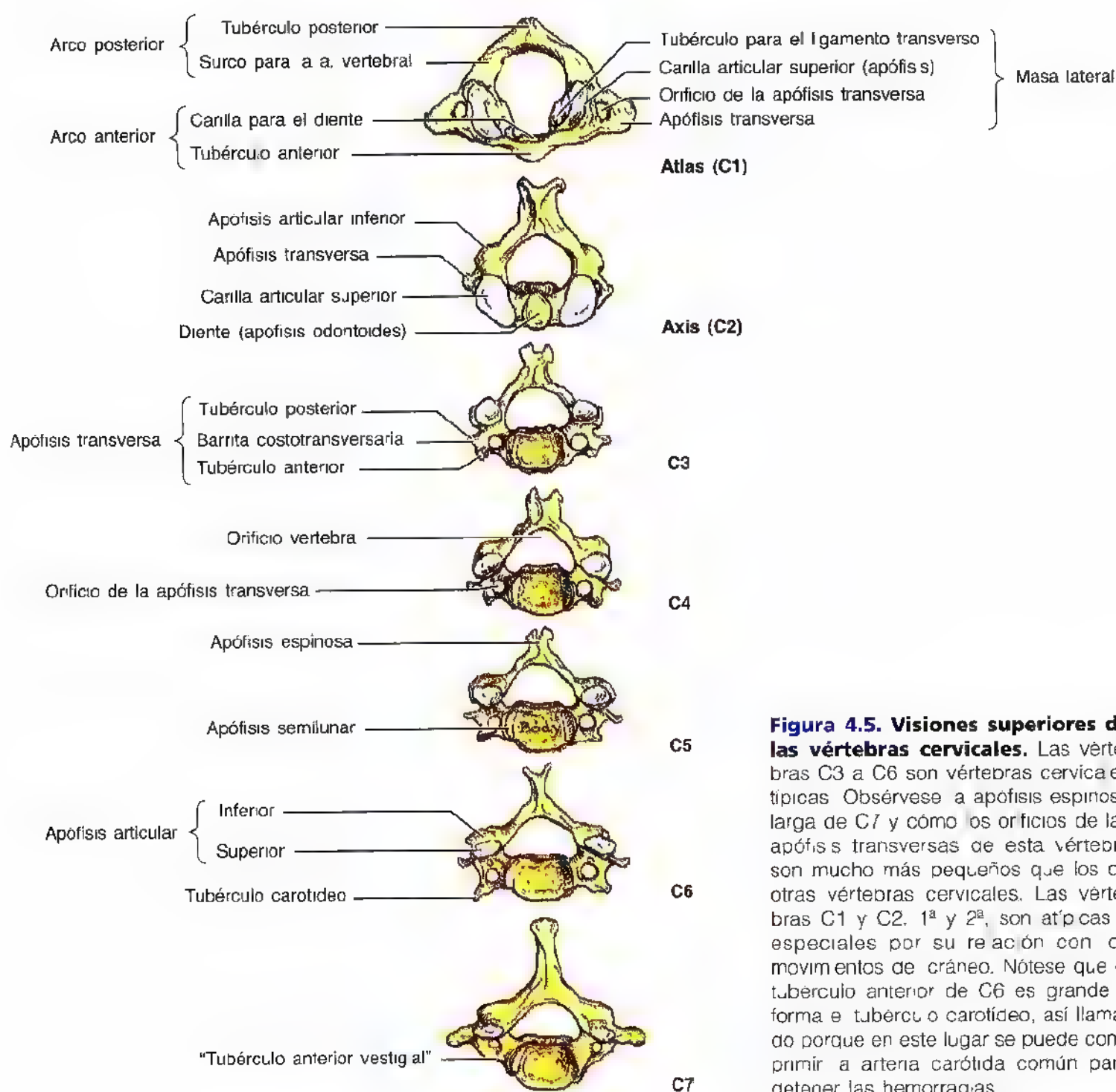


Figura 4.5. Visiones superiores de las vértebras cervicales. Las vértebras C3 a C6 son vértebras cervicales típicas. Obsérvese la apófisis espinosa larga de C7 y cómo los orificios de las apófisis transversas de esta vértebra son mucho más pequeños que los de otras vértebras cervicales. Las vértebras C1 y C2, 1^a y 2^a, son atípicas y especiales por su relación con los movimientos de cráneo. Nótese que el tubérculo anterior de C6 es grande y forma el tubérculo carotideo, así llamado porque en este lugar se puede comprimir la arteria carótida común para detener las hemorragias.

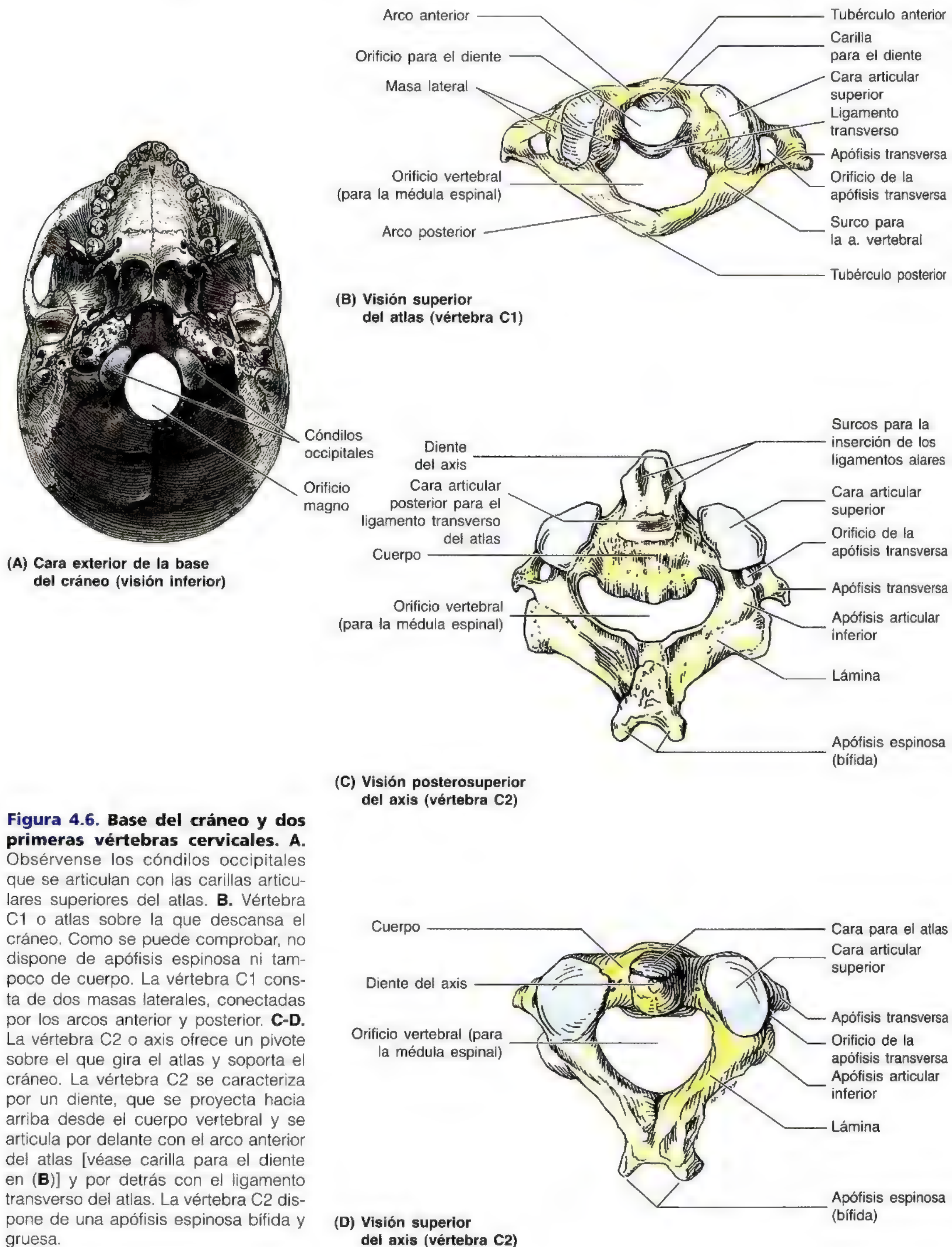


Figura 4.6. Base del cráneo y dos primeras vértebras cervicales. **A.** Obsérvense los cóndilos occipitales que se articulan con las carillas articulares superiores del atlas. **B.** Vértebra C1 o atlas sobre la que descansa el cráneo. Como se puede comprobar, no dispone de apófisis espinosa ni tampoco de cuerpo. La vértebra C1 consta de dos masas laterales, conectadas por los arcos anterior y posterior. **C-D.** La vértebra C2 o axis ofrece un pivote sobre el que gira el atlas y soporta el cráneo. La vértebra C2 se caracteriza por un diente, que se proyecta hacia arriba desde el cuerpo vertebral y se articula por delante con el arco anterior del atlas [véase carilla para el diente en (B)] y por detrás con el ligamento transverso del atlas. La vértebra C2 dispone de una apófisis espinosa bífida y gruesa.

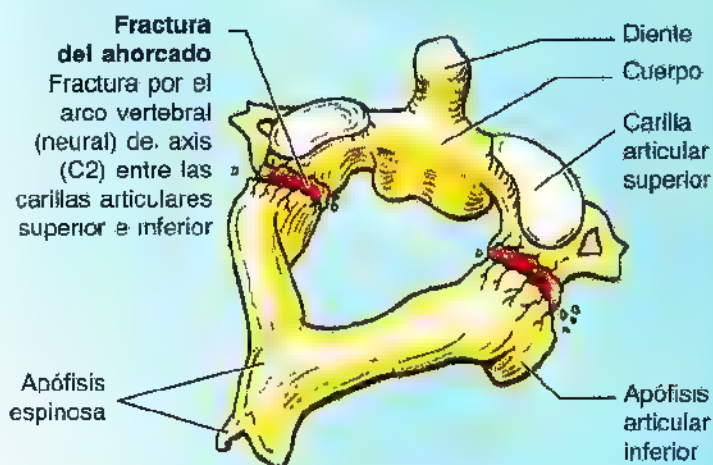
Luxación de las vértebras cervicales

Los cuerpos de las vértebras cervicales se apilan como libros y se pueden luxar en las lesiones de cuello; la fuerza requerida para la luxación es menor que para la fractura. Como el conducto vertebral cervical es grande, puede existir una ligera luxación sin que se dañe la médula espinal. Cuando se luxa gravemente una vértebra cervical, se lesiona la médula (pág. 470). Sin embargo, la vértebra puede reducirse de forma espontánea ("regresar a su posición"), por lo que en la radiografía o resonancia magnética (RM) no siempre se ve que la médula ha quedado dañada.

Fractura y luxación del axis

En una caída sobre la cabeza se puede fracturar el diente del axis. El desplazamiento del diente fracturado puede dañar la médula espinal y provocar una **cuadriplejía** o **tetraplejía** (parálisis de los cuatro miembros), o bien una lesión del bulbo raquídeo, provocando la muerte. Las

fracturas que pasan por los pedículos del axis —como la *fractura del ahorcado*—, con o sin subluxación (luxación incompleta) del axis sobre la 3ª vértebra cervical (C3), también pueden dañar la médula espinal o el bulbo y ocasionar tetraplejía o muerte. ● ● ● ●



Visión posterosuperior del axis (C2)

Vértebras torácicas

Los rasgos característicos de las vértebras torácicas son las **fositas costales** que se articulan con las costillas (fig. 4.7, tabla 4.2). A cada lado del cuerpo se encuentran una o más fositas que se articulan con la cabeza de la costilla; también existe una fosita en cada apófisis transversa de las 10 primeras vértebras torácicas para el tubérculo costal.

Las **apófisis espinosas** de las vértebras torácicas son largas y degadas; las intermedias se dirigen hacia abajo sobre los arcos vertebrales de la vértebra situada debajo (figs. 4.1A y 4.7B).

Las vértebras T1 a T4 poseen algunos rasgos de las cervicales. La vértebra T1 es atípica porque dispone de una apófisis espinosa larga y casi horizontal que puede ser tan prominente como la de la propia vértebra prominente. T1 posee, además, una fosita costal completa en el borde superior de su cuerpo para la 1ª costilla, y una semicarilla en el borde inferior que contribuye a la cara articular de la 2ª costilla. Las vértebras T9 a T12 también son atípicas, porque disponen de tubérculos semejantes a las apófisis accesorias y mamilares de las vértebras lumbares.

Las cuatro vértebras torácicas centrales son típicas. El contorno de sus cuerpos, visto desde arriba, tiene forma de corazón y sus orificios vertebrales son circulares (fig. 4.7A). A veces se ve una impresión en el lado izquierdo de los cuerpos de las vértebras torácicas, producida por la aorta torácica descendente.

Vértebras lumbares

Estas vértebras se encuentran en la parte baja del dorso, entre el tórax y el sacro (figs. 4.1 y 4.2). Las vértebras lumbares se distinguen por sus **cuerpos macizos**, sus **láminas robustas** y la **ausencia de fositas costales** (fig. 4.8, tabla 4.3). Estas grandes vértebras justifican gran parte del grosor de la parte infe-

rior del tronco en el plano medio. Las vértebras lumbares disponen de cuerpos poderosos, porque el peso que soportan aumenta según se avanza hasta el extremo inferior de la columna. Los cuerpos de las vértebras lumbares, vistos desde la cara superior, tienen forma arrifionada y sus orificios vertebrales varían desde ovalados (L1) hasta triangulares (L5).

L5 es la mayor de todas las vértebras móviles y soporta el peso de la mitad superior del cuerpo. *L5 se caracteriza por un cuerpo macizo y apófisis transversas robustas.* Su cuerpo es mucho más profundo en la parte anterior; *por eso es el principal responsable del ángulo lumbosacro* que se crea entre el eje longitudinal de la región lumbar de la columna y el de sacro (fig. 4.1A). El peso corporal se transmite a la **base del sacro**, formada por la cara superior de la vértebra S1 (véase fig. 4.10A). Las **apófisis espinosas de las vértebras lumbares, con forma de hacha, son gruesas y anchas y apuntan en dirección posterior** (figs. 4.1A y 4.8). Las **apófisis articulares** de las vértebras lumbares facilitan la flexión, extensión y flexión lateral de la columna vertebral; sin embargo, impiden la rotación. Las **apófisis transversas** se proyectan ligeramente en el plano posterosuperior y también lateral. En la cara posterior de la base de cada apófisis transversa aparece una pequeña **apófisis accesorio** (fig. 4.8), en la que se inserta el músculo lumbar intertransversario medial (véase fig. 4.25C). En la cara posterior de las apófisis articulares superiores se encuentran las **apófisis mamilares** en las que se insertan los músculos multifido e intertransverso medial.

Sacro

Este hueso grande, con forma de cuña triangular, suele componerse de 5 vértebras sacras fusionadas en los adultos (fig. 4.9). Se encuentra entre los huesos de la cadera y forma el techo y la pared posterosuperior de la parte posterior

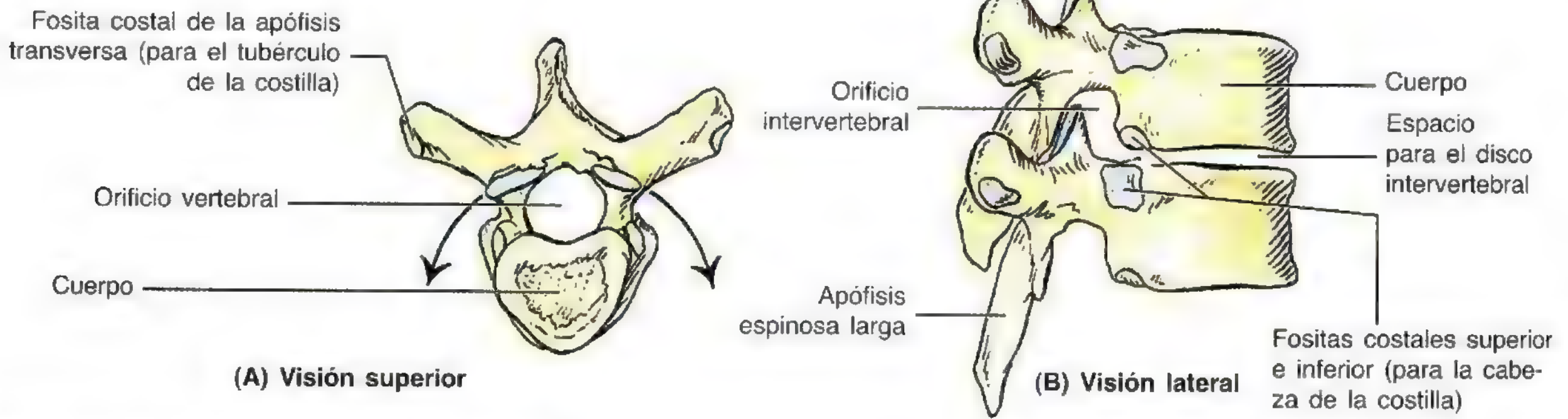


Figura 4.7. Vértebras torácicas típicas. **A.** Visión superior. Obsérvese el cuerpo con forma de corazón y el orificio vertebral circular. Nótese, además, que las apófisis transversas son largas, redondas y robustas. **B.** Visión lateral de dos vértebras articuladas. En vida, el disco intervertebral (IV) ocupa el espacio entre los cuerpos. Las apófisis espinosas son largas y finas, se inclinan en sentido inferoposterior y se superponen con la apófisis espinosa de la vértebra inferior. Las fositas costales son propias de las vértebras torácicas. La fosita costal superior, más grande, junto con el disco intervertebral situado por encima, y la fosita costal inferior, más pequeña, de la vértebra suprayacente forman la "cavidad" que aloja la cabeza de la costilla correspondiente.

Tabla 4.2. Vértebras torácicas

Parte	Características distintivas
Cuerpo	Forma de corazón; tiene una o dos fositas costales para articularse con la cabeza de las costillas
Orificio vertebral	Circular y más pequeño que el de las vértebras cervicales y lumbares
Apófisis transversas	Largas y robustas, con extensión posterolateral; la longitud disminuye de T1 a T12 (T1 a T10 disponen de fositas costales para articularse con el tubérculo de las costillas)
Apófisis articulares	Las carillas superiores se dirigen en sentido posterior y algo lateral; las inferiores lo hacen hacia delante y ligeramente mediales; el plano de las carillas se sitúa en arco centrado sobre el cuerpo vertebral
Apófisis espinosa	Larga, con inclinación posteroinferior; la punta se extiende hasta la altura del cuerpo vertebral situado por debajo

de la cavidad pélvica. La forma triangular del sacro se debe a la rápida disminución de tamaño de las masas laterales de las vértebras sacras durante el desarrollo. La mitad inferior del sacro no soporta ningún peso y, por eso, su volumen disminuye con rapidez. El sacro otorga fortaleza y estabilidad a la pelvis y transmite el peso del cuerpo a la cintura pélvica, anillo óseo formado por los huesos de la cadera y el sacro, en el que se insertan los miembros inferiores.

El **conducto sacro** (fig. 4.9) —prolongación del conducto vertebral en el sacro— contiene las raíces nerviosas de la cola de caballo, el haz de raíces nerviosas espinales que emergen del engrosamiento lumbosacro y del cono medular de la médula espinal. La **cola de caballo** contiene las raíces de todos los nervios espinales situados debajo de la vértebra L1. En las caras pélvica y dorsal del sacro aparecen cuatro pares característicos de **orificios sacros** entre los componentes vertebrales, por donde emergen los ramos dorsales y ventrales

de los nervios espinales. Los orificios sacros anteriores (pélvicos) son más grandes que los posteriores (dorsales).

La **base del sacro** está formada por la cara superior de la vértebra S1. Las apófisis articulares superiores de esta vértebra se articulan con las apófisis articulares inferiores de la vértebra L5. El borde anterior de la vértebra S1 que sobresale es el **promontorio sacro**, una importante referencia obstétrica (véase el capítulo 3). El **vértice del sacro** —el extremo inferior afilado del sacro— posee una fosita oval para articularse con el cóccix.

El sacro soporta la columna vertebral y configura la parte posterior de la pelvis ósea. El sacro está inclinado, de tal suerte que se articula con la vértebra L5 por el **ángulo lumbosacro** (fig. 4.1A), que varía desde 130 hasta 160°. Muchas veces, el sacro es más ancho que largo en las mujeres, si bien el cuerpo de la 1ª vértebra sacra suele ser mayor en los varones.

La **cara pélvica del sacro** es lisa y cóncava (fig. 4.10A). Las cuatro líneas transversas de la superficie del sacro adulto indican el lugar donde se fusionan las vértebras sacras. En la infancia, cada vértebra sacra está conectada por un cartílago hialino y separada por discos IV. La fusión de las vértebras sacras ocurre a partir de los 20 años; sin embargo, la mayoría de los discos intervertebrales no se osifica hasta o más allá de edades medianas (Williams y cols., 1995).

La **cara dorsal del sacro** (fig. 4.10B) es rugosa, convexa y se caracteriza por cinco crestas longitudinales prominentes. La central o **cresta media** representa una apófisis espinosa rudimentaria y fusionada de las tres o cuatro primeras vértebras sacras; la vértebra S5 carece de apófisis espinosa. Las **crestas mediales (intermedias)** representan las apófisis articulares fusionadas, y las **laterales**, las puntas de las apófisis transversas de las vértebras sacras fusionadas. Los rasgos clínicos de interés de la cara dorsal del sacro son el hiatto del sacro, con forma de U invertida, y las astas del sacro.

El **hiato del sacro** se debe a la ausencia de las láminas y apófisis espinosas de la vértebra S5 y, a veces, de S4. El

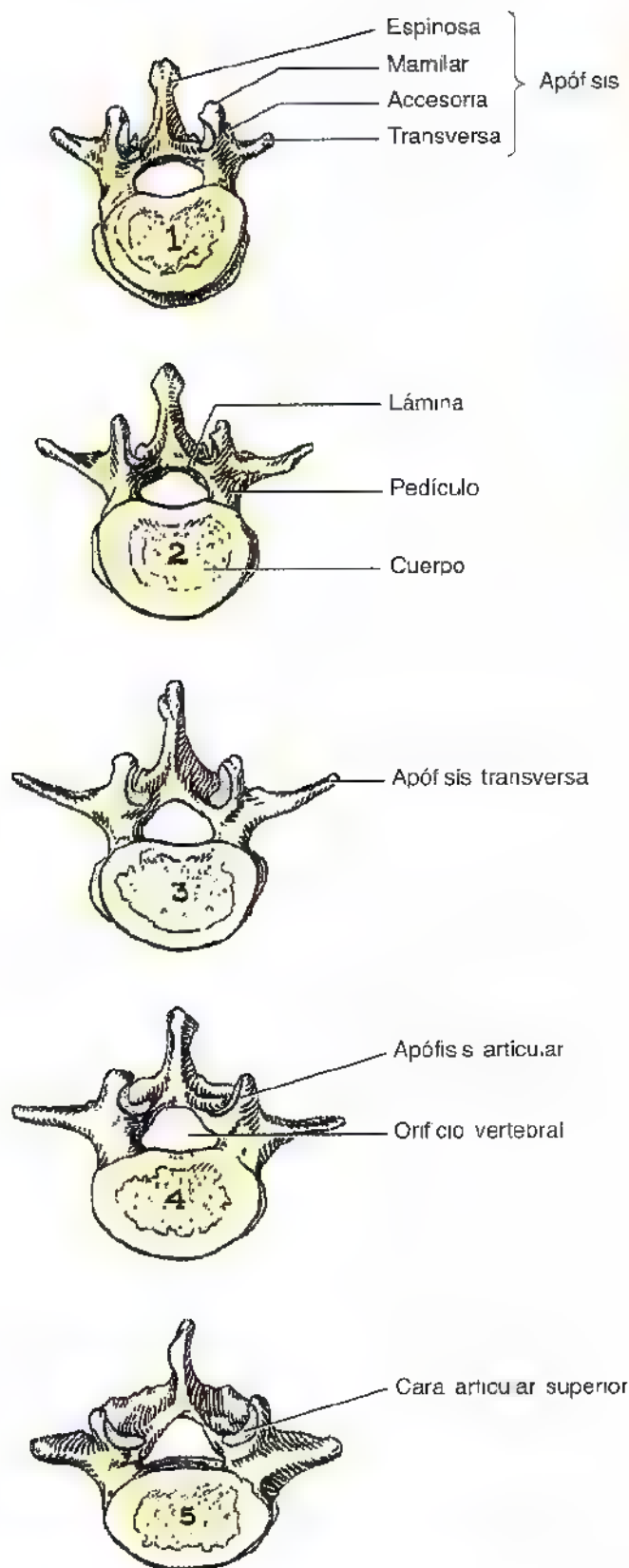


Figura 4.8. Vértexes lumbares. Caras superiores de las cinco vértebras lumbares, que muestran un cuerpo arrionado macizo, con fuertes arcos vertebrales (neuras) sobre todo L4 y L5. Estas vértebras se caracterizan por su gran tamaño, la ausencia de fosas costales y apófisis transversas largas y finas, homólogas de las costales. Las apófisis espinosas cuadrilaterales, con forma de hacha, se extienden en sentido horizontal y posterior. Además de las apófisis espinosas cuentan con apófisis mamarias y accesorias para la inserción de los músculos profundos de dorso del tronco.

Tabla 4.3. Vértexes lumbares

Parte	Características distintivas
Cuerpo	Macizo, forma arrionada s se ve desde arriba
Orificio vertebral	Triangular; más grande que el de las vértebras torácicas, pero más pequeño que el de las vértebras cervicales
Apófisis transversas	Largas y finas; apófisis accesorria en la cara posterior de la base de cada apófisis
Apófisis articulares	Las carillas superiores se dirigen en sentido postero-medial (o medial), las inferiores lo hacen en sentido anterolateral (o lateral), apófisis mamilar en la cara posterior de cada apófisis articular superior
Apófisis espinosa	Corta y robusta; gruesa, ancha y con forma de hacha

hiato del sacro llega hasta el **conducto sacro**, extremo inferior del conducto vertebral. Su profundidad varía, dependiendo del volumen de la apófisis espinosa y de las láminas de S4. El hiato del sacro contiene tejido conjuntivo adiposo, *filum terminale*, una tira de tejido conjuntivo que se extiende desde el extremo inferior de la médula espinal, el nervio S5 y el nervio coccígeo (Co.). Las **astas del sacro** constituyen las apófisis articulares inferiores de la vértebra S5 y se proyectan por debajo, a cada lado del hiato del sacro; constituyen una guía útil para su localización.

La parte superior de la **cara lateral del sacro** se parece a una pequeña oreja; debido a esta forma, esta zona se conoce como **cara auricular** (fig. 4.10B). Esta cara formada por la fusión de las apófisis costales (homólogas de las costales) es el *asiento de la parte sinovial de la articulación sacroiliaca*, situada entre el sacro y el ilion. La cara auricular está cubierta de cartilago hialino en vida.

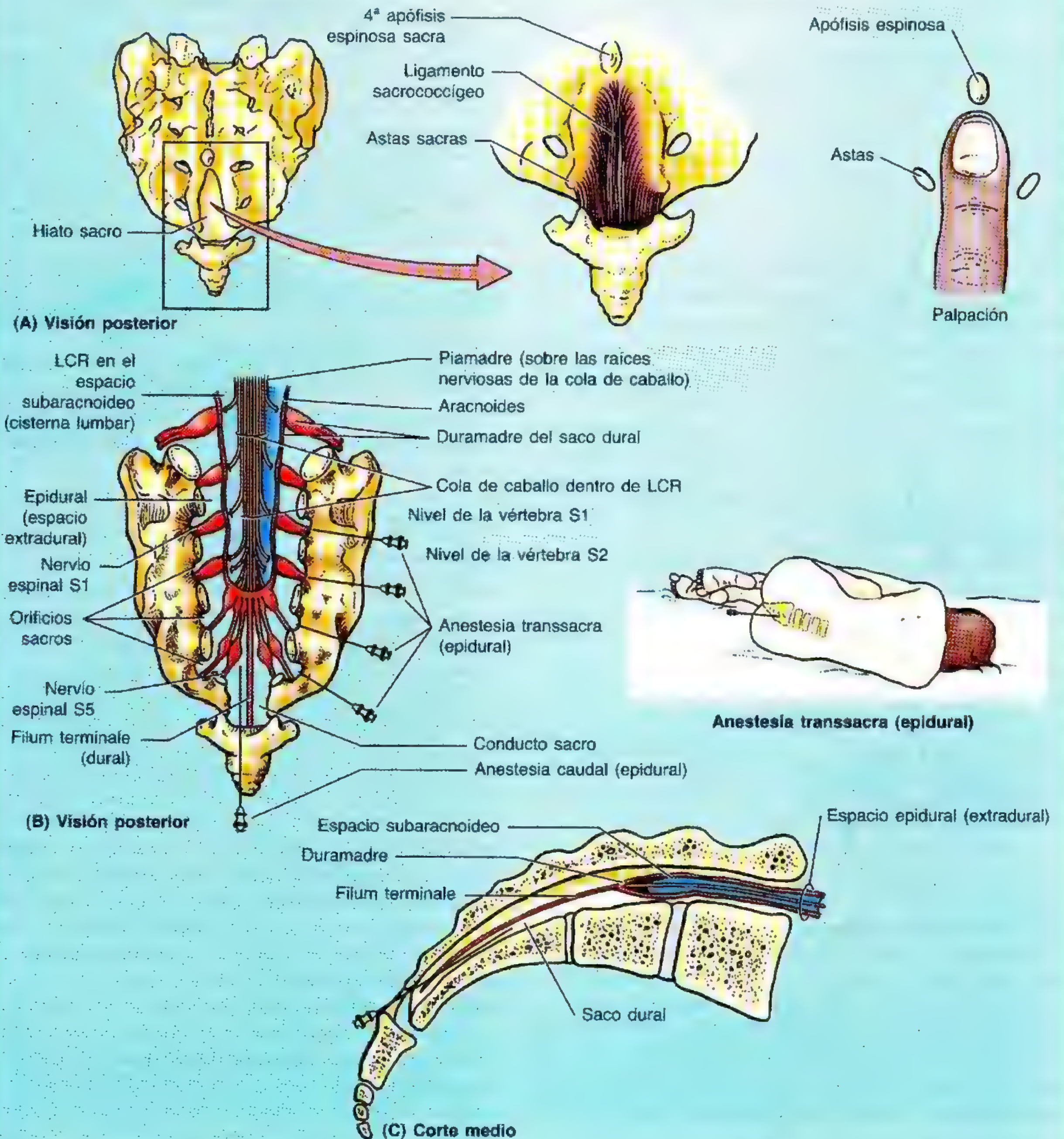
Cóccix

El cóccix (hueso de la cola) es un pequeño hueso triangular casi siempre formado por 4 vértebras rudimentarias (fig. 4.10), aunque a veces exista una vértebra de más o de menos. La 1ª vértebra coccígea puede ser independiente. *El cóccix es un vestigio del esqueleto de la cola*, que los embriones humanos portan hasta el comienzo de la 8ª semana (Moore y Persaud, 1998). La cara pélvica del cóccix es cóncava y bastante lisa, y la cara dorsal posee apófisis articulares rudimentarias. La 1ª vértebra coccígea es la más grande y ancha de todos los huesos del cóccix. Sus apófisis transversas cortas se comunican con el sacro y sus apófisis articulares rudimentarias forman las **astas del cóccix**, que se articulan con las correspondientes del sacro. Las tres últimas vértebras coccígeas suelen fusionarse durante las etapas intermedias de la vida, creando un hueso arrosariado, de donde procede el nombre (cóccix significa *cuco* en griego). En la vejez, la 1ª vértebra coccígea suele unirse con el sacro y las vértebras coccígeas restantes se funden en un solo hueso. El cóccix no participa con las demás vértebras para soportar el peso corporal, pero ofrece inserciones para parte de los músculos glúteo mayor y coccígeo y para el *ligamento anococcígeo*, intersección fibrosa media de los músculos pubococcígeos (véase el capítulo 3).

Anestesia epidural caudal

El hiato sacro del espacio epidural o extradural está lleno de tejido conjuntivo graso en vida (A). Para la *anestesia epidural* o para la *analgesia caudal* se inyecta un anestésico local dentro del conducto sacro (B). La disolución anestésica se dispersa hacia arriba y en el plano extradural o epidural, actuando sobre los nervios espinales S2 hasta el nervio coccígeo en la cola de caballo. La altura hasta la que asciende el anestésico se controla por la can-

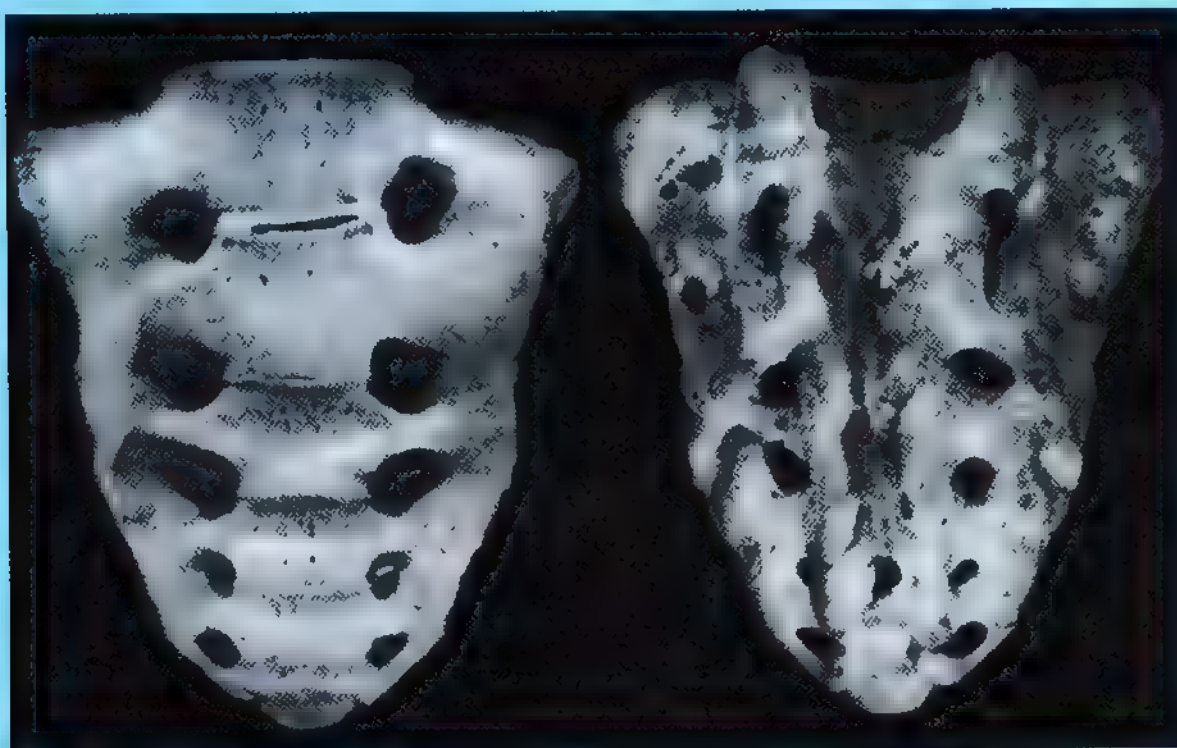
tidad inyectada y la posición del paciente. *La sensibilidad debajo del bloqueo epidural desaparece.* Como el hiato sacro está situado entre las astas del sacro, debajo de la 4ª apófisis espinosa sacra o de la cresta sacra media, estas astas constituyen referencias óseas importantes para localizar el hiato. También se pueden inyectar anestésicos por los orificios sacros posteriores —*anestesia transsacra (epidural)*— dentro del conducto sacro y alrededor de las raíces de los nervios espinales (B).



Fusión anormal de las vértebras

La vértebra L5 se incorpora en parte o en su totalidad al sacro de un 5% de las personas; estos estados se conocen como *hemisacralización* y *sacralización de la vértebra L5*, respectivamente. En otras personas, la vértebra S1

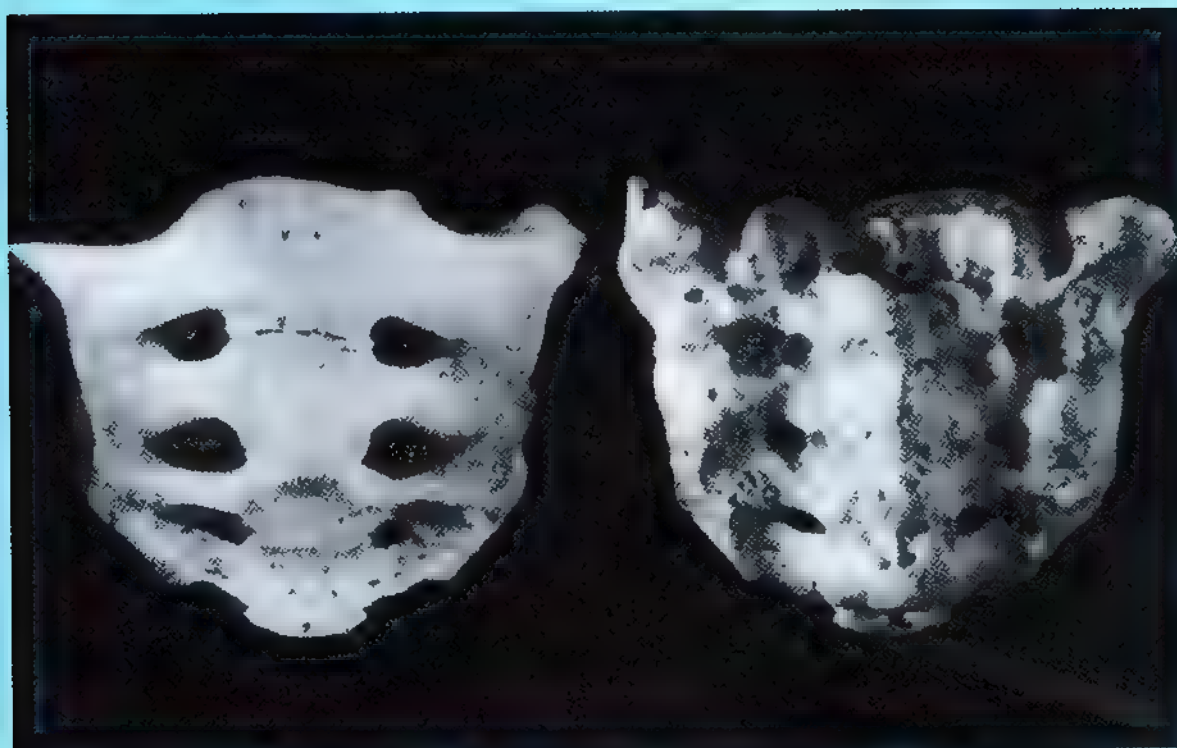
está más o menos separada del sacro y se fusiona de manera parcial o íntegra con la vértebra L5; se trata de la *lumbarización de la vértebra S1*. Cuando se sacraliza L5, el plano L5/S1 es robusto y degenera el plano L4/L5, causando con frecuencia síntomas de dolor. ▶



Cara pélvica

Cara dorsal

Sacralización de la vértebra L5



Cara pélvica

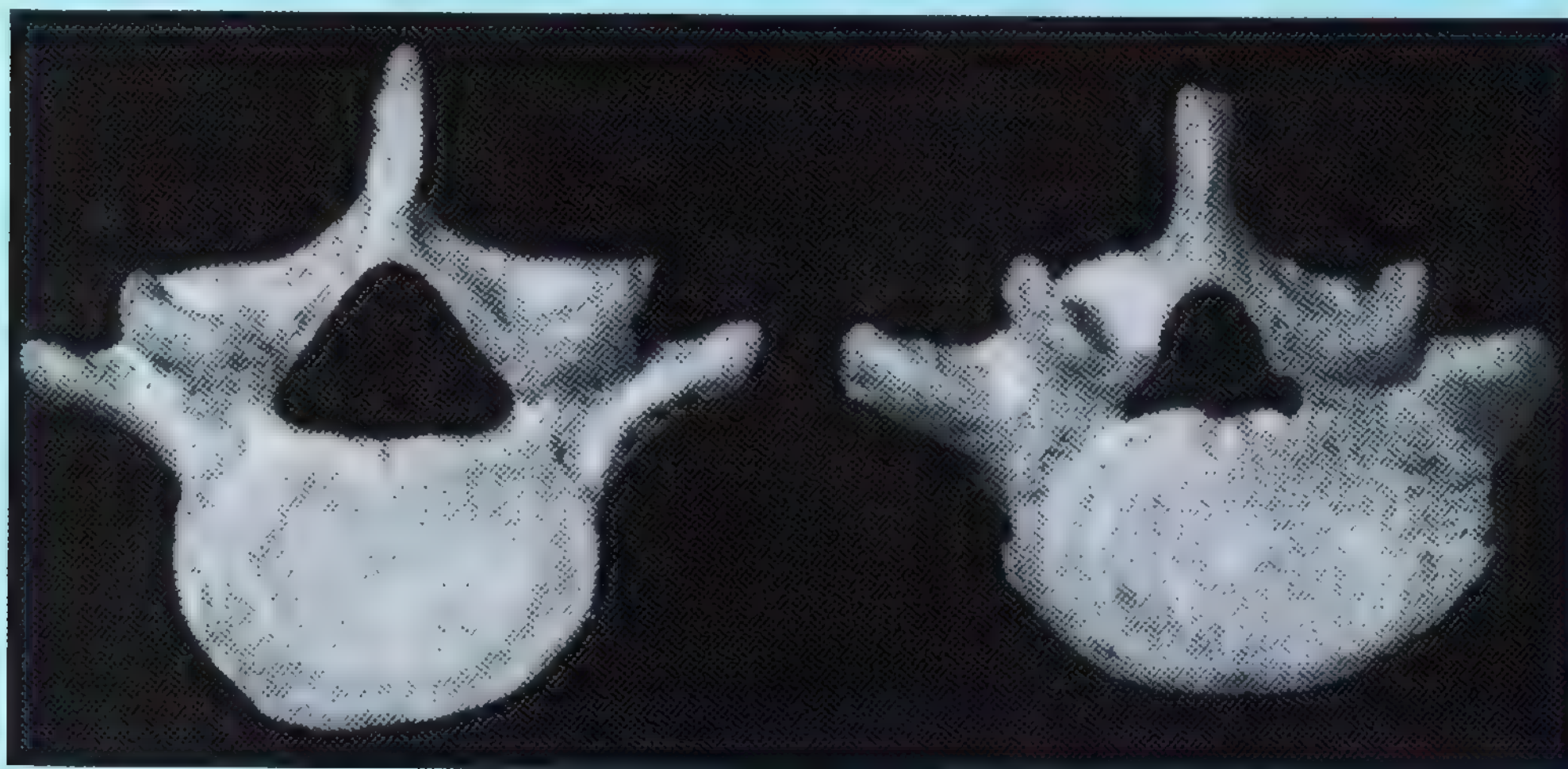
Cara dorsal

Lumbarización de la vértebra S1

Estenosis espinal lumbar

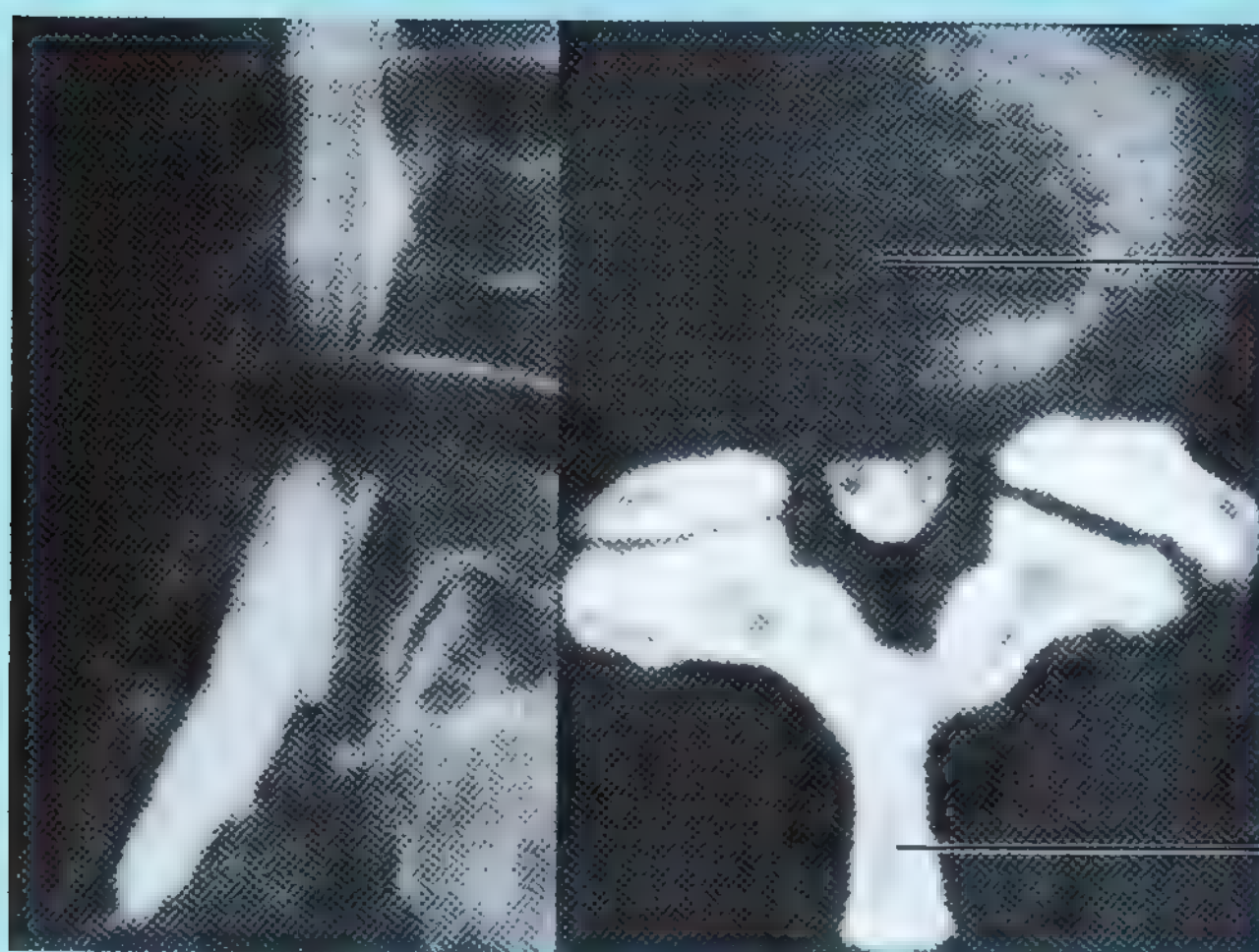
La estenosis lumbar —*estenosis del conducto vertebral (A)*— puede constituir una anomalía hereditaria que ocasione alteraciones degenerativas relacionadas con el envejecimiento, como la prominencia del disco intervertebral (Rowland y McCormick, 1995). La estrechez suele alcanzar el máximo a la altura de los discos intervertebrales. La estenosis congénita aumenta el riesgo de lesiones degenerativas. *La estenosis de la vértebra L5 puede comprimir las raíces de los nervios espinales de la cola de caballo.* En

la *electromiografía* se observa que la desnervación se restringe a los músculos inervados por las raíces de los nervios lumbosacros. *El tratamiento quirúrgico de la estenosis lumbar consiste en la laminectomía descompresiva*, es decir, la extirpación de las láminas vertebrales o de todo el arco vertebral. Cuando sucede una protrusión del disco intervertebral en un enfermo con estenosis espinal (B) se reduce aún más el conducto vertebral, como sucede con la proliferación artrósica o la degeneración ligamentosa (McCormick, 1995). ➔



(A) Orificio vertebral normal

Orificio vertebral estenótico



(B) Mielografía lumbar (se observa una estenosis de alto grado en el disco L4-L5)

Imagen TC (se aprecia la estenosis causada por la protrusión del disco intervertebral L4-L5)

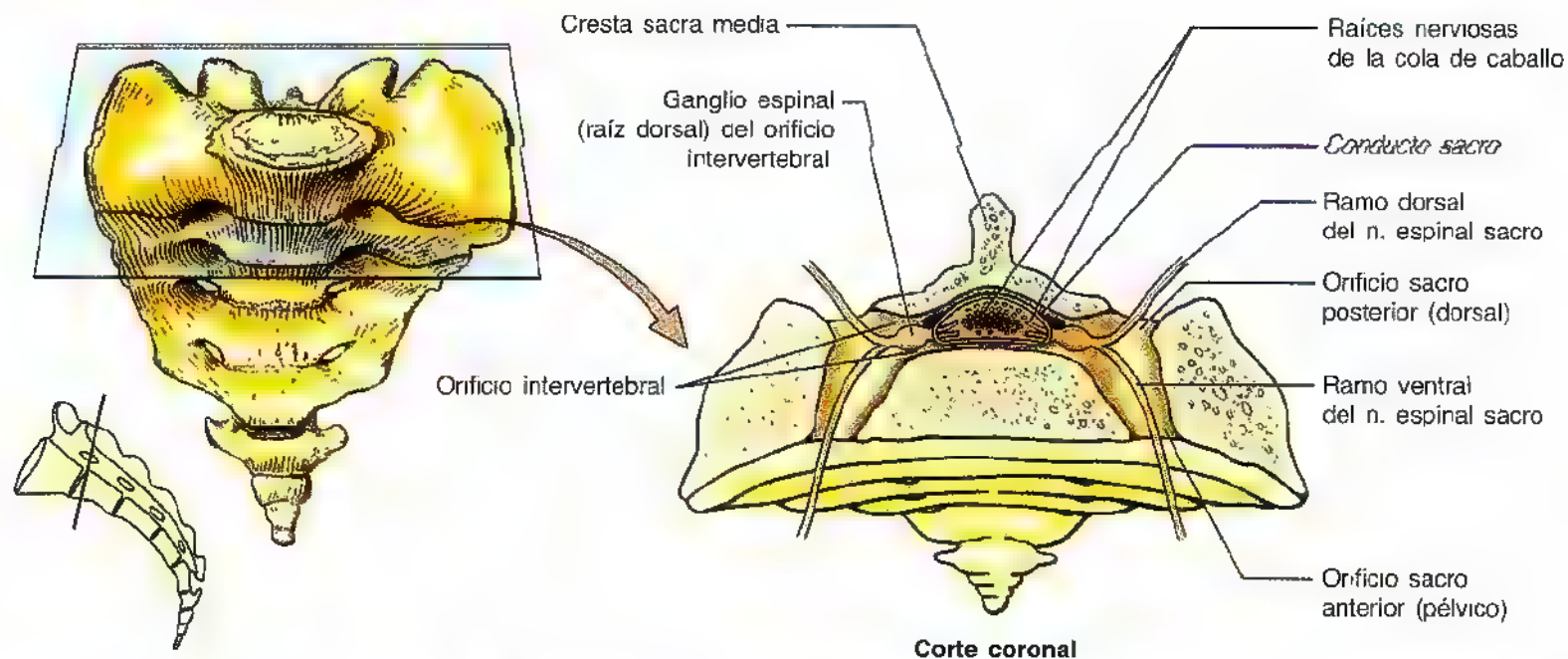


Figura 4.9. Sacro y cóccix. El dibujo orientativo de la cara pélvica de sacro (visto por la cara anterior e inferior) muestra el nivel del corte coronal. En posición anatómica, las vértebras S1 a S3 se sitúan en un plano esencialmente horizontal y forman el techo de la cavidad pélvica. Obsérvese el haz de raíces de nervios dorsales que forma la cola de caballo en el conducto sacro, parte inferior del conducto vertebral (espinal). Asimismo se aprecian los ganglios espinales en los orificios intervertebrales (IV) y los ramos dorsal y ventral de los nervios espinales que emergen de los orificios sacros posteriores (dorsales) y anteriores (ventrales), respectivamente.

Osificación de las vértebras

Las vértebras empiezan a osificarse durante el período embrionario a modo de condensaciones mesenquimatosas alrededor de la notocorda (Moore y Persaud, 1998). Después, estos modelos de hueso mesenquimatoso se condriifican y se forman las vértebras cartilaginosas. Las vértebras típicas comienzan a osificarse al final del período embrionario (8ª semana) y este proceso persiste durante la vida fetal.

En cada vértebra cartilaginosa aparecen **tres centros primarios de osificación**, en el centro y en cada mitad del arco vertebral (fig. 4.11A). Al nacer, las últimas vértebras sacras y todas las vértebras cóccigeas son cartilaginosas y empiezan a osificarse durante la lactancia. Las mitades del arco vertebral de los recién nacidos se articulan con el centro por las **articulaciones neurocentrales**, que son articulaciones cartilaginosas primarias. *Cada vértebra típica se compone, al nacer, de tres partes óseas* [véase (A), recuadro clínico, *Anomalías vertebrales*] *unidas por un cartilago hialino*. Las mitades del arco vertebral empiezan a unirse en la región cervical durante el primer año; de ordinario, la fusión es completa en la región vertebral a los 6 años de vida. El arco vertebral se une con el centro durante la infancia (de los 5 a los 8 años).

En la pubertad surgen **cinco centros secundarios de osificación** en cada vértebra típica: uno en la punta de la apófisis espinosa; dos en sendos extremos de cada apófisis transversa, y dos **epífisis anulares**, una en el borde superior y otra en el inferior del centro (fig. 4.11, B y C). Las epífisis anulares suelen unirse al cuerpo vertebral al comienzo de la vida adulta. Con esta unión se obtiene el borde elevado

característico y liso alrededor de los márgenes superior e inferior del cuerpo vertebral. El cuerpo de la vértebra se forma principalmente por el crecimiento del **centro**, es decir, del centro primario de osificación (masa central) del cuerpo vertebral. Todos los centros secundarios de osificación suelen unirse con las vértebras a los 25 años de vida; sin embargo, el momento de la unión varía.

Conviene extremar la prudencia y no confundir una epífisis persistente con una fractura vertebral en la radiografía. La osificación de las vértebras no sigue el curso característico en C1, C2 y C7, las vértebras lumbares, el sacro y el cóccix. Por ejemplo, se han descrito 56 a 58 centros de osificación primarios y secundarios en el sacro. (Si desea más detalles sobre la osificación vertebral consulte Williams y cols., 1995.)

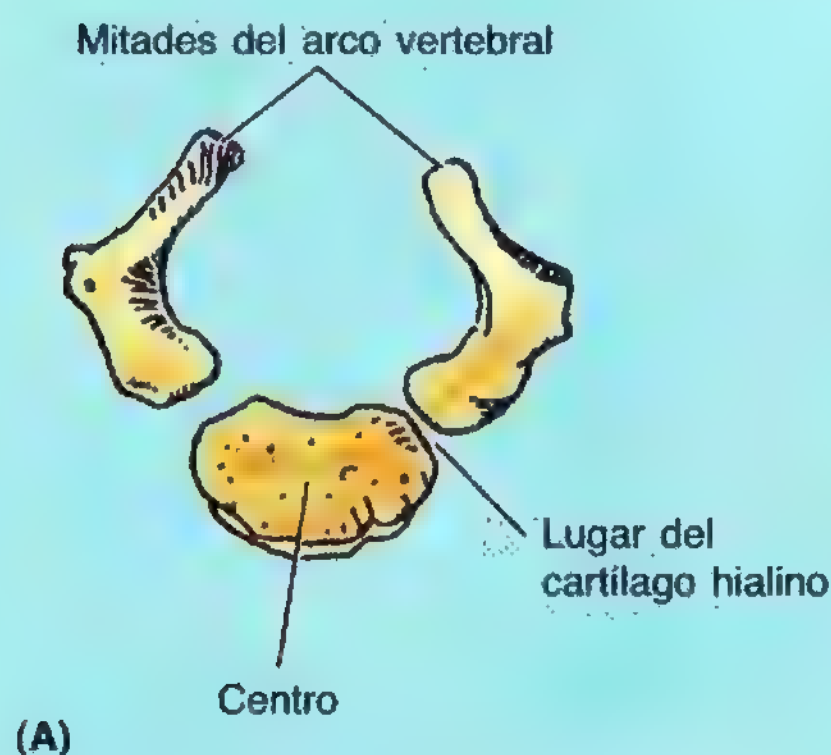
Anomalías vertebrales

Al nacer, la vértebra consta de tres porciones óseas (A, centro y las dos partes del arco vertebral) unidas por un cartilago hialino (C). A los 2 años de edad empiezan a fusionarse las mitades del arco vertebral entre sí, desde la región lumbar a la cervical. Aproximadamente a los 7 años, los arcos vertebrales se unen con los centros de las vértebras de manera secuencial, desde la región cervical a la lumbar. El centro de la vértebra es el centro de osificación de la masa central del cuerpo vertebral. El centro y el cuerpo de la vértebra no ►

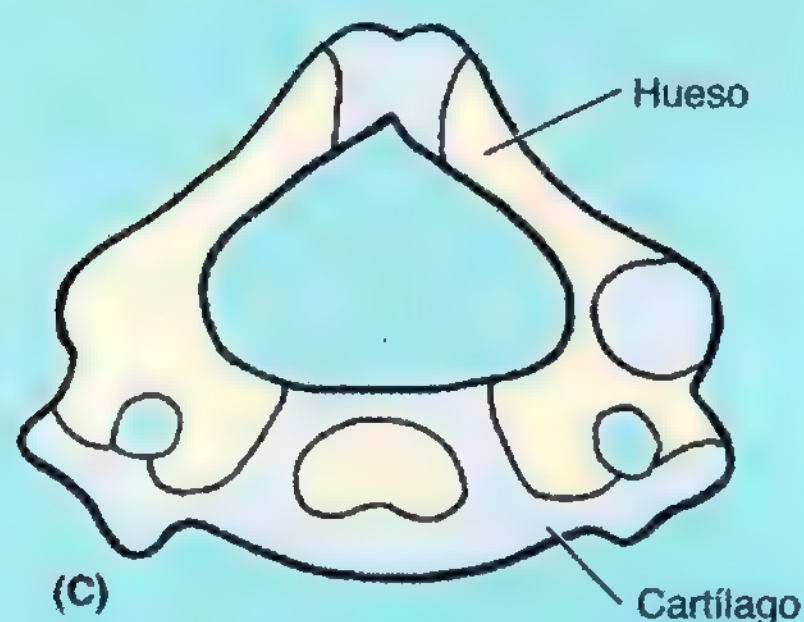
► son sinónimos; el centro ocupa algo menos que el cuerpo vertebral (Williams y cols., 1995). A veces, la epífisis de la apófisis transversa no llega a unirse. Su sombra en la radiografía podría sugerir una fractura de dicha apófisis (B).

La **espina bífida oculta** es una malformación congénita frecuente de la columna, que se caracteriza por la ausencia del desarrollo normal y de la fusión de las láminas de L5, S1 o ambas. Este defecto óseo, que afecta hasta un 24% de la población (Greer, 1995), suele ocurrir

en el arco vertebral de L5, S1 o ambos. El defecto se oculta por la piel, pero su localización suele señalarse por un mechón de pelo (Moore y Persaud, 1998). La mayoría de las personas con espina bífida oculta no tienen ningún problema de espalda. En algunos casos de espina bífida grave, por ejemplo, **espina bífida quística**, apenas se desarrollan uno o más arcos vertebrales. La espina bífida quística se acompaña de la herniación de las meninges (*meningocele*, espina bífida asociada con un quiste meníngeo), de la médula espinal (*mielomeningocele*) ►



(B) Imagen transversal de TC
(SC: médula espinal)



Espina bífida quística

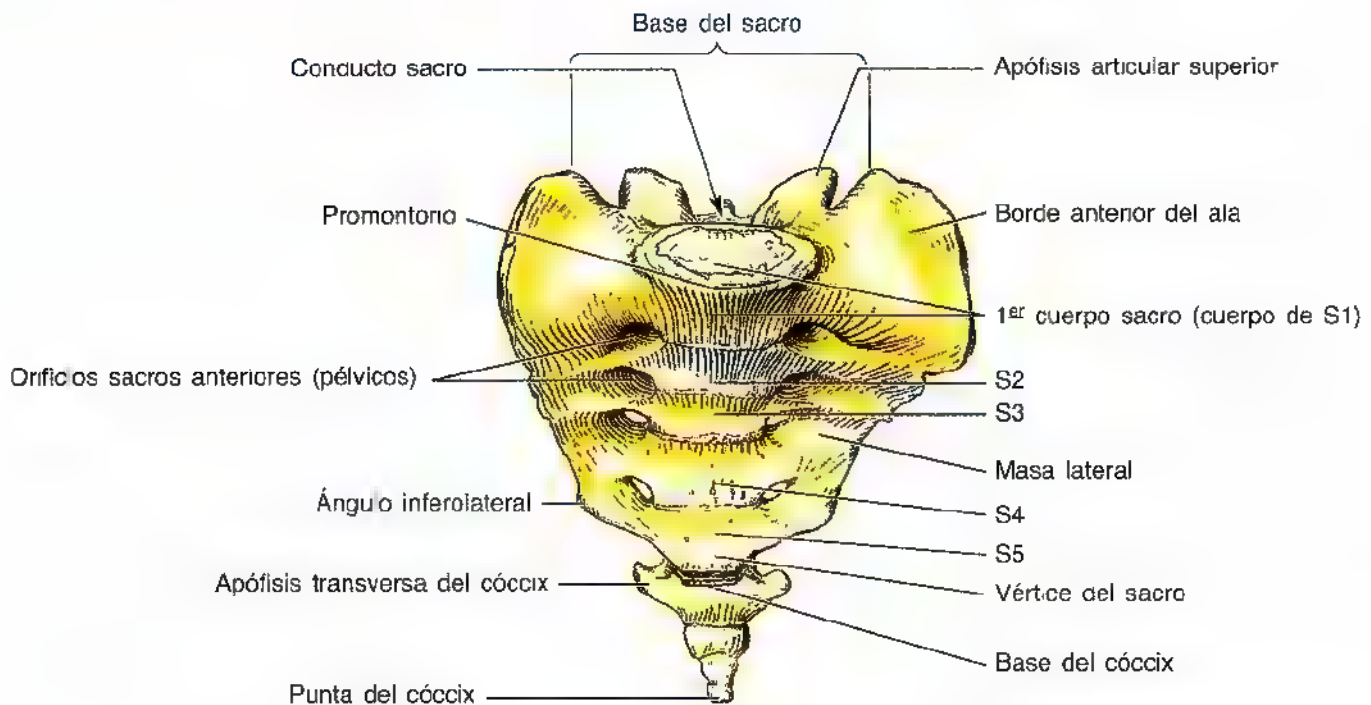
(Cortesía del Dr. Dwight Parkinson, Departamento de Cirugía y Departamento de Anatomía Humana y Ciencias Celulares, Universidad de Manitoba, Winnipeg, Canadá)

► o de ambas. De ordinario, en los casos de mielomeningocele grave se observan síntomas neurológicos (p. ej., parálisis de los miembros y alteraciones del control vesical y rectal). Las formas más graves de espina bífida se deben a **defectos del tubo neural**, es decir, a un cierre defectuoso del tubo neural en la 4ª semana de desarrollo embrionario (Moore y Persaud, 1998). ☉

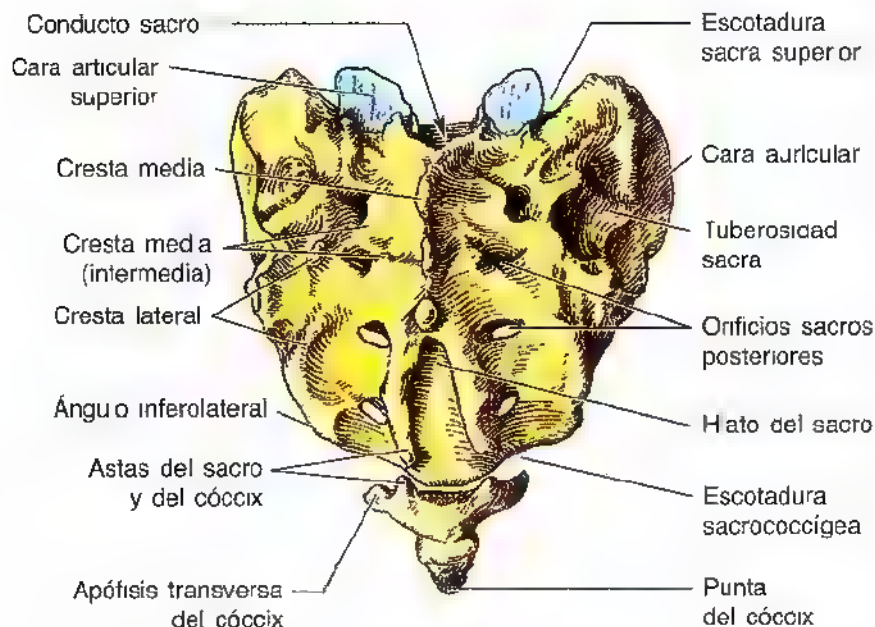
Articulaciones de la columna vertebral

Las articulaciones de la columna vertebral comprenden:

- Articulaciones de los cuerpos vertebrales.
- Articulaciones de los arcos vertebrales (articulaciones cigapofisarias).
- Articulación atlantoaxoidea.
- Articulación arlooccipital.
- Articulaciones costovertebrales (véase el capítulo 1).
- Articulaciones sacroilíacas (véase el capítulo 3).



(A) Base y cara pélvica del sacro



(B) Caras dorsal y lateral del sacro

Figura 4.10. Sacro y cóccix. A. Obsérvese la base de este sacro de un adulto y los 5 cuerpos vertebrales sacros, delimitados por cuatro líneas transversas que indican los lugares de fusión de las vértebras sacras. Las líneas terminan lateralmente en cuatro parejas de orificios sacros anteriores (pélvicos). La base (cara anterosuperior de sacro (compárese con la base de un triángulo isósceles invertido opuesto al vértice) se caracteriza por el promontorio, el borde anterior de la cara superior de la vértebra S1, el conducto sacro (la parte inferior del conducto vertebral) y las alas derecha e izquierda. El cóccix tiene cuatro segmentos (vértebras). El primero dispone de un par de apófisis transversas. **B.** Obsérvese la cara dorsal del sacro y cóccix de un adulto. Como se puede apreciar, la ausencia de las apófisis espinales S4 y S5 ha generado el gran hato del sacro. Obsérvese asimismo las astas de sacro y de cóccix, que son referencias clínicas para la anestesia caudal (epidural) (pág. 452). La parte superolateral del sacro (lateral a los orificios) se caracteriza por una cara auricular irregular, que se articula con el ilion para formar la porción sinovial de la articulación sacroilíaca. Las tres últimas vértebras coccígeas están unidas en esta muestra.

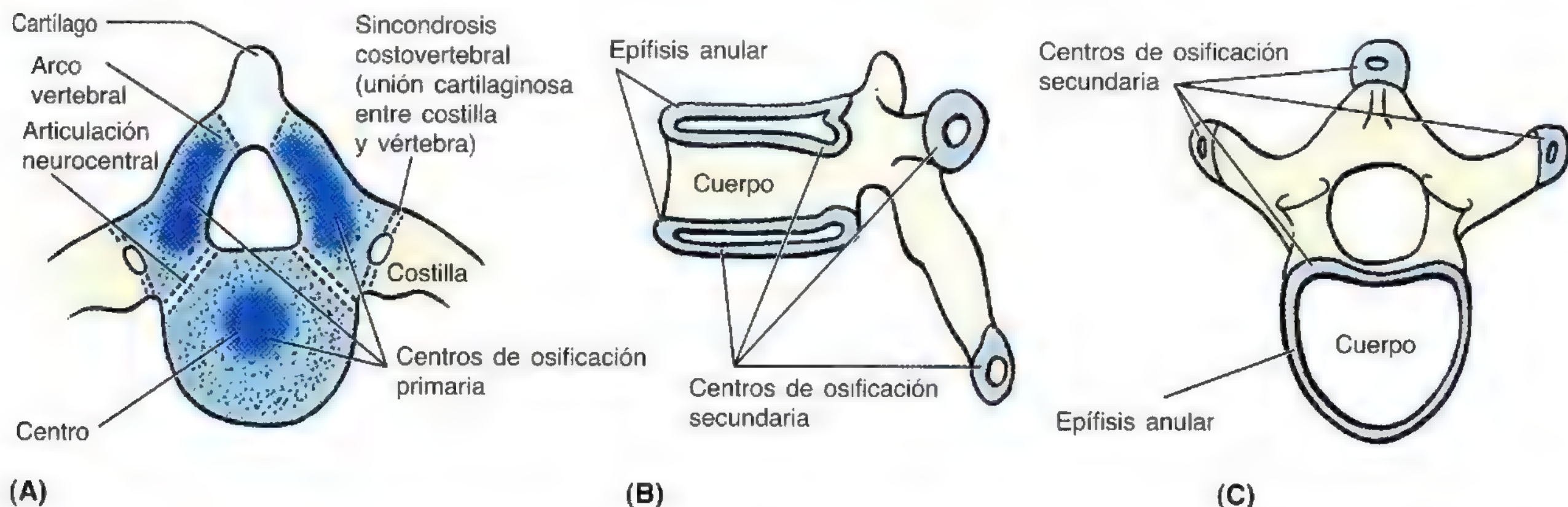


Figura 4.11. Osificación de una vértebra torácica típica. A. Visión superior de una vértebra en desarrollo, que ilustra los tres centros de osificación primaria (en azul más oscuro) de una vértebra cartilaginosa en un embrión de 7 semanas. Nótese las articulaciones presentes en esta fase. B-C. Visiones lateral y superior, respectivamente, de una vértebra de una persona púber, donde se aprecia la localización de los centros secundarios de osificación y las epífisis anulares. Estas epífisis forman los anillos epifisarios lisos (véase fig. 4.4B) sobre los perímetros de las caras superior e inferior de los cuerpos vertebrales.

Articulaciones de los cuerpos vertebrales

Las articulaciones de los cuerpos vertebrales son *de tipo cartilaginoso secundario (sínfisis)*, destinadas para soportar el peso y otorgar fortaleza a la columna. Las caras articulares de las vértebras están conectadas a través de **discos intervertebrales** y ligamentos (figs. 4.12 y 4.13). Los discos intervertebrales otorgan una robusta inserción entre los cuerpos vertebrales y, además, forman la mitad inferior del borde

anterior del orificio intervertebral. Los discos absorben los choques y su forma variable explica las curvaturas secundarias de la columna vertebral. *Cada disco intervertebral se compone de lo siguiente:*

- Un anillo fibroso –parte fibrosa externa–, compuesto por láminas concéntricas de fibrocartilago.
- Una masa gelatinosa central, el núcleo pulposo.

El disco intervertebral se interpone entre los cuerpos de las vértebras adyacentes.

El **anillo fibroso** (fig. 4.13) es un anillo compuesto por láminas concéntricas de fibrocartilago que forma la circunferencia del disco intervertebral. Los anillos se insertan en los anillos epifisarios lisos y redondos de las caras articulares de los cuerpos vertebrales. Las fibras que forman cada lámina siguen una disposición oblicua de una vértebra a otra; las fibras de una lámina suelen discurrir perpendiculares a las adyacentes. Esta organización, si bien permite cierto movimiento entre las vértebras adyacentes, confiere una fuerte adhesión entre ellas.

El **núcleo pulposo** (pulpa significa carnosos en latín) es el centro del disco intervertebral. Es una estructura más cartilaginosa que fibrosa y, de ordinario, muy elástica. El núcleo pulposo tiene una localización más posterior que central y un abundante contenido de agua, en particular al nacer; este contenido disminuye con la edad. El núcleo actúa absorbiendo los choques axiales y también como una bola semilíquida para la flexión, extensión, rotación y flexión lateral de la columna vertebral. El núcleo se ensancha con la compresión (fig. 4.13C). Como las láminas del anillo fibroso son más delgadas y menos numerosas en la cara posterior que en la anterior o en la lateral, el núcleo pulposo no está centrado en el disco, sino colocado en un plano más posterior. *El núcleo pulposo carece de vasos sanguíneos y se nutre por difu-*

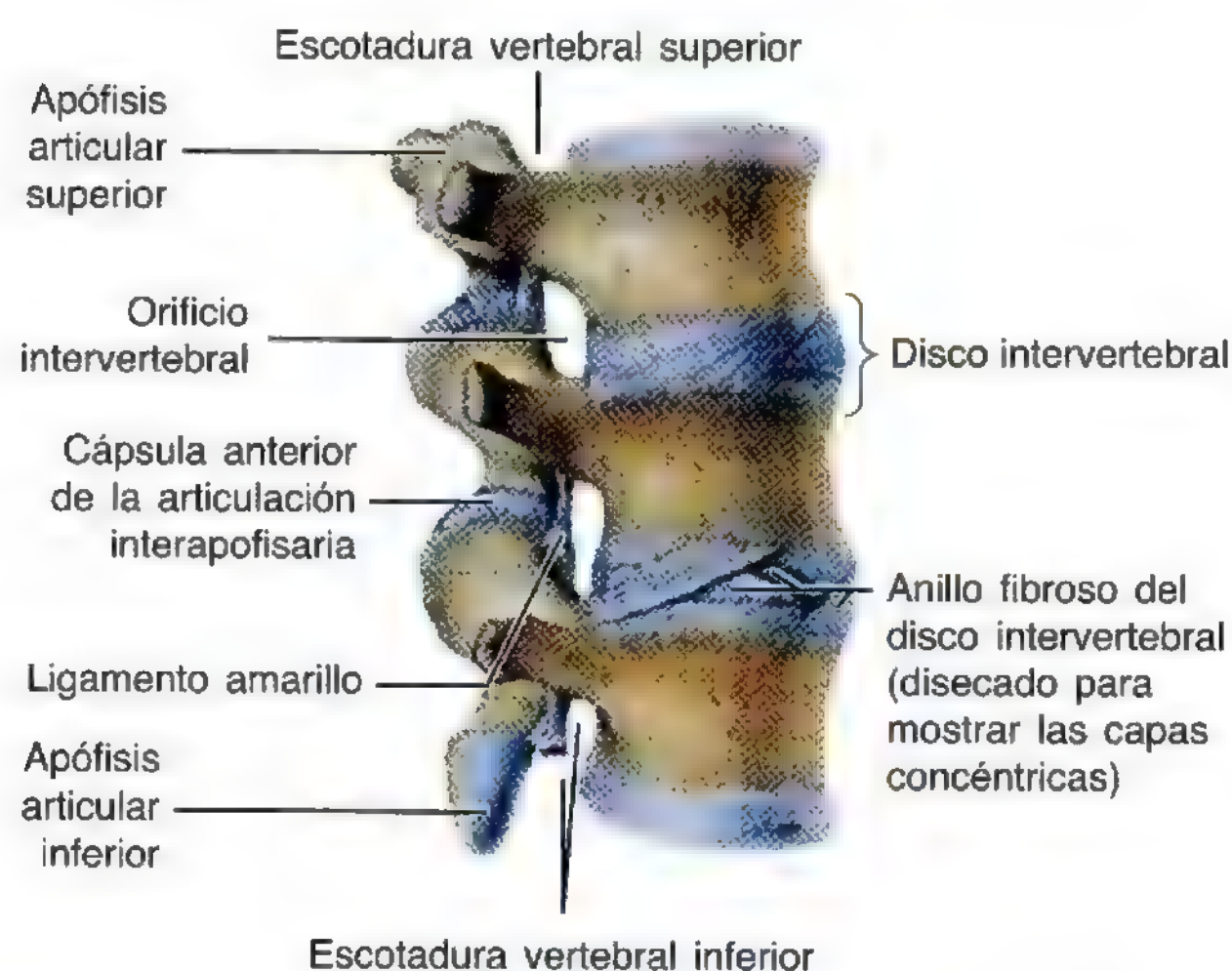


Figura 4.12. Vértebras lumbares y discos intervertebrales (IV). Visión lateral de la parte superior de la región lumbar, donde se observa principalmente la estructura de los anillos fibrosos de los discos intervertebrales. El disco intervertebral configura la mitad inferior del límite anterior del orificio intervertebral. Por eso, la herniación del disco no afecta al nervio espinal que emerge de la porción ósea superior del orificio. Obsérvense también las cápsulas articulares de las articulaciones interapofisarias (cigapofisarias).

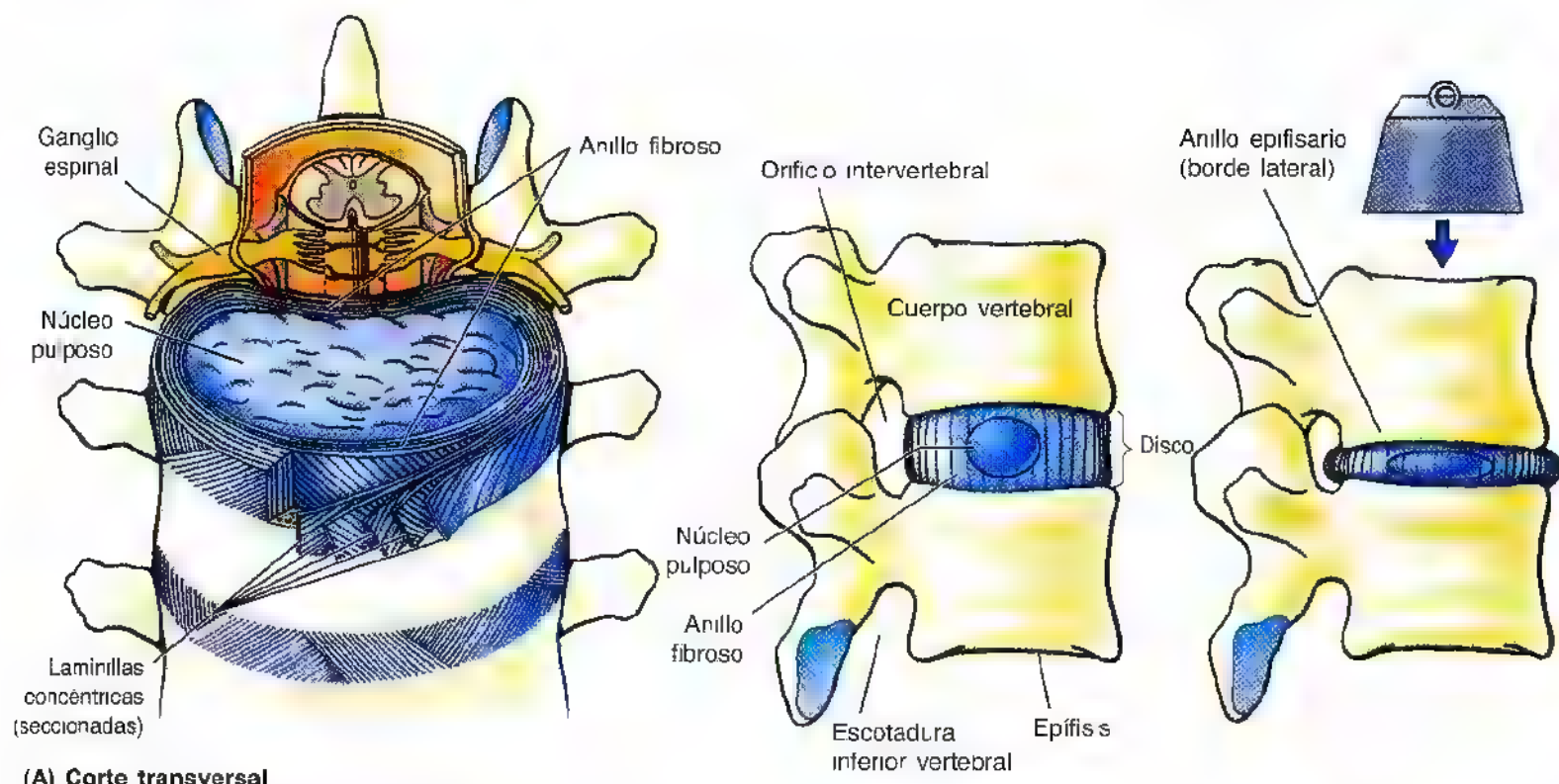


Figura 4.13. Estructura de un disco intervertebral (IV). **A.** El disco se compone de un núcleo pulposus y de un anillo fibroso. El anillo se dispone en capas concéntricas de fibras para las que se entrecruzan con las de la siguiente capa. Las capas superficiales del anillo se han seccionado y rechazado para mostrar la dirección de las fibras. Obsérvese que el grosor de los anillos disminuye en sentido posterior; en otras palabras, el anillo se adelgaza hacia la cara posterior. **B.** El núcleo pulposus —que contiene pulpa fibrogelatinosa— ocupa el centro del disco y actúa como cojinete y mecanismo de absorción de los choques. **C.** Obsérvese que el núcleo se aplana y que el anillo sobresale cuando se aplica peso, como sucede durante la bipedestación y todavía más al levantar objetos.

sión desde los vasos sanguíneos de la periferia del anillo fibroso y del cuerpo vertebral.

No existe ningún disco intervertebral entre las vértebras C1 y C2. El disco funcional más bajo es el situado entre las vértebras L5 y S1. El grosor de los discos varía en las distintas regiones; alcanza el máximo en la lumbar, y el mínimo, en la región torácica superior. Los discos son más anchos en la parte anterior en las regiones cervical y lumbar, y su grosor es más uniforme en la región torácica.

Las “**articulaciones uncovertebrales**” (de Luschka) tienen lugar entre las apófisis semilunares de las vértebras C3 a C6 y las superficies basales de los cuerpos vertebrales situados por encima (fig. 4.14). Estas “articulaciones” (fisuras) se encuentran en los márgenes lateral y posterolateral de los discos intervertebrales. Estas estructuras, parecidas a una articulación, están cubiertas de cartílago y contienen una cápsula llena de líquido. Algunos las consideran articulaciones sinoviales, y otros, espacios degenerativos de los discos, llenos de líquido extracelular. Las “articulaciones” uncovertebrales constituyen un asiento frecuente de espolones (prolongaciones óseas que se proyectan desde el hueso) causantes de dolor cervical.

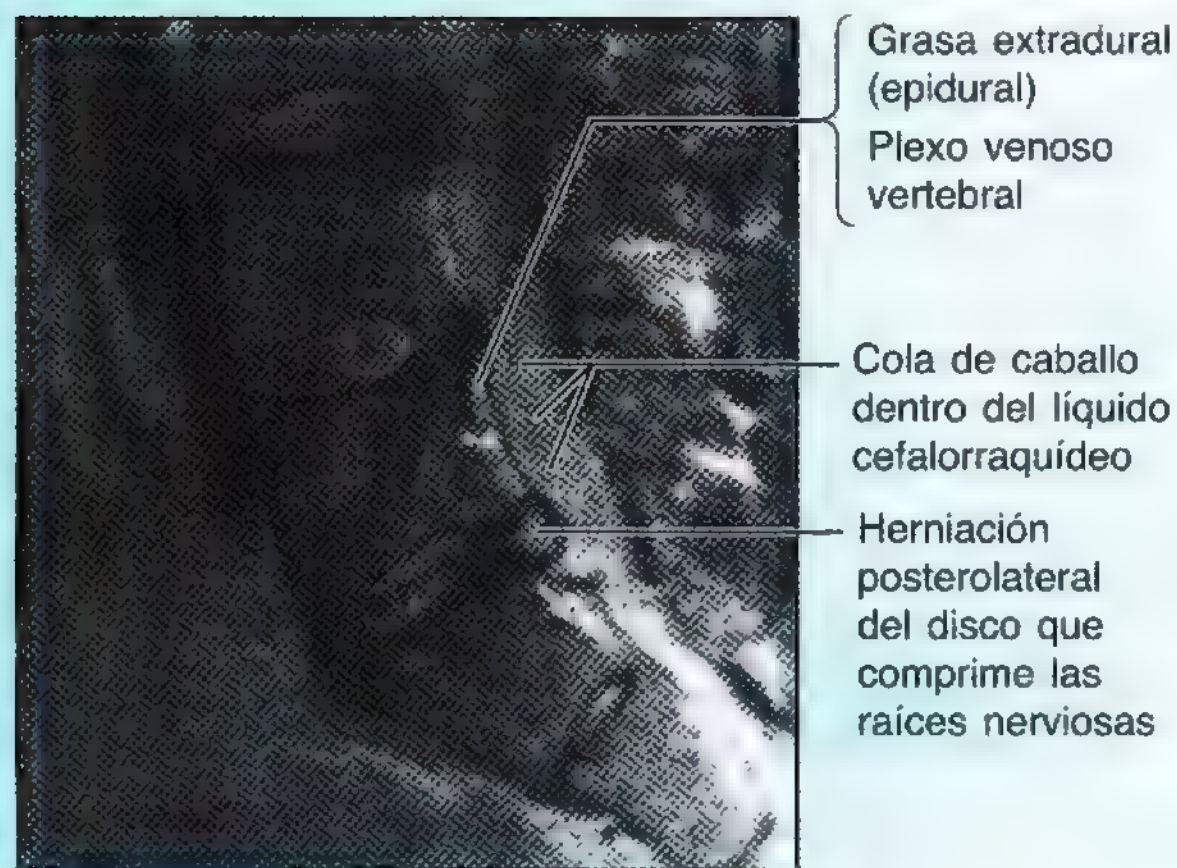
El **ligamento longitudinal anterior** es una banda fibrosa robusta que cubre y conecta las caras anterolaterales de los cuerpos vertebrales y discos intervertebrales (figs. 4.15 y 4.16). Este ligamento se extiende desde la cara pélvica del

sacro hasta el tubérculo anterior de C1 y el hueso occipital, delante del orificio magno. Este ligamento mantiene la estabilidad de las articulaciones entre los cuerpos vertebrales y contribuye a evitar la hiperextensión de la columna vertebral.

El **ligamento longitudinal posterior** es una banda mucho más estrecha y algo más débil que el ligamento longitudinal anterior (figs. 4.15 y 4.16). El **ligamento longitudinal posterior** discurre dentro del conducto vertebral, a lo largo de la cara posterior de los cuerpos vertebrales. Se inserta en los discos intervertebrales y en los bordes posteriores de los cuerpos vertebrales de C2 al sacro. Este ligamento impide la hiperflexión de la columna vertebral, así como la herniación o protrusión posterior de los discos. Está dotado, con generosidad, de terminaciones nerviosas nociceptivas (para el dolor).

Herniación del núcleo pulposus

La herniación o protrusión del núcleo pulposus dentro o a través del anillo fibroso es una causa muy conocida de lumbago (A). Aproximadamente el 95% de las protrusiones de los discos lumbares tienen lugar en L4/5 o L5/S1. Los discos intervertebrales de las personas jóvenes son fuertes, y el contenido de agua de su núcleo pulposus, elevado (hasta un 90%), lo que les ▶



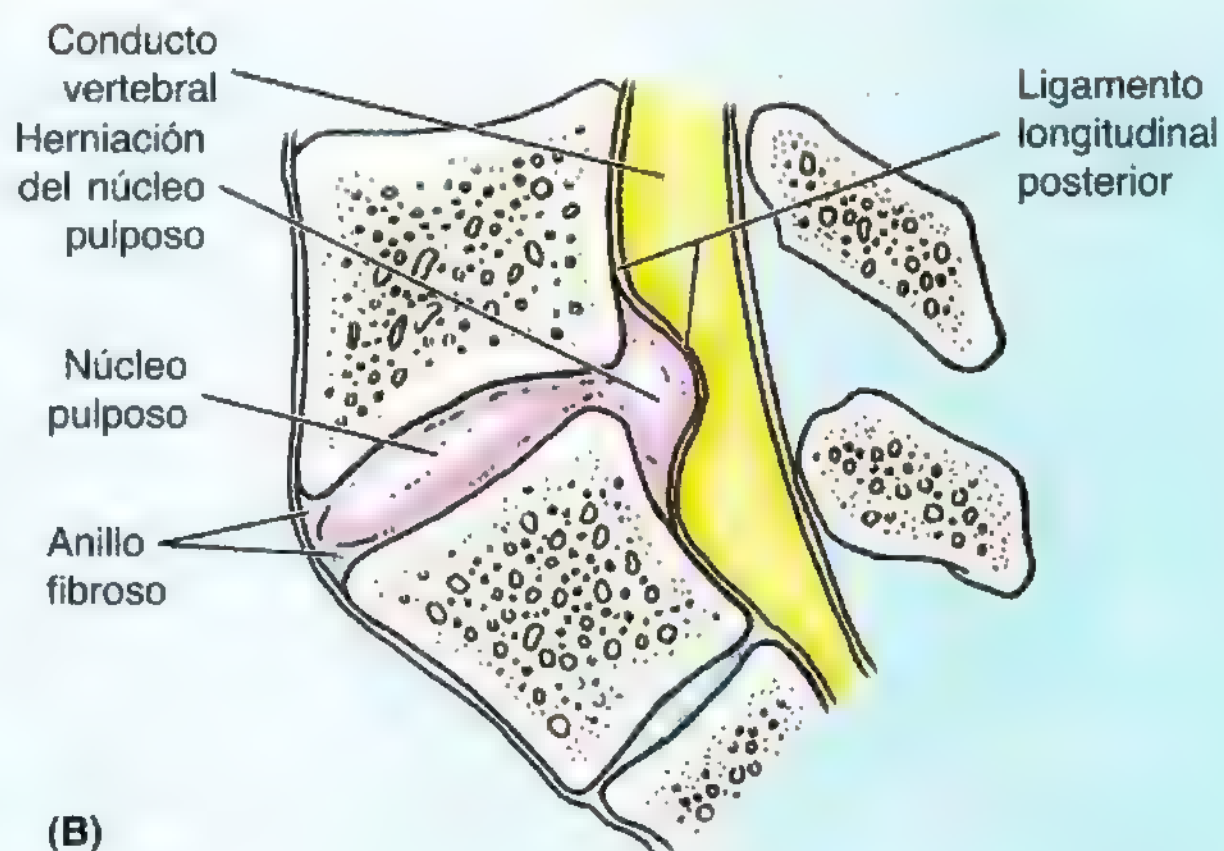
(A)

► otorga una gran turgencia (plenitud). Los discos vertebrales de los adultos jóvenes suelen ser tan robustos, que, a menudo, las vértebras se fracturan durante las caídas antes de que se rompan los discos. Sin embargo, una hiperflexión violenta de la columna vertebral puede romper el disco intervertebral y fracturar los cuerpos vertebrales adyacentes.

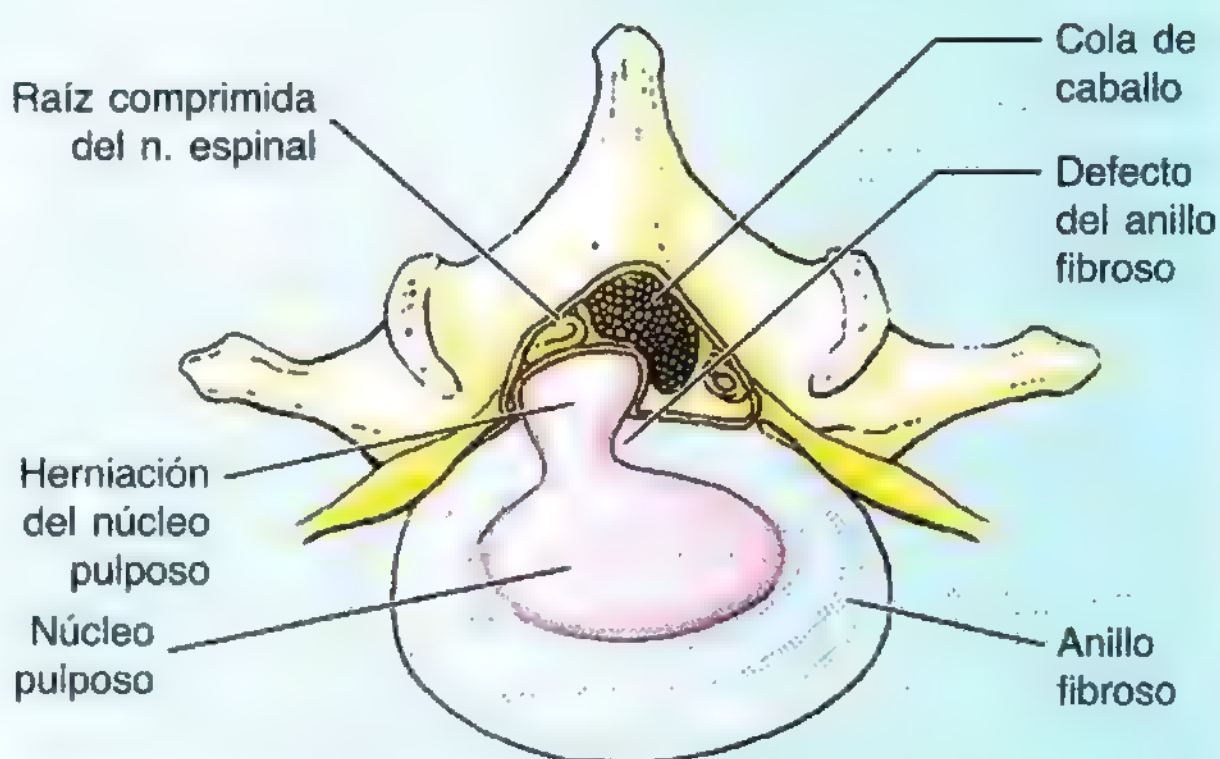
A medida que envejecen las personas, los núcleos pulposos pierden su turgencia y se adelgazan debido a deshidratación y degeneración. Estos cambios de los discos intervertebrales con el envejecimiento explican, en parte, la pérdida ligera de talla que ocurre con la senescencia. El descenso de la altura de un disco intervertebral también obedece al estrechamiento de los orificios intervertebrales, que puede comprimir las raíces de los nervios espinales.

La flexión de la columna vertebral produce una compresión anterior y un estiramiento o tensión posterior, que empuja el núcleo pulposo hacia atrás, hacia la parte más fina del anillo fibroso. Si el ligamento longitudinal posterior degenera o se desgasta el anillo fibroso, el núcleo pulposo puede herniarse por el conducto vertebral y comprimir la médula espinal o las raíces nerviosas de la cola de caballo (B y C). Con frecuencia, la herniación del disco intervertebral se denomina de forma errónea “deslizamiento discal”. Algunos locutores deportivos suelen denominar esta lesión como “rotura discal”.

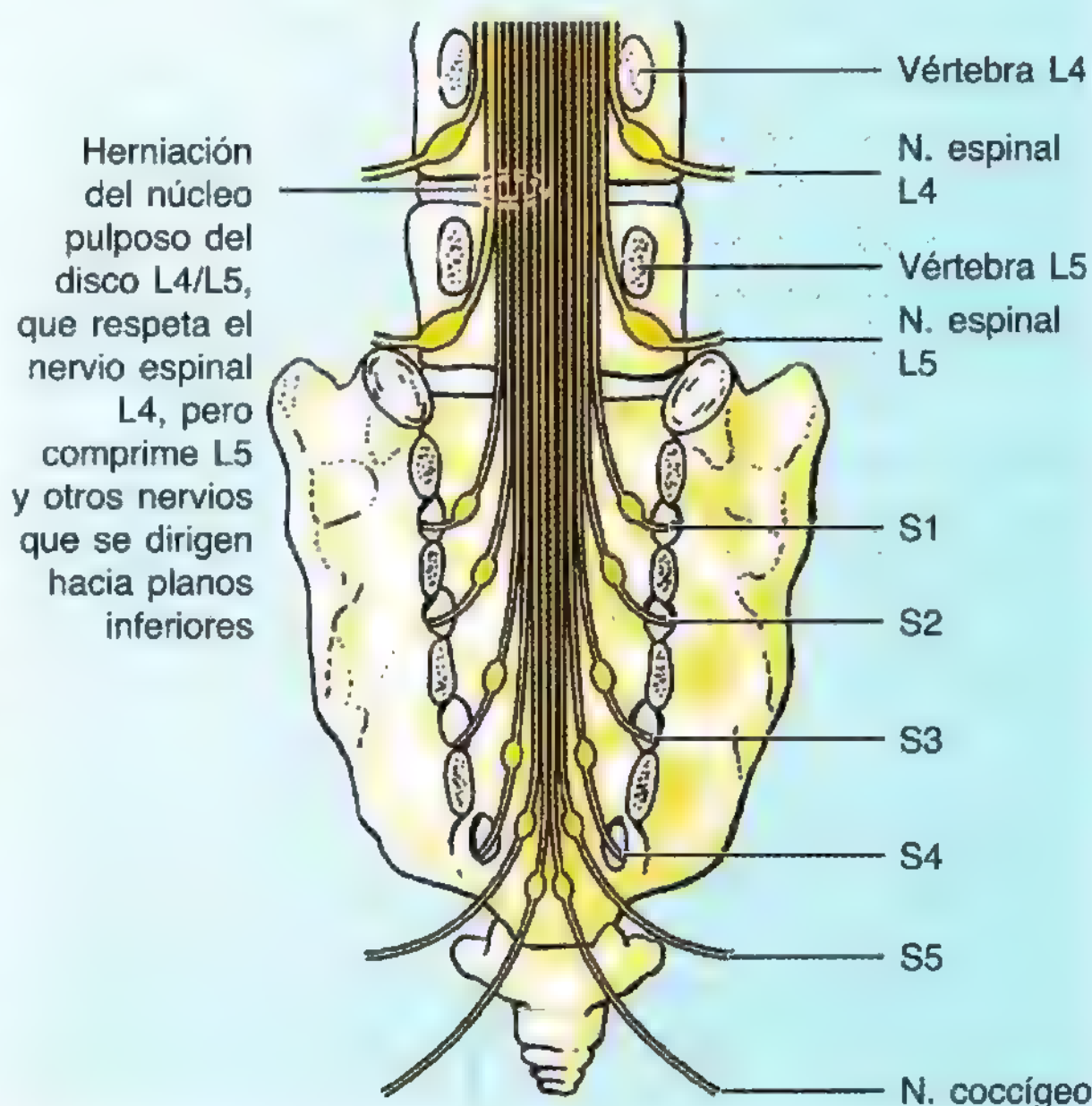
El núcleo pulposo suele sobresalir por la zona posterolateral, lugar donde el anillo fibroso es bastante fino y se encuentra apenas reforzado por los ligamentos longitudinal posterior o anterior. La herniación posterolateral del disco intervertebral suele causar síntomas, debido a la proximidad de las raíces de los nervios espinales. La *dorsalgia localizada* por herniación discal se debe a la compresión sobre los ligamentos longitudinales y la zona periférica del anillo fibroso, y a la inflamación local causada por la irritación química de las sustancias derivadas del núcleo pulposo roto. El *dolor crónico*, por compresión de las raíces del nervio espinal debido al disco herniado, se refiere a la zona (dermatoma) inervada por dicho nervio. Como ►



(B)



(C)



Hiperflexión del cuello

Ligamento desgarrado



Rotura del disco intervertebral C5/C6 con compresión de las raíces del nervio espinal C6 por el núcleo pulposo

► los discos intervertebrales mayores se encuentran en las regiones lumbar y lumbosacra, donde los movimientos también lo son, no es frecuente observar herniaciones posterolaterales del núcleo pulposo en estos lugares.

El *lumbago* —dolor agudo en la parte intermedia y baja del dorso, que se irradia por la cara posterolateral del muslo y de la pierna— suele deberse a una protrusión posterolateral de un disco intervertebral lumbar (L5/S1), que afecta al componente S1 del nervio ciático (C). El cuadro clínico varía mucho, pero el síntoma habitual de presentación consiste en dolor agudo en la parte baja del dorso del tronco. Dado el espasmo muscular que acompaña al dolor, la región lumbar se torna rígida, y los movimientos, dolorosos. Con el tratamiento, el lumbago suele desaparecer a los pocos días, pero a veces se sigue de una ciática gradual.

La *ciática* es un dolor en la parte baja de la espalda y en la cadera que se irradia por la parte posterior del muslo hasta la pierna. Se debe a la herniación de un disco intervertebral lumbar que comprime y altera la raíz del nervio L5 o S1. Los orificios intervertebrales de la región lumbar disminuyen de tamaño y los nervios lumbares, en cambio, aumentan. Este fenómeno explica la frecuencia de la ciática. El nuevo hueso depositado en los casos de *artrosis* estrecha aún más los orificios y provoca dolores lancinantes que recorren el miembro inferior. Toda maniobra que estire el nervio ciático, como la flexión del muslo con la pierna extendida, puede producir o exacerbar (aunque alivie en algunos casos el dolor) el dolor causado por la herniación discal. Los discos intervertebrales también se pueden alterar por la rotación o flexión violenta de la columna vertebral. La norma general es que, cuando sobresale un disco intervertebral, puede comprimir las raíces

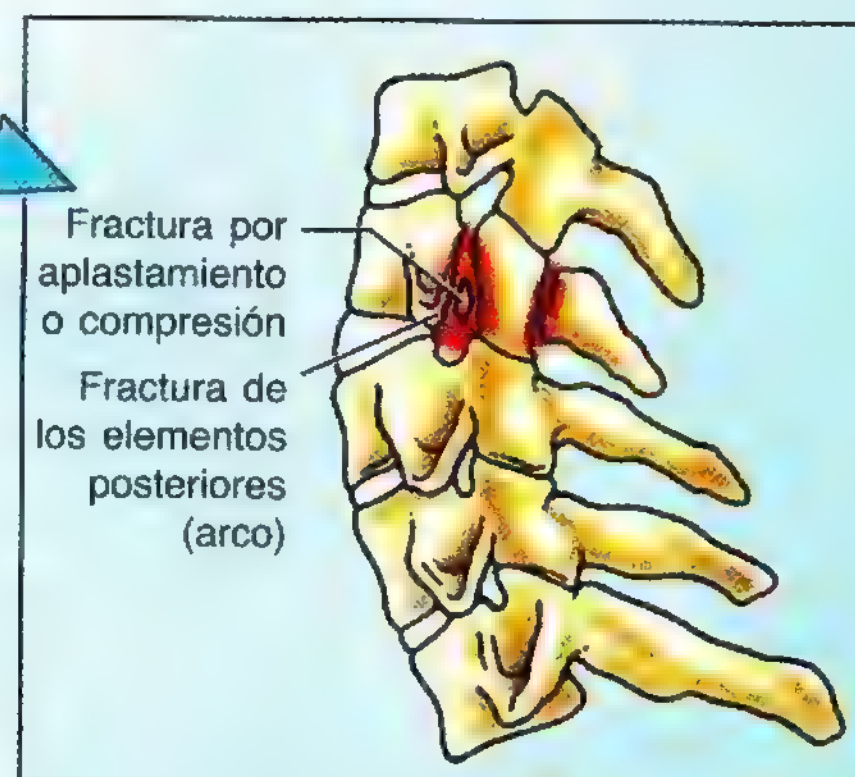
nerviosas con un número inferior al disco; por ejemplo, el nervio L5 se comprime en la herniación del disco L4/L5, y el nervio S1, en la del disco L5/S1. Recuerdese que los discos intervertebrales forman la mitad inferior del borde anterior del orificio intervertebral y que la mitad superior está formada por hueso del cuerpo de la vértebra superior (fig. 4.12). Las raíces de los nervios espinales descenden hasta el orificio intervertebral, del que emerge el nervio espinal formado por su fusión. El nervio que sale de un determinado orificio intervertebral pasa por la mitad ósea superior del orificio y se sitúa por encima, es decir, no se ve afectado por un disco herniado a dicha altura. Sin embargo, las raíces nerviosas que pasan por el orificio intervertebral inmediatamente debajo cruzan directamente la zona de herniación.

Las protrusiones de los discos intervertebrales que causan síntomas en la región cervical son casi tan frecuentes como en la lumbar. Conforme ocurren cambios degenerativos, los discos intervertebrales cervicales se adelgazan y las apófisis semilunares se aproximan a las caras inferiores biseladas de las vértebras cervicales situadas encima. De esta manera, se estrechan los orificios intervertebrales, se comprimen las raíces nerviosas y se produce dolor en el cuello.

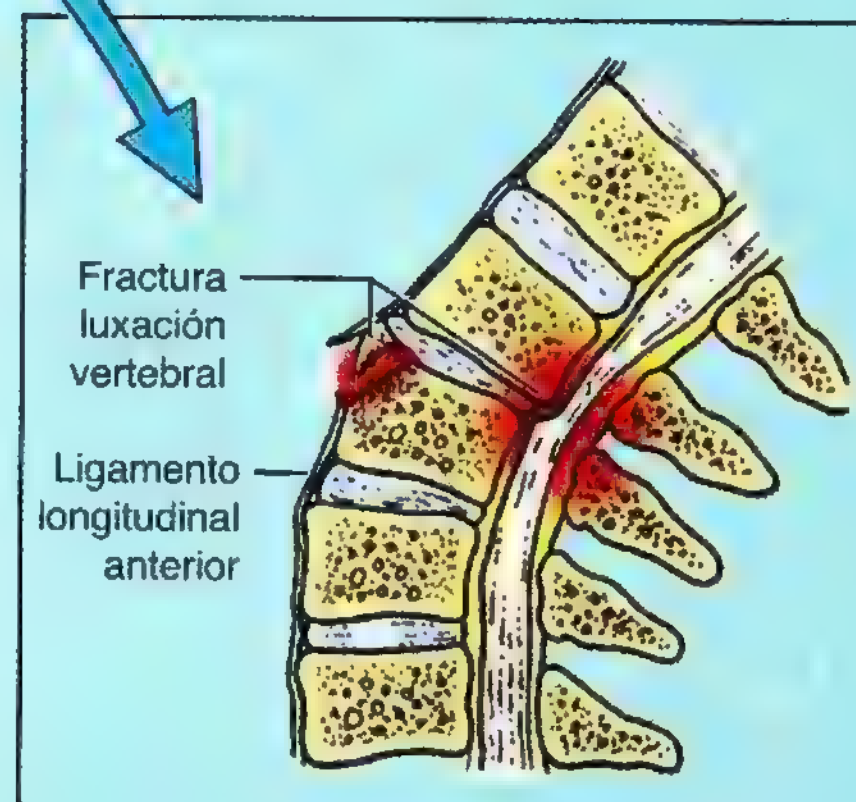
La **hiperflexión** forzada de la **región cervical**, durante una colisión frontal o durante un bloqueo ilegal con la cabeza en el rugby, por ejemplo, puede romper el disco intervertebral por la cara posterior sin fracturar el cuerpo vertebral. Los discos intervertebrales que más se rompen en la zona cervical son C5/C6 y C6/C7, que comprimen las raíces de los nervios espinales C6 y C7. Las protrusiones del disco intervertebral causan dolor en el cuello, hombro, brazo y mano. Todo deporte en el que el movimiento provoque una compresión descendente o ►



(A) Hiperextensión del cuello



(B) Lesión por hiperextensión (latigazo)



► giratoria del cuello o de la parte inferior del dorso puede ocasionar una herniación del núcleo pulposo. Los deportes más frecuentes son los bolos, el tenis, correr (*jogging*), el rugby, el hockey, el levantamiento de peso y la gimnasia.

La hiperextensión del cuello, por ejemplo al colisionar la cabeza en el rugby (A), puede causar una fractura por aplastamiento o compresión de los elementos posteriores

del arco vertebral. El *ligamento longitudinal anterior* sufre un estiramiento intenso y se puede desgarrar durante la hiperextensión grave del cuello, como sucede en una lesión cervical por hiperextensión ("latigazo") (B). Es bien conocida, en particular por los abogados, la relación entre las colisiones automovilísticas traseras y este tipo de lesiones. La *lesión por hiperflexión* de la columna vertebral también puede ocurrir cuando la cabeza choca con el ►

► tórax. La luxación de los arcos vertebrales puede determinar un “salto de las carillas articulares” o bloqueo de las vértebras cervicales. ◉

Articulaciones de los arcos vertebrales

Las articulaciones de los arcos vertebrales son las **articulaciones interapofisarias** (a menudo denominadas *cigapofisarias*). Se trata de articulaciones sinoviales planas entre las apófisis articulares superior e inferior (en griego *zygapophyses*) de las vértebras adyacentes (figs. 4.16 y 4.17). Cada articulación está rodeada de una **cápsula articular** fina y laxa. Las de la región cervical son muy finas y laxas. La cápsula se inserta en los bordes de las apófisis articulares de las vértebras adyacentes. Los ligamentos accesorios unen las láminas, las apófisis transversas y las apófisis espinosas, y ayudan a estabilizar las articulaciones.

Las articulaciones interapofisarias permiten deslizamientos entre las vértebras; la forma y la disposición de las caras articulares establece el tipo de movimiento. El arco del movimiento depende del tamaño del disco intervertebral en relación con el del cuerpo vertebral. En las regiones cervical y lumbar, las articulaciones cigapofisarias soportan algo de peso y comparten esta función con los discos intervertebrales. Las articulaciones interapofisarias están inervadas por ramos articulares que emergen de las divisiones mediales de los ramos dorsales primarios de los nervios espinales (fig. 4.16B). Conforme estos nervios se dirigen en sentido posteroinferior, se alojan dentro de los surcos de la cara posterior de la parte medial de las apófisis transversas. Cada ramo articular inerva dos articulaciones adyacentes; por eso, cada articulación recibe dos nervios.

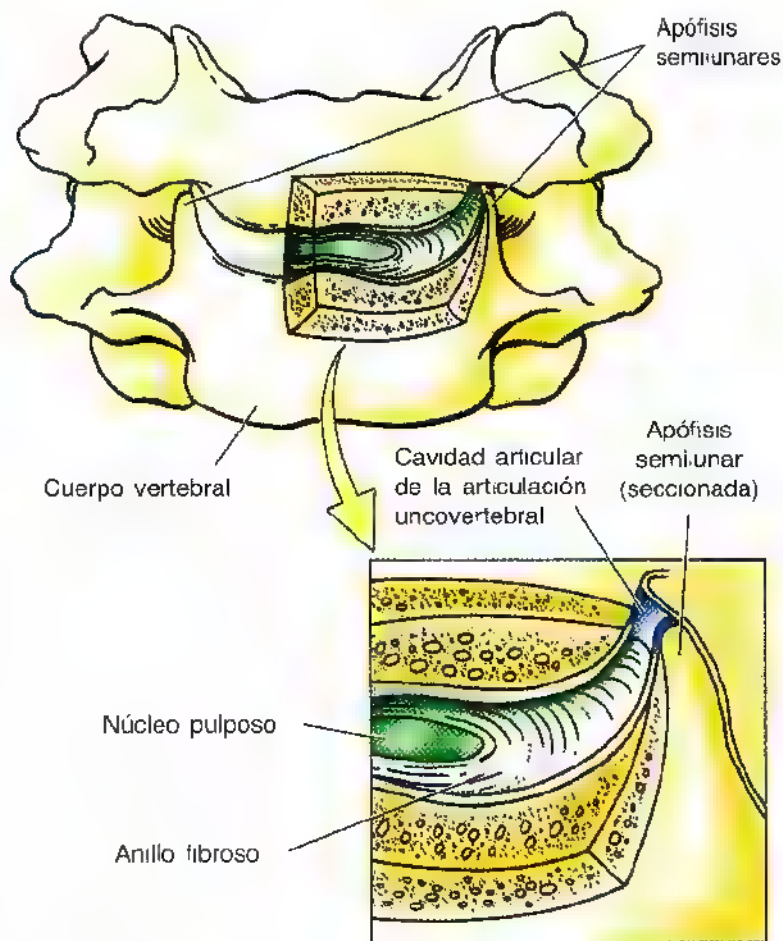
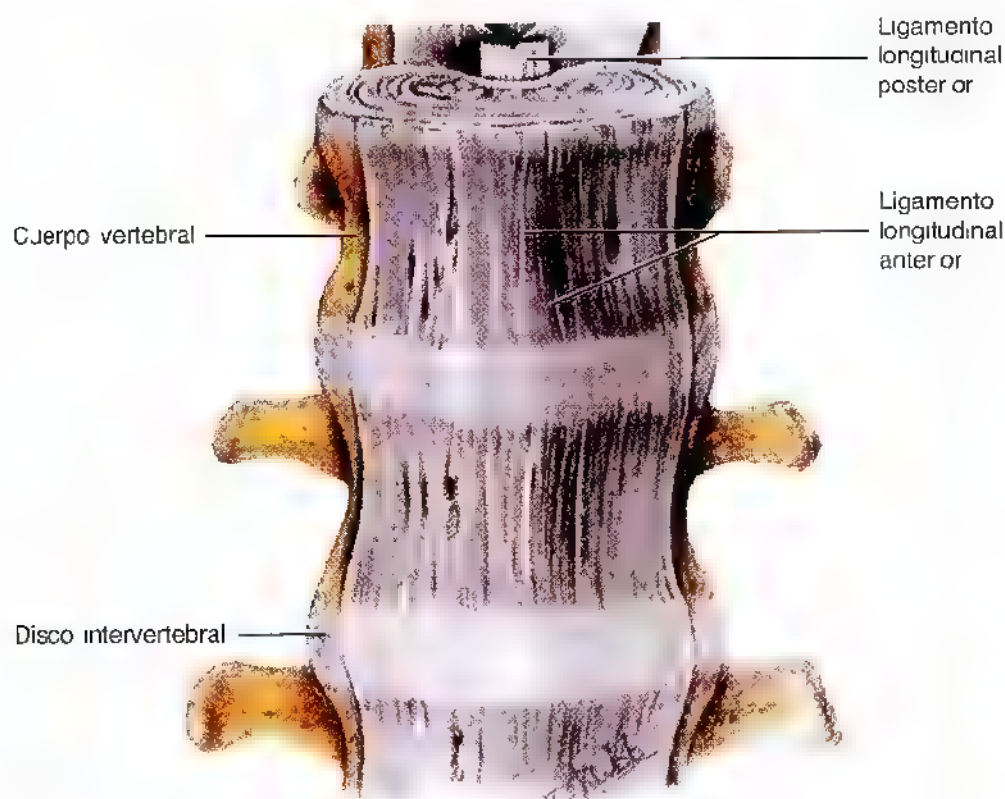


Figura 4.14. Articulaciones uncovertebrales. Estas pequeñas estructuras articulares sinoviales se encuentran entre las apófisis semilunares de las vértebras inferiores y las superficies biseladas de los cuerpos vertebrales superiores a ellas. Estas articulaciones radican en los márgenes posterolaterales de los discos intervertebrales (IV).



Visión anterior

Figura 4.15. Discos intervertebrales (IV) y ligamentos longitudinales.

Se muestran partes de las regiones torácica (T12) y lumbar (L1, L2). También se aprecian el ligamento longitudinal anterior ancho y el ligamento longitudinal posterior. El ligamento longitudinal anterior es una banda fibrosa y robusta que se inserta en los discos intervertebrales y las porciones anterolaterales adyacentes de los cuerpos vertebrales. Pese a que es más grueso en la cara anterior de los cuerpos vertebrales (y a menudo sólo se ilustra esta porción más densa), cubre tanto las caras anteriores como laterales de los cuerpos hasta el orificio intervertebral, uniéndose entre las vértebras con la porción más externa del anillo fibroso de los discos intervertebrales. Nótese los orificios del ligamento para la entrada y salida de las arterias y venas de los cuerpos vertebrales.

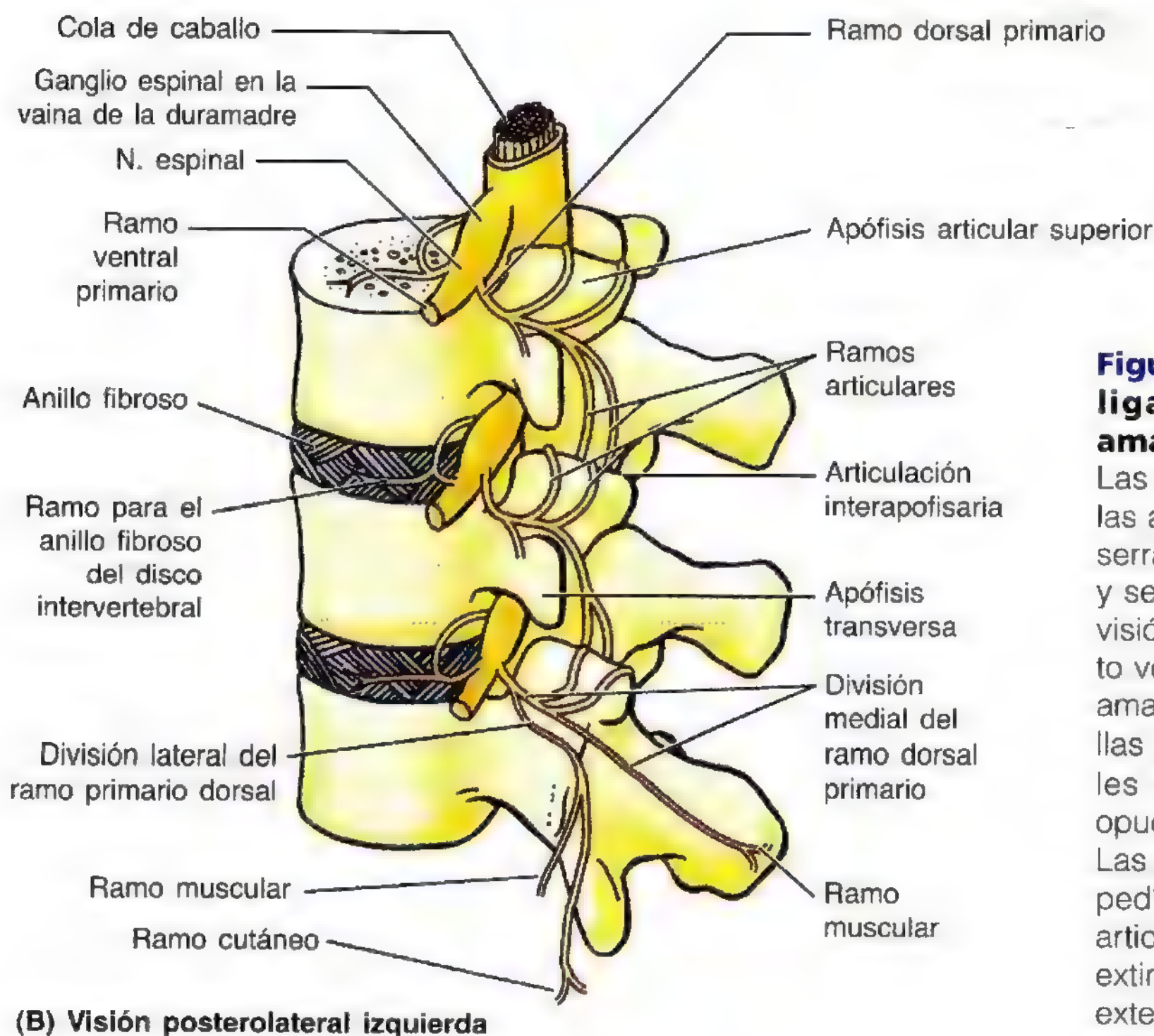
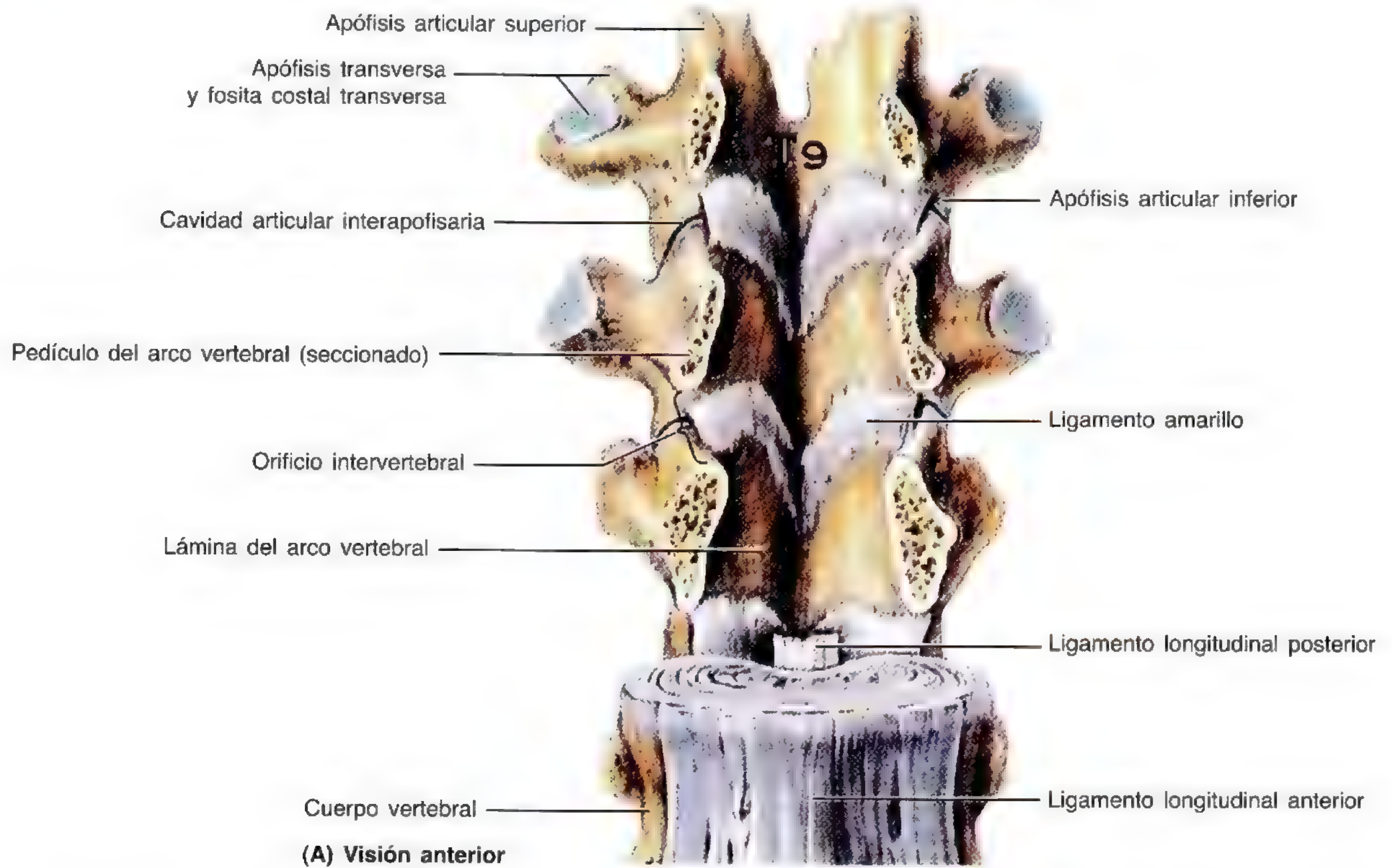


Figura 4.16. Articulaciones interapofisarias, ligamentos longitudinales, ligamentos amarillos e innervación de las articulaciones.

Las articulaciones interapofisarias ocurren entre las apófisis articulares de las vértebras. **A.** Se han serrado los pedículos de las vértebras T9 a T11 y se han extirpado los cuerpos para obtener esta visión anterior de la pared posterior del conducto vertebral (medular) formado por los ligamentos amarillos, compuestos por fibras elásticas amarillas que se extienden entre las láminas vertebrales adyacentes. Los ligamentos de las caras opuestas se reúnen y fusionan en el plano medio. Las apófisis articulares inferior y superior, entre los pedículos izquierdo y derecho adyacentes, y las articulaciones interapofisarias entre ellas (se han extirpado las cápsulas articulares), así como la extensión más lateral de los ligamentos amarillos, constituyen los límites posteriores de los orificios intervertebrales (IV). **B.** Como puede apreciarse, el ramo primario dorsal nace del nervio espinal fuera del orificio intervertebral y se divide en los ramos medial y lateral, que innervan las articulaciones interapofisarias.

Lesión y enfermedad de las articulaciones interapofisarias

Las articulaciones interapofisarias tienen interés clínico porque están muy próximas a los orificios intervertebrales, por los que emergen los nervios espinales del conducto vertebral. Cuando se dañan o lesionan estas articulaciones por una *artrosis*, los nervios espinales relacionados suelen afectarse. El dolor se distribuye por los *dermatomas* y los músculos de los *miotomas* asociados (miotoma = todos los músculos o partes de los músculos que reciben inervación de un nervio espinal) sufren espasmo. La ilustración de la columna lumbar indica la inervación de las articulaciones interapofisarias (fig. 4.16B).

La *desnervación de las articulaciones interapofisarias lumbares* constituye un procedimiento que se aplica, en ocasiones, para tratar el dolor causado por la enfermedad de estas articulaciones. Para ello se seccionan los nervios cerca de las articulaciones o se destruyen mediante *rizólisis percutánea* con radiofrecuencia (rizo significa raíz en griego, y lisis, disolución). La desnervación se dirige, en cada intervención, a los ramos articulares de los dos ramos primarios dorsales adyacentes de los nervios espinales, porque cada articulación está inervada tanto por el nervio que sale a dicho nivel como por el situado encima. +

Ligamentos accesorios intervertebrales

Las láminas de los arcos vertebrales adyacentes se hallan unidas por un tejido fibroso ancho, elástico y amarillo, los **ligamentos amarillos**. Estos *ligamentos amarillos* se extienden casi verticalmente desde la lámina superior hasta la inferior (fig. 4.16). Los ligamentos unen entre sí las láminas de las vértebras vecinas e integran la pared posterior del conducto vertebral. Los ligamentos amarillos son largos, finos y anchos en la región cervical; más gruesos, en la zona torácica, y muy gruesos, en la lumbar. Estos ligamentos impiden que se separen las láminas vertebrales, es decir, detienen la flexión brusca de la columna vertebral y suelen impedir que se lesionen los discos intervertebrales. Los ligamentos amarillos, elásticos y poderosos, ayudan a mantener las curvaturas normales de la columna vertebral y contribuyen al enderezamiento de la columna después de la flexión.

Las apófisis espinosas vecinas están unidas por ligamentos interespinosos débiles, casi membranosos, y por poderosos ligamentos supraespinosos de carácter fibroso (fig. 4.17). Los **ligamentos interespinosos** finos comunican las apófisis espinosas vecinas y se insertan de la raíz al vértice de cada apófisis. El **ligamento supraespinoso**, parecido a un cordón, comunica los vértices de las apófisis espinosas de C7 hasta el sacro y se une por arriba con el ligamento de la nuca, un ligamento medio ancho y fuerte del cuello. El **liga-**

mento nual —distinto de los ligamentos interespinosos y supraespinoso— se compone de tejido fibroelástico engrosado, que se extiende desde la protuberancia occipital externa y el borde posterior del orificio magno hasta las apófisis espinosas de las vértebras cervicales. Debido a la brevedad de las apófisis espinosas C3 a C5, el ligamento de la nuca sustituye al hueso como lugar de inserción muscular. Los **ligamentos intertransversos**, que comunican las apófisis transversas adyacentes, constan de fibras dispersas en la región cervical y cuerdas fibrosas en la torácica (fig. 4.17, derecha). Los ligamentos intertransversos de la región lumbar son finos y membranosos.

Articulaciones craneovertebrales

Existen dos articulaciones craneovertebrales:

- Articulación atlantooccipital entre el atlas (vértebra C1) y el hueso occipital del cráneo.
- Articulación atlantoaxoidea entre el atlas y el axis (vértebra C2).

La voz griega *atlanto* se refiere al *atlas*. Las articulaciones craneovertebrales son articulaciones sinoviales que carecen de discos intervertebrales y están destinadas a incrementar el arco de movimiento con respecto al resto de la columna vertebral. En estas articulaciones intervienen los cóndilos occipitales, el atlas y el axis.

Articulaciones atlantooccipitales. Estas articulaciones entre las masas laterales del atlas y los cóndilos occipitales (fig. 4.18) permiten la inclinación de la cabeza, por ejemplo la flexión y extensión del cuello para indicar la aprobación (el movimiento de “afirmación”). Estas articulaciones también facilitan la inclinación lateral de la cabeza. El movimiento principal consiste en la flexión, con ligera flexión lateral y rotación. Se trata de *articulaciones sinoviales de tipo condíleo* con cápsulas articulares finas y laxas, compuestas por cápsulas fibrosas tapizadas de una membrana sinovial. El cráneo y C1 también se comunican por las **membranas atlantooccipitales** anterior y posterior, que se extienden desde los arcos anterior y posterior de C1 hasta los bordes anterior y posterior del orificio magno (fig. 4.19). Las membranas anteriores se componen de fibras anchas, bien entrelazadas; las membranas posteriores son anchas, pero bastante débiles. Las membranas atlantooccipitales contribuyen a evitar el movimiento excesivo de estas articulaciones.

El **ligamento transversal del atlas** (fig. 4.18, A-C) es un fascículo fuerte que se extiende entre los tubérculos situados en las caras mediales de las masas laterales de la vértebra C1. Sostiene el diente de C2 contra el arco anterior de C1 y crea la pared posterior de la cavidad para el diente. Los **fascículos longitudinales** superior e inferior, con orientación vertical, se dirigen desde el ligamento transversal hasta el hueso occipital por arriba y hasta el cuerpo de C2 por abajo. En conjunto, el ligamento transversal y los fascículos longitudinales forman el **ligamento cruzado** (antiguo ligamento cruciforme), así denominado por su semejanza con una cruz.

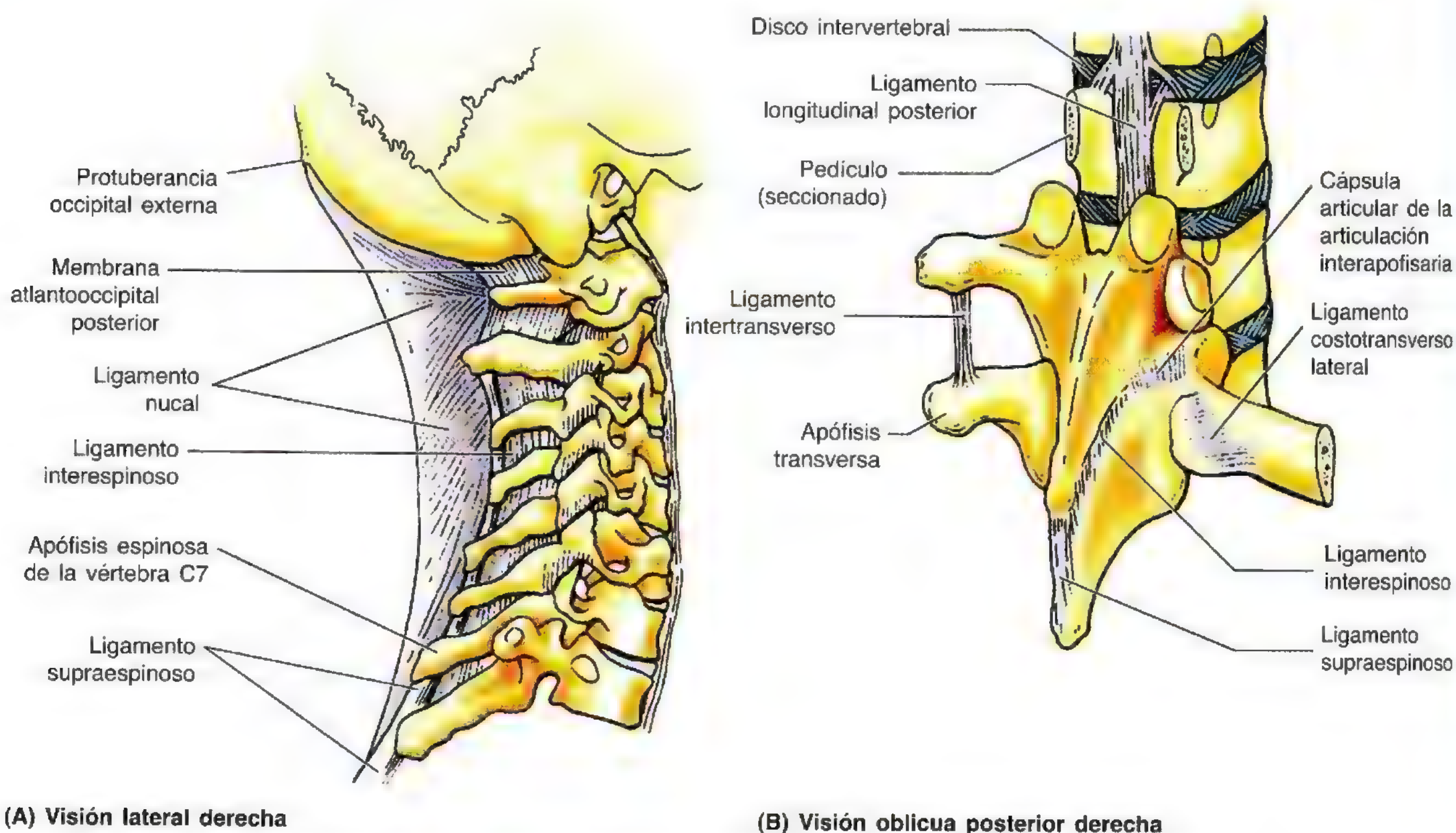


Figura 4.17. Articulaciones y ligamentos de la columna vertebral. **A.** Visión lateral derecha de los ligamentos de la región cervical. Nótese la apófisis espinosa prominente de C7 –vértebra prominente– y el ligamento nual. **B.** Visión posterolateral de los ligamentos de la región torácica. Se han serrado los pedículos de las dos primeras vértebras y se han extraído los arcos vertebrales (neurales) para ver el ligamento longitudinal posterior. Obsérvense los ligamentos intertransverso, supraespinoso e interespinoso asociados con las vértebras que disponen de arcos vertebrales intactos.

Los **ligamentos alares** se extienden desde los lados del diente hasta los bordes laterales del orificio magno (fig. 4.18A). Estos cordones cortos y redondeados, de aproximadamente medio centímetro de diámetro –algo más pequeños que un lápiz–, insertan el cráneo en la vértebra C1 y verifican la rotación (movimientos de lado a lado) de la cabeza al girarla.

La **membrana tectoria** (fig. 4.18, A y B) es la prolongación superior y robusta del ligamento longitudinal posterior a través de la articulación atlantoaxoidea central, que cruza el orificio magno hasta llegar a la parte central del suelo de la cavidad craneal. Se dirige desde el cuerpo de C1 hasta la cara interna del hueso occipital y tapiza los ligamentos alares y transversos.

Articulaciones atlantoaxoideas. Existen tres articulaciones atlantoaxoideas (fig. 4.18, A-C):

- Dos articulaciones atlantoaxoideas laterales.
- Una articulación atlantoaxoidea media.

Estas articulaciones sinoviales se encuentran entre las caras inferiores de las masas laterales de C1 y las caras superiores de C2, y entre el diente de C2 y el arco anterior del atlas.

El movimiento (sobre todo, rotación) de las tres articulaciones atlantoaxoideas permite girar la cabeza de un lado a otro (fig. 4.18, C y D), como sucede cuando se rota la cabeza para señalar la desaprobación (movimiento de “negación”). Durante este movimiento, el cráneo y C1 rotan sobre C2 en bloque. La rotación excesiva por estas articulaciones queda limitada por los ligamentos alares. Durante la rotación de la cabeza, el diente de C2 es el eje o pivote que se sujeta dentro de la cavidad o collar formado por el arco anterior del atlas y el ligamento transversal del atlas (fig. 4.18C). La articulación de C2 con C1 (articulación atlantoaxoidea central) se describe, pues, como una articulación de pivote, mientras que las articulaciones interapofisarias (articulaciones atlantoaxoideas laterales) C1/C2 son articulaciones sinoviales planas.

Fractura del diente

El ligamento transversal del atlas es más fuerte que el diente de la vértebra C2, que suele fracturarse por su base. Muchas veces, los fragmentos fracturados no ▶

► se juntan por la interposición del ligamento transverso del atlas (Crockard y cols., 1993). Algunas fracturas del diente se deben a patrones anómalos de osificación.

Rotura del ligamento transverso del atlas

Cuando se rompe o debilita por enfermedad el ligamento transverso del atlas, el diente queda libre y ocurre una *subluxación atlantoaxoidea*, es decir, una luxación incompleta de la articulación atlantoaxoidea. El reblandecimiento patológico de los ligamentos transversos y adyacentes—casi siempre por enfermedades del tejido conjuntivo—también puede ocasionar una subluxación atlantoaxoidea (Bogduk y Macintosh, 1984). Cuando ocurre una luxación completa, el diente puede desplazarse hasta la región cervical superior de la médula y ocasionar una parálisis de los cuatro miembros (*tetraplejía*) o bien dirigirse al bulbo, produciendo la muerte. A veces, la inflamación de la región craneovertebral determina una malacia de los ligamentos de las articulaciones craneovertebrales y una luxación de las articulaciones atlantoaxoideas. El movimiento brusco de un paciente desde la cama a la silla puede, por ejemplo, causar la luxación posterior del diente y una lesión de la médula espinal.

Rotura de los ligamentos alares

Los ligamentos alares son más débiles que el ligamento transverso del atlas. Por eso, la flexión y rotación combinada de la cabeza puede desgarrar uno o ambos ligamentos alares. La rotura de un ligamento alar incrementa en casi un 30% la movilidad hacia el lado opuesto (Dvorak y cols., 1988).

Osificación de la membrana atlantooccipital posterior

El borde inferior de la membrana atlantooccipital posterior, que establece un puente sobre el surco para la arteria vertebral, puede osificarse y transformar el surco en un orificio para la arteria vertebral y el 1^{er} nervio cervical. Este es un rasgo familiar y genético.

Compresión del ganglio espinal C2

La rotación atlantoaxoidea, poco común, puede comprimir el 2^o nervio espinal cervical. Si se hiperextiende en exceso el cuello mientras se mueve la cabeza hacia un lado, se puede comprimir el ganglio espinal del nervio C2 del lado contrario entre las vértebras C1 y C2. Luego, aparecen cefaleas prolongadas y dolores cervicooccipitales, que pueden ser tan intensos que motiven ideas de suicidio. ☹

Movimientos de la columna vertebral

La amplitud de movimiento de la columna vertebral depende de la región y de la persona. Algunas personas, como los acróbatas que empiezan a entrenarse desde la primera infancia, adquieren movimientos extraordinarios. La movilidad de la columna vertebral obedece, sobre todo, a la capacidad de compresión y a la elasticidad de los discos intervertebrales. Los movimientos de la columna vertebral consisten en flexión, extensión, flexión lateral y rotación (torsión). El arco de movimiento de la columna vertebral está limitado por:

- El grosor, la elasticidad y la compresibilidad de los discos intervertebrales.
- La forma y la orientación de las articulaciones interapofisarias.
- La tensión de las cápsulas articulares de las articulaciones interapofisarias.
- La resistencia de los músculos y de los ligamentos del dorso (como los ligamentos amarillos y el ligamento longitudinal posterior).

Los músculos del dorso que provocan los movimientos de la columna vertebral se exponen más adelante, pero estos movimientos no se deben en exclusiva a la musculatura del dorso. A estos movimientos contribuye la gravedad y el

efecto de los músculos anterolaterales del abdomen (véase el capítulo 2).

Los movimientos entre las vértebras adyacentes se llevan a cabo sobre los núcleos pulposos elásticos de los discos intervertebrales y las articulaciones interapofisarias. La orientación de estas últimas permite ciertos movimientos y restringe otros. Por ejemplo, en la región torácica, la orientación oblicua de las articulaciones interapofisarias, cuyas caras articulares (es decir, planos articulares) extrapoladas describen un arco central en el cuerpo vertebral, permite cierta rotación y flexión lateral, pero impide la flexión y deslizamiento posterior de las vértebras. Pese a que algunos movimientos entre vértebras adyacentes son relativamente pequeños, sobre todo en la región torácica, la suma de todos ellos determina un arco de movimiento considerable de la columna en su conjunto (p. ej., al doblarse para tocar los dedos del pie).

Los movimientos de la columna cervical y lumbar son más libres que los del resto (fig. 4.20, A-C). La flexión, la extensión, la flexión lateral y la rotación del cuello son movimientos particularmente libres, porque:

- Los discos intervertebrales, aunque finos en relación con la mayoría de los demás, son gruesos con respecto al tamaño de los cuerpos vertebrales de esta región.

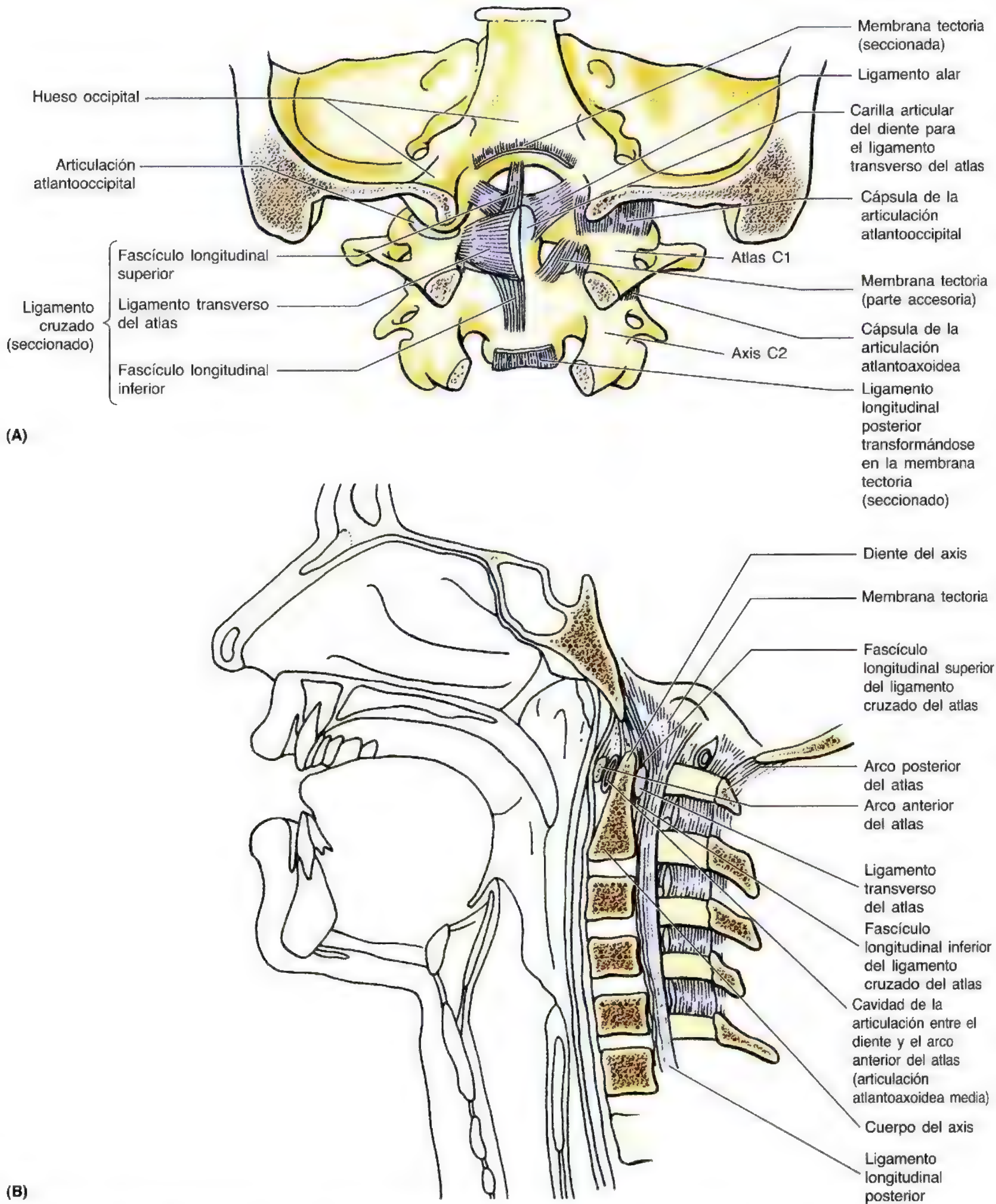
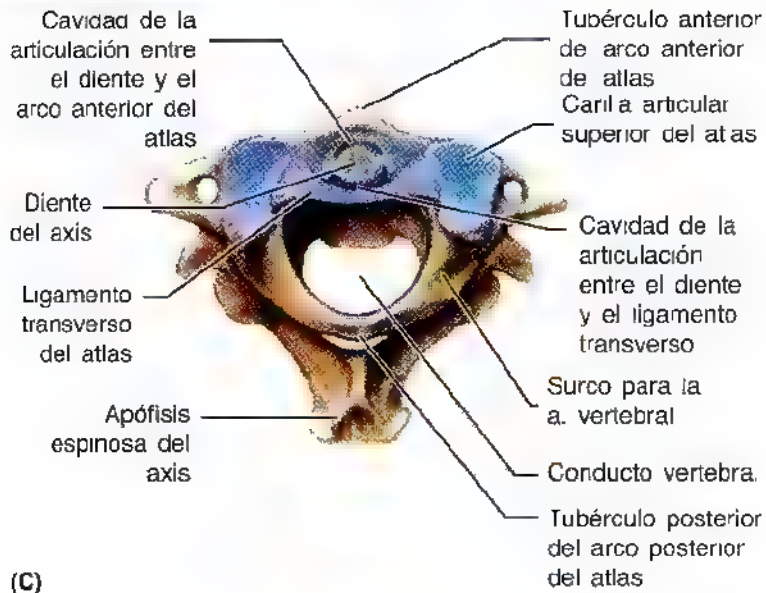
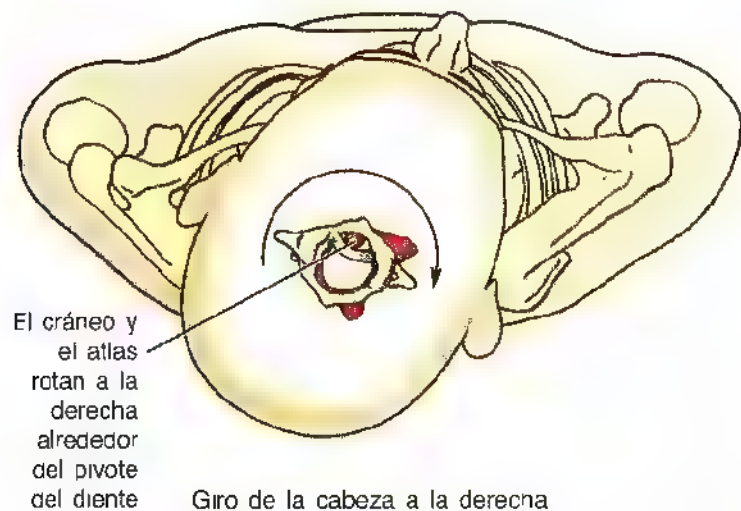
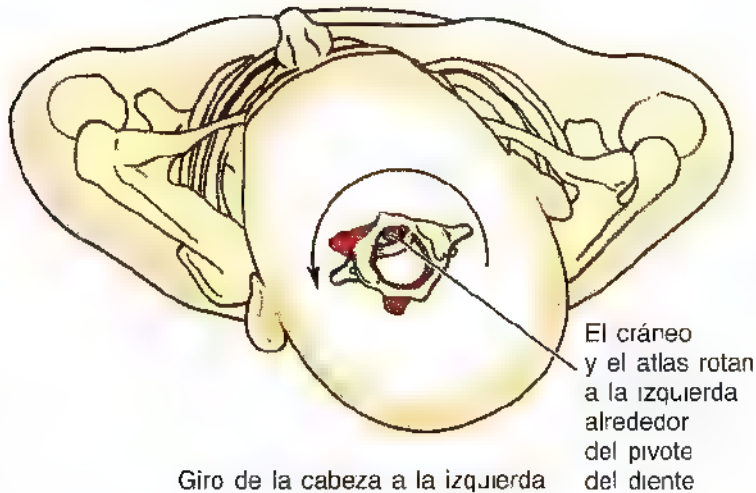


Figura 4.18. Articulaciones y ligamentos craneovertebrales. **A.** Visión posterior. La membrana tectoria y el ligamento transverso del atlas (C1) se han seccionado para mostrar la inserción del ligamento alar en el diente de la vértebra C2 (axis). **B.** Corte medio de la región craneovertebral y del cuello que muestra las articulaciones y los ligamentos. Se aprecia cómo la membrana tectoria es la prolongación superior del ligamento longitudinal posterior y se inserta (se extiende) en los cuerpos de las vértebras C2 y C3 y en la cara superior de la porción basilar del hueso occipital.



(C)



(D)

Figura 4.18. (Continuación) C. Visión superior de la articulación atlantoaxoidea media. Esta formada por el arco anterior y el ligamento transversal de atlas y el diente de axis. **D.** Estos dibujos ilustran cómo el cráneo y el atlas rotan alrededor del pivote del diente a girar la cabeza.

- Las caras articulares de las articulaciones interapofisarias son bastante grandes, y los planos articulares, casi horizontales.
- Las cápsulas articulares de las articulaciones interapofisarias son laxas.
- El cuello es fino (dispone de menor volumen circundante de tejido blando).

La flexión de la columna vertebral es máxima por la región cervical (fig. 4.20A).

Los planos articulares, con orientación sagital, de la región lumbar facilitan la flexión y la extensión. *La extensión de la columna vertebral se acentúa principalmente en la región lumbar* y suele ser mayor que la flexión; sin embargo, las apófisis articulares unidas impiden la rotación de esta zona. La región lumbar, como la cervical, posee discos interverte-

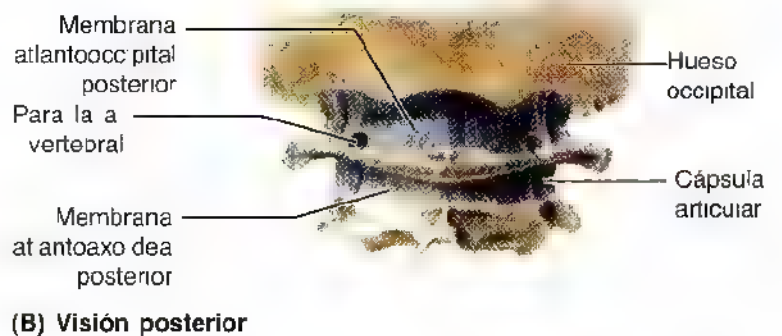
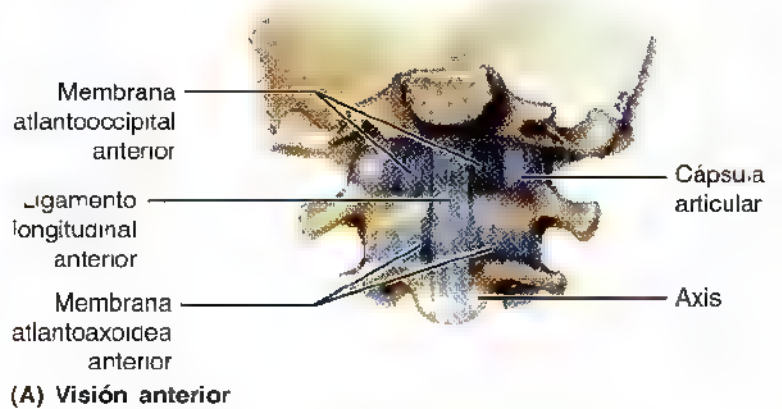


Figura 4.19. Ligamentos de las articulaciones craneovertebrales. A. Obsérvese cómo la porción más gruesa y anterior de ligamento longitudinal anterior se une en la línea media con la membrana atlantoaxoidea anterior y la membrana atlantooccipital anterior, y a los lados, con las cápsulas articulares de las articulaciones interapofisarias. **B.** Se aprecia la membrana atlantooccipital posterior, que cabe entre el orificio magno y la cara superior del arco posterior del atlas (C1). Obsérvese el orificio para las arterias vertebrales que, tras atravesar los orificios transversarios del atlas, perforan la membrana atlantooccipital antes de cruzar el orificio magno. Asimismo se aprecia la membrana atlantoaxoidea posterior, situada entre la cara inferior del arco posterior de atlas y las laminae del axis (C2).

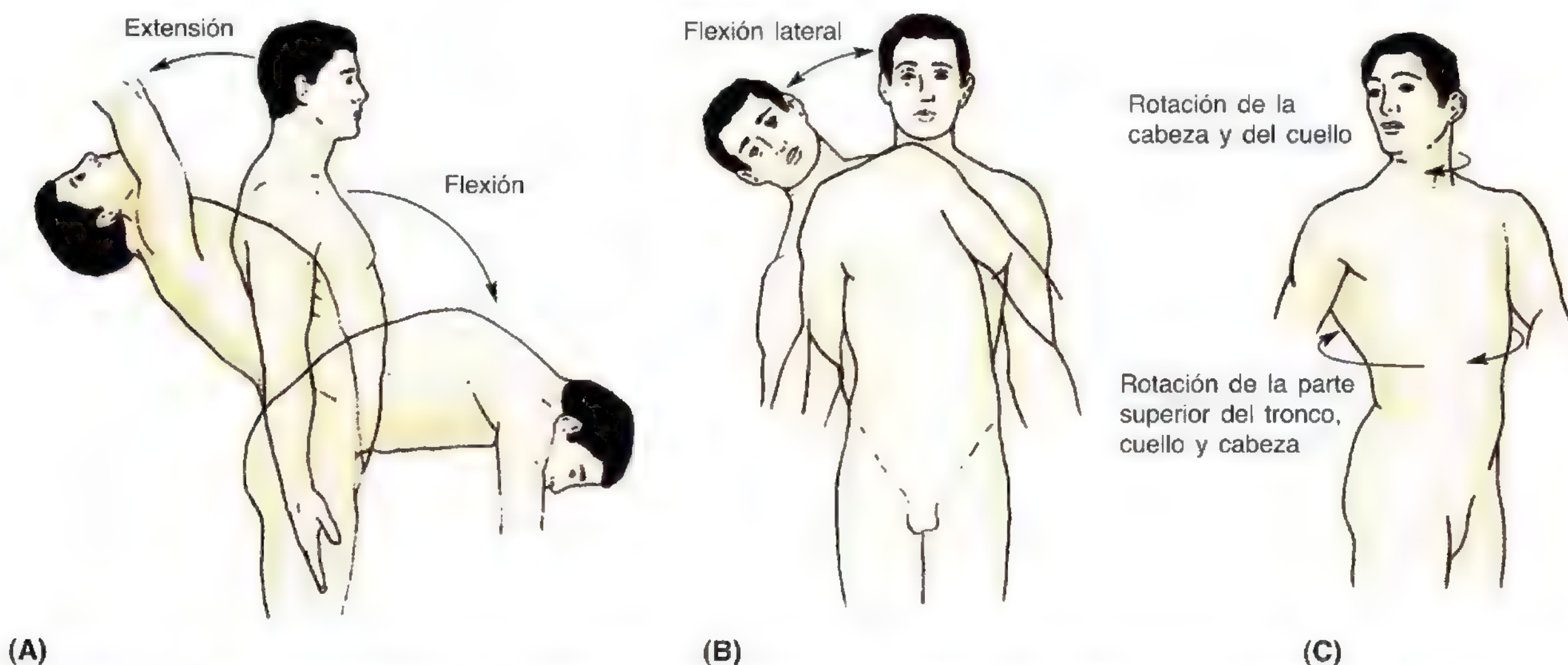


Figura 4.20. Movimientos de la columna vertebral. Los movimientos consisten en flexión (flexión anterior) y extensión (flexión posterior), ambas en el plano medio (A) (la flexión y la extensión ocurren sobre todo en las regiones cervical y lumbar); flexión lateral (a la izquierda o a la derecha en el plano coronal), en su mayor parte dentro de las regiones cervical y lumbar (B); rotación sobre un eje longitudinal, sobre todo en las uniones craneovertebrales (magnificado por la región cervical) y en la región torácica (C).

brales grandes (los más grandes de todos) en relación con el tamaño de los cuerpos vertebrales. *La flexión lateral de la columna vertebral es máxima en las regiones cervical y lumbar* (fig. 4.20B).

En cambio, la región torácica dispone de discos intervertebrales finos con relación al tamaño de los cuerpos vertebrales. La comunicación de esta parte de la columna con el esternón, a través de las costillas y de los cartílagos costales, le confiere asimismo cierta estabilidad. Los pla-

nos articulares se sitúan, en este caso, sobre un arco centrado en el cuerpo vertebral que permite la rotación de la región torácica (fig. 4.20C). Esta rotación de la parte superior del tronco, combinada con la de la región cervical y la de las articulaciones atlantoaxoideas, explica la torsión del esqueleto axial que ocurre al mirar hacia atrás por encima del hombro. Sin embargo, la flexión de la región torácica es casi inexistente y la flexión lateral está muy limitada.

Fracturas y luxaciones vertebrales

Las fracturas, las luxaciones y las fracturas-luxaciones de la columna vertebral son consecuencia, de ordinario, de una flexión repentina y violenta, como sucede en los accidentes de tráfico o cuando se recibe un golpe violento en la nuca. *La lesión habitual es una fractura por aplastamiento o compresión del cuerpo de una o más vértebras.* Si se produce un movimiento vertebral anterior y violento, además de la compresión, la vértebra se puede desplazar hacia delante sobre la vértebra situada por debajo, como ocurre en la luxación de las vértebras C6 o C7. En general, se sigue de una luxación y fractura de las carillas articulares entre las dos vértebras con rotura de los ligamentos interespinosos. Las lesiones más graves por flexión de la columna vertebral se acompañan de daño irreparable de la médula espinal.



► La extensión brusca y forzada también puede lesionar la columna y la médula espinal. El bloqueo facial antirreglamentario en el rugby puede ocasionar una lesión por hiperextensión del cuello (pág. 462). La hiperextensión del cuello también sucede en colisiones traseras entre vehículos. La hiperextensión grave suele dañar las partes posteriores de las vértebras, los arcos vertebrales y sus apófisis. *Las fracturas de las vértebras cervicales provocan dolor que se irradia al dorso del cuello y a la región escapular*, porque los ganglios sensitivos y los segmentos medulares que reciben los impulsos dolorosos de las vértebras son los mismos que inervan los músculos elevador de la escápula, romboides y profundos del cuello (véase fig. 4.23).

La hiperextensión grave del cuello puede pellizcar el arco posterior de C1 entre el hueso occipital y C2. En tales circunstancias, el atlas suele romperse por uno o por los dos surcos de las arterias vertebrales. El ligamento longitudinal anterior y el anillo fibroso adyacente del disco intervertebral C2/C3 también se rompe. En estos casos, el cráneo, C1 y C2 se separan del resto del esqueleto axial y la médula espinal suele dañarse. Las personas que sufren esta lesión tan grave casi nunca sobreviven.

Las luxaciones vertebrales en las regiones torácica y lumbar ocurren pocas veces, debido al engranaje entre las apófisis articulares. Una luxación ligera de las vértebras cervicales no siempre daña la médula espinal, porque el conducto vertebral de esta región suele ser más grande que la médula; sin embargo, una luxación vertebral considerable puede ocasionar daño grave de la médula. El rugby, el submarinismo, las caídas desde el caballo y los accidentes de tráfico causan la mayoría de las fracturas cervicales. Los síntomas varían desde molestias vagas hasta una pérdida progresiva de las funciones motora y sensitiva.

La transición de la región torácica, bastante poco flexible, hacia la lumbar, mucho más móvil, sucede bruscamente, por desgracia. Por eso, T11 y T12 son las vérte-



bras no cervicales que se fracturan con más frecuencia (es decir, "fractura de la espalda" en lugar de "fractura del cuello").

La fractura de las porciones interarticulares de las láminas vertebrales de L1 (espondilólisis) pueden determinar un desplazamiento anterior del cuerpo vertebral de L5 con respecto al sacro (vértebra S1-espondilolistesis). El fragmento posterior, que compone la mayor parte del arco vertebral, mantiene su relación normal con el sacro, pero el fragmento anterior y el cuerpo vertebral de L5 pueden desplazarse hacia delante. Este desplazamiento anterior de casi toda la columna vertebral constituye la espondilolistesis. La espondilolistesis de L5/S1 puede comprimir los nervios espinales de la cola de caballo a su paso por la parte superior del sacro, y ocasionar dolor en el dorso del tronco y en el miembro inferior. ❁

Anatomía de superficie de la columna vertebral

Debido a la curvatura cervical, la **apófisis espinosa C7** es la única que suele observarse en el relieve de superficie de la región cervical, de donde deriva su nombre de **vértebra prominente** (flecha grande de la fotografía de la pág. 472). La apófisis espinosa de C7 resulta aún más prominente con la flexión del cuello. La **apófisis espinosa de C2** es el 1.º punto óseo que se palpa en la línea media, debajo de la **protuberancia occipital externa**, una proyección media situada algo por debajo de la parte sobresaliente de la cara posterior de la cabeza, donde se une con

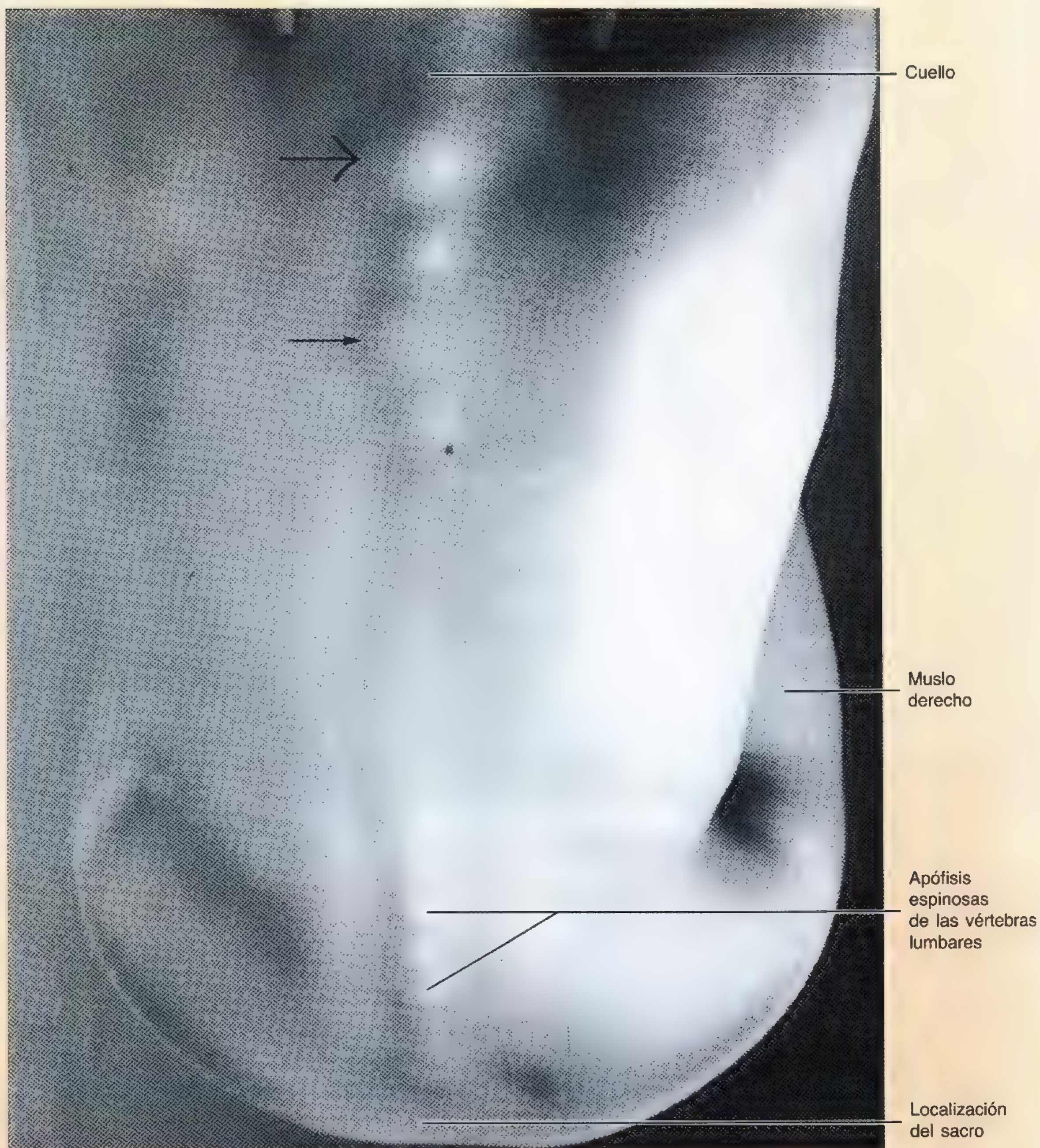
el cuello. La vértebra C1 carece de apófisis espinosa y su pequeño tubérculo posterior no se ve ni se palpa.

Las apófisis espinosas bífidas y cortas de C3 a C5 pueden palparse en el **surco nuchal**, entre los músculos del cuello, pero no son fáciles de palpar porque se sitúan en la profundidad del ligamento nuchal que las separa. La **apófisis espinosa de la vértebra C6** se palpa sin problemas cuando se flexiona el cuello (debido a su longitud). Las puntas de las apófisis espinosas suelen estar alineadas entre sí. El desplazamiento de su alineamiento (flecha pequeña de la fotografía de la página siguiente) puede ser consecuencia de una luxación unilateral de una articulación interapofisaria; sin embargo, esta falta ligera de ►

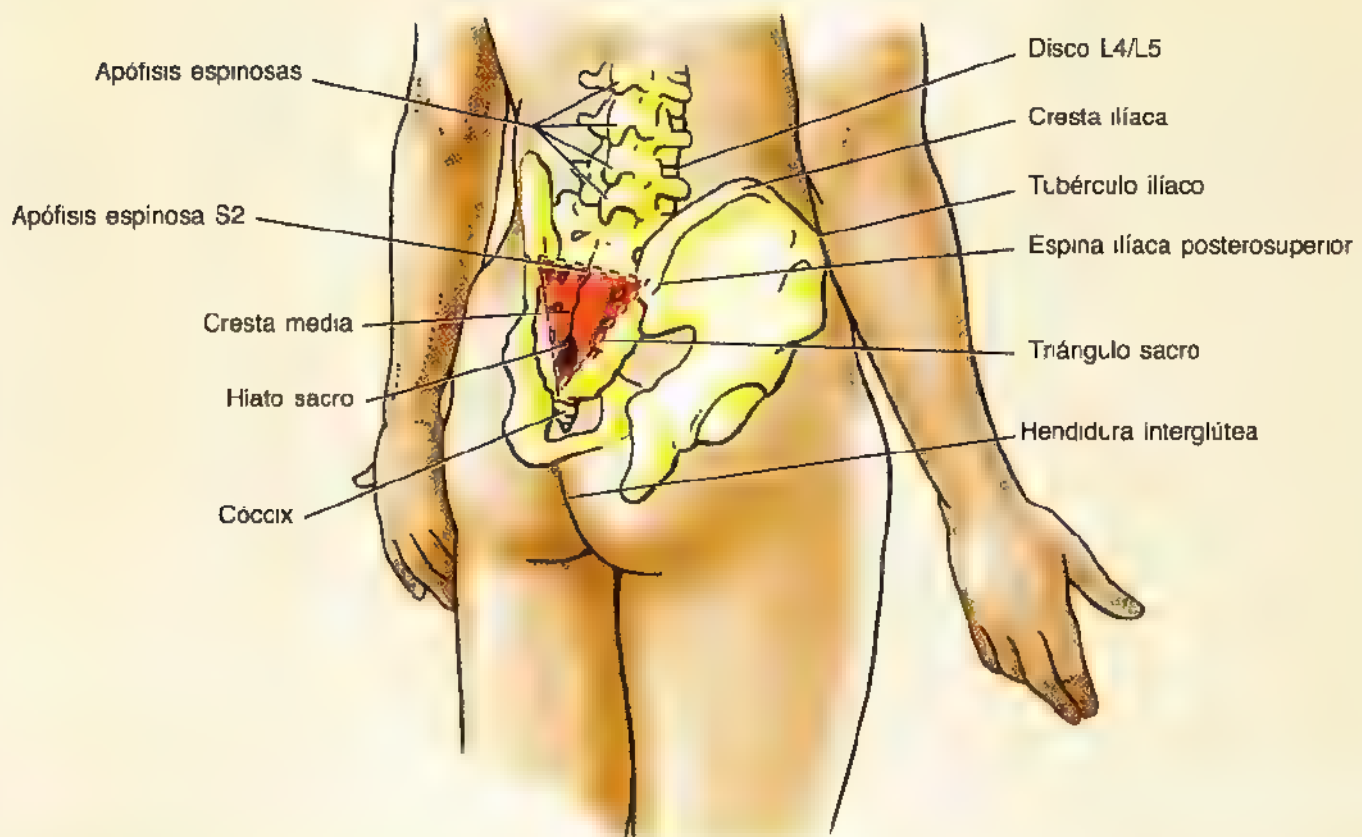
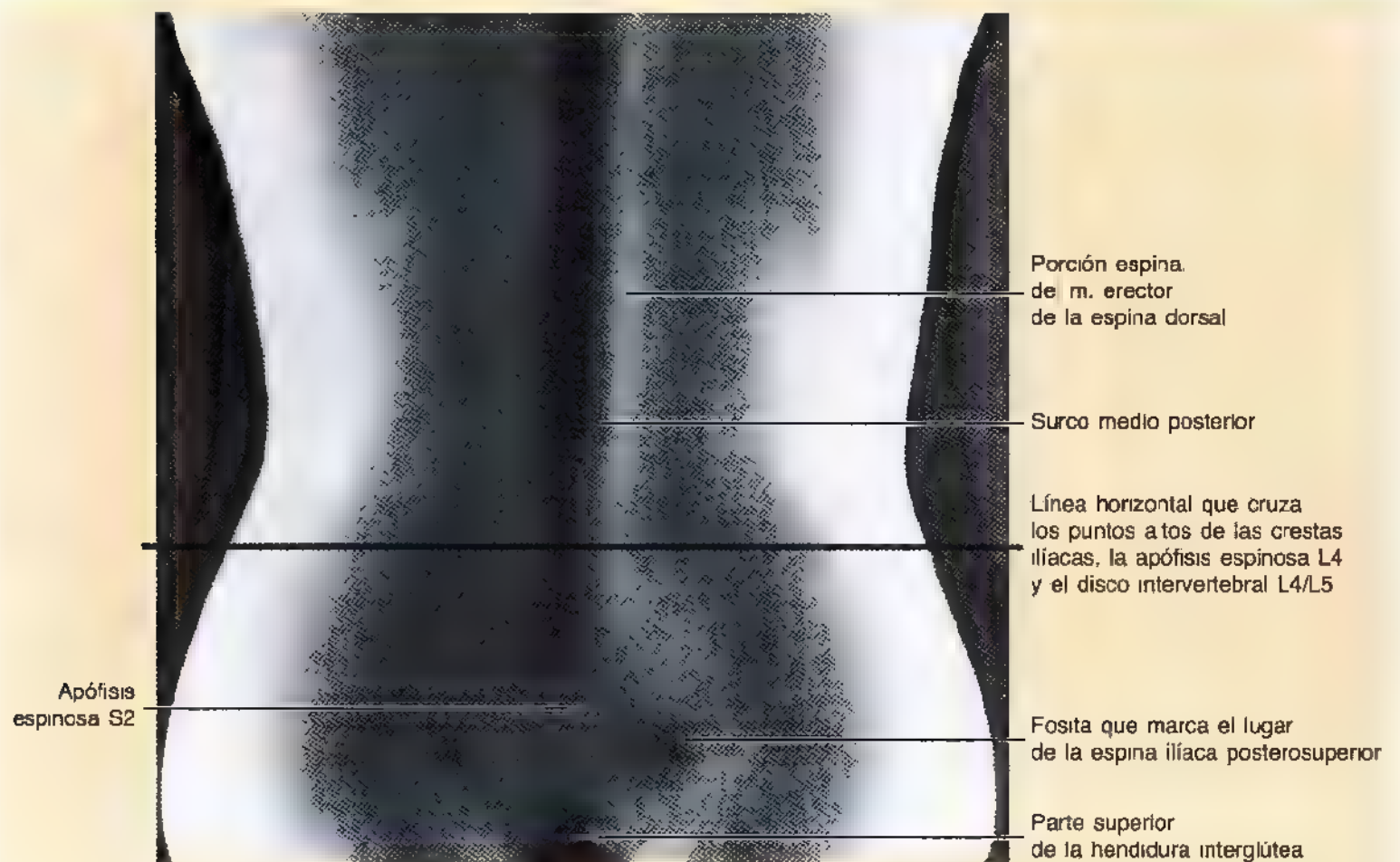
► alineamiento podría obedecer a una fractura de la apófisis espinosa de la vértebra T1.

Las apófisis transversas de C1 se pueden tocar mediante palpación profunda, entre las *apófisis mastoides* –prominencias de los huesos temporales situadas detrás de las orejas– y los ángulos de la mandíbula. El *tubérculo caro-*

tideo, tubérculo anterior de la apófisis transversa de la vértebra C6, crece a veces lo suficiente para la palpación. La *arteria carótida* se sitúa delante de él y, en caso de emergencia, se puede comprimir contra el tubérculo para disminuir la hemorragia originada en esta arteria o en alguna de sus ramas (el sangrado puede persistir con un ►



Anatomía de superficie del dorso de una mujer de 27 años. Obsérvese la prominencia de la apófisis espinosa de la vértebra C7, vértebra prominente (flecha grande). La apófisis espinosa de T2 (flecha pequeña) se desvía ligeramente de la línea media posterior (línea vertebral media).



► ritmo más lento, debido a las múltiples anastomosis de las ramas distales con ramas adyacentes y contralaterales).

La prominencia entre C7 y T2 (*flecha grande*) es la *apófisis espinosa* más prominente de la región torácica; la *apófisis espinosa de T1* puede ser casi tan prominente como la de la propia vértebra así denominada. La apófisis espinosa de las demás vértebras torácicas se puede ver en las personas delgadas e identificar, en el resto, mediante palpación de arriba abajo, empezando por la apófisis espinosa de T1. Las *apófisis espinosas de las vértebras lumbares* son grandes y fáciles de observar con la flexión del tronco. Además, se pueden palpar en el surco medio posterior.

La *apófisis espinosa S2* se sitúa en el centro de una línea comprendida entre las dos espinas ilíacas posteriores; queda señalada por fositas cutáneas formadas por la inserción de la piel y de la fascia en estas espinas. La *línea horizontal que une los puntos más altos de las crestas ilíacas pasa por la punta de la apófisis espinosa L4 y el disco intervertebral L4/L5*. Esta es una referencia valiosa para la práctica de la punción lumbar y la obten-

ción de una muestra de líquido cefalorraquídeo (LCR) (pág. 491).

La *cresta media del sacro*, formada por la fusión de las apófisis espinosas de las 3 ó 4 primeras vértebras sacras, se palpa debajo de la apófisis espinosa L5. El *triángulo sacro* lo forman las líneas que unen las dos espinas ilíacas posteriores y la parte superior de la *hendidura interglútea (F)*. El triángulo sacro, que delimita este hueso, es una zona frecuente de dolor provocado por esguinces de la parte baja del dorso. El *hiato del sacro* se puede palpar en el extremo inferior del sacro, en la parte superior de la hendidura interglútea (pág. 452).

Las apófisis transversas de las vértebras torácicas y lumbares están cubiertas de gruesos músculos y no siempre se palpan. El *cóccix* se puede palpar en la hendidura interglútea, debajo del triángulo sacro. La punta o *vértice del cóccix* se palpa aproximadamente 2,5 cm encima y detrás del ano. Desde el punto de vista clínico, el cóccix se explora a través del conducto anal, con el dedo enguantado. Un cóccix doloroso (*coccigodinia*) suele ser consecuencia de un golpe directo o de una caída sobre una superficie dura. ◊

Vascularización de la columna vertebral

Las vértebras suelen recibir la irrigación de ramas de los vasos segmentarios, las arterias lumbares, con las que están íntimamente relacionadas (fig. 4.21). Las **arterias espinales**, que nutren las vértebras, son ramas de:

- Las arterias vertebrales y cervicales ascendentes en el cuello.
- Las arterias intercostales posteriores en la región torácica.
- Las arterias subcostales y lumbares en el abdomen.
- Las arterias iliolumbares y sacras laterales y mediales en la pelvis.

Las arterias espinales penetran en los orificios intervertebrales y se dividen, de ordinario, en arterias radicales terminales que se distribuyen a las raíces dorsales y ventrales de los nervios espinales y a sus cubiertas. Algunas arterias radicales se prolongan como arterias segmentarias medulares, espaciadas de forma irregular, y se anastomosan con las arterias de la médula espinal (véase fig. 4.34).

Las **venas espinales** forman plexos venosos a lo largo de la columna, tanto dentro como fuera del conducto vertebral: el **plexo venoso vertebral interno** y el **plexo venoso vertebral externo**, respectivamente (fig. 4.22). Las grandes **venas basivertebrales**, tortuosas, se encuentran en la sustancia de los cuerpos vertebrales. Emergen de los orificios situados en las superficies de los cuerpos vertebrales (en general, en la cara posterior) y drenan a los plexos venosos vertebrales externo y, en especial, interno. Las **venas inter-**

vertebrales acompañan a los nervios espinales por los orificios intervertebrales y reciben venas de la médula espinal de los plexos vertebrales.

Los músculos del dorso del tronco

Casi todo el peso corporal reside delante de la columna vertebral, sobre todo en las personas obesas; por eso se necesitan muchos músculos robustos, insertados en las apófisis espinosas y transversas, para sujetar y mover la columna vertebral. *En el dorso del tronco existen tres grupos musculares:*

- Los grupos superficial e intermedio contienen los *músculos extrínsecos del dorso*, que producen y controlan los movimientos de los miembros y respiratorios, respectivamente.
- El grupo profundo está formado por los *músculos intrínsecos* o verdaderos *del dorso*, que actúan, en concreto, sobre la columna vertebral, moviéndola y manteniendo la postura.

Los músculos extrínsecos o superficiales del dorso

La musculatura extrínseca o superficial del dorso del tronco (trapecio, dorsal ancho, elevador de la escápula y romboides) comunica los miembros superiores con el tronco y controla los movimientos de los miembros (fig. 4.23A; véase también el capítulo 6). Estos músculos, pese a su ubicación

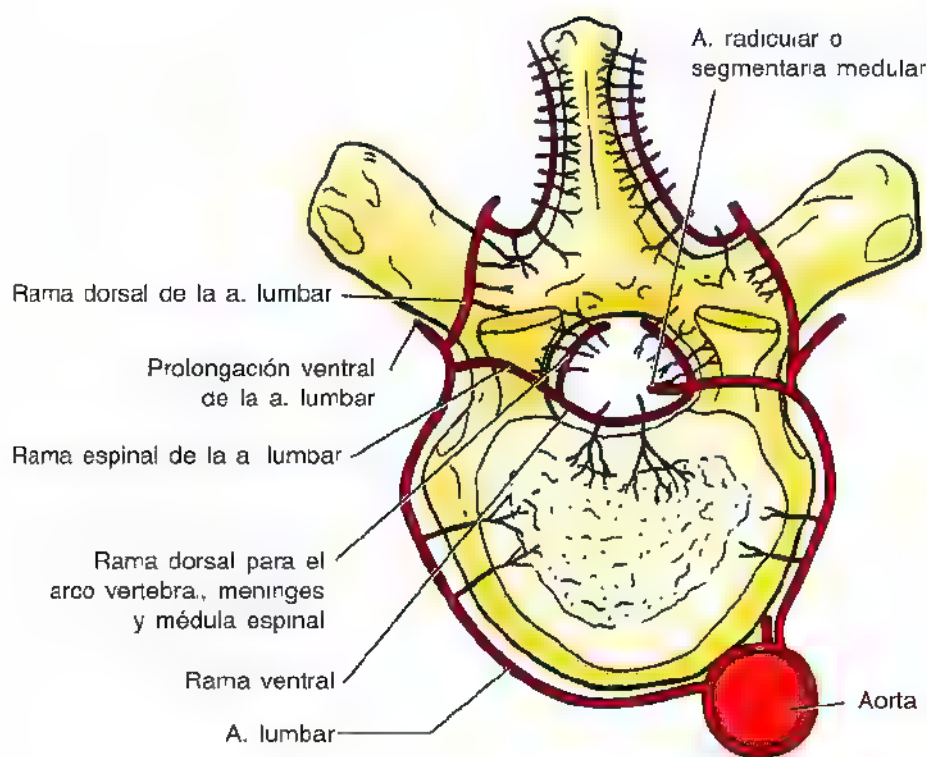


Figura 4.21. Vascularización de una vértebra vista desde la parte superior. Las vértebras típicas reciben la irrigación de una arteria segmentaria en este caso, lumbar que nace de la aorta. Cada vértebra torácica y lumbar se relaciona, por el centro, con un par de arterias segmentarias (intercostales o lumbares). Las arterias segmentarias, análogas, de la región cervical son ramas de las arterias vertebrales; las de la región torácica, de las arterias intercostales, y las de la región sacra de las arterias sacras laterales. Como se puede observar la arteria segmentaria emite ramificaciones para el cuerpo vertebral y las divisiones dorsales nutren la apófisis espinosa y los músculos de dorso del tronco. Nótese que las ramas espinales penetran en el conducto vertebral (espinal) por los orificios intervertebrales (IV) para nutrir los huesos, el periostio y los ligamentos que forman las caras internas de las paredes del conducto vertebral. Algunas ramas espinales del conducto vertebral nutren el espacio extradural o epidural.

en el dorso, son inervados en su mayor parte por los ramos ventrales de los nervios craneales y actúan sobre el miembro superior. El músculo trapecio recibe sus fibras motoras de un nervio craneal, el nervio accesorio (NC XI).

Los **músculos extrínsecos intermedios del dorso** (serrato posterior) son músculos respiratorios superficiales que se describen con los de la pared torácica (véase el capítulo 1). El músculo serrato posterosuperior se encuentra en la profundidad del romboides, y el posteroinferior, en la del dorsal ancho (fig. 4.24B). Los dos músculos serratos son inervados por los nervios intercostales; el superior, por los cuatro primeros intercostales, y el inferior, por los cuatro últimos.

Los músculos intrínsecos o profundos del dorso del tronco

Los músculos intrínsecos o profundos (verdaderos) del dorso del tronco son inervados por ramos dorsales de los nervios espinales y actúan manteniendo la postura, aparte de controlar los movimientos de la columna vertebral (figs. 4.23B y 4.24). Estos músculos, que se extienden de la pelvis al cráneo, están encerrados por una fascia que se inserta medialmente en el ligamento nuchal, los vértices de las apófisis espinosas, el ligamento supraespinoso y la cresta media del sacro. La fascia se inserta lateralmente en las apófisis transversas torácicas y lumbares y en los ángulos de las costillas. Las partes torácica y lumbar de la fascia constituyen la **fascia toracolumbar**, que envuelve los músculos profundos del dorso. Se extiende lateralmente a partir de las apófisis espinosas y crea una fina cubierta de los músculos profundos de la región torácica y una poderosa y densa cubierta de los músculos de la región lumbar (fig. 4.23B). Los músculos

profundos del dorso se agrupan según su relación con la superficie (tabla 4.4).

Capa superficial de los músculos intrínsecos del dorso

Los **músculos esplenios**, gruesos y planos, se encuentran sobre las caras lateral y posterior del cuello y cubren los músculos verticales en forma de venda, lo que explica su nombre (esplenio significa venda en latín). Estos músculos proceden de la línea media y se extienden superolateralmente hacia las vértebras cervicales (músculo esplenio del cuello) y el cráneo (músculo esplenio de la cabeza). Los músculos esplenios cubren y mantienen sujetos los músculos profundos del cuello (fig. 4.24). Si desea más información sobre sus inserciones, inervación y acciones consulte la tabla 4.4.

Capa intermedia de los músculos intrínsecos del dorso

El **músculo erector de la columna** (sacroespinal) se sitúa en un surco a cada lado de la columna vertebral. *Este músculo masivo, extensor principal de la columna vertebral, se divide en tres columnas* (fig. 4.24, tabla 4.4):

- Iliocostal o columna lateral.
- Longísimo o columna intermedia
- Espinoso o columna medial.

Cada columna se clasifica regionalmente en tres partes según sus inserciones superiores (p. ej., iliocostal lumbar, iliocostal torácico e iliocostal cervical).

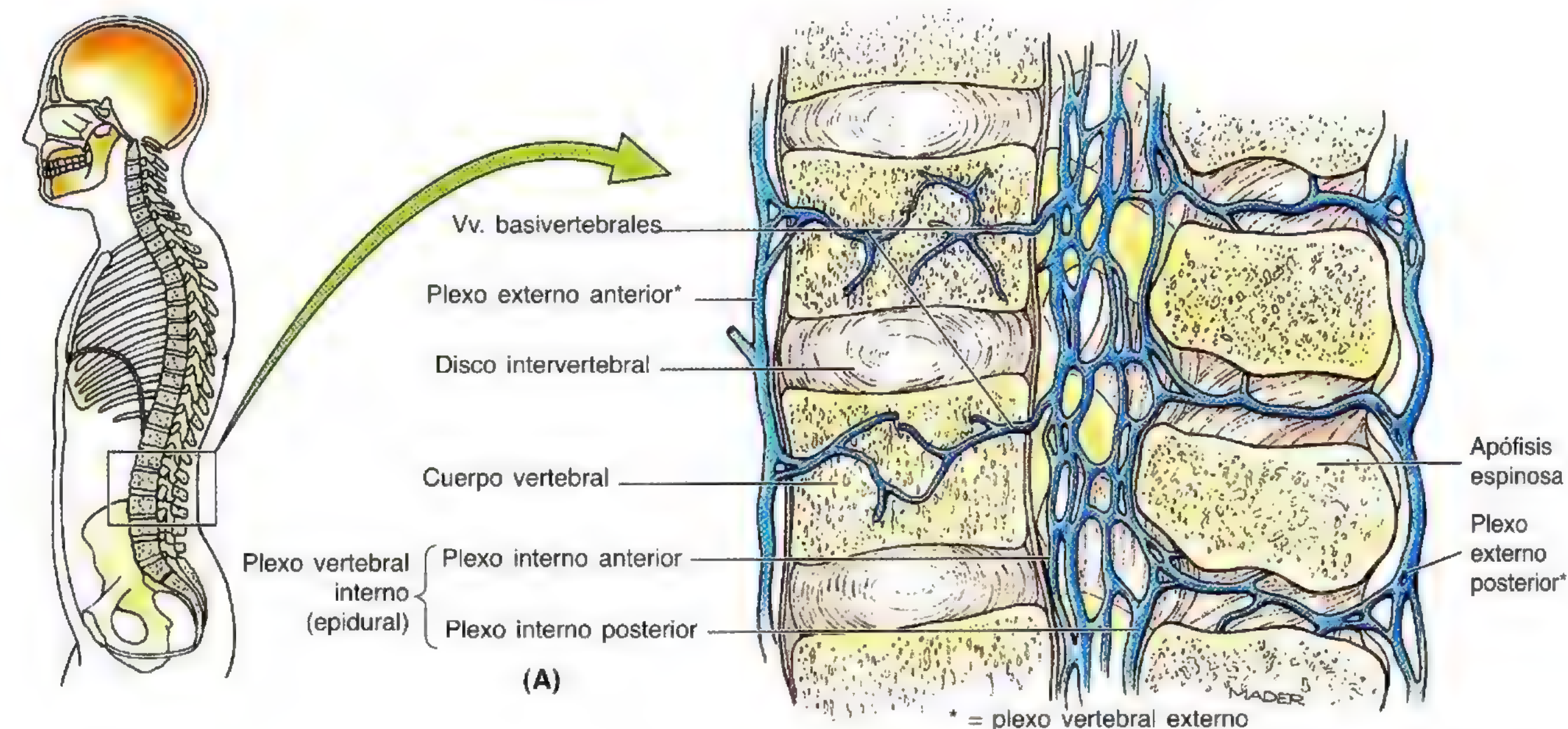


Figura 4.22. Drenaje venoso de la columna vertebral. A.

Corte medio de la columna vertebral. El drenaje venoso sigue paralelo a la irrigación arterial y desemboca en los plexos venosos vertebrales internos (epidurales) que rodean la médula espinal. Existe también un drenaje anterolateral de las vértebras hacia las venas segmentarias. **B.** Visión superior de una vértebra lumbar. El conducto vertebral (espinal) contiene un plexo denso de venas de paredes finas, sin válvulas, el plexo venoso vertebral interno, que rodea la duramadre. Los senos venosos longitudinales anterior y posterior se identifican con facilidad en el plexo venoso vertebral interno. Por arriba, este plexo se comunica con los senos craneales occipital y basilar a través del orificio magno. Las venas del cuerpo vertebral –las venas basivertebrales– drenan, en principio, al plexo venoso vertebral interno, pero también pueden hacerlo a los plexos externos anterior y posterior. Dentro de las regiones torácica, lumbar y sacra, el sistema venoso de la ázigos une los distintos segmentos (véase el capítulo 2).

El origen común de las tres columnas del músculo erector de la columna es un tendón ancho que se inserta por abajo en la parte posterior de la cresta ilíaca, la cara posterior del sacro, los ligamentos sacroilíacos y las apófisis espinosas sacras y lumbares inferiores. La tabla 4.4 describe las inserciones, inervación y acciones del músculo erector de la columna.

Capa profunda de los músculos intrínsecos del dorso

En la profundidad del músculo erector de la columna se encuentra un grupo de músculos con disposición oblicua –el **grupo de músculos transversoespinosos**–: semiespinoso, multifido y rotadores. Estos músculos se originan en las apófisis transversas de las vértebras y llegan hasta las apófisis espinosas de las vértebras superiores. Ocupan el “canal” entre las apófisis transversa y espinosa (figs. 4.24-4.26).

- El músculo semiespinoso es superficial.

- Los músculos multifidos se sitúan en posición intermedia.
- Los músculos rotadores son los más profundos de todos.

El **músculo semiespinoso** es el más superficial de las tres capas del músculo transversoespinoso. Como su propio nombre indica, el músculo semiespinoso se origina prácticamente en la mitad de la columna vertebral y se divide en tres partes según su inserción superior:

- El músculo semiespinoso de la cabeza.
- El músculo semiespinoso del tórax.
- El músculo semiespinoso del cuello.

El *músculo semiespinoso de la cabeza* es el responsable de la prominencia longitudinal de la nuca, cerca del plano medio. Ascende desde las apófisis transversas cervicales y torácicas hasta el hueso occipital. Los *músculos semiespinosos del tórax y del cuello* se dirigen superomedialmente desde las apófisis transversas hasta las apófisis espinosas torácicas y cervicales de las vértebras superiores.

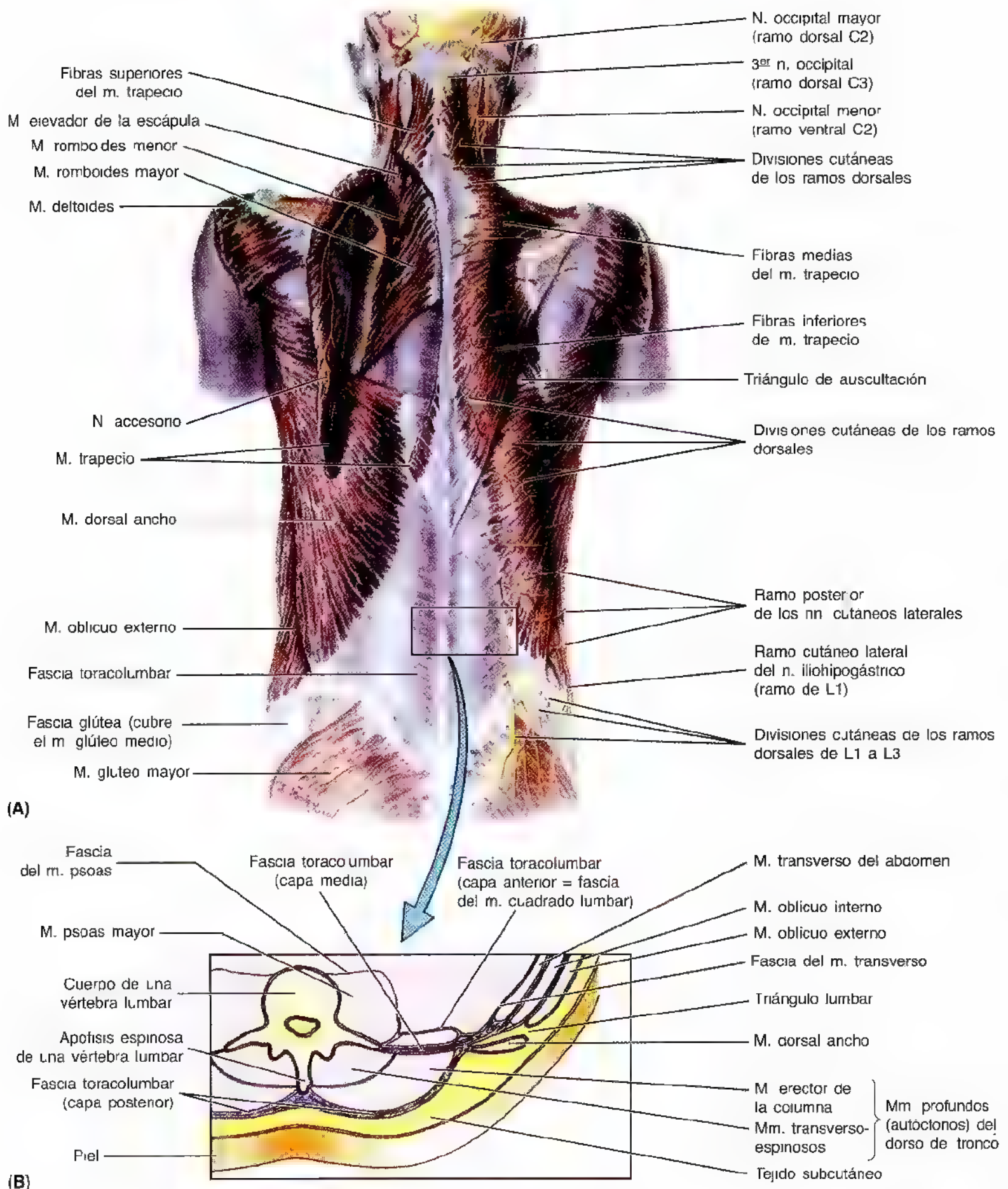
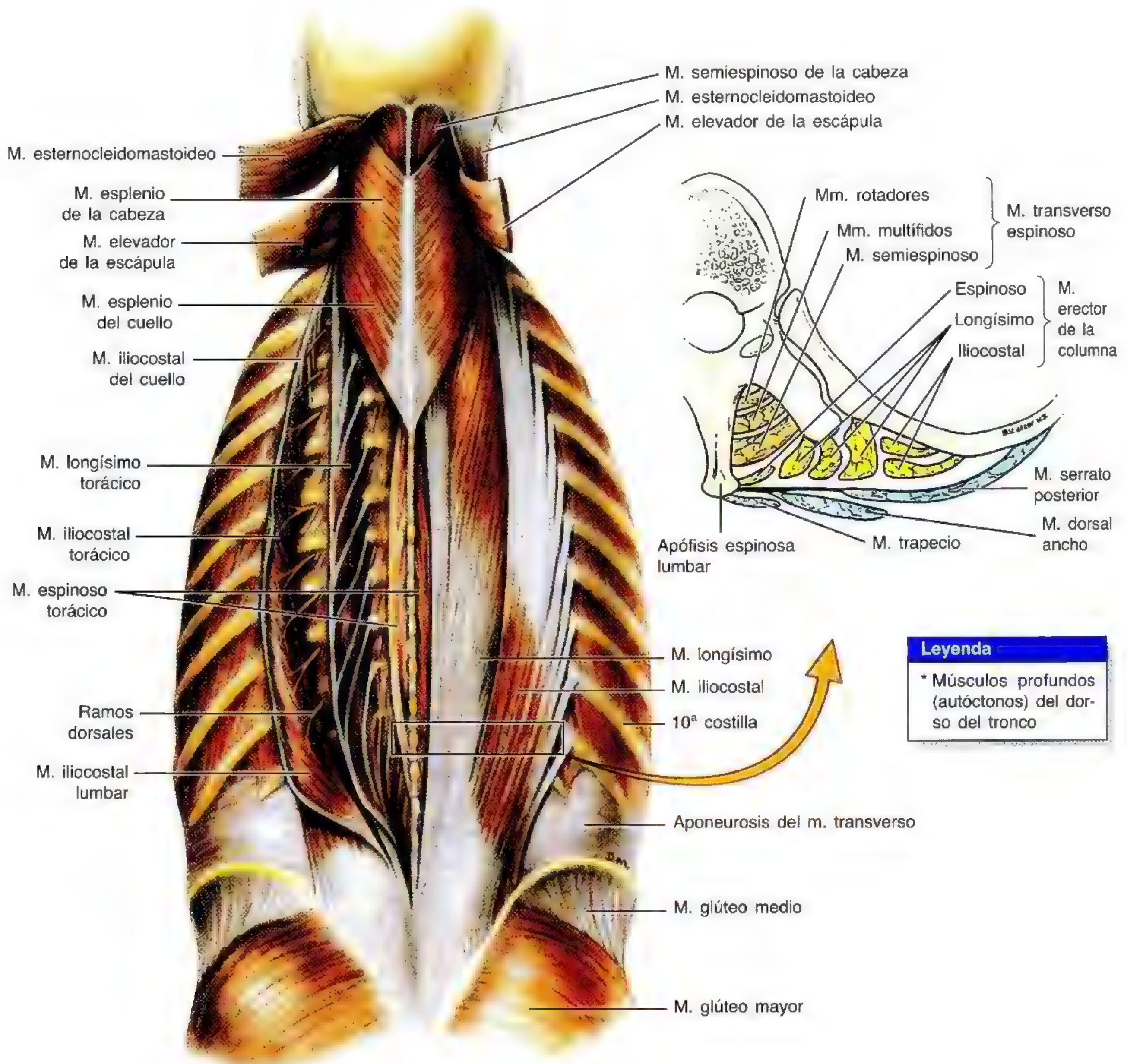


Figura 4.23. Músculos del dorso del tronco. **A.** Músculos extrínsecos superficiales. El trapecio se ha rechazado a la izquierda para ver el nervio accesorio (NC XI) que viaja por su cara profunda y los músculos elevador de la escápula y romboides. Estos músculos contribuyen a unir el miembro inferior con el tronco. **B.** Corte transversal de una parte de dorso que muestra la ubicación de la musculatura profunda (autóctona) del dorso del tronco y las capas de fascia asociadas. Obsérvese cómo las aponeurosis posteriores de los músculos oblicuo interno y transversal del abdomen se dividen en dos robustas láminas: las capas media y posterior de la fascia toracolumbar que encierran los músculos profundos.

Los **músculos multífidos** se componen de haces musculares cortos y triangulares, que son más gruesos en la zona lumbar. Estos músculos provienen –de la parte caudal a la craneal– desde:

- La cara posterior del sacro.
- La aponeurosis del músculo erector de la columna.
- Las espinas ilíacas posterosuperiores.
- Los ligamentos sacroilíacos.



(A)

Figura 4.24. Músculos profundos del dorso del tronco: esplenio, erector de la columna y transversoespinoso. **A.** Los músculos esternocleidomastoideo y elevador de la escápula se han rechazado para mostrar los músculos esplenios de la cabeza y del cuello. El poderoso músculo erector de la columna (*de la derecha*) se encuentra intacto, con las tres columnas. El músculo espinoso *de la izquierda*, la columna más fina y medial del músculo erector de la columna, se muestra de forma aislada tras rechazar las columnas longísima e iliocostal. **B.** Corte transversal del dorso que ilustra la disposición de las tres columnas del músculo erector de la columna y las tres capas del músculo transversoespinoso.

Tabla 4.4. Los músculos profundos o intrínsecos del dorso del tronco

Músculo	Origen	Inserción	Inervación ^a	Acción principal
Capa superficial				
Esplenio	Nace en el ligamento nuchal y en las apófisis espinosas de las vértebras C7-T3 o T4	Esplenio de la cabeza: las fibras se dirigen superolaterales hacia la apófisis mastoideas del hueso temporal y el tercio lateral de la línea nuchal superior del hueso occipital Esplenio del cuello: tubérculos posteriores de las apófisis transversas de las vértebras C1-C3 o C4	Ramos dorsales de los nervios espinales	Cuando se contraen por separado flexionan lateralmente y rotan la cabeza hacia el lado del músculo activo; cuando se contraen de manera conjunta extienden la cabeza y el cuello
Capa intermedia				
Erector de la columna	Nace en un ancho tendón de la porción posterior de la cresta ilíaca, cara posterior del sacro, apófisis espinosas sacras y lumbares inferiores y ligamento supraespinoso	Illocostal: lumbar, torácico y cervica.; las fibras ascienden a los ángulos de las costillas inferiores y a las apófisis transversas cervicales Longísimo: torácico, cervical y de la cabeza, las fibras suben a las costillas, entre los tubérculos y los ángulos de las costillas, a las apófisis transversas de las regiones torácica y cervical y a la apófisis mastoideas del hueso temporal Espinoso: torácico, cervical y de la cabeza; las fibras se dirigen hacia arriba a las apófisis espinosas de la región torácica superior y al cráneo	Ramos dorsales de los nervios espinales	La contracción bilateral extiende la columna vertebral y la cabeza; a medida que se flexiona el dorso controla el movimiento por medio de alargamiento progresivo de las fibras; la contracción unilateral flexiona lateralmente la columna vertebral
Capa profunda				
Transversoespinoso	Apófisis transversas El semiespinoso nace en las apófisis transversas de las vértebras C4-T12 Los músculos multifidos se originan en el sacro e ilion, las apófisis transversas de T1-T3 y las apófisis articulares de C4-C7 Los músculos rotadores emergen de las apófisis transversas de las vértebras; están más desarrollados en la región torácica	Apófisis espinosas Semiespinoso: torácica, cervical y de la cabeza; las fibras se dirigen superomedialmente al hueso occipital y a las apófisis espinosas de las regiones torácica y cervical, extendiéndose de 4 a 6 segmentos Multifido: las fibras pasan en dirección superomedial hasta las apófisis espinosas de las vértebras superiores, extendiéndose de 2 a 4 segmentos Rotadores: las fibras siguen un curso superomedial para insertarse en la unión de la lámina con la apófisis transversa, o apófisis espinosa, de la vértebra situada por encima del origen, extendiéndose de uno a dos segmentos	Ramos dorsales de los nervios espinales	Extiende la cabeza y las regiones torácica y cervical de la columna vertebral y las rota en sentido contralateral Estabiliza las vértebras durante los movimientos locales de la columna vertebral Estabiliza las vértebras y ayuda a la extensión local y a los movimientos de rotación de la columna; puede actuar como órgano propioceptivo
Capa profunda menor				
Interespinosos	Caras superiores de las apófisis espinosas de las vértebras cervicales y lumbares	Caras inferiores de las apófisis espinosas de las vértebras superiores a las de origen	Ramos dorsales de los nervios espinales	Colabora a la extensión y rotación de la columna vertebral
Intertransversos	Apófisis transversas de las vértebras cervical y lumbar	Apófisis transversas de las vértebras adyacentes	Ramos dorsal y ventral de los nervios espinales ^a	Contribuye a la flexión lateral de la columna vertebral; la contracción bilateral estabiliza la columna vertebral
Elevadores de las costillas	Extremos de las apófisis transversas de C7 y T1-T11	Sigue un curso inferolateral para insertarse en la costilla, entre el tubérculo y el ángulo	Ramos dorsales de los nervios espinales C8-T11 ^b	Elevar las costillas, facilitando la inspiración; ayuda a la flexión lateral de la columna vertebral

^a La mayoría de los músculos del dorso recibe nerviación de los ramos dorsales de los nervios espinales, pero algunos son innervados por los ramos ventrales. Los músculos intertransversos anteriores de la región cervical son innervados por ramos ventrales.

^b En otra época se afirmaba que los músculos elevadores de las costillas eran innervados por ramos ventrales, pero según las investigaciones actuales, son innervados por ramos dorsales.

- Las apófisis mamilares de las vértebras lumbares.
- Las apófisis transversas de las vértebras torácicas.
- Las apófisis articulares de las 4 últimas vértebras cervicales.

Cada haz muscular sigue un trayecto oblicuo superior y medial y se inserta a lo largo de toda la extensión de la apófisis espinosa de la vértebra adyacente superior.

Los **músculos rotadores**, más desarrollados en la región torácica, constituyen la capa más profunda de las tres que componen los músculos transversoespinosos. Nacen en las apófisis transversas de una vértebra y se insertan en la raíz de la apófisis espinosa de la siguiente o de las dos siguientes vértebras superiores. La tabla 4.4 describe las inserciones, inervación y acciones del grupo de los músculos transversoespinosos (semiespinoso, multifido y rotadores).

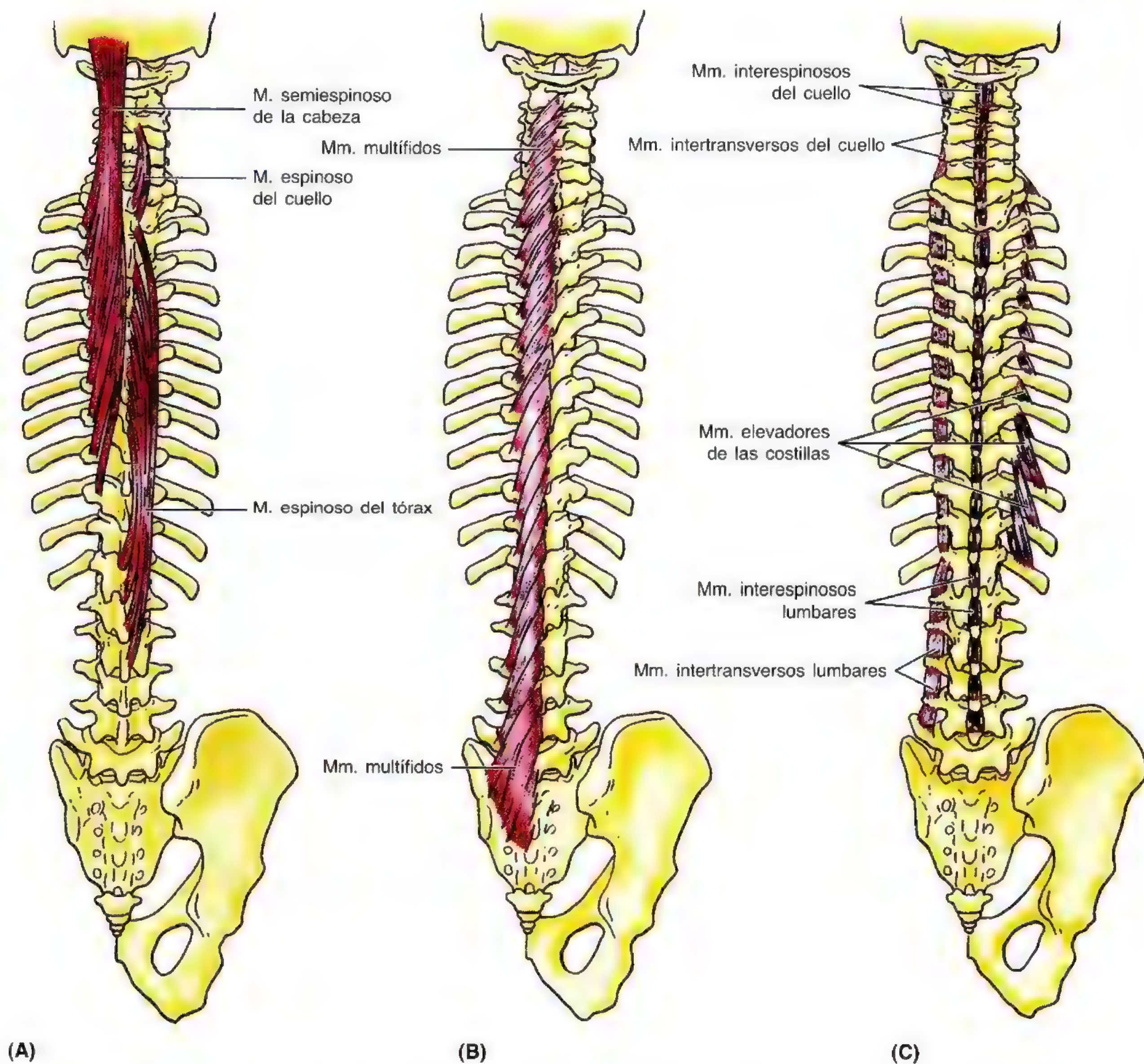


Figura 4.25. Capa profunda de los músculos intrínsecos del dorso. El grupo de músculos transversoespinosos se sitúa en la profundidad del músculo erector de la columna y se compone, en gran parte, de un cuantioso número de pequeños músculos con una dirección oblicua superior y medial desde las apófisis transversas a las espinosas. **A.** Músculo semiespinoso de la cabeza, espinoso del cuello y espinoso del tórax. **B.** Músculo multifido, capa intermedia del músculo transverso espinoso, que rota la columna vertebral. **C.** Músculos interespinosos, intertransversos y elevadores de las costillas. Los músculos elevadores, que levantan las costillas, representan el músculo intertransverso posterior en la región torácica.

Los *músculos interespinales, intertransversos* y elevadores de las costillas son pequeños músculos profundos del dorso, poco desarrollados en la región torácica. Los músculos interespinales e intertransversos comunican las apófisis espinosas y transversas, respectivamente. Los músculos elevadores de las costillas representan los músculos intertransversos posteriores del cuello. La tabla 4.4 expone sus inserciones, inervación y acciones.

Músculos que producen los movimientos de las articulaciones intervertebrales

Los músculos principales que ocasionan los movimientos de las articulaciones intervertebrales cervicales, torácicas y lumbares se resumen en las tablas 4.5 y 4.6. Los músculos del dorso son bastante poco activos en bipedestación, pero actúan como enderezadores laterales de la columna vertebral.

Los músculos más pequeños suelen tener una mayor densidad de *haces musculares* (sensores de propiocepción –sensibilidad postural– que se interdigitan entre las fibras musculares)

que los músculos grandes. Esto se ha atribuido a que los pequeños músculos sirven para los movimientos más precisos, como los movimientos posturales finos o la manipulación, y necesitan, por tanto, una mayor aferencia propioceptiva. Los movimientos que se describen para los músculos más pequeños parten del lugar de inserción, así como de la dirección de las fibras musculares y de la actividad registrada durante la electromiografía según se ponen en marcha los movimientos. Sin embargo, algunos músculos, como los rotadores, son tan pequeños y ocupan una posición que concede tan reducidas ventajas mecánicas, que cabe dudar de su capacidad para producir los movimientos descritos. Además, muchos de estos pequeños músculos suelen resultar redundantes en relación con otros de mayor tamaño y mejores propiedades mecánicas. Así pues, se ha propuesto (Buxton y Peck, 1989) que los músculos más pequeños de las parejas de músculos pequeño-grande actúan como “monitores cinestésicos” –órganos de la propiocepción–, y que los músculos de mayor tamaño son los inductores del movimiento.

Distensiones y esguinces del dorso

El calentamiento y estiramiento adecuados evitan la mayoría de los esguinces y distensiones del dorso. La *distensión del dorso* es un problema frecuente en las personas que practican deporte. Se debe a movimientos extremos de la columna vertebral, por ejemplo una extensión o rotación exageradas. El *esguince del dorso* se refiere a un estiramiento o desgarró microscópico de fibras musculares o ligamentos del dorso. Los músculos más afectados son los que mueven las articulaciones intervertebrales lumbares, en particular las columnas del músculo erector de la columna. Si no se balancea adecuadamente el peso sobre la columna vertebral, se ejerce una sobrecarga de los músculos. Ésta constituye, desde luego, una causa

frecuente de lumbago. Si se utiliza el dorso como brazo de palanca para levantar peso, se impone una enorme carga a la columna vertebral, sus ligamentos y músculos. Estas cargas se pueden reducir si la persona se agacha, coloca la espalda recta y utiliza los músculos de las nalgas y de los miembros inferiores para ayudar a levantar el peso.

Los músculos de la espalda sufren un espasmo como mecanismo protector después de una lesión o inflamación de las estructuras del dorso, como los ligamentos. *El espasmo es una contracción brusca e involuntaria de uno o más grupos musculares.* Los espasmos se acompañan de calambres, dolor e impotencia funcional y provocan movimientos y distorsiones involuntarias. ☺

Tabla 4.5. Músculos principales que mueven las articulaciones intervertebrales cervicales

Flexión	Extensión	Flexión lateral	Rotación
Acción bilateral de: M. largo de cuello M. escaleno M. esternocleidomastoideo	Acción bilateral de: M. esplenio de la cabeza M. semiespinoso de la cabeza y del cuello	Acción unilateral de: M. iliocostal del cuello M. longísimo de la cabeza y del cuello M. esplenio de la cabeza y del cuello	Acción unilateral de: Mm. rotadores Mm. semiespinoso de la cabeza y del cuello Mm. multifidos M. esplenio de cuello

Tabla 4.6. Músculos principales que mueven las articulaciones intervertebrales torácicas y lumbares

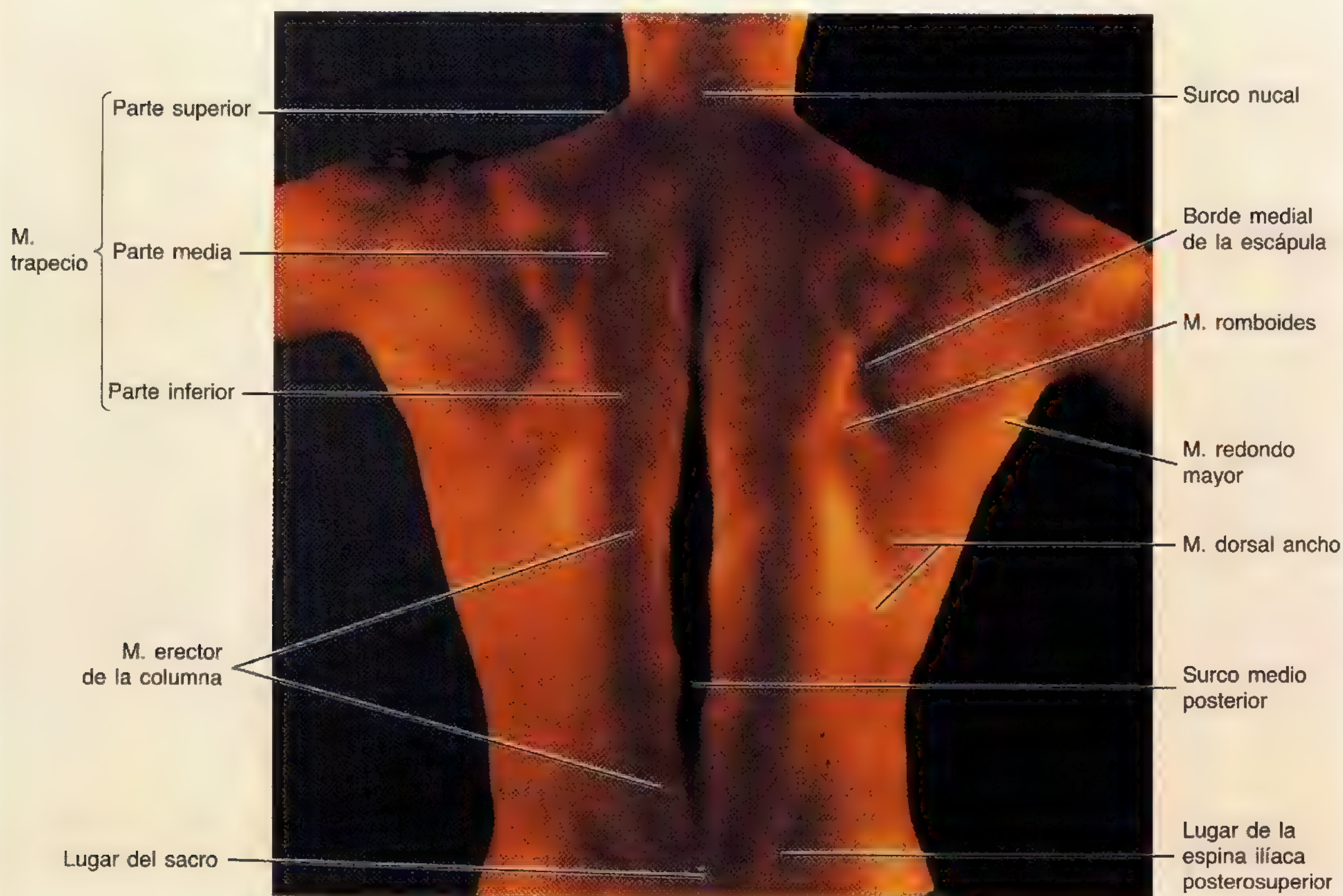
Flexión	Extensión	Flexión lateral	Rotación
Acción bilateral de: M. recto del abdomen M. psoas mayor Gravedad	Acción bilateral de: M. erector de la columna Mm. multifidos M. semiespinoso del tórax	Acción unilateral de: Mm. iliocostales torácico y lumbar M. longísimo torácico Mm. multifidos Mm. oblicuos externo e interno M. cuadrado lumbar	Acción unilateral de: Mm. rotadores Mm. multifidos M. oblicuo externo de manera sincrónica con el m. oblicuo interno contralateral M. semiespinoso del tórax

Anatomía de superficie del dorso del tronco

En la línea media del dorso se encuentra el **surco medio posterior**, que cubre las puntas de las apófisis espinosas vertebrales. Este surco se continúa, por arriba, con el **surco nual** del cuello. El surco medio posterior es más profundo en la región torácica inferior y lumbar superior. El **músculo erector de la columna** determina una prominencia vertical a cada lado del surco medio posterior. Este músculo se palpa con facilidad en la región lumbar y su borde lateral queda señalado por un surco en la piel. Al

levantarse, las apófisis espinosas lumbares aparecen deprimidas en la piel. Estas apófisis se ven cuando se flexiona la columna (pág. 472). El surco medio posterior termina en una zona triangular aplanada que cubre el sacro.

Cuando se elevan los miembros superiores, las escápolas se desplazan lateralmente en la pared torácica, mostrando los músculos **romboides** y **redondo mayor**. Estos músculos se describen en el capítulo 6. Los músculos **trapecio** y **dorsal ancho**, de localización superficial, comunican los miembros superiores con la columna vertebral y son claramente visibles. ◉



Los músculos suboccipitales y profundos del cuello

La **región suboccipital** —la parte superoposterior del cuello— es una zona triangular situada bajo la región occipital de la cabeza, que contiene las caras posteriores de las vértebras C1 y C2. El **triángulo suboccipital** está en la profundidad de los músculos trapecio y semiespinoso de la cabeza (fig. 4.27). Los cuatro pequeños músculos de la región suboccipital, los dos rectos posteriores de la cabeza y los dos

oblicuos son inervados por el ramo dorsal de C1, el **nervio suboccipital**. Estos músculos son, en esencia, músculos posturales, pero sus acciones se suelen describir por separado según el movimiento de la cabeza que produzcan. Se considera que estos músculos actúan de manera directa o indirecta sobre la cabeza, extendiéndola sobre C1 y rotándola sobre C1 y C2. Sin embargo, recuerde la exposición sobre el miembro menor de la pareja de músculos pequeño-grande, que actúa como “monitor cinestésico” de la propiocepción (pág. 481).


- El **músculo recto posterior mayor de la cabeza** emerge de la apófisis espinosa de C2 y se inserta en la parte lateral de la línea inferior de la nuca y en el hueso occipital.
- El **músculo recto posterior menor de la cabeza** emerge del tubérculo posterior del arco posterior de C1 y se inserta en la parte medial de la línea inferior de la nuca.
- El **músculo oblicuo inferior de la cabeza** nace en la apófisis espinosa de C2 y se inserta en la apófisis transversa de C1. El nombre de este músculo resulta algo confuso; es el único músculo de la cabeza que no se inserta en el cráneo.
- El **músculo oblicuo superior de la cabeza** nace en la apófisis transversa de C1 y se inserta en el hueso occipital entre las líneas superior e inferior de la nuca.

El **triángulo suboccipital** es una zona triangular profunda comprendida entre el músculo recto posterior mayor y los músculos oblicuos superior e inferior de la cabeza (fig. 4.27). Los límites y el contenido del triángulo occipital corresponden a los siguientes:

- Superomedial: músculo recto posterior mayor de la cabeza.
- Superolateral: músculo oblicuo superior.
- Inferolateral: músculo oblicuo inferior.
- Suelo: membrana atlantooccipital posterior y arco posterior de C1.
- Techo: músculo semiespinoso de la cabeza.
- Contenido: arteria vertebral y nervio suboccipital.

Las tablas 4.7 y 4.8 resumen los músculos principales que mueven las articulaciones craneovertebrales, y la tabla 4.9, la inervación de los músculos del triángulo suboccipital, dorso y nuca.

Isquemia del tronco del encéfalo

El curso curvo de las arterias vertebrales por los triángulos suboccipitales adquiere significación clínica cuando se reduce el flujo sanguíneo, como sucede en la **arteriosclerosis**. En estas condiciones, el giro prolongado de la cabeza —como sucede al dar marcha atrás con un vehículo— puede provocar mareos y otros síntomas debido a la menor irrigación del tronco del encéfalo. 

La médula espinal y las meninges

La médula espinal, las meninges espinales y las estructuras relacionadas se encuentran en el **conducto vertebral** (fig. 4.28), formado por los sucesivos orificios vertebrales. La médula espinal, el centro principal de los reflejos y la vía

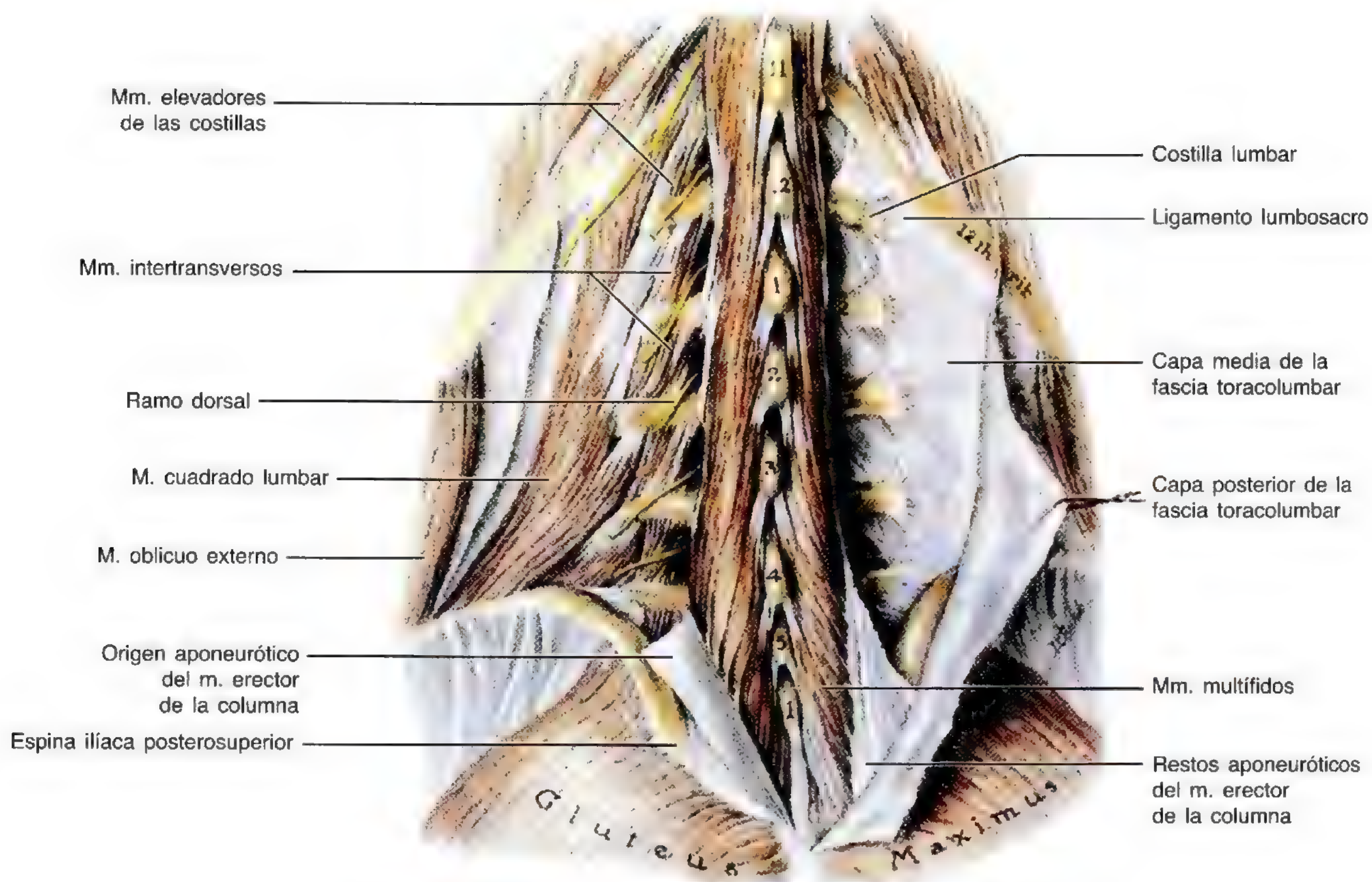
de conducción entre el cuerpo y el encéfalo es una estructura cilíndrica, algo aplanada por delante y por detrás. Está protegida por las vértebras y los ligamentos y músculos acompañantes, las meninges espinales y el líquido cefalorraquídeo (LCR). La **médula espinal** empieza como prolongación del bulbo raquídeo, la porción caudal del tronco del encéfalo. En los adultos, la médula espinal (mide de 42 a 45 cm de longitud) se extiende desde el orificio magno del hueso occipital hasta el nivel de la vértebra L2; sin embargo, su extremo inferior afilado —el **cono medular**— puede incluso terminar a la altura de T12 o bajar hasta L3. Así pues, la médula espinal sólo ocupa los dos tercios superiores del conducto vertebral. *La médula espinal se ensancha en las dos regiones que inervan a los miembros.*

- El **engrosamiento cervical** se extiende desde los segmentos medulares C4 a T1, y la mayoría de los ramos ventrales de los nervios espinales forman el **plexo braquial** que inerva los miembros superiores (véase el capítulo 6).
- El **engrosamiento lumbosacro** va desde los segmentos T11 a L1; los ramos ventrales de los nervios espinales componen los **plexos lumbar y sacro** que inervan los miembros inferiores (véase el capítulo 5). Las raíces de los nervios espinales, que salen del engrosamiento lumbosacro, y el cono medular forman la **cola de caballo**, haz de raíces de los nervios espinales que ocupa la **cisterna lumbar** (espacio subaracnoideo [leptomeníngeo]).

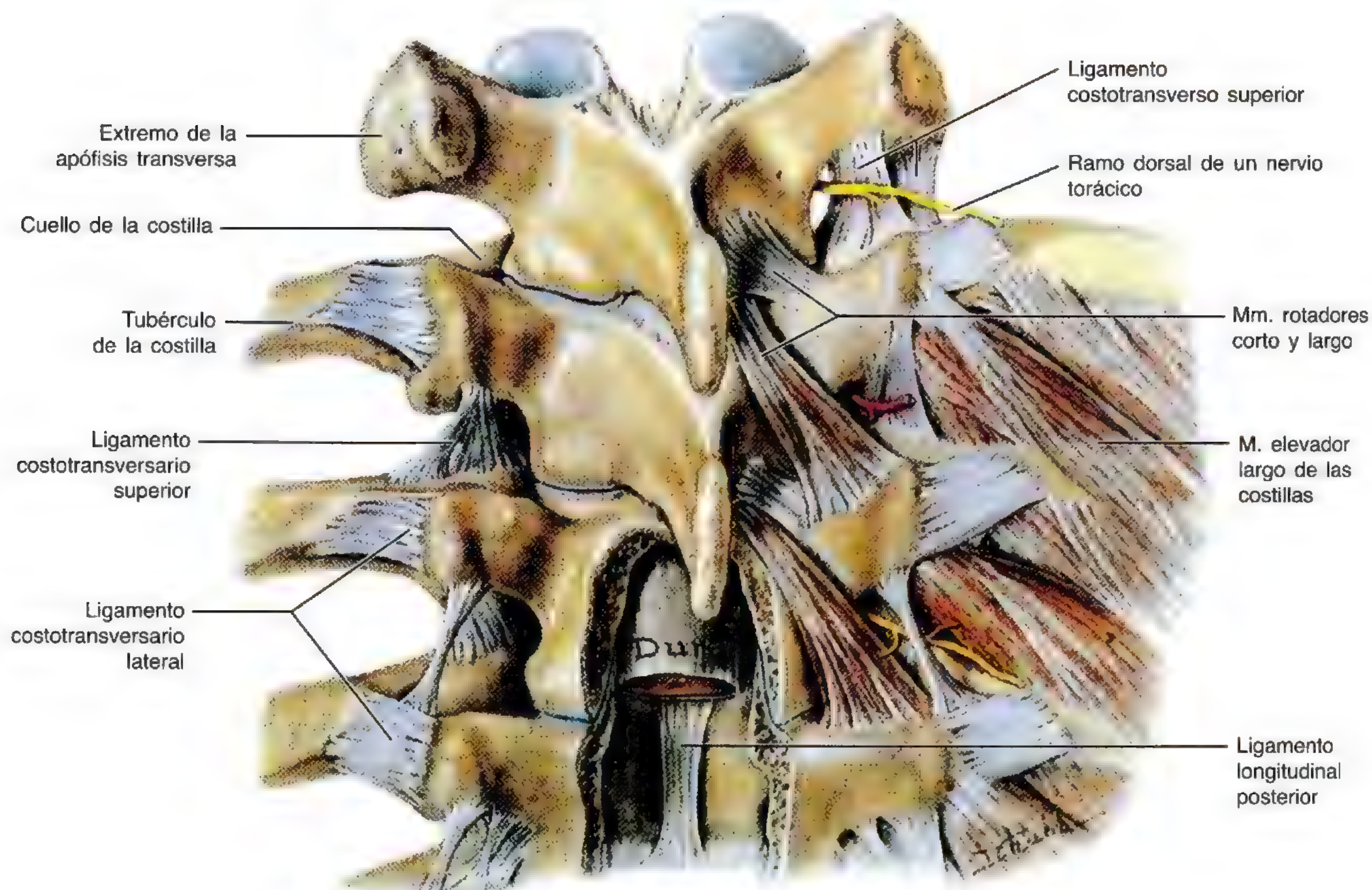
Estructura de los nervios espinales

Existen 31 pares de nervios espinales unidos a la médula espinal: 8 cervicales, 12 torácicos, 5 lumbares, 5 sacros y 1 coccígeo (fig. 4.28). De las caras dorsal y ventral de la médula espinal emergen varias raicillas que convergen para formar las **raíces dorsal y ventral de los nervios espinales** (fig. 4.29). Cada nervio espinal contiene fibras aferentes, que transmiten los estímulos sensitivos de la periferia, y fibras eferentes, que nacen en las neuronas motoras espinales (Haines y cols., 1997). Cada nivel o segmento de la médula espinal se encuentra especificado por los orificios intervertebrales, a través de los cuales salen del conducto vertebral las raíces dorsal y ventral unidas a dicho segmento (fig. 4.28).

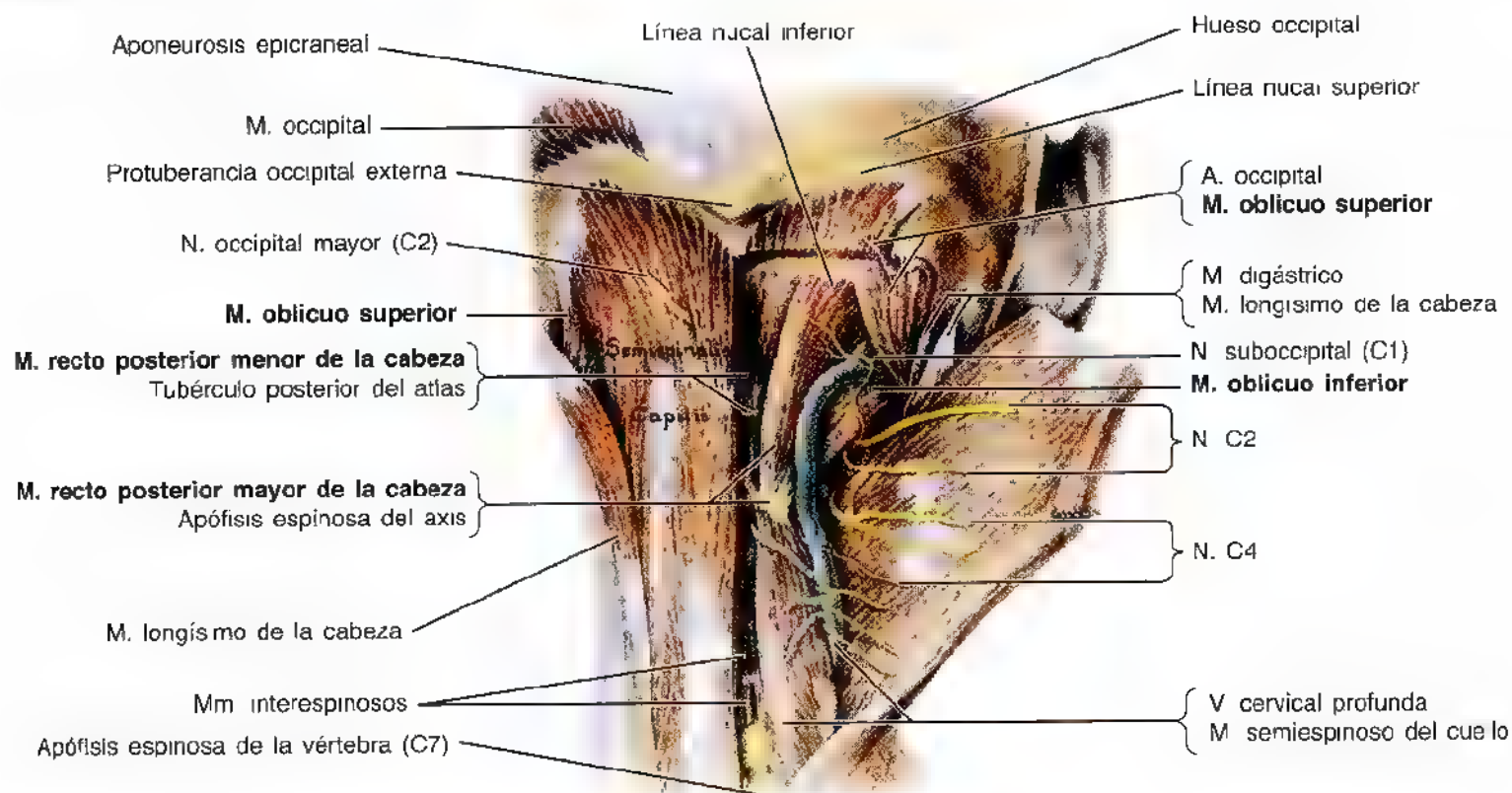
Las **raíces dorsales de los nervios espinales** albergan fibras aferentes (o sensitivas) de la piel, de los tejidos subcutáneo y profundo y muchas veces de las vísceras (fig. 4.29). Las **raíces ventrales de los nervios espinales** contienen fibras eferentes (o motoras) para el músculo esquelético, y muchas de ellas, fibras presinápticas autónomas. Los cuerpos celulares de los axones somáticos, que constituyen las raíces ventrales, se encuentran en las **astas grises anteriores** de la médula espinal, mientras que los cuerpos celulares de los axones que forman las raíces dorsales se hallan fuera de la médula espinal, en los **ganglios espinales** (ganglios de la raíz dorsal), en los extremos distales de las raíces dorsales. Las raíces dorsal y ventral se unen al salir del conducto ver-



(A)



(B)



(A)

Figura 4.27. Disecciones de la región suboccipital. A. Se han extirpado los músculos trapecio, esternocleidomastoideo y esplenio. El triángulo suboccipital queda limitado por tres músculos: oblicuo inferior, oblicuo superior y recto posterior mayor de la cabeza. Todos los nervios derivan de los ramos dorsales.

tebral y forman el **nervio espinal**. Los primeros nervios cervicales carecen de raíces dorsales en la mitad de la población y a veces falta el nervio coccígeo (Co.).

Cada nervio espinal se divide casi de inmediato en un **ramo primario dorsal** y un **ramo primario ventral**. Los ramos dorsales inervan la piel y la musculatura autóctona del dorso, los ramos ventrales inervan los miembros y el resto del tronco.

La médula espinal ocupa toda la longitud del conducto vertebral en los embriones (Moore y Persaud, 1998), y por eso los segmentos medulares radican prácticamente a la altura de la vértebra correspondiente, los nervios espinales salen a los lados del orificio intervertebral correspondiente. Al término del período embrionario (8ª semana) desaparece la cola y el número de vértebras coccígeas se reduce de 6 a 4. La médula espinal del conducto vertebral del cóccix se atrofia. En el período fetal, la columna vertebral crece más deprisa que la médula espinal; en consecuencia, la médula “sube”

con respecto al conducto vertebral. Al nacer, el extremo de la médula espinal —el **cono medular**— se encuentra a nivel de L2/L3.

La médula espinal de los adultos es más corta que la columna vertebral, de donde viene la oblicuidad progresiva de las raíces de los nervios espinales (figs. 4.28 y 4.30). Como la distancia entre los segmentos medulares y las vértebras correspondientes se va aumentando, la longitud de las raíces nerviosas se eleva de manera progresiva a medida que se alcanza el extremo inferior de la columna vertebral. Las raíces de los nervios lumbares y sacros son las más largas. Descienden hasta alcanzar sus orificios intervertebrales de salida en las regiones lumbar y sacra de la columna vertebral, respectivamente. El haz de raíces nerviosas espinales de la **cisterna lumbar** (espacio subaracnoideo) dentro del conducto vertebral, caudal a la terminación de la médula espinal, se parece a una cola de caballo, de donde procede su nombre.

Figura 4.26. Disección profunda del dorso del tronco. A. Músculos multifidos y cuadrado lumbar y fascia toracolumbar. Obsérvese la costilla lumbar corta que se articula con la apófisis transversa de la vértebra L1. Esta variante común no suele causar ningún problema, sin embargo, las personas que no la conocen creen que se trata de una apófisis transversa fracturada. **B.** Disección más profunda para visualizar los músculos rotadores y los ligamentos costotransversos. Obsérvense dos de los tres conjuntos de ligamentos costotransversos: superior y lateral. Los ligamentos costotransversos (mediales) se extienden entre el cuello de la costilla y la apófisis transversa de la vértebra del mismo número (no se muestran).

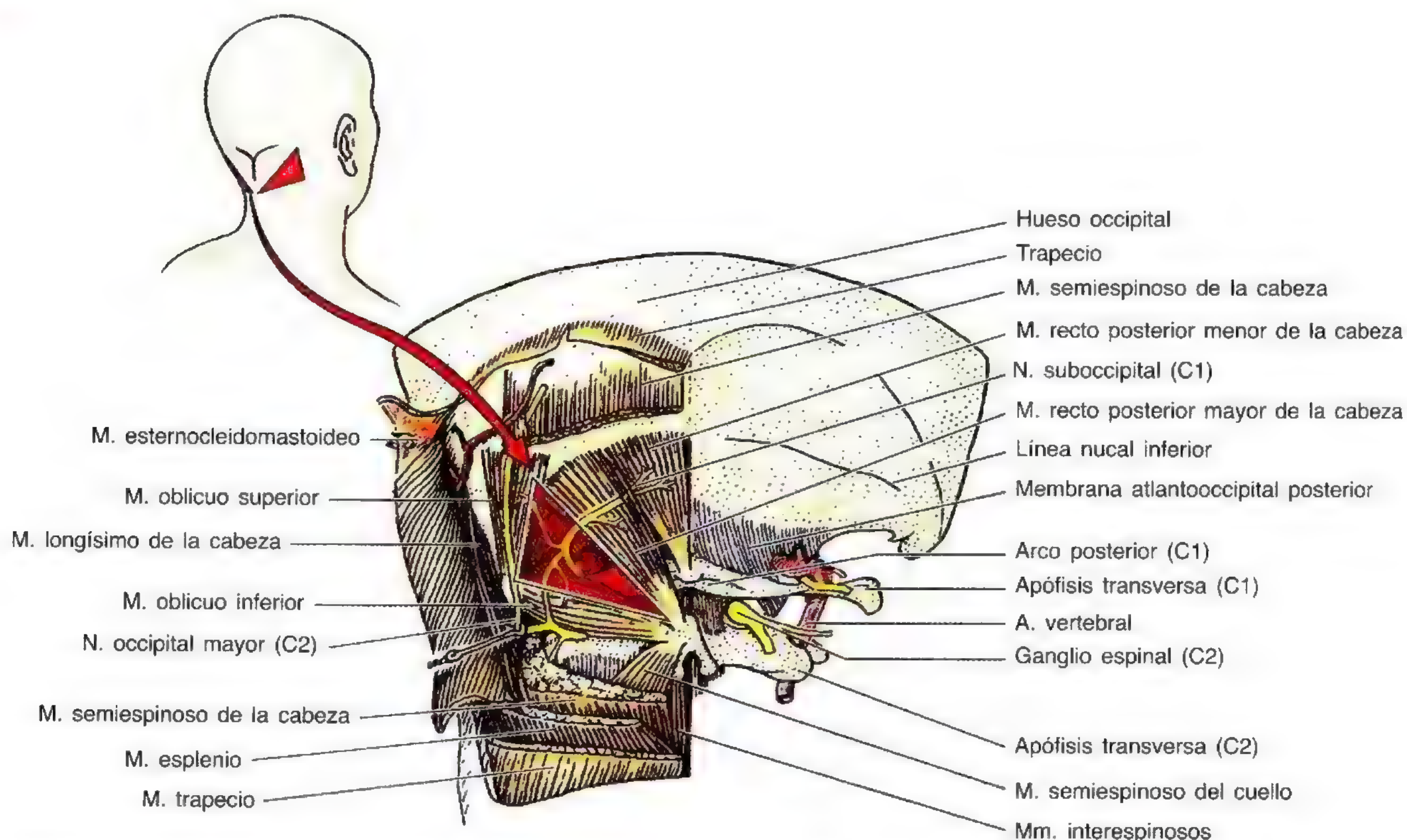


Figura 4.27. (Continuación) **B.** Esquema de una disección que muestra el triángulo suboccipital (*en rojo*) y los músculos, nervios (suboccipital-C1 y occipital mayor C2) y vértebras de la región suboccipital. La arteria vertebral traza una curva detrás de la apófisis articular superior del atlas (C1) para entrar en el orificio magno del cráneo.

Tabla 4.7. Músculos principales que mueven las articulaciones atlantooccipitales

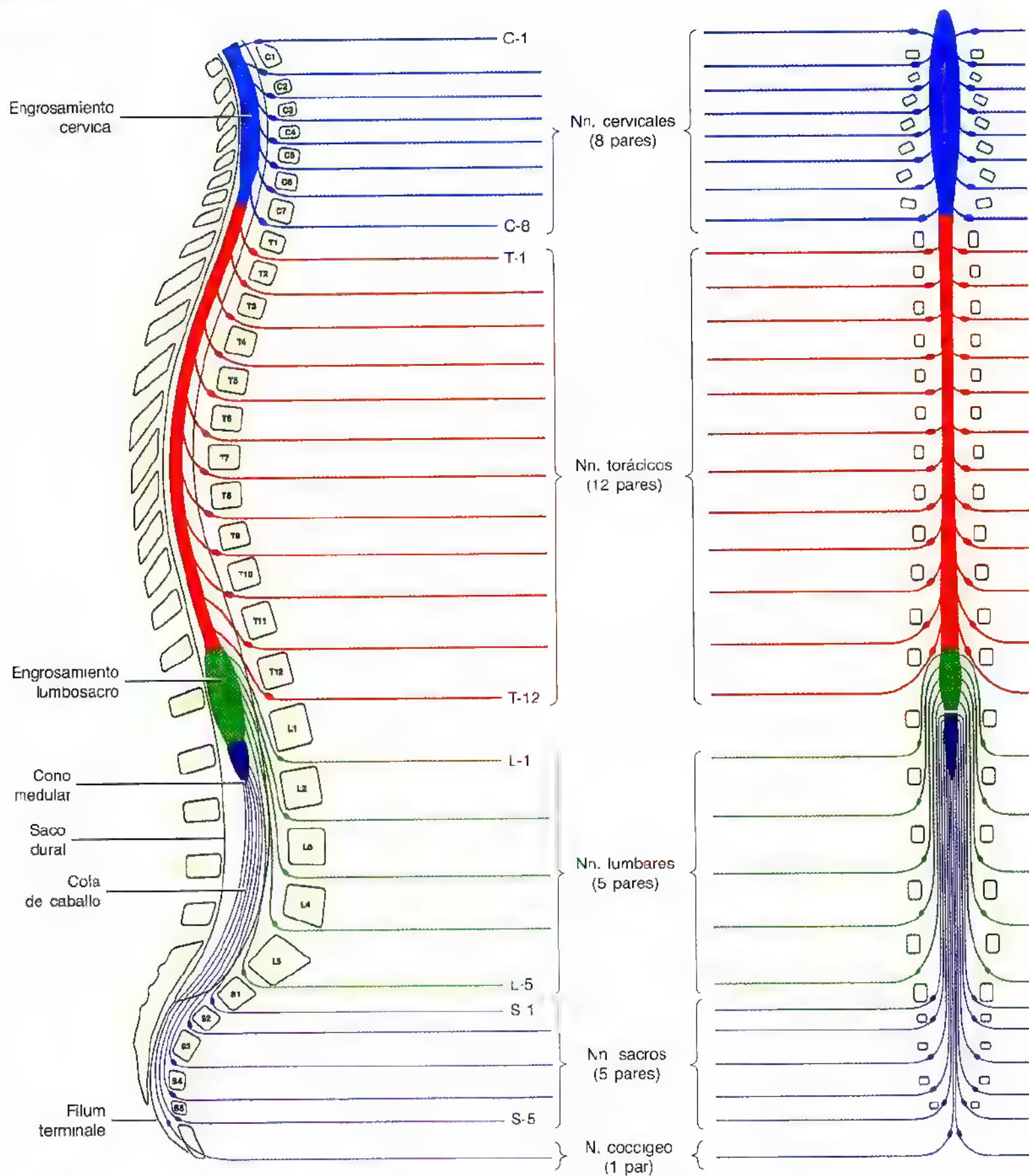
Flexión	Extensión	Flexión lateral
M. largo de la cabeza M. recto anterior de la cabeza Fibras anteriores del m. esternocleidomastoideo	Mm. rectos posteriores mayor y menor de la cabeza M. oblicuo superior de la cabeza M. semiespinoso de la cabeza M. esplenio de la cabeza M. longísimo de la cabeza M. trapecio	M. esternocleidomastoideo M. oblicuo superior de la cabeza M. recto lateral de la cabeza M. longísimo de la cabeza M. esplenio de la cabeza

El extremo inferior de la médula espinal tiene forma cónica y se afila para dar el **cono medular**. De su extremo inferior parte el **filum terminale**, que desciende por las raicillas de los nervios espinales en la cola de caballo. El **filum terminale** es un vestigio de la porción caudal de la médula, que se encontraba en la cola del embrión. Su extremo proximal consta de vestigios de tejido nervioso, tejido conjuntivo, pia madre y neuroglia. El **filum terminale** abandona el extremo inferior del saco dural, pasa por el hiato sacro y se inserta en el dorso del cóccix. El **filum terminale** sirve como anclaje del extremo del **saco dural**, prolongación de la duramadre debajo del cono medular (fig. 4.28).

Compresión de las raíces de los nervios lumbares

Los nervios espinales lumbares aumentan de tamaño de arriba abajo, mientras que los orificios intervertebrales disminuyen de diámetro. Por eso, las raíces de los nervios espinales L5 son las más gruesas, y sus orificios, los más estrechos. Este hecho aumenta la posibilidad de que estas raíces se compriman en caso de herniación del núcleo pulposo. ➔

Figura 4.28. Columna vertebral, médula espinal, ganglios espinales y nervios espinales. Visiones lateral y posterior que ilustran la relación entre los segmentos de la médula espinal y los nervios espinales de la columna vertebral de un adulto.

**Leyenda**

- Ganglios y nervios cervicales
- Ganglios y nervios torácicos
- Ganglios y nervios lumbares
- Ganglios y nervios sacros y coccigeos

Tabla 4.8. Músculos principales que rotan las articulaciones atlantoaxoideas^a

Ipsolaterales ^b	Contralaterales
M. oblicuo inferior de la cabeza	M. longísimo de la cabeza
M. esternocleidomastoideo	M. esplenio de la cabeza
Mm. rectos posteriores, mayor y menor, de la cabeza	
M. semiespinoso de la cabeza	

^a La rotación es el movimiento especializado de estas articulaciones. El movimiento de una articulación afecta a la otra.

^b Hacia el mismo lado al que se gira la cabeza.

Las meninges espinales y el líquido cefalorraquídeo

De manera colectiva, la duramadre, la aracnoides y la piamadre que rodea la médula espinal forman las **meninges espinales** (fig. 4.29, tabla 4.10). Estas membranas y el LCR del espacio subaracnoideo rodean, soportan y protegen la médula espinal y las raíces de los nervios espinales, incluidas las de la cola de caballo.

Duramadre

La duramadre espinal, compuesta por tejido fibroso y elástico tosco, es la cubierta más externa de la médula espinal.

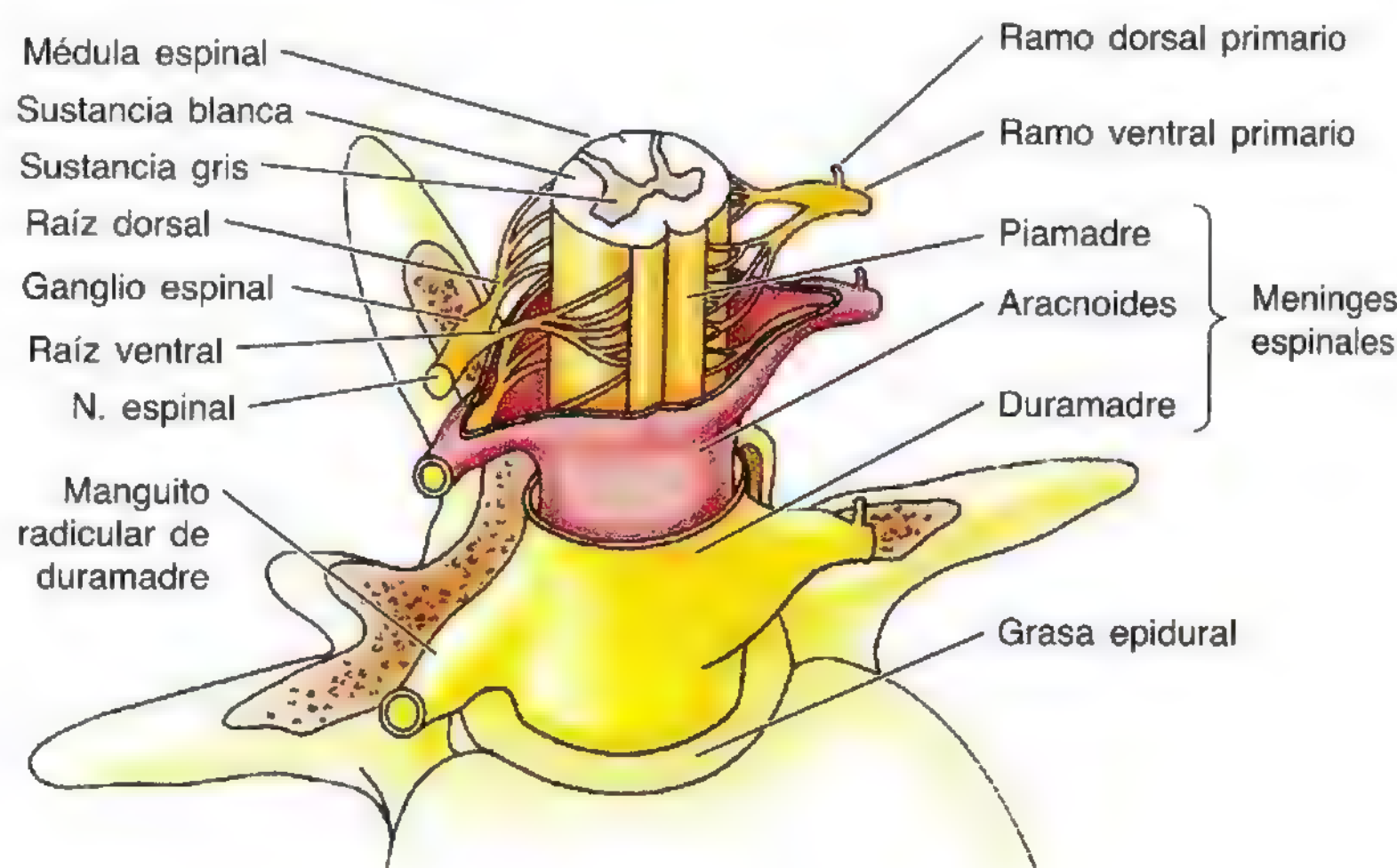
Está separada de las vértebras por el espacio extradural o epidural, que contiene tejido adiposo y un plexo venoso. Forma el **saco dural**, una vaina tubular larga dentro del conducto vertebral (fig. 4.28). El saco dural se adhiere al borde del orificio magno del cráneo y se continúa luego con la duramadre craneal. El saco dural es perforado por los nervios espinales (fig. 4.30) y se fija por abajo al cóccix a través del **filum terminale**. La duramadre espinal se extiende hacia los orificios intervertebrales y a lo largo de las raíces dorsal y ventral de los nervios, hasta más allá de los ganglios espinales, creando los **manguitos radiculares de duramadre** (fig. 4.29). Estos manguitos se adhieren al periostio que reviste los orificios intervertebrales y terminan fusionándose con el epineurio de los nervios espinales.

Aracnoides

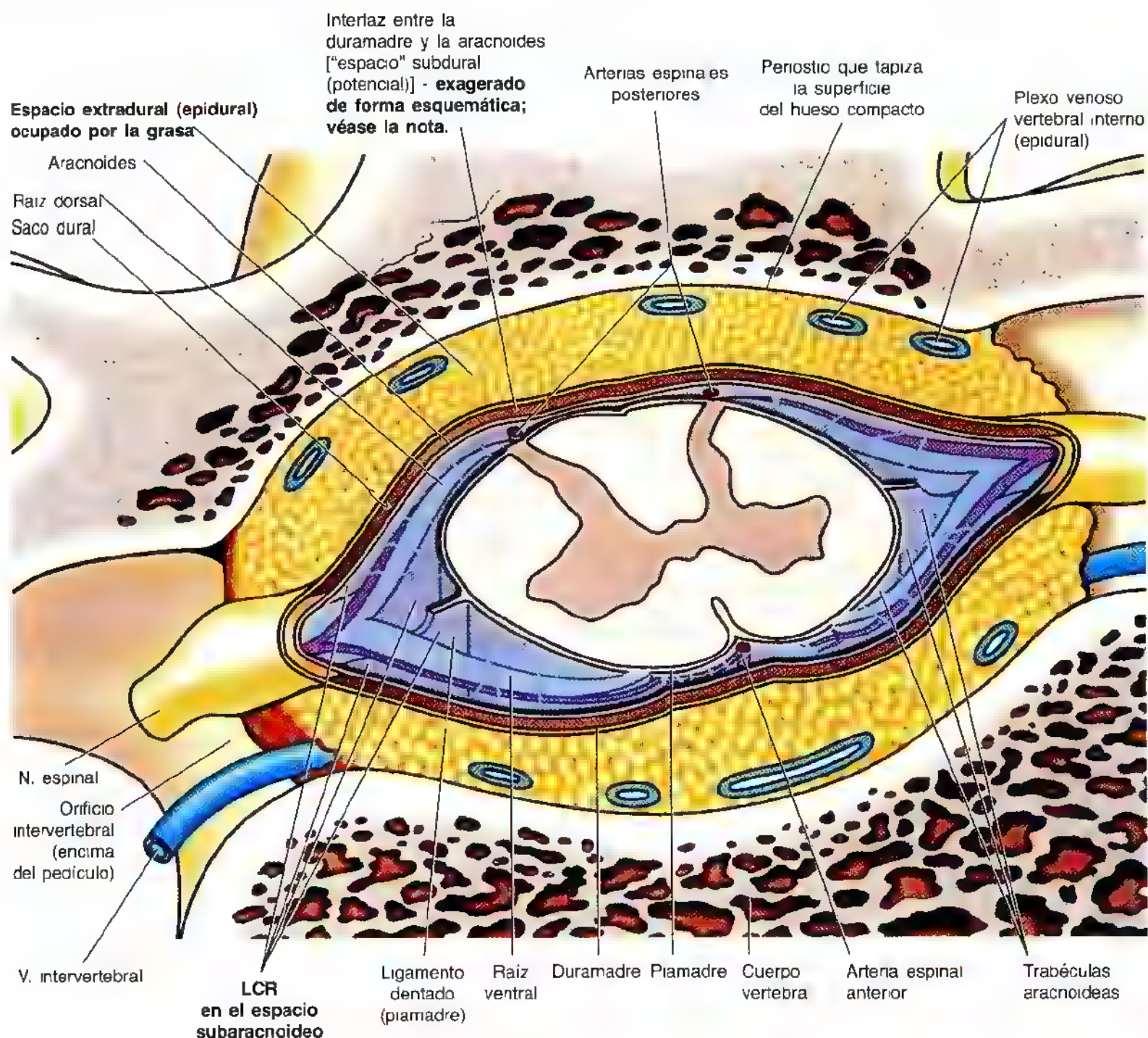
La aracnoides es una membrana avascular muy fina, compuesta por tejido fibroso y elástico que reviste el saco dural y los manguitos radiculares de duramadre y encierra el espacio subaracnoideo, lleno de LCR, que contiene la médula espinal, las raíces de los nervios espinales y los ganglios espinales. *La aracnoides no se inserta en la duramadre, sino que se apoya en su cara interna por la presión que ejerce el LCR.*

Figura 4.29. Médula espinal, nervios espinales y meninges espinales.

La raíz de cada nervio emerge de la médula espinal en forma de una serie de raicillas; cada nervio espinal se forma por la unión entre las raíces dorsal y ventral del nervio. Obsérvense, asimismo, las tres membranas que cubren la médula espinal (meninges espinales): duramadre, aracnoides y piamadre. Nótese que conforme se aproxima cada nervio espinal al orificio intervertebral (IV), entran en un manguito (vaina) radicular de duramadre que se continúa con el epineurio del nervio espinal.

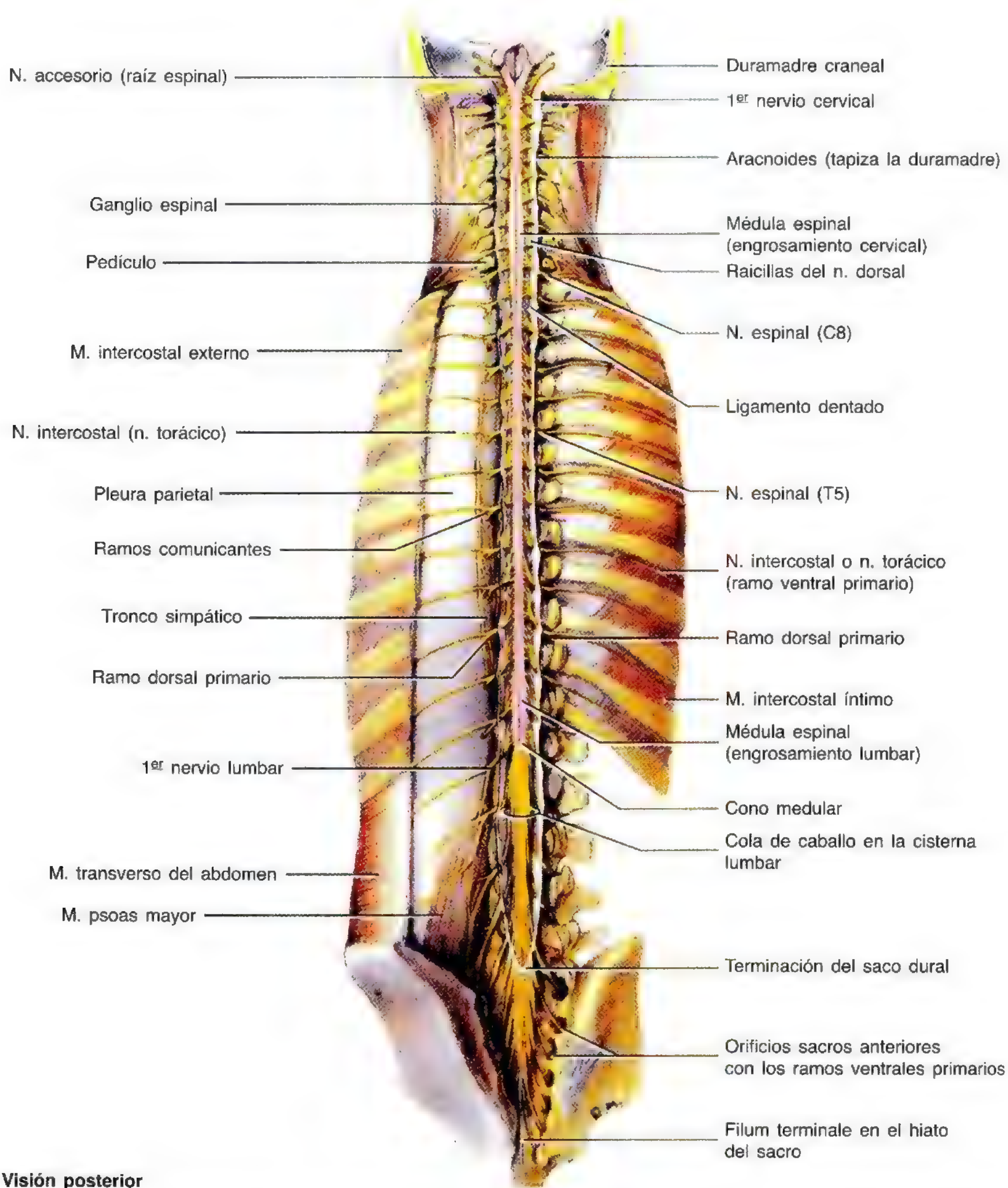
**Tabla 4.9. Inervación del triángulo suboccipital y del dorso del tronco**

Nervio	Origen	Trayectoria	Distribución
Suboccipital	Ramo dorsal del n. C1	Discurre entre el cráneo y la 1ª vértebra cervical hasta alcanzar el triángulo suboccipital	Músculos del triángulo suboccipital
Occipital mayor	Ramo dorsal del n. C2	Emerge debajo del m. oblicuo inferior y asciende al dorso del cuero cabelludo	Piel que cubre el cuello y el hueso occipital
Occipital menor	Ramos ventrales de los nn. C2 y C3	Pasa directamente a la piel	Piel del cuello y del cuero cabelludo
Ramos dorsales C3-Co.	Nn. espinales C3-C0	Pasa por vías segmentarias a los músculos y a la piel	Músculos intrínsecos del dorso y de la piel suprayacente (adyacente a la columna vertebral)

Tabla 4.10. Espacios asociados con las meninges espinales

Espacio	Localización	Contenido
Extradural (epidural)	Espacio entre el perostio que tapiza la pared ósea del conducto vertebral y la duramadre; lugar de la herniación extradural (epidural)	Grasa (tejido conjuntivo laxo), plexos venosos vertebrales internos y, debajo de la vértebra L2, raíces encapsuladas de los nervios espinales
Subaracnoideo (leptomeningeo)	Espacio natural entre la aracnoides y la piamadre	LCR, arterias radicales, arterias y venas segmentarias medulares y espinales y trabéculas aracnoideas

Nota: Aunque suele hablarse de un "espacio subdural", no existe ningún espacio natural en la unión entre la aracnoides y la duramadre (Haines, 1997). Los hematomas de esta zona suelen obedecer a la sangre extravasada que crea un espacio patológico en la interfaz entre la duramadre y la aracnoides.



Visión posterior

Figura 4.30. Médula espinal *in situ*. Los arcos vertebrales (neurales) y la cara posterior del sacro se han extirpado para exponer el conducto vertebral (espinal). Se ha seccionado también el saco dural en la cara posterior para ver la médula espinal y las raíces nerviosas, la terminación de la médula espinal a la altura de la vértebra L2 y la terminación del saco dural en el 2º segmento sacro.

Durante la punción lumbar, la aguja atraviesa al mismo tiempo la duramadre y la aracnoides. Su aposición crea una interfaz de duramadre-aracnoides, que suele denominarse erróneamente como “espacio subdural”. *En condiciones normales no existe tal espacio.* La hemorragia dentro de este espacio crea un hematoma subdural en un espacio patológico.

En el cadáver, la aracnoides se desprende de la cara interna de la duramadre —debido a la ausencia de LCR— y permanece suelta en la médula espinal. La aracnoides se separa de la piamadre, adherida a la superficie de la médula espinal, por el **espacio subaracnoideo** que contiene el LCR (tabla 4.10). Existen unas bandas finas de tejido con-

juntivo, las **trabéculas aracnoideas**, que se extienden por el espacio subaracnoideo y comunican la aracnoides con la piamadre.

Piamadre

La piamadre, la membrana más interna que cubre la médula espinal, consta de células aplanadas con prolongaciones largas, igualmente planas, que tapizan todo el relieve de superficie de la médula espinal (Haines, 1997). Además, la piamadre reviste directamente las raíces de los nervios espinales y los vasos sanguíneos espinales (fig. 4.31). La piamadre se continúa como *filum terminale* debajo del cono medular.

La médula espinal queda suspendida del saco dural por el **ligamento dentado**, con forma de dientes de sierra, a cada lado. Estos ligamentos son prolongaciones laterales de las caras laterales de la piamadre, a mitad de camino entre las raíces dorsal y ventral de los nervios (figs. 4.30-4.32). Las 20 ó 22 prolongaciones, que se parecen mucho a los dientes de un tiburón, se insertan en la cara interna del saco dural (Haines, 1997). La porción más alta del ligamento dentado se une a la duramadre occipital, justo dentro del orificio magno, y la parte inferior se extiende entre las raíces de los nervios T12 y L1.

Espacio subaracnoideo

El espacio subaracnoideo se encuentra entre la aracnoides y la piamadre y está lleno de LCR. El ensanchamiento del espacio subaracnoideo en el saco dural, debajo del cono medular que contiene la cola de caballo, se denomina **cisterna lumbar** (figs. 4.30 y 4.33). Ésta se extiende desde la vértebra L2 hasta el 2º segmento sacro. Los manguitos de duramadre de la raíz (fig. 4.29), que rodean las raíces de los nervios espinales como prolongación del espacio subaracnoideo, protruyen desde los lados de la cisterna lumbar.

Desarrollo de las meninges y del espacio subaracnoideo

En conjunto, la piamadre y la aracnoides forman las *leptomeninges* (que significa membranas finas en griego). Se desarrollan como una sola capa del mesénquima que rodea la médula espinal embrionaria. Dentro de la capa se forman espacios llenos de líquido que se unen para dar el **espacio subaracnoideo** (Moore y Persaud, 1998). El origen de las membranas a partir de una sola se refleja en las numerosas trabéculas aracnoideas que pasan entre ellas. La aracnoides del adulto tiene el grosor suficiente para ser manipulada con los dedos o unas pinzas. En cambio, la piamadre apenas se ve, pese a que otorga un aspecto brillante a la superficie de la médula espinal.

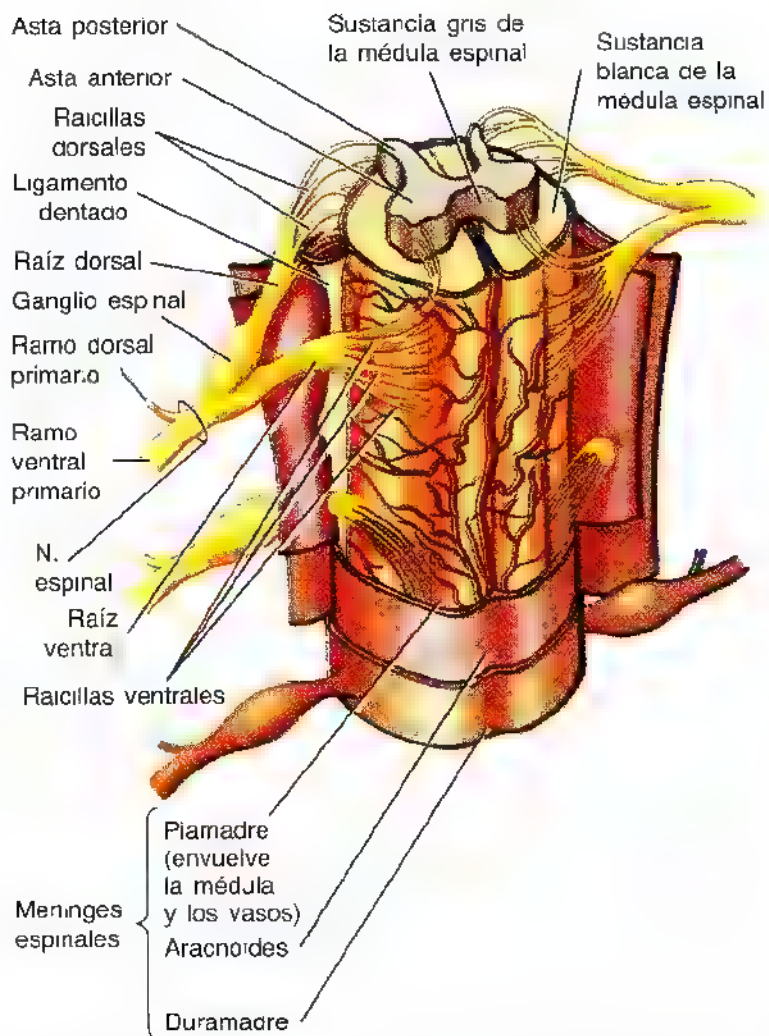
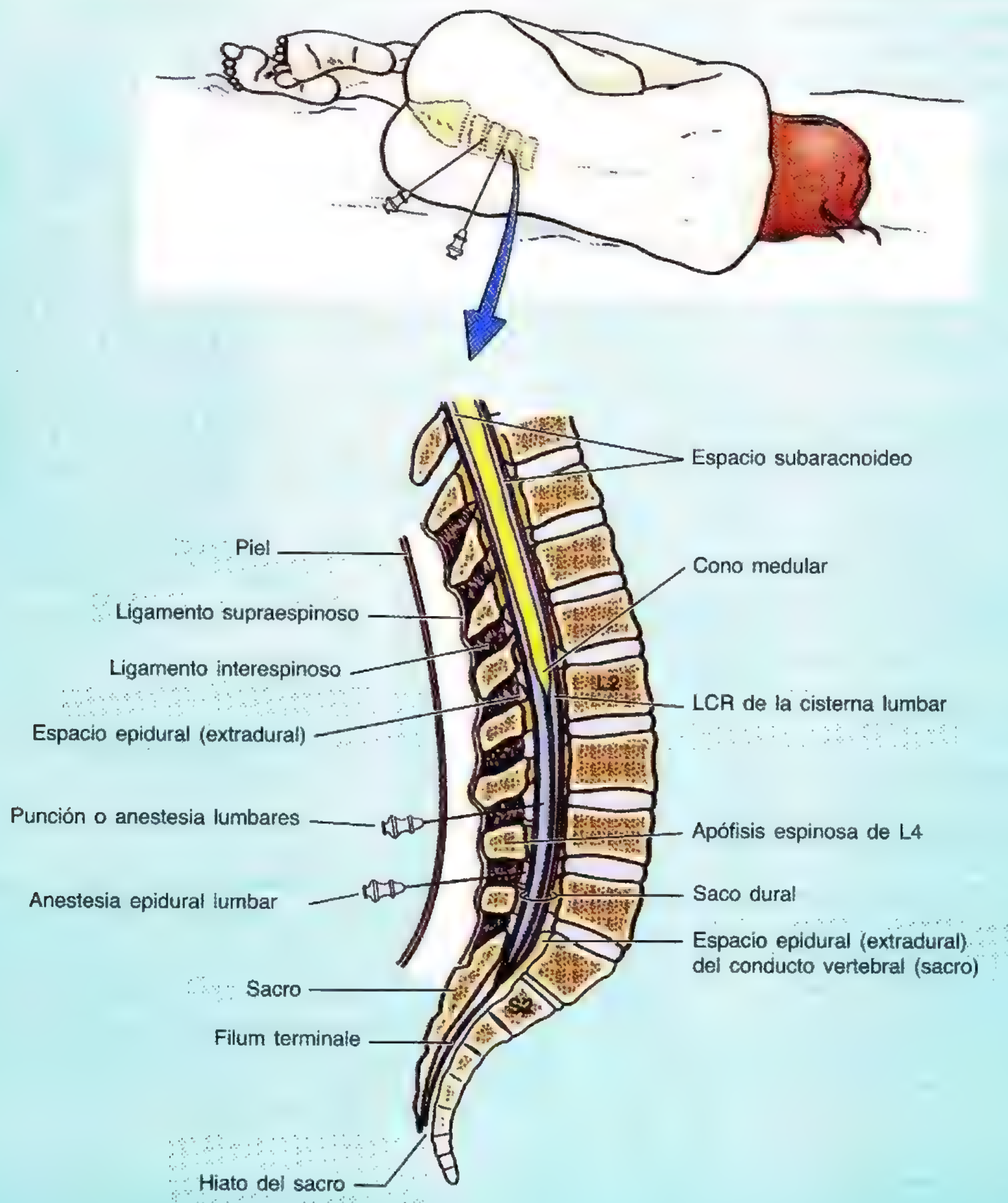


Figura 4.31. Médula espinal, raíces dorsales y ventrales, nervios espinales y meninges espinales. Este esquema tridimensional revela la estructura de la médula espinal (sustancia gris y blanca) y el lugar de entrada y salida de las fibras nerviosas. Obsérvese el ligamento dentado, una prolongación dentada, a modo de repisa, de la piamadre que se proyecta entre las raíces dorsal y ventral en el plano frontal a cada lado de las regiones cervical y torácica de la médula espinal.

Punción lumbar

La extracción de líquido cefalorraquídeo de la cisterna lumbar es una importante herramienta diagnóstica para evaluar diversas enfermedades del sistema nervioso central. Las infecciones de las meninges (*meningitis*) y las enfermedades del sistema nervioso central pueden alterar las células del líquido cefalorraquídeo o modificar la concentración de sus componentes químicos. El estudio de muestras del LCR también ayuda a saber si existe sangre en su interior. La punción lumbar se practica con el enfermo inclinado hacia delante o tumbado sobre uno de los lados, con el dorso flexionado. La flexión de la columna vertebral facilita la inserción de la aguja, porque estira los ligamentos amarillos y separa las láminas y las apófisis espinosas.



► Se anestesia la piel que cubre las últimas vértebras lumbares y, manteniendo condiciones asépticas, se introduce una *aguja de punción lumbar*, dotada de estilete, en la línea media, entre las apófisis espinosas de L3 y L4 (o L4 y L5). Recuérdese que la línea que une los puntos más altos de las crestas ilíacas suele pasar por la apófisis espinosa de L4. A este nivel no hay peligro de lesionar la médula espinal. Tras introducir la aguja de 4 a 6 cm en un adulto (más si se trata de una persona obesa), se pincha la duramadre y la aracnoides y se pasa a la cisterna lumbar. Cuando se retira el estilete suele escaparse LCR, a razón de una gota por segundo. Si la presión en el espacio subaracnoideo se eleva, el LCR refluye o escapa a modo de chorro. La punción lumbar está contrain-

dicada cuando la exploración del fondo de ojo, con el oftalmoscopio, revela un aumento de la presión intracraneal. La liberación consiguiente de la presión por la región lumbar podría provocar una herniación mortal del tronco del encéfalo y del cerebelo dentro del conducto vertebral.

Bloqueo espinal

Se puede inyectar directamente en el LCR un anestésico. La anestesia suele tardar 1 minuto en hacer efecto. El *bloqueo espinal* se puede seguir de cefalea, que se atribuye a la salida de LCR por el orificio practicado en la ►

► duramadre y en la aracnoides. Si desea más información sobre los bloqueos espinales consulte el capítulo 3.

Bloqueo epidural

Se puede inyectar un anestésico en el espacio extradural o epidural, en la posición descrita para la punción lumbar (bloqueo lumbar), o a través de los orificios y el hiato sacros. El anestésico posee efecto directo sobre las raíces de los nervios espinales de la cola de caballo, una vez que salen del saco dural. El efecto del bloqueo epidural tarda, de ordinario, de 10 a 20 minutos. Para las operaciones infradiafragmáticas puede efectuarse un bloqueo epidural como única anestesia. Con este tipo de anestesia, el enfermo puede permanecer sedado o despierto. El bloqueo epidural suele aplicarse para evitar el dolor durante el parto y la cesárea, porque las resistencias vasculares maternas (presión arterial) y, por tanto, la irrigación placentaria del feto resultan más estables (véase el capítulo 3).

Para el **bloqueo epidural caudal** se administra el anestésico con un catéter permanente introducido en el conducto sacro. El catéter se inserta a través del **hiato del sacro** y el anestésico baña las raíces de los nervios espinales S2 a S4 (págs. 389 y 452). La altura hasta la que asciende el anestésico se controla según la cantidad inyectada y la posición del paciente. Si el hiato del sacro es grande (como el de la figura 4.10B), no conviene introducir la aguja con excesiva profundidad, porque podría entrar en la cisterna lumbar, que se extiende hasta el 2º segmento del sacro. Con ello se provocaría una anestesia exagerada, ya que la dosis del preparado para la anestesia caudal (inyección en el espacio epidural) es mucho mayor que la que se utiliza para un bloqueo espinal (inyección en el LCR). Los anestésicos también se pueden inyectar a través de los orificios sacros posteriores hasta el espacio epidural que rodea los nervios sacros específicos (pág. 452). Si desea una exposición más detenida de la anestesia caudal para el parto consulte el capítulo 3. ◻

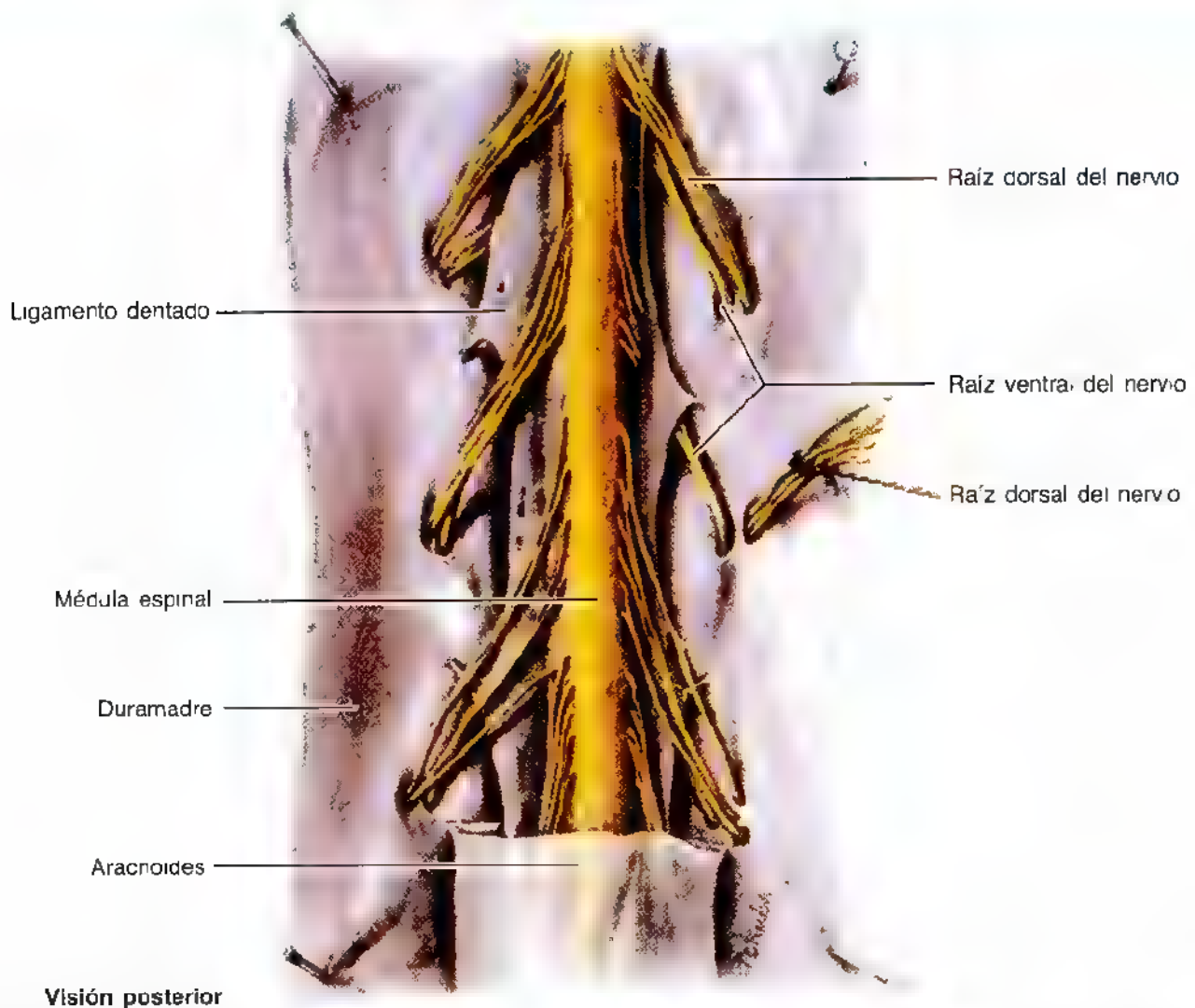


Figura 4.32. Médula espinal y meninges (membranas). La duramadre y la aracnoides se han dividido y fijado con alfileres para mostrar la médula espinal y las raíces nerviosas. Obsérvese que el ligamento dentado discurre como una banda a cada lado de la médula espinal y fija mediante prolongaciones bastante robustas y dentadas la médula espinal a la duramadre entre cada raíz nerviosa.

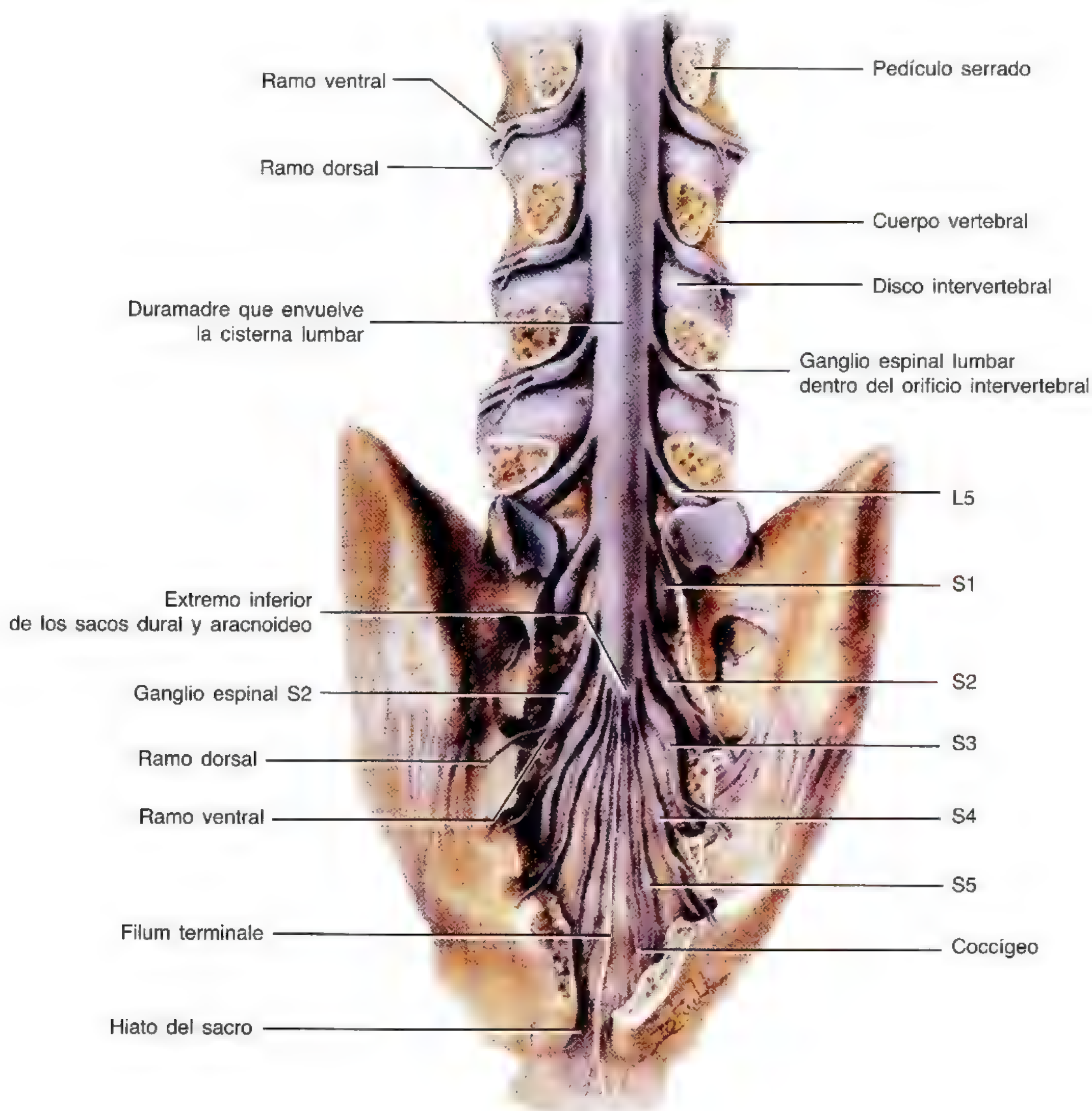
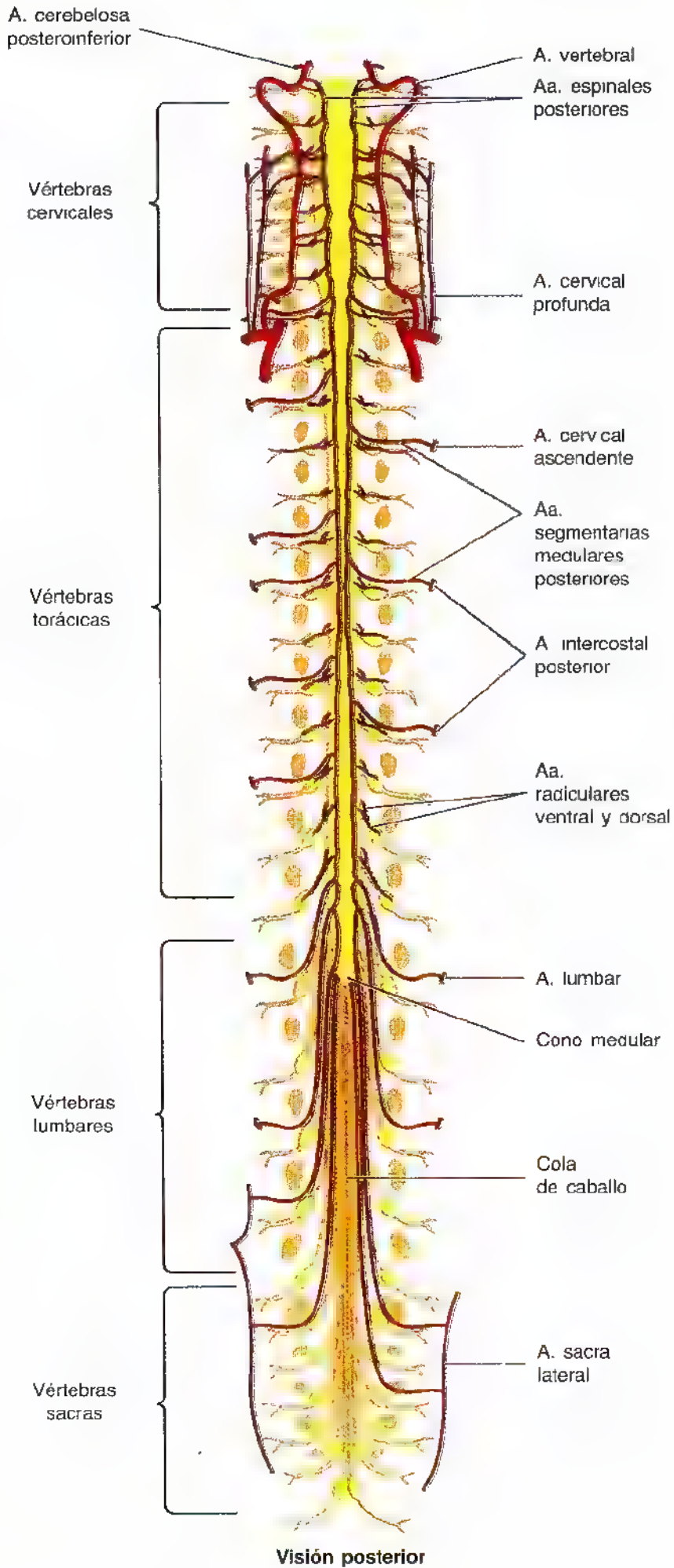
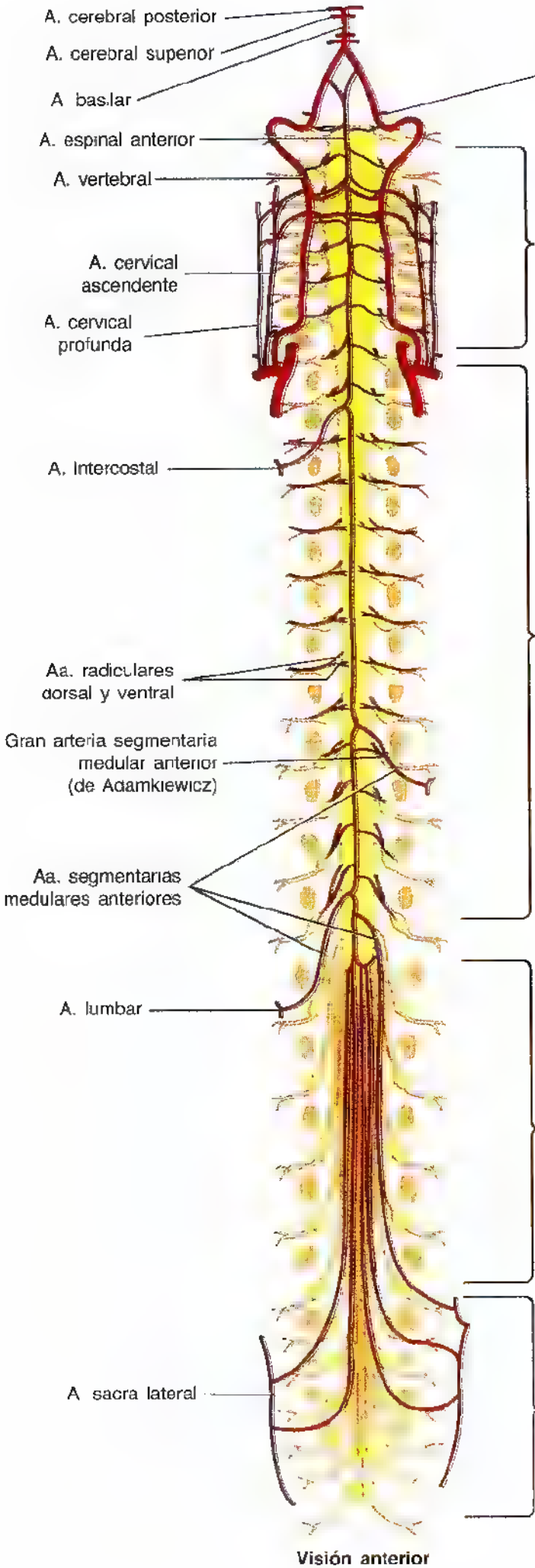


Figura 4.33. Extremo inferior del saco dural. Se ha procedido a una disección de la columna vertebral (laminectomía) para ilustrar el extremo inferior del saco dural, que envuelve la cisterna lumbar donde se encuentra la cola de caballo. La mayoría de los arcos vertebrales (neurales) de las vértebras lumbares y sacras se han extirpado. Obsérvese cómo los ganglios espinales lumbares se encuentran dentro de los orificios intervertebrales (IV) y cómo los ganglios espinales sacros (S1 a S5) se hallan dentro del conducto sacro. En la región lumbar, los nervios que salen del orificio intervertebral pasan por encima del disco intervertebral de dicho nivel; por eso, la herniación del núcleo pulposus suele pinzar los nervios que pasan a los niveles inferiores.

Figura 4.34. Irrigación arterial de la médula espinal. Las arterias provienen de ramas de las arterias vertebrales, cervicales ascendentes y profundas, intercostales, lumbares y sacras laterales. Son tres las arterias longitudinales que irrigan la médula espinal: una arteria espinal anterior y dos posteriores. Estos vasos están reforzados por sangre de las arterias segmentarias medulares anterior y posterior. Obsérvese la gran arteria segmentaria medular anterior (de Adamkiewicz), de importancia clínica. Las arterias medulares segmentarias irrigan las raíces nerviosas por las que discurren y contribuyen a dar las arterias longitudinales. En los lugares donde no nacen arterias segmentarias medulares, las arterias radicales nutren las raíces dorsal y ventral de los nervios espinales. (Las arterias radicales sólo se ilustran en la región cervical y torácica, pero también existen en las zonas lumbar y sacra.)



Vascularización de la médula espinal

Las arterias de la médula espinal

Las arterias que nutren la médula espinal provienen de ramas de las arterias vertebrales, cervicales ascendentes, cervicales profundas, intercostales, lumbares y sacras laterales (fig. 4.34). *Se conocen tres arterias longitudinales que inervan la médula espinal:*

- Una arteria espinal anterior.
- Dos arterias espinales posteriores.

Estas arterias discurren longitudinalmente desde el bulbo raquídeo del tronco del encéfalo hasta el cono medular de la médula espinal.

La **arteria espinal anterior**, formada por la unión de las ramas de las arterias vertebrales (figs. 4.34A y 4.35), baja por la cisura media anterior (cisura ventromediana). Las **arterias del surco (central)** emergen de ésta y penetran en la médula espinal por la cisura media anterior. Las arterias del surco nutren casi dos tercios de la superficie transversal de la médula espinal (Williams y cols., 1995). Cada arte-

ria **espinal posterior** constituye una rama de las arterias vertebrales o bien cerebelosas posteroinferiores. Las arterias espinales posteriores suelen tender conductos de anastomosis en la piamadre.

Las arterias espinales anterior y posterior sólo nutren, por sí mismas, la porción superior breve de la médula espinal. La circulación de gran parte de la médula depende de las arterias medulares y radicales segmentarias que viajan por las raíces de los nervios espinales. Las **arterias medulares segmentarias** proceden de ramas espinales de las arterias cervicales ascendentes, cervicales profundas, vertebrales, intercostales posteriores y lumbares. Las arterias segmentarias medulares se encuentran sobre todo allí donde más necesidad hay de una buena irrigación de la médula espinal: los engrosamientos cervical y lumbosacro. Se meten en el conducto vertebral por los orificios intervertebrales.

La **gran arteria medular segmentaria anterior** (arteria medular de Adamkiewicz) —en el lado izquierdo en el 65% de las personas— refuerza la circulación de dos tercios de la médula espinal, incluido el engrosamiento lumbosacro. La

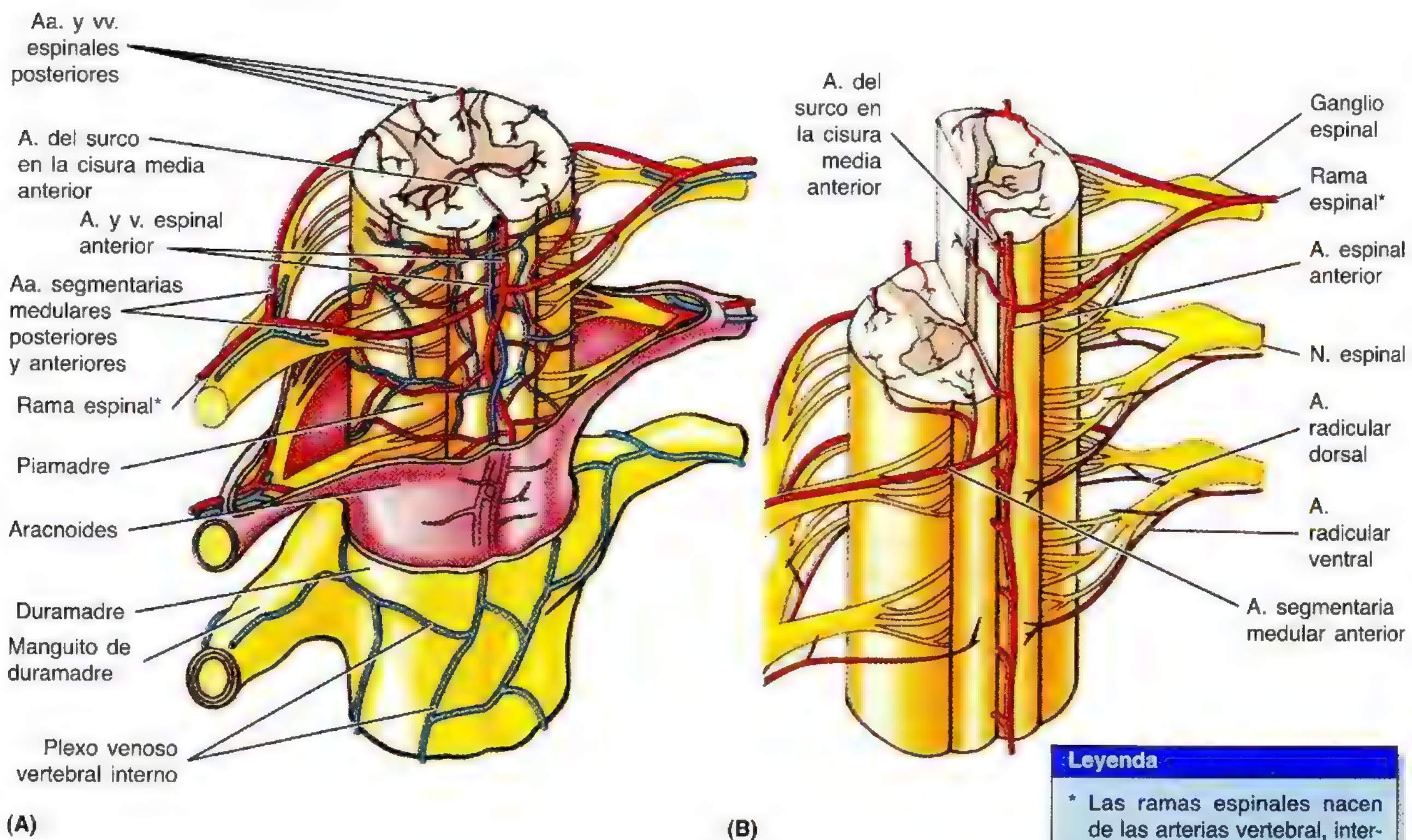


Figura 4.35. Drenaje venoso e irrigación arterial de la médula espinal y de las raíces dorsal y ventral de los nervios. **A.** Las venas que drenan la médula espinal, así como los plexos venosos vertebrales internos, desembocan en las venas intervertebrales, que a su vez lo hacen en las venas segmentarias. **B.** El patrón de irrigación arterial de la médula espinal procede de tres arterias longitudinales: una anterior, situada en posición anteromediana, y dos posterolaterales. Estos vasos quedan reforzados por ramas medulares de las arterias segmentarias. Las arterias del surco son pequeñas ramas de la arteria espinal anterior que discurren por la cisura media anterior.

gran arteria medular segmentaria anterior, mucho mayor que las otras arterias segmentarias medulares, suele originarse en una arteria intercostal inferior o lumbar superior y entra en el conducto vertebral a través del orificio intervertebral, a la altura de las últimas vértebras torácicas o primeras lumbares.

Las raíces dorsal y ventral de los nervios espinales y sus cubiertas están irrigadas por las **arterias radicales** dorsal y ventral que viajan por las mismas raíces. La mayoría de las raíces de los nervios espinales y los nervios y raíces espinales proximales van acompañados de arterias radicales que no alcanzan las arterias posteriores, anteriores o espinales. Las arterias medulares segmentarias aparecen de manera irregular *en el lugar* de las arterias radicales; en realidad, son vasos algo mayores que llegan hasta las arterias espinales. La mayoría de las arterias radicales son pequeñas y nutren sólo las raíces nerviosas; sin embargo, algunas de ellas contribuyen a la irrigación de porciones superficial-

les de la sustancia gris de las astas posterior y anterior y de la médula espinal.

Venas de la médula espinal

En general, las venas de la médula espinal se distribuyen de forma análoga a las arterias espinales. *Suele haber tres venas espinales anteriores y otras tres posteriores* (fig. 4.35A). Las **venas espinales** se disponen de forma longitudinal, se comunican libremente entre sí y son drenadas por, a lo sumo, 12 venas medulares y radicales anteriores y posteriores. Las venas que drenan la médula espinal se unen al **plexo venoso vertebral (epidural) interno**, situado en el espacio extradural (epidural). El plexo venoso vertebral interno se dirige hacia arriba por el orificio magno para comunicarse con los senos de la duramadre y las venas vertebrales del cráneo (véase el capítulo 7). El plexo vertebral interno también se comunica con el plexo vertebral externo de la cara superficial de las vértebras (fig. 4.22)

Isquemia de la médula espinal

El refuerzo segmentario de la irrigación de la médula a partir de las arterias segmentarias medulares tiene importancia para el aporte de sangre a las arterias espinales anterior y posterior. Las fracturas, las luxaciones y las fracturas-luxaciones pueden obstaculizar la irrigación de la médula espinal a partir de las arterias espinales y medulares. *La irrigación insuficiente determina una isquemia de la médula espinal* que afecta a su función y puede ocasionar debilidad y parálisis musculares. La médula espinal también puede sufrir alteraciones circulatorias si se estrechan las arterias segmentarias medulares, en particular la gran arteria segmentaria medular anterior (de Adamkiewicz), por una enfermedad arterial oclusiva. A veces se ocluye intencionadamente la aorta ("pinzamiento transversal") durante la cirugía. Los pacientes sometidos a este tipo de intervención y los que padecen una rotura aneurismática de la aorta o una obstrucción de la gran arteria segmentaria medular anterior, pueden perder toda la sensibilidad y movimientos voluntarios debajo del nivel de isquemia de la médula espinal (*paraplejía*), debido a la destrucción de las neuronas de parte de la médula espinal irrigada por la arteria espinal anterior (fig. 4.34). La incidencia de paraplejía iatrogénica varía desde el 0,4 al 40%, según la edad del paciente, el grado de la enfermedad y el tiempo de pinzamiento aórtico (Murray y cols., 1992).

Cuando la presión arterial desciende de manera intensa durante 3 a 6 minutos, se puede reducir o detener la irrigación de la región torácica media de la médula espinal desde las arterias segmentarias medulares hacia la arteria espinal anterior. Estos pacientes también pueden perder la sensibilidad y los movimientos voluntarios de las zonas irrigadas por el plano afectado de la médula espinal.

Lesiones de la médula espinal

El conducto vertebral varía mucho de tamaño y forma de un nivel a otro, sobre todo en las regiones cervical y lumbar. El conducto vertebral pequeño en la región cervical, donde la médula espinal se encuentra más ajustada, resulta peligroso porque una fractura, luxación o fractura luxación leve de las vértebras cervicales podría dañar la médula espinal. La protrusión de un disco intervertebral cervical dentro del conducto vertebral tras una lesión de cuello puede ocasionar un "shock medular" que se acompaña de parálisis por debajo del lugar de la lesión. A veces, no se detecta fractura ni luxación de las vértebras cervicales. Si el paciente fallece, puede observarse un reblandecimiento de la médula espinal en la zona de protrusión del disco en el estudio necroscópico.

La disminución de calibre del conducto vertebral por un disco intervertebral herniado, un ligamento amarillo tumefacto o la *artrosis de las articulaciones interapofisarias* puede comprimir una o más de las raíces de los nervios espinales de la cola de caballo. La compresión causa síntomas sensitivos y motores en la zona de distribución del nervio espinal lesionado. Este grupo de anomalías óseas y articulares —*espondilosis lumbar* (enfermedad articular degenerativa)— también provoca dolor y rigidez locales.

La *espondilosis cervical* suele acompañarse de edema de los ligamentos amarillos y artrosis de las articulaciones interapofisarias. En estas condiciones suele observarse una disminución del tamaño de los orificios intervertebrales, conducto vertebral o ambos. Esto puede comprimir las raíces de los nervios cervicales, la médula espinal o ambas, provocando diversos signos y síntomas neurológicos.

Los núcleos pulposos de los discos intervertebrales de algunas personas mayores degeneran; las vértebras se ►

► unen, y los anillos fibrosos protruyen hacia la cara anterior, posterior y lateral. De esta manera se forman proliferaciones óseas —osteofitos— que suelen ser asintomáticas, pero a veces comprimen las raíces de los nervios espinales y ocasionan síntomas sensitivos y motores.

La *sección de la médula espinal* provoca una abolición de toda la sensibilidad y de los movimientos voluntarios

debajo de la lesión. *El paciente sufre una tetraplejía si se secciona la médula cervical situada encima de C5, y puede morir de insuficiencia respiratoria si el nivel de sección se encuentra encima de C4.* Si la sección se encuentra entre los engrosamientos cervical y lumbosacro, el enfermo se queda parapléjico —parálisis de los dos miembros inferiores. ◀

Imágenes médicas del dorso del tronco

Radiografía

El estudio radiológico de la columna vertebral se basa, casi siempre, en las proyecciones anteroposterior y lateral. Los rasgos anatómicos que se ven en las regiones de la columna vertebral se ilustran y describen en las figuras 4.36 a 4.39. Las radiografías convencionales son excelentes para visualizar las estructuras de gran contraste, como los huesos. Con el advenimiento de la *radiografía digital* ha mejorado la resolución del contraste.

Osteoporosis del cuerpo vertebral

Esta enfermedad ósea metabólica común suele detectarse en un estudio radiológico de rutina. Las radiografías reve-

lan una desmineralización de las vértebras y a veces colapso vertebral y fracturas por compresión de estos huesos. La osteoporosis del cuerpo vertebral afecta a todas las vértebras, pero sobre todo a las torácicas, y es más frecuente en las mujeres después de la menopausia.

Mielografía

Tras la inyección de un medio de contraste radiopaco en el espacio subaracnoideo —*mielografía*— se pueden visualizar la médula espinal y las raíces nerviosas (fig. 4.40). El LCR se extrae mediante punción lumbar y se sustituye por un medio de contraste. Esta técnica revela la extensión del espacio subaracnoideo y sus prolongaciones alrededor de las raíces de los nervios espinales, en el interior de los manguitos de duramadre (fig. 4.41). La RM de alta resolución con bobinas para la médula espinal ▶

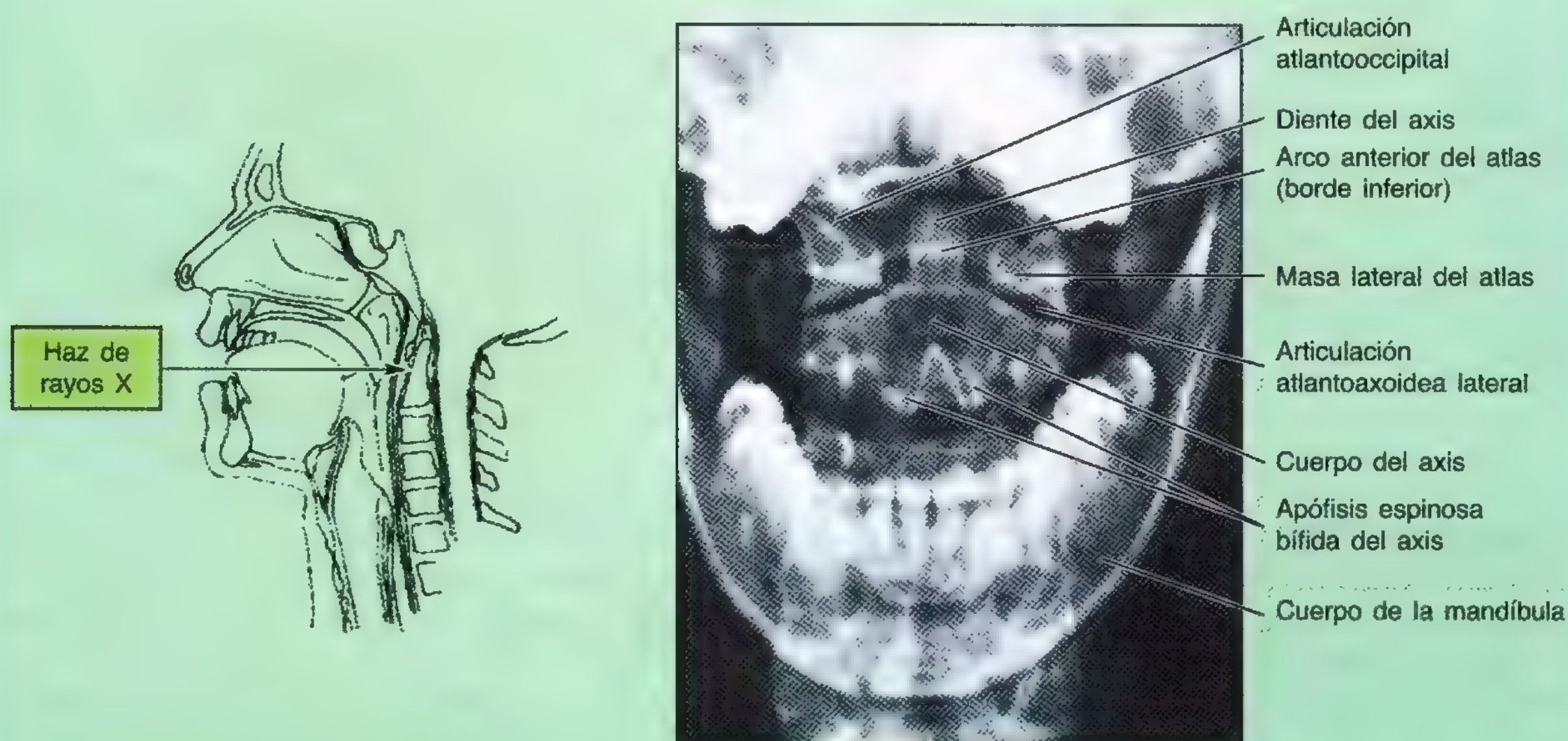


Figura 4.36. Radiografía anteroposterior (AP) de la parte superior de la región cervical de la columna. Como se muestra en el esquema, esta radiografía se tomó con la boca abierta. Obsérvense la articulación atlantoaxoidea lateral y el cuerpo del axis (C2) con el diente que se proyecta hacia arriba entre las masas laterales del atlas (C1).

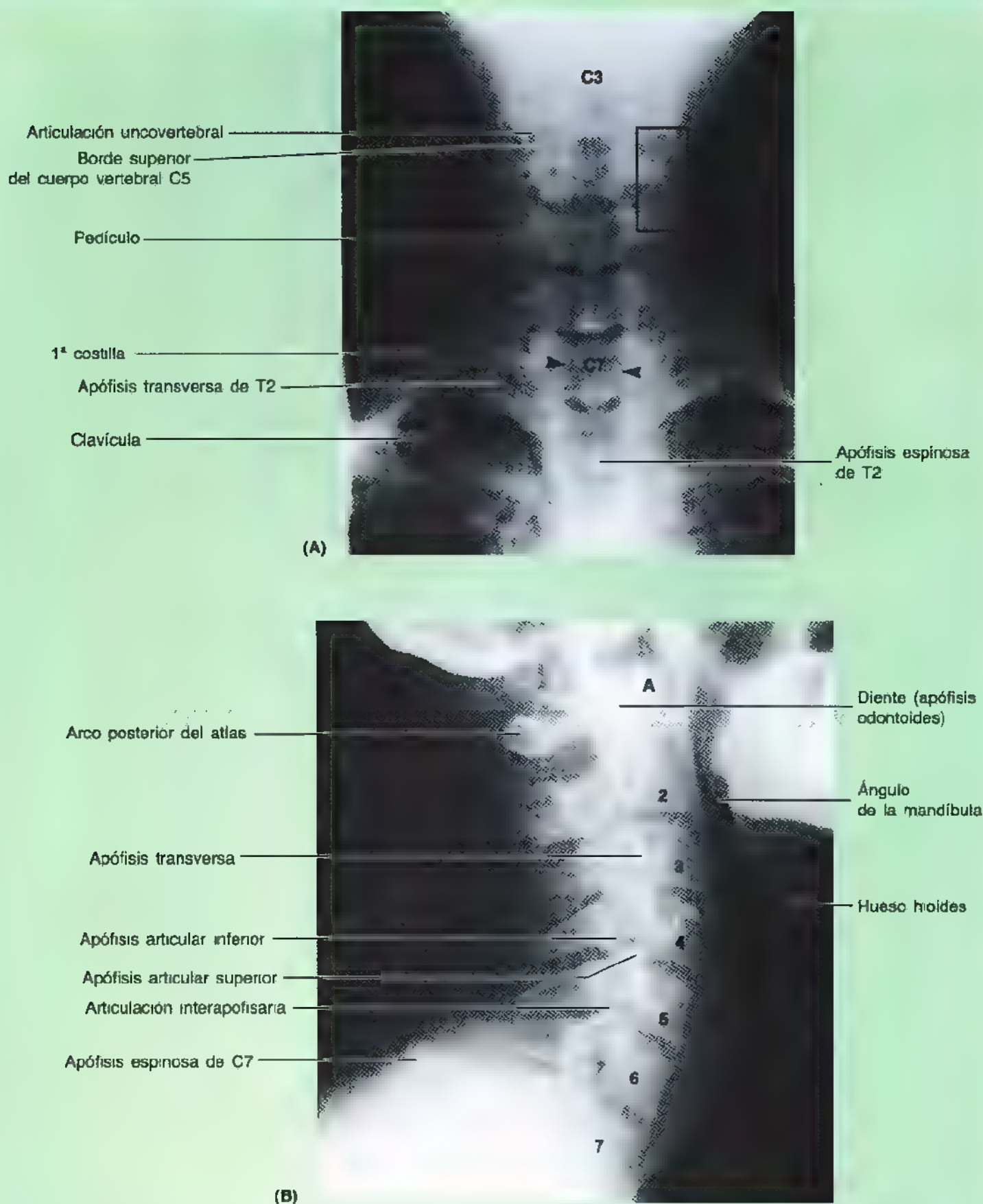


Figura 4.37. Radiografías de la región cervical de la columna vertebral. A. Proyección anteroposterior (AP). Obsérvense las apófisis espinosas bifidas de las vértebras C2 a C6. Las cabezas de flecha indican los márgenes de la columna de aire (en negro) de la tráquea. El área del recuadro delimita la columna de las apófisis articulares y las apófisis transversas superpuestas. **B.** Proyección lateral. Obsérvese cómo el arco anterior del atlas (C1) (A) se sitúa en un plano anterior a la línea curva que une los bordes anteriores de los cuerpos vertebrales. Se enumeran los cuerpos vertebrales de C2 a C7. Se aprecia también la apófisis espínosa larga (C7) de la vértebra prominente. (Cortesía del Dr. J. Heslin, Toronto, Ontario, Canada.)

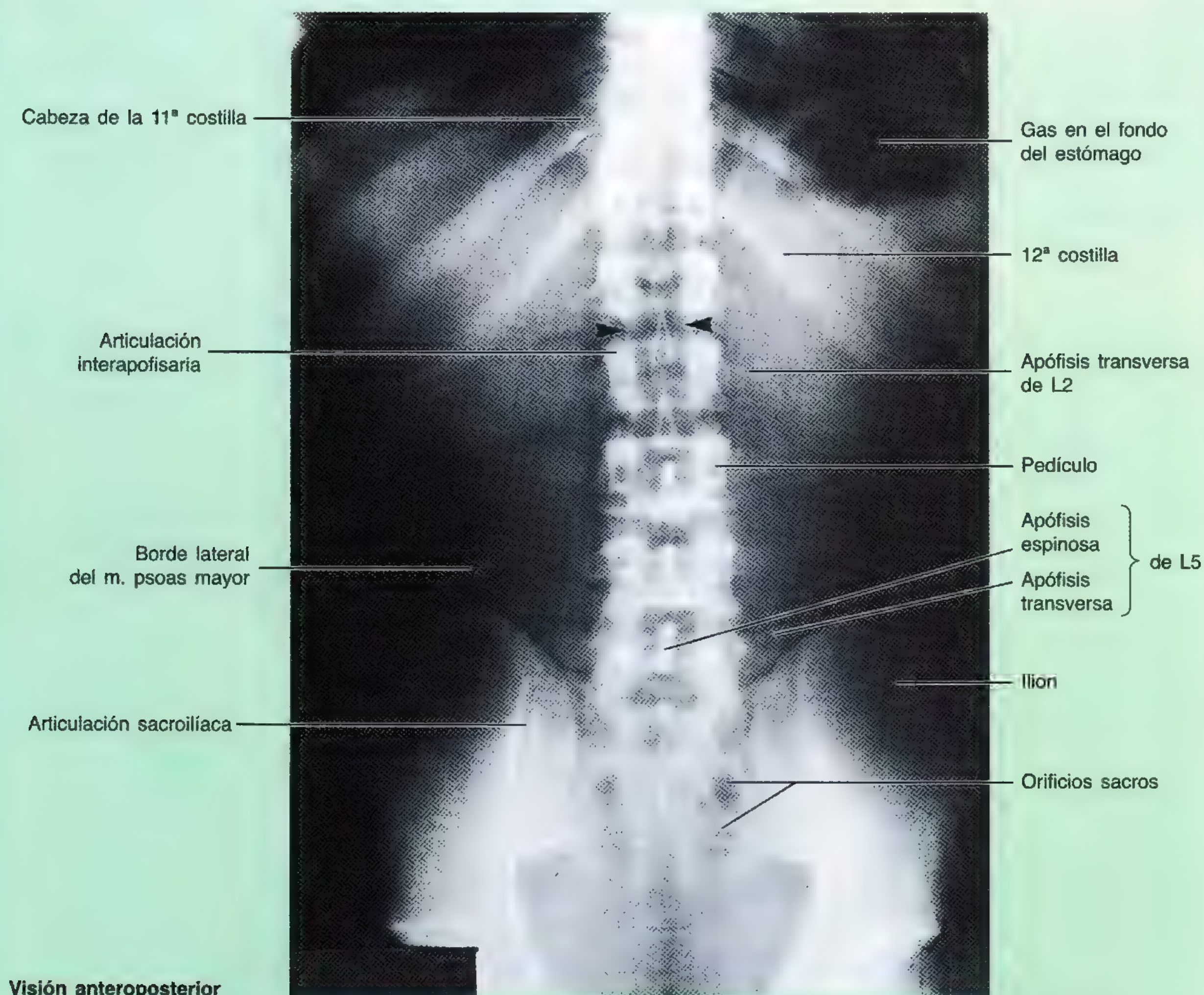


Figura 4.38. Radiografía de las regiones torácica inferior y lumbosacra de la columna vertebral.

Obsérvese la articulación del 12º par de costillas con la vértebra T12. Se advierte, asimismo, cómo el conducto vertebral (espinal) (*cabezas de flecha*) contiene la médula espinal y las meninges (no se ven). Las sombras de la línea media están formadas por las apófisis espinosas. El cóccix no aparece debido a su posición oblicua con respecto a la película de rayos X. Además, el gas y las heces del recto y del colon sigmoide enmascaran el cóccix. (Cortesía del Dr. J. Heslin, Toronto, Ontario, Canadá.)

► prácticamente ha suplantado a la mielografía (McCormick y Fetell, 1995).

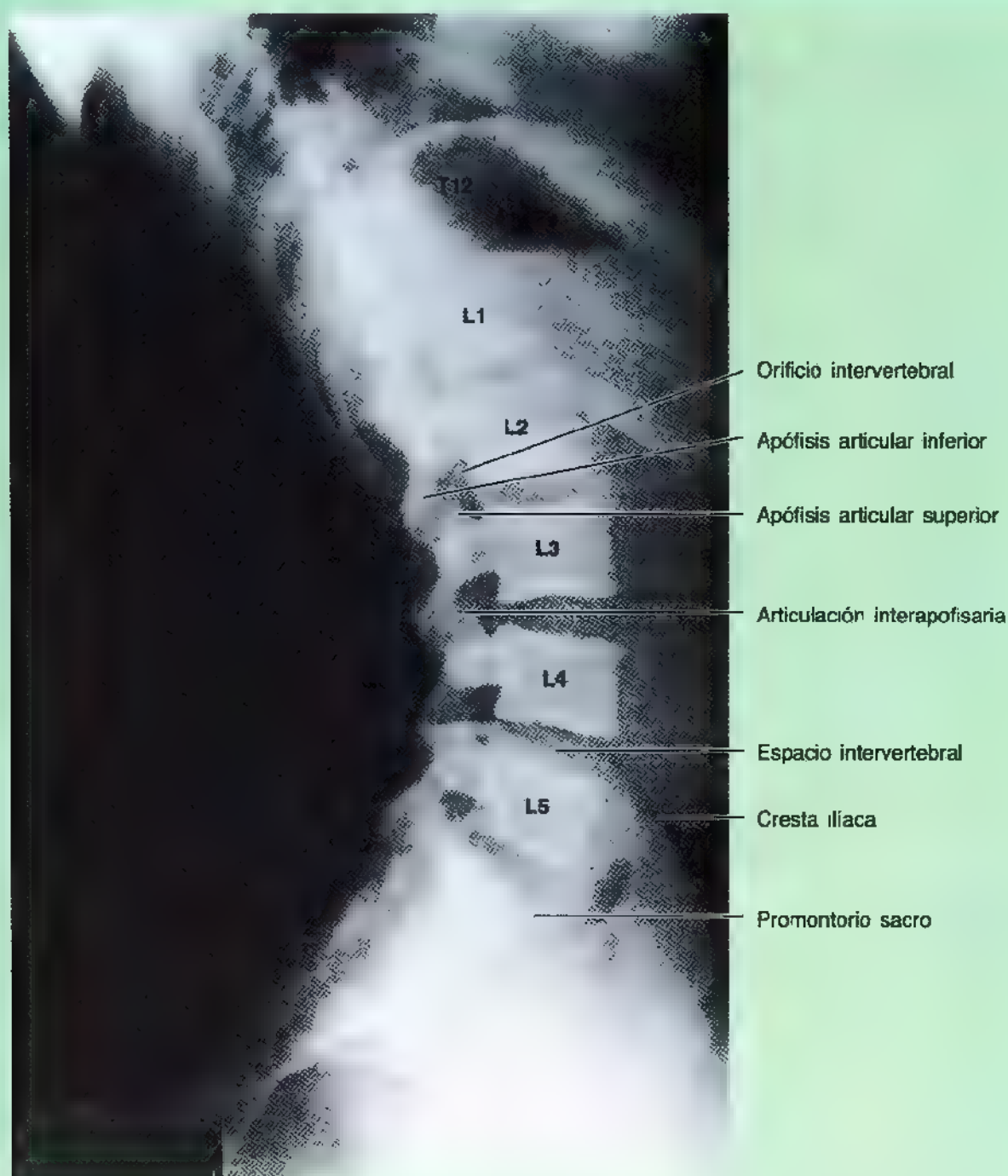
Tomografía computarizada

La TC separa la sustancia blanca de la gris del encéfalo y de la médula espinal. La TC ha mejorado el estudio radiológico de las fracturas de la columna vertebral, en particular la evaluación del grado de compresión de la médula (McCormick, 1995). Las imágenes de TC de la columna vertebral sirven para detectar lesiones y malformaciones congénitas. Las vértebras, muy densas, atenúan

gran parte del haz de rayos X y, por eso, aparecen blancas en las imágenes (fig. 4.42). Los discos intervertebrales tienen una densidad mayor que el tejido adiposo que lo rodea en el espacio extradural y el LCR del espacio subaracnoideo. Las herniaciones de los discos intervertebrales se pueden ver, por eso, en las imágenes de TC, al igual que los fragmentos discales desplazados.

Resonancia magnética

La RM, como la TC, es una técnica de imagen asistida por computadora, aunque no se vale de los rayos X, ►



Visión lateral

Figura 4.39. Radiografía de la región lumbosacra de la columna vertebral. Obsérvense los cuerpos vertebrales más grandes de las vértebras lumbares. Asimismo se aprecian los espacios intervertebrales (disco IV), los orificios intervertebrales y la angulación en la unión lumbosacra que determina el promontorio sacro. Como puede advertirse, los discos intervertebrales lumbares tienen forma de cuña, en particular el disco L5/S1. Se observa la articulación interapofisaria entre la apófisis articular superior de L4 y la apófisis articular inferior de L3. (Cortesía del Dr. J. Heslin, Toronto, Ontario, Canadá.)

► como la TC. La RM produce imágenes extraordinarias de la columna vertebral, médula espinal y LCR (fig. 4.41). Uno de sus inconvenientes es que el sujeto debe permanecer quieto dentro del aparato durante 5 a 10 minutos; sin embargo, las nuevas tecnologías están disminuyendo el tiempo de permanencia dentro del aparato. La RM demuestra con claridad los componentes

de los discos intervertebrales y su relación con los cuerpos vertebrales y los ligamentos longitudinales. Además, define las herniaciones del núcleo pulposo y su relación con las raíces de los nervios espinales. La RM es la técnica de imagen preferida para el estudio de los trastornos de los discos intervertebrales y ha sustituido, poco a poco, a la mielografía y a la TC en el estudio de estos ►



Figura 4.40. Mielografía de la región lumbar de la columna vertebral. Se inyectó un medio de contraste en la cisterna lumbar. Las protecciones laterales indican la extensión del espacio subaracnoideo (leptomeningeo) en los manguitos radicales de duramadre, alrededor de las raíces del nervio espinal.

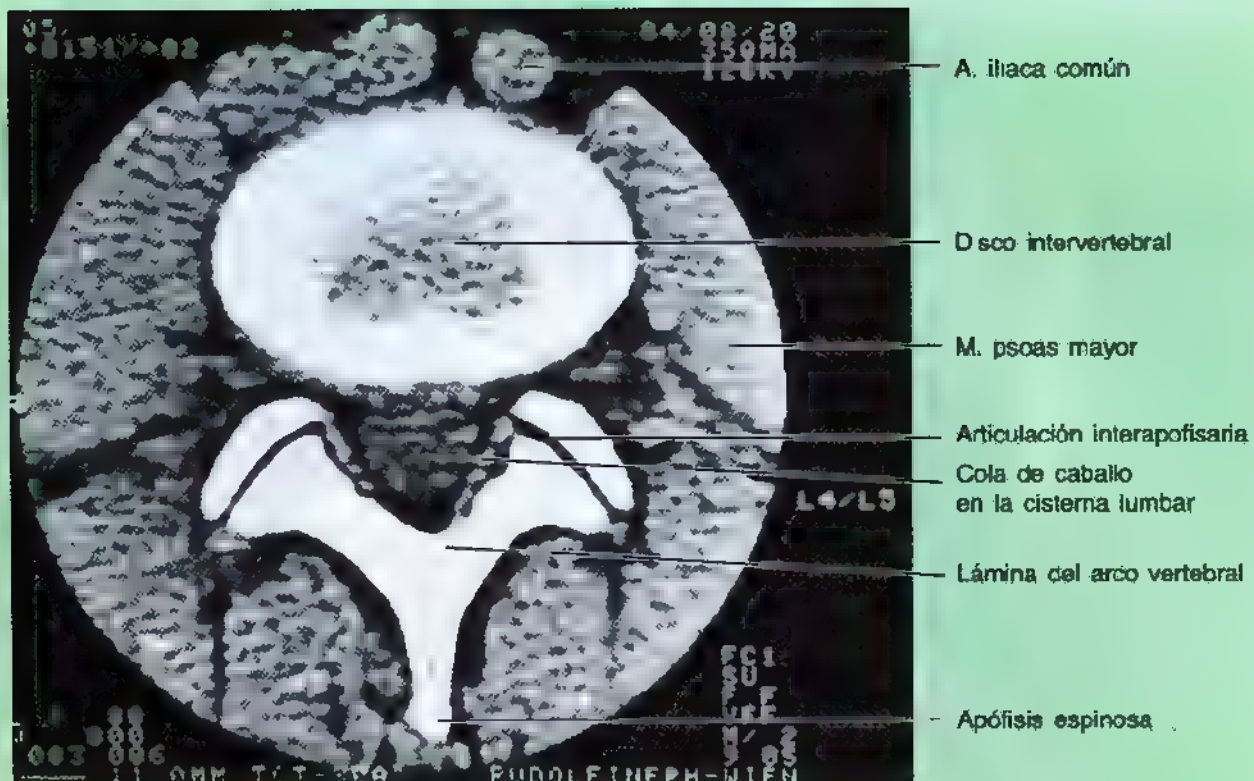


Figura 4.41. Imagen transversa de TC del disco intervertebral L4/L5. Obsérvese la cola de caballo, el haz de raíces del nervio espinal que surge del engrosamiento lumbosacro y el cono medular de la médula espinal, que discurren por la cisterna lumbar dentro del conducto vertebral (espinal)

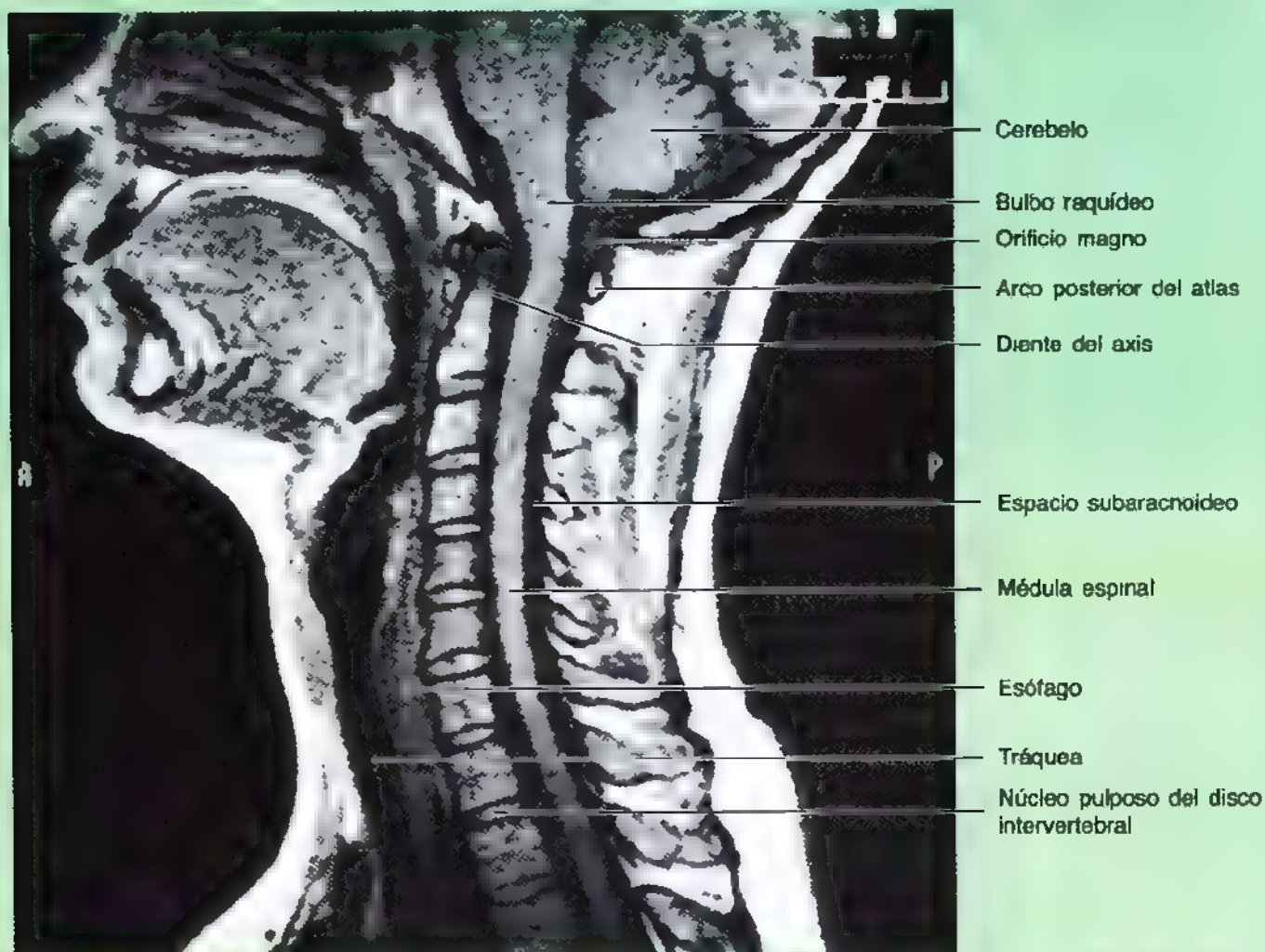


Figura 4.42. RM mediosagital de la parte inferior de la cabeza y del cuello. Se observan el cerebelo, el bulbo raquídeo, la médula espinal y la región cervical de la columna vertebral



Figura 4.43. RM sagital de la columna vertebral. A. RM sagital potenciada en T₁ que muestra una herniación del disco intervertebral C5/C6. "T" se refiere al tiempo para que ocurra una relajación longitudinal del 63%; este valor depende del campo magnético y del entorno químico del núcleo de hidrógeno.

La imagen que se muestra tiene una señal de agua brillante (véase más información en Chan y cols.). B. RM axial que muestra una herniación de un disco intervertebral en un enfermo con radiculopatía, es decir, con alteración de las raíces del nervio espinal.

► trastornos (McCormick, 1995). La RM permite identificar la compresión de la médula espinal o de la raíz nerviosa y conocer el grado de alteración degenerativa del interior del disco intervertebral (fig. 4.43). La RM

también resulta un procedimiento idóneo para el diagnóstico diferencial inicial de los trastornos anatómicos de la médula espinal y de las raíces de los nervios espinales. ➤

ESTUDIO DE CASOS CLÍNICOS

Caso 4.1

Gimnasta de 13 años, que se entrena de 18 a 20 horas por semana y refiere lumbago. En la exploración física y en las radiografías se observa una fractura por estrés de la vértebra L5 de esta muchacha.

Problemas clinicoanatómicos

- ¿Qué movimiento repetitivo de la columna vertebral pudo causar la fractura por estrés de la columna?
- ¿Qué región y vértebra de la columna suelen afectarse?

- ¿Cuál es el nombre clínico que se da a este defecto óseo?
- ¿Qué actividades cree usted que pueden ocasionar este tipo de fractura por estrés?

Estos problemas se comentan en la página 507.

Caso 4.2

Un levantador de peso se prepara para la competición izando pesos cada vez mayores. Durante la hiperextensión de la columna vertebral nota un dolor intenso y repentino en la parte baja del dorso. Tras la exploración física se le informa de que padece un lumbago agudo.

Problemas clinicoanatómicos

- ¿Cuál es la causa más probable del lumbago agudo de este hombre?
- ¿Qué músculos del dorso suelen afectarse?
- ¿Qué síntomas y signos pueden ocurrir en este tipo de personas?
- ¿Cómo cree usted que se podría evitar este tipo de lesión del dorso?

Estos problemas se comentan en la página 507

Caso 4.3

Una mujer de mediana edad notó un dolor intenso en la parte inferior del dorso y en la cadera, que se irradiaba por la parte posterior de muslo hacia la pierna, incluido el dorso del pie, tras levantar un objeto pesado. En la RM se observó una protrusión del disco intervertebral L5/S1.

Problemas clinicoanatómicos

- ¿En qué dirección suele protruir el disco intervertebral?
- ¿Por qué suele herniarse el núcleo pulposo en esta dirección?
- ¿Por qué produce dolor en el miembro inferior?
- ¿Qué movimientos de miembro cree usted que agudizarían el dolor?
- ¿Cuál es la base anatómica por la que aumenta el dolor?

Estos problemas se detallan en la página 508

Caso 4.4

Una mujer de 52 años giró rápidamente la cabeza mientras jugaba al tenis y luego notó un dolor brusco en el cuello y a lo largo del miembro superior. La exploración física y en el estudio de imagen se observó una herniación de un disco intervertebral degenerado en la región cervical de la columna.

Problemas clinicoanatómicos

- ¿Cuál cree usted que es la causa más probable de la herniación discal?
- ¿Cuál es la causa de la degeneración discal?
- ¿Cuáles son las consecuencias de la degeneración discal?
- ¿Cómo se puede aliviar el dolor causado por la degeneración de los discos cervicales?

Estos problemas se detallan en la página 508

Caso 4.5

Un hombre de 45 años se cae de caballo. Cuenta a las personas que le ayudan que nota un dolor intenso en el cuello y una sensación de hormigueo en los miembros superiores. En la radiografía se observa una luxación de las vértebras cervicales.

Problemas clinicoanatómicos

- ¿Qué vértebra suele luxarse en este tipo de lesiones?

- ¿Qué estructura podría comprimirse en caso de luxación grave?
- ¿Cuál es la base anatómica de la lesión que padece este enfermo?

Estos problemas se detallan en la página 508

Caso 4.6

Una mujer, en la primera fase del parto, refiere dolor intenso. El obstetra decide efectuar un bloqueo epidural caudal.

Problemas clinicoanatómicos

- Explique qué significa el bloqueo epidural caudal.
- ¿Qué nervios suelen anesthesiarse?
- ¿Cuáles son las referencias óseas más importantes para administrar la anestesia caudal?

Estos problemas se detallan en la página 508.

Caso 4.7

Un médico se prepara para efectuar una punción lumbar y establecer el diagnóstico en un paciente con una sospecha de hemorragia intracraneal.

Problemas clinicoanatómicos

- ¿A qué nivel introducirá la aguja?
- ¿Por qué introduce la aguja en estos planos vertebrales?
- ¿Resultan seguros estos planos vertebrales en los lactantes?
- ¿Por qué se flexiona el dorso del tronco lo más posible para la punción lumbar?

Estos problemas se comentan en la página 508

Caso 4.8

Una paciente con dolor de cuello es explorada por el médico. Después de la exploración física y de una RM, el médico le dice que sufre una herniación de disco intervertebral C5.

Problemas clinicoanatómicos

- ¿Qué nervio podría afectarse por la protrusión del 5º disco cervical?
- Explique las razones.

Estos problemas se comentan en la página 508

Caso 4.9

Un médico explora a un varón de 68 años con dolor en el dorso y en la pierna. Después de mirar las imágenes de RM le dice al paciente que sufre una estenosis medular.

Problemas clinicoanatómicos

- ¿En qué consiste la estenosis medular?
- ¿Cómo puede producir dolor en el dorso y en la pierna la estenosis?
- ¿Cuáles son las causas de la estenosis medular?

Estos problemas se comentan en la página 508

Caso 4.10

Al efectuar una radiografía sistemática de un varón joven se aprecia una malformación congénita del arco vertebral. El joven no refiere ningún signo de dolor en el dorso.

Problemas clinicoanatómicos

- ¿Cuál es la malformación más común de la columna vertebral?
- ¿Suelen ser normales la médula ósea y las meninges de estas personas?
- ¿Suele causar dolor en el dorso del tronco esta malformación tan corriente?

Estos problemas se comentan en la página 508.

Caso 4.11

Durante un ataque en tromba desencadenado por varios cabezas rapadas, un adolescente de 16 años sufre una herida punzante en la cara posterior del cuello con un cuchillo. Al tratar de evitar a sus asaltantes, el agredido flexionó el cuello y para sorpresa de aquéllos cayó al suelo, quedando totalmente inmóvil desde el cuello hacia abajo.

Problemas clinicoanatómicos

- ¿Cuál es el mecanismo más probable de esta grave lesión?
- Aplicando sus conocimientos anatómicos sobre la columna vertebral y su contenido, explique la base de la lesión.
- ¿Cómo podría utilizarse esta información para el diagnóstico y tratamiento de las enfermedades del sistema nervioso y también para administrar los agentes anestésicos?

Estos problemas se comentan en la página 509.

Caso 4.12

Un varón de 51 años sufrió un golpe por detrás mientras esperaba con su vehículo a que la luz del semáforo se pusiera verde. El choque produjo un desplazamiento hacia delante del cuerpo y una extensión violenta de la cabeza hacia atrás. El paciente sufrió una ligera conmoción y se sentía algo aturdido. Al dirigirse al hombre que le había golpeado por detrás y al agente de tráfico les indicó que no se encontraba mal. El agente advirtió cómo el reposacabezas no se hallaba elevado a la altura necesaria para impedir la hiperextensión del cuello. A la mañana siguiente, el hombre presentaba rigidez y dolor en el cuello, así como dolor en el lado izquierdo del cuello y del brazo. El dolor de cuello se acentuó con los movimientos de la cabeza, por lo que decidió acudir al médico.

Exploración física. La doctora que atendió a este paciente observó que tenía rigidez e inclinación de la cabeza hacia el lado derecho. El mentón apuntaba hacia el lado izquierdo y el cuello se encontraba ligeramente flexionado. La palpación de la cara posterior de la nuca reveló dolor en las apófisis espinosas de las últimas vértebras cervicales. El reflejo bicipital izquierdo se hallaba debilitado. Se solicitó un estudio radiológico de la región cervical.

Informe del radiólogo. Adelgazamiento de los discos intervertebrales C5/C6 y C6/C7 con pequeños salientes de hueso en los bordes oponentes de los cuerpos C5, C6 y C7.

Diagnóstico. Lesión cervical por hiperextensión.

Problemas clinicoanatómicos

- ¿Cuál es la base anatómica de la conmoción, rigidez de nuca y dolor del paciente en el cuello y brazo?
- ¿Cuál es la raíz del nervio espinal que probablemente se ha comprimido?
- ¿Qué músculos se hallan probablemente lesionados?
- ¿Cuál es la causa más probable del adelgazamiento de los discos intervertebrales y de la formación de salientes óseos en los bordes de los cuerpos vertebrales?

Estos problemas se comentan en la página 509.

Caso 4.13

Mientras transportaba una caja pesada con libros, un hombre de 45 años experimentó un dolor intenso y súbito en la parte inferior del dorso. A continuación refirió un dolor sordo en la cara posterolateral del muslo izquierdo, que se extendía a lo largo de la pantorrilla y llegaba hasta el pie. La región lumbar mostraba una inclinación o desviación lateral y el hombre comenzó a cojear, ya que no podía extender completamente el muslo. Después de consultar con el médico de familia, que le recomendó reposo del dorso, fue remitido al especialista.

Exploración física. El traumatólogo advirtió un espasmo de la musculatura del dorso. El paciente refería un dolor más intenso, al ser interrogado, en la región lumbar baja. Durante la exploración se observó la ausencia de reflejo aquileo izquierdo y aumento del dolor cuando el médico elevó el miembro inferior izquierdo extendido. El especialista solicitó finalmente un estudio radiológico y RM del dorso.

Informe del radiólogo. Las radiografías mostraban una discreta disminución del espacio entre los cuerpos vertebrales L5 y L1. La resonancia magnética puso de manifiesto la protrusión del núcleo pulposo del disco intervertebral L5/S1.

Diagnóstico. Protrusión posterolateral del núcleo pulposo del disco intervertebral situado entre L5 y S1.

Problemas clinicoanatómicos

- ¿Cuál es la base anatómica que explica la protrusión (prolapso) de los discos intervertebrales y del dolor en la parte baja del dorso?
- ¿Cuál es la causa de la desviación lumbar?
- ¿Por qué este paciente experimentó dolor en la cara posterolateral del muslo y pierna?
- ¿Por qué el dolor aumentó cuando el traumatólogo elevó el miembro inferior extendido?

Estos problemas se comentan en la página 509.

Caso 4.14

Una mujer de 18 años se cayó del caballo, sufriendo una lesión medular como consecuencia de la hiperextensión gra-

ve del cuello. Aunque fue trasladada de inmediato al hospital murió a cabo de 5 minutos. Se practicó la autopsia.

Informe de la autopsia. Fractura de varias vértebras cervicales. Fractura de C1 por los dos surcos de las arterias vertebrales. Fractura de las vértebras C6 y C7 por distintas zonas. Grave lesión de la médula espinal con hemorragia amplia en los tejidos blandos del cuello.

Diagnóstico. Sección del extremo superior de la médula espinal causada por fracturas múltiples de las vértebras cervicales.

Problemas clinicoanatómicos

- ¿Cuáles son las vértebras que probablemente se fracturaron y luxaron?
- ¿Qué otras estructuras asociadas a la columna vertebral se rompieron en esta paciente?
- Aunque cabría esperar que esta enferma sufriera una cuadriplejía como consecuencia de la sección medular cervical, ¿cuál es la causa más probable de su fallecimiento?

Estos problemas se comentan en la página 510.

Caso 4.15

Un varón de 62 años, fumador y bebedor importante, acude al médico porque observaba una pulsación intensa en el abdomen, como si fuera un segundo corazón. Al mismo tiempo, refería dolor en el abdomen, dorso e ingle. El médico solicitó un estudio radiológico, incluyendo TC.

Informe del radiólogo. La radiografía simple revela depósitos cálcicos en la pared de la aorta abdominal y un aparente aneurisma. La TC muestra un aneurisma de la aorta abdominal de 11 cm de diámetro. Antes de que el paciente ingresara en el hospital para proceder a la reparación del aneurisma de la aorta abdominal, sufrió un pequeño accidente de coche en su camino hacia su domicilio. Después de ser inmediatamente trasladado al hospital ingresa para cirugía reparadora del aneurisma roto. Durante la cirugía se movilizó ampliamente la aorta y se ligaron varias arterias segmentarias. La aorta se reparó satisfactoriamente con un injerto de Dacron, pero el paciente se quedó parapléjico, impotente y sin ningún control voluntario de sus esfínteres vesical y rectal.

Diagnóstico. Paraplejía y otros déficit neurológicos con parálisis de los esfínteres vesical y rectal.

Problemas clinicoanatómicos

- ¿Cuáles son las arterias que irrigan la médula espinal?
- ¿Cuál es la base anatómica más probable de la paraplejía de paciente, disfunciones esfinterianas e impotencia?
- ¿Qué arterias probablemente fueron ligadas durante la cirugía?
- ¿Qué una arteria importante que irriga la médula espinal y que probablemente quedó anudada durante la intervención quirúrgica?
- ¿Por qué es tan importante esta arteria para la médula espinal?
- ¿Qué "vidios" se asocian al desarrollo de los aneurismas?

Estos problemas se comentan en la página 510.

Caso 4.16

Varón de 21 años que sufre una colisión frontal con su vehículo. Al ser sacado de coche, un deportivo refiere pérdida de la sensibilidad de los movimientos voluntarios en los miembros inferiores. Al mismo tiempo presenta una movilidad limitada de las extremidades superiores, sobre todo de las manos. Mientras llega a ambulancia se mantiene al paciente en un lugar cálido e inmovilizado. Con una técnica adecuada de transferencia (camilla dura con estabilización de la cabeza y el cuello) se le traslada al servicio de urgencias. Después de la exploración efectuada en el hospital se ordena un estudio radiológico de la columna vertebral.

Informe del radiólogo. Las radiografías muestran una luxación de la vértebra C6 sobre la C7 y una fractura comminuta de borde anterosuperior del cuerpo de C7.

Diagnóstico. Luxación de C6 y de C7.

Tratamiento quirúrgico. Se procedió a la reducción de la fractura, consolidando las apófisis espinosas de C6 y C7 con un alambre para mantener la relación intervertebral normal. Se mantuvo la reducción inmovilizando el cuello con un collarín de plástico, y se permitió al paciente que moviera las extremidades superiores y se sentara a cabo de aproximadamente un día después de traumatismo.

Problemas clinicoanatómicos

- ¿Qué articulaciones se luxaron en la columna cervical de este paciente?
- ¿Qué ligamentos, que normalmente unen las vértebras entre sí, sufrieron un probable esguince o desgarro?
- ¿Cuál es la causa más probable de la parálisis de paciente?
- ¿Qué otras funciones fisiológicas no se hallarán ya bajo control voluntario?

Estos problemas se comentan en la página 510.

COMENTARIO A LOS CASOS

Caso 4.1

La hiperextensión continua de la columna vertebral provoca fracturas por estrés de las porciones interarticulares de las láminas de la vértebra L5, sobre todo en las personas con una columna vertebral inmadura. El defecto —*espondilólisis*— puede determinar un desplazamiento anterior del cuerpo de la vértebra L5 sobre el sacro (*espondilolistesis*). Las personas que practican submarinismo, gimnasia, lucha libre o levantamiento de peso son más vulnerables a este tipo de defectos óseos. Todos los evantamientos por encima de la cabeza y las actividades repetidas efectuadas por pintores, carpinteros y electricistas también pueden causar espondilolisis.

Caso 4.2

Este levantador de pesos probablemente experimentó un espasmo intenso en el dorso. Los músculos de dorso que

suelen dañarse son los profundos (p. ej., músculo erector de la columna y sus divisiones). El síntoma habitual del espasmo muscular es un dolor sordo y constante en la parte baja de la espalda. El signo más evidente es la limitación de la movilidad de la columna y una zona importante de dolor. Las malas posturas y las mecánicas inadecuadas de levantamiento producen la mayoría de los dolores agudos en el dorso. Sentarse correctamente y usar técnicas adecuadas de levantamiento resultan muy aconsejables (p. ej., levantarse con los miembros inferiores y no con el dorso).

Caso 4.3

El núcleo pulposo herniado de un disco intervertebral suele protruir en sentido posterolateral y provoca un dolor que irradia desde las regiones sacroilíaca y glútea hasta la cara posterior del muslo, pierna y dorso del pie. El disco intervertebral se sujeta en la cara anterolateral y directamente en la posterior por los ligamentos longitudinales anterior y posterior; el posterior es algo más débil y estrecho. Además, el núcleo pulposo se sitúa excéntrico en la cara posterior del disco. La herniación posterior del núcleo pulposo dentro del conducto vertebral a través de un anillo fibroso degenerado y un ligamento longitudinal posterior debilitado, podría comprimir la médula espinal o la cola de caballo; sin embargo, este tipo de herniación ocurre pocas veces. Casi todas las herniaciones suceden en dirección posterolateral y pasan a cualquiera de los lados del ligamento longitudinal posterior –al que pellizcan–, llegando hasta el orificio intervertebral y comprimiendo las raíces de los nervios espinales. La salida del material discal también puede inflamarse las raíces por la irritación química de las sustancias liberadas desde el núcleo pulposo. La compresión de las raíces de los nervios espinales determina que el dolor se irradie por las nalgas hacia el miembro inferior. Las *parestesias* (“sensación de acorchamiento y hormigueo”) se observan también en la zona de piel afectada (dermatoma). El dolor suele agudizarse (aunque algunos enfermos experimentan un alivio del dolor) cuando se flexiona pasivamente el miembro inferior extendido, por la cadera, porque se estira la raíz del nervio espinal.

Caso 4.4

La degeneración del disco intervertebral es corriente en la región cervical y se asocia con una deshidratación del núcleo pulposo. La pérdida de agua y de mucopolisacáridos del núcleo pulposo determina un estrechamiento del espacio intervertebral y una menor capacidad del disco, para actuar como cojinete entre las vértebras. La degeneración del disco reduce la talla, limita la movilidad y disminuye el tamaño de los orificios intervertebrales, con lo que aumenta el riesgo de compresión de la raíz nerviosa. La tracción superior de la cabeza puede aliviar el dolor causado por el estrechamiento de los orificios intervertebrales y la compresión sobre las cápsulas de las articulaciones interapofisarias.

Caso 4.5

La vértebra C6 se luxa, deslizándose delante de la vértebra C7. Como el conducto vertebral es bastante amplio en

esta región, un desplazamiento leve de una vértebra no tiene necesariamente que comprimir la médula, pero puede causar una contusión (hematoma) del tejido nervioso que provoque una sensación de hormigueo. No obstante, un desplazamiento intenso de las vértebras cervicales podría comprimir la médula espinal y ocasionar una parálisis de los miembros.

Caso 4.6

El bloqueo epidural caudal significa que se administra un anestésico dentro del conducto sacro a través de un catéter permanente, insertado por el hiato del sacro. El anestésico baña las raíces de los nervios S2 a S4, que incluyen las fibras de dolor del cuello uterino y de la porción superior de la vagina. Las astas sacras son referencias óseas que sirven para localizar el hiato del sacro por donde se aplica la anestesia caudal.

Caso 4.7

La punción lumbar suele practicarse entre las vértebras L3/L4 o L4/L5. Estos planos resultan seguros en los lactantes, niños y adultos, porque la médula espinal suele terminar en la vértebra L3 en los lactantes y en el extremo inferior de la vértebra L1 en la mayoría de los adultos. Por consiguiente, el extremo inferior del saco dural contiene la cola de caballo y no médula espinal. El dorso del paciente se flexiona para la punción lumbar, con objeto de separar las apófisis espinosas y las láminas, de modo que la aguja se pueda introducir a través de los tejidos del dorso hasta la cisterna lumbar que contiene el LCR.

Caso 4.8

El 6º nervio cervical resultaría afectado, porque los discos intervertebrales se numeran de acuerdo con la vértebra situada por encima, mientras que los nervios se numeran según la vértebra sobre la que cada nervio emerge. Por eso, un disco C5 herniado no afecta al 5º, sino al 6º nervio cervical.

Caso 4.9

La estenosis medular es un estrechamiento del conducto vertebral o de los orificios intervertebrales, casi siempre en la región lumbar de la columna. Puede ser congénita o causada por la degeneración vertebral. La estenosis (estrechamiento) comprime la médula espinal cuando ocurre en niveles superiores a L1, o la cola de caballo si sucede en los niveles L2 a L5. Los síntomas consisten en dolor en el dorso del tronco y parestesias por isquemia de la cola de caballo.

Caso 4.10

La malformación más corriente en el desarrollo de la columna vertebral es la *espina bífida oculta*. Se debe a la falta de unión de las láminas del arco vertebral y varía desde un pequeño defecto hasta una ausencia casi completa del arco vertebral. La médula espinal suele ser normal y el defecto no se acompaña, casi nunca, de síntomas. Si se afecta más

de una vértebra lumbar es más común la dorsalgia. La médula espinal y las meninges suelen ser normales en las personas con espina bífida oculta.

Caso 4.11

Las apófisis espinosas y las láminas de los arcos vertebrales suelen proteger la médula espinal durante las lesiones de la cara posterior del cuello, incluso cuando ocurre una herida punzante. Sin embargo, si se flexiona el cuello, el espacio entre las apófisis espinosas y las láminas aumenta, lo que permite que sean atravesados por el cuchillo que penetra dentro del conducto raquídeo y lesiona la médula espinal cervical.

Compruebe este movimiento de las vértebras cervicales colocando la mano en el dorso del cuello y flexionándolo lo más posible. Observe que el espacio entre la protuberancia occipital externa y la apófisis espinosa de axis (C1) se ensancha, al igual que los espacios entre las apófisis espinosas de las vértebras C2 a C7. Si el cuchillo hubiera lesionado la médula espinal por encima de nivel C3, esta lesión habría producido una parada respiratoria del paciente. Este es el lugar por donde sale el nervio frenico (C3, C4 y C5) que se encarga de innervar el diafragma. Por eso, el paciente podría morir en unos minutos.

La sección completa de la médula espinal provoca una pérdida de la sensibilidad y de los movimientos involuntarios por debajo de la lesión. Si la lesión es superior al segmento C5, el paciente queda cuadrupléjico porque los nervios que innervan la extremidad superior proceden de los segmentos C5 a T1 de la médula espinal. Si este joven hubiera sido herido en el mismo lugar, pero manteniendo erecta la cabeza, probablemente no habría sufrido esta lesión tan severa. El cuchillo seguramente habría tropezado con las apófisis espinosas o láminas de las vértebras cervicales y se hubiera desviado sin dañar la médula espinal.

Estas mismas aberturas se producen entre las apófisis espinosas lumbares cuando se flexiona el dorso. En los adultos, esta aguja se suele introducir en el espacio subaracnoideo comprendido entre las apófisis espinosas de las vértebras L3 y L4 o de L4 y L5, por debajo de la terminación de la médula espinal. Este procedimiento, conocido como *punción lumbar*, se realiza para obtener una muestra de LCR. Este tipo de punciones se efectúa para el estudio de algunas enfermedades de sistema nervioso (p. ej., meningitis). También se pueden inyectar soluciones anestésicas en el espacio subaracnoideo a este nivel (bloqueo espinal lumbar) o en el espacio epidural (anestesia caudal). El espacio extradural es un espacio real, relleno de tejido conjuntivo, axo, grasa y venas. Para la anestesia epidural, denominada *bloqueo epidural*, se puede introducir la aguja a través del hiato del sacro en el extremo inferior de este hueso, que queda por debajo del nivel de sacro dural.

Caso 4.12

La asociación entre las colisiones automovilísticas traseras y las lesiones por hiperextensión de los tejidos blandos de la región cervical es bien conocida. Los reposacabezas y

los asientos cubodales están diseñados con el fin de reducir al máximo estos traumatismos. Sin embargo, el reposacabezas no resulta nada útil si no se eleva y frena el movimiento de la cabeza en caso de que ocurra una colisión trasera.

El mecanismo de lesión en este paciente es fundamentalmente la *hiperextensión rápida del cuello*. Como el reposacabezas no se hallaba colocado en la posición correcta, no existía ningún límite al movimiento posterior de la cabeza y cuello. Por otra parte, este paciente posiblemente sufrió una *lesión por hiperflexión del cuello* al golpearse después la cabeza contra el pecho. Los músculos del cuello, que son los que estabilizan esta región de la columna vertebral, se habrían relativamente relajados cuando el paciente sufrió el traumatismo.

La hiperextensión grave de cuello produce una distensión considerable del ligamento longitudinal anterior y de los músculos cervicales, así como un posible desgarro de algunas de sus fibras con pequeñas hemorragias en su interior. El espasmo muscular consiguiente explica la rigidez y dolor que experimenta el paciente en el cuello. La conmoción se debe probablemente a impacto súbito de los huesos frontal y esfenoidal contra los polos frontal y temporal del cerebro. El dolor del hombro izquierdo y la debilidad del reflejo bicipital izquierdo probablemente son consecuencia de una compresión de la raíz del nervio C6 izquierdo por una posible herniación posterolateral del disco intervertebral C5/C6.

El nervio musculocutáneo (C5 y C6) innerva el músculo bíceps braquial y el *reflejo bicipital* es también mediado a través de C5 y C6. La lesión por hiperextensión de cuello se denomina "*desnucamiento*" por el vulgo. Muchos médicos consideran que este término no es admisible, porque no existe un síndrome clínico perfectamente definido ni tampoco un estado patológico fijo asociado a esta lesión.

El adelgazamiento de los discos intervertebrales de la región cervical se produce probablemente por la desecación de los núcleos pulposos. La *enfermedad degenerativa de los discos* es más frecuente con el envejecimiento y provoca la prominencia de los anillos fibrosos de los discos intervertebrales. Las personas ancianas también muestran zonas salientes (picos) de hueso subperióstico nuevo en los bordes de los cuerpos vertebrales. Estos picos pueden asimismo comprimir las raíces de los nervios espinales.

Caso 4.13

El dolor en la parte baja de dorso con el espasmo muscular asociado, que se conoce a veces como "*lumbago*" probablemente fue provocado por la rotura de la porción posterolateral del anillo fibroso y la protrusión del núcleo pulposo de disco intervertebral L5/S1. Esta parte del anillo no está reforzada por los ligamentos longitudinales anterior ni posterior.

La desviación lumbar de la columna vertebral de este paciente se produjo por el espasmo de los músculos intrínsecos del dorso de tronco. El espasmo muscular ejerce un efecto protector, de entablillamiento de la columna. Este hombre, al levantar la pesada caja con los libros, efectuó un esfuerzo excesivo, de tal forma que el anillo fibroso de

uno de los discos intervertebrales se desgarró, propiciando la herniación del núcleo pulposo discal. El disco herniado comprimió las raíces nerviosas o las raíces del nervio ciático.

La protrusión discal es más frecuente en la cara posterolateral, donde se adelgaza el anillo y carece de la protección de los ligamentos longitudinales anterior y posterior. Como las raíces dorsal y ventral de los nervios atraviesan la región posterolateral, la protrusión del núcleo pulposo suele afectar a una o varias raíces de los nervios espinales. Sin duda, en la zona de rotura se produjo cierta hemorragia, espasmo muscular y edema (tumefacción), que fueron la causa del dolor inicial en el dorso del tronco. En este caso, la compresión afecta aparentemente al *componente S1 del nervio ciático*, en su trayectoria descendente, detrás del disco intervertebral entre L5 y S1. Por eso, este paciente experimentó dolor en la cara posterolateral del muslo y de la pierna. Cuando el médico elevó el miembro inferior extendido se produjo un estiramiento del nervio ciático. Como el componente S1 se encontraba comprimido por el disco, el dolor en la extremidad inferior aumentó por el estiramiento de las fibras comprimidas de dicha raíz.

La *ciática* es el nombre que se otorga al dolor en el área de distribución del nervio ciático (L4 a S3). El dolor puede ocurrir en una o más de las siguientes regiones: nalgas, sobre todo en la región de la escotadura ciática mayor; cara posterior del muslo, caras posterior y lateral de la pierna y habitualmente cara lateral del tobillo y pie. Las variaciones en la localización del dolor se deben al hecho de que la protrusión posterolateral de un solo disco lumbar puede comprimir una sola raíz nerviosa. Sin embargo, el nervio ciático se compone de varias raíces lumbares inferiores y sacras superiores.

El *espasmo muscular y el dolor paravertebral* se deben a la contracción tónica o mantenida de los músculos que impiden el movimiento de las vértebras y provocan un dolor aún mayor. La estenosis o adelgazamiento del espacio entre los cuerpos vertebrales adyacentes a la altura de L5/S1, que se observa en la radiografía, se debe a la disminución del disco, que ocurre normalmente con el envejecimiento.

Caso 4.14

Las caídas sobre la cabeza producen una hiperextensión grave del cuello, que habitualmente se acompaña de una fractura de la 1ª vértebra cervical (C1) por uno o ambos surcos de las arterias vertebrales. El arco vertebral de C1 también puede romperse en el istmo entre la masa lateral y la apófisis articular inferior. Probablemente, esta paciente sufrió una rotura del ligamento longitudinal anterior y de la parte anterior del disco intervertebral C2/C3. Al golpear el suelo e hiperextender el cuello, el cráneo y las vértebras C1 y C2 probablemente se separaron del resto de la columna vertebral. En consecuencia, se produjo un desgarramiento de la médula espinal en la región cervical alta. Los pacientes con este tipo de lesión raramente sobreviven más allá de unos minutos, porque la lesión medular se sitúa por encima del lugar de *salida del nervio frénico* (origen de los nervios frénicos). Como estos nervios constituyen la única inervación motora del diafragma, se altera considerablemente la respi-

ración y, además, desaparece el efecto de los músculos intercostales. Las fracturas cervicales causan pocas muertes y no todas las fracturas se acompañan de parálisis. Sin embargo, una técnica inadecuada de transferencia puede ocasionar una parálisis.

Caso 4.15

Durante algunas intervenciones quirúrgicas abdominales, como cuando se procede a resecar un *aneurisma de aorta*, es necesario ligar algunas ramas segmentarias de la aorta (p. ej., una arteria lumbar). Si la gran arteria segmentaria medular anterior nace en una de las arterias que ha sido ligada, se altera gravemente la irrigación del *engrosamiento lumbosacro de la médula espinal*. En consecuencia, se observa un infarto medular, paraplejía, impotencia y pérdida de la sensibilidad por debajo de la lesión. La gran arteria segmentaria medular anterior suele originarse más a menudo en el lado izquierdo a partir de una arteria intercostal inferior (T6 a T12) o lumbar (L1 a L3), y penetra en el conducto raquídeo a través de un orificio intervertebral. Esta arteria irriga fundamentalmente los dos tercios inferiores de la médula; por eso es fácil comprender que ocurra una abolición de todas las funciones de los miembros inferiores, vejiga urinaria e intestino cuando esta arteria y parte de la médula espinal reciban menos sangre.

El desarrollo del aneurisma se acelera con el tabaco; los aneurismas son tres veces más frecuentes en los fumadores que en los no fumadores. Para una descripción sobre el diagnóstico y tratamiento quirúrgico del aneurisma de la aorta abdominal, consúltese el trabajo de Ameli (1989), que incluye ilustraciones sobre la reparación del aneurisma.

Caso 4.16

Este paciente se encuentra parapléjico, es decir, sufre una paraplejía. Tanto el disco intervertebral como las *articulaciones interapofisarias* entre los cuerpos y los arcos vertebrales de C6 y C7, respectivamente, sufrieron una luxación. Probablemente, los ligamentos longitudinal posterior e interespinoso, así como el anillo fibroso, los ligamentos amarillos y las cápsulas articulares de las articulaciones interapofisarias sufrieron una grave lesión e incluso un desgarramiento.

La región cervical, que es la más móvil de toda la columna, es también la más vulnerable a los traumatismos del tipo de luxación o fractura-luxación. La mayoría de las lesiones ocurre cuando la cabeza se desplaza hacia delante de una forma brusca y violenta, como sucedió en este caso, o cuando la nuca sufre un golpe violento. En las *lesiones por hiperflexión del cuello* el ligamento longitudinal anterior no suele desgarrarse, y cuando se coloca al paciente en posición de extensión, este ligamento se tensa y mantiene unidas las vértebras, junto con el collarín cervical de plástico.

Durante el tratamiento quirúrgico de esta lesión se unieron las apófisis espinosas de C6 y C7 entre sí con un alambre, para estabilizar la columna vertebral en la fase inicial del programa de rehabilitación y fomentar la curación de los ligamentos distendidos o desgarrados. Normalmente, los

cuerpos vertebrales están unidos por los ligamentos longitudinales y los anillos fibrosos de los discos intervertebrales.

El *ligamento longitudinal posterior*, una banda más estrecha y débil que el anterior, se inserta en los discos intervertebrales y en los bordes de los cuerpos vertebrales. Este ligamento se encuentra en el interior del conducto raquídeo e impide las flexiones excesivas de la columna vertebral. Como en este caso se produjo una luxación, los ligamentos longitudinal posterior y amarillo experimentaron una grave distensión y probablemente también desgarró.

El anillo fibroso del disco intervertebral se inserta en los rodetes óseos compactos de las caras articulares de los discos vertebrales, por lo que la parte posterior probablemente se distendió y desgarró a nivel C6 y C7. Probablemente este paciente sufrió una protrusión de núcleo pulposo del disco intervertebral, ya que en los adultos jóvenes

el núcleo es de consistencia semilíquida. Como el conducto raquídeo de la región cervical suele ser mayor que la médula espinal, puede ocurrir cierto desplazamiento vertebral sin que se lesione la médula. Este paciente mostraba paraplejía, por lo que es probable que la médula espinal hubiera sufrido una distensión o desgarró intensos. En el momento del impacto, el desplazamiento de C6 sobre C7 fue indudablemente mayor que el que aparece en la radiografía. En estos casos se aprecia un período inicial de *shock medular* que dura varios días o semanas, durante este período se observa una abolición de toda actividad somática y visceral. Al retornar la actividad refleja aparece espasticidad muscular con exageración de los reflejos tendinosos por debajo del nivel de lesión. Además, las funciones de los esfínteres vesical y rectal dejan de hacerse bajo control voluntario.

Bibliografía y lecturas recomendadas

Ameli FW: Vascular surgery. In Gross A, Gross P, Langer B (eds): *Surgery. A Complete Guide for Patients and Their Families*. Toronto, Harper & Collins, 1989.

Barr ML, Kiernan JA: *The Human Nervous System: An Anatomical Viewpoint*, 6th ed. Philadelphia, JB Lippincott Company, 1993.

Behrman RE, Kliegman RM: *Nelson Textbook of Pediatrics*, 15th ed. Philadelphia, WB Saunders, 1996.

Bergman RA, Thompson SA, Afifi AK, Saadeh FA: *Compendium of Human Anatomical Variation. Text, Atlas, and World Literature*. Baltimore, Urban & Schwarzenberg, 1988.

Bogduk N, Macintosh JE: Applied anatomy of the thoracolumbar fascia. *Spine* 9:164, 1984.

Buxton DF, Peck D: Neuromuscular spindles relative to joint movement complexities. *Clin Anat* 2(4):211, 1989.

Chan S, Khandji AG, Hlal SK: How to select diagnostic tests. In Rowland LP (ed): *Merritt's Textbook of Neurology*, 9th ed. Baltimore, Williams & Wilkins, 1995.

Crockard HA, Heilman AE, Stevens JM: Progressive myelopathy secondary to odontoid fractures: Clinical, radiological, and surgical features. *J Neurosurg* 78:579, 1993.

Dvorak J, Schneider E, Saldinger P, Rann B: Biomechanics of the craniovertebral region: The alar and transverse ligaments. *J Orthop Res* 6:452, 1988.

Fishman RA: Lumbar puncture and CSF examination. In Rowland LP (ed): *Merritt's Textbook of Neurology*, 9th ed. Baltimore, Williams & Wilkins, 1995.

Greer M: Structural malformations. In Rowland LP (ed): *Merritt's Textbook of Neurology*, 9th ed. Baltimore, Williams & Wilkins, 1995.

Griffith HW: *Complete Guide to Sports Injuries*. Los Angeles, Price Stern Sloan, 1986.

Haines DE (ed): *Fundamental Neuroscience*. New York, Churchill Livingstone, 1997.

Haines DE, Mihailoff GA, Yezierski RP: The spinal cord. In Haines DE (ed): *Fundamental Neuroscience*. New York, Churchill Livingstone, 1997.

Hew E: Anesthesia. In Gross A, Gross P, Langer B (eds): *Surgery. A Complete Guide for Patients and Their Families*. Toronto, Harper & Collins, 1989.

Koenigsberger MR, Kairam R: Birth injuries and development abnormalities. In Rowland LP (ed): *Merritt's Textbook of Neurology*, 9th ed. Baltimore, Williams & Wilkins, 1995.

Marotta J: Spinal trauma. In Rowland LP (ed): *Merritt's Textbook of Neurology*, 9th ed. Baltimore, Williams & Wilkins, 1995.

McCormick PC: Intervertebral discs and radiculopathy. In Rowland LP (ed): *Merritt's Textbook of Neurology*, 9th ed. Baltimore, Williams & Wilkins, 1995.

McCormick PC, Fetell MR: Spinal tumors. In Rowland LP (ed): *Merritt's Textbook of Neurology*, 9th ed. Baltimore, Williams & Wilkins, 1995.

Moore KL, Persaud TVN: *The Developing Human. Clinically Oriented Embryology*, 6th ed. Philadelphia, WB Saunders, 1998.

Murray MJ, Bower TC, Carmichael SW: Anatomy of the anterior spinal artery in pigs. *Clin Anat* 5:457, 1992.

O'Rahilly R: *Gardner-Gray-O'Rahilly Anatomy. A Regional Study of Human Structures*, 5th ed. Philadelphia, WB Saunders, 1986.

Rowland LP, McCormick PC: Lumbar spondylosis. In Rowland LP (ed): *Merritt's Textbook of Neurology*, 9th ed. Baltimore, Williams & Wilkins, 1995.

Salter R: Orthopedic surgery, pediatric. In Gross A, Gross P, Langer B (eds): *Surgery. A Complete Guide for Patients and Their Families*. Toronto, Harper & Collins, 1989.

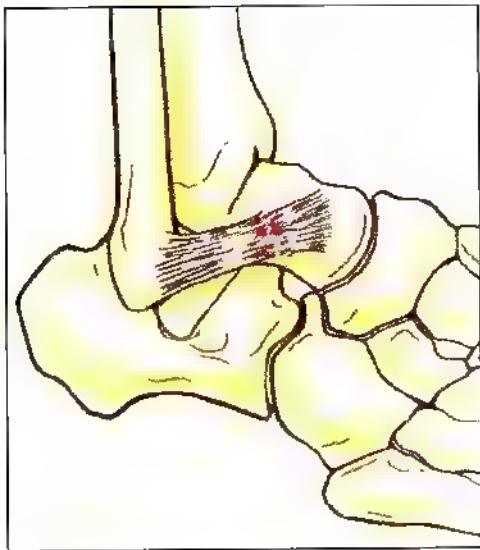
Sanderson PL, Wood PL: Surgery for lumbar stenosis in old people. *J Bone Joint Surg* 75:393, 1993.

Swartz MH: *Textbook of Physical Diagnosis. History and Examination*, 2nd ed. Philadelphia, WB Saunders, 1994.

Williams PL, Bannister LH, Berry MM, Collins P, Dyson M, Dussek JE, Ferguson MWJ (eds): *Gray's Anatomy*, 38th ed. New York, Churchill Livingstone, 1995.

5

El miembro inferior



El miembro (extremidad) inferior se especializa en el soporte del peso corporal y en la *locomoción* –capacidad para moverse de un sitio a otro–, así como en el mantenimiento del *equilibrio* –estado donde se alcanza un balance uniforme–. Los miembros inferiores se comunican con el tronco por la **cintura** o el **cinturón pélvico** (anillo óseo configurado por los huesos de la cadera y el sacro). Algunos músculos que actúan sobre el miembro inferior nacen en la cintura pélvica y en la columna vertebral. Habitualmente, cuando se describen los miembros inferiores se incluyen regiones de transición entre el tronco y los miembros inferiores, como la región glútea (*gloutos* significa nalgas en griego). *Los miembros inferiores tienen cuatro partes* (fig. 5.1):

- La **cadera**, prominencia lateral de la pelvis desde la *cresta iliaca* hasta el muslo, que contiene el *hueso coxal*: une el esqueleto del miembro inferior con la columna vertebral.
- El **muslo** o porción situada entre la cadera y la rodilla, que contiene el *fémur* (hueso del muslo): comunica la cadera con la rodilla; la *rótula* (casquete de la rodilla) cubre la zona anterior de la rodilla.
- La **pierna** o parte comprendida entre la rodilla y el tobillo, que contiene la *tibia* y el *peroné*: une la rodilla con el tobillo.
- El **pie** o porción distal, que contiene el *tarso*, el *metatarso* y las *falanges* (huesos de los dedos del pie): une el tobillo con el pie.

Lesiones del miembro inferior

Muchas lesiones que suceden en el trabajo y durante las actividades recreativas afectan a los miembros inferiores. Las más frecuentes son las de la rodilla, la pierna y el pie. Las lesiones de la cadera representan menos del 3% de la totalidad de las del miembro inferior. De ordinario, casi todas las lesiones obedecen a traumatismos agudos por deportes de contacto, como el jockey, el rugby, o al abuso de deportes de resistencia, como las carreras de maratón. Los adolescentes son más vulnerables a este tipo de lesiones, debido a la demanda que el deporte impone sobre sus sistemas osteomusculares, que maduran lentamente. Ⓢ

Los huesos del miembro inferior

El esqueleto del miembro inferior se compone de la **cintura pélvica**, formada por los dos **huesos coxales** –unidos en la **sínfisis del pubis**–, y el **sacro** (fig. 5.1). La cintura pélvica y el sacro forman, juntos, la **pelvis ósea**. El esqueleto del miembro libre se inserta en la cintura pélvica.

Disposición de los huesos del miembro inferior

El peso corporal se transmite desde la columna vertebral hasta la cintura pélvica y desde ésta hasta los fémures a tra-

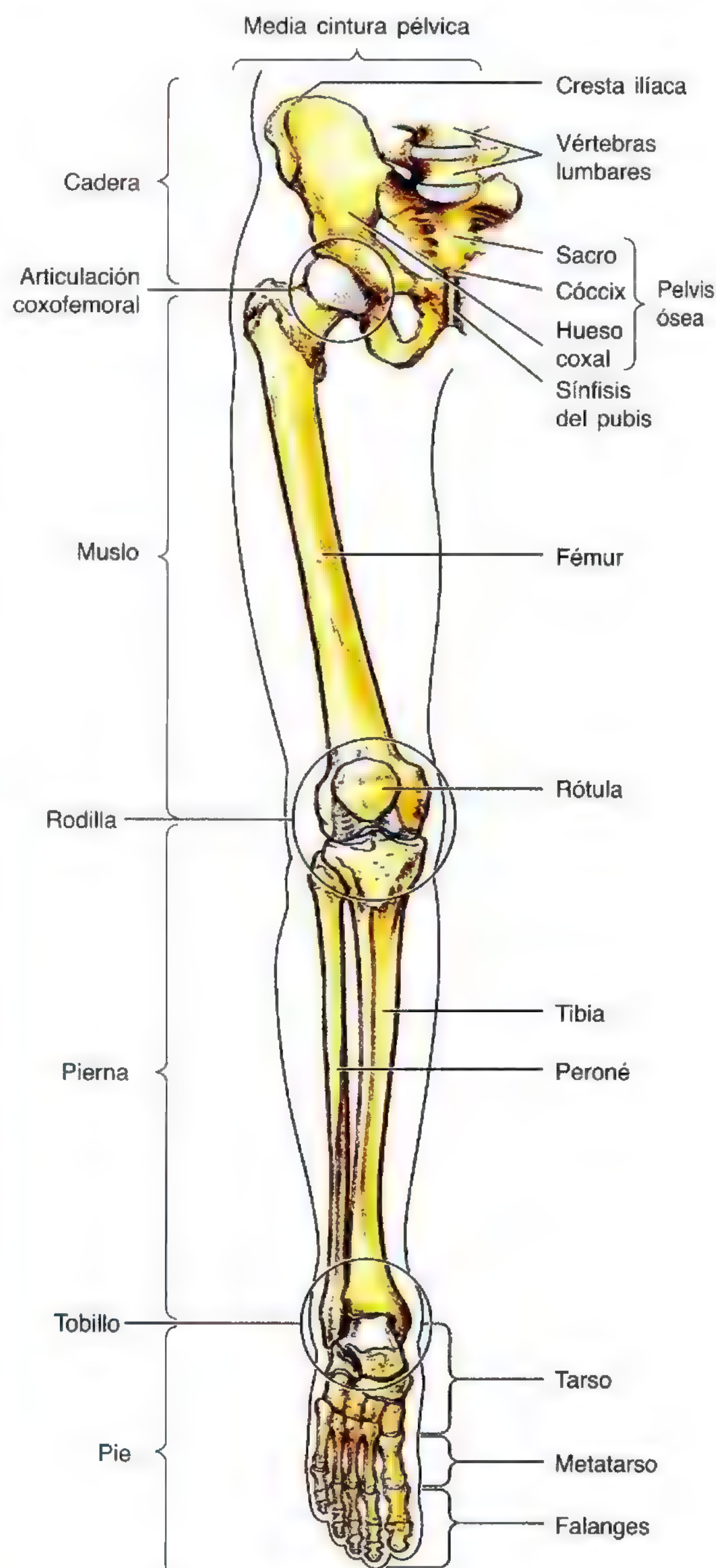


Figura 5.1. Las regiones y los huesos del miembro inferior. Visión anterior. La cintura pélvica es un anillo óseo creado por los huesos de la cadera y el sacro, a los que se unen los huesos del miembro inferior. A través de la cintura se transmite el peso del tronco a los miembros inferiores.

vés de las articulaciones de la cadera. Cada fémur tiene una dirección inferomedial en el muslo hasta la rodilla (figs. 5.1 y 5.2), donde su extremo distal se articula con la rótula y la tibia de la pierna. *El peroné no se articula con el fémur.* El peso se transmite desde la rodilla hasta el tobillo por la tibia. El peroné se une con firmeza a la tibia en la parte inferior y es un elemento esencial de la articulación del tobillo. Los huesos del tarso y del metatarso facilitan un apoyo flexible, más estable, del cuerpo.

El hueso coxal

El hueso coxal maduro (se denomina en latín *os coxae* o hueso innominado) es un hueso grande y plano creado por la fusión del **ilion**, **isquion** y **pubis** al final de la adolescencia. El hueso coxal forma la comunicación ósea entre el tronco (sacro) y el miembro inferior (fémur). Los dos huesos coxales, con los que se unen el sacro y el cóccix para dar la mayor parte de la **pelvis ósea**, están adheridos por delante por la **sínfisis del pubis**.

Cada una de las tres porciones óseas del hueso coxal inmaduro se forma a partir de su propio centro primario de osificación. Luego aparecen cinco centros secundarios de osificación. Al nacer, cada hueso coxal se compone de tres huesos primarios separados: *ilion*, *isquion* y *pubis*, unidos por un cartílago hialino. Estas grandes porciones de los huesos coxales están osificadas de manera incompleta en los lactantes y en los niños (fig. 5.3). Al llegar la pubertad, los tres huesos primarios siguen todavía separados por un **cartílago trirradiado** en forma de Y, centrado en el acetábulo (fig. 5.3B). Los huesos primarios comienzan a unirse hacia los 15-17 años y la fusión se completa entre los 20 y los 25. En las personas adultas, de cierta edad, apenas quedan restos de las líneas de fusión de los huesos primarios (fig. 5.4). Aunque los componentes óseos están unidos de manera rígida, sus nombres todavía se aplican a los adultos para describir las tres porciones de hueso coxal.

Ilion

El ilion compone la mayor parte del hueso coxal y configura *la porción superior del acetábulo* (fig. 5.4A). El ilion tiene una cara posterolateral a modo de ala, el **ala del ilion**, que da inserción a los músculos glúteos en la parte lateral y al músculo ilíaco en la medial. Por delante, el ilion tiene una **espina iliaca anterosuperior**, y debajo de ella, una **espina iliaca anteroinferior**. Desde la espina iliaca anterosuperior, el borde curvado superior y largo del ala del ilion —la **cresta iliaca**— se extiende hacia atrás para terminar en la **espina iliaca posterosuperior**. El **tubérculo de la cresta iliaca** (tubérculo ilíaco), una prominencia del labio externo de la cresta, queda 5 a 6 cm detrás de la espina iliaca anterosuperior. La espina iliaca posterosuperior marca, además, el extremo superior de la **escotadura ciática mayor**.

La superficie lateral del ala del ilion posee tres líneas curvas rugosas: las **líneas glúteas** posterior, anterior e inferior que separan las inserciones proximales de los tres grandes

músculos glúteos (músculos de las nalgas). En la parte medial, el ala ilíaca tiene una enorme depresión lisa, la **fosa iliaca** (fig. 5.4B). El hueso que forma la parte superior de esta fosa puede ser delgado y translúcido, sobre todo en las mujeres mayores. En la región posterior, la cara medial del ilion tiene una zona rugosa, parecida al pabellón auricular, la **cara auricular**, que se articula con la cara auricular, de forma semejante, del sacro en la articulación sacroilíaca (véase el capítulo 3).

Isquion

El isquion compone la parte posteroinferior del hueso coxal. La porción superior del **cuerpo del isquion** se une con el pubis y el ilion para dar la cara posteroinferior del acetábulo. El **ramo del isquion** se une al *ramo inferior del pubis* para formar una barra ósea —el **ramo isquiopúbico** (fig. 5.4A)— que constituye el límite inferomedial del **orificio obturador**. El borde posterior del isquion da lugar al margen inferior de una indentación profunda, la **escotadura ciática mayor**. La **espina ciática** triangular y grande, situada en el borde inferior de esta escotadura, representa una demarcación nítida que separa la escotadura ciática mayor de una indentación inferior redonda y más pequeña, la **escotadura ciática menor**. La proyección ósea rugosa en la unión del extremo inferior del cuerpo del isquion con el ramo es la gran **tuberosidad isquiática**. El peso del cuerpo descansa sobre esta tuberosidad al sentarse.

Pubis

El pubis compone la porción anteromedial del hueso coxal y contribuye a la parte anterior del acetábulo. El pubis se divide en un cuerpo aplanado y dos ramos, superior e inferior (fig. 5.4). En la zona medial, la cara sinfisaria del **cuerpo del pubis** se articula con la superficie correspondiente del cuerpo del pubis contralateral a través, precisamente, de la **sínfisis púbica**. El borde anterosuperior de los cuerpos unidos y de la sínfisis forma la **cresta púbica**. Las pequeñas proyecciones en los extremos laterales de esta cresta, los **tubérculos del pubis**, representan una referencia sumamente importante para la región inguinal. El margen posterior del **ramo superior** del pubis posee un borde elevado y nítido —la **línea o cresta pectínea**— que forma parte del estrecho superior de la pelvis (véase el capítulo 3).

Orificio obturador

El orificio obturador es una gran abertura oval o triangular e irregular del hueso coxal limitado por el pubis, el isquion y sus ramos (fig. 5.4B). Con excepción de un pequeño paso para el nervio y los vasos obturadores —el **conducto obturador**—, el orificio obturador está cerrado por la fina y robusta **membrana obturatriz**, cubierta a ambos lados por los músculos insertados en ella.

Acetábulo

El acetábulo (que significa fina copa de vinagre en latín) es una gran concavidad, con forma de copa, situada en la cara

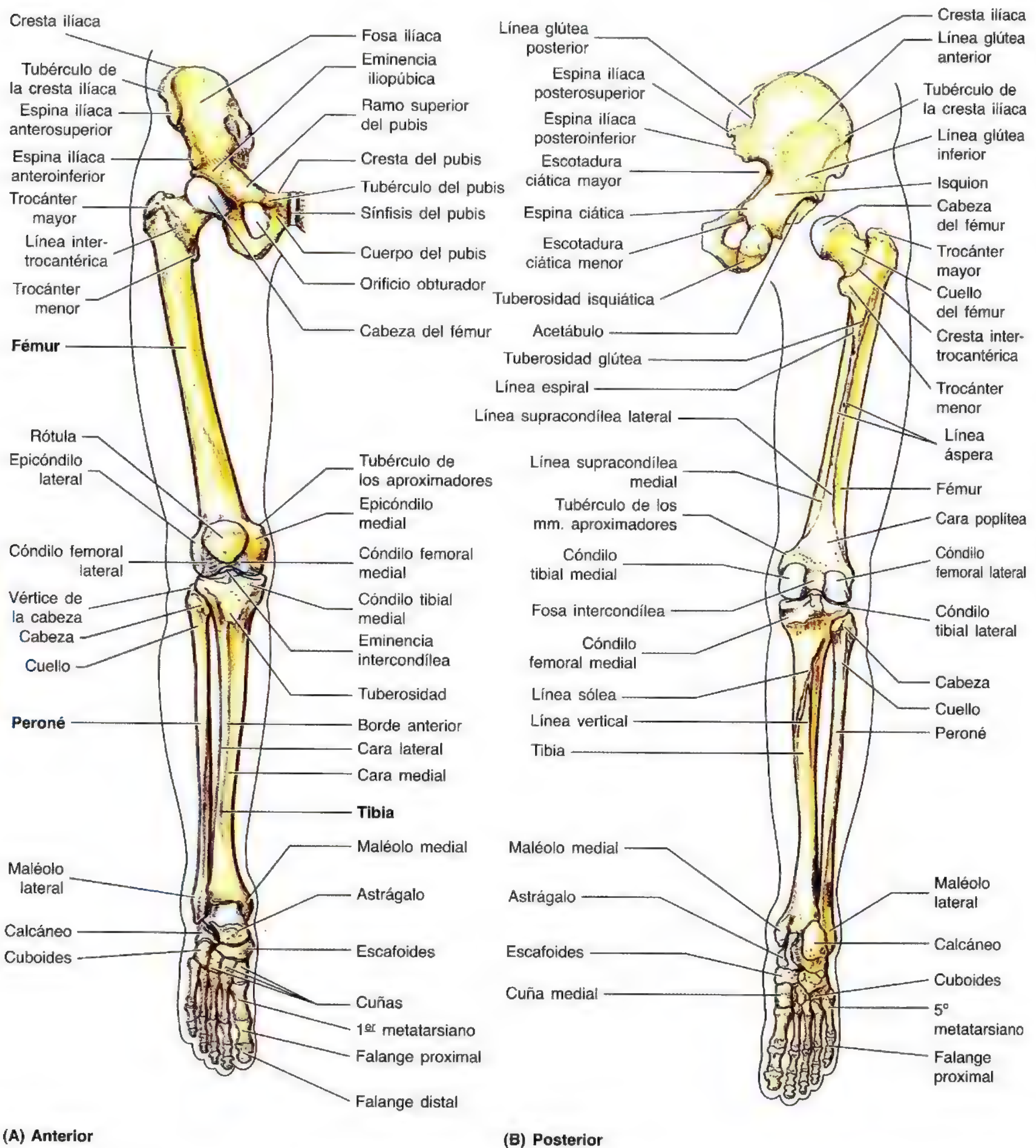


Figura 5.2. Los huesos del miembro inferior. **A.** Visión anterior. Los huesos coxales se reúnen en la sínfisis del pubis. El fémur, o hueso del muslo, se articula con el hueso coxal en la parte proximal, y con la tibia, en la distal. La tibia y el peroné (hueso de la pantorrilla) son los huesos de la perra, que se unen al esqueleto del pie por el tobillo. **B.** Visión posterior. Se ha desarticulado la articulación coxofemoral para ver el acetábulo del hueso coxal, con el que se articula la cabeza del fémur.

lateral del hueso coxal, que *se articula con la cabeza del fémur para dar la articulación de la cadera* (figs. 5.2A y 5.4A). Las tres porciones del hueso coxal se unen para formar el acetábulo. El reborde del acetábulo falta en la cara inferior, en la denominada **escotadura acetabular**, con lo que la fosa adopta la imagen de una copa a la que le faltara una parte del borde superior. La depresión rugosa del suelo del acetábulo que se extiende desde la escotadura acetabular hacia arriba es la **fosa acetabular**. La escotadura y la fosa acetabular presentan también un defecto de la **cara semilunar** articular y lisa del acetábulo, que, en realidad, es la que se articula con la cabeza del fémur.

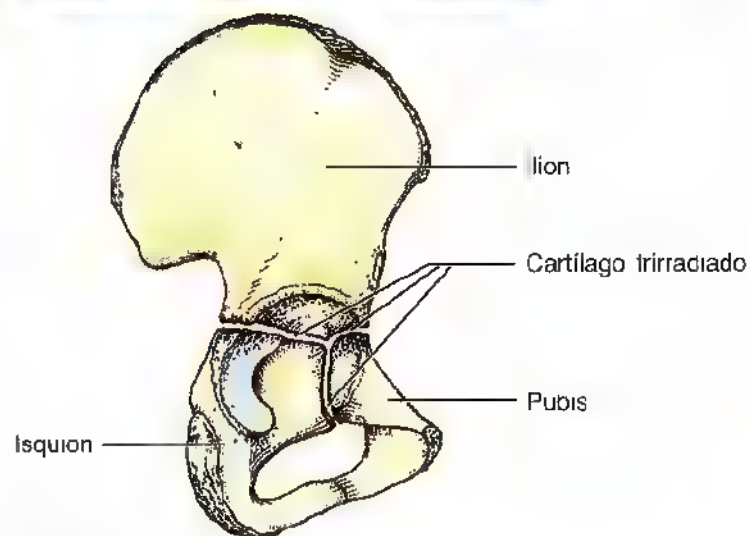
Posición anatómica del hueso coxal

Las superficies y los bordes del hueso coxal se nombran según su posición anatómica. Para colocar el hueso coxal en posición, sitúese de manera que el acetábulo mire lateralmente y algo hacia delante (fig. 5.5). *Cuando el hueso coxal se encuentra en posición anatómica:*

- La espina ilíaca anterosuperior y la cara anterosuperior del pubis se encuentran en el mismo plano vertical.
- La espina ciática y el extremo superior de la sínfisis del pubis se hallan más o menos en el mismo plano horizontal.
- La cara sinfisaria del pubis es vertical y paralela al plano medio.
- La cara interna del cuerpo del pubis mira casi directamente hacia arriba (en esencia forma un suelo, sobre el que descansa la vejiga urinaria).
- El acetábulo mira en dirección inferolateral y la escotadura acetabular se dirige hacia abajo.
- El orificio obturador queda inferomedial al acetábulo.
- La punta del cóccix se encuentra, habitualmente, nivelada con la mitad superior del cuerpo del pubis.

Lesiones de la cadera

Las fracturas y luxaciones de la cadera ocurren pocas veces en los deportes de contacto, salvo en traumatismos muy violentos, como son los accidentes con vehículos de motor, motos, rodeos o carreras de caballos. La cadera también se puede fracturar en caídas al esquiar o patinar sobre el hielo; sin embargo, las contusiones y los hematomas (extravasaciones de sangre) suceden más veces en este tipo de deportes. Las *fracturas de cadera* resultan frecuentes en los accidentes de tráfico importantes, cuando se produce un traumatismo directo grave. La compresión anteroposterior (AP) de los huesos coxales suele romper los ramos del pubis. La compresión lateral de la pelvis puede causar una *fractura de los acetábulos*, al igual que las caídas sobre los pies (p. ej., desde un tejado). La fractura de cadera provoca un intenso dolor y una



(B) Visión lateral

Figura 5.3. Porciones del hueso coxal de un lactante.

A. Radiografía anteroposterior (AP). Obsérvense las tres partes de los huesos coxales, osificados de manera incompleta (ilion, isquion y pubis). **B.** Dibujo del hueso coxal derecho de una persona de 13 años. Obsérvense el cartilago trirradiado, con forma de Y, que se extiende por el acetábulo y separa las tres porciones primarias de hueso. Estas porciones óseas se unen para dar el hueso coxal maduro y único de adulto entre los 16 y los 18 años.

incapacidad inmediata, dada la inestabilidad de la zona fracturada.

Las *fracturas por avulsión del hueso coxal* (avulsión o desgarro de la tuberosidad isquiática) se observan en adolescentes y adultos jóvenes que practican deportes con fuerzas de aceleración o desaceleración bruscas, como las carreras de aceleración o los golpes a la pelota en el rugby o en el fútbol, el salto de vallas, el baloncesto y las artes marciales. Estas fracturas se producen en las *apófisis* (proyecciones óseas que carecen de centros secundarios de osificación). Las fracturas por avulsión tienen lugar en la zona de inserción de los músculos: espina ilíaca anterosuperior y anteroinferior, tuberosidad isquiática y ramos isquiopúbicos. Una pequeña parte del hueso, junto con un fragmento del tendón o ligamento insertado, sufre la avulsión (desgarro y separación).

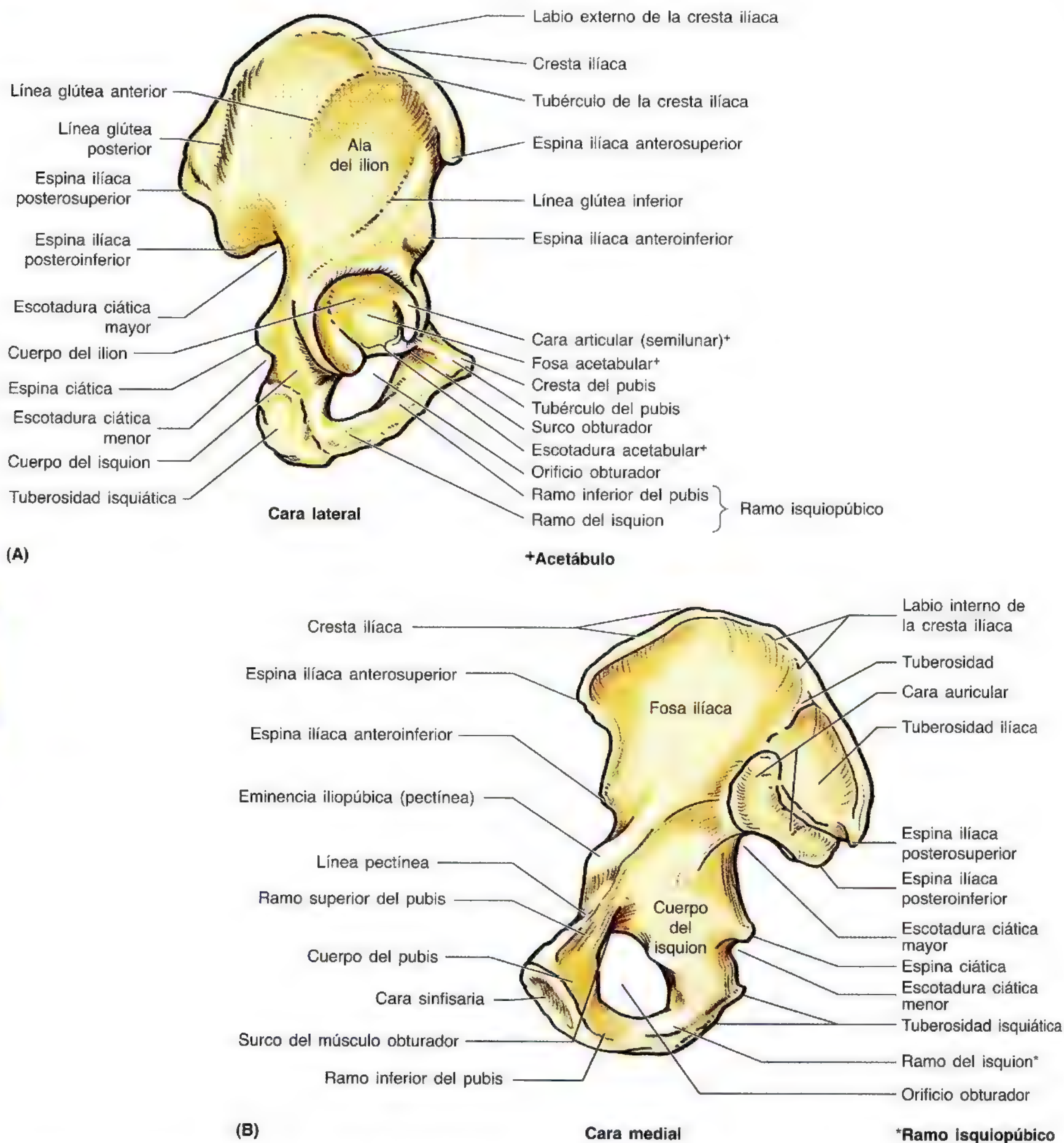
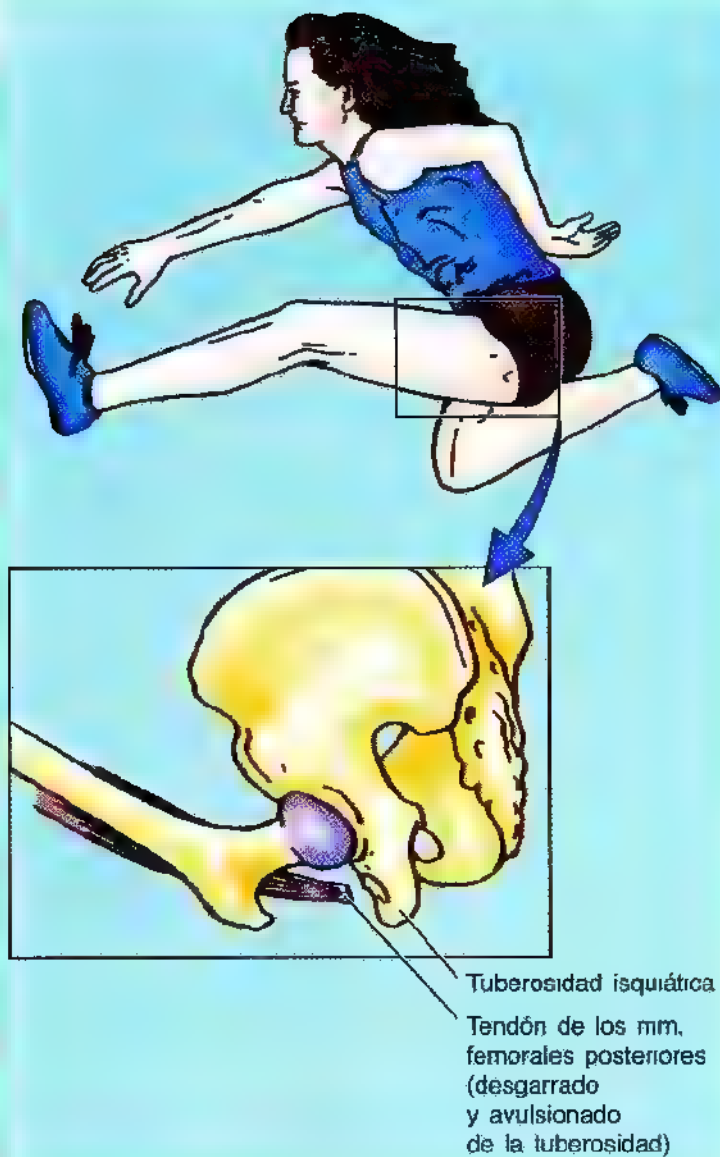


Figura 5.4. Hueso coxal derecho de un adulto en posición anatómica. A. Cara lateral. La terminología del hueso coxal se basa en la posición anatómica, donde la cara articular o sinfisaria de la sínfisis del pubis queda en el plano medio y el tubérculo del pubis y la espina iliaca anterosuperior se sitúan en el mismo plano coronal. Como puede comprobarse, el gran hueso coxal está constreñido en el centro y expandido por sus extremos superior e inferior. La cara lateral posee un acetábulo profundo, a modo de copa, que crea una cavidad para alojar la cabeza del fémur. Debajo del acetábulo se encuentra el gran orificio obturador ovalado. **B.** Cara medial. Se aprecia el borde superior del ilion, con su cresta iliaca curva. Su extremo se proyecta en forma de las espinas iliacas anterosuperior y posterosuperior. Examínese la superficie sinfisaria del pubis, que se articula con la superficie correspondiente del hueso coxal contralateral. También se observa la cara auricular del ilion, que se articula con la cara correspondiente del sacro para dar la articulación sacroiliaca.



El fémur

El fémur —el hueso más largo y pesado del organismo— transmite el peso corporal del hueso coxal a la tibia si la persona está de pie (figs. 5.2 y 5.6). Su longitud —que permite la marcha con grandes pasos— se aproxima a un cuarto de la talla de la persona (alrededor de 45 cm). El fémur se compone de cuerpo (diáfisis) y dos extremos, superior e inferior. El extremo superior del fémur consta de cabeza, cuello y dos trocánteres (mayor y menor).

La **cabeza del fémur** se proyecta en sentido superomedial y algo hacia delante al articularse con el acetábulo. La cabeza se une al cuerpo femoral por el **cuello del fémur**. La cabeza y el cuello forman un ángulo (de 115 a 140°, por término medio 126°) con el eje longitudinal del cuerpo femoral. Este ángulo es máximo al nacer y va disminuyendo de manera gradual hasta alcanzar la edad adulta. Es menor en la mujer por la mayor anchura de la pelvis menor (pelvis verdadera) y la mayor oblicuidad del cuerpo femoral (Williams y cols., 1995). Pese a que esta arquitectura facilita un mayor movimiento del fémur por la cadera, impone una sobrecarga

enorme al cuello del fémur. Por eso, tras un ligero tropiezo, una persona anciana se puede fracturar el cuello del fémur.

En el lugar donde el cuello se une al cuerpo femoral existen dos grandes elevaciones romas, los trocánteres. El **trocánter menor**, cónico y redondo, se extiende de la porción medial a la posteromedial en la unión del cuerpo con el cuello. En la parte lateral se encuentra el **trocánter mayor**, una enorme masa que se proyecta en dirección superior y posterior en el lugar donde el cuello se une con la diáfisis femoral. Esta zona de unión del cuello con el cuerpo está marcada por la **línea intertrocantérica**, una cresta rugosa que se dirige del trocánter mayor al menor (fig. 5.6, *visión anterior*). Existe otra cresta parecida, pero más lisa, la **cresta intertrocantérica**, que une los trocánteres por la cara posterior. La elevación redonda sobre la cresta es el **tubérculo cuadrado**. En la figura 5.6 (*visión posterior*) se aprecia que el trocánter mayor se alinea con el cuerpo femoral y sobresale de una depresión profunda medial, la **fosa trocantérica**.

El **cuerpo del fémur** se inclina ligeramente hacia delante. La mayor parte de él tiene una forma redonda y lisa, salvo por la línea posterior, ancha y robusta, llamada **línea áspera**. Esta cresta vertical destaca sobremanera en el tercio medio del cuerpo femoral, donde se observan los **labios medial y lateral**. Por arriba, el labio lateral se une con la **tuberosidad glútea**, ancha y rugosa, mientras que el labio medial se continúa en forma de una línea espiral, delgada y rugosa. La línea espiral se extiende hacia el trocánter menor y luego sigue hasta la cara anterior del fémur, terminando en la línea intertrocantérica. La **línea pectínea** es una cresta intermedia prominente que se extiende desde la parte central de la línea áspera hasta la base del trocánter menor. Por abajo, la línea áspera se divide en las **líneas supracondíleas** medial y lateral, que llegan hasta los cóndilos medial y lateral, con una curva espiral (fig. 5.6). Los

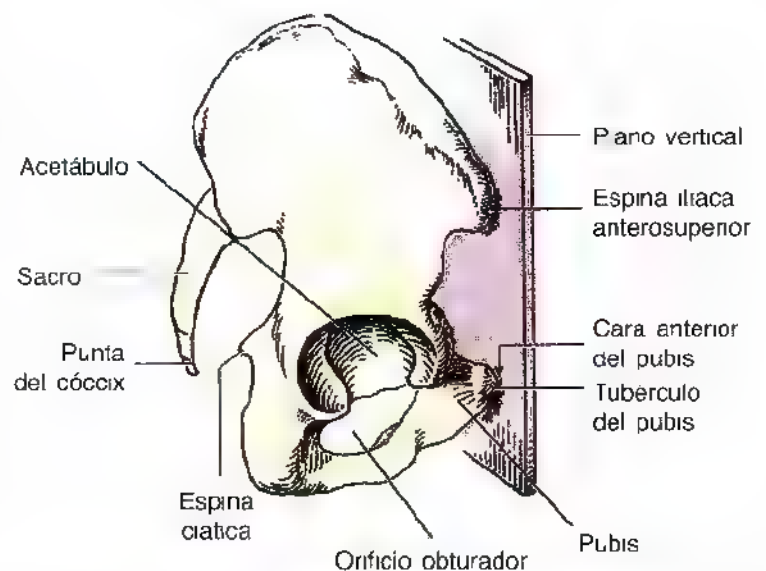


Figura 5.5. Cara lateral del hueso coxal derecho, sacro y cóccix. Este dibujo muestra cómo, en posición anatómica, la espina ilíaca anterosuperior y la cara anterior del pubis radican en el mismo plano vertical.

cóndilos están separados en la parte inferoposterior por una **fosa intercondílea** (escotadura intercondílea).

Los **cóndilos femorales** se articulan con los **cóndilos tibiales** para formar la articulación de la rodilla (fig. 5.2). En la parte anterior, los cóndilos femorales se unen en una delgada depresión —la **cara rotuliana** (fig. 5.6)—, donde se articulan con la rótula. La cara lateral del cóndilo lateral muestra una proyección central, el **cóndilo lateral**. La superficie medial del cóndilo medial posee un **epicóndilo medial** mayor y más prominente, por encima del cual se aprecia otra elevación, el **tubérculo del músculo aproximador**. Los trocánteres, las líneas, los tubérculos y los epi-

cóndilos son los lugares de inserción de los músculos y de los ligamentos.

Pruebas de viabilidad fetal

La extremidad distal del fémur se osifica justo antes de nacer. La visibilidad de este centro de osificación en la radiografía sirve, a menudo, como prueba medicolegal de que un recién nacido hallado muerto se encontraba casi próximo al término y viable (habría podido nacer con vida). ☉

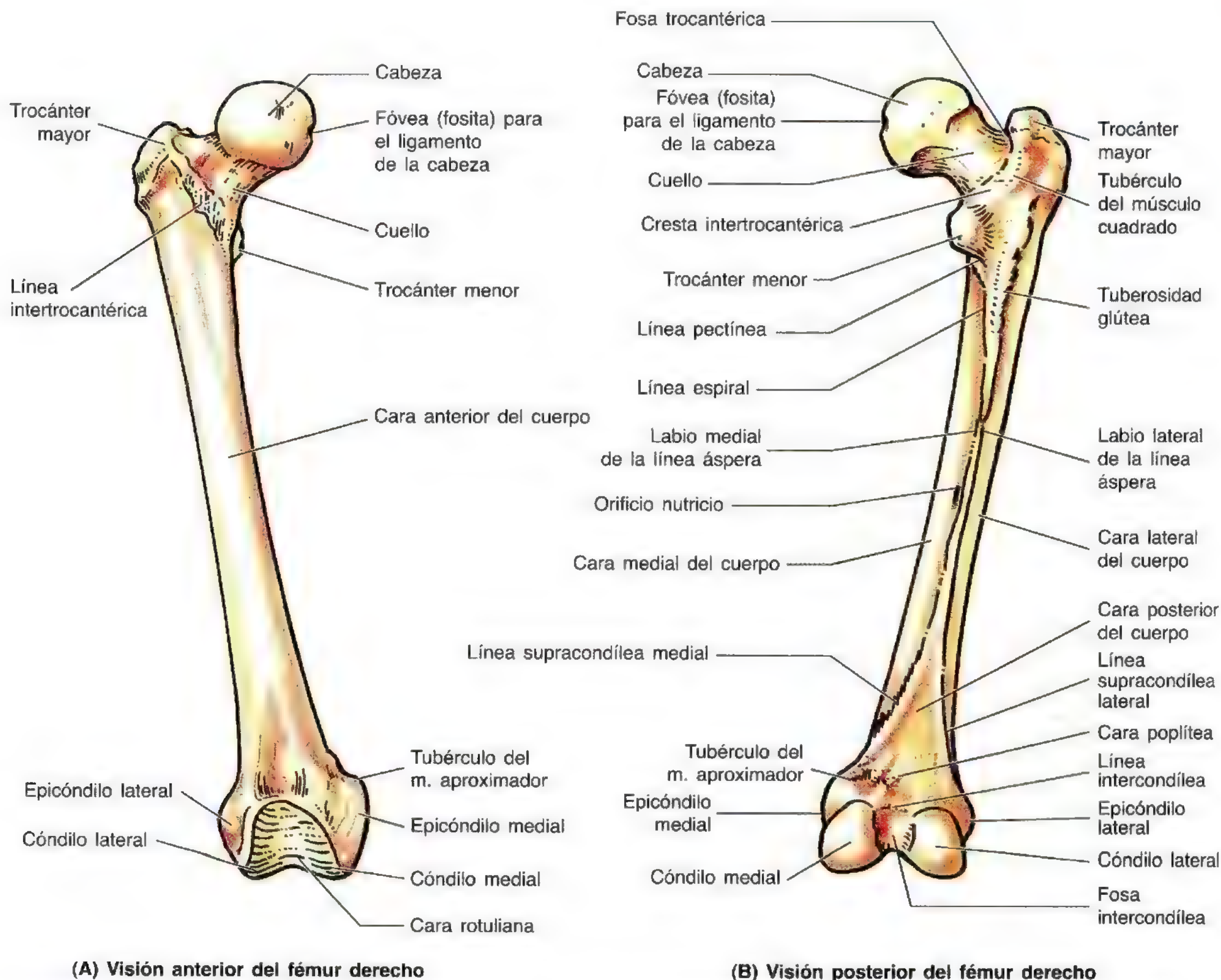


Figura 5.6. El fémur derecho de un adulto. **A.** Cara anterior. El cuerpo del fémur, el hueso más largo y pesado del organismo, es casi cilíndrico en casi toda su longitud. En sentido proximal, el fémur dispone de una cabeza redonda, un cuello corto y los trocánteres mayor y menor. El cuello queda separado del cuerpo del fémur por la línea intertrocanterica. La extremidad distal del fémur es maciza y tiene los cóndilos medial y lateral. **B.** Cara posterior. En el tercio medio de la cara posterior se aprecia un borde posterior prominente —la línea áspera—, que tiene los labios medial y lateral. Asimismo se observa cómo el orificio nutricio entra por el cuerpo del fémur cerca de la línea áspera.

Epifisiólisis de la cabeza femoral

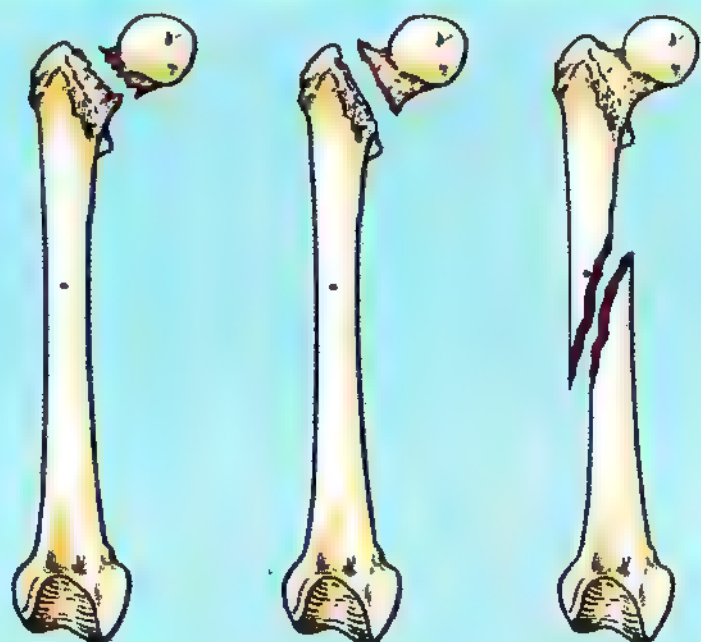
La epífisis de la cabeza femoral puede alejarse (deslizarse) del cuello femoral de los niños mayores y adolescentes (de 10 a 17 años) debido a un debilitamiento de la placa epifisaria. Esta lesión obedece, a veces, a traumatismos agudos o microtraumatismos repetidos que incrementan la fuerza de cizalla de la epífisis, sobre todo la separación y rotación lateral del muslo. La epífisis suele separarse lentamente y provoca una deformidad progresiva en varo. El síntoma inicial de esta lesión consiste en una molestia en la cadera que, a veces, se refiere a la rodilla. El estudio radiológico de la extremidad superior del fémur casi siempre es necesario para confirmar el diagnóstico de epifisiólisis (luxación) de la cabeza del fémur.

Coxa vara y coxa valga

El *ángulo de inclinación* que forma el eje longitudinal del cuello del fémur con el cuerpo femoral (A) depende de la edad, el sexo y el desarrollo del fémur (p. ej., un defecto congénito de la osificación del cuello femoral). También puede variar con cualquier proceso patológico que debilite el cuello del fémur (p. ej., raquitismo). Cuando disminuye el ángulo de inclinación, la enfermedad se denomina *coxa vara* (B), y cuando aumenta, *coxa valga* (C). La coxa vara determina un ligero acortamiento del miembro inferior y limita la separación pasiva de la cadera.

Fracturas del fémur

Cuando se dice que una persona mayor se ha "roto la cadera", la lesión habitual es una fractura del cuello del fémur. Cuando tropieza una persona mayor de 60 años

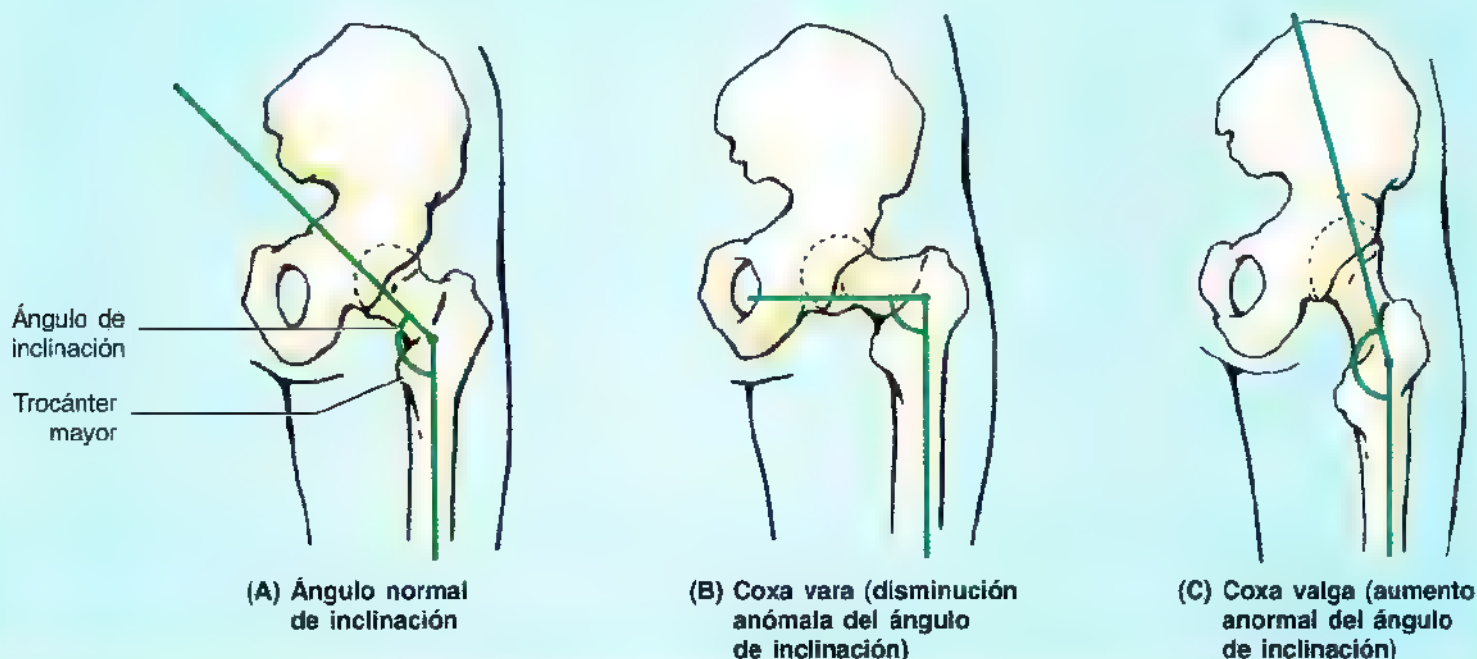


Fractura del
cuello femoral

Fractura
intertrocantérica

Fractura espiral

suele fracturarse el cuello del fémur. La fractura es más común en las mujeres, porque se da en un hueso ya debilitado por la *osteoporosis* (fragilidad de los huesos debida a una reducción de la masa ósea). La *fractura del cuello femoral* es una de las más complejas y difíciles, debido a la inestabilidad del foco de fractura. Además, el periostio que cubre el cuello femoral es muy fino y tiene una capacidad muy limitada de *osteogénesis* (formación de hueso). Como las arterias retinaculares emergen de las arterias femorales circunflejas mediales y discurren paralelas al cuello del fémur en su camino para irrigar la cabeza del fémur, se pueden también lesionar en la fractura ►



► del cuello femoral (pág. 626). La rotura de estos vasos determina una degeneración (necrosis) de la cabeza femoral y un sangrado dentro de la articulación de la cadera. Estas fracturas obedecen de ordinario a golpes indirectos; a veces, a un simple tropezón, como el deslizamiento sobre una placa de hielo, o a un traspies, por ejemplo con una alfombra.

Las fracturas del fémur, entre los trocánteres mayor y menor (*fracturas intertrocantericas*) o a través de ellos (*fracturas pretrocantericas*), también son comunes en las

personas mayores de 60 años, sobre todo en mujeres que se caen o son empujadas al suelo.

El cuerpo del fémur es grande y robusto, aunque un golpe violento y directo, como sucede en un accidente de tráfico, puede romperlo. A veces se produce una *fractura espiral del cuerpo femoral*, que puede ser conminuta (con rotura en varios fragmentos) y con desplazamiento de los fragmentos óseos. La consolidación de este tipo de fractura requiere, en ocasiones, hasta 20 semanas, y si es muy grave, hasta un año. ◉

La tibia y el peroné

La tibia y el peroné son los huesos de la pierna (figs. 5.2 y 5.7). La **tibia** soporta el peso del cuerpo y se articula con los cóndilos del fémur por arriba y con el astrágalo (*talus* significa tobillo en latín) por abajo. El **peroné** no transmite el peso corporal, sino que sirve, sobre todo, para la inserción de los músculos, aunque también otorga estabilidad al tobillo. Los cuerpos de la tibia y del peroné están comunicados por una **membrana interósea**, compuesta por robustas fibras oblicuas.

La tibia

Después del fémur, la tibia, un hueso grande que soporta el peso del cuerpo, es el mayor hueso del organismo. Está situada en la cara anteromedial de la pierna, casi paralela al peroné. El extremo proximal de la tibia es ancho, porque sus **cóndilos medial y lateral** se articulan con los grandes cóndilos femorales. La cara superior de la tibia es plana y forma el **platillo tibial**, que se compone de los cóndilos tibiales medial y lateral y de una **eminencia intercondílea**. Esta eminencia de la tibia encaja en la **fosa intercondílea** (fig. 5.6B) entre los cóndilos femorales. El cóndilo lateral de la tibia tiene una carilla inferior para la cabeza del peroné (fig. 5.7).

El **cuerpo de la tibia** es algo triangular y posee caras medial, interósea (lateral) y posterior. Su borde o cresta anterior cuenta con una **tuberosidad tibial** ancha y oblonga para la inserción distal del *ligamento rotuliano*, que se extiende desde la punta y se une con los bordes de la rótula a la tuberosidad tibial. El **borde anterior de la tibia**, el más prominente, se localiza debajo de la piel (es subcutáneo). El cuerpo de la tibia se adelgaza en la unión de los tercios medio y distal. El tercio distal de la tibia es más pequeño que el proximal y dispone de caras para la articu-

lación con el peroné y el astrágalo. El **maléolo medial** es una proyección inferior de la cara medial del extremo inferior de la tibia y en su superficie lateral posee una cara para la articulación con el astrágalo. El **borde interóseo** de la tibia, nítido, sirve para la inserción de la membrana fibrosa densa —**membrana interósea**— que une los dos huesos de la pierna (fig. 5.7).

En la cara posterior de la porción proximal de la tibia aparece una cresta diagonal rugosa —la **línea del músculo sóleo**— que discurre en sentido inferomedial hasta el borde medial, aproximadamente en la zona de unión entre el tercio proximal y medio. Inmediatamente debajo de la línea sólea se encuentra un surco vascular, con dirección oblicua, que conduce a un gran **orificio nutricio**. A partir de éste surge el conducto nutricio, con un trayecto inferior dentro de la tibia antes de abrirse a la cavidad medular.

El peroné

Este delgado hueso se sitúa posterolateral a la tibia y sirve principalmente como lugar de inserción muscular (fig. 5.7). El **peroné** no soporta peso, pero su maléolo lateral ayuda a sujetar el astrágalo dentro de la mortaja (fig. 5.2A). La **cabeza del peroné**, que posee un **vértice** puntiagudo, se encuentra en el extremo proximal. La cabeza se articula con la parte posterolateral y proximal de la tibia (cara inferior del cóndilo lateral). El **cuerpo** del peroné está torsionado y se caracteriza por los lugares de inserción muscular. Dispone de tres bordes (anterior, interóseo y posterior) y tres caras (medial, posterior y lateral). El peroné se ensancha en su extremo distal para dar el **maléolo lateral**, más prominente y posterior que el medial, que se extiende aproximadamente 1 cm más en sentido distal. El maléolo lateral se articula con la cara lateral del astrágalo (fig. 5.2C).

Fracturas de la tibia

El cuerpo de la tibia se adelgaza en la unión entre sus tercios medio e inferior, que es el asiento más común de

las fracturas. La diáfisis de la tibia es el lugar donde suelen ocurrir las *fracturas compuestas* (A), es decir, con perforación de la piel y desgarro de los vasos sanguíneos. ►



(A) Fractura compuesta (abierta) con hemorragia externa

(B) Fractura por estrés (de la marcha) de la tibia (flechas), que se aprecia mejor en la imagen de la derecha con resonancia magnética

(C) Fractura diagonal con acortamiento

(D) Fracturas transversas con peroné intacto

► Las fracturas de la tibia por el conducto nutricio predisponen a la disyunción de los fragmentos óseos como consecuencia de la lesión de la arteria nutricia.

Las fracturas transversales por estrés (de la marcha) del tercio inferior de la tibia (B) afectan a personas que caminan mucho y no están preparadas para este tipo de actividad. La sobrecarga puede fracturar la corteza anterior de la tibia. Un golpe violento indirecto sobre el cuerpo de la tibia como consecuencia del giro del hueso con el pie fijado, por ejemplo durante una caída, puede fracturar la tibia (p. ej., cuando se sufre un placaje en el rugby). Además, la torsión grave al esquiar determina, en ocasiones, una *fractura diagonal* (C) de la diáfisis de la tibia en la unión entre los tercios medio e inferior, así como una *fractura del peroné*. En el esquí no es raro que la fractura se deba a una caída hacia delante, a gran velocidad, que angula la pierna sobre la bota de esquí, rígida, y provoca una fractura “de la parte superior de la bota”. Esta lesión suele determinar una fractura conminuta de la tibia en varios fragmentos, por la unión entre los tercios medial y distal (D).

Las fracturas de la tibia también pueden obedecer a traumatismos directos (p. ej., “fracturas del parachoques” causadas por el golpe violento del parachoques contra la pierna). El traumatismo suele desgarrar la piel, y como la tibia ocupa una posición subcutánea, los fragmentos óseos sobresalen, determinando una *fractura compuesta*. Como la diáfisis de la tibia no tiene protección antero-medial y es relativamente delgada en la unión de los tercios inferior y medio, no cabe extrañarse de que la tibia

sea el hueso largo que más veces se fractura y sufre lesiones compuestas. Además, la tibia posee una irrigación relativamente escasa, de aquí que aun las fracturas estables sin desplazamiento tarden hasta 6 meses en consolidar. Dada la superficie subcutánea tan extensa de este hueso, se puede acceder a él para obtener fragmentos óseos con fines de injerto.

Las fracturas de las placas epifisarias

El centro primario de osificación de la extremidad superior de la tibia aparece poco después de nacer y se une a la diáfisis tibial en la adolescencia (casi siempre, entre los 16 y los 18 años). Las fracturas de la tibia infantil son más graves cuando afectan a las placas epifisarias, porque pueden alterar el crecimiento normal del hueso. La tuberosidad de la tibia suele formarse por el crecimiento inferior del hueso desde el centro epifisario superior hacia los 10 años de vida, aunque en ocasiones aparece un centro diferente para la tuberosidad de la tibia hacia los 12 años. La rotura de la placa epifisaria de la tuberosidad de la tibia puede provocar una inflamación de la misma, así como dolor crónico y recurrente en la adolescencia (*enfermedad de Osgood-Schlatter*), sobre todo entre deportistas jóvenes.

Las fracturas del peroné

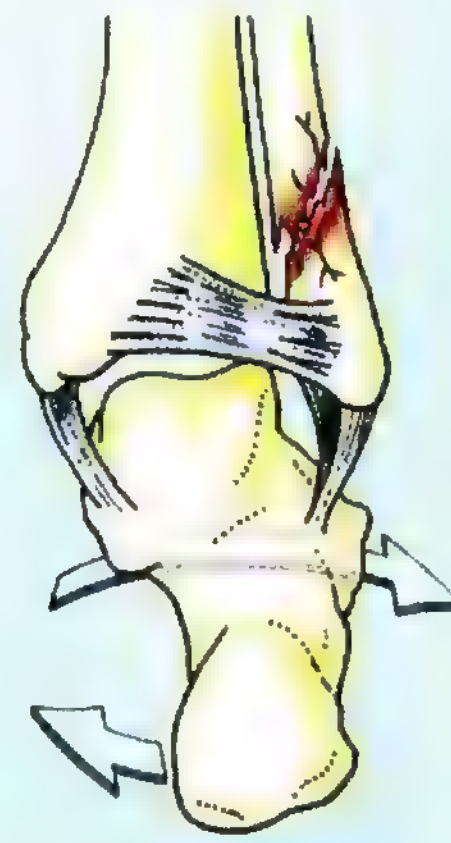
Las fracturas del peroné ocurren casi siempre 2 a 6 cm por encima de la extremidad distal del maléolo lateral ►



(E) Aspecto normal



(F) Fracturas de la tibia y peroné



(G) Fractura del peroné con inversión excesiva del pie

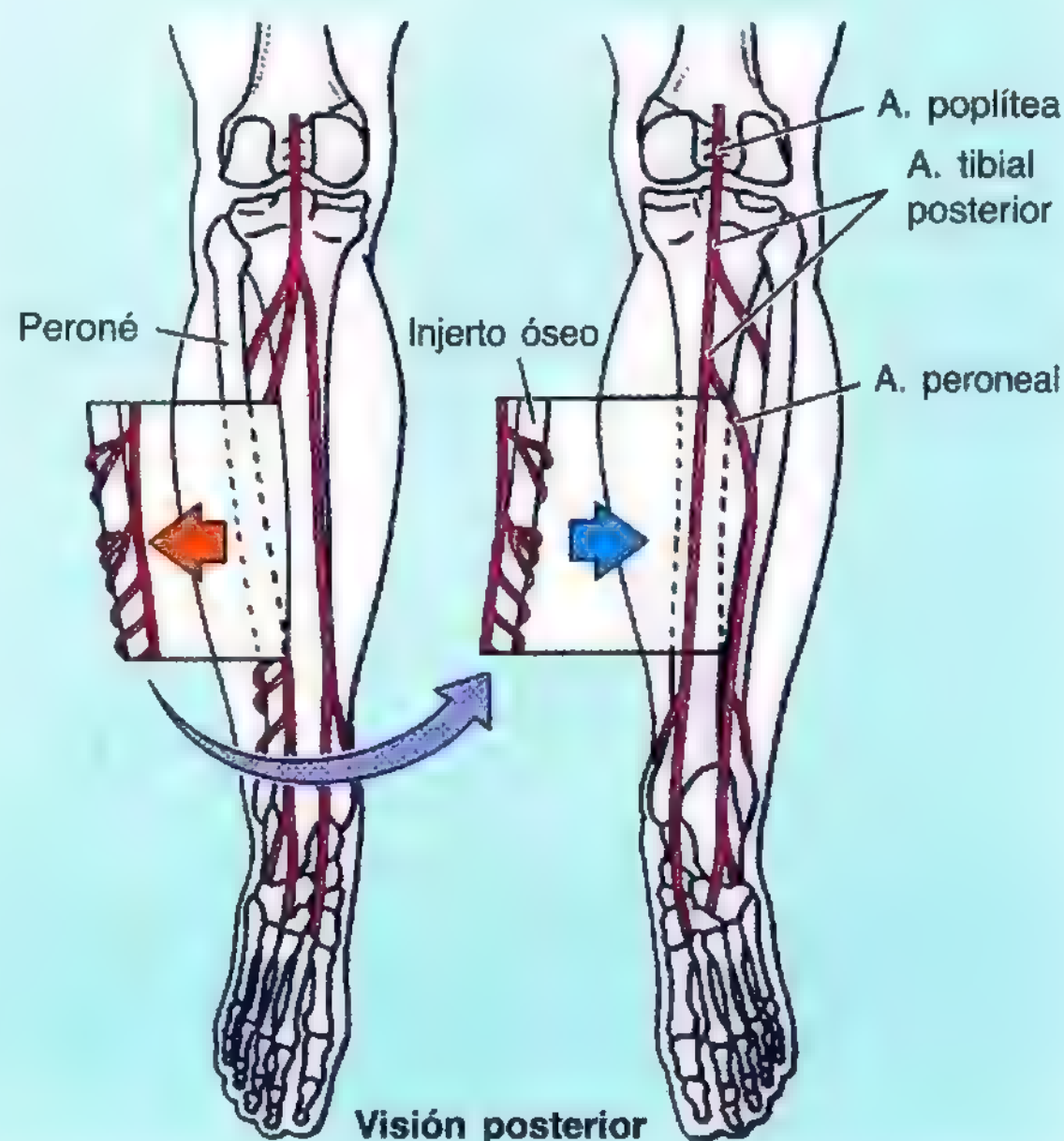
► y suelen acompañarse de *fractura-luxación del tobillo*, que se combina con fractura de la tibia (F). Cuando una persona se resbala y lleva el pie hacia una posición forzada con inversión excesiva del mismo, se desgarran los ligamentos del tobillo, que inclinan de manera extrema el astrágalo contra el maléolo lateral y lo desgarran. Las *fracturas de los maléolos lateral y medial* son bastante frecuentes (G) entre los jugadores de fútbol y de baloncesto.

como si hubiera ocurrido una fractura en los dos extremos.

La *localización del orificio nutricio del peroné* tiene importancia cuando se desea efectuar un *injerto vascularizado del peroné*. Como el orificio nutricio se ubica en el tercio medio del peroné en la mayoría de las ocasiones, este es el segmento de hueso que se emplea para el trasplante, siempre y cuando el injerto requiera una irrigación tanto intraósea como perióstica. +

Injertos óseos

Cuando se destruye una parte de un gran hueso por lesión o enfermedad, el miembro se torna inutilizable. Si no se procede al trasplante del hueso, a veces hay que amputar la porción afectada del miembro. El *peroné es una fuente habitual de hueso para injerto*. Aunque se extraiga un gran fragmento del peroné, se puede caminar, correr y saltar con normalidad. Se han empleado peronés, con la vascularización íntegra, para restablecer la integridad ósea de los miembros superior e inferior en casos de defectos óseos congénitos, o para reponer segmentos de hueso después de traumatismos o extirpación de tumores malignos. Las porciones restantes del peroné no suelen regenerar, porque casi siempre se extrae el periostio y la arteria nutricia con el fragmento de hueso, para que el injerto se mantenga vivo y crezca una vez trasplantado a otro lugar. El fragmento de peroné trasplantado y consolidado en su nuevo asiento restablece la irrigación sanguínea del hueso en el que se injerta. La consolidación tiene lugar



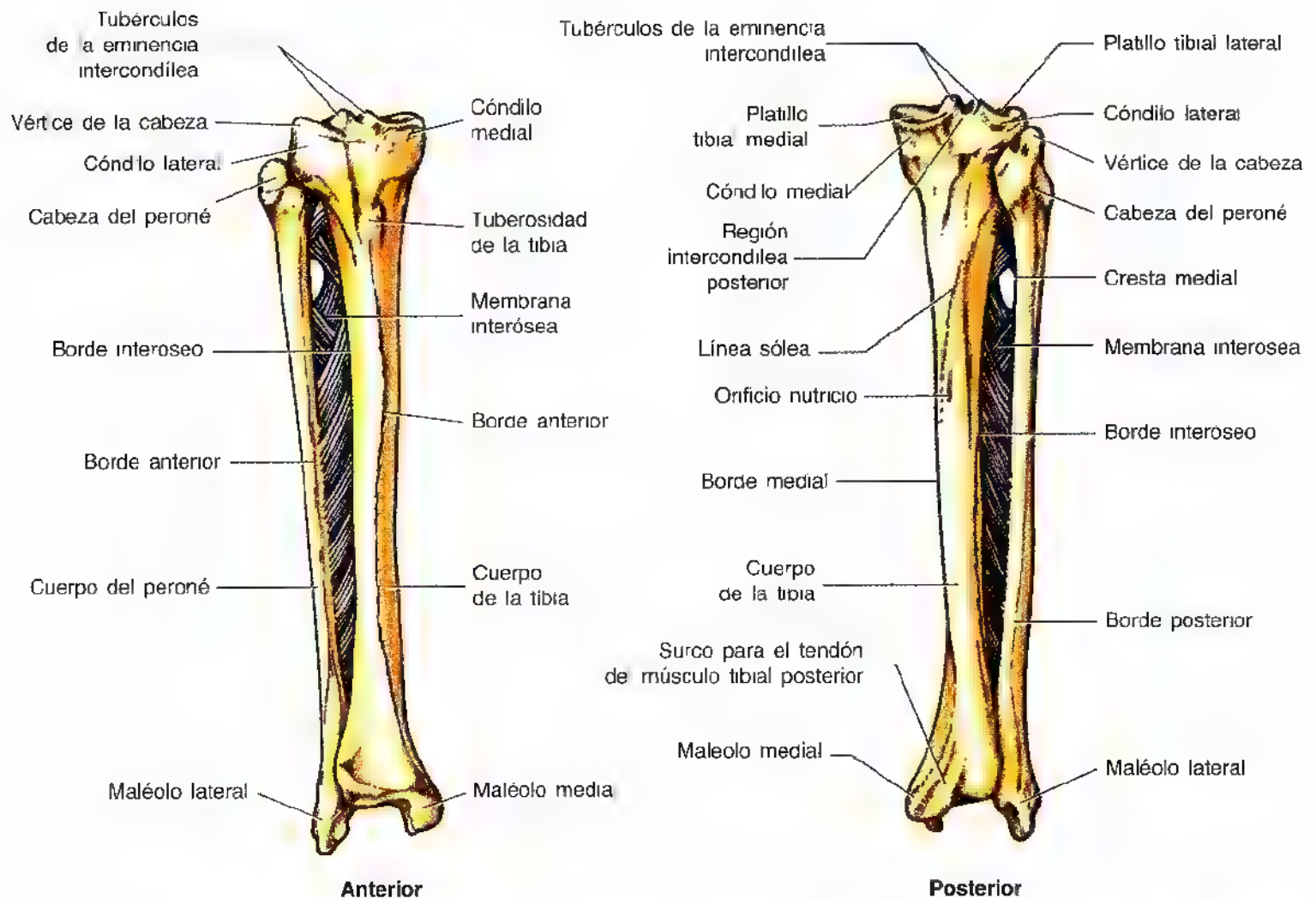


Figura 5.7. Tibia y peroné del lado derecho. Visiones anterior y posterior. La tibia se sitúa en las caras anterior y medial de la pierna. Su extremidad proximal, grande, se articula con la extremidad distal del fémur, de que recibe el peso de cuerpo. La extremidad distal de la tibia tiene una proyección prominente, el maléolo medial. El peroné se encuentra en la cara lateral de la pierna. Su extremidad proximal o cabeza se articula con la porción lateral del cóndilo lateral de la tibia. El peroné dispone de un maléolo lateral, más destacado que el medial, que se extiende casi 1 cm en sentido distal. Se observa la membrana interósea, capa fibrosa densa que comunica los bordes interóseos de la tibia y del peroné. Los vasos tibiales anteriores entran en el compartimiento anterior de la pierna por un gran orificio ovalado medial a la cresta media del peroné—cerca de la extremidad proximal de la membrana

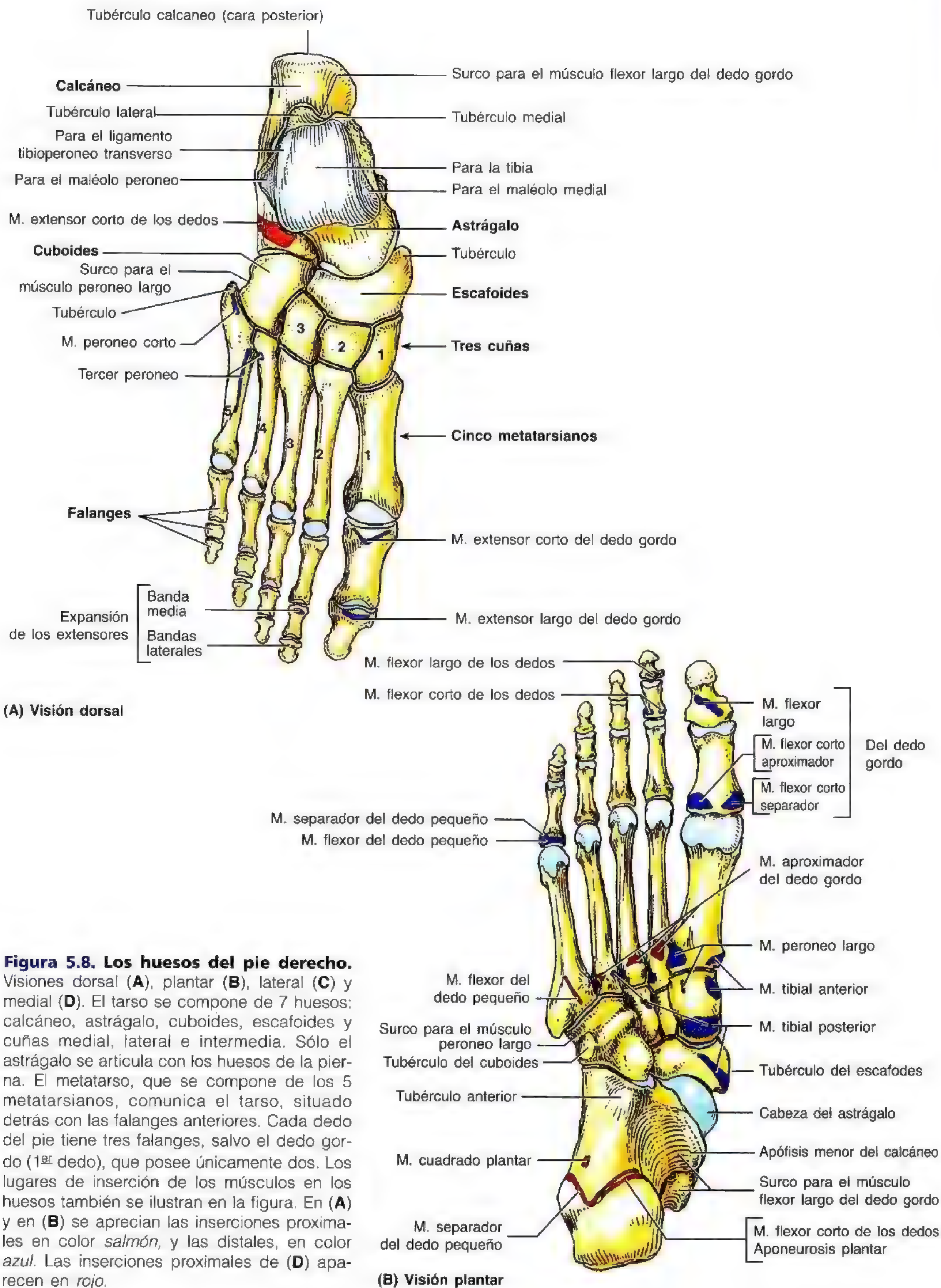
Los huesos del pie

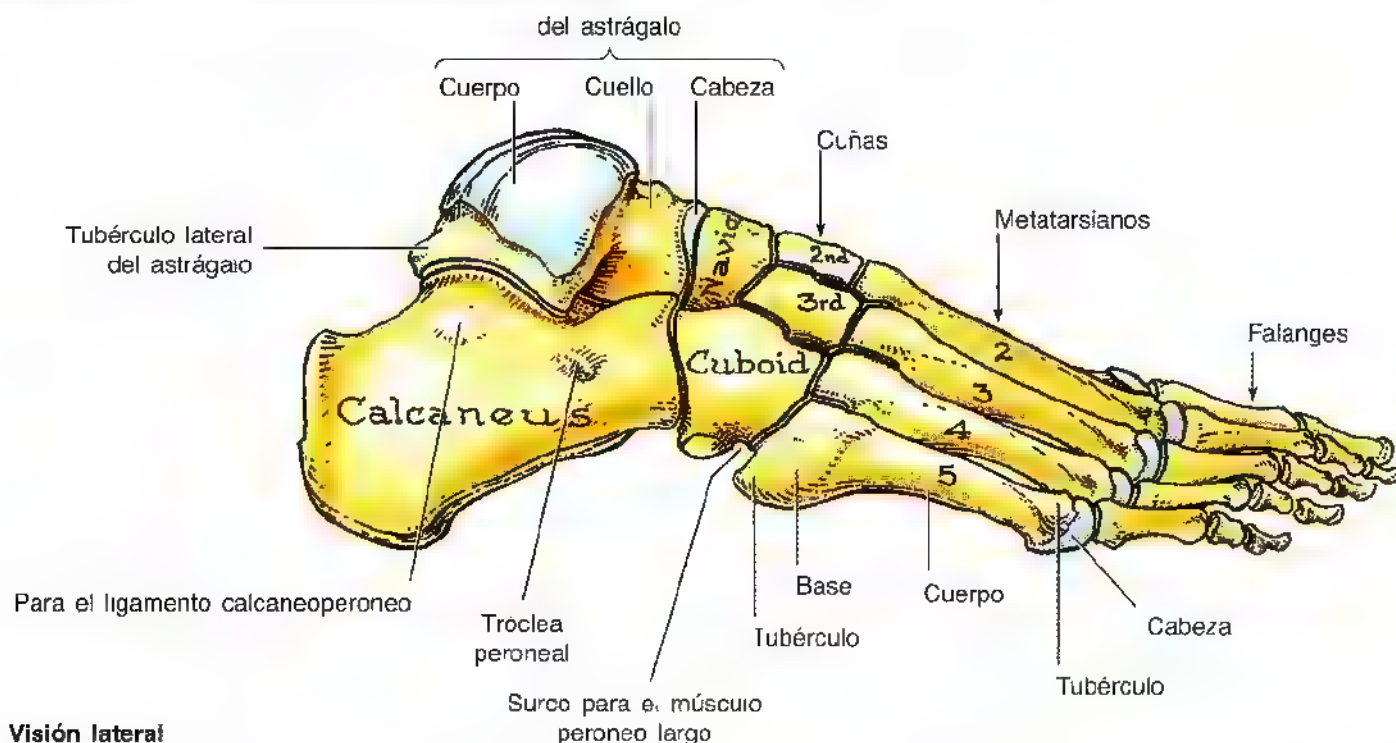
El pie está formado por el tarso, el metatarso y las falanges. El tarso se compone de 7 huesos; el metatarso, de 5, y las falanges, de 14. Obsérvese el esqueleto articulado del pie (figs. 5.1, 5.2 y 5.8) y verá cómo el borde medial es casi recto. Nótese también que la línea que une los puntos centrales de los bordes medial y lateral del pie es oblicua, y que los huesos metatarsianos y las falanges se sitúan delante de esta línea, mientras que los del tarso se encuentran detrás. Aunque se necesita cierto conocimiento de las características individuales de los huesos para comprender la estructura del pie, conviene examinar el esqueleto del pie en su conjunto e identificar las referencias óseas principales en la persona viva.

El tarso

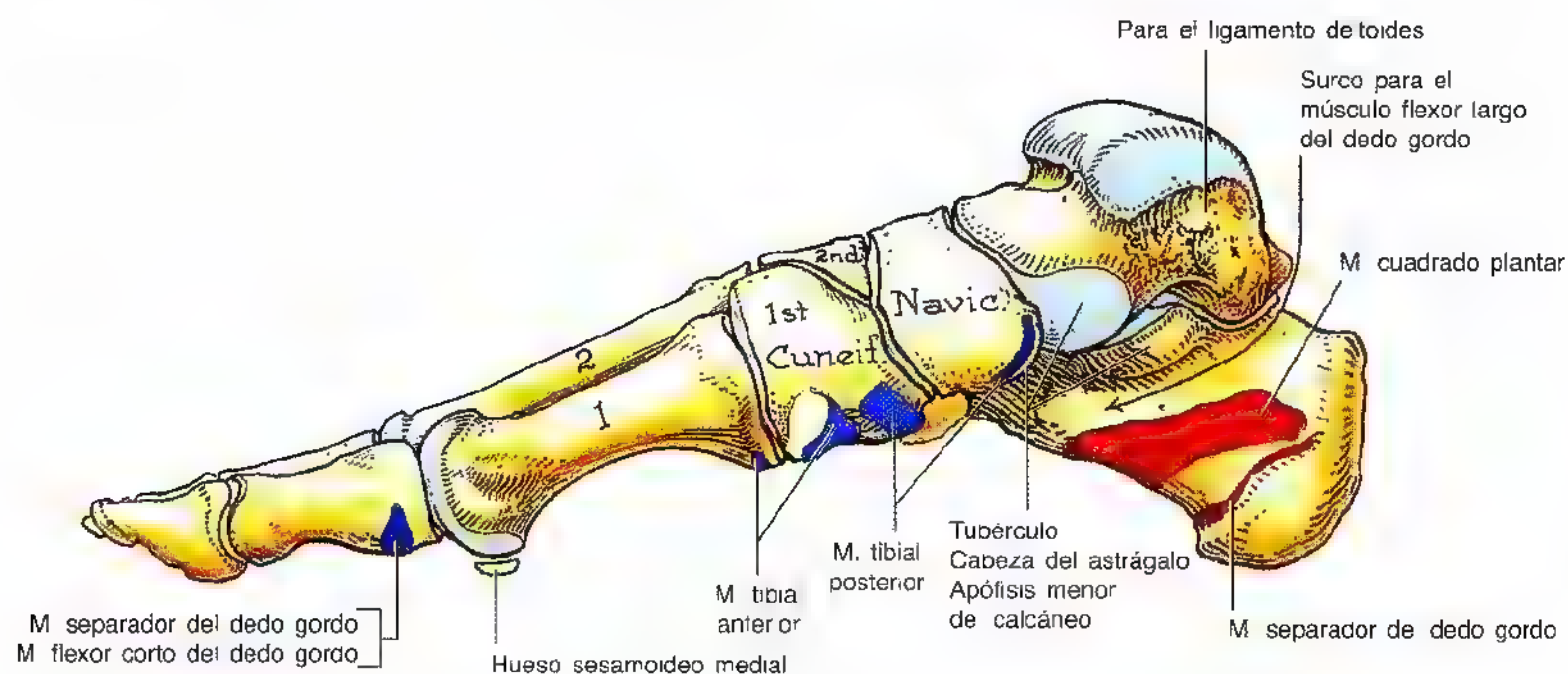
El tarso consta de 7 huesos (fig. 5.8, A y B): calcáneo, astrágalo, cuboides, escafoides y las tres cuñas. Solamente un hueso, el astrágalo, se articula con los huesos de la pierna.

El **calcáneo** (hueso del talón) es el hueso más grande y fuerte del pie (fig. 5.8, A y C). El calcáneo transmite casi todo el peso corporal del astrágalo al suelo. El calcáneo se articula con el astrágalo por arriba y con el cuboides por delante. La **apófisis menor del calcáneo** se proyecta, a modo de repisa (fig. 5.8, B y D), desde el borde superior de la cara medial del calcáneo y sujeta la cabeza del astrágalo. La cara lateral del calcáneo tiene una cresta oblicua (fig. 5.8C)—la **tróclea del peroné**—. Sobre la parte posterior del calcáneo aparece una prominencia (fig. 5.8A) la **tube-**





(C) Visión lateral



(D) Visión medial

Figura 5.8. (Continuación) Los huesos del pie derecho.

rosidad del calcáneo— que dispone de los tubérculos (apófisis) medial, lateral y anterior. Sólo el tubérculo medial apoya en el suelo en bipedestación.

El **astrágalo** tiene cuerpo, cuello y cabeza (fig. 5.8C). La cara superior del astrágalo soporta el peso del cuerpo, que se transmite desde la tibia. Además, se articula con el peroné, el calcáneo y el escafoides. El astrágalo es el único hueso del tarso que no dispone de inserciones musculares ni tendinosas. La **cabeza del astrágalo**, redonda, se dirige en el plano anteromedial y se apoya sobre una repisa o proyección lateral del calcáneo, la **apófisis menor del calcáneo** (fig. 5.8D). El cuerpo del astrágalo es estrecho por la parte posterior y

tiene un surco para un tendón (fig. 5.8C). El surco posee un **tubérculo lateral** prominente y otro **medial**, menos destacado (fig. 5.8A).

El **escafoides** es un hueso aplanado, con forma de barquilla, situado entre la cabeza del astrágalo por detrás y las tres cuñas por delante (fig. 5.8, A-D). La cara medial del escafoides se proyecta hacia abajo para dar el **tubérculo del escafoides**. A veces, cuando este tubérculo hace mucha prominencia, comprime la parte medial del zapato y provoca dolor en el pie.

El **cuboides**, de forma aproximadamente cúbica, es el hueso más lateral de la hilera distal del tarso (fig. 5.8, A

y C). Delante del **tubérculo del cuboides** se encuentra un surco para el tendón del músculo peroneo largo, en las caras lateral e inferior del hueso.

Las tres cuñas (fig. 5.8, A, C y D) son las cuñas medial (1ª), intermedia (2ª) y lateral (3ª). La **cuña medial** es la más grande, y la **intermedia**, la más pequeña. Cada cuña se articula con el hueso escafoides por detrás y con la base del metatarsiano correspondiente por delante. La **cuña lateral** se articula con el cuboides.

El metatarso

El metatarso se compone de 5 huesos metatarsianos, que se enumeran desde la cara medial del pie (fig. 5.8A). El 1º metatarsiano es más corto y duro que los demás. El 2º es el más largo. Cada metatarsiano posee una base proximal, un cuerpo y una cabeza distal (fig. 5.8C). *La base de cada metatarsiano es el extremo proximal de mayor tamaño*. Las bases de

los metatarsianos se articulan con la cuña y el cuboides, y las cabezas, con las falanges proximales. *La base del 5º metatarsiano tiene un gran tubérculo* que se proyecta sobre el borde lateral del cuboides. En la cara plantar de la cabeza del 1º metatarsiano se encuentran los *huesos sesamoideos* medial y lateral, prominentes (no se muestran); estos huesos están embutidos o cubiertos por los ligamentos plantares (véase fig. 5.44, B y D).

Falanges

Las 14 falanges se disponen así: el 1º dedo o dedo gordo tiene dos falanges (proximal y distal); los 4 dedos restantes tienen tres cada uno, proximal, media y distal (fig. 5.8, A y C). Cada falange se compone de una base (proximal), un cuerpo y una cabeza distal. Las falanges del 1º dedo son cortas, anchas y poderosas. Las falanges media y distal del 5º dedo suelen estar unidas en las personas mayores.

Anatomía de superficie de los huesos del miembro inferior

Las referencias óseas ayudan a la exploración física y a la cirugía, porque sirven para localizar estructuras como los nervios y los vasos sanguíneos. Si se colocan las manos en la cadera, se apoyan en las **crestas ilíacas**, que son los bordes curvados superiores del *ala del ilion*. El tercio anterior de la cresta se palpa con facilidad porque se sitúa en un plano subcutáneo. Los dos tercios posteriores de las crestas ilíacas son más difíciles de palpar, ya que suelen estar cubiertos de grasa. El **plano** que pasa por el nivel más alto de la cresta ilíaca hace intersección con el disco intervertebral L4/L5 (pág. 529). Este plano sirve en clínica como referencia para introducir una aguja en el espacio subaracnoideo (leptomeníngeo) cuando se practica la *punción lumbar* con el fin de extraer líquido cefalorraquídeo (véase el capítulo 4).

La cresta ilíaca termina por delante en la **espina ilíaca anterosuperior**, redondeada, fácil de palpar si se sigue la cresta ilíaca en sentido anterior e inferior. La espina se ve, con frecuencia, en las personas delgadas, pero en las obesas está cubierta de grasa y es difícil de localizar; no obstante, se palpa mejor cuando la persona se sienta y se relajan los músculos que se insertan en estas espinas. El **tubérculo ilíaco**, situado 5 a 6 cm detrás de la espina ilíaca anterosuperior, marca el punto más ancho de la cresta ilíaca. Para palpar el tubérculo ilíaco colóquese el pulgar en la espina ilíaca anterosuperior y desplácese hacia atrás los dedos, a lo largo del labio externo de la cresta ilíaca. El tubérculo ilíaco se encuentra a la altura de la apófisis espinosa de la vértebra L5.

Prácticamente un palmo por debajo del ombligo se palpan los *cuerpos y los ramos superiores de ambos pubis* (A). La **cresta púbica**, el borde rugoso anterior del cuer-

po del pubis, se palpa a través de la vaina del recto y del músculo recto del abdomen (véase el capítulo 2). La **sínfisis del pubis** se sitúa en la línea media, entre los cuerpos del pubis; a veces resulta difícil de palpar porque está cubierta de grasa. El **tubérculo del pubis** radica anterior, a cada lado, a casi 2,5 cm de la sínfisis del pubis. El pequeño tubérculo púbico de la extremidad anterior de la cresta del pubis constituye una referencia del anillo inguinal superficial, y una guía esencial para el diagnóstico y reparación de las hernias inguinales y tumorales (véase el capítulo 2). El tubérculo del pubis también se puede palpar en los varones, invaginando la piel de la porción lateral del escroto con el dedo explorador (véase el capítulo 2).

La cresta ilíaca termina por detrás en la **espina ilíaca posteriosuperior**, nítida (B), que puede ser difícil de palpar; no obstante, su posición resulta fácil de localizar porque se encuentra en el fondo de una *fosita cutánea*, situada a unos 4 cm de la línea media (pág. 578). La fosita se produce porque la piel y la fascia subyacente se insertan en la espina ilíaca posteriosuperior. La línea que conecta las fositas pasa por el plano de las apófisis espinosas rudimentarias S2 y por el centro de las *articulaciones sacroilíacas*. Las fositas cutáneas constituyen referencias útiles para palpar el lugar de las articulaciones sacroilíacas en busca de edema (tumefacción) o dolor localizado. Además, estas fositas indican el término de las crestas ilíacas, de donde se extrae médula ósea y fragmentos de hueso para injerto (p. ej., para reparar una tibia fracturada). No es fácil palpar la articulación sacroilíaca, porque el ilion sobresale y existen unos ligamentos robustos.

La **tuberosidad isquiática** se palpa con facilidad en la parte inferior de las nalgas, cuando se flexiona el muslo. El músculo glúteo mayor, grueso, y la grasa de las nalgas cubren y enmascaran la tuberosidad cuando se ►

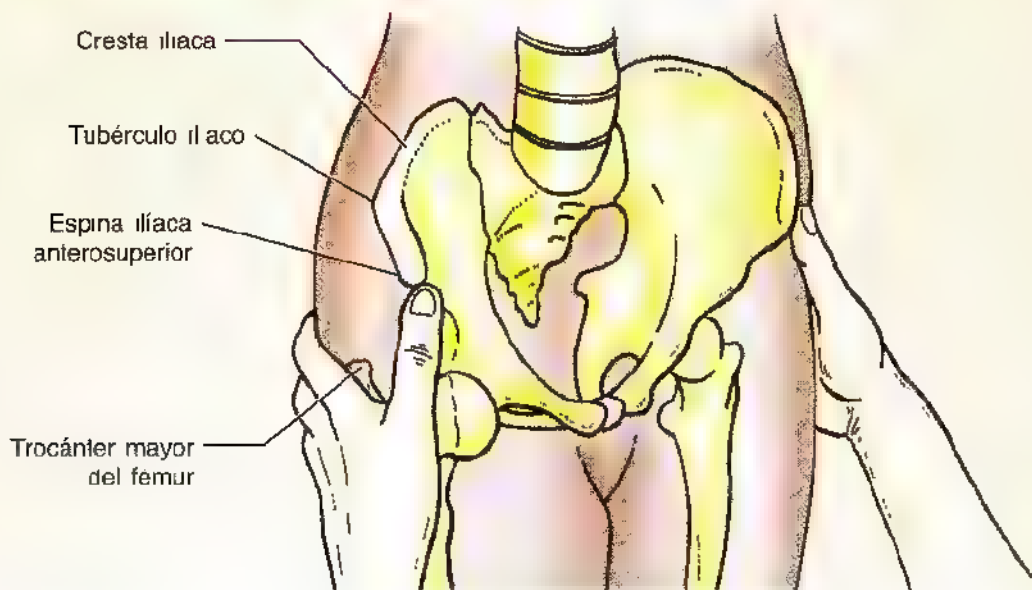
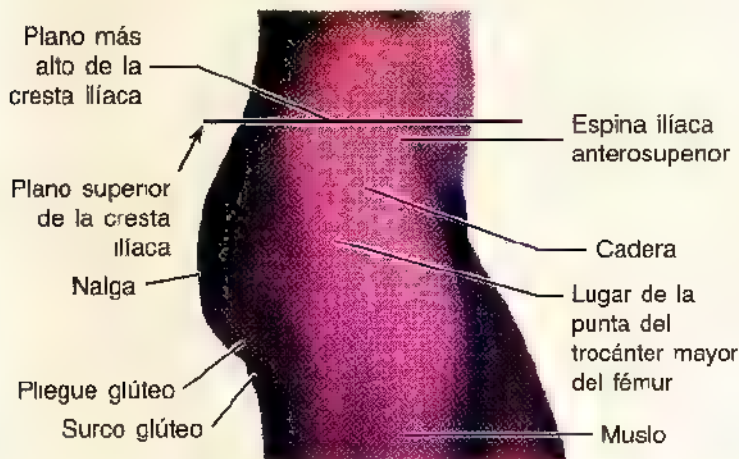
► extiende el muslo (B). El **pliegue glúteo**, un pliegue prominente de piel que contiene grasa, coincide con el borde inferior del músculo glúteo mayor. El **surco glúteo**, debajo del pliegue anterior, indica la separación de las nalgas con respecto al muslo.

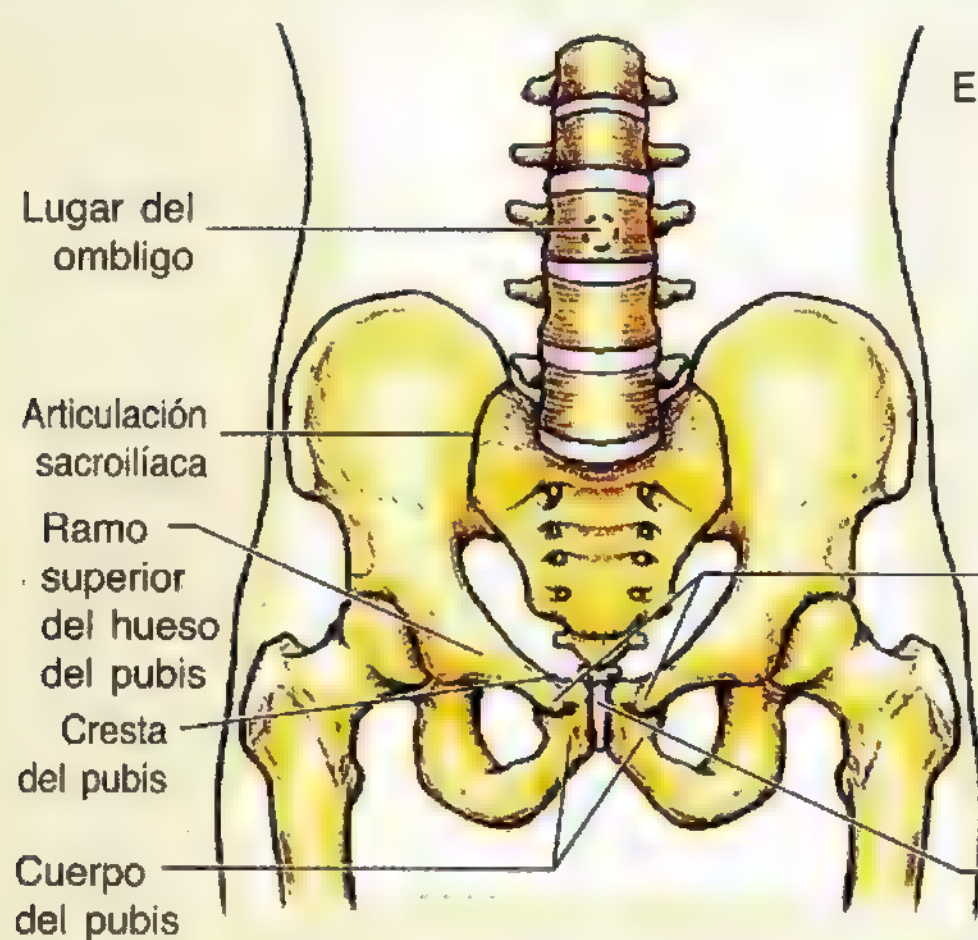
El centro de la **cabeza del fémur** (A) se palpa en la profundidad de un punto situado aproximadamente un través de dedo por debajo del punto medio del ligamento inguinal. El **cuerpo del fémur** está tan recubierto de músculos, que no suele palparse. Sólo los extremos superior e inferior del fémur se palpan. El **trocánter mayor del fémur**, situado lateralmente, se proyecta encima de la unión del cuerpo con el cuello femoral y se palpa en la cara lateral del muslo, unos 10 cm por debajo de la cresta ilíaca (B). El trocánter mayor crea una eminencia delante de la concavidad en la cara lateral de la cadera. La eminencia de los trocánteres mayores explica la forma de la pelvis femenina adulta. El borde posterior del trocánter mayor apenas está cubierto y se palpa sin problemas. Las partes anterior y lateral del trocánter están ocultas por la fascia y el músculo y no se palpan tan fácilmente. Debido a su vecindad con la piel, el trocánter

mayor causa molestias al tumbarse de lado sobre una superficie dura. En la posición anatómica, la línea que une las puntas de los trocánteres mayores suele pasar por los tubérculos del pubis y el centro de las cabezas femorales. El trocánter menor se palpa con dificultad encima del extremo lateral del pliegue glúteo.

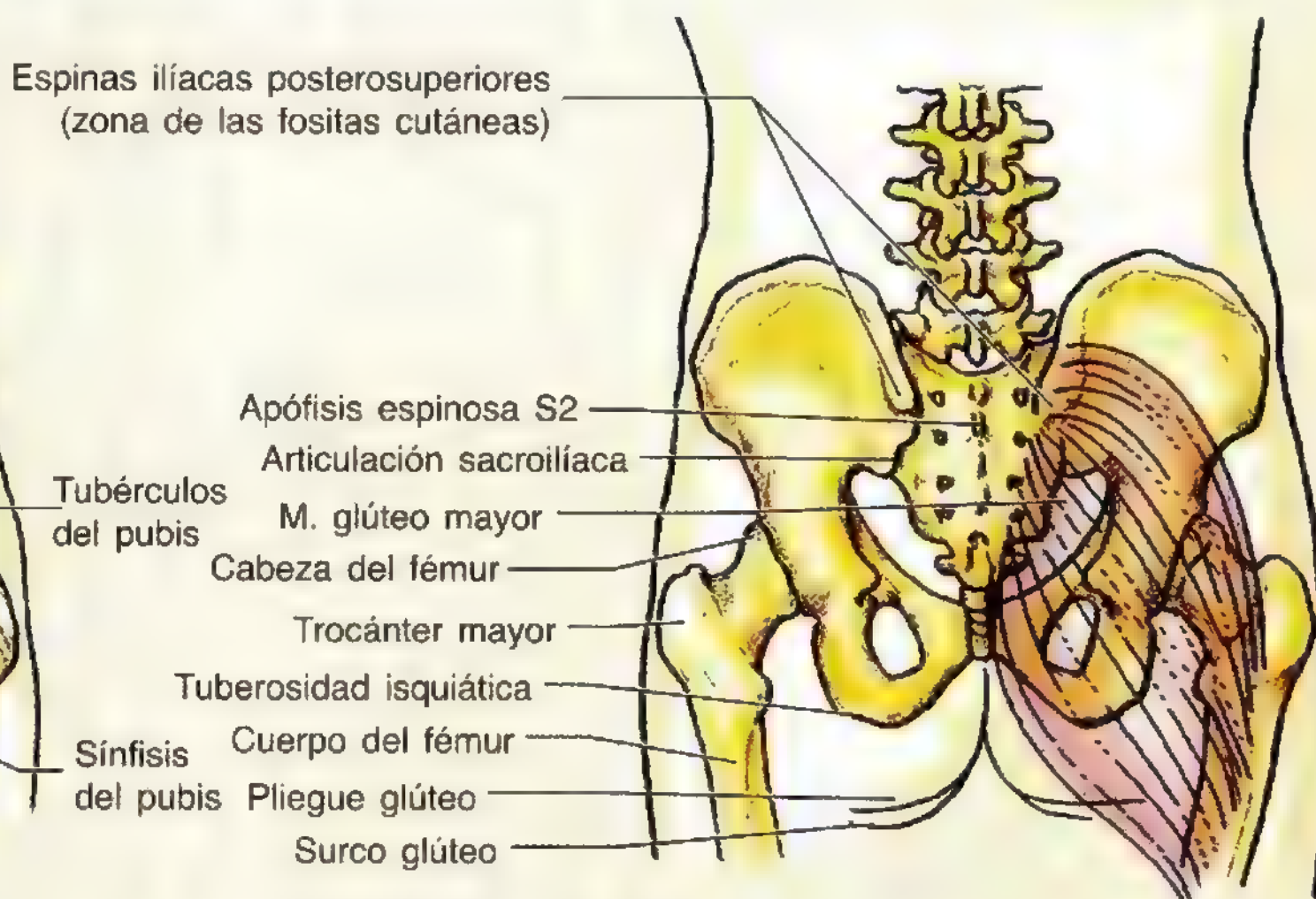
Los cóndilos del fémur tienen una posición subcutánea y se palpan fácilmente al flexionar o extender la rodilla (C). El **cóndilo femoral lateral** es superficial y se palpa en la cara lateral de la rodilla. El **cóndilo femoral medial** se puede palpar a través de la expansión aponeurótica del músculo vasto lateral. En el centro de cada cóndilo aparece un **epicóndilo eminente**, fácil de palpar. La cara rotuliana del fémur es el lugar donde la **rótula** se desliza durante la flexión y extensión de la pierna por la rodilla. Los bordes lateral y medial de la cara rotuliana se palpan cuando se flexiona la pierna. El **tubérculo del aproximador**, una pequeña prominencia ósea, se palpa en la parte superior del cóndilo femoral medial. El tubérculo de los aproximadores se puede palpar introduciendo el dedo pulgar hacia abajo, por la cara medial del muslo, hasta encontrarlo.

La **tuberosidad de la tibia**, una elevación ovalada de la cara anterior de la tibia, se palpa con facilidad, aproximadamente 5 cm distal al vértice de la rótula. La cara anteromedial plana y subcutánea de la tibia también se palpa sin problemas. La piel que cubre su superficie se desplaza con facilidad. Los **cóndilos tibiales** se palpan delante, a los lados del ligamento rotuliano, sobre todo cuando se flexiona la rodilla (pág. 543). La **cabeza del peroné** se localiza sin ningún problema a la altura de la porción superior de la tuberosidad de la tibia, porque la cabeza, prominente, ocupa una posición subcutánea en la cara posterolateral de la rodilla. El **cuello del peroné** se palpa justo distal a la parte lateral de la cabeza. ►

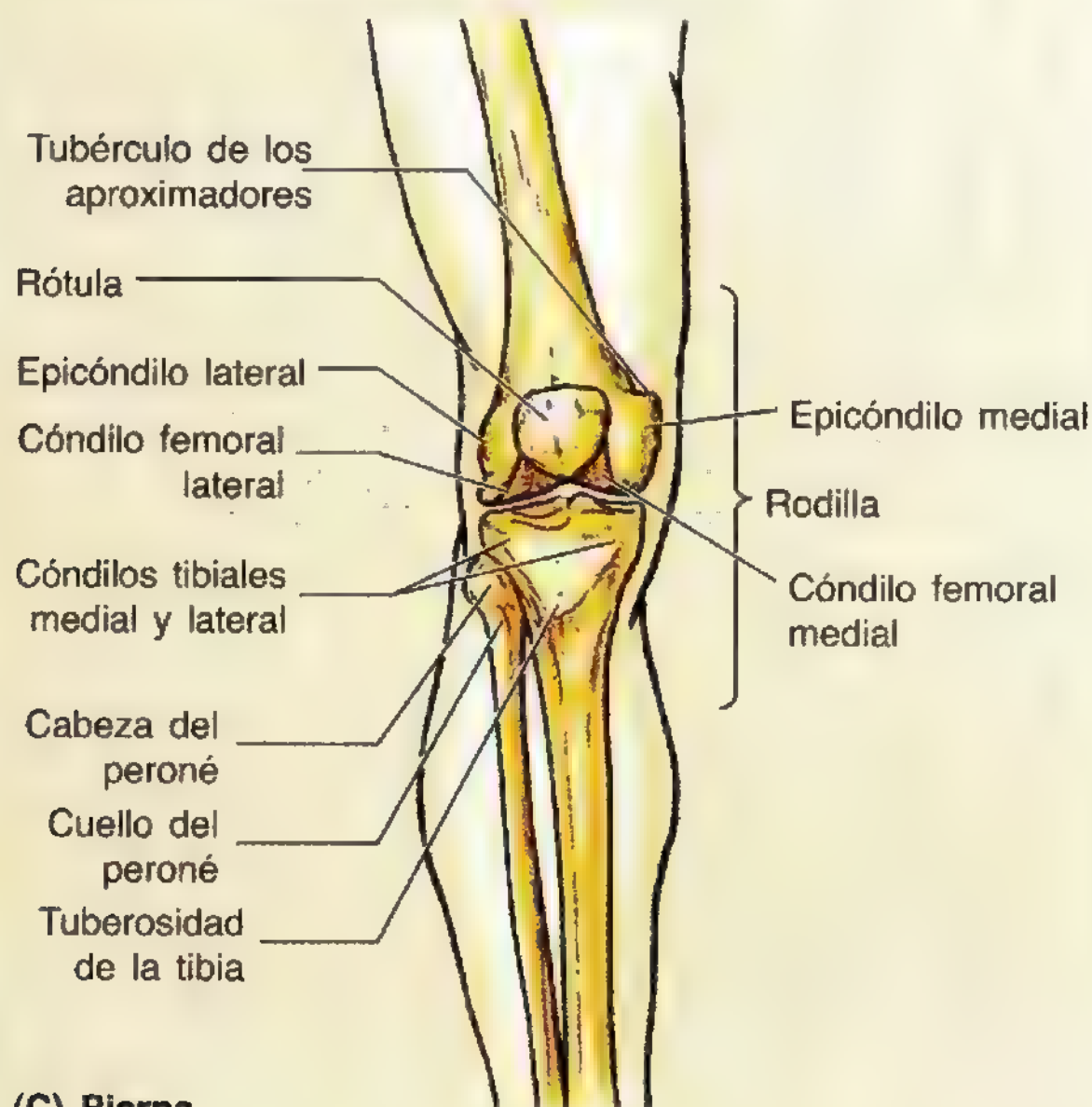




(A) Parte anterior de la pelvis



(B) Parte posterior de la pelvis



(C) Pierna

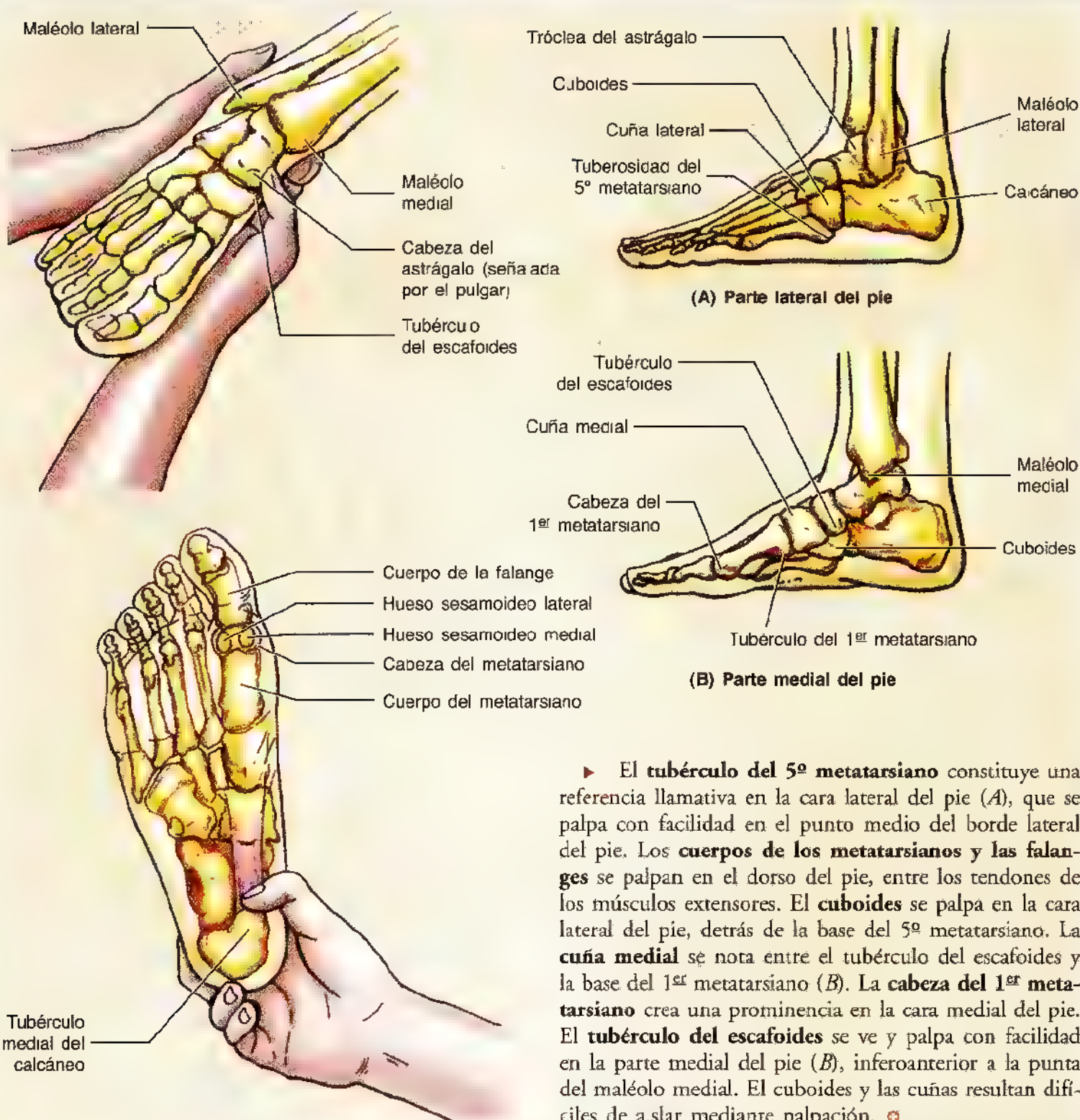
► El **maléolo medial** —eminencia de la cara medial del tobillo— también es subcutáneo y fácil de palpar. Su extremo superior, romo, no se extiende tan distalmente como el maléolo lateral. El maléolo medial se sitúa aproximadamente 1,25 cm proximal al plano que pasa por la punta del maléolo lateral. Sólo se palpa el cuarto distal del cuerpo del peroné. Puede palparse ahora el **maléolo lateral**, estructura subcutánea, con un extremo inferior nítido. La punta del maléolo lateral se extiende todavía más en sentido distal y posterior que la del maléolo medial.

La **cabeza del astrágalo** se nota anteromedial a la porción proximal del maléolo lateral cuando se invierte

el pie, y anterior al maléolo medial cuando se evierte el pie. La eversión del pie hace que la cabeza sobresalga más a medida que se aleja del escafoides. La cabeza del astrágalo ocupa el espacio entre la apófisis menor del calcáneo y el tubérculo del escafoides. Si resultara difícil palpar la cabeza del astrágalo, trácese una línea desde la punta del maléolo medial hasta el tubérculo del escafoides; la cabeza del astrágalo se sitúa en la profundidad del centro de dicha línea. Cuando se procede a la flexión plantar del pie, la cara superior de la cabeza del astrágalo puede palparse en la parte anterior del tobillo, delante de la extremidad inferior de la tibia.

El **tubérculo medial del calcáneo**, que soporta el peso corporal y aparece en la cara plantar del pie, es ancho y grande, pero no suele palparse debido a la piel y al tejido subcutáneo que lo cubre. La **apófisis menor del calcáneo** —una prolongación medial, con forma de repisa, del calcáneo que ayuda a sujetar el astrágalo— se palpa como una pequeña prominencia, situada casi un través de dedo distal a la punta del maléolo medial. La **tróclea del peroné**, extensión lateral pequeña del calcáneo, puede detectarse como un pequeño tubérculo en la cara lateral del calcáneo, anteroinferior a la punta del maléolo lateral.

De ordinario resulta difícil palpar las prominencias óseas de la cara plantar del pie, debido a la piel gruesa, la fascia y los cuerpos adiposos. Los **huesos sesamoideos** medial y lateral, bajo la cabeza del 1^{er} metatarsiano, se deslizan cuando se mueve pasivamente el dedo gordo. Las cabezas de los metatarsianos se palpan colocando el pulgar sobre la superficie plantar y el dedo índice sobre la dorsal. Cuando existen *callosidades* (callos) o engrosamientos de la capa de queratina de la epidermis es más difícil palpar las cabezas de los metatarsianos. ►



► El **tubérculo del 5º metatarsiano** constituye una referencia llamativa en la cara lateral del pie (A), que se palpa con facilidad en el punto medio del borde lateral del pie. Los **cuerpos de los metatarsianos y las falanges** se palpan en el dorso del pie, entre los tendones de los músculos extensores. El **cuboides** se palpa en la cara lateral del pie, detrás de la base del 5º metatarsiano. La **cuña medial** se nota entre el tubérculo del escafoides y la base del 1º metatarsiano (B). La **cabeza del 1º metatarsiano** crea una prominencia en la cara medial del pie. El **tubérculo del escafoides** se ve y palpa con facilidad en la parte medial del pie (B), inferoanterior a la punta del maléolo medial. El cuboides y las cuñas resultan difíciles de aislar mediante palpación. ❊

Fracturas del calcáneo

Una caída brusca sobre los talones desde una escalera suele fracturar el calcáneo, un hueso fuerte, y provoca una *fractura comminuta*, es decir, en varios fragmentos (A). Las fracturas del calcáneo determinan casi siempre incapacidad, porque se rompe la articulación subastragalina (astrágalo o calcáneo), lugar donde se articula el astrágalo con el calcáneo.

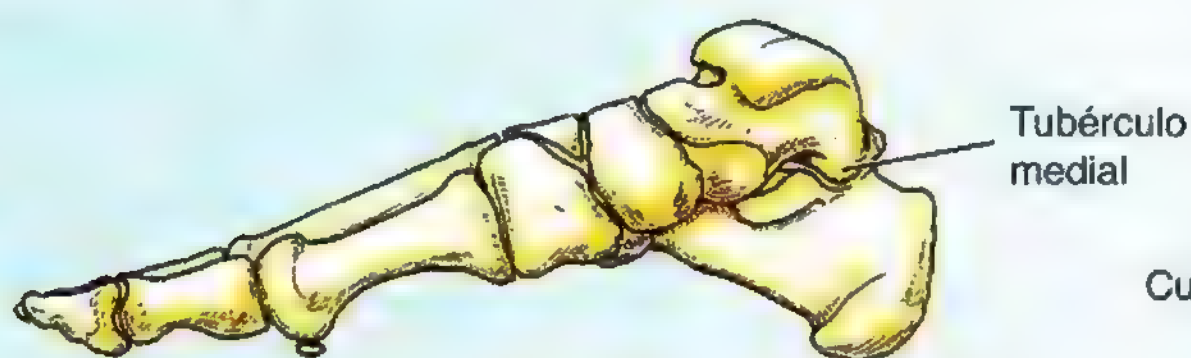
Fracturas del cuello astragalino

Las fracturas del cuello astragalino (B) pueden ocurrir durante la flexión dorsal forzada del tobillo (p. ej., cuando una persona está apretando con fuerza el pedal de freno de un vehículo durante una colisión frontal). A veces, el cuerpo del astrágalo se luxa en sentido posterior.



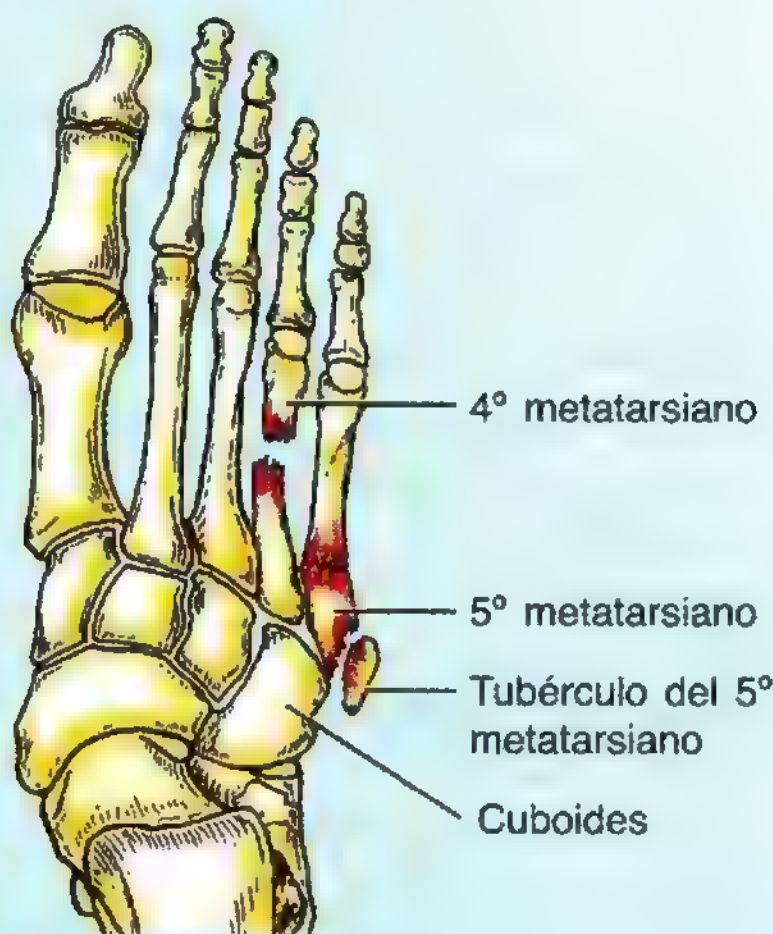
(A) visión lateral

Fracturas conminutas del calcáneo



(B) visión medial

Fractura del cuello astragalino



(C) visión dorsal

Fracturas de los metatarsianos

Fracturas de los metatarsianos

Las fracturas de los huesos metatarsianos suceden cuando cae un objeto pesado sobre el pie o pasa un objeto pesado por encima, por ejemplo una rueda de metal (C). Las fracturas de los metatarsianos también se dan en los bailarines, sobre todo en las mujeres, que aplican la técnica de la media punta. La "fractura del bailarín" tiene

lugar casi siempre cuando éste pierde el equilibrio y carga todo el peso del cuerpo sobre el metatarsiano, que se rompe. *Las fracturas por fatiga de los metatarsianos* ocurren en caminatas prolongadas. Estas fracturas, casi siempre transversas, se deben a la fatiga repetida de los metatarsianos.

Cuando se procede a la inversión brusca y violenta del pie, el tubérculo del 5º metatarsiano puede sufrir avulsión por el tendón del músculo peroneo corto. *Las fracturas por avulsión del tubérculo del 5º metatarsiano* (C) son frecuentes en los jugadores de baloncesto y de tenis. Parte del tubérculo se desprende y se produce dolor y edema en la base del 5º metatarsiano.

En ocasiones, la porción externa del tubérculo del 5º metatarsiano se desarrolla como hueso accesorio (hueso de Vesalio); aparece cerca de la base del metatarsiano. Conviene reconocer el hueso vesaliano en la radiografía para no diagnosticar, por error, una fractura del tubérculo. Cuando el hueso vesaliano es grande, el tubérculo del 5º metatarsiano tiene un tamaño reducido.

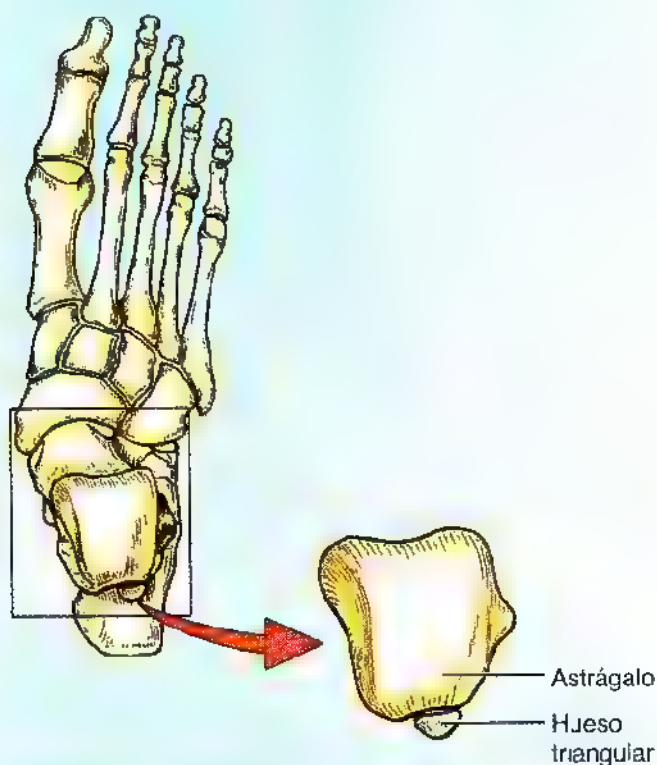
Hueso triangular

Durante la osificación del astrágalo, el tubérculo lateral a veces no se une con el cuerpo del astrágalo. En este ►

► caso aparece el *hueso triangular*, que un examinador inexperto podría confundir con una fractura en una radiografía.

Fractura de los sesamoideos

Los *huesos sesamoideos del dedo gordo*, del tendón del músculo flexor largo de los dedos, *soportan el peso del cuerpo*, en particular en la última fase de apoyo de la marcha. Los huesos sesamoideos se desarrollan antes de nacer y comienzan a osificarse en la última fase de la infancia. La fractura de los huesos sesamoideos puede obedecer a una lesión por aplastamiento (p. ej., por caída de un objeto pesado sobre el dedo gordo). ❖



La fascia, los vasos y los nervios del miembro inferior

Cuando el tejido conjuntivo del organismo crea una vaina envolvente se denomina *fascia* (que significa banda o venda en latín), para indicar que une las estructuras entre sí (Wendell-Smith, 1997). Cada músculo está rodeado por una delgada fascia, el *perimisio*. La fascia del miembro inferior se compone de las capas superficial y profunda (fig. 5.9, A-C).

El **tejido subcutáneo**, o **fascia superficial**, se encuentra en la profundidad de la piel y se compone de un tejido conjuntivo laxo con una cantidad variable de grasa, nervios cutáneos, venas superficiales (venas safenas mayor y menor y sus afluentes), vasos linfáticos y ganglios linfáticos. Las fibras de tejido conjuntivo se unen con las de la dermis, por lo que no se detecta ningún plano nítido de escisión. El tejido sub

cutáneo de la cadera y del muslo se continúa con la porción inferior de la pared anterolateral del abdomen y las nalgas. El tejido subcutáneo de la rodilla pierde la grasa y se une con la fascia profunda, pero el tejido subcutáneo de la pierna contiene grasa.

La **fascia profunda** es una capa densa de tejido conjuntivo situada entre el tejido subcutáneo y los músculos (fig. 5.9, A-C). Crea tabiques fibrosos que separan los músculos entre sí y los tapizan. La fascia profunda del miembro inferior es particularmente robusta y reviste el miembro a modo de una venda elástica. La fascia profunda evita la prominencia muscular durante la contracción y aumenta la eficiencia de ésta, es decir, del bombeo de la sangre al corazón. La *fascia profunda del muslo* se denomina **fascia lata** (*lata* significa ancha en latín), y la *fascia profunda de la pierna*, **fascia crural** (*crus* significa pierna en latín).

La fascia lata se une:

- Por arriba con el ligamento inguinal, el arco púbico, el cuerpo del pubis y el tubérculo púbico; la capa membranosa del tejido subcutáneo (Scarpa) de la pared inferior del abdomen también se inserta en la fascia lata, aproximadamente un través de dedo por debajo del ligamento inguinal.
- A los lados y en la parte posterior con la cresta ilíaca
- Por detrás con el sacro, el cóccix, el ligamento sacrotuberoso y la tuberosidad isquiática.

La **fascia lata** se inserta en la parte distal con las porciones expuestas del hueso que rodea la rodilla y se continúa con la fascia crural. La fascia lata es importante porque encierra los grandes músculos del muslo, sobre todo a los lados, donde se encuentra reforzada y engrosada por otras fibras longitudinales que dan lugar al **tracto iliotibial** (fig. 5.9B). Esta banda ancha de fibras es la aponeurosis conjunta de los músculos **tensor de la fascia lata** y **glúteo mayor**. El ligamento iliotibial se extiende desde el tubérculo ilíaco hasta un tubérculo situado en el cóncilo lateral de la tibia (tubérculo de Gerdy).

Los músculos del muslo se encuentran dentro de **tres compartimientos** anterior, medial y posterior, cuyas paredes están configuradas por *tres tabiques intermusculares fasciales* que nacen en la cara profunda de la fascia lata y se insertan en la línea áspera del fémur (fig. 5.9D). El **tabique intermuscular lateral** es robusto, y los otros dos, bastante débiles. El **tabique intermuscular lateral** se extiende desde el ligamento iliotibial hasta el labio lateral de la línea áspera y la línea supracondílea lateral del fémur.

El **hiato safeno de la fascia lata** (fig. 5.9A) es un defecto de la fascia lata profunda, inferior a la porción medial del ligamento inguinal, unos 4 cm por debajo y lateral al tubérculo del pubis. El hiato safeno suele medir unos 3,75 cm de *longitud* y 2,5 cm de *anchura* y su eje longitudinal es vertical. Su borde medial es liso, pero los bordes superior, lateral e inferior forman una semiluna nítida, denominada **borde falciforme**. Este borde falciforme del hiato safeno se une por la cara medial con un tejido fibroadiposo, la **fascia**

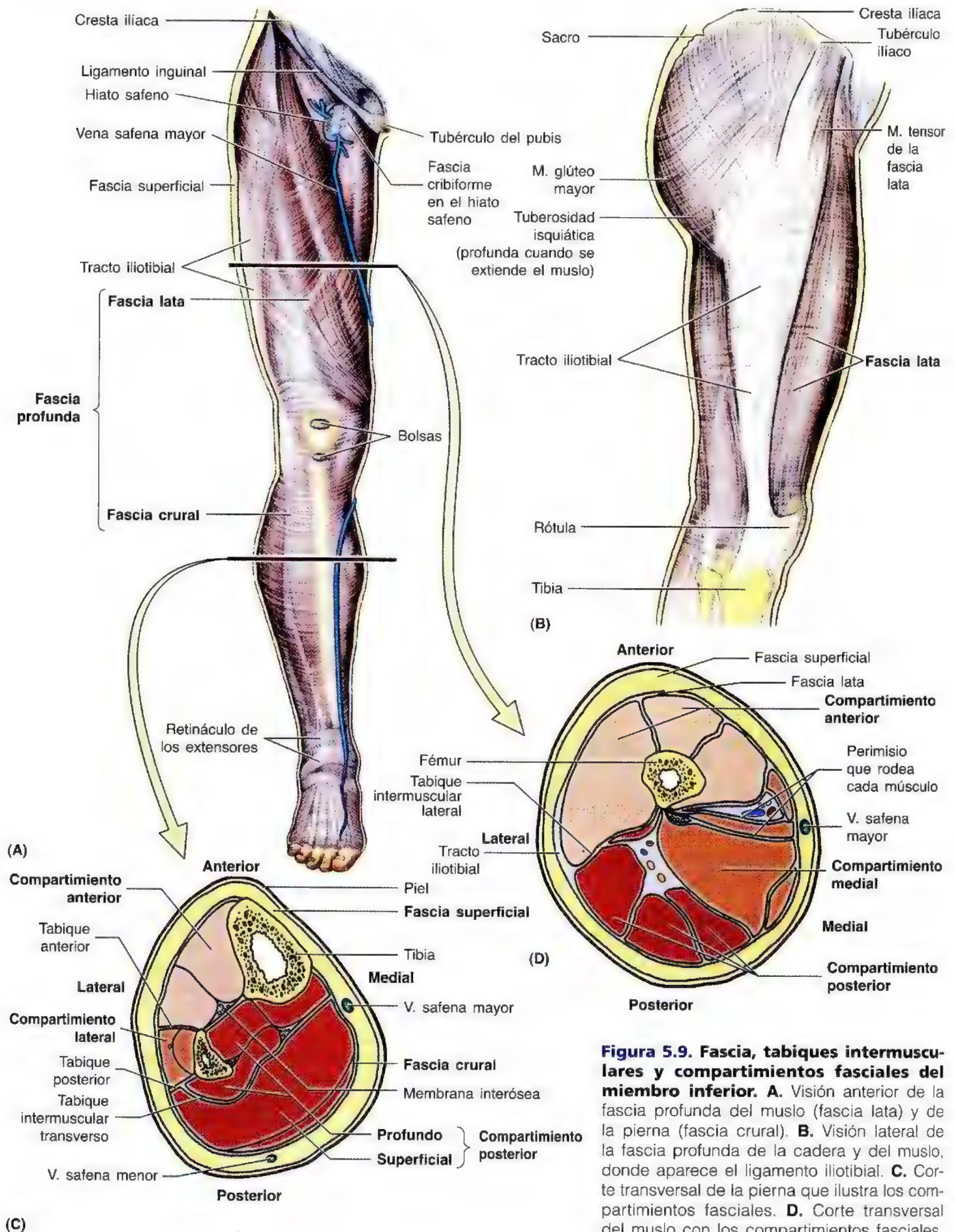


Figura 5.9. Fascia, tabiques intermusculares y compartimientos fasciales del miembro inferior. **A.** Visión anterior de la fascia profunda del muslo (fascia lata) y de la pierna (fascia crural). **B.** Visión lateral de la fascia profunda de la cadera y del muslo, donde aparece el ligamento iliotibial. **C.** Corte transversal de la pierna que ilustra los compartimientos fasciales. **D.** Corte transversal del muslo con los compartimientos fasciales.

cribiforme. Esta fascia, parecida a un tamiz (*cribrum* significa tamiz en latín), procede de la capa membranosa delgada del tejido subcutáneo, se extiende sobre el hiato safeno y lo cierra. Esta capa de tejido conjuntivo esponjoso se parece a un tamiz porque está perforada por numerosos orificios, por donde pasan vasos linfáticos, la vena safena mayor y sus afluentes. La **vena safena mayor** atraviesa el hiato safeno y la fascia cribiforme para desembocar en la vena femoral (fig. 5.10A). Algunos vasos linfáticos eferentes de los ganglios linfáticos inguinales superficiales también perforan el hiato safeno y la fascia cribiforme, hasta llegar a los ganglios inguinales profundos.

La **fascia crural** se inserta en los bordes anterior y medial de la tibia, continuándose con su periostio. La fascia crural es gruesa en la parte proximal de la cara anterior de la pierna, donde integra las inserciones proximales de los músculos subyacentes. La fascia crural, aunque fina en las partes distales de la pierna, se engruesa en el lugar donde crea los **retináculos extensores** (fig. 5.9A). Los tabiques intermusculares anterior y posterior se dirigen desde la superficie profunda de la fascia crural para insertarse en los bordes correspondientes del peroné. La **membrana interósea** y los **tabiques intermusculares crurales** dividen la pierna en tres compartimientos (fig. 5.9C):

- El compartimiento anterior (extensor) de la pierna.
- El compartimiento lateral (peroneo) de la pierna.
- El compartimiento posterior (flexor) de la pierna.

Los músculos del compartimiento posterior se subdividen en las porciones superficial y profunda por el **tabique intermuscular transverso**.

Drenaje venoso del miembro inferior

El miembro inferior cuenta con **venas superficiales y profundas**; las venas superficiales residen en el tejido subcutáneo, y las profundas, dentro de la fascia profunda (acompañan a las grandes arterias). Las venas superficiales y profundas poseen válvulas, sobre todo las últimas. El tejido subcutáneo del muslo también representa una vía por la que discurren venas superficiales, vasos linfáticos y nervios cutáneos.

Venas superficiales del miembro inferior

Las dos grandes venas superficiales del miembro inferior son las **venas safenas mayor y menor** (fig. 5.10, A y B). Casi todas sus afluentes son anónimas.

La **vena safena mayor** está formada por la unión de la vena dorsal del dedo gordo y del **arco venoso dorsal** del pie. La vena safena mayor:

- Ascende delante del maléolo medial.
- Pasa detrás del cóndilo medial del fémur.
- Se anastomosa libremente con la vena safena menor.
- Atraviesa el hiato safeno de la fascia lata.
- Desemboca en la vena femoral.

La **vena safena mayor** tiene de 10 a 12 válvulas, más numerosas en la pierna que en el muslo. Estas válvulas suelen localizarse justo debajo de las venas perforantes (fig. 5.10A). Las venas perforantes también disponen de válvulas. Las válvulas venosas son colgajos de endotelio, con forma de copa, que se llenan desde arriba. Una vez llenas obstruyen la luz venosa e impiden el reflujo de la sangre distal. Este mecanismo valvular permite que la sangre de la vena safena venza la fuerza de la gravedad en su camino hacia el corazón.

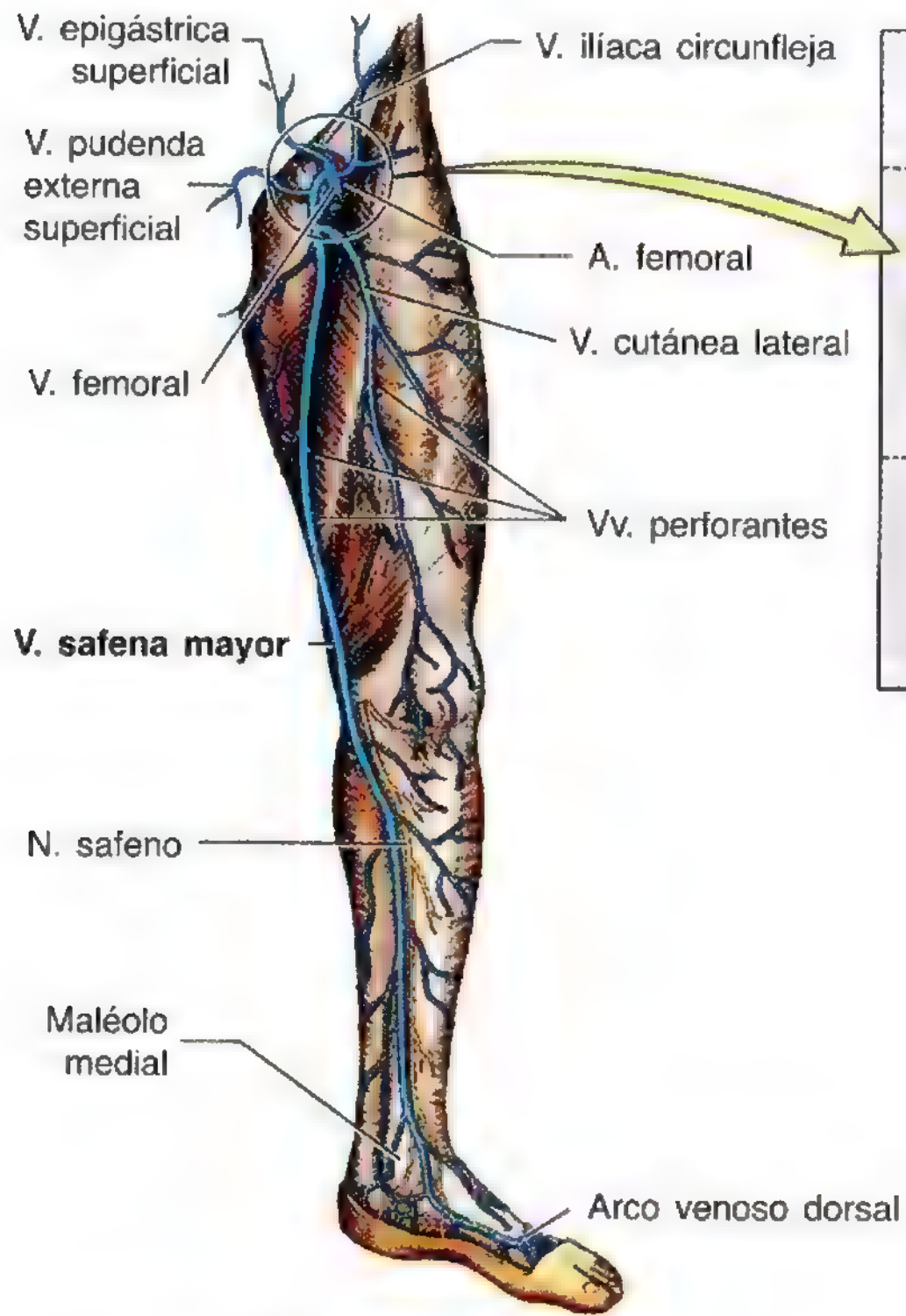
Conforme asciende por la pierna y el muslo, la vena safena mayor recibe numerosas afluentes y se comunica en diversos lugares con la vena safena menor. Las afluentes de las caras medial y posterior del muslo suelen unirse para dar una **vena safena accesoria** (fig. 5.10B). Esta vena, cuando está presente, es la comunicación principal entre las venas safenas mayor y menor. Además, de las redes venosas de la parte inferior del muslo nacen vasos relativamente grandes: las **venas cutáneas lateral y anterior**—que desembocan en la vena safena por arriba, justo antes de que se una con la vena femoral. La vena safena mayor también recibe la sangre de las venas iliaca circunfleja superficial, epigástrica superficial y pudenda externa antes de su terminación (fig. 5.10A).

La **vena safena menor** nace en la cara lateral del pie, por la unión de la vena dorsal del 5º dedo con el arco venoso dorsal. La **vena safena menor**:

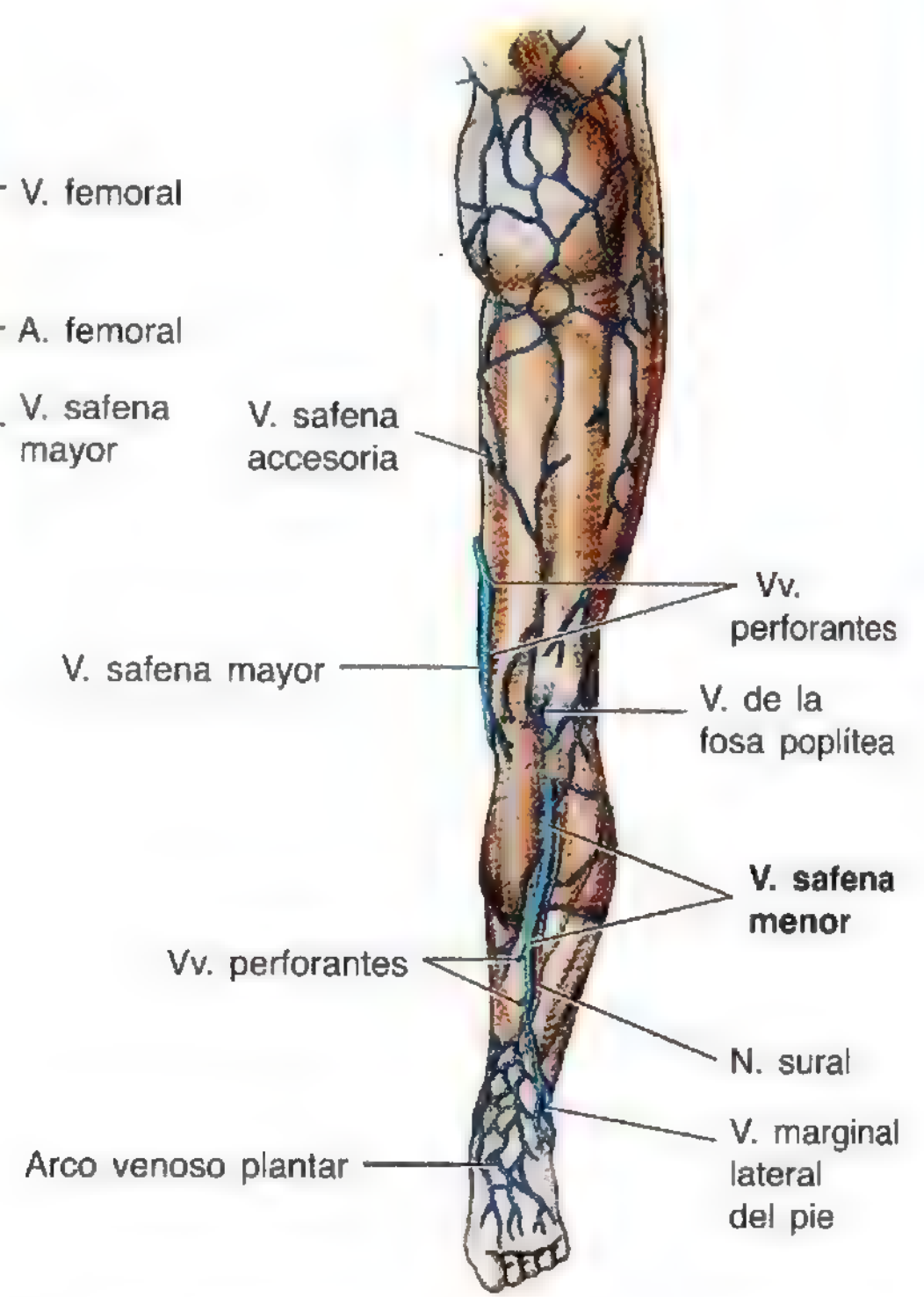
- Ascende detrás del maléolo lateral como prolongación de la vena marginal lateral.
- Pasa por el borde lateral del tendón calcáneo.
- Se inclina hacia la línea media del peroné y penetra por la fascia profunda.
- Ascende entre las cabezas del músculo gastrocnemio.
- Desemboca en la vena poplítea dentro de la fosa poplítea.

Aunque las venas safenas reciben muchas afluentes, su diámetro permanece bastante uniforme en su ascenso por el miembro. Ello se debe a que la sangre que reciben está constantemente circulando a través de las comunicaciones de las venas superficiales del tejido subcutáneo con las venas profundas; estas comunicaciones se establecen a través de numerosas venas perforantes.

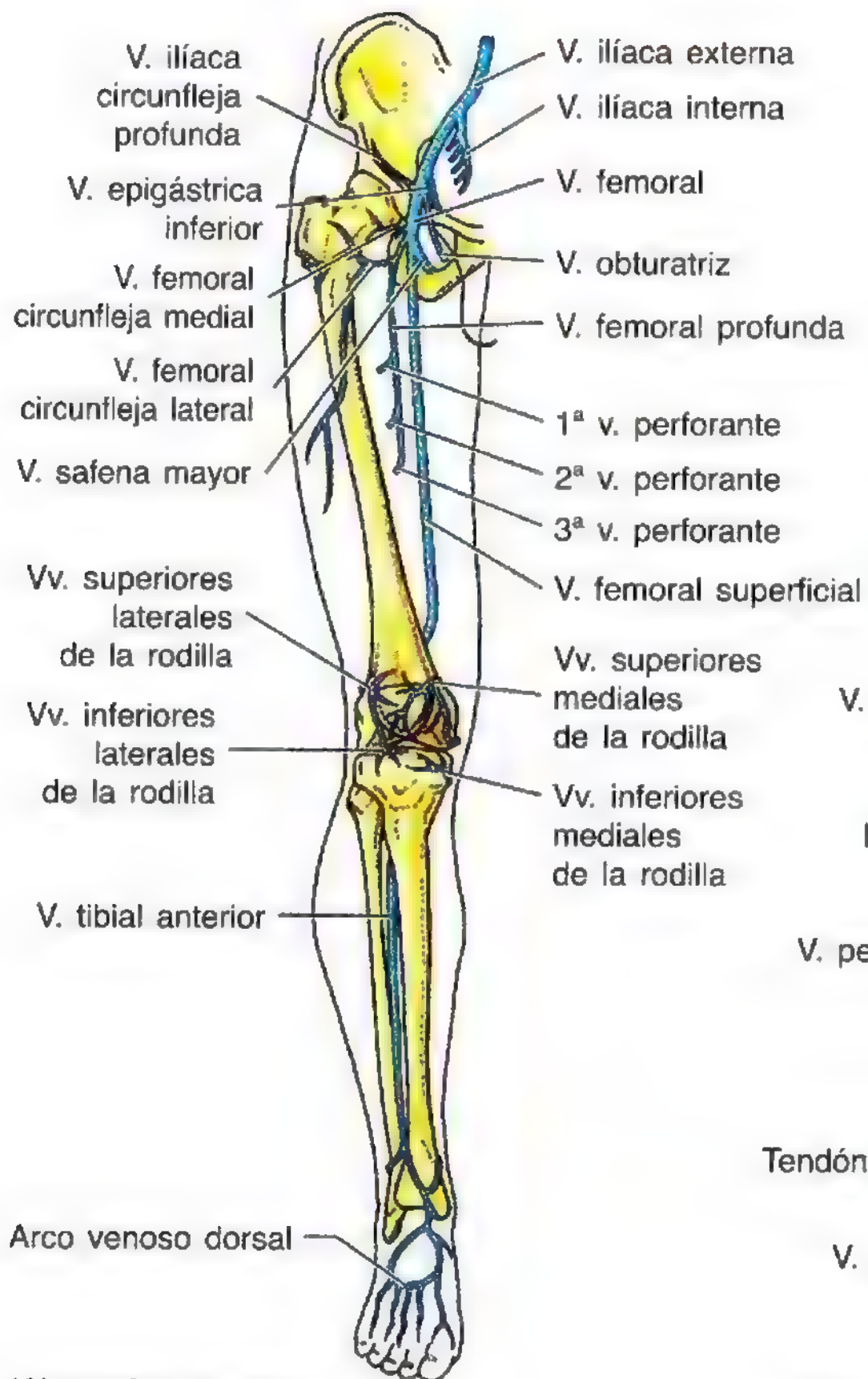
Las **venas perforantes** penetran por la fascia profunda, cerca de su origen en las venas superficiales, y contienen válvulas; si las válvulas funcionan de la manera habitual, sólo permiten el flujo de sangre desde las venas superficiales a las profundas. Las venas perforantes atraviesan en ángulo oblicuo la fascia profunda, de modo que cuando los músculos se contraen aumenta la presión dentro de la fascia profunda y las venas perforantes quedan comprimidas. De esta manera se evita, además, que la sangre fluya de las venas profundas a las superficiales. Este patrón de flujo venoso—del plano superficial al profundo—resulta esencial para el retorno venoso adecuado del miembro inferior, porque permite que las contracciones musculares impelan la sangre hacia el corazón venciendo la fuerza de la gravedad (*bomba musculovenosa*).



(A) Visión medial



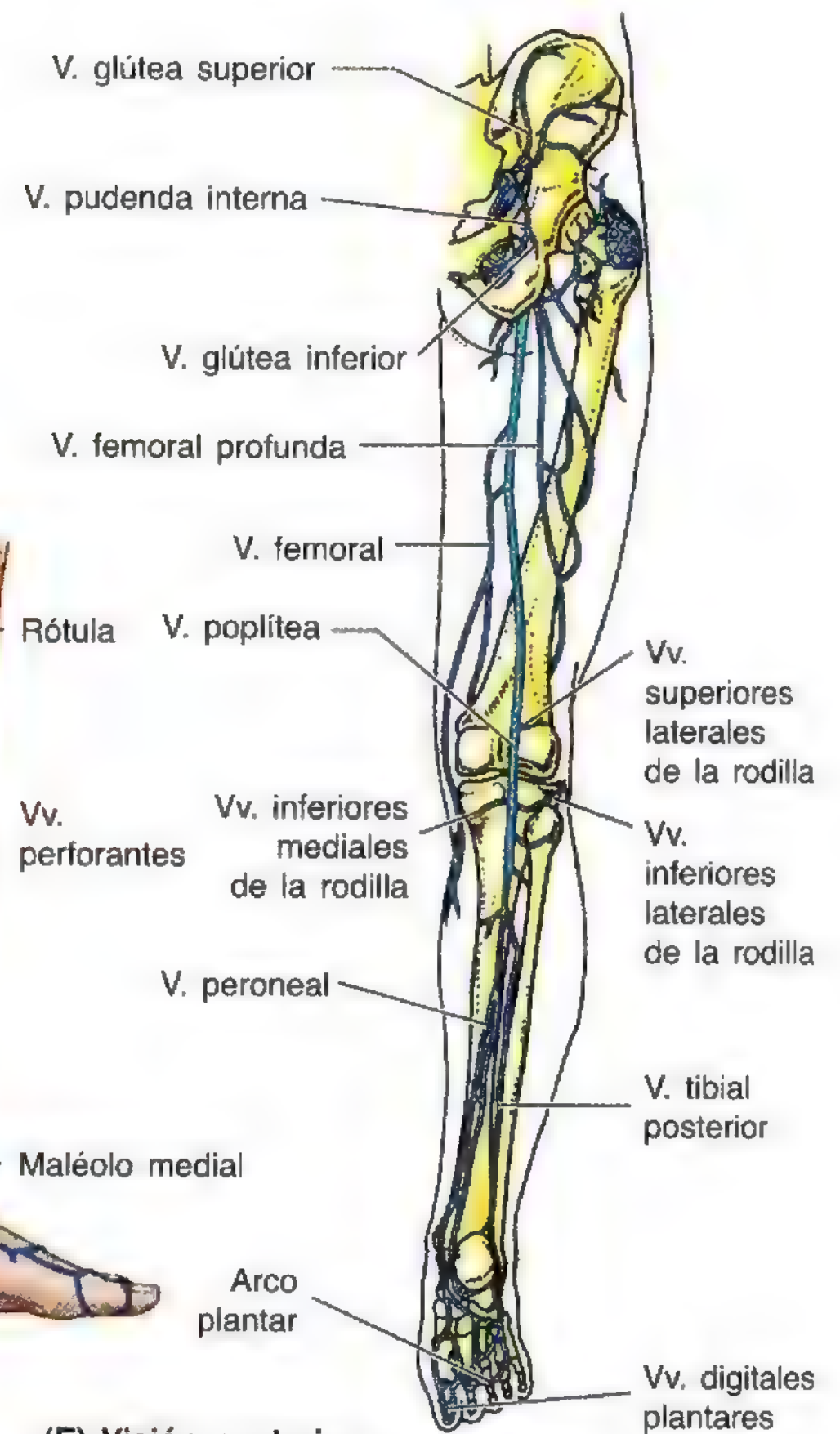
(B) Visión posterior



(C) Visión anterior



(D)



(E) Visión posterior

Las venas profundas del miembro inferior

Las venas profundas acompañan a las grandes arterias y a sus ramas. En lugar de existir una sola vena en los miembros (pese a que, a menudo, se ilustren como tal y se denominen como una sola), las venas profundas suelen ser pares, generalmente intercomunicadas, y flanquean la arteria a la que acompañan (fig. 5.10E). Están contenidas dentro de la vaina vascular arterial, cuyas pulsaciones ayudan también a comprimir y desplazar la sangre venosa.

Las **venas digitales dorsales** del pie reciben sus afluentes del **arco venoso plantar** y se unen para formar las venas digitales dorsales comunes que terminan en el **arco venoso dorsal**. Las venas plantares medial y lateral discurren cerca de las arterias, y después de comunicarse con las venas safenas mayor y menor dan las **venas tibiales posteriores**, detrás del maléolo medial. Las venas profundas se comunican con las superficiales a través de las **venas perforantes** (venas comunicantes), que acompañan a las arterias

perforantes procedentes de la arteria femoral profunda (fig. 5.10, C y D). Las venas perforantes drenan la sangre de los músculos del muslo y terminan en la **vena femoral profunda**.

Debido al efecto de la gravedad, el flujo sanguíneo disminuye mucho cuando una persona está de pie. Durante el ejercicio, la sangre que reciben las venas profundas a partir de las superficiales es impulsada por la contracción muscular a las venas femorales, y luego, a las ilíacas externas. El flujo en dirección contraria —alejándose del corazón o de las venas profundas a las superficiales— se evita si las válvulas venosas tienen competencia (pueden ejecutar su función). Las venas profundas son más variables y se anastomosan con mucha más frecuencia que las arterias a las que acompañan. Las venas superficiales y profundas se pueden ligar sin ningún riesgo en caso de necesidad.

Venas varicosas, trombosis y tromboflebitis

Muchas veces, la vena safena mayor y sus afluentes se dilatan y se tornan varicosas, es decir, se dilatan hasta el extremo de que las cúspides valvulares no se cierran. Las *venas varicosas* ocurren a menudo en las porciones postero-mediales del miembro inferior y suelen provocar bastantes molestias. Se forman cuando ocurre una incompetencia de las válvulas, que de ordinario impiden el retroceso de la sangre de las venas profundas hacia las superficiales a través de las venas perforantes. Además, cuando las válvulas de la vena safena mayor dejan de funcionar, la fuerza de la gravedad impuesta por la columna ininterrumpida de sangre aumenta la presión intraluminal y exacerba más las varicosidades. El resultado es que las venas superficiales se vuelven tortuosas y dilatadas.

Las venas del miembro inferior sufren una *trombosis venosa* (coagulación de la sangre) después de una fractura ósea. La *estasis* (estancamiento) *venosa* constituye una

causa esencial de la producción de trombos. La estasis o congestión venosa puede obedecer a la compresión que se ejerce sobre las venas tras permanecer mucho tiempo en la cama hospitalaria, o como consecuencia de una férula o vendaje muy apretados, y se acentúa con la inactividad muscular. La consecuencia de la trombosis venosa es una inflamación (*tromboflebitis*) alrededor de la vena. La *tromboembolia pulmonar* (obstrucción de una arteria pulmonar) sucede a veces cuando el trombo se despegue de la vena del miembro inferior y llega a los pulmones. Una embolia grande puede obstruir una de las arterias pulmonares principales y producir la muerte (véase el capítulo 1).

Injertos de vena safena

La vena safena mayor se utiliza a menudo para las derivaciones arteriales coronarias porque *a)* es muy accesible; *b)* existe una distancia suficiente entre las afluentes y las venas perforantes, de modo que puede utilizarse un ▶

Figura 5.10. Las venas del miembro inferior. A. Visión medial B. Visión posterior Las venas se subdividen en los grupos superficial y profundo. Las superficiales se encuentran en el tejido subcutáneo, y las profundas en la profundidad de la fascia profunda; en general, se trata de venas que acompañan a las arterias. Las principales venas superficiales son las venas safenas mayor y menor, cuyas todas sus afluentes son anónimas. Las venas perforantes drenan la sangre de las venas superficiales hacia las profundas, que son comprimidas por efecto de la contracción muscular e impulsan la sangre hacia el corazón venciendo la fuerza de la gravedad. El recuadro muestra las válvulas situadas en los extremos proximales de las venas femoral y safena mayor. Se han abierto y separado las venas para mostrar las válvulas. C. Visión anterior de las venas profundas (se ilustran como venas únicas), en general se trata de venas duplicadas o múltiples. La vena femoral profunda acompaña a la arteria femoral profunda y desemboca en la vena femoral en el triángulo femoral; casi siempre a mismo tiempo que las venas femorales circunflejas medial y lateral. D. Las venas perforantes atraviesan la fascia profunda y drenan la sangre de la vena safena mayor a las venas tibial posterior y peronea. E. Visión posterior de las venas profundas de la región glútea, muslo, perna y pie. La vena poplitea continúa por el muslo como vena femoral.

► fragmento de longitud considerable, y *c)* su pared contiene un elevado porcentaje de fibras musculares y elásticas, mayor que el de otras venas superficiales. Los injertos de vena safena se emplean para eludir obstrucciones de los vasos sanguíneos (p. ej., un trombo intracoronario, véase el capítulo 1). Si se extirpa una porción de la vena safena mayor para la derivación se invierte la vena, de forma que las válvulas no obstruyan el flujo de sangre por el injerto. Como existen otras muchas venas en la pierna, la extirpación de la vena safena mayor casi nunca induce un problema grave en el miembro inferior ni altera seriamente la circulación, siempre y cuando se preserven las venas profundas.

Venoclisis safena y lesión del nervio safeno

La vena safena mayor, aunque no se vea en los lactantes y en las personas obesas o en los enfermos que se encuentran en estado de *shock* con las venas colapsadas, se puede localizar siempre practicando una incisión cutánea delante del maléolo medial. Este procedimiento —*venoclisis safena*— permite introducir una cánula para la administración prolongada de sangre, expansores de plasma, electrolitos o medicamentos. *El nervio safeno acompaña a*

la vena safena mayor delante del maléolo medial. Si se secciona este nervio durante una venoclisis safena o queda atrapado en la ligadura durante el cierre de la herida quirúrgica, el enfermo puede referir dolor en la cara medial del pie. ☉



Venas varicosas

El drenaje linfático del miembro inferior

El miembro inferior tiene vasos linfáticos superficiales y profundos. Los **vasos linfáticos superficiales** acompañan a las venas safenas y a sus afluentes. Los vasos linfáticos que caminan con la vena safena mayor terminan en los **ganglios inguinales superficiales** (fig. 5.11A). La mayor parte de la linfa de estos ganglios pasa directamente a los **ganglios ilíacos externos** —situados a lo largo de la vena ilíaca externa—, pero la linfa puede también hacerlo a los **ganglios ingui-**

nales profundos. Los vasos linfáticos, que discurren con la vena safena menor, llegan hasta los **ganglios poplíteos**, que rodean la vena poplítea dentro de la grasa de la fosa poplítea (fig. 5.11B). Los **vasos linfáticos profundos** de la pierna acompañan a las venas profundas y pasan a los ganglios poplíteos. Casi toda la linfa de estos ganglios asciende por los vasos linfáticos profundos hasta los **ganglios inguinales profundos** (fig. 5.11A), que se encuentran bajo la fascia profunda, en la cara medial de la vena femoral. La linfa de los ganglios profundos desemboca en los ganglios ilíacos externos.

Adenopatías inguinales

En caso de enfermedad, los ganglios linfáticos aumentan de tamaño. *Las heridas y la sepsis menor* —entrada de microorganismos patógenos o de sus toxinas en la sangre o en otros tejidos— causan, a veces, un ligero aumento de tamaño de los ganglios linfáticos inguinales superficiales (*linfadenopatía*) en personas, por otra parte, sanas. Como se trata de ganglios localizados en el tejido subcutáneo, se palpan con facilidad en las personas sanas. Los sujetos que no lo saben pueden preocuparse al notar estos gan-

glios, porque piensan en una enfermedad genital grave, por ejemplo. Cuando aumenta el tamaño de los ganglios inguinales, todo el campo de drenaje —la parte del tronco situada debajo del ombligo, incluido el perineo, y todo el miembro inferior— debe explorarse para establecer la etiología. En las mujeres hay que considerar posibles metástasis de un cáncer uterino, porque parte del drenaje linfático del fondo del útero puede fluir por los vasos linfáticos que acompañan al ligamento redondo del útero a través del conducto inguinal y llegan hasta los ganglios inguinales superficiales (véase el capítulo 3). ☉

Ganglios inguinales superficiales (grupo superior u horizontal)

V. femoral

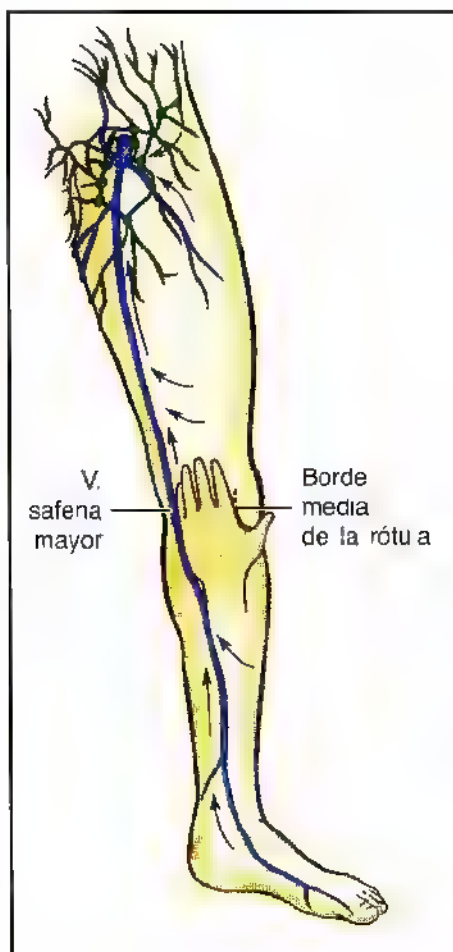
Ganglios inguinales profundos

Ganglios inguinales superficiales (grupo inferior o vertical)

V. safena mayor

Vasos linfáticos superficiales

V. safena mayor



V. poplítea

Ganglios linfáticos poplíteos

V. safena menor

(A) Visión anterolateral del miembro izquierdo

(B) Visión posterior del miembro inferior

Figura 5.11. Venas superficiales y vasos linfáticos del miembro inferior. **A.** Visión anteromedial. La vena safena mayor asciende por la cara medial del miembro y pasa de ante de la rótula o medial, aproximadamente un palmo detrás de la rótula. Los vasos linfáticos superficiales de la cara medial del pie, cara anteromedial de la perna y muslo convergen y acompañan a la vena safena mayor; desembocan en el grupo (vertical) inferior de los ganglios inguinales superficiales. **B.** Visión posterior. Los vasos linfáticos superficiales de la cara lateral del pie y de la cara posterolateral de la pierna acompañan a la vena safena menor y drenan, en principio, a los ganglios poplíteos, que se sitúan en la profundidad de la fascia poplítea. Los vasos eferentes de estos ganglios se unen a otros vasos linfáticos profundos, que acompañan a los vasos femorales para drenar en los ganglios inguinales profundos.

Inervación cutánea del miembro inferior

Los nervios cutáneos del tejido subcutáneo nervian la piel del miembro inferior (fig. 5.12, tabla 5.1). Estos nervios, con excepción de algunos proximales, son ramos de los ple-

xos lumbar y sacro (véanse los capítulos 3 y 4). La zona de piel inervada por los ramos cutáneos de un mismo nervio espinal se denomina **dermatoma**. Los dermatomas adyacentes se superponen, salvo en la **línea axial** o línea de unión de los dermatomas inervados por nervios espinales de segmentos diferentes.

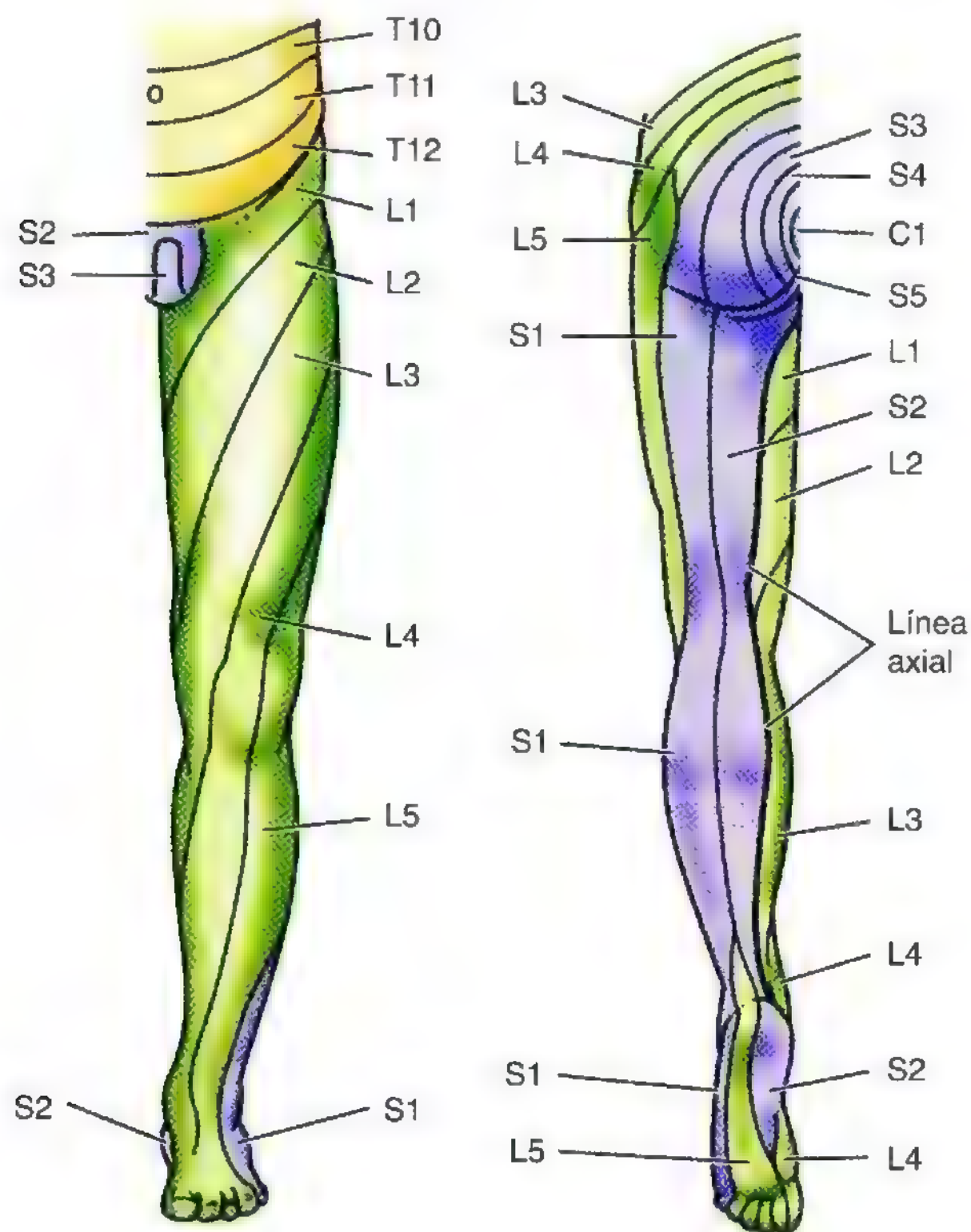


Figura 5.12. Los dermatomas del miembro inferior.

Un dermatoma es una zona de la piel inervada por la raíz dorsal (sensitiva) de un nervio espinal. Los dermatomas L1 a L5 se extienden como una serie de bandas desde la línea media posterior del tronco hacia los miembros y pasan lateralmente en dirección al miembro por las caras anterior y medial. Los dermatomas S1 y S2 descienden por la cara posterior del miembro, se separan cerca del tobillo para dirigirse a los bordes lateral y medial del pie. Los dermatomas adyacentes se solapan mucho; es decir, cada nervio segmentario se superpone sobre los territorios vecinos.

Los ramos del **nervio subcostal** (T12) descienden sobre la cresta ilíaca hacia la espina ilíaca anterosuperior y pasan a la parte superolateral del muslo. Inervan la piel del muslo, delante del trocánter mayor del fémur.

El **nervio iliohipogástrico** (L1, a veces, T12) se divide en los ramos cutáneos lateral y anterior. El ramo lateral inerva la piel situada sobre la parte superolateral de las nalgas (tabla 5.1), y el anterior, la piel ubicada encima del pubis.

El **nervio ilioinguinal** (L1, a veces, T12) acompaña al cordón espermático o ligamento redondo del útero por el anillo inguinal superficial hasta el escroto o el labio mayor (véase el capítulo 3). Los ramos del nervio inguinal se distribuyen en la piel sobre las caras proximal y medial del muslo, el escroto y el labio mayor, a través de los ramos escrotal anterior y labial, respectivamente.

El **nervio genitofemoral** (L2 y L3) posee ramos genitales y femorales que inervan la piel, justo debajo de la parte media del ligamento inguinal.

El **nervio cutáneo femoral lateral** (L2 y L3), ramo directo del plexo lumbar, sigue un trayecto oblicuo hacia la espina ilíaca anterosuperior y luego pasa en la profundidad del ligamento inguinal hacia el muslo, escindiéndose en los ramos anterior y posterior. Los ramos anteriores emergen a la superficie en un punto situado aproximadamente 10 cm distal al ligamento inguinal e inervan la piel de las porciones lateral y anterior del muslo. El ramo posterior se dirige hacia atrás, a través de las caras lateral y posterior del muslo, para inervar la piel desde el plano del trocánter mayor hasta el centro de la zona justo proximal a la rodilla.

El **nervio femoral** nace del 2º, 3º y 4º nervios lumbares, dentro del músculo psoas mayor (véase el capítulo 2), y penetra en el muslo, en la profundidad del ligamento inguinal, lateral a los vasos femorales. Emite ramos para los músculos del muslo y los nervios cutáneos femorales anteriores para la piel de las regiones anterior y medial del muslo.

Los **nervios cutáneos femorales anteriores** se originan en el nervio femoral, ramos del *plexo lumbar*. Estos nervios nacen en el triángulo femoral (pág. 549), perforan la fascia lata a lo largo del trayecto del músculo sartorio e inervan la piel de las caras medial y anterior del muslo.

A veces se observa un ramo del **nervio obturador** (L2, L3 y L4) (tabla 5.1). Este ramo llega a la cara medial de la rodilla, donde se comunica con el nervio safeno e inerva la piel de las caras anterior, medial y posterior de la porción proximal del muslo.

El **nervio cutáneo femoral posterior**, ramo del *plexo sacro* (S2 y S3), envía ramos para la piel de la cara posterior del muslo y la piel que cubre la fosa poplíteica.

El **nervio ciático** nace del plexo sacro, atraviesa el orificio ciático mayor, pasando a la región glútea inferior y luego a la cara posterior del muslo. En el vértice de la fosa poplíteica, este nervio se divide en los nervios tibial y peroneo común y tibial; los ramos cutáneos se comentan junto con la pierna.

Bloqueo anestésico regional de los miembros inferiores

Los *nervios iliohipogástrico e ilioinguinal* se pueden bloquear inyectando un anestésico 4 a 6 cm detrás de la espina ilíaca anterosuperior, por la cara lateral del labio externo de la cresta ilíaca (véase el capítulo 2). Por aquí, estos nervios perforan el músculo transverso del abdomen. El *nervio femoral* (L2 a L4) se puede bloquear unos 2 cm debajo del ligamento inguinal, aproximadamente un través de dedo lateral a la arteria femoral. Las *parestesias* (hormigueo, ardor, cosquilleo) se irradian a la rodilla y a la cara medial de la pierna si se afecta el *nervio safeno* (ramo terminal del nervio femoral).

Variaciones de los nervios cutáneos

Las variaciones de los nervios cutáneos suceden a menudo. Por ejemplo, los nervios iliohipogástrico e ilioinguinal pueden nacer de un tronco común, o el nervio ilioinguinal puede unirse con el iliohipogástrico en la cresta ilíaca. En tal caso, el nervio iliohipogástrico emite ramos cutáneos para los dos nervios. Si el nervio obturador tiene un ramo cutáneo, el ramo cutáneo medial del nervio femoral disminuye proporcionalmente de tamaño.

Anomalías de la función sensitiva

En la mayoría de los casos, un nervio periférico que se ocupe de la sensibilidad de una zona de la piel abarca más de un segmento de la médula espinal. Por eso, para interpretar las anomalías de la función sensitiva periférica conviene saber que la distribución de los principales nervios cutáneos difiere anatómicamente de la distribución de los dermatomas de los diversos segmentos de la médula espinal; los dermatomas son zonas de la piel inervadas por ramos cutáneos de un solo nervio espinal (fig. 5.12). Los dermatomas vecinos se superponen en muchos casos. La sensibilidad dolorosa se explora con un alfiler y preguntando al enfermo si nota el pinchazo. Si desaparece la sensibilidad dolorosa se puede conocer el o los segmentos afectados de la médula espinal. ➔

La organización de los músculos femorales

Los músculos del muslo se organizan en tres compartimientos por tabiques intermusculares que discurren entre los músculos, desde la fascia lata hasta el fémur (fig. 5.9D). Estos son los compartimientos *anterior*, *medial* y *posterior*, así denominados por su localización, acciones e inervación.

Los músculos anteriores del muslo

Los músculos anteriores del muslo **los flexores de la cadera y los extensores de la rodilla** (fig. 5.13) se encuentran en el *compartimiento anterior del muslo*. La tabla 5.2 muestra sus inserciones, inervación y acciones principales. *Los músculos anteriores del muslo son:*

- El músculo pectíneo.
- El músculo iliopsoas.
- El músculo tensor de la fascia lata.
- El músculo sartorio.
- El músculo cuádriceps femoral.

Músculo pectíneo

El músculo pectíneo es un músculo cuadrangular plano localizado en la porción anterior de la cara superomedial del muslo, que aproxima y flexiona el muslo y ayuda a su rotación medial.

Músculo iliopsoas

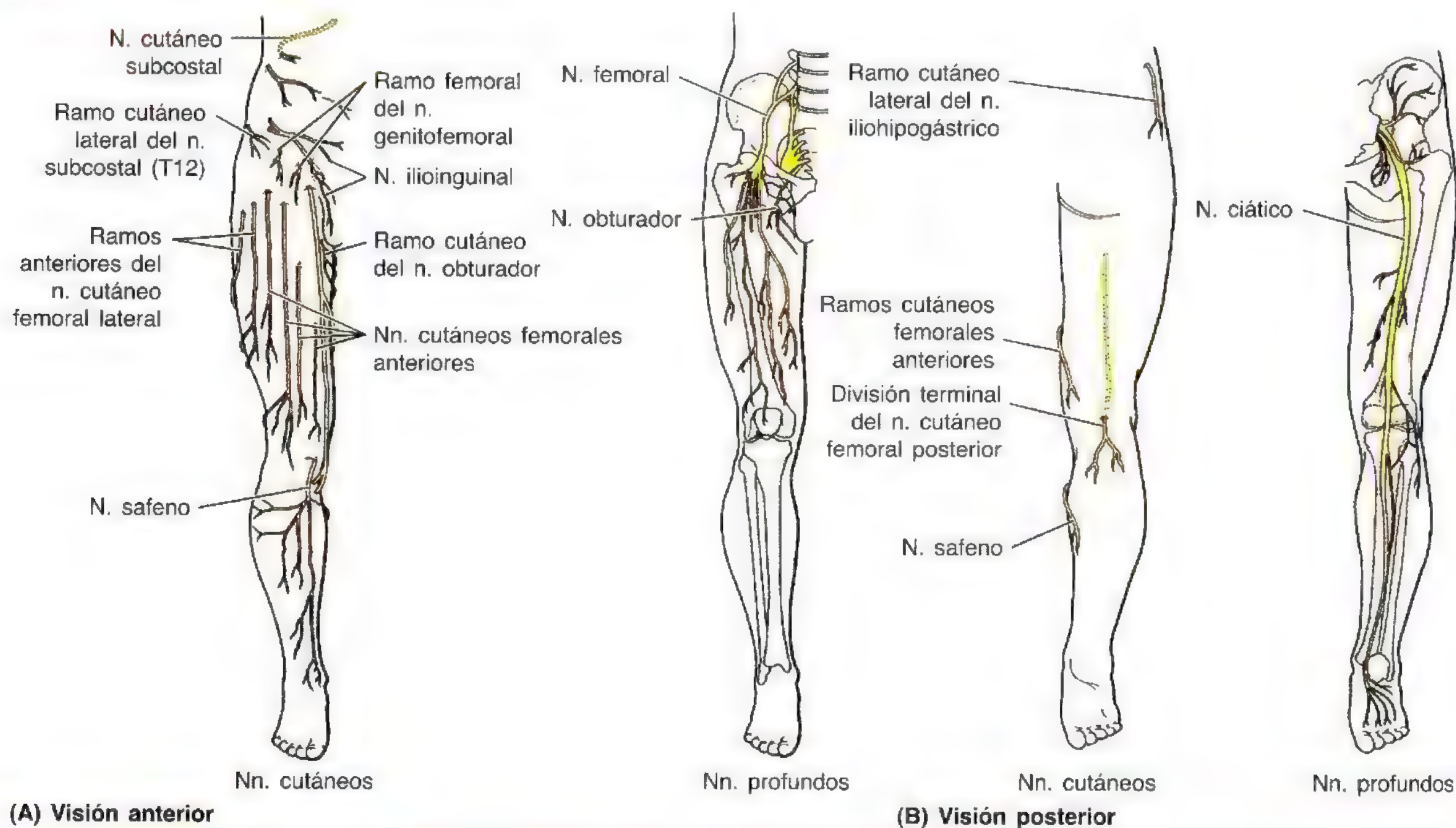
El músculo iliopsoas es el *flexor principal del muslo* y, cuando el muslo queda fijo, flexiona el tronco sobre la cadera. Su porción lateral ancha, el músculo iliaco, y su porción medial larga, el músculo *psaos mayor*, nacen en la fosa ilíaca y en las vértebras lumbares, respectivamente. El músculo iliopsoas es, además, el músculo postural que se activa durante la bipedestación, impidiendo la hiperextensión de la cadera.

Músculo tensor de la fascia lata

El músculo tensor de la fascia lata es un músculo fusiforme de unos 15 cm de longitud, encerrado entre dos capas de fascia lata. Se inserta en el *tracto iliotibial* y une las fibras de la parte superior del músculo glúteo mayor. Pese a su situación anterior, el músculo tensor de la fascia lata representa, en realidad, un músculo glúteo que suele estudiarse con los músculos anteriores del muslo. El músculo tensor de la fascia lata es inervado por el nervio glúteo superior (L4, L5) e irrigado por una rama inferior de la arteria glútea superior. *Este músculo es, sobre todo, flexor del muslo*, pero no actúa casi nunca de forma independiente. Para que ocurra la flexión, el músculo tensor de la fascia lata debe actuar junto con el músculo iliopsoas. Si se paraliza este último, el tensor de la fascia lata se hipertrofia a modo de compensación. Por otro lado, actúa en conjunción con otros músculos (glúteo medio y menor) produciendo una rotación medial del muslo y se contrae durante la separación del muslo. Su situación es excesivamente anterior para que pueda ser un separador potente y, por esta razón, actúa como sinergista o fijador. *El músculo tensor de la fascia lata también tensa la fascia lata y el tracto iliotibial*, y ayuda a sustentar el fémur sobre la tibia durante la bipedestación. No ejerce ninguna acción directa sobre la pierna.

Músculo sartorio

El músculo sartorio o “músculo del sastre” (*sartus* significa parchado o reparado en latín) es una cinta muscular larga que se dirige oblicua (del plano lateral al medial) por la cara anterosuperior del muslo. Este músculo desciende hasta la cara medial de la rodilla. El músculo sartorio, el más largo del organismo, *actúa sobre dos articulaciones*: flexiona la cadera y contribuye a la flexión de la rodilla. Además, separa débilmente el muslo y produce una rotación lateral. Las acciones de los dos músculos sartorios permiten sentarse con las piernas cruzadas, como todavía es costumbre entre algunos sastres y joyeros asiáticos. Ninguna de las acciones del músculo sartorio produce gran potencia; por eso intervienen otros músculos del muslo en estos movimientos.

Tabla 5.1. Los nervios cutáneos femorales

Nervio	Origen	Trayecto	Distribución
Subcostal	Ramo ventral de T12	Se dirige por el borde inferior de la 12ª costilla de la misma forma que los nervios intercostales	La división cutánea lateral inerva la piel debajo de la cresta ilíaca anterior
Iliohipogástrico	Plexo lumbar (L1)	Sigue paralelo a la cresta ilíaca hasta alcanzar las regiones inguinal y púbica	La división cutánea lateral inerva el cuadrante superolateral de la nalga
Ilioinguinal	Plexo lumbar (L1)	Atraviesa el conducto inguinal y se divide en los ramos femorales y escrotales o labiales	El ramo femoral inerva la piel sobre el triángulo femoral
Genitofemoral	Plexo lumbar (L1 y L2)	Desciende por la cara anterior del m. psoas mayor y se divide en los ramos genital y femoral	El ramo femoral inerva la piel del triángulo femoral; el ramo genital se distribuye por el escroto o los labios mayores
Cutáneo femoral lateral	Plexo lumbar (L2 y L3)	Pasa en la profundidad del ligamento inguinal, 2-3 cm medial a la espina ilíaca anterosuperior	Inerva la piel de las caras anterior y lateral del muslo
Femoral	Plexo lumbar (L2-L4)	Se dirige en la profundidad hasta el punto medio del ligamento inguinal, lateral a los vasos femorales, y se divide en ramos musculares y cutáneos	Inerva los músculos anteriores del muslo, las articulaciones coxofemorales de la rodilla y la piel de la cara anteromedial del muslo
Cutáneo femoral anterior	N. femoral (L2-L4)	Emerge por el triángulo femoral y perfora la fascia lata del músculo siguiendo el trayecto del m. sartorio	Inerva la piel de las caras medial y anterior del muslo
Obturador	Plexo lumbar (L2-L4)	Penetra en el muslo por el orificio obturador y se bifurca; su ramo anterior desciende entre los mm. aproximador largo y aproximador corto y su ramo posterior, entre los mm. aproximador corto y aproximador mayor	El ramo anterior inerva los mm. aproximador largo, aproximador corto, grácil y pectíneo; el ramo posterior se distribuye por el m. obturador externo y aproximador mayor
Cutáneo femoral posterior	Plexo sacro (S1-S3)	Atraviesa el orificio ciático mayor debajo del m. piriforme y se dirige en la profundidad del m. glúteo mayor para emerger por su borde inferior	Además de inervar las nalgas, se distribuye por la piel de la cara posterior del muslo y de la fosa poplítea
Ciático	Plexo sacro (L4-S3)	Entra en la región glútea por el orificio ciático mayor, debajo del m. piriforme; desciende por la cara posterior del muslo y se divide en la zona proximal a la rodilla en los nn. tibial y peroneo común	Inerva los músculos femorales posteriores a través de su división tibial, con excepción de la cabeza corta del m. bíceps femoral, inervada por el peroneo común; emite ramos articulares para la cadera y la rodilla

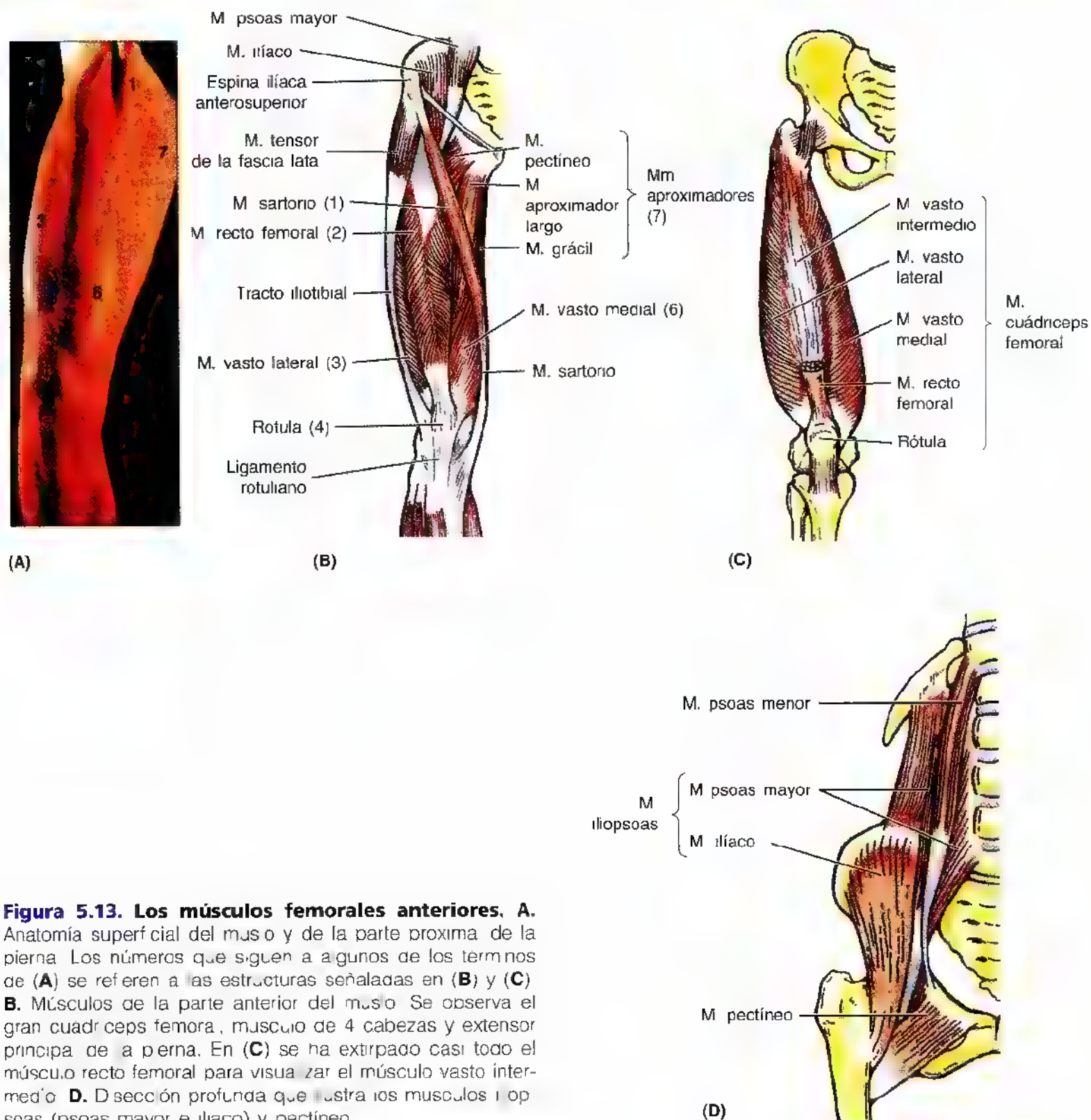


Figura 5.13. Los músculos femorales anteriores. **A.** Anatomía superficial del muslo y de la parte proximal de la pierna. Los números que siguen a algunos de los términos de **(A)** se refieren a las estructuras señaladas en **(B)** y **(C)**. **B.** Músculos de la parte anterior del muslo. Se observa el gran cuádriceps femoral, músculo de 4 cabezas y extensor principal de la pierna. En **(C)** se ha extirpado casi todo el músculo recto femoral para visualizar el músculo vasto intermedio. **D.** Disección profunda que muestra los músculos iliopsoas (psoas mayor e ilíaco) y pectíneo.

Músculo cuádriceps femoral

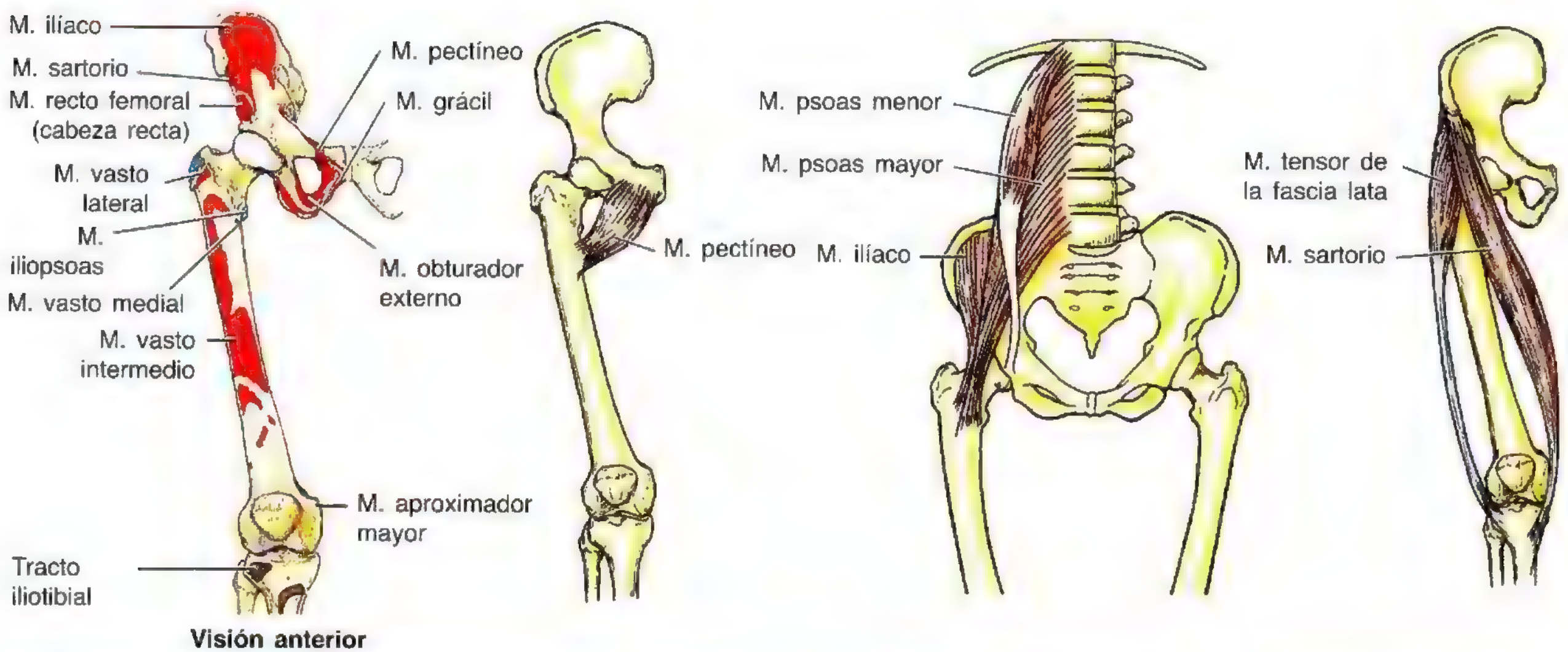
El músculo cuádriceps femoral (cuádriceps significa cuatro cabezas en latín) forma la prominencia principal de los músculos anteriores del muslo y constituye, de manera colectiva, el músculo mayor y uno de los más poderosos del organismo. Cubre casi toda la cara anterior y los lados del fémur y consta de 4 partes.

- Recto femoral.
- Vasto lateral.
- Vasto intermedio.

- Vasto medial.

El cuádriceps es un extensor potente de la pierna; sus 4 partes se reúnen creando una inserción tendinosa en la tibia.

Los tres músculos vastos apenas se pueden separar entre sí. El cuádriceps es un músculo importante para trepar, correr, saltar, levantarse desde una silla y subir y bajar escaleras. Los tendones de las 4 porciones del cuádriceps se unen en la parte distal del muslo para dar un **tendón cuádricepial** único, robusto y ancho (fig. 5.13C). Tradicionalmente, se dice que este tendón se inserta en la base de la rótula, un

Tabla 5.2. Los músculos anteriores del muslo

Músculo	Inserción proximal	Inserción distal	Inervación ^a	Acción principal
Pectíneo	Ramo superior del pubis	Línea pectínea del fémur, justo debajo del trocánter menor	N. femoral (L2 y L3); puede recibir un ramo del n. obturador	Aproxima y flexiona el muslo; ayuda a la rotación medial del muslo
Iliopsoas				
Psoas mayor	Caras de las vértebras T12-L5 y discos intervertebrales; apófisis transversas de todas las vértebras lumbares	Trocánter menor del fémur	Ramos ventrales de los nervios lumbares (L1, L2 y L3)	Actúan conjuntamente para flexionar el muslo por la cadera y estabilizar esta última articulación ^b
Psoas menor	Caras de las vértebras T12-L1 y disco intervertebral	Línea pectínea, eminencia iliopectínea a través del arco iliopectíneo	Rama ventral de los nervios lumbares (L1 y L2)	
Iliaco	Cresta ilíaca, fosa ilíaca, ala del sacro y ligamentos sacroilíacos anteriores	Tendón del m. psoas mayor, trocánter menor y parte distal del fémur	N. femoral (L2 y L3)	
Tensor de la fascia lata	Espina ilíaca anterosuperior y parte anterior de la cresta ilíaca	Tracto iliotibial que se inserta en el cóndilo lateral de la tibia	Glúteo superior (L4 y L5)	Separa, rota medialmente y flexiona el muslo; contribuye a mantener extendida la rodilla; endereza el tronco sobre el muslo
Sartorio	Espina ilíaca anterosuperior y parte superior de la escotadura inferior	Parte superior de la cara medial de la tibia	N. femoral (L2 y L3)	Flexiona, separa y rota lateralmente el muslo por la cadera; flexiona la pierna por la cadera ^c

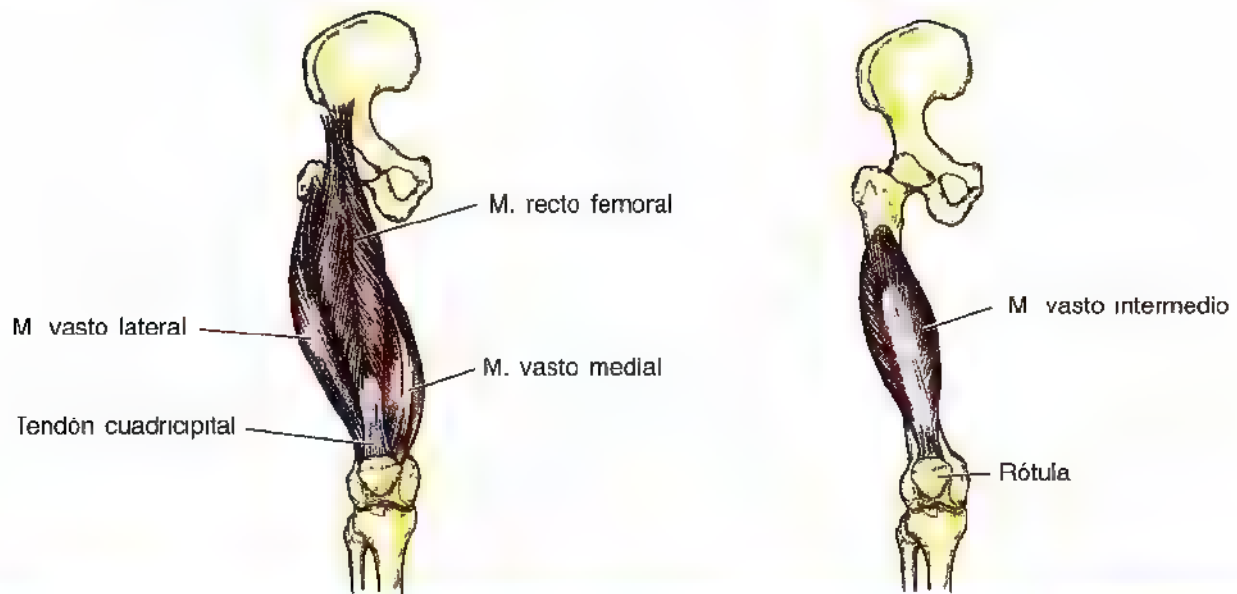
^a Los números indican la inervación segmentaria medular de los nervios [p. ej., L1, L2 y L3 señalan que los nervios para el músculo psoas mayor provienen de los tres primeros segmentos lumbares de la médula; la negrita (L1, L2) denota la inervación segmentaria principal]. La lesión de uno o más de los segmentos medulares o de las raíces de los nervios motores determina una parálisis de los músculos correspondientes.

^b El músculo psoas mayor es también un músculo postural que ayuda a controlar la desviación del tronco y se activa durante la bipedestación.

^c Las cuatro acciones del músculo sartorio explican cómo se sentaban en otra época los sastres (sartor significa sastre en latín), con las piernas cruzadas; de ahí procede el nombre.

gran hueso sesamoideo del tendón que, a su vez, se inserta en la tuberosidad de la tibia a través del **ligamento rotuliano** (fig. 5.13B). No obstante, probablemente resulta más exacto considerar el ligamento rotuliano como una prolongación del tendón cuadrícipital, en el que se encuentra incluida la rótula, un hueso sesamoideo.

La exploración del cuádriceps se efectúa con la persona en decúbito supino y la rodilla parcialmente flexionada. Se pide a la persona que extienda la rodilla contra la resistencia del examinador. Durante la prueba debe apreciarse la contracción del músculo recto femoral y palpase si el músculo se contrae con normalidad, es decir, si su inervación se halla intacta.

Tabla 5.2. (Continuación) **Los músculos anteriores del muslo**

Músculo	Inserción proximal	Inserción distal	Inervación	Acción principal
Cuádriceps femoral				
Recto femoral	Espina ilíaca anteroinferior e ilion, encima del acetábulo	Base de la rótula y tuberosidad de la tibia a través del ligamento rotuliano	Nervio femoral (L2 L3 y L4)	Extiende la pierna por la rodilla; el m. recto femoral endereza, además, la articulación coxofemoral y ayuda al m. iliopsoas a flexionar el muslo
Vasto lateral	Trocánter mayor y labio lateral de la línea áspera del fémur			
Vasto medial	Línea intertrocantérica y labio medial de la línea áspera del fémur			
Vasto intermedio	Caras anterior y lateral de cuerpo del fémur			

La **rótula** ofrece una superficie ósea que resiste la compresión impuesta al tendón cuadricipital al arrodillarse y la fricción que ocurre cuando se flexiona y extiende la rodilla al correr. Además, la rótula ofrece una palanca adicional al cuádriceps para desplazar el tendón hacia delante, alejándose del eje articular, y aproximar la tibia a una postura que ofrece más ventajas mecánicas. El vértice de la rótula, dirigido hacia abajo, indica el plano articular de la rodilla cuando se extiende la pierna y se tensa el ligamento rotuliano.

Músculo recto femoral. Este “músculo con el que se dan patadas” recibe su nombre porque discurre de manera recta por el muslo. Contribuye a flexionar el muslo por la cadera junto con el músculo iliopsoas. Como se inserta en el hueso coxal y en la tibia, *el músculo recto femoral cruza dos articulaciones*; de aquí que flexione el muslo por la cadera y extienda la pierna por la rodilla.

Músculos vastos. Los nombres de estos grandes músculos indican su posición alrededor del cuerpo femoral:

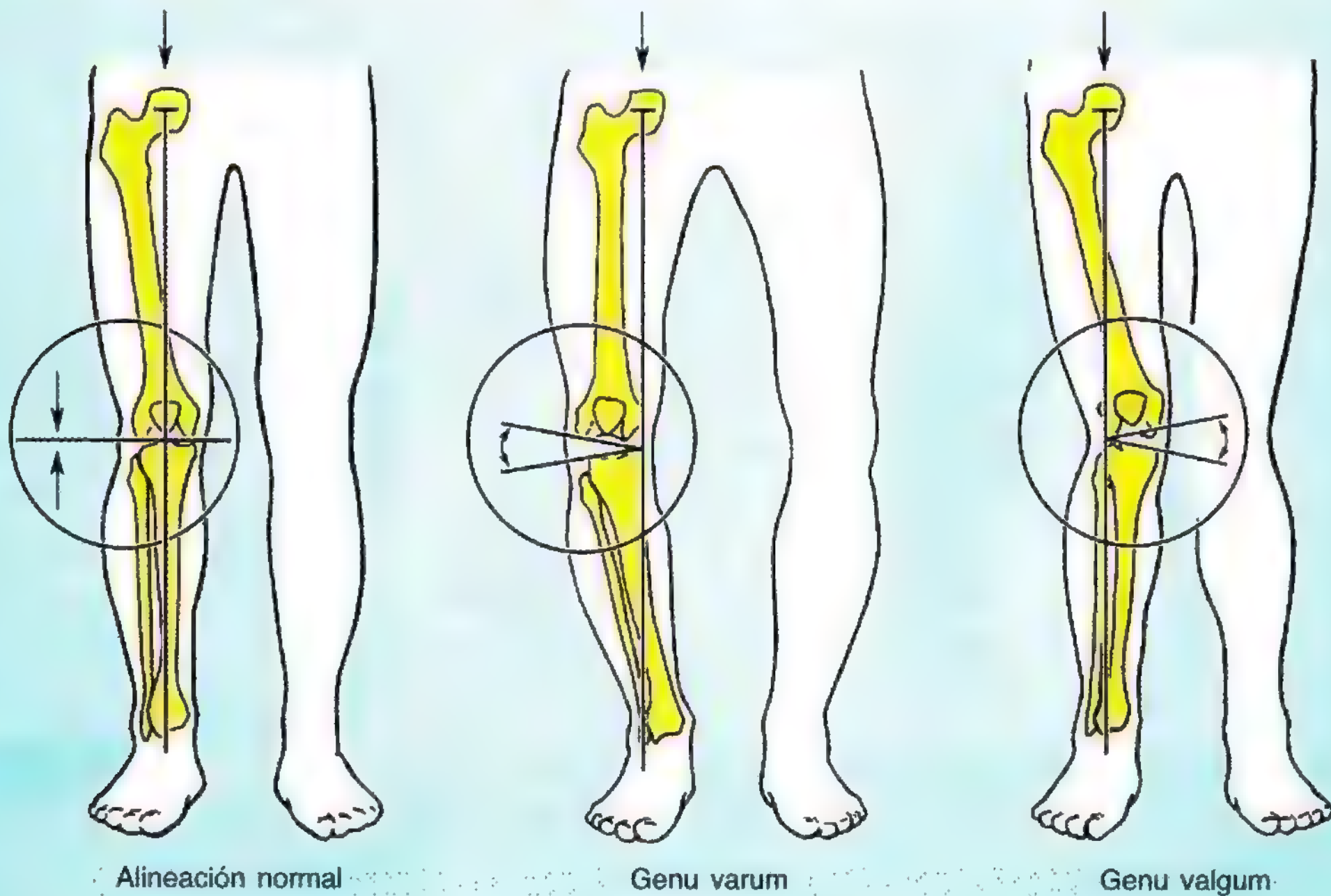
- El *músculo vasto lateral*, el componente mayor del cuádriceps, ocupa la cara lateral del muslo.
- El *músculo vasto medial* cubre la cara medial del muslo.

- El *músculo vasto intermedio* se sitúa en la profundidad del recto femoral, entre el vasto medial y el lateral.

El **músculo articular de la rodilla**, pequeño y plano, deriva del músculo vasto intermedio (figs. 5.13 y 5.14) y suele constar de un número variable de cintas musculares, que se insertan por arriba en la parte inferior de la cara anterior del muslo y por abajo en la membrana sinovial de la rodilla y en la pared de la bolsa suprarrotuliana. Este músculo articular tira de la cápsula sinovial hacia arriba durante la extensión de la pierna e impide que los pliegues capsulares queden comprimidos entre el fémur y la rótula dentro de la rodilla.

Contusiones de la cadera y del muslo

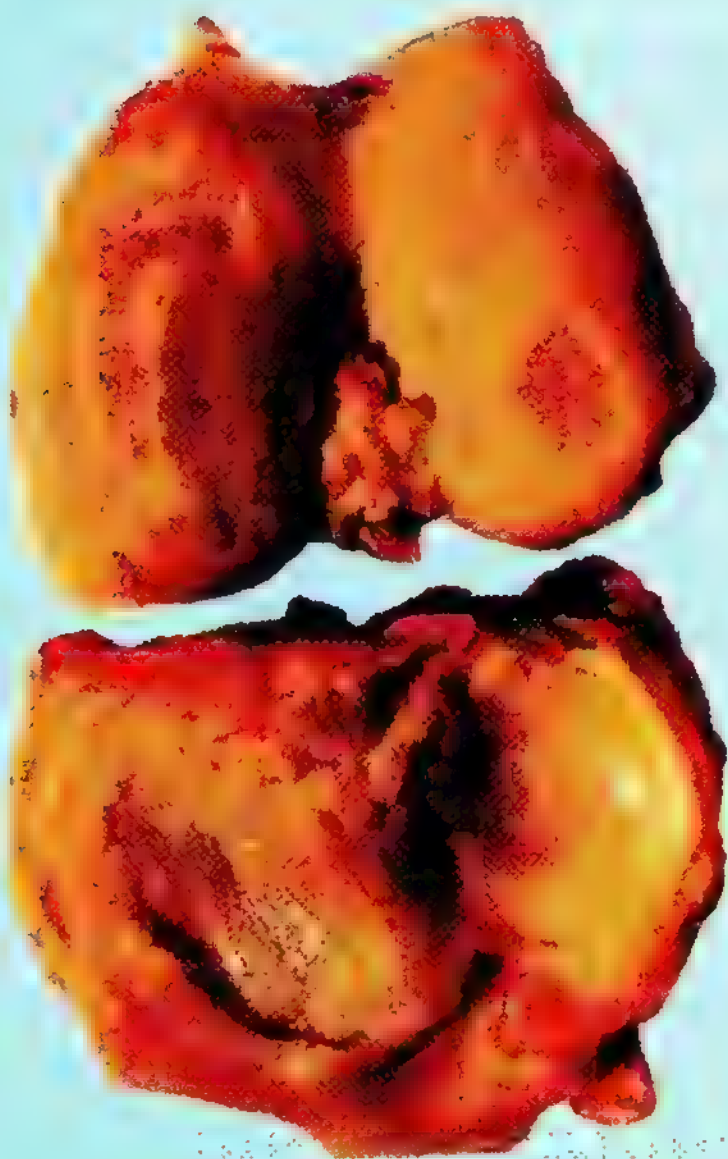
Los locutores deportivos y los entrenadores hablan a veces de “puntazo en la cadera”. Este término se refiere a una *contusión de la cresta ilíaca*, generalmente de la parte anterior (p. ej., por donde el músculo ▶



Alineación normal

Genu varum

Genu valgum



Artrosis

► sartorio se inserta en la espina ilíaca anterosuperior). Las contusiones provocan sangrado de los capilares rotos e infiltración sanguínea de los músculos, tendones y otros tejidos blandos. El “puntazo en la cadera” también puede referirse a la avulsión de las inserciones musculares en el hueso (p. ej., de los músculos ilíacos y el recto femoral en la cresta ilíaca); sin embargo, estas lesiones deberían llamarse, con mayor rigor, *fracturas por avulsión*.

Otro término que los locutores deportivos y otras personas de habla inglesa utilizan es el de “charley horse” (traducido literalmente significa “caballo de Carlitos”), que se refiere al espasmo de un músculo aislado del muslo debido a isquemia (circulación insuficiente de la sangre) o a la contusión y desgarro de fibras musculares y rotura de vasos sanguíneos, con la intensidad suficiente para provocar un *hematoma*. Esta última lesión casi siempre obedece a la rotura de algunas fibras del músculo recto femoral; a veces se desgarra incluso parte del tendón cuádriceps. El lugar más común de hematoma en el muslo es el cuádriceps. Este espasmo se acompaña de dolor localizado y rigidez muscular, y suele seguir a un traumatismo directo (p. ej., golpe con el palo de hockey o placaje en el rugby). Otro término frecuente para describir esta lesión en los países donde se juega al cricket es “muslo de cricket”.

Absceso del psoas

El músculo psoas mayor nace en el abdomen de los discos intervertebrales, las caras laterales de las vértebras T12 a L5 y sus apófisis transversas. El *ligamento arqueado medial* del diafragma traza un arco oblicuo sobre la porción proximal del músculo psoas mayor (véase el capítulo 2). La fascia transversa de la pared interna del abdomen se continúa con la *fascia del músculo psoas*, donde forma una cubierta fascial para este músculo que lo acompaña en la región anterior del muslo. Una infección piógena (que produce pus) del retroperitoneo —casi siempre acompaña a la tuberculosis de la columna vertebral— podría ocasionar una colección de pus (*absceso del psoas*). Si este ►

► absceso llega, entre el músculo psoas y su fascia, hasta las regiones inguinal y proximal del muslo podría provocar dolor intenso en la cadera, el muslo o la rodilla. Por eso debe sospecharse siempre un absceso del psoas cuando se observe edema en la parte proximal del muslo.

Genu valgum y genu varum

El fémur, hueso oblicuo, crea un ángulo con la tibia en la rodilla (A). La angulación medial de la pierna en relación con el muslo (B) es una deformidad que se conoce como *genu varum* (rodillas en paréntesis), con una distribución desigual del peso. Toda la presión se transmite a la parte interna de la rodilla, con la consiguiente *artrosis* o destrucción de los cartílagos de la rodilla. Debido al ángulo exagerado de la rodilla en el *genu varum*, la rótula tiende a desplazarse lateralmente cuando se extiende la pierna. Este movimiento se incrementa con la tracción del músculo vasto lateral. La angulación lateral de la pierna (C) en relación con el muslo (exageración del ángulo de la rodilla) se conoce como *genu valgum* (rodillas en X).

Los niños suelen arquear las piernas durante 1 o 2 años después de empezar a andar; en cambio, las rodillas en X son más comunes en los niños de 2 a 4 años. La persistencia de cualquier angulación anormal de la rodilla en un niño mayor suele indicar que la deformidad precisa corrección. Toda irregularidad articular acaba provocando un uso y desgaste excesivos de los cartílagos articulares.

Parálisis del músculo cuádriceps femoral

Una persona con parálisis del músculo cuádriceps no puede extender la pierna contra la resistencia del explorador, y suele presionar el extremo distal del muslo al caminar para impedir la flexión inadvertida de la rodilla. La debilidad de los músculos vastos medial o lateral secundaria, por ejemplo, a una artritis o traumatismo de la rodilla ocasiona movimientos anómalos de la rótula y pérdida de la estabilidad articular.

Condromalacia rotuliana

La condromalacia es un problema frecuente de la rodilla de los corredores ("rodilla del corredor"). Las molestias y el dolor alrededor de la rótula o en su profundidad se deben al *desequilibrio cuadricipital*. La rodilla también sufre una tensión excesiva en deportes, como caminar con paso ligero (*jogging*), baloncesto, rugby o fútbol, que precisan carreras rápidas. La condromalacia rotuliana es secundaria a carreras agotadoras, golpes sobre la rótula o flexión extrema de la rodilla (p. ej., al agacharse para levantar pesos).

Luxación rotuliana

El movimiento de luxación de la rótula suele ser lateral; esta lesión afecta más al sexo femenino. La luxación lateral se compensa con una tracción medial, más horizontal, del poderoso músculo vasto medial. Además, el cóndilo lateral femoral dispone de una proyección más anterior y una pendiente más abrupta para la carilla rotuliana lateral, de mayor tamaño. Así pues, existe un freno mecánico a la luxación lateral.

Fracturas de la rótula

Un golpe directo sobre la rótula puede fracturarla en uno o en varios fragmentos. Las *fracturas transversas de la rótula* obedecen a golpes sobre la rodilla o a la contracción repentina del cuádriceps (p. ej., al resbalar y tratar de impedir la caída hacia atrás). El fragmento proximal es traccionado hacia arriba por el tendón cuadricipital y el distal queda sujeto por el ligamento rotuliano.

Extirpación de la rótula

La extirpación de la rótula como consecuencia de una fractura conminuta, por ejemplo, puede imponer una mayor demanda al cuádriceps para extender por completo la pierna. Las técnicas quirúrgicas más recientes permiten reparar el tendón rotuliano después de extirpar la rótula, lo que reduce al mínimo la debilidad para la extensión de la rodilla.

Osificación anómala de la rótula

La rótula es un hueso cartilaginoso al nacer y se osifica entre los 3 y los 6 años, casi siempre a partir de más de un solo centro de osificación. Pese a que estos centros suelen confluir y crear un único hueso, a veces se mantienen independientes a uno o a ambos lados, dando origen a una rótula bipartita o tripartita. Un observador desprevenido podría interpretar este estado como una fractura conminuta de la rótula en la radiografía. Las alteraciones de la osificación resultan, de ordinario, bilaterales; por eso conviene examinar las radiografías de ambos lados. Si el defecto es bilateral, probablemente se trate de un trastorno de la osificación.

Reflejo rotuliano

La percusión del ligamento rotuliano con un martillo de reflejos suele desencadenar el reflejo rotuliano. Este reflejo se evalúa de manera sistemática en la exploración física, pidiendo al enfermo que se siente con las piernas colgando de la camilla. Luego se aplica un golpe seco en el ligamento rotuliano con el martillo de reflejos, que suele ►

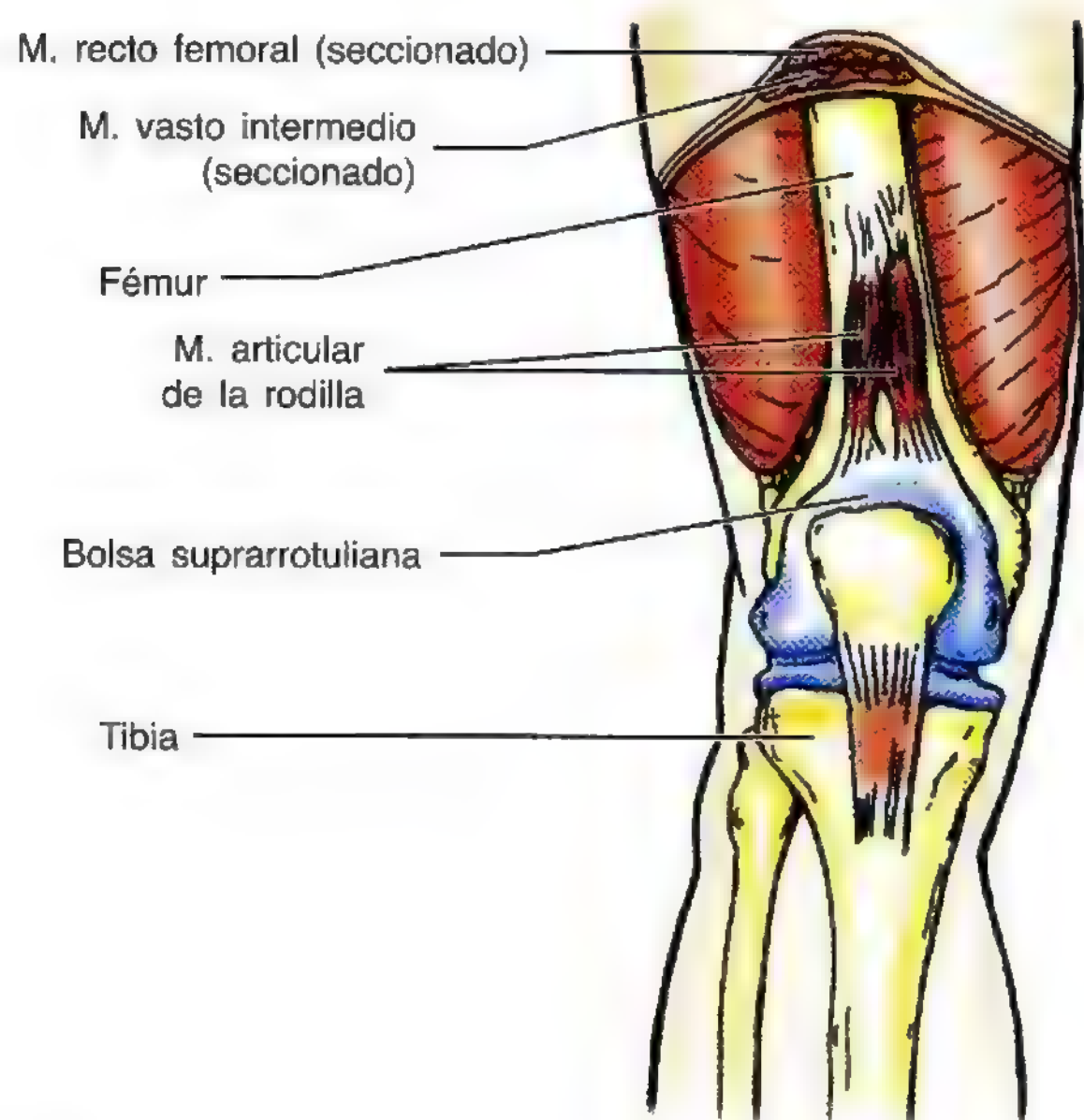
► extender la pierna. Si el reflejo es normal, la mano del explorador, colocada sobre el cuádriceps, debe notar la contracción muscular. Este reflejo tendinoso explora los nervios L2 a L4. La percusión del tendón rotuliano activa los husos musculares del cuádriceps; los impulsos aferentes de estos husos viajan con el nervio femoral hasta la médula espinal (segmentos L2 a L4). Desde aquí,

los impulsos eferentes los conducen las fibras motoras del nervio femoral para el músculo cuádriceps, que provocan una contracción en sacudida del músculo con extensión de la pierna sobre la rodilla. La *disminución o abolición del reflejo rotuliano (cuadricipital)* puede obedecer a una lesión que interrumpa la inervación del músculo cuádriceps (p. ej., neuropatía periférica). ◉

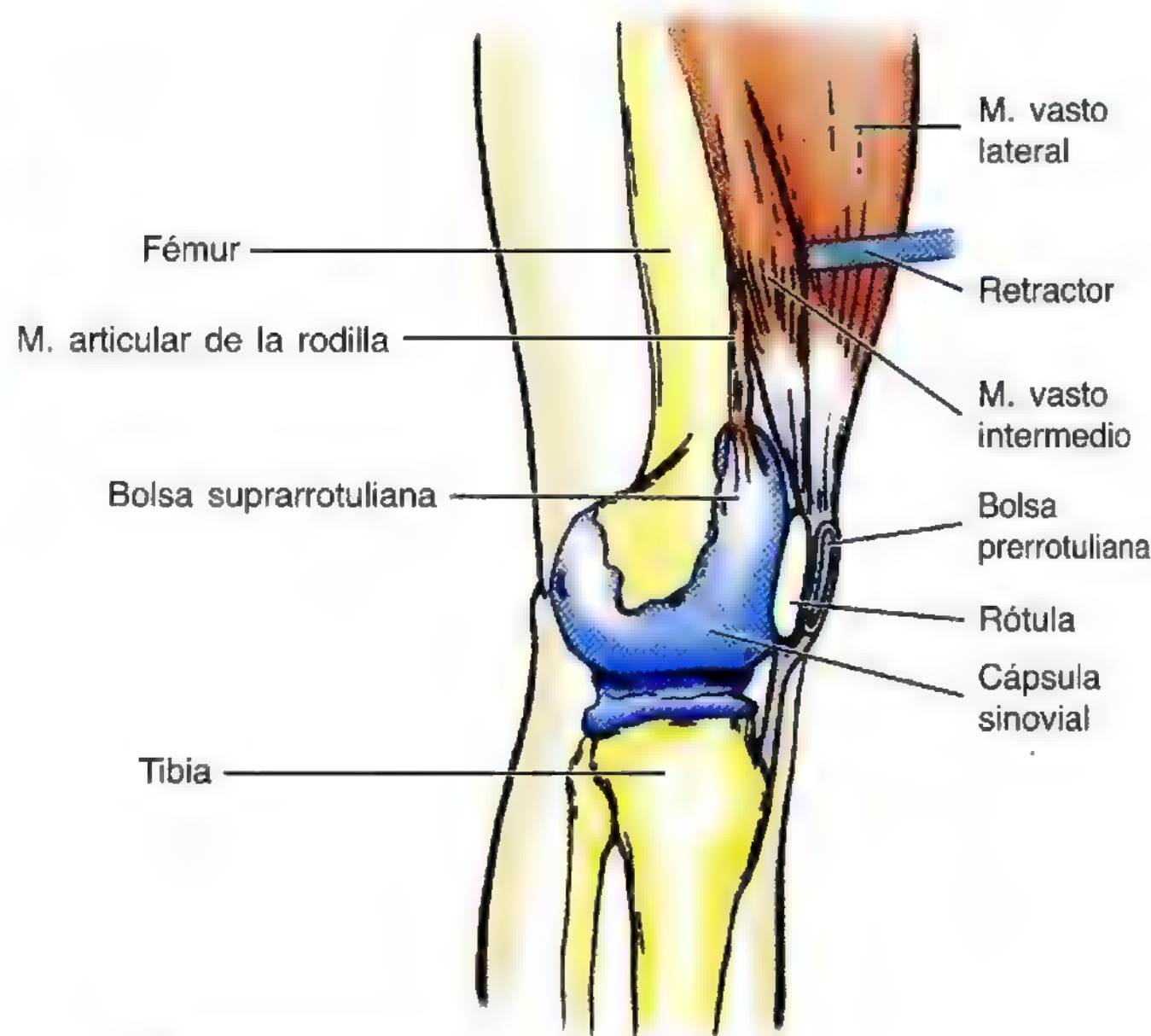
Los músculos mediales del muslo

Los músculos mediales del muslo o **grupo de los aproximadores** se encuentran en el compartimiento medial del muslo (figs. 5.13, A y B, y 5.15). El grupo de los músculos aproximadores del muslo está compuesto por:

- El *músculo aproximador largo*.
- El *músculo aproximador corto*.
- El *músculo aproximador mayor*.
- El *músculo grácil*.
- El *músculo obturador externo*.



(A) Visión anterior



(B) Visión lateral



(C) Visión medial

Figura 5.14. Disección de las regiones distal del muslo y de la rodilla. Visiones anterior (A) y lateral (B). Obsérvense las bolsas que rodean la rodilla y el músculo articular de la rodilla. Se inserta proximalmente en la parte distal del fémur y distalmente en la bolsa suprarrotuliana. Este músculo retrae la bolsa suprarrotuliana durante la extensión de la rodilla. C. Visión medial de una disección profunda de la rodilla, donde se ve el músculo articular de la rodilla, que suele unirse con el músculo vasto intermedio. Eleva la membrana sinovial durante la extensión de la pierna.

De forma colectiva estos músculos se denominan aproximadores del muslo, pero las acciones de algunos de ellos son más complejas. La tabla 5.3 ilustra sus inserciones, innervación y acciones musculares.

Músculo aproximador largo

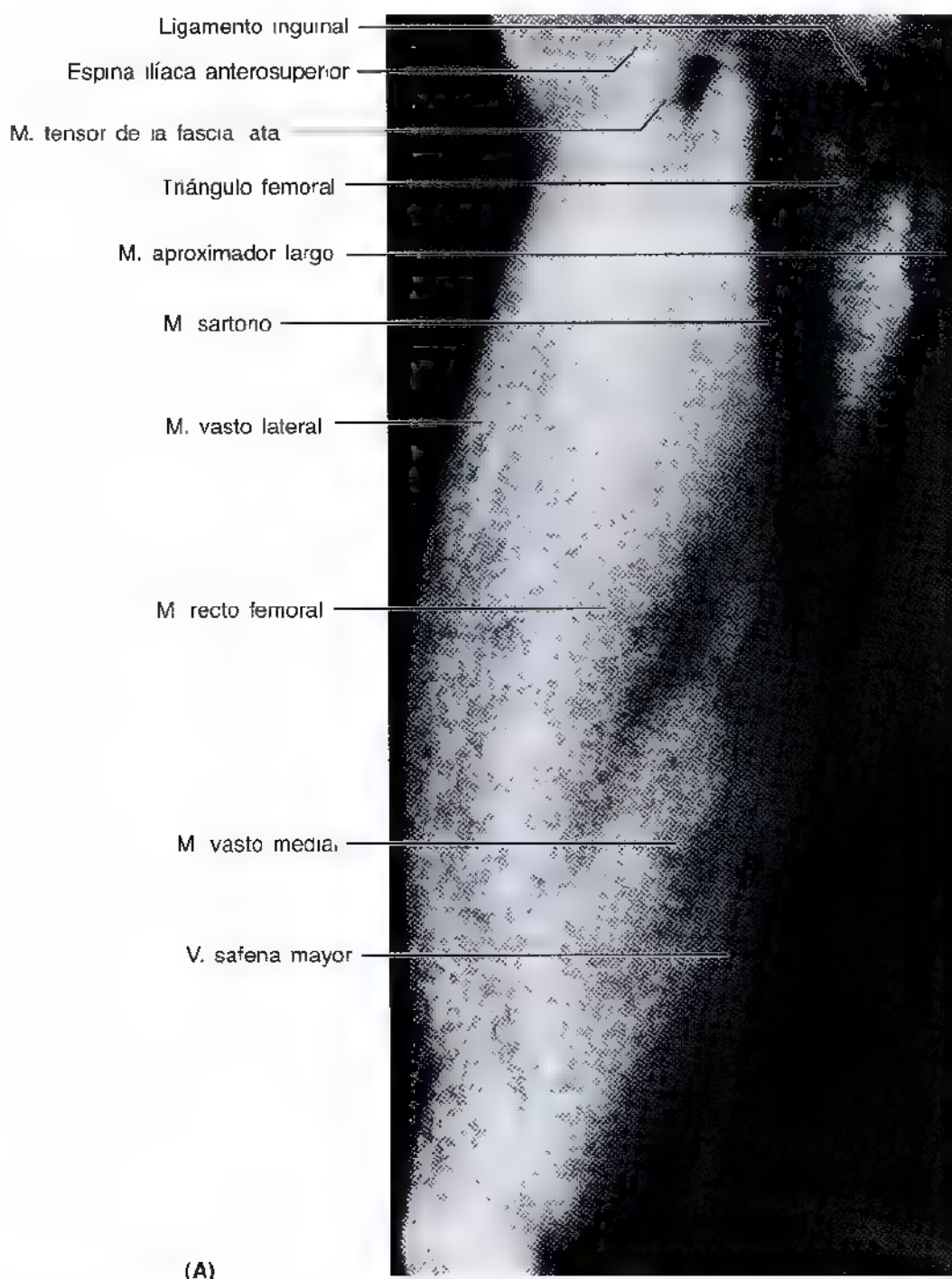
El músculo aproximador largo—grande y con forma de abanico— es el más anterior del grupo de los aproximadores. Este músculo triangular nace de un tendón fuerte de la cara anterior del cuerpo del pubis, justo debajo del tubérculo del pubis, y se expande para insertarse en la línea áspera del fémur.

Músculo aproximador corto

El músculo aproximador corto se encuentra en la profundidad de los músculos pectíneo y aproximador largo. Este músculo —cubierto en gran parte por el aproximador largo— surge del cuerpo y del ramo inferior del pubis y se expande a su paso hacia la inserción distal de la línea áspera del fémur.

Músculo aproximador mayor

El músculo aproximador mayor es el más voluminoso del grupo de los aproximadores y se caracteriza por ser un músculo triangular, compuesto, con *una parte carnosa y otra*



(A)

Figura 5.15. Triángulo femoral situado en el tercio superior de la cara anterior del muslo. A. Fotografía que muestra el triángulo femoral, el músculo aproximador largo y el músculo sartorio. Para ver estas estructuras se pidió a este hombre que flexionara, separara y rotara lateralmente el muslo. La pelvis también está ligeramente rotada a la izquierda.

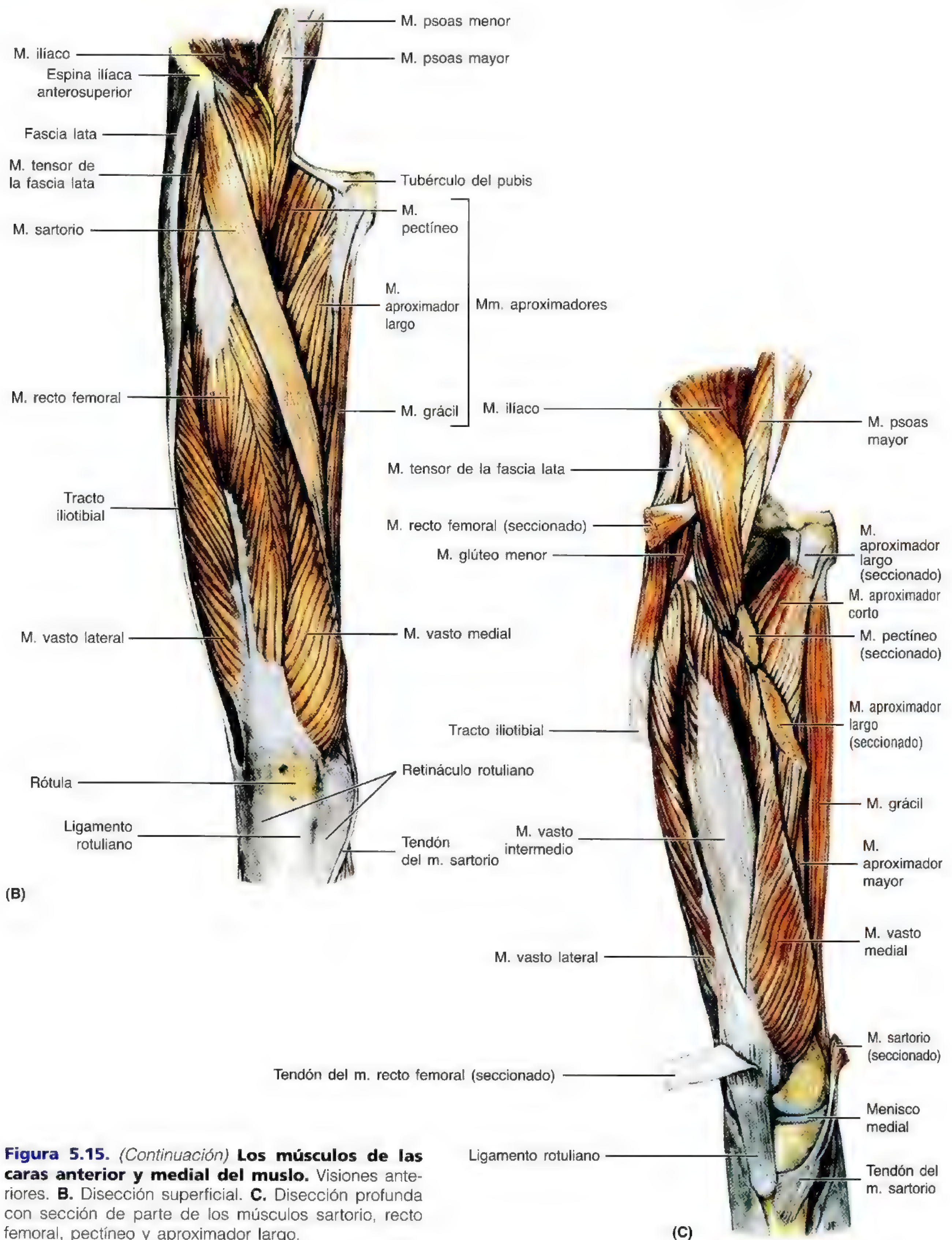
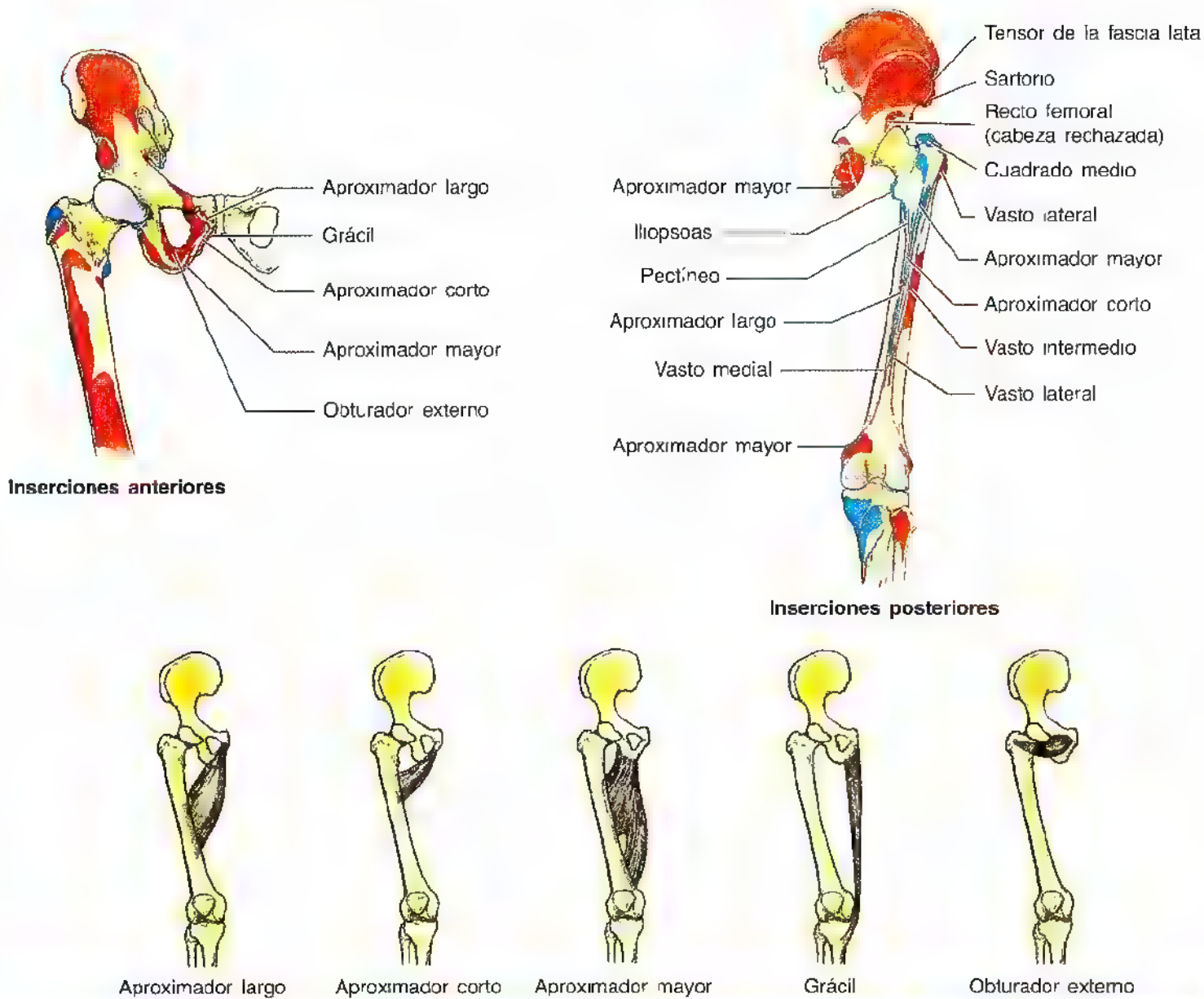


Figura 5.15. (Continuación) Los músculos de las caras anterior y medial del muslo. Visiones anteriores. **B.** Disección superficial. **C.** Disección profunda con sección de parte de los músculos sartorio, recto femoral, pectíneo y aproximador largo.

Tabla 5.3. Los músculos mediales del muslo



Músculo	Inserción proximal	Inserción distal	Inervación ^a	Acción principal
Aproximador largo	Cuerpo del pubis debajo de la cresta púbica	Tercio medio de la línea áspera del fémur	N. obturador, ramo de la división anterior (L2, L3 y L4)	Aproxima el muslo
Aproximador corto	Cuerpo y ramo inferior de pubis	Línea pectínea y parte proximal de la línea áspera del fémur	N. obturador (L2, L3 y L4), ramo de la división anterior	Aproxima el muslo y, en cierta medida, lo flexiona
Aproximador mayor	Porción carnosa: rama inferior del pubis, ramo del isquion Porción tendinosa: tuberosidad isquiática	Porción carnosa: tuberosidad glútea, línea áspera, línea supracondílea medial Porción tendinosa: tubérculo del músculo aproximador de fémur	Porción carnosa: n. obturador (L2, L3 y L4), ramos de la división anterior Porción tendinosa: parte tibial del n. ciático (L4)	Aproxima el muslo Porción carnosa: flexiona el muslo Porción tendinosa: extiende el muslo
Grácil	Cuerpo y ramo inferior del pubis	Parte superior de la cara medial de la tibia	N. obturador (L2 y L3)	Aproxima el muslo, flexiona la pierna y ayuda a la rotación medial
Obturador externo	Bordes del orificio obturador y membrana obturatriz	Fosa trocantérica del fémur	N. obturador (L3 y L4)	Rotación lateral del muslo; endereza la cabeza del fémur dentro del acetábulo

Estos cinco músculos se denominan de forma colectiva aproximadores de muslo, pero sus acciones son más complejas (p.e., pueden actuar como flexores de la cadera durante la flexión de la rodilla y también se activan al caminar)

^a Véase explicación sobre la inervación segmentaria en la tabla 5.1

tendinosa. Estas dos partes difieren en sus inserciones, innervación y acciones principales (tabla 5.3).

Músculo grácil

Esta *cinta muscular* larga se coloca en el borde medial del muslo y de la rodilla. Es el más superficial de los músculos aproximadores, así como el más débil; además, se trata del único que atraviesa la rodilla. Aproxima el muslo, flexiona la rodilla y rota medialmente la pierna.

Músculo obturador interno

Este músculo plano, relativamente pequeño, con forma de abanico, se encuentra en la profundidad de la cara superomedial del muslo y desde la pelvis (pasa por el orificio ciático menor) vira en ángulo recto para insertarse en la cara medial del trocánter mayor del fémur.

Acciones del grupo de músculos aproximadores. La acción principal del grupo de los músculos aproximadores consiste en aproximar el muslo. Para los movimientos de aproximación del muslo (p. ej., montar a caballo) se utilizan los

tres aproximadores (largo, corto y mayor). Por otro lado, estos músculos estabilizan el muslo durante su flexión y extensión. *La exploración de los músculos mediales del muslo* tiene lugar con el sujeto en decúbito supino y la rodilla recta. Se pide al sujeto que aproxime el muslo contra resistencia; si los aproximadores se encuentran normales, se deben palpar con facilidad los extremos proximales de los músculos grácil y aproximador largo.

Hiato de los aproximadores. El orificio en la inserción aponeurótica distal del músculo aproximador mayor —**hiato de los aproximadores**— conduce la arteria y la vena femorales desde el conducto de los aproximadores del muslo hasta la fosa poplítea, detrás de la rodilla (tabla 5.4). Esta abertura se encuentra justo encima del tubérculo del aproximador mayor del fémur. Todos los músculos aproximadores, salvo el pectíneo y parte del aproximador mayor, están innervados por el nervio obturador (L2 a L4). El músculo pectíneo lo está por el nervio femoral (L2 a L4) y la porción “tendinosa” del músculo aproximador mayor, por la división tibial del nervio ciático (L4).

Trasplante del músculo grácil

Como el músculo grácil es un miembro bastante débil del grupo de los músculos aproximadores, se puede extirpar sin que se note una pérdida llamativa de sus acciones sobre la pierna. Por eso, muchos cirujanos trasplantan el músculo grácil o parte de él, con su nervio y vasos sanguíneos, para reponer el músculo dañado de la mano, por ejemplo. Después de trasplantar el músculo se observa una buena flexión y extensión digital.

Tirón inguinal

A veces, los locutores deportivos hablan de “tirón inguinal” o “lesión inguinal”. Estos términos se refieren a una sobrecarga, estiramiento y posiblemente cierto desgarramiento de las inserciones proximales de los músculos anteromediales del muslo. La lesión suele afectar a los músculos

flexores y aproximadores del muslo. Las inserciones proximales de estos músculos se encuentran en la región inguinal, la unión del tronco con el muslo. El tirón inguinal suele suceder en los deportes que exigen salidas rápidas, como las carreras de corta distancia (p. ej., una carrera de 60 metros), el robo de bases en el béisbol y las salidas rápidas en el baloncesto, rugby y fútbol.

Lesión del músculo aproximador largo

La distensión del músculo aproximador largo se observa en los jinetes y provoca dolor (“sobrecarga del jinete”). La osificación de los tendones de estos músculos se debe a que los jinetes aproximan con fuerza los muslos para no caerse del caballo. A veces, los tendones osificados se conocen como “huesos de los jinetes”. ❖

El triángulo femoral

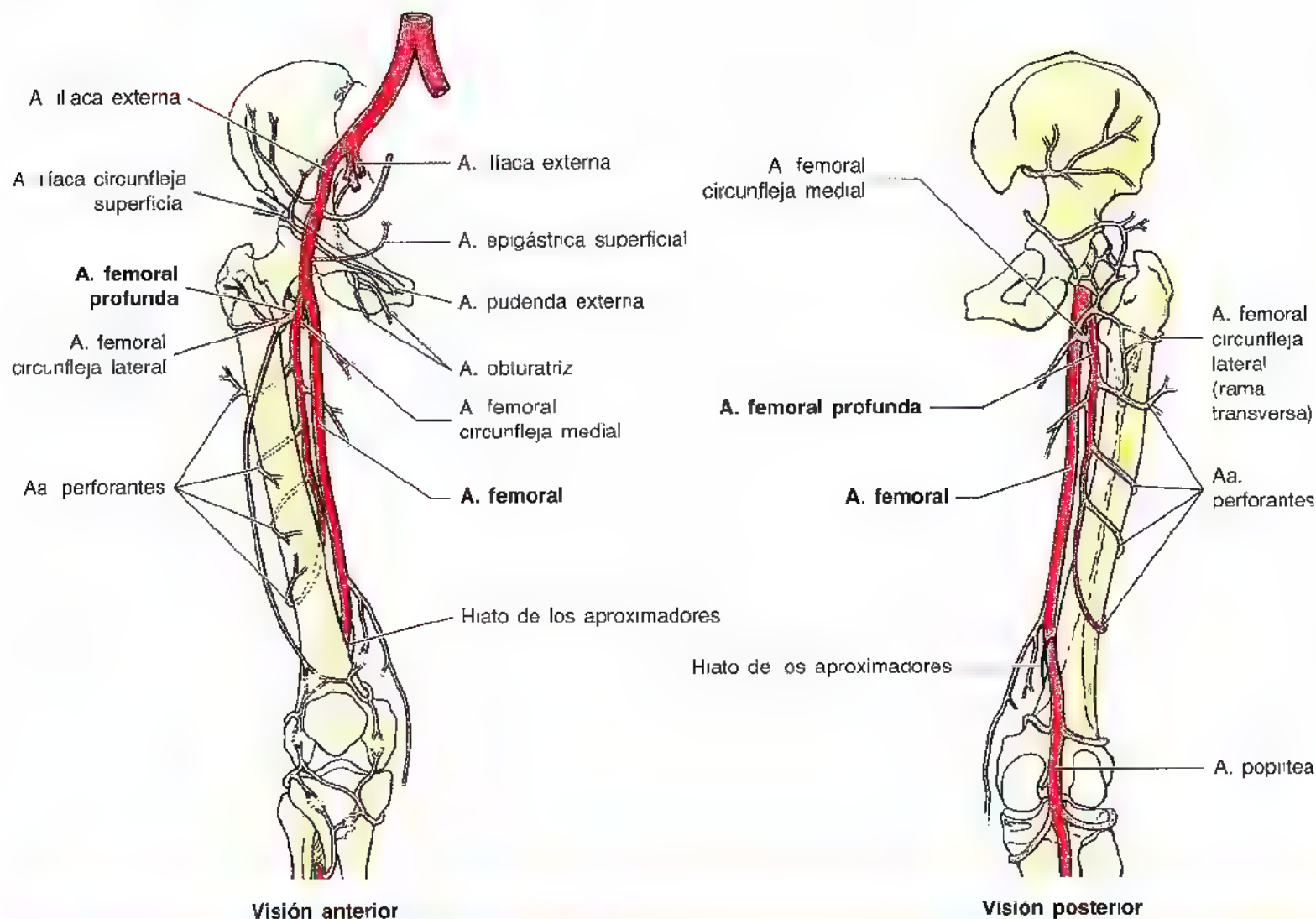
El triángulo femoral —una región de unión entre el tronco y el miembro inferior— es *un espacio fascial triangular del tercio superoanterior del muslo* (figs. 5.16 y 5.17), que aparece como depresión triangular, debajo del ligamento inguinal, cuando se flexiona, separa o rota lateralmente el muslo. *El triángulo femoral limita:*

- Con el ligamento inguinal por arriba.
- Con el músculo aproximador largo en la cara medial.
- Con el músculo sartorio en la cara lateral.

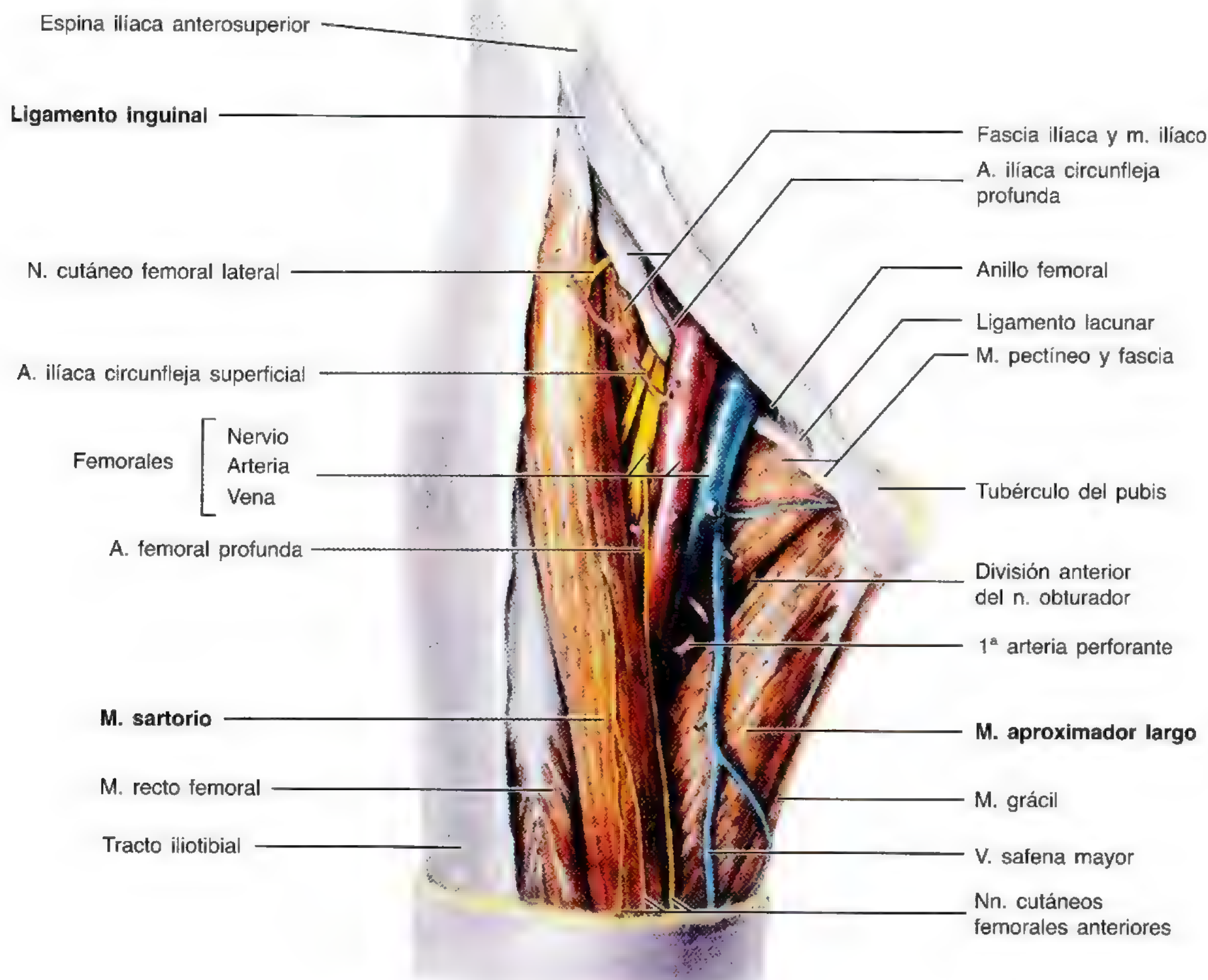
La base del triángulo femoral la forma el ligamento inguinal, y el *vértice* radica allí donde el borde lateral del músculo

sartorio se cruza con el borde medial del aproximador largo. El *suelo muscular del triángulo femoral* está constituido, de la parte lateral a la medial, por los músculos iliopsoas y pectíneo. El *techo del triángulo femoral* lo forman la fascia lata y la fascia cribiforme, el tejido subcutáneo y la piel. *El contenido de este triángulo femoral, de la zona lateral a la medial, corresponde a las siguientes estructuras:*

- El nervio femoral y sus ramos.
- La vaina femoral y su contenido.
- La arteria femoral y algunas de sus ramas.
- La vena femoral y sus afluentes proximales, como las venas safena mayor y femoral profunda.

Tabla 5.4. Irrigación arterial del muslo

Arteria	Origen	Trayecto	Distribución
Femoral	Prolongación de la arteria ilíaca externa, distal al ligamento inguinal	Desciende por el triángulo femoral, atraviesa el conducto de los aproximadores y cambia su nombre por el de "poplítea" en el hiato de los aproximadores	Caras anterior y anteromedial del muslo
A. femoral profunda	A. femoral, aproximadamente 4 cm distal al ligamento inguinal	Sigue un trayecto inferior, en la profundidad del m. aproximador largo	Las ramas perforantes atraviesan el m. aproximador mayor para dirigirse a la parte posterolateral de los compartimientos anteriores del muslo
Femoral circunfleja medial	A. femoral profunda; puede nacer en la a. femoral	Sigue un trayecto medial y posterior entre los mm. pectíneo e iliopsoas, entra en la región glútea y se divide en dos ramos	Da casi toda la sangre para la cabeza y el cuello del fémur; la rama transversa participa en la anastomosis cruzada del muslo; la rama ascendente se une a la a. glútea inferior
Femoral circunfleja lateral	A. femoral profunda; puede nacer en la a. femoral	Pasa lateral y profunda a los mm. sartorio y recto femoral y se divide en tres ramos	La rama ascendente irriga la parte anterior de la región glútea; las ramas transversales giran alrededor del fémur; la rama descendente baja hasta la rodilla y se une con las anastomosis de la rodilla
Obturatriz	A. ilíaca interna	Atraviesa el orificio obturador, entra en el compartimiento medial del muslo y se divide en las ramas anterior y posterior	La rama anterior perfunde los músculos obturador externo, pectíneo, aproximadores del muslo y grácil; la rama posterior llega a los músculos que se insertan en la tuberosidad isquiática



(A)

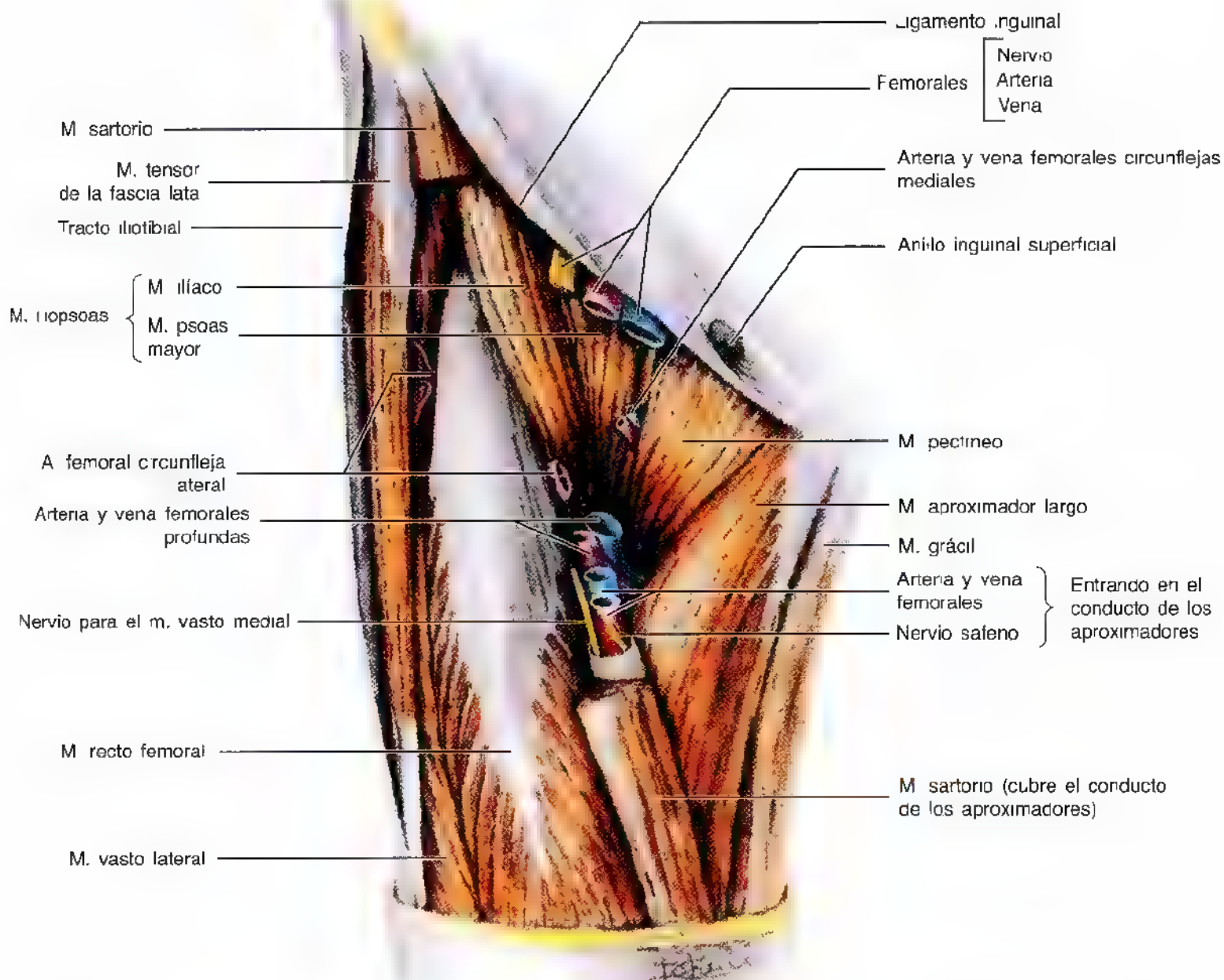
Figura 5.16. A. Disección del triángulo femoral que contiene el nervio y los vasos femorales. Se observan las estructuras que delimitan el triángulo: el ligamento inguinal por arriba, el músculo aproximador largo en la cara medial y el sartorio en la lateral.

La arteria y la vena femorales bisecan el triángulo femoral; estos vasos abandonan y entran en el **conducto de los aproximadores** por el vértice del triángulo (fig. 5.16B). El *conducto de los aproximadores* es un espacio situado en el tercio medio del muslo, entre los músculos vaso medial y aproximador, que el músculo sartorio que lo recubre transforma en un canal.

El nervio femoral. El nervio femoral (L2 a L4) —*el ramo mayor del plexo lumbar*— se forma en el abdomen dentro del músculo psoas mayor y desciende posterolateralmente hacia la pelvis hasta el punto medio del ligamento inguinal (fig. 5.16, A y B). Luego pasa a la profundidad de este ligamento para entrar en el triángulo femoral, *lateral a los vasos femorales*. Después de atravesar el triángulo se divide en varios ramos para los músculos anteriores del muslo. Asimismo, emite ramos articulares para la cadera y la rodilla,

y varios ramos cutáneos para la cara anteromedial del muslo (tabla 5.1). El ramo cutáneo terminal del nervio femoral —**el nervio safeno**— desciende a través del triángulo femoral, lateral a la vaina femoral que contiene los vasos femorales (fig. 5.17). *El nervio safeno acompaña a la arteria y a la vena femorales por el conducto de los aproximadores*, pero luego emerge a la superficie entre los músculos sartorio y grácil, por el lugar donde los vasos femorales atraviesan el hiato de los aproximadores, en el extremo distal del conducto. Sigue un trayecto anteroinferior para inervar la piel y la fascia de caras anteromedial de la rodilla, pierna y pie.

La vaina femoral. Este *tubo fascial infundibular*, o vaina femoral, se extiende 3 a 4 cm debajo del ligamento inguinal y envuelve las porciones proximales de los vasos femorales y el conducto femoral (figs. 5.17 y 5.18). La vaina se constituye por una prolongación inferior de la fascia trans-



(B)

Figura 5.16. (Continuación) B. Disección mas profunda donde se ve el suelo del triángulo femoral. Se han extirpado las secciones del músculo sartorio y de los vasos y nervio femorales. Obsérvense los músculos que forman el suelo del triángulo femoral: el músculo psoas mayor en la parte medial y el iliaco en la lateral. En el vértice de triángulo femoral aparecen cuatro vasos y dos nervios en el conducto de los aproximadores.

versa y de músculo iliopsoas del abdomen (véase el capítulo 2). La vaina femoral no contiene el nervio femoral y termina prolongándose con la adventicia que reviste los vasos femorales. La pared medial de la vaina femoral está perforada por la vena safena mayor y vasos linfáticos. La vaina femoral permite que la arteria y la vena femorales se deslicen en la profundidad del ligamento inguinal durante los movimientos de la cadera. La vaina femoral se subdivide en tres compartimientos por tabiques verticales procedentes del tejido conjuntivo extraperitoneal del abdomen que se extien-

de a lo largo de los vasos. Los compartimientos de la vaina femoral son éstos:

- *Compartimiento lateral* para la arteria femoral.
- *Compartimiento intermedio* para la vena femoral.
- *Compartimiento medial*, que es el conducto femoral.

El **conducto femoral**—el menor de los tres compartimientos de la vaina femoral—es un compartimiento medial cónico y corto (de aproximadamente 1,25 cm) de la vaina femoral, situado entre el borde medial de la vaina femoral y la vena

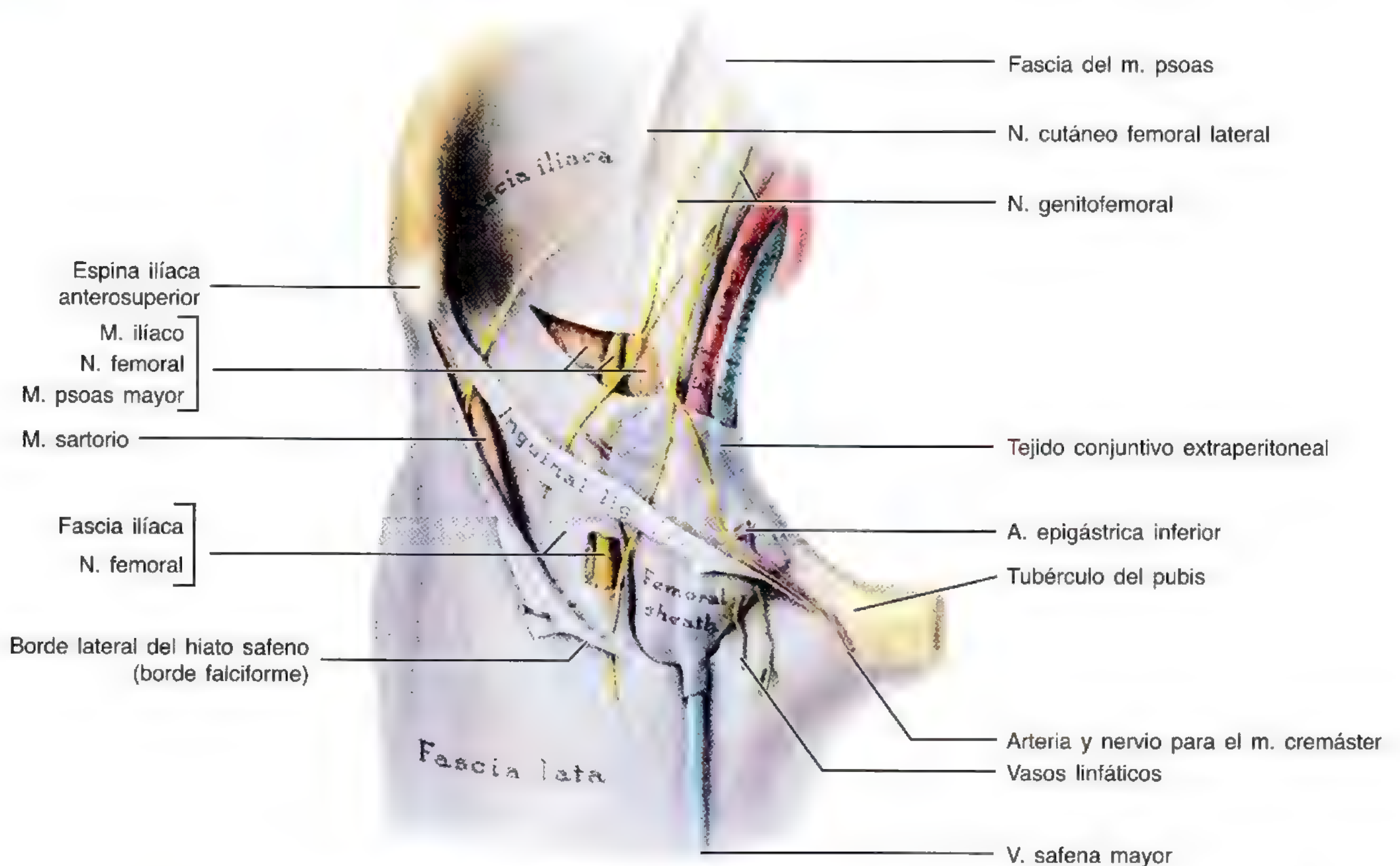


Figura 5.17. Disección de la vaina femoral en el triángulo femoral. El borde falciforme del hiato safeno se ha cortado y retraído. Obsérvese cómo el nervio femoral queda externo y lateral a la vaina femoral.

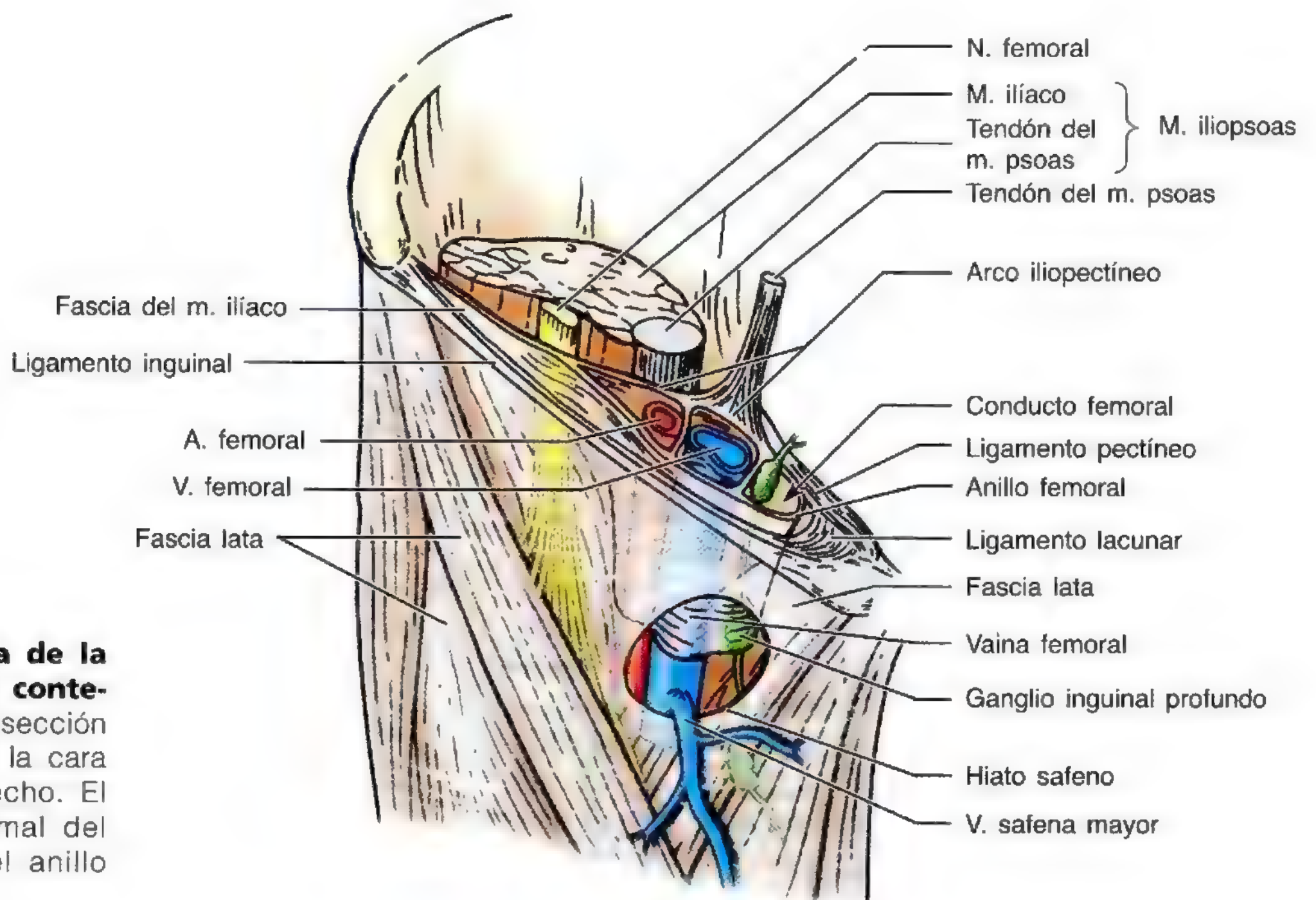


Figura 5.18. Estructura de la vaina femoral y de su contenido. Dibujo de una disección del extremo superior de la cara anterior del muslo derecho. El extremo (orificio) proximal del conducto femoral es el anillo femoral.

femoral. La base del conducto femoral (su extremo abdominal) se dirige hacia arriba y, pese a su forma ovalada, se denomina *anillo femoral* (fig. 5.18). **El conducto femoral:**

- Se extiende distalmente hasta la altura del borde proximal del hiato safeno.
- Permite que se expanda la vena femoral cuando aumenta el retorno venoso del miembro inferior.
- Contiene tejido conjuntivo laxo, grasa, algunos vasos linfáticos y, a veces, un ganglio inguinal profundo (ganglio de Coquet).

El **anillo femoral** —abertura proximal pequeña del conducto femoral (de aproximadamente 1 cm de anchura) — está cerrado por un tejido adiposo extraperitoneal que forma el **tabique femoral**. La cara abdominal de este tabique está cubierta por peritoneo parietal (véase el capítulo 2). El tabique femoral se encuentra perforado por vasos linfáticos que comunican los ganglios inguinales e ilíacos externos. *Los límites del anillo femoral corresponden a éstos:*

- La partición entre el conducto femoral y la vena femoral en *la zona lateral*.
- El ramo superior del pubis cubierto por el músculo pectíneo y su fascia en *la cara posterior*.
- El ligamento lacunar en *la cara medial*.
- La parte media del ligamento inguinal en *la cara anterior*.

La arteria femoral. La arteria femoral —la arteria principal del miembro inferior— es la prolongación de la arteria ilíaca externa (fig. 5.16A, tabla 5.4). *La arteria femoral:*

- Comienza en el ligamento inguinal y discurre por entre la espina ilíaca anterosuperior y la sínfisis del pubis.
- Entra en el triángulo femoral en la profundidad del punto medio del ligamento inguinal, *lateral a la vena femoral*.
- Queda detrás de la fascia lata y desciende por los bordes adyacentes de los músculos iliopsoas y pectíneo para formar el suelo del triángulo femoral.
- Biseca el triángulo femoral por el vértice y entra en el *conducto de los aproximadores*, en la profundidad del sartorio.
- Sale del conducto de los aproximadores atravesando el *hiato de los aproximadores* y transformada en la arteria poplítea.

En la zona proximal de su trayecto, la arteria femoral da la arteria epigástrica superficial, la arteria ilíaca circunfleja superficial y las arterias pudenda externa superficial y pudenda externa profunda.

La arteria femoral profunda —la rama mayor de la arteria femoral y la arteria principal de muslo— se origina en el triángulo femoral de la cara lateral de la arteria femoral, 1 a 5 cm debajo del ligamento inguinal. En su descenso pasa en la profundidad del muslo y queda detrás de la arteria y de la vena femorales en la cara media del fémur (fig. 5.16, A y B). La arteria femoral profunda abandona el triángulo femoral entre los músculos pectíneo y aproximador largo, y desciende detrás de este último dando arterias perforantes que nutren los músculos aproximador mayor y femorales posteriores.

Las **arterias femorales circunflejas** suelen proceder de la arteria femoral profunda, pero también pueden nacer de forma directa en la arteria femoral. Rodean el muslo, se anastomosan entre sí con otras arterias y alimentan los músculos del muslo y la extremidad proximal del fémur.

La **arteria femoral circunfleja medial** es muy importante, porque irriga casi toda la cabeza y el cuello del fémur (tabla 5.4). Muchas veces se desgarran cuando se fractura el cuello del fémur o se luxa la cadera. Esta arteria pasa en la profundidad, entre los músculos iliopsoas y pectíneo, hasta alcanzar la cara posterior del muslo.

La **arteria femoral circunfleja lateral** sigue un curso lateral, dentro de los músculos sartorio y recto femoral, y entre los ramos del nervio femoral. Aquí se divide en ramas que nutren la cabeza del fémur y los músculos de la cara lateral del muslo.

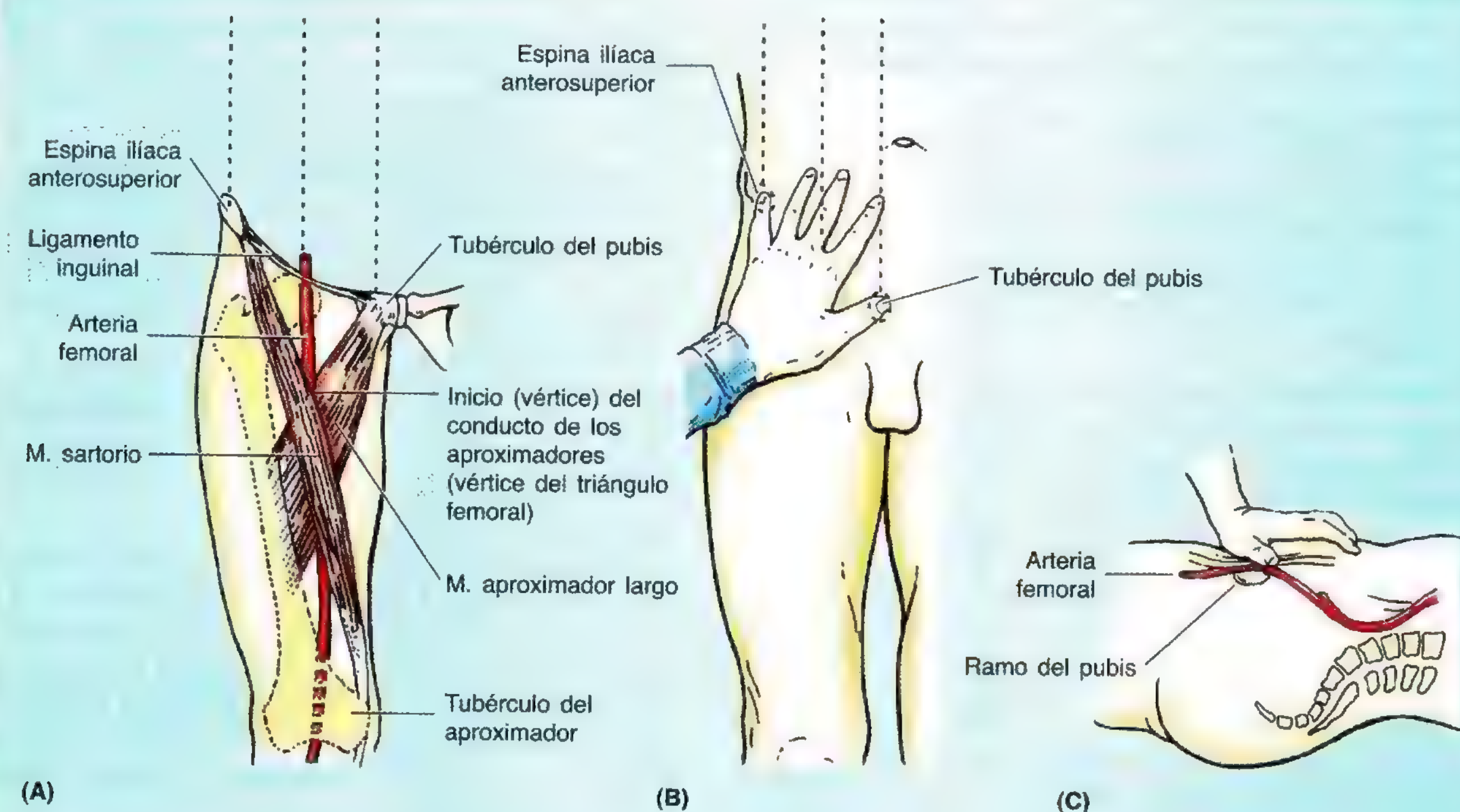
La **arteria obturatriz** (tabla 5.4) ayuda a la arteria profunda en la irrigación de los músculos aproximadores del muslo. Nace en la arteria ilíaca interna o como *arteria obturatriz accesoria* de la arteria epigástrica inferior y atraviesa el *orificio obturador*, llega al muslo y se divide en los ramos anterior y posterior, que se anastomosan entre sí. El ramo posterior da una división acetabular para la cabeza del fémur.

Palpación de la arteria femoral

Algunos cirujanos vasculares hablan de la *arteria femoral común* para referirse a la parte de la arteria femoral proximal a la ramificación de la arteria femoral profunda, y denominan su prolongación *arteria femoral superficial*. El Comité Federativo Internacional de Terminología Anatómica desaconseja esta terminología, que no se emplea en el libro porque dichos términos pueden resultar confusos. El *pulso femoral* se palpa con el sujeto en decúbito supino. La *arteria femoral comienza en el ligamento inguinal y discurre a mitad de camino entre la espina ilíaca anterosuperior y la sínfisis del pubis (A-B)*. El *pulso femoral* se palpa justo debajo del punto medio de este ligamento, apretando con fuerza. Habitualmente, el pulso es intenso, pero si se obstruye parte de la luz de las arterias ilíacas comunes o externas puede disminuir. La *compresión de la arteria femoral* también se logra apretando directamente este punto contra el ramo superior del pubis, el músculo psoas mayor y la cabeza del fémur (C). Al comprimir ese punto cesa el flujo sanguíneo por la arteria femoral y sus ramas, como la arteria femoral profunda.

Canulación de la arteria femoral

La arteria femoral se expone y canula con facilidad en la base del triángulo femoral, justo debajo del punto medio del ligamento inguinal. Para la *angiografía* ►



► *de cavidades izquierdas se introduce un catéter largo y fino dentro de la arteria y se pasa hasta la arteria iliaca externa, arteria iliaca común y aorta, y luego se lleva al ventrículo izquierdo del corazón (véase el capítulo 1). Las arterias coronarias también se pueden visualizar mediante arteriografía coronaria.*

Laceración de la arteria femoral

La posición superficial de la arteria femoral dentro del triángulo femoral explica su vulnerabilidad a la punción mediante laceraciones o *heridas por arma de fuego*. Delante de la arteria femoral se encuentran la piel, el tejido subcutáneo, los ganglios inguinales superficiales, la arteria iliaca circunfleja superficial, la capa superficial de la fascia lata y la parte anterior de la vaina femoral (fig. 5.17). En general, tanto la arteria como la vena femorales sufren laceración en las heridas anteriores del muslo, debido a su proximidad. A veces ocurre un cortocircuito arteriovenoso como consecuencia de la comunicación entre los vasos dañados. Cuando se precisa ligar la arteria femoral,

el miembro inferior recibe la sangre de la *anastomosis cruzada* (tabla 5.4). Esta anastomosis, que no es tan frecuente como se ha descrito, se crea por la unión de las arterias femorales circunflejas medial y lateral con la arteria glútea inferior por arriba y la 1ª arteria perforante por abajo.

Arteria obturatriz accesoria

Un 20% de las personas posee una rama púbica de mayor calibre, derivada de la arteria epigástrica inferior, en el lugar de la arteria obturatriz, o bien una arteria obturatriz accesoria, que discurre cerca o atraviesa el anillo femoral hasta alcanzar el orificio obturador. Este orificio se relaciona íntimamente con el borde libre del ligamento lacunar y el cuello de la hernia femoral. Por eso, esta arteria podría participar de una *hernia femoral* estrangulada (pág. 560). Los cirujanos que ponen grapas para la reparación endoscópica de las hernias inguinales o femorales también deben vigilar la posible presencia de esta variante arterial común. +

La vena femoral. La vena femoral es la *prolongación de la vena poplítea*, en la zona proximal al hiato de los aproximadores. En su ascenso por el conducto de los aproximadores, la vena femoral queda posterolateral y luego posterior a la arteria femoral (fig. 5.16B). Esta vena penetra en la vaina femoral, lateral al conducto femoral, y termina detrás del ligamento inguinal, *convirtiéndose en la vena iliaca*

externa. La vena femoral recibe sangre de la vena femoral profunda, la vena safena mayor y otras afluentes en la parte inferior del triángulo femoral. La **vena femoral profunda**, creada por la unión de 3 ó 4 venas perforantes, desemboca en la vena femoral unos 8 cm por debajo del ligamento inguinal y casi 5 cm por debajo de la desembocadura de la vena safena mayor.

Denominación errónea y potencialmente mortal

En algunos laboratorios de angiología se emplea el término "vena femoral superficial" en los informes para aludir a la vena femoral. Además, la mayoría de los médicos de atención primaria no han aprendido o bien ignoran que la vena femoral "superficial" es una vena profunda, y que la trombosis aguda de este vaso sanguíneo puede poner la vida en peligro. No debería emplearse el adjetivo "superficial" porque implica que la vena es superficial, cuando no sucede así. *La mayoría de las embolias pulmonares se origina en venas profundas* —no superficiales—, y el riesgo de embolia se reduce mucho con el tratamiento anticoagulante. Por eso, la terminología anatómica de los informes clínicos debe ser precisa para evitar situaciones que pongan en peligro la vida.

Variz safena

La dilatación localizada de la porción terminal de la vena safena mayor —*variz safena*— puede causar un edema del triángulo femoral. La variz safena se puede confundir con otras tumefacciones inguinales, como el absceso del psoas; sin embargo, debe sospecharse la presencia de variz si existen venas varicosas en otras partes del miembro inferior.

Localización de la vena femoral

La vena femoral no suele palparse, pero se localiza debajo del ligamento inguinal; para ello hay que palpar la pul-

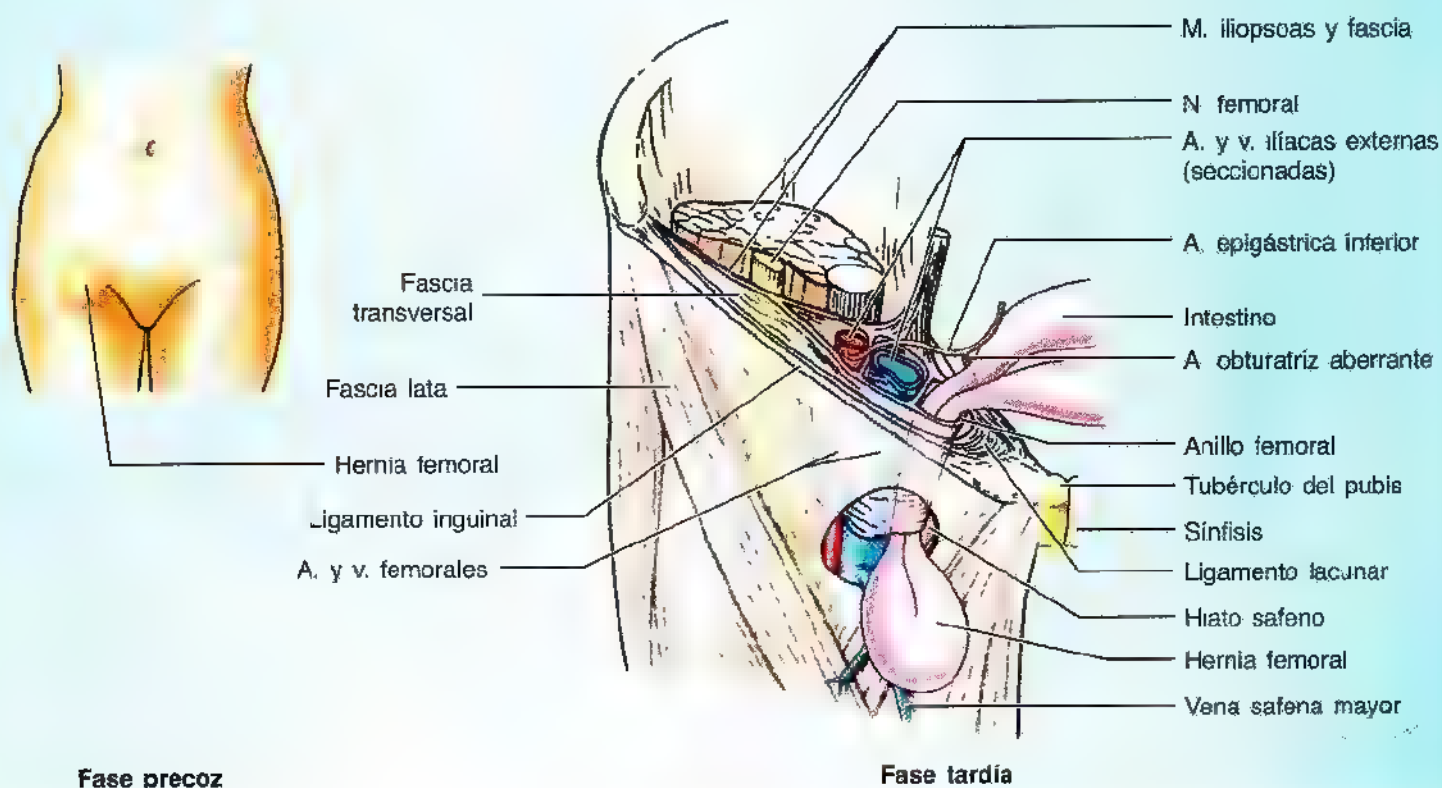
sación de la arteria femoral, situada inmediatamente lateral a la vena. En las personas delgadas, la vena femoral puede quedar bastante superficial y confundirse con la vena safena mayor. *Por eso conviene saber que la vena femoral no posee afluentes a este nivel*, salvo la vena safena mayor, con la que se une unos 3 cm por debajo del ligamento inguinal. En la *cirugía de las venas varicosas* es muy importante, como parece lógico, identificar la vena safena mayor y no ligar por error la vena femoral.

Canulación de la vena femoral

Para asegurar la toma de sangre y tratar el registro de presión de las cavidades derechas del corazón o de la arteria pulmonar, o bien para la *angiocardiógrafa de cavidades derechas* se introduce un catéter largo y fino en la vena femoral a su paso por el triángulo femoral. A tal fin se efectúa una pequeña incisión cutánea debajo del ligamento inguinal y lateral a la arteria femoral, que permite un acceso sencillo a la vena femoral para la punción venosa, administración de líquidos o cualquier uso del catéter. El catéter se desplaza hacia arriba, bajo control radioscópico, hasta la vena cava inferior y la aurícula derecha del corazón, pasando por las venas ilíacas externa y común.

Hernia femoral

El anillo femoral es una región débil de la pared anterior del abdomen, que normalmente deja pasar la punta del dedo menique. El anillo femoral es el lugar habitual



► donde se origina la *hernia femoral* (protrusión de las vísceras abdominales [en general, un asa de intestino delgado] a través del anillo inguinal hasta el conducto femoral). La hernia femoral se presenta como una masa, de ordinario dolorosa, en el triángulo femoral, *inferolateral al tubérculo del pubis*. La hernia limita con la vena femoral en la parte lateral y con la parte rechazada del ligamento inguinal –ligamento lacunar– en la zona medial (véase el dibujo). El saco herniario comprime el contenido del conducto femoral (tejido conjuntivo laxo, grasa y vasos linfáticos) y distiende la pared del conducto. Al principio, la hernia es pequeña porque está contenida en el conducto femoral, pero puede aumentar de tamaño al pasar hacia abajo, a través del hiato safeno, hasta el tejido subcutáneo del muslo. La hernia femoral aparece

debajo del ligamento inguinal e inferolateral al tubérculo del pubis, donde la hernia inguinal indirecta queda encima del ligamento inguinal y puede introducirse en el escroto (véase el capítulo 2). Las hernias femorales son más frecuentes entre las mujeres, y las inguinales, entre los varones.

La *estrangulación de una hernia femoral* puede obedecer al contorno rígido y nítido del anillo femoral, sobre todo el borde cóncavo del *ligamento lacunar*. La estrangulación de la hernia femoral dificulta la irrigación sanguínea del intestino herniado y puede causar una necrosis hística. En ocasiones hay que incidir el ligamento lacunar para liberar una hernia estrangulada. En tales casos se puede dañar la *arteria obturatriz aberrante*, que se dirige medial al saco herniario. ➔

El conducto de los aproximadores

El *conducto de los aproximadores* (conducto subsartorio o conducto de Hunter) –de unos 15 cm de longitud– es un *túnel fascial estrecho situado en el muslo, que discurre desde el vértice del triángulo femoral hasta el hiato de los aproximadores del tendón del músculo aproximador mayor* (fig. 5.19, tabla 5.4). Situado en la profundidad del tercio medio del músculo sartorio, el conducto de los aproximadores constituye un paso intermuscular por el que los vasos femorales llegan a la fosa poplítea y se transforman en los vasos poplíteos. El conducto de los aproximadores comienza en el cruce del músculo sartorio sobre el aproximador largo y termina

en el hiato de los aproximadores. *El contenido del conducto corresponde al siguiente:*

- Arteria y vena femorales.
- Nervio safeno.
- Nervio para el músculo vasto medial.

El conducto de los aproximadores limita:

- Con el músculo vasto medial en las caras anterior y lateral.
- Con los músculos aproximadores largo y mayor en la cara posterior.
- Con el músculo sartorio en la cara medial.

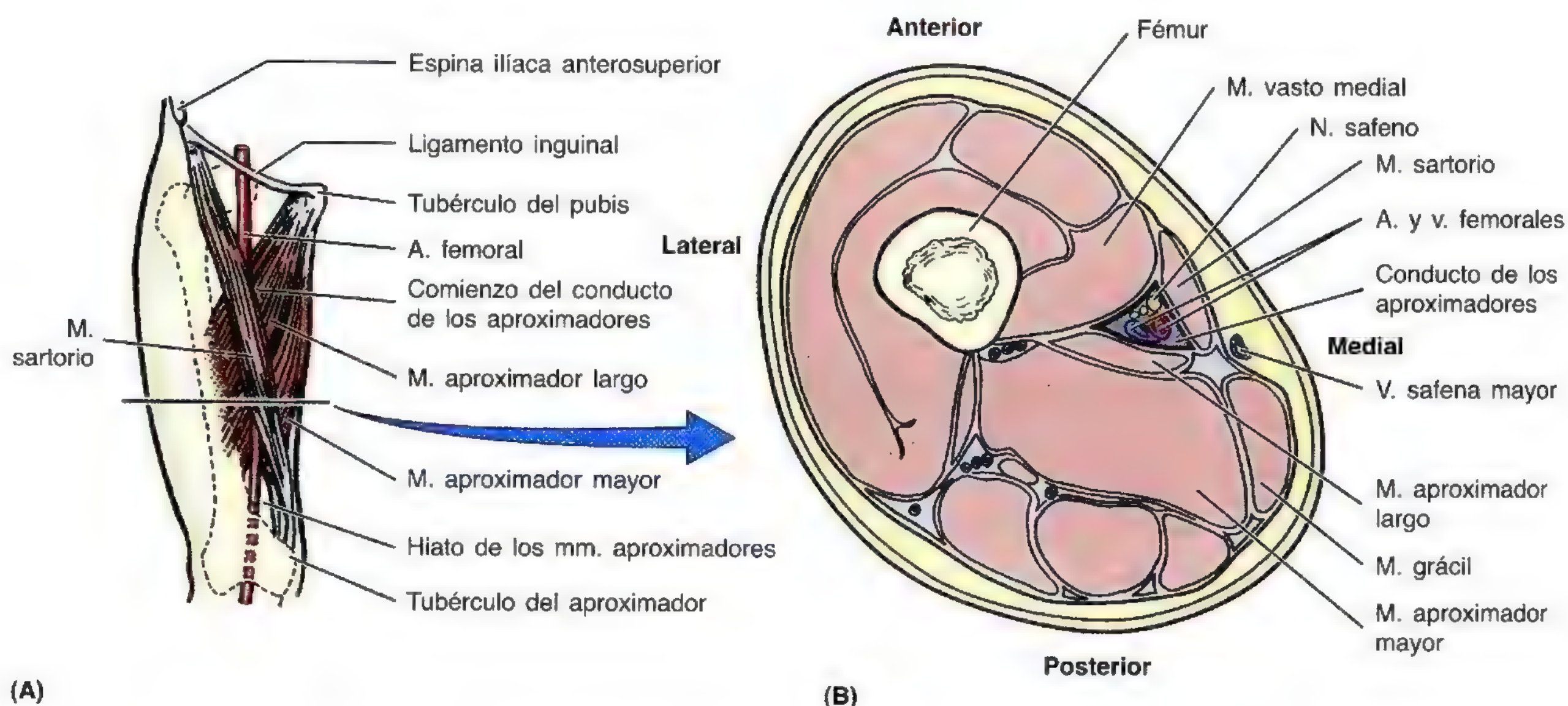


Figura 5.19. Conducto de los aproximadores en la parte medial del tercio medio del muslo. A.

Dibujo orientativo que muestra el nivel del corte de (B). **B.** Sección transversal del muslo para ver el conducto de los aproximadores y su contenido neurovascular.

La región glútea

La región glútea se sitúa detrás de la pelvis, entre el plano de las crestas ilíacas y los bordes inferiores de los músculos glúteos mayores (fig. 5.20). La **hendidura interglútea** separa las nalgas entre sí. Los **músculos glúteos** (mayor, medio y menor) dan volumen a la nalga. El surco glúteo queda debajo del **pliegue glúteo**, que cubre el borde inferior del músculo glúteo mayor (cubierto de grasa) cuando se extiende el muslo. El **surco glúteo** marca el límite inferior de la nalga y el límite superior del muslo.

Los ligamentos glúteos

Las porciones de la pelvis ósea –huesos coxales, sacro y cóccix– están unidas a través de densos ligamentos (fig. 5.21). Los **ligamentos sacrotuberoso** y **sacroespinoso** transforman las escotaduras ciáticas de los huesos coxales en los orificios ciáticos mayor y menor. El **orificio ciático mayor** es la vía de paso para estructuras que entran o salen de la pelvis (p. ej., nervio ciático), mientras que el **orificio ciático menor** sirve para el paso de estructuras que entran o salen del perineo (p. ej., nervio pudendo). Resulta útil considerar el orificio ciático mayor como la “puerta” por la que todas las arterias y nervios del miembro inferior abandonan la pelvis y entran en la región glútea. El **músculo piriforme**, que

ocupa una posición clave en la región glútea (tabla 5.5), también pasa a la región glútea por el orificio ciático mayor y prácticamente lo rellena.

Los músculos glúteos

Los músculos glúteos (fig. 5.22) constan de:

- Tres grandes masas (glúteo mayor, glúteo medio y glúteo menor), que actúan sobre todo como extensoras y separadoras del muslo.
- Un grupo más profundo de músculos de menor tamaño (piriforme, obturador interno, géminos y cuadrado femoral), cubiertos por la mitad inferior del glúteo mayor y los rotadores laterales del muslo. Además, estabilizan la cadera al enderezar la cabeza del fémur dentro del acetábulo.

La tabla 5.5 muestra las inserciones, la inervación y las acciones principales de estos músculos.

Músculo glúteo mayor

El músculo glúteo mayor –el más superficial de todos– es el más voluminoso, pesado y con mayor número de fibras toscas de todos los músculos de la región glútea. Este músculo cubre otros músculos glúteos (fig. 5.22A), con excepción del tercio posterior del glúteo medio, y crea un cojín sobre la **tuberosidad isquiática**. La **tuberosidad isquiática** se puede palpar en la profundidad de la parte inferior del muslo, justo encima de la porción medial del pliegue glúteo. Cuando se flexiona el muslo, el borde inferior del glúteo mayor se desplaza hacia arriba y la tuberosidad isquiática queda en un plano subcutáneo. *Nadie se sienta sobre el músculo glúteo mayor*, sino sobre el tejido fibroso y adiposo y la bolsa isquiática ubicada entre la tuberosidad isquiática y la pie.

El músculo glúteo mayor sigue una pendiente inferolateral con un ángulo de 45 grados desde la pelvis a las nalgas. Las fibras de la porción superior, más voluminosa, de este músculo y las fibras superficiales de la porción inferior se insertan en el **tracto iliotibial**. Algunas fibras profundas de la zona inferior se insertan en la **tuberosidad glútea del fémur** (fig. 5.6B). El nervio y los vasos glúteos inferiores entran en la profundidad del músculo glúteo mayor, por el centro. Este músculo está irrigado por las arterias glúteas inferior y superior. El **nervio ciático** pasa en la profundidad de este músculo en su trayecto superior (fig. 5.23).

Las acciones principales del músculo glúteo mayor consisten en la **extensión y rotación lateral del muslo**. Cuando la zona fija del músculo glúteo mayor es la inserción proximal, el músculo extiende el tronco sobre el miembro inferior: *el músculo glúteo mayor actúa cuando se requiere fuerza y ejerce sus efectos principalmente entre las posiciones de flexión y bipedestación (erección) del muslo*, como ocurre al levantarse de una silla, enderezarse desde una postura de flexión, subir escaleras o correr. Apenas se utiliza para caminar despacio o permanecer de pie inmóvil. Esto se puede verificar colo-

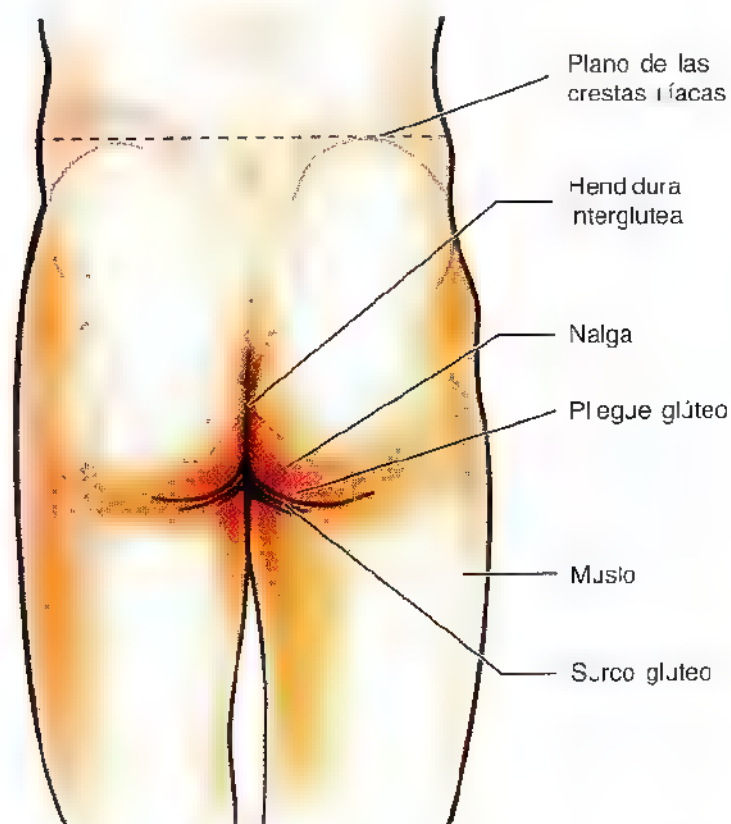
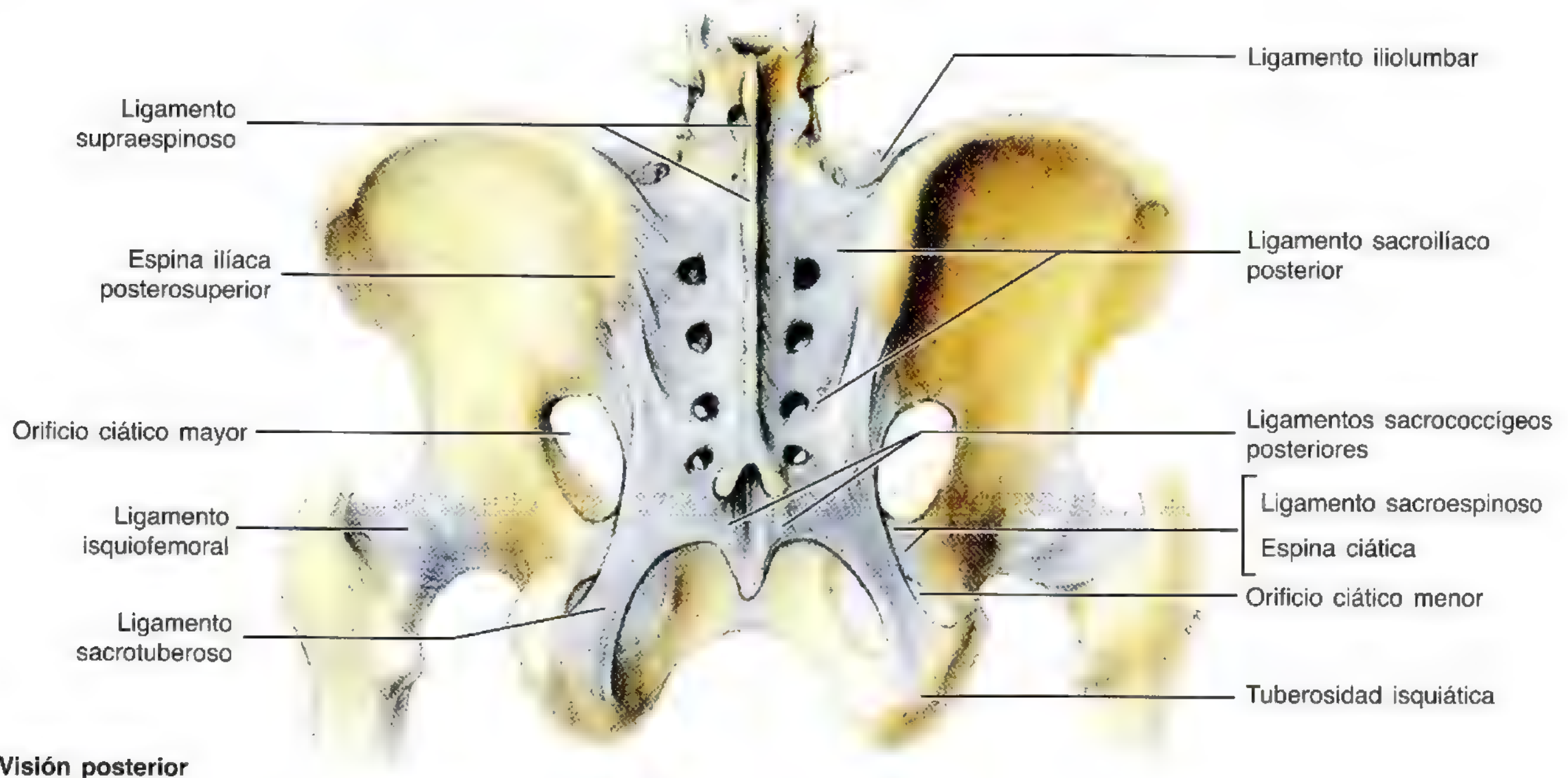


Figura 5.20. Región glútea o de las nalgas. La hendidura interglútea separa las nalgas (eminencias glúteas). El surco glúteo se crea debajo del pliegue glúteo por el borde inferior del músculo glúteo mayor. El surco glúteo marca el límite inferior de la nalga y el límite superior del muslo.



Visión posterior

Figura 5.21. Los ligamentos lumbares y pélvicos. Los ligamentos sacrotuberoso y sacroespinoso pasan de la tuberosidad isquiática y espina ciática, respectivamente, a la cara lateral del sacro y cóccix. Estos ligamentos convierten las escotaduras ciáticas mayor y menor en orificios.

cando la mano en la nalga mientras se camina con lentitud. Se puede observar cómo el músculo glúteo mayor apenas se contrae con cada paso. Sin embargo, si se coloca la mano en la nalga al subir escaleras se notará la poderosa contracción del glúteo mayor. Como el tracto iliotibial cruza la rodilla y se inserta en la tibia con la rodilla extendida, el músculo glúteo mayor también contribuye a estabilizar la rodilla.

La exploración del músculo glúteo mayor se efectúa en decúbito prono, con el miembro inferior recto. Se pide al sujeto que tense la nalga y extienda la cadera mientras el examinador observa y palpa el glúteo mayor.

Las **bolsas glúteas** separan el músculo glúteo mayor de las estructuras vecinas (fig. 5.24). Se trata de sacos membranosos revestidos de una membrana sinovial que contienen una capa capilar de líquido deslizante parecido a la clara del huevo. Las bolsas están situadas en zonas sometidas a fricción (p. ej., donde el tracto iliotibial cruza el trocánter mayor); su finalidad consiste en reducir la fricción y propiciar un movimiento libre. De ordinario, el músculo glúteo mayor se asocia con tres bolsas:

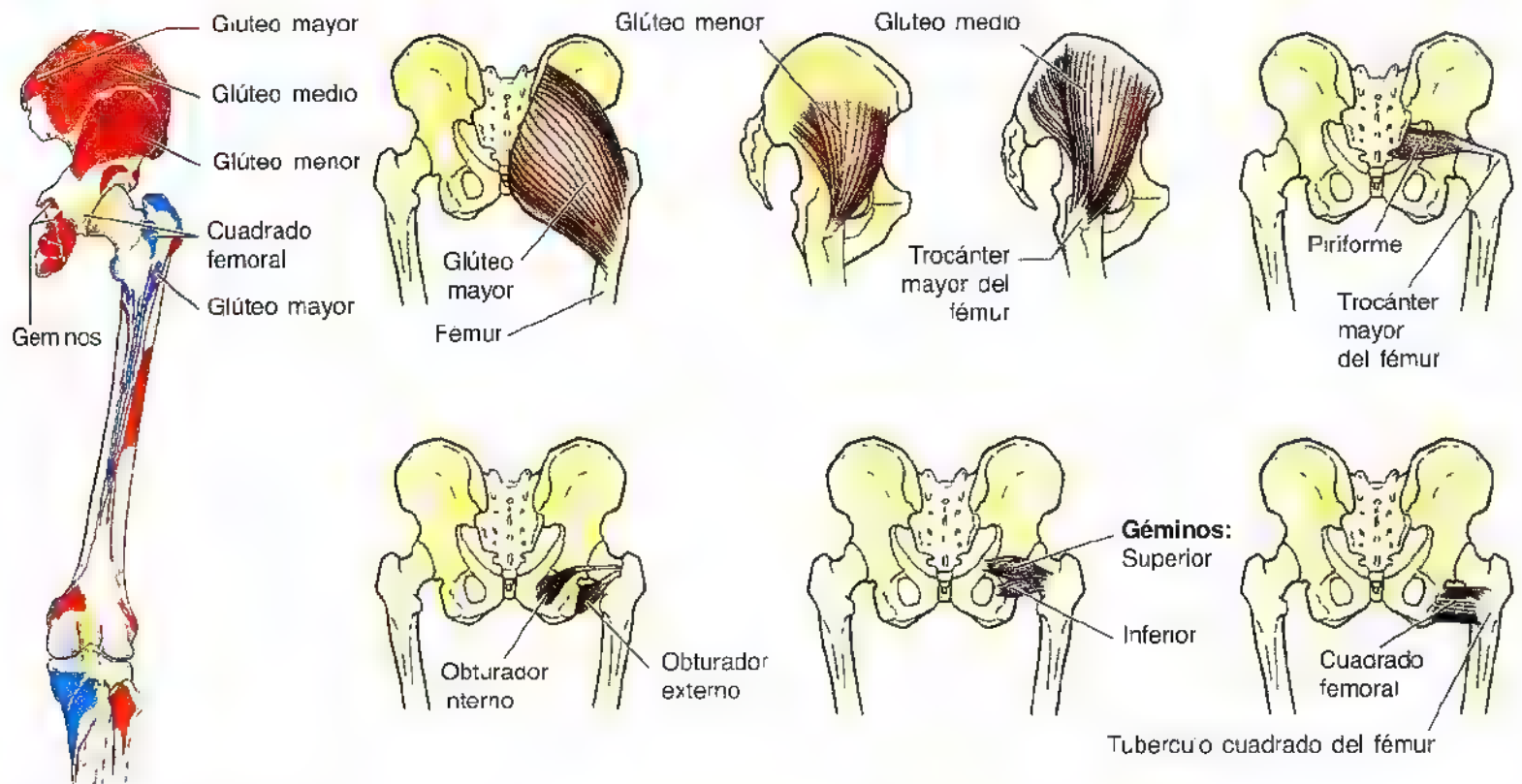
- Las **bolsas trocantéricas** separan las fibras superiores del glúteo mayor del trocánter mayor; suelen ser grandes.
- La **bolsa isquiática** separa la parte inferior del glúteo mayor de la tuberosidad isquiática; a veces, falta.
- La **bolsa gluteofemoral** separa el ligamento iliotibial (refuerzo fibroso de la fascia lata donde se insertan la mayoría de las fibras del músculo glúteo mayor) de la parte superior de la inserción proximal del músculo vasto lateral del muslo.

Los músculos glúteos medio y menor

Estos músculos glúteos menores tienen forma de abanico y sus fibras siguen una misma dirección (figs. 5.22, B y C, y 5.23, tabla 5.5). Poseen las mismas acciones e inervación y están irrigados por el mismo vaso sanguíneo, la arteria glútea superior. El músculo glúteo menor y la mayor parte del glúteo medio se encuentran en la profundidad del glúteo mayor, en la cara externa del ilion. *Los músculos glúteos medio y menor separan el muslo y lo rotan medialmente.* Desempeñan una función esencial para la locomoción y son los principales responsables de que no se hunda la porción de la pelvis carente de apoyo al caminar (fig. 5.25). Cuando se contraen los músculos del lado izquierdo, los del lado derecho no se caen al levantar el miembro inferior derecho para caminar. El mantenimiento del plano pélvico permite que el pie exento de apoyo se levante del suelo y se mueva hacia delante para la marcha. En ese momento, el muslo, que soporta el peso, queda en una posición fija; en lugar de provocar una rotación medial, los músculos glúteos medio y menor desplazan hacia delante la zona de la pelvis carente de apoyo y contribuyen a que avance el miembro libre. Cuando se levanta el pie del otro lado, el efecto de apoyo de los músculos glúteos medio y menor depende de la conservación de estos elementos:

- Acción muscular e inervación del nervio glúteo superior.
- Articulación de los componentes de la cadera.
- Cuello femoral (intacto y con angulación normal).

La exploración de los músculos glúteos medio y menor tiene lugar colocando al sujeto en decúbito prono, con la pierna

Tabla 5.5. Los músculos de la región glútea**Inserciones posteriores**

Músculo	Inserción proximal	Inserción distal	Inervación ^a	Acción principal
Glúteo mayor	Ilion, detrás de la línea glútea posterior, cara dorsal del sacro y cóccix y ligamento sacrotuberoso	La mayoría de las fibras terminan en el tracto iliotibial que se inserta en el cóndilo lateral de la tibia, algunas se insertan en la tuberosidad glútea del fémur	Nervio glúteo inferior (L5, S1 y S2)	Extiende el muslo (sobre todo, si está flexionado) y contribuye a la rotación lateral; endereza el muslo y facilita el levantamiento desde la silla
Glúteo medio	Cara externa de ilion, entre las líneas glúteas anterior y posterior	Cara lateral del trocánter mayor del fémur	Nervio glúteo superior (L5 y S1)	Separa y rota medialmente el muslo; mantiene nivelada la pelvis cuando se levanta la pierna contralateral
Glúteo menor	Cara externa del ilion, entre las líneas glúteas anterior e inferior	Cara anterior del trocánter mayor del fémur		
Piriforme	Cara anterior del sacro y ligamento sacrotuberoso	Borde superior del trocánter mayor del fémur	Divisiones de los ramos ventrales de S1 y S2	Rota lateralmente el muslo extendido y separa el muslo flexionado, endereza la cabeza del fémur dentro del acetábulo
Obturador interno	Cara pélvica de la membrana obturatriz y huesos circundantes	Cara medial del trocánter mayor (fosa trocánterica) del fémur ^b	Nervio para el m. obturador interno (L5 y S1)	
Géminos superior e inferior	Superior: espina ilíaca inferior: tuberosidad isquiática		Gémino superior: misma inervación que el obturador interno Gémino inferior: misma inervación que el cuadrado femoral	
Cuadrado femoral	Borde lateral de la tuberosidad isquiática	Tubérculo cuadrado en la cresta intertrocánterica del fémur y zona situada debajo	Nervio para el músculo cuadrado femoral (L5 y S1)	Rota lateralmente el muslo; endereza la cabeza del fémur dentro del acetábulo

^a Véase explicación sobre la inervación segmentaria en la tabla 5.1.^b Los músculos géminos se funden con el tendón de m. obturador interno en el lugar de inserción de éste en el trocánter mayor.^c Existen seis rotadores laterales del muslo: piriforme, obturador interno, géminos (superior e inferior), cuadrado femoral y obturador externo. Estos músculos también estabilizan la articulación coxofemoral.

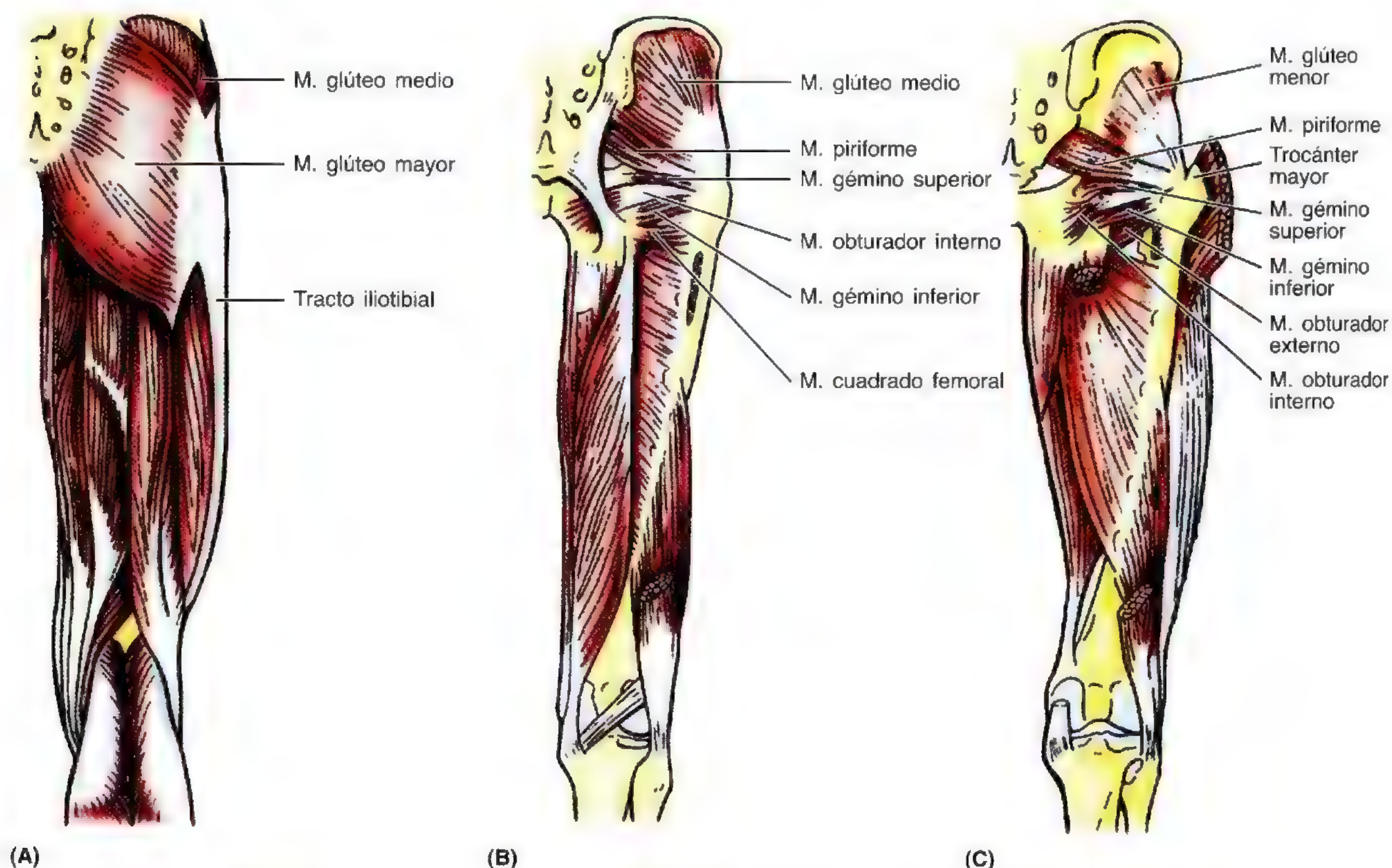


Figura 5.22. Los músculos de la región glútea y cara posterior del muslo.
Disecciones superficial (A), intermedia (B) y profunda (C).

flexionada en ángulo recto. Se le pide que separe el muslo contra resistencia. El músculo glúteo medio se palpa debajo de la cresta ilíaca, detrás del músculo tensor de la fascia lata, que también se contrae al separar el muslo.

Músculo piriforme

Este músculo estrecho, con forma de pera, se encuentra en parte en la pared posterior de la pelvis menor y en parte detrás de la cadera (figs. 5.22, B y C, 5.23B y 5.24, tabla 5.5). El músculo piriforme abandona la pelvis por el *orificio ciático mayor*, que casi rellena, para insertarse en el borde superior del trocánter mayor. Debido a su posición privilegiada dentro de la nalga, el músculo piriforme es la referencia de la región glútea. Este músculo ofrece la clave para comprender las relaciones dentro de esta región, porque determina los nombres de los vasos sanguíneos y de los nervios.

- Los vasos y el nervio glúteos superiores emergen por encima de él.
- Los vasos y el nervio glúteos inferiores salen por debajo de él.
- La marca de superficie del borde superior del músculo piriforme está señalada por una línea que une la fosita cutánea creada por la espina ilíaca posterosuperior con el

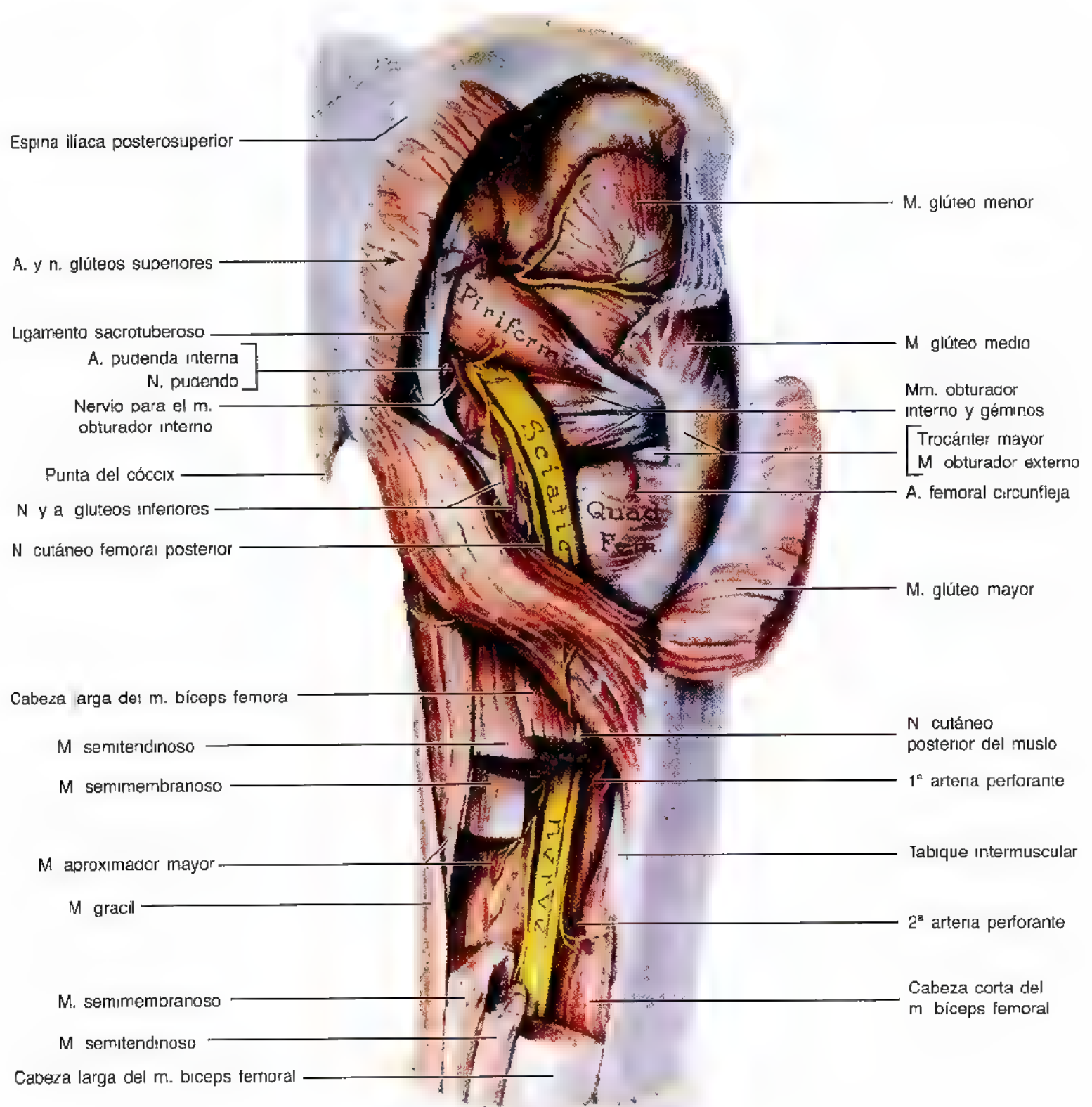
borde superior del trocánter mayor del fémur (véase A, pág. 579).

Músculos obturador interno y géminos

Los músculos obturador interno y los músculos géminos superior e inferior configuran un músculo tricipital (de tres cabezas) —denominado a veces *tríceps de la cadera*—, que ocupa el espacio comprendido entre los músculos piriforme y cuadrado femoral (figs. 5.22, B y C, y 5.23, tabla 5.5). El tendón tricipital de estos músculos se sitúa horizontal en la nalga, a su paso hacia el trocánter mayor del fémur.

El **músculo obturador interno** se localiza en parte en la pelvis, donde cubre casi toda la pared lateral de la pelvis menor (fig. 5.23). Sale de la pelvis por el *orificio ciático menor* y se transforma en un tendón que se inserta en la cara medial del trocánter mayor. La *bolsa del músculo obturador interno* facilita el movimiento libre de este músculo sobre el borde posterior del isquion, donde configura la escotadura ciática menor.

Los **músculos géminos** ayudan al obturador interno. El tendón del músculo obturador interno recibe las inserciones distales de los pequeños músculos géminos, que son refuerzos extrapélvicos triangulares y estrechos del obturador interno. Los *géminos superior e inferior* nacen de la espina ciática y de la tuberosidad isquiática, respectivamente.



(A)

Figura 5.23. Disección profunda de la región glútea y de la cara posterior del muslo. A. Se ha extrapado la mayor parte de los músculos glúteos mayor y medio, así como segmentos de los músculos femorales posteriores. Obsérvese cómo la arteria y el nervio glúteo superiores emergen de la pelvis encima del músculo piriforme, para situarse entre los músculos glúteos medio y menor. La arteria y el nervio glúteos inferiores, el nervio cóccico y el nervio cutáneo femoral posterior suelen emerger debajo del músculo piriforme aunque con excepciones (véase fig. 5.26)

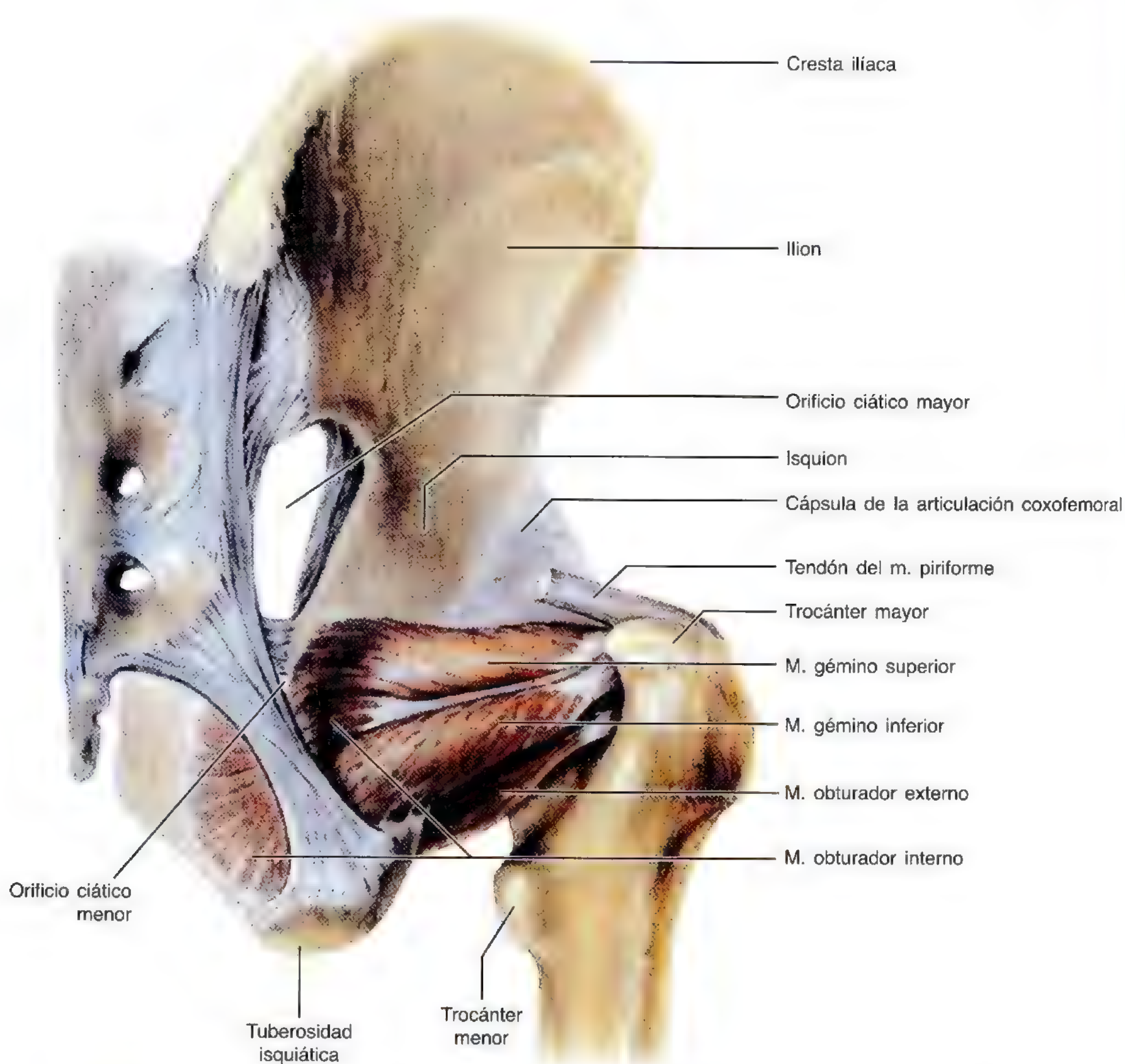


Figura 5.23. (Continuación) **B.** Disección de los músculos rotadores laterales del muslo: piriforme (sólo se visualiza el tendón), obturador y géminos.

Músculo cuadrado femoral

Este músculo cuadrangular, plano y corto, se encuentra debajo de los músculos obturador interno y gémino (fig. 5.23A). El músculo cuadrado femoral, como corresponde a su denominación, es rectangular y constituye un poderoso rotador lateral del muslo.

Músculo obturador externo

Este músculo se describió con anterioridad junto con los músculos mediales del muslo (tabla 5.3). Se sitúa en la profundidad del muslo, detrás del músculo pectíneo y de los extremos superiores de los músculos aproximadores. Sólo se ve durante la disección de la región glútea (figs. 5.22C y 5.23). El tendón del músculo obturador externo pasa en la profundidad del músculo cuadrado femoral y se inserta

en la fosa trocantérica del fémur. El músculo obturador externo, junto con otros músculos cortos que rodean la cadera, estabiliza la cabeza del fémur dentro del acetábulo y, además, rota lateralmente el muslo.

Los nervios glúteos

Existen varios nervios importantes que nacen del plexo sacro e inervan la región glútea (p. ej., nervios glúteos superior e inferior) o la atraviesan para inervar el perineo y el muslo (p. ej., nervios pudendo y ciático, respectivamente). El *nervio pudendo* entra en la región glútea y luego regresa a la pelvis para inervar las estructuras perineales (véase el capítulo 3). La tabla 5.6 describe el origen y la distribución de los nervios procedentes del plexo sacro.

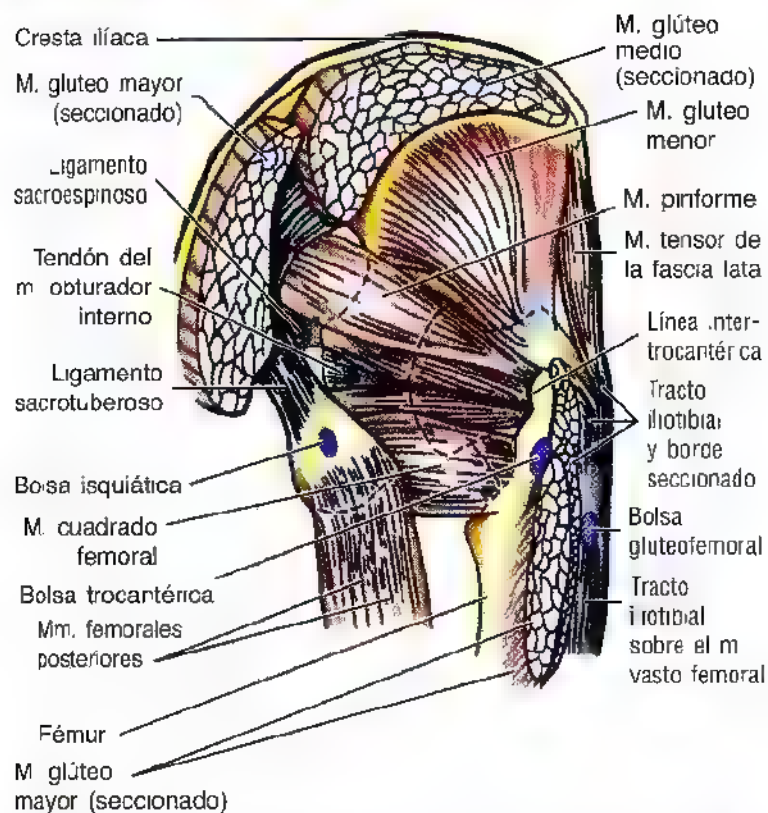


Figura 5.24. Músculos y bolsas glúteas. De ordinario existen tres bolsas que separan el músculo glúteo mayor de las estructuras subyacentes. Obsérvense la bolsa trocantérica, la bolsa glútea femoral y la bolsa isquiática.

Los nervios glúteos superficiales

La piel de la región glútea recibe una innervación generosa de los **nervios cutáneos** superior, medio e inferior. Estos nervios inervan la piel que cubre la cresta ilíaca, situada entre las espinas ilíacas posteriores y la que reviste los tubérculos ilíacos. Por eso, estos nervios se pueden lesionar cuando se toma un injerto de ilion.

- Los **nervios cutáneos superiores** son divisiones cutáneas laterales de los ramos dorsales de los nervios L1, L2 y L3. Se distribuyen por la piel de la región glútea hasta el trocánter mayor.
- Los **nervios cutáneos medios**, divisiones laterales de los ramos dorsales de los nervios S1 a S3, inervan la piel y el tejido subcutáneo que cubre el sacro y la zona adyacente de las nalgas.
- Los **nervios cutáneos inferiores** son divisiones glúteas del *nervio cutáneo posterior* del muslo, procedente del plexo sacro (ramos ventrales S1 a S3). Estos nervios giran en remolino sobre el borde inferior del músculo glúteo mayor e inervan la mitad inferior de la nalga.

El **nervio cutáneo perforante** (S2 y S3) atraviesa el ligamento sacrotuberoso y la parte inferior del músculo glúteo mayor, para inervar la piel situada encima de la mitad inferior de la nalga y la parte medial del pliegue glúteo.

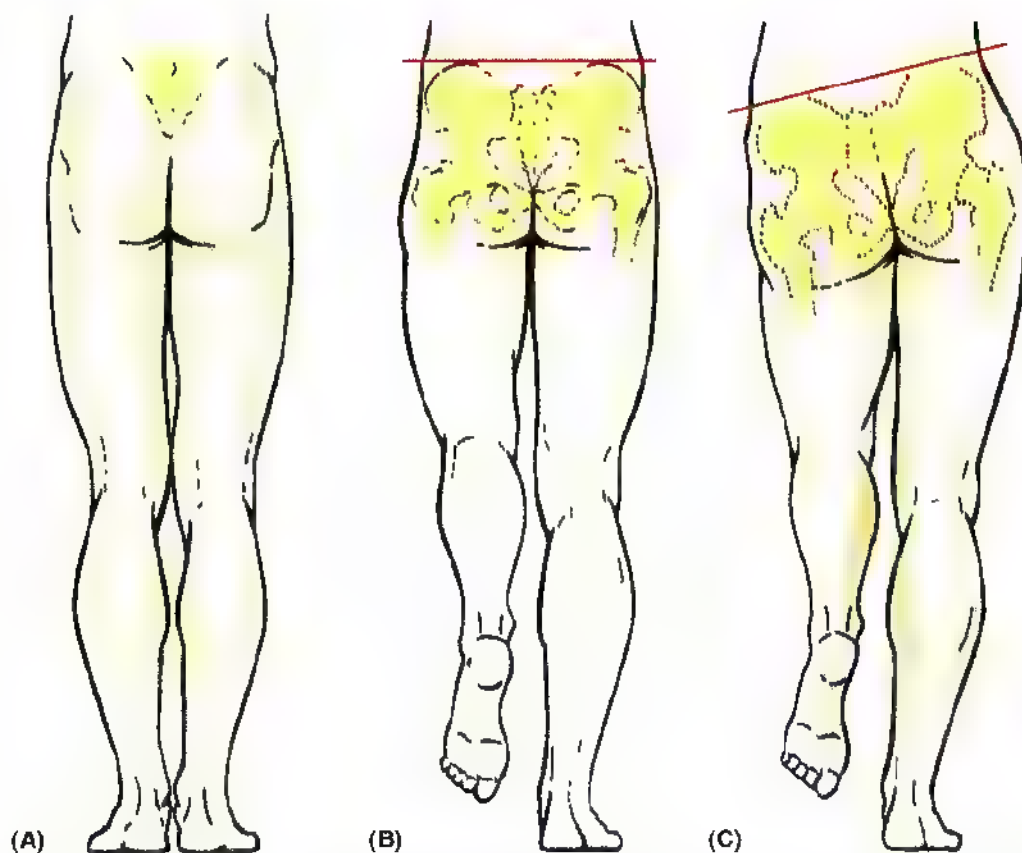
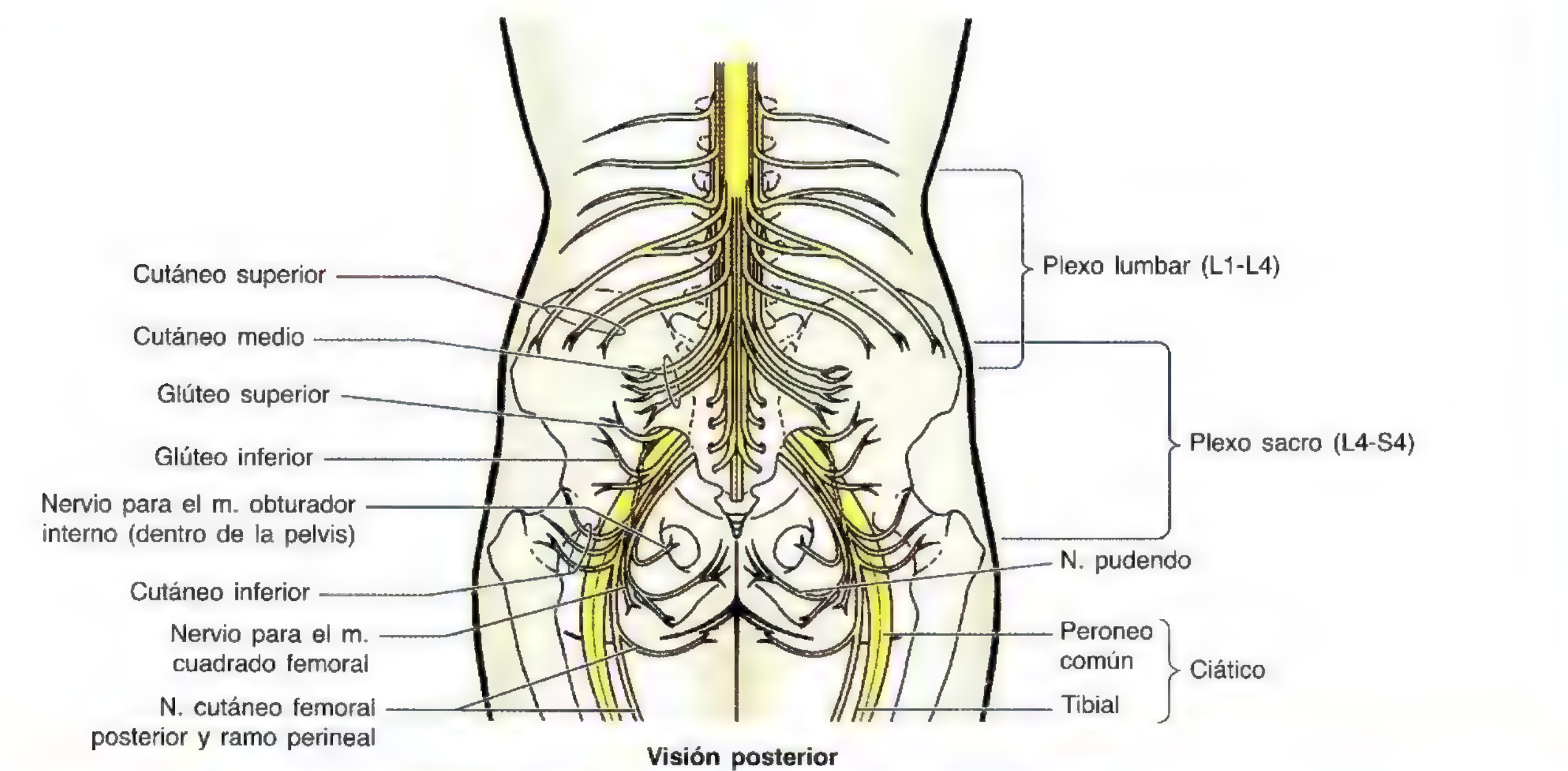


Figura 5.25. Acción de los músculos separadores del muslo (glúteos medio y menor) al caminar. Visión posterior. **A.** Cuando el peso se apoya en ambos pies, la pelvis se sujeta de forma nivelada y no se inclina. **B.** Cuando el peso recae sobre uno de los pies, los músculos del mismo lado sujetan la pelvis para que no se incline sobre el lado del miembro elevado. **C.** Cuando los músculos glúteos medio y menor se encuentran inactivos debido a una lesión del nervio glúteo superior, el efecto de soporte y enderezamiento muscular desaparece y la pelvis se cae de lado de miembro elevado (signo de Trendelenburg positivo).

Tabla 5.6. Los nervios de la región glútea



Nervio	Origen	Trayecto	Distribución ^a en la región glútea
Cutáneos (superior, medio e inferior)	Superior: ramos dorsales de los nervios L1-L3 Medio: ramos dorsales de los nervios S1-S3 Inferior: nervio cutáneo femoral posterior (ramos ventrales de S2-S3)	Los nervios superiores cruzan la cresta iliaca; los medios salen por los orificios sacros posteriores y entran dentro de la región glútea, y los inferiores se curvan alrededor del borde inferior del m. glúteo mayor	Inervan la piel de la nalga o región glútea hasta el trocánter mayor
Ciático	Plexo sacro (L4-S3)	Sale de la pelvis por el orificio ciático mayor, debajo del m. piriforme, y entra en la región glútea	No inerva ningún músculo de la región glútea
N. cutáneo femoral posterior	Plexo sacro (S1-S3)	Abandona la pelvis por el orificio ciático mayor, debajo del m. piriforme, se continúa en la profundidad del m. glúteo mayor y emerge del borde inferior	Inerva la piel de la nalga a través de los ramos cutáneos inferiores y la piel de la cara posterior del muslo y la pantorrilla; la rama perineal se dirige a la cara lateral del perineo y la parte superomedial del muslo
Glúteo superior	Ramos ventrales de los nervios L4-S1	Sale de la pelvis por el orificio ciático mayor, encima del m. piriforme, y se dirige entre los mm. glúteos medio y menor	Inerva los mm. glúteo medio, glúteo menor y tensor de la fascia lata
Glúteo inferior	Ramos ventrales de los nervios L5-S2	Sale de la pelvis por el orificio ciático mayor, debajo del m. piriforme, y se divide en varios ramos	Inerva el m. glúteo mayor
Nervio para el m. cuadrado femoral	Ramos ventrales de los nervios L4, L5 y S1	Abandona la pelvis por el orificio ciático mayor, en la profundidad del nervio ciático	Inerva la articulación coxofemoral, el m. gémino inferior y el m. cuadrado femoral
Pudendo	Ramos ventrales de los nervios S2-S4	Entra en la región glútea por el orificio ciático mayor, debajo del m. piriforme; desciende detrás del ligamento sacroespinoso; entra en el perineo a través del orificio ciático menor	Da la mayor parte de la inervación del perineo; no se distribuye en ninguna estructura de la región glútea
Nervio para el m. obturador interno	Ramos ventrales de los nervios L5, S1 y S2	Entra en la región glútea por el orificio ciático mayor, debajo del m. piriforme; desciende detrás de la espina ciática; entra por el orificio ciático menor y pasa al m. obturador interno	Inerva los mm. gémino superior y obturador interno

^a La inervación cutánea del miembro inferior se ilustra en las figuras 5.10, 5.11 y en la tabla 5.1.

Bursitis isquiática

El microtraumatismo repetido por fatiga (p. ej., al montar en bicicleta o utilizar una máquina de coser) supera la capacidad de la bolsa isquiática para disipar la fuerza aplicada. El traumatismo repetido provoca una inflamación de la bolsa (*bursitis isquiática*); la calcificación de la misma se asocia a una bursitis crónica. Se observa un dolor localizado sobre la bolsa, que aumenta con el movimiento del músculo glúteo mayor. La bursitis isquiática ("trasero de tejedora") es una bursitis por fricción que se debe a la fricción excesiva entre las bolsas isquiáticas y las tuberosidades isquiáticas. Las tejedoras extienden primero un miembro inferior y luego el otro para tejer. Los ciclistas sufren una *bursitis por fricción* similar —"dolor del pedaleo"—. Como las tuberosidades isquiáticas soportan el peso al estar sentado y también en decúbito supino, estos puntos de apoyo pueden provocar *úlceras por presión* en las personas debilitadas, en particular en los enfermos parapléjicos con escasos cuidados de enfermería.

Los nervios glúteos profundos

Los nervios glúteos profundos son los nervios ciático, cutáneo femoral posterior, glúteo superior y glúteo inferior; el nervio del músculo cuadrado femoral; el nervio pudendo y el nervio del músculo obturador interno (fig. 5.23, tabla 5.6). Se trata de divisiones del plexo sacro que abandonan la pelvis por el orificio ciático mayor. Con excepción del nervio glúteo superior, todos emergen debajo del músculo piriforme.

Nervio ciático. *El nervio ciático es el nervio más grande del organismo y constituye la porción mayor del plexo sacro.* Es la prolongación de la parte principal del plexo sacro que nace de los ramos ventrales de L4 a S3 (fig. 5.23, tabla 5.6). Estos ramos convergen en el borde inferior del músculo piriforme para dar el nervio ciático, una banda gruesa y plana de unos 2 cm de anchura. El nervio ciático atraviesa la parte inferior del *orificio ciático mayor* y es la estructura más lateral que emerge bajo el músculo piriforme. Medial a él se encuentran el nervio y los vasos glúteos inferiores, los vasos pudendos internos y el nervio pudendo. El nervio ciático sigue un curso inferolateral, bajo la cubierta del músculo glúteo mayor, a mitad de camino entre el trocánter mayor y la tuberosidad isquiática. El nervio descansa sobre el isquion y luego discurre detrás de los músculos obturador interno, cuadrado femoral y aproximador mayor. El nervio ciático es tan grande, que tiene una irrigación propia a partir de la arteria glútea inferior.

El nervio ciático no inerva ninguna estructura de la región glútea, sino la piel del pie, la mayor parte de la pierna, los músculos femorales posteriores y todos los músculos de la pierna y del pie. Asimismo, envía ramos articulares para todas las articulaciones del miembro inferior. En realidad,

Bursitis trocantérica

La bursitis trocantérica —inflamación de las bolsas trocantéricas— suele deberse a acciones repetitivas, como subir escaleras transportando objetos pesados o correr sobre una banda sin fin con una pendiente brusca. Estos movimientos afectan al músculo glúteo mayor y desplazan repetidamente las fibras tendinosas superiores hacia atrás y hacia delante sobre las bolsas del trocánter mayor. La bursitis trocantérica causa un dolor difuso y profundo en la región lateral del muslo. Este tipo de *bursitis por fricción* se caracteriza por dolor con la palpación en el trocánter mayor. *Este dolor se irradia por el tracto iliotibial*, que se extiende desde el tubérculo ilíaco hasta la tibia (fig. 5.22A). Este engrosamiento de la fascia lata recibe refuerzos tendinosos de los músculos tensor de la fascia lata y glúteo mayor. El dolor de una bolsa trocantérica inflamada, casi siempre situada detrás del trocánter mayor, suele desencadenarse pidiendo al enfermo que se tumbó sobre el lado sano y oponiéndose manualmente a la separación y rotación lateral del muslo. ◉

el nervio ciático se compone de dos nervios, *el tibial y el peroneo común*, unidos de una manera laxa dentro de una misma vaina de tejido conjuntivo. Los nervios tibial y peroneo común suelen separarse a mitad de camino o algo más abajo en el muslo (véase fig. 5.32); no obstante, en un 12% de los casos se dividen a la salida de la pelvis (fig. 5.26B). En tal circunstancia, el nervio tibial pasa debajo del músculo piriforme y el peroneo común perfora este músculo o se levanta sobre él (fig. 5.26C). El nervio tibial inerva los músculos flexores y el peroneo común, los músculos extensores y separadores.

Nervio cutáneo femoral posterior. Este nervio emerge del plexo sacro (S1 a S3) e *inerva más piel que ningún otro nervio cutáneo.* El nervio cutáneo femoral posterior sale de la pelvis con el nervio y los vasos glúteos inferiores y el nervio ciático. Atraviesa el orificio ciático mayor, debajo del músculo piriforme, y desciende en la profundidad del músculo glúteo mayor. Las fibras de las divisiones posteriores de S1 y S2 inervan la piel de la porción inferior de la nalga; las de las divisiones anteriores inervan la piel del perineo; existen otros ramos que continúan hacia abajo para distribuirse por la piel de la parte posterior del muslo y la zona proximal de la pierna. A diferencia de la mayoría de los nervios que llevan la denominación "cutánea", la porción principal de este nervio reside dentro de la fascia profunda (fascia lata), y sólo los ramos terminales penetran hasta el tejido subcutáneo para distribuirse por la piel.

Nervio glúteo superior. Este nervio sale de las divisiones posteriores de los ramos ventrales L4 a S1. Abandona la pelvis por el orificio ciático mayor, *encima del músculo piriforme*, y discurre lateralmente entre los músculos glúteo medio y menor junto con la rama profunda de la arteria

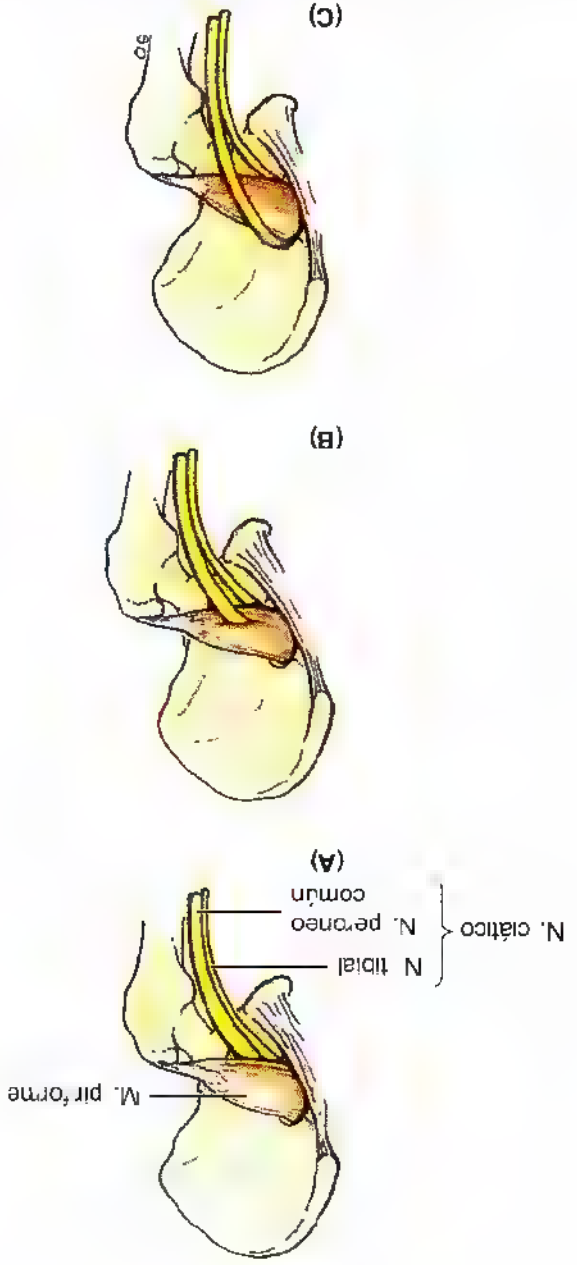
Nervio para el músculo cuadrado femoral. Este nervio nace de las divisiones anteriores de los ramos ventrales L4, L5 y S1, y abandona la pelvis delante del nervio ciático y del músculo obturador interno para pasar encima de la cara posterior de la cadera. Emite un ramo articular para la cadera e inerva los músculos gémimo inferior y cuadrado femoral. **Nervio pudendo.** Este nervio nace de las divisiones anteriores de los ramos ventrales de S2 a S4 y es la estructura más medial que atraviesa el orificio ciático mayor, debajo del músculo piriforme. Pasa lateral al ligamento sacroespinoso y regresa a la pelvis por el orificio ciático menor para inervar estructuras del perineo (véase el capítulo 3); *no inerva ninguna estructura de la región glútea*.

Nervio para el músculo obturador interno. Este nervio surge de las divisiones anteriores de los ramos ventrales de L5 a S2. Sale de la pelvis por el orificio ciático mayor, debajo del músculo piriforme y medial al nervio ciático. Rodea la base de la espina ciática para distribuirse por el músculo gémimo superior y luego discurre tras la espina ciática, regresa a la pelvis por el orificio ciático menor e inerva el músculo obturador interno.

Lesión del nervio glúteo superior

La sección del nervio glúteo superior determina una pérdida motora característica que determina una debilidad para la separación del muslo por el músculo glúteo medio, es decir, una *cadera incapacitante del glúteo medio* y una *marcha glútea*, que es una forma compensadora de la debilidad glútea. Con la compensación se pretende llevar el centro de gravedad al miembro inferior de apoyo. Además, se altera de manera notable la rotación medial del muslo. Cuando se le pide a la persona que se mantenga de pie sobre una pierna, el músculo glúteo medio suele contraerse en cuanto el otro pie se despegga del suelo, impidiendo que se caiga la pelvis del lado no apoyado (A). Cuando se pide a un sujeto con parálisis del nervio glúteo superior que se apoye sobre una pierna, la pelvis del lado no apoyado descende (B), es decir, el músculo glúteo medio del lado afectado se encuentra débil o no funciona correctamente. Esta observación se conoce en clínica como *prueba de Trendelenburg* positiva. Otras causas de este signo comprenden la fractura del trocánter mayor, lugar de inserción distal del músculo glúteo medio. Cuando la pelvis descende de sobre el lado no apoyado, el miembro no inferior se torna, en efecto, "excesivamente largo" y no se despega del suelo si se adelanta el pie en la fase de "balancce" de la marcha. Para compensarlo, el sujeto se inclina alejándose del lado no apoyado para levantar la pelvis y dejar espacio suficiente al pie para avanzar. Se produce así la característica "marcha de anade". ▶

Figura 5.26. Relación del nervio ciático con el músculo piriforme. A. De ordenar, a medida que el nervio ciático emerge del orificio ciático mayor, pasa por debajo del músculo piriforme. B. El nervio ciático se divide antes de entrar en la región glútea en un 72,2% de 640 miembros examinados: el nervio peroneo común (en amarillo) atraviesa el músculo piriforme. C. En el 0,5% de las ocasiones, el nervio peroneo común pasaba encima del músculo, en una zona especialmente vulnerable a la lesión durante las iryecciones intraglúteas.

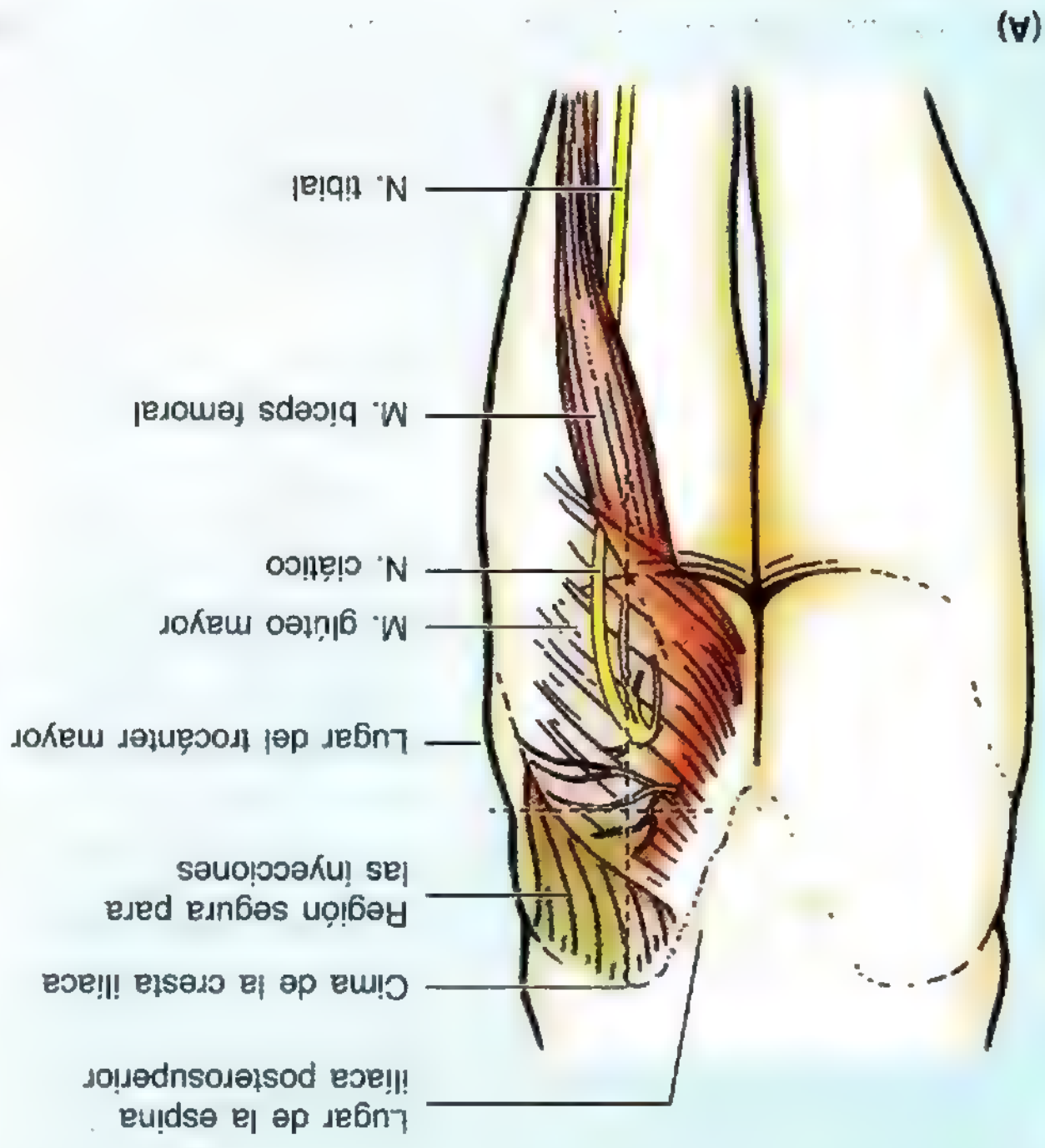


glútea superior. El nervio glúteo superior se divide en un ramo superior para el músculo glúteo medio y otro inferior que pasa entre los músculos glúteo medio y menor, para distribuirse por estos músculos y el tensor de la fascia lata. **Nervio glúteo inferior.** Este nervio sale de las divisiones posteriores de los ramos ventrales de L5 a S2 y abandona la pelvis por el orificio ciático mayor, debajo del músculo piriforme, superficial al nervio ciático. Se divide en varios ramos que inervan el músculo glúteo mayor supra-

yacente



► Otra manera de compensarlo es elevar el pie todavía más, aparte de avanzarlo –aparece en la denominada “marcha equina”, la misma marcha que se adopta en caso de “pie péndulo” por parálisis del nervio peroneo común (pág. 597).



Bloqueo anestésico del nervio ciático

El nervio ciático se puede bloquear inyectando un anestésico unos centímetros por debajo del punto medio de la línea que une la espina iliaca posterosuperior y el borde superior del trocánter mayor. Las parestesias se irradian al pie debido a la anestesia de los nervios plantares, ramos terminales del nervio tibial procedentes del nervio ciático.

Lesión del nervio ciático

El dolor en las nalgas puede obedecer a la compresión del nervio ciático por el músculo piriforme (*syndrome piriforme*). Aquellos que participan en deportes que exigen un uso exagerado de los músculos glúteos y las mujeres tienen más probabilidades de sufrir el síndrome (p. ej., patinadores sobre hielo y ruedas, ciclistas y escaladores). Los antecedentes personales revelan traumatismos glúteos en casi la mitad de los casos, junto con hipertrofia y espasmo del músculo piriforme. La división peroneal común del nervio ciático atraviesa el músculo piriforme en un 12% de las personas (fig. 5.26B); en tales casos, el músculo puede comprimir el nervio.

La sección completa del nervio ciático es poco frecuente. Cuando ocurre, la pierna no se puede utilizar porque se altera la extensión de la cadera, al igual que la flexión de la pierna. Todos los movimientos del tobillo y del pie también desaparecen. La sección incompleta del nervio ciático debida a una herida por arma de fuego o punzante también puede afectar a los nervios glúteo inferior ►



► y cutáneo femoral posterior. *La recuperación de una lesión ciática tiene lugar de forma lenta y casi siempre incompleta.*

Por lo que se refiere al nervio ciático, existe una cara segura (la cara lateral) de la nalga y otra peligrosa (la cara medial). Las heridas o la cirugía de la cara medial de las nalgas pueden lesionar el nervio ciático y sus ramos para los músculos femorales posteriores (semitendinoso, semimembranoso y bíceps femoral). La parálisis de estos músculos altera la extensión del muslo y la flexión de la pierna.

Inyecciones intraglúteas

La región glútea es un lugar frecuente para la inyección intramuscular de medicamentos. Las *inyecciones intramusculares en el glúteo* penetran la piel, la fascia y los músculos. La región glútea es el lugar adecuado, porque los músculos son gruesos y grandes; en consecuencia, se obtiene una gran superficie para la absorción de los medicamentos. Es necesario conocer la extensión de la región glútea y la zona segura para administrar las inyecciones. Algunas personas restringen esta zona de la nalga a la por-

ción más redonda y prominente; este es un concepto peligroso, porque el nervio ciático se sitúa en la profundidad de esta zona.

Las inyecciones dentro de las nalgas se deben practicar siempre por encima de la línea que se extiende desde la espina iliaca posterosuperior hasta el borde superior del trocánter mayor (A). Otra forma de localizar la región segura para las inyecciones es colocar el dedo índice en la espina iliaca anterosuperior y extender el 3^{er} dedo hacia atrás a lo largo de la cresta iliaca (B). Se puede efectuar una inyección intraglútea segura en el triángulo comprendido entre los extremos de los dedos, porque queda encima del nervio ciático. Las únicas inyecciones seguras se dan en la parte superolateral de la nalga. Las demás zonas resultan peligrosas para la inyección, dada la multitud de nervios y vasos presentes. Las inyecciones intramusculares también se pueden aplicar con seguridad en la parte anterolateral del muslo, en cuyo caso la aguja penetra en el músculo tensor de la fascia lata (fig. 5.13B), que se extiende distalmente desde la cresta iliaca y la espina iliaca anterosuperior. Las complicaciones de una técnica inadecuada consisten en lesión nerviosa, hematoma y formación de absceso. ❖

Las arterias glúteas

Las arterias glúteas nacen de manera directa o indirecta en las *arterias ilíacas internas*, aunque los patrones de origen varían (fig. 5.23A, tabla 5.7). Las ramas glúteas principales de la arteria ilíaca interna son:

- La arteria glútea superior.
- La arteria glútea inferior.
- La arteria pudenda interna.

Arteria glútea superior

La arteria glútea superior —*la rama mayor de la arteria ilíaca interna*— tiene un curso posterior, entre el tronco lumbosacro y el 1^{er} nervio sacro. La arteria glútea superior sale de la pelvis por el orificio ciático mayor, encima del músculo piriforme, y se divide de inmediato en la rama superficial y profunda. La *rama superficial* irriga el músculo glúteo mayor y la piel situada encima de la inserción proximal; la *rama profunda* irriga los músculos glúteo medio, glúteo menor y el tensor de la fascia lata. La arteria glútea superior se anastomosa con las arterias glútea inferior y femoral circunfleja medial.

Arteria glútea inferior

Este vaso nace en la arteria ilíaca interna y se dirige hacia atrás a través de la fascia pélvica parietal, entre el 1^{er} y 2^o (o 2^o y 3^o) nervios sacros. La arteria glútea inferior sale de la pelvis por el orificio ciático mayor, debajo del músculo piriforme (fig. 5.23, tabla 5.7). Penetra en la región glútea,

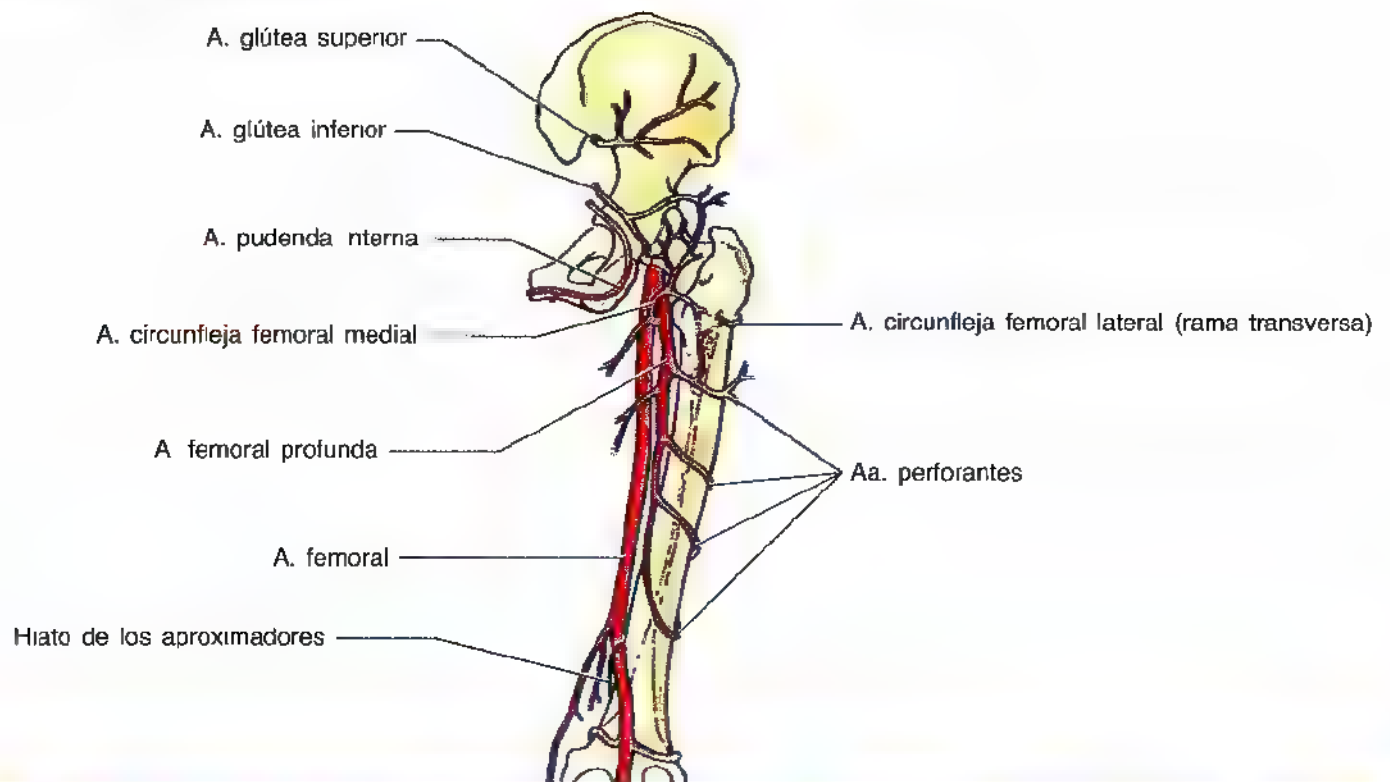
en la profundidad del músculo glúteo mayor y desciende medial al nervio ciático. La arteria glútea inferior perfunde los músculos glúteo mayor, obturador interno, cuadrado femoral y las porciones superiores de los músculos femorales posteriores. Se anastomosa con la arteria glútea superior y contribuye a la *anastomosis cruzada del muslo*, donde participan las primeras arterias perforantes de la arteria femoral profunda y las arterias femorales circunflejas medial y lateral.

Arteria pudenda interna

Este vaso emerge de la arteria ilíaca interna y se sitúa delante de la arteria glútea inferior. Acompaña al nervio pudendo y entra en la región glútea por el orificio ciático mayor, debajo del músculo piriforme (fig. 5.23, tabla 5.7). *La arteria pudenda interna abandona la región glútea de inmediato, cruza la espina ciática y regresa a la pelvis por el orificio ciático menor.* La arteria pasa al perineo con el nervio pudendo y perfunde los genitales externos y los músculos de la región pélvica. *No irriga ninguna estructura de la región glútea.*

Las venas glúteas

Las venas glúteas —*afluentes de las venas ilíacas internas*— drenan la sangre de la región glútea. Las **venas glúteas superior e inferior** acompañan a las arterias correspondientes por el orificio ciático mayor, por encima y por debajo del músculo piriforme, respectivamente (fig. 5.27A). Se comu-

Tabla 5.7. Las arterias de la región glútea

Arteria ^a	Trayecto	Distribución
Glútea superior	Entra en la región glútea por el orificio ciático mayor, encima del m. piriforme, y se divide en las ramas superficial y profunda; se anastomosa con las arterias glútea inferior y femoral circunfleja medial (no ilustradas más arriba)	Rama superficial: perfunde el m. glúteo mayor Rama profunda: se dirige entre los mm. glúteos medio y menor, a los que perfunde, además del m. tensor de la fascia lata
Glútea inferior	Entra en la región glútea por el orificio ciático mayor, debajo del m. piriforme, y desciende sobre la cara medial del n. ciático; se anastomosa con la a. glútea superior y participa en la anastomosis cruzada del muslo, en la que intervienen la 1ª arteria perforante de la arteria femoral profunda y las arterias circunflejas femorales medial y lateral (no se muestran en la figura anterior)	Perfunde los mm. glúteo mayor, obturador interno, cuadrado femoral y las porciones superiores de los músculos femorales posteriores
Pudenda interna	Entra en la región glútea por el orificio ciático mayor y desciende detrás de la espina ciática; llega al perineo por el orificio ciático menor	Perfunde los genitales externos y los músculos de la región perineal; no irriga la región glútea

^a Todas estas arterias nacen de la a. iliaca interna (véase visión anterior en la tabla 5.4)

nican con las afluentes de la vena femoral y suministran una vía alternativa para el retorno de la sangre del miembro inferior cuando se obstruye o se liga la vena femoral. Las **venas pudendas internas** siguen a las arterias pudendas internas y se unen en una sola vena que desemboca en la vena iliaca interna. Estas venas drenan la sangre de los genitales externos (partes pudendas).

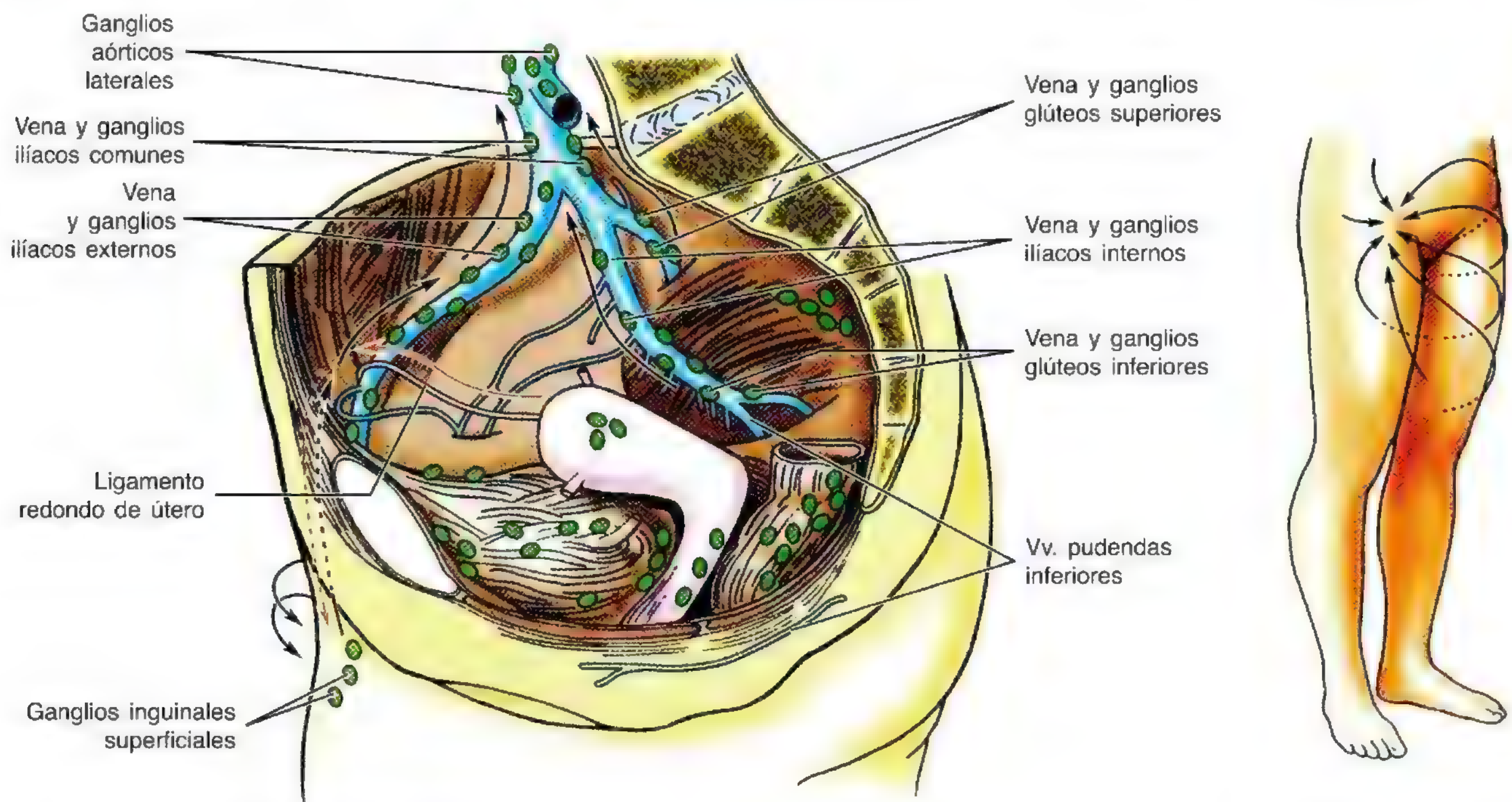
Drenaje linfático de la región glútea y del muslo

La linfa de los tejidos profundos de las nalgas acompaña a los vasos glúteos hasta los **ganglios glúteos** superior e inferior, y desde aquí, hasta los **ganglios ilíacos** internos, externos y comunes (fig. 5.27), para terminar en los **ganglios aórticos laterales**. La linfa de los tejidos superficiales de la región glútea entra en los **ganglios inguinales superficia-**

les, que también reciben la linfa del muslo. Todos los ganglios inguinales superficiales emiten vasos linfáticos eferentes para los ganglios ilíacos externos.

Hematoma glúteo

Los traumatismos intensos sobre las nalgas se deben, casi siempre, a una caída sobre un objeto duro (p. ej., en el patinaje artístico sobre hielo). Como las grandes venas glúteas se encuentran entre los músculos glúteos mayor y medio, los traumatismos intensos suelen provocar un gran hematoma, que da lugar a *equimosis* o una placa púrpura debido a la extravasación de sangre al tejido subcutáneo y a la piel. La sangre del hematoma se puede evacuar mediante aspiración, incisión y drenaje. ☉



(A) Ganglios linfáticos de la pelvis femenina

Visión medial

(B) Drenaje linfático de la región glútea y del muslo

Figura 5.27. Drenaje linfático de la región glútea y del muslo. **A.** La linfa de los tejidos profundos de la región glútea llega hasta los ganglios linfáticos glúteos superior e inferior, y desde ahí pasa a los ganglios ilíacos y aórticos laterales. **B.** La linfa de los tejidos superficiales de la región glútea alcanza, en principio, los ganglios inguinales superficiales, que también reciben la linfa del muslo. La linfa de todos los ganglios inguinales superficiales pasa por los vasos eferentes, hasta alcanzar los ganglios ilíacos externos y aórticos laterales.

Los músculos femorales posteriores

Los tres músculos de la cara posterior del **fémur** son (fig. 5.28, A y B, tabla 5.8):

- Semitendinoso.
- Semimembranoso.
- Bíceps femoral (cabeza larga).

Estos músculos femorales posteriores se extienden entre la cadera y la rodilla, emergen de la tuberosidad isquiática en la profundidad del músculo glúteo mayor y están inervados por la división tibial del nervio ciático. La cabeza corta del músculo bíceps no reúne estos criterios.

Estos músculos extienden el muslo y flexionan la pierna, sobre todo al caminar. Estas dos acciones no pueden ejecutarse de forma plena y simultánea. La rodilla totalmente flexionada acorta los músculos femorales posteriores, de modo que no se contraigan ni extiendan el muslo. De manera parecida, una cadera completamente extendida acorta los músculos femorales, que entonces no pueden actuar sobre la rodilla. Cuando los muslos y las piernas quedan fijos, es-

tos músculos ayudan a extender el tronco. Se trata de extensores activos del muslo cuando se mantiene una bipedestación relajada (“estar de pie con una postura cómoda”). Una persona con parálisis de los músculos femorales posteriores tiende a caerse hacia delante, porque los músculos glúteos mayores no logran mantener el tono muscular necesario para permanecer erecto. Estos músculos se conocen en algunos países como “cuerdas de jamón”, porque es frecuente colgar los jamones con un gancho alrededor de estos tendones musculares. Se explica así también el ataque al enemigo de algunos ejércitos mediante latigazos sobre estos tendones situados a los lados de la rodilla.

Para explorar los músculos femorales posteriores, el sujeto debe flexionar la pierna contra resistencia. Si la musculatura se encuentra normal, el vientre muscular —en particular los tendones a cada lado de la fosa poplítea— debe marcarse mientras se flexiona la rodilla. La cabeza corta del músculo bíceps femoral nace en el labio lateral del tercio inferior de la línea áspera y en la cresta supracondílea del fémur. Así como los músculos femorales posteriores disponen de una inervación común a partir de la división tibial del nervio ciático, la cabeza corta del bíceps está inervada por el nervio peroneo común (tabla 5.8).

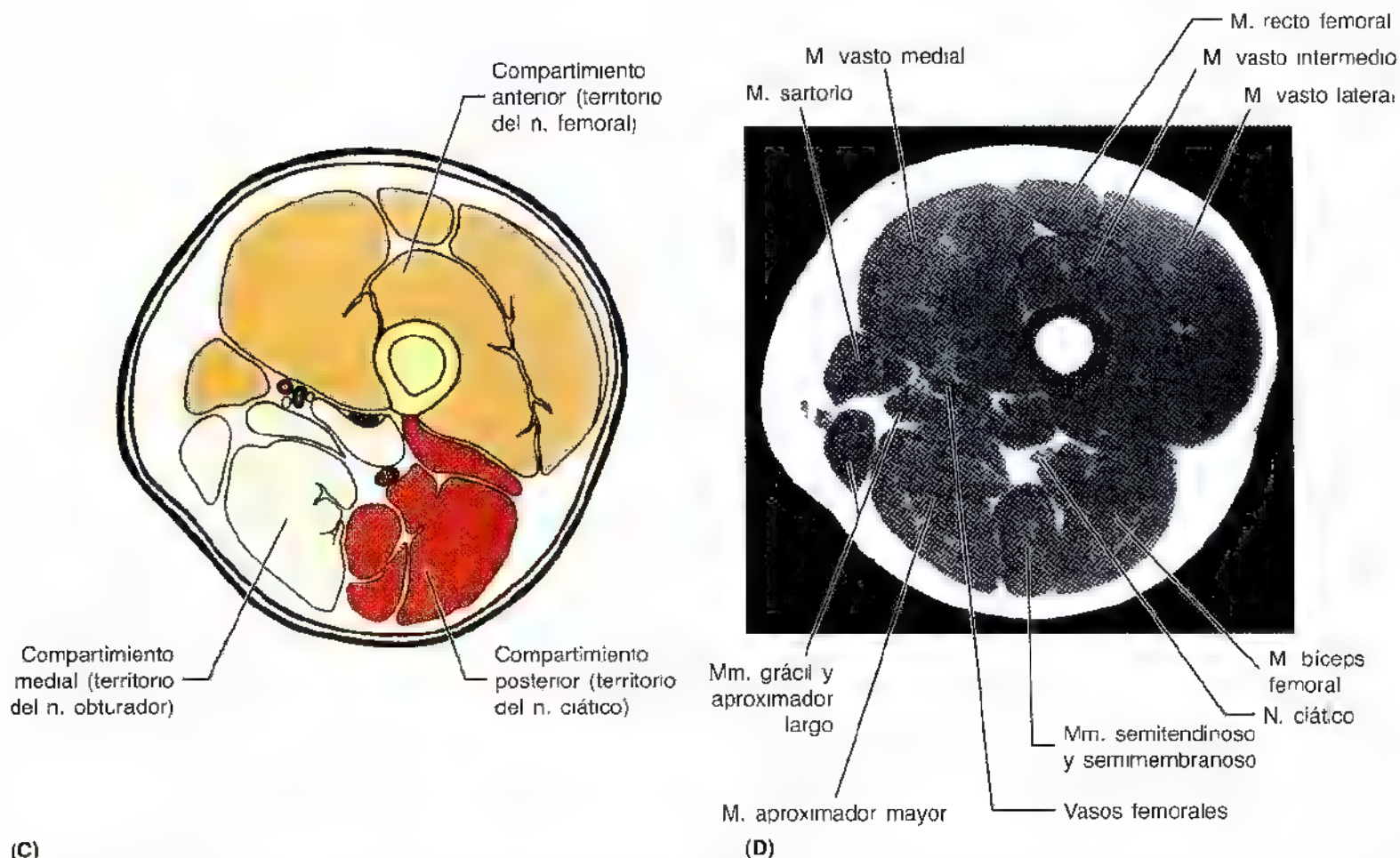
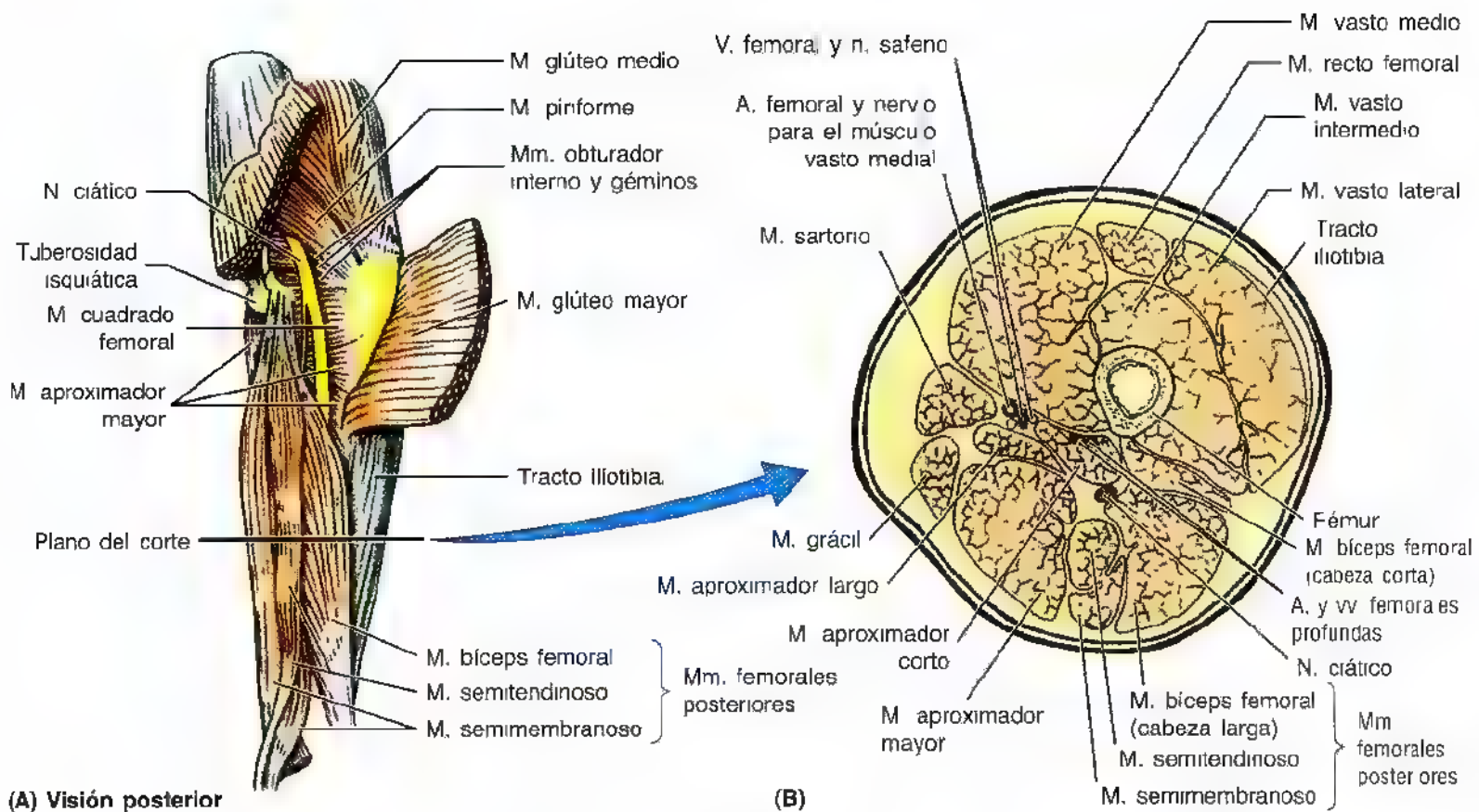
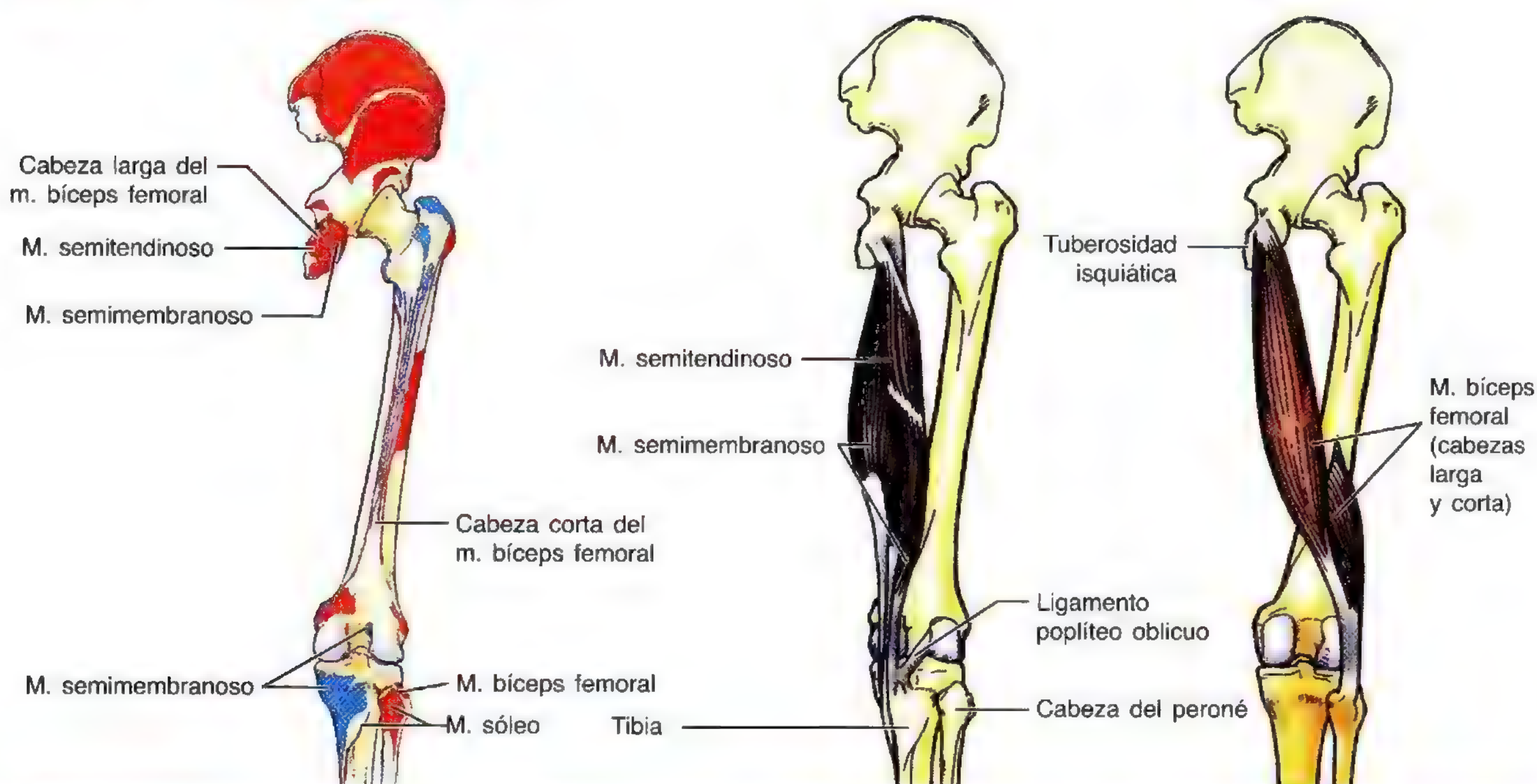


Figura 5.28. Los músculos y los compartimientos fasciales del muslo. **A.** El músculo glúteo mayor se ha rechazado para ilustrar el nervio ciático que entra en la parte proximal del muslo y las inserciones de los músculos femorales posteriores. **B.** Corte transversa por el muslo de 10 a 15 cm debajo de la inguinal. **C.** Diagrama que ilustra los tres grupos de músculos de muslo, cada uno con su inervación y función principales: *anterior*, nervio femoral, flexores de la cadera y extensores de la rodilla; *medial*, nervio obturador, aproximadores de la cadera, y *posterior*, nervio ciático, extensores de la cadera y flexores de la rodilla. **D.** RM transversal del muslo (Cortesía del Dr. W. Kucharczyk, Director de Departamento de Imagen Médica, Facultad de Medicina, Universidad de Toronto y Director Clínico del Centro de Resonancia Hospitalaria, Toronto, Ontario, Canadá)

Tabla 5.8. Los músculos femorales posteriores

Músculo ^a	Inserción proximal	Inserción distal	Inervación ^b	Acción principal
Semitendinoso	Tuberosidad isquiática	Cara medial de la parte superior de la tibia	División tibial del n. ciático (L5, S1 y S2)	Extiende el muslo; flexiona la pierna y la rota medialmente cuando se flexiona la rodilla; estos músculos extienden el tronco con el muslo y la rodilla flexionadas
Semimembranoso		Parte posterior del cóndilo medial de la tibia; la inserción que se refleja da el ligamento poplíteo oblicuo (para el cóndilo lateral del fémur)		
Bíceps femoral	Cabeza larga: tuberosidad isquiática Cabeza corta: línea áspera y línea supracondílea lateral del fémur	Cara lateral de la cabeza del peroné; en este lugar el tendón es dividido por el ligamento colateral del peroné	Cabeza larga: división tibial del n. ciático (L5, S1 y S2) Cabeza corta: división peroneal común del n. ciático (L5, S1 y S2)	Flexiona la pierna y la rota lateralmente con la rodilla flexionada; extiende el muslo (p. ej., cuando se empieza a caminar)

^a De manera colectiva estos tres músculos se denominan músculos femorales posteriores.

^b Véase explicación sobre la inervación segmentaria en la tabla 5.1.

Músculo semitendinoso

Como su propio nombre indica, *se trata de un músculo semitendinoso*, con un vientre fusiforme y un tendón largo, parecido a una cuerda, que se inicia aproximadamente entre el tercio medio y distal del muslo y se inserta en la cara medial de la parte superior de la tibia. Tiene una inserción proximal común en la tuberosidad isquiática con los músculos semimembranosos y la cabeza larga del músculo bíceps femoral.

Músculo semimembranoso

Este ancho músculo también recibe una denominación adecuada por la *forma membranosa y aplanada de su inserción proximal en la tuberosidad isquiática*. El tendón del músculo semimembranoso se forma aproximadamente en la mitad

del muslo y desciende hasta la cara posterior del cóndilo tibial medial.

Músculo bíceps femoral

Como indica su denominación, *este músculo fusiforme tiene dos cabezas*, una larga y otra corta. La cabeza larga se transforma en un tendón en la parte inferior del muslo y se une a la cabeza corta. El tendón redondeado se inserta en la cabeza del peroné y se ve y se palpa a su paso por la rodilla, sobre todo cuando se flexiona ésta contra una resistencia (pág. 581). En la cara posterior, la cabeza larga del músculo bíceps femoral cruza y protege el nervio ciático, después de su descenso de la región glútea por la cara posterior del muslo.

Lesión de la innervación del músculo bíceps femoral

Como cada una de las dos cabezas del músculo bíceps femoral posee una innervación distinta (de diferente ramos del nervio ciático), una herida en el muslo puede interesar un nervio y paralizar una cabeza, pero no la otra.

Variaciones en la longitud de los músculos femorales posteriores

La longitud de los músculos femorales posteriores varía. A veces, su longitud no permite que se toque la punta del dedo del pie al flexionar el dorso y mantener la rodillas rectas. Más aún, estas personas tienen dificultad para dar una patada alta. Sin embargo, con la práctica pueden llegar a estirar estos músculos y tendones. Los músculos femorales posteriores de otras personas son largos y, por eso, tocan con facilidad el suelo con las palmas y efectúan patadas altas.

Lesión de los músculos femorales posteriores

Las *distensiones de los músculos femorales posteriores* (tirones o desgarros) son frecuentes en los corredores o en las

personas que dan patadas secas (p. ej., al correr, saltar o en deportes que exigen una salida rápida, como el béisbol, el baloncesto, el rugby o el fútbol). El ejercicio muscular violento que se requiere para destacar en estos deportes puede desgarrar parte de las inserciones tendinosas proximales de los músculos femorales posteriores en la tuberosidad isquiática. Las distensiones de los músculos femorales posteriores son dos veces más comunes que las del cuádriceps (Levandowski y Difiori, 1994).

De ordinario, las distensiones en el muslo se acompañan de contusión y desgarro de fibras musculares, que rompen los vasos sanguíneos encargados de irrigar estos músculos. El *hematoma* resultante queda contenido por la densa fascia lata, que actúa como una malla. El desgarro de las fibras de los músculos femorales posteriores suele causar tanto dolor con el movimiento o estiramiento de la pierna, que el deportista cae al suelo, retorciéndose de dolor. Estas lesiones obedecen, muchas veces, a un calentamiento inadecuado antes del ejercicio o de la competición. La *avulsión de la tuberosidad isquiática* (págs. 517 y 519), zona de inserción proximal de los músculos bíceps femoral y semitendinoso (lesión del "saltador de vallas"), puede ser consecuencia de una flexión forzada de la cadera con la rodilla extendida (p. ej., al golpear el balón de rugby). ▶

Anatomía de superficie de la región glútea y del muslo

La piel de la región glútea suele ser gruesa y tosca, sobre todo en los varones, mientras que la piel del muslo es bastante fina y se inserta de manera laxa en el tejido subcutáneo subyacente. La línea que une los puntos más altos de las *crestas ilíacas* atraviesa el disco intervertebral L4/L5 y constituye una referencia útil para la punción lumbar (véase el capítulo 4). La *hendidura interglútea*, que comienza debajo del vértice del sacro, es un surco profundo entre las nalgas. Se extiende, por arriba, hasta el 4º o 3º segmentos sacros.

El cóccix se palpa en la parte superior de la hendidura interglútea. Las *espinas ilíacas posteriores* se localizan en las extremidades posteriores de las crestas ilíacas y no son fáciles de tocar; sin embargo, se sitúan en el fondo de las fositas cutáneas permanentes aproximadamente a 3,75 cm de la línea media. La línea que une estas fositas, generalmente más visible en las mujeres que en los varones, pasa por las apófisis espinosas de S2 y el centro de las articulaciones sacroilíacas.

Sólo se pueden localizar dos músculos glúteos. El *músculo glúteo mayor* cubre casi todas las estructuras de

la región glútea y se contrae al enderezarse desde una posición flexionada. El borde inferior de este gran músculo se encuentra justo encima del *pliegue glúteo*, que contiene una cantidad variable de grasa subcutánea. El pliegue glúteo desaparece cuando se flexiona la cadera. El grado de prominencia del pliegue glúteo se altera en algunos estados patológicos, como la atrofia (desgaste) del músculo glúteo mayor.

La línea imaginaria que pasa desde el cóccix hasta la tuberosidad isquiática marca el borde inferior del músculo glúteo mayor. El borde superior de este músculo está señalado por otra línea, trazada desde la espina ilíaca posterio superior hasta un punto ligeramente más alto que el trocánter mayor. El *surco glúteo*, situado bajo el pliegue glúteo, delimita la nalga de la cara posterior del muslo. Cuando se extiende el muslo, como en la fotografía, la *tuberosidad isquiática* está cubierta por la parte inferior del músculo glúteo mayor; sin embargo, se puede notar en el centro de la nalga mediante palpación profunda a través del músculo. La tuberosidad se palpa con facilidad cuando se flexiona el muslo, porque el glúteo mayor se desliza hacia arriba y la tuberosidad queda entonces en un plano subcutáneo. Pálpese la tuberosidad isquiática cuando se flexione para sentarse. ▶

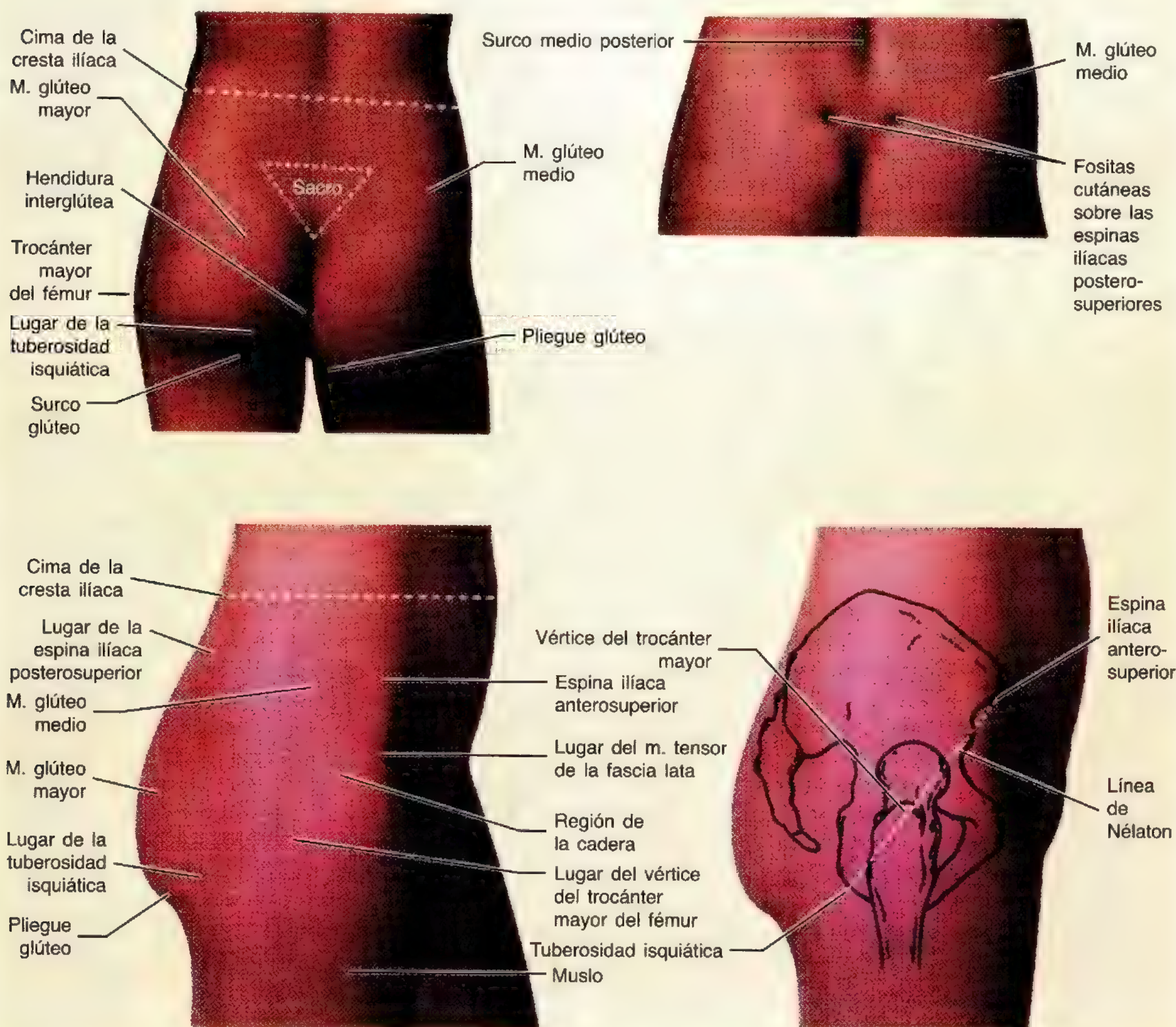
► La parte superior del *músculo glúteo medio* se nota entre la porción superior del músculo glúteo mayor y la cresta ilíaca. El músculo glúteo medio de una nalga se palpa cuando todo el peso del cuerpo se desvía al miembro ipsilateral, es decir, del mismo lado.

El *trocánter mayor*, el punto óseo más lateral de la región glútea, se encuentra en la cara lateral de la cadera, sobre todo en la parte inferior. Resulta más fácil de palpar cuando se separa el miembro inferior de manera pasiva para relajar los músculos glúteo medio y menor. La punta del trocánter queda aproximadamente un palmo por debajo del tubérculo de la cresta ilíaca. La prominencia del trocánter aumenta cuando la cadera luxada provoca una atrofia de los músculos glúteos y un desplazamiento del trocánter. La línea trazada desde la espina ilíaca anterosuperior hasta la tuberosidad isquiática (*línea de Nélaton*), que discurre por la cara lateral de la región

de la cadera, suele pasar por encima o cerca del vértice del trocánter mayor. En una persona con una cadera luxada o una fractura del cuello femoral el trocánter se palpa encima de esta línea. El *trocánter menor* se palpa con dificultad por la cara posterior cuando se extiende y rota medialmente el muslo.

El *nervio ciático*, posiblemente la estructura más importante debajo del músculo piriforme, está representado por una línea que desde un punto situado entre el trocánter mayor y la tuberosidad isquiática desciende por el centro de la cara posterior del muslo (A). El plano de bifurcación del nervio ciático en los nervios tibial y peroneo común varía.

La separación suele ocurrir en el tercio inferior del muslo, aunque el nervio ciático se puede dividir también a su paso por el orificio ciático. El *nervio tibial biseca la fosa poplítea* (B, pág. 579) y el *nervio peroneo común* ►



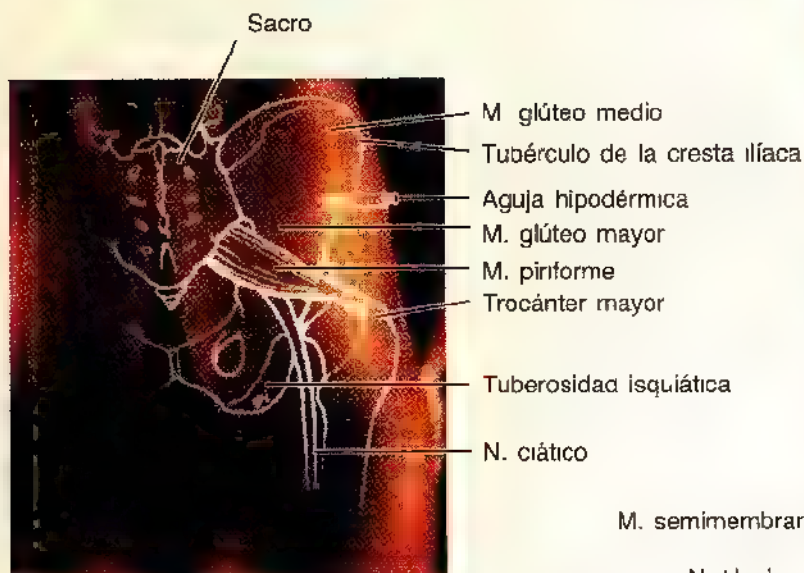
► sigue al músculo bíceps femoral, que lo cubre. El nervio ciático se estira cuando se flexiona el muslo y se extiende la rodilla, y se relaja cuando se extiende el muslo y se flexiona la rodilla.

Los músculos femorales posteriores se palpan como grupo en su origen de la *tuberosidad isquiática* y se extienden por las caras lateral y posterior del muslo (A). El *tracto iliotibial*, una banda fibrosa que refuerza la fascia lata por el lado, puede observarse en la cara lateral del muslo a su paso sobre el *cóndilo lateral de la tibia*. Permanezca sentado con el miembro inferior extendido, alce el talón del suelo y palpará el borde anterior del tracto iliotibial un través de dedo detrás del borde lateral de la rótula (B). Observe que el tracto iliotibial sobresale y se tensa cuando se eleva el talón, mientras que deja de notarse cuando descende éste.

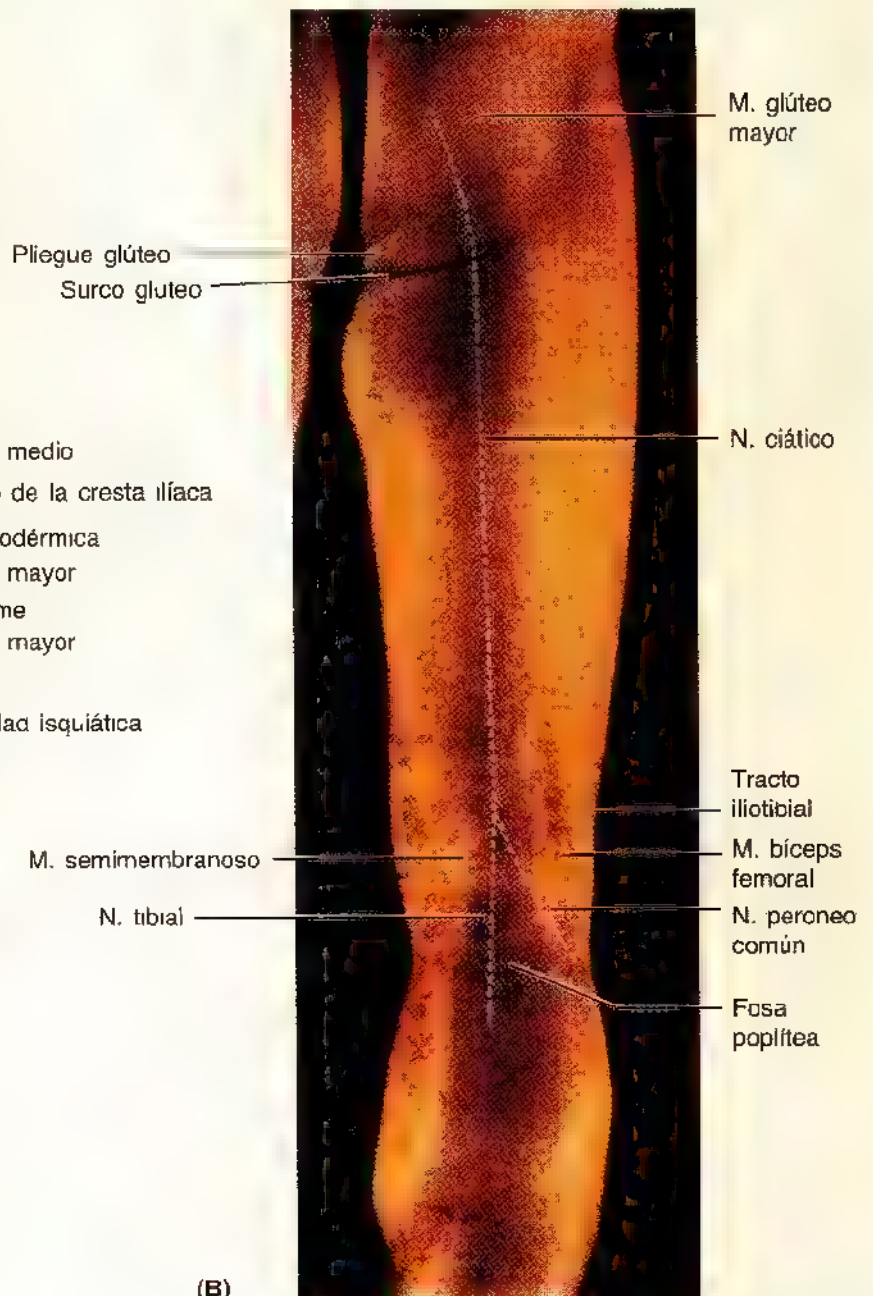
Los tendones de los músculos femorales posteriores se pueden observar y palpar en los bordes de la fosa poplítea.

El tendón del *músculo bíceps femoral* se encuentra en la cara lateral de la fosa. El tendón más lateral de la cara medial y el más prominente cuando se flexiona la rodilla contra resistencia es el *tendón del músculo semimembranoso*. Sentado en una silla con la rodilla flexionada, presione el talón contra la pata de la silla y palpe el tendón del músculo bíceps al lado, que llega hasta la cabeza del peroné. Notará, asimismo, el *tendón del músculo semitendinoso* en la parte medial, que tracciona de la parte supromedial de la tibia.

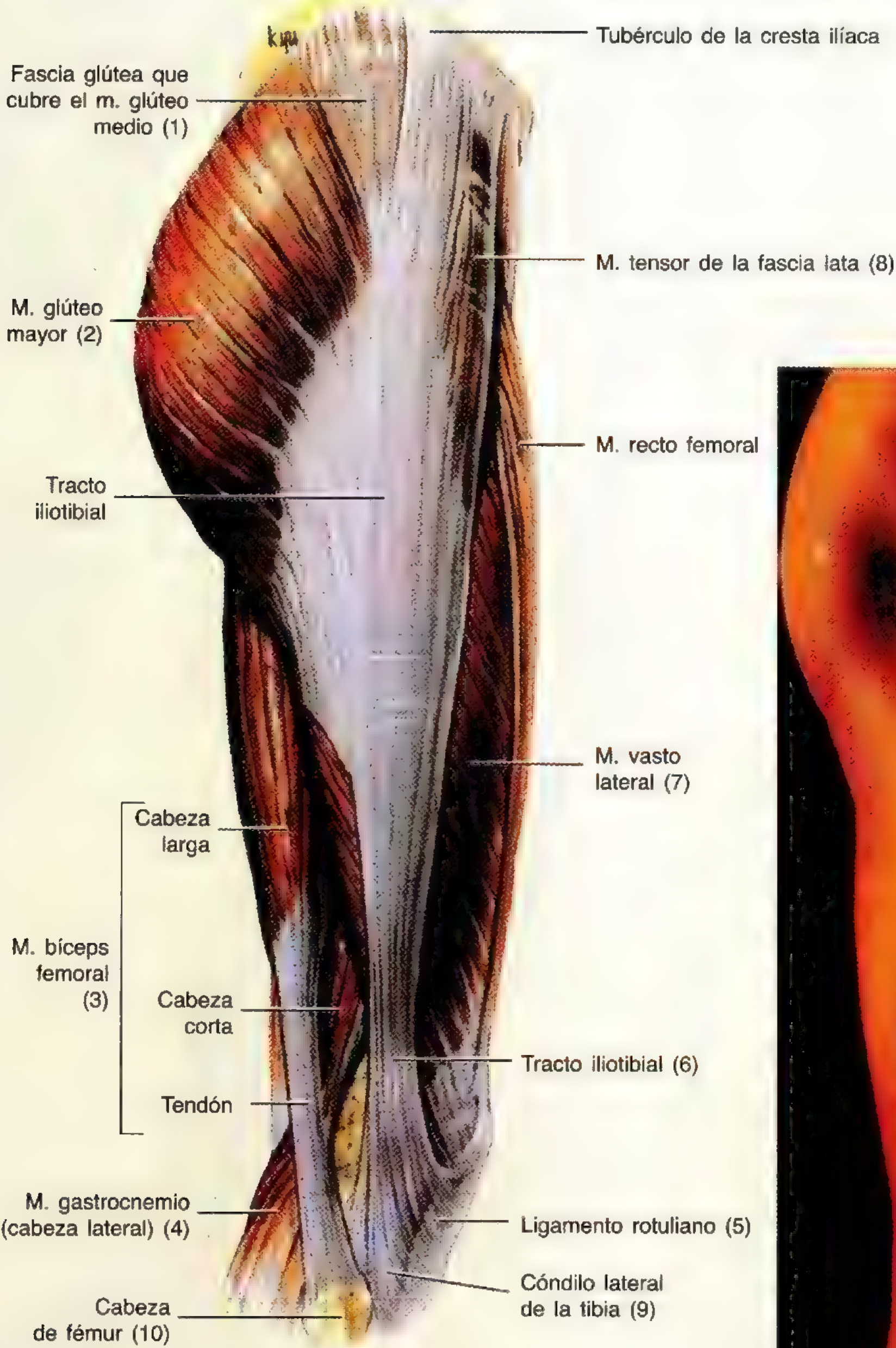
En las personas musculadas se aprecia parte de los músculos anteriores del muslo. Los músculos más llamativos son el cuádriceps y el sartorio, mientras que en la cara lateral se palpa el músculo tensor de la fascia lata, así como el tracto iliotibial donde se inserta. Se pueden ver o insinuar tres de las cuatro porciones del músculo *cuádriceps*, la 4ª porción (vasto intermedio) es profunda y está casi oculta por los demás músculos, de modo ►



(A) Anatomía de superficie de la cara posterior de la región glútea



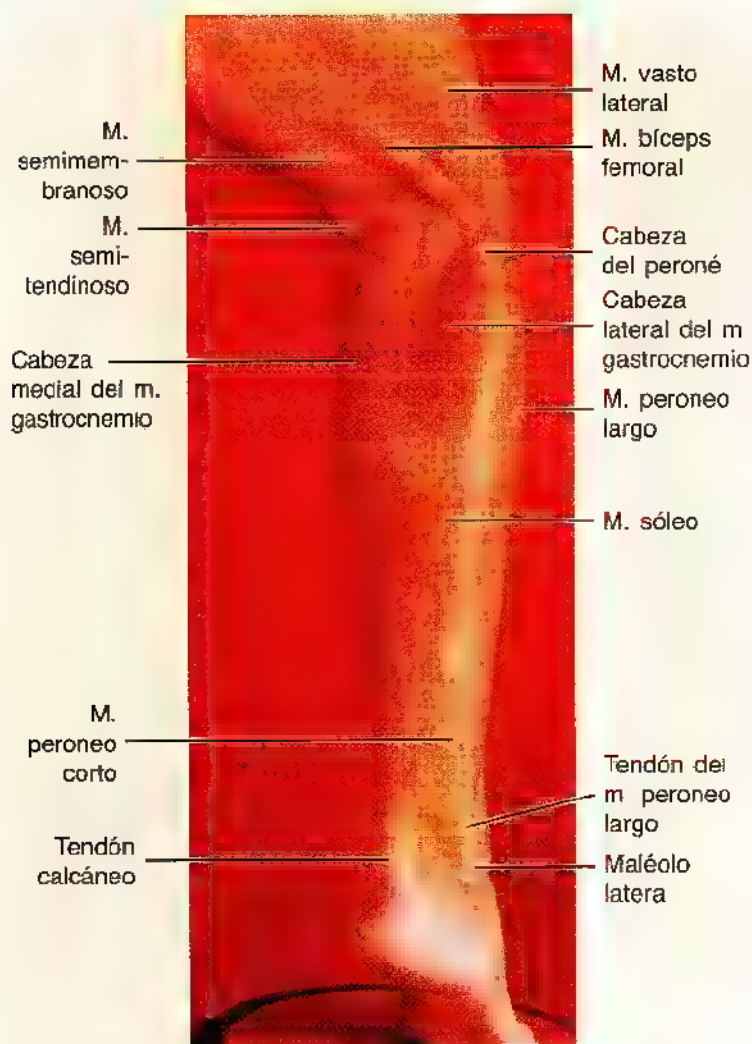
(B)



(A)



(B)



► que no se puede palpar. El *músculo recto femoral* se observa fácilmente como una cresta que baja por el muslo cuando se eleva el miembro inferior del suelo al sentarse. Observe los vientres voluminosos que forman los músculos vastos lateral y medial en la rodilla. El *ligamento rotuliano* se aprecia con facilidad, sobre todo en las personas delgadas, en forma de una banda gruesa desde la rótula hasta la tuberosidad de la tibia. También se puede palpar la masa de tejido adiposo laxo (*cuerpos adiposos infrarrotulianos*) a ambos lados del ligamento rotuliano.

En la cara medial de la porción inferior del muslo, los músculos grácil y sartorio crean una prominencia muy clara, que se separa de la depresión del vientre grande del músculo vasto medial. En la profundidad de esta zona deprimida se puede palpar el gran tendón del músculo aproximador mayor, a su paso para insertarse en el tubérculo femoral del aproximador.

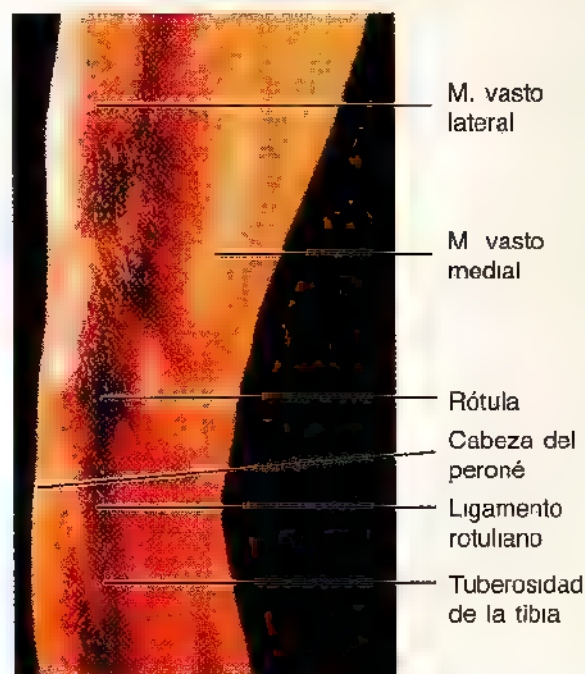
Las *mediciones del miembro inferior* sirven para demostrar su acortamiento (p. ej., debido a una fractura femoral). Para efectuar estas mediciones conviene comparar el miembro afectado con el sano. El acortamiento real del miembro se detecta comparando las mediciones desde la espina ilíaca anterosuperior hasta la punta distal del maléolo medial de ambos lados. Para saber si el acorta-

miento reside en el muslo se toma la medida desde el vértice de la espina ilíaca anterosuperior hasta el borde distal del cóndilo femoral lateral de ambos lados. Recuerde que es normal hallar pequeñas diferencias entre los dos lados –por ejemplo, una diferencia de 1,25 cm en la longitud total del miembro.

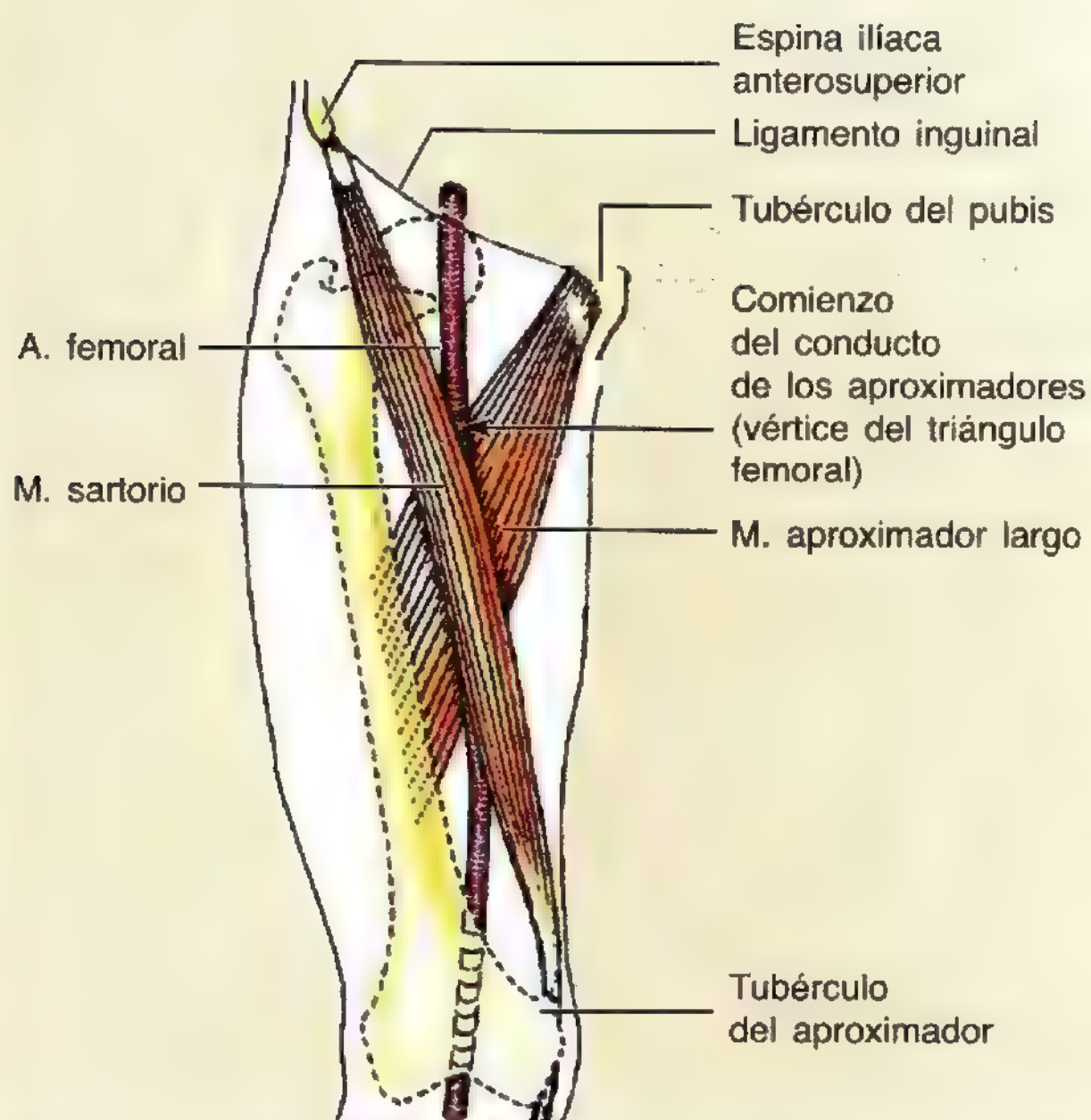
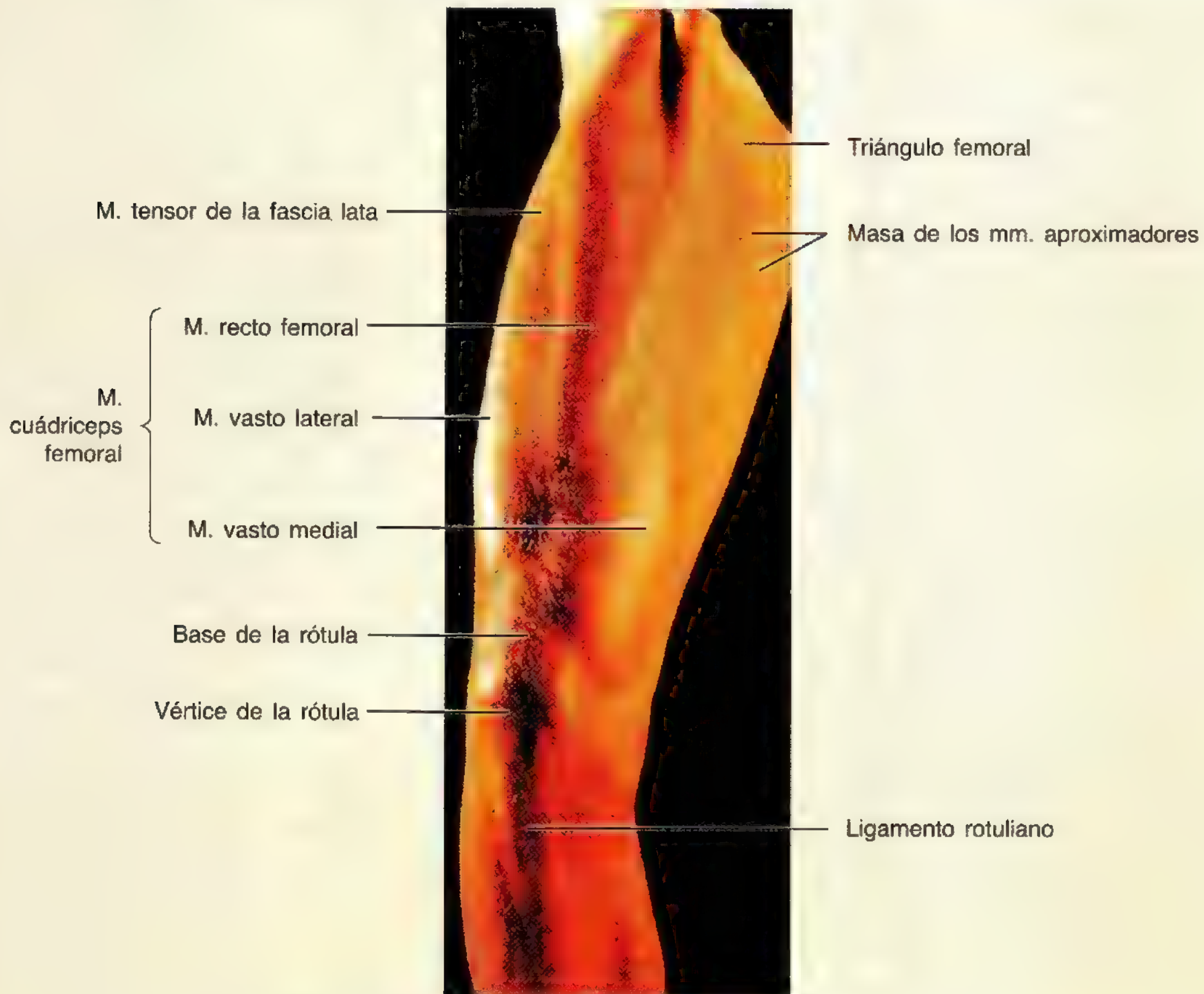
Los dos tercios proximales de la línea trazada desde el punto medio del ligamento inguinal hasta el tubérculo de los aproximadores del fémur con el muslo flexionado, separado y rotado lateralmente, representan el *trayecto de la arteria femoral*. El tercio proximal de esta línea representa el paso de la arteria por el *triángulo femoral*, mientras que el medio conduce la arteria por el *conducto de los aproximadores*. Aproximadamente a 3,75 cm de esta línea y distal al ligamento inguinal surge, de la arteria femoral, la *arteria femoral profunda*. La *anatomía de superficie de la vena femoral* corresponde a la siguiente:

- En la base del triángulo femoral (marcado por el ligamento inguinal), la vena femoral queda medial a la arteria femoral.
- En el vértice del triángulo femoral, la vena queda posterior a la arteria.
- En el conducto de los aproximadores, la vena se sitúa posterolateral a la arteria.

El *triángulo femoral* de la cara superoanterior del muslo no es un rasgo de superficie destacado en la mayoría de las personas. Sin embargo, cuando algunas personas se sientan con las piernas cruzadas sobresalen los músculos sartorio y aproximador mayor, que delimitan el triángulo femoral. La anatomía de superficie del triángulo femoral tiene importancia clínica debido a su contenido. Los latidos de la *arteria femoral* se palpan justo ►



Visión anterior



► debajo del punto inguinal medio. Cuando se palpa el pulso femoral:

- La *vena femoral* queda inmediatamente medial.
- El *nervio femoral* se sitúa a un través de dedo, en la parte lateral.
- La *cabeza del fémur* queda justo en el plano posterior.

La arteria femoral tiene un curso superficial durante 5 cm por el triángulo femoral, antes de que el músculo sartorio la cubra en el conducto de los aproximadores.

La posición superficial de la arteria y de la vena femorales explica su frecuente lesión (p. ej., por heridas con arma blanca o de fuego). La hemorragia de la arteria femoral y de la arteria femoral profunda se puede controlar comprimiendo la arteria femoral contra el ramo superior del pubis y la cabeza del fémur. La *vena safena mayor* entra en el muslo, detrás del cóndilo femoral medial, y se dirige hacia arriba, a lo largo de una línea que va desde el tubérculo del aproximador hasta el *hiato safeno*. El punto central de este orificio, por donde la vena safena mayor desemboca en la vena femoral, queda 3,75 cm debajo y 3,75 cm lateral al tubérculo del pubis. ◉

La fosa poplítea

La fosa poplítea es una depresión romboidal en la cara posterior de la rodilla (fig. 5.29), que limita por arriba con los músculos femorales posteriores, y por abajo, con las dos cabezas de los músculos gastrocnemio y plantar. Todos los vasos y nervios importantes del muslo pasan a la pierna por esta fosa. *La fosa poplítea está formada:*

- Por el músculo bíceps femoral en el borde *superolateral*.
- Por el músculo semimembranoso, en cuya cara lateral se sitúa el semitendinoso, en el borde *superomedial*.
- Por las cabezas lateral y medial del músculo gastrocnemio en los bordes *inferolateral* e *inferomedial*, respectivamente.

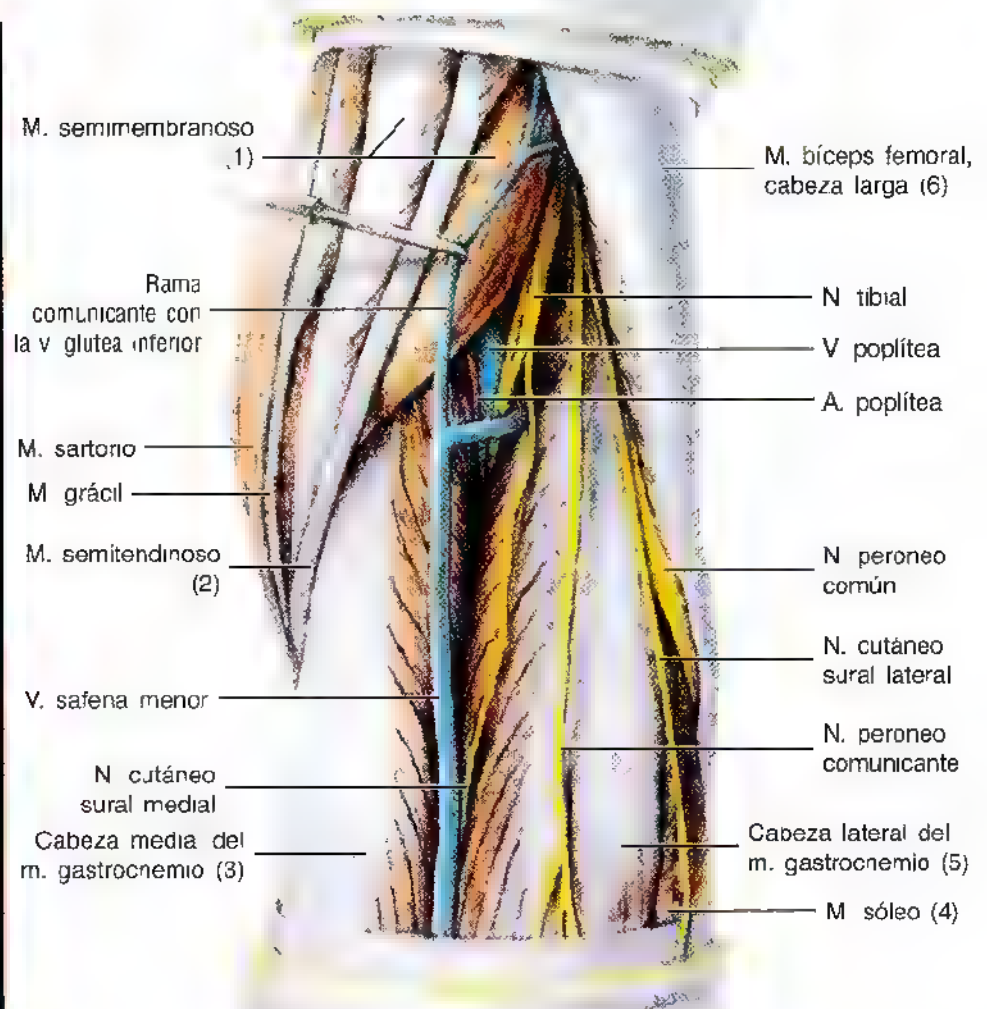
- Por la piel y la fascia (techo) en la cara *posterior*.
- Por la superficie poplítea del fémur, el ligamento poplíteo oblicuo y la fascia poplítea que cubre el músculo poplíteo, estructuras que forman el suelo de la fosa, en la cara *anterior*.

El contenido de la fosa poplítea (figs. 5.29B y 5.30) corresponde al siguiente:

- Vena safena menor.
- Arterias y venas poplíteas.
- Nervios tibial y peroneo común.
- Nervio cutáneo femoral posterior.
- Ganglios linfáticos y vasos linfáticos poplíteos.



(A)



(B)

Figura 5.29. La fosa poplítea. A. Anatomía de superficie. Los números se refieren a las estructuras indicadas en (B) y a la figura 5.30. Se dibuja el espacio romboidal creado por los músculos que delimitan la fosa. B. Disección superficial de la fosa. Obsérvese cómo el nervio peroneo común sigue el borde posterior del músculo bíceps femoral y emite dos ramos cutáneos.

Fascia de la fosa poplítea

La **fascia poplítea superficial** contiene grasa, la vena safena menor (aunque puede penetrar en la fascia profunda en un nivel más bajo) y tres nervios cutáneos: los ramos terminales del *nervio cutáneo femoral posterior* y los *nervios cutáneos surales medial y lateral*. La **fascia poplítea profunda** es una

lámina robusta de fascia profunda que crea una cubierta protectora para las estructuras neurovasculares, que se extienden desde el muslo hasta la pierna a través de la fosa poplítea. Cuando se extiende la pierna, la fascia poplítea se estira y el músculo semimembranoso se desplaza lateralmente, protegiendo todavía más el contenido de la fosa poplítea.

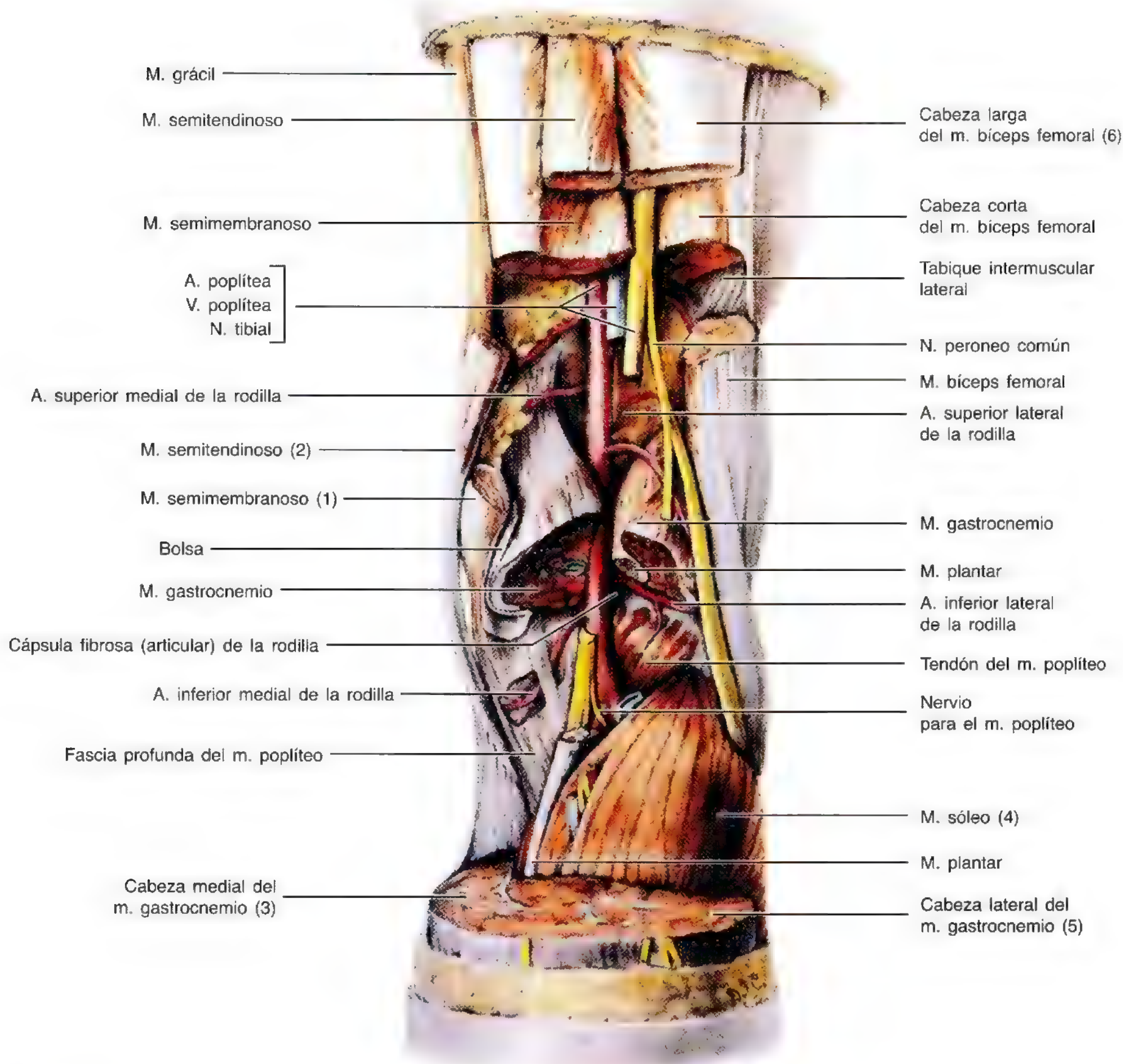


Figura 5.30. Disección profunda de la fosa poplítea. Obsérvese el grosor de los distintos músculos, así como la arteria poplítea, que descansa sobre el suelo de la fosa. Nótese que el suelo de la fosa, que se extiende por arriba hasta la bifurcación de la línea áspera del fémur, rodea la cara poplítea del fémur y llega por abajo hasta la línea sólea de la tibia. El suelo es mucho mayor que el contorno superficial de la fosa poplítea indicado en la figura 5.29A.

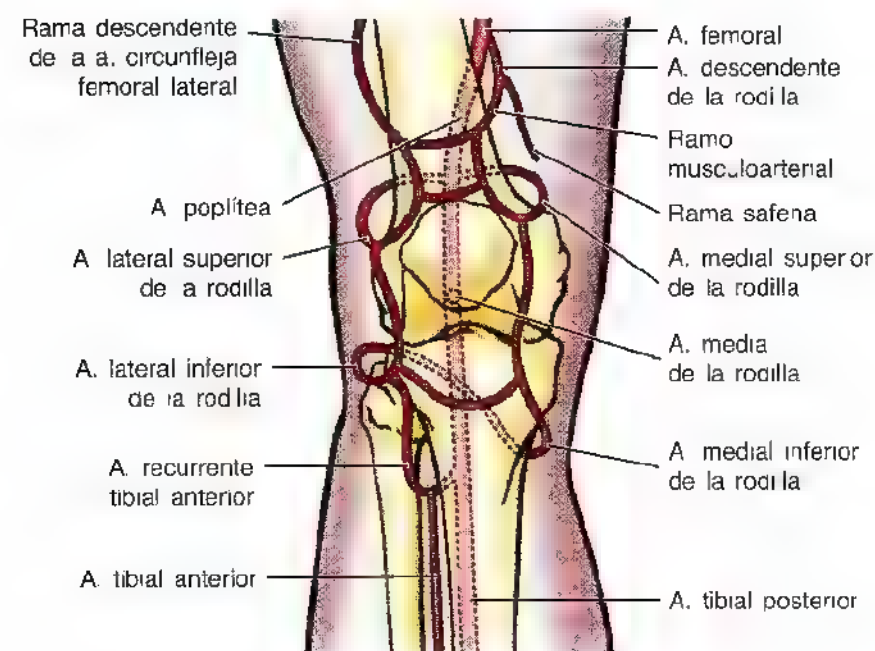
Vasos sanguíneos de la fosa poplítea

La arteria poplítea, prolongación de la femoral (figs. 5.29B y 5.30), comienza en la zona de paso de esta última por el hiato de los aproximadores. La **arteria poplítea** sigue un curso inferolateral por la fosa poplítea y termina en el borde inferior del músculo poplíteo, dividiéndose en las arterias tibiales anterior y posterior. La estructura más profunda de la fosa, la arteria poplítea, discurre pegada a la cápsula articular de la rodilla. Las **arterias de la rodilla** son la lateral superior, la medial superior, la media, la lateral inferior y la medial inferior. Éstas forman una **anastomosis** o red vascular de la rodilla (fig. 5.31). Otros miembros de esta importante anastomosis son:

- La rama descendente para la rodilla de la arteria femoral en la parte superomedial.
- La rama descendente de la arteria circunfleja femoral lateral en la parte superolateral.
- La rama recurrente anterior de la arteria tibial anterior en la parte inferolateral.

Las ramas musculares de la arteria poplítea perfunden los músculos femorales posteriores, gastrocnemio, sóleo y plantar. Las ramas musculares superiores de la arteria poplítea tienen anastomosis de interés clínico con la porción terminal de las arterias femoral profunda y glútea.

La **vena poplítea** se crea en el borde distal del músculo poplíteo. En su trayecto, la vena poplítea está muy cerca de la arteria, pero superficial y envuelta por la misma vaina fibrosa que aquélla. La vena poplítea se sitúa al principio posteromedial a la arteria y lateral al nervio tibial. Conforme asciende, la vena poplítea se ubica detrás de la arteria, entre este vaso y el nervio tibial suprayacente. La vena poplítea, que dispone de varias válvulas, termina en el *hiato de los aproximadores*, transformándose en la **vena femoral**. La **vena safena menor** se dirige desde la cara posterior del maléolo lateral hasta la fosa poplítea, donde atraviesa la fascia poplíteo profunda y desemboca en la vena poplíteo.



Nervios de la fosa poplíteo

El **nervio ciático** suele terminar en el ángulo superior de la fosa poplíteo, dividiéndose en los nervios tibial y peroneo común (fig. 5.32). El **nervio tibial** —la división medial, más grande del nervio ciático— es el más superficial de los tres componentes centrales de la fosa poplíteo (es decir, nervio, vena y arteria); sin embargo, está profundo y queda protegido. El nervio tibial biseca la fosa a su paso desde el ángulo superior al inferior. Dentro de la fosa emite ramos para los músculos sóleo, gastrocnemio, plantar y poplíteo. El **nervio cutáneo sural medial** también proviene del tibial, que se une al **nervio cutáneo sural lateral** a una altura muy variable para dar el **nervio sural**. Este nervio se distribuye por la cara lateral de la pierna y del tobillo.

El **nervio peroneo común** —el ramo terminal lateral y más pequeño del nervio ciático— comienza en el ángulo superior de la fosa poplíteo y sigue estrechamente el borde medial del músculo bíceps femoral y de su tendón a lo largo del límite superolateral de la fosa poplíteo (fig. 5.32). El nervio peroneo común abandona la fosa en la superficie de la cabeza lateral del músculo gastrocnemio, y después, por encima de la cara posterior de la cabeza del peroné. *El nervio peroneo común gira alrededor del cuello del peroné, lugar donde puede dañarse.* En esta zona se divide en sus ramos terminales.

El **nervio cutáneo femoral posterior** emerge de las divisiones posteriores de los ramos ventrales de S1 y S2 y de las divisiones anteriores de los nervios S2 y S3. *Este nervio alcanza una cantidad de piel mayor que ningún otro nervio cutáneo.* El nervio cutáneo femoral posterior sale de la pelvis con el nervio y los vasos glúteos inferiores y el nervio ciático. Las fibras de las divisiones posteriores de los nervios S1 y S2 inervan la piel de la parte inferior de las nalgas; las de las divisiones anteriores de S2 y S3 se distribuyen por la piel del perineo; otras ramas continúan hacia abajo para distribuirse por la piel de la parte posterior del muslo y proximal de la pierna.

Figura 5.31. Anastomosis de la rodilla. Obsérvense las numerosas arterias que contribuyen a esta anastomosis, que forma una circulación colateral importante para derivar los vasos (poplíteos) principales cuando la rodilla permanece mucho tiempo en la posición de flexión completa, o cuando se estrechan u obstruyen los vasos sanguíneos

Ganglios linfáticos de la fosa poplítea

Los **ganglios poplíteos superficiales** suelen ser pequeños y se encuentran dentro de la grasa poplítea. Existe un ganglio linfático en la desembocadura de la vena safena menor que recibe linfa de los vasos linfáticos que acompañan a esta vena. Los **ganglios poplíteos profundos** reciben linfa de la rodilla y de los vasos linfáticos que acompañan a las arterias de la pierna. Los vasos linfáticos de los ganglios poplíteos acompañan a los femorales hasta los *ganglios inguinales profundos*.

Abscesos y tumores poplíteos

Como la fascia poplítea profunda es robusta y limita la expansión, el dolor causado por un absceso o tumor de la fosa poplítea suele ser intenso. El absceso poplíteo tiende a diseminarse hacia los planos superior e inferior, debido a la dureza de la fascia poplítea.

Pulso poplíteo

La arteria poplítea se encuentra en la profundidad y a veces cuesta palpar el *pulso poplíteo*. La palpación del latido arterial suele efectuarse con el sujeto en decúbito prono y la rodilla flexionada para relajar la fascia poplítea y los músculos femorales posteriores. Las pulsaciones se sienten, sobre todo, en la porción inferior de la fosa, donde la arteria poplítea se relaciona con la tibia. El debilitamiento o la desaparición del pulso poplíteo constituye un signo de obstrucción de la arteria femoral.

Aneurisma poplíteo

El *aneurisma poplíteo* (dilatación de la arteria poplítea) suele ocasionar edema y dolor en la fosa poplítea. Cuando es necesario ligar la arteria femoral, la sangre puede eludir la obstrucción a través de las anastomosis de la rodilla y llegar hasta la arteria poplítea, distal a la ligadura.

Lesión del nervio tibial

La lesión del nervio tibial ocurre pocas veces, porque se trata de una estructura profunda, que queda en una posición protegida en la fosa poplítea; sin embargo, el nervio se puede dañar en laceraciones o heridas profundas de la fosa poplítea. La luxación posterior de la rodilla puede lesionar el nervio tibial. La lesión o daño del nervio tibial provoca una parálisis de los músculos flexores de la pierna y de los músculos intrínsecos de la planta del pie. Las personas con una lesión de nervio tibial no pueden efectuar la flexión plantar ni tampoco flexionar los dedos del pie. Además, presentan una abolición de la sensibilidad plantar. ➔

La pierna

La pierna contiene la tibia y el peroné, huesos que comunican la rodilla con el tobillo. La **tibia**, un hueso que soporta el hueso del cuerpo, es el hueso mayor y más robusto de los dos. Se articula con los cóndilos femorales por arriba y con el astrágalo por abajo. El **peroné**, largo y fino, no soporta el peso y su extremo superior no contribuye a la articulación de la rodilla; no obstante, ayuda a formar la articulación del tobillo. El peroné se sitúa posterolateral a la tibia, con la que se inserta a través de la **membrana interósea** (fig. 5.33). El peroné aporta inserciones para varios músculos y estabiliza el tobillo.

La pierna se divide en tres compartimientos fasciales —anterior, lateral y posterior— por los *tabiques intermusculares* anterior y posterior y por la *membrana interósea*. El tabique anterior separa los músculos anteriores y laterales de la pierna, y el posterior, los músculos laterales y posteriores; así pues, cada grupo posee su propio compartimiento.

Síndromes compartimentales de la pierna

Los tabiques que crean los límites de los compartimientos de la pierna son robustos, y por este motivo, los traumatismos de los músculos situados en estos compartimientos pueden causar hemorragia, edema e inflamación musculares. En el caso de sangrado arterial, la presión puede alcanzar niveles suficientes para comprimir las estructuras del o de los compartimientos afectados. Las estructuras distales a la zona comprimida se tornan isquémicas y pueden sufrir una lesión permanente (p. ej., abolición de la función motora de los músculos cuya irrigación o inervación se encuentra dañada). La desaparición de los pulsos distales constituye un signo evidente de compresión arterial, al igual que la disminución de la temperatura de los tejidos distales a la compresión. Se puede efectuar una *fasciotomía* (incisión del tabique fascial) para aliviar la presión en el o en los compartimientos respectivos. ➔

El compartimiento anterior de la pierna

El compartimiento anterior —*compartimiento extensor dorsiflexor*— se localiza delante de la membrana interósea, entre la cara lateral del cuerpo tibial y el tabique intermuscular anterior. El compartimiento anterior limita por delante con la fascia crural y la piel.

Los músculos del compartimiento anterior

Los 4 músculos del compartimiento anterior (fig. 5.33, A y B, tabla 5.9) son:

- El músculo tibial anterior.
- El músculo extensor largo de los dedos.
- El músculo extensor largo del dedo gordo.
- El músculo tercer peroneo.

Estos músculos son fundamentalmente dorsiflexores del tobillo y extensores de los dedos del pie.

El **retináculo superior de los músculos extensores** es una banda fuerte y ancha de fascia profunda (fig. 5.34A)

que se dirige desde el peroné a la tibia, proximal a los maléolos. Une los tendones de los músculos del compartimiento anterior, impidiendo que se arqueen hacia delante durante la dorsiflexión del tobillo.

El **retináculo inferior de los músculos extensores** (fig. 5.35A), una banda de la fascia profunda con forma de Y, se inserta lateralmente en la cara anterosuperior del calcáneo. Crea un bucle robusto alrededor de los tendones de los músculos tercer peroneo y extensor largo de los dedos.

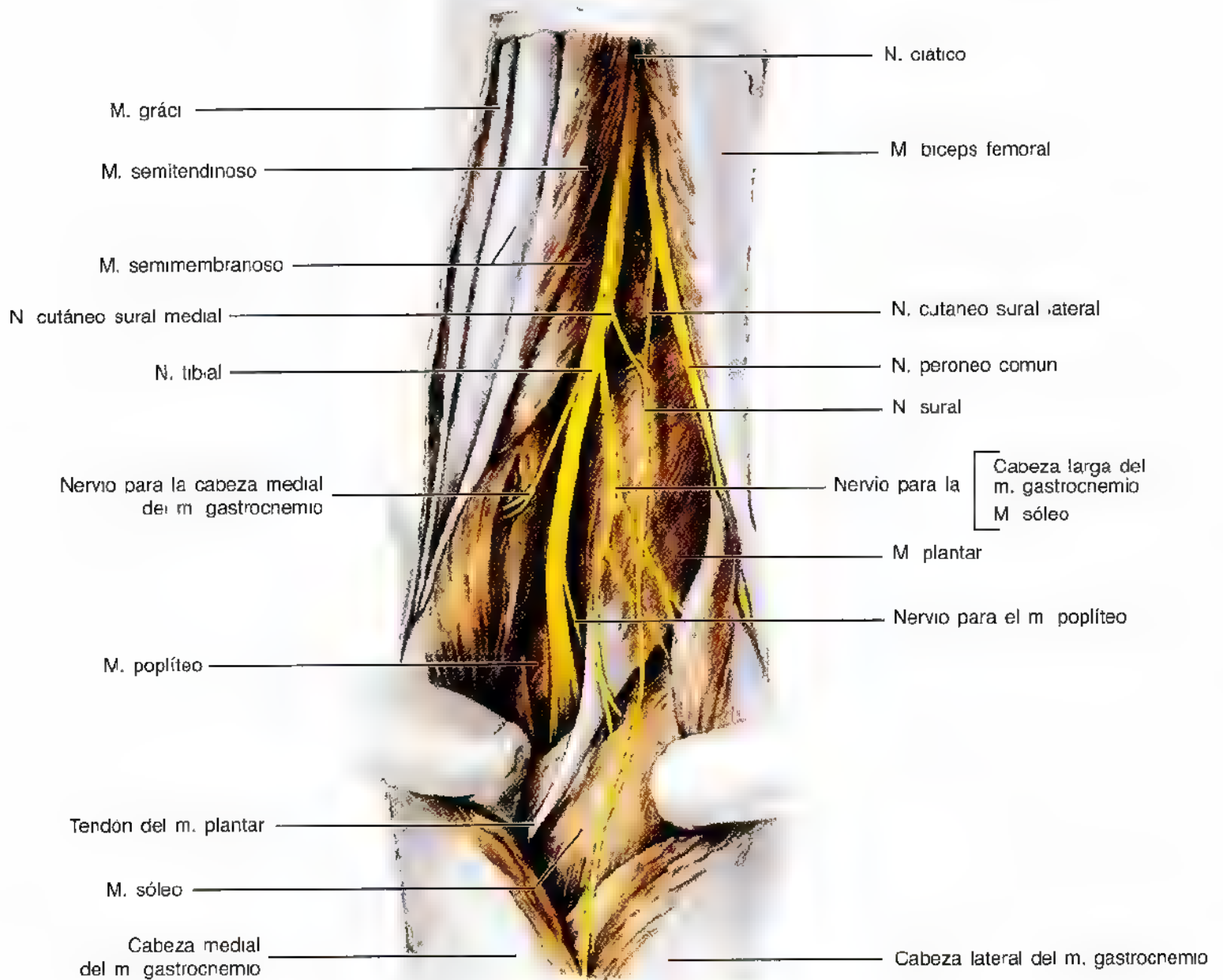


Figura 5.32. Los nervios de la fosa poplíteica. Las dos cabezas de músculo gastrocnemio se han rechazado. El nervio ciático se separa en sus ramas en el vértice de la fosa poplíteica. El nervio peroneo común discurre por el borde medial de músculo bíceps femoral. Todas las ramas motoras proceden del nervio tibial, salvo una que nace de la cara lateral, por eso parece más seguro secar la cara medial. El nivel en el que se unen los nervios surales medial y lateral para dar el nervio sural —en este caso, bastante alto— es muy variable, de hecho se pueden incluso unir a la altura de tobillo.

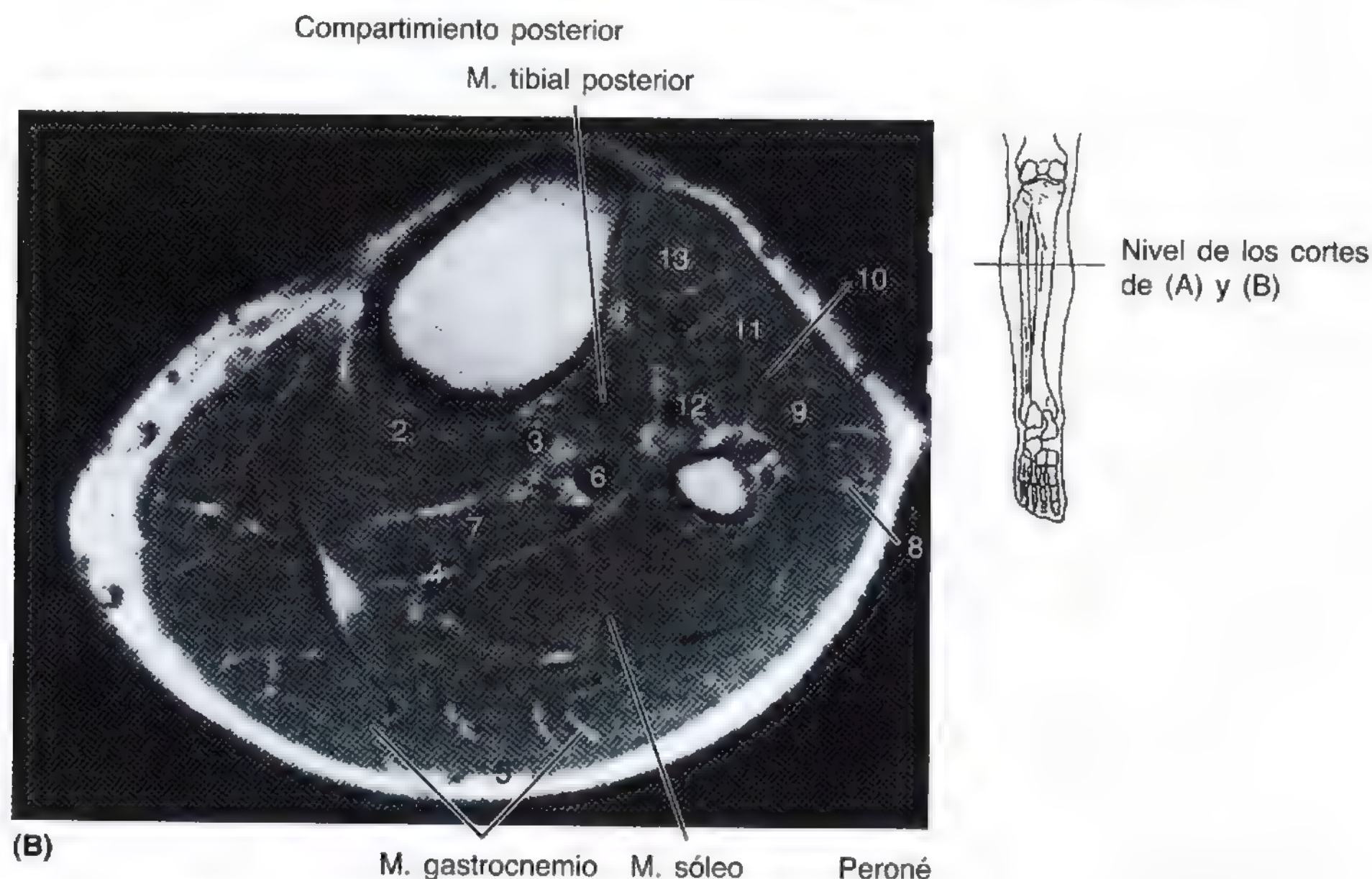
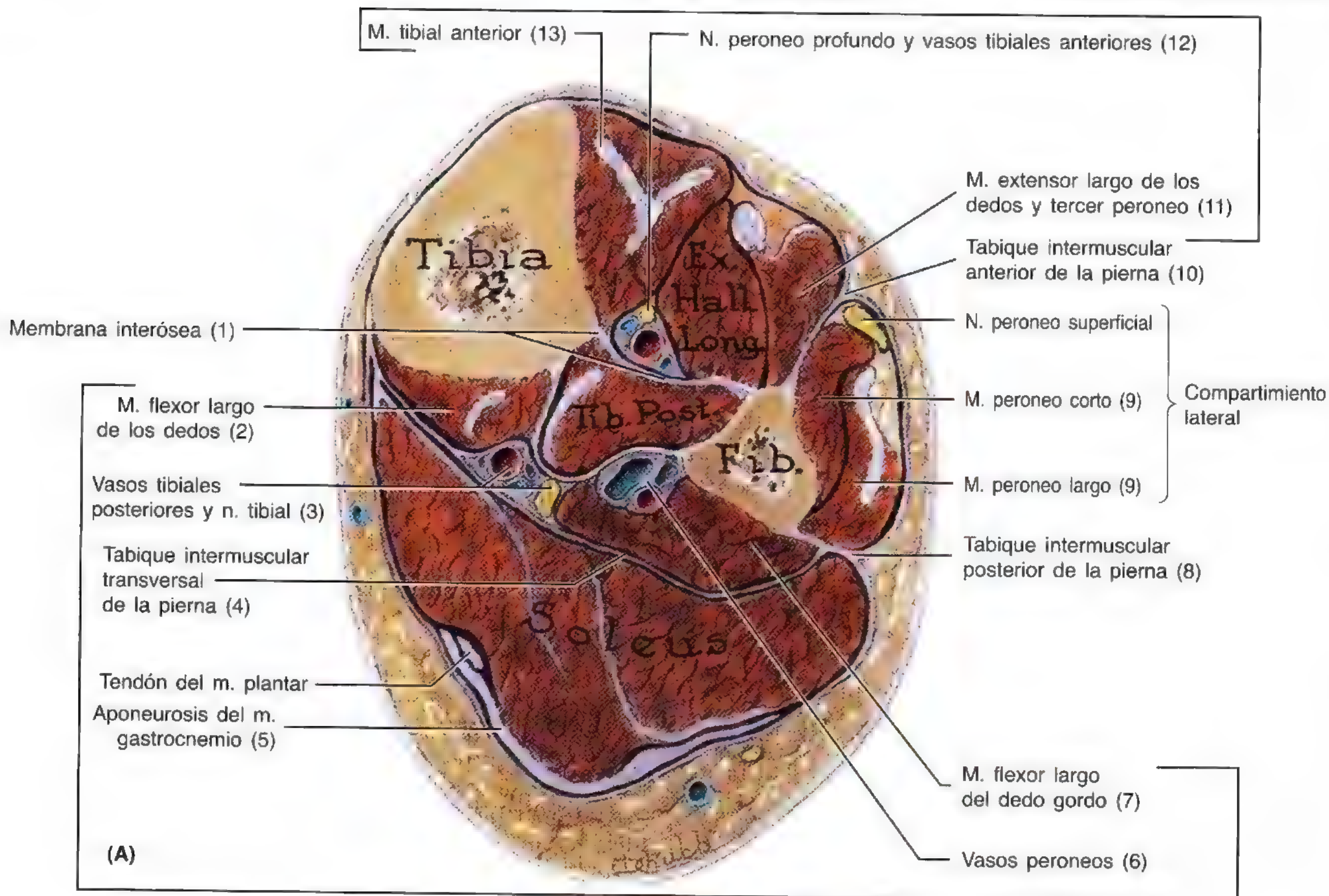
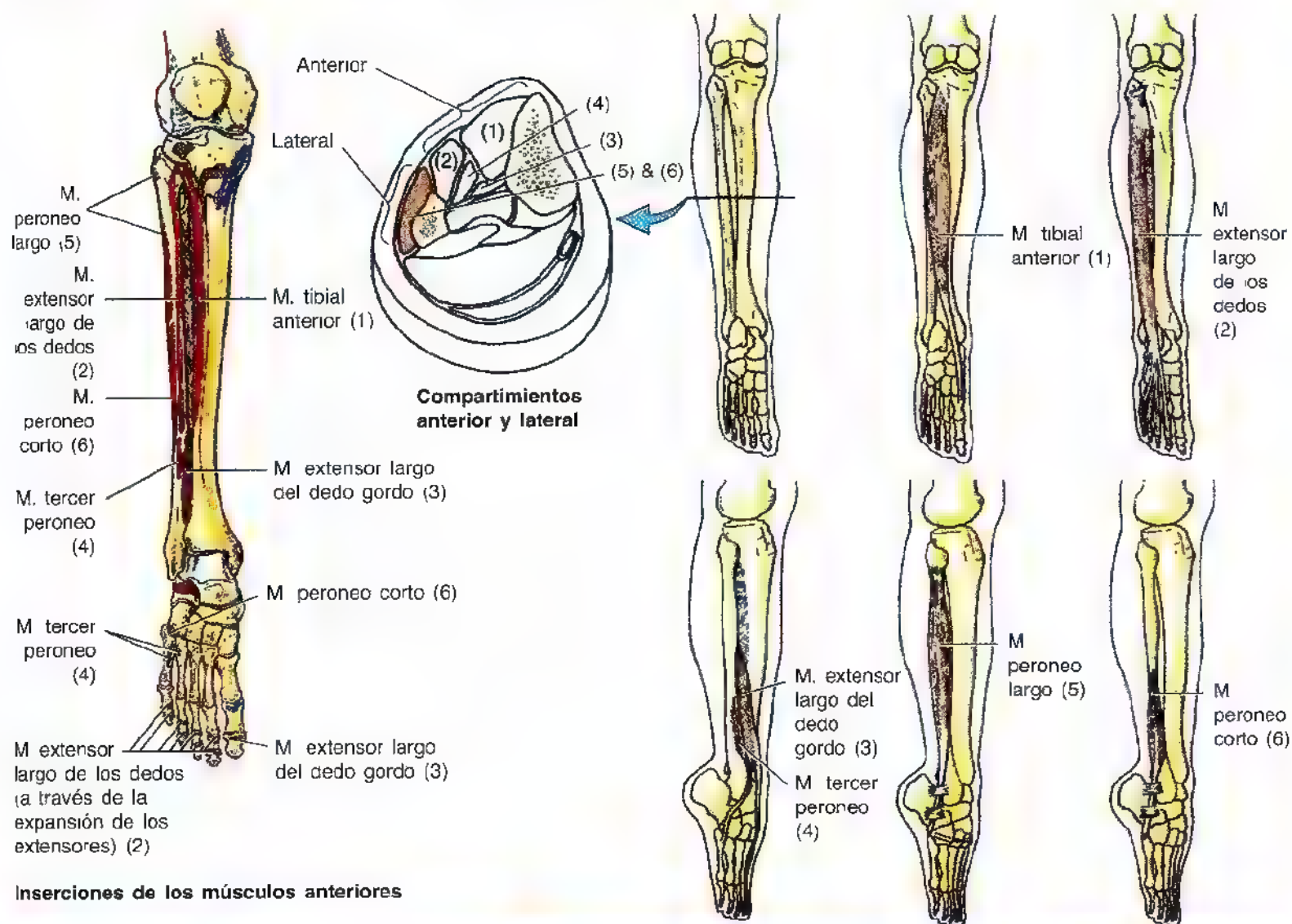
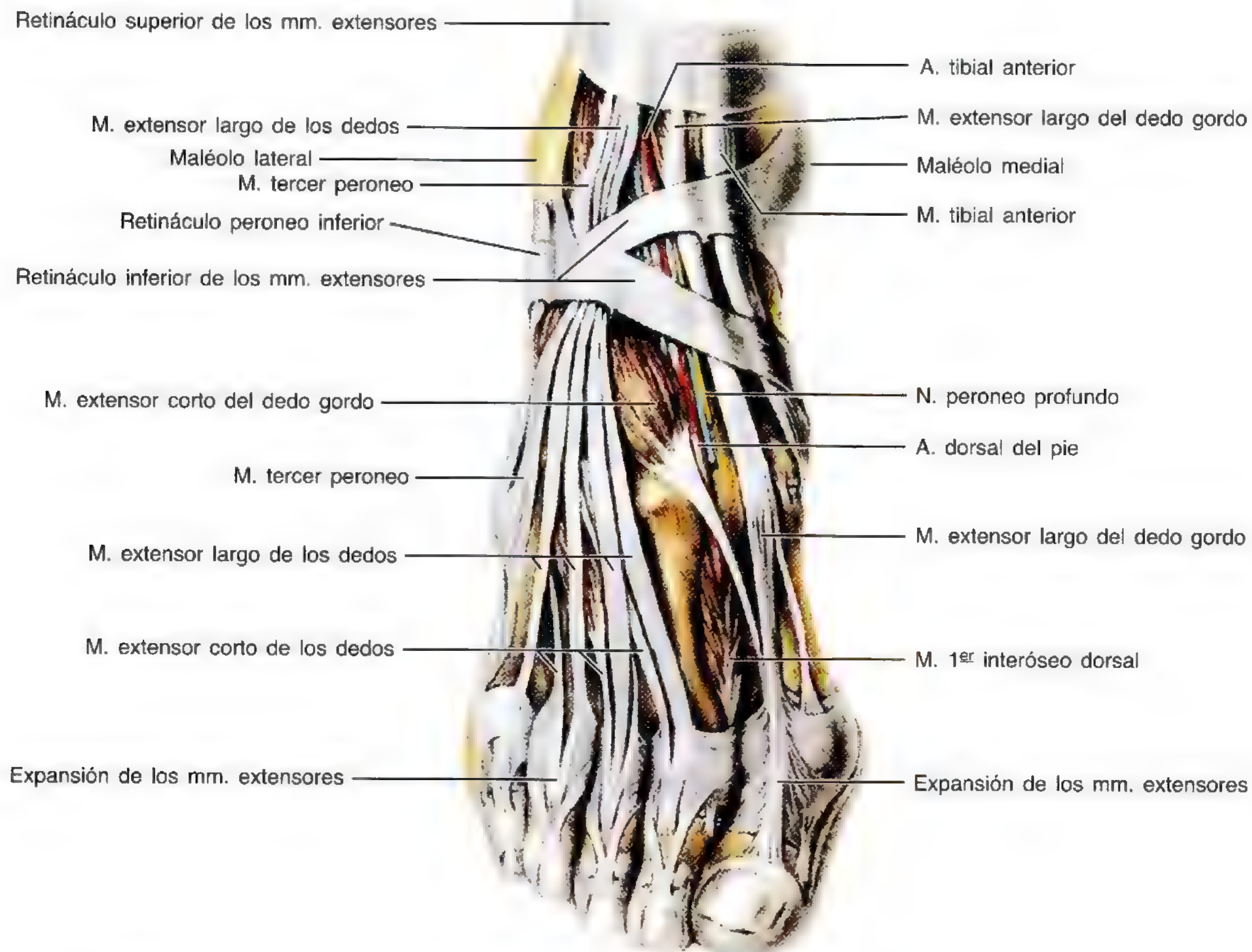


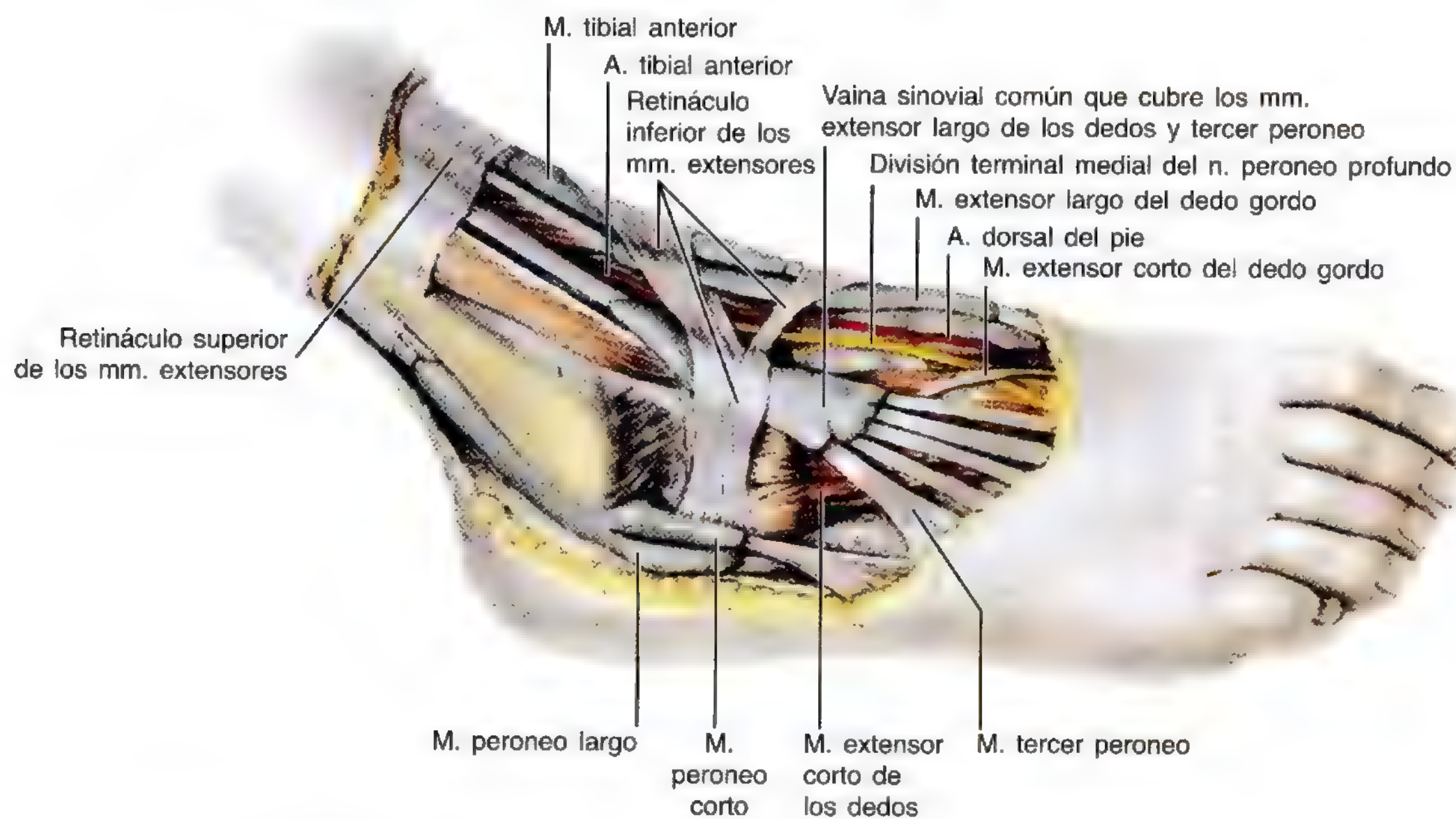
Figura 5.33. Corte transversal y RM de la pierna en la parte media de la pantorrilla. A. Obsérvese el compartimiento anterior (*dorsiflexor y extensor*), que contiene 4 músculos: tibial anterior, extensor largo de los dedos, tercer peroneo y extensor largo del dedo gordo; el *compartimiento lateral (peroneo)*, con dos músculos: peroneos largo y corto, y el *compartimiento posterior (flexor)*, que contiene 7 músculos: gastrocnemio, sóleo y plantar en el grupo superficial, y poplíteo, flexor largo de los dedos, flexor largo del dedo gordo y tibial posterior en el grupo profundo. **B.** RM de la pierna. Los números se refieren a las estructuras marcadas en (A). (Cortesía del Dr. W. Kucharczyk, Jefe de Radiología, Facultad de Medicina, Universidad de Toronto, y Director del Centro de Resonancia Trihospitalaria, Toronto, Ontario, Canadá.)

Tabla 5.9. Los músculos anteriores y laterales de la pierna**Inserciones de los músculos anteriores**

Músculo	Inserción proximal	Inserción distal	Inervación	Acción principal
Compartimiento anterior				
Tibial anterior (1)	Cóndilo lateral y mitad superior de la cara lateral de la tibia y membrana interósea	Caras medial e inferior de la cuña medial y base del 1º metatarsiano	N. peroneo profundo (L4 y L5)	Dorsiflexiona el tobillo e invierte el pie
Extensor largo de los dedos (2)	Cóndilo lateral de la tibia y tres cuartos superiores de la cara media del peroné y membrana interósea	Falanges media y distal de los 4 últimos dedos	N. peroneo profundo (L5 y S1)	Extiende los 4 últimos dedos y dorsiflexiona el tobillo
Extensor largo del dedo gordo (3)	Parte media de la cara anterior del peroné y membrana interósea	Cara dorsal de la base de la falange distal del dedo gordo		Extiende el dedo gordo y dorsiflexiona el tobillo
Tercer peroneo (4)	Tercio inferior de la cara anterior del peroné y membrana interósea	Dorso de la base del 5º metatarsiano		Dorsiflexiona el tobillo y facilita la eversión del pie
Compartimiento lateral				
Peroneo largo (5)	Cabeza y dos tercios superiores de la cara lateral de peroné	Base del 1º metatarsiano y cuña medial	Nervio peroneo superficial (L5, S1 y S2)	Eversión de pie y flexión plantar débil del tobillo
Peroneo corto (6)	Dos tercios inferiores de la cara lateral del peroné	Cara dorsal de tubérculo situado en la cara lateral de la base del 5º metatarsiano		



(A) Visión dorsal



(B) Visión anterolateral

Músculo tibial anterior. El tibial anterior es un músculo fino que se apoya en la cara lateral de la tibia (fig. 5.35, tabla 5.9). El tendón aparece en el tercio inferior de la pierna, sobre la cara anterior de la tibia, y discurre, dentro de su propia vaina sinovial, en la profundidad de los retináculos superior e inferior de los músculos extensores (fig. 5.34B), para insertarse en la cara medial del pie. El músculo tibial anterior es el dorsiflexor e inversor más robusto del pie. *Para explorar este músculo se practica una dorsiflexión del pie contra resistencia; si el músculo se contrae normalmente, se puede ver y palpar el tendón.*

Músculo extensor largo. El extensor largo de los dedos es el más lateral de los músculos anteriores de la pierna (fig. 5.35). Una pequeña porción de la inserción proximal del músculo llega al cóndilo lateral de la tibia; sin embargo, la mayor parte se inserta en la cara medial del peroné y en la parte superior de la cara anterior de la membrana interósea (tabla 5.9). El músculo se torna tendinoso encima del tobillo y sus 4 tendones se insertan en las falanges de los 4 últimos dedos. *Para explorar el músculo extensor largo de los dedos hay que dorsiflexionar contra resistencia los 4 últimos dedos; si la contracción es normal se pueden ver y palpar los tendones.*

Existe una *vaina sinovial común* que envuelve los 4 tendones del músculo extensor largo de los dedos en el momento en que divergen en el dorso del pie y llegan a sus inserciones distales (fig. 5.34B). Cada tendón crea una *expansión membranosa* (aponeurosis dorsal) sobre el dorso de la falange proximal del dedo del pie, que se divide en dos cordones laterales y una central (fig. 5.34A). El cordón central se inserta en la base de la falange media y los laterales convergen para insertarse en la base de la falange distal.

Músculo extensor largo del dedo gordo. Es un músculo delgado, con una inserción superior profunda en el peroné y en la membrana interósea. Emerge a la superficie entre los músculos tibial anterior y extensor largo de los dedos (figs. 5.34 y 5.35). *Para explorar el músculo extensor largo del dedo gordo se dorsiflexiona el dedo contra resistencia; si la contracción es normal se puede ver y palpar el tendón.*

Músculo tercer peroneo. El tercer peroneo es una porción separada del músculo extensor largo de los dedos, con el que comparte la vaina sinovial (figs. 5.34 y 5.35). Los músculos extensor largo de los dedos y tercer peroneo se unen en sus inserciones proximales, pero el tendón del tercer peroneo se inserta en el 5º metatarsiano y no en las falanges (tabla 5.9). No siempre existe este músculo.

Nervio del compartimiento anterior

El **nervio peroneo profundo** —nervio del compartimiento anterior (figs. 5.33A y 5.35, tabla 5.10) es uno de los dos

ramos terminales del nervio peroneo común. Nace entre el músculo peroneo largo y el cuello del peroné. Acompaña a la arteria tibial anterior, primero entre los músculos tibial anterior y extensor largo de los dedos, y luego, entre los músculos tibial anterior y extensor largo del dedo gordo.

Arteria del compartimiento anterior

La **arteria tibial anterior** nutre las estructuras del compartimiento anterior (figs. 5.33A y 5.35A, tabla 5.11). La rama terminal más pequeña de la arteria poplítea, la arteria tibial anterior, empieza en el borde inferior del músculo poplíteo y sigue hacia delante por una hendidura de la porción superior de la membrana interósea, para descender por la cara anterior de esta membrana entre los músculos tibial anterior y extensor largo de los dedos. Termina en el tobillo, a mitad de camino entre los maléolos, donde se convierte en la arteria dorsal del pie.

Distensión del músculo tibial anterior

El edema y el dolor de los dos tercios distales de la tibia obedecen a microtraumatismos repetidos sobre el músculo tibial anterior y a pequeños desgarros del periostio que cubre el cuerpo de la tibia. Esta lesión casi siempre obedece a un traumatismo o a una sobrecarga deportiva de los músculos del compartimiento anterior —en particular, del músculo tibial anterior— de personas desentrenadas. De ordinario, los sujetos que llevan una vida sedentaria sufren esta lesión cuando participan en marchas o caminatas. Asimismo, se observan en corredores entrenados que no calientan o no se relajan lo suficiente al final. Los músculos del compartimiento anterior se hinchan por el abuso repentino y el edema y la inflamación musculotendinosa reducen la irrigación muscular. *Estas lesiones constituyen una forma leve del síndrome compartimental anterior.* Los músculos tumefactos provocan dolor e hipersensibilidad.

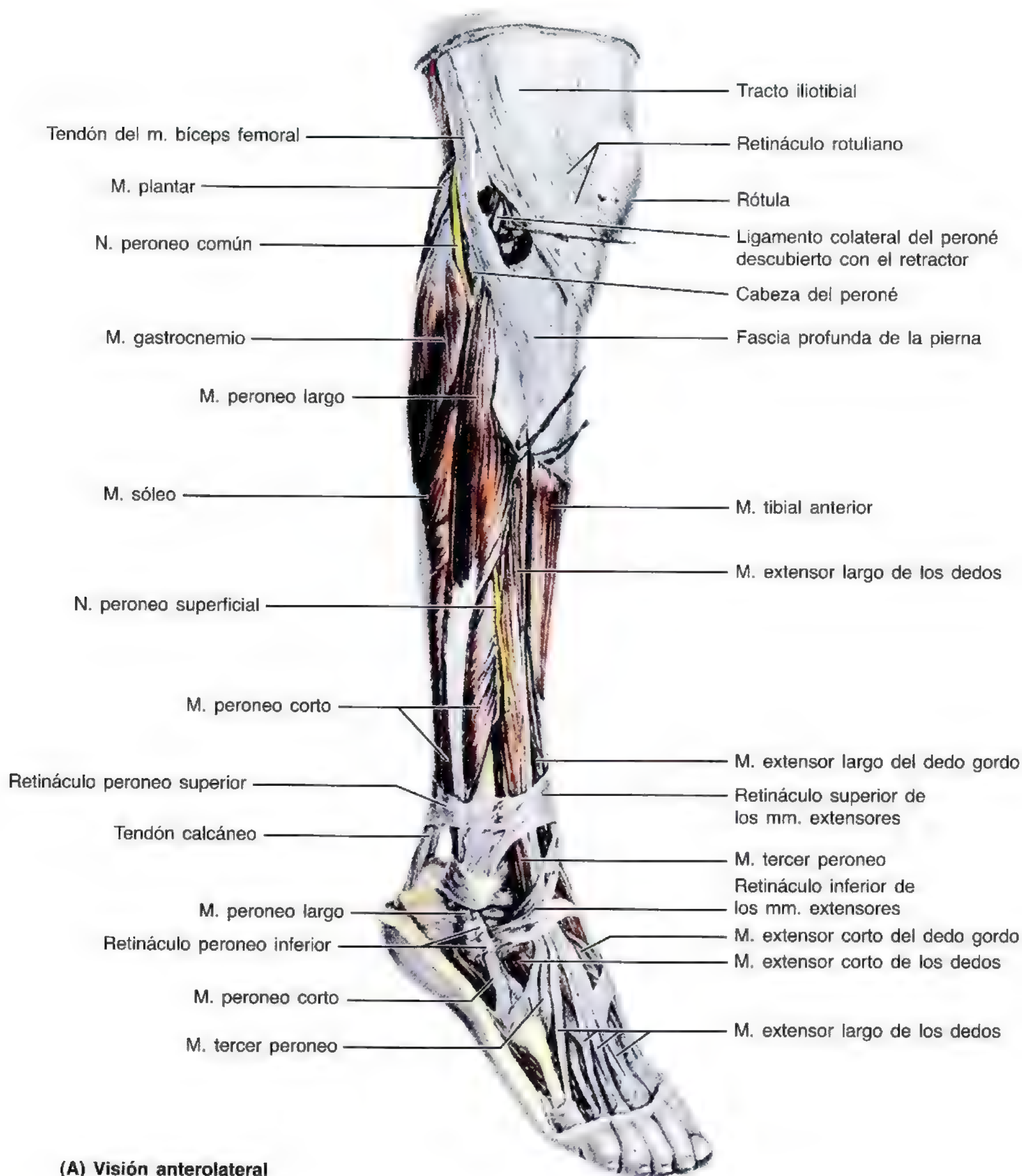
Atrapamiento del nervio peroneo profundo

El uso excesivo de los músculos inervados por el nervio peroneo profundo (p. ej., al esquiar, correr o bailar) puede provocar una lesión y edema musculares en el compartimiento anterior. El atrapamiento ►

Figura 5.34. Disección del pie derecho. Se observan los retináculos extensores y peroneos de tobillo y los músculos y tendones del dorso del pie. **A.** Se han seccionado los vasos y los nervios. Los vasos y el nervio peroneo profundo se sitúan, en el tobillo a mitad de camino entre el maléolo y poseen tendones de los dos músculos emplazados a cada lado. **B.** Obsérvense las vainas sinoviales de los tendones del tobillo

► determina la compresión del nervio peroneo profundo y dolor en el compartimiento anterior. La compresión del nervio por unas botas de esquí muy apretadas sucede cuando el nervio pasa en la profundidad del retináculo inferior de los músculos extensores y del músculo extensor corto del dedo gordo. El dolor afecta al dorso

del pie y se irradia al espacio entre el 1^{er} y 2^o dedos. Como las botas de esquí suelen provocar este tipo de atrapamiento nervioso, el trastorno también se conoce como “síndrome de la bota de esquí”; sin embargo, este síndrome afecta además a jugadores de fútbol y corredores que llevan un calzado apretado. +



(A) Visión anterolateral

Figura 5.35. Disección de la pierna derecha. A. Los músculos de la pierna y del pie. Obsérvese el nervio peroneo común en contacto con el cuello del peroné; en este lugar es más vulnerable a la lesión. Se aprecian también los retináculos superior e inferior de los músculos extensores y peroneo.

El compartimiento lateral de la pierna

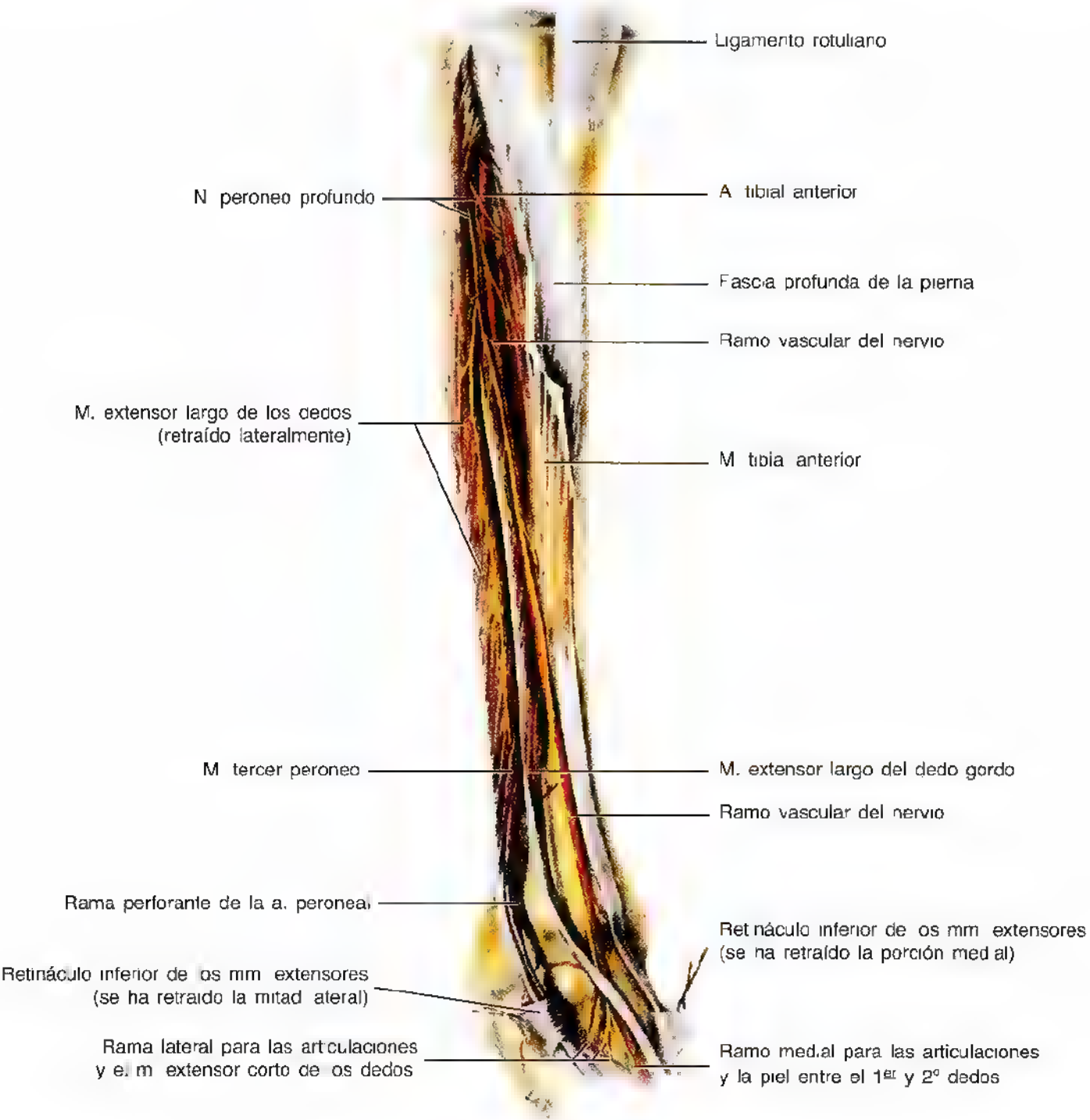
El compartimiento lateral está limitado por la cara lateral del peroné, los tabiques intermusculares anterior y posterior y la fascia crural (fig. 5.33, A y B, tabla 5.9).

Los músculos del compartimiento lateral

El compartimiento lateral contiene los músculos peroneos largo y corto.

Músculo peroneo largo. El músculo peroneo largo es el más largo y superficial de los dos músculos peroneos y nace

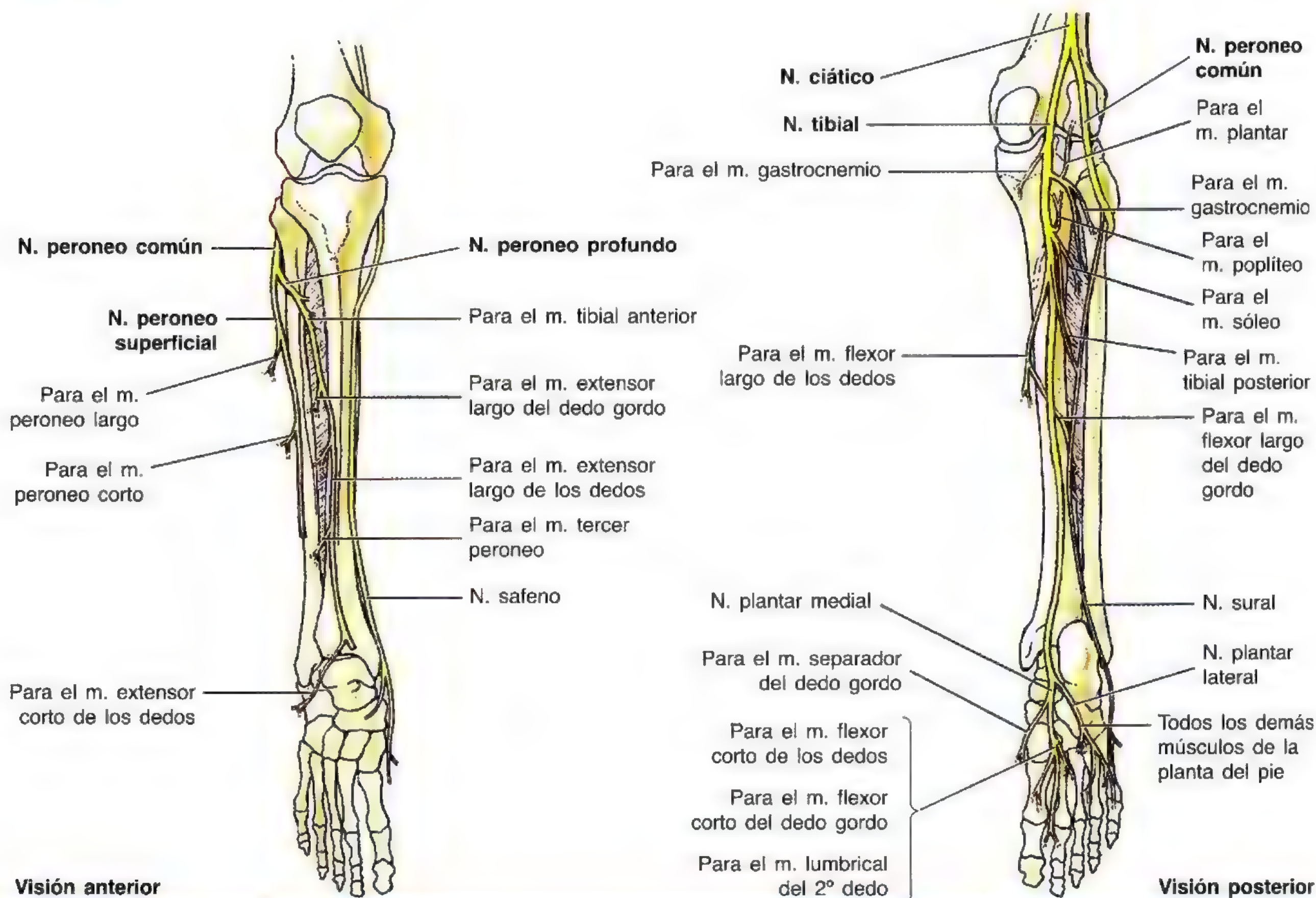
mucho más arriba, en el cuerpo del peroné (figs. 5.33 y 5.35). Este músculo se extiende desde la cabeza del peroné hasta la planta del pie. Su tendón se puede palpar y observar en una zona proximal y posterior al maléolo lateral. Cuando una persona se levanta sobre un pie, el músculo peroneo largo ayuda a enderezar la pierna sobre el pie. El músculo peroneo largo está envuelto en una vaina sinovial común al músculo peroneo corto (fig. 5.33A). El músculo peroneo largo pasa por debajo de la tróclea peroneal del calcáneo y se introduce en un surco de la cara anterior del hueso cuboides. Luego cruza la planta del pie para dirigirse



(B) Visión anterior

Figura 5.35. (Continuación) **B.** Disección de compartimiento anterior de la pierna. Se han separado los músculos y el retináculo inferior de los extensores para mostrar las arterias y los nervios de compartimiento anterior.

Tabla 5.10. Los nervios de la pierna



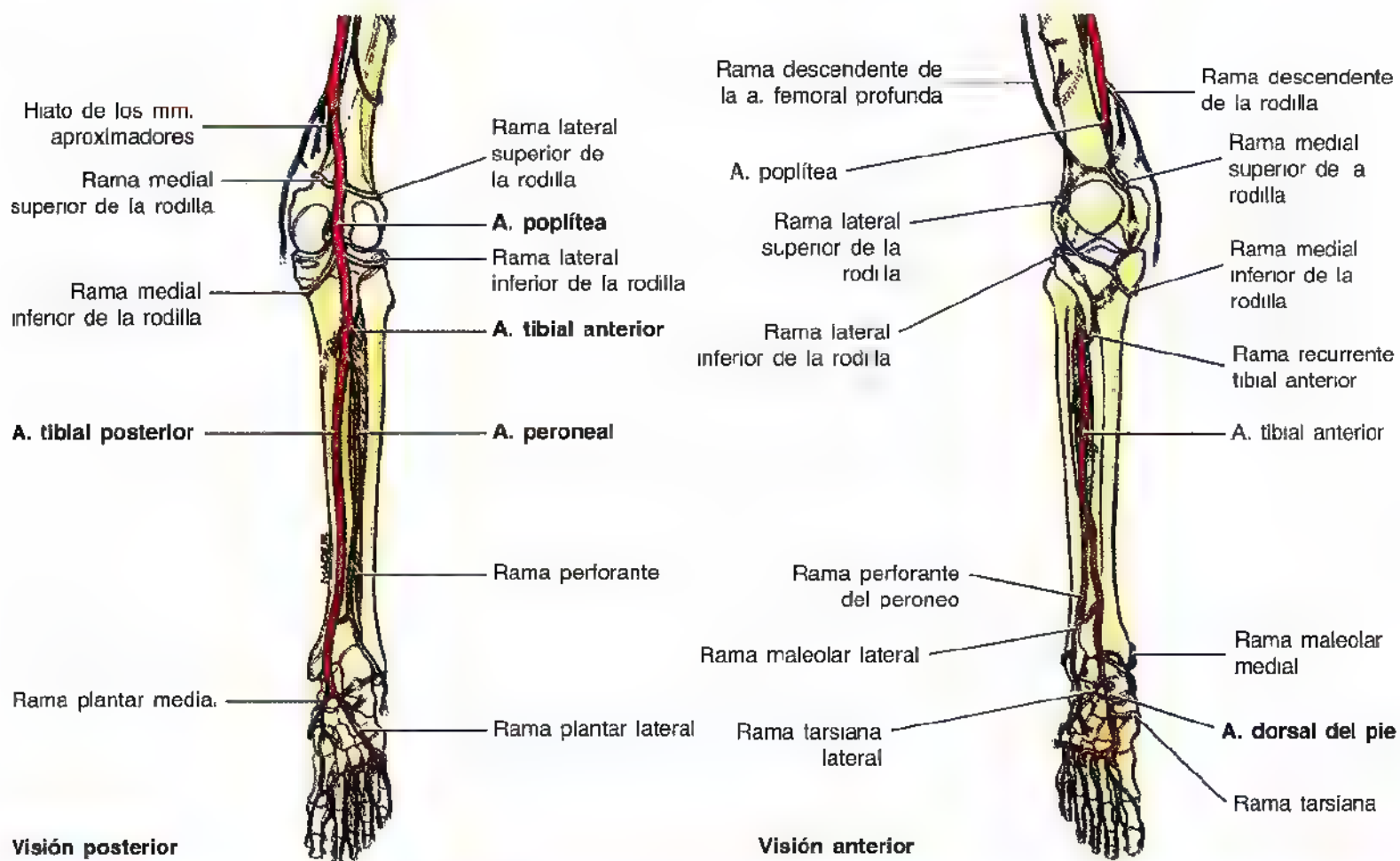
Nervio	Origen	Trayecto	Distribución en la pierna
Safeno	N. femoral	Desciende con los vasos femorales por el triángulo femoral y el conducto de los aproximadores, y luego baja con la v. safena mayor	Inerva la piel de la cara medial de la pierna y del pie
Sural	Suele emerger de los nervios tibial y peroneo común	Desciende entre las cabezas del m. gastrocnemio y sale a la superficie por el punto medio de la pierna; baja con la v. safena mayor y discurre debajo del maléolo lateral hasta alcanzar la cara lateral del pie	Inerva la piel de las caras posterior y lateral de la pierna y de la cara lateral del pie
Tibial	N. ciático	Se forma cuando el n. ciático se bifurca en el vértice de la fosa poplítea; descende por la fosa poplítea y se apone al m. poplíteo; baja sobre el m. tibial posterior con los vasos tibiales posteriores; termina debajo del retináculo de los mm. flexores, dividiéndose en los nn. plantares medial y lateral	Inerva los músculos posteriores de la pierna y la articulación de la rodilla
Peroneo común	N. ciático	Se forma en la bifurcación del n. ciático, en el vértice de la fosa poplítea, y sigue el borde medial del m. bíceps femoral y su tendón; pasa sobre la cara posterior de la cabeza del peroné y luego gira alrededor del cuello del peroné, en la profundidad del m. peroneo largo, donde se divide en los nn. peroneos profundos y superficial	Inerva la piel de la porción lateral de la cara posterior de la pierna a través de un ramo, el nervio cutáneo sural lateral; también se distribuye a la articulación de la rodilla a través de un ramo articular
Peroneo superficial	N. peroneo común	Surge entre el m. peroneo largo y el cuello del peroné y descende por el compartimiento lateral de la pierna; perfora la fascia profunda en el tercio distal de la pierna y se torna subcutáneo	Inerva los mm. peroneo largo y corto y la piel del tercio distal de la cara anterior de la pierna y el dorso del pie
Peroneo profundo	N. peroneo común	Emerge entre el m. peroneo largo y el cuello del peroné; pasa a través del m. extensor largo de los dedos y descende sobre la membrana interósea; cruza la extremidad distal de la tibia y llega hasta el dorso del pie	Inerva los músculos anteriores de la pierna, el dorso del pie y la piel del 1º espacio interdigital; emite ramos articulares para las articulaciones que atraviesa

en sentido oblicuo y distal hasta alcanzar su inserción en el 1^{er} metatarsiano y la cuña medial.

Músculo peroneo corto. El peroneo corto es un músculo fusiforme, radicado en la profundidad del músculo peroneo largo; fiel a su nombre, es más corto que su pareja del

compartimiento lateral (fig. 5.33 y 5.35). Su ancho tendón surca la cara posterior del maléolo lateral y se puede palpar bajo el maléolo lateral, en una vaina tendinosa común a la del músculo peroneo largo. El tendón más estrecho del músculo peroneo largo se sitúa encima del

Tabla 5.11. La irrigación arterial de la pierna



Arteria	Origen	Trayecto	Distribución en la pierna
Poplítea	Prolongación de la a. femoral en el hiato de los aproximadores (m. aproximador mayor)	Atraviesa la fosa poplítea hasta la pierna; termina en el borde inferior del m. poplíteo, dividiéndose en las arterias tibiales anterior y posterior	Arterias superior, media e inferior de la rodilla para las caras lateral y medial de esta articulación
Tibial anterior	Poplítea	Pasa entre la tibia y el peroné, hacia el compartimiento anterior, por la hendidura que queda en la parte superior de la membrana interósea y desciende por esta membrana entre los mm. tibial anterior y extensor largo de los dedos	Compartimiento anterior de la pierna
Dorsal del pie	Prolongación de la a. tibial anterior, distal al retináculo inferior de los mm. extensores	Baja en dirección anteromedial hacia el 1 ^{er} espacio interóseo y se divide en las aa. plantar y arqueada	Músculos del dorso del pie; perfora el 1 ^{er} músculo interóseo dorsal como a. plantar profunda y contribuye a la formación del arco plantar
Tibial posterior	Poplítea	Llega al compartimiento posterior de la pierna y termina distal al retináculo de los mm. flexores, dividiéndose en las aa. plantares medial y lateral	Compartimientos posterior y lateral de la pierna; la rama peroneal circunfléjase se une a las anastomosis de la rodilla; la a. nutricia alcanza la tibia
Peroneal	Tibial posterior	Desciende por el compartimiento posterior, adyacente al tabique intermuscular posterior	Compartimiento posterior de la pierna; las ramas perforantes perfunden el compartimiento lateral de la pierna

peroneo corto y no entra en contacto con el maléolo lateral. El tendón del músculo peroneo corto se puede seguir fácilmente hasta su inserción distal en la base del 5º metatarsiano. Los tendones de los músculos peroneos largo y corto están unidos en el maléolo por el **retináculo superior**

de los músculos peroneos, una banda de la fascia profunda que se extiende desde la punta del maléolo lateral hasta el calcáneo (figs. 5.35A y 5.36). El tendón del *músculo tercer peroneo* —una tira muscular del músculo peroneo breve— suele insertarse en el tendón del músculo exten-

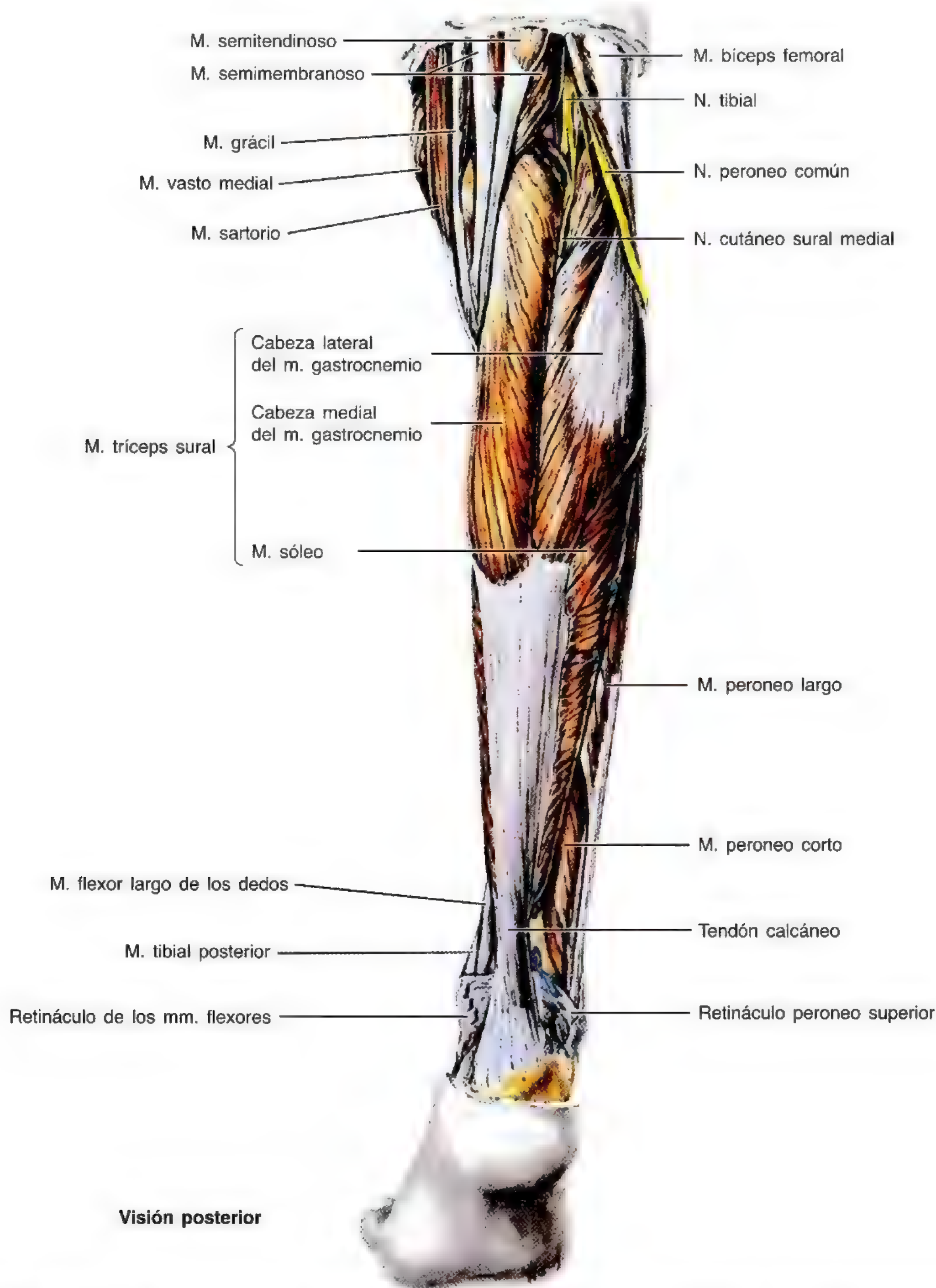


Figura 5.36. Disección superficial de la cara posterior de la pierna. Obsérvense los nervios y los músculos, en particular el nervio peroneo común, el músculo triceps sural, de tres cabezas, y las fibras espirales del tendón calcáneo.

sor largo de los dedos, o bien continúa para insertarse en la falange proximal de este dedo. En la práctica, la función primordial de los músculos peroneos consiste en resistir la inversión del pie; por eso protegen el tobillo, más vulnerable en una posición invertida. *Para explorar los músculos peroneos largo y corto* se evierte fuertemente el pie contra resistencia; si los músculos se encuentran normales se ven y palpan los tendones musculares debajo del maléolo lateral.

Atrapamiento del nervio peroneo superficial

Los esguinces crónicos de tobillo pueden ocasionar un estiramiento recurrente del nervio peroneo superficial, que provoca dolor en la cara lateral de la pierna y en el dorso del tobillo y del pie. El acorchamiento y las parestesias se acentúan, a veces, con la actividad.

Lesión del nervio peroneo común

Debido a su posición superficial, el nervio peroneo común es el más dañado del miembro inferior, sobre todo porque gira superficialmente alrededor del cuello del peroné. Este nervio se puede lesionar durante una frac-

Los nervios del compartimiento lateral

El **nervio peroneo superficial**, un ramo del peroneo común, es *el nervio del compartimiento lateral* (fig. 5.35A, tabla 5.10). Se dirige a la piel de la porción distal de la cara anterior de la pierna y a casi todo el dorso del pie.

El compartimiento lateral no dispone de arteria; los músculos están inervados por arriba por ramos perforantes de la arteria tibial anterior, y por abajo, por ramos perforantes de la arteria peroneal (tabla 5.11).

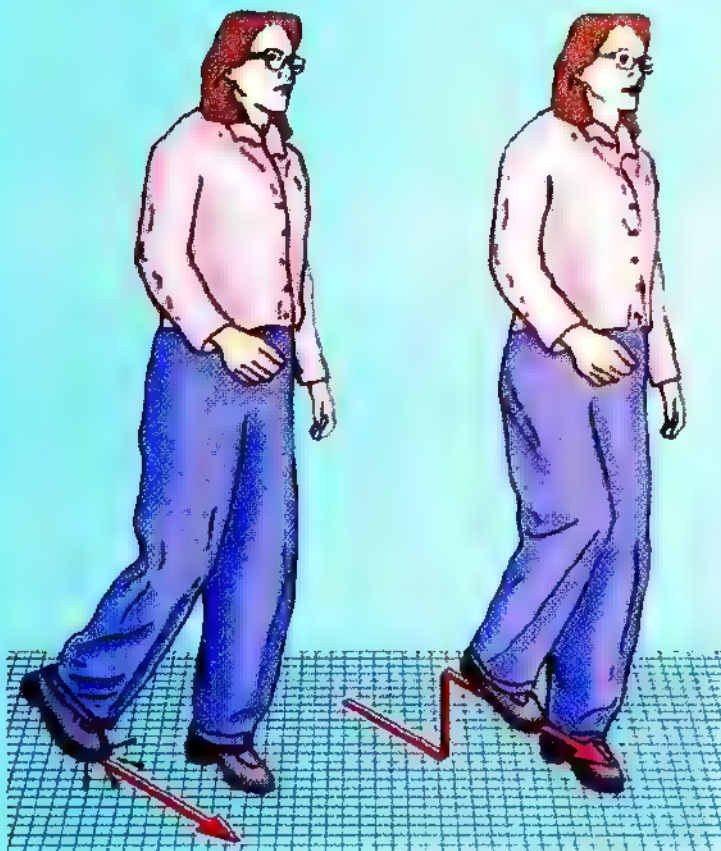
tura del cuello del peroné o un estiramiento intenso en caso de lesión o luxación de la rodilla. La *lesión del nervio peroneo común* determina una parálisis de todos los músculos de los compartimientos anterior y lateral de la pierna (dorsiflexores del tobillo y eversores del pie). La pérdida de la eversión del pie y de la dorsiflexión del tobillo explica la *calda del pie* (pie péndulo). El pie se cae y los dedos del pie se arrastran al caminar. Como es imposible que el talón golpee el suelo antes que el resto del pie, el paciente adopta una marcha con pasos altos ("equina"), elevando el pie lo necesario para evitar que los dedos golpeen el suelo. Además, el pie se baja de forma brusca, emitiendo un ruido característico. El sujeto también experimenta una pérdida variable de la sensibilidad en la cara anterolateral de la pierna y en el dorso del pie.

Avulsión del tubérculo del 5º metatarsiano

La inversión violenta del pie puede causar una avulsión del tubérculo del 5º metatarsiano, inserción distal del músculo peroneo corto. Esta *fractura por avulsión* se asocia con esguinces graves de tobillo. La lesión del nervio peroneo superficial asociado determina una inversión del pie por parálisis de los músculos peroneos del compartimiento lateral.

Centros secundarios de osificación del pie

En algunos niños aparece un centro secundario de osificación para la cara lateral del tubérculo del 5º metatarsiano. Este trastorno determina la formación de un pequeño fragmento óseo que puede confundirse con una fisura del tubérculo. La presencia de centros secundarios similares en los dos pies indica, de ordinario, que no se trata de una fractura. Estos centros no suelen observarse en los adultos, porque para entonces se han unido con el tubérculo. ☉



El compartimiento posterior de la pierna

El compartimiento posterior es el mayor de los tres compartimientos de la pierna (fig. 5.33A). Los *músculos de la pantorrilla*, del compartimiento posterior, se dividen en los grupos superficial y profundo por el *tabique intermuscular transverso*. El nervio tibial y los vasos tibiales posteriores se distribuyen por ambas divisiones del compartimiento posterior y se dirigen entre los grupos superficial y profundo, justo en la profundidad del tabique intermuscular transverso.

El grupo muscular superficial del compartimiento posterior

El grupo superficial de músculos —*gastrocnemio, sóleo y plantar*— crea una poderosa masa muscular en la pantorrilla que produce la flexión plantar del pie (fig. 5.33, tabla 5.12). El gran tamaño de estos músculos es una característica humana, relacionada directamente con la bipedestación. Se trata de músculos robustos y pesados porque soportan y mueven el peso del cuerpo. Los tres músculos están inervados por el nervio tibial. En conjunto, el **músculo gastrocnemio**, de dos cabezas, y el **sóleo** forman el denominado **tríceps sural**. Este voluminoso músculo tiene un tendón común —el **tendón calcáneo** (tendón de Aquiles)— que se inserta en el calcáneo (figs. 5.35B y 5.36). Entre la piel y el tendón calcáneo existe una *bolsa calcánea superficial*, y entre el tendón y el calcáneo, una *bolsa calcánea profunda* (*bolsa retrocalcánea*).

El músculo tríceps sural produce una flexión plantar del tobillo, es decir, levanta el talón contra el peso del cuerpo (p. ej., al caminar, bailar o permanecer apoyado sobre los dedos del pie). “Se pasea con el sóleo, pero se salta con el gastrocnemio”. *Para explorar el tríceps sural* debe practicarse una flexión plantar del pie contra resistencia (p. ej., “levantándose sobre los dedos del pie”, en cuyo caso es el peso cor-

poral [gravedad] el que ofrece resistencia). Si el músculo es normal deben verse y palpase el tendón calcáneo y el tríceps sural.

Músculo gastrocnemio. El músculo gastrocnemio —el más superficial del compartimiento posterior— forma parte de la prominencia de la pantorrilla. Se trata de un *músculo fusiforme, con dos cabezas, que atraviesa dos articulaciones*; la cabeza medial es algo mayor y se extiende más distalmente que la lateral. Las cabezas se reúnen en el borde inferior de la fosa poplítea, donde forman los límites inferolateral e inferomedial. Sus fibras son, en su mayoría, verticales; las contracciones del músculo gastrocnemio inducen movimientos rápidos al correr y al saltar (tabla 5.12). Pese a que el músculo gastrocnemio actúa sobre la rodilla y el tobillo, no desarrolla toda su potencia sobre ambas articulaciones a la vez.

Músculo sóleo. El músculo sóleo —situado en la profundidad del gastrocnemio— es muy poderoso. Se trata de un músculo grande y plano que recibe este nombre por su semejanza con el lenguado, un pez plano. Sus fibras siguen una pendiente inferomedial. El músculo sóleo se puede palpar a cada lado del gastrocnemio si el sujeto se levanta sobre la punta de los dedos del pie. Este músculo actúa con el gastrocnemio para la flexión plantar del tobillo, pero no mueve la rodilla. El sóleo es un músculo antigravitatorio que se contrae de manera alternativa con los músculos extensores de la pierna para mantener el equilibrio. Es un flexor plantar robusto, pero relativamente lento, del tobillo.

Músculo plantar. El plantar es un pequeño músculo con un vientre corto y un tendón largo y fino (figs. 5.32 y 5.33A). Este vestigio muscular, que falta en muchos casos, actúa junto con el gastrocnemio. Se piensa que es un órgano propioceptivo para los músculos flexores plantares de mayor tamaño; con toda probabilidad, contiene muchos husos musculares (receptores de la propiocepción). Debido a su importancia menor, el tendón del músculo plantar se puede extirpar para injerto (p. ej., durante la cirugía reparadora de los tendones de la mano) sin ocasionar ningún tipo de minusvalía.

Fabela del músculo gastrocnemio

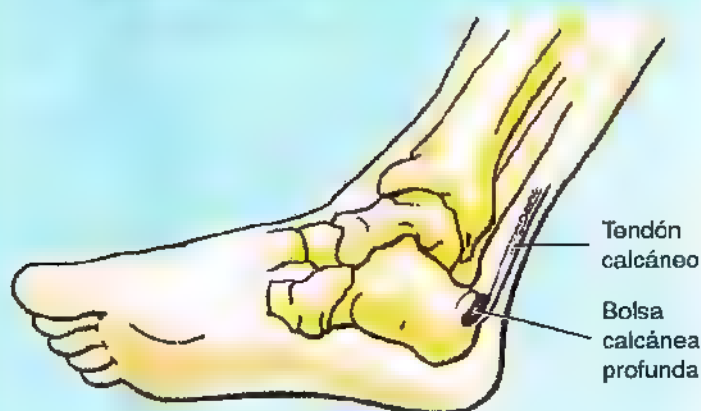
Cerca de su inserción proximal, la cabeza lateral del músculo gastrocnemio contiene un hueso sesamoideo —la *fabela*—, que se ve en las radiografías laterales de la rodilla de un 3 a un 5% de las personas (pág. 599).

Tendinitis calcánea

La inflamación del tendón calcáneo constituye el 9 al 18% de las lesiones de los corredores. Los desgarros microscópicos de las fibras de colágeno del tendón provocan una *tendinitis*, que causa dolor al caminar, sobre todo cuando se llevan zapatos de suela rígida. La tendinitis calcánea suele ocurrir durante movimientos repetidos, sobre todo en las personas que corren tras una inactividad prolongada.

Rotura del tendón calcáneo

Esta lesión es frecuente en personas de 30 a 45 años, mal entrenadas, con antecedentes de tendinitis calcánea. El síntoma habitual consiste en un dolor repentino en la pantorrilla con un chasquido audible. La lesión obedece casi siempre a la dorsiflexión brusca del pie en flexión plantar. Si el tendón está totalmente roto se puede palpar una hendidura. Las personas con esta lesión no pueden caminar y presentan un abultamiento en la pantorrilla por el acortamiento del músculo tríceps sural. Tras la ruptura completa del tendón calcáneo se puede proceder a la flexión dorsal del pie con mayor extensión de lo habitual, pero no es fácil la flexión plantar. ▶



Reflejo calcáneo o aquileo

Este reflejo tendinoso se provoca dejando que las piernas del sujeto cuelguen a los lados de la camilla o de la cama. Se golpea rápidamente el tendón calcáneo con el martillo de reflejo, justo proximal al calcáneo. El resultado normal es una flexión plantar. El reflejo calcáneo explora las raíces nerviosas S1 y S2. Si existe una sección o compresión del nervio S1, el reflejo aquileo desaparece casi por completo.

Distensión del músculo gastrocnemio

La distensión del músculo gastrocnemio ("pierna de tenis") es una lesión dolorosa por desgarramiento parcial del vientre medial del músculo gastrocnemio en su unión musculotendinosa o cerca de ella. Se debe al sobreestiramiento del músculo por la extensión completa y concomitante de la rodilla y la dorsiflexión del tobillo. De ordinario, el dolor punzante y agudo se sigue de edema y espasmo del músculo gastrocnemio.

Bursitis calcánea

La bursitis calcánea (bursitis retroaquilea) se debe a una inflamación de la bolsa calcánea profunda, situada entre el tendón calcáneo y la parte superior de la cara posterior del calcáneo. Esta bursitis produce dolor detrás del talón y es común en los corredores de larga distancia, jugado-

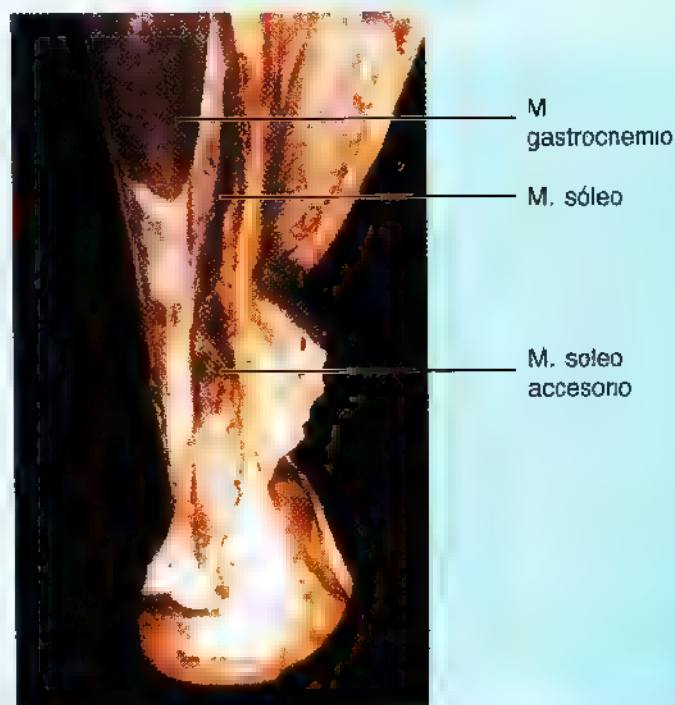
res de baloncesto y de tenis. Obedece a la fricción excesiva causada por el deslizamiento continuo del tendón sobre la bolsa. La inflamación de la bolsa calcánea superficial también se observa tras microtraumatismos repetidos del talón del calzado.

Retorno venoso de la pierna

El plexo venoso situado en la profundidad del músculo tríceps sural contribuye al retorno de sangre de la pierna. Cuando una persona está de pie, el retorno venoso de la pierna depende sobre todo de la actividad muscular del músculo tríceps sural (véase pág. 535, donde se expone la *bomba musculovenosa*). La contracción de los músculos de la pantorrilla bombea la sangre hacia arriba, a las venas profundas. La eficiencia de esta bomba de la pantorrilla aumenta con la fascia profunda, que reviste los músculos como si fuera una media elástica. En condiciones normales, la sangre no refluye a las venas superficiales, debido a las válvulas que tienen las venas perforantes. Si estas válvulas fallan, la sangre regresa con fuerza a las venas superficiales por la contracción del músculo tríceps sural y por la presión hidrostática al comprimir el abdomen o permanecer de pie. Por eso, estos vasos se tornan *varicosos*, es decir, dilatados y tortuosos.

Músculo sóleo accesorio

Un 3% de las personas tienen un músculo sóleo accesorio, que aparece como un vientre distal y medial al tendón calcáneo (Anne Angur, comunicación personal, 1998). Los músculos sóleos accesorios suelen acompañarse, en clínica, de dolor y edema tras el ejercicio prolongado. ❊



Grupo de los músculos profundos del compartimiento posterior

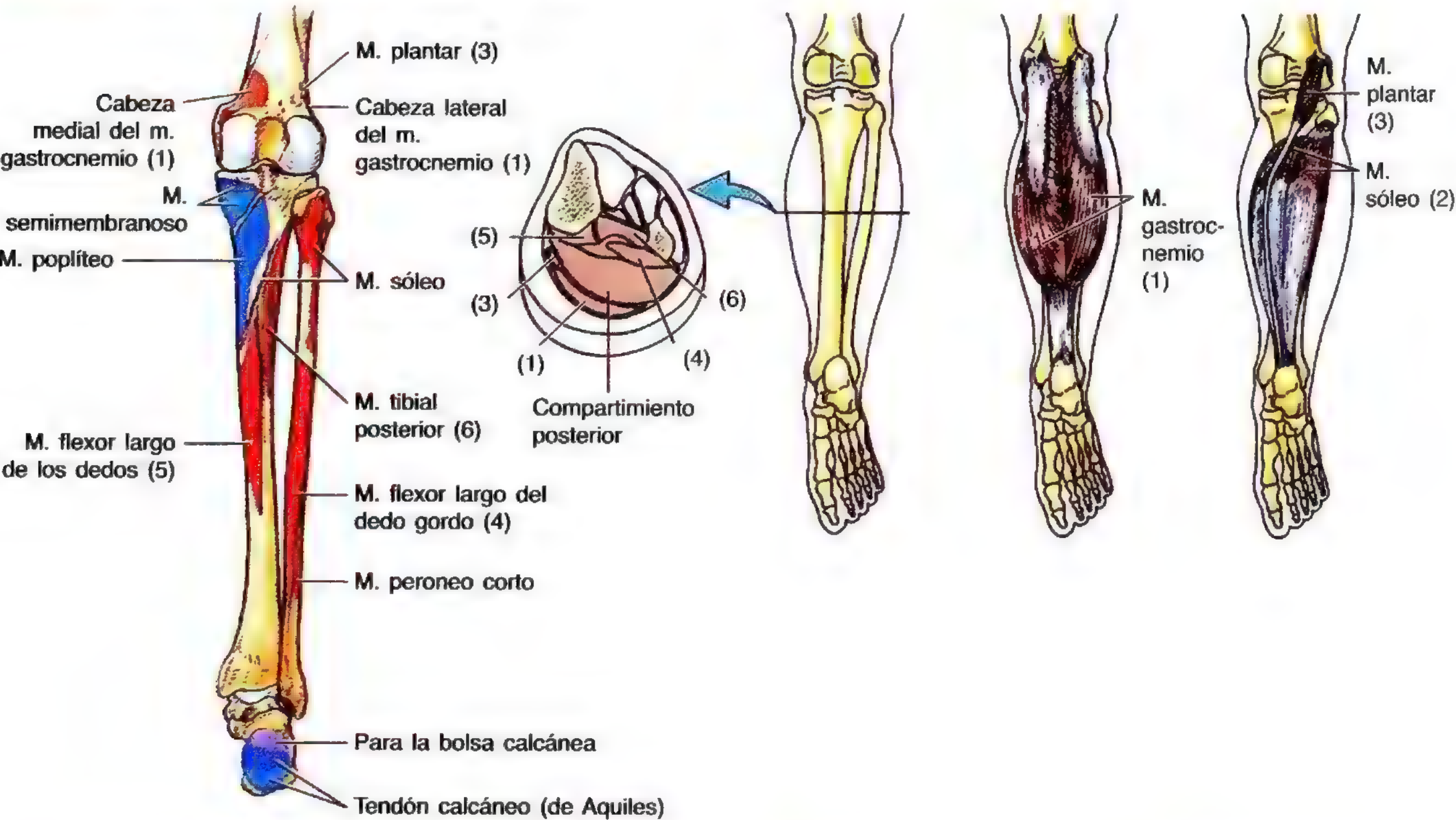
El grupo profundo del compartimiento posterior de la pierna está formado por 4 músculos (figs. 5.33 y 5.37A, tabla 5.12):

- Músculo poplíteo.
- Músculo flexor largo de los dedos.
- Músculo flexor largo del dedo gordo.
- Músculo tibial posterior.

El músculo poplíteo actúa sobre la rodilla, y los demás, sobre las articulaciones del tobillo y del pie.

Músculo poplíteo. Se trata de un músculo delgado y triangular que forma la parte inferior del suelo de la fosa poplítea (fig. 5.32). Su tendón, que se adhiere a la cápsula articular de la rodilla, queda entre la cápsula fibrosa y la membrana sinovial. *El músculo poplíteo es un flexor de la rodilla*; cuando una persona está de pie con la rodilla parcialmente flexionada, este músculo se contrae para ayudar al ligamento cruzado posterior (LCP) a que el fémur no se

Tabla 5.12. Los músculos posteriores de la pierna



Inserciones musculares posteriores

Músculo	Inserción proximal	Inserción distal	Inervación	Acción principal
Músculos superficiales				
Gastrocnemio (1)	Cabeza lateral: cara lateral del cóndilo lateral del fémur Cabeza medial: cara poplíteica del fémur, encima del cóndilo medial	Cara posterior del calcáneo a través del tendón calcáneo	N. tibial (S1 y S2)	Flexión plantar del tobillo con la rodilla extendida, levantamiento del talón al caminar y flexión de la pierna por la rodilla
Sóleo (2)	Cara posterior de la cabeza del peroné, cuarto superior de la cara posterior de la línea sólea del peroné y borde medial de la tibia			Flexión plantar del tobillo, con independencia de la posición de la rodilla, y enderezamiento de la pierna sobre el pie
Plantar (3)	Extremo inferior de la línea supracondílea lateral del fémur y del ligamento poplíteo oblicuo			Ayuda un poco al m. gastrocnemio a la flexión plantar del tobillo y a la flexión de la rodilla

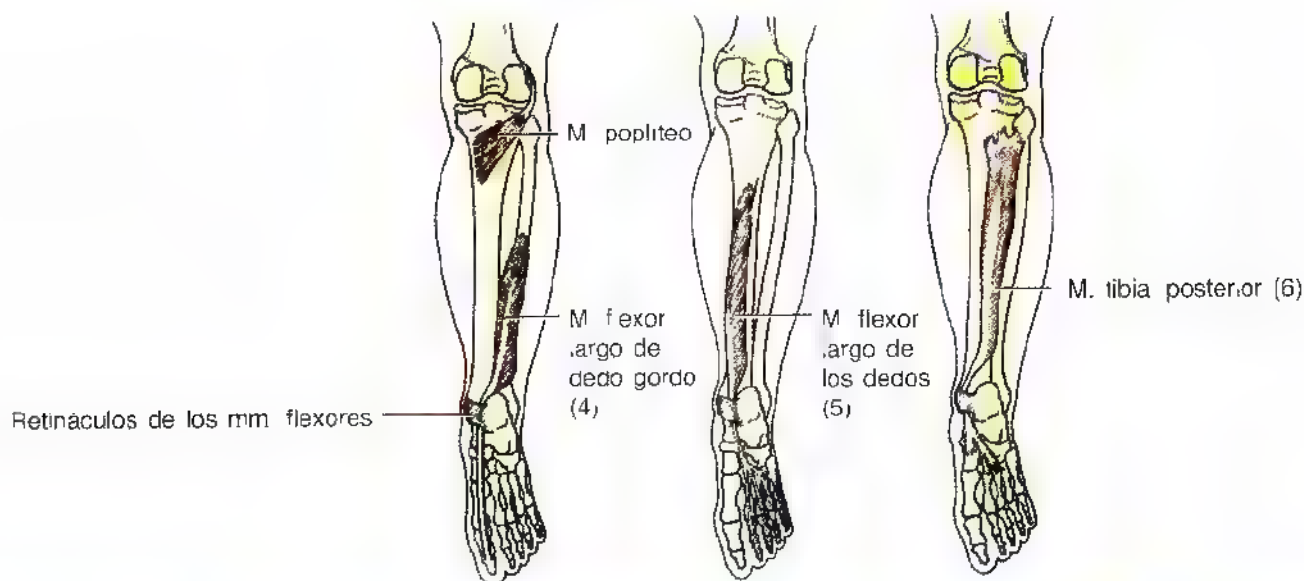
desplaza delante de la tibia. La **bolsa poplítea** se sitúa en la profundidad del tendón poplíteo (fig. 5.37B). Cuando se está de pie con las rodillas “cerradas” en posición totalmente extendida, el músculo poplíteo rota lateralmente el fémur 5 grados sobre los platillos tibiales (pág. 522), desencajando la rodilla para que tenga lugar la flexión. Cuando el pie se levanta del suelo y se flexiona la rodilla, el músculo poplíteo rota la tibia medialmente debajo de los cóndilos femorales.

Músculo flexor largo de los dedos. El músculo flexor largo de los dedos es más pequeño que el flexor largo del dedo gordo, pese a que mueva 4 dedos (fig. 5.37A). Se dirige diagonalmente hacia la planta del pie, superficial al tendón del músculo flexor largo del dedo gordo, y se divide en 4 tendones (fig. 5.39) que pasan hasta las falanges distales de los últimos 4 dedos. *Para explorar el músculo flexor largo de los dedos se flexionan contra resistencia las falanges dis-*

tales de los 4 últimos dedos; si su acción es normal, los tendones de los dedos del pie se podrán ver y palpar.

Músculo flexor largo del dedo gordo. El músculo flexor largo del dedo gordo es un músculo poderoso (“despega el pie del suelo”) para caminar, correr y saltar (fig. 5.38). Confiere gran parte del empuje a cada paso. El tendón del músculo pasa detrás del extremo distal de la tibia y ocupa un fino surco en la cara posterior del astrágalo, que se continúa con el surco de la cara plantar de la apófisis menor del calcáneo. Luego cruza en la profundidad del tendón del músculo flexor largo de los dedos de la planta. A su paso hasta la falange distal del dedo gordo, este tendón discurre entre los dos *huesos sesamoides* en los tendones del músculo flexor corto del dedo gordo. Estos huesos protegen el tendón de la compresión por la cabeza del 1^{er} metatarsiano. *Para explorar el músculo flexor largo del dedo*

Tabla 5.12. (Continuación) **Músculos femorales posteriores**



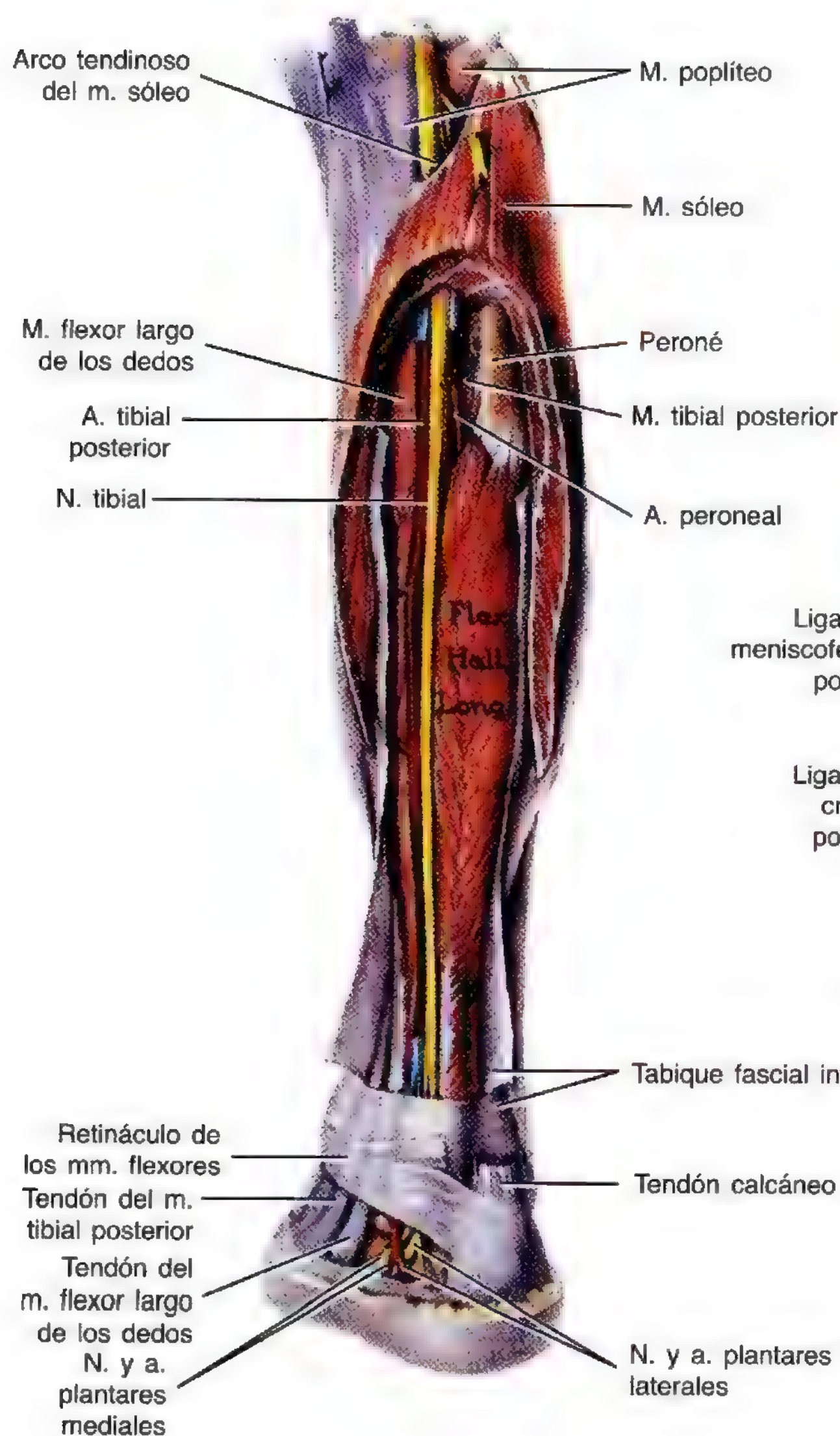
Músculo	Inserción proximal	Inserción distal	Inervación	Acción principal
Músculos profundos				
Poplíteo	Cara lateral del cóndilo lateral del fémur y menisco lateral	Cara posterior de la tibia, encima de la línea solea	N. tibial (L4, L5 y S1)	Flexiona débilmente la rodilla y la desencaja
Flexor largo de dedo gordo (4)	Dos tercios inferiores de la cara posterior del perone y parte inferior de la membrana interósea	Base de la falange distal de dedo gordo	N. tibial (S2 y S3)	Flexión del dedo gordo por todas las articulaciones y flexión plantar débil del tobillo; soporta los arcos longitudinales mediales del pie
Flexor largo de los dedos (5)	Parte medial de la cara posterior de la tibia, debajo de la línea solea, y tendón ancho que llega a peroné	Bases de las falanges distales de los últimos 4 dedos		Flexión de los 4 últimos dedos y flexión plantar del tobillo; soporta los arcos longitudinales del pie
Tibia posterior (6)	Membrana interósea, cara posterior de la tibia debajo de la línea solea, y cara posterior del peroné	Tubérculo del escafoides, cuña y cuboides y bases de 2 ^o , 3 ^o y 4 ^o metatarsianos	Nervio tibial (L4 y L5)	Flexión plantar del tobillo e inversión del pie

gordo se flexiona contra resistencia la falange terminal del dedo gordo; si la acción es normal se puede ver y palpar el tendón.

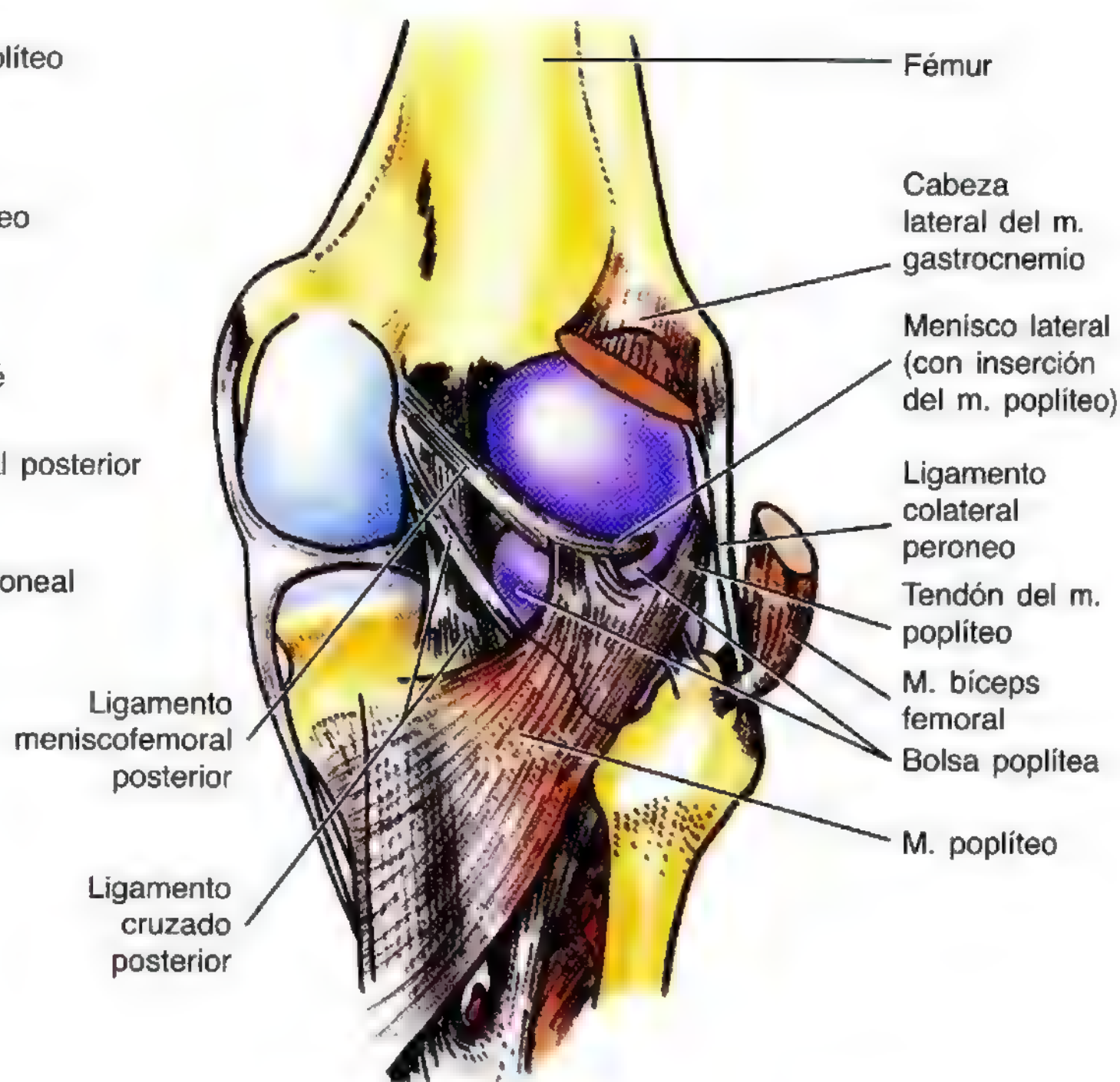
Músculo tibial posterior. El músculo tibial posterior, el más profundo del compartimiento posterior, se encuentra entre el músculo flexor largo de los dedos y el músculo flexor largo del dedo pulgar, en el mismo plano que la tibia y el peroné (figs. 5.37A, 5.38 y 5.39). Se inserta, sobre todo, en el escafoides, pero también en otros huesos del tarso y del metatarso (fig. 5.37A, tabla 5.12). *Para explorar el músculo tibial posterior* se invierte el pie contra resistencia y se somete el pie a una flexión plantar ligera; si su acción es normal se puede ver y palpar el tendón detrás del maléolo medial.

Los nervios del compartimiento posterior

El **nervio tibial** (L4, L5 y S1 a S3) es el mayor de los dos ramos terminales del nervio ciático. Abandona la fosa poplítea entre las cabezas del músculo gastrocnemio e *inerva todos los músculos del compartimiento posterior de la pierna* (fig. 5.37A, tabla 5.10). Este nervio desciende en el plano medio del peroné, en la profundidad del músculo sóleo. El nervio queda entre los tendones de los músculos flexor largo del dedo pulgar y de los dedos a la altura del tobillo. *El nervio tibial se divide en los nervios plantares medial y lateral detrás y debajo del maléolo medial.* El **nervio cutáneo sural medial**, ramo del tibial, suele asociarse con el ramo comunicante del nervio peroneo común para dar el **nervio sural**. Éste inerva la piel de la parte lateral y posterior del



(A) Visión medial



(B) Cara posterior de la articulación de la rodilla

Figura 5.37. Disección profunda de la cara posterior de la pierna y de la rodilla derechas. A. Se ha extirpado el músculo gastrocnemio y casi todo el músculo sóleo, dejando tan sólo una sección en herradura de este último, cerca de sus inserciones proximales, así como la porción distal del tendón calcáneo. Obsérvense los músculos profundos, los vasos y los nervios. B. Cara posterior de la articulación de la rodilla. Se aprecia el tendón poplíteo, que se inserta en parte en el menisco lateral y está separado por la bolsa poplítea de la extremidad posterior de la tibia.

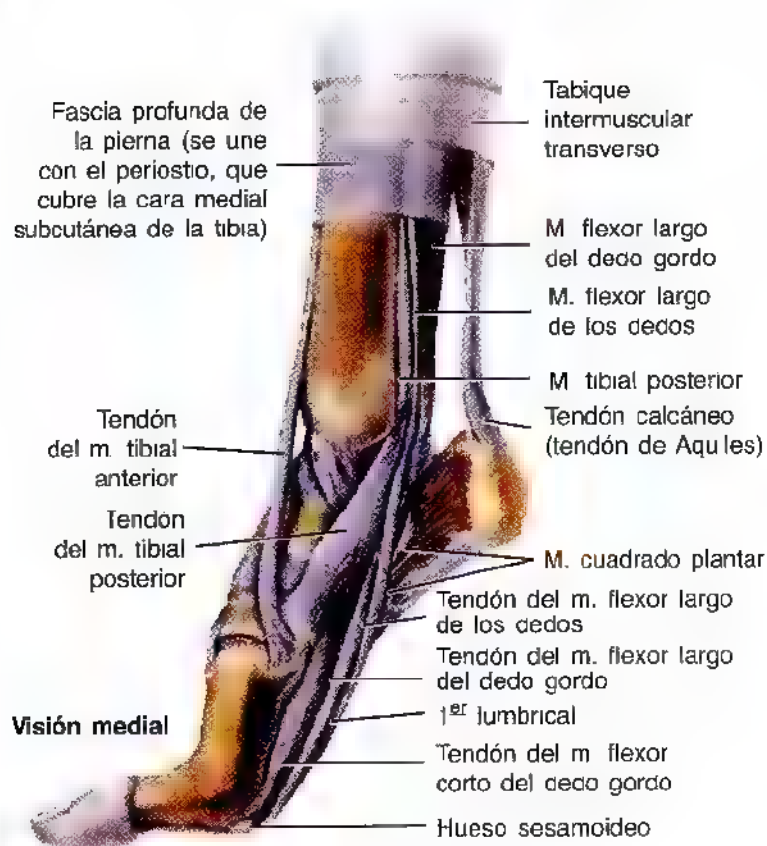


Figura 5.38. Diseción de la parte inferior de la pierna y del pie. El pie se levanta cuando se despegá para caminar. Obsérvese cómo el hueso sesamoideo actúa como "silla del pie" para el 1^{er} metatarsiano, aumentando la altura y protegiendo el tendón del músculo flexor largo del dedo gordo.

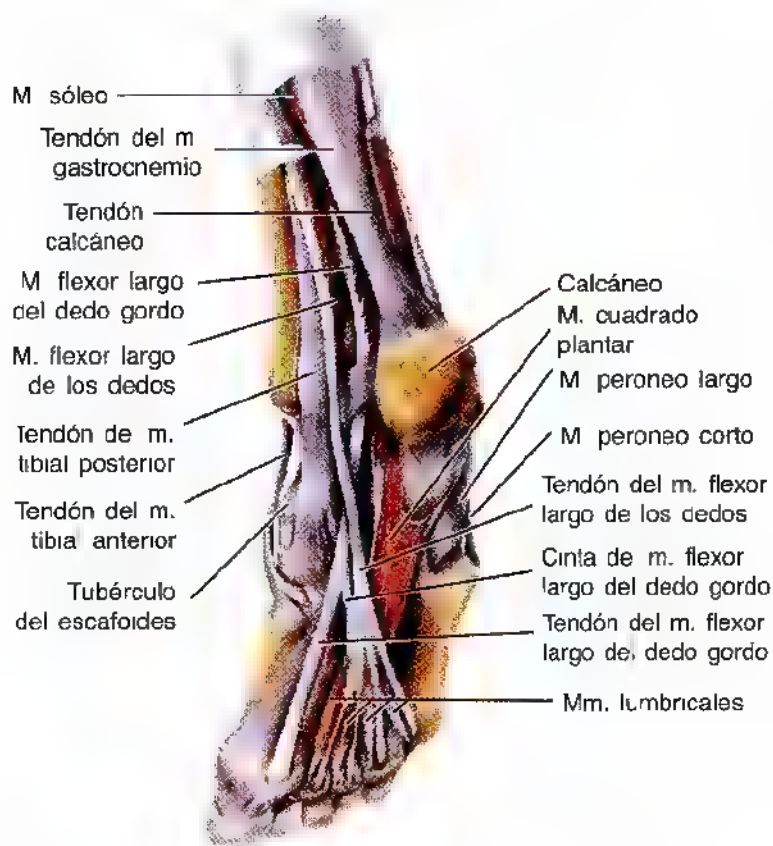


Figura 5.39. Segunda capa de los músculos plantares. Esta capa de los músculos del pie contiene los tendones de los músculos flexor largo del dedo gordo y flexor corto de los dedos, los cuatro músculos lumbricales y el músculo cuadrado plantar.

tercio inferior de la pierna y de la cara lateral del pie. Los ramos articulares del nervio tibial se distribuyen por la rodilla, y los ramos calcáneos mediales, por la piel del talón.

Las arterias del compartimiento posterior

La **arteria tibial posterior**, el ramo terminal más grande de la arteria poplítea, perfunde sobre todo el pie (figs. 5.37A y 5.40, tabla 5.11). Comienza en el borde distal del músculo poplíteo y discurre en la profundidad del origen del músculo sóleo. Después de emitir la **arteria peroneal**, la rama mayor, la arteria tibial posterior sigue un curso inferomedial en la cara posterior del músculo tibial posterior. En su descenso se acompaña del nervio y de las venas tibiales. La arteria tibial posterior camina detrás del maléolo medial, del que le separan los tendones de los músculos tibial posterior y flexor largo de los dedos. Por debajo del maléolo medial discurre entre los tendones de los músculos flexor largo del dedo gordo y flexor largo de los dedos. La arteria tibial posterior se divide en las **arterias plantares medial y lateral** en la profundidad del retináculo de los músculos extensores y del origen del músculo separador del dedo gordo.

La **arteria peroneal**, la división mayor y más importante de la arteria tibial, empieza debajo del borde distal del músculo poplíteo del arco tendinoso del músculo sóleo (fig. 5.37A, tabla 5.11). Desciende en sentido oblicuo hacia

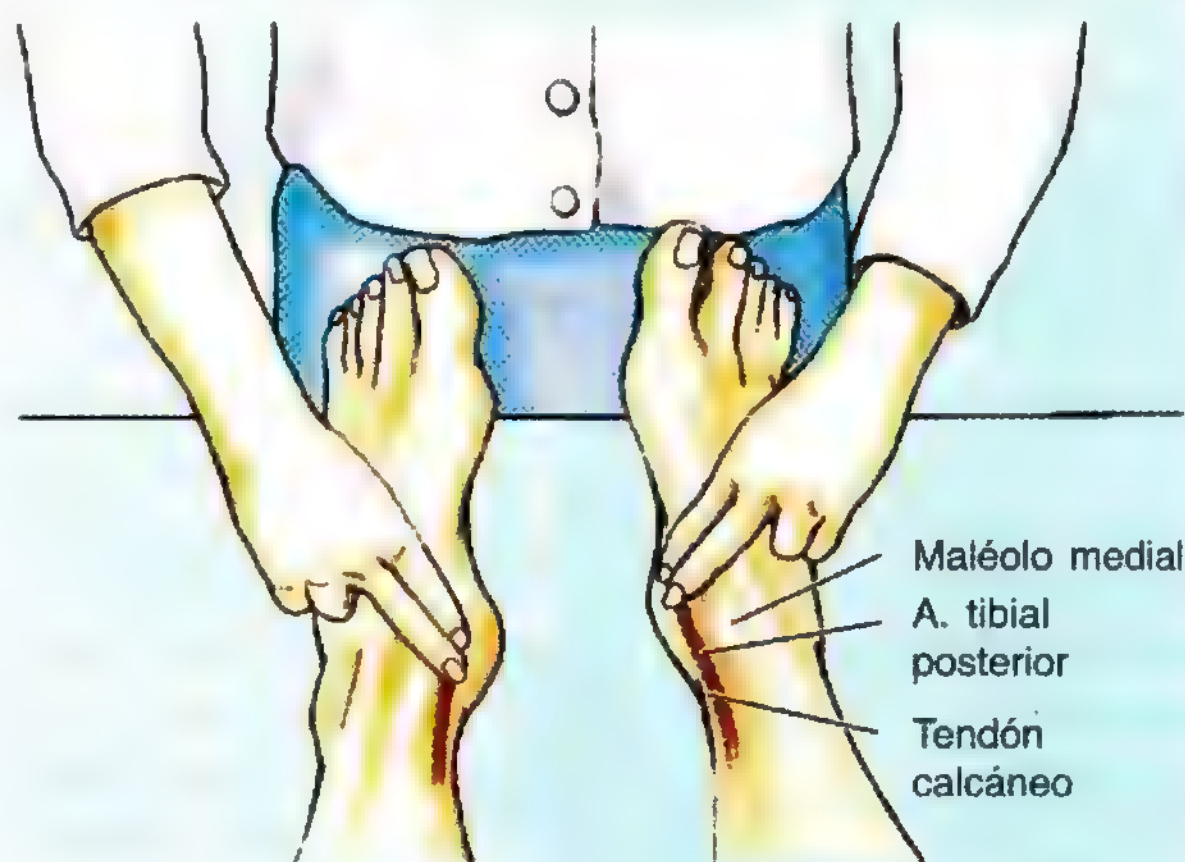
el peroné y pasa por la cara medial, de ordinario dentro del músculo flexor largo de los dedos. La arteria peroneal emite ramas musculares para el músculo poplíteo y otros de los compartimientos posterior y lateral de la pierna. Además, envía una arteria nutricia al peroné. La arteria peroneal suele perforar la membrana interósea y llega hasta el dorso del pie, donde se anastomosa con la arteria arqueada. La **arteria peroneal circunfleja** emerge de la arteria tibial posterior y pasa lateralmente, sobre el cuello del peroneo, hasta llegar a las anastomosis de la rodilla.

La **arteria nutricia de la tibia**, la arteria nutricia mayor del organismo, *nace de la arteria tibial posterior cerca de su origen*. Perfora el músculo tibial posterior, para el que envía ramas, y penetra en el orificio nutricional del tercio proximal de la cara posterior de la tibia. Las **arterias calcáneas** se distribuyen por el talón y una **rama maleolar** se une a la red vascular del maléolo medial.

Pulso tibial posterior

El pulso tibial posterior suele palparse entre la cara posterior del maléolo medial y el borde medial del tendón calcáneo. Como la arteria tibial posterior pasa en la profundidad del retináculo de los músculos flexores, conviene que la persona relaje el retináculo, ►

► invirtiendo el pie, al palpar este pulso. Si no se procede así puede llegarse a la conclusión errónea de que falta el pulso. Hay que examinar al mismo tiempo las dos arterias, para ver si los pulsos son iguales. *La palpación del pulso tibial posterior resulta esencial para explorar a los pacientes con una enfermedad arterial oclusiva periférica. La claudicación intermitente se caracteriza por calambres en las piernas y aparece al caminar, desapareciendo con el reposo. Este estado doloroso obedece a la isquemia de los músculos de la pierna, causado por el estrechamiento o la obstrucción de sus arterias. Pese a que los pulsos tibiales posteriores faltan en un 15% de los jóvenes sanos, la ausencia del pulso tibial posterior se considera un signo de arteriopatía periférica obstructiva en las personas mayores de 60 años.* Ⓢ



Anatomía de superficie de la pierna

La **tuberosidad de la tibia** es una elevación, fácil de palpar, en la cara anterior de la parte proximal de la tibia, unos 5 cm distal al vértice de la rótula (pág. 529). La tuberosidad de la tibia indica el plano de la cabeza del peroné y de la bifurcación de la arteria poplítea en las arterias tibiales anterior y posterior. El **ligamento rotuliano** se palpa a partir de su extensión desde el borde inferior del vértice de la rótula. Se nota sobre todo con la extensión de la rodilla. Cuando se flexiona la rodilla en ángulo recto se aprecia una depresión a cada lado del ligamento rotuliano. La cavidad articular emerge a la superficie en estas depresiones. La **cabeza del peroné** es una estructura subcutánea, que se palpa en la cara posterolateral de la rodilla, a la altura de la tuberosidad de la tibia. El **cuello del peroné** se nota justo distal a la cabeza. El **tendón del músculo bíceps femoral** se puede trazar palpando su inserción distal en la cara lateral de la cabeza del peroné. Este tendón y el cuello del peroné orientan al dedo explorador sobre el lugar del *nervio peroneo común* (fig. 5.36). Este nervio está señalado por una línea que discurre a lo largo del tendón del músculo bíceps femoral, detrás de la cabeza del peroné, y alrededor de la cara lateral del cuello del peroné hasta la cara anterior, justo distal a la cabeza del peroné. El nervio peroneo común se palpa, de ordinario, justo detrás de la cabeza del peroné, y se puede rodar sobre el cuello del peroné con las yemas de los dedos.

El **borde anterior de la tibia** (“espinilla”) es cortante y subcutáneo, y se sigue con facilidad en su recorrido distal, palpando desde la tuberosidad de la tibia hasta el maléolo medial. No suele ser totalmente recto. En la cara medial del *cuerpo de la tibia* también tiene una localización subcutánea, salvo en el tercio proximal. La vena safe-

na mayor cruza de forma oblicua el tercio inferior a su paso proximal hacia la cara medial de la rodilla.

El **músculo tibial anterior** se sitúa en la superficie y se palpa con facilidad justo lateral al borde anterior de la tibia. Cuando se invierte y dorsiflexiona el pie se ve y palpa el gran **tendón del músculo tibial anterior**, que se dirige distalmente y algo medial sobre la cara anterior del tobillo hacia la cara medial del pie. Si se flexiona dorsalmente el 1º dedo se puede palpar el tendón del **músculo extensor largo del dedo gordo**, justo lateral al tendón del músculo tibial anterior. También puede verse el *tendón del músculo extensor corto del dedo gordo*.

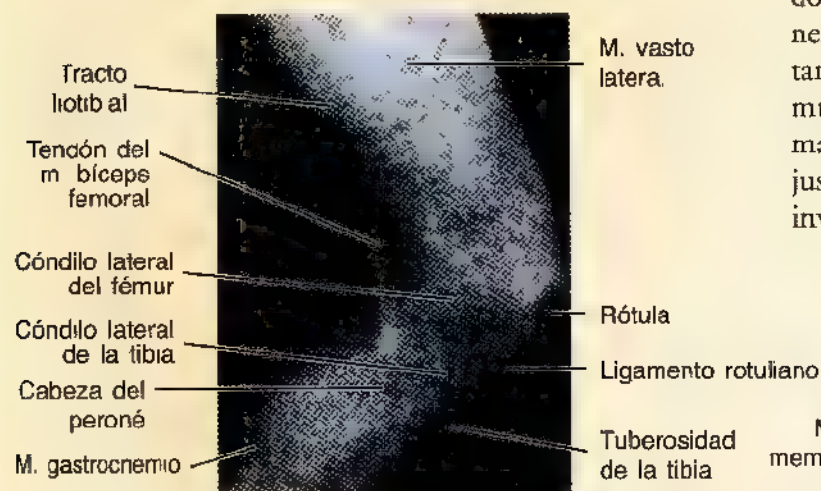
A medida que se procede a la flexión dorsal de los dedos del pie se pueden palpar los **tendones del músculo extensor largo de los dedos**, laterales al músculo extensor largo del dedo gordo; los tendones acaban en los cuatro último dedos. El *tendón del músculo tercer peroneo* se nota lateral a los tendones del músculo extensor largo de los dedos, sobre todo con la flexión dorsal y eversión del pie.

El **cuerpo del peroné** sólo ocupa un lugar subcutáneo en la parte distal, proximal al maléolo lateral. Este es un lugar frecuente de fracturas. Los **maléolos medial y lateral** son subcutáneos y prominentes. Puede palparlos y comprobar que la punta del vértice del maléolo lateral se extiende más distal y posteriormente que la del maléolo medial.

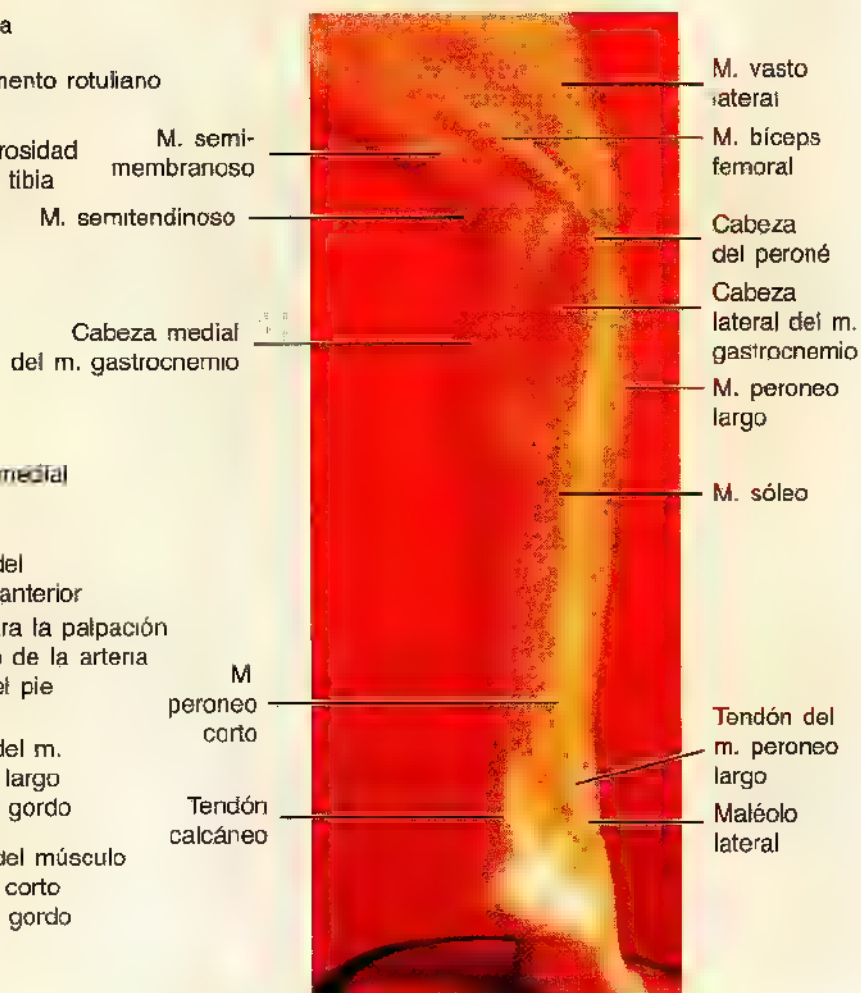
El **músculo peroneo largo** tiene un trayecto subcutáneo. Los tendones de este músculo y del músculo peroneo corto se palpan cuando se evierte el pie, a su paso por la cara posterior del maléolo lateral. Estos tendones se pueden seguir por delante a lo largo de la cara lateral del pie. El tendón del músculo peroneo largo llega, por la cara anterior, hasta el cuboides y luego desaparece introduciéndose en la planta. El **tendón del músculo** ►

► **peroneo corto** se puede seguir hasta su inserción en la base del 5º metatarsiano.

El **tendón calcáneo** resulta fácil de palpar hasta su inserción en la parte posterior del calcáneo. La articula-



ción del tobillo es bastante superficial en la depresión que queda a cada lado del tendón calcáneo. Las **cabezas del músculo gastrocnemio** se reconocen sin problemas en la parte superior del peroné. El **músculo sóleo** se palpa en la profundidad y a los lados de la parte superior del tendón calcáneo. Tanto el músculo sóleo como el gastrocnemio resultan más fáciles de palpar con la flexión plantar del pie o la bipedestación sobre los dedos del pie. Los músculos profundos del peroné no se palpan de una manera sencilla, pero sus tendones se pueden observar justo detrás del maléolo medial, sobre todo cuando se invierte el pie y se flexionan los dedos. ◉



El pie

El **tobillo** ocupa el ángulo formado entre la pierna y el pie y la articulación del tobillo. El **pie**, distal a la pierna, soporta el peso del organismo y cumple una misión esencial para la locomoción. El esqueleto del pie consta de 7 huesos tarsianos, 5 metatarsianos y 14 falanges (fig. 5.41). *El pie y sus huesos se dividen en tres partes:*

- La **parte posterior**, formada por el astrágalo y el calcáneo.
- La **parte intermedia** o bóveda plantar, constituida por el escafoides, el cuboides y las cuñas.

- La **parte anterior** o metatarsofalángica.

La importancia clínica del pie se refleja en que los médicos destinan un 20% de su ejercicio profesional a los problemas del pie, y en que la práctica de la *podología* se ocupa del diagnóstico y del tratamiento de las enfermedades, lesiones y anomalías del pie.

La parte del pie que mira al suelo es la **superficie plantar** (planta del pie) y la que mira hacia arriba es la **superficie dorsal** (dorso del pie o empeine). La parte de la planta situada debajo del calcáneo es el **talón**, y la que se sitúa debajo de las cabezas de los metatarsianos, el **arco metatarsiano**. El dedo gordo es el 1º dedo del pie, y el dedo pequeño, el último.

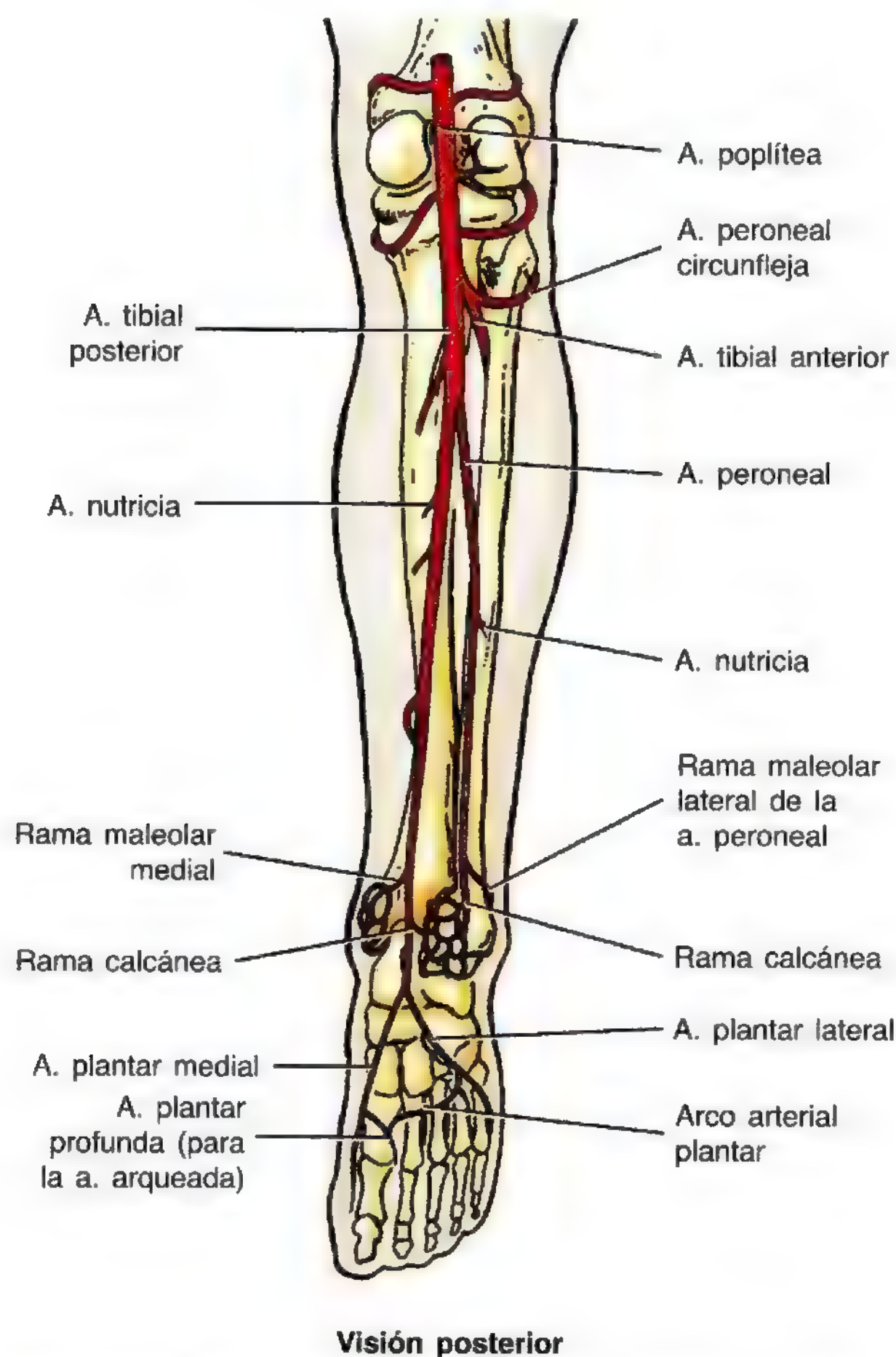


Figura 5.40. Arterias de la rodilla, pierna y pie. La arteria poplítea se bifurca en las arterias tibiales anterior y posterior; esta última da la arteria peroneal y termina en el pie, bifurcándose en las arterias plantares medial y lateral.

Piel del pie

La piel de la cara dorsal del pie es mucho más delgada y menos sensible que la de la cara plantar. El tejido subcutáneo de la profundidad del dorso es laxo; por eso, el edema (que significa tumefacción en griego) se acentúa más en esta superficie, sobre todo delante y alrededor del maléolo medial. La piel que cubre las zonas principales de soporte del peso de la planta —talón, borde lateral del pie, zona de apoyo del dedo gordo— es gruesa. El tejido subcutáneo plantar es más fibroso que el de otras zonas del pie. Los tabiques fibrosos dividen este tejido en zonas llenas de grasa, convirtiéndolo en un cojín de absorción de los choques, particularmente en el talón. Los tabiques fibrosos también fijan la piel a la aponeurosis plantar subyacente y mejoran el “agarre” de la planta. La piel de la planta es lampiña y contiene muchas glándulas sudoríparas; toda la piel es sensible (“tiene cosquillas”).

Fascia profunda del pie

La fascia profunda del dorso del pie es delgada y se continúa con el **retináculo inferior de los músculos extensores** (fig. 5.42A). En las caras lateral y posterior del pie, la fascia profunda se continúa con la **fascia plantar** o fascia profunda de la planta (fig. 5.42, B y C). La parte espesa y central de esta fascia forma la robusta **aponeurosis plantar** —bandas longitudinales de tejido conjuntivo fibroso y denso—, que posee una zona central gruesa y unas partes medial y lateral más débiles. La aponeurosis plantar:

- Mantiene unidas las partes del pie.
- Contribuye a proteger la cara plantar del pie de las lesiones.
- Ayuda a mantener los arcos longitudinales del pie.

La aponeurosis plantar emerge detrás del calcáneo y se divide en cinco bandas que encierran los tendones digitales, que a su vez se insertan en los bordes de las vainas digitales fibrosas y los huesos sesamoideos del dedo gordo.

Desde los bordes de la parte central de la aponeurosis plantar se extienden tabiques verticales profundos que crean tres compartimientos en la planta del pie (fig. 5.42C):

- El *compartimiento medial* contiene los músculos separador del dedo gordo y flexor corto del dedo gordo y el nervio y los vasos plantares mediales.
- El *compartimiento central* contiene los músculos flexor corto de los dedos, flexor largo de los dedos, cuadrado plantar, lumbricales, la parte proximal del tendón del flexor largo del dedo largo y el nervio y los vasos plantares laterales.
- El *compartimiento lateral* contiene los músculos separador y flexor corto del dedo pequeño.

Los músculos, los nervios y los vasos de la planta se describen según estos compartimientos, pero se disecan más fácilmente por capas que por compartimientos.

Fascitis plantar

El estiramiento y la inflamación de la aponeurosis plantar pueden obedecer a carreras o ejercicios con gran impacto, sobre todo si se utiliza un calzado inadecuado o gastado. La fascitis plantar causa dolor en la cara plantar del talón y en la cara medial del pie. El dolor suele agudizarse después de sentarse o cuando se empieza a caminar por la mañana. El dolor puntual se localiza en la inserción proximal de la aponeurosis en el tubérculo medial del calcáneo y en la cara medial del hueso. El dolor aumenta con la dorsiflexión pasiva del dedo gordo. Si un *espolón calcáneo* (apófisis ósea anómala) sobresale del tubérculo medial del calcáneo, la fascitis plantar puede causar el “síndrome del ▶

- **espolón aquileo[®]**. De ordinario se forma una bolsa en el extremo del espolón, que también se inflama y duele. ☹



Los músculos del pie

Las 4 capas musculares de la planta (figs. 5.43 y 5.44, tabla 5.13) ayudan a mantener los arcos del pie y permiten la bipedestación sobre un suelo irregular. Estos músculos carecen de importancia por sí solos, porque el control fino de cada uno de los dedos del pie no tiene interés en la mayoría de los casos.

La 1ª capa de los músculos plantares se compone de lo siguiente:

- El músculo separador del dedo gordo.
- El músculo flexor corto de los dedos, que flexiona los 4 últimos dedos del pie.
- El músculo separador del dedo pequeño.

La 2ª capa de músculos plantares está formada por:

- El músculo cuadrado plantar (flexor accesorio), flexor de los 4 últimos dedos.
- Los tendones de los músculos flexor largo del dedo gordo y flexor largo de los dedos.
- Los músculos lumbricales (*lumbrico* significa gusano en latín), flexores de las falanges proximales y extensores de las falanges medias y distales de los 4 últimos dedos.

La 3ª capa de músculos plantares la forman:

- El músculo flexor corto del dedo gordo, que flexiona la falange proximal de este dedo.
- El músculo aproximador del dedo gordo (cabezas transversa y oblicua).
- El músculo flexor corto del dedo pequeño, que flexiona la falange proximal del 5º dedo.

La 4ª capa de los músculos plantares la integran (fig. 5.43):

- Los tres músculos plantares interóseos, aproximadores de los dedos 2º a 4º y flexores de las articulaciones metatarsofalángicas.
- Los 4 músculos interóseos dorsales, separadores 2º a 4º y flexores de las articulaciones metatarsofalángicas.

Como se ve en la tabla 5.13:

- Los músculos interóseos plantares aproximan y emergen de un único metatarsiano.
- Los músculos interóseos dorsales separan y emergen de dos metatarsianos.

El pie tiene dos planos neurovasculares (fig. 5.43):

- Uno superficial, entre la 1ª y la 2ª capas musculares.
- Y otro profundo, entre la 3ª y la 4ª capas musculares.

La arteria y el nervio plantares laterales siguen un curso lateral entre los músculos de la 1ª y la 2ª capas plantares. Sus ramas profundas se dirigen medialmente entre los músculos de la 3ª y la 4ª capas.

Los dos músculos del dorso del pie, íntimamente relacionados, son el *extensor corto de los dedos* y el *extensor corto del dedo gordo*. Estos músculos, finos y anchos, crean una masa carnosa en la parte lateral del dorso del pie, delante del maléolo lateral (fig. 5.34). El músculo extensor corto del dedo gordo forma parte del músculo extensor corto de los dedos. Tiene un vientre pequeño, que se palpa al extender los dedos del pie. El músculo extensor corto de los dedos extiende el 2º a 4º dedos por las articulaciones metatarsofalángicas, y el extensor corto del dedo gordo extiende el 1º dedo. Estos dos músculos ayudan a los músculos extensores largos a extender los dedos del pie.

Contusión del músculo extensor corto de los dedos

Desde el punto de vista funcional, los músculos extensor corto de los dedos y extensor corto del dedo gordo son poco importantes. En clínica conviene saber dónde se encuentra el vientre del músculo extensor corto de los dedos para distinguirlo de un edema patológico. La contusión y el desgarro de las fibras musculares y de los vasos sanguíneos asociados puede causar un *hematoma*, que crea un edema anteromedial al maléolo lateral. La mayoría de los que no han visto nunca este músculo inflamado cree que se trata de un esguince grave de tobillo. ☹

Los nervios del pie

El **nervio tibial** se divide detrás del maléolo medial en los *nervios plantares medial y lateral* (tabla 5.14). Estos nervios inervan los músculos intrínsecos del pie, con excepción del

Figura 5.41. Retináculos del tobillo y partes del pie.

Obsérvense los huesos del pie y los retináculos superior e inferior de los músculos extensores y del peroné.



músculo extensor corto de los dedos, innervado por el **nervio peroneo profundo**. La *inervación cutánea del pie proviene de los siguientes:*

- El nervio safeno para la cara medial del pie, que alcanza la cabeza del 1^{er} metatarsiano.
- Los nervios peroneo superficial y profundo para el dorso del pie.
- Los nervios plantares medial y lateral para la planta del pie.
- El nervio sural para la cara lateral del pie, incluida parte del talón.
- Los ramos calcáneos de los nervios tibial y sural para el talón.

Nervio safeno

El nervio safeno es el ramo cutáneo mayor del nervio femoral. Aparte de la piel y de la fascia de las caras anterior y medial de la pierna, este nervio pasa delante del maléolo

medial hasta el dorso del pie, donde inerva la piel que recorre la cara medial del pie y llega, por delante, hasta la cabeza del 1^{er} metatarsiano.

Nervios peroneos superficial y profundo

El nervio peroneo superficial se encuentra entre los músculos peroneos y los abandona cerca de la unión entre los dos tercios proximales y el tercio inferior de la cara lateral de la pierna. El nervio termina innervando la piel del dorso del pie. El **nervio peroneo profundo** discurre debajo del retináculo de los músculos extensores e inerva la piel de las caras contiguas del 1^{er} y 2^o dedos.

Nervio plantar medial

El nervio plantar medial, el mayor de los dos ramos terminales del nervio tibial, pasa en la profundidad del músculo separador del dedo gordo y se dirige hacia delante, entre este músculo y el músculo flexor corto de los dedos, lateral a la arteria plantar medial. El nervio plantar

medial termina cerca de las bases de los metatarsianos, dividiéndose en tres ramos sensitivos que emiten ramos cutáneos para los tres dedos y medio mediales y ramos motores para los músculos separador del dedo gordo, flexor corto de los dedos, flexor corto del dedo gordo y la mayoría de los músculos lumbricales mediales.

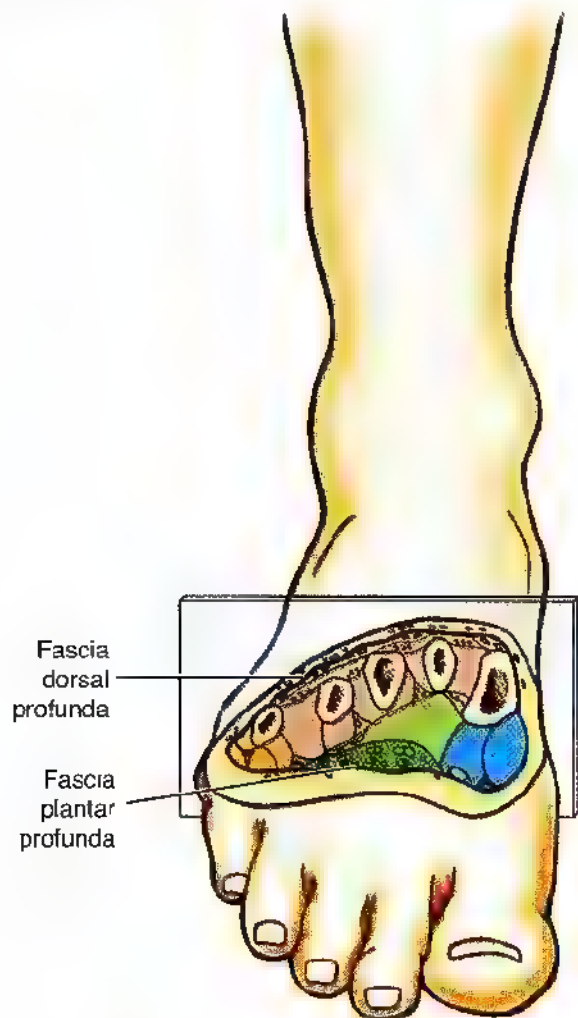
Nervio plantar lateral

El nervio plantar lateral, el más pequeño de los dos ramos terminales del nervio tibial, comienza en la profundidad

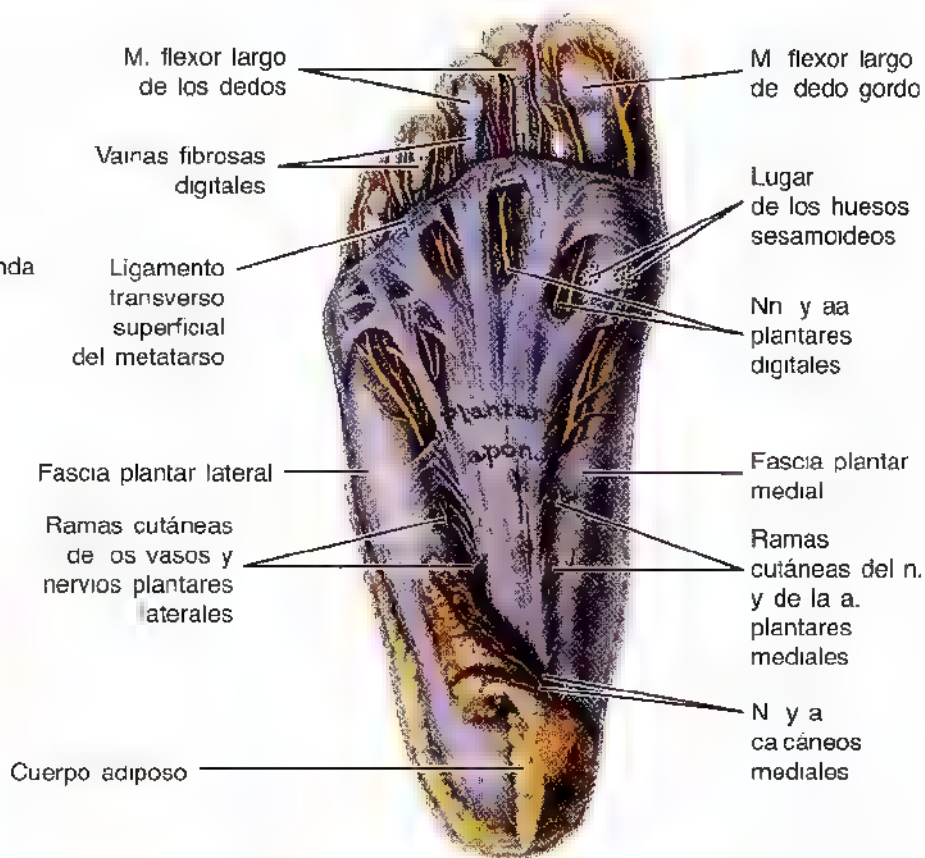
del retináculo de los músculos flexores y del músculo separador del dedo gordo, y se dirige en sentido anterolateral, medial a la arteria plantar lateral y entre la 1ª y la 2ª capas de los músculos plantares. El nervio plantar lateral termina dividiéndose en los ramos superficial y profundo. El ramo superficial se bifurca en dos nervios digitales que emiten ramos cutáneos para el dedo pequeño y la mitad lateral del 4º dedo. Los ramos superficial y profundo del nervio plantar lateral envían ramos motores para los músculos de la planta no inervados por el nervio plantar medial.



(A) Fascia del dorso del pie



(C) Corte transversal de los compartimientos del pie



(B) Cara plantar o planta del pie

Leyenda	
	Compartimiento medial
	Compartimiento central
	Compartimiento lateral

Figura 5.42. La fascia y los compartimientos del pie.

A. Obsérvese la fascia profunda de la perna y el dorso del pie. **B.** La fascia plantar profunda se compone de una aponeurosis plantar gruesa y de las fascias plantares media y lateral, más finas. Se observa cómo la aponeurosis está formada por bandas longitudinales de tejido conjuntivo fibroso y denso. Asimismo, se aprecian los vasos y nervios digitales plantares. **C.** Se advierte la fascia dorsal profunda, la fascia plantar profunda y los compartimientos central, grande y medial y lateral, más pequeños, del pie.

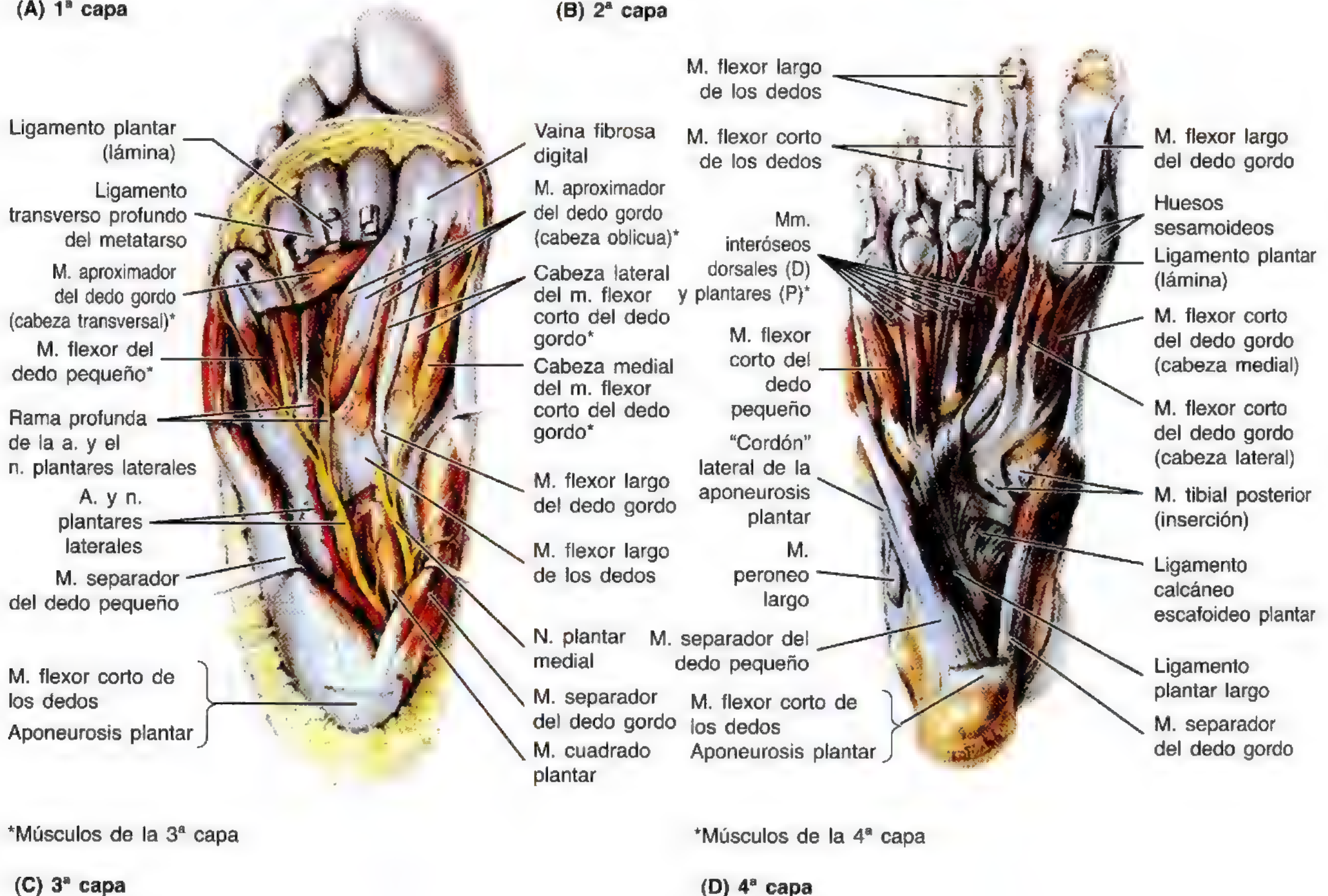
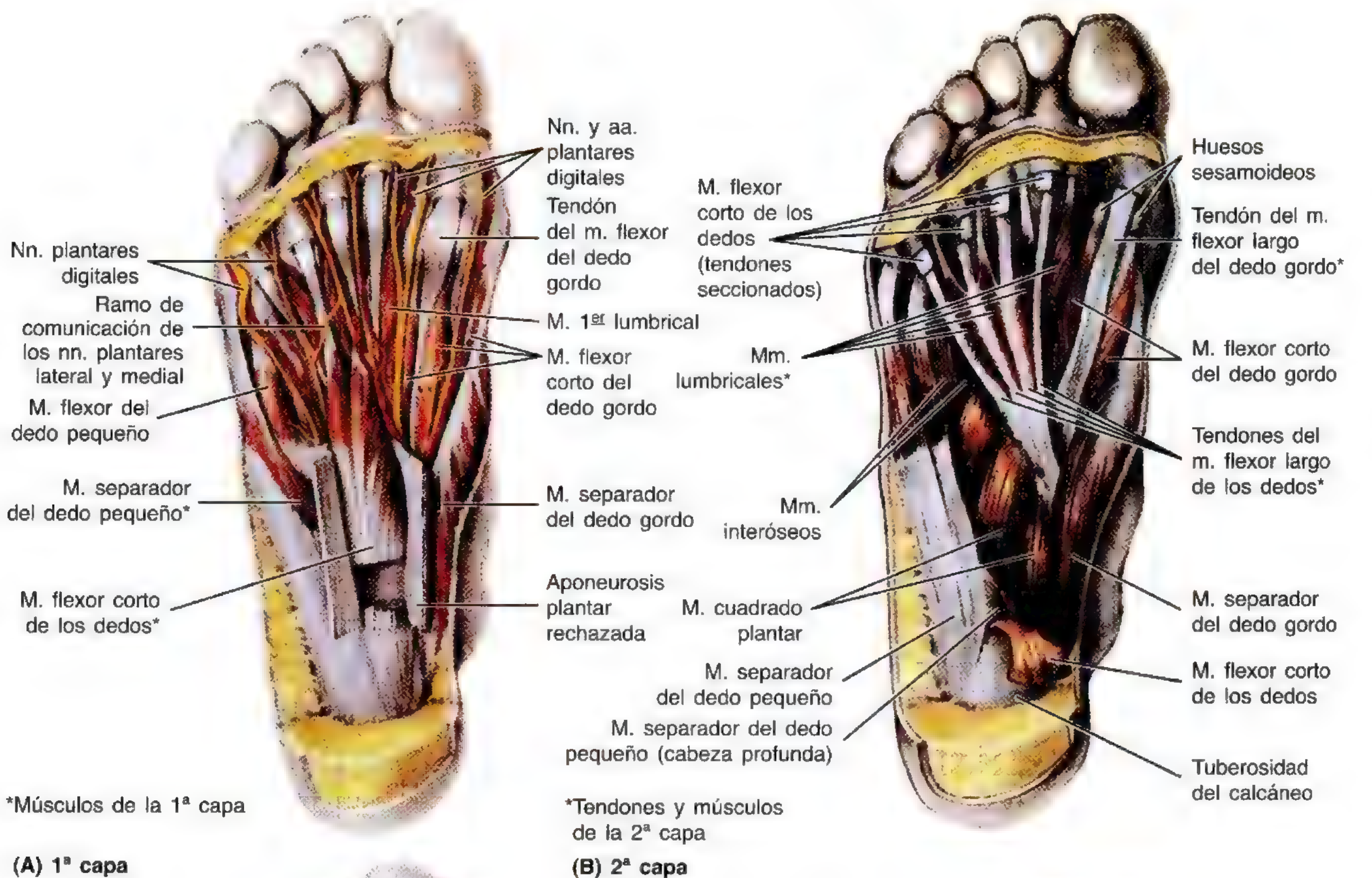
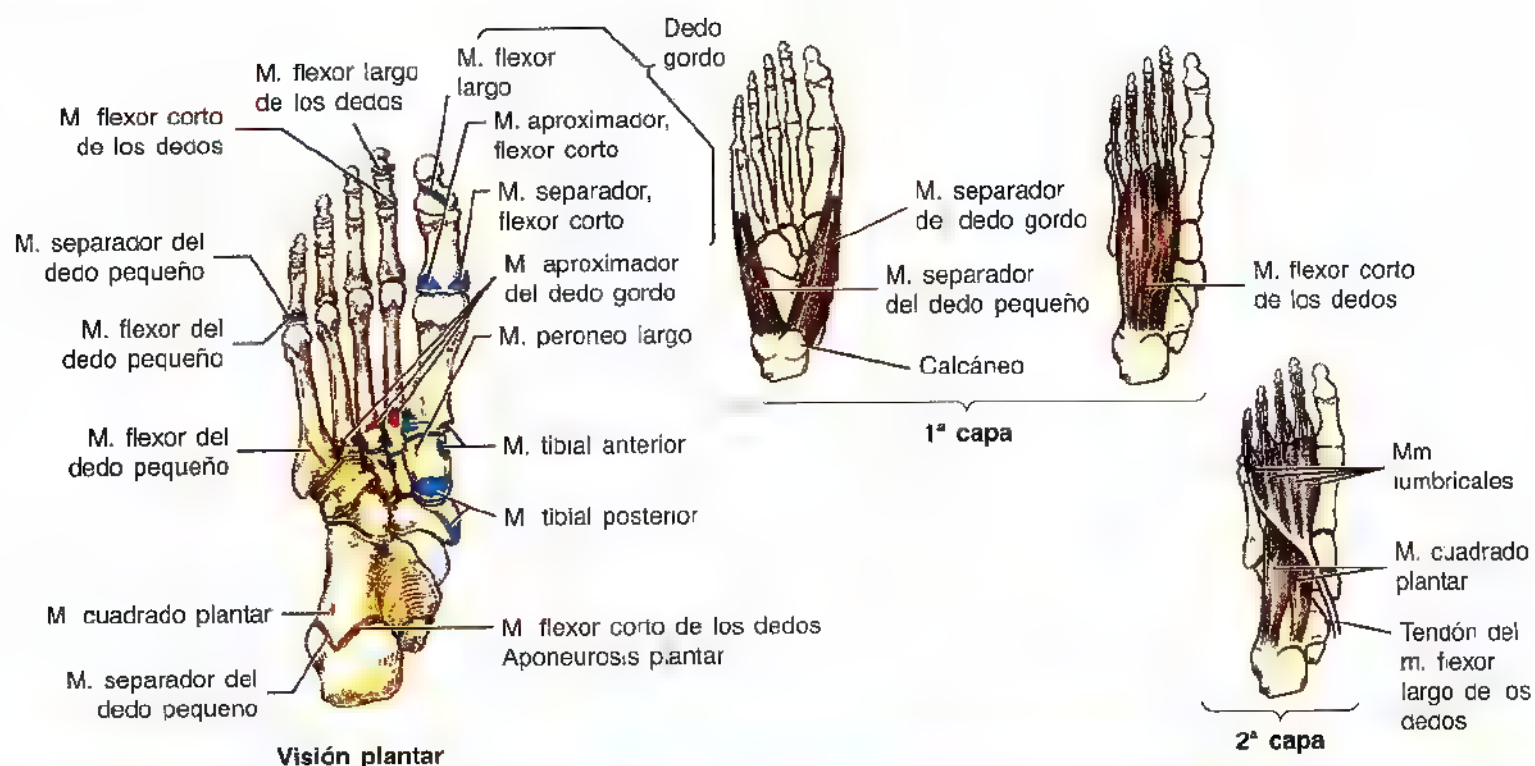


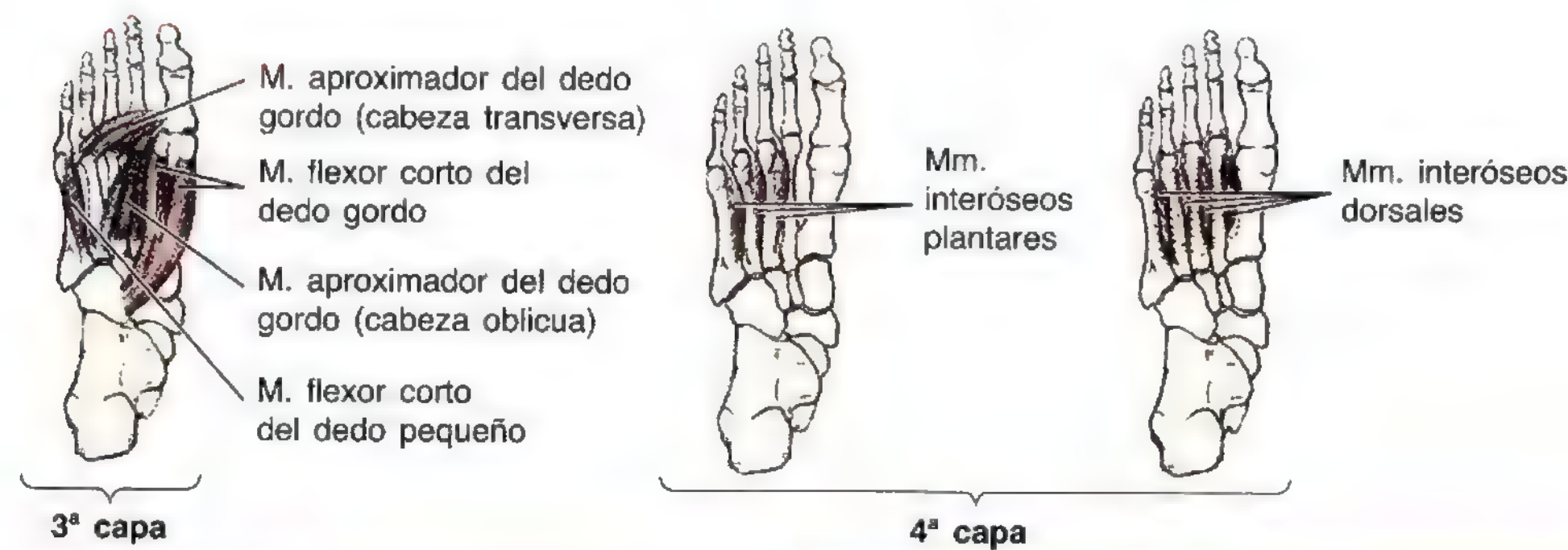
Tabla 5.13. Los músculos de la planta del pie

Músculo	Inserción proximal	Inserción distal	Inervación	Acción principal ^a
1ª capa				
Separador del dedo gordo	Tubérculo medial de la tuberosidad del calcáneo, retináculo de los músculos flexores y aponeurosis plantar	Cara medial de la base de la falange proximal del dedo gordo	N. plantar medial (S2 y S3)	Separa y flexiona el dedo gordo (1º dedo, en latín hallux)
M. flexor corto de los dedos	Tubérculo medial de la tuberosidad del calcáneo, aponeurosis plantar y tabiques intermusculares	Ambas caras de las falanges medias de los 4 últimos dedos		Flexiona los 4 últimos dedos
Separador del dedo pequeño	Tubérculos medial y lateral de la tuberosidad del calcáneo, aponeurosis plantar y tabiques intermusculares	Cara lateral de la base de la falange proximal del dedo pequeño	N. plantar lateral (S2 y S3)	Separa y flexiona el dedo pequeño
2ª capa				
Cuadrado plantar	Cara medial y borde lateral de la cara plantar del calcáneo	Borde posterolateral del tendón del m. flexor largo de los dedos	N. plantar lateral (S2 y S3)	Ayuda al m. flexor largo de los dedos a flexionar los 4 últimos dedos
Lumbricales	Tendones del m. flexor largo de los dedos	Cara medial de la expansión sobre los últimos 4 dedos	Medial n. plantar medial (S2 y S3) Tres laterales: n. plantar lateral (S2 y S3)	Flexiona las falanges proximales y extiende las falanges medias y distales de los 4 últimos dedos

^a A pesar de sus acciones individuales la función primordial de los músculos intrínsecos de la planta de pie consiste en resistir el aplanamiento o mantener el arco longitudinal del pie.

Figura 5.43. Capas de los músculos plantares. **A.** Primera capa, formada por los separadores de los dedos gordo y pequeño y los flexores cortos de los dedos. **B.** Segunda capa, constituida por los tendones de los músculos flexores largos y los músculos asociados: cuatro músculos lumbricales y el músculo cuadrado plantar. **C.** Tercera capa, integrada por el músculo flexor de dedo pequeño y el flexor y el separador del dedo gordo. **D.** Cuarta capa, compuesta por los músculos interóseos dorsales y plantares.

Tabla 5.13. (Continuación) Los músculos de la planta del pie



Músculo	Inserción proximal	Inserción distal	Inervación	Acción principal ^a
3ª capa				
Flexor corto del dedo gordo	Caras plantares del cuboides y cuñas laterales	Ambas caras de la base de la falange proximal del dedo gordo	N. plantar medial (S2 y S3)	Flexiona la falange proximal del dedo gordo
Aproximador del dedo gordo	Cabeza oblicua: bases del 2º-4º metatarsianos Cabeza transversa: ligamentos plantares de las articulaciones metatarsofalángicas	Los tendones de las dos cabezas se insertan en la cara lateral de la base de la falange proximal del dedo gordo	Ramo profundo del n. plantar lateral (S2 y S3)	Aproxima el dedo gordo; ayuda a mantener el arco transverso del pie
Flexor corto del dedo pequeño	Base del 5º metatarsiano	Base de la falange proximal del dedo pequeño	Ramo superficial del n. plantar lateral (S2 y S3)	Flexiona la falange proximal del dedo pequeño y ayuda a su flexión
4ª capa				
Interóseos plantares (tres músculos)	Bases y caras mediales del 3er-5º metatarsianos	Caras mediales de las bases de las falanges proximales del 3er al 5º dedos	N. plantar lateral (S2 y S3)	Aproxima los dedos (2º-4º) y flexiona las articulaciones metatarsofalángicas
Interóseos dorsales (4 músculos)	Caras adyacentes del 1er-5º metatarsianos	Primero: cara medial de la falange proximal del 2º dedo Segundo a cuarto: caras laterales del 2º al 4º dedos		Separa los dedos (2º-4º) y flexiona las articulaciones metatarsofalángicas

Nervio sural

El nervio sural se crea por la unión de ramos de los nervios tibial y peroneo común (tabla 5.10). El nivel de unión de estos ramos varía; a veces, estos nervios no se unen ni forman el nervio sural. En estas personas, la piel que normal-

mente inerva el nervio sural recibe ramos nerviosos del tibial y del peroneo. *El nervio sural acompaña a la vena safena menor y entra en el pie detrás del maléolo lateral*, distribuyéndose por la piel del borde lateral del pie y la cara lateral del dedo pequeño (tabla 5.14).

Injertos del nervio sural

A menudo se emplean fragmentos de nervio sural para injertos nerviosos destinados a la reparación de defectos nerviosos de tipo traumático. Dadas las variaciones en el lugar de formación del nervio sural, la unión entre los nervios tibial y peroneo común puede resultar alta (en la fosa poplítea) o baja (proximal al talón). A veces, el nervio cutáneo sural medial no se une con el ramo comunicante del nervio peroneo común; por eso no existe ningún nervio sural.

Bloqueo anestésico del nervio peroneo superficial

Una vez que el nervio peroneo superficial atraviesa la fascia profunda se divide en los ramos medial y lateral. Estos ramos se ven en muchas personas delgadas o se palpan como crestas bajo la piel con el pie en flexión plantar. La inyección de un anestésico alrededor de estos ramos anestesia la piel del dorso del pie para la cirugía superficial.

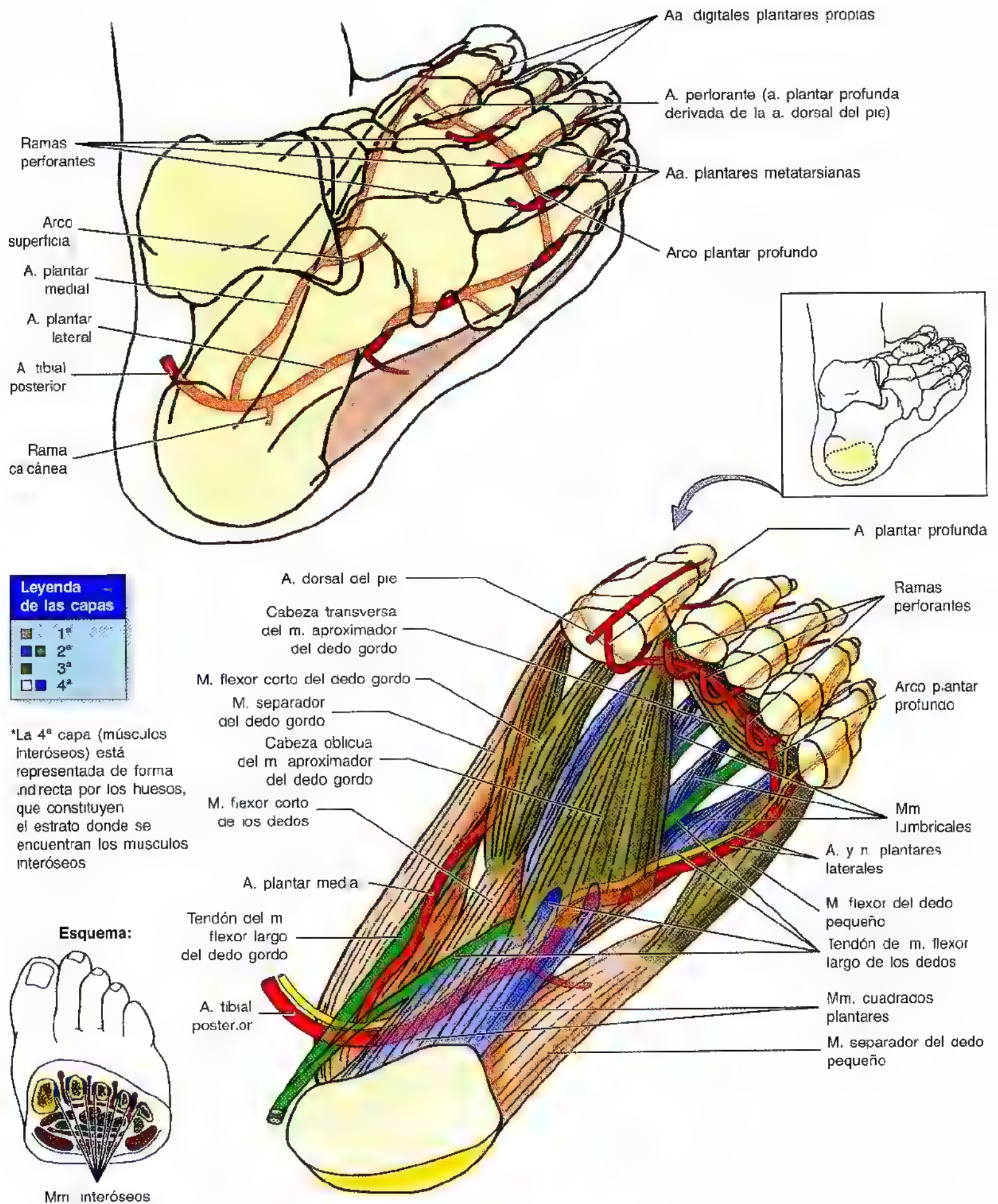


Figura 5.44. Las arterias y las capas musculares del pie. A-B. Visiones posterolaterales. Obsérvese cómo la arteria tibial posterior termina en el pie, dividiéndose en las arterias plantares medial y lateral. Obsérvese además, las anastomosis distales de estos vasos con la arteria plantar profunda procedente de la arteria dorsal del pie y las ramas perforantes para la arteria arqueada del dorso del pie (fig. 5.45). Se aprecia también la relación entre las arterias plantares y las cuatro capas musculares del pie.

Reflejo plantar

El reflejo plantar (raíces nerviosas L4, L5, S1 y S2) es un reflejo tendinoso profundo que se verifica de forma sistemática en la exploración neurológica. Se golpea la cara lateral de la planta del pie con un objeto romo, como un depresor lingual, empezando por el talón y siguiendo hasta la base del dedo gordo. Se aplica un movimiento firme y constante, pero jamás doloroso ni como para producir cosquillas. La respuesta normal es la flexión de los dedos del pie. La abertura ligera en abanico de los cuatro últimos dedos y la *dorsiflexión del dedo gordo constituyen la respuesta patológica (signo de Babinski)*, que indica una lesión encefálica o enfermedad cerebral, salvo en los lactantes. Como los tractos corticospinales no están totalmente desarrollados en los recién nacidos, suele

observarse un signo de Babinski que puede mantenerse hasta los 4 años de edad.

Atrapamiento del nervio plantar medial

La irritación compresiva del nervio a su paso en la profundidad del retináculo de los flexores o cuando se incurva en la profundidad del músculo separador del dedo gordo puede ocasionar dolor, ardor, acorchamiento u hormigueo (parestesias) en la cara medial de la planta y en la región del tubérculo del escafoides. *La compresión del nervio plantar medial se observa por la eversion repetida del pie (p. ej., durante la gimnasia y las carreras)*. Dada su frecuencia entre los corredores, estos síntomas se han denominado “pie del corredor”.

Arterias del pie

Las arterias del pie son ramas terminales de las arterias tibiales anterior y posterior (fig. 5.45), que se denominan, respectivamente, arterias dorsal y plantar.

Arteria dorsal del pie

La arteria dorsal del pie —*origen principal de la irrigación de los dedos del pie*— es la prolongación directa de la arteria tibial anterior (fig. 5.45A). La arteria dorsal comienza a mitad de camino entre los maléolos y sigue un trayecto antero-medial, en la profundidad del retináculo inferior de los músculos extensores, entre los tendones de los músculos extensor largo del dedo gordo y extensor largo de los dedos, sobre el dorso del pie. La arteria dorsal llega hasta el 1^{er} espacio interóseo, donde se bifurca en una arteria plantar profunda para la planta del pie, en la zona de unión con el arco plantar, y en la 1^a *arteria metatarsiana dorsal*.

Arteria tarsiana lateral. La arteria tarsiana lateral, división de la arteria dorsal del pie, se dirige lateralmente con un trayecto arqueado debajo del músculo extensor corto de los dedos para inervar este músculo y los huesos del tarso y articulaciones subyacentes. Se anastomosa con otras ramas, como la *arteria arqueada*. La **arteria plantar profunda** discurre en la profundidad a través del 1^{er} espacio interóseo y contribuye a formar el *arco plantar profundo*, uniéndose a la arteria plantar lateral.

Primera arteria plantar lateral. La 1^a arteria metatarsiana dorsal se divide en ramos para las dos caras del dedo gordo y la cara medial del 2^o dedo del pie.

Arteria arqueada. La arteria arqueada tiene un trayecto lateral por las bases de los 4 últimos metatarsianos, en la profundidad de los tendones extensores, donde nacen la 2^a, 3^a y 4^a **arterias metatarsianas dorsales**. Estos vasos discurren hasta los espacios interdigitales y en ellos se dividen, a su vez, en dos **arterias digitales dorsales** para las caras de los dedos adyacentes. Las arterias metatarsianas se comunican con el arco plantar y con las arterias metatarsianas plantares a través de *arterias perforantes*.

Palpación del pulso dorsal del pie

El *pulso dorsal del pie* —pulso pedio o pulso de la arteria dorsal del pie— se evalúa en la exploración física del aparato vascular periférico. Los pulsos dorsales del pie se palpan con ligera dorsiflexión. El pulso se palpa con facilidad, porque la arteria es subcutánea y pasa a lo largo de una línea que se extiende desde el retináculo de los extensores hasta un punto situado justo lateral a los tendones del músculo extensor largo del dedo gordo (Swartz, 1994). Algunos adultos sanos —incluso niños— presentan una *ausencia congénita de pulsos pedios palpables*, que suele ser bilateral. En este caso, la arteria dorsal del pie está sustituida por una arteria peroneal perforante ensanchada. *La disminución o ausencia del pulso dorsal del pie suele indicar una insuficiencia vascular por enfermedad arterial. Las cinco “P” de la obstrucción arterial aguda consisten en: dolor (en inglés, pain), palidez, parestesias, parálisis y ausencia de pulsos.*



Planta del pie

La planta del pie recibe una prolífica irrigación sanguínea. Estas arterias provienen de la **arteria tibial posterior** (fig. 5.45B), que se divide en la profundidad del músculo separador del dedo gordo para dar las **arterias plantares medial y lateral**. Éstas siguen paralelas a los nervios homónimos.

Arteria plantar medial. La arteria plantar medial es pequeña e irriga, sobre todo, los músculos del dedo gordo; no obstante, casi todas las **arterias digitales plantares** nacen de este vaso. La rama superficial de la arteria plantar medial ayuda a irrigar la piel de la cara medial de la planta, y envía ramas que acompañan a las ramas digitales del nervio plantar medial; sin embargo, estas ramas de las arterias digitales apenas contribuyen a la circulación de los dedos del pie.

Arteria plantar lateral. La arteria plantar lateral, mucho mayor que la medial, acompaña al nervio homónimo. Sigue lateral y anterior, al principio en la profundidad del músculo separador del dedo gordo y luego del músculo flexor corto de los dedos (fig. 5.45B). La arteria plantar lateral se arquea medialmente con el ramo profundo del nervio plantar lateral para dar el **arco plantar profundo**, que se completa con la **arteria plantar medial**. El arco plantar profundo empieza enfrente de la base del 5º metatarsiano y se completa medialmente con la unión de la **arteria plantar**

profunda (fig. 5.45A), rama de la arteria dorsal del pie. A medida que cruza el pie, el arco plantar profundo envía 4 **arterias metatarsianas plantares** (fig. 5.45B) y tres **arterias perforantes**, así como numerosas ramas para la piel, la fascia y los músculos de la planta del pie. Estas arterias se unen a las ramas superficiales de las arterias plantares medial y lateral para formar las **arterias digitales plantares**, que perfunden los dedos adyacentes.

Heridas punzantes de la planta del pie

Las heridas punzantes de la planta del pie que integran el arco plantar profundo y sus ramas suelen obedecer a una hemorragia grave. La ligadura de este arco resulta compleja por su profundidad y las estructuras que lo rodean.

Infecciones del pie

Son frecuentes; la zona infectada se drena según su localización. Los espacios fasciales plantares se suelen incidir y drenar por la cara medial del pie, para que la cicatriz dolorosa no quede en una zona de apoyo. ❖

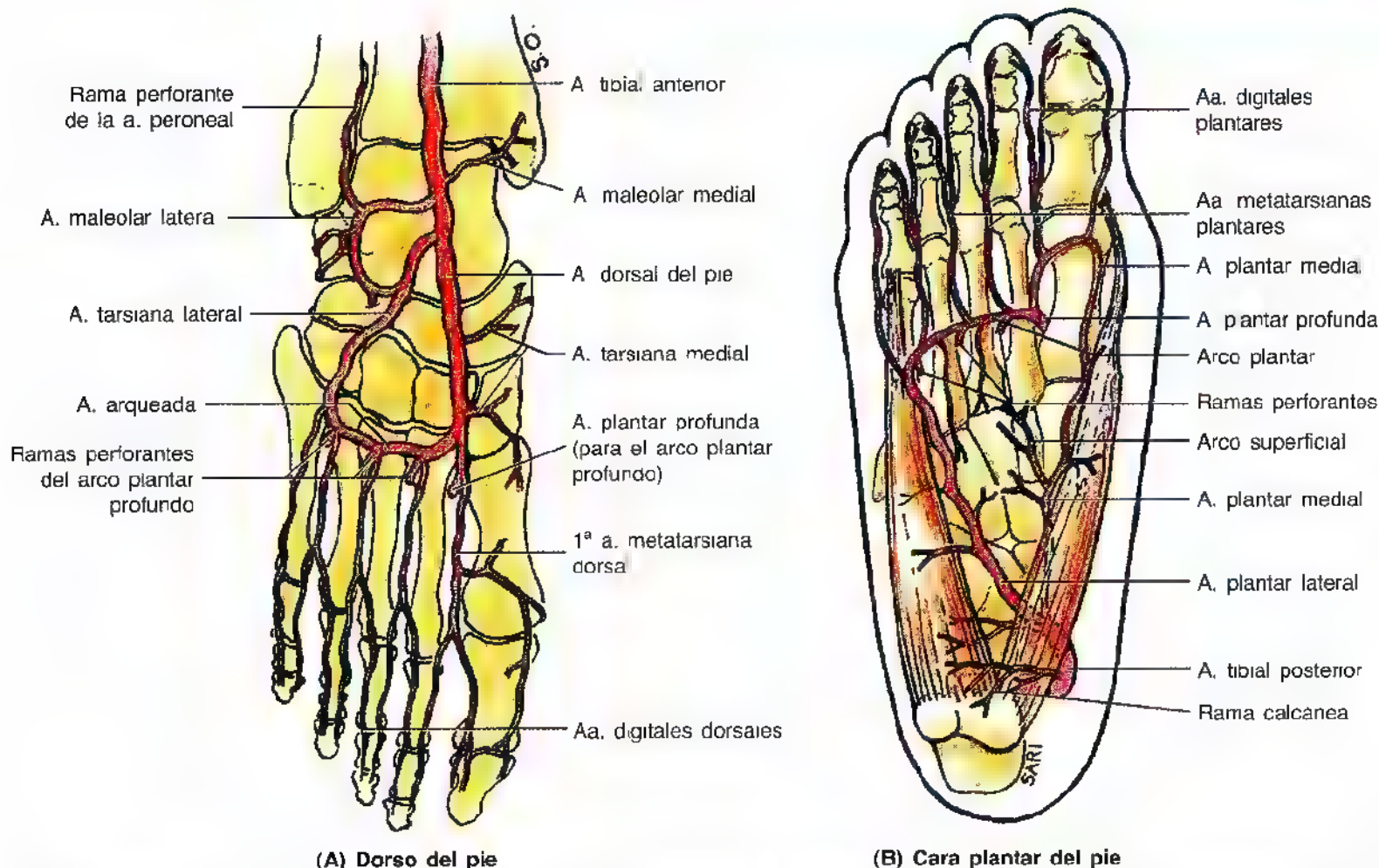
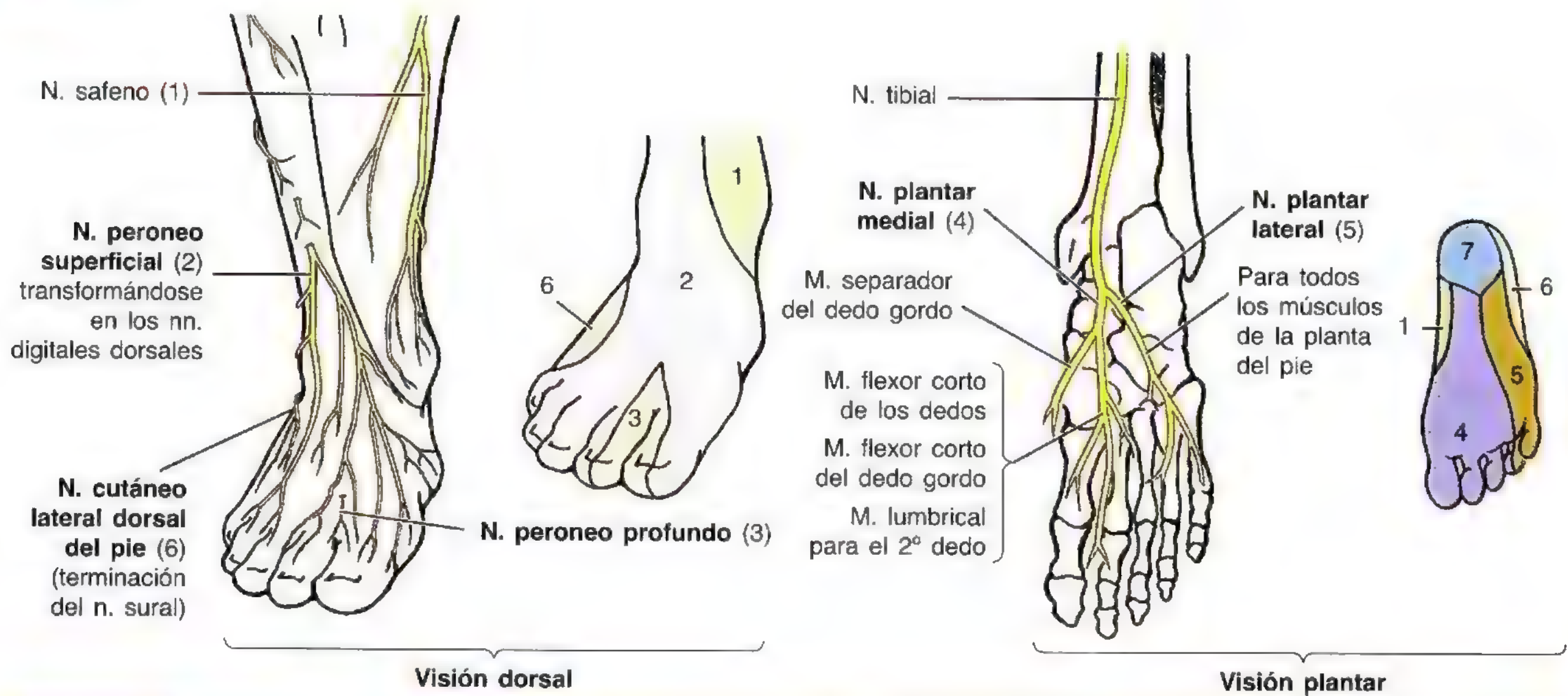


Figura 5.45. Las arterias del pie. A. Obsérvese como la arteria tibial anterior se transforma en la arteria dorsal del pie y en la arteria arqueada. B. Se aprecian la arteria tibial posterior y sus ramas terminales: las arterias plantares medial y lateral. El arco plantar profundo está creado por la arteria plantar lateral. En (A) y (B) se ven anastomosis entre las arterias dorsales y plantares a través de la arteria plantar profunda y las ramas perforantes del arco plantar profundo.

Tabla 5.14. Los nervios del pie



Nervio	Origen	Trayecto	Distribución en el pie
Safeno (1)	N. femoral	Nace en el triángulo femoral y desciende por el muslo y la pierna; acompaña a la v. safena mayor delante del maléolo medial y termina en la cara medial del pie	Se distribuye en la piel de la cara medial del pie y llega, por delante, hasta la cabeza del 1º metatarsiano
Peroneo superficial (2)	N. peroneo común	Perfora la fascia profunda del tercio distal de la pierna asomando a la piel y emitiendo ramos para el pie y los dedos	Inerva la piel del dorso del pie y todos los dedos, salvo la cara lateral del 5º y las caras adyacentes del 1º y 2º dedos
Peroneo profundo (3)		Pasa al dorso del pie en la profundidad del retináculo de los mm. extensores	Inerva el m. extensor corto de los dedos y la piel de las caras contiguas del 1º y 2º dedos
Plantar medial (4)	Ramo terminal mayor del n. tibial	Se dirige a la zona distal del pie, entre los mm. separador del dedo gordo y flexor corto de los dedos, y se bifurca en ramos musculares y cutáneos	Inerva la piel de la cara medial de la planta y los lados de los 3 primeros dedos; también inerva los mm. separador del dedo gordo, flexor corto de los dedos, flexor corto del dedo gordo y 1º m. lumbrical
Plantar lateral (5)	Ramo terminal menor del n. tibial	Se dirige lateralmente en el pie, entre los mm. cuadrado plantar y flexor corto de los dedos, y se divide en los ramos superficial y profundo	Inerva los mm. cuadrado plantar, separador del dedo pequeño y flexor corto del dedo pequeño; el ramo profundo se distribuye por los mm. interóseos plantares y dorsales, los tres lumbricales laterales y el aproximador del dedo gordo; se distribuye en la piel de la planta, lateral a una línea que divide el 4º dedo
Sural (6)	Suele originarse en los nn. tibial y peroneo común	Pasa por debajo del maléolo lateral hasta la cara lateral del pie	Cara lateral del pie
Ramos calcáneos (7)	Nn. tibial y sural	Se dirige desde la parte distal de la cara posterior de la pierna hasta la piel del talón	Piel del talón

Drenaje venoso del pie

Las venas digitales dorsales que siguen a lo largo del dorso de cada uno de los dedos se continúan con las **venas metatarsianas dorsales**, que se unen para formar el **arco venoso dorsal** en el tejido subcutáneo (fig. 5.46A). El arco venoso dorsal se comunica con el **arco venoso plantar**. Las venas abandonan el arco venoso dorsal y convergen medialmente para formar la **vena safena mayor**, y lateralmente, para dar

la **vena safena menor** (fig. 5.46B). Las venas superficiales de la planta se reúnen en una **red venosa plantar**, de donde emergen vasos para las **venas marginales** medial y lateral que desembocan en las venas safenas mayor y menor. Las venas profundas de la planta comienzan como **venas digitales plantares** en las caras plantares de los dedos, que se comunican con las **venas digitales dorsales** a través de venas perforantes (fig. 5.46A). Casi toda la sangre retorna del pie por las venas profundas que acompañan a las arterias.

Drenaje linfático del pie


Los vasos linfáticos del pie empiezan en los plexos subcutáneos (fig. 5.47A). Los vasos colectores se componen de vasos superficiales y profundos que siguen a las venas. Los vasos superficiales son más numerosos en la planta. Salen del pie medialmente con la *vena safena mayor* y lateralmente con la *vena safena menor*. Los **vasos superficiales mediales**, mayores y más numerosos que los laterales, drenan la linfa del dorso y de la cara medial del dorso y de la planta. Estos vasos convergen en la vena safena mayor y la acompañan hasta el grupo distal de los **ganglios inguinales superficiales** (fig. 5.47, A y B), situados en la desembocadura de la vena safena mayor.

Los ganglios inguinales superficiales drenan sobre todo a los **ganglios ilíacos externos**, aunque algunos lo hacen a los ganglios inguinales profundos. Los **vasos superficiales laterales** llevan la linfa de la cara lateral del pie y de la planta (fig. 5.47C). Casi todos los vasos discurren detrás del maléolo lateral y siguen a la *vena safena menor* hasta la fosa poplíteica, donde llegan a los ganglios poplíteos. Los **vasos linfáticos profundos** acompañan a los vasos sanguíneos principales: tibiales anterior y posterior, peroneos, poplíteos y femorales. Los vasos profundos del pie drenan a los **ganglios poplíteos**. Los vasos linfáticos siguen a los vasos femorales y transportan la linfa hasta los **ganglios inguinales profundos**. Luego, la linfa llega hasta los ganglios ilíacos externos, ilíacos comunes y aórticos laterales.

Linfadenopatía

Las *infecciones del pie* se pueden extender en dirección proximal, con el aumento consiguiente de los ganglios poplíteos e inguinales (*linfadenopatía*). La inflamación de los ganglios poplíteos suele ser consecuencia de *lesiones laterales del talón* (Williams y cols., 1995). Las infecciones de la cara lateral del pie y de la planta provocan, en principio, *adenopatías poplíteas* y, más tarde, también inguinales. La *linfadenopatía inguinal* se ve en infecciones de la piel de la pierna, del pie o de ambos; no obstante, estos ganglios también pueden aumentar de tamaño por infecciones o tumores de la vulva, pene, escroto, perineo y región glútea, así como de las porciones terminales de la uretra, conducto anal y vagina.

Linfangiografía

Debido a la multitud de vasos linfáticos grandes situados en el tejido subcutáneo del dorso del pie, se inyecta un medio de contraste en el pie que es transportado por estos vasos hasta los ganglios linfáticos inguinales e ilíacos. La radiografía muestra el dibujo de los ganglios linfáticos por el medio de contraste y permite estudiar su tamaño y número para averiguar la causa de la linfadenopatía. *La linfografía está siendo poco a poco reemplazada por otras técnicas de imagen, como la tomografía computarizada (TC) y la resonancia magnética (RM), que no exigen la inyección de ningún medio de contraste.* 

Las articulaciones del miembro inferior

Las articulaciones del miembro inferior comprenden las de la cintura pélvica, las articulaciones lumbosacras, las articulaciones sacroilíacas y la sínfisis del pubis (fig. 5.48), que se comentaron en el capítulo 3. Las demás articulaciones del miembro inferior son la cadera, la rodilla, las articulaciones tibioperoneales, el tobillo y las articulaciones del pie.

La articulación coxofemoral o de la cadera

La articulación coxofemoral conecta el miembro inferior con la cintura pélvica. Se trata de una articulación sinovial multiaxial, de tipo enartrosis, robusta y estable; la cabeza femoral es la esfera y el acetábulo, la cavidad donde encaja aquella (fig. 5.49). La cadera está diseñada para la estabilidad y un amplio arco de movimiento. Junto con la articulación escapulohumeral o del hombro, es la más móvil de todas. Durante la bipedestación todo el peso de la parte superior del cuerpo se transmite por las caderas a la cabeza y el cuello de los fémures. La articulación coxofemoral mantiene su máxima estabilidad mecánica cuando la persona soporta peso, por ejemplo al levantar un objeto pesado

Caras articulares de la articulación coxofemoral

La cabeza redonda del fémur se articula con el acetábulo o copa del hueso coxal (figs. 5.48-5.50). Como la profundidad del acetábulo aumenta con el **rodete acetabular** fibrocartilaginoso, que se inserta en el borde óseo del acetábulo, y con el **ligamento transverso del acetábulo**, más de la mitad de la cabeza encaja dentro del acetábulo. El rodete acetabular abraza la cabeza femoral más allá de su ecuador. La cabeza del fémur está cubierta de cartílago articular, salvo en la fosita para el ligamento de la cabeza del fémur. La parte central e inferior del acetábulo, la **fosa acetabular**, es fina, no articular y, a menudo, translúcida.

Cápsula de la articulación coxofemoral

La **cápsula fibrosa**, robusta y laxa, permite el movimiento libre de la cadera; se inserta proximalmente en el acetábulo y en el ligamento transverso del acetábulo (figs. 5.49 y 5.50). Algunas partes de la cápsula fibrosa son más gruesas que otras y se denominan ligamentos; por ejemplo, el ligamento iliofemoral (fig. 5.51). *La cápsula fibrosa se inserta distalmente en el cuello del fémur sólo por delante, en la línea intertrocanterica y en la raíz del trocánter mayor* (fig. 5.51B). Detrás, la cápsula fibrosa cruza hasta el cuello, proximal a la *cresta intertrocanterica*, pero sin insertarse en ella (fig. 5.51C). Casi todas las fibras capsulares toman un curso espiral desde el

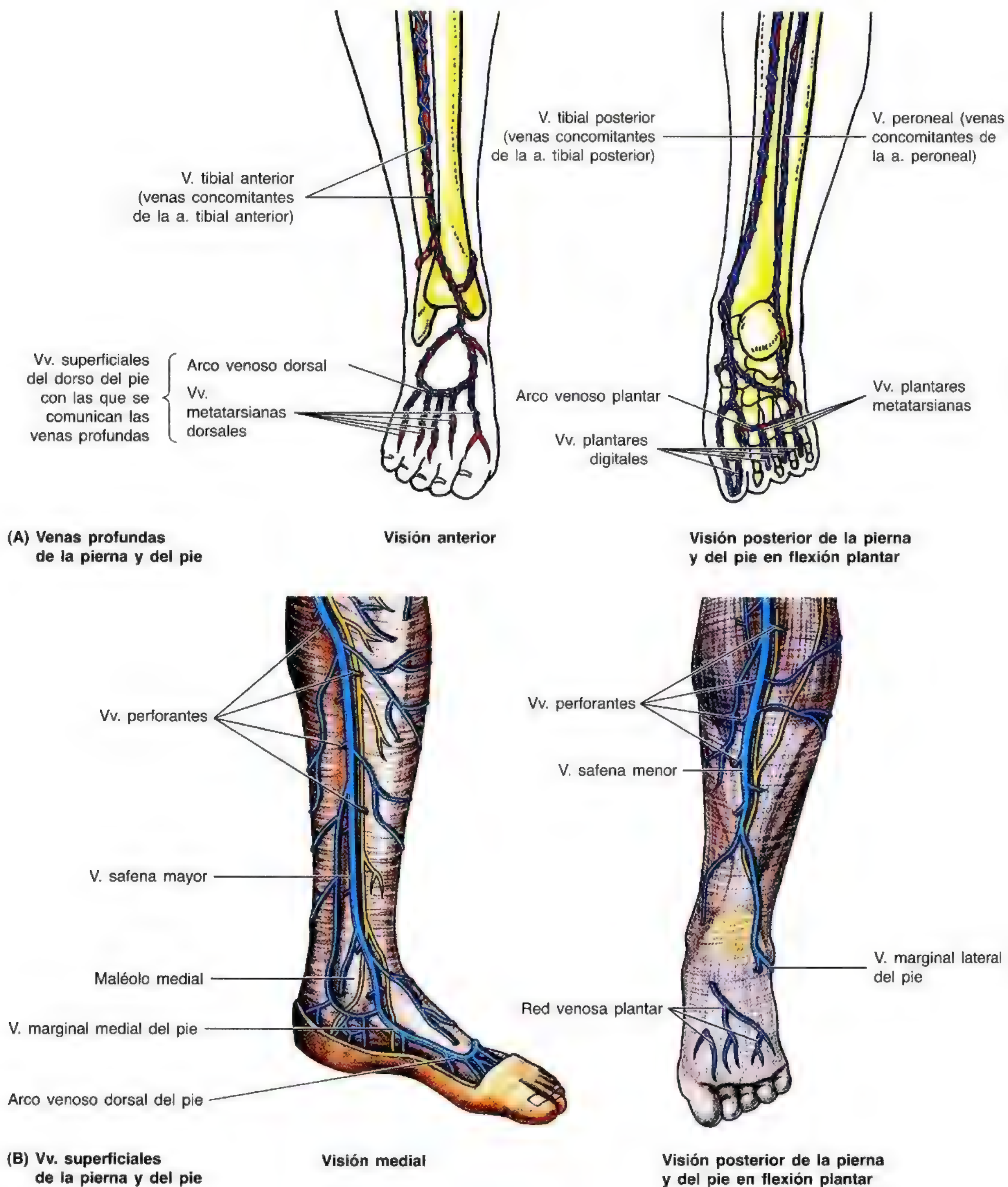


Figura 5.46. Las venas de la pierna y del pie. **A.** Las venas profundas acompañan a las arterias y a sus ramas; se anastomosan a menudo y poseen muchas válvulas. **B.** Las venas superficiales principales son las venas safenas mayor y menor, que drenan a las venas profundas a través de venas perforantes, de forma que la compresión muscular impela la sangre hacia el corazón venciendo la fuerza de la gravedad.

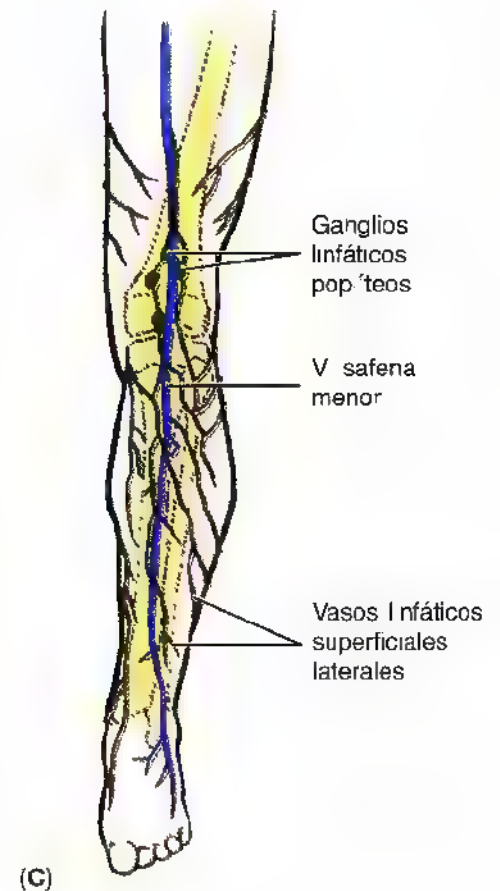
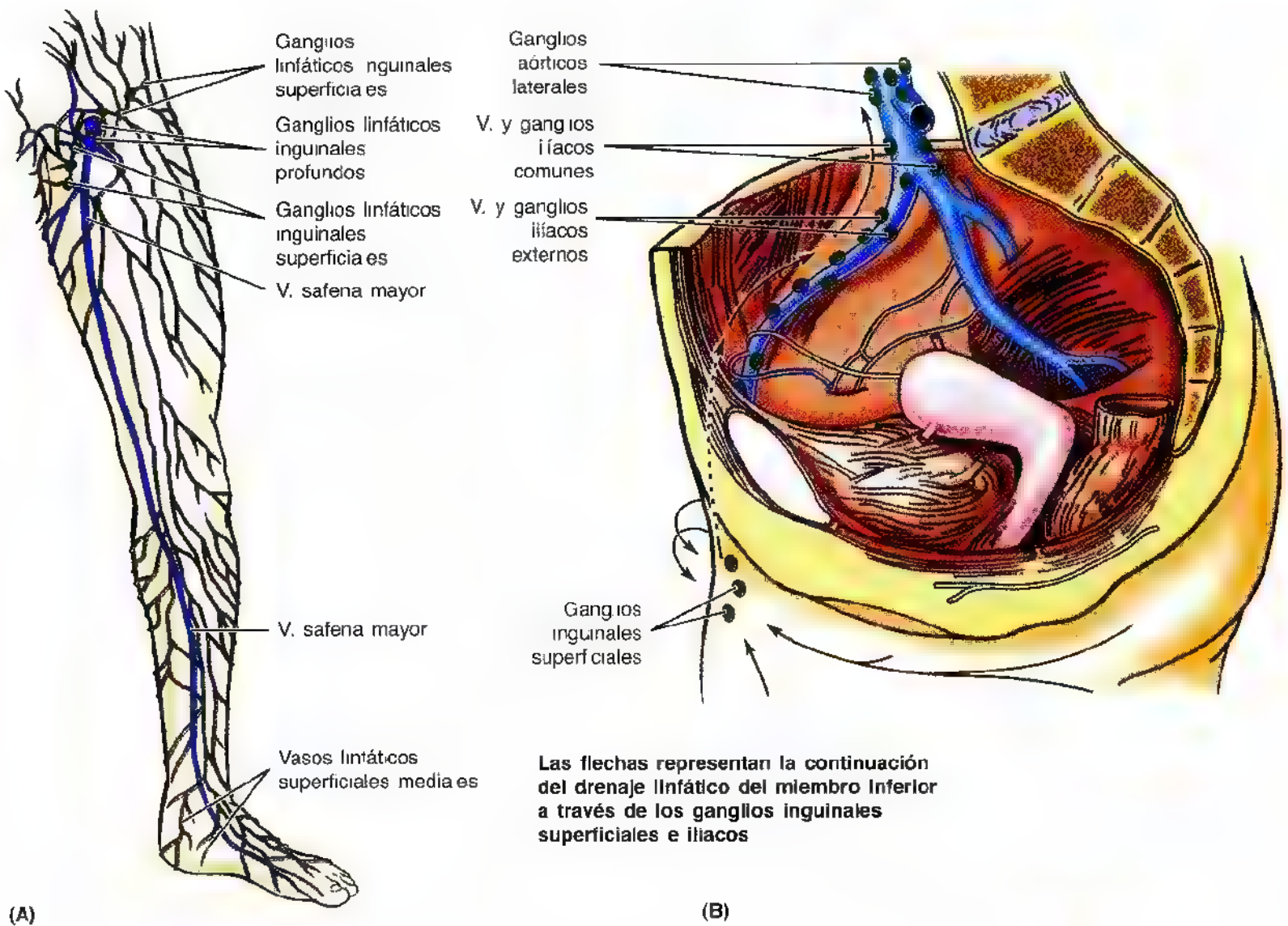
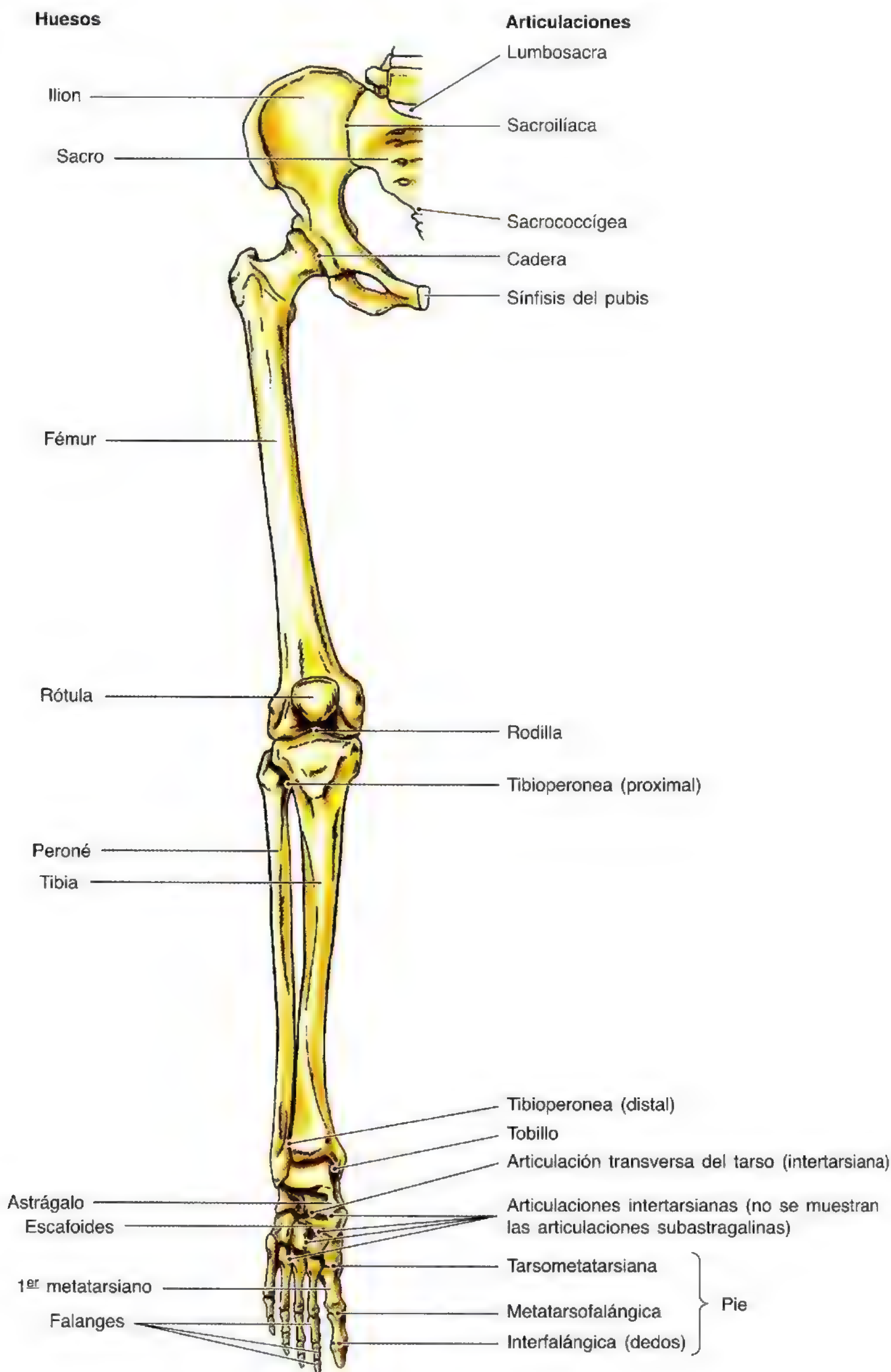


Figura 5.47. El drenaje linfático del miembro inferior. A. Los vasos linfáticos superficiales drenan a los ganglios inguinales superficiales. **B.** Las flechas ilustran el drenaje desde los ganglios inguinales superficiales hasta los ganglios ilíacos externos y comunes, que alcanzan finalmente los ganglios aórticos laterales. **C.** Los vasos linfáticos de la cara lateral del pie y a cara posterior lateral de la pierna acompañan a la vena safena menor y llegan hasta los ganglios popliteos. Los vasos linfáticos profundos acompañan luego a la vena femoral, que se dirige hasta los ganglios inguinales profundos. Seguidamente la linfa de estos ganglios se une con el drenaje superficial, que pasa por los ganglios ilíacos externos y comunes y acaba en los ganglios aórticos laterales.

Figura 5.48. Los huesos y las articulaciones del miembro inferior.

Las articulaciones comprenden las de la cintura pélvica, que conectan los miembros inferiores con la columna vertebral.



hueso coxal hasta la línea intertrocanterica, aunque algunas fibras profundas circulan alrededor del cuello creando la **zona orbicular** (fig. 5.51C). Estas fibras forman un collar alrededor del cuello, que constriñe la cápsula y ayuda a sujetar la cabeza del fémur dentro del acetábulo.

Algunas fibras longitudinales profundas de la cápsula dan **retináculos**, que se reflejan por arriba a lo largo del cuello femoral a modo de bandas longitudinales; dichas bandas se unen con el periostio (fig. 5.50). Los retináculos contienen vasos sanguíneos retinaculares (ramas de la arteria circunfleja

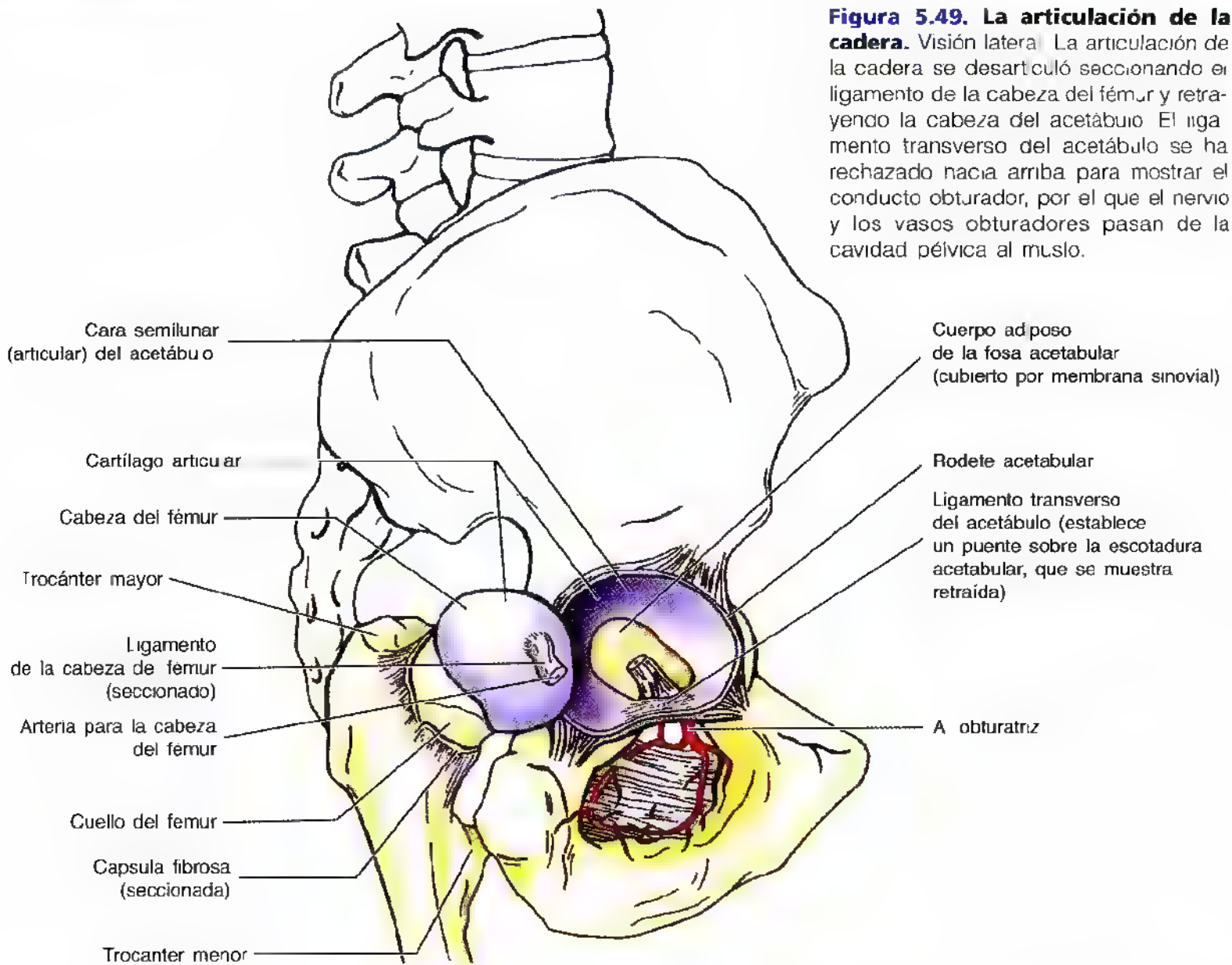


Figura 5.49. La articulación de la cadera. Visión lateral. La articulación de la cadera se desarticuló seccionando el ligamento de la cabeza del fémur y re trayendo la cabeza del acetábulo. El liga mento transverso del acetábulo se ha rechazado hacia arriba para mostrar el conducto obturador, por el que el nervio y los vasos obturadores pasan de la cavidad pélvica al muslo.

femoral medial [y algunas de la lateral]) que perfunden la cabeza y el cuello del fémur (véase fig. 5.53). Las partes gruesas de la cápsula fibrosa forman los **ligamentos de la cadera**, que se dirigen de manera espiral desde la pelvis hasta el fémur. Éstos permiten una considerable flexión de la cadera, pero restringen la extensión de la misma a 10-20° más allá del plano vertical.

Los ligamentos de la articulación coxofemoral son:

- La cápsula fibrosa está reforzada por delante por el robusto **ligamento iliofemoral**, con forma de Y (ligamento de Bigelow) (fig. 5.51, A y B) que se inserta por la parte proximal en la espina ilíaca anteroinferior y en el borde acetabular, y por la distal, en la línea intertrocanterica. *El ligamento iliofemoral impide la hiperextensión de la cadera durante la bipedestación* al fijar la cabeza femoral dentro del acetábulo.
- La cápsula fibrosa está reforzada, en la parte inferior y anterior, por el **ligamento pubofemoral** que nace de la cresta obturatriz del pubis y adopta un trayecto lateral e inferior para mezclarse con la cápsula fibrosa de la articulación coxofemoral (fig. 5.51A). Este ligamento se une con la por-

ción medial del ligamento iliofemoral y se tensa durante la extensión y separación de la cadera. *El ligamento pubofemoral evita la separación exagerada de la articulación coxofemoral.*

- La cápsula articular tiene un refuerzo posterior en el **ligamento isquiofemoral** que nace de la porción isquiática del borde acetabular (fig. 5.51 C) y asciende a modo de espiral lateral hasta el cuello del fémur, medial a la base del trocánter mayor. *El ligamento isquiofemoral tiende a fijar medialmente la cabeza femoral dentro del acetábulo, impidiendo la hiperextensión de la articulación coxofemoral.*

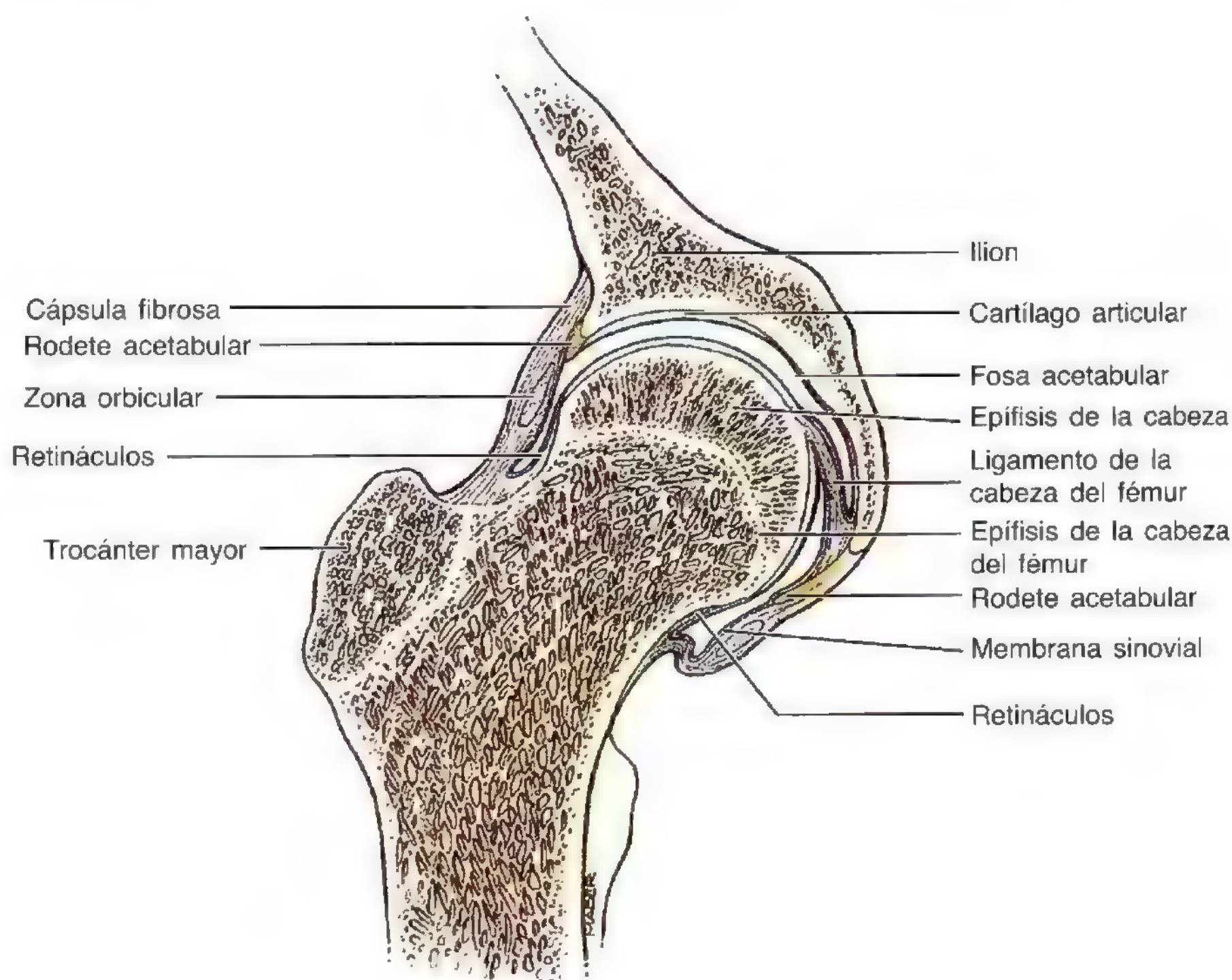
La **membrana sinovial de la cadera** (fig. 5.50) tapiza la cápsula fibrosa y cubre:

- El cuello del fémur, entre las inserciones de la cápsula fibrosa y el borde del cartilago articular de la cabeza.
- La zona no articular del acetábulo, ofreciendo una cubierta para el ligamento de la cabeza del fémur.

La **protrusión sinovial** que sobresale del borde libre de la cápsula fibrosa por la cara posterior del cuello del fémur (fig. 5.51 C) configura una bolsa para el tendón del músculo obturador externo.

Figura 5.50. Corte coronal de la articulación de la cadera.

Obsérvese cómo el rodete acetabular se extiende desde el borde del acetábulo, formando una cavidad completa, que aloja la cabeza del fémur. Es necesario aplicar mucha fuerza para luxar la cabeza del acetábulo; por eso suele fracturarse el borde acetabular o se produce una avulsión del rodete. La epífisis de la cabeza femoral se halla totalmente dentro de la cápsula articular. Obsérvese también que el ligamento de la cabeza está rodeado por un tubo de membrana sinovial. Éste porta los vasos epifisarios mediales al fémur y puede o no persistir en el adulto.



El **ligamento de la cabeza del fémur** (figs. 5.49 y 5.50) es débil y de poca importancia para enderezar la cadera. Es un ligamento ancho que se inserta en los márgenes de la escotadura acetabular y el ligamento transversal del acetábulo; su extremo más estrecho se fija en la fosita de la cabeza del fémur. De ordinario, el ligamento contiene una pequeña arteria para la cabeza del fémur. El *cuerpo adiposo de la fosa acetabular* (revestido de membrana sinovial) ocupa parte de la fosa acetabular que no rellena la cabeza del fémur. La naturaleza maleable del cuerpo adiposo permite que su forma se acomode a la forma variable de la cabeza durante los movimientos articulares.

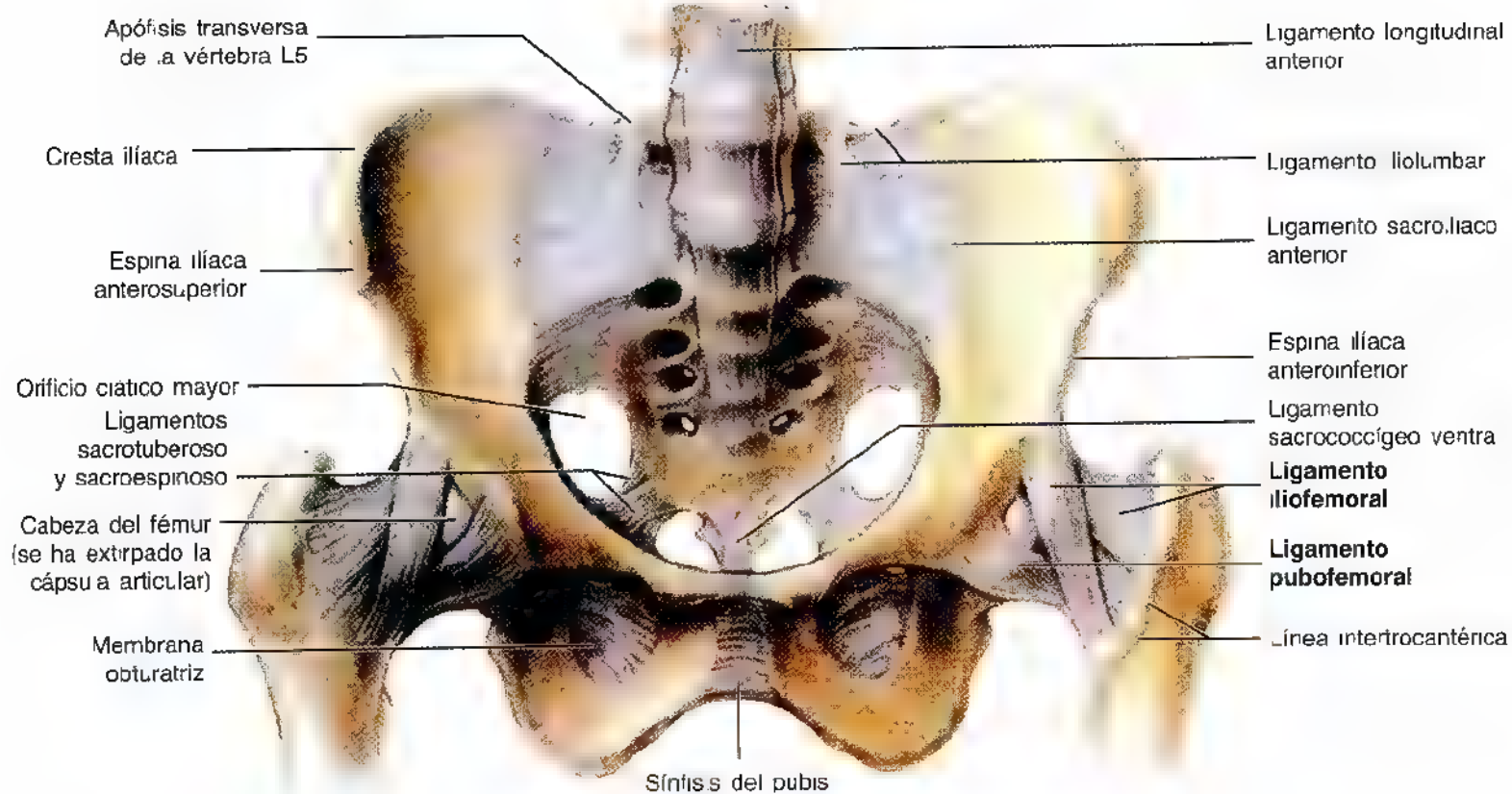
Movimientos de la articulación coxofemoral

Los movimientos de la articulación coxofemoral consisten en la flexión y extensión, separación y aproximación, rotación medial y lateral y circunducción (fig. 5.52). Los movimientos del tronco sobre la cadera también revisten interés, como los que tienen lugar cuando una persona levanta el tronco desde una posición de decúbito supino (p. ej., al sentarse).

El grado de flexión y extensión de la cadera depende de la posición de la rodilla. Si la rodilla está flexionada y se relajan los músculos femorales posteriores, el muslo se puede desplazar hacia la pared anterior del abdomen. No todo este movimiento sucede en la articulación coxofemoral; parte de él obedece a la flexión de la columna vertebral. Durante la extensión de la cadera, la cápsula fibrosa, en particular el ligamento iliofemoral, se encuentra tensa; por eso, la cadera se puede extender de ordinario muy poco más allá del plano vertical.

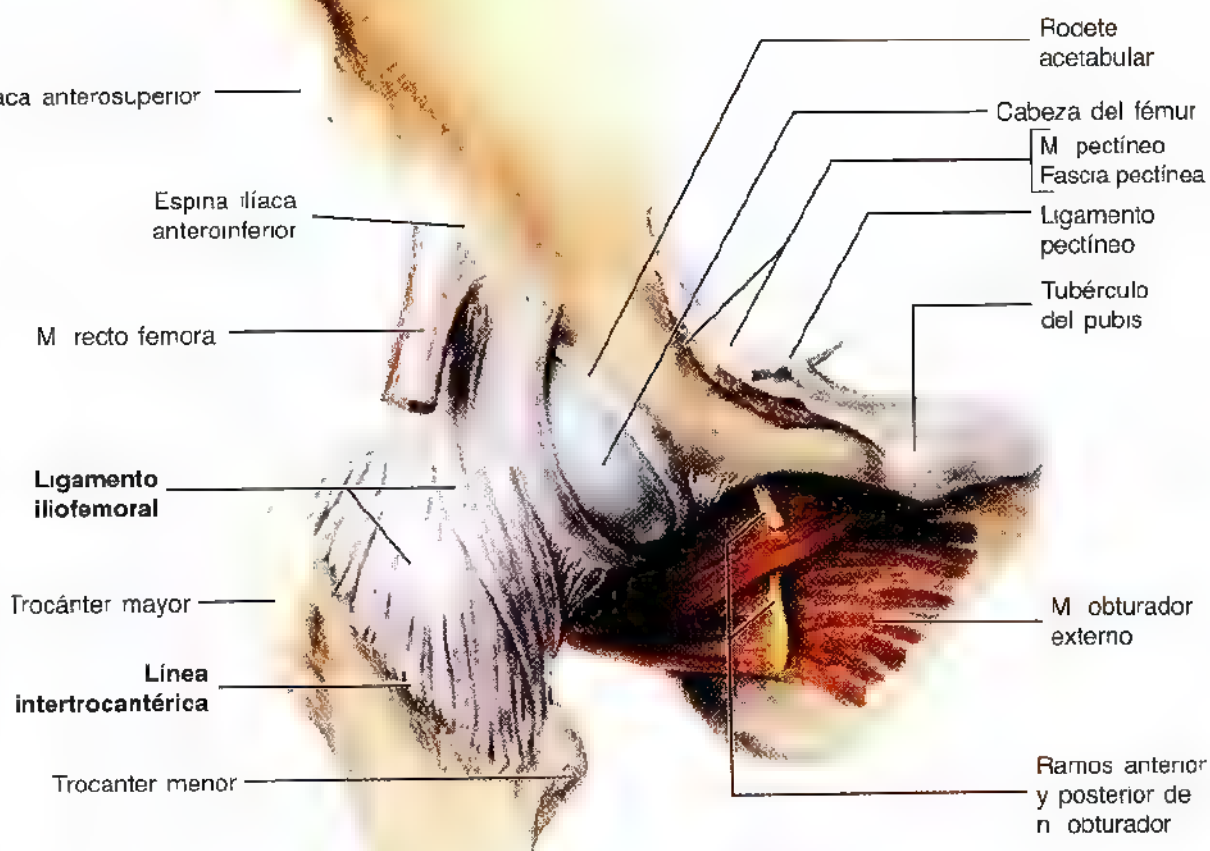
La separación de la articulación coxofemoral es casi siempre más libre que la aproximación. La rotación de la cadera se realiza aproximadamente en una sexta parte de un círculo si se extiende el muslo y más si se flexiona. La rotación lateral es bastante más poderosa que la medial. Los *músculos principales que mueven la articulación coxofemoral* (fig. 5.52B) son:

- **Flexión:** músculos iliopsoas (el flexor más potente), sartorio, tensor de la fascia lata, recto femoral, pectíneo, aproximador largo, aproximador corto, aproximador mayor (porción anterior) y grácil.
- **Extensión:** músculos femorales posteriores (semitendinoso, semimembranoso y cabeza larga del bíceps femoral), aproximador mayor (porción posterior) y glúteo mayor; el músculo glúteo mayor es bastante poco activo cuando se pasa de una posición erecta (bipedestación) a otra de extensión completa, a menos que se requiera una extensión forzada. Suele actuar cuando se cambia de una posición de flexión completa a otra erecta, por ejemplo al subir escaleras o al levantarse de una silla.
- **Separación:** músculos glúteos medio y menor y tensor de la fascia lata.
- **Aproximación:** músculos aproximador largo, aproximador corto, aproximador mayor, grácil, pectíneo y obturador externo.
- **Rotación.** *Rotadores mediales:* fibras anteriores de los músculos glúteo medio, glúteo menor y tensor de la fascia lata; *rotadores laterales:* músculos obturador externo, obturador interno, gémico, piriforme, cuadrado femoral y glúteo mayor.

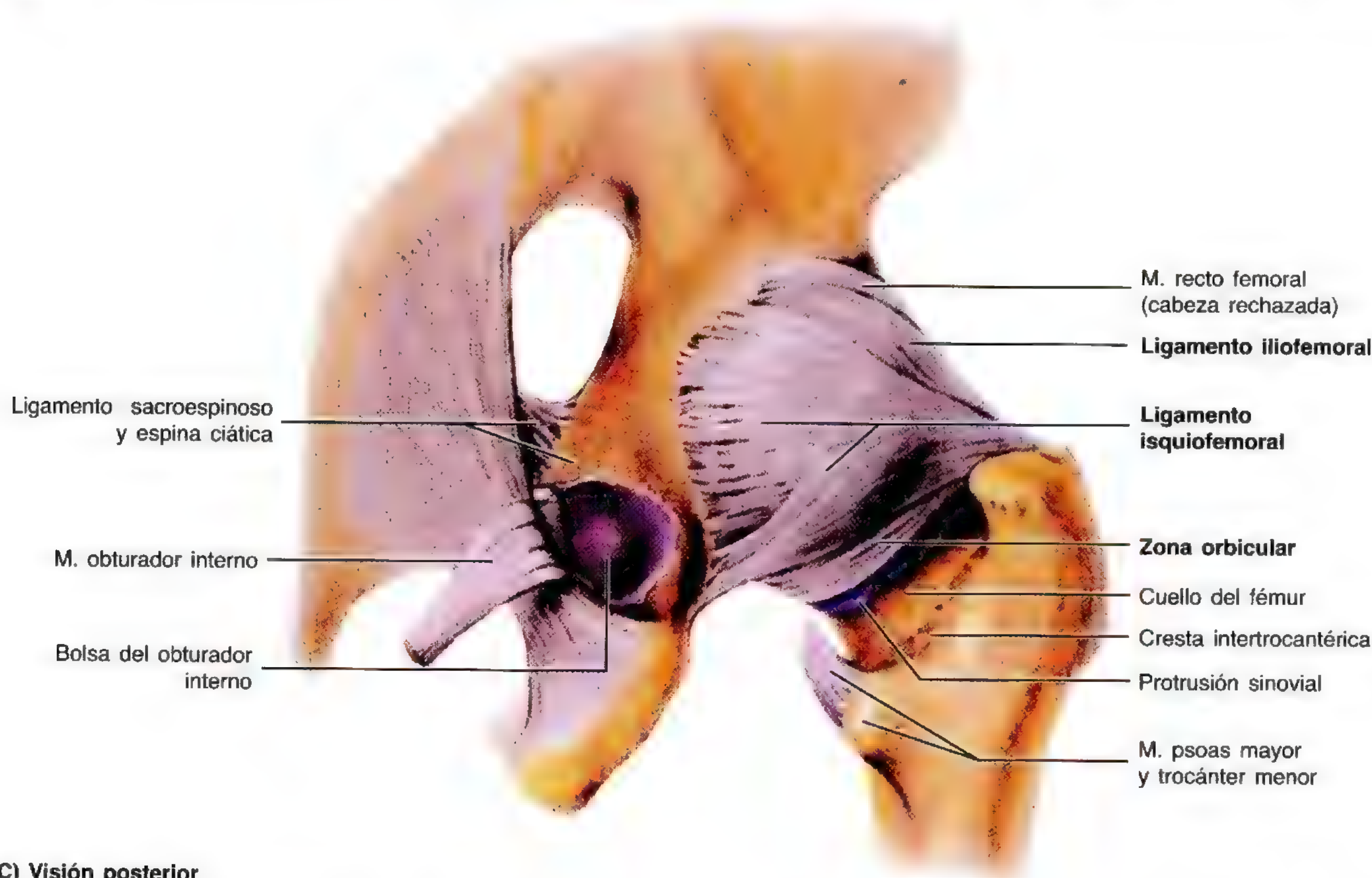


(A) Visión anterior

Figura 5.51. Los ligamentos de la pelvis y de la cadera. A-B. Visiones anteriores. Se aprecia cómo el ligamento iliofemoral triangular y robusto se inserta, en su vértice, en la espina ilíaca anteroinferior y en el borde del acetábulo y, en su base, en la línea intertrocanterica anterior del fémur. Además, se ve que el ligamento pubofemoral, una porción engrosada de la cápsula fibrosa, se extiende desde el ramo superior de pubis hasta a línea intertrocanterica del fémur y pasa en la profundidad del ligamento iliofemoral



(B) Visión anterior



(C) Visión posterior

Figura 5.51. (Continuación) C. El ligamento isquiofemoral, otra porción engrosada de la cápsula fibrosa, se dirige superolateralmente desde el isquión sobre el cuello del fémur. La cápsula fibrosa de la articulación de la cadera no se inserta en la cara posterior del fémur. Se advierte, asimismo, que la membrana sinovial que sobresale debajo de la cápsula fibrosa forma la bolsa del obturador externo para facilitar el movimiento del tendón de este músculo [ilustrado en (B)] sobre el hueso.

Irrigación arterial de la articulación coxofemoral

Las arterias que perfunden la cadera (fig. 5.53) son:

- Las **arterias femorales circunflejas** medial y lateral, que suelen ser ramas de la *arteria femoral profunda*, pero a veces nacen en la *arteria femoral*.
- La *arteria para la cabeza del fémur*—rama de la arteria obturatriz— que penetra por el ligamento de la cabeza.

La irrigación fundamental de la articulación coxofemoral procede de ramas de las arterias femorales circunflejas (sobre todo, de la arteria femoral circunfleja medial) que viajan por los retináculos (reflexiones de la cápsula a lo largo del cuello del fémur que terminan en la cabeza). Estos vasos retinaculares se pueden dañar en las fracturas del cuello femoral y provocar una necrosis avascular de la cabeza del fémur.

Inervación de la articulación coxofemoral

La inervación de la articulación coxofemoral (figs. 5.51B y 5.52A) proviene de lo siguiente:

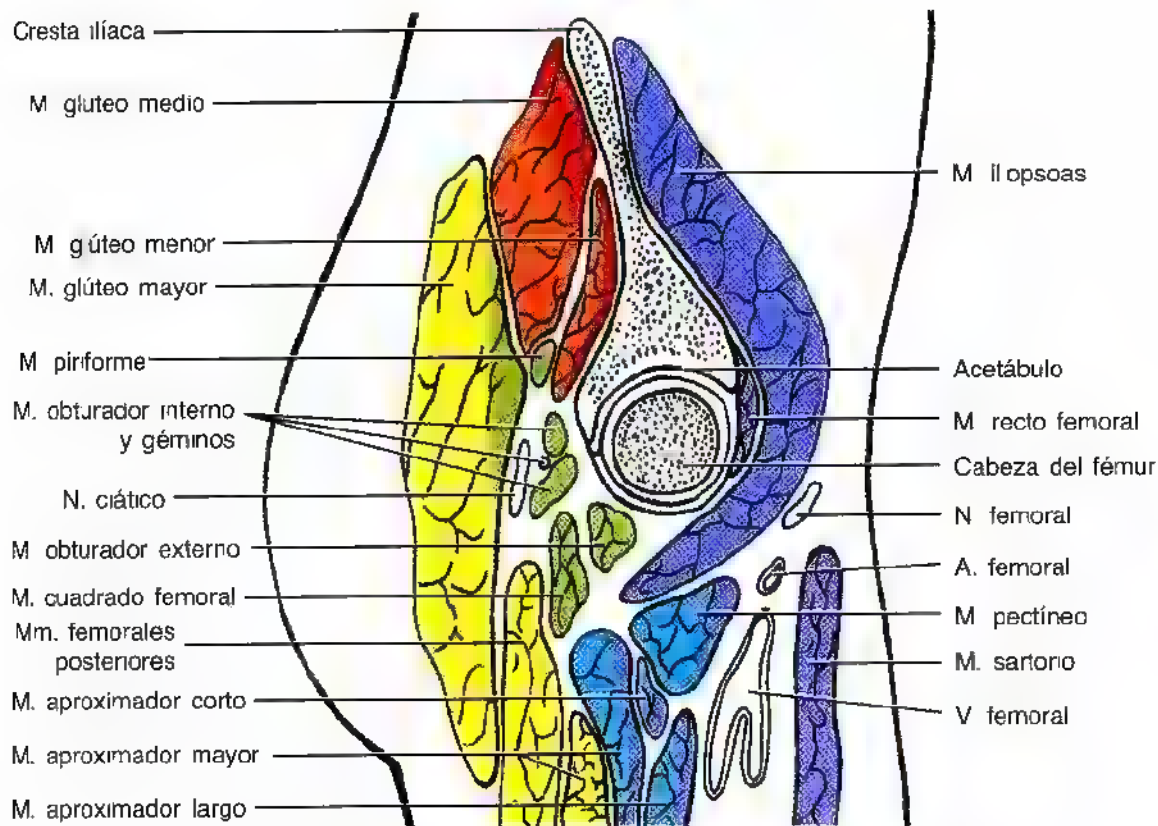
- El nervio femoral o sus ramos musculares (por delante).
- El nervio obturador accesorio, cuando está presente (por delante).
- El nervio obturador (división anterior) (en la parte inferior).
- El nervio glúteo superior (en las partes superior y posterior).
- El nervio para el músculo cuadrado femoral (en la parte posterior).
- El dolor de la cadera resulta confuso, porque puede referirse desde la columna vertebral.

Relación coxofemoral

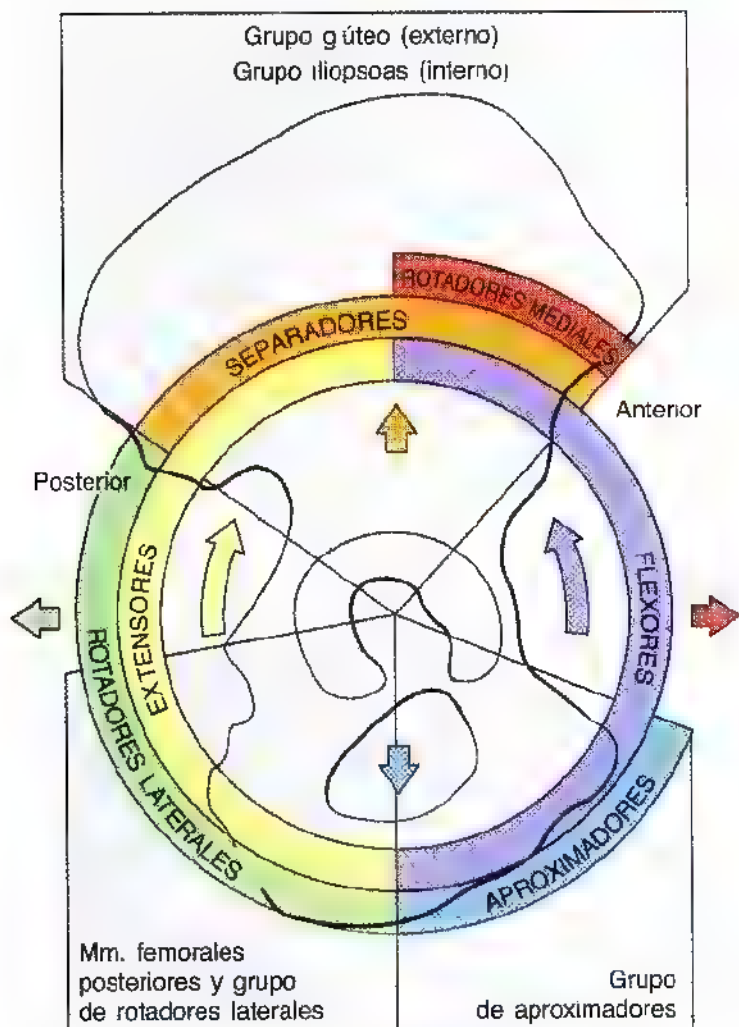
Las estructuras relacionadas con la articulación coxofemoral (fig. 5.52A) son:

- *Parte anterior:* músculos pectíneo e iliopsoas, bolsa ilíaca subtendinosa y arteria y nervio femorales.

Figura 5.52. Relaciones entre la cadera y los músculos que mueven la articulación. A. Corte sagital de la cadera, donde aparecen los músculos, los vasos y los nervios relacionados. Los músculos se codifican por colores para indicar sus funciones. B. Ilustración esquemática de las posiciones relativas de los músculos que mueven la articulación de la cadera y de la dirección del movimiento.



(A) Corte sagital a través de la cabeza femoral

**Zonas circulares =**

Las zonas representan el origen de los grupos funcionales con respecto al centro de la cabeza femoral y centro de acetábulo (punto de rotación). Desde estas posiciones se aplica una tracción sobre el fémur (trocanteres o diáfisis).

Flechas de colores =

Las flechas indican la dirección de rotación de la cabeza del fémur inducida por la actividad de los grupos funcionales.

Grupos funcionales de músculos que actúan sobre la articulación de la cadera
Flexores

Iliopsoas
Sartorio
Tensor de la fascia lata
Recto femoral
Pectíneo
Aproximador largo
Aproximador corto
Aproximador mayor- porción anterior
Grácil

Aproximadores

Aproximador largo
Aproximador corto
Aproximador mayor
Grácil
Pectíneo
Obturador externo

Rotadores laterales

Obturador externo
Obturador interno
Gémíno
Piriforme
Cuadrado femoral
Glúteo mayor

Extensores

Mm. femorales posteriores.
Semitendinoso
Semimembranoso
Cabeza larga del biceps femoral
Aproximador mayor- parte posterior
M. glúteo mayor

Separadores

Glúteo medio
Glúteo menor
Tensor de la fascia lata

Rotadores mediales

Glúteo medio } Porciones
Glúteo menor } anteriores
Tensor de la fascia lata

(B) Visión lateral esquemática

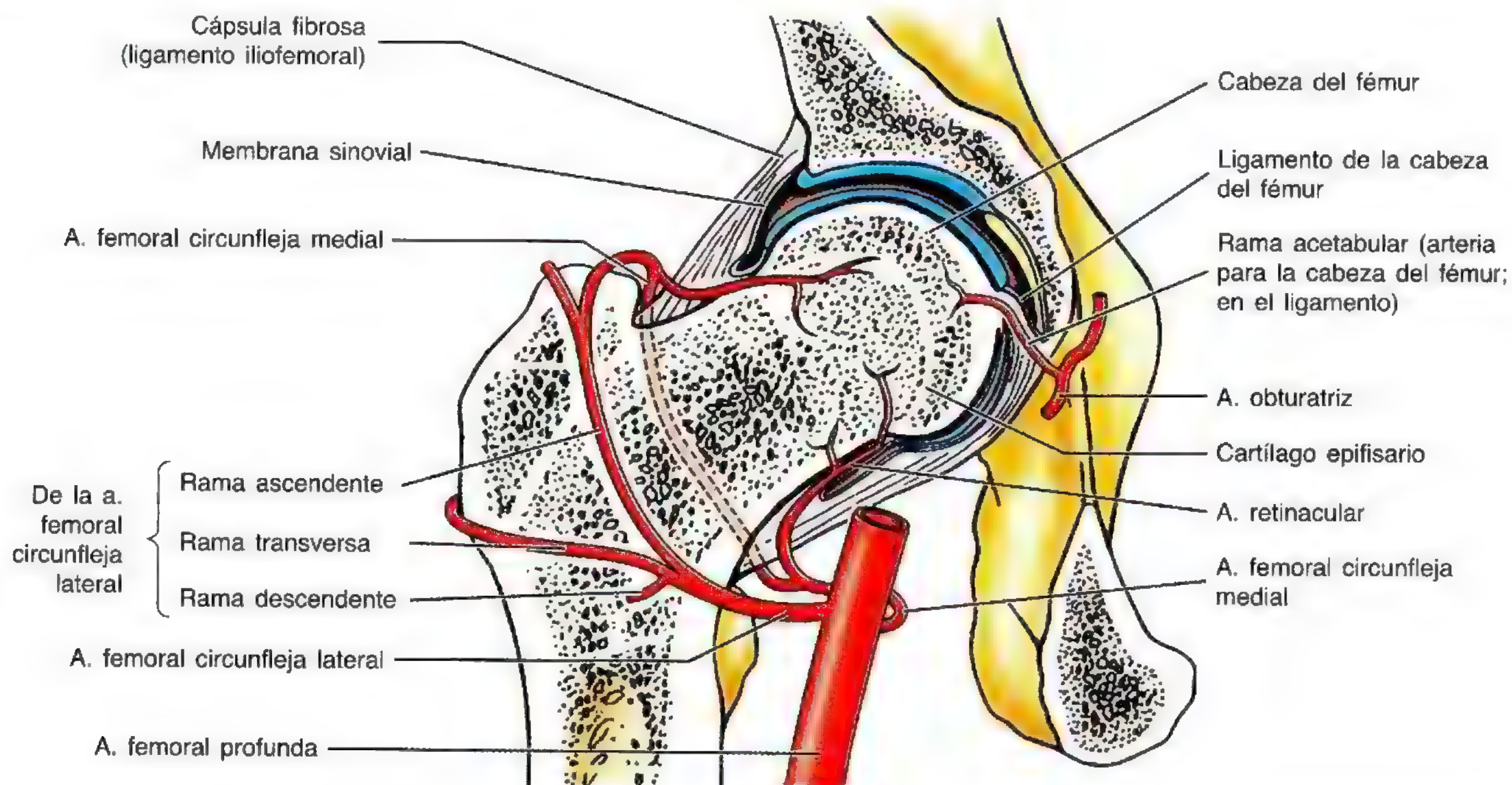


Figura 5.53. Irrigación de la cabeza y del cuello del fémur. La cabeza y el cuello del fémur reciben la vascularización de ramas de las arterias femorales circunflejas medial y lateral, ramas de la arteria femoral profunda y la arteria de la cabeza femoral (división de la arteria obturatriz). La arteria femoral circunfleja medial es la fuente más importante de irrigación de la cabeza del fémur y de la zona adyacente (proximal) del cuello en el adulto.

- *Parte lateral:* músculo recto femoral delante del ligamento iliofemoral, ligamento iliotibial y músculo glúteo menor.
- *Parte inferior:* el músculo obturador externo se cruza debajo de la cabeza del fémur y continúa detrás del cuello femoral.
- *Parte superior:* músculos glúteo menor, glúteo medio y glúteo mayor que los cubre.

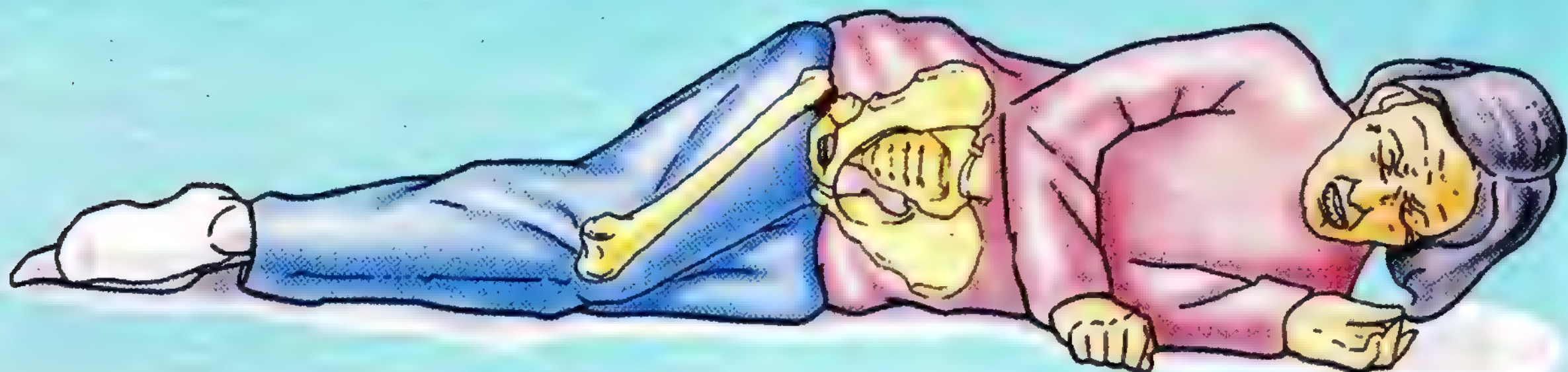
- *Parte posterior:* músculos piriforme, obturador externo, obturador interno y géminos, borde superior del músculo cuadrado femoral y nervio ciático.

La gran *bolsa iliaca subtendinosa*, que puede comunicarse con la cavidad de la articulación coxofemoral, separa el tendón del músculo iliopsoas de la cápsula de esta articulación.

Fracturas del cuello del fémur

Las fracturas del cuello del fémur son raras en la mayoría de los deportes de contacto, porque los participantes casi siempre son jóvenes y el cuello femoral de una persona

menor de 40 años es robusto. Sin embargo, estas fracturas ocurren con impactos muy violentos (p. ej., durante accidentes con coches de carrera, patinaje artístico sobre hielo, saltos de longitud o carreras de caballos), donde el miembro inferior está recto y la fuerza del impacto ►



► se transmite hasta la cadera. Las *fracturas del cuello femoral son intracapsulares*, y para volver a alinear los fragmentos cervicales se requiere una fijación ósea interna. Las fracturas del cuello femoral son de las más molestas y complejas (Salter, 1998). Resultan particularmente frecuentes en las personas mayores de 60 años, sobre todo en las mujeres, cuyos huesos suelen encontrarse débiles y frágiles debido a la *osteoporosis*. El cuello femoral también se puede fracturar cuando se aplica una fuerza traumática sobre el pie y el tobillo. Por ejemplo, si el pie se encuentra bien sujeto y la rodilla encajada en una colisión automovilística frontal, la fuerza del impacto se transmite hacia arriba y provoca una fractura del cuello del fémur.

Estas fracturas suelen perforar la vascularización de la cabeza del fémur. La arteria femoral circunfleja medial tiene interés clínico porque irriga la mayor parte de la cabeza del cuello del fémur (fig. 5.53). Muchas veces se desgarran cuando el cuello del fémur se fractura o cuando se luxa la cadera. En algunas fracturas del cuello femoral, la sangre procedente de la arteria del ligamento de la cabeza es la única que recibe el fragmento proximal de la cabeza del fémur; por eso, si se rompe esta arteria para la cabeza del fémur, este fragmento se puede quedar sin sangre y sufrir una *necrosis vascular aséptica*.

Sustitución quirúrgica de la cadera

La articulación de la cadera es robusta y estable, pero puede sufrir traumatismos graves o enfermedades dege-

nerativas considerables. Por eso es la 1ª articulación para la cual se creó con éxito una prótesis. La *artrosis de la cadera* —se caracteriza por dolor, edema, impotencia funcional y erosión del cartílago articular— representa una causa común de discapacidad. Para sustituir esta articulación se utiliza una prótesis metálica que se encaja en el fémur con cemento óseo y reemplaza la cabeza y el cuello del fémur. El acetábulo es sustituido por un cotilo de plástico que se cimenta en el hueso coxal.

Necrosis de la cabeza femoral de los niños

Si la cabeza del fémur pierde la irrigación porque se lesiona la arteria de la cabeza del fémur puede ocurrir una *necrosis avascular postraumática de la cabeza*. La cabeza queda comprimida y se observa un deslizamiento (epifisiólisis) de la cabeza del fémur a lo largo de la placa epifisaria. Esta lesión, corriente en niños de 3 a 9 años, causa dolor en la cadera y puede irradiarse a la rodilla (Salter, 1998).

Luxación de la cadera

La *luxación congénita de la cadera es frecuente* y afecta a casi 1,5 de cada 1.000 nacidos vivos; en la mitad de los casos resulta bilateral. El sexo femenino sufre esta lesión por lo menos 8 veces más que el masculino (Salter, 1989). La luxación tiene lugar porque la cabeza del fémur no asienta correctamente en el acetábulo. La imposibilidad para separar el muslo es característica de la luxación congénita. Además, el miembro afectado parece más corto, porque la cabeza del fémur, luxada, se sitúa en un plano superior al normal. Cerca del 25% de todas las artrosis de cadera de los adultos son la consecuencia directa de secuelas de una luxación congénita de la cadera.

La *luxación adquirida de la cadera es rara*, porque se trata de una articulación fuerte y estable. Sin embargo, puede ocurrir en un accidente de automóvil si se presiona, aproxima y rota medialmente la cadera, que es la posición que adopta el miembro inferior de un conductor. Las luxaciones posteriores (véase ilustración de la pág. 628) son las más frecuentes. Una colisión frontal que provoque el choque de la rodilla con el tablero de mandos (A) puede luxar la cadera si la cabeza del fémur se sale del acetábulo. La cápsula fibrosa se rompe por abajo y por detrás, y permite que la cabeza femoral emerja por el desgarramiento de la cápsula y sobre el borde posterior del acetábulo, hasta alcanzar la cara lateral del ilion, con el acortamiento y rotación medial consiguientes del miembro lesionado (B). Dada la íntima relación entre el *nervio ciático* y la cadera (fig. 5.52A), aquél puede dañarse ►

Cadera normal

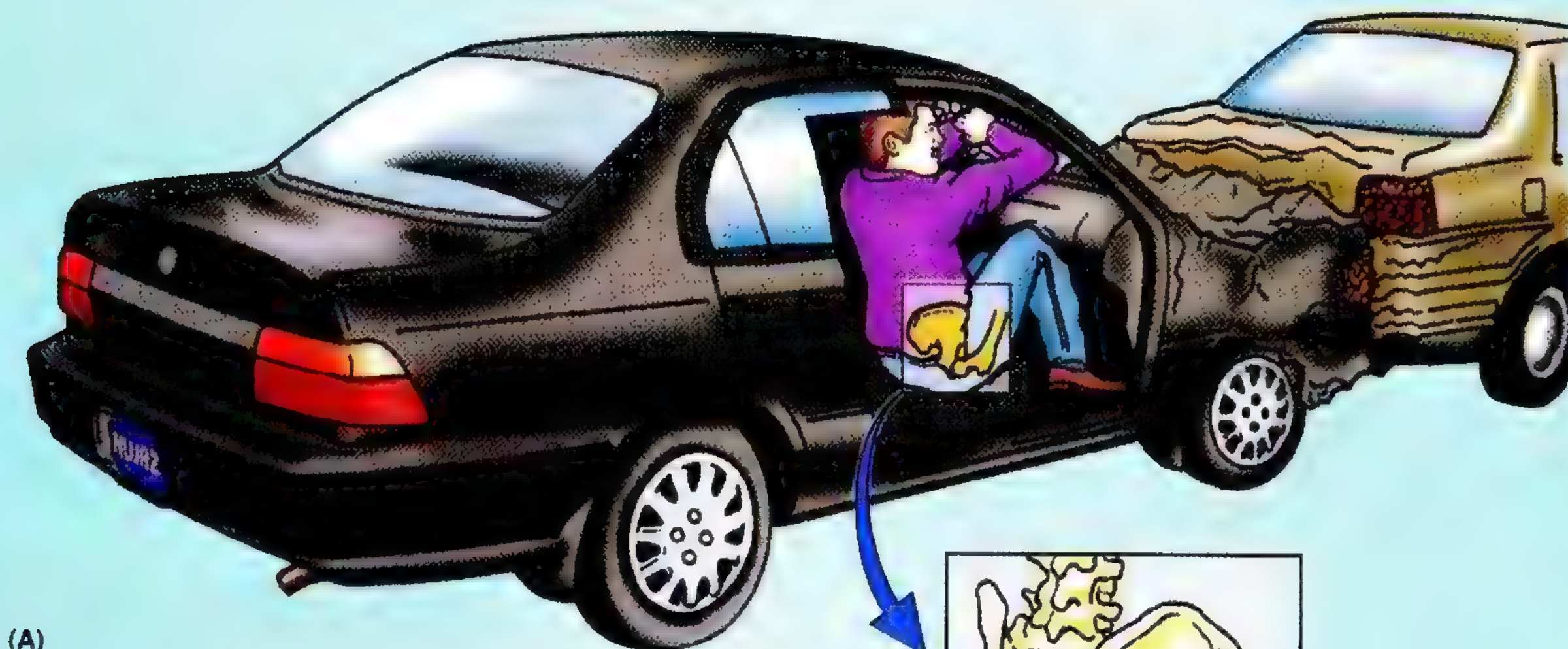


Cadera con artritis moderada

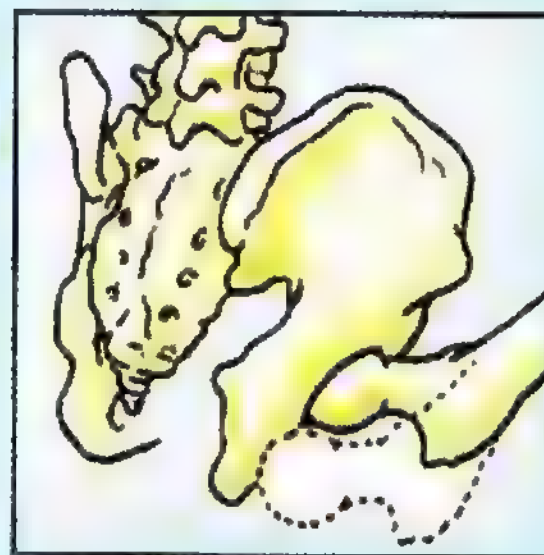


► (estirarse, comprimirse o ambas cosas a la vez) en las luxaciones posteriores o fracturas-luxaciones de la cadera. Tal lesión determina una parálisis de los músculos femo-

rales posteriores y de los distales a la rodilla, inervados por el nervio ciático. Asimismo, se observan alteraciones sensitivas en la piel que reviste la cara posterolateral ►



(A)



La cabeza del fémur es impulsada hacia atrás fuera del acetábulo



(B)

Luxación posterior de la cadera

► de la pierna y gran parte del pie, dada la afección de los ramos sensitivos del nervio ciático.

La *luxación anterior de la cadera* obedece a traumatismos violentos que llevan la cadera hacia la extensión, separación y rotación lateral. En estas circunstancias, la

cabeza del fémur queda debajo del acetábulo. A menudo se rompe el borde acetabular y ocurre una *fractura-luxación de la cadera*. Cuando se luxa la cabeza del fémur suele arrastrar un fragmento del hueso y del rodete acetabular. ❖

La articulación de la rodilla

La rodilla es, ante todo, una articulación sinovial de tipo trocleartrosis que permite la flexión y la extensión; sin embargo, los movimientos de bisagra se combinan con deslizamiento y rodamiento, así como con rotación alrededor de un eje vertical. Pese a que la rodilla está bien diseñada, su función suele alterarse cuando se hiperextiende (p. ej., en los deportes con contacto corporal).

Caras de la articulación de la rodilla

Las caras articulares de la rodilla se caracterizan por su gran tamaño y sus formas complejas e incongruentes. El fémur se inclina medialmente a la altura de la rodilla, mientras que la tibia se mantiene casi vertical. La articulación de la rodilla consta al menos de tres elementos (figs. 5.54 y 5.55):

- Las articulaciones lateral y medial entre los cóndilos femorales y tibiales.

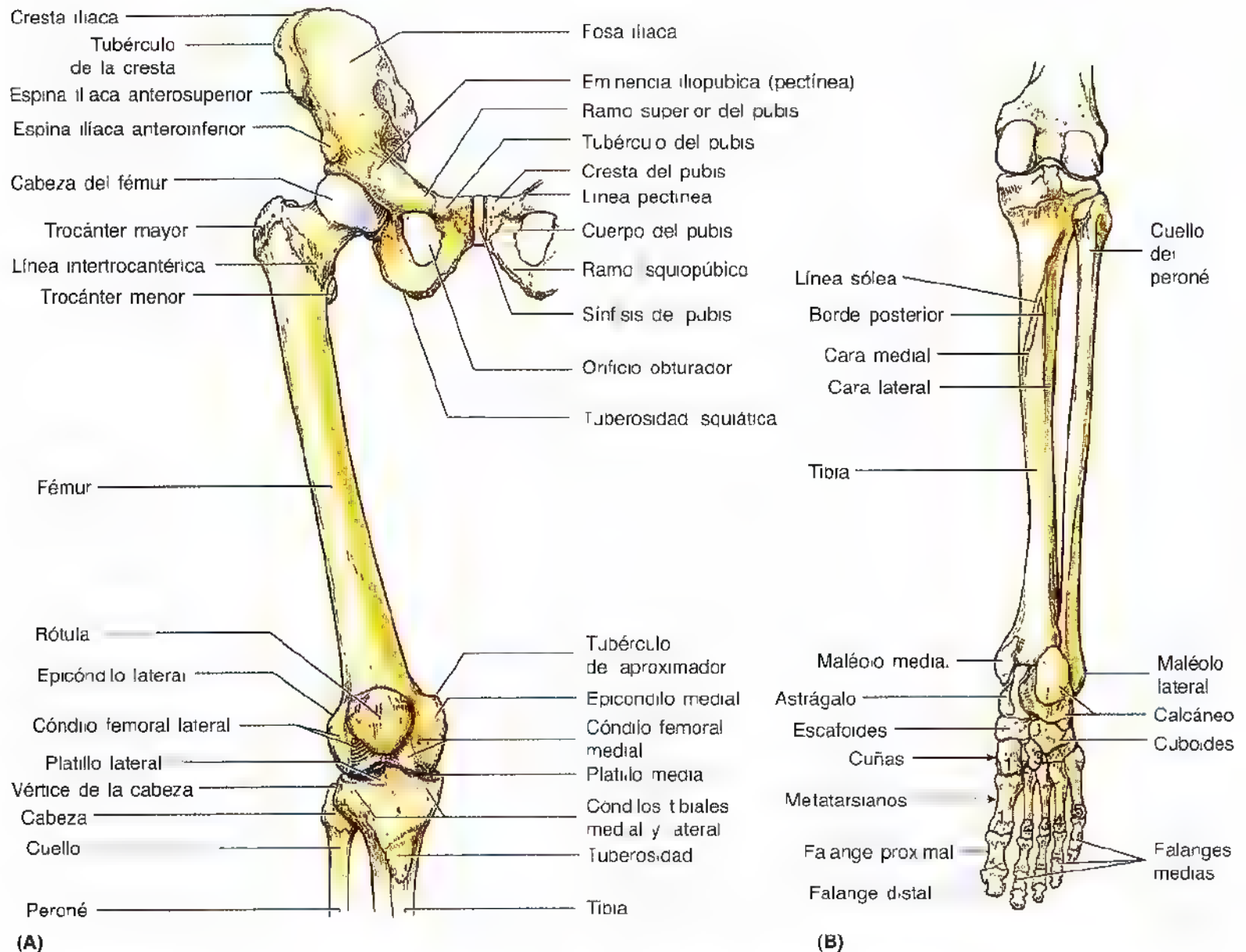


Figura 5.54. Los huesos de la cadera y de la rodilla. Los cartílagos articulares se han coloreado de azul. **A.** Visión anterior de los huesos que se articulan con la cadera y la rodilla. **B.** Los huesos y los rasgos óseos de la rodilla, tobillo y articulaciones de pie.

- La articulación intermedia entre la rótula y el fémur; esta articulación se denomina a veces femororrotuliana.

El peroné no contribuye a la articulación de la rodilla. Las caras superiores lisas de la tibia, con las que se articulan los cóndilos femorales medial y lateral, son los **platillos tibiales** medial y lateral (fig. 5.55C).

La rodilla es una articulación bastante débil desde el punto de vista mecánico, debido a la configuración de sus caras

articulares. *La estabilidad de la rodilla* (fig. 5.55, A y B) *depende de lo siguiente:*

- Fuerza y acciones de los músculos circundantes y sus tendones.
- Ligamentos que comunican el fémur con la tibia.

De todos estos soportes, los músculos constituyen el más importante; por eso, muchas heridas deportivas se pueden

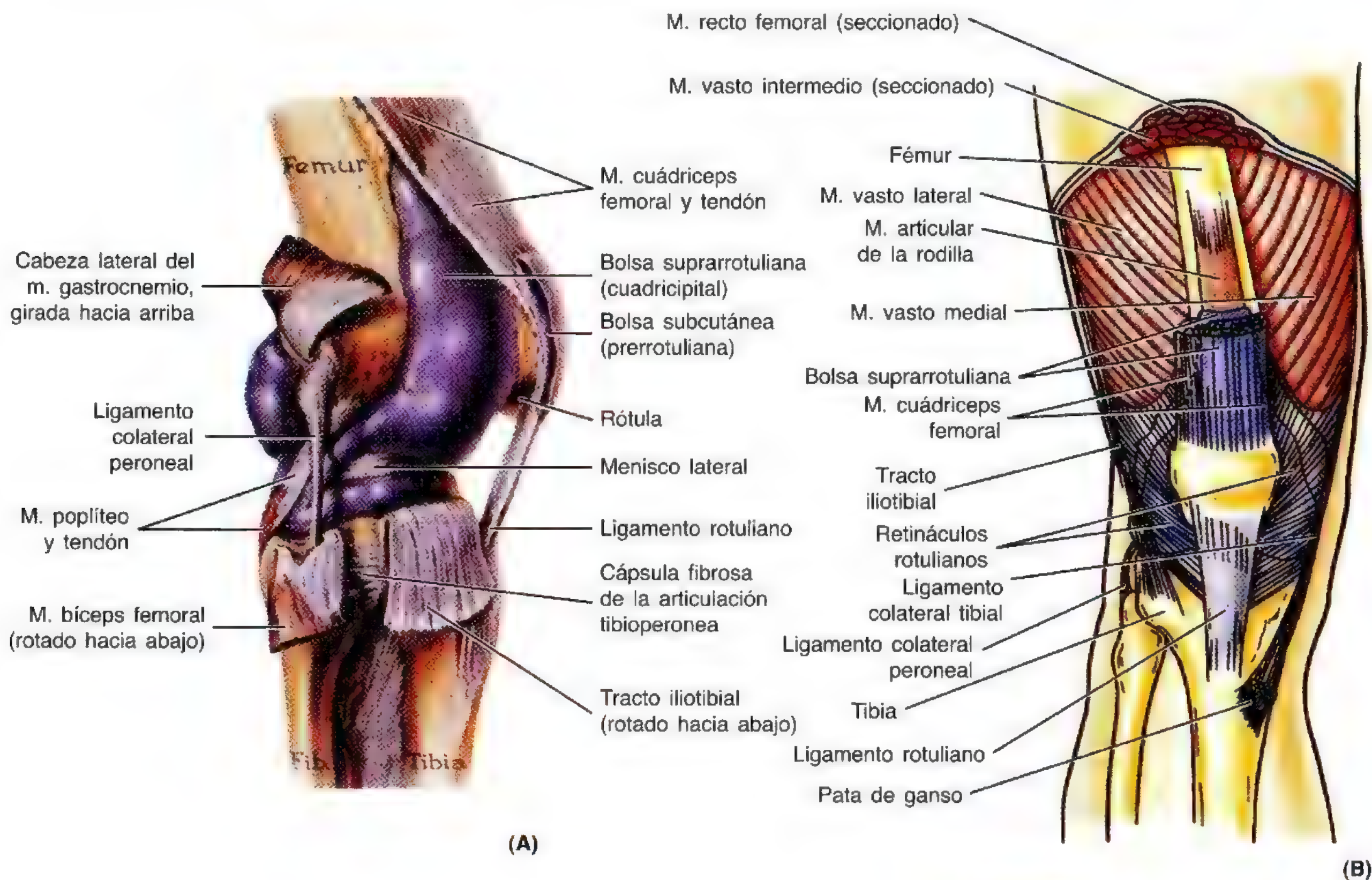


Figura 5.55. La articulación de la rodilla en extensión. **A.** Visión lateral. Se ha inyectado látex azul dentro de la cavidad articular para visualizar la extensa cápsula articular. Obsérvese la extensión de la cápsula sinovial en la profundidad del músculo cuádriceps, que forma la bolsa suprarrotuliana. **B.** Visión anterior para mostrar las bolsas que rodean la rodilla. **C.** Visión lateral de los huesos de la rodilla derecha, donde se aprecian los lugares de inserción de los músculos y ligamentos. Las inserciones proximales de los músculos aparecen en *color salmón*, y las distales, en *azul*. Los lugares de inserción del ligamento colateral peroneo figuran en *color verde*.



prevenir mediante una preparación y entrenamiento adecuados. El músculo más importante que estabiliza la rodilla es el gran músculo **cuádriceps femoral**, sobre todo las fibras inferiores de los músculos vastos medial y lateral. La articulación de la rodilla funciona sorprendentemente bien tras un esguince de ligamentos si el cuádriceps está bien preparado.

Cápsula de la articulación de la rodilla

La cápsula articular que reviste la rodilla es fina y presenta defecto en algunas zonas. La **cápsula fibrosa**, robusta (figs. 5.55A y 5.56), se inserta en el fémur por arriba, justo proximal a los bordes articulares de los cóndilos, y también a la *fosa intercondílea*, por detrás. La cápsula fibrosa presenta un defecto en el cóndilo lateral, que permite la salida del tendón del músculo poplíteo de la articulación para insertarse en la tibia. Por la parte inferior, la cápsula fibrosa se

adhiera al borde articular de la tibia, salvo en la zona de cruce del tendón del músculo poplíteo con el hueso. La rótula y el ligamento rotuliano sirven de cápsula por la parte anterior.

La **membrana sinovial**, extensa, tapiza la cara interna de la cápsula fibrosa y se adhiere a la periferia de la rótula y a los bordes de los meniscos (fig. 5.56), discos fibrocartilaginosos ubicados entre las caras articulares tibial y femoral. La membrana sinovial se refleja desde la cara posterior de la articulación sobre los ligamentos cruzados (véase fig. 5.59A). La reflexión de la membrana situada entre la tibia y la rótula cubre el *cuerpo adiposo infrarrotuliano*. La membrana sinovial, que reviste el cuerpo adiposo y los ligamentos cruzados, los separa de la cavidad articular. El *pliegue sinovial infrarrotuliano* medio se extiende por detrás desde el cuerpo adiposo hasta la fosa intercondílea del fémur. Los *pliegues alares* se proyectan desde el *pliegue sinovial* hasta los bordes laterales de la rótula. El *pliegue sinovial infrarrotuliano* es un pliegue de membrana sinovial que se extiende desde debajo del plano de la cara articular de la rótula hasta la parte anterior de la fosa intercondílea.

La cavidad articular de la rodilla se extiende por arriba hasta la rótula, en forma de **bolsa suprarrotuliana**; ésta se sitúa en la profundidad del músculo articular de la rodilla y del vasto intermedio (fig. 5.55A). La membrana sinovial de la cápsula articular se prolonga con el revestimiento sinovial de esta bolsa. Esta es una gran bolsa que suele propagarse hasta 5 cm por encima de la rótula; sin embargo, puede quedarse a mitad del camino en la cara anterior del fémur.

Ligamentos extracapsulares de la articulación de la rodilla

La cápsula fibrosa está reforzada por cinco ligamentos extracapsulares (figs. 5.55, 5.57 y 5.58):

- Ligamento rotuliano.
- Ligamento colateral peroneal.
- Ligamento colateral tibial.
- Ligamento poplíteo oblicuo.
- Ligamento poplíteo arqueado.

A veces se denominan ligamentos externos para diferenciarlos de los internos, como los ligamentos cruzados (fig. 5.59A).

El **ligamento rotuliano**, la parte distal del tendón cuádricepal, es una banda fibrosa, gruesa y fuerte que pasa desde el vértice y los bordes adyacentes de la rótula hasta la tuberosidad de la tibia (fig. 5.55, A-C). El ligamento rotuliano es el ligamento anterior de la rodilla que se une con los **retináculos rotulianos** medial y lateral (fig. 5.55B), expansiones aponeuróticas de los músculos vastos medial y lateral y de la fascia profunda que los envuelve. Los retináculos soportan la cápsula articular de la rodilla en la cara lateral.

El **ligamento colateral peroneal** (ligamento colateral lateral), redondo, con forma de cordón, es muy fuerte. Se extiende hacia abajo desde el epicóndilo lateral del fémur

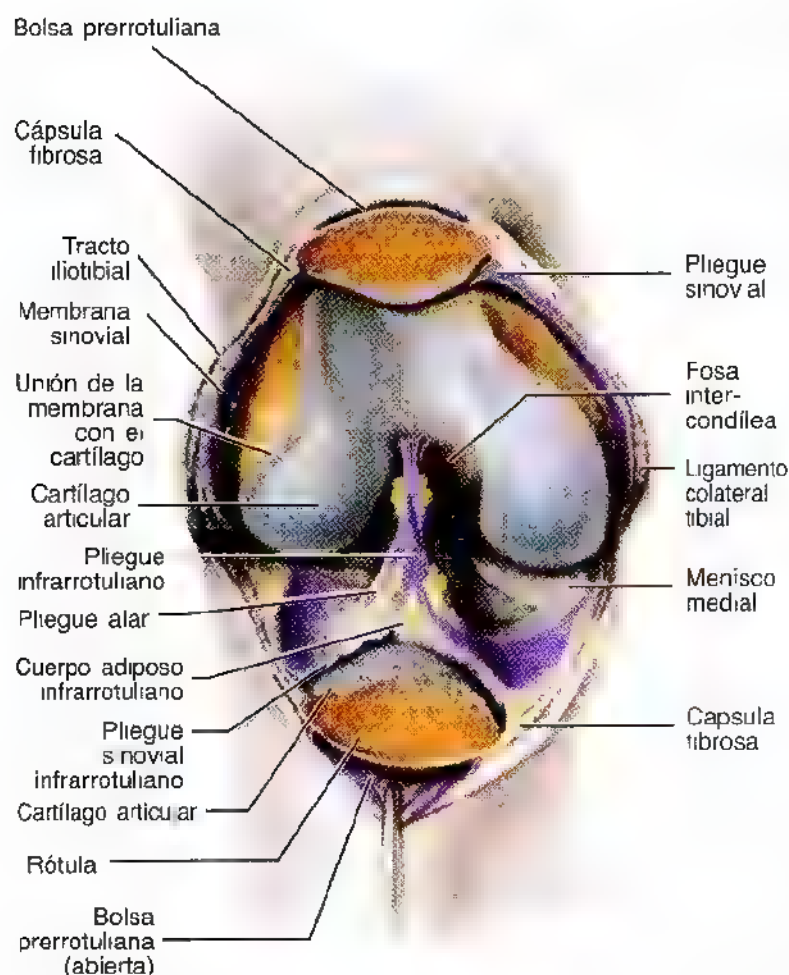


Figura 5.56. Cavidad sinovial de la articulación de la rodilla, abierta por la cara anterior.

La rótula se ha serrado por el centro, la piel y la cápsula articular se han seccionado y se ha flexionado la articulación. El pliegue infrarrotuliano de la membrana sinovial envuelve los ligamentos cruzados y los excluye de la cavidad articular. Toda la superficie interna no tapizada o compuesta por el cartílago articular (en azul o en gris en el caso de los meniscos) está revestida de la membrana sinovial (en color púrpura salvo en los lugares donde cubre las caras no articulares del fémur).

hasta la cara lateral de la cabeza del peroné (fig. 5.55, A-C). El tendón del músculo poplíteo discurre en la profundidad del ligamento colateral peroneal y lo separa del menisco lateral. Este ligamento también escinde el tendón del músculo bíceps femoral en dos (fig. 5.55A).

El **ligamento colateral tibial** (ligamento colateral medial) es una banda plana y robusta que va desde el epicóndilo medial del fémur hasta el cóndilo medial y la parte superior de la cara medial de la tibia (figs. 5.55B, 5.57A y 5.59A). *En el punto central, las fibras profundas del ligamento colateral tibial están firmemente unidas al menisco medial.* El ligamento colateral tibial, más débil que el ligamento colateral peroneal, se daña con más frecuencia. Por eso, en los deportes de contacto, como el rugby, se suele lesionar el ligamento colateral tibial y el menisco medial.

El **ligamento poplíteo oblicuo** (fig. 5.58) es una expansión del tendón del músculo semimembranoso que endereza la cápsula fibrosa por la parte posterior. Emerge detrás

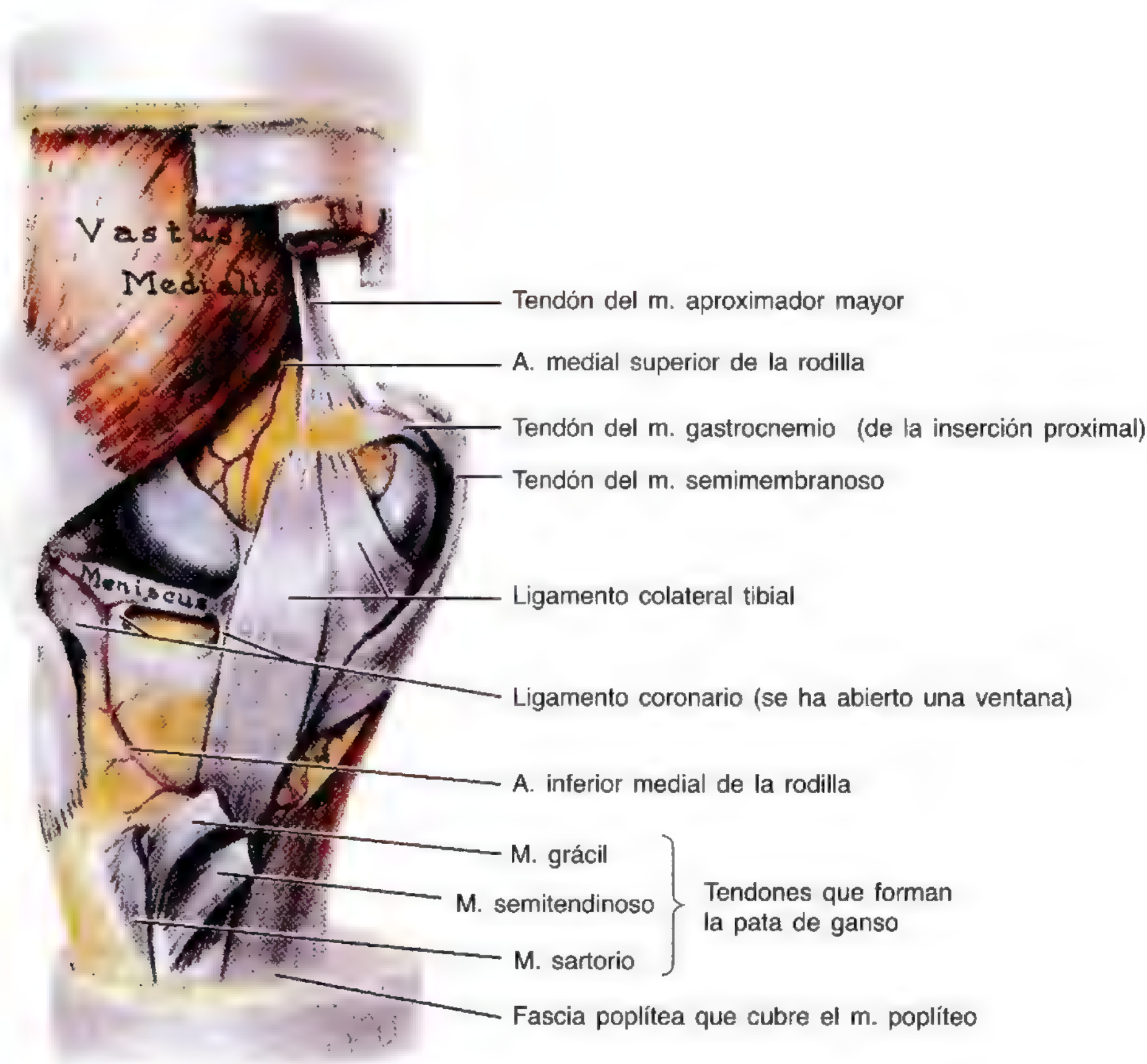
del cóndilo tibial y sigue un curso superolateral hasta insertarse en la porción central de la cara posterior de la cápsula fibrosa.

El **ligamento poplíteo arqueado** también endereza la cápsula fibrosa por detrás. Sale de la cara posterior de la cabeza del peroné (fig. 5.58), sigue un curso superomedial sobre el tendón del músculo poplíteo y se extiende sobre la superficie posterior de la articulación de la rodilla.

Ligamentos intraarticulares de la articulación de la rodilla

Los ligamentos intraarticulares de la rodilla son los ligamentos cruzados y los meniscos (cartílagos semilunares). El tendón poplíteo también tiene un trayecto intraarticular parcial.

Los **ligamentos cruzados** unen el fémur y la tibia y se entrecruzan dentro de la cápsula articular, pero fuera de la cavidad sinovial (fig. 5.59A). Están situados en el centro de



(A) Visión medial

Figura 5.57. Visiones mediales de la articulación de la rodilla derecha disecada. A. Obsérvese la banda del ligamento colateral tibial (se ha separado en esta preparación de la cápsula fibrosa de la rodilla, de la que forma parte), que se inserta en el epicóndilo medial, casi alineándose con el tendón del músculo aproximador mayor; cruza la inserción del músculo semimembranoso y pasa en la profundidad de la pata de ganso, que es el lugar combinado de inserción tendinosa distal de los músculos grácil, semitendinoso y sartorio.

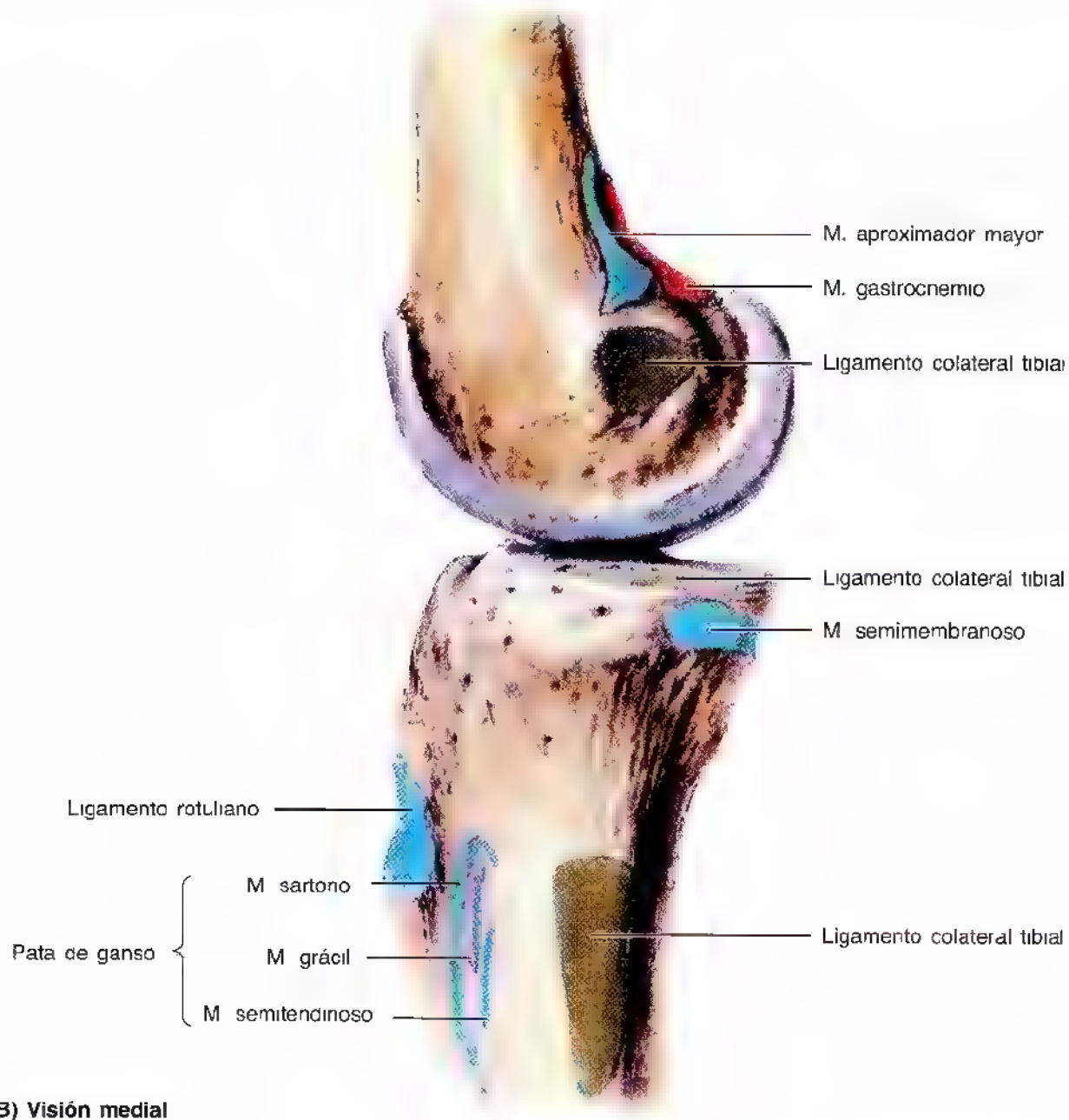
la articulación y se cruzan de forma oblicua, como la letra X, otorgando estabilidad a la articulación de la rodilla.

El **ligamento cruzado anterior (LCA)**, el más débil de los dos, nace de la zona intercondílea anterior de la tibia, justo detrás de la inserción del menisco medial. Se extiende hacia arriba, hacia atrás y hacia el lado para insertarse en la porción posterior de la cara medial del cóndilo lateral del fémur. Este ligamento tiene una irrigación relativamente escasa. Se relaja cuando se flexiona la rodilla y se tensa cuando se extiende por completo, impidiendo el desplazamiento posterior del fémur sobre la tibia y la hiperextensión de la rodilla. Cuando se flexiona la articulación en ángulo recto, la tibia no se puede desplazar hacia delante porque está sujeta por el LCA.

El **ligamento cruzado posterior (LCP)**, el más poderoso de los dos, nace en la región intercondílea posterior de la tibia (fig. 5.59, *A* y *B*), se dirige hacia arriba y hacia delante por la cara medial del LCA hasta insertarse en la porción

anterior de la cara lateral del cóndilo medial del fémur (fig. 5.59*A*). El LCP se tensa durante la flexión de la rodilla, evitando el desplazamiento anterior del fémur sobre la tibia o el desplazamiento posterior de la tibia sobre el fémur. Además, contribuye a evitar la hiperflexión de la rodilla. El LCP es el principal estabilizador del fémur con la rodilla flexionada o soportando peso (p. ej., cuando se baja una cuesta).

Los **meniscos de la rodilla** son láminas semilunares de fibrocartilago sobre la cara articular de la tibia que ensanchan la superficie y actúan absorbiendo los choques (figs. 5.59 y 5.60). La palabra griega *meniskos* significa semiluna. Los meniscos son más gruesos por los bordes externos y se adelgazan dentro de la articulación con bordes finos y no adheridos. Los meniscos tienen forma de cuña en un corte transversal y se adhieren de manera firme por sus extremos a la región intercondílea de la tibia. Los bordes externos se insertan en la cápsula fibrosa de la articulación de la rodilla. Los **ligamentos coronarios** son fibras capsulares que



(B) Visión medial

Figura 5.57. (Continuación) **B.** Huesos de la rodilla con los lugares de inserción muscular y ligamentosa

unen los márgenes de los meniscos con los cóndilos tibiales (fig. 5.59A). Existe una banda fibrosa fina –**ligamento transverso de la rodilla**– que reúne los bordes anteriores de los meniscos (fig. 5.60A), permitiendo su movimiento conjunto durante los movimientos de la rodilla.

El **menisco medial** tiene forma de C y es más ancho por detrás que por delante. Su extremo (cuerno) anterior se inserta en la región intercondílea anterior, delante de la inser-

ción del ligamento cruzado anterior (fig. 5.59B). El extremo (cuerno) posterior se inserta en la región intercondílea posterior, delante de la inserción del ligamento cruzado posterior. El menisco medial se adhiere con fuerza a la cara profunda del ligamento colateral tibial (fig. 5.60, A y D).

El **menisco lateral** es casi circular, más pequeño y con mayor movilidad que el medial. El tendón del músculo poplíteo separa el menisco lateral del ligamento colateral

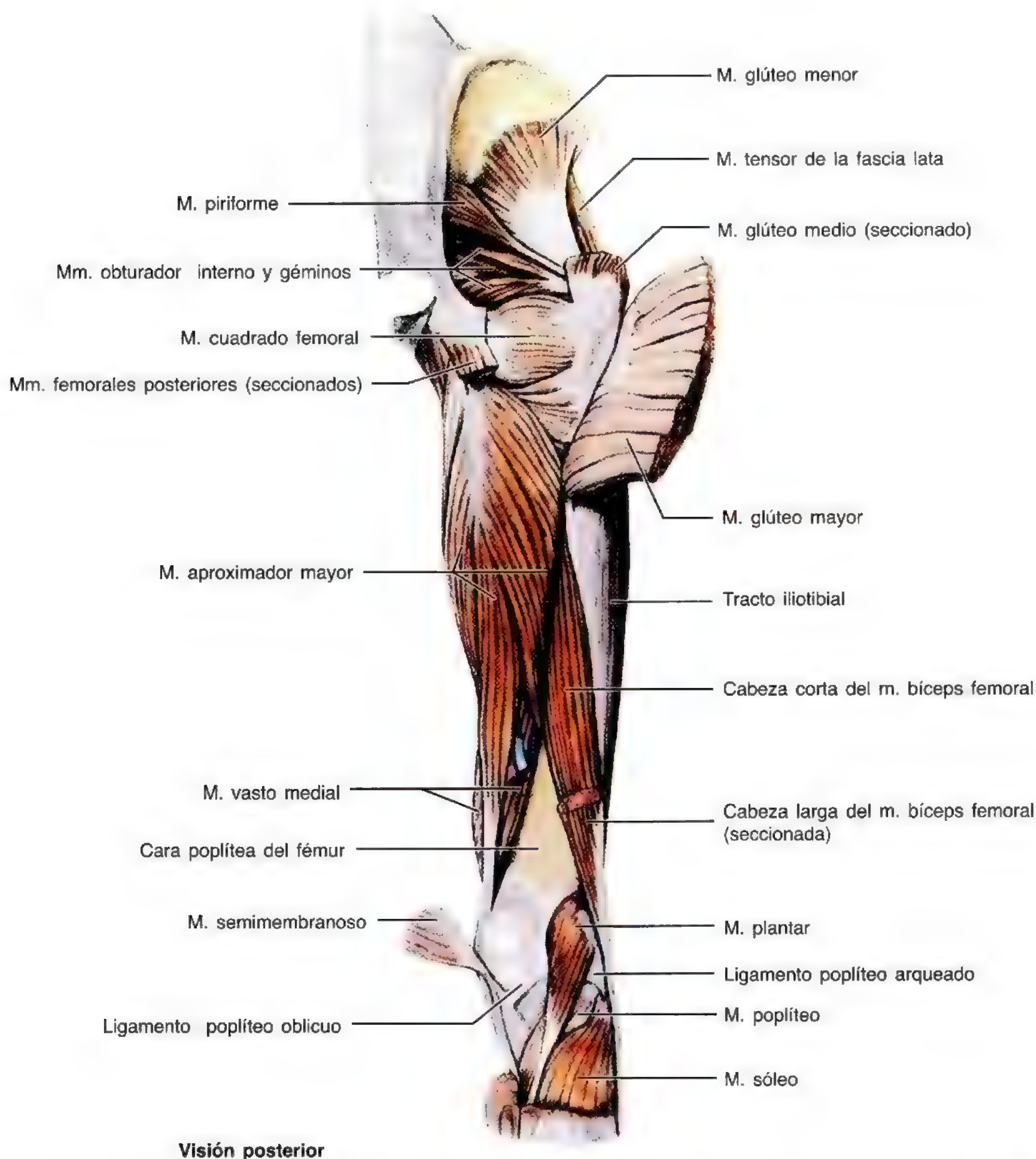
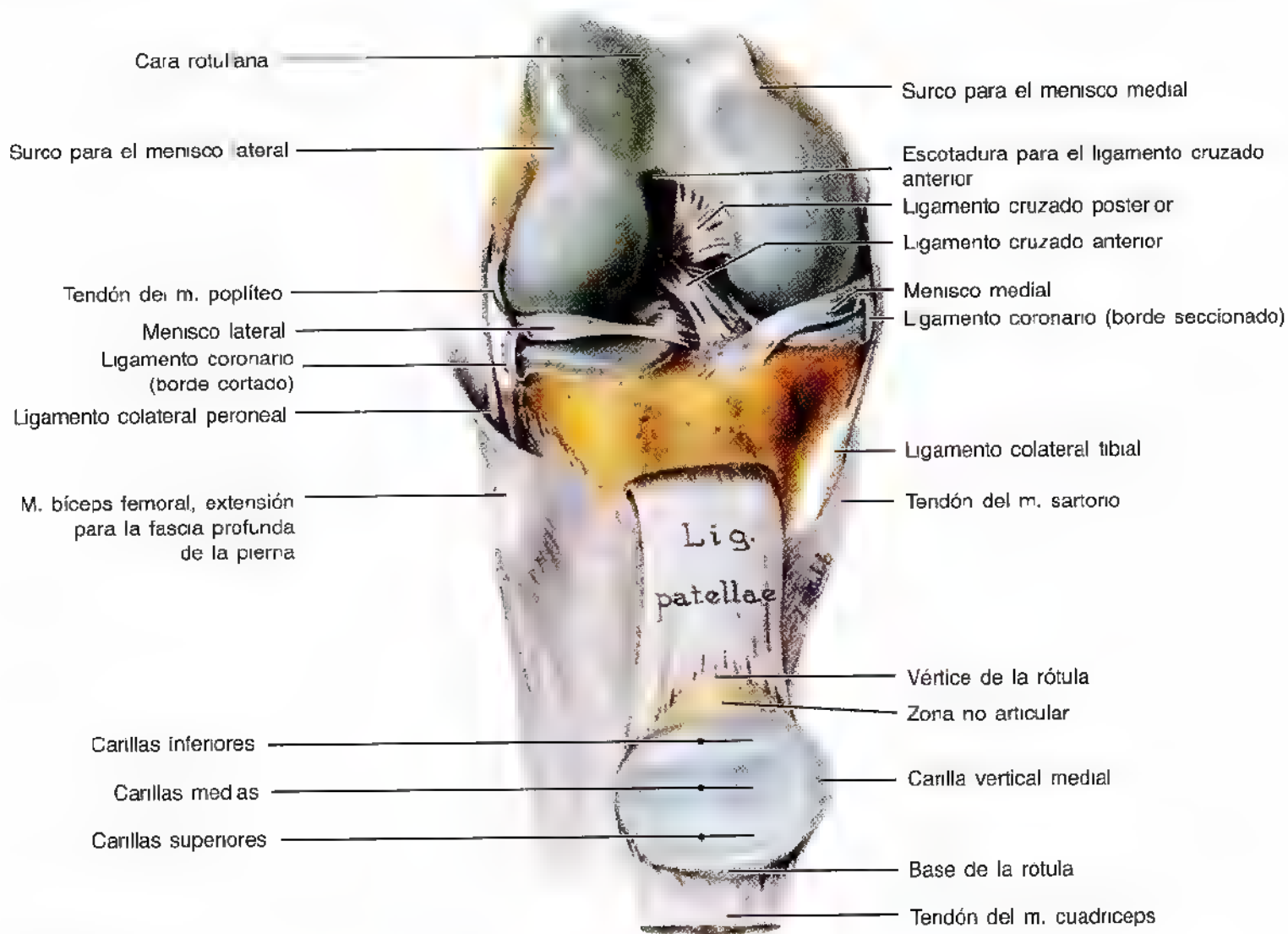


Figura 5.58. Disección profunda de los músculos de las regiones glútea y femoral posterior derechas. Se han seccionado y extirpado casi todos los músculos femorales posteriores y el tabique intermuscular posterior para exponer el músculo aproximador mayor y el suelo de la fosa poplíteo, creado por la cara poplíteo del fémur, el ligamento poplíteo oblicuo y la fascia poplíteo (extirpada para exponer el músculo poplíteo).

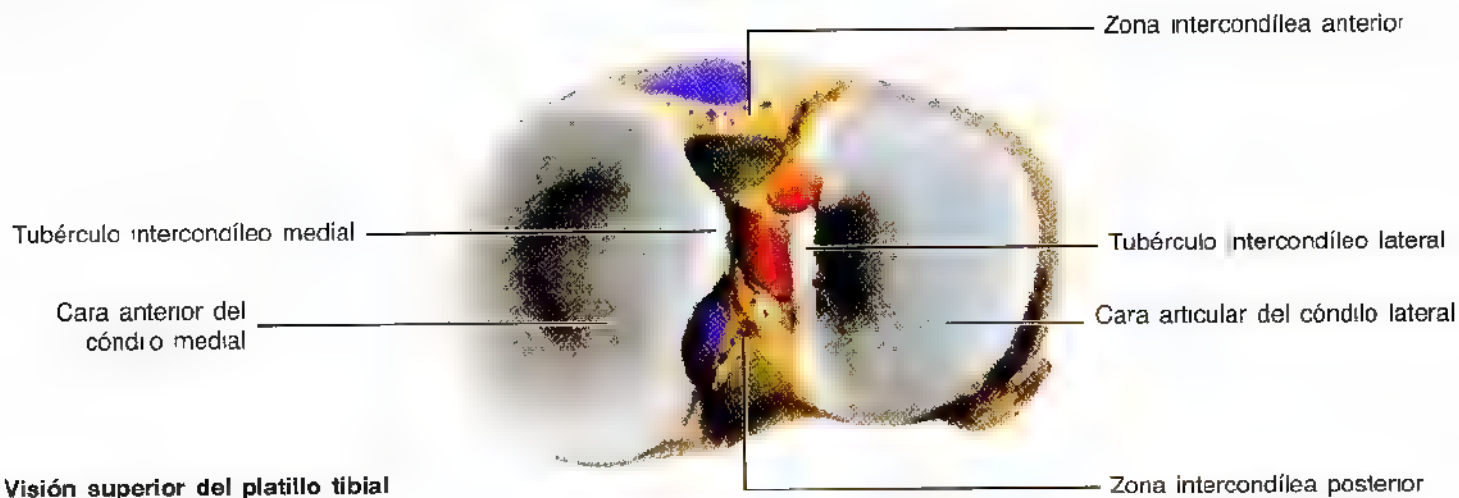
peroneal (fig. 5.59A). El **ligamento meniscofemoral posterior**, una cinta tendinosa fuerte, junta el menisco lateral con el ligamento cruzado posterior y el cóndilo medial del fémur (fig. 5.59D).

Movimientos de la articulación de la rodilla

Los principales movimientos de la rodilla son la flexión y la extensión; cuando se flexiona la rodilla también rota un poco. Con la rodilla totalmente extendida y la pierna y el

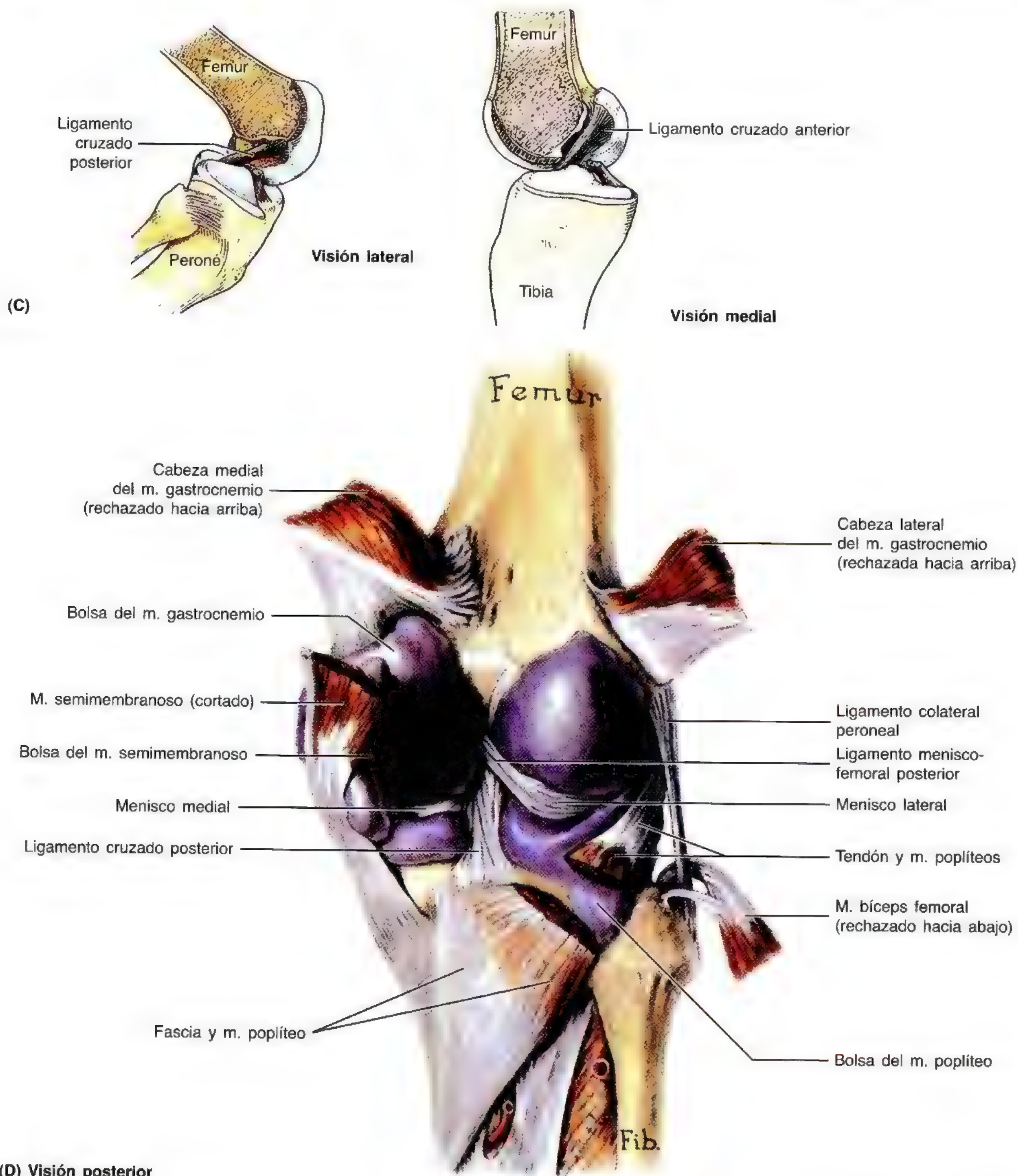


(A) Visión anterior



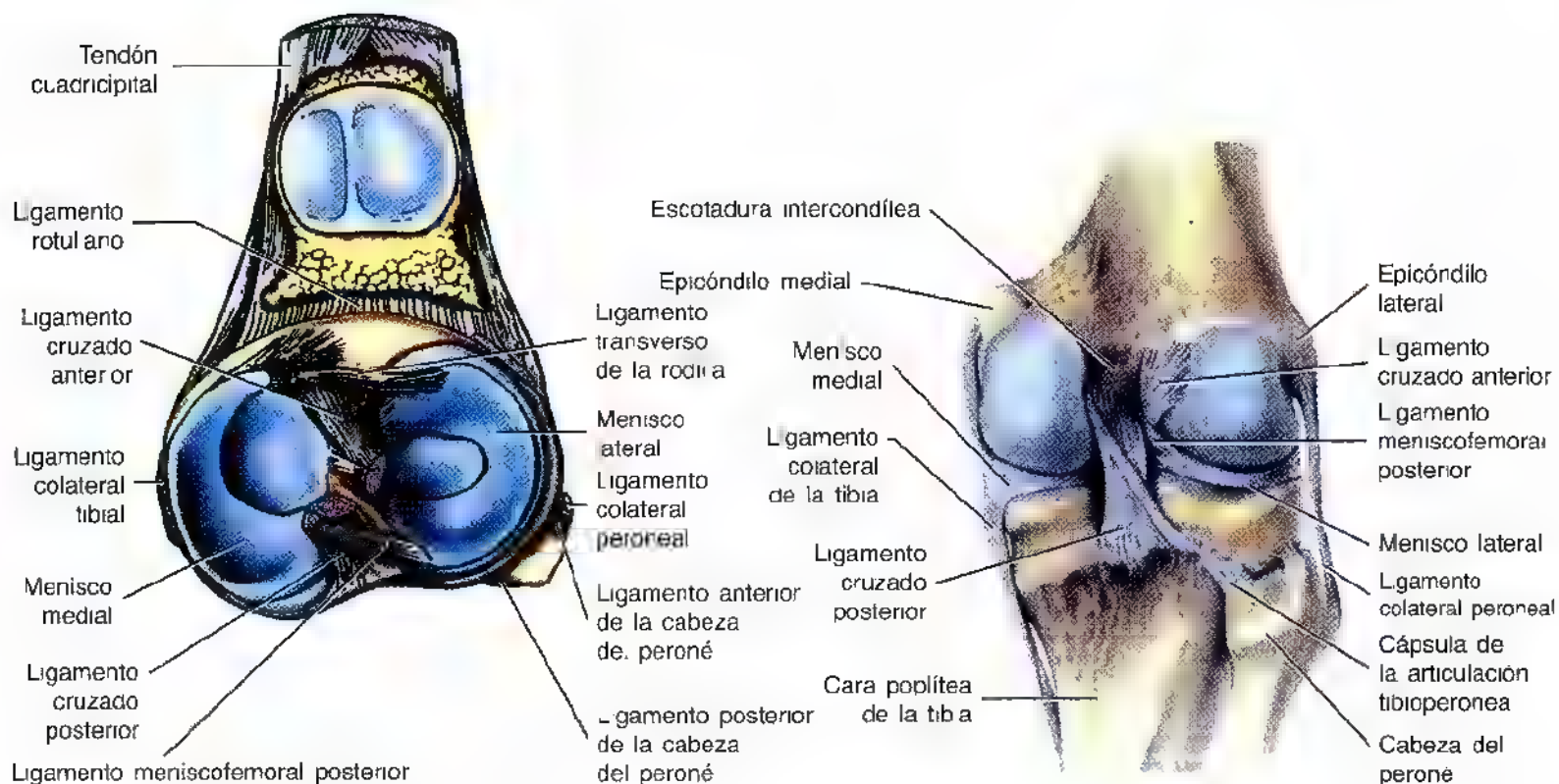
(B) Visión superior del platillo tibial

Figura 5.59. Ligamentos de la rodilla. **A.** Visión anterior. Se ha rechazado la rótula hacia abajo y se ha flexionado la rodilla para ver los ligamentos cruzados. **B.** Cara superior de la extremidad proximal de la tibia (plato tibial), donde se aprecian los cóndilos media y lateral (superficies articulares) y la eminencia intercondílea. Los lugares de inserción de los ligamentos cruzados se han coloreado de verde; los del menisco medial, en color púrpura, y los del menisco lateral, de naranja.



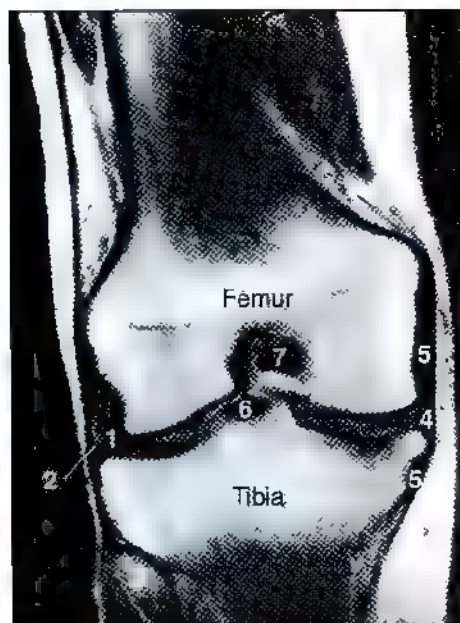
(D) Visión posterior

Figura 5.59. (Continuación) C. Ligamentos cruzados. En cada esquema se ha seccionado el fémur longitudinalmente y se ha extirpado casi la mitad con la porción proximal del ligamento cruzado correspondiente. La *figura derecha* muestra cómo el ligamento cruzado anterior se opone al desplazamiento posterior del fémur sobre el platillo tibial. En la *figura de la izquierda* se indica cómo el ligamento cruzado posterior se opone al desplazamiento anterior sobre el platillo tibial. **D.** Visión posterior de la articulación de la rodilla extendida. Se han rechazado hacia arriba las dos cabezas del músculo gastrocnemio y hacia abajo el músculo bíceps femoral. Se observan las bolsas; la mayoría de ellas se continúan con la cavidad articular.

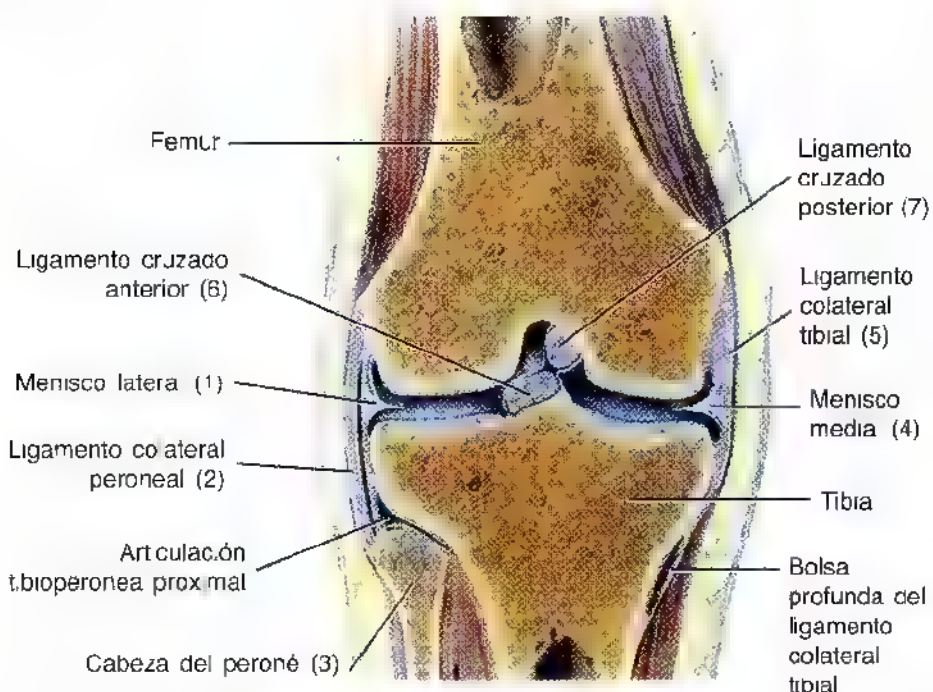


(A) Visión superior

(B) Visión posterior



(C) RM coronal de la rodilla derecha



(D) Visión anterior de un corte coronal de la rodilla derecha

Figura 5.60. Ligamentos cruzados y meniscos de la articulación de la rodilla. A. Se ha seccionado el tendón de m. cuádriceps y se han rechazado hacia abajo y hacia delante la rótula y el ligamento rotuliano. Se observan los meniscos sus inserciones en la región intercondílea de la tibia y las inserciones tibiales de los ligamentos cruzados. **B.** Se aprecia cómo el ligamento colateral de la tibia, en forma de banda, se inserta en el menisco media y cómo también el ligamento colateral peroneo con forma de cuerda, queda separado del menisco lateral. **C.** RM coronal de la rodilla. Los números de la RM se refieren a las estructuras marcadas en la sección coronal anatómica correspondiente. **(D)** (Cortesía del Dr. W. Kucharczyk, Director de imagen Médica Universidad de Toronto, y Director Clínico de Centro de Resonancia Magnética Hospitalaria Toronto Ontario, Canadá)

pie apoyados en el suelo, la rodilla “se bloquea” por la rotación medial del fémur sobre la tibia. De esta manera, el miembro inferior se torna una columna sólida, que se adapta mejor para soportar el peso. Con la rodilla “bloqueada o encajada”, los músculos del muslo y de la pierna se relajan de forma pasajera, sin que la rodilla se torne inestable. Para “desencajar” la rodilla se contrae el músculo poplíteo, que rota lateralmente el fémur para que pueda flexionarse la rodilla. *Los movimientos principales de la rodilla y los músculos responsables son:*

- **Flexión** –sobre todo, por los músculos femorales posteriores–: este movimiento queda limitado por el contacto entre la pantorrilla y el muslo.
- **Rotación**: es posible con la rodilla parcialmente flexionada.
- **Rotación medial** –por los músculos poplíteos semitendinoso y algo por el semimembranoso–: este movimiento es controlado por los ligamentos cruzados.
- **Rotación lateral** –por el bíceps femoral–: este movimiento es controlado por los ligamentos colaterales.
- **Extensión** –sobre todo, por el cuádriceps–: el movimiento queda limitado cuando se tensan los ligamentos cruzados y colaterales.

Irrigación de la articulación de la rodilla

Las arterias que perfunden la rodilla son ramas para la rodilla de las divisiones femoral, poplíteas y recurrentes anterior y posterior de las arterias recurrente tibial anterior y peroneal circunfleja, que forman las **anastomosis de la rodilla** (figs. 5.61 y 5.62B). Las ramas medias para la rodilla de la arteria poplíteas penetran en la cápsula fibrosa de la articulación para nutrir los ligamentos cruzados, la membrana sinovial y los bordes periféricos de los meniscos.

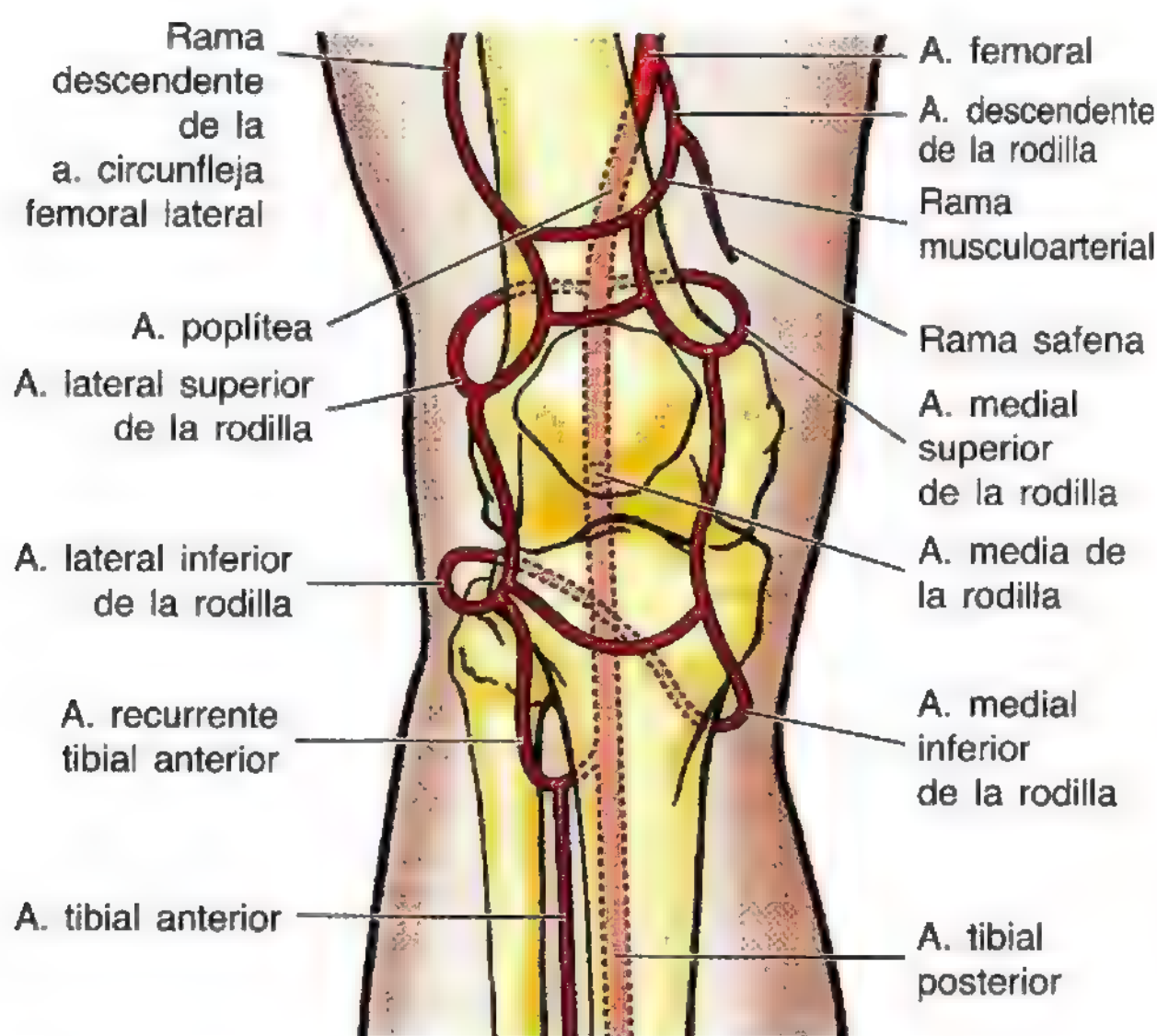


Figura 5.61. Las anastomosis de la rodilla. Visión anterior de las arterias comunicantes de la rodilla.

Inervación de la rodilla

Los nervios de la articulación de la rodilla (fig. 5.62D) provienen de los nervios obturador, femoral, tibial y peroneo común.

Las bolsas de la articulación de la rodilla

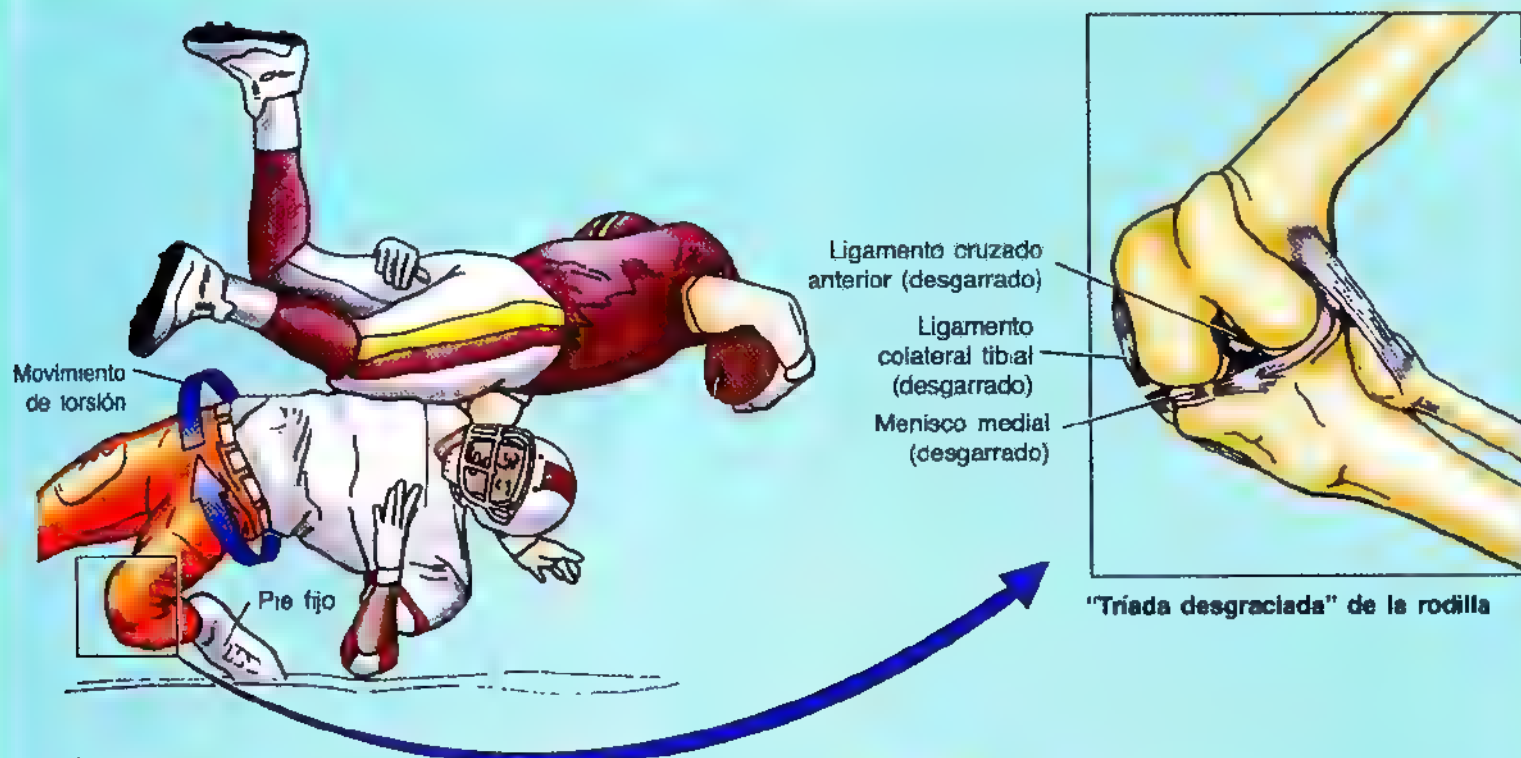
Existen muchas bolsas que rodean la articulación de la rodilla (12 o más), porque la mayoría de los tendones discurren paralelos a los huesos y tiran en sentido longitudinal de la articulación durante los movimientos de la rodilla. Las bolsas subcutáneas –**prerrotuliana e infrarrotuliana**– también se encuentran en la cara convexa de la articulación, porque la piel debe moverse libremente cuando se desplaza la rodilla.

Cuatro de las bolsas se comunican con la cavidad sinovial de la articulación de la rodilla: la bolsa suprarrotuliana, la poplíteas, la anserina y la del músculo gastrocnemio. Las bolsas más importantes que rodean la rodilla se ilustran en la figura 5.14. La gran **bolsa suprarrotuliana** (fig. 5.55, A y B) tiene especial interés, porque si se infecta, el microorganismo puede extenderse hasta la cavidad de la rodilla. Aunque se desarrolla con independencia de la articulación de la rodilla, se continúa con ella. Si desea más información sobre las bolsas consulte la revisión de Williams y cols. (1995).

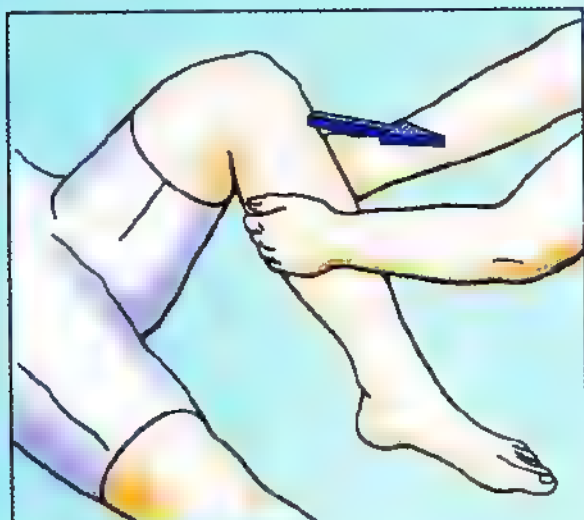
Lesiones de la rodilla

Las lesiones de la rodilla son frecuentes porque es una articulación móvil, que soporta el peso y cuya estabilidad depende casi exclusivamente de los ligamentos y músculos asociados. La articulación de la rodilla es fundamental para las actividades cotidianas, como estar de pie, caminar y subir escaleras. También resulta una articulación básica para los deportes (correr, saltar, dar patadas al balón o cambiar la dirección de la marcha). Para estas actividades se necesita una rodilla móvil; sin embargo, la movilidad de la rodilla explica su vulnerabilidad frente a la lesión en los deportes de contacto o sin contacto. Las lesiones de rodilla más corrientes en los deportes de contacto son los **esguinces ligamentarios**, que ocurren cuando el pie queda fijo al suelo. Si se aplica fuerza sobre la rodilla pero el pie no puede moverse, es probable que suceda una lesión del ligamento. Los ligamentos colaterales tibial y peroneal suelen impedir que se alteren los lados de la articulación de la rodilla. Estos ligamentos se estiran mucho cuando se extiende la pierna y suelen impedir que la tibia rote lateralmente o el fémur medialmente. Como los ligamentos colaterales se relajan durante la flexión de la rodilla, se puede rotar ligeramente la tibia sobre el fémur en esta posición.

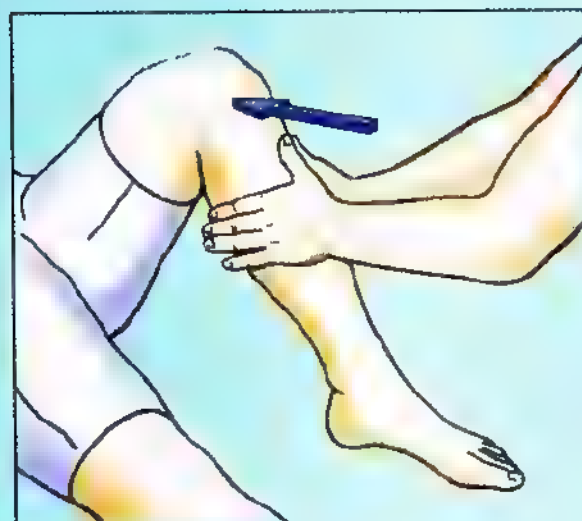
La inserción firme del ligamento colateral tibial en el menisco medial tiene una enorme importancia clínica, porque el desgarramiento del ligamento colateral tibial es frecuente cuando se daña, al mismo tiempo, el ▶



(A)



(B) Signo del cajón anterior
(ligamento cruzado anterior)



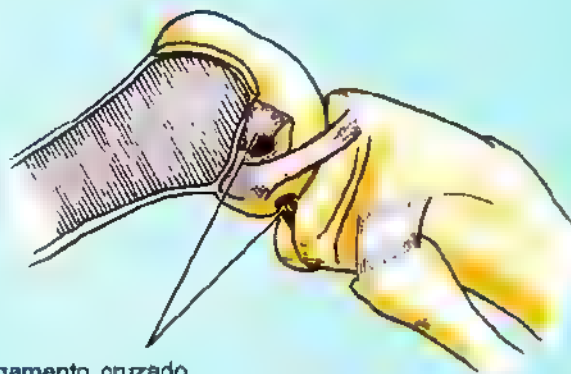
(C) Signo del cajón posterior
(ligamento cruzado posterior)

Se ha extirpado
la mitad del
hueso para ver
los ligamentos



Ligamento cruzado
anterior (desgarrado)

El ligamento cruzado anterior impide que el fémur se deslice posteriormente sobre la tibia, así como la hiperextensión de la rodilla, y limita la rotación medial del fémur cuando el pie se apoya en el suelo y la pierna está flexionada.



Ligamento cruzado
posterior (desgarrado)

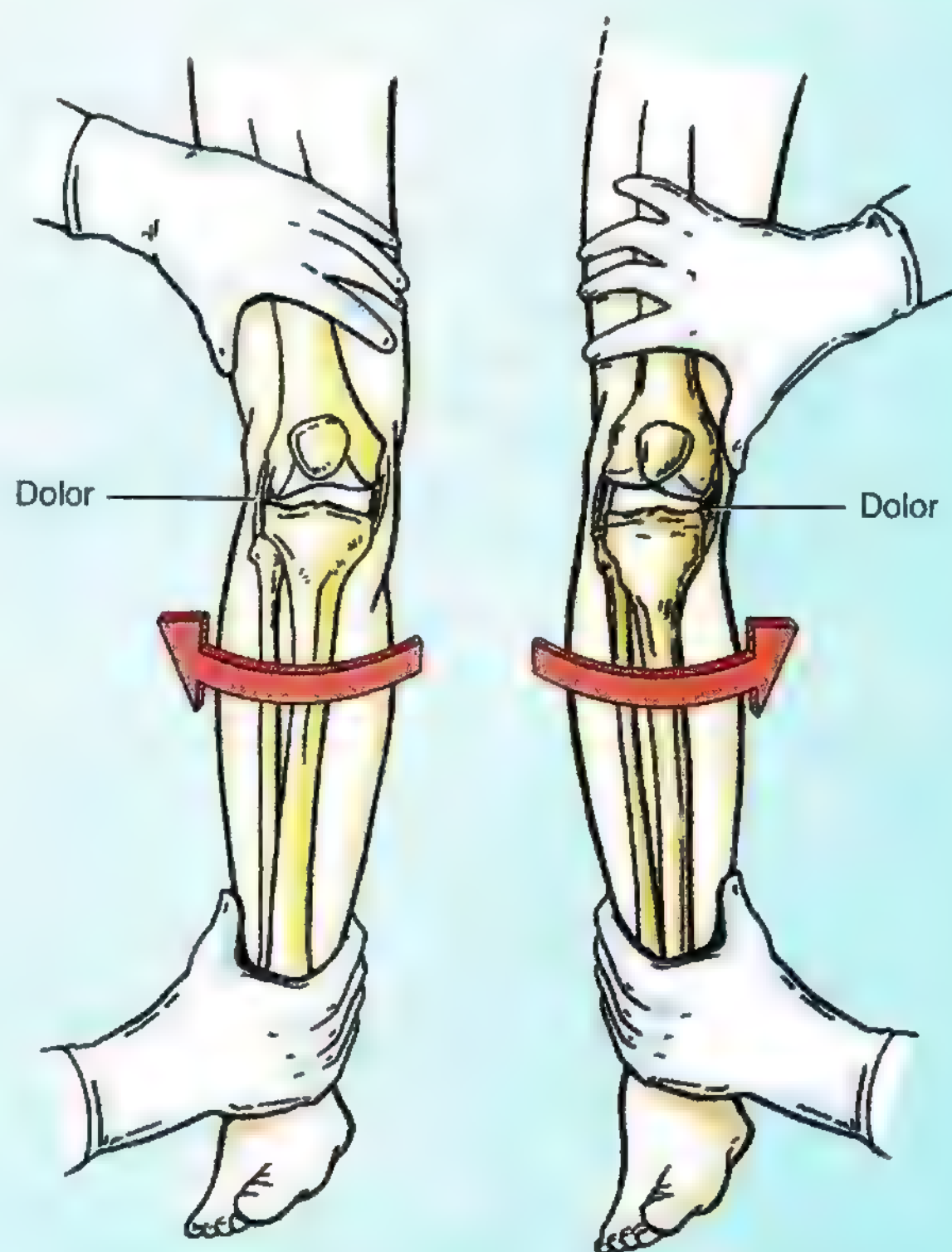
El ligamento cruzado posterior impide el deslizamiento anterior del fémur sobre la tibia, sobre todo con la rodilla flexionada.

► **menisco medial.** Esta lesión ocurre con cierta frecuencia con un golpe aplicado a la cara lateral de la rodilla. La lesión del menisco medial se debe a la distensión y torsión sobre la rodilla cuando se flexiona ésta. Como el menisco está muy adherido al ligamento colateral tibial, la distensión y torsión de este ligamento puede desgarrar o desinsertar el menisco medial de la cápsula fibrosa (A). Esta es una lesión frecuente en deportistas que giran la rodilla flexionada al correr (p. ej., en el rugby y en el voleibol). El ligamento cruzado anterior también puede desgarrarse cuando se rompe el ligamento colateral tibial. Primero se rompe el ligamento colateral tibial, se abre la articulación por la cara medial y luego puede desgarrarse el menisco medial y el ligamento cruzado anterior. Esta "tríada desgraciada de lesión" puede obedecer a un golpe seco en el rugby.

La aplicación de una fuerza intensa anterior con la rodilla semiflexionada también puede desgarrar el ligamento cruzado anterior. Las **roturas del ligamento cruzado anterior**, una de las lesiones más corrientes de la rodilla al esquiar, permite que la tibia se deslice hacia delante con respecto al fémur, es decir, da *el signo del cajón anterior* (B). El ligamento cruzado anterior (LCA) puede desgarrarse del fémur o de la tibia; sin embargo, los desgarros suelen ocurrir en la porción media del mismo.

Las **roturas del ligamento cruzado posterior**, robusto, pueden suceder cuando un jugador aterriza sobre la tuberosidad de la tibia con la rodilla flexionada (p. ej., al ser empujado al suelo en un partido de baloncesto). El ligamento cruzado posterior suele romperse al mismo tiempo que se desgarran los ligamentos de la tibia o el peroné (C). Estas lesiones también pueden suceder en colisiones frontales si no se lleva el cinturón de seguridad y el extremo proximal de la tibia golpea con el tablero de mandos. La rotura del ligamento cruzado posterior permiten que la tibia se deslice posteriormente con respecto al fémur, es decir, se produce el *signo del cajón posterior*.

Los desgarros del menisco afectan casi siempre al medial. El lateral no suele desgarrarse por su movilidad. *El dolor con la rotación lateral de la tibia sobre el fémur indica una lesión del menisco lateral, mientras que el dolor con la rotación medial de la tibia sobre el fémur apunta hacia una lesión del menisco medial.* Casi todos los desgarros meniscales suceden cuando se desgarran el ligamento colateral tibial, el ligamento cruzado anterior o ambos. Los desgarros periféricos del menisco se suelen reparar o cicatrizan por sí solos, debido a la abundante vascularización de esta zona. Los desgarros del menisco que no curan o no se pueden reparar se extirpan casi siempre (p. ej., mediante cirugía artroscópica). Si se extirpan los meniscos de la rodilla no se aprecia ninguna pérdida de la movilidad, aunque los platillos tibiales suelen mostrar más reacción inflamatoria.



El dolor con la rotación lateral indica una lesión del menisco lateral

El dolor con la rotación medial indica una lesión del menisco medial

Artroscopia de la rodilla

El artroscopio es un utensilio diagnóstico y quirúrgico muy útil para visualizar el interior de la cavidad articular. Con esta técnica se pueden extirpar meniscos desgarrados, cuerpos extraños intraarticulares, fragmentos óseos y también proceder al desbridamiento o extirpación del material cartilaginoso articular desvitalizado en los casos de artritis o artrosis avanzada. Pese a que se recomienda la anestesia general, la artroscopia de rodilla se puede efectuar bajo anestesia local o regional. Si desea más información consulte el texto de Soames (1995).

Síndrome femororrotuliano

El dolor en la profundidad de la rótula suele obedecer a una sobrecarga, sobre todo al caminar cuesta abajo; por eso, este tipo de dolor suele conocerse como "rodilla del corredor". El dolor se debe a microtraumatismos repetidos causados por una colocación anómala de la rótula sobre la cara rotuliana del fémur. El síndrome femororrotuliano también se observa en golpes directos sobre la rótula y en la *artrosis del compartimiento femororrotuliano* (uso y desgaste por degeneración de los ►

► cartílagos articulares). En algunos casos, el enderezamiento del músculo vasto medial corrige la *disfunción femororrotuliana*. Este músculo tiende a evitar la luxación lateral de la rótula, porque sus fibras se insertan en el borde medial de este hueso. Por consiguiente, la debilidad del músculo vasto medial predispone a la disfunción femororrotuliana y a la luxación de la rótula.

Ver capítulo 10, "Lesiones de la rodilla"

Aspiración de la cavidad articular de la rodilla

Las fracturas de la extremidad distal del fémur y las laceraciones de la parte anterior del muslo pueden afectar a la bolsa suprarrotuliana y causar una infección en la rodilla. Cuando se infecta e inflama la rodilla aumenta la cantidad de líquido sinovial. El *derrame articular*—escape de líquido desde los vasos sanguíneos o linfáticos— determina un acúmulo de líquido dentro de la cavidad articular. Como la bolsa suprarrotuliana se comunica libremente con la cavidad sinovial de la rodilla, la sensación de plenitud en el muslo, en la región de la bolsa suprarrotuliana, puede indicar un aumento del líquido sinovial. Se puede aspirar esta bolsa para extraer el líquido. La aspiración directa de la cavidad articular de la rodilla se practica, de ordinario, con el paciente sentado sobre la camilla con la rodilla flexionada. El abordaje es lateral y son tres los puntos óseos de referencia para la inserción de la aguja: el vértice del cóndilo lateral de la tibia, el epicóndilo lateral y el vértice de la rótula. La aguja se introduce en la cavidad articular a través del triángulo formado por los puntos óseos indicados. Además de vía para la aspiración de líquido seroso y sanguinolento, este triángulo sirve para la inyección de medicamentos para tratar las enfermedades de la rodilla.

Bursitis de la rodilla

La *bursitis prerrotuliana* suele deberse a la fricción entre la piel y la rótula; no obstante, a veces se lesiona por fuerzas compresivas derivadas de un golpe directo o de la caída sobre la rodilla flexionada (Anderson y Hall, 1995). Si la inflamación es crónica, la bolsa se distiende con el líquido y crea una tumefacción delante de la rodilla. Este estado también se conoce como "rodilla de la beata"; de cualquier manera, otras personas que trabajan sobre las rodillas, sin utilizar ninguna almohadilla, por ejemplo sobre un suelo duro de madera, así como los instaladores de moquetas, también experimentan la bursitis prerrotuliana. La *bursitis infrarrotuliana subcutánea* obedece a una fricción excesiva entre la piel y la tuberosidad de la tibia; el edema aparece en la extremidad proximal de la tibia. Este estado se denominaba antiguamente "rodilla del sacerdote", por las frecuentes genuflexiones; sin



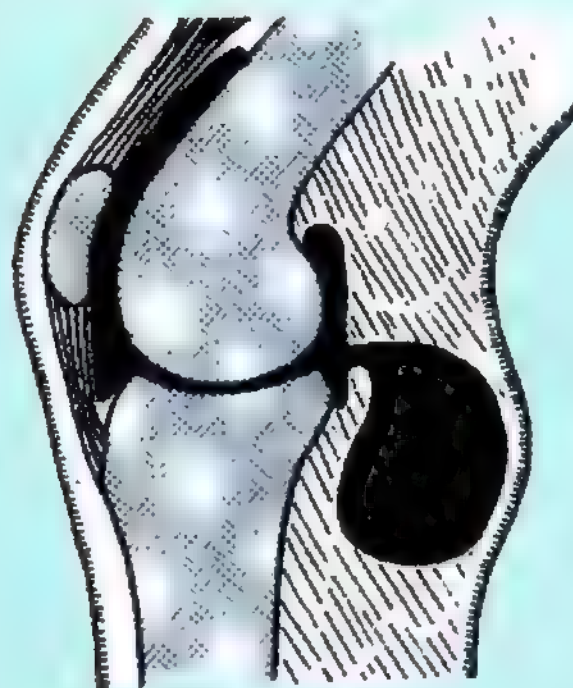
embargo, es más común entre los albañiles que colocan cubiertas o baldosas sin utilizar ninguna protección en las rodillas.

La *bursitis infrarrotuliana profunda* provoca edema entre el ligamento rotuliano y la tibia, encima de la tuberosidad de la tibia. La inflamación de esta bolsa casi siempre es la consecuencia del abuso y de la fricción posterior entre el tendón rotuliano y las estructuras posteriores: cuerpo adiposo infrarrotuliano y tibia (Anderson y Hall, 1995). El aumento de tamaño de esta bolsa infrarrotuliana profunda oblitera las fositas situadas a cada lado del ligamento rotuliano con la pierna extendida.

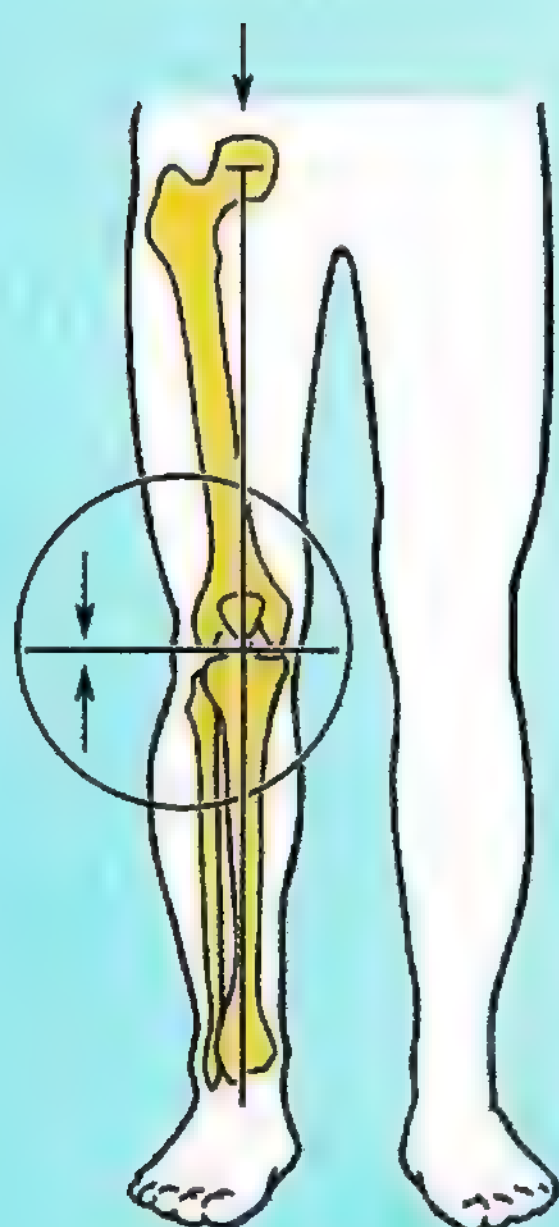
Las heridas superficiales o penetrantes pueden ocasionar una *bursitis suprarrotuliana* si las bacterias pasan de la piel a la bolsa. Esta infección de la bolsa se diferencia de la bursitis aguda por el eritema localizado y las adenopatías poplíteas e inguinales. La infección puede extenderse hasta la rodilla.

Quistes poplíteos

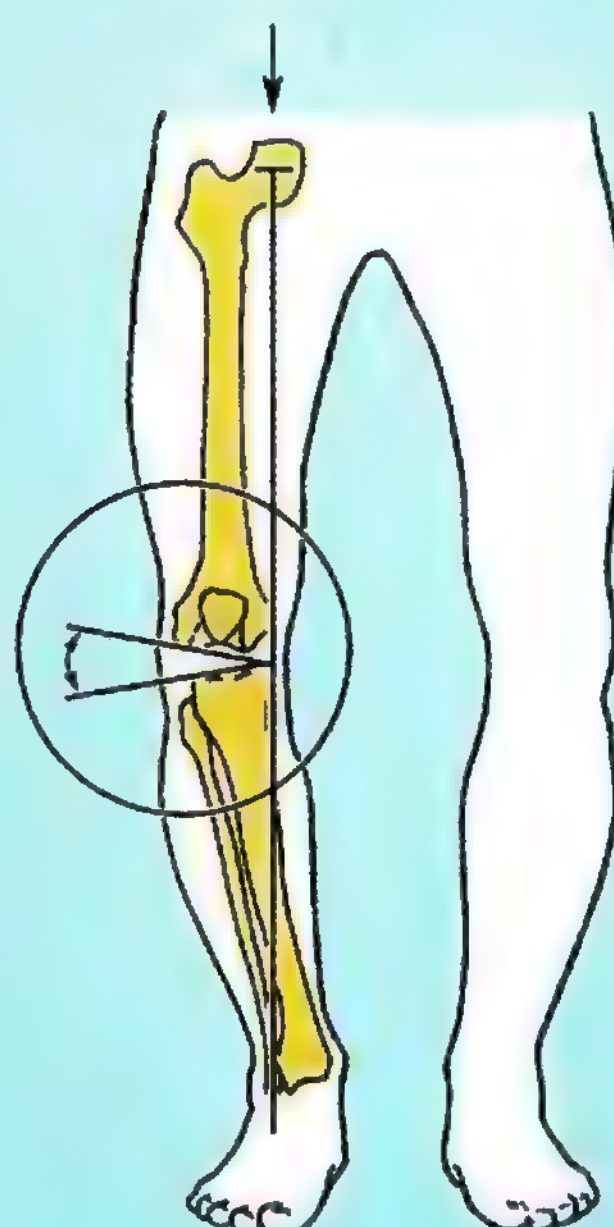
Los *quistes poplíteos* son *herniaciones de la membrana sinovial de la rodilla, rellenas de líquido*, o distensiones de la bolsa de los músculos gastrocnemio o semimembranoso. El quiste poplíteo casi siempre es una complicación del derrame crónico de rodilla (Slaby y cols., 1994). El líquido sinovial puede escapar de la articulación de la rodilla (*derrame sinovial*) o de una bolsa que rodea la rodilla y acumularse en la fosa poplíteica. Aquí forma un nuevo saco o *quiste poplíteo* revestido de sinovial (quiste de Baker). El quiste se puede comunicar con la cavidad sinovial de la rodilla a través de un pequeño tallo, lo que indica que algunos quistes se deben a una herniación de la membrana sinovial dentro de la fosa poplíteica después de perforar la cápsula fibrosa. Los quistes poplíteos son frecuentes en los niños, pero casi nunca producen síntomas. En los adultos pueden aumentar de tamaño y extenderse hasta la mitad de la pantorrilla. A veces, el quiste impide los movimientos de la rodilla. ▶



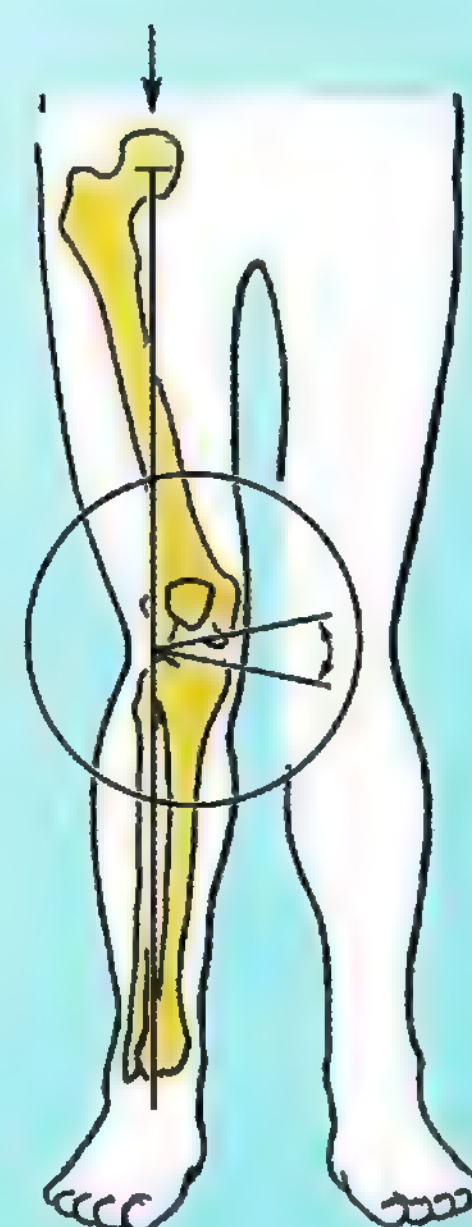
Quiste poplíteo



Alineación normal



Genu varum



Genu valgum

Deformidades de la rodilla

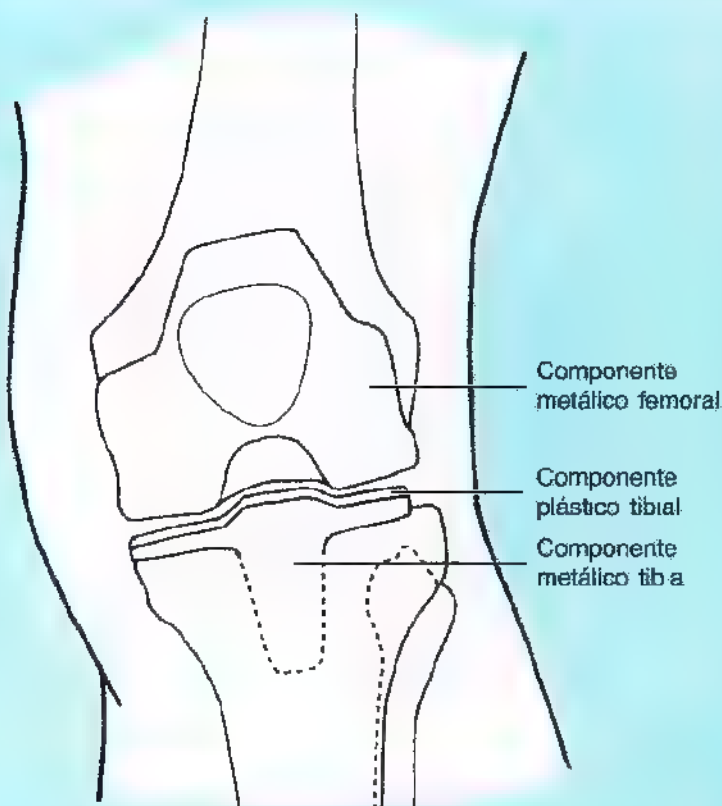
El uso y desgaste de la rodilla es parte del proceso normal de envejecimiento, pero *la artrosis acelera el uso y desgaste de los meniscos por degeneración*. La artrosis suele obedecer a algún factor predisponente, como una deformidad o un traumatismo. Toda irregularidad de la rodilla provoca un uso y desgaste de los meniscos. Un menisco desgarrado ya no puede absorber los choques y, como consecuencia de ello, ocurre una compresión y daño localizados de la articulación.

Las deformidades en varo y en valgo de la rodilla producen una desviación de la tibia con respecto a la línea media. En el *genu varum* la tibia diverge medialmente y en el *genu valgum* lo hace lateralmente; estas deformidades provocan una distribución desigual del peso. En la deformidad en varo, la cara medial de la rodilla recibe toda la presión, lo que provoca el uso y desgaste del

menisco medial. Estas deformidades se corrigen mediante un nuevo alineamiento de la rodilla (Gross, 1989).

Sustitución de la rodilla

Si se afecta toda la rodilla como consecuencia, por ejemplo, de una artrosis se puede insertar una rodilla artificial (*artroplastia para la sustitución total de la rodilla*). La prótesis de rodilla consta de componentes plásticos y metálicos que se cementan en los extremos óseos. La combinación del metal y del plástico simula el contacto liso de cartílago sobre cartílago y produce buenos resultados en las personas con "pocas exigencias" que llevan una vida relativamente sedentaria. En las personas "más exigentes", que practican un deporte activo, las uniones entre hueso y cemento se pueden romper y los componentes de la rodilla artificial a veces se aflojan (Gross, 1989). Para más información consulte el texto de Soames (1995). ◊



Las articulaciones tibioperoneas

La tibia y el peroné se comunican a través de dos articulaciones: la *articulación tibioperonea proximal* y la *articulación tibioperonea distal*. Además, una membrana interósea une los cuerpos de ambos huesos (fig. 5.62A). Los vasos tibiales anteriores pasan a través de un hiato en la extremidad superior de la membrana. En el extremo inferior de la membrana interósea queda un hiato más pequeño, por el que pasa la rama perforante de la arteria peroneal. El movimiento de la articulación tibioperonea proximal resulta imposible sin el movimiento de la distal.

Articulación tibioperonea proximal

Esta articulación sinovial plana (figs. 5.60, B y D, y 5.62A) sucede entre la cabeza del peroné y el cóndilo lateral de la tibia.

Caras articulares. La cara plana de la cabeza del peroné se articula con una carilla articular parecida que queda posterolateral en el cóndilo lateral de la tibia.

Cápsula y ligamentos articulares. La *capsula fibrosa* rodea la articulación y se inserta en los bordes de las caras articulares del peroné y de la tibia. Está reforzada por los ligamentos tibioperoneos anterior y posterior. El *ligamento anterior de la cabeza del peroné* consta de dos o tres bandas planas y anchas que siguen un curso superomedial, desde la cara anterior de la cabeza del peroné hasta la parte anterior del cóndilo lateral de la tibia. El *ligamento posterior de la cabeza del peroné* es una banda única y ancha que se dirige

en sentido superomedial, desde la cara posterior de la cabeza del peroné hasta la parte posterior del cóndilo lateral de la tibia. Esta gruesa banda está cubierta por el tendón del músculo poplíteo. La *membrana sinovial* reviste la cápsula fibrosa. Existe una bolsa de membrana sinovial, la **bolsa del músculo poplíteo** (tabla 5.15), que pasa entre el tendón del músculo poplíteo y el cóndilo lateral de la tibia y puede comunicarse con la cavidad sinovial de la articulación de la rodilla.

Movimientos. Durante la dorsiflexión y flexión plantar del pie se produce un movimiento ligero de la articulación.

Irrigación sanguínea. Las arterias de la articulación (fig. 5.62B) provienen de las arterias lateral inferior de la rodilla y recurrente tibial anterior.

Inervación. Los nervios de la articulación (fig. 5.62, C y D) se originan en el nervio peroneo común y en el nervio del músculo poplíteo.

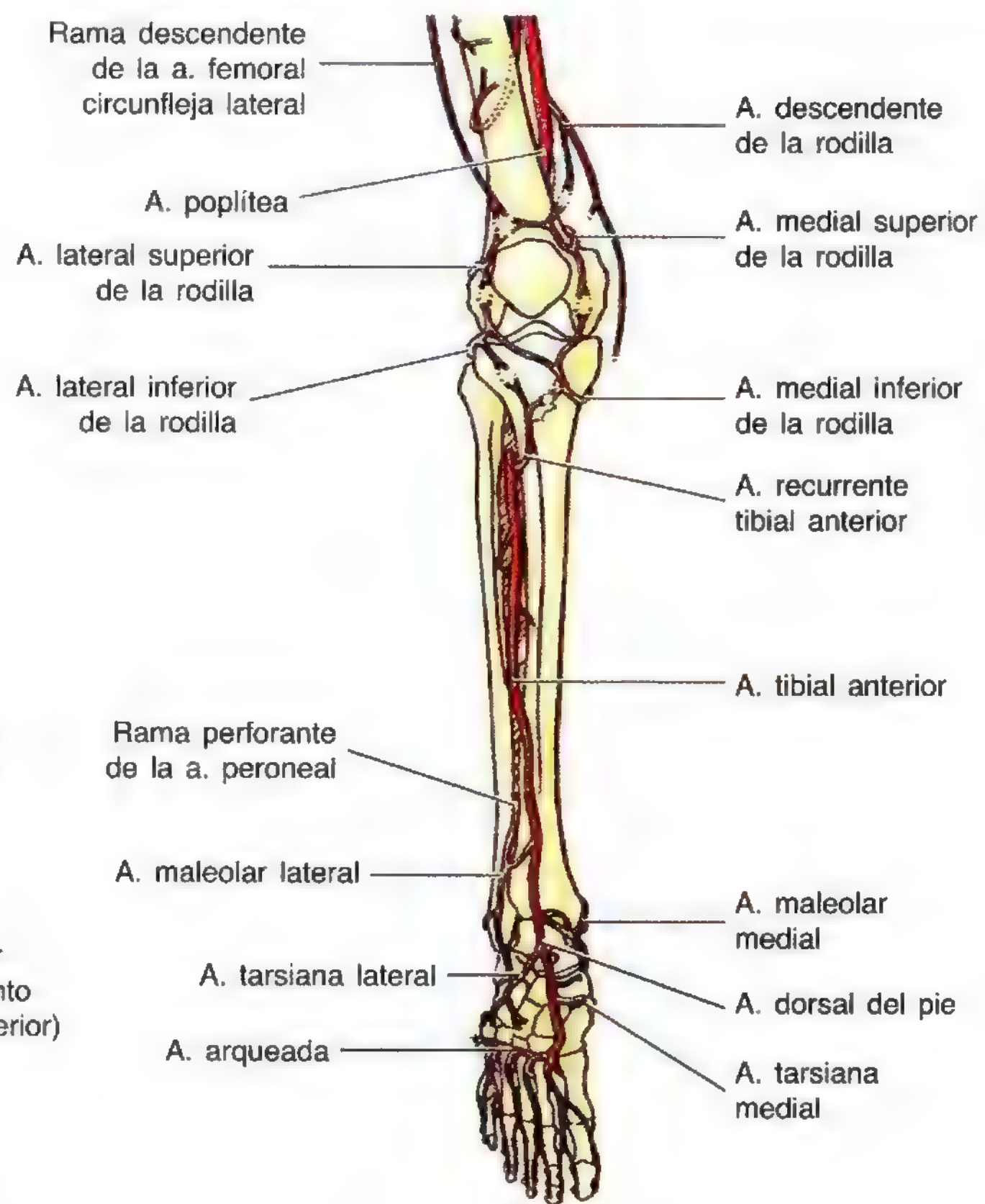
Articulación tibioperonea distal

Se trata de una articulación fibrosa (sindesmosis), cuya integridad resulta imprescindible para la estabilidad del tobillo, porque mantiene el maléolo lateral adherido con fuerza a la cara lateral del astrágalo.

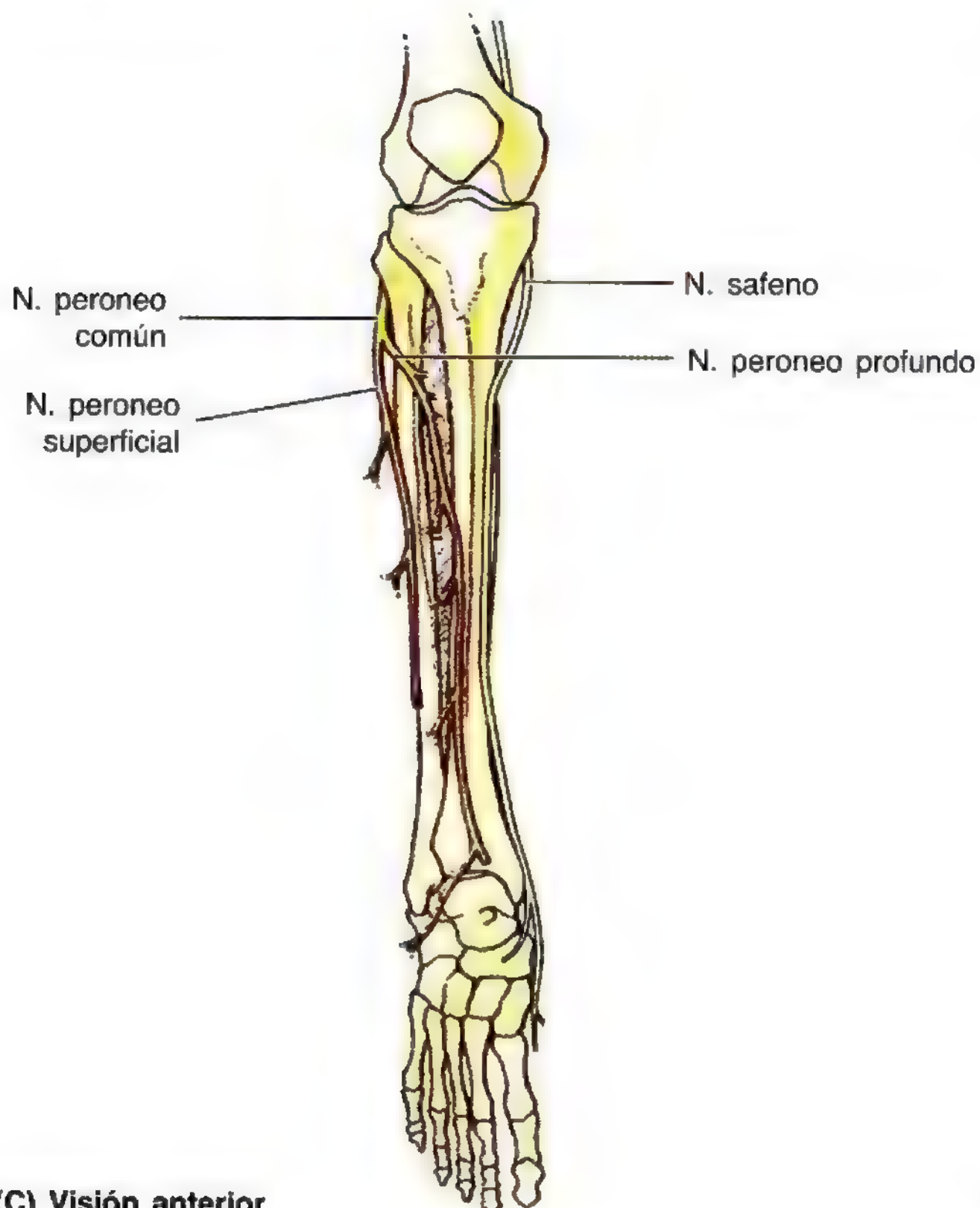
Caras y ligamentos articulares. La zona articular rugosa y triangular de la cara medial de la extremidad inferior del peroné se articula con una carilla de la extremidad inferior de la tibia (fig. 5.62A). El **ligamento interóseo**, potente, que se continúa por arriba con la membrana interósea, for-



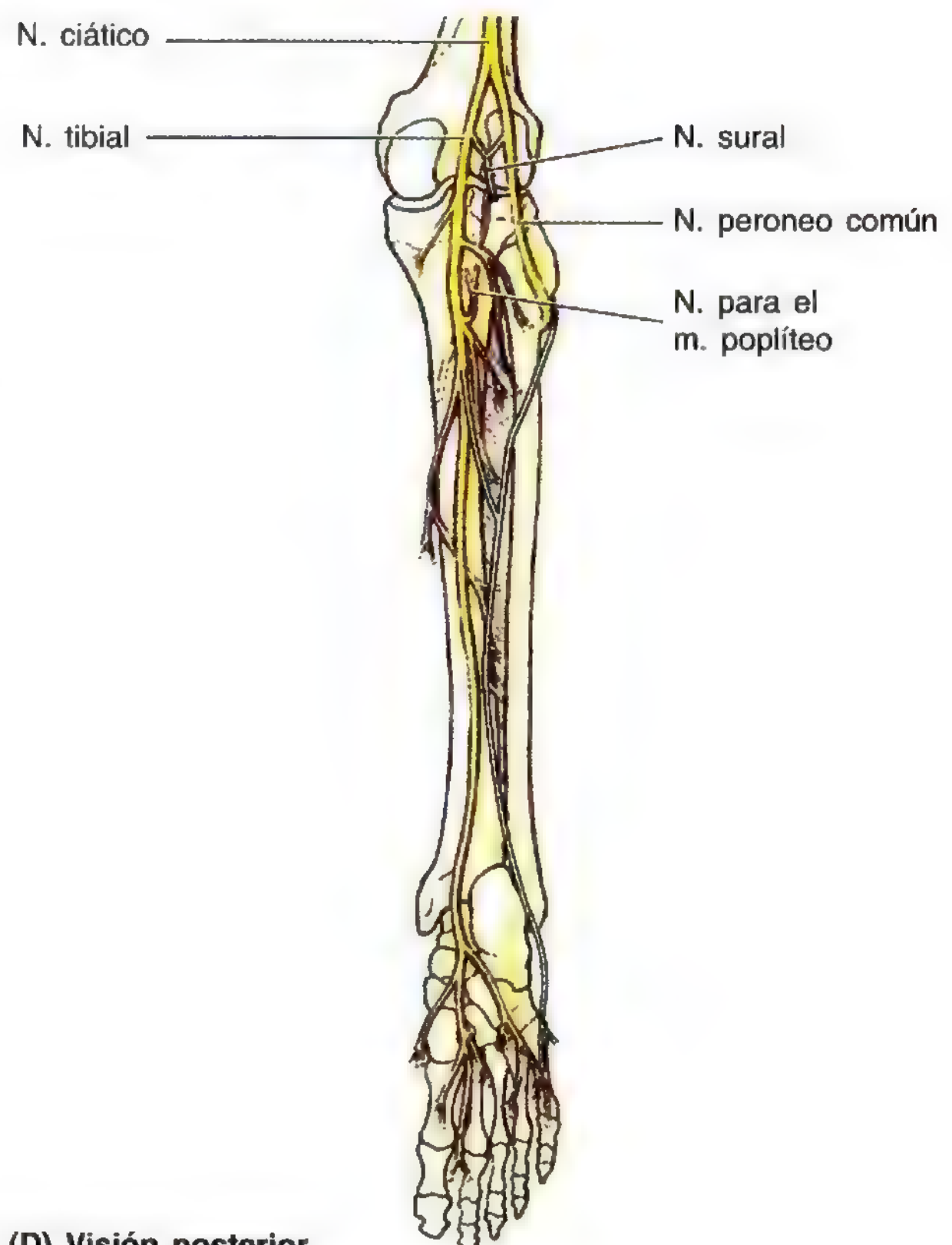
(A) Visión anterior



(B) Visión anterior

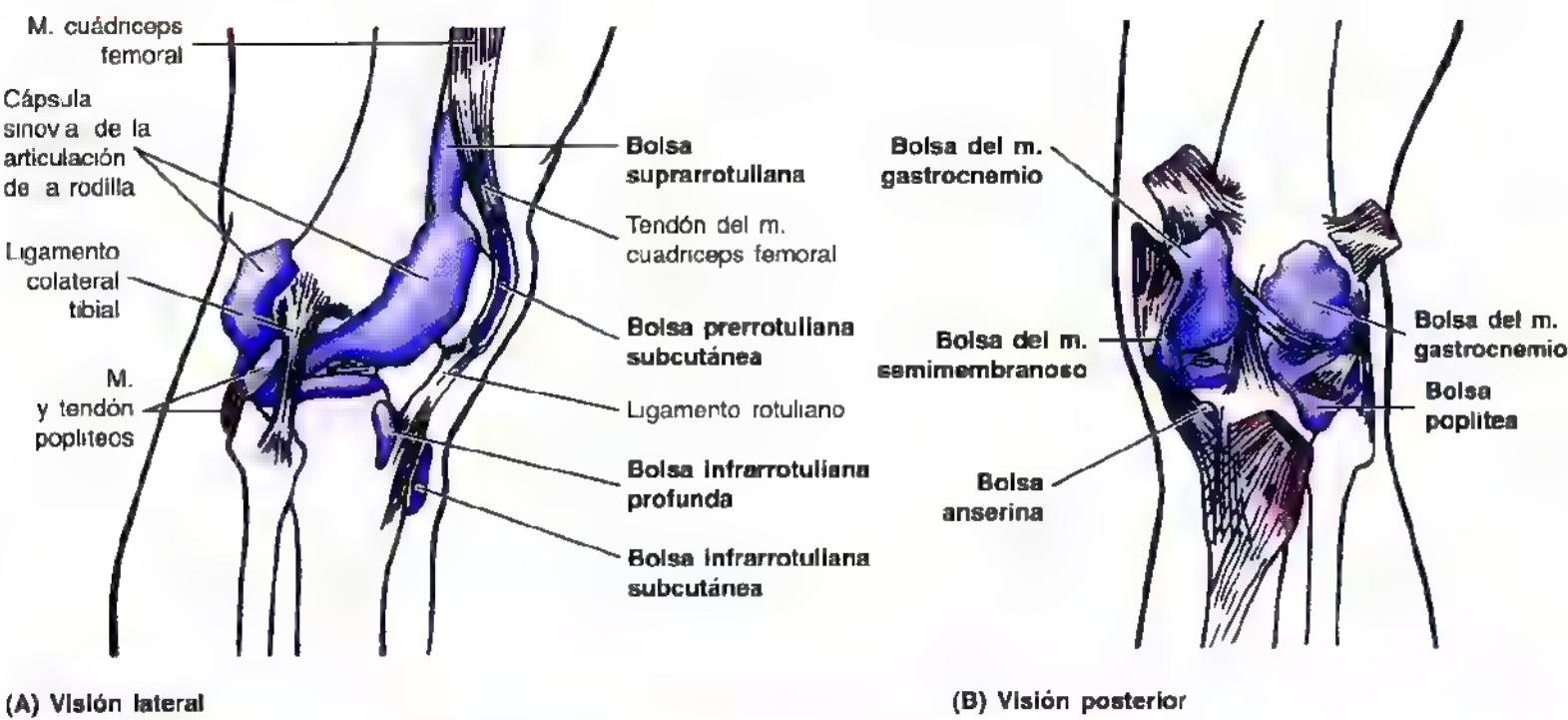


(C) Visión anterior



(D) Visión posterior

Tabla 5.15. Las bolsas de la rodilla



Bolsa	Localización	Comentarios
Suprarrotuliana (cuadricipital)	Situada entre el fémur y el tendón del m. cuádriceps femoral	Se mantiene en posición por el m. articular de la rodilla; se comunica libremente con (la extensión superior de) la cavidad sinovial de la rodilla
Poplitea	Situada entre el tendón del m. poplíteo y el cóndilo lateral de la tibia	Se abre a la cavidad sinovial de la articulación de la rodilla, debajo del menisco lateral
Anserina	Separa los tendones de los mm. sartorio, grácil y semitendinoso de la tibia y de ligamento colateral tibial	Es la región donde los tendones de estos músculos se insertan en la tibia; se parece a una pata de ganso
Gastrocnemia	Se encuentra en la profundidad de la inserción proximal del tendón de la cabeza medial del m. gastrocnemio	Es una prolongación de la cavidad sinovial de la rodilla
Semimembranosa	Situada entre la cabeza medial del m. gastrocnemio y el tendón del m. semimembranoso	Se relaciona con la inserción distal del m. semimembranoso
Prerrotuliana subcutánea	Se encuentra entre la piel y la cara anterior de la rótula	Facilita el movimiento libre de la piel sobre la rótula durante los movimientos de la pierna
Infrarrotuliana subcutánea	Situada entre la piel y la tuberosidad de la tibia	Ayuda a la rodilla a soportar la presión al arrodillarse
Infrarrotuliana profunda	Se encuentra entre el ligamento rotuliano y la cara anterior de la tibia	Está separada de la articulación de la rodilla por el cuerpo adiposo infrarrotuliano

Figura 5.62. Articulaciones tibioperoneas y arterias y nervios de la pierna. A. Visión anterior. Diagrama de las articulaciones tibioperoneas. B. Visión anterior de la parte inferior del muslo, rodilla, pierna y pie, donde se aprecia la irrigación arterial de las articulaciones. C. Visión anterior de la inervación de la pierna. D. Visión posterior de la rodilla, articulaciones tibioperoneas y articulaciones del pie.

ma la comunicación principal entre la tibia y el peroné. La articulación también recibe un refuerzo anterior y posterior de los **ligamentos tibioperoneos inferiores** anterior y posterior. La prolongación distal y profunda del ligamento tibioperoneo inferior posterior –*ligamento transverso (tibioperoneo) inferior*– crea una robusta comunicación entre las extremidades distales de la tibia (maléolo medial) y del peroné (maléolo lateral). Entra en contacto con el astrágalo y da la “pared” posterior de una “cavidad” tripartita para la tróclea del astrágalo, cuyas paredes lateral y medial están formadas por los maléolos respectivos.

Movimientos. Esta articulación se mueve ligeramente para acomodar el astrágalo durante la dorsi-flexión del pie.

Irrigación. Las arterias provienen de la rama perforante de la arteria peroneal y de las ramas maleolares mediales de las arterias tibiales anterior y posterior (figs. 5.61 y 5.62B).

Inervación. Los nervios nacen en los nervios peroneo profundo, tibial y safeno (fig. 5.62, C y D).

La articulación del tobillo

La articulación del tobillo (tibioastragalina) es una articulación sinovial, de tipo bisagra (trocleartrosis), que se encuentra entre las extremidades distales de la tibia y el peroné y la parte superior del astrágalo. El tobillo se palpa entre los tendones de la cara anterior, como una pequeña depresión aproximadamente 1 cm proximal a la punta del maléolo medial.

Caras articulares del tobillo

Las extremidades distales de la tibia y del peroné (junto con la parte transversa inferior del ligamento tibioperoneo posterior) crean una *mortaja* (cavidad profunda), en la que encaja la **tróclea del astrágalo**, que tiene forma de polea (fig. 5.63). La tróclea (que significa polea en latín) es la cara articular superior y redondeada del astrágalo. La cara medial del maléolo lateral se articula con la cara lateral del astrágalo. La tibia se articula con el astrágalo por dos lugares:

- La cara inferior forma el techo de la mortaja.
- El maléolo medial se articula con la cara medial del astrágalo.

Los maléolos sujetan firmemente el astrágalo cuando éste se balancea hacia delante y, sobre todo, hacia atrás dentro de la mortaja durante los movimientos del tobillo.

La sujeción de los maléolos en la tróclea es más fuerte con la dorsiflexión del pie, porque este movimiento obliga a que la parte anterior y más ancha de la tróclea se desplace hacia atrás, separando ligeramente la tibia del peroné. Esta separación se encuentra limitada por el robusto ligamento interóseo y por los ligamentos tibioperoneos transverso, anterior y posterior que unen la tibia con el peroné (fig. 5.62A). La articulación del tobillo es bastante inestable en la flexión plantar, porque la tróclea es más estrecha por la cara posterior y, por tanto, queda bastante laxa dentro de

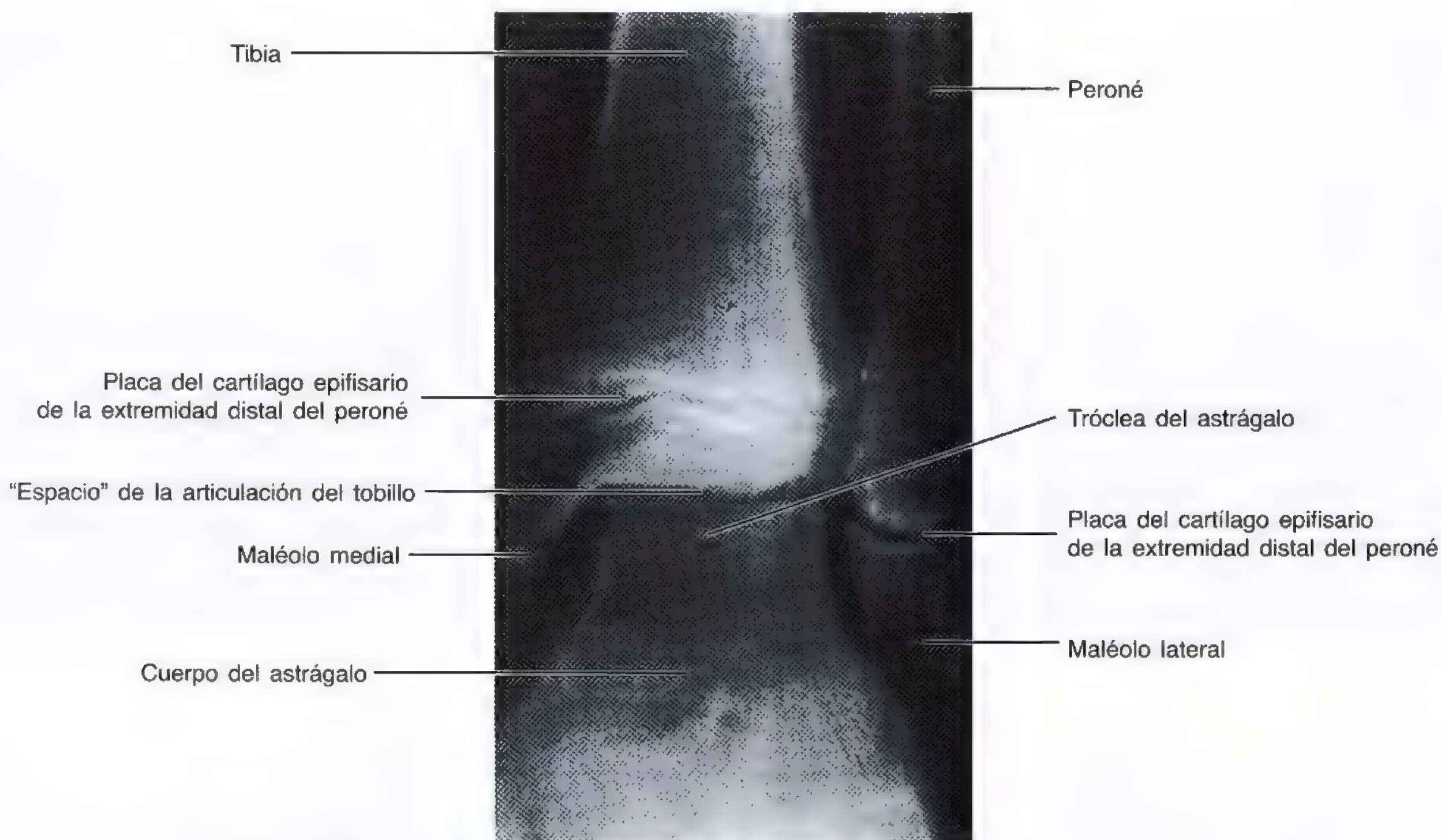


Figura 5.63. Radiografía frontal y ligeramente oblicua del tobillo de un muchacho de 14 años. Se observa cómo la tróclea del cuerpo del astrágalo queda embutida dentro de la mortaja creada por los maléolos medial y lateral.

la mortaja. Precisamente, la mayoría de las lesiones del tobillo suceden durante la flexión plantar (generalmente, como consecuencia de una inversión repentina e inesperada – es decir, sin la resistencia adecuada – del pie).

Cápsula articular del tobillo

La *cápsula fibrosa* es delgada por delante y por detrás, pero se apoya a cada lado en poderosos ligamentos colaterales (figs. 5.64 y 5.65). Se inserta por arriba en los bordes de las caras articulares de la tibia y en los maléolos, y por abajo, en el astrágalo.

Ligamentos del tobillo

La cápsula fibrosa está reforzada por el **ligamento lateral** (más débil que el medial), que consta de tres partes (fig. 5.64):

- El *ligamento astragaloperoneo anterior*, una banda débil y plana que se extiende anteromedialmente desde el maléolo lateral hasta el cuello del astrágalo.
- El *ligamento astragaloperoneo posterior*, una banda gruesa y bastante robusta que se dirige horizontalmente, en sentido medial y algo posterior, desde la fosa maleolar hasta el tubérculo lateral del astrágalo.
- El *ligamento calcaneoperoneo*, un cordón redondo que se dirige hacia atrás y hacia abajo desde la punta del maléolo lateral hacia la cara lateral del calcáneo.

Los tres ligamentos se conocen, de manera genérica, como **ligamento lateral**.

La *cápsula fibrosa* tiene un refuerzo medial en el **ligamento medial** (ligamento deltoideo) grande y robusto, que se inserta proximalmente en el maléolo medial (fig. 6.65). El ligamento medial posee fibras que se abren en abanico desde el maléolo para insertarse distalmente en el astrágalo, calcáneo y escafoides, formando:

- El ligamento tibioescafoideo.
- Los ligamentos tibioastragalinos anterior y posterior.
- El ligamento tibioalcáneo.

El ligamento medial estabiliza el tobillo durante la eversion e impide la subluxación (luxación parcial) de la articulación.

La **membrana sinovial** es laxa y tapiza la cápsula fibrosa (fig. 5.64). La cavidad sinovial se extiende, a menudo, hacia arriba entre la tibia y el peroné y alcanza el ligamento interóseo de la articulación tibiooperonea distal.

Movimientos del tobillo

Los movimientos principales consisten en dorsiflexión y flexión plantar. Cuando tiene lugar la flexión plantar del pie ocurre cierta rotación, separación y aproximación del tobillo.

- Los músculos del compartimiento anterior de la pierna producen la *dorsiflexión del tobillo* (tabla 5.9, pág. 589).

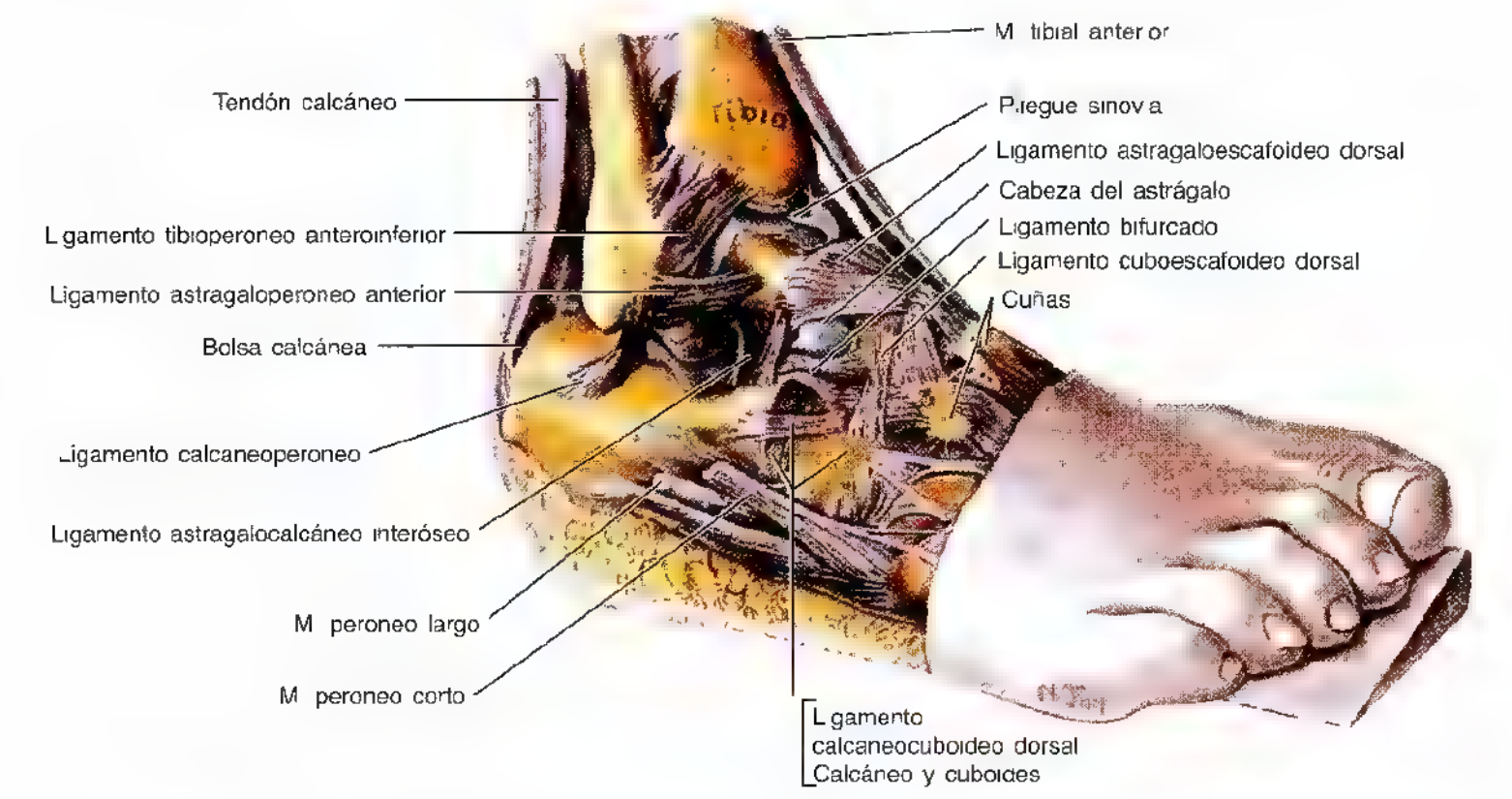


Figura 5.64. Disección del tobillo derecho y articulaciones para la inversión y eversion. V. sion lateral. Se ha invertido el pie para exponer las zonas articulares y los ligamentos laterales que se tensan durante la inversión de pie.

La dorsiflexión suele quedar limitada por la resistencia pasiva del músculo tríceps sural al estiramiento y por la tensión de los ligamentos medial y lateral.

- *La flexión plantar del tobillo* tiene lugar por los músculos del compartimiento posterior de la pierna (tabla 5.12, pág. 600). Cuando los artistas de ballet bailan con los dedos del pie, el dorso del pie se alinea con la cara anterior de la pierna.

Lesiones del tobillo

De entre las grandes articulaciones, el tobillo es la que más veces se lesiona. Los *esguinces de tobillo* (desgarro de las fibras ligamentarias) son los más comunes. Un esguince de tobillo significa casi siempre una *lesión por inversión* con torsión del pie de apoyo. La persona pisa una zona irregular y el pie sufre una inversión forzada. Los *esguinces del ligamento lateral* ocurren en deportes donde se corre y se salta, sobre todo en el baloncesto (el 70-80% de los jugadores han sufrido al menos un esguince). El ligamento lateral se daña muchas veces porque es mucho más débil que el medial. Muchas fibras del *ligamento astragaloperoneo anterior*—parte del ligamento lateral— se desgarran en los esguinces de tobillo, ya sea de manera parcial o completa, determinando una inestabilidad de la articulación. También se puede desgarrar el *ligamento calcaneoperoneo*. En los esguinces graves se fractura incluso el maléolo lateral del peroné. *Las lesiones por cizalla fracturan el maléolo lateral* por la articulación del tobillo o encima de ésta. *Las fracturas por avulsión* rompen el maléolo debajo de la articulación; el ligamento o ligamentos insertados traccionan del fragmento óseo.

La *fractura-luxación del tobillo de Pott* tiene lugar cuando el pie sufre una eversión forzada, con lo que se tracciona el ligamento medial, extraordinariamente robusto, que suele desgarrar el maléolo medial. En estos casos, el astrágalo se desplaza lateralmente, desgarrando el maléolo lateral o, más a menudo, rompiendo el peroné por encima de la articulación tibioperonea inferior. Si la tibia se lleva hacia delante, el astrágalo también rompe el borde posterior de la extremidad distal de la tibia, causando una *“fractura trimaleolar”*. En este caso, la extremidad distal de la tibia se considera también como un “maléolo”.

Atrapamiento del nervio tibial

El nervio tibial abandona el compartimiento posterior de la pierna y se introduce en la profundidad del retináculo de los flexores, entre el maléolo medial y el calcáneo. El atrapamiento y la compresión del nervio tibial (*síndrome del túnel tarsiano*) suceden cuando ocurre edema y tensión en el tobillo, que afectan a las vainas sinoviales de los tendones de los músculos del compartimiento posterior de la pierna. La región afectada comprende desde

Irrigación arterial del tobillo

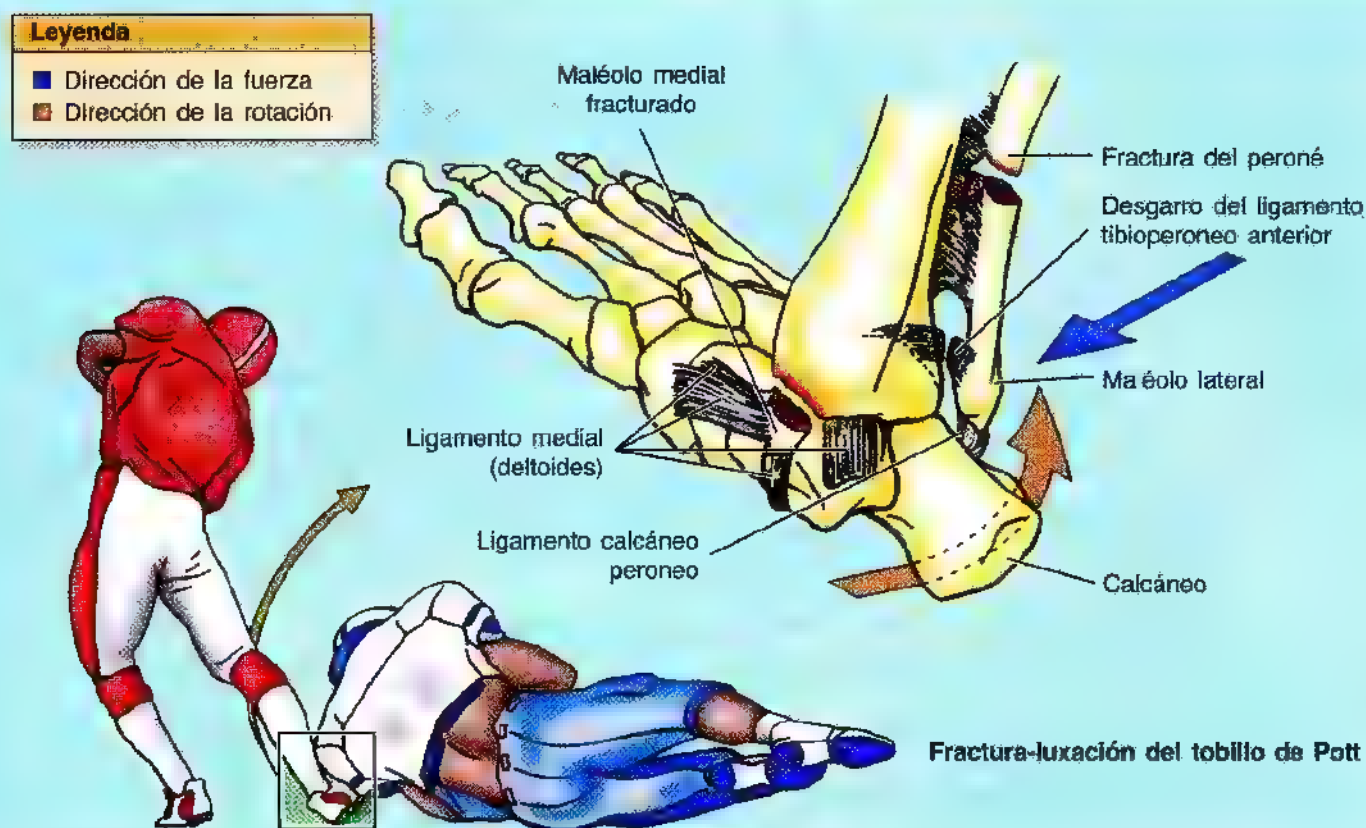
Las arterias proceden de ramas maleolares de las arterias peroneal y tibiales anterior y posterior (figs. 5.61 y 5.62B).

Inervación del tobillo

Los nervios provienen del nervio tibial y del nervio peroneo profundo, división del nervio peroneo común (fig. 5.62, C y D).

el maléolo medial hasta el calcáneo; el dolor en el talón se debe a la compresión del nervio tibial por el retináculo de los flexores. ⊕





Las articulaciones del pie

Existen muchas articulaciones en el pie donde intervienen los huesos del tarso, metatarso y las falanges (tabla 5.16). Las articulaciones intertarsianas más importantes son la **articulación transversa del tarso** (calcaneocuboidea y astragaloescaloidea) y la **articulación subastragalina**. La inversión y la eversión del pie constituyen los movimientos principales de estas articulaciones. Las demás articulaciones del pie son bastante pequeñas y están tan unidas por los ligamentos, que apenas se mueven (tabla 5.17). Todos los huesos del pie se encuentran ensamblados por ligamentos dorsales y plantares.

La **articulación transversa del tarso** está integrada por la porción astragaloescaloidea, combinada de las articulaciones astragalocalcaneoescafoidea y calcaneocuboidea; las dos articulaciones se alinean de forma transversal. La sección transversal por esta articulación constituye el método habitual para la *amputación quirúrgica del pie*.

La **articulación subastragalina** ocurre en la zona donde el astrágalo se apoya y se articula con el calcáneo. Se trata de una articulación sinovial rodeada de una capsula articular, que se inserta cerca de los bordes de las caras articulares. La cápsula fibrosa es débil, pero está reforzada por los **ligamentos astragalocalcáneos** interóseos medial, lateral y posterior (fig. 5.64). Los cirujanos ortopedas suelen emplear el término de "articulación subastragalina" como concepto funcional donde sucede la mayoría de los movimientos de inversión y eversión.

Los ligamentos del pie

Los principales ligamentos del pie (fig. 5.66) son:

- El **ligamento calcaneoescafoideo plantar** se extiende desde la apófisis menor del calcáneo hasta la cara posteroinferior del escafoide. Este ligamento contribuye decisivamente a mantener el arco longitudinal del pie.
- El **ligamento plantar largo** pasa desde la cara plantar del calcáneo hasta el surco del cuboides. Parte de sus fibras se extienden a las bases de los metatarsianos y crea un túnel para el tendón del músculo peroneo largo (fig. 5.66A). El ligamento plantar largo resulta esencial para mantener los arcos del pie.
- El **ligamento calcaneocuboideo plantar** (ligamento plantar corto) se encuentra en la profundidad del ligamento plantar largo (fig. 5.66B). Se extiende desde la cara anterior de la parte inferior del calcáneo hasta la cara inferior del cuboides.

Los arcos del pie

Los huesos del tarso y del metatarso se disponen en arcos longitudinales y transversales que contribuyen a la capacidad de soporte del peso y a la elasticidad del pie. Actúan absorbiendo los choques para soportar el peso del cuerpo e impelerlo durante el movimiento. Los arcos elásticos del pie permiten que se adapte a los cambios de superficie y del peso. El peso del cuerpo se transmite desde la tibia al astrágalo y luego, en sentido posteroinferior, hacia el calcáneo y,

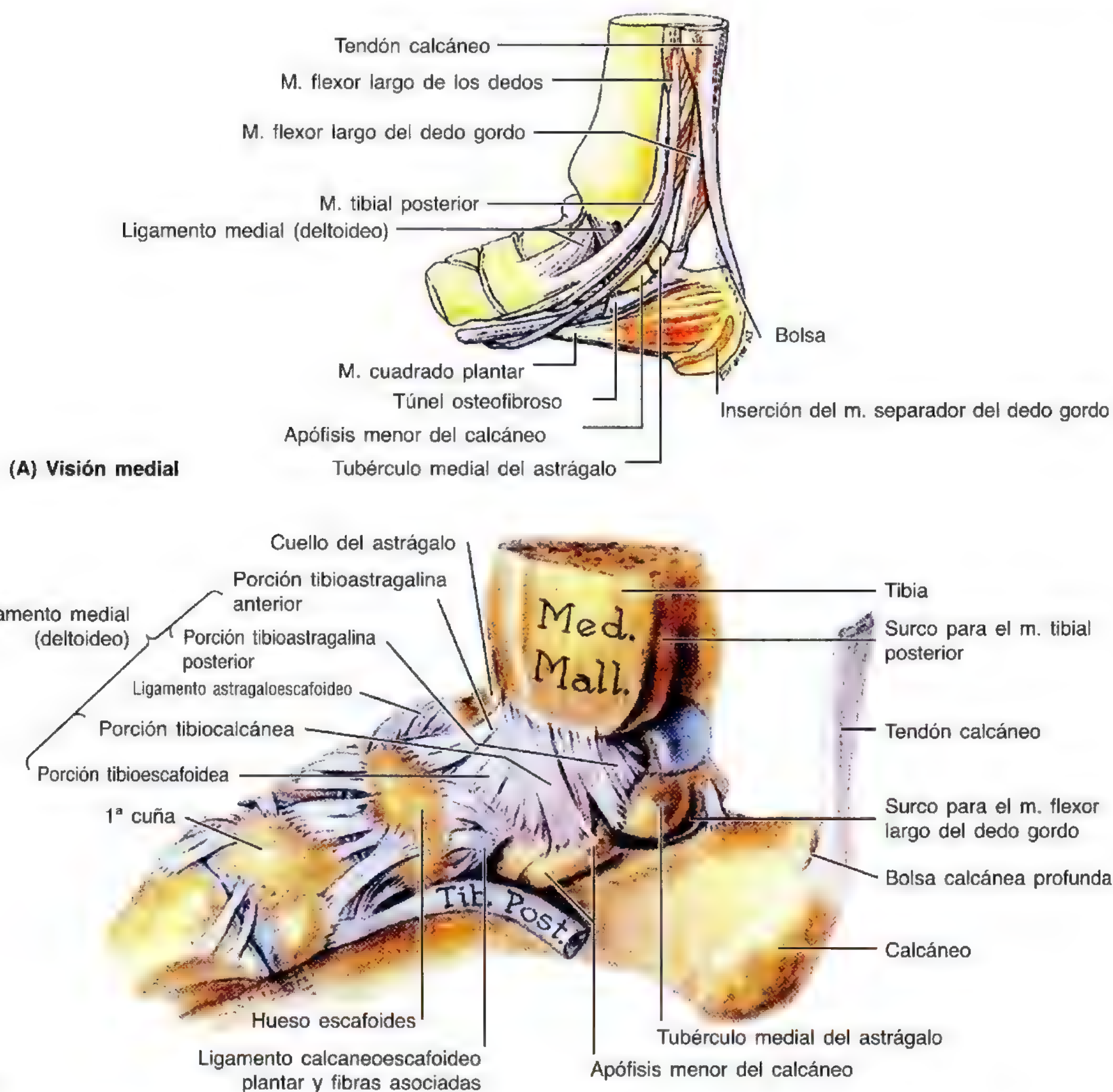


Figura 5.65. Las articulaciones del tobillo y del tarso. Visiones mediales. **A.** Tendones de la cara medial del tobillo. **B.** Disección de las articulaciones del tobillo y del tarso. Obsérvense las cuatro porciones del ligamento medial del tobillo.

anteroinferior, hacia las cabezas del 2º al 5º metatarsiano y hacia los huesos sesamoideos del dedo gordo (fig. 5.67). Entre estos puntos de apoyo del peso se encuentran los arcos del pie, bastante elásticos, que se aplanan ligeramente por el peso corporal durante la bipedestación y que adquieren de nuevo su curvatura (retroceso elástico) cuando desaparece el efecto ponderal (p. ej., al sentarse).

El **arco longitudinal del pie** se compone de las porciones medial y lateral (fig. 5.68). Desde el punto de vista funcional, las dos partes actúan como una unidad con el arco transversal que distribuye el peso en todas las direcciones. El **arco longitudinal medial** es más alto e importante que el arco longitudinal lateral (fig. 5.68A). El primero se compone del calcáneo, astrágalo, escafoides, las tres cuñas y tres metatarsianos. *La cabeza del astrágalo constituye la base del*

arco longitudinal medial. El músculo tibial anterior, que se inserta en el 1º metatarsiano y en la cuña medial, contribuye a enderezar el arco longitudinal medial. El tendón del músculo peroneo largo, que pasa de la cara lateral a la medial, también ayuda a sujetar este arco (fig. 5.66A). El **arco longitudinal lateral** es bastante más plano que el medial y se apoya en el suelo con la bipedestación (fig. 5.68B); se compone del calcáneo, el cuboide y los dos últimos metatarsianos.

El **arco transversal del pie** se dirige de un lado al otro (fig. 5.68C) y lo integran el cuboide, las cuñas y las bases de los metatarsianos. Las porciones medial y lateral del arco longitudinal actúan como pilares del arco transversal. El tendón del músculo peroneo largo, que cruza la planta del pie en sentido oblicuo (fig. 5.66A), ayuda a mantener la cur-

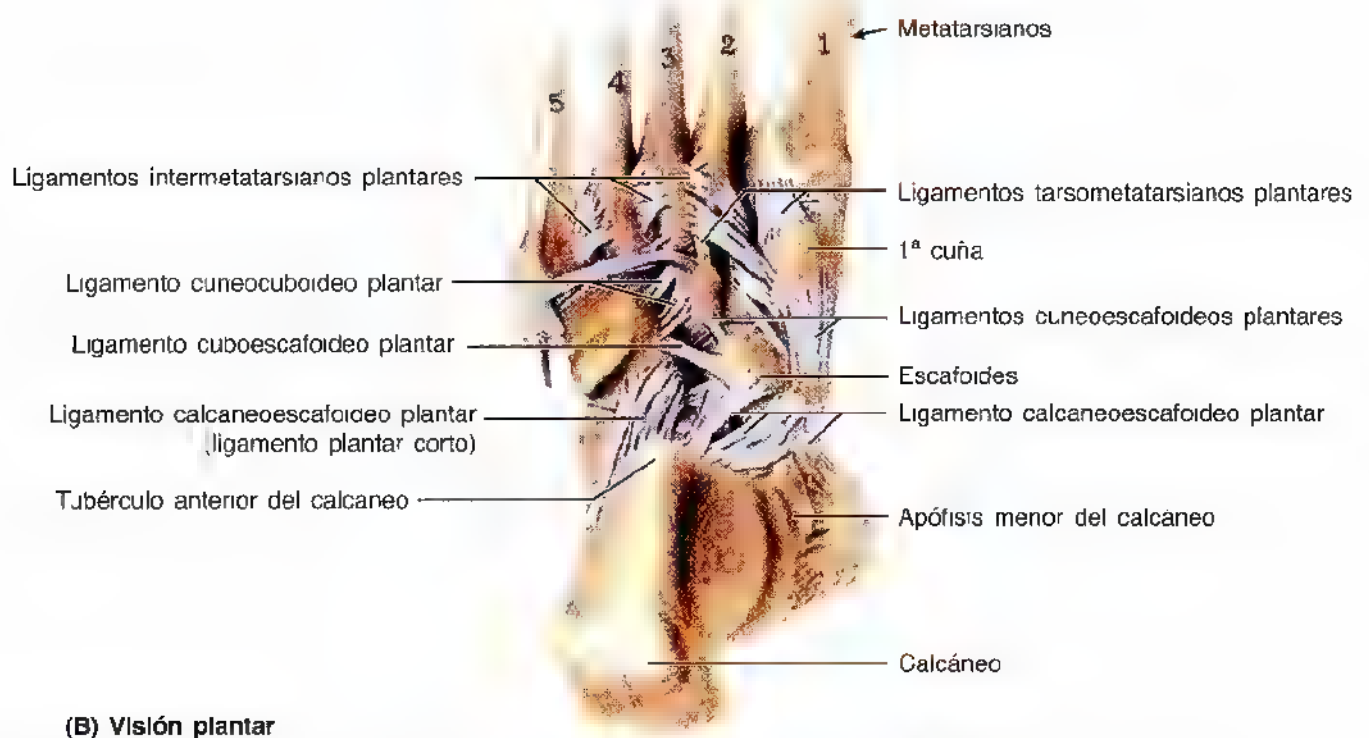
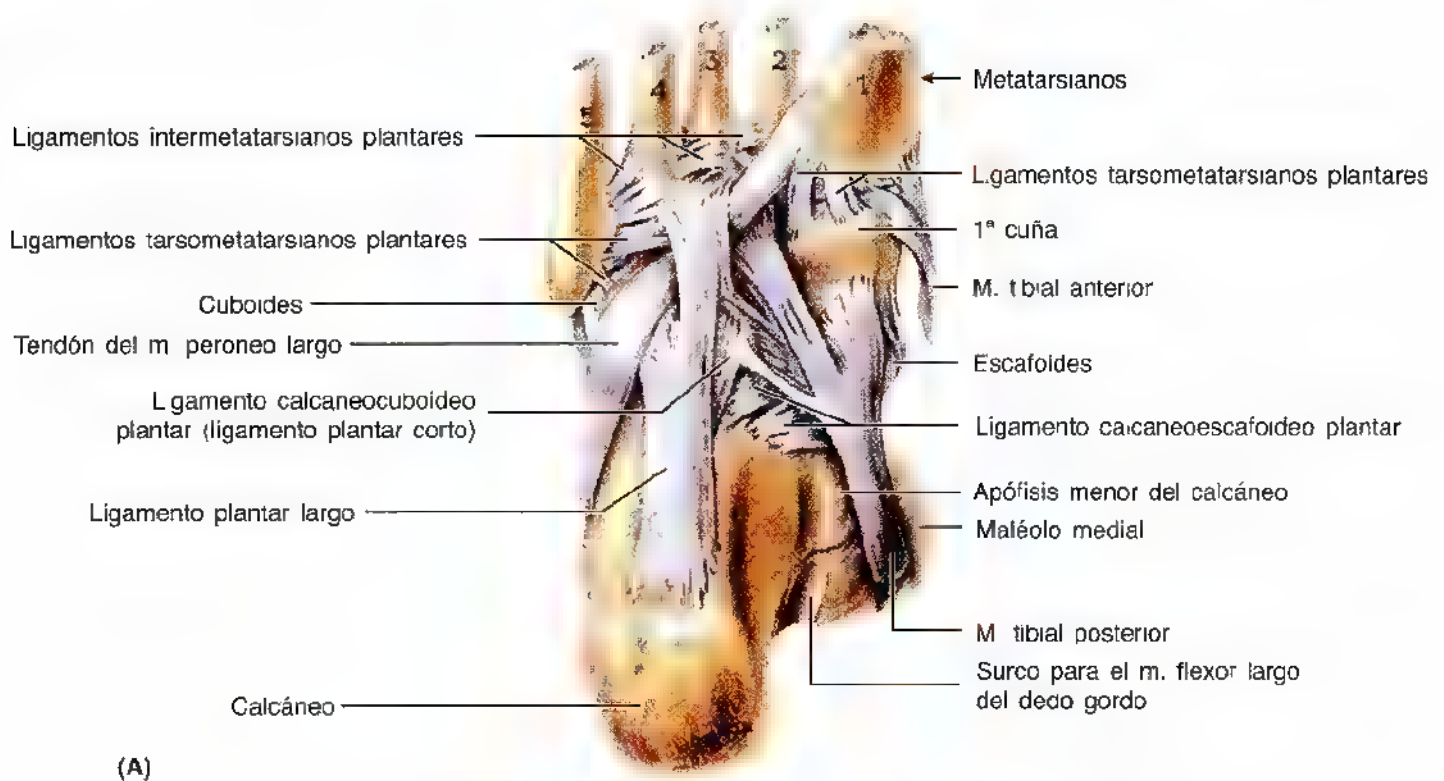


Figura 5.66. Los ligamentos plantares. A-B. Disección profunda de la planta de pie derecho para mostrar las inserciones de los ligamentos y los tendones largos de los músculos de la pierna. Los ligamentos principales que aparecen en esta visión son los ligamentos calcaneoescafoideo plantar y los ligamentos plantares largo y corto.

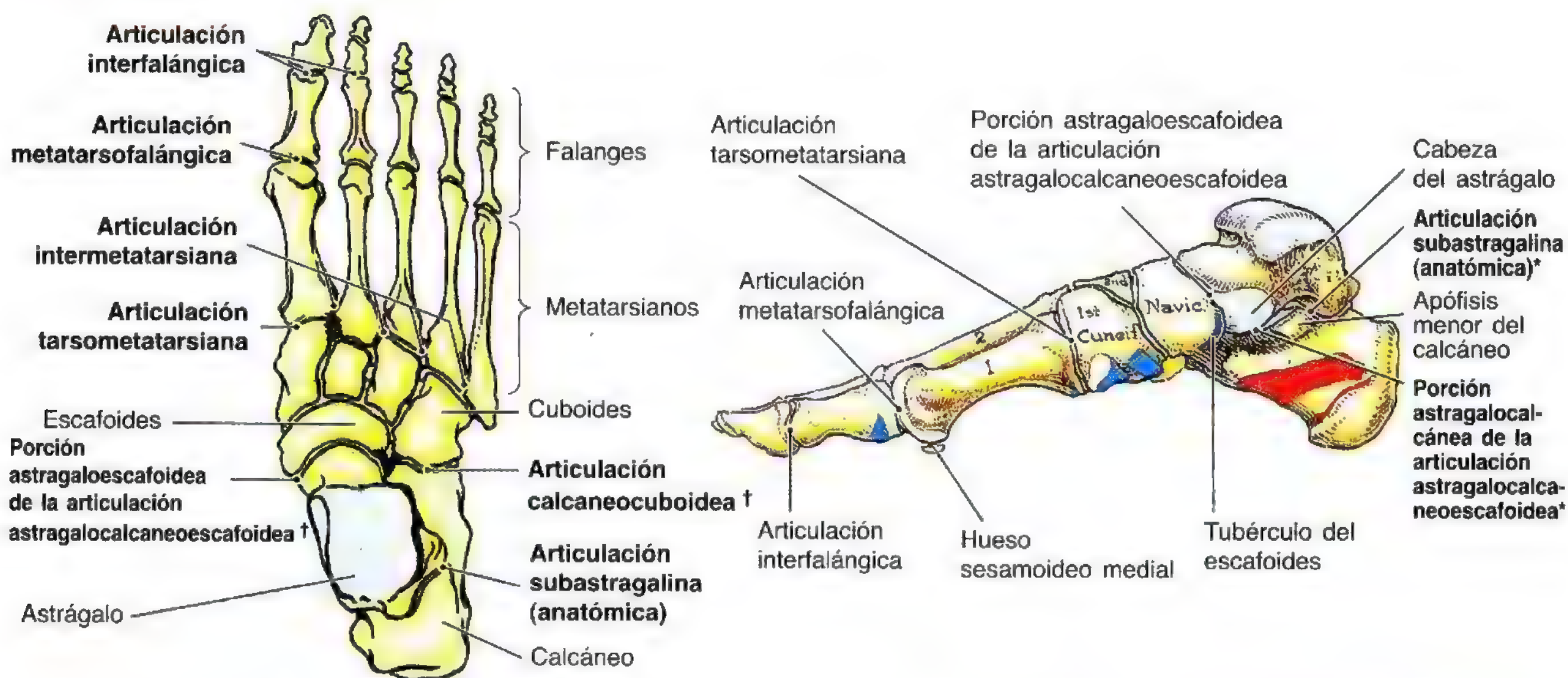
vatura del arco transversal. La integridad de los arcos óseos del pie se mantiene gracias a estos elementos:

- La forma de los huesos, que se interdigitan.
- La fuerza de los ligamentos plantares, sobre todo del ligamento calcaneoescafoideo plantar y de los ligamentos plantares largo y corto.

- La aponeurosis plantar (parte central de la fascia plantar).
- La acción de los músculos, que se transmite por el efecto vigoroso de sus tendones.

De todos estos factores, los ligamentos plantares y la aponeurosis plantar son los que mayor tensión soportan y los que más importancia tienen para mantener estos arcos.

Tabla 5.16. Las articulaciones del pie



† La combinación de la articulación transversa del tarso

* La combinación de la articulación subastragalina quirúrgica

Articulación	Tipo	Cara articular	Cápsula articular	Ligamentos	Movimientos	Vascularización	Inervación
Subastragalina (astragalocalcánea)	Articulación sinovial plana	La cara inferior del cuerpo del astrágalo (carilla articular posterior para el calcáneo) se articula con la cara superior (superficie articular posterior para el astrágalo) del calcáneo	La cápsula fibrosa se inserta en los bordes de las caras articulares	Los ligamentos astragalocalcáneos medial, lateral y posterior sujetan la cápsula; el ligamento astragalocalcáneo interóseo une los huesos entre sí	Inversión y eversión del pie	Aa. tibial posterior y peroneal	Cara plantar: nn. plantares medial o lateral; cara dorsal: n. peroneo profundo
Astragalocalcaneoescafoidea	Articulación sinovial; la porción astragaloescafoidea corresponde a una enartrosis	La cabeza del astrágalo se articula con el calcáneo y el escafoides	Una cápsula fibrosa rodea la articulación de manera incompleta	El ligamento calcaneoescafoideo plantar sujeta la cabeza del astrágalo	Movimientos de deslizamiento y rotación	A. tibial anterior, a través de la a. lateral del tarso	
Calcaneocuboidea	Articulación sinovial plana	El extremo anterior del calcáneo se articula con la cara posterior del cuboides	Una cápsula fibrosa rodea la articulación	Los ligamentos calcaneocuboideo dorsal, calcaneocuboideo plantar y plantar largo sujetan la cápsula fibrosa	Inversión y eversión del pie	A. anterior de la tibia, a través de la a. lateral del tarso	
Tarsometatarsiana	Articulación sinovial plana	Los huesos anteriores del tarso se articulan con las bases de los metatarsianos	Una cápsula fibrosa rodea cada articulación	Ligamentos dorsal, plantar e interóseo	Deslizamiento	A. lateral del tarso, rama de la a. dorsal del pie	Nn. peroneo profundo, plantar, medial y lateral y sural
Intermetatarsiana	Articulación sinovial plana	Las bases de los metatarsianos se articulan entre sí	Una cápsula fibrosa rodea cada articulación	Los ligamentos dorsal, plantar e interóseo unen los huesos entre sí	Muy poquito movimiento de cada hueso	A. metatarsiana lateral, rama de la a. dorsal del pie	Nn. digitales
Metatarsofalángica	Articulación sinovial condílea	Las cabezas de los metatarsianos se articulan con las bases de las falanges proximales	Una cápsula fibrosa rodea cada articulación	Los ligamentos colaterales sujetan la cápsula a cada lado; el ligamento plantar sujeta la porción plantar de la cápsula	Flexión, extensión y cierta separación, aproximación y circunducción	A. lateral del tarso, rama de la a. dorsal del pie	
Interfalángica	Articulación sinovial de tipo bisagra	La cabeza de cada falange se articula con la base de la falange distal	Una cápsula fibrosa rodea cada articulación	Los ligamentos colateral y plantar sujetan las articulaciones	Flexión y extensión	Ramas digitales del arco plantar	

Hallux valgus (deformidad en valgo del dedo gordo; juanete)

La deformidad en valgo del dedo gordo es una enfermedad del pie que se caracteriza por la *desviación lateral del dedo gordo*. La *L* de *valgus* indica *desviación lateral*. En algunas personas la desviación es tan grande, que el dedo gordo se sobrepone al 2º (A). Estas personas no pueden separar el 1º del 2º dedos, porque *los huesos sesamoideos, situados bajo la cabeza del 1º metatarsiano, suelen desplazarse* y quedan en el espacio entre las cabezas del 1º y 2º metatarsianos (B). El primer hueso metatarsiano se desvía lateralmente, y los huesos sesamoideos, medialmente. A menudo, los tejidos circundantes se edematizan, y la compresión y fricción resultantes contra el zapato determina que se forme una bolsa; si ocurre dolor o inflamación de la bolsa se denomina *juanete* (A). Muchas veces, también aparecen *callosidades duras* (zonas inflamadas de piel gruesa) sobre las articulaciones interfalángicas proximales, sobre todo en el dedo pequeño.

Dedo en martillo

El *dedo en martillo* es una deformidad en la cual la falange proximal queda flexionada permanentemente en la articulación metatarsofalángica, y la falange media tiene una flexión plantar por la articulación interfalángica. La falange distal también se flexiona o extiende, dando al dedo (casi siempre, el 2º) el aspecto de martillo (pág. 654). Esta deformidad de uno o más dedos puede obedecer a la debilidad de los músculos lumbricales e interóseos, que flexionan las articulaciones metatarsofalángicas y extienden las interfalángicas. La *callosidad* o *callo* —engrosamiento duro de la capa de queratina de la piel— suele establecerse en el lugar donde la cara dorsal del dedo del pie frota repetidamente el zapato.

Dedos del pie en garra

Los dedos del pie en garra se caracteriza por la hiperextensión de las articulaciones metatarsofalángicas y la flexión de las interfalángicas distales. De ordinario se afectan los cuatro últimos dedos. Se forman callos en la cara dorsal de los dedos por la presión del zapato. Asimismo, se pueden formar en la cara plantar de las cabezas de los metatarsianos y puntas de los dedos del pie, porque soportan un mayor peso en el caso de la deformidad en garra.

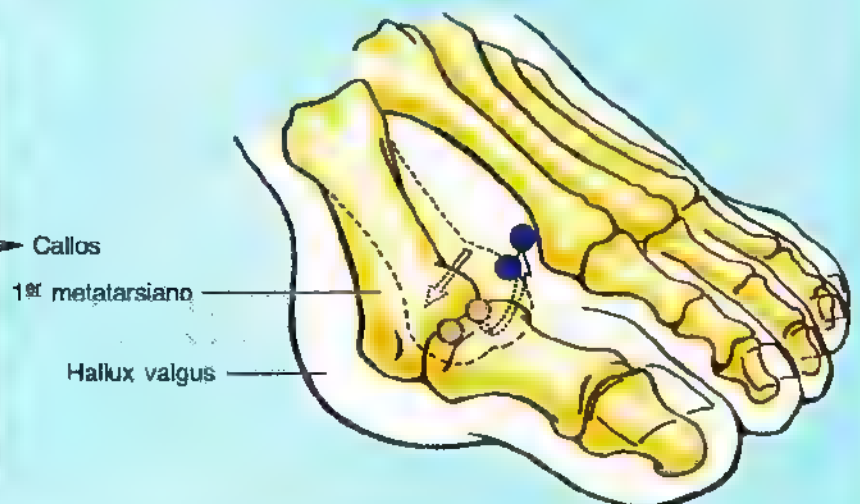
Pie plano

El aspecto plano de los pies del lactante es normal y se debe al cuerpo adiposo subcutáneo denso de las plantas de sus pies. Los arcos del pie están presentes al nacer, pero no se visualizan hasta que el pequeño ha caminado durante algunos meses. El pie plano de los adolescentes y adultos se debe a la “caída de los arcos”, en general, de las partes mediales de los arcos longitudinales. Cuando una persona está de pie, los ligamentos y la aponeurosis plantares se estiran bajo el efecto del peso corporal (A). Si estos ligamentos sufren un estiramiento patológico durante los períodos de bipedestación, el ligamento calcaneoescafoideo plantar ya no logra soportar la cabeza del astrágalo. En consecuencia, la cabeza del astrágalo se desplaza inferomedialmente y sobresale (B). La cabeza del astrágalo se desplaza hacia abajo y medialmente (*flecha roja*). Por eso se observa cierto aplanamiento de la parte medial del arco longitudinal, junto con una desviación lateral del antepié.

En la variedad más común de pie plano, el pie toma de nuevo su forma arqueada cuando ya no soporta el peso. *Los pies planos son comunes en las personas mayores*, sobre todo si están demasiado tiempo de pie o aumentan rápidamente de peso, lo que añade una mayor sobrecarga para los músculos y los ligamentos que soportan estos arcos.



(A) Hallux valgus y callos



(B) Desplazamiento de los huesos sesamoideos



Dedo en martillo



Dedos en garra



(A) Visión del arco normal



(B) Visión del arco caído

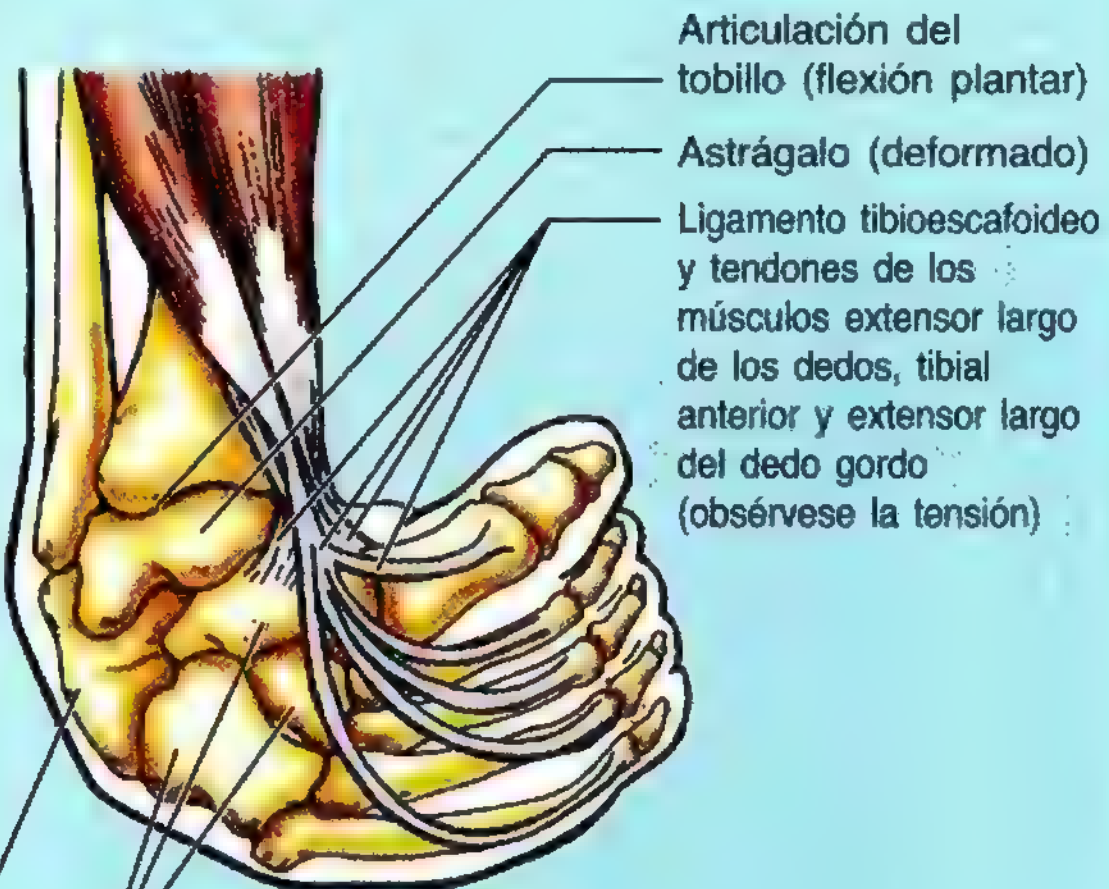
Pie zambo

El **pie zambo** se refiere a un pie torsionado. Todos los tipos conocidos de pie zambo son congénitos (están pre-

sentes al nacer). El *pie equinovaro*, una variedad común (2 por cada 1.000 nacidos vivos) afecta a la articulación subastragalina, en particular a los niños (dos veces



(A) Pie zambo o equinovaro



(B)

► más que a las niñas). El pie está invertido, el tobillo muestra flexión plantar y el antepié se aproxima. El pie adopta la posición de una pezuña de caballo, de aquí el prefijo "equino". En la mitad de los afectados, la malformación se da en los dos pies. Una persona con un pie zambo corregido no puede poner el talón y la planta

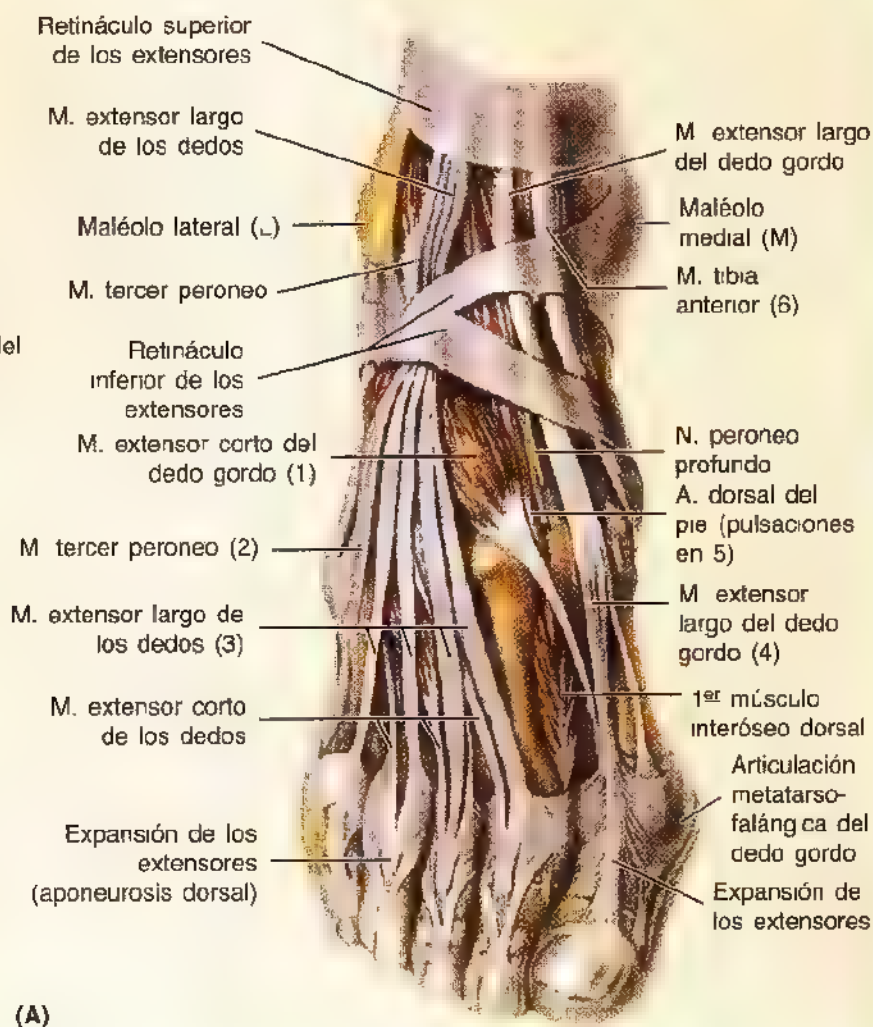
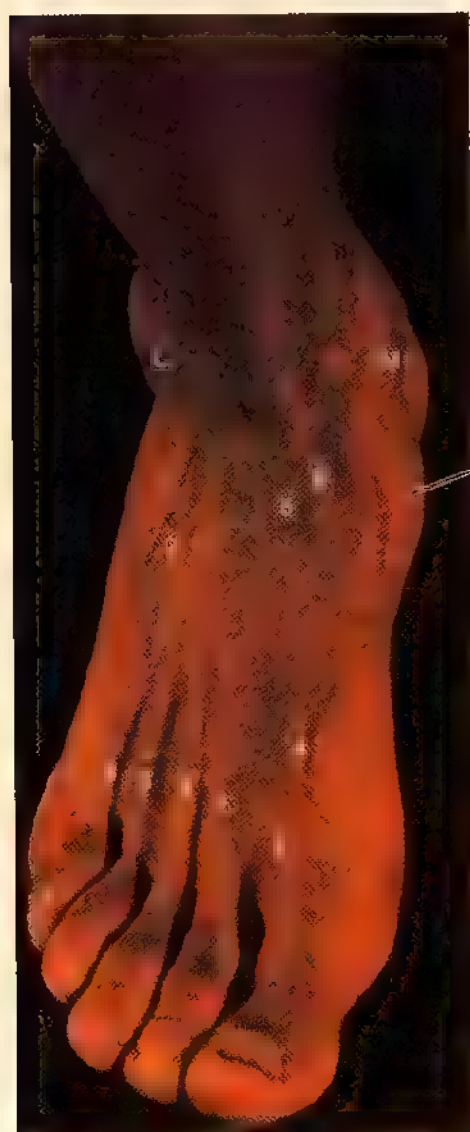
del pie planos y debe soportar el peso sobre la cara lateral del antepié. Por eso sufre dolor al caminar. La anomalía fundamental consiste en el acortamiento y la tensión de los músculos, tendones, ligamentos y cápsulas articulares de las caras medial y posterior del pie y del tobillo. ❖

Anatomía de superficie del tobillo y del pie

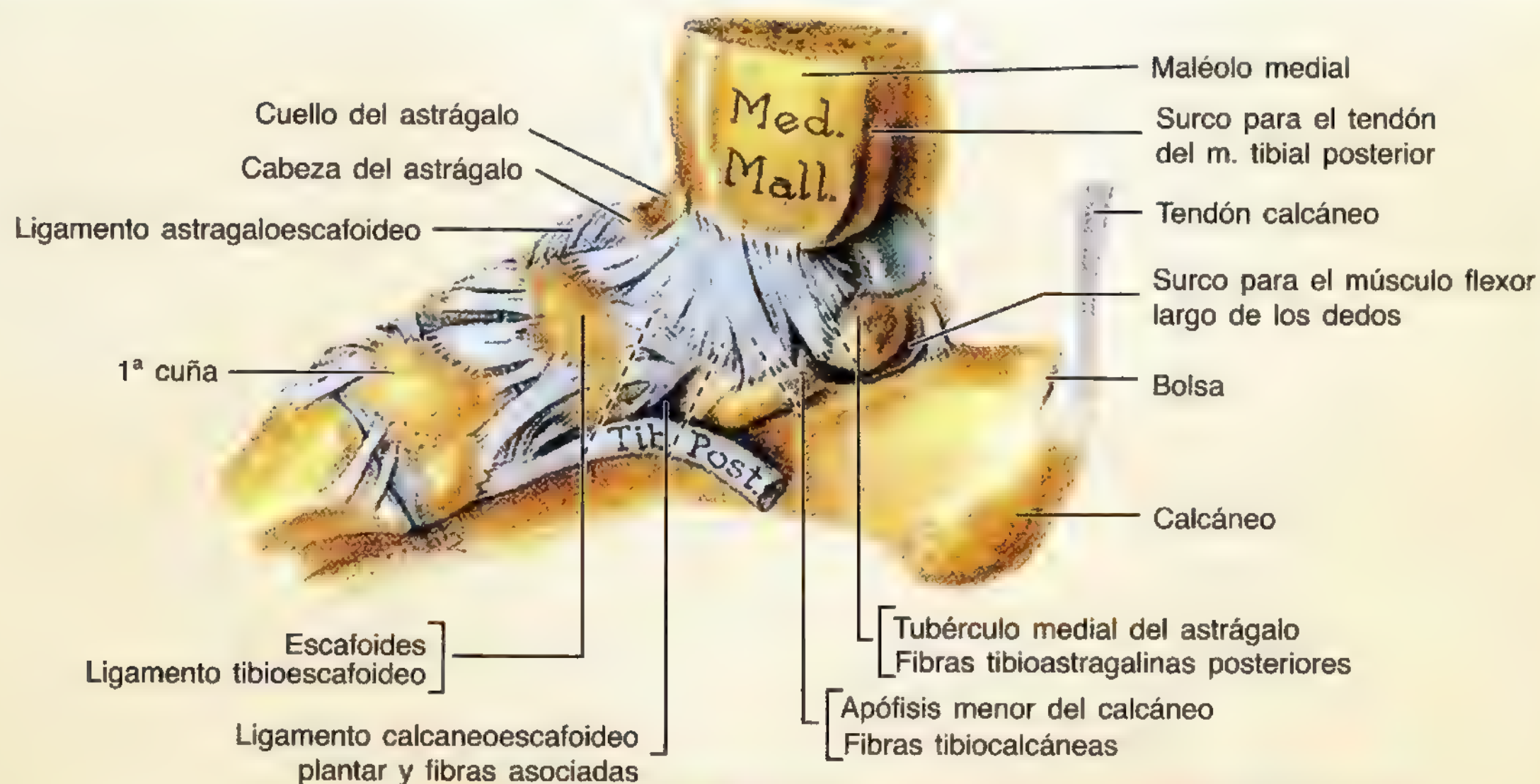
Los *maléolos medial y lateral* que ocupan una posición subcutánea y prominente se palpan con facilidad. Podrá observarse que la punta del maléolo lateral queda más distal y posterior que la del medial. El *tubérculo del escafoides* es la referencia más prominente y destacada del pie (A). Se ve y palpa con facilidad en la cara lateral del pie, debajo y delante de la punta del maléolo medial. Si el pie se invierte de manera activa, también se palpa el tendón del músculo tibial posterior a su paso detrás y dis-

tal al maléolo lateral y luego superior a la apófisis menor del calcáneo, hasta alcanzar su inserción en el tubérculo del escafoides. Por esta razón, *el tendón del músculo tibial posterior es la referencia para el escafoides*. El tendón de este músculo también indica el lugar donde debe palparse el *pulso tibial posterior* (a mitad de camino entre el maléolo medial y el tendón calcáneo).

La *apófisis menor del calcáneo* crea una pequeña prominencia ósea, unos 2 cm distal a la punta del maléolo medial (B). Se palpa mejor desde abajo, donde queda algo enmascarada por el tendón del músculo flexor largo de los dedos, que lo cruza. Cuando se invierte el pie se ►



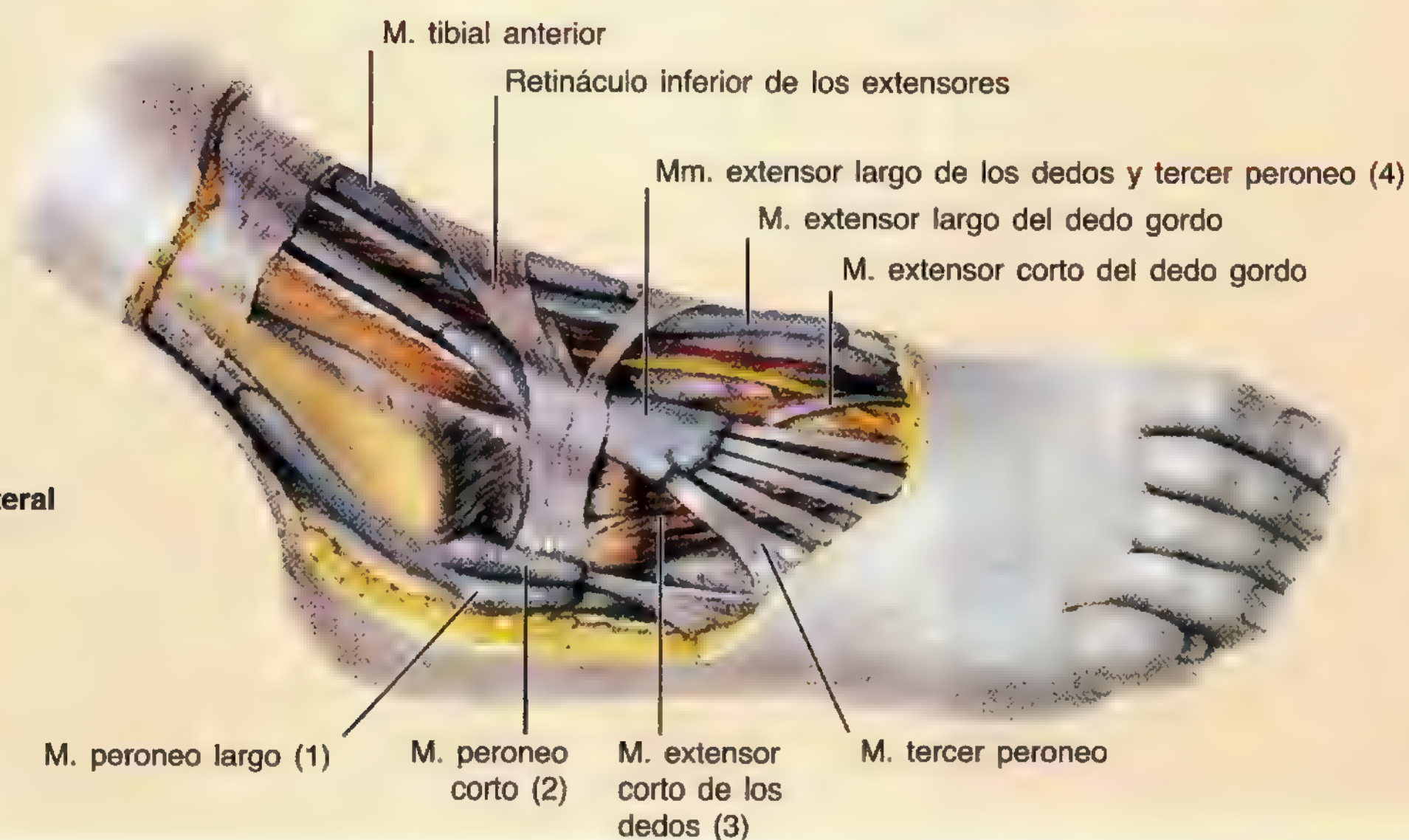
(A)



(B)



Visión lateral



Visión anterolateral

► descubre la cara anterior del calcáneo, que se palpa. Este es el asiento de la *articulación calcaneocuboidea*. Cuando el pie se encuentra en flexión plantar se expone la *cabeza del astrágalo*. Ésta se palpa dorsal a la zona donde se localiza la cara anterior del calcáneo. El *tendón calcáneo* de la cara posterior del tobillo se palpa fácilmente y se puede seguir hasta su inserción en la parte posterior del calcáneo. El tobillo emerge a la superficie en la depresión que queda a cada lado del tendón. Cuando la articulación está excesivamente llena de líquido, estas depresiones desaparecen.

Los tendones del tobillo sólo se pueden identificar cuando actúan sus músculos. Los *tendones de los músculos peroneos largo y corto* se pueden seguir distalmente, detrás y debajo del maléolo lateral y luego anteriormente por la cara lateral del pie (C). El tendón del músculo peroneo largo se palpa hasta el cuboides y luego desaparece introduciéndose en la planta. El tendón del músculo peroneo corto se palpa fácilmente hasta su inserción en la cara dorsal del tubérculo situado en la base del 5º metatarsiano. Este tubérculo se encuentra en el centro del borde lateral del pie. Cuando se extienden activamente los dedos del pie, el pequeño vientre carnoso del músculo *extensor corto de los dedos* (C) se puede ver y palpar delante del maléolo lateral. Su posición debe observarse y palparse para no confundirlo con un edema patológico.

La *articulación metatarsofalángica del dedo gordo* yace distal a la prominencia creada por la cabeza del 1º metatarsiano. La *gota*, una enfermedad metabólica, suele producir edema y dolor en esta articulación, al igual que la

artrosis (enfermedad articular degenerativa). El dolor intenso en la 1ª articulación metatarsofalángica se conoce como *podagra* (G. fr. *pous* + *agra*, ataque). Muchas veces, la 1ª articulación metatarsofalángica es la única afectada por la artritis.

Los tendones de la cara anterior del tobillo (de la cara medial a lateral) se palpan con facilidad cuando el pie se encuentra en flexión dorsal.

- El gran tendón del músculo tibial anterior (A, pág. 655) sale de la cubierta del retináculo superior de los extensores; desde aquí, el tendón está revestido de una vaina sinovial continua; el tendón puede rastrearse hasta su inserción en la 1ª cuña y en la base del 1º metatarsiano.
- El tendón del *músculo extensor largo del dedo gordo*, que se ve cuando se flexiona dorsalmente y contra resistencia el dedo gordo (A), se puede seguir hasta su inserción en la base de la falange distal del 1º dedo.
- Los tendones del *músculo extensor largo de los dedos* (C) se palpan fácilmente hasta sus inserciones en los cuatro últimos dedos.
- El tendón del *músculo tercer peroneo* también se puede seguir hasta su inserción en la base del 5º metatarsiano. Este músculo carece de importancia y a veces falta.

La *articulación transversa del tarso* viene señalada por una línea desde la cara posterior del tubérculo del escafoide hasta un punto situado a mitad de camino entre el maléolo lateral y el tubérculo del 5º metatarsiano. ●

La postura y la marcha

Cuando una persona permanece de pie, relajada, con los pies ligeramente separados y en rotación lateral, de modo que los dedos apunten hacia fuera, muy pocos músculos del dorso del tronco y del miembro inferior se mantienen activos. La disposición mecánica de las articulaciones y de los músculos es tal, que se requiere una actividad muscular mínima para evitar la caída. En esta posición erecta y relajada, las articulaciones de la cadera y de la rodilla están extendidas y en su posición más estable. El tobillo es menos estable que la cadera y la rodilla. Por eso, cuando sucede un balanceo anterior, los músculos de la pantorrilla se contraen para impedir la caída. La estabilidad lateral depende de la fascia lata, el tracto iliotibial, el ligamento colateral peroneal y el músculo tibial anterior. Este último controla el balanceo lateral a la altura del tobillo.

La locomoción es una función compleja pero de conocimiento imprescindible, porque las alteraciones de la marcha indican trastornos del sistema nervioso. Los movimientos de los miembros inferiores al caminar sobre una superficie lisa se pueden dividir en las fases de balanceo y apoyo (fig. 5.69). La *fase de balanceo* comienza con el despegue del pie del suelo y termina cuando el talón golpea el suelo de nuevo.



Figura 5.67. Zonas de apoyo del pie. El peso corporal se reparte casi por igual entre el calcáneo y las cabezas de los metatarsianos. La porción anterior del pie tiene 5 puntos de apoyo en el suelo; un gran punto medial que comprende los dos huesos sesamoideos que acompañan a la cabeza del 1º metatarsiano y las cabezas de los 4 últimos metatarsianos. El 1º metatarsiano soporta una carga doble.

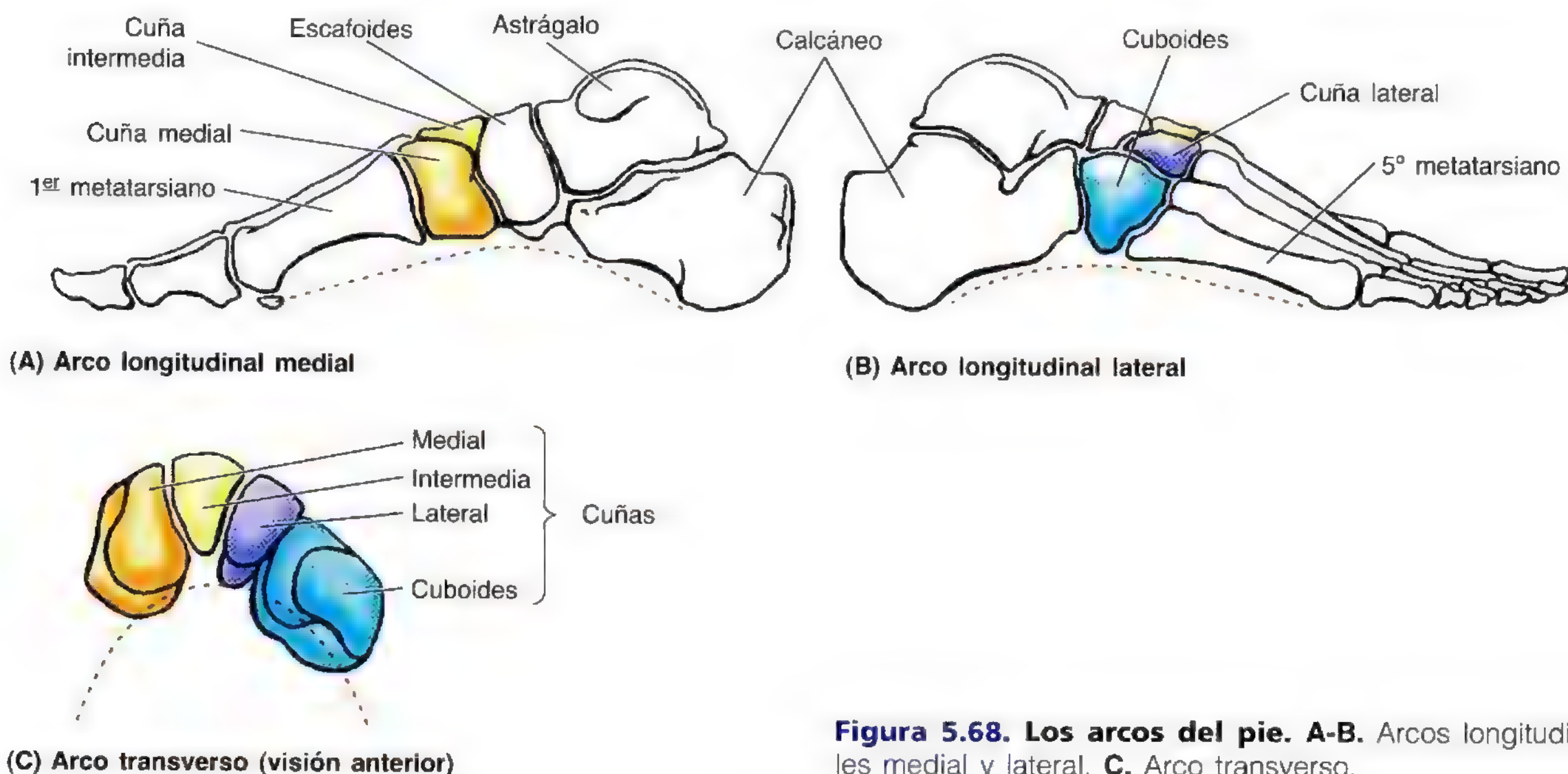


Figura 5.68. Los arcos del pie. A-B. Arcos longitudinales medial y lateral. C. Arco transverso.

La *fase de apoyo* empieza cuando el pie se encuentra apoyado en el suelo y soportando el peso corporal. La fase de balanceo ocupa casi un tercio del ciclo, y la de apoyo, dos tercios. El despegue para iniciar el balanceo obedece, casi siempre, a la flexión plantar del pie.

Tabla 5.17. Los músculos principales que mueven las articulaciones metatarsofalángicas e interfalángicas^a

Movimiento	Músculos
Articulaciones metatarsofalángicas	
Flexión	M. flexor corto de los dedos M. lumbricales M. interóseos M. flexor corto del dedo gordo M. flexor largo del dedo gordo M. flexor corto del dedo pequeño M. flexor largo de los dedos
Extensión	M. extensor largo del dedo gordo M. extensor largo de los dedos M. extensor corto de los dedos
Separación	M. separador del dedo gordo M. separador del dedo pequeño M. interóseos dorsales
Aproximación	M. aproximador del dedo gordo Mm. interóseos plantares
Articulaciones interfalángicas	
Flexión	M. flexor largo del dedo gordo M. flexor largo de los dedos M. flexor corto de los dedos M. cuadrado plantar
Extensión	M. extensor largo del dedo gordo M. extensor largo de los dedos M. extensor corto de los dedos

^a En **negrita** se indican los músculos principales responsables del movimiento; los demás actúan como músculos auxiliares.

Si se paraliza el músculo tríceps sural o se rompe el tendón calcáneo, los músculos glúteo mayor y femorales posteriores, que extienden el muslo a la altura de la cadera, pueden empezar el despegue, aunque con menos eficacia. La fase de balanceo exige, asimismo, una flexión casi simultánea de las articulaciones de la cadera y de la rodilla, seguida de la dorsiflexión del tobillo. De ordinario, la cadera se balancea también hacia delante (rotación de la cadera al lado contrario), interviniendo los músculos tensor de la fascia lata, pectíneo y sartorio. Conforme avanza el balanceo anterior, tiene lugar la dorsiflexión del pie por efecto de los músculos del compartimiento anterior de la pierna y el cuádriceps empieza a extender la pierna. Los músculos cuádriceps y glúteo mayor apenas intervienen al caminar sobre una plataforma nivelada, pero se activan al subir o bajar cuestas. En la última parte de la fase de apoyo, los dedos del pie tienden a flexionarse y agarrar el suelo. Los músculos extensores largos e intrínsecos del pie estabilizan los dedos del pie y ofrecen inserciones distales fijas para que los flexores y extensores largos puedan mover la pierna.

La estabilización es muy importante al caminar; el músculo glúteo medio se encarga de controlar la inclinación de la pelvis. Cuando el peso se soporta en uno de los miembros inferiores en la fase de apoyo, la pelvis del lado libre o del balanceo se inclina hacia el suelo por efecto de la gravedad. Los músculos separadores de la cadera (glúteos medio y menor) del lado de apoyo reducen al mínimo la inclinación, para lo cual se contraen con fuerza y actúan sobre la pelvis del fémur fijo. Al caminar, la inclinación de la pelvis se alterna de un lado al otro. Los músculos inversores y eversores del pie son los principales estabilizadores del mismo en la fase de apoyo. Además, ayudan a soportar los arcos del pie durante la fase de apoyo, como hacen los músculos intrínsecos de la planta.

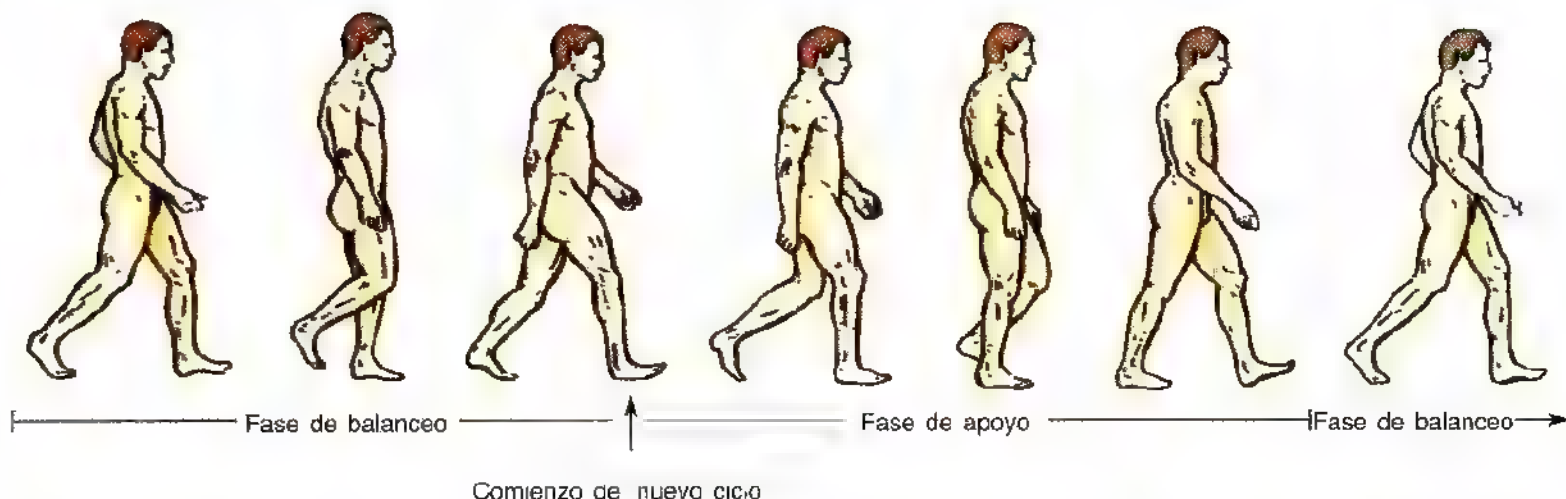


Figura 5.69. Mecánica de la marcha. Obsérvense las fases de balanceo y apoyo del miembro inferior derecho

Imágenes médicas del miembro inferior

Radiografía

La cintura pélvica y la cadera

Las radiografías de la pelvis y de la cadera revelan las alteraciones osteoarticulares y los problemas de alineación. En una proyección AP de la cadera (fig. 5.70A), el enfermo se encuentra en decúbito supino sobre la camilla de rayos, con el pie dirigido hacia arriba. El haz central de rayos X se centra en la cadera (véase esquema orientativo). Se examinan los rasgos anatómicos (marcados y no marcados). Sobre la cabeza del fémur se superpone el borde posterior del acetábulo (PR). En la unión del cuello con el cuerpo del fémur se ven los trocánteres mayor y menor. Entre los trocánteres aparece una línea oblicua, creada por la superposición de la línea y la cresta intertrocantéricas (IC). Obsérvese la arquitectura del hueso trabecular de la cabeza, cuello y porción proximal del cuerpo del fémur. La fortaleza de este hueso angular depende de su estructura. Nótese las líneas de tensión y de presión relacionadas con la función de soporte del peso del fémur. Obsérvese que el hueso compacto y denso aparece transparente (blanco), mientras que el hueso esponjoso, menos denso, está oscuro. Para obtener una visión completa del cuello del fémur, si se sospecha una fractura, hay que tomar varias proyecciones (fig. 5.70B).

Articulación de la rodilla

Se necesitan varias proyecciones radiológicas (AP, lateral y oblicua) para evaluar correctamente la rodilla. En la proyección AP de la rodilla (fig. 5.71B), el enfermo se encuentra en decúbito supino, con la rodilla extendida. El haz central de rayos X se dirige a la cavidad articular.

Hay que identificar los cóndilos femorales y tibiales y las sombras de la rótula, que se superponen sobre la extremidad distal del fémur. La cavidad articular parece grande, porque no se ven los meniscos. Éstos se pueden ver si se inyecta aire o líquido opaco dentro de la rodilla. Destaca el tubérculo prominente del aproximador, proximal al epicóndilo medial. El epicóndilo femoral lateral parece más prominente que el medial. La fosa intercondílea está enfrente de los tubérculos medial y lateral de la eminencia intercondílea de la extremidad proximal de la tibia. Como puede apreciarse, las caras articulares de los cóndilos tibiales son cóncavas.

En la proyección lateral de la artrografía de rodilla (fig. 5.72), la rodilla está ligeramente flexionada. Se ha inyectado un medio de contraste a través de la cápsula articular para visualizar la cavidad articular y la extensión de la membrana sinovial. El cartílago articular del cóndilo femoral aparece claro, al igual que la cápsula fibrosa revestida de membrana sinovial. La gran bolsa suprarrotuliana se continúa con la cavidad articular. Pese a que la RM ha reemplazado prácticamente a la artrografía, a veces se utiliza ésta para detectar los cuerpos intraarticulares si el resultado de la RM es confuso.

Tobillo y pie

Las radiografías habituales son las proyecciones lateral y AP. La radiografía lateral se toma colocando el maléolo lateral pegado a la casete con la película de rayos X (fig. 5.73A). Obsérvese la cara convexa de la tróclea del astrágalo (T), que se articula con los maléolos de la tibia y el peroné (se ven las sombras de los maléolos). También se aprecian el cuello (N) y la cabeza (H) del astrágalo, el escafoides con forma de disco (Na) y la articulación astragaloescafoidea. El calcáneo (Ca) y el cuboides (C) se articulan en la articulación calcaneocuboidea. El seno del tarso —espacio entre el calcáneo y el astrágalo— contiene el ligamento astragalocalcáneo interóseo. ▶

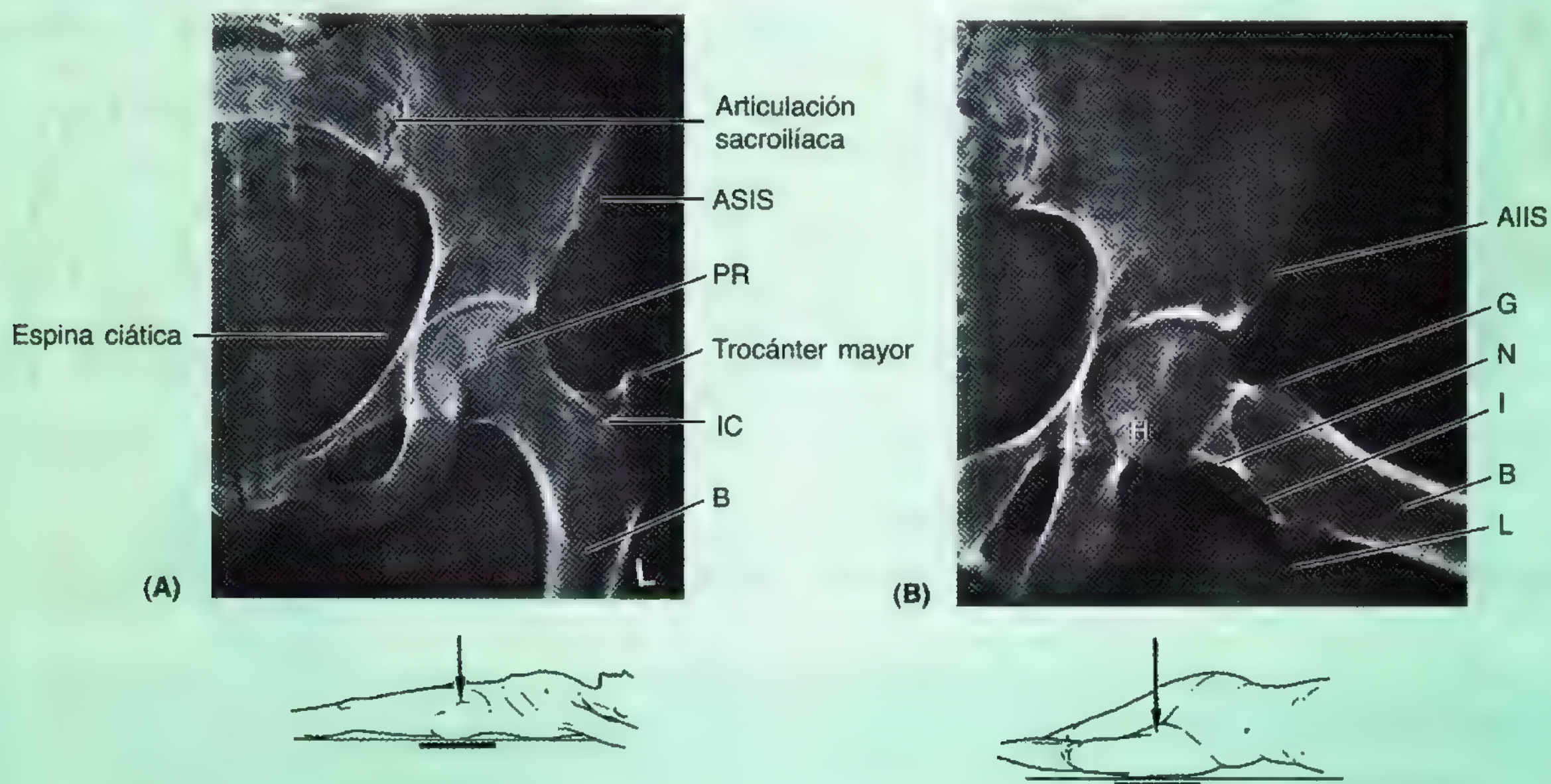
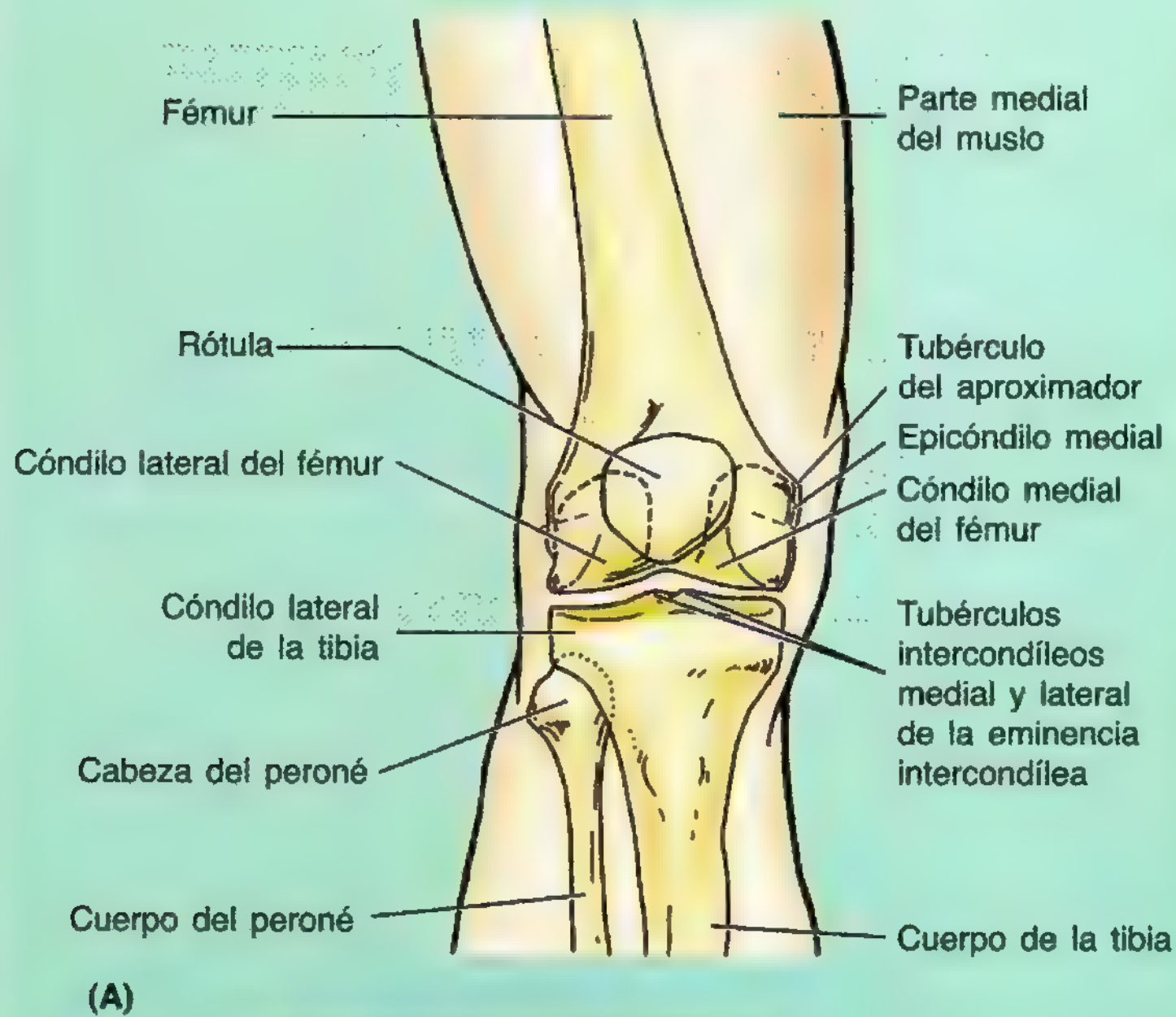


Figura 5.70. Radiografía de una articulación de la cadera normal. **A.** Proyección anteroposterior (AP) de la cadera izquierda. Del fémur se observan la cabeza, el cuello, el trocánter mayor, la cresta intertrocantérica (IC) y el cuerpo o diáfisis (B). Del hueso coxal se aprecian la cara semilunar del acetábulo, el borde posterior del acetábulo (PR), la espina ilíaca anterosuperior (ASIS), la espina ciática y la articulación sacroilíaca. **B.** Muslo izquierdo separado. Obsérvense la fosa acetabular, la espina ilíaca anteroinferior (AIIS), la cabeza del fémur (H), el cuello del fémur (N), el trocánter mayor (G), el trocánter menor (L), la cresta intertrocantérica (I) y el cuerpo del fémur (B).



Leyendas

----- Cara posterior de los cóndilos

Figura 5.71. La articulación de la rodilla. **A.** Esquema orientativo. **B.** Radiografía de la articulación de la rodilla derecha; proyección anteroposterior (AP).

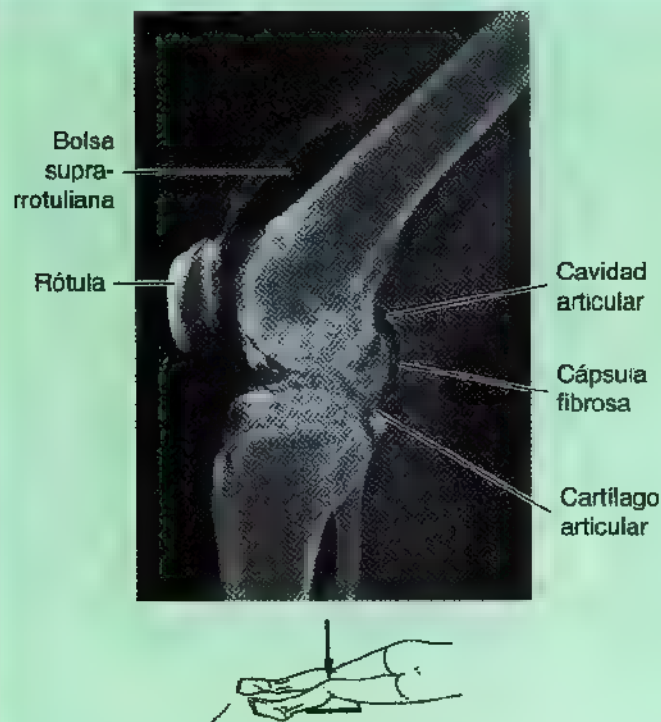


Figura 5.72. Artrografía de la rodilla. Proyección lateral con la rodilla algo flexionada. Obsérvese la gran bolsa suprarrotuliana que se comunica con la cavidad articular de la rodilla.

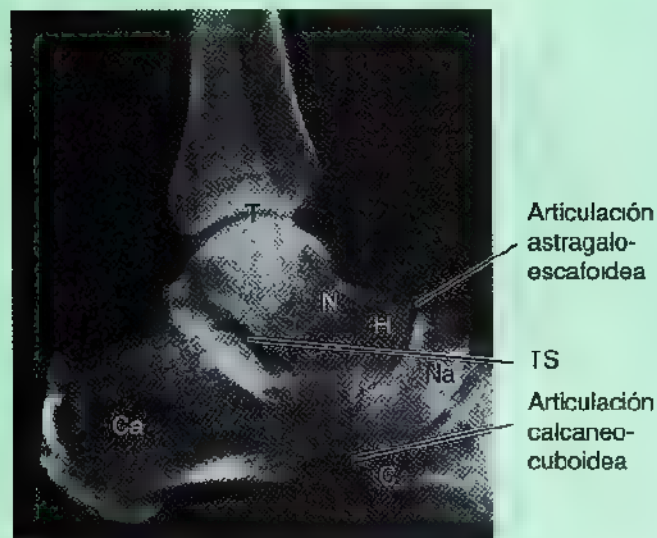
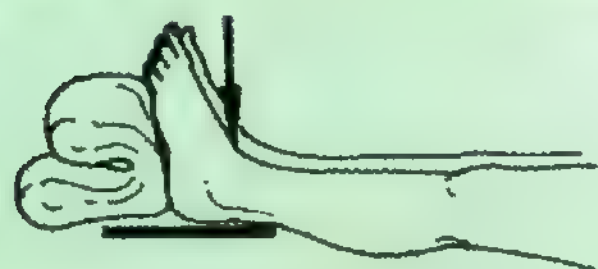
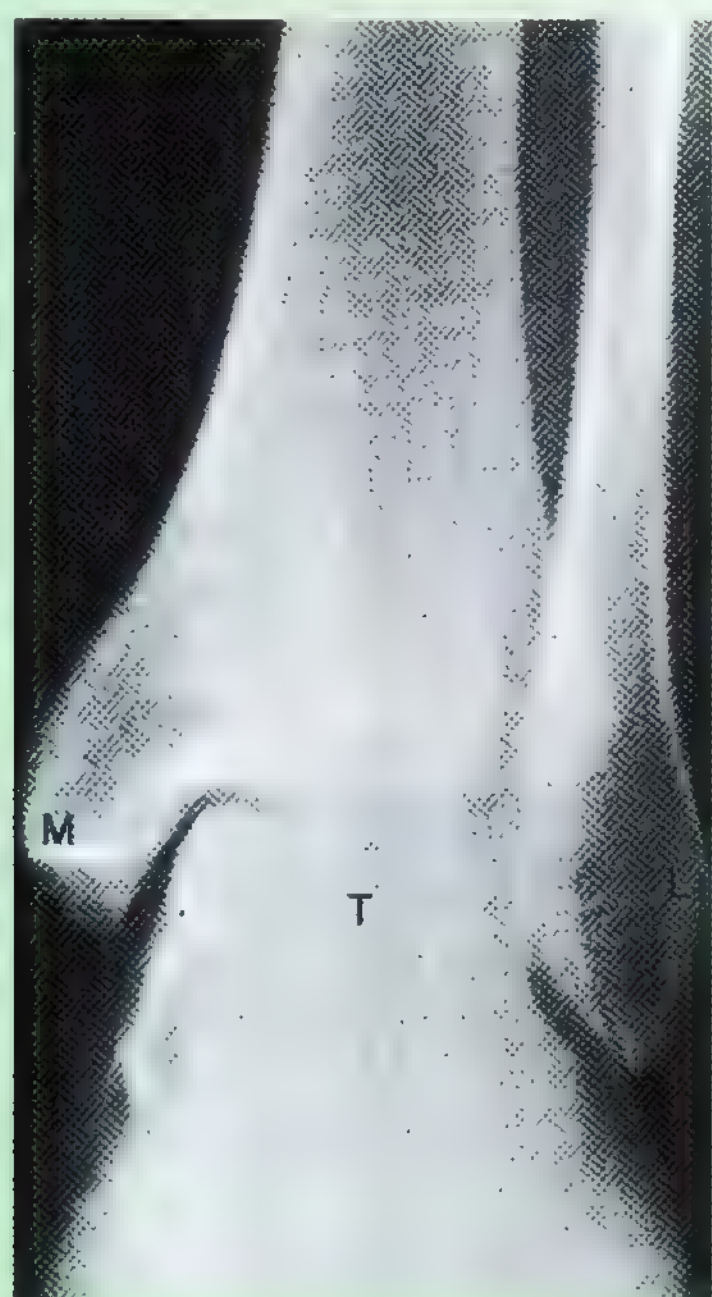


Figura 5.73. Radiografías de la parte inferior de la pierna, tobillo y pie. A. Proyección lateral del tobillo izquierdo. B. Proyección dorsoplantar del pie izquierdo.

► En la proyección dorsoplantar, el enfermo se encuentra en decúbito supino, con la rodilla flexionada y la cara plantar del pie apoyada en el soporte de la película de rayos X (fig. 5.73B). El haz central de rayos X se dirige a la base del 3^{er} metatarsiano. Se aprecian las falanges y las articulaciones interfalángicas. Como los dedos del pie se encuentran en ligera flexión, las articulaciones interfalángicas del 2^o al 5^o dedos no se ven con nitidez. Obsérvese los huesos sesamoideos de la cara plantar de la cabeza del 1^{er} metatarsiano y cómo la base del 1^{er} metatarsiano se articula con la cuña medial y la base del 2^o metatarsiano. Las bases de los metatarsianos 2^o al 5^o se superponen de tal modo, que es fácil apreciar las articulaciones intermetatarsianas. Los huesos del tarso se solapan algo, dada la curvatura normal del pie. Por eso, no se ven con claridad todas las articulaciones del tarso. Sólo aparecen las porciones anteriores del astrágalo y del calcáneo, dado el solapamiento de los maléolos. ►



(B)



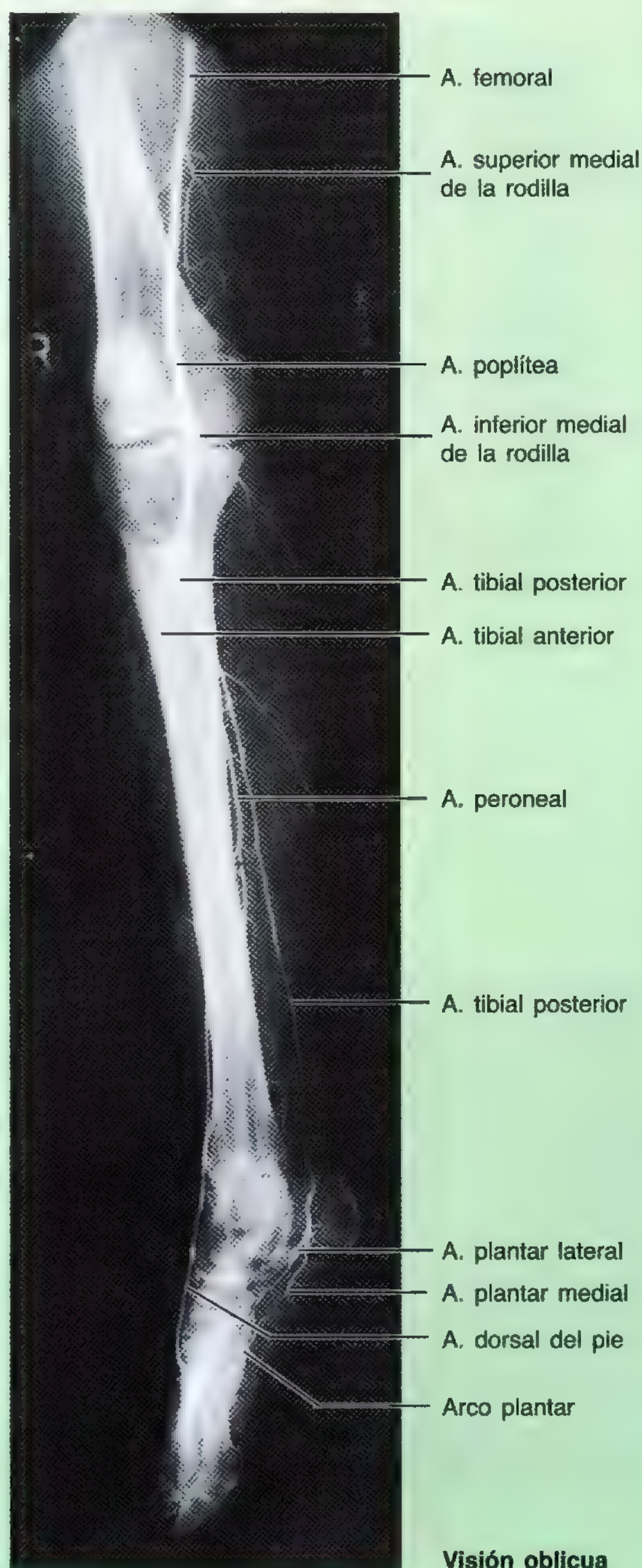
(C)

Figura 5.73. (Continuación) **C.** Tobillo izquierdo en proyección AP. C, cuboides; Ca, calcáneo; T, astrágalo; TS, seno (túnel) del tarso; N, cuello del astrágalo; H, cabeza del astrágalo; Na, escafoides; L, maléolo lateral; M, maléolo medial. (C. Cortesía de los Dres. P. Bobechko y E. Becker, Departamento de Imagen Médica, Universidad de Toronto, Ontario, Canadá.)

► La radiografía AP (C) se toma con el sujeto en decúbito supino, el pie en flexión dorsal con un ángulo perpendicular y el dedo gordo apuntando ligeramente a la cara medial. Para ver todos los huesos y las articulaciones del tobillo y del pie se necesitarían otras proyecciones.

Arteriografía

La visualización de las arterias mediante técnicas de imagen con rayos X tras la inyección de un medio de contraste supone un modo muy útil de estudiar determinadas arterias para establecer si existen anomalías del tipo del *aneurisma poplíteo* (dilatación circunscrita de la arteria poplíteo). En una **arteriografía poplíteo** (fig. 5.74) se inyecta material radiopaco en la arteria femoral, que se extiende por la arteria femoral y sus ramas. ►



Visión oblicua

Figura 5.74. Arteriografía poplíteo. Se observa cómo la arteria poplíteo comienza en el lugar del hiato de los aproximadores (donde se puede comprimir) y ocupa sucesivamente el extremo distal del fémur, la cápsula articular de la rodilla y el músculo poplíteo (no se ve) antes de bifurcarse en las arterias tibiales anterior y posterior en el ángulo inferior de la fosa poplíteo. Aquí puede verse atrapada a su paso bajo el arco tendinoso del músculo sóleo. (Cortesía del Dr. K. Sniderman, Profesor Asociado de Imagen Médica, Universidad de Toronto, Toronto, Ontario, Canadá.)

Tomografía computarizada

La TC también se vale de rayos X, que atraviesan el miembro con distintas angulaciones; sin embargo, las imágenes se crean mediante reconstrucción informática de los datos. Las imágenes de TC se pueden ajustar para mostrar los tejidos blandos o el hueso. Las zonas hipodensas de la TC sugieren esguinces (edema), y las hiperdensas, hematomas. La artrotomografía con TC resulta fiable para evaluar los ligamentos cruzados, meniscos, cartílago rotuliano y localizar defectos osteocondrales y cuerpos intraarticulares (Cahill y cols., 1994; Levandowski, 1994).

Resonancia magnética

Con la resonancia magnética se obtiene una resolución exquisita de los miembros sin necesidad de radiación. La RM obliga a mantener los miembros inmóviles durante 5 a 10 minutos. La RM ofrece mucho más detalle de los tejidos blandos que las radiografías o la TC (figs. 5.75-5.78).

Cadera

En la figura 5.75, A y B, se observa cómo la cápsula fibrosa de la articulación se espesa cerca del ligamento iliofemoral y se adelgaza detrás de la bolsa y del tendón del músculo psoas. En el recuadro se ilustra un esquema del plano de sección de A, y en B, la RM. En estas secciones se aprecia cómo la vaina femoral, que envuelve la arteria, la vena, los ganglios linfáticos y la grasa femorales, están libres, salvo en la parte posterior, donde se inserta en la cápsula de la articulación de la cadera, entre los músculos psoas y pectíneo. Como puede advertirse, la arteria femoral se separa de la articulación por el tendón duro del músculo psoas. Asimismo, se observa la vena femoral en el intervalo entre los músculos psoas y pectíneo y el nervio femoral, que se encuentra entre el músculo iliaco y su fascia.

Rodilla

La RM ayuda a examinar los meniscos, los ligamentos colaterales y los ligamentos cruzados de la rodilla (fig. 5.76). Representa la técnica de elección para examinar las alteraciones internas de la rodilla. ▶

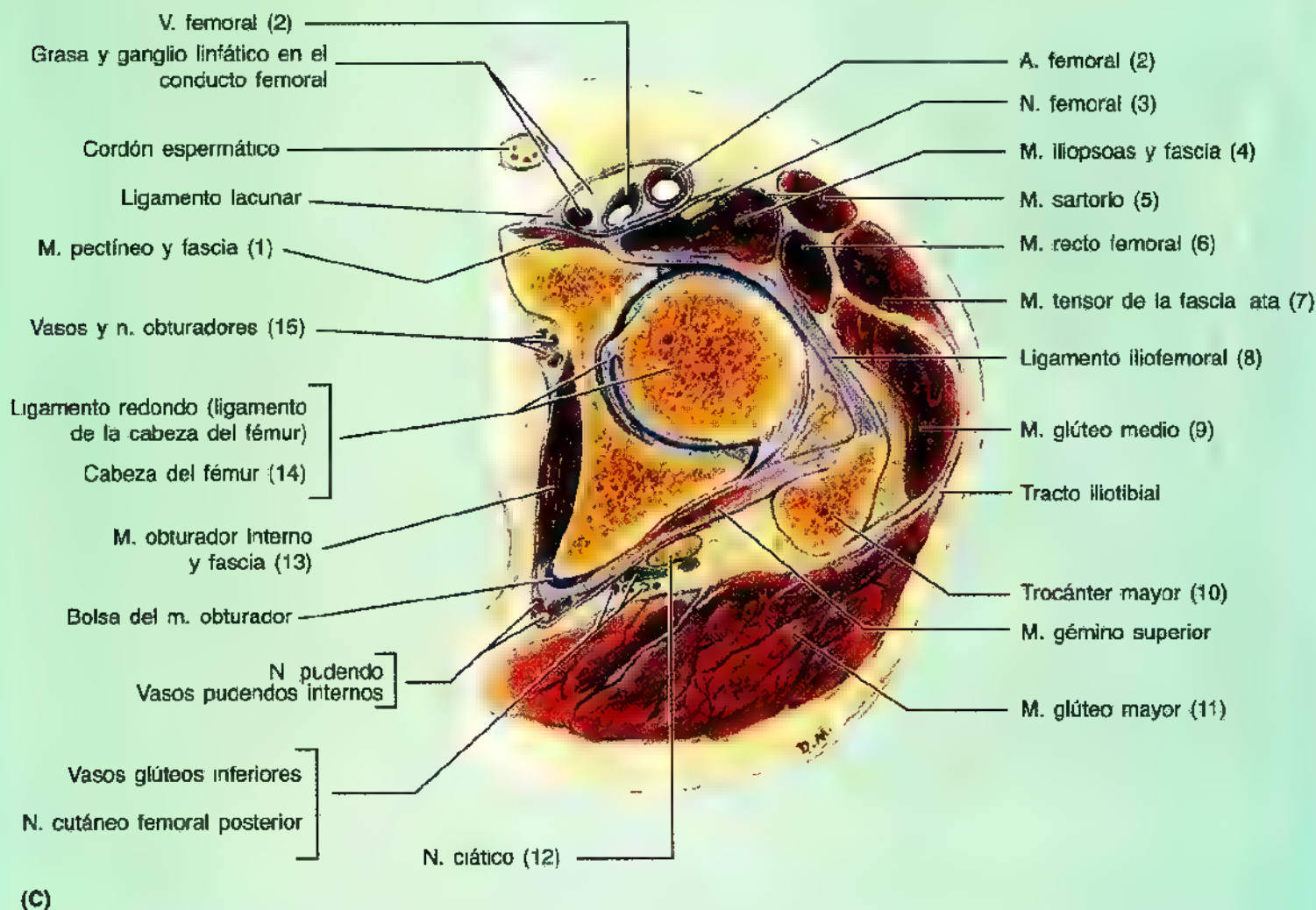


Figura 5.75. Sección transversa y RM del muslo a la altura de la cadera. A. Esquema orientativo de la sección de **B.** Recuadro **C.** Esquema de orientación.

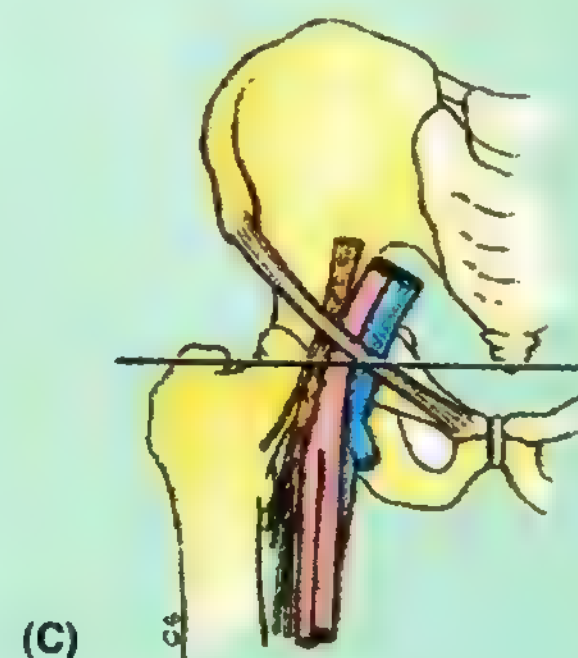
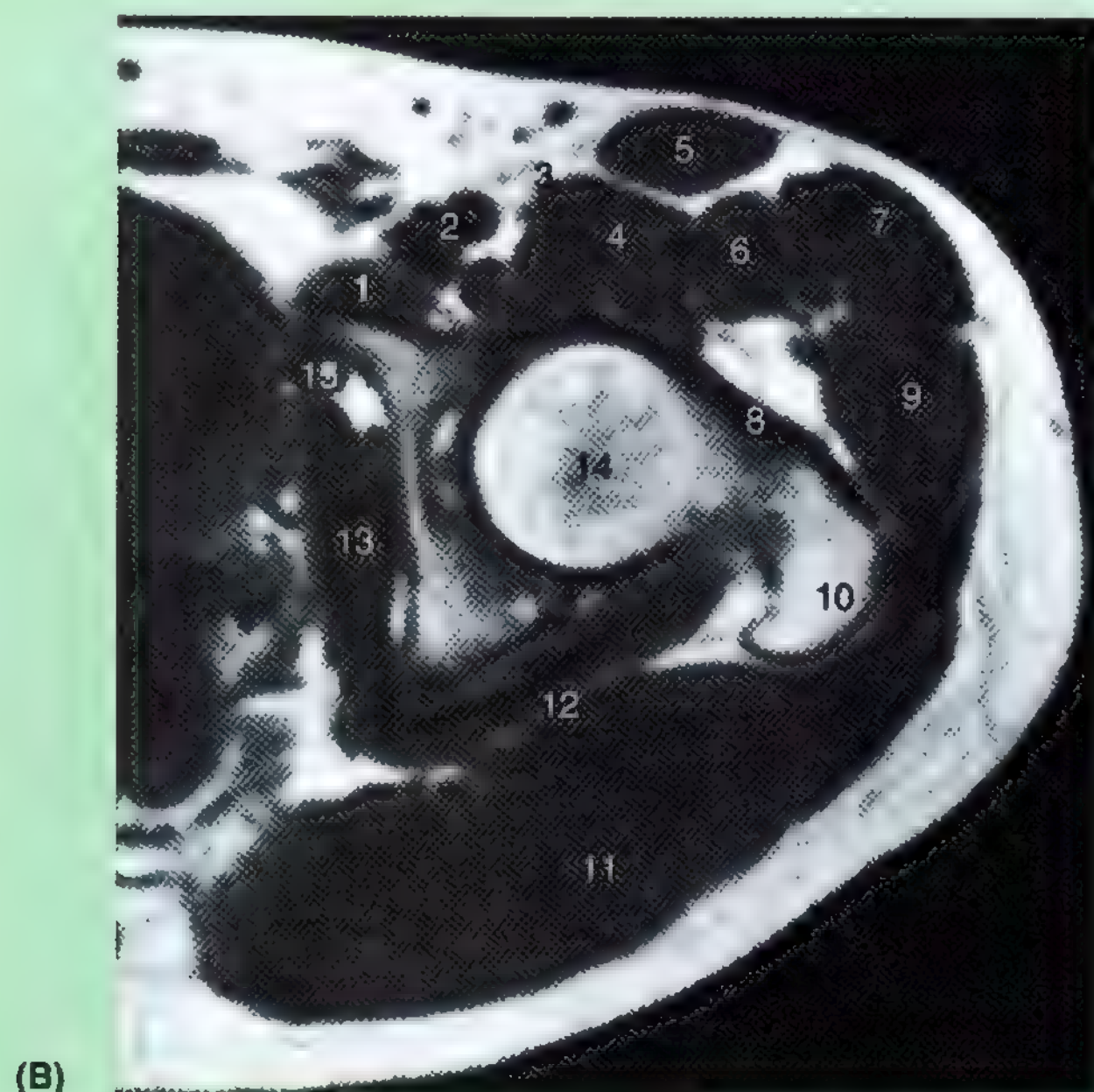


Figura 5.75. (Continuación) **B.** RM. Los números se refieren a las estructuras marcadas en (A). (Cortesía del Dr. W. Kucharczyk, Profesor y Director del Departamento de Imagen Médica, Universidad de Toronto, y Director Clínico del Centro de Resonancia Magnética Trihospitalaria, Toronto, Ontario, Canadá.)

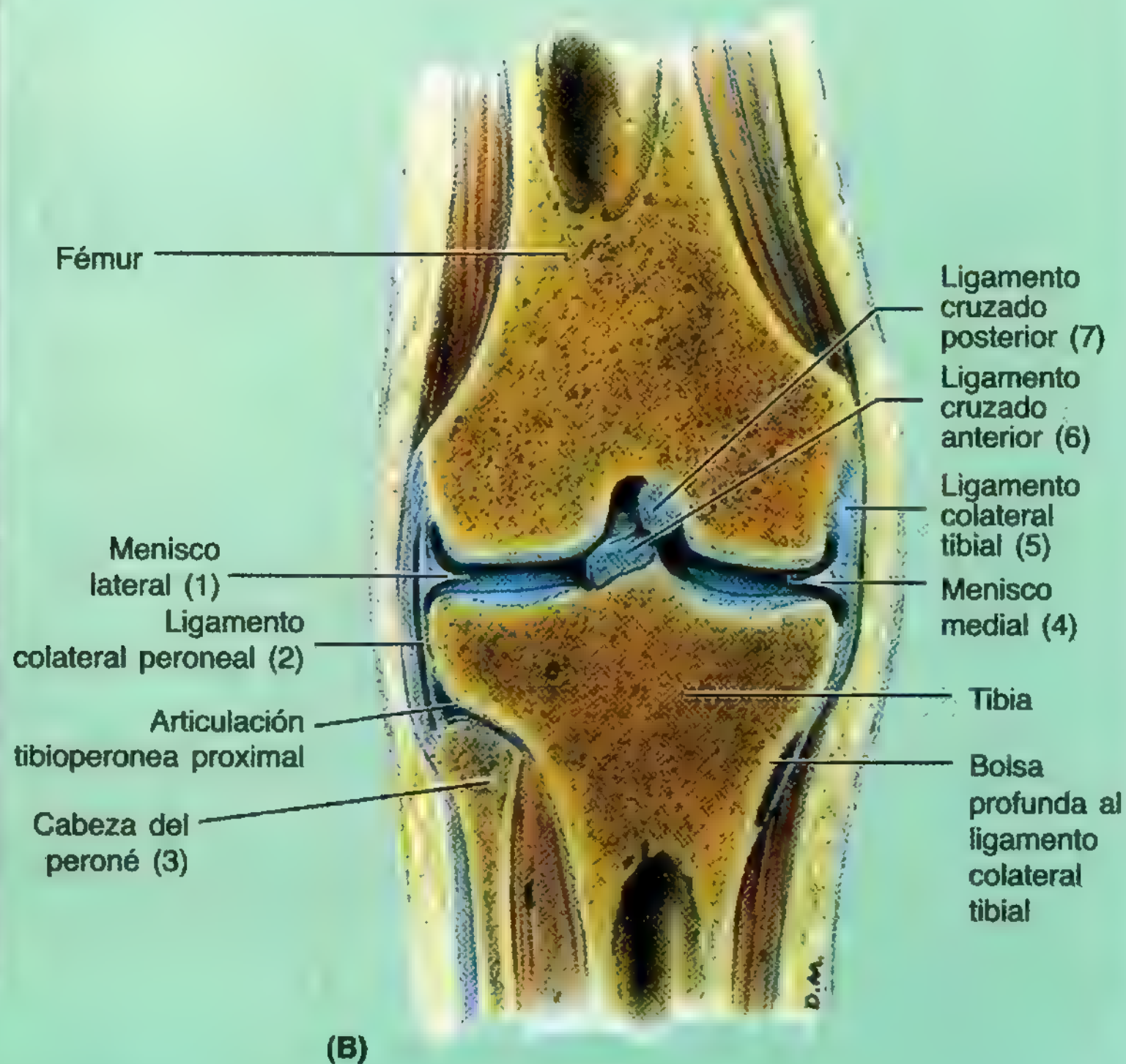
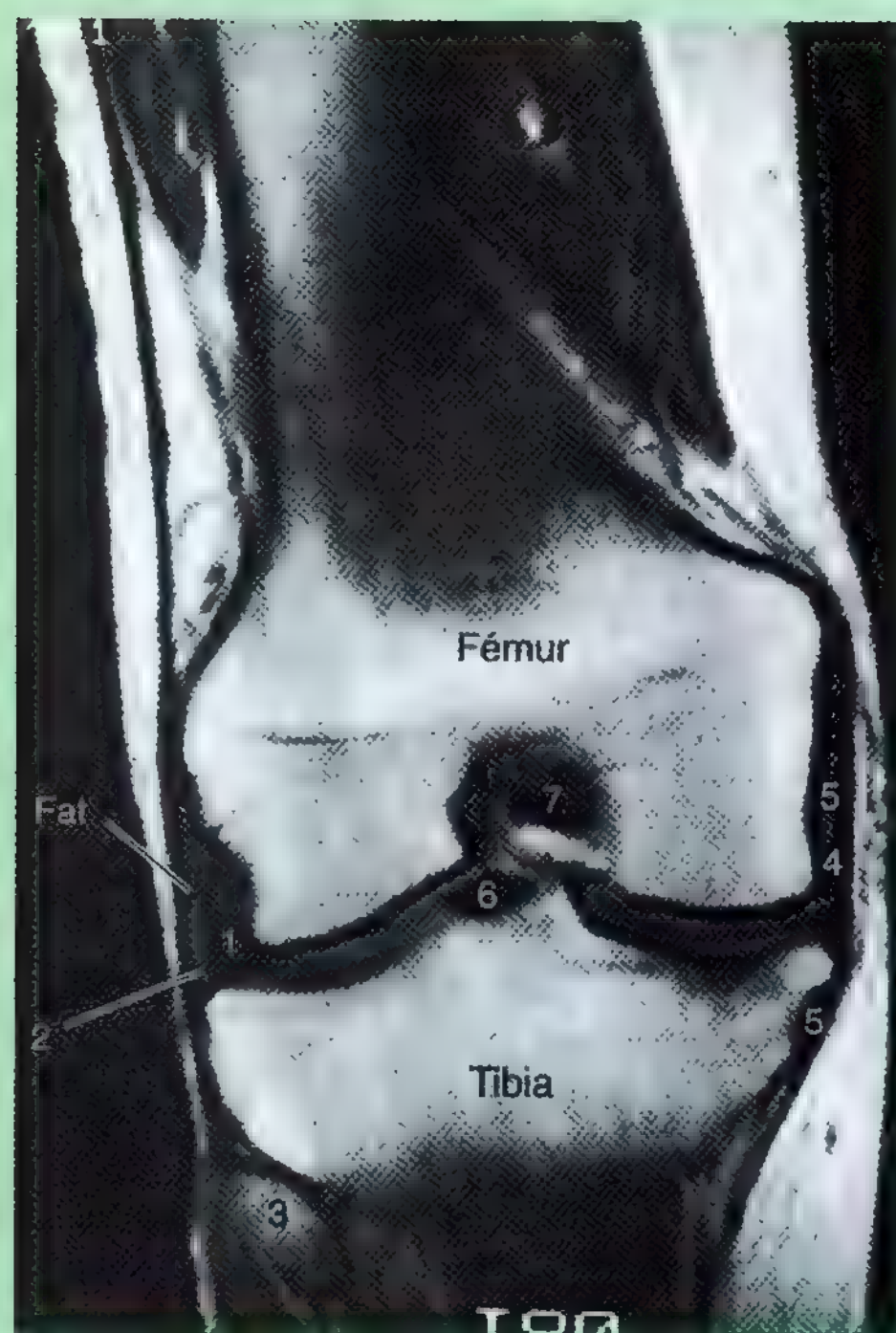


Figura 5.76. RM de la articulación de la rodilla. **A.** RM coronal. **B.** Dibujo orientativo. Los nombres se refieren a las estructuras marcadas en (A). (Cortesía del Dr. W. Kucharczyk, Profesor y Director del Departamento de Imagen Médica, Universidad de Toronto, y Director Clínico del Centro de Resonancia Magnética Trihospitalaria, Toronto, Ontario, Canadá.)

Tobillo

La RM es útil para identificar los tejidos blandos y la anatomía intraósea y neurovascular del tobillo y examinar las lesiones de esta articulación. En la figura 5.78 se observa cómo la tibia descansa sobre el astrágalo, y éste, sobre el calcáneo. Entre el calcáneo y la piel aparecen varios cuerpos adiposos encapsulados. Asimismo, se aprecia que el maléolo lateral desciende bastan-

te más que el medial, como consecuencia del débil ligamento tibioperoneo interóseo. Se aprecia un fascículo interóseo entre el astrágalo y el calcáneo que separa la articulación subastragalina de la astragalocalcaneoescafoidea. La apófisis menor del calcáneo actúa como polea para el músculo flexor largo del dedo gordo y ofrece inserción para el fascículo calcaneotibial del ligamento medial. ➔

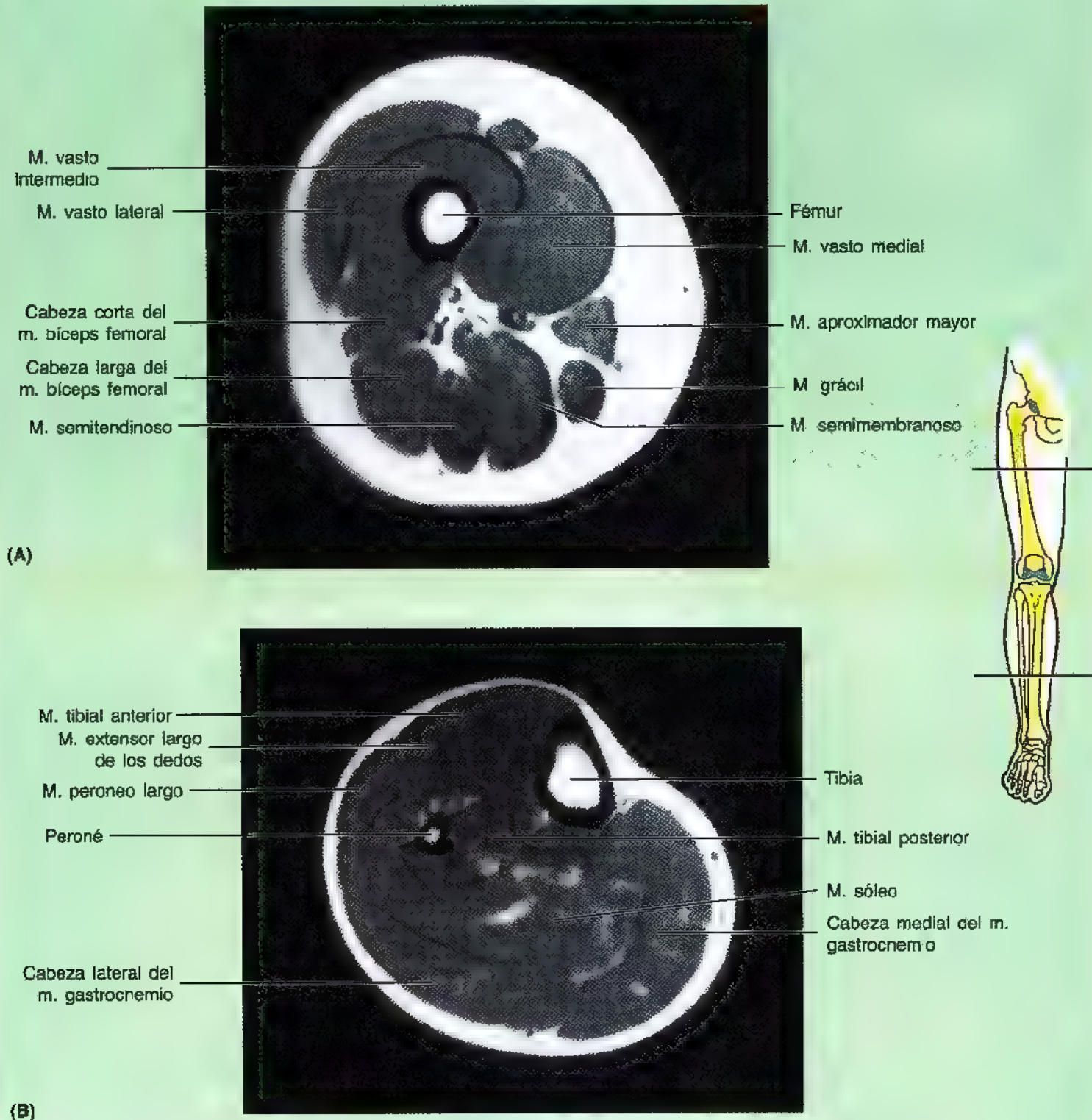
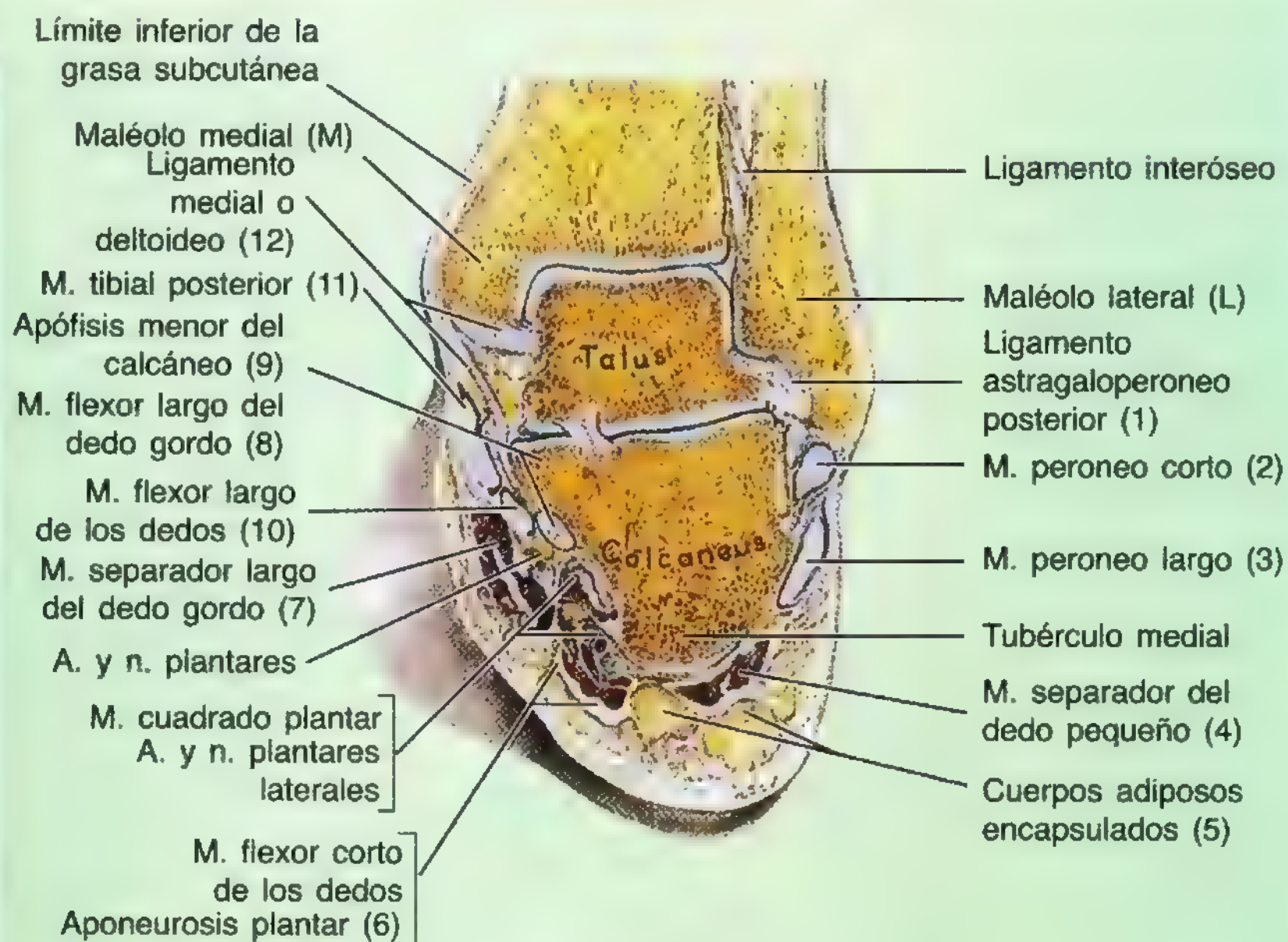


Figura 5.77. RM transversa del miembro inferior visto desde la cara inferior.



(A)



(B)

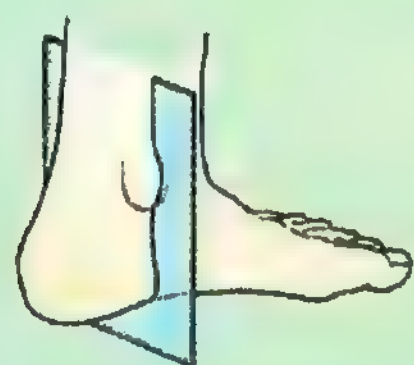


Figura 5.78. RM coronal de la región del tobillo. A. RM. Los números se refieren a las estructuras de (B), un esquema orientativo de la RM. (Cortesía del Dr. W. Kucharczyk, Profesor y Director del Departamento de Imagen Médica, Universidad de Toronto, y Director Clínico del Centro de Resonancia Magnética Trihospitalaria, Toronto, Ontario, Canadá.)

ESTUDIO DE CASOS CLÍNICOS

Caso 5.1

Un médico de atención primaria le preguntó al paciente si no le importaría que usted le palpara el pulso poplíteo. Él dio su consentimiento, y tras varias tentativas, usted no pudo detectar el pulso. El médico le indicó algunos consejos.

Problemas clinicoanatómicos

- ¿Cuál es, en su opinión, la causa más probable de que no pudiera palpar el pulso poplíteo?
- ¿Cómo colocaría al paciente para intentar palpar esta vez el pulso?

Estos problemas se exponen en la página 670.

Caso 5.2

Durante la visita clínica le preguntaron si desearía observar una *punción lumbar*, y usted contestó con entusiasmo: "Sí." Antes de empezar el procedimiento, el médico le formuló tres preguntas.

Problemas clinicoanatómicos

- ¿Qué partes del ilion constituyen referencias importantes para preparar la punción lumbar?
- ¿Dónde suele terminar la médula espinal en el adulto?
- ¿Dónde insertaría la aguja de punción lumbar?

Estos problemas se comentan en la página 671.

Caso 5.3

Un adolescente recibió una puñalada con una navaja, unos 5 cm proximal a la base de la rótula. La herida no le molestó mucho y no acudió al médico. Dos días más tarde, la parte inferior del muslo estaba hinchada y el dolor era tan intenso, que decidió ir a un centro de urgencias.

Problemas clinicoanatómicos

- ¿Qué estructura, llena de líquido, se encuentra en la profundidad de esta zona del muslo?

- ¿De qué manera se relaciona esta región con la articulación de la rodilla?

Estos problemas se exponen en la página 671.

Caso 5.4

En un partido de fútbol, uno de los jugadores recibió una patada seca en la cara lateral de la rodilla. Sabiendo que usted estudia medicina, el entrenador le pidió que palpara la cabeza del peroné del jugador.

Problemas clínicoanatómicos

- ¿Cómo palparía la cabeza del peroné?
- ¿En qué referencia ósea se pasaría?
- ¿Por qué es importante palpar la cabeza del peroné?

Estos problemas se contestan en la página 671.

Caso 5.5

Una mujer de 52 años se encuentra preocupada por el bulto de la parte superior del muslo, justo debajo del ligamento inguinal, que tiene el tamaño de una ciruela. En la exploración física se comprobó que el edema afectaba al triángulo femoral y que la tumefacción se herniaba a través del hiato safeno.

Problemas clínicoanatómicos

- ¿Cuál es la posición de hiato safeno con respecto a tubérculo del pubis?
- ¿Por qué tiene importancia esta relación para el diagnóstico diferencial de las hernias?
- ¿Son más frecuentes las hernias femorales en las mujeres que en los varones?

Estos problemas se responden en la página 671.

Caso 5.6

Un joven recibió una cuchillada superficial en la cara superomedial de la rodilla, con sección de un tendón redondo parecido a un cordón íntimamente relacionado con la cabeza medial del músculo gastrocnemio.

Problemas clínicoanatómicos

- ¿Qué tendón se pudo seccionar?
- ¿Cuál es la relación entre este tendón y el condilo femoral medial?
- ¿Cómo se explora el músculo al que pertenece este tendón?

Estos problemas se describen en la página 671.

Caso 5.7

Una mujer joven se lesionó el tobillo en un partido de baloncesto. Ella misma indicó: "Me torcí el tobillo, pero es solo un pequeño esguince." En la exploración preliminar efectuada por el entrenador se apreció un esguince grave de tobillo.

Problemas clínicoanatómicos

- ¿Qué ligamento del tobillo se pudo desgarrar?
- ¿Qué otros ligamentos pudieron haberse lesionado?
- ¿Qué hueso se fracturó?

Estos problemas se comentan en la página 671.

Caso 5.8

Una enferma refirió al médico de atención primaria dolor en el pie. Estaba preocupada por el desgaste regular de las suelas del zapato. El médico exploró los pies mientras ella permanecía de pie y observó que el arco longitudinal era más plano de lo habitual.

Problemas clínicoanatómicos

- ¿Cuál cree usted que será el diagnóstico médico?
- ¿Cuál es la causa de este trastorno?
- ¿Por dónde se desgastarían los zapatos de esta mujer?

Estos problemas se comentan en la página 671.

Caso 5.9

En un partido de fútbol americano, un receptor ("wide receiver") de 20 años fue bloqueado de manera ilegal por un defensa ("linebacker"), que se tiró contra la cara posterolateral de las piernas de su oponente. El "wide receiver" se agarró la rodilla con inaudible dolor.

Problemas clínicoanatómicos

- ¿Qué lesión puede sobrevenir tras un bloqueo contra la cara lateral de la rodilla con el pie apoyado en el suelo?
- ¿En qué otro tipo de deporte es frecuente observar esta lesión de rodilla?
- ¿Cuál es el mecanismo de la lesión de rodilla?

Estos problemas se explican en la página 671.

Caso 5.10

Un jugador de rugby sufrió una entrada mientras tenía la rodilla flexionada en ángulo recto con la desgracia de que la tibia fue impulsada hacia delante. El entrenador examinó su rodilla y observó el signo del cajón anterior.

Problemas clínicoanatómicos

- ¿En qué consiste el signo de cajón anterior?
- La aplicación de una fuerza intensa que empuje la tibia hacia delante con la rodilla flexionada en ángulo recto, ¿qué tipo de lesión de la rodilla puede causar?
- ¿En qué deporte es frecuente este tipo de lesión?
- ¿Qué otro tipo de lesiones suelen asociarse con esta afectación de la rodilla?

Estos problemas se comentan en la página 671.

Caso 5.11

Un joven recibió una dura patada en la cara anterolateral de la pierna mientras participaba en una reyerta callejera. El dolor en la pierna aumentó considerablemente al cabo

de unas horas y, además, el miembro se hinchó. No podía extender los dedos del pie ni realizar la flexión dorsal del pie. Además, al tratar de caminar, el pie se le caía. La tibia no se encontraba fracturada ni tampoco el peroné.

Problemas clinicoanatómicos

- Explique la base anatómica de estos signos y síntomas.
- ¿Cómo se denomina esta aglomeración de signos y síntomas?
- ¿Qué otro signo cabría esperar?
- ¿Cómo se podría aliviar el dolor intenso de la pierna?

Estos problemas se comentan en la página 671.

Caso 5.12

Una mujer de edad avanzada fue arrojada al suelo por un hombre que trataba de robarle el bolso. No se pudo levantar, no sólo por el dolor, sino también por la fractura de la extremidad proximal del fémur. El muslo se hinchó debido al sangrado por rotura de los vasos sanguíneos.

Problemas clinicoanatómicos

- ¿Por qué este tipo de fractura y no las del cuello del fémur se asocia con tumefacción del muslo?
- ¿En qué posición quedaría el miembro inferior?
- ¿Se podría lograr una buena consolidación de los fragmentos óseos de la región del fémur mediante tratamiento cerrado (es decir, se requiere la fijación quirúrgica interna de los fragmentos)?
- Si se pudiera lograr una buena consolidación con tratamiento cerrado, ¿a qué atribuiría usted esta posibilidad?

Estos problemas se exponen en la página 672.

Caso 5.13

Un hombre empezó a correr varios kilómetros al día; durante el ejercicio subía también algunos tramos de escaleras. Luego empezó a notar un dolor justo detrás del trocánter mayor derecho, que se irradiaba por el muslo. Según su confesión, el dolor se acentuaba cuando el médico ofrecía resistencia para la separación y rotación lateral del muslo.

Problemas clinicoanatómicos

- ¿Cuál cree usted que es la causa del dolor en la cadera: la inflamación de la articulación o de la bolsa trocántérica?
- ¿Cuáles son las bases anatómicas de su diagnóstico de sospecha?
- ¿Por qué la resistencia a la separación y rotación lateral del muslo agudiza el dolor?

Estos problemas se comentan en la página 672.

Caso 5.14

Un hombre de 40 años, poco entrenado, empezó a jugar al squash, sobre todo los fines de semana. Al principio notó dolor en el tendón calcáneo y luego un dolor repentino en la pantorrilla. Una vez que el dolor desapareció, volvió a jugar con intensidad. El dolor en la pantorrilla reapareció y

escuchó un chasquido. Tenía dificultades para caminar sobre las puntas de los dedos y subir escaleras, pero podía realizar la flexión dorsal sin ningún problema.

Problemas clinicoanatómicos

- ¿Cuál es la causa, en su opinión, del chasquido que oyó el paciente y del dolor en la pantorrilla?
- ¿Qué signo físico cabría observar?
- ¿Por qué tenía dificultades para caminar sobre la punta de los dedos y subir escaleras?

Estos problemas se exponen en la página 672.

Caso 5.15

Usted encuentra a su abuela tumbada en el suelo, boca arriba, con un dolor muy intenso que se produjo al resbalar sobre el suelo pulimentado del recibidor. Ella le cuenta que escuchó un chasquido claro al caer. Lo primero que le llama la atención es la rotación lateral y el acortamiento notable del miembro inferior derecho con relación al izquierdo. Su abuela no se puede levantar ni tampoco mover el pie del suelo, y al tratar de hacerlo nota un dolor insoportable. Usted llama a una ambulancia, que la traslada a un centro de urgencias.

Exploración física. Se observa un acortamiento llamativo del miembro inferior derecho con relación al izquierdo, aparte de la rotación lateral. Durante la palpación de la zona se desencadena dolor, pero no se advierte una tumefacción clara. El movimiento pasivo del muslo induce un dolor exquisito. Se solicita un estudio radiológico de la cadera.

Informe del radiólogo. Fractura intracapsular del cuello del fémur, con rotación lateral y desviación proximal de la parte distal del fémur.

Diagnóstico. Fractura del cuello femoral.

Problemas clinicoanatómicos

- ¿Cuál es el lugar más común de fractura del fémur de las personas mayores?
- ¿Por qué esta parte del hueso es tan frágil en las personas mayores?
- Explique en términos anatómicos por qué el miembro flexionado es más corto que el otro.
- ¿Cuáles son las causas anatómicas de las complicaciones frecuentes (falta de consolidación de los fragmentos y necrosis avascular) asociadas a estas fracturas?

Estos problemas se comentan en la página 672.

Caso 5.16

Un varón de 55 años sufre un golpe accidental con un patín en la cara lateral de la rodilla de la pierna derecha, justo debajo de la rodilla, durante un partido de hockey de viejas glorias. El entrenador trató la herida superficial, pero el jugador no pudo continuar el partido por el dolor local y la pérdida de fuerza de su pierna y pie. Además, refería acorchamiento y hormigueo en la cara lateral de la pierna y en el dorso del pie. Al quitarse el patín notó que no podía exten-

der los dedos hacia arriba (dorsiflexión). Por eso, el entrenador le recomendó que acudiera inmediatamente al médico.

Exploración física. Al dirigirse a la sala de exploración, el médico observó la *marcha anómala* de este paciente, que levantaba el pie más de lo habitual y lo dejaba caer bruscamente, golpeando el suelo. Durante la exploración física, el médico apreció dolor con la palpación de la cabeza y del cuello del peroné y un déficit sensitivo en la cara lateral de la porción distal de la pierna y en el dorso del pie. Se realizó un estudio radiológico de la rodilla.

Informe del radiólogo. Fractura de cuello de peroné.

Diagnóstico. Fractura del cuello del peroné y lesión nerviosa periférica.

Problemas clinicoanatómicos

- ¿Cuál es la base anatómica de la pérdida de la sensibilidad y de la impotencia funcional del pie de este paciente?
- ¿Cuál es el nervio lesionado?
- ¿Qué relación guarda con el cuello del peroné?
- Si la placa cortante del patín no hubiera dañado el nervio, ¿qué estructura podría haber lesionado el nervio si hubiera continuado jugando?
- ¿Qué nombre recibe el tipo de marcha que presentaba este paciente?

Estos problemas se comentan en la página 672.

Caso 5.17

Trabajador de 26 años que al transportar un pesado embalaje cayó sobre sus rodillas, experimentando un intenso dolor y sin poder levantarse. El equipo de primeros auxilios lo trasladó en una camilla a la consulta médica. Después de la exploración física, el médico solicitó unas radiografías de la rodilla.

Informe del radiólogo. Fractura comminuta de la extremidad proximal de la tibia y fractura del cuello del peroné.

Diagnóstico. Fractura de la extremidad proximal de la tibia y del cuello del peroné asociada con lesión de nervio periférico.

Problemas clinicoanatómicos

- ¿Qué arteria o arterias se pueden desgarrar por los fragmentos óseos?
- Aplicando sus conocimientos anatómicos, ¿dónde trataría de comprobar el pulso del paciente para averiguar si se ha producido un daño de estas arterias?
- ¿Qué nervio estará probablemente lesionado como consecuencia de la fractura del peroné?

Estos problemas se comentan en la página 673.

Caso 5.18

Varón de 32 años que resbaló sobre una placa de hielo, cayendo al suelo. Tras recibir ayuda para incorporarse no puede apoyar el pie derecho. Al advertir que el tobillo

comienza a hincharse llama inmediatamente a un taxí, que le traslada al hospital para el tratamiento de lo que considera un "horrible esguince de tobillo".

Exploración física. Durante la exploración se aprecia que el enfermo apenas puede mover el tobillo como consecuencia del dolor. El punto de mayor dolor en la palpación se encuentra por encima del maléolo lateral. Se solicitan radiografías del tobillo.

Informe del radiólogo. Fractura transversa del maléolo lateral a nivel de la cara articular de astrágalo.

Diagnóstico. Fractura del maléolo lateral y esguince grave de tobillo, con desgarramiento de los ligamentos.

Problemas clinicoanatómicos

- ¿Qué movimiento exagerado suele causar los esguinces de tobillo?
- Describa qué significa el término *esguince*.
- Explique los mecanismos de la fractura producida con términos anatómicos.
- ¿Qué estructuras se han desgarrado o roto con más probabilidad?
- ¿Sufrir este paciente lo que habitualmente se conoce como *fractura de Pott*?

Estos problemas se comentan en la página 673.

Caso 5.19

Mujer de 22 años que sufre una colisión automovilística frontal a ir sentada en el asiento de delante del acompañante. Aparte de su traumatismo craneal, se queja fundamentalmente de dolor en la cadera derecha, que le impide levantarse. La enferma es trasladada al hospital más cercano por el personal sanitario pensando que se ha roto la cadera.

Exploración física. En la exploración física se observa una ligera flexión, aproximación, rotación medial y acortamiento aparente de miembro inferior derecho. Se solicitan radiografías de cadera.

Informe del radiólogo. Luxación posterior de la cadera derecha con fractura del borde posterior del acetábulo.

Diagnóstico. Luxación traumática posterior de la cadera.

Problemas clinicoanatómicos

- Explique los posibles mecanismos de la lesión indicada con términos anatómicos.
- ¿Qué nervio se ha podido dañar?
- Si se produce una parálisis de este nervio, ¿qué músculos sufren las consecuencias?
- ¿Dónde puede observarse una pérdida de la sensibilidad cutánea?

Estos problemas se comentan en la página 673.

Caso 5.20

Hombre de 62 años que refiere al médico de familia un dolor intenso en la nalga izquierda, que se extiende por la cara posterior del muslo ipsilateral.

Exploración física. Durante la exploración, el enfermo señala que el punto de máximo dolor se localiza en la región de la escotadura ciática mayor. Asimismo, se aprecia dolor con la palpación sobre una línea que comienza en el punto medio entre la punta del trocánter mayor del fémur y la tuberosidad isquiática, y termina en la línea media del muslo, aproximadamente en su tercio medio. El enfermo no puede extender completamente la pierna izquierda al sentarse como consecuencia del dolor. Al tumbarse el paciente en decúbito supino, el médico extendió la pierna, sujetando el tobillo con una mano y desplazando la cara anterior de la rodilla con la otra. Luego levantó lentamente el miembro inferior izquierdo, y al llegar hasta aproximadamente un ángulo de 75°, este hombre emitió un quejido intenso de dolor. Al proceder a la dorsiflexión del pie, el dolor resultó aún más pronunciado. Se solicitó una RM de la parte inferior de la columna.

Informe del radiólogo. Herniación del disco intervertebral L5/S1.

Diagnóstico. Herniación del disco intervertebral L5/S1 y compresión de la 1ª raíz nerviosa sacra.

Problemas clinicoanatómicos

- ¿Qué nervio se encuentra lesionado?
- ¿En qué segmentos de la médula espinal se origina?
- ¿Por qué la *maniobra de elevación del miembro extendido* desencadena el dolor?
- ¿Por qué aumenta el dolor con la dorsiflexión?
- ¿Por qué este enfermo sufre probablemente una lesión en la espalda que causa el dolor en la nalga y en la región femoral posterior?
- Desde un punto de vista anatómico, ¿qué otras lesiones (p. ej., producidas por enfermedad o traumatismo) podrían haber causado los síntomas de esta paciente?

Estos problemas se detallan en la página 674.

Caso 5.21

Un jugador de rugby es bloqueado por detrás por un oponente al tratar de placar al jugador que llevaba el balón. La cadera del adversario golpea la cara lateral de su rodilla. Al repetir la imagen con cámara lenta se observa que la rodilla del jugador se encontraba ligeramente flexionada y el pie clavado sobre el césped en el momento del impacto. Al caer al suelo y agarrarse la rodilla se comprobó inmediatamente que sufría un dolor intensísimo. Al ser ayudado por sus compañeros a salir del campo, usted comenta a su amigo: "Creo que se ha roto los ligamentos." Su amigo, sin conocer muy bien la articulación de la rodilla, le pregunta: "¿De qué ligamentos se trata?"

Problemas clinicoanatómicos

- ¿Cómo explicaría usted esta lesión a su amigo, teniendo en cuenta que sus conocimientos de la anatomía de la rodilla son escasos?
- ¿Qué ligamento se ha roto con más probabilidad?
- ¿Qué ligamento se ha podido desgarrar?
- ¿Se habrá producido una lesión del menisco?

Estos problemas se comentan en la página 674.

Caso 5.22

Un hombre de 55 años está preocupado por la tumefacción globular de su *ingle derecha*. Dice que la hinchazón se redujo al tumbarse, aunque nunca llegó a desaparecer por completo. Asimismo, afirma que la masa a veces aumenta de tamaño debajo de la piel, en la cara anterior del muslo. En estos casos nota dolor por la cara interna del muslo.

Exploración física. En la exploración, el médico observa que la tumefacción se sitúa debajo del tercio medial del ligamento inguinal, *lateral al tubérculo del pubis*. Al introducir el dedo índice en el anillo superficial del conducto inguinal del paciente y rogarle que tosa, el médico no advierte ninguna masa ni tampoco un fragmento de intestino saliente; sin embargo, observa que el tamaño de la tumefacción aumenta discretamente. Al pedir el médico al paciente que señale el lugar donde apareció el edema por primera vez, éste lleva su dedo al lugar del anillo femoral. Al insistirle en qué dirección se dirigió la tumefacción cuando notó el dolor, desplaza el dedo por el muslo hasta la zona del *hiato safeno*. El médico aplicó una compresión manual muy suave sobre la tumefacción, con el muslo flexionado y en rotación medial, pero no pudo reducir la herniación.

Diagnóstico. Hernia femoral completa e irreductible.

Problemas clinicoanatómicos

- Defina estos términos: anillo femoral, conducto femoral y hernia femoral.
- ¿Cuál es el contenido habitual del conducto femoral?
- Aplicando sus conocimientos anatómicos, explique por qué la hernia femoral toma una curva superior.
- ¿Cree usted que existe alguna razón anatómica por la que las hernias femorales sean más comunes en las mujeres?
- Explique desde el punto de vista anatómico la frecuencia con que se estrangulan este tipo de hernias.
- ¿Qué estructura del conducto femoral podría confundirse con una hernia femoral, en caso de que aumentara de tamaño?

Estos problemas se exponen en la página 674.

COMENTARIO A LOS CASOS

Caso 5.1

Es probable que no pudiera palpar el pulso poplíteo porque la rodilla del paciente se encontraba extendida, y eso tensa la fascia poplíteica. Debe sujetar la rodilla del enfermo con una ligera flexión y colocar sus pulgares en la rótula, y los dedos de ambas manos, en la fosa poplíteica. El sujeto no debe flexionar la pierna, porque de esta manera tensaría los músculos y aumentaría la dificultad para palpar el pulso. Las dos manos han de exprimir la fosa poplíteica para notar bien el pulso. Como el pulso suele ser difícil de localizar, a veces hay que pedir al sujeto que se tumbe en decúbito prono, con la rodilla flexionada en ángulo recto. La compresión profunda de esta fosa impulsa la arteria poplíteica con-

tra la cara poplitea del fémur y debería facilitar la localización de pulso.

Caso 5.2

La cima de las crestas ilíacas, que se palpa en la cara posterior, tiene importancia para la práctica de la punción lumbar. La línea que une estos puntos queda enfrente del espacio intervertebral L4-L5, que es una referencia para insertar la aguja en el espacio subaracnoideo y obtener una muestra del líquido cefalorraquídeo. La médula espinal suele terminar en el disco intervertebral L1-L2, pero puede hacerlo en el disco T12-L1 o incluso en el disco L2-L3. La aguja de punción lumbar suele insertarse en el espacio interespinoso L3-L4 o L4-L5.

Caso 5.3

La bolsa suprotrotiana se encuentra en la profundidad de esta zona. Esta bolsa casi siempre se comunica libremente con la articulación de la rodilla y forma parte de la cavidad articular quirúrgica. Por eso, una herida de la cara anterior de la porción distal del muslo puede infectar la bolsa suprotrotiana, la infección se extiende, a veces, a la rodilla.

Caso 5.4

La cabeza del peroné es una estructura subcutánea de la cara posteroateral de la rodilla a la altura de la tuberosidad de la tibia. La cabeza del peroné se palpa sobre todo por la cara posterior. Conviene palpar la cabeza del peroné, porque el cuello suele fracturarse cuando ocurre un golpe seco en la cara lateral de la rodilla. Más aún, el nervio peroneo común gira alrededor del cuello del peroné y puede dañarse en un traumatismo sobre la rodilla y lesionarse si se fractura el cuello del peroné.

Caso 5.5

El hiato safeno queda aproximadamente 4 cm por debajo y lateral al tubérculo del pubis. La *hernia femoral* penetra en el conducto femoral y puede aumentar a llegar, por abajo, al tejido subcutáneo de muslo y atravesar el hiato safeno. La hernia femoral produce un bulto inferoateral al tubérculo de pubis, mientras que la *hernia inguinal indirecta* determina una prominencia encima del tubérculo de pubis, conforme sale por el anillo inguinal superficial y se introduce en el escroto. Así pues, el edema del triángulo femoral no obedece a una hernia inguinal. Las hernias femorales son más frecuentes en las mujeres porque el anillo femoral es mayor, los vasos femorales son más pequeños y suelen ocurrir cambios histológicos durante el embarazo.

Caso 5.6

Desde luego, se seccionó el tendón del músculo semitendinoso, más superficial que el del semimembranoso. El tendón del músculo semitendinoso pasa detrás de condilo femoral medial. Para explorar este músculo (no en este caso) se pide a la persona que se tumba en decúbito prono. Luego debe flexionar la rodilla, oponiendo resistencia al explorador

con su mano. Si el músculo está normal se debe palpar el tendón, proximal a la rodilla y en la cara medial.

Caso 5.7

En la mayoría de los esguinces ligamentarios del compartimiento lateral se desgarran el ligamento astragaloperoneo anterior. En los esguinces graves también se esionan los ligamentos calcaneoperoneo y astragaloperoneo posterior, y puede ocurrir una fractura de la extremidad distal del peroné por avulsión.

Caso 5.8

Desde luego se trata de una mujer con pies planos, estas personas desgastan las suelas por la zona medial hasta la punta del zapato. El ligamento más importante del pie es el ligamento calcaneoescafoideo plantar, por el apoyo que ofrece al arco longitudinal medial del pie. Sus inserciones principales comprenden la apófisis menor de calcáneo y el tubérculo de escafoides. La línea que une estos dos puntos óseos indica la posición de este ligamento en la superficie del pie.

Caso 5.9

Este tipo de placa o entrada puede esionar el ligamento colateral tibial. El desgarro de este ligamento también determina una desinserción de menisco medial y del ligamento cruzado anterior. Estas lesiones ligamentosas se observan también cuando un esquiador clava uno de los esquís en la nieve y es lanzado hacia delante por la inercia.

Caso 5.10

El signo de cañón anterior indica una rodilla inestable, que se mueve hacia adelante cuando se tracciona la pierna flexionada. El impulso forzado y anterior de la tibia con relación a fémur suele *desgarrar el ligamento cruzado anterior*, una de las lesiones más comunes en el deporte sobre todo en el esquí. Este ligamento se desgarran, de ordinario, como consecuencia de una lesión compleja de la rodilla. El ligamento colateral, peroneo y los meniscos también pueden sufrir desgarro.

Caso 5.11

Estos signos y síntomas indican un *síndrome agudo del compartimiento anterior* debido a la hemorragia por la arteria tibial anterior. La presión compartimental aumenta dentro del compartimiento fascial anterior y comprime el nervio peroneo profundo, lo que explica que este hombre no pueda extender los dedos de pie ni proceder a la dorsiflexión. La compresión grave de la arteria tibial anterior y del nervio peroneo profundo también justifica el pie pendulo y la marcha equina. La compresión y la hemorragia de la arteria tibial anterior determinan la *perdida del pulso dorsal del pie* porque la arteria dorsal del pie es la rama terminal de la arteria tibial anterior. El intenso dolor se podría aliviar con una *fasciotomía*, es decir una incisión de tabique inter

muscular crural anterior para aliviar la presión dentro del compartimiento.

Caso 5.12

Probablemente la fractura de esta mujer sucedió entre los trocánteres mayor y menor o a través de los trocánteres. Estas fracturas afectan, a menudo, a un hueso muy debilitado por la *osteoporosis* y suelen ser de tipo conminuto. El sangrado desde los numerosos vasos sanguíneos que perfunden la región trocantérica llega hasta la ingle o el muslo, porque estas fracturas quedan fuera de la cápsula articular (*fracturas extracapsulares*). Todas las fracturas del cuello del fémur suceden dentro de la cápsula articular (*fracturas intracapsulares*); por eso, la sangre no llega hasta el muslo ni la ingle. La sangre se acumula dentro de la cavidad de la articulación coxofemoral. El miembro inferior de una persona que haya sufrido una fractura trocantérica extracapsular muestra rotación lateral, como sucede con la fractura del cuello femoral. Dada la irrigación tan generosa de la extremidad proximal del fémur, las fracturas trocantéricas suelen consolidar bien y se pueden reducir, casi siempre, mediante tratamiento cerrado con tracción continua.

Caso 5.13

Los signos y los síntomas sugieren una *bursitis trocantérica* (inflamación de la bolsa trocantérica). En general, esta lesión obedece a movimientos repetidos, como subir escaleras o escalar montañas. En estos movimientos interviene el músculo glúteo mayor y las fibras tendinosas de la parte superior pasan una y otra vez sobre la bolsa trocantérica. Este tipo de bursitis se caracteriza por un dolor puntual justo detrás del trocánter mayor. El dolor se irradia por la cara lateral del muslo, en el trayecto del tracto iliotibial, que recibe refuerzos tendinosos del músculo glúteo mayor y del músculo tensor de la fascia lata. Al oponer resistencia manual contra la separación y rotación lateral del muslo se aplica presión a la bolsa trocantérica y aumenta el dolor.

Caso 5.14

Este hombre presenta una rotura del tendón calcáneo, que se explica por el lugar del dolor y la debilidad para la flexión plantar. El dolor en la pantorrilla se debe sin duda a la tendinitis calcánea. Cuando se rompe el tendón calcáneo se observa una prominencia en la pantorrilla por el acortamiento (liberación) del músculo tríceps sural. Las dificultades para caminar de puntillas y subir escaleras se deben a que el músculo sóleo, el flexor plantar más poderoso del tobillo, se inserta en el calcáneo a través del tendón calcáneo.

Caso 5.15

La fractura del cuello del fémur es una lesión muy frecuente en las mujeres ancianas. Muchas veces esta fractura se conoce como “fractura de la cadera”, aunque es un error, puesto que no se fractura el hueso coxal. Probablemente, su abuela, al tambalearse y tratar de “agarrarse”, giró la cadera, lo que produjo la fractura del cuello femoral, que

es la parte más frágil del fémur. La caída se produjo como consecuencia de la fractura del hueso; por consiguiente, la fractura probablemente fue la causa y no la consecuencia de la caída.

La rotación lateral y el acortamiento del miembro lesionado constituyen los signos clínicos característicos de las fracturas del cuello femoral. La rotación depende de los cambios del eje del miembro, por la separación entre el cuerpo y la cabeza del fémur. El acortamiento del miembro obedece a la tracción superior que ejercen los músculos que unen el fémur con el hueso coxal. El espasmo muscular (contracción brusca e involuntaria del músculo) provoca esta tracción.

La masa ósea total del organismo disminuye progresivamente con la edad a lo largo de un proceso óseo denominado *osteoporosis*. El problema no radica en la incapacidad del hueso nuevo para calcificarse de modo suficiente, sino en que la producción de nueva matriz ósea no basta para compensar el grado de resorción del hueso. Por este motivo, la masa ósea total del organismo va disminuyendo de forma paulatina. Como consecuencia de ello, el cuello del fémur se debilita. Las fracturas de la porción proximal del fémur se producen a veces con traumatismos mínimos. En esta enfermedad de las mujeres posmenopáusicas y de los varones ancianos, la absorción del hueso es mayor que el ritmo de formación.

Los vasos sanguíneos de la porción proximal del fémur proceden en su mayor parte de las *arterias circunflejas femorales* medial y lateral. Las ramas de estas arterias discurren por los retináculos de la cápsula fibrosa de la articulación coxofemoral. La cabeza femoral también recibe una cantidad variable de sangre a través de una rama de la arteria obturatriz que se conoce como *arteria del ligamento de la cabeza*. Este ligamento puede romperse en caso de fractura del cuello femoral. Esta arteria no es permeable en los varones ancianos, porque a menudo sufren *arteriosclerosis* (endurecimiento arterial). A veces se desgarran otros vasos sanguíneos que irrigan la cabeza del fémur cuando se produce una fractura del cuello. En general, cuanto más proximal es la fractura, más probabilidades existen de que se interrumpa la irrigación.

La mala irrigación se asocia a una falta de consolidación de los fragmentos y a una *necrosis avascular* de la cabeza del fémur (muerte y colapso del fragmento óseo proximal debido a la mala irrigación sanguínea). Las *fracturas intracapsulares* (en la parte alta del cuello) casi siempre curan con dificultad, porque suelen impedir la irrigación sanguínea del fragmento óseo proximal. La importancia de la preservación del flujo sanguíneo de la porción proximal del fémur es uno de los motivos por los que este tipo de lesiones se debe tratar con sumo cuidado; el otro es el dolor tan intenso.

Caso 5.16

La íntima relación entre el *nervio peroneo común* y el cuello del peroné hace que resulte más vulnerable a la lesión cuando se fractura este hueso. Como el nervio camina por la cara lateral del cuello del peroné, es muy fácil que se lesione con las laceraciones superficiales. Los signos y síntomas

de paciente revelan claramente que se ha producido una lesión del nervio peroneo común. Las heridas superficiales, a compresión prolongada con objetos duros (p. e., el borde de la cama al dormir) y la compresión por una venda de escayola apretada se asocian a manifestaciones clínicas similares.

La lesión del nervio peroneo común afecta a los músculos de compartimento lateral de la pierna (los músculos peroneo largo y corto son inervados por el nervio peroneo superficial) y de compartimento anterior de la pierna, inervados por el nervio peroneo profundo. Por eso se altera la eversión y dorsiflexión del pie así como la extensión de los dedos del pie. Los pacientes presentan el característico *pie caído* (en flexión plantar con ligera inversión) y una marcha equina. El paciente camina arrastrando los dedos del pie y golpeando el pie contra el suelo. Para tratar de evitarlo eleva la pierna mucho más allá de lo habitual.

Las *disestesias* (alteración de la sensibilidad) de la pierna y pie del paciente se producen por la lesión de las fibras sensitivas de las ramas cutáneas del nervio peroneo común. La lesión del nervio fue producida por el roce con el patrón o bien por la compresión o desgarro del nervio por los fragmentos óseos. El peroné no es un hueso que soporte el peso del cuerpo, pero las fracturas del tercio proximal producen dolor al caminar porque la tracción de los músculos que se insertan en él determina una movilización dolorosa de los fragmentos.

Caso 5.17

La *arteria poplítea* se encuentra en la profundidad del hueco poplíteo sobre la cápsula fibrosa de la articulación de la rodilla; por eso, cuando se produce una fractura comminuta del tercio proximal de la tibia y del peroné puede sufrir un desgarro. La arteria poplítea se divide en sus ramas terminales (*arterias tibiales anterior y posterior*) en la parte inferior del hueco poplíteo; así pues, estos vasos también pueden desgarrarse cuando se fractura el hueso. Desde luego, en este caso se produjo un desgarro traumático de una o más de las *arterias de la rodilla*, ramas de la arteria poplítea. Estos vasos irrigan la cápsula articular y los ligamentos de la articulación de la rodilla.

Las pulsaciones de la arteria tibial posterior se palpan a mitad de camino entre el maléolo medial y el talón. La arteria dorsal del pie, que es la continuación de la arteria tibial anterior, también se puede palpar a su paso por el hueso escafoides y las cuñas del pie. En estos sitios se puede palpar el pulso arterial, porque el vaso es muy superficial y puede comprimirse contra el hueso. La ausencia de pulso de estas arterias sugeriría en este caso un desgarro de la arteria poplítea tibial o de ambas.

Por otra parte, es posible que el *nervio tibial* también hubiera sufrido una lesión, ya que es la estructura más superficial de los tres componentes centrales fundamentales del hueco poplíteo. La lesión del nervio tibial causa una parálisis de los músculos poplíteo y de la pantorrilla (grastrocnemio, sóleo, flexor largo del dedo gordo y tibial posterior) así como de aquéllos de la planta del pie. Probablemente, parte de los ramos de la rodilla (nervios articulares)

también sufrieron las consecuencias de traumatismo. La íntima relación entre el nervio peroneo común y el cuerpo del peroné explica por qué es tan vulnerable a las lesiones cuando se fractura esta porción del hueso. Los signos y síntomas que provocan esta lesión nerviosa se comentaron en el caso 5.2.

Caso 5.18

El *esguince habitual* de tobillo se produce por una inversión exagerada del pie, apoyado en el suelo, que provoca la rotura de la porción anterolateral de la cápsula fibrosa de la articulación del tobillo y de los ligamentos calcaneoperoneo y astragaloperoneo. El término *esguince* significa un desgarro de los ligamentos. En los *esguinces* graves se produce un desgarro completo de muchas fibras ligamentarias y, a menudo, una considerable inestabilidad de tobillo. En este caso, el esguince grave y la fractura ocurrieron en el momento en que el paciente resbaló sufriendo una inversión forzada del pie como consecuencia de peso corporal. Probablemente, el ligamento calcaneoperoneo y astragaloperoneo anterior sufrieron un desgarro parcial o completo. Normalmente, la mortaja profunda creada por la extremidad distal de la tibia y los maléolos sujeta el astrágalo con firmeza. Cuando se desgarran los ligamentos del tobillo, el astrágalo golpea el maléolo lateral desprendiéndolo.

Si el tobillo de este paciente hubiera sido forzado en la dirección contraria (es decir, con una eversión extrema), el poderoso *ligamento medial* habría provocado una avulsión del maléolo medial. Si se hubiera mantenido el efecto traumático, el astrágalo se habría movido junto con el maléolo lateral hacia fuera. El ligamento tibioperoneo interóseo actúa como pivote y, por eso, el peroné se fractura por encima de la articulación tibioperonea superior.

La lesión del tobillo de este paciente probablemente no era una *fractura de Pott*. El término “fractura luxación de Pott” suele utilizarse de manera laxa para incluir la mayoría de las fracturas y fracturas-luxaciones de los maléolos del tobillo. Así pues, una *lesión de primer grado* afecta a los dos maléolos (o al maléolo y un ligamento), y una de *tercer grado* a ambos maléolos y al borde posterior de la tibia (o dos maléolos y un ligamento).

Caso 5.19

La luxación de la cadera no es frecuente, debido a su estabilidad. La cabeza del fémur encaja en la profundidad del acetábulo y se mantiene en posición gracias a la cápsula fibrosa tan robusta que la rodea. Las luxaciones traumáticas de la cadera ocurren en accidentes de tráfico al flexionar la articulación y separar y rotar medialmente el muslo. Con toda probabilidad, la rodilla de esta paciente golpeó contra el cuadro de mandos en la posición descrita. Por eso, la fuerza se transmitió a lo largo del fémur y empujó la cabeza y el borde posterior del acetábulo hacia el plano posterior. Como la cabeza se halla cubierta en su cara posterior por la cápsula y no por el hueso, probablemente sufrió una rotura inferior y posterior que permitió la luxación posterior de la cabeza del fémur. Ésta arrastró consigo el borde pos-

terior del acetábulo y el rodete acetabular. Por este motivo, la cabeza del fémur se situó en la cara glútea del ilion.

La íntima relación entre el *nervio ciático* (L4 a S3) y la cara posterior de la articulación coxofemoral explica por qué es más vulnerable a la lesión en las luxaciones posteriores. Cuando la parálisis es completa, lo cual es bastante raro, se paralizan todos los músculos femorales posteriores y los distales a la rodilla. Además, probablemente estos síntomas se asocian a anestesia de la porción inferior de la pierna y del pie, excepto en la cara medial, que es inervada por el *nervio safeno* (L3 y L4), ramo terminal del nervio femoral.

Caso 5.20

La localización del dolor de este paciente y su irradiación por la cara posterior del muslo indica claramente una lesión del *nervio ciático*, que es el ramo más voluminoso del plexo sacro. Este nervio se origina en los segmentos medulares L4 a S3 y abandona la pelvis a través de la porción inferior de la escotadura ciática mayor. Se extiende desde el borde inferior del músculo piriforme hasta el tercio distal del muslo, es decir, en el trayecto doloroso referido por el paciente. La *maniobra de elevación de la pierna extendida* provoca dolor, por el estiramiento del nervio ciático al levantar el miembro. La dorsiflexión del pie aumenta la tracción sobre el nervio ciático y sus raíces.

La *protrusión posterolateral del disco intervertebral* es una causa frecuente de ciática, que afecta fundamentalmente a las primeras raíces nerviosas sacras. La protrusión del disco L5/S1 determina una compresión de las raíces dorsales y ventrales y provoca *ciática*, que se acompaña de dolor lumbar. El dolor ciático también puede producirse por compresión (p. ej., un tumor) sobre el nervio ciático o sus componentes dentro de la pelvis, región glútea o muslo. Otras causas son la irritación del nervio ciático por inflamación nerviosa (neuritis) o de la vaina del nervio y la compresión nerviosa.

Caso 5.21

La articulación de la rodilla es una de las más seguras de todo el cuerpo, sobre todo cuando se encuentra extendida. Estos huesos se unen a través de ligamentos muy fuertes, pero la rodilla se halla expuesta a diversas lesiones, debido al esfuerzo tan intenso que se exige a las inserciones ligamentarias, sobre todo en deportes de contacto, como el hockey y el fútbol americano. El golpe sobre la cara lateral de la rodilla de este jugador, que recibió al chocar con la cadera del adversario, tuvo lugar cuando el jugador estaba corriendo, con el pie apoyado sobre el suelo. Al apoyar el peso sobre la pierna, el golpe tan violento causó una flexión medial de la rodilla con respecto a la tibia. Este mecanismo lesionó gravemente el *ligamento colateral tibial*. Si se hubieran roto sólo algunas fibras ligamentarias, se habría producido únicamente un esguince. Sin embargo, debido a la intensidad del choque, probablemente se desprendió todo el ligamento cerca de la inserción en el epicóndilo femoral medial. Como el *menisco medial* se inserta en este ligamento, también pudo desgarrarse o desprenderse de él.

Quizá esta fuera toda la lesión sufrida por este atleta, aunque cabe la posibilidad de que se hubiera roto también el *ligamento cruzado anterior*. Este ligamento, que impide el desplazamiento posterior del fémur y la hiperextensión de la rodilla, se desgarró a veces con traumatismos violentos sobre la cara lateral de la articulación.

En resumen, la separación forzada y la rotación lateral de la pierna de este jugador a causa del placaje determinó posiblemente una rotura simultánea de tres estructuras: el ligamento colateral de la tibia, el menisco medial y el ligamento cruzado anterior.

Caso 5.22

La *hernia femoral* es una protrusión de grasa, peritoneo, omento y, casi siempre, un asa de intestino por el anillo femoral en el interior del conducto femoral. Cuando el intestino ocupa el saco herniario se auscultan ruidos intestinales con el estetoscopio.

El *conducto femoral* es un espacio corto, ciego y virtual situado en el compartimiento medial de la *vaina femoral*, prolongación de la túnica fascial del interior del abdomen (fascia transversa por delante y fascia iliaca por detrás). Normalmente, este espacio contiene vasos linfáticos y, como mínimo, un ganglio linfático incluido en el tejido conjuntivo.

El *conducto femoral* es una zona débil de la pared abdominal; por eso, cuando aumenta mucho la presión dentro del abdomen (como sucede en una persona con estreñimiento crónico cuando intenta defecar), el contenido del abdomen puede ser impulsado a través del anillo femoral hasta el conducto femoral. El intestino arrastra una bolsa de peritoneo en su descenso por el conducto femoral y a través del hiato safeno. Al no poder seguir su descenso por la fascia lata del muslo, que lo impide, el saco herniario se dirige hacia delante y luego hacia arriba, creando una tumefacción debajo del ligamento inguinal. Mientras la hernia se encuentra dentro del conducto femoral (*hernia femoral incompleta*) suele ser pequeña, pero luego pasa delante por el hiato safeno y llega al tejido conjuntivo laxo del



muslo, donde aumenta mucho de tamaño (*hernia femoral completa*)

El diagnóstico diferencial entre la hernia inguinal indirecta y la hernia femoral completa puede resultar difícil, porque las hernias femorales avanzadas determinan una tumefacción superior al ligamento inguinal. Este edema causado por la hernia femoral queda inferolateral a la de la hernia inguinal indirecta.

El *tubérculo del pubis* constituye la referencia deseada importante para diferenciar una hernia inguinal de otra femoral. El cuello de *saco herniario inguinal* se sitúa *superomedial* al *tubérculo del pubis* por el anillo inguinal superficial, mientras que el del *saco herniario femoral* es *inferolateral* al *tubérculo del pubis*. Además, si durante la *prueba de invaginación* no aparece ninguna hernia por el conducto inguinal, como en este caso, no puede tratarse de una hernia inguinal indirecta.

Si se coloca suavemente la mano sobre la hernia y se lleva hacia abajo, el pliegue de la ingle producido por el ligamento inguinal pasará encima de la hernia femoral, mientras que si la mano se lleva hacia arriba, el pliegue de la ingle quedará debajo de la hernia inguinal.

La *hernia femoral* es más común en las mujeres (con una relación aproximada de 3 a 1) porque el anillo femoral es

mayor en el sexo femenino, dada la mayor anchura de la pelvis de las mujeres, el menor tamaño de los vasos femorales y los cambios que ocurren en los tejidos vecinos con el embarazo.

La *hernia femoral completa* se estrangula a menudo. La tendencia a la estrangulación de este tipo de hernia (es decir, compresión de los vasos de la hernia) se explica por los límites tan estrechos del anillo femoral (p. ej., el ligamento inguinal por delante y el ligamento lacunar en la zona medial). El estrechamiento de la hernia también pueden ocasionarlo los bordes rígidos del hiato safeno.

Dado el tamaño relativamente pequeño del anillo femoral y de hiato safeno y la rigidez de las estructuras vecinas, se observa un taponamiento del retorno venoso de la asa intestinal herniada. Como la sangre arterial continúa llegando hasta esta asa, se ingurgita de sangre y en seguida cesa la circulación. Es necesaria una intervención quirúrgica precoz para evitar la necrosis de la asa intestinal estrangulada.

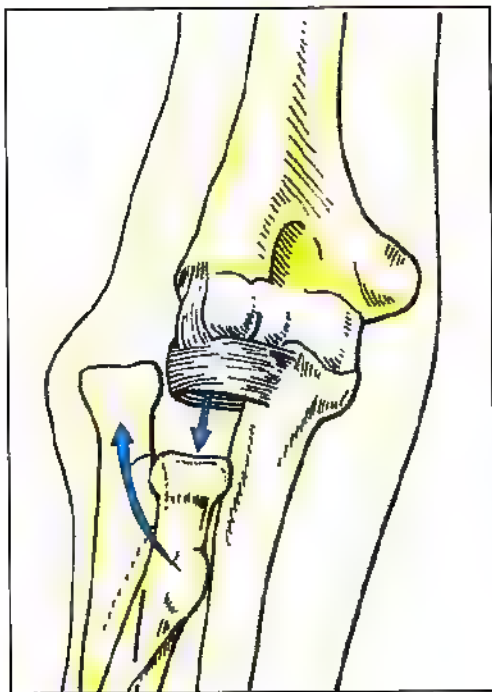
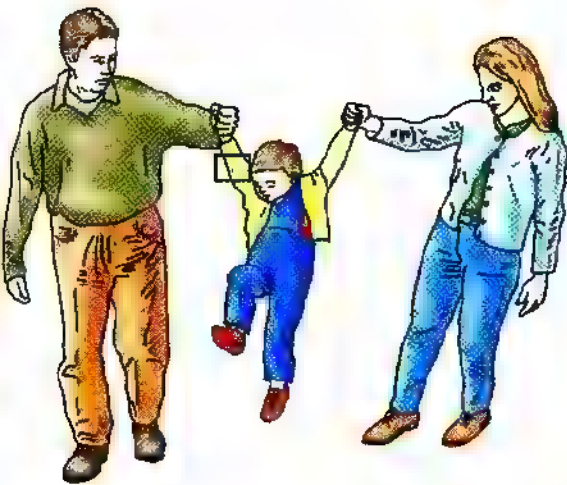
A veces una adenopatía blanda del conducto femoral se confunde con una hernia femoral, pero, en general, el ganglio tiene una consistencia más dura. El cáncer y las infecciones de esta región, drenadas por estos ganglios, pueden determinar una o más adenopatías.

Bibliografía y lecturas recomendadas

- Anderson MK, Hall SJ: *Sports Injury Management*. Baltimore, Williams & Wilkins, 1995.
- Behrman RE, Kliegman RM, Arvin AM: *Nelson Textbook of Pediatrics*, 15th ed. Philadelphia, WB Saunders, 1996.
- Birrer RB (ed): *Sports Medicine for the Primary Care Physician*, 2nd ed. Boca Raton, CRC Press, 1994.
- Cahil DR, Orland MJ, Miller G: *Atlas of Human Cross-Sectional Anatomy*, 3rd ed. New York, Wiley-Liss, 1994.
- Clemente CD: *Gray's Anatomy of the Human Body*, 30th American Edition. Philadelphia, Lea & Febiger, 1985.
- Crelin ES: An experimental study of hip stability in human newborn cadavers. *Yale J Biol Med* 49:109, 1976.
- Devinsky O, Feldman E: *Examination of Cranial and Peripheral Nerves*. New York, Churchill Livingstone, 1988.
- Ellis A: *Clinical Anatomy. A Revision and Applied Anatomy for Clinical Students*, 8th ed. Oxford, Blackwell Scientific Publications, 1992.
- Ger R, Sedlin E: The accessory soleus muscle. *Clin Orthop* 116:200, 1976.
- Griffith HW: *Complete Guide to Sports Injuries*. Los Angeles, Price Stern Sloan, 1986.
- Gross A: Orthopedic surgery adult. In Gross A, Gross P, Langer B (eds): *Surgery. A Complete Guide for Patients and Their Families*. Toronto, Harper & Collins, 1989.
- Healey JE Jr, Hodge J: *Surgical Anatomy*, 2nd ed. Toronto, BC Decker, 1990.
- Jenkins DB: *Functional Anatomy of the Limbs and Back*, 6th ed. Philadelphia, WB Saunders, 1990.

- Levandowski R: Knee injuries. In Birrer RB (ed): *Sports Medicine for the Primary Care Physician*, 2nd ed. Boca Raton, CRC Press, 1994.
- Levandowski R, Difiori JP: Thigh injuries. In Birrer RB (ed): *Sports Medicine for the Primary Care Physician*, 2nd ed. Boca Raton, CRC Press, 1994.
- McKee NH, Fish JS, Manktelow RT, McAvoy GV, Young S, Zuker RM: Gracilis muscle anatomy as related to function of a free functioning muscle transplant. *Clin Anat* 3:87-92, 1990.
- McMinn RMH: *Last's Anatomy Regional and Applied*, 8th ed. New York, Churchill Livingstone, 1990.
- Saller RB: *Textbook of Disorders and Injuries of the Musculoskeletal System*, 3rd ed. Baltimore, Williams & Wilkins, 1998.
- Salter RB: Orthopedic surgery pediatric. In Gross A, Gross P, Langer B (eds): *Surgery: A Complete Guide for Patients and Their Families*. Toronto, Harper & Collins, 1989.
- Slaby FJ, McCune SK, Summers RW: *Gross Anatomy in the Practice of Medicine*. Baltimore, Lea & Febiger, 1994.
- Soames RW: Arthroscopy of the knee. In Williams PH, Bannister LH, Berry MM, Collins P, Dyson M, Dussek JE, Ferguson MWJ (eds): *Gray's Anatomy*, 38th ed. New York, Churchill Livingstone, 1995.
- Swartz MH: *Textbook of Physical Diagnosis*, 2nd ed. Philadelphia, WB Saunders, 1994.
- Wendel-Smith CP: Fascia: An illustrative problem in international terminology. *Surg Radiol Anat* 19:273, 1997.
- Williams PH, Bannister LH, Berry MM, Collins P, Dyson M, Dussek JE, Ferguson MWJ: *Gray's Anatomy*, 38th ed. New York, Churchill Livingstone, 1995.
- Woodburne RT, Burkel WE: *Essentials of Human Anatomy*, 9th ed. New York, Oxford University Press, 1994.

6 El miembro superior



Los huesos

del miembro superior / 570

Las articulaciones

del miembro superior / 603

Los músculos supraescapulares

anteriores del miembro superior / 700

Los músculos infraescapulares

posteriores y medializadores / 703

La mano / 711

El brazo / 719

El antebrazo / 740

La cadera / 777

Las articulaciones

del miembro superior / 700

Los músculos

del miembro superior / 603

El miembro superior / 603

El miembro superior / 603

El miembro superior / 603

El miembro (extremidad) superior se caracteriza por la movilidad y la capacidad para sujetar y manipular. Estas características se dan sobre todo en la mano cuando se efectúan actividades manuales, como abrocharse el botón de una camisa. El miembro superior no suele contribuir al soporte del peso, y su estabilidad se sacrifica en aras de la movilidad. Los dedos de la mano (incluido el pulgar) son los más móviles, pero otras partes también lo son con respecto a los elementos homólogos del miembro inferior. *El miembro superior se compone de cuatro segmentos (fig. 6.1):*

- La *cintura escapular* o anillo óseo, incompleto por la cara posterior, formada por las escápulas y las clavículas,

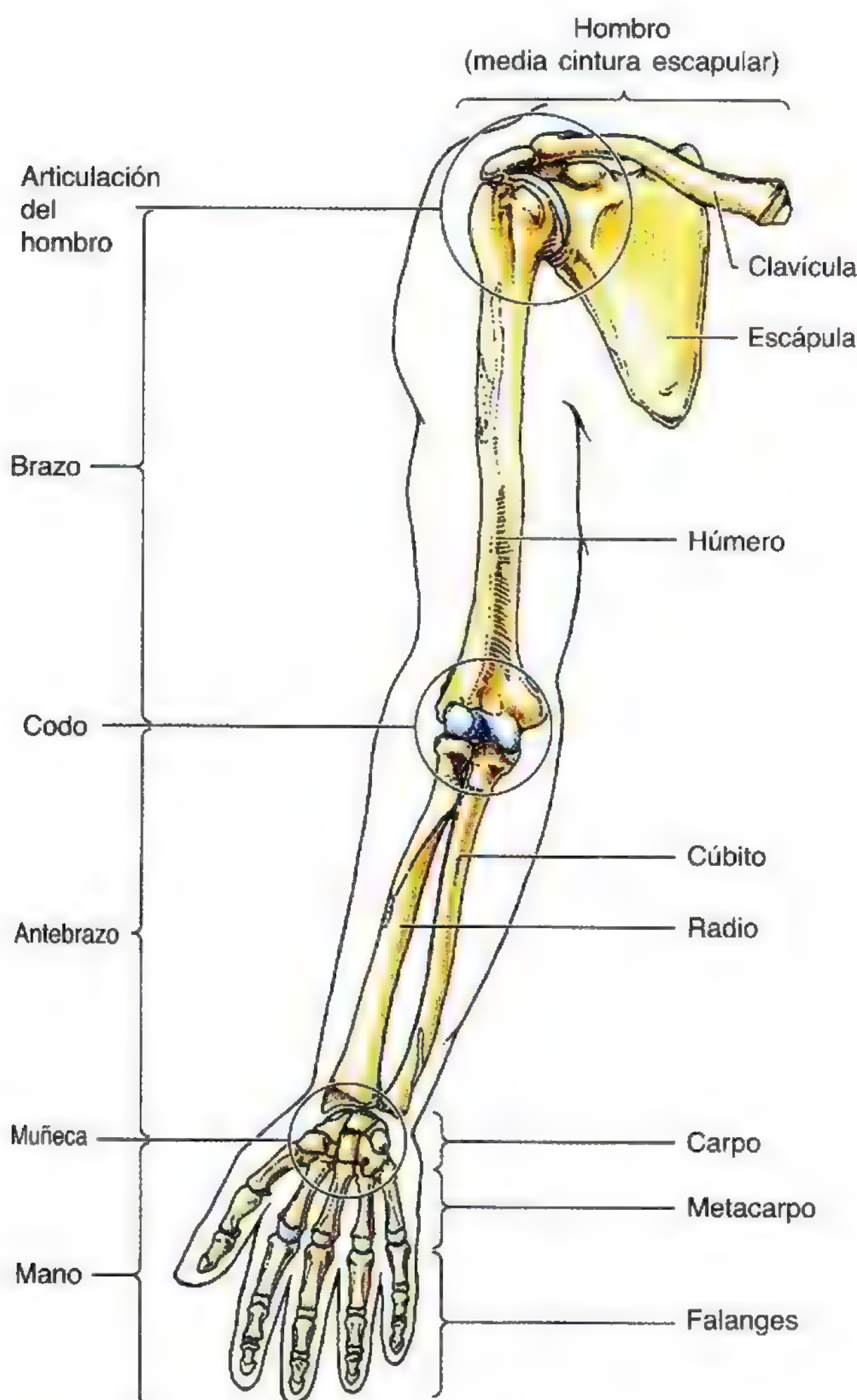


Figura 6.1. Las regiones y los huesos del miembro superior. Visión anterior. Las articulaciones dividen el esqueleto apendicular superior y, en consecuencia, el propio miembro en cuatro grandes regiones: hombro, brazo, antebrazo y mano. La cintura pectoral es un anillo óseo, incompleto por la cara posterior, que da inserción y apoyo a los miembros superiores y protege las estructuras torácicas superiores, la parte inferior del cuello y la axila.

que se completa por delante con el manubrio del esternón.

- El *brazo*, parte situada entre el hombro y el codo, que contiene el húmero y comunica el hombro con el codo.
- El *antebrazo*, que comunica el codo con la muñeca y contiene el cúbito y el radio.
- La *mano* o parte del miembro superior distal al antebrazo, donde se encuentran el carpo, el metacarpo y las falanges; se compone de muñeca, palma, dorso de la mano y dedos, incluido el pulgar.

Lesiones del miembro superior

Debido a que los efectos invalidantes de una lesión del miembro superior, sobre todo de la mano, son desproporcionados al grado de traumatismo, conviene conocer bien la estructura y la función del miembro superior. El conocimiento de su estructura, sin un entendimiento de sus funciones, resulta prácticamente inútil en clínica, dado que el objetivo terapéutico ante un miembro dañado es preservar o restablecer sus funciones. ➔

Los huesos del miembro superior

La cintura escapular y los huesos de la parte libre del miembro superior forman la parte libre superior del **esqueleto apendicular** (fig. 6.2); la cintura pélvica y los huesos de la parte libre del miembro inferior constituyen la parte inferior. La **cintura escapular**, formada por la escápula y las clavículas y unida al manubrio del esternón, comunica las porciones libres de ambos miembros superiores con el **esqueleto axial** (huesos de la cabeza, cuello y tronco). Pese a su extraordinaria movilidad, la cintura escapular se encuentra apoyada y estabilizada por músculos que se insertan en las costillas, el esternón y las vértebras.

La clavícula

La clavícula, un hueso largo con doble curvatura, conecta el miembro superior con el tronco (fig. 6.3). Su *extremidad esternal (medial)* se ensancha con forma triangular y en ella se articula el manubrio del esternón por la *articulación esternoclavicular (SC)*. Lateralmente, la clavícula se articula con el acromion de la escápula (fig. 6.2). Su *extremidad acromial (lateral)* es plana en la zona de *articulación acromioclavicular (AC)* (figs. 6.2B y 6.3). Los dos tercios mediales del cuerpo (diáfisis) de la clavícula son convexos por delante, y el tercio lateral se aplanan y es cóncavo por la cara anterior. Estas curvaturas aumentan la elasticidad de la clavícula y le dan el aspecto de una “S” mayúscula alargada. La clavícula:

- Sirve como puntal (soporte rígido), del que se suspenden la escápula y el miembro libre, y se mantiene lejos del

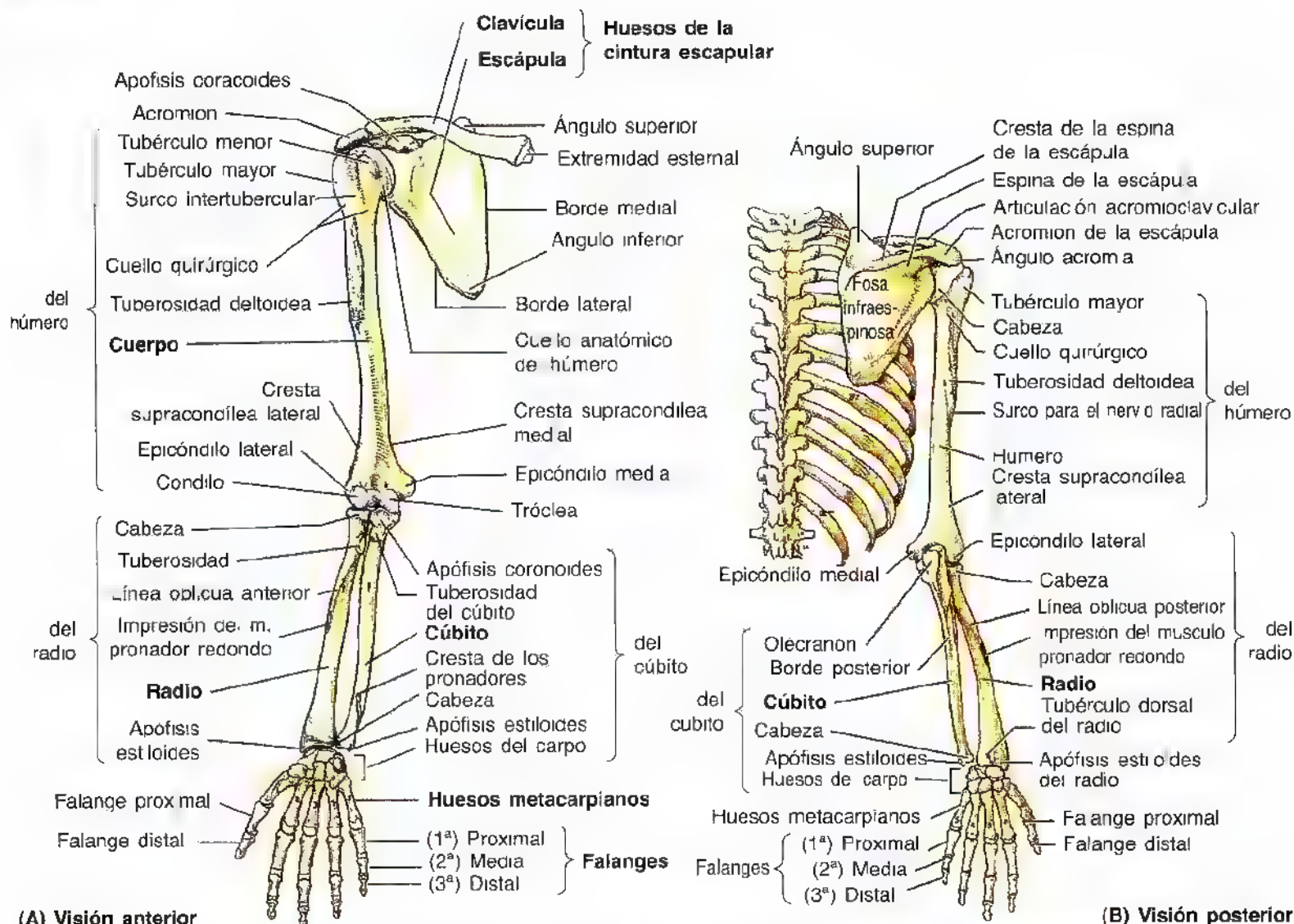


Figura 6.2. Los huesos del miembro superior. **A.** Visión anterior de esqueleto apendicular superior. La clavícula y la escápula (omóplato) de los lados derecho e izquierdo forman la cintura escapular; los demás huesos representan el esqueleto del miembro libre. **B.** Visión superior de la parte apendicular superior y torácica de esqueleto axial. Obsérvese la relación entre la escápula y las costillas así como las vértebras torácicas. La escápula cubre partes de la 2ª a la 7ª costillas. El miembro superior se apoya y queda estabilizado por los músculos toracoapendiculares, que se extienden desde las costillas y las vértebras (esqueleto axial) hasta el miembro (esqueleto apendicular), creando una "articulación escapulotorácica" conceptual entre la escápula y la pared torácica.

tórax. El brazo alcanza así su máxima movilidad; este puntal es móvil y explica que la escápula se mueva hacia la pared torácica (por la "articulación escapulotorácica" conceptual), aumentando el arco de movimiento del miembro; cuando este puntal queda en posición fija sobre todo después de su elevación—permite que las costillas se eleven para la inspiración profunda.

- Forma uno de los límites óseos del *conducto cervicoaxilar* (vía de paso entre el cuello y el brazo), que protege el paquete neurovascular del miembro superior.
- Transmite los choques (impactos traumáticos) del miembro superior del esqueleto axial.

La clavícula, aunque diseñada como hueso largo, no posee cavidad medular, sino que se compone de hueso esponjoso con una cáscara de hueso compacto.

La **superficie superior de la clavícula**, justo debajo de la piel y del músculo platisma (que significa lámina plana

en griego) del tejido subcutáneo, es lisa. El **tubérculo deltoideo** es una prominencia que señala la inserción del deltoides, músculo responsable del contorno redondeado del hombro.

La **cara inferior de la clavícula** es rugosa, porque existen robustos ligamentos que la unen con la 1ª costilla, cerca de su extremo esternal, y suspenden la escápula de su extremo acromial. El **tubérculo conoideo**, próximo a la extremidad acromial de la clavícula (fig. 6.3), ofrece la inserción al **ligamento conoideo**, porción medial del ligamento coracoclavicular. El **surco del tercio medio de la clavícula** es el lugar donde se inserta el músculo subclavio. Más medialmente se sitúa la **impresión del ligamento costo-clavicular**, que une la 1ª costilla a la clavícula. Cerca de la extremidad acromial de la clavícula está la **línea trapezoidea**, en la que se inserta el ligamento trapezoideo; es la porción lateral del ligamento coracoclavicular.

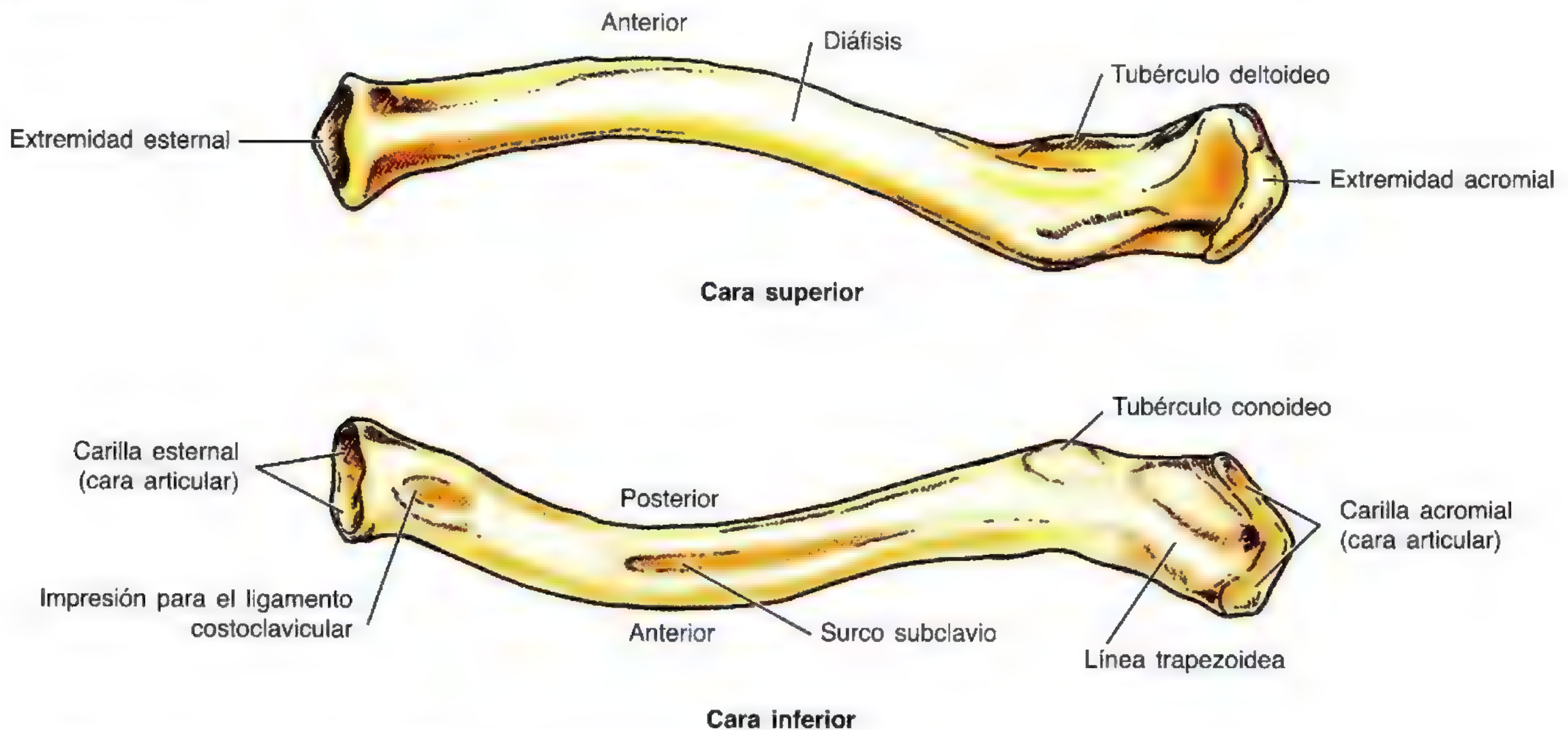
Clavícula derecha

Figura 6.3. Clavícula derecha. En las caras superior e inferior se observan algunos rasgos destacados. La clavícula actúa como una viga de soporte móvil, que comunica el tronco con el miembro superior; se extiende desde el manubrio del esternón hasta el acromion de la escápula (fig. 6.2).

Variaciones de la clavícula

La forma de la clavícula varía más que la de casi ningún otro hueso largo. A veces, la clavícula es perforada por un ramo del nervio supraclavicular. La clavícula de los trabajadores manuales es más gruesa y curva, y los lugares de inserción muscular se encuentran más acentuados. La clavícula derecha es más fuerte que la izquierda y, de ordinario, más corta.

Fractura de la clavícula

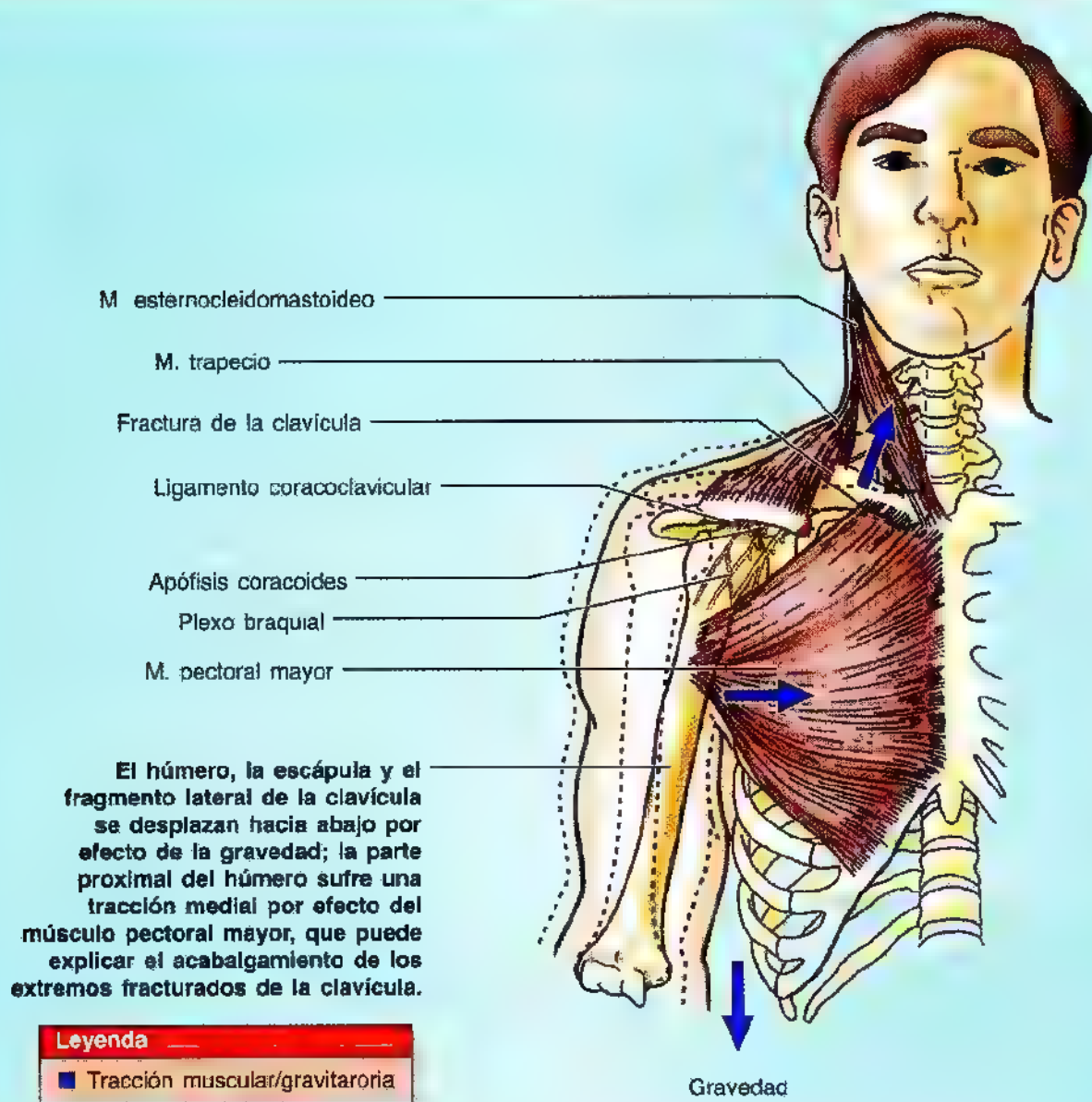
La clavícula se fractura a menudo, casi siempre por un golpe indirecto debido a un impacto violento tras extender la mano durante una caída —la fuerza se transmite por los huesos del antebrazo y del brazo hasta el hombro—, o bien por caídas directas sobre el propio hombro. Las clavículas, relativamente robustas, de los adultos se fracturan menos que las más finas de los niños. Como la clavícula es la zona de contacto óseo con el manubrio esternal, es decir, “el vínculo entre las porciones apendicular y axial del esqueleto”, las fracturas claviculares son bastante comunes. *La zona más débil de la clavícula es la unión entre sus tercios medio y lateral.* Si bien una de las principales misiones de la clavícula consiste en transmitir las fuerzas desde el miembro superior hasta el esqueleto axial, si la fuerza que actúa sobre el hombro durante una caída es mayor que la fortaleza de la clavícula se produce una fractura.

Tras fracturarse la clavícula, el músculo esternocleidomastoideo eleva el fragmento medial del hueso. Como el músculo trapecio es incapaz de sostener el fragmento lateral elevado, debido al peso del miembro superior, se cae el hombro. El *ligamento coracoclavicular*, poderoso, suele impedir la luxación de la articulación acromioclavicular. Las personas con una fractura de clavícula se sujetan el miembro dañado con ayuda del otro miembro. Aparte de la depresión, el fragmento lateral de la clavícula sufre una tracción medial por los músculos aproximadores del brazo, como el pectoral mayor. El acabalgamiento de los fragmentos óseos acorta la clavícula.

Las clavículas finas de los recién nacidos se pueden fracturar durante el parto si el bebé tiene los hombros anchos; sin embargo, suelen curar deprisa. En los niños, la clavícula se suele fracturar de modo incompleto, es decir, se produce una *fractura en tallo verde*, en la que un lado del hueso se fractura y el otro se dobla. Esta fractura ha recibido este nombre porque los fragmentos óseos no se separan y se asemeja a una rama verde (tallo verde) que se doblara de forma brusca sin que sus fragmentos lleguen a desconectarse.

Osificación de la clavícula

La clavícula es el 1^{er} hueso largo que se osifica; el proceso empieza en la 5^a y 6^a semanas embrionarias en el mesénquima condensado (*osificación intramembranosa*) a ▶



► partir de dos centros primarios, medial y lateral, situados muy cerca en el cuerpo de la clavícula. Los dos extremos de la clavícula pasan después por una fase cartilaginosa (*osificación endocondral*); el cartilago crea zonas de crecimiento parecidas a las de otros huesos largos. En el extremo esternal surge un centro de osificación secundario que da una epífisis parecida a un platillo que empieza a unirse con el cuerpo (diáfisis) entre los 18 y 25 años, y se fusiona por completo entre los 25 y los 31. Esta es la última de las epífisis de los huesos largos en madurar. En el extremo acromial de la clavícula puede existir una epífisis aún más pequeña, parecida a un platillo; no debe confundirse con una fractura.

Osificación anómala de la clavícula

La osificación anómala de las clavículas puede determinar la ausencia de gran parte de los dos huesos que unen los hombros. A veces, la fusión de los dos centros de osificación de la clavícula no tiene lugar y, en consecuencia, ocurre un defecto óseo entre los tercios lateral y medial de la clavícula. El conocimiento de esta posible malformación congénita evita el diagnóstico de fractura de una clavícula, por otra parte, normal. En caso de duda se deben radiografiar las dos clavículas, dado que el defecto casi siempre es bilateral (Ger y cols., 1996). *

La escápula

La escápula (omóplato) es un hueso triangular y plano de la cara posterolateral del tórax que cubre la 2ª a la 7ª costillas (fig. 6.2B). La **cara costal**, cóncava, de casi toda la escápula forma una gran **fosa subescapular** (fig. 6.4); la **cara posterior**, convexa, está dividida de manera desigual

por la espina de la escápula (fig. 6.2B) en una pequeña **fosa supraespinosa** y una **fosa infraespinosa**, mucho mayor. Las superficies óseas anchas de las tres fosas ofrecen inserción para músculos poderosos. El **cuerpo de la escápula**, triangular, es fino y translúcido por encima y por debajo de la espina, aunque sus bordes, sobre todo el lateral, es algo más

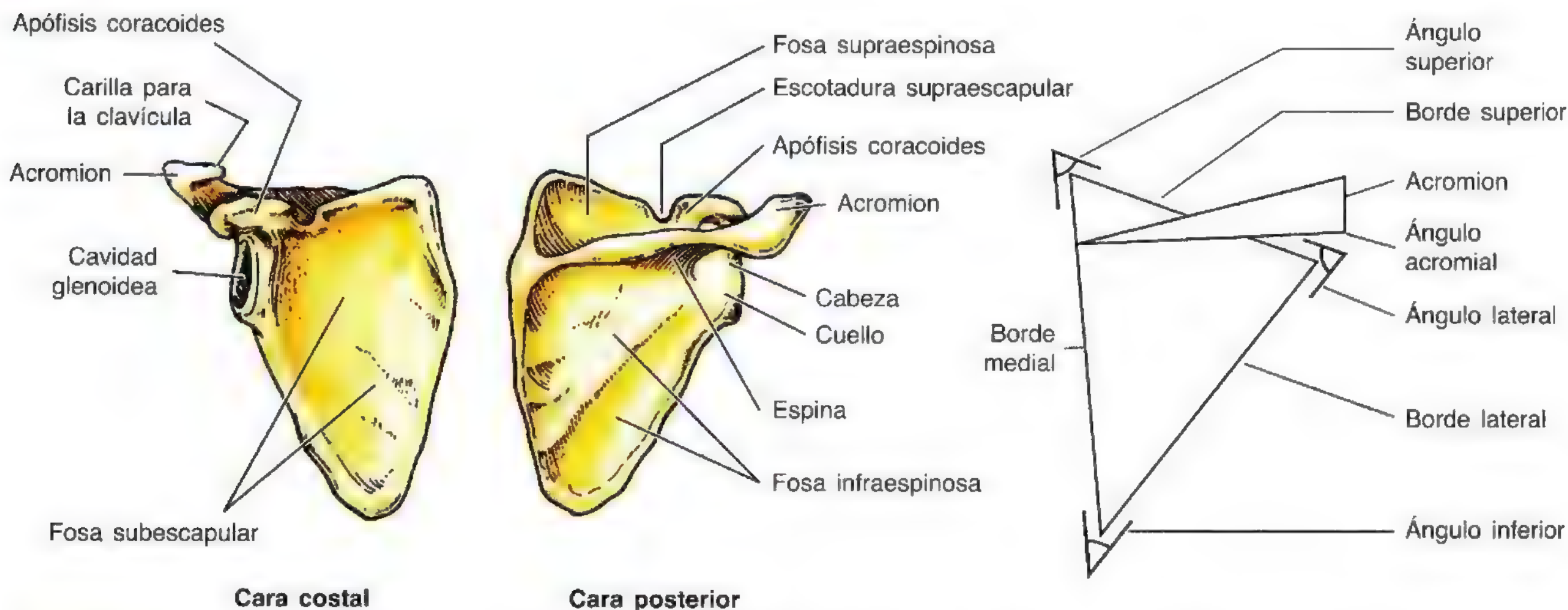


Figura 6.4. Escápula derecha. Caras costal (anterior) y posterior. El diagrama de la derecha ilustra los bordes y los ángulos de la escápula. La escápula queda suspendida de la clavícula y establece una comunicación ósea real entre la clavícula y el húmero. Aunque no se trata de una articulación "verdadera", la escápula se "articula" con la pared torácica posterosuperior a través de la articulación "escapulotorácica" conceptual (fig. 6.2), y lo hace de manera verdadera con la cabeza del húmero.

grueso. La **espinas de la escápula**, una robusta cresta ósea, se continúa lateralmente en forma de una expansión plana, el **acromion** (del griego *akros*, que significa punto), que forma la "punta subcutánea del hombro" y se articula con el extremo acromial de la clavícula. La superficie lateral de la escápula da la **cavidad glenoidea** en la parte superolateral, donde se articula la cabeza del húmero por la articulación escapulohumeral (hombro) (fig. 6.2B). La **apófisis coracoides** (del griego *korakōdēs*, que significa "parecido al pico de un cuervo") se encuentra encima de la cavidad glenoidea y se proyecta anterolateralmente (fig. 6.4). El tamaño, la forma y la dirección de esta apófisis se parece a la de un dedo doblado que apuntara hacia el hombro.

La escápula dispone de bordes medial, lateral y superior, y ángulo superior, lateral e inferior. Cuando el cuerpo de la escápula está en posición anatómica, el **borde medial fino de la escápula** sigue paralelo y unos 5 cm lateral a las apófisis espinosas de las vértebras torácicas (fig. 6.2B); por eso suele denominarse borde vertebral. El **borde lateral de la escápula** asciende lateralmente desde el ángulo inferior hacia el vértice de la axila; de aquí que, a menudo, se conozca como borde axilar. El borde lateral contiene una barrita ósea gruesa que impide que la región de la escápula que soporta la carga se combe. El borde lateral termina en el **ángulo lateral** troncal de la escápula, porción más densa del hueso donde se encuentra la cavidad glenoidea; la apófisis ensanchada y adyacente es la **cabeza** de la escápula. La constricción entre la cabeza y el cuerpo representa el **cuello** de la escápula. El **borde superior** de la escápula se caracteriza por la **escotadura supraescapular** (escotadura escapular), cerca de la unión de los dos tercios mediales con el lateral. La escotadura se encuentra allí donde el borde superior se une con la base de la apófisis coracoides. El borde superior

es el más fino y corto de los tres. La **cavidad glenoidea**, que aloja la cabeza del húmero, es una fosa delgada, cóncava y ovalada, que mide unos 4 cm de longitud y 2 a 3 cm de anchura; esta cavidad mira anterolateralmente y algo hacia el plano superior. *La escápula puede efectuar un movimiento considerable sobre la pared torácica por la articulación escapulotorácica conceptual.* Estos movimientos, que dan libertad al miembro inferior, se comentan más adelante, junto con los de la escápula. Además de ofrecer inserción para los músculos, la cavidad glenoidea de la escápula forma la cavidad de la articulación del hombro.

Fractura de la escápula

Casi toda la escápula se encuentra protegida por músculos y por otras estructuras asociadas de la pared torácica; por eso, la mayoría de las fracturas escapulares afectan a la porción sobresaliente subcutánea, el acromion. ➔

El húmero

El húmero (el hueso del brazo), el hueso más grande del miembro superior, se articula con la escápula por la articulación escapulohumeral (hombro), y con el radio y el cúbito, por la articulación del codo (fig. 6.2). El extremo proximal del húmero tiene una cabeza, un cuello y los tubérculos mayor y menor. La **cabeza** del húmero, con forma esférica, se articula con la cavidad glenoidea de la escápula. El **cuello anatómico del húmero** lo forma el surco

que circunscribe la cabeza y separa ésta de los tubérculos mayor y menor. La unión de la cabeza y el cuello con el **cuerpo del húmero** está marcada por los tubérculos (tuberosidades) mayor y menor, que ofrecen inserción y palanca para algunos músculos escapulo-humerales. El **tubérculo mayor** (troquíter) se encuentra en el borde lateral del húmero y el **tubérculo menor** (troquín) se proyecta hacia delante. El **surco intertubercular** (surco bicipital) separa los tubérculos. El **cuello quirúrgico del húmero** es la parte estrecha, distal a los tubérculos y a las crestas que descienden de éstos, que flanquean el surco intertubercular. *El cuello quirúrgico es una zona frecuente de fractura del húmero*

El cuerpo del húmero se caracteriza por dos rasgos llamativos: la **tuberosidad deltoidea**, lateral, para la inserción del músculo deltoides, y el **surco oblicuo del nervio radial**, en la cara posterior, donde se alojan el nervio radial y la arteria braquial profunda, que pasan entre las cabezas medial y larga y luego lateral del músculo tríceps braquial. La extremidad inferior del húmero se ensancha en las **crestas supracondíleas** medial y lateral, y después termina en unas prolongaciones medial y lateral, ésta muy prominente, los **epicóndilos**, lugares de inserción muscular. La extremidad distal del húmero está formada por los epicóndilos, la tróclea, el **cóndilo humeral** y las fosas olecraneana, coronoi-dea y radial (fig. 6.5). En la extremidad distal hay dos caras

articulares: el **cóndilo humeral**, lateral, que se articula con la cabeza del radio, y la **tróclea**, medial, que lo hace con la extremidad proximal (escotadura troclear) del cúbito (fig. 6.1). Encima y delante de la tróclea se encuentra la **fosa coronoi-dea**, que recibe la apófisis coronoides del cúbito durante la flexión completa del codo, y detrás, la **fosa olecraneana**, que acomoda el olécranon del cúbito durante la extensión completa del codo. Encima y delante del cóndilo humeral, la **fosa radial**, delgada, aloja el borde de la cabeza del radio cuando el antebrazo está totalmente flexionado.

El cúbito

El **cúbito** = *hueso estabilizador del antebrazo*— es el más medial y largo de los dos huesos del antebrazo (figs. 6.6 y 6.7). Su extremidad proximal tiene dos proyecciones llamativas, el **olécranon**, que se proyecta proximalmente desde la cara posterior, y la **apófisis coronoides**, que lo hace hacia delante. La cara anterior del olécranon da la pared posterior de la **escotadura troclear**, que se articula con la tróclea del húmero. En la cara lateral de la **apófisis coronoides** aparece una concavidad redonda y lisa, la **escotadura radial**, que se articula con la cabeza del radio. Debajo de la apófi-

Fractura del húmero

Casi todas las lesiones de la extremidad proximal del húmero son *fracturas del cuello quirúrgico*, frecuentes en las personas mayores, sobre todo en aquellas con *osteoporosis* (huesos desmineralizados y frágiles). Las fracturas del húmero se caracterizan, a menudo, por el impacto de un fragmento en el hueso esponjoso del otro (*fracturas impactadas*). Tales lesiones obedecen muchas veces a una pequeña caída sobre la mano, en la que la fuerza se transmite hacia los huesos del antebrazo del miembro extendido. Dado el impacto de los fragmentos, el lugar de fractura se encuentra estable y el enfermo puede mover pasivamente el brazo con algo de dolor. En las radiografías o en las imágenes de tomografía computarizada (TC) se aprecia la fractura del húmero.

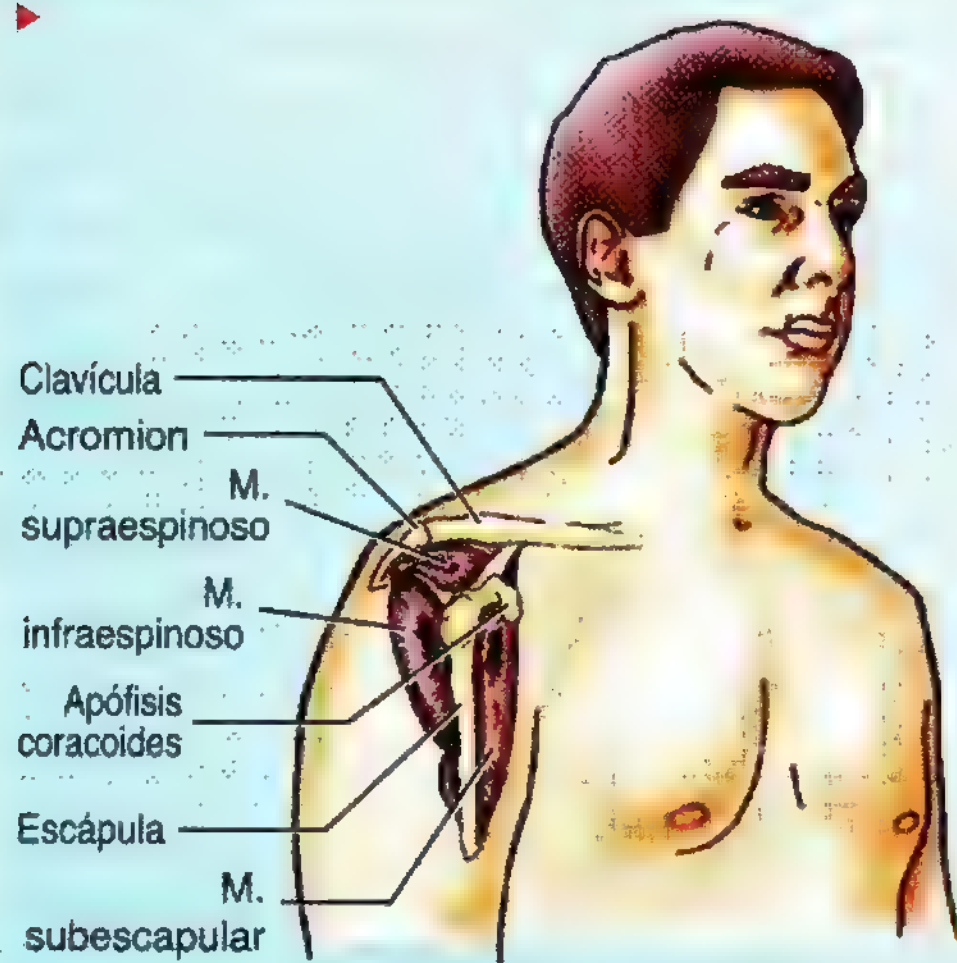
Las *fracturas por avulsión del tubérculo mayor del húmero* (A) son bastante corrientes (ver imágenes en pág. 684), en particular en las personas de edad mediana o avanzada. De ordinario, se deben a una caída sobre la punta del hombro, el acromion. La *fractura por avulsión del tubérculo mayor* (tracción del tubérculo sobre la cabeza) suelen obedecer, en las personas jóvenes, a una caída sobre la mano con el brazo separado. Los músculos (en especial, el subescapular) que siguen insertados en el húmero rotan medialmente el miembro. La luxación inferior del hombro acompaña casi siempre a la lesión en ausencia de inserciones musculares sobre el tubérculo mayor.

Las fracturas transversas del cuerpo del húmero son consecuencia, a menudo, de un golpe directo sobre el brazo. La tracción del músculo deltoides arrastra lateralmente el fragmento proximal del húmero fracturado (B). La lesión indirecta provocada por una caída con la mano extendida puede causar una fractura espiral del cuerpo humeral. La superposición de los extremos oblicuos del hueso, con una fractura espiral, explica el acortamiento. Como el húmero está rodeado de músculos y dispone de un periostio bien desarrollado, los fragmentos óseos suelen consolidar sin problemas. Para describir las fracturas del cóndilo humeral se pueden utilizar los términos de cóndilo medial y cóndilo lateral. Las fracturas intercondíleas del húmero se producen tras caídas fuertes sobre la "punta" del codo flexionado. El olécranon del cúbito es impulsado, a modo de caña, dentro del cóndilo humeral y separa una o ambas partes de la diáfisis humeral.

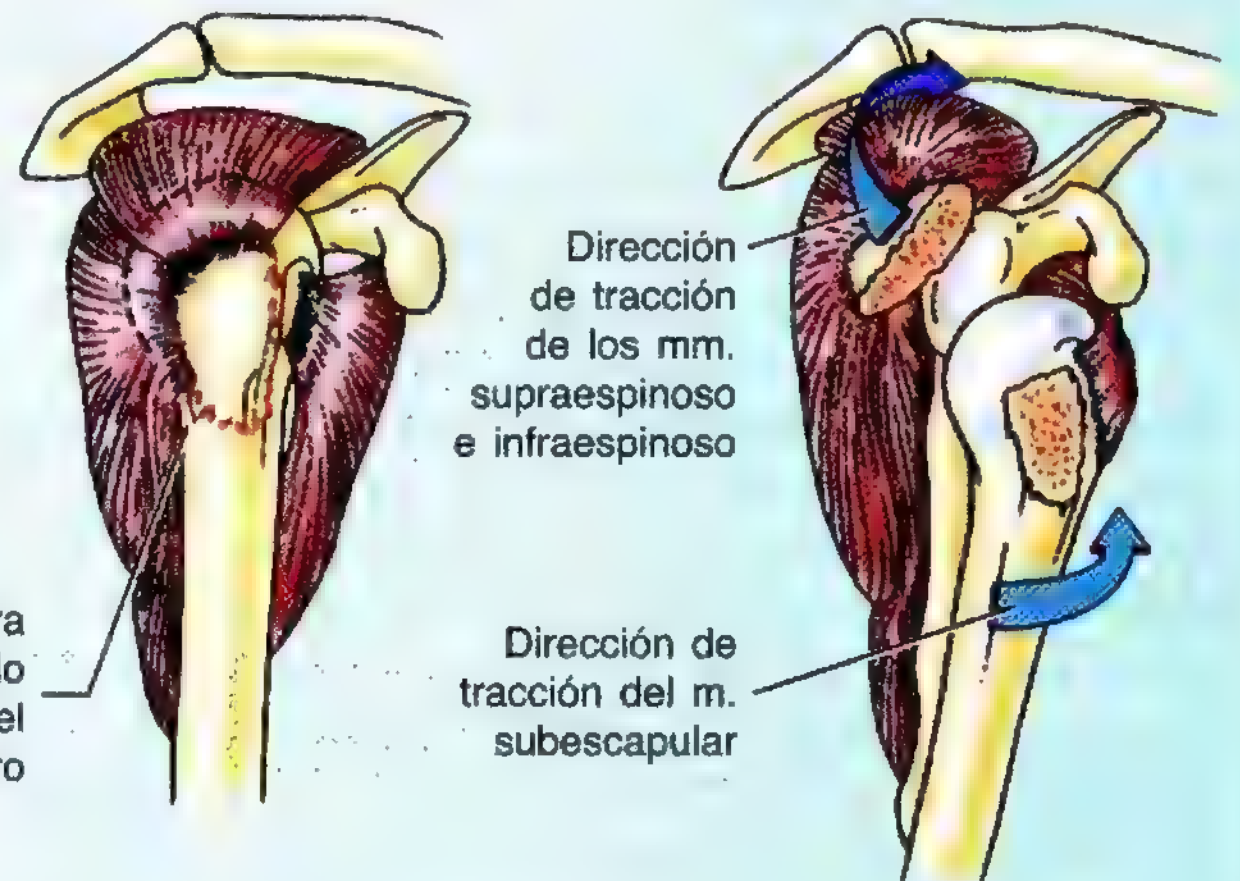
El húmero está en contacto con los siguientes nervios en las zonas correspondientes:

- Cuello quirúrgico - nervio axilar.
- Surco radial - nervio radial.
- Extremidad distal del húmero - nervio mediano.
- Epicóndilo medial - nervio cubital.

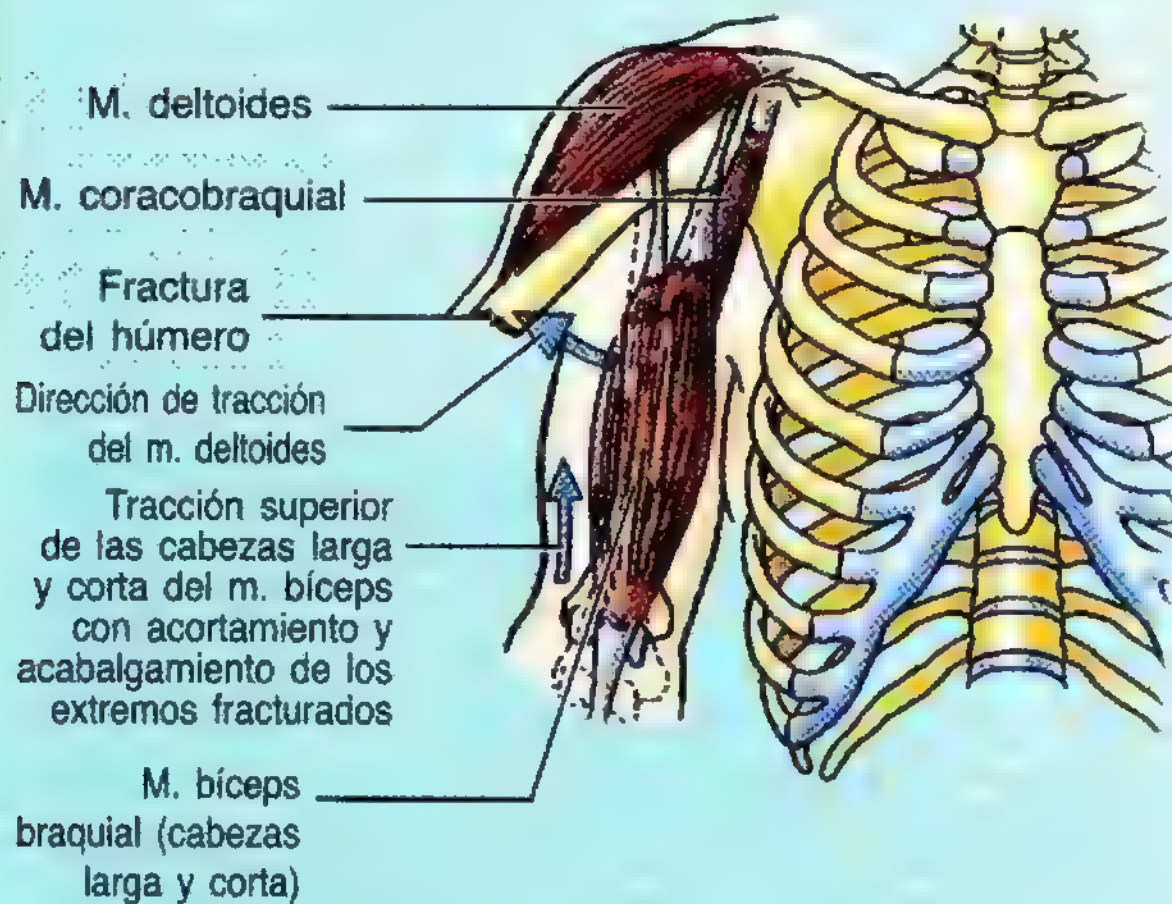
Estos nervios se pueden lesionar si se fractura la zona correspondiente del húmero. Estas lesiones se comentan tras la descripción de los nervios correspondientes. ➤



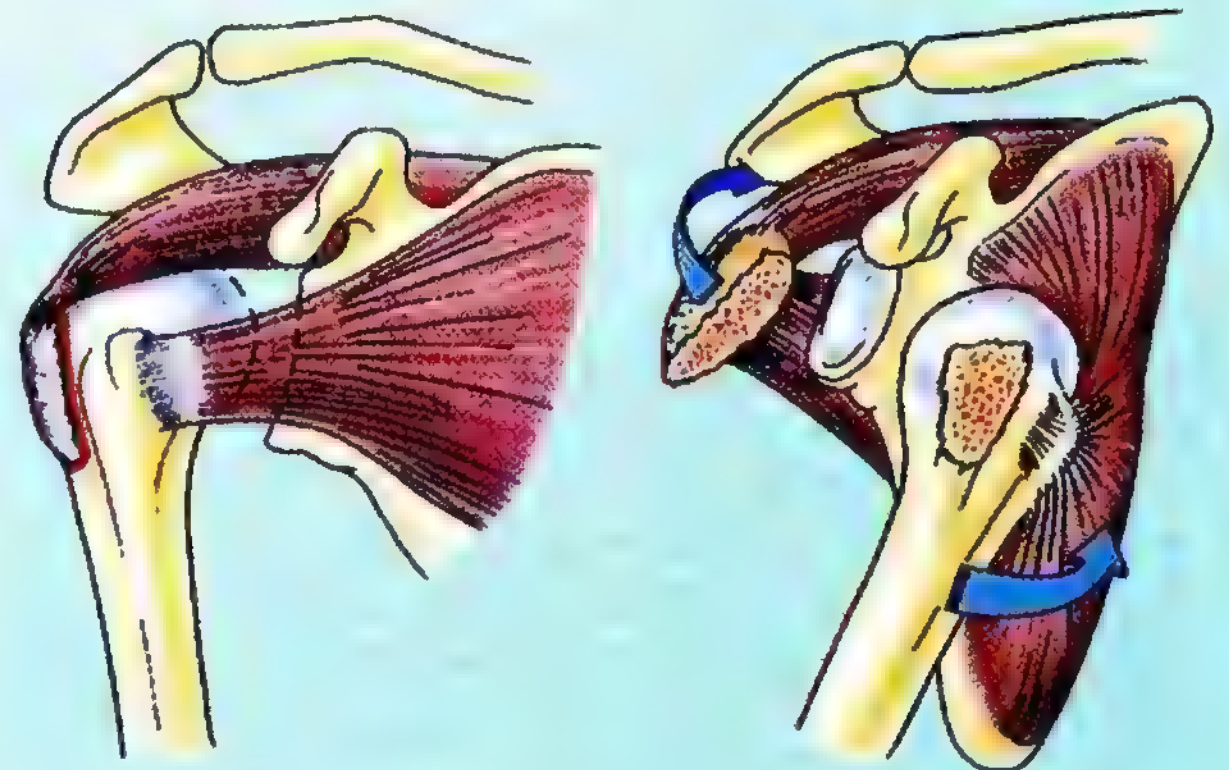
(A) Fractura por avulsión del tubérculo mayor del húmero



Visión lateral



(B) Fractura transversa del cuerpo humeral



Visión anterior

sis coronoides se encuentra la **tuberosidad del cúbito** (fig. 6.6A) para la inserción del tendón del músculo bíceps braquial. La extremidad proximal del cúbito se parece a una llave para tubos: el olécranon representa la mordaza superior (maxilar superior), y la apófisis coronoides, la inferior (mandíbula); la escotadura troclear constituiría la “boca de la llave”. El olécranon y la apófisis coronoides sujetan la tróclea del húmero de manera parecida a como una llave sujeta el tubo (fig. 6.6, B y C). Debajo de la escotadura radial, en la cara lateral del cúbito, aparece una cresta destacada, la **cresta del músculo supinador**. Entre ella y la parte distal de la apófisis coronoides se encuentra una concavidad, la **fosa del músculo supinador**. La porción profunda del músculo supinador se inserta en la cresta y la fosa que llevan su nombre. El **cuerpo del cúbito** es grueso y cilíndrico en la parte proximal, pero se adelgaza en sentido distal (fig. 6.7A). En su extremidad distal, estrecha, se observa un

ensanchamiento repentino, que crea la **cabeza**, con forma de disco, y una pequeña **apófisis estiloides**, cónica. La cabeza del cúbito tiene una localización distal (es decir, en la muñeca). La articulación entre el cúbito y el húmero facilita, en principio, sólo la flexión y la extensión del codo, si bien durante la pronación y supinación del antebrazo se produce cierto grado de “bamboleo” (separación-aproximación).

El radio

El radio es el más lateral y corto de los dos huesos del antebrazo. Su extremidad proximal consta de una cabeza cilíndrica corta (como un disco grueso), un cuello y una tuberosidad que se dirige medialmente (fig. 6.7, A y B). En la zona proximal, la cara superior lisa de la **cabeza del radio** es cóncava, y en ella se articula el cóndilo humeral duran-

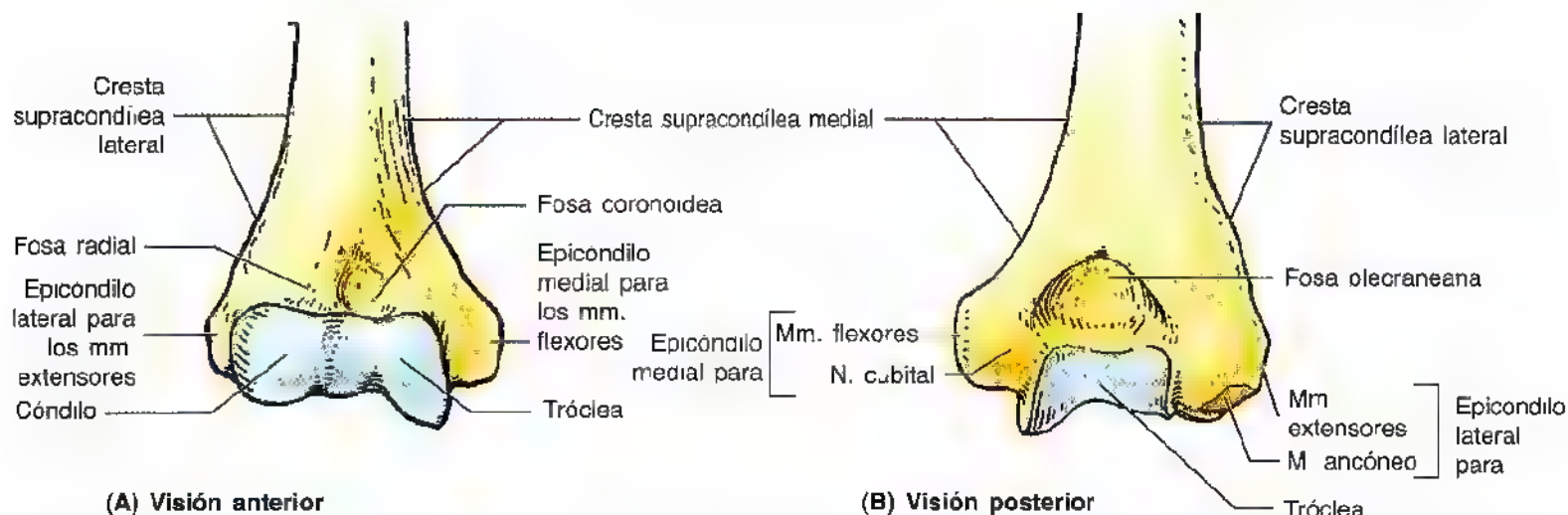


Figura 6.5. Extremidad distal del húmero derecho. Visiones anterior (A) y posterior (B) de los epicóndilos medial y lateral, así como del cóndilo y de la tróclea, que se articulan, en el codo, con el radio y el cúbito respectivamente.

te la flexión y extensión del codo. La cabeza también se articula en la periferia con la escotadura radial del cúbito; así pues, la cabeza está cubierta de cartílago articular. El **cuello del radio** está relativamente estrechado entre la cabeza —que lo desborda— y la tuberosidad. La **tuberosidad del radio**, ovalada, separa la extremidad proximal (cabeza y cuello) del radio del cuerpo. El **cuerpo del radio** posee una convexidad lateral y va ensanchándose de forma paulatina en su descenso. La extremidad distal del radio es, en esencia, rectangular en una sección transversal. La cara

medial da una concavidad, la **escotadura cubital**, donde se aloja la cabeza del cúbito. De la cara lateral se extiende la **apófisis estiloides del radio**. El **tubérculo dorsal**, que se proyecta hacia la parte posterior (fig. 6.7, A-C), se encuentra entre los surcos que dan paso a los tendones de los músculos del antebrazo (fig. 6.7D). La *apófisis estiloides radial es mucho más grande que la cubital y se extiende casi un través de dedo más en sentido distal*. Esta relación tiene interés clínico cuando se fracturan el cúbito, el radio o ambos a la vez.

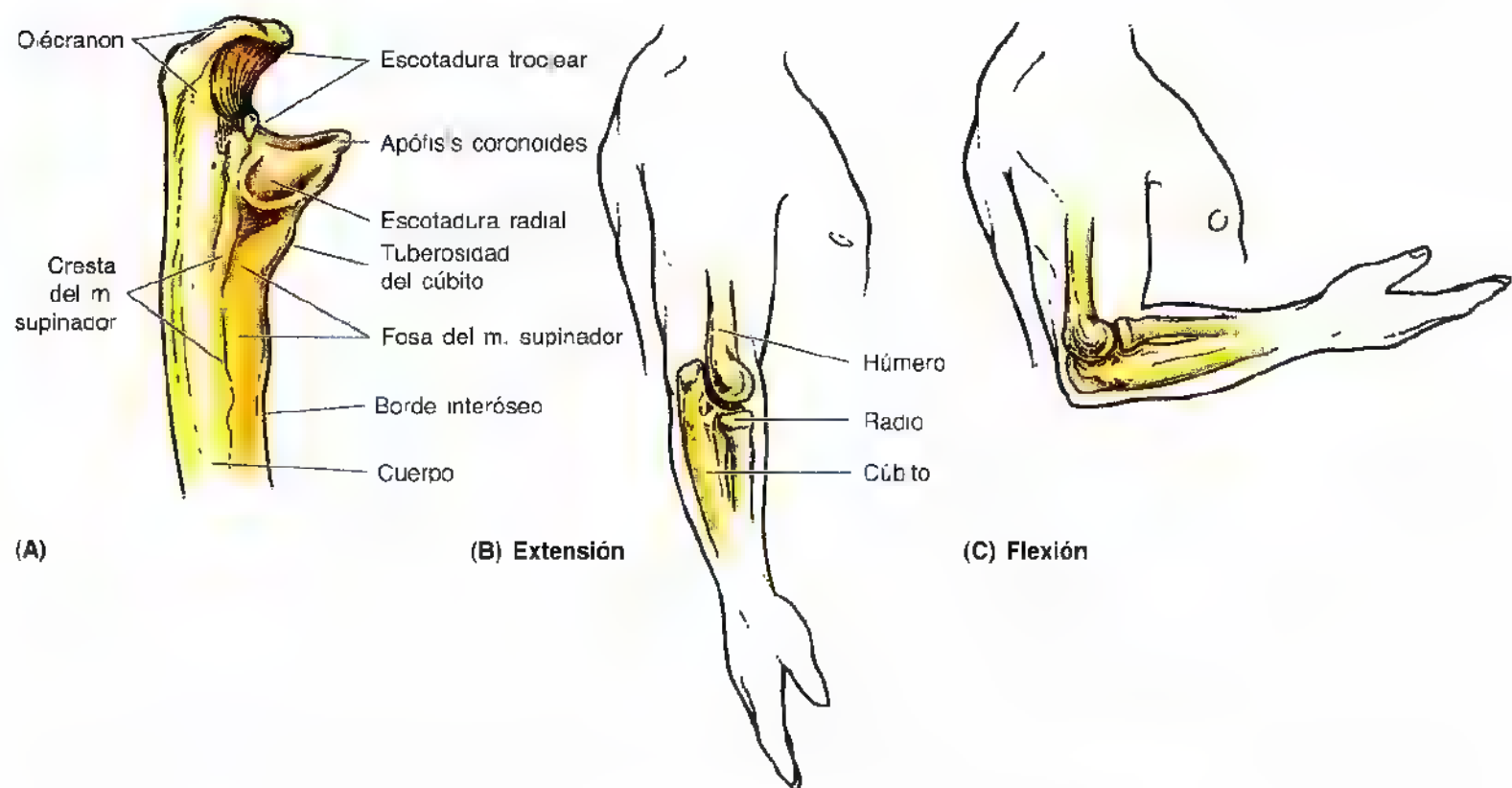


Figura 6.6. Los huesos del codo derecho. A. Visión lateral de la parte proximal de cúbito. B. Visión lateral de los huesos del codo, donde se aprecia la relación entre el húmero, el cúbito y el radio durante la extensión del codo. C. Relación del húmero y de los huesos de antebrazo durante la flexión del codo.

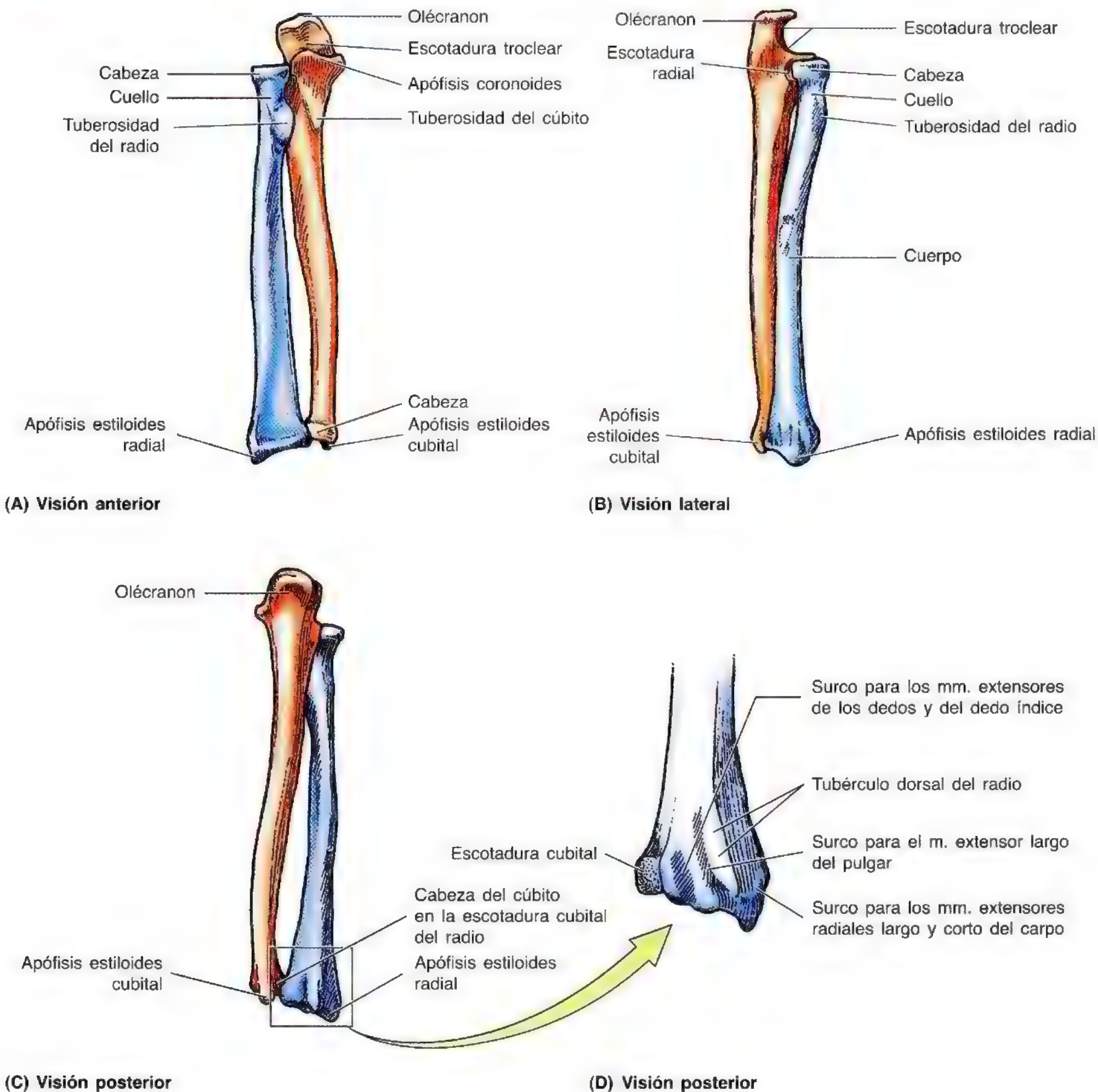


Figura 6.7. Diversas proyecciones del radio y del cúbito derechos. A. Visión anterior. B. Visión lateral. C. Visión posterior. D. Dibujo ampliado de la cara dorsal de la extremidad distal del radio. Obsérvese la escotadura cubital por donde se articula la cara articular de la cabeza del cúbito con el radio. Se observan los surcos y el tubérculo dorsal prominente del radio para los tendones de algunos músculos extensores del antebrazo que atraviesan la mano. El tubérculo dorsal sirve como polea para el tendón del músculo extensor largo del pulgar.

Fractura del radio y del cúbito

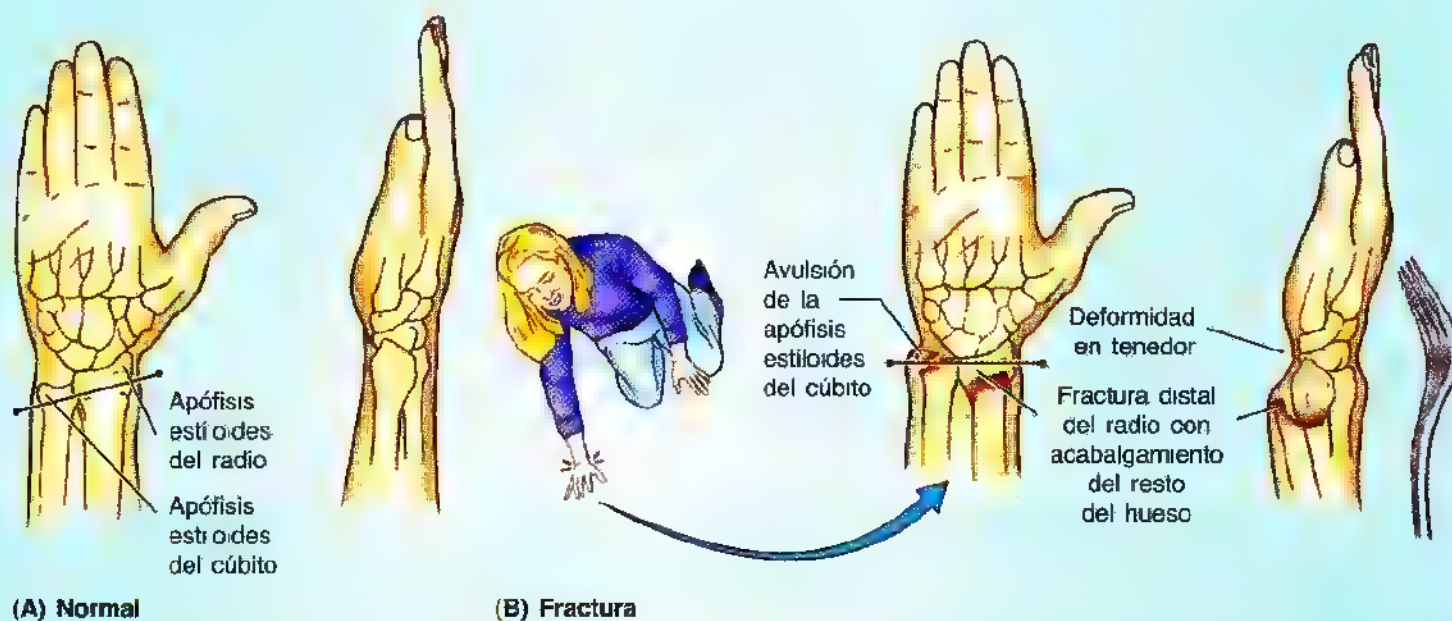
Las fracturas de ambos huesos obedecen, casi siempre, a una lesión grave. Los golpes directos suelen provocar fracturas transversas por el mismo plano, casi siempre el tercio medio de los huesos. A veces ocurren fracturas ais-

ladas del radio o del cúbito. Dada la íntima unión de las diáfisis de estos huesos por la *membrana interósea*, la fractura de uno de ellos suele acompañarse de una luxación de la articulación más próxima; así, por ejemplo, la fractura del tercio distal del radio se asocia, a veces, con una luxación de la articulación radiocubital distal. ►

► La fractura de la extremidad distal del radio es la más común en los adultos de más de 50 años y suele afectar a las mujeres, porque sus huesos se encuentran más debilitados por la *osteoporosis*, es decir, por la disminución de la cantidad de hueso o la atrofia del tejido esquelético. La fractura transversa completa de los 2 cm distales del radio —*fractura de Colles*— es la más común del antebrazo. El fragmento distal sufre un desplazamiento dorsal y, a menudo, se rompe en varios pedazos (fractura comminuta). Esta fractura obedece a la dorsiflexión forzada de la mano, casi siempre en un intento de facilitar la caída al extender el miembro superior (A). En un 40% de los casos ocurre una avulsión de la apófisis estiloides del cúbito. Normalmente, la apófisis estiloides del radio se proyecta más distalmente que la cubital; por eso, esta relación se invierte en la fractura de Colles, por acortamiento del radio (B). Esta deformidad clínica se conoce casi siempre como “deformidad en tenedor”, porque

se produce una sacudida del antebrazo, justo proximal a la muñeca, por el desplazamiento posterior y la inclinación del fragmento distal del radio. La historia característica de la *fractura de Colles* consiste en un deslizamiento (p. ej., sobre hielo) o un tropezón (p. ej., con una alfombra) y la caída con el miembro estirado y el antebrazo y la mano pronadas para intentar evitar el golpe. Debido a la rica vascularización de la extremidad distal del radio, la consolidación ósea casi siempre es satisfactoria.

Cuando se fractura la extremidad distal del radio en un niño, la línea de fractura puede extenderse hasta la placa epifisaria distal. Las lesiones de la placa epifisaria no son raras en los niños mayores que sufren caídas frecuentes, en las que la fuerza se transmite desde la mano hacia el radio y el cúbito. El proceso de consolidación puede determinar una falta de alineamiento de la placa epifisaria y una alteración del crecimiento del radio. ◊



Los huesos de la mano

El esqueleto de la muñeca —el **carpo**— consta de ocho huesos, dispuestos en dos hileras de cuatro (fig. 6.8). Estos pequeños huesos explican la flexibilidad de la muñeca. El carpo tiene una gran convexidad posterior, de lado a lado, y una concavidad anterior. Las dos hileras de huesos se deslizan sobre sí aumentando el movimiento por la articulación radiocarpiana o de la muñeca; además, cada hueso se desliza sobre los vecinos. Los huesos del carpo están unidos por ligamentos interóseos. De la cara lateral a la medial, los cuatro huesos de la hilera proximal son:

- El **escafoides**, un hueso con forma de barquilla, que se articula proximalmente con el radio y tiene un prominente tubérculo.

- El **semilunar**, un hueso con forma de semiluna, que se articula proximalmente con el radio y es más ancho por delante que por detrás.
- El **piramidal**, un hueso de forma piramidal, con tres ángulos, que se articula proximalmente con el disco articular de la articulación radiocubital distal.
- El **pisiforme**, un pequeño hueso, con forma de guisante, que radica en la cara palmar del piramidal.

Los cuatro huesos de la hilera distal del carpo son, de la cara lateral a la medial:

- El **trapezio**, con cuatro lados.
- El **trapezoide**, con forma de cuña.
- El **grande**, con una cabeza redonda.

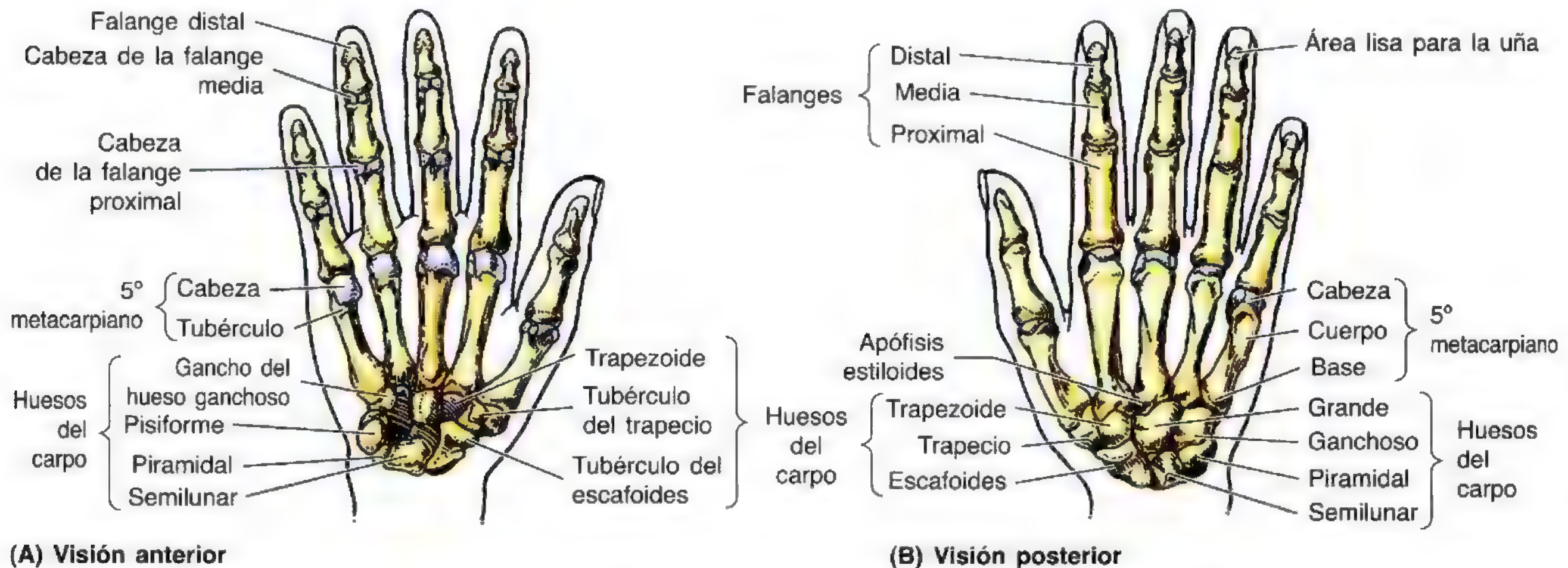


Figura 6.8. Los huesos de la mano derecha. Visiones anterior (A) y posterior (B) para mostrar el esqueleto de la mano, que consta de tres segmentos: los huesos del carpo de la muñeca, los huesos metacarpianos de la palma y las falanges de los dedos. Las cabezas de los metacarpianos forman los nudillos del dorso de la mano, y las cabezas de las falanges, los nudillos de los dedos.

- El **ganchoso**, de forma cuneiforme, con una apófisis denominada *gancho*.

Las caras proximales de la hilera distal de huesos se articulan con la hilera proximal de los huesos del carpo, y las distales, con los metacarpianos.

El esqueleto de la mano, entre el carpo y las falanges —**metacarpo**—, se compone de los cinco **huesos metacarpianos**. Cada hueso tiene un **cuerpo** y **dos extremidades**. Las extremidades distales o **cabezas de los metacarpianos** se articulan con las falanges proximales y forman los nudillos del puño; las extremidades proximales o **bases de los**

metacarpianos se articulan con los huesos del carpo. El 1º metacarpiano (del dedo pulgar) es el más grueso y corto de todos. El 3º metacarpiano se caracteriza por la apófisis estiloides, situada en la cara lateral de su base.

Cada dedo consta de tres **falanges**, salvo el 1º (el pulgar), que sólo tiene dos (sin embargo, son más robustas que las de los demás dedos). Cada falange tiene una **base** proximal, una **cabeza** distal y un **cuerpo** situado entre ambas (fig. 6.8). Las falanges proximales son más grandes, las medias tienen un tamaño intermedio y las distales son las más pequeñas. Cada falange terminal se aplanar y expande en su extremidad distal para dar el lecho ungüinal.

Fractura del escafoide

El escafoide es el hueso del carpo que más veces se fractura, y la *fractura de este hueso es la lesión más común de la muñeca*, sobre todo en caídas sobre la palma, con la mano separada. El dolor afecta principalmente a la cara lateral (radial) de la muñeca, en particular durante la dorsiflexión y separación de la mano. Las radiografías iniciales no siempre muestran la fractura del escafoide; muchas veces se diagnostica un *esguince grave de muñeca*, y sólo más tarde se reconoce la fractura del escafoide en una radiografía tomada 2 a 3 semanas después, que revela una resorción ósea en la zona de fractura. Debido a la escasa vascularización de la zona proximal del escafoide, la consolidación de los fragmentos puede durar varios meses. A veces se produce una *necrosis avascular del fragmento proximal del escafoide* (muerte patológica del hueso por falta de vascularización) con *enfermedad articular degenerativa de la muñeca*. En otros casos hay que proceder a la fusión quirúrgica de los huesos del carpo (*artrodesis*).

Fractura del hueso ganchoso

La fractura del hueso ganchoso puede determinar una pseudoartrosis (falta de unión) de los fragmentos óseos fracturados, debido a la tracción ejercida por los músculos que se insertan en los huesos. Como el nervio cubital está próximo al gancho del hueso ganchoso, se puede lesionar en una fractura de este hueso, con lo que disminuye la fuerza de prensión de la mano.

Fractura de los metacarpianos

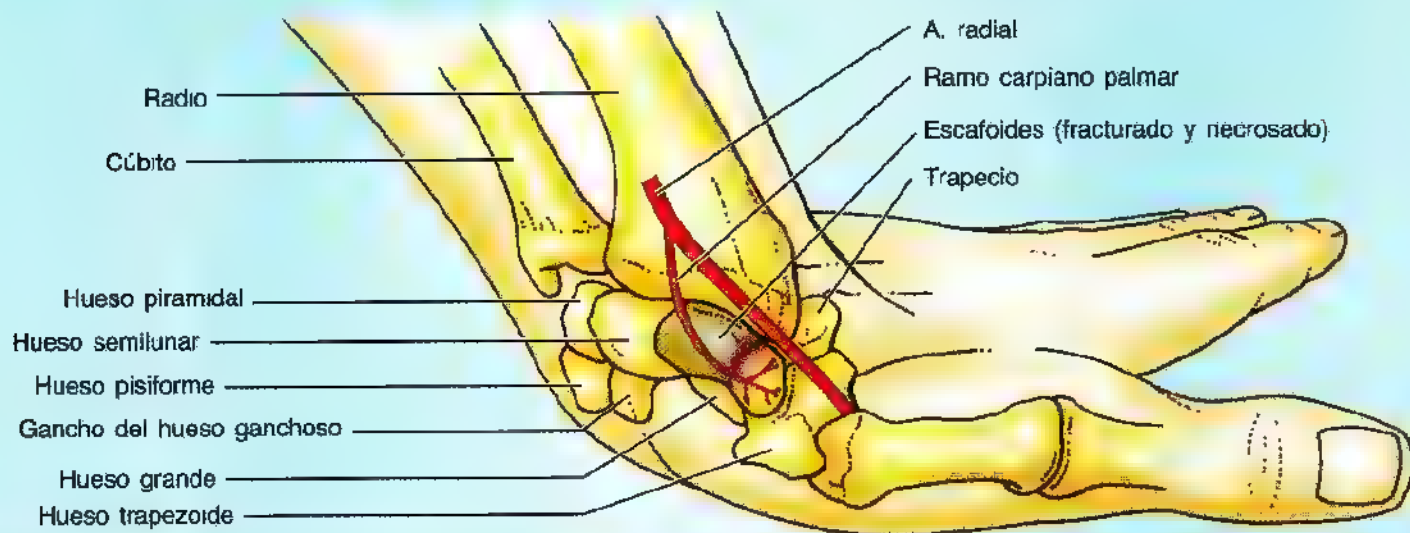
Los metacarpianos (con excepción del 1º) están íntimamente unidos entre sí, de modo que las fracturas aisladas tienden a mantenerse estables. Además, estos huesos disponen de buena vascularización y las fracturas curan con rapidez. La *fractura del cuello del 1º y 2º metacarpianos* se conoce muchas veces como “fractura del boxeador”. En las peleas callejeras es frecuente que ▶

► se rompa el cuello del 5º metacarpiano, más móvil, cuando se lanza un golpe con el puño cerrado. *Las lesiones graves de la mano por aplastamiento* pueden ocasionar fracturas metacarpianas múltiples, con inestabilidad de la mano.

Fractura de las falanges

Las lesiones por aplastamiento de las falanges distales son frecuentes (p. ej., cuando se pilló el dedo con la puerta

de un vehículo). Como los dedos disponen de una enorme sensibilidad, la lesión es sumamente dolorosa. La *fractura de una falange distal* casi siempre es conminuta y se caracteriza por un hematoma (colección local de sangre) doloroso. Las fracturas de las falanges proximal y media se deben, de ordinario, al aplastamiento o a la hiperextensión. Considerando la estrecha relación entre las fracturas falángicas y los tendones flexores, conviene realinear cuidadosamente los fragmentos óseos para restablecer la función normal de los dedos. ❖



Anatomía de superficie de los huesos del miembro superior

La **clavícula** ocupa una posición subcutánea y se palpa fácilmente en toda su longitud. El extremo esternal se proyecta encima del manubrio. La **escotadura yugular** (escotadura supraesternal) se encuentra entre los extremos esternales elevados de las clavículas. La extremidad acromial de la clavícula suele elevarse más que el acromion y determina una elevación palpable en la **articulación acromioclavicular** (A). El extremo acromial puede palparse 2 a 3 cm medial al borde lateral del acromion, sobre todo cuando se balancea hacia delante y hacia atrás el miembro superior. Uno o ambos extremos de las clavículas pueden sobresalir; sin embargo, en general se trata de una anomalía bilateral. La piel que cubre la clavícula es elástica y se puede pellizcar con facilidad y desplazar. Esta propiedad de la piel ayuda a ligar la tercera parte de la arteria subclavia: la piel situada encima de la clavícula es desplazada por debajo de la clavícula y luego incidida; una vez practicada la incisión se deja que la piel regrese a su posición encima de la clavícula, donde cubre la arteria (ésta no se ve, en consecuencia, dañada durante la incisión).

El **acromion de la escápula** se palpa sin problemas (B) y suele ser visible. La cara superior del acromion tiene una posición subcutánea y se sigue medialmente hasta la articulación acromioclavicular. Los bordes lateral y posterior del acromion se reúnen en el **ángulo acromial**, punto desde donde se mide la longitud del miembro superior. Debajo del acromion se ve la curva redonda del hombro formada por el **deltoides**. La **cresta de la espina escapular** también es subcutánea y se palpa con facilidad. Cuando el miembro superior se encuentra en posición anatómica:

- El ángulo superior de la escápula se sitúa a la altura de la vértebra T2.
- La extremidad medial de la raíz de la espina escapular se halla enfrente de la apófisis espinosa de la vértebra T3.
- El ángulo inferior de la escápula se encuentra a la altura de la vértebra T7, cerca del borde inferior de la 7ª costilla y del 1º espacio intercostal.

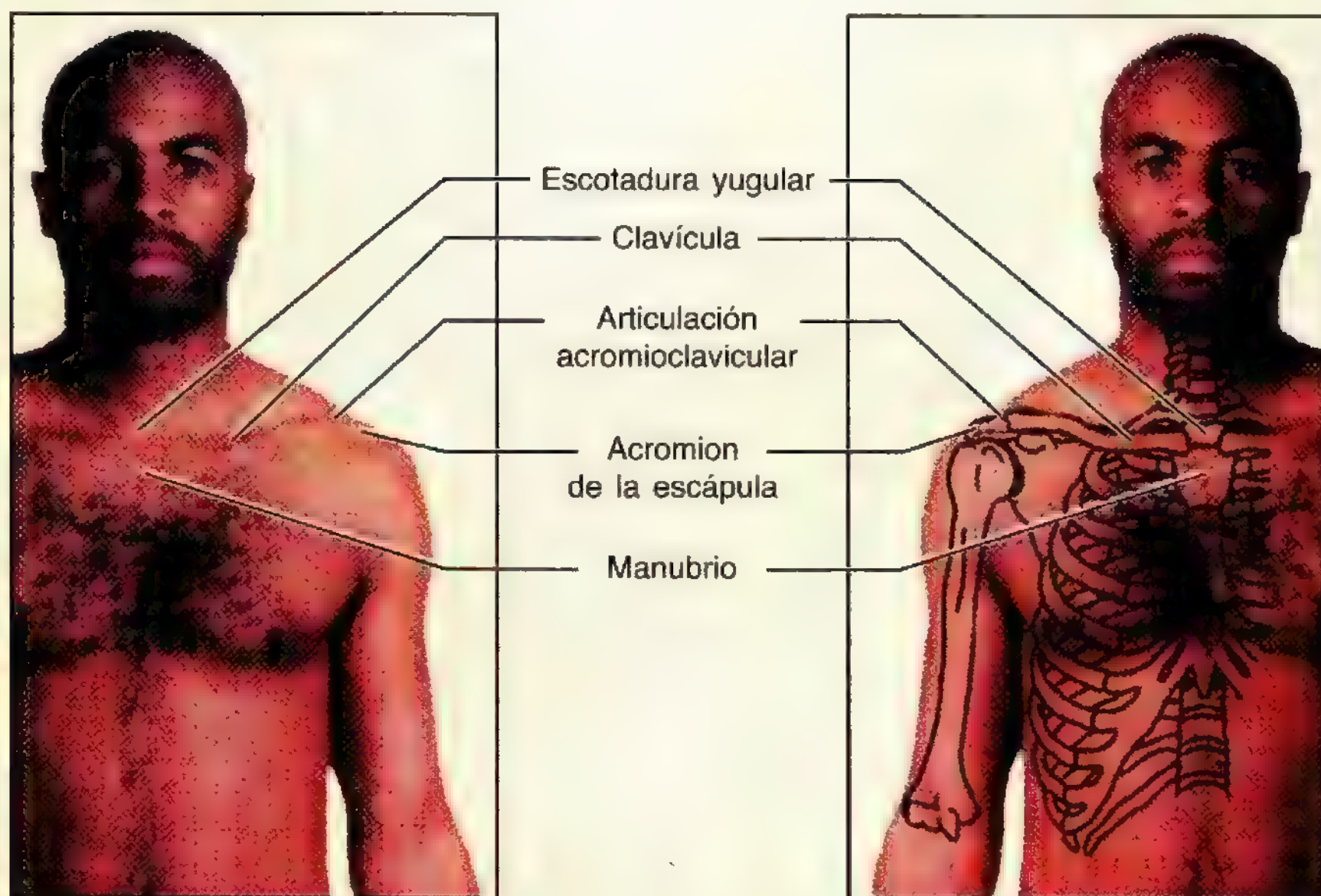
El **borde medial** de la escápula se palpa debajo de la raíz de la espina de la escápula y atraviesa de la 2ª a la 7ª costillas (B); el **borde lateral** no se palpa con ►

► facilidad porque está cubierto por el músculo redondo mayor.

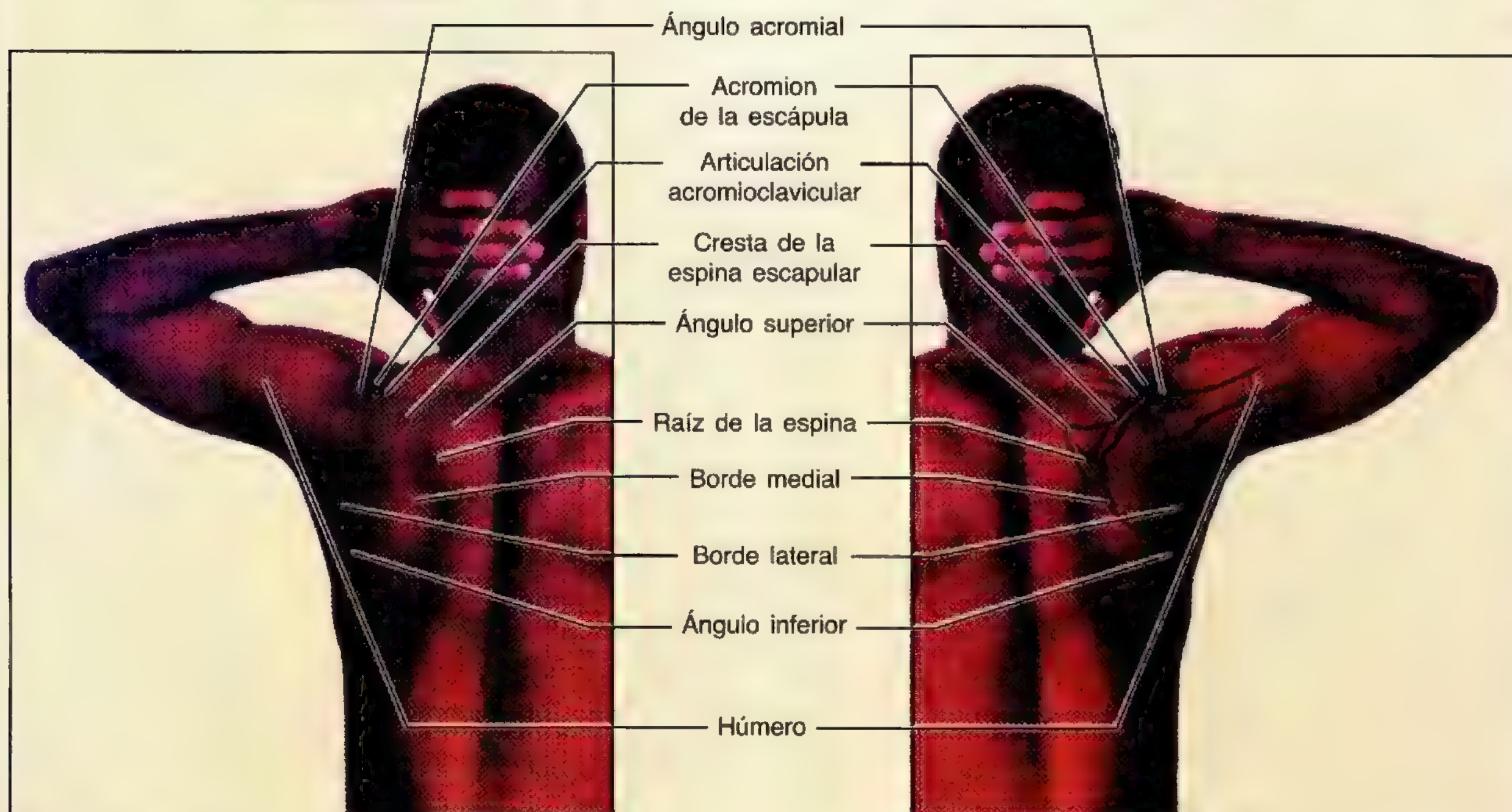
Cuando se aproxima el miembro superior y se coloca la mano sobre el dorso de la cabeza, la escápula rota, elevando la cavidad glenoidea de suerte que el borde medial de la escápula queda paralelo y, por tanto, sirve para estimar la posición de la 6ª costilla, así como de la fisura oblicua del pulmón, situada en la profundidad de esta costilla. El **ángulo inferior** de la

escápula se palpa con facilidad y se ve muy a menudo. Se nota cuando se exploran los movimientos de la articulación escapulohumeral para inmovilizar la escápula.

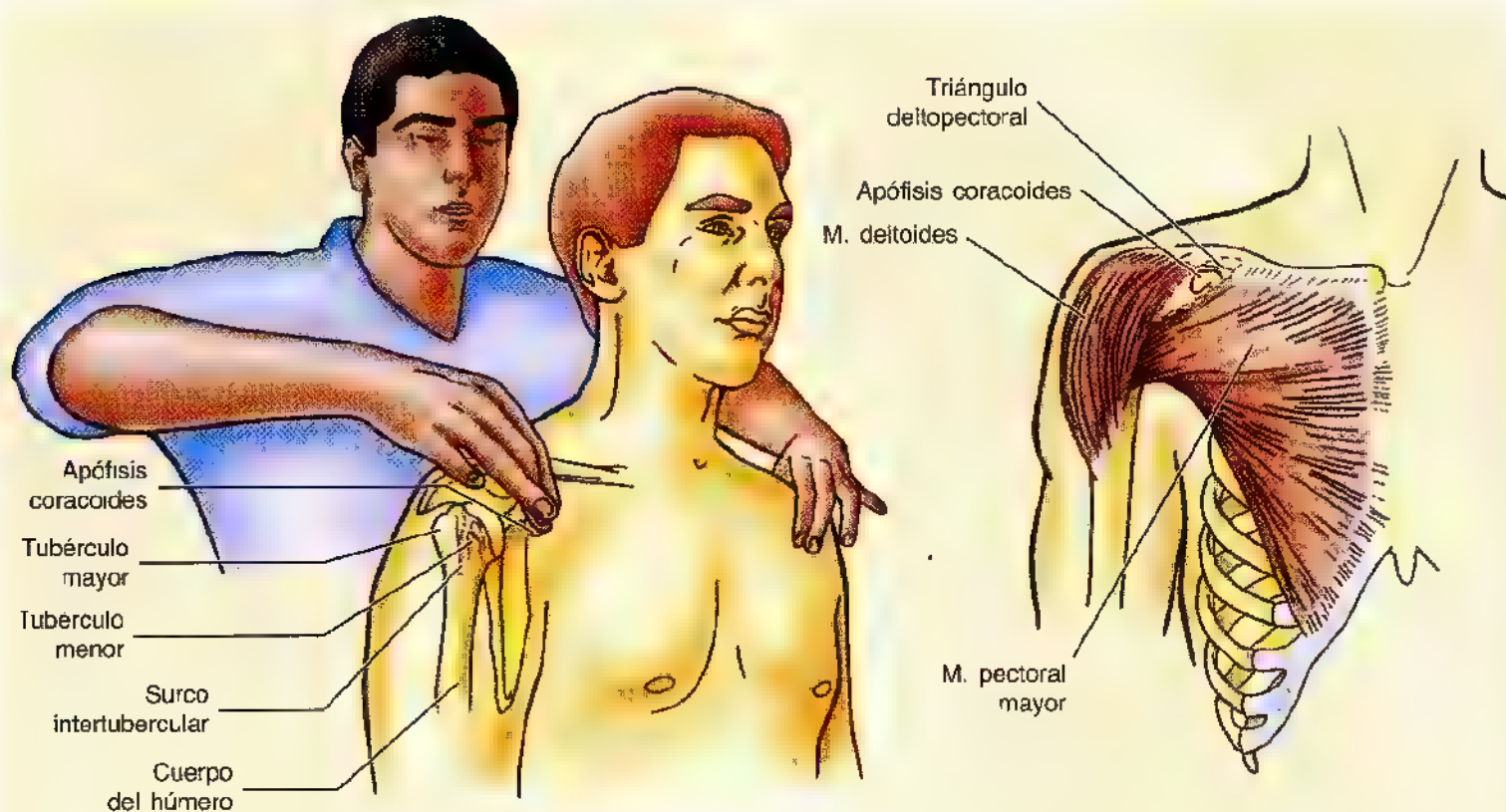
La **apófisis coracoides de la escápula** (pág. 691) se palpa en la profundidad de la cara lateral del **triángulo deltopectoral**. La cabeza del húmero está rodeada de músculos, salvo en la parte inferior; por eso, sólo se palpa introduciendo los dedos en la profundidad de la axila. ►



(A) Visión anterior



(B) Visión posterior



► El brazo no debe estar totalmente separado, pues de otra manera la fascia de la axila se tensa e impide palpar la cabeza. Si se mueve el brazo y se moviliza la escápula se puede palpar la cabeza.

El **tubérculo mayor del húmero** se palpa profundamente a través del deltoides, con el brazo a un lado; se encuentra bajo el borde lateral del acromion. En esta posición, el tubérculo mayor es el punto óseo más lateral del hombro y, junto con el deltoides, otorga al hombro su contorno redondeado. Con el brazo separado, el tubérculo mayor desaparece debajo del acromion y deja de palparse.

El **tubérculo menor del húmero** se palpa con dificultad en la profundidad del deltoides, en la cara anterior del brazo, aproximadamente 1,25 cm lateral y algo inferior a la punta de la apófisis coracoides. La rotación del brazo facilita la palpación del tubérculo menor. La *posición del surco intertubercular*, entre los tubérculos mayor y menor, se identifica durante la flexión y extensión del codo a través de la palpación del tendón de la cabeza larga del músculo bíceps braquial, a su paso por el surco intertubercular.

El **cuerpo del húmero** se palpa en una extensión variable porque está rodeado de músculos. Una parte de la extremidad proximal del cuerpo humeral ocupa una posición subcutánea. Los epicóndilos medial y lateral del húmero se sitúan en el tejido subcutáneo y se palpan con facilidad en las porciones proximales de las caras medial y lateral del codo (pág. 692). El epicóndilo medial, abotonado, se proyecta posteromedialmente y destaca más

que el **lateral**. Cuando el codo se flexiona de forma parcial se ve el epicóndilo lateral, y cuando se extiende por completo se palpa el epicóndilo lateral, pero no se ve, al fondo de la depresión creada en la cara posterolateral del codo.

El **olécranon** y el borde posterior del cúbito se palpan con facilidad. Cuando se extiende el codo se advierte cómo la punta del olécranon y los epicóndilos humerales se encuentran en línea recta (*A-B* de la pág. 692), mientras que con el codo flexionado el olécranon desciende hasta que la punta forma el vértice de un triángulo casi equilátero, del que los epicóndilos forman los ángulos de la base (*C*). Estas relaciones normales tienen importancia para el diagnóstico de algunas lesiones del codo (p. ej., luxación del codo).

La **cabeza del radio** se palpa y se nota cómo tira en la depresión de la cara posterolateral que se crea con el codo extendido, justo distal al epicóndilo lateral del húmero. La cabeza también se puede palpar durante su rotación con la pronosupinación del antebrazo. El **nervio cubital** es el cordón grueso que se palpa detrás del epicóndilo medial del húmero; si se comprime el nervio se provoca una desagradable sensación de "hueso de la música".

La **apófisis estiloides del radio** se nota sin problema alguno en la tabaquera anatómica de la cara lateral de la muñeca; es más grande y se extiende casi 1 cm más en sentido distal que la apófisis estiloides del cúbito. La apófisis estiloides del radio se palpa sobre todo cuando se separa el pulgar. Está cubierta por los tendones de ►

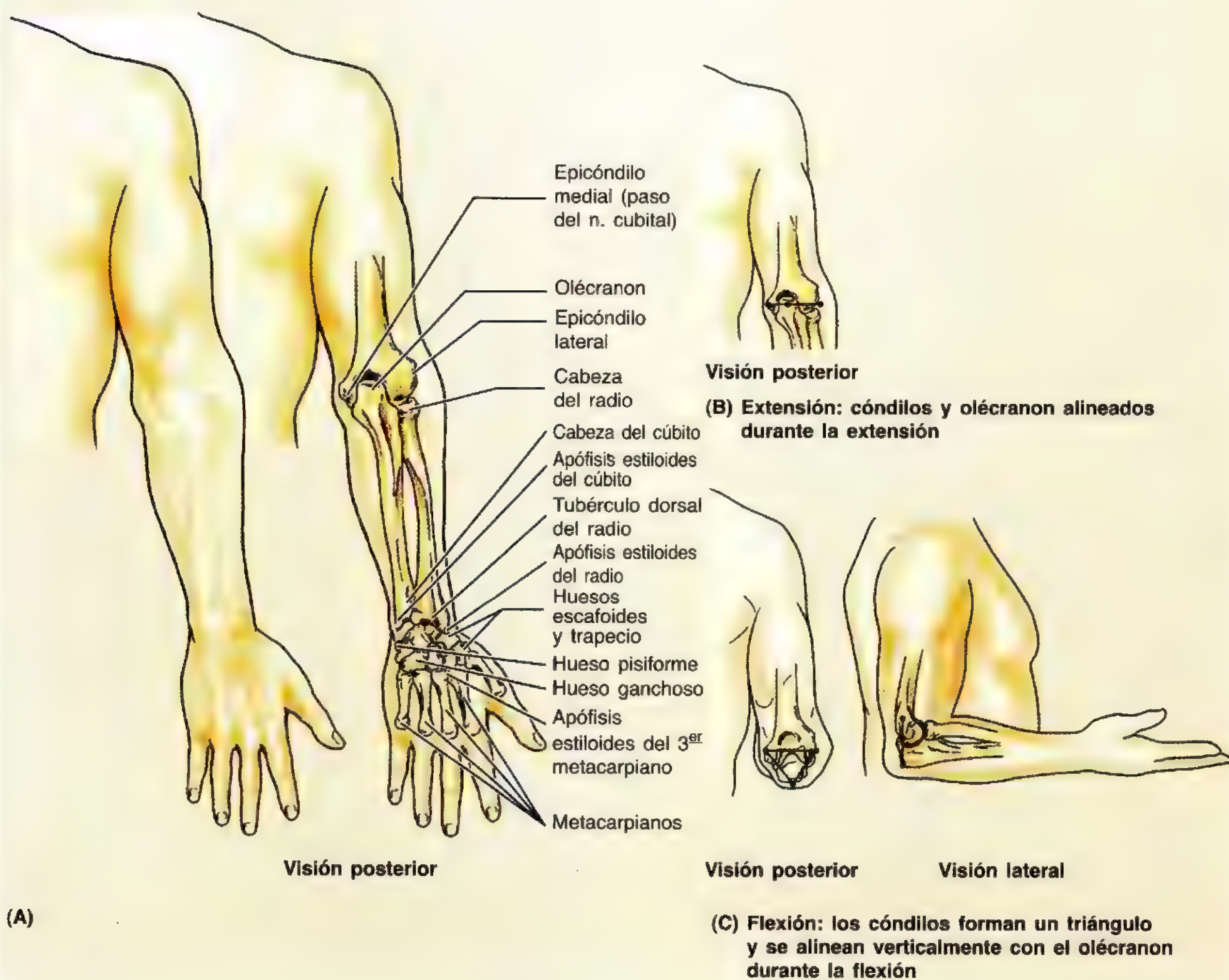
► los músculos del pulgar. Dado que la apófisis estiloides del radio se extiende en dirección distal más que la del cúbito, la desviación cubital de la muñeca alcanza un ángulo mayor que la radial. La relación entre las apófisis radial y cubital tiene interés para el diagnóstico de algunas lesiones de la muñeca (p. ej., fractura de Colles). Las caras anterior, lateral y posterior del radio se palpan en una zona de varios centímetros proximal a la apófisis estiloides del radio. El **tubérculo dorsal del radio** se nota fácilmente en torno a la parte media de la cara dorsal de la extremidad distal del radio. El tubérculo dorsal actúa como polea para el tendón del músculo extensor largo del pulgar, que discurre por la zona medial.

La **cabeza del cúbito** da una gran prominencia subcutánea y redonda, que se ve y palpa de manera sencilla en la parte medial de la cara dorsal de la muñeca, sobre todo cuando se pronla la mano. La **apófisis estiloides del cúbito**, subcutánea, se palpa en una zona ligera-

mente distal a la cabeza del radio cuando se supina la mano.

El **hueso pisiforme** se encuentra en la cara anterior del borde medial de la muñeca y se puede desplazar de un lado a otro con la mano relajada. El **gancho del hueso ganchoso** se palpa tras la compresión profunda sobre la cara medial de la palma, aproximadamente 2 cm distal y lateral al hueso pisiforme. Los **tubérculos del escafoides y del trapecio** se palpan en la extremidad proximal de la eminencia tenar con la mano extendida.

Los **huesos metacarpianos**, si bien cubiertos por los tendones extensores largos de los dedos, se palpan en el dorso de la mano. Las cabezas de estos huesos forman los nudillos; la cabeza del 3^{er} metacarpiano es la más llamativa. La **apófisis estiloides** de la cara lateral de la base del 3^{er} metacarpiano se palpa a unos 3,5 cm del tubérculo dorsal del radio. Los nudillos de los dedos los forman las cabezas de las falanges proximal y media. ◉



Las estructuras superficiales del miembro superior

El tejido subcutáneo (fascia superficial), que contiene la grasa y la fascia profunda que rodea los músculos, se encuentra en la profundidad de la piel. Si nada se interpone (ni músculo, ni tendón, ni bolsa, por ejemplo) entre la piel y el hueso, la fascia profunda suele insertarse en el hueso.

La fascia del miembro superior

La fascia de la región pectoral se inserta en la clavícula y en el esternón. La **fascia pectoral** envuelve el músculo pectoral mayor y se continúa por abajo con la fascia de la pared anterior del abdomen. La fascia pectoral abandona el borde lateral del músculo pectoral mayor, transformándose en la **fascia axilar** (fig. 6.9A) que forma el suelo de la axila. Una capa de fascia —la **fascia clavipectoral**— se extiende desde la fascia axilar, envolviendo los músculos pectoral menor y subclavio, para insertarse por último en la clavícula (fig. 6.9B). La porción de la fascia clavipectoral, situada encima del músculo pectoral menor —la **membrana costocoracoides**—, es perforada por el nervio pectoral lateral que inerva, sobre todo, el músculo pectoral mayor. La parte de la fascia clavipectoral situada debajo del músculo pectoral menor —el **ligamento suspensorio de la axila**— soporta la fascia axilar y tira hacia arriba de ésta y de la piel infrayacente durante la separación del brazo, creando la axila.

Una vaina de la fascia profunda —la **fascia braquial**— envuelve el brazo a modo de funda (fig. 6.10) y se continúa, por arriba, con las capas pectoral y axilar de la fascia. La fascia braquial se inserta, por abajo, en los epicondilos del húmero y en el olécranon del cúbito, y se continúa con la **fascia antebraquial**, la fascia profunda del antebrazo. Existen dos tabiques intermusculares —los **tabiques intermusculares medial y lateral**—, que se extienden desde la cara profunda de la fascia braquial hasta las crestas supracondíleas medial y lateral del húmero, dividiendo el brazo en los **compartimientos fasciales anterior (flexor) y posterior (extensor)**; cada uno de ellos contiene músculos que cumplen funciones similares, nervios y vasos sanguíneos. Estos compartimientos fasciales están separados por una **membrana interósea** que comunica el radio con el cúbito.

La **fascia antebraquial** se engruesa por la cara posterior sobre las extremidades distales del radio y del cúbito, dando una banda transversa, el **retináculo extensor**, que mantiene los tendones de los músculos extensores en su posición. La fascia antebraquial también se engruesa por la cara anterior, que se continúa con el retináculo extensor, aunque carezca de nombre oficial, algunos autores la identifican como **ligamento palmar del carpo**. Inmediatamente distal, pero en un plano más profundo que el anterior, la fascia antebraquial se continúa como **retináculo flexor** (ligamento transversal del carpo). Este fascículo fibroso se extiende entre las prominencias anteriores de los huesos externos del carpo y transforma la concavidad anterior del carpo en un **túnel del**

carpo, por el que pasan los tendones de los músculos flexores y el nervio mediano.

La **fascia profunda de la mano** se continúa con la antebraquial a través de los retináculos extensor y flexor. La parte central de la fascia palmar —la **aponeurosis palmar**— es gruesa, tendinosa y triangular; está situada encima del compartimiento central de la palma y tiene un vértice proximal, que se continúa con el tendón del músculo palmar largo (cuando está presente este músculo). La aponeurosis da cuatro engrosamientos característicos, que se irradian a las bases de los dedos y se continúan con las vainas tendinosas fibrosas de los dedos. Estas bandas son atravesadas distalmente por el **ligamento transversal del metacarpo**, superficial, que forma la base de la aponeurosis palmar triangular. Desde la aponeurosis palmar hasta la piel se extienden innumerables ligamentos cutáneos diminutos y robustos. Estos ligamentos mantienen la piel unida a la aponeurosis y permiten un ligero deslizamiento de aquélla.

Los nervios cutáneos del miembro superior

Los miembros cutáneos del miembro superior siguen un patrón general, fácil de entender si se recuerda que durante el desarrollo los miembros crecen como protrusiones laterales del tronco y que el 1º dedo (dedo pulgar de la mano o dedo gordo del pie) se encuentra en la cara craneal (el pulgar se dirige hacia arriba). Así pues, la cara lateral del miembro superior es más craneal que la medial (Moore y Persaud, 1998). Cuando se separa el miembro hasta el plano horizontal con el pulgar dirigido hacia arriba, se puede observar la progresión de la inervación segmentaria de las distintas regiones cutáneas en torno al miembro extendido (fig. 6.11):

- Los nervios C3 y C4 inervan la región de la base del cuello y se extienden lateralmente sobre el hombro.
- El nervio C5 inerva la cara lateral del brazo (es decir, la cara superior con el miembro extendido).
- El nervio C6 inerva la cara lateral del antebrazo y el pulgar.
- El nervio C7 inerva los dedos medio y anular y la parte media de la cara posterior del miembro.
- El nervio C8 inerva el dedo meñique, la cara medial de la mano y el antebrazo (es decir, la cara inferior del miembro extendido).
- El nervio T1 inerva la parte media del antebrazo hasta la axila.
- El nervio T2 inerva una pequeña parte del brazo y la piel de la axila.

La mayoría de los nervios cutáneos del miembro superior derivan del **plexo braquial**, una gran red nerviosa formada por los ramos ventrales del 5º nervio cervical hasta el 1º nervio torácico (véase tabla 6.4). Sin embargo, los nervios para el hombro provienen del **plexo braquial**, una red nerviosa compuesta por una serie de bucles nerviosos creados entre los ramos primarios adyacentes de los cuatro primeros nervios cervicales, que también reciben ramos comunicantes gr-

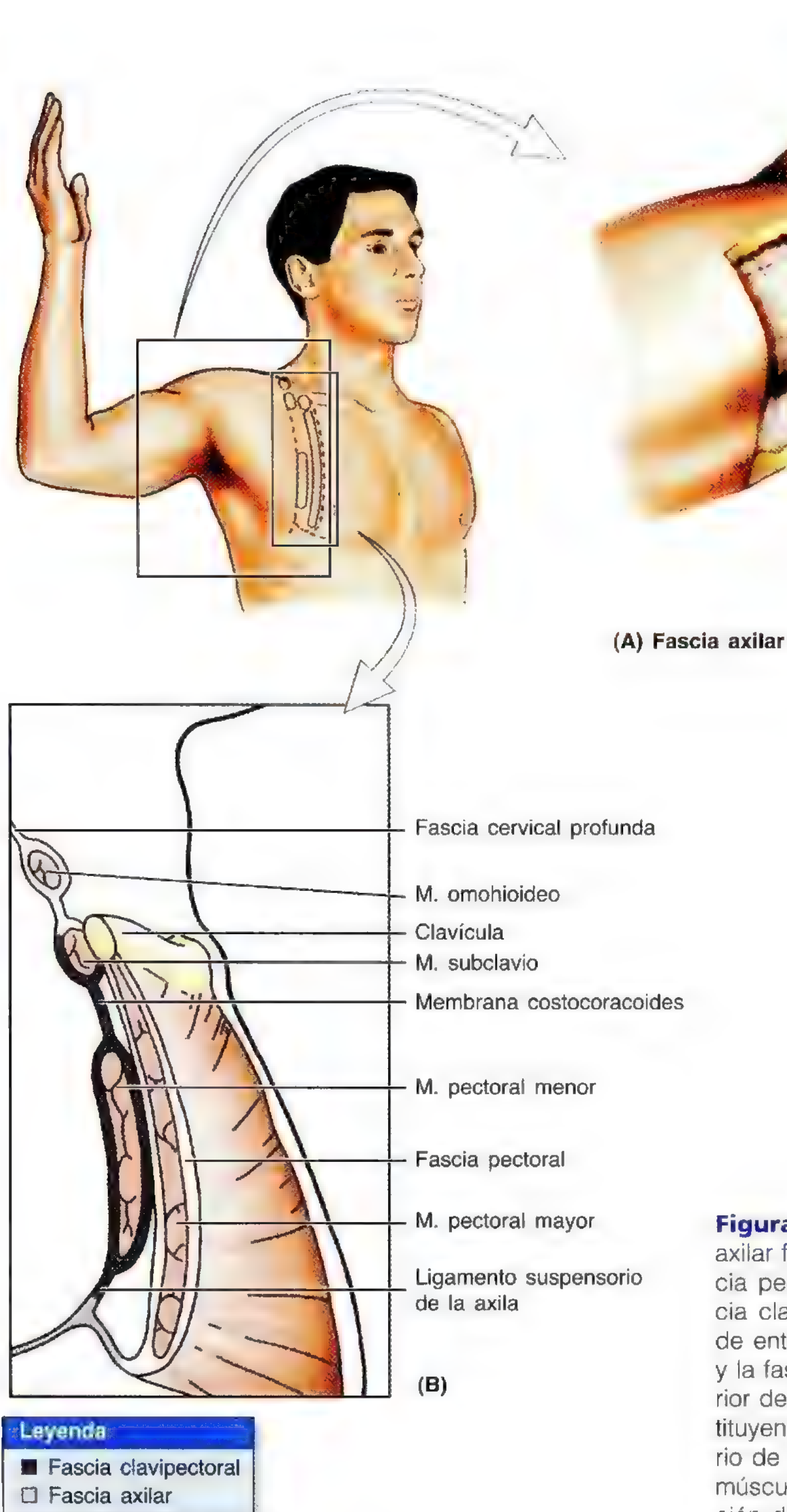


Figura 6.9. Fascia axilar y clavipectoral. **A.** La fascia axilar forma el suelo de la axila, que se continúa con la fascia pectoral que cubre el músculo pectoral mayor. **B.** Fascia clavipectoral y axilar. La fascia clavipectoral se extiende entre la apófisis coracoides de la escápula, la clavícula y la fascia axilar, y envuelve los músculos de la pared anterior del tórax; esta fascia y los músculos que encierra constituyen la pared anterior de la axila. El ligamento suspensorio de la axila asciende desde la fascia axilar y envuelve el músculo pectoral menor. Cuando se separa el brazo, la tracción del ligamento suspensorio determina la fosa axilar.

ses del ganglio cervical superior. El plexo cervical radica en la profundidad del músculo esternocleidomastoideo, sobre la cara anterolateral del tronco. *Los nervios cutáneos del brazo y del antebrazo son los siguientes:*

- Los *nervios supraclaviculares* (C3, C4) pasan delante de la clavícula, inmediatamente detrás del platismo, e inervan la piel de la clavícula y la cara superolateral del músculo pectoral mayor.

- Los *nervios cutáneos posteriores del brazo*, ramos del nervio radial, se distribuyen por la piel de la cara posterior del brazo.
- El *nervio cutáneo posterior del antebrazo*, también ramo del nervio radial, se dirige a la piel de la cara posterior del antebrazo.
- El *nervio cutáneo superolateral del antebrazo*, ramo terminal del nervio axilar, emerge debajo del borde posterior del músculo deltoides y se dirige a la piel situada en la parte

Leyenda

- Compartimiento fascial anterior
- Compartimiento fascial posterior

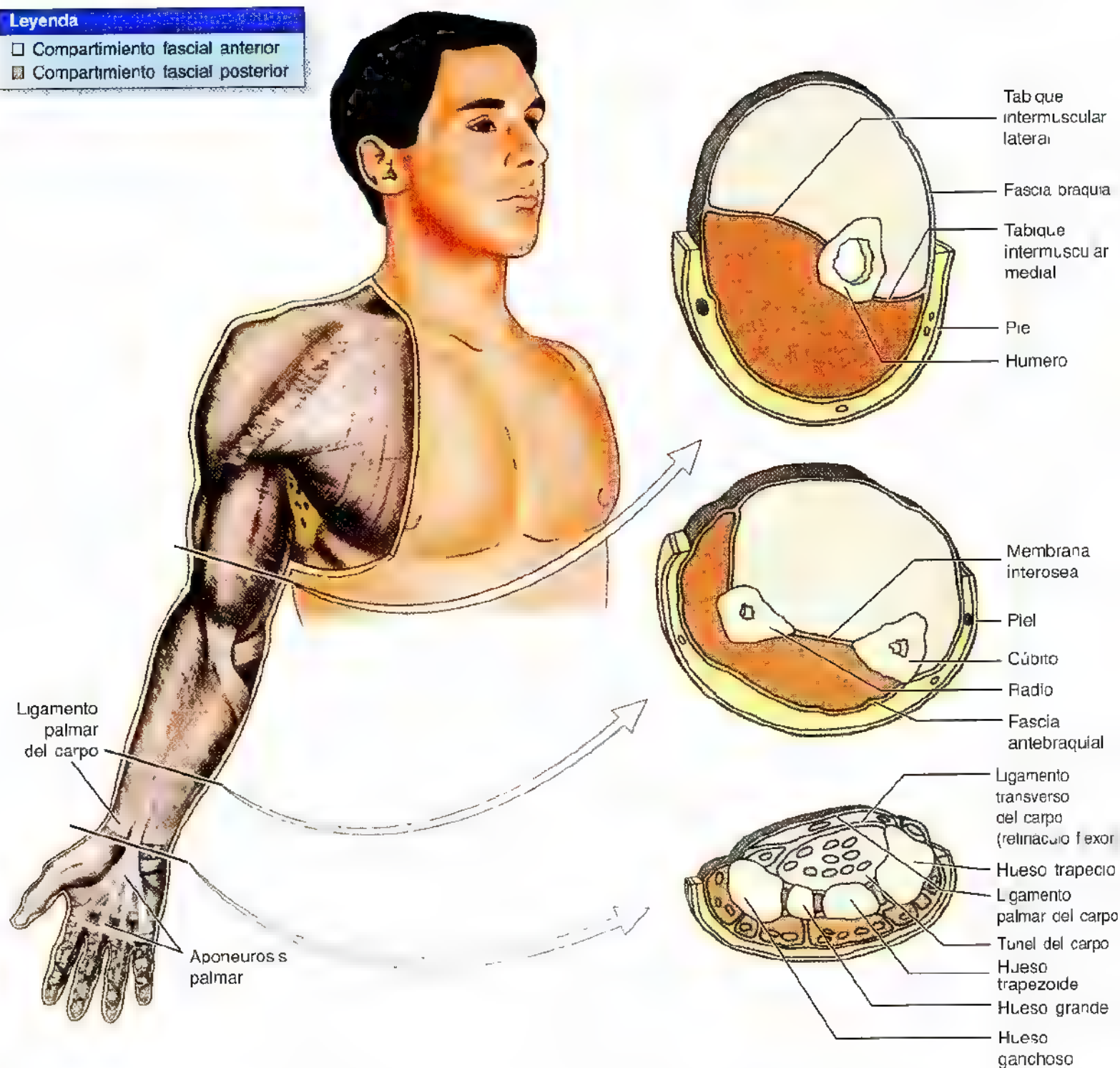
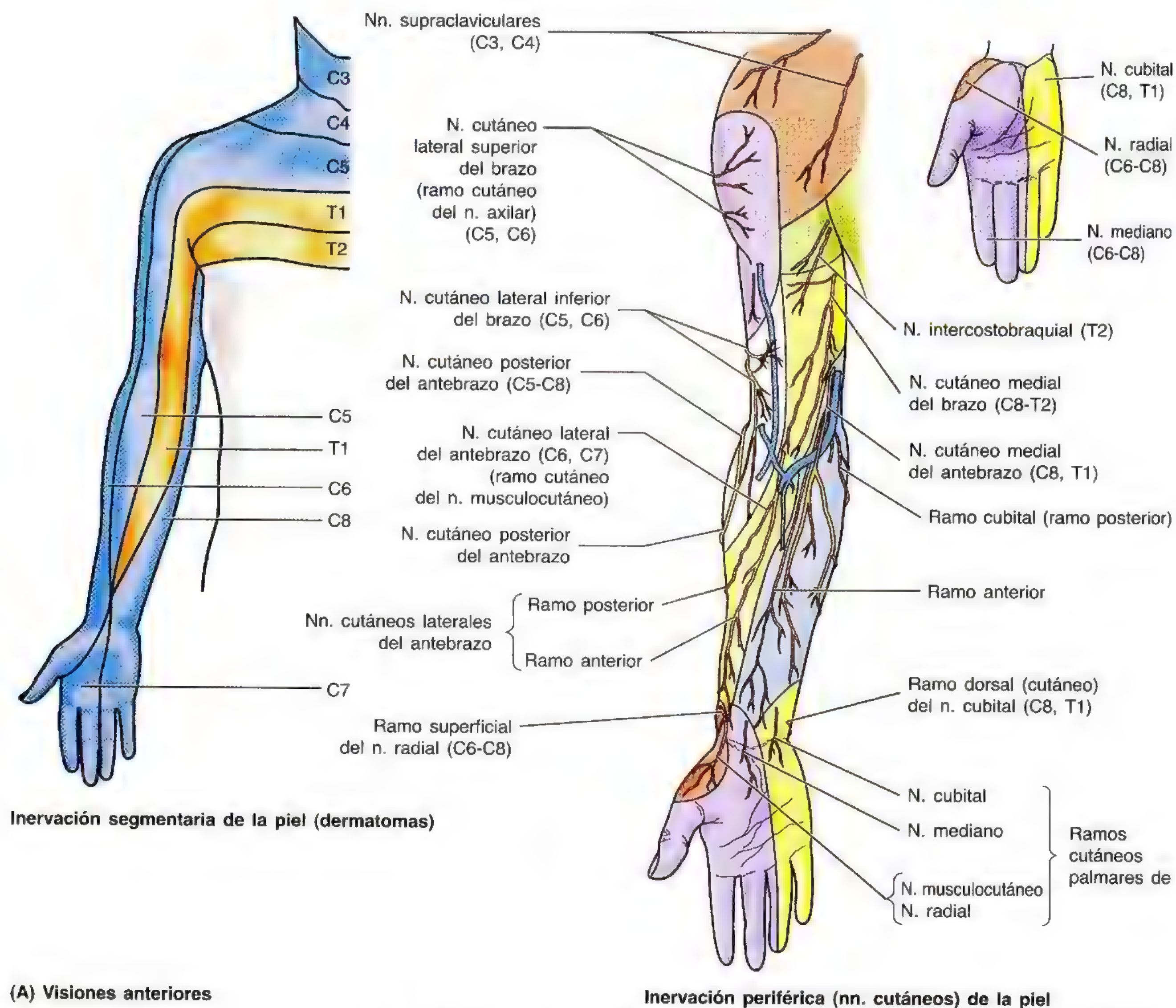


Figura 6.10. Fascia del miembro superior. La *fascia braquial*, fascia profunda del brazo, se continúa por arriba con las capas pectoral y axilar de la fascia. Los tabiques intermusculares medial y lateral se extienden desde la cara anterior de la fascia braquial hasta el húmero, y dividen el brazo en los compartimientos anterior y posterior. Cada uno contiene músculos que cumplen funciones similares, así como nervios y vasos que los nutren. La *fascia antebráquial* que rodea los músculos de antebrazo se continúa con la fascia braquial y la fascia profunda de la mano. La *membrana interósea* y los huesos que comunican (radio y cúbito) separan el antebrazo en los compartimientos anterior y posterior. La fascia profunda de antebrazo se engruesa sobre las extremidades distales del radio y del cúbito formando el *retináculo de los músculos extensores* en la cara posterior, y un engrosamiento correspondiente (pero sin nombre oficial) en la cara anterior que algunos autores denominan "ligamento palmar del carpo". Inmediatamente distal y en un plano más profundo que este último –pero continuándose también con la fascia antebráquial– se extiende una formación ligamentosa –el *retináculo de los flexores*– entre las prominencias anteriores de los huesos externos del carpo que transforman la concavidad anterior del carpo en un *túnel de carpo* osteofibroso. Este túnel da paso al nervio mediano y a los tendones de los músculos flexores que se dirigen desde el antebrazo a la mano. La fascia profunda de la mano se continúa a través de los retináculos con la fascia antebráquial. La porción central de la *fascia palmar* se engruesa para dar la *aponeurosis palmar*.

inferior de este músculo y en la cara lateral del antebrazo en un trayecto corto, bajo la inserción distal, hasta alcanzar la cara lateral del brazo algo por encima de la zona media.

- El *nervio cutáneo inferolateral del brazo*, ramo del nervio radial, llega a la piel de la cara inferolateral del brazo y suele ser un ramo del nervio cutáneo posterior del antebrazo.
- El *nervio cutáneo lateral del antebrazo*, ramo terminal del nervio musculocutáneo, inerva la piel de la cara lateral del antebrazo.

- El *nervio cutáneo medial del brazo* emerge del fascículo medial del plexo braquial, se une en la axila con el ramo cutáneo lateral del 2º nervio intercostal e inerva la piel de la cara medial del brazo.
- El *nervio intercostobraquial*, ramo cutáneo lateral del 2º nervio intercostal de T2, también contribuye a la inervación de la piel en la cara medial del brazo.
- El *nervio cutáneo medial del antebrazo* sale del fascículo medial del plexo braquial y se dirige a la piel de las caras anterior y medial del antebrazo.



(A) Visiones anteriores

Inervación periférica (nn. cutáneos) de la piel

Figura 6.11. Inervación segmentaria (dermatómica) y periférica (nervios cutáneos) del miembro superior.

Visiones anterior (A) y posterior (B) de la distribución de los nervios periféricos (denominados cutáneos), que suelen ser ramos de los plexos nerviosos y, por tanto, contienen fibras de más de un nervio espinal o segmento de la médula espinal. El patrón segmentario (dermatómico) de inervación de los miembros también se ilustra en la figura. Un *dermatoma* es una zona de piel que recibe inervación sensitiva de la raíz dorsal de un único nervio espinal o segmento de la médula espinal a través de los ramos (raíz) dorsal y ventral de dicho nervio espinal. Los dermatomas vecinos se suelen superponer en gran medida, por lo que la pérdida de la inervación cutánea debida a la lesión de una única raíz dorsal puede afectar sólo a una pequeña parte del dermatoma en cuestión.

Recuérdese que, al igual que el plexo braquial, compuesto por fascículos posterior, lateral y medial pero no anterior—, el miembro superior también tiene nervios cutáneos posterior, lateral y medial pero no anterior.

Las venas superficiales del miembro superior

Las grandes venas superficiales del miembro superior las **venas cefálica** y **basílica**— se originan en el tejido subcutáneo del dorso de la mano a partir de la **red venosa dorsal** (fig. 6.12). Las **venas perforantes** forman comunicaciones entre las venas superficiales y las profundas.

La **vena cefálica** asciende desde la cara lateral de la red venosa dorsal y sigue por el borde lateral de la muñeca y la cara anterolateral del antebrazo y del brazo. Delante de codo se comunica con la **vena mediana cubital**, que pasa oblicuamente por la cara anterior del codo para unirse a la vena basílica. La vena cefálica asciende por el **surco deltopectoral** (entre los músculos deltoides y pectoral mayor) y entra en

el **triángulo deltopectoral** (fig. 6.12B), donde atraviesa la fascia clavipectoral (membrana costocoracoides) para unirse con la vena axilar.

La **vena basílica** asciende por la cara medial de la red venosa dorsal, a lo largo de la cara medial del antebrazo y de la parte inferior del brazo. Atraviesa luego, en la profundidad, la fascia braquial (profunda), para subir a la axila paralela a la arteria braquial. En la axila se une con las venas satélite de la arteria axilar para dar la **vena axilar**.

La **vena mediana antebraquial**, muy variable y a menudo ausente, se inicia en la base del dorso del dedo pulgar, toma una curva en la cara lateral de la muñeca, asciende en la parte media de la cara anterior del antebrazo, entre las venas cefálica y basílica, y a veces se une con la vena basílica en la fosa cubital. Otras veces, la vena mediana antebraquial se divide en las venas cefálica y basílica intermedia (mediana), que desembocan en las venas cefálica y basílica, respectivamente, y pueden sustituir a la vena mediana cubital cuando se sitúa en la cara anterior del codo (pág. 770).

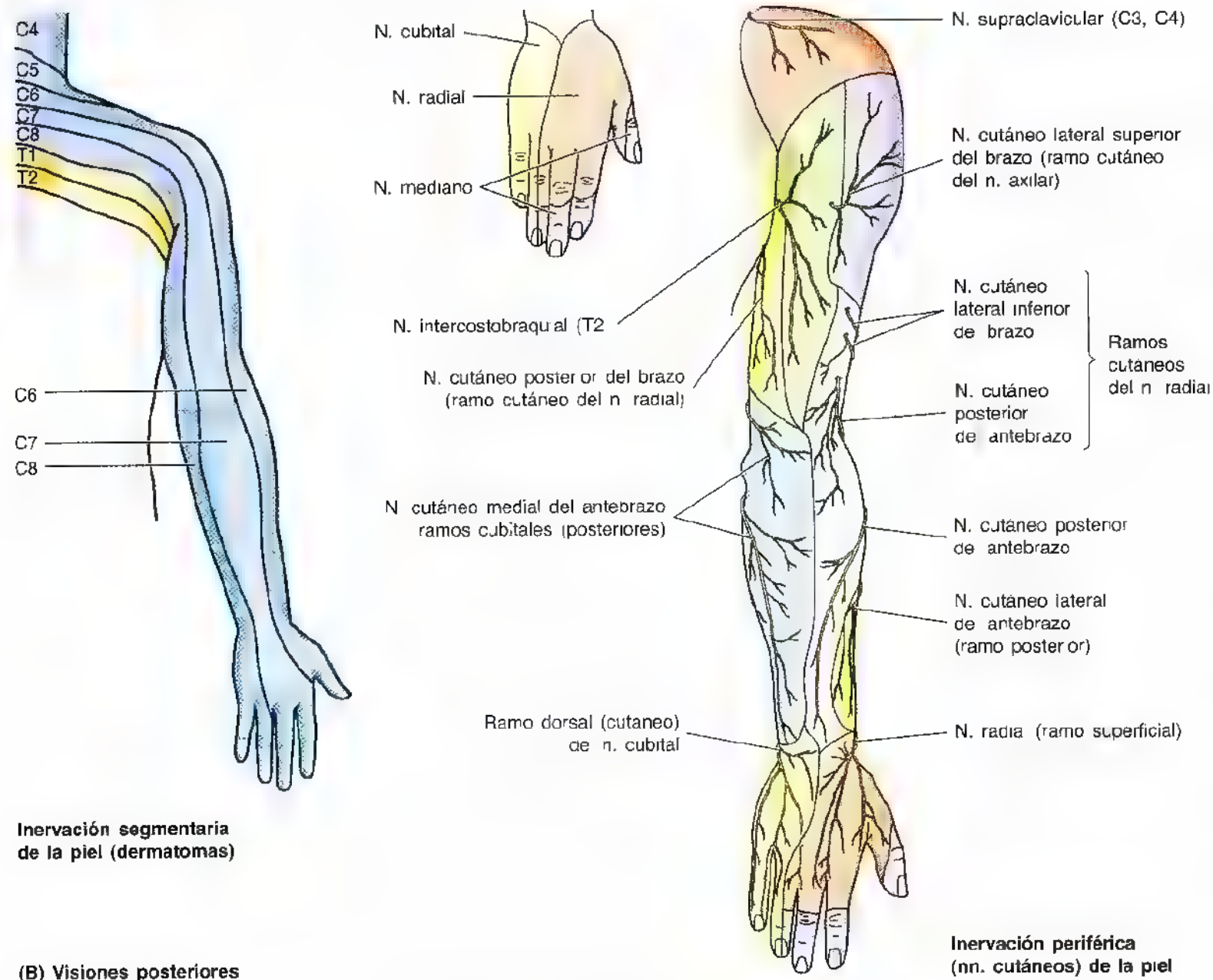


Figura 6.11. (Continuación)

Punción venosa del miembro superior

Dada la **prominencia y accesibilidad** de las venas superficiales del miembro superior, éstas se utilizan a menudo para la punción venosa (pinchazo en una vena para extraer sangre o inyectar una disolución). Las venas pueden encontrarse dentro del tejido subcutáneo (adiposo), por lo que resultan difíciles de ver; no obstante, si se aplica un torniquete en el brazo se obstruye el retorno venoso, se distienden las venas y entonces se suelen ver o palpar. La *vena mediana cubital* se emplea, a menudo, para extraer sangre e insertar un catéter en caso de proceder

al *cateterismo de las cavidades cardíacas derechas* (véase el capítulo 1). Existe mucha variación en la comunicación entre las venas basilica y cefálica en la *fosa cubital*, es decir, en la depresión de la cara anterior del codo. Si la vena mediana cubital es muy grande, casi toda la sangre de la vena cefálica del antebrazo pasa a la vena basilica (del brazo). En tales circunstancias, la vena cefálica superior (del brazo) puede disminuir o faltar. Las venas que forman la *red venosa dorsal* y las venas cefálica y basilica derivadas de ésta suelen emplearse para la irrigación duradera de líquidos (*alimentación intravenosa*). ⊕

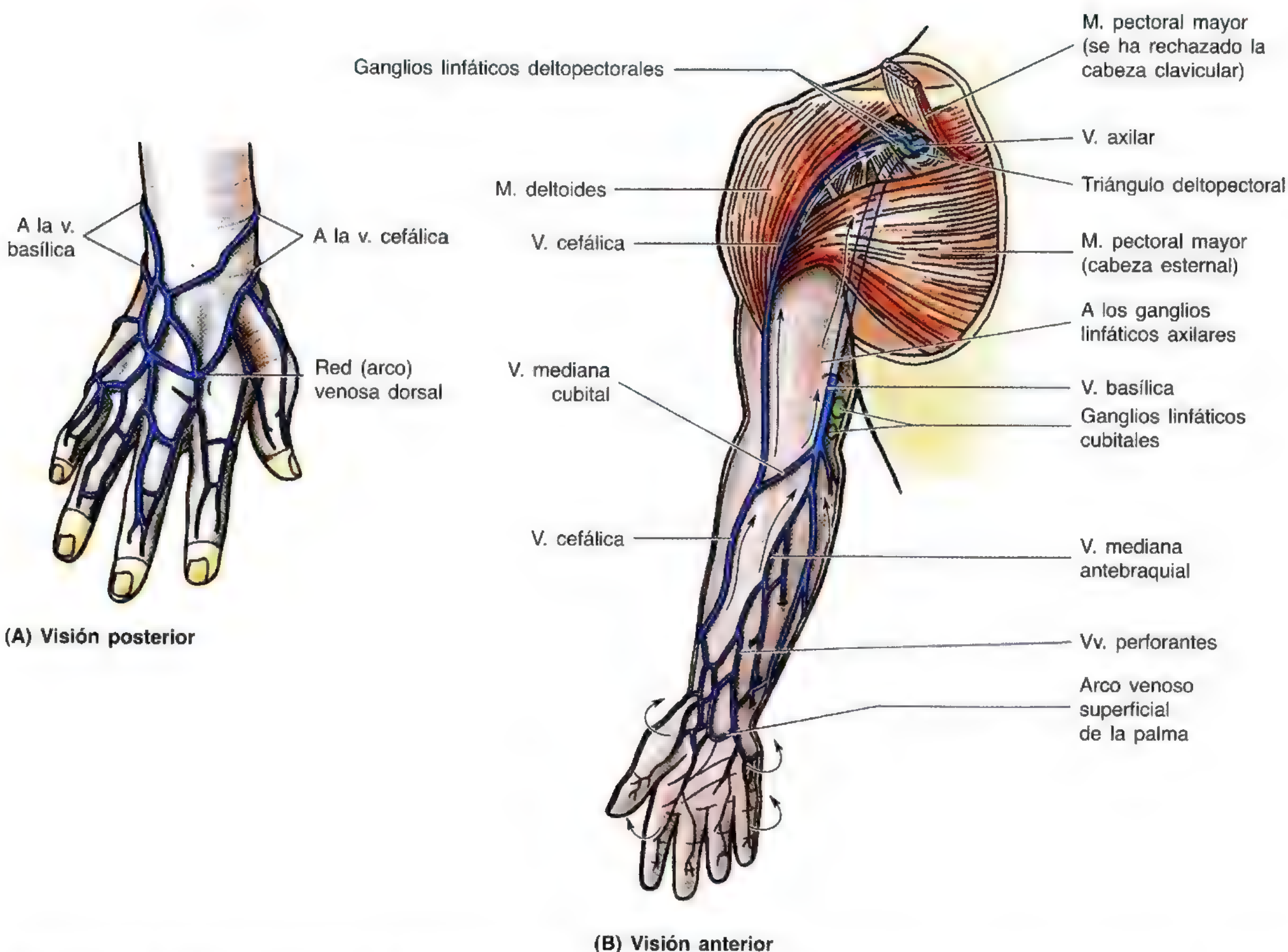


Figura 6.12. Venas y ganglios linfáticos del miembro superior. **A.** Visión posterior (dorso) de la mano. Las venas digitales drenan a la red venosa (arco) dorsal, que desemboca en dos grandes vasos superficiales, las *venas cefálica* y *basilica*. **B.** Visión anterior del miembro superior derecho que ilustra el drenaje venoso superficial. Las venas principales, cefálica y basilica, acaban drenando a la vena axilar. La vena cefálica asciende hasta la cara anterior del hombro y pasa en la profundidad del *triángulo deltopectoral* para unirse con la vena axilar. La vena basilica penetra en la fascia profunda por la cara medial de la parte media del brazo y se une con las venas braquiales para formar la *vena axilar*. La vena mediana cubital comunica las venas basilica y cefálica en la *fosa cubital*, zona hueca de la cara anterior del codo. Las venas perforantes comunican las venas superficiales con las profundas. Las *flechas* indican el flujo de la linfa hacia los ganglios linfáticos cubitales y axilares.

El drenaje linfático del miembro superior

Los *vasos linfáticos superficiales* nacen de **plexos linfáticos** de los dedos, palma y dorso de la mano, y ascienden, en su mayor parte, con las venas superficiales, como las venas cefálica y basilíca (fig. 6.13). Algunos vasos que acompañan a la vena basilíca llegan a los **ganglios cubitales**, situados encima del epicóndilo medial y mediales a la vena basilíca. Los vasos eferentes de estos ganglios linfáticos ascienden por el

brazo para terminar en los **ganglios linfáticos axilares** humerales (laterales). La mayoría de los vasos linfáticos, que acompañan a la vena cefálica, atraviesan la parte proximal del brazo y la cara anterior del hombro para ingresar en el grupo apical de los ganglios axilares; sin embargo, algunos vasos entran antes en los **ganglios deltopectoriales**. Los *vasos linfáticos profundos*, menos numerosos que los superficiales, acompañan a las venas profundas mayores del miembro superior y terminan también en el grupo humeral de los ganglios axilares.

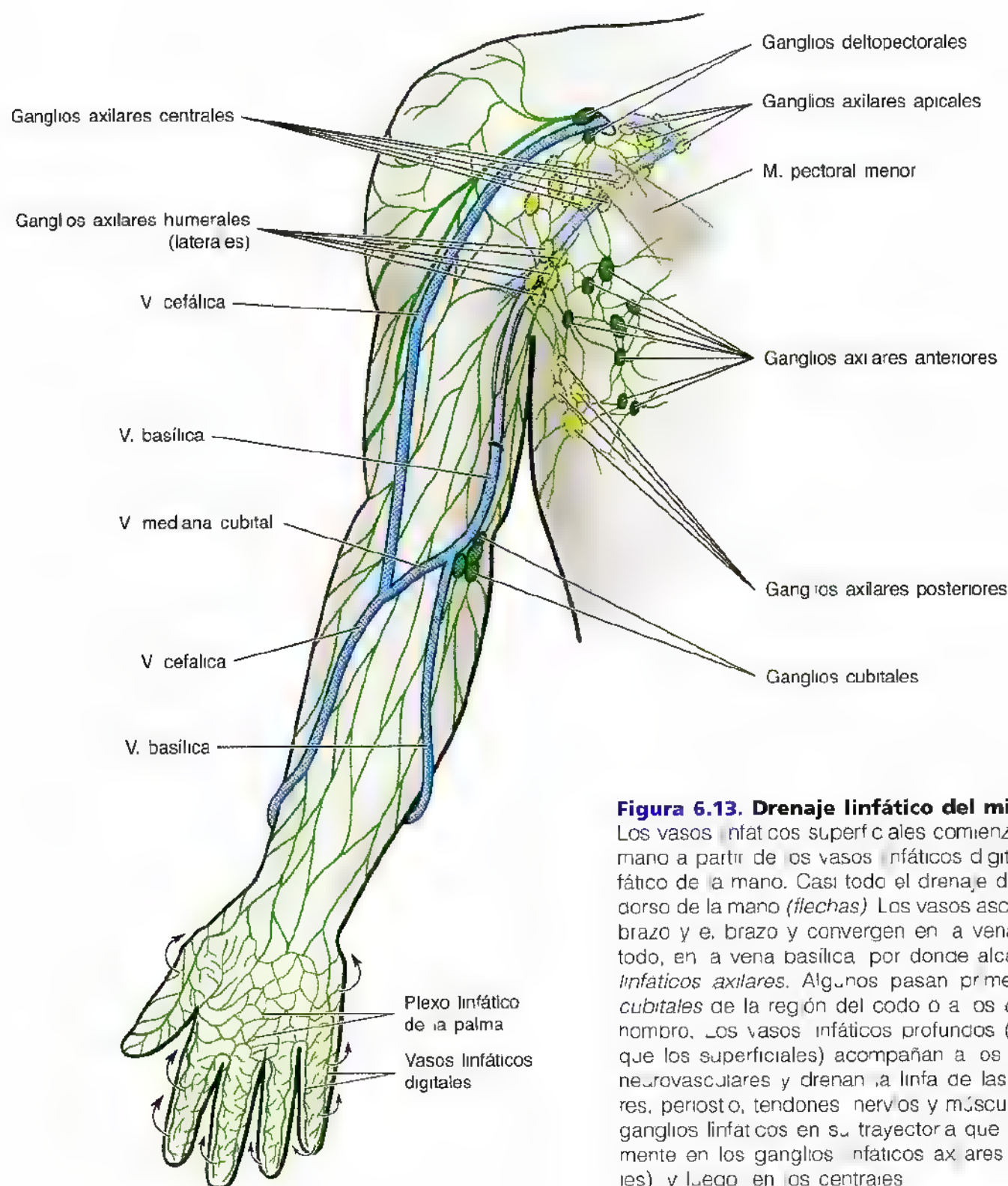


Figura 6.13. Drenaje linfático del miembro superior.

Los vasos linfáticos superficiales comienzan en la piel de la mano a partir de los vasos linfáticos digitales y el plexo linfático de la palma. Casi todo el drenaje de la palma llega al dorso de la mano (flechas). Los vasos ascienden por el antebrazo y el brazo y convergen en la vena cefálica y, sobre todo, en la vena basilíca, por donde alcanzan los **ganglios linfáticos axilares**. Algunos pasan primero a los **ganglios cubitales** de la región del codo o a los **deltopectoriales** del hombro. Los vasos linfáticos profundos (menos numerosos que los superficiales) acompañan a los grandes paquetes neurovasculares y drenan la linfa de las cápsulas articulares, periostio, tendones, nervios y músculo. Existen algunos ganglios linfáticos en su trayectoria que terminan principalmente en los ganglios linfáticos axilares humerales (laterales) y luego en los centrales.

Los músculos toracoapendiculares anteriores del miembro superior

Existen cuatro músculos toracoapendiculares anteriores (pectorales), que mueven la cintura escapular: el pectoral mayor, el pectoral menor, el subclavio y el serrato anterior. La figura 6.14 y la tabla 6.1 ilustran sus inserciones, inervación y acciones principales.

El **músculo pectoral mayor**, grande, con forma de abanico, cubre la parte superior del tórax y posee una *cabeza clavicular* y otra *esternocostal*. Esta última es mucho mayor y su borde lateral justifica la masa muscular que forma casi toda la pared anterior de la axila; el borde inferior representa el pliegue axilar anterior. El músculo pectoral mayor y el músculo deltoides adyacente forman un delgado *surco deltopectoral*, por donde circula la vena cefálica; sin embargo, divergen ligeramente en la parte superior y, junto con la clavícula, dan el **triángulo deltopectoral** (fig. 6.12). El músculo

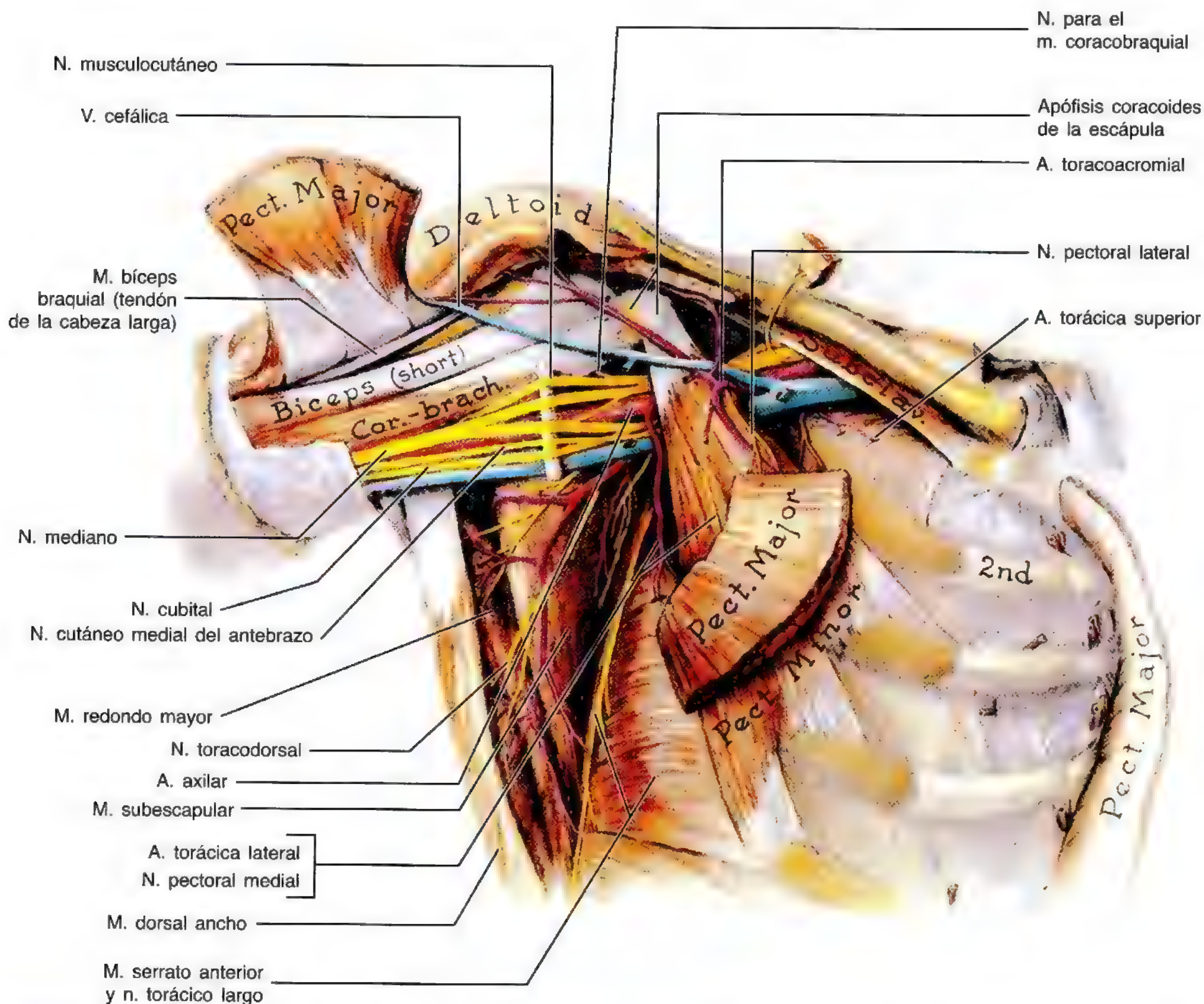
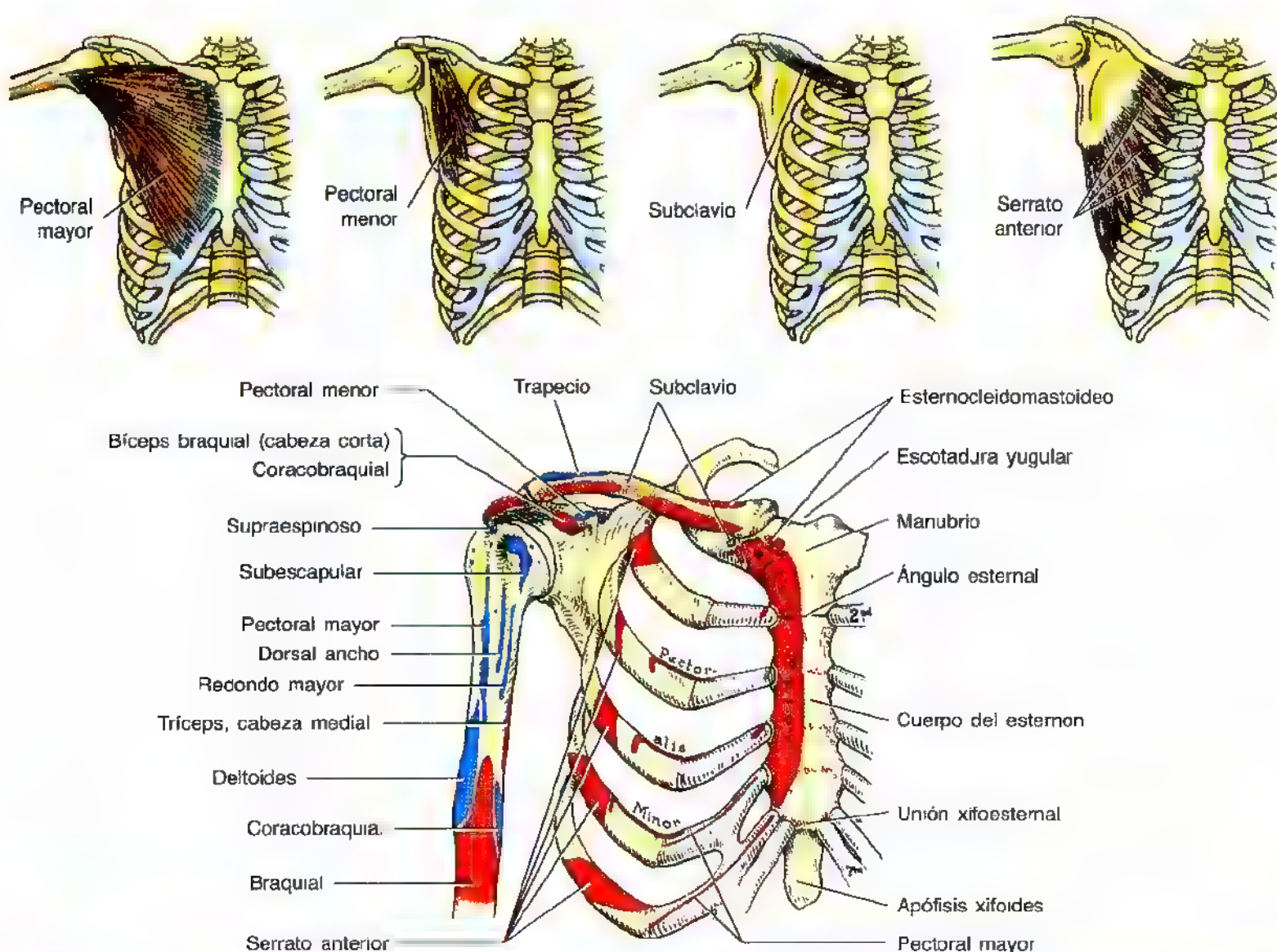


Figura 6.14. Estructuras de la axila. Se ha extirpado la mayor parte de la pared anterior de la axila y el cuerpo adiposo axilar, y se ven las paredes medial y posterior de la axila y su contenido neurovascular. De las estructuras que forman la pared anterior, sólo permanecen parte del músculo pectoral mayor (las extremidades de inserción, la porción central que cubre el pectoral menor y una cinta muscular rechazada por encima de la clavícula) y el músculo pectoral menor. Se ha extraído toda la fascia clavipectoral, así como la vaina axilar que rodea el paquete neurovascular. Se aprecia cómo la *arteria axilar* emerge del conducto cervicoaxilar, debajo de la clavícula y del músculo subclavio, y luego pasa un través de dedo por debajo de la apófisis coracoides de la escápula. Conforme la arteria axilar atraviesa la axila se rodea del *plexo nervioso braquial*. Los principales nervios nacidos de los fascículos lateral y medial (divisiones anteriores) del plexo se han elevado con un pequeño aplicador.

Tabla 6.1. Los músculos toracoapendiculares anteriores

Músculo	Inserción proximal	Inserción distal	Inervación ^a	Acción principal
Pectoral mayor	Cabeza clavicular: cara anterior de la mitad medial de la clavícula Cabeza esternocostal: cara anterior del esternón, seis primeros cartílagos costales y aponeurosis del m. oblicuo externo	Labio lateral del surco intertubercular del húmero	Nn. pectorales lateral y medial; cabeza clavicular (C5 y C6), cabeza esternocostal (C7, C8 y T1)	Aproxima y rota medialmente el húmero; tira de la escápula hacia delante y hacia abajo Acción por separado: a cabeza clavicular flexiona el húmero y la cabeza esternocostal lo extiende
Pectoral menor	3ª a 5ª costillas, cerca de los cartílagos costales	Borde medial y cara superior de la apófisis coracoides de la escápula	N. pectoral medial (C8 y T1)	Estabiliza la escápula al tirar de ella hacia abajo y hacia delante contra la pared torácica
Subclavio	Unión de la 1ª costilla con el cartílago costal	Cara inferior del tercio medio de la clavícula	Nervio para el m. subclavio (C5 y C6)	Fija y deprime la escápula
Serrato anterior	Caras externas de las porciones laterales de la 1ª a la 8ª costillas	Cara anterior del borde medial de la escápula	N. torácico largo (C5, C6 y C7)	Protrae la escápula y la sujeta contra la pared torácica; rota la escápula

^a Los números indican la inervación segmentaria medular (p. ej. C5 y C6 indican que los nervios destinados a la cabeza clavicular del m. pectoral mayor proceden de los segmentos cervicales medulares 5º y 6º). Los números **en negrita** señalan la nervación segmentaria principal. La lesión de estos segmentos o de las raíces de los nervios motores que nacen de ellos produce una parálisis de los músculos afectados.

pectoral mayor es un aproximador poderoso del brazo y un rotador medial del húmero. Las dos porciones del músculo pectoral mayor pueden actuar de manera independiente: la cabeza clavicular flexiona el húmero y la esternoclavicular lo extiende (tabla 6.1). *Para explorar la cabeza clavicular del músculo pectoral mayor se separa el brazo 90° y se pide al sujeto que mueva el brazo hacia delante, oponiendo el explorador resistencia.* Si la acción del músculo es normal debe verse y palparse la cabeza clavicular. *Para explorar la cabeza esternocostal del músculo pectoral mayor se levanta el brazo 60° y luego se aproxima contra resistencia.* Si la acción es normal se verá y palpará la cabeza esternocostal.

El **músculo pectoral menor** se encuentra en la pared anterior de la axila, cubierto en gran parte por el músculo pectoral mayor, de dimensiones superiores. El músculo pectoral menor tiene forma triangular: su base (inserción proximal) está formada por unas cintas carnosas que se insertan en las extremidades anteriores de la 3ª a la 5ª costillas, cerca de los cartílagos costales; su vértice (inserción distal) radica en la apófisis coracoides de la escápula. Las variaciones en las inserciones costales de los músculos suceden a menudo. *El músculo pectoral menor estabiliza la escápula y se utiliza cuando se extiende el brazo hacia delante para tocar un objeto que queda casi al alcance.* El músculo pectoral menor también ayuda a elevar las costillas para la inspiración profunda cuando queda fija o elevada la cintura escapular. *El músculo pectoral menor constituye una referencia anatómica y quirúrgica valiosa de las estructuras axilares* (p. ej., arteria axilar). Junto con la apófisis coracoides, el músculo pectoral menor forma un “puente”, bajo el cual los vasos y los nervios atraviesan el brazo (fig. 6.14).

El **músculo subclavio** se sitúa en un plano casi horizontal cuando el brazo se encuentra en posición anatómica. Este músculo, pequeño y redondo, está situado bajo la clavícula

y confiere cierta protección a la arteria subclavia cuando se fractura aquélla. Asimismo, puede evitar que los extremos irregulares de la clavícula fracturada lesionen los vasos subclavios subyacentes y el tronco superior del plexo braquial. El músculo subclavio ancla y deprime la clavícula y la estabiliza durante los movimientos del miembro superior. Además, evita la tendencia de la clavícula a luxarse en la articulación esternoclavicular, por ejemplo en los juegos con una cuerda.

El **músculo serrato anterior** cubre la parte lateral del tórax y forma la pared medial de la axila. El nombre de esta lámina ancha de músculo grueso se debe al aspecto en dientes de sierra de sus cintas o digitaciones carnosas. Las cintas musculares se dirigen hacia atrás y luego medialmente para converger en toda la extensión de la cara anterior del borde medial de la escápula, incluido el ángulo inferior. *El músculo serrato anterior —uno de los más poderosos músculos de la cintura escapular— es un prolongador robusto de la escápula, que se utiliza para dar un puñetazo o alcanzar un objeto situado delante* (algunas personas lo denominan el “músculo del boxeador”). Su porción inferior, poderosa, rota la escápula y eleva la cavidad glenoidea de manera que el brazo pueda levantarse por encima del hombro. Al mantener la escápula bien pegada a la pared torácica, fija este hueso plano y permite que otros músculos se sirvan del omóplato como hueso fijo para los movimientos del húmero. El músculo serrato anterior apoya la escápula contra la pared torácica cuando se hacen flexiones con los antebrazos o se empuja un objeto muy pesado (p. ej., se empuja un vehículo). Por eso, *para explorar el músculo serrato anterior (o la función del nervio torácico largo que lo inerva)* se coloca la mano y el brazo extendido sobre una pared. Si el músculo actúa normalmente deben verse y palparse varias digitaciones musculares.

Ausencia de los músculos pectorales

La ausencia de parte del músculo pectoral mayor, de ordinario la porción esternocostal, es rara, pero cuando sucede no suele ocasionar discapacidad alguna. Sin embargo, el *pliegue axilar anterior* —creado por la piel y la fascia que cubre el borde inferior del músculo pectoral mayor— falta en el lado afectado y el pezón se sitúa más bajo de lo habitual. El *síndrome de Poland* se caracteriza por la ausencia de los músculos pectoral mayor y menor; asimismo, cursa con hipoplasia y ausencia de dos a cuatro segmentos costales.

Parálisis del músculo serrato anterior

Si se paraliza el músculo serrato anterior como consecuencia de una *lesión del nervio torácico largo* (fig. 6.14), el borde medial de la escápula se desplaza en sentido lateral y posterior, otorgando a la escápula el aspecto de un ala, sobre todo al apoyarse con la mano sobre una pared.

Cuando se levanta el brazo, el borde medial y el ángulo inferior de la escápula tiran considerablemente de la pared torácica posterior, de donde proviene el nombre de ▶



Escápula alada

► **escápula alada.** Además, el brazo no se puede separar más allá del plano horizontal, puesto que el músculo serrato anterior no puede rotar hacia arriba la cavidad glenoidea para completar la separación braquial. El nervio torácico largo se encuentra protegido cuando los miembros cuelgan a los lados, pero con la particularidad

de que discurre por la cara superficial del músculo serrato anterior, al que inerva. Por este motivo, cuando se eleva el miembro —como en una pelea con un cuchillo—, el nervio se torna muy vulnerable. Las armas, incluidas las balas que penetran en el tórax, constituyen una fuente habitual de lesión. ☉

Los músculos toracoapendiculares posteriores y escapulohumerales

Los músculos toracoapendiculares posteriores (grupos superficial e intermedio de los *músculos extrínsecos del dorso*) conectan el esqueleto apendicular superior (del miembro superior) con el esqueleto axial (del tronco). Los *músculos intrínsecos del dorso*, que mantienen la postura y controlan los movimientos de la columna vertebral, se describen en el capítulo 4. Los músculos del hombro se dividen en tres grupos (tabla 6.2):

- Los *músculos toracoapendiculares posteriores superficiales (extrínsecos del hombro)*: trapecio y dorsal ancho.
- Los *músculos toracoapendiculares profundos (extrínsecos del hombro)*: elevador de la escápula y romboides.
- Los *músculos escapulohumerales (intrínsecos del hombro)*: deltoides, redondo mayor y los cuatro músculos del manguito de los rotadores.

Los músculos toracoapendiculares posteriores superficiales (extrínsecos del hombro)

Los músculos trapecio y dorsal ancho son los toracoapendiculares superficiales. La tabla 6.2 indica sus inserciones, nerviación y acciones principales.

El músculo trapecio

El músculo trapecio comunica directamente la cintura escapular con el tronco. Este gran músculo triangular cubre la cara posterior del cuello y la mitad superior del tronco (fig. 6.15). Su nombre obedece a que los músculos de ambos lados crean un *trapecio* (que significa figura irregular de cuatro lados en griego). El trapecio conecta la cintura escapular con el cráneo y la columna vertebral y ayuda a suspender el miembro superior. *Las fibras del trapecio se dividen en tres porciones, que poseen acciones diferentes*, por la articulación escapulotorácica conceptual que se forma entre la escápula y la pared torácica:

- Las fibras superiores elevan la escápula (p. ej., cuando se cuadran los hombros).

- Las fibras medias retraen la escápula (es decir, tiran de ella hacia atrás).
- Las fibras inferiores deprimen la escápula y bajan el hombro.

El trapecio también fija los hombros al tirar de las escápuas hacia atrás y hacia arriba y fijarlas a la pared torácica con una contracción tónica; por eso, la debilidad de este músculo determina una caída del hombro.

Las fibras superiores e inferiores del trapecio actúan de manera concertada para rotar la escápula sobre la pared torácica en distintas direcciones, haciendo que gire como una tuerca de mariposa. *Para explorar el trapecio (o la función del nervio accesorio [NC XI] que lo inerva)* se debe encoger el hombro contra resistencia (el paciente trata de elevar los hombros y el médico o el fisioterapeuta presiona de ellos hacia abajo). Si el músculo tiene una acción normal se ve y palpa fácilmente el borde superior de este músculo.

Músculo dorsal ancho

El nombre latino de este músculo (*latísimo del dorso*) significa “el más ancho del dorso”, y está bien elegido, porque cubre una amplia zona del dorso del tronco (fig. 6.16, tabla 6.2E). Este *músculo ancho*, *con forma de abanico*, se dirige desde el tronco hasta el húmero y actúa directamente sobre la articulación escapulohumeral e indirectamente sobre la cintura escapular (articulación escapulotorácica). El músculo dorsal ancho extiende, retrae y rota medialmente el húmero (p. ej., cuando se pliegan los brazos detrás de la espalda o se rasca la piel de la escápula del lado contrario). En combinación con el músculo pectoral mayor, el dorsal ancho es un poderoso aproximador del húmero. Ayuda a restablecer la posición del miembro superior cuando se eleva el brazo por encima del hombro; por eso, *el músculo dorsal ancho es el más importante para la escalada*. De concierto con el músculo pectoral mayor, este músculo eleva el tronco hacia el brazo, por ejemplo al hacer flexiones con los brazos subiendo la cabeza encima de la barra o al trepar por un árbol. Estos movimientos también se aplican al cortar madera, remar en una canoa o nadar (sobre todo con el estilo libre). *Para explorar el músculo dorsal ancho (o la función del nervio toracodorsal que lo inerva)* se separa el brazo 90° y luego se aproxima contra resistencia. Si la acción del músculo es normal debe verse y palparse con facilidad el borde anterior del músculo en el pliegue axilar posterior. Las contracciones de este músculo se observan también cuando se pide a la persona que tosa.

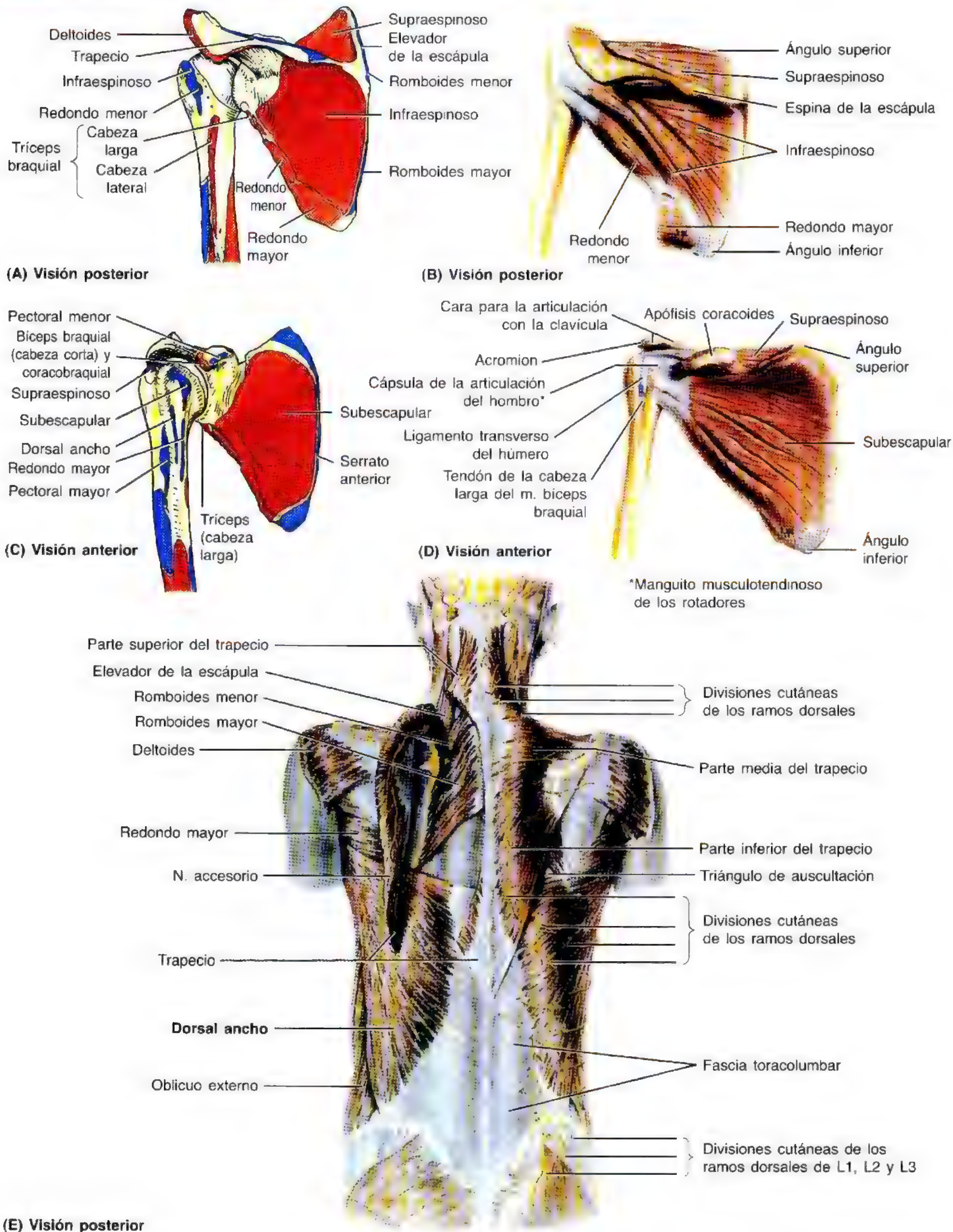
Tabla 6.2. Los músculos escapulohumerales y toracoapendiculares posteriores

Tabla 6.2. (Continuación) **Los músculos escapulohumerales y toracoapendiculares posteriores**

Músculo	Inserción proximal	Inserción distal	Inervación ^a	Acción principal
Trapezio	Tercio medial de la línea superior de la nuca; protuberancia occipital externa, ligamento nuchal y apófisis espinosas de las vértebras C7-T12	Tercio lateral de la clavícula, acromion y espina de la escápula	Raíz espinal del n. accesorio (NC XI) (motor) y nervios cervicales (C3 y C4) (dolor y propiocepción)	Eleva, retrae y rota la escápula; las fibras superiores elevan, las fibras medias retraen y las inferiores deprimen la escápula; las fibras superiores e inferiores actúan de manera concertada para la rotación superior de la escápula
Dorsal ancho	Apófisis espinosas de las 6 últimas vértebras torácicas, fascia toracolumbar, cresta ilíaca y 3 o 4 últimas costillas	Suelo del surco intertubercular del húmero	N. toracodorsal (C6, C7 y C8)	Extiende, aproxima y rota medialmente el húmero; sube el cuerpo hacia los brazos durante la escalada
Elevador de la escápula	Tubérculos posteriores de las apófisis transversas de las vértebras C1-C4	Parte superior del borde medial de la escápula	Nn. dorsal de la escápula (C5) y cervicales (C3 y C4)	Eleva la escápula y baja la cavidad glenoidea rotando la escápula
Romboides menor y mayor	Menor: ligamento nuchal y apófisis espinosas de las vértebras C7 y T1 Mayor: apófisis espinosas de las vértebras T2-T5	Borde medial de la escápula, desde el plano de la espina hasta el ángulo inferior	N. dorsal de la escápula (C4 y C5)	Retrae la escápula y la rota para deprimir la cavidad glenoidea; fija la escápula a la pared torácica
Deltoides	Tercio lateral de la clavícula; acromion y espina de la escápula	Tuberosidad deltoidea del húmero	N. axilar (C5 y C6)	Parte anterior: flexiona y rota medialmente el brazo Parte media: separa el brazo Parte posterior: extiende y rota lateralmente el brazo
Supraespinoso ^b	Fosa supraespinosa de la escápula	Cara superior del tubérculo mayor del húmero	N. supraescapular (C4, C5 y C6)	Empieza la separación del brazo y ayuda al deltoides a la separación; actúa con los músculos del manguito de los rotadores ^b
Infraespinoso ^b	Fosa infraespinosa de la escápula	Cara media del tubérculo mayor del húmero	N. supraescapular (C5 y C6)	Rota lateralmente el brazo; ayuda a sujetar la cabeza del húmero dentro de la cavidad glenoidea de la escápula
Redondo menor ^b	Parte superior del borde lateral de la escápula	Cara inferior del tubérculo mayor del húmero	N. axilar (C5 y C6)	
Redondo mayor	Cara dorsal del ángulo inferior de la escápula	Labio medial del surco intertubercular del húmero	N. subescapular inferior (C6 y C7)	Aproxima y rota medialmente el brazo
Subescapular ^b	Fosa subescapular	Tubérculo menor del húmero	Nn. subescapulares superior e inferior (C5, C6 y C7)	Rota medialmente el brazo y lo aproxima, ayuda a sostener la cabeza humeral dentro de la cavidad glenoidea

^a Los números señalan la inervación segmentaria de la médula espinal (p.e., C5 y C6 indican que los nervios dirigidos al músculo redondo menor proceden de los segmentos medulares cervicales 5º y 6º). Los números **en negrita** señalan la inervación segmentaria principal. La lesión de estos segmentos o de las raíces de los nervios motores que proceden de ellos produce una parálisis de los músculos en cuestión.

^b De manera conjunta, los músculos supraespinoso, infraespinoso, redondo menor y subescapular se denominan músculos del manguito de los rotadores. La función primordial durante todos los movimientos del hombro es sujetar la cabeza de húmero en la cavidad glenoidea de la escápula.

Triángulo de auscultación

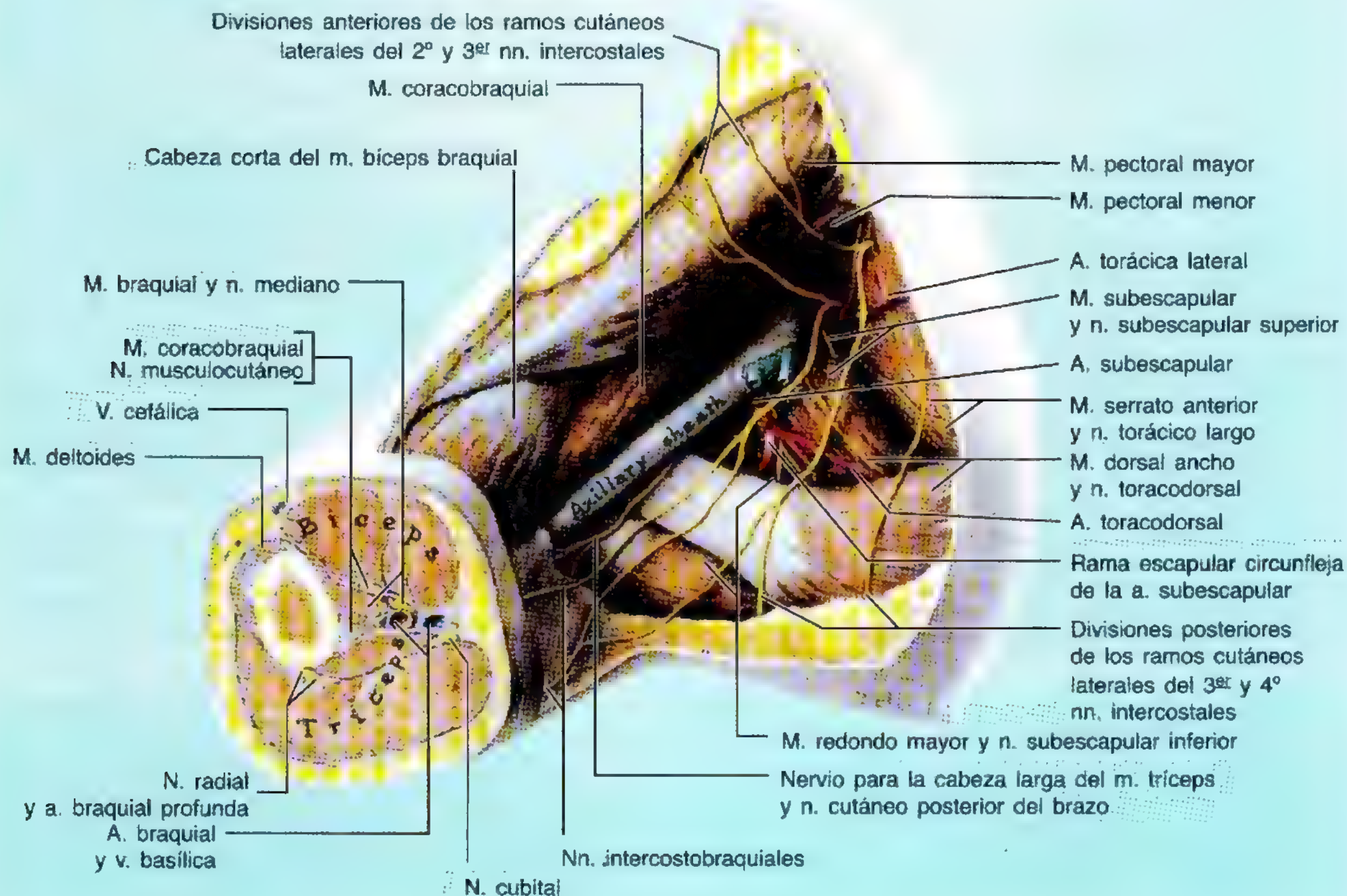
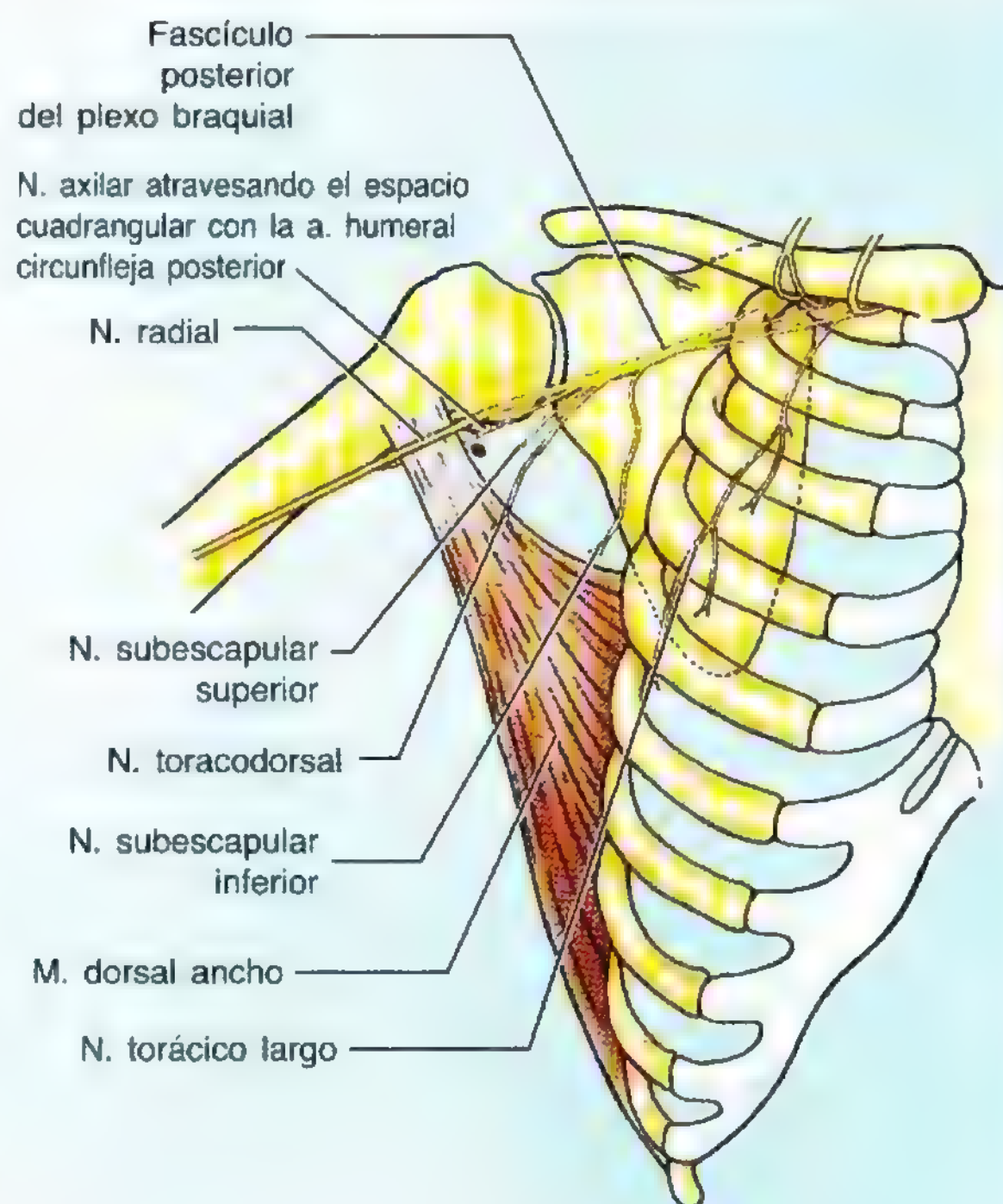
En la proximidad del ángulo inferior de la escápula se encuentra una pequeña laguna triangular de la musculatura. El borde horizontal superior del músculo dorsal ancho, el borde medial de la escápula y el borde inferolateral del trapecio forman el *triángulo de auscultación*

(tabla 6.2E). Esta laguna triangular dentro de la densa musculatura del dorso constituye un lugar adecuado para explorar los segmentos posteriores de los pulmones con un estetoscopio. Si se llevan las escápulas hacia delante, plegando los brazos a través del tórax y se flexiona el tronco, se ensancha el triángulo auscultatorio y emergen ▶

► al plano subcutáneo partes de la 6ª y 7ª costillas, así como el 6º espacio intercostal.

Lesión del nervio toracodorsal

Durante las operaciones quirúrgicas de la parte inferior de la axila se puede dañar el nervio toracodorsal (C6, C7 y C8) que inerva el músculo dorsal ancho. Este nervio pasa por debajo, a lo largo de la pared posterior de la axila, y entra por la cara medial del músculo dorsal ancho, cerca del lugar donde empieza el tendón. El nervio también se puede dañar durante las operaciones sobre los ganglios linfáticos de la escápula, porque su parte terminal queda delante de ellos y de la arteria subescapular. El músculo dorsal ancho y la parte inferior del pectoral mayor forman un bucle muscular anteroposterior entre el tronco y el brazo, aunque el músculo dorsal ancho representa el elemento más robusto del bucle. *Si se paraliza el músculo dorsal ancho, el sujeto no puede levantar el tronco, por ejemplo para trepar (subir el tronco con los brazos).* Además, estas personas no pueden llevar ninguna muleta axilar, porque desplaza el hombro hacia arriba. ❖



Los músculos toracoapendiculares profundos (extrínsecos del hombro)

Los músculos toracoapendiculares profundos son el elevador de la escápula y el romboides, que comunican directamente el esqueleto apendicular con el axial. La tabla 6.2 muestra sus inserciones, innervación y acciones principales.

El músculo elevador de la escápula

El tercio superior de este músculo, con forma de correa, está situado en la profundidad del esternocleidomastoideo, y el inferior, en la del trapecio. Las fibras del músculo elevador de la escápula bajan, desde las apófisis transversas de las primeras vértebras cervicales hasta el borde superomedial de la escápula (fig. 6.17). Haciendo honor a su nombre, *este músculo eleva y rota la escápula y deprime la cavidad glenoides (la inclina hacia abajo)*. Además, ayuda a retraer la escápula y a fijarla contra el tronco, así como a flexionar lateralmente el cuello.

El músculo romboides

Los dos músculos romboides —no siempre están claramente separados el uno del otro— tienen un aspecto romboidal y forman un paralelogramo oblicuo equilátero (fig. 6.18). Los **músculos romboides mayor y menor** están situados en la profundidad del trapecio y dan unas bandas paralelas y anchas, que bajan lateralmente desde las vértebras hasta el borde medial de la escápula. El músculo romboides mayor, fino y plano, es casi dos veces más ancho que el romboides menor, más grueso, situado encima de él. *Los músculos rom-*

boides retraen y rotan la escápula y deprimen la cavidad glenoides. Ayudan también al músculo serrato anterior a sujetar la escápula contra la pared torácica y a fijarla durante los movimientos del miembro superior. Los músculos romboides se utilizan cuando se baja de manera forzada el miembro superior elevado (p. ej., cuando se golpea con fuerza una estaca con un martillo). Para explorar los músculos romboides (o la función del nervio dorsal de la escápula que los inerva, se pide al paciente que apoye las manos por detrás en las caderas y empuje hacia atrás con los codos contra la resistencia opuesta por el explorador. Si los músculos romboides actúan normalmente se pueden palpar a lo largo del borde medial de la escápula. Debido a su posición, en la profundidad del trapecio, los músculos romboides no se ven durante la exploración.

Lesión del nervio dorsal de la escápula

La lesión del nervio dorsal de la escápula, el nervio de los músculos romboides, modifica las acciones de estos músculos. Si se paralizan los músculos romboides de un lado, la escápula del lado paralizado se aleja de la línea media más que la del lado sano.

Los músculos escapulohumerales (intrínsecos del hombro)

Los *seis músculos escapulohumerales* (deltoides, redondo mayor, supraespinoso, infraespinoso, subescapular y redondo menor) son bastante cortos y se dirigen de la escápula al húmero y actúan sobre la articulación escapulohumeral (hombro). La tabla 6.2 resume sus inserciones, innervación y acciones principales.

El músculo deltoides

El músculo deltoides es un músculo grueso, poderoso, de textura tosca, que cubre el hombro y le otorga su contorno redondeado (fig. 6.19, tabla 6.2E). Como su propio nombre indica, tiene una forma parecida a una letra griega delta invertida (Δ). El músculo se divide en las porciones unipenniforme anterior y posterior y en una porción media multipenniforme; las porciones del músculo deltoides pueden actuar por separado o en conjunto. Cuando las tres se contraen de manera simultánea se separa el brazo. Las porciones anterior y posterior actúan como cuerdas para enderezar el brazo cuando está separado. El *músculo supraespinoso* ayuda al deltoides durante los primeros 15° de separación del brazo (tabla 6.2B). Cuando el brazo está totalmente aproximado, la línea de tracción del deltoides coincide con el eje del húmero; por eso tira directamente del hueso hacia arriba y no puede iniciar la separación. Sin embargo, puede actuar como músculo “de derivación”, opo-

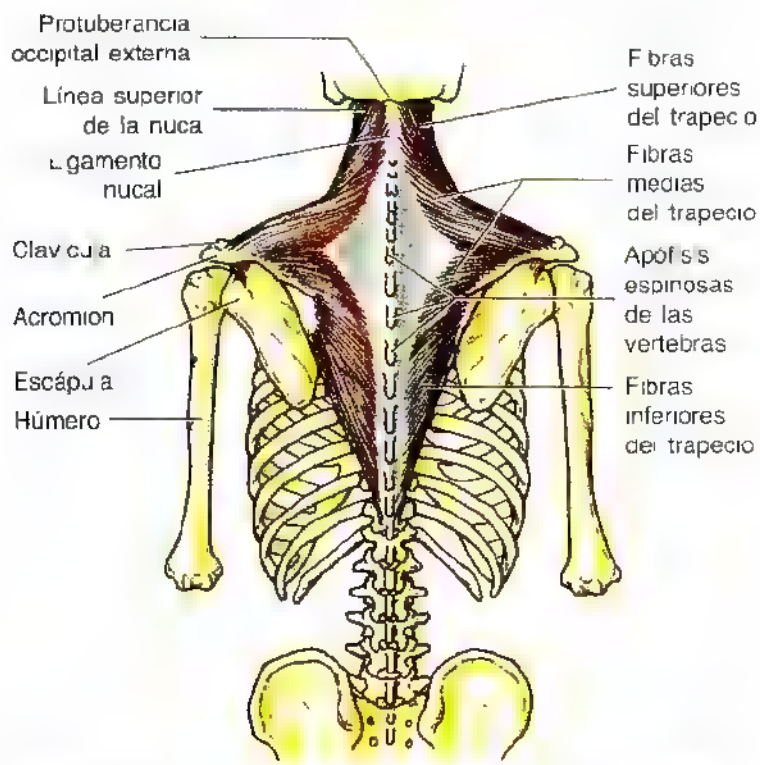


Figura 6.15. El músculo trapecio. Este músculo triangular, superficial y grande justifica la pendiente lateral que se crea entre el cuello y el hombro. Ayuda a suspender la cintura escapular y eleva, retrae y rota la escápula.

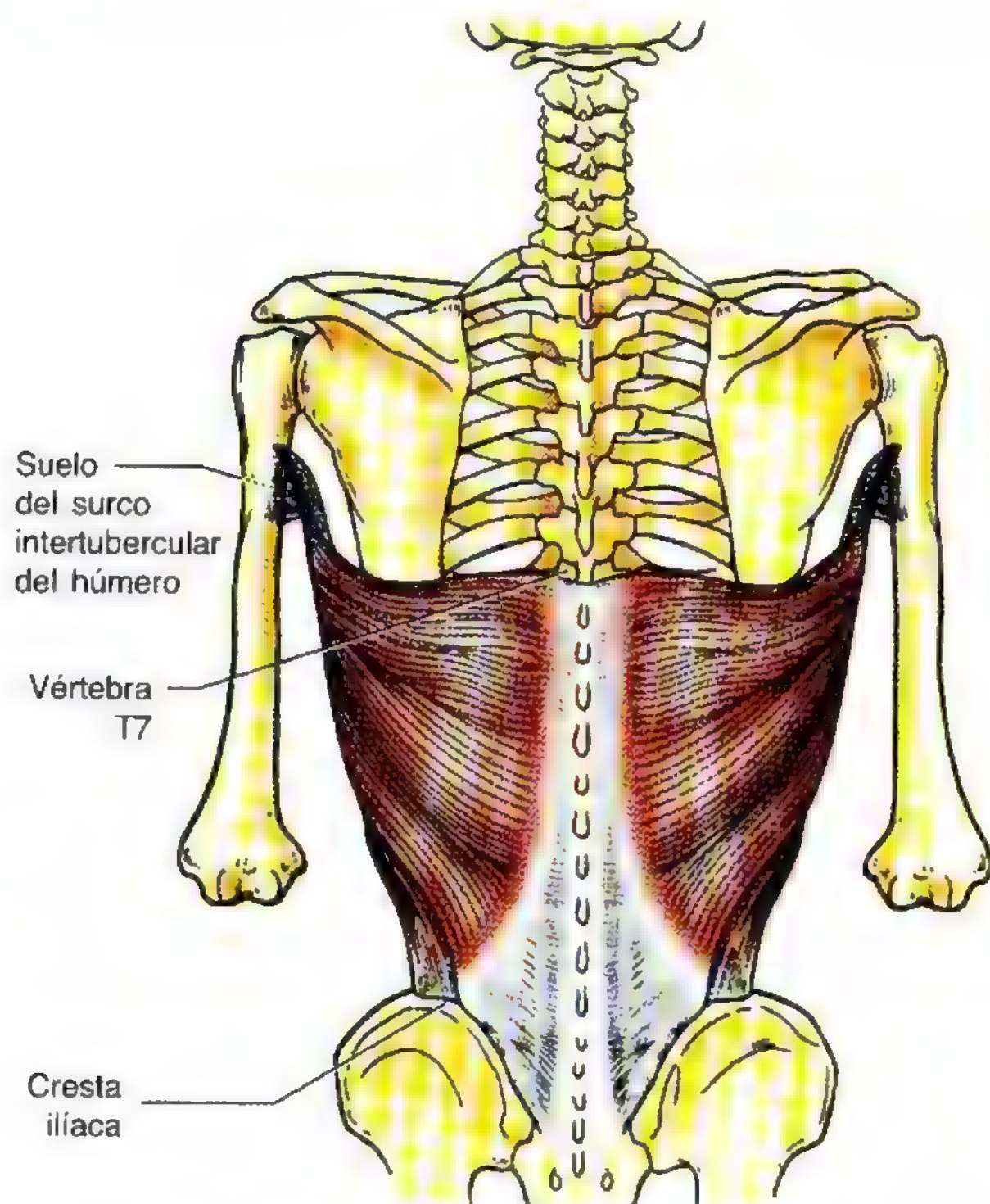
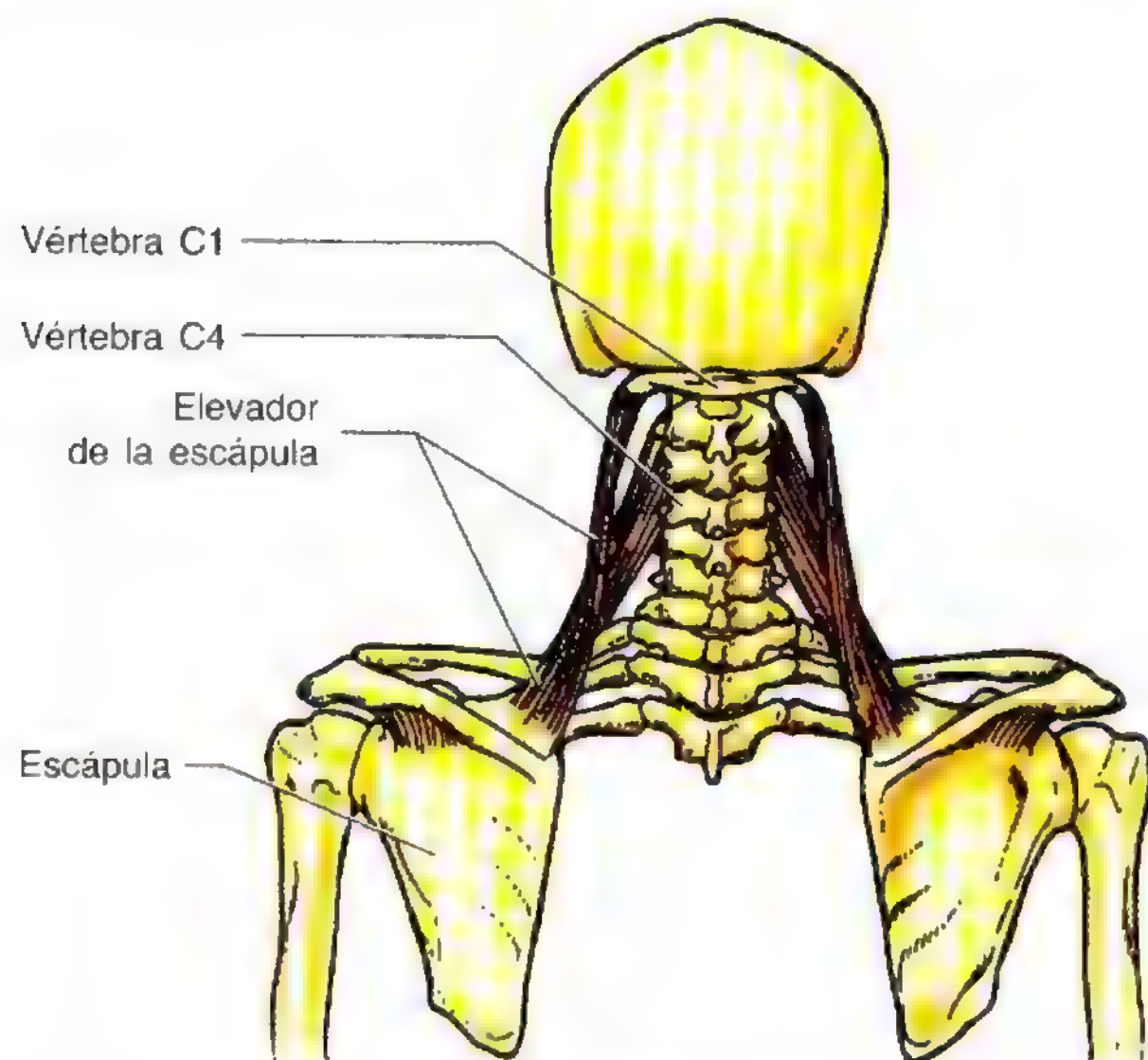


Figura 6.16. Músculo dorsal ancho. Este músculo, triangular ancho y casi superficial, extiende, aproxima y rota medialmente el húmero. Se trata de un poderoso aproximador y extensor del brazo, que levanta el cuerpo hacia los brazos durante las escaladas.

niéndose al desplazamiento inferior de la cabeza del húmero de la cavidad glenoidea, por ejemplo al levantar o transportar maletas o cubos de agua. Cuando el brazo está totalmente aproximado, para iniciar la separación se necesita el músculo supraespinoso o la inclinación a un lado para que actúe la gravedad. El músculo deltoides empieza a desplegar todo su efecto como separador después de los primeros 15°.

Lesión del nervio axilar

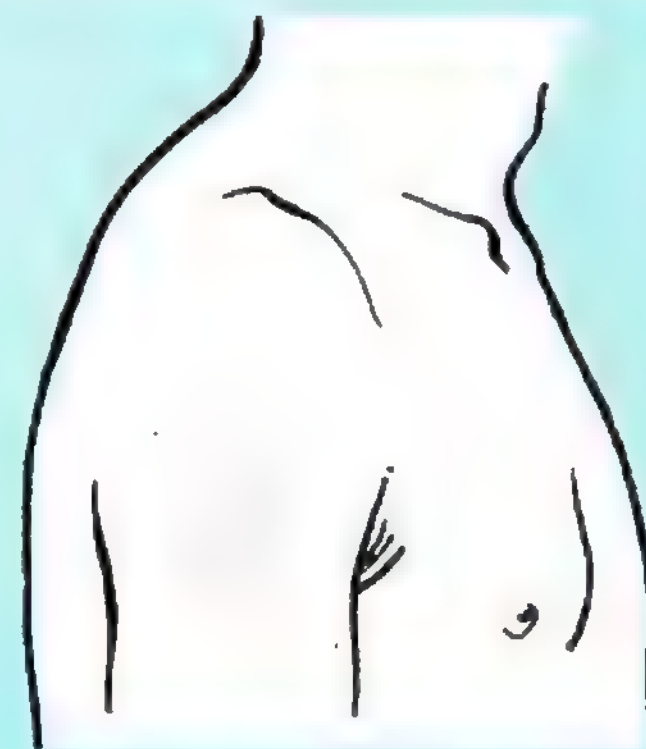
El músculo deltoides se atrofia cuando se lesiona gravemente el nervio axilar (C5 y C6) (p. ej., después de la fractura del cuello quirúrgico del húmero). Conforme se atrofia el músculo deltoides, desaparece el contorno redondeado del hombro. El hombro adquiere un aspecto aplanado y se produce una ligera cavidad debajo del acromion. Como el nervio axilar rodea el cuello quirúrgico del húmero, suele lesionarse en las fracturas de la extremidad proximal del húmero. También puede hacerlo durante la luxación del hombro. Además de la atrofia deltoidea, se observa una pérdida de sensibilidad en la cara lateral de la parte proximal del brazo (se muestra ►



Visión posterior

Figura 6.17. Visión posterior del músculo elevador de la escápula. Este músculo, grueso, con forma de cincha, desciende de las cuatro primeras vértebras cervicales para insertarse en el borde medial del ángulo de la escápula. Eleva y rota la escápula e inclina hacia abajo (deprime) la cavidad glenoidea.

Las partes anterior y posterior de los deltoides se utilizan para balancear los brazos al caminar. La parte anterior ayuda al músculo pectoral mayor a flexionar el brazo, y la posterior al dorsal ancho, a extenderlo. Además, *el deltoides estabiliza la articulación escapulohumeral* y sujeta la cabeza del húmero dentro de la cavidad glenoidea con los movimientos del brazo. *Para explorar el deltoides (o la función del nervio axilar que lo inerva)* se separa el brazo —comenzando a partir de unos 15°— contra resistencia (fig. 6.20). Si la acción es normal, el músculo se ve y palpa con facilidad. El efecto de la gravedad se evita colocando al sujeto en decúbito supino.



Zona de anestesia (en rojo)

► en rojo). El músculo deltoides es un lugar frecuente para la inyección intramuscular de fármacos. El nervio axilar, que inerva el deltoides, sigue un curso transversal

El músculo redondo mayor

El músculo redondo mayor es un músculo redondo y grueso que forma una zona ovalada y elevada en el tercio inferolateral de la escápula cuando se aproxima el brazo contra resistencia (fig. 6.21A, tabla 6.2). El borde inferior del redondo mayor da el borde inferior de la parte lateral de la pared posterior de la axila. El músculo redondo mayor aproxima y rota medialmente el brazo (fig. 6.21B). También ayuda a extenderlo cuando se encuentra flexionado. El músculo redondo mayor representa, además, un estabilizador esencial de la cabeza del húmero dentro de la cavidad glenoidea, es decir, endereza la cabeza dentro de la cavidad. Con el redondo menor, el redondo mayor sujeta la cabeza humeral contra la tracción que ejerce el deltoides para la separación del brazo. Para explorar el músculo redondo mayor (o el nervio supraescapular inferior que lo inerva) se debe aproximar el brazo separado contra la resistencia del explorador. Si la acción del músculo es normal se puede ver y palpar con facilidad en el pliegue axilar posterior.

Los músculos del manguito de los rotadores

Cuatro de los músculos escapulohumerales (músculos intrínsecos del hombro) —supraespinoso, infraespinoso, redondo

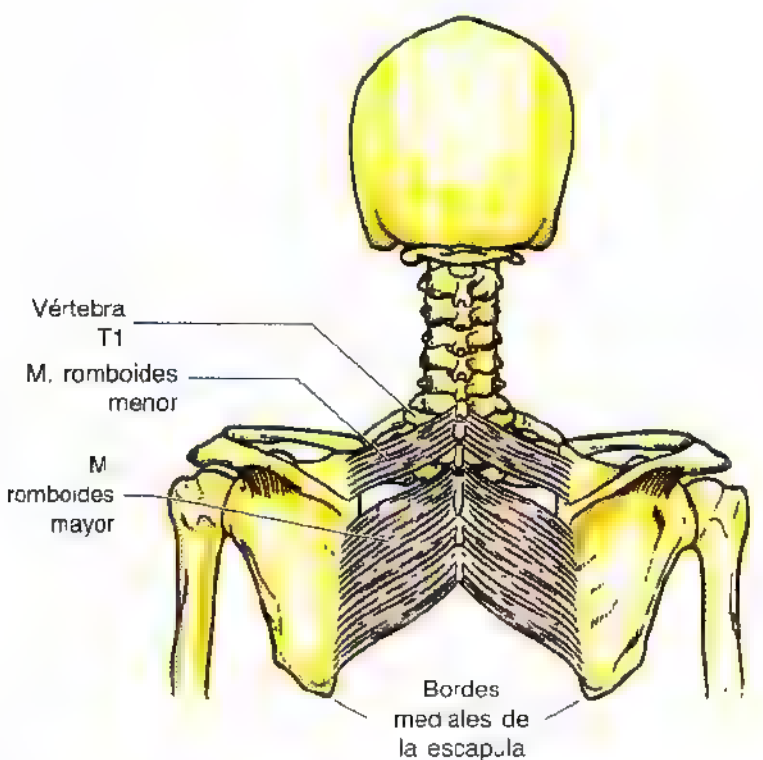


Figura 6.18. Visión posterior de los músculos romboides. Los músculos romboides (mayor y menor) retraen la escápula y la rotan para deprimir la cavidad glenoidea. Asimismo, fijan la escápula a la pared torácica.

protegido por el deltoides y rodea el cuello quirúrgico del húmero. El conocimiento de su localización evita su lesión durante las inyecciones. ◉

menor y subescapular— (fig. 6.22) se denominan **músculos del manguito de los rotadores**, porque forman un manguito musculotendinoso rotador alrededor de la articulación escapulohumeral. Todos ellos, con excepción del supraespinoso, son rotadores del húmero; el supraespinoso, aparte de integrar el manguito de los rotadores, inicia y ayuda al deltoides durante los primeros 15° de separación del brazo. Los tendones de los cuatro músculos del manguito de los rotadores se unen con la cápsula articular de la articulación escapulohumeral y la refuerzan a modo de **manguito**; este manguito protege la articulación y la estabiliza. Su contracción tónica sujeta la cabeza relativamente grande del húmero en la pequeña y delgada cavidad glenoidea de la escápula durante los movimientos del brazo. La tabla 6.2 muestra las inserciones, inervación y acciones principales de los músculos del manguito de los rotadores.

El **músculo supraespinoso** ocupa la fosa supraespinosa de la escápula. Existe una bolsa que los separa del cuarto lateral de la fosa. Veanse los comentarios acerca de la acción cooperadora de este músculo con el deltoides en la descripción de este último (pág. 707). Para explorar el músculo supraespinoso se debe separar el brazo desde la posición de aproximación completa contra la resistencia del

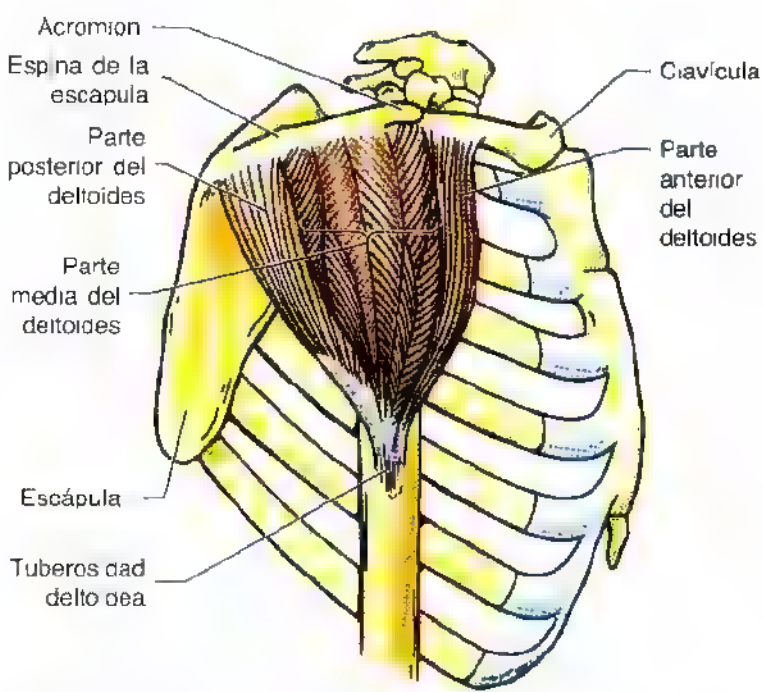


Figura 6.19. Músculo deltoides. Este músculo, triangular, denso, con textura tosca, cubre la articulación escapulohumeral (hombro) y da el contorno redondeado al hombro. La parte medial, multipenniforme, del deltoides representa el músculo principal separador del brazo; la parte anterior flexiona y rota medialmente el brazo, y la posterior extiende y rota lateralmente.



Figura 6.20. Exploración del músculo deltoides. El explorador se opone a la separación del miembro por el deltoides. Si éste actúa normalmente debe palparse la contracción de la parte media del músculo.

explorador. El músculo se palpa encima de la espina de la escápula.

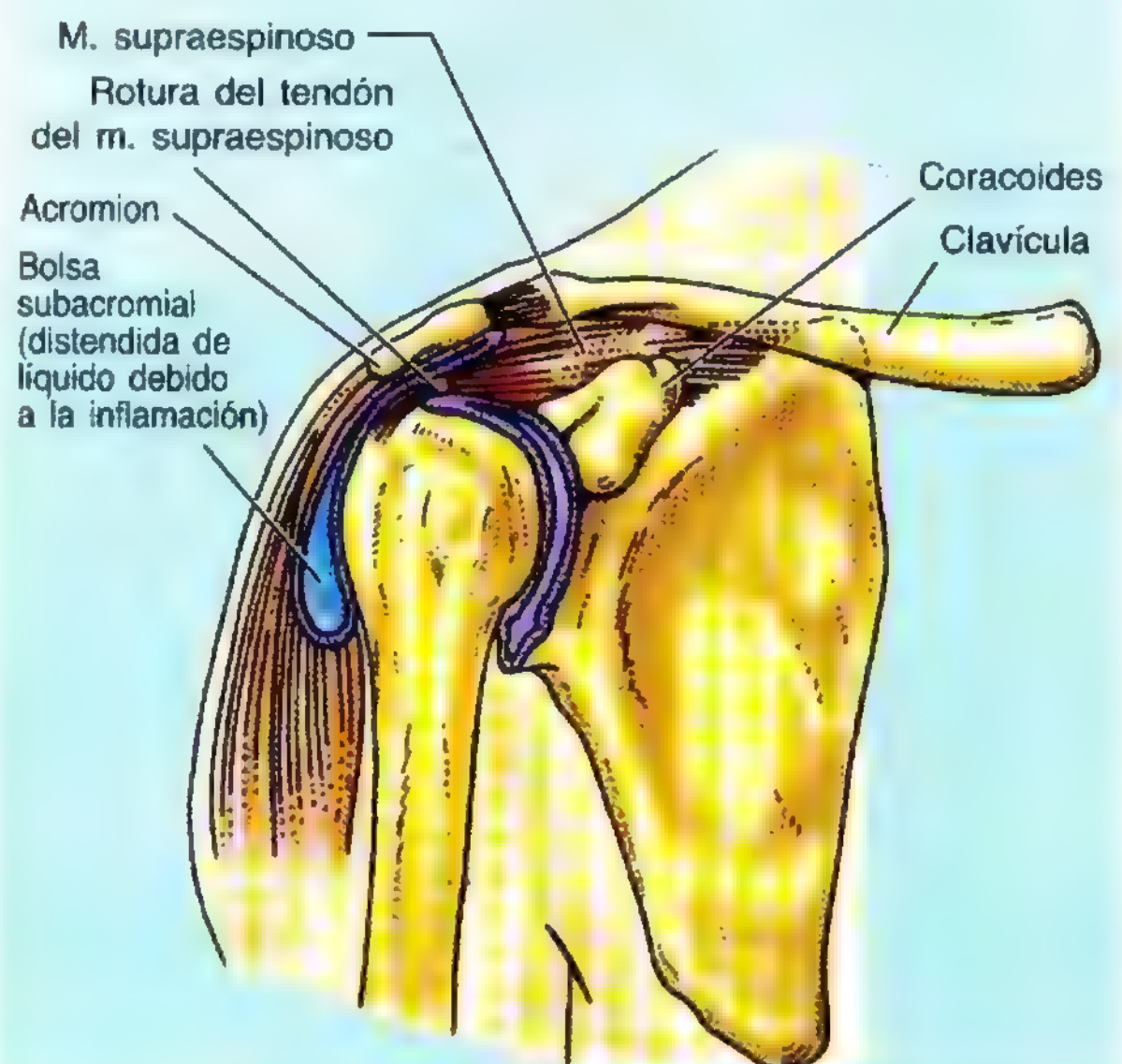
El **músculo infraespinoso** ocupa las tres cuartas partes mediales de la fosa infraespinosa y se halla cubierto, en parte, por los músculos deltoides y trapecio. Además de estabilizar la articulación del hombro, el infraespinoso es un potente rotador lateral del húmero. *Para explorar el músculo infraespinoso* se pide al sujeto que flexione el codo y aproxime el brazo. Luego se rota lateralmente el brazo contra la resistencia del explorador. Si la acción del músculo es normal se palpa por debajo de la espina de la escápula. *Para explorar la función del nervio supraescapular*, que inerva los músculos supraespinoso e infraespinoso, los dos músculos se deben explorar como se describió más arriba.

El **músculo redondo menor** es un músculo estrecho y alargado, totalmente oculto por el deltoides, que no suele delimitarse fácilmente del infraespinoso. El músculo redondo menor rota el brazo y contribuye a su aproximación.

El **músculo subescapular** es un músculo grueso y triangular, radicado en la cara costal de la escápula, que forma parte de la pared posterior de la axila. Cruza la cara anterior de la articulación escapulohumeral en su camino hacia el húmero. *El subescapular es el principal rotador medial del brazo y también lo aproxima.* Además, se une a los demás músculos del manguito de los rotadores (supraespinoso, infraespinoso y redondo menor) para sujetar la cabeza del húmero dentro de la cavidad glenoidea durante todos los movimientos de la articulación escapulohumeral (es decir, estabiliza esta articulación durante los movimientos del codo, muñeca y mano).

Lesiones del manguito de los rotadores

Una lesión o enfermedad puede dañar el manguito musculotendinoso de los rotadores y causar inestabilidad de la articulación escapulohumeral. El traumatismo puede desgarrar o romper uno o más tendones de los músculos del manguito de los rotadores. ►



► El desgarro agudo sucede cuando tiene lugar una separación violenta del brazo, por ejemplo cuando un jugador de hockey es empujado contra las vallas protectoras y utiliza los miembros superiores como almohadilla para protegerse del impacto. Una persona se puede desgarrar el manguito de los rotadores y notar un intensísimo dolor en la porción anterosuperior del hombro. Las lesiones del manguito de los rotadores son también frecuentes entre los lanzadores y hombres de base del béisbol, que lanzan la pelota con fuerza. Los desgarros del manguito de los rotadores siguen también a la luxación del hombro.

La *tendinitis degenerativa del manguito de los rotadores* ocurre a menudo, sobre todo en las personas ancianas. Para explorar esta lesión se pide al sujeto que baje lenta y suavemente el brazo partiendo de la máxima separación. A partir de una separación aproximada de 90°, el miembro cae súbitamente de forma descontrolada cuando el manguito de los rotadores (sobre todo la porción supraespinosa) se encuentra dañado o desgarrado. El tendón del músculo supraespinoso es la parte que más veces se desgarrará del manguito, probablemente porque es una estruc-

tura relativamente poco vascularizada. Cuando se produce un desgarro agudo o cuando el tendón se erosiona después de una fricción crónica, sobre todo en las personas mayores, las dos bolsas asociadas se comunican entre sí. Este tipo de lesiones obedece de ordinario a un golpe indirecto sobre el brazo separado, como sucede en personas mayores de 45 años que sufren una caída al esquiar. Los desgarros agudos son más raros entre la gente joven. La lesión produce colorimiento en el tubérculo mayor del húmero y dolor en el arco de separación pasiva de 45°.

Bursitis subacromial

El tendón del músculo supraespinoso está separado del ligamento coracoacromial, acromion y deltoides por la *bolsa subacromial*. Cuando se inflama esta bolsa (*bursitis subacromial*), la separación del hombro produce un intenso dolor en el arco de 50 a 130° (*síndrome del arco doloroso*). El dolor puede irradiar distalmente hasta la mano. El dolor agudo también se experimenta lateral al acromion. ◻

La axila

La axila es el espacio piramidal situado debajo de la articulación escapulohumeral y encima de la fascia axilar, en la unión del brazo con el tórax (fig. 6.23). La forma y el tamaño de la axila varían según la posición del brazo; cuando el brazo está totalmente separado, esta cavidad prácticamente desaparece. *La axila representa la vía de paso de los vasos y nervios que llegan al miembro superior*. Tiene un vértice, una base y cuatro paredes, tres de ellas musculares:

- *El vértice de la axila* —la entrada del cuello a la axila— se encuentra entre la 1ª costilla, la clavícula y el borde superior del músculo subescapular; las arterias, las venas, los vasos linfáticos y los nervios pasan del cuello a la axila a través del *conducto cervicoaxilar* —orificio superior de la axila— hasta alcanzar el brazo.
- *La base de la axila* está formada por la piel cóncava, el tejido subcutáneo y la fascia axilar (profunda), que se extiende desde el brazo hasta la pared torácica.
- *La pared anterior de la axila* la constituyen los músculos pectoral mayor y pectoral menor, así como las fascias pectoral y clavipectoral asociadas.
- *La pared posterior de la axila* la crean, sobre todo, la escápula y el músculo subescapular en la cara anterior, y los músculos redondo mayor y dorsal ancho en la inferior.
- *La pared medial de la axila* está integrada por la pared torácica (1ª a 4ª costillas y músculos intercostales) y el músculo serrato anterior, que la recubre.
- *La pared lateral de la axila* es una pared ósea estrecha formada por el *surco intertubercular* del húmero.

La axila contiene vasos sanguíneos axilares (la arteria axilar y sus ramas, la vena axilar y sus afluentes), vasos linfáticos y diversos grupos de *ganglios axilares* (fig. 6.23C). La axila contiene, además, grandes nervios, que forman los fascículos y ramos del plexo braquial, una red de nervios intercomunicados que pasan del cuello al miembro superior. Estas estructuras neurovasculares están envueltas en la zona proximal por una funda fascial, la *vaina axilar* (fig. 6.24A).

La arteria axilar

La arteria axilar *comienza en el borde lateral de la 1ª costilla*, como prolongación de la arteria subclavia, y *termina en el borde inferior del músculo redondo mayor* (tabla 6.3). Se dirige al brazo, detrás del músculo pectoral menor, y *se transforma en la arteria braquial* una vez que traspasa el borde inferior del músculo redondo mayor, momento en el que suele alcanzar el húmero. A efectos descriptivos, *el músculo pectoral menor divide la arteria axilar en tres partes* (el número de cada parte indica también la cantidad de ramas):

- **La primera parte de la arteria axilar** —situada entre el borde lateral de la 1ª costilla y el borde medial del músculo pectoral menor— está encerrada dentro de la **vaina axilar** y tiene una rama, la *arteria torácica superior* (fig. 6.24B, tabla 6.3).
- **La segunda parte de la arteria axilar** —situada detrás del músculo pectoral menor— tiene dos ramas, las *arterias toracoacromial* y *torácica lateral*, que pasan medial y lateral al músculo, respectivamente.

- La **tercera parte de la arteria axilar** se extiende desde el borde lateral del músculo pectoral menor hasta el borde inferior del músculo redondo mayor; dispone de tres ramas: la *arteria subescapular* –la más grande de todas las ramas de la arteria axilar– y, enfrente de ésta, las **arterias humeral circunfleja anterior y humeral circunfleja posterior**.

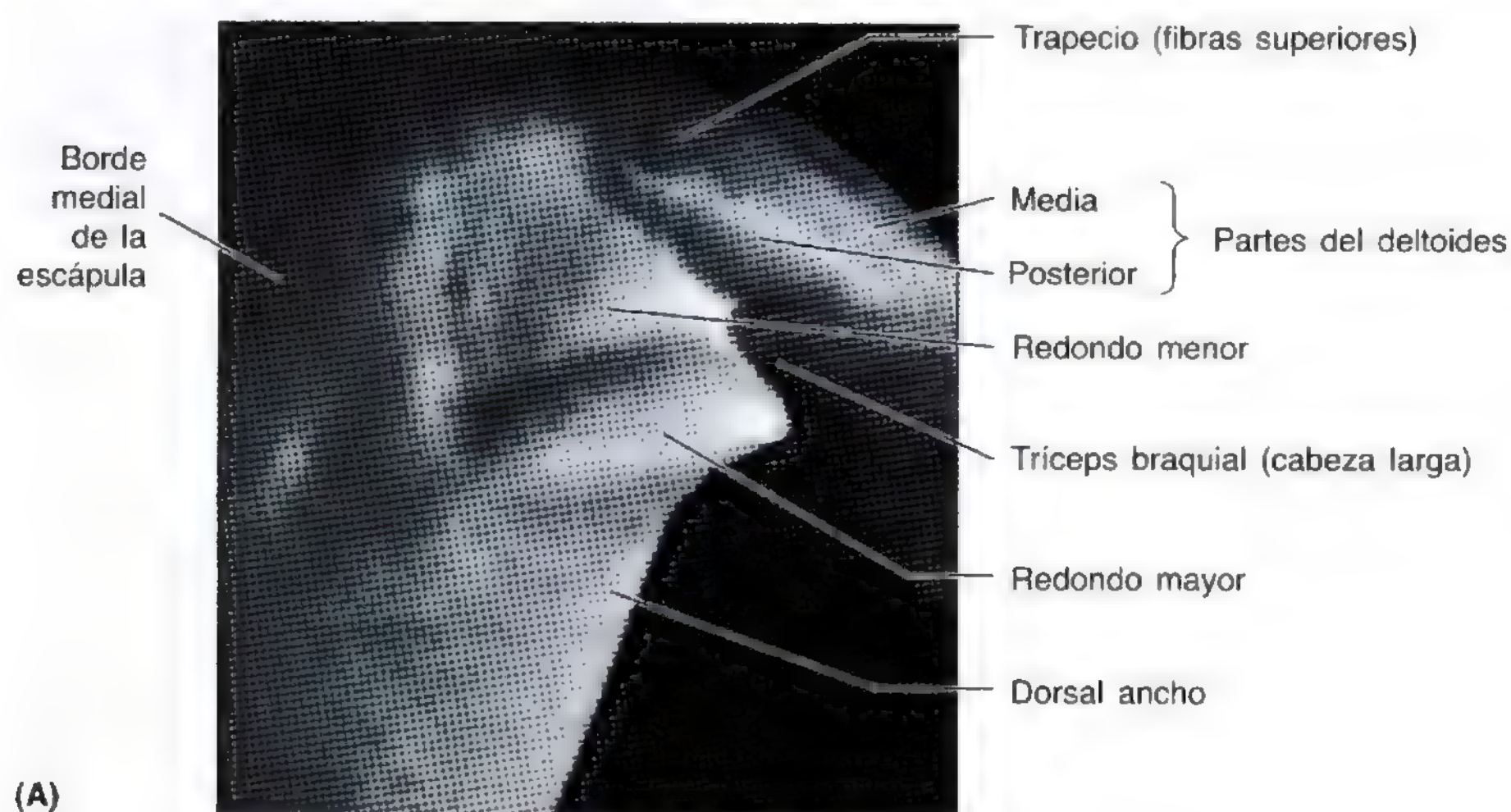
La **arteria torácica superior** es un pequeño vaso que nace en la primera parte de la arteria axilar, justo debajo del músculo subclavio (fig. 6.24B). Desciende medialmente, detrás de la vena axilar, e irriga los músculos del 1^{er} y 2^o espacios intercostales y el serrato anterior. Se anastomosa con las arterias intercostales.

La **arteria toracoacromial**, un tronco ancho y corto, suele ser la 1^a rama de la segunda parte de la arteria axilar (fig. 6.25), que emerge en la profundidad del músculo pec-

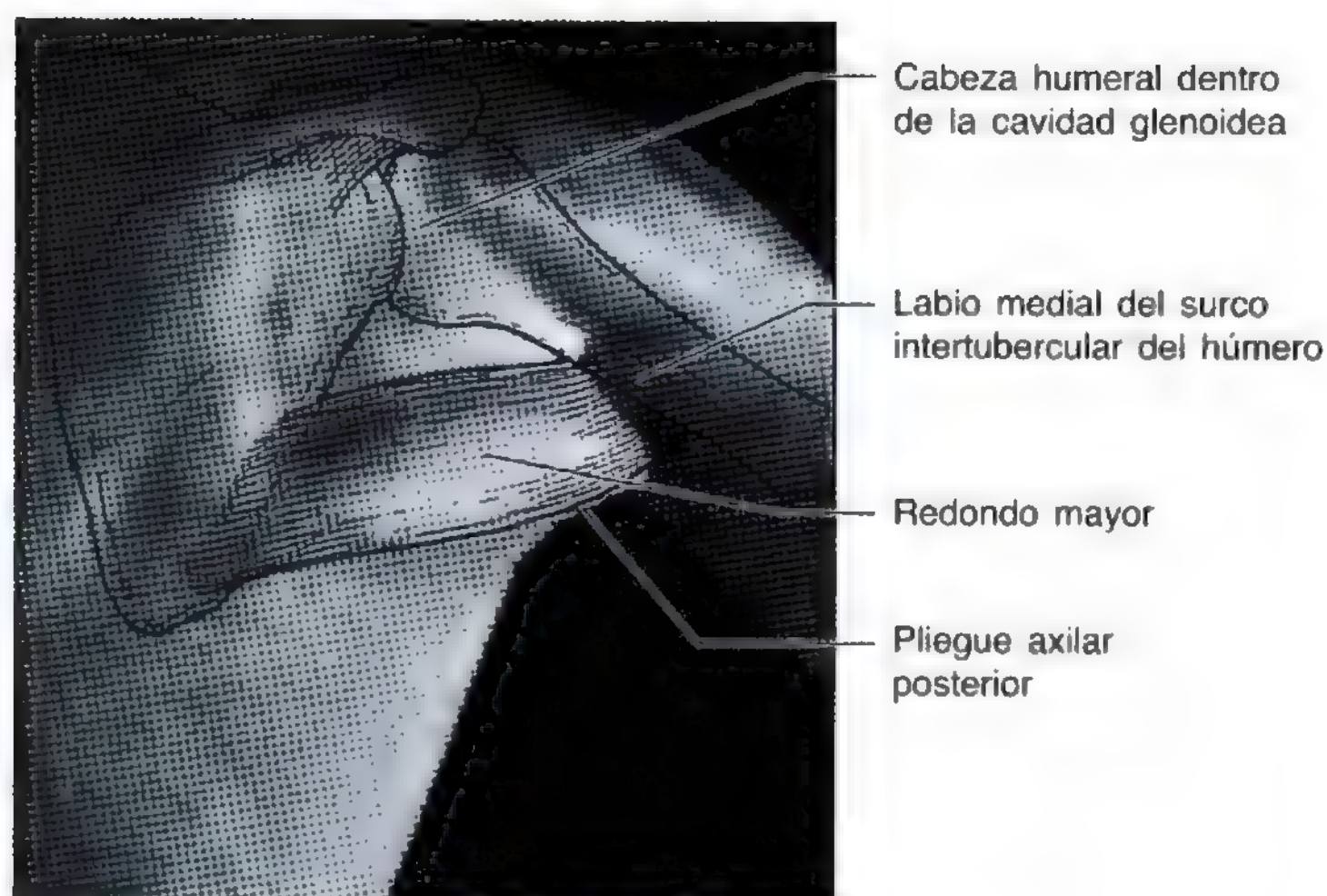
toral menor. Perfora la membrana costocoracoides, parte de la *fascia clavipectoral*, y luego se divide en cuatro ramas (acromial, deltoidea, pectoral y clavicular), detrás de la cabeza clavicular del músculo pectoral mayor.

La **arteria torácica lateral** posee un origen variable. Suele nacer como 2^a rama de la segunda parte de la arteria axilar y desciende por el borde lateral del músculo pectoral menor (fig. 6.24B); sin embargo, puede también surgir de las arterias toracoacromial, supraescapular y subescapular. La arteria torácica lateral irriga los músculos pectorales, los ganglios linfáticos axilares y la mama; es una fuente importante de vascularización para la parte lateral de la glándula mamaria femenina.

La **arteria subescapular**, la más grande de todas las ramas de la arteria axilar (tabla 6.3), nace de la tercera parte y desciende por el borde lateral del músculo subescapular, sobre



(A)



(B)

Figura 6.21. Los músculos escapulohumerales. Visiones posteriores. Estos músculos van desde la escápula hasta el húmero y actúan sobre la articulación del hombro. **A.** Anatomía de superficie de los músculos escapulares y del dorsal ancho. **B.** Dibujos superpuestos que ilustran las inserciones del músculo redondo mayor, un músculo grueso y redondo que aproxima y rota medialmente el brazo. Los músculos dorsal ancho y redondo mayor forman el pliegue axilar posterior. Cuando se aproxima el brazo, oponiendo resistencia, este pliegue se acentúa, como sucede en (A).

la pared axilar posterior. En seguida se divide en las arterias escapular circunfleja y toracodorsal para irrigar los músculos subescapular, redondo mayor, serrato anterior y dorsal ancho.

La **arteria escapular circunfleja**, la rama mayor de la arteria subescapular, traza una curva posterior sobre el borde axilar de la escápula, dirigiéndose entre los músculos subescapular y redondo mayor para irrigar los músculos del dorso de la escápula. Participa de las anastomosis que rodean la escápula.

La **arteria toracodorsal** continúa el trayecto general de la subescapular hacia el borde inferior de la escápula e irriga los músculos adyacentes, en particular el músculo dorsal

ancho. También participa de las anastomosis arteriales que rodean la escápula.

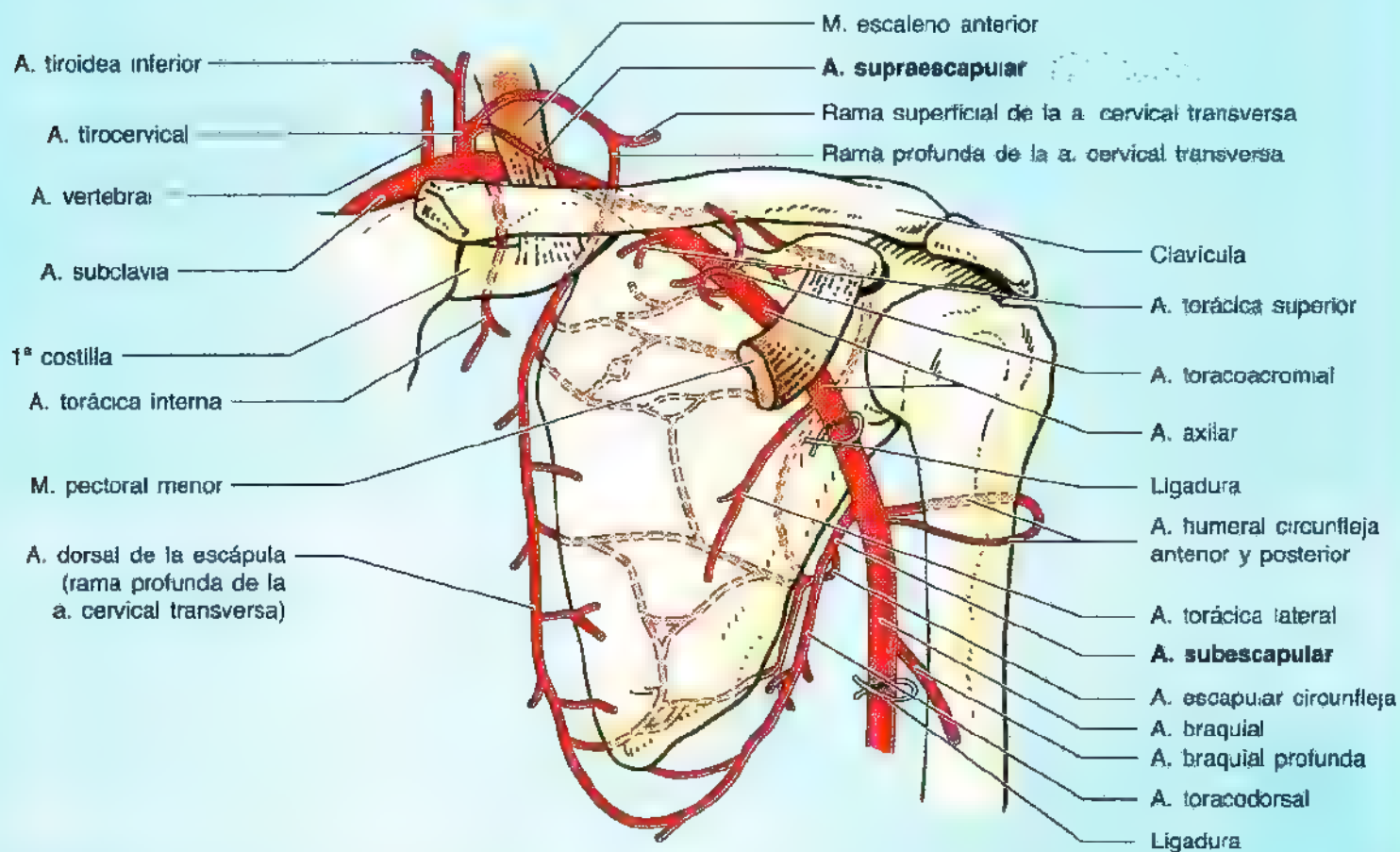
Las **arterias humerales circunflejas** suelen nacer de la tercera parte de la arteria axilar, enfrente de la arteria subescapular, y rodean el cuello quirúrgico del húmero para anastomosarse entre sí. La **arteria humeral circunfleja anterior**, más pequeña, sigue un trayecto lateral, en la profundidad de los músculos coracobraquial y bíceps braquial. Emite una rama ascendente que nutre el hombro. La **arteria humeral circunfleja posterior**, más grande, atraviesa la pared posterior de la axila por el **espacio cuadrangular** (tabla 6.3) con el nervio axilar e irriga los músculos circundantes (p. ej., deltoides, redondos mayor y menor y cabeza larga del tríceps).

Compresión de la arteria axilar

La arteria axilar se palpa en la porción inferior de la pared lateral de la axila. A veces es necesario comprimir la tercera parte de esta arteria si ocurre una hemorragia profusa (p. ej., tras una herida punzante extensa o por arma de fuego en la axila). Si se precisa la compresión en una zona más proximal se puede comprimir la arteria axilar en su origen (donde la arteria subclavia cruza la 1ª costilla), ejerciendo una presión hacia abajo en el ángulo comprendido entre la clavícula y la inserción del músculo esternocleidomastoideo.

Anastomosis arteriales de la escápula

Muchas anastomosis arteriales (comunicaciones entre arterias) rodean la escápula. Varios vasos se unen para formar redes en las caras anterior y posterior de la escápula: dorsal de la escápula, supracapular y subescapular (a través de la arteria escapular circunfleja). La importancia de esta *circulación colateral* a través de estas anastomosis se aprecia cuando es necesario ligar la arteria subclavia o axilar debido a una laceración. Por ejemplo, a veces se liga la arteria axilar entre la 1ª costilla ▶



(A) Visión anterior

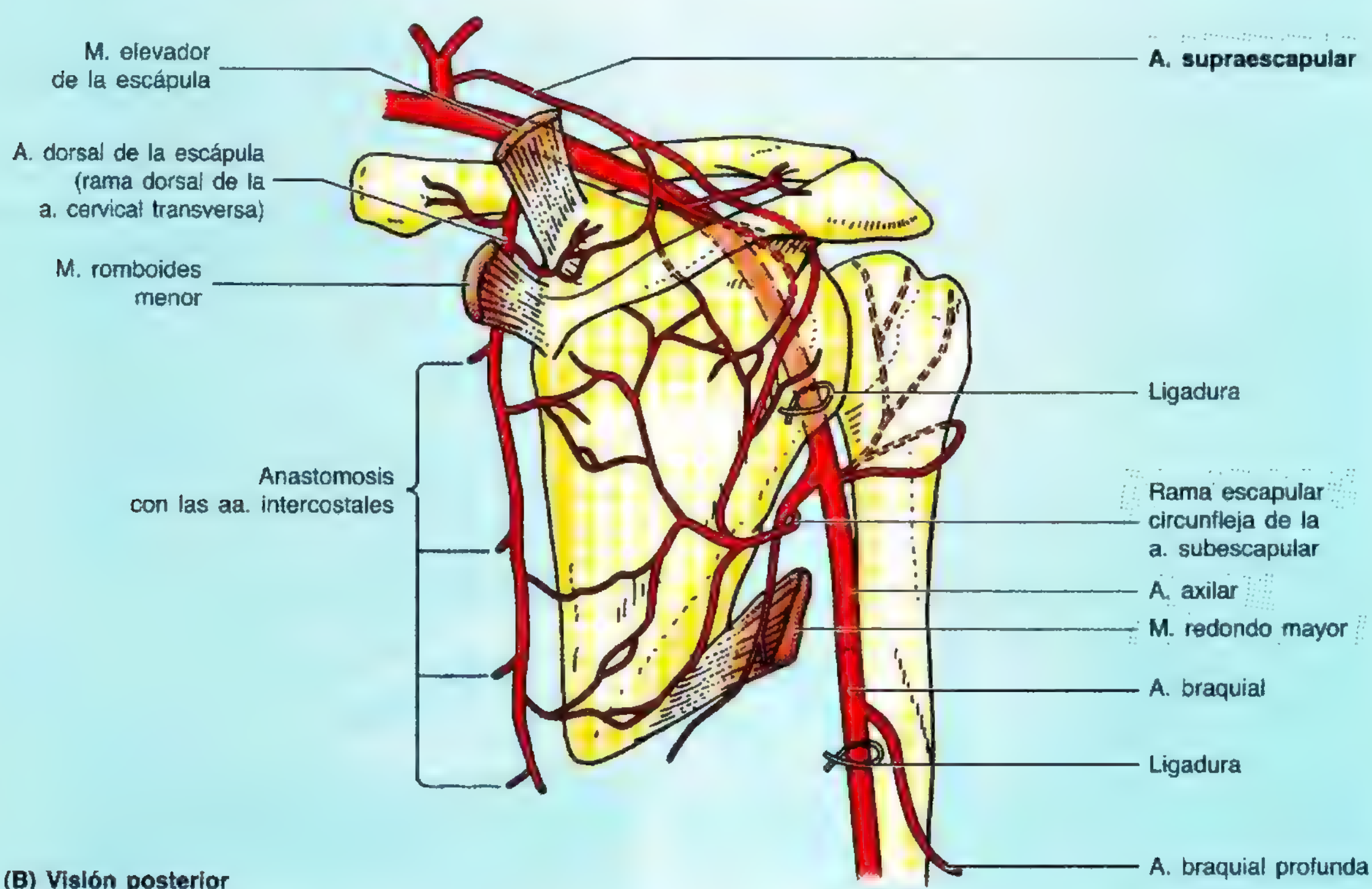
► y la arteria subescapular; en otros casos se produce una estenosis (estrechamiento) de la arteria axilar por una lesión aterosclerótica que reduce el flujo sanguíneo. En cualquiera de estos casos se invierte la dirección del flujo por la arteria subescapular y la sangre puede alcanzar la tercera porción de la arteria axilar. Nótese que la arteria subescapular recibe la sangre a través de diversas anastomosis con la arteria supraescapular, arteria cervical transversa y arterias intercostales.

La obstrucción lenta de la arteria axilar (p. ej., por enfermedad o traumatismo) permite que se establezca casi siempre una circulación colateral suficiente para impedir la *isquemia* (deficiencia del riego sanguíneo). La obstrucción brusca no suele dar tiempo a que se establezca una buena circulación colateral; por eso, el flujo sanguíneo

que llega al brazo, antebrazo y mano no basta. *La ligadura de la arteria axilar, distal a la arteria subescapular y proximal a la arteria braquial profunda, amputa la irrigación sanguínea del brazo porque la circulación colateral resulta insuficiente.*

Aneurisma de la arteria axilar

La primera parte de la arteria axilar se ensancha en ocasiones (*aneurisma de la arteria axilar*) y comprime los troncos del plexo braquial, determinando dolor y anestesia (pérdida de la sensibilidad) de las zonas cutáneas inervadas por los nervios afectados. El aneurisma de la arteria axilar se produce entre los lanzadores de béisbol y debe repararse para que puedan continuar jugando. ♂



(B) Visión posterior

La vena axilar

La vena axilar se encuentra en la cara medial de la arteria axilar (fig. 6.26). Esta gran vena está formada por la unión de las venas braquiales —venas satélite de la arteria braquial— y la vena basilica en el borde inferior del músculo redondo mayor. La vena axilar termina en el borde lateral de la 1ª costilla, convirtiéndose en la **vena subclavia**. Aunque las venas de la axila abundan más que las arterias, son muy variadas y suelen comunicarse (anastomosarse); la vena axilar recibe afluentes que corresponden, casi siempre, a ramas

de la arteria axilar, con muy pocas pero notables excepciones.

- Las venas correspondientes a las ramas de la arteria toracoacromial no se unen en una sola afluente común; algunas desembocan de manera independiente en la vena axilar y otras lo hacen en la vena cefálica, que también acaba en la vena axilar —encima del músculo pectoral menor—, cerca de su transición hacia la vena subclavia.
- La vena axilar recibe de modo directo o indirecto la o las *venas toracoepigástricas*, formadas por anastomosis de

Las venas superficiales de la región inguinal con afluentes de la vena axilar —de ordinario, la vena torácica lateral; ésta constituye una vía colateral que permite el retorno venoso en caso de obstrucción de la vena cava inferior.

Lesión de la vena axilar

Las heridas de la axila suelen afectar a la vena axilar, debido a su gran tamaño y situación expuesta. Cuando se separa totalmente el brazo, la vena axilar se solapa por delante con la arteria axilar. Las heridas de la parte proximal de la vena axilar son especialmente peligrosas no sólo por el sangrado profuso, sino también por el riesgo de que entre aire dentro del vaso sanguíneo y produzca una *embolia gaseosa* (presencia de burbujas de aire en la sangre).

Expansión de la vena axilar

Como la vaina axilar no encierra la segunda ni la tercera parte de la vena axilar, éstas pueden expandirse cuando aumenta el flujo venoso o se comprime la primera porción. ◊



Figura 6.22. Demostración de la posición de los músculos del manguito de los rotadores. Visión anterior. La función principal y asociada de estos cuatro músculos escapulo-humerales consiste en sostener la cabeza de húmero relativamente grande dentro de la cavidad glenoides, más pequeña y delgada de la escápula. Los tendones de los músculos se unen con la cápsula fibrosa de la articulación escapulo-humeral para dar un manguito musculotendinoso de los rotadores, que refuerza la cápsula por tres lados (anterior, superior y posterior) mientras ofrece un soporte activo para la articulación escapulo-humeral.

Los ganglios linfáticos axilares

El tejido conjuntivo fibroadiposo de la axila posee múltiples ganglios linfáticos. Los ganglios linfáticos axilares se disponen en cinco grupos esenciales: apical, pectoral, subescapular, humeral y central (véase fig. 1 27A).

El **grupo apical de ganglios axilares** está formado por los ganglios linfáticos del vértice de la axila, situados a lo largo de la cara medial de la vena axilar y de la primera parte de la arteria axilar. *El grupo apical recibe la linfa de todos los demás grupos de ganglios linfáticos axilares* y de los vasos linfáticos que acompañan a la porción proximal de la vena cefálica. Los vasos eferentes del grupo apical de ganglios se juntan en el **tronco subclavio**, que puede a su vez unirse a los troncos yugular y broncomediastínico del lado derecho para dar el **conducto linfático derecho**, o bien desembocar en el ángulo venoso derecho de manera independiente. En el lado izquierdo, el tronco subclavio suele unirse con el **conducto torácico** (fig. 6.27, A y B).

El **grupo pectoral (anterior) de ganglios linfáticos axilares** consta de tres a cinco ganglios linfáticos, situados a lo largo de la pared medial de la axila, alrededor de la vena torácica lateral y del borde inferior del músculo pectoral menor. El grupo pectoral de ganglios recibe sobre todo la linfa de la pared anterior del tórax, incluida la glándula mamaria. Los vasos linfáticos eferentes de estos ganglios llegan hasta los grupos central y apical de ganglios axilares.

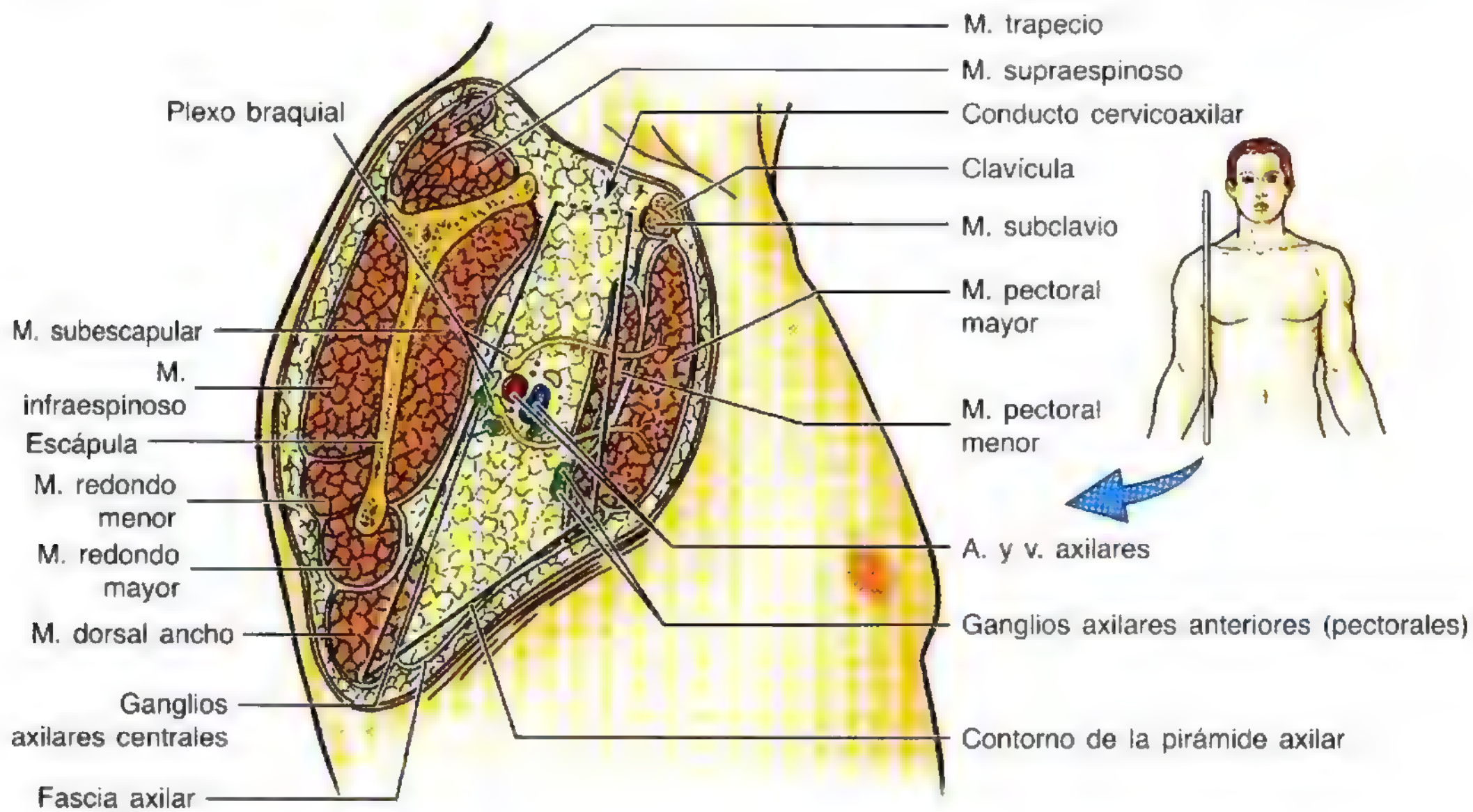
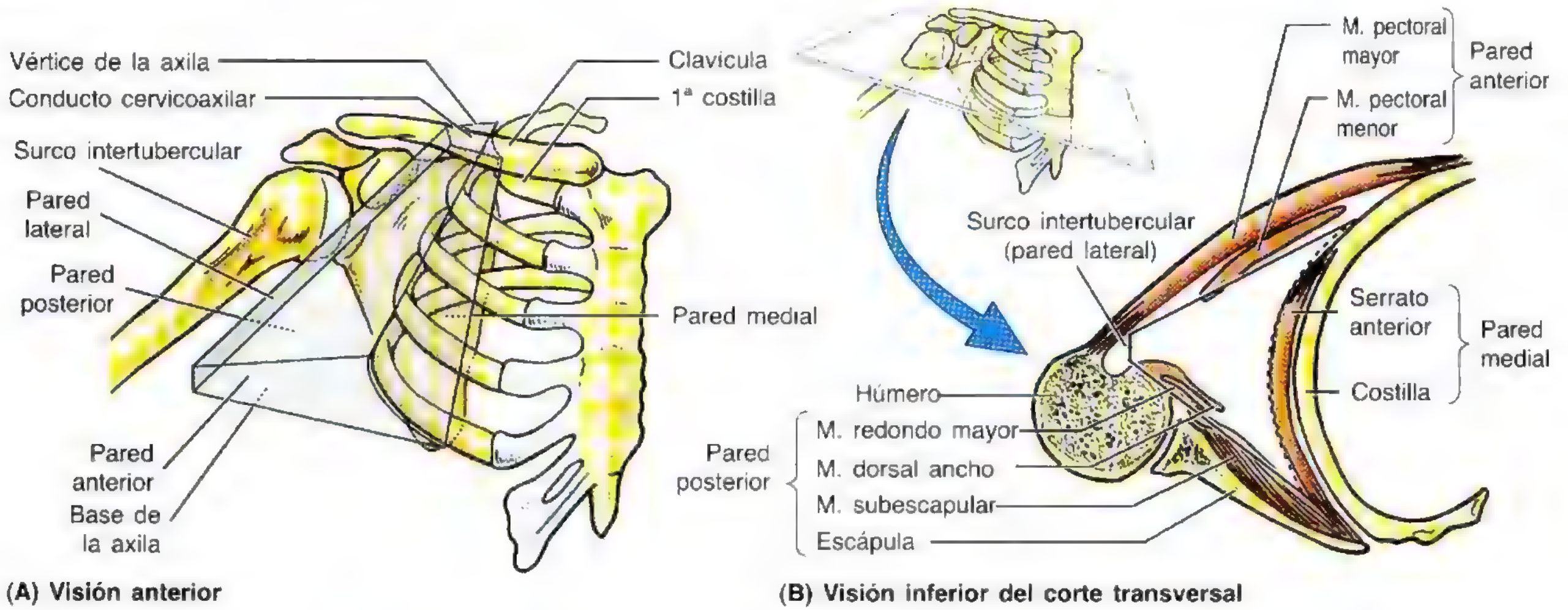
El **grupo subescapular (posterior) de ganglios linfáticos axilares** lo componen seis o siete ganglios linfáticos, que se encuentran a lo largo del pliegue axilar posterior y los vasos sanguíneos subescapulares. Este grupo de ganglios linfáticos recibe la linfa de la cara posterior de la pared torácica y de la región escapular. Los vasos linfáticos eferentes pasan de estos ganglios hasta los grupos central y apical de ganglios axilares.

El **grupo humeral (lateral) de ganglios axilares** se compone de cuatro a seis ganglios linfáticos, que se encuentran a lo largo de la pared lateral de la axila, mediales y posteriores a la vena axilar. Este grupo de ganglios linfáticos recibe casi toda la linfa del miembro superior, salvo la transportada por los vasos linfáticos que acompañan a la vena cefálica, que drenan a los ganglios axilares centrales y apicales.

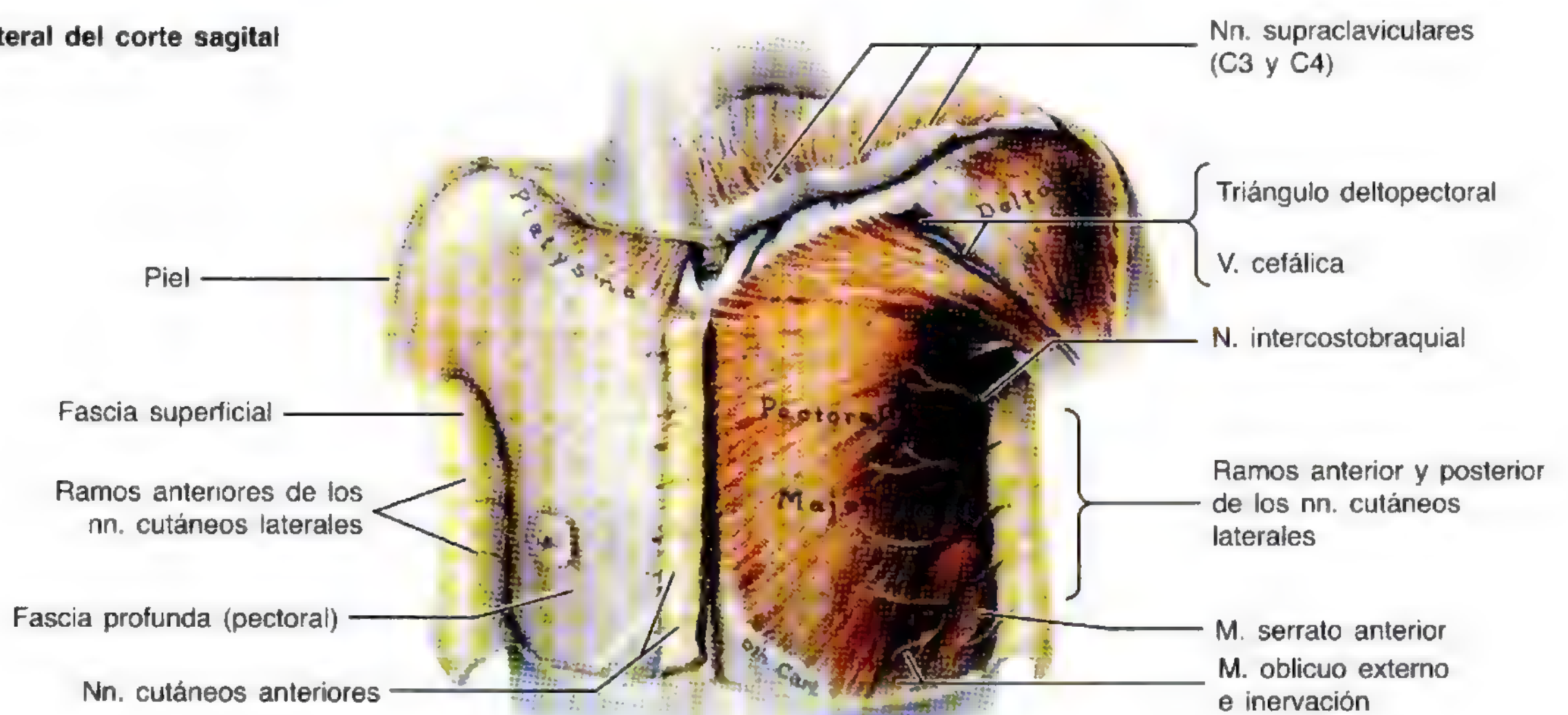
El **grupo central de ganglios axilares** está formado por tres o cuatro grandes ganglios, en la profundidad del músculo pectoral menor, cerca de la base de la axila, asociados con la segunda parte de la arteria axilar. Como su propio nombre indica, *el grupo central recibe linfa de los grupos pectoral, subescapular y humeral de ganglios linfáticos axilares*. Los vasos eferentes de este grupo central se dirigen al grupo apical de ganglios linfáticos.

Adenopatías axilares

Los ganglios linfáticos axilares pueden aumentar de tamaño y provocar dolor con las infecciones del miembro superior. El grupo de los ganglios humerales es ▶



(C) Visión lateral del corte sagital



(D)

► el primero que se afecta en las *linfangitis* (inflamación de los vasos linfáticos, por ejemplo tras una infección de la mano). La linfangitis se caracteriza por la aparición de estrías cutáneas dolorosas, eritematosas y calientes. Las infecciones de la región pectoral y de la mama, incluida la porción superior del abdomen, también pueden incrementar el tamaño de los ganglios linfáticos axilares. Los ganglios linfáticos suelen adherirse a la vena axilar en los carcinomas (cáncer) del grupo apical, lo que obliga a extirpar parte de estos vasos. El aumento del grupo de ganglios linfáticos apicales puede obstruir la vena cefálica por encima del músculo pectoral menor.

Disección de los ganglios axilares

La extirpación y análisis anatomopatológico de los ganglios linfáticos axilares se requiere, de ordinario, para la

estadificación y el tratamiento de las enfermedades malignas como el cáncer de mama (véase el capítulo 1). Durante la disección de los ganglios linfáticos axilares se corre el peligro de lesionar dos nervios. En la cirugía hay que identificar el *nervio torácico largo* y mantenerlo contra la pared torácica. Como se expuso más arriba, la sección del nervio torácico largo que se dirige al músculo serrato anterior provoca una escápula alada (pág. 702). Si se secciona el *nervio toracodorsal* para el músculo dorsal ancho se debilitan la rotación medial y la aproximación del brazo, pero no ocurre ninguna deformidad. Si los ganglios linfáticos que rodean el nervio presentan una transformación claramente maligna, a veces hay que sacrificar éste, porque es necesario extirpar los ganglios para que las probabilidades de erradicación de todas las células malignas aumenten. ❊

El plexo braquial

Casi todos los nervios de miembro superior nacen en el **plexo braquial** —gran red nerviosa que inerva el miembro superior—, que comienza en el cuello y se extiende a la axila. Casi todos los ramos del plexo braquial se originan en la axila (una vez que cruza la 1ª costilla). *El plexo braquial se crea por la unión de los ramos ventrales de los nervios C5 a C8 y la porción mayor del ramo ventral de T1* (fig. 6.28, tabla 6.4). Los ramos ventrales de los cuatro últimos nervios cervicales y de los primeros nervios torácicos forman las **raíces del plexo braquial**; suelen pasar por una hendidura entre los músculos escaleno anterior y medio con la arteria subclavia. Las fibras simpáticas transportadas por cada raíz del plexo provienen de los ramos grises de los ganglios cervicales medio e inferior y pasan entre los músculos escalenos (fig. 6.29). *Las raíces del plexo cervical se unen en la parte inferior del cuello para dar tres troncos* (fig. 6.28):

- El **tronco superior**, formado por la unión entre las raíces C5 y C6.
- El **tronco medio**, prolongación de la raíz C7.
- El **tronco inferior**, creado por la unión entre las raíces C8 y T1.

Cada tronco del plexo braquial se bifurca en las divisiones anterior y posterior a su paso detrás de la clavícula (por el conducto cervicoaxilar). Las divisiones anteriores inervan los compartimientos anteriores (flexores) del miembro, y las posteriores, los compartimientos posteriores (extensores).

Las divisiones del plexo braquial dan tres fascículos:

- Las divisiones anteriores de los troncos superior y medio se unen para formar el **fascículo lateral**.
- La división anterior del tronco inferior se prolonga como **fascículo medial**.
- Las divisiones posteriores de los tres troncos se unen en el **fascículo posterior**.

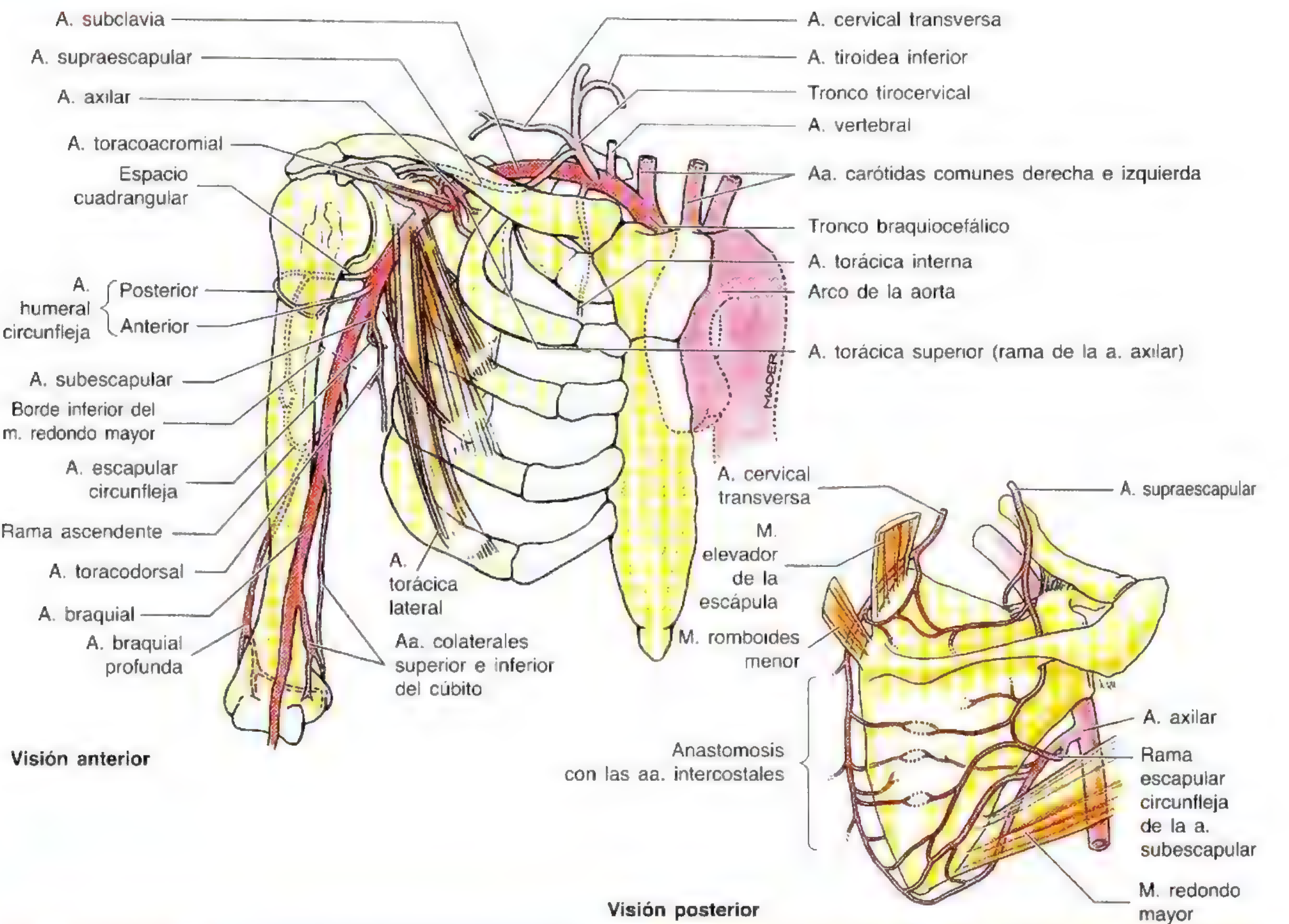
Los fascículos del plexo braquial guardan relación con la segunda parte de la arteria axilar, como indican sus nombres (p. ej., el fascículo lateral queda lateral a la arteria axilar, aunque parezca que se encuentra encima de la arteria porque se ve más fácilmente cuando se separa el miembro).

La clavícula divide el plexo braquial en las **porciones supraclavicular e infraclavicular** (tabla 6.4).

- *Los ramos supraclaviculares del plexo braquial* emergen de las raíces (ramos ventrales) y troncos del plexo braquial (nervio dorsal de la escápula, nervio torácico largo, ner-

Figura 6.23. Localización, límites y contenido de la axila. **A.** Dibujo que ilustra cómo la axila es un espacio piramidal situado bajo la articulación del hombro y encima de la parte de la fosa axilar, en la unión del brazo con el tórax. Se observan el vértice, la base y las paredes de la axila. **B.** Corte transversal de la axila, donde aparecen sus tres paredes musculares. La pared lateral u osea, pequeña, de la axila corresponde al surco intertubercular (o crotal) del húmero. **C.** Corte sagital del hombro para visualizar el contenido de la axila y los músculos escapulares y pectorales que crean sus paredes posterior y anterior respectivamente. La *arteria axilar* como puede verse, está rodeada por el *plexo braquial*, un gran plexo nervioso formado por los ramos primarios ventrales de 5º nervio cervical hasta el 1º nervio torácico que inervan el miembro superior. **D.** Disección superficial de la región pectoral de un hombre. El músculo pectoralis, subcutáneo que desciende desde el cuello hasta la 2ª o 3ª costillas, se ha cortado en el lado derecho y se ha rechazado en el izquierdo, junto con los nervios supraclaviculares. El borde inferior del músculo pectoralis mayor forma el pliegue axilar anterior.

Tabla 6.3. Las arterias de la parte proximal del miembro superior



Arteria	Origen	Trayectoria
Torácica interna	Cara inferior de la a. subclavia	Desciende, inclinándose anteromedialmente, detrás de la extremidad esternal de la clavícula y del cartilago costal y entra en el tórax
Tronco tirocervical	Cara anterior de la primera parte de la a. subclavia	Asciende como un tronco corto y ancho y emite cuatro ramas: aa. supraescapular, cervical transversa, cervical ascendente y tiroidea inferior
Supraescapular	Tronco tirocervical	Baja lateralmente sobre el m. escaleno anterior y el n. frénico, cruza la a. subclavia y el plexo braquial, y sigue lateralmente detrás y paralela a la clavícula; luego llega a la cara posterior de la escápula para irrigar los mm. supraespinoso e infraespinoso
Torácica superior	Sólo la rama de la primera parte de la a. axilar	Se dirige anteromedialmente por el borde superior del m. pectoral menor y después discurre entre este músculo y el pectoral mayor hasta la pared torácica; contribuye a irrigar el 1º y 2º espacios intercostales y la parte superior del m. serrato anterior
Toracoacromial	Segunda parte de la a. axilar, en la profundidad del m. pectoral menor	Rodea el borde superomedial del m. pectoral menor, perfora la fascia clavipectoral y se divide en cuatro ramas
Torácica lateral	Segunda parte de la a. axilar	Desciende por el borde axilar del m. pectoral menor y lo sigue sobre la pared torácica
Subescapular	Tercera parte de la a. axilar	Desciende por el borde lateral del m. subescapular y el borde axilar de la escápula hasta el ángulo inferior, por donde pasa a la pared torácica
A. escapular circunfleja	A. subescapular	Rodea el borde axilar de la escápula y entra en la fosa infraespinosa

Tabla 6.3. (Continuación) **Las arterias de la parte proximal del miembro superior**

Arteria	Origen	Trayectoria
Toracodorsal	Arteria subescapular	Continúa e trayecto de la a. subescapular y acompaña al n. toracodorsal para el m. dorsal ancho
Circunfleja humeral anterior y posterior	Tercera parte de la a. axilar	Estas arterias se anastomosan formando un círculo alrededor de cuello quirúrgico del húmero; la a. humeral circunfleja posterior, más grande, atraviesa el espacio cuadrangular con el n. axilar
Braquial profunda	A. braquial, cerca del origen	Acompaña al n. radial por el surco radial del húmero y participa en las anastomosis de codo
Colateral del cubito (superior e inferior)	La a. colateral superior del cúbito nace de la a. braquial, cerca del tercio medio del brazo; la a. colateral inferior del cúbito se origina en la a. braquial, justo encima del codo	La a. colateral superior del cúbito acompaña al n. cubital hasta la cara posterior del codo, la a. colateral inferior del cúbito se divide en las ramas anterior y posterior; las dos aa. colaterales del cúbito participan en las anastomosis del codo.

vio para el músculo subclavio y nervio supraescapular) y son accesibles desde el cuello.

- *Los ramos infraclaviculares del plexo braquial* emergen de los fascículos del plexo braquial y son accesibles desde la axila.

Los ramos supraclaviculares del plexo braquial

El **nervio dorsal de la escápula** nace sobre todo en la cara posterior del ramo ventral de C5 y suele recibir un pequeño ramo de C4. Perfora el músculo escaleno medio, discurre detrás del músculo elevador de la escápula (al que in-

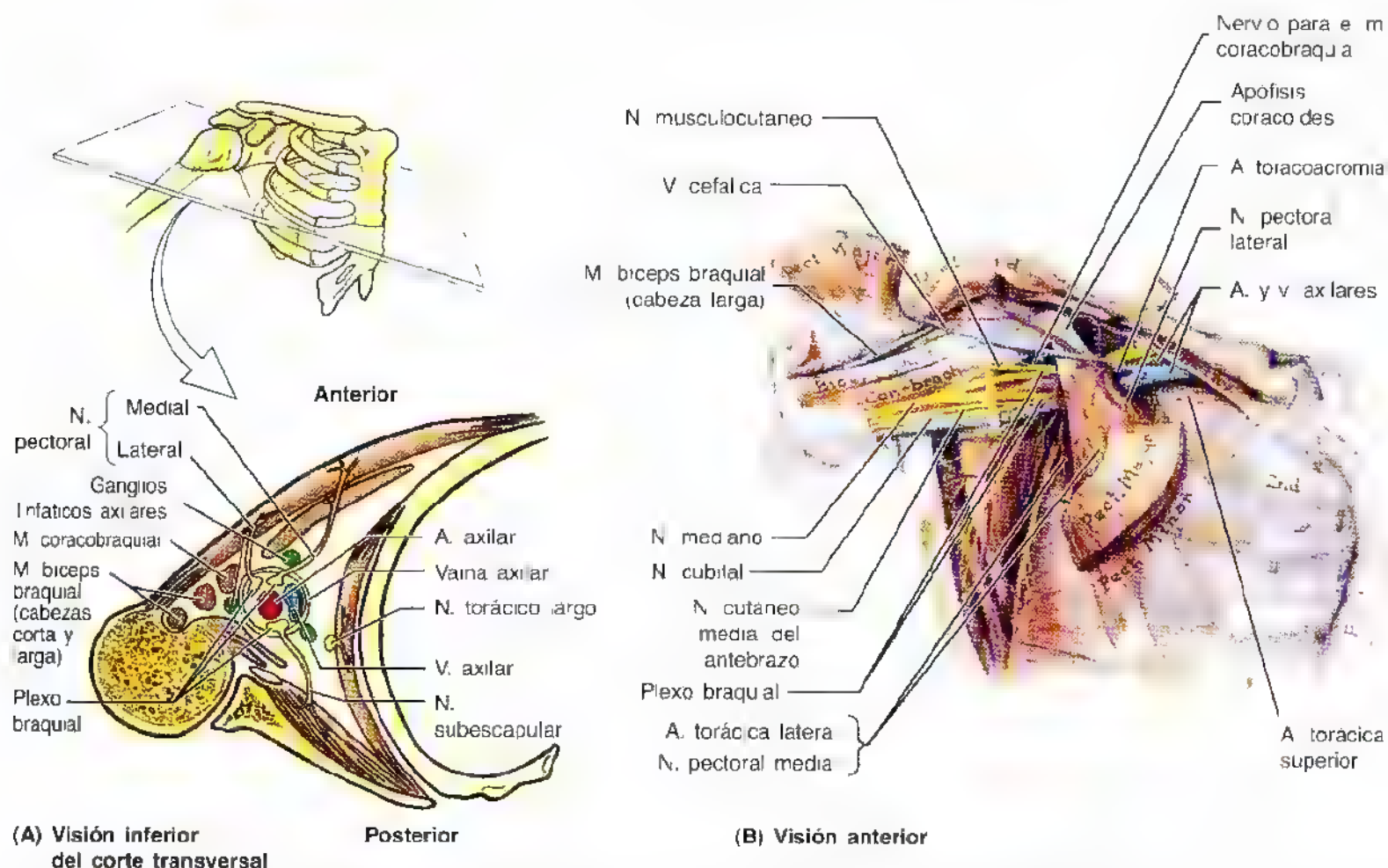


Figura 6.24. Las estructuras neurovasculares de la axila. **A.** Visión inferior de un corte transversal de la axila. Examínese el contenido de la axila, en particular la vaina axilar que rodea la arteria y la vena axilares y los tres fascículos del plexo braquial. **B.** Estructuras de la axila. Se ha extirpado casi todo el músculo pectoral mayor y la totalidad de la fascia clavipeitoral y de la vaina axilar. Obsérvese cómo el plexo braquial aparece rodeando la arteria axilar por sus caras lateral y medial (parece como si se tratara de las caras superior e inferior puesto que el miembro se encuentra separado) y también por la cara posterior (que no puede apreciarse en esta proyección).

va en grado variable) y termina en la cara profunda de los romboides, a los que inerva.

El **nervio torácico largo** emerge de la cara posterior de los ramos ventrales de C5, C6 y C7 y atraviesa el vértice de la axila (conducto cervicoaxilar), detrás de otros componentes del plexo braquial, hasta inervar el *músculo serrato anterior*. Las raíces de C5 y C6 perforan el músculo escaleno medio, y la raíz de C7 pasa delante de este músculo.

El **nervio para el músculo subclavio**, un nervio fino, nace en la cara anterior del tronco superior del plexo braquial. Recibe sobre todo fibras de C5 y a veces algunas de C4 y C6. Desciende detrás de la clavícula y delante del plexo braquial para distribuirse por el músculo subclavio.

El **nervio supraescapular** surge de la cara posterior del tronco superior del plexo braquial y recibe fibras de C5, C6 y, con frecuencia, C4. Inerva los *músculos supraespinoso e infraespinoso* y la articulación escapulohumeral. En su trayecto hacia los músculos, este nervio pasa lateralmente por

el triángulo posterior del cuello, encima del plexo braquial (fig. 6.29), y atraviesa la escotadura escapular (tabla 6.4). Los ramos articulares para la cápsula de la articulación escapulohumeral emergen de las porciones intramusculares de los ramos musculares.

Los ramos infraclaviculares del plexo braquial

El **fascículo lateral del plexo braquial**, que transporta sobre todo fibras de C5 a C7, *posee tres ramos* (fig. 6.30, A y B, tabla 6.4):

- Un ramo lateral, el nervio pectoral lateral.
- Dos ramos terminales, el nervio musculocutáneo y la raíz lateral del nervio mediano.

El **nervio pectoral lateral** (C5, C6 y C7) perfora la fascia clavipectoral para inervar el músculo pectoral mayor (fig. 6.30A). Asimismo emite un ramo para el nervio pectoral medial que se dirige al músculo pectoral menor. El

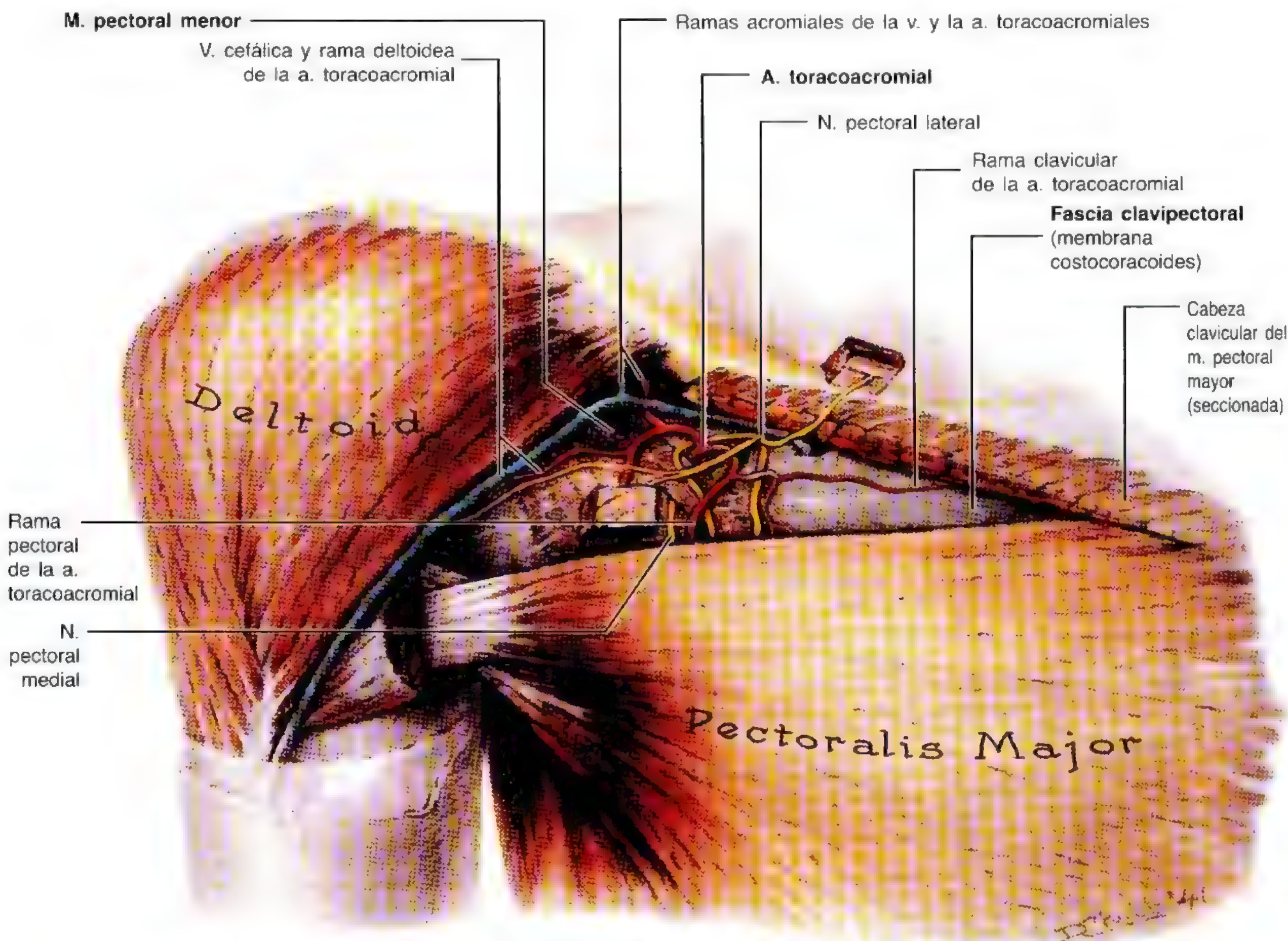


Figura 6.25. Pared anterior de la axila. La cabeza clavicular del músculo pectoral mayor se ha extirpado, salvo los extremos de inserción en la clavícula y en el húmero y dos pequeños fragmentos para identificar los nervios. La pared anterior de la axila la forman los músculos pectoral mayor y menor (y las fascias pectoral y clavipectoral que los envuelven). El músculo pectoral mayor cubre toda la pared y da el pliegue axilar anterior. Entre el borde superior del músculo pectoral menor y la clavícula se extiende la membrana costocoracoides, parte de la fascia clavipectoral.

nervio pectoral lateral puede, de hecho, nacer del fascículo lateral, encima o debajo de la clavícula; sin embargo, cuando nace encima de la clavícula acompaña al fascículo lateral hasta la axila.

El **nervio musculocutáneo** (C5 a C7) sale de la axila, perforando el músculo coracobraquial —al que inerva—, y se dirige entre los músculos bíceps braquial y braquial (figs. 6.28 y 6.30B), a los que también inerva. Así pues, el nervio musculocutáneo se distribuye por todos los músculos del compartimiento anterior del brazo y se continúa como nervio cutáneo lateral del antebrazo.

El **nervio mediano** surge de las raíces lateral y medial de los fascículos lateral y medial del plexo braquial, respectivamente. El nervio mediano inerva principalmente los músculos flexores del compartimiento anterior del antebrazo, la piel de parte de la mano y cinco músculos de la mano.

El **fascículo medial del plexo braquial**, que transporta fibras de C8 y T1, *tiene cinco ramos:*

- Tres ramos laterales: el nervio pectoral media., el nervio cutáneo medial del brazo y el nervio cutáneo medial del antebrazo.

- Dos ramos terminales: el nervio cubital y la raíz media del nervio mediano.

El **nervio pectoral medial** (C8, T1) es un nervio fino (fig. 6.30A) que atraviesa el músculo pectoral menor, al que inerva, y luego se continúa para distribuirse por el músculo pectoral mayor. Pese a su denominación como nervio pectoral medial (porque surge del fascículo medial del plexo braquial), *se sitúa lateral al nervio pectoral lateral*.

El **nervio cutáneo medial del brazo** (C8, T1) es un nervio fino, que inerva la piel de la cara medial del brazo y la parte superior del antebrazo.

El **nervio cutáneo medial del antebrazo** (C8, T1) es un nervio mucho mayor, que discurre entre la arteria y la vena axilares y se dirige a la piel de la cara medial del antebrazo. Debido a que tiene un tamaño y una posición parecidos a los del nervio cubital (fig. 6.11), el nervio cutáneo medial del antebrazo suele confundirse con el nervio cubital y ha recibido el apodo de "nervio bufón".

El **nervio cubital** (C8, T1 y a veces C7) atraviesa el brazo y se dirige al antebrazo sin ramificarse (figs. 6.28 y 6.30C). Inerva un músculo y medio del compartimiento anterior del antebrazo (músculo flexor cubital del carpo y

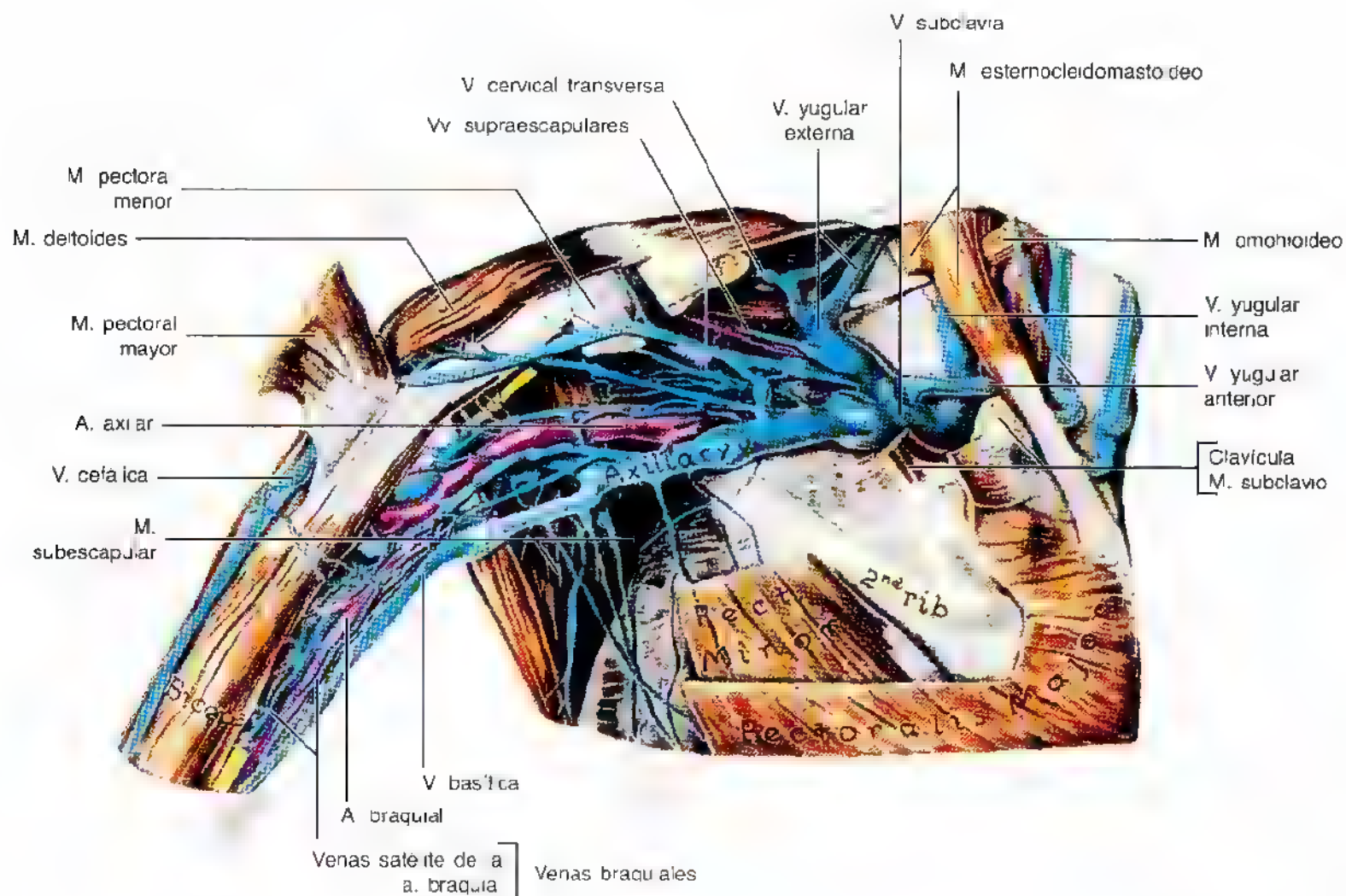
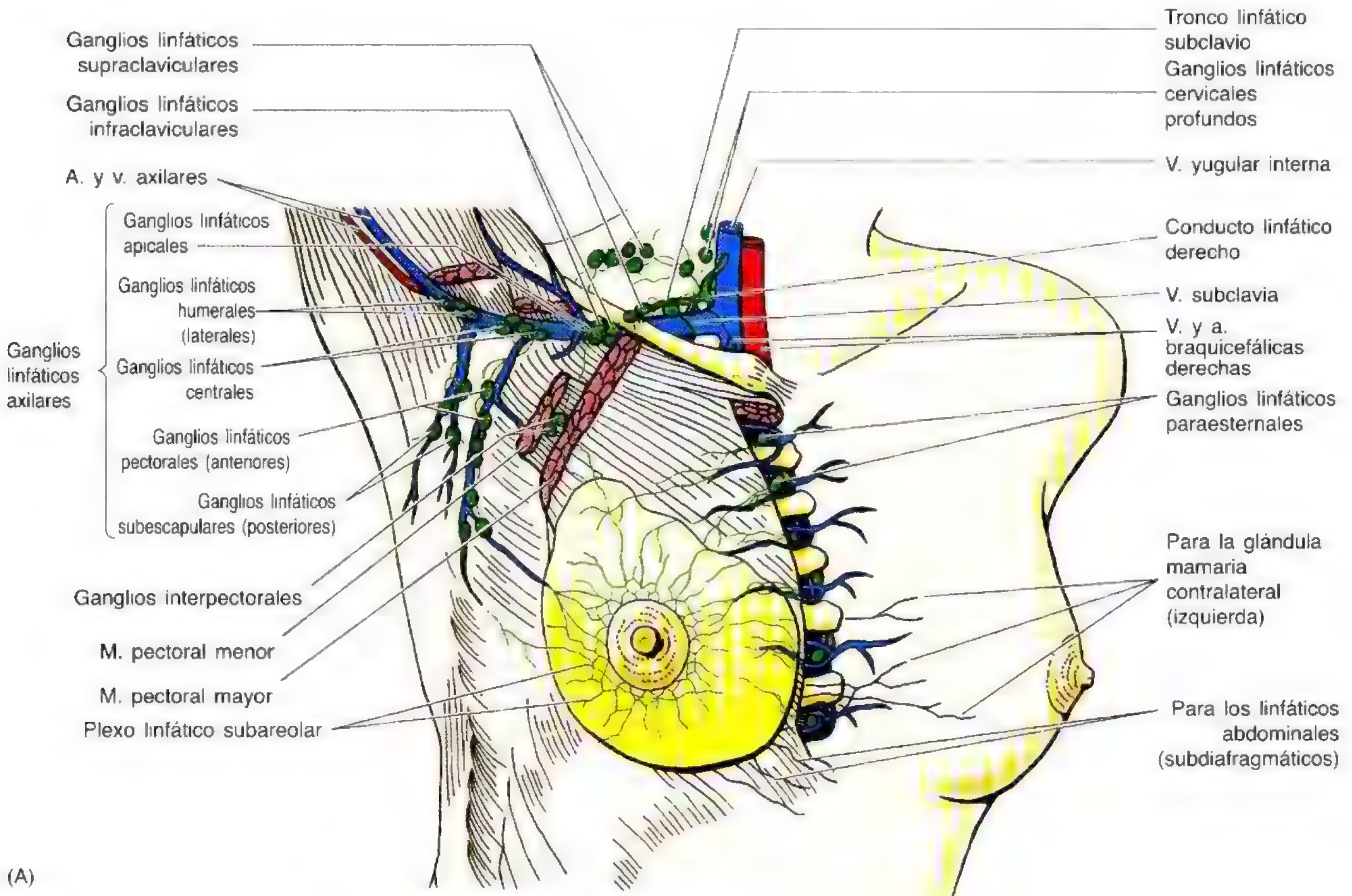
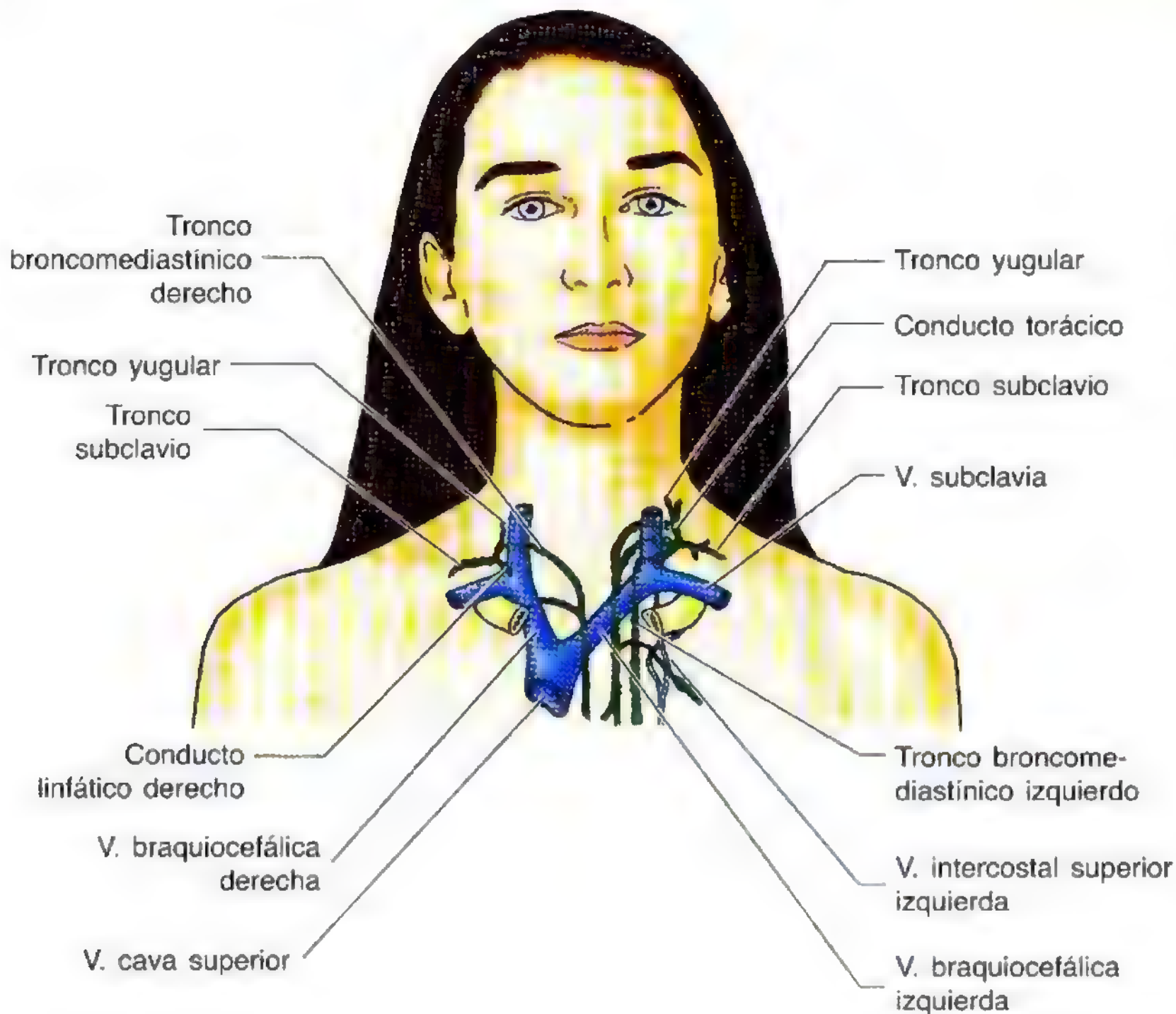


Figura 6.26. Las venas de la axila. Visión anterior. Se observa cómo la vena basilica llega hasta la axila siguiendo un curso paralelo al de la arteria axilar; anse une con las venas satélite de la arteria axilar para dar la vena axilar. Obsérvese también el gran número de venas muy variadas de la axila que son asimismo afluentes de la vena axilar.



(A)



(B)

Figura 6.27. Ganglios linfáticos axilares y drenaje linfático de la mitad superior del miembro y de la glándula mamaria.

A. Se observan los cinco grupos de ganglios linfáticos axilares. Casi todos los vasos linfáticos del miembro superior terminan en los ganglios linfáticos humerales (braquiales o laterales) y centrales, pero los que acompañan a la parte superior de la vena cefálica desembocan en los ganglios apicales. **B.** La linfa que llega a los ganglios axilares penetra en los vasos linfáticos que dan el *tronco linfático subclavio*, que suele desembocar en la unión de las venas yugular interna y subclavia. A veces se une, en el lado derecho, con los troncos linfáticos yugular o broncomediastínico para formar un *conducto linfático derecho* breve; generalmente, en el lado izquierdo, entra por donde termina el *conducto torácico*. Los vasos linfáticos de la glándula mamaria se expusieron en el capítulo 1.

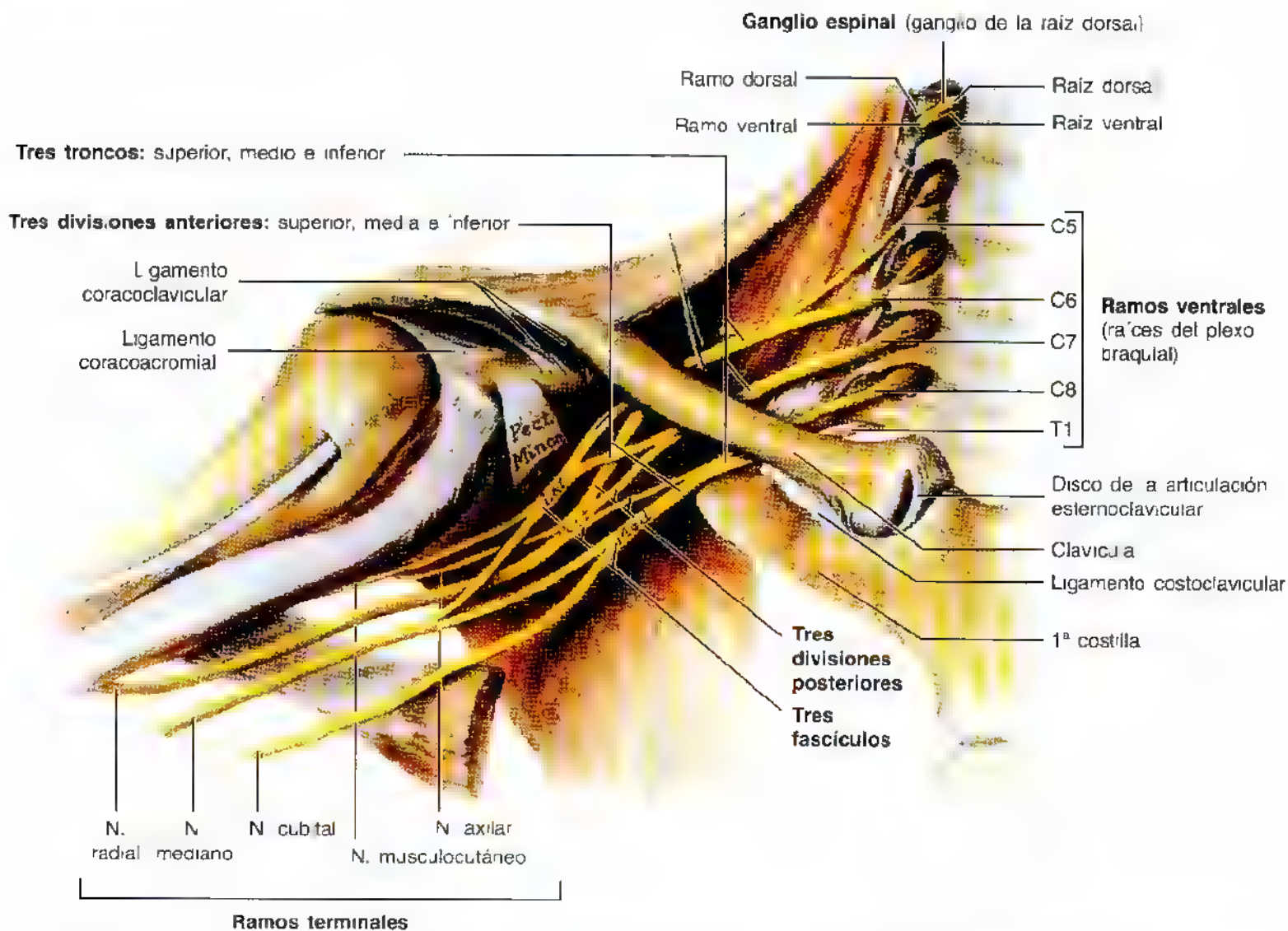


Figura 6.28. Formación del plexo braquial. Esta gran red nerviosa nervia el miembro superior y la región de hombro. El plexo braquial está formado por los ramos ventrales del 5º al 8º nervios cervicales y por la mayor parte del ramo del 1º nervio torácico (raíces del plexo braquial). A veces el 4º nervio cervical y el 2º torácico envían pequeñas contribuciones. Observe la fusión y la prolongación de algunas raíces de plexo para los tres troncos, cada tronco se separa en las divisiones anterior y posterior; las divisiones se unen para formar tres fascículos. Los nervios terminales más importantes proceden de los fascículos.

porción cubital del músculo flexor profundo de los dedos [FPD]) y luego se continúa por la mano, donde inerva la mayoría de los músculos intrínsecos y la piel de la cara medial de la mano.

La **raíz medial del nervio mediano** se une con la raíz lateral para dar el **nervio mediano**, cuya distribución ya ha quedado descrita.

El **fascículo posterior del plexo braquial** (figs. 6.28, 6.30D y 6.31), que transporta las fibras de C5 a T1, también tiene *cinco ramos*:

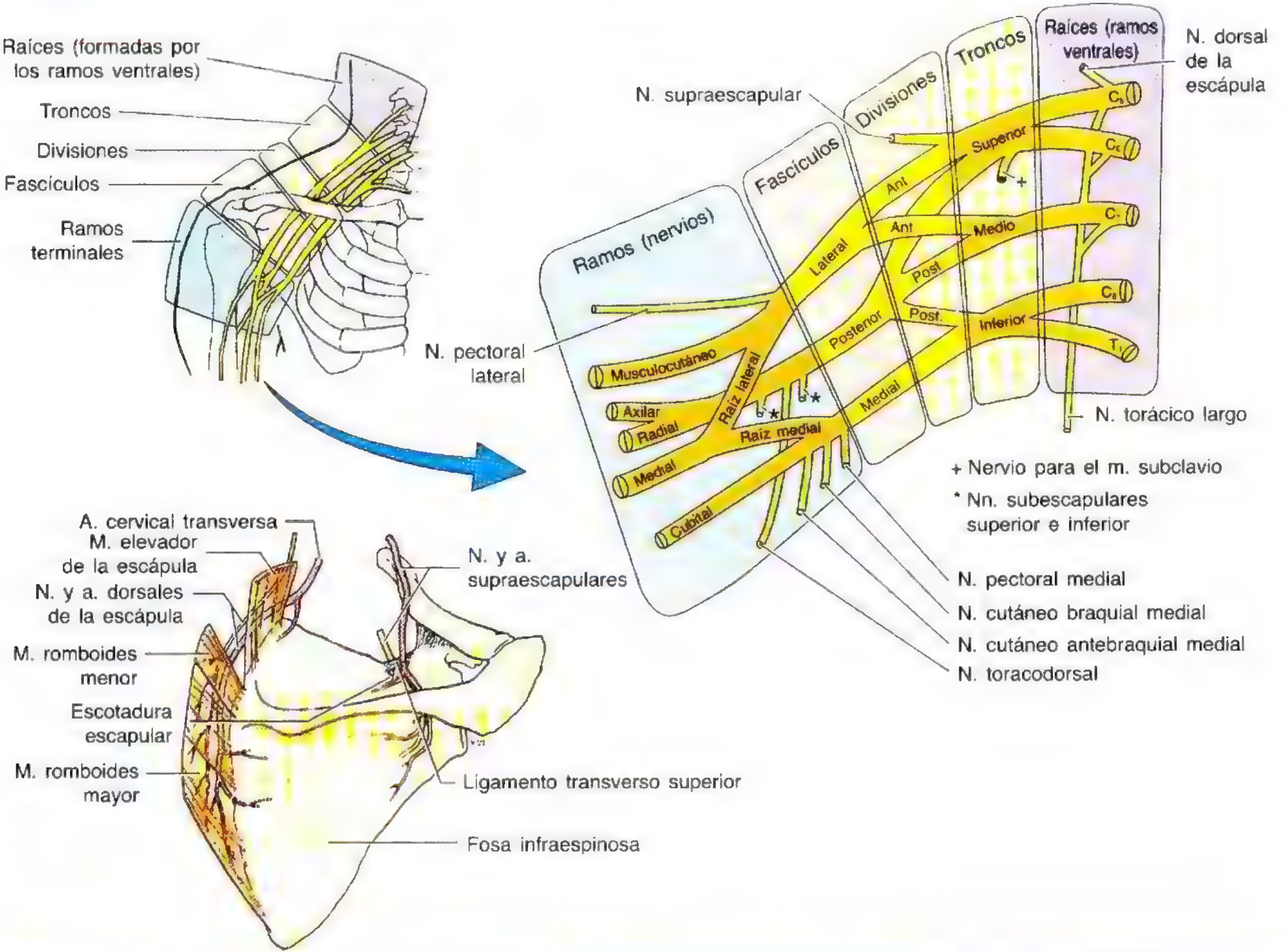
- Tres laterales: nervio subescapular superior, toracodorsal y subescapular inferior.
- Dos terminales: nervios axilar y radial.

El **nervio subescapular superior** (C5, C6) inerva el músculo subescapular; el **nervio toracodorsal** (C6, C7, C8) inerva el músculo dorsal ancho, y el **nervio subescapular inferior** (C6, C7), el redondo mayor, así como la parte inferior del músculo subescapular.

El **nervio axilar** (C5, C6), ramo terminal del fascículo posterior (fig. 6.30D) a su salida de la axila por el *espacio cuadrangular* (tabla 6.4). Después inerva el deltoides desde la cara posterior profunda y se continúa como *nervio cutáneo superolateral*, dirigiéndose a la piel de la mitad inferior del deltoides.

El **nervio radial** (C5 a C8, T1), el otro ramo terminal del fascículo posterior, es *el ramo mayor del plexo braquial* (fig. 6.30D). Inerva todos los músculos extensores de los compartimientos posteriores del miembro superior y la piel de la cara posterior del brazo y del antebrazo. El nervio radial se sitúa en la axila, detrás de la arteria axilar y delante de los músculos subescapular, redondo mayor y dorsal ancho. Cuando abandona la axila, el nervio radial baja detrás y lateral, entre las cabezas larga y medial del tríceps. Entra en el surco para el nervio radial del húmero, donde puede lesionarse en caso de fractura humeral.

Tabla 6.4. El plexo braquial y los nervios del miembro inferior



Nervio	Origen	Trayectoria	Distribución
Ramos supra-claviculares			
Dorsal de la es-cápula	Ramo ventral de C5, con una con-tribución frecuente de C4	Atraviesa el m. escaleno medio, des-ciende en la profundidad del m. ele-vador de la escápula y entra en la cara profunda del romboides	Inerva los mm. romboides y, a veces, el m. elevador de la escápula
Torácico largo	Ramos ventrales de C5-C7	Desciende detrás de los ramos C8 y T1 y sigue distalmente sobre la cara externa del m. serrato anterior	Inerva el m. serrato anterior
Nervio para el m. subclavio	Tronco superior, con fibras de C5 y C6 y, a menudo, C4	Desciende detrás de la clavícula y delante del plexo braquial y de la a. subclavia	Inerva el m. subclavio y la articulación esternoclavicular
Supraescapular	Tronco superior, con fibras de C5 y C6 y, a menudo, C4	Sigue lateral por el triángulo posterior del cuello, a través de la escotadura de la escápula, debajo del ligamento transverso superior de la escápula	Inerva los mm. supraespinoso e in-fraespinoso y la articulación escapulo-humeral (hombro)

Tabla 6.4. (Continuación) El plexo braquial y los nervios del miembro inferior

Nervio	Origen	Trayectoria	Distribución
Ramos infra-claviculares			
Pectoral lateral	Fascículo lateral, con fibras de C5-C7	Atraviesa la fascia clavipectoral para alcanzar la cara profunda de los mm. pectorales	Inerva, sobre todo, el m. pectoral mayor, pero envía un bucle para el n. pectoral medial que inerva el m. pectoral menor
Musculocutáneo	Fascículo lateral, con fibras de C5-C7	Entra en la cara profunda de m. coracobraquial y se extiende entre los mm. bíceps braquial y braquial	Inerva los mm. coracobraquial, bíceps braquial y braquial; se continúa con el n. cutáneo antebrachial lateral
Mediano	La raíz lateral es una prolongación del fascículo lateral, que recibe fibras de C6 y C7, la raíz medial es una prolongación del fascículo medial que recibe fibras de C8 y T1	La raíz lateral se junta con la medial para formar el n. mediano, lateral a la axilar	Inerva los mm. flexores del antebrazo (excepto el flexor cubital del carpo y la mitad cubital del flexor profundo de los dedos) y 5 músculos de la mano
Pectoral medial	Fascículo medial, con fibras de C8 y T1	Pasa entre la a. y la v. axilares y entra en la cara profunda del m. pectoral menor	Inerva el m. pectoral menor y parte del pectoral mayor
Cutáneo braquial medial	Fascículo medial, con fibras de C8 y T1	Discurre por la cara medial de la v. axilar y se comunica con el n. intercostobraquial	Inerva la piel de la cara medial del brazo
Cutáneo antebrachial medial	Fascículo medial, con fibras de C8 y T1	Discurre entre la a. y la v. axilares	Inerva la piel de la cara medial del antebrazo
Cubital	Ramo terminal del fascículo medial, con fibras de C8 y T1 y, a menudo, C7	Desciende por la cara medial del brazo y discurre detrás del epicondilo medial hasta llegar al antebrazo	Inerva uno y medio músculos flexores del antebrazo, casi todos los músculos pequeños de la mano y la piel de la mano medial a una línea que biseca el 4º dedo (dedo anular)
Subescapular superior	Ramo del fascículo posterior, con fibras de C5 y C6	Tiene un curso posterior y entra en el m. subescapular	Inerva la porción superior de m. subescapular
Toracodorsal	Ramo de fascículo posterior con fibras de C6-C8	Nace entre los nn. subescapulares superior e inferior y desciende lateralmente por la pared axilar posterior hasta el m. dorsal ancho	Inerva el m. dorsal ancho
Subescapular inferior	Ramo del fascículo posterior, con fibras de C5 y C6	Tiene un trayecto inferolateral, en la profundidad de la a. y la v. subescapulares, y termina en el m. subescapular y redondo mayor	Inerva la porción inferior de los mm. subescapular y redondo mayor
Axilar	Ramo terminal del fascículo posterior, con fibras de C5 y C6	Se dirige a la cara posterior del brazo por el espacio cuadrangular ^a , en compañía de la a. humeral circunfleja posterior; luego rodea el cuello quirúrgico del húmero; da el n. cutáneo braquial lateral	Inerva los mm. redondo menor y deltoides, la articulación del hombro y la piel situada sobre la porción inferior del deltoides
Radial	Ramo terminal del fascículo posterior, con fibras de C5-C8 y T1	Desciende detrás de la a. axilar; entra en el surco para el nervio radial con la a. braquial profunda y pasa entre las cabezas larga y media del tríceps	Inerva los mm. tríceps braquial, anconeo, braquiorradial y extensores del antebrazo; se distribuye por la piel de la cara posterior de brazo y del antebrazo a través de los nn. cutáneos posteriores del brazo y de antebrazo

^a El espacio cuadrangular limita por arriba con los mm. subescapular y redondo menor; por abajo con el m. redondo mayor; por la cara medial, con la cabeza larga del tríceps, y por la lateral, con el húmero.

Variaciones del plexo braquial

Son frecuentes las variaciones en la formación del plexo braquial (Bergman y cols., 1988). Además de los cinco ramos ventrales (C5 a C8 y T1) que forman las raíces del plexo braquial, los ramos ventrales de C4 o T2 pueden emitir algunas fibras. Cuando la raíz superior (ramo ventral) del plexo es C4 y la inferior, C8, se habla de *plexo braquial predeterminado*. Otra posibilidad es que la raíz superior sea C6 y la inferior T2, en cuyo caso se habla de *plexo braquial posdeterminado*. En este último caso, si el tronco inferior del plexo se comprime contra la 1ª costilla aparecen síntomas neurovasculares en el miembro superior. Se observan también variaciones de las siguientes estructuras:

- Formación de troncos, divisiones y fascículos.
- Origen y combinación de los ramos.
- Relaciones con la a. axilar y los mm. escalenos.

Las divisiones del tronco o la formación de los fascículos faltan en una u otras partes del plexo de algunas personas; sin embargo, la composición de los ramos terminales no varía. Además, los fascículos lateral o medial pueden recibir fibras de los ramos ventrales situados por encima o por debajo de los niveles habituales, respectivamente.

Como cada nervio periférico es una colección de fibras nerviosas unidas entre sí por el tejido conjuntivo, es comprensible que el nervio mediano, por ejemplo, tenga dos raíces mediales en lugar de una (es decir, las fibras nerviosas se agrupan tan sólo de forma distinta). Esto se debe a que las fibras del fascículo medial del plexo braquial se dividen en tres ramos, dos que forman el nervio mediano y el tercero que da el nervio cubital. A veces, todo resulta más confuso si las dos raíces mediales están totalmente separadas; no obstante, conviene recordar que si bien el nervio mediano puede tener dos raíces mediales,

los componentes del nervio son los mismos (es decir, los impulsos surgen del mismo lugar y alcanzan el mismo destino cuando atraviesan una o las dos raíces).

Lesiones del plexo braquial

Las lesiones del plexo braquial tienen importancia porque influyen en los movimientos y sensibilidad cutánea del miembro superior. Las enfermedades, el estiramiento y las heridas del triángulo posterior del cuello de la axila pueden ocasionar lesiones del plexo braquial. Los signos y los síntomas dependen de la porción del plexo afectada. Las lesiones del plexo braquial provocan *parálisis* y *anestesia*. La exploración de la capacidad del paciente para efectuar los movimientos permite conocer el grado de parálisis. En la *parálisis completa* no se detecta ningún movimiento y en la incompleta no llegan a paralizarse todos los músculos; por eso, el paciente se puede mover, pero los movimientos son más débiles que en el lado sano. El grado de anestesia se explora a través del dolor (p. ej., pinchando la piel con un alfiler).

Las lesiones de las partes superiores del plexo braquial (C5 y C6) suelen obedecer a un incremento brusco del ángulo que forman el cuello y el hombro. Estas lesiones suceden cuando una persona es arrojada de una motocicleta o de un caballo y aterriza con el hombro separado del cuello (A). Al ser lanzado, el hombro suele golpear contra un objeto (p. ej., un árbol o el suelo) y se detiene pero la cabeza y el tronco continúan moviéndose. De esta manera se estiran o desgarran (avulsión) las partes superiores del plexo braquial. La lesión del tronco superior del plexo se manifiesta por la postura característica del miembro ("posición de petición de propina del camareero"), en la que el miembro cuelga a un lado en rotación medial (B). Las lesiones superiores del plexo braquial ►



(A)



(B)



(C)

► también ocurren en los recién nacidos si se estira en exceso del cuello durante el parto (C).

Se han utilizado diversos términos para describir las lesiones de la parte superior del plexo braquial: *parálisis de Erb*, *parálisis de Erb-Duchenne*, *parálisis de Duchenne-Erb* y *síndrome radicular superior* (radicular se refiere a las raíces del plexo). En cualquiera de los casos, se produce una parálisis de los músculos del hombro y del brazo inervados por los nervios espinales C5 y C6: deltoides, bíceps, braquial y braquiorradial. El aspecto clínico habitual es el del miembro superior con el hombro aproximado, el brazo en rotación medial y el codo extendido. Se observa, además, pérdida de la sensibilidad en la cara lateral del miembro superior. Los microtraumatismos crónicos del tronco superior del plexo braquial producidos por el transporte de mochilas pesadas ocasionan a veces déficit motores y sensitivos en la distribución de los nervios musculocutáneo y radial. La lesión de la parte alta del plexo superior induce espasmos musculares y discapacidad grave en los excursionistas (*parálisis de la mochila*) que transportan mochilas pesadas durante mucho tiempo.

La *neuritis aguda del plexo braquial* (neuropatía del plexo braquial) es un trastorno neurológico de causa desconocida que se caracteriza por dolor agudo de inicio brusco, generalmente alrededor del hombro (Rowland, 1995). Casi siempre, el dolor comienza por la noche y se sigue, al poco tiempo, de debilidad muscular y, en ocasiones, de atrofia (*amiotrofia neurológica*). La inflamación del plexo braquial (*neuritis braquial*) va precedida en muchos

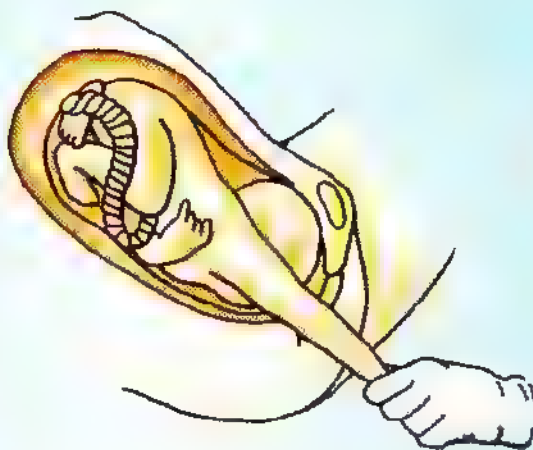
casos de algún episodio (p. ej., infección respiratoria alta, vacunación, traumatismo inespecífico). Las fibras nerviosas afectadas suelen proceder del tronco superior del plexo braquial.

La *compresión de los fascículos del plexo braquial* se debe, en algunos casos, a una hiperabducción prolongada del brazo al realizar determinadas tareas manuales con los brazos levantados sobre la cabeza, por ejemplo al pintar o poner escayola en un techo. El fascículo se ve pinzado o comprimido entre la apófisis coracoides de la escápula y el tendón del músculo pectoral menor. Los *síntomas neurológicos habituales* comprenden dolor que baja por el brazo, acorchamiento, parestesias (hormigueo), eritema (enrojecimiento de la piel causado por dilatación vascular) y debilidad en las manos. Estos signos y síntomas se deben a la *compresión de los vasos y nervios axilares*. La compresión de la arteria y de la vena axilares produce isquemia del miembro superior y distensión de las venas superficiales. Estos signos y síntomas forman parte del *síndrome de hiperabducción del miembro superior*.

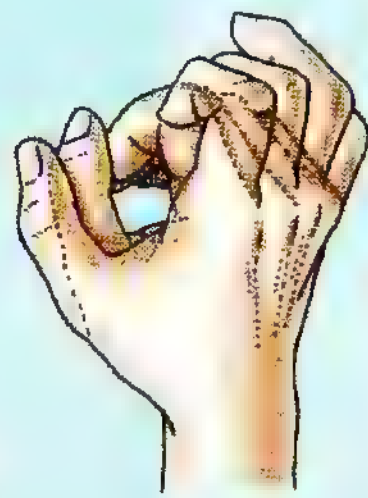
Las lesiones de la parte inferior del plexo son bastante más raras. Este tipo de lesiones ocurre, por ejemplo, al traccionar de forma brusca el miembro hacia arriba, cuando una persona se agarra a algún objeto para evitar una caída (D), o cuando se tira en exceso del miembro superior del recién nacido en el parto (E). Las porciones inferiores del plexo braquial también se pueden dañar en un parto de nalgas si se tira de los miembros del pequeño por encima de la cabeza. Estos mecanismos dañan el ►



(D)



(E)



(F)

► tronco inferior del plexo braquial (C8 y T1) y pueden traccionar (avulsión) de las raíces dorsal y ventral de los nervios espinales de la médula. Se afectan los músculos cortos de la mano y se produce una *mano en garra* (F).

Bloqueo del plexo braquial

La inyección de una disolución anestésica en el ángulo comprendido entre el borde posterior del músculo esternocleidomastoideo y la clavícula alcanza la delgada vaina

axilar (fig. 6.24A), que contiene los fascículos del plexo braquial y los vasos axilares. El anestésico interrumpe los impulsos nerviosos y determina una anestesia de las estructuras inervadas por los ramos de los fascículos del plexo, con lo que desaparece la sensibilidad de todas las estructuras profundas del miembro superior y de la piel distal al tercio medio del brazo. Si se combina con la técnica del torniquete oclusivo, este procedimiento permite a los cirujanos operar el miembro superior sin necesidad de anestesia general. ◉

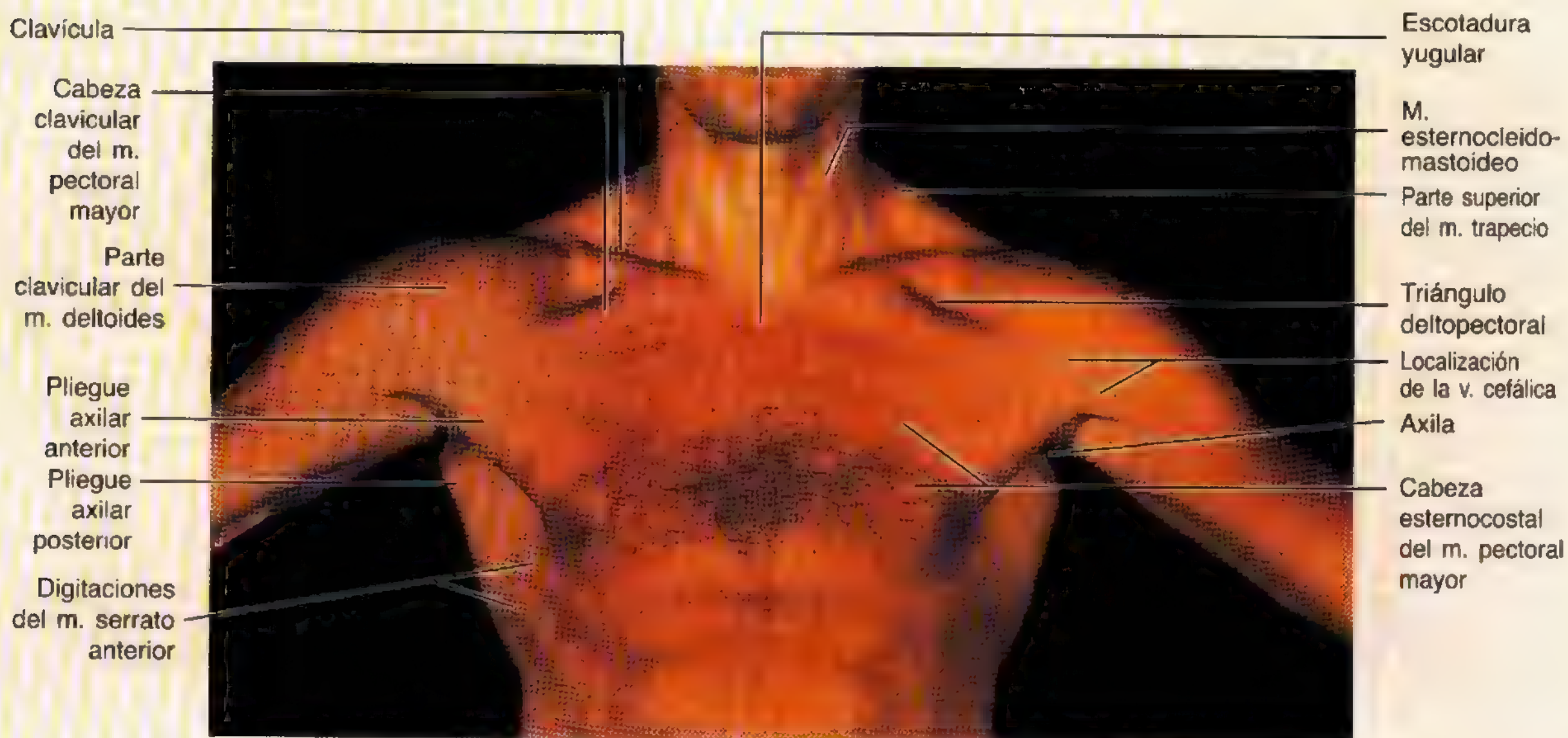
Anatomía de superficie de la región pectoral y del dorso

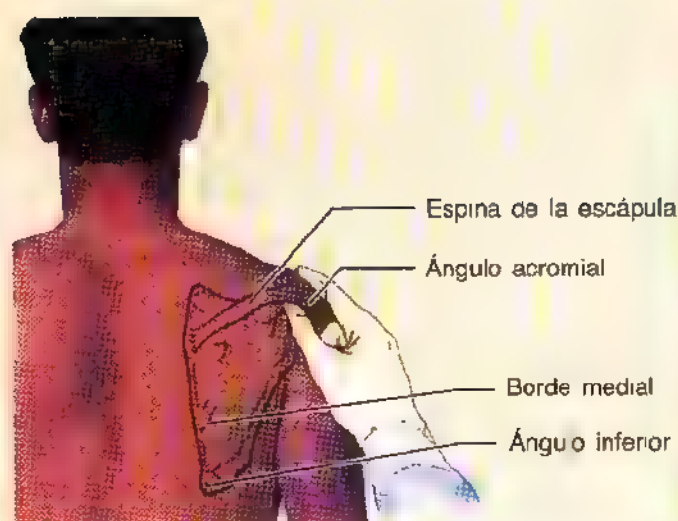
La clavícula es el límite que delimita la raíz del cuello con respecto al tórax. Pasando el dedo por la clavícula en sentido lateral se puede palpar la porción medial, de convexidad anterior. Los grandes vasos y nervios del miembro superior pasan detrás de esta convexidad. La extremidad acromial plana de la clavícula no alcanza la punta del hombro, formada por el vértice lateral del acromion. El acromion es una estructura palpable, que se nota cuando se contrae el deltoides contra la resistencia del examinador.

El **triángulo deltopectoral** (fosa infraclavicular) es una zona, ligeramente deprimida, justo debajo de la parte lateral de la clavícula. Este triángulo está limitado por arriba por la clavícula, a los lados por el deltoides y en la cara medial por el músculo pectoral mayor. La *vena cefálica* asciende por el miembro superior y entra en el triángulo deltopectoral, perfora la fascia claviclar y se

transforma en la *vena axilar*. La **apófisis coracoides** de la escápula no ocupa una posición subcutánea, sino que está cubierta por el borde anterior del músculo deltoides; sin embargo, la punta de la apófisis se advierte con la palpación profunda del triángulo deltopectoral. *La apófisis coracoides sirve como referencia ósea para proceder al bloqueo del plexo braquial*; su posición tiene importancia para el diagnóstico de las luxaciones de hombro.

Levante un objeto de peso y pálpese mientras el borde anterior en pendiente del trapecio; observe cómo las fibras superiores se insertan en el tercio lateral de la clavícula. Con el brazo separado y luego aproximado contra resistencia se puede ver y palpar la porción esternocostal del músculo pectoral mayor. Si se sujeta el **pliegue axilar anterior** entre el índice y el pulgar se nota el borde inferior de la cabeza esternocostal del músculo pectoral mayor. Se ven varias digitaciones del músculo **serrato anterior** debajo del pliegue axilar anterior. El **pliegue axilar posterior** se compone de piel y tejido muscular ►



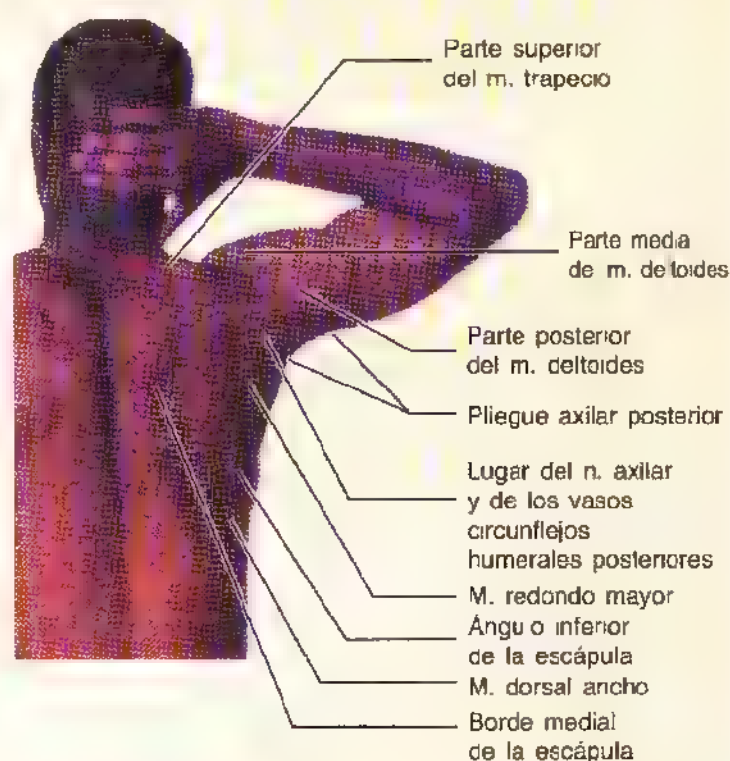


► (músculos dorsal ancho y redondo mayor), que limitan la axila por detrás.

El borde lateral del acromion se puede seguir con los dedos en la cara posterior hasta que se reúne en el **ángulo acromial**. Desde el punto de vista clínico, la longitud del brazo se mide desde el ángulo del acromion hasta el cóndilo lateral del húmero. La **espina de la escápula** tiene una posición subcutánea en toda su extensión, y se palpa con facilidad conforme se extiende en dirección medial y algo inferior desde el acromion. La **raíz de la espina escapular** (extremidad medial) se localiza frente a la apófisis espinosa T3 cuando se aproxima al brazo. El **borde medial de la escápula** se puede palpar debajo de la raíz de la espina, al cruzar la 2ª a la 7ª costillas. Se ve en algunas personas, sobre todo en las más delgadas. El **ángulo inferior de la escápula** se palpa con facilidad y también suele verse. Sujétese el ángulo inferior de la escápula con el pulgar y los dedos y desplácese la escápula hacia arriba y hacia abajo. Con el brazo aproximado, el ángulo inferior de la escápula queda frente a la apófisis espinosa T7 y cubre la 7ª costilla o el 7º espacio intercostal.

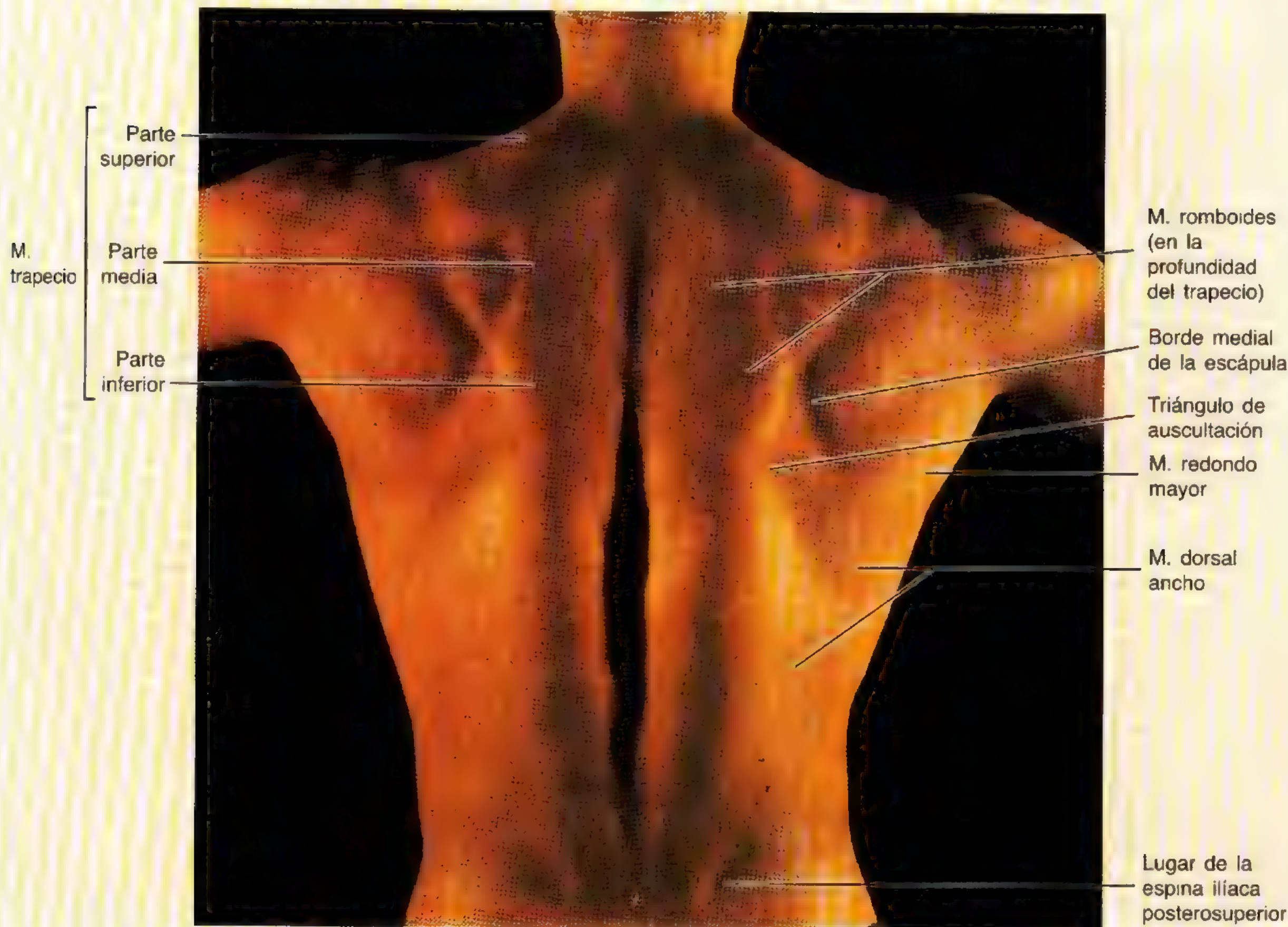
El **deltoides**, que reviste la parte proximal del húmero, crea el *contorno muscular redondeado del hombro*. El tubérculo mayor del húmero es el punto óseo más lateral del hombro cuando se aproxima el brazo, y se puede notar con la palpación profunda del deltoides, debajo del borde lateral del acromion. Después de separar el brazo, observe cómo el tubérculo mayor desaparece bajo el acromion y deja de palparse. Los bordes y las partes del músculo deltoides suelen verse cuando se separa el brazo

contra la resistencia del explorador. La pérdida de la apariencia muscular redondeada del hombro y la aparición de una depresión superficial, distal al acromion, son características de la *luxación del hombro*. La depresión es consecuencia del desplazamiento de la cabeza humeral. El músculo **redondo mayor** adquiere prominencia cuando se aproxima el brazo, separado, contra la resistencia del explorador. ►



► Desplace lateralmente las escáputas sobre la pared torácica, con el miembro superior desplazado, para palpar los músculos romboides. Al situarse en la profundidad del trapecio, no siempre se ven los músculos romboides.

Si se paralizan los músculos romboides de un lado, la escápula del lado afectado se aleja más de lo normal de la línea media, porque los músculos paralizados no pueden retraerla. ☹



El brazo

El brazo se extiende desde el hombro hasta el codo. La articulación del codo permite dos tipos de movimiento: flexión-extensión y pronación-supinación. Los músculos responsables de estos movimientos se dividen de manera clara en los grupos anterior y posterior. La acción principal de ambos grupos tiene lugar en el codo, aunque algunos músculos también actúan sobre la articulación escapulo-humeral. La parte superior del húmero ofrece inserción para los tendones de los músculos del hombro.

Los músculos del brazo

De los cuatro músculos del brazo, los *tres flexores* (bíceps braquial, braquial y coracobraquial) se encuentran en el *compartimiento anterior* y son inervados por el nervio musculocutáneo (figs. 6.31 y 6.32), y el *extensor* (tríceps braquial) está en el *compartimiento posterior* y es inervado por el nervio radial. El *músculo ancóneo*, de la cara posterior del codo, se une en parte con el tríceps —en rigor es una prolongación distal de este músculo.

cutáneo (figs. 6.31 y 6.32), y el *extensor* (tríceps braquial) está en el *compartimiento posterior* y es inervado por el nervio radial. El *músculo ancóneo*, de la cara posterior del codo, se une en parte con el tríceps —en rigor es una prolongación distal de este músculo.

El músculo bíceps braquial

Como su propio nombre indica, la inserción proximal de este músculo fusiforme tiene *dos cabezas*. Los dos vientres musculares se unen justo distalmente a la parte media del brazo (fig. 6.31, tabla 6.5). *El bíceps se sitúa en el compartimiento anterior* del brazo (fig. 6.32). Cuando se extiende el codo, el bíceps es *un simple flexor del antebrazo*, pero cuando se flexiona el codo y se necesita más potencia para vencer cierta resistencia, el músculo bíceps se erige en *el principal supinador del antebrazo (el más poderoso)*, por ejemplo cuando una persona diestra introduce un tornillo en una

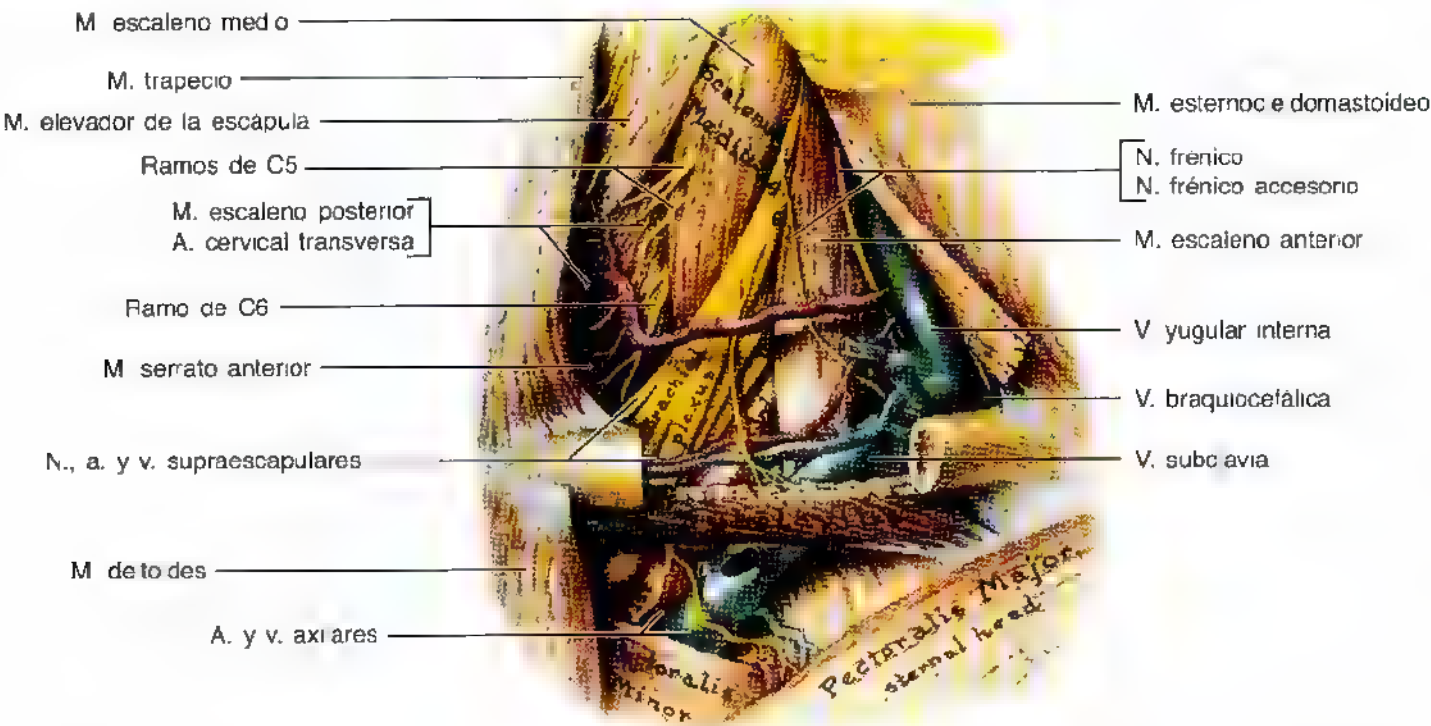


Figura 6.29. Disección del triángulo posterior derecho del cuello. Visión oblicua anterolateral o anterior. Se observan los ramos ventrales que forman las raíces del plexo braquial (numerados), el propio plexo (los troncos y las divisiones) y la arteria subclavia que sale del plexo entre los músculos escaleno medio y anterior. La raíz inferior del plexo (T1) está oculta por la tercera parte de la arteria subclavia. A medida que las estructuras neurovasculares pasan detrás de la clavícula atraviesan el conducto cervicoaxilar que comunica el cuello con la axila. El músculo subclavio, de muy poca importancia, aporta cierta protección a las estructuras neurovasculares subyacentes cuando se fractura la clavícula por su tercio medio.

madera dura. Asimismo, se utiliza para insertar un sacacorchos o extraer el corcho de una botella de vino. El músculo bíceps apenas opera durante la flexión del antebrazo en posición prona. El tendón redondeado de la cabeza larga de bíceps cruza la cabeza del húmero dentro de la cavidad de la articulación escapulohumeral. Este tendón, rodeado de membrana sinovial, desciende por el surco intertubercular del húmero. Existe una banda ancha, el **ligamento transverso del húmero**, que pasa desde el tubérculo menor al tubérculo mayor del húmero y transforma el surco intertubercular en un conducto. Este ligamento sujeta el tendón de la cabeza larga del músculo bíceps dentro del surco. Distalmente, el tendón se une en la tuberosidad del radio. La *bolsa bicipitorradial* separa el tendón bicipital de la parte anterior de la tuberosidad del radio y reduce su abrasión.

El músculo bíceps se continúa distalmente como la **aponeurosis bicipital**, una banda membranosa triangular que

va desde el tendón bicipital, por la fosa cubital, para unirse con la fascia antebraquial (profunda), que cubre los músculos flexores de la cara medial del antebrazo (tabla 6.5), e insertarse por medio de la fascia antebraquial en el borde subcutáneo del cúbito. La porción proximal de la aponeurosis bicipital se palpa con facilidad a su paso oblicuo sobre la arteria braquial y el nervio mediano (fig. 6.33). Esta aponeurosis protege estas y otras estructuras de la fosa cubital. Además, contribuye a reducir la presión del tendón bicipital sobre la tuberosidad del radio durante la pronación y la supinación del antebrazo. Cerca de un 10% de las personas tienen una 3ª cabeza en el bíceps, que surge en la parte superomedial del músculo braquial (con la que se une). En general, esta 3ª cabeza está detrás de la arteria braquial. *Para explorar el músculo bíceps se flexiona contra resistencia el codo con el antebrazo supinado.* Si la acción es normal, el músculo debe crear una prominencia en la cara anterior del brazo que se palpa con facilidad.

Tendinitis bicipital

El tendón de la cabeza larga del músculo bíceps, encerrado por una vaina sinovial, sube y baja por el surco inter-

tubercular del húmero. El uso y desgaste de este mecanismo representa una causa frecuente de dolor en el hombro. La inflamación del tendón (*tendinitis bicipital*), casi siempre por microtraumatismos repetidos, es común ▶

► en los deportes que exigen el lanzamiento de objetos (p. ej., béisbol y críquet) o el uso de una raqueta (p. ej., tenis). El surco intertubercular rígido, estenosado o rugoso puede irritar e inflamar el tendón y provocar dolor y *crepitación*.

Luxación del tendón de la cabeza larga del músculo bíceps

A veces se luxa de manera completa o parcial el tendón en el surco intertubercular del húmero. Este estado doloroso puede afectar a jóvenes que sufren una separación traumática de la epífisis proximal del húmero. La lesión también se ha descrito entre deportistas de mayor edad con antecedentes de tendinitis bicipital. Casi siempre se nota una sensación de chasquido o pinzamiento al girar el brazo.

Rotura del tendón de la cabeza larga del músculo bíceps

La rotura del tendón suele obedecer al uso y desgaste del tendón inflamado en su desplazamiento por el surco



Rotura del tendón bicipital

intertubercular del húmero. La rotura del tendón suele afectar a deportistas de más de 33 años (p. ej., lanzadores de béisbol). En general, el tendón se desgarrar de su inserción en el tubérculo supraglenoideo de la escápula. La rotura suele ser espectacular y se acompaña de un ruido o chasquido. El vientre del músculo desinsertado forma una bola cerca del centro de la parte distal de la cara anterior del brazo ("deformidad de tipo Popeye"). La rotura del tendón bicipital se debe, a veces, a la flexión forzada del brazo contra una resistencia excesiva, como ocurre con los levantadores de peso (Anderson y Hall, 1995). No obstante, el tendón se rompe más a menudo como consecuencia de una tendinitis prolongada, que va debilitándolo. La rotura obedece a movimientos repetidos del brazo por encima de la cabeza, como sucede con los nadadores, que desgarran el tendón debilitado a su paso sobre la cabeza del húmero.

Fractura-luxación de la epífisis proximal del húmero

Un golpe directo o una lesión indirecta del hombro de un niño o de un adolescente puede causar una fractura-luxación de la epífisis proximal del húmero, porque la cápsula articular del hombro es más robusta que la placa epifisaria. En las fracturas graves se desplaza mucho el cuerpo del húmero, pero la cabeza conserva su relación normal con la cavidad glenoidea de la escápula. ➔



Separación de la epífisis humeral

El músculo braquial

Este músculo fusiforme y plano queda detrás (en la profundidad) del bíceps. Su inserción distal cubre la parte anterior

del codo (figs. 6.31-6.34, tabla 6.5). *El músculo braquial es el principal flexor del antebrazo; flexiona el antebrazo en todas las posiciones y durante los movimientos lento y rápido.* Cuan-

do se extiende lentamente el antebrazo, el músculo braquial endereza el movimiento mediante una relajación lenta (p. ej., se utiliza para alzar o dejar con cuidado una taza de té). El músculo braquial siempre se contrae durante la flexión del codo y es el principal responsable del mantenimiento de la flexión. Debido a sus múltiples funciones, se considera como el caballo de tiro de los flexores del codo.

El músculo coracobraquial

Este músculo elongado de la parte superomedial del brazo constituye una referencia muy útil (figs. 6.31 y 6.32, tabla 6.5). Por ejemplo, el nervio musculocutáneo lo atraviesa y la porción distal de su inserción indica la posición del orificio nutricio del húmero. El músculo coracobraquial ayuda a flexionar y separar el brazo, así como a estabilizar la articulación escapulohumeral. Junto con el músculo deltoides y la cabeza larga del tríceps, actúa "en derivación", oponiéndose a la luxación inferior de la cabeza del húmero.

El nervio mediano, la arteria braquial o ambos se dirigen hasta la profundidad del músculo coracobraquial y pueden ser comprimidos por éste.

El músculo tríceps braquial

Este gran músculo fusiforme se encuentra en el compartimiento posterior del brazo (figs. 6.32 y 6.35, tabla 6.5). Como su propio nombre indica, posee tres cabezas: larga, lateral y medial. *El tríceps es el principal extensor del codo.* Como la cabeza larga atraviesa el hombro, *el tríceps ayuda a estabilizar la articulación escapulohumeral aproximada y actúa "en derivación", oponiéndose a la luxación inferior de la cabeza humeral.* El tríceps también facilita la extensión y la aproximación del brazo. En la zona proximal a la inserción distal se encuentra la *bolsa olecraneana subtendinosa*, que reduce la fricción entre el tendón del tríceps y el olécranon. *Para explorar el músculo tríceps (o para determinar el nivel de lesión del nervio radial) se separa el brazo 90° y luego se*

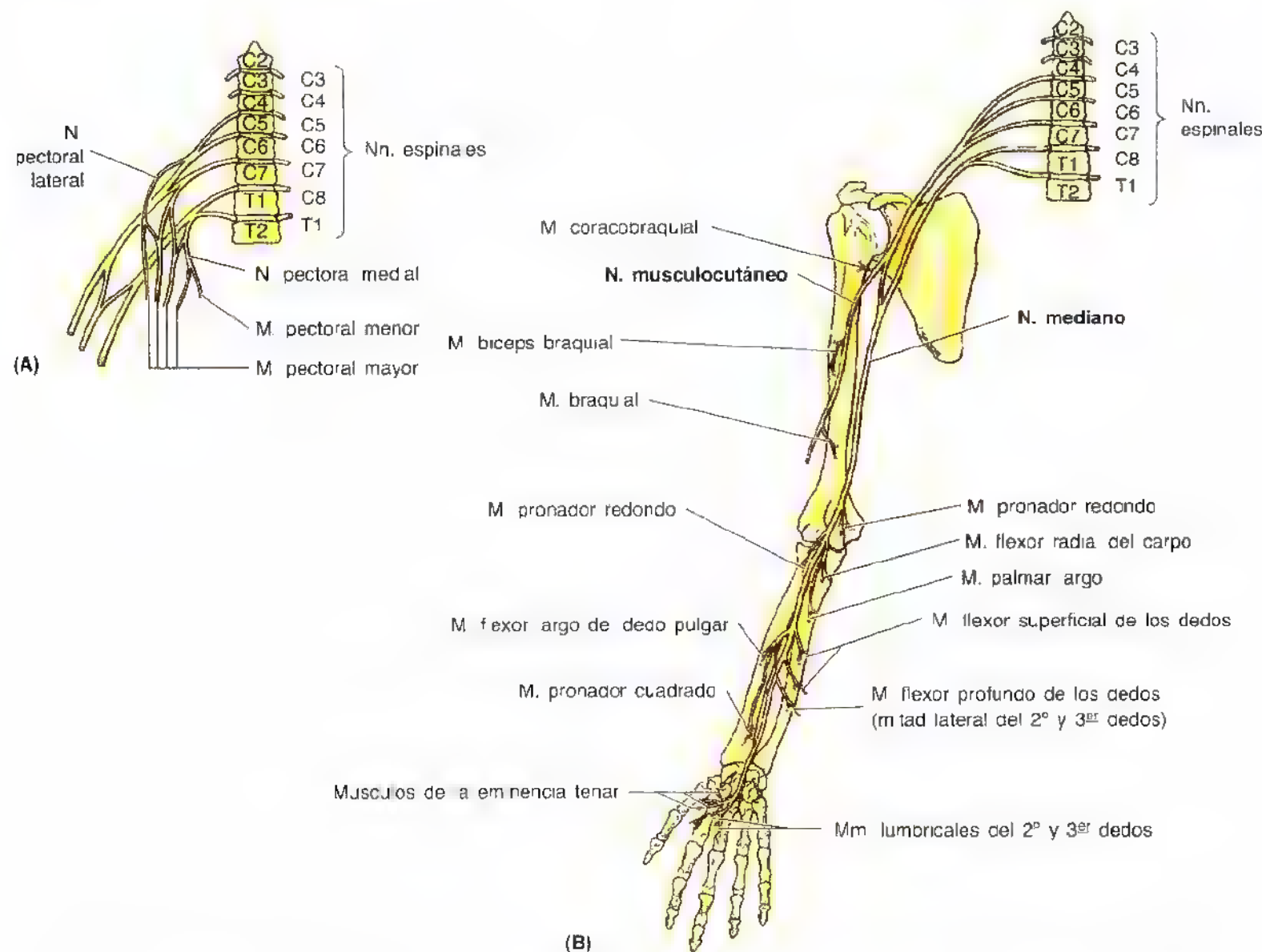


Figura 6.30. Resumen de la inervación de los músculos del miembro superior. A. Visión anterior. Nervios pectorales medial y lateral. **B.** Visión anterior. Nervios mediano y musculocutáneo. Se ilustran los planos habituales por los que los ramos motores salen del tronco de los nervios principales.

(fig. 6.32A), para *terminar en la fosa cubital*, enfrente del cuello del radio (fig. 6.33). Bajo la cubierta de la aponeurosis bicipital, *la arteria braquial se divide en las arterias radial y cubital* (fig. 6.34). La arteria braquial, superficial y palpable en todo su trayecto, se sitúa delante de los músculos tríceps y braquial. Al principio queda medial al húmero y luego pasa a un plano anterior. En su trayecto inferolateral, *la arteria braquial acompaña al nervio mediano*, que se cruza delante de la arteria (figs. 6.32A y 6.37). En su curso por el brazo, la arteria braquial emite muchas ramas musculares innominadas y arterias nutricias para el húmero, que emergen de la cara lateral.

Las ramas principales (nominadas) de la arteria braquial que surge de su cara medial son la **arteria braquial profunda** y las **arterias colaterales superior e inferior del cúbito** (figs. 6.32B y 6.34). Las arterias colaterales ayudan a crear la **anastomosis arterial del codo** (fig. 6.36). Otras arterias que participan son ramas recurrentes, a veces dobles,

de las arterias radial, cubital e interósea, que ascienden delante y detrás de la articulación del codo. Estas arterias se anastomosan con las ramas articulares descendentes de la arteria braquial profunda y las arterias colaterales del cúbito.

La arteria braquial profunda

La arteria braquial profunda—la rama mayor de la arteria braquial—es la que tiene el origen más alto (fig. 6.36). *La arteria braquial profunda acompaña al nervio radial por el surco que lleva el nombre de este nervio* y rodea el cuerpo del húmero (figs. 6.35 y 6.37). La arteria braquial profunda se divide en las ramas descendentes anterior y posterior, que contribuyen a las anastomosis arteriales del codo.

La arteria nutricia del húmero

Esta arteria nace de la arteria braquial, aproximadamente en el tercio medio del brazo (fig. 6.36), y penetra

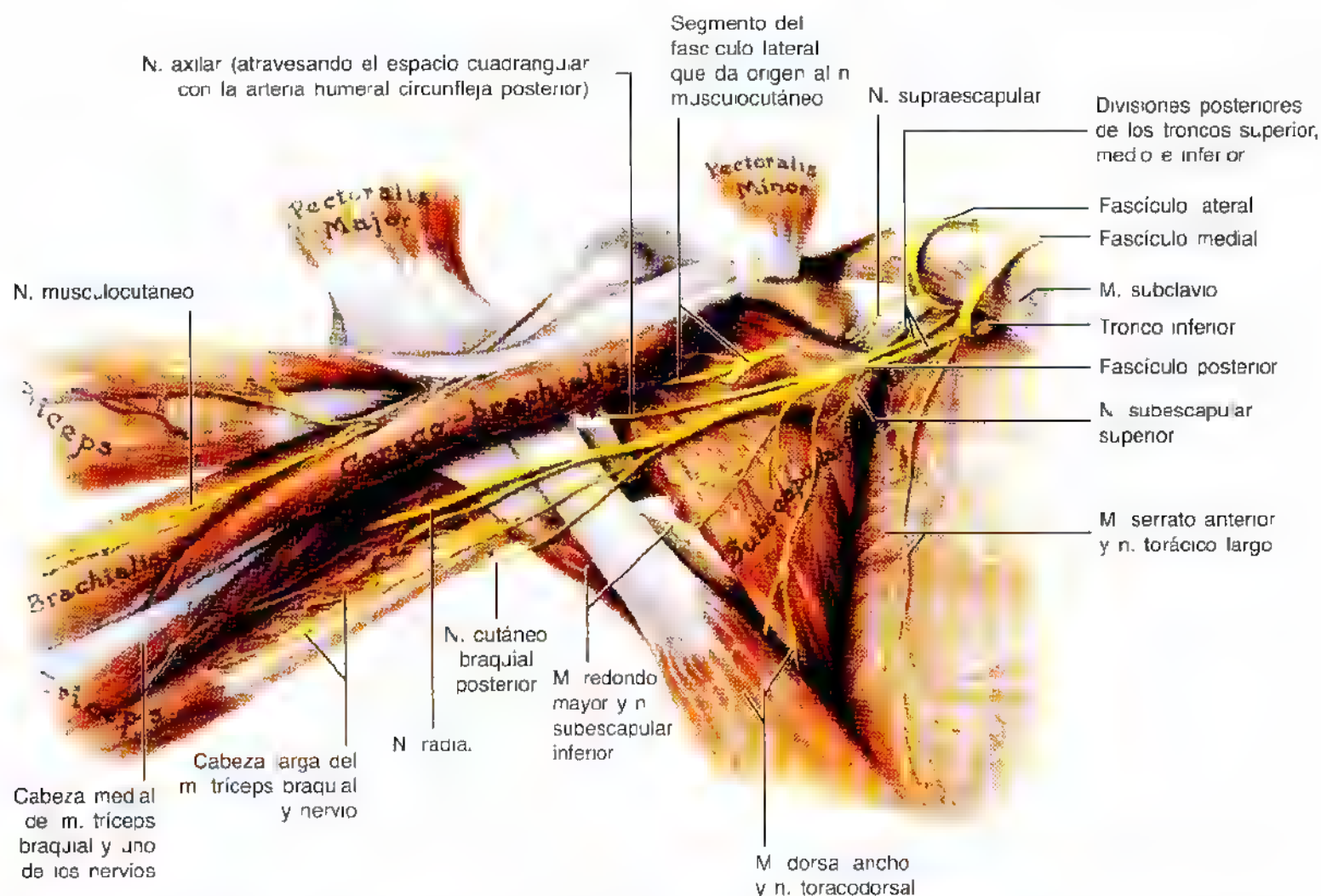


Figura 6.31. Pared posterior de la axila, nervio musculocutáneo y fascículo posterior del plexo braquial.

Se han rechazado supero lateralmente los músculos pectorales mayor y menor y superomedialmente, los fascículos lateral y medial del plexo braquial. Todos los grandes vasos y nervios que nacen de los fascículos medial y lateral del plexo braquial (con excepción de nervio musculocutáneo del fascículo lateral) se han extirpado. El fascículo posterior formado tras la unión de las divisiones posteriores de los tres troncos del plexo braquial da origen a cinco nervios: radial, axilar, subescapulares superior e inferior y toracodorsal. El nervio musculocutáneo atraviesa el músculo coracobraquial mientras que el nervio subescapular inferior nervia los músculos redondo mayor y subescapular.

por el *conducto nutricio* de la cara anteromedial del húmero. La arteria se dirige distalmente al codo por este conducto.

La arteria colateral superior del cúbito

Esta arteria nace de la cara medial de la arteria braquial, cerca del tercio medio del brazo, y acompaña al nervio cubital detrás del epicóndilo medial del húmero (figs. 6.32A y 6.36). Aquí se anastomosa con la arteria recurrente posterior del cúbito (o una rama posterior de ésta) y la arteria

colateral inferior del cúbito, otra rama de la arteria braquial que nace distalmente.

La arteria colateral inferior del cúbito

Esta arteria se origina en la arteria braquial, aproximadamente 5 cm proximal al pliegue del codo (figs. 6.32A, 6.33, 6.34 y 6.36). Luego baja medialmente, delante del epicóndilo medial del húmero, y se une con las anastomosis del codo, anastomosándose con la arteria recurrente anterior del cúbito (o una rama anterior de ésta).

Medición de la presión arterial

Los profesionales sanitarios miden sistemáticamente la presión arterial con un *esfigmomanómetro*. Se coloca un manguito alrededor del brazo y se llena de aire hasta que comprime la arteria braquial contra el húmero y la obstruye. A continuación se pone el estetoscopio sobre la arteria; en la fosa cubital, se suelta poco a poco la presión del manguito y el examinador ausculta el sonido de la sangre que empieza a circular por la arteria. El primer tono audible indica la *presión arterial sistólica*. A medida que se libera toda la presión existe un momento en el que deja de escucharse el tono del pulso; éste corresponde a la *presión diastólica*.

Palpación del pulso braquial

No siempre resulta fácil detectar el pulso de la arteria braquial. De ordinario hay que desplazar lateralmente el vientre del bíceps para detectar las pulsaciones de la arteria. Para localizar el pulso braquial es necesario el desplazamiento lateral y no en la profundidad.

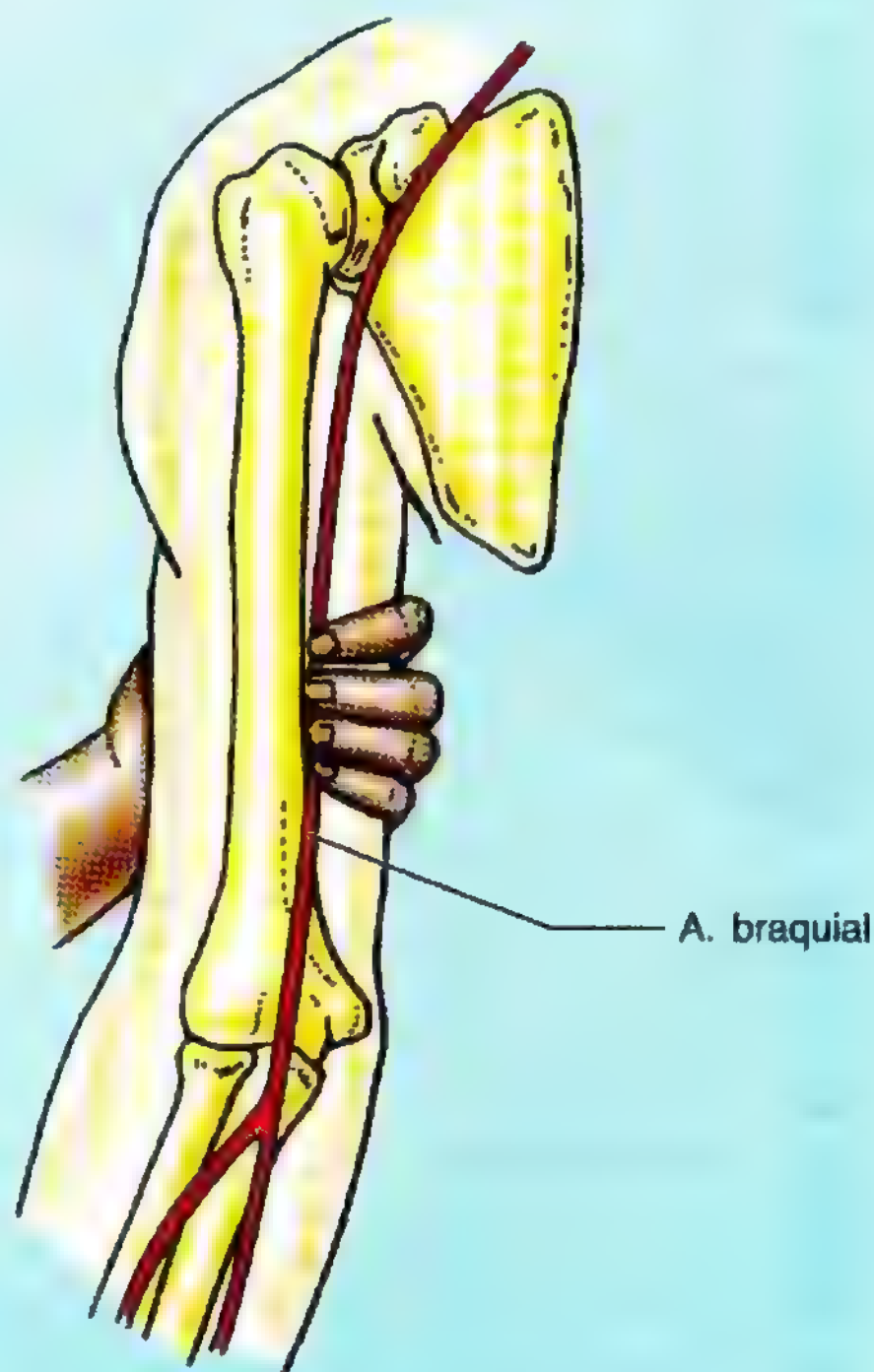
Compresión de la arteria braquial

El lugar más idóneo para comprimir la arteria braquial y controlar la hemorragia se encuentra cerca del tercio medio del brazo. Como las anastomosis arteriales del codo proveen una circulación colateral de importancia funcional y quirúrgica, es posible pinzar la arteria braquial distalmente a la arteria braquial profunda sin ocasionar un daño tisular. La base anatómica reside en que las arterias cubital y radial recibirían todavía sangre suficiente a través de las anastomosis del codo. La *isquemia del codo y el antebrazo* es consecuencia del pinzamiento de la arteria braquial, en una zona proximal a la arteria braquial profunda, durante un período muy largo.

Obstrucción o laceración de la arteria braquial

Pese a que las vías colaterales confieren cierta protección frente a la obstrucción gradual, pasajera y parcial, la oclusión repentina y completa o la laceración de la arteria braquial representa una urgencia quirúrgica, debido a que a las pocas horas se instaura una parálisis muscular secundaria a la isquemia.

Los músculos y los nervios toleran hasta 6 horas de isquemia (Salter, 1998); a partir de entonces, el tejido fibroso cicatricial sustituye al tejido necrótico y determina un acortamiento permanente de los músculos con una deformidad en flexión, es decir, un *síndrome isquémico* ▶

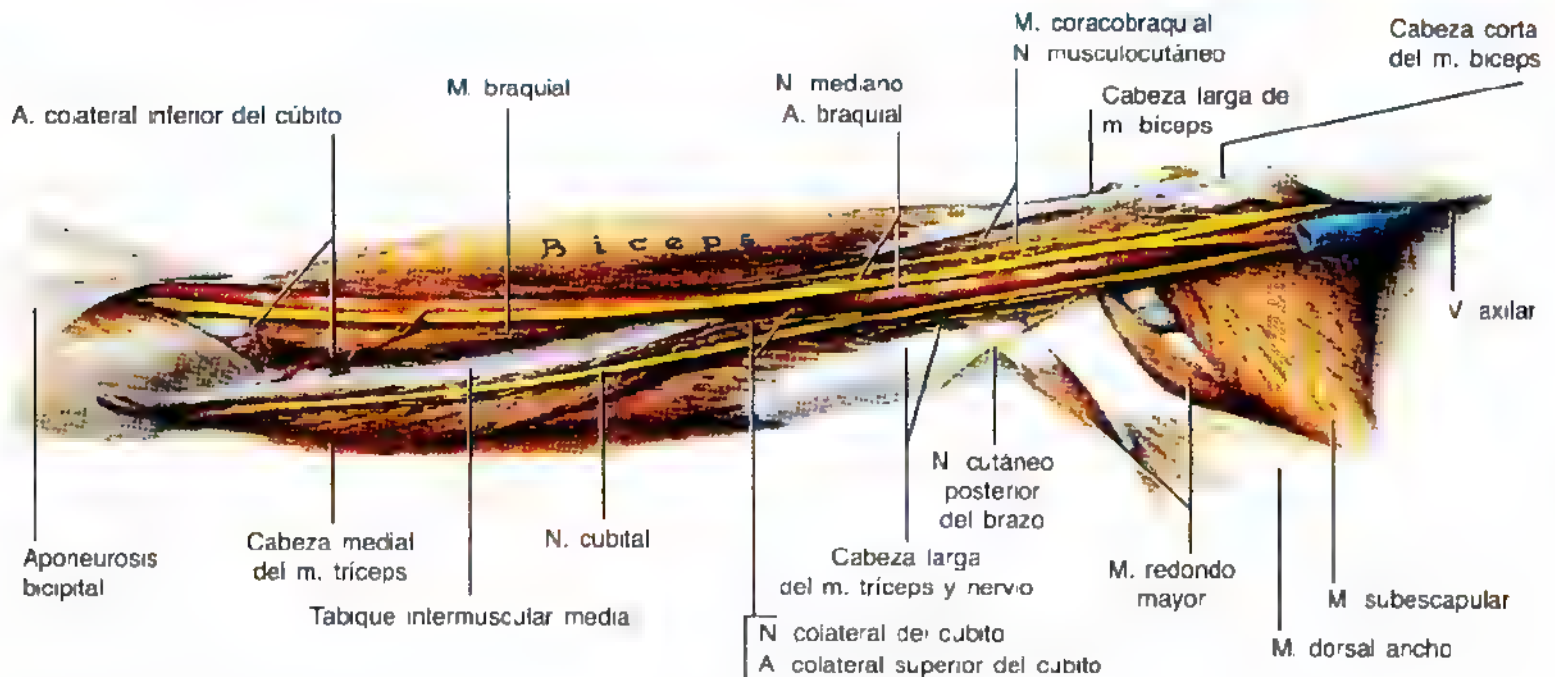
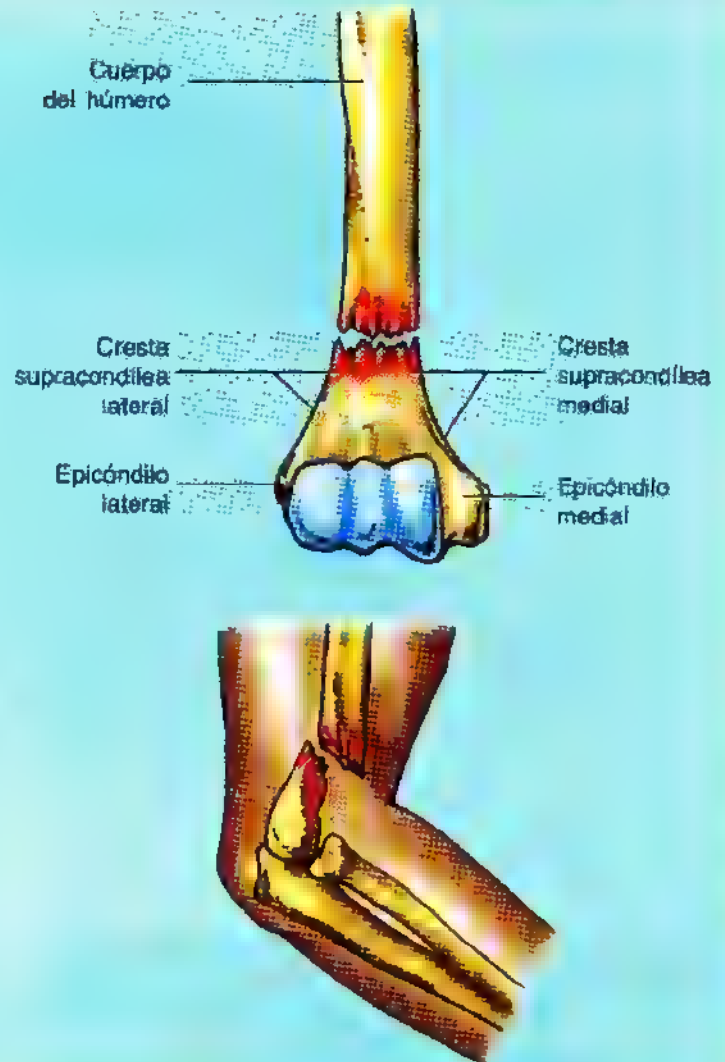


Compresión de la a. braquial

► **compartmental** (contractura de Volkmann, contractura isquémica). La contractura digital y a veces de la muñeca explica la pérdida de fuerza en la mano como resultado de la necrosis irreversible de los músculos flexores del antebrazo.

Fractura del cuerpo humeral

El mecanismo habitual de fractura del húmero es un golpe directo. La fractura suele ser transversal y comunicada. La *fractura del tercio medio del húmero* daña, en ocasiones, el nervio radial, situado en el surco radial, que rodea el cuerpo del húmero. Por eso, siempre debe sospecharse una lesión del nervio radial ante una fractura del tercio medio del húmero. Aunque se dañe el nervio radial, no es probable que la fractura paralice el músculo tríceps, dado el origen elevado de los nervios que se dirigen a dos de las tres cabezas de este músculo. La fractura de la parte distal del húmero, cerca de la cresta supracondílea, es de tipo *supracondílea*. El fragmento óseo distal se puede desplazar a la cara anterior o posterior. Las acciones de los músculos braquial y tríceps tienden a traccionar del fragmento distal sobre el proximal, acortando el miembro. Cualquiera de los nervios o ramos de los vasos braquiales relacionados con el húmero puede dañarse. La lesión de la arteria braquial exige una reparación arterial, ya que puede sufrir una sección completa o incompleta por el fragmento fracturado y desplazado. ○



(A) Visión medial

Fig. 6.32. Los músculos y las estructuras neurovasculares del brazo. A. Visión medial. Disección de brazo derecho. Se han extirpado las venas salvo las de la parte proximal de la vena axilar. Obsérvese el trayecto de los nervios mediano, musculocutáneo y cubital en la cara medial (protegida) del brazo. Notense los músculos bíceps braquial y coracobraquial del *compartimiento anterior* de brazo, y el tríceps del *compartimiento posterior*. Como puede apreciarse, el tabique intermuscular medial separa estos dos compartimientos (grupos musculares) en los dos tercios distales del brazo.

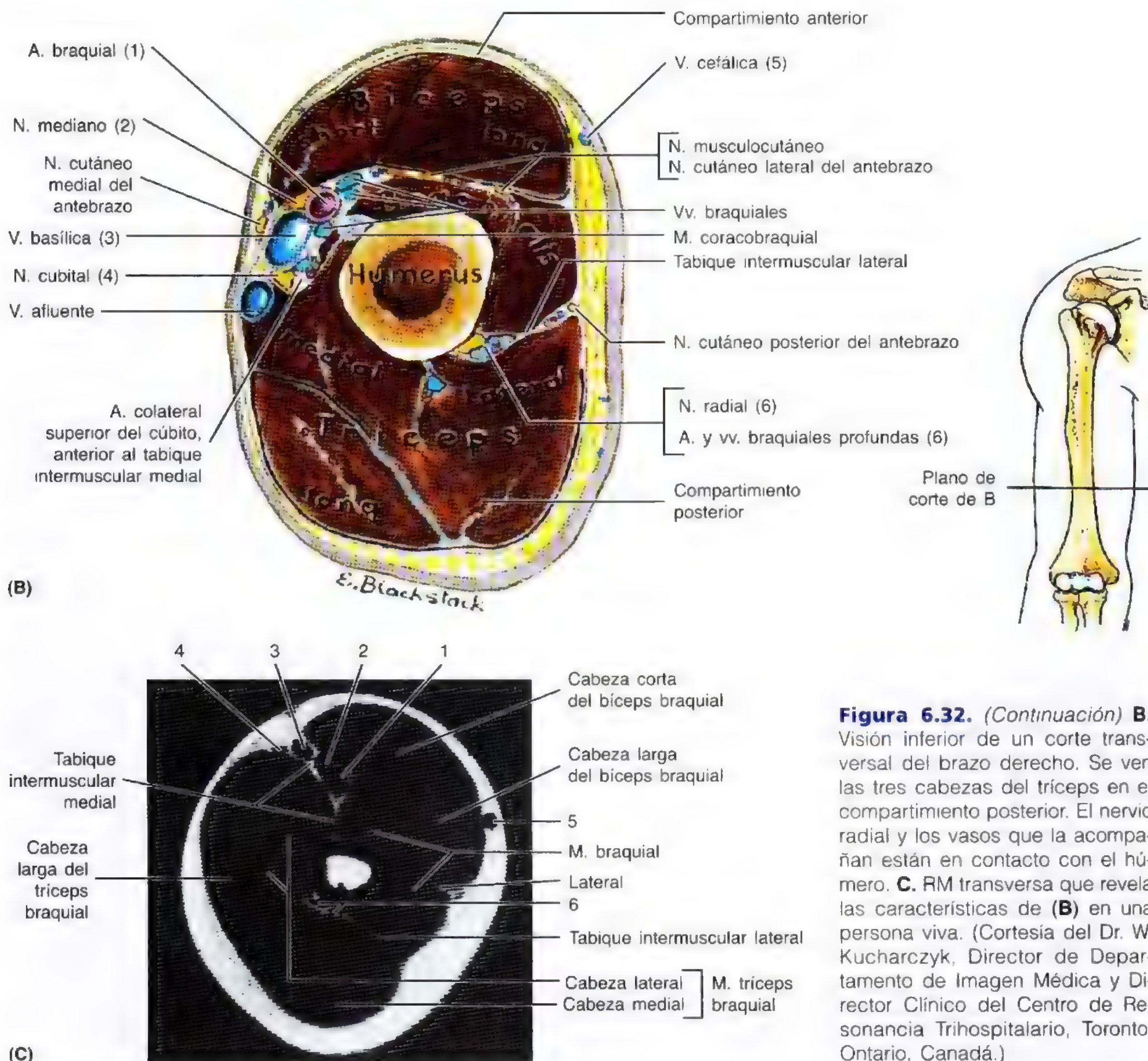


Figura 6.32. (Continuación) **B.** Visión interior de un corte transversal del brazo derecho. Se ven las tres cabezas del tríceps en el compartimiento posterior. El nervio radial y los vasos que la acompañan están en contacto con el húmero. **C.** RM transversa que revela las características de (B) en una persona viva. (Cortesía del Dr. W. Kucharczyk, Director de Departamento de Imagen Médica y Director Clínico del Centro de Resonancia Trihospitalario, Toronto, Ontario, Canadá.)

Las venas del brazo

Existen dos grupos de venas, *superficial* y *profundo*, que se anastomosan de forma libre entre sí. Las venas superficiales se encuentran en el tejido subcutáneo y las profundas acompañan a las arterias. Los dos grupos de venas tienen válvulas, sobre todo las profundas.

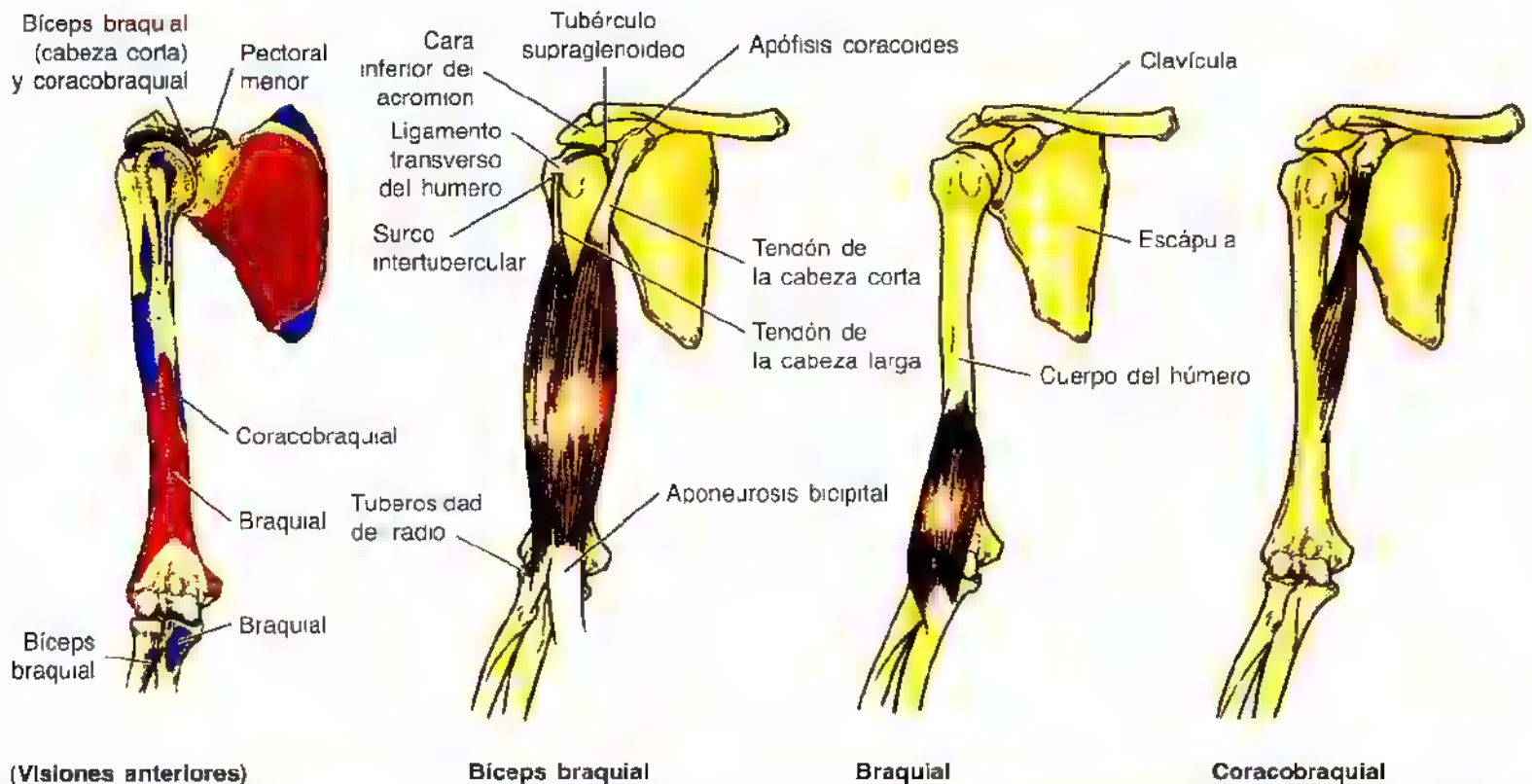
Las venas superficiales

Las dos grandes venas superficiales del brazo son la cefálica y la basilíca (figs. 6.32B y 6.33). La **vena cefálica**, de ubicación subcutánea en la cara anterolateral de la porción proximal del antebrazo y en el brazo, suele verse a través de la piel (fig. 6.38). La vena cefálica se extiende entre los múscu-

los deltoides y pectoral mayor en el surco deltopectoral y luego alcanza el triángulo deltopectoral, *desembocando en el lugar donde termina la vena axilar*. La **vena basilíca** también se encuentra en el tejido subcutáneo y pasa por la cara medial de la parte inferior del brazo; muchas veces se ve a través de la piel. Cerca de la unión de los tercios medio e inferior del brazo, la vena basilíca penetra en la fascia braquial (profunda) y sube hasta la axila, donde se une con las venas satélite de la arteria braquial para dar la *vena axilar*.

Las venas profundas

Las venas pares que acompañan a la arteria braquial (fig. 6.32B) y sus múltiples comunicaciones cercan la arteria y forman una red anastomótica dentro de una vaina vascular

Tabla 6.5. Los músculos del brazo

Músculo	Inserción proximal	Inserción distal	Inervación ^a	Acción principal
Bíceps braquial	Cabeza corta: punta de la apófisis coracoides de la escápula Cabeza larga: tubérculo supraglenoideo de la escápula	Tuberosidad del radio y fascia del antebrazo a través de la aponeurosis bicipital	N. musculocutáneo ^b (C5 y C6)	Supina el antebrazo y, una vez adoptada esta posición, lo flexiona
Braquial	Mitad distal de la cara anterior del húmero	Apófisis coronoides y tuberosidad del cúbito		Flexiona el antebrazo en todas las posiciones
Coracobraquial	Punta de la apófisis coracoides de la escápula	Tercio medio de la cara medial del húmero	N. musculocutáneo (C5, C6 y C7)	Ayuda a la flexión y aproximación del brazo

^a Los números indican la inervación segmentaria de la médula (p. ej., C5 y C6 indican que los nervios destinados al m. bíceps braquial proceden del 5º y 6º segmentos medulares cervicales). Los números **en negrita** señalan la inervación segmentaria principal. La lesión de estos segmentos o de las raíces de los nervios motores que nacen de ellos determina una parálisis de los músculos afectados.

^b Parte de la porción lateral del músculo braquial es inervada por un ramo del n. radial.

común. Las pulsaciones de la arteria braquial ayudan a que la sangre se mueva por esta red venosa. Las venas braquiales empiezan en el codo, tras la unión de las venas satélite de las arterias cubital y radial, y terminan uniéndose con la vena basilíca para dar la **vena axilar**. Las venas braquiales contienen válvulas. No es raro que las venas profundas se unan para dar una vena braquial durante parte de su trayecto.

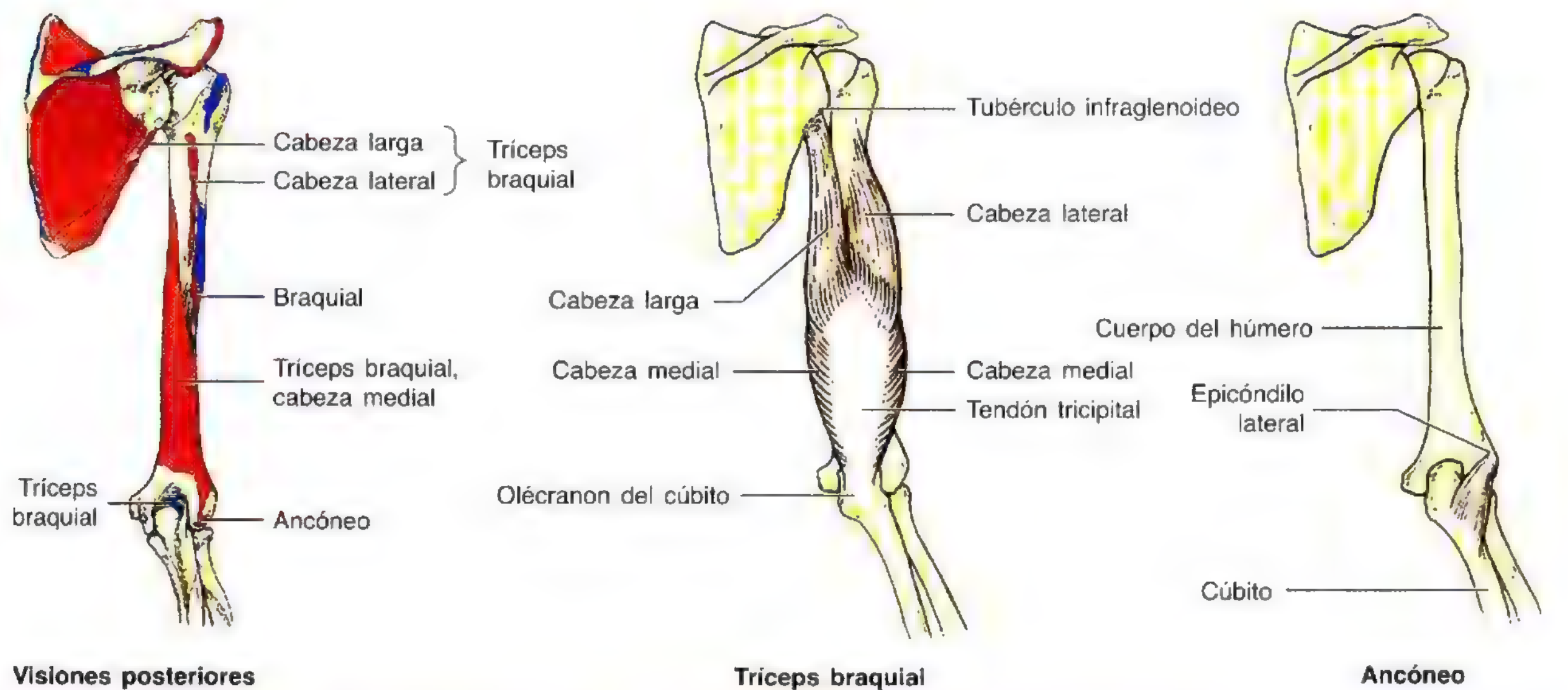
Los nervios del brazo

Los cuatro grandes nervios que atraviesan el brazo son el mediano, el cubital, el musculocutáneo y el radial (fig. 6.37, tabla 6.4). *Los nervios mediano y cubital no emiten ramas para el brazo.*

El nervio musculocutáneo

Este nervio, uno de los ramos terminales del fascículo lateral del plexo braquial (figs. 6.28, 6.30-6.32, tabla 6.4), inerva todos los músculos del compartimiento anterior (flexor) del brazo. El nervio musculocutáneo empieza enfrente del borde inferior del músculo pectoral menor, atraviesa el músculo coracobraquial y continúa distalmente entre los músculos bíceps y braquial (fig. 6.34). En el intervalo entre los músculos bíceps y braquial y después de emitir ramos para estos tres músculos, *el nervio musculocutáneo se transforma en el nervio cutáneo lateral del antebrazo*, que prosigue por la cara anterior del codo para distribuirse en una amplia zona de la piel del antebrazo (fig. 6.33).

Tabla 6.5. (Continuación) Los músculos del brazo



Músculo	Inserción proximal	Inserción distal	Inervación ^a	Acción principal
Triceps braquial	Cabeza larga: tubérculo infraglenoideo de la escápula Cabeza lateral: cara posterior del húmero, encima del surco para el n. radial Cabeza medial: cara posterior del húmero, debajo del surco para el n. radial	Extremidad proximal del olécranon y fascia del antebrazo	N. radial (C6, C7 y C8)	Extiende el antebrazo; es el extensor principal del antebrazo; la cabeza larga endereza la cabeza humeral separada
Ancóneo	Epicóndilo lateral del húmero	Cara lateral del olécranon y parte superior de la cara posterior del cúbito	N. radial (C7, C8 y T1)	Ayuda al tríceps a extender el antebrazo; estabiliza el codo; aproxima el cúbito durante la pronación

El nervio radial

Este nervio, *prolongación directa del fascículo posterior del plexo braquial* (figs. 6.28, 6.30D, 6.32 y 6.34, tabla 6.4), inerva todos los músculos del compartimiento posterior del brazo. El nervio radial entra en el brazo detrás de la arteria braquial, medial al húmero y delante de la cabeza larga del músculo tríceps (fig. 6.35). Este nervio desciende lateralmente con la arteria braquial profunda y *pasa por el cuerpo del húmero dentro del surco que lleva su nombre* (fig. 6.37). Antes de entrar en el surco envía ramos para las cabezas larga y lateral del tríceps. El ramo para la cabeza medial nace dentro del surco del nervio radial. Una vez que alcanza el borde lateral del húmero, el nervio perfora el tabique intermuscular lateral y sigue descendiendo por el compartimiento anterior del brazo, entre los músculos braquial y braquiorradial, hasta la altura del epicóndilo lateral del húmero. Finalmente, el nervio radial se divide en los ramos profundo y superficial (fig. 6.34).

- El *ramo profundo del nervio radial* tiene una distribución completamente muscular y articular.
- El *ramo superficial del nervio radial* tiene una distribución exclusivamente cutánea, que se ocupa de la sensibilidad del dorso de la mano y de los dedos.

El nervio mediano

Este gran nervio del brazo se crea en la axila por la unión entre una raíz lateral del fascículo lateral y una raíz medial del fascículo medial del plexo braquial (figs. 6.28, 6.30B y 6.32, tabla 6.4). El nervio mediano se dirige distalmente por el brazo, al principio en la cara lateral de la arteria braquial, hasta que alcanza la parte medial del brazo (fig. 6.37), y luego se cruza a la cara medial, donde entra en contacto con el músculo braquial. El nervio mediano continúa descendiendo hasta la fosa cubital, donde se sitúa en la profundidad de la aponeurosis bicipital y de la vena mediana cubital. El nervio mediano no envía ramos en la

axila ni en el brazo, sino que emite ramos articulares para el codo.

El nervio cubital

Es el mayor de los dos ramos terminales del fascículo medial del plexo braquial (figs. 6.28, 6.30C y 6.32, tabla 6.4). Se dirige distalmente, delante del tríceps, por la cara medial de la arteria braquial. Al llegar al tercio medio del brazo perfora el tabique intermuscular, medial con la arteria colateral superior del cúbito, y desciende entre el tabique y la cabeza medial del músculo tríceps. El nervio cubital pasa detrás del epicóndilo medial y llega al antebrazo medial al olécranon (fig. 6.37). Detrás del epicóndi-

lo medial –lugar donde el nervio cubital se conoce como “hueso de la risa” o “de la música” por el vulgo– se encuentra superficial, fácilmente palpable y vulnerable a las lesiones. El nervio cubital no envía ramos para el brazo, sino fibras articulares para el codo.

La fosa cubital

La fosa cubital es una zona triangular hueca de la cara anterior del codo (figs. 6.33, 6.34 y 6.38), *cuyos límites son:*

- Una línea imaginaria que conecta los epicóndilos medial y lateral por arriba.



Figura 6.33. Disección superficial de la fosa cubital. Obsérvese que la extremidad distal de la arteria braquial queda medial a tendón bicipital. Este es el lugar donde se coloca el estetoscopio para auscultar las pulsaciones de la arteria braquial cuando se mide la presión arterial. El nervio mediano, lateral a la arteria en la parte proximal del brazo (fig. 6.32A), se cruza delante de la arteria en su trayecto por el brazo y se sitúa medial a la arteria en la fosa cubital. Tanto la arteria como el nervio están protegidos por la *aponeurosis bicipital* que los cubre. Pese a la frecuencia con que se emplean agujas para extraer sangre de la vena mediana cubital que se encuentra superficial a la aponeurosis, casi nunca se lesionan la arteria ni el nervio. (Comparese con las figuras de la parte superior de la pág. 745.)

- El músculo pronador redondo, en la zona medial.
- El músculo braquiorradial, en la zona lateral.

El *suelo de la fosa cubital* está formado por los músculos braquial del brazo y supinador del antebrazo. El *techo de la fosa cubital* lo crean la fascia profunda –reforzada por la aponeurosis bicipital–, el tejido subcutáneo y la piel.

El contenido de la fosa cubital (figs. 6.33, 6.34 y 6.36) es el siguiente:

- La parte terminal de la **arteria braquial** y el comienzo de sus ramas terminales, las *arterias radial y cubital*; la arteria braquial se encuentra entre el tendón bicipital y el nervio mediano.

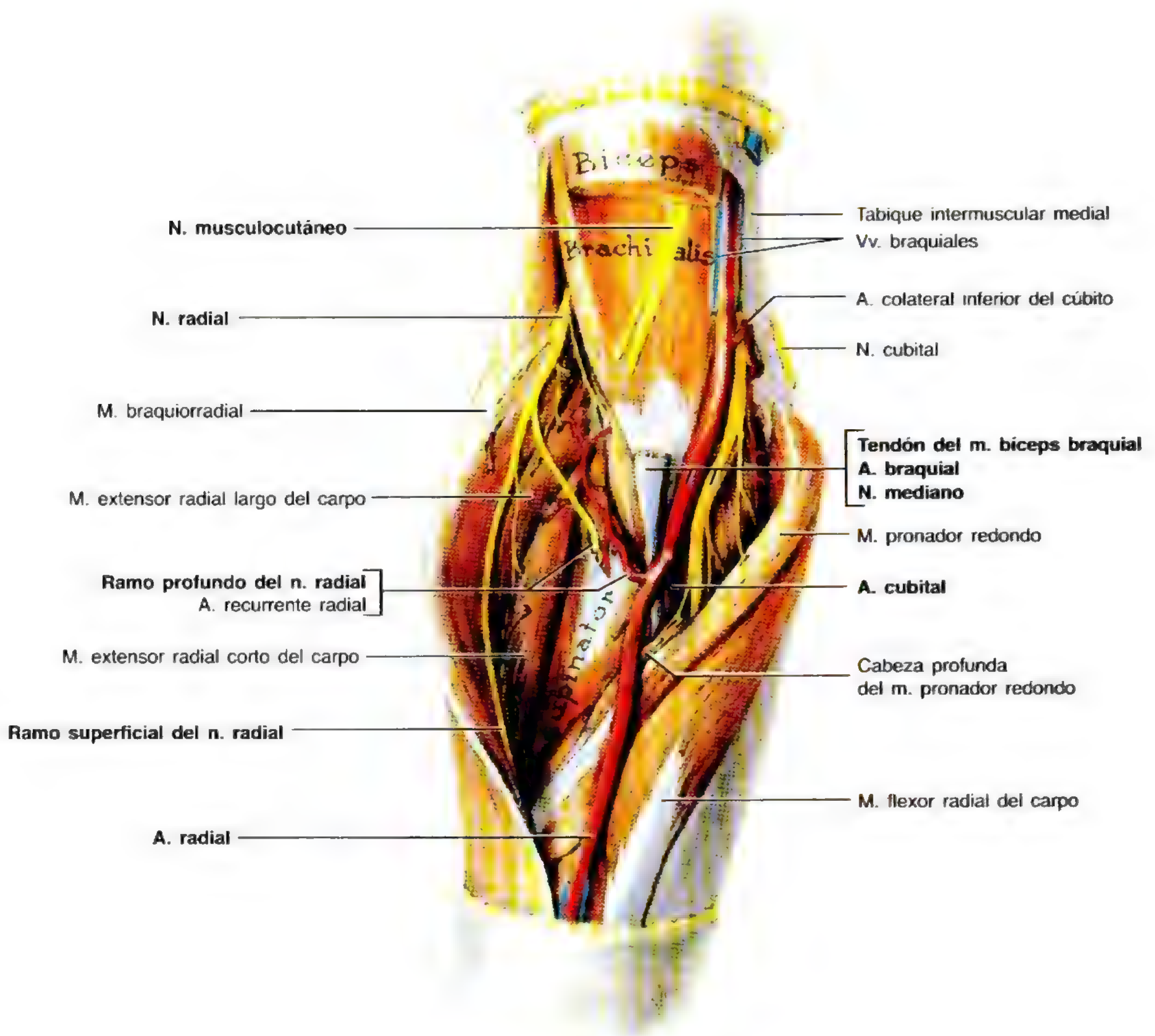


Figura 6.34. Disección profunda de las estructuras de la fosa cubital. Se ha extirpado parte del músculo biceps braquial y se ha abierto con amplitud la fosa cubital, retrayendo lateralmente los músculos extensores del antebrazo y medialmente los flexores. Pueden apreciarse los músculos braquial y supinador en el suelo de la fosa cubital y el nervio musculocutáneo, que camina entre los músculos bíceps y braquial. El *nervio radial* acaba de salir del compartimiento posterior del brazo después de perforar el tabique intermuscular lateral, y emerge entre los músculos braquial y braquiorradial para dividirse en un ramo superficial (sensitivo) y otro profundo (motor). El ramo superficial del nervio radial sigue protegido por el músculo braquiorradial, pero el profundo perfora el músculo supinador para regresar a la cara posterior del miembro. Asimismo, se observa la *arteria braquial* entre el tendón del músculo biceps y el nervio mediano, que suele dividirse en dos ramas casi iguales: la *arteria cubital*, de curso profundo, y la *arteria radial*, superficial, cuyas pulsaciones se palpan en todo el antebrazo.

Lesión del nervio musculocutáneo

La lesión del nervio musculocutáneo de la axila (poco frecuente en esta posición protegida) suele deberse a un arma y determina una parálisis de los músculos coracobraquial, bíceps y braquial. Por este motivo se debilita con mucho la flexión del codo y la supinación del antebrazo. La sensibilidad desaparece en la cara lateral del antebrazo, inervada por el nervio cutáneo antebraquial lateral.

Lesión del nervio radial

La lesión del nervio radial por encima del origen de los ramos para el músculo tríceps determina una *parálisis de los músculos tríceps, braquiorradial, supinador y extensores de la muñeca y los dedos*. La sensibilidad desaparece en las zonas de piel inervadas por este nervio. Si el nervio se lesiona dentro del surco radial, el tríceps no sufre casi nunca una parálisis completa, sino que tan sólo se debilita por la afectación de la cabeza medial; sin embargo, los músculos del compartimiento posterior del antebrazo, que reciben los ramos más distales, se paralizan. El signo clínico característico de la lesión del nervio radial es la *mano caída* [imposibilidad para extender la muñeca y los dedos por las articulaciones metacarpofalángicas, como se ilustra en (A); en su lugar, la muñeca se flexiona debido al tono desinhibido de los músculos flexores y al efecto de la gravedad (B)]. ◊

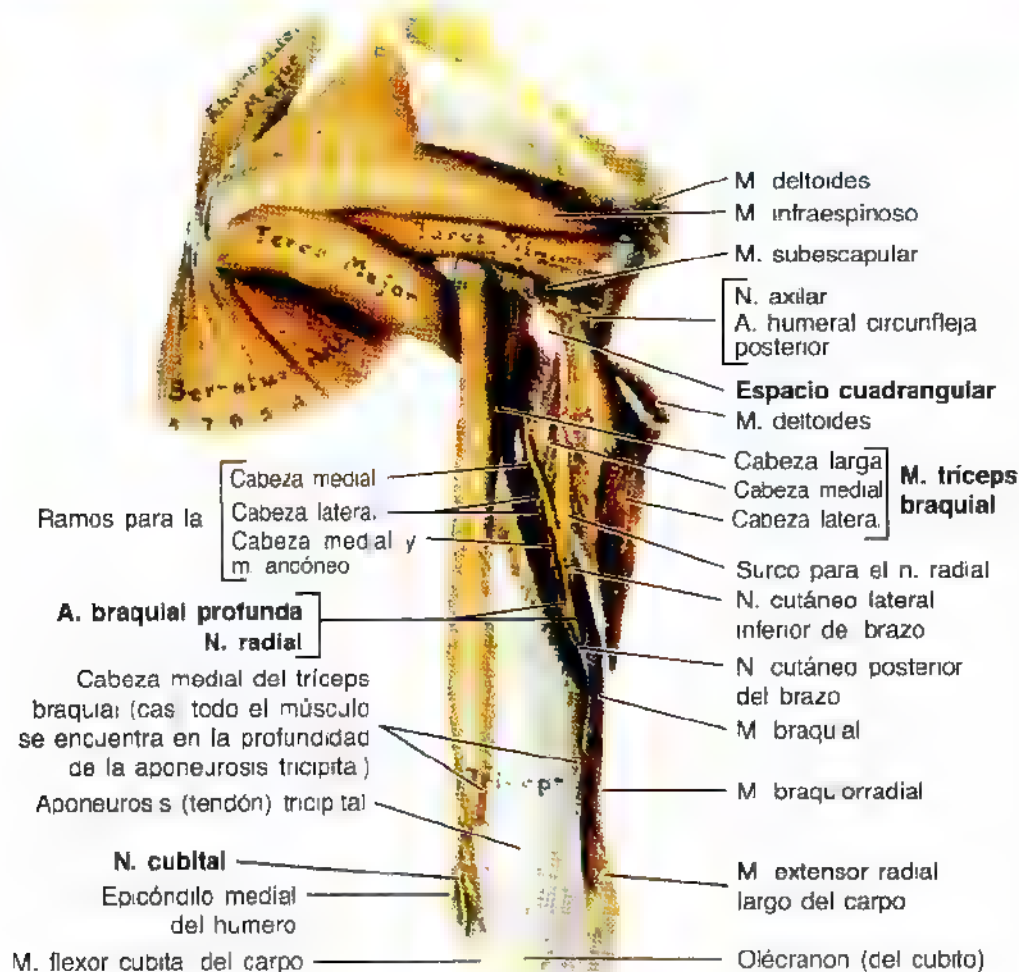
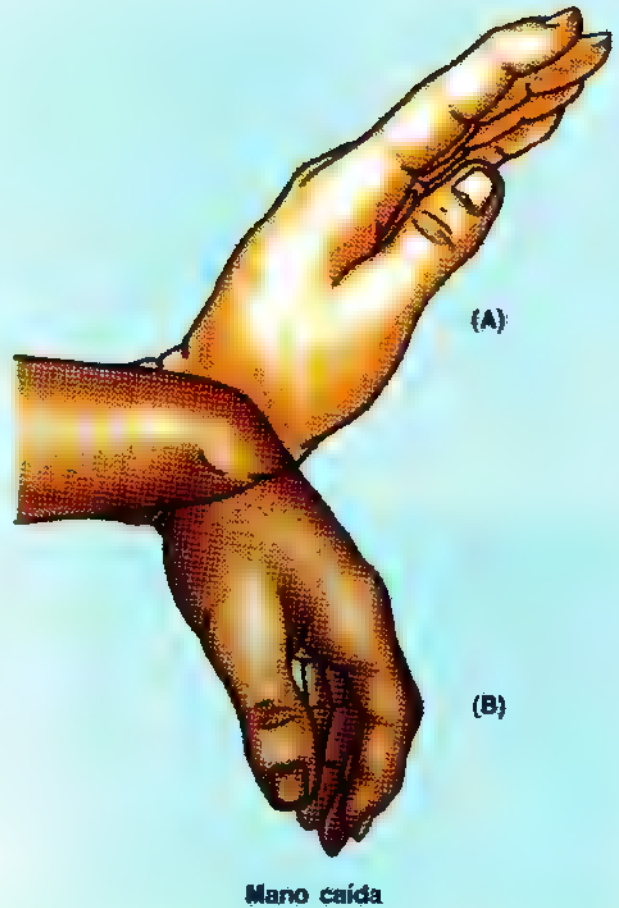


Figura 6.35. Disección del músculo tríceps braquial. Se ha dividido y desplazado la cabeza lateral del músculo para mostrar el *nervio radial* y la *arteria braquia profunda*, que acompaña al nervio en su trayecto posterior al surco humeral que lleva su nombre, con el que entra en contacto. Este es el lugar más común de lesión del nervio radial, casi siempre por fracturas de tercio medio del húmero. El hueso "desnudo" de surco para el nervio radial separa las inserciones humerales de las cabezas lateral y medial del tríceps. Obsérvese, además, el *espacio cuadrangular* y las estructuras que lo atraviesan. Nótese que el *nervio cubital* pasa detrás del epicóndilo medial del húmero, lugar donde suele dañarse con más frecuencia.

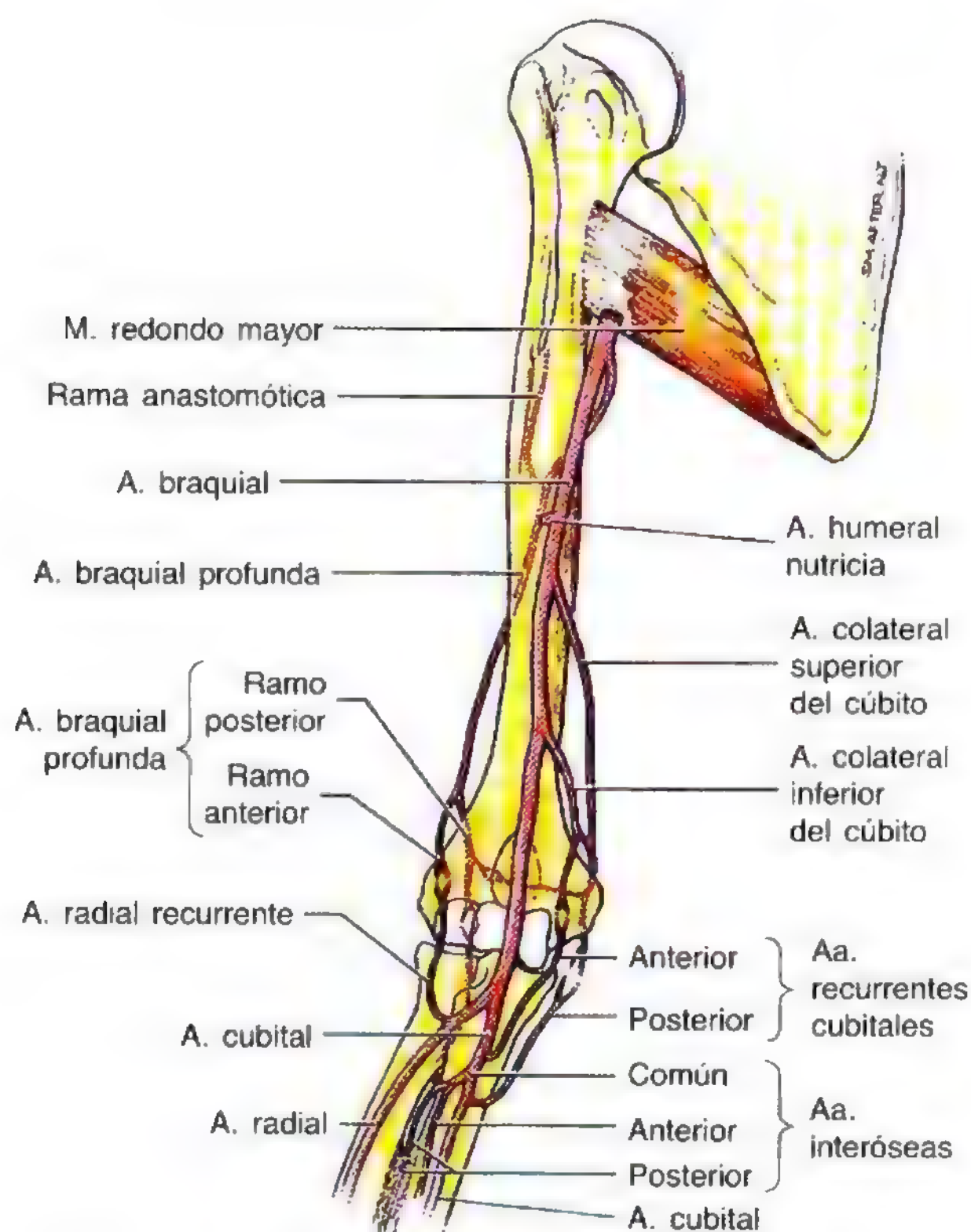


Figura 6.36. Irrigación del brazo y de la parte proximal del antebrazo. Obsérvense las anastomosis arteriales del codo, de gran importancia funcional y clínica. Estas vías de circulación colateral permiten que la sangre llegue al antebrazo cuando la flexión del codo dificulta el flujo por la porción terminal de la arteria braquial.

- Las venas satélite (profundas) de las arterias.
- El tendón del músculo bíceps braquial.
- El nervio mediano.

Superficialmente, en el tejido subcutáneo que cubre la fosa se encuentran:



Figura 6.37. Relación entre las arterias y los nervios del brazo con el húmero. Pueden verse los fascículos del plexo braquial que rodea la arteria axilar. El nervio radial y la arteria braquial profunda que lo acompaña se dirigen hacia atrás y entran en contacto directo con el surco del nervio radial del húmero. El nervio cubital perfora el tabique intermuscular medial para pasar al compartimento fascial posterior, y después se sitúa en el surco para el nervio cubital de la cara posterior del epicóndilo medial del húmero. Los dos nervios suelen lesionarse en estos lugares. El nervio mediano desciende por el brazo hasta la cara medial de la fosa cubital, donde está bien protegido y casi nunca se daña (fig. 6.33).

- La vena mediana cubital, delante de la arteria braquial.
- Los nervios cutáneos antebraquiales medial y lateral, relacionados con las venas basilíca y cefálica.

Los ramos profundo y superficial del nervio radial están en el suelo de la fosa.

Punción venosa

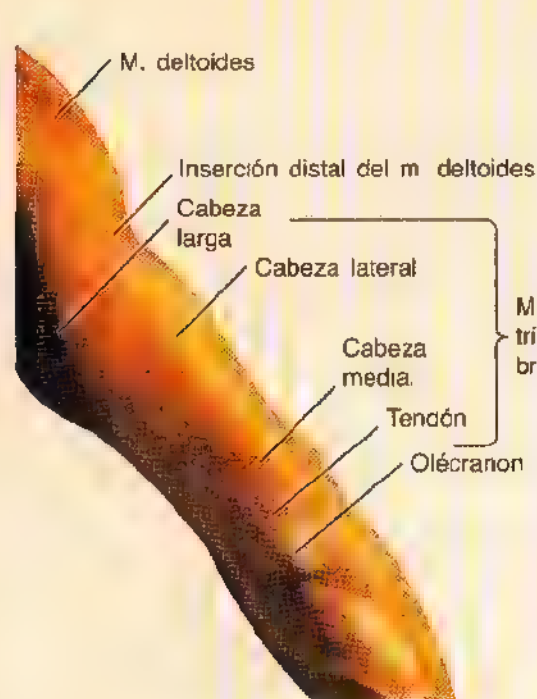
La fosa cubital es el lugar habitual para la extracción de sangre o la transfusión de sangre y las inyecciones intravenosas, dada la prominencia y accesibilidad de las venas. Existe mucha variación en la comunicación entre las venas basilíca y cefálica. Casi siempre se escogen la vena mediana cubital o la vena basilíca. La primera cruza la aponeurosis bicipital, que la separa de la arteria braquial y del nervio mediano subyacentes. Las venas cubitales

también representan un lugar para la inserción de catéteres cardíacos con objeto de tomar muestras de sangre de los grandes vasos y de las cavidades del corazón. Estas venas también se utilizan para la *angiocardiografía* (véase el capítulo 1). Se coloca un torniquete alrededor del tercio medio del brazo para distender las venas de la fosa cubital. Una vez que se pincha la vena se retira el torniquete para que cuando se retire la aguja no ocurra un sangrado venoso excesivo. ⚡

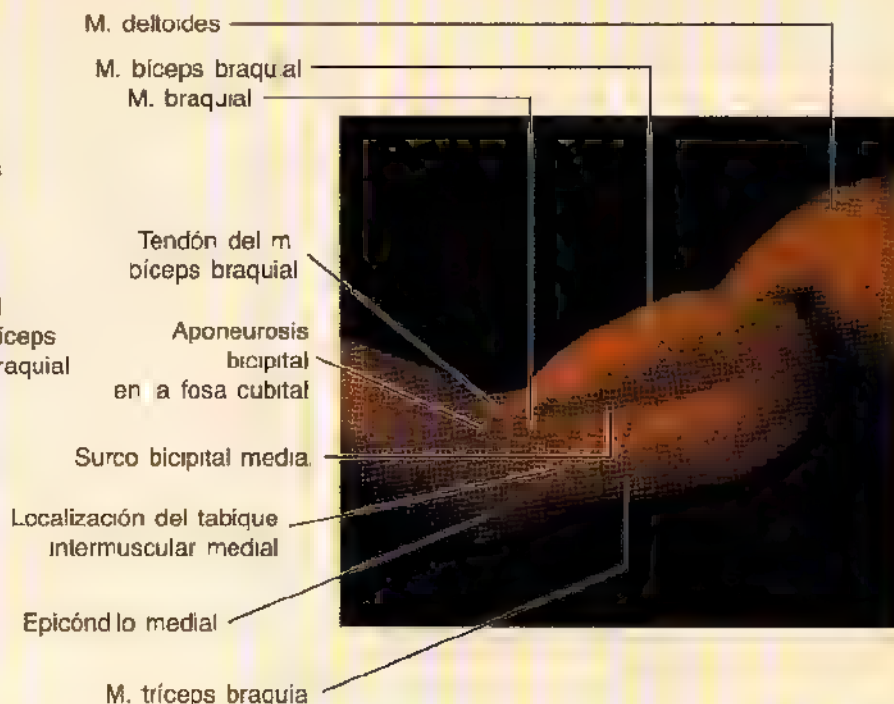
Anatomía de superficie del brazo y de la fosa cubital

Los bordes del músculo deltoides se ven cuando se separa el brazo contra la resistencia del examinador. Con el brazo totalmente aproximado se suele notar el **tubérculo mayor del húmero** con la palpación profunda a través del deltoides, debajo del borde latera. del acromion. Por

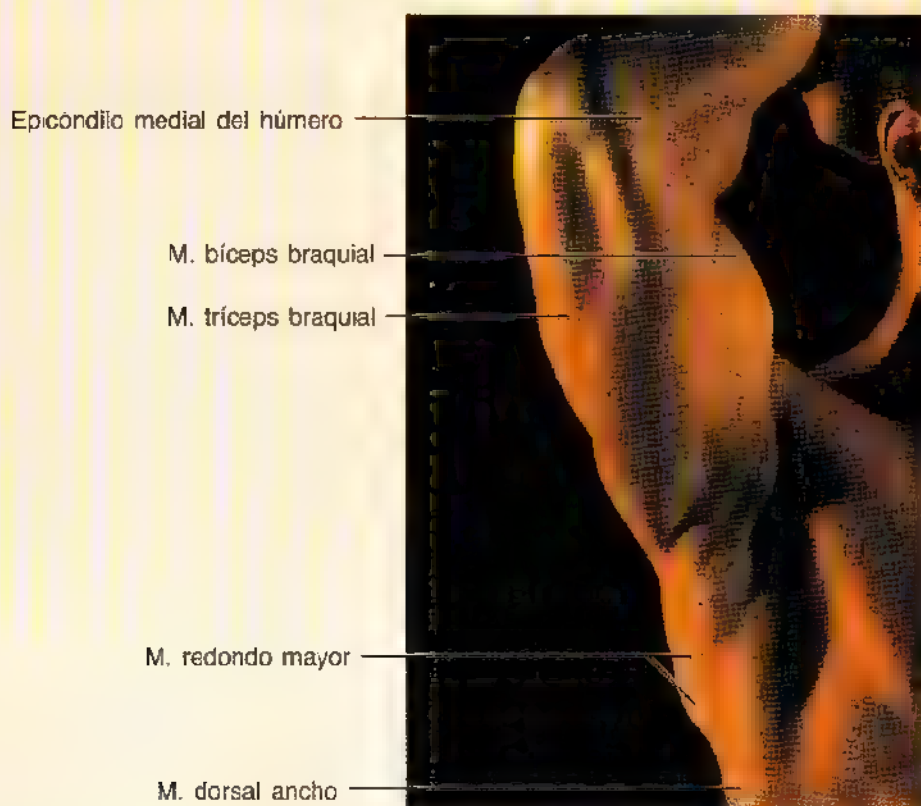
lo común, el tubérculo mayor es el punto óseo más lateral del hombro. La **inserción distal del deltoides** se palpa en la cara lateral del húmero. Las **tres cabezas del tríceps** (larga, lateral y medial) crean una prominencia en la cara posterior del brazo, y se identifican cuando el antebrazo se extiende contra resistencia a partir de una posición flexionada. El **olécranon**, donde se inserta distalmente el tendón tricipital, se palpa sin problemas. Queda ►



Cara posterior del brazo



Cara medial del brazo



Codo, brazo y axila

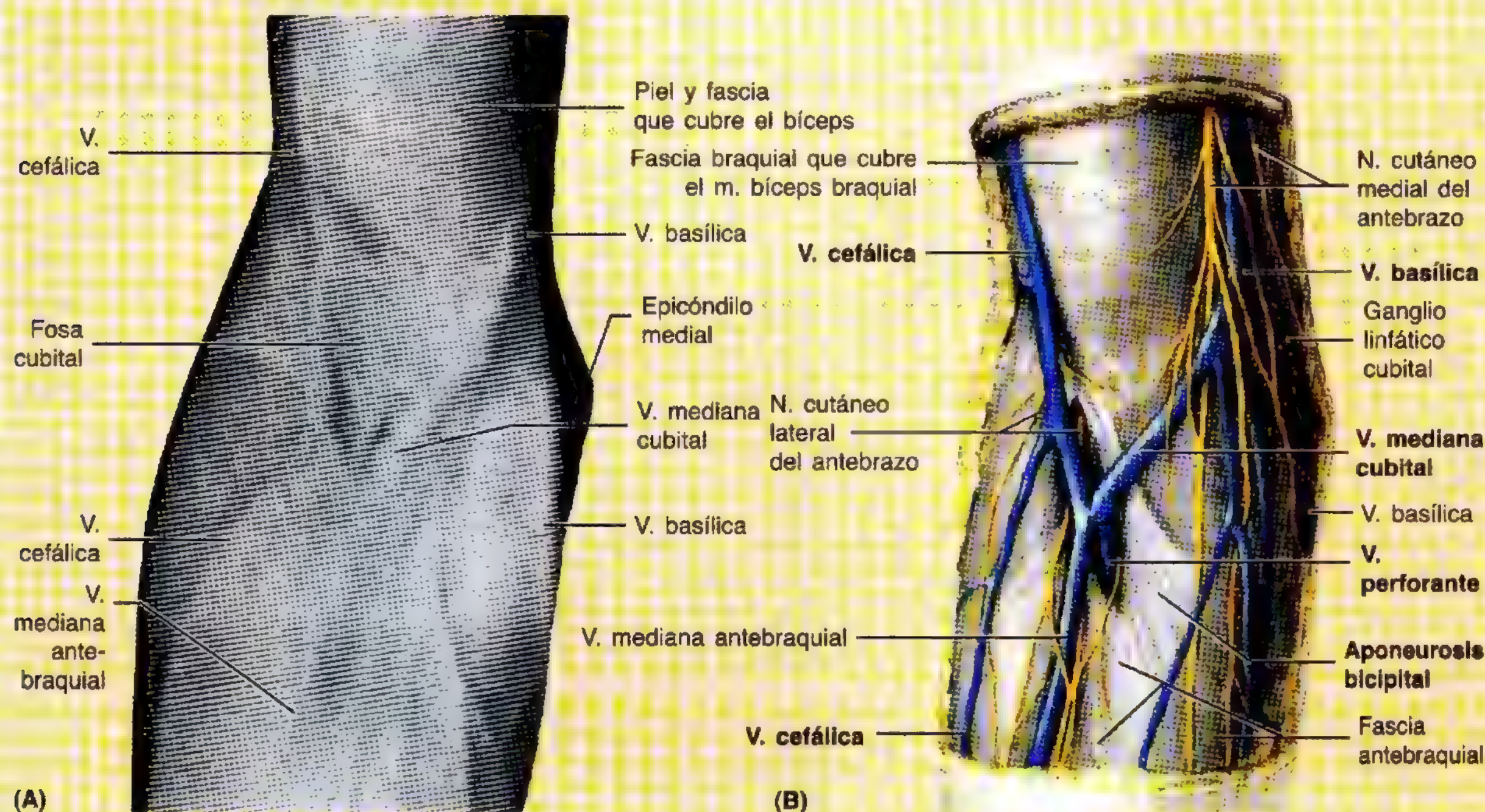
► separado de la piel sólo por la *bolsa olecraneana*. El **tendón tricipital** se nota fácilmente en su descenso por el borde posterior del brazo hasta el olécranon. Se pueden introducir los dedos a cada lado del tendón, en la zona donde la articulación del codo emerge a la superficie. La colección anómala de líquido en la articulación del codo o en la **bolsa tricipital** se descubre en estos lugares; la bolsa se sitúa en la profundidad del tendón tricipital.

El músculo **bíceps braquial** crea una prominencia en la cara anterior del brazo; su vientre se acentúa cuando se flexiona el codo y se supina contra la resistencia del examinador. El **tendón del músculo bíceps braquial** se palpa en la fosa cubital, inmediatamente lateral a la línea media, sobre todo si se flexiona el codo oponiendo resistencia. La parte proximal de la **aponeurosis bicipital** se nota a su paso oblicuo sobre la arteria braquial y el nervio mediano. Los **surcos bicipitales** medial y lateral separan las prominencias creadas por el bíceps y el tríceps e indican el lugar de los tabiques intermusculares medial y lateral. La vena cefálica asciende por el surco bicipital lateral, y la basilíca, por el medial.

Ninguna parte del cuerpo del húmero ocupa una posición subcutánea, pero se puede palpar con distinta suer-

te a través de los músculos que lo rodean. La **cabeza del húmero** está circundada en todo momento por músculos, salvo en la parte inferior; por eso se puede palpar introduciendo los dedos en la profundidad de la axila. El brazo debe estar pegado a un lado para que se relaje la fascia axilar. La cabeza humeral se identifica por sus movimientos cuando se desplaza el brazo y se mantiene el ángulo inferior de la escápula para que ésta no se mueva. Las pulsaciones de la **arteria braquial** se detectan en la profundidad del borde medial del bíceps (pág. 737). Los **epicóndilos humerales** medial y lateral, subcutáneos, se palpan con facilidad en las caras medial y lateral del codo. El epicóndilo medial es más prominente.

Las **venas cefálica y basilíca** de la fosa cubital se encuentran en el tejido subcutáneo y se ven con claridad si se aplica un torniquete al brazo, al igual que la **vena mediana cubital**, que cruza la aponeurosis bicipital en su trayecto superomedial para comunicar las venas cefálica y basilíca. La vena mediana cubital suele recibir la **vena mediana antebraquial**, pero la vena mediana antebraquial puede bifurcarse en una *vena mediana cefálica* y una *vena mediana basilíca*. En tal caso, no existe ninguna vena mediana cubital. ◊



El antebrazo

El antebrazo se extiende desde el codo hasta la muñeca y contiene dos huesos, el **radio** y el **cúbito** (fig. 6.39, A-C), unidos por la membrana interósea. Esta membrana fibrosa

y fina es muy robusta. Además de unir los dos huesos del antebrazo, la **membrana interósea** ofrece la inserción para algunos músculos profundos del antebrazo. La cabeza del cúbito se encuentra en la extremidad distal del antebrazo, y la del radio, en la proximal.

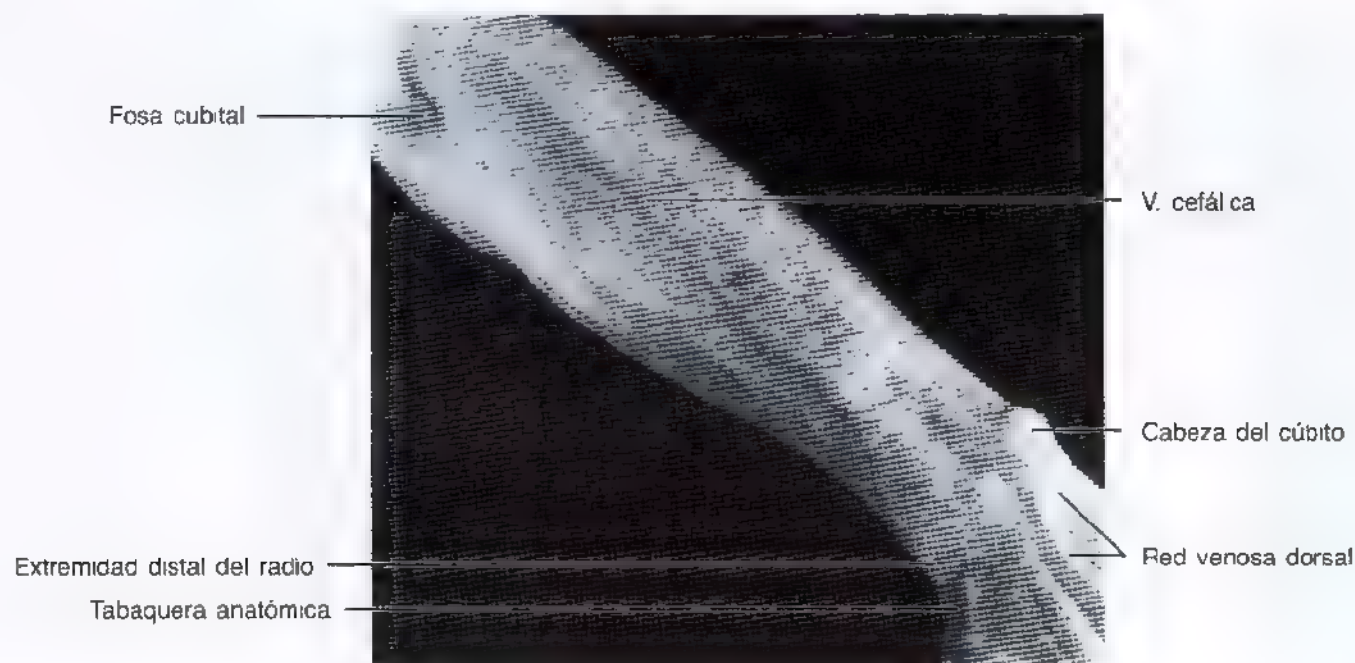


Figura 6.38. Anatomía de superficie de la fosa cubital, antebrazo y mano. El antebrazo y la mano están pronados. La fosa cubital es una depresión intermuscular triangular que contiene el tendón cubital, la terminación de la arteria braquial y las venas satélite, el comienzo de las arterias radial y cubital y parte de los nervios mediano y radial.

Los compartimientos del antebrazo

Si bien el límite proximal del antebrazo queda definido por el plano articular del codo, el antebrazo comprende la extremidad distal del húmero desde el punto de vista funcional. Para que la extremidad distal del antebrazo, la muñeca y la mano dispongan del volumen mínimo y alcancen la máxima función, operan mediante “el control remoto” de músculos extrínsecos, cuyas porciones carnosas, contráctiles y voluminosas se localizan proximalmente en el antebrazo —a distancia del lugar de acción—, mientras que poseen tendones largos y finos que se extienden distalmente hasta el sitio de operaciones, como si fueran cuerdas largas que responden a las poleas colocadas a distancia. Además, dado que las estructuras sobre las que actúan los músculos y los tendones (muñeca y dedos) disponen de un arco de movilidad muy grande, se necesita mucha contracción, es decir, los músculos deben poseer unas porciones contráctiles largas y un tendón o tendones también largos. De hecho, el antebrazo no es lo suficientemente largo para otorgar la longitud deseada y el área suficiente para la inserción proximal, por lo que las inserciones proximales (orígenes) de los músculos tienen lugar en la zona proximal del codo —el brazo—, es decir, en el húmero. En general, los músculos flexores quedan delante, y los extensores, detrás; sin embargo, las caras anterior y posterior de la extremidad distal del húmero están ocupadas por los músculos flexores y extensores del codo. Por consiguiente, para ofrecer los lugares de inserción necesarios, de la extremidad distal del húmero emergen unas extensiones medial y lateral (epicóndilos y crestas epicondíleas). El epicóndilo y la cresta epicondílea mediales ofrecen inserción para los músculos flexores del

antebrazo, y las formaciones laterales, para los extensores. Así pues, más que colocarse en una posición anterior y posterior rigurosa, las porciones proximales del compartimiento “anterior” (flexor-pronador) del antebrazo quedan en un plano anteromedial, y el compartimiento posterior (extensor-supinador), posterolateral (fig. 6.39D y véase 6.42B). A medida que se extienden en el antebrazo van girando poco a poco, y estos compartimientos acaban realmente en una posición anterior y posterior en la extremidad distal del antebrazo y de la muñeca. Por tanto, los compartimientos fasciales funcionales están delimitados por el borde subcutáneo del cúbito en la cara posterior (en la parte proximal del antebrazo), y después, en la medial (extremidad distal del antebrazo), y por la arteria radial en la parte anterior, y finalmente, lateral. Estas estructuras se pueden palpar (la arteria a través de sus pulsaciones) en el antebrazo. Como ningún nervio motor cruza estos límites, representan también los lugares de incisión quirúrgica.

Los músculos flexores y pronadores del antebrazo están en el compartimiento anterior y son inervados, en principio, por el nervio mediano; de esta norma se escapan un músculo y medio inervados por el nervio cubital. Los músculos extensores y supinadores del antebrazo se encuentran en el compartimiento posterior y sólo son inervados por el nervio radial (de manera directa o a través de su ramo profundo). Los compartimientos fascial y de los miembros suelen terminar en las articulaciones, y por eso, los líquidos y las infecciones de estos compartimientos quedan de ordinario contenidos y no se pueden extender fácilmente a otros compartimientos. En este aspecto, el compartimiento anterior del antebrazo resulta excepcional, porque se comunica

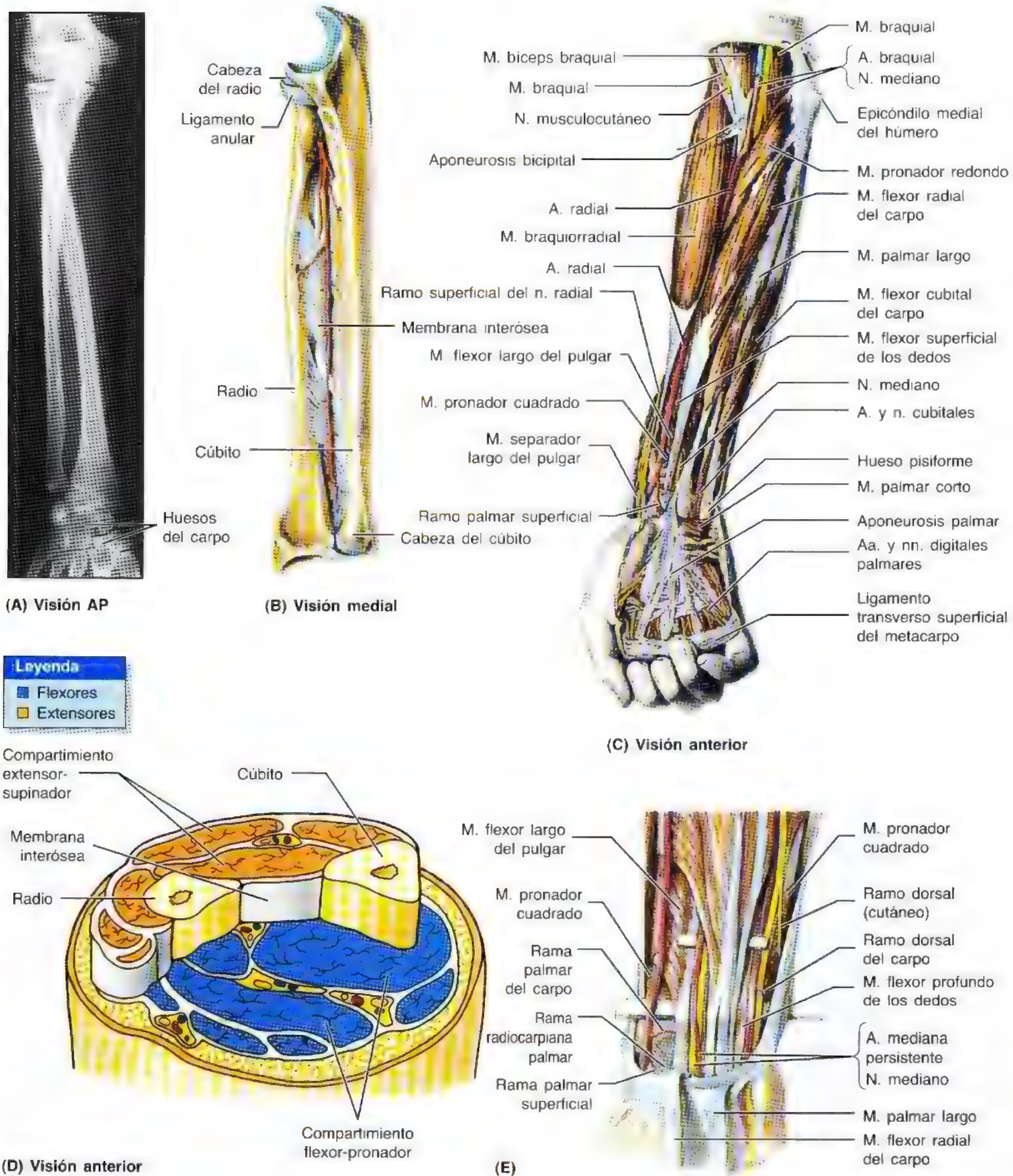


Figura 6.39. Huesos, músculos y compartimientos del antebrazo. **A.** Radiografía anteroposterior del antebrazo pronado (Cortesía del Dr. J. Heslin, Toronto, Ontario, Canada.) **B.** Visión medial de los huesos del antebrazo y de los ligamentos radiocubitales. **C.** Visión anterior. Músculos superficiales del antebrazo y aponeurosis palmar. **D.** Visión anterosuperior de un corte transversal progresivo que muestra los compartimientos del antebrazo. **E.** Visión anterior. Músculo flexor superficial de los dedos y estructuras asociadas. Obsérvese cómo la arteria cubital desciende oblicuamente, detrás del músculo flexor superficial de los dedos, y acompaña al nervio cubital.

con el compartimiento central de la palma a través del túnel del carpo (pág. 790).

Los músculos del antebrazo

Los músculos del antebrazo actúan sobre las articulaciones del codo, muñeca y dedos. Los músculos crean unas masas carnosas en la parte proximal del antebrazo, que se extienden hacia abajo desde los epicóndilos medial y lateral del húmero (fig. 6.39, C-E). Los tendones de estos músculos pasan por la parte distal del antebrazo y se continúan por la muñeca, mano y dedos.

Los músculos flexores-pronadores del antebrazo

Los músculos flexores del antebrazo se encuentran en el compartimiento anterior (flexor-pronador) del antebrazo y están separados de los músculos extensores por el radio y por el cúbito, así como por la membrana interósea que los comunica (fig. 6.39, B y C). Los tendones de la mayoría de los músculos flexores se localizan en la cara anterior de la muñeca y quedan sujetos por el ligamento palmar del carpo y el retináculo flexor, engrosamientos de la fascia antebraquial (figs. 6.39C y 6.40). Los músculos flexores se disponen en cuatro capas y se dividen en dos grupos, superficial y profundo (tabla 6.6):

- **Un grupo superficial de cinco músculos** (pronador redondo, flexor radial del carpo, palmar largo, flexor cubital del carpo y flexor superficial de los dedos [FSD]); todos estos músculos se insertan, al menos, en parte a través de un *tendón flexor común* desde el epicóndilo medial del húmero, la *inserción común de los flexores*.
- **Un grupo profundo de tres músculos** (flexor profundo de los dedos [FPD], flexor largo del pulgar y pronador cuadrado).

Los cinco músculos superficiales atraviesan el codo, y los tres profundos, no. Con excepción del músculo pronador cuadrado, cuanto más distal quede la inserción distal del músculo, más distal y profunda se encuentra su inserción proximal.

Todos los músculos del compartimiento anterior del antebrazo son inervados por los nervios mediano, cubital o por ambos (casi todos, por el nervio mediano; tan sólo un músculo y medio son inervados por el nervio cubital). Desde el punto de vista funcional, el músculo braquiorradial flexiona el antebrazo, pero se encuentra en el compartimiento posterior (posterolateral) o extensor y, por eso, recibe inervación del nervio radial; en consecuencia, este músculo constituye una importante excepción a la norma de que el nervio radial sólo inerva músculos extensores y que todos los flexores se encuentran en el compartimiento anterior (flexor). Los **músculos flexores largos de los dedos** (FSD y FPD) también flexionan las articulaciones metacarpofalángicas y de la muñeca. El FPD flexiona los dedos de manera lenta; su efecto es reforzado por el del FSD cuando se precisa velocidad y flexión contra cierta resistencia. Cuando

se flexiona la muñeca al mismo tiempo que las articulaciones metacarpofalángicas e interfalángicas, los músculos flexores largos de los dedos operan sobre una distancia menor entre las inserciones, y el resultado de su contracción es, como cabe suponer, menor. Al extender la muñeca aumenta la distancia operativa y su contracción resulta más eficaz y permite una prensión fuerte (véase fig. 6.52). Los tendones de los flexores largos de los dedos cruzan la porción distal del antebrazo, muñeca y palma, para continuar hasta los cuatro primeros dedos: el FSD flexiona las falanges medias, y el FPD, las distales.

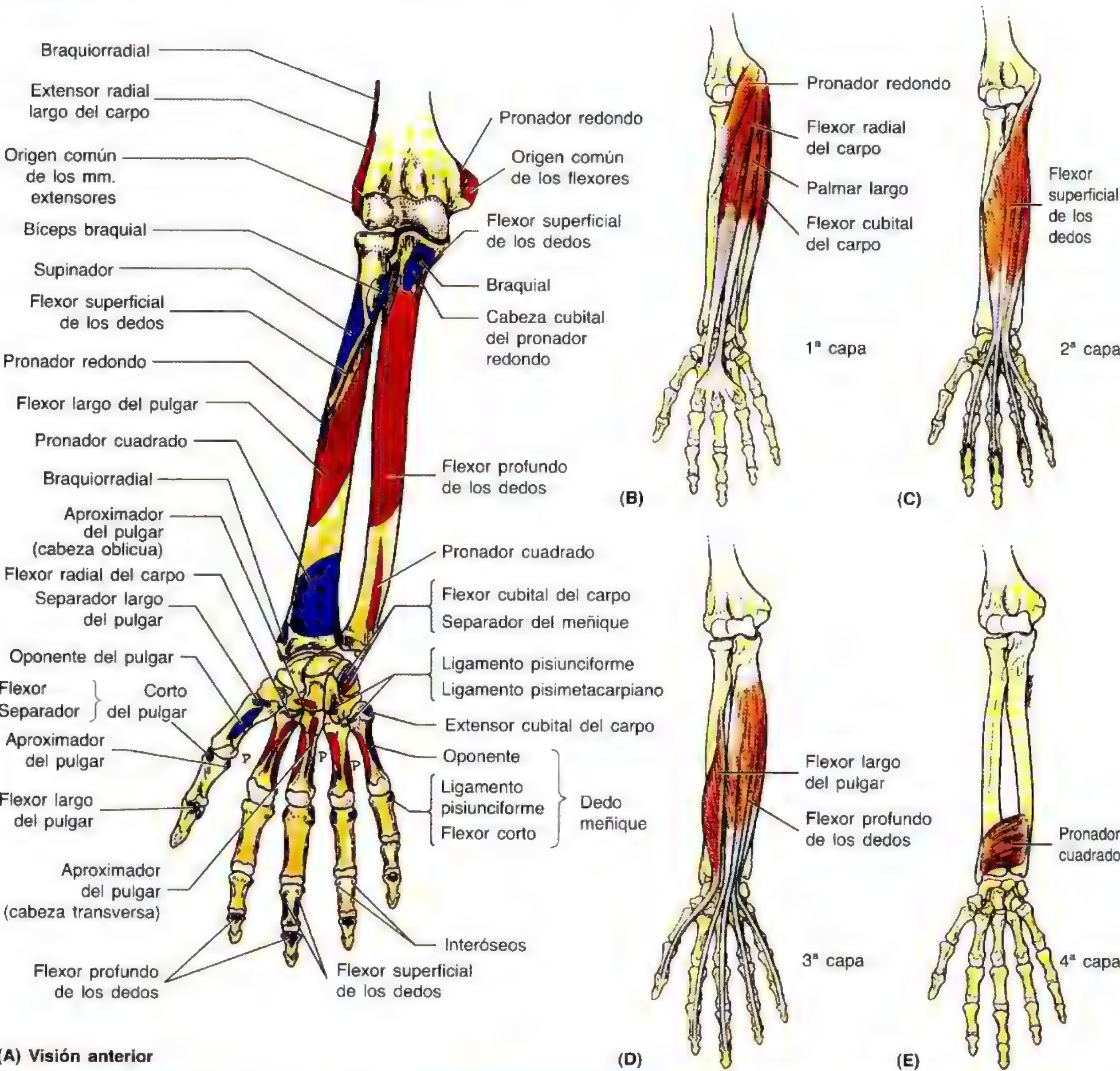
A continuación se enumeran las capas superficiales (intermedias) de los músculos flexores del antebrazo.

El músculo pronador redondo (figs. 6.39 y 6.40, tabla 6.6). Este músculo fusiforme *prona el antebrazo y flexiona el codo*. Posee dos cabezas de inserción proximal; una de ellas es el tendón común de los músculos flexores. Su inserción distal se encuentra en el punto más lateral del radio (aproximadamente, en la mitad de su cuerpo curvado) para disponer del máximo brazo de palanca. El músculo pronador redondo destaca cuando se flexiona mucho y prona el antebrazo; su borde lateral configura el límite medial de la fosa cubital. *Para explorar el músculo pronador redondo se debe pronar contra resistencia el antebrazo a partir del decúbito supino. Si la acción es normal se verá y palpará el músculo en el borde medial de la fosa cubital.*

El músculo flexor radial del carpo (figs. 6.39 y 6.40, tabla 6.6). Este músculo largo y fusiforme se encuentra *medial al músculo pronador redondo*. Su vientre carnoso del tercio medio del antebrazo se prolonga con un tendón largo y aplanado, que se transforma en un cordón conforme se aproxima a la muñeca. El músculo flexor radial del carpo produce flexión (cuando actúa con el flexor cubital del carpo) y separación de la muñeca (cuando se contrae con los extensores radiales largo y corto del carpo). Si actúa solo produce una combinación de flexión y separación simultánea de la muñeca, con desplazamiento anterolateral de la mano. Para llegar a su inserción distal, el tendón atraviesa un conducto de la parte lateral del retináculo flexor y un surco vertical del trapecio. El tendón del músculo flexor radial del carpo constituye una buena referencia de la arteria radial, que queda justo lateral (fig. 6.39C). *Para explorar el músculo flexor radial del carpo se pide al sujeto que flexione la muñeca oponiendo cierta resistencia. Si la acción del músculo es normal se debe ver y palpar con facilidad.*

El músculo palmar largo (figs. 6.39 y 6.40, tabla 6.6). Este pequeño músculo fusiforme falta a uno o a ambos lados (de ordinario, el izquierdo) en un 14% de las personas, pero sus acciones no desaparecen. Posee un vientre corto y un tendón largo, que discurre superficial al retináculo flexor y se inserta en él y en el vértice de la aponeurosis palmar. *El tendón del músculo palmar largo representa una guía útil del nervio mediano en la muñeca. Este tendón se encuentra en la profundidad y algo medial al nervio, antes de entrar en la profundidad del retináculo flexor. Para explorar el músculo palmar largo se flexiona la muñeca y se aproximan las*

Tabla 6.6. Los músculos del compartimiento anterior del antebrazo



Músculo	Inserción proximal	Inserción distal	Inervación*	Acción principal
Pronador redondo	Epicóndilo medial del húmero y apófisis coronoides del cúbito	Terclo medio de la cara lateral del radio	Nervio mediano (C6 y C7)	Prona y flexiona el antebrazo (por el codo)
Flexor radial del carpo	Epicóndilo medial del húmero	Base del 2º metacarpiano		Flexiona y separa la mano (por la muñeca)
Palmar largo		Mitad distal del retináculo flexor y aponeurosis palmar	Nervio mediano (C7 y C8)	Flexiona la mano (por la muñeca) y tensa la aponeurosis palmar
Flexor cubital del carpo	Cabeza humeral: epicóndilo medial del húmero Cabeza cubital: olécranon y borde posterior del cúbito	Hueso pisiforme, gancho del hueso ganchoso y 5º metacarpiano	Nervio cubital (C7 y C8)	Flexiona y aproxima la mano (por la muñeca)

Tabla 6.6. (Continuación) **Los músculos del compartimiento anterior del antebrazo**

Músculo	Inserción proximal	Inserción distal	Inervación*	Acción principal
Flexor superficial de los dedos	Cabeza humerocubital: epicóndilo medial del húmero, ligamento colateral de cúbito y apófisis coronoideas del cúbito Cabeza radial: mitad superior del borde anterior del radio	Cuerpos de las falanges medias de los cuatro dedos mediales	Nervio mediano (C7, C8 y T1)	Flexiona las falanges medias por las articulaciones interfalángicas proximales de los cuatro dedos mediales; si se contrae con más fuerza, también flexiona las falanges proximales por las articulaciones metacarpofalángicas y la mano
Flexor profundo de los dedos	Tres cuartos proximales de las caras medial y anterior del cúbito y de la membrana interósea	Bases de las falanges distales de los cuatro dedos mediales	Parte medial: n. cubital (C8 y T1) Parte lateral: n. mediano (C8 y T1)	Flexiona las falanges distales por las articulaciones interfalángicas distales de los cuatro dedos mediales; ayuda a la flexión de la mano
Flexor largo del pulgar	Cara anterior del radio y membrana interósea adyacente	Base de la falange distal del pulgar	N. interóseo anterior derivado del mediano (C8 y T1)	Flexiona las falanges del 1 ^{er} dedo (pulgár)
Pronador cuadrado	Cuarto distal de la cara anterior del cúbito	Cuarto distal de la cara anterior de radio		Prona el antebrazo; las fibras profundas unen el radio y el cúbito entre sí

* Los números indican la inervación segmentaria de la médula espinal (p. ej. C5 y C7 indican que los nervios destinados al músculo pronador redondo proceden de 5º y 7º segmentos cervicales de la médula). Los números en **negrita** señalan la inervación segmentaria principal. La lesión de estos segmentos o de las raíces del nervio motor que nace de ellos determina una parálisis de los músculos afectados.

yemas del dedo meñique y del pulgar. Si el músculo está presente y actúa de forma normal debe verse y palparse con facilidad su tendón.

El músculo flexor cubital del carpo (figs. 6.39 y 6.40, tabla 6.6). Es el más medial de los músculos flexores superficiales. El *flexor cubital del carpo flexiona y aproxima la mano* por la muñeca de manera simultánea si se contrae en solitario. Si actúa con el músculo flexor radial del carpo flexiona la muñeca, y si lo hace con el músculo extensor cubital del carpo, la aproxima. Tiene dos cabezas (humeral y el tendón flexor común—y cubital), por entre las cuales camina el nervio cubital hacia el antebrazo. Este músculo resulta excepcional entre los del compartimiento anterior, porque está totalmente inervado por el nervio cubital.

El tendón del músculo flexor cubital del carpo supone una referencia del nervio y de la arteria cubitales, que se encuentran en la cara lateral de la muñeca (fig. 6.39B). Para explorar el músculo cubital del carpo se ruega a la persona que ponga la cara posterior del antebrazo y de la mano sobre una tabla plana. Luego se le pide que flexione la muñeca contra la resistencia del explorador, que palpa al mismo tiempo el músculo y su tendón.

El músculo flexor superficial de los dedos (fig. 6.39, tabla 6.6). El *músculo flexor superficial de los dedos* es el músculo superficial más grande del antebrazo. Pese a incluirse en este lugar con el grupo superficial de músculos del antebrazo, que disponen de una inserción flexora común y, por tanto, cruzan el codo, este músculo en realidad crea una capa intermedia entre los grupos superficial y profundo. El *músculo flexor superficial de los dedos tiene dos cabezas* hume-

rocubital y radial—, por donde pasan el nervio mediano y la arteria cubital (fig. 6.39D). Cerca de la muñeca, el flexor superficial de los dedos da cuatro tendones que viajan en la profundidad del retináculo flexor por el túnel del carpo hacia los dedos. Los cuatro tendones de los dedos están encerrados (junto con los cuatro tendones del músculo flexor profundo de los dedos) en una **vaina sinovial flexora común**. El *flexor superficial de los dedos flexiona las falanges medias de los cuatro dedos mediales de la mano por las articulaciones interfalángicas proximales*. Si se mantiene su acción, también flexiona las falanges proximales por las articulaciones metacarpofalángicas y de la muñeca. Para explorar el *músculo flexor superficial de los dedos* se flexiona uno de los dedos por la articulación interfalángica proximal, oponiendo resistencia, y se sujetan los otros tres extendidos para inactivar el músculo flexor profundo.

Los músculos siguientes forman la capa profunda de los músculos flexores del antebrazo.

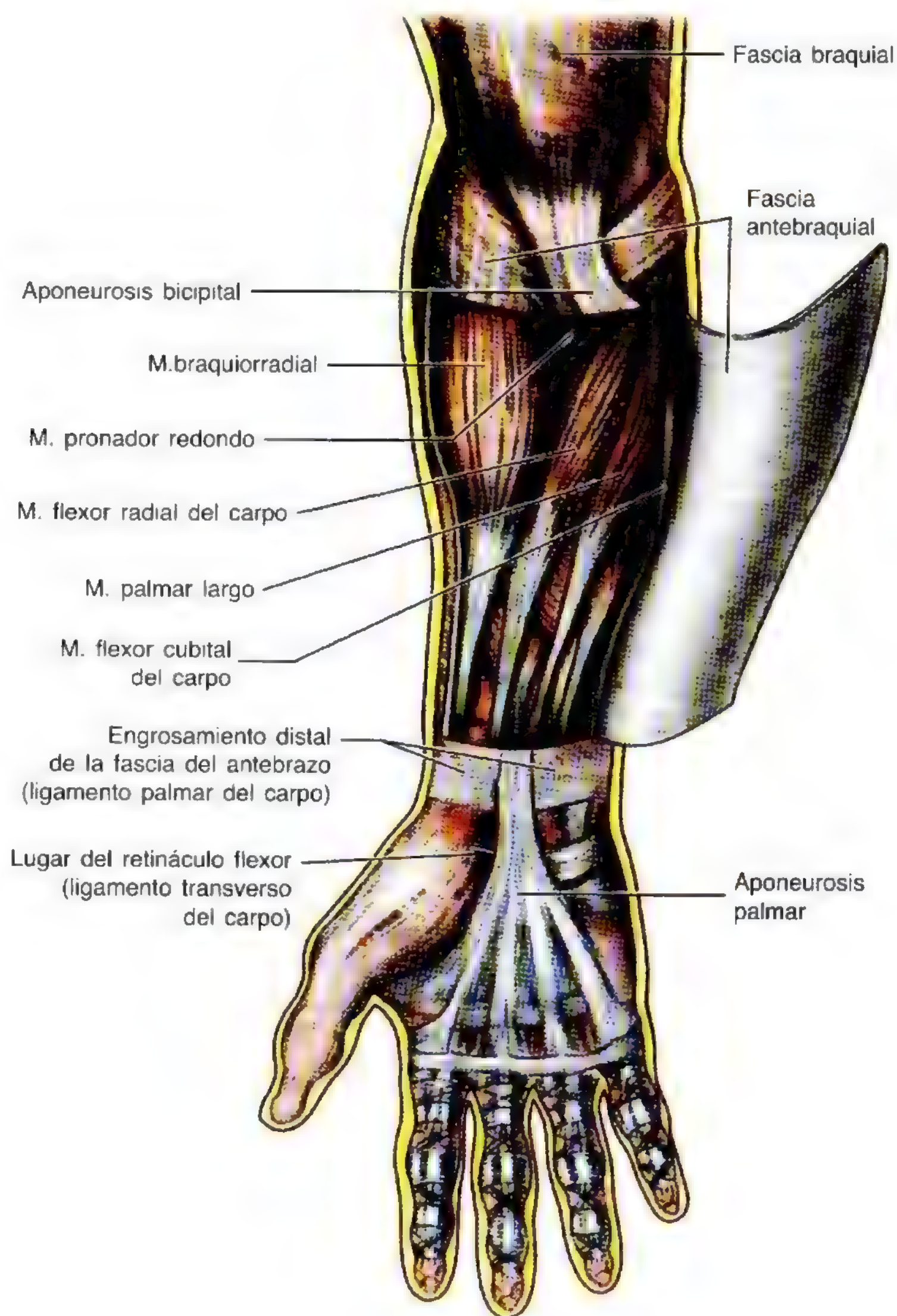
El músculo flexor profundo de los dedos (fig. 6.39E, tabla 6.6). El grueso FPD es el único músculo que flexiona las articulaciones interfalángicas distales de los dedos. Este **músculo flexor profundo de los dedos** tiene una extensa inserción proximal en el cúbito y en la membrana interósea, y ‘reviste’ la cara anterior del cúbito. El *flexor profundo flexiona las falanges distales de los cuatro dedos mediales una vez que el flexor superficial ha flexionado las falanges medias* (es decir, ‘riza los dedos’ y ayuda a la flexión de la mano para formar el puño). Cada tendón puede flexionar dos articulaciones interfalángicas, la articulación metacarpofalángica y la articulación de la muñeca. El *músculo flexor*

profundo de los dedos se divide en cuatro partes que terminan en cuatro tendones, que pasan detrás de los tendones del flexor superficial y del retináculo flexor. La parte del músculo que llega al 2º dedo suele separarse del resto bastante pronto en la parte distal del antebrazo. Cada tendón entra en la vaina fibrosa de su dedo, detrás del tendón del músculo flexor superficial. La parte lateral del músculo que se dirige al 2º o 3º dedos está inervada por el nervio mediano, y la parte medial (o cubital) del que llega a los dedos 4º y 5º, por el nervio cubital. Para explorar el músculo flexor profundo de los dedos se mantiene extendida la articulación interfalángica distal mientras el explorador trata de flexionar la articulación interfalángica distal. La integridad del nervio mediano en la parte proximal del antebrazo se puede explorar mediante esta prueba, empleando el dedo índice, y la del nervio cubital, utilizando el dedo meñique.

El **músculo flexor largo del dedo pulgar** (fig. 6.39, C y E, tabla 6.6). Este músculo flexor largo del pulgar queda lateral al flexor profundo de los dedos y reviste la cara anterior del radio más allá de la inserción del músculo supinador. Su tendón plano pasa detrás del retináculo flexor, envuelto en su propia vaina sinovial, por la cara lateral de la vaina sinovial común de los flexores. *El músculo flexor largo del pulgar flexiona la falange distal del dedo pulgar (1º dedo), y luego, la falange proximal y el 1º metacarpiano.* El músculo flexor largo del dedo pulgar es el único que flexiona la articulación interfalángica del dedo pulgar. Además, flexiona las articulaciones metacarpofalángica y carpo-metacarpiana del pulgar que contribuyen a la flexión de la muñeca. *Para explorar el músculo flexor largo del pulgar se sujeta la falange proximal del pulgar y se flexiona la falange distal oponiendo resistencia.*

Figura 6.40. Los músculos superficiales del antebrazo y la aponeurosis palmar.

El músculo braquiorradial, que representa el grupo lateral de músculos, se superpone ligeramente con la arteria radial. Los cuatro músculos superficiales del compartimiento anterior (flexor/pronador) del antebrazo (músculos pronador redondo, flexor radial del carpo, palmar largo y flexor cubital del radio) se irradian desde el epicóndilo medial del húmero (fig. 6.39B). La fascia profunda del antebrazo se engruesa sobre las extremidades distales del radio y del cúbito, formando el retináculo extensor por detrás y un engrosamiento similar (pero sin nombre oficial) por delante, que algunos autores llaman "ligamento palmar del carpo". Inmediatamente distal y en un plano más profundo al último engrosamiento queda el *retináculo flexor*, una banda fibrosa y pesada que se continúa también con la porción distal de la fascia antebraquial, extendida entre las prominencias anteriores de los huesos externos del carpo; esta banda completa el túnel del carpo. Los tendones de los músculos flexores de la mano y de los dedos pasan a través de este túnel. La *aponeurosis palmar* es una membrana triangular robusta que cubre los tendones de la palma. Su vértice se continúa con el tendón del músculo palmar largo y se fija a la cara anterior del retináculo flexor.



El músculo pronador cuadrado (fig. 6.39, C y E, tabla 6.6). Como su propio nombre indica, este pequeño músculo cuadrangular prona el antebrazo. No se puede palpar ni observar, salvo en las disecciones, porque es el músculo más profundo de la cara anterior del antebrazo. Reviste el cuarto distal del radio y del cúbito y la membrana interósea que los comunica. El músculo pronador cuadrado es el único músculo que sólo se inserta en el cúbito por un extremo y en el radio por el otro. *El músculo pronador cuadrado prona el antebrazo por las articulaciones radiocubitales y también por la sindesmosis "intermedia" (radiocubital); es el responsable principal de la pronación.* Este músculo inicia la pronación, a la que contribuye el músculo pronador redondo cuando se requiere más velocidad y potencia. El músculo pronador cuadrado también ayuda a la membrana interósea a mantener el radio y el cúbito unidos, sobre todo cuando se transmiten golpes ascendentes de la muñeca (p. ej., al caer sobre la mano).

Los músculos extensores del antebrazo

Los músculos extensores están en el compartimiento posterior (extensor-supinador) del antebrazo y todos son inervados por el nervio radial (figs. 6.41-6.43, tabla 6.7). Estos músculos se organizan en **tres grupos funcionales**:

- Los músculos que extienden y separan o aproximan la mano por la muñeca (extensor radial largo del carpo, extensor radial corto del carpo y extensor cubital del carpo).
- Los músculos que extienden del 2º al 5º dedos (extensor de los dedos, extensor del índice y extensor del dedo meñique).
- Los músculos que extienden o separan el 1º dedo o pulgar (separador largo del pulgar, extensor corto del pulgar y extensor largo del pulgar).

Los tendones de los músculos extensores quedan sujetos en la muñeca por el **retináculo extensor**, que impide el arqueamiento de los tendones cuando se hiperextiende la mano por la muñeca. Conforme los tendones pasan por el dorso de la muñeca reciben **vainas tendinosas sinoviales**, que reducen la fricción entre los tendones y los huesos (fig. 6.43).

Los músculos extensores del antebrazo también se dividen en los grupos superficial y profundo. Cuatro de los **músculos extensores superficiales** (extensor radial corto del carpo, extensor de los dedos, extensor del dedo meñique y extensor cubital del carpo) están unidos por un **tendón extensor común** al epicóndilo lateral (figs. 6.41 y 6.42, tabla 6.7). La inserción proximal de los otros dos músculos en el grupo superficial (braquiorradial y extensor radial largo del carpo) tiene lugar en la cresta supracondílea lateral del húmero y en el tabique intermuscular lateral adyacente. Los cuatro tendones planos del músculo extensor de los dedos pasan detrás del retináculo extensor hasta los cuatro dedos mediales. Los tendones comunes de los dedos índice y meñique están unidos, por sus caras mediales, cerca de los nudillos a través de

los tendones respectivos de los músculos extensores del índice y del dedo meñique, respectivamente. El tendón del músculo extensor del dedo índice entra en la mano por el mismo túnel que los tendones del músculo extensor de los dedos. El tendón del músculo extensor del dedo meñique posee su propio túnel. De ordinario, tres bandas oblicuas unen los cuatro tendones del músculo extensor de los dedos en la zona proximal a los nudillos y restringen las acciones independientes de los dedos (en particular, del dedo anular). Por eso, normalmente no se puede flexionar por completo ningún dedo cuando los demás se extienden por completo.

Los tendones de los músculos extensores se aplanan en las extremidades distales de los metacarpianos y a lo largo de las falanges para crear **expansiones de los músculos extensores** (fig. 6.44, A-C). Cada expansión extensora (expansión dorsal, capuchón o casquete dorsal) es una aponeurosis tendinosa triangular que envuelve el dorso y los lados de la cabeza del metacarpiano y de la falange proximal. Este **capuchón** con forma de visera, creado por la expansión extensora sobre la cabeza del metacarpiano, que sujeta el tendón del músculo extensor a la parte media del dedo, se fija a cada lado en el **ligamento palmar** (fig. 6.44B). La expansión extensora se divide en una banda mediana que llega a la base de la falange media (fig. 6.44, D y E), y en dos bandas laterales que terminan en la base de la falange distal. Los músculos interóseos y lumbricales de la mano se insertan en bandas laterales de la expansión extensora (figs. 6.43 y 6.44). El **ligamento retinacular** es una banda fibrosa delicada que discurre desde la falange proximal y la vaina fibrosa digital en dirección oblicua hacia la falange media y las dos articulaciones interfalángicas (fig. 6.44C). Se une con la expansión extensora para la falange distal. Al flexionar la articulación interfalángica distal, el ligamento retinacular se tensa y tracciona para flexionar la articulación proximal. De modo análogo, al extender la articulación proximal, la articulación distal es traccionada por el ligamento retinacular hasta alcanzar una extensión casi completa.

El músculo braquiorradial (figs. 6.41-6.43, tabla 6.7). Este músculo fusiforme queda superficial en la cara antero-lateral del antebrazo y forma el borde lateral de la fosa cubital (fig. 6.33). Como se mencionó más arriba, entre los músculos del compartimiento "posterior" (extensor-supinador), el músculo braquiorradial es único, porque flexiona el antebrazo por el codo, sobre todo cuando se precisan movimientos rápidos y cuando se levanta un peso durante la flexión lenta del antebrazo. Los músculos braquiorradial y supinador son los únicos del compartimiento que no cruzan la muñeca y, por tanto, no actúan sobre ella. En su descenso, el músculo braquiorradial cubre el nervio y la arteria radiales en el lugar donde siguen un mismo trayecto sobre el músculo supinador, el tendón del músculo pronador redondo, el músculo flexor superficial de los dedos y el músculo flexor largo del dedo pulgar. La parte distal del tendón está cubierta por los separadores largo y corto del pulgar a su paso hacia el pulgar. *Para explorar el músculo braquiorradial*

se flexiona el codo contra la resistencia del explorador, manteniendo el antebrazo en pronación intermedia. Si la acción es normal se debe ver y palpar este músculo.

El músculo extensor radial largo del carpo (figs. 6.41-6.43, tabla 6.7). Este músculo fusiforme se halla cubierto en parte por el músculo braquiorradial, con el que suele unirse. Desciende detrás del músculo braquiorradial. El músculo separador largo del pulgar y el extensor corto del pulgar cruzan su tendón. *El músculo extensor radial largo del*

carpo extiende y separa la muñeca y es indispensable para cerrar el puño. Para explorar el músculo extensor radial largo del carpo se extiende y se separa la muñeca con el antebrazo pronado. Si la acción es normal, este músculo se palpa inferoposterior a la cara lateral del codo. Su tendón se puede palpar proximal a la muñeca.

El músculo extensor radial corto del carpo (figs. 6.41-6.43, tabla 6.7). Como su propio nombre indica, este músculo fusiforme es más corto que el músculo extensor

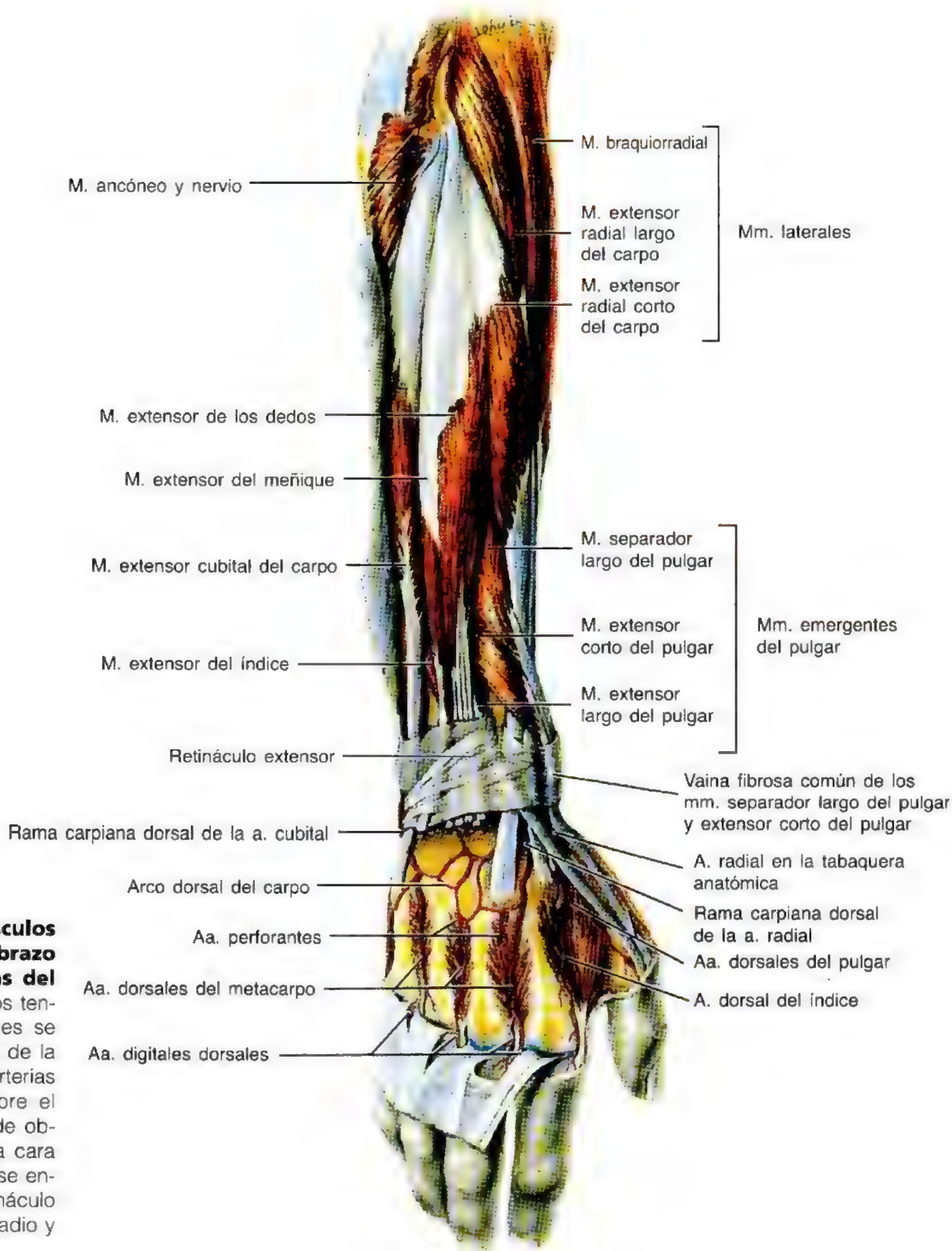


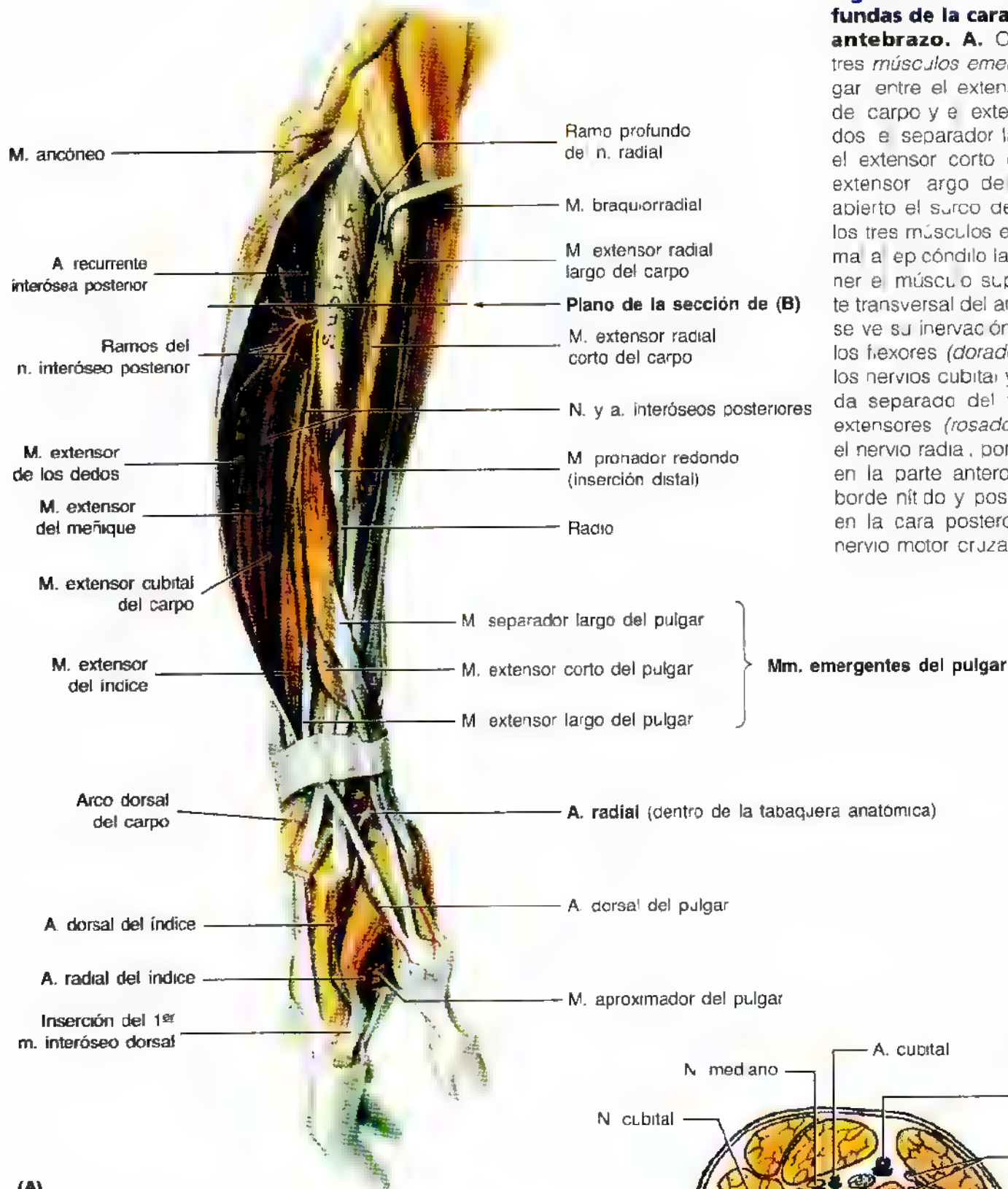
Figura 6.41. Los músculos extensores del antebrazo derecho y las arterias del dorso de la mano. Los tendones extensores distales se han extirpado del dorso de la mano, respetando las arterias que se encuentran sobre el plano óseo. Como puede observarse, la fascia de la cara posterior del antebrazo se engrosa para dar el retináculo extensor, que se fija al radio y al cúbito.

Los tendones extensores distales se han extirpado del dorso de la mano, respetando las arterias que se encuentran sobre el plano óseo. Como puede observarse, la fascia de la cara posterior del antebrazo se engrosa para dar el retináculo extensor, que se fija al radio y al cúbito.

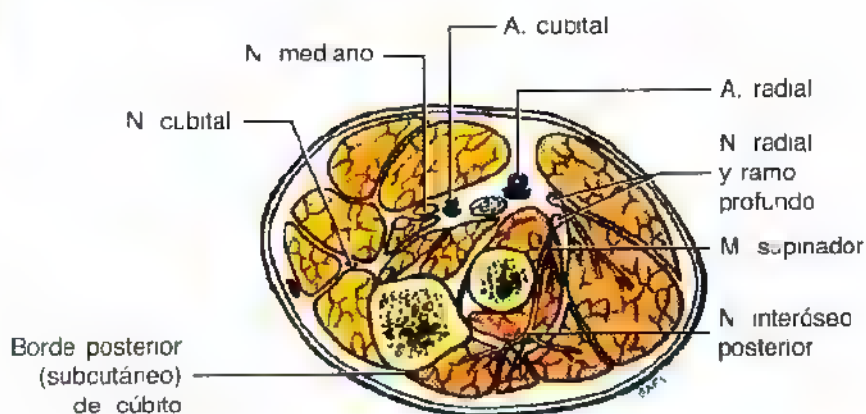
radial largo del carpo. En su descenso queda cubierto por el músculo extensor radial largo del carpo. *El músculo extensor radial corto del carpo extiende y separa la mano por la muñeca.* Este músculo y el extensor radial largo del carpo

actúan de concierto para enderezar la muñeca cuando se flexionan los cuatro primeros dedos.

El **músculo extensor de los dedos** (figs. 6.41-6.44, tabla 6.7). El músculo extensor de los dedos, *el principal*



(A)



(B)

Figura 6.42. Estructuras profundas de la cara posterior del antebrazo. **A.** Obsérvense los tres músculos emergentes del pulgar entre el extensor radial corto del carpo y el extensor de los dedos e separador largo del pulgar, el extensor corto del pulgar y el extensor largo del pulgar. Se ha abierto el surco del que emergen los tres músculos en sentido proximal al epicóndilo lateral para exponer el músculo supinador. **B.** Corte transversal del antebrazo, donde se ve su inervación. El territorio de los flexores (*dorado*), nervado por los nervios cubital y mediano, queda separado del territorio de los extensores (*rosado*), innervado por el nervio radial, por la arteria radial en la parte anterolateral y por el borde nítido y posterior del cúbito en la cara posteromedial. Ningún nervio motor cruza estas líneas.

extensor de los cuatro dedos mediales, ocupa gran parte de la cara posterior del antebrazo. Sus cuatro tendones proximales pasan por una **vaina sinovial común**, en la profundidad del retináculo extensor, junto con el tendón del músculo extensor del dedo índice (fig. 6.43, A y B). En el dorso de la mano, los tendones se separan en su trayecto hacia los dedos. Los tendones adyacentes están unidos por **conexiones intertendinosas**. De ordinario, el 4º tendón se une al

principio con el tendón para el dedo anular y alcanza el dedo meñique a través de una banda tendinosa. *El músculo extensor de los dedos extiende las falanges proximales y, mediante refuerzos colaterales, también las falanges media y distal. Además, ayuda a extender la mano por la muñeca después de ejercer una tracción, sobre todo en los dedos. Para explorar el músculo extensor de los dedos se proná el antebrazo y se extienden los dedos de la mano. El sujeto ha de*

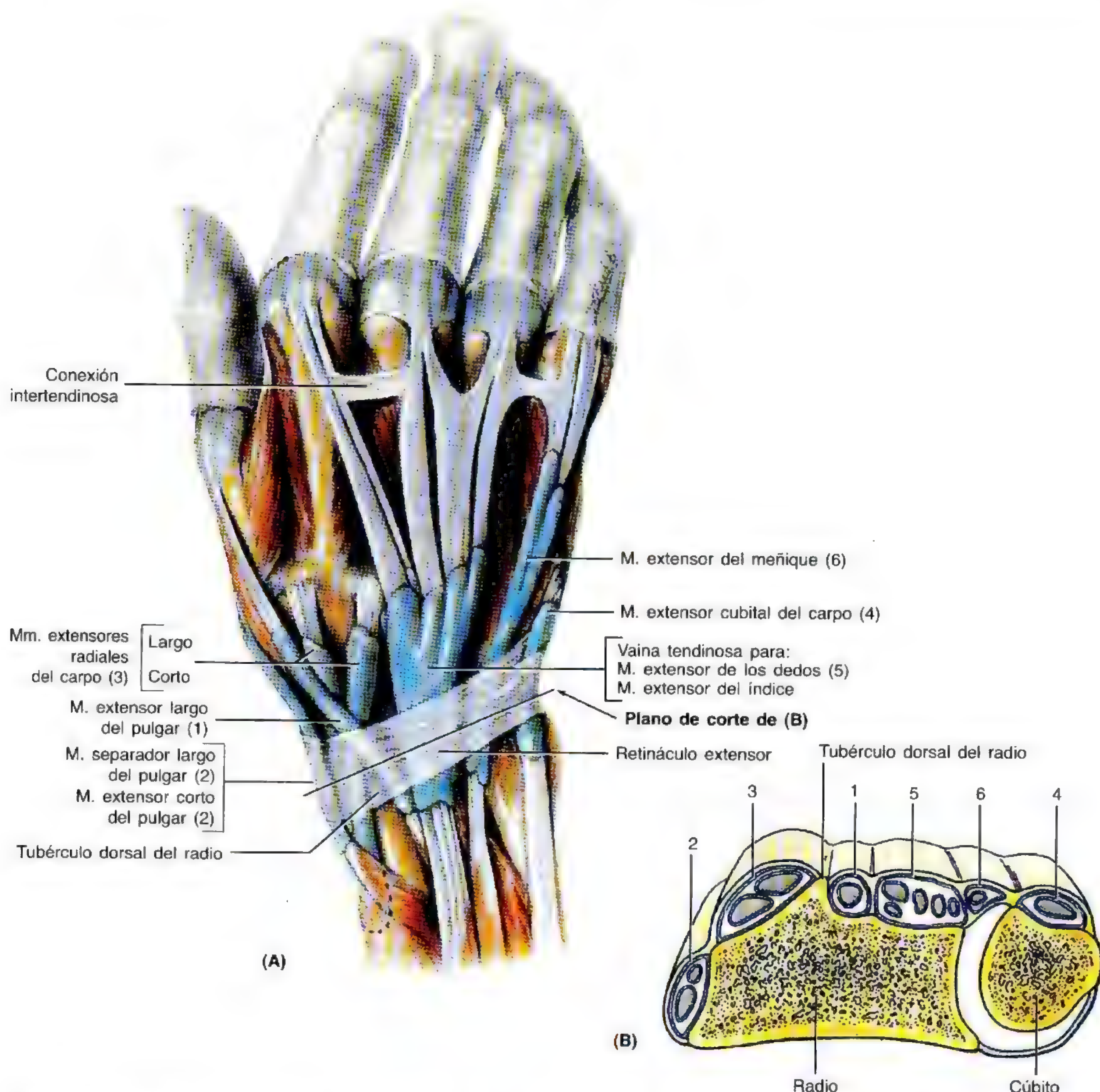
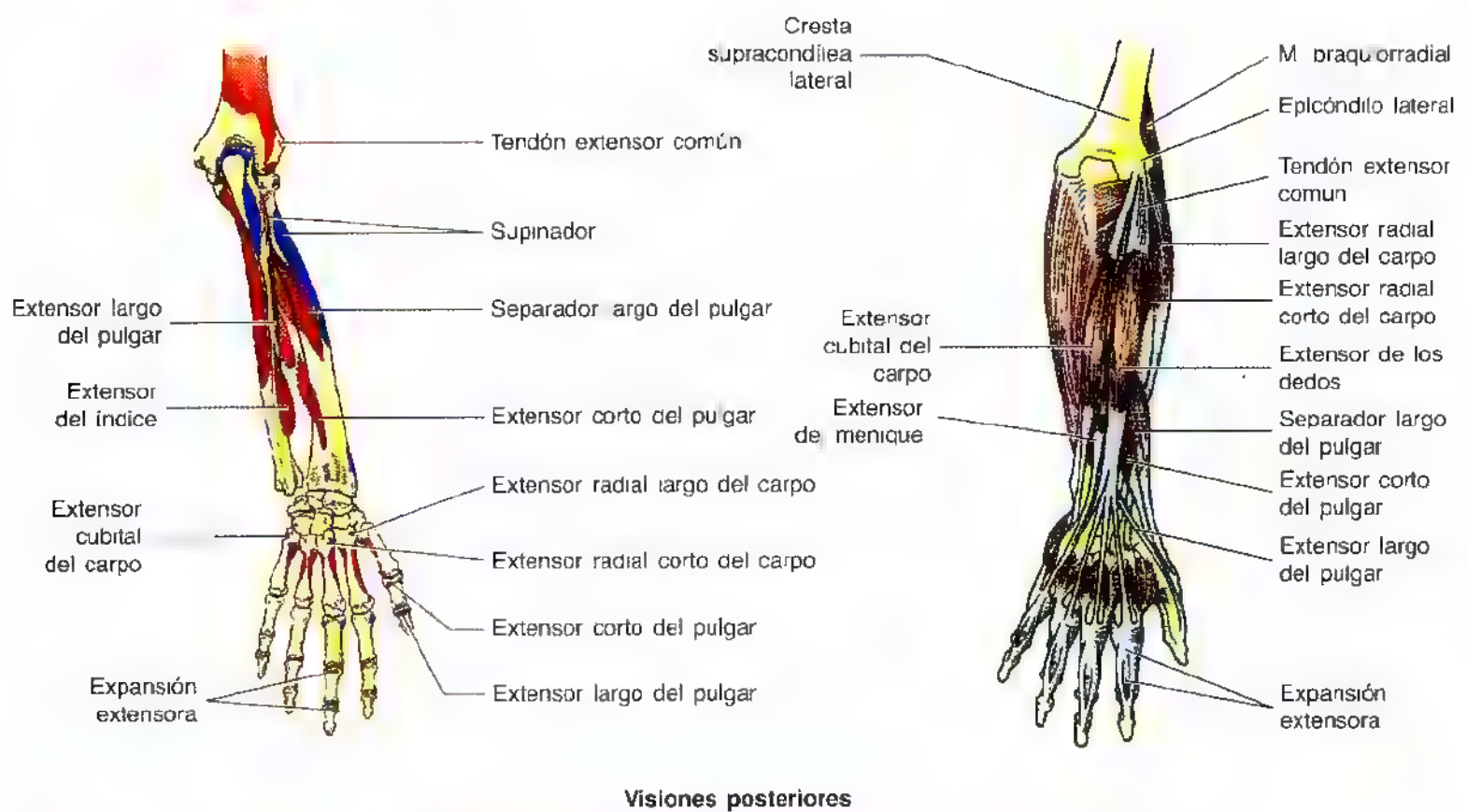


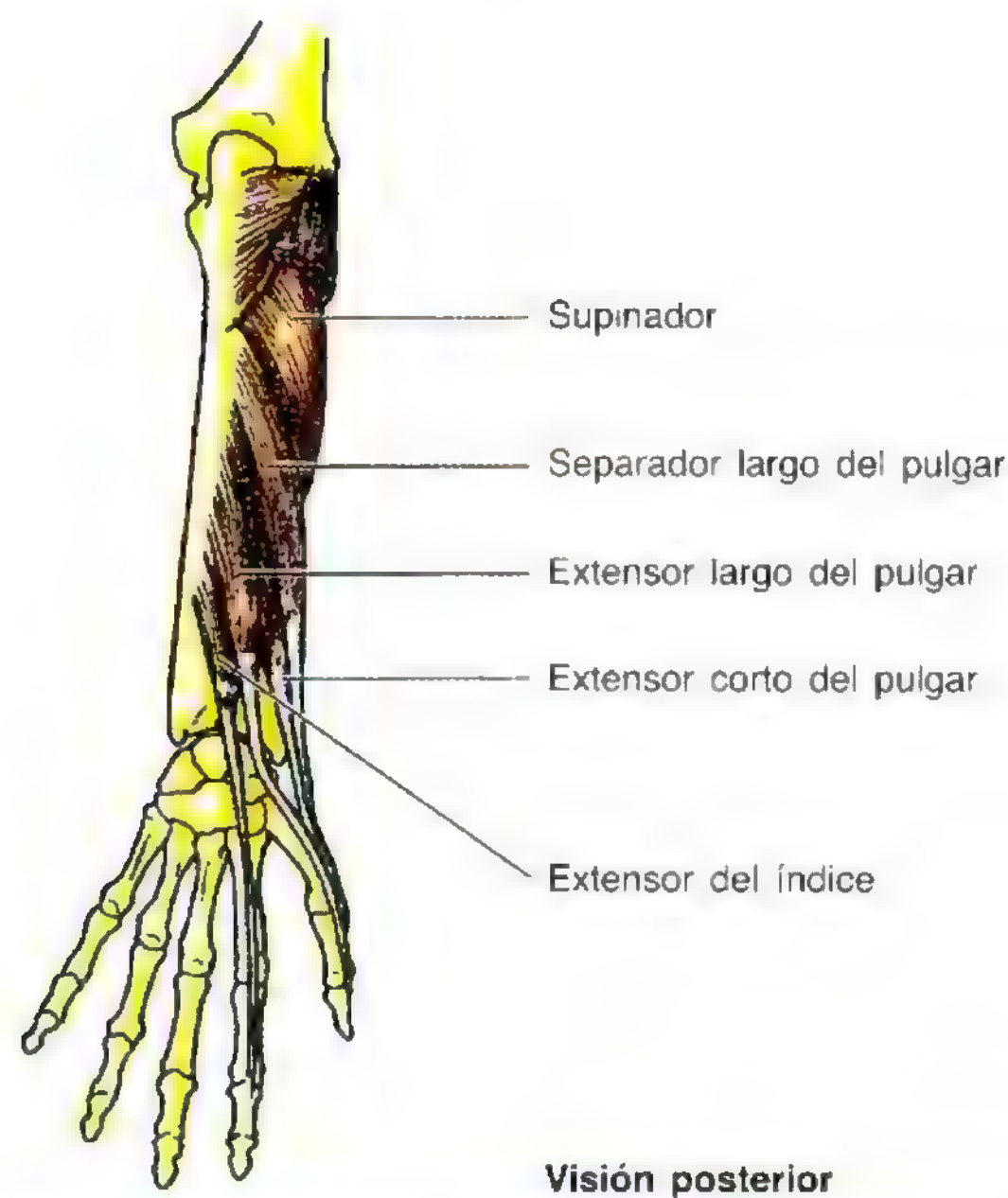
Figura 6.43. Vainas sinoviales y tendones de la parte distal del antebrazo y dorso de la mano. A. Las seis vainas tendinosas sinoviales (en azul) ocupan los seis túneles osteofibrosos formados por las inserciones del retináculo extensor en el cúbito y, sobre todo, en el radio, que dan paso a nueve tendones. Los números que figuran entre paréntesis se refieren a las vainas numeradas en (B). B. Corte transversal de la extremidad distal del antebrazo que ilustra la posición de los tendones en sus vainas sinoviales.

Tabla 6.7. Los músculos del compartimiento posterior del antebrazo



Músculo	Inserción proximal	Inserción distal	Inervación*	Acción principal
Braquiorradial	Dos tercios proximales de la cresta supracondílea lateral del húmero	Cara lateral de la extremidad distal del radio	N. radial (C5, C6 y C7)	Flexiona el antebrazo
Extensor radial largo de carpo	Cresta supracondílea lateral del húmero	Base del 2º metacarpiano	N. radial (C6 y C7)	Extiende y separa la mano por la muñeca
Extensor radial corto de carpo	Epicóndilo lateral de húmero	Base del 3er metacarpiano	Ramo profundo del n. radial (C7 y C8)	
Extensor de los dedos		Expansiones extensoras de los cuatro dedos mediales	N. interóseo posterior (C7 y C8), prolongación del ramo profundo del n. radial	Extiende los cuatro dedos mediales por las articulaciones metacarpofalángicas; extiende la mano por la muñeca
Extensor del meñique		Expansión extensora del 5º dedo		Extiende el 5º dedo por las articulaciones metacarpofalángicas e interfalángicas
Extensor cubital del carpo	Epicóndilo lateral de húmero y borde posterior del cúbito	Base del 5º metacarpiano		Extiende y aproxima la mano por la muñeca
Supinador	Epicóndilo lateral de húmero, ligamentos colateral del radio y anular, fosa supinadora y cresta cubital	Caras lateral, posterior y anterior del tercio proximal de radio	Ramo profundo del n. radial (C5 y C6)	Supina el antebrazo (es decir, rota el radio para que la palma gire hacia delante)
Separador largo de pulgar	Bordes posteriores del cúbito, radio y membrana interósea	Base de 1er metacarpiano	N. interóseo posterior (C7 y C8), prolongación del ramo profundo del n. radial	Separa el pulgar y lo extiende por la articulación carpometacarpiana

Tabla 6.7. (Continuación) Los músculos del compartimiento posterior del antebrazo



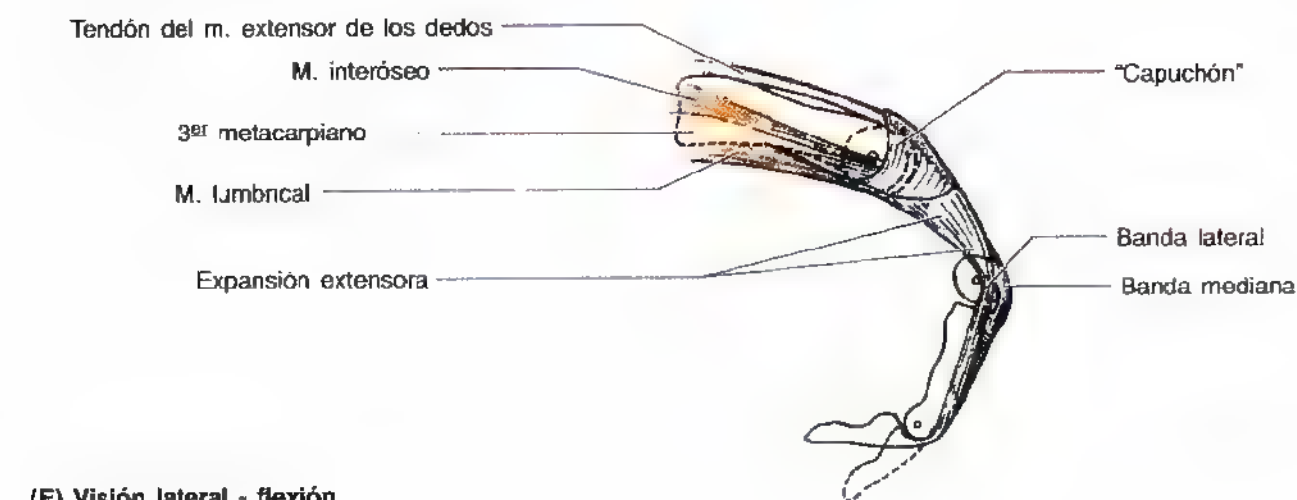
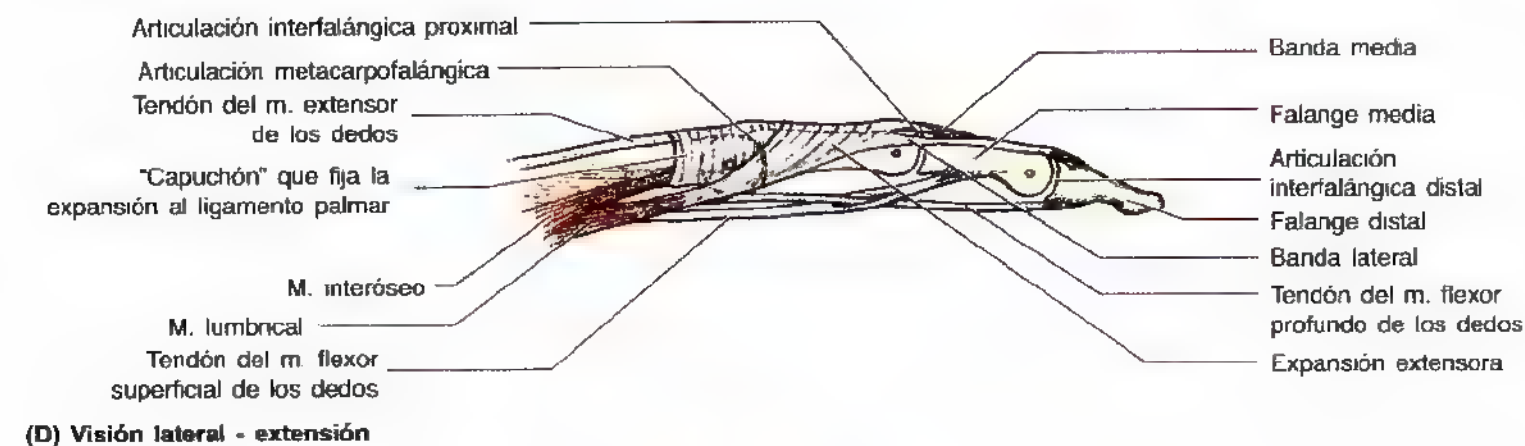
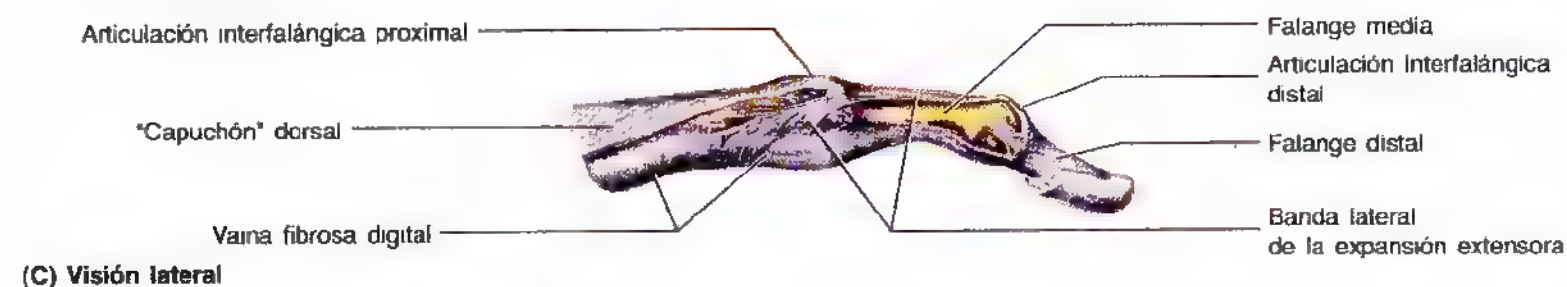
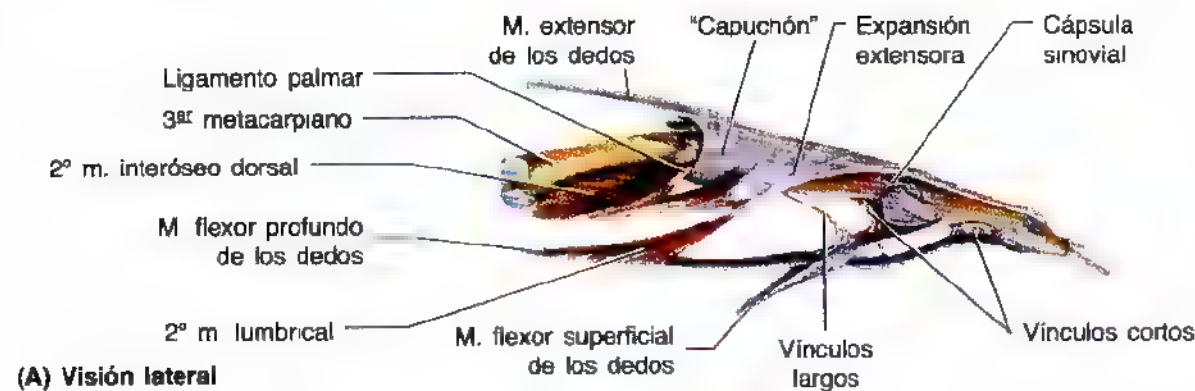
Músculo	Inserción proximal	Inserción distal	Inervación ^a	Acción principal
Extensor corto del pulgar	Cara posterior del radio y membrana interósea	Base de la falange proximal del pulgar	N. interóseo posterior (C7 y C8), prolongación del ramo profundo del n. radial	Extiende la falange proximal del pulgar por la articulación carpometacarpiana
Extensor largo del pulgar	Cara posterior del tercio medio del cúbito y de la membrana interósea	Base de la falange distal del pulgar		Extiende la falange distal del pulgar por las articulaciones metacarpofalángicas e interfalángicas
Extensor del índice	Cara posterior del cúbito y de la membrana interósea	Expansión extensora del 2º dedo		Extiende el 2º dedo y ayuda a extender la mano

^a Los números indican la inervación segmentaria de la médula espinal (p. ej., C5, C6 y C7 indican que los nervios destinados al músculo braquiorradial proceden del 5º al 7º segmentos cervicales de la médula). Los números **en negrita** señalan la inervación segmentaria principal. La lesión de estos segmentos o de las raíces del nervio motor que nace de ellos determina una parálisis de los músculos afectados.

mantener los dedos extendidos por las articulaciones metacarpofalángicas mientras que el explorador ejerce presión sobre las falanges proximales tratando de flexionarlas. Si la acción muscular es normal se palpa el músculo extensor de los dedos en el antebrazo y se han de ver y palpar sus tendones en el dorso de la mano.

El músculo extensor del dedo meñique (figs. 6.41-6.43, tabla 6.7). Esta cinta fusiforme de músculo es una porción parcialmente desinsertada del músculo extensor de los dedos. El tendón de este *músculo extensor del meñique* viaja por un compartimiento diferente, en la profundidad del retináculo extensor, y se divide en dos cintas; la lateral se une con el

Figura 6.44. “Capuchón” dorsal y expansión extensora del 3er dedo. Visiones lateral (A) y posterior (B) del “capuchón” dorsal y de la expansión extensora. Obsérvese cómo los músculos interóseos se insertan en parte en la base de la falange proximal y en parte en la expansión extensora y en el músculo lumbrical, que se inserta en la cara radial de la expansión extensora. **C-D.** Visiones laterales de la *expansión extensora* en extensión. La expansión extensora es una banda fibrosa muy fina que se dirige oblicua desde la falange proximal y la vaina fibrosa digital hacia la falange media y las dos articulaciones interfalángicas, para unirse al “capuchón” dorsal de la falange distal. **E.** Visión lateral del dedo en flexión. Al flexionar la articulación interfalángica distal (**C**), la expansión extensora (en particular sus bandas laterales) se tensa, traccionando y flexionando la articulación proximal (**E**). De manera análoga, al flexionar la articulación metacarpofalángica, las extremidades proximal y distal sufren tracción por las expansiones extensoras (bandas laterales) hasta alcanzar una extensión casi completa (el llamado “movimiento en Z”).



tendón del músculo extensor de los dedos. *El músculo extensor del meñique extiende la falange proximal del meñique* por la articulación metacarpofalángica y contribuye a la extensión de las articulaciones interfalángicas. Asimismo, ayuda a la extensión de la mano después de ejercer una tracción, sobre todo en el meñique.

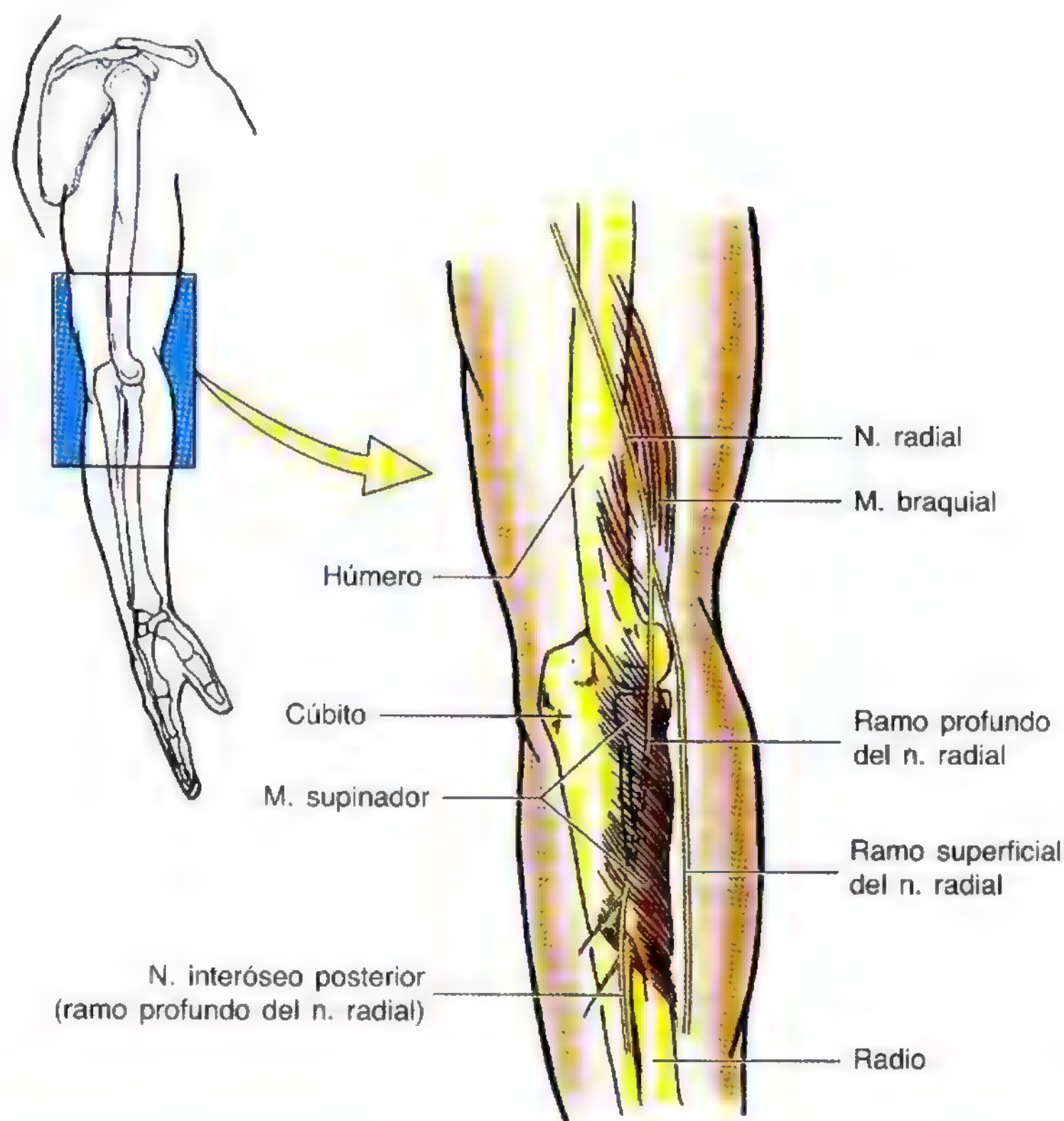
El músculo extensor cubital del carpo (figs. 6.41-6.43, tabla 6.7). Este músculo fusiforme y largo, situado en el borde medial del antebrazo, tiene dos cabezas. Distalmente, el tendón discurre por un surco entre la cabeza cubital y la apófisis estiloides, dentro de un compartimiento diferente del retináculo extensor. *El músculo extensor cubital del carpo extiende y aproxima la mano por la muñeca de forma simultánea cuando actúa con independencia.* Si se contrae con el músculo extensor radial del carpo, extiende la mano; si actúa con el flexor cubital del carpo, separa la mano. Como el músculo extensor radial largo del carpo, resulta indispensable para cerrar el puño. *Para explorar el músculo extensor cubital del carpo se pronar el antebrazo y se extienden los*

dedos. Luego se aproxima la muñeca extendida contra la resistencia del explorador. Si el músculo actúa con normalidad se debe ver y palpar en la parte proximal del antebrazo, y el tendón se ha de notar proximal a la cabeza del cúbito.

El músculo supinador (figs. 6.42 y 6.45, tabla 6.7). Este músculo se encuentra en la profundidad de la fosa cubital y, junto con el músculo braquial, forma su suelo. Las cabezas humeral y cubital de inserción del músculo supinador envuelven el cuello y la porción proximal del cuerpo del radio. El ramo profundo del nervio radial camina entre las dos partes del músculo conforme abandona la fosa cubital para entrar en la parte posterior del brazo; cuando sale del músculo y se une a la arteria interósea posterior se denomina nervio interóseo posterior. *El músculo supinador —principal responsable de la supinación— supina el antebrazo al rotar el radio.* El músculo bíceps braquial también supina el antebrazo, sobre todo durante la supinación rápida y forzada cuando se precisa resistencia y está flexionado el antebrazo (p. ej., cuando una persona diestra aprieta un tornillo).

Figura 6.45. Relación del nervio radial con los músculos braquial y supinador.

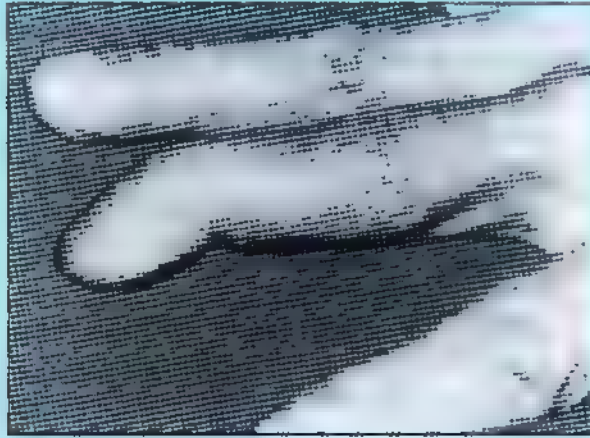
Cuando el nervio radial alcanza el tercio distal del húmero pasa del compartimiento fascial posterior al anterior por el tabique intermuscular lateral. Luego, el nervio sigue entre los músculos braquial y braquiorradial por la cara anterior del epicóndilo lateral. El *nervio radial* se divide, dentro de la fosa cubital, en los ramos motor (profundo) y sensitivo (superficial). El ramo motor penetra en el músculo supinador hasta llegar al compartimiento posterior del antebrazo. El ramo profundo del nervio radial, que empieza en la extremidad inferior del músculo supinador, se denomina *nervio interóseo posterior* en el momento en que acompaña a la arteria homónima.



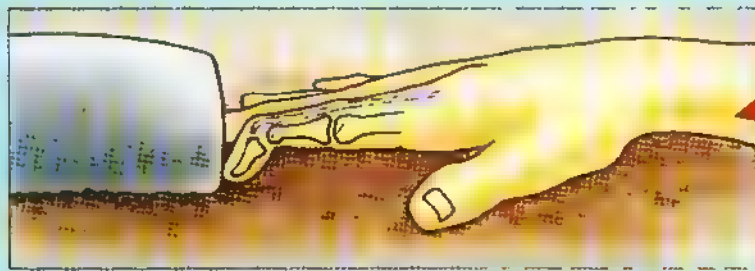
Tendinitis del codo o epicondilitis lateral

La tendinitis del codo (codo de golf o de tenis) es un estado osteomuscular doloroso que puede seguir al uso

repetido de los músculos extensores superficiales del antebrazo. El dolor ocurre en el epicóndilo lateral y se irradia hacia la cara posterior del antebrazo. Las personas con una tendinitis en el codo suelen referir dolor al abrir una puerta o alzar un vaso. La flexión y extensión ►



(A)



(B)

► forzadas y repetidas de la muñeca sobrecargan la inserción del tendón común, y producen inflamación del periostio del epicóndilo lateral (*epicondilitis lateral*) y de la inserción común de los músculos extensores.

Dedo en martillo o de béisbol

La tensión repentina e intensa ejercida sobre un tendón extensor largo puede causar la avulsión de parte de su inserción falángica. El resultado habitual de esta lesión es el dedo en martillo o de béisbol (A). Esta deformidad se explica por la flexión extrema (hiperflexión) y repentina de la articulación interfalángica distal, por ejemplo cuando la pelota de béisbol es atrapada de forma incorrecta o el dedo queda atrapado en la almohadilla de la base (B). Estos mecanismos causan una avulsión de la inserción del tendón en la base de la falange distal y, en consecuencia, el paciente no puede extender la articulación interfalángica distal. La deformidad resultante guarda cierta similitud con un martillo.

Fractura del olécranon (del codo)

Esta fractura es común porque el olécranon tiene una posición subcutánea. El mecanismo habitual de lesión es una caída sobre el codo, junto con una contracción repentina y poderosa del tríceps. El olécranon fracturado es traccionado y muchas veces se observa una fractura por



avulsión (Salter, 1998). Se trata de una fractura grave, que exige la atención de un cirujano ortopeda. Dada la tracción por parte del músculo tríceps sobre el fragmento olecraneano, casi siempre es necesario estabilizar los fragmentos con agujas. La consolidación ocurre de forma lenta y muchos pacientes necesitan escayola durante casi un año. ◊



Los **músculos extensores profundos del antebrazo** (separador largo del pulgar, extensor corto del pulgar y extensor largo del pulgar) actúan sobre el dedo pulgar y el músculo extensor del dedo índice ayuda a extender este dedo (figs. 6.41-6.43, tabla 6.7). Los tres músculos que actúan sobre el pulgar se encuentran en la profundidad de los músculos extensores superficiales y afloran del surco creado en la parte lateral del antebrazo que divide los músculos extensores. Debido a esta característica, se denominan también *músculos emergentes del pulgar*.

El **músculo separador largo del pulgar** (figs. 6.41-6.43, tabla 6.7). El vientre largo y fusiforme del *músculo separador del pulgar* queda justo distal al músculo supinador y se relaciona íntimamente con el músculo extensor corto del pulgar. Su tendón —y a veces su vientre— suele dividirse en dos porciones, una de las cuales puede insertarse en el hueso trapecio en lugar del sitio habitual (base del 1^{er} metacarpiano). *El músculo separador largo del pulgar separa y extiende el pulgar por la articulación carpometacarpiana*. Actúa con el separador corto del pulgar para la separación del pulgar y con el extensor del pulgar para su extensión. Pese a su ubicación profunda, el separador largo del pulgar sale por la muñeca como *uno de los músculos emergentes*. El tendón pasa en la profundidad del retináculo extensor dentro de una vaina sinovial común al tendón del extensor corto del pulgar. *Para explorar el separador largo del pulgar se separa este dedo por la articulación metacarpofalángica contra la*

oposición del examinador. Si su acción es normal debe verse y palparse el tendón del músculo en la cara lateral de la tabaquera anatómica y en la cara lateral del tendón adyacente del extensor corto del pulgar.

El **músculo extensor corto del pulgar** (figs. 6.41-6.43, tabla 6.7). El vientre de este *músculo extensor corto del pulgar*, fusiforme, queda distal al del separador largo del pulgar y cubierto en parte por éste. Su tendón es paralelo e inmediatamente medial al del aproximador largo del pulgar, pero se extiende más y alcanza la base de la falange proximal. *El músculo extensor corto del pulgar extiende la falange proximal del pulgar por la articulación metacarpofalángica* y ayuda a extender la falange distal. Dentro de su acción continuada, contribuye a la extensión del 1^{er} metacarpiano y también a la extensión y separación de la mano. *Para explorar el músculo extensor corto del pulgar se extiende el dedo pulgar por la articulación metacarpofalángica frente a la resistencia del examinador*. Si su acción es normal se verá y palpará el tendón de este músculo en la cara lateral de la tabaquera anatómica y en la cara medial del tendón adyacente del separador largo del pulgar (fig. 6.43).

El **músculo extensor largo del pulgar** (figs. 6.41-6.43, tabla 6.7). Este *músculo extensor largo del pulgar* es más grande y su tendón más largo que los del extensor corto del pulgar. El tendón se dirige medial al tubérculo dorsal del radio, al que utiliza como polea, cambiando la dirección de tracción hasta que alcanza la base de la falange distal del pulgar. El

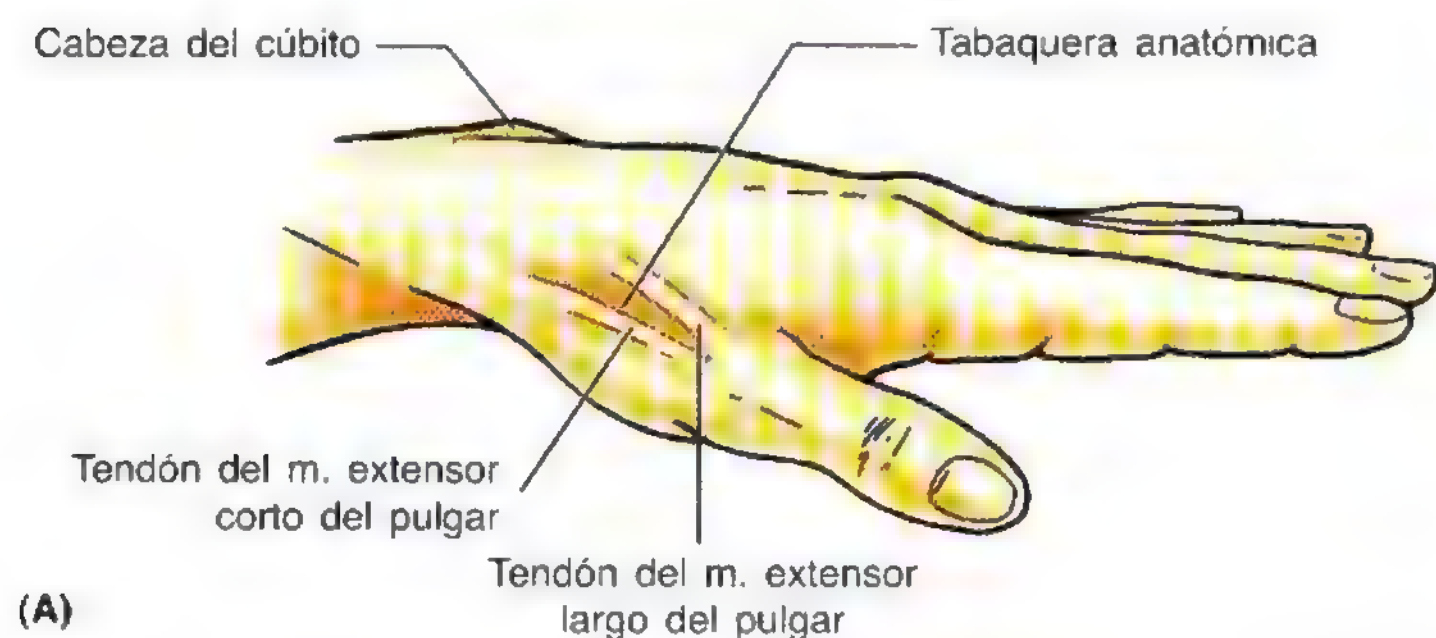
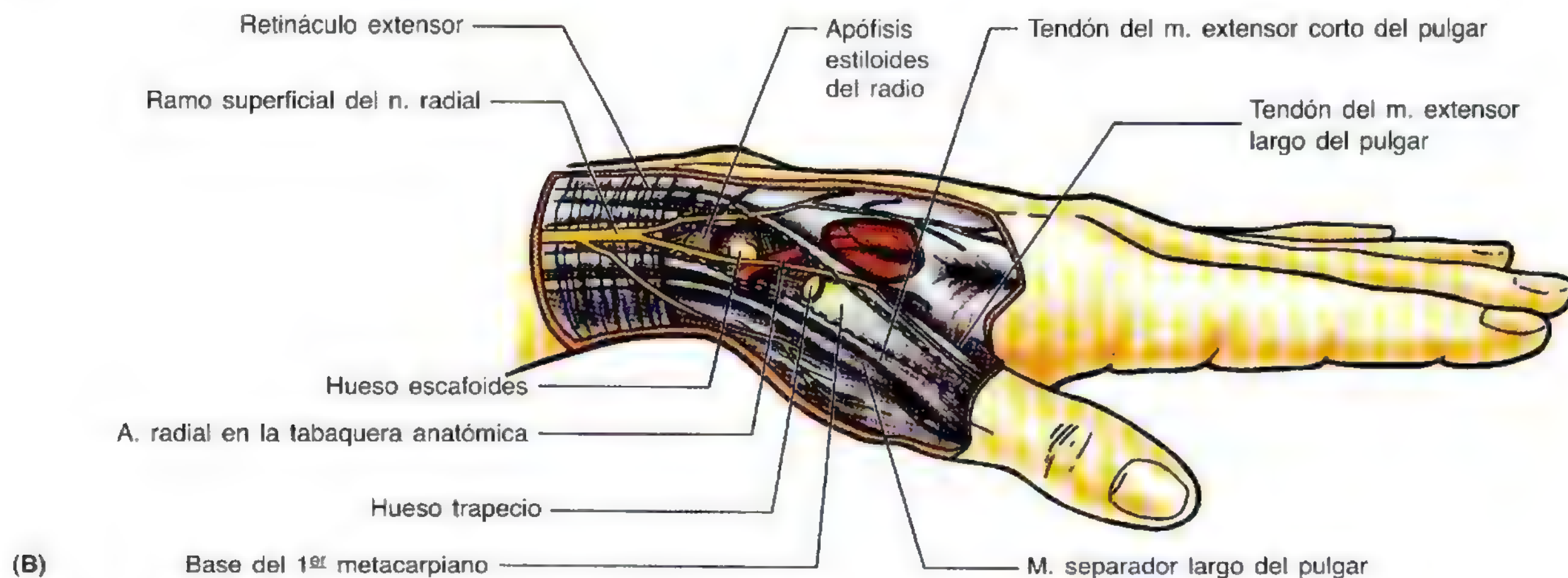


Figura 6.46. La arteria radial en la tabaquera anatómica. A. Cuando se separa y se extiende el dedo pulgar aparece una cavidad triangular entre el tendón del músculo extensor largo del pulgar por la cara medial, y los tendones de los músculos extensor corto del pulgar y separador largo del pulgar en la parte lateral. **B.** El escafoides y el trapecio constituyen el suelo de la tabaquera, que es cruzado por la arteria radial en su trayecto diagonal desde la cara anterior del radio hasta la superficie dorsal de la mano.



espacio así creado entre los tendones extensores largos del pulgar es la **tabaquera anatómica**. El *extensor largo del pulgar* extiende la *falange distal del pulgar* y, si persiste su acción, también las articulaciones metacarpofalángica e interfalángica de este dedo. Además, aproxima el pulgar extendido y lo rota lateralmente. Para explorar el *extensor largo del pulgar* se extiende contra resistencia este dedo por la articulación interfalángica. Si su acción es normal debe verse y palparse el tendón del músculo en la cara medial de la tabaquera anatómica.

Los tendones de los músculos *separador largo del pulgar* y *extensor corto del pulgar* delimitan la **tabaquera anatómica**, por delante, y el tendón del *extensor largo del pulgar*, por detrás (figs. 6.43 y 6.46). La tabaquera anatómica se ve cuando el pulgar está completamente extendido; de esta manera se levantan los tendones y se produce una concavidad entre ellos. Obsérvese lo siguiente:

- La *arteria radial* queda en el suelo de la tabaquera anatómica.
- La *apófisis estiloides radial* se palpa proximalmente y la base del 1^{er} metacarpiano distalmente en la tabaquera anatómica.
- Los *huesos escafoides* y *trapezio* se palpan en el suelo de la tabaquera, entre la apófisis radial y el 1^{er} metacarpiano.

El **músculo extensor del dedo índice** (figs. 6.41-6.43, **tabla 6.7**). El vientre alargado y estrecho del *músculo extensor del dedo índice* queda medial y a lo largo del *extensor largo del pulgar*. Este músculo otorga independencia al dedo índice, puesto que el músculo extensor de este dedo puede actuar por separado o junto con el extensor de los dedos *extendiendo el dedo índice por la articulación interfalángica proximal*, por ejemplo al apuntar hacia algún objeto. Además, ayuda a extender la mano.

Fractura del escafoides

El *escafoides* y el *trapezio* se encuentran en el suelo de la tabaquera anatómica. El *escafoides* es el *hueso del carpo que más se fractura*. La lesión de este hueso provoca dolor localizado en la tabaquera. Las radiografías iniciales no siempre revelan la fractura del *escafoides*, pero si se repiten dos a tres semanas más tarde puede observarse una fractura, dada la resorción ósea local.

Quiste sinovial de la muñeca

En ocasiones se produce una *tumefacción quística* no dolorosa de la mano, casi siempre en el dorso de la muñeca. En general, el quiste es del tamaño de una uva pequeña, pero su tamaño varía mucho y a veces alcanza el de una ciruela. El quiste de paredes finas contiene líquido mucinoso claro. Se desconoce la causa de estos quistes,

aunque podría deberse a una degeneración mucioide (Salter, 1998). La flexión de la muñeca aumenta el tamaño del quiste e incluso el dolor. Este tipo de *tumefacción* recibe en clínica el nombre de "ganglión" (que significa *tumefacción* o *nudo* en griego). Estas *tumefacciones* quísticas se encuentran muy cerca y a veces se comunican con las vainas sinoviales del dorso de la muñeca. La inserción distal del tendón del *músculo extensor radial corto* del carpo en la base del 3^{er} metacarpiano representa un asiento muy común de estos quistes. La *tumefacción* quística de la vaina sinovial común de los flexores en la cara anterior de la muñeca puede aumentar tanto, que comprima el nervio mediano por estrechamiento del túnel del carpo (*síndrome del túnel carpiano*). Este síndrome causa dolor y parestesias en el territorio de distribución sensitiva del nervio mediano, así como torpeza para los movimientos digitales. ◉

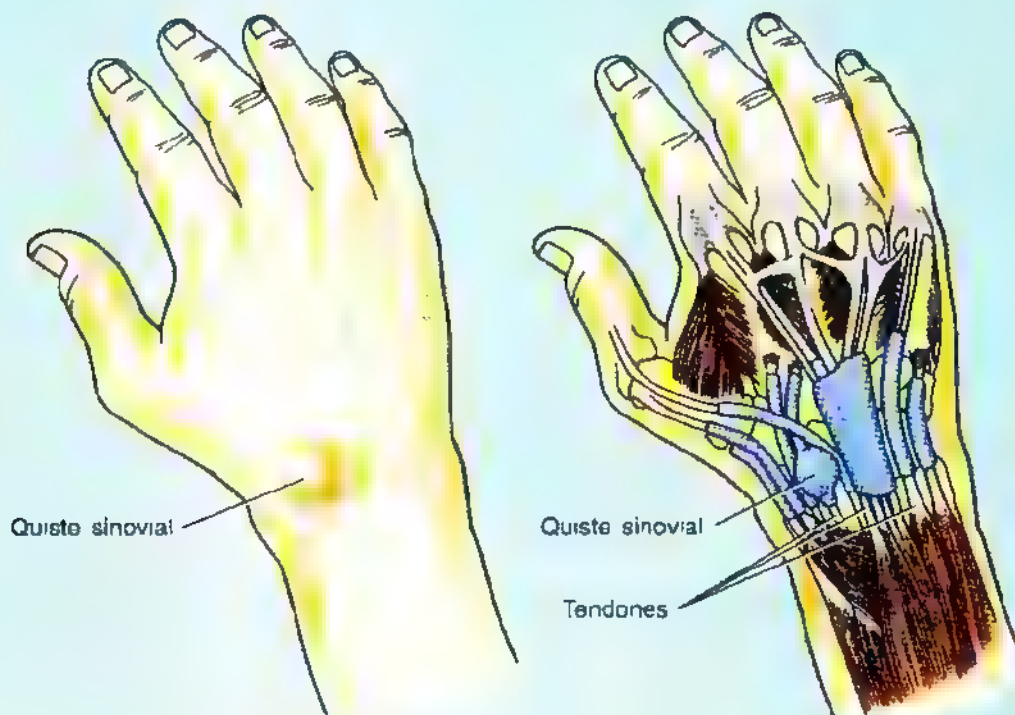
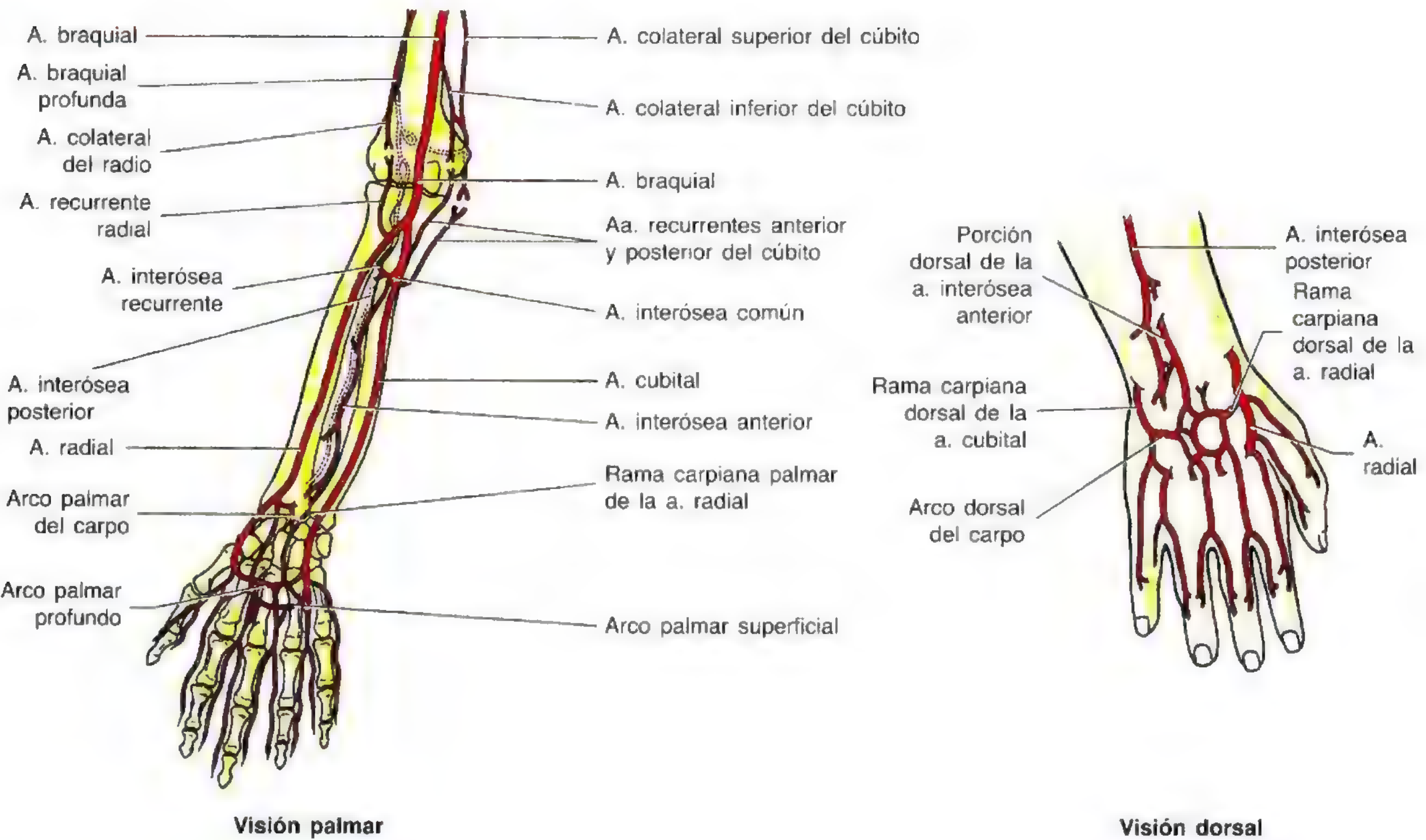


Tabla 6.8. Las arterias del antebrazo y de la mano



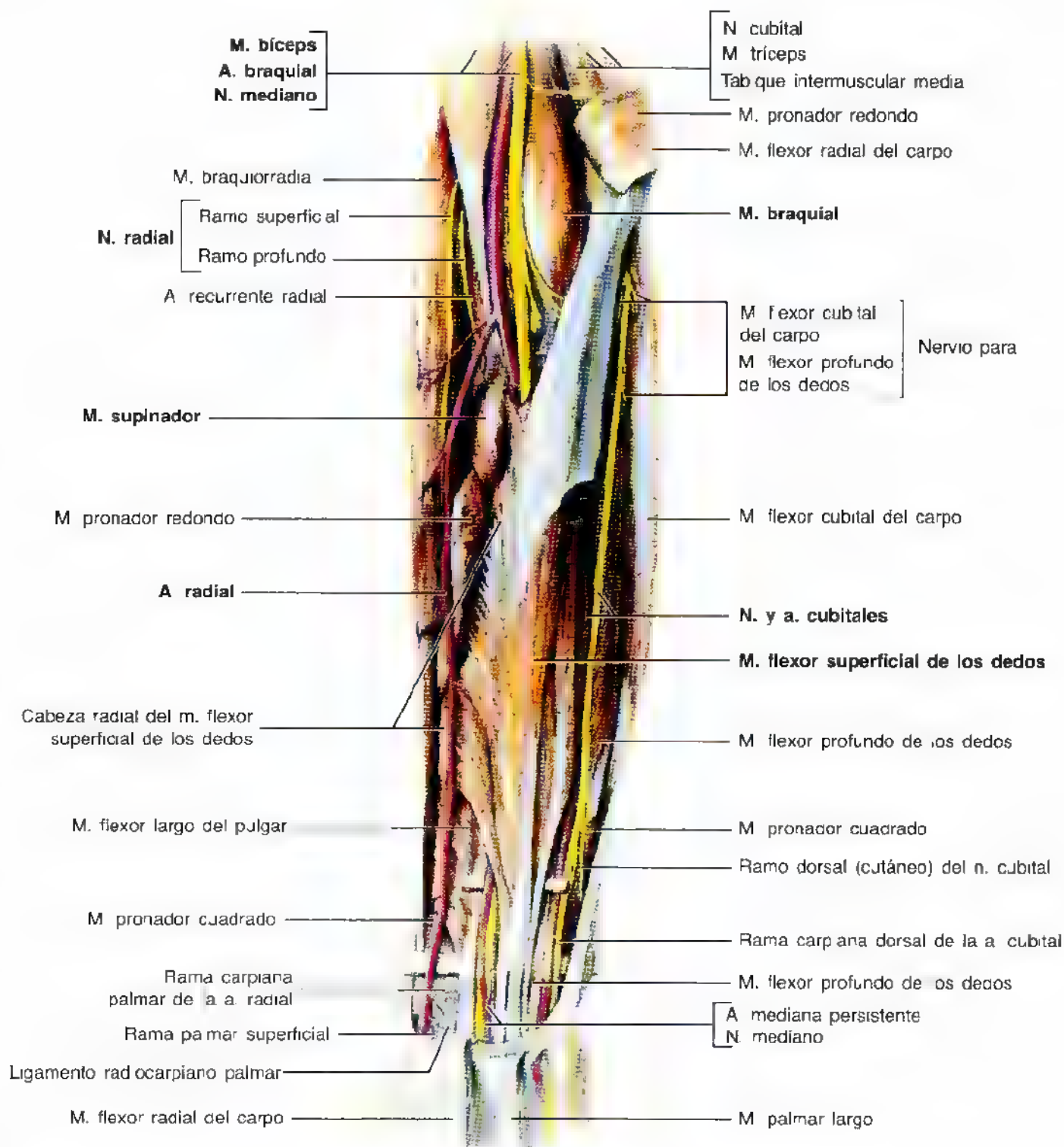
Arteria	Trayecto	Distribución
Cubital	Rama terminal más grande de la a. braquial en la fosa cubital	Se dirige inferomedialmente y luego directamente hacia abajo, en la profundidad de los mm. pronador redondo, palmar largo y flexor superficial de los dedos hasta la cara medial del antebrazo; pasa superficial al retináculo flexor en la muñeca y emite una rama palmar profunda para el arco profundo, y se continúa luego como el arco superficial de la palma
Recurrente anterior y posterior del cúbito	A. cubital, justo distal al codo	La a. recurrente anterior del cúbito asciende y la a. colateral posterior del cúbito se dirige hacia atrás para anastomosarse con las aa. colateral del cúbito y recurrente interósea
Interósea común	A. cubital, justo distal a la bifurcación de la a. braquial	Después de un breve trayecto termina dividiéndose en las aa. interóseas anterior y posterior
Interósea anterior y posterior	A. interósea común	Llega a las caras anterior y posterior de la membrana interósea: la a. interósea anterior nutre los compartimientos anterior y posterior de la parte distal del antebrazo; la a. interósea posterior emite la a. interósea recurrente, que contribuye a las anastomosis arteriales del codo
Ramas dorsal y palmar del carpo	A. cubital, a la altura de la muñeca	Se anastomosa con las ramas correspondientes de la a. radial para dar los arcos dorsal y palmar del carpo, que proporcionan una circulación colateral en la muñeca
Radial	División terminal más pequeña de la a. braquial en la fosa cubital	Tiene un trayecto inferolateral, cubierto por el m. braquiorradial; distalmente se encuentra lateral al tendón del m. flexor radial del carpo; rodea la cara lateral del radio y cruza el suelo de la tabaquera anatómica perforando la fascia; termina dando el arco palmar profundo con la rama profunda de la a. cubital
Recurrente radial	Cara lateral de la a. radial, justo distal a su origen	Asciende sobre el m. supinador y luego pasa entre los mm. braquiorradial y braquial
Ramas dorsal y palmar del carpo	A. radial, a la altura de la muñeca	Se anastomosa con las ramas correspondientes de la a. cubital para dar los arcos dorsal y palmar del carpo, que proporcionan circulación colateral en la muñeca

Las arterias del antebrazo

Las principales arterias del antebrazo son la cubital y la radial. La arteria braquial suele terminar enfrente del cuello del radio, en la parte inferior de la fosa cubital. Aquí se divide en sus ramas terminales, las arterias cubital y radial.

La arteria cubital

La arteria cubital, la mayor de las dos ramas terminales de la arteria braquial, suele *comenzar en la fosa cubital cerca del cuello del radio*, justo medial al tendón bicipita. (tabla 6.8). Desciende por el compartimiento anterior del antebrazo, en la profundidad del músculo pronador redondo. Luego, la



Visión anterior

Figura 6.47. Músculo flexor superficial de los dedos y estructuras emparentadas. La arteria cubital desciende oblicuamente detrás del músculo flexor superficial de los dedos para encontrarse y acompañar al nervio cubital. Se observa, además, cómo el nervio cubital desciende verticalmente cerca del borde medial del músculo flexor superficial de los dedos, expuesto tras escindir el tabique entre el músculo flexor superficial de los dedos y el flexor cubital del carpo.

arteria cubital baja sobre la cara anterior de la muñeca hasta la palma. Las pulsaciones de esta arteria se palpan en la cara lateral del tendón del músculo flexor cubital del carpo, delante de la cabeza del cúbito. El nervio cubital se encuentra en la cara medial de la arteria cubital.

Ramas de la arteria cubital en el antebrazo (tabla 6.8).

Estas ramas nutren los músculos mediales del antebrazo y la mano, la vaina sinovial común de los flexores y el nervio cubital.

- La *arteria recurrente anterior del cúbito* nace de la arteria cubital, justo debajo del codo, y asciende entre los múscu-

los braquial y pronador del hombro. Irriga estos músculos y *se anastomosa con la arteria colateral inferior del cúbito*, rama de la arteria braquial, contribuyendo así a las anastomosis arteriales del codo.

- La *arteria recurrente posterior del cúbito* emerge de la arteria cubital, distal a la arteria recurrente anterior del cúbito. Asciende detrás del epicóndilo medial, quedando en la profundidad del tendón del músculo flexor cubital del carpo. Nutre los músculos adyacentes y participa, de este modo, en las anastomosis arteriales del codo. Las arterias anterior y posterior pueden estar presentes como ramas anterior y posterior de una misma arteria recurrente cubital.

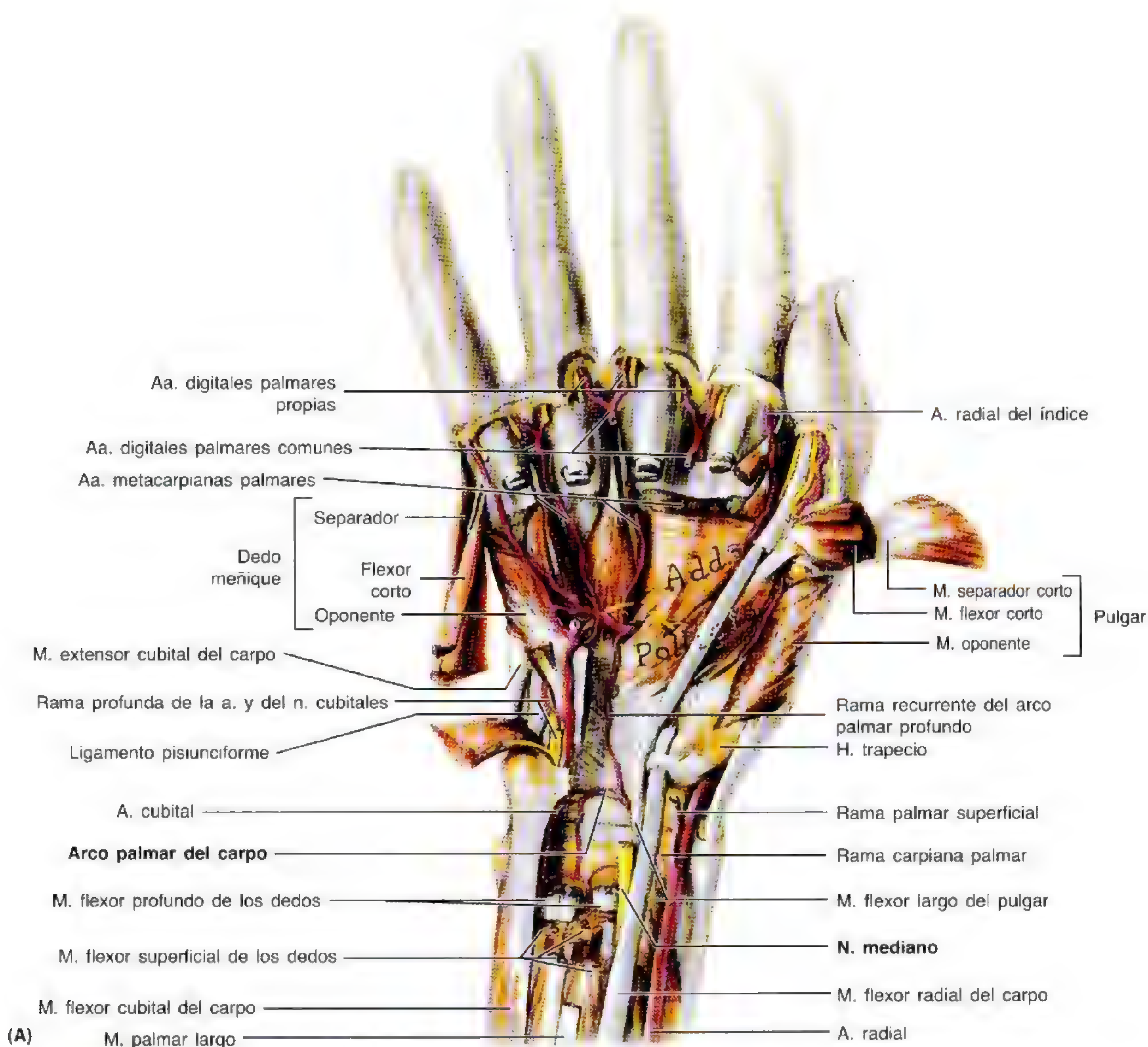


Figura 6.48. Los músculos y las arterias de la extremidad distal del antebrazo y de la mano.

A. Disección profunda de la palma de la mano derecha. Obsérvese la anastomosis entre las ramas carpianas palmares de las arterias radial y cubital que forma el arco palmar del carpo.

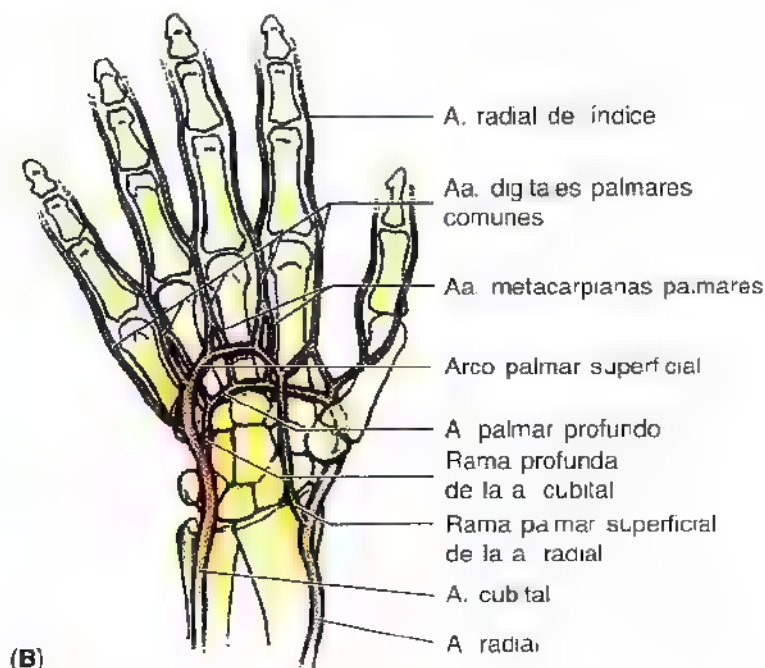


Figura 6.48. (Continuación) **B.** Diagrama de los arcos arteriales de la palma. Obsérvese cómo el arco palmar profundo se encuentra a la altura de las bases de los huesos metacarpianos y cómo el arco superficial se sitúa más distal.

- La *arteria interósea común*, una rama corta de la arteria cubital, surge en la porción distal de la fosa cubital y la divide casi de inmediato en las arterias interóseas anterior y posterior.
- La *arteria interósea anterior* desciende por la cara anterior de la membrana interósea hasta el borde proximal del músculo pronador cuadrado. Aquí atraviesa la membrana interósea y sigue distalmente hasta la muñeca por la cara posterior de la membrana interósea.
- La *arteria interósea posterior* tiene un curso dorsal, entre el radio y el cúbito, justo proximal a la membrana interósea. Irriga los músculos adyacentes y emite luego la *arteria recurrente interósea posterior*, que asciende detrás del epicóndilo lateral y contribuye a las anastomosis arteriales del codo. No viaja por la membrana interósea, sino entre las capas superficial y profunda de los músculos extensores, en compañía del nervio interóseo posterior. Al llegar a la extremidad distal del antebrazo se afila y es sustituida por la arteria interósea anterior.
- Las *ramas musculares de la arteria cubital* nutren los músculos de la cara medial del antebrazo, sobre todo los del grupo de flexores-pronadores.
- La *rama carpiana palmar de la arteria cubital* es un pequeño vaso que viaja por la cara anterior de la muñeca, en la profundidad de los tendones del músculo flexor profundo de los dedos. Esta rama se anastomosa con la rama carpiana palmar de la arteria radial, dando el **arco palmar del carpo** (figs. 6.47 y 6.48).
- La *rama carpiana dorsal de la arteria cubital* surge justo proximal al hueso pisiforme. Pasa por la cara dorsal de la muñeca, en la profundidad de los músculos extenso-

res, y se anastomosa con la rama carpiana dorsal de la arteria radial, creando el **arco dorsal del carpo** (tabla 6.8).

- La rama superficial de la arteria cubital se continúa por la palma como el arco palmar superficial (fig. 6.48).
- La *rama palmar profunda de la arteria cubital* se dirige en la profundidad de la mano para anastomosarse con la arteria radial y completa el **arco palmar profundo**.

La arteria radial

La arteria radial, más pequeña que la cubital, *empieza en la fosa cubital cerca del cuello del radio*. Desciende lateralmente, dentro del músculo braquiorradial, pero sus pulsaciones se pueden palpar en el antebrazo, por lo que se convierte en una marca anterolateral muy útil de los compartimientos flexor y extensor. Cuando se tracciona lateralmente de, músculo braquiorradial se ve toda la longitud de la arteria (fig. 6.47, tabla 6.8). La arteria radial viaja con el músculo hasta alcanzar la parte distal del antebrazo. En este lugar se apoya en la cara anterior del radio y sólo está cubierta por la piel y la fascia. El trayecto de la arteria radial en el antebrazo está representado por una línea que une el punto medio de la fosa cubital con el punto justo medial a la apófisis estiloides del radio. La arteria radial abandona el antebrazo dando una vuelta por la cara lateral de la muñeca y atravesando el suelo de la tabaquera anatómica (fig. 6.46). En la mano se anastomosan las arterias cubital y radial, creando los *arcos arteriales palmares* superficial y profundo.

Las **ramas de la arteria radial** en el antebrazo se enumeran a continuación:

- Las *ramas musculares* de la arteria radial irrigan los músculos flexores y extensores de la cara lateral del antebrazo (fig. 6.47, tabla 6.8).
- La *arteria recurrente radial* nace en la cara lateral de la arteria radial, justo distal a su origen, y asciende entre los músculos braquiorradial y braquial. Nutre estos músculos y la articulación del codo y se anastomosa con la *arteria colateral del radio* (tabla 6.8), rama de la arteria braquial profunda, contribuyendo así a las anastomosis arteriales del codo.
- La *rama palmar superficial de la arteria radial* (fig. 6.48) se origina en la extremidad distal del radio, justo proximal a la muñeca. Atraviesa y a veces discurre encima de los músculos del pulgar, a los que perfunde. La rama palmar superficial suele anastomosarse con la parte terminal de la arteria cubital, dando el **arco palmar superficial**.
- La *rama carpiana palmar de la arteria radial* (tabla 6.8) es un pequeño vaso que emerge cerca del borde distal del músculo pronador cuadrado (fig. 6.48A). Atraviesa la muñeca en la profundidad de los tendones flexores y se anastomosa con la rama carpiana de la arteria cubital y las ramas recurrentes del arco palmar profundo para formar el **arco palmar del carpo**.

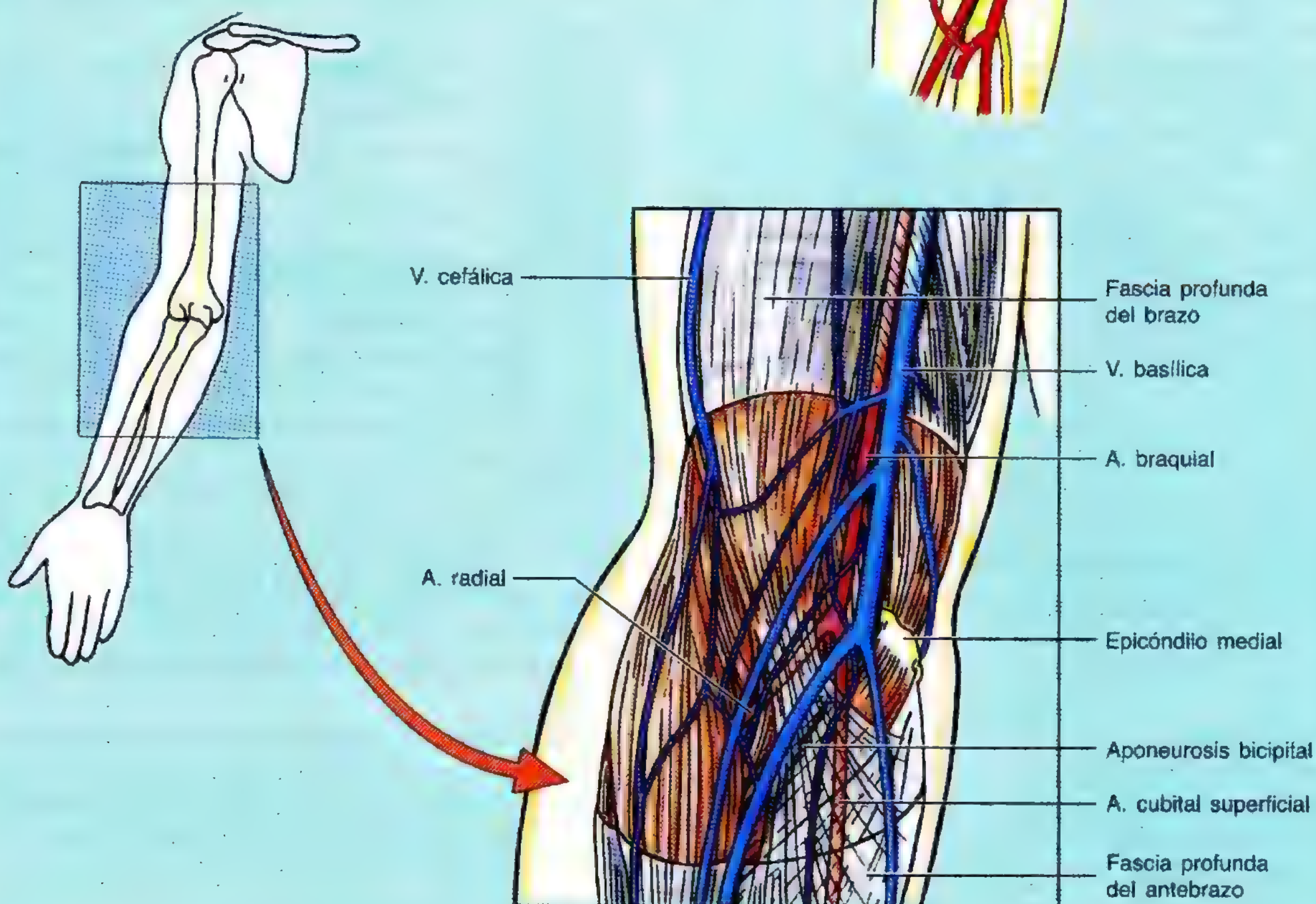
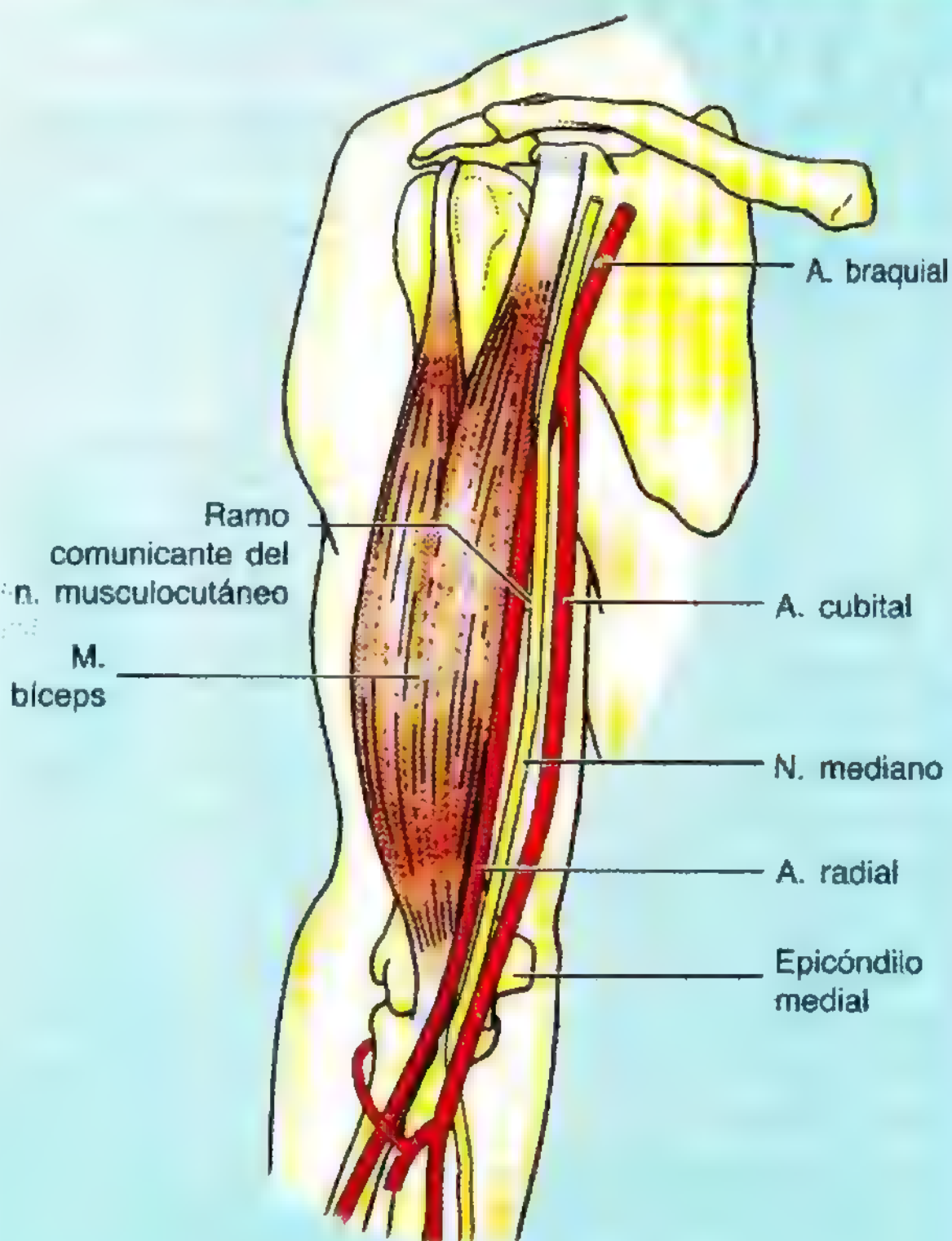
- La *rama carpiana dorsal de la arteria radial* se dirige medialmente por la superficie dorsal de la muñeca, en la profundidad de los tendones extensores (tabla 6.8), donde se anastomosa con la rama carpiana dorsal de la arteria cubital y ramas terminales de las arterias interóseas anterior y posterior, creando el **arco dorsal del carpo**.

División alta de la arteria braquial

A veces, la arteria braquial se divide en un plano más proximal del habitual, en cuyo caso las arterias cubital y radial comienzan cerca del tercio medio del brazo y el nervio mediano pasa entre ellas. Los nervios musculocutáneo y mediano se comunican a menudo, como se ilustra en este caso.

Arteria cubital superficial

La arteria cubital desciende superficial a los músculos flexores en un 3% de las personas. Las pulsaciones de la arteria cubital superficial se pueden notar y ver. *Esta variación debe recordarse siempre que se proceda a una punción venosa para extraer sangre o administrar una inyección.* Si se confunde la arteria cubital aberrante con una vena puede dañarse y producirse una hemorragia. Si se inyectan determinados medicamentos por la arteria aberrante, el resultado podría ser desastroso. ⚠



Medición de la frecuencia del pulso

El lugar más frecuente para medir la frecuencia del pulso es la zona donde la arteria radial se apone a la cara anterior de la extremidad distal del radio, lateral al tendón del músculo flexor radial del carpo. En esta zona sólo queda cubierta por la fascia y la piel. Se pueden comprimir casi 4 cm de esta arteria contra la extremidad distal del radio, entre los tendones de los músculos flexor radial del carpo y separador largo del pulgar. Para medir la frecuencia del pulso no conviene utilizar la yema del pulgar, que también dispone de pulso propio y podría por esta razón enmascarar el pulso del paciente. Si no se detectara la pulsación se intentará en la otra muñeca, porque a veces la presencia de una *arteria radial aberrante*

en un lado puede dificultar la palpación del pulso. El pulso radial también se palpa presionando ligeramente la tabaquera anatómica.

Variaciones en el origen de la arteria radial

La arteria radial se puede originar en una zona más proximal de la habitual; a veces proviene de la arteria axilar o de la braquial. Otras, la arteria radial queda superficial a la fascia profunda y no se sitúa debajo de ésta. La pulsación de un vaso superficial en el antebrazo puede indicar una arteria radial o cubital superficial, vulnerable a la laceración. ❧

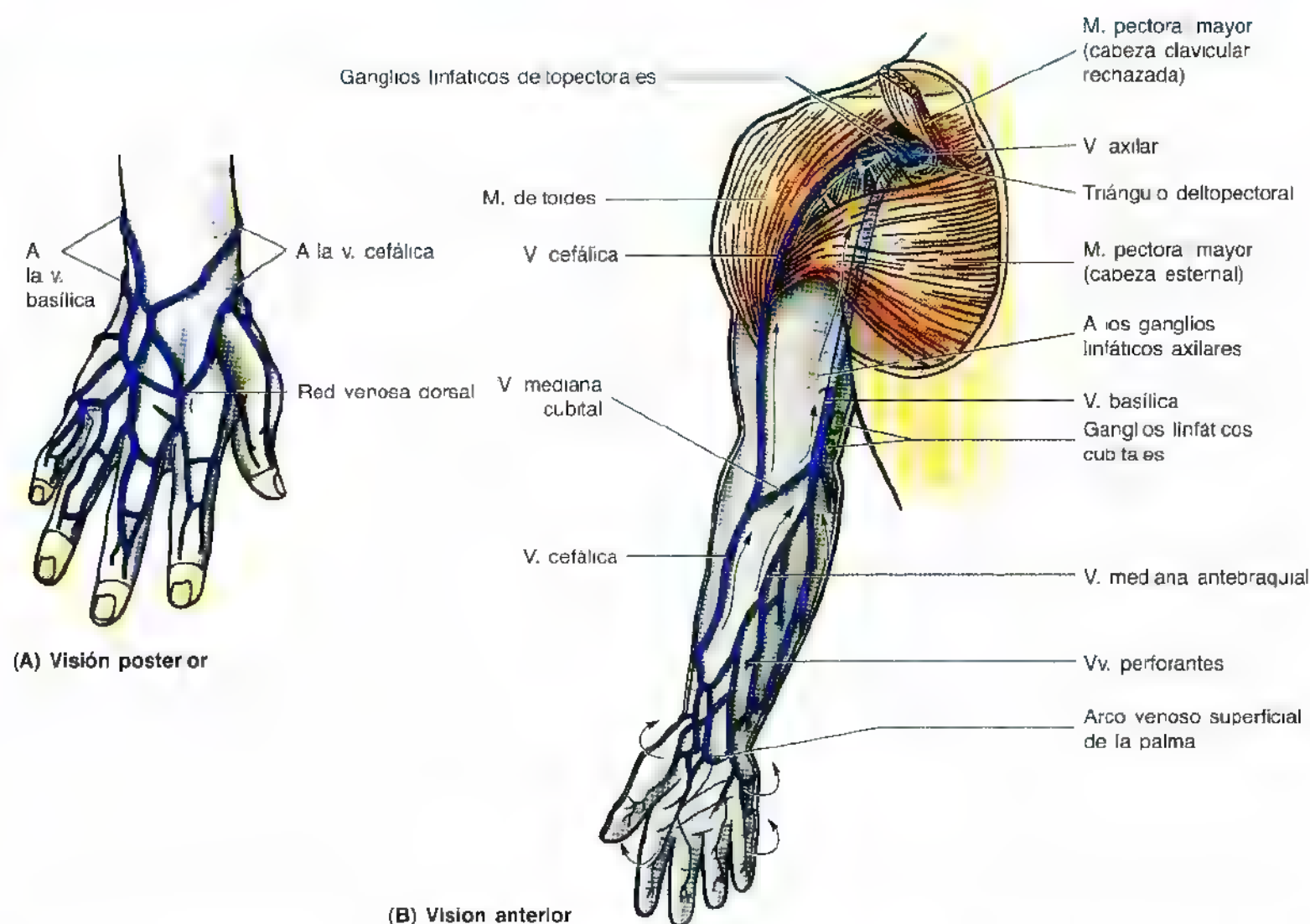


Figura 6.49. Drenaje venoso superficial y linfático del miembro superior. Las venas superficiales son la cefálica, la basilica y la mediana antebraquial. **A.** Dorso de la mano. Las venas de los dedos (venas digitales dorsales) desembocan en la red venosa (arco) dorsal situada enfrente de la parte media de dorso de la mano. **B.** Cara anterior del miembro superior. La vena mediana antebraquial drena el arco venoso palmar superficial y asciende para terminar en la vena basilica. Las venas perforantes llevan la sangre de las venas profundas a las superficiales. Los vasos linfáticos superficiales (flechas) suelen acompañar a las venas superficiales; por ejemplo, los vasos linfáticos de la muñeca siguen a la vena mediana antebraquial y llegan a los ganglios linfáticos cubitales. La linfa del miembro superior acaba drenando en los ganglios axilares.

Las venas del antebrazo

En el antebrazo, como en el brazo, existen venas superficiales y profundas. Las primeras ascienden por el tejido subcutáneo y las segundas acompañan a las arterias profundas del antebrazo.

Las venas superficiales

Las venas superficiales del antebrazo son las venas cefálica, basilica, mediana cubital y antebraquial y sus afluentes (fig. 6.49). La **vena cefálica** se forma sobre la tabaquera anatómica a partir de las afluentes que nacen en la cara lateral de la **red venosa** (arco) **dorsal**. La vena cefálica asciende por el borde lateral del antebrazo y se comunica con la vena basilica a través de la **vena mediana cubital**. Luego, la vena cefálica sube por la cara lateral del antebrazo y desemboca en la vena axilar. La **vena basilica** se origina en la cara medial del arco venoso dorsal y asciende posteromedialmente en el antebrazo, llegando hasta la superficie anterior, justo distal al codo, donde se une con la vena mediana cubital. La **vena mediana antebraquial** drena el tejido subcutáneo de la cara anterior de la muñeca y del antebrazo. Comienza en el **arco palmar venoso** superficial y suele terminar en la vena basilica.

Las venas profundas

Las venas profundas que acompañan a las arterias abundan en el antebrazo (fig. 6.50). Estas venas satélite nacen de la **arcada venosa profunda** (una serie de arcos venosos anastomóticos) de la mano. Desde la cara lateral de esta arcada

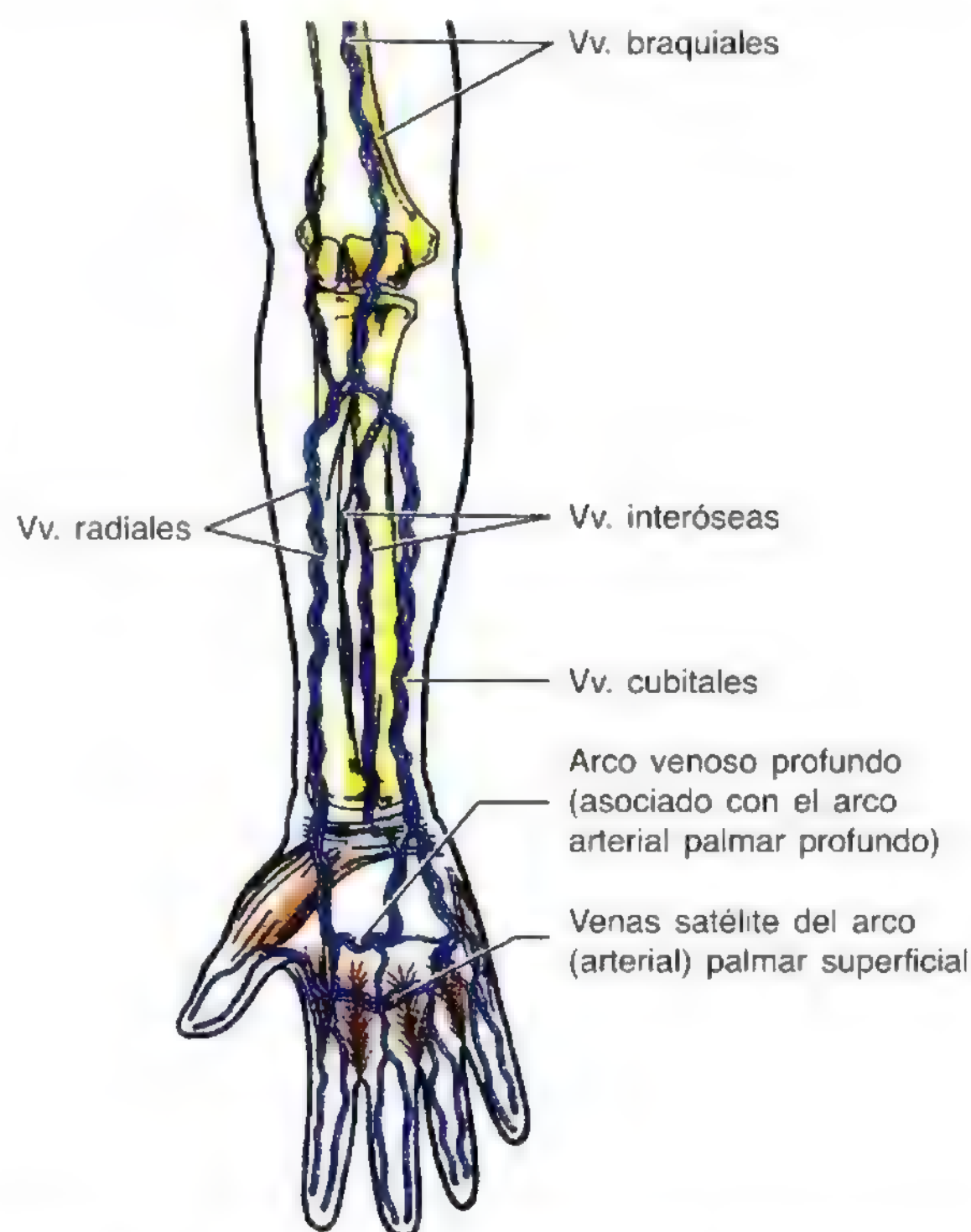
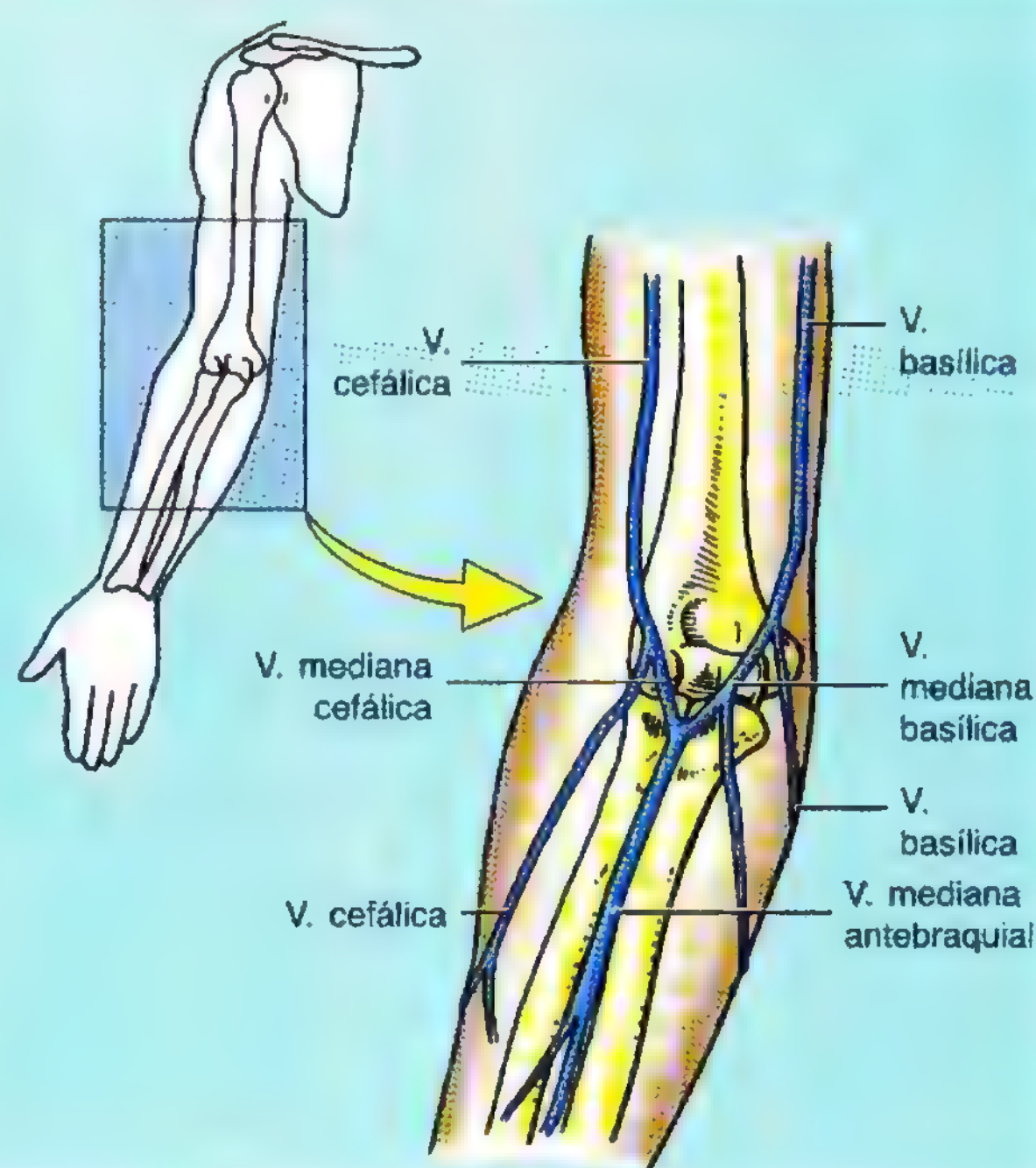


Figura 6.50. Drenaje venoso profundo del miembro superior. Las venas profundas acompañan a las arterias. Son bastante pequeñas y suelen ir por parejas; se comunican a través de ramas transversales cada cierto tiempo.

Variaciones de las venas de la fosa cubital

El patrón venoso de la fosa cubital es muy variable. La vena mediana antebraquial se divide en un 20% de las personas en una **vena mediana basilica**, que se comunica con la vena basilica, y una **vena mediana cefálica**, que se une a la vena cefálica. En estos casos, las venas cubitales dan una clara *imagen* de "M". Es muy importante observar y recordar que la vena mediana cubital o la vena mediana basilica, cualquiera que sea su patrón, cruza superficialmente a la arteria braquial, de la que queda separada por la aponeurosis bicipital. Estas venas representan lugares adecuados para la extracción de sangre, pero no tanto para la inyección de un medicamento irritante, por el peligro de que llegue a la arteria braquial. ◊



nacen **venas radiales** pareadas que acompañan a la arteria radial; de la cara medial emergen **venas cubitales** pareadas que acompañan a la arteria cubital. Las venas que acompañan a cada arteria se anastomosan libremente entre sí. Las venas radial y cubital drenan el antebrazo, pero transportan muy poca sangre de la mano. Las venas profundas ascienden por el antebrazo, a los lados de la arteria correspondiente, y reciben afluentes de las venas que salen de los músculos con las que se relacionan. Las venas profundas se comunican con las superficiales. Las **venas interóseas** profundas, que acompañan a las arterias interóseas, se juntan con las venas satélite de las arterias radial y cubital. Las venas profundas de la fosa cubital están comunicadas con la **vena mediana cubital**, una vena superficial. Estas **venas cubitales profundas** también se unen con las venas satélite de la arteria braquial.

Los nervios del antebrazo

Los nervios del antebrazo son el mediano, el cubital y el radial. El nervio mediano es el nervio principal del compartimiento anterior (flexor-pronador) del antebrazo (fig. 6.51). Pese a que el nervio radial aparece en la región cubital, en seguida pasa al compartimiento posterior (extensor-supina-

dor) del antebrazo. Aparte los ramos cutáneos, los nervios de la cara anterior del antebrazo sólo son dos: el mediano y el cubital. Las tablas 6.4 y 6.9 describen sus orígenes, trayectos y territorios de distribución.

El nervio mediano

El nervio mediano es el nervio principal del compartimiento anterior del antebrazo (fig. 6.51, tabla 6.9). Entra en el antebrazo con la arteria braquial y se sitúa en la cara medial. Abandona la fosa cubital entre las cabezas del músculo pronador redondo, a las que envía ramos. El nervio mediano sigue después, en la profundidad del músculo flexor superficial de los dedos, y desciende hasta la parte media del antebrazo, entre el músculo citado y el flexor profundo de los dedos. Cerca de la muñeca, el nervio mediano aflora a la superficie entre los tendones del músculo flexor superficial de los dedos y del flexor radial del carpo, en la profundidad de tendón del músculo palmar largo (fig. 6.51).

Los ramos del nervio mediano. El nervio mediano no da ningún ramo en el brazo, aparte de pequeñas fibras para la arteria radial (fig. 6.51). Los ramos del nervio mediano nacen en el antebrazo y en la mano de la siguiente manera (tabla 6.9)

Comunicaciones entre los nervios mediano y cubital

En ocasiones se establecen comunicaciones entre los nervios mediano y cubital en el antebrazo. Estos ramos suelen ser finos, pero tienen interés clínico porque incluso lesiones completas del nervio mediano no siempre paralizan todos los músculos. En este caso, se extrae la conclusión errónea de que no se ha dañado el nervio mediano,

Lesión del nervio mediano

Si se lesiona el nervio mediano a la altura del codo desaparece la flexión de las articulaciones interfalángicas proximales (IFP) del 1^{er} a 3^{er} dedos y se debilita la flexión de los dedos 4^o y 5^o. Asimismo, se anula la flexión de las articulaciones interfalángicas distales (IFD) del 2^o y 3^{er} dedos. No se afecta la flexión de las articulaciones interfalángicas distales del 4^o y 5^o dedos porque la porción medial del flexor profundo de los dedos, responsable de estos movimientos, es inervada por el nervio cubital. La capacidad para flexionar las articulaciones metacarpo-falángicas del 2^o y 3^{er} dedos se altera, ya que los ramos digitales del nervio mediano inervan el 1^{er} y 2^o lumbricales. Por eso, cuando el enfermo trata de cerrar el puño, el 2^o y 3^{er} dedos quedan parcialmente extendidos ("mano de predicador"). La función de los músculos de la eminencia tenar también se anula, como en el síndrome del túnel carpiano (pág. 789).

Síndrome del pronador

Este síndrome de atrapamiento nervioso obedece a la compresión del nervio mediano cerca del codo. El nervio queda comprimido entre las cabezas del músculo pronador redondo como consecuencia de traumatismos, hipertrofia muscular o bandas fibrosas. Al principio, el enfermo refiere dolor y molestia en la cara proximal de la cara anterior del antebrazo. Los síntomas suelen seguir a actividades que se basan en movimientos repetidos del codo. ☺

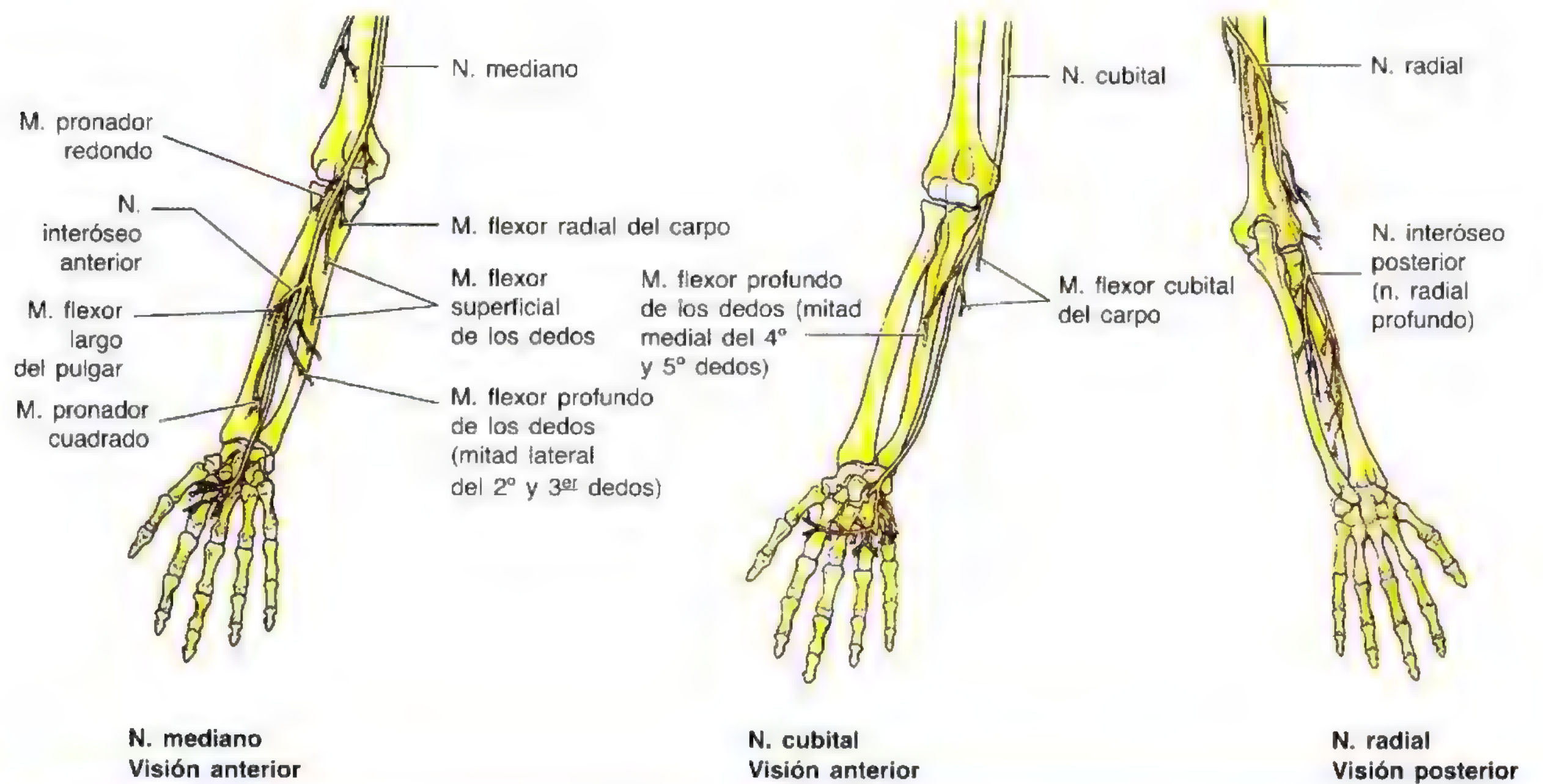


Exploración de la flexión de la articulación IFD del dedo índice



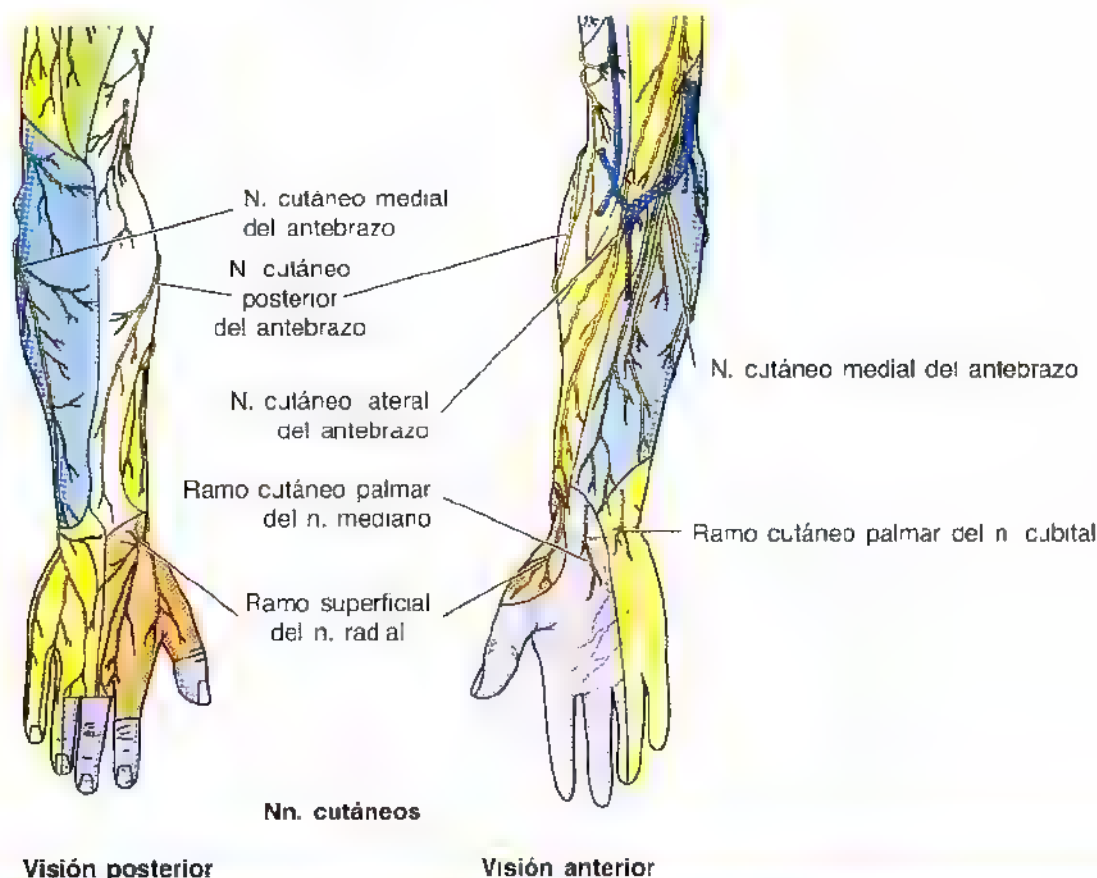
"Mano de predicador"

Tabla 6.9. Los nervios del antebrazo



Nervio	Origen	Trayectoria
Mediano	De dos raíces de los fascículos lateral (C6 y C7) y medial (C8 y T1) del plexo braquial	Entra en la fosa cubital medial a la a. braquial, pasando entre las cabezas del m. pronador redondo; desciende entre el m. flexor superficial de los dedos y el m. flexor profundo de los dedos, y se aproxima al retináculo flexor a su paso por el túnel del carpo para alcanzar la mano
Interóseo anterior	N. mediano en la parte distal de la fosa cubital	Desciende por la membrana interósea para inervar los mm. flexor profundo de los dedos, flexor largo del pulgar y pronador cuadrado
Ramo cutáneo palmar del n. mediano	N. mediano, justo proximal al retináculo flexor	Discurre entre los tendones de los mm. palmar largo y flexor radial del carpo y pasa superficial al retináculo flexor
Cubital	Fascículo medial del plexo braquial (C8 y T1), pero a menudo recibe fibras del ramo ventral de C7	Pasa detrás del epicóndilo medial del húmero e ingresa en el antebrazo entre las cabezas del m. flexor radial del carpo; desciende por el antebrazo entre los mm. flexor cubital del carpo y flexor profundo de los dedos; aflora a la superficie en la parte distal del antebrazo y sigue superficial al retináculo flexor
Ramo cutáneo palmar del n. cubital	N. cubital, cerca del tercio medio del antebrazo	Desciende por la a. cubital y perfora la fascia profunda del tercio distal del antebrazo
Radial	Fascículo posterior del plexo braquial (C5-C8 y T1)	Llega a la fosa cubital y desciende entre los mm. braquial y braquiorradial; a la altura del epicóndilo lateral del húmero se divide en los ramos superficial y profundo
Ramo superficial del n. radial	Prolongación del n. radial después de emitir un ramo profundo	Tiene un trayecto distal, delante del m. pronador redondo y en la profundidad del m. braquiorradial; perfora la fascia profunda en la muñeca y se dirige al dorso de la mano
Ramo profundo del n. radial	Emerge del n. radial, justo distal al codo	Rodea el cuello del radio con el m. supinador; entra en el compartimiento posterior para distribuirse por los músculos que se ilustran en el diagrama
Interóseo posterior	División terminal del ramo profundo del n. radial	Pasa en la profundidad del m. extensor largo del pulgar y termina en la membrana interósea

- Los ramos articulares pasan al codo aprovechando el trayecto del nervio mediano por la articulación.
- Los ramos musculares inervan los músculos pronador redondo, pronador cuadrado y todos los flexores, con excepción del flexor cubital del carpo y la parte medial del flexor profundo de los dedos. El *nervio para el músculo pronador redondo* nace casi siempre en el codo y entra en el borde lateral del músculo. Un haz ancho de ner-

Tabla 6.9. (Continuación) **Los nervios del antebrazo**

Nervio	Origen	Trayectoria
N. cutáneo del antebrazo posterior	Emerge en el brazo del n. radial	Perfora la cabeza lateral del m. tríceps y desciende por la cara lateral del brazo y la cara posterior del antebrazo hasta la muñeca
N. cutáneo del antebrazo lateral	Prolongación del n. musculocutáneo	Desciende por el borde lateral del antebrazo hasta la muñeca
N. cutáneo del antebrazo medial	Fascículo medial del plexo braquial, con fibras de C8 y T1	Desciende por el brazo, sobre la cara medial de la a. braquial; perfora la fascia profunda de la fosa cubital y discurre por la cara medial de antebrazo

vios perfora el grupo flexor superficial de músculos e inerva el *músculo flexor radial del carpo*, el *músculo palmar largo* y el *músculo flexor superficial de los dedos*.

- *El nervio interóseo anterior* nace del nervio mediano en la parte distal de la fosa cubital, y sigue distalmente por la membrana interósea con la rama interósea anterior de la arteria cubital. Desciende entre los músculos flexor profundo de los dedos y flexor largo del pulgar hasta alcanzar el músculo pronador cuadrado. Perfunde estos músculos, si bien el nervio cubital inerva la mitad del flexor profundo de los dedos (porción cubital [medial] del músculo, que envía tendones para los dedos 4º y 5º). El nervio interóseo inerva la parte lateral del músculo (que envía tendones a los dedos 2º y 3º) y se dirige en la profundidad del músculo pronador cuadrado, para terminar enviando ramos articulares para la muñeca.
- *El ramo recurrente del nervio mediano* (C8 y T1) nace del nervio mediano en cuanto atraviesa el retináculo de los músculos flexores. Gira en el borde distal de este

retináculo para inervar los músculos de la eminencia tenar.

- *El ramo cutáneo palmar del nervio mediano* nace justo proximal al retináculo de los flexores, y emerge a la piel entre los tendones de los músculos palmar largo y flexor radial del carpo (tabla 6.9). Pasa superficial al retináculo de los flexores e inerva la piel de la parte lateral de la palma.

El nervio cubital

Después de pasar detrás del epicóndilo medial del humero, el nervio cubital llega al antebrazo (en este caso, además, emite ramas motoras) entre las cabezas del músculo flexor cubital del carpo (tabla 6.9). Después desciende entre el flexor cubital del carpo y el flexor profundo de los dedos, inervando la parte cubital (medial) del músculo que envía tendones para los dedos 4º y 5º. El nervio cubital se torna superficial en la muñeca y sube por la piel de la cara medial de la mano (fig. 6.51). Luego continúa por la cara medial

de la arteria cubital y la cara lateral del tendón del músculo flexor cubital del carpo. El nervio y la arteria cubitales emergen debajo del tendón del flexor cubital del carpo, justo proximales a la muñeca, y entran en la mano superficiales al retináculo flexor. El nervio y la arteria cubitales discurren por el retináculo y luego atraviesan un surco entre el hueso pisiforme y el gancho del hueso ganchoso. Existe una banda de tejido fibroso del retináculo flexor que puentea el surco, dando un pequeño conducto conocido en clínica como *conducto de Guyon*.

Los ramos del nervio cubital. El nervio cubital no emite ramos en el brazo. Éstos surgen en el antebrazo y en la mano de la siguiente manera:

- *Los ramos articulares* se dirigen al codo, donde el nervio se encuentra entre el olécranon y el epicóndilo medial.

- *Los ramos musculares* inervan el flexor cubital del carpo y la porción medial del flexor profundo de los dedos.
- *El ramo cutáneo palmar* nace del nervio cubital, cerca del tercio medio del antebrazo, y desciende bajo la fascia antebraquial, delante de la arteria cubital; este nervio perfora la fascia profunda del tejido distal del antebrazo para distribuirse por la piel de la parte medial de la palma.
- *El ramo cutáneo dorsal* nace del nervio cubital en la mitad distal del antebrazo y desciende en la cara posterior, entre el cúbito y el músculo flexor cubital del carpo, para inervar la superficie posterior de la porción medial de la mano y de los dedos.
- *El ramo profundo* surge del nervio cubital en la muñeca e inerva los músculos de la eminencia hipotenar (músculos del dedo meñique); también se dirige a los músculos interóseos y al 3^{er} y 4^o músculos lumbricales.

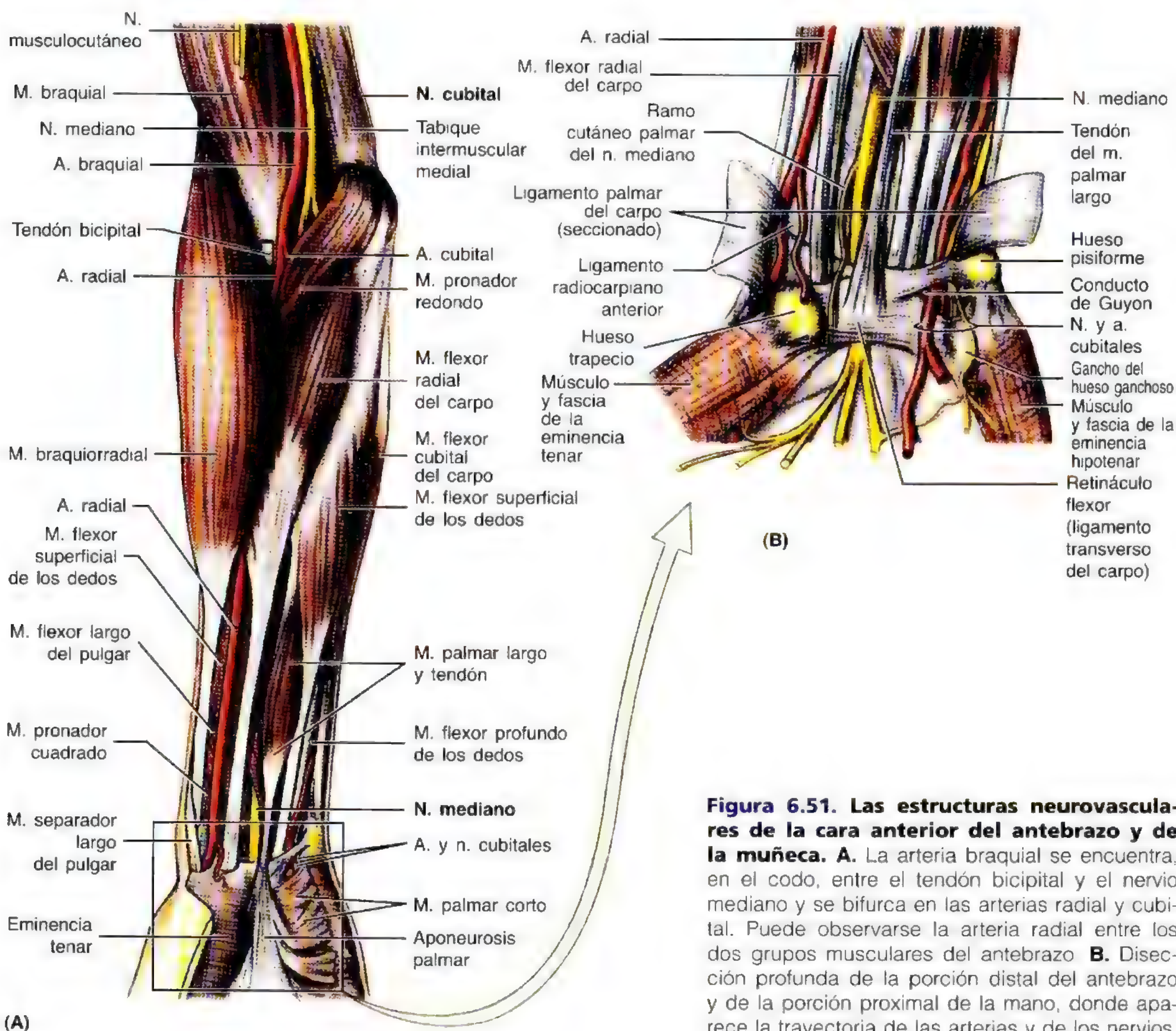


Figura 6.51. Las estructuras neurovasculares de la cara anterior del antebrazo y de la muñeca. A. La arteria braquial se encuentra, en el codo, entre el tendón bicipital y el nervio mediano y se bifurca en las arterias radial y cubital. Puede observarse la arteria radial entre los dos grupos musculares del antebrazo. B. Diseción profunda de la porción distal del antebrazo y de la porción proximal de la mano, donde aparece la trayectoria de las arterias y de los nervios.

Lesión del nervio cubital

La lesión del nervio cubital ocurre casi siempre en la zona donde el nervio discurre detrás del epicóndilo medial del húmero. El daño se produce cuando la porción lateral del codo golpea contra una superficie dura y se fractura el epicóndilo medial ("hueso de la música").

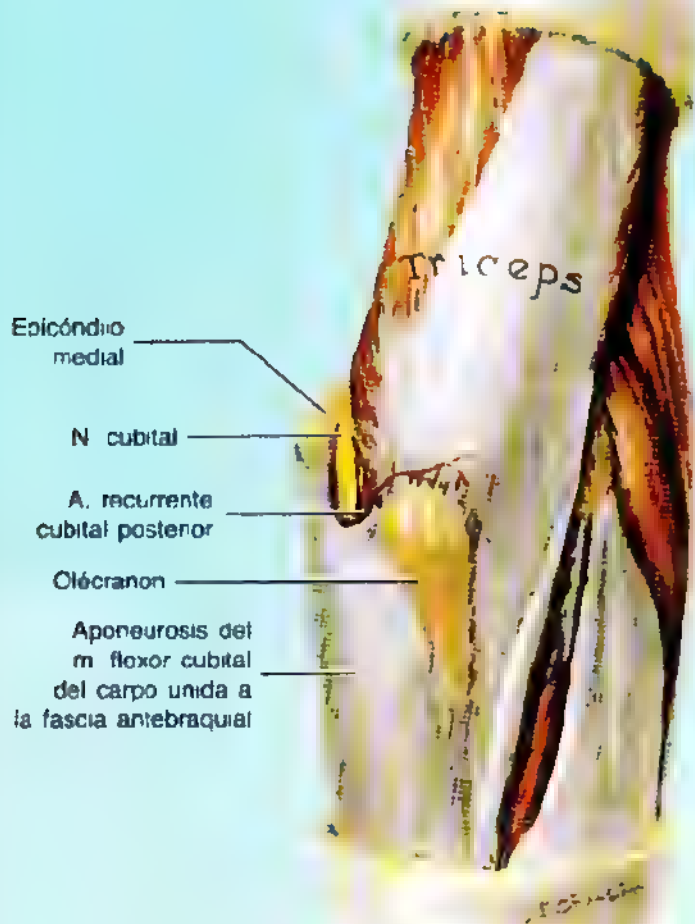
La compresión del nervio cubital en el codo (*atrapamiento del nervio cubital*) es frecuente y suele ocasionar acorchamiento y hormigueo en la parte medial de la palma y el dedo meñique, así como en la mitad del anular. Presiónese el nervio cubital en la cara posterior del codo con el dedo y se notará un hormigueo en esos dedos. La compresión grave también produce dolor en el codo, que

se irradia distalmente. Menos veces, el nervio cubital se comprime a su paso por el conducto de Guyon.

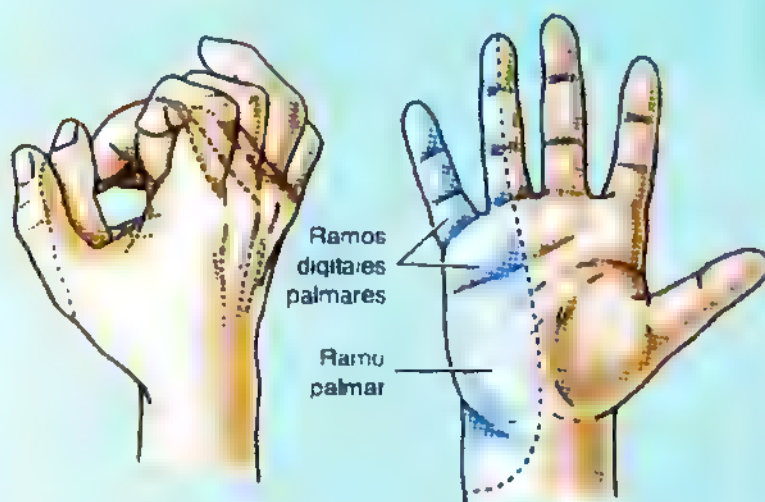
La lesión del nervio cubital determina una extensa pérdida motora y sensitiva en la mano. La lesión de este nervio, en la porción distal del antebrazo, induce una des-nervación de la mayoría de los músculos intrínsecos de la mano. La capacidad de aproximación se altera y cuando se intenta flexionar la articulación de la muñeca, la mano se desvía lateralmente por efecto del flexor radial del carpo (inervado por el nervio mediano). Tras una lesión del nervio cubital, el paciente refiere dificultad para cerrar el puño, porque no puede flexionar el 4º ni el 5º dedos por las articulaciones interfalángicas distales. El aspecto característico de la mano, que provoca una lesión distal del nervio cubital, se conoce como *mano en garra*. Esta deformidad obedece a la atrofia de los músculos interóseos de la mano inervados por el nervio cubital. La "garra" se explica por la acción opuesta de los extensores y del flexor profundo de los dedos.

Síndrome del túnel cubital

El nervio cubital se comprime, en ocasiones, dentro del túnel cubital creado por el arco tendinoso que une las cabezas humeral y cubital de inserción del flexor cubital del carpo (tabla 6.6). Los signos y los síntomas son los mismos que los de la lesión del nervio cubital dentro del surco cubital de la cara posterior del epicóndilo medial del húmero (véase exposición al comienzo de este recuadro). ◊



Posición vulnerable del n. cubital



Mano en garra

Distribución sensitiva del n. cubital

El nervio radial

El nervio radial abandona el compartimiento posterior del brazo y cruza por la cara anterior del epicóndilo lateral del húmero (tabla 6.9). Aparece en la fosa cubital entre los músculos braquial y braquiorradial. Poco después de ingresar en el antebrazo, el nervio radial se divide en los ramos

profundo y superficial (fig. 6.45). El ramo profundo nace delante del epicóndilo lateral del húmero y atraviesa el músculo supinador.

El **ramo superficial del nervio radial** es el nervio cutáneo y articular que baja por el antebrazo, cubierto por el músculo braquiorradial. Emerge en la porción distal del

antebrazo y cruza el techo de la tabaquera anatómica (fig. 6.46), distribuyéndose por la piel del dorso de la mano y por algunas articulaciones de la mano (tabla 6.9).

El **ramo profundo del nervio radial**, el mayor de los dos ramos terminales, es la prolongación directa de este nervio. Después de atravesar el músculo supinador rodea la cara

lateral del cuello del radio y penetra en el compartimiento posterior del antebrazo (fig. 6.45). El *nervio interóseo posterior* es la prolongación del ramo profundo del nervio radial.

El **nervio cutáneo posterior del antebrazo** (ramo del nervio radial) desciende por la cara posterior del antebrazo hasta la muñeca y se distribuye por la piel.

Lesión del nervio radial

El nervio radial suele lesionarse en las fracturas del cuerpo humeral. La lesión resulta proximal a los ramos del nervio para los extensores de la muñeca, de modo que la manifestación clínica principal de este tipo de lesión es la caída de la mano (pág. 743). Sin embargo, la lesión del ramo profundo del nervio radial también se da en las heridas profundas (penetrantes) del antebrazo. Cuando se corta un ramo profundo del nervio radial resulta imposible extender el pulgar y las articulaciones metacarpofalángicas (MCF) de los demás dedos. No desaparece la sensibilidad, puesto que el ramo profundo del nervio radial tiene una distribución totalmente muscular y articular. En la tabla 6.7 se indican los músculos paralizados (p. ej., el músculo extensor de los dedos [pág. 755]) tras la lesión de este nervio. Cuando se daña el ramo superficial del nervio radial, un nervio cutáneo, la pérdida sensitiva casi siempre es mínima. En general se aprecia una zona de anestesia en forma de moneda, distal a las bases del 1^{er} y 2^o metacarpianos. El motivo, por el que el territorio de anestesia es menor del que cabría esperar según la ilustración de la tabla 6.9, se explica por la superposición considerable de los ramos cutáneos provenientes de los nervios mediano y cubital. ◉



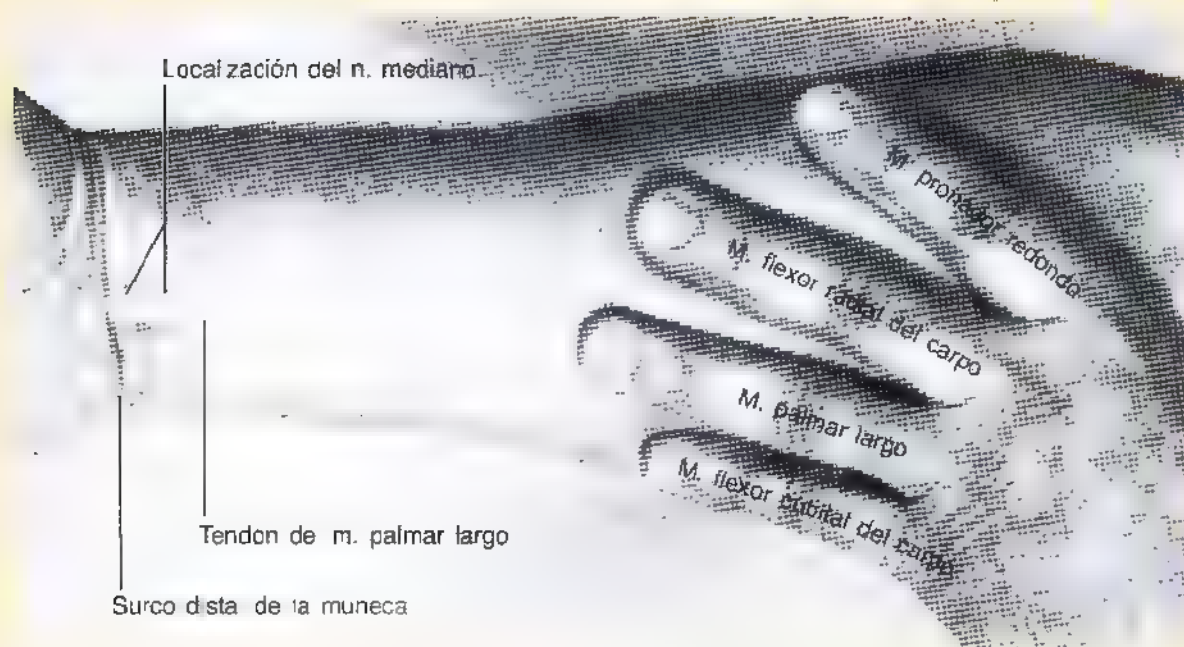
Exploración del ramo profundo del n. radial mediante extensión de las articulaciones MCF contra la resistencia del examinador; si la fuerza es normal, los tendones se tensan y sobresalen en el dorso de la mano

Anatomía de superficie del antebrazo

En el codo se palpan con facilidad tres referencias óseas: los **epicóndilos medial y lateral** del húmero y el **olécranon** del cúbito. La cabeza del radio se puede palpar distal al epicóndilo lateral en la cavidad posterolateral que aparece cuando se extiende el antebrazo. Supine y prone su antebrazo y comprobará el movimiento de la cabeza del radio. El borde posterior del cúbito suele notarse distalmente al olécranon en toda la extensión del hueso, de posición subcutánea. La **fosa cubital**, una concavidad triangular de la cara anterior del codo, delimita medialmente con la prominencia creada por el grupo flexor-pronador de los músculos que se insertan en el epicóndilo medial. Para conocer la posición de estos músculos coloque el pulgar detrás del epicóndilo medial y luego ponga los dedos en el antebrazo, tal y como aparece en la

fotografía de la página siguiente. El punto negro del dorso de la mano indica la posición del epicóndilo medial.

La **cabeza del cúbito** se sitúa en la extremidad distal y se ve y palpa sin ningún problema. Emerge como una prominencia redonda en la muñeca cuando se pronla la mano. La **apófisis estiloides del cúbito** se palpa justo distal a la cabeza cubital. La **apófisis estiloides del radio**, más grande, se advierte con facilidad en la cara lateral de la muñeca cuando se supina la mano, sobre todo si los tendones que la cubren se encuentran relajados. La **apófisis estiloides del radio** queda aproximadamente 1 cm más distal que la del cúbito. Esta relación entre las apófisis estiloides tiene importancia para el diagnóstico de determinadas lesiones de la muñeca (p. ej., fractura de la extremidad distal del radio). Las caras del radio se palpan algunos centímetros por encima de la apófisis estiloides del radio. La cara lateral de la mitad distal del radio se nota sin ningún problema. ◉



La mano

La muñeca es el lugar de unión del antebrazo con la mano. La mano se mueve por la articulación de la muñeca. La mano es la parte manual del miembro superior distal al antebrazo. El esqueleto de la mano consta de los huesos del car-

po o de la muñeca, los metacarpianos de la mano propiamente dichos y las falanges de los dedos. Los dedos se numeran del 1º al 5º, empezando por el pulgar y terminando con el meñique. Dada la importancia de la destreza manual para las actividades recreativas y laborales, es esencial que todas las personas que contribuyen a mantener o restablecer su

actividad conozcan bien la estructura y la función de la mano: movimiento libre, prensión poderosa, manipulación precisa y pellizcamiento.

La **prensión con fuerza** (con la palma) hace referencia a los movimientos forzados de los dedos contra la palma; los dedos envuelven un objeto y el pulgar ejerce una presión en sentido contrario, por ejemplo para sujetar una estructura cilíndrica (fig. 6.52). La prensión con fuerza depende de los músculos flexores largos de los dedos, los músculos intrínsecos de la palma y los músculos extensores de la muñeca (véanse comentarios de la pág. 824). La *prensión con gancho* es la postura que adopta la mano para transportar un maletín. Para esta maniobra se utilizan sobre todo los músculos flexores largos de los dedos, que se flexionan en grado variable según el tamaño del objeto asido. La *maniobra de manipulación precisa* consiste en un cambio de la posición del objeto manipulado que requiere un control fino de los movimientos de los dedos, incluido el pulgar (p. ej., sujetar una pluma o dar cuerda al reloj). Para la sujeción precisa, la muñeca y los dedos son sujetados con fuerza por los músculos flexores y extensores largos, y los músculos intrínsecos de la mano ejecutan los movimientos finos de los dedos (p. ej., al enhebrar una aguja o abotonarse la camisa o la blusa).

El *pellizcamiento* se refiere a la compresión de un objeto entre el pulgar y el dedo índice (p. ej., manipular una taza de té) o entre el pulgar y los dos dedos adyacentes (p. ej., chasquear los dedos). La *posición de reposo* la adopta la mano inactiva (p. ej., cuando se coloca el antebrazo y la mano sobre la mesa). Esta posición suele utilizarse para inmovilizar la muñeca y la mano con escayola y estabilizar una fractura.

La fascia palmar

La fascia palmar se continúa con la fascia antebraquial y la fascia del dorso de la mano (fig. 6.10). La **fascia palmar** de

las eminencias tenar e hipotenar es fina, pero tiene un engrosamiento central que da la aponeurosis palmar fibrosa, así como en los dedos, para crear las vainas digitales (fig. 6.53). La **aponeurosis palmar**, una parte fuerte y bien delimitada de la fascia palmar profunda, cubre los tejidos blandos y los tendones de los músculos flexores largos. La extremidad distal o vértice de la aponeurosis palmar triangular se prolonga con el retináculo flexor y el tendón del músculo palmar largo. Cuando este músculo está presente, la aponeurosis palmar constituye el tendón expandido del músculo palmar largo. En la zona distal al vértice, la aponeurosis palmar envía cuatro bandas digitales longitudinales que se irradian desde el vértice, para insertarse distalmente en las bases de las falanges proximales y continuarse con las vainas fibrosas digitales.

Las **vainas fibrosas digitales de la mano** son tubos ligamentosos que encierran las bandas sinoviales, los tendones de los músculos flexores superficiales y profundos (figs. 6.44 y 6.53) y el tendón del músculo flexor largo del pulgar a su paso por la cara palmar de los respectivos dedos. Las vainas flexoras digitales se componen de cinco partes anulares y cuatro cruciformes o "polcas".

Desde el borde medial de la aponeurosis palmar hasta el 5º metacarpiano se extiende, en la profundidad, un **tabique fibroso medial**. Medial a este tabique queda el **compartimiento medial o hipotenar**, que contiene los músculos de esta eminencia (fig. 6.54A). De forma análoga, desde el borde lateral de la aponeurosis palmar hasta el 3º metacarpiano discurre, en la profundidad, un **tabique fibroso lateral**. Lateral a este tabique queda el **compartimiento lateral o tenar**, que contiene los músculos de esta eminencia. Entre los compartimientos hipotenar y tenar se encuentra el **compartimiento central** con los tendones de los músculos flexores y sus vainas, los músculos lumbricales, el arco arterial palmar superficial y los vasos y nervios digitales. El plano muscular

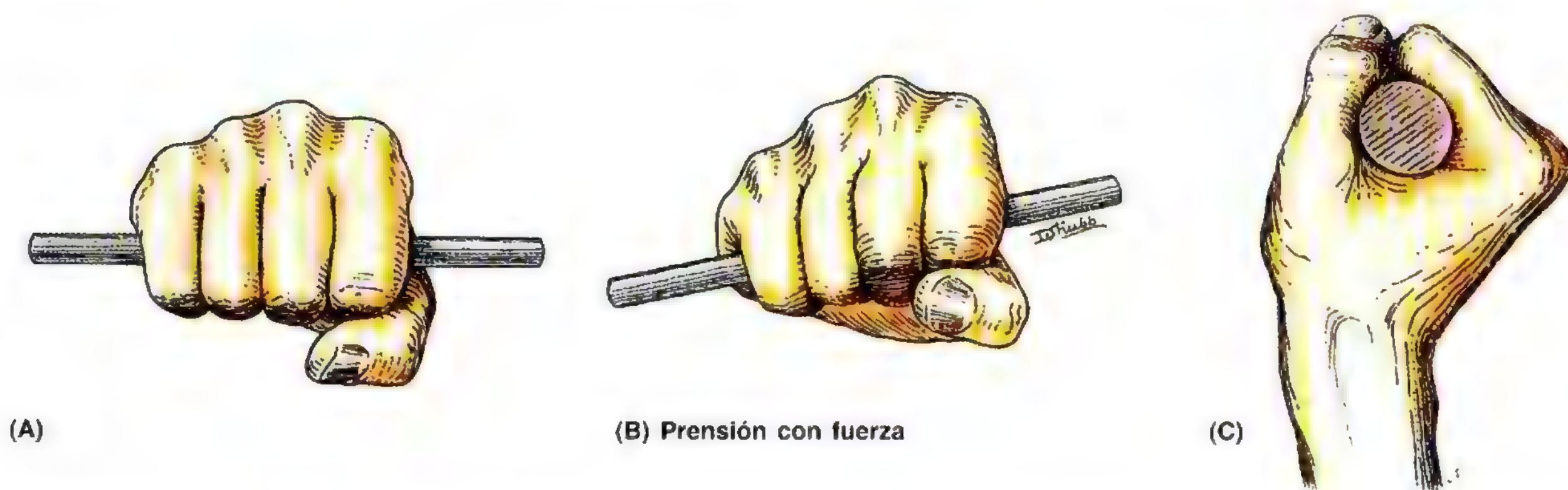


Figura 6.52. Prensión con fuerza de la mano. A. Prensión relajada B-C. Prensión firme. La 2ª y 3ª articulaciones carpometacarpianas se encuentran rígidas y estables, pero la 4ª y la 5ª son articulaciones bisagra que permiten la flexión y la extensión. C. Cuando se sujeta un objeto se flexionan las articulaciones metacarpofalángicas e interfalángicas, pero se extienden las articulaciones de la muñeca y transversa del carpo. Al coger un martillo se incrementa la distancia sobre la que actúan los flexores de los dedos, y se obtiene el mismo resultado que con una contracción muscular más completa. Sin esta extensión, la prensión parece débil e insegura.

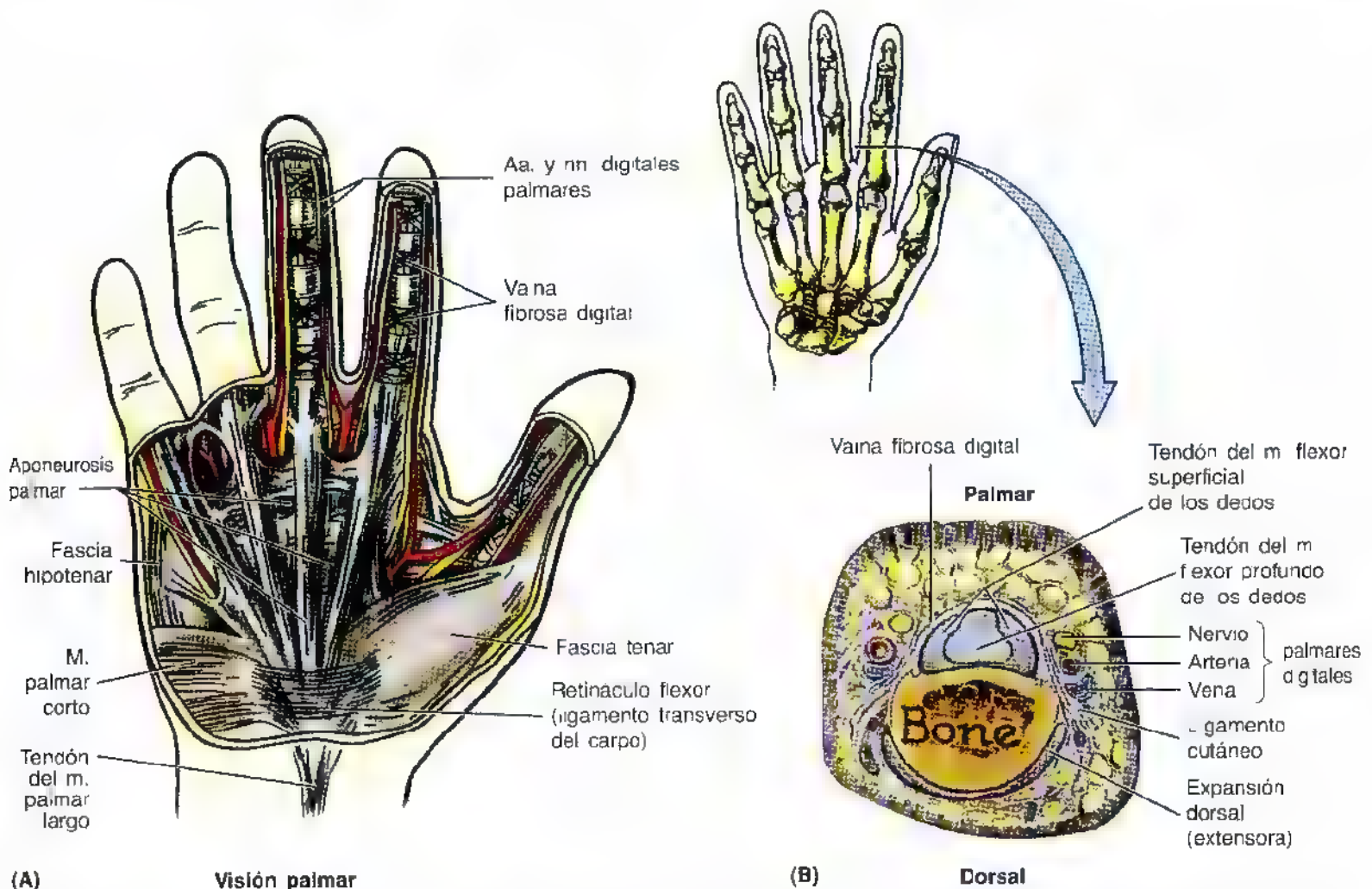


Figura 6.53. La fascia palmar y las vainas digitales fibrosas. La fascia palmar se continúa con la fascia antebrachial. La fascia que tapiza los músculos y los vasos y nervios correspondientes del meñique se conoce como *fascia hipotenar*. De manera análoga, la fascia que reviste los músculos y los vasos y nervios correspondientes del pulgar se llama *fascia tenar*. Entre las masas musculares medial y lateral se encuentra el compartimiento central de la palma, cuyo techo es la aponeurosis palmar, una extensión de tendón del músculo palmar largo (si está presente [84% de las personas]). **A.** Obsérvese que las vainas fibrosas digitales (en este caso se muestran las de los dedos medio e índice) se continúan con los haces de fibras longitudinales de la aponeurosis palmar para formar las cubiertas de los tendones de los músculos flexor superficial de los dedos y flexor profundo de los dedos. Las vainas fibrosas digitales evitan que los tendones traccionen ('arqueen') de las falanges. **B.** Corte transversal del dedo índice. Se observa cómo el nervio, la arteria y la vena digitales palmares están adyacentes a la vaina fibrosa digital, pero no a la falange. Las estructuras neurovasculares dorsales de los dedos se agotan al llegar al tercio medio de la falange media; los nervios, las arterias y las venas palmares nutren las caras palmares y dorsales de la parte distal de los dedos.

más profundo de la palma es el **compartimiento aproximador**, que contiene el músculo aproximador del pulgar.

Entre los tendones de los músculos flexores y la fascia que cubre los músculos palmares profundos hay dos espacios virtuales, el **espacio tenar** y el **espacio mediopalmar**

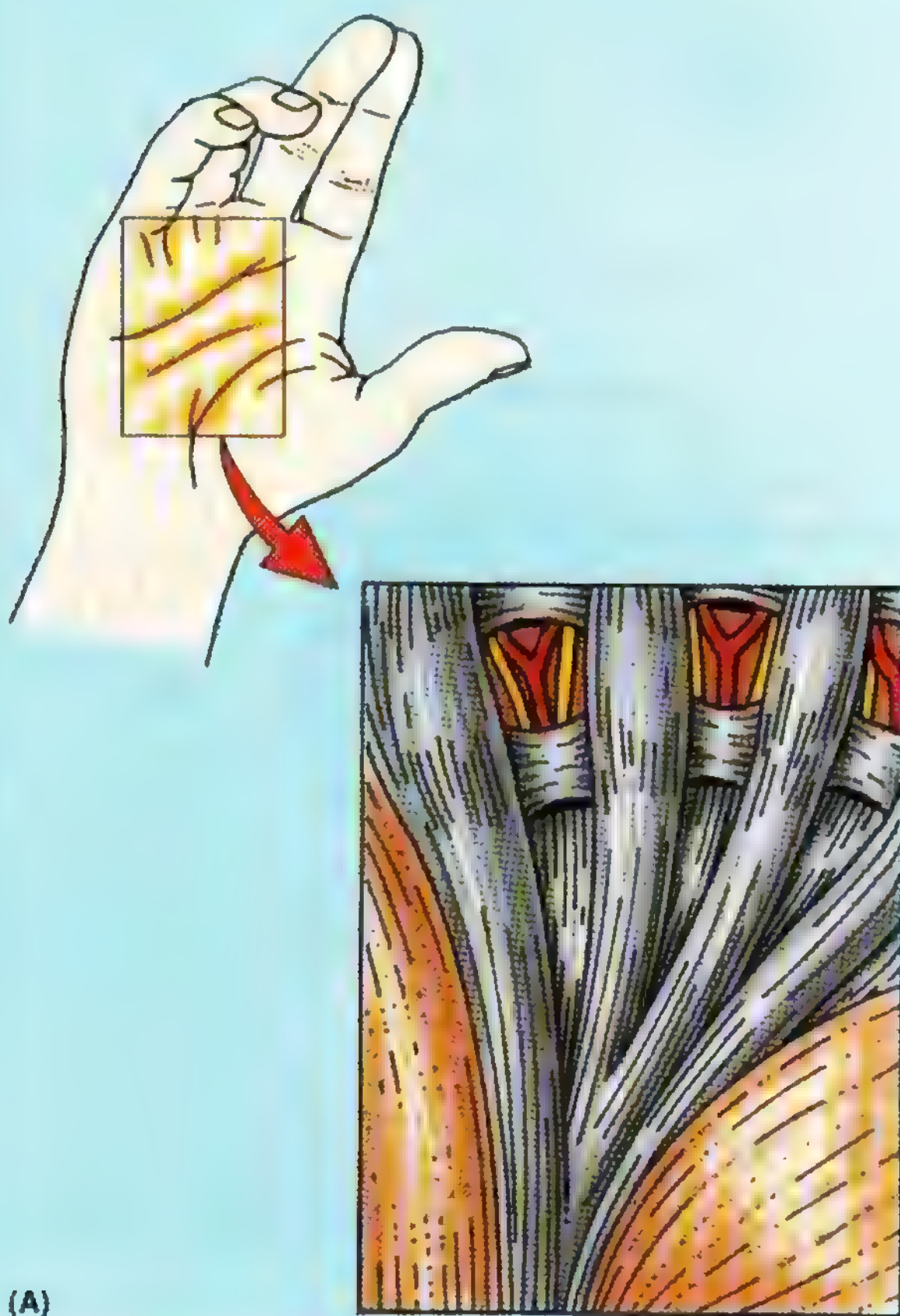
(fig. 6.54, A y B). Estos espacios están limitados por tabiques fibrosos que van de los bordes de la aponeurosis palmar hasta los metacarpianos. Entre los dos espacios se encuentra el tabique fibroso lateral, muy robusto, que se inserta en el 3^{er} metacarpiano.

Contractura de la fascia palmar de Dupuytren

La contractura de Dupuytren es un acortamiento progresivo, con engrosamiento y fibrosis de la fascia y de la aponeurosis palmares. La degeneración fibrosa de las bandas

longitudinales de la aponeurosis palmar de la cara medial de la mano, lleva los dedos anular y meñique a una flexión parcial por las articulaciones metacarpofalángicas e interfalángicas proximales (A). La contractura suele ser bilateral y es más común en hombres mayores de 50 años; se desconoce su etiología, pero se ha propuesto una

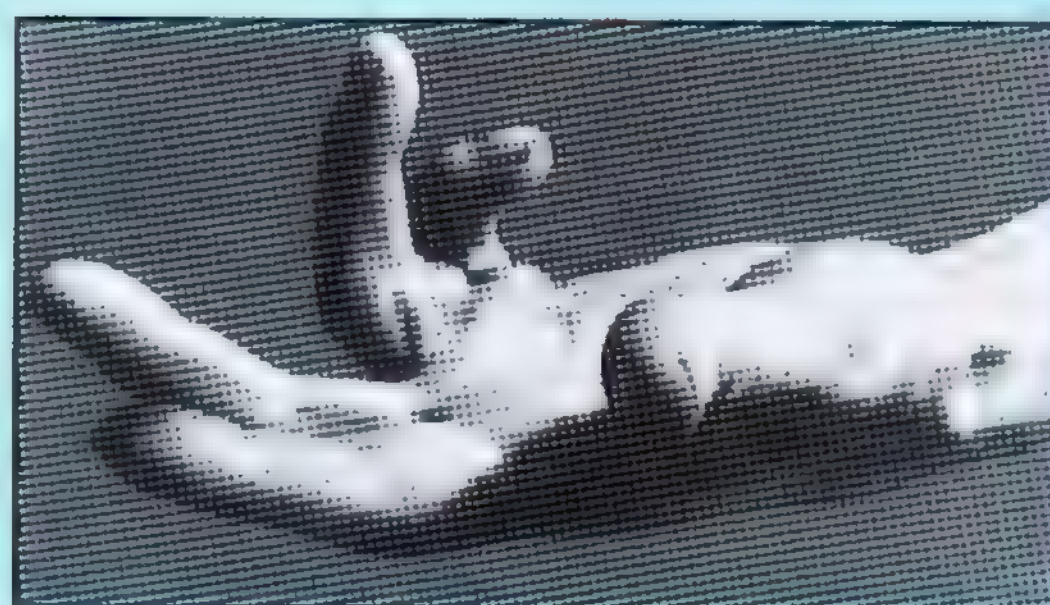
► tendencia hereditaria. La enfermedad se manifiesta en principio por un engrosamiento nodular indoloro de la aponeurosis palmar, que se adhiere a la piel. Poco a poco, la contractura progresiva de las bandas longitudinales determina unas crestas elevadas en la piel de la palma, que se extienden desde la porción proximal de la mano



hasta la base de los dedos anular y meñique (B). El tratamiento de la contractura de Dupuytren consiste, de ordinario, en la extirpación quirúrgica de todas las porciones fibróticas de la fascia palmar para liberar los dedos (Salter, 1998).

Infecciones de la mano

La fascia palmar es gruesa y robusta, motivo por el cual las tumefacciones causadas por infecciones de la mano suelen manifestarse en el dorso, donde la fascia es más fina. Los espacios fasciales potenciales de la palma tienen interés porque pueden infectarse. Estos espacios fasciales determinan la extensión y la dirección en que se extiende el pus creado por estas infecciones. Según el asiento de la infección, el pus se acumula en los compartimientos tenar, hipotenar o del aproximador. Dado el uso tan extendido de los antibióticos hoy en día, es difícil que las infecciones se extiendan desde uno de estos compartimientos fasciales, aunque una infección no tratada podría diseminarse en sentido proximal por el túnel del carpo hasta el antebrazo, delante del músculo pronador cuadrado y de su fascia. ◊



Los músculos de la mano

Los músculos intrínsecos de la mano se sitúan en cuatro compartimientos (figs. 6.54 y 6.55, tabla 6.10):

- Los músculos de la eminencia tenar están en el **compartimiento tenar**: separador corto del pulgar, flexor corto del pulgar y oponente del pulgar.
- El músculo aproximador del pulgar se encuentra en el **compartimiento aproximador**.
- Los músculos de la eminencia hipotenar residen en el **compartimiento hipotenar**: separador del dedo meñique, flexor del dedo meñique y oponente del dedo meñique.
- De entre los músculos cortos de la mano, los lumbricales radican en el **compartimiento central**, y los interóseos, entre los metacarpianos.

Los músculos de la eminencia tenar

Estos músculos forman la *eminencia tenar* en la cara lateral de la palma y son los *responsables principales de la oposición del pulgar*. Este movimiento complejo comienza con el pulgar extendido y, al principio, se basa en la rotación medial del 1º metacarpiano (la palma adopta forma de copa) por la acción del músculo oponente del pulgar sobre la articulación carpometacarpiana, que se sigue de la separación, flexión y, generalmente, aproximación (fig. 6.56). El efecto de refuerzo del *aproximador del pulgar* y del flexor largo del pulgar aumenta la presión que ejerce el pulgar opuesto sobre las yemas de los dedos. El movimiento normal del pulgar resulta importante para las actividades manuales que exigen precisión. Como el 1º metacarpiano tiene más movilidad que los demás dedos, para controlar su movimiento se necesitan varios músculos (Williams y cols., 1995):

- **Separación:** separador largo del pulgar y separador corto del pulgar.
- **Aproximación:** aproximador del pulgar y 1^{er} interóseo dorsal.
- **Extensión:** extensor largo del pulgar, extensor corto del pulgar y separador largo del pulgar.
- **Flexión:** flexor largo del pulgar y flexor corto del pulgar.

Los movimientos anteriores tienen lugar en la articulación metacarpofalángica.

- **Oposición:** oponente del pulgar; este movimiento ocurre en la articulación carpometacarpiana y determina que la palma adquiera forma de copa.

La **oposición**—llevar la yema del pulgar en contacto con el dedo meñique o cualquiera de los demás dedos— también incluye la separación y la flexión y aproximación por la articulación metacarpofalángica.

El **músculo separador corto del pulgar** (fig. 6.55, tabla 6.10). Este *separador corto del pulgar* forma la parte ante-

rolateral de la eminencia tenar. El *separador corto del pulgar* separa el pulgar por la articulación carpometacarpiana y ayuda al oponente del pulgar en las primeras fases de la oposición, produciendo una ligera rotación medial de la falange proximal. Para explorar el *músculo separador corto del pulgar* se debe separar el pulgar frente a la resistencia del examinador. Si su acción es normal se puede ver y palpar el músculo.

El **músculo flexor corto del pulgar** (fig. 6.55A, tabla 6.10). Este *flexor corto del pulgar* se encuentra medial al separador corto del mismo dedo. El tendón suele contener un hueso sesamoideo. El *flexor corto del pulgar* flexiona el pulgar por las articulaciones carpometacarpiana y metacarpofalángica y contribuye a la oposición del 1^{er} dedo de la mano. Para explorar este músculo se flexiona el pulgar oponiendo resistencia. Si su acción es normal se debe ver y palpar; no obstante, recuérdese que el músculo flexor largo del pulgar también flexiona este dedo.

El **músculo oponente del pulgar** (fig. 6.55B, tabla 6.10). Este músculo cuadrangular radica en la profun-

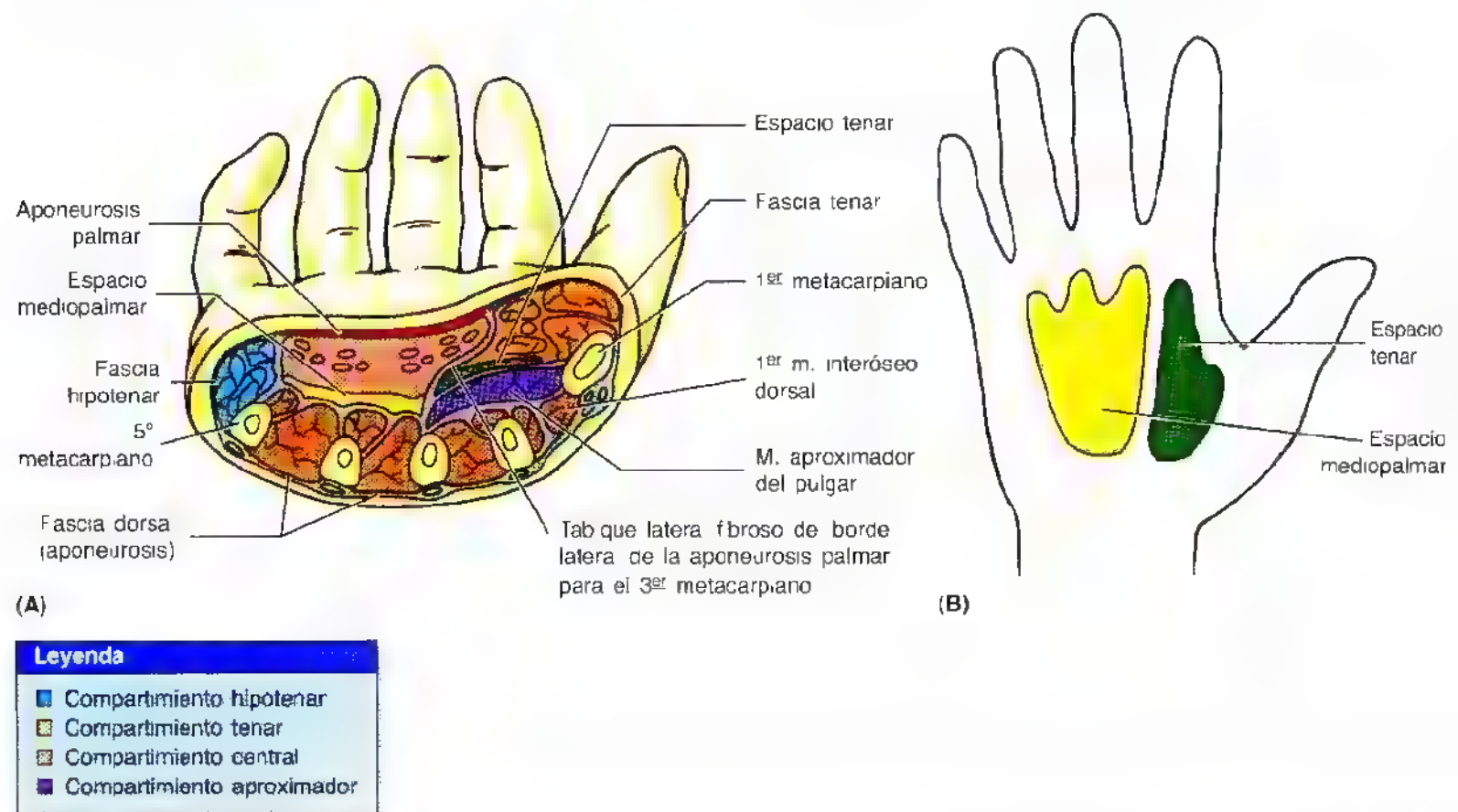


Figura 6.54. Compartimientos, espacios y fascia de la palma. **A.** Corte transversal de la parte medial de la palma, donde se ven los compartimientos fasciales de la mano. La *fascia hipotenar*, insertada en la cara lateral del 5º metacarpiano, delimita el compartimiento hipotenar. De forma semejante, la *fascia tenar* se inserta en la cara palmar del 1º metacarpiano y marca, junto con el metacarpiano, el compartimiento tenar. El compartimiento central de la palma está cubierto por la aponeurosis palmar. El *compartimiento aproximador*, el plano muscular más profundo de la palma, contiene el músculo aproximador del pulgar. **B.** El *espacio mediopalmar (central)* se encuentra debajo del compartimiento central de la palma y linda en la parte medial con el compartimiento hipotenar, que se relaciona distalmente con las vainas tendinosas sinoviales del 3º, 4º y 5º dedos y en la proximal con la vaina flexora común según emerge del túnel del carpo. El *espacio tenar* subyace al compartimiento tenar y se relaciona distalmente con la vaina tendinosa sinovial de dedo índice y proximalmente, con la vaina flexora común, distal al túnel del carpo.

didad del músculo separador corto del pulgar y lateral al flexor corto del mismo dedo. *El músculo oponente del pulgar opone el pulgar —el movimiento más importante de este dedo—, es decir, flexiona y rota medialmente el 1º metacarpiano por la articulación carpometacarpiana durante este movimiento, que se efectúa para coger un objeto. En la figura 6.56 se observa cómo la yema del pulgar entra en contacto con la del dedo meñique.*

El músculo aproximador del pulgar

Este músculo profundo, con forma de abanico, se encuentra en el *compartimiento aproximador* de la mano (figs. 6.54A y 6.55A). El aproximador del pulgar nace de dos cabezas, separadas por la arteria radial, en el momento en que se introduce en la palma para crear el arco palmar profundo (fig. 6.55A). El tendón suele contener un hueso sesamoides. *El músculo aproximador del pulgar aproxima el pulgar,*

es decir, mueve el pulgar hacia la palma de la mano y aumenta la fuerza de la prensión.

Los músculos de la eminencia hipotenar

Los músculos de la eminencia hipotenar (separador del dedo meñique, flexor corto del dedo meñique y oponente del dedo meñique) crean la *eminencia hipotenar* de la cara medial de la palma y mueven el dedo meñique. Se encuentran dentro del compartimiento hipotenar, junto con el 5º metacarpiano (figs. 6.54A y 6.55, tabla 6.10).

El músculo separador del dedo meñique. Este *separador del meñique* es el más superficial de la eminencia hipotenar. Este músculo *separa el 5º dedo* y ayuda a flexionar su falange proximal.

El músculo flexor corto del meñique. Este músculo tiene un tamaño variable y queda lateral al separador del meñique. *El músculo flexor corto del dedo meñique flexiona*

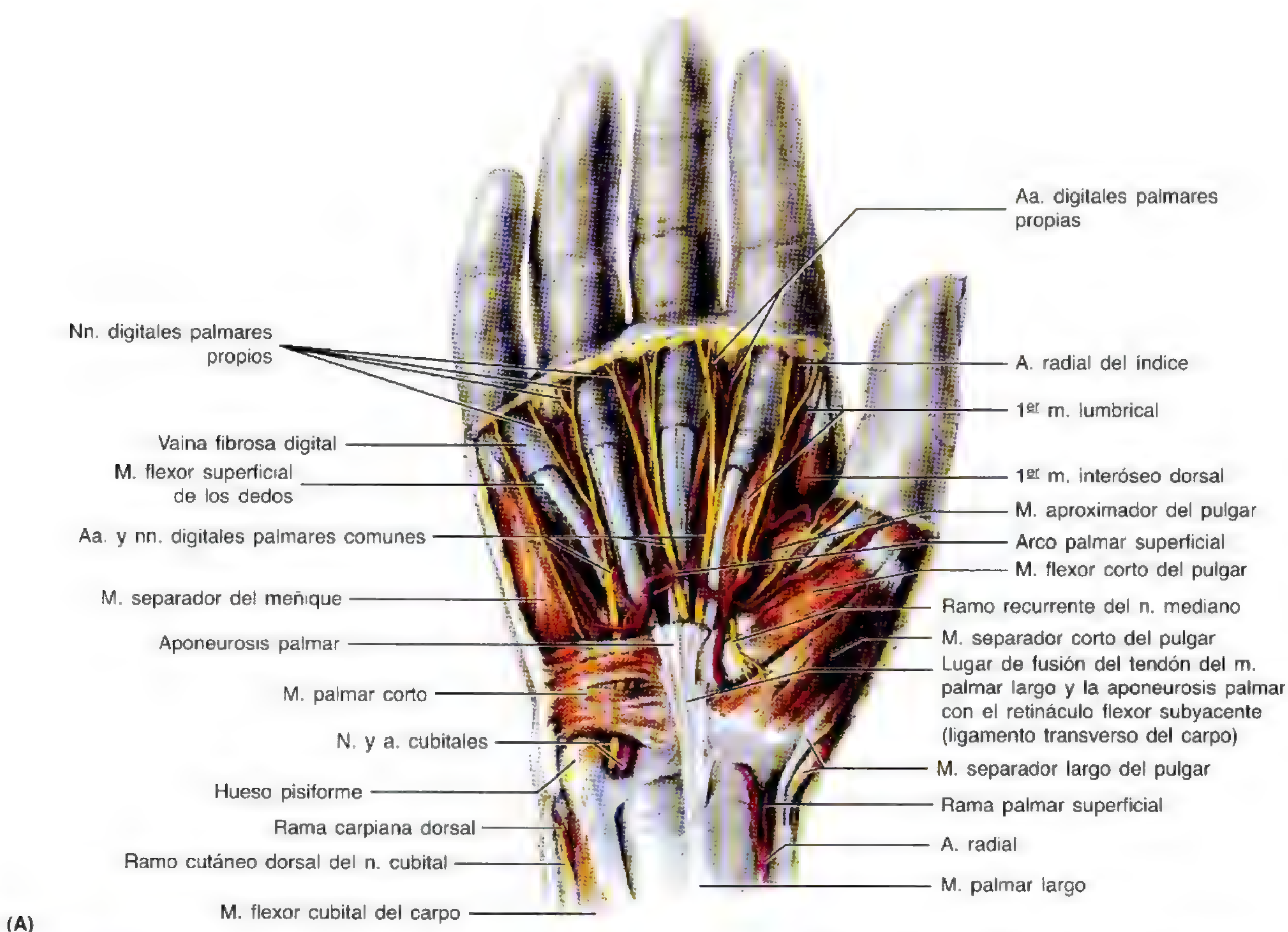


Figura 6.55. Disección superficial de la palma derecha. Se han extirpado la piel y el tejido subcutáneo, al igual que la aponeurosis palmar y las fascias tenar e hipotenar. **A.** Obsérvese el arco palmar superficial, situado superficial a los tendones flexores largos. Este arco arterial da lugar a las arterias digitales palmares comunes. En los dedos se observan una arteria digital (p. ej., radial del índice) y un nervio que descansan en las caras medial y lateral de la vaina fibrosa digital. Puede apreciarse cómo el hueso pisiforme protege el nervio y la arteria cubitales a su paso por la palma.

la falange proximal del 5º dedo por la articulación metacarpofalángica.

El músculo oponente del meñique. Este músculo cuadrangular se sitúa en la profundidad de los músculos separador y flexor del 5º dedo. *El músculo oponente del meñique tracciona del 5º metacarpiano hacia delante y lo rota lateralmente*, ahondando la cavidad de la palma y dirigiendo el 5º dedo para oponerse al pulgar.

El músculo palmar corto

El músculo palmar corto es un músculo pequeño y fino del tejido subcutáneo de la eminencia hipotenar (fig. 6.55A); *no se encuentra en el compartimiento hipotenar*. Este músculo palmar corto arruga la piel de la eminencia hipotenar y ahonda la cavidad de la mano, contribuyendo así a la prensión palmar. *El músculo palmar corto cubre y protege el nervio y la arteria cubitales*. Se inserta proximalmente en el borde medial de la aponeurosis palmar y en la piel del borde medial de la mano.

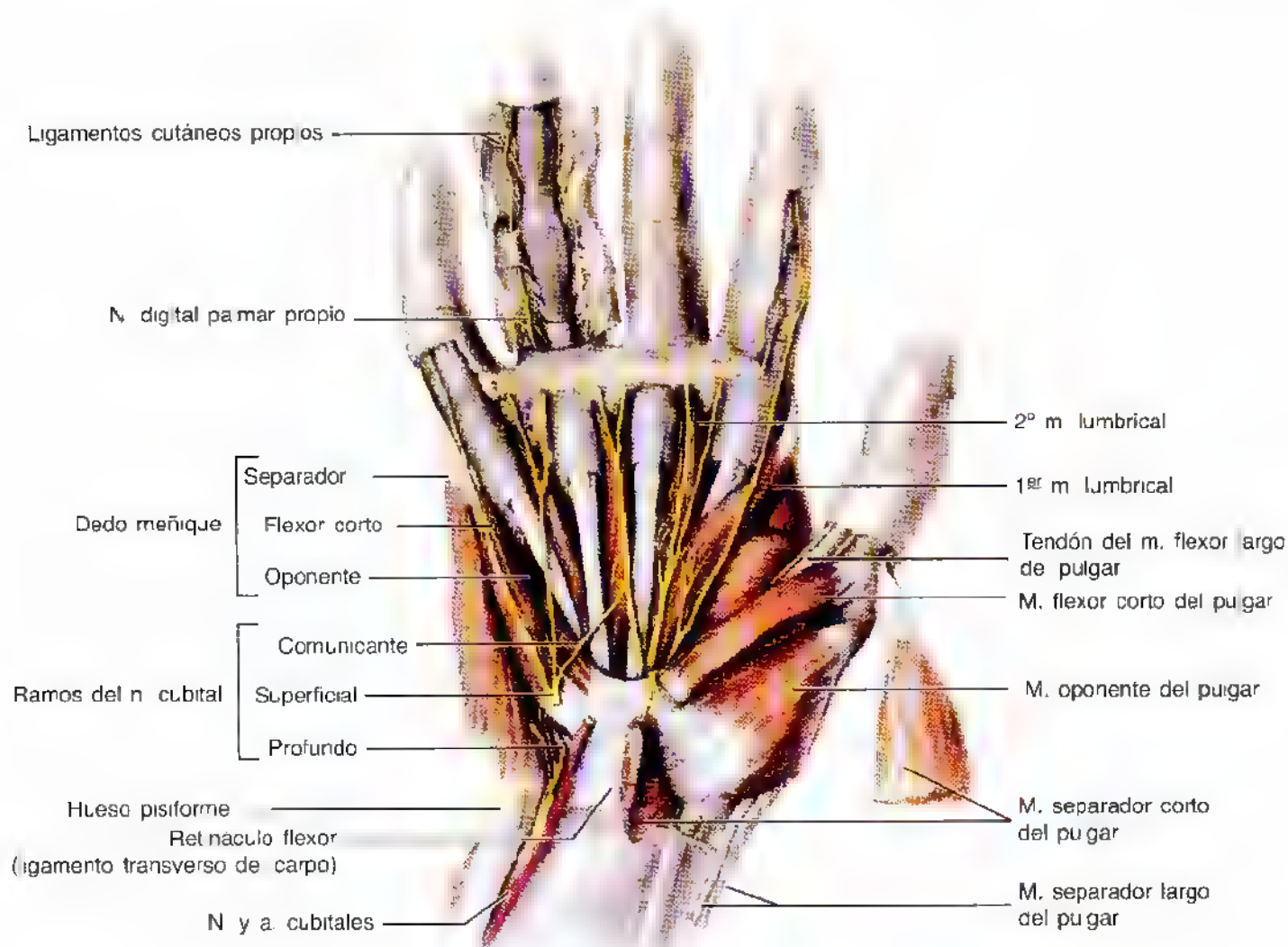
Los músculos cortos de la mano

Los músculos cortos de la mano son los lumbricales y los interóseos.

Músculos lumbricales. Los cuatro músculos lumbricales, finos, han recibido su nombre por su forma de gusano. *Los lumbricales flexionan los dedos por las articulaciones metacarpofalángicas y extienden las articulaciones interfalángicas*.

Músculos interóseos. Los cuatro músculos interóseos dorsales se sitúan entre los metacarpianos; los tres músculos interóseos palmares se encuentran en las caras palmares de los metacarpianos. El 1º músculo interóseo dorsal se palpa con facilidad; opóngase con fuerza el pulgar contra el 1º dedo y se notará en seguida. Algunos autores describen cuatro interóseos palmares; para ello, incluyen la cabeza profunda del músculo flexor corto del pulgar, que recibe una inervación similar y también está situado en el pulgar (tabla 6.10).

Los cuatro interóseos dorsales separan los dedos y los tres palmares los aproximan. Al actuar de forma concertada, los interóseos dorsales y palmares y los lumbricales producen la flexión de las articulaciones metacarpofalángicas y la extensión de las interfalángicas (el denominado “movimiento en Z”). Esto sucede por su inserción en las bandas laterales de las expansiones extensoras. El conocimiento de este *movimiento en Z* ayuda, porque es el movimiento contrario a la mano en garra, que se observa en la parálisis cubital cuando los



(B)

Figura 6.55. (Continuación) **B.** Obsérvense los tres músculos de la eminencia tenar y los tres de la eminencia hipotenar que se insertan en el retináculo flexor y en los cuatro huesos marginales de carpo unidos por el retináculo

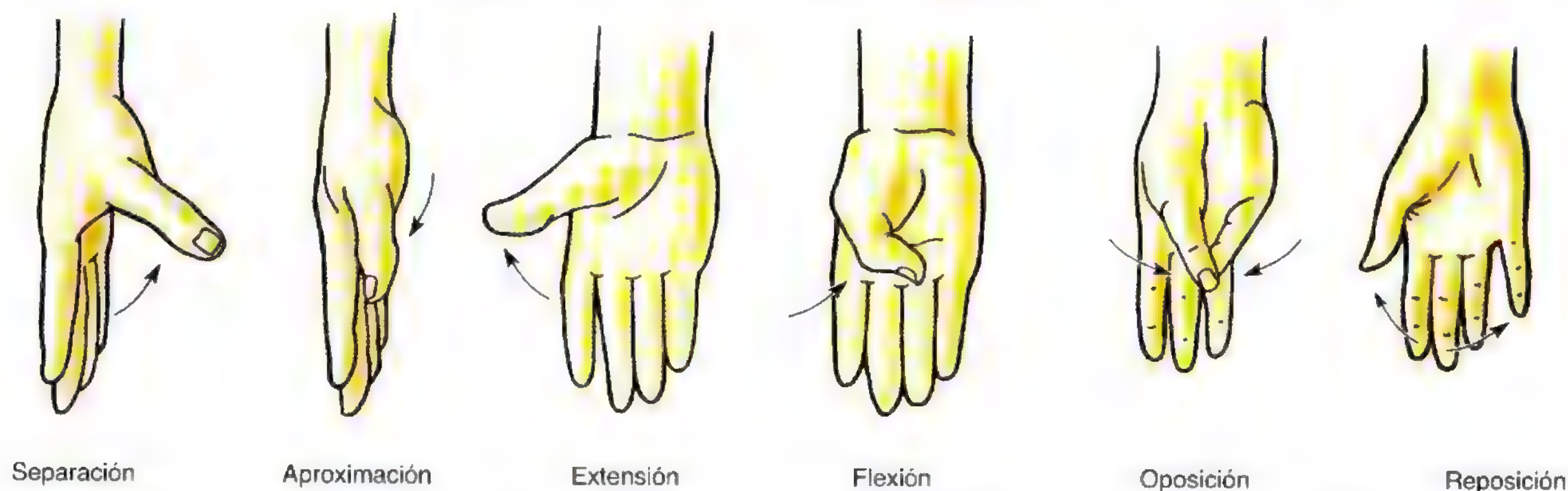
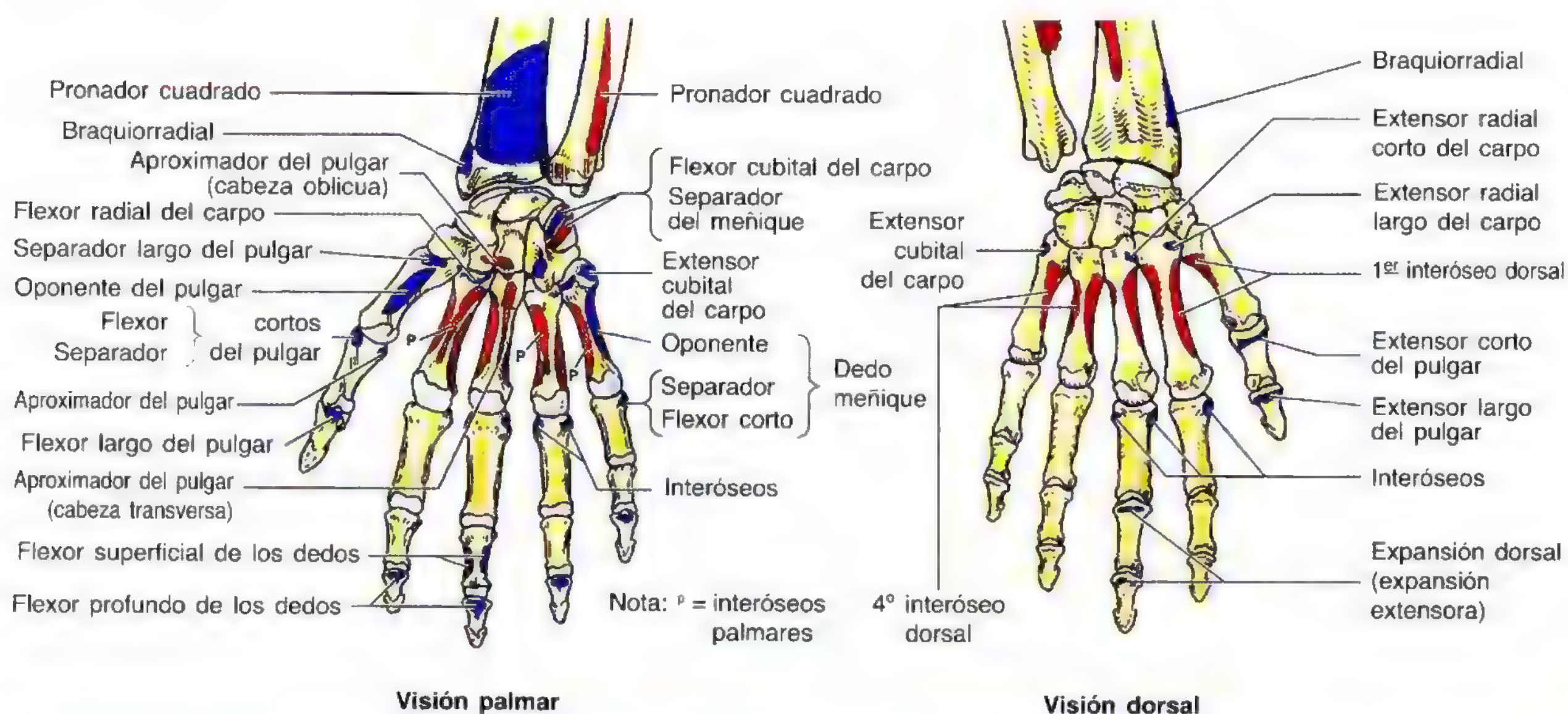


Figura 6.56. Los movimientos del pulgar. La oposición, que consiste en el contacto de la yema del pulgar con la yema de cualquier otro dedo (p. ej., la del meñique), es el movimiento más complejo. Los componentes de la oposición son la rotación medial de la articulación carpometacarpiana y la separación y la flexión de la articulación metacarpofalángica.

Tabla 6.10. Los músculos intrínsecos de la mano

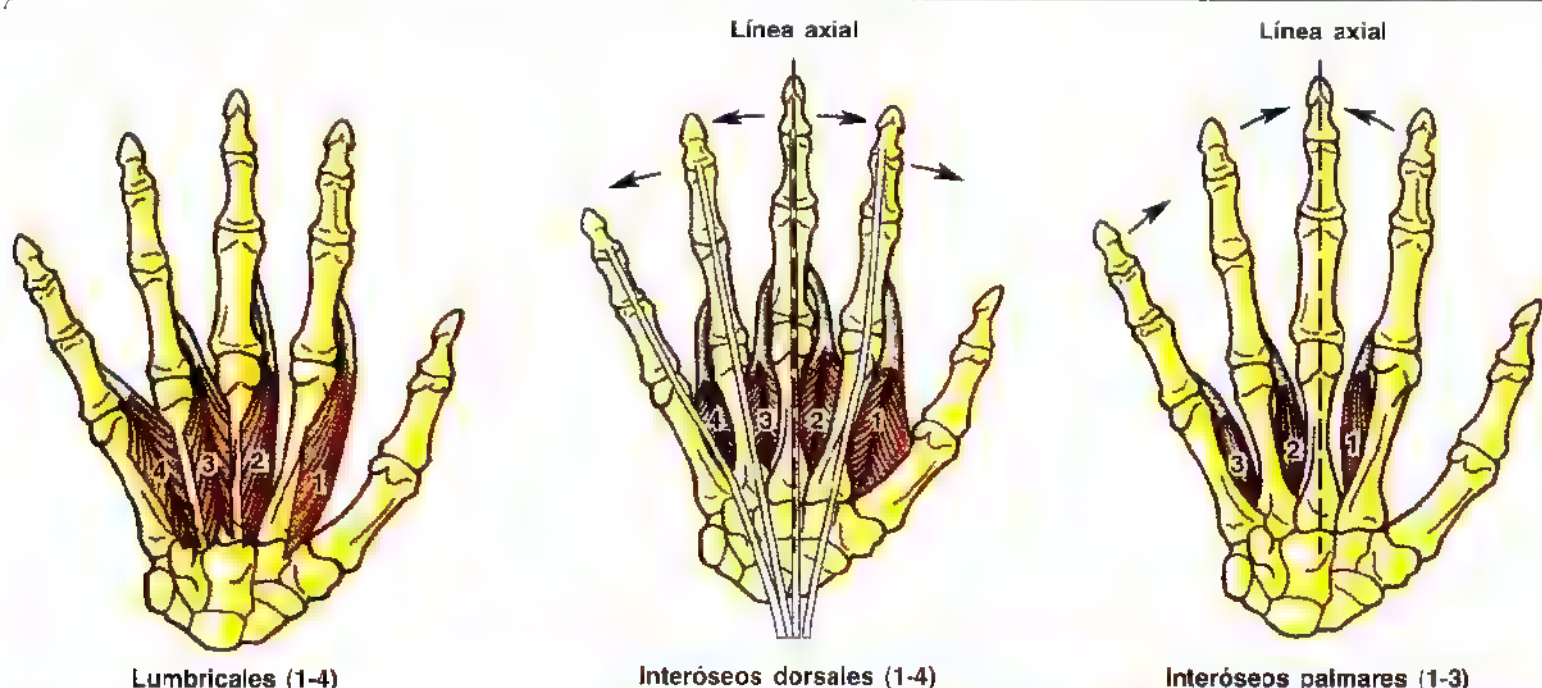


Músculo	Inserción proximal	Inserción distal	Inervación ^a	Acción principal
Mm. de la eminencia tenar Separador corto del pulgar	Retináculo flexor y tubérculos del escafoides y del trapecio	Cara lateral de la base de la falange proximal del pulgar	Ramo recurrente del n. mediano (C8 y T1)	Separa el pulgar y ayuda a oponerlo
Flexor corto del pulgar				Flexiona el pulgar
Oponente del pulgar		Cara lateral del 1º metacarpiano		Tracciona lateralmente del 1º hueso metacarpiano para oponer el pulgar hacia el centro de la palma y lo rota medialmente

^a Los números indican la inervación segmentaria de la médula espinal (p. ej., C8 y T1 señalan que los nervios para los músculos de la eminencia tenar proceden de los segmentos medulares C8 y T1). Las cifras **en negrita** indican la inervación segmentaria principal. La lesión de estos segmentos o de las raíces de los nervios motores que nacen de ellos determina una parálisis de los músculos en cuestión.

Tabla 6.10. (Continuación) Los músculos intrínsecos de la mano

Visiones palmares



Músculo	Inserción proximal	Inserción distal	Inervación*	Acción principal
Aproximador del pulgar	Cabeza oblicua: bases del 2º y 3º metacarpianos, hueso grande y huesos adyacentes del carpo Cabeza transversa: cara anterior del cuerpo del 3º metacarpiano	Cara medial de la base de la falange proximal del pulgar	Ramo profundo del n. cubital (C8 y T1)	Aproxima el pulgar hacia el dedo medio
Músculos de la eminencia hipotenar Separador del dedo meñique	Hueso pisiforme	Cara medial de la base de la falange proximal del dedo meñique		Separa el dedo meñique
Flexor corto del dedo meñique	Gancho del hueso ganchoso y retináculo flexor	Borde medial del 5º metacarpiano		Flexiona la falange proximal del dedo meñique
Oponente del dedo meñique				Tracciona anteriormente del 5º metacarpiano y lo rota, oponiendo el dedo meñique con el pulgar
Músculos cortos 1º y 2º lumbricales	Dos tendones laterales del m. flexor profundo de los dedos (músculos unipenniformes)	Caras laterales de las expansiones extensoras del 2º-5º dedos	N. mediano (C8 y T1)	Flexiona los dedos por las articulaciones metacarpofalángicas y extiende las articulaciones interfalángicas
3º y 4º lumbricales	Tres tendones mediales del flexor profundo de los dedos (músculos bipenniformes)		Ramo profundo del n. cubital (C8 y T1)	
1º-4º interóseos dorsales	Caras adyacentes de los dos metacarpianos (músculos bipenniformes)	Expansiones extensoras y bases de las falanges proximales del 2º-4º dedos	Ramo profundo del n. cubital (C8 y T1)	Separa los dedos de la línea axial y actúa con los mm. lumbricales para flexionar las articulaciones metacarpofalángicas y extender las articulaciones interfalángicas
1º-3º interóseos palmares	Caras palmares del 2º, 4º y 5º metacarpianos (músculos unipenniformes)	Expansiones extensoras de los dedos y bases de las falanges proximales del 2º, 4º y 5º dedos		Aproxima los dedos hacia la línea axial y ayuda a los lumbricales para la flexión de las articulaciones metacarpofalángicas y la extensión de las articulaciones interfalángicas

músculos interóseos y el 3^{er} y 4^o lumbricales no logran actuar de forma combinada para inducir este movimiento en Z (pág. 775).

Los tendones flexores de los músculos extrínsecos de la mano

Los tendones de los músculos flexores superficial y profundo de los dedos entran en la **vaina sinovial común de los flexores** (bolsa cubital), en la profundidad del retináculo flexor (fig. 6.57A). Los tendones penetran en el compartimiento central de la mano y se abren en abanico hacia sus **vainas sinoviales digitales** respectivas. Las vainas de los flexores y digitales permiten que los tendones se deslicen libremente entre sí durante el movimiento de los dedos. Cerca de la base de la falange proximal se divide el tendón del músculo flexor superficial de los dedos para rodear el del músculo flexor profundo (fig. 6.57B). Las mitades del tendón del músculo flexor superficial de los dedos se insertan en los márgenes de la cara anterior de la base de la falange media. El tendón del músculo flexor profundo de los dedos, tras atravesar la hendidura del tendón del flexor superficial

(quiasma de Camper), continúa distalmente para insertarse en la cara anterior de la base de la falange distal.

Las **vainas fibrosas digitales** son túneles ligamentosos robustos que contienen los tendones flexores y sus vainas sinoviales (fig. 6.57C). Las vainas fibrosas digitales se extienden desde la cabeza de los metacarpianos hasta la base de las falanges distales. Estas vainas impiden que los tendones tiren de los dedos ("arqueamiento"). Las vainas fibrosas digitales se asocian con los huesos para formar **túneles osteofibrosos** por los que discurren los tendones hasta alcanzar los dedos. Las vainas fibrosas digitales disponen de porciones gruesas y finas; las primeras dan los **ligamentos anulares** y **cruzados** o poleas (fig. 6.57B).

Los tendones flexores largos están inervados por pequeños vasos sanguíneos que viajan dentro de pliegues sinoviales del periostio de las falanges. *El tendón del músculo flexor largo del pulgar* pasa en la profundidad del retináculo flexor hacia el pulgar, dentro de su propia vaina sinovial. Este tendón discurre entre dos *huesos sesamoideos* en la cabeza del metacarpiano, uno para el tendón combinado de los músculos flexor corto del pulgar y separador corto del pulgar y el otro para el tendón del músculo aproximador del pulgar.

Tenosinovitis

Las heridas punzantes de la palma, por ejemplo por un clavo oxidado, pueden infectar las vainas sinoviales. Cuando se inflama el tendón y la vaina sinovial (*tenosinovitis*), el dedo se hincha y el movimiento se torna doloroso. Como los tendones del 2^o, 3^{er} y 4^o dedos disponen casi siempre de vainas sinoviales independientes, la infección se confina de ordinario al dedo infectado. No obstante, en una infección no tratada puede romperse la extremidad proximal de la vaina, con lo que la infección se extiende al espacio medio palmar. La vaina sinovial del dedo meñique suele continuarse con la vaina común de los flexores, y por este motivo, la tenosinovitis de este dedo se difunde en ocasiones a la vaina común y a la parte anterior del antebrazo a través del túnel carpiano. De forma análoga, la tenosinovitis del pulgar puede diseminarse por la vaina sinovial continua del músculo flexor largo del pulgar (bolsa radial). El grado de diseminación de la infección a partir de los dedos depende de las variaciones en sus comunicaciones con la vaina común de los flexores.

Los tendones de los músculos separador largo del pulgar y extensor corto del pulgar se encuentran en la mis-

ma vaina tendinosa del dorso de la muñeca. La fricción excesiva de estos tendones sobre la vaina común provoca un engrosamiento fibroso de esta última y una estenosis del túnel osteofibroso. La fricción excesiva se debe al uso repetido y forzado de la mano durante la prensión y torsión (p. ej., al escurrir el agua de la ropa). Este trastorno —*tenovaginitis estenosante de Quervain*— causa dolor en la muñeca, que se irradia proximalmente al antebrazo y distalmente al pulgar. El enfermo refiere dolor local en la zona lateral de la muñeca, sobre la vaina fibrosa común.

El engrosamiento de la vaina fibrosa digital de la cara palmar del dedo provoca estenosis del túnel osteofibroso del dedo o del pulgar. Este estrechamiento del túnel es consecuencia del uso forzado y repetido de los dedos. Si los tendones de los flexores superficial y profundo de los dedos se ensanchan en una zona proximal al túnel desaparece la capacidad para extender el dedo. Cuando se extiende pasivamente el dedo se escucha un chasquido. La flexión produce otro chasquido por el movimiento del tendón engrosado. Este estado se conoce como *tenovaginitis estenosante digital* ("dedo en resorte").

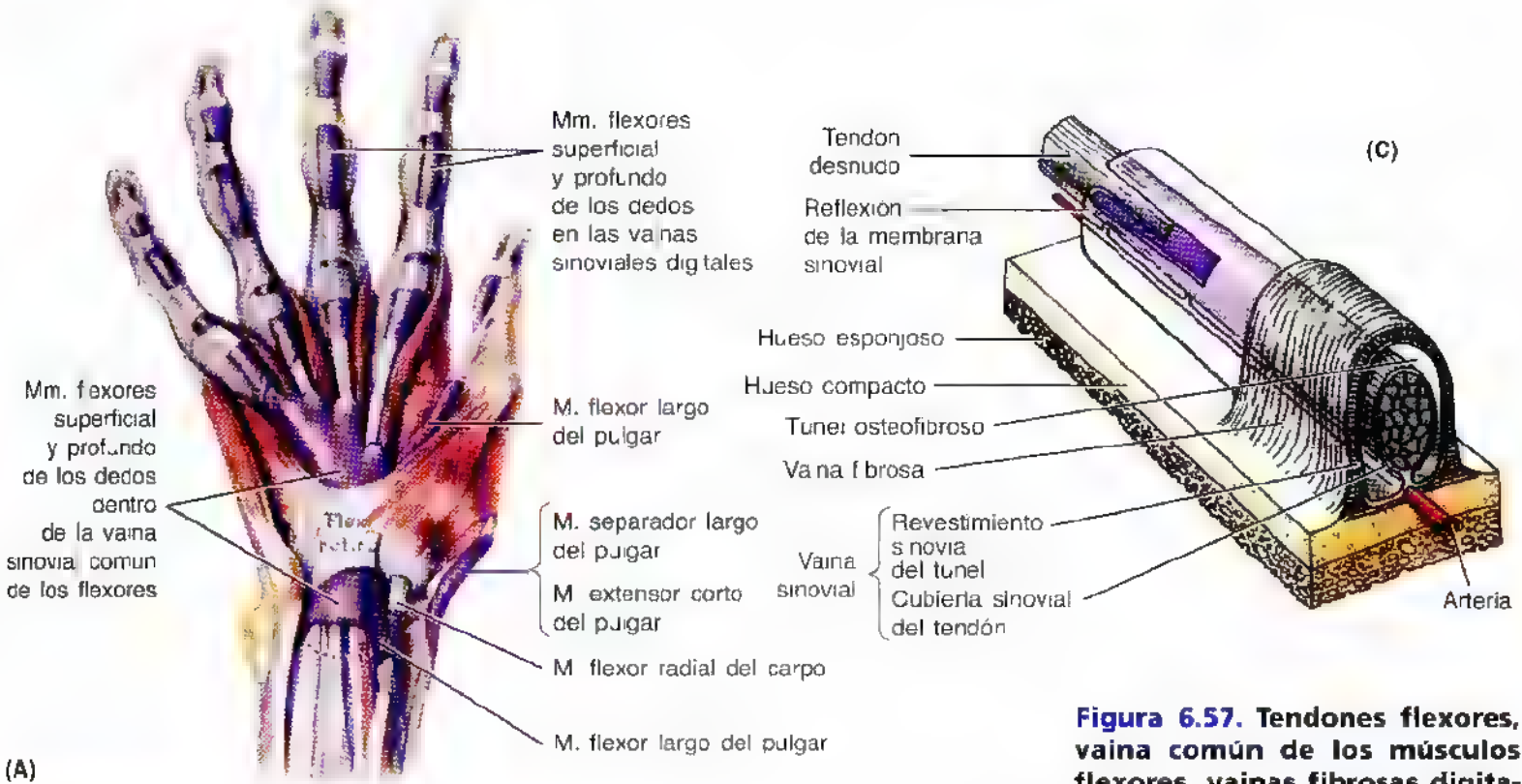
Las arterias de la mano

Las arterias cubital y radial y sus ramas perfunden la mano (tabla 6.11).

La arteria cubital

La arteria cubital entra en la mano dentro del retináculo flexor, entre el hueso pisiforme y el gancho del hueso gan-

choso (conducto de Guyon). La arteria cubital queda lateral al nervio cubital (fig. 6.55) y se divide en dos ramas terminales, el arco palmar superficial y la rama palmar profunda. El **arco palmar superficial**, la terminación principal de la arteria cubital, da origen a las tres **arterias digitales palmares comunes** (fig. 6.55A), que se anastomosan con las **arterias metacarpianas de la palma**, del arco palmar



Legenda

■ Vaina sinovial

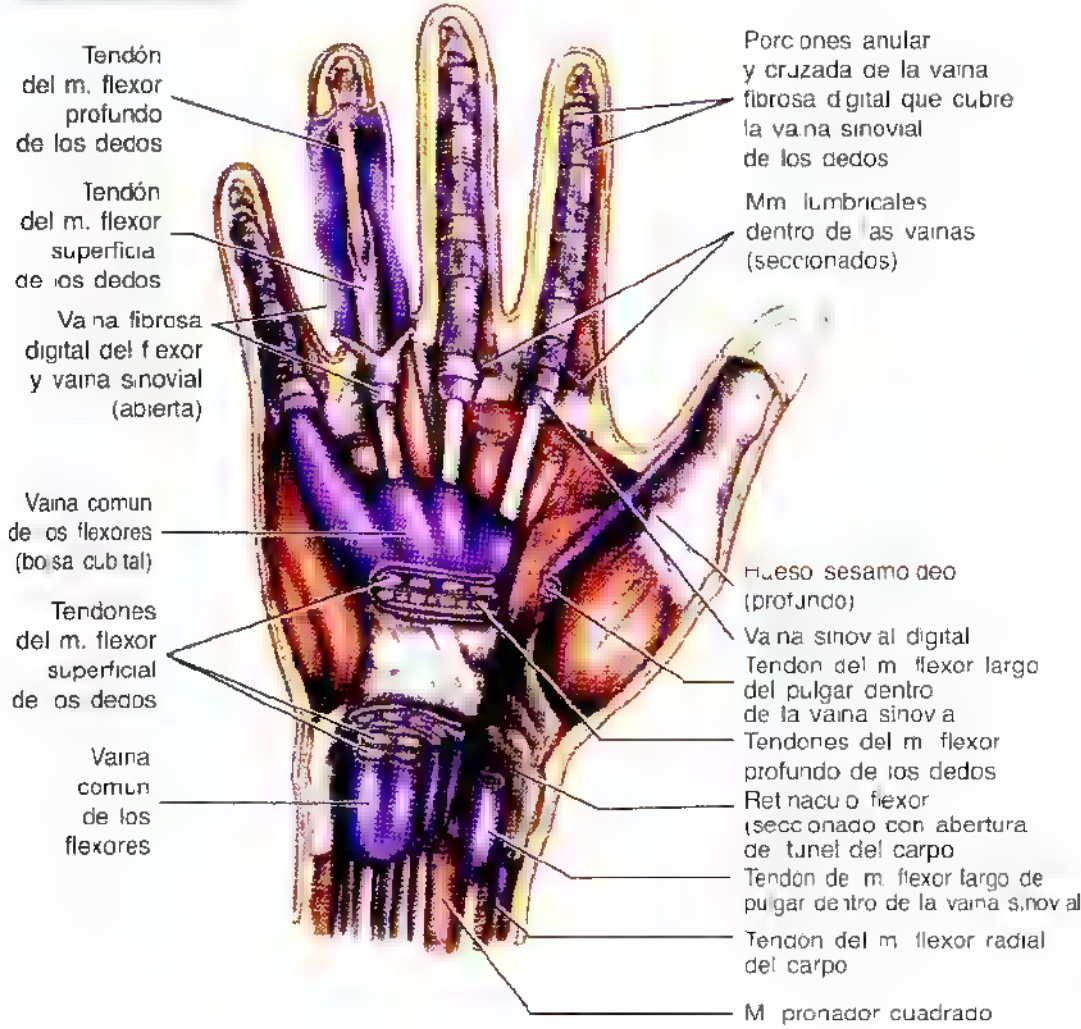
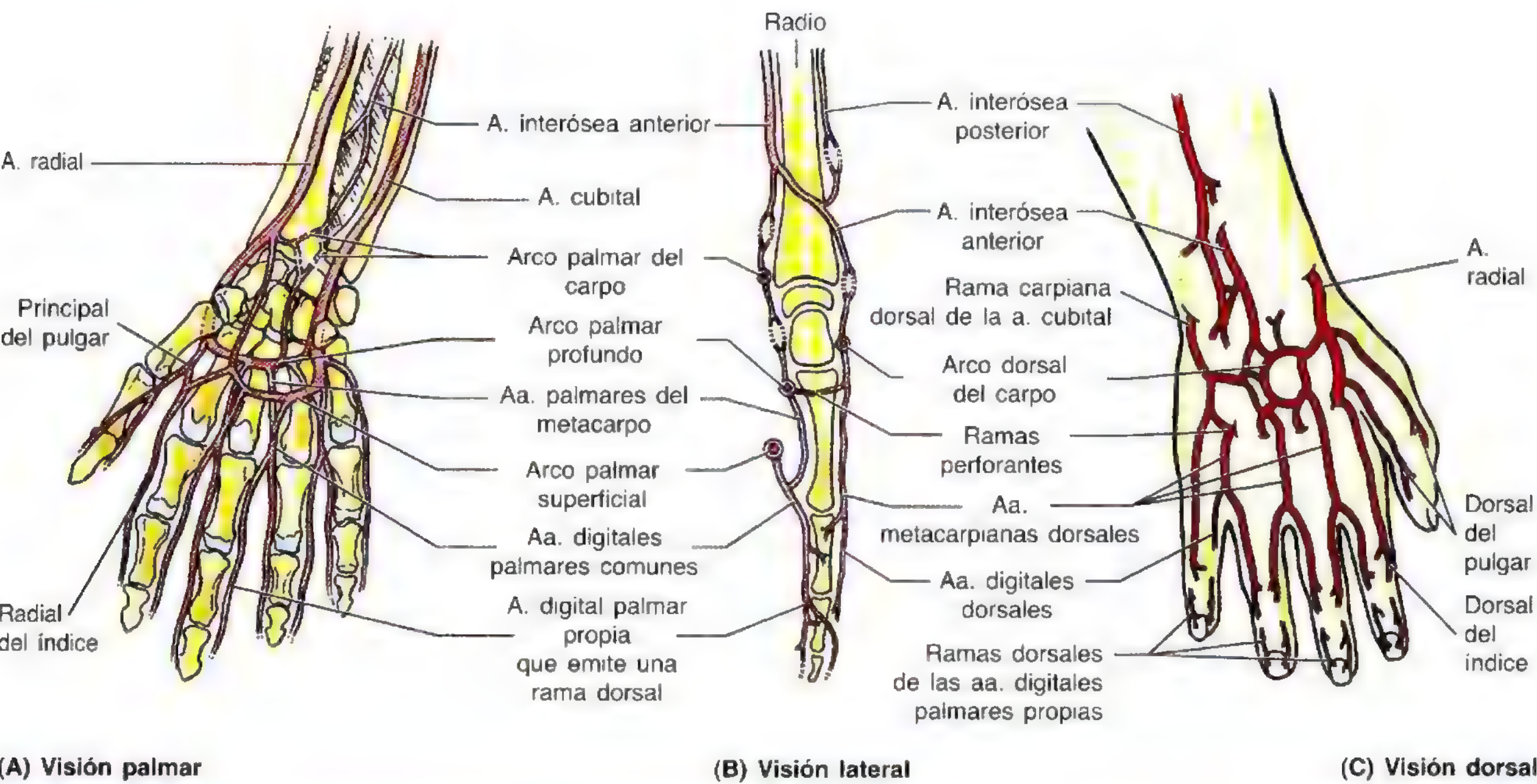


Figura 6.57. Tendones flexores, vaina común de los músculos flexores, vainas fibrosas digitales y vainas sinoviales de los dedos. A. Disección de la cara anterior de la porción distal del antebrazo y de la mano, donde se ven las vainas sinoviales digitales de los tendones flexores largos de los dedos. Obsérvense los dos conjuntos (a) proximal o carpiano, detrás del retináculo flexor, y (b) distal o digital dentro de las vainas fibrosas de los flexores de los dedos. B. Disección de la palma de la mano para ilustrar los tendones y las vainas fibrosas de los tendones de los dedos. Las vainas fibrosas de los dedos son cubiertas robustas de los tendones flexores, que se extienden desde las cabezas de los huesos metacarpianos hasta la base de las falanges distales. Estas vainas impiden que los tendones entren de las falanges hacia fuera. Se insertan en los bordes de las falanges proximal y media y llegan hasta las cápsulas de las articulaciones interfalángicas y hasta la superficie de la falange distal. C. Dibujo del túnel osteofibroso de un dedo con un tendón. Dentro de la vaina fibrosa se aprecia la vaina sinovial formada por una túnica sinovial de la vaina fibrosa y el recubrimiento sinovial de tendón. Estas capas de la vaina sinovial se encuentran, en realidad, separadas tan sólo por una capa capilar de líquido sinovial, que crea un sistema lubricante para el tendón.

Tabla 6.11. Las arterias de la mano



Arteria	Origen	Trayectoria
Arco palmar superficial	Prolongación directa de la a. cubital; el arco se completa en la cara lateral con la rama superficial de la a. radial o cualquiera de las demás	Se curva lateralmente en la profundidad de la aponeurosis palmar y superficial a los tendones flexores largos; la curva del arco atraviesa la palma a la altura del borde distal del pulgar extendido
Arco palmar profundo	Prolongación directa del arco de la a. radial, que se completa en la cara medial con una rama profunda de la a. cubital	Se curva medialmente en la profundidad de los tendones flexores largos y entra en contacto con las bases de los metacarpianos
Digital palmar común	Arco palmar superficial	Pasa distalmente sobre los mm. lumbricales hasta los pliegues interdigitales
Digital palmar propia	Aa. digitales palmares comunes	Se dirige a lados del 2º-5º dedos
Principal del pulgar	A. radial a su entrada en la palma	Desciende por la cara palmar del 1º metacarpiano y se divide en la base de la falange proximal en dos ramas que discurren a los lados del pulgar
Radial del índice	A. radial, pero puede originarse en la arteria principal del pulgar	Pasa por la cara lateral del dedo índice hasta su extremo distal
Arco dorsal del carpo	Aa. radial y cubital	Se arquea dentro de la fascia dorsal de la mano

profundo. Cada arteria digital palmar común se bifurca en un par de **arterias digitales palmares** propias, que discurren por las caras adyacentes del 2º al 4º dedos.

La arteria radial

La arteria radial traza una curva dorsal alrededor del escafoides y del trapecio en el suelo de la tabaquera anatómica (fig. 6.55, tabla 6.11), e ingresa en la mano entre las cabezas del 1º músculo interóseo dorsal. Luego se gira medial-

mente y viaja entre las cabezas del músculo aproximador del pulgar. La arteria radial se anastomosa con la rama profunda de la arteria cubital para dar el arco palmar profundo. El **arco palmar profundo**, creado sobre todo por la arteria radial, atraviesa los metacarpianos, justo distal a sus bases (tabla 6.11). El arco profundo envía tres **arterias metacarpianas palmares** y la arteria principal del dedo pulgar que perfunde la cara palmar y los lados del 1º dedo de la mano.

Laceración de los arcos arteriales de la palma

Cuando se laceran los arcos arteriales de la palma suele producirse una hemorragia abundante, y muchas veces no basta con ligar sólo una arteria del antebrazo, porque estos vasos poseen muchas comunicaciones en el antebrazo y en la mano; y pueden sangrar por ambos extremos. Para obtener un campo quirúrgico anémico y tratar las heridas complejas de la mano puede ser necesario comprimir la arteria braquial y sus ramas en un lugar proximal al codo (p. ej., utilizando un torniquete neumático). Este procedimiento evita que la sangre llegue a las arterias cubital y radial a través de las anastomosis del codo.

Isquemia de los dedos

Las crisis intermitentes y bilaterales de isquemia en los dedos, caracterizadas por palidez y acompañadas, a menudo, de parestesias y dolor, suceden casi siempre por causa del frío y de los estímulos emocionales. Este trastorno obedece a una anomalía anatómica o bien a otro tipo de enfermedad. Si la causa es idiopática (desconocida) o primaria se habla de *enfermedad de Raynaud*. Las arterias del miembro superior están inervadas por los nervios simpáticos. Las fibras postsinápticas de los ganglios simpáticos entran en los nervios que forma el plexo braquial, y se distribuyen hacia las arterias digitales a través de ramos procedentes del plexo. Para tratar la isquemia causada por la enfermedad de Raynaud se necesita en ocasiones una *simpatetomía prelináptica*—extirpación de un segmento de un nervio simpático— cervicodorsal para dilatar las arterias digitales. ☞

Las venas de la mano

Los arcos arteriales palmares superficial y profundo se acompañan de **arcos venosos palmares** superficial y profundo, respectivamente (figs. 6.49 y 6.50). Las venas digitales dorsales drenan a las tres venas metacarpianas dorsales, que se unen para formar una **red venosa dorsal**. Esta red, superficial al metacarpo, se prolonga proximalmente y en la cara lateral en forma de la **vena cefálica**. La **vena basilica** nace de la cara medial (cubital) de la red venosa dorsal.

Los nervios de la mano

Los nervios mediano, cubital y radial inervan la mano (fig. 6.58, tabla 6.12). Los ramos o comunicaciones de estos nervios cutáneos lateral y posterior pueden aportar ciertas fibras para el dorso de la mano.

El nervio mediano

El nervio mediano entra en la mano por el túnel de carpo, en la profundidad del retináculo flexor, junto con los nueve tendones de los músculos flexores superficial y profundo de los dedos y el músculo flexor largo del pulgar (fig. 6.58). El **túnel del carpo** es una vía de paso, profunda al retináculo flexor, situado entre los tubérculos del escafoides y el trapezoide por la cara lateral, y el pisiforme y el gancho del hueso ganchoso por la medial. Distal al túnel del carpo, este nervio *inerva los tres músculos de la eminencia tenar y el 1º y 2º lumbricales* (tabla 6.12). Asimismo, emite fibras sensitivas para la piel de toda la palma, los lados de los tres primeros dedos, la cara lateral del 4º dedo y el dorso de las mitades distales de estos dedos. Sin embargo, el ramo palmar, que se distribuye por la parte central de la palma, nace proximal al túnel del carpo y no atraviesa el túnel (es decir, va por la superficie del retináculo flexor). Así pues, aunque la piel quede distal al túnel, no desaparece la sensibilidad en el síndrome del túnel carpiano.

Lesiones del nervio mediano

El nervio mediano se puede lesionar en dos lugares, en el antebrazo y en la muñeca. El más común es el túnel del carpo.

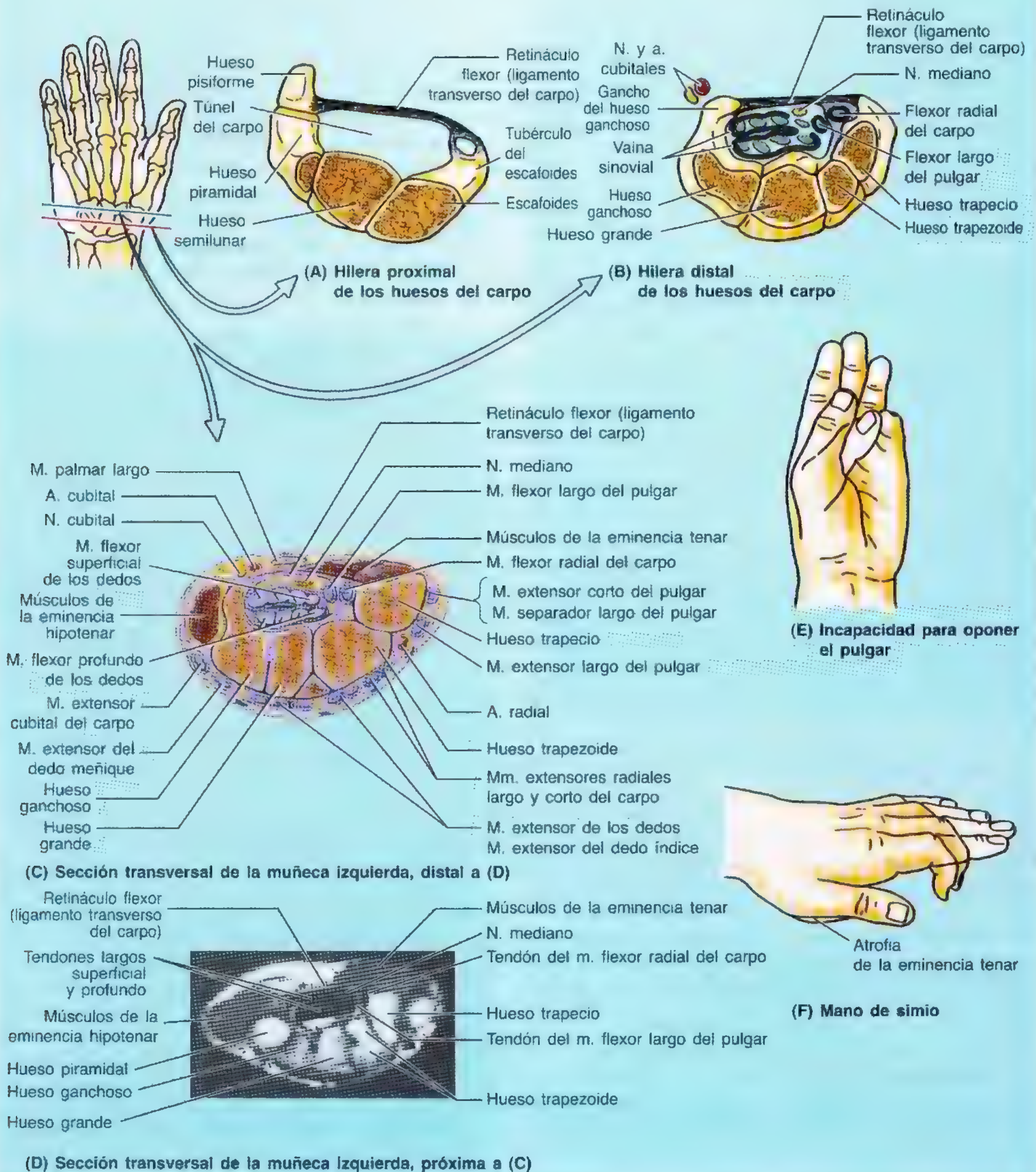
Síndrome del túnel carpiano

El **síndrome del túnel carpiano** se produce en toda lesión (p. ej., inflamación de las vainas sinoviales) que reduzca de manera significativa el tamaño del túnel del carpo (A). La retención de líquidos, la infección y el ejercicio excesivo con los dedos pueden causar una tumefacción de los tendones o de las vainas sinoviales. *El nervio es la estructura más sensible del túnel del carpo (B-D)* y, por consiguiente, la más afectada. Este nervio emite dos ramos sensitivos terminales que se distribuyen en la piel de la mano; por eso se observan parestesias, *hipoestesia* (disminución de la sensibilidad) o *anestesia* en los tres últimos dedos y en la mitad del dedo índice. El nervio también envía un ramo motor terminal —ramo recurrente o tenar— para tres músculos de la eminencia tenar.

Si no se corrige la causa de la *compresión del nervio mediano* se produce una pérdida progresiva de la coordinación y de la fuerza en el pulgar (debido a la debilidad de los músculos separador corto del pulgar y oponente del pulgar). Las personas con una compresión del nervio mediano no pueden oponer el pulgar (E). A medida que avanza el trastorno, las alteraciones sensitivas se irradian hacia el antebrazo y la axila. Los síntomas de compresión del nervio mediano se pueden reproducir comprimiendo el nervio mediano con ☞

► el dedo a la altura de la muñeca durante unos 30 segundos. Los que sufren este síndrome no pueden efectuar movimientos finos con el pulgar (p. ej., abotonarse la camisa o la blusa, o sujetar objetos como un

cepillo del pelo). Para aliviar los síntomas del síndrome se requiere a veces una división quirúrgica parcial o completa del retináculo flexor (*liberación del túnel del carpo*). ►



Laceración de la muñeca

La laceración accidental de la muñeca suele ocasionar una lesión del nervio mediano porque se encuentra muy cerca de la superficie. El nervio mediano suele seccionarse en las *tentativas de suicidio con corte de la muñeca*; el lugar es justo proximal al retináculo flexor. Se produce una parálisis de los músculos de la eminencia tenar y de los dos primeros lumbricales. Por eso, no se puede oponer el pulgar y se alteran los movimientos de control finos del 2º y 3º dedos. Además, desaparece la sensibilidad en el pulgar y en los dos dedos adyacentes, así como en la mitad del siguiente.

Traumatismo del nervio mediano

La lesión traumática del nervio mediano por una herida perforante en el codo provoca la pérdida de la flexión de las articulaciones interfalángicas proximal y distal del 2º y 3º dedos. También se altera la flexión de las articulaciones metacarpofalángicas de estos dedos, porque los ramos digitales del nervio mediano inervan el 1º y 2º músculos lumbricales. La *mano de simio* (F, pág. 790) es una deformidad que se caracteriza porque los mo-

vimientos del pulgar se limitan a la flexión y la extensión en el plano de la palma, dada la imposibilidad de oponer el pulgar y la capacidad limitada de separación de este dedo. El *ramo recurrente (tenar) del nervio mediano* (fig. 6.58A) dirigido a los músculos de la eminencia tenar tiene una trayectoria subcutánea, y se puede seccionar en heridas relativamente leves de la eminencia tenar. La lesión de este nervio paraliza los músculos de la eminencia tenar y el pulgar pierde gran parte de su utilidad. La incisión para *liberar el túnel del carpo* se lleva hacia la cara medial de la muñeca y el retináculo flexor para evitar la sección del ramo recurrente del nervio mediano.

La mayoría de las lesiones nerviosas del miembro superior afectan a la oposición del pulgar. Desde luego, las lesiones de los nervios dirigidos a los músculos intrínsecos de la mano, en particular del nervio mediano, repercuten sobre todo en este movimiento tan complejo. Si se daña el nervio mediano en el antebrazo o por la muñeca, no se puede oponer el pulgar, pero los músculos separador largo del pulgar y aproximador del pulgar (inervados por los nervios interóseo posterior y cubital, respectivamente) pueden imitar la oposición. ◊

El nervio cubital

El nervio cubital abandona el antebrazo emergiendo de la profundidad del tendón del músculo flexor cubital del carpo (figs. 6.55 y 6.58, tabla 6.12). Se dirige a la muñeca, donde queda confinado a la cara anterior del retináculo flexor por la fascia. Luego pasa por el borde lateral del pisiforme; la arteria cubital queda justo lateral al nervio. En la zona inmediatamente proximal a la muñeca, el nervio cubital envía un **ramo cutáneo palmar** que pasa superficial al retináculo flexor y a la aponeurosis palmar; se distribuye por la piel de la cara medial de la palma. El nervio cubital emite, además, un **ramo cutáneo dorsal** para la mitad medial del dorso de la mano, el dedo meñique y la mitad medial del 4º dedo (fig. 6.58)

El nervio cubital termina en el borde distal del retináculo flexor, dividiéndose en los ramos superficial y profundo (fig. 6.55B). El **ramo superficial del nervio cubital** envía ramos cutáneos para las caras anteriores del dedo meñique y la medial del 4º dedo. El **ramo profundo del nervio cubital** inerva los músculos de la eminencia hipotenar, los dos lumbricales mediales, el aproximador del pulgar y todos los interóseos. El ramo profundo también se dirige a varias articulaciones (muñeca, intercarpiana, carpometacarpiana e intermetacarpiana). *El nervio cubital se conoce como nervio de los movimientos finos, porque inerva los músculos encargados de los movimientos intrincados de la mano* (tabla 6.12).

Lesión del nervio cubital

Las lesiones del nervio cubital suelen ocurrir en cuatro lugares:

- Detrás del epicóndilo medial del húmero.
- En el túnel cubital, creado por el arco tendinoso que comunica las cabezas humeral y cubital del músculo flexor cubital del carpo.
- En la muñeca.
- En la mano.

Más del 27% de las lesiones nerviosas del miembro superior afectan al nervio cubital (Rowland, 1995). El nervio cubital suele lesionarse en las heridas por arma de fuego, heridas punzantes y fracturas de la extremidad distal del húmero, olecranon o cabeza del radio (Lange y cols., 1995).

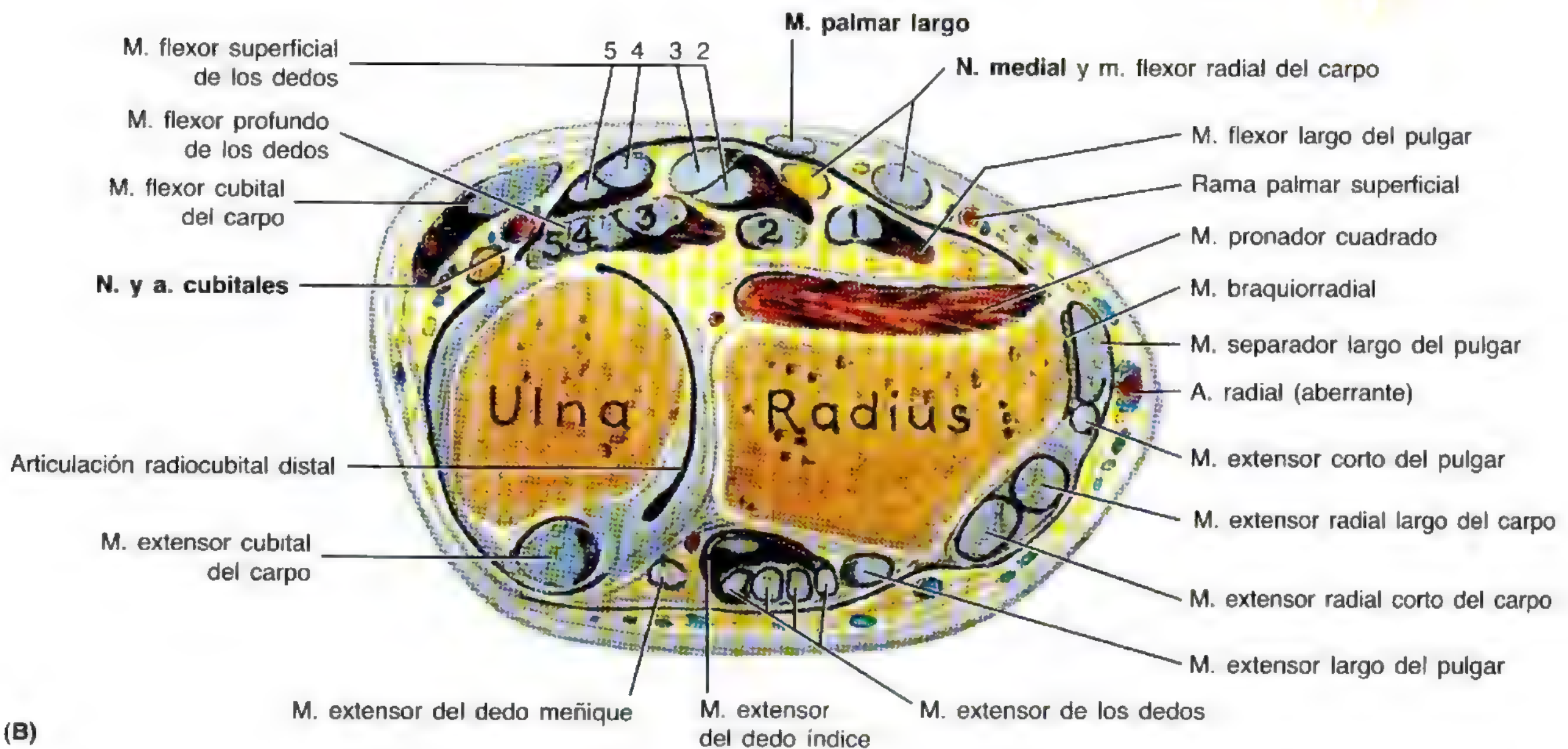
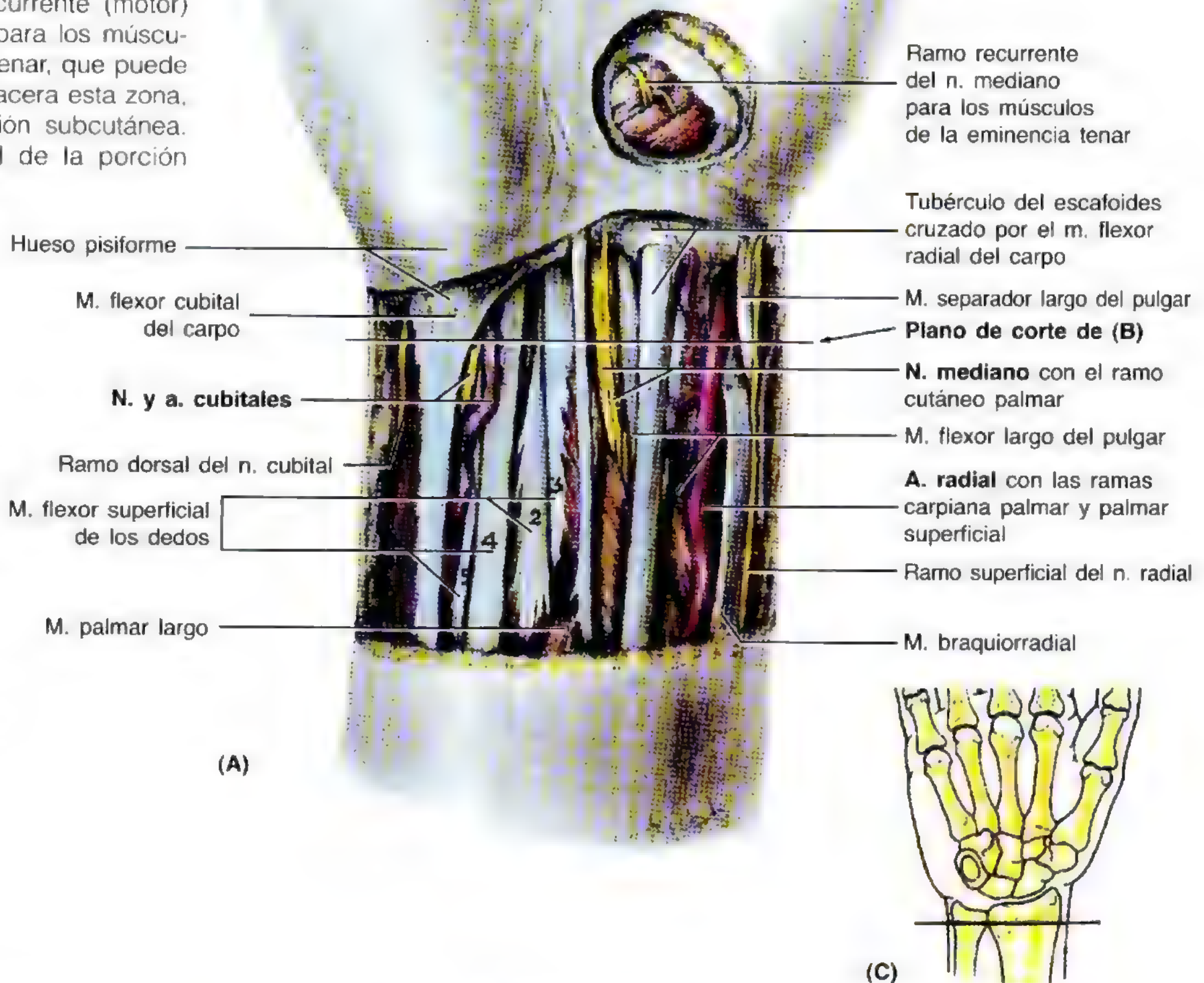
La lesión del nervio cubital ocurre, en general, en el lugar de paso del nervio, detrás del epicóndilo medial del húmero. A menudo, la lesión tiene lugar cuando el codo golpea contra una superficie dura y se fractura el epicóndilo. ►

Figura 6.58. Estructuras de la porción distal del antebrazo y de la muñeca. A.

Se ha practicado una incisión distal de la piel a lo largo del surco transverso de la muñeca, que cruza el hueso pisiforme. Se han extirpado la piel y las fascias. Se observa el ramo recurrente (motor) del nervio mediano para los músculos de la eminencia tenar, que puede dañarse cuando se lacera esta zona, debido a su ubicación subcutánea.

B. Corte transversal de la porción distal del antebrazo. Se aprecian los tendones de los músculos flexor radial del carpo, palmar largo y flexor cubital del carpo, que dan una capa superficial de los flexores de la muñeca. Asimismo, se advierten el nervio y la arteria cubitales, bajo la cubierta del flexor radial del carpo; por eso, en esta zona no puede palparse la pulsación de esta arteria.

C. Esquema orientativo que indica el plano de corte de (B).



► El nervio cubital puede comprimirse a la altura del codo durante el sueño, o en forma de *neuritis profesional* de los trabajadores que apoyan durante mucho tiempo los codos sobre una superficie dura (Lange y cols., 1995). La lesión del nervio cubital induce una pérdida motora y sensitiva extensa en la mano, con la incapacidad consiguiente para la aproximación. Al flexionar la articulación de la muñeca, la mano se desvía lateralmente (hacia la cara radial) por el flexor radial del carpo, porque falta el "balance" que aporta el flexor cubital del carpo. *Tras una lesión del nervio cubital se observa dificultad para cerrar el puño por la parálisis de casi todos los músculos intrínsecos de la mano* (tabla 6.10). Además, las articulaciones metacarpofalángicas se hiperextienden y no se puede flexionar el 4º ni el 5º dedos por las articulaciones interfalángicas distales al tratar de cerrar el puño, y tampoco extender las articulaciones interfalángicas al tratar de enderezar los dedos. Aparece así la característica *mano en garra* (pág. 775).

El nervio radial

El nervio radial no inerva ningún músculo de la mano (tabla 6.12). Sus ramos terminales, superficial y profundo, nacen de la fosa cubital. El *ramo superficial del radial* es la prolongación directa del nervio radial en la cara anterolateral del antebrazo y es totalmente sensitivo

Lesión del nervio radial

Pese a que el nervio radial no se distribuye por los músculos de la mano, la lesión del nervio radial en el brazo comporta una grave incapacidad de la mano. La manifestación habitual consiste en la imposibilidad para extender la muñeca por *parálisis de los músculos extensores del antebrazo* (tabla 6.7). La mano queda flexionada en la muñeca y flácida, trastorno conocido como *mano caída* (pág. 743). Los dedos permanecen, además, en posición

Anatomía de superficie de la mano

Una zona frecuente para tomar el pulso es la cara anterior de la extremidad distal del radio, lateral al tendón del músculo flexor radial del carpo. En este lugar se puede comprimir la arteria contra el radio entre los tendones de los músculos flexor radial del carpo y separador largo del pulgar. El **pulso radial**, como otros pulsos palpables, es un reflejo periférico del latido cardíaco. Los tendones de los músculos flexor radial del carpo y palmar largo se pueden palpar y, casi siempre, observar si se flexiona el puño cerrado contra la resistencia del explo-

Síndrome del conducto de Guyon

El nervio cubital se puede comprimir en la muñeca a su paso entre el hueso pisiforme y el gancho del hueso ganchoso. La depresión formada por estos huesos se transforma en un túnel osteofibroso (conducto de Guyon) merced al *ligamento pisiunciforme*. Si el nervio cubital se comprime en este túnel se observa hipoestesia del dedo meñique y de la mitad del dedo anular, así como debilidad de los músculos intrínsecos de la mano.

Parálisis del ciclista

Las personas que recorren mucha distancia con la bicicleta, colocando las manos extendidas en el manillar, comprimen los ganchos de los huesos ganchosos y, en última instancia, el nervio cubital. Por este motivo, este tipo de compresión nerviosa se conoce como *neuropatía del manillar*. Esta lesión causa anestesia de la cara medial de la mano y debilidad de los músculos intrínsecos de la mano. ◊

(fig. 6.58A). Viaja cubierto por el músculo braquiorradial y luego perfora la fascia profunda cerca del dorso de la muñeca, para inervar la piel y la fascia de los dos tercios laterales del dorso de la mano, el dorso del pulgar y las porciones proximales del dedo pulgar y la mitad del 2º dedo.

flexionada por las articulaciones metacarpofalángicas. Las articulaciones interfalángicas se extienden débilmente por efecto de los músculos lumbricales interóseos, intactos, inervados por los nervios mediano y cubital (tabla 6.10). El nervio radial dispone tan sólo de una pequeña zona de distribución cutánea exclusiva en la mano. La magnitud de la anestesia es mínima, aun en las lesiones más graves del nervio radial, y suele confinarse a una pequeña región de la parte lateral del dorso de la mano. ◊

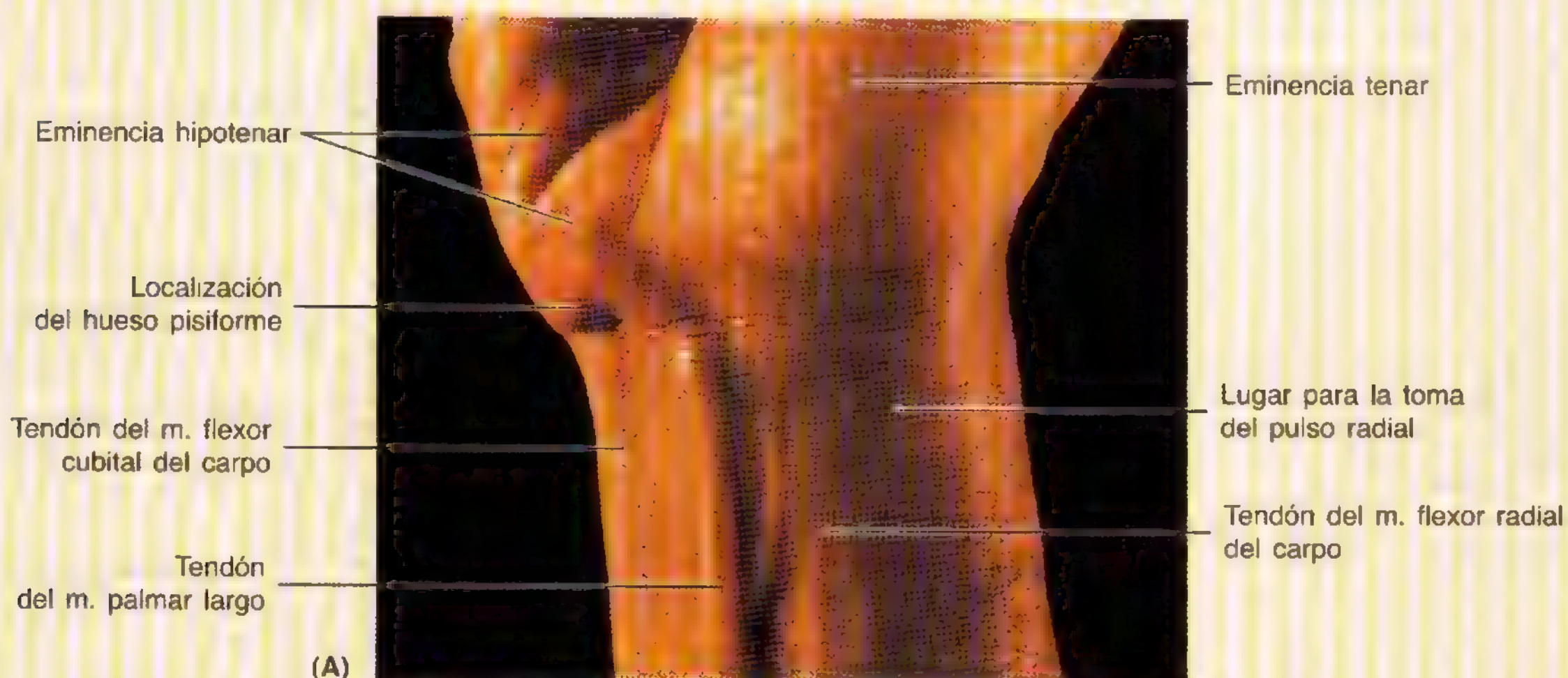
rador (A). El tendón del músculo flexor radial largo del carpo se ve y se palpa delante de la muñeca, algo lateral a la parte media. Este tendón sirve de *gula para la arteria radial*, cuya pulsación queda lateral al tendón.

El tendón del músculo palmar largo se ve y palpa en la parte media de la cara anterior de la muñeca. Es más pequeño que el tendón del flexor radial del carpo y no siempre está presente. El tendón del músculo palmar largo sirve de referencia del nervio mediano, situado en su profundidad (fig. 6.58B). El tendón del músculo flexor cubital del carpo se palpa cuando atraviesa la cara anterior de ►

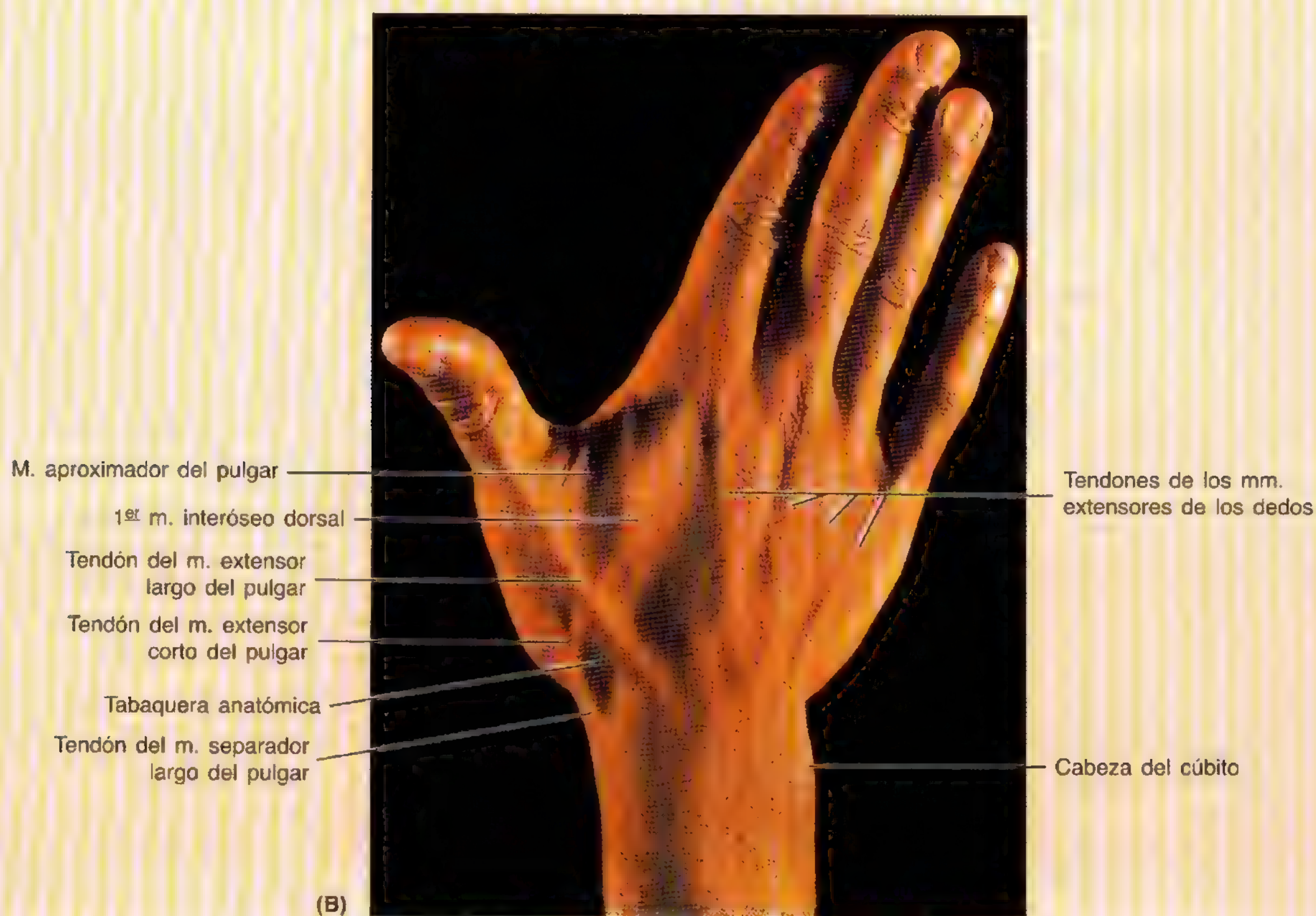
► la muñeca cerca de la parte medial para insertarse en el hueso pisiforme. *El tendón del músculo flexor cubital del carpo es una guía del nervio y de la arteria cubitales.* Los tendones del músculo flexor superficial de los dedos se pueden palpar flexionando y extendiendo alternativamente los dedos. El *pulso cubital* resulta bastante difícil de encontrar. Los tendones de los músculos separador largo del pulgar y extensor corto del pulgar indican el lími-

te anterior de la *tabaquera anatómica* (B, pág. 794), mientras que el tendón del extensor largo del pulgar denota el límite posterior de la tabaquera. La arteria radial atraviesa la tabaquera y en ella pueden sentirse sus pulsaciones. El escafoide y el trapecio radican en el suelo de la tabaquera anatómica.

La piel que cubre el dorso de la mano es delgada y laxa si la mano está relajada. La laxitud de la piel se ►



S = localización de los tendones del m. flexor superficial de los dedos



► explica por la movilidad del tejido subcutáneo y por la presencia de un número relativamente escaso de ligamentos cutáneos. El dorso de la mano tiene pelo, así como las porciones proximales de los dedos, sobre todo de los varones. Si se examina el dorso de la mano con la muñeca extendida contra resistencia y se separan los dedos, suelen resaltarse los tendones del músculo extensor de los dedos, sobre todo los de las personas delgadas. Estos tendones no se ven más allá de los nudillos porque en este lugar se aplanan para dar las expansiones extensoras. Los nudillos que se ven con el puño cerrado son las cabezas de los metacarpianos. Los metacarpianos se pueden palpar debajo del tejido subcutáneo laxo y de los tendones extensores en el dorso de la mano. Un rasgo sobresaliente del dorso de la mano es la *red venosa dorsal*.

La piel de la palma es gruesa para resistir el uso y desgaste del trabajo y de las actividades recreativas. Dispone de abundantes glándulas sudoríparas, pero no contiene pelo ni glándulas sebáceas. El *arco superficial de la palma* cruza el centro de la palma, en el mismo plano que el borde distal del pulgar completamente extendido. La parte principal del arco termina en la eminencia tenar. El *arco palmar profundo* discurre por la palma aproximadamente 1 cm proximal al arco superficial. La piel de la palma muestra unos *surcos de flexión* más o menos constantes, en los lugares por donde se une de manera íntima a la fascia profunda. El **surco distal de la muñeca** indica el borde proximal del retináculo flexor. Los surcos transversales de la palma indican las zonas de pliegue

de la piel durante la flexión de la mano. Los surcos longitudinales se agudizan cuando se opone el pulgar, y los transversales, cuando se flexionan las articulaciones metacarpofalángicas. El **surco longitudinal radial** (la "línea de la vida") rodea en parte la **eminencia tenar**, creada por los músculos cortos del 1^{er} dedo. El **surco palmar proximal** comienza en el borde lateral de la palma, superficial a la cabeza del 2^o metacarpiano. Se extiende medialmente y algo proximalmente por la palma, superficial a los cuerpos del 3^{er} a 5^o metacarpianos. El **surco distal de la palma** empieza en o cerca del espacio comprendido entre los dedos índice y medio y cruza la palma con cierta convexidad, superficial a las cabezas del 2^o a 4^o metacarpianos.

Cada uno de los cuatro últimos dedos posee surcos transversales de flexión. El **surco digital proximal** se sitúa en la raíz del dedo, unos 2 cm distal a la articulación metacarpofalángica. El surco digital proximal del pulgar cruza de manera oblicua, proximal a la 1^a articulación metacarpofalángica. El **surco digital medio** se apone sobre la articulación interfalángica proximal, y el **surco digital distal** queda proximal a la articulación interfalángica distal. El pulgar que tiene dos falanges, sólo posee dos surcos de flexión. Como otros surcos digitales, éstos se abren cuando se flexiona el pulgar. Las crestas de la piel de las yemas de los dedos (*huellas digitales*) sirven para la identificación por su singularidad. La función anatómica de los *patrones de las crestas epidérmicas* consiste en reducir el deslizamiento al sujetar los objetos. ☺



Dermatoglifia

La ciencia que se ocupa del estudio de las crestas de la palma –*dermatoglifia*– es una ampliación útil de la exploración física convencional de los pacientes con determinadas malformaciones congénitas o enfermedades genéticas. Por ejemplo, las personas con trisomía 21 (síndrome de Down) muestran, a menudo, sólo un surco transversal de la palma (surco simio); sin embargo, casi un 1% de la población tiene este surco sin ninguna otra manifestación clínica del síndrome.

Heridas e incisiones palmares

Los arcos arteriales palmares superficial y profundo no se palpan, pero se ven sus marcas de superficie:

- El *arco palmar superficial* se encuentra a la altura del borde distal del pulgar completamente extendido.
- El *arco palmar profundo* se encuentra 1 cm proximal al arco palmar superficial.

La localización de los arcos debe recordarse ante las heridas de la palma o para las incisiones palmares. Además, conviene saber que el arco palmar superficial se sitúa en el mismo plano que la extremidad distal de la vaina común de los flexores. Las incisiones o heridas por la cara medial de la eminencia tenar pueden lesionar el ramo recurrente del nervio mediano que se dirige a los músculos de la eminencia tenar. ◊

Las articulaciones del miembro superior

La *cintura escapular* comprende las articulaciones esternoclavicular, acromioclavicular y escapulohumeral (fig. 6.59). De ordinario, estas articulaciones se mueven a la vez. Los defectos funcionales de cualquier articulación afectan a los movimientos de la cintura escapular. Para el movimiento libre del miembro superior se requiere una escápula móvil. La clavícula forma una viga que mantiene el hombro alejado del tórax para que se pueda mover libremente. La clavícula es el radio por donde el hombro se mueve en la articulación esternoclavicular. El movimiento de 15 o 20° de la articulación acromioclavicular permite que la cavidad glenoidea se desplace para mover el brazo. Cuando se explora el arco de movilidad de la cintura escapular hay que considerar tanto los movimientos escapulotorácicos (movimientos de la escápula sobre la pared torácica) como escapulohumerales. Cuando se eleva el hombro, la relación de movimiento es de 2 a 1; por cada 3° de elevación, la articulación escapulohumeral se mueve aproximadamente 2°, y la escapulotorácica, 1°. Los movimientos más impor-

tes de la cintura escapular son los movimientos de la escápula (fig. 6.60):

- Elevación y depresión.
- Protracción (movimiento lateral o anterior de la escápula) y retracción (movimiento medial o dorsal de la escápula).
- Rotación de la escápula.

Durante los movimientos de la escápula, el acromion se aleja del tórax merced a la clavícula y eleva o deprime la cavidad glenoidea de la escápula.

La articulación esternoclavicular

La articulación esternoclavicular es una articulación sinovial en silla de montar, pero actúa como una enartrosis (fig. 6.59). Esta articulación se divide en dos compartimientos por el **disco articular**. El disco articular se inserta con fuerza en los **ligamentos esternoclaviculares** anterior y posterior –engrosamientos de la cápsula fibrosa articular– y en el **ligamento interclavicular**. La enorme fuerza de la articulación esternoclavicular es consecuencia de estas inserciones. Por eso, aunque el disco articular absorba los choques de las fuerzas transmitidas por el miembro superior a lo largo de la clavícula, es rara la luxación de la clavícula, mientras que no es tan infrecuente su fractura. La articulación esternoclavicular –la única que existe entre el miembro superior y el esqueleto axial– se puede palpar con facilidad, porque la extremidad esternal de la clavícula queda encima del manubrio del esternón.

Componentes de la articulación esternoclavicular

La extremidad esternal de la clavícula se articula con el manubrio del esternón y el 1º cartílago costal. Las superficies articulares están cubiertas por fibrocartílago.

La cápsula de la articulación esternoclavicular

La *porción fibrosa de la cápsula articular* rodea la articulación esternoclavicular, incluida la epífisis de la extremidad esternal de la clavícula, y se inserta en los bordes de las caras articulares (incluyendo la periferia del disco articular) (fig. 6.59). La *membrana sinovial* reviste la porción fibrosa de la cápsula articular y las dos caras del disco articular.

Los ligamentos de la articulación esternoclavicular

Los **ligamentos esternoclaviculares** anterior y posterior refuerzan la cápsula por delante y por detrás. El **ligamento interarticular** fortalece la cápsula en la zona superior (fig. 6.59). Se extiende desde la extremidad esternal de una clavícula hasta la extremidad esternal de la otra. En el camino también se inserta el borde superior del manubrio del esternón. El **ligamento costoclavicular** fija la cara inferior de la extremidad esternal de la clavícula a la 1ª costilla y a

su cartilago costal, limitando la elevación de la cintura escapular.

Los movimientos de la articulación esternoclavicular

Pese a la enorme robustez de la articulación esternoclavicular, se trata de una articulación extraordinariamente móvil que permite los movimientos de la cintura escapular y del miembro superior (figs. 6.61 y 6.62). Cuando se eleva totalmente el miembro, la clavícula se levanta con un ángulo aproximado de 60°. La articulación esternoclavicular se mueve en

varias direcciones: anterior, posterior e inferior, y alcanza un ángulo de 25 a 30° con relación al eje longitudinal.

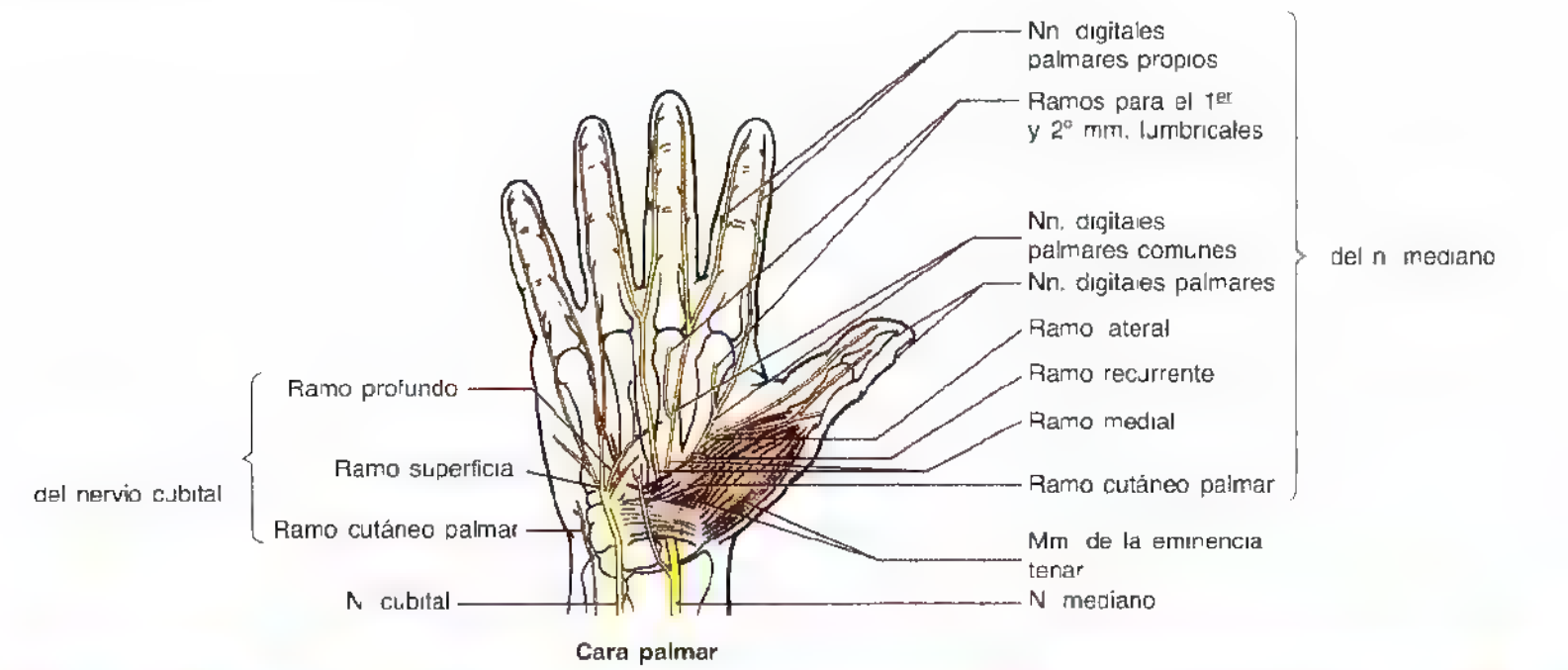
Irrigación de la articulación esternoclavicular

Esta articulación es perfundida por las arterias torácica interna y supraescapular (tabla 6.3).

Inervación de la articulación esternoclavicular

Los ramos del nervio supraclavicular medial y del nervio para el músculo subclavio inervan la articulación esternoclavicular (tabla 6.4).

Tabla 6.12. Los nervios de la mano



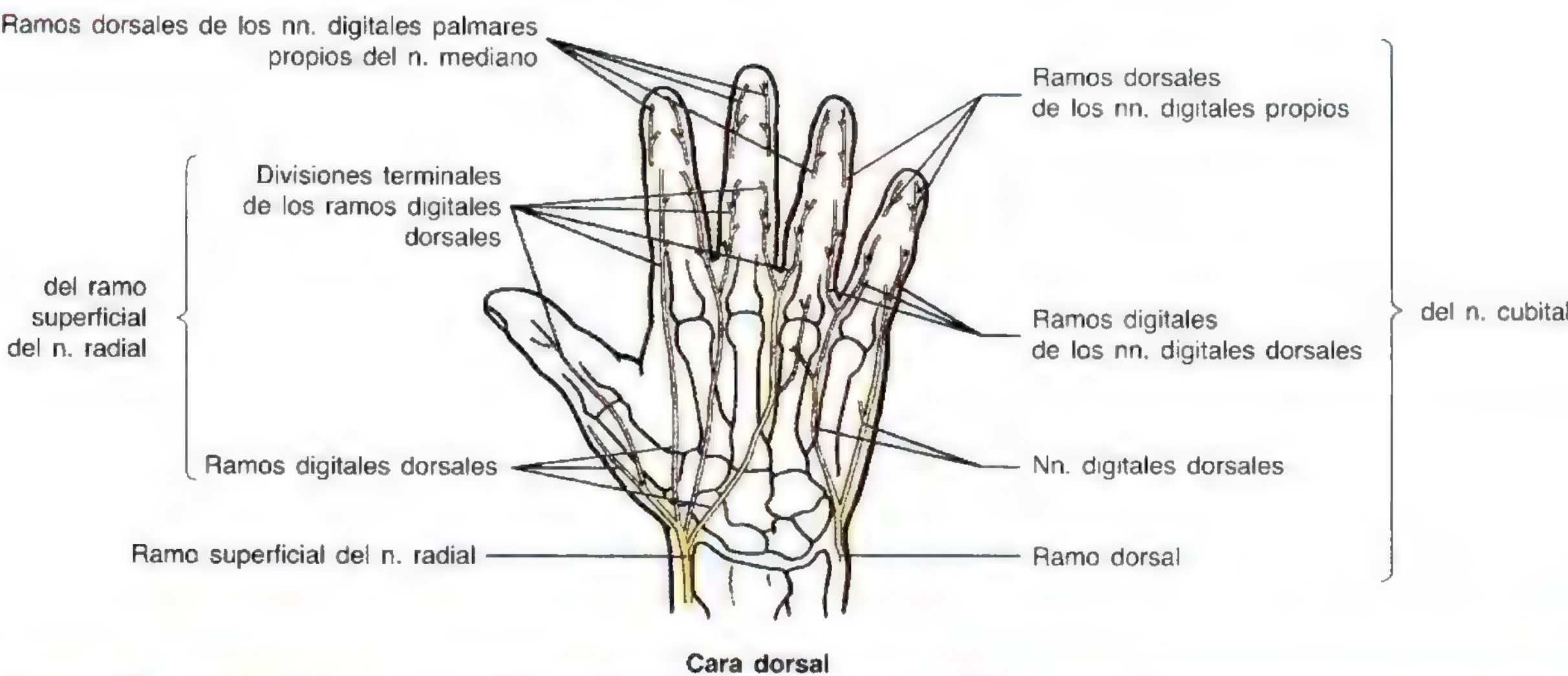
Nervio	Origen	Trayectoria	Distribución
N mediano	Emerge de dos raíces, una del fascículo lateral del plexo braquial (fibras de C6 y C7) y otra del fascículo medial (fibras de C8 y T1)	Emerge a la superficie, proximal a la muñeca, y pasa en la profundidad del retináculo flexor (ligamento transverso del carpo) conforme atraviesa el túnel del carpo y llega a la mano	Músculos de la eminencia tenar (salvo el aproximador del pulgar y la cabeza profunda del m. flexor corto del pulgar), lumbricales laterales (para el 2º y 3º dedos); aporta sensibilidad a la piel de las caras palmar y dorsal distal de los 3 1/2 últimos dedos (radiales) y parte adyacente de la palma
Ramo recurrente (eminencia tenar) del n mediano	Emerge de n. mediano inmediatamente después de atravesar el retináculo flexor	Rodea el borde distal de retináculo flexor y entra en los músculos de la eminencia tenar	M. separador corto del pulgar, oponente del pulgar y cabeza superficial del m. flexor corto del pulgar
Ramo lateral de n. mediano	Nace como división lateral del n mediano a su entrada en la palma de la mano	Se dirige lateralmente hasta el pulgar (cara palmar) y la cara radial de dedo índice	1º m. lumbrical y piel de las caras palmar y dorsal distal del pulgar y mitad radial del dedo índice
Ramo medial de n. mediano	Se origina como división medial del n. mediano a su entrada en la palma de la mano	Se dirige medialmente a los lados adyacentes de los dedos índice, medio y anular	2º m. lumbrical y piel de las caras palmar y dorsal distal de las caras adyacentes de los dedos índice, medio y anular
Ramo cutáneo palmar del n. mediano	Nace del n. mediano, justo proximal al retináculo flexor	Discurre entre los tendones de los mm. palmar largo y flexor radial del carpo y se dirige superficialmente al retináculo flexor	Piel de la parte central de la palma

Luxación de la articulación esternoclavicular

La rareza de la luxación de la articulación esternoclavicular atestigua su fortaleza. Cuando se recibe un golpe

sobre el acromion o cuando se transmite la fuerza a la cintura escapular al caer con la mano extendida, la fuerza del golpe suele transmitirse por el eje longitudinal de la clavícula. Ésta puede fracturarse cerca de la unión de sus tercios medio y lateral, aunque es raro que se luxé la ▶

Tabla 6.12. (Continuación) Los nervios de la mano



Nervio	Origen	Trayectoria	Distribución
N. cubital	Ramo terminal del fascículo medial del plexo braquial (fibras C8 y T1; a menudo, también recibe fibras de C7)	Emerge a la superficie en la parte distal del antebrazo, pasando superficial al retináculo flexor (ligamento transverso del carpo) hasta llegar a la mano	La mayoría de los músculos intrínsecos de la mano (hipotenar, interóseos, aproximador del pulgar y cabeza profunda del m. flexor corto del pulgar, además de los mm. lumbricales mediales [para el 4º y 5º dedos]); aporta la sensibilidad para las caras palmar y dorsal distal de los 1,5 dedos mediales (cubitales) y la zona adyacente de la palma
Ramo cutáneo palmar del n. cubital	Emerge del n. cubital, cerca del tercio medio del antebrazo	Desciende con la a. cubital y perfora la fascia profunda del tercio distal del antebrazo	Piel de la base medial de la palma que cubre los huesos mediales del carpo
Ramo dorsal del n. cubital	Emerge del n. cubital, unos 5 cm proximal al retináculo flexor	Sigue un curso distal en la profundidad del m. flexor cubital del carpo y luego dorsal para perforar la fascia profunda; se dirige a lo largo de la cara medial del dorso de la mano y se divide en dos a tres nervios digitales dorsales	Piel de la cara medial del dorso de la mano y porciones proximales del dedo meñique y la porción medial del dedo anular (a veces, también, lados adyacentes de las porciones proximales de los dedos anular y medio)
Ramo superficial del n. cubital	Nace del n. cubital, en la muñeca, a su paso entre los huesos pisiforme y ganchoso	Llega al m. palmar corto y se divide en los dos nervios digitales palmares comunes	M. palmar corto y sensibilidad de la piel de las caras palmar y dorsal distal del 5º dedo y de la cara medial (cubital) del 4º dedo, así como de la porción proximal de la palma
Ramo profundo del n. cubital		Cursa entre los músculos de la eminencia hipotenar y sigue en la profundidad de la palma con el arco (arterial) palmar profundo	Músculos de la eminencia hipotenar (separador, flexor y oponente del dedo meñique), lumbricales del 4º y 5º dedos, todos los interóseos, aproximador del pulgar y cabeza profunda del flexor corto del pulgar
N. radial Ramo superficial	Nace del n. radial en la fosa cubital	Pasa en la profundidad del m. braquiorradial para emerger debajo de él y perforar la fascia profunda, lateral a la parte distal del radio	Piel de la mitad lateral (radial) de la cara dorsal de la mano y del pulgar, porciones proximales de las caras dorsales del 2º y 3º dedos y mitad lateral (radial) del 4º dedo

► **articulación esternoclavicular.** Casi todas las luxaciones esternoclaviculares entre las personas menores de 25 años se deben a fracturas por la placa epifisaria, puesto que la epífisis de la extremidad esternal de la clavícula no se cierra hasta los 23 a 25 años (Halpern, 1994).

Anquilosis de la articulación esternoclavicular

El movimiento de la articulación esternoclavicular resulta determinante para el hombro. Cuando se produce una anquilosis (fijación) de la articulación o se requiere inmovilidad, se extrae un segmento del centro de la clavícula y se crea una pseudoarticulación o articulación "flotante" para permitir el movimiento de la escápula. ◊

La articulación acromioclavicular

La articulación acromioclavicular es una articulación sinovial plana (fig. 6.59), alejada 2 a 3 cm de la punta del hombro, formada por la parte lateral del acromion (fig. 6.62, A y B).

Componentes de la articulación acromioclavicular

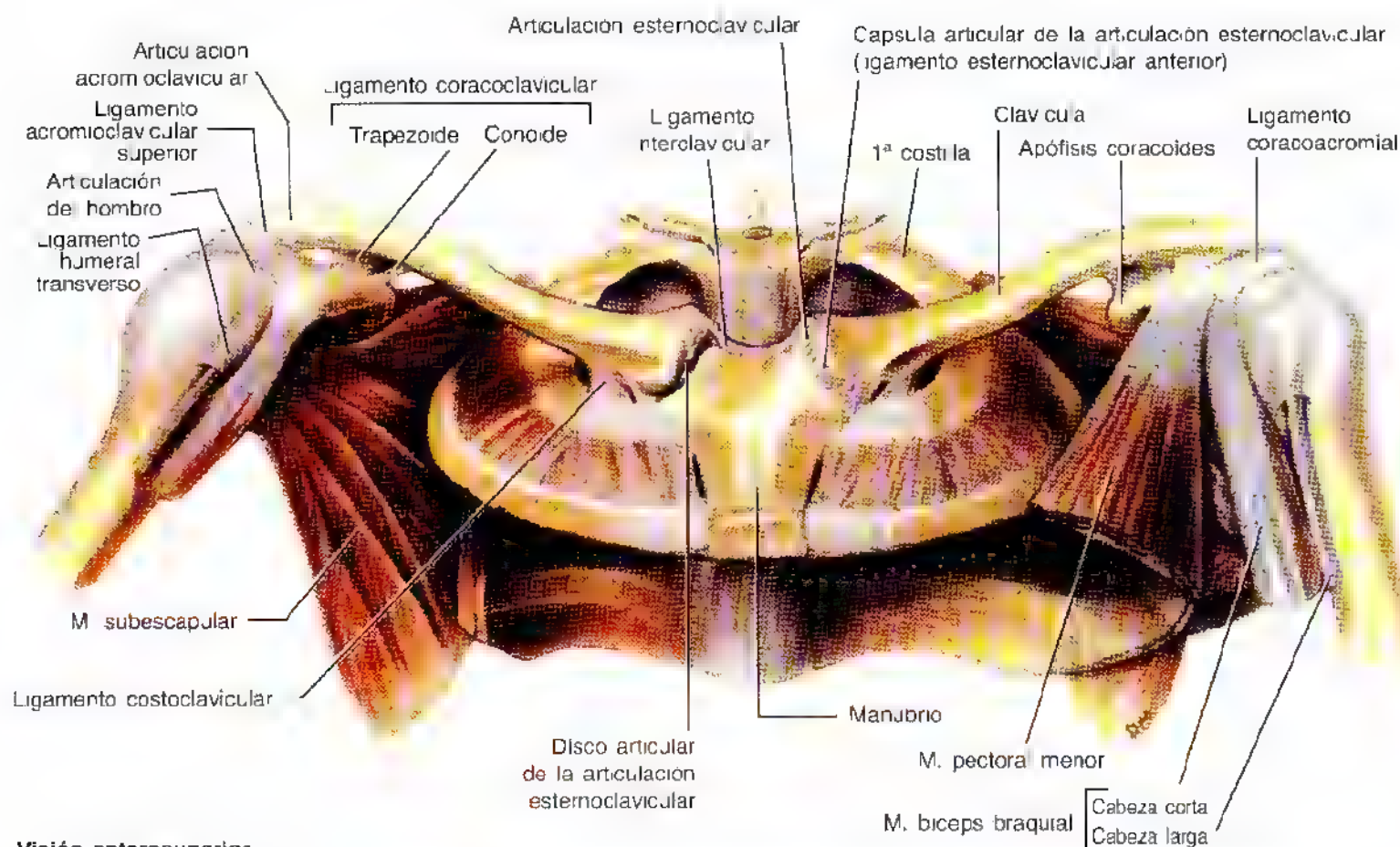
La extremidad acromial de la clavícula se articula con el acromion de la escápula. Las caras articulares, cubiertas de fibrocartilago, están separadas por un disco articular incompleto, con forma de cuña.

La cápsula de la articulación acromioclavicular

La *cápsula fibrosa* y relativamente laxa, con forma de funda, se inserta en los bordes de las caras articulares (fig. 6.62A). Existe una *membrana sinovial* que reviste la cápsula fibrosa. Pese a su relativa debilidad, la cápsula está reforzada por arriba por las fibras del músculo trapecio.

Los ligamentos de la articulación acromioclavicular

El **ligamento acromioclavicular**, una banda fibrosa que se extiende desde el acromion hasta la escápula (figs. 6.59 y 6.63), fortalece la articulación acromioclavicular por arriba; sin embargo, la integridad de esta articulación está mantenida por ligamentos extrínsecos, lejanos a la propia articulación. El ligamento **coracoclavicular** es un par de fascículos poderosos que unen la apófisis coracoides de la escápula con la clavícula y fijan la clavícula a la apófisis coracoides. El ligamento coracoclavicular se compone de dos ligamentos, los ligamentos conoide y trapezoide, que suelen estar separados



Visión anterosuperior

Figura 6.59. La cintura escapular. La cintura escapular es un anillo óseo (incompleto en la cara posterior) creado por el manubrio del esternón, las clavículas y las escapulas. Obsérvense las articulaciones relacionadas con estos huesos: esternoclavicular (SC), acromioclavicular (AC) y escapulohumeral. Este cinturón sirve para la inserción y el apoyo de los miembros superiores.

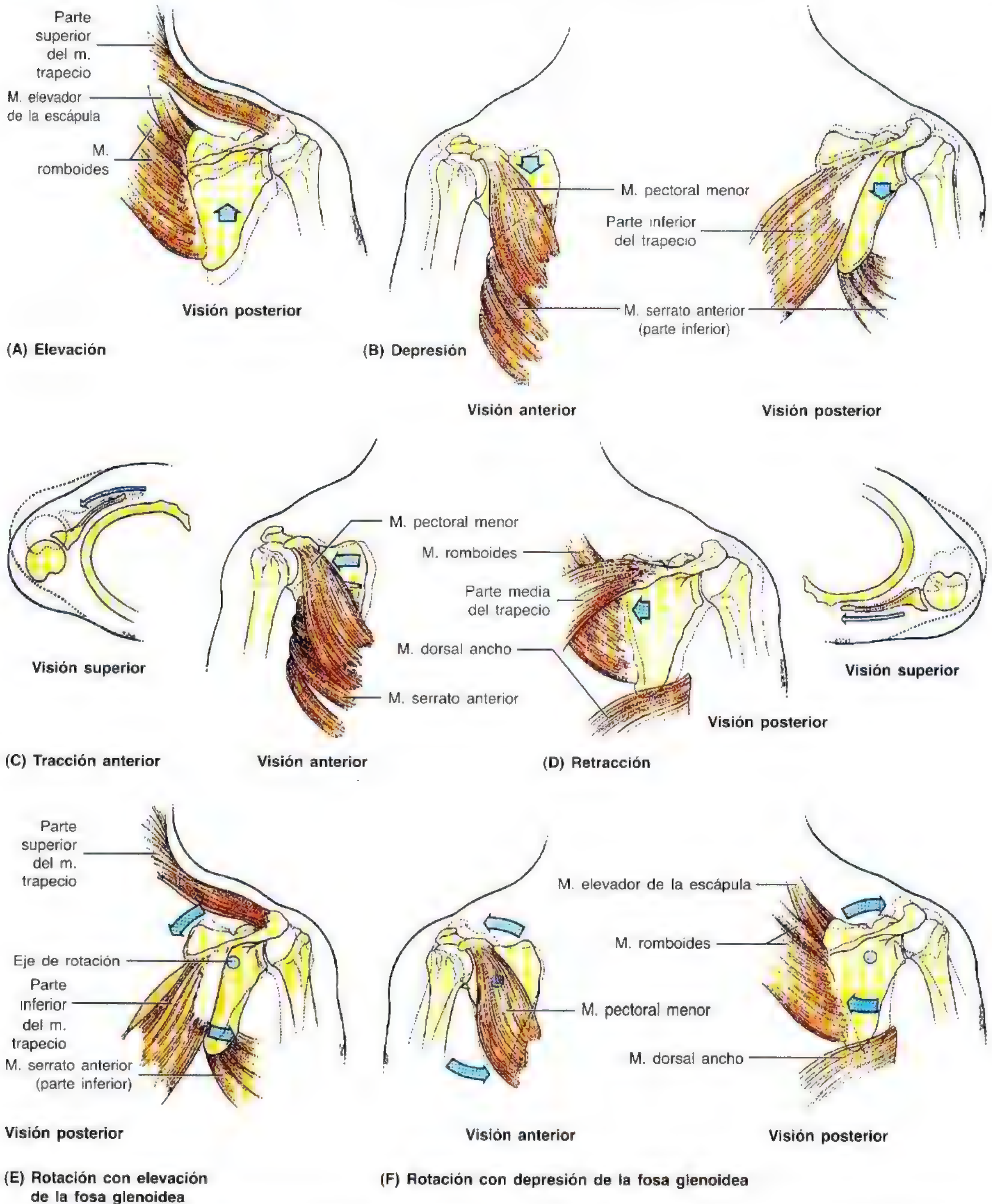


Figura 6.60. Movimientos escapulares. La escápula se mueve sobre la pared torácica de la articulación escapulotorácica virtual. **A.** Elevación. **B.** Depresión. **C.** Tracción anterior. **D.** Retracción. **E.** Rotación con elevación de la fosa glenoidea. **F.** Rotación con depresión de la fosa glenoidea. Las *líneas de puntos* representan la posición de partida de cada uno de los movimientos.



Figura 6.61. Movimientos del miembro superior por las articulaciones de la cintura escapular. La movilidad de la clavícula en la articulación esternoclavicular (SC) resulta esencial para la movilidad libre del miembro superior. Obsérvese cómo la clavícula se mueve en el sentido de las agujas del reloj cuando el miembro se desplaza sobre el hombro y baja hasta la posición horizontal.

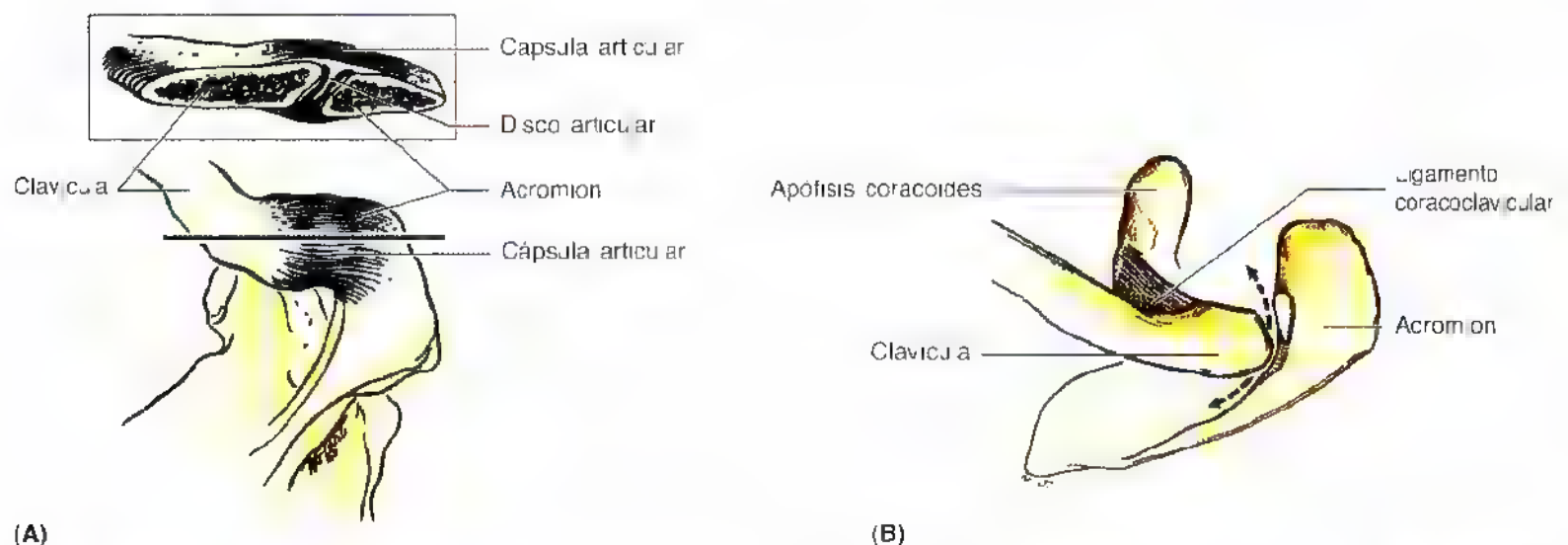


Figura 6.62. Articulaciones acromioclavicular (AC), coracoclavicular y esternoclavicular (SC). A. Visión superior de la articulación acromioclavicular derecha. Recuadro: corte corona de la articulación acromioclavicular donde se ve la capsula y el disco articulares. B. Diagrama que muestra la función del ligamento coracoclavicular. En la medida en que se conserva intacto el ligamento coracoclavicular, no se podrá llevar el acromion debajo de la clavícula. Sin embargo, el ligamento permite la tracción anterior y la retracción del acromion.

por una bolsa. El **ligamento conoide** es vertical y tiene forma de triángulo invertido (cono), con un vértice inferior, por donde se inserta en la raíz de la *apófisis coracoides*, delante de la escotadura escapular. Su inserción ancha (base del triángulo del cono) tiene lugar en el *tubérculo conoideo* de la cara inferior de la clavícula. El **ligamento trapezoide**, casi horizontal, se inserta en la cara superior de la apófisis coracoides y se extiende lateralmente hasta la línea trapezoidea de la cara inferior de la clavícula. Además de aumentar la articulación esternoclavicular, el ligamento coracoclavicular otorga el mecanismo para que la escápula y el miembro libre se suspendan (de forma pasiva) de la viga clavicular.

Los movimientos de la articulación acromioclavicular

El acromion de la escápula rota sobre la extremidad acromial de la clavícula. Estos movimientos se acompañan de movilidad en la articulación escapulotorácica conceptual (figs. 6.61 y 6.62). *No existe ningún músculo que conecte los huesos que mueven la articulación acromioclavicular*; los músculos toracoapendiculares que se insertan y mueven la escápula determinan que el acromion se mueva sobre la clavícula.

Irrigación de la articulación acromioclavicular

Esta articulación está perfundida por las arterias supraescapular y toracoacromial (tabla 6.3).

Inervación de la articulación acromioclavicular

Los nervios supraclavicular, pectoral lateral y axilar inervan la articulación acromioclavicular (tabla 6.4).

Luxación de la articulación acromioclavicular

Pese a que el ligamento **extrínseco** (coracoclavicular) es muy robusto, la articulación acromioclavicular es en sí misma débil y se daña fácilmente tras un impacto directo. En los deportes de contacto, como el rugby, el fútbol o el hockey —o las artes marciales—, no es raro que se *lux*e la articulación acromioclavicular por una caída violenta sobre el hombro si el impacto lo recibe el acromion, o bien tras una caída con el miembro superior extendido. La luxación acromioclavicular también se observa cuando un jugador de hockey es empujado contra la valla, o cuando una persona recibe un golpe violento en la parte superolateral del dorso. La lesión acromioclavicular, denominada a menudo “separación del hombro”, adquiere gravedad si se desgarran los ligamentos acromioclavicular y coracoclavicular. Si se desgarran los ligamentos coracoclavicular, el cuello ▶

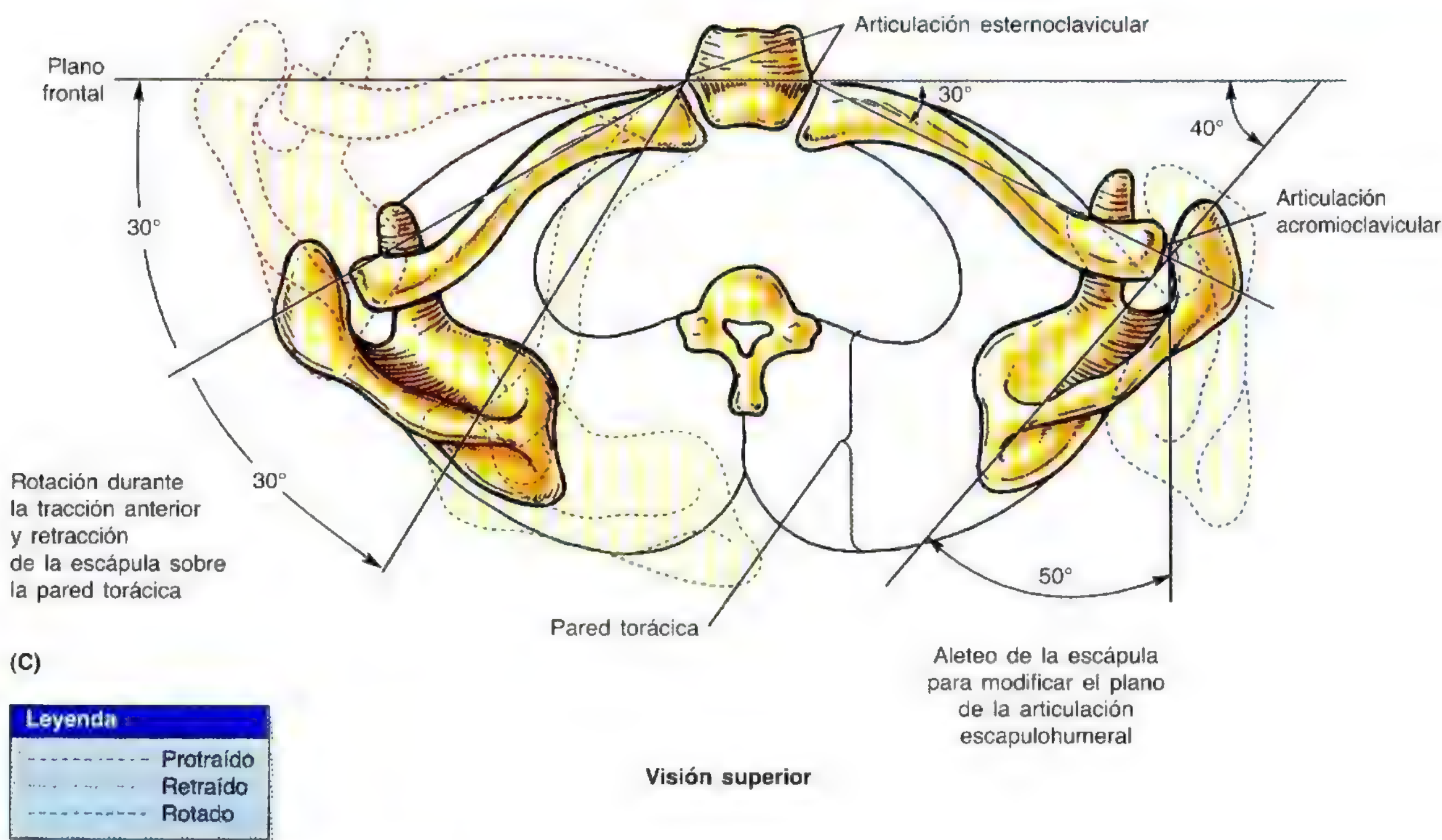
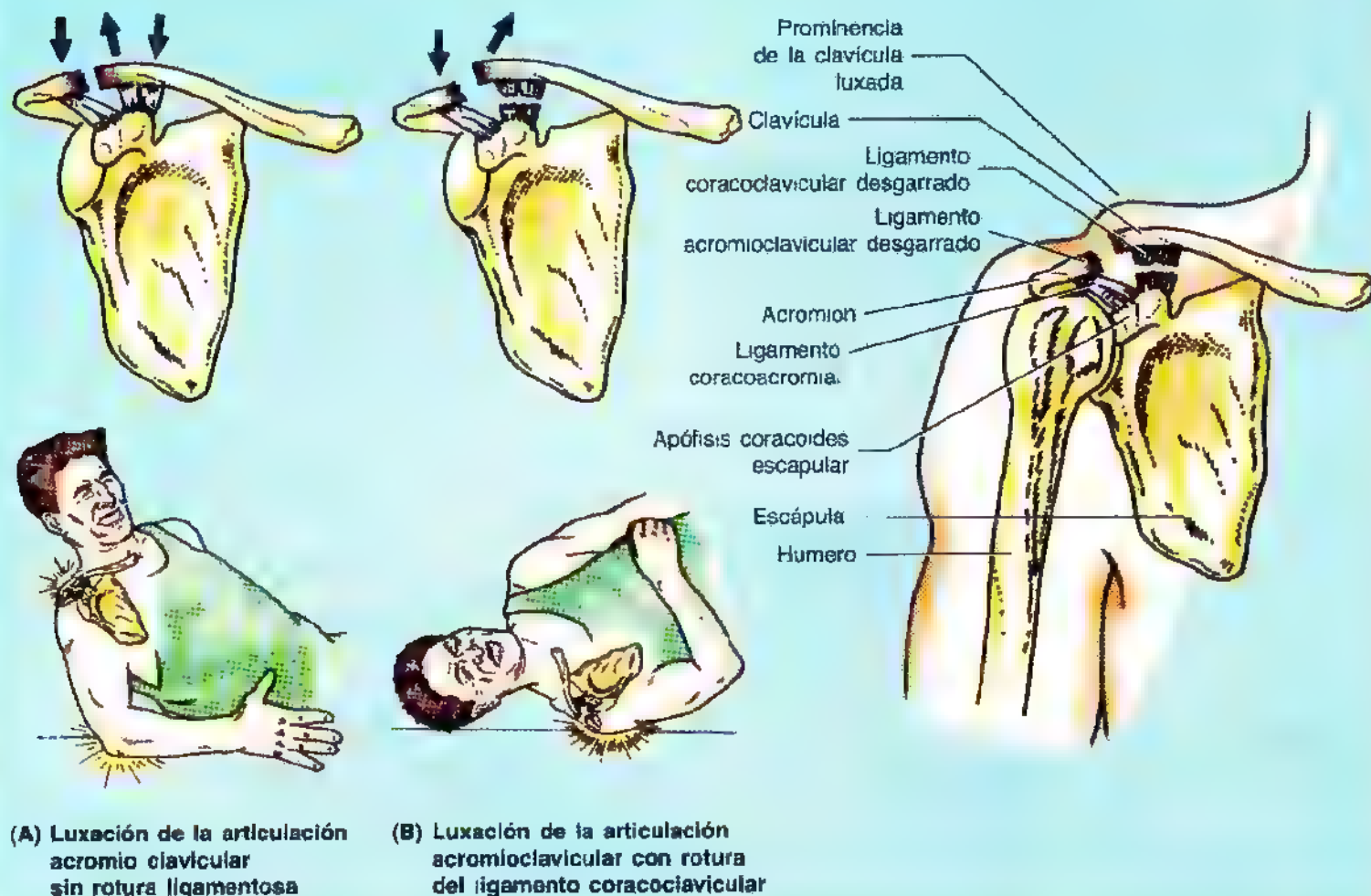


Figura 6.62. (Continuación) **C.** Movimientos de la clavícula en las articulaciones esternoclavicular y acromioclavicular durante la rotación, tracción anterior y retracción de la escápula sobre la pared torácica y durante el aleteo de la escápula.

► se separa (se cae) de la clavícula por el peso del miembro superior. La *rotura del ligamento coracoclavicular* permite, además, el desgarramiento de la cápsula fibrosa de la articulación, de modo que el acromion se queda debajo

de la extremidad acromial de la clavícula. La luxación de la articulación acromioclavicular se caracteriza por una mayor prominencia del acromion; la clavícula se desplaza encima de esta apófisis ósea. ◉



La articulación escapulohumeral (hombro)

La articulación escapulohumeral es una articulación sinovial de tipo enartrosis que permite una gran movilidad; sin embargo, debido a esta movilidad, se trata de una articulación bastante inestable.

Componentes de la articulación escapulohumeral

La gran **cabeza humeral**, redonda, se articula con la **cavidad glenoidea** de la escápula, bastante estrecha (figs. 6.64 y 6.65), que se ahonda ligera pero eficazmente merced al **labio (rodete) glenoideo** fibrocartilaginoso y anular. Las dos caras articulares están cubiertas de cartilago hialino. La cavidad glenoidea apenas aloja más de un tercio de la cabeza humeral, que se mantiene dentro de la cavidad por el *tono de los músculos del manguito de los rotadores*: supraespinoso, infraespinoso, redondo menor y subescapular (tabla 6.2).

La cápsula de la articulación escapulohumeral

La **cápsula fibrosa** laxa rodea la articulación escapulohumeral y se inserta medialmente en el borde de la cavidad glenoidea y lateralmente en el cuello anatómico del húmero (fig. 6.65, A y B). Por arriba, esta parte de la cápsula articular invade la raíz de la apófisis coracoides, de forma que la cápsula fibrosa envuelve la inserción proximal de la cabeza larga del músculo bíceps braquial: **tubérculo supraglenoideo** de la escápula dentro de la articulación. *La cápsula de la articulación escapulohumeral tiene dos aberturas:*

- El orificio entre los tubérculos del húmero sirve para el paso del tendón de la cabeza larga del músculo bíceps braquial (fig. 6.63).
- El otro orificio anterior, debajo de la apófisis coracoides, permite la comunicación entre la bolsa subescapular y la cavidad sinovial de la articulación.

La parte inferior de la cápsula articular es la única que no está reforzada por los músculos del manguito de los rotadores.

es la zona más débil. Se trata de un área donde la cápsula es muy laxa y se pliega cuando se aproxima al brazo; sin embargo, se tensa cuando el brazo se separa. La **membrana sinovial** reviste la cápsula fibrosa y se refleja desde ella hacia el labio (rodete) glenoideo y el cuello del húmero, hasta alcanzar el borde articular de la cabeza (figs. 6.64B y 6.65). La membrana sinovial también da una vaina tubular para el tendón de la cabeza larga del músculo bíceps braquial a su paso por la cavidad articular dentro del surco intertubercular; la vaina se extiende hasta el cuello quirúrgico del húmero (fig. 6.63).

Los ligamentos de la articulación escapulohumeral

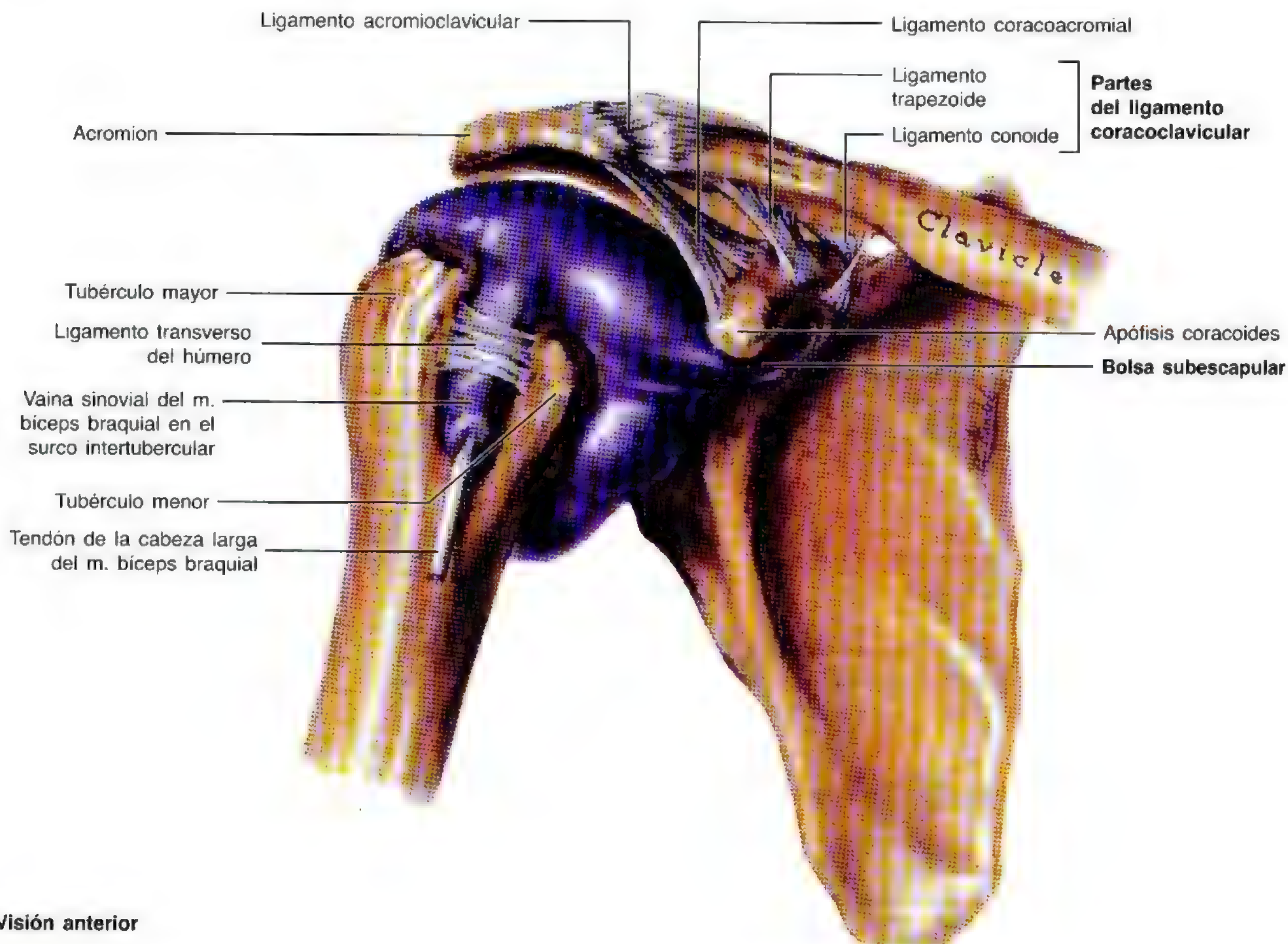
Los **ligamentos glenohumerales** refuerzan la cara anterior de la cápsula articular, y el **ligamento coracohumeral**, la parte superior de la cápsula; se trata de ligamentos intrínsecos que integran la cápsula fibrosa (fig. 6.65, B y C). Además, la cápsula está engrosada por el **ligamento transvers**

del húmero, que refuerza la cápsula y establece un puente entre los tubérculos mayor y menor del húmero.

Los **ligamentos glenohumerales** son tres bandas fibrosas —sólo se ven en la cara interna de la cápsula— que fortalecen la parte anterior de la cápsula articular; se irradian en dirección lateral e inferior desde el labio (rodete) glenoideo del tubérculo supraglenoideo de la escápula, y se fusionan en la zona distal con la cápsula fibrosa para insertarse en el cuello anatómico del húmero.

El **ligamento coracohumeral** es una banda ancha y poderosa que se dirige desde la base de la apófisis coracoides hasta la cara anterior del tubérculo mayor del húmero.

El **ligamento transvers del húmero** es una banda fibrosa ancha con un trayecto más o menos oblicuo desde el tubérculo mayor del húmero al menor, estableciendo un puente sobre el surco intertubercular. Este ligamento transforma el surco en un conducto que sujeta la vaina sinovial



Visión anterior

Figura 6.63. Articulación escapulohumeral. Visión anterior de la cápsula sinovial de la articulación escapulohumeral derecha y de los ligamentos de la extremidad lateral de la clavícula. Obsérvese cómo la cápsula sinovial posee dos prolongaciones: 1) en el lugar donde se crea una vaina sinovial para el tendón de la cabeza larga del músculo bíceps braquial, en el surco intertubercular del húmero, y 2) debajo de la apófisis coracoides, donde se forma la bolsa subescapular entre el tendón del músculo subescapular y el margen de la cavidad glenoidea.

y el tendón del músculo bíceps braquial durante los movimientos del hombro.

El **arco coracoacromial** es una estructura protectora extrínseca, formada por la cara inferior lisa del **acromion** y la **apófisis coracoides** de la escápula, así como por el **ligamento coracoacromial** que se extiende entre ellos (fig. 6.65B). Esta estructura osteoligamentosa forma un arco protector sobre la cabeza del húmero, que impide su salida de la cavidad glenoidea de la escápula por arriba. *El arco coracoacromial es tan poderoso, que cualquier golpe violento sobre el húmero que lo impulse hacia arriba no logra fracturarlo; antes se fractura el cuerpo del húmero o la clavícula.* Cuando se transmite una fuerza superior a lo largo del húmero (p. ej., cuando se apoyan los brazos extendidos en la mesa y se sostiene parte del peso del cuerpo), la cabeza del húmero presiona el arco coracoacromial. El músculo supraespinoso pasa

debajo de este arco, en la profundidad del músculo deltoides, y su tendón se une con la cápsula articular de la articulación escapulo-humeral como parte del manguito de los rotadores (fig. 6.64A). El movimiento del **tendón del músculo supraespinoso**, que alcanza el tubérculo mayor del húmero, es facilitado por la **bolsa subacromial**, situada entre el arco y el tendón y el tubérculo, a su paso debajo del arco.

Los movimientos de la articulación del hombro

La articulación escapulo-humeral es la más móvil de todas las articulaciones del organismo. Esto se debe a la laxitud de su cápsula articular y al gran tamaño de la cabeza humeral en comparación con las dimensiones reducidas de la cavidad glenoidea. *La articulación escapulo-humeral permite movimientos sobre tres ejes, a saber:*

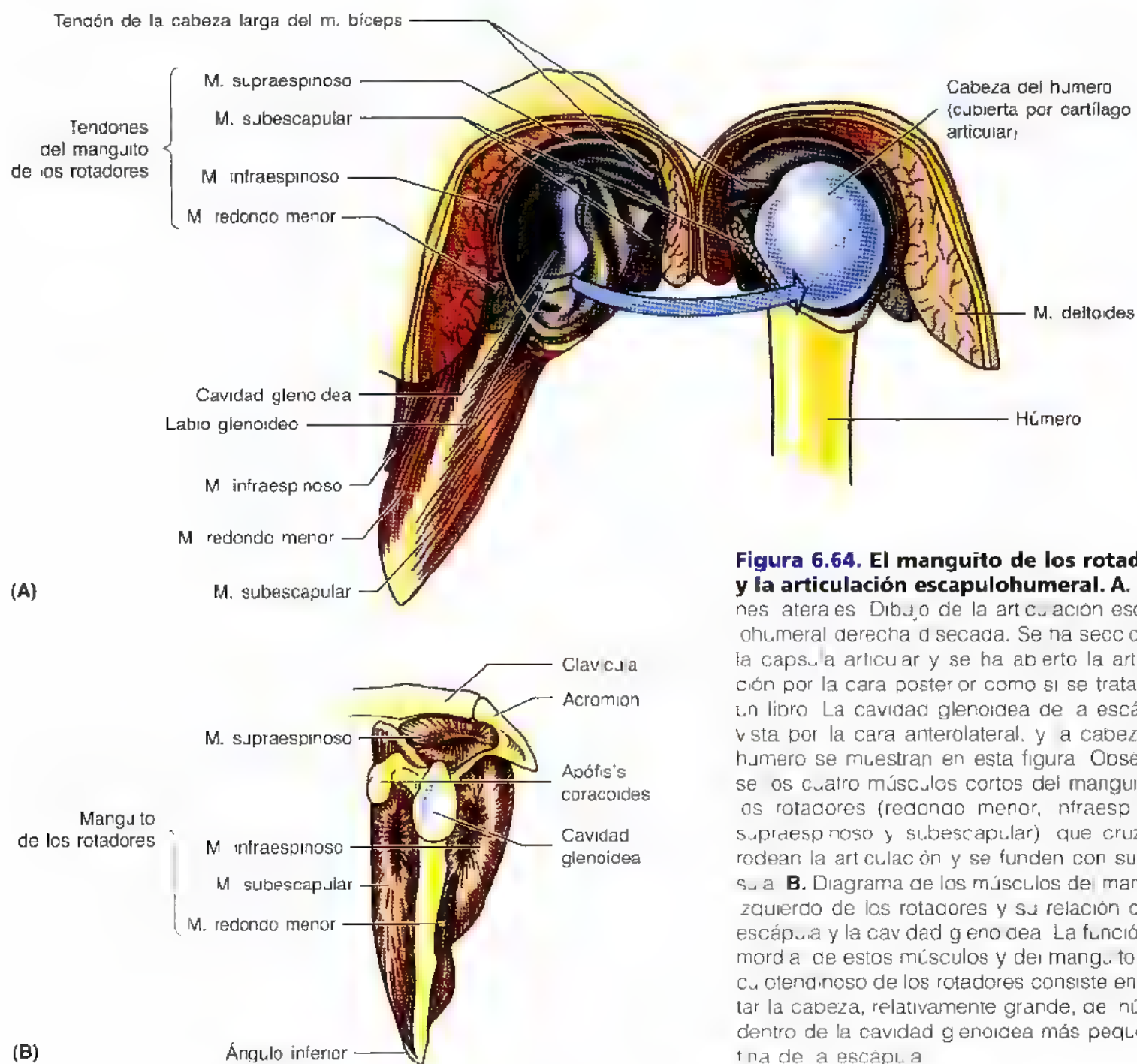


Figura 6.64. El manguito de los rotadores y la articulación escapulo-humeral. A. Visión lateral de la articulación escapulo-humeral derecha de secada. Se ha seccionado la cápsula articular y se ha abierto la articulación por la cara posterior como si se tratara de un libro. La cavidad glenoidea de la escápula vista por la cara anterolateral, y la cabeza del húmero se muestran en esta figura. Observen-se los cuatro músculos cortos del manguito de los rotadores (redondo menor, infraespinoso, supraespinoso y subescapular) que cruzan y rodean la articulación y se funden con su cápsula. B. Diagrama de los músculos de manguito izquierdo de los rotadores y su relación con la escápula y la cavidad glenoidea. La función primordial de estos músculos y del manguito musculotendinoso de los rotadores consiste en sujetar la cabeza, relativamente grande, del húmero dentro de la cavidad glenoidea más pequeña y fina de la escápula.

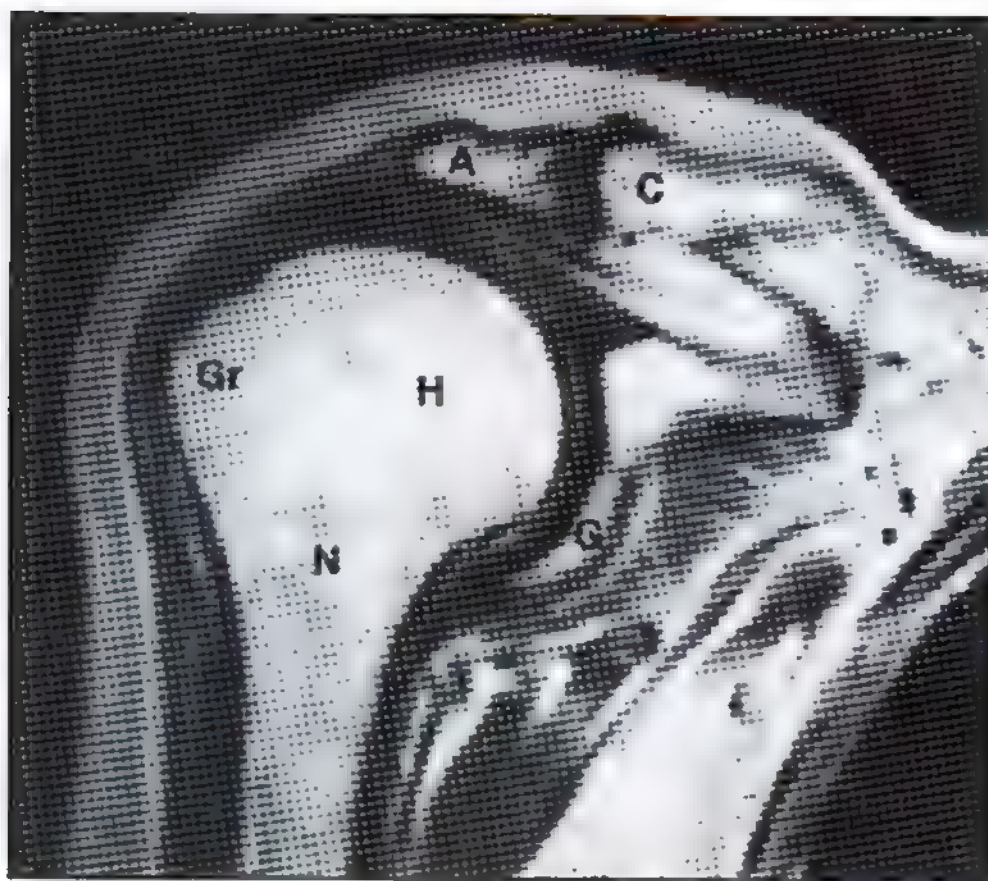
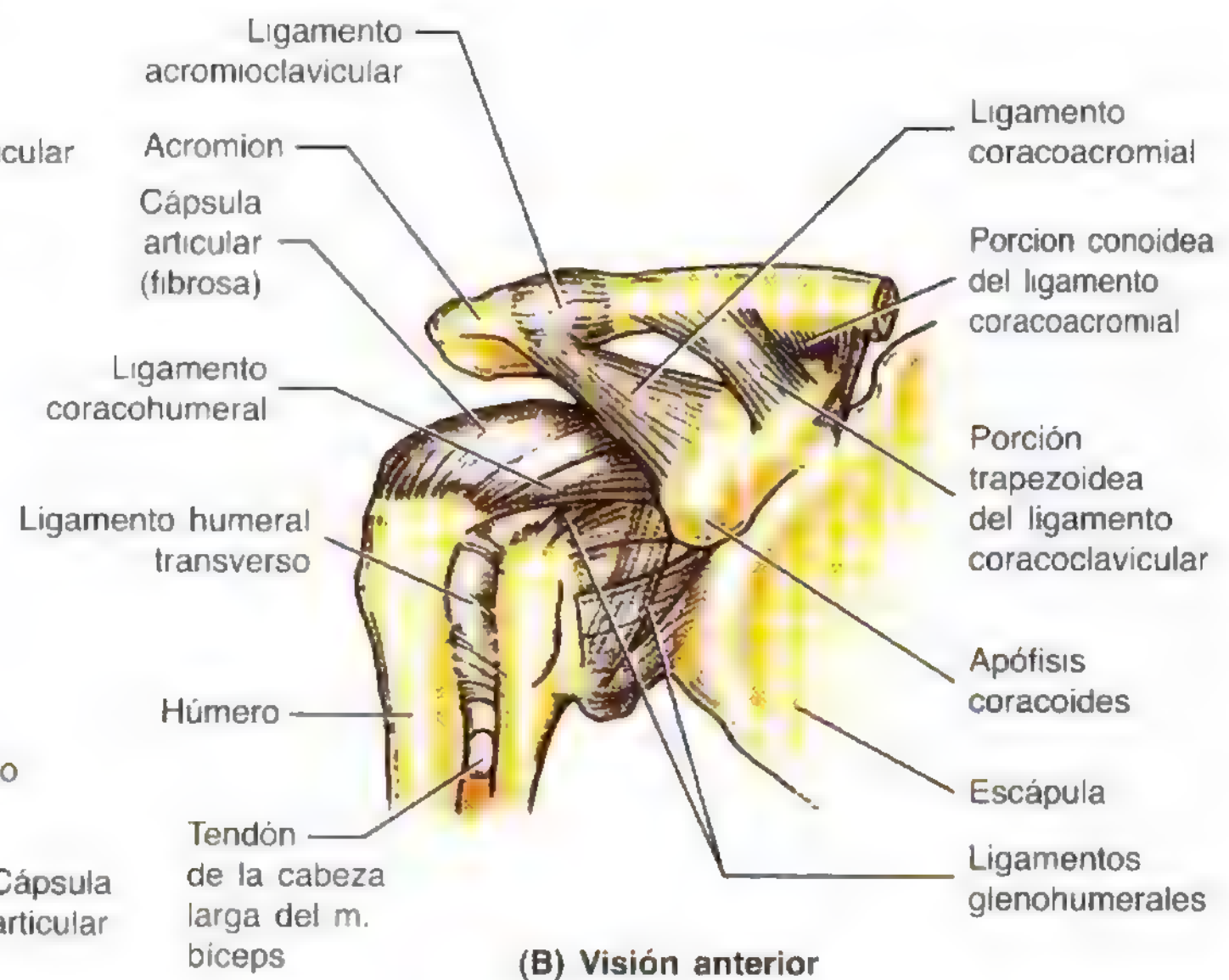


Figura 6.65. Articulación glenohumeral. **A.** Corte coronal de la región del hombro que ilustra los huesos de la articulación, como la cápsula y el cartilago articulares, y la bolsa subacromial. **B.** Dibujo de la disección de los ligamentos acromioclavicular (AC), coracohumeral y glenohumeral, vistos por delante. Los ligamentos glenohumerales refuerzan la cara anterior de la cápsula de la articulación escapulohumeral, y el ligamento coracohumeral refuerza la cápsula por la parte superior. **C.** RM coronal de las articulaciones escapulohumeral y acromioclavicular derechas. A: acromion; C: clavícula; Gr: tubérculo mayor del húmero; H: cabeza del húmero; G: cavidad glenoidea; N: cuello quirúrgico del húmero. (Cortesía del Dr. W. Kucharczyk, Director del Departamento de Imagen Médica y Director Clínico del Centro de Resonancia Trihospitalario, Toronto, Ontario, Canadá.)

- Flexión-extensión.
- Separación-aproximación.
- Rotación (medial y lateral) del húmero.
- Circunducción.

La circunducción es una secuencia ordenada de flexión, separación, extensión y aproximación, o el movimiento inverso.

Los músculos de la articulación escapulohumeral

Los músculos que mueven la articulación escapulohumeral son los *músculos toracoapendiculares*, que pueden actuar de manera indirecta sobre la articulación (es decir, sobre la cintura escapular), y los *músculos escapulohumerales*, que lo hacen directamente (fig. 6.60, tabla 6.13).

- *Flexores principales de la articulación del hombro:* pectoral mayor (porción clavicular) y deltoides (fibras anteriores), ayudados por los músculos coracobraquial y bíceps braquial.

- *Extensor principal del hombro:* dorsal ancho.
- *Separador principal del hombro:* deltoides, en particular las fibras centrales (después de que el músculo supraespinoso inicie el movimiento).
- *Aproximadores principales del hombro:* pectoral mayor y dorsal ancho.
- *Rotador medial principal del hombro:* subescapular.
- *Rotador lateral principal del hombro:* infraespinoso.

Existen otros músculos que actúan en el hombro “en derivación”, oponiéndose a la luxación, pero sin mover la articulación. El tono de los músculos del manguito de los rotadores sujeta la gran cabeza humeral dentro de la cavidad glenoidea, relativamente estrecha. El músculo coracobraquial, la cabeza corta del bíceps y la cabeza larga del tríceps ayudan al deltoides (actuando de forma conjunta) a evitar la luxación inferior del hombro (p. ej., cuando se transportan maletines pesados o cubos de agua).

Tabla 6.13. Movimientos de la articulación del hombro (escapulohumeral)

Movimiento (función)	Músculo/s responsable/s (partiendo de una posición con el hombro colgante)	Músculos sinergistas	Nota
Flexión	M. pectoral mayor (cabeza clavicular) M. deltoides (parte anterior)	M. coracobraquial (ayudado por el bíceps)	Desde la posición de extensión completa hasta el plano propio (coronal), la fuerza principal proviene de la cabeza esternocostal del m. pectoral mayor
Extensión	M. deltoides (parte posterior)	M. redondo mayor	E m. dorsal ancho, la cabeza esternocostal del m. pectoral mayor y la cabeza larga del tríceps actúan desde la posición de flexión completa hasta sus propios planos (coronales)
Separación	M. deltoides (en conjunto, pero sobre todo la parte central)	M. supraespinoso	El m. supraespinoso tiene particular interés para iniciar el movimiento; además, la escápula experimenta una rotación hacia arriba, que contribuye de manera muy notable
Aproximación	Mm. pectoral mayor y dorsal ancho	Mm. subescapular, infraespinoso y redondo menor	En posición erecta y en ausencia de resistencia, la gravedad es el elemento motor principal
Rotación medial	M. subescapular	Mm. pectoral mayor, deltoides (fibras anteriores) y dorsal ancho	Con el brazo levantado, los músculos "sinergistas" adquieren más importancia que los músculos primarios
Rotación lateral	M. infraespinoso	Mm. redondo menor y deltoides (fibras posteriores)	
Tensores de la cápsula articular (sujetan la cabeza del húmero en la cavidad glenoidea)	M. subescapular e infraespinoso (acción simultánea)	Mm. supraespinoso y redondo menor	Los músculos del "manguito de los rotadores" actúan de manera conjunta; en "reposo", su tono mantiene de manera adecuada la integridad articular
Oposición a la luxación inferior (músculos "en derivación")	M. deltoides (en conjunto)	Cabeza larga del m. tríceps M. coracobraquial y cabeza corta del m. bíceps	Se utiliza sobre todo para transportar objetos pesados (maletas, cubos)

Irrigación de la articulación escapulohumeral

Esta articulación es perfundida por las **arterias humerales circunflejas** anterior y posterior y por ramas de la **arteria supraescapular**.

Inervación de la articulación del hombro

Los nervios supraescapular, axilar y pectoral lateral inervan la articulación escapulohumeral.

Bolsas de la articulación del hombro

En la vecindad de la articulación escapulohumeral se encuentran varias bolsas que contienen películas capilares de líquido sinovial. Estas bolsas se encuentran en las zonas de fricción de los tendones con los huesos, ligamentos u otros tendones y en las zonas donde la piel se mueve sobre prominencias óseas. Las bolsas de la articulación del hombro tienen una importancia clínica particular. Algunas se comunican con la cavidad articular (p. ej., la bolsa subescapular); por eso, cuando se abre una bolsa se puede entrar en la cavidad de la articulación escapulohumeral.

La bolsa subescapular (fig. 6.63). Esta bolsa se sitúa entre el tendón del músculo subescapular y el cuello de la escápula. La bolsa protege el tendón a su paso debajo de la raíz de la apófisis coracoides y sobre el cuello de la escápula. Suele comunicarse con la cavidad del hombro por un

orificio de la cápsula fibrosa; por eso, en realidad, se trata de una prolongación de la cavidad articular del hombro.

La bolsa subacromial (fig. 6.65A). A veces se denomina *bolsa subdeltoidea*, esta gran bolsa está situada entre el músculo deltoides, el tendón del músculo supraespinoso y la cápsula fibrosa de la articulación escapulohumeral. Su tamaño varía, pero no suele comunicarse con la cavidad de la articulación escapulohumeral. La bolsa subacromial queda debajo del acromion y del ligamento coracoacromial, entre éstos y el músculo supraespinoso. Facilita el movimiento del tendón del músculo supraespinoso sobre la cápsula fibrosa de la articulación del hombro y el tubérculo mayor del húmero, bajo el arco coracoacromial y el deltoides.

Tendinitis calcificada del músculo supraespinoso

La inflamación y calcificación de la bolsa subacromial provoca dolor espontáneo y a la palpación, así como impotencia funcional de la articulación escapulohumeral. Este trastorno también se conoce como bursitis escapulohumeral calcificada. Es frecuente que se deposite calcio en el tendón del músculo supraespinoso. ►

► El calcio incrementa la presión local y provoca un dolor insoportable al separar el brazo; el dolor puede irradiar hasta la mano. El depósito de calcio irrita la bolsa subacromial situada por encima y produce una reacción inflamatoria denominada *bursitis subacromial*. Mientras la articulación escapulohumeral permanezca aproximada no hay dolor, porque en esta posición la lesión dolorosa se aleja de la cara inferior del acromion. En la mayoría de los pacientes el dolor sucede con una separación de 50 a 130°, que es el arco durante el cual el tendón del músculo supraespinoso establece contacto íntimo con la cara inferior del acromion. A veces, este trastorno se denomina *síndrome del arco doloroso*. El dolor suele afectar a hombres de 50 años o más tras el uso agotador o exagerado del hombro (p. ej., durante un partido de tenis).

Lesiones del manguito de los rotadores

El manguito musculotendinoso de los rotadores suele dañarse tras el uso repetido del miembro superior por encima del plano horizontal (p. ej., durante deportes de lanzamiento y raqueta, natación y levantamiento de peso). La *inflamación recurrente del manguito de los rotadores*, en particular de la zona del tendón supraespinoso, relativamente poco vascularizada, constituye una causa corriente de dolor en el hombro y desgarro del manguito muscu-

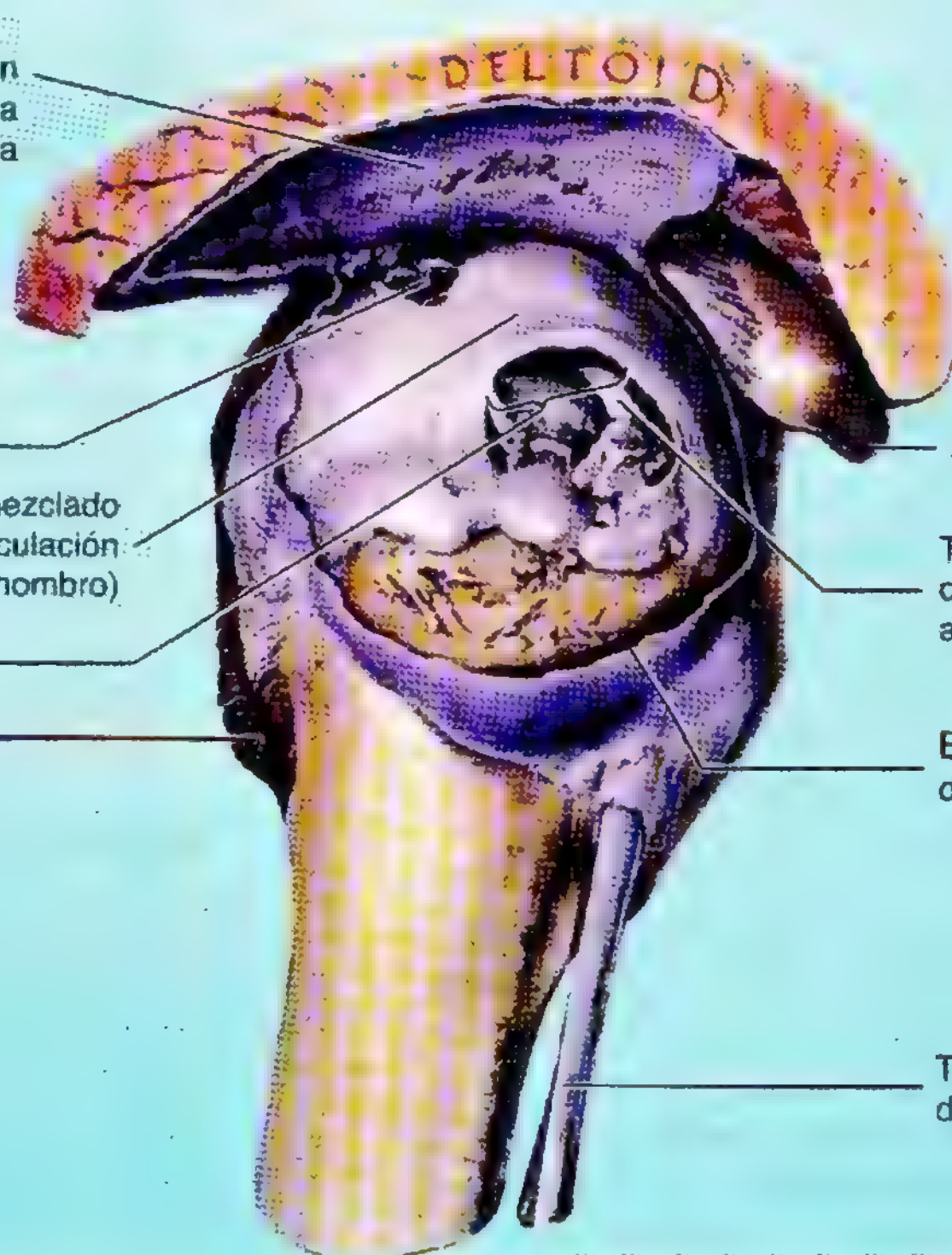
lotendinoso de los rotadores. El uso repetido de los músculos del manguito de los rotadores (p. ej., por los lanzadores de béisbol) facilita el pinzamiento de la cabeza humeral del manguito de los rotadores dentro del arco coracoacromial, con la consiguiente irritación del arco e inflamación del manguito de los rotadores. A veces ocurre una degeneración y rotura del manguito tendinoso.

Cuando una persona mayor trata de levantar un objeto —un marco atascado de una ventana, por ejemplo— puede romperse el manguito musculotendinoso de los rotadores si se encontraba ya degenerado. La caída sobre el hombro también puede desgarrar un manguito de los rotadores con una degeneración anterior. Muchas veces se deshila la porción intracapsular del tendón de la cabeza larga del músculo bíceps braquial, o incluso se desgarran y acaba adhiriéndose al surco intertubercular. En consecuencia, se produce una rigidez de hombro. Debido a la fusión, se altera la integridad de la cápsula fibrosa de la articulación escapulohumeral (se desgarran) cuando se lesiona el manguito de los rotadores. El resultado es que la cavidad articular se comunica con la bolsa subacromial. Como la función del músculo supraespinoso desaparece con el desgarro completo del manguito de los rotadores, la persona no puede empezar a separar el miembro superior. Si el brazo se separa de forma pasiva 15° o más, el sujeto no puede mantener ni siquiera continuar la separación con el deltoides. ►

Colgajo del m. deltoides y de la porción superficial de la membrana sinovial de la bolsa subacromial rechazado hacia arriba

Perforación
Tendón del m. supraespinoso mezclado con la cápsula fibrosa de la articulación escapulohumeral (hombro)

Perforación
M. redondo menor



Apófisis coracoides

Tendón de la cabeza larga del m. bíceps braquial visto a través de la perforación

Borde seccionado de la bolsa subacromial

Tendón de la cabeza larga del m. bíceps braquial

Luxación de la articulación escapulohumeral

En virtud de su libertad de movimientos e inestabilidad, la articulación escapulohumeral suele dislocarse mediante golpes directos o indirectos. La presencia del arco coracoacromial y el apoyo del manguito de los rotadores explica por qué la mayoría de las luxaciones de la cabeza humeral son inferiores; sin embargo, en clínica se describen como anteriores o (menos veces) posteriores, señalando si la cabeza del húmero desciende delante o detrás del tubérculo infraglenoideo y de la cabeza larga del tríceps y termina situándose enfrente o tras la cavidad glenoidea.

La **luxación anterior de la articulación escapulohumeral** afecta casi siempre a adultos jóvenes, sobre todo deportistas, por una extensión y rotación lateral exageradas del húmero. La cabeza del húmero es impulsada en dirección infraanterior, y la cápsula fibrosa y el labio glenoideo son a veces arrancados de la cara anterior de la cavidad glenoidea por el impacto. Un golpe violento sobre el húmero con la articulación escapulohumeral totalmente separada baja la cabeza del húmero hasta la parte débil e inferior de la cápsula. La cápsula se desgarra en ocasiones y el hombro se luxa, de modo que la cabe-

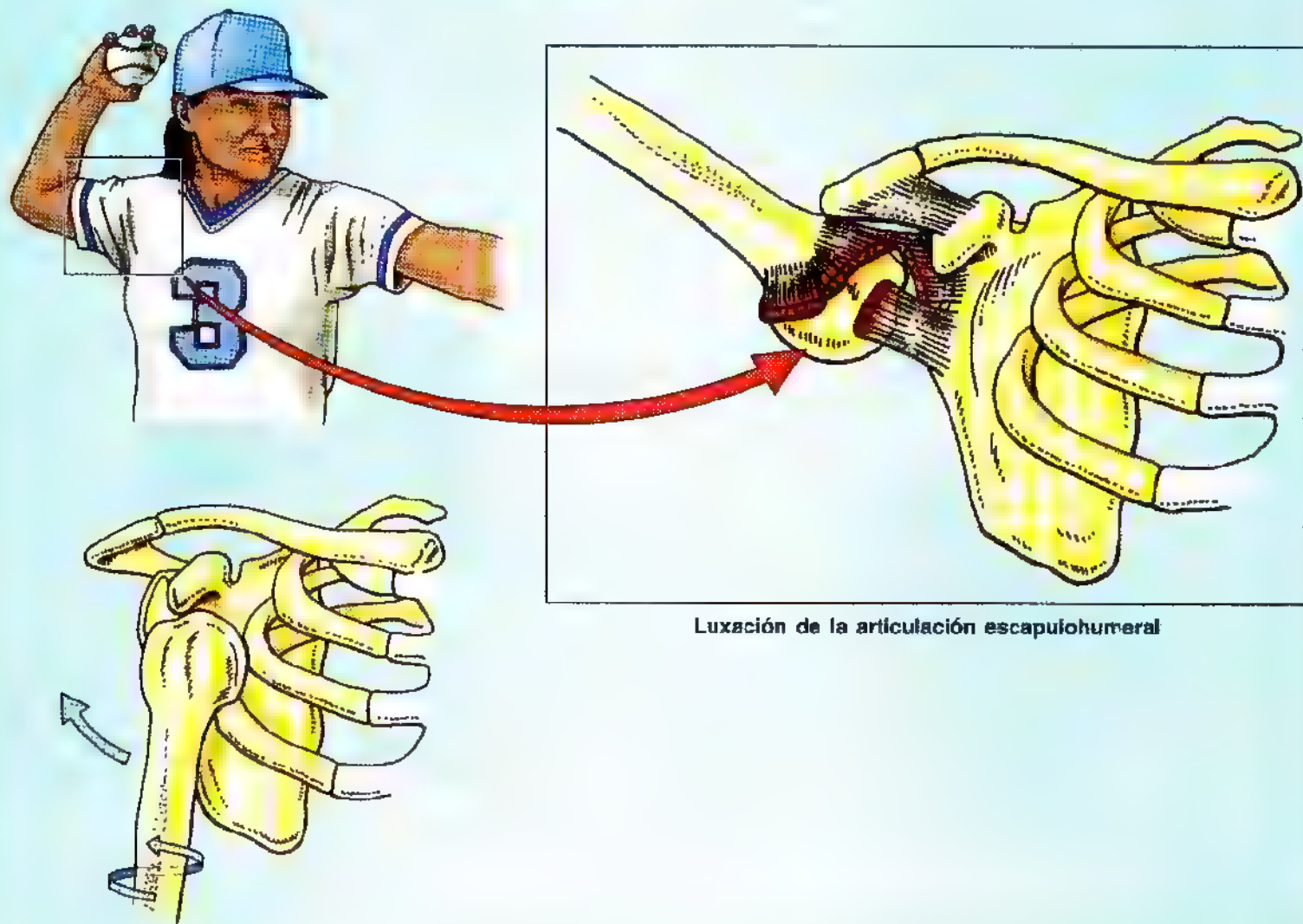
za se sitúa debajo de la cavidad glenoidea y delante del tubérculo infraglenoideo. Los poderosos músculos flexores y separadores de la articulación escapulohumeral suelen traccionar después de la cabeza humeral en sentido anterosuperior y la dirigen hasta una posición subcoracoidea. Al no poder mover el brazo, el paciente suele apoyarlo en la otra mano.

Lesión del nervio axilar

El nervio axilar se puede dañar cuando se luxa la articulación escapulohumeral, debido a su estrecha relación con la porción inferior de la cápsula articular. El desplazamiento subglenoideo de la cabeza humeral hacia el espacio cuadrangular daña el nervio axilar. La lesión del nervio axilar queda señalada por la parálisis del músculo deltoides y la pérdida de sensibilidad en una pequeña zona de la piel cubierta por la parte central del deltoides.

Desgarros del labio glenoideo

El desgarro del labio fibrocartilaginoso glenoideo afecta, de ordinario, a los deportistas que lanzan la pelota de béisbol o de rugby, o a los que padecen inestabilidad ►



Luxación de la articulación escapulohumeral

► del hombro y luxación parcial (subluxación) de la articulación escapulohumeral. El desgarro se produce casi siempre por la contracción brusca del bíceps o la subluxación forzosa de la cabeza humeral sobre el labio glenoideo. En general, se desgarra la porción anterosuperior del labio glenoideo (Halpern, 1994). El síntoma habitual consiste en dolor al lanzar, sobre todo en la fase de aceleración, aunque durante la separación y rotación lateral del brazo puede notarse un chasquido.

Capsulitis adhesiva de la articulación escapulohumeral

La fibrosis adherente y la cicatrización entre la cápsula articular inflamada de la articulación escapulohu-

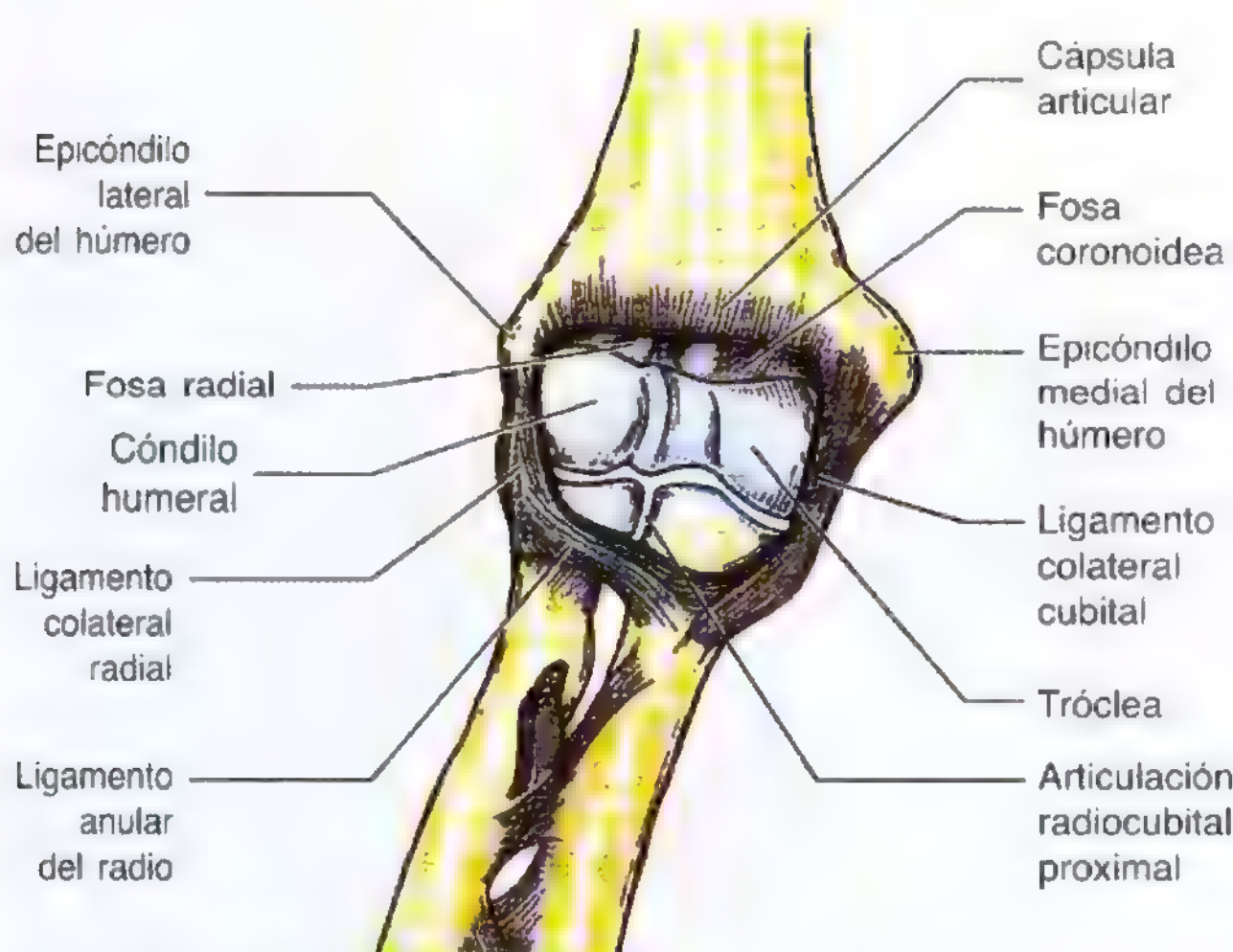
meral, el manguito de los rotadores, la bolsa subacromial y el deltoides suele dar una *capsulitis adhesiva* ("hombro congelado"). Las personas con este trastorno tienen dificultades para separar el brazo; en principio, pueden alcanzar una separación de 45° con la elevación y rotación de la escápula. Dada la falta de movilidad de la articulación escapulohumeral, la articulación acromioclavicular se sobrecarga y se produce dolor con otros movimientos (p. ej., elevación [contracción] del hombro). Las lesiones que inducen una capsulitis aguda, casi siempre entre personas de 40 a 60 años, son la luxación escapulohumeral, la tendinitis calcificada del supraespinoso, el desgarro parcial del manguito de los rotadores y la tendinitis bicipital (Salter, 1998). ❖

La articulación del codo

La articulación del codo —una articulación sinovial de tipo bisagra— está situada 2 a 3 cm debajo de los epicóndilos del húmero (fig. 6.66).

Componentes de la articulación del codo

La **tróclea**, con forma de carrete, y el **cóndilo** esférico del húmero se articulan con la **escotadura troclear** del cúbito y la cara superior y ligeramente cóncava de la **cabeza del radio**, respectivamente; por eso existen las articulaciones humerocubital y humerorradial. Las caras articulares, cubiertas de cartílago hialino, son casi totalmente congruentes (establecen contacto) cuando el antebrazo se encuentra en una posición intermedia entre la pronación y la supinación y flexionado en ángulo recto.



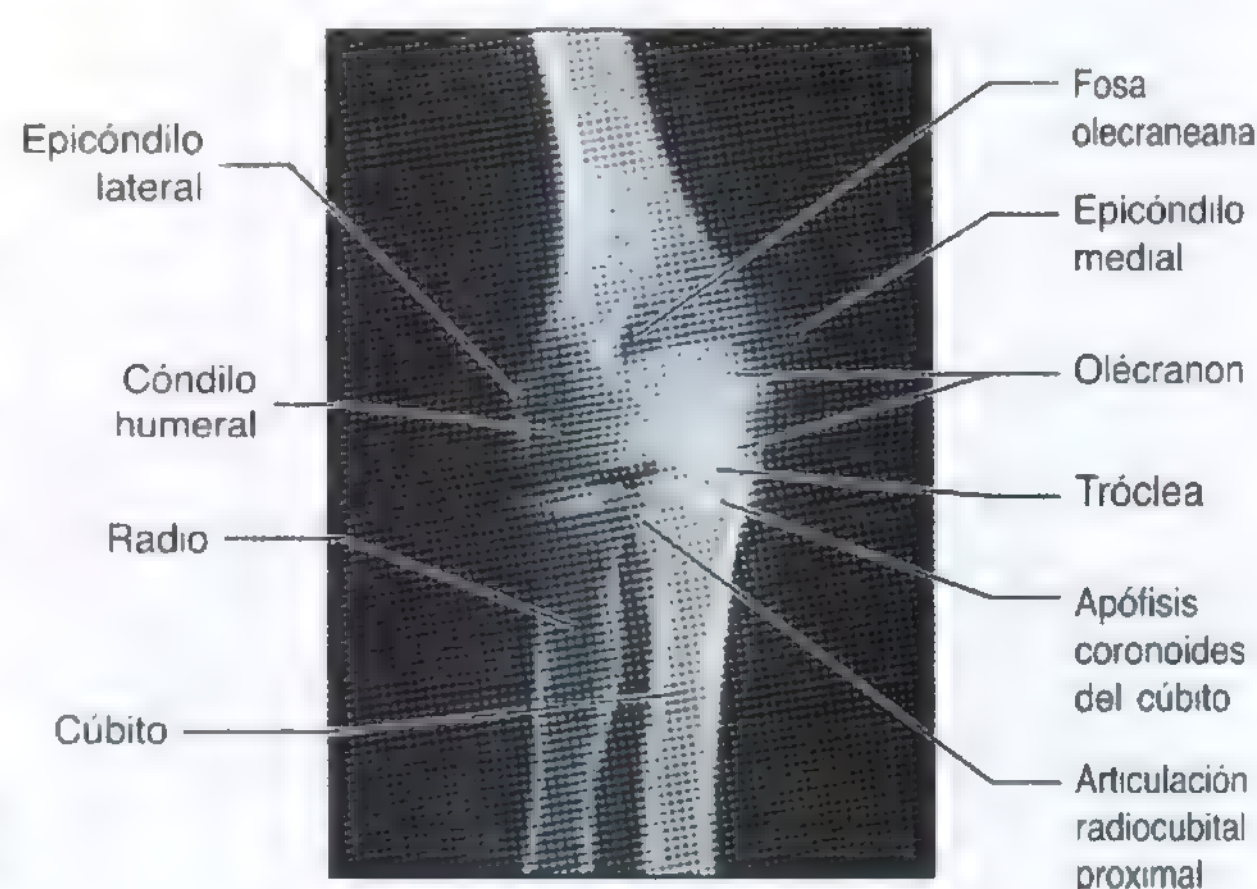
(A) Visión anterior

La cápsula de la articulación del codo

La **cápsula fibrosa** rodea la articulación del codo (fig. 6.66, A y C) y se inserta en el húmero, en los bordes de las extremidades lateral y medial de las caras articulares del cóndilo y de la tróclea. Por la cara anterior y posterior continúa ascendiendo, proximal a las fosas coronoidea y olecraneana. La **membrana sinovial** reviste la cápsula fibrosa y las porciones intercapsulares del húmero y se continúa, por abajo, con la membrana sinovial de la articulación radiocubital superior. La cápsula articular es débil por delante y por detrás, pero está reforzada a cada lado por los ligamentos colaterales.

Los ligamentos de la articulación del codo

Los ligamentos colaterales del codo son bandas triangulares robustas que resultan del engrosamiento medial y lateral de



(B) Visión anteroposterior

Figura 6.66. El codo y la articulación radiocubital proximal. A. Visión anterior de una disección, donde aparecen los huesos, los ligamentos y la cápsula articular del codo. B. Radiografía anteroposterior (AP) del codo extendido.

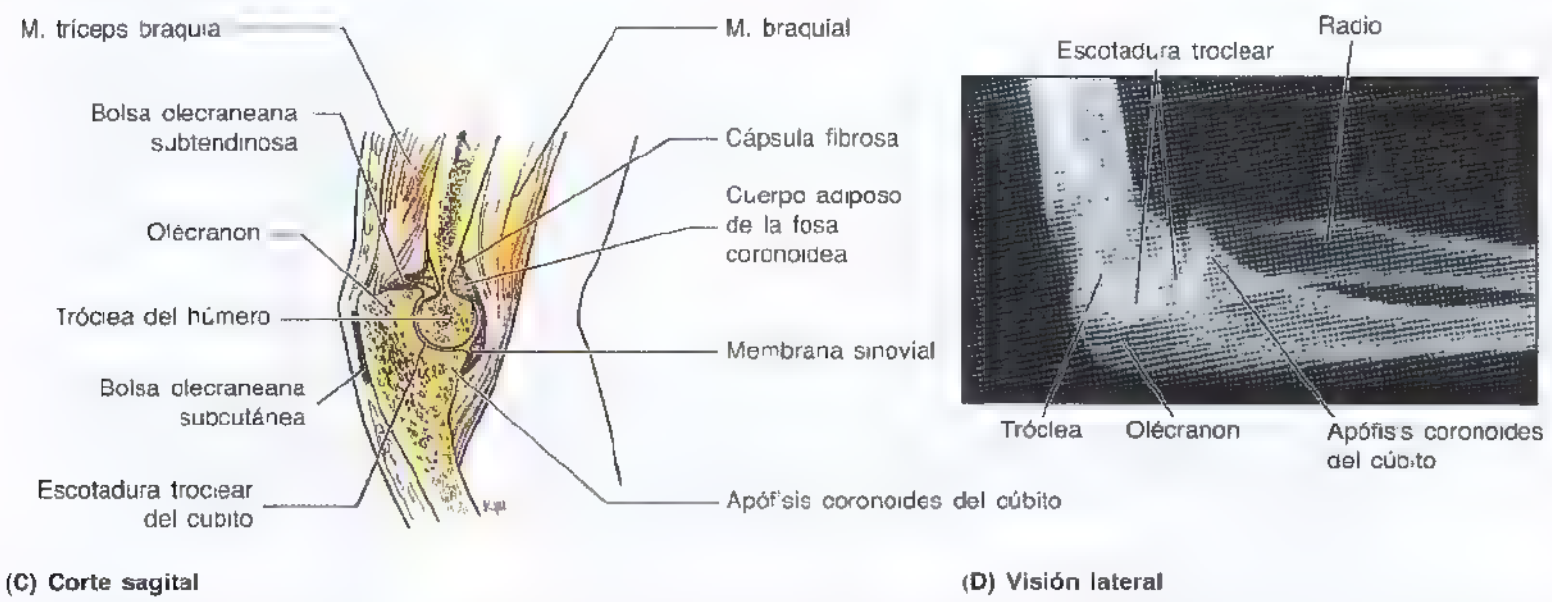


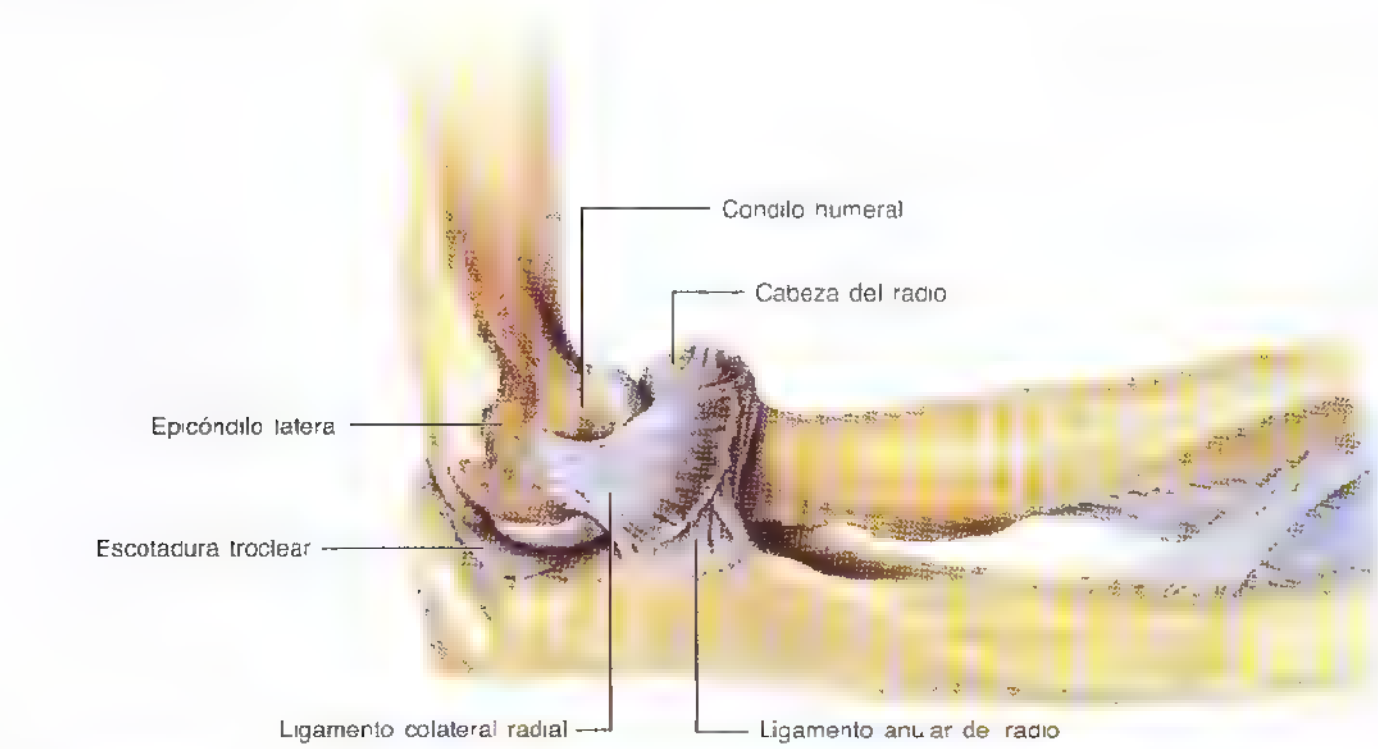
Figura 6.66. (Continuación) **C.** Corte sagital del codo que muestra a capsula fibrosa, a membrana sinovial, a las bolsas olecraneas subtendinosa y subcutanea y la articulacion de cubito. **D.** Radiografía lateral del codo en flexión. (B y D cortesía de Dr. E. Becker, Profesor Ayudante de Imagen Médica, Universidad de Toronto, Toronto, Ontario, Canada.)

la cápsula fibrosa (figs. 6.66A y 6.67). El **ligamento colateral radial**, lateral, en forma de abanico, se extiende desde el epicóndilo lateral del húmero y se mezcla distalmente con el **ligamento anular del radio**, que rodea y sujeta la cabeza del radio en la escotadura radial del cúbito, creando la articulación radiocubital proximal que permite la pronación y supinación del antebrazo. El **ligamento colateral cubital**, medial, triangular, se extiende desde el epicóndilo medial del húmero hasta la apófisis coronoides y el olecranon del cúbito—, se compone de tres fascículos:

- El *fascículo anterior, acordonado*, es el más robusto.
- El *fascículo posterior, a modo de abanico*, es el más débil.
- El *fascículo oblicuo, fino*, ahonda la cavidad para la tróclea del húmero.

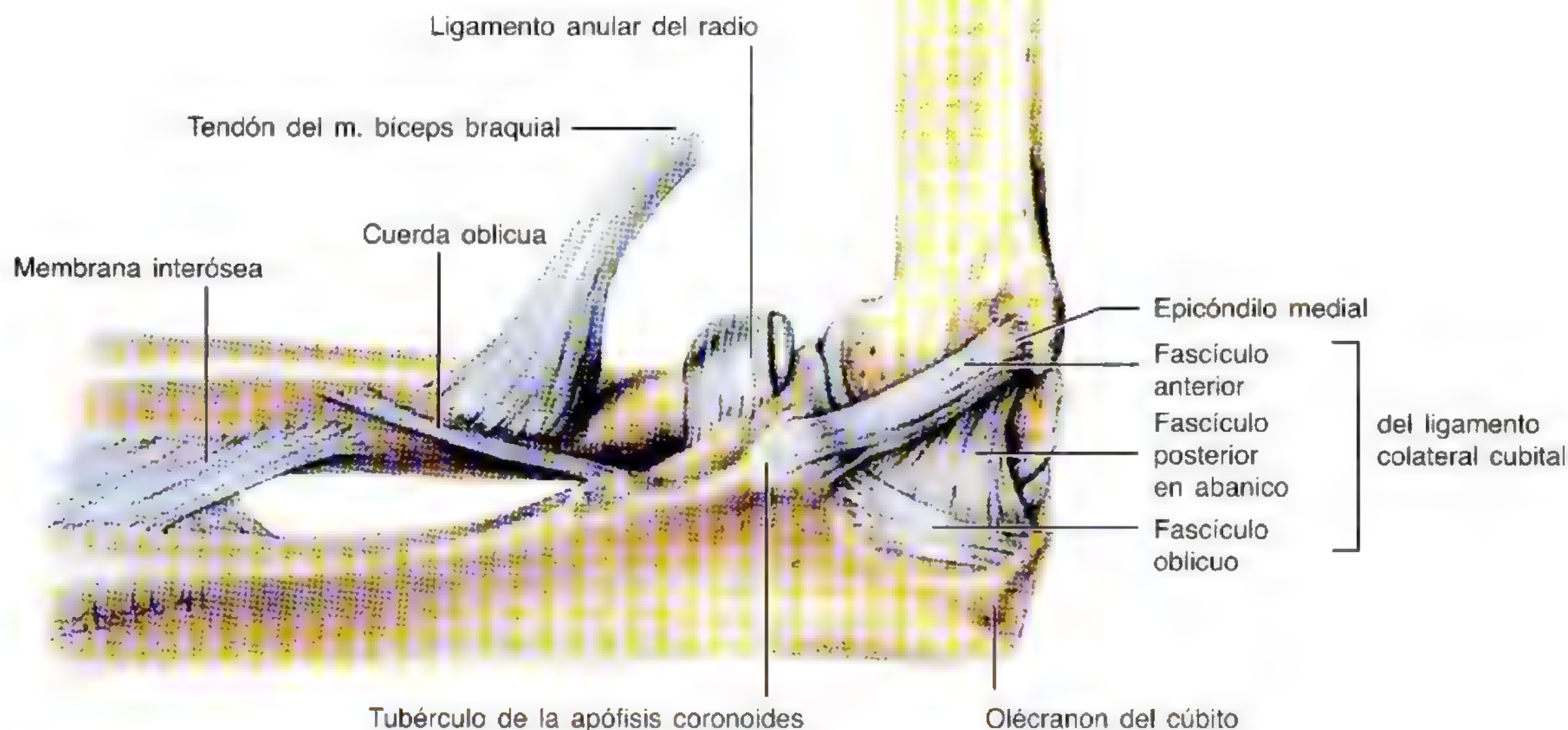
Los movimientos de la articulación del codo

Los movimientos del codo consisten en la flexión y la extensión. El eje longitudinal del cúbito, completamente extendido, forma un ángulo aproximado de 170° con el eje



(A) Visión lateral

Figura 6.67. Ligamentos colaterales del codo. A. Ligamento colateral radial (lateral). El ligamento lateral, en abanico, se inserta en el ligamento anular del radio, pero sus fibras superficiales continúan sobre el cúbito.



(B) Visión medial

Figura 6.67. (Continuación) **B.** Ligamento colateral cubital (medial) La banda anterior, un fascículo redondo y robusto, se tensa con el codo en extensión; la banda posterior, un ligamento débil en abanico, se tensa con la articulación en flexión; las fibras oblicuas simplemente ensanchan la cavidad troclear del húmero.

longitudinal del húmero; este es el **ángulo de transporte** (fig. 6.68). Este ángulo se denomina así por la forma en que el antebrazo se angula alejándose del cuerpo al transportar un objeto, como un cubo de agua. La oblicuidad del cúbito (del ángulo de transporte) resulta más pronunciada (el ángulo se agudiza aproximadamente 10°) en las mujeres con relación a los varones. En posición anatómica, el codo queda a la altura de la cintura pelviana. El ángulo de transporte desaparece cuando se proná el antebrazo.

Los músculos responsables de los movimientos del codo

Varios músculos cruzan el codo y se extienden hasta el antebrazo y la mano:

- *Flexores principales del codo* (fig. 6.69): braquial, bíceps braquial y braquiorradial, en orden de fuerza decreciente, ayudados por el músculo pronador redondo cuando se ofrece resistencia a la flexión.
- *Extensores principales del codo*: tríceps braquial, sobre todo cabeza medial, ayudado por el músculo ancóneo.

Irrigación de la articulación del codo

Las arterias del codo provienen de las anastomosis que rodean la articulación.

Inervación del codo

El codo es inervado por los nervios musculocutáneos, radial y cubital.

Las bolsas de la articulación del codo

Sólo algunas de las bolsas que rodean el codo tienen interés clínico. Las tres **bolsas olecraneanas** (figs. 6.66C y 6.70) son:

- *La bolsa olecraneana intratendinosa*, presente en ocasiones en el tendón del músculo tríceps braquial.

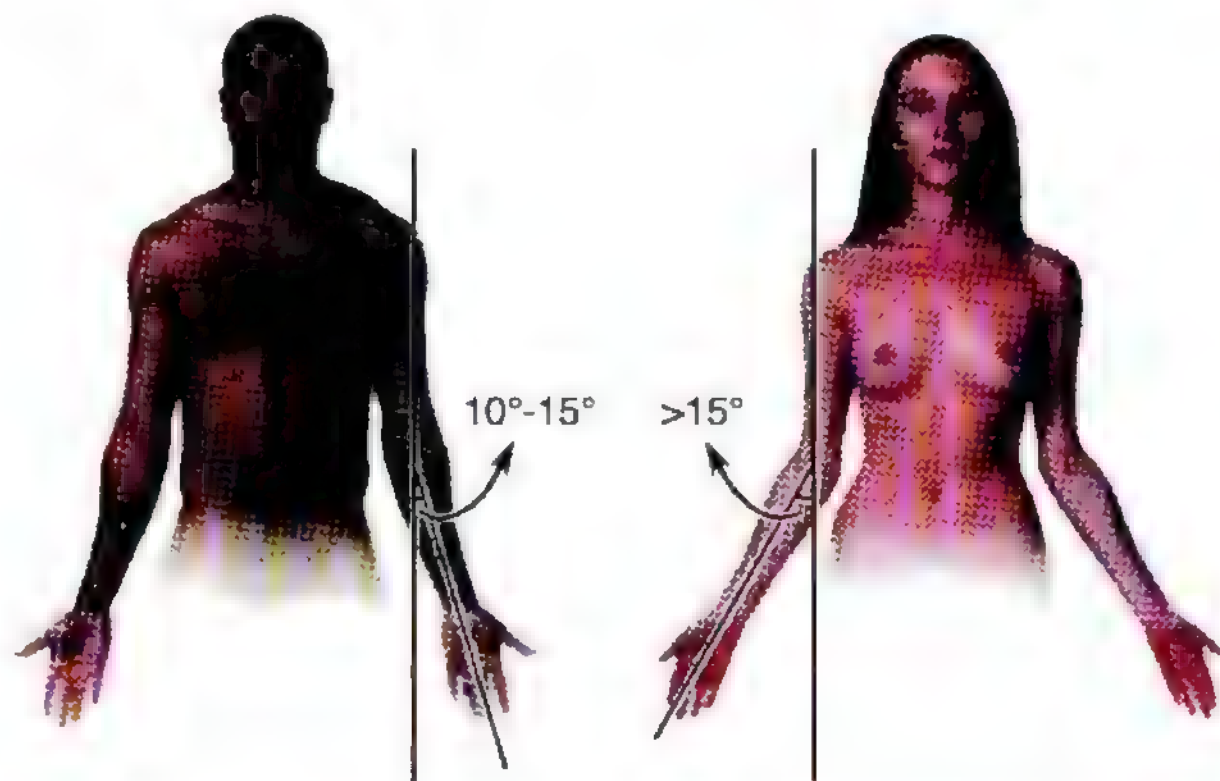


Figura 6.68. **Ángulo de carga de la articulación del codo.** El ángulo de carga es el ángulo creado por los ejes del brazo y del antebrazo en extensión completa y supinación. Obsérvese cómo el antebrazo diverge lateralmente y crea un ángulo que es mayor en la mujer; sin embargo, no existe ninguna diferencia funcional.

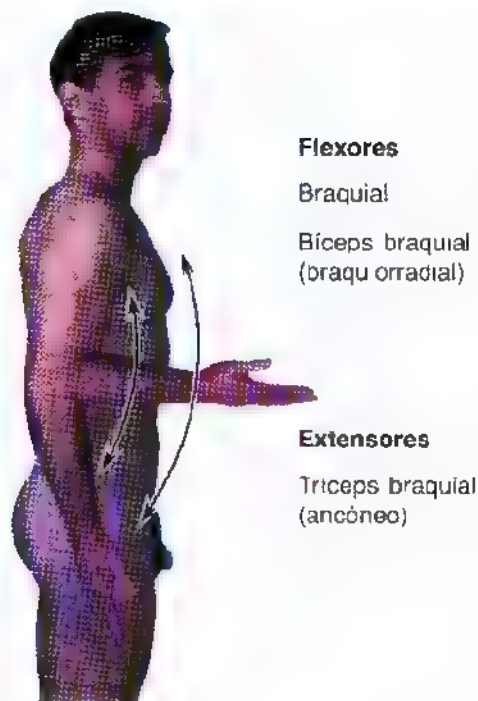


Figura 6.69. Músculos flexores y extensores del codo. Durante la flexión lenta o el mantenimiento de la flexión contra la fuerza de la gravedad intervienen sobre todo los músculos braquial y bíceps braquial. A medida que aumenta la velocidad participa también el músculo braquiorradial. El músculo tríceps braquial es el principal extensor del antebrazo por el codo. El músculo anconeal y la gravedad ayudan al tríceps a extender la articulación del codo.

- La *bolsa olecraneana subtendinosa*, situada entre el olécranon y el tendón tricipital, justo proximal a su inserción en el olécranon.
- La *bolsa olecraneana subcutánea*, situada en el tejido conjuntivo subcutáneo que cubre el olécranon.

La *bolsa radiocubital* se encuentra entre el músculo extensor de los dedos, la articulación radiohumeral y el músculo

Bursitis del codo

La *bolsa olecraneana subcutánea* se expone a las lesiones durante las caídas sobre el codo y a las infecciones en caso de herida de la piel del olécranon. La compresión y fricción exagerada y repetidas, por ejemplo en la lucha libre, pueden inflamar la bolsa y causar una bursitis olecraneana por fricción (p. ej., “codo de estudiante”). Este tipo de bursitis se conoce también como “codo del lanzador de dardos” y “codo del minero”. A veces, la bolsa se infecta y se inflama la zona que la recubre. La *bursitis olecraneana subtendinosa* ocurre muchas menos veces y obedece a una fricción excesiva entre el tendón tricipital y el olécranon, con motivo, por ejemplo, de la flexoextensión repetida del antebrazo durante determinados trabajos en líneas de ensamblaje. El dolor se agudiza con la

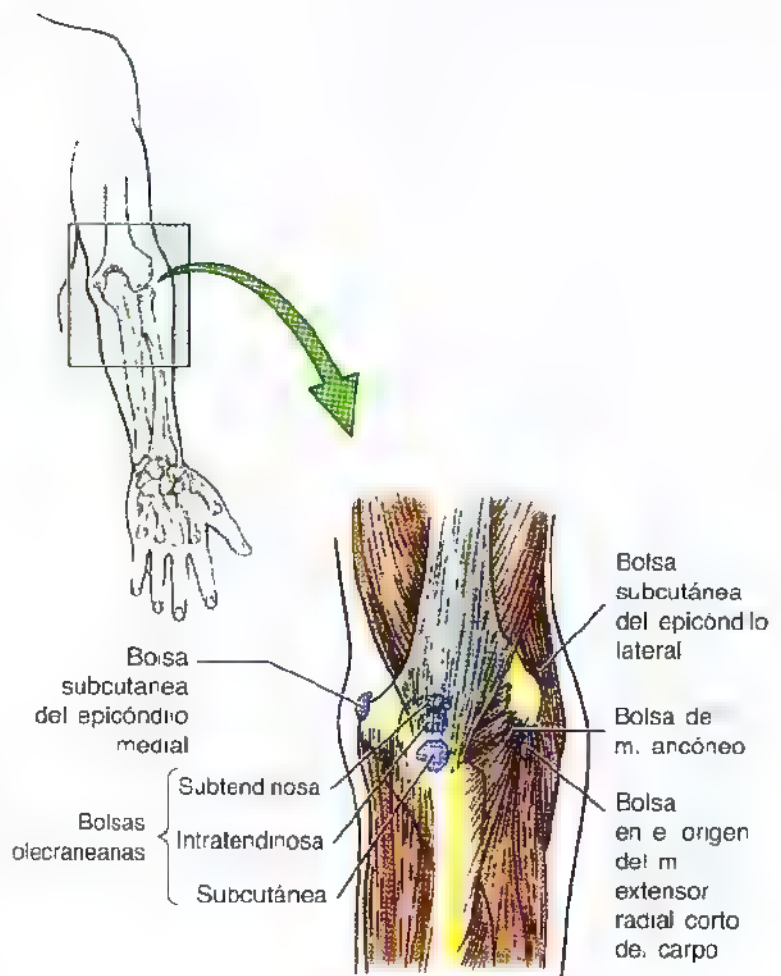
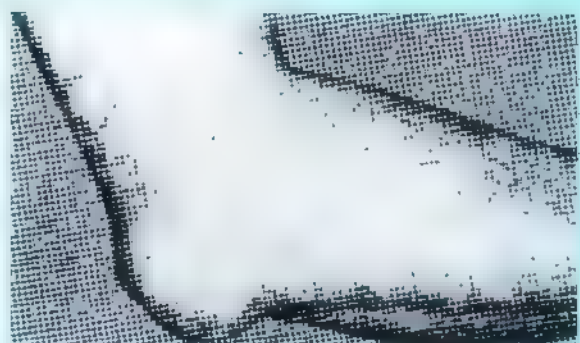


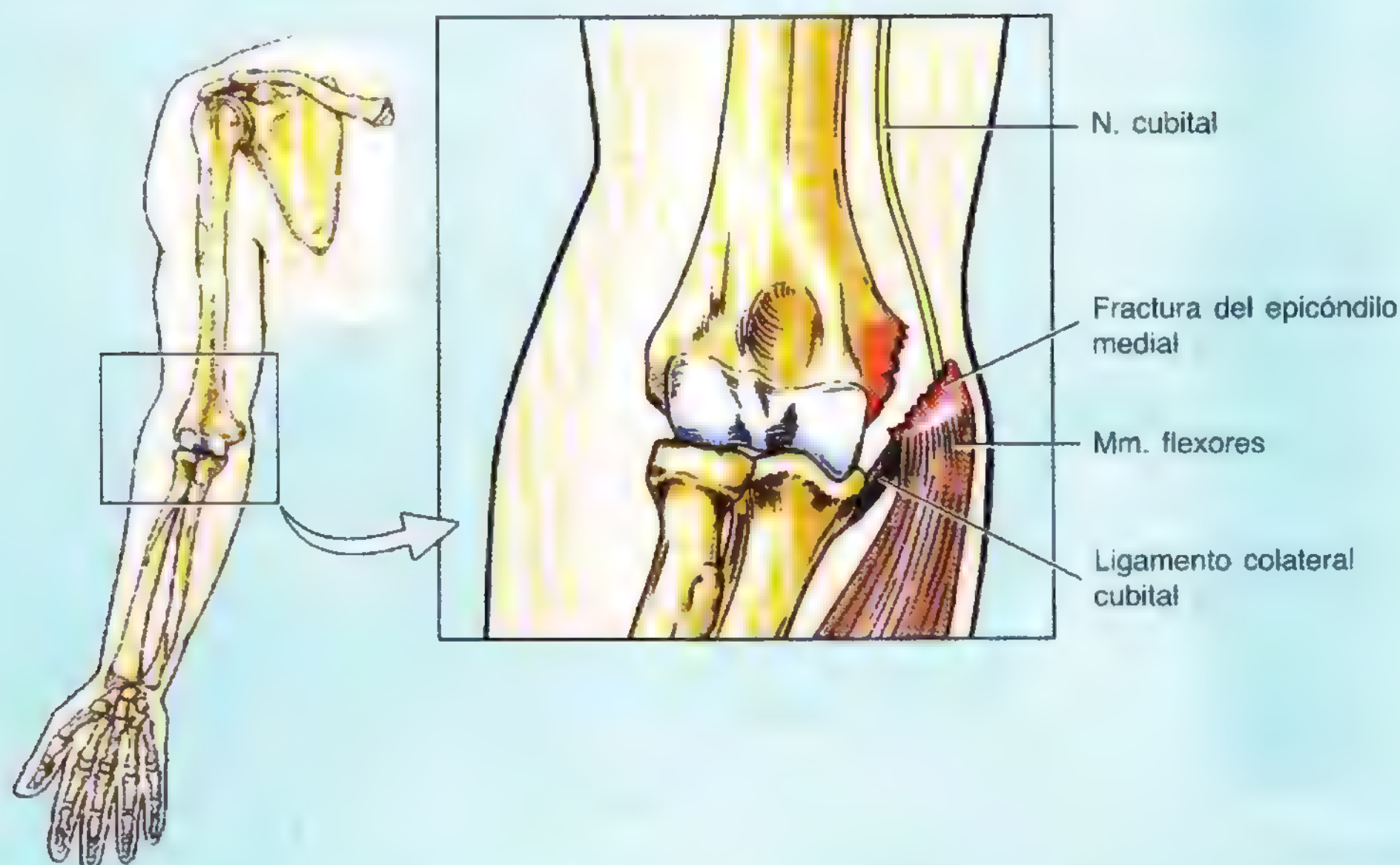
Figura 6.70. Bolsas articulares del codo. El codo está rodeado por varias bolsas. Las bolsas olecraneanas son las más importantes en clínica. El traumatismo de estas bolsas causa, a menudo, una bursitis (inflamación).

supinador. Esta bolsa queda detrás del músculo supinador, lateral al tendón del bíceps medial al cúbito. La *bolsa bicipitorradial* (bolsa bicipital) radica entre el tendón bicipital y la parte anterior de la tuberosidad del radio.

flexión del antebrazo, por la compresión que ejerce el tendón tricipital sobre la bolsa subtendinosa e inflamada del olécranon.

La *bursitis bicipitorradial* provoca dolor cuando se proná el antebrazo, porque se comprime la bolsa ▶





► bicipitorradial contra la mitad anterior de la tuberosidad del radio.

Avulsión del epicóndilo medial

La avulsión del epicóndilo medial de los niños se produce en caídas que causan una separación grave del codo extendido, un movimiento anómalo de esta articulación. La tracción resultante del ligamento colateral del cúbito tira distalmente del epicóndilo medial. La base anatómica de la avulsión del epicóndilo medial reside en que la epífisis de este epicóndilo no se une con la extremidad distal del húmero hasta los 20 años de vida. En general, la fusión se completa radiológicamente a los 14 años en el sexo femenino y a los 16 en el masculino. La *lesión por tracción del nervio cubital* constituye una complicación frecuente de la avulsión por el epicóndilo medial por separación. La base anatómica del estiramiento del nervio cubital se explica por su paso detrás del epicóndilo medial antes de entrar en el antebrazo.

posterior. Con frecuencia se desgarran el ligamento colateral cubital y ocurre una fractura asociada de la cabeza del radio, apófisis coronoides u olécranon del cúbito. También puede dañarse el nervio cubital con acorchamiento en el dedo índice y debilidad para la flexión y separación de la muñeca. ◊



Luxación del codo

La *luxación posterior del codo* puede suceder cuando un niño se cae sobre la mano con el codo flexionado. La luxación del codo obedece a la hiperextensión o a golpes que empujan el cúbito en dirección posterior o posterolateral (Anderson y Hall, 1995). La extremidad distal del húmero es impulsada por la porción anterior débil de la cápsula fibrosa, y el radio y el cúbito sufren una luxación



Figura 6.71. Articulación radiocubital proximal. Se trata de una articulación sinovial de tipo pivote entre la cabeza del radio y la escotadura radial del cúbito. El ligamento anular se inserta en la escotadura radial del cúbito y rodea la articulación creando un collar a rededor de la cabeza de radio.

La articulación radiocubital proximal

La articulación radiocubital proximal (superior) es una articulación sinovial de tipo pivote que permite el movimiento de la cabeza del radio con el cúbito (fig. 6.71).

Componentes de la articulación radiocubital proximal

La cabeza del radio se articula con la escotadura radial del cúbito y queda sujeta por el ligamento anular.

La cápsula de la articulación radiocubital proximal

La **cápsula fibrosa** rodea la articulación y se continúa con la del codo. La **membrana sinovial** reviste la cara profunda de la cápsula fibrosa y las caras no articulares de los huesos. La membrana sinovial es una prolongación inferior de la cápsula sinovial de la articulación del codo.

Los ligamentos de la articulación radiocubital proximal

El **ligamento anular**, que se inserta en el cúbito delante y detrás de la escotadura radial (figs. 6.71 y 6.72), rodea las caras óseas articulares y crea un collar o bucle que, junto con la escotadura radial, configura un anillo que *envuelve por completo la cabeza del radio*. La cara profunda del ligamento

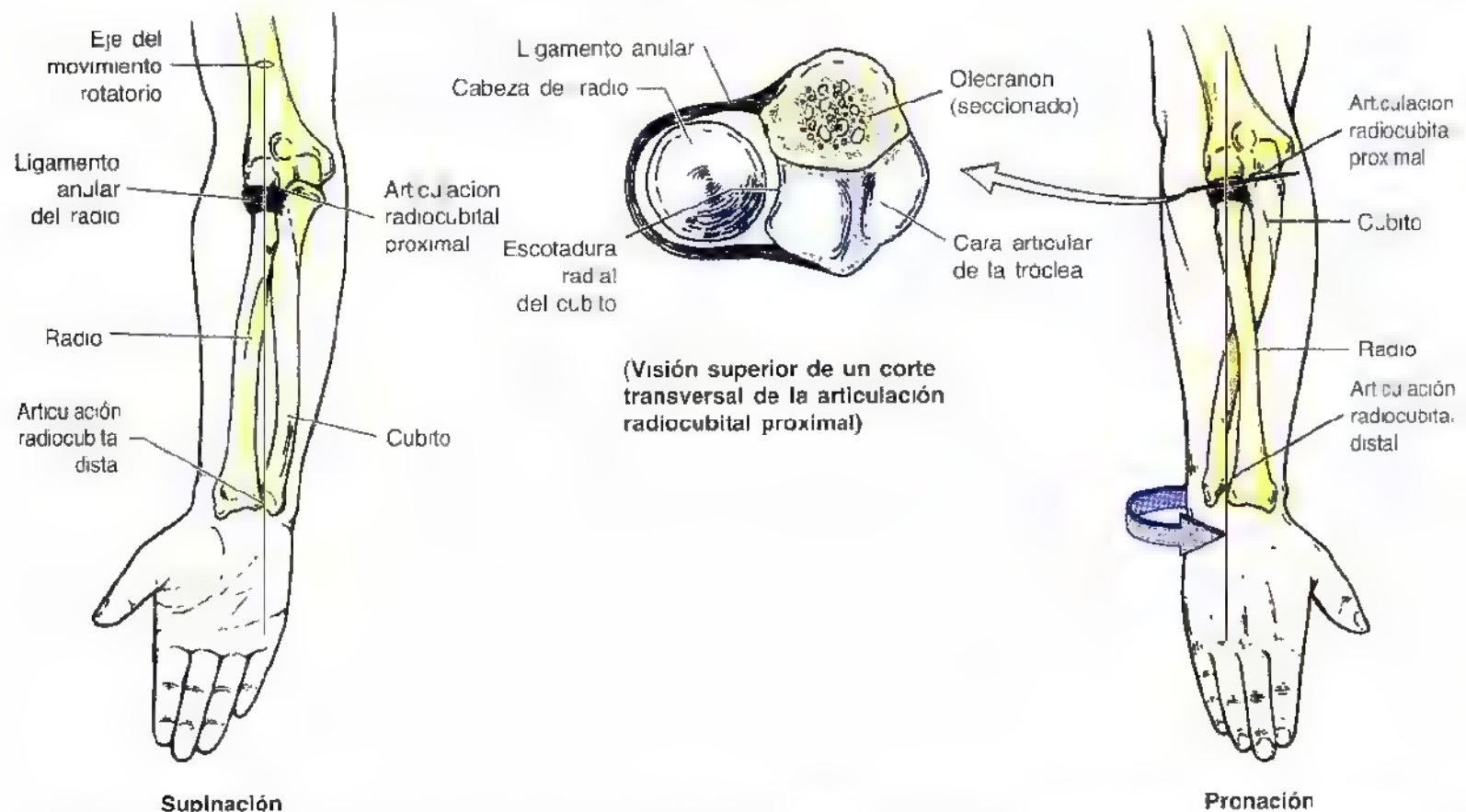
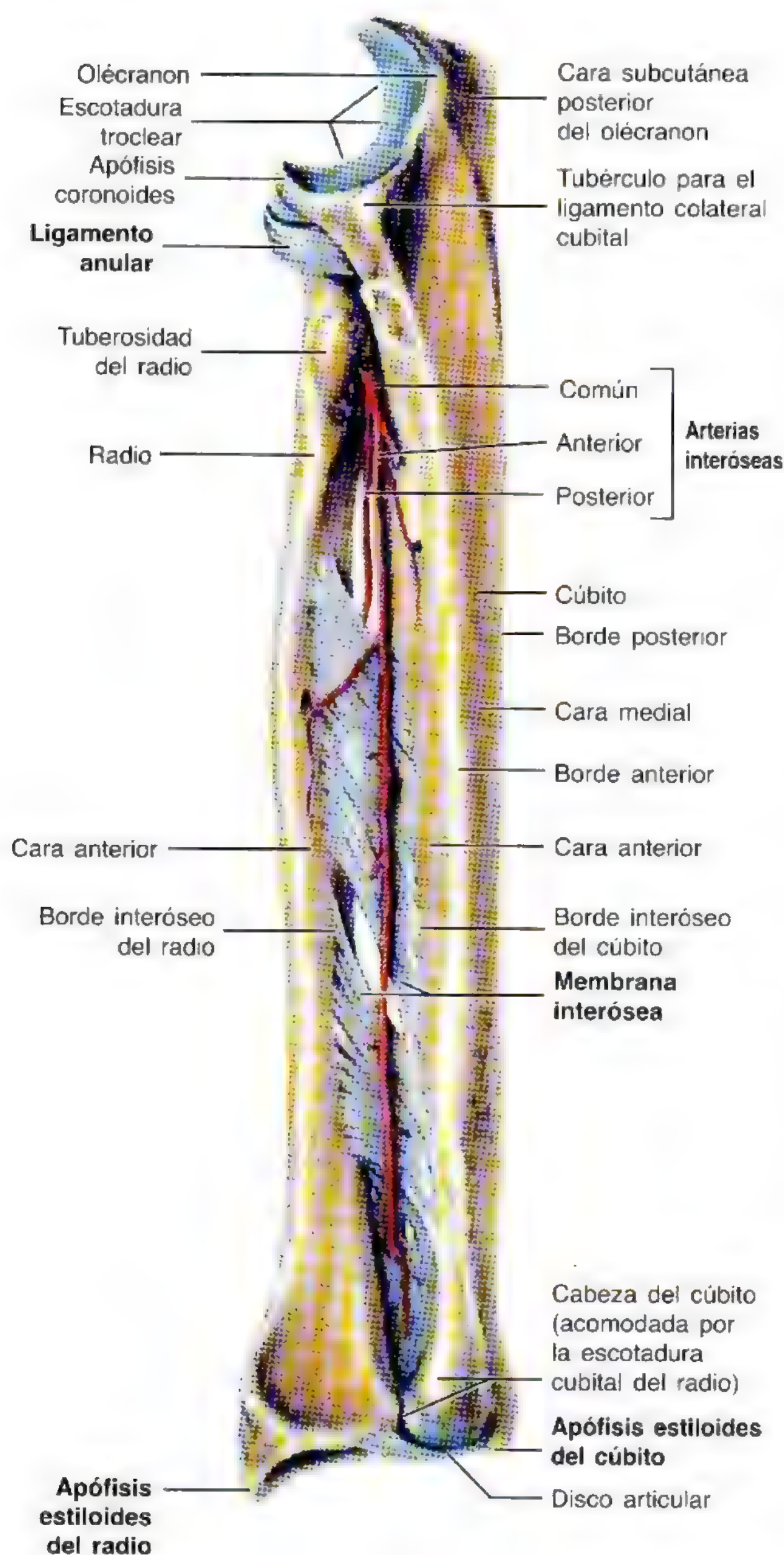


Figura 6.72. Supinación y pronación del antebrazo. La supinación es el movimiento del antebrazo y de la mano con el que el radio rota lateralmente sobre su eje longitudinal de forma que el dorso de la mano mira hacia atrás y la palma hacia adelante. La pronación es el movimiento de antebrazo y de la mano por el que el radio rota medialmente sobre su eje longitudinal de forma que la palma de la mano mira hacia atrás y el dorso, hacia adelante. El grupo central ilustra la rotación de la cabeza del radio sobre la escotadura radial del cúbito.



Visión medial con el radio en "posición de reposo"
(entre la posición de pronación y la de supinación),
de modo que la palma se dirija hacia el organismo

Figura 6.73. Ligamentos radiocubitales y arterias interóseas. Visión medial. El ligamento de la articulación radiocubital proximal es el ligamento anular. El de la articulación radiocubital distal es el disco articular. La membrana interósea comunica los bordes interóseos del radio y del cúbito, dando lugar a la sindesmosis radiocubital. La dirección general de las fibras de la membrana interósea explica por qué un golpe transmitido desde la mano hacia arriba lo recibe el radio y, desde aquí, llega después al cúbito.

anular está tapizada de membrana sinovial, que se prolonga distalmente a modo de *receso sacular* sobre el cuello del radio. Esta disposición permite que el radio rote dentro del ligamento anular sin arrastrar, estirar ni desgarrar la cápsula sinovial.

Los movimientos de la articulación radiocubital proximal

La cabeza del radio gira dentro del anillo formado por el ligamento anular y la escotadura radial del cúbito durante la pronación y la supinación del antebrazo. Con la **supinación**, la mano se torna anterior (o superior si está flexionado el antebrazo). Con la **pronación**, la mano gira hacia atrás (o hacia abajo si está flexionado el antebrazo). El eje de estos movimientos pasa proximalmente por el centro de la cabeza del radio y distalmente por el lugar de inserción del vértice del disco articular ("ligamento triangular") con la cabeza (apófisis estiloides) del cúbito. Durante la pronación y la supinación rota el radio; su cabeza rota dentro del anillo cupuliforme creado por el ligamento anular y la escotadura radial del cúbito. Distalmente, la extremidad del radio rota alrededor de la cabeza del cúbito. Casi siempre la supinación y la pronación se acompañan del movimiento sinérgico de las articulaciones escapulohumeral y del codo, que determinan un movimiento simultáneo del cúbito, salvo que el codo se encuentre flexionado.

Los músculos responsables de los movimientos de la articulación radiocubital proximal

De la supinación se encargan los músculos supinador (si no existe resistencia) y bíceps braquial (cuando se necesita potencia para vencer la resistencia), ayudados en cierta medida por el extensor largo del dedo pulgar y el extensor radial largo del carpo. La pronación depende del músculo pronador cuadrado (el principal) y del pronador redondo (músculo secundario), con cierta ayuda del flexor radial del carpo, palmar largo y braquiorradial (cuando el antebrazo se encuentra en una pronación intermedia).

Irrigación de la articulación radiocubital proximal

Las arterias interóseas anterior y posterior perfunden la articulación radiocubital proximal (fig. 6.73).

Inervación de la articulación radiocubital proximal

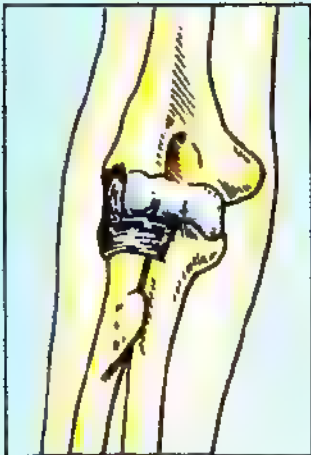
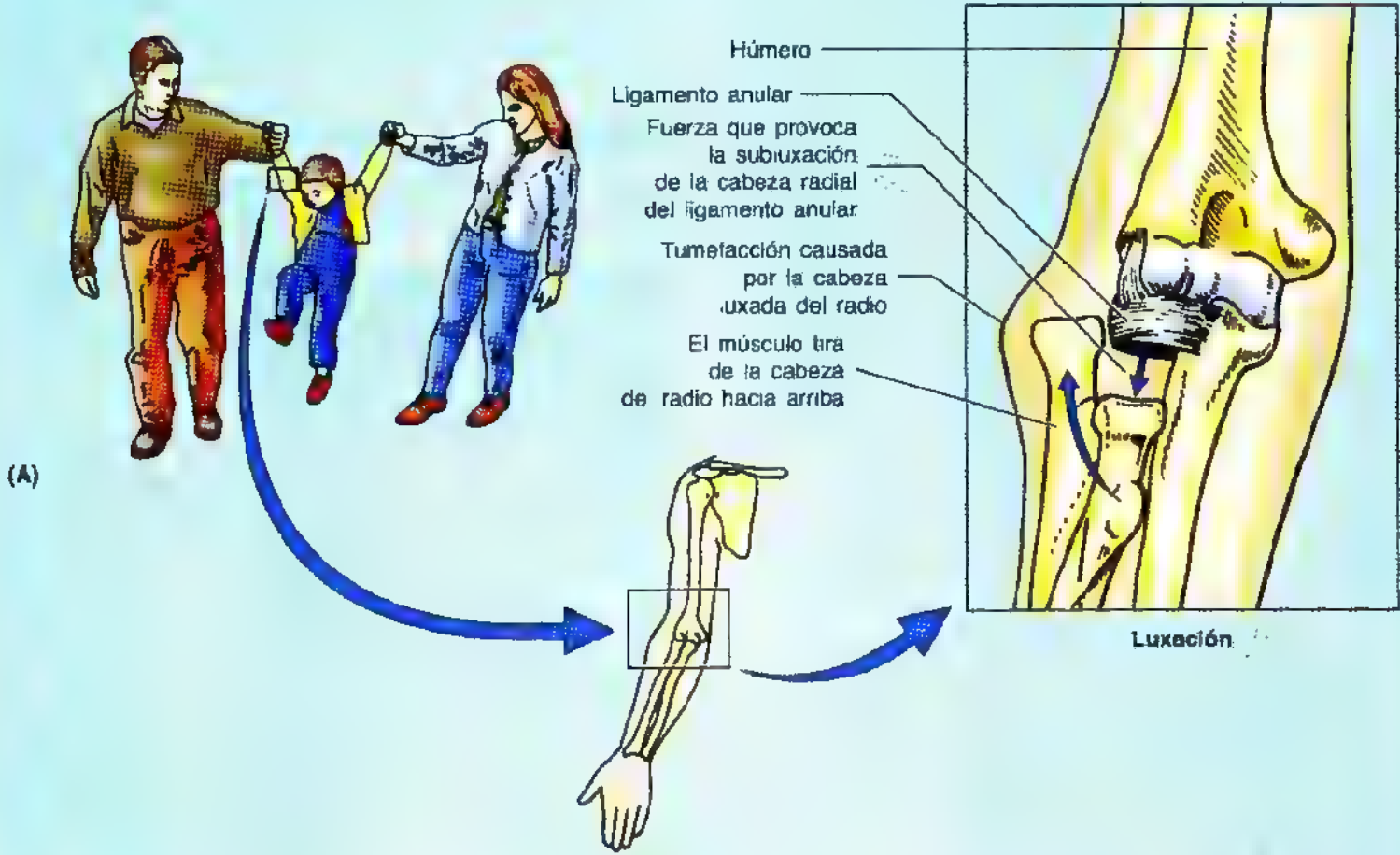
Los nervios musculocutáneo, mediano y radial son los principales responsables de la inervación de la articulación radiocubital proximal. La pronación depende sobre todo del nervio mediano, mientras que la supinación es una función de los nervios musculocutáneo y radial.

Subluxación y luxación de la cabeza radial

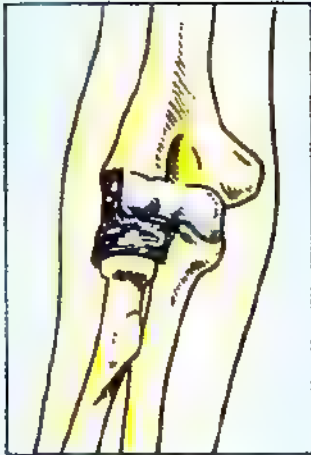
Los preescolares, sobre todo las niñas, pueden padecer una subluxación transitoria (luxación incompleta) ►

► de la cabeza del radio. La historia de estos casos es muy típica. El niño es levantado (en volandas) de forma brusca con el antebrazo pronado (p. ej., para que el niño entre en el autobús). Entonces el niño llora, se resiste a utilizar el miembro y lo mantiene protegido con el codo flexionado y el antebrazo pronado. La tracción súbita del miembro superior desgarrar la inserción distal del ligamento anular, en la zona donde se une de manera laxa al cuello del radio. En ese momento, la cabeza del radio

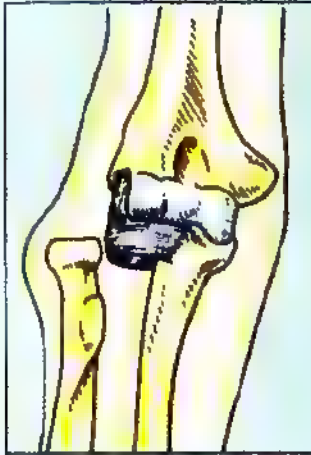
se desplaza distalmente y escapa en parte del ligamento anular desgarrado. La porción proximal del ligamento desgarrado puede quedar atrapada entre la cabeza del radio y el cóndilo humeral. El origen del dolor es el pellizcamiento del ligamento anular. El tratamiento de la subluxación consiste en la supinación del antebrazo del niño con el codo flexionado (Salter, 1998). El desgarro del ligamento anular cura en seguida si se coloca el miembro en cabestrillo durante dos semanas. +



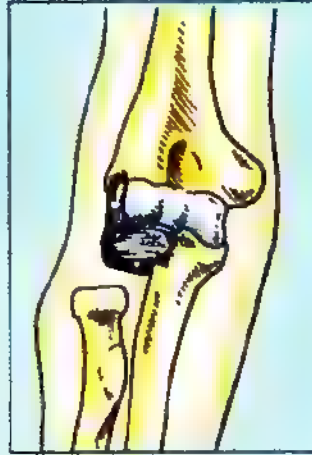
(B) Normal



Subluxación subclínica



Luxación



Subluxación

La articulación radiocubital distal

La articulación radiocubital distal (inferior) es una articulación sinovial de tipo pivote. El radio se mueve alrededor de la extremidad distal del cúbito, relativamente fija.

Componentes de la articulación radiocubital distal

La cabeza redonda del cúbito se articula con la escotadura cubital de la cara medial de la extremidad distal del radio. El **disco articular** ("ligamento triangular") fibrocartilaginoso une entre sí las extremidades del cúbito y del radio y mantiene la estructura articular (figs. 6.74 y 6.75A). La base del disco articular se inserta en el borde medial de la escotadura cubital del radio, y el vértice, en la cara lateral de la base de la apófisis estiloides del cúbito. La cara proximal de este disco triangular se articula con la cara distal de la cabeza del cúbito. Por eso, la cavidad articular tiene forma de L en un corte coronal, donde la barra vertical de la "L" se encuentra entre el radio y el cúbito, y la horizontal, entre el cúbito y el disco articular. El disco articular separa la cavidad de la articulación radiocubital distal de la cavidad de la articulación de la muñeca.

La cápsula de la articulación radiocubital distal

La **cápsula fibrosa** rodea la articulación radiocubital distal, pero tiene un defecto superior. La **membrana sinovial** se extiende por arriba entre el radio y el cúbito para dar el **receso sacciforme**. Esta redundancia de la cápsula sinovial acomoda la cápsula torsionada cuando la extremidad distal del radio se desplaza alrededor de la extremidad distal del cúbito, relativamente fija, durante la pronación del antebrazo.

Los ligamentos de la articulación radiocubital distal

Los ligamentos anterior y posterior refuerzan la cápsula fibrosa de la articulación radiocubital distal. Las bandas transversas, relativamente débiles, se extienden desde el radio hasta el cúbito por las caras anterior y posterior de la articulación.

Los movimientos de la articulación radiocubital distal

La extremidad distal del radio se mueve hacia delante y medialmente, cruzándose por delante del radio, durante la pronación y la supinación del antebrazo y de la mano.

Músculos de la articulación radiocubital distal

Los músculos responsables del movimiento de la articulación radiocubital distal se exponen con los de la articulación radiocubital proximal.

Irrigación de la articulación radiocubital distal

Las *arterias interóseas* anterior y posterior perfunden la articulación radiocubital distal (fig. 6.73).

Inervación de la articulación radiocubital distal

Los *nervios interóseos* anterior y posterior inervan la articulación radiocubital distal.

La articulación de la muñeca

La articulación de la muñeca (radiocarpiana) es una articulación sinovial de tipo condíleo. La posición de la articulación está marcada por una línea que une las apófisis estiloides del radio y del cúbito (fig. 6.74, A y B).

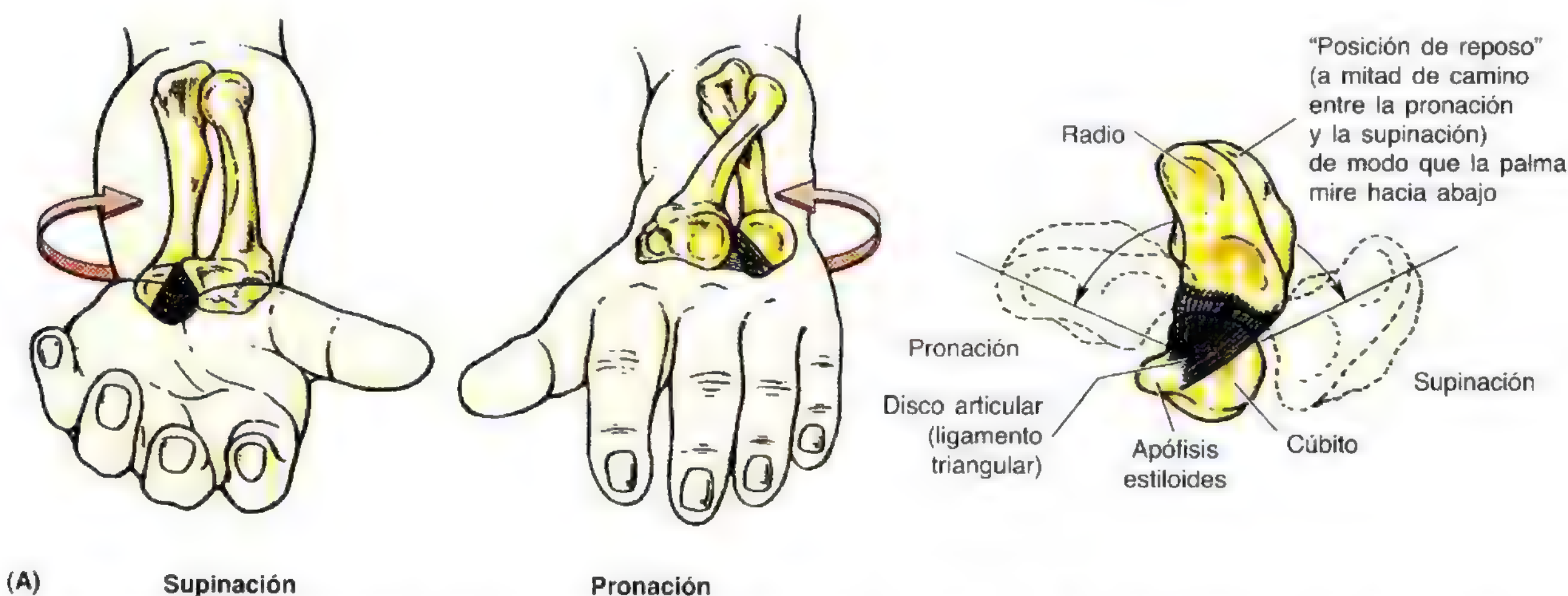
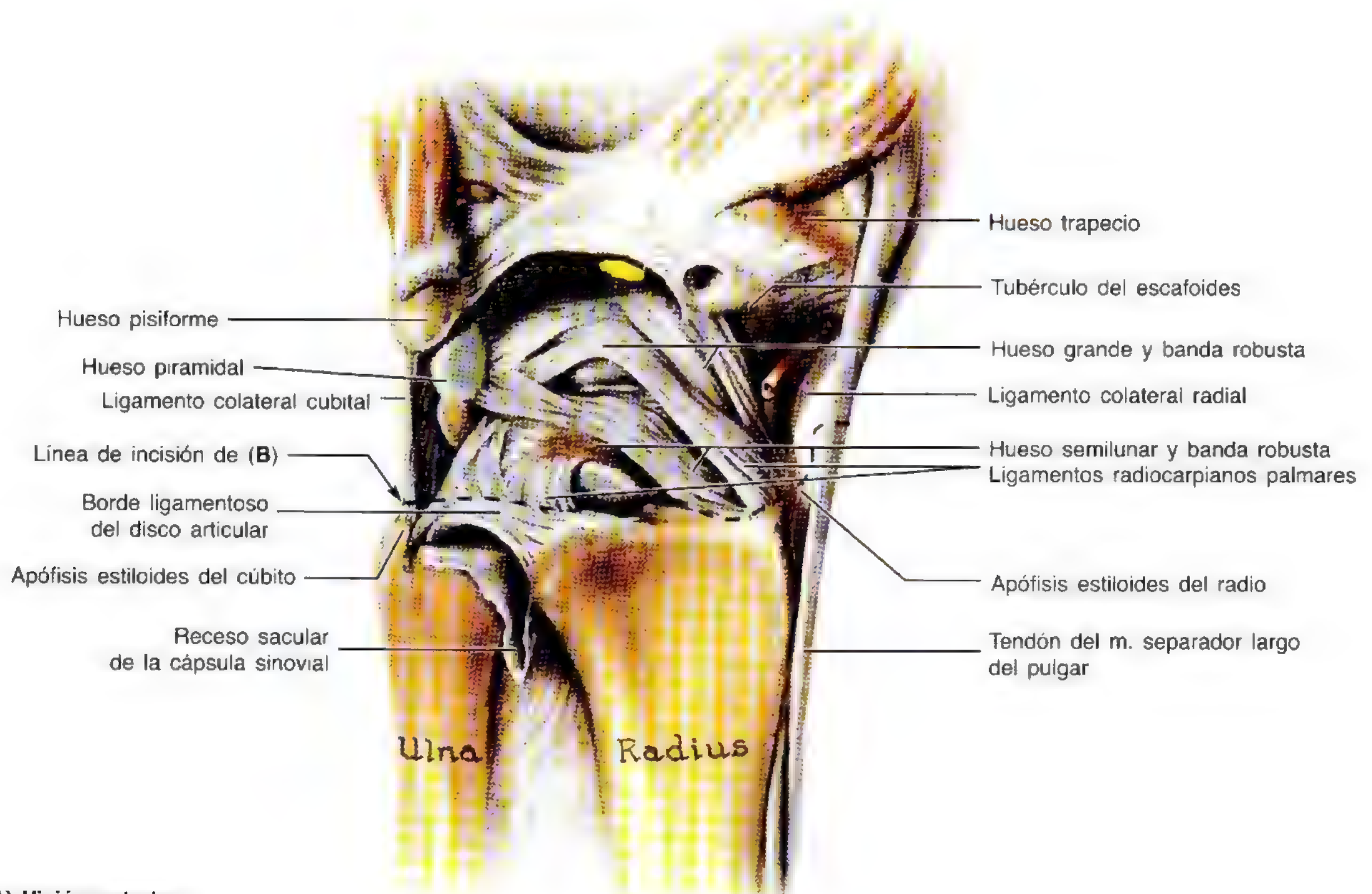
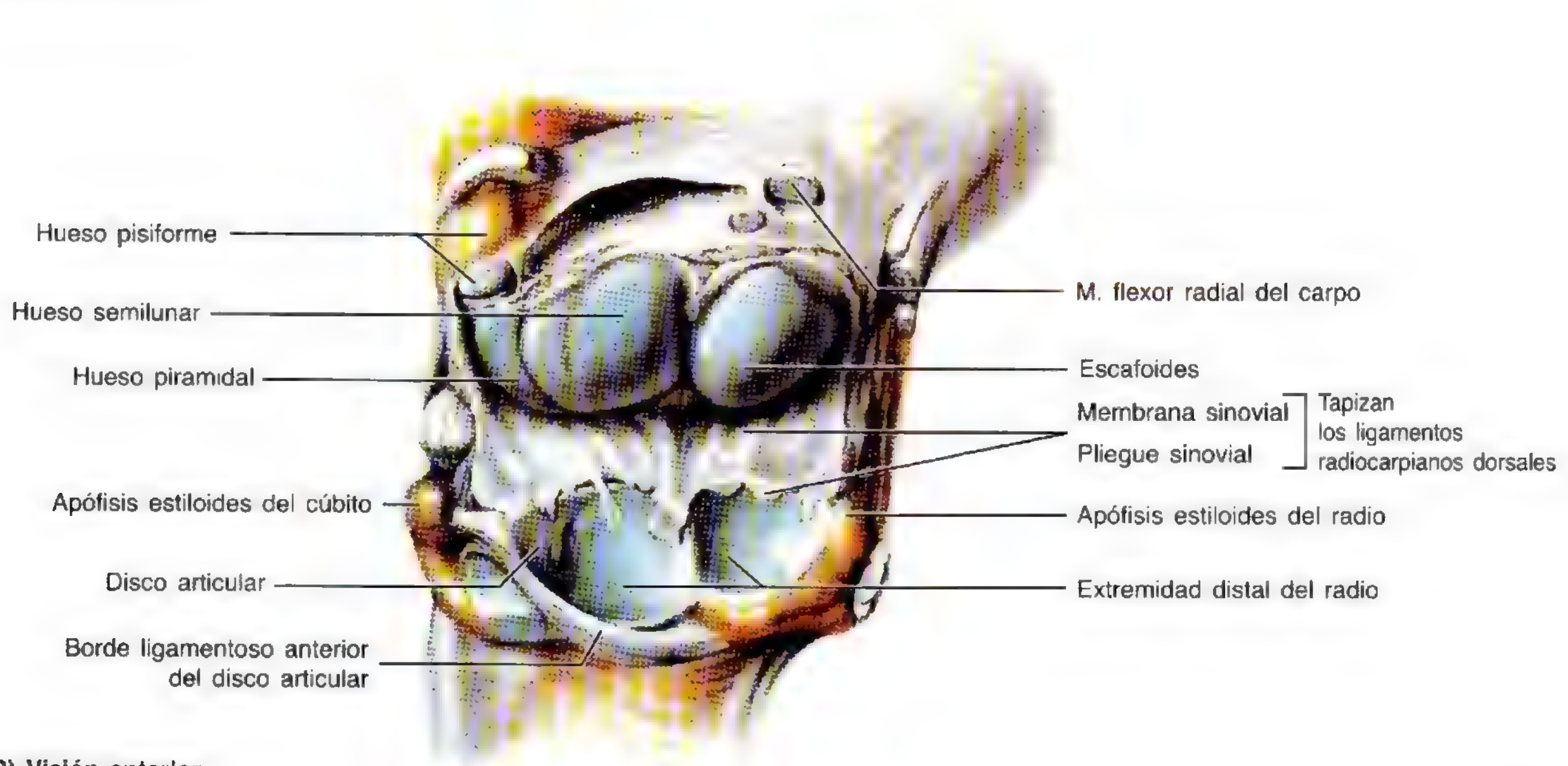


Figura 6.74. Movimientos de la articulación radiocubital distal y de las articulaciones de la muñeca y de la mano. A. La articulación radiocubital distal es una articulación sinovial de tipo pivote entre la cabeza del cúbito y la escotadura cubital del radio. La extremidad inferior del radio se mueve sobre el extremo, relativamente fijo, del cúbito durante la supinación y la pronación de la mano. Los dos huesos están íntimamente unidos en la porción distal por el disco articular, que se conoce en clínica como "ligamento triangular" de la articulación radiocubital distal. Posee una amplia inserción en el radio, pero una inserción estrecha en la apófisis estiloides del radio, que sirve como lugar de pivote para la rotación.

Figura 6.74. (Continuación) **B.** Radiografía de la muñeca y de la mano. Nótese que el disco articular radiotransparente determina un "espacio articular" ancho en la extremidad distal de cubito. (Cortesía del Dr. E. L. Lansdown, Profesor del Departamento de Imagen Médica, Universidad de Toronto, Toronto, Ontario, Canadá.) **C.** Corte coronal de la muñeca y de la mano derechas. Obsérvense las articulaciones radiocubital distal, de la muñeca, intercarpiana, carpometacarpiana e intermetacarpiana. Advértase cómo las cavidades de las articulaciones radiocubital distal y de la muñeca quedan separadas por el disco articular de la articulación radiocubital distal, aunque parezcan continuarse en las proyecciones radiológicas de **(B)** y **(D)**. **D.** RM coronal de la muñeca y de la mano (Cortesía del Dr. W. Kucharczyk, Jefe del Departamento de Imagen Médica y Director Clínico del Centro Hospitalario de Resonancia Magnética, Toronto, Ontario, Canadá.)



(A) Visión anterior



(B) Visión anterior

Figura 6.75. Caras articulares de la articulación radiocarpiana (muñeca). **A.** Ligamentos de las articulaciones radiocubital distal, radiocarpiana e intercarpiana. Se ha extendido la mano de manera forzada, pero la articulación permanece intacta. Obsérvense los ligamentos radiocarpianos anterior o palmar, que se extienden desde el radio hasta las dos hileras de los huesos del carpo. Estos poderosos ligamentos se orientan de manera que la mano pueda seguir al radio durante la supinación. **B.** Se ha abierto la articulación por la cara anterior; los ligamentos radiocarpianos dorsales actúan como bisagra. Nótese las caras articulares proximales casi equivalentes de los huesos escafoides y semilunar, y cómo el hueso semilunar se articula con el radio y el disco articular. El hueso piramidal se articula con el disco sólo durante la aproximación de la muñeca.

lares por la articulación mediocarpiana entre las hileras proximal y distal de los huesos del carpo. La aproximación de la mano excede la separación. Casi toda la aproximación tiene lugar en la articulación de la muñeca. La separación de la posición neutra ocurre por la articulación mediocarpiana. La circunducción de la mano consiste en la flexión, aproximación, extensión y separación sucesivas.

Músculos de la articulación de la muñeca

- *La flexión de la muñeca* depende de los músculos flexor radial del carpo y flexor cubital del carpo, con ayuda de los flexores de los dedos y del pulgar, del palmar largo y del separador largo del pulgar.
- *La extensión de la muñeca* la realizan los músculos extensores radiales largo y corto del carpo y el extensor cubital del carpo, con ayuda de los extensores de los dedos y del pulgar.
- *La separación de la muñeca* depende del separador largo del pulgar, el flexor radial del carpo y los extensores radiales largo y corto del carpo; la separación queda limitada a unos 15° por la apófisis estiloides del radio, que sobresale.
- *La aproximación de la muñeca* depende de la contracción simultánea de los músculos extensor y flexor cubital del carpo.

Irrigación de la articulación de la muñeca

Las arterias que perfunden la muñeca son ramas de las arterias dorsal y palmar del carpo.

Inervación de la muñeca

Los nervios para la articulación de la muñeca provienen del ramo interóseo anterior del *nervio mediano*, el ramo interóseo posterior del *nervio radial* y los ramos dorsal y profundo del *nervio cubital*.

Fracturas de la muñeca

La fractura de la extremidad distal del radio (*fractura de Colles*), la más común en personas mayores de 50 años, se expone en la página 687. La *fractura del radio de Smith*, mucho más rara, afecta casi siempre a hombres jóvenes. La fractura transversa se produce por caídas o golpes sobre la cara dorsal de la muñeca flexionada y determina una angulación ventral de la muñeca. La *fractura del escafoide* es bastante frecuente en adultos jóvenes, sobre todo varones. Esta lesión suele deberse a caídas con la mano abierta y la muñeca extendida y separada. Como la vascularización del escafoide

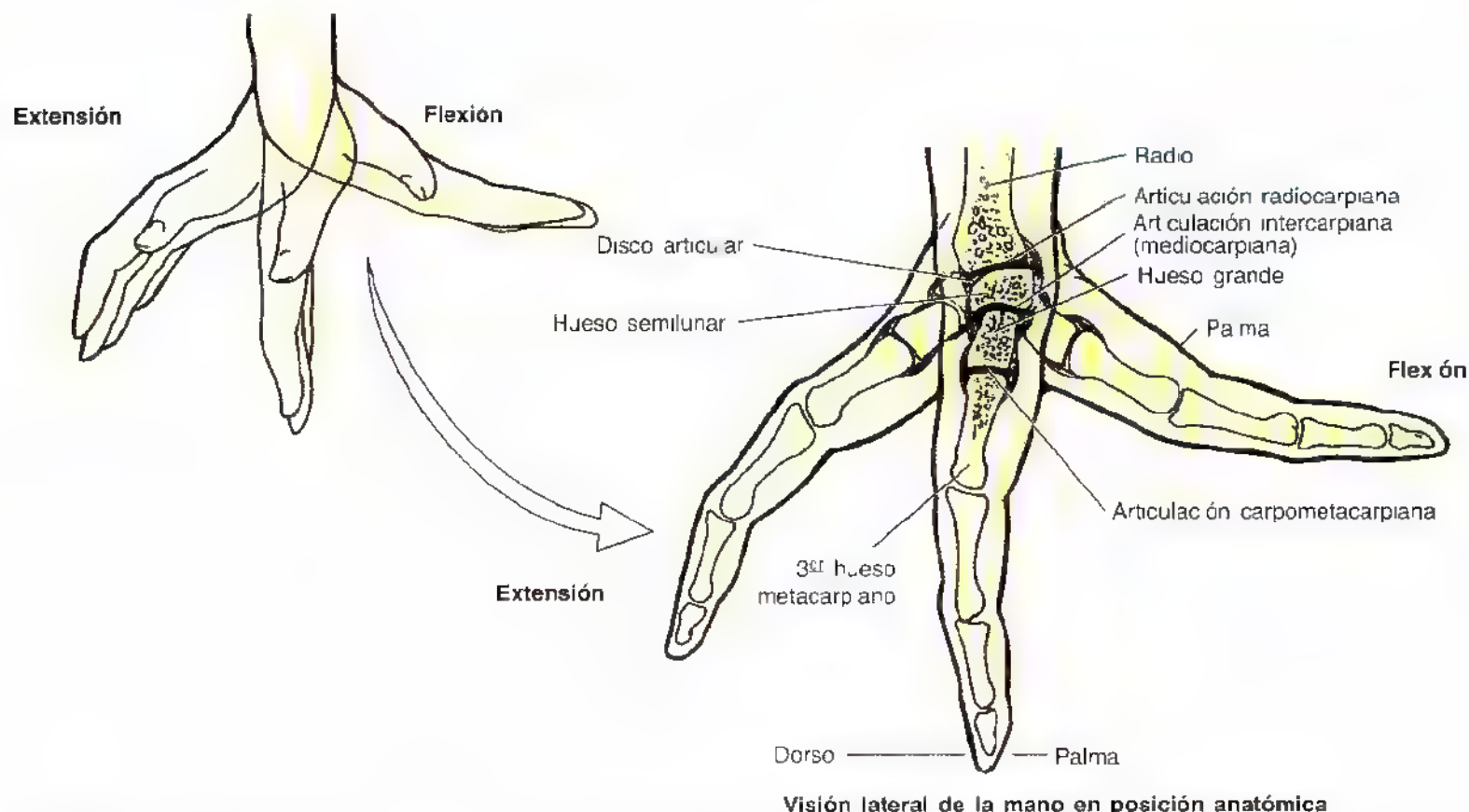


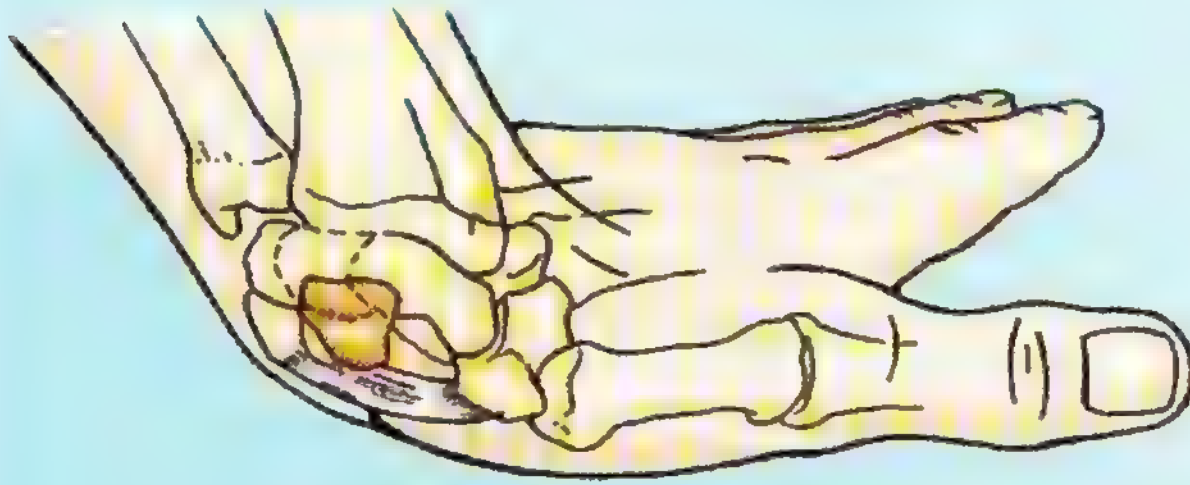
Figura 6.76. Corte sagital de la muñeca y de la mano durante la extensión y la flexión. Obsérvense las articulaciones radiocarpiana, intercarpiana (mediocarpiana) y carpometacarpiana. Casi todo el movimiento sucede en la articulación radiocarpiana y se produce un movimiento adicional en la articulación mediocarpiana durante la flexión y extensión completas. Las articulaciones carpometacarpianas del 2º y 3º dedos apenas pueden flexionarse o extenderse. La de 4º dedo es sumamente móvil y la del 5º, mas aún; la flexión es considerable cuando se cierra el puño (pág. 778).

► Es muy precaria, la consolidación de la fractura tarda mucho, como mínimo tres meses (Salter, 1998).

La *luxación anterior del hueso semilunar* representa una lesión poco común, que obedece de ordinario a una caída con la muñeca en dorsiflexión. El hueso semilunar es desplazado de su sitio en el suelo del túnel del carpo y se

dirige a la cara palmar de la muñeca. Con su desplazamiento, este hueso comprime a veces el nervio mediano y provoca un *síndrome del túnel del carpo* (ya comentado). Dada su vascularización tan pobre, puede ocurrir una *nerosis avascular del hueso semilunar*. En ocasiones hay que extirpar este hueso. La fusión quirúrgica de los huesos del carpo (*artrodesis*) se requiere a veces para aliviar el dolor tan intenso en la *artropatía degenerativa de la muñeca*.

La *fractura con separación de la epífisis distal del radio* se ve en los niños debido a las caídas frecuentes, en que la fuerza del golpe se transmite de la mano al radio. En la radiografía lateral de la muñeca infantil se aprecia un desplazamiento dorsal de la epífisis distal del radio (B). Asimismo puede verse (con dificultad) una pequeña fractura del cuerpo del radio. Si la epífisis se encuentra en posición normal durante la reducción, el pronóstico sobre el crecimiento óseo es favorable. ➔



(A) Epífisis de la extremidad distal del radio (R). La flecha indica la placa epifisaria.



(B) Desplazamiento de la epífisis

Las articulaciones intercarpianas

Las articulaciones intercarpianas que conectan los huesos del carpo son articulaciones sinoviales planas (fig. 6.74, B-D), que se pueden resumir así:

- Articulaciones entre los huesos del carpo de la hilera proximal.
- Articulaciones entre los huesos del carpo de la hilera distal.
- Existe una articulación compleja –la *mediocarpiana*– entre las hileras proximal y distal de los huesos del carpo.

- El hueso pisiforme se articula con la cara palmar del piramidal creando una pequeña articulación, la *articulación pisipiramidal*.

La cápsula de las articulaciones intercarpianas

Las articulaciones intercarpianas y carpometacarpianas crean una cavidad articular continua y común, con excepción de la articulación carpometacarpiana del pulgar, que es independiente. La articulación de la muñeca también lo es. La continuidad de las cavidades articulares –o la falta de continuidad– tiene interés en relación con la

extensión de las infecciones y también con la artroscopia, procedimiento en el que se introduce un tubo flexible de fibra óptica para ver las caras internas y los rasgos de la cavidad articular. La **cápsula fibrosa** rodea estas articulaciones y ayuda a mantener los huesos del carpo unidos. La **membrana sinovial** tapiza la cápsula fibrosa y se in-

serta en los bordes de las caras articulares de los huesos del carpo.

Los ligamentos de las articulaciones intercarpianas

Los huesos del carpo están unidos por los ligamentos anterior, posterior e interseo (figs. 6.75 y 6.77A).

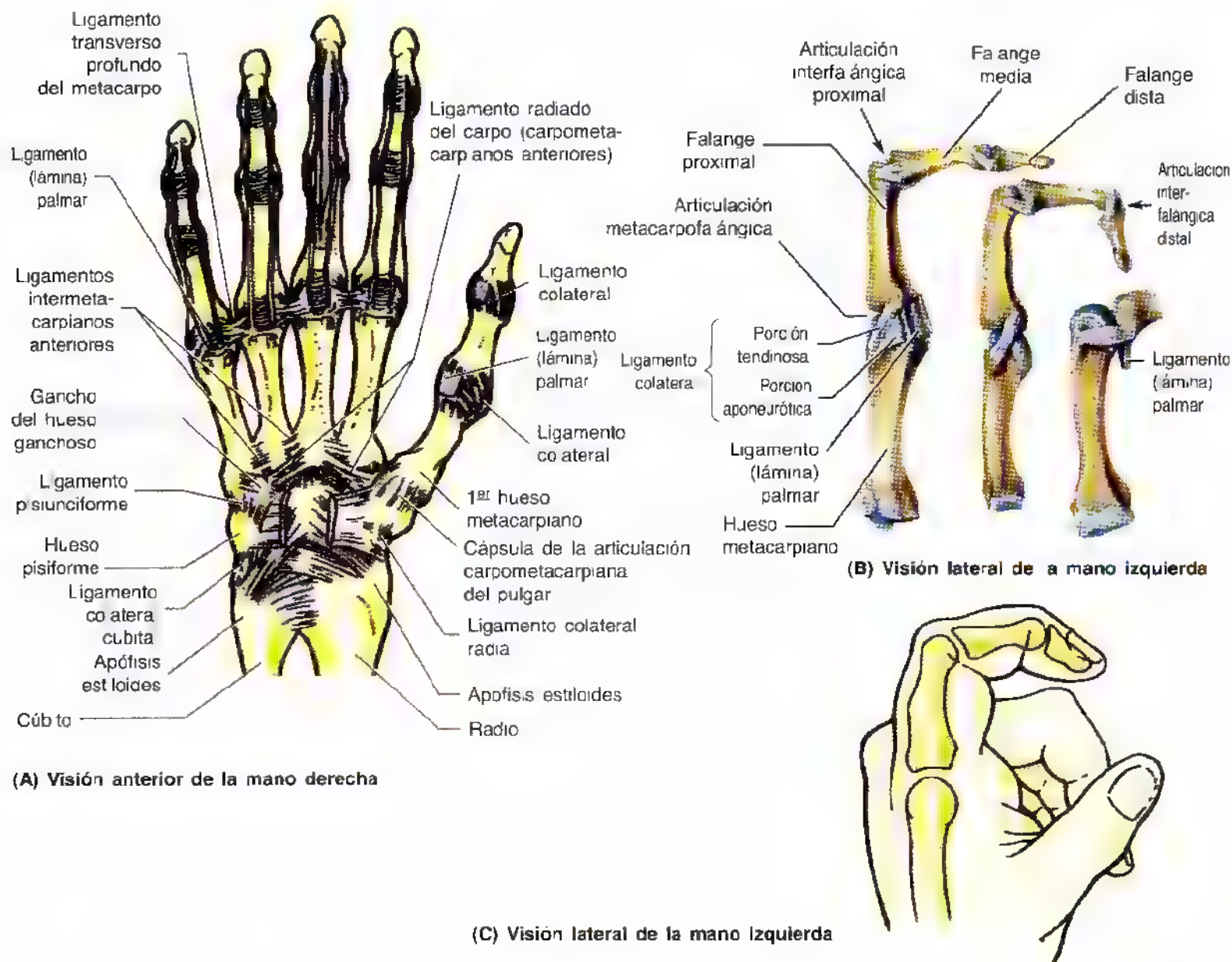


Figura 6.77. Las articulaciones del carpo y de los dedos. **A.** Visión anterior (palmar) de la extremidad distal de antebrazo y de la mano derecha donde aparecen los ligamentos palmares de las articulaciones radiocubital, radiocarpiana, intercarpiana, carpometacarpiana e interfalángica. **B.** Visión lateral de las articulaciones metacarpofalángica e interfalángica izquierdas. Se observa el ligamento palmar (lámina fibrocartilaginosa), una modificación de la cara anterior de la cápsula articular metacarpofalángica, que se inserta distalmente en la base de la falange proximal. Queda fija a la cabeza del metacarpiano por la porción aponeurótica más débil del ligamento colateral y se mueve como una visera a través de la cabeza metacarpiana. Es cóncava por delante e incluye cartílago, que facilita el paso de los tendones flexores largos suprayacentes. Se advierten asimismo, las porciones tendinosas, extraordinariamente fuertes, de los ligamentos colaterales de esta articulación que se insertan de manera excéntrica en las cabezas de los metacarpianos: durante la extensión se relajan y durante la flexión se tensan. Por eso los dedos generalmente no se pueden abrir (separar) cuando las articulaciones metacarpofalángicas están completamente flexionadas (es decir, cuando la mano no está abierta). Nótese que las articulaciones interfalángicas disponen de los ligamentos correspondientes, pero que los extremos distales de las falanges proximal y media, apalanados en sentido anteroposterior con dos pequeños cóndilos, no permiten la aproximación ni la separación. **C.** Visión lateral de un dibujo de dedo índice izquierdo flexionado para mostrar sus falanges (huesos) y la posición de las articulaciones metacarpofalángica e interfalángica. Nótese cómo los nudillos los forman las cabezas de los huesos y cómo el plano articular se sitúa distalmente

Movimientos de las articulaciones intercarpianas

Entre los huesos del carpo cabe cierto movimiento deslizante. El movimiento de las articulaciones intercarpianas aumenta los de la muñeca e incrementa el arco de movimiento. La *articulación mediocarpiana* —entre las hileras proximal y distal de los huesos del carpo— interviene sobre todo en la flexión y en la separación de la mano (figs. 6.74A y 6.76).

Irrigación de las articulaciones intercarpianas

Las arterias de las articulaciones intercarpianas provienen de los arcos dorsal y palmar del carpo.

Inervación de las articulaciones intercarpianas

El ramo interóseo anterior del *nervio mediano* y los ramos dorsal y profundo del *nervio cubital* inervan las articulaciones intercarpianas.

Las articulaciones carpometacarpiana e intermetacarpiana

Estas articulaciones son articulaciones sinoviales planas, con excepción de la articulación carpometacarpiana del pulgar, en silla de montar (fig. 6.74, B-D).

Componentes de las articulaciones carpometacarpiana e intermetacarpiana

Como los huesos del carpo, los metacarpianos se articulan entre sí por sus bases; la articulación carpometacarpiana del pulgar tiene lugar entre el trapecio y la base del 1º metacarpiano y posee una cavidad articular independiente.

Cápsula de las articulaciones carpometacarpiana e intermetacarpiana

Las cuatro articulaciones carpometacarpianas mediales y las tres articulaciones intermetacarpianas están envueltas en una cápsula fibrosa por las caras palmar y dorsal. La membrana sinovial reviste la cápsula fibrosa. La **cápsula fibrosa** de la articulación carpometacarpiana del pulgar rodea la articulación y se inserta en los bordes de las caras articulares. La cápsula está revestida de **membrana sinovial**. La laxitud capsular facilita el movimiento libre de la articulación.

Ligamentos de las articulaciones carpometacarpiana e intermetacarpiana

Los huesos están unidos por los ligamentos carpometacarpiano anterior y metacarpiano (fig. 6.77A), así como por los ligamentos posterior e interóseo.

Movimientos de las articulaciones carpometacarpiana e intermetacarpiana

En la articulación carpometacarpiana del pulgar se producen la flexión y extensión, la aproximación y la separación y la circunducción (fig. 6.74C). Esta articulación facilita los movimientos angulares en todos los planos y una cierta rotación axial. En las articulaciones carpometacarpianas del 2º y 3º dedos apenas se producen movimientos; el 4º dedo tiene cierta movilidad y el 5º es muy móvil. Esta 5ª articu-

lación carpometacarpiana se flexiona ligeramente con una prensión fuerte y también rota algo (fig. 6.52).

Irrigación de las articulaciones carpometacarpiana e intermetacarpiana

Estas articulaciones son perfundidas por las arterias metacarpianas dorsal y palmar y por los arcos carpiano profundo y palmar profundo (véase fig. 6.82).

Inervación de las articulaciones carpometacarpiana e intermetacarpiana

El ramo interóseo anterior del *nervio mediano*, el ramo interóseo posterior del *nervio radial* y los ramos dorsal y profundo del *nervio cubital* inervan estas articulaciones.

Las articulaciones metacarpofalángicas e interfalángicas

Las articulaciones metacarpofalángicas son articulaciones sinoviales de tipo condileo que permiten el movimiento en dos planos: flexión-extensión y aproximación-separación. Las articulaciones interfalángicas son articulaciones sinoviales de tipo bisagra, que únicamente producen la flexión y extensión (fig. 6.77B).

Componentes de las articulaciones metacarpofalángicas e interfalángicas

Las cabezas de los metacarpianos se articulan con las bases de las falanges proximales en las articulaciones metacarpofalángicas, mientras que las cabezas de las falanges se articulan con las bases de las falanges situadas más distalmente en las articulaciones interfalángicas.

La cápsula de las articulaciones metacarpofalángicas e interfalángicas

Una **cápsula fibrosa** encierra cada articulación y una **membrana sinovial** reviste cada cápsula fibrosa, que se inserta en los bordes de cada articulación.

Ligamentos de las articulaciones metacarpofalángicas e interfalángicas

Cada cápsula fibrosa está reforzada por dos **ligamentos colaterales** que se dirigen distalmente desde las cabezas de los metacarpianos y de las falanges hasta las bases de las falanges (fig. 6.77, A y B). Los ligamentos colaterales se unen formando la parte anterior de cada cápsula, que es una lámina fibrosa densa o fibrocartilaginosa denominada **ligamento** (lámina) **palmar**. La 2ª a 5ª articulaciones metacarpofalángicas están unidas por ligamentos metacarpianos transversos profundos que sujetan las cabezas de los huesos metacarpianos.

Movimientos de las articulaciones metacarpofalángicas e interfalángicas

Articulaciones metacarpofalángicas: flexión-extensión, separación-aproximación y circunducción del 2º al 5º dedos; la flexión-extensión del pulgar ocurre, pero la separación-aproximación es limitada. *Articulaciones interfalángicas:* flexión-extensión.

Irrigación de las articulaciones metacarpofalángicas e interfalángicas

Las arterias digitales profundas que nacen de los arcos palmares superficiales perfunden estas articulaciones (véase fig. 6.82)

Pulgar del montador de toros

Se trata de un esguince del ligamento colateral del radio con fractura por avulsión de la parte lateral de la falange proximal del pulgar, frecuente en las personas que montan toros mecánicos.

Pulgar del esquiador o del portero de fútbol

Consiste en la rotura o laxitud crónica del ligamento colateral de la 1ª articulación metacarpofalángica. Esta lesión ocurre por la hiperabducción de la articulación metacarpofalángica del pulgar, cuando este dedo queda sujeto al palo del esquí mientras el resto de la mano golpea el suelo o se mete dentro de la nieve. En los casos graves se aprecia una fractura por avulsión de la cabeza del metacarpiano. ◉

Inervación de las articulaciones metacarpofalángicas e interfalángicas

Los nervios digitales que nacen en los nervios cubital y mediano inervan estas articulaciones.



Pulgar del esquiador (portero de fútbol)

Imágenes médicas del miembro superior

Radiografía

Las radiografías suelen tomarse cuando la lesión causa dolor, angulación, rotación o inestabilidad óseas. Las proyecciones anteroposterior (AP), lateral, axial y oblicua suelen bastar para detectar las lesiones óseas y de otra índole. El estudio radiológico del miembro superior se centra principalmente en las estructuras óseas, porque los músculos, los tendones y los nervios apenas se ven. Para examinar una radiografía del miembro superior hay que conocer la mediana de los tiempos en que aparecen los centros posnatales de osificación, y si la fusión epifisaria se ha completado desde el punto de vista radiológico en uno u otro sexo. Sin estos datos es fácil confundir una línea epifisaria con una fractura.

La cintura escapular y las articulaciones

La radiografía habitual es una proyección AP, con el húmero ligeramente rotado, de modo que los epicóndilos queden paralelos con el cartucho de la película de rayos X (fig. 6.78A). El húmero se ve en posición anatómica. Es normal que la cavidad glenoidea tenga cierta oblicuidad, por lo que aparece con forma ovalada. En esta proyección se ven los dos tercios laterales de la clavícula. Obsérvese

la articulación de la extremidad acromial de la clavícula con el acromion de la escápula en la *articulación acromioclavicular*. Este es un lugar frecuente de subluxación (a menudo se habla de hombro separado). Obsérvese el cuello quirúrgico del húmero, situado unos 2,5 cm distal a los tubérculos mayor y menor, otro lugar frecuente de fractura. Recuerde que el nervio axilar está en contacto con el cuello quirúrgico y puede lesionarse. Examine el cuerpo del húmero y observe su hueso cortical denso. Se advierte, asimismo, que esta capa se adelgaza en dirección proximal y se torna extraordinariamente fina en la cabeza del húmero. No se olvide que el nervio radial sigue un curso inferolateral por la cara posterior del húmero y puede dañarse en las fracturas del tercio medio.

La proyección axial del hombro permite ver desde otro ángulo las articulaciones acromioclavicular y escapulohumeral. Para obtenerla, el enfermo debe separar el brazo y extender el hombro sobre el cartucho con la película de rayos X. En la figura 6.78B se observan el acromion, la cavidad glenoidea, la cabeza humeral, la apófisis coracoides y la escotadura supraescapular.

El codo

En la proyección AP se coloca el codo extendido sobre el cartucho con la película de rayos X y el antebrazo supinado. El haz de rayos X se dirige perpendicular al cartucho y al codo. La figura 6.79A ilustra la extremidad distal del húmero, que se ensancha y termina con el ▶

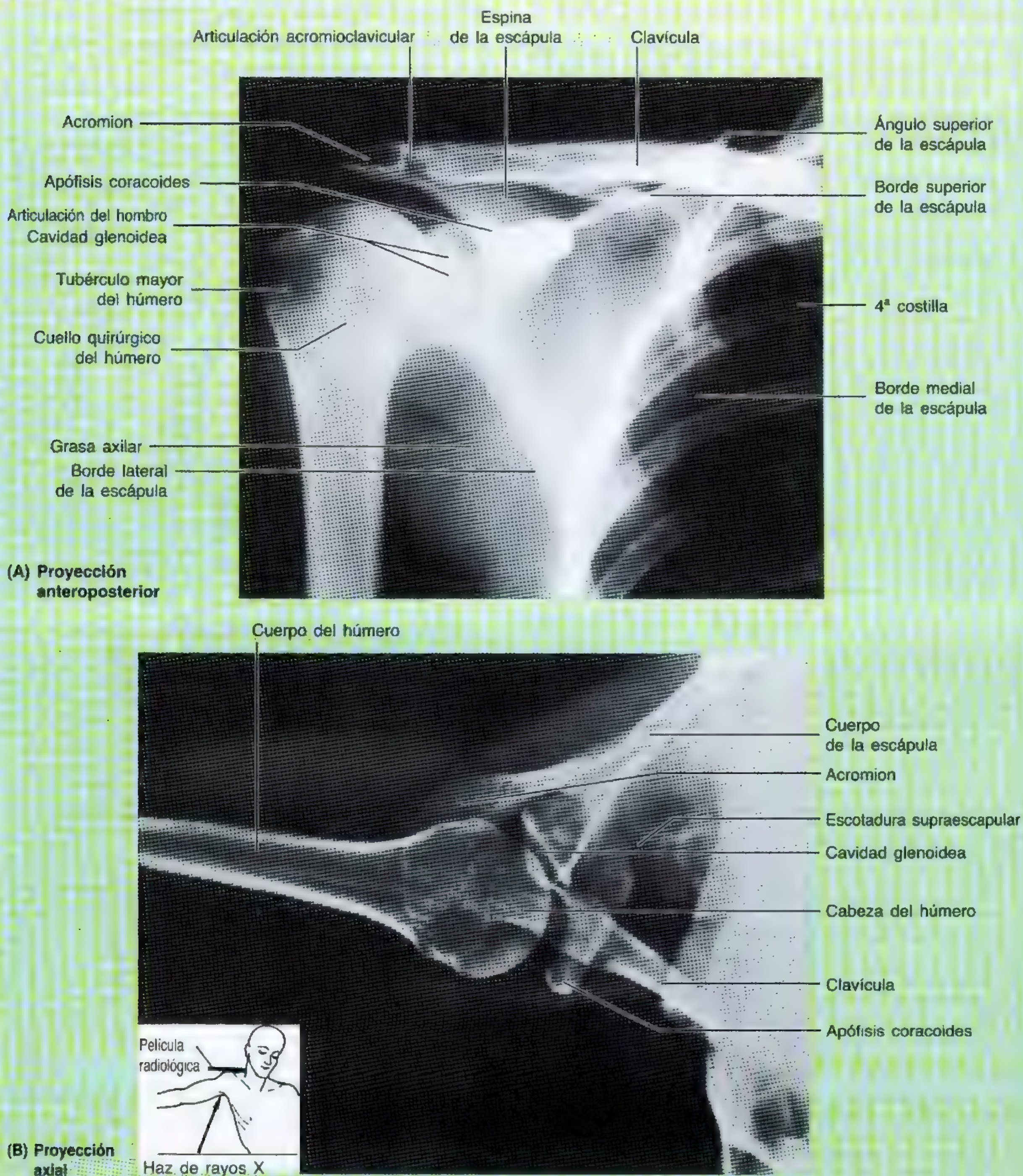
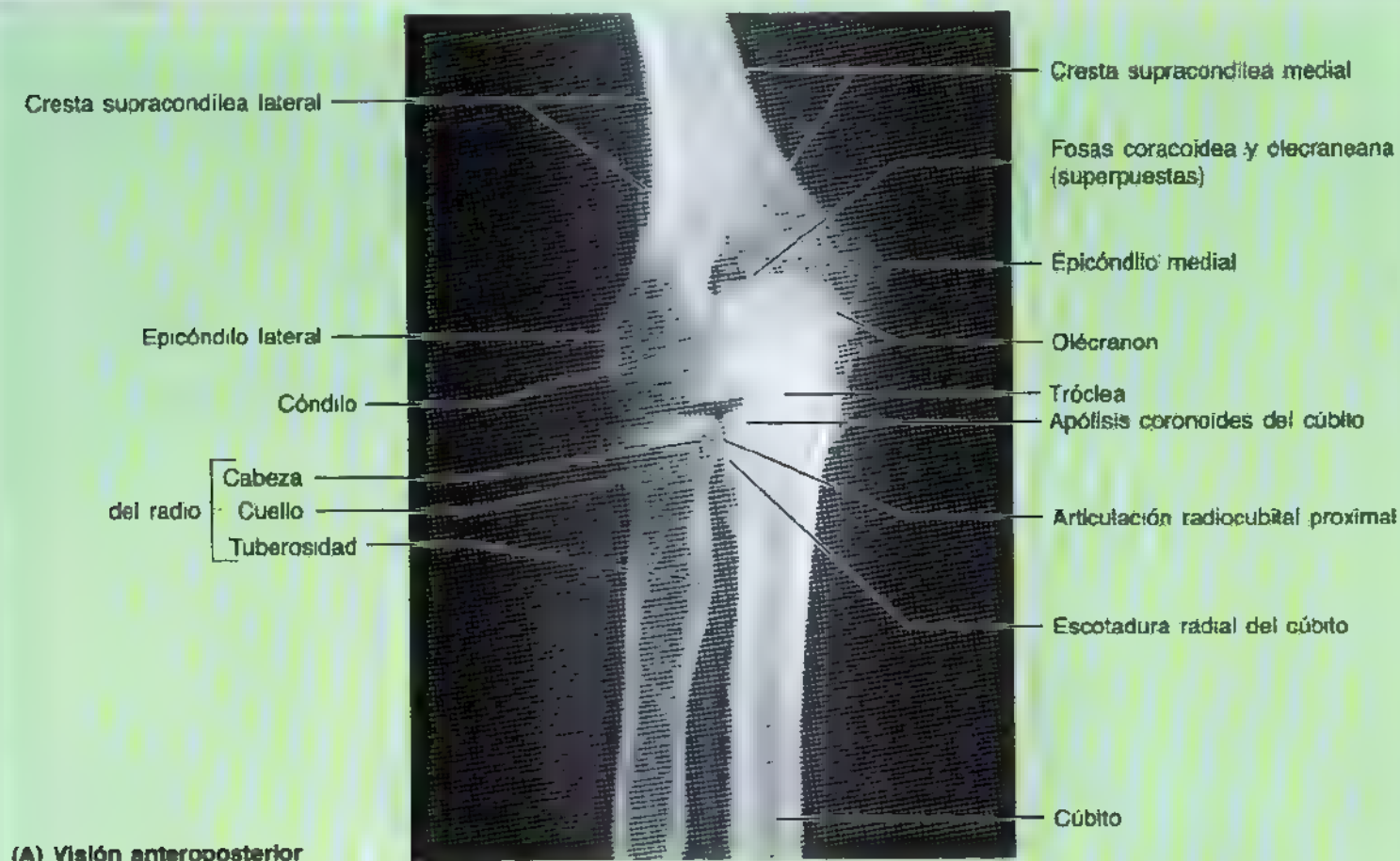
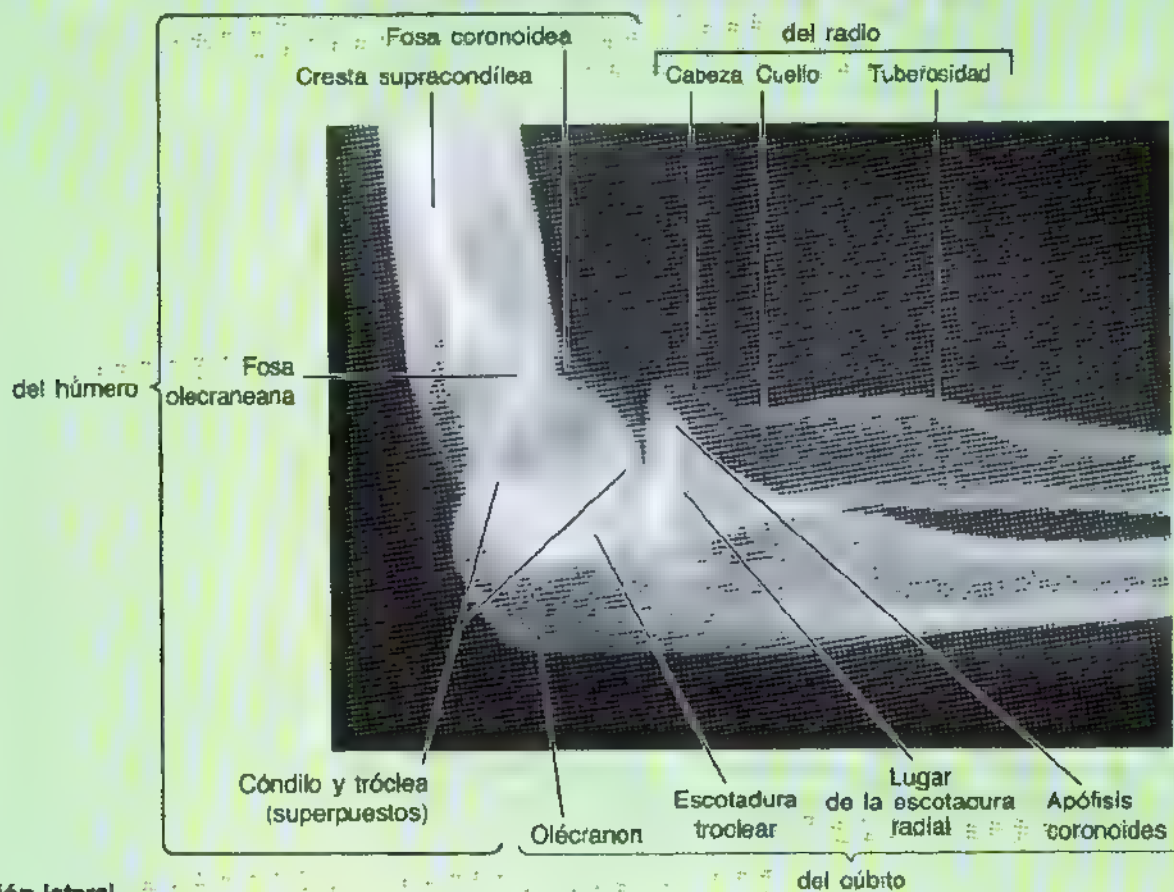


Figura 6.78. Radiografías de la articulación escapulohumeral. A. Proyección anteroposterior (AP). (Cortesía del Dr. E. L. Lansdown, Profesor del Departamento de Imagen Médica, Universidad de Toronto, Toronto, Ontario, Canadá.) B. Proyección axial. El esquema orientativo muestra cómo se efectuó la radiografía.



(A) Visión anteroposterior



(B) Visión lateral

Figura 6.79. Radiografías de la articulación del codo. A. Visión anteroposterior (AP) de la articulación extendida B. Visión lateral de la articulación flexionada a 90°. Obsérvense las caras articulares de los huesos del codo y también la articulación radiocubital proximal entre la cabeza del radio y la escotadura radial del cúbito. Esta articulación interviene en la pronación y en la supinación (Cortesía del Dr. E. Becker, Profesor Ayudante del Departamento de Imagen Médica, Universidad de Toronto, Ontario, Canadá.)

► prominente epicóndilo medial y el epicóndilo lateral más plano. Recuérdese que el nervio cubital está en contacto con el epicóndilo medial y puede dañarse si se fractura o si se luxa la epífisis. Distal a los epicóndilos aparecen el cóndilo humeral convexo y la tróclea con forma de polea. Entre los epicóndilos queda una zona radiotransparente que representa el olécranon y la fosa coronoidea superpuestos. Se observa también la cabeza del radio, con forma de disco, distal al cóndilo, y su superficie articular cóncava. Las fracturas de la cabeza del radio son bastante frecuentes en adultos jóvenes que caen sobre la mano. La escotadura radial del cúbito es el lugar donde la cabeza del radio se articula en la articulación radiocubital proximal. El olécranon se superpone sobre la extremidad distal

del húmero en la fosa olecraneana. Justo distal a la tróclea del húmero se encuentra la apófisis coronoides del cúbito.

En la proyección lateral de codo (fig. 6.79B), el codo se flexiona 90° y el brazo y el antebrazo se colocan sobre el cartucho con la película de rayos X con el pulgar extendido. En esta proyección se superponen los epicóndilos, el cóndilo y la tróclea. Las crestas supracondíleas superpuestas dan una sombra radiopaca densa. La apófisis coronoides del cúbito queda en parte oculta por la cabeza del radio.

El antebrazo

Para obtener la proyección AP que se ve en la figura 6.80A, el antebrazo se supina y el codo se extiende ►

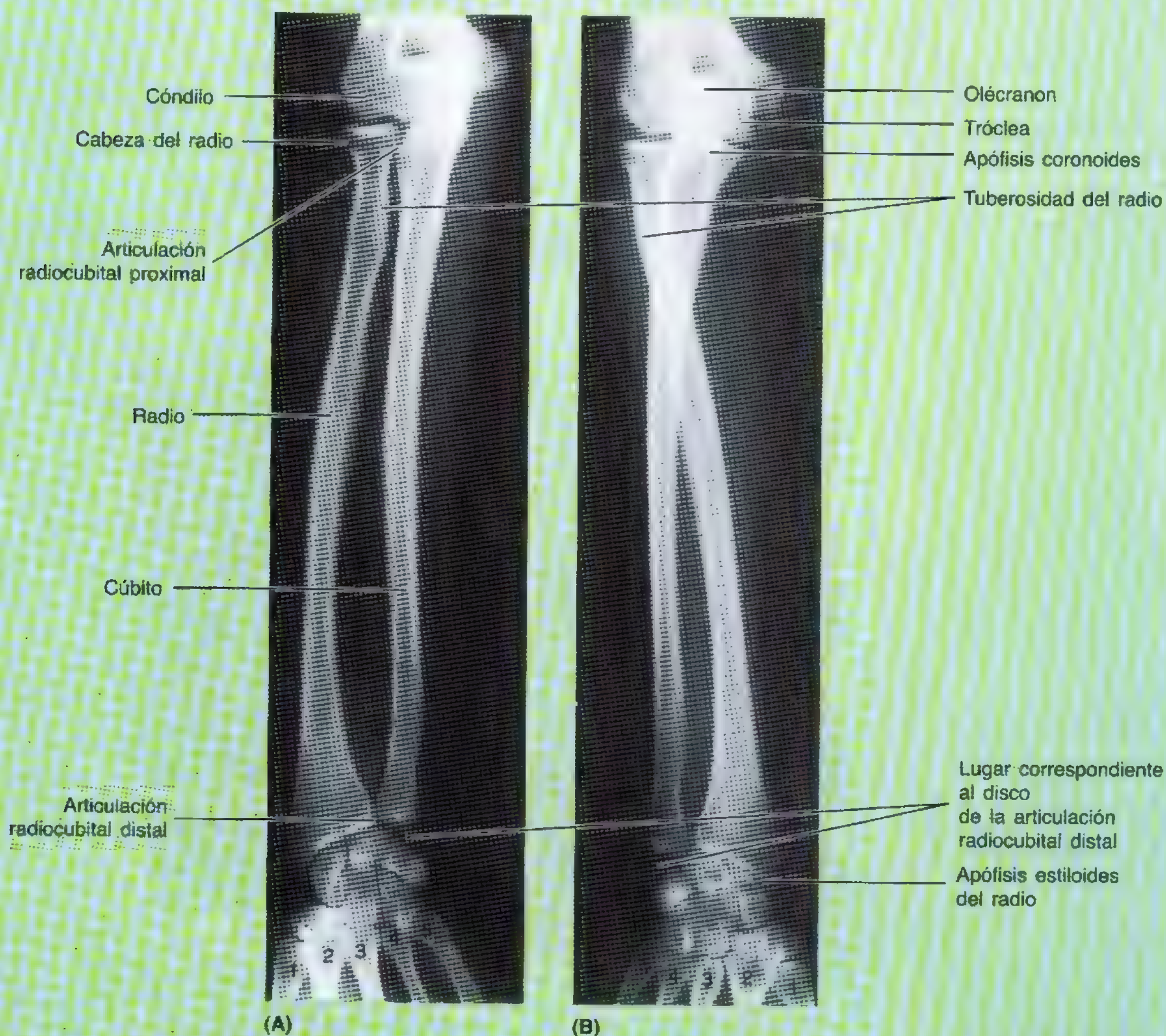


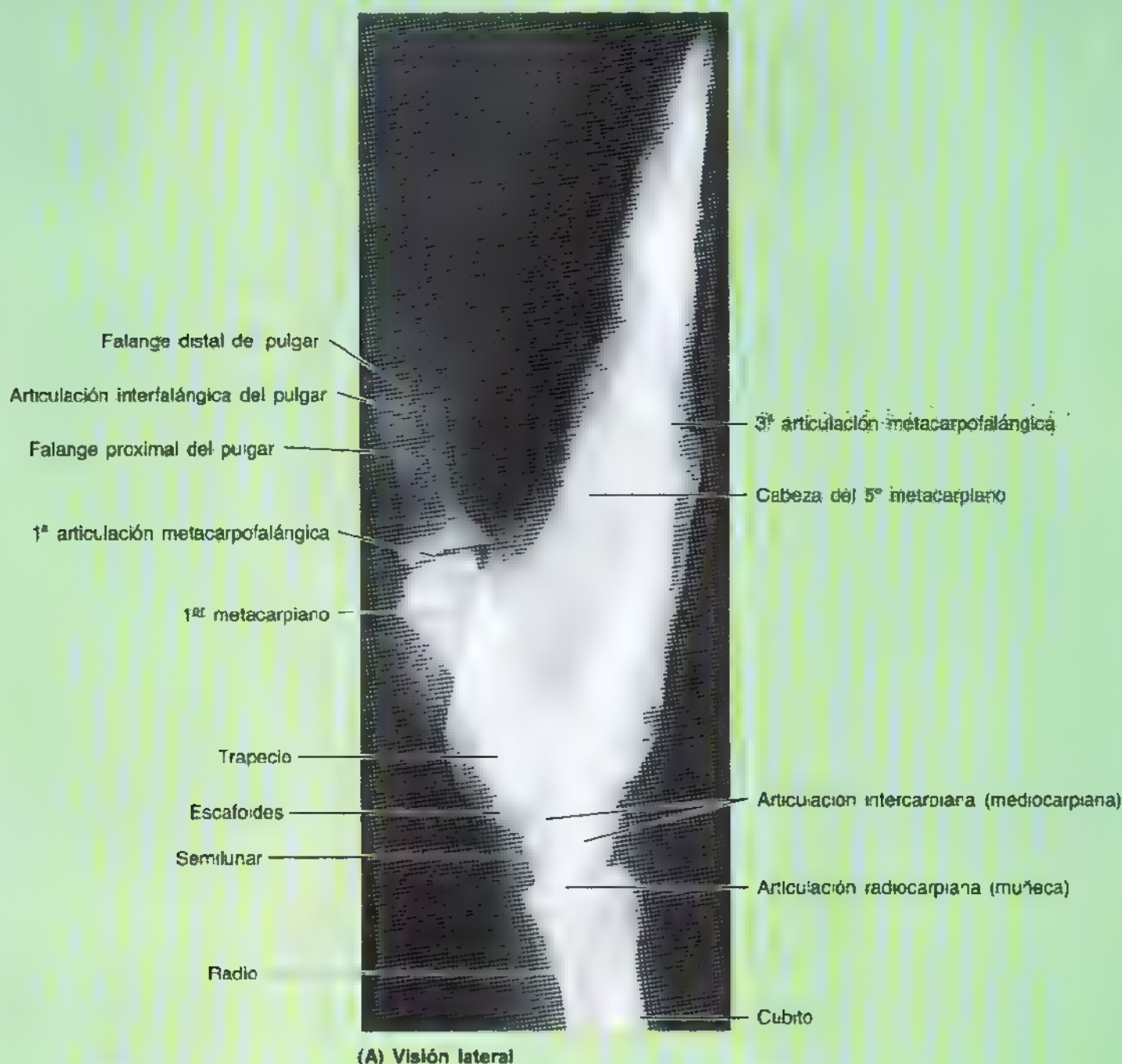
Figura 6.80. Radiografía de las articulaciones radiocubitales. La supinación y la pronación son los movimientos que se dan entre el radio y el cúbito. **A.** Visión anteroposterior (AP) del antebrazo derecho en supinación. **B.** Visión AP del antebrazo derecho en pronación. Obsérvese cómo el radio se cruza con el cúbito. Durante la pronación, el extremo inferior del radio se desplaza en sentido anterior y medial en torno al extremo inferior del cúbito, arrastrando la mano. (Cortesía del Dr. J. Heslin, Toronto, Ontario, Canadá.)

► por completo. Pueden verse las articulaciones del codo y de la muñeca. Obsérvese el área translúcida entre el cóndilo y la cabeza del radio, así como entre la tróclea y la apófisis coronoides. Esta zona es el lugar donde se encuentran los cartílagos de los huesos de la articulación. El radio y el cúbito se arquean a medida que se alejan del codo. Se aprecia también cómo los huesos se separan en los dos tercios distales. La membrana interósea es invisible a los rayos X. Para detectar las fracturas y verificar su reducción correcta (restauración a la posición normal), no se olvide que la apófisis estiloides del radio suele extenderse más distalmente que la del cúbito. En la figura 6.80B se aprecia cómo el radio cruza el cúbito al pro-

nar el antebrazo. Examinense las articulaciones radiocubitales proximal y distal.

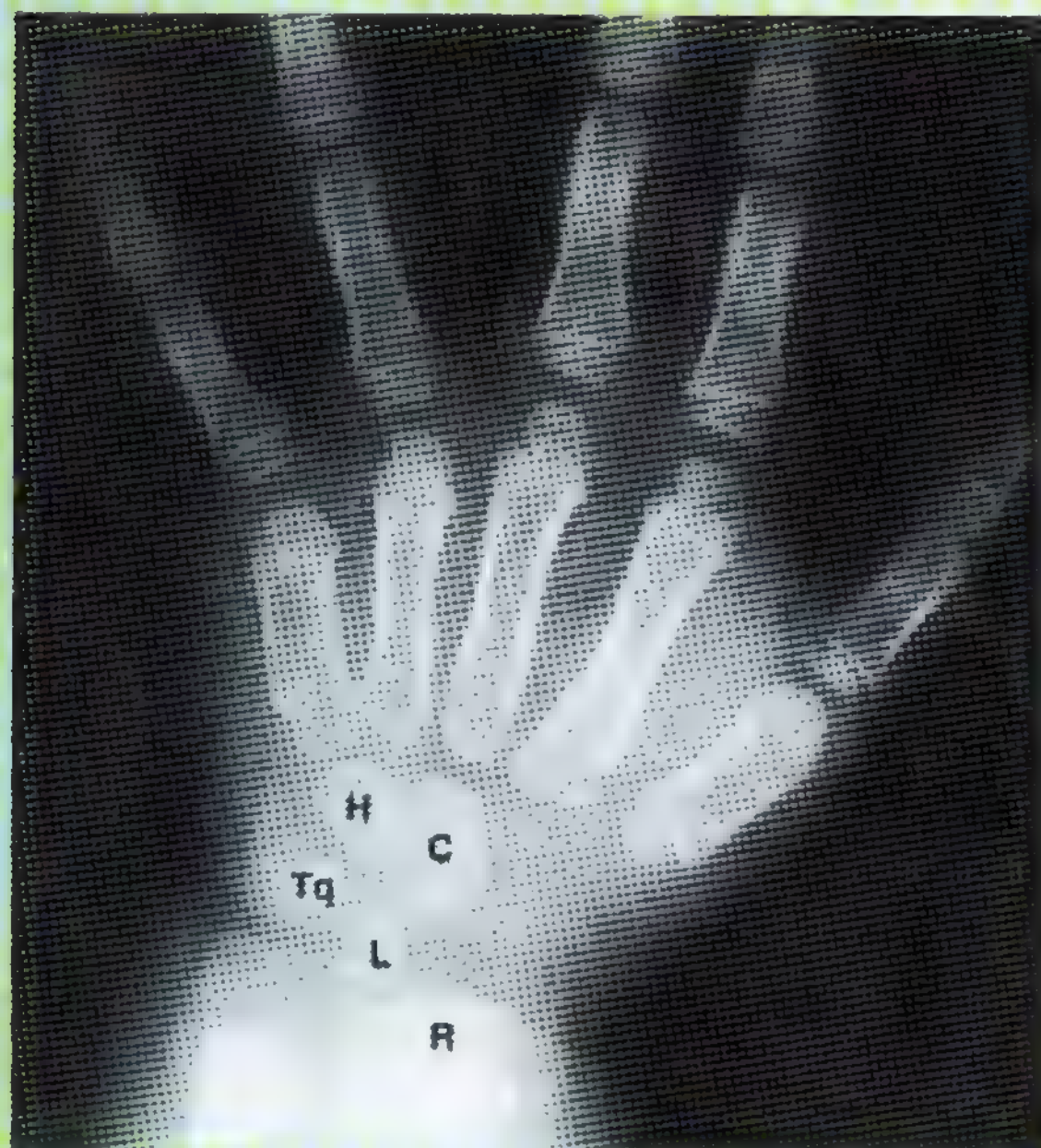
La muñeca y la mano

Las radiografías de la muñeca y de la mano se utilizan mucho para conocer la edad ósea. Para los estudios clínicos se comparan las radiografías con una serie de patrones de un atlas radiológico sobre desarrollo óseo y se determina la edad de niño. Las *fracturas epifisarias* afectan más a los niños pequeños que a los adolescentes, porque todavía no ha tenido lugar la fusión íntima de las epífisis con los cuerpos óseos. La fusión de las epífisis distales del radio y del cúbito se completa desde el punto de vista



(A) Visión lateral

Figura 6.81. Radiografías de la muñeca y de la mano. A. Visión lateral de la mano de un adulto (Cortesía del Dr E. L. Lansdown, Profesor de Departamento de Imagen Médica, Universidad de Toronto, Toronto, Ontario, Canadá)



(B)



(C) Visión posteroanterior

Figura 6.81. (Continuación) **B.** Visión posteroanterior de la extremidad distal del antebrazo y de la mano de un niño de 2,5 años. Se observan los centros de osificación de sólo cuatro huesos del carpo. A menudo, las radiografías de la mano y de la muñeca sirven para medir la edad ósea. Obsérvese la epífisis distal del radio. **C:** hueso grande; **H:** hueso ganchoso; **Tq:** hueso piramidal; **L:** hueso semilunar. **C.** Visión posteroanterior de la extremidad inferior del antebrazo y de la mano de un niño de 11 años. Se ven los centros de osificación de todos los huesos del carpo. La cabeza de flecha muestra el hueso pisiforme. Se aprecia cómo la epífisis distal del cúbito se ha osificado, aunque todas las placas (líneas) epifisarias "continúan abiertas" (es decir, aún no se han osificado). **S:** escafoide; **Td:** trapezoide; **Tz:** trapecio. (Cortesía del Dr. D. Armstrong, Profesor Ayudante del Departamento de Imagen Médica, Universidad de Toronto, Toronto, Ontario, Canadá.)

► radiológico a los 16 años en el sexo femenino y a los 18 en el masculino. Los huesos del carpo están superpuestos entre sí, pero se pueden identificar si se comparan con un esqueleto de la muñeca y de la mano. La proyección lateral de la muñeca y de la mano (fig. 6.81A) tiene mucho interés, porque a veces es la única que revela ciertas fracturas. La caída con la mano extendida puede provocar una *fractura del escafoide*, generalmente de la porción estrecha ("cintura"). El radiólogo debe buscar una fractura del escafoide si el médico señala la existencia de dolor sobre el escafoide en la tabaquera anatómica; sin embargo, puede no verse siquiera en distintas proyecciones oblicuas hasta unas dos semanas después (pág. 688).

La *luxación anterior del hueso semilunar* es una lesión relativamente común de la muñeca. Cada hueso del carpo suele osificarse a partir de un solo centro después del nacimiento. Los centros para los huesos grande y ganchoso aparecen en primer lugar y a menudo se ven durante el primer año, pero pueden hacerlo después del nacimiento. Usted debe saber que en ocasiones aparecen *huesecillos accesorios* entre los huesos habituales del carpo que se visualizan en las radiografías de la muñeca. La *fusión de*

los huesos del carpo (p. ej., entre el semilunar y el piramidal) puede considerarse una variante.

Con excepción del pulgar, los metacarpianos y las falanges de los dedos se superponen y se puede obtener muy poca información de su estudio (fig. 6.81A). Si se lesiona un dedo concreto y se sospecha una fractura se debe tomar una proyección lateral con los demás dedos flexionados. El cuerpo de cada metacarpiano comienza a osificarse en la vida fetal, y después del nacimiento aparecen centros en las cabezas de los cuatro últimos metacarpianos (fig. 6.81B). Las *seudoeptífisis* (centros accesorios) pueden visualizarse en la cabeza del 1º metacarpiano y en la base del 2º metacarpiano.

Ecografía

La ecografía es muy precisa en los desgarros del manguito de los rotadores (Halpern, 1994). La *ecografía doppler* sirve para conocer el flujo por los vasos sanguíneos de los miembros y medir su velocidad. La técnica de *ecografía doppler en color* permite superponer los colores rojo y azul sobre las imágenes habituales con escala de grises. ►

Arteriografía

La arteriografía (visualización de las arterias) se emplea para diagnosticar las lesiones vasculares, la isquemia (deficiencia de la irrigación sanguínea) y las variaciones arteriales. Los *arteriogramas* se obtienen inyectando colorante en una arteria mientras se toma la radiografía (fig. 6.82). Cuando interesa dibujar una arteria concreta se inyecta directamente el colorante en ella, generalmente con un catéter. La arteriografía sirve para determinar la permeabilidad de las arterias antes y después de los procedimientos quirúrgicos sobre el miembro inferior y reparar las lesiones traumáticas.

Tomografía computarizada

Las imágenes TC del miembro superior se obtienen con rayos X, pero las imágenes anatómicas se crean por reconstrucción informática de los datos electrónicos. Las imágenes reconstruidas parecen cortes transversales del miembro y se pueden orientar en los planos coronal y sagital. Dado que el paciente sólo tiene que permanecer dentro del escáner breve tiempo, se pueden obtener imágenes rápidas (de 2 segundos); por eso, el movimiento involuntario produce una distorsión mínima de las imágenes. La *artrotomografía* realizada mediante TC revela algunas fracturas sutiles (p. ej., del ▶



Figura 6.82. Angiografía de la muñeca y de la mano. Obsérvense los arcos arteriales palmares superficial y profundo. El arco palmar superficial está creado, en principio, por la arteria cubital y suele completarse por la rama palmar superficial de la arteria radial. En esta mano adolescente todos los huesos del carpo están plenamente osificados, pero continúan abiertas las líneas epifisarias de los huesos largos. Estas líneas se cerrarán cuando termine el crecimiento, casi siempre a la conclusión de la adolescencia (Cortesía del Dr. D. Armstrong, Profesor Ayudante del Departamento de Imagen Médica, Universidad de Toronto, Toronto, Ontario, Canada.)

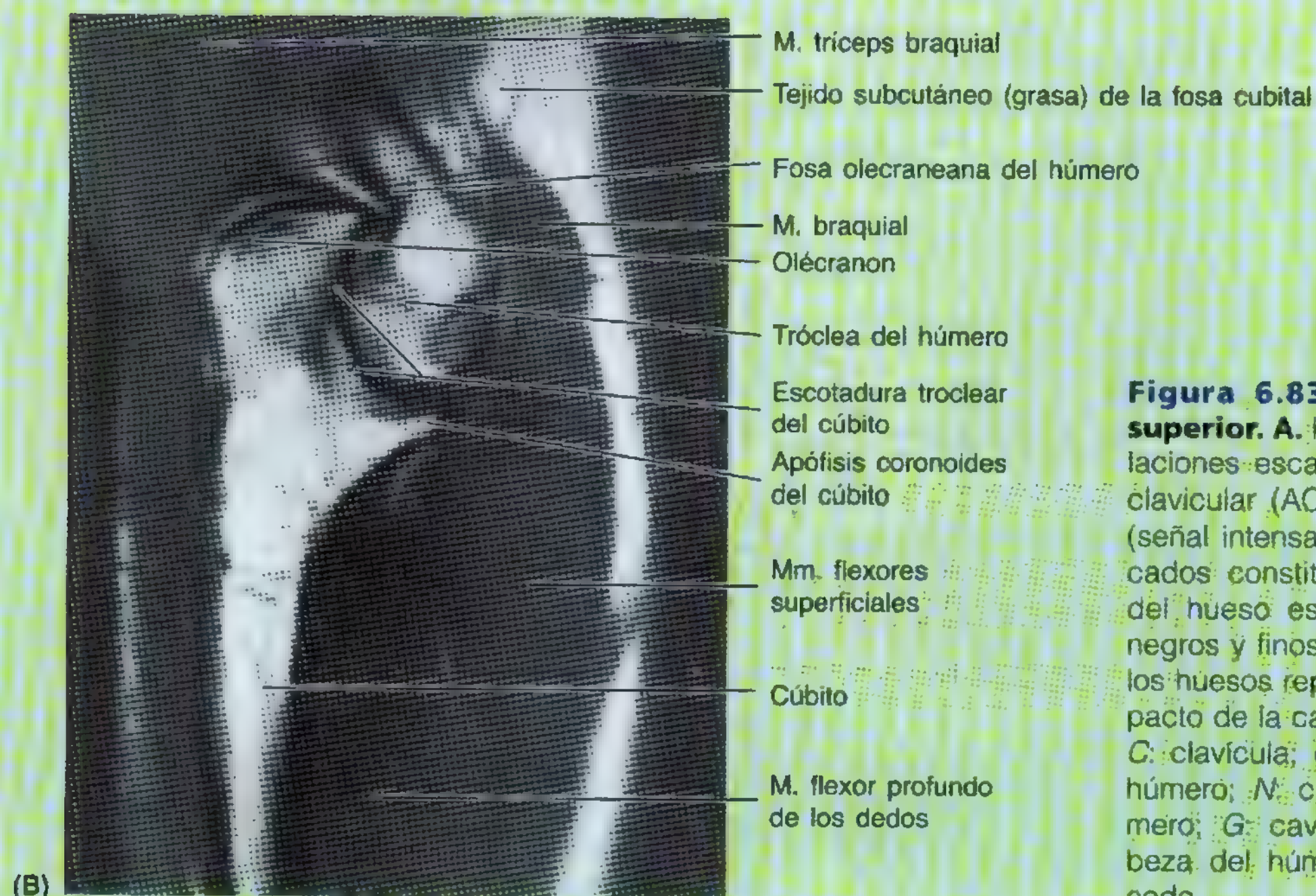
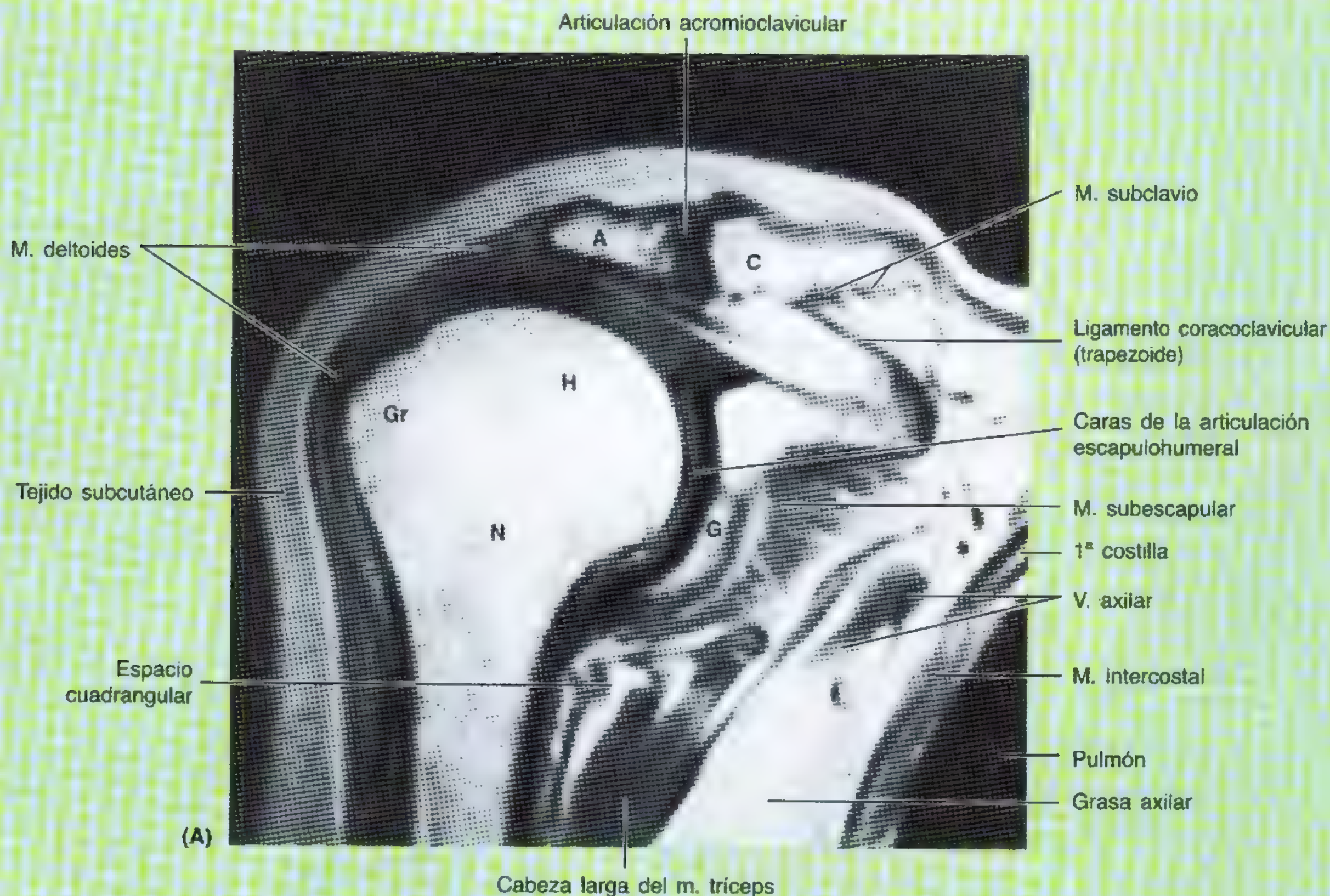


Figura 6.83. RM del miembro superior. A. RM coronal de las articulaciones escapulo-humeral y acromio-clavicular (AC). Las partes "blancas" (señal intensa) de los huesos identificados constituyen la matriz adiposa del hueso esponjoso; los contornos negros y finos (ausencia de señal) de los huesos representan el hueso compacto de la cara exterior. A: acromion; C: clavícula; Gr: tubérculo mayor del húmero; N: cuello quirúrgico del húmero; G: cavidad glenoidea; H: cabeza del húmero. B. RM sagital del codo.

► reborde de la cavidad glenoidea) y lesiones óseas reactivas en torno a una luxación recurrente de hombro.

Resonancia magnética

La resonancia magnética (RM) da imágenes de gran resolución de los distintos tejidos blandos del miembro, porque los adultos pueden mantener el miembro inmóvil durante 5 a 10 minutos, que es lo que se precisa para el estudio. Esta técnica produce imágenes transversales,

coronales y sagitales, y tiene la ventaja de que no emplea rayos X. Como la RM exige que el enfermo permanezca quieto durante unos minutos, resulta difícil de aplicar a los niños. En las imágenes de RM de la figura 6.83 puede observarse una buena resolución de los músculos, huesos y articulaciones. La RM ayuda al diagnóstico de la subluxación, luxación, pinzamiento nervioso, desgarros cartilaginosos y desgarros del manguito de los rotadores (Halpern, 1994). La RM coronal puede mostrar roturas tendinosas del hombro, codo, mano y muñeca. ☉

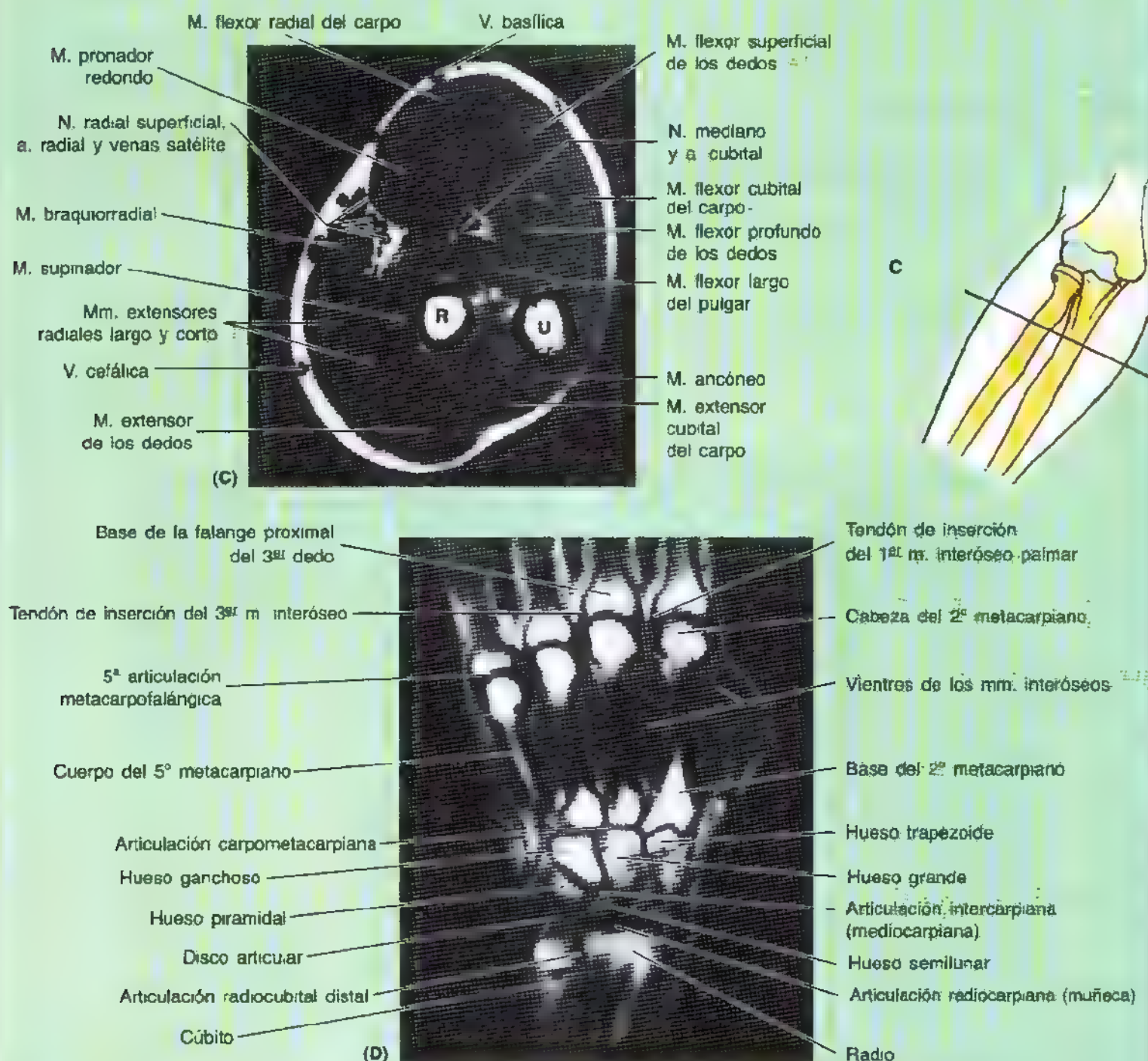


Figura 6.83. (Continuación) C. RM transversa de la parte proximal del antebrazo. El esquema orientativo ilustra el plano de la RM. El borde subcutáneo del cúbito y la arteria radial delimitan los compartimientos anteromedial flexor y posterolateral extensor. U: cúbito, R: radio. **D.** RM coronal de la muñeca y de la mano. Se observan los huesos, las articulaciones y los músculos interoséos (Cortesía del Dr. W. Kucharczyk, Jefe del Departamento de Imagen Médica y Director de Centro Hospitalario de Resonancia Magnética Toronto, Ontario, Canadá.)

ESTUDIO DE CASOS CLÍNICOS

Caso 6.1

Una mujer de 52 años iba montando en bicicleta por un camino de grava cuando de repente perdió el equilibrio y se cayó con el brazo extendido. Comentó que había oído un “crac” y notado un dolor súbito en el hombro. Su marido, médico, observó una deformidad de la clavícula en la unión de los tercios lateral y medio, y se dio cuenta de que se había roto la clavícula. Además, comprobó que la parte lateral del hombro se había hundido hacia dentro y que el fragmento medial de la clavícula se encontraba elevado. Preparó un cabestrillo con su camiseta.

Problemas clinicoanatómicos

- ¿Dónde suele fracturarse la clavícula?
- ¿Son más comunes las fracturas de la clavícula de los adultos que de los niños?
- ¿Por qué se hundió el hombro hacia dentro?
- ¿Por qué se fracturó la clavícula sin que se luxara la articulación acromioclavicular?
- ¿Por qué se luxó la clavícula y no la muñeca?

Estos problemas se comentan en la página 839.

Caso 6.2

Un lanzador de béisbol de 35 años comentó al receptor y entrenador que sentía un dolor progresivo en el hombro. Continuó lanzando, pero tuvo que parar por el dolor y la debilidad, sobre todo durante la separación y rotación lateral del brazo. En la exploración, el médico del equipo observó dolor con la palpación del tendón supraespinoso, cerca del tubérculo mayor del húmero. En la RM se apreció desgarramiento del manguito de los rotadores de este lanzador.

Problemas clinicoanatómicos

- ¿Qué es el manguito de los rotadores del hombro?
- ¿Cuál suele ser la causa de la sobrecarga del manguito de los rotadores?
- ¿Qué parte del manguito de los rotadores suele desgarrarse?
- ¿Ocurren estas lesiones sólo en los lanzadores de béisbol?
- ¿Qué movimiento del hombro se debilita y causa dolor?

Estos problemas se comentan en la página 839.

Caso 6.3

El marido de una mujer de 44 años con cáncer de mama le comenta a ésta, varias semanas después de su regreso a casa tras una disección quirúrgica de la axila derecha para la extirpación ganglionar con objeto de estadificar y tratar su enfermedad, que su escápula derecha hace una prominencia anómala al apoyarse en la pared para los ejercicios de estiramiento. Ella le confiesa entonces que apenas podía levantar el brazo derecho por encima de la cabeza

para peinarse. En la visita de revisión, el médico le indica que durante la intervención quirúrgica diagnóstica se lesionó por accidente un nervio, responsable de la anomalía escapular y de la imposibilidad para elevar el brazo de la forma habitual.

Problemas clinicoanatómicos

- ¿Qué nervio se ha podido dañar?
- ¿Por qué esta lesión determina una “escápula alada” y problemas para elevar el brazo?
- Si estas anomalías de la escápula sucedieran en una víctima de un accidente de tráfico, ¿qué fracturas podrían causar esta lesión nerviosa?
- Cuando se extirpan los ganglios linfáticos de la axila, ¿qué otros nervios se pueden dañar?
- ¿Qué anomalías motoras del brazo podrían observarse en este caso?
- ¿Se apreciaría alguna zona de anestesia cutánea?

Estos problemas se comentan en la página 840.

Caso 6.4

Durante un partido de rugby de repesca sobre un césped artificial, el jugador de 38 años que llevaba la pelota es arrojado violentamente al suelo por un defensor. Al caer con violencia sobre el hombro derecho notó un dolor moderado, que empeoró al tratar de elevar el brazo. En la exploración física, el ortopedista encontró un desplazamiento superior ligero de la extremidad acromial de la clavícula. La compresión inferior de la clavícula producía dolor y se observaba cierta movilidad de la clavícula en una zona de articulación con el acromion. La separación del hombro más de 90° causó un intenso dolor y en la articulación acromioclavicular se notaba un movimiento anómalo del acromion y de la clavícula.

Problemas clinicoanatómicos

- ¿Qué parte de la articulación acromioclavicular impactó en el césped artificial duro?
- Aplicando sus conocimientos anatómicos sobre la articulación acromioclavicular, ¿qué tipo de lesión cree que se produjo con esta caída sobre el hombro?
- ¿Cómo llaman los periodistas deportivos a esta lesión?
- ¿Qué ligamento o ligamentos se han podido romper y desgarrar?
- ¿Se habrá lesionado la cápsula articular?
- Si el jugador hubiera dejado caer la pelota y apoyado la mano extendida, ¿qué hueso piensa usted que se habría fracturado?

Estos problemas se comentan en la página 840.

Caso 6.5

Una mujer de 32 años que está aprendiendo a jugar al tenis acude diariamente desde hace unas dos semanas. Según indica al profesor, ha notado dolor en la región lateral del

codo, que se irradia hacia abajo por el antebrazo. El profesor conocedor de esta molestia de los jugadores novatos, le pide que tome la raqueta de tenis y extienda la mano por la muñeca. No nota ningún dolor hasta que se opone resistencia a la extensión de la mano. Cuando le ruega que señale la zona de mayor dolor, ella coloca el dedo en el epicóndilo lateral. Al comprimir el epicóndilo aleja el codo debido a la intensidad del dolor. El profesor comprime después el tendón del músculo extensor común y ella nota, de nuevo, un fuerte dolor.

Problemas clinicoanatómicos

- ¿Cuál es, en su opinión, esta lesión del codo?
- ¿Cuáles son los mecanismos de la lesión?
- ¿Ocurre esta lesión sólo en los jugadores de tenis?
- ¿Dónde tiene lugar el punto del máximo dolor en esta lesión?
- ¿Por qué el dolor de esta mujer se irradia por la cara posterolateral del antebrazo?

Estos problemas se comentan en la página 840

Caso 6.6

Un hombre de 65 años acude a la consulta por un dolor sordo en el hombro derecho que suele despertarle por la noche, sobre todo cuando levanta el brazo por encima del hombro estando dormido. Dice que el dolor, fuerte, se irradia a veces por el brazo derecho y que un amigo le dijo que

podría constituir un síntoma de enfermedad del corazón. En la exploración física, la médico observa que el hombro se encuentra aproximado. Al comprimir el hombro justo lateral al acromion, el enfermo nota un dolor intensísimo. Ella le pide que levante el hombro poco a poco, y cuando alcanza una separación de unos 50° reaparece un dolor insostenible (fig. 6.84). El dolor persiste después de elevar mucho el miembro por encima del hombro (separación de unos 130°), pero desaparece cuando el miembro se aproxima a la cabeza.

Problemas clinicoanatómicos

- Aplicando sus conocimientos sobre el manguito de los rotadores del hombro, ¿qué lesión inflamatoria provoca este arco doloroso de separación?
- ¿Qué saco sinovial agudizaría el dolor si se inflamara?
- ¿Por qué provocó tanto dolor la compresión de hombro lateral al acromion?
- ¿Cómo explicaría usted, desde el punto de vista anatómico, el síndrome del arco doloroso?

Estos problemas se describen en la página 840

Caso 6.7

Durante un parto complicado, el médico tuvo que aplicar fuerza sobre el brazo de bebé mientras el hombro continuaba dentro del canal del parto. Esta maniobra indujo una lesión por tracción de los ramos superiores del plexo braquial.

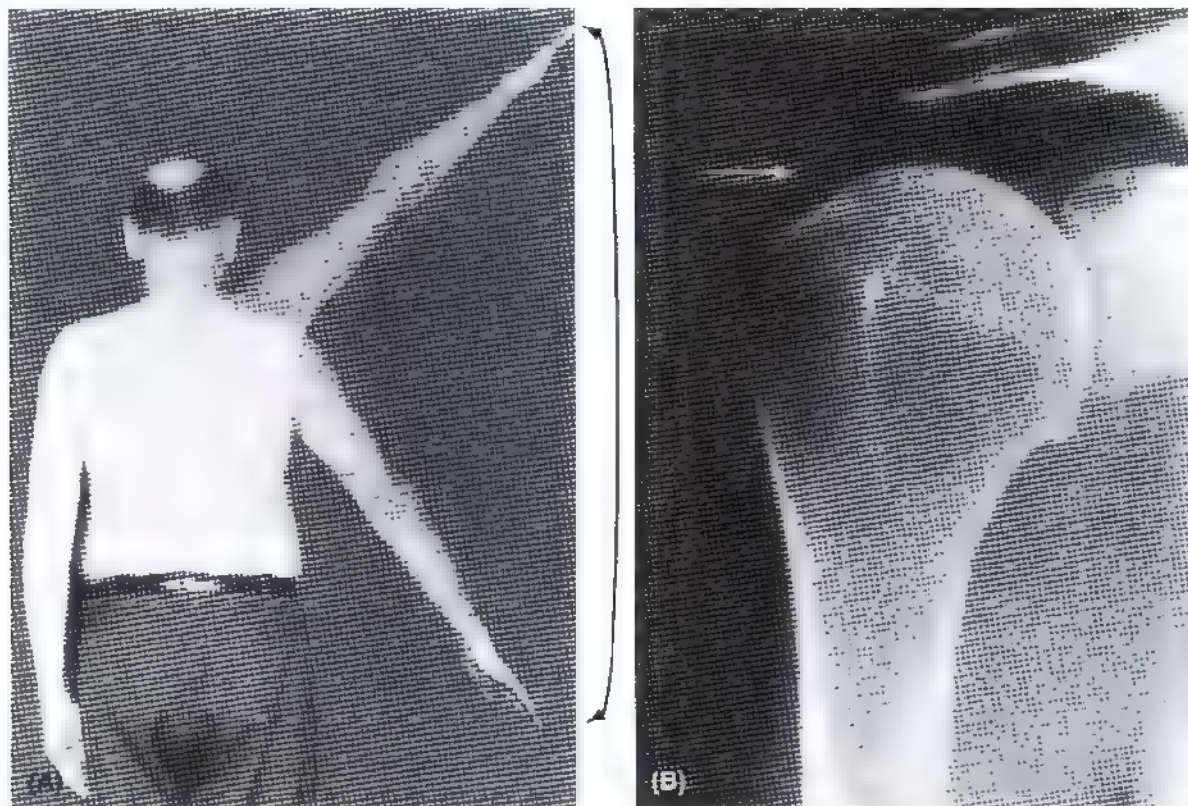


Figura 6.84. Arco doloroso de separación. A. Fotografía con doble exposición de un varón de edad mediana que muestra el síndrome del hombro doloroso que acompaña a la tendinitis calcificada del músculo supraespinoso en el hombro derecho. La separación del hombro desde aproximadamente 50 hasta 130° (flecha de dos cabezas) provoca un intenso dolor a causa de la tendinitis y de la bursitis subacromia. **B.** Radiografía de hombro derecho donde se aprecian depósitos de calcio (flecha, en el tendón del músculo supraespinoso, perteneciente al manguito de los rotadores), cerca de su inserción en el hueso

Problemas clinicoanatómicos

- ¿Qué ramos ventrales del plexo braquial se dañaron con toda probabilidad?
- ¿Cuál es la denominación clínica de esta parálisis?
- ¿Cuál es el aspecto clínico habitual del miembro superior cuando ocurre esta lesión del plexo braquial?
- ¿Cómo suele producirse esta lesión nerviosa en los adultos jóvenes?
- Usted habrá oído que la posición que adopta el miembro en la parálisis de Erb se conoce como posición del portero o del *camarero que espera una propina*. ¿A qué obedece esta comparación?
- ¿Qué músculos se paralizan de forma parcial o completa después de la tracción excesiva de la parte superior del plexo braquial?

Estos problemas se comentan en la página 841.

Caso 6.8

Un gimnasta de 28 años, con antecedentes de tendinitis bicipital y lesión del manguito de los rotadores, experimentó un dolor vago en la región anterior del hombro. En su opinión, durante los ejercicios habituales en las barras paralelas notó un chasquido. En la exploración preliminar el entrenador observó dolor con la palpación del surco bicipital, debilidad para la flexión y supinación del antebrazo y una protrusión anómala en la zona anterior del brazo. En una radiografía posterior se encontró una fractura de la escápula.

Problemas clinicoanatómicos

- ¿Cuál es el músculo que probablemente se dañó?
- ¿Qué lesión muscular concreta produce esa sensación de chasquido y dolor en el surco bicipital?
- Para confirmar el diagnóstico de sospecha, ¿qué movimientos del antebrazo resultarían debilitados?
- ¿Cuál es la causa más probable de la prominencia anómala de la parte anterior del brazo de este gimnasta?
- ¿Qué fractura de la escápula podría asociarse con esta lesión del brazo?
- ¿En qué otros deportes cree usted que podría ocurrir una tendinitis bicipital? Exponga el mecanismo de esta lesión.

Estos problemas se comentan en la página 841.

Caso 6.9

Un jugador profesional de golf consulta al médico por un dolor en el codo y en la cara anterior del antebrazo. El médico apreció un dolor intenso en la zona del epicóndilo medial y algo de dolor al comprimir el grupo flexor-pronador de músculos del antebrazo. El deportista afirmó que el dolor solía remitir después de que terminaba el juego, pero que cada vez se había ido acentuando y perdurando. La radiografía de codo era normal.

Problemas clinicoanatómicos

- En su opinión, ¿qué lesión del codo sufre este jugador?
- Aplicando sus conocimientos anatómicos del codo y del grupo de músculos flexores-pronadores del antebrazo,

¿cuál es, en su opinión, el mecanismo de lesión en este caso?

- ¿Cuál es la causa más común de dolor en los jugadores de golf?
- ¿Qué otro trastorno podría causar este dolor en el codo?
- ¿Representa esta lesión del codo la más común entre los jugadores de golf?

Estos problemas se comentan en la página 841.

Caso 6.10

Un carpintero de 52 años acude al médico porque nota una sensación de hormigueo en la mano derecha, que afecta también a la cara palmar del pulgar y a los dos primeros dedos y la mitad del dedo medio. Según señala, el dolor empeora de forma progresiva y muchas veces le despierta por la noche. Dice que tiene dificultades para usar los utensilios manuales y abrocharse la camisa. En la exploración física, la médico no observó ninguna alteración objetiva de la sensibilidad de la mano, pero sí cierta debilidad de los músculos de la eminencia tenar. Le comentó al carpintero que sufría un síndrome de atrapamiento nervioso.

Problemas clinicoanatómicos

- Aplicando sus conocimientos anatómicos de la muñeca, ¿qué nervio se encuentra comprimido?
- ¿Cuál es el nombre del síndrome de atrapamiento nervioso que describe este enfermo?
- ¿Qué trastornos pueden causar este tipo de atrapamiento nervioso?
- ¿Qué movimientos agravan los síntomas?
- Si no se trata este trastorno, ¿qué otros signos cabría esperar después de algunos meses?

Estos problemas se comentan en la página 841.

Caso 6.11

Una mujer de 25 años perdió el control mientras esquiaba y se fracturó gravemente la tibia derecha por la zona de la bota. Como la fractura era conminuta, se colocó una placa metálica por vía quirúrgica en la pierna para estabilizar la fractura. Le indicaron que debía llevar muletas durante unos tres meses. Después de haber utilizado las muletas de forma frecuente durante unas 6 semanas notó dolor y parestesias en la cara posterior del antebrazo derecho y en el dorso de la mano. Tras comentarlo al médico, éste le indicó que los síntomas se debían al uso prolongado y erróneo de las muletas.

Problemas clinicoanatómicos

- ¿Qué compresión nerviosa pudo causar el dolor y las parestesias en el antebrazo y mano derechos?
- ¿Por qué afirmó el médico que los síntomas neurológicos se debían al uso prolongado e incorrecto de las muletas?
- ¿Cómo cree usted que desaparecería esta compresión nerviosa?
- Si no se eliminara la causa de la compresión nerviosa, ¿cuál cree usted que sería el resultado?

Estos problemas se exponen en la página 842.

Caso 6.12

Un hombre de 32 años compró una casa vieja que necesitaba con urgencia reformas y pintura. Mientras pintaba el techo de una gran habitación notó dolor y hormigueos en el hombro derecho y en la parte proximal del brazo derecho. En la exploración física y médica que exploró el pulso radial en la muñeca derecha comprobó que disminuía al levantar el miembro afectado por encima del hombro. Después de mantener el miembro elevado varios minutos el paciente se quejaba de hormigueo y cierto dolor en el hombro. El médico observó *cianosis* (color púrpura de la piel), edema (hinchazón) de la mano y distensión de las venas superficiales del miembro.

Problemas clínicoanatómicos

- ¿Qué estructuras de la axila podrían causar los signos y síntomas descritos debido a su compresión?
- En su opinión, ¿qué estructura ósea podría comprimir estas estructuras axilares?
- ¿Cuál es la denominación clínica de este tipo de síndrome compresivo?

Estos problemas se exponen en la página 842

Caso 6.13

Un adolescente de 17 años fue zancadilleado de forma involuntaria en un partido de baloncesto y cayó con la mano estrada. Unas dos semanas después de golpearse en la muñeca acudió a la médico de familia por un dolor intenso en la muñeca. Cuando ésta le preguntó dónde notaba el dolor, el muchacho señaló la zona de la tabaquera anatómica. El joven se retorció de dolor cuando la médico le comprimió la zona de la tabaquera anatómica. Por eso, esta pidió una radiografía de la muñeca, donde aparecía una fisura de un gran hueso de carpo.

Problemas clínicoanatómicos

- ¿Qué hueso suele fracturarse cuando se aprecia dolor con la palpación de la tabaquera anatómica tras la hiperextensión forzada de la muñeca?
- ¿Por qué resulta difícil detectar una fractura de este hueso?
- Si no se detecta e inmoviliza de forma rígida la fractura, ¿qué enfermedad grave puede aparecer? Expique la razón.

Estos problemas se exponen en la página 842

Caso 6.14

Un hombre de 57 años estaba reparando la cubierta de su casa de campo. Aunque ya estaba cansado unas horas después, continuó trabajando. Un poco más tarde se cayó del porche y se rompió tres costillas y las dos muñecas. En la muñeca izquierda se observaba una fisura, pero la derecha mostraba la *fractura típica de Colles* con desplazamiento. Asimismo, había sufrido una fractura sin desplazamiento de la apófisis estiloides del cubito. La fractura radial se redujo y la muñeca se inmovilizó con una férula antebraquial duran-

te 4 semanas. La fractura estaba bien consolidada 6 semanas más tarde.

Problemas clínicoanatómicos

- ¿Cuál es la deformidad típica de la muñeca en la fractura de Colles? Expique por qué sucede así.
- ¿Por qué es más común la fractura de Colles entre las personas mayores?
- ¿Qué articulación suele subluxarse en caso de ausencia de consolidación de los fragmentos radiales?
- ¿Qué otra articulación puede afectarse?

Estos problemas se comentan en la página 842

Caso 6.15

Durante un parto complejo de nágas de un bebé grande hubo que efectuar una flexión lateral intensa del tronco y del cuello del pequeño para que saliera la cabeza. Desde el momento del nacimiento se observó la desaparición completa de la sensibilidad y una parálisis total del miembro derecho. Además, el pequeño tenía una caída del párpado derecho. En una charla con el residente de obstetricia se utilizó la expresión *lesión iatrogena*.

Problemas clínicoanatómicos

- ¿Qué lesión obstétrica causó con toda probabilidad esta lesión nerviosa del miembro superior del pequeño?
- ¿Qué significa lesión iatrogena?
- ¿Cree usted que este tipo de lesión braquial responde a la cirugía (p.ej., sutura nerviosa)?
- ¿Cuál es la causa de la caída del párpado derecho?
- Este defecto papebra, ¿de qué síndrome forma parte?

Estos problemas se comentan en la página 842

Caso 6.16

Varón de 20 años que refiere impotencia para elevar el miembro superior derecho. El paciente presenta el brazo caído con el antebrazo y la mano pronadas. Durante la anamnesis confiesa que sufrió una caída de la motocicleta aproximadamente dos semanas antes, golpeándose el hombro contra un árbol. Asimismo, recuerda que poco después de este accidente había notado dolor en el cuello.

Exploración física. En la exploración se aprecia incapacidad para flexionar, separar o rotar lateralmente el brazo. Además, el paciente muestra impotencia para la flexión del codo. Finalmente, se detecta pérdida de la sensibilidad en la cara lateral de brazo y antebrazo. El médico solicita radiografías de la región cervical y de la cintura escapular.

Informe del radiólogo. No se aprecian fracturas de la región cervical, cintura escapular ni tercio proximal del humero.

Diagnóstico. Lesión de nervios originarios del plexo braquial.

Problemas clínicoanatómicos

- Aplicando los conocimientos anatómicos sobre la nervación del miembro superior, comente cuál es la causa más

probable de la pérdida de la función motora y sensitiva de este paciente.

- ¿Qué músculos se encuentran posiblemente paralizados?
- ¿Podrá este paciente recuperar completamente la función de su miembro paralizado?

Estos problemas se comentan en la página 843.

Caso 6.17

Uno de sus amigos sufre una lesión del hombro durante un partido de hockey al ser empujado violentamente contra las vallas y golpearse en el hombro. Mientras usted le ayuda en el vestuario advierte que la lesión es extraordinariamente dolorosa. Después de que su amigo se quita la camiseta y las hombreras, usted observa una prominencia anómala en la extremidad lateral de la clavícula. Al principio pensó que se trataba de lo que los periodistas deportivos llaman "separación de hombro".

Exploración física. El médico del equipo apreció edema y dolor intenso en los ligamentos acromioclavicular y coracoclavicular. La extremidad acromial de la clavícula se encontraba algo inestable, y al aplicar una compresión inferior, su amigo se quejó de dolor. El hombro se encontraba más bajo de lo normal. Se solicitaron radiografías AP y axial de la articulación acromioclavicular.

Informe del radiólogo. Se observa un considerable ensanchamiento de la articulación acromioclavicular; la extremidad acromial de la clavícula se encuentra más elevada de lo normal.

Diagnóstico. Luxación de la articulación acromioclavicular.

Problemas clinicoanatómicos

- Explique por qué los periodistas deportivos utilizan el término "separación de hombro".
- ¿Cómo explicaría usted la articulación del hombro a un estudiante ajeno a la Medicina?
- ¿Cuáles son los ligamentos que han podido desgarrarse?
- ¿Cuál es la causa de la caída del hombro?

Estos problemas se comentan en la página 843.

Caso 6.18

Mientras patinaba, un chico de 12 años se cayó, golpeándose en el codo derecho. La madre, al comprobar el dolor tan considerable en el codo y el acorchamiento de parte de la mano, le llevó al pediatra. El paciente indicó: "Me caí sobre el codo y en seguida noté hormigueo en el dedo meñique."

Exploración física. El pediatra observó la ausencia de respuesta al estímulo (pinchazos) en el dedo meñique de la mano derecha y borde doloroso medial de la palma. El enfermo era incapaz de sujetar un trozo de papel colocado entre los dedos. Ante la sospecha de una fractura de codo con lesión nerviosa periférica, el pediatra solicitó una radiografía del codo.

Informe del radiólogo. Desplazamiento considerable de la epífisis del epicóndilo medial del húmero derecho, con probable estiramiento y compresión nerviosa.

Problemas clinicoanatómicos

- ¿Qué nervio se ha podido dañar?
- Explique el acorchamiento del dedo meñique y la incapacidad del paciente para sujetar un trozo de papel entre los dedos.
- Aplicando sus conocimientos sobre la degeneración y regeneración de los nervios periféricos, trate de predecir el grado probable de recuperación de la función motora y sensitiva de este enfermo.

Estos problemas se comentan en la página 843.

Caso 6.19

Un joven fue golpeado violentamente con un palo de hockey en el tercio medio de la región humeral del brazo izquierdo. Al llegar a la consulta presentaba signos de dolor, tumefacción, deformidad y movimientos anómalos del miembro superior izquierdo.

Exploración física. La exploración física reveló incapacidad para extender la muñeca (*mano caída*) y los dedos y pérdida de la sensibilidad en una pequeña región de la piel del dorso de la mano, proximal a los dos primeros dedos. Asimismo, se observaba una debilidad para la extensión de las articulaciones interfalángicas. El paciente presentaba cierto acortamiento del miembro lesionado. Se solicitó una radiografía del brazo.

Informe del radiólogo. La radiografía reveló una fractura del húmero distal a la inserción del músculo deltoides. El fragmento proximal del hueso se encontraba separado y el distal presentaba un desplazamiento proximal.

Problemas clinicoanatómicos

- Aplicando sus conocimientos anatómicos indique el nervio periférico lesionado y la arteria desgarrada.
- ¿Cree usted que ocurrirá una impotencia para la flexión del codo?
- Explique los efectos de esta lesión nerviosa periférica.
- ¿Cuáles son los fragmentos humerales que se desplazan de la forma descrita?

Estos problemas se comentan en la página 844.

Caso 6.20

Mientras usted jugaba al rugby sufrió una caída con la mano separada, la muñeca hiperextendida y con desviación lateral. Inicialmente, no le prestó demasiada atención y le comentó a sus amigos que había sufrido un esguince de muñeca, hasta que dos semanas más tarde tuvo que acudir al médico ante la persistencia del dolor.

Exploración física. El ortopedista, tras efectuar una palpación profunda de la tabaquera anatómica, comprobó la existencia de dolor local, sobre todo en la cara lateral de la

muñeca al extenderla en toda su amplitud. Ante la sospecha de una fractura solicitó una radiografía de muñeca.

Informe del radiólogo. La radiografía muestra una pequeña fractura sin desplazamiento (fisura) de hueso de carpo más voluminoso y lateral, situado en el suelo de la tabaquera anatómica.

Problemas clinicoanatómicos

- ¿Qué huesos de carpo están situados en el suelo de la tabaquera anatómica?
- ¿Cuál es el hueso del antebrazo cuya extremidad distal se aloja en el suelo de esta depresión?
- ¿Cuál es el hueso del carpo que probablemente ha sufrido una fractura?

Estos problemas se comentan en la página 845.

Caso 6.21

Una adolescente de 15 años deprimida se ha producido un corte en ambas muñecas con una hoja de afeitar y es trasladada de inmediato al departamento de urgencias de un hospital. La hemorragia moderada de la muñeca izquierda se detuvo de inmediato con una férula compresión. Sin embargo, los pequeños borbotones de sangre de la cara lateral de la muñeca no respondieron de la misma manera.

Exploración física. La exploración de la mano y de la muñeca izquierdas no mostró anomalías motoras ni tampoco pérdida sensitiva. En cambio, en la muñeca y mano derechas se observaron los siguientes hallazgos: sección de dos tendones superficiales y de un gran nervio; aproximación del pulgar conservada, pero impotencia para su oposición; pérdida de algunos movimientos de control fino del 2º y 3º dedos, y anestesia en la mitad lateral de la palma y de los dedos.

Problemas clinicoanatómicos

- ¿Qué tendón se ha lesionado?
- ¿Qué nervio ha sufrido la sección?
- ¿Qué otro tendón ha sido lesionado?
- ¿En qué arteria superficial ha ocurrido una laceración?
- ¿Puede esta lesión afectar a la flexión de la muñeca?

Estos problemas se comentan en la página 845.

Caso 6.22

Una mujer anciana se resbaló con una paca de hielo, y al tratar de evitar la caída aterrizó con la mano abierta y el antebrazo pronado. Seguidamente fue trasladada al departamento de urgencias del hospital local.

Exploración física. Según le contó al médico interno, escuchó un crujido de la muñeca que le dio a considerablemente. Aparte de la tumefacción, el médico observó una flexión clara de la zona proximal a la muñeca y una desviación lateral de la mano. Pidió una radiografía de la muñeca y de la mano.

Informe del radiólogo. Fractura comminuta de la extremidad distal de antebrazo.

Problemas clinicoanatómicos

- ¿Qué hueso del antebrazo se ha fracturado esta enferma?
- ¿Qué hueso de carpo se puede también haber fracturado?
- ¿Cómo se llama este tipo de fractura?
- Explique la causa de la deformidad en tenedor de la muñeca de esta paciente.
- ¿Qué articulación se habría subluxado?

Estos problemas se comentan en la página 845.

COMENTARIO A LOS CASOS

Caso 6.1

El lugar habitual de fractura de la clavícula es la unión de los tercios lateral y medio, que es la zona más débil. La clavícula relativamente robusta, de los adultos se rompe menos que la de los niños. Una de cada 20 fracturas del miembro superior afecta a la clavícula y casi todas estas lesiones ocurren en niños y adultos que practican deportes de contacto. El hombro de la mujer se hundió hacia dentro tras la fractura clavicular, debido al peso del hombro no protegido. Los ligamentos que unen el acromion a la clavícula son mucho más fuertes que la clavícula; por eso, un golpe directo sobre el hombro (p. ej., una caída) puede lesionar la articulación acromioclavicular (p. ej., distensión acromioclavicular) y fracturar la clavícula. La clavícula de las personas de edad intermedia suele fracturarse, porque la fuerza de la caída se transmite por los huesos de antebrazo y brazo hasta la cintura escapular. Entre las mujeres mayores, la caída desde una bicicleta suele fracturar la extremidad distal de radio (fractura de Colles) porque sus huesos se encuentran muy debilitados por la osteoporosis.

Caso 6.2

El manguito de los rotadores es el manguito musculotendinoso de la articulación escapulohumeral, formado por los tendones de inserción de los músculos de este manguito (tabla 6.4). El manguito refuerza la capsula de la articulación escapulohumeral y otorga estabilidad debido a las contracciones oncas de los músculos que sujetan la cabeza del húmero dentro de la cavidad glenoidea de la escápula. Los impactos indirectos con el brazo separado (p. ej., en una caída de esquí) y los microtraumatismos frecuentes del hombro en los lanzamientos (p. ej., béisbol) dañan el manguito de los rotadores y pueden desgarrarlo. La porción supratendinosa, relativamente avascular del manguito de los rotadores próxima al tubérculo mayor de húmero es la que suele desgarrarse al principio.

Las lesiones del manguito de los rotadores pueden ocurrir en cualquier persona que lance un objeto o se caiga con el brazo separado. La lesión es más común entre personas mayores de 45 años que se sobrecargan los fines de semana o las vacaciones con actividades tales como el esquí, el *body surfing* (arrastrarse nadando sobre la cresta de la ola hacia la orilla con el impulso de la corriente) y el levanta-

miento de peso. El mecanismo de la lesión del manguito de los rotadores es la fuerza indirecta que se aplica al brazo separado y los microtraumatismos de repetición del hombro. Cuando se desgarran el manguito de los rotadores se debilita la separación del brazo y se aprecia un intenso dolor en el arco de separación del brazo de 70 a 120°.

Caso 6.3

Sin duda, se lesionó el *nervio torácico largo* para el músculo serrato anterior. Durante la disección axilar suele identificarse y mantenerse rechazado contra la pared torácica cuando se extirpan los ganglios linfáticos. Sin embargo, el nervio puede dañarse de forma involuntaria al extirpar los ganglios. La lesión del nervio torácico largo provoca una *parálisis del músculo serrato anterior*, que mantiene el borde medial de la escápula apuesto con firmeza a la pared torácica. El músculo serrato anterior, también poderoso, ayuda al músculo trapecio a rotar lateral y superiormente en la escápula cuando se levanta el brazo por encima del hombro. Así se explica por qué esta paciente tenía dificultades para peinarse.

Las lesiones del nervio torácico largo y la parálisis del músculo serrato anterior suelen obedecer a armas (cuchillos, armas de fuego); sin embargo, también se observan en accidentes de tráfico graves o cuando una persona es atropellada por un vehículo de motor. Las fracturas de la escápula y la lesión del nervio torácico largo se asocian, a menudo, con fracturas costales. El *nervio toracodorsal* (nervio para el músculo dorsal ancho) se puede dañar en las operaciones sobre la parte inferior de la axila. Este nervio desciende lateralmente por la parte posterior de la axila y entra dentro del músculo dorsal ancho a la altura de la 2ª o 3ª costillas. Una persona con una parálisis del dorsal ancho tendrá problemas para aproximar y rotar medialmente el brazo.

Durante las disecciones axilares conviene evitar la lesión de los nervios pectorales para el músculo pectoral mayor. La parálisis de este músculo influye de manera notable en la aproximación del brazo y debilita su rotación medial. Los *nervios intercostobraquiales*, ramos cutáneos laterales del 2º nervio intercostal, son sacrificados en algunos casos para las disecciones radicales de axila, porque estos nervios pasan cerca de los ganglios linfáticos axilares en su trayecto hacia el hombro. El daño de estos nervios provoca anestesia en la piel de la axila y la cara posteromedial del brazo.

Caso 6.4

El acromion probablemente golpeó el césped artificial duro en primer lugar. El acromion constituye la punta ósea del hombro. La extremidad medial del acromion se articula con la extremidad medial de la clavícula. Lo más probable es que esta lesión consistiera en una subluxación de la articulación acromioclavicular. Los periodistas deportivos suelen hablar de separación del hombro, pero en realidad es una *subluxación acromioclavicular*.

Si se observa un ensanchamiento notable de esta articulación e inestabilidad importante de la extremidad acromial

de la clavícula con una clavícula “acabalgada” y elevada debe sospecharse una *luxación acromioclavicular*. En tal caso, el *ligamento acromioclavicular* está totalmente desgarrado (es decir, roto) y también algunas partes del ligamento coracobraquial. La cápsula articular se encontrará muy distendida y la parte superior posiblemente se desgarrará si la clavícula se desplaza hacia arriba.

Si el jugador hubiera caído al suelo con la mano abierta se habría fracturado la clavícula. El mecanismo de lesión se debe a la transmisión de la fuerza traumática por el antebrazo y brazo hasta la cintura escapular. En este caso, la fuerza se transmitió a la clavícula y no suele dañarse la articulación acromioclavicular.

Caso 6.5

Los síntomas indican con claridad una *epicondilitis lateral* (codo de tenis), el trastorno doloroso más frecuente del codo. Esta lesión del codo obedece casi siempre a microtraumatismos repetidos del origen común de los músculos extensores del antebrazo. La epicondilitis lateral constituye casi el 70% de todas las lesiones deportivas en las personas de 40 a 50 años. La epicondilitis lateral también sucede en el béisbol, natación, gimnasia, carreras de vallas y golf –es decir, en todo deporte que exija un uso intensivo de los extensores del antebrazo–. La epicondilitis lateral también es consecuencia de traumatismos directos sobre el epicóndilo lateral (p. ej., golpe con un palo de hockey sobre un codo desprotegido).

El punto concreto de dolor local en las lesiones laterales del codo queda justo distal al epicóndilo lateral inflamado, pero conforme se establece la *inflamación del tendón común de los músculos extensores*, el dolor se refiere distalmente a lo largo del tendón extensor. En los casos crónicos, las radiografías pueden mostrar una calcificación distrófica en la zona degenerada del origen de los músculos extensores.

Caso 6.6

La calcificación del manguito musculotendinoso de los rotadores, sobre todo de su porción supraespinosa, suele ser la causa del síndrome del arco doloroso. En las *tendinitis calcificadas agudas del supraespinoso*, el calcio depositado en la sustancia del tendón supraespinoso produce un dolor pulsátil e intolerable que no se alivia con el reposo. La *inflamación de la bolsa subacromial* por irritación del manguito calcificado de los rotadores agrava más el dolor. La compresión del hombro, lateral al acromion, resulta dolorosa por su proximidad con el tubérculo mayor del húmero, donde suelen localizarse los depósitos de calcio del tendón del músculo supraespinoso.

El *síndrome del arco doloroso* se puede explicar por el hecho de que, con una separación de 50 a 60°, la zona inflamada del tendón supraespinoso establece contacto con la cara inferior del acromion. Debido a esta razón, este síndrome también se conoce como *síndrome de fricción subacromial*.

Caso 6.7

Los ramos ventrales de los nervios C5 y C6, que se unen para dar el tronco superior del plexo braquial, se desgarran o estiran de forma intensa al tirar de la cabeza del bebé sin que haya salido aún el hombro. Este trastorno clínico se denomina parálisis de Erb o de Erb-Duchenne. El miembro paralizado cuelga a un lado, aproximado y con rotación medial, el codo se halla extendido, y el antebrazo, pronado. Por eso, la cara palmar de la mano, en lugar de mirar en sentido medial, se dirige hacia atrás cuando el hombro queda en reposo, aproximado y a un lado.

La lesión de la parte alta del plexo braquial de los adultos jóvenes se produce de ordinario en caídas sobre el hombro, con hundimiento forzado del hombro y flexión de la cabeza y del cuello hacia el lado contrario (pág. 726). Este tipo de lesiones son frecuentes en las caídas desde una motocicleta. La lesión de la parte alta del plexo braquial también se puede observar en partidos de rugby cuando un jugador placa al que lleva el balón y le tira del brazo y otro de la mascanilla.

Hace años se consideraba de muy mal gusto extender la mano para recibir una propina; por eso los conserjes y los camareros ponían la palma abierta y mirando hacia atrás para poder recoger la propina con la mano de forma más disimulada. En Gran Bretaña todavía se ve esta posición de conserje en espera de propina, que invita a pensar si todos los conserjes sufrieron lesiones obstétricas.

Los músculos que se paralizan de forma parcial o completa por el desgarramiento de las raíces C5 y C6 del plexo braquial son aquellos cuya inervación única o principal procede de C5, C6 o de ambos (p. ej., supraespinoso, deltoides bíceps y supinador). La atrofia del músculo deltoides explica que el hombro pierda su contorno redondeado y parezca caído.

Caso 6.8

Es muy probable que la cabeza larga del músculo bíceps braquial de este hombre se dañara.

La sensación de chasquido y el dolor en el surco bicipital indican una rotura del tendón de la cabeza larga del bíceps. La debilidad para la flexión y la supinación del antebrazo sustentan la tesis de una lesión bicipital, porque este músculo contribuye a estos dos movimientos del miembro superior. Sin duda, la prominencia se debe al vientre "caído" y contraído de forma tónica (cabeza larga y rota del bíceps). Asimismo puede suceder una fractura por avulsión del tubérculo supraglenoideo de la escápula, lugar de inserción proximal de la cabeza larga del bíceps, con lo que el tendón del bíceps se desplazaría del surco intertubercular.

La *tendinitis bicipital*, la segunda causa más común de hombro doloroso, se observa en multitud de deportes de lanzamiento, natación o raqueta (Harpert, 1994). Esta lesión obedece a microtraumatismos repetidos del tendón bicipital y de su vaina sinovial, que sube y baja por el surco bicipital del húmero durante la flexión y supinación del antebrazo. El uso constante de este músculo puede deshacer y fina-

mente romper el tendón. La rotura del tendón bicipital puede ser consecuencia de la contracción forzada contra resistencia (p. ej., durante un golpe frenado en el béisbol, ya sea en campo grande o pequeño, o un placaje del brazo con el que lanza la pelota el estratega del rugby).

Caso 6.9

Los síntomas y los signos sugieren que este jugador de golf presenta una lesión de codo llamada *epicondilitis medial* (codo de golf). El mecanismo de la lesión causante de la epicondilitis media suele ser una sobrecarga medial del codo debida al microtraumatismo repetido del grupo de los músculos flexores pronadores del antebrazo en el *origen común de los flexores*, es decir, el epicondilo media.

La causa más probable de la epicondilitis media es la inflamación del epicondilo medial y del tendón común del grupo de los músculos pronadores flexores del antebrazo. El esguince de ligamento colateral del cubito también podría causar dolor en la parte medial del codo. Este ligamento se dirige desde el epicondilo media hasta la apófisis coronoides y el olecranon. Pese a su nombre común (codo de golf) la epicondilitis media afecta sobre todo a los jugadores de tenis que sirven con efecto. También ocurre durante la fase de aceleración en los deportes de lanzamiento.

Caso 6.10

El nervio mediano se encuentra comprimido en la muñeca a su paso bajo el reténulo flexor. Este trastorno bastante común *síndrome del túnel carpiano*, obedece a multitud de lesiones (Satter, 1998): edema agudo y crónico de carácter traumático, quiste sinovial en el túnel del carpo, osteofitos (crecimiento exagerado de los huesos del carpo). También, tenosinovitis (inflamación de un tendón y de la vaina sinovial) y ejercicio agotador. Los síntomas del síndrome de túnel carpiano (p. ej., parestias sensitivas en la cara lateral de la mano incluidos los dos últimos dedos y la mitad del dedo medio) se agravan con los movimientos de la muñeca. Si no se efectúa tratamiento la compresión del nervio cubital puede provocar una pérdida objetiva de la sensibilidad (p. ej., manifestada con la prueba de pinchazo) así como debilidad y atrofia de los músculos de la mano (fig. 6.85).



Figura 6.85. Atrofia de los músculos de la eminencia tenar de una mujer de 50 años. Esta lesión se debía a una compresión duradera del nervio mediano en la muñeca (síndrome del túnel del carpo).

Caso 6.11

Es indudable que el dolor y las parestesias del antebrazo y mano de esta mujer se deben a la compresión del nervio radial en la axila, porque todos los síntomas guardan relación con la distribución de este nervio. El uso prolongado y erróneo de las muletas que se apoyan en la axila determina que la mayor parte del peso incida en la axila, más que en las manos, con lo que se produce una compresión intermitente del nervio radial a su salida de la axila. Hay que enseñar a esta paciente a utilizar las muletas axilares, es decir, soportar el peso en la mano más que en la axila. Sin embargo, sería preferible ofrecer muletas de codo a estas personas. Si no desaparece la compresión del nervio radial ("parálisis de la muleta") podría ocurrir una parálisis de los extensores de los dedos y de la muñeca (tabla 6.7). Esta lesión nerviosa es completamente reversible si desaparece la causa.

Caso 6.12

La compresión de la arteria y de la vena axilares y de los fascículos del plexo braquial podría causar los síntomas que describe este paciente:

- *Compresión del nervio axilar:* parestesias en el hombro y parte proximal del brazo y debilidad para la separación
- *Compresión de la arteria axilar:* debilidad del pulso radial
- *Compresión de la vena axilar:* edema de la mano y distensión de las venas superficiales del miembro.

Las estructuras axilares pueden verse pellizcadas (fig. 6.86) o comprimidas entre la apófisis coracoides de la escápula y el tendón del músculo pectoral menor durante la hiperabducción prolongada del brazo.

Este tipo de síndrome compresivo se conoce como *síndrome de hiperabducción del brazo*. Los signos y los síntomas dependen del o de los fascículos del plexo braquial comprimidos.

Caso 6.13

El escafoides se sitúa en el suelo de la tabaquera anatómica y es el hueso que suele fracturarse con la hiperextensión de la muñeca. Las *fracturas del escafoides son difíciles de reconocer*, sobre todo inmediatamente después de la lesión, puesto que a menudo se trata de fisuras sin desplazamiento. La resorción ósea posterior de la zona de fractura aumenta la radiotransparencia de la lesión, que suele manifestarse a los 10 a 14 días.

Dada la posición del escafoides en la muñeca y su tamaño relativamente pequeño, es difícil inmovilizar este hueso. El movimiento continuado de la muñeca suele explicar la falta de consolidación de los fragmentos óseos. En general, se observa un desplazamiento y desgarro de los ligamentos que puede dificultar la vascularización de uno de los fragmentos óseos. La *necrosis* (muerte) *isquémica* de parte del escafoides es la consecuencia. Habitualmente, el hueso recibe irrigación de dos arterias nutricias, una para la mitad proximal y otra para la distal. A veces, los dos vasos irrigan

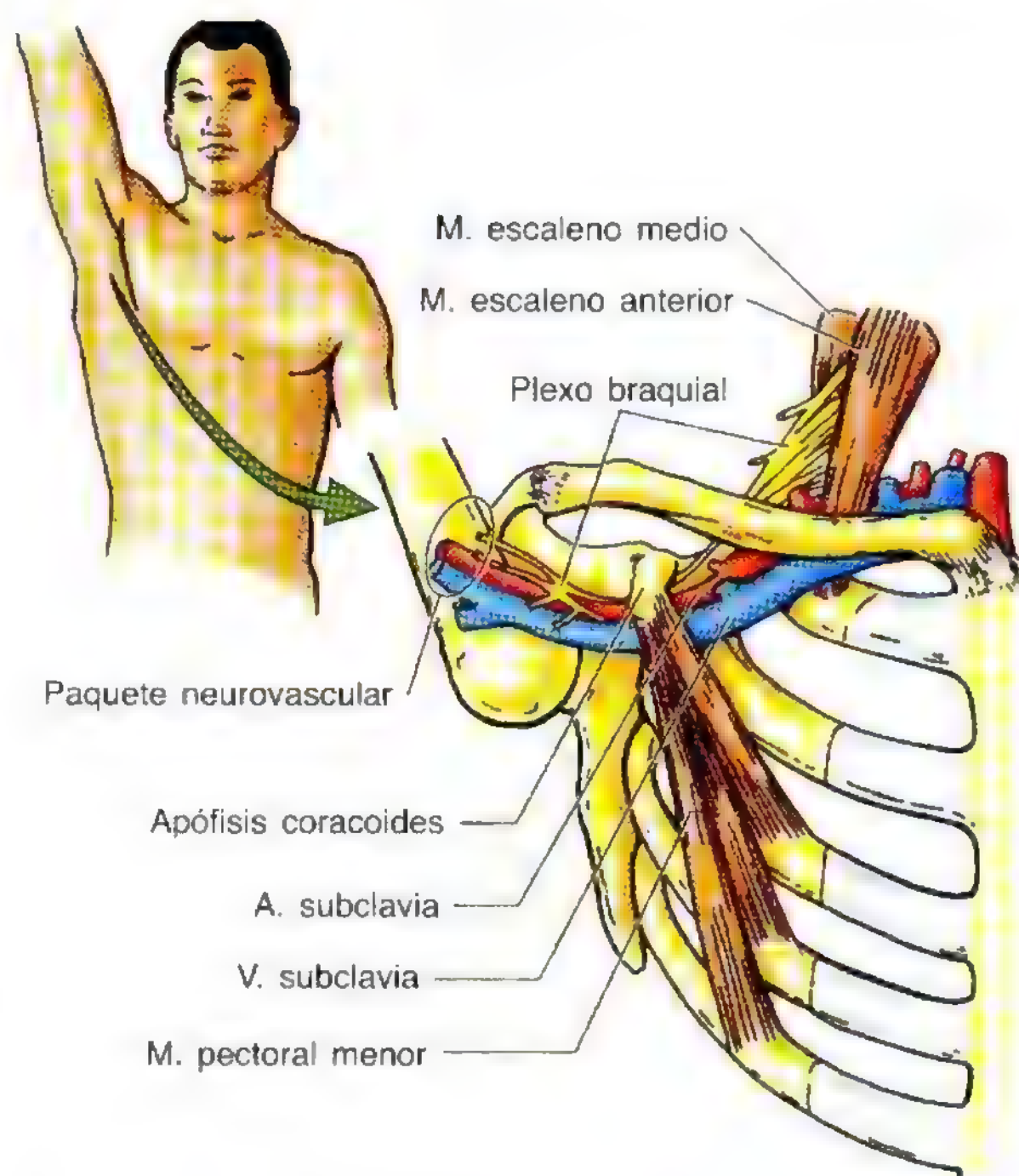


Figura 6.86. Compresión del paquete neurovascular de la axila. Este trastorno provoca isquemia y parestesias en el miembro superior, que se agudizan con la elevación del miembro por encima de la cabeza.

la mitad distal y, por eso, la proximal fragmentada no recibe sangre. La necrosis resultante explica el retraso o la falta de consolidación de los fragmentos óseos.

Caso 6.14

La *anomalía clínica* típica de la muñeca en la fractura de Colles es la deformidad en tenedor (de plata) por el desplazamiento posterior e inclinación del fragmento radial distal. La mano suele desplazarse lateralmente porque lo hace la porción distal del radio. La fractura de Colles es más común entre personas mayores de 50 años, en particular mujeres, porque sus huesos se hallan con frecuencia debilitados por la osteoporosis posmenopáusica. La articulación radiocubital distal puede subluxarse si la fractura de Colles no está bien consolidada, y a veces se limitan los movimientos de la muñeca.

Caso 6.15

La flexión lateral del tronco y cuello de este bebé lesionaron gravemente todo el plexo braquial y probablemente desgarraron uno o más de los troncos. La expresión *lesión iatrogénica* significa un trastorno producido "de manera involuntaria e inadvertida por el médico o el cirujano" (Salter, 1998). Conviene saber que si el obstetra no hubiera actuado con rapidez durante el parto, posiblemente no hubiera salvado la vida de este pequeño con cianosis (coloración

azulada y oscura de la piel por la oxigenación deficiente de la sangre)

Este tipo de lesión grave que afecta a todo el plexo braquial tiene corrección quirúrgica (Sater, 1998), porque es muy probable que parte de los ramos ventrales sufra una avulsión completa de la médula espinal. Una caída del párpado superior (*ptosis*) se debe a la lesión de las fibras simpáticas de la raíz del 1^{er} nervio torácico. Este rasgo forma parte del *síndrome de Horner*; otras características son la constricción de la pupila (*miosis*), y la ausencia de sudor en el miembro lesionado (*anhidrosis*).

Caso 6.16

Cuando este joven salió despedido de la motocicleta golpeándose el hombro derecho contra el árbol, éste se separó violentamente de la cabeza causando una tracción del tronco superior del plexo braquial, con un estiramiento o desgarro de los ramos primarios ventrales de C5 y C6. En consecuencia, los nervios originados en estos ramos y en el tronco superior sufren las consecuencias de la lesión y los músculos inervados por ellos se paralizan. Estos músculos comprenden el deltoides, el bíceps braquial, el braquial, el braquiorradial, el supraespinoso, el infraespinoso, el redondo menor y el supinador.

El brazo de paciente mostraba una rotación medial por la parálisis de los músculos supraespinoso y redondo menor (rotadores laterales del hombro). El antebrazo se hallaba pronado por la parálisis de los músculos supinador y bíceps. La debilidad para la flexión del codo obedece a la parálisis de los músculos braquial y bíceps braquial. La incapacidad para la flexión del húmero es consecuencia de la parálisis de los músculos deltoides y coracobraquial y probablemente de la cabeza clavicular del músculo pectoral mayor. La impotencia para la separación del húmero se debe a la parálisis de los músculos supraespinoso y deltoides.

Esta parálisis sería permanente si las raíces que componen los ramos C5 y C6 se hubieran desprendido de la médula espinal. Como estas raíces no pueden suturarse de nuevo dentro de la médula los axones de estos nervios no se regenerarían y los músculos inervados sufrirían una atrofia. Los movimientos del hombro y del codo se ven afectados de manera considerable y este paciente tendrá dificultades para beber un vaso de agua con el brazo derecho. La pérdida de la sensibilidad en el brazo es consecuencia de la lesión de las fibras sensitivas de C5 y C6, que viajan con el nervio cutáneo braquial lateral superior (ramo del nervio axilar), el nervio cutáneo braquial lateral inferior (ramo del nervio radial) y el nervio cutáneo antebraquial lateral (ramo del nervio musculocutáneo).

Caso 6.17

La separación del hombro es un término que usan los periodistas deportivos para denominar la contusión (equimosis) del acromion y de la articulación acromioclavicular. Para explicar la "separación del hombro" es necesario efectuar un diagrama sencillo de la escápula y de la cla-

vícula donde aparezcan los ligamentos que se insertan en ella. Hay que subrayar la importancia del ligamento coracoclavicular, que es el que estabiliza fundamentalmente la articulación acromioclavicular. Usted deberá explicar asimismo que la escápula y la clavícula son partes del miembro superior y de la denominada cintura escapular; la clavícula se articula lateralmente con el acromion formando la articulación acromioclavicular. Conviene añadir también que la escápula y la clavícula se encuentran unidas entre sí por los ligamentos acromioclavicular y coracoclavicular.

Cuando su amigo golpeó la valla con el hombro sufrió un desgarro de los ligamentos acromioclavicular y coracoclavicular (pág. 803). En consecuencia, el hombro cae por el peso del miembro superior y el acromion es traccionado hacia abajo con reacción a la clavícula. Por otro lado, la extremidad distal de la clavícula sufre un desplazamiento superior con relación al acromion, lo que determina su prominencia tan llamativa. Hay que recordar que el término "separación del hombro" es erróneo. En realidad se trata de una luxación (separación) de la articulación acromioclavicular y no del hombro propiamente dicho. La rotura de ligamento acromioclavicular no representa una lesión grave por sí misma, pero cuando se combina con una rotura de ligamento coracoclavicular, la luxación acromioclavicular es compleja, porque la escápula y la clavícula se separan, ocurriendo un desplazamiento inferior de la escápula y del miembro superior.

Caso 6.18

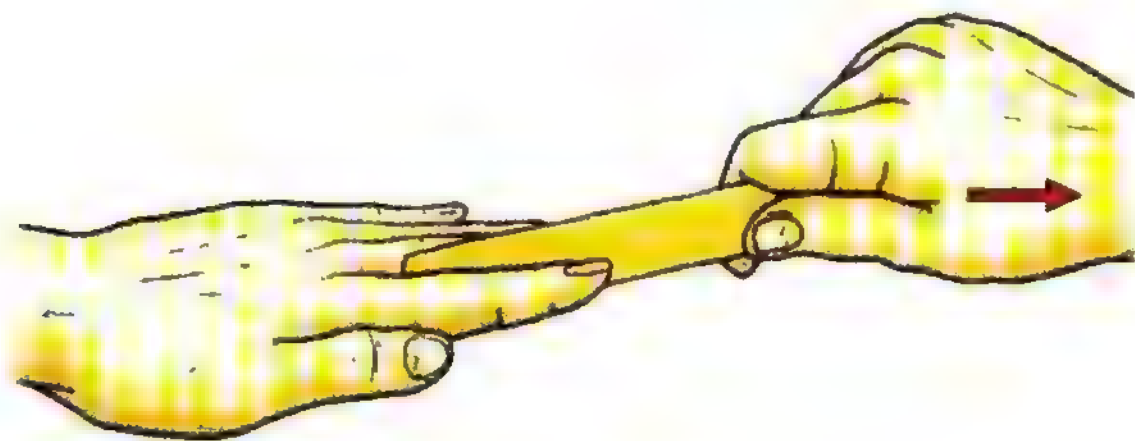
Desde luego, el desplazamiento de la epífisis de epicondilo medial dañó el nervio cubital. El epicóndilo medial del húmero no se une completamente a la diáfisis hasta los 16 años de edad en el varón (14 años en el sexo femenino). Aunque la separación epifisaria se denomina a veces "fractura epifisaria" o "fractura-luxación", es mejor definir esta lesión como una *separación de la epífisis del epicóndilo medial*. Si este accidente hubiera ocurrido en una persona de más de 16 años se habría producido una fractura del epicondilo medial.

Como la placa de cartilago epifisario de los niños es más débil que el hueso que lo rodea, cualquier golpe directo que provoque una fractura entre los adolescentes y adultos posiblemente determina una *lesión de la placa del cartilago epifisario* de los niños. Como el nervio cubital pasa posterior al epicóndilo medial, entre este y el codo sufre las consecuencias de las lesiones de codo. Esta lesión produce una parálisis muscular y una pérdida parcial de la sensibilidad en el territorio cutáneo nervado por el nervio cubital.

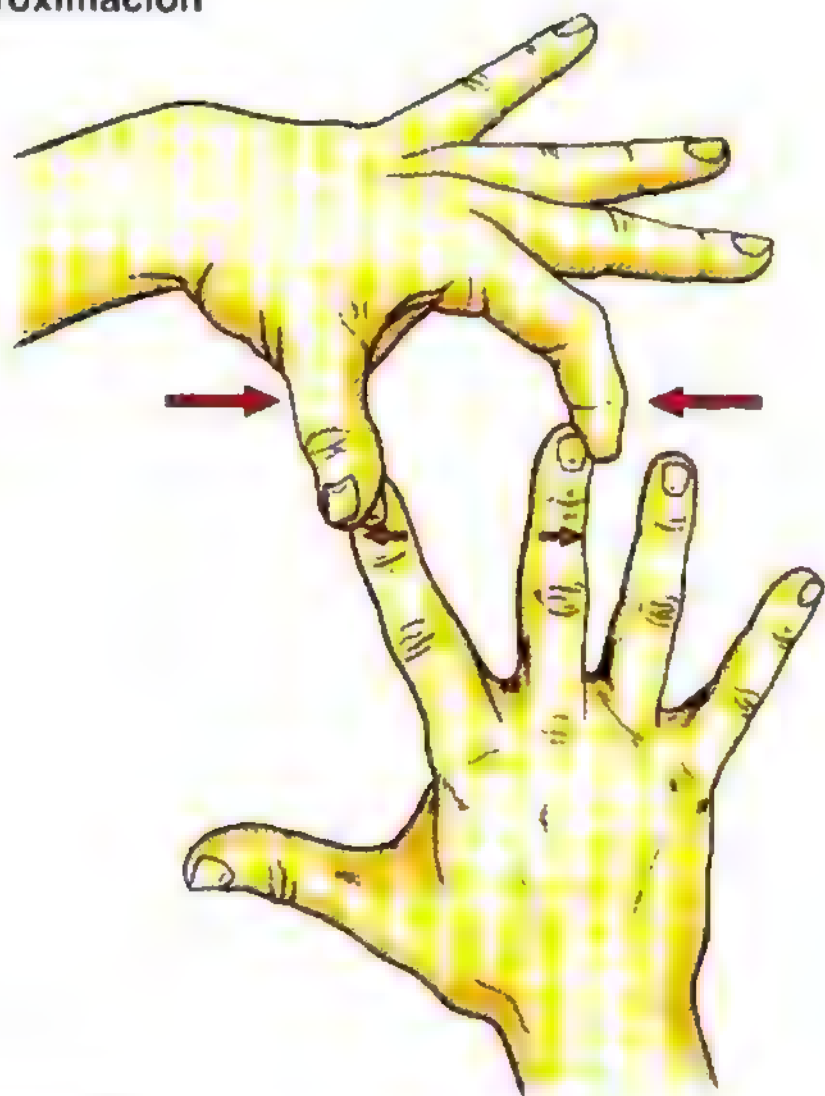
En general, el tacto suave suele desaparecer en el 5^o dedo y la mitad medial del siguiente; la respuesta dolorosa queda abolida en el 5^o dedo y el borde medial de la palma. Como los músculos interóseos son inervados por el nervio cubital, el pediatra examinó estos músculos colocando un trozo de papel entre los dedos, completamente extendidos y solicitando al enfermo que lo sujetara fuertemente, sin dejar que el examinador extrajera el

papel (fig. 6.87). La incapacidad de aproximación de los dedos es un signo clásico de parálisis de los músculos interóseos palmares y de lesión del nervio cubital. Es probable que ocurra una pérdida motora en otros músculos:

- Incapacidad para aproximar los dedos (*parálisis de los músculos interóseos dorsales*).
- Abolición de la aproximación del pulgar (*parálisis del músculo aproximador del pulgar*).
- Debilidad para la flexión del 4^o y 5^o dedos por la articulación metacarpofalángica (*parálisis de los dos músculos lumbricales mediales*).
- Alteración de la flexión y aproximación de la muñeca (*parálisis del músculo flexor cubital del carpo*).
- Prensión deficiente con el 4^o y 5^o dedos.
- Incapacidad para la flexión de las articulaciones interfalángicas distales del 4^o y 5^o dedos (*parálisis de los múscu-*



(A) Aproximación



(B) Separación

Figura 6.87. Exploración de los músculos interóseos.

A. Exploración de la aproximación digital. El examinador trata de sacar el depresor lingual entre los dedos del paciente y éste se resiste (*flecha*). La incapacidad para aproximar los dedos constituye un signo de parálisis de los músculos interóseos palmares debido a una lesión del nervio cubital.

B. Exploración de la separación digital. El explorador trata de aproximar el 2^o y 3^{er} dedos del paciente, separados, mientras éste se resiste (*flechas*). La debilidad para la separación indica una parálisis incompleta de los músculos interóseos dorsales, que también obedece a una lesión del nervio cubital.

los lumbricales, interóseos y parte del músculo flexor profundo de los dedos).

Como todos los músculos intrínsecos de la mano, excepto cinco de ellos, son inervados por el nervio cubital, las lesiones que ocurren en el codo se manifiestan fundamentalmente en la mano.

Al tratarse únicamente de un aplastamiento y no de una sección nerviosa, no se requiere la sutura del nervio, porque pueden desarrollarse nuevos axones en la porción del nervio distal a la lesión, dentro de las vainas endoneurales originales y del neurolema; estos axones inervan de nuevo a los músculos paralizados. Por consiguiente, después de una lesión por aplastamiento, como ocurre en este caso, la función se restaura en unos meses con una fisioterapia adecuada.

Caso 6.19

La incapacidad de este joven para extender la mano sobre la muñeca indica una lesión del nervio radial. Como la fractura ocurre en el tercio central del húmero, es probable que el nervio radial hubiera sufrido una lesión en su trayecto diagonal a través del húmero por el surco del mismo nombre. Este nervio es extraordinariamente vulnerable a las lesiones en esta localización, por su íntima relación con el húmero. La *sección del nervio radial* produce una parálisis completa de los músculos extensores del antebrazo y de la mano (tabla 6.7). En consecuencia, resulta imposible la extensión de la muñeca y la mano adopta una posición conocida como *mano caída*. El nervio radial no inerva ningún músculo de la mano; por eso, el paciente es incapaz de extender las articulaciones metacarpofalángicas. Como los músculos lumbricales (inervados por los nervios mediano y cubital) y los interóseos (inervados por el nervio cubital) se encuentran intactos, el paciente puede flexionar las articulaciones metacarpofalángicas y extender las interfalángicas. Sin embargo, la fuerza de extensión digital no es normal.

La flexión del codo resulta muy dolorosa y disminuye cuando el antebrazo se coloca en una posición intermedia entre la pronación y la supinación. Como se sabe, el nervio radial inerva el músculo braquiorradial, un potente flexor del codo en esta posición. El área de anestesia después de las lesiones del nervio radial suele ser mínima, porque el territorio cutáneo inervado es muy reducido. El grado de pérdida sensitiva varía de un paciente a otro, dependiendo del grado de inervación superpuesta por los nervios adyacentes. A veces no ocurre ninguna pérdida sensitiva de interés.

El acortamiento del brazo se debe a la tracción sobre los fragmentos óseos. La contracción del músculo deltoides separa el fragmento proximal del húmero. La contracción de los músculos tríceps, bíceps y coracobraquial determina una tracción superior del fragmento distal. Aunque la arteria braquial profunda acompaña al nervio radial por el surco de este nervio y puede ser lesionada por los fragmentos óseos, no es frecuente observar una isquemia de los músculos ni estructuras irrigadas por esta arteria (p. ej., húmero), porque la arteria recurrente radial se anastomosa con la braquial profunda (fig. 6.26). Esta comunicación es suficiente para

que llegue sangre a las estructuras irrigadas por la arteria lesionada

Caso 6.20

Los huesos laterales del carpo, el escafoides y el trapecio están situados en el suelo de la tabaquera anatómica. Esta depresión de la base del pulgar limita aproximadamente con la apófisis estiloides del radio y distalmente con la base del 1^{er} metacarpiano.

La fractura del hueso escafoides es la lesión más frecuente del carpo y suele ser consecuencia de caídas sobre la mano. Ninguna otra fractura de los adultos pasa más veces desapercibida en el momento de la lesión (Sater 1983). Dada la posición del hueso escafoides y su reducido tamaño, la inmovilización de este hueso es muy compleja. El movimiento continuo de la muñeca suele fomentar la disyunción de los fragmentos óseos. En general, se produce desplazamiento y desgarro de los ligamentos, que pueden impedir la vascularización de alguno de los fragmentos.

Por eso ocurre una necrosis isquémica de parte del hueso escafoides. Habitualmente, el hueso escafoides está irrigado por dos arterias nutricias, una para la mitad proximal y otra para la distal. A veces los dos vasos irrigan la mitad distal, y la mitad proximal, separada, no recibe sangre. La isquemia determinaría un retraso o incluso la ausencia de consolidación de los fragmentos.

Caso 6.21

Indudablemente esta enferma no se ha seccionado profundamente la muñeca del lado izquierdo: la escasa hemorragia probablemente se debía a la lesión de venas superficiales. En cambio, en el lado derecho se ha producido una sección del tendón del músculo palmar largo y probablemente también del tendón del músculo flexor radial de carpo. Los datos de la exploración física sugieren una *lesión evidente del nervio mediano*. Este nervio está situado en la profundidad de la muñeca, lateral al tendón del músculo palmar largo. El borboteo de la sangre en la muñeca derecha sugiere que probablemente la enferma ha sufrido una sección de la rama palmar superficial de la arteria radial. Esta arteria se origina a partir de la radial, inmediatamente

proximal a la muñeca. Si se hubiera lesionado la arteria radial, la hemorragia sería mucho más grave.

La sección de nervio mediano en la muñeca determina una parálisis de los músculos de la eminencia tenar y de los dos primeros lumbricales. La parálisis de los músculos de la eminencia tenar explica la incapacidad para la oposición de pulgar. Como el nervio interóseo posterior (ramo de nervio radial) se encuentra intacto, puede separar el pulgar con el músculo separador largo de pulgar, pero este movimiento resulta anómalo por la parálisis del músculo separador corto del pulgar, que es inervado por el ramo recurrente de nervio mediano. La paciente puede extender normalmente el pulgar con los músculos extensores largo y corto del pulgar. Como la inervación del músculo aproximador del pulgar, a través del ramo profundo del nervio cubital, se encuentra intacta, la enferma puede aproximar el pulgar sin problemas. La parálisis de los dos primeros músculos lumbricales y la anestesia del pulgar y de los dos dedos y medio adyacentes, así como de los dos tercios radiales de la palma, determina la ausencia del control fino de los movimientos de 2^o y 3^{er} dedos. Por este motivo, la *sección del nervio mediano provoca una grave incapacidad de la mano*. Esta enferma sufrirá una atrofia de los músculos de la eminencia tenar a las pocas semanas.

La sección de los tendones de los músculos palmar largo y flexor radial del carpo debilitan la flexión de la muñeca. Además, cuando se intenta flexionar la muñeca, la mano se desvía hacia el lado cubital por el músculo flexor cubital del carpo, que no se halla lesionado, puesto que es inervado por el nervio cubital.

Caso 6.22

Una lesión frecuente de la muñeca de las personas mayores de 50 años, sobre todo de las mujeres, es la fractura de la extremidad distal del radio, conocida como fractura de Colles. El fragmento distal del radio muestra una inclinación posterior que determina la típica "deformidad en bayoneta o tenedor". Las apófisis estiloides del radio y del cúbito se hallan a mismo nivel, lo cual no es habitual, puesto que la apófisis estiloides del radio es más distal que la del cúbito. Asimismo se produce una subluxación de la articulación radiocubital distal.

Bibliografía y lecturas recomendadas

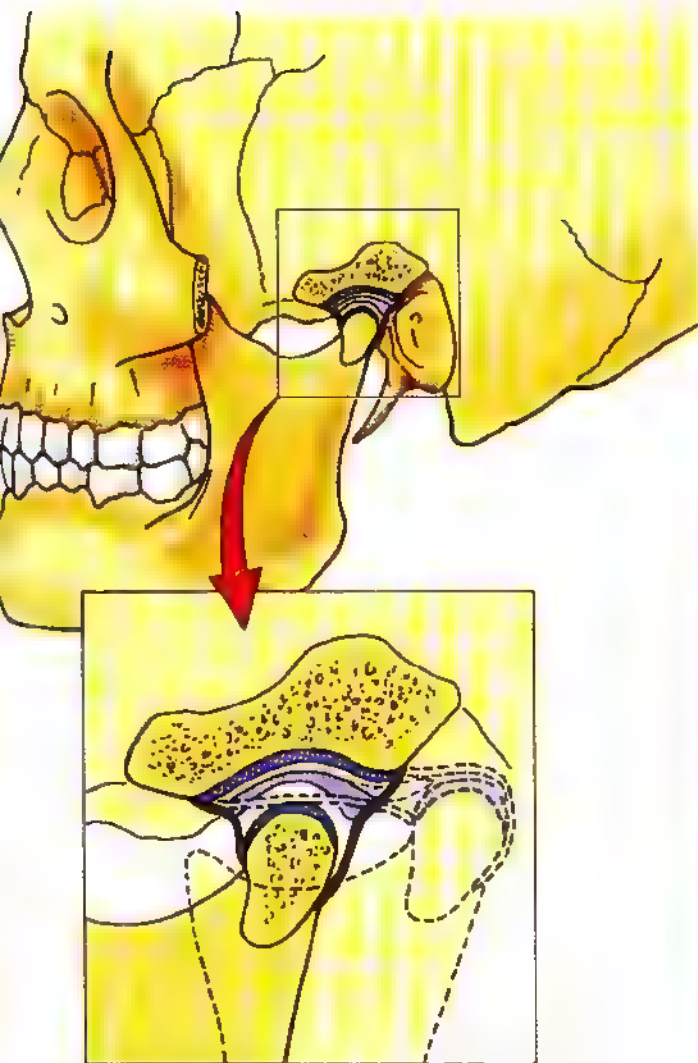
- Anderson MK, Hall SJ: *Sports Injury Management*. Baltimore, Williams & Wilkins, 1995.
- Barr ML, Kiernan JA: *The Human Nervous System: An Anatomical Viewpoint*, 6th ed. Philadelphia, JB Lippincott, 1993.
- Behrman RE, Kliegman RM, Arvin AM (eds): *Nelson Textbook of Pediatrics*, 15th ed. Philadelphia, WB Saunders, 1996.
- Bergman RA, Thompson SA, Afifi AK, Saadeh FA: *Compendium of Human Anatomy: Variation: Text, Atlas and World Literature*. Baltimore, Urban & Schwarzenberg, 1988.

- Birrer RB (ed): *Sports Medicine for the Primary Care Physician*, 2nd ed. Boca Raton, CRC Press, 1994.
- Dravinsky O, Feldman E: *Examination of the Cranial and Peripheral Nerves*. New York, Churchill Livingstone, 1988.
- Ellis H: *Clinical Anatomy: A Revision and Applied Anatomy for Clinical Students*, 8th ed. Oxford, Blackwell Scientific Publications, 1992.
- Gier R, Abrahams P, Olson T: *Essentials of Clinical Anatomy*, 3rd ed. New York, Parthenon Publishing Group, 1996.
- Griffith HW: *Complete Guide to Sports Injuries*. Los Angeles, Price Stern Sloan, 1986.

- Haines DE (ed): *Fundamental Neuroscience*. New York, Churchill Livingstone, 1997.
- Halpern BC: Shoulder injuries. In Birrer RB (ed): *Sports Medicine for the Primary Care Physician*, 2nd ed. Boca Raton, CRC Press, 1994.
- Healey JE Jr, Hodge J: *Surgical Anatomy*, 2nd ed. Toronto, BC Decker, 1980.
- Lange DJ, Trojaborg W, Rowland LP: Peripheral and cranial nerve lesions. In Rowland LP (ed): *Merritt's Textbook of Neurology*, 9th ed. Baltimore, Williams & Wilkins, 1995.
- McMinn RM: *Last's Anatomy: Regional and Applied*, 8th ed. Edinburgh, Churchill Livingstone, 1990.
- McVay CB: *Anson and McVay Surgical Anatomy*, 6th ed. Philadelphia, WB Saunders, 1984.
- Moore KL, Persaud TVN: *The Developing Human: Clinically Oriented Embryology*, 6th ed. Philadelphia, WB Saunders, 1998.
- Rowland LP (ed): *Merritt's Textbook of Neurology*, 9th ed. Baltimore, Williams & Wilkins, 1995.
- Sabiston DC Jr, Lyerly HK: *Sabiston Essentials of Surgery*, 2nd ed. Philadelphia, WB Saunders, 1994.
- Salter RB: *Textbook of Disorders and Injuries of the Musculoskeletal System*, 3rd ed. Baltimore, Williams & Wilkins, 1998.
- Swartz MH: *Textbook of Physical Diagnosis History and Examination*, 2nd ed. Philadelphia, WB Saunders, 1994.
- Williams PL, Bannister LH, Berry MM, Collins P, Dyson M, Dussek JE, Fergusson MWJ (eds): *Gray's Anatomy*, 38th ed. Edinburgh, Churchill Livingstone, 1995.
- Willms JL, Schneiderman H, Algranati PS: *Physical Diagnosis: Bedside Evaluation of Diagnosis and Function*. Baltimore, Williams & Wilkins, 1994.
- Woodburne RT, Burkel WE: *Essentials of Human Anatomy*, 9th ed. New York, Oxford University Press, 1994.

7

La cabeza



El cráneo / 100

La nariz / 100

El oído / 101

Las membranas mucosas / 101

El conducto auditivo / 101

La eufonía / 101

La voz / 102

La vista / 102

La audición / 102

La paladar / 102

La lengua / 102

El paladar / 102

El oído / 102

El oído / 102

El oído / 102

El oído / 102

La cabeza consta de cráneo, cara, cuero cabelludo, dientes, encéfalo, nervios craneales, meninges, órganos sensoriales especiales y otras estructuras, como vasos sanguíneos, vasos linfáticos y grasa. Además, es el lugar por donde se ingieren los alimentos y se inspira y exhala el aire. Las enfermedades de las estructuras esenciales de la cabeza constituyen la base de múltiples especialidades médicas, mentales y quirúrgicas: odontología, cirugía maxilofacial, neurología, neurorradiología, neurocirugía, oftalmología, cirugía bucal, otología, psiquiatría y rinología.

Traumatismos craneales

Los traumatismos craneoencefálicos constituyen una causa importantísima de muerte y de invalidez. Las complicaciones de los traumatismos craneales comprenden lesiones vasculares del tipo de hemorragia, infección (p. ej., osteomielitis o inflamación de la médula ósea y de los huesos adyacentes) y lesiones del encéfalo y de los nervios craneales (Rowland, 1995). El síntoma más común del traumatismo craneal es la alteración del estado de conciencia.

Existen muy pocas molestias más comunes que la cefalea y el dolor facial. En general, la cefalea es un síntoma benigno y muy pocas veces traduce una enfermedad grave como un tumor cerebral (Raskin, 1995). Las neuralgias –dolor intenso de carácter pulsátil o punzante en el trayecto de un nervio causado por una lesión desmielinizante– constituyen una causa frecuente de dolor facial. Los términos como la neuralgia facial describen una sensación dolorosa difusa. Los dolores localizados llevan un nombre concreto, como otalgia u odontalgia. A menudo, la cefalea se acompaña de fiebre, tensión y cansancio, pero puede revelar una lesión intracraneal grave, como un tumor cerebral, una hemorragia subaracnoidea o una meningitis. Así pues, el conocimiento de la anatomía de la cabeza ayuda a comprender las causas de los dolores de cabeza y de la cara.

Los traumatismos craneales representan un azote de la sociedad industrializada y de las costumbres modernas (Rowland, 1995). Suponen una causa importante de muerte, sobre todo de adultos jóvenes, y de invalidez. Se conocen muy pocas lesiones con una destrucción humana y un costo en dólares superiores a los de los traumatismos craneales. Cerca del 10% de todas las muertes ocurridas en los Estados Unidos se deben a este tipo de lesión, y casi la mitad de las muertes traumáticas afectan al cerebro (Rowland, 1995). Los traumatismos craneales suceden a cualquier edad, pero afectan sobre todo a personas jóvenes de 15 a 24 años. Los varones sufren estas lesiones con una frecuencia tres o cuatro veces mayor. La causa principal de los traumatismos craneales varía, pero los accidentes de tráfico con todo tipo de vehículos ocupan un lugar destacado. ☉

El cráneo

El cráneo es el esqueleto de la cabeza; sus dos porciones, el *neurocráneo* y el *esqueleto de la cara*, constan de varios huesos (fig. 7.1). El **neurocráneo** (“caja craneal” o bóveda craneal) es una caja que encierra el encéfalo y las meninges craneales (las que revisten el encéfalo), las porciones proximales de los nervios craneales y los vasos sanguíneos. El término de *cráneo* se reserva, a veces, para denotar el cráneo sin la mandíbula. El cráneo tiene un techo en forma de cúpula –el **calvario** (calota o bóveda)– y un suelo o **base del cráneo**, que se compone del hueso etmoides y de partes de los huesos occipital y temporal. El esqueleto de la cara está formado por los huesos que rodean la boca y la nariz, y contribuye a la formación de las órbitas (cavidades orbitarias).

El **neurocráneo** de los adultos se compone de una serie de ocho huesos (fig. 7.1, A y C):

- Un hueso frontal.
- Dos huesos parietales.
- Dos huesos temporales.
- Un hueso occipital.
- Un hueso esfenoides.
- Un hueso etmoides.

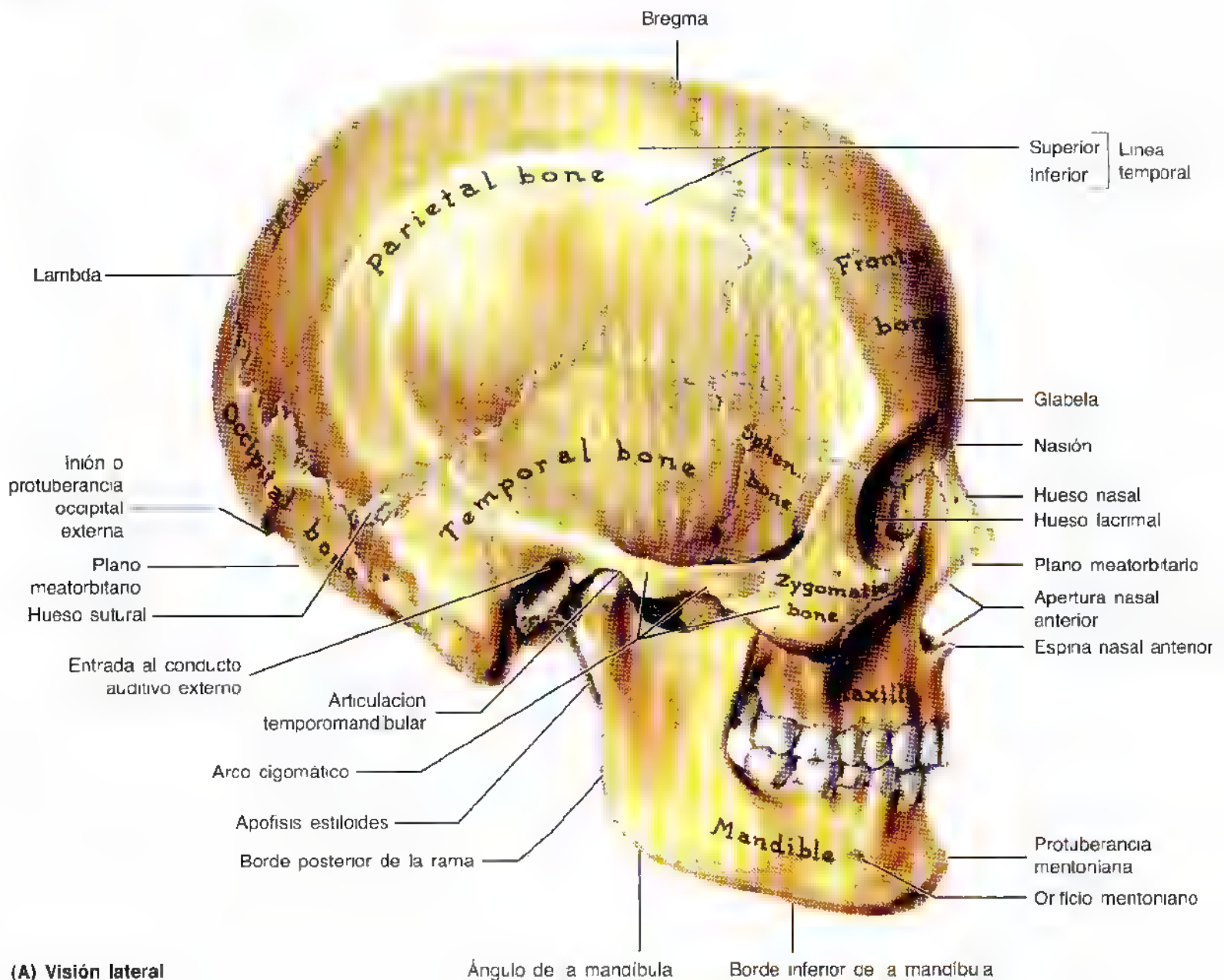
La mayoría de estos huesos son planos, curvos y están unidos por suturas fibrosas de conexión. En la infancia algunos huesos se unen por cartilago hialino (*sincondrosis*) entre los huesos occipital y esfenoides. El contorno de la cara y la base del cráneo están formados por una serie de huesos irregulares.

El **esqueleto de la cara** (cráneo visceral o esplanocráneo) es la parte anterior del cráneo que contiene las órbitas y las cavidades nasales y comprende el maxilar y la mandíbula. *El esqueleto de la cara se compone de 14 huesos irregulares (fig. 7.1, A-C):*

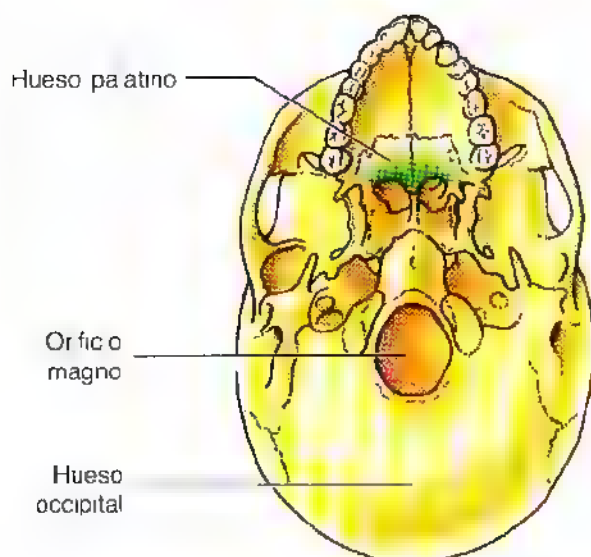
- Huesos lacrimales (2).
- Huesos nasales (2).
- Maxilares (2).
- Huesos cigomáticos (2).
- Huesos palatinos (2).
- Cornetes nasales inferiores (2).
- Mandíbula (1).
- Vómer (1).

Los maxilares y la mandíbula albergan los dientes, es decir, aportan los alvéolos y el hueso de soporte para los dientes superiores (maxilares) e inferiores (mandibulares). Los maxilares constituyen el esqueleto del maxilar superior adherido a la base del cráneo. En general, los maxilares forman la mayor parte del esqueleto superior de la cara. La mandíbula da el esqueleto del maxilar inferior, cuya movilidad se debe a su articulación con la base del cráneo a través de las articulaciones temporomandibulares (ATM).

En *posición anatómica*, el cráneo se encuentra orientado de suerte que el borde inferior de la órbita y el borde supe-

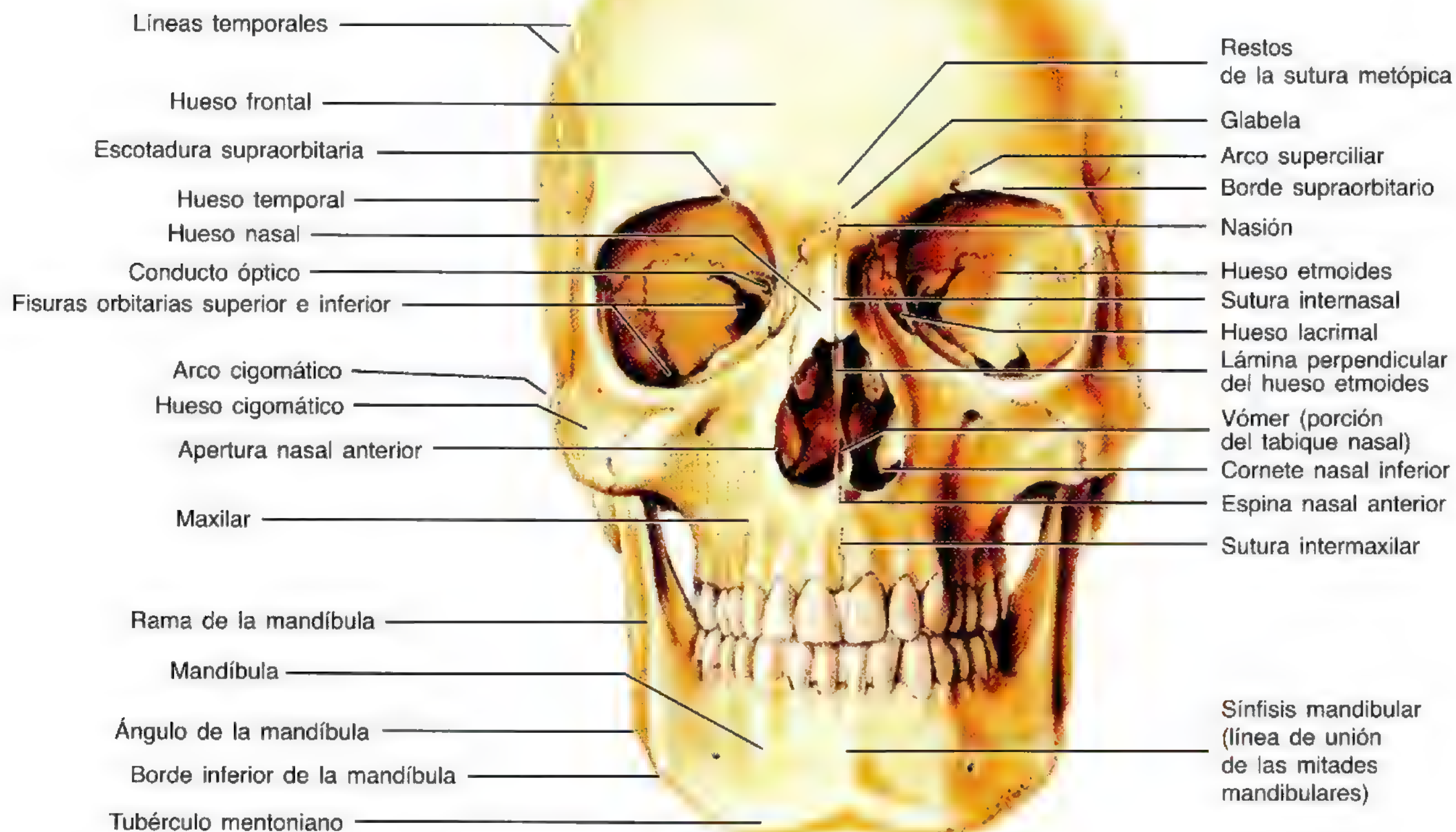


(A) Visión lateral



(B) Visión inferior

Figura 7.1. Tres proyecciones diferentes de un cráneo adulto. **A.** Visión lateral en posición anatómica. Obsérvese cómo el *plano meatorbitario* (plano horizontal de Frankfort) una referencia craneométrica, queda horizontal y cómo la *fosa temporal* (sen) de la parte lateral del cráneo se sitúa encima del arco cigomático y debajo de las líneas temporales. **B.** Visión inferior. Se aprecia cómo el hueso palatino contribuye a formar la cavidad nasal, el paladar duro (lamina ósea) y una pequeña parte de la órbita. Se aprecia una gran apertura en la porción basal del hueso occipital el *orificio magno* por el que la médula espinal se continúa con el bulbo raquídeo del encefalo.



(C) Visión anterior

Figura 7.1. (Continuación) **C.** Visión anterior. Se aprecia cómo la escotadura supraorbitaria, el orificio infraorbitario y el orificio mentoniano se sitúan en una línea casi vertical.

rior del conducto auditivo externo de ambos lados se sitúan en el mismo plano horizontal (fig. 7.1A). Esta referencia craneométrica normalizada representa el *plano meatoorbitario* (plano horizontal de Frankfort).

La cara anterior del cráneo

Los rasgos de la cara anterior del cráneo son los huesos frontales y cigomáticos, las órbitas, la región nasal, los maxilares y la mandíbula (fig. 7.1C).

El **hueso frontal** —en concreto, la porción escamosa (plana)— forma el esqueleto de la frente, que se articula en la parte inferior con los huesos nasal y cigomático. Las dos mitades del hueso frontal fetal están separadas por la *sutura frontal* (pág. 863) y se mantienen así hasta casi los 6 años de vida. La línea de separación persiste en algunos adultos como la **sutura metópica** de la línea media de la **glabella** (fig. 7.1C), una zona lisa y algo deprimida entre los arcos superciliares. La persistencia de la *sutura metópica* no debe confundirse en una radiografía con una línea de fractura. El **nasión** (del latín *nasus*, que significa nariz) es la intersección entre los huesos frontal y nasal que, de ordinario, guar-

da relación con una zona claramente hundida (“puente de la nariz”). El hueso frontal también se articula con los huesos lacrimales, etmoides y esfenoides, y una parte horizontal de este hueso (la parte [lámina] orbitaria del hueso frontal) crea tanto el techo de la órbita como parte del suelo de la cavidad craneal. El **borde supraorbitario** (arco), límite angular entre las porciones escamosa y orbitaria, dispone de una **escotadura** u **orificio supraorbitario** en algunos cráneos (fig. 7.2A) para el paso del nervio y de los vasos supraorbitarios. Inmediatamente encima del borde supraorbitario aparece una cresta —el **arco superciliar**— que se extiende lateralmente desde la glabella. La prominencia de esta cresta, en la profundidad de las cejas, suele ser mayor en los varones. Dentro de las órbitas se encuentran las **fisuras orbitarias** superior e inferior y los **conductos ópticos** (fig. 7.1C).

Los **huesos cigomáticos** (o malaras) que dan la prominencia a las mejillas se sitúan en las caras inferolaterales de las órbitas y se apoyan en los maxilares. Los bordes antero-laterales, las paredes, el suelo y gran parte de los bordes infraorbitarios de las órbitas se deben a estos huesos. El pequeño **orificio cigomático facial** perfora la cara lateral de cada hueso cigomático (fig. 7.2, A y B). Los huesos cigomáticos

se articulan con los huesos frontal, esfenoides y temporal y con los maxilares. Bajo los huesos nasales aparecen los **orificios piriformes** u orificios nasales anteriores (fig. 7.1, A y C). El **tabique nasal** óseo se aprecia a través de estos orificios y divide la cavidad nasal en las mitades izquierda y derecha. En la pared lateral de cada cavidad nasal se encuentran unas láminas óseas curvas, los **cornetes nasales** (figs. 7.1C y 7.2A).

Los **maxilares** forman el maxilar superior; las **apófisis alveolares** contienen los alvéolos y constituyen el hueso que soporta los **dientes maxilares**. Los maxilares rodean la mayor parte de los orificios piriformes y crean los bordes infraorbitarios en la zona medial. Tienen una comunicación amplia con los huesos cigomáticos a los lados y disponen

de un **orificio infraorbitario** debajo de cada órbita, por donde pasan el nervio y los vasos infraorbitarios (fig. 7.2A). Los dos maxilares están unidos por la **sutura intermaxilar** en el plano medio.

La **mandíbula** es un hueso con forma de U, con apófisis alveolares que alojan los *dientes mandibulares* o inferiores. Debajo de los segundos premolares se encuentran **orificios mentonianos** para el paso del nervio y de los vasos mentonianos (fig. 7.2A). La **protuberancia mentoniana**, que da forma a la barbilla, es una elevación triangular del hueso, bajo la **síntesis mandibular**, región donde se unen las mitades de la mandíbula fetal (fig. 7.1C). La mandíbula se describe con detalle más adelante en este mismo capítulo.

Lesión de los arcos superciliares

Los arcos superciliares son bordes relativamente cortantes de hueso y, por esta razón, cualquier golpe (p. ej., durante una pelea de boxeo) puede lacerar la piel y causar una

hemorragia profusa. El hematoma cutáneo alrededor de la órbita produce un acúmulo de líquidos y de sangre en el tejido conjuntivo circundante que gravita en el párpado superior y alrededor del ojo ("ojo morado"). ▶

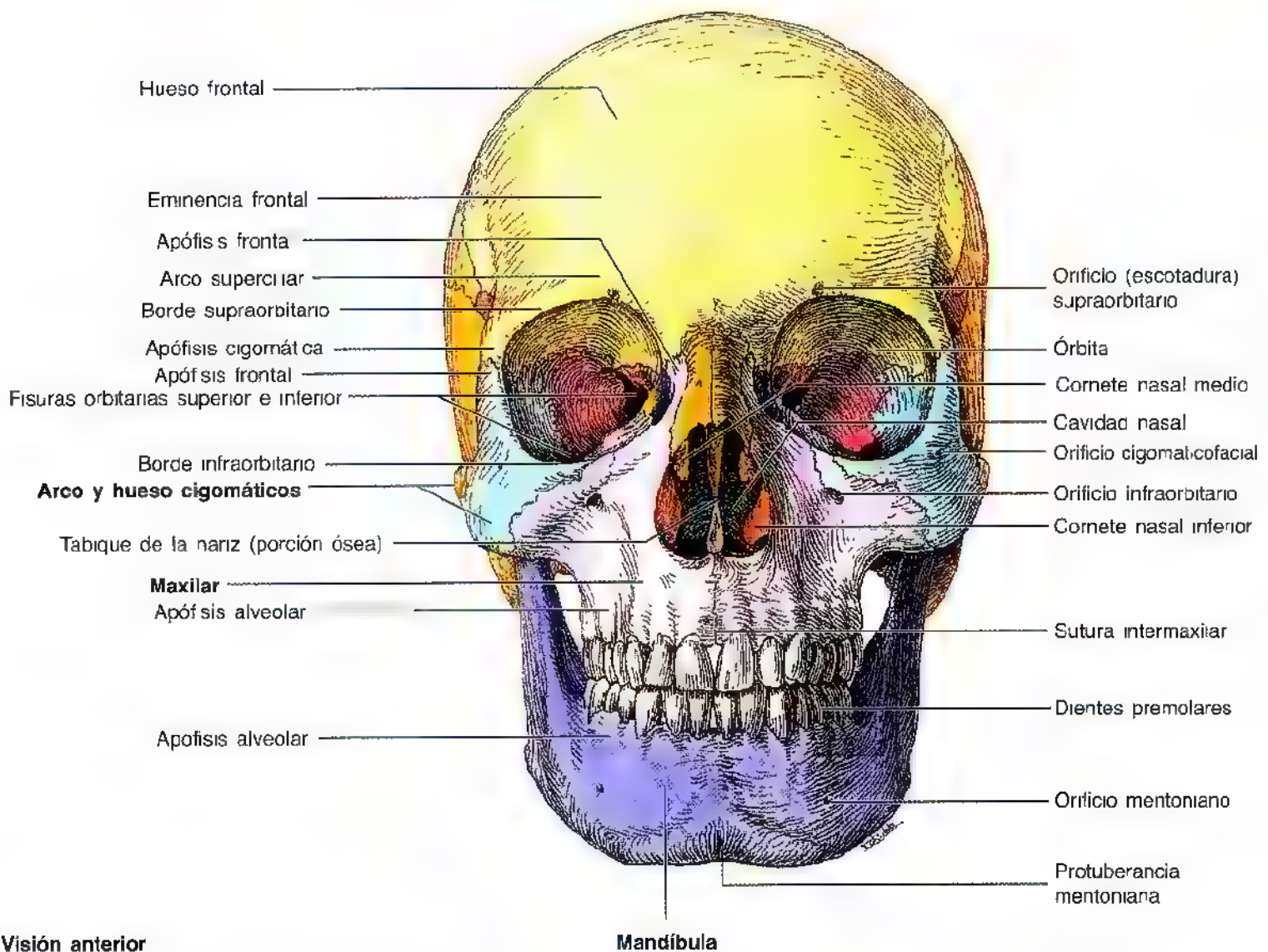
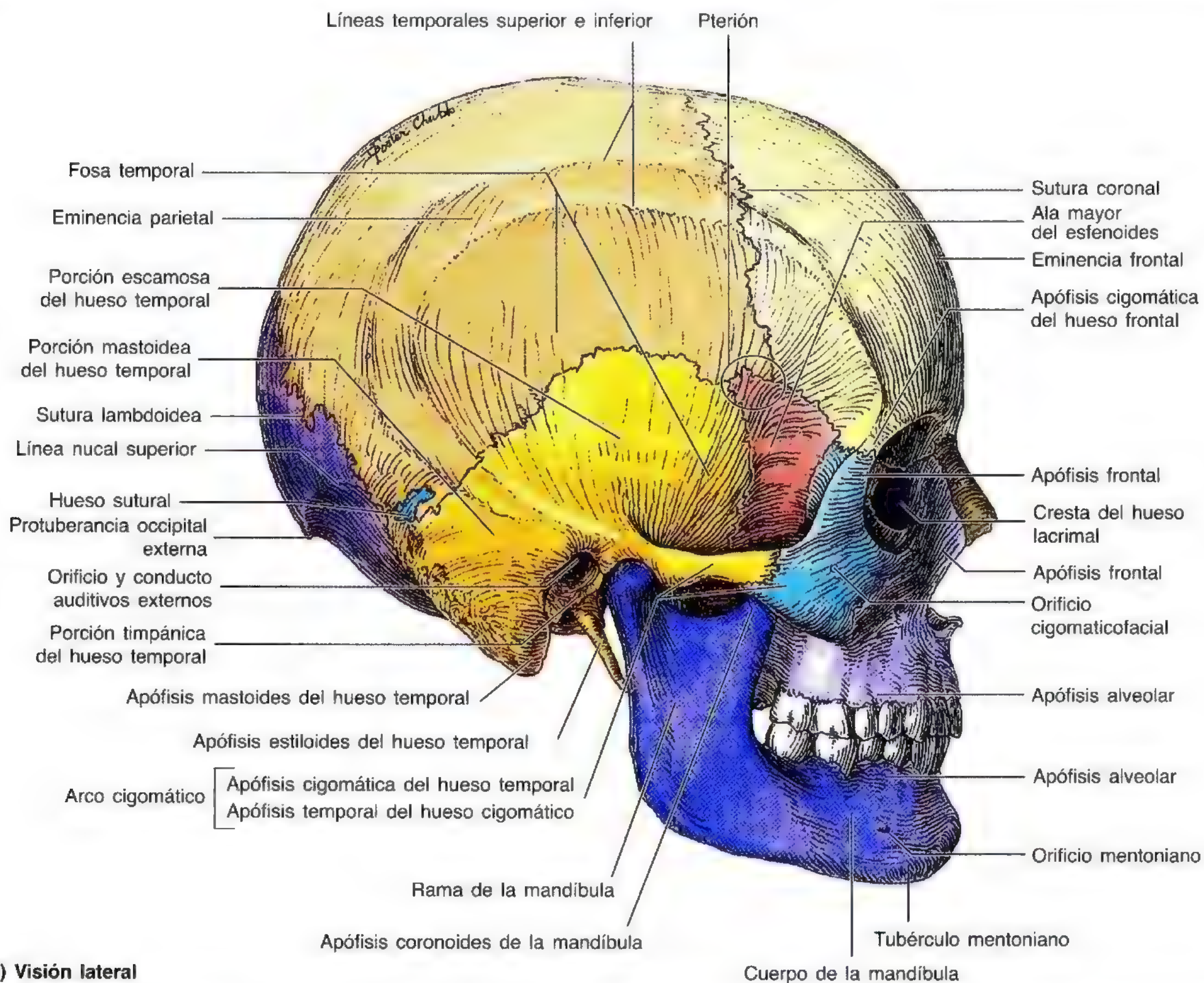


Figura 7.2. Los huesos de un cráneo adulto. A. Vista anterior. Esta cara muestra la frente, las órbitas, la porción ósea de la parte externa de la nariz y el maxilar (maxilar superior) y la mandíbula (maxilar inferior).



(B) Visión lateral

Figura 7.2. (Continuación) **B.** Visión lateral. Dentro de la fosa temporal se observa el **pterión** (del griego *pteron*, que significa ala), un punto craneométrico en la unión del ala mayor del esfenoides, la porción escamosa del hueso temporal, el hueso frontal y el hueso parietal. Se cruza con el trayecto de la división anterior de la arteria menígea media (pág. 855). Nótese cómo el cráneo se encuentra en posición anatómica cuando el borde inferior de la órbita y el borde superior del conducto auditivo externo se sitúan en el mismo plano horizontal (meatoorbitario).

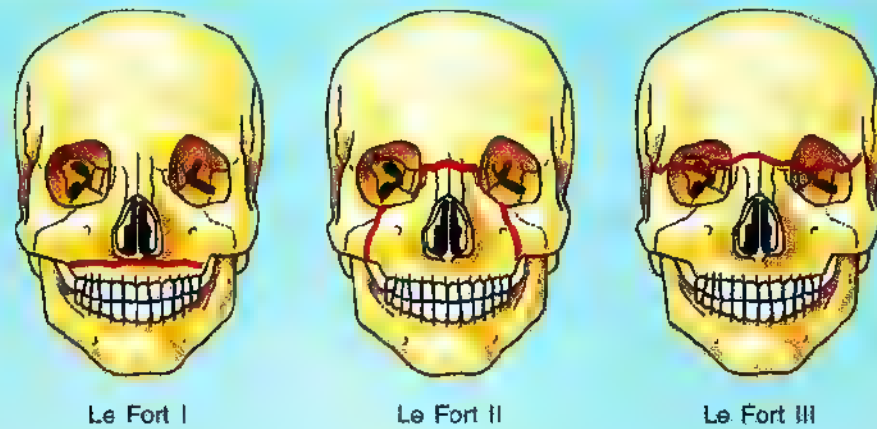
Sofoco malar

El hueso cigomático se conocía en otra época como hueso malar; sin duda, usted habrá oído hablar de los *sofocos malar*, un término clínico. Este enrojecimiento de la piel que cubre la prominencia cigomática (eminencia malar) se acompaña de un aumento de temperatura en algunas enfermedades febriles, como la tuberculosis.

Las fracturas de los maxilares y de los huesos asociados

El Dr. Le Fort, cirujano y ginecólogo parisino, clasificó las variantes más frecuentes de fractura de los maxilares. Los tres tipos de fracturas son:

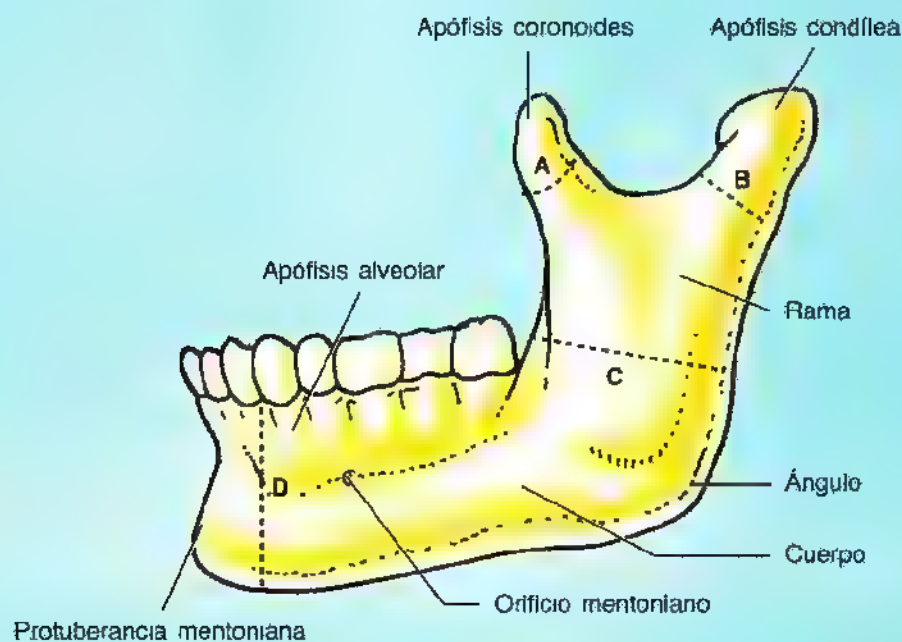
- La *fractura de Le Fort de tipo I* (bastante constante) es una fractura horizontal de los maxilares, justo encima de la apófisis alveolar, que atraviesa el tabique óseo de la nariz y las láminas pterigoideas del esfenoides.
- La *fractura de Le Fort de tipo II* se dirige desde las porciones posterolaterales de los senos maxilares (cavidades maxilares), en sentido superomedial, hasta los orificios infraorbitarios, conductos lacrimales o etmoides, para terminar en el puente de la nariz. En consecuencia, toda la parte central de la cara, incluidos el paladar duro y las apófisis alveolares, quedan separadas del resto del cráneo.
- La *fractura de Le Fort de tipo III* es horizontal y atraviesa las fisuras orbitarias superiores, el etmoides y ▶



Le Fort I

Le Fort II

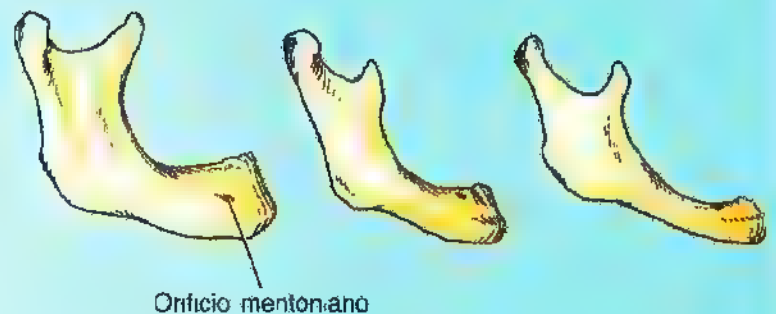
Le Fort III



► los huesos nasales, y se extiende lateralmente hasta las alas mayores del esfenoides y las suturas fronto-cigomáticas. La fractura simultánea de los arcos cigomáticos provoca una separación de los huesos maxilares y cigomáticos del resto del cráneo.

Las fracturas de la mandíbula

La mandíbula suele fracturarse en dos, casi siempre a uno y otro lado; por eso, si se observa una fractura de un lado debe buscarse otra en el lado opuesto. Por ejemplo, un golpe seco sobre la mandíbula suele fracturar el cuello y el cuerpo por la zona de los dientes caninos opuestos. Las fracturas de la apófisis coronoides (A) son raras y casi siempre solitarias. Las *fracturas del cuello de la mandíbula* (B) son, de ordinario, transversales y pueden acompañarse de una luxación de la ATM del mismo lado. Las fracturas del ángulo de la mandíbula (C) suelen tener una



disposición oblicua y pueden afectar al alvéolo del 3º diente molar. Las *fracturas del cuerpo de la mandíbula* (D) pasan habitualmente por el alvéolo de un diente canino.

Resorción de hueso alveolar

La extracción de los dientes determina una reabsorción de la apófisis alveolar de la zona o zonas afectadas. ►

► Cuando se pierde un diente maxilar, los alvéolos comienzan a rellenarse de hueso y la apófisis alveolar empieza a reabsorberse. De manera análoga, la extirpación de dientes mandibulares determina una reabsorción de la apófisis alveolar de la mandíbula. El orificio mentoniano se va acercando poco a poco al borde superior del cuerpo de la mandíbula (pág. 853). En casos extremos, el orificio mentoniano desaparece y el nervio mentoniano que-

da expuesto a la lesión. La *compresión ejercida por una prótesis dental* (p. ej., una dentadura que apoyara sobre el nervio expuesto) puede causar dolor durante la alimentación. La pérdida de todos los dientes determina un descenso de las dimensiones verticales de la cara y *prognatismo mandibular* (sobreoclusión). Asimismo, aparecen surcos profundos en la piel de la cara que se dirigen hacia atrás desde los ángulos de la boca. ⚙

Cara lateral del cráneo

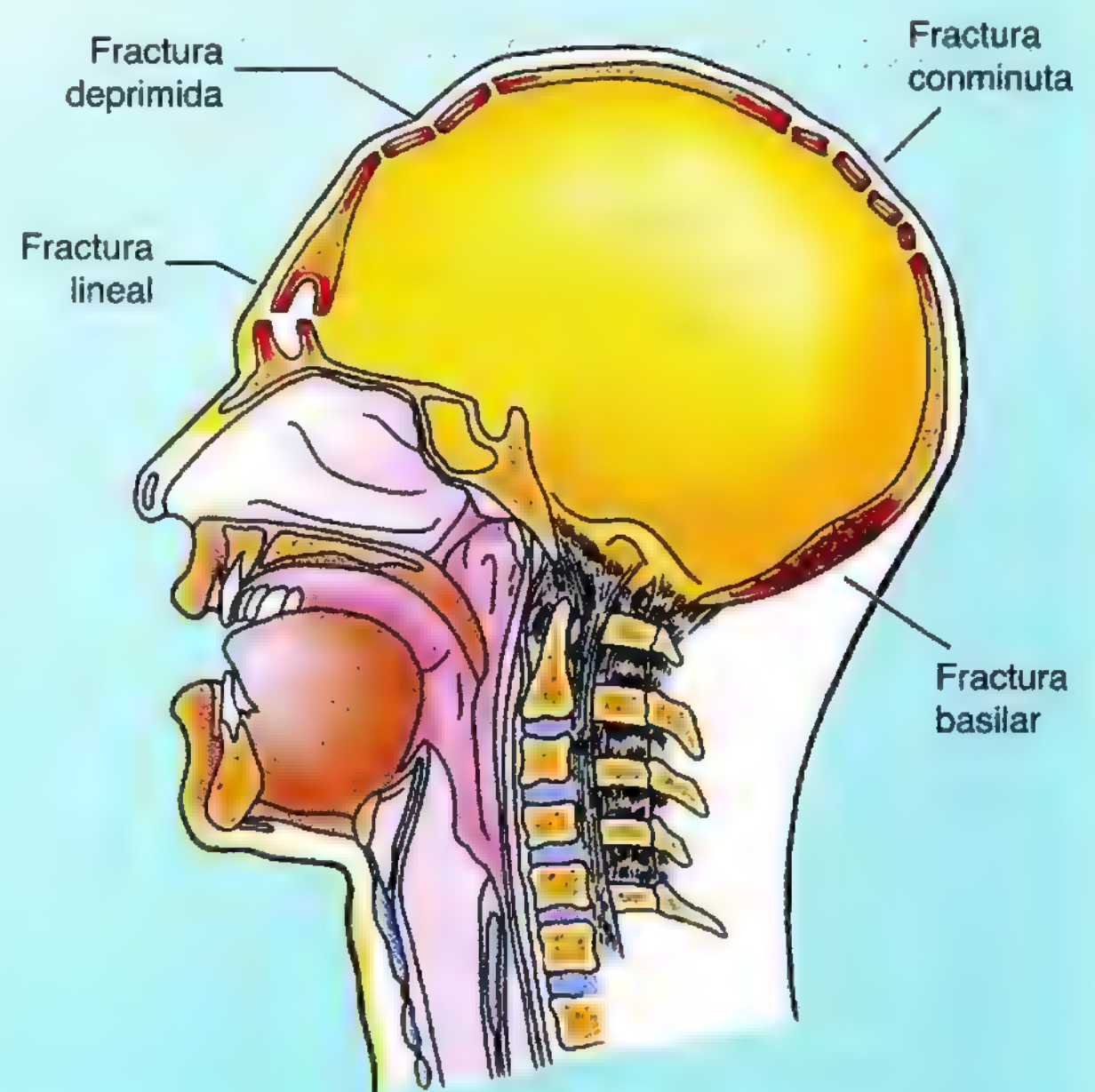
La cara lateral del cráneo está formada por los huesos craneales y de la cara (fig. 7.2B). Los rasgos principales de la porción craneal son la **fosa temporal**, el orificio del **conducto auditivo externo** y la **región mastoidea del hueso temporal**. Los rasgos sobresalientes de la porción facial comprenden la **fosa infratemporal**, el **arco cigomático** y las **caras laterales del maxilar y de la mandíbula**. La **fosa temporal** (fig. 7.2B) limita por arriba y por detrás con las **líneas temporales**; por delante, con los huesos frontal y cigomático, y por debajo, con el **arco cigomático** (fig. 7.2, A y B). El borde superior de este arco corresponde al límite inferior del hemisferio cerebral. El arco cigomático está constituido por la unión de las apófisis temporales de los huesos cigomáticos y las apófisis cigomáticas de los huesos temporales. En la parte anterior de la fosa temporal, 3-4 cm por enci-

ma del punto medio del arco cigomático, aparece una zona de fusión ósea con interés clínico, el **pterión** (del griego *pteron*, que significa ala) (fig. 7.2B, tabla 7.1). Suele marcarse por una unión de suturas con forma de H entre los huesos frontal, parietal, esfenoides (ala mayor) y temporal. Más raramente se articulan los huesos frontal y temporal; a veces, los cuatro huesos se reúnen en un punto. El **orificio auditivo externo** es la entrada al **conducto auditivo externo**, que llega hasta la membrana timpánica. La **apófisis mastoides** del hueso temporal se encuentra detrás y debajo del orificio del conducto auditivo externo. Anteromedial a la apófisis mastoides se sitúa la **apófisis estiloides**, fina. La **mandíbula** se compone de una parte horizontal, el **cuerpo**, y de otra vertical, la **rama** (fig. 7.2B). La **fosa infratemporal** es un espacio inferior y profundo al **arco cigomático** y la mandíbula, que queda detrás del maxilar.

Fracturas de la calota

La convexidad de la calota —bóveda del cráneo— se distribuye y, por tanto, reduce al mínimo los efectos de cualquier golpe. Sin embargo, los golpes secos en la cabeza, sobre zonas delgadas del cráneo, pueden ocasionar una **fractura deprimida**, es decir, la depresión hacia el interior de un fragmento de hueso que comprime o lesiona el cerebro. Las **fracturas lineales del cráneo**, las más comunes, suelen ocurrir en la zona del impacto, pero las líneas de fractura casi siempre se irradian en dos o más direcciones. En las **fracturas conminutas**, el hueso se rompe en varios pedazos. Si la zona de la calota que recibe el impacto es gruesa, el hueso se dobla casi siempre hacia dentro sin fracturarse, pero a veces ocurre una fractura a distancia del lugar directo del traumatismo, en una zona donde la calota es más fina. En las **fracturas por contra-golpe** no se observa fractura en la zona de impacto, sino en la cara opuesta del cráneo.

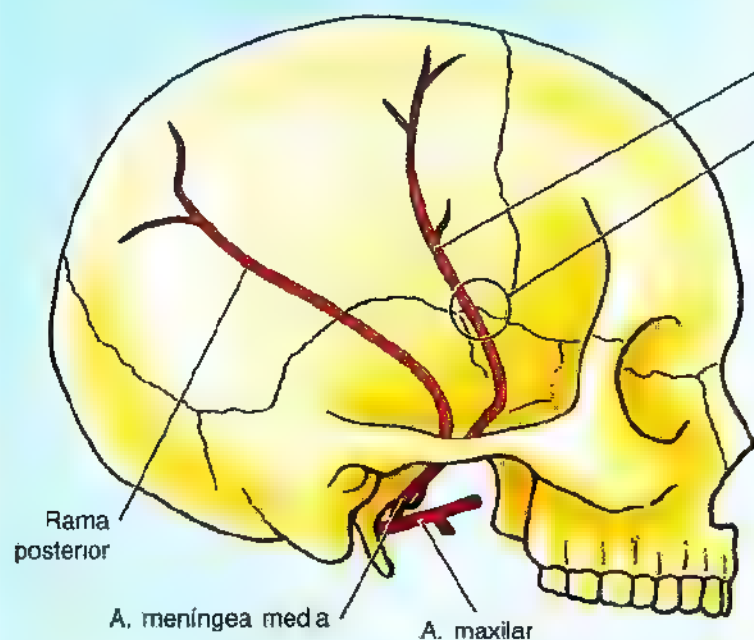
El pterión es una referencia clínica importante, porque se superpone a las ramas anteriores de los vasos menínges medios, situados en los surcos de la cara interna de la



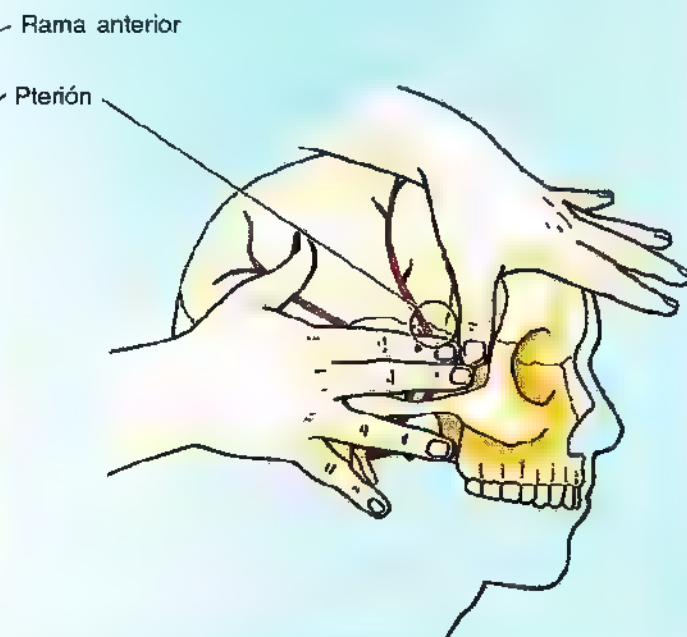
Visión mediana

► pared lateral de la calota (fig. 7.4). El pterión se sitúa dos traveses de dedo por encima del arco cigomático y un traves de detrás de la apófisis frontal del hueso cigomático (B). Un golpe craneal lateral puede fracturar los huesos finos que forman el pterión (fig. 7.2B), rompiendo a con-

tinuación la rama anterior de la arteria meníngea media que cruza este punto (A). El *hematoma* consiguiente (colección de sangre) comprime la corteza cerebral situada debajo. Las *hemorragias por la arteria meníngea media* no tratadas pueden ocasionar la muerte en unas horas. ♦



(A)



(B)

Cara posterior del cráneo

La cara posterior del cráneo u **occipucio** (que en latín significa dorso de la cabeza) suele tener un contorno ovalado o redondo (fig. 7.3A), creado por el hueso occipital, porciones de los huesos parietales y el peñasco de los huesos temporales. La **protuberancia occipital externa** (también conocida como **inión**) suele representar una elevación en el plano medio, fácil de palpar, pero a veces (sobre todo en las mujeres) no se nota. La **cresta occipital externa** desciende desde la protuberancia occipital externa hasta el **orificio magno**, una gran abertura en la base del hueso occipital (figs. 7.1B y 7.3B). La **línea nuchal superior**, marca del límite superior del cuello, se extiende lateralmente a cada lado de la protuberancia occipital externa; la línea nuchal inferior no es tan nítida. El punto **lambda** del centro del occipucio indica la unión entre las suturas sagital y lambdoidea (fig. 7.3A, tabla 7.1). La lambda aparece a veces en forma deprimida. En este punto o bien cerca de la apofisis mastoides del hueso temporal pueden encontrarse uno o más *huesos suturales* (accesorios) (fig. 7.2B).

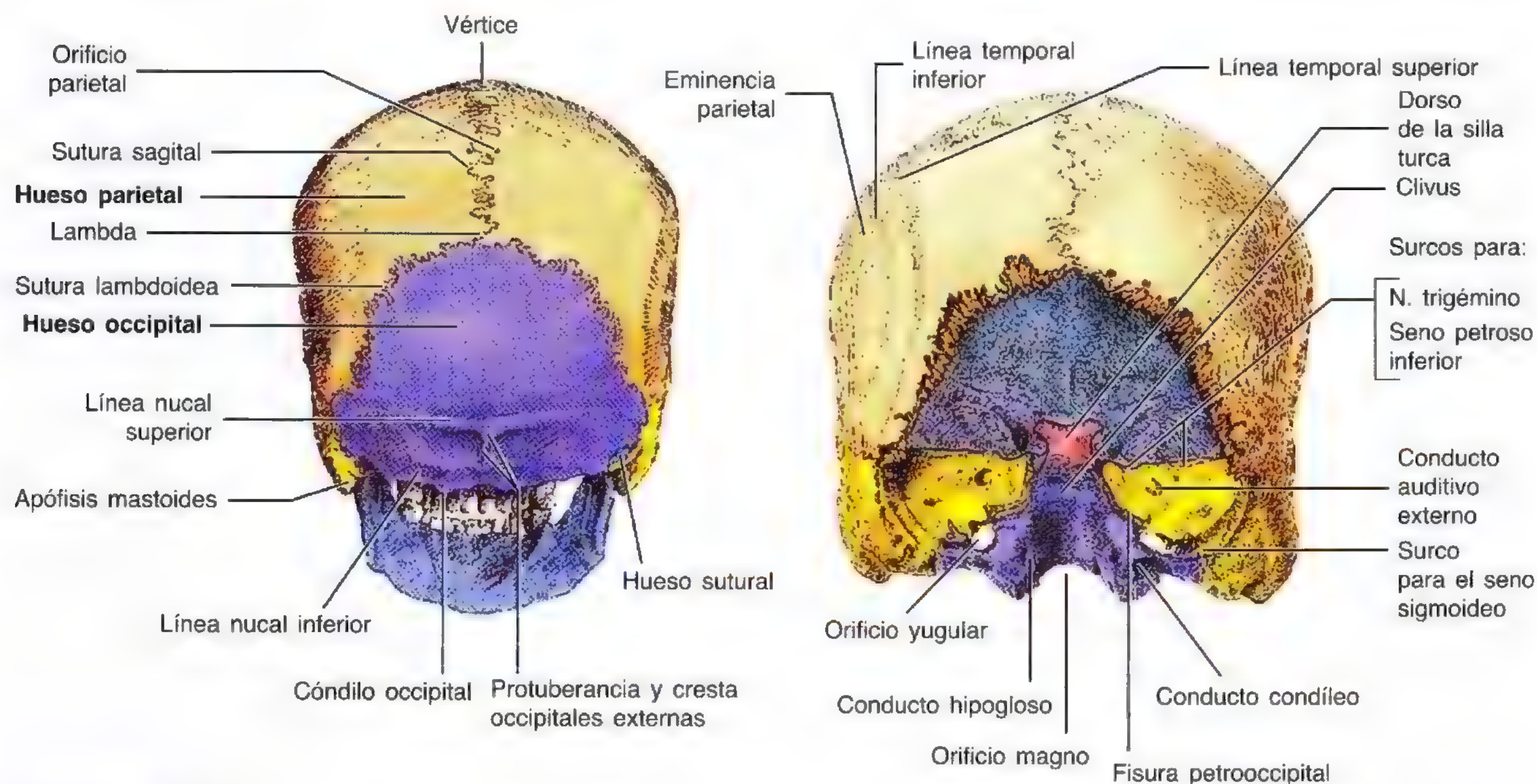
Cara superior del cráneo

La cara superior del cráneo, de forma algo ovalada, se ensancha posterolateralmente en las **eminencias parietales** (figs. 7.2B y 7.3B). Las **eminencias frontales** de algunas

personas son también destacadas y dan al cráneo un aspecto casi cuadrado. Los huesos que forman la calota se ven desde esta perspectiva: el hueso frontal por delante, los huesos parietales derecho e izquierdo a los lados y el hueso occipital por detrás. La **sutura coronal** separa los huesos frontal y parietal (fig. 7.4A); la **sutura sagital**, los huesos parietales, y la **sutura lambdoidea**, los huesos parietal y temporal del occipital (fig. 7.3A). La **bregma** es la referencia que forman la intersección de la sutura sagital y coronal (fig. 7.4A, tabla 7.1). El **vértice** o porción más alta del cráneo está cerca del punto medio de la sutura sagital. El **orificio parietal** es una abertura pequeña e inconstante (en ocasiones, par) situada en la parte posterior del hueso parietal, cerca de la sutura sagital (fig. 7.4B). El orificio parietal da paso a una vena emisaria que comunica el cuero cabelludo con un seno venoso de la cavidad craneal (véase fig. 7.14).

Cara externa de la base del cráneo

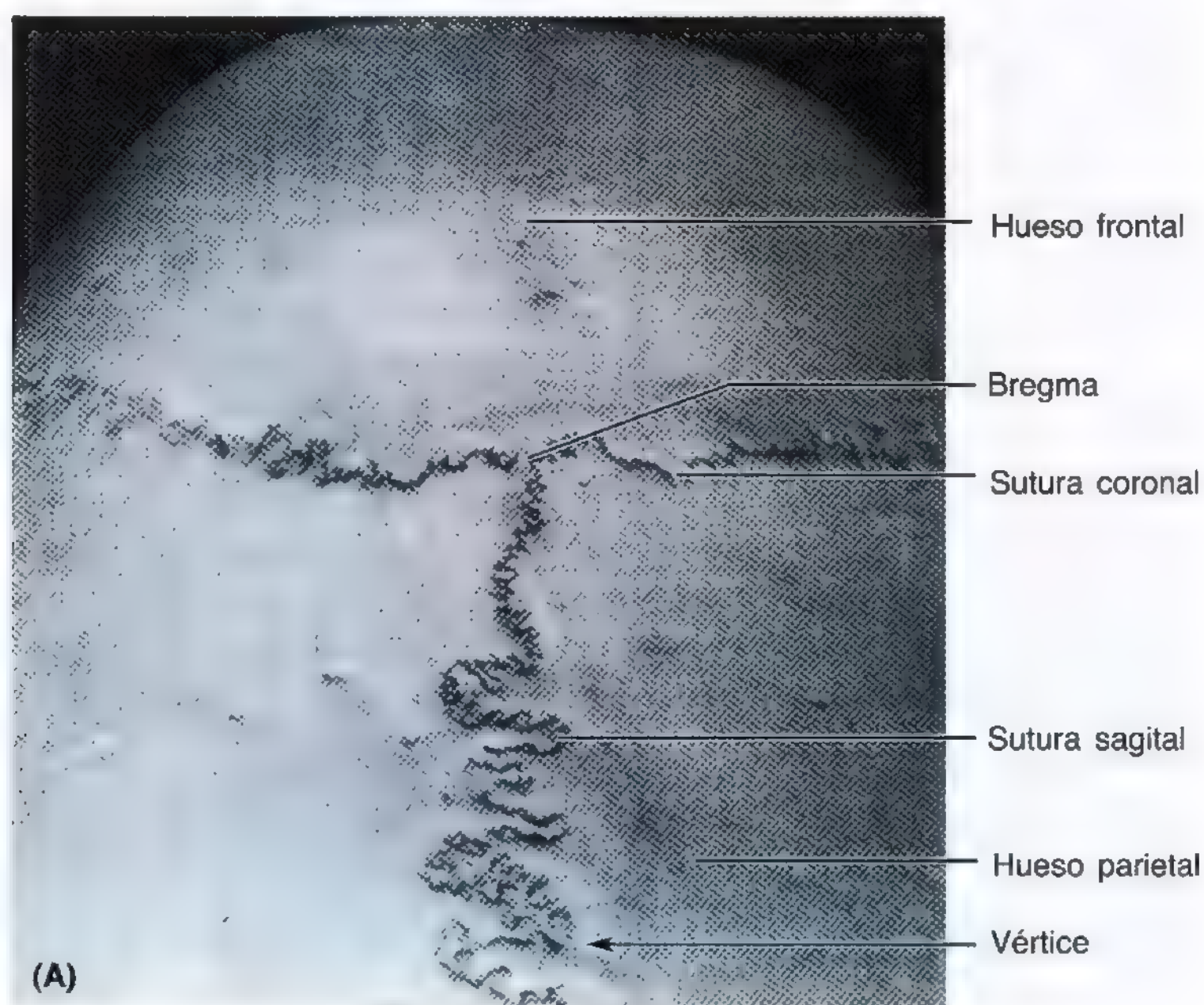
La cara externa de la base del cráneo contiene el arco alveolar de los maxilares (borde libre de la **apófisis alveolar** que rodea y da soporte a los dientes maxilares), las **apófisis palatinas** de los maxilares y los huesos palatinos, esfenoides, vómer, temporales y occipital (fig. 7.5, A y B). El **paladar duro** (lámina ósea) se forma por las **apófisis palatinas de los maxilares** por delante y las **láminas horizontales de los huesos palatinos** por detrás. El borde posterior libre del paladar duro



(A) Visión posterior

Figura 7.3. Visiones posteriores de un cráneo adulto. **A.** La cara posterior del cráneo u occipucio (que significa dorso de la cabeza en latín) se compone de porciones de los huesos parietales, occipital y las porciones mastoideas de los huesos temporales. Las suturas sagital y lambdoidea se reúnen en el punto *lambda*, que suele notarse como una fosita en vida. **B.** La mayor parte del hueso occipital (la porción escamosa) se ha extirpado. Expuesto dentro de la cavidad craneal queda el *dorso de la silla turca*, una lámina cuadrada de hueso que se levanta del cuerpo del esfenoides y suele romperse en las muestras desecadas de cráneo.

Figura 7.4. Cara superior de la porción anterior de un cráneo adulto. **A.** Visión superior y externa de la calota (bóveda del cráneo), donde se aprecia el *bregma*, lugar de reunión de las suturas coronal y sagital, y el vértice, cima del cráneo.



se proyecta hacia atrás en el plano medio, dando la **espina nasal posterior**. Detrás de los dientes incisivos centrales se encuentra una depresión, la **fosa incisiva**, atravesada por los nervios nasopalatinos de la nariz, que penetran por un número variable de *conductos* y *orificios incisivos*. Posterolateralmente aparecen los **orificios palatinos mayor y menor**. Por encima del borde posterior del paladar se encuentran dos grandes orificios, las **coanas** (orificios nasales posteriores), separadas entre sí por el **vómer**, un hueso impar, plano y fino que contribuye mucho al tabique nasal óseo.

El **hueso esfenoides** (fig. 7.5A) se enclava entre los huesos frontal, temporal y occipital, y es un hueso irregular e impar que se compone de cuerpo y tres pares de apófisis: las alas mayores, las menores y las apófisis pterigoides. Las alas **mayores y menores** se extienden lateralmente desde el cuerpo (fig. 7.5C). Las **apófisis pterigoides**, integradas por las **láminas pterigoides** lateral y medial (fig. 7.5A), se extienden por debajo a cada lado del esfenoides desde la unión entre el cuerpo y las alas mayores. El surco para la porción cartilaginosa de la trompa faringotimpánica (auditiva) se encuentra medial a la **espina del esfenoides**. Las depresiones del hueso temporal o **fosas mandibulares** (fig. 7.5B) acomodan los cóndilos de la mandíbula cuando se cierra la boca.

La base del cráneo está integrada por detrás por el hueso occipital, que se articula con el esfenoides por delante. Las cuatro porciones del hueso occipital se disponen en torno al **orificio magno**, el rasgo más notable de la base del cráneo. Las estructuras principales que atraviesan este gran orificio son la médula espinal y sus cubiertas (meninges), las arterias vertebrales, las arterias espinales anterior y posterior y el nervio accesorio (NC XI). A los lados del hueso occipital aparecen dos grandes protuberancias, los **cóndilos occipitales** (fig. 7.5B), mediante los cuales se articula el cráneo con la columna vertebral. El gran orificio comprendido entre el hueso occipital y la porción petrosa del hueso temporal es el **orificio yugular**, por el que la vena yugular interna (VVI) y algunos nervios craneales (NC IX, X y XI) emergen del cráneo (fig. 7.5C). En un plano superolateral al orificio yugular se encuentra el **conducto auditivo interno** (para los NC VII y VIII). La entrada al **conducto carotídeo** de la arteria carótida interna se sitúa justo delante del orificio yugular (fig. 7.5B). La **apófisis mastoidea** tiene una cresta para la inserción muscular. El **orificio estilomastoideo**, por donde pasan el nervio facial (NC VII) y la arteria estilomastoidea, queda detrás de la base de la apófisis estiloides (fig. 7.5, A y B).

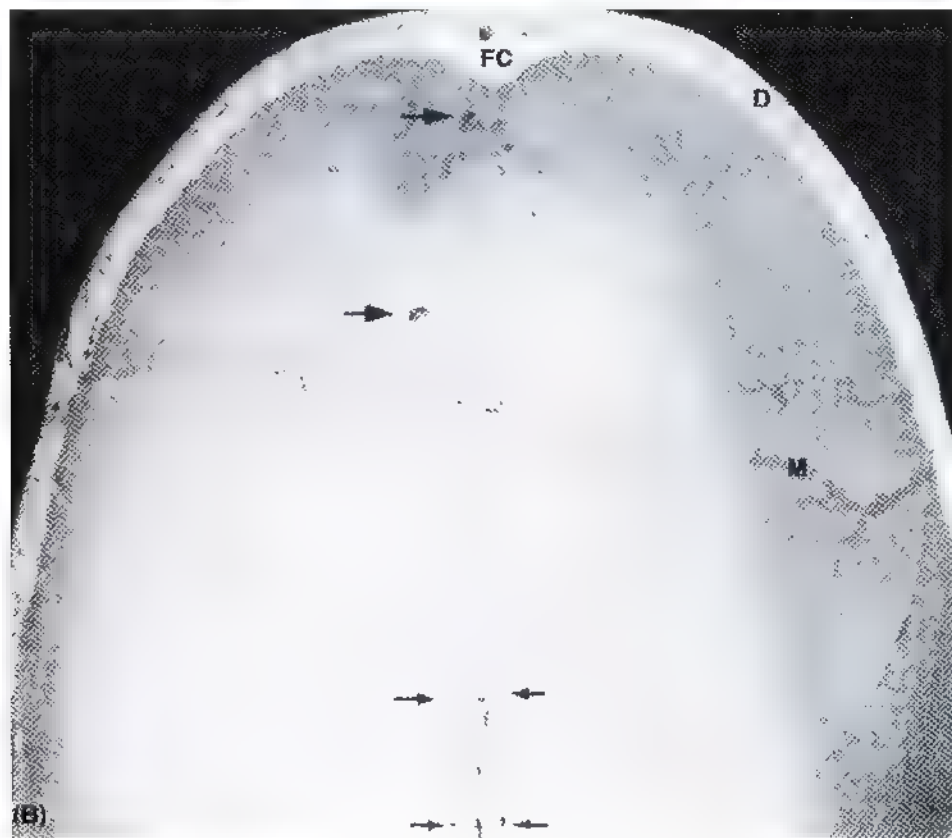
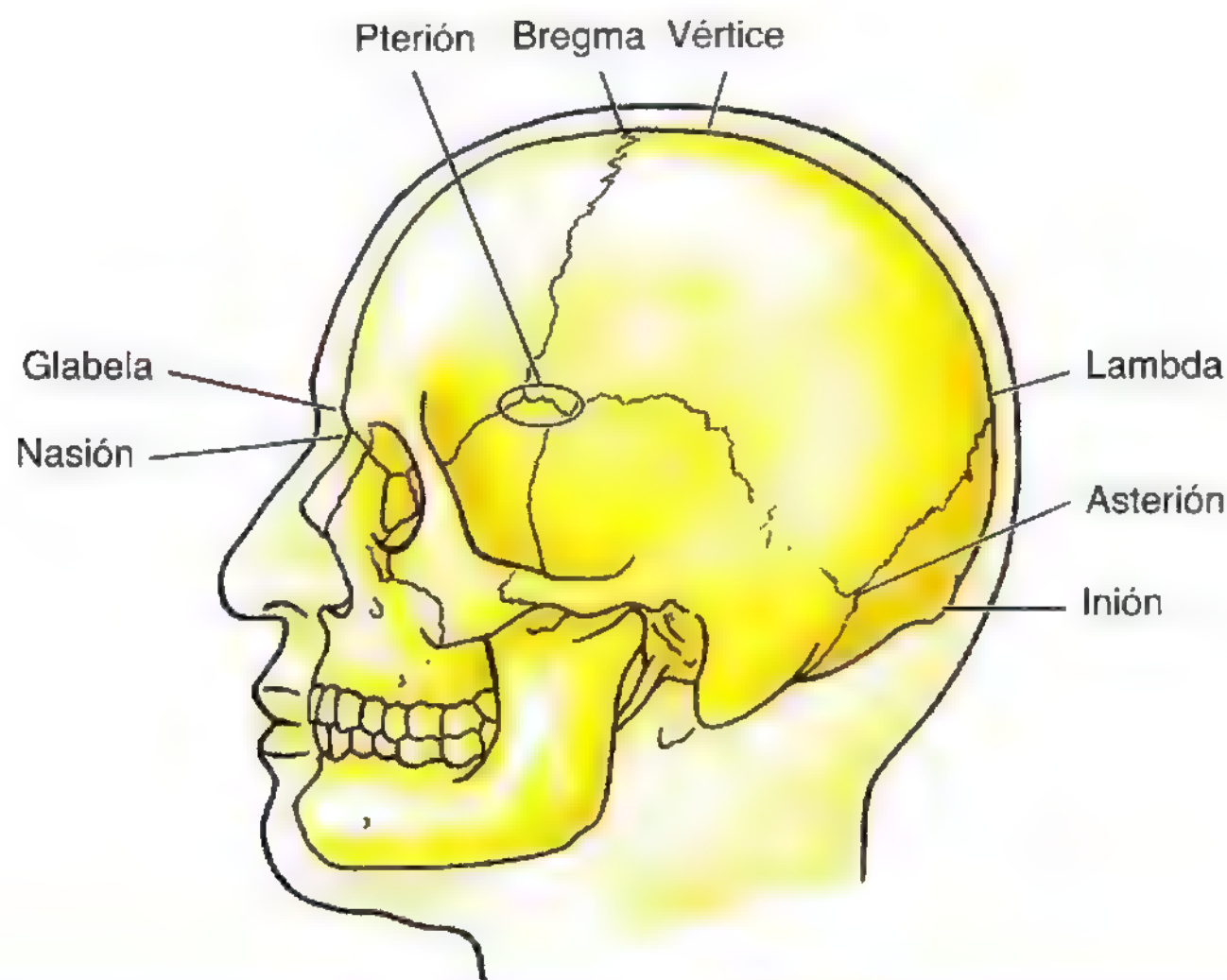


Figura 7.4. (Continuación, B. Vista inferior de la calota o bóveda del cráneo. Se observan las fosas del hueso frontal (flechas grandes) provocadas por las granulaciones aracnoideas (prolongaciones glomerulares [fig. 7.14] de piamadre y de aracnoides [porciones de las cubiertas encefálicas]). A cada lado de la sutura sagital se aprecian los orificios parietales (flechas pequeñas), por los que pasan las venas emisarias entre el seno sagital superior y las venas del diploe (D) y de cuero cabelludo. El diploe esponjoso de hueso contiene médula hematopoyética en vida. Se observa asimismo el surco vascular sinuoso (M) formado por la rama frontal de la arteria meníngica media. Se advierte la cresta frontal (FC) donde se inserta la hoz del cerebro. La hoz es una prolongación corta de duramadre, la membrana exterior del encéfalo.

Tabla 7.1. Referencias óseas del cráneo

Referencia	Forma y localización
Pterión (ala en griego)	Unión del ala mayor del esfenoides, porción escamosa del hueso temporal, hueso frontal y hueso parietal; cubre el trayecto de la rama anterior de la a. menígea media
Lambda (letra L en griego)	Punto de la calota en la unión de las suturas coronal y sagital
Bregma (parte anterior de la cabeza en griego)	Punto de la calota en la unión de las suturas coronal y sagital
Vértice (remolino, espiral en latín)	Punto superior del neurocráneo en la línea media si el cráneo está orientado en el plano anatómico (meatorbitario de Frankfort)
Asterión (estrellado en griego)	Con forma de estrella; se localiza en la unión de tres suturas: parietomastoidea, occipitomastoidea y lambdoidea
Glabela (liso, lampiño en latín)	Prominencia lisa, más acusada en los varones, del hueso frontal, encima de la raíz nasal; parte anterior más destacada de la frente
Inión (dorso de la cabeza en griego)	Punto más prominente de la protuberancia occipital externa
Nasión (nariz en latín)	Punto del cráneo donde se reúnen las suturas frontonasal e internasal

Cara interna de la base del cráneo

La cara interna de la base del cráneo posee tres depresiones grandes y nítidas en diferentes planos —las **fosas craneales anterior, media y posterior** (fig. 7.5D)—, que forman el suelo de la cavidad craneal con forma de escudilla. La fosa craneal anterior es la más alta, y la posterior, la más baja.

Fosa craneal anterior

Las porciones inferior y anterior de los lóbulos frontales (polos frontales) del cerebro ocupan la fosa craneal anterior, la más delgada de las tres. La fosa craneal anterior está constituida por el hueso frontal por delante, el hueso etmoides en el centro y el cuerpo y las alas menores del esfenoides por detrás (fig. 7.5, C y D). La mayor parte de la fosa craneal anterior la constituyen las **porciones orbitarias y rugosas**

del hueso frontal (fig. 7.5C), que soportan los lóbulos frontales del cerebro y forman los techos de las órbitas. Esta cara presenta impresiones sinuosas (marcas cerebrales) de las circunvoluciones orbitarias de los lóbulos frontales (fig. 7.5, C y D). La **cresta frontal** es una prolongación ósea media del hueso frontal. En la base se encuentra el **orificio ciego** del hueso frontal, que carece de importancia después del nacimiento, pero sirve de paso a los vasos sanguíneos durante el desarrollo. La **cresta galli** es una cresta media de hueso situada detrás del orificio ciego que se proyecta hacia arriba desde el etmoides. A cada lado de la **cresta galli** se encuentra la **lámina cribiforme del etmoides**. Los nervios olfatorios (NC I) de las áreas olfatorias de las cavidades nasales atraviesan los orificios de la lámina cribiforme para alcanzar los bulbos olfatorios del cerebro situados en esta placa (véase fig. 7.70).

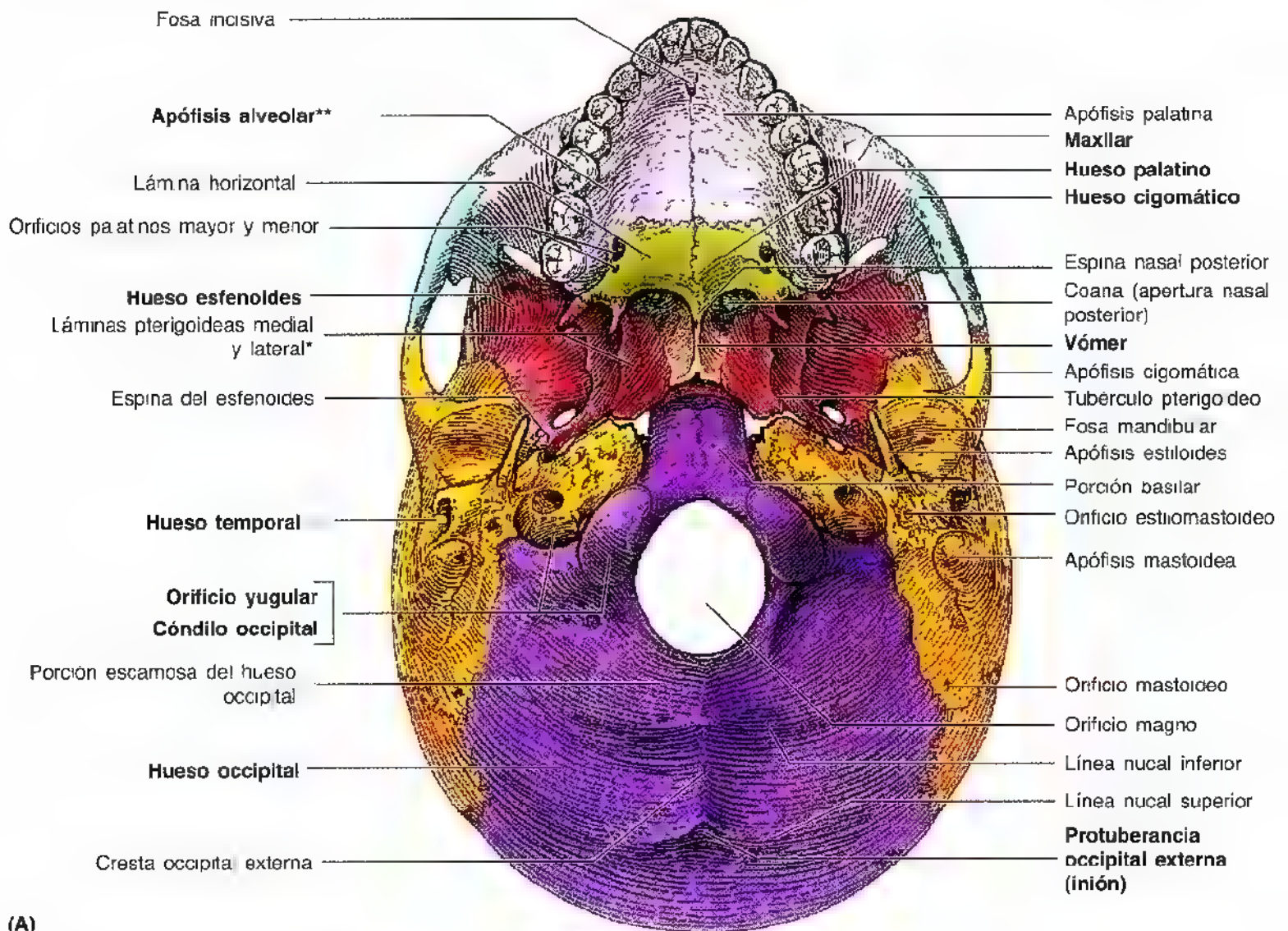
Fosa craneal media

La fosa craneal media tiene forma de mariposa y está compuesta por depresiones grandes y profundas a cada lado de la **silla turca**, de tamaño mucho más reducido, que ocupan el centro del cuerpo esfenoidal. Los huesos que forman la fosa craneal media son las alas mayores del esfenoides y las porciones escamosas de los huesos temporales a los lados, así como las porciones petrosas de estos mismos huesos por detrás (fig. 7.5, C y D). La fosa craneal media queda posteroinferior a la fosa craneal anterior, de la que se separa por las crestas esfenoidales picudas a los lados y el limbo esfenoidal en la zona medial. La fosa craneal media aloja los lóbulos temporales del cerebro. El límite entre las fosas craneales media y posterior es la cresta petrosa de los lóbulos temporales a los lados y una lámina plana de hueso, el **dorso de la silla turca**, en la parte medial.

La **silla turca** es una formación ósea que ocupa la cara superior del cuerpo del hueso esfenoides y está rodeada por las **apófisis clinoides anterior y posterior**. La **silla turca** consta de tres elementos (fig. 7.5C):

- El **tuberculo de la silla**, una prominencia discreta, con forma de aceituna, situada delante de la fosa hipofisaria.
- La **fosa hipofisaria**, una depresión (asiento de la silla) para la glándula pituitaria o hipofisis del cerebro en el centro.
- El **dorso de la silla turca**, una porción cuadrada del hueso del cuerpo del esfenoides, posterior a la silla turca.

Los bordes posteriores nítidos (crestas esfenoidales) de las **alas menores del esfenoides** sobresalen de la fosa craneal media. Las alas menores terminan medialmente en dos proyecciones, las **apófisis clinoides anteriores**. “Clinoide” sig

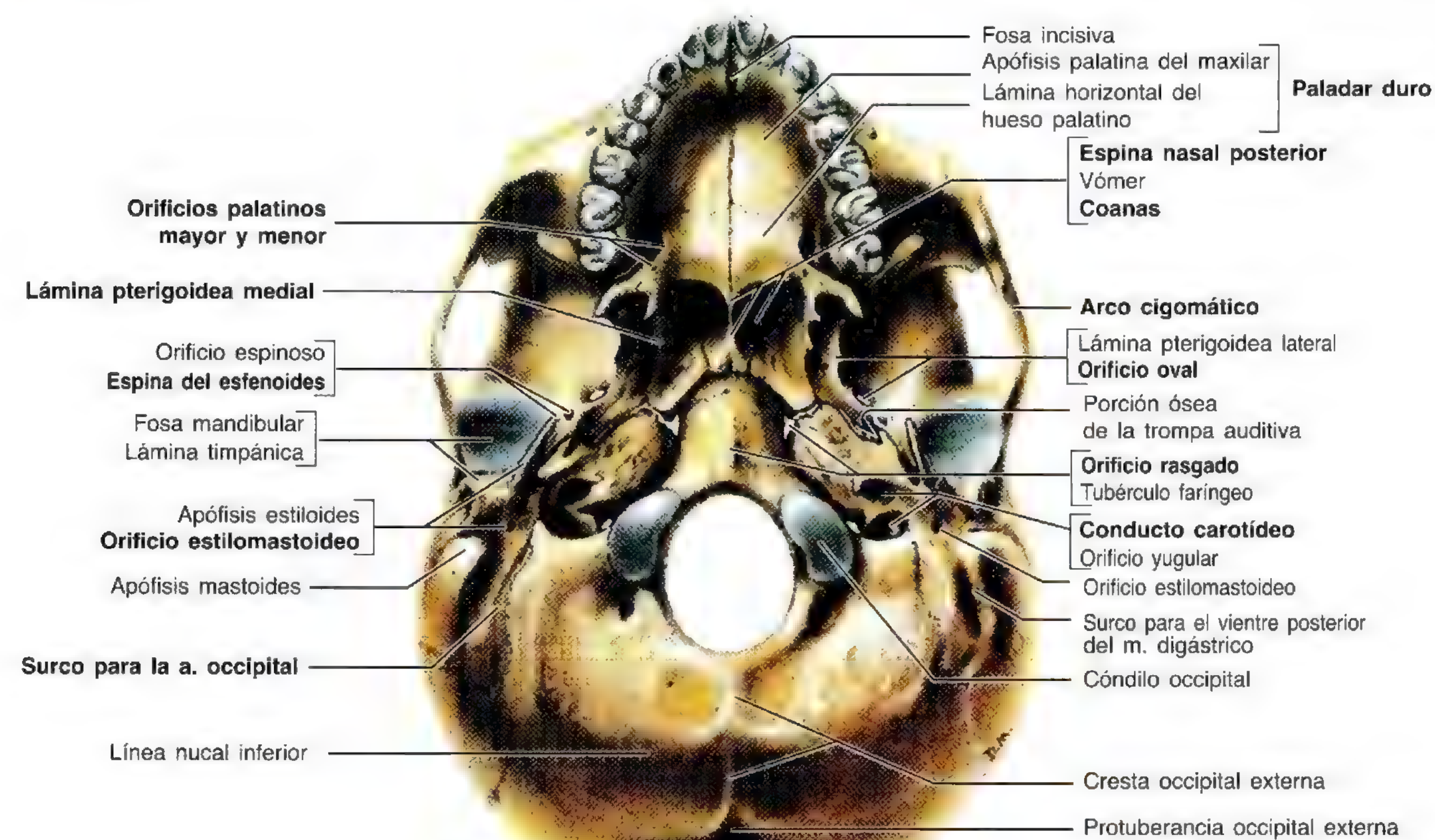


(A)

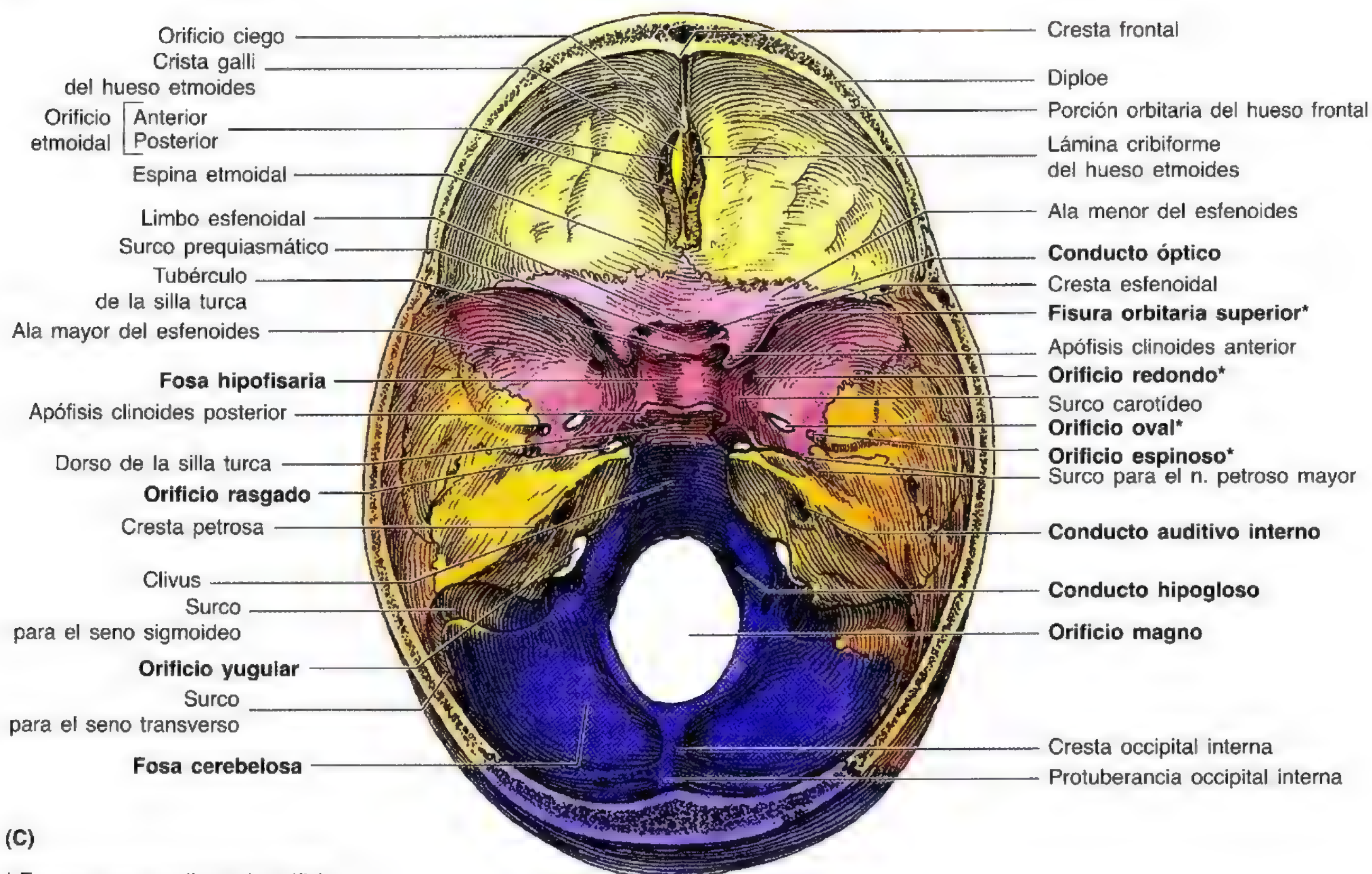
* De forma agrupada constituye la apófisis pterigoides del esfenoides

** La cresta en U (invertida en la figura) creada por el borde libre de las apófisis alveolares de los maxilares derecho e izquierdo forma la arcada alveolar

Figura 7.5. Cara inferior (base) de un cráneo adulto. A. Vista inferior de la cara externa del cráneo. Esta superficie se forma por detrás por el hueso occipital, que se continúa por delante con el esfenoides después de la sinósis (fusión ósea que sustituye a la sincondrosis que une los huesos en la infancia). El **orificio magno** se sitúa a mitad de camino entre y en el mismo plano que las apófisis mastoides. Se aprecia también el paladar óseo o esqueleto de paladar duro (óseo), que forma parte de la raíz de la boca y de suelo de la cavidad nasal.

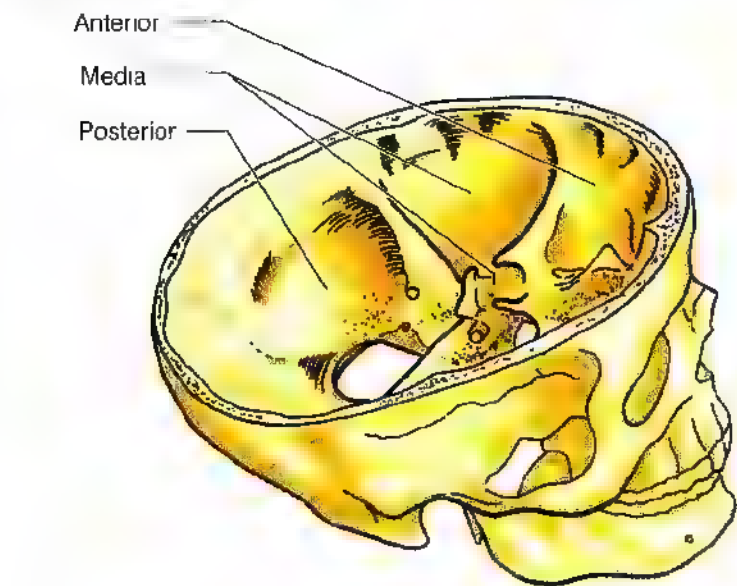


(B)

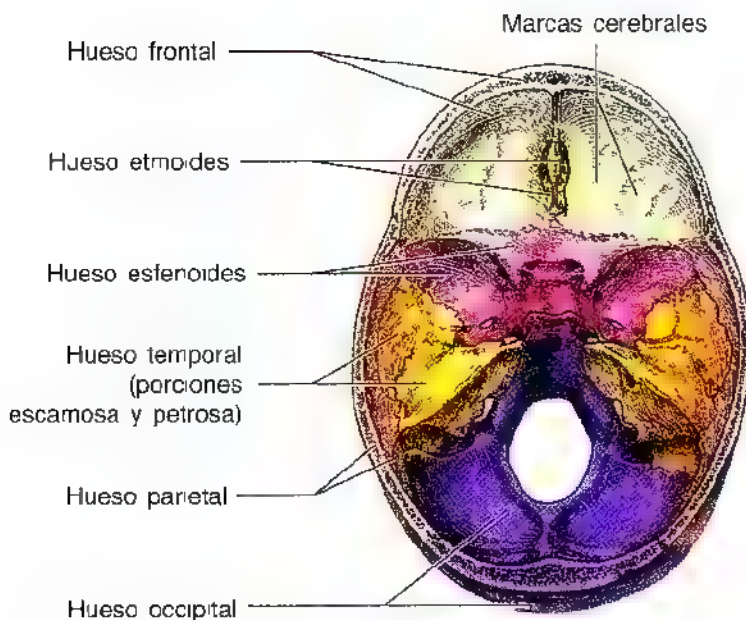


(C)

* Forman una semiluna de orificios.



Visión superolateral



(D) Visión superior

Figura 7.5. (Continuación) **B.** Visión inferior de la cara externa de cráneo. Se observa a fosa incisiva una depresión de la línea media del paladar óseo, así como las coanas grandes (aperturas nasales posteriores) a cada lado del vómer. **C.** Visión superior del interior de la base del cráneo. Se aprecian los tres huesos que dan la fosa craneal anterior: la porción orbital (lámina) del hueso frontal, la amina cribiforme del etmoides y el ala menor del esfenoides. Se observa el surco prequiasmático (surco óptico) que va de un conducto óptico al otro. Asimismo se exponen el tubérculo de la silla turca, la fosa hipofisaria y el dorso de la silla turca del hueso esfenoides, que forman en conjunto, la silla turca, donde se aloja la glándula pituitaria en vida. **D.** Visiones superolateral y superior derechas. Nótese como el suelo de la cavidad craneal se divide en tres niveles (escalones): las fosas craneales anterior, media y posterior. En la ilustración inferior se muestran los huesos que constituyen estas fosas.

nifica “pilar de la cama”; las cuatro apófisis clinoides rodean el “lecho” de la glándula pituitaria (fosa hipofisaria) como los pilares de una cama de cuatro patas.

A cada lado de la base del cuerpo esfenoidal se observa una **semiluna de cuatro orificios** en la fosa craneal media; los orificios perforan la raíz del ala mayor del esfenoides (fig. 7.5C, tabla 7.2):

- La **fisura orbitaria superior** se encuentra entre las alas mayores y menores; se comunica con la órbita y conduce las venas oftálmicas, así como nervios que llegan a la órbita (NC III, IV, V₁, VI y fibras simpáticas).
- El **orificio redondo** está detrás del extremo medial de la fisura orbitaria superior y da paso al nervio maxilar (NC V₂) que inerva la piel, los dientes y la mucosa del hueso maxilar (es decir, el maxilar superior y el seno maxilar).
- El **orificio oval** es un gran agujero posterolateral al orificio redondo que se abre hacia abajo en la fosa infra-temporal. Por él discurren el nervio mandibular (NC V₃) y una pequeña arteria meníngea accesoria.
- El **orificio espinoso**, posterolateral al orificio oval, da paso a los vasos meníngeos medios y a un ramo meníngeo del nervio mandibular.

El **orificio rasgado**, que no integra esta semiluna, es un agujero de aspecto irregular situado posterolateral a la fosa hipofisaria; se trata de un artefacto de cráneo desecado que, en vida, está cerrado por una placa cartilaginosa. Ninguna estructura atraviesa el orificio rasgado en sentido vertical. La arteria carótida interna y los plexos simpático y venoso concomitantes discurren por la cara superior del cartilago; algunos nervios atraviesan el cartilago en sentido horizontal. Existe un delgado **surco para el nervio petroso mayor** en la cara anterior de la porción petrosa del hueso temporal que se extiende posterior y lateralmente desde el orificio rasgado. Se conoce también un pequeño surco para el nervio petroso menor.

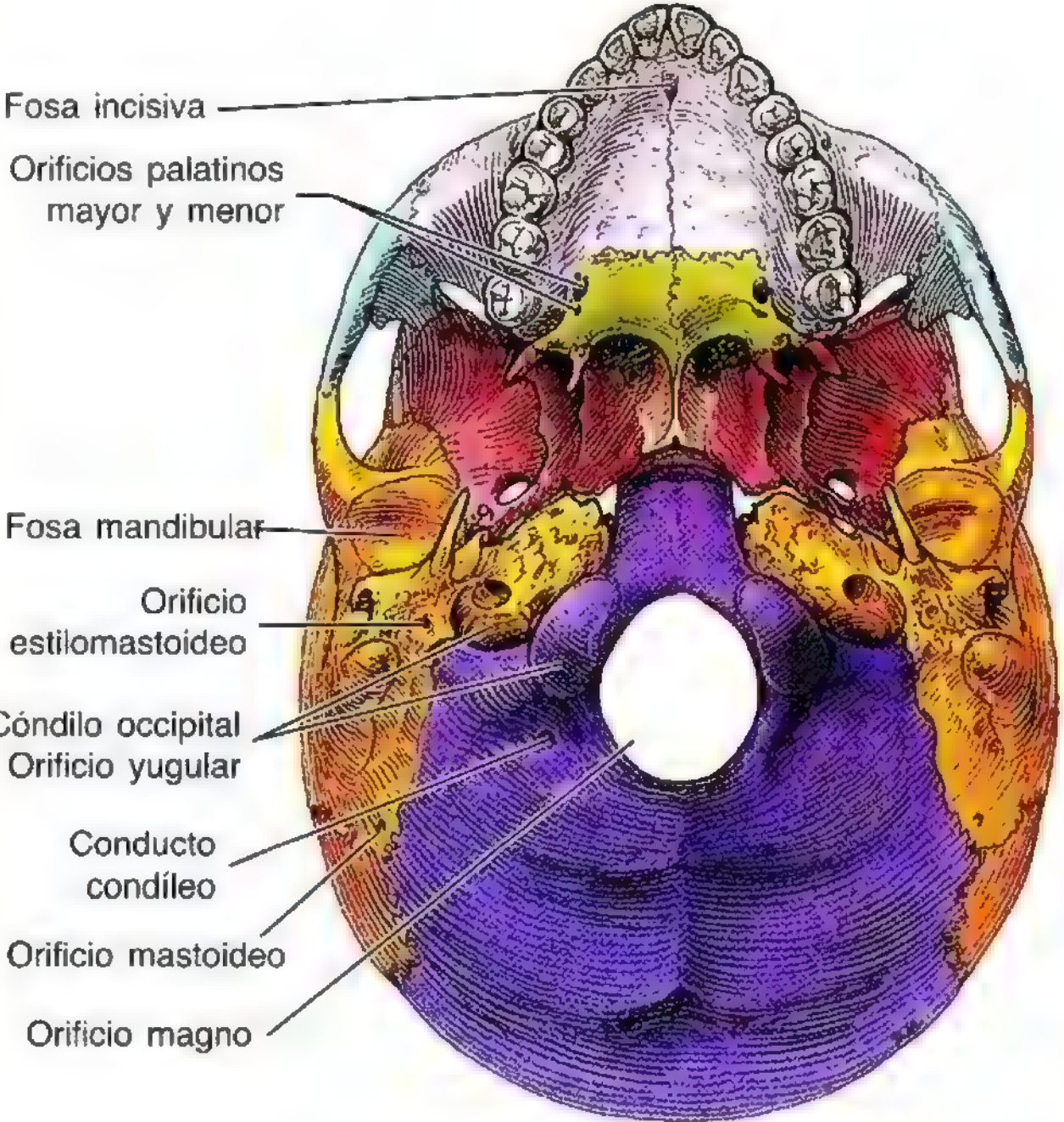
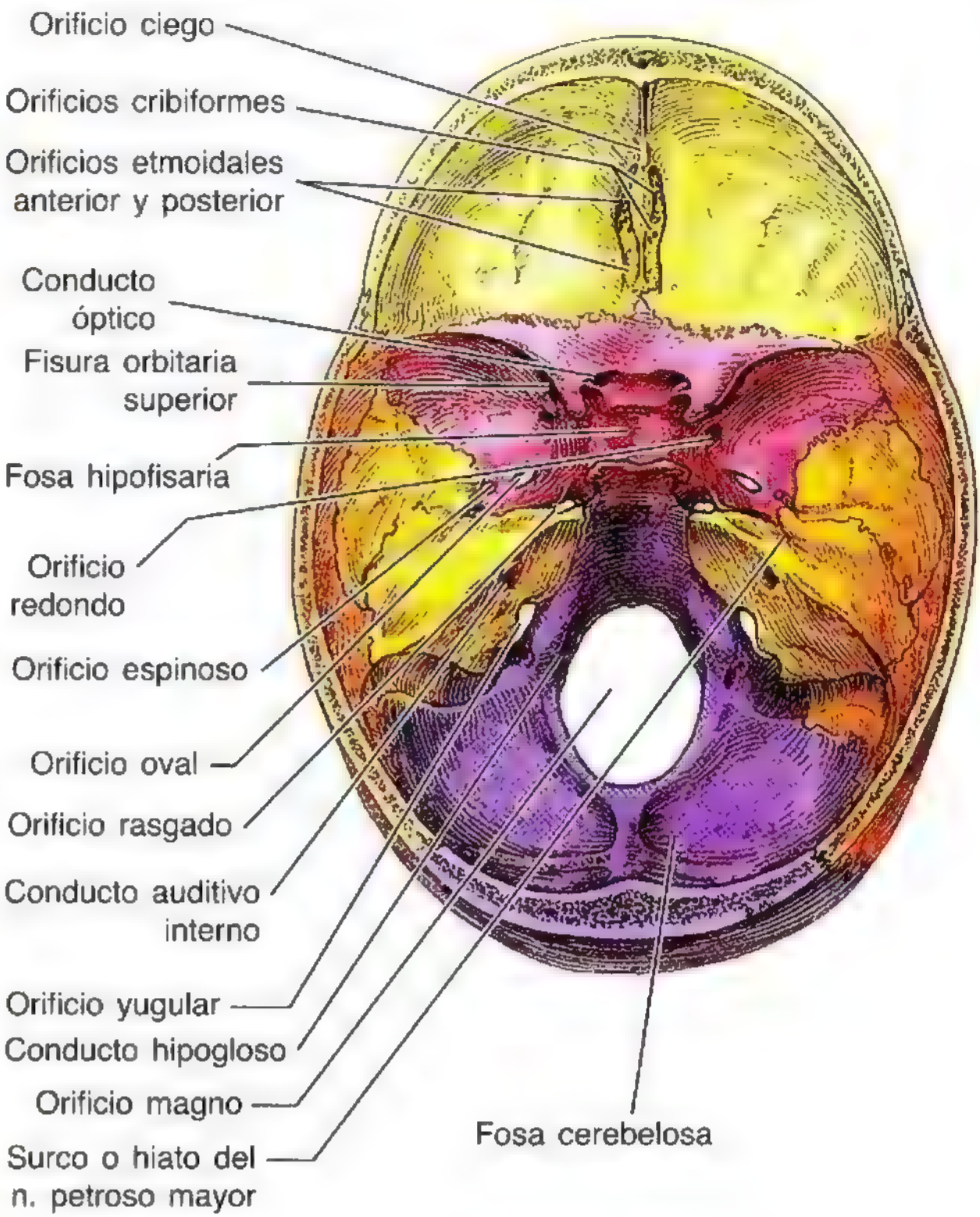
Fosa craneal posterior

La fosa craneal posterior, la más grande y profunda de las tres (fig. 7.5, C y D), aloja el cerebelo, el puente y el bulbo raquídeo. La fosa craneal posterior está constituida, en su mayor parte, por el hueso occipital, pero el dorso de la silla turca marca la linde anterior en el centro, y las porciones petromastoideas de los huesos temporales contribuyen a las “paredes” anterolaterales. Desde la silla turca se observa una gran pendiente en el centro de la parte anterior de la fosa craneal, el **clivus**, que llega hasta el **orificio magno**. Detrás de este gran orificio, la fosa craneal posterior se divide, en parte, por la **cresta occipital interna** en dos grandes impresiones cóncavas, las **fosas cerebelosas**. La cresta occipital interna termina en la **protuberancia occipital interna** que se forma en la confluencia de los senos venosos de la duramadre (pág. 898). El trayecto horizontal de los **senos transversos y sigmoides**, con forma de S (senos venosos de la duramadre), muestra

Tabla 7.2. Orificios y otras aperturas de las fosas craneales y su contenido

Orificio/apertura	Contenido
Fosa craneal anterior	
Orificio ciego	V. emisaria nasal (1% de la población)
Orificios de la lámina cribiforme	Axones de las células olfativas del epitelio olfativo que forman los nn. olfativos
Orificios etmoidales anterior y posterior	Vasos y nervios homónimos
Fosa craneal media	
Conductos ópticos	Nn. ópticos (NC II) y aa. oftálmicas
Fisuras orbitarias superiores	Vv. oftálmicas, n. oftálmico (NC V ₁), NC III, IV y VI y fibras simpáticas
Orificio redondo	N. maxilar (NC V ₂)
Orificio oval	N. mandibular (NC V ₃) y a. meníngea accesoria
Orificio espinoso	A. y v. meníngicas medias y ramo meníngeo de NC V ₃
Orificio rasgado*	*A. carótida interna y los plexos simpático y venoso concomitantes
Surco o hiato del n. petroso mayor	N. petroso mayor y rama petrosa de la a. meníngea media
Fosa craneal posterior	
Orificio magno	Bulbo raquídeo y meninges, aa. vertebrales, raíces espinales de NC XI, venas de la duramadre, aa. espinales anterior y posterior
Orificio yugular	NC IX, X y XI, bulbo superior de la vena yugular interna, senos petroso inferior y sigmoideo y ramas meníngicas de las aa. faríngea ascendente y occipital
Conducto hipogloso	N. hipogloso (NC XII)
Conducto condíleo	Vena emisaria que pasa del seno sigmoideo a las vv. vertebrales del cuello
Orificio mastoideo	Vena emisaria mastoidea del seno sigmoideo y rama meníngea de la a. occipital

* Las estructuras en realidad pasan por (más que a través) el área del agujero rasgado, un artefacto de los cráneos desecados, que se encuentra cerrado por cartilago en vida.



unos surcos. En la base de la cresta petrosa del hueso temporal está el **orificio yugular**, por el que pasan algunos nervios craneales, además del seno sigmoideo, que abandona el cráneo en forma de la vena yugular interna (VVI) (fig. 7.5C, tabla 7.2). Por delante y encima del orificio

yugular aparece el **conducto auditivo interno** para los nervios facial y vestibulococlear (NC VIII) y la arteria laberíntica. El **conducto hipogloso** para el nervio hipogloso (NC XII) está encima del borde anterolateral del orificio magno.

Paredes de la cavidad craneal

El grosor de las paredes de las distintas regiones de la cavidad craneal es variable. Las paredes suelen ser más delgadas en las mujeres que en los varones, así como en los niños y en las personas mayores. El hueso se adelgaza sobre todo en las zonas mejor cubiertas de músculos, como la porción escamosa del hueso temporal y la porción posteroinferior del cráneo, situada detrás del orificio magno. Se pueden observar estas áreas tan finas de hueso sujetando el cráneo contra una luz brillante. La mayoría de los huesos de la calo-

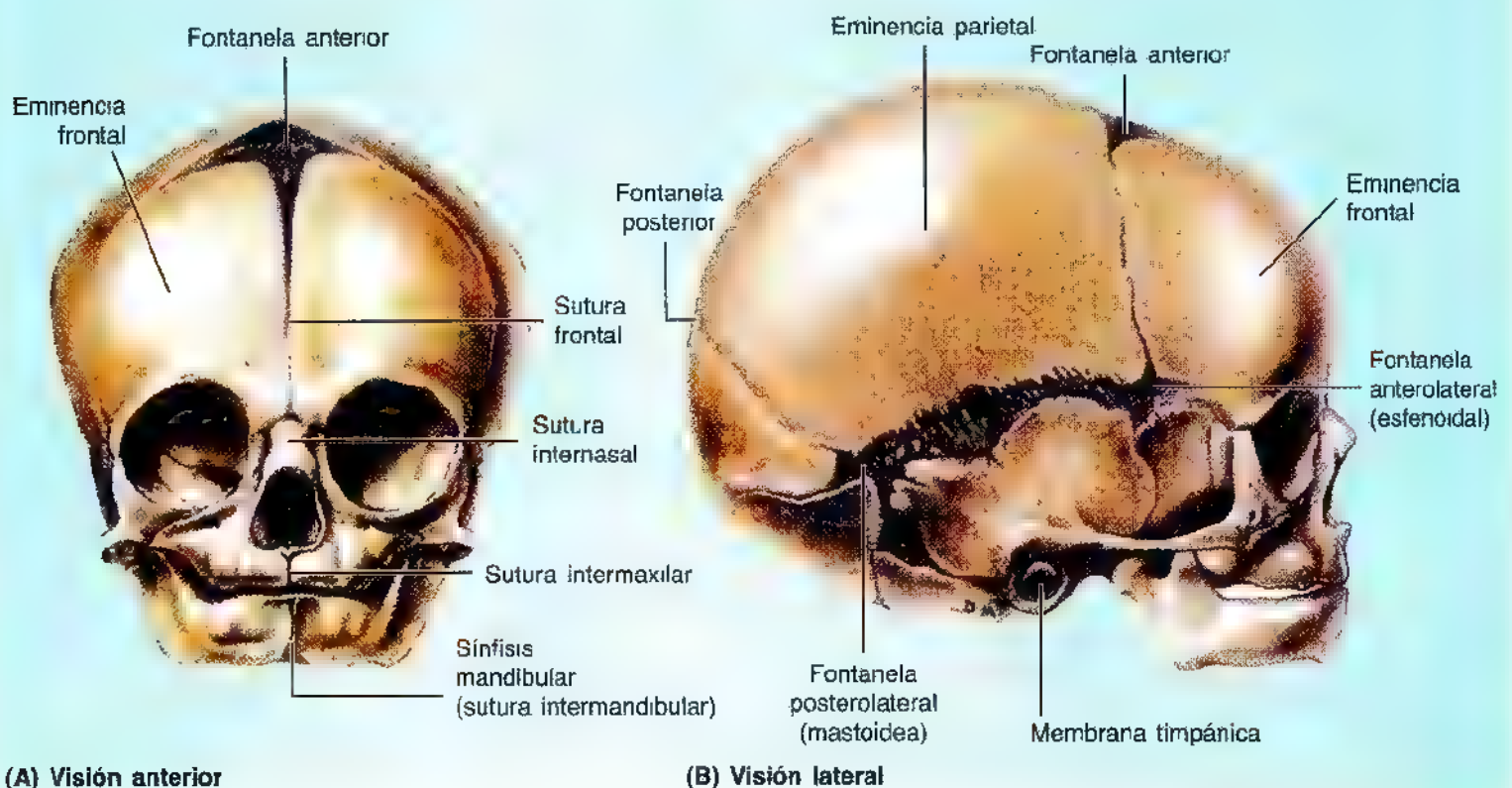
ta constan de tablas internas y externas de hueso compacto, separadas por la **diploe** esponjosa (fig. 7.5C). La diploe es un hueso esponjoso que contiene médula ósea roja en vida, a través de la cual discurren conductos formados por las venas diploicas. Procúrese examinar la diploe de la calota de una muestra de laboratorio. Si el cráneo está desecado, no aparecerá roja, porque durante la preparación de la muestra se extrajeron las proteínas. Mírese también la tabla interna del hueso, más delgada que la externa; en algunas zonas se observa una lámina fina de hueso compacto sin diploe.

El desarrollo del cráneo

Los huesos que forman la calota y algunas porciones de la base del cráneo se desarrollan mediante *osificación intramembranosa*, mientras que casi toda la base del cráneo lo hace mediante *osificación endondral*. Si desea más información sobre el desarrollo inicial del cráneo consulte la obra de Moore y Persaud (1998). Al nacer, los huesos de la calota son lisos y unilaminares y no existe diploe. Las eminencias frontal y parietal son muy prominentes. *El cráneo de un recién nacido es desproporcionado si se compara con otras porciones del esqueleto, pero el esqueleto de la cara es pequeño si se compara con la calota* y constituye casi una octava parte del cráneo; el esqueleto de la cara de un adulto representa un tercio del cráneo. El gran tamaño de la calota neonatal se debe al crecimiento y desarrollo precoces del encéfalo. El tamaño reducido de la cara se explica por el desarrollo rudimentario de los

maxilares, mandíbula y senos paranasales (cavidades de los huesos faciales), la ausencia de dientes y el pequeño tamaño de las cavidades nasales. El desarrollo rudimentario de la cara explica que las órbitas parezcan mayores.

Las mitades del hueso frontal están separadas por una **sutura frontal**, y los maxilares y la mandíbula, por una sutura intermaxilar y una sínfisis mandibular (sutura intermandibular), respectivamente. Obsérvese la ausencia de apófisis mastoides y estiloides. Dada la ausencia de la apófisis mastoides al nacer, *los nervios faciales se aproximan a la superficie a su salida de los orificios estilomastoides*. Por eso, los nervios faciales se pueden lesionar con el fórceps en un parto complicado, o con una incisión posterior al pabellón auricular de un lactante. Las apófisis mastoides se forman durante el primer año a medida que los músculos esternocleidomastoideos completan su desarrollo y tiran de las porciones petromastoideas de los huesos temporales.



► Los huesos de la calota neonatal están separados por zonas de membrana fibrosa —las **fontanelas**—, que constituyen partes óseas sin osificar. Se conocen seis fontanelas: dos en el plano medio —anterior y posterior— y dos parejas a cada lado —fontanelas anterolaterales o *esfenoidales* y posterolaterales o *mastoideas*—. La palpación de las fontanelas durante la lactancia, sobre todo de las fontanelas anterior y posterior, facilita al médico un conocimiento de estos aspectos:

- Progresión en el crecimiento de los huesos frontal y parietal.
- Grado de hidratación del pequeño (una fontanela deprimida indica deshidratación).
- Valor de la presión intracraneal (una fontanela tensa indica un aumento de la presión intracraneal). La *fontanela anterior*, la más grande, tiene forma romboidal o de estrella y está formada por las mitades del hueso frontal por delante y de los huesos parietales por detrás.

La **fontanela anterior** se encuentra en la unión de las suturas sagital, coronal y frontal, futuro lugar del *bregma*. A los 18 meses de vida, los huesos circundantes ya se han unido y deja de palpase la fontanela anterior en clínica. La fusión de las mitades del hueso frontal comienza en el 2º año. Casi siempre, la **sutura frontal** (sutura interfrontal) se borra a los 8 años, pero en un 8% de las personas queda un resto, la **sutura metópica**. Conviene saber que las mitades del hueso frontal pueden quedar separadas en parte, de suerte que la persistencia de la sutura no ha de interpretarse como una fractura en una radiografía o en otra imagen médica.

La **fontanela posterior** es triangular y limita por delante con los huesos parietales, y por detrás, con el hueso occipital. Se encuentra en la unión entre las suturas lambdoidea y sagital, futuro asiento de la referencia **lambda** (fig. 7.3A). La fontanela posterior empieza a cerrarse en los primeros meses de vida; al término del 1º año es muy pequeña y ya no se palpa en clínica.

Las *fontanelas anterolateral* (esfenoidal) y *posterolateral* (mastoidea), cubiertas por el músculo temporal, se unen en la lactancia y tienen menos interés clínico que las fontanelas anterior y posterior. Las mitades de la mandíbula se fusionan de manera precoz en el 2º año. En general, los dos maxilares y los huesos nasales no se fusionan entre sí.

Debido al carácter blando de los huesos y a sus conexiones laxas por las suturas, *la calota puede modificarse o moldearse* durante el parto. Cuando el bebé atraviesa el canal del parto, el hueso frontal se aplana, el hueso occipital se estira y el parietal cabalga ligeramente sobre sí mismo. A los pocos días del nacimiento, la forma de la calota vuelve a la normalidad. Esta elasticidad de los huesos del cráneo fetal explica la resistencia de fuerzas que,



Molde de la calota



Las flechas indican los dientes permanentes

en condiciones diferentes, provocarían una fractura en un adulto. Las suturas fibrosas de la calota también permiten que el cráneo se ensanche durante la lactancia y la infancia. El aumento de tamaño de la calota alcanza el máximo en los dos primeros años, período de crecimiento cerebral más rápido (Moore y Persaud, 1998). En general, la calota de una persona aumenta de capacidad hasta los 15 o 16 años. Luego, suele incrementarse ligeramente de tamaño durante 3 a 4 años debido al engrosamiento óseo. ►

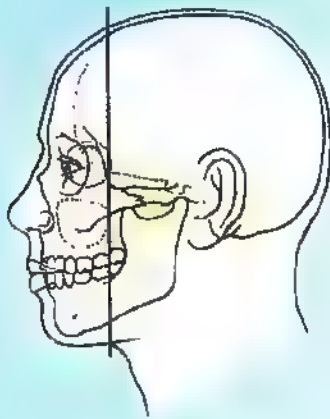
Cambios de la cara con la edad

La mandíbula es el hueso más dinámico; su forma y tamaño, así como el número de dientes, varían mucho con la edad. La mandíbula del recién nacido consta de dos mitades, unidas en el plano medio por una articulación de tejido fibroso, la *sinfisis mandibular*. El asiento primitivo de la articulación se ve en el cráneo adulto a modo de una cresta ósea. La *protuberancia mentoniana* (barbilla) empieza a formarse en el 2º año, pero no termina hasta después de la pubertad. Las dos mitades de la mandíbula empiezan a unirse en el 1º año y terminan de hacerlo al final del 2º.

El cuerpo de la mandíbula de un recién nacido es una simple cáscara carente de apófisis alveolar; cada mitad encierra 5 dientes caducos. La erupción de estos dientes

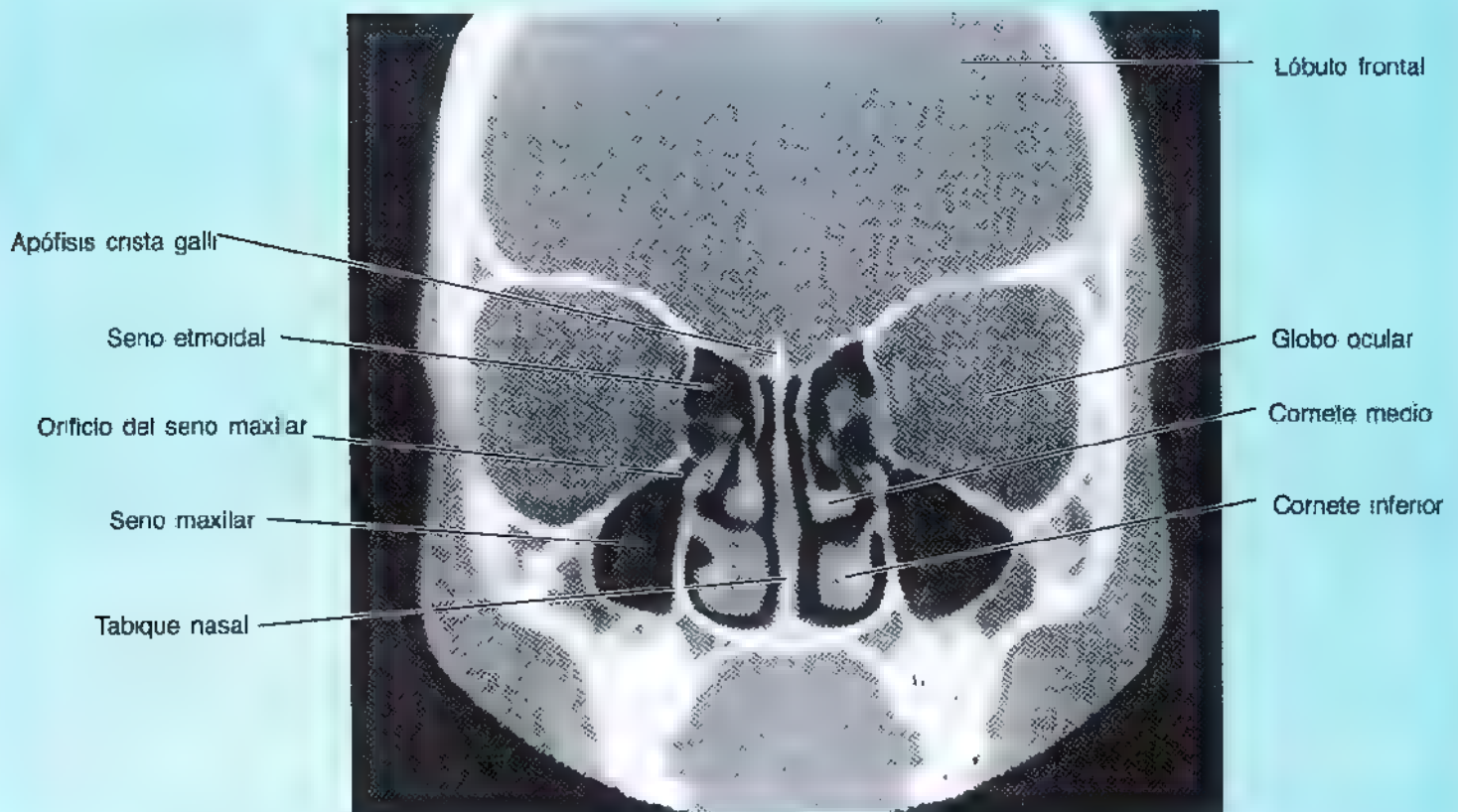
suele comenzar alrededor de los 6 meses de vida. El cuerpo de la mandíbula se alarga, sobre todo detrás del orificio mentoniano, para acomodarse al desarrollo y después al peso de los 8 dientes permanentes, cuya erupción empieza en el 6º año de vida. La erupción de estos dientes permanentes no termina hasta comienzos del período adulto. El crecimiento rápido de la cara en la lactancia y primeros años de la infancia coincide con la erupción de los dientes caducos. El crecimiento vertical del esqueleto superior de la cara se debe, sobre todo, al desarrollo dentoalveolar. Estos cambios se acentúan en particular después de la erupción de los dientes permanentes. Cuando desaparecen todas las piezas dentales de una persona de edad avanzada (o más joven, pero sin ninguna higiene dental), los alvéolos se llenan de hueso y las apófisis alveolares empiezan a reabsorberse.

El ensanchamiento simultáneo de las regiones frontal y facial se acompaña de un aumento del tamaño de los *senos paranasales*, prolongaciones neumáticas de las cavidades nasales y algunos huesos del cráneo. Casi todos los senos paranasales son rudimentarios o faltan al nacer. El crecimiento de los senos paranasales ayuda a modificar la forma de la cara y añadir resonancia a la voz.



Obliteración de las suturas craneales

La obliteración de las suturas de los huesos de la calota comienza, por lo común, entre los 30 y los 40 años por la cara interna y unos 10 años más tarde por la



TC de la cabeza de un niño

- ▶ externa. Las suturas suelen obliterarse por el bregma y luego por las suturas sagital, coronal y lambdoidea.

Cambios del cráneo con la edad

Conforme envejecen las personas, los huesos del cráneo se tornan cada vez más finos y ligeros, y el diploe va ocupándose con un material gelatinoso gris. La médula ósea de estos sujetos pierde sus células sanguíneas y la grasa y adopta un aspecto gelatinoso.

Craneosinóstosis y deformidades craneales

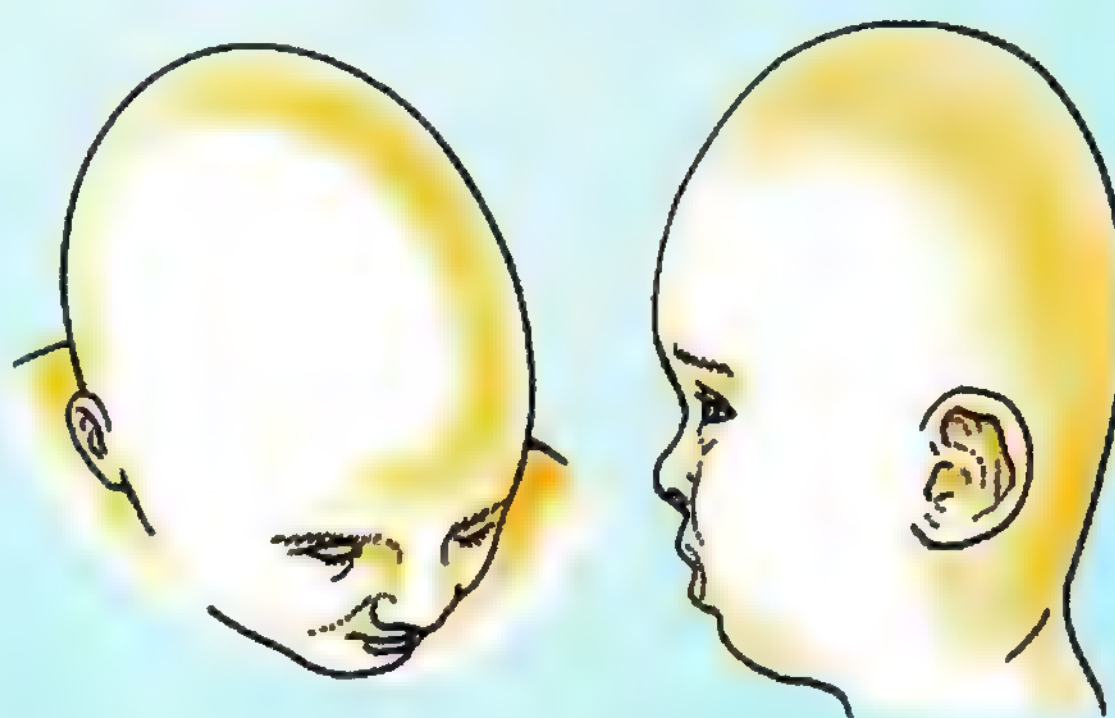
El cierre prematuro de las suturas del cráneo (*craneosinóstosis primaria*) provoca diversas deformidades craneales. La incidencia de craneosinóstosis primaria se aproxima a uno de cada 2.000 partos (Behrman y cols., 1996). La causa de la craneosinóstosis se ignora, pero, al parecer, contribuyen de manera importante los factores genéticos. La hipótesis prevalente es que el desarrollo anómalo de la base del cráneo crea unas fuerzas exageradas sobre la duramadre (cubierta externa del encéfalo), que alteran el desarrollo normal de las suturas craneales. Estas deformidades abundan sobre todo en el sexo masculino y suelen asociarse con otras malformaciones esqueléticas. El tipo de cráneo deformado depende de las suturas que se cierran de manera prematura.

El *cierre prematuro de la sutura sagital*, caracterizado por una fontanela anterior pequeña o nula, determina un cráneo alargado, estrecho y en forma de cuña, la *escafocefalia*. La escafocefalia, que constituye casi la mitad de los casos de craneosinóstosis, no comporta ninguna anomalía del desarrollo neurológico.

Si el *cierre prematuro de la sutura coronal o lambdoidea sólo ocurre en uno de los lados*, el cráneo se torsiona y se



Escafocefalia



(A)

(B)

vuelve asimétrico, estado conocido como *plagiocefalia* (A). El 30% restante de los casos de deformidad del cráneo consiste en un *cierre prematuro de la sutura coronal*, que determina un cráneo alto con forma de torre, la *oxicefalia* o *turricéfalia* (B). Este tipo de deformidad del cráneo es más común en las mujeres. +

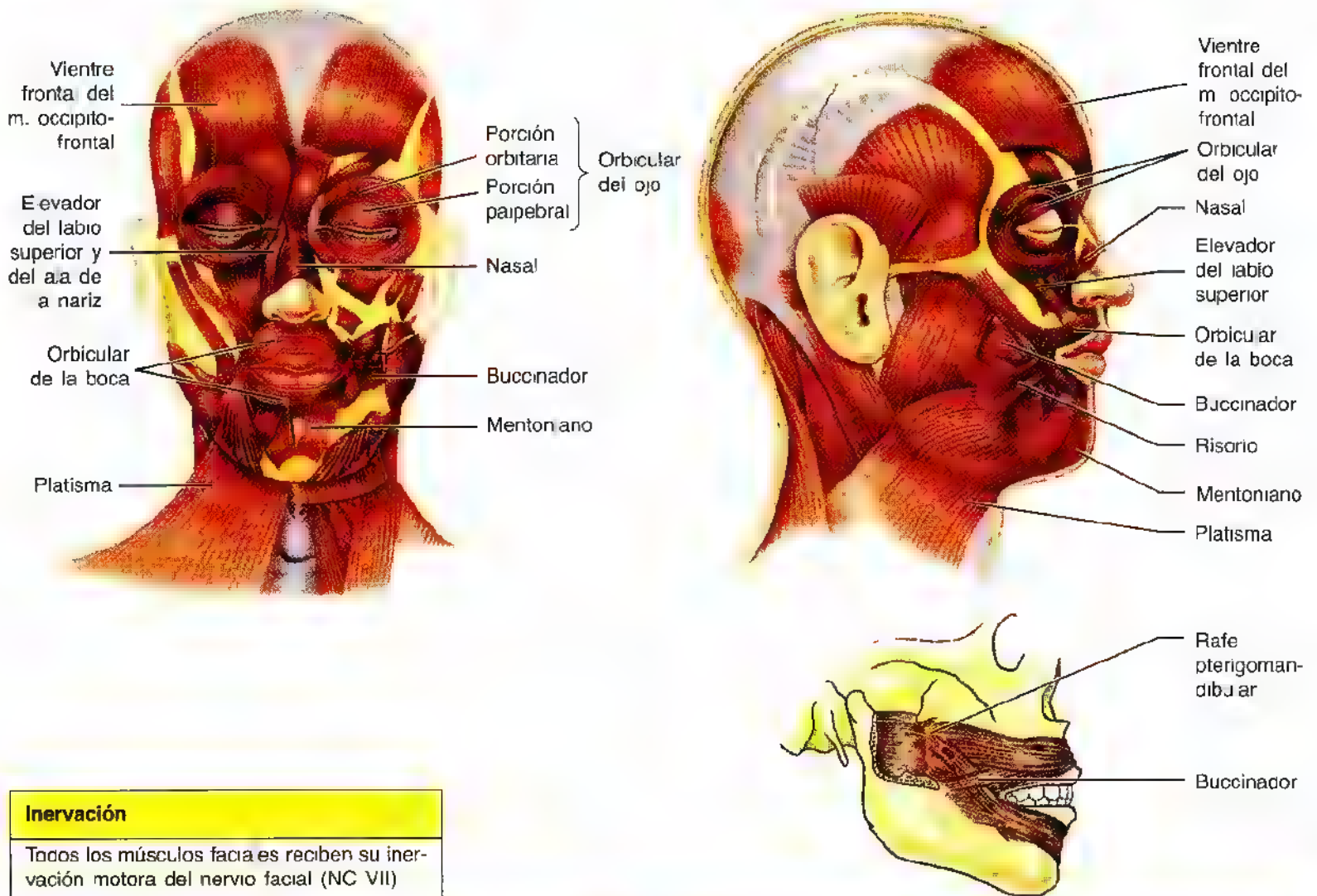
La cara

La cara es la parte anterior de la cabeza, comprendida entre la frente y la barbilla, así como entre una oreja y otra. La forma básica de la cara depende de los huesos que la componen. Los cuerpos adiposos bucales de los pómulos y los músculos faciales contribuyen a la forma final de la cara. El tamaño relativamente grande de los **cuerpos adiposos bucales** de los lactantes, que evita el colapso malar al mamar, explica su aspecto redondeado. Los músculos de la cara se encuentran en el tejido subcutáneo y casi todos se adhieren a los huesos del cráneo y la piel o la mucosa. La piel está comunicada con los huesos a través de ligamentos cutáneos o bandas de tejido conjuntivo (pág. 14). Los huesos de la cara tardan más en crecer que los de la calota. El hueso etmoides, las cavidades orbitarias y las porciones supe-

riores de las cavidades nasales completan prácticamente su crecimiento a los 7 años. La expansión de las órbitas y el crecimiento del tabique nasal arrastra a los maxilares en sentido inferoanterior. Durante la infancia, la cara crece de modo considerable con el desarrollo de los senos paranasales (pág. 865) y la erupción de los dientes permanentes.

Los músculos de la cara

Los músculos faciales o de la expresión facial tienen un asiento subcutáneo; mueven la piel y modifican las expresiones de la cara para indicar el estado de ánimo. Se encuentran en la parte anterior y posterior del cuero cabelludo, la cara y el cuello. La mayoría de los músculos se insertan en el hueso o en la fascia y sus efectos ocurren al tirar de la piel. La tabla 7.3 resume los músculos faciales, sus inserciones y sus acciones.

Tabla 7.3. Los músculos del cuero cabelludo y de la cara

Músculo	Origen	Inserción	Acción principal
Ventre frontal del m. occipitofrontal	Aponeurosis epicraneana	Piel de la frente y cejas	Eleva las cejas y la piel de la frente
Orbicular de la boca	Algunas fibras nacen cerca de plano medio del maxilar por arriba y de la mandíbula por abajo, y otras, de la cara profunda de la piel	Mucosa de los labios	Como esfínter de la boca, comprime y protruye los labios (p. ej., al silbar o aspirar)
Elevador del labio superior y del ala de la nariz	Apófisis frontal del maxilar y región infraorbitaria	Piel del labio superior y cartílago alar de la nariz	Eleva el labio, dilata la narina y levanta el ángulo de la boca
Mentoniano	Fosa incisiva de la mandíbula	Piel de la barbilla	Eleva y protruye el labio inferior
Buccinador	Mandíbula, rafe pterigomandibular y apófisis alveolar del maxilar y de la mandíbula	Ángulo de la boca	Comprime las mejillas contra los molares ayudando a la masticación; expulsa el aire de la cavidad bucal al tocar un instrumento de viento; lleva la boca a un lado cuando se contrae de forma unilateral
Orbicular del ojo	Borde orbitario medial, ligamento palpebral medial y hueso lacrimal	Piel que rodea el borde de la órbita; lámina tarsa	Cierra los párpados: la porción palpebral cierra los párpados de forma suave, y la orbitaria, con fuerza
Nasal	Porción superior de la cresta canina del maxilar	Cartílagos nasales	Lleva el ala (lado) de la nariz hacia el tabique nasal
Platisma	Fascia superficial de las regiones deltoidea y pectoral	Mandíbula, piel de las mejillas, ángulo de la boca y m. orbicular de la boca	Deprime la mandíbula y tensa la piel de la parte inferior de la cara y del cuello

Todos los músculos de la expresión facial provienen del 2º arco faríngeo (Moore y Persaud, 1998) y están inervados por el nervio facial (NC VII). Los músculos de la expresión facial rodean los orificios de la boca, los ojos y la nariz y actúan como esfínteres y dilatadores, es decir, cierran y abren estos orificios. Los músculos de la cara se desarrollan a partir del mesénquima (tejido conjuntivo embrionario) del 2º arco faríngeo y forman parte de la lámina muscular subcutánea que se extiende sobre el cuello y la cara en el desarrollo del embrión, arrastrando consigo ramos del nervio facial. Como consecuencia de su origen embrionario común, el platisma (que significa lámina plana en griego) y los músculos de la cara suelen fusionarse y sus fibras se entremezclan con mucha frecuencia. Desde el punto de vista funcional, la lámina muscular se diferencia en músculos que rodean los orificios de la cara, como la boca. El mecanismo esfinteriano y dilatador de cada orificio explica también las expresiones faciales (fig. 7.7).

Laceraciones e incisiones de la cara

La cara no tiene una fascia profunda marcada y el tejido subcutáneo entre las inserciones cutáneas de los músculos faciales es laxo, por lo que las *laceraciones faciales* tienden a abrirse (a veces, mucho). Por este motivo, hay que suturar la piel con mucho cuidado para evitar las cicatrices. La laxitud del tejido subcutáneo también facilita el acúmulo de líquidos y de sangre en el tejido conjuntivo laxo tras una contusión facial. De modo análogo, la inflamación facial provoca una hinchazón considerable (p. ej., una picadura de abeja en el puente de la nariz puede cerrar ambos ojos). *Según envejecen las personas, la piel pierde su elasticidad y, por eso, aparecen arrugas perpendiculares a la dirección de las fibras de los músculos faciales. Las incisiones a lo largo de estas líneas de separación o arrugas (líneas de Langer) curan con una cicatrización mínima (pág. 14).* ☛

El músculo de la frente

El *frontal* es el componente anterior (vientre frontal) del músculo del cuero cabelludo, es decir, del músculo **occipitofrontal**. El vientre frontal de este músculo nace en la porción anterior de la **aponeurosis epicraneana** y se inserta en la piel de las cejas (figs. 7.6, A y B, y 7.7, tabla 7.3). *El músculo frontal no tiene inserción ósea; eleva las cejas, otorga*

a la cara una expresión de sorpresa y produce las arrugas transversales de la frente al fruncir el ceño.

Los músculos de la boca, labios y mejillas

Algunos músculos modifican la forma de la boca y de los labios (p. ej., al hablar, cantar, silbar o gesticular). La forma de la boca y de los labios está controlada por un grupo tridimensional complejo de tiras musculares (Williams y cols., 1995), que comprende:

- Elevadores, retractores y eversores del labio superior.
- Depresores, retractores y eversores del labio inferior.
- Un esfínter peribucal compuesto.
- El buccinador (que significa trompetista en latín) de los pómulos.

En reposo, los labios establecen un suave contacto y los dientes se aproximan entre sí.

El **músculo orbicular de la boca** es el esfínter de la boca (fig. 7.6, A y B, tabla 7.3) y el primero de una serie de esfínteres relacionados con el tubo digestivo. Sus fibras rodean la boca a modo de un círculo y se encuentran dentro de los labios. De ordinario, cuando el músculo orbicular de la boca se contrae de manera tónica, se cierra la boca; la contracción activa (básica) reduce la abertura de los labios, como sucede, por ejemplo, al silbar (fig. 7.7). El músculo orbicular de la boca contribuye a la articulación de las palabras (habla) y comprime los labios contra los dientes, colaborando con la lengua para sujetar los alimentos entre los dientes durante la masticación.

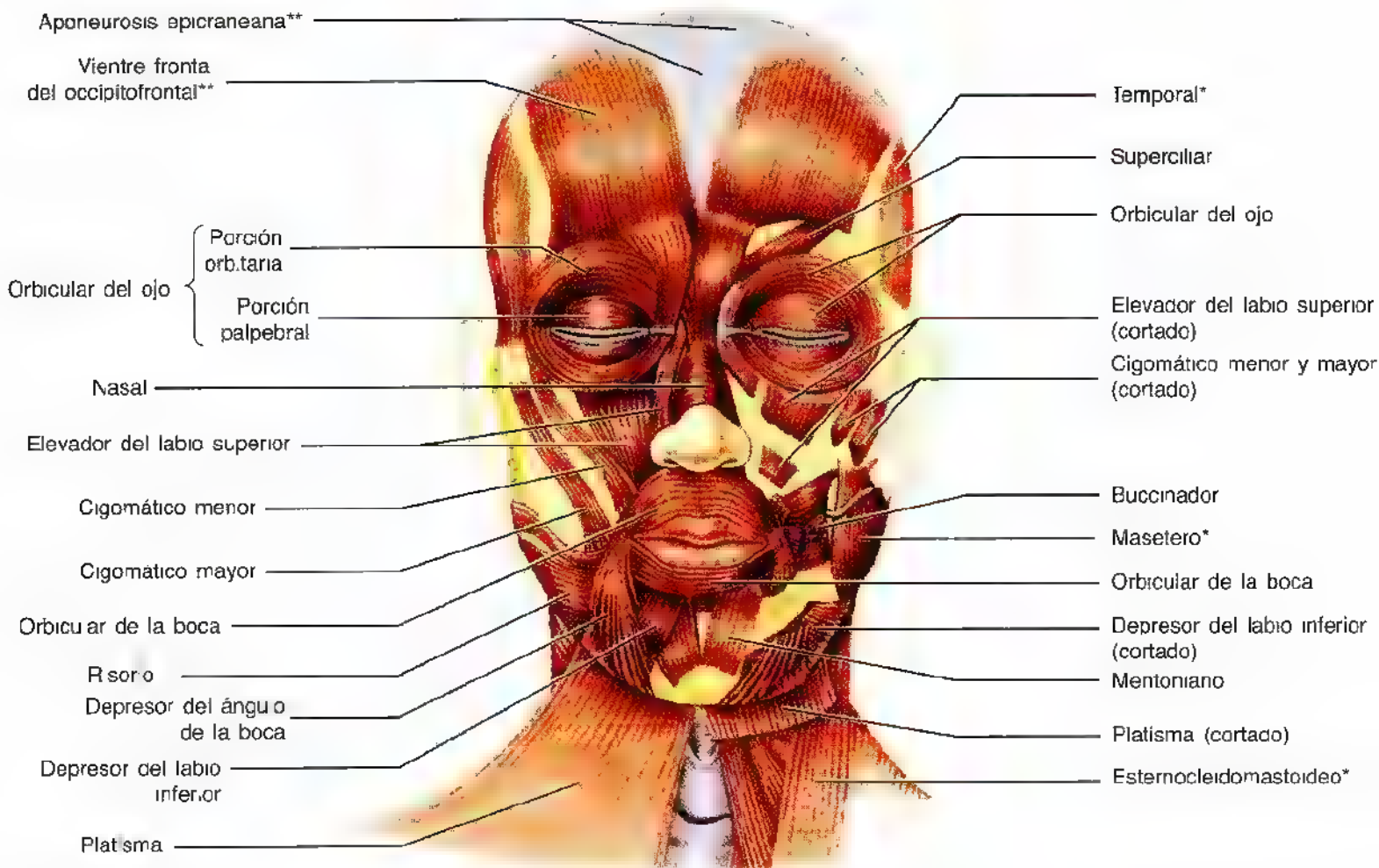
Los **músculos dilatadores** se irradian desde los labios como los radios de una rueda. Con excepción del buccinador, su importancia para la mayoría de los profesionales sanitarios es mínima (si se exceptúan los dentistas, que prefieren trabajar con la boca del enfermo bien abierta); sin embargo, los músculos dilatadores son muy utilizados por los actores y los mimos. A continuación se mencionarán únicamente los rasgos y funciones más destacados de los músculos de la boca, los labios y los pómulos.

El **músculo elevador del labio superior y del ala de la nariz** se inserta por arriba en el maxilar; se divide en dos tiras que llegan hasta el cartílago alar de la nariz y el labio superior y elevan estas dos estructuras.

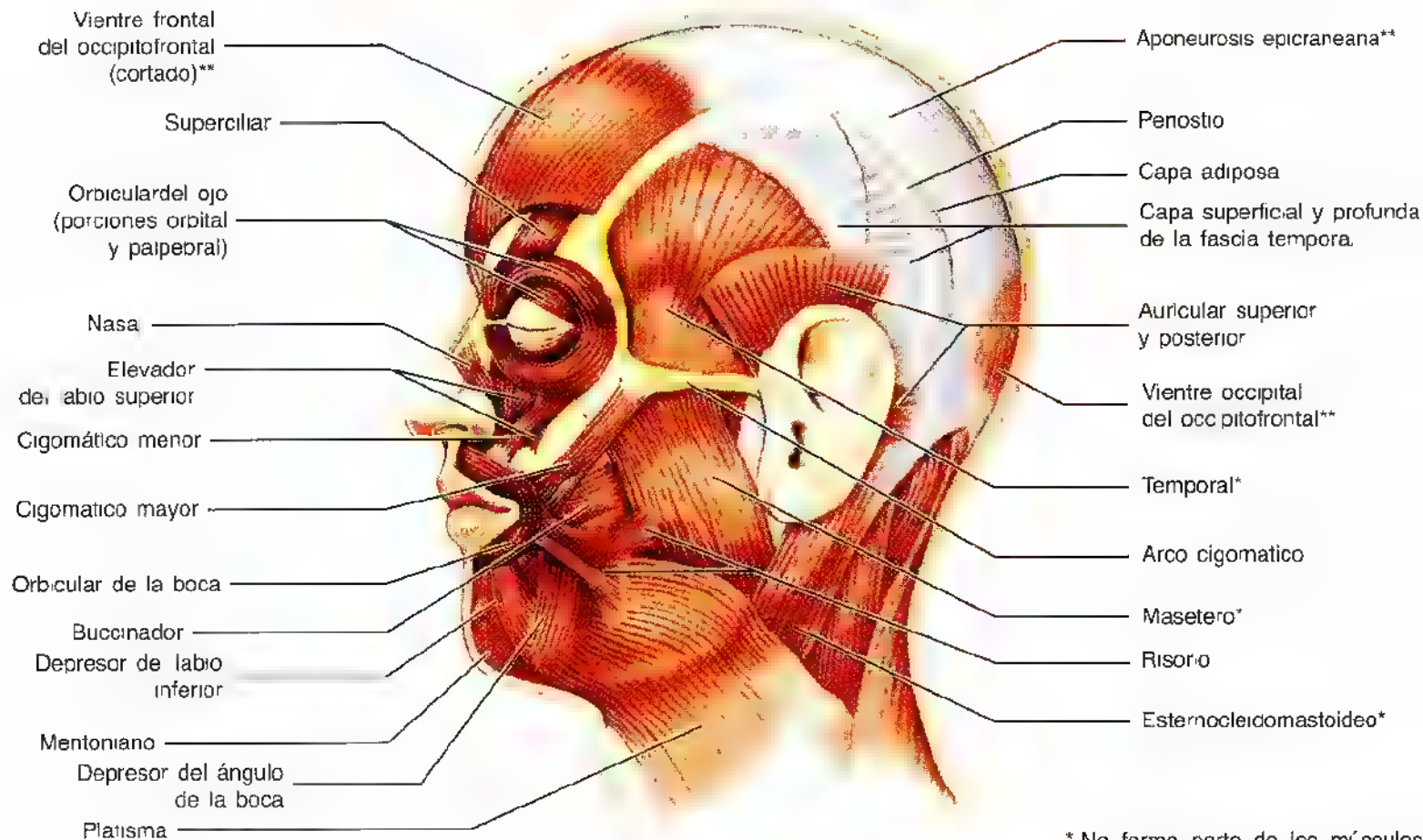
El **músculo mentoniano** es un pequeño músculo que se origina en la mandíbula y desciende hasta la piel de la barbilla. Levanta la piel de la barbilla para expresar cierta duda (fig. 7.7).

El **músculo buccinador** es un músculo delgado, plano y rectangular que se inserta lateralmente en las apófisis alveolares de los maxilares y de la mandíbula, enfrente de los

Figura 7.6. Los músculos del cuero cabelludo, pabellón auricular (oído externo), cara y cuello. Los músculos de la expresión facial se agrupan de esta manera: músculos del cuero cabelludo y del pabellón auricular; músculos que rodean la apertura de la órbita, músculos de la nariz, y músculos de la boca y platisma (significa lámina plana en griego). **A.** Visión anterior de la cabeza y cuello disecados. **B.** Visión lateral de los músculos faciales.



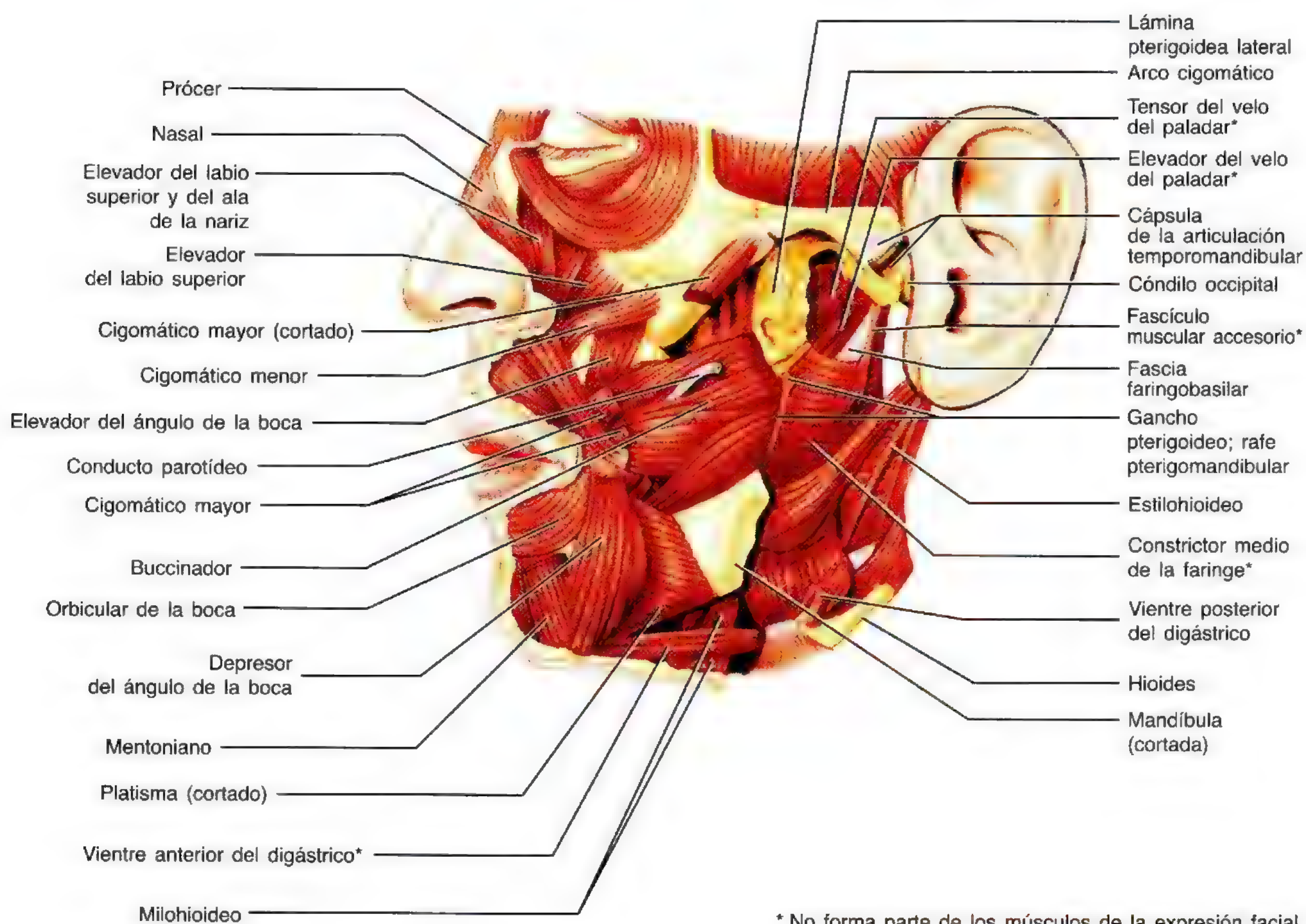
(A) Visión anterior



(B) Visión lateral

* No forma parte de los músculos de la expresión facial

** De manera colectiva = epicráneo.



* No forma parte de los músculos de la expresión facial.

(C) Visión lateral

Figura 7.6. (Continuación). **C.** Visión lateral de la cabeza y de la parte superior del cuello en una disección más profunda. Los músculos superficiales se han seccionado para ver el buccinador en toda su extensión y sus inserciones posteriores, como el gancho pterigoideo, el rafe pterigomandibular y la mandíbula (maxilar inferior). El rafe pterigomandibular es una inserción que comparte con los músculos constrictores superior y medio de la faringe.

dientes molares (fig. 7.6, tabla 7.3), y en el *rafe pterigomandibular*, un engrosamiento tendinoso de la fascia bucofaríngea que se separa y da origen al músculo buccinador por delante. Este músculo, que se activa al sonreír, también mantiene tensos los pómulos e impide que se plieguen y se lesionen al masticar. Las fibras del músculo buccinador se mezclan medialmente con las del músculo orbicular de la boca. *El músculo buccinador ayuda a la masticación, al comprimir las mejillas contra los dientes molares durante este proceso.* Así pues, en colaboración con la lengua –cara lingual– y el músculo orbicular de la boca por delante, el alimento queda sujeto entre las caras oclusales de los dientes al masticar. El buccinador también sirve para silbar y aspirar, al empujar las mejillas contra los dientes. Este músculo se denomina así porque comprime las mejillas al soplar (p. ej., cuando un músico toca un instrumento de viento). Algunos trompetistas (en particular Dizzy Gillespie) estiran tanto los músculos buccinadores y otros de los pómulos, que sus mejillas se hinchan cuando tocan con fuerza su instrumento.

El **músculo depresor del ángulo de la boca**, como su propio nombre indica, deprime los ángulos de la boca (fig. 7.7) cuando se hace un gesto de seriedad. Las fibras posteriores del platisma colaboran en este acto.

El **músculo elevador del ángulo de la boca** se inserta por arriba en el borde infraorbitario, y por debajo, en el ángulo de la boca, y eleva la comisura bucal.

El **músculo cigomático mayor**, que se extiende desde el hueso cigomático hasta el ángulo de la boca, tira de la comisura en sentido superolateral, por ejemplo al sonreír o al reír (fig. 7.7).

El **músculo cigomático menor**, una tira muscular fina, se dirige oblicuamente desde el hueso cigomático hasta el músculo orbicular de la boca. Contribuye a elevar el labio superior cuando se muestra felicidad o a ahondar el surco nasolabial cuando se denota tristeza.

El **músculo elevador del labio superior**, que desciende desde el borde infraorbitario hasta el labio superior, eleva y produce una eversión del labio superior. Ayuda al músculo



Figura 7.7. Los músculos de la expresión facial en acción. Estos músculos son esfínteres y dilatadores superficiales de los orificios de la cabeza. Los músculos faciales son inervados por el nervio facial (NC VI) y se insertan en la piel de la cara, moviéndola y generando las diferentes expresiones faciales.

cigomático menor a deprimir el surco nasolabial cuando se expresa tristeza.

El **músculo depresor del labio inferior**, lateral al mentoniano, se inserta por abajo en la mandíbula y se mezcla por arriba con el músculo homónimo contralateral y el músculo orbicular de la boca. Tira del labio hacia abajo y ligeramente hacia un lado, como cuando se manifiesta impaciencia.

El **músculo risorio** es un músculo variable que nace en el platismo y en la fascia del masetero. Se inserta en la fascia que cubre la glándula parótida, debajo y delante del oído,

y en el ángulo de la boca. Tira de la comisura bucal hacia el lado, por ejemplo al sonreír (fig. 7.7).

El **músculo platismo** es una lámina densa y fina situada en el tejido subcutáneo del cuello (fig. 7.6, A y B). Nace en la fascia que cubre las partes altas de los músculos deltoides y pectoral mayor, y se extiende superomedialmente sobre la clavícula hasta el borde inferior de la mandíbula (fig. 7.6B). Los bordes anteriores de los dos músculos se decusan en la barbilla y se unen con los músculos de la cara. Al actuar sobre la inserción superior, el platismo tensa la piel y produce unas crestas verticales de la piel, sometidas a

gran tensión; además, libera la presión sobre las venas superficiales. Cuando actúa sobre la inserción inferior, el platisma deprime la mandíbula y tira de las comisuras bucales hacia abajo, como al hacer muecas. El platisma está inervado por un ramo cervical del nervio facial.

Los músculos periorbitarios

La función de los párpados es proteger el ojo de las lesiones y del exceso de luz. Los párpados también mantienen humedecida la córnea al extender las lágrimas.

El **músculo orbicular** del ojo cierra el ojo y arruga la frente en sentido vertical (figs. 7.6, A y B, y 7.8, tabla 7.3). Sus fibras se insertan sobre todo en los bordes mediales de la órbita y en el ligamento palpebral medial, y se extienden en círculos concéntricos alrededor del borde orbitario y de los párpados. La contracción de estas fibras reduce la hendidura palpebral (abertura entre los párpados) y ayuda al flujo de la lágrima al reunir los párpados, primero en la parte lateral y después en sentido medial, cerrando la hendidura palpebral. *El músculo orbicular del ojo consta de tres elementos:*

- La *porción lacrimal* tira medialmente de los párpados y de los *puntos lacrimales* y comprime estos últimos hacia el lago lacrimal, del que drena el líquido por efecto capilar (págs. 919-921).
- La *porción palpebral* cierra con suavidad los párpados, por ejemplo al parpadear durante el sueño, y mantiene la córnea protegida de la sequedad.
- La *porción orbitaria* cierra poderosamente los párpados, por ejemplo cuando se evita el deslumbramiento o la entrada de polvo (se cierra la hendidura palpebral). Este acto provoca un pliegue radial de la piel lateral al ángulo lateral de los párpados que justifica las arrugas permanentes de las personas mayores ("pata de gallo").

La porción lacrimal del músculo orbicular del ojo está situada en la profundidad de la palpebral y, de ordinario, se considera una parte de ésta. Ayuda al flujo de las lágrimas al mantener los párpados próximos a los globos oculares. Se dice también que la porción lacrimal tracciona de la fascia lacrimal y dilata el saco lacrimal. Sin embargo, no

es probable que ejerza un efecto de bombeo sobre la glándula lacrimal, como se ha propuesto. Cuando se contraen las tres porciones del músculo orbicular del ojo, los ojos se cierran con fuerza (fig. 7.8C) y se arruga la piel adyacente. Este tipo de arruga aparece también cuando se escruta algún objeto. El músculo orbicular del ojo está inervado por un *ramo cigomático del nervio facial*.

El **músculo superciliar** (fig. 7.6A) nace en la porción orbitaria del músculo orbicular del ojo y en la prominencia nasal y se inserta en la piel de las cejas. Tracciona del extremo medial de la ceja hacia abajo y arruga la frente en sentido vertical (fig. 7.7), como cuando se denota preocupación.

Los músculos perinasales

Todos los músculos que rodean la nariz están inervados por el nervio facial. Los músculos prócer y depresor del tabique tienen escasa importancia para casi todos los profesionales sanitarios. El **músculo nasal**, *el principal de la nariz* (fig. 7.6, A y B, tabla 7.3), se compone de las porciones transversa (músculo compresor del orificio nasal) y alar (músculo dilatador del orificio nasal). El *músculo compresor del orificio nasal* nace en la porción superior de la cresta canina de la cara anterior del maxilar, encima de los dientes incisivos, y se dirige superomedialmente hasta el dorso de la nariz. Comprime la apertura nasal anterior (ventana nasal o narina). El *músculo dilatador del orificio nasal* nace del maxilar, superior al músculo compresor del orificio nasal, y se inserta en los cartílagos alares de la nariz. Ensancha la apertura nasal inferior (fig. 7.7). El músculo dilatador del orificio nasal también tracciona del orificio nasal anterior hacia abajo, por ejemplo en los estados de miedo o enfado. Las dos porciones del músculo nasal están inervadas por un ramo bucal del nervio facial.

El **músculo prócer**, una tira muscular pequeña que se continúa con el músculo frontal (fig. 7.6C), se dirige desde la frente hasta el puente de la nariz. Este músculo tira de la porción medial de la ceja hacia abajo y provoca arrugas transversas del puente de la nariz (fig. 7.7). Esta acción posiblemente contribuya a reducir el deslumbramiento que provoca la luz solar intensa; también se emplea al fruncir el



Figura 7.8. Disposición y acciones del músculo orbicular del ojo. A. Diagrama que muestra las *porciones palpebral (P) y orbitaria (O)* del orbicular del ojo. B. La porción palpebral cierra de forma suave los párpados. C. La porción orbitaria cierra con fuerza los párpados. La porción lacrimal (no se muestra) pasa detrás del saco lacrimal para insertarse en las láminas tarsales en el borde lateral del saco lacrimal y contribuye a la dispersión de las secreciones lacrimales, juntando los párpados con los globos oculares.

ceño. El músculo prócer está innervado por un ramo bucal del nervio facial.

El **músculo depresor del tabique** nace en el maxilar, encima de los dientes incisivos centrales, y se inserta en la

porción móvil del tabique nasal. Ayuda a la porción dilatadora del orificio nasal del músculo nasal a ensanchar el orificio nasal durante la inspiración profunda. Está innervado por un ramo bucal del nervio facial.

Aleteo nasal

Las acciones del músculo nasal se consideran casi siempre insignificantes, pero los clínicos atentos estudian sus efectos por su importancia diagnóstica. Por ejemplo, las *personas que respiran de verdad por la nariz* la mueven con un aleteo característico. La respiración bucal habitual, debida a la obstrucción nasal crónica, por ejemplo, disminuye e incluso impide la capacidad de aleteo. Los niños que *respiran* de manera crónica *por la boca* suelen experimentar una maloclusión dental (mordida inadecuada). Recientemente se han concebido aparatos contra la ronquera que se adaptan sobre la nariz para aletearla y mantener una vía respiratoria más permeable.

Lesión del nervio facial

La lesión de nervio facial o de sus ramos induce una parálisis de parte o de todos los músculos de la cara del lado afectado. *La etiología no traumática habitual de la parálisis facial es una inflamación del nervio facial, cerca del orificio estilomastoideo.* Esto provoca edema (tumefacción) y compresión del nervio en el conducto facial. La pérdida del tono del músculo orbicular de los ojos determina una eversión del párpado inferior (caída y separación de la superficie ocular), con lo que la córnea del lado lesionado no se hidrata de forma suficiente —no se lubrica ni se lava del líquido lacrimal— y es más vulnerable a la ulceración. El paciente no puede silbar, tocar un instrumento de viento ni masticar de manera eficaz. Esta parálisis debilita o paraliza los músculos buccinador y auricular de los ojos, los músculos de los pómulos y de los labios que ayudan a masticar los alimentos sujetándolos entre las superficies oclusivas, fuera del surco que crean los dientes y los pómulos. El alimento se acumula al masticar y, con mucha frecuencia, hay que extraerlo constantemente con los dedos. El desplazamiento de la boca (caída de la comisura bucal) se debe a la contracción de los músculos contralaterales de la cara, sin oposición, que producen un babeo y salida de los alimentos



por el ángulo de la boca. Los pacientes se frotan, a menudo, los ojos y la boca con un pañuelo para restregar el líquido (lágrimas y saliva) que cae del párpado y de la boca; este líquido y la fricción constante causan una irritación localizada de la piel.

La etiología de la parálisis facial es múltiple. Puede ser idiopática —sin una causa conocida (parálisis de Bell)—, pero casi siempre sigue a la exposición al frío, por ejemplo al conducir un vehículo o dormir con la ventana abierta. Los pacientes con una *parálisis facial idiopática* presentan las manifestaciones clínicas descritas más arriba. La parálisis facial puede ser una complicación quirúrgica; por eso, resulta esencial localizar este nervio durante la cirugía de la parótida. El nervio facial se visualiza a la salida del orificio estilomastoideo; para confirmar su posición se puede emplear, si fuera preciso, la estimulación eléctrica. La parálisis facial también se aprecia en casos de manipulación dental, vacunación, embarazo, infección por VIH, enfermedad de Lyme (enfermedad inflamatoria causante de cefalea y rigidez de cuello) e infecciones del oído medio (otitis media). ❖

Los nervios de la cara

Los nervios cutáneos del cuello se solapan con los de la cara. Los ramos cutáneos de los nervios cervicales procedentes del *plexo cervical* se extienden sobre el oído, la cara posterior del cuello y gran parte de la región parotídea (área que cubre el ángulo del maxilar).

El nervio trigémino (NC V) es el encargado de la sensibilidad de la cara, además del nervio motor para los músculos de la masticación y otros de pequeño tamaño (fig. 7.9, tabla 7.4). Las prolongaciones periféricas del ganglio trigémino forman:

- El nervio oftálmico (NC V).

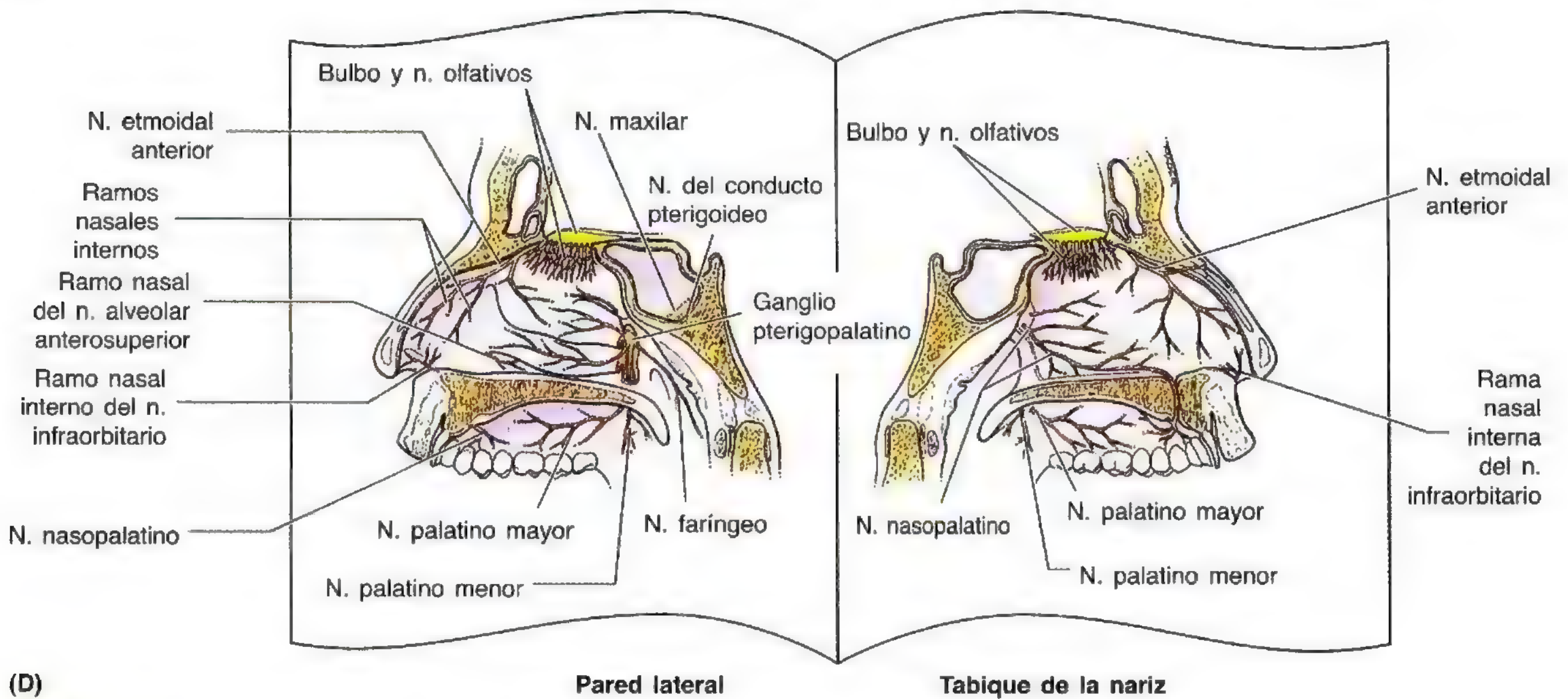
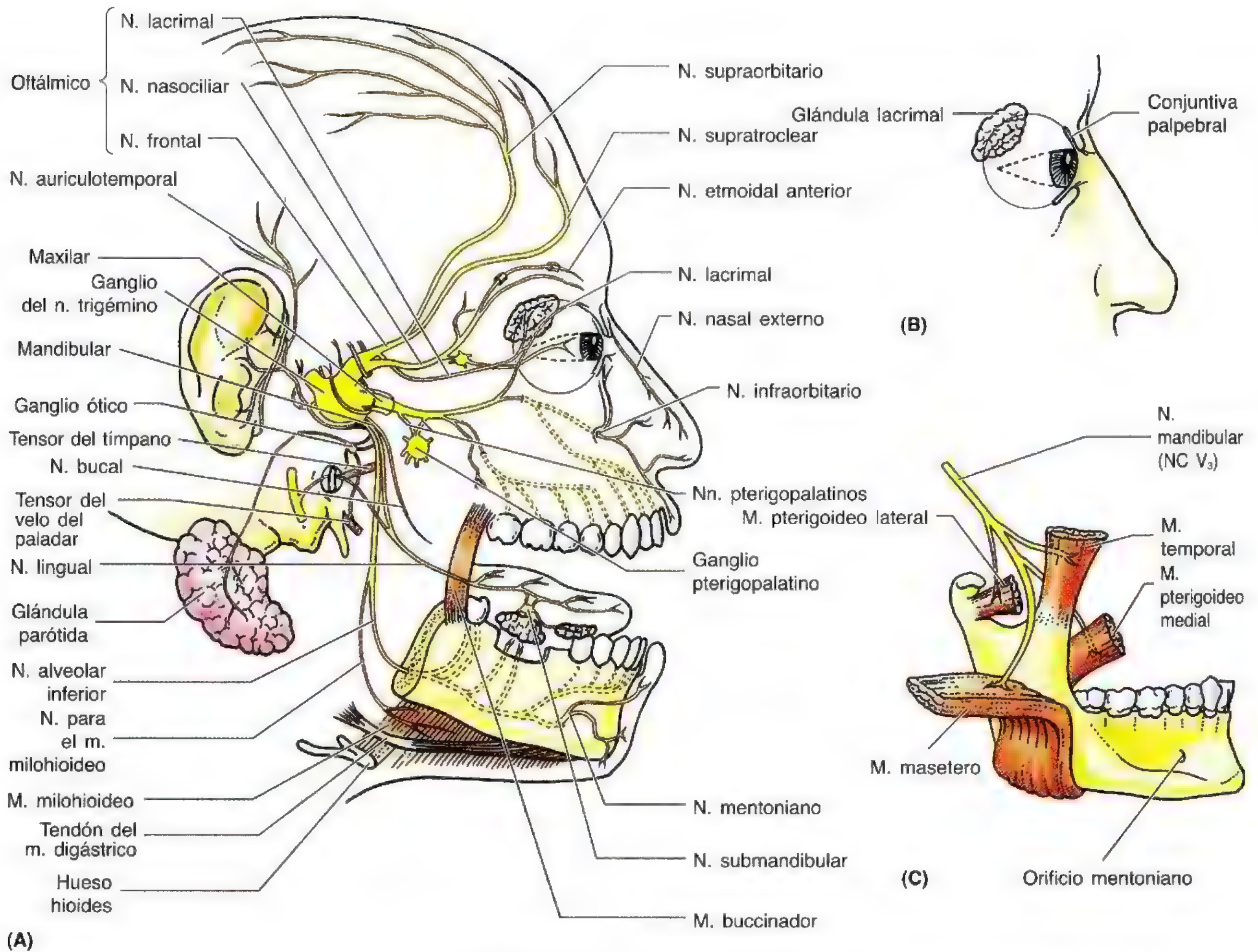


Figura 7.9. Distribución del nervio trigémino (NC V). **A.** Las tres divisiones del nervio trigémino (V₁, V₂ y V₃) nacen del gran ganglio trigémino. Nótese cómo el nervio maxilar (NC V₂) emite dos nervios pterigopalatinos, de los que queda suspendido el pequeño ganglio pterigopalatino. **B.** Se ilustran la glándula lacrimal y la conjuntiva palpebral que tapiza los párpados. **C.** Se muestran los ramos del nervio mandibular (NC V₃) que se dirigen a los músculos de la masticación. **D.** Visión “en libro abierto” de la pared lateral y del tabique de la porción derecha de la cavidad nasal para ver la distribución de los nervios olfativos (NC I) y los ramos de los nervios oftálmico (NC V₁) y maxilar.

- El nervio maxilar.
- El componente sensitivo del nervio mandibular.

Estos nervios se denominan según sus zonas principales de terminación: el ojo, el maxilar y la mandíbula, respectivamente. Las dos primeras divisiones (NC V₁ y NC V₂) son totalmente sensitivas y la división mandibular también lo es, pero contiene fibras de la raíz motora del V nervio craneal.

El nervio oftálmico

La división superior del nervio trigémino (NC V₁) es la más pequeña de las tres. Nace en el ganglio trigémino como nervio totalmente sensitivo e inerva la zona de piel derivada de la prominencia frontonasal embrionaria (Moore y Persaud, 1998). El nervio oftálmico penetra en la órbita por la fisura orbitaria superior y da ramos para el globo ocular y la porción superior de la cavidad nasal; luego abandona la órbita para terminar en la cara. Al entrar en la órbita, el nervio oftálmico se divide en tres ramos (fig. 7.9).

- El nervio nasociliar.
- El nervio frontal.
- El nervio lacrimal

Los nervios cutáneos de estos ramos del nervio oftálmico son:

- El nervio nasal externo.
- El nervio infratroclear.
- El nervio supratroclear.
- El nervio supraorbitario el nervio lacrimal.

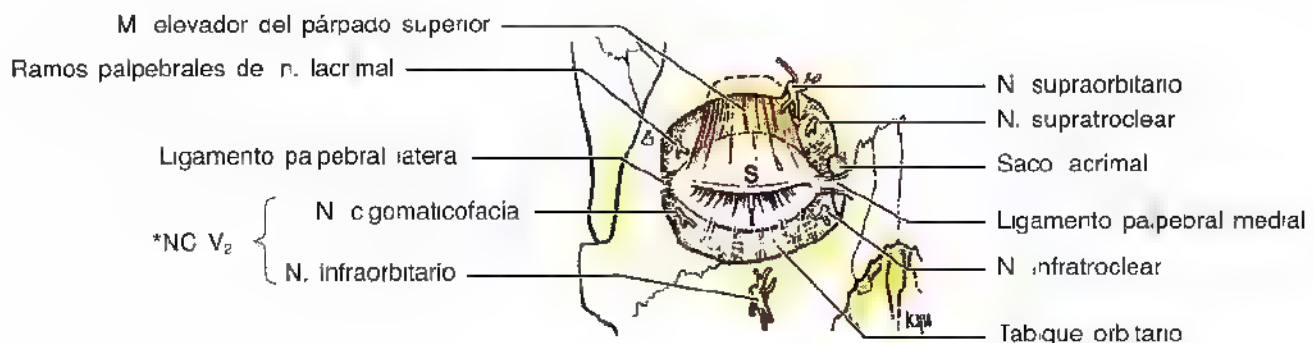
El **nervio nasociliar** se divide en los nervios etmoidal posterior, etmoidal anterior e infratroclear. Se dirige a la punta de la nariz a través del **nervio nasal externo**, ramo del nervio etmoidal anterior, y a la raíz nasal, a través del nervio infratroclear (tabla 7.4). El **nervio infratroclear**, ramo terminal del nervio nasociliar, inerva la piel de la parte medial del párpado superior y se dirige superior al ligamento palpebral medial hacia los lados de la nariz (fig. 7.10). Inerva el saco lacrimal y la piel situada encima del puente nasal.

El **nervio frontal**, prolongación directa del NC V₁, se divide dentro de la órbita en dos ramas: los nervios supratroclear y supraorbitario. El **nervio supratroclear** asciende por la cara medial del nervio supraorbitario y se divide para distribuirse por la piel del centro de la frente hasta la línea de inserción del cabello. El **nervio supraorbitario**, prolongación del nervio frontal, emerge por la escotadura u orificio supraorbitario del borde supraorbitario que forma el hueso frontal. En su ascenso hasta la frente, el nervio se descompone en varios ramos finos que llegan a la mucosa del seno frontal y del párpado superior (conjuntiva palpebral). Los ramos del nervio supraorbitario también alcanzan el tejido subcutáneo y la piel de la frente y del cuero cabelludo hasta el vértice del cráneo. El **nervio lacrimal**, el más pequeño de los ramos oftálmicos (tabla 7.4), inerva una pequeña zona de la piel —y de la conjuntiva situada en la profundidad que cubre la porción lateral del párpado superior y, a través de fibras “prestadas” del nervio maxilar por un ramo comunicante, también la glándula lacrimal.

El nervio maxilar

La división intermedia del nervio trigémino (NC V₂) también es un nervio completamente sensitivo (fig. 7.9, tabla 7.4). Esta segunda división sale del **ganglio trigémino** y abandona el cráneo por el orificio redondo en la base del ala mayor del esfenoides (fig. 7.5B). Entra en la fosa pterigopalatina, emitiendo ramos para el **ganglio pterigopalatino** (fig. 7.9), y continúa hacia delante para dar el **nervio cigomático** (NC V₂) dentro del orificio infraorbitario, que atraviesa; luego envía los nervios *cigomático temporal* y *cigomático facial*. Asimismo, da un ramo comunicante para el nervio lacrimal. Después de emitir los ramos palatino y nasal y ramos para los dientes posteriores, el NC V₂ termina en forma del nervio infraorbitario. Los ramos cutáneos principales del nervio maxilar son (tabla 7.4):

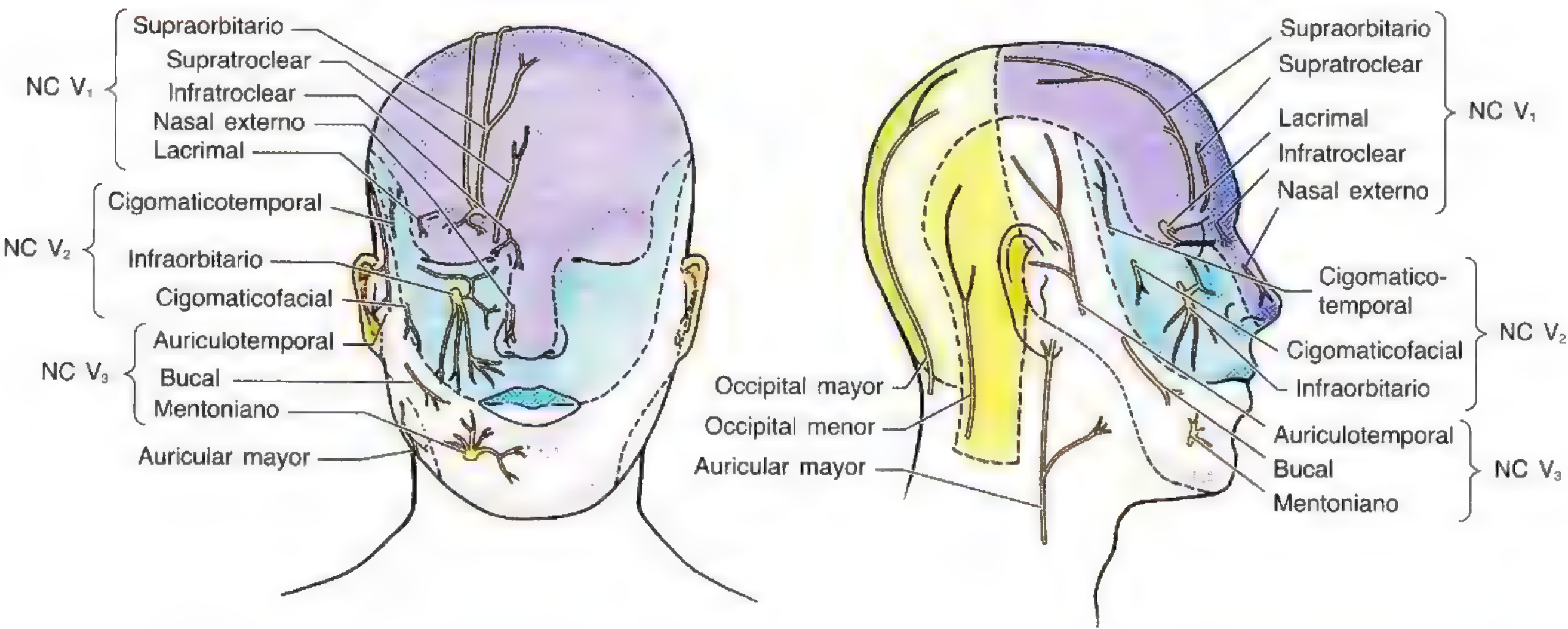
- El nervio infraorbitario.
- El nervio cigomático temporal.
- El nervio cigomático facial.



* Todos los demás nervios son ramos de NC V₁.

Figura 7.10. Inervación de los párpados. Este diagrama muestra los nervios cutáneos que se distribuyen en la región orbitaria y su relación con el esqueleto de los párpados. El esqueleto de los párpados está formado por las láminas tarsales superior (S) e inferior (I) y sus inserciones: los ligamentos palpebrales medial y lateral, y el tabique orbitario (fascia palpebra). La aponeurosis del músculo elevador de párpado superior con forma de abanico, se inserta en la lámina tarsal superior. La piel del párpado superior está inervada por ramos del nervio oftálmico (NC V₁), y la del inferior sobre todo por ramos del nervio maxilar (NC V₂).

Tabla 7.4. Los nervios de la cara y del cuero cabelludo



Nervio	Origen	Trayectoria	Distribución
Frontal	N. oftálmico (NC V ₁)	Cruza la órbita por la cara superior del m. elevador del párpado superior; se divide en los ramos supraorbitario y supratroclear	Piel de la frente, cuero cabelludo, párpado superior y nariz; conjuntiva del párpado superior y mucosa del seno frontal
Supraorbitario	Prolongación del n. frontal (NC V ₁)	Emerge por la escotadura u orificio supraorbitario y se descompone en pequeñas ramas	Mucosa del seno frontal y conjuntiva (revestimiento) del párpado superior; piel de la frente hasta el vértice
Supratroclear	N. frontal (NC V ₁)	Pasa por encima sobre la cara medial del n. supraorbitario y se divide en dos o más ramas	Piel de la parte media de la frente hasta la línea de inserción del cabello
Infratroclear	N. nasociliar (NC V ₁)	Sigue la pared medial de la órbita hasta el párpado superior	Piel y conjuntiva (revestimiento) del párpado superior
Lacrimal	N. oftálmico (NC V ₁)	Atraviesa la fascia palpebral del párpado superior cerca del ángulo lateral del ojo	Glándula lacrimal y pequeña zona de la piel y conjuntiva de la porción lateral del párpado superior
Nasal externo	N. etmoidal anterior (NC V ₁)	Discurre por la cavidad nasal y emerge en la cara entre el hueso nasal y el cartílago nasal lateral	Piel del dorso de la nariz, incluida la punta de la nariz
Cigomático	N. maxilar (NC V ₂)	Nace en el suelo de la órbita, se divide en los nn. cigomaticofacial y cigomaticotemporal, que atraviesan los orificios homónimos	Piel del arco cigomático y de la región temporal anterior; porta fibras parasimpáticas post-sinápticas del ganglio pterigopalatino para el n. lacrimal
Infraorbitario	Ramo terminal del n. maxilar (NC V ₂)	Viaja por el suelo de la órbita y emerge por el orificio infraorbitario	Piel de las mejillas, párpado inferior, cara lateral de la nariz y parte inferior del tabique, así como el labio superior, incisivos premolares superiores y caninos; mucosa del seno maxilar y labio superior
Auriculotemporal	N. mandibular (NC V ₃)	Nace de la división posterior de NC V ₃ y pasa entre el cuello de la mandíbula y el conducto auditivo externo, para acompañar a la a. temporal superior	Piel situada delante del oído y región temporal posterior, trago y parte del hélix del pabellón auricular, y raíz del conducto auditivo externo y porción superior de la membrana timpánica
Bucal	N. mandibular (NC V ₃)	Nace de la división anterior de NC V ₃ en la fosa infratemporal y se dirige hacia delante hasta las mejillas	Piel y mucosa de las mejillas, encía bucal adyacente al 2º y 3º molares
Mentoniano	Ramo terminal del n. alveolar inferior (NC V ₃)	Emerge del conducto mandibular por el orificio mentoniano	Piel de la barbilla y labio inferior y mucosa del labio inferior

Estos nervios llegan hasta la zona de piel derivada de la prominencia maxilar embrionaria (Moore y Persaud, 1998).

El **nervio infraorbitario** es la prolongación de NC V₂ después de que éste haya entrado en la órbita por la fisura orbitaria inferior. El nervio infraorbitario abandona el orificio infraorbitario y envía ramos que inervan la piel de la porción superior de las mejillas, la mucosa del seno maxilar, los incisivos superiores, los caninos y los dientes premolares, así como la encía superior adyacente, la piel y la conjuntiva del párpado inferior, parte de la nariz y la piel y la mucosa del labio superior.

El **nervio cigomaticotemporal**, ramo del nervio cigomático, emerge del hueso cigomático por un pequeño orificio homónimo. Entra en la fosa temporal y alcanza una pequeña zona de piel sobre la porción anterior de la sien (porción desprovista de cabello).

El **nervio cigomaticofacial**, el ramo menor del nervio cigomático, emerge del hueso cigomático por un orificio pequeño y homónimo. Llega hasta la piel de la cara que cubre la prominencia cigomática del hueso cigomático.

El nervio mandibular

La división inferior y más grande del nervio trigémino (NC V₃) se crea por la unión de fibras sensitivas del ganglio sensitivo y la raíz motora del nervio trigémino del **orificio oval**, por el que el nervio mandibular sale del cráneo (fig. 7.9, tabla 7.4). Esta división dispone de tres ramos sensitivos para la piel derivada de la prominencia mandibular embrionaria (Moore y Persaud, 1998). Asimismo, envía fibras motoras para los músculos de la masticación (fig. 7.9C). *Esta división es la única del nervio trigémino que*

transporta fibras motoras. Los ramos cutáneos principales de NC V₃ son:

- El nervio auriculotemporal.
- El nervio bucal.
- El nervio mentoniano.

Estos nervios sensitivos se distribuyen por el pabellón auricular, el conducto auditivo externo, la región temporal de la membrana timpánica, las mejillas y la piel que cubre la mandíbula, excepto su ángulo.

El **nervio auriculotemporal**, que suele nacer en dos raíces que rodean la arteria meníngea media, atraviesa la glándula parótida llevando fibras secretomotoras y luego sube delante del oído hasta la región temporal. Como su propio nombre indica, inerva porciones del pabellón auricular, conducto auditivo externo, cara externa de la membrana timpánica y piel situada encima del oído externo.

El **nervio bucal**, un ramo sensitivo bastante pequeño de NC V₃, sale en la profundidad de la rama mandibular y se dirige hacia delante sobre el músculo buccinador, al que perfora pero no inerva. Envía ramos para una zona de la piel malar del tamaño del dedo pulgar, y para la mucosa que reviste los pómulos y la parte superior de la superficie bucal de las encías.

El **nervio mentoniano**, un gran ramo cutáneo del **nervio alveolar inferior** —uno de los grandes ramos de NC V₃—, nace en el conducto mandibular y emerge del **orificio mentoniano** de la mandíbula (fig. 7.9, A y C). Se divide en tres ramos que se irradian desde el orificio mentoniano: el primero desciende hasta la piel de la barbilla y los otros dos inervan la piel y la mucosa del labio inferior, así como la encía labial inferior.

Bloqueo del nervio infraorbitario

Para la anestesia local de la parte inferior de la cara se infiltra el nervio infraorbitario con un anestésico. *El lugar de inyección es el orificio infraorbitario si la herida se encuentra en el labio superior, o en los pómulos o, lo que es más habitual, si se desea reparar un diente incisivo superior.* Para saber por dónde sale el nervio infraorbitario se comprime el maxilar en la zona del orificio infraorbitario. La compresión del nervio produce mucho dolor. Siempre que se proceda al bloqueo del nervio infraorbitario conviene extremar la prudencia, porque este nervio emerge en compañía de vasos infraorbitarios. La aspiración cuidadosa de la jeringa durante la inyección evita la administración inadvertida del anestésico en un vaso sanguíneo. Como la órbita se encuentra justo encima del lugar de inyección, una inyección descuidada podría facilitar el paso de la solución anestésica a la órbita y causar una *parálisis temporal de los músculos extraoculares*.

Bloqueo del nervio alveolar inferior

Los dentistas suelen anestesiarse el nervio alveolar inferior antes de reparar o extraer los dientes inferiores. Como los ramos terminales son los nervios mentoniano e incisivo, la barbilla y el labio inferior del lado afectado también pierden sensibilidad. *El lugar de inyección del anestésico es el orificio mandibular, la desembocadura del conducto mandibular, situado en la cara medial de la rama de la mandíbula.* “De todas las inyecciones habituales en la consulta dental, el bloqueo alveolar inferior es posiblemente la más complicada” (Liebgott, 1986). Si la aguja se introduce demasiado puede penetrar en la glándula parótida y anestesiarse ramos del nervio facial, ocasionando una parálisis facial unilateral y transitoria.

Bloqueos de los nervios mentoniano e incisivo

A veces conviene anestesiarse un lado de la piel y de la mucosa del lado inferior, así como la piel de la barbilla ➤

► (p. ej., para suturar una laceración grave del labio). La inyección del anestésico en el orificio mentoniano bloquea el nervio mentoniano que inerva la piel y la mucosa del labio inferior desde el orificio mentoniano hasta la línea media, incluyendo la piel de la barbilla.

Bloqueo del nervio bucal

Para anestesiar la piel y la mucosa del pómulo (p. ej., para suturar la herida causada por un arma blanca) se puede practicar una inyección de anestésico en la mucosa que reviste la fosa retromolar, detrás del 3^{er} molar inferior.

Neuralgia del trigémino

La neuralgia del trigémino (tic doloroso) es un trastorno sensitivo de la raíz sensitiva del V nervio craneal, que se caracteriza por crisis repentinas de dolor facial relampagueante e insoportable, en forma de pinchazos. El *paroxismo* (dolor punzante y brusco) puede durar 15 minutos o más (Rowland, 1995). "Suele afectarse el nervio maxilar, después el mandibular y, por último, el oftálmico" (Barr y Kierman, 1993). A menudo, el dolor se desencadena al contacto con una *zona sensible de la piel*. La causa de la neuralgia del trigémino no se conoce, pero algunos investigadores consideran que la mayoría de los enfermos tiene un vaso sanguíneo anómalo que comprime el nervio (Lange y cols., 1995). Cuando la arteria aberrante se aleja de la raíz sensitiva del V nervio craneal, los síntomas suelen cesar. A veces es necesario seccionar la raíz sensitiva del V nervio craneal para aliviar la neuralgia del trigémino.

Lesiones del nervio trigémino

Las lesiones de todo el nervio trigémino provocan una anestesia difusa que afecta a los siguientes elementos:

- La mitad anterior correspondiente del cuero cabelludo.
- La cara, con excepción de una zona que rodea el ángulo de la mandíbula, la córnea y la conjuntiva.

- Las mucosas de la nariz, la boca y la parte anterior de la lengua.
- Asimismo, se observa una parálisis de los músculos de la masticación.

Herpes zóster

El herpes zóster ("culebrilla") es una infección causada por un virus del herpes que produce lesiones en los ganglios raquídeos o craneales. La infección se caracteriza por la erupción de vesículas agrupadas (pág. 89) en la trayectoria del nervio afectado (p. ej., el *zóster oftálmico* afecta a la 1^a división del V nervio craneal). La lesión del ganglio trigémino sucede en un 20% de las ocasiones (Berg y Klebanoff, 1995). Se puede afectar cualquier división del V nervio craneal, pero casi siempre lo hace la rama oftálmica. De ordinario se lesiona la córnea, con la consiguiente *ulceración* dolorosa.

Exploración de la función sensitiva del nervio trigémino

La función sensitiva del nervio trigémino se explora pidiendo al paciente que cierre los ojos e indique si nota el tacto. Para ello se aplica una gasa o tubos de ensayo llenos de líquido caliente o frío sobre el pómulo y sobre este mismo lugar, pero en el lado contrario. Después se continúa la exploración en la mandíbula. Se comprueba también si el paciente siente lo mismo a uno y otro lados. Luego se repite la exploración pinchando suavemente con una aguja a ambos lados. ◊



Los nervios motores de la cara

Los nervios motores de la cara son el *nervio facial* para los músculos de la expresión y la *raíz motora del nervio mandibular* para los músculos de la masticación (masetero, temporal, pterigoideos medial y lateral). Estos nervios también se dirigen hasta algunos músculos más profundos que se describen más adelante, junto con la boca, el oído medio y el cuello (fig. 7.9A).

El nervio facial

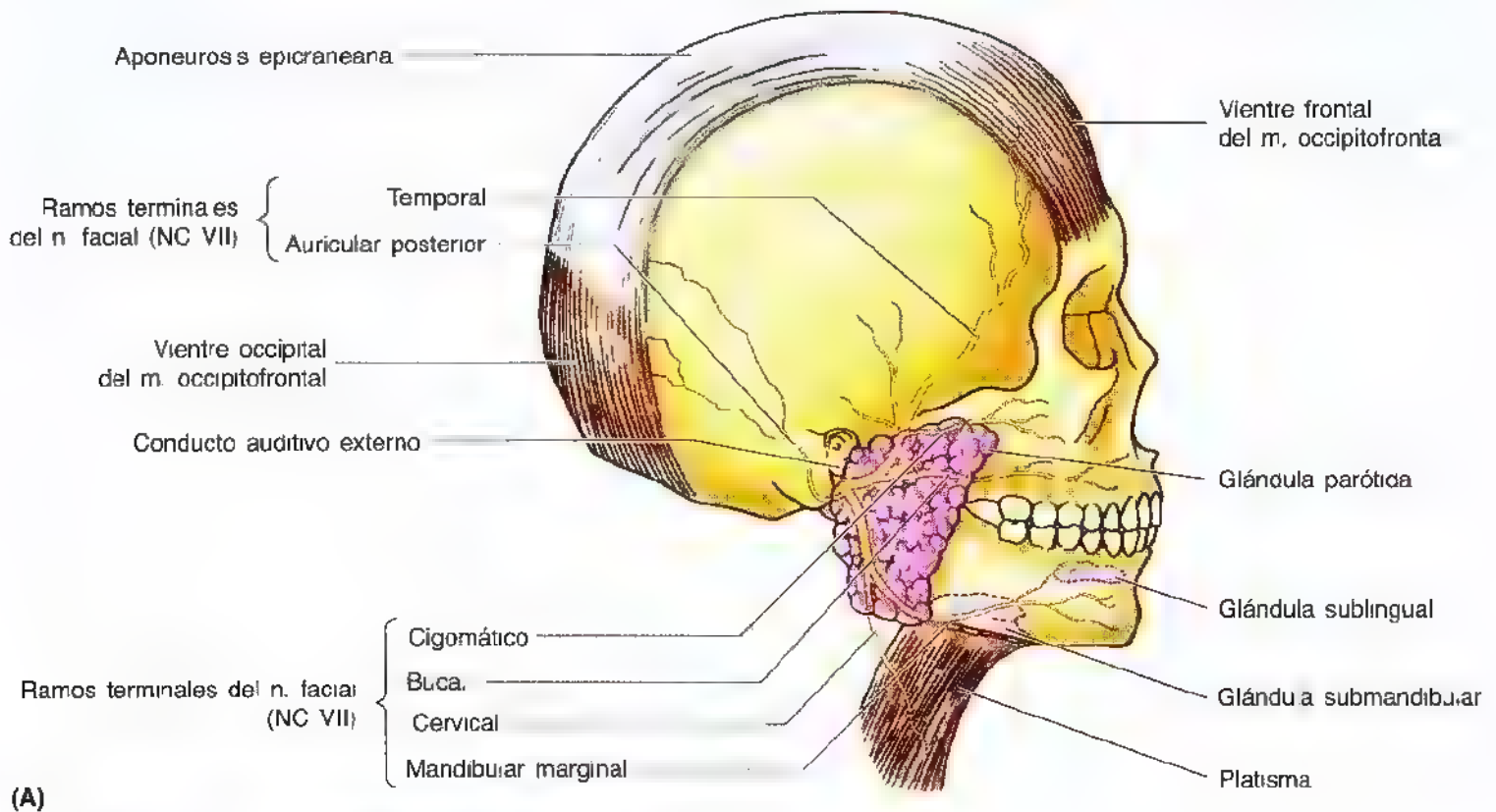
El nervio facial tiene raíces motora y sensitiva (fig. 7.11). La **raíz motora** se destina a los músculos de la expresión facial, incluido el músculo superficial del cuello (platisma), los músculos auriculares, los músculos del cuero cabelludo y algunos otros procedentes del mesénquima del 2^o arco faríngeo embrionario (Moore y Persaud, 1998). El *VII nervio craneal* es el *único nervio motor de la expresión facial* y confiere la sensi-

bilidad a las papilas gustativas de los dos tercios anteriores de la lengua. El nervio facial no envía fibras sensitivas para la cara. Transmite la sensibilidad general a una pequeña región en torno al conducto auditivo externo y es el nervio que envía fibras secretomotoras tras las glándulas salivales submandibular y sublingual y para las pequeñas glándulas linguales.

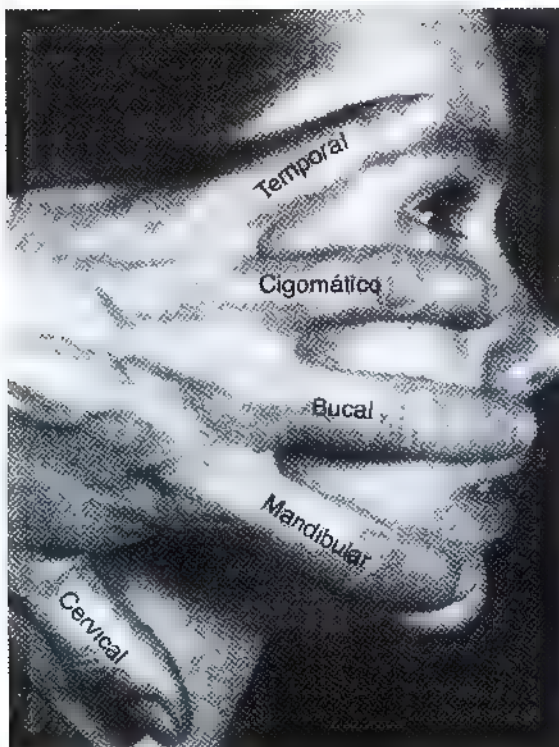
Después de un circuito por el hueso temporal, el nervio facial sale del cráneo por el **orificio estilomastoideo**, situado entre las apófisis mastoides y estiloides (fig. 7.5A). De inmediato emite el **nervio auricular posterior**, que discurre posterosuperior al oído, para innervar el músculo auricular

posterior y el vientre occipital del músculo occipitofrontal (fig. 7.11). *El tronco principal del nervio facial se dirige hacia delante y es envuelto por la glándula parótida, donde da el **plexo parotídeo**, que a su vez envía los cinco ramos terminales del nervio facial:*

- Temporal.
- Cigomático.
- Bucal.
- Mandibular marginal.
- Cervical.



(A)



(B)

Figura 7.11. Ramos del nervio facial (NC VII). A. Visión lateral de cráneo. Los ramos terminales de nervio facial nacen en el plexo parotídeo situado dentro de la glándula parótida y emergen de la glándula bajo su cubierta en la cara lateral, se irradian casi siempre en dirección anterior por la cara. Pese a su relación íntima con la glándula parótida (y a menudo, contacto con la glándula submandibular a través de uno o más de los ramos inferiores) el nervio facial no emite fibras nerviosas para las glándulas salivares. Se muestran también dos músculos que representan los extremos de la distribución del nervio facial: el occipitofrontal y el platisma (que significa lámina plana en griego). B. Visión lateral de la cara de una muchacha de 12 años, donde se ilustra un método sencillo para exponer y recordar el trayecto general de los 5 ramos terminales del nervio facial en la cara y en el cuello.

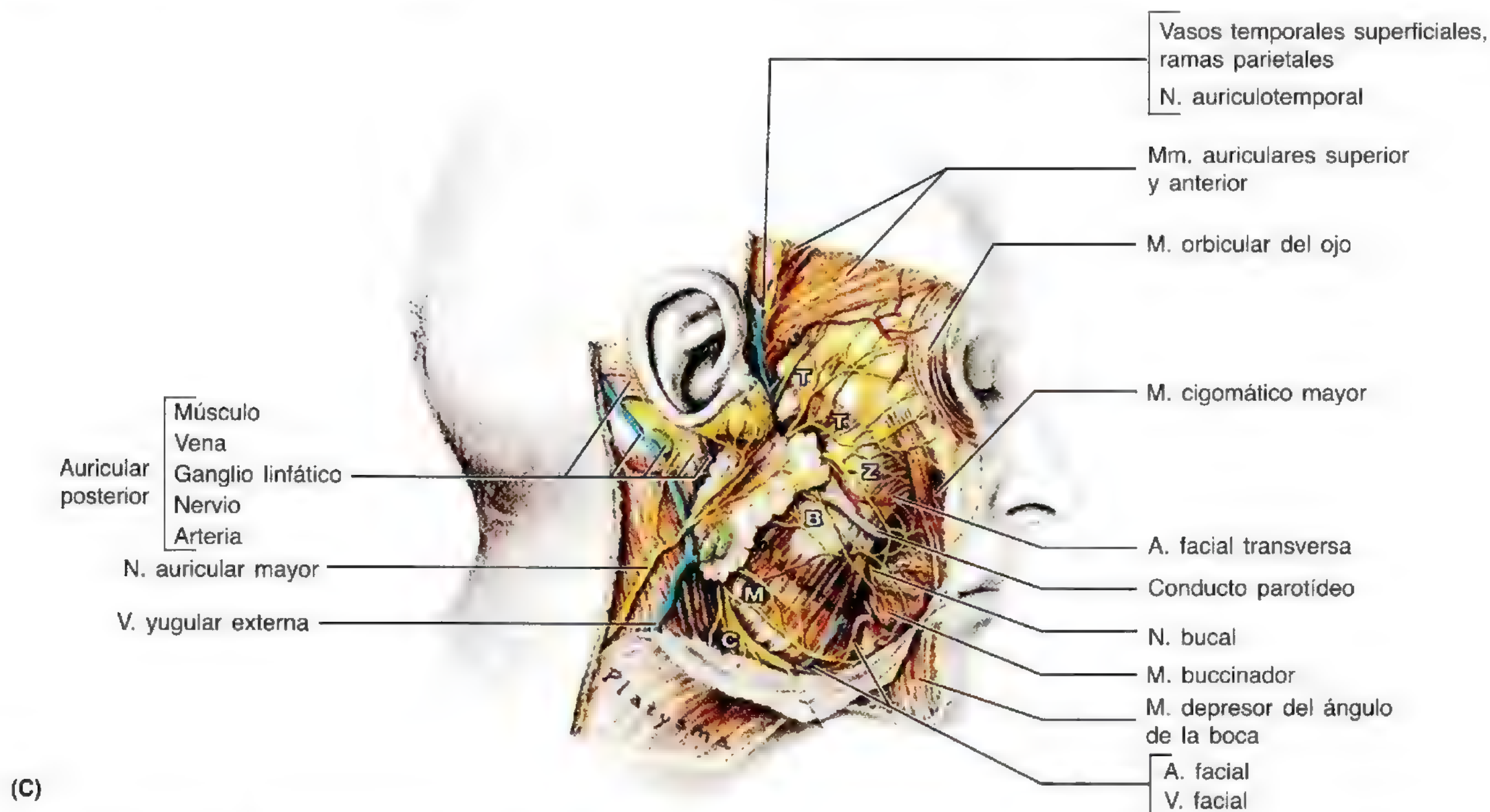


Figura 7.11. (Continuación) **C.** Visión lateral derecha de una cabeza disecada, donde se observan el nervio auricular mayor (C2 y C3) –que inerva la vaina parotídea y la piel del ángulo de la mandíbula– y los ramos terminales del nervio facial destinados a los músculos de la expresión facial. T, temporal; Z, cigomático; B, bucal; M, mandibular, y C, cervical.

Los nombres de estos ramos aluden a las regiones que inervan.

El **ramo temporal del nervio facial** emerge del borde superior de la glándula parótida y cruza el arco cigomático, para dirigirse hasta los músculos auricular superior y auricular anterior, el vientre frontal del músculo occipitofrontal y, lo que es más importante, la porción superior del músculo orbicular del ojo (figs. 7.6A y 7.11A).

El **ramo cigomático del nervio facial** se dirige, a través de dos o tres ramos, por encima y sobre todo por debajo del ojo hasta la porción inferior del músculo orbicular del ojo y otros músculos faciales situados bajo la órbita.

El **ramo bucal del nervio facial** discurre por fuera del músculo buccinador e inerva este músculo y los del labio

superior (porciones superiores del músculo orbicular del ojo y fibras inferiores del músculo elevador del labio superior).

El **ramo mandibular marginal del nervio facial** se distribuye por los músculos risorio y del labio inferior y de la barbilla. Emerge del borde inferior de la glándula parótida y cruza el borde inferior de la mandíbula, en la profundidad del platismo, hasta llegar a la cara. El ramo mandibular marginal pasa debajo del ángulo de la mandíbula en un 20% de las personas.

El **ramo cervical del nervio facial** desciende desde el borde inferior de la glándula parótida y se dirige posterior a la mandíbula para distribuirse por el platismo o músculo superficial del cuello.

Lesiones de los ramos del nervio facial

La lesión de los ramos del nervio facial produce una parálisis de los músculos faciales, con o sin pérdida del gusto en los dos tercios anteriores de la lengua o alteraciones en la secreción lacrimal y salivar. Las lesiones cercanas al origen del nervio facial o proximales al origen del nervio petroso mayor (en la zona del ganglio geniculado) alteran

las funciones motora, gustativa y autónoma. Las lesiones distales al ganglio geniculado, pero anteriores al origen del nervio de la cuerda del tímpano, ocasionan la misma disfunción, pero sin que se altere la secreción lacrimal. Las lesiones cercanas al orificio estilomastoideo sólo dañan la función motora (p. ej., parálisis facial).

Como los ramos del nervio facial discurren de manera superficial, se pueden lesionar en las heridas por arma blanca o de fuego, cortes o lesiones obstétricas. ►

► Muchas veces, el nervio facial se lesiona por una *fractura del hueso temporal* y la parálisis de los músculos faciales se manifiesta en seguida. La probabilidad de recuperación completa o siquiera parcial es remota cuando se secciona el nervio. Los movimientos musculares mejoran, como norma, si la lesión nerviosa se acompaña de un traumatismo encefálico, aunque la recuperación no siempre sea completa (Rowland, 1995).

La lesión del ramo cigomático del nervio facial provoca una parálisis del párpado inferior, que incluye la abolición del tono del músculo orbicular de los ojos; por eso se cae el párpado inferior (se aleja de la superficie del globo ocular). En consecuencia, las lágrimas no se extienden sobre la córnea y la córnea seca se ulcera. La lesión corneal resultante altera la visión.

La parálisis del ramo bucal del nervio facial impide vaciar el alimento desde el vestíbulo malar. El alimento queda atrapado en el vestíbulo y no logra mantenerse entre los dientes para la masticación.

La parálisis del ramo mandibular marginal del VII nervio craneal se observa cuando se practica una incisión por el borde inferior de la mandíbula. La lesión de este ramo (p. ej., durante la cirugía de la glándula submandibular) determina una caída muy poco estética del ángulo de la boca.

La parálisis idiopática del nervio facial, de causa desconocida, se comenta en la página 873. Este tipo de parálisis transitoria puede ocurrir a cualquier edad, pero suele ser más común entre los 30 y los 50 años (Rowland, 1995). ◉

La vascularización de la cara

La cara contiene abundantes arterias, cuyas ramas terminales se anastomosan de forma libre. Casi todas las *arterias faciales* son ramas de la *arteria carótida externa*; el origen, el trayecto y su distribución se exponen en la tabla 7.5. Las *venas faciales* se anastomosan de forma libre y son drenadas por venas que acompañan a las arterias de la cara. Como ocurre con casi todas las venas superficiales, las variaciones son muchas; la tabla 7.6 muestra un patrón frecuente. El retorno venoso de la cara es, en esencia, superficial.

La arteria facial

La arteria facial es la principal arteria de la cara; nace de la arteria carótida externa y da una vuelta en su camino hasta el borde inferior de la mandíbula, justo delante del masetero (fig. 7.11 C, tabla 7.5). En este lugar, la arteria es superficial y se encuentra inmediatamente debajo del platismo. La arteria facial cruza la mandíbula, el músculo buccinador y el maxilar en su trayecto sobre la cara hasta el *ángulo (comisura) medial del ojo*, donde se reúne con los párpados superior e inferior. La arteria facial circula en la profundi-

dad de los músculos cigomático mayor y elevador del labio superior. Poco antes de terminar su trayecto sinuoso por la cara, la arteria facial pasa aproximadamente un través de dedo lateral al ángulo de la boca. Envía ramas para los labios superior e inferior —las **arterias labiales superior e inferior**—, asciende por los lados de la nariz y se une a la rama nasal dorsal de la arteria oftálmica. La porción terminal de la arteria facial, distal a la rama superior, se conoce como **arteria angular**.

La arteria temporal superficial

La arteria temporal superficial es la rama terminal más pequeña de la arteria carótida externa; la otra es la arteria maxilar. La arteria temporal superficial emerge en la cara entre la articulación temporomandibular y el oído externo, entra en la fosa temporal y termina en el cuero cabelludo dividiéndose en las ramas frontal y parietal.

La arteria facial transversa

La arteria facial transversa nace de la arteria temporal superficial dentro de la glándula parótida y cruza la cara, superficial al músculo masetero (fig. 7.11 C), aproximadamente

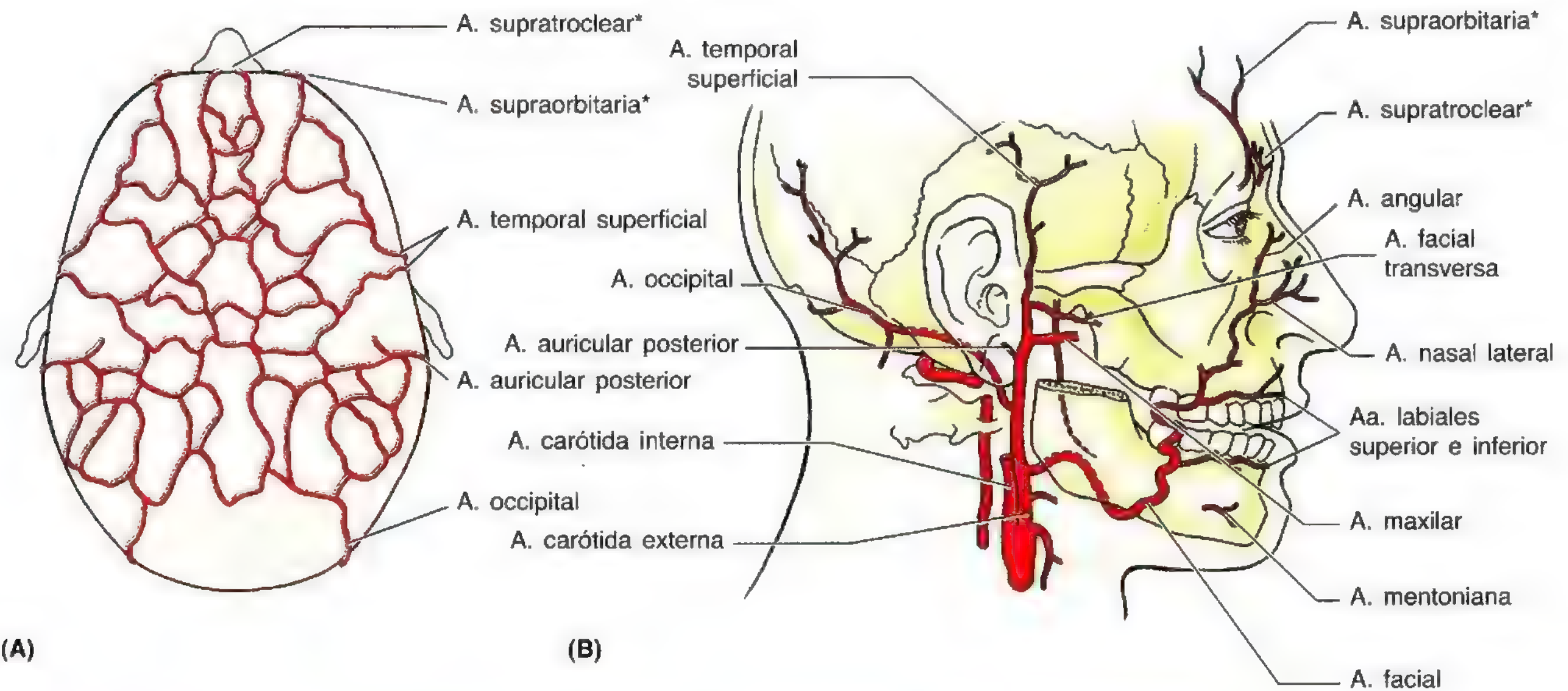
Compresión de la arteria facial

La arteria facial se puede obstruir por la presión ejercida contra la mandíbula en la zona de paso de este vaso sanguíneo (tabla 7.5). Debido a las numerosas anastomosis que existen entre las ramas de la arteria facial y otras arterias de la cara, la *compresión de la arteria facial de un lado no detiene toda la hemorragia proveniente de una arteria facial lacerada* ni siquiera de alguna de sus ramas. En las heridas labiales hay que comprimir a ambos lados la herida para detener la hemorragia. En general, las heridas faciales sangran de manera profusa y curan con rapidez.

Los pulsos de las arterias faciales

Los pulsos de las arterias temporal superficial y facial se miden con frecuencia cuando no resulta cómodo medir el pulso en otras arterias. Por ejemplo, el anestesta suele tomar el *pulso temporal* en la cabecera de la mesa del quirófano, por delante del pabellón auricular, en la zona donde la arteria temporal superficial se cruza con la raíz de la apófisis cigomática del hueso temporal. También puede palpar el *pulso facial* en el lugar donde la arteria facial rodea el borde inferior de la mandíbula (tabla 7.5). ◉

Tabla 7.5. Las arterias de la cara y del cuero cabelludo



* Fuente = a. carótida interna; todas las demás arterias marcadas provienen de la carótida externa.

Arteria	Origen	Trayectoria	Distribución
Facial	A. carótida externa	Asciende en la profundidad de la glándula submandibular y gira alrededor del borde inferior de la mandíbula para entrar en la cara	Músculos de la expresión facial y de la cara
Labial inferior	A. facial cerca del ángulo de la boca	Discurre medialmente por el labio superior	Labio inferior y barbilla
Labial superior		Discurre medialmente por el labio inferior	Labio superior y ala (lado) y tabique de la nariz
Nasal lateral	A. facial en su ascenso por la nariz	Pasa al ala de la nariz	Piel del ala y dorso de la nariz
Angular	Rama terminal de la a. facial	Pasa al ángulo medial del ojo	Parte superior de las mejillas y párpado inferior
Occipital	A. carótida externa	Pasa medial al vientre posterior del m. digástrico y apófisis mastoides; acompaña al n. occipital en la región occipital	Cuero cabelludo del dorso de la cabeza hasta el vértice
Auricular posterior		Sigue un curso posterior, en la profundidad de la parótida, a lo largo de la apófisis estiloides entre la apófisis mastoides y el oído	Cuero cabelludo detrás del pabellón auricular y pabellón auricular
Temporal superficial	Rama terminal más pequeña de la a. carótida externa	Asciende delante del oído hasta la región temporal y termina en el cuero cabelludo	Músculos de la cara y piel de las regiones frontal y temporal
Facial transversa	A. temporal superficial dentro de la glándula parótida	Cruza la cara superficial al m. masetero, debajo del arco cigomático	Glándula y conducto parotídeos, músculos y piel de la cara
Mentoniana	Rama terminal de la a. alveolar	Emerge del orificio mentoniano y pasa a la barbilla	Músculos faciales y piel de la barbilla
*Supraorbitaria	Rama terminal de la a. oftálmica, rama de la a. carótida interna	Asciende desde el orificio supraorbitario	Músculos y piel de la frente y del cuero cabelludo
*Supratroclear		Asciende desde la escotadura supratroclear	Músculos y piel del cuero cabelludo

un través de dedo por debajo del arco cigomático. Se divide en numerosas ramas para la glándula y el conducto parotídeos, el músculo masetero y la piel de la cara, y se anastomosa con ramas de la arteria facial.

La vena supratroclear

La vena supratroclear comienza en la frente a partir de una red venosa comunicada con afluentes frontales de la vena temporal superficial (tabla 7.6). La **vena supratroclear** desciende cerca del plano medio, se comunica con la vena correspondiente del otro lado y alcanza la nariz. La vena supratroclear se une con la vena supraorbitaria para dar la **vena angular**, que se transforma en la vena facial cerca del ángulo medial del ojo.

La vena supraorbitaria

La vena supraorbitaria comienza en la frente, donde se comunica con las afluentes de las venas supratroclear y temporales superficial y media. La **vena supraorbitaria** se dirige medialmente, encima de la órbita, para unirse con la vena supratroclear y dar la vena angular cerca del ángulo medial del ojo. Una rama de la vena supraorbitaria atraviesa la escotadura u orificio supraorbitario y se comunica con la vena oftálmica superior.

La vena facial

Las dos venas faciales se ocupan del drenaje venoso de la cara. Cada vena nace cerca del ángulo medial del ojo y del borde inferior de la órbita como prolongación de la vena angular. La vena facial recibe, a los lados de la nariz, las venas nasales externas y las venas palpebrales inferiores, que vienen de la nariz y del párpado inferior, respectivamente. La vena facial desciende por detrás de la cara, posterior a la arteria facial. Las afluentes de la vena facial comprenden la vena facial profunda, que drena el *plexo venoso pterigoideo* de la fosa infratemporal por delante, y las venas labiales superior e inferior, que drenan los labios superior e inferior. Por debajo del borde de la mandíbula, la vena facial se reúne con una rama anterior (comunicante) de la **vena retromandibular**. La vena facial drena de modo directo o indirecto en la **vena yugular interna**. La vena facial se comunica, en el ángulo medial del ojo, con la **vena oftálmica superior**, que drena en el **seno cavernoso**. La vena facial también se comunica con el *plexo venoso pterigoideo* (tabla 7.6).

La vena temporal superficial

La vena temporal superficial empieza como una red venosa extensa en el cuero cabelludo y a lo largo del arco cigomá-

Tromboflebitis de la vena facial

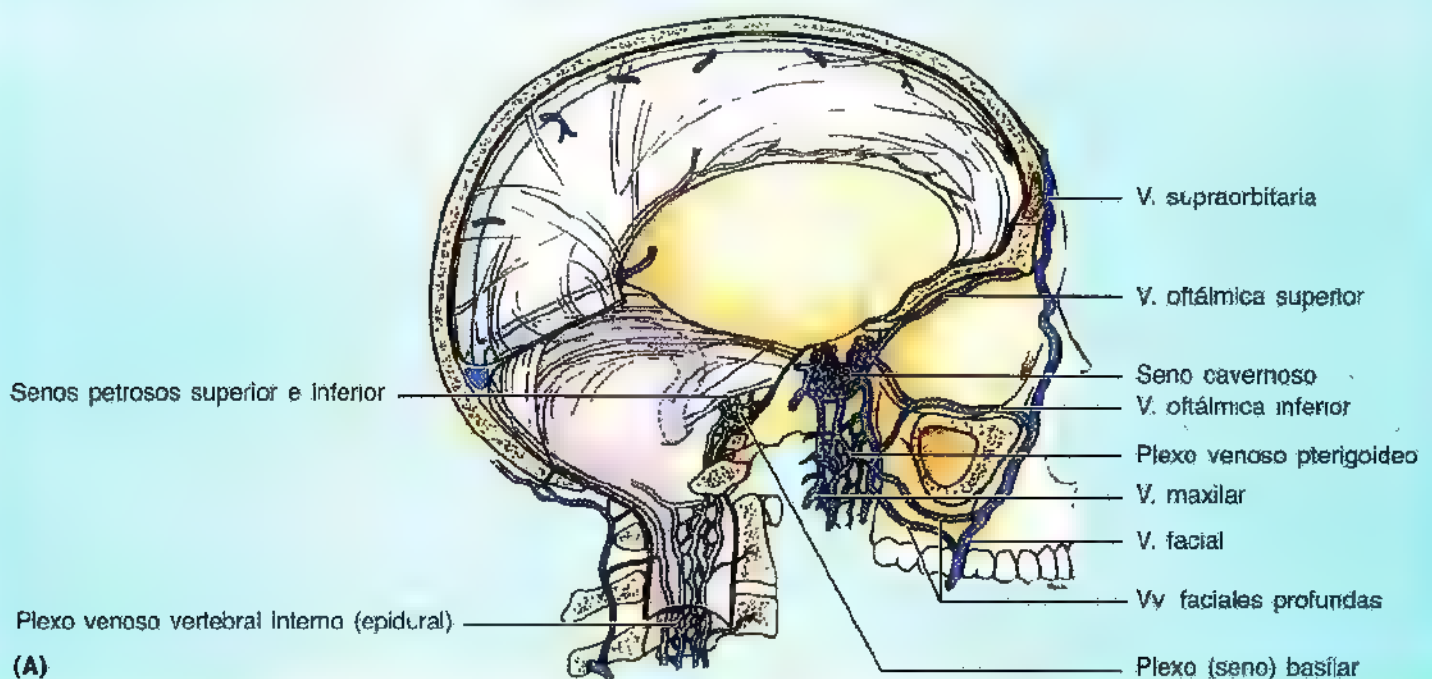
La vena facial entabla comunicaciones de interés clínico (A) con estas estructuras:

- El *seno cavernoso*, un seno venoso de la duramadre que reviste el encéfalo, a través de la vena oftálmica superior.
- El *plexo venoso pterigoideo*, una red de pequeñas venas en el interior de la *fosa infratemporal*, a través de

las venas oftálmica inferior y facial profunda (véase fig. 7.21).

Merced a estas comunicaciones, las infecciones faciales pueden extenderse hasta el seno cavernoso y el plexo venoso pterigoideo.

La sangre del ángulo medial del ojo, nariz y labios suele drenar hacia abajo por la vena facial, sobre todo en posición erecta. *Como la vena facial no dispone* ►





(B)

tico. La vena facial drena el cuero cabelludo y la frente y recibe otras ramas de venas de la región temporal y de la cara. La vena temporal superficial entra en la glándula parotídea cerca del oído externo.

La vena retromandibular

La vena retromandibular, formada por la unión entre las venas temporal superficial y maxilar, se dirige detrás de la rama de la mandíbula y desciende por la glándula parotídea, superficial a la arteria carótida externa y en la profundidad del nervio facial. La vena retromandibular se divide en una rama anterior, que se une con la vena facial, y otra posterior, que se une con la vena auricular posterior, para dar la **vena yugular externa** (tabla 7.6).

El drenaje linfático de la cara

Los vasos linfáticos de la cara acompañan a otros vasos faciales. Los vasos linfáticos superficiales acompañan a las venas,

► *de válvulas*, la sangre puede también fluir en dirección contraria; de este modo, la sangre venosa de la cara entraría en el seno cavernoso. En las *tromboflebitis de la vena facial* –inflamación de la vena facial con formación secundaria de un trombo (coágulo)–, los fragmentos del coágulo infectado pueden propagarse al sistema venoso intracraneal, por ejemplo al seno cavernoso, y ocasionar una *tromboflebitis del seno cavernoso*. La infección de las venas faciales que se extiende a los senos venosos de la duramadre obedece a heridas lacerantes de la nariz, o bien a la expresión de pústulas a los lados de la nariz o en el labio superior. Por eso, el triángulo formado por el labio superior y el puente de la nariz se considera el *triángulo peligroso de la cara* (B). ⊕

y los profundos, a las arterias. Toda la linfa de la cabeza y del cuello acaba drenando en el **grupo cervical profundo de ganglios linfáticos** (fig. 7.12), cadena ganglionar que rodea la vena yugular interna del cuello. La linfa de los ganglios cervicales profundos se dirige al *tronco linfático yugular*, que se une al **conducto torácico** del lado izquierdo y a la **vena yugular interna** o **vena braquiocefálica** del lado derecho. A continuación se resume el drenaje linfático de la cara.

- La linfa de la porción lateral de la cara, incluidos los párpados, drena por abajo en los **ganglios linfáticos parotídeos**.
- La linfa de los ganglios parotídeos profundos drena hasta los **ganglios cervicales profundos**.
- La linfa del labio superior y de las porciones laterales del labio inferior drena en los **ganglios submandibulares**.
- La linfa del mentón y de la porción central del labio inferior drena en los **ganglios submentonianos**.

Carcinoma epidermoide del labio

El carcinoma (cáncer) epidermoide del labio suele afectar al labio inferior. La exposición exagerada al sol durante muchos años, como sucede con los trabajadores que desempeñan su tarea al aire libre, constituye un factor etiológico común. La irritación crónica del tabaco de pipa también favorece esta lesión. Las células cancerosas de la parte central del labio inferior (véase la fotografía), suelo de la boca y punta de la lengua se propagan a los **ganglios linfáticos submentonianos**, mientras que las de las porciones laterales del labio inferior drenan en los **ganglios submandibulares**. ⊕

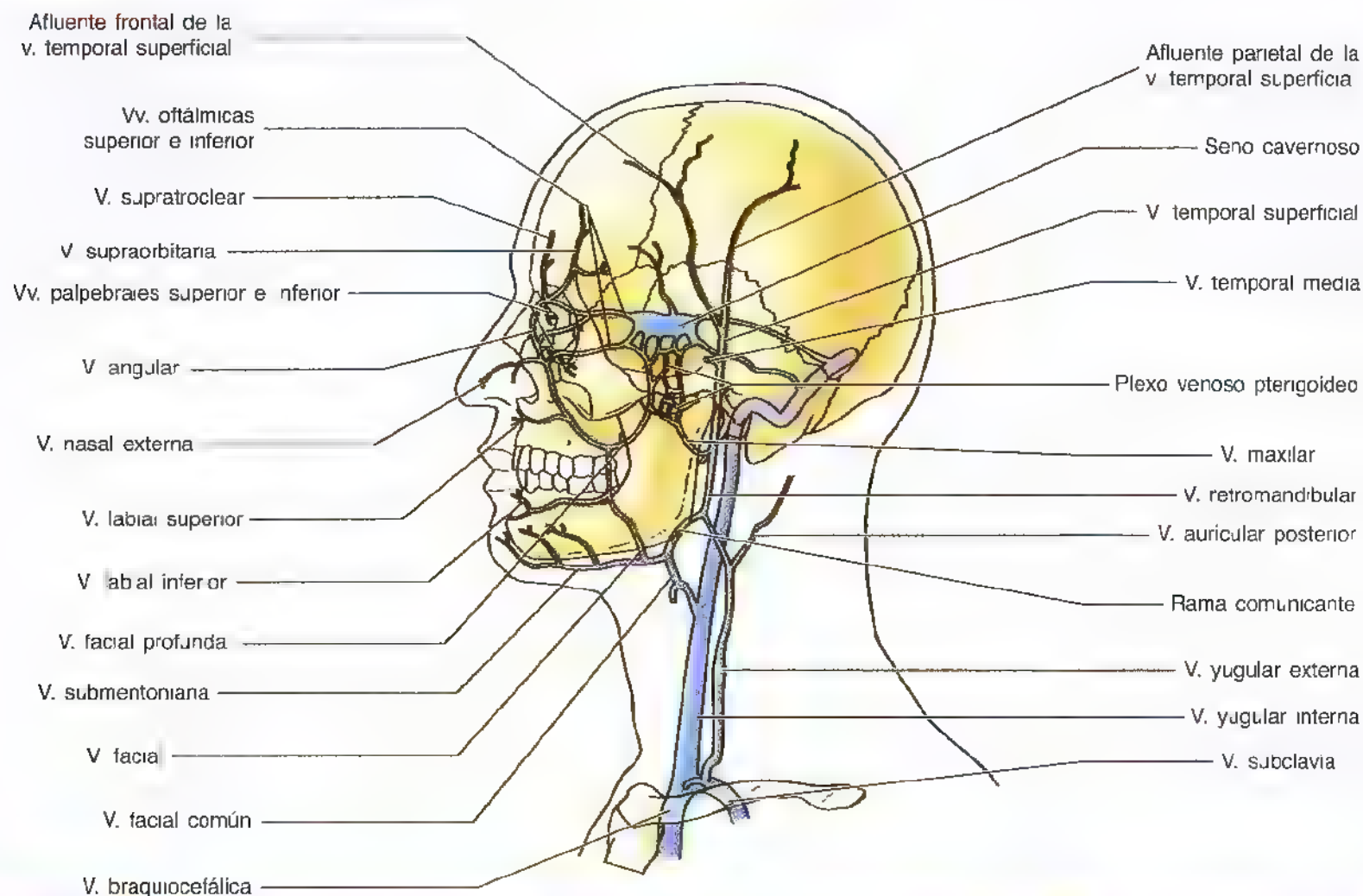


La glándula parótida

La **glándula parótida** —la mayor de las tres glándulas salivares pares— está encerrada dentro de una cápsula fascial tosca, la **vaina parotídea**, procedente de la capa de revestimiento de la fascia cervical profunda (fig. 7.13). Esta glándula tiene una forma irregular porque la zona que ocupa, el **lecho parotídeo**, queda anteroinferior al conducto auditivo externo, enclavado entre la rama de la mandíbula y la apófisis

mastoides. El vértice de la glándula parotídea se sitúa detrás del ángulo de la mandíbula y la base se relaciona con el arco cigomático. La cara lateral de la glándula parótida es casi plana y subcutánea. El **conducto parotídeo** tiene un curso horizontal desde el borde anterior. El conducto se gira medialmente en el borde anterior del masetero, perfora el músculo buccinador y llega a la cavidad bucal a través de un pequeño orificio enfrente del 2º molar superior.

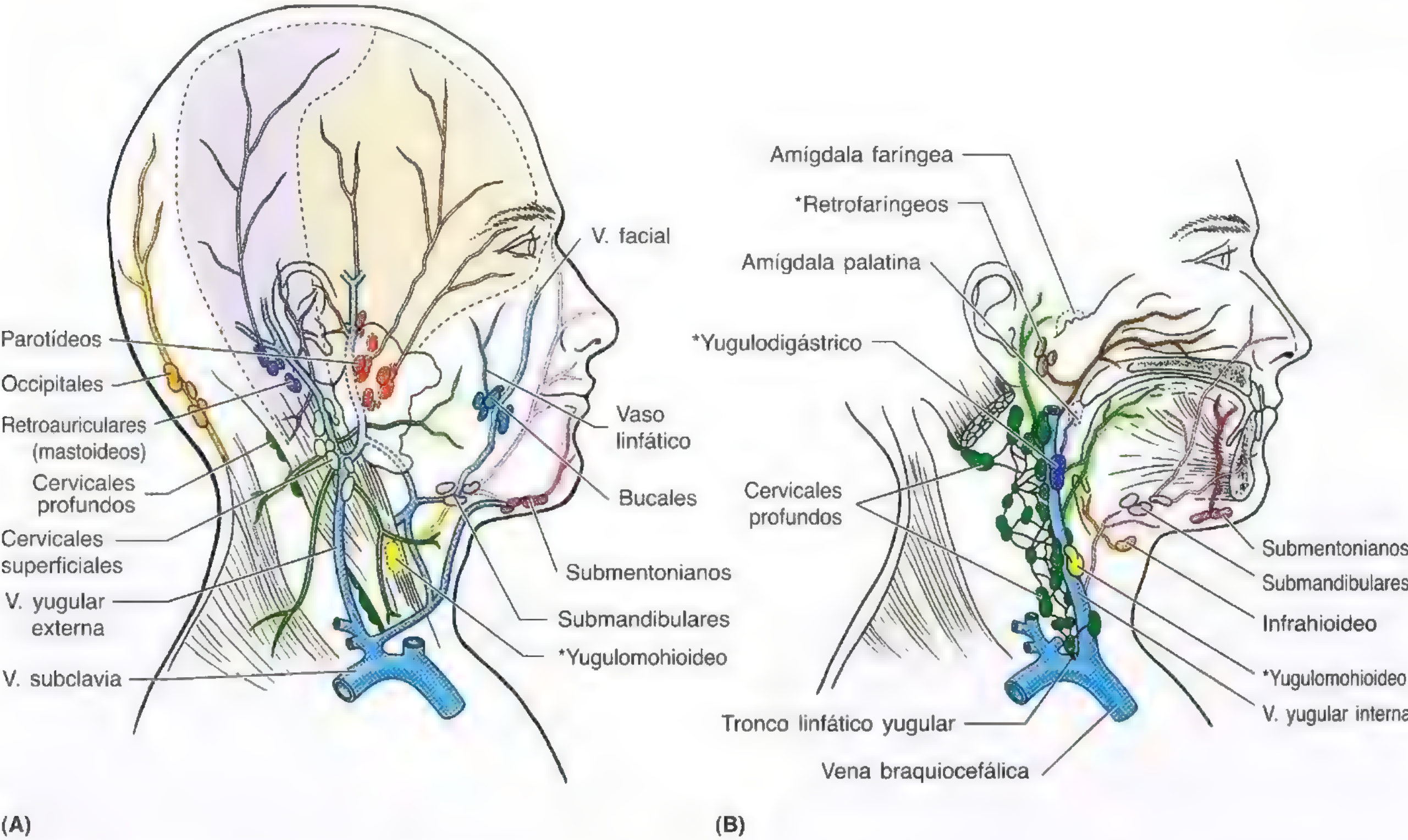
Tabla 7.6. Las venas de la cara



Vena	Origen	Trayectoria	Terminación	Área drenada
Supratroclear	Comienza en un plexo venoso de la frente y cuero cabelludo, por el que se comunica con la rama frontal de la v. temporal superficial, la v. contralateral y la v. supraorbitaria	Desciende cerca de la línea media de la frente hasta la raíz nasal, donde se une con la v. supraorbitaria	V. angular de la raíz nasal	Porción anterior del cuero cabelludo y frente
Supraorbitaria	Comienza en la frente anastomosándose con una afuente frontal de la v. temporal superficial	Se dirige a la cara medial encima de la órbita y se une con la v. supratroclear, una rama atraviesa la escotadura supraorbitaria para unirse con la v. oftálmica superior		
Angular	Comienza en la raíz nasal, uniéndose a las venas supratroclear y supraorbitaria	Desciende oblicuamente a lo largo de la raíz y lado de la nariz hasta el borde inferior de la órbita	Se convierte en la v. facial en el borde inferior de la órbita	Además de lo anterior, drena los párpados superior e inferior y la conjuntiva; puede recibir drenaje del seno cavernoso

Tabla 7.6. (Continuación). Las venas de la cara

Vena	Origen	Trayectoria	Terminación	Área drenada
Facial	Continuación de la v. angular más allá del borde inferior de la órbita	Desciende por el borde lateral de la nariz y recibe las vv. nasal externa y palpebral inferior, y luego se dirige oblicua por la cara para cruzar el borde inferior de la mandíbula; recibe comunicación de la v. retromandibular, y a partir de ese momento se denomina, a veces, v. facial común	V. yugular interna, enfrente o debajo del plano del hueso hioides	Parte anterior del cuero cabelludo y frente, párpados, porción externa de la nariz, parte anterior de las mejillas, labios, barbilla y glándula submandibular
Facial profunda	Plexo venoso pterigoideo	Discurre hacia delante por el maxilar, encima del m. buccinador y en la profundidad del m. masetero, y emerge medial al borde anterior del masetero por la cara	Entra en la cara posterior de la v. facial	Fosa infratemporal (casi todas las áreas perfundidas por la a. maxilar)
Temporal superficial	Comienza en un plexo extenso de venas a un lado del cuero cabelludo y a lo largo del arco cigomático	Las afluentes frontal y parietal se unen delante del pabellón auricular; cruza la raíz temporal del arco cigomático desde la región temporal y entra en el interior de la glándula parotídea	Se une a la v. maxilar, detrás del cuello de la mandíbula, para dar la v. retromandibular	Lado del cuero cabelludo, cara superficial del m. temporal y oído externo
Retromandibular	Se forma delante del oído por la unión entre las vv. temporal superficial y maxilar	Tiene un curso posterior, profundo a la rama de la mandíbula por el interior de la glándula parótida; se comunica por el extremo inferior con la v. facial	Se une con la v. auricular posterior para formar la v. yugular externa	Glándula parótida y m. masetero



* Parte del grupo cervical profundo de ganglios linfáticos.

Figura 7.12. Drenaje linfático de la cara y del cuero cabelludo. **A.** Drenaje superficial. En la unión entre la cabeza y el cuello se forma un collar pericervical de ganglios linfáticos superficiales (submentonianos, submandibulares, parotídeos, retroauriculares o mastoideos y occipitales). Estos ganglios reciben, en principio, casi todo el drenaje linfático de la cara y del cuero cabelludo. **B.** Drenaje profundo. Todos los vasos linfáticos de la cabeza y del cuello acaban drenando en los ganglios cervicales profundos, bien de forma directa, a través de los tejidos, o indirecta, después de pasar por un grupo superficial de ganglios linfáticos.

Las estructuras de la glándula parótida

Las estructuras que contiene la glándula parótida, de la parte superficial a la profunda, son el **nervio facial** y sus ramos (figs. 7.11, *A* y *C*, y 7.13), la **vena retromandibular** y la **arteria carótida externa**. Los **ganglios linfáticos parotídeos** se sitúan sobre la vaina parotídea y dentro de la glándula (fig. 7.12A y 7.13), y reciben la linfa de la frente, por

ciones laterales de los párpados, región temporal, cara lateral del oído externo, pared anterior del conducto auditivo externo y oído medio. La linfa de los ganglios parotídeos drena en los **ganglios linfáticos cervicales** superficiales y profundos.

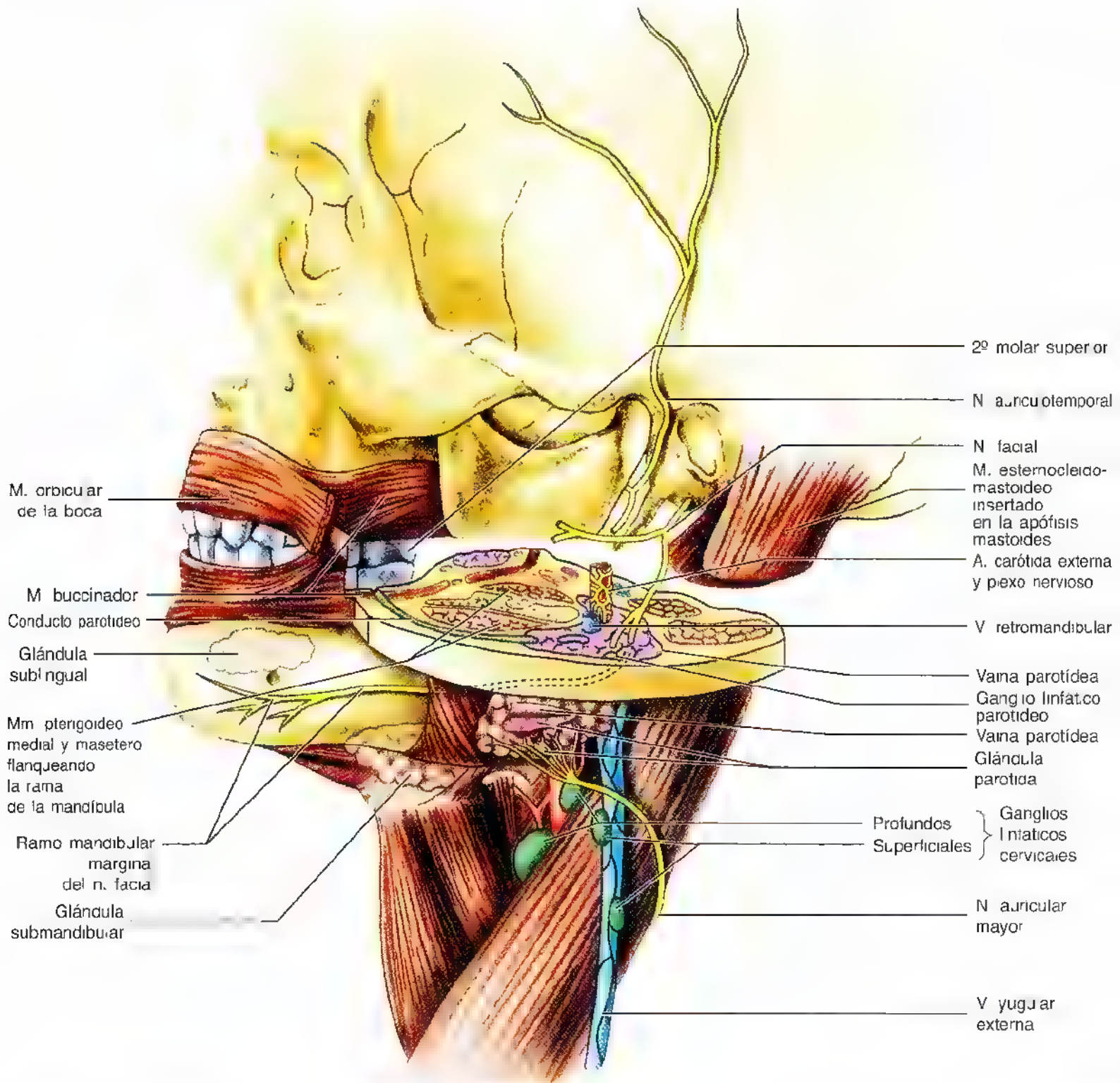


Figura 7.13. Relaciones de la glándula parótida en una visión lateral izquierda. El corte transversal por el eje de la glándula parótida muestra la relación de la glándula con las estructuras vecinas. Obsérvese cómo la glándula pasa en la profundidad, entre la rama de la mandíbula por delante, flanqueada por los músculos de la masticación y la apófisis mastoideas y el músculo esternocleidomastoideo por detrás. Las dimensiones del lecho parotídeo se modifican con los movimientos de la mandíbula. Se aprecian las estructuras del interior de la propia glándula. El conducto parotídeo se gira medialmente en el borde anterior del músculo masetero y perfora el músculo buccinador.

Las estructuras asociadas con la glándula parótida

El **nervio auriculotemporal**, ramo de la 2ª división del nervio trigémino, está íntimamente relacionado con la glándula parótida y pasa por encima de ella con los vasos temporales superficiales. El **nervio auricular mayor** (C2 y C3), ramo del plexo cervical, inerva la vaina parotídea (fig. 7.13). El componente parasimpático del **nervio glosofaríngeo**

(NC IX) envía fibras secretoras para la glándula parótida, conducidas por el nervio auriculotemporal desde el **ganglio ótico** (fig. 7.9A). La estimulación de estas fibras produce una saliva fina y acuosa. Las fibras simpáticas provienen de un **plexo nervioso de la arteria carótida externa** (de los ganglios cervicales) (fig. 7.13). Las fibras nerviosas sensitivas llegan a la glándula por los nervios auricular mayor y auriculotemporal.

Lesión quirúrgica del nervio facial

Durante la cirugía de la parótida se pueden lesionar los ramos del nervio facial que pasan por esta glándula. La identificación, disección, aislamiento y preservación del nervio facial constituye un paso determinante de la *parotidectomía* (extirpación quirúrgica de la glándula parótida).

Infección de la glándula parótida

La glándula parótida se infecta por el torrente sanguíneo, por ejemplo en las *parotiditis* (paperas), una enfermedad vírica aguda y contagiosa. La infección de la glándula parótida determina una inflamación (*parotiditis*) y tumefacción de la glándula. El dolor intenso se debe a que la vaina parotídea limita el edema. Muchas veces, el dolor empeora con la masticación porque la glándula, de tamaño aumentado, queda envuelta por el borde posterior de la rama de la mandíbula y comprimida contra la apófisis mastoides del hueso temporal al abrir la boca. *El virus de la parotiditis también inflama el conducto parotídeo* y provoca un enantema de la papila parotídea, pequeña proyección mamilar que señala el orificio de desembocadura del conducto en la membrana malar dentro de la cavidad bucal. Como el dolor causado por la parotiditis puede confundirse con un dolor dental, el enrojecimiento de la *papila parotídea* suele constituir un signo precoz de que la enfermedad afecta a la glándula y no a un diente. La *enfermedad parotídea* suele causar dolor en el pabellón auricular, conducto auditivo externo, región temporal y articulación temporomandibular porque el nervio auricu-

lotemporal, cuyas fibras sensitivas llegan a la glándula parótida, también envía fibras sensitivas para la piel situada encima de la fosa temporal y para el pabellón auricular.

Sialografía

Se puede inyectar un líquido radiopaco en el sistema de conductos de la glándula parótida a través de una cánula introducida por el orificio del conducto parotídeo en la mucosa malar. Esta técnica se sigue de la radiografía de la glándula parótida y se conoce como sialografía. Los *sialogramas parotídeos* (*sialon* significa saliva en griego, y *grapho*, escribir) muestran las porciones del conducto parotídeo desplazadas o dilatadas por la enfermedad.

Taponamiento del conducto parotídeo

El conducto parotídeo puede taponarse por un depósito calcificado que se denomina *sialolito* o cálculo (quiere decir adoquín en latín). El dolor resultante de la parótida empeora al comer. La succión de un gajo de limón resulta dolorosa porque se acumula saliva en la porción proximal del conducto taponado.

Glándula parótida accesoria

A veces se observa una glándula parótida accesoria en el músculo masetero, entre el conducto parotídeo y el arco cigomático. Desde esta glándula accesoria se abren varios conductos dentro del conducto parotídeo. ➔

El cuero cabelludo

El cuero cabelludo se compone de piel (de ordinario, con cabello) y de tejido subcutáneo, y cubre la calota desde las líneas nucales superiores del hueso occipital hasta los bordes supraorbitarios del hueso frontal. El cuero cabelludo se extiende lateralmente sobre la fascia temporal hasta los arcos cigomáticos.

Las capas del cuero cabelludo

El cuero cabelludo consta de cinco capas de tejido; las tres primeras están comunicadas de forma íntima y se desplazan

como una sola unidad (p. ej., al arrugar la frente y mover el cuero cabelludo). A continuación se exponen las cinco capas (fig. 7.14):

- La piel, fina salvo en la región occipital, contiene muchas glándulas sudoríparas, sebáceas y folículos pilosos; dispone de una irrigación arterial generosa, así como de un buen drenaje venoso y linfático.
- El tejido conjuntivo forma una capa subcutánea gruesa, densa y muy vascularizada, generosamente dotada de nervios cutáneos.
- La aponeurosis —la *aponeurosis epicraneana*— es una capa tendinosa robusta que cubre la calota entre los músculos

occipital, auricular superior y frontal (de manera colectiva, estas estructuras constituyen el **músculo epicraneano**). El músculo frontal tira del cuero cabelludo hacia delante, arruga la frente y eleva las cejas; el músculo occipital tira del cuero cabelludo hacia atrás y arruga la piel del dorso del cuello.

- El tejido conjuntivo laxo, parecido a una esponja debido a la multitud de espacios virtuales que pueden distenderse de líquido cuando ocurre una lesión o infección; esta capa propicia el movimiento libre del **cuero cabelludo propiamente dicho** (las tres primeras capas: piel, tejido conjuntivo y aponeurosis epicraneana) sobre la calota.
- El pericráneo es una capa densa de tejido conjuntivo que forma el periostio externo de la calota; se inserta de manera firme, pero se puede desprender con cierta facilidad de la calota de los seres vivos, salvo en la zona donde se continúa con el tejido fibroso de las suturas craneanas.

Los nervios del cuero cabelludo

De la innervación del cuero cabelludo situado delante del oído externo se encargan ramos de las tres divisiones del **nervio trigémino** (fig. 7.15). Detrás del oído externo, la nerviación corre a cargo de los nervios cutáneos espinales (C2 y C3).

La vascularización del cuero cabelludo

Los vasos sanguíneos discurren por la 2ª capa del cuero cabelludo, la capa subcutánea densa entre la piel y la aponeurosis craneana. Están sostenidos por un tejido conjuntivo denso, de tal suerte que suelen quedarse abiertos después de su sección. Por eso, las heridas del cuero cabelludo sangran de forma tan profusa.

Las arterias del cuero cabelludo

Las arterias **carótida externa** —a través de las ramas occipital, auricular posterior y temporal superficial— y **carótida interna** —a través de la rama supratroclear y supraorbitaria— se encargan de la vascularización arterial del cuero cabelludo (fig. 7.15, tabla 7.5). *El cuero cabelludo dispone de una generosa irrigación arterial y las arterias se anastomosan libremente entre sí en la 2ª capa del cuero cabelludo*, el tejido conjuntivo subcutáneo denso.

Las venas del cuero cabelludo

El drenaje venoso de las porciones superficiales del cuero cabelludo tiene lugar por las venas satélite de las arterias del cuero cabelludo, las **venas supraorbitaria** y **supratroclear** (tabla 7.6), que empiezan en la frente y descienden para unirse en el ángulo medial del ojo, dando la vena angular, que se transforma en la *vena facial* en el borde inferior de

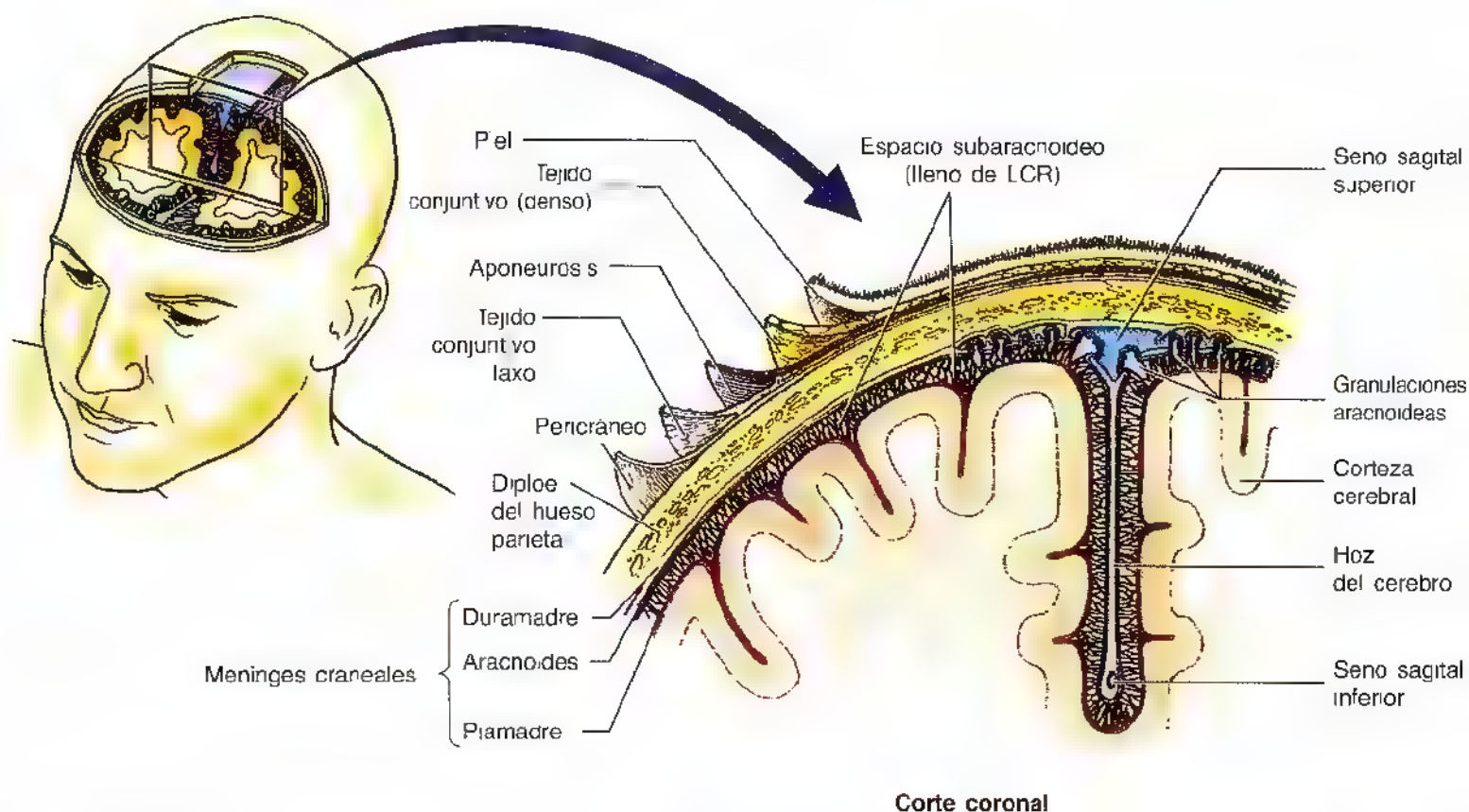


Figura 7.14. El cuero cabelludo, la calota (bóveda del cráneo) y las meninges. Vision anterior de una sección coronal. Se observan las capas del cuero cabelludo. La piel está íntimamente unida a la aponeurosis epicraneana, que se desliza libremente sobre el pericráneo y el cráneo debido a la interposición de tejido conjuntivo laxo. La aponeurosis es el tendón intermedio plano del músculo occipitofrontal. Se dibujan las meninges craneales y el espacio subaracnoideo (leptomeninge) (ocupado por el líquido cefalorraquídeo [LCR]).

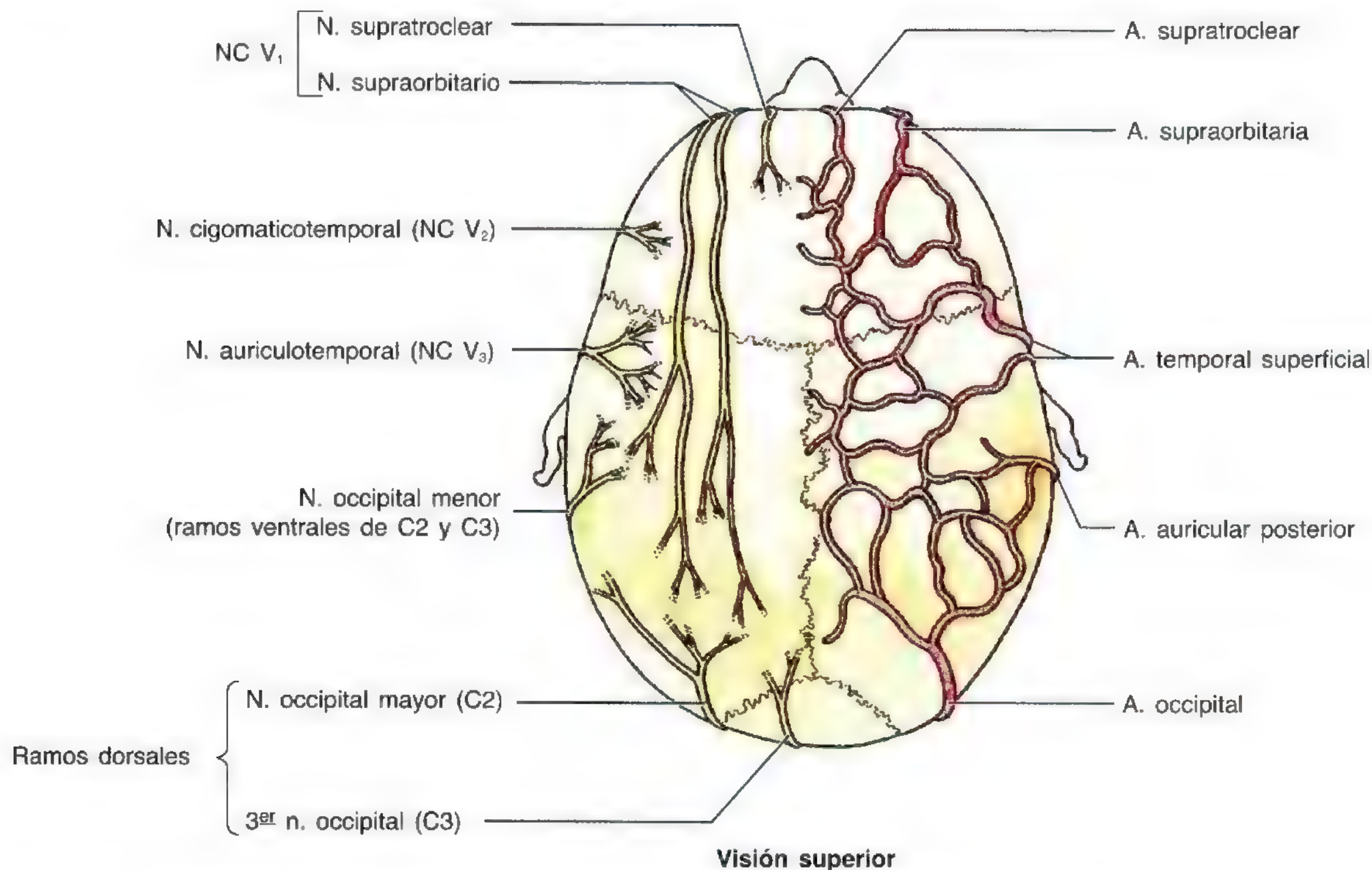


Figura 7.15. Las arterias y los nervios del cuero cabelludo. Visión superior. Obsérvese cómo las arterias se anastomosan con libertad y, por eso, sangran por ambos extremos cuando se seccionan. Las arterias supraorbitaria y supratroclear son ramas de la arteria carótida interna por vía de la arteria oftálmica; las demás proceden de la arteria carótida externa. Los nervios aparecen de forma secuencial: NC V₁, NC V₂, NC V₃, ramos ventrales de C2 y C3 y ramos dorsales de C2 y C3.

la órbita. Las **venas temporal superficial y auricular posterior** drenan el cuero cabelludo, delante y detrás del oído externo, respectivamente. La **vena auricular posterior** suele recibir una *vena emisaria mastoidea* del seno sigmoideo, un seno venoso de la duramadre. La **vena occipital** drena la región occipital del cuero cabelludo. El drenaje venoso de las porciones profundas del cuero cabelludo de la región temporal tiene lugar a través de *venas temporales profundas*, tributarias del *plexo venoso pterigoideo*.

Drenaje linfático del cuero cabelludo

El *cuero cabelludo no dispone de ganglios linfáticos*. La linfa de esta región drena al **anillo superficial (collar pericervical)** de **ganglios linfáticos** –submentonianos, submandibulares, parotídeos, submandibulares, mastoideos o retroauriculares y occipitales– situados en la unión de la cabeza con el cuello (fig. 7.12A). La linfa de estos ganglios drena en los **ganglios cervicales profundos** situados a lo largo de la vena yugular interna (fig. 7.12B).

Lesión del cuero cabelludo

Como las arterias del cuero cabelludo que emergen a los lados de la cabeza están bien protegidas por un tejido conjuntivo denso y se anastomosan de manera libre, el *desprendimiento parcial del cuero cabelludo* se puede reponer con una probabilidad razonable de curación mientras se mantenga intacto alguno de los vasos que irrigan el cuero cabelludo (Williams y cols., 1995). Durante la *craneotomía* –extirpación de un segmento de la bóveda craneal con un colgajo de cuero cabelludo y tejidos blandos para exponer la cavidad craneal–, las incisiones suelen practicarse en dirección convexa superior y se incluye la arteria temporal superficial dentro del colgajo de tejido.

El *cuero cabelludo propiamente dicho* –las tres primeras capas– suele considerarse en clínica como una sola capa, porque se mantiene unido cuando se toma un colgajo durante la craneotomía o cuando se desgarrar parte del mismo (p. ej., en un accidente de tráfico o industrial). Los nervios y los vasos del cuero cabelludo entran desde abajo y ascienden por la 2ª capa hasta la piel. Por eso, los colgajos de cuero cabelludo para pedículos quirúrgicos se preparan de manera que queden insertados por abajo para preservar los nervios y los vasos sanguíneos y fomenten una buena cicatrización. *Las arterias del cuero cabelludo aportan muy poca sangre a la bóveda del cráneo; los huesos que lo forman están perfundidos por la* ►

► **arteria meníngea media.** Por eso, la pérdida de cuero cabelludo no induce una necrosis de los huesos de la bóveda craneal.

Las infecciones del cuero cabelludo

La capa de tejido conjuntivo laxo (4ª capa) del cuero cabelludo es *una zona peligrosa*, porque en ella se disemina con facilidad el pus y la sangre. La infección de esta capa también llega hasta la cavidad craneal a través de las *venas emisarias*, que cruzan los orificios parietales de la bóveda craneal (fig. 7.4B) e infectan las estructuras intracraneales, como el encéfalo o las meninges. La infección no puede alcanzar el cuello, porque el músculo occipital se inserta en el hueso occipital y en las porciones mastoideas de los huesos temporales. Las infecciones del cuero cabelludo tampoco pueden propagarse a los lados, más allá del arco cigomático, puesto que la aponeurosis epicraneal se continúa con la fascia temporal insertada en estos arcos. Las infecciones o el líquido (p. ej., pus o sangre) pueden pasar a los párpados y al puente nasal, dado que el músculo frontal se inserta en la piel y en el tejido subcutáneo y no en el hueso. Así pues, las lesiones del cuero cabelludo o de la frente pueden producir unos "ojos morados". Casi toda la sangre llega al párpado superior, pero parte penetra en el inferior.

Laceraciones del cuero cabelludo

Las laceraciones del cuero cabelludo constituyen el traumatismo craneal que más atención quirúrgica requiere. Estas



(Cortesía del Dr. Ralph Ger, NYC)

heridas sangran de forma abundante porque las arterias que penetran en la periferia del cuero cabelludo sangran por los dos extremos debido al número tan grande de anastomosis. Las arterias no se retraen después del desgarro, sino que permanecen abiertas por el tejido conjuntivo denso de la 2ª capa del cuero cabelludo. Por eso, *un enfermo inconsciente puede sangrar hasta morir de un desgarro del cuero cabelludo si no se corta la hemorragia* (p. ej., mediante sutura).

La aponeurosis epicraneal (3ª capa del cuero cabelludo) tiene interés clínico. Debido a su fortaleza, los desgarros superficiales de la piel no se abren porque los bordes de la herida se mantienen solidarios debido a la aponeurosis. Además, cuando se suturan las *heridas superficiales del cuero cabelludo*, tampoco se necesitan suturas profundas, puesto que la aponeurosis epicraneal impide una amplia separación de la piel. *Las heridas profundas del cuero cabelludo se separan mucho si se escinde o desgarra la aponeurosis epicraneal en el plano coronal*, debido a la tracción de los vientres frontal y occipital del músculo epicráneo en dirección opuesta (anterior y posterior).

Estenosis de la arteria carótida interna

En el ángulo medial del ojo *se establece una anastomosis* entre la rama facial de la arteria carótida externa y las ramas cutáneas de la arteria carótida interna. Con el envejecimiento, la arteria carótida interna se puede estrechar (estenosar) debido al engrosamiento aterosclerótico de la capa íntima. Las estructuras intracraneales —como el encéfalo— reciben a veces sangre de la comunicación de la arteria facial con la rama nasal dorsal de la arteria oftálmica, como consecuencia de las anastomosis arteriales.

Quistes sebáceos

Los conductos de las glándulas sebáceas asociados a los folículos pilosos del cuero cabelludo se pueden taponar y determinar una retención de secreciones, es decir, la formación de quistes sebáceos (lobanillo). Los *quistes sebáceos se mueven con el cuero cabelludo* porque están en la piel del cuero. Los folículos pilosos del cuero pasan por fases alternas de crecimiento y reposo; el pelo crece y acaba cayendo, por ejemplo al peinarse. Al cabo de un tiempo empieza a crecer nuevo pelo en los mismos folículos.

Cefalohematoma

En ocasiones se produce una hemorragia entre el pericráneo del bebé y la bóveda craneal en casos de parto complicado, casi siempre sobre uno de los huesos parietales. La hemorragia obedece a la rotura de muchas ►

► arterias periósticas diminutas que nutren los huesos de la calota. El acúmulo resultante de sangre, que se observa a las pocas horas de nacer, se denomina *cefalo-hematoma*.

Colgajos óseos

Como el pericráneo adulto tiene una capacidad osteogénica pobre, cuando se pierde hueso apenas se regenera

(p. ej., cuando se extirpan fragmentos óseos para reparar una fractura conminuta de cráneo; pág. 854). En general, *se colocan colgajos óseos, preparados por vía quirúrgica*, que se unen mediante alambre a otras porciones de la bóveda craneal. Los grandes defectos de la bóveda craneal, causados por traumatismos graves, no suelen “rellenarse”; por eso es necesario insertar una placa de metal o de plástico para proteger la zona del cerebro situada bajo la herida. ➔

Las meninges craneales

Las meninges craneales están dentro del cráneo (figs. 7.14 y 7.16) y se caracterizan por lo siguiente:

- Protegen el encéfalo.
- Crean un almacén de soporte para las arterias, las venas y los senos venosos.
- Encierran una cavidad llena de líquido, el *espacio subaracnoideo (leptomeningeo)*, que resulta vital para la función normal del encéfalo (Haines, 1997).

Las meninges craneales constan de tres capas:

- La **duramadre**, una membrana fibrosa densa, gruesa y externa.
- La **aracnoides**, una membrana delicada, en posición intermedia.
- La **piamadre**, una membrana vascular interna y delicada.

Las meninges también encierran el **líquido cefalorraquídeo** (LCR) y ayudan a mantener el equilibrio del líquido extracelular dentro del encéfalo. El LCR es un líquido claro, de composición parecida a la de la sangre, que aporta nutrientes, pero tiene menos proteínas y una concentración iónica diferente. El LCR se forma en los **plexos coroideos** de los cuatro ventrículos cerebrales (fig. 7.16). El LCR abandona el sistema ventricular y entra en el **espacio subaracnoideo**, entre la aracnoides y la piamadre, ofreciendo almohadillado y nutrición al encéfalo.

La duramadre

La duramadre (paquimeninge, del griego *pachy*, que significa grueso, y *menix*, membrana) se adhiere a la cara interna del cráneo y se describe como una doble membrana (figs. 7.16 y 7.17).

- La *capa perióstica externa* está formada por periostio que cubre la cara interna de la calota.
- La *capa meníngea interna* es una membrana fibrosa robusta que se continúa en el orificio magno con la duramadre espinal que tapiza la médula espinal.

Conviene saber que la capa perióstica de duramadre es el periostio que reviste la calota. Se adhiere a la cara interna

del cráneo y su inserción es firme en las líneas de sutura y en la base del cráneo (Haines, 1997).

La capa perióstica externa se continúa en los orificios craneales con el periostio de la cara externa de la calota, *pero no con la duramadre de la médula espinal*. La capa meníngea se une de modo íntimo a la capa perióstica y no puede separarse de ella. Las capas externa e interna de duramadre, fusionadas en la calota, se pueden desprender con facilidad de los huesos craneales (p. ej., cuando se extirpa la parte superior de la calota en el momento de la autopsia). Un golpe sobre la cabeza puede desprender la capa perióstica de la calota sin fracturar los huesos del cráneo. Las dos capas de duramadre están unidas con fuerza en la base del cráneo y son difíciles de separar de los huesos. Por eso, una fractura de la base del cráneo suele desgarrar la dura y provocar una fuga de LCR. La parte interna de la capa meníngea de la duramadre —una capa de las células del borde dural— se compone de fibroblastos aplanados separados por grandes espacios extracelulares. Esta capa constituye un plano de debilidad estructural en la unión entre la duramadre y la aracnoides (Haines, 1997).

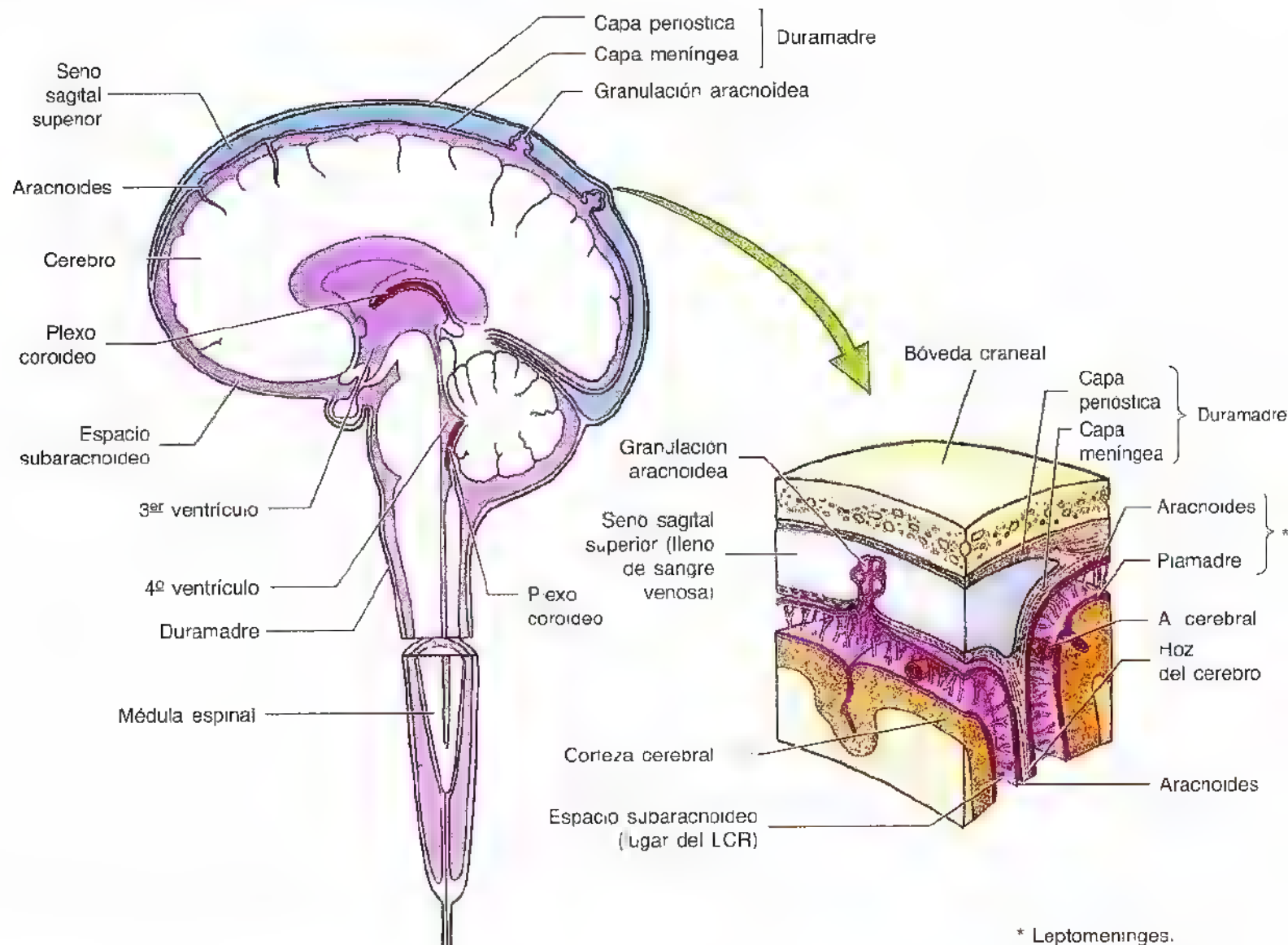
Los repliegues o reflexiones de la duramadre

La capa meníngea interna de la duramadre se aleja de la capa perióstica externa para dar unos repliegues (reflexiones o tabiques) que separan las regiones del encéfalo entre sí (fig. 7.18). El mayor de estos tabiques es la **hoz del cerebro**. Las reflexiones de la duramadre dividen la cavidad craneal en compartimientos que soportan las partes del encéfalo. Las reflexiones de la duramadre comprenden:

- La hoz del cerebro.
- La tienda del cerebelo.
- El diafragma de la silla turca.

La **hoz del cerebro**, la reflexión más grande de duramadre, se encuentra en la cisura longitudinal y separa los hemisferios cerebrales derecho e izquierdo. La hoz del cerebro se inserta, en el plano medio, en la cara interna de la calota, desde la *cresta frontal* del hueso frontal y la *crista galli* del hueso etmoides por delante hasta la *protuberancia occipital interna* por detrás (figs. 7.18 y 7.20). La hoz del cerebro termina prolongándose con la tienda del cerebelo.

La **tienda del cerebelo**, la 2ª reflexión más grande de duramadre, es un tabique semilunar ancho que separa los



* Leptomeninges.

Figura 7.16. Las meninges y su relación con la calota (bóveda del cráneo), el encéfalo y la médula espinal. Se observa cómo la duramadre y el espacio subaracnoideo (leptomeningeo) (de color púrpura) rodean el encéfalo y se continúan con el que rodea la médula espinal. Las dos capas de duramadre se separan para dar los senos venosos de la duramadre, como el seno sagital superior. El cerebro contiene, sobre todo, los hemisferios cerebrales. Las granulaciones aracnoideas se forman por proyecciones globulares de la aracnoides que protruyen a través de la capa meníngea de duramadre dentro de los senos venosos y proporcionan el movimiento de líquido cefalorraquídeo (LCR) al sistema venoso.

lóbulos occipitales de los hemisferios cerebrales del cerebelo. La tienda del cerebelo se inserta rostralmente en las apófisis clinoides del hueso esfenoides, rostralmente en la porción petrosa del hueso temporal y posterolateralmente en la cara interna del hueso occipital y parte del hueso parietal. La hoz del cerebro se inserta en la tienda del cerebelo y la levanta, otorgándole el aspecto de tienda. Dicha forma de la tienda del cerebelo divide la cavidad craneal en los compartimientos supratemporal e infratemporal. El compartimiento supratemporal se separa en las mitades derecha e izquierda por la hoz del cerebro. El borde antemedial cóncavo es libre y crea una brecha, **escotadura tentorial** o incisura de la tienda (fig. 7.21, A y B), por la que el tronco del encéfalo pasa de la fosa craneal posterior a la media.

La **hoz del cerebelo** es un tabique vertical de duramadre situado bajo la tienda del cerebelo, en la parte posterior

de la fosa craneal posterior que separa, en parte, los hemisferios cerebelosos.

El **diafragma de la silla turca**, el repliegue más pequeño de duramadre, es una lámina circular de duramadre suspendida entre las apófisis clinoides que forma el techo de la fosa hipofisaria del hueso esfenoides (fig. 7.18A). El diafragma cubre la glándula pituitaria de esta fosa y dispone de una apertura para el paso del infundíbulo (tallo hipofisario) y de las venas hipofisarias.

Herniación tentorial

La **incisura tentorial** es un orificio de la tienda del cerebelo para el paso del tronco del encéfalo, algo ▶

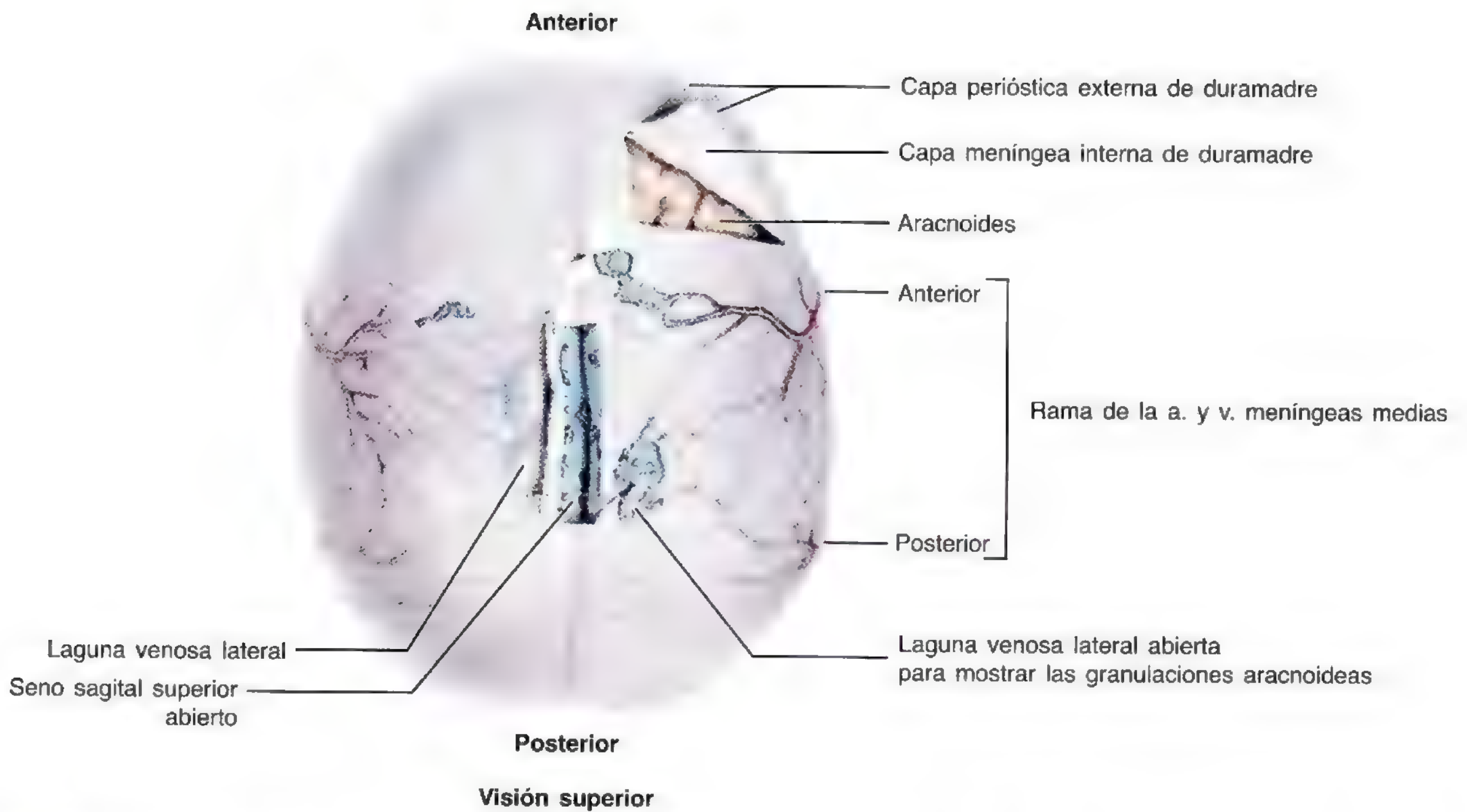
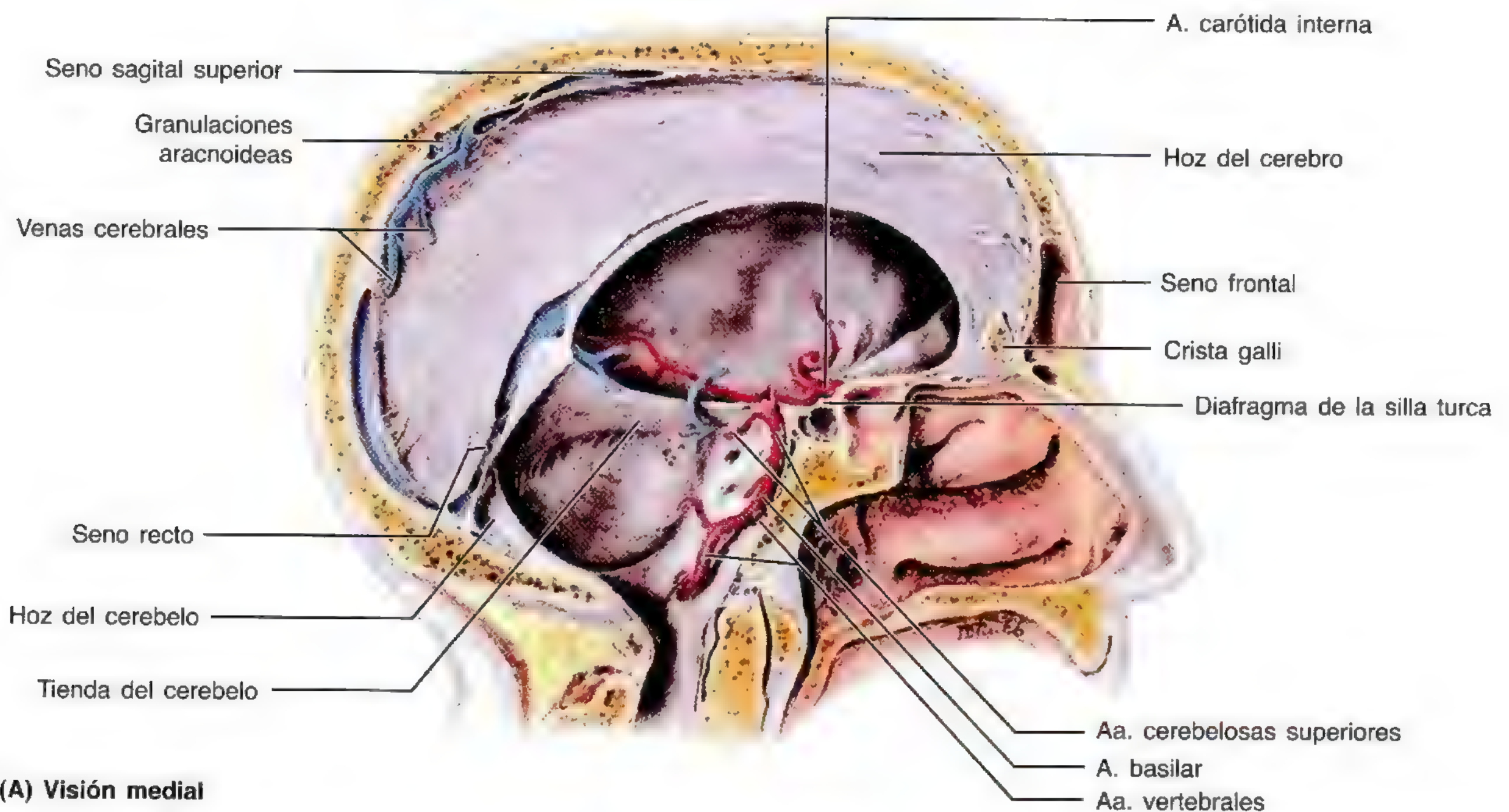


Figura 7.17. Cara externa de la duramadre: granulaciones aracnoideas. Visión superior. La calota (bóveda del cráneo) se ha extirpado. En el plano medio se ha incidido y retraído parte de la raíz gruesa del seno sagital superior; a los lados se han rechazado las raíces más finas de las dos lagunas laterales para mostrar la abundancia de granulaciones aracnoideas, responsables de la absorción del líquido cefalorraquídeo (LCR). A la derecha se ha doblado hacia delante un colgajo angular de duramadre; a través de la aracnoides se observan las circunvoluciones de la corteza cerebral.



(A) Visión medial

Figura 7.18. Repliegues (tabiques) de duramadre y senos venosos de la duramadre. Visiones mediales derechas del lado izquierdo de la cabeza. **A.** Se observan dos pliegues (tabiques) de duramadre, con forma de hoz, la hoz del cerebro y la hoz del cerebelo, que se orientan verticalmente en el plano medio. Se aprecian también dos pliegues en forma de cubierta, la tienda del cerebelo y el diafragma de la silla turca, pequeño, de posición horizontal. Nótese los miembros izquierdos de las arterias pares que perfunden el encéfalo: las arterias carótidas internas y vertebrales.

► mayor del que se necesita para acomodar el mesencéfalo. Por eso, las *lesiones expansivas* —como los tumores del compartimiento supratentorial— aumentan la presión intracraneal y pueden provocar una herniación de parte del lóbulo temporal adyacente a través de la incisura tentorial. El lóbulo temporal se puede desgarrar por la aspereza de la tienda del cerebelo, y el nervio oculomotor (NC III), estirar, comprimir, o ambas cosas a la vez, durante la *herniación tentorial*. Las *lesiones oculomotoras* determinan una parálisis de los músculos extrínsecos del ojo inervados por el III nervio craneal.

Los senos venosos de la duramadre

Los senos venosos de la duramadre son espacios reducidos de endotelio que quedan entre las capas periósticas meníngeas de la duramadre y aparecen en los lugares de inserción de los tabiques duros (figs. 7.18 y 7.19). Las grandes venas de la superficie cerebral desembocan en estos senos y toda la sangre encefálica acaba drenando, a través de ellos, en las venas yugulares internas (fig. 7.19).

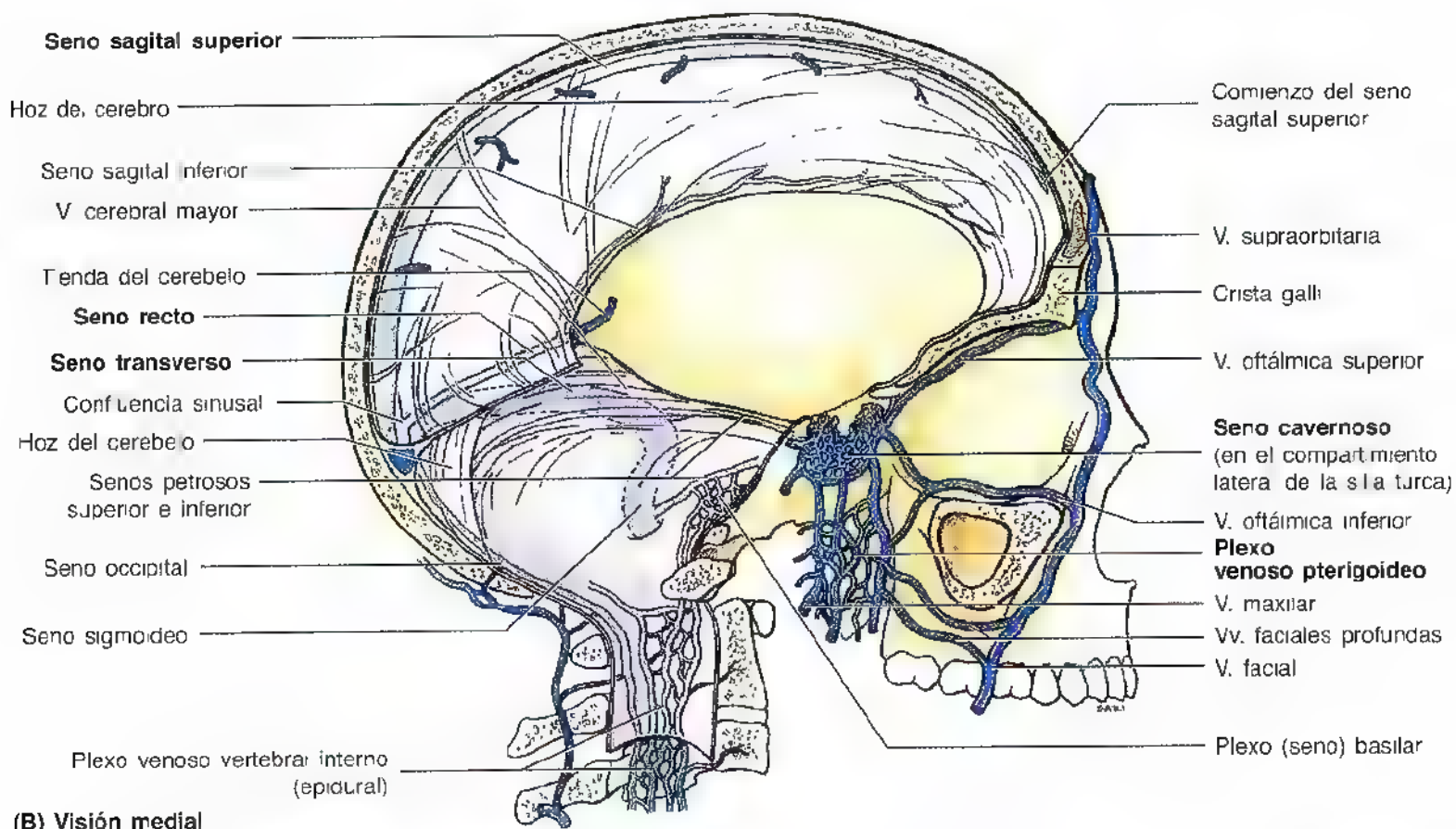
El **seno sagital superior** se encuentra en el borde convexo y fijo de la hoz del cerebro (fig. 7.18). Comienza en

Protrusión del diafragma selar

Los *tumores hipofisarios* se propagan, en ocasiones, hacia arriba a través de la abertura del diafragma selar o determinan una protrusión de éste. A menudo, estos tumores expanden el diafragma selar y provocan síntomas endocrinos precoces o tardíos (es decir, antes o después de que aumente el diafragma de la silla turca). La extensión superior del tumor puede ocasionar síntomas visuales por compresión del quiasma óptico, lugar de cruce de las fibras del nervio óptico. ❁

la *crista galli* y termina cerca de la protuberancia occipital interna (fig. 7.20), en la **confluencia sinusal**, lugar donde se encuentran los senos sagital superior, recto, occipital y transversal (fig. 7.19). El seno sagital superior recibe las venas cerebrales superiores y se comunica a cada lado por medio de pequeñas hendiduras con las **lagunas venosas laterales** o expansiones laterales del seno sagital superior (fig. 7.17).

Las **granulaciones aracnoideas** (colecciones de velosidades aracnoideas) son prolongaciones glomerulares de la aracnoides que sobresalen por la capa meníngea de la duramadre



(B) Visión medial

Figura 7.18. (Continuación) **B. Senos venosos de la duramadre y sus comunicaciones.** Los senos cavernosos se sitúan a ambos lados del cuerpo del esfenoides. El seno cavernoso se comunica por delante con la vena facial a través de las venas oftálmicas superior e inferior. El seno cavernoso también se comunica por debajo con el plexo venoso pterigoideo y por detrás con el plexo basilar, que a su vez se comunica con el plexo venoso vertebral interno (epidural).

dentro de los senos venosos, en particular en las lagunas laterales, y propician el paso del LCR al sistema venoso (figs. 7.17 y 7.18A). Estas elevaciones pequeñas, de aspecto carnososo, crecen a veces lo suficiente para erosionar el hueso y producir fositas en la calota (fig. 7.4B). En general, aparecen en la vecindad de los senos sagital superior, transverso y otros senos venosos de la duramadre. Las vellosidades o granulaciones aracnoideas se encuentran adaptadas, desde el punto de vista estructural, para el transporte de LCR desde el espacio subaracnoideo hasta el sistema venoso (pág. 908). Si desea más información consulte la obra de Haines (1997).

El **seno sagital inferior** (fig. 7.18B), mucho más pequeño que el superior, discurre por el borde cóncavo libre e inferior de la hoz del cerebro y termina en el seno recto.

El **seno recto** está formado por la unión entre el seno sagital inferior y la **vena cerebral mayor**. Desciende detrás, a lo largo de la línea de inserción de la hoz del cerebro, hasta la tienda del cerebelo, reuniéndose en la confluencia de los senos venosos.

Los **senos transversos** pasan a los lados desde la confluencia sinusal, surcando los huesos occipitales y los ángulos posteroinferiores de los huesos parietales (figs. 7.19-7.21). Los senos transversos viajan por los bordes posterolaterales fijos de la tienda del cerebelo y luego se transforman en los senos sigmoideos al acercarse a la cara posterior de la porción petrosa del hueso temporal. La sangre de la **confluencia sinusal** es drenada por los senos transversos, pero casi nunca de forma uniforme. En general, predomina el seno izquierdo (tiene más tamaño).

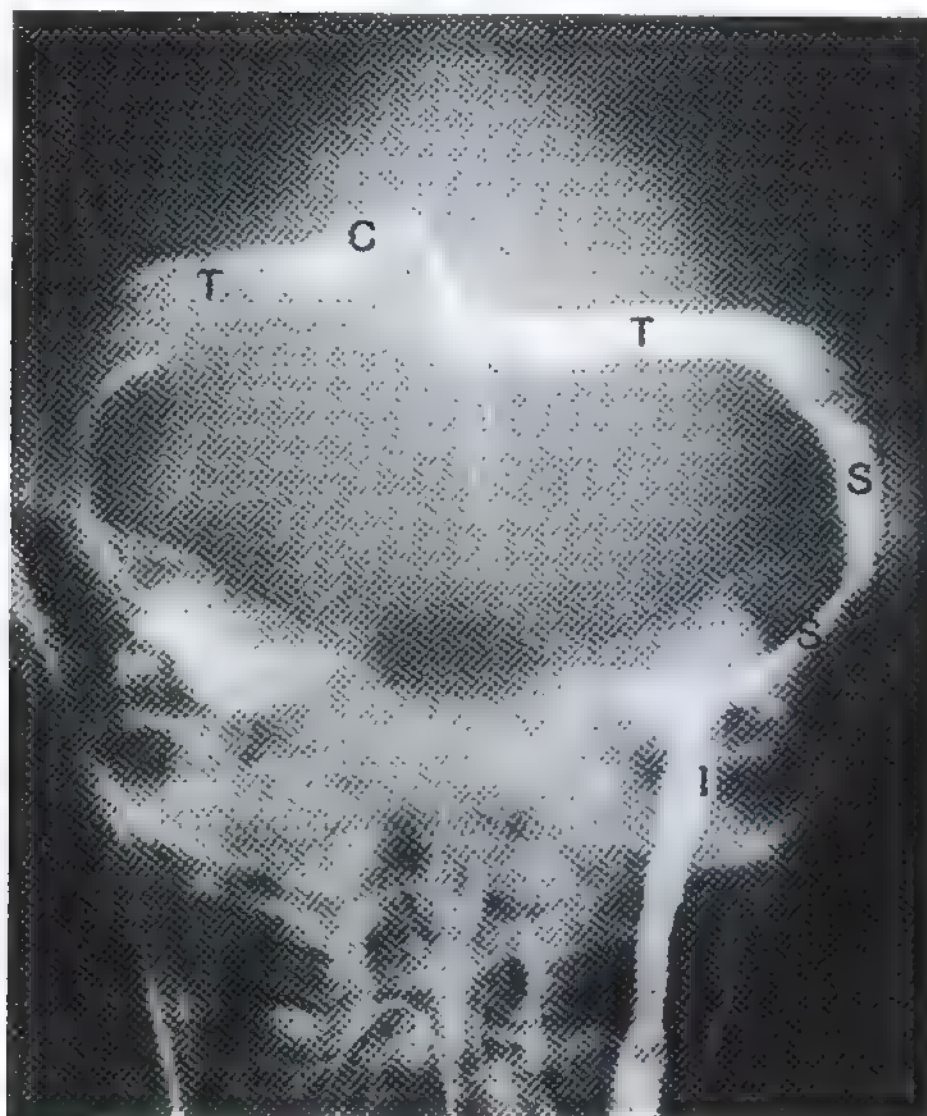
Los **senos sigmoideos** siguen un trayecto en S por la fosa craneal posterior, creando surcos profundos en los huesos temporal y occipital (figs. 7.20 y 7.21A). Cada surco sigmoideo gira hacia delante y luego desciende en forma de la vena yugular interna, después de atravesar el orificio yugular (fig. 7.21B).

El **seno occipital** se sitúa en el borde insertado de la hoz del cerebelo (fig. 7.18B) y termina por arriba en la confluencia de los senos (fig. 7.19). El seno occipital se comunica por abajo con el plexo venoso vertebral interno.

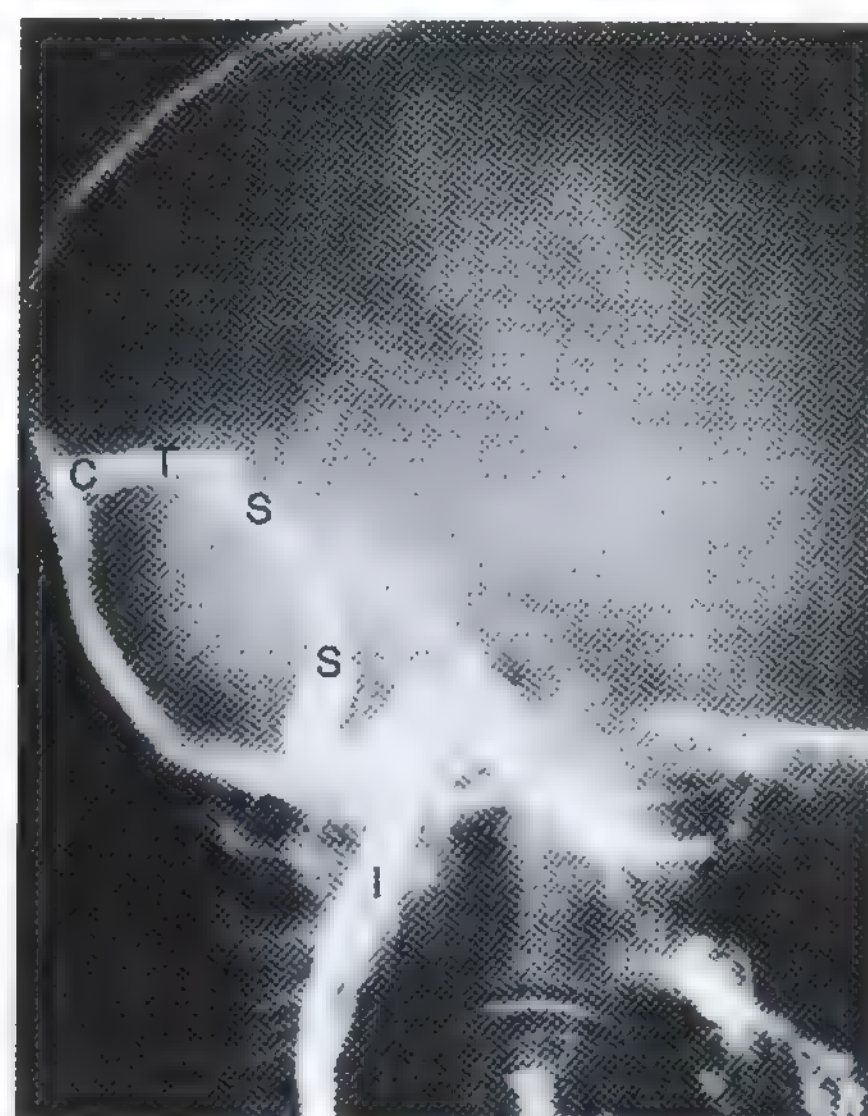
Los **senos cavernosos** o compartimientos selares laterales se sitúan a ambos lados de la silla turca en la cara superior del cuerpo del hueso esfenoides hueco, que contiene el seno esfenoidal (neumático) (figs. 7.18B y 7.21). Cada compartimiento selar contiene un seno cavernoso que se compone de un plexo venoso de venas con paredes muy finas y

- Se extiende desde la fisura orbitaria superior por delante hasta el vértice de la porción petrosa del hueso temporal por detrás.
- Recibe sangre de las venas oftálmicas superior e inferior, vena cerebral media superficial y seno esfenoparietal.

Los canales venosos de estos senos se comunican entre sí a través de conductillos venosos situados delante y detrás del tallo de la glándula pituitaria, los **senos intercavernosos** (fig. 7.21, A y B), y a veces de venas ubicadas bajo la glándula pituitaria. Los senos cavernosos desembocan en sentido posteroinferior en los **plexos pterigoideos** por vía de los **senos petrosos** superior e inferior y de venas emisa-



(A) Visión anteroposterior



(B) Visión lateral

Figura 7.19. Flebotomografía de los senos de la duramadre. Tras inyectar un colorante radiopaco en el sistema arterial ha pasado tiempo suficiente para que circule por los capilares del encéfalo y llegue hasta los senos venosos de la duramadre, donde se practicaron estudios radiológicos anteroposterior (AP) y lateral. C, confluencia de los senos; T, seno transverso; S, seno sigmoideo; I, vena yugular interna. En la proyección AP (A) se observa el predominio izquierdo del drenaje de la confluencia sinusal. (Cortesía del Dr. D. Armstrong, Profesor Ayudante de Imagen Médica, Universidad de Toronto, Toronto, Ontario, Canadá.)

rias (figs. 7.18B y 7.21B). Dentro de cada seno o compartimiento se encuentra la **arteria carótida interna** con sus pequeñas ramas (fig. 7.21C) rodeada del plexo carotídeo de nervios simpáticos y del **nervio abducens** (NC VI). *De arriba abajo, la pared lateral del seno cavernoso aloja:*

- El nervio oculomotor.
- El nervio troclear (NC IV).
- El nervio trigémino (NC V₁ y, menos veces, NC V₂).

Estos nervios craneales llevan una vaina en la pared lateral del seno.

Los **senos petrosos superiores** se dirigen desde los extremos posteriores de las venas que forman el seno cavernoso hasta los senos transversos, en el lugar donde los senos se curvan hacia abajo para formar los senos sigmoideos (fig. 7.21B). Cada seno petroso superior reside en el borde fijo anterolateral de la tienda del cerebelo, que se inserta en el borde superior (cresta) de la porción petrosa del hueso temporal (fig. 7.20).

Los **senos petrosos inferiores** también comienzan en el extremo posterior del seno cavernoso, por abajo. Cada seno petroso inferior discurre por un surco entre la porción petrosa del hueso temporal y la porción basilar del hueso occipital (fig. 7.20). Los senos petrosos inferiores drenan la sangre venosa del seno cavernoso lateral directamente en el origen de la vena yugular interna.

El **plexo (seno) basilar** comunica los senos petrosos inferiores y se conecta, por abajo, con el plexo venoso vertebral interno (fig. 7.18B).

Existen venas emisarias que comunican los senos venosos de la duramadre con venas extracraneales. Aunque carecen de válvulas y la sangre puede fluir en ambas direcciones, el flujo por las venas emisarias suele alejarse del cerebro. El tamaño y el número de las venas emisarias varía. Los niños y algunos adultos tienen una *vena emisaria frontal*, que atraviesa el orificio ciego del cráneo y comunica el seno sagital superior con venas del seno frontal y las cavidades nasales. Una *vena emisaria parietal*, a veces par y bilateral, perfora el orificio

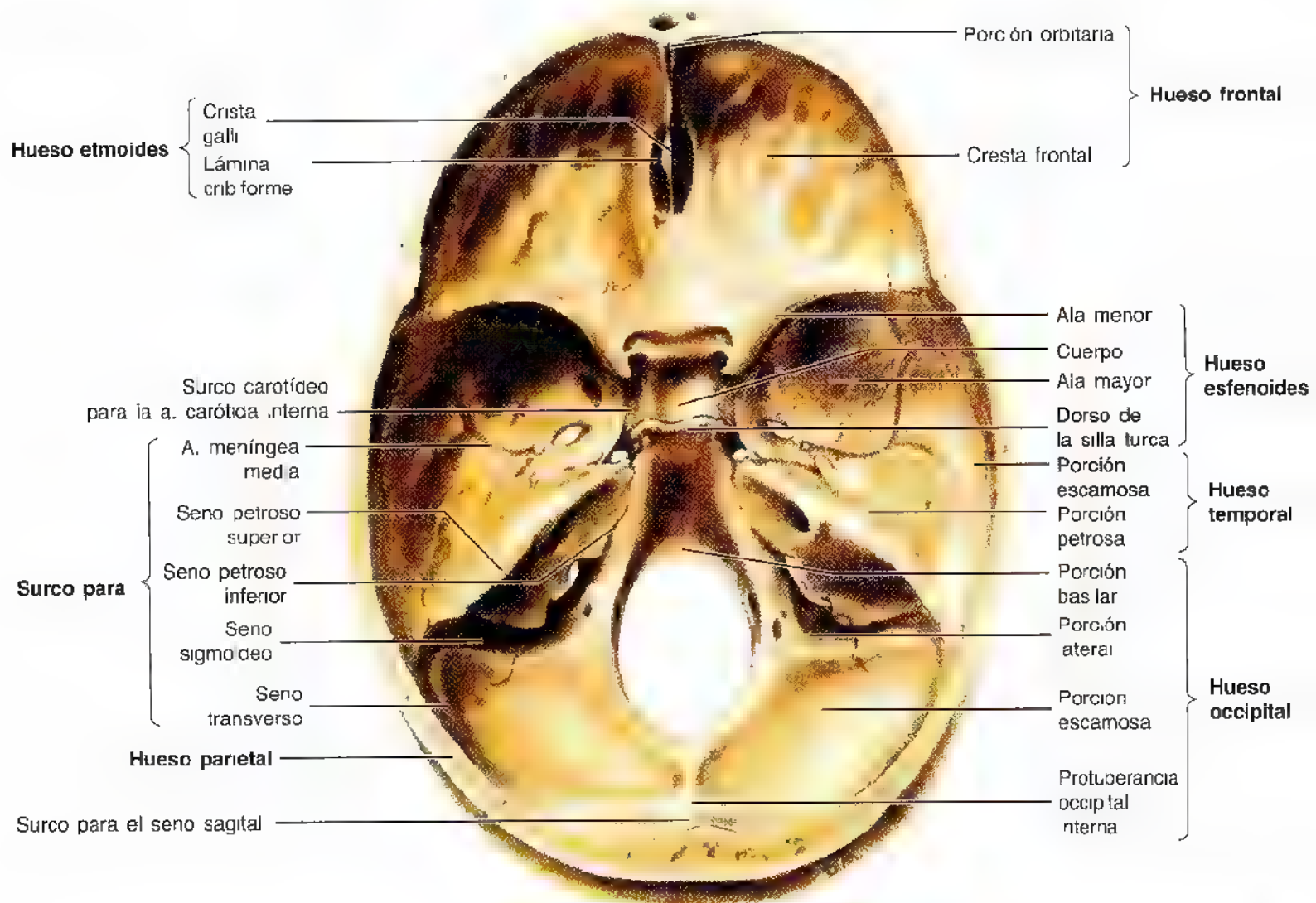


Figura 7.20. Interior de la base del cráneo. Visión superior. Se observa la protuberancia occipital interna, que se crea en relación con la confluencia sinusal y los surcos de la base del cráneo constituidos por los senos venosos de la duramadre (p. ej., el seno sigmoideo). Los surcos para los senos transversos y los senos petrosos superiores constituyen también el lugar de inserción de la tienda de cerebelo.

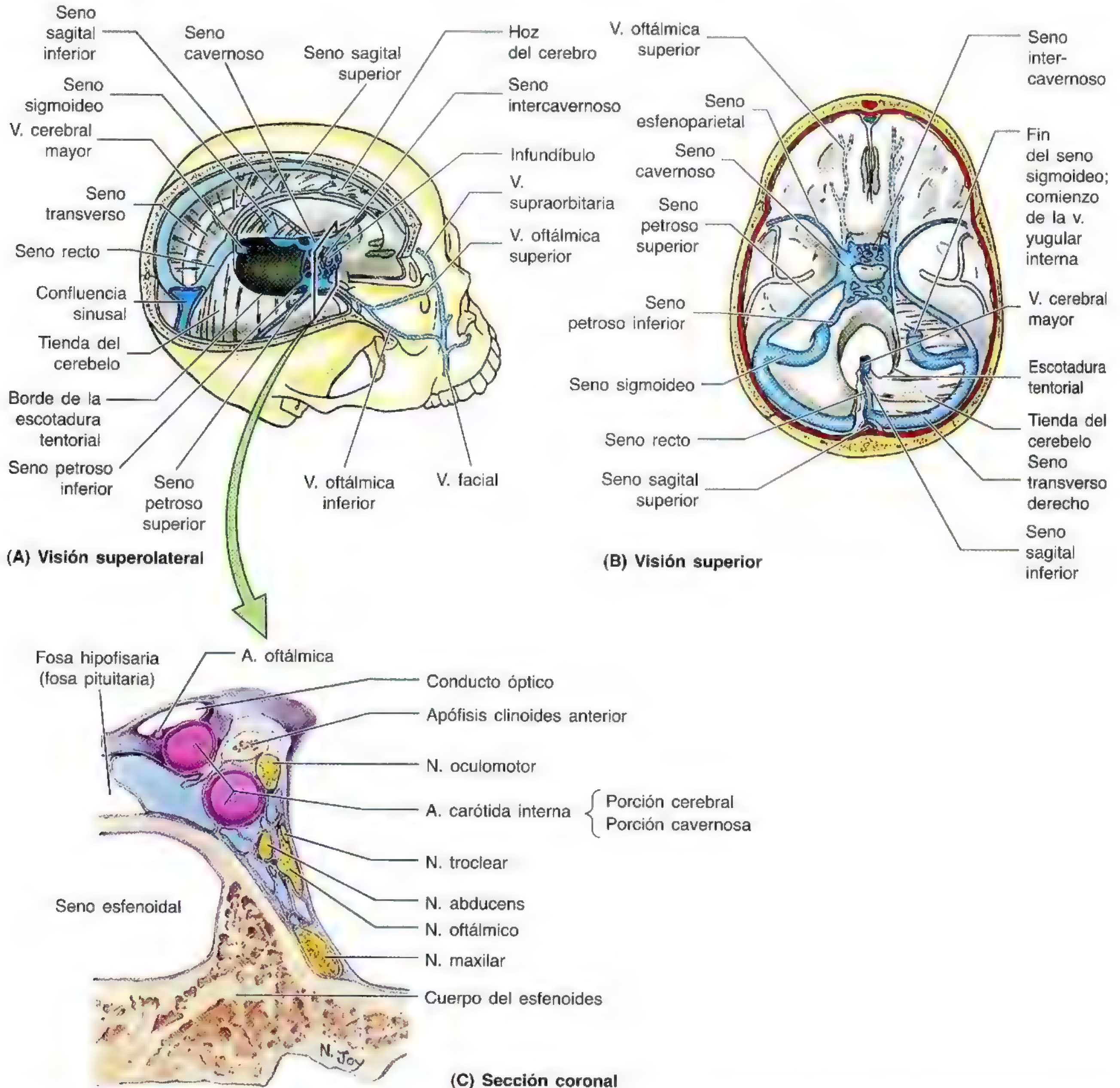


Figura 7.21. Senos venosos de la duramadre. La sangre del encéfalo drena a los senos que se forman dentro de la duramadre. **A.** Visión superolateral derecha. Se han extirpado el encéfalo y parte de la calota (bóveda del cráneo) para ver los senos relacionados con la hoz del cerebro y la tienda del cerebelo. **B.** Visión superior del interior de la base del cráneo, que muestra la mayoría de las comunicaciones de los senos cavernosos (la comunicación inferior con el plexo pterigoideo representa una excepción notable) y el drenaje de la confluencia sinusal. Se advierte cómo las venas oftálmicas drenan en el seno cavernoso. **C.** Visión anterior de una sección coronal del seno cavernoso derecho y del cuerpo del esfenoides. Este seno venoso está situado a ambos lados, en la cara lateral del cuerpo del esfenoides –que contiene el seno esfenoidal (neumatizado)– y con la fosa hipofisaria (fosa pituitaria) por encima. Se observa cómo los nervios craneales III, IV, V. y V₂ se encuentran dentro de una vaina en la pared lateral del seno, y cómo la arteria carótida interna está rodeada por el plexo carotídeo interno de nervios linfáticos (no se muestra) a medida que la arteria y el nervio abducens (NC VI) atraviesan el seno cavernoso. Adviértase que la arteria carótida interna, después de efectuar una torsión aguda, se ha cortado de manera doble; la sección inferior de la arteria corresponde al paso anterior de la arteria por el surco carotídeo en dirección a la zona de torsión brusca (porción cavernosa); la sección superior corresponde al paso posterior de la arteria desde la zona de torsión para unirse con el circuito arterial del cerebro (de Willis, porción cerebral). La arteria oftálmica es una rama de esta última.

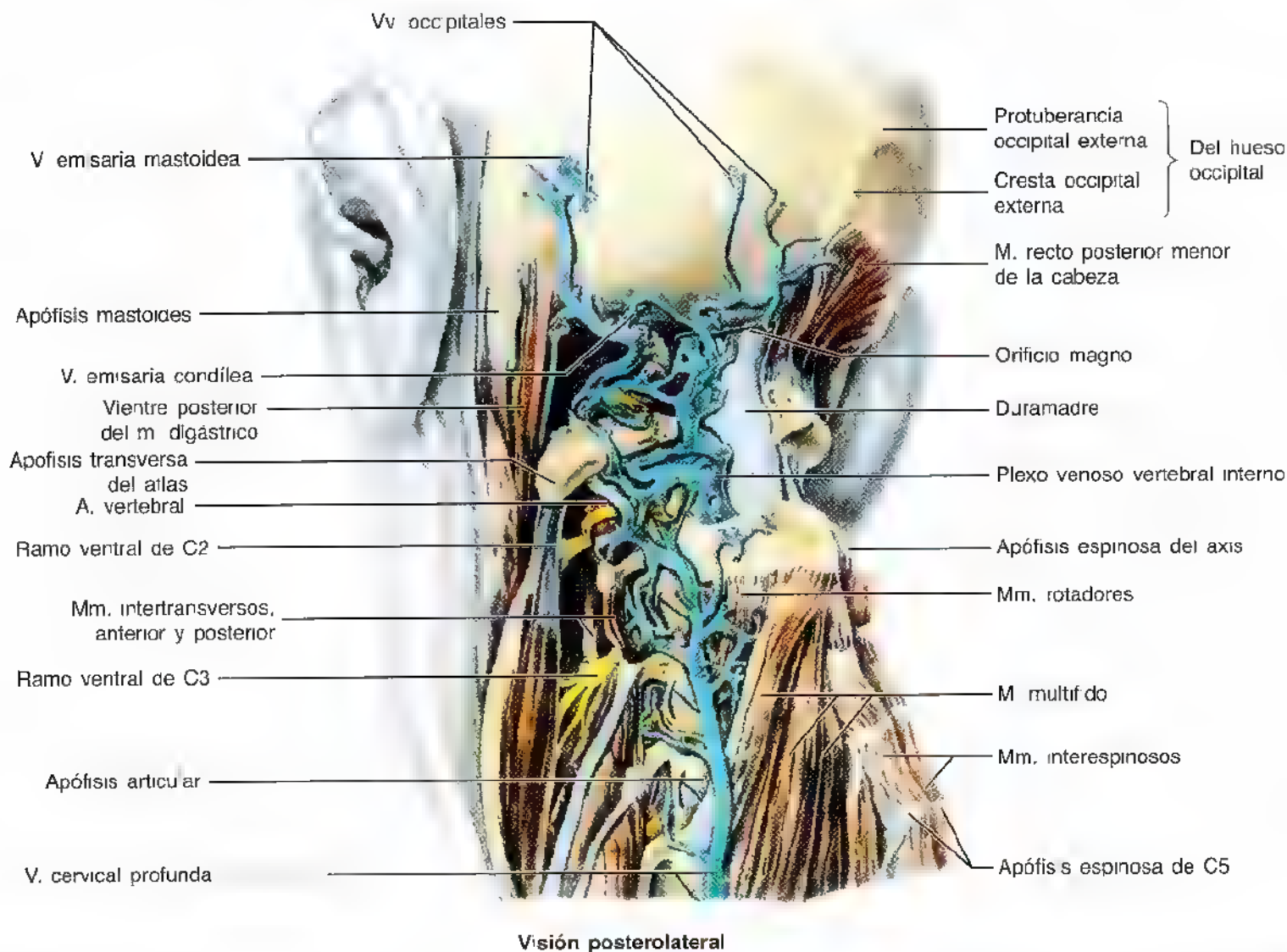


Figura 7.22. Disección profunda de la región suboccipital. Obsérvese el sistema de las venas vertebrales y sus numerosas intercomunicaciones y conexiones (p. ej. a través del orificio magno y del orificio mastoideo y del conducto condíleo con los senos venosos intracraneales) entre las láminas y el plexo venoso vertebral interno (epidural) a través de los orificios intervertebrales (V), se aprecia la comunicación con las venas de cuero cabelludo, con las venas que rodean la arteria vertebral y con la vena cervical profunda así como con la vena braquiocéfica por abajo.

parietal de la calota para comunicar el seno sagital superior con venas extracraneales, en particular del cuero cabelludo. Otra **vena emisaria mastoidea** (fig. 7.22) atraviesa el orificio mastoideo y comunica cada seno sigmoideo con la vena

occipital o auricular posterior. A veces se encuentra una *vena emisaria condílea posterior*, que atraviesa el conducto condíleo y comunica el seno sigmoideo con el plexo venoso suboccipital.

Obstrucción de las venas cerebrales y de los senos venosos de la duramadre

La obstrucción de las venas cerebrales y de los senos venosos de la duramadre puede obedecer a un trombo, tromboflebitis o tumores (p. ej., meningiomas). Los senos de la duramadre que se trombosan más a menudo son los senos transverso, cavernoso y sagital superior (Fishman, 1995a).

Las venas de la cara se comunican con el seno cavernoso a través de las venas oftálmicas superiores, hecho de enor-

me relevancia clínica (fig. 7.18B). La trombosis del seno cavernoso suele seguir a infecciones de la órbita, senos nasales o parte superior de la cara (el triángulo peligroso [pág. 884]). Los fragmentos del coágulo infectado de los enfermos con tromboflebitis facial pueden propagarse al seno cavernoso e inducir una tromboflebitis del seno cavernoso. La infección suele afectar sólo a un seno al principio, pero a veces alcanza el seno del otro lado a través de las comunicaciones intercavernosas. La trombosis séptica del seno cavernoso determina, en muchos casos, una meningitis aguda.

Metástasis de células tumorales en los senos de la duramadre

Los senos basilar y occipital se comunican, a través del orificio magno, con los *plexos venosos vertebrales internos (epidurales)* (fig. 7.18B). Como estos conductos venosos carecen de válvulas, la compresión del tórax, abdomen o pelvis –como sucede al toser con fuerza o en las maniobras de compresión abdominal– impulsa a veces la sangre venosa de estas regiones hacia el sistema venoso vertebral interno, y desde aquí, hasta los senos de la duramadre. En consecuencia, el pus de los abscesos y tumores de estas regiones acaba extendiéndose hasta las vértebras y el encéfalo.

La vascularización de la duramadre

Las **arterias de la duramadre** conducen más sangre a la calota que a la duramadre. La mayor de las arterias meníngeas, la **arteria menínea media** (fig. 7.17), es una rama de la arteria maxilar que entra por el suelo de la fosa craneal media a través del **orificio espinoso**, cursa lateralmente por la fosa y se gira en sentido superoanterior sobre el ala mayor del esfenoides, dividiéndose ahí en las ramas anterior y posterior. La **rama anterior de la arteria menínea media** tiene un curso ascendente hasta el pterión y luego se curva hacia atrás para ascender hasta el vértice del cráneo. Un golpe sobre un lado de la cabeza puede fracturar los huesos que forman el pterión y romper ramas de la arteria menínea media. La **rama posterior de la arteria menínea media** tiene un trayecto posterosuperior y se ramifica en la cara posterior del cráneo. Algunas zonas pequeñas de duramadre están irrigadas por otras arterias: ramas meníngeas de las arterias oftálmicas, ramas de las arterias occipitales y pequeñas ramas de las arterias vertebrales.

Las **venas de la duramadre** acompañan a las arterias meníngeas, habitualmente por parejas (fig. 7.17), y también pueden desgarrarse en las fracturas de la calota.

Fracturas de la base del cráneo

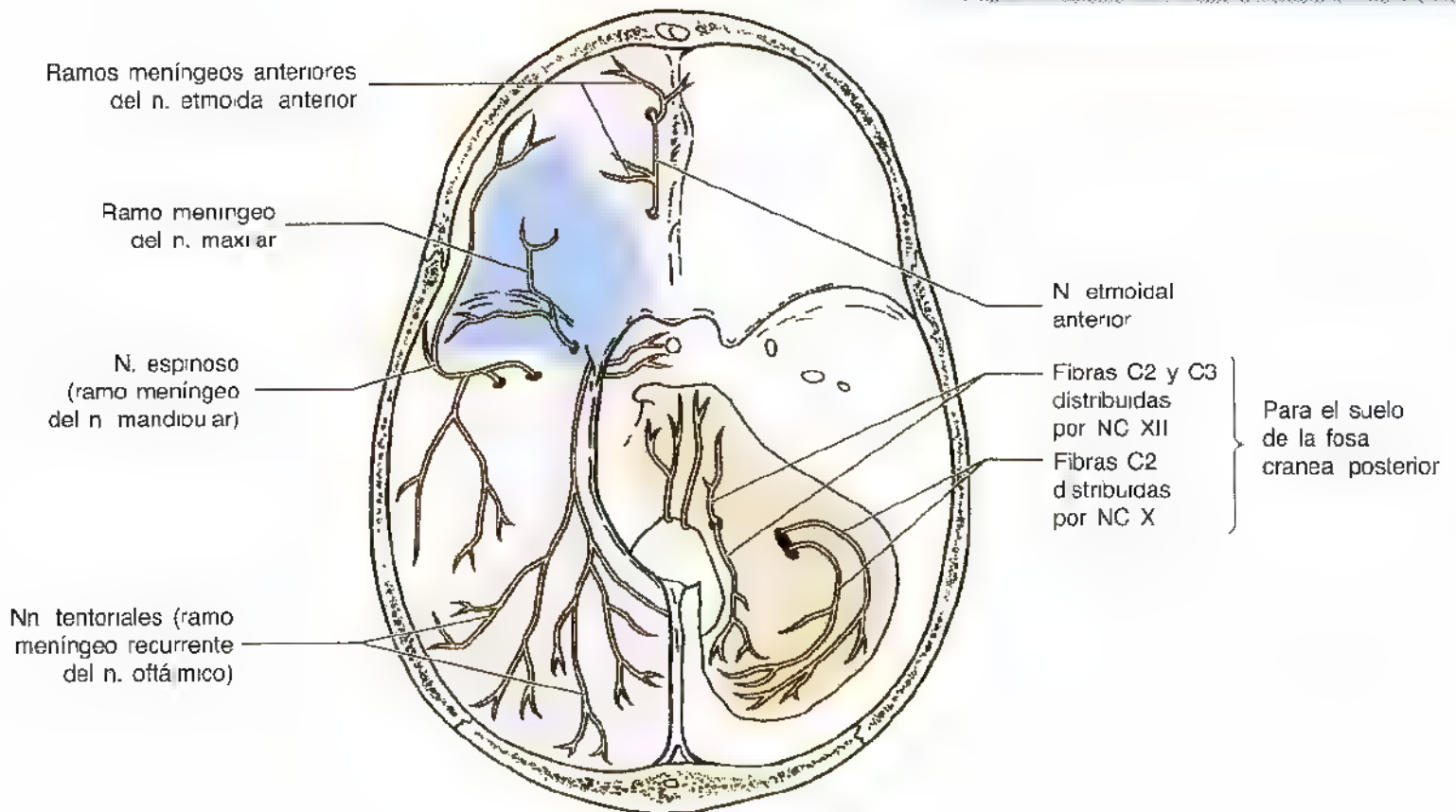
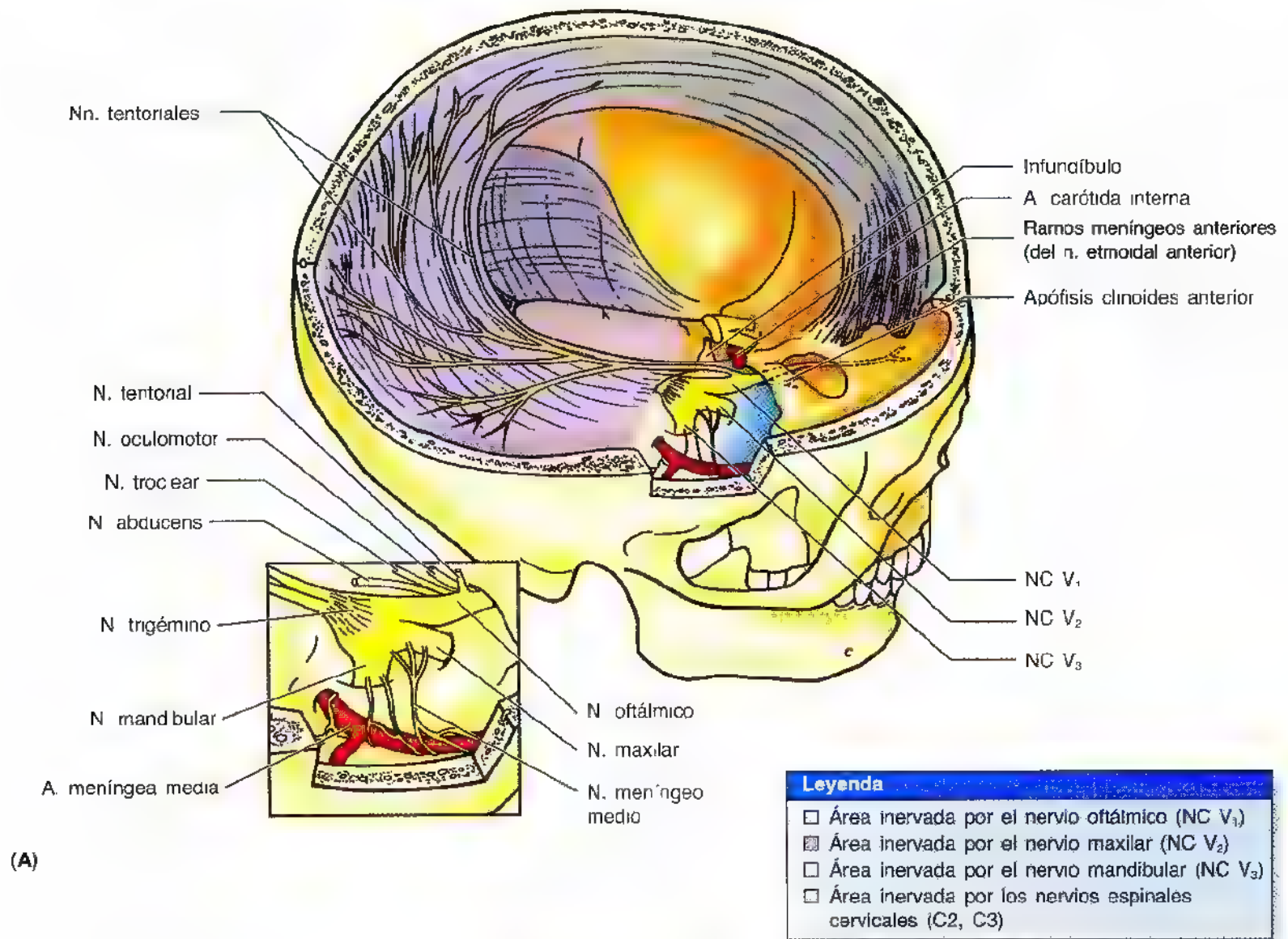
La arteria carótida interna se puede desgarrar en el interior del seno cavernoso en las fracturas de la base del cráneo, dando lugar a una *fístula arteriovenosa*. La sangre arterial mana al seno cavernoso, que aumenta de tamaño y la conduce a las venas comunicantes, sobre todo a las oftálmicas. El resultado es una protrusión ocular (*exoftalmía*) y una ingurgitación conjuntival (*quemosis*). El ojo saliente pulsa de manera sincrónica con el pulso radial, fenómeno que se conoce como *exoftalmía pulsátil*. Como los nervios craneales III, IV, V₁, V₂ y VI se encuentran dentro o cerca de la pared lateral del seno cavernoso, cuando se lesiona este seno también se pueden dañar los nervios citados. +

Las **venas meníngeas medias** siguen a la arteria menínea media, abandonan la cavidad craneal por el orificio espinoso u oval y drenan en el **plexo venoso pterigoideo** (fig. 7.18B).

Inervación de la duramadre

La inervación de la duramadre de la fosa craneal anterior y media proviene, sobre todo, de ramos del nervio trigémino. Los *ramos meníngeos anteriores* de los **nervios etmoidales** (NC V₁) y los ramos meníngeos de los **nervios maxilar y mandibular** inervan la duramadre de la fosa craneal anterior (fig. 7.23). La duramadre de la fosa craneal media está inervada, sobre todo, por ramos de la 2ª y la 3ª divisiones del nervio trigémino. La duramadre de la fosa craneal posterior recibe ramos tentoriales del nervio oftálmico y ramos sensitivos de las raíces dorsales de los nervios C1 a C3, y también parte de inervación del nervio vago (NC X). Las terminaciones sensitivas de la duramadre abundan más a cada lado del seno sagital superior y en la tienda del cerebelo que en el suelo del cráneo. El número de fibras dolorosas aumenta en el trayecto de las arterias y venas por la duramadre.

Figura 7.23. Inervación de la duramadre. **A.** Se han extirpado el lado derecho de la calota (bóveda del cráneo) y el encéfalo y se ha disecado el nervio trigémino (NC V). La duramadre de la fosa craneal anterior está inervada por el nervio oftálmico (NC V₁) a través de ramos meníngeos de los nervios etmoidales. La duramadre de la fosa craneal media lo está por ramos meníngeos de los nervios maxilar (NC V₂) y mandibular (NC V₃). La duramadre del techo de la fosa craneal posterior (tienda del cerebelo) recibe ramos tentoriales del nervio oftálmico. Las fibras nerviosas autónomas se dirigen a los vasos sanguíneos (p. ej., la arteria menínea media). **B.** Visión superior de la cara interna de la base del cráneo, donde se observa cómo la duramadre recibe ramos de los nervios trigémino y cervicales. La duramadre del suelo de la fosa craneal posterior está inervada por ramos meníngeos de los nervios vago (NC X) e hipogloso (NC XII), que contienen ambas fibras cervicales (C2 y C3).



Cefaleas con origen en la duramadre

La duramadre es una estructura sensible al dolor, sobre todo la zona de los senos venosos y de las arterias meníngeas. Por eso, la tracción de las arterias de la base del cráneo o de las venas cercanas al vértice —en el lugar donde atraviesan la duramadre— provoca dolor. Si bien las causas de la cefalea son muy numerosas (Raskin, 1995), se cree que una de ellas es la distensión de los vasos del cuero cabelludo o de las meninges (o de ambos). Muchas cefaleas tienen un origen aparente en la duramadre, como la cefalea que sucede tras una *punción lumbar para la extracción de líquido cefalorraquídeo* (véase el capítulo 4): este dolor se atribuye a la estimulación de las terminaciones nerviosas sensitivas de la duramadre. Cuando se extrae líquido cefalorraquídeo el cerebro se comba ligeramente y tira de la duramadre; esta acción puede ocasionar dolor de cabeza. Por este motivo se insta a los pacientes a que mantengan la cabeza echada después de una punción lumbar, para reducir al mínimo o evitar la cefalalgia. ◉

La piamadre y la aracnoides

La piamadre y la aracnoides se desarrollan de una sola capa de mesénquima que rodea el cerebro embrionario (Moore y Persaud, 1998). La aracnoides y la piamadre forman, de hecho, las porciones “visceral” y parietal de una misma capa, incluso en el adulto, y se denominan *leptomeninges* (que significa membranas finas en griego). Dentro de esta capa se forman espacios llenos de líquidos, que coalescen para dar el **espacio subaracnoideo** (fig. 7.24). La procedencia de la piamadre y de la aracnoides de una misma capa embrionaria se refleja en el adulto por las numerosas **trabéculas aracnoideas** que pasan del aracnoides a la piamadre, y que reciben este nombre por su semejanza con una telaraña. Las trabéculas se componen de fibroblastos aplanados, de morfología irregular, que establecen un puente en el espacio subaracnoideo (Haines, 1997). La piamadre y la aracnoides se continúan en la zona inmediatamente proximal a la salida del nervio de la duramadre.

La **aracnoides** contiene fibroblastos, fibras de colágeno y algunas fibras elásticas. Esta membrana, aunque fina, tiene el grosor suficiente para manipularla con unas cintas. La aracnoides avascular, íntimamente opuesta a la capa meníngea de la duramadre, no está inserta en la duramadre, sino que se mantiene pegada a la cara interna de la duramadre por la presión que ejerce el LCR.

La **piamadre** es una membrana aún más delgada y muy vascularizada por una red de finos vasos sanguíneos. Resulta difícil de ver, pero otorga a la superficie cerebral un aspecto brillante. La piamadre se adhiere a la superficie del cerebro y sigue todo su contorno. Cuando las arterias cerebrales

penetran en la corteza cerebral, la piamadre las sigue en un trayecto corto, creando una **cubierta de piamadre** y un espacio periarterial.

Los espacios meníngeos

Existen tres espacios meníngeos relacionados con las meninges craneales:

- La *interfaz entre la duramadre y el cráneo* (“espacio extradural o epidural”) no es un espacio real en condiciones normales, sino virtual, que se establece entre los huesos del cráneo y la capa perióstica externa de la duramadre, porque la duramadre está unida al hueso. Sólo se transforma en un espacio real en estado patológico; por ejemplo, cuando la sangre de un vaso meníngeo desgarrado despegga el periostio del cráneo y se acumula en su interior.
- La *unión o interfaz entre la duramadre y la aracnoides* (“espacio subdural”) también es, en principio, un espacio virtual que puede materializarse en la capa de las células del borde dural tras un golpe sobre la cabeza (Haines, 1997).
- El *espacio subaracnoideo*, entre la aracnoides y la piamadre, es real y contiene LCR, células trabeculares, arterias y venas.

Si bien con frecuencia se afirma que el encéfalo “flota” dentro del LCR, en realidad está suspendido por las trabéculas aracnoideas en el espacio subaracnoideo lleno de LCR.

Leptomeningitis

La leptomeningitis es una inflamación de las leptomeninges causada por microorganismos patógenos. La infección y la inflamación suelen delimitarse al espacio subaracnoideo y a la piamadre-aracnoides (Miller y Jubelt, 1995). Las bacterias penetran en el espacio subaracnoideo por la sangre (*septicemia*, “intoxicación de la sangre”) o bien a partir de infecciones del corazón, pulmones u otras vísceras. Los microorganismos también alcanzan el espacio subaracnoideo en las fracturas complejas del cráneo o en las fracturas de los senos paranasales. La *meningitis purulenta aguda* puede producirla casi cualquier bacteria patógena (p. ej., *meningitis meningocócica*). La inflamación de las meninges caracterizada por la presencia de pus o asociada a ésta se conoce como **meningitis purulenta**.

Lesiones craneales y hemorragia intracraneal

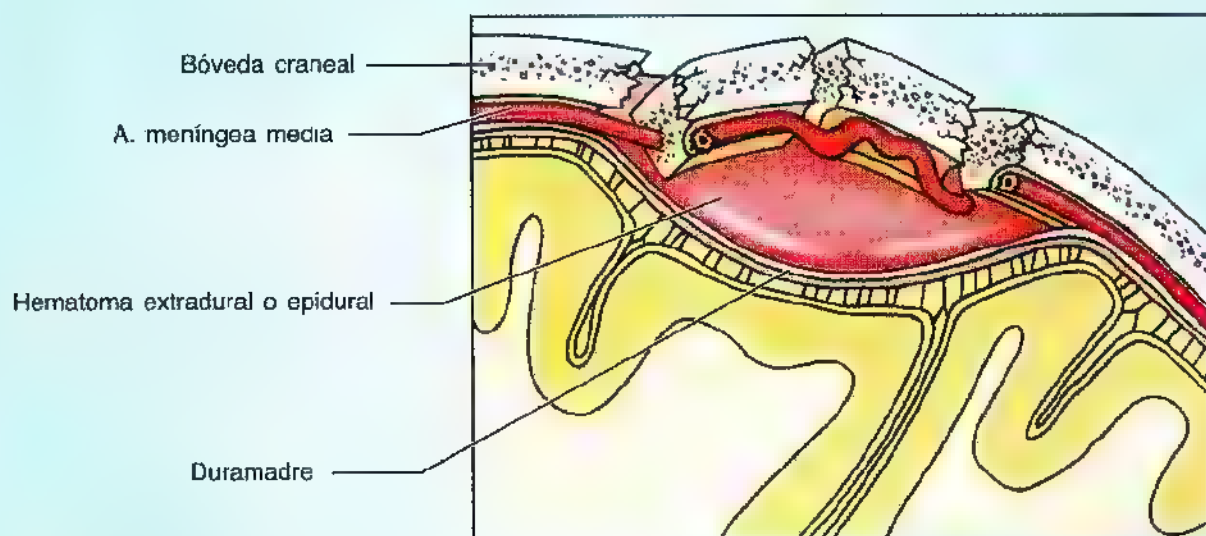
La *hemorragia extradural o epidural* tiene un origen arterial. La sangre de las ramas desgarradas de una ►

► **arteria meníngica media** se acumula entre la capa perióstica externa de la duramadre y la bóveda craneal —de ordinario, tras golpes sobre la cabeza—, y crea un **hematoma extradural o epidural**. En los casos habituales se observa una **convulsión** (pérdida del conocimiento) breve, seguida de un intervalo lúcido de algunas horas. Luego se establece somnolencia y coma (inconsciencia profunda). La compresión del cerebro sucede conforme aumenta la masa de sangre, y es necesario evacuar la sangre y suturar los vasos sangrantes.

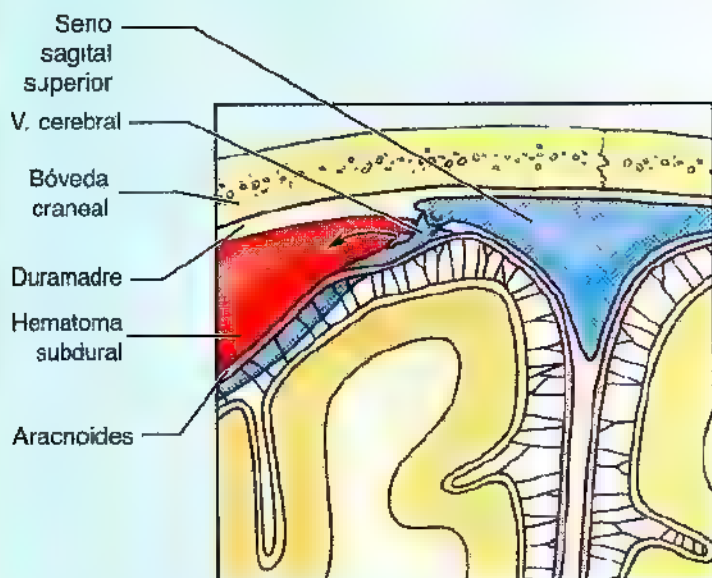
Los **hematomas del borde de la duramadre** se denominan clásicamente **hematomas subdurales**, aunque este es un término erróneo, puesto que no existe tal espacio natural en la unión entre la duramadre y la aracnoides. “Los hematomas de esta zona de unión obedecen casi siempre a sangre extravasada que abre la capa de células limítrofes de la duramadre. Esta sangre no se acumula dentro de un espacio preexistente, sino que, más

bien, crea un espacio en la unión entre la duramadre y la aracnoides” (Haines, 1997). La **hemorragia del borde de la duramadre** suele acompañar a golpes sobre la cabeza que sacuden el encéfalo dentro del cráneo y lo dañan. El traumatismo desencadenante puede ser mínimo y a veces incluso se llega a olvidar. El desplazamiento encefálico es mayor entre las personas de edad, quienes presentan un encéfalo más reducido. La **hemorragia del borde de la duramadre** suele tener un origen venoso; en general, obedece a un **desgarro de una vena cerebral** (fig. 7.18B) que penetra en el seno sagital superior (Haines, 1991). Si bien la duramadre y la aracnoides suelen estar adyacentes y parecen dos caras de una misma membrana, la sangre acaba recogándose en un espacio anómalo que crea el propio traumatismo.

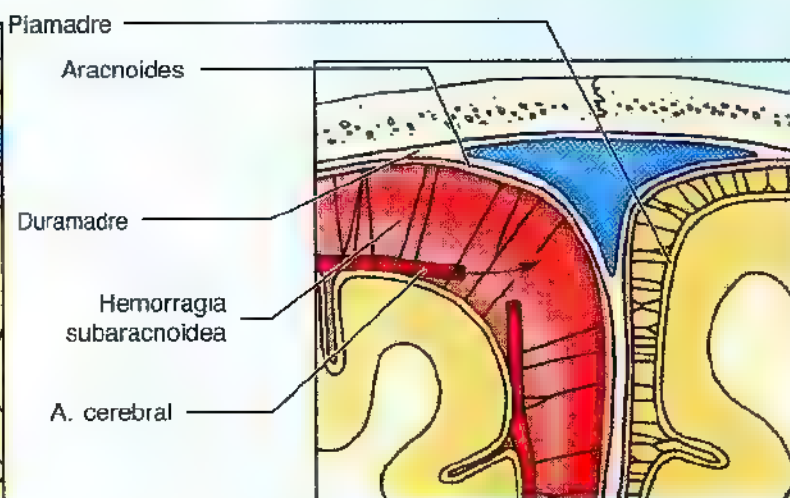
La **hemorragia subaracnoidea** es una extravasación (escape) de sangre (por lo común, arterial) dentro del espacio subaracnoideo. Casi todas las hemorragias ►



Hemorragia extradural o epidural



Hematoma del borde de la duramadre (subdural)



Hemorragia subaracnoidea

► subaracnoideas (aproximadamente el 70%) son consecuencia de la *rotura de un aneurisma* (dilatación) *sacular*, como los aneurismas de la arteria carótida interna. Algunas hemorragias subaracnoideas se asocian con fractura

del cráneo y desgarro cerebral. El sangrado en el espacio subaracnoideo determina una irritación meníngea, cefalea intensa, rigidez de cuello y, a menudo, pérdida del conocimiento. ⊕

El encéfalo

El encéfalo, que se compone de *cerebro*, *cerebelo* y *tronco* (mesencéfalo, puente y bulbo raquídeo), se aloja en la cavidad craneal o espacio del cráneo ocupado por el encéfalo, las meninges y el LCR. El techo de la cavidad craneal lo forma la calota, y el suelo, la base del cráneo. La exposición breve que sigue sobre la estructura macroscópica del encéfalo revela las relaciones del encéfalo con el cráneo, los nervios craneales, las meninges y el LCR.

Las porciones del encéfalo

Si se extraen la calota y la duramadre se ven las *circunvoluciones* (pliegues), los *surcos* y las *cisuras* de la corteza cerebral a través de la fina capa de *piamadre* y *aracnoides* (fig. 7.25). Las cisuras y los surcos cerebrales son marcas características que subdividen los hemisferios cerebrales en áreas más pequeñas (lóbulos y circunvoluciones). El **cerebro**, la parte principal del encéfalo, comprende los hemisferios cerebrales y el diencefalo, pero no el tronco del encéfalo (bulbo raquídeo, puente y mesencéfalo).

- Los **hemisferios cerebrales** constituyen la parte principal del cerebro, ocupan las fosas craneales anterior y media y se extienden hacia atrás sobre la tienda del cerebelo y el cerebelo (es decir, sobre toda la cavidad craneal supratentorial). La cavidad de cada hemisferio cerebral, el *ventrículo lateral*, forma parte del sistema ventricular del encéfalo (fig. 7.26).
- El **diencefalo** se compone de epítalamo, tálamo dorsal e hipotálamo, y forma el núcleo central del encéfalo, además de *rodear el 3^{er} ventrículo* (fig. 7.25B); la cavidad entre las mitades derecha e izquierda del diencefalo configura este estrecho ventrículo.
- El **mesencéfalo**, la parte rostral del tronco encefálico, radica en la unión entre las fosas craneales media y posterior; la cavidad mesencefálica crea un conducto estrecho —el **acueducto del cerebro**— que lleva el LCR de los ventrículos laterales a los ventrículos 3^o y 4^o.
- El **puente** o porción del tronco comprendida entre el mesencéfalo por la cara rostral y el bulbo raquídeo por la caudal se encuentra en la parte anterior de la fosa craneal posterior; la cavidad del puente forma el techo del 4^o ventrículo.

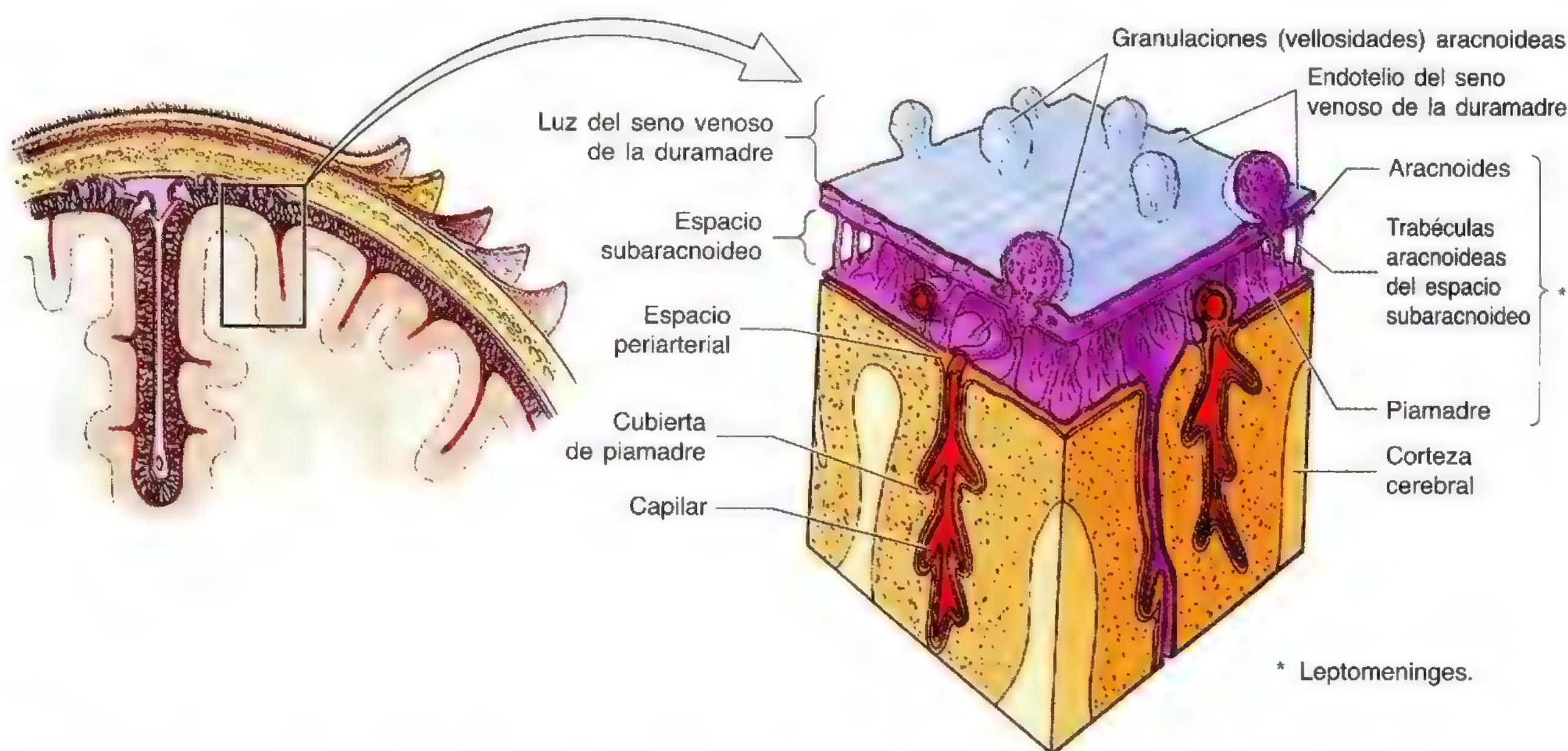


Figura 7.24. Sección coronal del vértice del cráneo que ilustra las meninges y el espacio subaracnoideo (leptomeninges). El espacio subaracnoideo separa la aracnoides y la piamadre. El lugar principal de absorción del líquido cefalorraquídeo (LCR) por el sistema venoso son las granulaciones (vellosidades) aracnoideas que se proyectan hacia los senos venosos de la duramadre, sobre todo al seno sagital superior y a las lagunas venosas adyacentes (véase fig. 7.17).

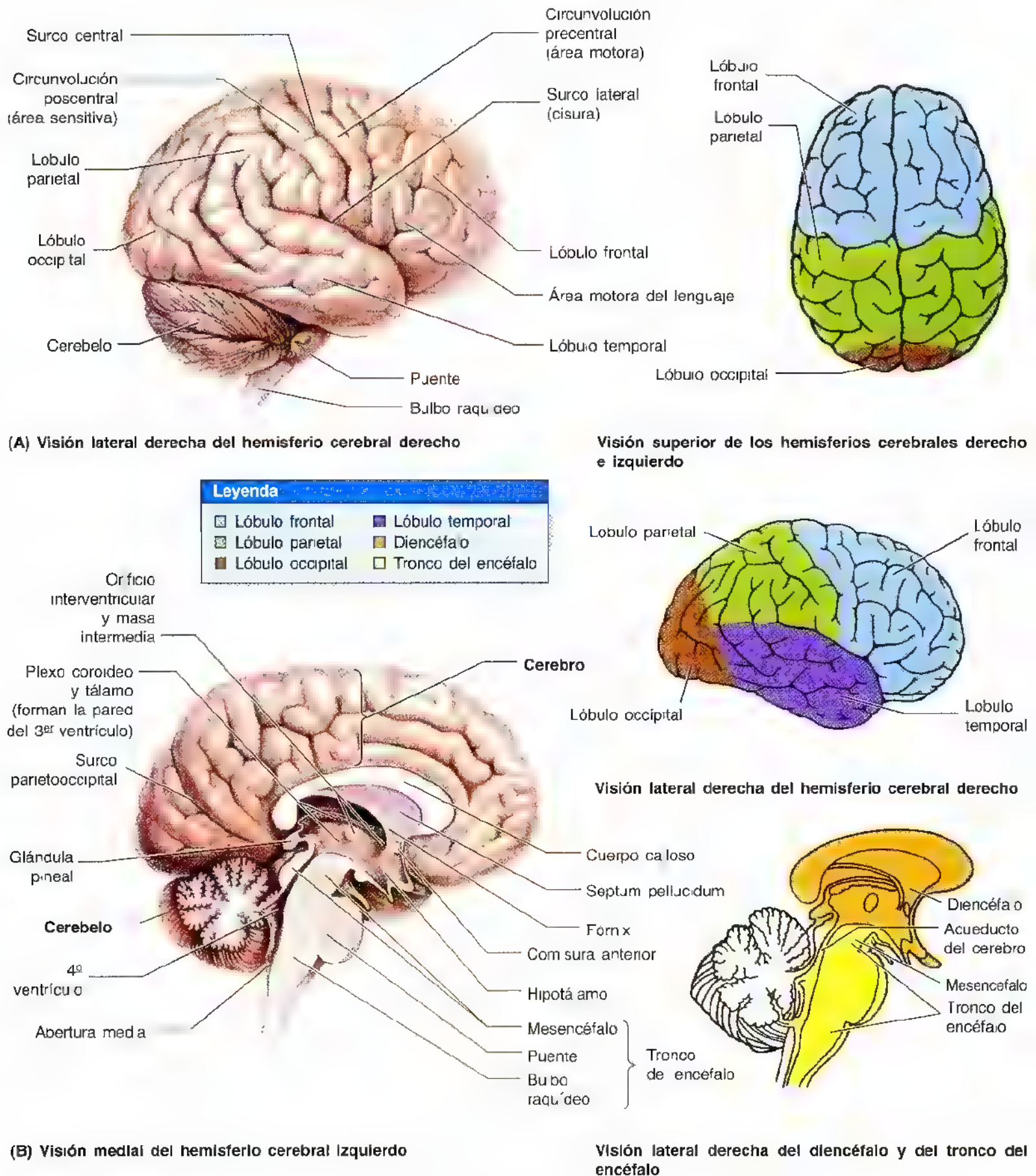


Figura 7.25. Estructura del encéfalo. A. Visiones lateral y superior derechas de la superficie encefálica. Obsérvense las circunvoluciones (pliegues) y los surcos de los lóbulos frontal, parietal y occipital. B. Corte medio izquierdo del encéfalo. Una vez más se aprecia cómo la corteza cerebral está compuesta por circunvoluciones y surcos. Obsérvense las porciones del tronco encefálico y los ventrículos del cerebro. A la derecha se advierten los lóbulos cerebrales y el diencefalo, mesencéfalo y tronco del encéfalo. Exáminese el acueducto de cerebro (acueducto mesencefálico) que comunica los ventrículos 3º y 4º.

- El **bulbo raquídeo** –la subdivisión más caudal del tronco del encéfalo que se continúa con la médula espinal– se sitúa en la fosa craneal posterior; la cavidad bulbar forma la porción inferior del 4º ventrículo.
- El **cerebelo**, o masa encefálica voluminosa situada dorsal al puente y al bulbo y ventral a la parte posterior del cerebro, se encuentra debajo de la tienda del cerebelo en la fosa craneal posterior y consta de dos hemisferios la-

terales unidos por una porción intermedia estrecha, el vermis.

Del encéfalo nacen 11 de los 12 nervios craneales y los once abandonan la cavidad craneal. Cumplen funciones motora, parasimpática, sensitiva o una combinación de ellas. En general, estos nervios se rodean de una vaina de duramadre cuando salen del cráneo; esta vaina se continúa con el tejido conjuntivo del epineurio. En el capítulo 9 se resumen los nervios craneales.

Lesiones cerebrales

La **conmoción cerebral** es una pérdida brusca y breve del conocimiento que sigue de inmediato a las lesiones craneales. El conocimiento puede perderse tan sólo de 8 a 10 segundos, como ocurre con los boxeadores no-queados. Si la lesión es más intensa, por ejemplo por un accidente de coche, el conocimiento se pierde durante horas o incluso días. Si el enfermo recupera la conciencia a las 6 horas, el pronóstico a largo plazo resulta excelente (Rowland, 1995). Si el coma dura más de 6 horas suele ocasionar una lesión del tejido cerebral. Los boxeadores profesionales corren un riesgo especial de sufrir *encefalopatía traumática crónica* (estar grogui o sonado), lesión cerebral caracterizada por debilidad de los miembros inferiores, marcha inestable, lentitud motora, temblor de la mano, habla entrecortada y retraso de las funciones cerebrales. Las lesiones se deben a la aceleración y desaceleración de la cabeza, que desgarran o estiran los axones (*lesión axonal difusa*). La parada repentina de la cabeza en movimiento motiva un golpe del cerebro contra el cráneo, detenido de forma brusca.

La **contusión cerebral** se debe a un traumatismo con arrancamiento de la piamadre de la cara lesionada del cerebro y posible desgarramiento posterior; el desgarramiento permite el paso de sangre al espacio subaracnoideo. La hemorragia

se debe al impacto brusco del cerebro, en fase de movimiento, contra el cráneo, detenido de manera repentina, o al movimiento repentino del cráneo contra el cerebro parado. La contusión cerebral puede determinar una pérdida prolongada del conocimiento.

Las **laceraciones cerebrales** (desgarro del tejido nervioso) se asocian, a menudo, a fracturas con depresión del cráneo o a heridas por arma de fuego. Estas laceraciones rompen los vasos sanguíneos y provocan una hemorragia intracerebral o subaracnoidea, que eleva la presión craneal e induce una compresión del cerebro. *La compresión del cerebro puede obedecer a lo siguiente:*

- Acúmulo intracraneal de sangre.
- Obstrucción de la circulación o absorción del líquido cefalorraquídeo.
- Tumores o abscesos intracraneales.
- Edema cerebral, por ejemplo asociado a una lesión craneoencefálica.

La **tumefacción cerebral** debida a una lesión craneoencefálica puede deberse, en parte, al edema. El **edema cerebral** se define como un aumento del volumen encefálico secundario al incremento del contenido de agua y sodio (Fishman, 1995b). El edema cerebral acompaña a multitud de procesos patológicos. ➤

El sistema ventricular del encéfalo

El sistema ventricular del encéfalo consta de los *dos ventrículos laterales* y de los *ventrículos 3º y 4º* de la línea media, comunicados por el **acueducto del cerebro** (fig. 7.26). El líquido cefalorraquídeo, secretado en gran parte por los **plexos coroideos** de los ventrículos, ocupa estas cavidades, así como los espacios subaracnoideos del encéfalo y de la médula espinal. Los ventrículos, los plexos coroideos y el LCR producido por los plexos son elementos esenciales para la función normal del encéfalo (Corbett y cols., 1997).

Los ventrículos encefálicos

Los **ventrículos laterales** –los ventrículos 1º y 2º– son las cavidades mayores del sistema ventricular y ocupan grandes campos de los hemisferios cerebrales. Cada ventrículo lateral se abre a través de un **orificio interventricular** al ven-

trículo 3º. El **3º ventrículo** –una hendidura entre las mitades derecha e izquierda del diencéfalo– se continúa en sentido posteroinferior con el **acueducto del cerebro** (acueducto del mesencéfalo), un conducto estrecho del mesencéfalo que comunica los ventrículos 3º y 4º (fig. 7.26B). El **ventrículo 4º** de la parte posterior del puente y del bulbo raquídeo se extiende en dirección inferoposterior y se continúa con el conducto central en la parte inferior del bulbo, y a través de éste, con el **conducto central de la médula espinal** (fig. 7.26A). El LCR del ventrículo 4º drena a través de una **apertura media** única y de dos **aperturas laterales** hacia el espacio subaracnoideo. Estas son las únicas salidas que tiene el LCR al espacio subaracnoideo. Cuando se bloquean, se acumula el LCR y se distienden los ventrículos, produciendo una compresión de los hemisferios cerebrales. Para más información sobre los ventrículos encefálicos consulte la revisión de Corbett y cols. (1997).

Las cisternas subaracnoideas

En algunos lugares, sobre todo en la base del cerebro, la aracnoides y la piamadre están muy separadas por **cisternas subaracnoideas** (fig. 7.26B). Estos *grandes depósitos de LCR* con-

tienen arterias, venas y las raíces de los nervios craneales en algunos casos (p. ej., la **cisterna quiasmática** contiene el **quiasma óptico** y las raíces de los nervios ópticos [NC II]). En general, estas cisternas se denominan según las estructu-

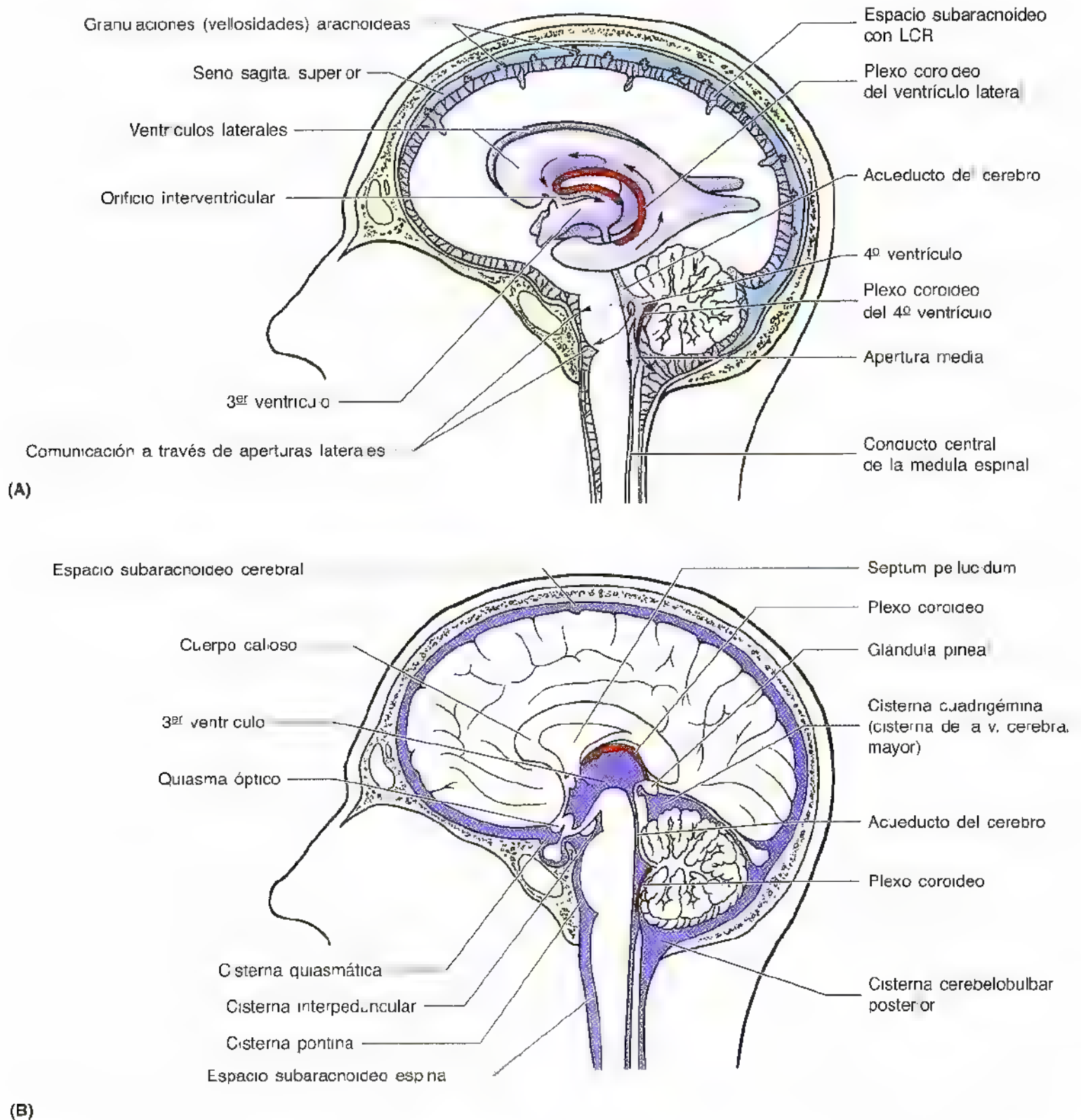


Figura 7.26. Espacios subaracnoideos (leptomeninges), ventrículos y cisternas subaracnoideas. Diagrama de cortes medios de la cabeza. **A.** Sistema ventricular y circulación del líquido cefalorraquídeo (LCR). El LCR se produce sobre todo en los plexos coroideos de los ventrículos laterales 3º y 4º. Los plexos de los ventrículos laterales son los mayores y más importantes. El lugar principal donde se absorbe el LCR dentro del sistema venoso son las granulaciones aracnoideas que se proyectan a los senos venosos de la duramadre. **B.** Obsérvense las cisternas subaracnoideas (zonas expandidas del espacio subaracnoideo), que contienen cantidades mucho mayores de LCR. La cisterna cerebelobulbar posterior (cisterna magna) tiene importancia en clínica como zona de punción cisterna (pág. 908).

ras con las que se relacionan. *Las cisternas subaracnoideas principales son:*

- **La cisterna cerebelobulbar posterior** (cisterna magna) –la mayor de las cisternas subaracnoideas– se encuentra entre el cerebelo y el bulbo raquídeo y recibe el LCR desde las aperturas del ventrículo 4º.
- **La cisterna pontina** (cisterna prepontina) –un espacio amplio ventral al puente– se continúa por abajo con el espacio subaracnoideo medular.
- **La cisterna interpeduncular** (cisterna basal) –entre los pedúnculos cerebrales del mesencéfalo y las estructuras de la fosa interpeduncular– contiene el *círculo arterial del cerebro* (de Willis [fig. 7.2]).
- **La cisterna quiasmática** (cisterna del quiasma óptico) –inferior y anterior al *quiasma óptico*– se encuentra en el punto de cruce o decusación de las fibras del nervio óptico.
- **La cisterna cuadrigémina** (cisterna de la vena cerebral mayor, cisterna superior) radica en la parte posterior del cuerpo calloso y en la superficie superior del cerebelo.

Si desea una descripción de otras cisternas subaracnoideas consulte el texto de Haines (1997).

La secreción del líquido cefalorraquídeo

El LCR es segregado por las células del epitelio corioideo (células endimarias modificadas) de los **plexos coroides** de los ventrículos laterales, 3º y 4º (figs. 7.25B y 7.26); cada día, los plexos coroides segregan de 400 a 500 mL de LCR (Corbett y cols., 1997). Los plexos coroides se componen de franjas vasculares de piamadre (tela corioidea) cubierta por células del epitelio corioideo, que se invaginan en los techos de los ventrículos 3º y 4º y en los suelos de los cuerpos y astas inferiores de los ventrículos laterales.

La circulación del líquido cefalorraquídeo

El LCR sale de los ventrículos laterales por los **orificios interventriculares** (fig. 7.26A) y entra al ventrículo 3º, desde donde atraviesa el **acueducto del cerebro** hasta llegar al ventrículo 4º. Luego sale de este ventrículo por las **aberturas mediana y laterales** y llega al espacio subaracnoideo, que se continúa por la médula espinal y en sentido posterosuperior por el cerebelo. No obstante, casi todo el LCR fluye hacia las cisternas interpeduncular y cuadrigémina. El LCR de las distintas cisternas subaracnoideas tiene un flujo superior por los surcos y cisuras de las caras medial y superolateral de los hemisferios cerebrales. Además, pasa por las prolongaciones del espacio subaracnoideo que rodean los nervios craneales; los más importantes son los espacios que rodean los nervios ópticos. Si desea más información sobre el movimiento del LCR por el sistema ventricular y el espacio subaracnoideo, consulte el texto de Corbett y cols. (1997).

La absorción del líquido cefalorraquídeo

El lugar principal de absorción del líquido cefalorraquídeo hacia el sistema venoso son las **granulaciones aracnoideas**

(figs. 7.24 y 7.26A), *protrusiones glomerulares diminutas de vellosidades aracnoideas* en las paredes de los senos venosos de la duramadre, sobre todo del seno sagital superior y de sus lagunas laterales (fig. 7.17). El espacio subaracnoideo, que contiene el LCR, se extiende hasta el centro de las granulaciones aracnoideas. El líquido cefalorraquídeo entra en el sistema venoso a través de dos vías (Corbett y cols., 1997):

- La mayor parte del LCR entra en los senos venosos de la duramadre transportado por las células de las granulaciones aracnoideas.
- Parte del LCR se mueve entre las células que constituyen las granulaciones aracnoideas.

Cada día entran en la circulación venosa de 330 a 380 mL de LCR.

Las funciones del líquido cefalorraquídeo

Junto con las meninges y la calota, el *LCR protege el encéfalo* y actúa como almohadilla que amortigua los golpes sobre la cabeza. El LCR del espacio subaracnoideo aporta la flotación necesaria para impedir que el peso del encéfalo comprima las raíces de los nervios craneales y los vasos sanguíneos contra la cara interna del cráneo (Corbett y cols., 1997). Como el encéfalo es algo más pesado que el LCR, las circunvoluciones de la cara basal del cerebro entran en contacto con las fosas craneales del suelo de la cavidad craneal cuando la persona adopta una posición erecta. En muchos lugares de la base del cerebro, sólo las meninges craneales separan el cerebro de los huesos craneales. En posición erecta, el LCR se aloja en las cisternas subaracnoideas y en los surcos de las porciones superior y lateral del encéfalo; por eso, el líquido cefalorraquídeo y la duramadre suelen separar la parte superior del cerebro de la calota.

La *presión intracraneal* está sometida a cambios pequeños, rápidos y recurrentes debido al latido del corazón; los cambios recurrentes más lentos obedecen a causas desconocidas. Las variaciones súbitas y bruscas de la presión se producen al toser, o con los esfuerzos de compresión abdominal, o con los cambios de posición (bipedestación o decúbito supino). Todo cambio del volumen del contenido intracraneal (p. ej., un tumor cerebral, acúmulo de líquido ventricular por taponamiento del acueducto del cerebro o presencia de sangre tras rotura de un aneurisma) se traduce en una variación de la presión intracraneal. Esta regla se denomina *ley de Monro-Kellie* y establece que la cavidad craneal es como una caja cerrada y rígida, y que la cantidad de sangre intracraneal sólo puede variar por desplazamiento o sustitución del LCR.

Punción cisternal

La *punción cisternal* sirve para extraer líquido cefalorraquídeo de la cisterna cerebelobulbar posterior. Se introduce con cuidado la aguja dentro de la cisterna a ►

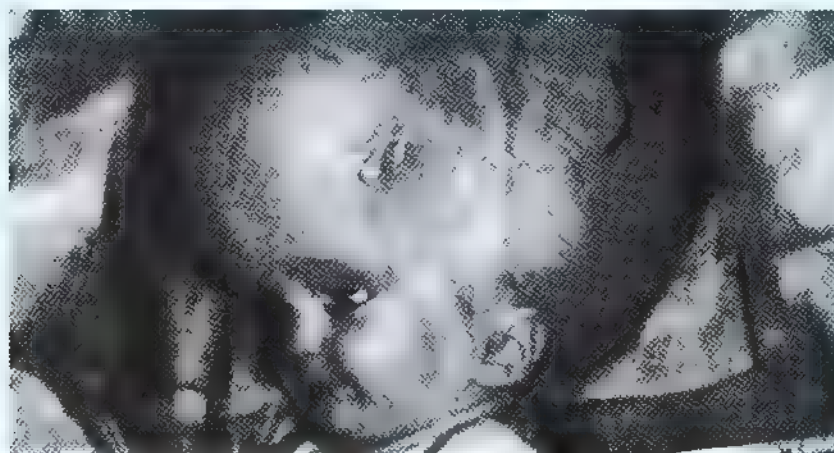
► través de la membrana atlantooccipital posterior (véase el capítulo 4). También se puede pasar al espacio subaracnoideo o al sistema ventricular para medir o controlar la presión del LCR, inyectar antibióticos o administrar un medio de contraste para tomar imágenes médicas. La cisterna cerebelobulbar es el lugar predilecto en los lactantes y niños pequeños, mientras que la cisterna lumbar se utiliza más a menudo en los adultos (véase el capítulo 4).

Hidrocefalia

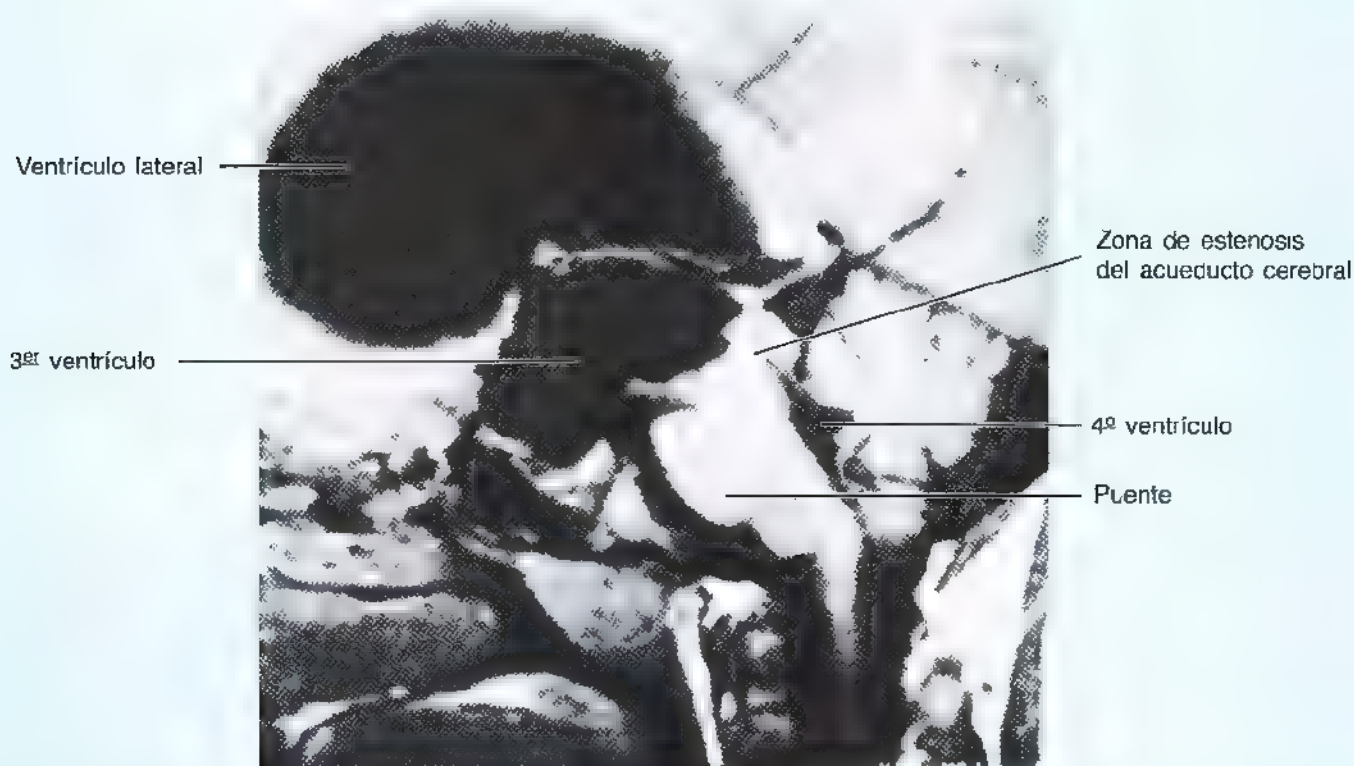
La producción **exagerada** de líquido cefalorraquídeo, la obstrucción de su flujo o su falta de absorción determina un acúmulo excesiva de líquido en los ventrículos

y el aumento de tamaño de la cabeza, lo que se denomina *hidrocefalia obstructiva (A)*. El exceso de líquido cefalorraquídeo dilata los ventrículos, adelgaza la corteza cerebral y separa los huesos de la calota de los lactantes. La obstrucción puede ocurrir en cualquier lugar del sistema, pero suele hacerlo en *el acueducto cerebral (B)* o en los orificios interventriculares (Moore y Persaud, 1998). La *estenosis del acueducto* (acueducto estrecho) obedece a un tumor vecino del mesencéfalo, a detritos celulares secundarios a una hemorragia intraventricular o a infecciones bacterianas y micóticas del SNC (Corbett y cols., 1997).

La *obstrucción de la circulación del LCR dilata los ventrículos* encima del lugar de obstrucción y comprime ►



(A) Hidrocefalia



(B) RM sagital

Estenosis del acueducto

► los hemisferios cerebrales. Esta lesión exprime la zona de encéfalo comprendida entre el líquido ventricular y los huesos de la calota. La presión interna determina una expansión del encéfalo y de la bóveda craneal de los lactantes, porque las suturas y las fontanelas continúan abiertas. Se puede establecer un sistema artificial de drenaje para eludir el taponamiento y permitir la salida de líquido cefalorraquídeo, con lo que se reduce también el daño cerebral.

La *hidrocefalia comunicante* se caracteriza por el flujo de líquido cefalorraquídeo por los ventrículos y por el espacio subaracnoideo; sin embargo, el movimiento de LCR desde este espacio hacia el sistema venoso se bloquea de manera parcial o completa. El taponamiento puede obedecer a la ausencia congénita de granulaciones aracnoideas, o al taponamiento de las vellosidades de estas granulaciones por eritrocitos como conse-

cuencia de una hemorragia subaracnoidea (Corbett y cols., 1997).

Fístulas de líquido cefalorraquídeo

Las fracturas del suelo de la fosa craneal media pueden determinar una salida de líquido cefalorraquídeo por el oído (*otorrea de LCR*) si se desgarran las meninges situadas encima del oído medio y se rompe la membrana timpánica. Las fracturas del suelo de la fosa craneal anterior lesionan, a veces, la lámina cribiforme del etmoides y provocan una salida de LCR por la nariz (*rinorrea de LCR*). A veces, la otorrea o la rinorrea de LCR constituyen el primer indicio de una fractura de la base del cráneo y comunican el riesgo de *meningitis*, puesto que una infección podría propagarse a las meninges cerebrales a partir del oído o de la nariz. ◉

La vascularización del encéfalo

La sangre que irriga el encéfalo proviene de las arterias carótida interna y vertebral (figs. 7.27 y 7.28, tabla 7.7), situadas en el espacio subaracnoideo.

Las arterias carótidas internas

Las arterias carótidas internas se originan en el cuello de las arterias carótidas comunes, ascienden verticalmente hasta la base del cráneo y entran en la cavidad craneal por los **conductos carotídeos** de los huesos temporales (figs. 7.27 y 7.29). Además de las arterias carótidas, los conductos carotídeos contienen plexos venosos y *plexos simpáticos carotídeos*. Dentro de los conductos carotídeos, las arterias carótidas cambian de dirección para tornarse anteriores y mediales; luego siguen hacia delante por el *seno cavernoso*, situado en el surco carotídeo de la porción lateral del cuerpo del esfenoides (fig. 7.20). Las ramas terminales de las arterias carótidas internas son **las arterias cerebrales anterior y media**. A menudo, las arterias carótidas internas y sus ramas se denominan en clínica como *circulación anterior del encéfalo*. Las **arterias cerebrales anteriores** están conectadas por la **arteria comunicante anterior**. Antes de que termine la arteria carótida interna se le une a ella la arteria cerebral posterior a través de la **arteria comunicante posterior**, con lo que se completa el **círculo arterial del cerebro** en torno a la *fosa interpeduncular*, una depresión profunda de la cara inferior del mesencéfalo entre los pedúnculos cerebrales.

Las arterias vertebrales

Las arterias vertebrales comienzan en la raíz del cuello como ramas iniciales de la 1ª porción de las arterias subclavias. Las dos arterias vertebrales suelen tener un tamaño desigual y la izquierda es mayor que la derecha. Las porciones transversales de las arterias atraviesan los orificios transversarios

de las primeras seis vértebras cervicales (pág. 486). Las porciones suboccipitales de las arterias vertebrales perforan la duramadre y la aracnoides y atraviesan el orificio magno. Las arterias vertebrales se unen en el borde caudal del puente para dar la arteria basilar. El sistema arterial vertebrobasilar y sus ramas suelen denominarse en clínica *circulación posterior del encéfalo*.

La **arteria basilar**, denominada así por su íntima relación con la base del cráneo, sube por el **clivus** (fig. 7.5C) —pendiente desde el dorso de la silla turca hasta el borde superior del puente— a través de la cisterna pontina y termina dividiéndose en las dos **arterias cerebrales posteriores**.

Las arterias cerebrales

Cada arteria cerebral perfunde una superficie y un polo del cerebro (tabla 7.7):

- La **arteria cerebral anterior** se distribuye por la mayor parte de las caras medial y superior del cerebro y el polo frontal.
- La **arteria cerebral media** perfunde la cara lateral del cerebro y el polo temporal.
- La **arteria cerebral posterior** se distribuye por la cara inferior del cerebro y el polo occipital.

Anastomosis de las arterias cerebrales y embolia cerebral

Las ramas de las tres arterias cerebrales se anastomosan entre sí en la superficie del encéfalo. Sin embargo, si se taponan una arteria cerebral por una *embolia* p. ej., por un coágulo de sangre), estas anastomosis ►

► microscópicas no pueden suministrar sangre suficiente a la zona de la corteza cerebral afectada. Por eso se instauran una *isquemia e infarto cerebrales* y puede aparecer un área de necrosis (muerte tisular). Los pequeños émbolos cerebrales taponan, en ocasiones, de manera pasajera los pequeños vasos cerebrales y provocan un *ataque isquémico transitorio* (AIT); la pérdida brusca de la función neurológica suele ceder en cuestión de minutos. Los grandes émbolos cerebrales que obstruyen los vasos cerebrales principales determinan lesiones neurológicas graves e incluso la muerte (Rowland, 1995; Haines, 1997). ◊

El círculo arterial del cerebro

El círculo arterial del cerebro es una anastomosis muy importante de la base del cerebro entre las cuatro arterias (vertebrales y carótidas internas) que perfunden el encéfalo (fig. 7.28, tabla 7.7). *El círculo arterial del cerebro está constituido por las siguientes arterias:*

- Arterias cerebrales posteriores.
- Arterias comunicantes posteriores.
- Arterias carótidas internas.
- Arterias cerebrales anteriores.
- Arterias comunicantes anteriores.

Los distintos elementos del círculo arterial del cerebro envían multitud de pequeñas ramas para el encéfalo.

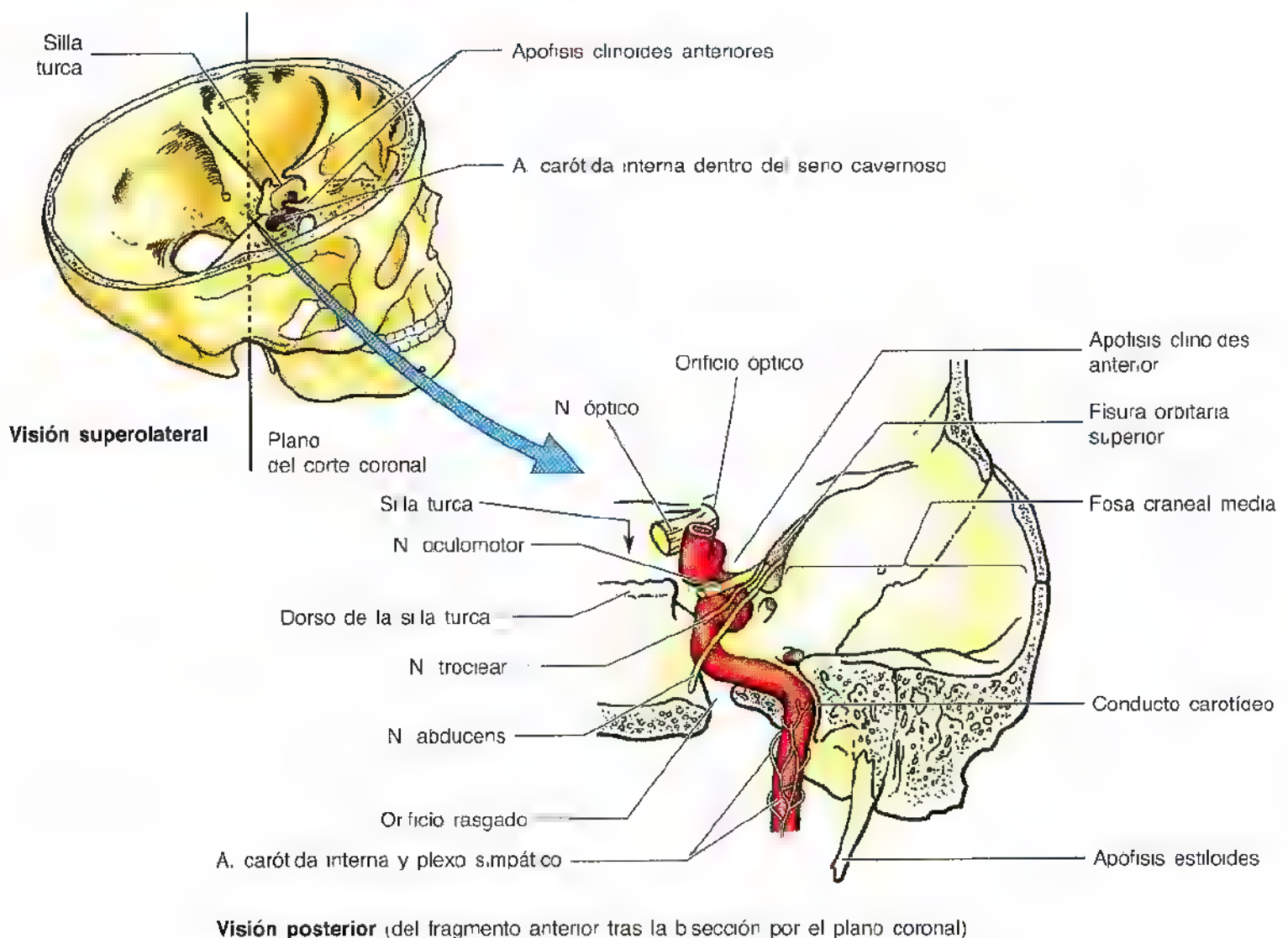


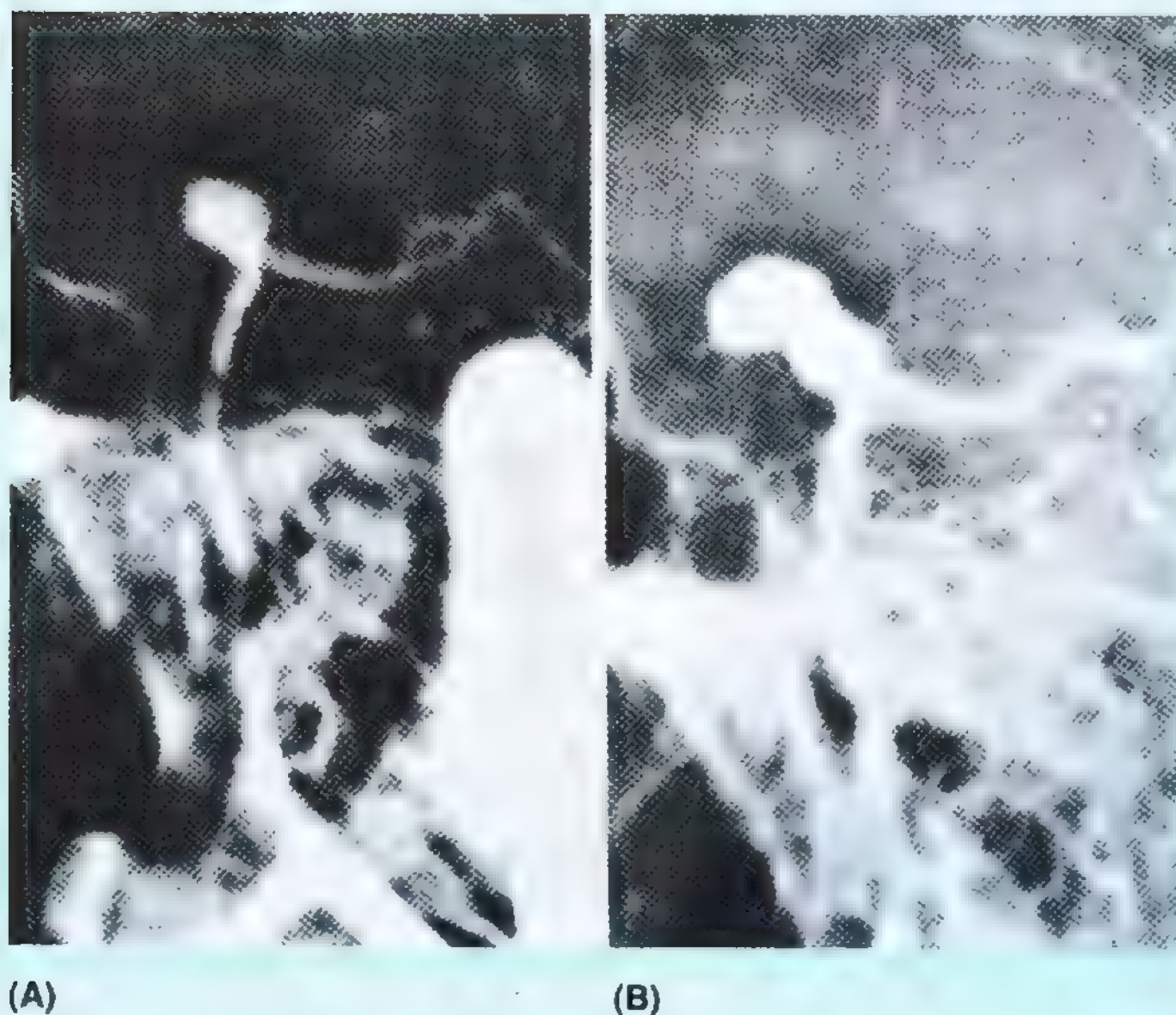
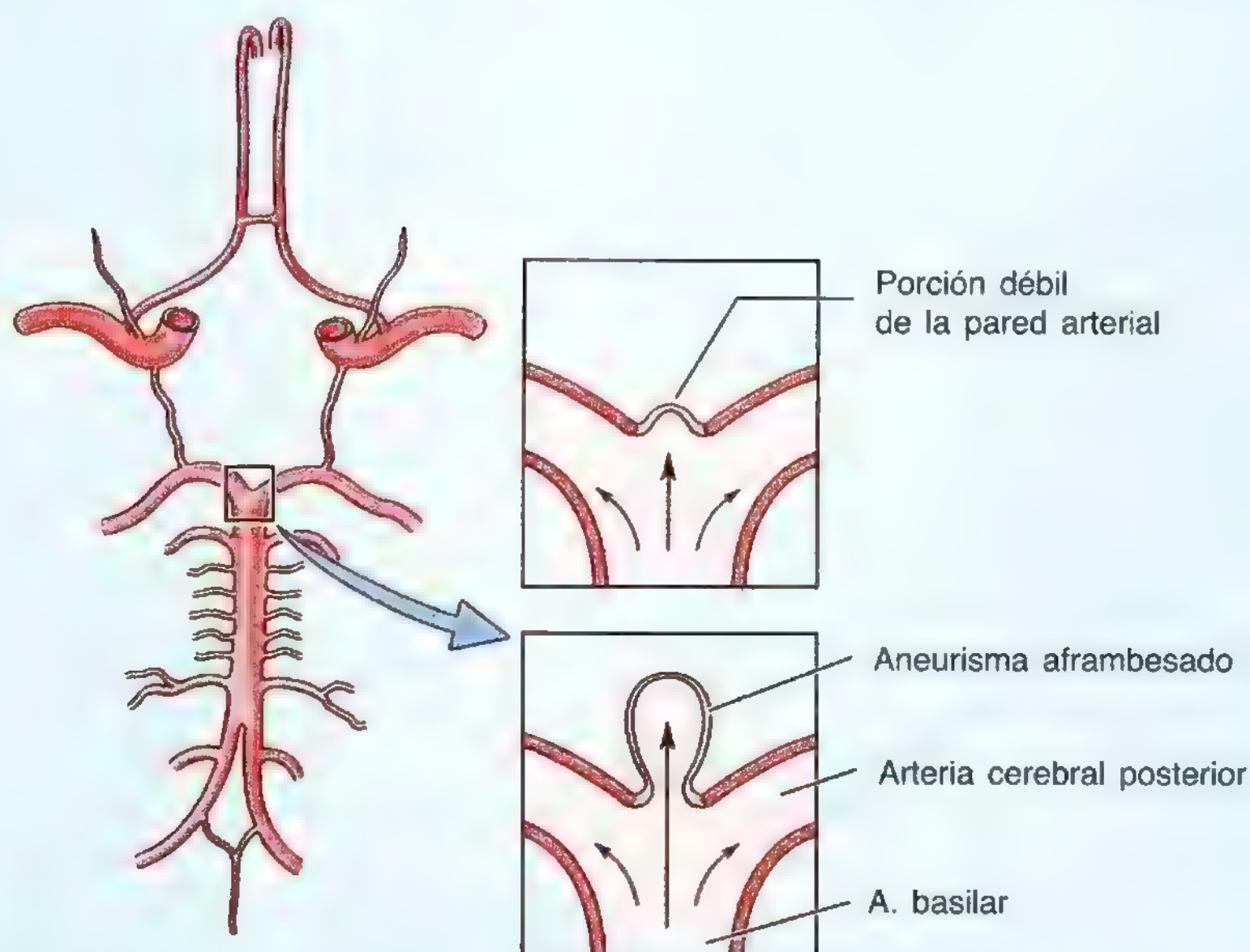
Figura 7.27. Trayecto de la arteria carótida interna. Este esquema muestra el plano del corte coronal por el conducto carotídeo del recuadro inferior donde aparece la arteria carótida interna en el conducto carotídeo y la región de seno cavernoso. La arteria asciende verticalmente por el cuello (porción cervical) hasta la entrada del conducto carotídeo en la porción petrosa (peñasco) del hueso temporal. Dentro del conducto carotídeo, la arteria se gira en sentido horizontal y medial hacia el vértice de la porción petrosa y emerge del conducto por encima del orificio rasgado, que está cerrado en vida por una lamina de cartílago; para entrar en la cavidad craneal, donde adopta una trayectoria en S. La arteria se dirige hacia delante a través del cartílago del orificio rasgado y luego por los surcos carotídeos situados a los lados del cuerpo de esfenoides, atravesando el seno cavernoso (porción cavernosa). Debajo de la apofisis clinoides anterior, la arteria efectúa un giro de 180° dirigiéndose hacia atrás para unirse al círculo arterial del cerebro (de Willis, porción cerebral).

Variaciones del circuito arterial del cerebro

Las variaciones de tamaño de los vasos que forman el circuito son frecuentes. Las arterias comunicantes posteriores faltan en algunas personas y en otras se duplica la arteria comunicante anterior. La rama principal de la arteria carótida interna de una de cada tres personas es una de las arterias cerebrales posteriores; la variación suele ser unilateral. Con frecuencia, una de las arterias cerebrales anteriores tiene un trayecto proximal pequeño; en estos casos, la arteria comunicante anterior es más grande de lo habitual.

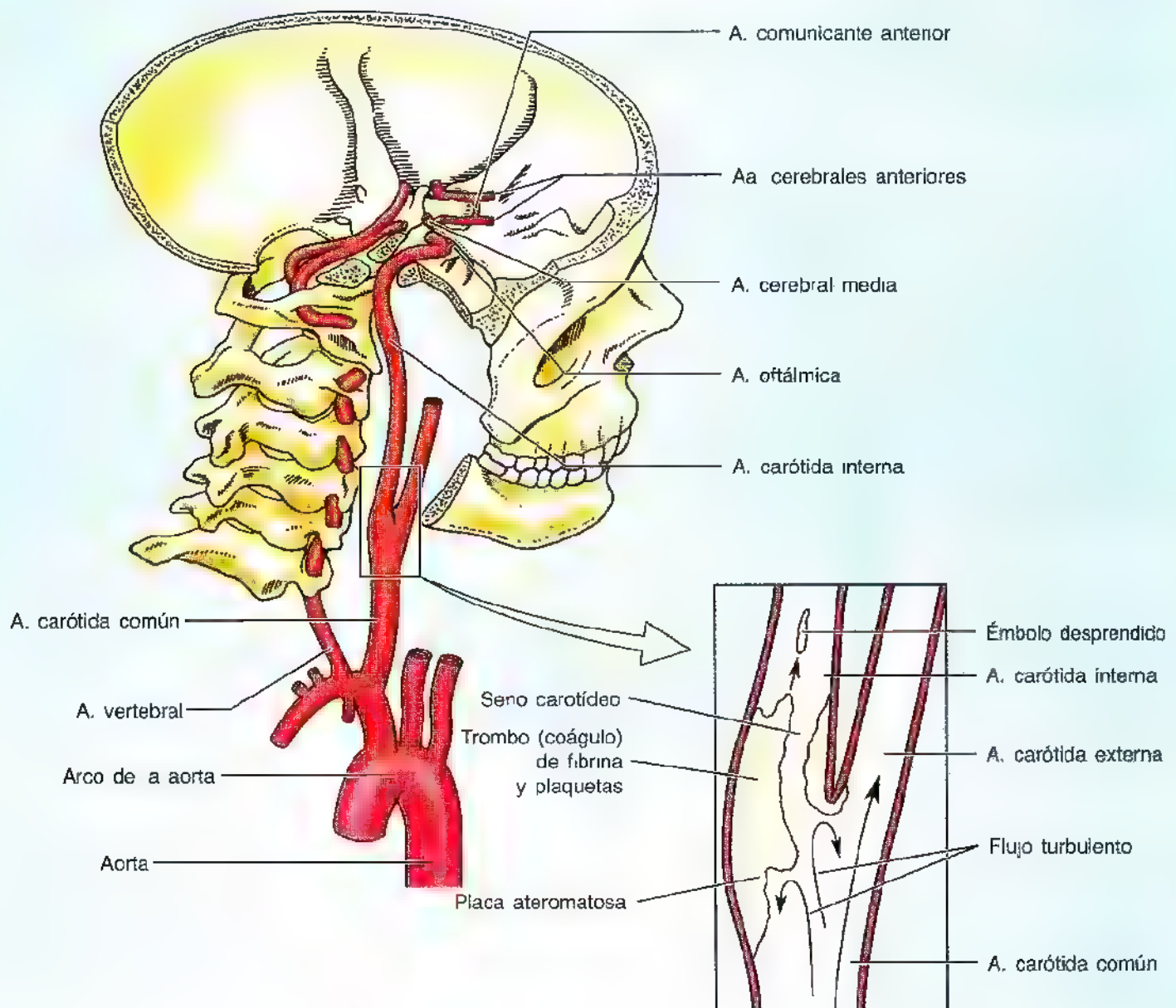
Ictus o accidentes cerebrovasculares

El ictus, apoplejía, o accidente cerebrovascular denota la aparición brusca de un déficit neurológico focal, relacionado casi siempre con una *alteración de la irrigación cerebral*. Los ictus representan una de las cuatro causas principales de muerte y son responsables de numerosos trastornos neurológicos. El ictus es el trastorno neurológico más frecuente entre los adultos de los Estados Unidos (Sacco, 1995); casi siempre produce más morbilidad que mortalidad. *El rasgo cardinal del ictus es la aparición repentina de síntomas neurológicos.* ►



► El circuito arterial del cerebro constituye una vía importante de circulación colateral tras la obstrucción gradual de alguna de las arterias principales de dicho circuito. La circulación colateral se observa, de hecho, en los niños, pero cuando se tapona una de las cuatro arterias fundamentales de este circuito arterial del cerebro de un adulto, el intercambio de sangre entre las arterias principales por vía de las arterias comunicantes finas es mínimo. El taponamiento repentino –incluso parcial– provoca un “aturdimiento” del cerebro. Las anastomosis de las personas mayores suelen resultar inadecuadas cuando se taponan una gran arteria (p. ej., la carótida interna), incluso de manera gradual (en tal caso, la función se alteraría de forma parcial); si la obstrucción es brusca se instaura un *ictus vascular*. Las causas más frecuentes de los ictus son los *accidentes cerebrovasculares espontáneos*, como las trombosis cerebrales, las hemorragias cerebrales, las embolias cerebrales o las hemorragias subaracnoideas (Rowland, 1995).

El *ictus hemorrágico* sigue a la rotura de una arteria o de un aneurisma (saco dilatado en forma de globo que se crea en la porción debilitada de la pared de una arteria). El tipo más común de aneurisma es el *aneurisma aframbesado* de los vasos del circuito arterial del cerebro o próximos a éste y de las arterias de mediano calibre de la base cerebral (A). El aneurisma también puede observarse en la bifurcación de la arteria basilar en las dos arterias cerebrales posteriores. Con el paso del tiempo, la porción debilitada de la pared vascular se expande e incluso puede romperse (B), sobre todo entre las personas con hipertensión (aumento de la presión arterial), con lo que la sangre pasa al espacio subaracnoideo. La rotura repentina de un aneurisma suele producir un dolor intenso e insoportable de cabeza y también rigidez de cuello. Estos síntomas se deben al sangrado masivo dentro del espacio subaracnoideo. ►



Infarto cerebral

Toda *placa aterosclerótica* en una zona de cambio de dirección de una arteria (p. ej., la bifurcación de la arteria carótida común en las carótidas interna y externa) determina un estrechamiento (estenosis) progresivo de la arteria y déficit funcionales cada vez más graves. El *émbolo* (coágulo) *desprendido* circula por la sangre hasta que queda atrapado en una arteria, casi siempre una rama intracraneal estrecha que impide su tránsito. Este suceso suele determinar un *infarto cortical agudo*, es decir, una insuficiencia repentina de irrigación arterial del cerebro (p. ej., de los lóbulos frontal o parietal izquierdos). La interrupción de la irrigación durante 30 segundos altera el metabolismo cerebral. Al cabo de 1-2 minutos, la víctima pierde la función nerviosa, y a los 5 minutos, la falta de oxígeno (anoxia) provoca un infarto cerebral. El restablecimiento inmediato de la

oxigenación puede revertir la lesión cerebral (Sacco, 1995).

Ataques isquémicos transitorios

Como se ha indicado con anterioridad, el ataque isquémico transitorio consiste en síntomas neurológicos provocados por una isquemia o irrigación deficitaria de sangre del cerebro. Casi todos estos episodios duran unos minutos, pero algunos se extienden hasta una hora. En las estenosis graves de la carótida o vertebrobasilares, los AIT suelen prolongarse más y determinan una obstrucción distal de los vasos intracraneales. Los síntomas del ataque isquémico transitorio son bastante confusos: tambaleo, somnolencia, aturdimiento, desvanecimiento y parestesias (p. ej., hormigueo en un miembro). Los pacientes con AIT "corren mayor riesgo de infarto de miocardio y de ictus grave" (Brust, 1995). ◊

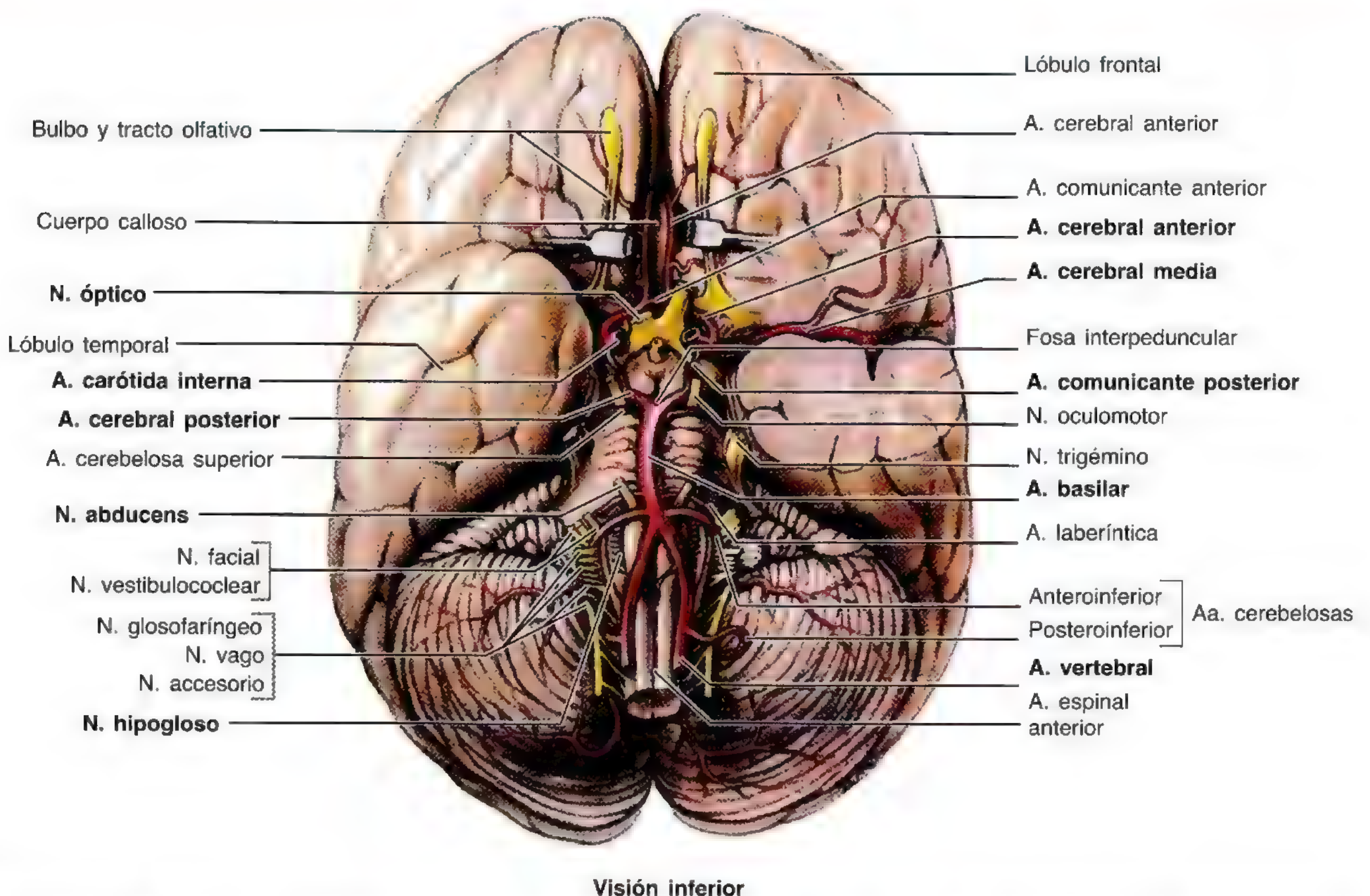
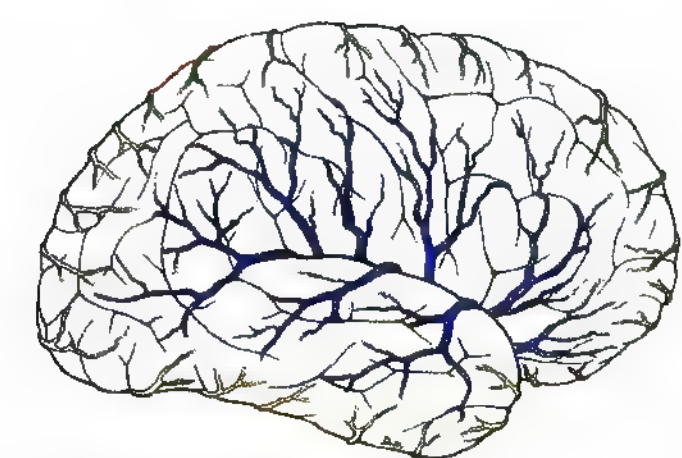
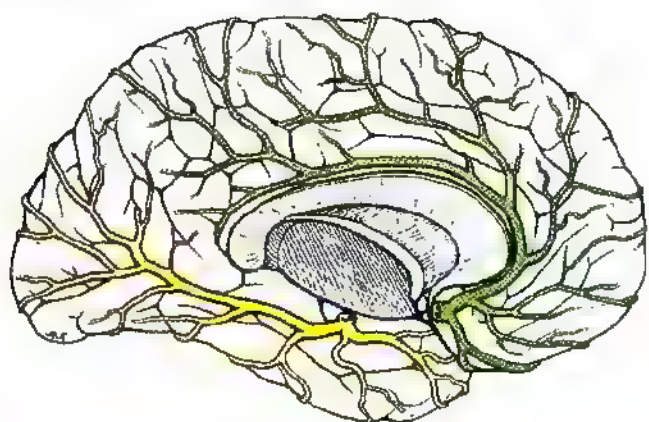
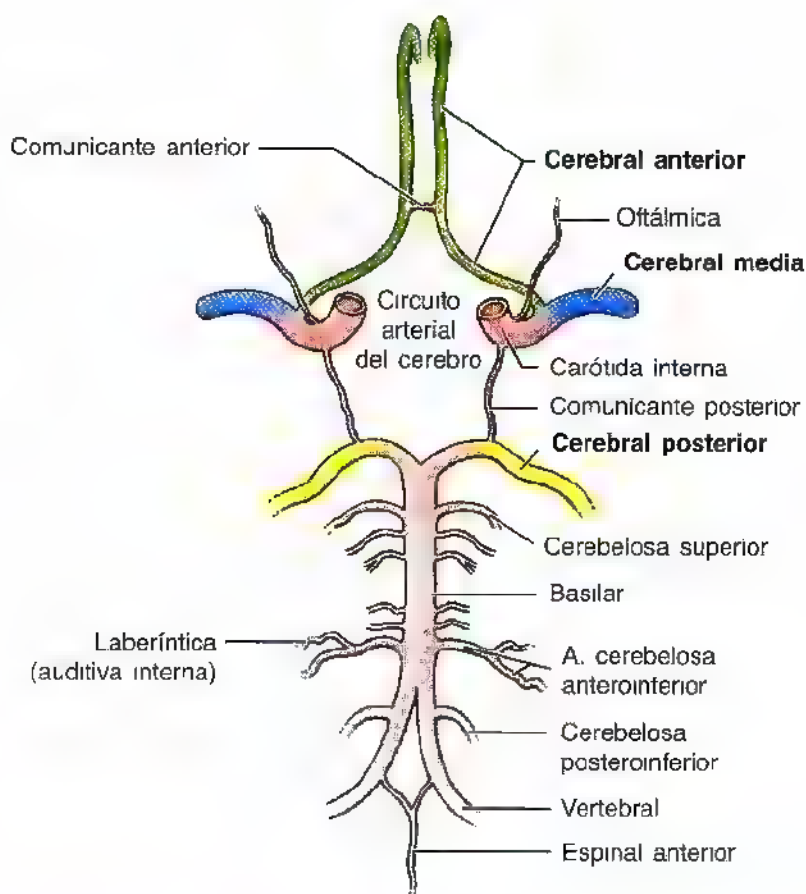


Figura 7.28. Base del encéfalo con visualización del circuito arterial del cerebro (de Willis). Visión inferior. Obsérvense los tres troncos arteriales que ascienden para irrigar el encéfalo: las arterias carótidas internas derecha e izquierda y la arteria basilar, resultante de la unión de las dos arterias vertebrales. Como puede apreciarse, los tres troncos arteriales forman un circuito arterial a través de los enlaces aportados por la arteria comunicante anterior y las dos arterias comunicantes posteriores. El cerebelo está perfundido sobre todo por ramas de las arterias vertebrales y basilar. El polo temporal izquierdo se ha extirpado para visualizar la arteria cerebral media en la cisura lateral del cerebro. Se han separado los lóbulos frontales para exponer las arterias cerebrales anteriores.

Tabla 7.7. La irrigación arterial del hemisferio cerebral**(A)** Visión lateral del hemisferio derecho**(B)** Visión medial del hemisferio izquierdo**(C)** Visión inferior

Arteria	Origen	Distribución
Carótida interna	A. carótida común, en el borde superior del cartílago tiroides	Da ramas para las paredes del seno cavernoso, glándula pituitaria y ganglio trigémino, y aporta la irrigación principal del encéfalo
Cerebral anterior	A. carótida interna	Hemisferios cerebrales, salvo lóbulos occipitales
Comunicante anterior	A. cerebral anterior	Circuito arterial del cerebro
Cerebral media	Continúa de la a. carótida interna, distal a la a. cerebral anterior	Casi toda la cara lateral de los hemisferios cerebrales
Vertebral	A. subclavia	Meninges craneales y cerebelo
Basilar	Formada por la unión de las aa. vertebrales	Tronco del encéfalo, cerebelo y cerebro
Cerebral posterior	Rama terminal de la a. basilar	Cara inferior del hemisferio cerebral y lóbulo occipital
Comunicante posterior	A. cerebral posterior	Tracto óptico, pedúnculo cerebral, cápsula interna y tálamo

El drenaje venoso del encéfalo

La sangre venosa de las venas superficial y profunda del cerebro entra en los **senos venosos de la duramadre** (figs. 7.17-7.19), que desembocan en las **venas yugulares internas**. Las venas cerebrales de la cara superolateral del encéfalo drenan en el seno sagital superior; las **venas cerebrales** de la cara posteroinferior lo hacen en los senos recto, transverso y petroso superior, al igual que las venas cerebelosas superiores y los senos transversos. Si desea más infor-

mación sobre las venas cerebrales consulte el texto de Haines (1997)

La órbita

La órbita es una cavidad ósea piramidal del esqueleto de la cara con una base anterior y un vértice posterior (fig. 7.30). Las órbitas contienen y protegen los globos oculares y sus músculos, nervios y vasos sanguíneos, junto con la mayor



Visión lateral

Figura 7.29. Arteriografía carotídea. Visión lateral. Se ha inyectado un colorante radiopaco en el sistema arterial carotídeo antes de tomar la radiografía. Las cuatro letras / indican las porciones de la arteria carótida interna (de la parte inferior a la superior): transversa o cervical, en el interior del cuello (antes de pasar al cráneo); petrosa, dentro del conducto carotídeo de la porción petrosa del hueso temporal; cavernosa, dentro del seno cavernoso, y cerebral, dentro del espacio subaracnoideo craneal (leptomeníngeo). Obsérvese la arteria cerebral anterior y sus ramas (A), la arteria cerebral media y sus ramas (M), y la arteria oftálmica (O). (Cortesía del Dr. D. Armstrong, Profesor Ayudante de Imagen Médica, Universidad de Toronto, Ontario, Canadá.)

parte del aparato lacrimal. Los huesos que forman la órbita se revisten de la **periórbita** (periostio orbitario), que da la **vaina fascial del globo ocular** (fig. 7.31A). La periórbita se continúa en el **conducto óptico**, y en la **fisura orbitaria superior**, con la capa perióstica de duramadre, y también, en los bordes orbitarios y por la **fisura orbitaria inferior**, con el periostio que tapiza la cara externa del cráneo (pericráneo).

La órbita tiene cuatro paredes y un vértice (fig. 7.30):

- La **pared superior** (techo) es casi horizontal y la configura, sobre todo, la **porción orbitaria del hueso frontal**, que separa la cavidad orbitaria de la fosa craneal anterior. En la proximidad del vértice de la órbita, la pared superior está integrada por el ala menor del esfenoides. La glándula lacrimal ocupa la **fosa para la glándula lacrimal** (fosa lacrimal) de la lámina orbitaria del hueso frontal.
- La **pared media** está formada, sobre todo, por el **hueso etmoides** y, en parte, por los huesos frontal, lacrimal y esfenoides; en la cara anterior, la *pared medial, delgada*

como un papel, está indentada por la **fosa para el saco lacrimal** y la porción proximal del conducto nasolacrimal. Las paredes mediales de las dos órbitas son, en esencia, paralelas y están separadas por los senos etmoidales y la parte superior de la cavidad nasal.

- La **pared inferior** (suelo) la integra, en su mayor parte, el maxilar y, en menor medida, los huesos cigomático y palatino; el suelo de la órbita, delgado, está parcialmente separado de la pared lateral por la **fisura orbitaria inferior**. La pared inferior desciende, inclinada, del vértice al borde orbitario inferior.
- La **pared lateral** la forman las apófisis frontales del hueso cigomático y el ala mayor del esfenoides; la pared lateral es gruesa, sobre todo la porción posterior, que separa la órbita de la fosa craneal media. Las paredes laterales de sendas órbitas son casi perpendiculares entre sí.
- El **vértice de la órbita** se encuentra en el conducto óptico del ala menor del esfenoides, justo medial a la **fisura orbitaria superior**.

Fractura de la órbita

Habida cuenta de la delgadez de las paredes medial e inferior de la órbita, un golpe contra el ojo puede fracturar la órbita. Las lesiones traumáticas indirectas que desplazan las paredes de la órbita se denominan fractura por "estallido". Las fracturas de la pared medial lesionan los senos etmoidal y esfenoidal, mientras que las de la pared inferior dañan el seno maxilar. La pared superior es más robusta que la medial e inferior, pero tiene la finura suficiente para resultar translúcida y ser vulnerable a la penetración. Por eso, un objeto punzante puede atravesarla e introducirse en el lóbulo frontal del cerebro.

Las fracturas orbitarias suelen provocar hemorragia intraorbitaria con compresión del globo ocular y exoftalmía. Todo traumatismo ocular afecta, a veces, a estructuras adyacentes:

- Hemorragia en el interior del seno maxilar.
- Desplazamiento de los dientes maxilares.
- Fractura de los huesos nasales con hemorragia, obstrucción de la vía respiratoria e infección que puede extenderse al seno cavernoso a través de la vena oftálmica.

Equimosis periorbitaria

Los golpes sobre la región periorbitaria suelen ocasionar tumefacción y hemorragia importantes dentro de los párpados, así como extravasación de sangre en la piel periorbitaria (equimosis). Se trata de una lesión común entre los boxeadores y los jugadores de baloncesto.

Tumores orbitarios

La cercanía del nervio óptico con los senos esfenoidal y etmoidal posterior explica que los tumores malignos de estas localizaciones erosionen las paredes óseas finas de la órbita y compriman el nervio óptico y el contenido de la órbita. Los tumores orbitarios determinan *exoftalmía* o protrusión del globo ocular. La fisura orbitaria superior es la vía más fácil de entrada a la cavidad orbitaria de los tumores de la fosa craneal media; los tumores de la fosa temporal o infratemporal acceden a esta cavidad por la fisura orbitaria inferior. Aunque la pared lateral de la órbita mide casi lo mismo que la medial, porque se extienden en dirección lateral y anterior, no tiene el mismo alcance anterior que la pared medial, que ocupa, en esencia, un plano sagital. Así pues, cuando la pupila se gira medialmente al máximo quedan expuestos casi 2,5 cm del globo ocular. Este es el motivo por el que la parte lateral constituye una buena vía de abordaje para la cirugía del globo ocular. ☉

Los párpados y el aparato lacrimal

Los párpados y la secreción de las glándulas lacrimales protegen la córnea y el globo ocular de las lesiones (p. ej., polvo y pequeñas partículas).

Los párpados

El párpado, cuando se cierra, tapa por delante el globo ocular y lo protege de la lesión y del exceso de luz. Como ya se ha indicado, mantiene además húmeda la córnea al extender el líquido lacrimal. El párpado es un pliegue movable cubierto externamente por una piel delgada e internamente por la **conjuntiva palpebral** (fig. 7.31A). La conjuntiva palpebral se refleja sobre el globo ocular, donde se continúa con la conjuntiva bulbar. Esta parte de la conjuntiva bulbar es fina y transparente y se inserta de una manera laxa en la cara anterior del ojo. La **conjuntiva bulbar**, laxa y arrugada sobre la esclerótica (contiene pequeños vasos sanguíneos visibles en esta zona), se adhiere a la periferia de la córnea (fig. 7.33). Las líneas de reflexión de la conjuntiva palpebral en el globo crean unos profundos recesos, los **fondos de saco conjuntivales** superior e inferior (fig. 7.31A).

Los párpados superior e inferior están fortalecidos por bandas densas de tejido conjuntivo, las **láminas tarsales** superior e inferior, que configuran el "esqueleto" de los párpados (figs. 7.31B y 7.32). Las fibras del **músculo orbicular del ojo** se sitúan en el tejido conjuntivo, superficiales a estas láminas y debajo de la piel de los párpados. Dentro de las láminas tarsales se encuentran las **glándulas tarsales**, cuya secreción lipídica lubrica los bordes de los párpados y evita que se peguen al cerrarse. Esta secreción lipídica también crea una barrera que impide el paso del líquido lacrimal si se produce en cantidades anormales. Si la producción es excesiva se derrama sobre la barrera en forma de lágrima.

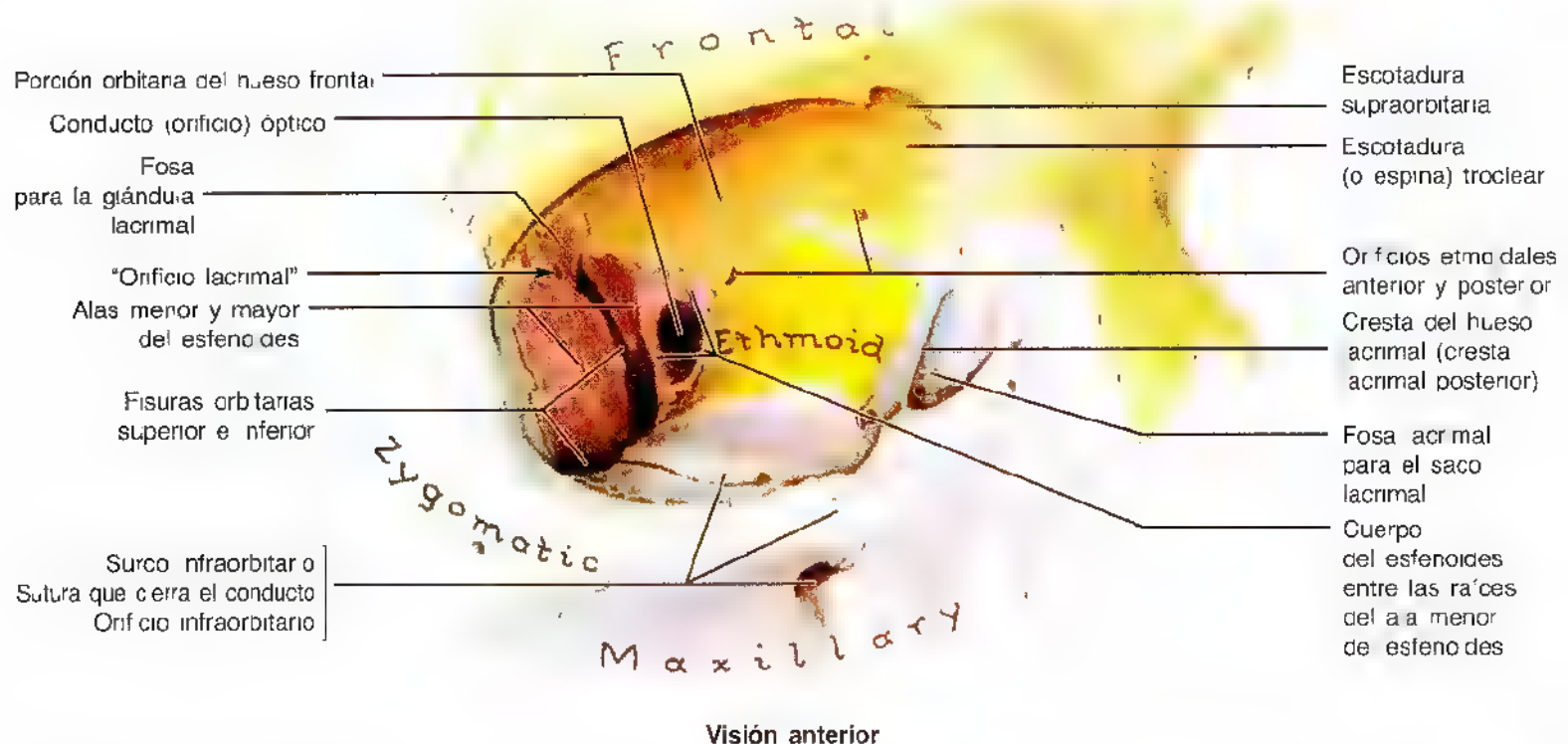


Figura 7.30. Órbita o cavidad orbitaria. Visión anterior. Se observan las paredes óseas de la órbita. La papira 'ethmoid' (etmoides) se ha impreso directamente sobre la lámina orbital inferior que separa la órbita de los senos etmoidales. Se observa el conducto óptico en el vértice (porción más profunda) de la cavidad orbitaria piramidal y entre el cuerpo de esfenoides y las dos raíces de ala menor de este hueso. Para atravesar el conducto es necesario pasar una sonda recta por la pared lateral de la cavidad.

Las **pestañas** (cilios) se sitúan en los bordes de los párpados. Las grandes glándulas sebáceas, asociadas con las pestañas, se conocen como **glándulas ciliares**. El lugar de

encuentro de los párpados es el **ángulo** o comisura del ojo. Por eso, cada ojo dispone de un ángulo o comisura medial y otro lateral (fig. 7.32).

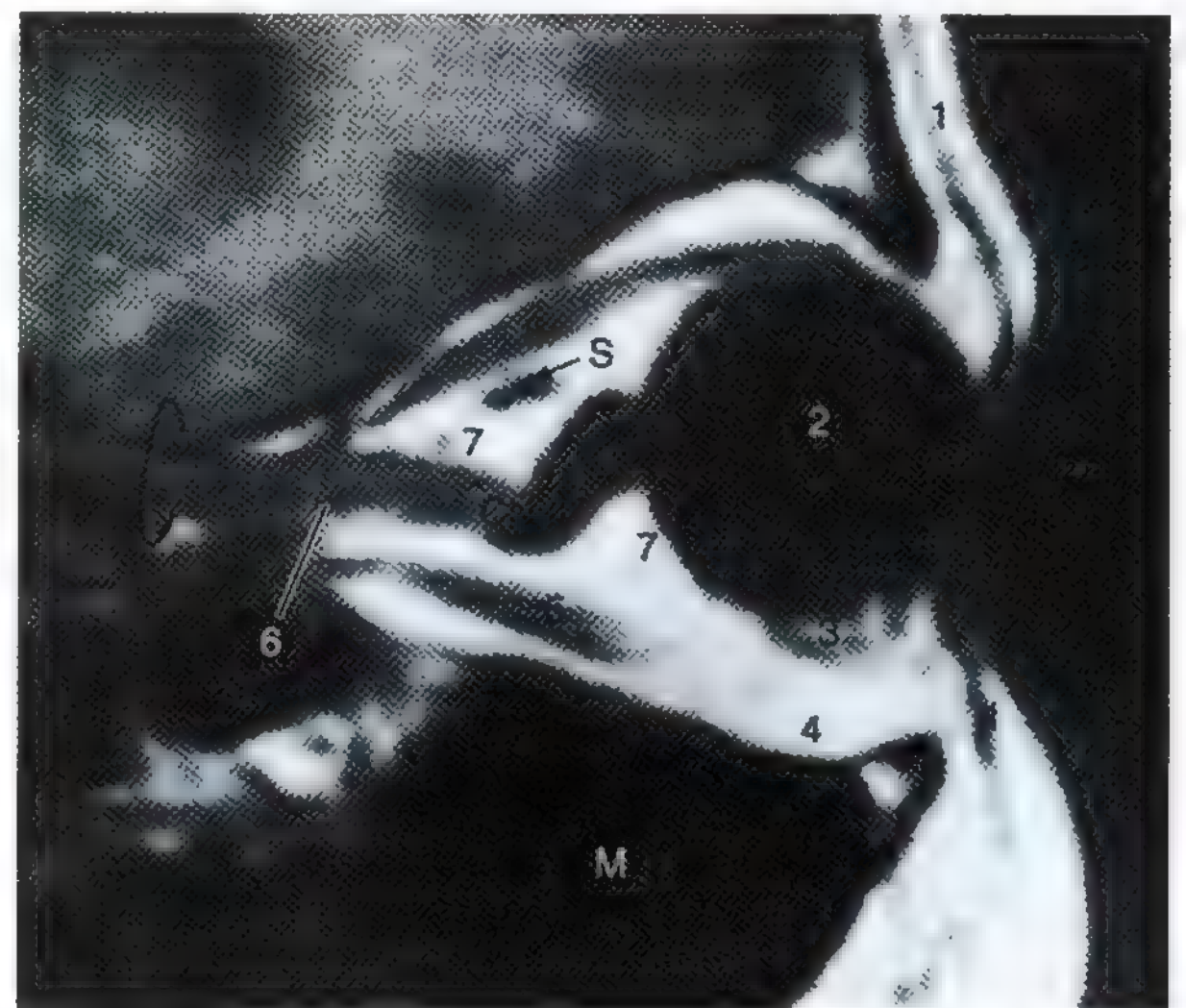
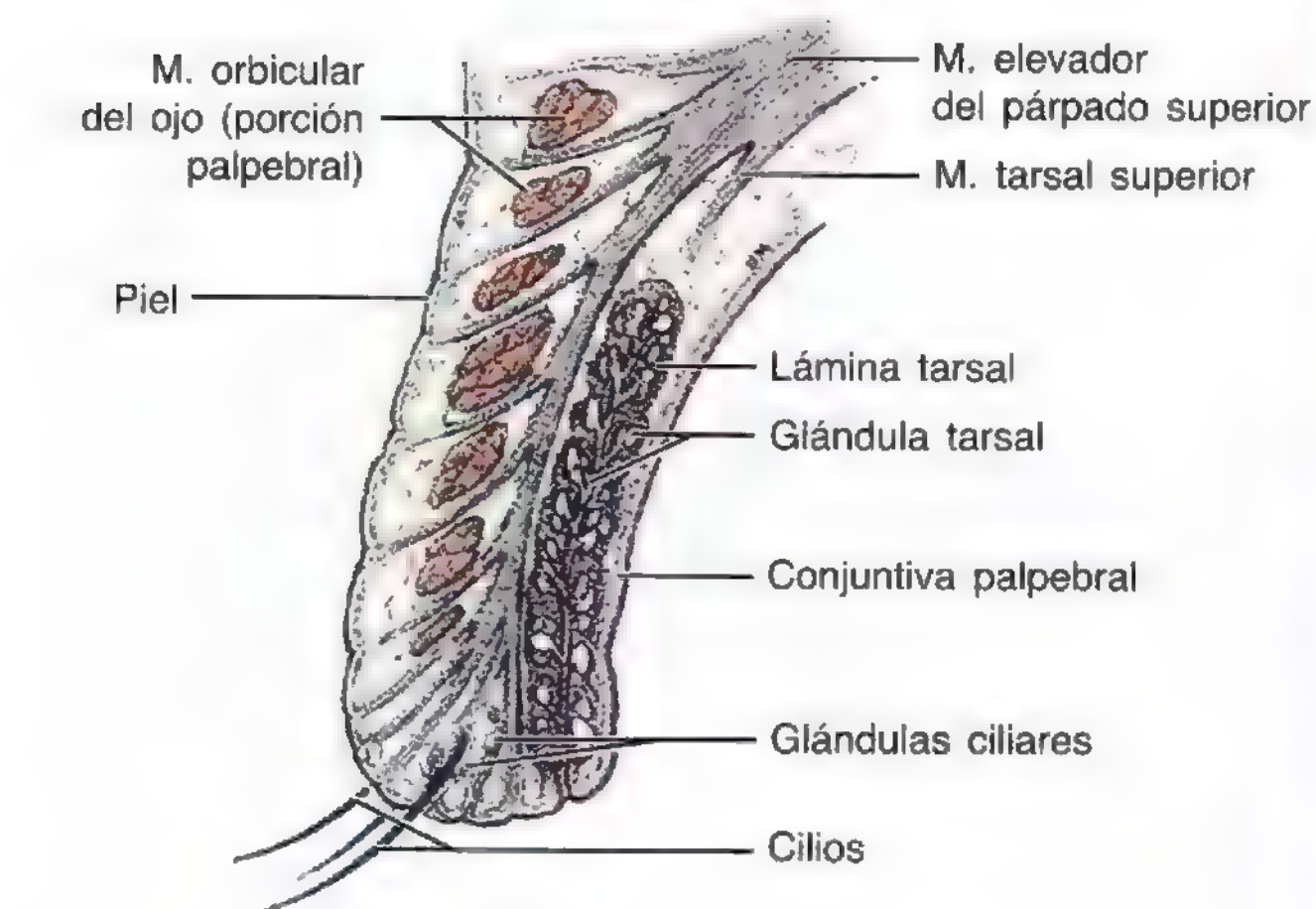
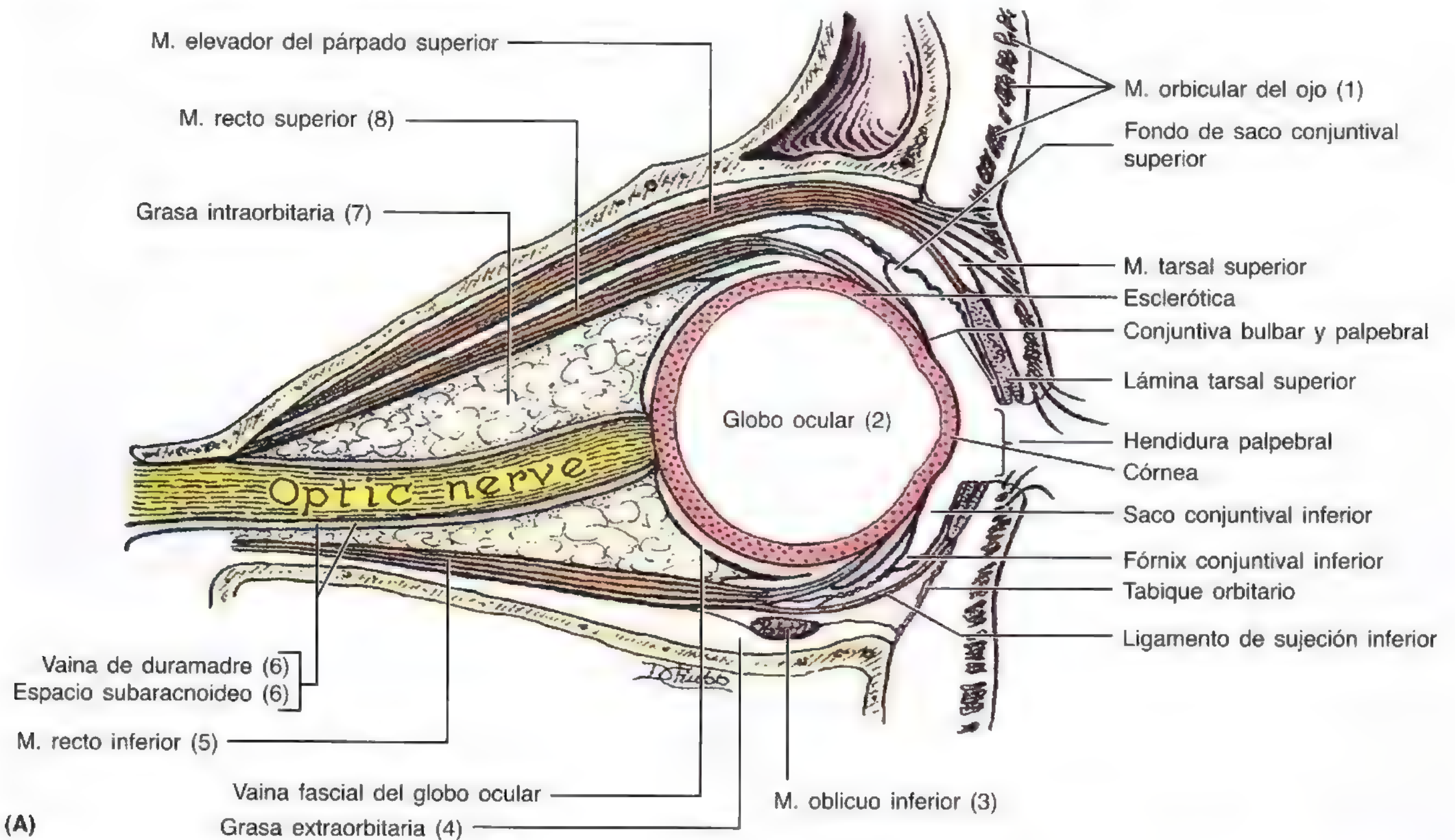


Figura 7.31. La órbita (cavidad orbitaria) y los párpados. **A.** Corte sagital de la órbita con su contenido. Los números entre paréntesis se refieren a las estructuras de **(C)**. Se observa el espacio subaracnoideo (leptomeningeo) que rodea el nervio óptico (NC II) y se continúa con el espacio entre la aracnoides y la piamadre, que cubren el encéfalo. **B.** Corte sagital del párpado superior. Nótese la lámina tarsal que forma el esqueleto del párpado y contiene las glándulas tarsales. **C.** RM sagital del nervio óptico y del globo ocular. S, vena oftálmica superior; M, seno maxilar; círculo, orificio óptico. (Cortesía del Dr. W. Kucharczyk, Director del Departamento de Imagen Médica, Universidad de Toronto, y Director Clínico del Centro Trihospitalario de Resonancia, Toronto, Ontario, Canadá).

Entre la nariz y el ángulo medial del ojo se halla el ligamento palpebral **medial**, que comunica las láminas tarsales con el borde medial de la órbita (fig. 7.32). El músculo orbicular del ojo se origina e inserta en este ligamento. Existe un **ligamento palpebral lateral** parecido, que inserta las láminas tarsales en el borde lateral de la órbita, pero no dispone de una inserción muscular directa. El **tabique orbitario** es una membrana débil que se extiende desde las láminas tarsales hasta los bordes de la órbita, continuándose allí con el periostio. Contiene grasa orbitaria y evita la diseminación de las infecciones hacia y desde la órbita.

El aparato lacrimal

El aparato lacrimal (figs. 7.31 y 7.33) se compone de lo siguiente:

- Las **glándulas lacrimales**, que segregan el líquido lacrimal.
- Los **conductos lacrimales**, que llevan el líquido lacrimal desde las glándulas lacrimales hasta el saco conjuntival.
- Los **conductillos lacrimales**, que empiezan en un **punto lacrimal** de la **papila lacrimal**, cercana al ángulo medial del ojo, y conducen la secreción lacrimal desde el **lago lacrimal** —espacio triangular de la comisura medial del ojo donde se reúnen las lágrimas— hasta el **saco lacrimal**, porción superior y dilatada del conducto nasolacrimal.
- El **conducto nasolacrimal**, que lleva el líquido lacrimal hasta la cavidad nasal (pág. 933).

El líquido lacrimal suele fluir desde los conductos lacrimales hasta el **lago lacrimal**, pasando por el ojo. Las lágrimas entran en el **saco lacrimal** (a través de los conductillos) y luego en la **cavidad nasal**, desde donde se dirigen al dorso para su deglución. No obstante, si aumenta el número de lágrimas como consecuencia de una emoción o de otras causas, la secreción se dirige hacia delante y supera la barrera lipídica del borde de los párpados, alcanzando las mejillas.

La **glándula lacrimal** (fig. 7.33A), con forma de almendra y una longitud aproximada de 2 cm, está situada en la **fosa para la glándula lacrimal** de la porción superolateral

de cada órbita (fig. 7.30). La glándula se divide en una porción superior (orbitaria) y otra inferior (palpebral) por la expansión lateral del tendón del **músculo elevador del párpado superior** (fig. 7.31B). Existen también **glándulas lacrimales accesorias**, más abundantes en el párpado superior que en el inferior.

El líquido lacrimal —cuya producción se estimula con los impulsos parasimpáticos del nervio facial— entra en el saco conjuntival a través de hasta 12 **conductos lacrimales** que se abren al **fondo del saco conjuntival superior**, es decir, en la línea superior de reflexión de la conjuntiva palpebral con el globo ocular (fig. 7.31A). El **saco conjuntival** es el espacio limitado por la membrana conjuntival entre la **conjuntiva palpebral** y **bulbar**. Después de pasar por el ojo —debido, en gran medida, al modo que tiene el ojo de cerrarse, de la cara lateral a la medial— la lágrima llega hasta el **lago lacrimal** del ángulo medial del ojo, desde donde drena por el efecto capilar a través de los **puntos y conductillos lacrimales** hasta el saco lacrimal. Desde este saco, la lágrima llega a la cavidad nasal por el **conducto nasolacrimal** (fig. 7.33A). Cuando se seca la córnea, el ojo parpadea y los párpados llevan una película de líquido que cubre la córnea, de forma parecida a como las escobillas del limpiaparabrisas lavan el parabrisas de un automóvil. De esta manera, el material extraño, como el polvo, es transportado hasta la comisura medial del ojo para su eliminación.

La **inervación de la glándula lacrimal** es de tipo simpático y parasimpático. Las fibras parasimpáticas secretomotoras presinápticas provienen del nervio facial a través del **nervio petroso mayor**, y luego del **nervio del conducto pterigoideo** para el **ganglio pterigopalatino**, donde establecen sinapsis con el cuerpo celular de la fibra postsináptica. Las fibras simpáticas postsinápticas vasoconstrictoras procedentes del **ganglio cervical superior** a través del **plexo carotídeo interno** y del nervio petroso profundo, se unen a las fibras parasimpáticas para formar el nervio del conducto pterigoideo y atravesar el ganglio pterigopalatino. El nervio cigomático (ramo del nervio maxilar) lleva los dos tipos de fibras hasta el ramo lacrimal del nervio oftálmico, con las que penetra en la glándula.



Figura 7.32. El esqueleto de los párpados. Este diagrama muestra las láminas tarsales superior e inferior y sus inserciones. Los bordes libres se encuentran libres, pero en la periferia se insertan en el tabique orbitario (fascia palpebral). Los ángulos están sujetos por los ligamentos palpebrales medial y lateral. La aponeurosis del músculo elevador del párpado superior, en apariencia, se inserta en la cara anterior y en el borde superior de la lámina tarsal superior.

Lesión de los nervios que se distribuyen en los párpados

La *lesión del nervio oculomotor* determina una parálisis del músculo elevador del párpado superior y una caída de este párpado (*ptosis*). La *lesión del nervio facial* causa una parálisis del músculo orbicular del ojo e impide el cierre completo del párpado. Asimismo, desaparece el parpadeo rápido y protector del ojo. La abolición del tono en el músculo del párpado inferior también provoca una caída (eversión) del párpado con sequedad de la córnea, que queda desprotegida frente al polvo y a las pequeñas partículas. En consecuencia, la irritación del globo ocular desprotegido se asocia con un *lagrimeo* excesivo pero ineficaz. El lagrimeo también sucede cuando se obstruye el aparato de drenaje lacrimal, porque la lágrima no llega a la parte inferior del ojo. El uso frecuente del pañuelo para eliminar la lágrima irrita aún más el ojo.

Inflamación de las glándulas palpebrales

La infección u obstrucción de los conductos de estas glándulas palpebrales puede ocasionar inflamación y tumefacción. Si se obstruyen los conductos de las glándulas ciliares se establece una tumefacción dolorosa, eritemato-

sa y purulenta, conocida como *orzuelo*, en el párpado. Los *quistes de las glándulas sebáceas* del párpado –*calacio*– representan otra complicación. La obstrucción de una glándula tarsal provoca inflamación –*calacio tarsal*– que protruye hacia el ojo y lo roza con el parpadeo. El calacio suele doler más que el orzuelo.

Hiperemia conjuntival

La conjuntiva bulbar es incolora, salvo que los vasos se dilaten y congestionen (“ojos inyectados”). La *hiperemia conjuntival* se debe a irritación local (p. ej., por el polvo, cloro o humo). La *inflamación conjuntival* –*conjuntivitis* (ojo rojo)– es una infección contagiosa frecuente del ojo.

Hemorragia subconjuntival

Las hemorragias subconjuntivales son comunes y se manifiestan por placas de color rojo brillante u oscuro en la profundidad y dentro de la conjuntiva bulbar. La hemorragia puede obedecer a lesión o inflamación. Un golpe sobre el ojo, sonarse la nariz de manera muy brusca y violenta, y los paroxismos de tos o los estornudos exagerados provocan hemorragias por rotura de los pequeños capilares subconjuntivales. ➔

El contenido de la órbita

La órbita contiene el globo ocular, el nervio óptico, los músculos oculares, fascia, nervios, vasos sanguíneos, grasa y la glándula y el saco lacrimales. *El globo ocular dispone de tres capas* (fig. 7.34).

- La **capa fibrosa** externa: esclerótica y córnea.
- La **capa vascular (pigmentada)** media: coroides, cuerpo ciliar e iris.
- La **capa interna**: retina, compuesta por una porción óptica y otras no visuales.

La capa fibrosa externa del globo ocular

La **esclerótica** es la porción opaca de la cubierta fibrosa del ojo que envuelve los cinco sextos posteriores del globo. La parte anterior de la esclerótica se ve a través de la conjuntiva bulbar transparente como “blanco del ojo”. La **córnea** es la parte transparente de la cubierta fibrosa que cubre el sexto anterior del globo ocular.

La capa vascular media del globo ocular

La **coroides** –una membrana de color pardo oscuro entre la esclerótica y la retina– forma la mayor parte de la capa vascular del globo y tapiza casi toda la esclerótica. Termina por delante en el **cuerpo ciliar**. La coroides se inserta con

fuerza en la capa pigmentaria de la retina, pero se despegará fácilmente de la esclerótica.

El **cuerpo ciliar** –que es una estructura tanto muscular como vascular– comunica la coroides con el perímetro del iris. Los repliegues de su cara interna –**procesos ciliares** (fig. 7.34B)– segregan el **humor acuoso** que ocupa las **cámaras** anterior y posterior del ojo. La **cámara anterior del ojo** es el espacio comprendido entre la córnea por delante y el iris y

Reflejo fotomotor de la pupila

El reflejo fotomotor de la pupila se examina con una linterna durante la exploración neurológica. Este reflejo, donde participan los nervios craneales II y III, consiste en la constricción de la pupila como respuesta a la iluminación. Cuando penetra la luz en un ojo, las dos pupilas se constriñen porque cada retina envía fibras a las cintillas ópticas de ambos lados. El *músculo esfínter de la pupila* está inervado por fibras parasimpáticas; por eso, la interrupción de estas fibras determina una dilatación de la pupila por el efecto desinhibido del *músculo dilatador*. El primer signo de compresión del nervio oculomotor es un reflejo fotomotor lento ipsilateral (Barr y Kiernan, 1993). ➔

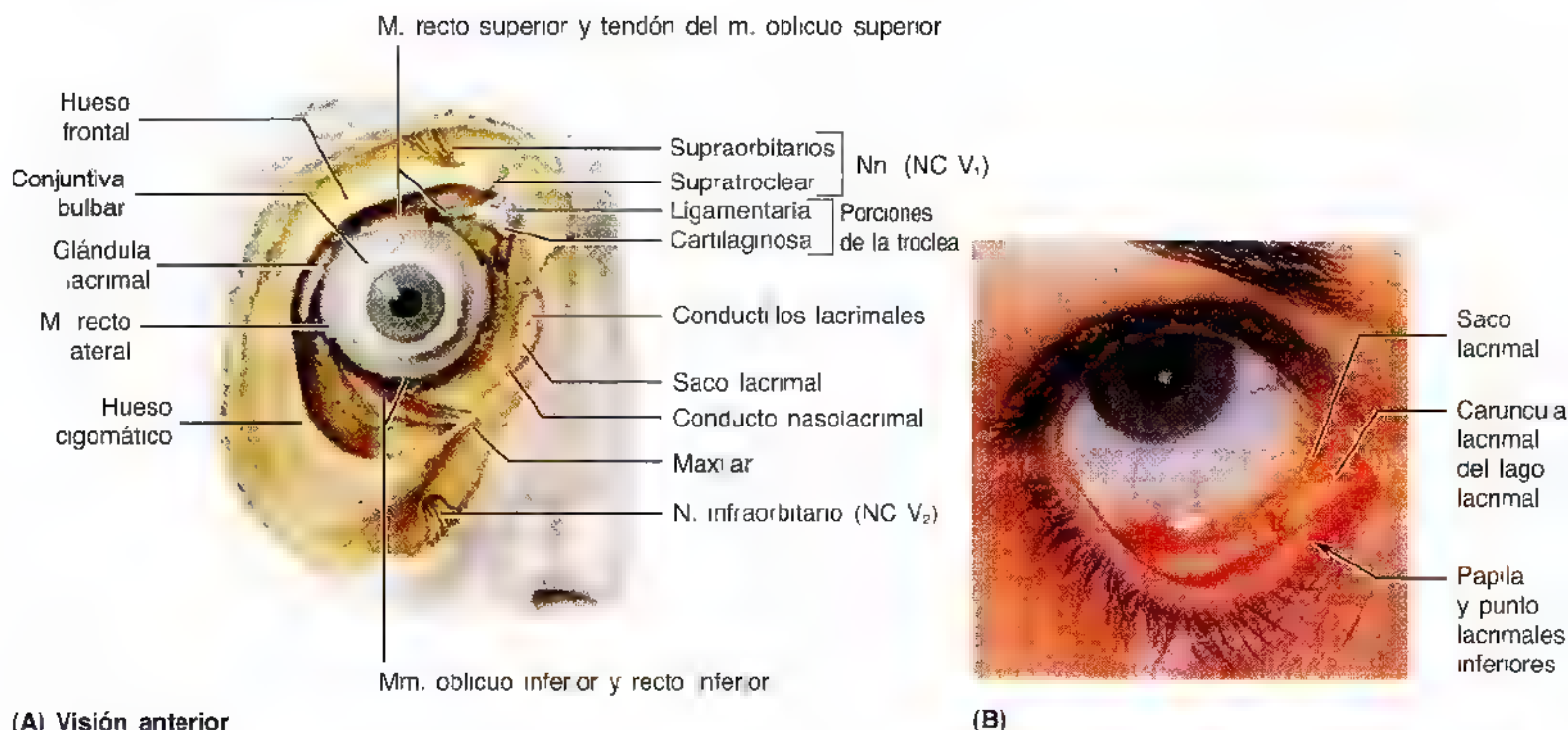


Figura 7.33. La cavidad orbitaria y el ojo. **A.** Visión anterior. Diseccción anterior de la órbita. Se han extirpado los párpados, el tabique orbitario, el músculo elevador de párpado superior y parte de la grasa. Obsérvese la conjuntiva bulbar axa y rugosa sobre la esclerótica adherida a la córnea. Examinense las inserciones aponeuroticas de los cuatro músculos rectos, que se insertan 6 a 8 mm detrás de la unión esclerocorneal. Advértase cómo el tendón del músculo oblicuo superior se mueve sobre una polea o troclea cartilaginosa, sujeta por fibras ligamentarias justo detrás del ángulo superomedial de borde orbitario. Obsérvese el músculo oblicuo inferior, el único que se inserta en la cara anterior de la órbita. En la figura se ilustra el ramo inferior del nervio oculomotor (NC III) entrando en el borde posterior. La glándula lacrimal también se ve entre la pared orbitaria ósea a los lados, y el globo ocular y el músculo recto lateral, en la zona medial. **B.** Rasgos de superficie del ojo. Se aprecian la cubierta externa fibrosa, blanca y tosca del globo ocular, es decir, la esclerótica; la córnea central transparente por la que se ve el iris pigmentado con su apertura, la pupila. También se visualizan los párpados superior e inferior que se reúnen en los ángulos medial y lateral. El párpado inferior se ha evertido para ver la reflexión de la conjuntiva de la cara anterior del globo hacia la cara interna de párpado. La flecha señala al punto (apertura) lacrimal inferior. Cerca del ángulo medial se encuentra un pliegue vertical de conjuntiva, el pliegue semilunar, en la caruncula lacrimal (véase también la pág. 933).

la pupila por detrás (fig. 7.34B). La *cámara posterior* se encuentra entre el iris y la pupila por delante y el cristalino y el cuerpo ciliar por detrás.

El **iris**, que literalmente se sitúa en la cara anterior del cristalino, es un diafragma contráctil y delgado con un orificio central —la **pupila**— para el paso de la luz. En una persona despierta, el tamaño de la pupila varía de forma constante para regular la cantidad de luz que pasa por el ojo. El tamaño de la pupila está controlado por dos músculos: el *esfínter de la pupila* la cierra y el *dilatador de la pupila* la abre.

La capa interna del globo ocular (retina)

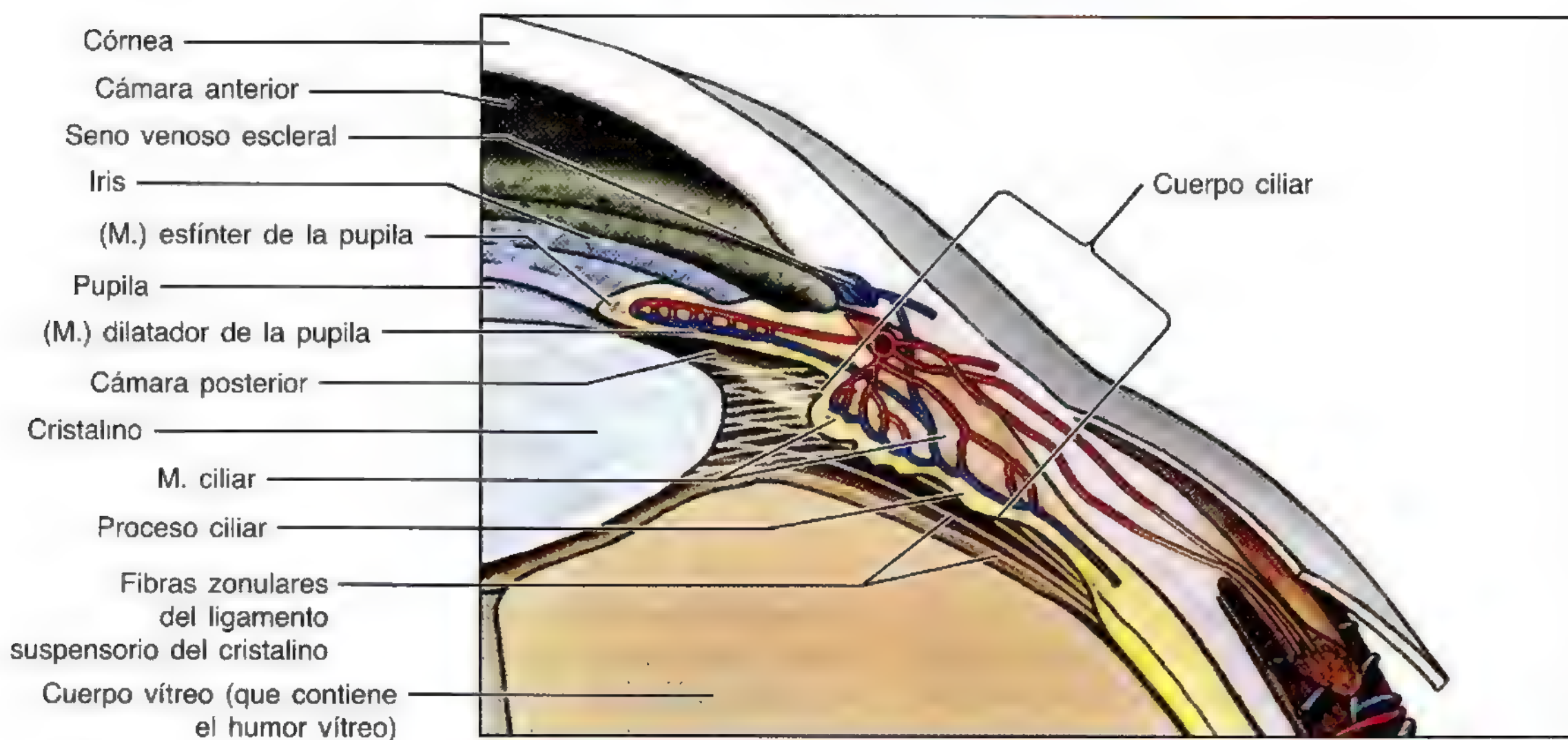
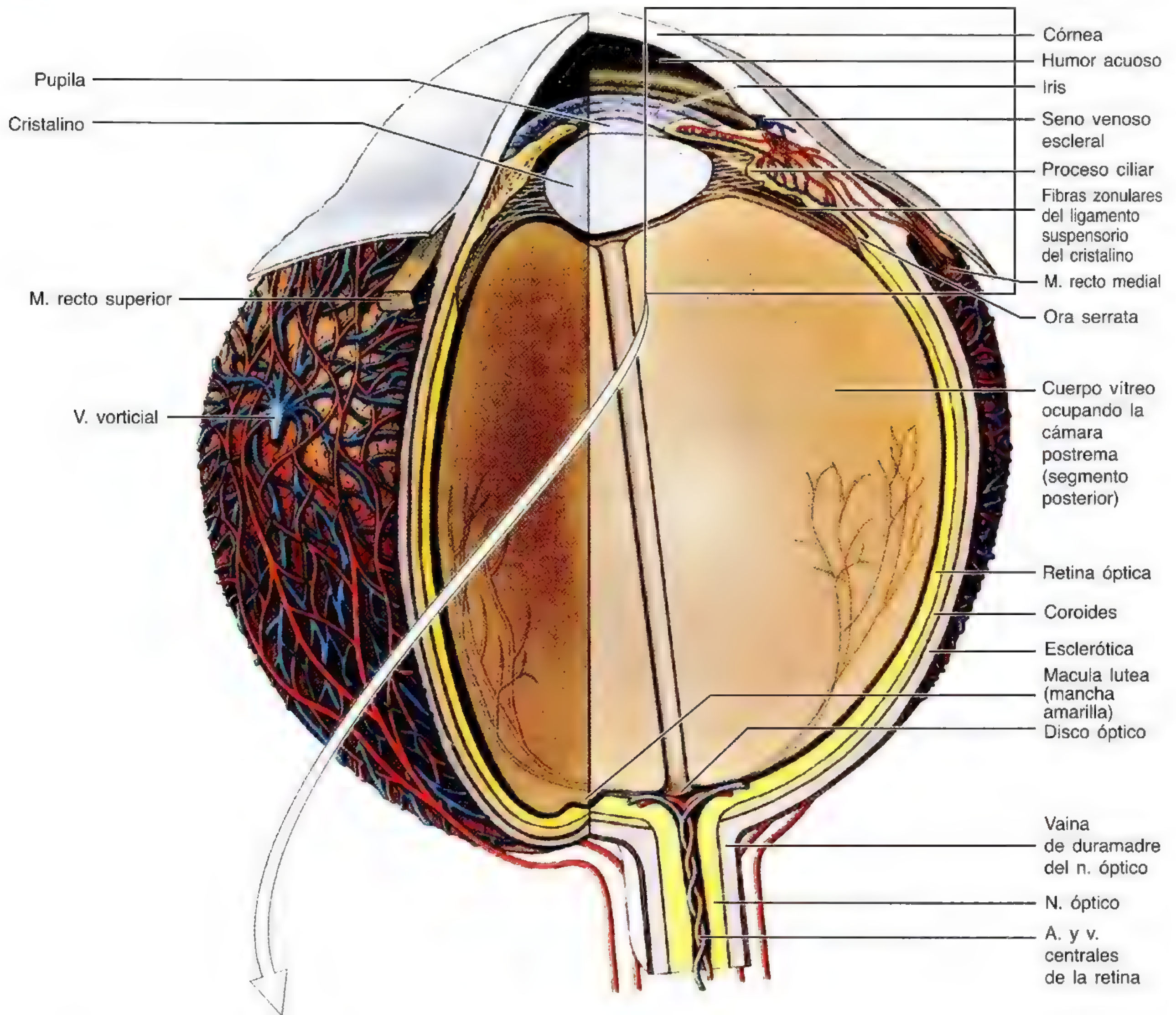
A grandes rasgos, la retina se compone de tres porciones:

- La porción óptica.
- La porción ciliar.
- La porción del iris.

La **porción óptica de la retina**, que recibe los rayos de luz, tiene dos capas: una capa nerviosa y una capa de células pigmentarias. La *capa nerviosa* es la porción fotorrecep-

tora. La *capa pigmentada* se compone de un solo estrato de células que refuerza la propiedad fotoabsorbente de la coroides para reducir la dispersión de la luz por el ojo. Las **porciones ciliar y del iris de la retina** son prolongaciones anteriores de la capa pigmentaria y de una capa de células de sostén que cubren el cuerpo ciliar y la cara posterior del iris, respectivamente.

El **fondo** (porción posterior) del ojo contiene una zona deprimida y circular —el **disco óptico** o papila óptica— por donde el nervio óptico penetra en el globo ocular (fig. 7.34A). El disco contiene fibras nerviosas y no fotorreceptores, por lo que *no es sensible a la luz*. Inmediatamente lateral a esta “mancha ciega” de la retina se encuentra la **mácula lútea** (que significa mancha amarilla en latín). El color amarillo de la mácula sólo se ve si se examina la retina con una luz exenta del rojo. La *mácula lútea* —una pequeña área ovalada de la retina con conos fotorreceptores especiales— está especializada en la agudeza visual; en condiciones normales no se ve con el *ofthalmoscopio*, aparato para examinar el interior del globo ocular a través de la pupila. El centro de la mácula tiene una depresión o *fóvea central*, que es el



área de máxima agudeza visual. La fovea mide 1,5 mm de diámetro y su centro –la *foveola*– no dispone de la red capilar que se ve en otras zonas, en la profundidad de la retina.

La porción óptica funcional de la retina termina por delante a lo largo de la *ora serrata* (que significa borde aserrado en latín), un borde irregular algo posterior al cuerpo ciliar (fig. 7.34). La ora serrata marca la terminación anterior de la porción fotorreceptora de la retina. Con excep-

ción de los conos y bastones de la capa nerviosa, la retina está irrigada por la **arteria central de la retina**, una rama de la arteria oftálmica. Los conos y los bastones de la capa nerviosa externa reciben los nutrientes de la capa coriocapilar (fig. 7.38), los vasos más finos de la cara interna de la coroides que se adhieren a la retina. Las venas retinianas forman un sistema parecido y se unen para dar la **vena central de la retina**.

Desarrollo de la retina

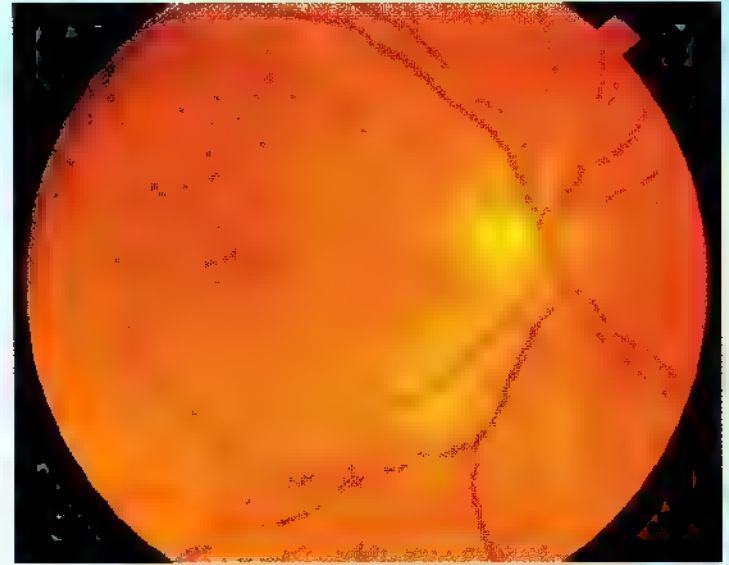
La retina y el nervio óptico se desarrollan a partir de la *copa óptica*, una estructura derivada de una prominencia del prosencéfalo embrionario, *vesícula óptica*. A medida que ésta se evagina del encéfalo arrastra consigo las meninges incipientes (Moore y Persaud, 1998). Por eso, el nervio óptico está envuelto por las meninges craneales y una prolongación del espacio subaracnoideo. La arteria y la vena centrales de la retina atraviesan el espacio subaracnoideo para discurrir dentro de la porción distal del nervio óptico. La capa de células pigmentarias de la retina nace de la capa externa de la copa óptica, y la capa nerviosa, de la capa interna de esta copa.

Oftalmoscopia

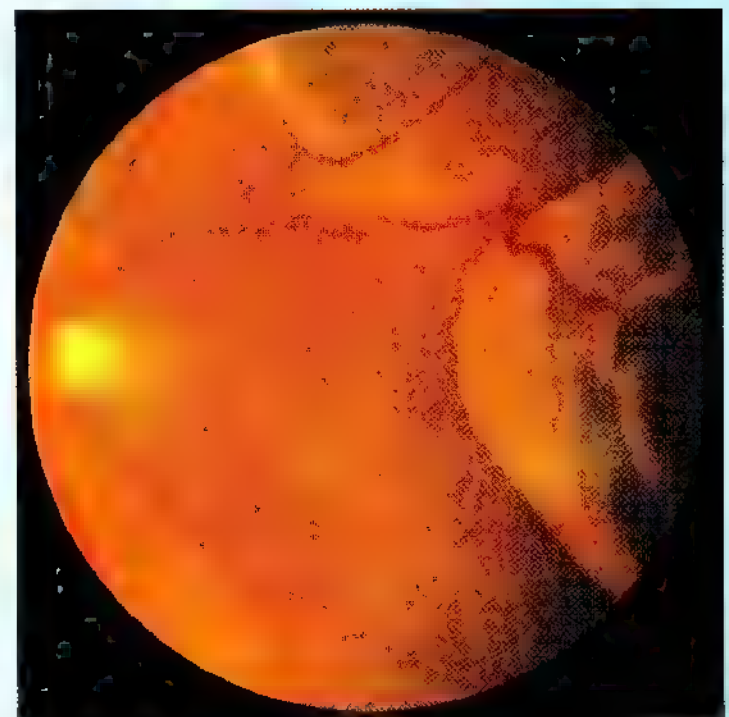
Los médicos examinan el fondo del ojo con el *oftalmoscopio*, también denominado fundoscopio (A). Las arterias y las venas de la retina se extienden sobre el fondo del ojo a partir del disco o papila óptica. El disco óptico es ovalado y pálido, y los vasos de la retina se irradian desde su centro en esta imagen de la retina obtenida con un oftalmoscopio. En general, se observa la *pulsación de las arterias de la retina*. La fovea aparece más oscura que el tinte rojizo de las áreas circundantes de la retina, debido a que el pigmento negro, melanina, de la coroides y de la capa de células pigmentarias no es filtrado por la sangre capilar.

Edema de papila

El incremento de la presión del líquido cefalorraquídeo lentifica el retorno venoso de la retina y provoca un *edema de retina* (acúmulo de líquido). El edema de retina se reconoce en la oftalmoscopia por la tumefacción del disco óptico o *edema de papila*. En general, el disco ►



(A)



(B) Desprendimiento de retina

Figura 7.34. Esquema del globo ocular disecado. A. Obsérvense las porciones del globo ocular. La parte interna de la retina está perfundada por la arteria central de la retina, mientras que la externa recibe la nutrición de la capa coriocapilar (véase fig. 7.38). La arteria central de la retina atraviesa el nervio óptico (NC II) y se divide, en el disco óptico, en las ramas superior e inferior. Las ramas de la arteria central no se anastomosan entre sí ni con ningún otro vaso. B. El recuadro muestra los detalles estructurales de la región ciliar. Se observan el músculo y el proceso ciliares: los músculos esfínter y ciliar de la pupila y el seno venoso escleral (conducto de Schlemm).

► **óptico** es plano y no forma ningún tipo de papila. El edema de papila obedece al incremento de la presión intracraneal y al aumento de la presión del LCR en la prolongación del espacio subaracnoideo que rodea el nervio óptico.

Desprendimiento de retina

Las capas de la retina embrionaria están separadas por un espacio intrarretiniano. Durante las primeras fases del período fetal, las capas embrionarias se fusionan y obli-

teran el espacio intrarretiniano. Es verdad que la capa de células pigmentarias se adhiere con fuerza a la coroides, pero su adherencia a la capa nerviosa no es tan consistente. Así pues, la retina se puede desprender después de un golpe ocular (*B*), que restablece el estado embrionario. El desprendimiento de retina suele obedecer al rezone de líquido entre las capas nerviosa y pigmentaria de la retina, algunos días o incluso semanas después del traumatismo ocular. Las personas con un desprendimiento de retina se quejan de destellos de luz que van y vienen (Anderson y Hall, 1995). ➤

Los medios refringentes del ojo

En su trayecto hacia la retina las ondas luminosas atraviesan los *medios refringentes del ojo*: la córnea, el humor acuoso, el cristalino y el humor vítreo (fig. 7.34B).

La **córnea** es el área circular de la parte anterior de la cubierta fibrosa externa del globo ocular y la principal responsable de la refracción de la luz que penetra en el ojo. Es una estructura transparente, avascular y sensible al tacto. La córnea está inervada por el nervio oftálmico y nutrida por el humor acuoso, las lágrimas y el oxígeno absorbido de la atmósfera.

El **humor acuoso** de las cámaras anterior y posterior del ojo se produce en los procesos ciliares. Esta secreción acuosa y clara aporta nutrientes para la córnea avascular y el cristalino. Tras atravesar la pupila, desde la cámara posterior a la anterior, el humor acuoso drena en el seno venoso escleral (conducto de Schlemm) del ángulo iridocorneal.

El **cristalino**, situado detrás del iris y delante del humor vítreo del cuerpo vítreo, es una estructura biconvexa y transparente encerrada en una cápsula. La *cápsula* está fijada por el ligamento suspensorio del cristalino al cuerpo ciliar y envuelta por los procesos ciliares. La convexidad del crista-

lino, en particular de su cara anterior, varía en todo momento para enfocar los objetos cercanos o remotos sobre la retina. El músculo ciliar del cuerpo ciliar modifica la forma del cristalino (fig. 7.34B); de esta manera, el cristalino aislado y no insertado adopta una forma casi esférica. Las inserciones periféricas en el contorno del cuerpo ciliar relajado aplanan bastante el cristalino, cuya refracción permite la visión remota. Cuando la estimulación parasimpática determina una contracción del músculo liso del cuerpo ciliar circular, el círculo se reduce de tamaño –como si fuera un esfínter– y disminuye la tensión sobre el cristalino, permitiendo que se redondee. La mayor convexidad del cristalino permite una refracción idónea para la visión de cerca. En ausencia de estimulación parasimpática, el músculo ciliar vuelve a relajarse y el cristalino se aplanan para adaptarse a la visión de lejos.

El **humor vítreo** es un líquido acuoso encerrado en la malla del **cuerpo vítreo**, una sustancia gelatinosa y transparente que ocupa las cuatro quintas partes posteriores del ojo, detrás del cristalino (cámara postrema o vítrea, o segmento posterior). Además de transmitir la luz, el humor vítreo mantiene la retina en su posición y sujeta el cristalino.

Abrasiones y desgarros de la córnea

Los objetos extraños, como el polvo y la arena, provocan *abrasiones* (arañazos) *de la córnea*, con un dolor brusco y punzante en el ojo y lagrimeo. La abertura y el cierre de los párpados también resultan dolorosos. Los *desgarros de la córnea* obedecen a objetos punzantes, como clavos o patines de esquiar.

Úlceras y trasplantes de córnea

La lesión de la inervación sensitiva de la córnea a partir del nervio oftálmico aumenta la vulnerabilidad de esta estructura frente a las partículas extrañas. Las personas

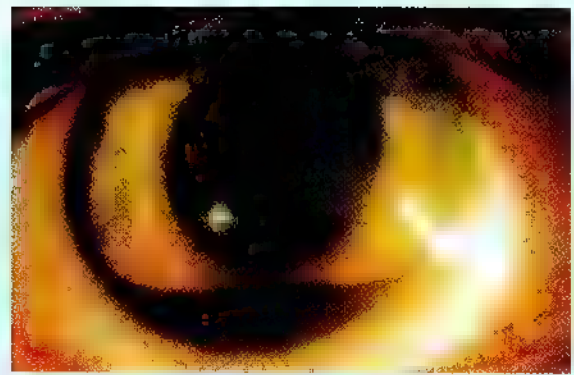
con cicatrices u opacidad corneales pueden recibir *trasplantes corneales* de donantes. También se utilizan implantes corneales de material plástico inerte.

Presbicia y cataratas

A medida que envejecen las personas, el cristalino se torna más duro y plano. Este cambio reduce de forma gradual la capacidad del cristalino para enfocar, con lo que aparece una *presbicia*. Algunas personas mayores también muestran una pérdida de la transparencia del cristalino (*cataratas*) con zonas de opacidad. La *extracción de cataratas* constituye una intervención quirúrgica ocular común. ➤

Hemorragia en la cámara anterior

La hemorragia en la cámara anterior del ojo (*hifema*) suele ser consecuencia de un traumatismo contuso del globo ocular, por ejemplo de un pelotazo al jugar al squash o a un deporte de raqueta, o de un disco de hockey. Al principio, la cámara anterior se tiñe de rojo, pero en seguida acumula sangre en su interior. La hemorragia inicial suele detenerse a los pocos días y la recuperación casi siempre es favorable. ❁



Hifema

Los músculos de la órbita

Los músculos de la órbita son:

- El músculo elevador del párpado superior.
- Los cuatro músculos rectos (superior, inferior, medial y lateral).
- Los dos músculos oblicuos (superior e inferior).

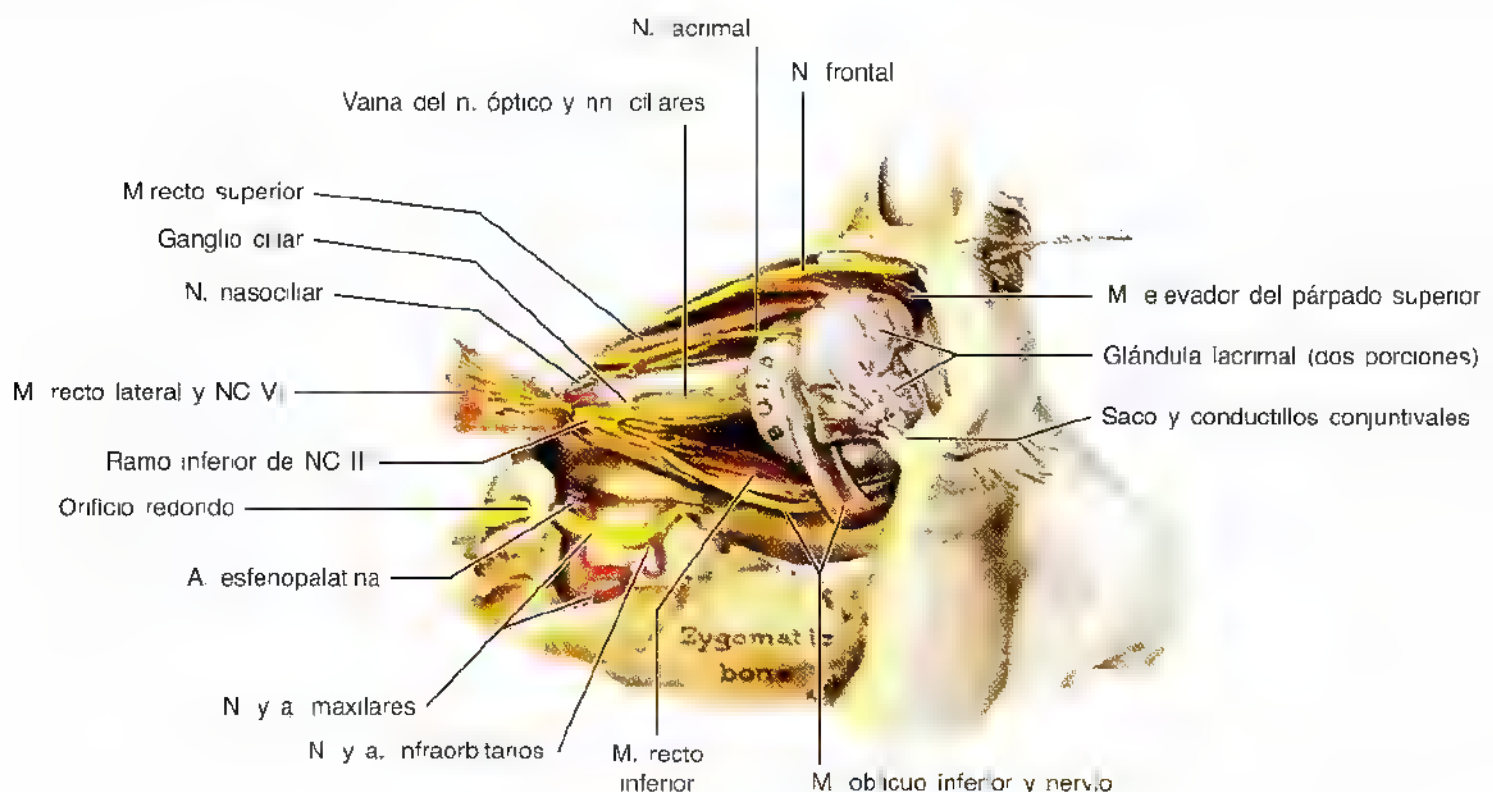
Estos músculos actúan de forma concertada desplazando los párpados superiores y los ojos. Las figuras 7.35 y 7.36 y la tabla 7.8 ilustran las inserciones, la inervación y las acciones de los músculos de la órbita.

El músculo elevador del párpado superior

Este músculo, fino y plano, se ensancha dentro de una gran aponeurosis cerca de su inserción distal a la lámina tarsal. Este músculo se opone al orbicular del ojo, el esfínter de la hendidura palpebral.

Los músculos rectos y oblicuos

Los cuatro músculos rectos nacen de un manguito fibroso (fig. 7.36A), el **anillo tendinoso común**, que rodea el conducto óptico y forma parte de la fisura orbitaria superior (fig. 7.37). Las estructuras que entran en la órbita



(A) Visión lateral

Figura 7.35. Disección de la órbita (cavidad orbitaria). A. Se advierten, en concreto, el ganglio ciliar, que recibe fibras sensitivas de los ramos nasociliares de NC V, las fibras simpáticas de plexo carotídeo interno que viajan con la arteria oftálmica y las fibras parasimpáticas (que establecen sinapsis en el ganglio) del ramo inferior de nervio oculomotor (NC III). Se observan de 8 a 10 nervios ciliares cortos que llegan al globo ocular, así como los músculos orbitarios y la glándula lacrimal.



Figura 7.35. (Continuación). **B.** Se ha extirpado la lámina orbitaria del hueso frontal. Se observan los tres nervios distribuidos por el techo de la cavidad orbitaria: troclear, frontal y lacrimal.

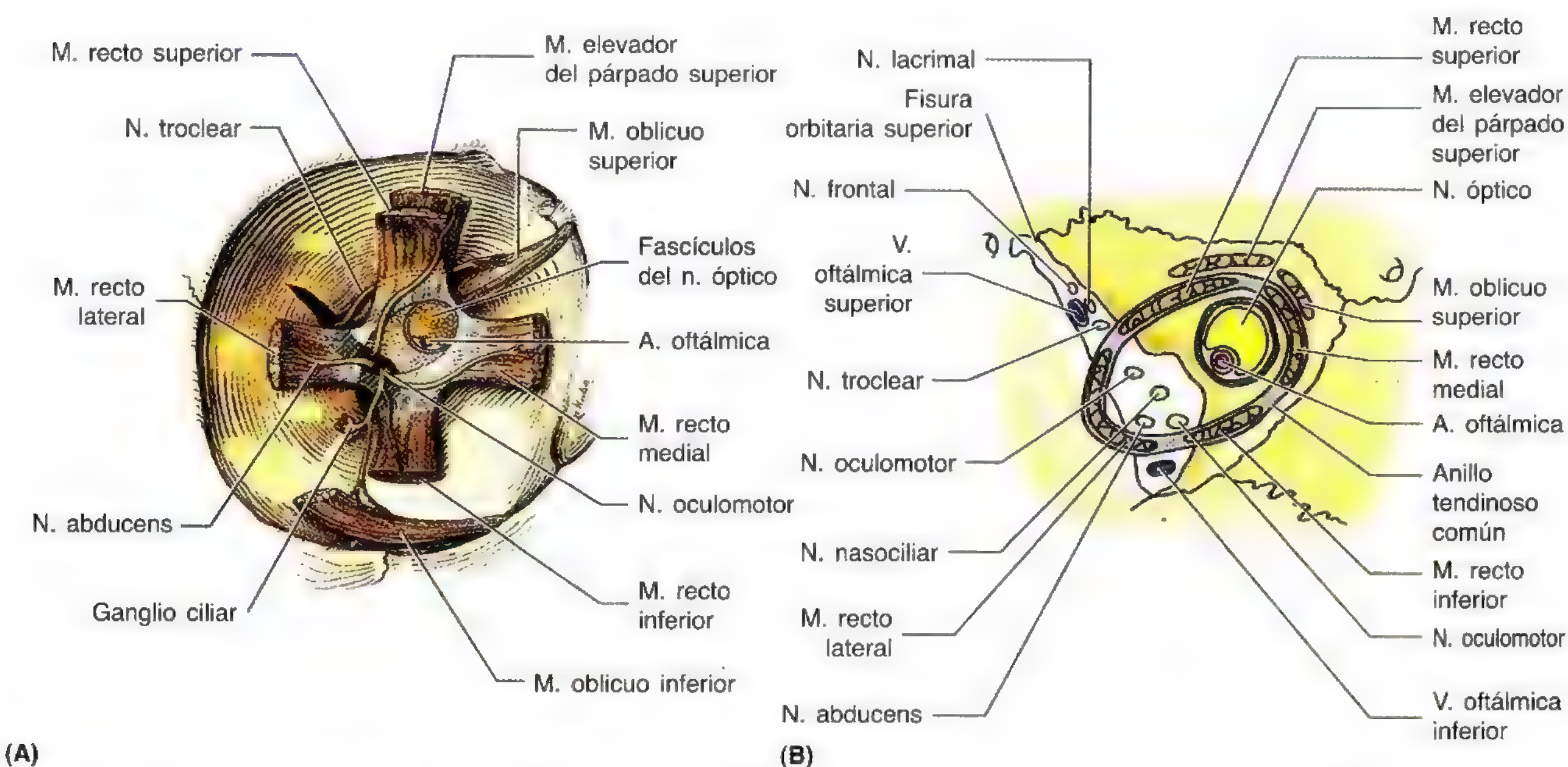
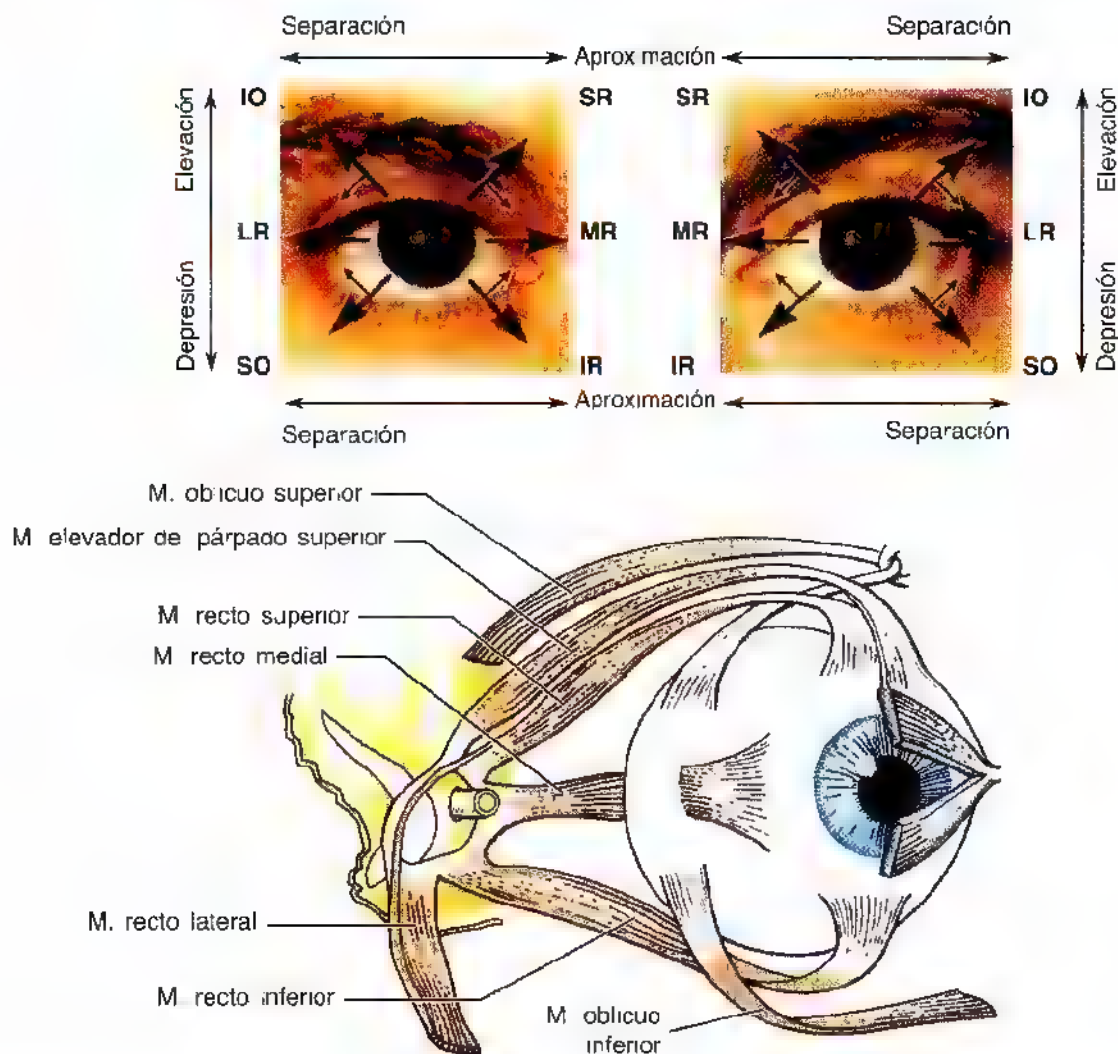


Figura 7.36. Los nervios de la órbita (cavidad orbitaria). **A.** Disección de la órbita, donde aparece el anillo tendinoso común y los nervios motores de la órbita. Se aprecian los cuatro músculos rectos que surgen del manguito fibroso y del anillo tendinoso común. Este anillo rodea la vaina de duramadre del nervio óptico (NC II), el nervio abducens (NC VI) y las divisiones superior e inferior del nervio oculomotor (NC III). **B.** Las estructuras del vértice de la órbita. Se ilustran los nervios que penetran en la órbita por la fisura orbitaria superior y que inervan los músculos del globo ocular (oculomotor [NC III], troclear [NC IV] y abducens [NC VI]).

Tabla 7.8. Los músculos de la órbita**Acciones anatómicas individuales de los músculos**

Conviene recordar que todos los músculos participan en todo momento de los movimientos oculares; así las acciones individuales no suelen explorarse en clínica. **SR**, m. recto superior (NC III); **LR**, m. recto lateral (NC VI); **IR**, m. recto inferior (NC III); **IO**, m. oblicuo inferior (NC III); **MR**, m. recto medial (NC III); **SO**, m. oblicuo superior (NC IV).

Músculo	Origen	Insertión	Inervación	Acción principal
Elevador del párpado superior	Ala menor del esfenoides, superior y anterior al conducto óptico	Lámina tarsal y piel del párpado superior	N. oculomotor; la capa profunda (m. tarsal superior) está inervada por fibras simpáticas	Eleva el párpado superior
Recto superior	Anillo tendinoso común	Esclerótica, justo detrás de la córnea	N. oculomotor	Eleva, aproxima y rota medialmente el globo ocular
Recto inferior				Deprime, aproxima y rota medialmente el globo ocular
Recto lateral			N. abducens	Separa el globo ocular
Recto medial			N. oculomotor	Aproxima el globo ocular
Oblicuo superior	Cuerpo del hueso esfenoides	El tendón pasa por un anillo fibroso o tróclea, cambia de dirección y se inserta en la esclerótica, en la profundidad del m. recto superior	N. troclear	Separa, deprime y rota medialmente el globo ocular
Oblicuo inferior	Porción anterior del suelo de la órbita	Esclerótica, profundo al m. recto lateral	N. oculomotor	Separa, eleva y rota lateralmente el globo ocular

por este conducto y por la porción adyacente de la fisura se sitúan, al principio, en el cono de los músculos rectos. Los músculos rectos lateral y medial se encuentran en el mismo plano horizontal, y los rectos superior e inferior, en el mismo plano vertical. Los cuatro **músculos rectos** se insertan en la esclerótica, en la mitad anterior del globo ocular. *Las acciones de los músculos rectos comprenden* (tabla 7.8):

- Los rectos medial y lateral rotan la pupila medial y lateralmente, respectivamente.
- El músculo recto superior rota la pupila en sentido superior (elevación).
- El músculo recto inferior rota la pupila en sentido inferior (depresión).

Ni el músculo recto superior ni tampoco el inferior traccionan en sentido paralelo al eje longitudinal del globo. Por eso, los dos rectos tienden a rotar la pupila medialmente (aproximación). Esta tracción medial de los músculos rectos superior e inferior suele compensarse con una tendencia semejante de los músculos oblicuos hacia la rotación lateral (separación de la pupila).

El **músculo oblicuo inferior** dirige la pupila en sentido lateral y superior; por eso, cuando actúa de manera sinérgica con el recto superior tiene lugar un ascenso del globo ocular. De forma análoga, el **músculo oblicuo superior** dirige la pupila en sentido inferior y lateral;

por eso, cuando se contrae de modo sinérgico con el músculo recto inferior ocurre un desplazamiento hacia abajo.

La vaina fascial del globo ocular

La vaina fascial (vaina bulbar, cápsula de Tenon) envuelve el globo ocular desde el nervio óptico hasta la unión corneoescleral y crea la cavidad real donde se aloja el ojo (fig. 7.31A). La vaina fascial es perforada por los tendones de los músculos extraoculares y se refleja sobre cada uno de ellos como vaina tubular. Las vainas de los músculos rectos medial y lateral disponen de expansiones triangulares conocidas como **ligamentos de sujeción** medial y lateral (fig. 7.35B), que se insertan en los huesos lacrimal y cigomático, respectivamente, para limitar la separación y la aproximación. La fusión de los ligamentos de sujeción con la fascia de los músculos recto inferior y oblicuo inferior crea un bucle con forma de hamaca, el **ligamento suspensorio** (fig. 7.34), que sujeta el globo ocular. El espacio virtual entre el globo ocular y la vaina fascial permite el desplazamiento del ojo dentro de la vaina con forma de copa. El ligamento de sujeción análogo de la vaina fascial del músculo recto inferior retrae el párpado inferior cuando se mira hacia abajo (fig. 7.31A). Como las vainas de los músculos recto superior y elevador del párpado superior están unidas, el párpado superior se eleva cuando se mira hacia arriba.

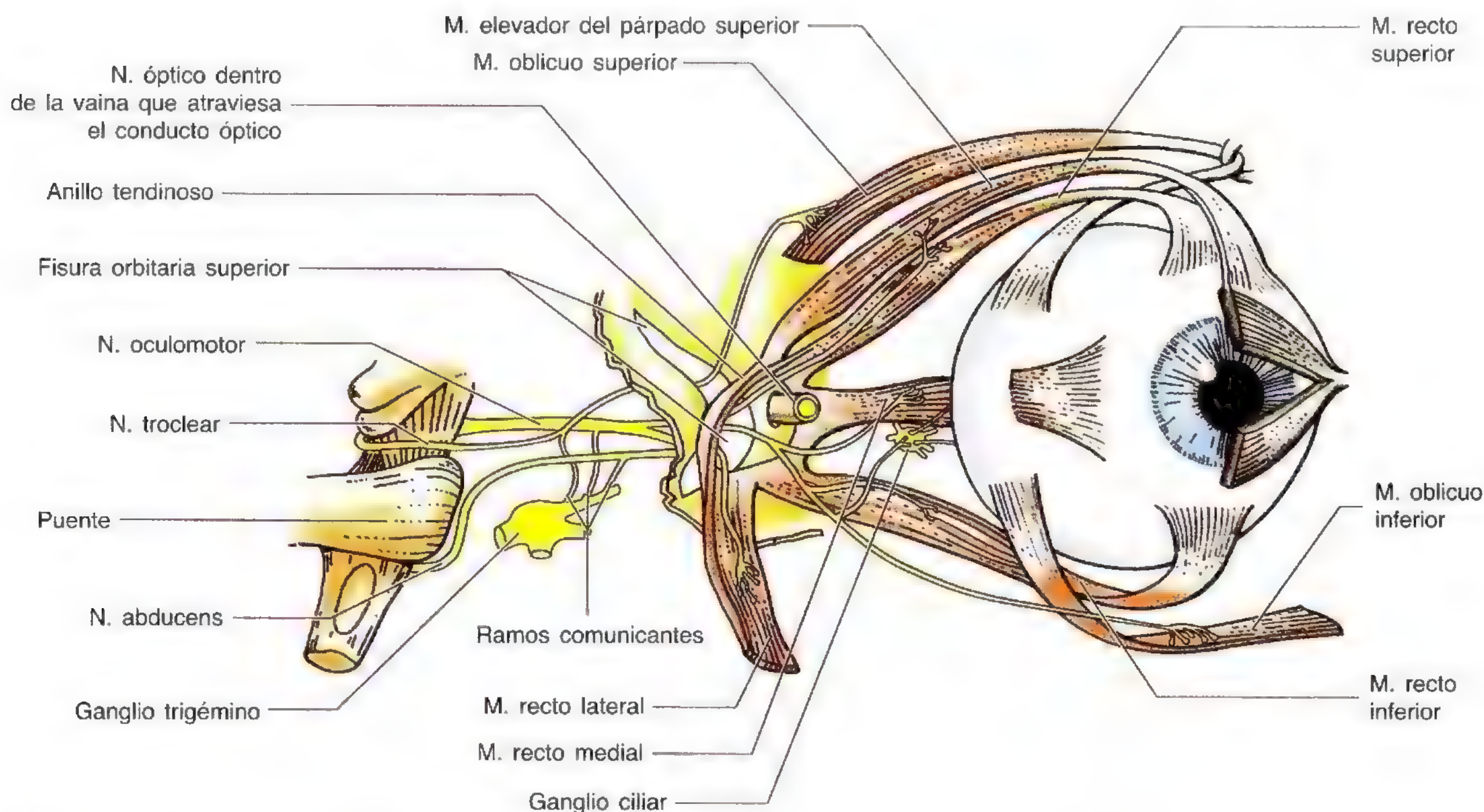


Figura 7.37. Inervación de los músculos del globo ocular. Se observa la distribución de los nervios oculomotor (NC III), troclear (NC IV) y abducens (NC VI) en los músculos del globo ocular. Los músculos entran en la órbita (cavidad orbitaria) por la fisura orbitaria superior. Se advierte cómo el NC IV inerva el músculo oblicuo superior; el NC VI, el músculo recto lateral, y el NC III, los cinco músculos restantes.

Ojo artificial

La vaina fascial del globo ocular, a modo de copa, crea una cavidad para colocar un ojo artificial si se extirpa el natural (*enucleación*). Después de esta operación, los músculos oculares apenas se retraen porque sus vainas fasciales permanecen adheridas a la vaina fascial del globo ocular. Por eso resulta posible cierto movimiento de la prótesis ocular, si se implanta correctamente. Como el ligamento suspensorio soporta el globo ocular, se preserva cuando se procede a la extirpación quirúrgica del suelo óseo de la órbita (p. ej., para la extracción de un tumor). ◉

La inervación de la órbita

Además del nervio óptico, los *nervios de la órbita* son aquellos que entran por la *fisura orbitaria superior* e inervan los músculos oculares: oculomotor, *III*; troclear, *IV*, y abducens, *VI* (figs. 7.35 y 7.36, tabla 7.8).

- El nervio oculomotor inerva los músculos elevador del párpado superior, recto superior, recto medial, recto inferior y oblicuo inferior.
- El nervio troclear inerva el músculo oblicuo superior.
- El nervio abducens inerva el músculo recto lateral.

En resumen, todos los músculos de la órbita son nervados por el nervio oculomotor, con excepción de los músculos oblicuos superior y recto lateral, que lo son por los nervios troclear y abducens, respectivamente. Una regla nemotécnica buena es **RL₆, OS₄, TD₃** (Recto Lateral, **VI** nervio craneal, Oblicuo Superior, **IV** nervio craneal, Todos los Demás, **III** nervio craneal).

Algunos ramos del **nervio oftálmico** (NC V) atraviesan la fisura orbitaria superior para distribuirse por la estructura de la órbita. El **nervio lacrimal** nace en la pared lateral del seno cavernoso y llega hasta la glándula lacrimal, donde envía ramas para la conjuntiva y la piel del párpado superior, además de fibras secretomotoras que recibe del nervio cigomático (NC V₂). El **nervio frontal** se divide en el nervio supraorbitario y el nervio supratroclear, que se dirigen al párpado superior, frente y cuero cabelludo. El **nervio nasociliar**, nervio sensitivo del ojo, envía pequeños ramos para la órbita. El **nervio infratroclear**, ramo terminal del nervio nasociliar, inerva los párpados, la conjuntiva, la piel de la nariz y el saco lacrimal. Los **nervios etmoidales**, también ramos del nervio nasociliar, se distribuyen por la mucosa de los senos esfenoidal y etmoidal y de las cavidades nasales, así como por la duramadre de la fosa craneal anterior.

Los **nervios ciliares cortos**, ramos del ganglio ciliar (fig. 7.35B), transportan fibras parasimpáticas y simpáticas al cuerpo ciliar y al iris. El **ganglio ciliar** es un pequeño grupo de cuerpos neuronales situado entre el nervio óptico

y el músculo recto lateral, cerca del límite posterior de la órbita. Los nervios ciliares cortos se componen de fibras parasimpáticas postsinápticas que se originan en el ganglio ciliar, fibras aferentes del nervio nasociliar que atraviesan el ganglio y fibras simpáticas postsinápticas que también pasan a su través. Los **nervios ciliares largos**, ramos del nervio nasociliar (NC V₁), transportan fibras simpáticas postsinápticas al músculo dilatador de la pupila y fibras aferentes del iris y de la córnea.

Parálisis del nervio oculomotor

La parálisis completa del nervio oculomotor afecta a casi todos los músculos oculares, al músculo elevador del párpado superior y al músculo esfínter de la pupila. El párpado superior se cae y no puede levantarse de manera voluntaria, debido al efecto sin oposición del músculo orbicular del ojo inervado por el nervio facial. La parálisis del nervio facial no induce ptosis, sino que impide la contracción de los párpados. Además, la pupila se dilata al máximo y deja de responder por el efecto desinhibido del músculo dilatador de la pupila. La pupila se dirige hacia abajo y hacia fuera (separación y depresión completas) por el efecto desinhibido de los músculos recto lateral y oblicuo superior, respectivamente.

Síndrome de Horner

La *interrupción de un tronco simpático cervical* determina una parálisis del músculo tarsal superior inervado por las fibras parasimpáticas, con la consiguiente ptosis. Otros signos de síndrome de Horner son una pupila miótica; el hundimiento, enrojecimiento y sequedad oculares, y el aumento de temperatura en el lado afectado de la cara.

Parálisis de los músculos extraoculares

Las enfermedades del tronco cerebral y las lesiones intracraneales pueden paralizar uno o más músculos extraoculares y producir *diplopia* (visión doble). La parálisis de un músculo concreto se manifiesta por el movimiento ocular limitado en el campo de acción de dicho músculo, y por la aparición de dos imágenes cuando se trata de utilizar ese músculo. Si se paraliza el nervio abducens que inerva sólo el músculo recto lateral, el paciente no puede separar la pupila del lado afectado. La pupila está totalmente aproximada por la tracción del músculo recto medial, sin oposición alguna. ◉

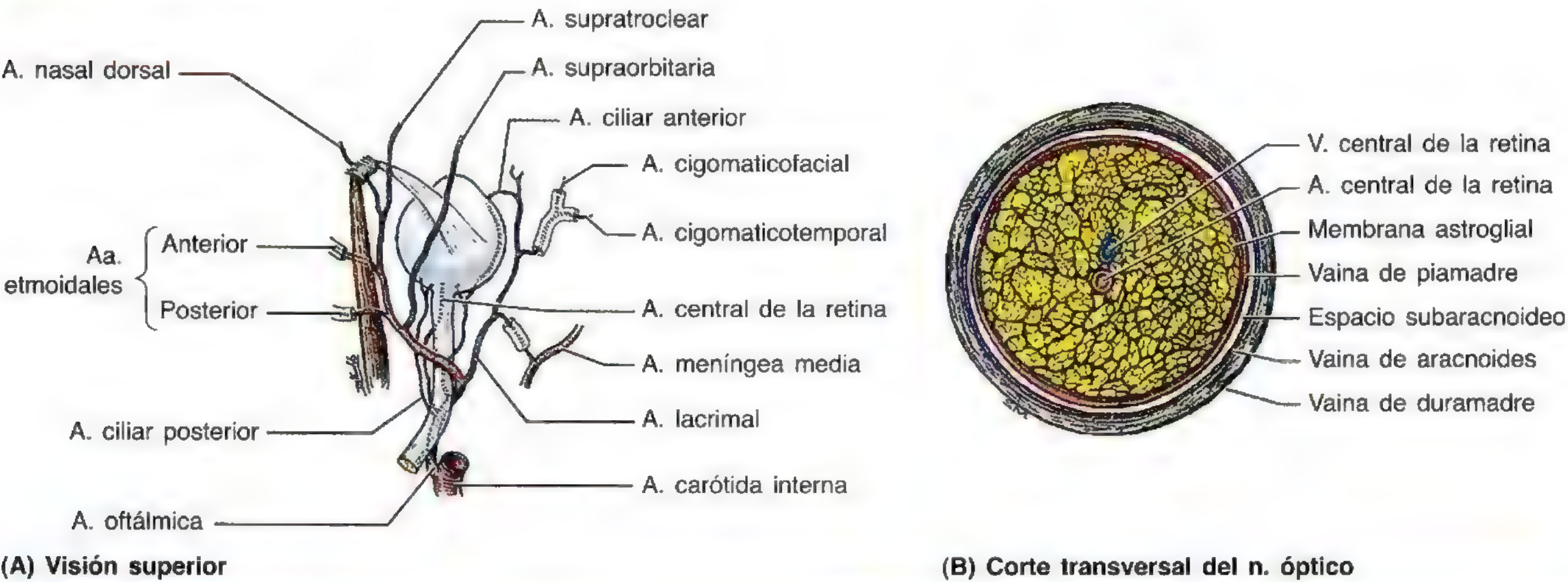
La vascularización de la órbita

Las arterias de la órbita

La irrigación sanguínea de la órbita depende, en particular, de la **arteria oftálmica**; la **arteria infraorbitaria** también aporta sangre a esta región (figs. 7.35 y 7.36, tabla 7.9). La **arteria central de la retina**, rama de la arteria oftálmica inferior al nervio óptico, discurre dentro de la vaina de dura-

madre del nervio óptico hasta que se acerca al globo ocular (fig. 7.34). La arteria central perfora el nervio óptico y sigue con él para salir por el disco óptico. Las ramas de la arteria central se extienden sobre la cara interna de la retina. Las ramas terminales de la arteria central son las únicas arterias que irrigan la retina. La retina también está perfundida por una capa capilar de la coroides (fig. 7.38), la **capa coriocapilar** (lámina). De las ocho arterias ciliares poste-

Tabla 7.9. Las arterias de la órbita



Arteria	Origen	Trayectoria y distribución
Oftálmica	A. carótida interna	Atraviesa el orificio óptico para alcanzar la cavidad orbitaria
A. central de la retina	A. oftálmica	Discurre por la vaina de duramadre del n. óptico y perfora el nervio cerca del globo ocular; aparece en el centro del disco óptico; perfunde la retina óptica (salvo los conos y bastones)
Supraorbitaria		Se dirige en sentido superior y posterior desde el orificio supraorbitario hacia la frente y el cuero cabelludo
Supratroclear		Pasa del borde supraorbitario a la frente y el cuero cabelludo
Lacrimal		Viaja por el borde superior del m. recto lateral para irrigar la glándula lacrimal, la conjuntiva y los párpados
Nasal dorsal		Sigue por la cara dorsal de la nariz para irrigar su superficie
Ciliares posteriores cortas		Atraviesa la esclerótica en la periferia del n. óptico para dirigirse a la coroides, que a su vez perfunde los conos y bastones de la retina óptica
Ciliares posteriores largas		Prepara la esclerótica para irrigar el cuerpo ciliar y el iris
Etmoidales posteriores		Atraviesa el orificio etmoidal posterior, llegando a las celdas etmoidales posteriores
Etmoidales anteriores		Atraviesa el orificio etmoidal anterior y llega a la fosa craneal anterior; perfunde las celdas etmoidales anteriores y medias, el seno frontal, la cavidad nasal y la piel del dorso de la nariz
Ciliar anterior	Ramas musculares (rectas) de la a. oftálmica	Perfora la esclerótica por las inserciones de los mm. rectos y forma una red en el iris y en el cuerpo ciliar
Infraorbitaria	3ª porción de la a. maxilar	Pasa a lo largo del surco y del orificio infraorbitarios hasta la cara

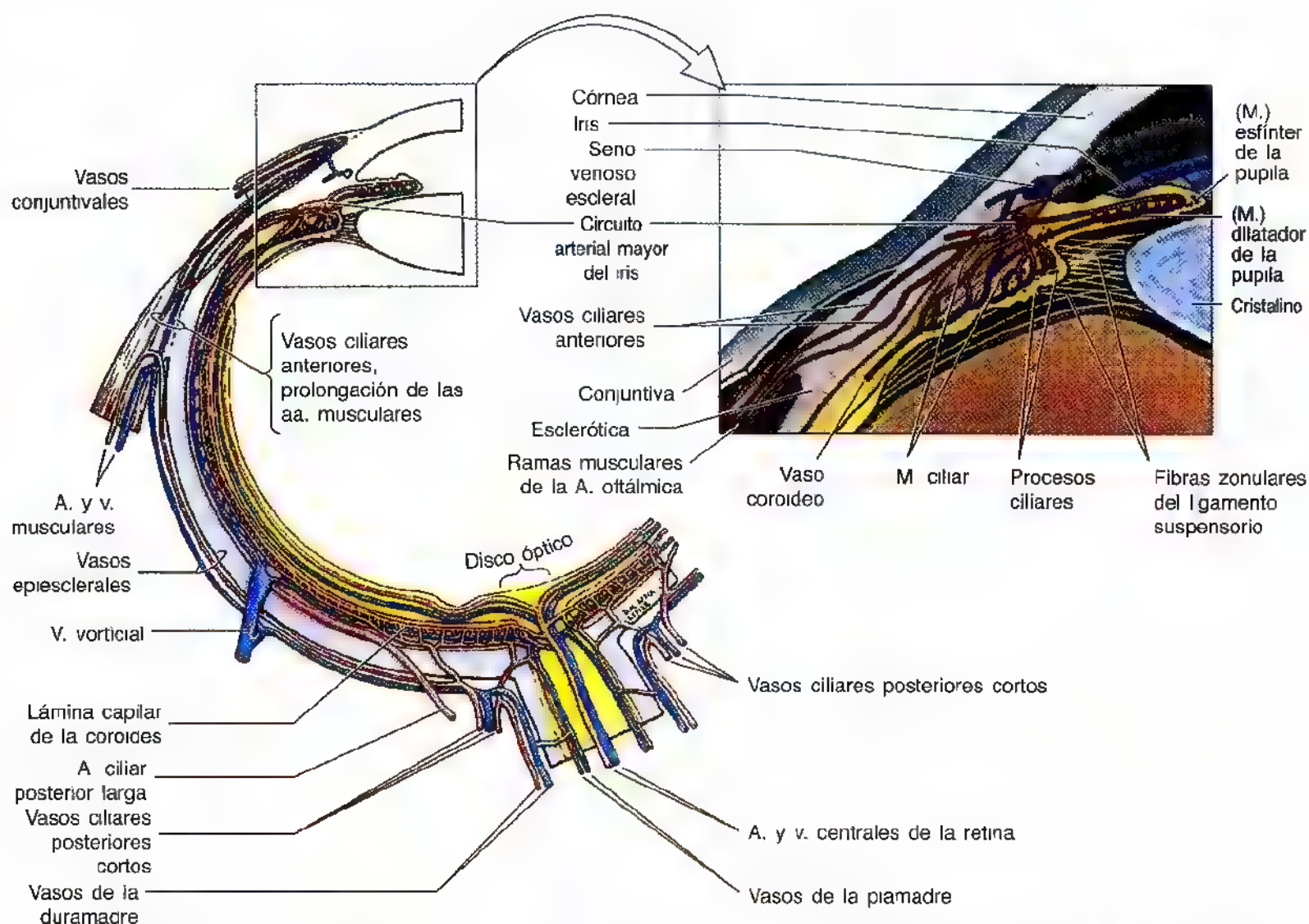


Figura 7.38. Corte horizontal parcial del globo ocular derecho. Se observa la arteria central de la retina, rama de la arteria oftálmica. Es una arteria terminal. De las aproximadamente ocho arterias ciliares posteriores, seis perfunden la coroides, que, a su vez, nutre la capa avascular externa de la retina. Las dos arterias ciliares posteriores largas, una a cada lado del globo ocular, viajan entre la esclerótica y la coroides para anastomosarse con las arterias ciliares anteriores, derivadas de las ramas musculares. Examine la vena vorticial (una de cuatro a cinco) que drena la sangre venosa de la coroides hacia las venas ciliar posterior y oftálmica (véase fig. 7.39). El seno venoso escleral (conducto de Schlemm) devuelve el humor acuoso, segregado hacia la cámara anterior por los procesos ciliares a la circulación venosa.

teriores, también ramas de la arteria oftálmica, seis de ellas, arterias ciliares posteriores cortas, perfunden directamente la coroides, que nutre la capa avascular externa de la retina. Existen dos **arterias ciliares posteriores largas**, una a cada lado del globo ocular, que circulan entre la esclerótica y la coroides para anastomosarse con las arterias ciliares anteriores —prolongaciones de las ramas musculares de la arteria oftálmica— e irrigar el plexo ciliar.

Las venas de la órbita

El drenaje venoso de la órbita tiene lugar por las **venas oftálmicas superior e inferior**, que atraviesan la fisura orbitaria superior y entran en el seno cavernoso (fig. 7.39). La **vena central de la retina** (fig. 7.38) suele desembocar directamente en el seno cavernoso, pero puede unirse a cualquiera de las venas oftálmicas. Las **venas vorticiales** de la capa vascular drenan a la vena oftálmica inferior. El **seno venoso**

escleral es una estructura vascular que envuelve la cámara anterior del ojo, por donde el humor acuoso regresa a la circulación sanguínea.

Glaucoma

Si disminuye de modo importante el drenaje del humor acuoso por el seno venoso escleral, aumenta la presión dentro de las cámaras interior y posterior del ojo, estado conocido como **glaucoma**. La ceguera es consecuencia de la compresión de la capa nerviosa de la retina y de la irrigación de la retina si no se consigue reducir la producción de humor acuoso para mantener la presión intraocular normal.

Obstrucción de la arteria central de la retina

Las ramas terminales de la arteria central de la retina no se comunican y su obstrucción por un émbolo provoca una ceguera instantánea y completa. El taponamiento de la arteria suele ser unilateral y ocurre en personas de edad avanzada.

Obstrucción de la vena central de la retina

Como la vena central de la retina entra en el seno cavernoso, la *tromboflebitis* de este seno facilita, a veces, el paso de trombos a la vena central de la retina, con el taponamiento consiguiente de pequeñas venas de la retina. La obstrucción de la vena central de la retina suele determinar una pérdida lenta e indolora de la visión. ⊕

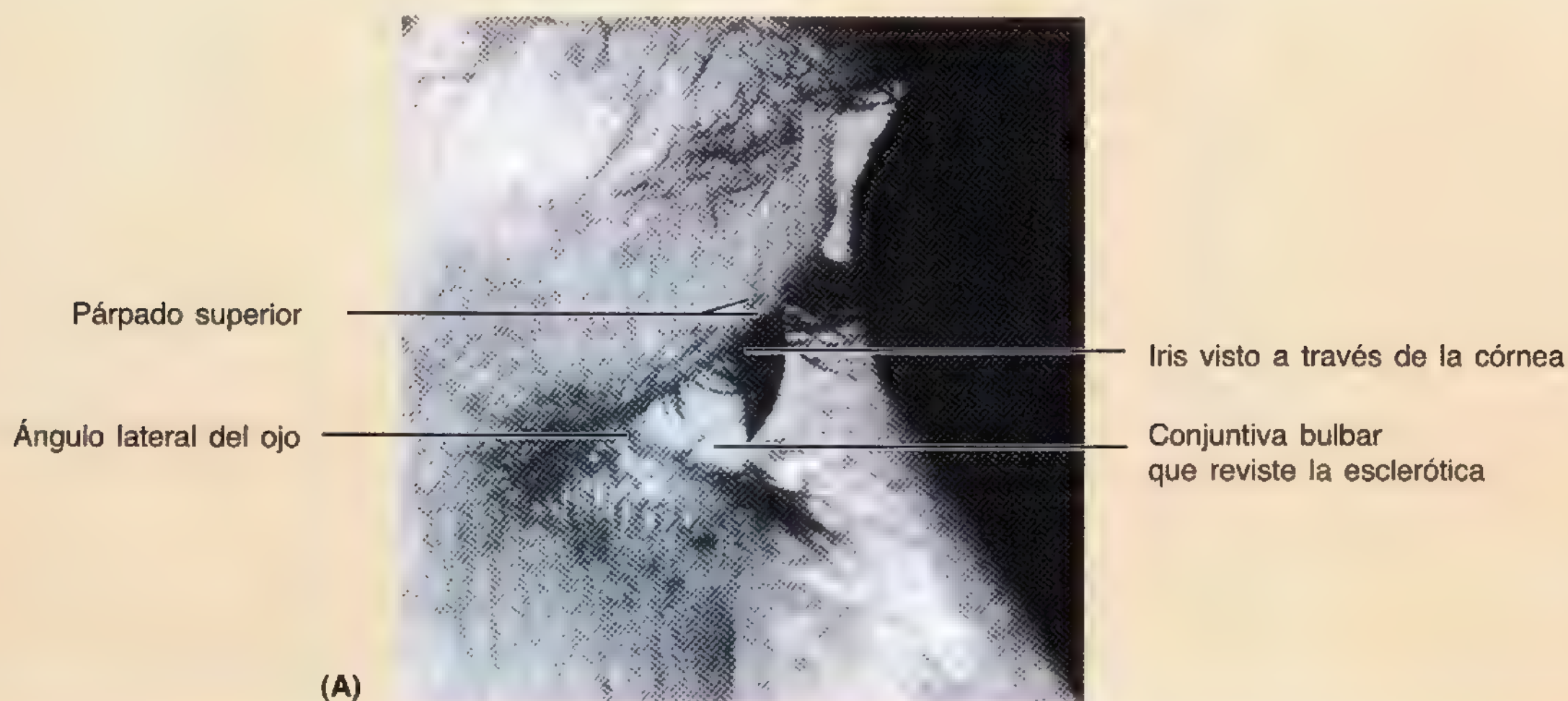
Anatomía de superficie del globo ocular, párpados y aparato lacrimal

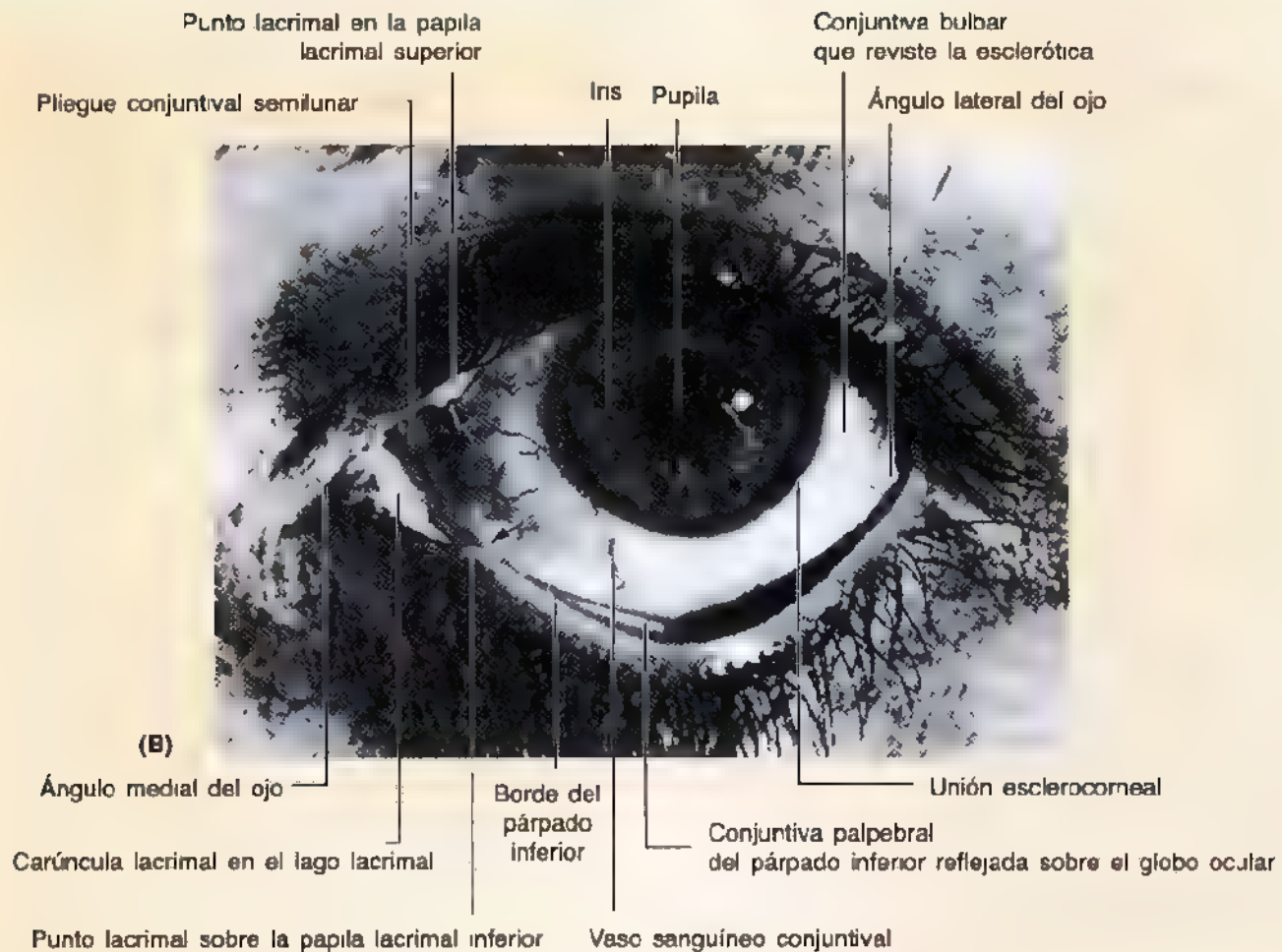
La abertura situada entre los párpados superior e inferior se conoce como **hendidura** o **fisura**. Cuando se cierran los párpados, la hendidura palpebral ocupa una posición casi horizontal, salvo en algunas razas (p. ej., asiática). Las personas orientales tienen una inclinación superior y ligera de la hendidura palpebral hacia la nariz porque los extremos mediales de los párpados superiores siguen una proyección superomedial. Además, los ángulos mediales de esos globos oculares están tapizados por un *pliegue de epicanto* de tamaño variable. En una visión lateral (A), casi toda la porción visible del globo ocular protruye ligeramente entre los párpados (es decir, a través de la hendidura palpebral). En una visión anterior, casi todo el globo ocular parece alojado dentro de la órbita. La parte anterior de la esclerótica está cubierta por la conjuntiva bulbar transparente. La esclerótica tosca y opaca de los lactantes y niños tiene un tinte azulado, y la de muchas personas mayores, un tinte amarillo. La porción transparente anterior del ojo es la córnea, cuyos bordes se continúan con la esclerótica. Sin embargo, como puede verse desde el lado, la córnea ofrece una curvatura

mayor que el resto del globo ocular (porción cubierta por la esclerótica); por eso se crea un ángulo en la *unión esclerocorneal* o limbo de la córnea. El orificio circular oscuro por el que entra la luz en el ojo —la **pupila**— está rodeado por el iris, un diafragma circular y pigmentado.

La **conjuntiva bulbar** se refleja desde la esclerótica a la cara profunda del párpado. La **conjuntiva palpebral** normalmente es roja y vascularizada y suele explorarse cuando se sospecha *anemia*, una alteración de la sangre que se manifiesta, de ordinario, por palidez de las mucosas. Como la conjuntiva bulbar se continúa con el epitelio anterior de la córnea y con la conjuntiva palpebral forma el **saco conjuntival**. La *hendidura palpebral* es la “desembocadura” del saco conjuntival. Cuando se cierran los párpados, las conjuntivas bulbar y palpebral crean un saco conjuntival cerrado.

En el **ángulo medial** del ojo aparece un depósito rojizo y fino de lágrimas, el **lago lacrimal** (véase imagen B de la pág. 933). En el interior del lago se encuentra la *carúncula lacrimal*, montículo de piel húmeda y modificada. Lateral a la carúncula se sitúa el **pliegue conjuntival semilunar**, que recubre ligeramente el globo. El pliegue semilunar es un rudimento de la membrana nictitante de las aves y de los reptiles. Cuando se evierten los ▶

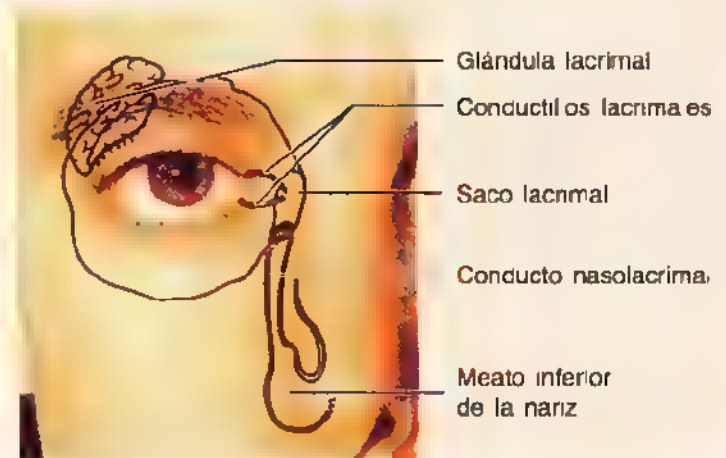




► En los bordes palpebrales se ve una pequeña depresión el **punto lacrimal**— en el extremo medial sobre la cima de una diminuta elevación, la **papila lacrimal** (véase imagen B de la pág. 933). El párpado superior contiene un punto y papila similares.

La **glándula lacrimal** ubicada en la parte superolateral de la órbita segrega el líquido lacrimal; los conductos conducen la secreción por la superficie del globo ocular. Si la córnea empieza a secarse, el párpado se abre y cierra, arrastrando una película de la lágrima sobre la córnea. Cada punto lacrimal representa la desembocadura de un fino conducto, el **conductillo lacrimal**, que lleva el líquido hasta el **saco lacrimal**. Desde aquí, las lágrimas pasan por el **conducto nasolacrimal** hasta el **meato inferior de la nariz**, paso de la pared lateral de la cavidad nasal creado por la proyección del cornete nasal inferior.

El líquido drena a la cara posterior de la cavidad nasal, hacia la nasofaringe, donde se deglute. 🍽️



La región temporal

La región temporal contiene las fosas temporal e infratemporal, que quedan por encima y por debajo del arco cigomático, respectivamente (fig. 7.40).

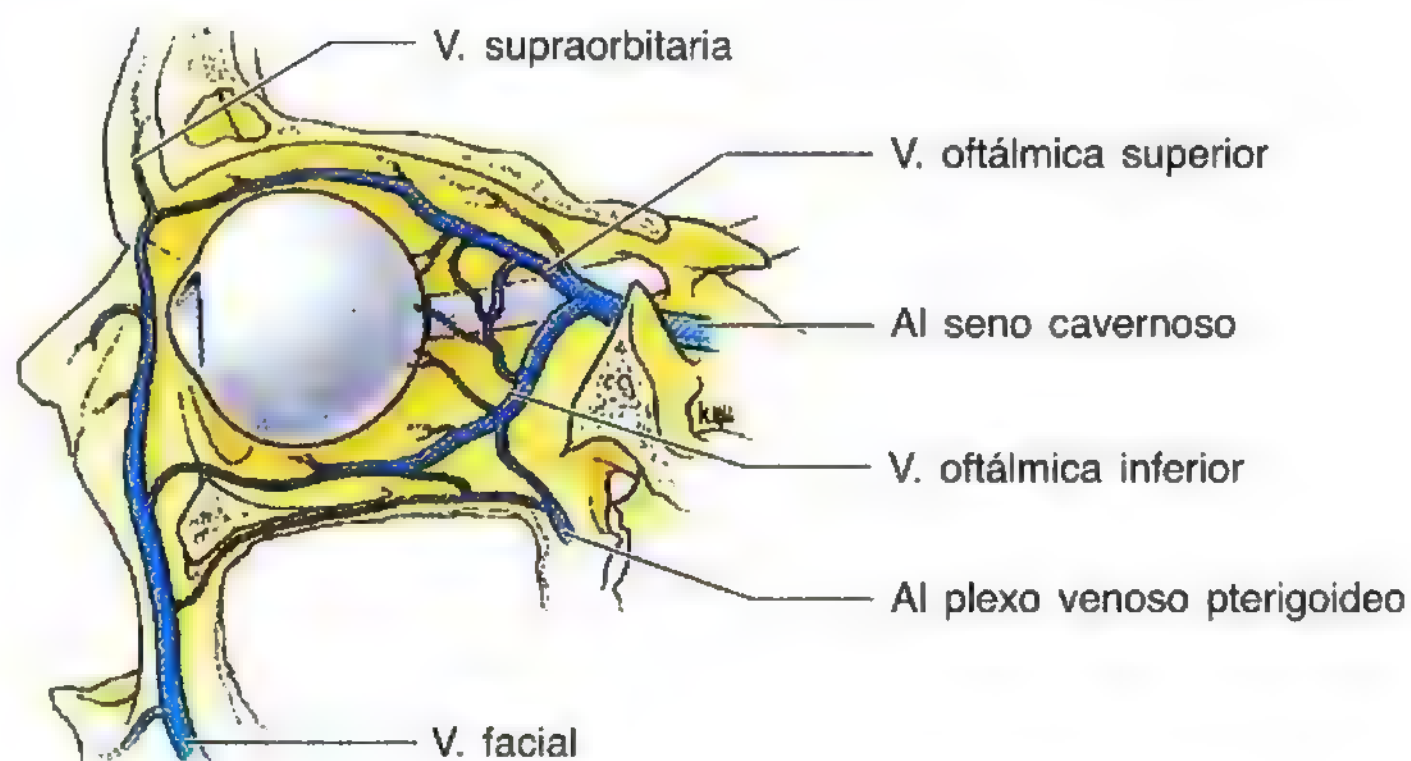
La fosa temporal

La fosa temporal (fig. 7.40A), donde se encuentra el músculo temporal, limita:

- Con las líneas temporales en la cara posterior y superior.
- Con los huesos frontal y cigomático en la anterior.
- Con el arco cigomático en la lateral.
- Con la cresta infratemporal en la inferior (fig. 7.40B).

El **suelo de la fosa temporal** lo integran partes de los cuatro huesos que forman el **pterión**: frontal, parietal, temporal y ala menor del esfenoides. El músculo temporal, con forma de abanico, nace del suelo (es decir, de la fosa temporal que se extienden hasta la línea temporal inferior) y de

Figura 7.39. Venas oftálmicas. Se observan las venas oftálmicas superior e inferior, que desembocan en el seno cavernoso y en el plexo venoso pterigoideo por detrás y se comunican con las venas facial y supraorbitaria por delante. La vena oftálmica superior acompaña a la arteria oftálmica y a sus ramas. Estas comunicaciones venosas facilitan la extensión inmediata de las infecciones o tromboflebitis a la cavidad craneal (seno cavernoso) y a la parte profunda de la cara (plexo venoso pterigoideo) (pág. 895).



la fascia temporal que lo cubre (fig. 7.41), que contiene el *techo de la fosa temporal*. Esta fascia dura cubre el músculo temporal que alcanza la línea temporal superior. Por debajo, la fascia se divide en dos capas que se insertan en el borde superior del arco cigomático. La fascia temporal también sujeta el arco cigomático por arriba. Cuando se contrae el robusto músculo masetero –insertado en el borde inferior del arco– y ejerce una tracción inferior fuerte sobre el arco, se comprueba la resistencia de la fascia temporal.

La fosa infratemporal

La fosa infratemporal es un espacio irregular situado en la profundidad y debajo del arco cigomático, dentro de la rama de la mandíbula y detrás del maxilar (fig. 7.40B). Se comunica con la fosa temporal a través del intervalo entre (en la profundidad de) el arco cigomático y (superficial a) los huesos del cráneo.

Los límites de la fosa infratemporal

Los límites de la fosa infratemporal (fig. 7.40, A y B) son:

- La rama de la mandíbula, en la cara lateral.
- La lámina pterigoidea lateral, en la medial.
- La cara posterior del maxilar, en la anterior.
- La lámina timpánica y las apófisis mastoides y estiloides del hueso temporal, en la posterior.
- La cara inferior (infratemporal) del ala mayor del esfenoides, en la superior.
- La zona de inserción del músculo pterigoideo medial en la mandíbula, cerca de su ángulo, en la cara inferior (fig. 7.41, A y B).

El contenido de la fosa infratemporal

La fosa infratemporal contiene:

- La parte inferior del músculo temporal.
- Los músculos pterigoideos lateral y medial.
- La arteria maxilar.
- El plexo venoso pterigoideo.

- Los nervios mandibular, inferior, alveolar, lingual, bucal y de la cuerda del tímpano y del ganglio ótico.

El **músculo temporal** (fig. 7.41, tabla 7.10) se inserta proximalmente en la fosa temporal y distalmente en la apófisis coronoides, en el borde anterior de la rama mandibular. El músculo temporal eleva la mandíbula (cierra el maxilar inferior); sus fibras posteriores determinan una retrusión (retracción) de la mandíbula protruida.

El **músculo pterigoideo lateral** (fig. 7.41, tabla 7.10), que se origina en dos cabezas, sigue un trayecto posterior y la cabeza superior se inserta en la cápsula y en el disco de la articulación temporomandibular; la cabeza inferior lo hace sobre todo en la fosa pterigoidea de la apófisis condilar (cuello) de la mandíbula. Los músculos pterigoideos laterales determinan una protrusión de la mandíbula (desplazamiento hacia delante) para deprimir la barbilla (este acto se debe, en gran parte, a la gravedad).

El **músculo pterigoideo medial** se sitúa en la cara medial de la rama de la mandíbula (fig. 7.41C). Las dos cabezas abrazan la cabeza inferior del músculo pterigoideo lateral y luego se unen. El músculo pterigoideo medial tiene un curso inferoposterior y se inserta en la cara medial de la mandíbula cerca de su ángulo. El músculo pterigoideo medial eleva la mandíbula y cierra el maxilar.

La **arteria maxilar**, la mayor de las dos ramas terminales de la arteria carótida externa (fig. 7.42):

- Nace detrás del cuello de la mandíbula.
- Se dirige hacia delante, en la profundidad del cuello del cóndilo mandibular (1ª porción o porción mandibular).
- Sigue un curso superficial o profundo al músculo pterigoideo lateral (porción 2ª o pterigoidea).
- Desaparece por la fisura pterigomaxilar para introducirse en la fosa infratemporal (porción 3ª o pterigopalatina).

Por lo tanto, la arteria maxilar se divide en tres porciones por el músculo pterigoideo lateral (figs. 7.41, A y B, y 7.42).

Las ramas de la porción 1ª o mandibular de la arteria maxilar son:

- La arteria auricular profunda para el conducto auditivo externo.
- La arteria timpánica anterior para la membrana timpánica.

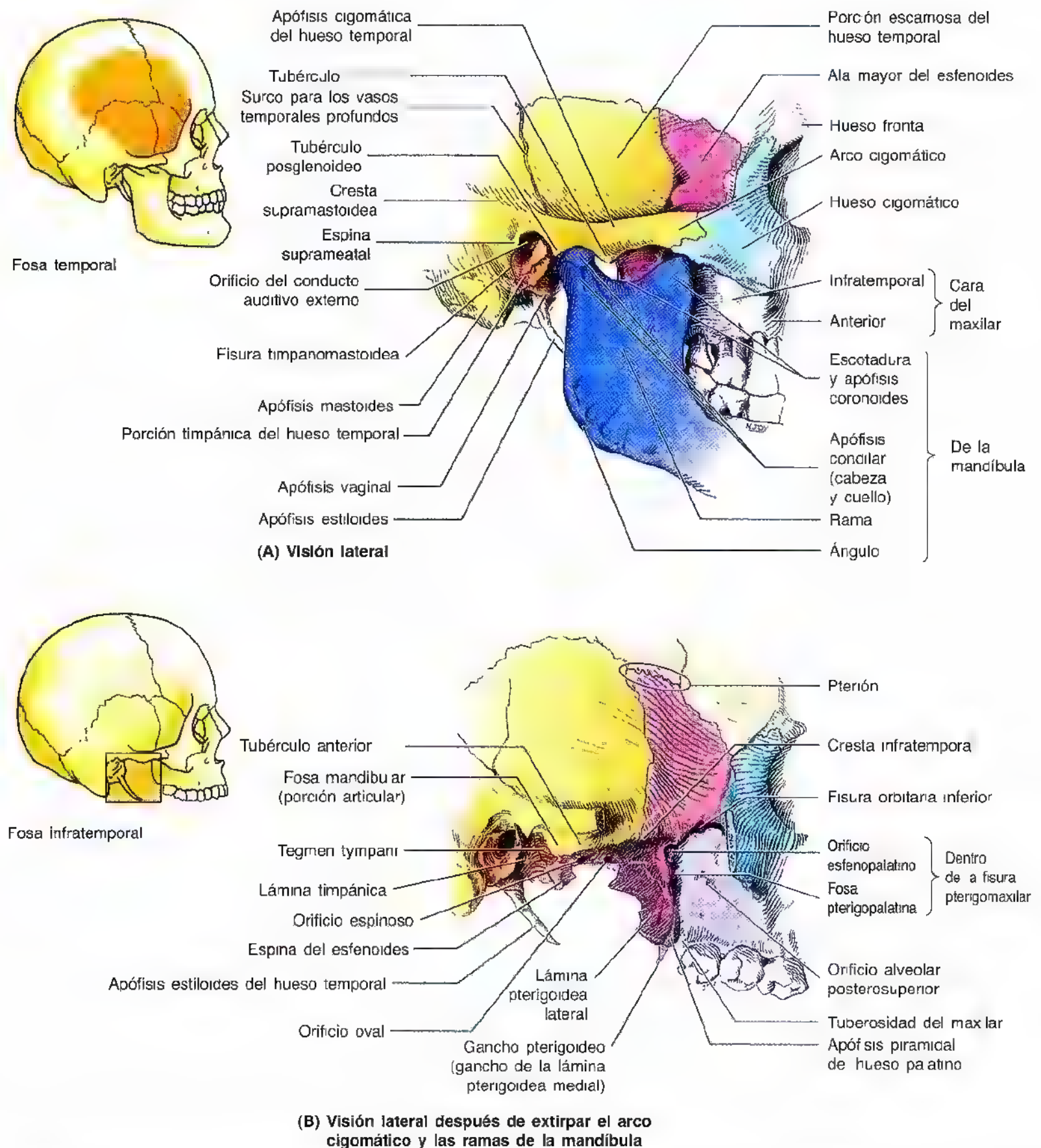


Figura 7.40. Los límites óseos de las fosas temporal e infratemporal. **A.** Visión lateral de cráneo intacto. La pared lateral de la fosa infratemporal está formada por la rama de la mandíbula. Este espacio queda profundo al arco cigomático y es atravesado por el músculo temporal y los nervios y vasos temporales profundos. En este intervalo la fosa temporal se comunica por abajo con la fosa infratemporal. **B.** Visión lateral de cráneo después de extirpar el arco cigomático y la rama de la mandíbula; se observan el techo y las tres paredes de la fosa infratemporal. La fosa es un espacio irregular situado detrás de maxilar (pared anterior). El techo de la fosa lo crea la cara infratemporal de la ala mayor del esfenoides. La pared medial la constituye la lámina pterigoidea lateral, y la pared posterior, la lámina timpánica, la apófisis estiloides y la apófisis mastoides de hueso temporal. La fosa infratemporal se comunica con la fosa pterigopalatina a través de la fisura pterigomaxilar.

- La arteria meníngea media para la duramadre y la calota.
- Las arterias meníngeas accesorias para la cavidad craneal.
- La arteria alveolar inferior para la mandíbula, las encías y los dientes.

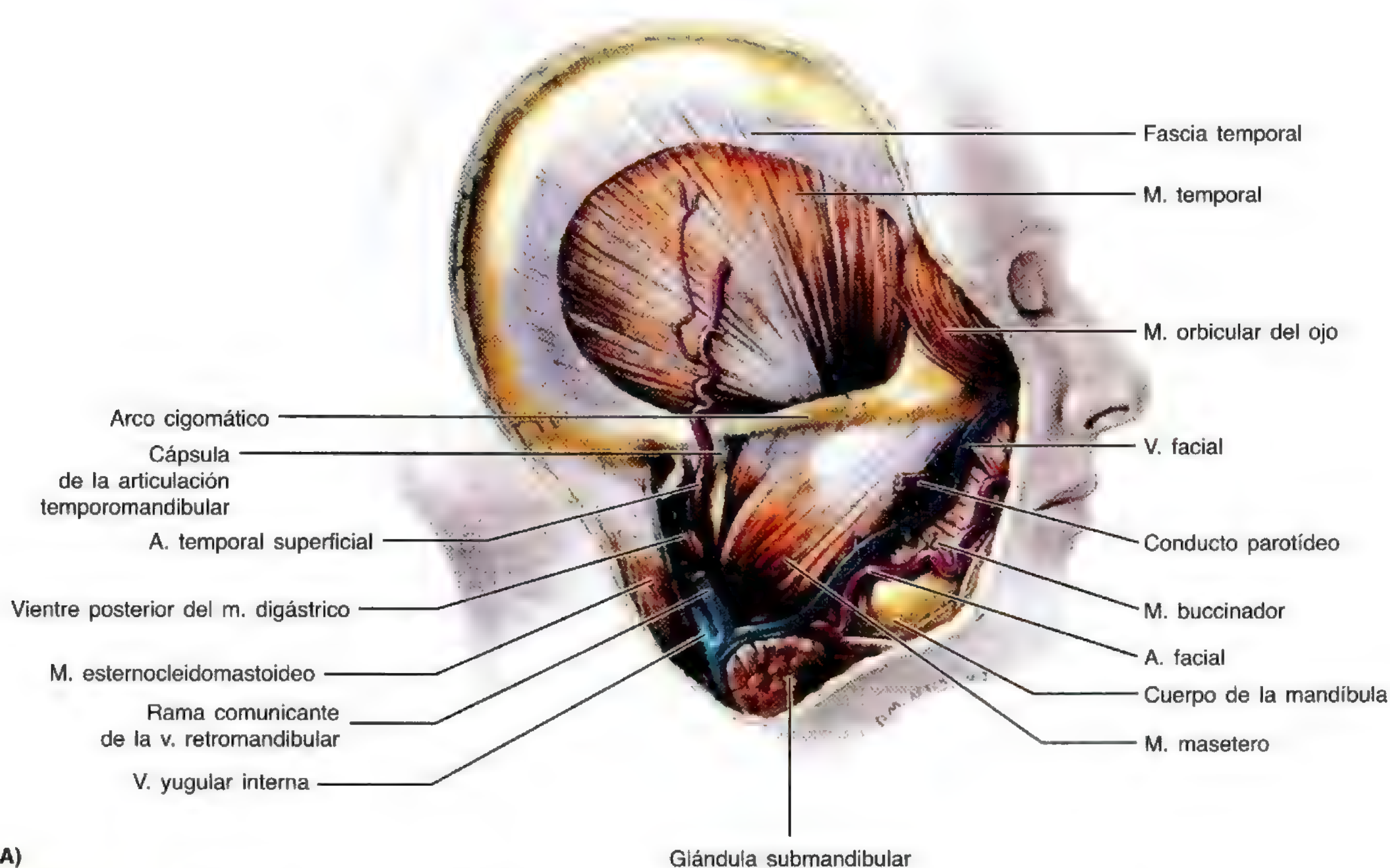
Las ramas de la porción 2ª o pterigoidea de la arteria maxilar son:

- Las arterias temporales profundas, interior y posterior, que perfunden el músculo temporal.
- Las arterias pterigoideas, que irrigan los músculos pterigoideos.
- La arteria maseterica, que se distribuye en la cara profunda del músculo masetero.

- La arteria bucal, que perfunde el músculo buccinador.

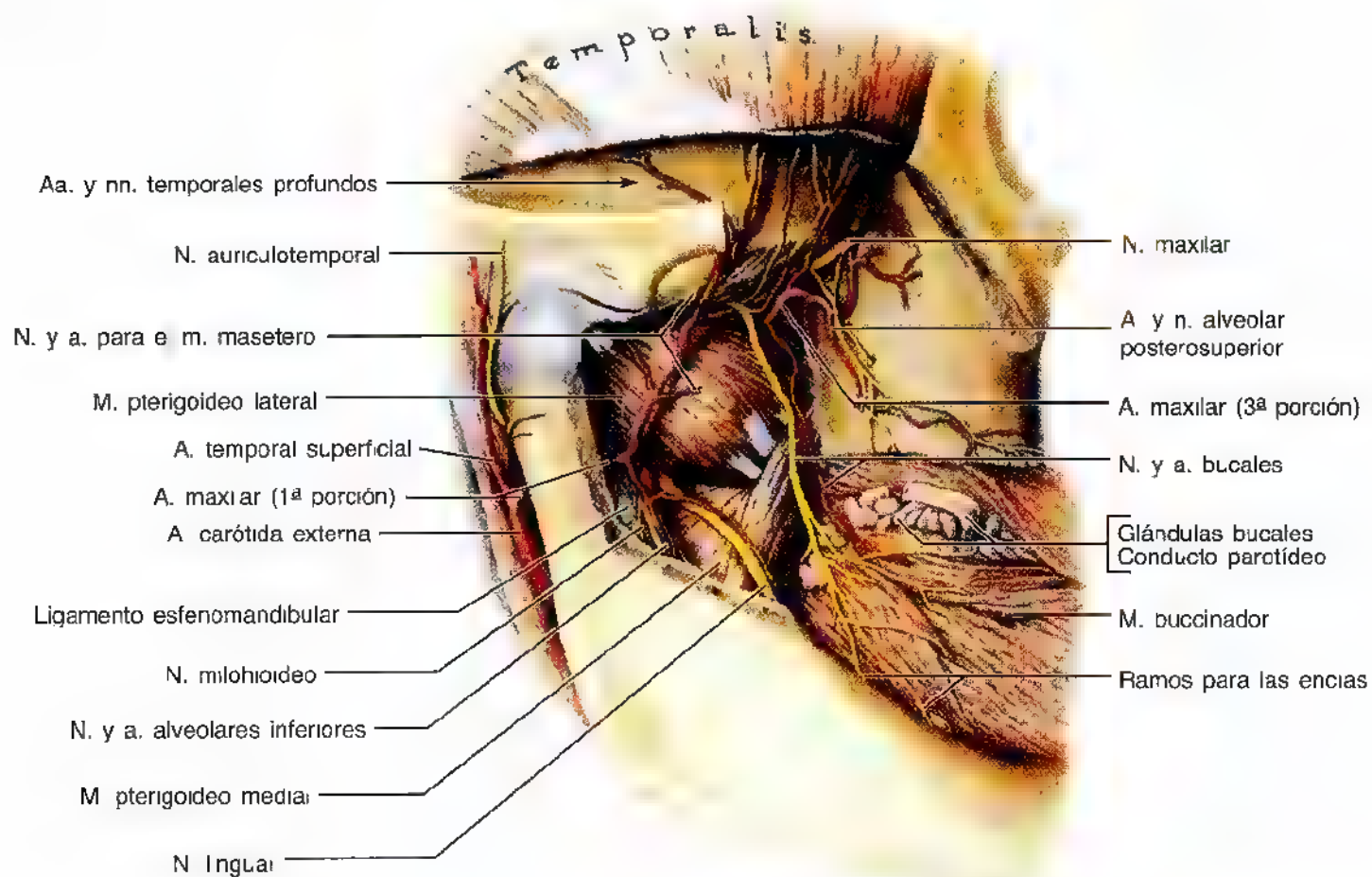
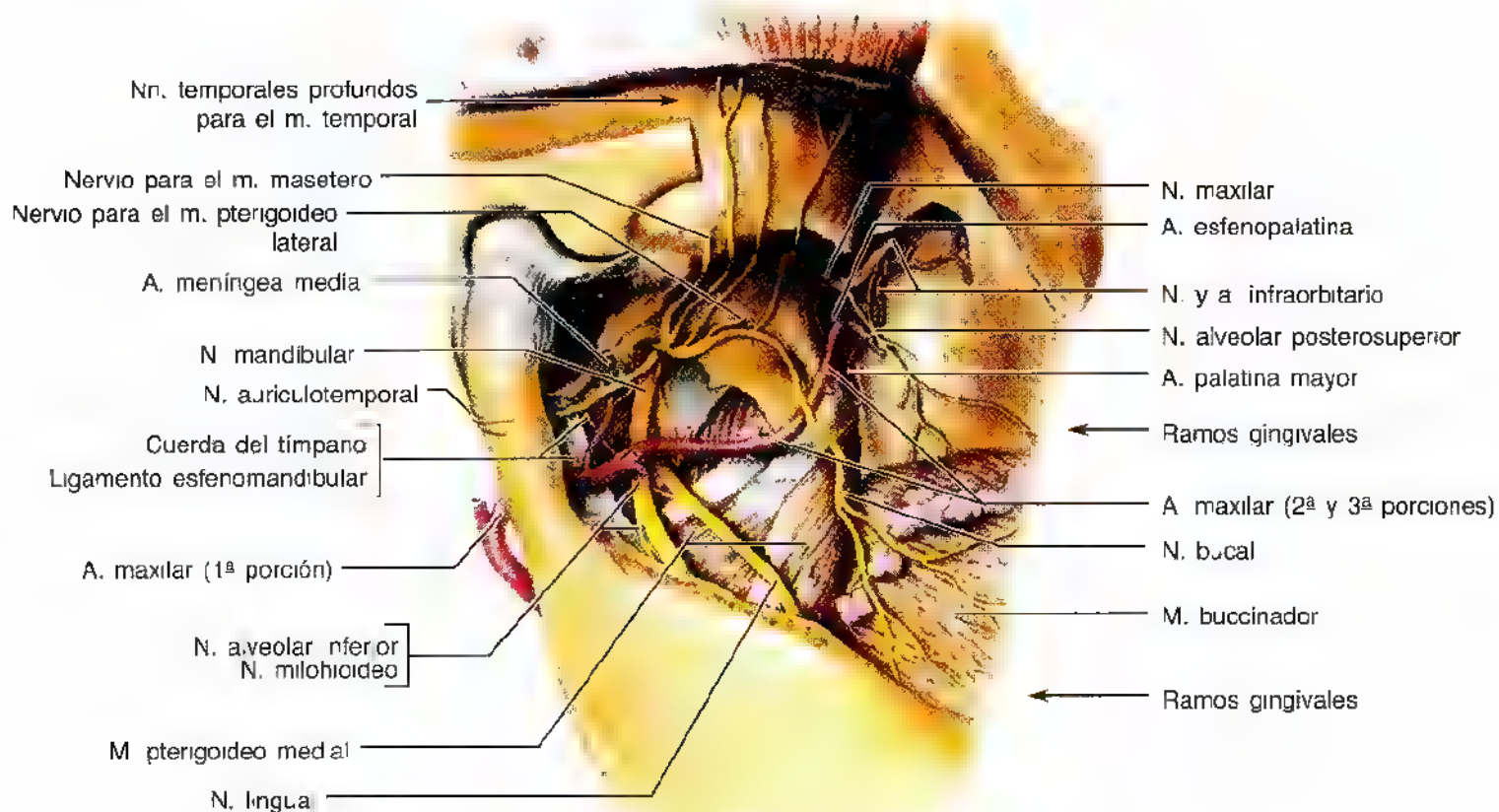
Las ramas de la porción 3ª o pterigopalatina de la arteria maxilar son:

- La arteria alveolar posterosuperior (dental), que se dirige a los dientes molares y premolares superiores, la mucosa del seno maxilar y las encías.
- La arteria infraorbitaria, que perfunde el párpado inferior, el saco lacrimal, los lados de la nariz y el labio superior.
- La arteria palatina descendente, que irriga la encía maxilar, las glándulas palatinas y la mucosa del techo de la boca.



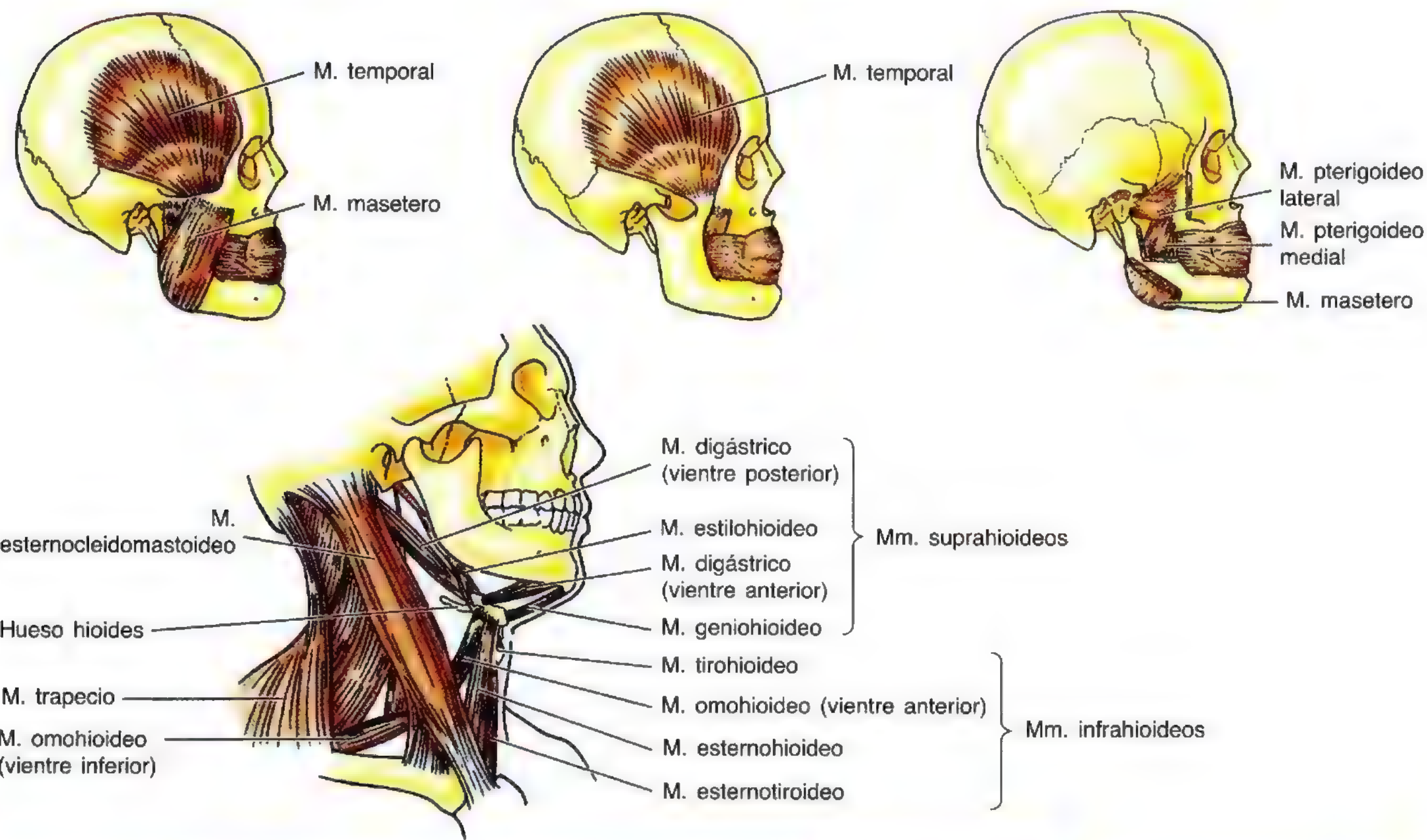
(A)

Figura 7.41. Disección de las regiones temporal e infratemporal. Visiones laterales. **A.** Visión lateral de una disección superficial de los grandes músculos situados en la cara lateral del cráneo. Se han extirpado la glándula parótida y casi toda la fascia temporal. Se observan los músculos temporal y masetero, inervados por el nervio trigémino (NC V); los dos cierran los maxilares. Asimismo, se advierte la glándula submandibular, con la arteria facial, que pasa en la profundidad de la misma, y la vena facial, superficial a ella. **B.** Disección superficial de la región infratemporal. Se han extraído casi todo el arco cigomático y el músculo masetero insertado en él, la apófisis coronoides y las porciones adyacentes de la rama mandibular, así como la mitad inferior del músculo temporal. Se advierte la 1ª porción de la arteria maxilar –la mayor de las dos ramas terminales de la arteria carótida externa–, que se dirige hacia delante, en la profundidad del cuello de la mandíbula, y luego pasa también en la profundidad, entre los músculos pterigoideos lateral y medial. **C.** Disección profunda de la región infratemporal. Se han extirpado una parte adicional de la rama de la mandíbula, el músculo pterigoideo lateral y casi todas las ramas de la arteria maxilar. Se muestra la 2ª porción de la arteria maxilar, ramos del nervio mandibular (NC V₃), incluido el nervio auriculotemporal, que discurre entre el ligamento esfenomandibular y el cuello de la mandíbula.

**(B) Visión lateral****(C)****Figura 7.41.** (Continuación)

- La arteria del conducto pterigoideo, que irriga la porción superior de la faringe, la trompa faringotimpánica y la cavidad timpánica.
- La arteria faríngea, que se dirige al techo de la faringe, al seno esfenoidal y a la porción inferior de la trompa faringotimpánica.

Tabla 7.10. Los músculos de la articulación temporomandibular (ATM)



Músculo	Inserción proximal	Inserción distal	Inervación	Acción principal
Temporal	Suelo de la fosa temporal y cara profunda de la fascia temporal	Punta y cara medial de la apófisis coronoides y borde anterior de la rama de la mandíbula	Ramos temporales profundos del n. mandibular	Eleva la mandíbula y cierra los maxilares; las fibras posteriores producen una retrusión de la mandíbula protruida
Masetero	Borde inferior y cara medial del arco cigomático	Cara lateral de la rama de la mandíbula y apófisis coronoides	N. mandibular (NC V3) a través del n. masetero, que entra en la cara profunda	Eleva y protruye la mandíbula y luego cierra los maxilares; las fibras profundas producen una retrusión mandibular
Pterigoideo lateral	Cabeza superior: cara infratemporal y cresta infratemporal del ala mayor del esfenoides Cabeza inferior: cara lateral de la lámina pterigoidea lateral	Cuello de la mandíbula (fosa pterigoidea); disco articular y cápsula de la articulación temporomandibular	N. mandibular a través del n. pterigoideo lateral del tronco anterior, que entra en la cara profunda	Si actúan de forma concertada inducen una protrusión de la mandíbula y depresión de la barbilla; cuando actúan por separado o de forma alterna provocan movimientos laterales de la mandíbula
Pterigoideo medial	Cabeza profunda: cara medial de la lámina pterigoidea lateral y apófisis piramidal del hueso palatino Cabeza superficial: tuberosidad del maxilar	Cara medial de la rama de la mandíbula, debajo del orificio mandibular	N. mandibular a través del n. pterigoideo medial	Cuando se contraen de manera conjunta ayudan a elevar la mandíbula y cerrar los maxilares; contribuyen a la protrusión de la mandíbula; cuando actúan por separado protruyen el lado del maxilar, y cuando lo hacen de manera alterna determinan un movimiento de trituration

► la fosa infratemporal, donde se inyecta el anestésico; casi siempre se anestesian los nervios auriculotemporal, alveolar inferior, lingual y los ramos bucales del nervio mandibular.

Bloqueo del nervio alveolar inferior

El bloqueo del nervio alveolar inferior –muy utilizado por los dentistas para reparar los dientes inferiores– anestesia el nervio alveolar inferior, ramo del nervio mandibular. El anestésico se inyecta alrededor del orificio mandibu-

lar, orificio del conducto mandibular situado en la cara medial de la rama de la mandíbula, que da paso al nervio, arteria y vena alveolares inferiores. Si este bloqueo nervioso surte efecto se anestesian todos los dientes inferiores hasta el plano medio. La piel y la mucosa del labio inferior, la mucosa alveolar labial y las encías, así como la piel de la barbilla, también se anestesian porque están inervadas por el ramo mentoniano de este nervio. Si la aguja avanza demasiado podría penetrar en la glándula parótida y determinar una parálisis pasajera de ramos del nervio facial. ⚠

La articulación temporomandibular (ATM)

La articulación temporomandibular es una articulación sinovial de tipo bisagra pero modificada (fig. 7.44). Las caras articulares son el cóndilo de la mandíbula, el tubérculo articular del hueso temporal y la fosa mandibular. La cápsula

articular de esta articulación es laxa. La **cápsula fibrosa** se inserta en los bordes de la zona articular sobre el hueso temporal y alrededor del cuello de la mandíbula (fig. 7.44C). La articulación posee dos membranas sinoviales:

- La *membrana sinovial superior* tapiza la cápsula fibrosa encima del disco articular.

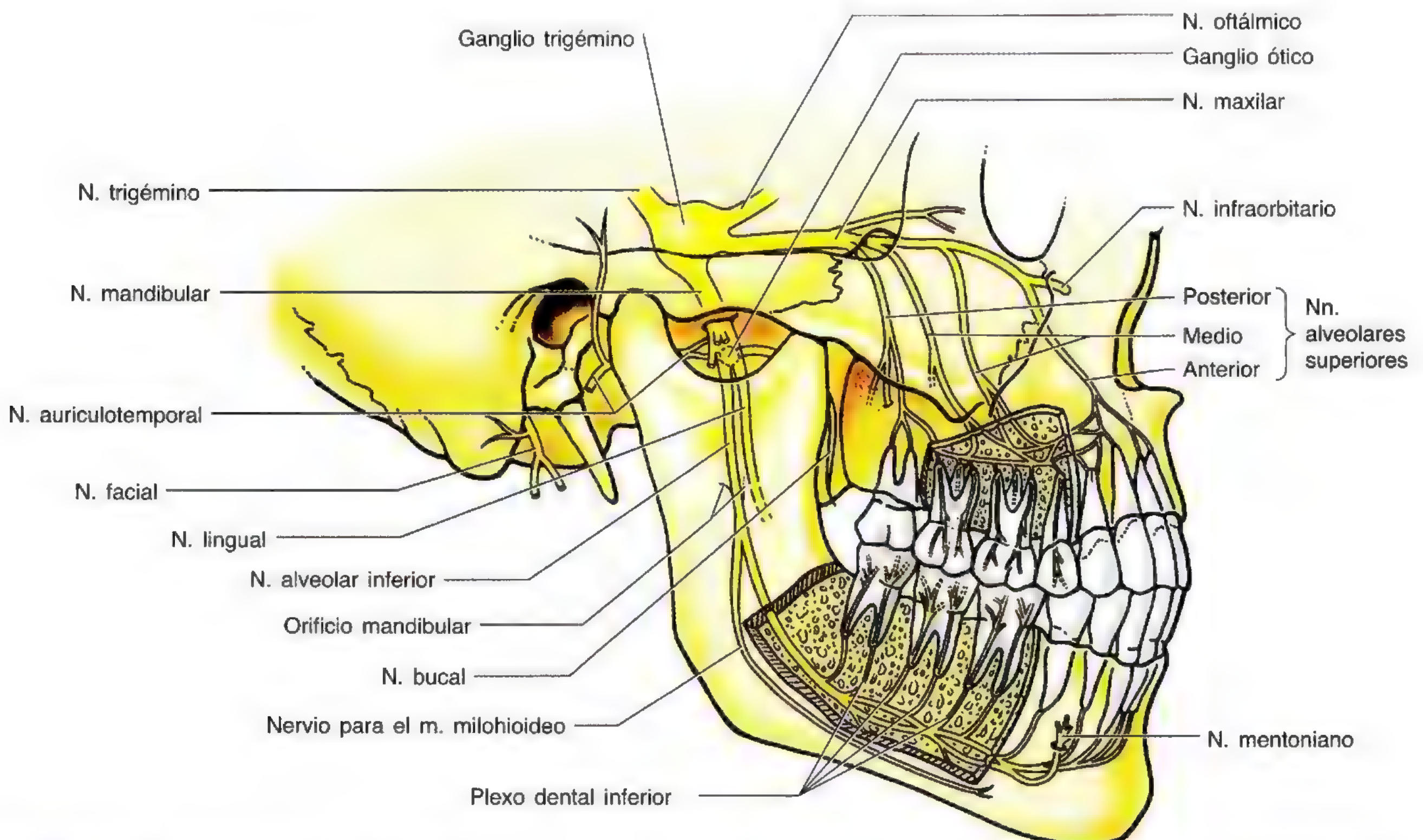


Figura 7.43. La inervación de los dientes. Los dientes superiores están inervados por los nervios alveolares superiores derivados del nervio maxilar (NC V₂). Los nervios alveolares superiores forman un plexo dental superior dentro del maxilar, que emite ramos dentales para las raíces de cada diente superior. Los nervios alveolares posterior y medio, originados en el nervio maxilar, y el anterior del nervio infraorbitario inervan los dientes molares superiores. Los dientes inferiores están inervados por el ramo alveolar inferior del nervio mandibular (NC V₃), que entra en el orificio mandibular por la cara medial de la rama de la mandíbula. Como en el maxilar, se forma un plexo dental inferior que emite ramos dentales para las raíces de cada diente inferior.

- La *membrana sinovial inferior* reviste la cápsula situada debajo del disco.

El **disco articular** divide la articulación en dos compartimientos. El compartimiento superior se ocupa de los movimientos deslizantes de protrusión y retrusión (traslación); los movimientos de bisagra, con depresión y elevación, suceden en un compartimiento inferior. La porción gruesa de la cápsula articular forma el **ligamento lateral** intrínseco (ligamento temporomandibular), que refuerza la articulación temporomandibular por los lados; con el tu-

bérculo posglenoideo evita la luxación posterior de esta articulación.

Existen dos ligamentos extrínsecos y un ligamento lateral que comunican la mandíbula con el cráneo. El **ligamento estilomandibular** —en realidad, un engrosamiento de la cápsula fibrosa de la glándula parótida— se dirige desde la apófisis estiloides hasta el ángulo de la mandíbula (fig. 7.44, C y D), pero apenas refuerza la articulación. El **ligamento esfenomandibular** viaja desde la espina del esfenoides hasta la lingula de la mandíbula. Se trata del principal soporte pa-

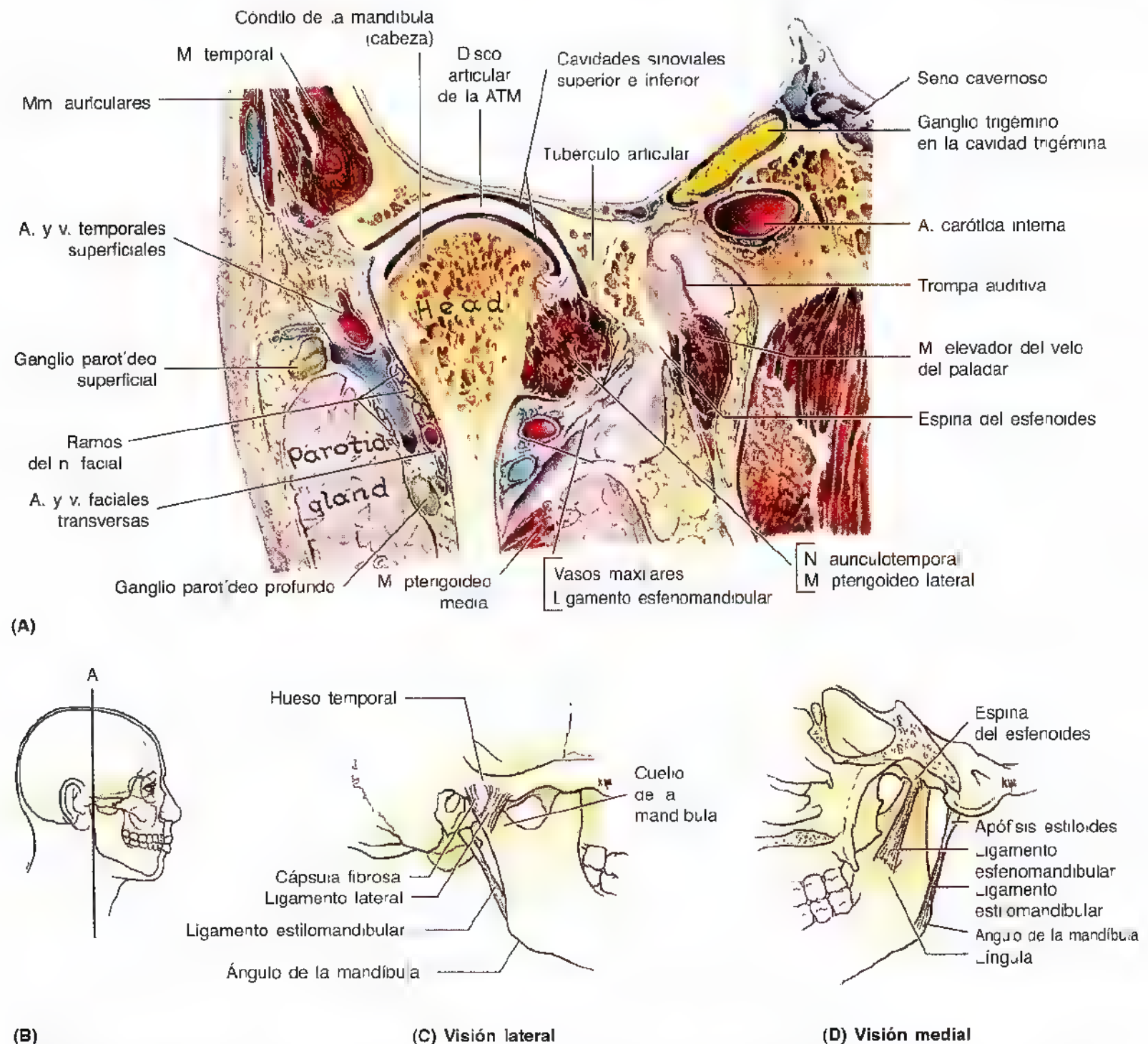


Figura 7.44. La articulación temporomandibular (ATM). **A.** Visión anterior de un corte coronal de la ATM derecha. El disco articular divide la cavidad articular en los compartimientos superior e inferior. **B.** Esquema que muestra el plano del corte coronal de **(A)**. **C-D.** La articulación temporomandibular y los ligamentos estilomandibular y esfenomandibular. El ligamento esfenomandibular soporta de una forma pasiva el peso de la mandíbula y es la “bisagra oscilante” de la mandíbula que facilita la protrusión y retrusión, así como la elevación y depresión de este hueso.

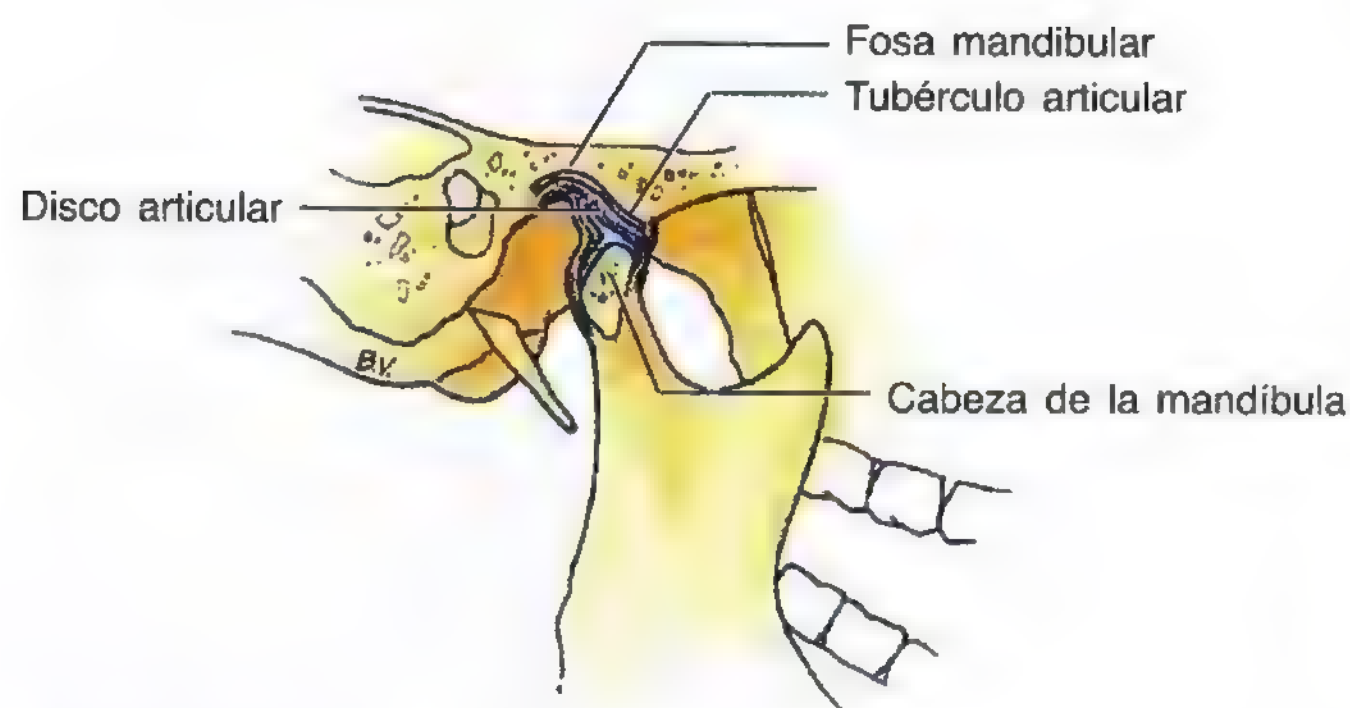
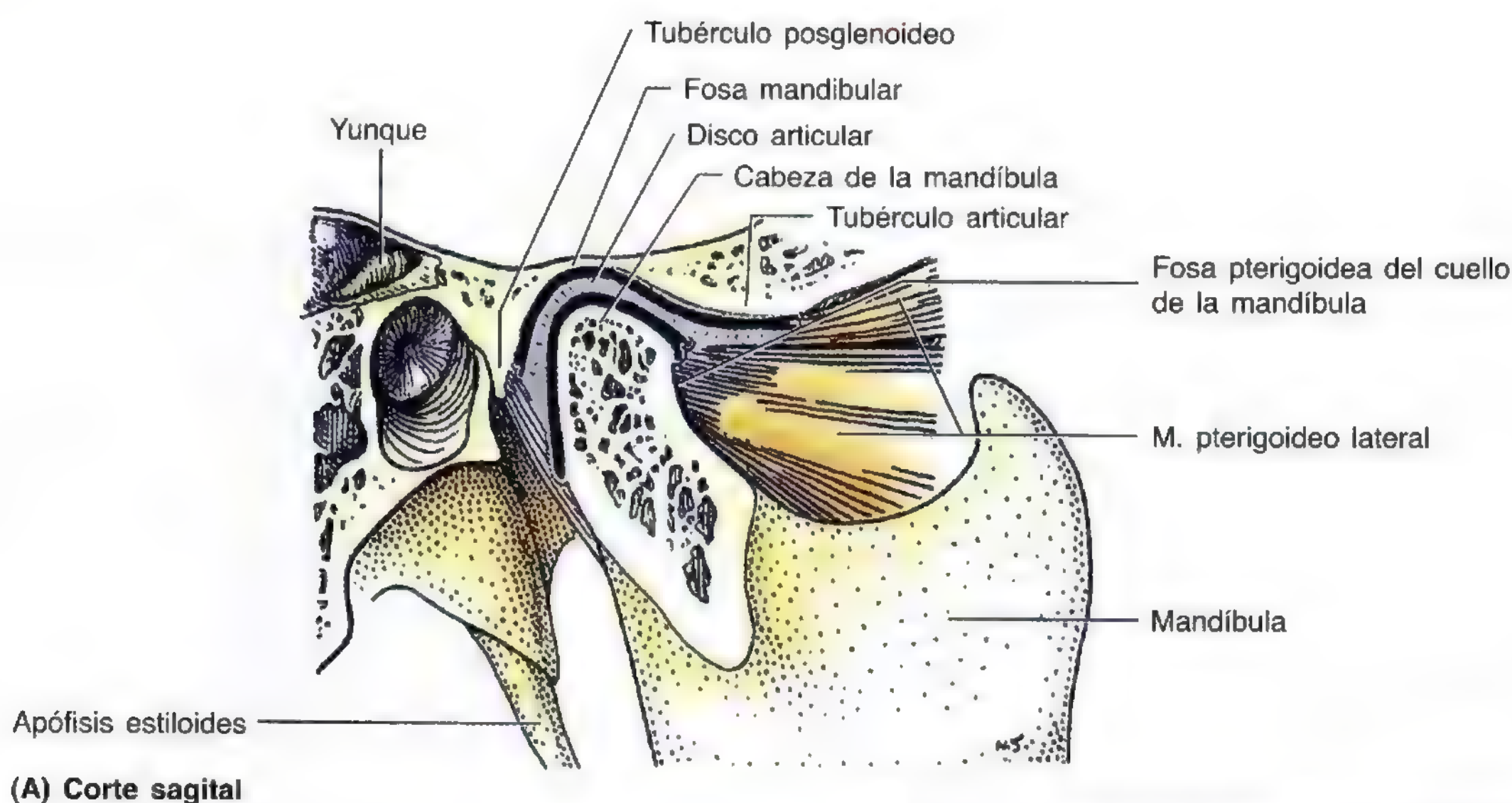
sivo de la mandíbula, si bien el tono de los músculos de la masticación suele soportar el peso mandibular. No obstante, este ligamento actúa como una “bisagra” oscilante para la mandíbula, que sirve tanto de fulcro como de ligamento de sujeción cuando la mandíbula se mueve en la articulación temporomandibular.

Los músculos (o las fuerzas) responsables de los movimientos de la mandíbula por la articulación temporomandibular son (fig. 7.45, tabla 7.11):

- *Depresión* (boca abierta):
 - Gravedad (motor principal).
 - Músculos suprahioides e infrahioides.

Nota: Para la depresión mandibular, salvo que sea mínima (véase más adelante), se requiere siempre una protrusión.

- *Elevación* (boca cerrada):
 - Músculo temporal.

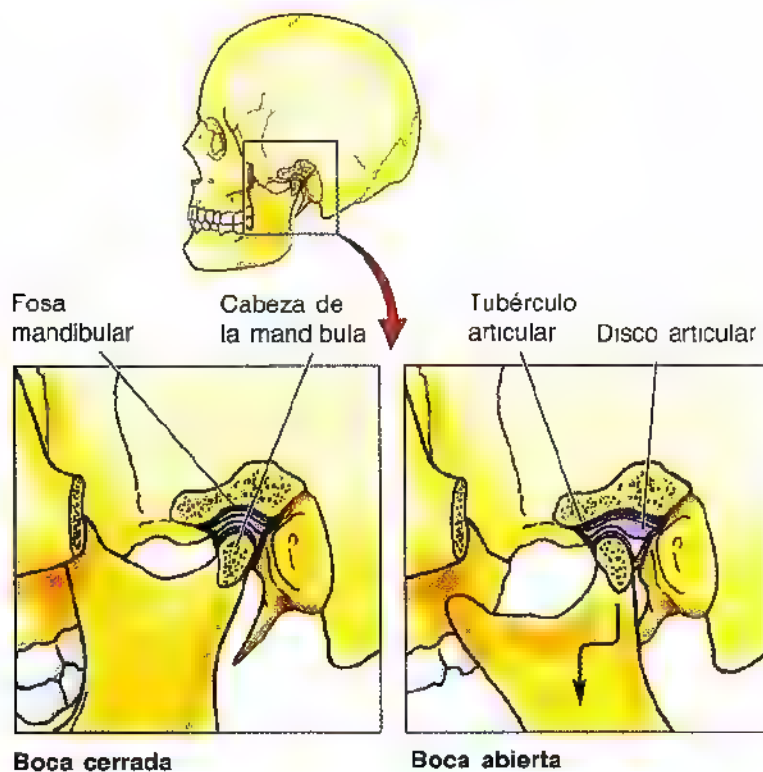


(B) Visión lateral

(C) Visión sagital



Figura 7.45. Articulación temporomandibular (ATM). **A.** Visión lateral de un corte sagital de la articulación temporomandibular derecha. El disco articular divide la cavidad en los compartimientos superior e inferior; se observa el músculo pterigoideo lateral con el tendón del vientre superior insertado en la cara anterior del disco y en la cápsula fibrosa de la articulación (no se ilustra); el vientre inferior de este músculo se inserta en una depresión, la fosa pterigoidea, de la cara anterior del cuello de la mandíbula. **B.** Visión lateral de un corte sagital de la articulación temporomandibular (con la boca abierta). **C.** RM sagital de la ATM (con la boca abierta). Tanto en (B) como en (C) se aprecian la posición del disco articular (D) y la cabeza de la mandíbula (H) en relación con la fosa mandibular y el tubérculo articular del hueso temporal (F). (Imágenes de RM por cortesía del Dr. W. Kucharczyk, Director del Departamento de Imagen Médica, Universidad de Toronto, y Director Clínico del Centro Trihospitalario de Resonancia, Toronto, Ontario, Canadá.)

Tabla 7.11. Los movimientos de la articulación temporomandibular

Movimientos	Músculo/s
Elevación (boca cerrada)	Temporal, masetero y pterigoideo medial
Depresión (boca abierta)	Pterigoideo lateral, suprahioides e infrahioides*
Protrusión (protrusión de la barbilla)	Pterigoideo lateral, masetero y pterigoideo medial**
Retrusión (retracción de la barbilla)	Temporal (fibras oblicuas posteriores y casi horizontales) y masetero
Movimientos laterales (tritución y masticación)	Temporal del mismo lado, pterigoideo del lado contrario y masetero

* De ordinario, la gravedad es el principal motor, y estos músculos actúan, sobre todo, oponiendo resistencia.

** El músculo pterigoideo lateral es el principal responsable del movimiento y los músculos masetero y pterigoideo medial desempeñan una misión de segundo orden.

- Músculo masetero.
- Músculo pterigoideo medial.
- **Protrusión** (tracción delantera de la barbilla):
 - Músculo pterigoideo lateral (motor principal).
 - Músculo masetero (sólo las fibras oblicuas [superficiales]; sinergista secundario).
 - Músculo pterigoideo medial (sinergista secundario).
- **Retrusión** (retracción de la barbilla):
 - Músculo temporal (solo fibras centrales [oblicuas] y posteriores [casi horizontales], motor principal).

- Músculo masetero (sólo fibras verticales [profundas], sinergista secundario).
- **Movimiento lateral** (rechinar de un lado a otro y masticar):
 - Músculos retractores del mismo lado (véase más arriba).
 - Músculos contralaterales causantes de protrusión (véase más arriba).

Para que la mandíbula alcance una depresión mayor de la habitual (fig. 7.45B), es decir, para abrir la boca algo más de lo que supone una simple separación de los dientes superiores e inferiores, la cabeza de la mandíbula y el disco articular se deben desplazar hacia delante sobre la superficie articular hasta que la cabeza quede debajo del tubérculo articular (movimiento que los dentistas conocen como "traslación"). Si el deslizamiento anterior ocurre en un solo lado, la cabeza de la mandíbula contralateral gira (pivota) sobre la cara inferior del disco articular, permitiendo movimientos simples de masticación o trituración de un lado a otro en un pequeño intervalo. Durante la protrusión y retrusión de la mandíbula, la cabeza y el disco articular se deslizan hacia delante y hacia atrás sobre la cara articular del hueso temporal; los dos lados se mueven a la vez.

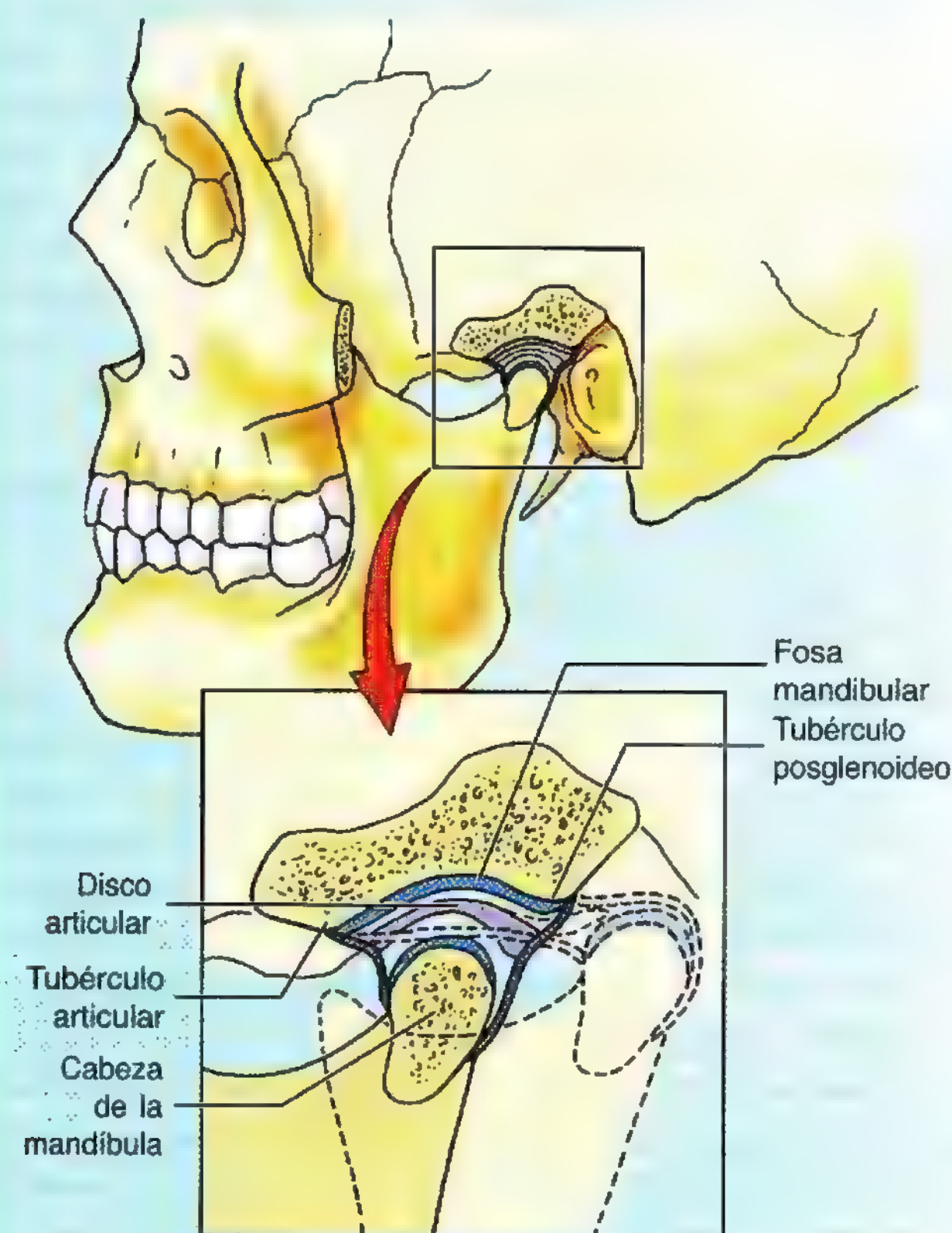
Los movimientos de la articulación temporomandibular obedecen, sobre todo, a los músculos de la masticación. La tabla 7.11 describe las inserciones, la inervación y las acciones de estos músculos.

- El **músculo temporal** tiene forma de abanico y su parte ancha cubre la región temporal; la parte estrecha se inserta en la apófisis coronoides de la mandíbula. La acción principal de este músculo consiste en elevar la mandíbula, cerrando la boca y aproximando los dientes; sin embargo, sus fibras centrales, oblicuas y posteriores (casi horizontales), constituyen el músculo retractor principal de la mandíbula.
- El **músculo masetero**, cuadrangular, cubre la cara lateral de la rama y la apófisis coronoides de la mandíbula. La acción principal de este músculo consiste en elevar la mandíbula y ocluir los dientes para la mordida y la masticación.
- El **músculo pterigoideo medial**, cuadrilátero, se sitúa en la profundidad de la rama de la mandíbula; las dos cabezas de origen abrazan la cabeza inferior del músculo pterigoideo lateral. El efecto principal del músculo pterigoideo medial también consiste en elevar la mandíbula.
- El **músculo pterigoideo lateral** tiene una forma casi triangular; la base del triángulo está constituida por la inserción anterior de sus dos cabezas, y el vértice, por las inserciones posteriores en la cápsula y en el disco de la articulación temporomandibular del cuello de la mandíbula. La acción principal del músculo pterigoideo lateral consiste en una protrusión o traslación anterior (desplazamiento del maxilar hacia delante).

De ordinario, la gravedad produce una depresión de la mandíbula. Los *músculos suprahioides e infrahioides* –cinchas musculares a cada lado del cuello (véase el capítulo 8)– sirven, en principio, para elevar y deprimir el hueso hioides

Luxación de la articulación temporomandibular

En ocasiones, el bostezo o una mordida brusca provocan una contracción exagerada de los músculos pterigoideos laterales, con luxación anterior de las cabezas de la mandíbula (se colocan delante de los tubérculos articulares).



y la laringe, respectivamente, por ejemplo durante la deglución. De forma indirecta, también ayudan a deprimir la mandíbula, sobre todo cuando se abre la boca de manera repentina o ante cierta resistencia.

La mandíbula se queda muy abierta en esta posición y no se puede cerrar. En general, un golpe lateral sobre la mandíbula, con la boca abierta, desplaza la articulación temporomandibular en la misma dirección del golpe. La articulación temporomandibular también se puede luxar en las *fracturas de la mandíbula* (pág. 853). La luxación posterior es rara, porque a ella se opone el tubérculo posglenoideo y el robusto ligamento lateral intrínseco temporomandibular. En las caídas tras un golpe directo sobre la barbilla, lo habitual es que se fracture el cuello de la mandíbula antes de luxarse. Dada la íntima relación entre los nervios facial y auriculotemporal y la articulación temporomandibular, conviene extremar la prudencia durante las intervenciones quirúrgicas para preservar tanto los ramos del nervio facial situados por encima como los ramos articulares del nervio auriculotemporal que entran en la parte posterior de la articulación. La lesión de los ramos articulares del nervio auriculotemporal que se dirigen a la articulación temporomandibular –se observa en luxaciones traumáticas y rotura de la cápsula articular y del ligamento articular– determina una laxitud e inestabilidad de la articulación temporomandibular.

Artrosis de la articulación temporomandibular

Esta articulación se puede inflamar, por ejemplo, en caso de *artritis degenerativa* (Liebgott, 1986). El funcionamiento anómalo de la articulación temporomandibular determina problemas anatómicos del tipo de oclusión dental y crepitación (clic) articular. Se piensa que la crepitación obedece a los movimientos demorados del disco anterior durante la depresión y elevación de la mandíbula. ☉

La región oral

La región oral comprende la cavidad oral (boca), los dientes, las encías, la lengua, el paladar y la región de las amígdalas palatinas. La cavidad bucal es el lugar donde se ingieren los alimentos y se preparan para su digestión en el estómago y en el intestino delgado. Los dientes mastican el alimento, y la saliva de las glándulas salivares facilita la formación de un *bolo alimenticio* manejable. La deglución comienza de manera voluntaria en la cavidad bucal. La fase voluntaria de este proceso impulsa el bolo desde la cavidad bucal hacia la faringe –porción expandida del tubo digestivo–, donde tiene lugar la deglución automática.

La cavidad oral

La cavidad oral se compone de dos elementos: el *vestíbulo* y la *cavidad bucal propiamente dicha* (fig. 7.46). La cavidad bucal cumple distintas funciones, pero las más placenteras, para la mayoría de las personas, son las relacionadas con la alimentación y la bebida. Precisamente, los alimentos y las bebidas se degustan y saborean en la cavidad bucal.

El **vestíbulo** es un espacio con forma de hendidura comprendido entre los dientes, la encía bucal, los labios y las mejillas. El vestíbulo se comunica con el exterior a través de la boca; el tamaño de este orificio depende de los músculos peribucales, como el músculo orbicular de la boca (esfín-

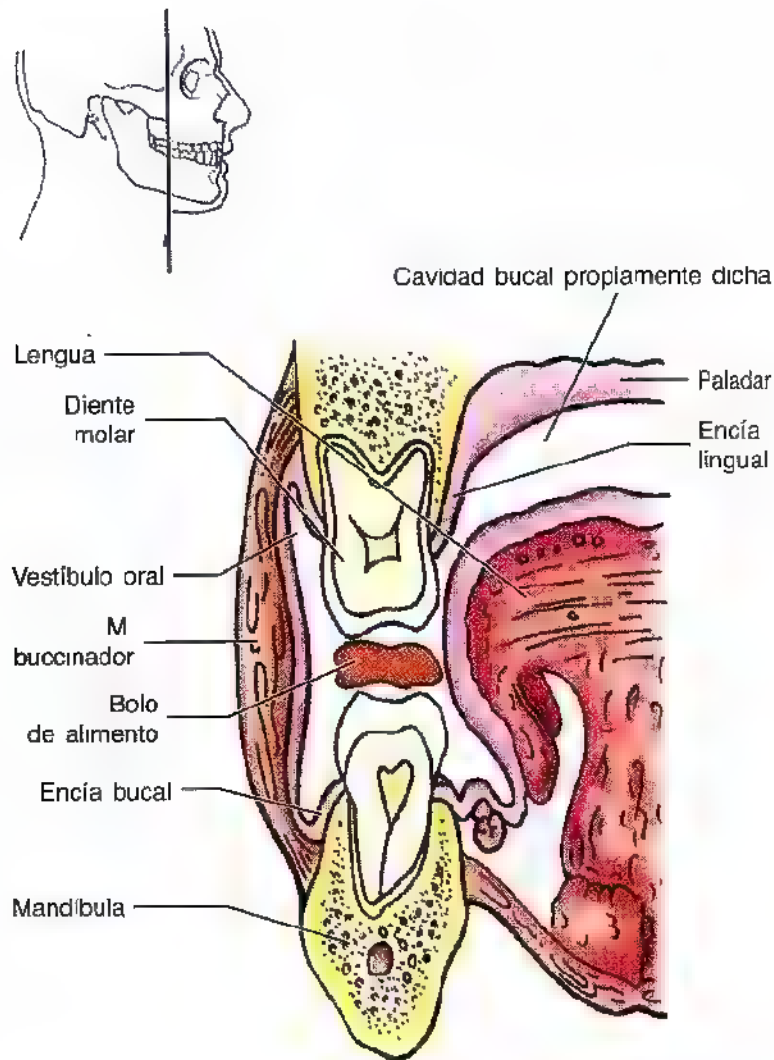


Figura 7.46. Corte coronal de la región bucal. El dibujo orientativo muestra el plano de corte. Durante la masticación, la lengua (en latín, *lingua*, y en griego, *glossa*) y el músculo buccinador —junto con el músculo orbicular de la boca por delante— colaboran para retener el bolo de alimento entre la superficie oclusiva de los dientes molares.

ter de la abertura bucal [pág. 868]), el músculo buccinador, el músculo risorio y los músculos depresores y elevadores de los labios (dilatadores de la boca).

La **cavidad bucal propiamente dicha** es el espacio situado entre las arcadas dentales superior e inferior; limita a los lados y por delante con las arcadas alveolares maxilar y mandibular, que alojan los dientes (fig. 7.46). El techo de la cavidad bucal está formado por el *paladar*. Por detrás, la cavidad bucal se comunica con la orofaringe (porción oral de la faringe). Cuando se cierra la boca o se encuentra en reposo, la cavidad bucal está ocupada por la lengua.

Los labios, las mejillas y las encías

Los labios y las mejillas

Los **labios** (figs. 7.47 y 7.48) —pliegues musculares móviles que rodean la boca— contienen el músculo orbicular de la boca y los músculos labiales superior e inferior, así como vasos sanguíneos y nervios. Los labios están cubiertos de piel

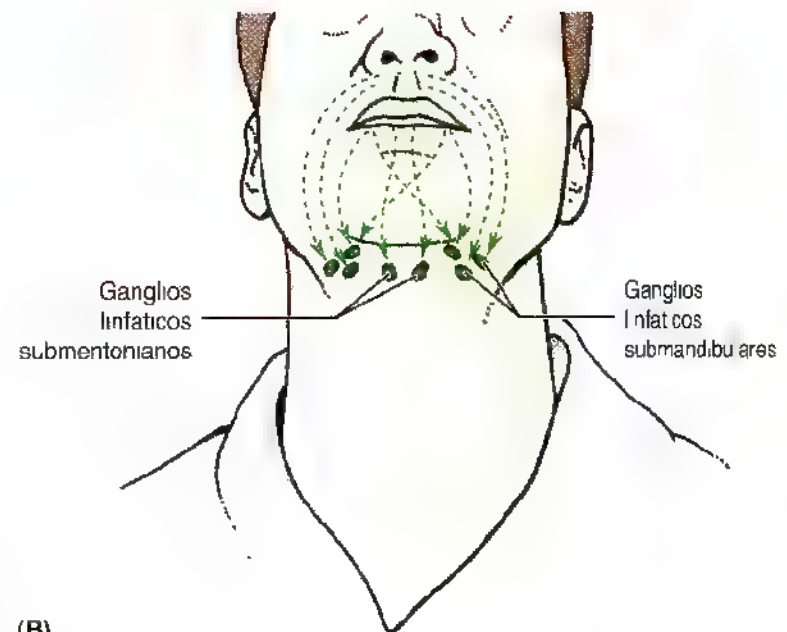
en su exterior, y por dentro, por una membrana mucosa. Los labios se utilizan para sujetar el alimento, aspirar líquidos, eliminar el alimento del vestíbulo labial, producir el habla y besar.

Examine la piel de la cara externa del labio y el **borde bermellón** que indica el inicio brusco de la **zona de transición** labial (fig. 7.47A). La piel de la zona de transición carece de vello y es tan fina, que parece roja debido al lecho capilar subyacente.

El **labio superior** se sitúa entre la nariz y el orificio de la cavidad bucal. Los labios están separados, a los lados de las mejillas, por unos **surcos nasolabiales**, que se extienden



(A)



(B)

Figura 7.47. Las mejillas, los labios y la barbilla. A. Anatomía de superficie. La parte media del labio superior se caracteriza por fuera por un fino surco subnasal, el *philtrum*. La unión entre las mejillas y los labios se marca a cada lado por el surco nasolabial, que se extiende inferolateralmente desde la nariz hasta casi 1 cm lateral al ángulo de la boca. El labio inferior queda entre la boca y el surco labiomentoniano, que separa el labio inferior de la barbilla. El borde bermellón marca el comienzo de la zona roja de transición entre la piel y la mucosa labial. **B.** Drenaje linfático de los labios. La linfa de labio superior y de las porciones laterales del labio inferior drena a los ganglios linfáticos submandibulares y la de la porción media del labio inferior a los ganglios submentonarios.

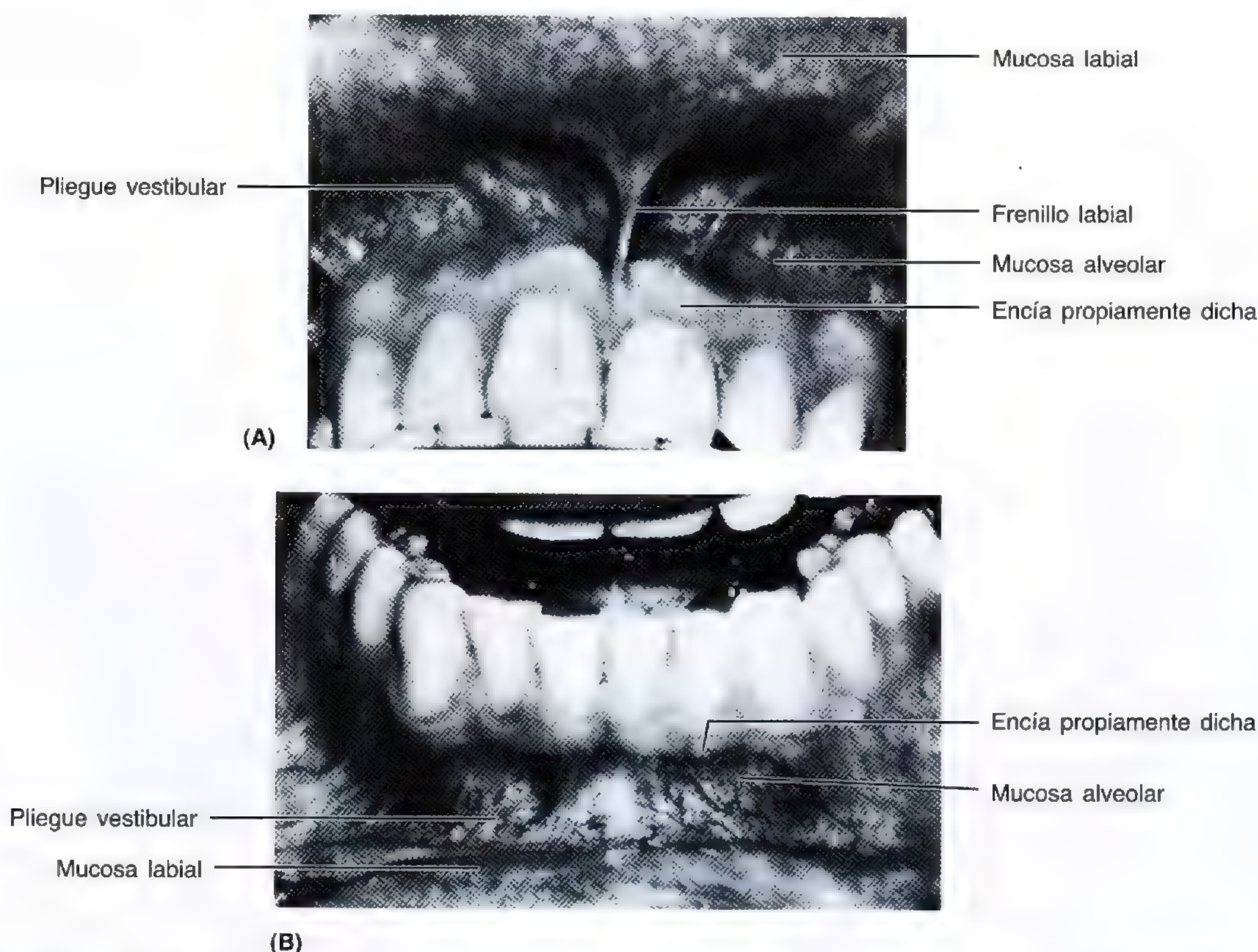


Figura 7.48. El vestíbulo y la encía de la cavidad bucal. A. Vestíbulo y encía del maxilar. B. Vestíbulo y encía de la mandíbula. Obsérvese la encía y su relación con los dientes. Conforme se aproxima la mucosa alveolar al cuello de los dientes cambia de textura y de color, para convertirse en la encía propiamente dicha.

desde la nariz y pasan aproximadamente 1 cm lateral a los ángulos de la boca. Estos surcos se observan sobre todo al sonreír. El labio superior tiene una depresión infranasal, conocida como **philtrum** (surco subnasal), que se extiende desde el tabique nasal externo, que separa las narinas, hasta el borde bermellón. El **labio inferior** se encuentra entre la boca y el **surco labiomentoniano**, que separa el labio inferior de la barbilla. Los labios superior e inferior se continúan en las comisuras de la boca y están separados de las mejillas por los surcos nasolabiales. La zona de transición de los labios, con un color de pardo a rojo, se continúa en la cavidad bucal con la mucosa de esta cavidad. Esta membrana cubre la porción vestibular e intrabucal de los labios (fig. 7.48). Los **frenillos labiales** son pliegues libres de mucosa situados en la línea media, que se extienden desde la encía vestibular hasta la mucosa de los labios superior e inferior; el frenillo del labio inferior es más pequeño. A veces se observan otros frenillos, menores, a los lados, en las regiones vestibulares premolares.

Las **arterias labiales** superior e inferior (tabla 7.5), ramas de las arterias faciales, se anastomosan entre sí en los labios formando un anillo arterial. El pulso de estas arterias se puede palpar sujetando ligeramente el labio superior e inferior entre los dos primeros dedos. El labio superior recibe la irri-

gación de las ramas labiales superiores de las **arterias facial e infraorbitaria**. El labio inferior está perfundido por las ramas labiales inferiores de las **arterias facial y mentoniana**. El labio superior está innervado por ramos labiales superiores de los **nervios infraorbitarios** (del nervio oftálmico), y el labio inferior, por los ramos labiales inferiores de los nervios mentonianos (del nervio mandibular). La linfa del labio superior y de las porciones laterales del labio inferior se dirige, principalmente, a los **ganglios linfáticos submandibulares** (fig. 7.47B), mientras que la de la porción medial del labio inferior llega, en principio, a los **ganglios linfáticos submentonianos**.

Hendidura labial

La hendidura labial ("labio leporino") es una malformación congénita del labio superior que se observa en uno de cada 1.000 recién nacidos (Moore y Persaud, 1998); entre un 60 y un 80% pertenecen al sexo masculino. La hendidura varía desde una pequeña muesca en la zona de transición y el borde rojo del labio hasta una fisura que va del labio a la nariz. En



los casos más graves, la hendidura se propaga en la profundidad y se continua con otra hendidura palatina. La hendidura labial puede ser uni- o bilateral.

Carcinoma labial

El carcinoma del labio se observa casi siempre en el labio inferior (pág. 884). Estos tumores metastasizan por los

vasos linfáticos hasta los ganglios submandibular y submentonianos. Los ganglios linfáticos submentonianos aumentan de tamaño cuando metastasizan las células malignas de la porción medial del labio inferior.

Cianosis labial

La cianosis define el color azul oscuro o púrpura de los labios y de las mucosas causado por una oxigenación defectuosa de la sangre capilar. El color azulado habitual de los labios, en los entornos fríos, se debe a una disminución de la irrigación y a un aumento de la extracción de oxígeno. Con un calentamiento sencillo revierte la cianosis no patológica de los labios fríos secundaria a vasoconstricción.

Frenillo labial grande

Un frenillo labial exagerado en un niño puede llegar a crear un espacio entre los dientes incisivos centrales (Liebgott, 1986). La sección del frenillo y del haz de tejido conjuntivo denso entre los incisivos (*frenulectomía*) permite aproximar los dientes, aunque a veces se necesite un aparato ortodóncico ("abrazadera"). Los frenillos grandes del labio inferior de los adultos pueden tirar de la encía labial y contribuir a la *recesión gingival*, con una exposición anómala de la raíz dental. ◉

Las **mejillas** forman las paredes laterales móviles de la cavidad bucal y las prominencias cigomáticas sobre los huesos cigomáticos. En esencia tienen la misma estructura que los labios, con los que se continúan. *El músculo principal de la mejilla es el buccinador* (fig. 7.46). Existen muchas glándulas bucales pequeñas entre la mucosa y el músculo buccinador. En la superficie de este músculo se encuentra un acúmulo de grasa encapsulada; este **cuerpo adiposo bucal** es bastante más voluminoso en los lactantes, quizá para reforzar las mejillas y evitar que se colapsen al mamar. Los labios y las mejillas actúan como un esfínter bucal que empuja el alimento desde el vestíbulo hacia la cavidad bucal propiamente dicha. La lengua y el músculo buccinador colaboran para mantener el alimento entre las superficies oclusales de los molares al masticar. La contracción tónica del músculo buccinador y, en particular, del músculo orbicular de la boca ofrece una resistencia suave, pero continua, a la inclinación de los dientes hacia fuera. Cuando el labio superior es corto o los músculos retractores eliminan esta tendencia aparecen unos dientes curvos o protrusivos. Las mejillas están perfundidas por ramas bucales de la arteria maxilar e inervadas por ramos bucales del nervio mandibular.

Las encías

Las encías se componen de tejido fibroso cubierto de mucosa. La *encía propiamente dicha* ("encía insertada") se inserta

con fuerza en las apófisis alveolares de los maxilares y en el cuello de los dientes (fig. 7.48); en general, suele ser de color rosado, punteada y queratinizada. La *mucosa alveolar* ("encía no insertada") normalmente tiene un color rojo brillante y no está queratinizada. La *encía lingual* (relacionada con la lengua) de los dientes incisivos y caninos superiores recibe ramas de los nervios y vasos nasopalatinos, y la de los premolares y molares superiores, de los nervios y vasos palatinos mayores. Las encías labiales y bucales mandibulares (relacionadas con los labios y las mejillas) de los dientes incisivos, caninos y premolares inferiores recibe ramas del nervio y de las arterias alveolares inferiores (figs. 7.42 y 7.43). La encía bucal de los molares inferiores está inervada por el nervio bucal. La encía lingual de todos los dientes inferiores recibe ramas del nervio y de los vasos linguales.

Gingivitis

La falta de higiene bucal favorece el depósito de alimentos y bacterias en los dientes y surcos gingivales, con la consiguiente *inflamación de las encías* (gingivitis). Las encías se hinchan y enrojecen. Si no se trata, la enfermedad se extiende a otras estructuras de ►

► soporte, incluido el hueso alveolar, como *periodontitis*, es decir, inflamación y obstrucción del hueso alveolar y de la *membrana periodontal*, tejido conjuntivo que rodea la raíz del diente y lo inserta en su alvéolo (cavidad ósea). Los *abscesos dentoalveolares* (coleciones de pus secundarias a la destrucción de los tejidos inflamados) pueden drenar a la cavidad bucal y a los labios. ◉

Los dientes

Los dientes son estructuras cónicas duras que asientan en los alvéolos del maxilar y la mandíbula y sirven para la masticación, aparte de colaborar en la articulación del habla.

Tipos de dientes y orientación en los maxilares

Los dientes se identifican y describen según que sean caducos o definitivos, según el tipo de raíz y según su proximidad con la línea media o frente de la boca (es decir, incisivos medial y lateral; el 1º molar se sitúa delante del 2º). Las caras de los dientes se describen según su orientación en el maxilar.

Los niños tienen 20 dientes caducos (primitivos o de leche) (tabla 7.12). A cada lado y en cada maxilar, los dientes caducos (y las edades habituales de erupción) son:

- Un incisivo medial y otro lateral (la erupción tiene lugar aproximadamente a los 6 y a los 8 meses de edad, respectivamente).
- Un canino (erupción a los 10 meses).
- Dos premolares (erupción entre los 20 y los 24 meses).

Los adultos suelen tener 32 dientes definitivos (fig. 7.49, tabla 7.9). A cada lado y en cada maxilar, los dientes permanentes (y las edades habituales de erupción) son:

- Un incisivo medial y otro lateral (la erupción tiene lugar entre los 7 y los 8 años).
- Un canino (erupción a los 10 años).
- Dos premolares (bivalvas) (erupción entre los 9 y los 11 años).
- Tres molares (el 1º y el 2º molares surgen a los 6 años y al principio de la adolescencia; los terceros molares ["muelas del juicio"] aparecen al final de la adolescencia o a principios de la 3ª década de la vida).

Los tipos de dientes se identifican según sus características:

- **Incisivos:** un borde cortante fino.
- **Caninos:** disponen de un cono prominente.
- **Premolares** (bivalvas): dos valvas divididas por un surco sagital.
- **Molares:** tres o más valvas.

La *cara vestibular* (*labial o bucal*) de cada diente se dirige hacia fuera o a la superficie, y la *cara oral* (*lingual o palatina*), hacia dentro o hacia la profundidad. La *cara mesial* (*proximal*) se dirige hacia el plano medio del esqueleto de la cara: la *cara distal* se aleja de este plano. Ambas son *caras de contacto*, es decir, superficies que entran en contacto con otros dientes. La cara masticatoria es la *superficie oclusal*.

Las partes y la estructura del diente

El diente posee corona, cuello y raíz (fig. 7.50). Cada tipo de diente tiene un aspecto característico. La **corona** se proyecta de la encía. El **cuello** es la parte del diente situada entre la corona y la raíz. La **raíz** se introduce en el alvéolo a través de la *membrana periodontal* fibrosa; el número de raíces varía (fig. 7.49). Casi todo el diente se compone de **dentina**, cubierta de **esmalte** sobre la corona y de **cemento** sobre la raíz. La **cavidad pulpar** (cavidad dental) contiene tejido conjuntivo, vasos sanguíneos y nervios. El **conducto radicular** transporta los nervios y los vasos sanguíneos hacia y desde la cavidad pulpar hasta el orificio apical (radicular).

Los **alvéolos dentales** se encuentran dentro de las apófisis alveolares de los maxilares y de la mandíbula y representan el elemento esquelético que más modificaciones experimenta durante la vida. Los alvéolos adyacentes están separados por **tabiques interalveolares**; dentro del alvéolo, las raíces de los dientes que poseen más de una están separados por **tabiques interradiculares**. El hueso del alvéolo posee una corteza fina, separada de las cortezas labial y lingual adyacentes por una cantidad variable de hueso trabecular: la pared labial del alvéolo es muy delgada en los dientes incisivos, al contrario de lo que sucede con los molares, cuya pared lingual es más fina. Por eso suele romperse la cara labial para extraer los incisivos y la lingual para extraer los molares. El nervio lingual está íntimamente asociado con la cara medial de los terceros molares; por eso, conviene evitar que este nervio se lesione durante la extracción.

El **parodonto** comprende el cemento y la membrana periodontal. Las raíces de los dientes se comunican con el hueso del alvéolo a través de un resorte o suspensión que crea un tipo especial de articulación fibrosa denominada **gónfosis**. Las fibras colágenas que se extienden entre el cemento de la raíz y el periostio de la pared alveolar representan la membrana o el **ligamento periodontal**. Este ligamento dispone de abundantes terminaciones nerviosas táctiles, que responden a la presión, capilares linfáticos y vasos sanguíneos glomerulares que actúan como un cojinete hidráulico para absorber la presión masticatoria axial. Las *terminaciones nerviosas barosensibles* reciben los cambios de presión en forma de estímulos.

La vascularización de los dientes

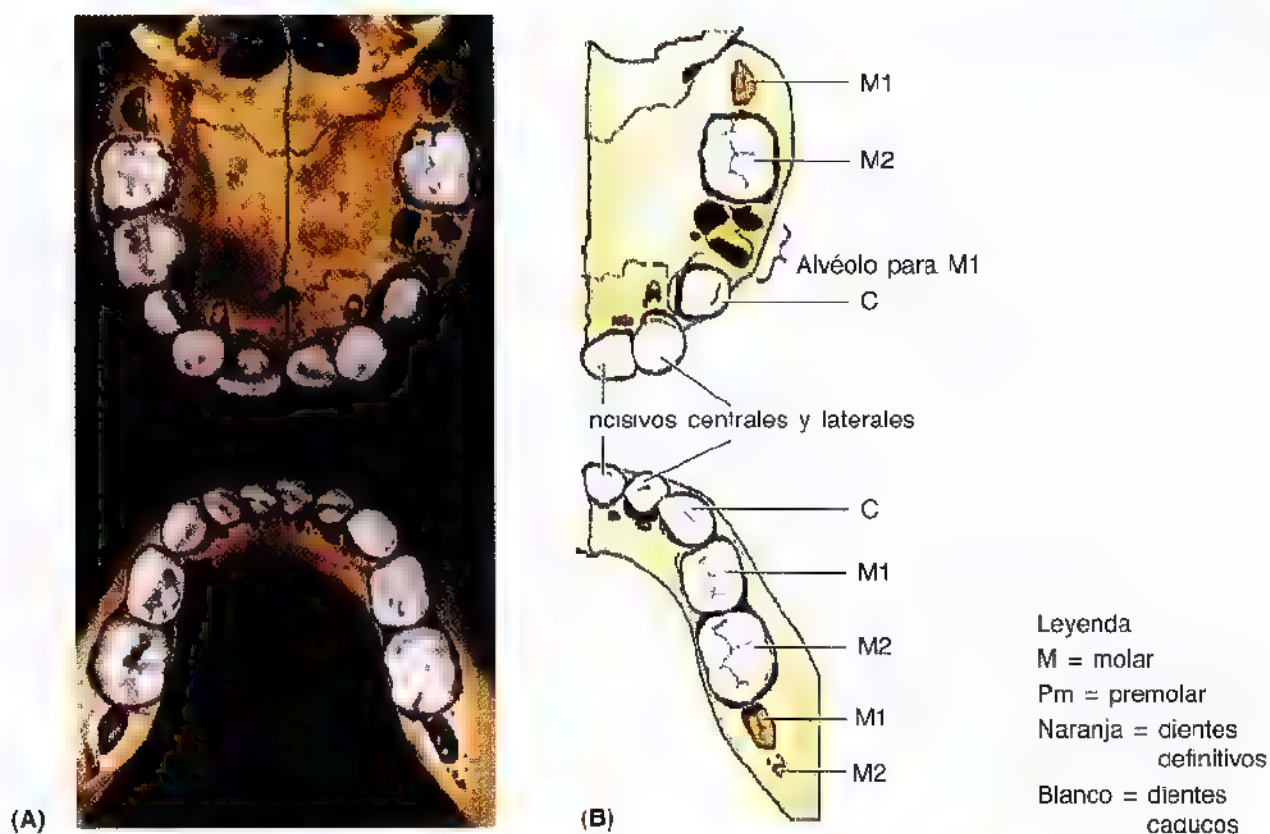
Las **arterias alveolares** superior e inferior, ramas de la arteria maxilar, perfunden tanto los dientes superiores

Tabla 7.12. La dentición caduca y definitiva

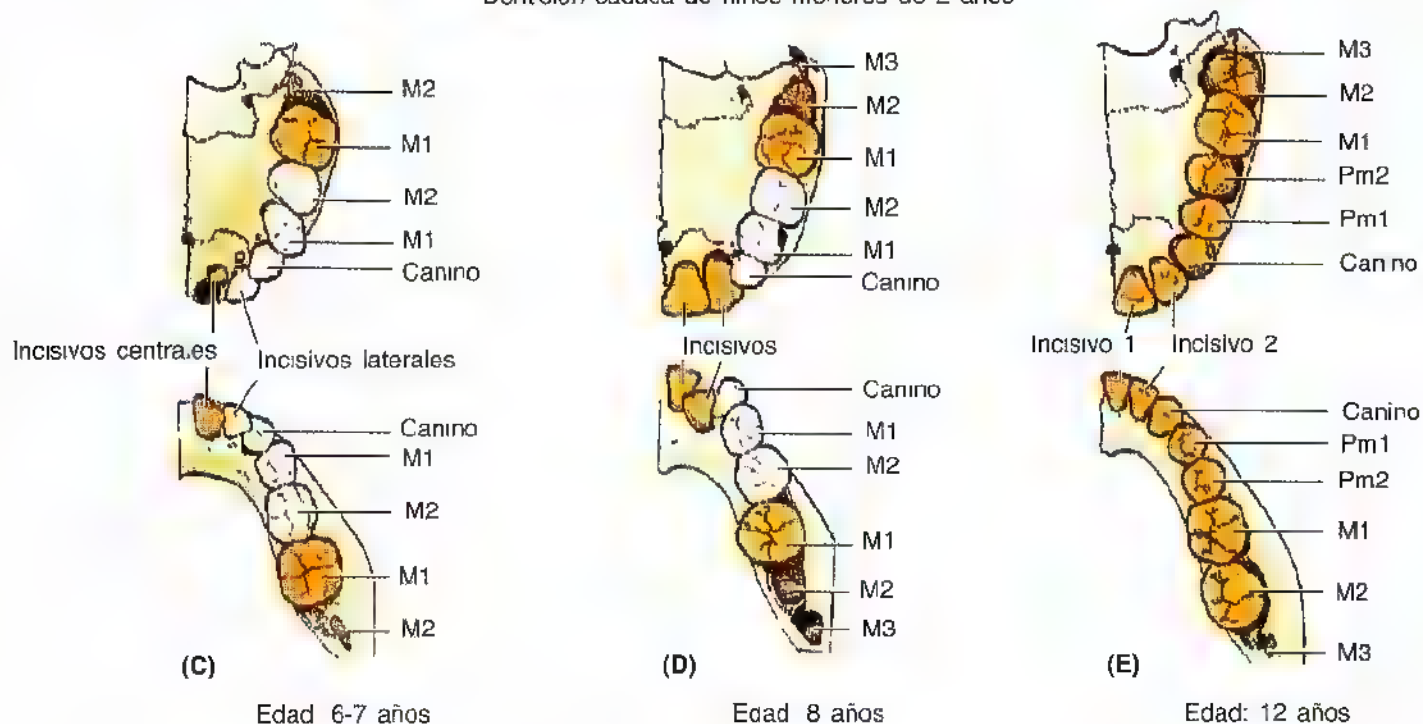
Dientes caducos	Incisivos mediales	Incisivos laterales	Caninos	1 ^{er} molar	2 ^o molar
Erupción (meses) ^a	6 a 8	8 a 10	16 a 20	12 a 16	20 a 24
Caída (años)	6 a 7	7 a 8	10 a 12	9 a 11	10 a 12

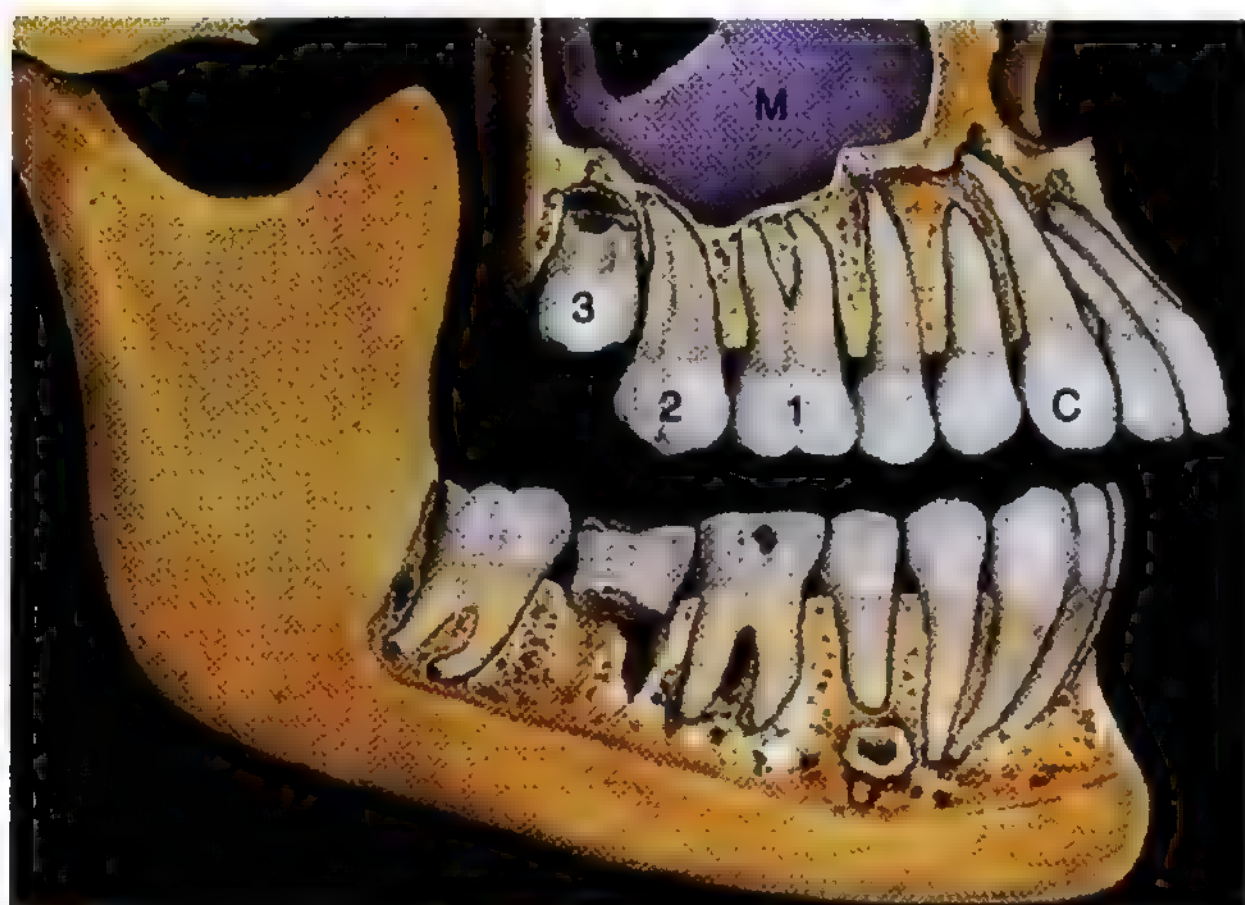
^a Los primeros dientes de algunos lactantes normales (incisivos mediales) no emergen hasta los 12-13 meses de vida

Dientes definitivos	Incisivos mediales	Incisivos laterales	Caninos	1 ^{er} premolar	2 ^o premolar	1 ^{er} molar	2 ^o molar	3 ^{er} molar
Erupción (años)	7 a 8	8 a 9	10 a 12	10 a 11	11 a 12	6 a 7	12	13 a 25



Dentición caduca de niños menores de 2 años

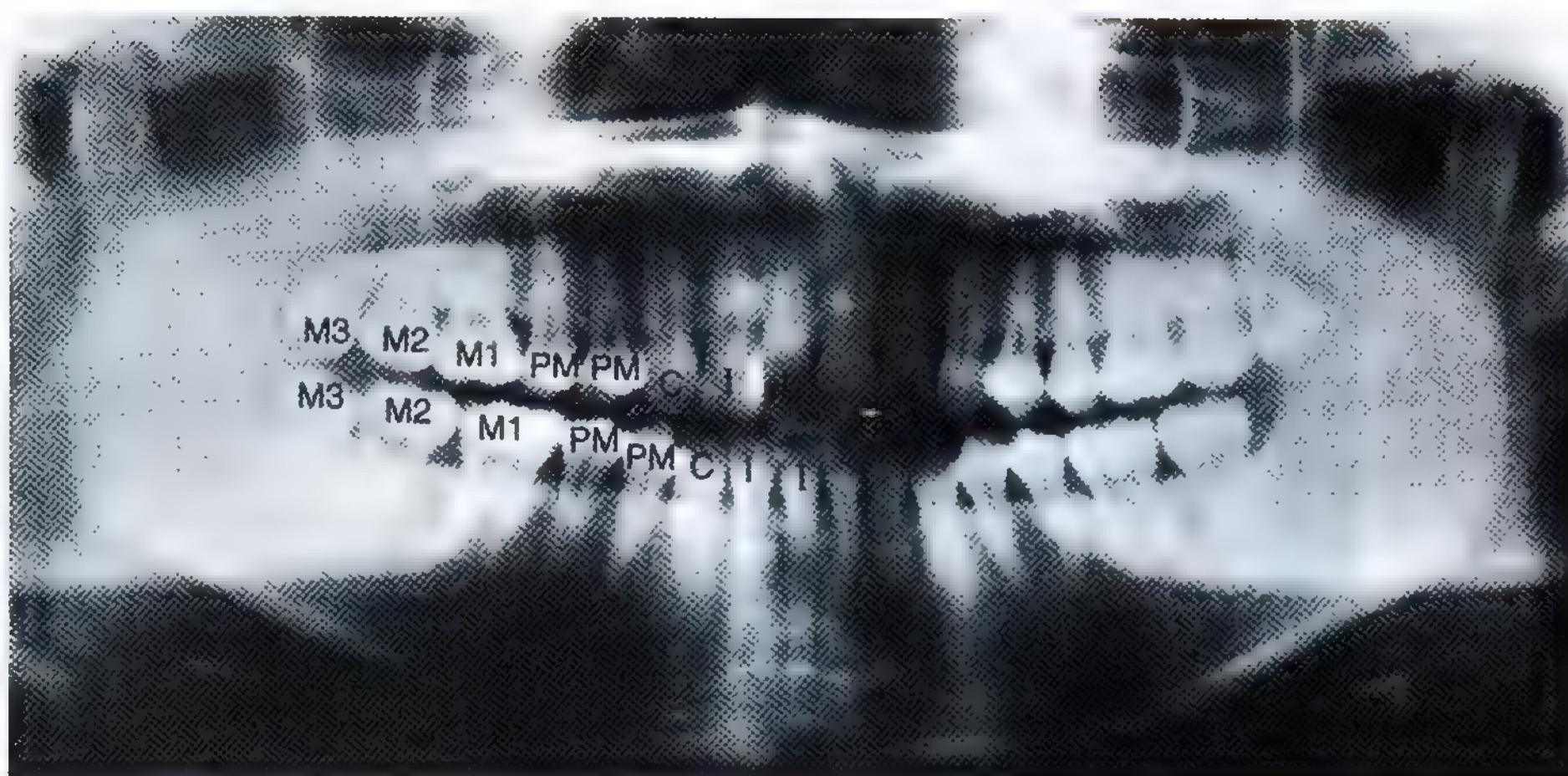




(A)



(B)



(C)

Figura 7.49. Dientes definitivos (permanentes) de un adulto. **A.** Se ha triturado el hueso alveolar para exponer las raíces de los dientes. Se aprecia cómo el diente canino superior (C) es el que tiene la raíz más larga, y cómo las raíces de los tres molares superiores se acercan al suelo del seno maxilar (M). **B.** Oclusión dental.

C. Pantomografía de la mandíbula y del maxilar. I, incisivos; C, canino; PM, premolares; M1, M2 y M3, molares. Falta el 3^{er} molar inferior izquierdo. (Cortesía de M. J. Pharoah, Profesor Ayudante de Radiología Dental, Facultad de Estomatología, Universidad de Toronto, Toronto, Ontario, Canadá.)

como inferiores (figs. 7.41B y 7.42). Las **venas** homónimas siguen la misma distribución que las arterias. Los **vasos linfáticos** de los dientes y de las encías se dirigen sobre todo a los ganglios linfáticos submandibulares (fig. 7.47).

La inervación de los dientes

Los **nervios alveolares** superior e inferior, ramos de la 2^a y 3^a divisiones del nervio trigémino, respectivamente, se originan en los *plexos dentales* e inervan los dientes superiores e inferiores (fig. 7.43).

Caries dental

La destrucción de los tejidos dentales duros determina una caries (cavidad) dental. El tratamiento consiste en extirpar el tejido careado y restablecer la anatomía del diente con un material dental.

Pulpitis y absceso dental

La caries dental no tratada acaba invadiendo e inflamando los tejidos de la cavidad pulpar. La invasión de la pulpa por lesiones profundas y careadas causan infección e irritación hística, estado que se conoce como *pulpitis*. ►

► La cavidad pulpar es un espacio rígido, de modo que la tumefacción de este tejido produce gran dolor. Si no se trata, los pequeños vasos del conducto radicular acaban destruyéndose por la compresión del tejido tumefacto, y el material infectado atraviesa el conducto apical en dirección al tejido periodontal. La *infección de la cavidad pulpar* de un diente puede extenderse a la membrana periodontal, destruyéndola, y a la capa compacta del hueso que reviste el alvéolo. El proceso infeccioso se establece y propaga por el conducto radicular hasta el hueso alveolar, ocasionando un absceso. El *absceso dentoalveolar* provoca edema de los tejidos blandos adyacentes. El pus de los abscesos de los molares superiores se extiende, a veces, a la cavidad nasal o al seno maxilar. Las raíces de los molares superiores se relacionan íntimamente con el suelo de este seno. Por eso, la *infección de la cavidad pulpar puede ocasionar sinusitis*, o bien la sinusitis estimula los nervios que entran en los dientes y remedia un dolor dental. El pus de los abscesos de los caninos superiores suele penetrar en la región facial, justo debajo del ángulo medial del ojo; la tumefacción puede taponar el drenaje de la vena angular y propiciar el paso de material infectado hasta el seno cavernoso a través de la vena oftálmica superior.

Extracción de una pieza dentaria


En ocasiones no resulta práctico restaurar el diente debido a su extrema destrucción. La única alternativa es la cirugía (extracción dental). Los traumatismos destruyen, en ocasiones, la irrigación dental. Un golpe sobre el diente rompe los vasos sanguíneos que entran y salen del

orificio apical. No siempre se puede salvar el diente. Un problema frecuente es la *falta de erupción de los terceros molares*; se trata de los dientes que más tardan en salir y casi siempre lo hacen al final de la adolescencia o al comienzo de la vida adulta. Muchas veces, estos dientes carecen de espacio para la erupción y quedan alojados (impactados) debajo del 2º molar (véase fotografía inferior). Si el 3º molar impactado provoca dolor, casi siempre acaba extrayéndose. Durante la cirugía conviene no lesionar el nervio alveolar.

Recesión gingival

Según se envejece, parece que los dientes crezcan en longitud, debido a la lenta recesión de las encías. La recesión gingival expone el cemento dental, una estructura sensible. Este proceso se acelera en las personas que no se someten a *raspado* (tartrectomía) para eliminar el sarro (depósito de color amarillento-pardo). La membrana periodontal queda expuesta como consecuencia de la recesión gingival y los microorganismos pueden invadirla y destruirla.

Enfermedad periodontal

Como se señaló con anterioridad, la mala higiene bucal y la falta de tratamiento de las caries provoca *gingivitis*. En estas circunstancias, la enfermedad se extiende a otras estructuras de sostén y al hueso alveolar y provoca una *periodontitis*. La periodontitis no tratada acaba, con el paso del tiempo, con una mayor movilidad y, al final, con una pérdida de las piezas dentarias. 



Visión superior de la mandíbula de un adulto

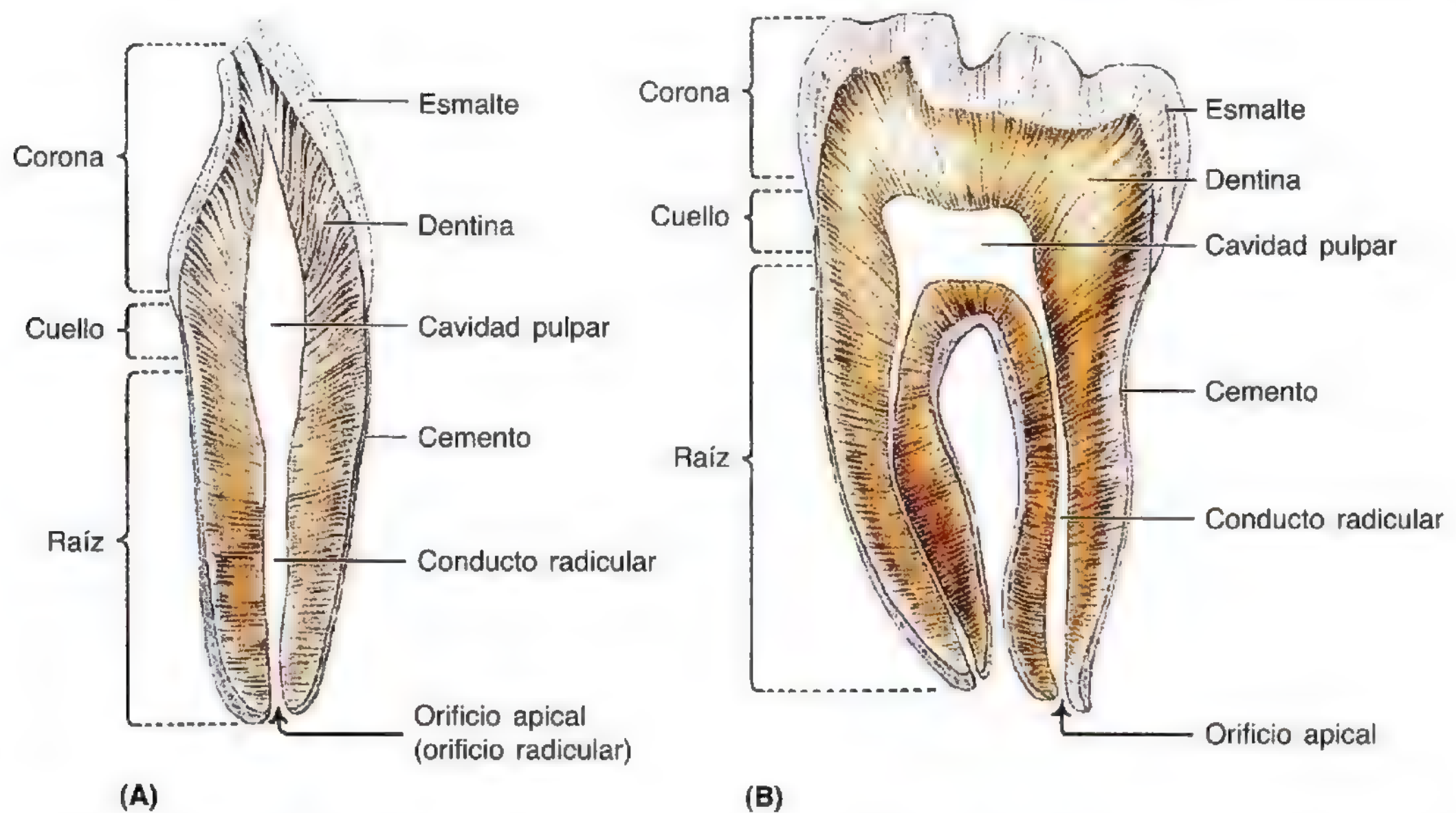


Figura 7.50. Cortes longitudinales de los dientes. **A.** Dientes incisivos. **B.** Diente molar. En vida, la cavidad pulpar es un espacio hueco dentro de la corona y el cuello dental que contiene los tejidos blandos de la pulpa, tejido conjuntivo, vasos sanguíneos y nervios. La cavidad pulpar se estrecha hasta el conducto radicular en los dientes monorradiculares o hasta un conducto por raíz en los dientes multirradiculares. Los vasos sanguíneos y los nervios entran o salen por el orificio apical (raíz).

El paladar

El paladar forma el techo arqueado de la boca y el suelo de las cavidades nasales. Separa la cavidad bucal de las cavidades nasales y de la nasofaringe o parte de la faringe situada encima del paladar blando (fig. 7.51). La cara superior (nasal) está cubierta de *mucosa respiratoria*, y la inferior (oral), de *mucosa oral*. El paladar consta de dos regiones: el *paladar duro* por delante y el *paladar blando* por detrás.

El paladar duro

El paladar duro forma una bóveda (es cóncavo); este espacio está ocupado en reposo por la lengua (fig. 7.46). Los dos tercios anteriores del paladar tienen un esqueleto óseo formado por las apófisis palatinas de los maxilares y las láminas horizontales de los huesos palatinos (fig. 7.52A). En la cara oral del paladar duro se abren tres orificios: la fosa incisiva y los orificios palatinos mayor y menor. La **fosa incisiva** del maxilar es una leve depresión situada detrás de los dientes incisivos centrales. Los nervios nasopalatinos (fig. 7.52B) llegan desde la nariz a través de un número variable de conductos y orificios incisivos que se abren en la fosa incisiva. Medial al 3^{er} molar, el **orificio palatino mayor** perfora el borde lateral del paladar óseo. Los *nervios y vasos palatinos mayores* emergen de este orificio y se dirigen hacia delante sobre el paladar. Los **orificios palatinos menores**, posteriores al orificio palatino mayor, perforan la apófisis piramidal del hueso palatino. Los orificios palatinos menores conducen los *nervios y vasos palatinos menores* al paladar blando y a las estructuras vecinas (fig. 7.52, A y B).

El paladar blando

El paladar blando, el tercio posterior móvil del paladar, queda suspendido del borde posterior del paladar duro. No posee esqueleto óseo, pero contiene una membrana anterior "*aponeurótica*" que se inserta en el borde posterior del paladar duro y un elemento fibromuscular posterior (fig. 7.52B). El paladar blando se extiende en sentido posteroinferior en forma de borde libre curvo, del que cuelga una prolongación cónica, la **úvula** (figs. 7.52 y 7.53B). El paladar blando está reforzado por la **aponeurosis palatina** (paladar aponeurótico), creada por la expansión tendinosa del músculo tensor del velo del paladar (fig. 7.52B). La aponeurosis, que se inserta en el borde posterior del paladar duro, es gruesa por delante y fina por detrás. Cuando una persona deglute, se tensa primero el paladar blando para que la lengua pueda apoyarse en él, exprimiendo el bolo de alimento hacia el dorso de la cavidad bucal. Después, el paladar blando se eleva hacia atrás contra la pared de la faringe, impidiendo que el alimento pase a la cavidad nasal. El paladar blando se continúa a los lados con la pared de la faringe, y se une a la lengua y a la faringe a través de los **arcos palatogloso y palatofaríngeo**, respectivamente (figs. 7.51 y 7.53B).

Las **fauces** (que significa garganta en latín) constituyen el lugar de tránsito de la cavidad bucal a la faringe (incluidas su luz y sus límites). Las fauces limitan por arriba con el paladar blando; por abajo, con la raíz (base) de la lengua, y a los lados, con los *pilares de las fauces*: los arcos palatogloso y palatofaríngeo (fig. 7.51). El *istmo de las fauces* es

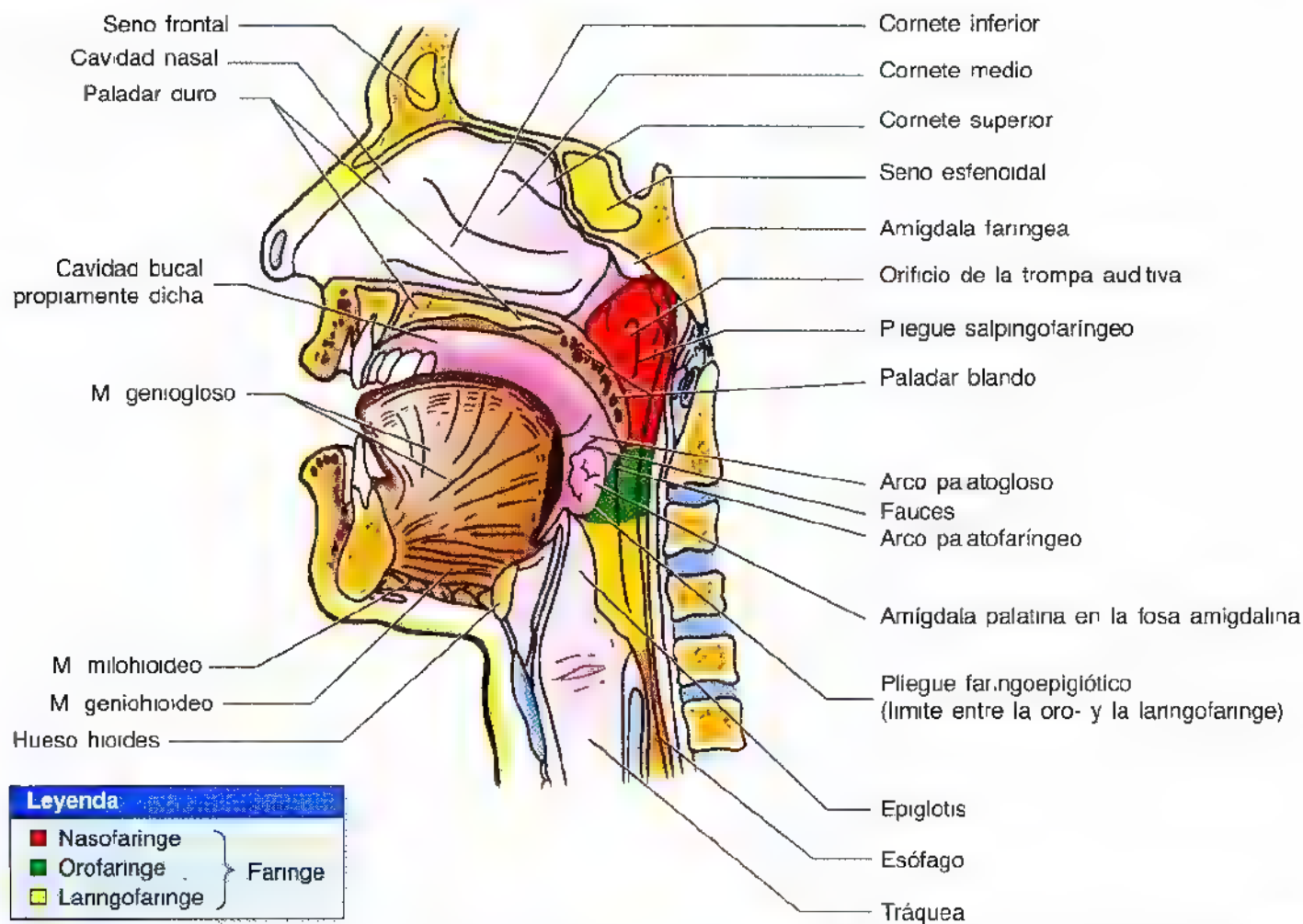


Figura 7.51. Corte medio de la cabeza y del cuello. Se observan la cavidad nasal, el paladar, la lengua (en latín, *lingua*, y en griego, *glossa*), las fauces (que significa faringe en latín), la amígdala palatina, las tres porciones de la faringe y el esófago y la tráquea. La vía respiratoria y el tubo digestivo se cruzan en la faringe; el paladar blando actúa como una válvula que se eleva para sellar el istmo de la faringe que comunica la cavidad nasal/nasofaringe con la cavidad bucal/orofaringe.

un espacio restringido y breve que comunica la cavidad bucal propiamente dicha con la orofaringe. El istmo limita por delante con los pliegues palatoglosos, y por detrás, con los pliegues palatofaríngeos.

Las **amígdalas palatinas**, conocidas a menudo como “amígdalas”, son masas de tejido linfático que se sitúan a ambos lados de la orofaringe (fig. 7.51). Cada amígdala ocupa una **fosa amigdalina** (lecho amigdalino), delimitada por los arcos palatogloso y palatofaríngeo y por la lengua.

Los rasgos superficiales del paladar

La mucosa del paladar duro está íntimamente unida al hueso subyacente (fig. 7.53); por eso, las inyecciones submucosas producen un dolor extraordinario en esta zona. La **encía lingual** —parte de la encía que cubre la superficie lingual de los dientes y la apófisis alveolar— se continúa con la mucosa del paladar; por eso, la inyección de un anestésico en la encía produce una anestesia de la mucosa palatina adyacente. En la profundidad de la mucosa existen **glándulas palatinas** que segregan moco (fig. 7.53B). Los orificios de los conductos de estas glándulas otorgan a la mucosa palatina un aspecto picado “en piel de naranja”. En la línea media y

detrás de los dientes incisivos superiores se encuentra la **papila incisiva**. Esta elevación de la mucosa está justo delante de la **fosa incisiva** del paladar óseo, donde se abren los conductos incisivos. Los orificios incisivos son las aberturas de los conductos incisivos por donde pasan los nervios y vasos nasopalatinos (fig. 7.52B). La *papila incisiva* es el lugar de inyección adecuado para anestesiarse el nervio nasopalatino.

Los **pliegues palatinos transversos** o crestas palatinas se irradian lateralmente en paralelo desde la papila incisiva (fig. 7.53B) y ayudan a manipular el alimento durante la masticación. El **rafe del paladar** es una estría blanquecina y estrecha que se dirige hacia atrás, en la línea media del paladar desde la papila incisiva; a veces, por delante se erige como cresta, y por detrás, como surco (fig. 7.53, A y B). El rafe palatino marca el lugar de fusión de las apófisis palatinas embrionarias (Moore y Persaud, 1998).

Los músculos del paladar blando

Los cinco músculos del paladar blando se originan en la base del cráneo y descienden hasta el paladar. El paladar blando se puede elevar y establecer contacto con la pared

posterior de la faringe. Asimismo, puede dirigirse hacia abajo para entrar en contacto con la parte posterior de la lengua. La tensión del paladar blando tracciona de él y lo lleva a una posición intermedia. En la tabla 7.13 se describen las inserciones, la innervación y las acciones de los músculos del paladar blando. *A continuación se enumeran estos músculos.*

- El **músculo elevador del velo del paladar** es un músculo cilíndrico con un trayecto inferoanterior, que se abre en el paladar blando insertándose en la cara superior de la aponeurosis palatina.

- El **músculo tensor del velo del paladar** es un músculo con un vientre triangular y un curso inferior; el tendón del vértice gira alrededor del gancho pterigoideo (fig. 7.52B) –gancho de la lámina pterigoidea medial– antes de abrirse como aponeurosis palatina
- El **músculo palatogloso** es una tira muscular fina cubierta de mucosa que forma el *arco palatogloso* (fig. 7.53B).
- El **músculo palatofaríngeo** es plano y fino y está también cubierto de mucosa (fig. 7.51); *forma el arco palatofaríngeo.*

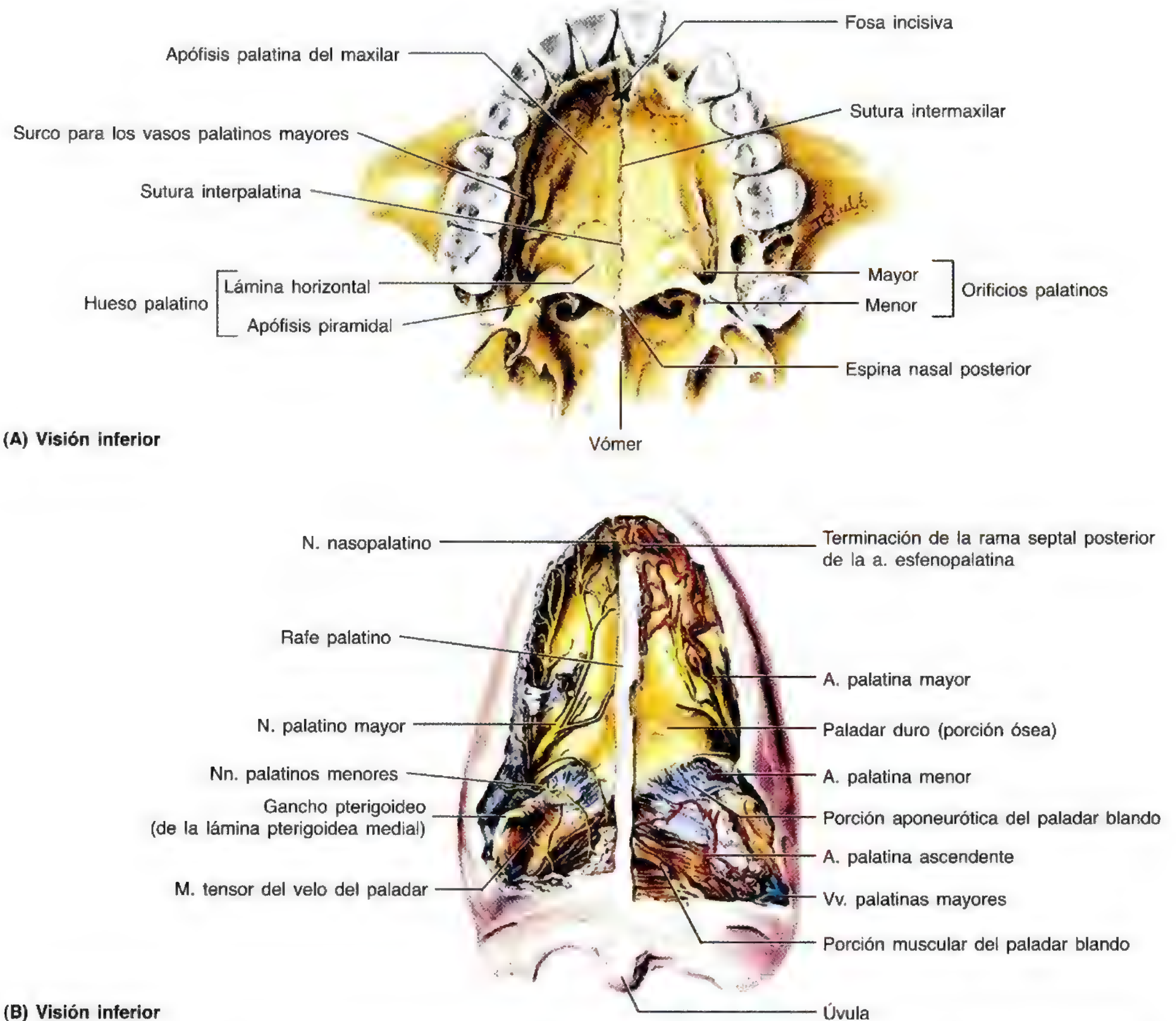


Figura 7.52. El paladar. **A.** Visión inferior de los huesos del paladar duro (lámina ósea). **B.** Visión inferior de los nervios y vasos sanguíneos del paladar. El paladar posee las porciones ósea, aponeurótica y muscular. Se ha extirpado la mucosa de cada lado del rafe palatino central para exponer un ramo del nervio palatino mayor a cada lado y la arteria de la zona lateral. Obsérvense las ramas laterales del nervio, que se dirigen a las encías, la rama medial sobre el paladar duro, el nervio nasopalatino en la región incisiva y los nervios palatinos menores del paladar blando. Examínense las cuatro arterias palatinas, dos para el paladar duro y dos para el blando: la palatina mayor, la rama terminal de la arteria esfenopalatina (nasal septal posterior), la palatina menor y la palatina ascendente.

- El **músculo de la úvula** se inserta en la mucosa de la úvula.

La vascularización y la inervación del paladar

El paladar tiene una inervación generosa, en particular de la **arteria palatina mayor** a cada lado, rama de la arteria palatina descendente (figs. 7.52B y 7.54). La arteria palatina mayor atraviesa el orificio palatino mayor y se dirige en sentido anteromedial. La **arteria palatina menor**—rama menor

de la arteria palatina descendente—entra en el paladar por el orificio palatino menor y se anastomosa con la **arteria palatina ascendente**, rama de la arteria facial (fig. 7.52B). Las **venas del paladar** son afluentes del plexo venoso pterigoideo.

Los nervios sensitivos del paladar son ramos del ganglio pterigopalatino (fig. 7.54). El **nervio palatino mayor** inerva las encías, las mucosas y las glándulas de casi todo el paladar duro. El **nervio nasopalatino** inerva la muco-

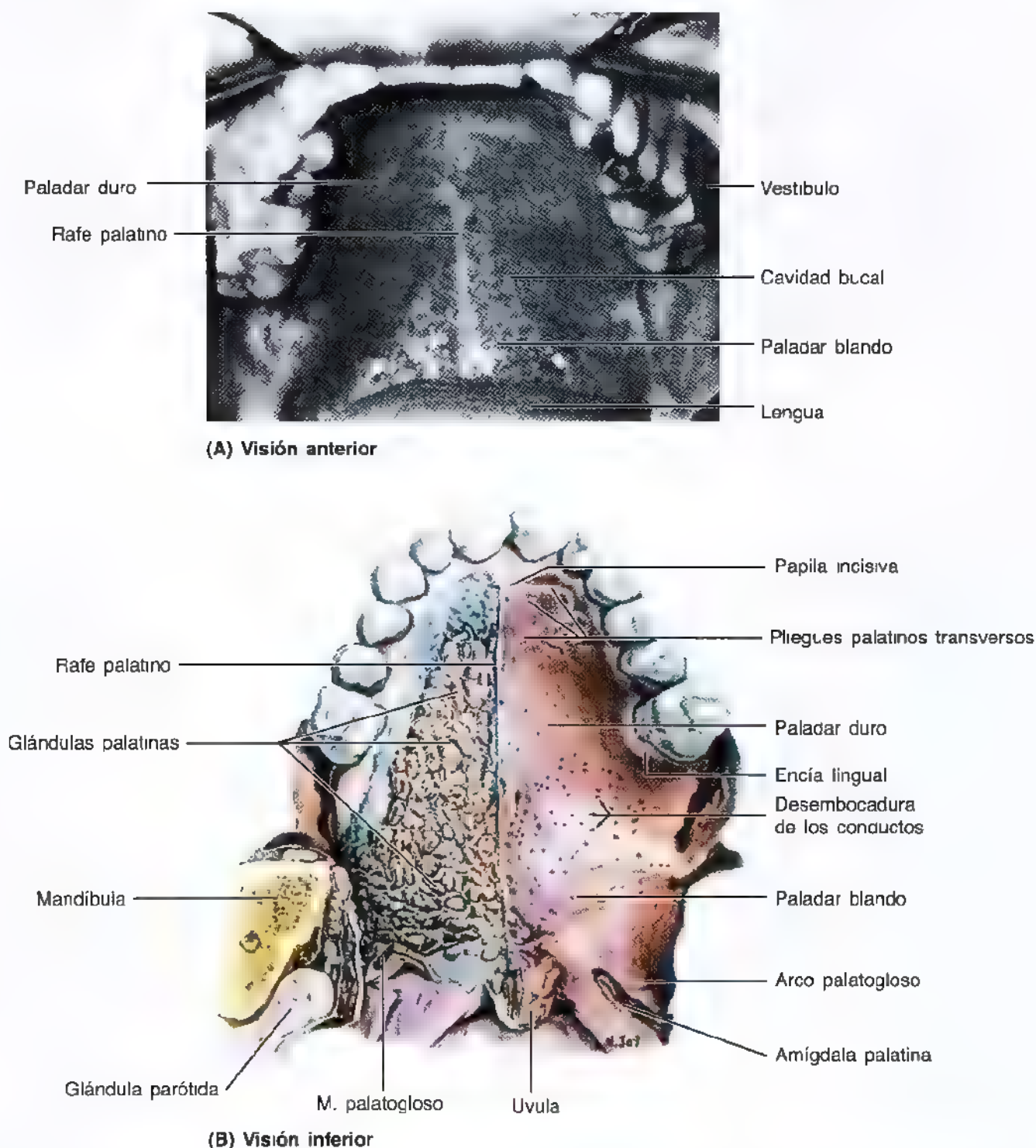


Figura 7.53. Los dientes superiores y el paladar. A. Visión anterior de los dientes superiores y de la mucosa que reviste el paladar duro (lámina ósea) en vida. B. Visión inferior de la mucosa y de las glándulas del paladar. Obsérvense los orificios de los conductos de las glándulas palatinas, que otorgan a la mucosa un aspecto de piel de naranja. Nótese cómo las glándulas palatinas forman una capa gruesa en el paladar blando, fina en el paladar duro, mientras que faltan en la región de la fosa incisiva y en la porción anterior del rafe palatino.

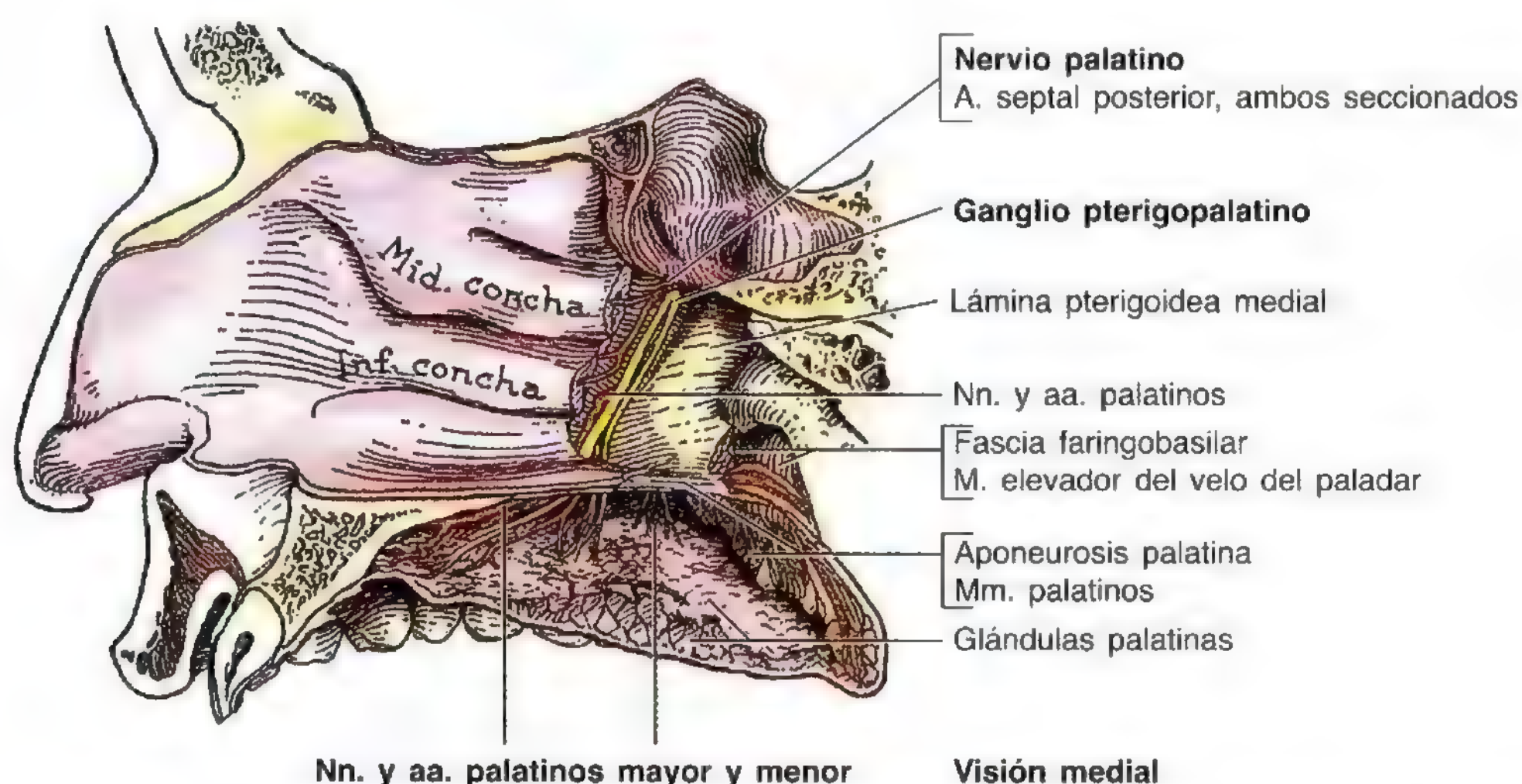


Figura 7.54. Los nervios y los vasos palatinos. Disección de la porción posterior de la pared lateral de la cavidad nasal y del paladar. La mucosa del paladar, que contiene una capa de glándulas mucosas, se ha separado de las regiones dura y blanda del paladar mediante disección roma. Se han cortado los extremos posteriores de los cornetes medio e inferior; éstos y el mucoperiostio se han desprendido de la pared lateral de la nariz hasta el borde posterior de la lámina pterigoidea medial. La lámina perpendicular del hueso palatino se ha roto para exponer los nervios y las arterias palatinas que descienden desde la fosa pterigopalatina hasta el conducto palatino.

sa de la porción anterior del paladar duro. Los **nervios palatinos menores** inervan el paladar blando. Los nervios palatinos acompañan a las arterias por los orificios palatinos mayor y menor, respectivamente. Con excepción del

músculo tensor del velo del paladar, inervado por el nervio maxilar, todos los músculos del paladar blando son inervados por el *plexo nervioso faríngeo* (se describe en el capítulo 8).

Bloqueo del nervio nasopalatino

El nervio nasopalatino se anestesia inyectando el anestésico en la fosa incisiva del paladar duro. La aguja se introduce detrás de la papila incisiva. Los dos nervios nasopalatinos se pueden anestesiarse con una misma inyección en el lugar de salida por la fosa incisiva. Los tejidos afectados son la mucosa palatina, las encías linguales y el hueso alveolar de los seis dientes superiores, así como el paladar duro.

Bloqueo del nervio palatino mayor

El nervio palatino mayor se puede anestesiarse inyectando el anestésico en el orificio palatino mayor. El nervio emerge entre el 2º y el 3º molares. Este bloqueo nervioso anestesia toda la mucosa palatina y la encía lingual situada detrás de los caninos superiores, así como el hueso subyacente del paladar en el lado afectado.

Hendidura palatina

La hendidura palatina, asociada o no con hendidura labial, afecta a 1 de cada 2.500 recién nacidos y es más

común en las niñas (Moore y Persaud, 1998). La hendidura puede afectar solo a la úvula, que adopta el aspecto de cola de pescado, o propagarse por las regiones blanda y dura del paladar. En los casos graves, cuando se asocia con hendidura labial, la hendidura palatina se extiende por la apófisis alveolar del maxilar y los labios, a ambos lados. La *base embriológica de la hendidura palatina* es la ausencia de reunión y fusión de las masas mesenquimatosas de las apófisis palatinas laterales con el tabique nasal o con el borde posterior de la apófisis palatina media. ⊕

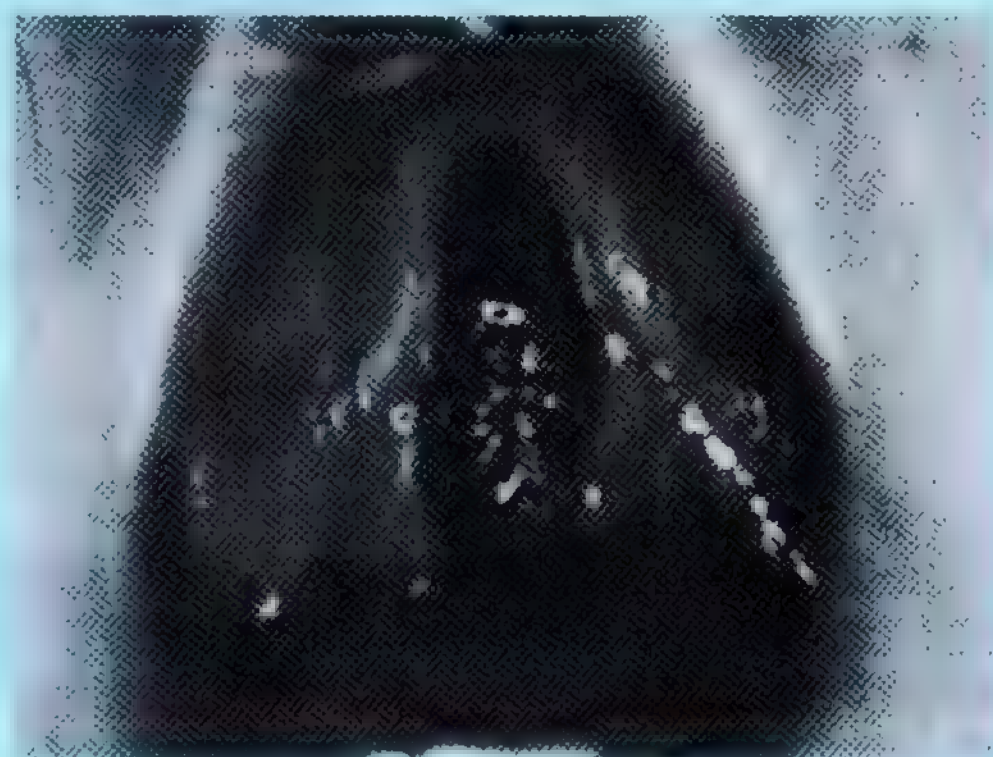
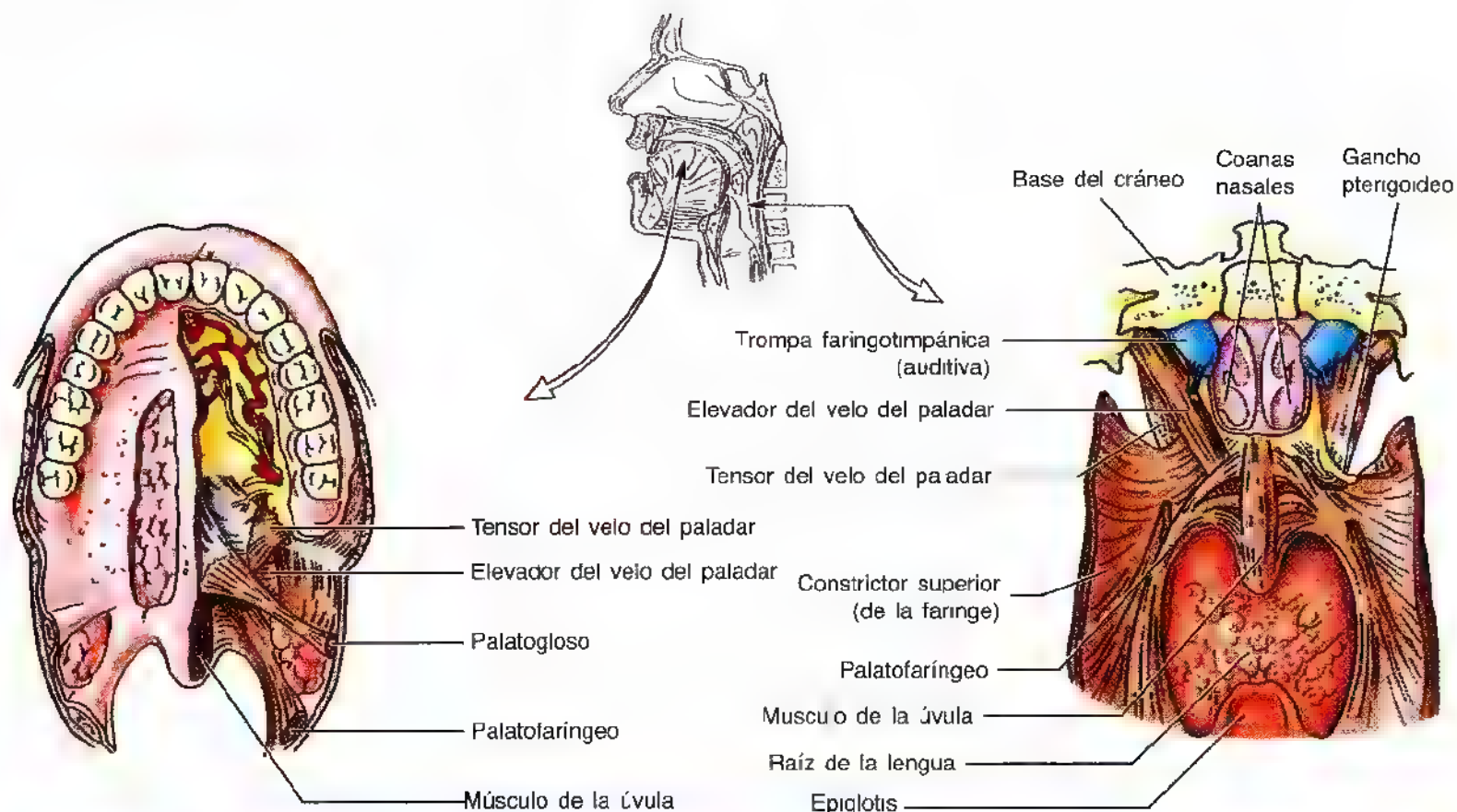


Tabla 7.13. Los músculos del paladar blando

Músculo	Inserción superior	Inserción inferior	Inervación	Acción principal
Tensor del velo del paladar	Fosa escafoidea de la lámina pterigoidea medial, espina del esfenoides y cartílago de la trompa faringotimpánica (auditiva)	Aponeurosis palatina	N. pterigoideo medial (ramo del n. mandibular, NC V3) a través del ganglio ótico	Tensa el paladar blando y abre la desembocadura de la trompa auditiva durante la deglución y el bostezo
Elevador del velo del paladar	Cartilago de la trompa faringotimpánica (auditiva) y porción petrosa del hueso temporal			Eleva el paladar blando durante la deglución y el bostezo
Palatogloso	Aponeurosis palatina	Lado de la lengua	Porción craneal de NC XI a través del ramo faríngeo del n. vago (NC X) por vía del plexo faríngeo	Eleva la porción posterior de la lengua y lleva el paladar blando hacia la lengua
Palatofaríngeo	Paladar duro y aponeurosis palatina	Pared lateral de la faringe		Tensa el paladar blando y tira de las paredes de la faringe en dirección superior, anterior y medial durante la deglución
Músculo de la úvula	Espina nasal posterior y aponeurosis palatina	Mucosa de la úvula		Acorta la úvula y tira de ella hacia arriba

La lengua

La lengua es un órgano muscular inmóvil que puede adoptar multitud de formas y posiciones. La lengua ocupa parte de la cavidad bucal y parte de la faringe. En reposo llena casi toda la cavidad bucal propiamente dicha. La lengua participa en la masticación, el gusto, la deglución, la articulación del habla y la limpieza bucal; sin embargo, sus dos funciones principales son:

- Formar palabras al hablar.
- Impulsar el alimento hacia la faringe al deglutir.

Las porciones y las caras de la lengua

La lengua tiene una raíz, un cuerpo, un vértice, una superficie dorsal curva o dorso y una cara inferior. Algunos autores describen la **raíz de la lengua** como la porción inferior y relativamente fija, insertada en el hueso hioides y la man-

díbula y próxima a los músculos geniohioideo y milohioideo (Williams y cols., 1995). En general, la raíz se define como el tercio posterior de la lengua. El **cuerpo de la lengua** es la porción restante de la lengua; por eso, su definición varía según se delimite la raíz. De ordinario, el cuerpo se define como los dos tercios anteriores (anteriores al surco) de la lengua (fig. 7.55). El **vértice de la lengua** suele representar la porción anterior y puntiaguda del cuerpo. El cuerpo y el vértice de la lengua son sumamente móviles. El **dorso de la lengua** es la cara posterosuperior, que incluye el surco en forma de V —**surco terminal**—, cuyo vértice apunta hacia atrás, al **orificio ciego**, una pequeña fosita, carente de función, vestigio de la porción proximal del conducto tirogloso embrionario del que se desarrolla la glándula tiroides (Moore y Persaud, 1998). El surco terminal divide el dorso de la lengua en la parte anterior (parte oral), situada en la cavidad bucal propiamente dicha, y en la parte posterior (parte faríngea o posterior al surco), ubicada en la orofaringe. Las porciones anterior y posterior contienen superficies rugosas e irregulares.

La rugosidad de la mucosa de la parte anterior de la lengua se debe a la presencia de numerosas **papilas linguales** de pequeño tamaño (fig. 7.55):

- Las *papilas circunvaladas* son grandes y aplanadas y se sitúan justo delante del surco terminal; están rodeadas de fosos, cuyas paredes están repletas de calículos gustatorios; en estos fosos desembocan los conductos de las glándulas serosas.
- Las *papilas foliáceas* son pequeños pliegues laterales de la mucosa lingual muy poco desarrollados en la especie humana.
- Las *papilas piliformes* son largas y numerosas y contienen terminaciones nerviosas aferentes sensibles al tacto; estas

papilas descamativas, con forma de hebra, tienen un color rosa-grisáceo y se disponen en filas a modo de V, paralelas al surco terminal, salvo en el vértice de la lengua, donde tienden a organizarse de modo transversal.

- Las *papilas fungiformes* tienen forma de seta y aparecen como manchas rosadas o rojas, dispersas entre las papilas piliformes y más abundantes en el vértice y en los lados de la lengua.

Las papilas circunvaladas, foliáceas y casi todas las fungiformes contienen receptores gustativos en los *calículos gustatorios*. El epitelio que recubre la cara oral del paladar blando, la pared posterior de la orofaringe y la epiglotis contienen también algunos calículos gustatorios. Las papilas piliformes y descamativas de la lengua de algunos animales (p. ej., los gatos) son las que justifican, precisamente, su aspereza.

La mucosa del dorso se adelgaza en la parte anterior de la lengua y se adhiere íntimamente al músculo subyacente. El **surco medio**, depresión de la cara dorsal, divide la lengua en las mitades derecha e izquierda y señala también el lugar donde se fusionan los esbozos distales embrionarios de la lengua (Moore y Persaud, 1998). En la profundidad del surco medio se encuentra un **tabique lingual** fibroso (tabla 7.14) que también separa la lengua en sus dos mitades derecha e izquierda.

La **parte posterior de la lengua** se encuentra detrás del surco terminal y de los arcos palatoglosos (estructuras que marcan el límite posterior de la cavidad bucal). La membrana mucosa es espesa y se mueve libremente. No tiene papilas linguales, sino los nódulos subyacentes de los folículos linfáticos linguales, que otorgan a esta porción de la lengua un aspecto irregular y adoquinado. Estas masas nodulares de **folículos linguales** (fig. 7.55) se denominan de manera colectiva *amígdala lingual*.

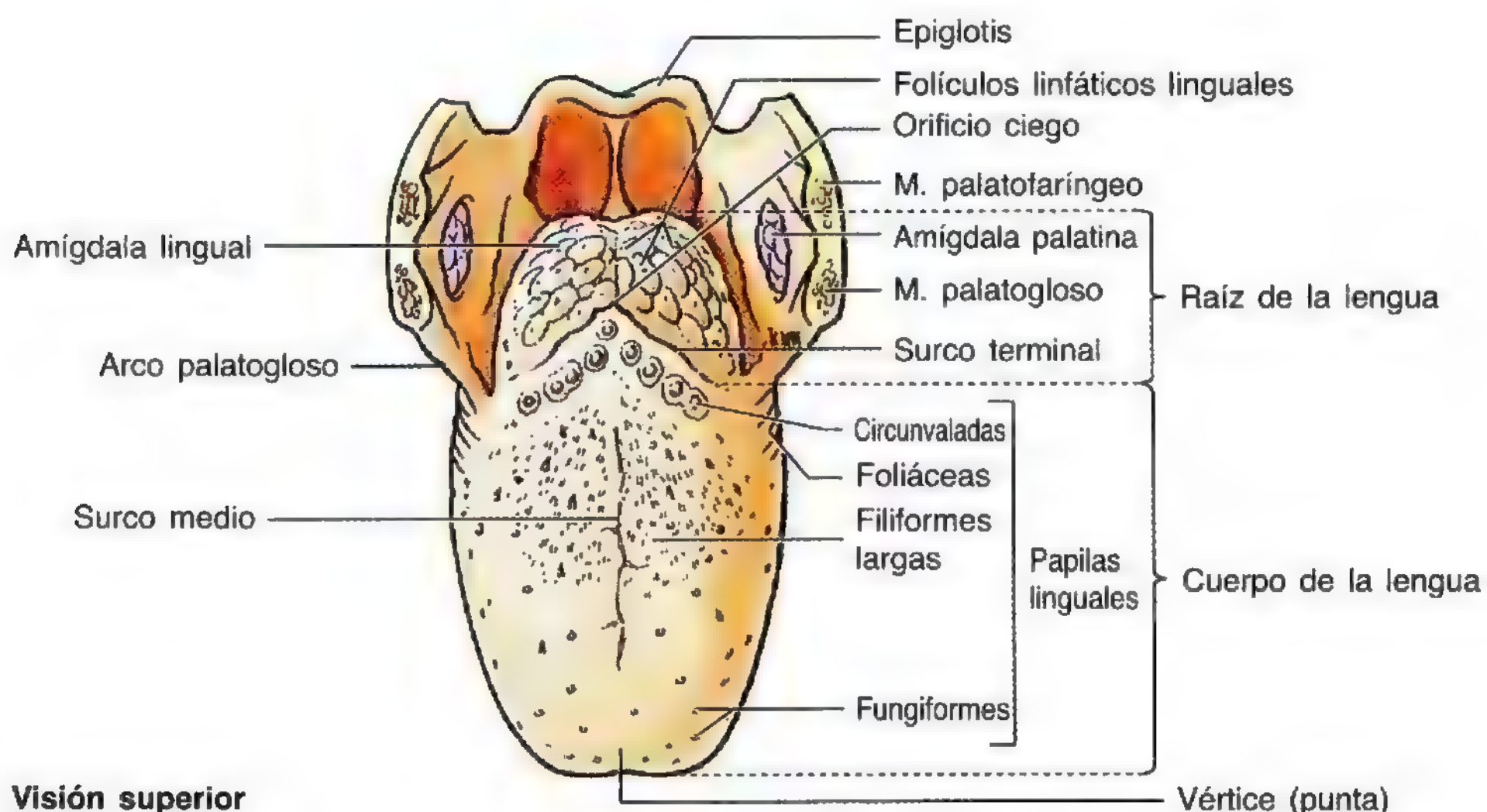
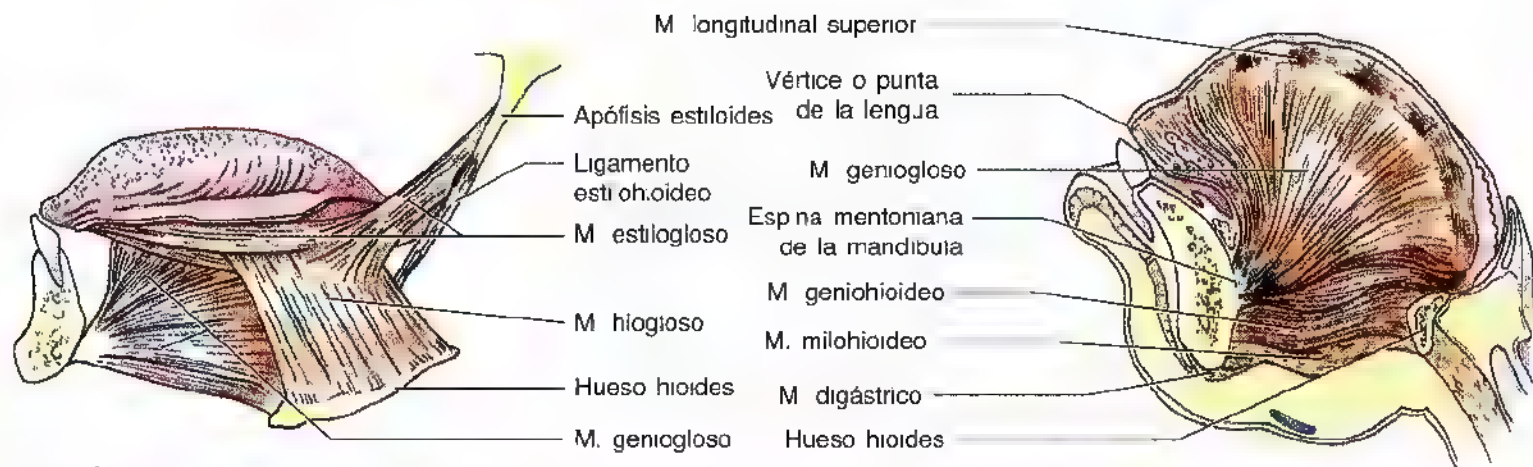
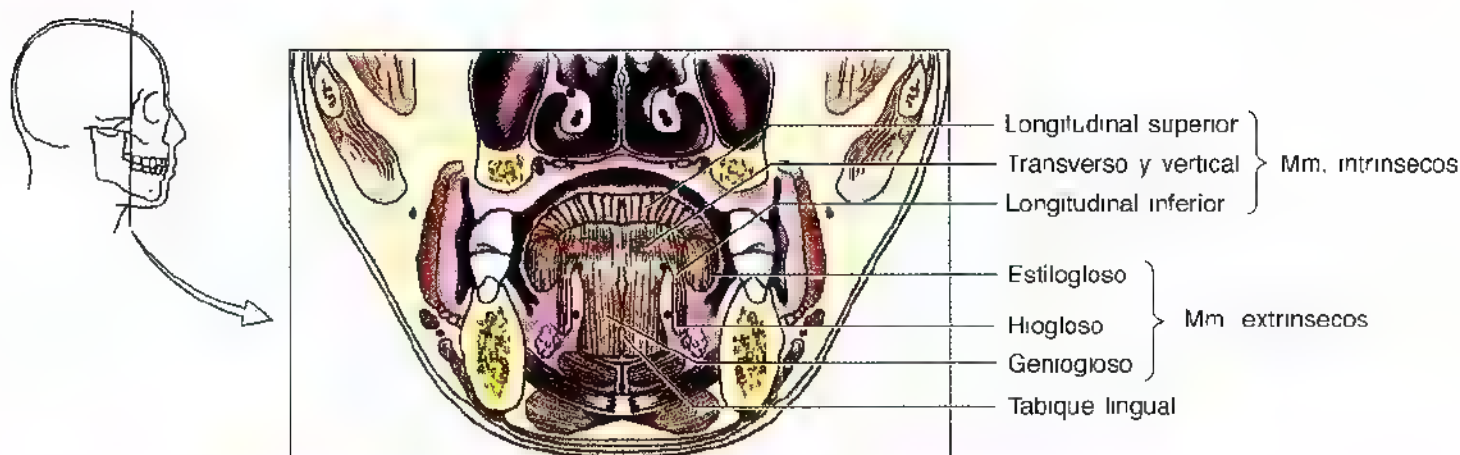


Figura 7.55. El dorso de la lengua (en latín, *lingua*, y en griego, *glossa*). Visión superior. Se observan las porciones de la lengua: cuerpo y raíz, separadas por el surco terminal y el orificio ciego.

Los corchetes indican las porciones de la lengua y no se refieren a denominaciones concretas. Se advierte también la posición de las distintas papilas linguales.

Tabla 7.14. Los músculos de la lengua**Mm. extrínsecos**

Músculo	Origen	Inserción	Inervación	Acción principal
Geniogloso	Porción superior de la espina mentoniana de la mandíbula	Dorso de la lengua y cuerpo del hueso hioides	N. hipogloso (NC XII)	Deprime la lengua; la porción posterior tira de la lengua hacia arriba para la protrusión*
Hiogloso	Cuerpo y asta mayor del hueso hioides	Cara lateral e inferior de la lengua		Deprime y retrae la lengua
Estilogloso	Apófisis estiloides y ligamento estilohioideo	Cara lateral e inferior de la lengua		Retrae la lengua y tira de ella hacia arriba, creando un surco para la deglución
Palatogloso	Aponeurosis palatina del paladar blando	Cara lateral de la lengua	Raíz craneal de NC XI a través del ramo faríngeo de NC X y del plexo faríngeo	Eleva la porción posterior de la lengua

**Músculos intrínsecos**

Músculo	Origen	Inserción	Inervación	Acción principal
Longitudinal superior	Capa fibrosa submucosa y tabique fibroso medio	Bordes de la lengua y mucosa	N. hipogloso (NC XII)	Curva el vértice y los lados de la lengua por arriba y acorta la lengua
Longitudinal inferior	Raíz de la lengua y cuerpo del hueso hioides	Vértice de la lengua		Curva el vértice de la lengua por abajo y acorta la lengua
Transverso	Tabique fibroso medio	Tejido fibroso en los bordes de la lengua		Estrecha y alarga la lengua*
Vertical	Cara superior de los bordes de la lengua	Cara inferior de los bordes de la lengua		Aplana y ensancha la lengua*

* Actúa de forma simultánea para la protrusión lingua

La **cara inferior de la lengua** (superficie sublingual) está cubierta de una mucosa fina y transparente por la que se adivinan las venas. Si se levanta la lengua se aprecia el **frenillo lingual** (fig. 7.56), un pliegue grande de mucosa en la línea media, que va desde la encía que cubre la cara lingual de la cresta alveolar anterior hasta la cara posteroinferior de la lengua. El frenillo comunica la lengua con el suelo de la boca y permite el movimiento libre de la porción anterior de la lengua. A ambos lados de este pliegue de mucosa se ve una vena lingual profunda a través de la mucosa fina. Asimismo, se observa la **carúncula sublingual**, una papila a cada lado de la base del frenillo lingual, donde desemboca el *conducto submandibular* de la glándula salivar submandibular.

Los músculos de la lengua

La lengua, en esencia, es una masa muscular casi completamente cubierta de mucosa (fig. 7.55). Aunque tradicionalmente se ha procedido así, la descripción de las acciones de los músculos linguales basada en la asignación de un solo efecto a cada músculo —lo que supone que un movimiento concreto es consecuencia de la acción de un solo músculo— representa una simplificación excesiva de las acciones de la lengua y resulta equívoca. Los músculos de la lengua no actúan por separado y algunos ejecutan varias acciones; de hecho, porciones de un mismo músculo pueden actuar de forma independiente causando acciones diferentes e incluso antagónicas. Sin embargo, en general, *los músculos extrínsecos modifican la posición de la lengua, y los intrínsecos, su forma*. Los cuatro músculos intrínsecos y los cuatro extrínsecos de cada mitad de la lengua están separados por el **tabique lingual** fibroso, que se une detrás con la aponeurosis de la lengua. La tabla 7.14 enumera las inserciones, inervación y acciones de los músculos intrínsecos y extrínsecos de la lengua.

Los **músculos extrínsecos de la lengua**. Los músculos extrínsecos (geniogloso, hiogloso, estilogloso y palatogloso) se originan fuera de la lengua, pero se insertan en ella. Se

encargan sobre todo de mover la lengua, pero también pueden modificar su forma.

El **músculo geniogloso**, en abanico, es el que mayor volumen ocupa en la lengua. Se origina a través de un tendón corto en la porción superior de la espina mentoniana de la mandíbula. Se extiende en abanico a su entrada en la lengua por abajo y sus fibras se insertan en todo el dorso de la lengua. Las más inferiores lo hacen en el cuerpo del hueso hioides y tiran de la raíz de la lengua hacia delante, uno de los elementos de la protrusión lingual, movimiento muy complejo. Cuando se contraen los músculos genioglosos de ambos lados se deprime la lengua, sobre todo la parte central, apareciendo un surco central. Cuando se contrae de un lado, el geniogloso desvía la lengua hacia el lado contrario. Con la lengua protruida, la contracción de la parte anterior del músculo retrae el vértice.

El **músculo hiogloso**, fino y cuadrangular, nace en el cuerpo y en el asta mayor del hueso hioides y se dirige en sentido superoanterior hasta el lado y la cara inferior de la lengua. Este músculo deprime la lengua al tirar hacia abajo de sus lados; también contribuye a la retrusión (retracción) lingual.

El **músculo estilogloso**, corto y pequeño, se origina en el borde anterior de la apófisis estiloides, cerca de la punta, y en el ligamento estilohioideo. Tiene un curso inferoanterior y se inserta en el lado y la cara inferior de la lengua. Sus fibras se entremezclan con las del músculo hiogloso. El estilogloso retrae la lengua y riza los lados de la misma; con el geniogloso crea un surco durante la deglución.

El **músculo palatogloso** se origina en la aponeurosis palatina del paladar blando y se inserta en el lado de la lengua. Entra en la porción lateral de la lengua con el músculo estilogloso, pero pasa casi transversalmente, junto con las fibras musculares transversales intrínsecas. El músculo palatogloso es más “palatino” que “gloso” en su procedencia, inervación y función; es decir, forma más parte del paladar blando que de la lengua. Aunque puede elevar la porción posterior de la lengua, también tira del paladar blando hacia

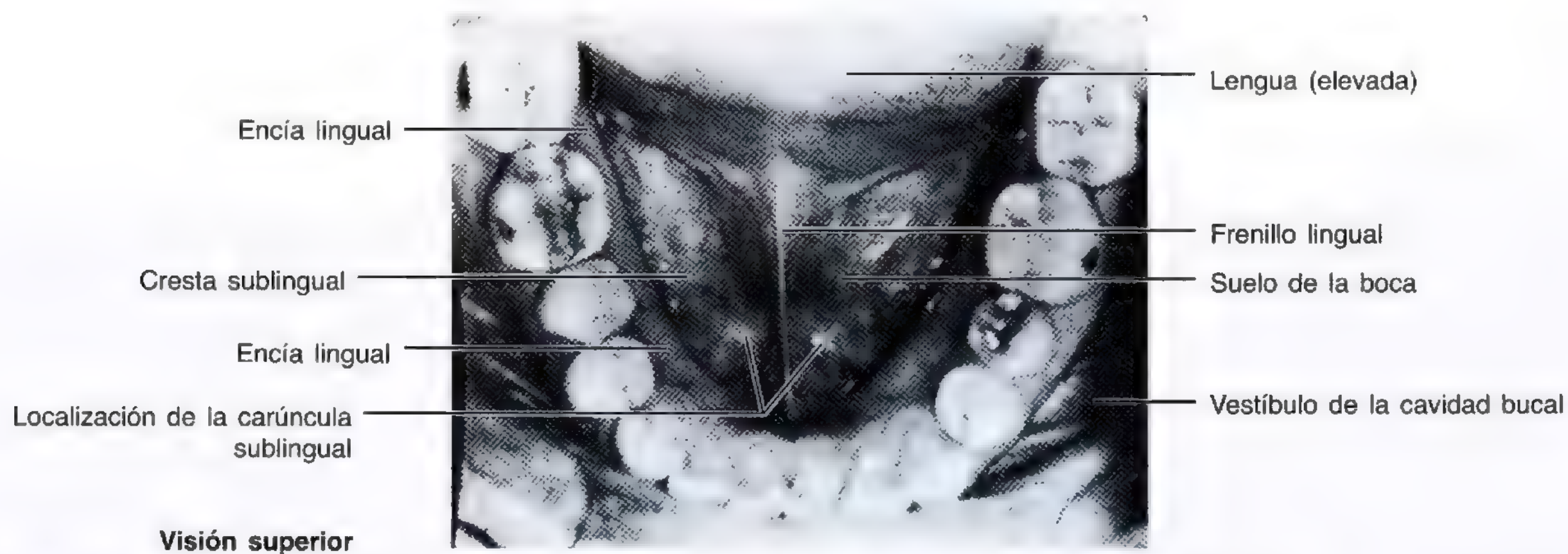


Figura 7.56. Visión superior del suelo de la boca y del vestibulo de la cavidad bucal. La lengua está elevada y retraída hacia arriba. Se observa la mucosa, la encía lingual y el frenillo lingual.

abajo; en general, los músculos palatoglosos actúan de forma simultánea, aproximando los pliegues palatoglosos para constreñir el istmo de las fauces. El músculo palatogloso entra en la porción lateral de la lengua con el estilogloso, pero pasa casi transversalmente junto con las fibras musculares transversales e intrínsecas.

Los **músculos intrínsecos de la lengua**. Los músculos longitudinales superior e inferior, transverso y vertical se encuentran dentro de la lengua. Se insertan exclusivamente en la lengua y no en el hueso (tabla 7.14)

El **músculo longitudinal superior de la lengua** crea una capa fina en la profundidad de la mucosa del dorso de la lengua y recorre del vértice a la raíz. Nace en la capa fibrosa submucosa y en el tabique lingual y se inserta sobre todo en la mucosa. El músculo longitudinal superior tiza el vértice de la lengua empujándolo contra el paladar, o mueve el vértice protruido hacia arriba, en dirección a la nariz, creando una concavidad longitudinal del dorso lingual.

El **músculo longitudinal inferior de la lengua** consta de una estrecha banda, próxima a la cara inferior de la lengua, que se extiende desde el vértice a la raíz de la lengua; algunas de esas fibras se insertan en el hueso hioides. El músculo longitudinal inferior curva el vértice de la lengua hacia abajo, determinando una convexidad del dorso lingual. Los músculos longitudinales superior e inferior actúan de manera concertada, acortando, engrosando y retrayendo la lengua protruida.

Los **músculos transversos de la lengua** se encuentran en la profundidad del músculo longitudinal superior. Nacen en el tabique lingual y se dirigen laterales a los bordes derecho e izquierdo. Sus fibras se insertan en el tejido fibroso submucoso. Los músculos transversos se estrechan y aumentan la altura de la lengua.

El **músculo vertical de la lengua** tiene un curso infero-lateral a partir del dorso de la lengua. Apiana y ensancha la lengua. En colaboración con los músculos transversos alarga y estrecha la lengua y la empuja contra los dientes anteriores

o protruye la lengua con la boca abierta (sobre todo cuando actúa junto con la porción posteroinferior del músculo geniogloso).

La innervación de la lengua

Todos los músculos de la lengua, *con excepción del palatogloso* (inervado por el *plexo faríngeo*, que se crea con fibras de la raíz craneal del NC XI transportadas por el NC X), son innervados por el **nervio hipogloso** o XII nervio craneal (fig. 7.57). Con respecto a la sensibilidad general (tacto y temperatura), la mucosa de los dos tercios anteriores de la lengua está innervada por el **nervio lingual** (fig. 7.43), ramo del nervio mandibular. El gusto (sensibilidad especial) de esta zona de la lengua, con excepción de las papilas caliciformes o circunvaladas, depende del nervio de la **cuerda del tímpano**, ramo del facial (fig. 7.41 C). La cuerda del tímpano se une al nervio lingual y se dirige hacia delante con su vaina. La mucosa del tercio posterior de la lengua y las papilas caliciformes están innervadas por el ramo lingual del **nervio glossofaríngeo**, que transmite la sensibilidad general y especial. Las divisiones del **nervio laríngeo interno**, ramo del nervio vago, aportan sobre todo la sensibilidad general, pero también parte de la sensibilidad especial a una pequeña zona de la lengua, justo delante de la epiglotis. Estos nervios, en su mayoría sensitivos, también llevan **fibras parasimpáticas secretomotoras** para las glándulas serosas de la lengua. Las fibras parasimpáticas del nervio de la cuerda del tímpano viajan con el nervio lingual hasta las glándulas salivares submandibular y sublingual. Estas fibras nerviosas entablan sinapsis en el ganglio submandibular (fig. 7.60) que cuelga del nervio lingual.

Las cuatro sensaciones elementales del gusto dulce, salado, ácido y amargo— se detectan de la siguiente manera en la lengua:

- Dulce: vértice (punta).
- Salado: bordes laterales.
- Ácido y amargo (parte posterior).

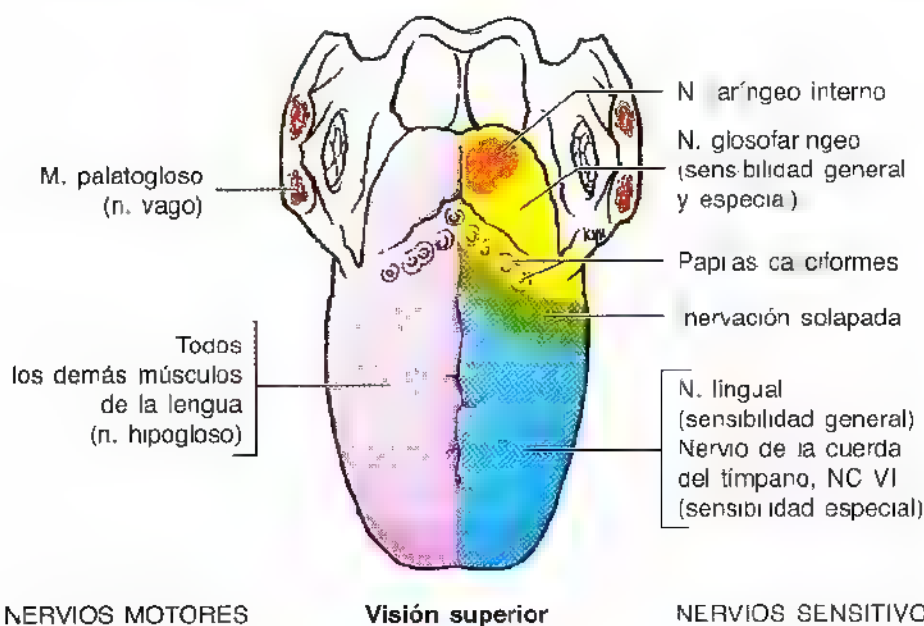


Figura 7.57. Innervación de la lengua.

Visión superior. Los dos tercios anteriores están innervados por el nervio lingual (NC V₃), responsable de la sensibilidad general, y por el nervio de la cuerda del tímpano, ramo de nervio facial (NC VII) que lleva fibras nerviosas al nervio lingual, conductor de gusto. El tercio posterior de la lengua y las papilas caliciformes reciben un ramo lingual de nervio glossofaríngeo (NC IX) tanto para la sensibilidad general como para el gusto. Los demás ramos provienen de una pequeña división lingual del nervio facial (gusto) y del ramo laríngeo interno del nervio vago (NC X), que se ocupa de la sensibilidad general y de gusto. Así pues, los nervios craneales 7^º, 9^º y 10^º conducen las fibras gustativas.

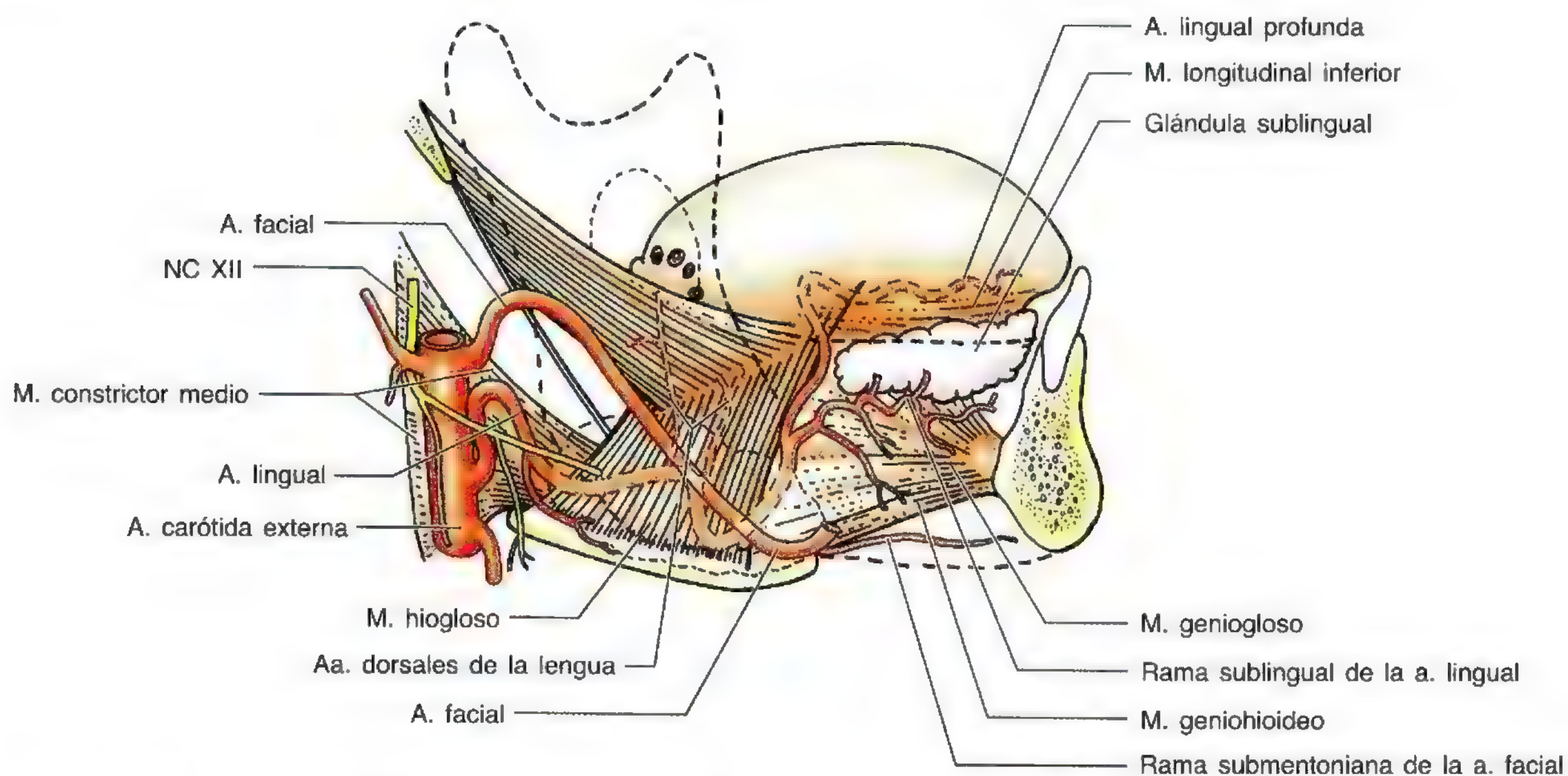
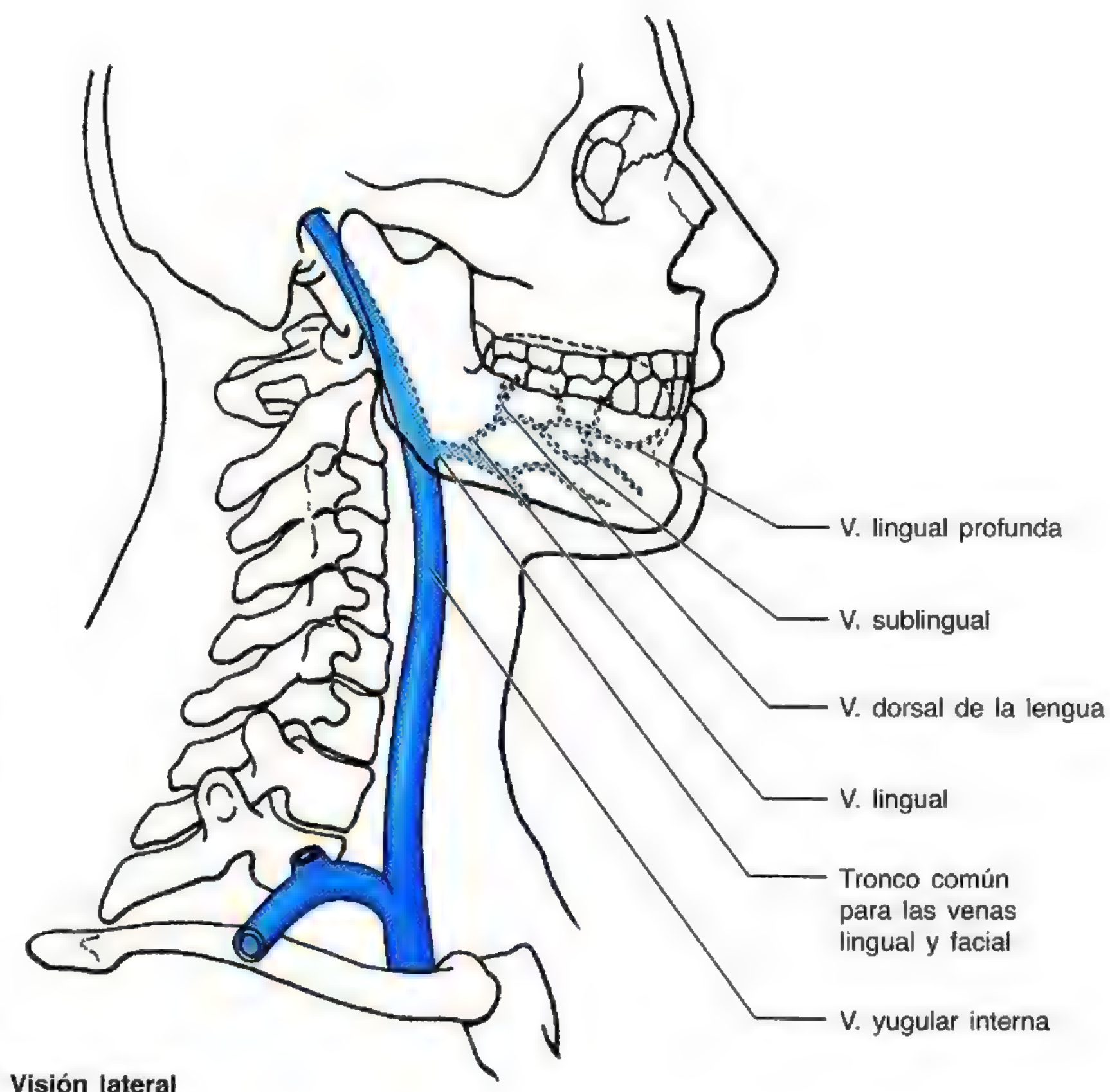


Figura 7.58. Irrigación sanguínea de la lengua. Visión lateral. La arteria principal de la lengua es la lingual, rama de la arteria carótida externa. La *arteria dorsal de la lengua* aporta la vascularización a la raíz de la lengua, mientras que la *arteria lingual profunda* se dirige al cuerpo. La arteria dorsal también envía una rama para la amígdala palatina. La rama sublingual de la arteria lingual perfunde el suelo de la boca, incluida la glándula sublingual.

Figura 7.59. Drenaje venoso de la lengua. La lengua está drenada por dos venas linguales que acompañan a las arterias linguales y reciben las venas del dorso de la lengua. La vena lingual profunda se dirige hacia atrás, bajo la mucosa de la cara inferior de la lengua, al lado del frenillo lingual (se observa a través de la mucosa). Se une con la vena sublingual del suelo de la boca y la glándula salivar sublingual, y luego recibe la vena dorsal de la lengua. Todas estas venas desembocan de manera directa o indirecta en la vena yugular interna (VYI).



La vascularización de la lengua

Las *arterias de la lengua* proceden de la **arteria lingual**, que nace en la **arteria carótida externa** (fig. 7.58). A la entrada en la lengua, la arteria lingual pasa en la profundidad del músculo hiogloso. Las **ramas principales de la arteria lingual son**:

- Las *arterias linguales dorsales*, que perfunden la porción posterior y envían una rama amigdalina para la amígdala palatina.
- La *arteria lingual profunda*, que perfunde la porción anterior.
- La *rama sublingual de la arteria facial*, que se distribuye por la glándula sublingual y el suelo de la boca.

Las arterias linguales dorsales se comunican entre sí cerca del vértice de la lengua. Las demás ramas de la arteria lingual no pueden comunicarse debido al *tabique lingual* fibroso, que separa la lengua en las mitades derecha e izquierda. Las **venas de la lengua** son (fig. 7.59):

- Las *venas linguales dorsales*, que acompañan a la arteria lingual.
- Las *venas linguales profundas* (venas de la ránula), que comienzan en el vértice de la lengua y se dirigen hacia atrás, al lado del frenillo lingual, para unirse a la vena sublingual.

Todas estas venas terminan de modo directo e indirecto en la vena yugular interna. La **linfa que drena la lengua sigue cuatro vías** (fig. 7.60):

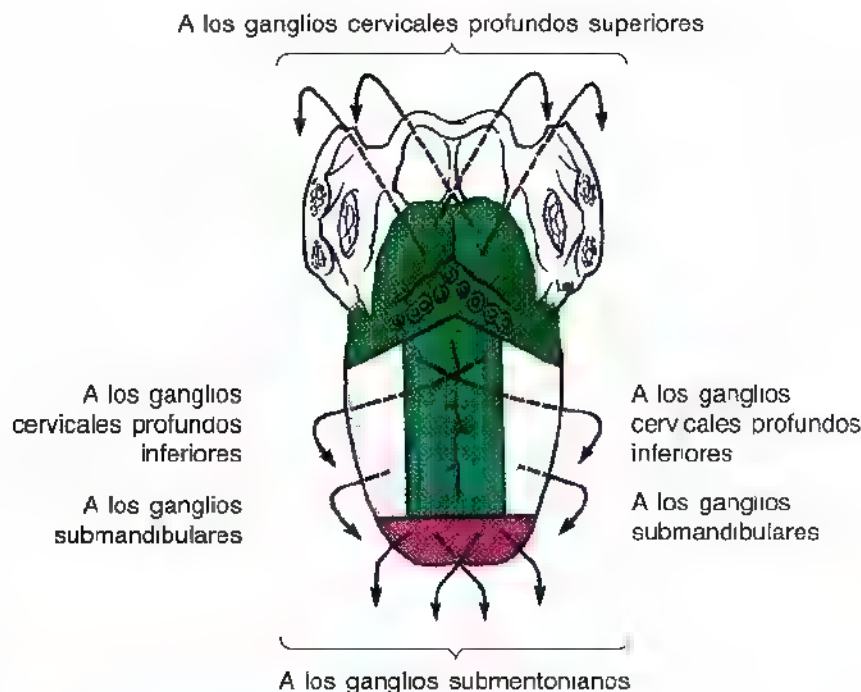
- La linfa del tercio posterior drena en los *ganglios cervicales profundos superiores* de ambos lados.
- La linfa de la porción medial de los dos tercios anteriores drena directamente en los *ganglios cervicales profundos inferiores*.
- La linfa de las porciones laterales de los dos tercios anteriores drena los *ganglios submandibulares*.
- El vértice drena en los ganglios submentonianos.
- El tercio posterior y la zona próxima a la línea media drenan a ambos lados.

Reflejo nauseoso

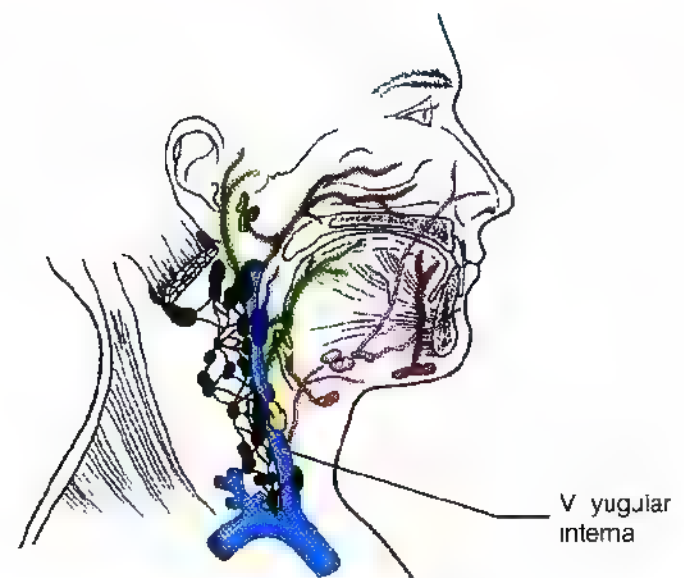
Se puede tocar la parte anterior de la lengua sin producir ninguna molestia, pero cuando se toca la parte posterior se experimenta una sensación nauseosa. Los responsables de la contracción muscular de ambos lados de la faringe son los nervios craneales IX y X. Los ramos glossofaríngeos constituyen la porción aferente del *reflejo nauseoso*.

Parálisis del músculo geniogloso

Cuando se paraliza el músculo geniogloso, la lengua tiende a caerse hacia atrás, obstruyendo la vía ▶



(A) Visión superior



(B) Visión lateral

Figura 7.60. Drenaje linfático de la lengua. A. Visión superior de dorso de la lengua. B. Visión lateral de la cabeza y del cuello. La linfa drena a los ganglios linfáticos submentoniano, submandibular y cervicales profundos superior e inferior, incluidos los ganglios yugulodigástrico y yugulomohioideo. Existen comunicaciones amplias a través de la línea media de la lengua.

Leyenda	
■ Retrofaríngeos	■ Submentoniano
■ Cervicales profundos	□ Submandibulares
■ Yugulomohioideo	■ Infrahioideos
■ Yugulodigástrico	

► respiratoria, con el riesgo subsiguiente de asfixia. Durante la anestesia general se relajan por completo los músculos genioglosos; por eso, para evitar la caída de la lengua de un enfermo anestesiado se introduce una vía respiratoria artificial.

Lesión del nervio hipogloso

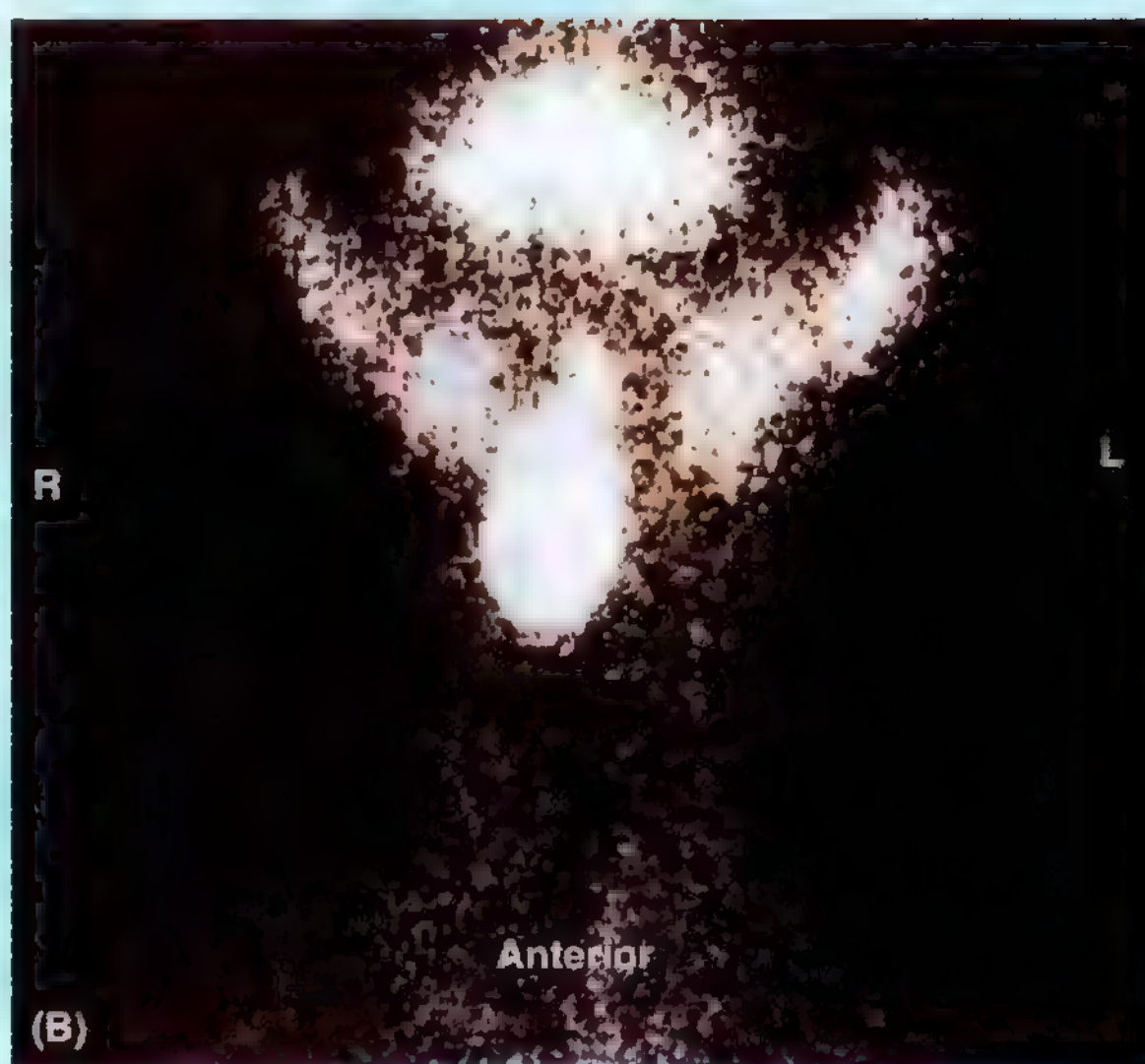
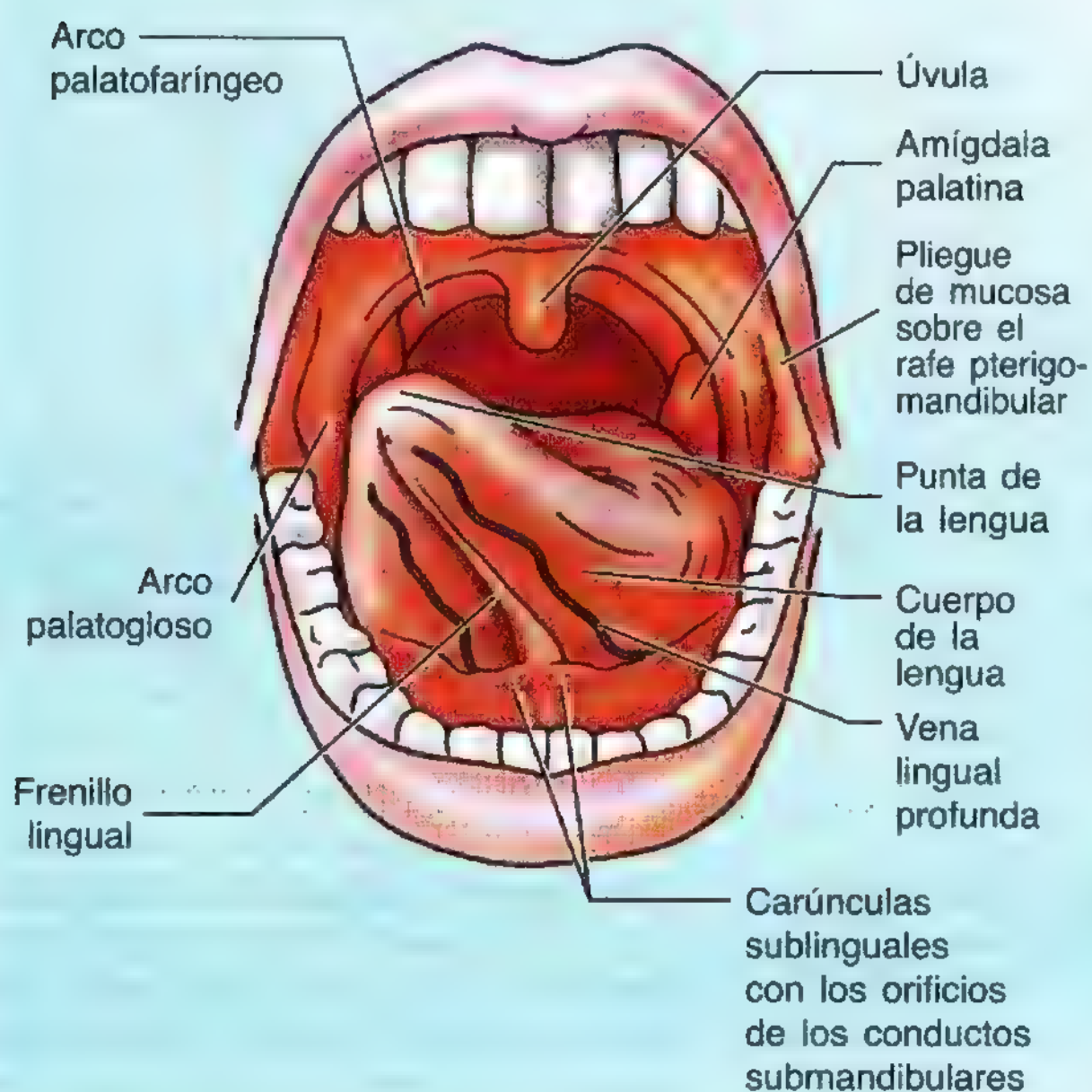
Los traumatismos, como la fractura mandibular, pueden dañar el nervio hipogloso y causar una parálisis y atrofia posterior de un lado de la lengua. La lengua se desvía hacia el lado paralizado durante su protrusión, por efecto del músculo geniogloso intacto del lado contralateral.

Absorción sublingual de los medicamentos

Para que un medicamento se absorba con rapidez, por ejemplo la nitroglicerina que se utiliza como vasodilatador en la angina de pecho (dolor torácico), la pastilla o el aerosol se colocan debajo de la lengua para su disolución e incorporación a las venas linguales profundas en menos de un minuto. Las venas sublinguales de las personas mayores suelen presentar varices (aumento de tamaño y tortuosidad), pero no sangran y carecen de interés clínico (Swartz, 1994).

Carcinoma lingual

El drenaje linfático de la lengua tiene interés especial por la frecuencia del carcinoma de lengua. Los tumores ►



► malignos de la porción posterior de la lengua metastatizan en los ganglios cervicales profundos superiores de ambos lados, y los de la parte anterior no suelen hacerlo en los ganglios cervicales profundos e inferiores hasta las fases más avanzadas. Como estos ganglios se relacionan estrechamente con la vena yugular interna, el carcinoma metastásico de lengua se puede diseminar ampliamente por las regiones submentoniana y submandibular y a lo largo de la vena yugular interna en el cuello.

Frenulectomía

Un frenillo lingual muy grande podría dificultar los movimientos de la lengua y el habla. Un frenillo lingual muy corto (lengua retraída) casi nunca dificulta la alimentación ni el habla. Excepcionalmente se precisa una *frenulectomía* (sección del frenillo) de los lactantes para liberar la lengua y hablar de manera normal.

Quiste del conducto tirogloso

En la raíz de la lengua se observa a veces un remanente quístico del conducto tirogloso —asociado con la génesis de la glándula tiroides (Moore and Persaud, 1998)—, que

puede abrirse a través de una fistula en el orificio ciego. Sin embargo, casi todos los *quistes del conducto tirogloso* se encuentran cerca o justo debajo del cuerpo del hueso hioides, y provocan una tumefacción indolora en la línea media cervical. A veces, estos quistes se abren espontáneamente en la piel del cuello y provocan una herida que no cicatriza: *fistula tirogloso (paso anómalo)*. Para que cicatrice la lesión se necesita la extirpación quirúrgica.

Glándula tiroides aberrante

El tejido tiroideo glandular aberrante puede localizarse en cualquier lugar del trayecto de descenso del conducto tirogloso embrionario. El conducto tirogloso, que porta tejido formador del tiroides en su porción distal, no llega a descender hasta su posición definitiva en el cuello en casos raros. El *tejido tiroideo aberrante* puede encontrarse en la raíz de la lengua, justo detrás del orificio ciego, o en el cuello (A). Los restos quísticos del conducto tirogloso se diferencian del tiroides no descendido con una gammagrafía (B). La glándula tiroides aberrante puede constituir el único tejido tiroideo; en tal caso, su extirpación obliga a la administración continua de hormona tiroidea. ☉

Las glándulas salivares

Las glándulas salivares son las glándulas parótida, submandibular y sublingual. La saliva, un líquido claro, insípido, inodoro y viscoso, segregado por estas glándulas y por las glándulas mucosas de la cavidad bucal:

- Mantiene húmeda la mucosa de la cavidad bucal.
- Lubrica el alimento durante la masticación.
- Inicia la digestión de los almidones.
- Sirve como “una solución intrínseca de lavado bucal”.
- Desempeña una importante misión profiláctica de la caries dental y contribuye al gusto.

Además de las glándulas salivares principales, existen otras accesorias, de menor tamaño, dispersas por el paladar, los labios, las mejillas, las amígdalas y la lengua.

Las glándulas parótidas

La parótida es la mayor de los tres pares de glándulas salivares. La glándula parótida (fig. 7.61) tiene una forma irregular porque ocupa el espacio comprendido entre la rama de la mandíbula y la apófisis estiloides del hueso temporal. La secreción exclusivamente serosa de estas glándulas desemboca en el vestíbulo de la cavidad bucal. Además de su función digestiva, lava las partículas de alimentos de la boca propiamente dicha. La **irrigación arterial** de la parótida y del conducto procede de ramas de las arterias *carótida externa* y *temporal superficial*. Las **venas** de la glándula

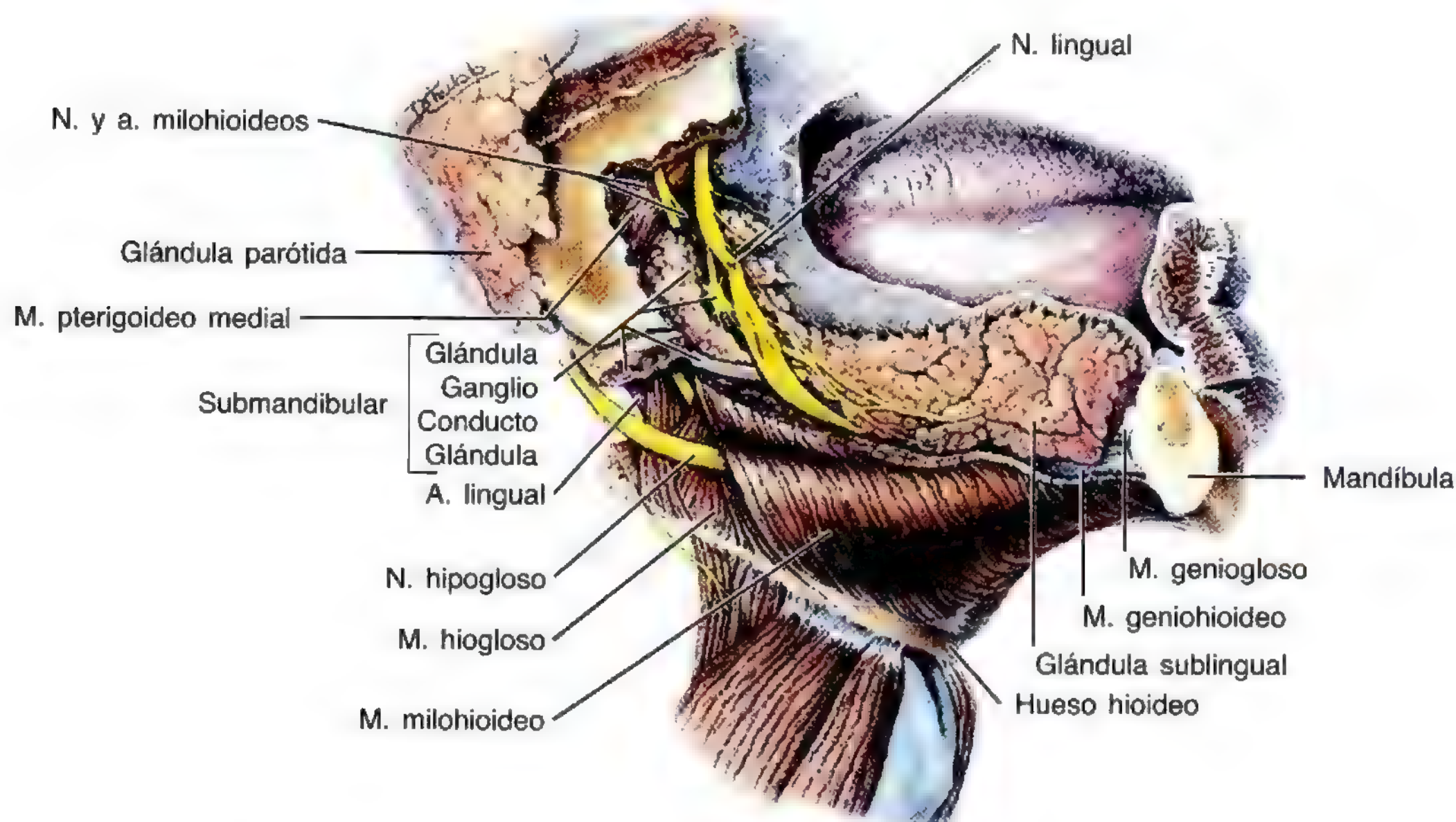
parótida desembocan en las *venas retromandibulares*. Los **vasos linfáticos** de la glándula parótida terminan en los *ganglios cervicales superficiales y profundos*. Si desea conocer mejor la **inervación de la glándula parótida** consulte la página 888

Las glándulas submandibulares

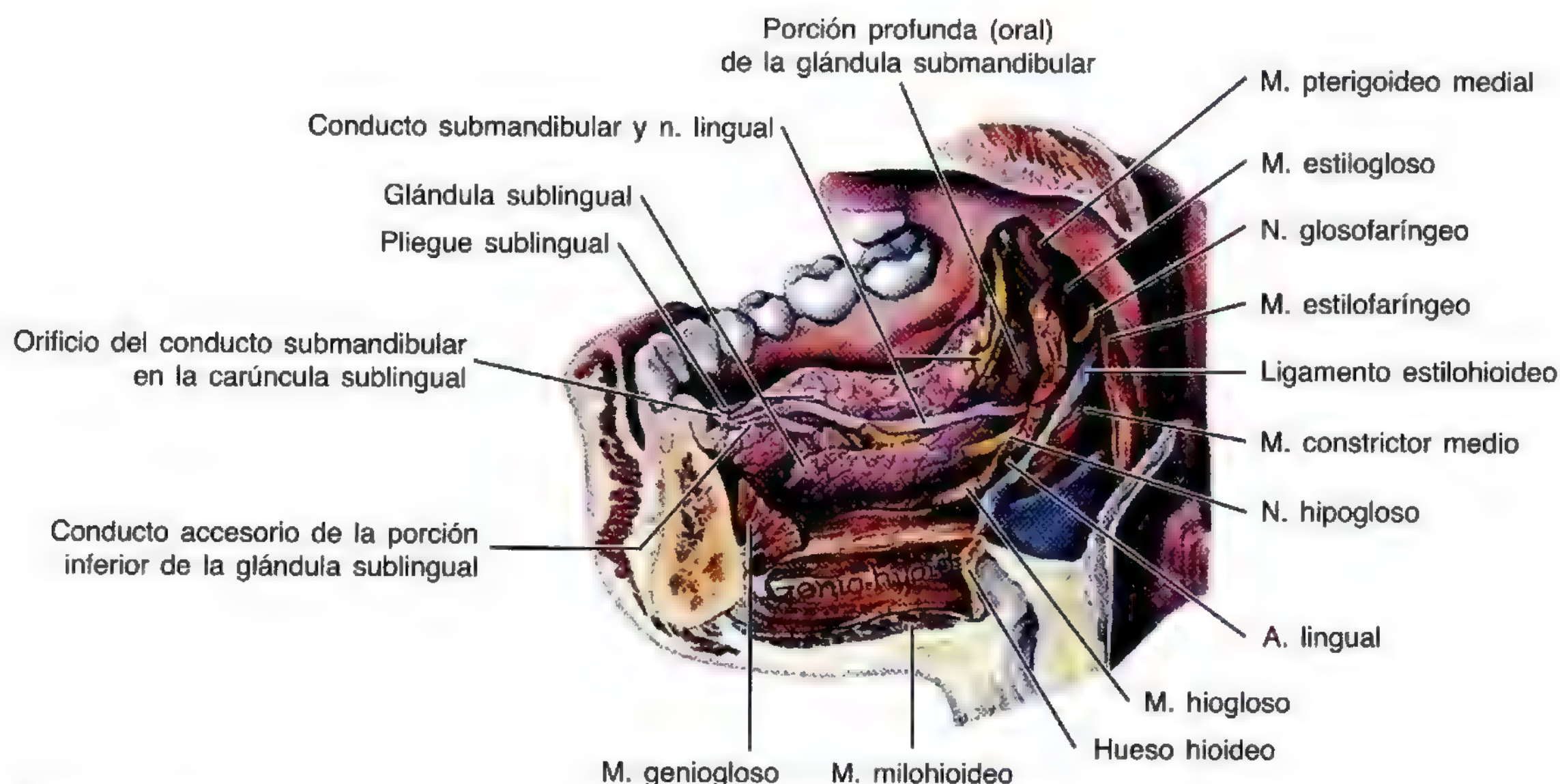
Cada **glándula submandibular** se sitúa a lo largo del cuerpo de la mandíbula, en parte por encima y en parte por debajo de la mitad posterior de la mandíbula; también, en parte superficial y en otra parte profunda al músculo milohioideo (fig. 7.61). El **conducto submandibular**, de unos 5 cm de longitud, se origina en la porción de las glándulas ubicada entre los músculos milohioideo e hiogloso. En su tránsito de la porción lateral a la media, el **nervio lingual** gira por debajo del conducto submandibular, que se dirige hacia delante para abrirse en uno a tres orificios sobre una pequeña papila sublingual al lado de la base del frenillo lingual. El orificio del conducto submandibular se puede ver, y muchas veces durante el bostezo se nota cómo cae la saliva gota a gota o en chorro. La **irrigación arterial** de la glándula submandibular proviene de la *rama submentoniana de la arteria facial* (fig. 7.58). Las **venas** acompañan a las arterias. La glándula submandibular está inervada por fibras parasimpáticas presinápticas secretomotoras, conducidas desde el nervio facial hasta el nervio lingual por el nervio de la cuerda del tímpano, que establecen sinapsis con las neuronas postsinápticas del *ganglio submandibular* (fig. 7.61A).

Estas últimas fibras siguen a las arterias hasta alcanzar la glándula, junto con las fibras postsinápticas vasoconstrictoras del ganglio cervical superior. Los **vasos linfáticos** de la

glándula submandibular drenan en los *ganglios cervicales profundos*, en particular en el ganglio *yugulo-omohioideo* (fig. 7.60A).



(A) Visión lateral derecha



(B) Visión medial

Figura 7.61. Las glándulas salivares parótida, submandibular y sublingual. **A.** Visión lateral derecha. Se han extirpado el cuerpo y partes de la rama de la mandíbula. La glándula parótida, como puede verse, entra en contacto con la porción profunda de la glándula submaxilar por detrás. Se advierten conductos finos que pasan del borde superior de la glándula sublingual para abrirse en el pliegue sublingual. **B.** Visión medial de la parte derecha de la mandíbula y del suelo de la boca después de extirpar la lengua. Se observa la parte profunda u oral de la glándula submandibular en el ángulo comprendido entre el nervio lingual y el conducto submandibular, que la separa de la glándula sublingual. El orificio del conducto aparece en el extremo anterior del pliegue sublingual. Examínese el conducto submandibular que se adhiere a la cara medial de la glándula sublingual y recibe, en este lugar, un gran conducto accesorio y ocasional de la porción inferior de la glándula sublingual.

Las glándulas sublinguales

Las glándulas sublinguales son las más pequeñas y profundas de las glándulas salivares (fig. 7.61). Cada glándula, con forma de almendra, se halla en el suelo de la boca entre la mandíbula y el músculo geniogloso. Las glándulas de cada lado se unen para formar una masa en herradura alrededor del frenillo lingual. Existen muchos *conductillos sublinguales* que se abren en el suelo de la boca por los pliegues sublinguales. La **irrigación arterial** de las

glándulas sublinguales proviene de las arterias *sublingual* y *submentoniana*, ramas de las arterias lingual y facial (fig. 7.58). Los **nervios** de las glándulas sublinguales siguen a los de la glándula submandibular. Las fibras parasimpáticas presinápticas y secretomotoras son conducidas por los nervios facial, de la cuerda del tímpano y lingual hasta que establecen contacto con el ganglio submandibular, según se describió antes para las glándulas submandibulares (fig. 7.61A).

Parotiditis

La *parotiditis* es una inflamación de la glándula parótida. La parotiditis vírica (*papera*) consiste en una infección aguda y generalizada que provoca un aumento de tamaño de las glándulas salivares, en particular de las parótidas. El dolor de las “paperas” obedece al aumento de tamaño de la glándula parótida dentro de la cápsula fibrosa y tensa.

Absceso de la glándula parótida

Toda *infección bacteriana* localizada en la glándula parótida produce un absceso. La infección puede obedecer a una higiene dental deficiente y extenderse a la glándula a través de los conductos parotídeos. Los médicos y los dentistas pueden averiguar si la tumefacción malar se debe a una infección de la glándula parotídea o bien a un absceso dental.

Extirpación de la glándula submandibular

No es raro extirpar una glándula submandibular por la presencia de un cálculo (“piedra”) en el conducto o un tumor de esta glándula. La incisión de la piel se efectúa, como mínimo, 2,5 cm por debajo del ángulo de la mandíbula para evitar el ramo mandibular del nervio facial.

Sialografía

Las glándulas parótidas y submandibulares se pueden examinar mediante rayos X tras inyectar un medio de contraste en sus conductos. Este tipo especial de radiografía (*sialografía*) expone los conductos salivares y algunas unidades secretoras. Dado el pequeño tamaño de los conductos de las glándulas sublinguales y su multiplicidad, de ordinario no se inyecta medio de contraste en los conductos sublinguales.

La fosa pterigopalatina

La fosa pterigopalatina —un pequeño espacio piramidal bajo el vértice de la órbita (fig. 7.62)— está situada entre la apófisis pterigoides del hueso esfenoides por detrás y la cara posterior del hueso maxilar por delante. La lámina vertical frágil del hueso palatino configura la pared medial. El *techo incompleto de la fosa pterigopalatina* lo forma el **ala mayor del hueso esfenoides**. El *suelo de la fosa pterigopalatina* es la **apófisis piramidal del hueso palatino**. El extremo superior, más grande, se abre en la *fisura orbitaria inferior*; el extremo inferior está cerrado, con excepción de los orificios palatinos. *La fosa pterigopalatina se comunica:*

- Con la fosa infratemporal a los lados, a través de la fisura pterigomaxilar.
- Con la cavidad nasal en la parte medial, a través del *orificio esfenopalatino*.
- Con la órbita en la parte anterosuperior, a través de la *fisura orbitaria inferior*.
- Con la fosa craneal media en la parte posterosuperior, a través del *orificio redondo* y del *conducto pterigoideo* (fig. 7.33).

El contenido de la fosa pterigopalatina

El contenido de la fosa pterigopalatina (fig. 7.64, A-C) es el siguiente:

- La porción terminal (3ª) o pterigopalatina de la arteria maxilar y las porciones iniciales de sus ramas.
- El nervio maxilar.
- El nervio del conducto pterigoideo
- El ganglio pterigopalatino.

La arteria maxilar

La arteria maxilar, rama terminal de la arteria carótida externa, se dirige hacia delante y atraviesa la fosa infratemporal. Pasa sobre el músculo pterigoideo lateral y entra en la fosa pterigopalatina. La *porción pterigopalatina de la arteria maxilar* (fig. 7.64A), su 3ª porción, atraviesa la *fisura pterigomaxilar* (fig. 7.62) y entra en la fosa pterigopalatina, quedándose delante del *ganglio pterigopalatino* (fig. 7.64B). La arteria emite ramas que acompañan a todos los nervios de la fosa y reciben la misma denominación.

Las ramas de la porción pterigopalatina de la arteria maxilar (figs. 7.42, 7.53B y 7.64A) son:

- La arteria alveolar posterosuperior.
- La arteria palatina descendente, que se divide en las arterias palatinas mayor y menor.
- La arteria del conducto pterigoideo.
- La arteria esfenopalatina, que se divide en ramas nasales posterolaterales para la pared lateral de la cavidad nasal y los senos paranasales asociados, así como en ramas septales posteriores.
- La arteria infraorbitaria da lugar a la arteria alveolar anterosuperior y termina ramificándose para irrigar el párpado inferior, la nariz y el labio superior.

El nervio maxilar

El nervio maxilar entra en la fosa pterigopalatina por el *orificio redondo* (fig. 7.63) y sigue un curso anterolateral en la parte posterior de la fosa. Dentro de la fosa pterigopalatina, el nervio maxilar da el *nervio cigomático* (fig. 7.64C), que se divide en los nervios cigomático-facial y cigomático-temporal. Éstos emergen del hueso cigomático a través de los orificios craneales homónimos y aportan la sensibilidad general para la región lateral de la mejilla y de la sien. El *nervio cigomático-temporal* también origina un ramo comunicante que conduce fibras parasimpáticas secretomotoras para la glándula lacrimal a través del hasta entonces nervio lacrimal, exclusivamente sensitivo, proveniente del nervio oftálmico (fig. 7.64C). Mientras se encuentra en la fosa pterigopalatina, el nervio maxilar también envía dos *nervios pterigopalatinos* que suspenden el *ganglio pterigopalatino* parasimpático en la porción superior de la fosa pterigopalatina (fig. 7.64, B y C). Los nervios pterigopalatinos conducen

fibras sensitivas generales del nervio maxilar, que atraviesan el ganglio pterigopalatino sin hacer sinapsis y se dirigen a la nariz, paladar, amígdalas y encías. El nervio maxilar abandona la fosa pterigopalatina por la fisura orbitaria inferior, y a partir de ese momento se conoce como **nervio infraorbitario**.

Las fibras parasimpáticas para el ganglio pterigopalatino provienen del 1^{er} ramo del nervio facial, el nervio petroso mayor (fig. 7.64C). Este nervio se une al *nervio petroso profundo* a su paso por el orificio rasgado para crear el *nervio del conducto pterigoideo*, que se dirige hacia delante por este conducto hasta la fosa pterigopalatina. Las fibras parasimpáticas del nervio petroso mayor entablan sinapsis en el ganglio pterigopalatino.

El **nervio petroso profundo** es el nervio simpático del *plexo carotídeo interno*. Sus fibras postsinápticas vienen de las neuronas del ganglio simpático cervical superior. Por consiguiente, estas fibras no establecen sinapsis en el ganglio pterigopalatino, sino que pasan directamente para unirse a los ramos del nervio maxilar (fig. 7.64C). Las fibras postsinápticas y las fibras simpáticas llegan hasta la glándula lacrimal, las glándulas palatinas y las glándulas mucosas de la cavidad nasal y de la parte superior de la faringe.

La nariz

La nariz es la porción del aparato respiratorio situada encima del paladar duro que contiene el órgano periférico de la

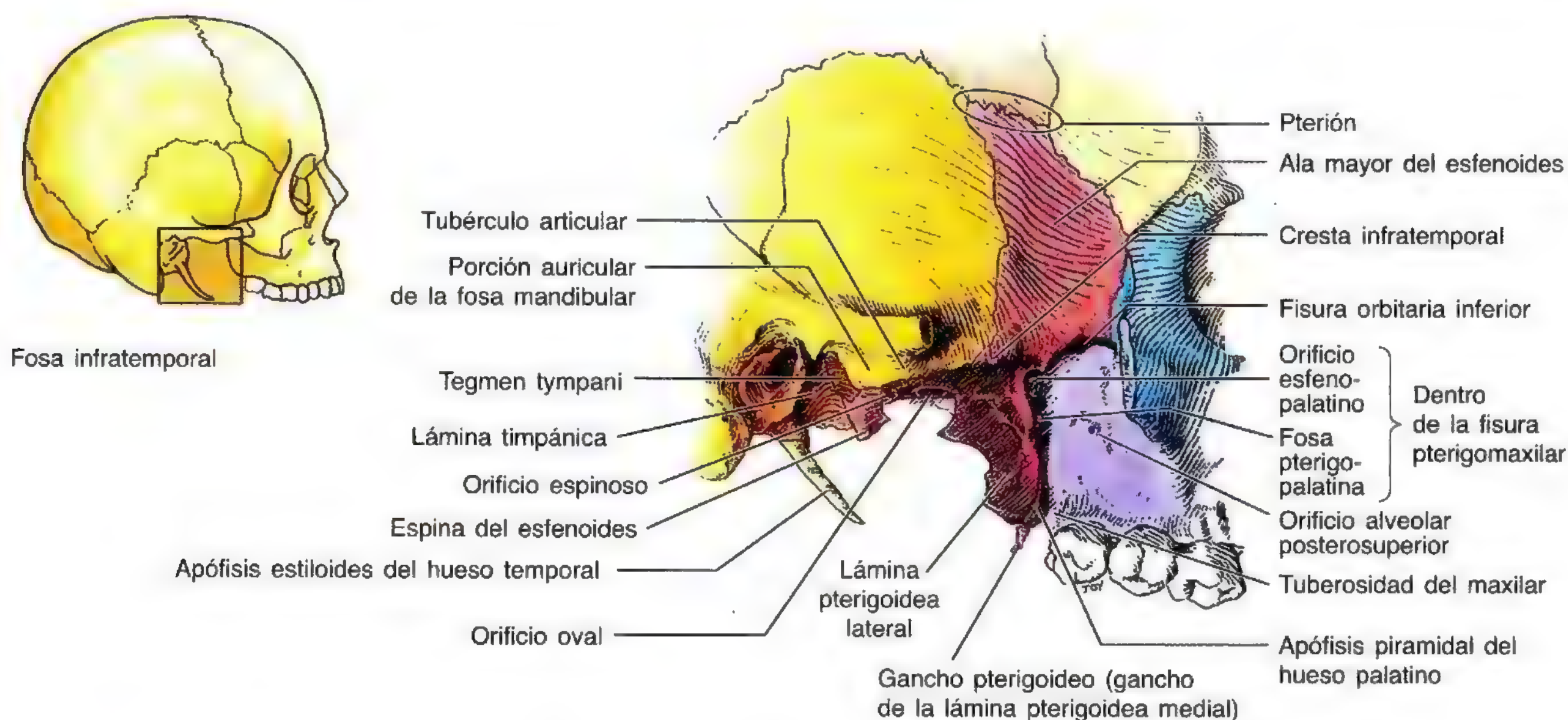
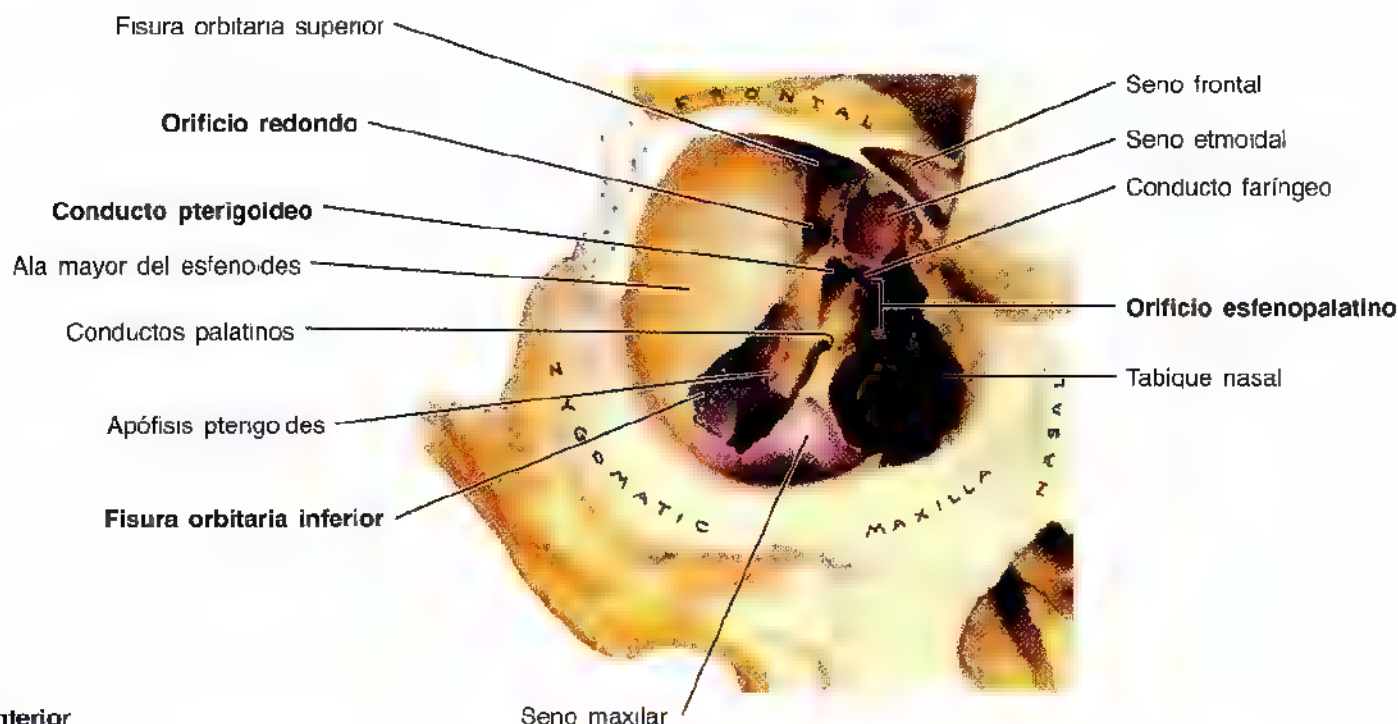


Figura 7.62. Fosas infratemporal y pterigopalatina. Visión lateral. La fosa pterigopalatina es un pequeño espacio piramidal que alberga el ganglio pterigopalatino (véase fig. 7.54), que se ve a través de la fisura pterigopalatina, entre la apófisis pterigoides y el maxilar. El orificio esfenopalatino es una abertura de la cavidad nasal en el extremo superior del hueso palatino.



Visión anterior

Figura 7.63. Fosa pterigopalatina. Visión anterior de la fosa, expuesta a través del suelo de la órbita y del seno maxilar. El orificio redondo, el conducto pterigoideo y el conducto faríngeo son aberturas de la pared posterior de la fosa pterigopalatina.

olfacción. Se divide en las cavidades derecha e izquierda por el **tabique nasal**. Cada cavidad nasal se subdivide en una *zona olfatoria* y otra *respiratoria*. Las funciones de la nariz y de las cavidades nasales son:

- Olfacción (olfato).
- Respiración.
- Filtración del polvo.
- Humidificación del aire inspirado.
- Recepción de las secreciones de los senos paranasales y de los conductos nasolacrimales.

La porción externa de la nariz

La porción externa de la nariz se proyecta desde la cara; el esqueleto es fundamentalmente cartilaginoso (fig. 7.65). Las narices varían mucho de tamaño y de forma, sobre todo por las diferencias entre los cartílagos nasales. El dorso de la nariz se extiende desde el ángulo superior o **raíz** hasta el **vértice de la nariz** (punta). La cara inferior de la nariz está perforada por los dos orificios con forma de pera, las **narinas** (aperturas nasales anteriores), que limitan a los lados con las **alas de la nariz** y están separadas entre sí por otra porción carnosa de piel que recubre el **tabique nasal** (figs. 7.65 y 7.66). La porción superior de la nariz, incluida la raíz, está tapizada de una piel fina. La piel que cubre la porción cartilaginosa es más gruesa, pues contiene muchas glándulas sebáceas. La piel se extiende desde el **vestíbulo de la nariz** (fig. 7.66), donde posee un número variable de pelos rígidos (*vibrissas*). La unión entre la piel y la mucosa tiene lugar más allá de la zona pilosa.

El esqueleto de la parte externa de la nariz

El esqueleto de la nariz se compone de hueso y de cartílago hialino. La porción ósea de la nariz (figs. 7.65B y 7.66) se compone de lo siguiente:

- Los huesos nasales
- Las apófisis frontales de los maxilares.
- La porción nasal del hueso frontal y su espina nasal.

El tabique nasal tiene una porción ósea y dura y otra móvil y blanda. La *porción cartilaginosa de la nariz* (fig. 7.66) consta de cinco cartílagos principales: dos cartílagos laterales, dos cartílagos alares y un cartílago del tabique. Los cartílagos alares con forma de U son libres y móviles y dilatan o constriñen las narinas cuando se contraen los músculos que actúan sobre la nariz.

El tabique nasal

El tabique nasal, en parte óseo y en parte cartilaginosa, divide la nariz en dos cavidades nasales. Los componentes esenciales del tabique de la nariz (figs. 7.65 y 7.66) son:

- La lámina perpendicular del etmoides.
- El vómer.
- El cartílago del tabique nasal.

La **lámina perpendicular fina del etmoides**, que forma la parte superior del tabique nasal, desciende desde la lámina cribiforme y se continúa por encima de ella como *crista galli*. El **vómer**, un hueso plano y fino, configura la porción posteroinferior del tabique de la nariz, al que también contribuyen las crestas nasales de los huesos maxilar y palatino. El cartílago del **tabique nasal** tiene una articulación "machihembrada" con los bordes del tabique óseo.

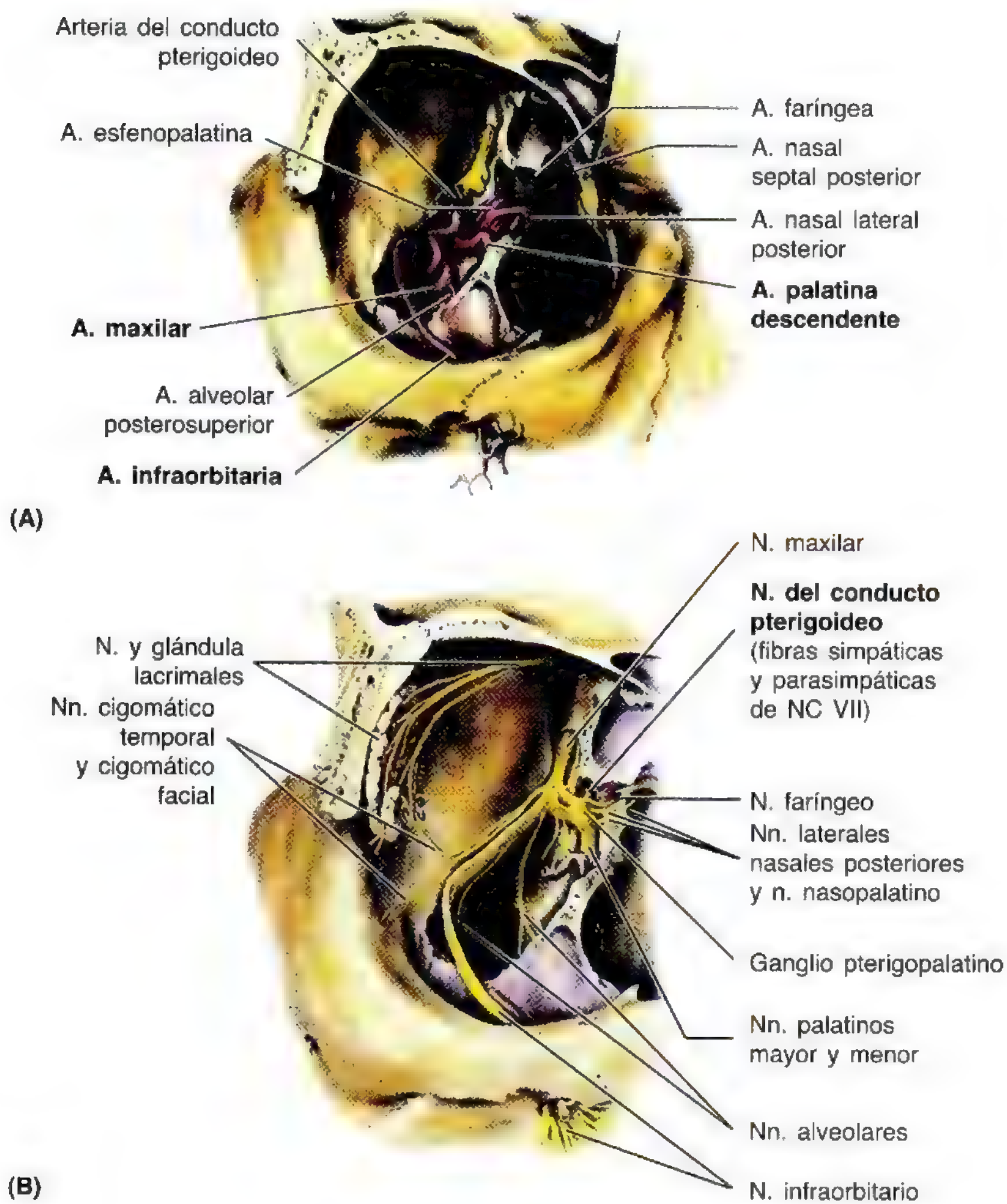
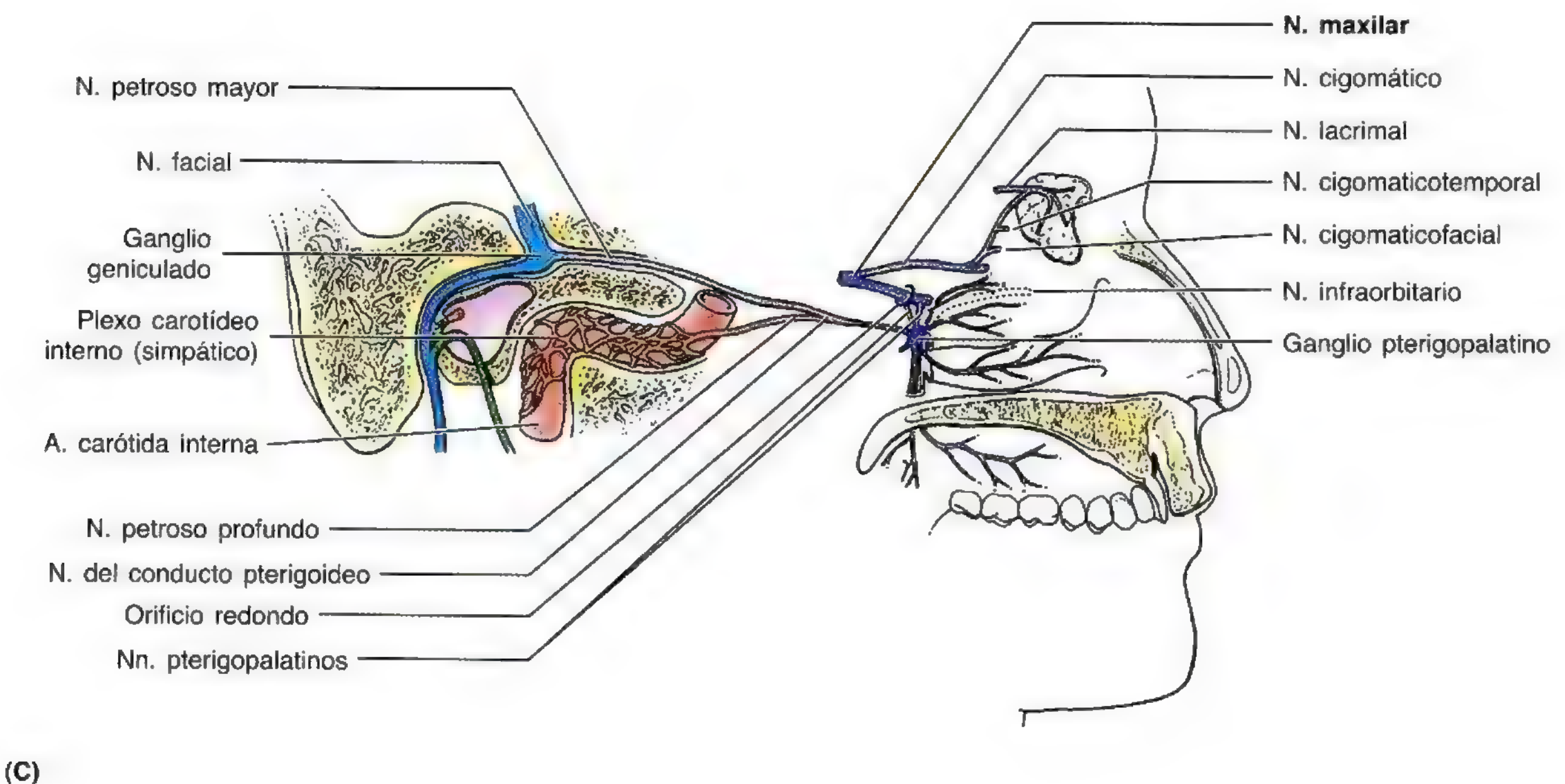


Figura 7.64. La arteria maxilar, el nervio maxilar (NC V₂) y el nervio facial (NC VII).

A. La 3ª porción (pterigopalatina) de la arteria maxilar. El trayecto de la arteria maxilar se divide en tres porciones por el músculo pterigoideo lateral (véase fig. 7.42). Las ramas de la 3ª porción emergen justo delante y dentro de la fosa pterigopalatina. **B.** El nervio maxilar. Las ramas lateral y medial están separadas por el seno maxilar. **C.** Diagrama del origen de las fibras nerviosas autónomas distribuidas por el nervio maxilar. El nervio petroso mayor (transporta fibras parasimpáticas presinápticas del nervio facial) se une con el nervio petroso profundo (transporta fibras simpáticas postsinápticas procedentes del ganglio cervical superior a través del plexo parotídeo interno) para dar el nervio del conducto pterigoideo en la región del orificio rasgado. Este último nervio porta, pues, fibras simpáticas y parasimpáticas al ganglio pterigopalatino, pero sólo las parasimpáticas establecen sinapsis. Las fibras postsinápticas de las dos divisiones del sistema nervioso autónomo pasan a todas las ramas del nervio maxilar, que se dirigen desde el ganglio hasta la mucosa palatina, nasal y faríngea superior. Algunas fibras parasimpáticas atraviesan los nervios pterigopalatinos y viajan "de manera retrógrada" por el nervio maxilar hasta alcanzar el nervio cigomático (NC V₂) para distribuirse en la glándula lacrimal.



Fracturas nasales

Las fracturas de los huesos nasales son frecuentes durante la práctica de deportes o los accidentes de tráfico por la prominencia de la nariz. En caso de fractura suele deformarse la nariz, sobre todo si se aplica un golpe lateral con el codo, por ejemplo. La *epistaxis* (hemorragia nasal) es muy corriente. En las fracturas graves, la rotura de los huesos y de los cartílagos causa un desplazamiento de la nariz. Si la lesión obedece a un traumatismo directo (p. ej., con un palo de hockey), la lámina cribiforme del hueso etmoides también puede romperse. Las fracturas graves de la nariz resultan peligrosas por el posible desgarramiento de las meninges craneales y la penetración de bacterias de la mucosa nasal en la cavidad craneal, que causa una *meningitis*.

Desviación del tabique nasal

El tabique nasal se puede desplazar o desviar del plano medio como consecuencia de una lesión obstétrica. Sin

embargo, la desviación suele ocurrir en la adolescencia o vida adulta a causa de un traumatismo (p. ej., por un puñetazo). En ocasiones, la desviación es tan intensa, que el tabique de la nariz contacta con la pared lateral de la cavidad nasal. Si la desviación impide la respiración es necesaria la reparación quirúrgica del tabique.

Rinorrea de líquido cefalorraquídeo

La secreción nasal es común en las infecciones respiratorias altas, pero una secreción nasal clara después de un traumatismo craneal podría componerse de líquido cefalorraquídeo. La rinorrea de LCR se observa en fracturas de la lámina cribiforme, desgarramiento de las meninges craneales y escape de líquido cefalorraquídeo por la nariz. El líquido cefalorraquídeo del espacio subaracnoideo se asoma mucho al ambiente en este lugar. El líquido cefalorraquídeo drena por la nariz en las primeras 48 horas de la lesión. Una rinorrea persistente aumenta el riesgo de *meningitis* (Rowland, 1995). ◉

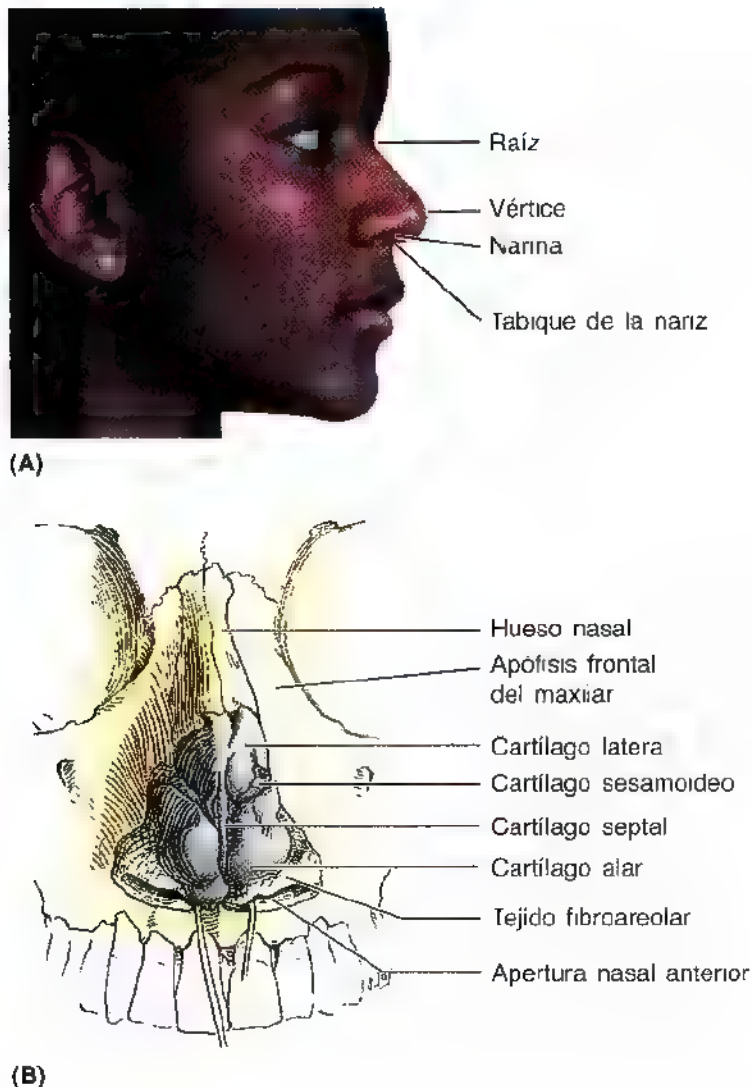


Figura 7.65. Porción externa de la nariz. **A.** Anatomía de superficie. Se aprecia el vértice (punta libre), el ala, la narina (apertura nasal anterior) y el tabique de la nariz. La nariz se fija a la frente a través de su raíz (puente). El borde redondo entre el vértice y el puente es el dorso de la nariz. **B.** Los cartílagos de la nariz. Los cartílagos se han rechazado hacia abajo para exponer los cartílagos sesamoideos. Los cartílagos nasales laterales se fijan mediante sutura a los huesos nasales y se continúan con el cartílago del tabique.

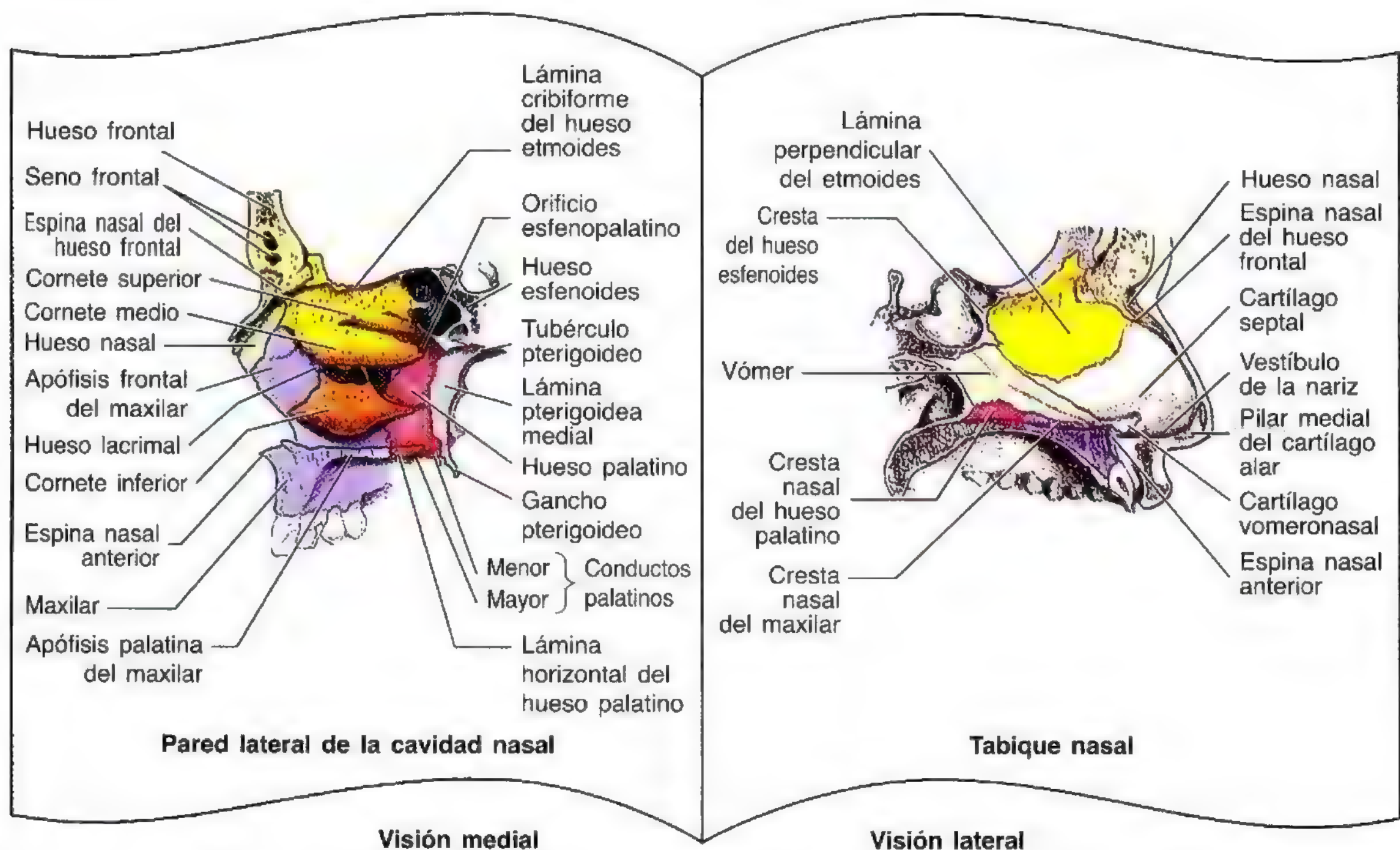


Figura 7.66. Las paredes lateral y medial (septal) del lado derecho de la cavidad nasal. Se han separado las paredes y se han expuesto como las páginas contiguas de un libro. **A la izquierda**, visión medial de la pared lateral derecha de la cavidad nasal. **A la derecha**, visión lateral derecha del tabique de la nariz. El tabique de la nariz tiene una porción dura (ósea) situada en la profundidad (posterior) y protegida, y otra blanda o móvil, más superficial (anterior), sobre todo en la zona más vulnerable de la nariz (porción externa).

Las cavidades nasales

Las cavidades nasales, a las que se entra por delante a través de las narinas, se abren detrás en la nasofaringe por las **coanas** (pág. 859). La mucosa reviste las cavidades nasales, salvo el **vestíbulo**, tapizado con una piel de la que nacen las vibrissas (fig. 7.67A). La **mucosa nasal** se inserta con fuerza en el periostio y en el pericondrio de los huesos y cartílagos que sujetan la nariz. La mucosa se continúa con el revestimiento de todas las cavidades con las que se comunica la nariz: la nasofaringe por detrás, los senos paranasales (frontal, etmoidal, esfenoidal y maxilar) por arriba y a los lados y el saco lacrimal y la conjuntiva por arriba.

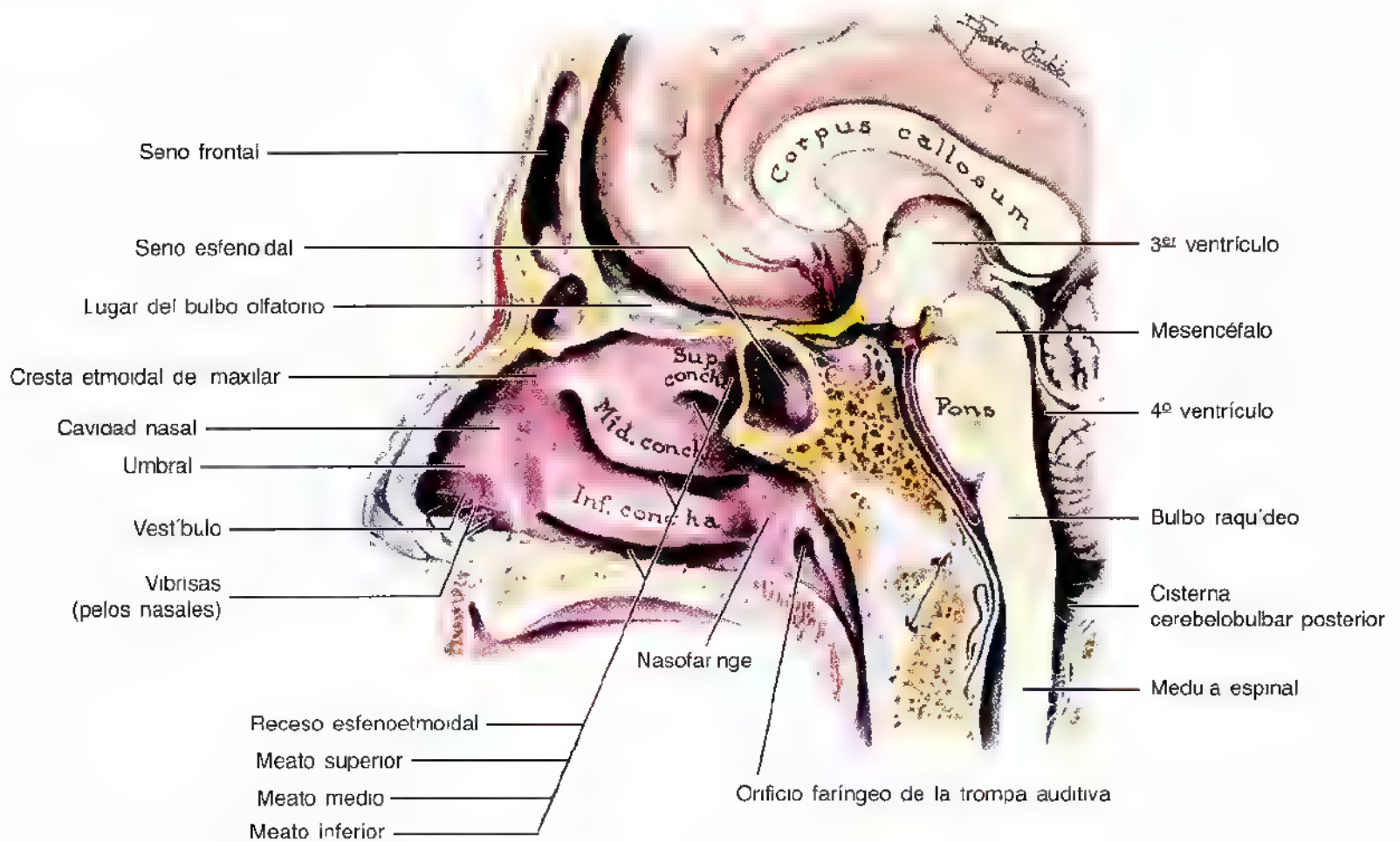
Los dos tercios inferiores de la mucosa nasal representan el **área respiratoria**, y el tercio superior, el **área olfativa**. El

aire que atraviesa el área respiratoria se calienta y humedece antes de su paso al resto de la vía respiratoria alta en dirección a los pulmones. El **área olfativa** contiene el órgano periférico de la olfacción; al esnifar entra el aire en esta zona. Las prolongaciones centrales de las **células olfativas** del epitelio olfativo se unen para crear haces nerviosos que atraviesan la lámina cribiforme y penetra en el **bulbo olfativo** del encéfalo (fig. 7.70).

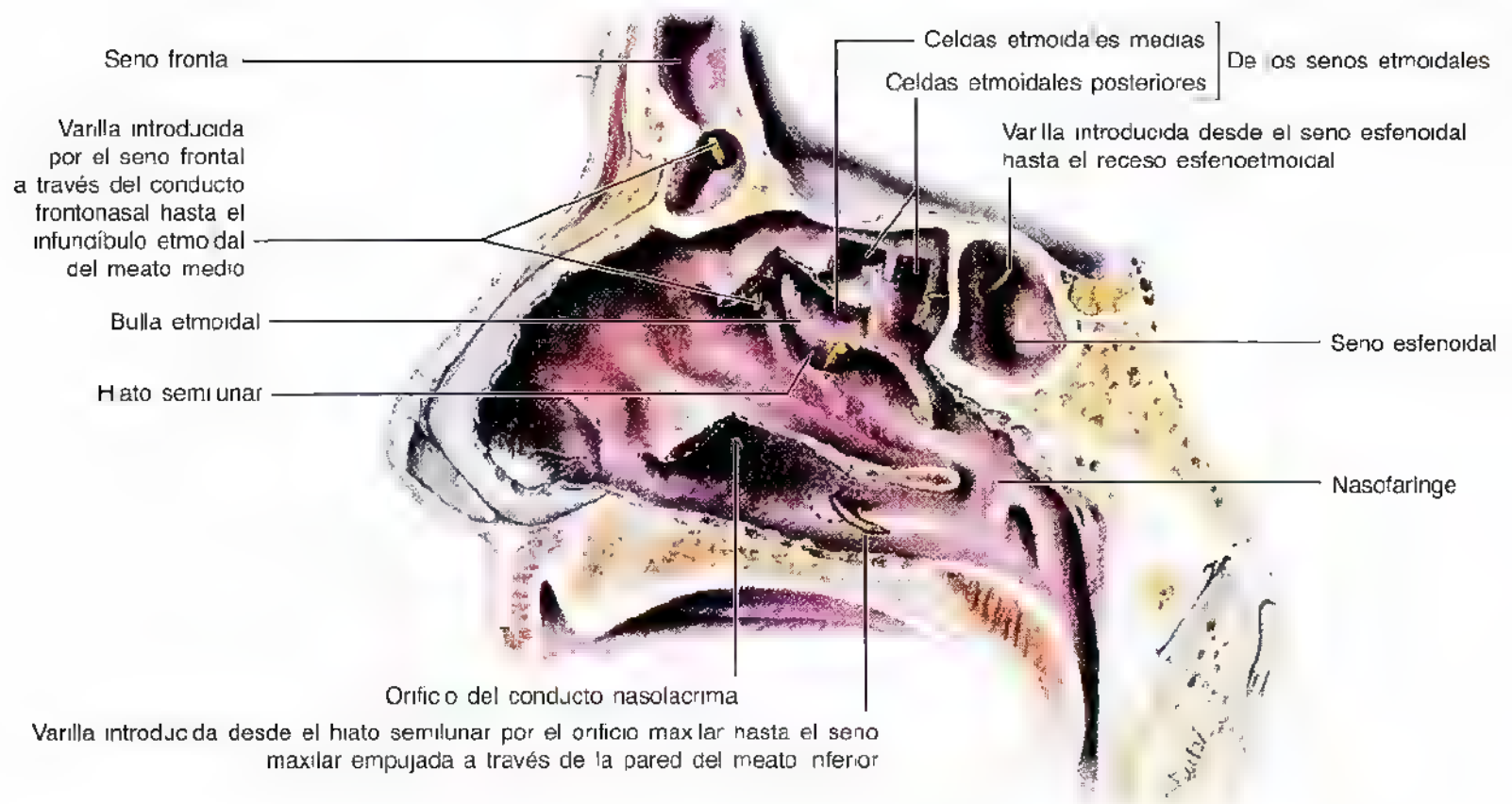
Los límites de la cavidad nasal

- El **techo de la cavidad nasal** es curvo y estrecho, salvo en el extremo posterior, y se divide en tres partes (fronto-nasal, etmoidal y esfenoidal), cuyo nombre proviene de los huesos que lo forman (fig. 7.66).

Figura 7.67. La pared lateral de la cavidad nasal. Visiones mediales de la mitad derecha de la cabeza. **A.** Se observan los cornetes inferior y medio, con un curva mediana inferior desde la pared lateral; estos cornetes se dividen en tres porciones iguales y cubren los meatos inferior y medio, respectivamente. Se observa también el cornete superior, pequeño y anterior al seno esfenoidal; el cornete medio, con un borde inferior angulado, que termina debajo del seno esfenoidal; el cornete inferior, con un borde inferior algo curvo, que termina debajo del cornete medio casi 1 cm delante del orificio de la trompa auditiva (faringotimpánica), es decir, aproximadamente la anchura de la lámina pterigoidea medial. **B.** Disección de la pared lateral de la cavidad nasal. Se han cortado porciones de los cornetes superior, medio e inferior. Se aprecia el seno esfenoidal en el cuerpo del esfenoides; su orificio, superior al centro de la pared anterior, desemboca en el receso esfenoetmoidal. Los orificios de las celdas etmoidales posteriores se abren al meato superior; los de las celdas etmoidales medias lo hacen al meato medio.



(A) Visión medial



(B) Visión medial

- El *suelo de la cavidad nasal*, más ancho que la raíz, se forma por la apófisis palatina del maxilar y la lámina horizontal del hueso palatino.
- La *pared medial de la cavidad nasal* está formada por el tabique de la nariz.
- La *pared lateral de la cavidad nasal* es irregular por las tres elevaciones apergaminadas o *cornetes nasales* que se proyectan hacia abajo a modo de rollos (figs. 7.66 y 7.67).
- Los cornetes siguen una curva inferomedial y cada uno crea un techo para un surco o *meato* (paso a la cavidad nasal).

Los **cornetes nasales** (superior, medio e inferior) dividen la cavidad nasal en cuatro zonas de paso:

- El receso esfenoesmoidal.
- El meato superior.
- El meato medio.
- El meato inferior.

El cornete inferior es el más largo y ancho y está tapizado por una mucosa que contiene grandes espacios vasculares que se ensanchan para controlar el calibre de la cavidad nasal. Esta mucosa cuando se infecta se hincha en seguida, “taponando la nariz”.

El **receso esfenoetmoidal**, de posición superoposterior con relación al cornete superior, acoge el orificio del seno esfenoidal. El **meato superior** (fig. 7.67A) es un paso estrecho entre los cornetes superior y medio donde desembocan los senos etmoidales posteriores a través de uno o más orificios. El **meato medio** largo es más ancho que el superior. La porción anterosuperior de este paso lleva a un orificio con forma de embudo, el **infundíbulo etmoidal**, a través del cual se comunica con el seno frontal (fig. 7.68). El **conducto frontonasal** es el paso, con un trayecto inferior, que conduce hacia abajo desde cada seno frontal y se dirige al infundíbulo. El **hiato semilunar** es un surco semicircular donde se abre el seno frontal (fig. 7.67B). La **bullae etmoidal** —una elevación redonda encima del hiato— se ve al

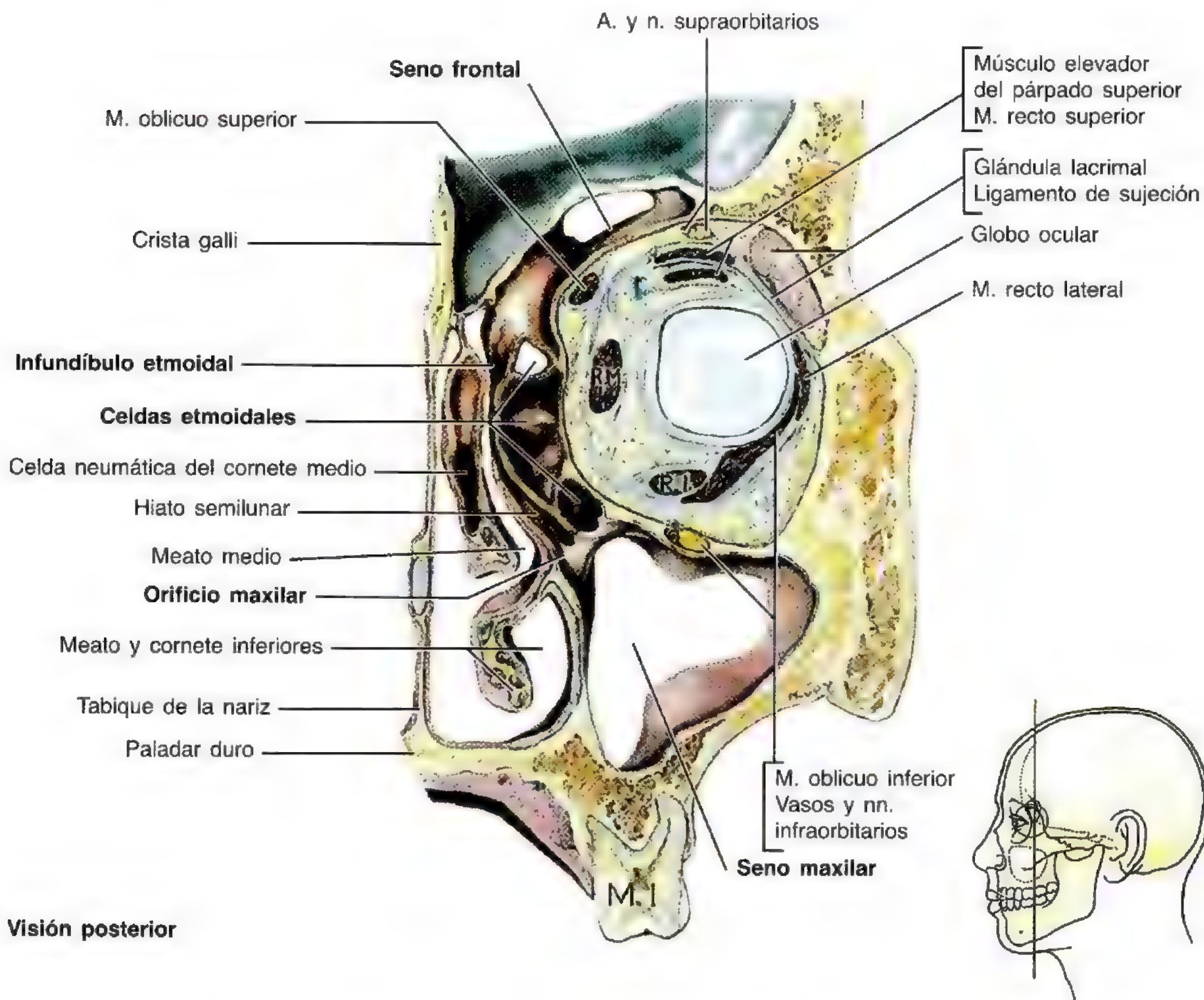


Figura 7.68. Sección coronal de la mitad derecha de la cabeza. Visión posterior. Se aprecia la relación entre la órbita, la cavidad nasal y los senos paranasales, así como el contenido de la órbita, incluidos los cuatro músculos rectos y la fascia que los une en un círculo (o cono si se ve en tres dimensiones) alrededor de la porción posterior (fondo) del globo ocular. *R.M.*, músculo recto medio; *R.I.*, músculo recto inferior; *M.I.*, 1º molar. Este dibujo orientativo ilustra el plano de corte.

extraer el cornete medio. La bulla se forma por las celdas etmoidales medias que constituyen los *senos etmoidales*. El seno maxilar también desemboca en el extremo posterior del hiato semilunar.

El **meato inferior** es un paso horizontal, inferolateral al cornete nasal inferior. El *conducto nasolacrimal*, que drena las lágrimas del sacro lacrimal, se abre en la porción anterior de este meato.

La vascularización e inervación de la cavidad nasal

La **irrigación arterial** de las paredes medial y lateral de la cavidad nasal (fig. 7.69) procede de las siguientes ramas:

- La arteria esfenopalatina.
- Las arterias etmoidales anterior y posterior.
- La arteria palatina mayor, la arteria labial superior y las ramas nasales laterales de la arteria facial.

En la porción anterior del tabique de la nariz se encuentra una zona muy capilarizada (área de Kesselbach) donde se anastomosan las cinco arterias que perfunden el tabique. Por eso, en esta zona suelen ocurrir sangrados profusos de la nariz.

El *plexo venoso abundante* de la profundidad de la mucosa nasal drena hacia las venas esfenopalatina, facial y oftálmica. Este plexo venoso es un elemento importante del sistema termorregulador del organismo, que intercambia calor y calienta el aire antes de entrar en los pulmones.

La **inervación** de la mitad posteroinferior a los dos tercios de la mucosa nasal corre a cargo sobre todo del **nervio**

maxilar a través del nervio nasopalatino para el tabique de la nariz, y de los ramos nasales posterolaterales del **nervio palatino mayor** para la pared lateral (fig. 7.70). La porción anterosuperior recibe los **nervios etmoidales anterior y posterior**, ramos del nervio nasociliar procedente, a su vez, del nervio oftálmico.

Los **nervios olfativos**, que se ocupan únicamente de la olfacción, nacen en las células del *epitelio olfativo* de la porción superior de las paredes laterales y del tabique de la cavidad nasal. Las prolongaciones centrales de esta célula (que dan el nervio olfativo) atraviesan la *lámina cribiforme* y terminan en el *bulbo olfativo*, una estructura posencefálica.

Rinitis

La mucosa nasal se hincha e inflama (*rinitis*) durante las infecciones respiratorias altas y en las reacciones alérgicas (p. ej., fiebre del heno o rinitis alérgica). El edema de la mucosa es inmediato debido a su vascularización. *Las infecciones de la cavidad nasal se pueden propagar a las siguientes estructuras:*

- Fosa craneal anterior a través de la lámina cribiforme.
- Nasofaringe y tejidos blandos de la retrofaringe.
- Oído medio a través de la trompa auditiva.

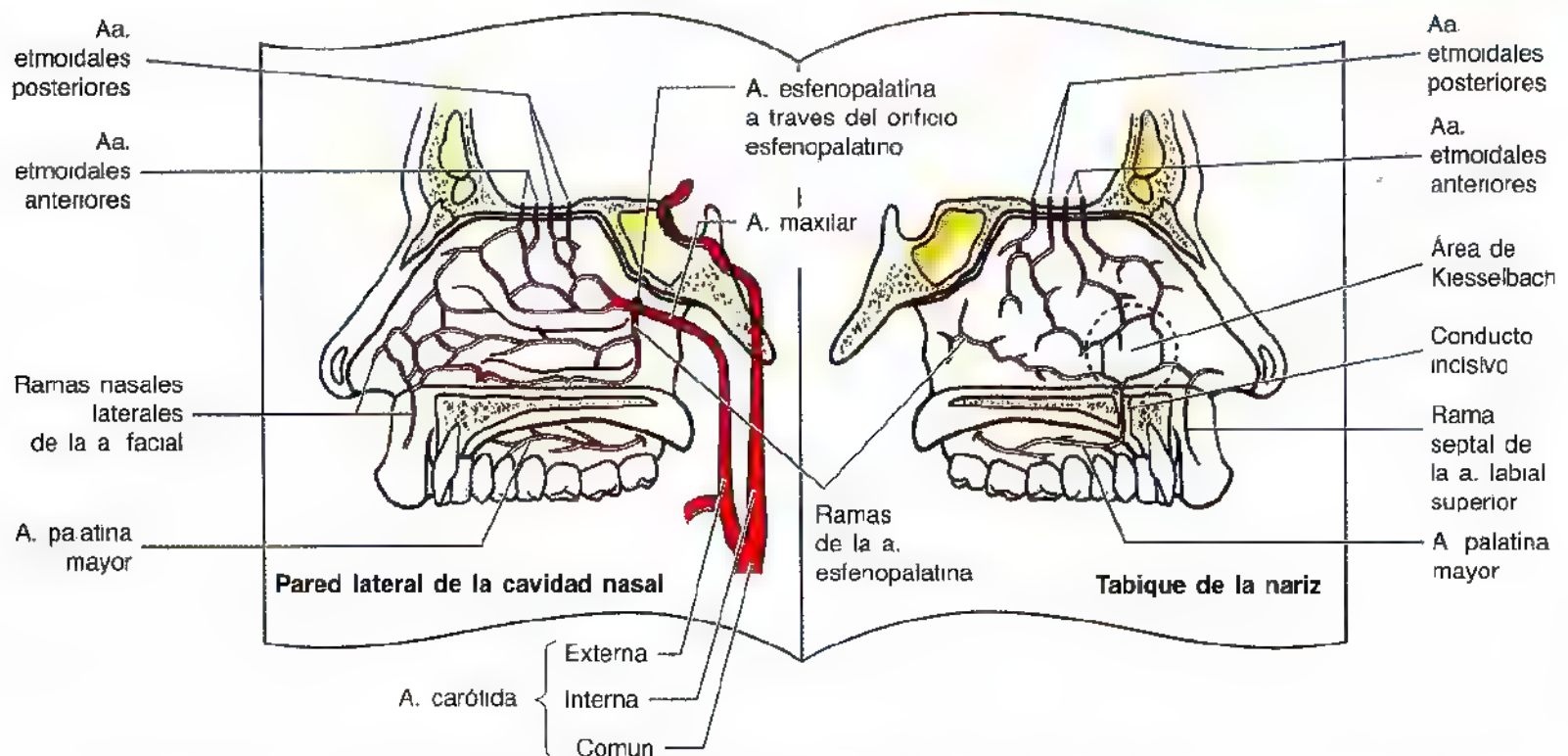


Figura 7.69. Irrigación arterial de la cavidad nasal. Versión 'en libro abierto' de las paredes lateral y medial (septal) del lado derecho de la cavidad nasal. La 'pagina' de la izquierda muestra la pared lateral de la cavidad nasal. La arteria esfenopalatina (rama de la maxilar) y la arteria etmoidal anterior (rama de la oftálmica) son las más importantes para la cavidad nasal. La 'pagina' de la derecha presenta el tabique de la nariz. En la porción anteroinferior del tabique nasal (área de Kesselbach) se anastomosan de 4 a 5 de las arterias nombradas que perfunden el tabique; esta es una zona frecuente de epistaxis (sangrado nasal) crónica.

- Senos paranasales.
- Aparato lacrimal y conjuntivas.

Epistaxis

La frecuencia de la epistaxis se explica por la generosa vascularización de la mucosa nasal. En general, la causa

es de tipo traumático y la hemorragia se localiza en el tercio anterior de la nariz (zona de Kiesselbach). La epistaxis también acompaña a las infecciones y a la hipertensión. La salida de sangre en chorro por la nariz se debe a una rotura arterial. Las epistaxis leves suelen ser consecuencia de *hurgarse la nariz*, maniobra que desgarrar las venas del vestíbulo nasal. ➔

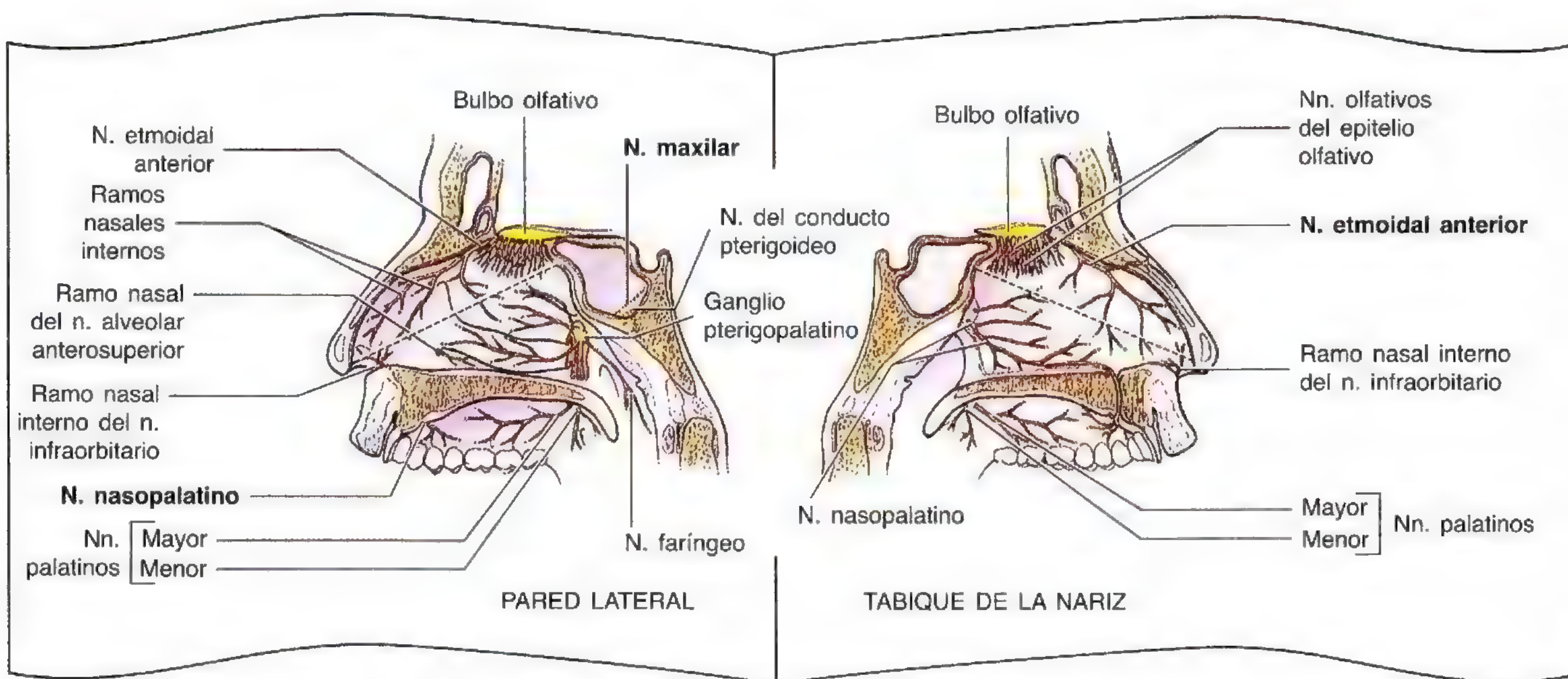


Figura 7.70. Inervación de la cavidad nasal. Visión “en libro abierto” de las paredes lateral y medial (septal) del lado derecho de la cavidad nasal. La línea extrapolada de forma aproximada desde el receso esenoetmoidal hasta la punta de la nariz delimita los territorios de los nervios oftálmico (NC V₁) y maxilar (NC V₂), responsables de la sensibilidad general de la pared lateral y del tabique de la nariz. El nervio olfativo (NC I) se distribuye por la mucosa olfativa encima del plano del cornete superior, tanto sobre la pared lateral como sobre el tabique de la nariz. El ganglio pterigopalatino envía el nervio nasopalatino a través del orificio esfenopalatino; los nervios palatinos mayor y menor, a través de los conductos homónimos, y el nervio faríngeo, a través del conducto faríngeo.

Los senos paranasales

Los senos paranasales son extensiones neumatizadas de la porción respiratoria de la cavidad nasal en los siguientes huesos del cráneo: frontal, etmoides, esfenoides y maxilar. Se nombran según los huesos en que se localizan.

Los senos frontales

Los senos frontales (figs. 7.67, 7.68 y 7.71A) se encuentran entre las tablas externa e interna del hueso frontal, detrás de los arcos superciliares y de la raíz de la nariz. Los senos frontales suelen detectarse en los niños a partir de los 7 años. Cada seno drena a través del *conducto frontonasal* en el *infundíbulo* que se abre en el hiato semilunar del meato medio. Los senos frontales están inervados por ramos de los *nervios supraorbitarios* (del nervio oftálmico).

Sinusitis

Como los senos paranasales se continúan con las cavidades nasales a través de los orificios correspondientes, la infección puede propagarse desde la cavidad nasal y ocasionar una inflamación y tumefacción de la mucosa sinusal (*sinusitis*), con dolor local. En ocasiones se inflaman varios senos (*pansinusitis*) y el edema de la mucosa puede taponar uno o varios orificios de desembocadura de los senos en la cavidad nasal.

Variación de los senos frontales

Los senos frontales derecho e izquierdo no suelen tener el mismo tamaño y el tabique que los separa ➤

► tampoco se sitúa siempre en el plano medio. Los senos frontales varían de tamaño, desde unos 5 mm hasta grandes espacios que se extienden a los lados en las alas mayores del esfenoides. Muchas veces, el seno frontal consta de dos partes: una vertical, en la porción escamosa del hueso frontal, y otra horizontal, en la porción orbi-

taria del hueso frontal. Una o ambas partes pueden tener un tamaño enorme o reducido. Cuando la porción supraorbitaria es grande, el techo forma el suelo de la fosa craneal anterior, y el suelo, el techo de la órbita. Los senos frontales pueden ser numerosos a ambos lados y cada uno de ellos lleva un conducto frontonasal distinto. ◊

Los senos etmoidales

Los senos etmoidales comprenden diversas cavidades —**celdas etmoidales**— situadas en la masa lateral de hueso etmoides entre la cavidad nasal y la órbita (figs. 7.68 y 7.71). Los senos etmoidales no suelen verse en una radiografía simple antes de los dos años de edad, pero sí en una tomografía computarizada (TC). Las *celdas etmoidales anteriores* drenan de manera directa o indirecta en el meato medio a través del infundíbulo. Las *celdas etmoidales medias* desembocan de forma directa en el meato medio y a veces se denominan “células bullosas” porque forman la *bullae etmoidal*, una rumefacción del borde superior del hiato semilunar (fig. 7.67B). Las *celdas etmoidales posteriores* se abren directamente en el meato superior. Los senos etmoidales están inervados por los ramos etmoidales anterior y posterior (fig. 7.70) de los *nervios nasociliares* (del nervio oftálmico).

Infección de las celdas etmoidales

Si se taponan el drenaje nasal, las infecciones de las celdas etmoidales pueden abrirse por la frágil pared medial de la órbita. Las infecciones graves de este origen determinan ceguera, porque algunas celdas etmoidales posteriores se aproximan al conducto óptico que da paso al nervio óptico y a la arteria oftálmica. La propagación de las infecciones a partir de estas celdas también puede afectar a la vaina de duramadre del nervio óptico y determinar una *neuritis óptica*. ◊

Los senos esfenoidales

Los senos esfenoidales (figs. 7.67 y 7.71A), divididos de manera desigual y separados por un tabique óseo, se encuentran en el cuerpo del esfenoides y se extienden a veces hasta las alas de este hueso. El cuerpo del esfenoides es frágil como consecuencia de los senos. Tan sólo unas láminas finas de hueso separan los senos de otras estructuras esenciales: los nervios y el quiasma ópticos, la glándula pituitaria, las arterias carótidas internas y los senos cavernosos. Los senos esfenoidales derivan de una celda etmoidal posterior que comienza a invadir el hueso esfenoidal hacia los dos años de edad. Algunas personas presentan varias celdas etmoidales posteriores que invaden el hueso esfenoides, dando origen a numerosos senos esfenoidales que desembocan por

separado en el *receso esenoetmoidal*. Las arterias etmoidales posteriores (fig. 7.69) y el nervio etmoidal posterior se distribuyen por los senos esfenoidales

Los senos maxilares

Los senos maxilares son los mayores de todos los senos paranasales. Estas enormes cavidades piramidales ocupan los cuerpos de los maxilares (figs. 7.68 y 7.71).

- El *vértice del seno maxilar* se extiende hacia y, a menudo, dentro del hueso cigomático.
- La *base del seno maxilar* constituye la pared inferior de la pared lateral de la cavidad nasal.
- El *techo del seno maxilar* lo crea el suelo de la órbita.
- El *suelo del seno maxilar* está configurado por la porción alveolar del maxilar. Las raíces de los dientes superiores, sobre todo de los dos primeros molares, suelen ocasionar elevaciones cónicas en el suelo del seno.

Cada seno maxilar drena a través de un orificio —el **orificio maxilar**— en el meato medio de la cavidad nasal por vía del hiato semilunar.

La **irrigación arterial** del seno maxilar proviene, en especial, de ramas alveolares superiores de la **arteria maxilar**; sin embargo, las ramas de la **arteria palatina mayor** perfunden el suelo del seno (figs. 7.64A y 7.69). La **inervación** del seno maxilar proviene de los **nervios alveolares superiores**, anterior, medio y posterior, ramos del nervio maxilar.

Infección de los senos maxilares

Los senos maxilares son los que más se infectan, quizá porque sus orificios de desembocadura se encuentran en la parte alta de la pared superomedial, zona poco adecuada para el drenaje natural del seno. Cuando la mucosa del seno se congestiona suelen taponarse los orificios maxilares. Debido a su posición elevada, cuando la cabeza se encuentra erecta es imposible que los senos drenen hasta que estén completamente llenos. Como los orificios de los senos maxilares derecho e izquierdo se encuentran en las caras mediales (es decir, se miran entre sí), sólo el orificio superior dreña cuando se tumba uno de un lado. Un resfriado o una alergia que afectara a ambos senos provocará ►

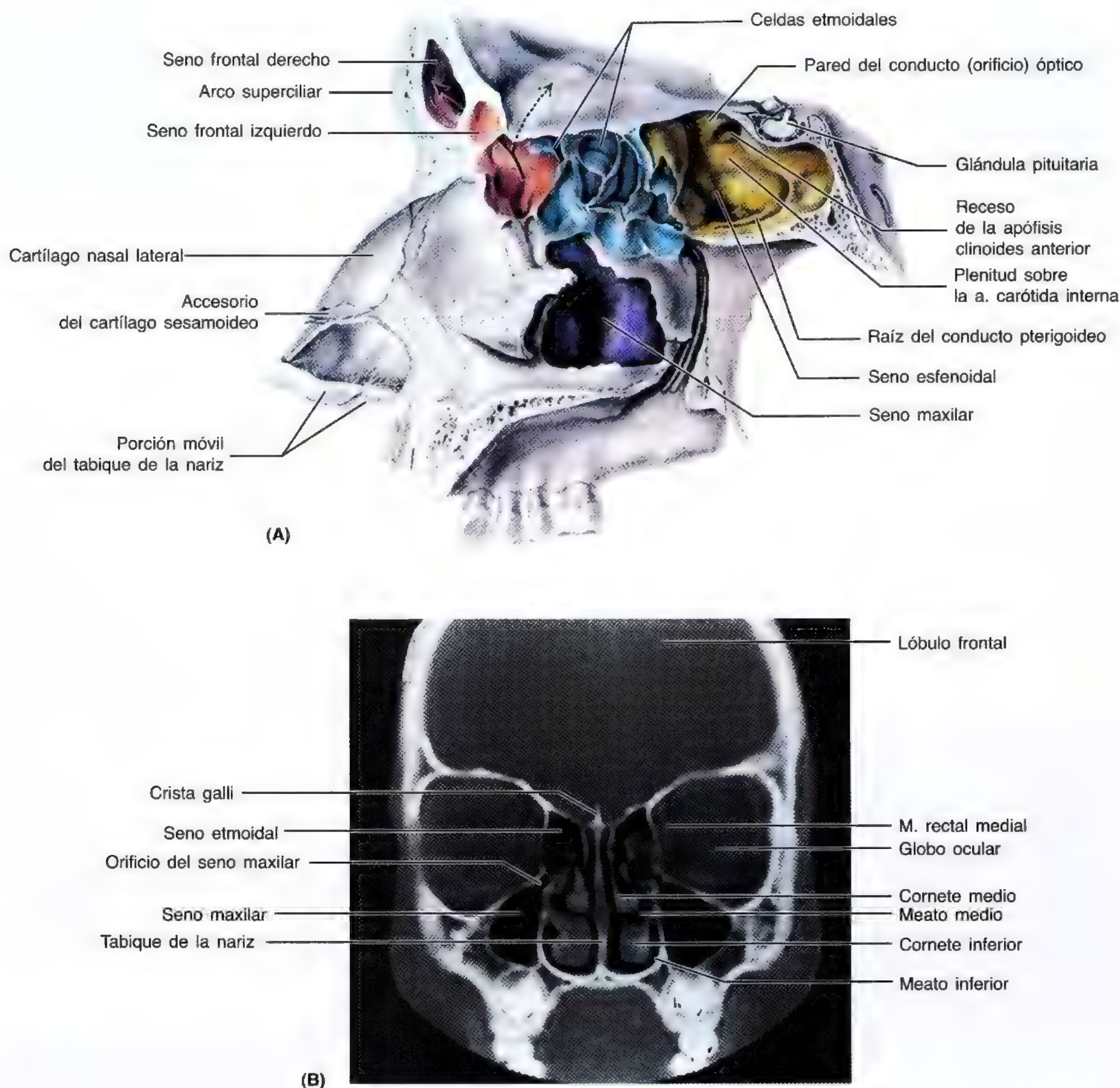


Figura 7.71. Los senos paranasales. **A.** Sección sagital de la cavidad nasal y del paladar que pasa aproximadamente un través de dedo a la derecha de la línea media (por el orificio palatino mayor). El corte también atraviesa los senos etmoidal, esfenoidal y frontal. La pared medial del seno maxilar se ha abierto. De forma colectiva, las celdas etmoidales forman el seno etmoidal. Una celda etmoidal anterior (*rosa*) invade el diploe del hueso frontal para transformarse en el seno frontal. Una ramificación de ésta (*flecha intermitente*) invade la lámina orbitaria del hueso frontal. Los senos continúan invadiendo el hueso vecino, y en los cráneos de las personas mayores se advierten, con frecuencia, grandes extensiones. El seno esfenoidal de esta muestra es muy extenso y se propaga *a)* hacia atrás, debajo de la glándula pituitaria, hasta el clivus; *b)* a los lados, bajo el nervio óptico (NC II), hasta la apófisis clinoides posterior, y *c)* debajo de la apófisis pterigoides, pero saliendo del conducto pterigoideo y emergiendo como una cresta en el suelo del seno. El seno maxilar tiene una configuración piramidal. **B.** Corte coronal de TC. (Cortesía del Dr. D. Armstrong, Profesor Ayudante de Imagen Médica, Universidad de Toronto, Toronto, Ontario, Canada).

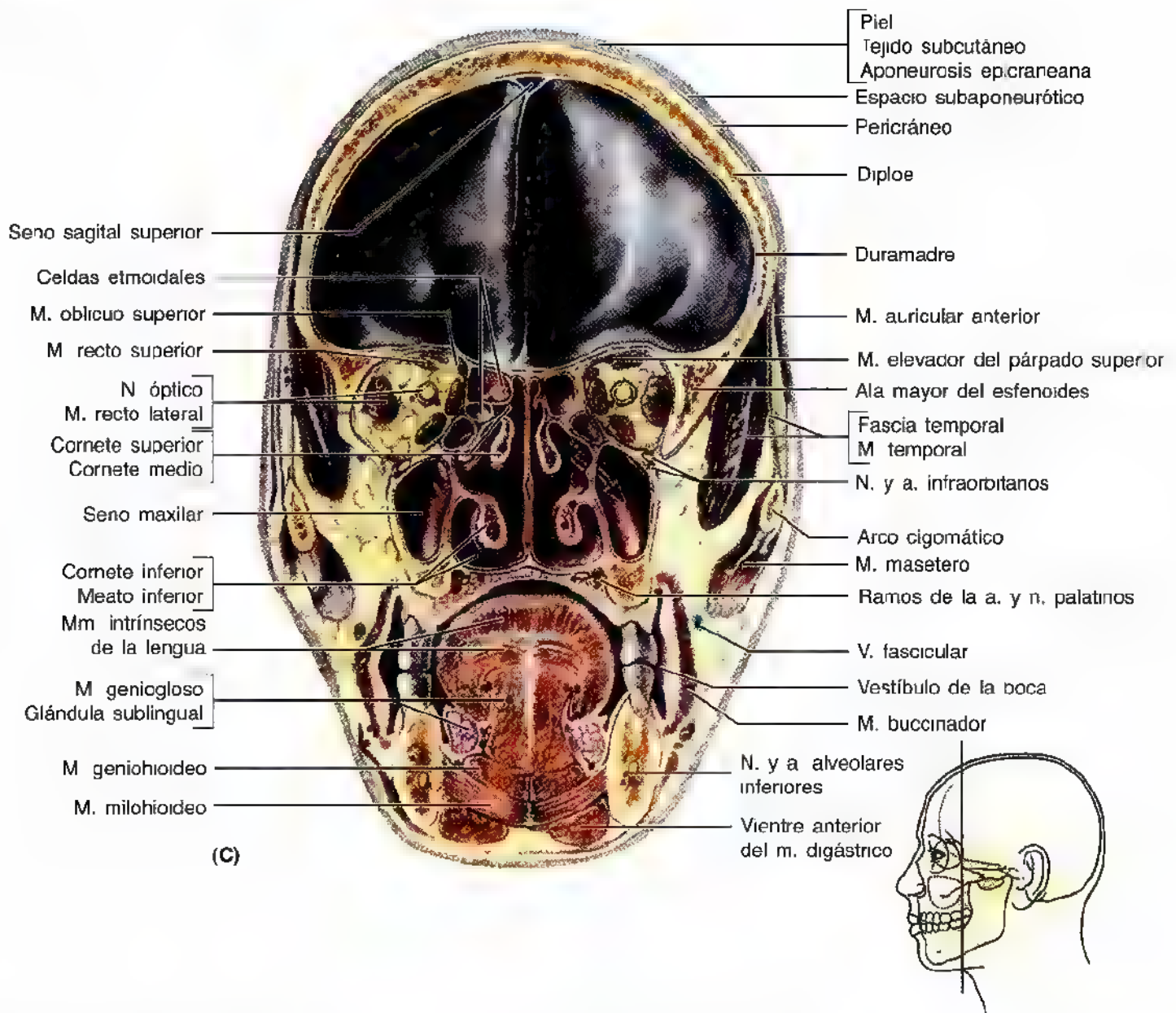


Figura 7.71. (Continuación). **C.** Sección coronal de la cabeza. Se advierte la posición central del hueso etmoides, cuyo componente horizontal crea la porción central de la fosa craneal anterior por arriba y el techo de la cavidad nasal por abajo. Las células etmoidales suspendidas ofrecen inserción a los cornetes superior y medio e integran la pared media de la órbita; la lámina perpendicular del etmoides forma parte del tabique de la nariz. La lámina orbital superior de hueso frontal crea un techo sobre la órbita y un suelo para la fosa craneal anterior, y el paladar constituye el suelo de la cavidad nasal y el techo de la cavidad bucal. Como puede observarse, el seno maxilar forma la porción inferior de la pared lateral de la nariz, el cornete medio protege el hiato semilunar en el que desemboca el orificio maxilar (flecha). El dibujo orientativo muestra el plano de sección de (B) y (C).

► movimientos constantes de un lado a otro, por la noche, para drenar los senos. Los senos maxilares se pueden canular y drenar introduciendo una cánula a través de la nariz por el orificio maxilar.

Relación entre los dientes y el seno maxilar

La proximidad de los molares superiores con el suelo del seno maxilar plantea problemas potencialmente gra-

ves. Al extraer un molar se puede fracturar una de sus raíces. Si no se utiliza un método apropiado para la extracción, un fragmento de la raíz puede dirigirse hacia arriba hasta el seno maxilar. Entonces se crea una comunicación entre la cavidad bucal y el seno maxilar y puede ocurrir una infección. Como los nervios alveolares superiores, ramos del nervio maxilar, inervan los dientes inferiores y la mucosa del seno maxilar, la inflamación de la mucosa sinusal suele acompañarse de una sensación de dolor en los molares, sobre todo ►

- ▶ si el espesor del maxilar en el suelo del seno es muy reducido.

Transiluminación sinusal

La transiluminación de los senos maxilares se efectúa en un cuarto oscuro. Se coloca una fuente luminosa brillante dentro de la boca del paciente y se dirige a un lado del paladar duro. La luz atraviesa el seno maxilar y se ve

como un brillo mate, con forma de semiluna, debajo de la órbita. Si el seno contiene secreciones en abundancia, una masa o una mucosa engrosada, el brillo disminuye. Los senos frontales también se pueden transiluminar dirigiendo la luz hacia arriba bajo la cara medial de las cejas; esto produce, de ordinario, un brillo encima de la órbita. La iluminación sinusal varía mucho de un enfermo a otro (Swartz, 1994). Los senos etmoidales y esfenoidales no se pueden explorar mediante transiluminación. ➔

El oído

El oído u órgano vestibulococlear se divide en las porciones externa, media e interna (fig. 7.72) y cumple dos funciones: el equilibrio y la audición. El oído externo y el oído medio se ocupan sobre todo de transmitir el sonido al oído interno, que contiene el órgano del equilibrio —necesario para mantener un balance homogéneo— y de la audición. La **membrana timpánica** separa el oído externo del oído medio o cavidad timpánica. La *trompa faringotimpánica* o auditiva une el oído medio con la nasofaringe.

El oído externo

El oído externo se compone del *pabellón auricular*, que recoge el sonido, y del *conducto auditivo externo* (paso o canal), que conduce el sonido hasta la membrana timpánica.

El pabellón auricular

Casi todo el pabellón auricular, que se compone de varios elementos (fig. 7.73), consta de cartílago elástico revestido de piel. El pabellón cuenta con varias depresiones; la **concha** es la más profunda. El **lóbulo** —exento de cartílago— está integrado por tejido fibroso, grasa y vasos sanguíneos, y se perfora sin problemas para tomar pequeñas muestras de sangre o introducir pendientes.

La **irrigación arterial** del pabellón auricular procede, en principio, de las *arterias auricular posterior* y *temporal superficial* (fig. 7.74A). Los **nervios cutáneos** del pabellón auricular son los nervios auricular mayor y auriculotemporal. El **nervio auricular mayor** inerva la cara superior y lateral, debajo del conducto auditivo externo. El **nervio auriculotemporal**, ramo del nervio mandibular, inerva la piel del pabellón situada encima del conducto auditivo externo. El **drenaje linfático** de la cara lateral de la mitad superior del pabellón se dirige a los **ganglios parotídeos superficiales** (fig. 7.74B). La linfa de la cara craneal (medial) de la mitad superior del pabellón drena a los ganglios linfáticos **mastoideos (retroauriculares)** y cervicales profundos. La linfa del resto del pabellón auricular, incluido el lóbulo, drena en los **ganglios cervicales superficiales**.

El conducto auditivo externo

El conducto auditivo externo se dirige hacia dentro por la porción timpánica del hueso temporal (fig. 7.72). Este conducto se extiende desde la parte más profunda de la concha hasta la membrana timpánica (fig. 7.75), es decir, recorre una distancia de 2 a 3 cm en el adulto. El tercio lateral de este conducto con forma de S es cartilaginoso y está revestido de piel, que se continúa con la del pabellón auricular. Los dos tercios mediales son óseos y se revisten de una piel fina que se continúa con la capa externa de la membrana timpánica. Las glándulas ceruminosas y sebáceas del tejido subcutáneo de la porción cartilaginosa del conducto auditivo externo producen *cerumen* (cera del oído).

La **membrana timpánica** —de 1 cm de diámetro— es una membrana semitransparente, delgada y ovalada situada en el extremo medial del conducto auditivo externo (figs. 7.72 y 7.76, A y B). Crea una partición entre el conducto auditivo externo y la **cavidad timpánica** del oído medio. La cavidad timpánica es una cámara de aire del hueso temporal que contiene los **huesecillos del oído (martillo, yunque y estribo)**. La membrana timpánica está cubierta por una piel muy delgada por fuera y por mucosa del oído medio por dentro. Si se examina con un otoscopio (pág. 982), la membrana timpánica ofrece una concavidad hacia el conducto auditivo externo con una fina depresión central, cónica, (**ombligo**) (fig. 7.75A). El eje central de la membrana timpánica, perpendicular al ombligo (como el mango de un paraguas), sigue un trayecto anterior e inferior en su curso lateral; así pues, la membrana timpánica se orienta como un minirradar o antena de satélite para recibir las señales que proceden del terreno situado enfrente y al lado de la cabeza. Cuando se inspecciona con un *otoscopio*, el ombligo emite una reflexión brillante —**cono de luz**— que se irradia en sentido anteroinferior. Encima de la apófisis lateral del martillo, la membrana se adelgaza y se denomina **porción flácida**; carece de las fibras radiales y circulares presentes en el resto de la membrana o **porción tensa**. La porción flácida crea la pared lateral del receso superior de la cavidad timpánica.

La membrana timpánica se mueve como consecuencia de las vibraciones de aire que llegan a través del conducto auditivo externo. Los movimientos de la membrana son transmitidos al oído interno por los huesecillos del oído medio

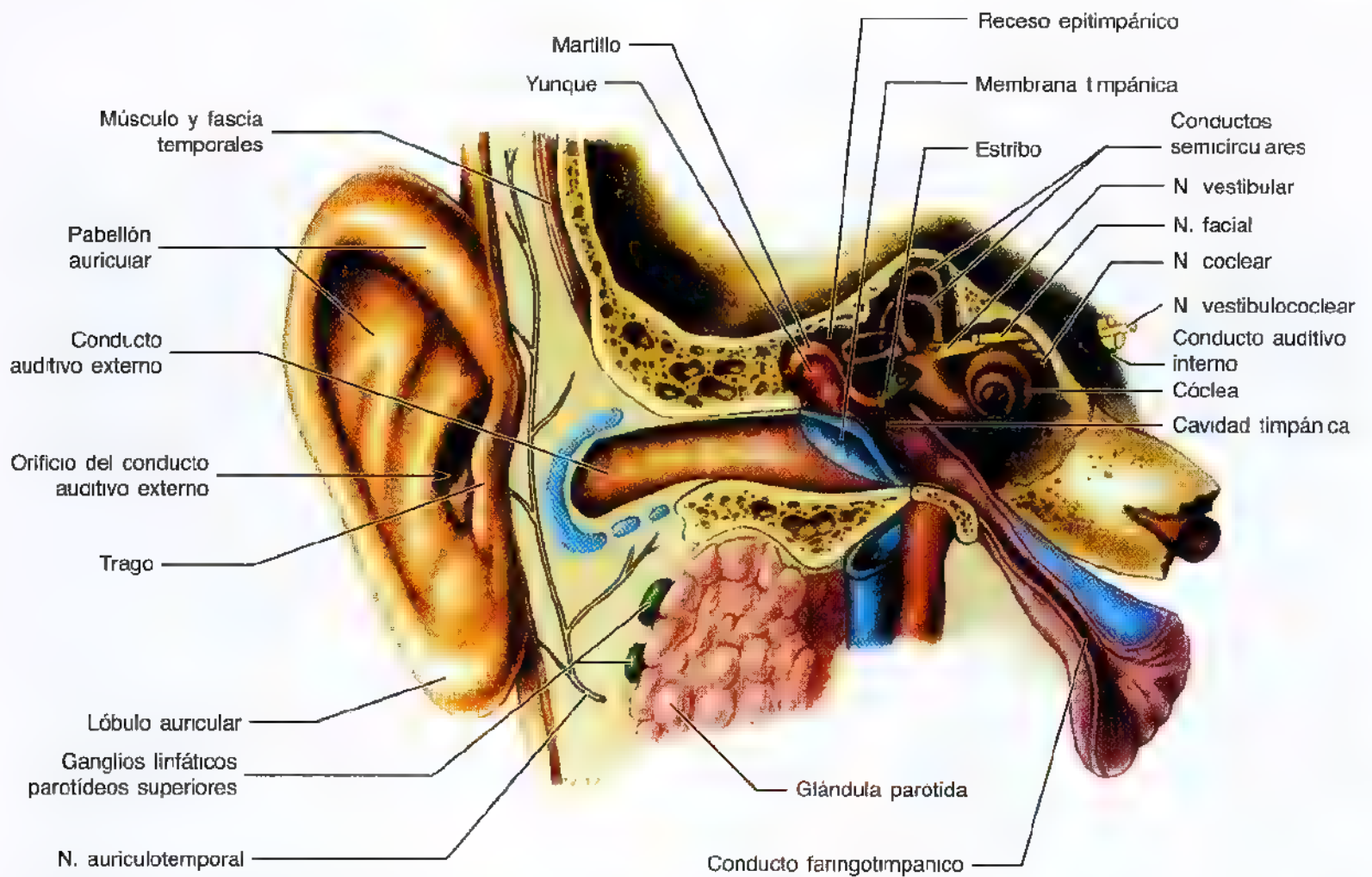


Figura 7.72. Las porciones del oído. Corte coronal y esquemático del oído. El oído consta de tres porciones: externo, medio e interno. El oído externo se compone del pabellón auricular y del conducto auditivo externo (conducto auditivo). La cavidad timpánica u oído medio es un espacio aéreo donde se encuentran los huesecillos del oído. El oído interno contiene el laberinto membranoso, cuyas divisiones principales son el laberinto coclear y el laberinto vestibular.

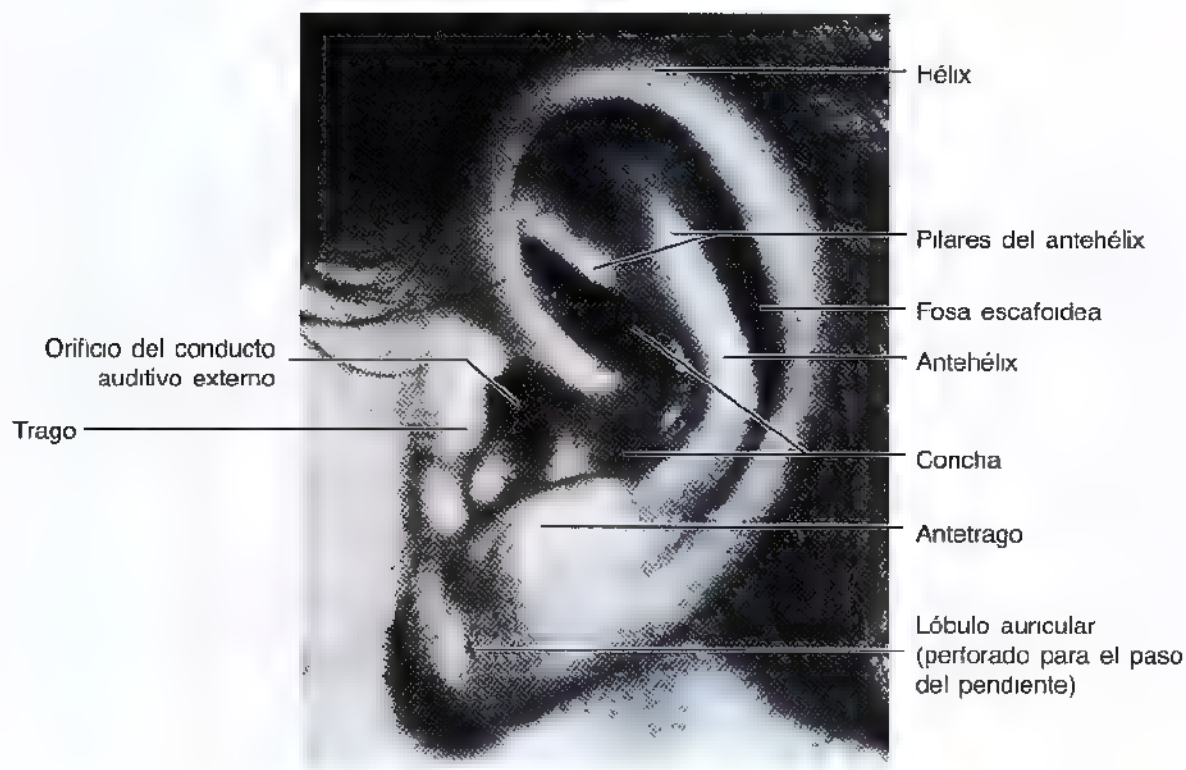


Figura 7.73. Pabellón auricular izquierdo de una muchacha de 12 años. Las denominaciones (pabellón auricular) son las habituales en clínica. El conducto auditivo externo se extiende desde la concha hasta la membrana timpánica (fig. 7.72).

(fig. 7.72). La cara externa de la membrana timpánica es inervada, sobre todo, por el **nervio auriculotemporal**, ramo del nervio mandibular (fig. 7.74A). Un pequeño ramo

auricular del nervio vago contribuye también a la inervación. La cara interna de la membrana timpánica está inervada por el nervio glossofaríngeo.

Lesión del oído externo

El sangrado dentro del pabellón auricular como consecuencia de un traumatismo puede ocasionar un *hematoma*. El acúmulo local de sangre se forma entre el pericondrio y el cartílago auricular. Conforme crece el hematoma, dificulta la irrigación del cartílago. Sin tratamiento (es decir, aspiración), la piel suprayacente se fibrosa —se forma tejido fibroso—, con lo que el pabellón se deforma (p. ej., “oído en coliflor” de algunos profesionales de lucha libre).

Examen otoscópico

El examen del conducto auditivo externo y de la membrana timpánica se inicia enderezando el conducto. Para ello, se sujeta el hélix del adulto y se tracciona en dirección posterosuperior (hacia arriba, hacia fuera y hacia atrás). Con estos movimientos se reduce la curvatura del conducto, que facilita la introducción del *otoscopio* (A). El conducto auditivo externo es bastante corto en los lactantes y por eso se recomienda mayor prudencia para evitar la lesión del tímpano. El conducto auditivo se endereza tirando del pabellón en sentido inferoposterior en estos casos (hacia abajo y hacia atrás). La exploración también revela que existe dolor con el roce, es decir, una posible inflamación del pabellón auricular o del conducto (*otitis externa*). En general, la membrana timpánica es translúcida y tiene un color gris perlado (B). Casi siempre se ve el manubrio del martillo cerca del centro de la membrana. Desde el extremo inferior del manubrio emer-

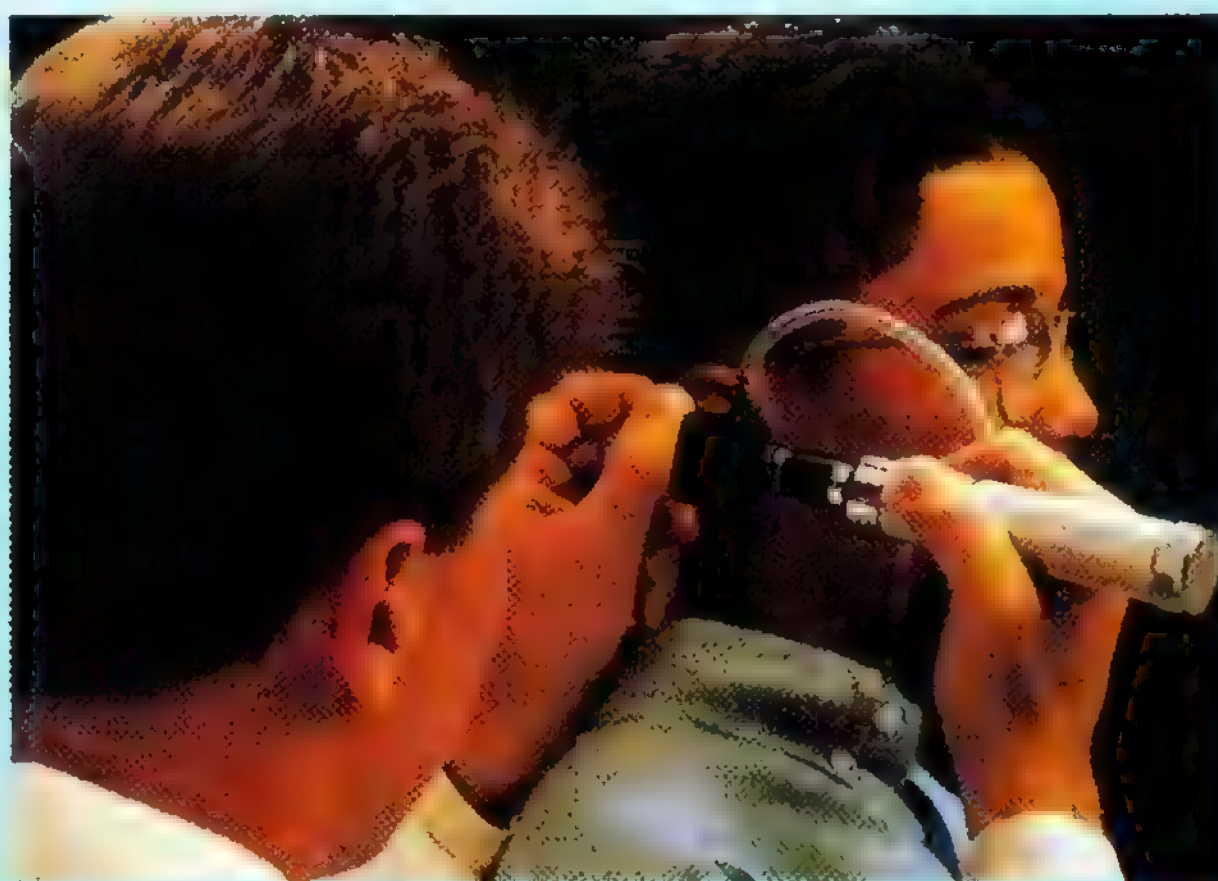
ge un cono de luz brillante reflejado por la luz del otoscopio —el *reflejo luminoso*—.

Otitis externa

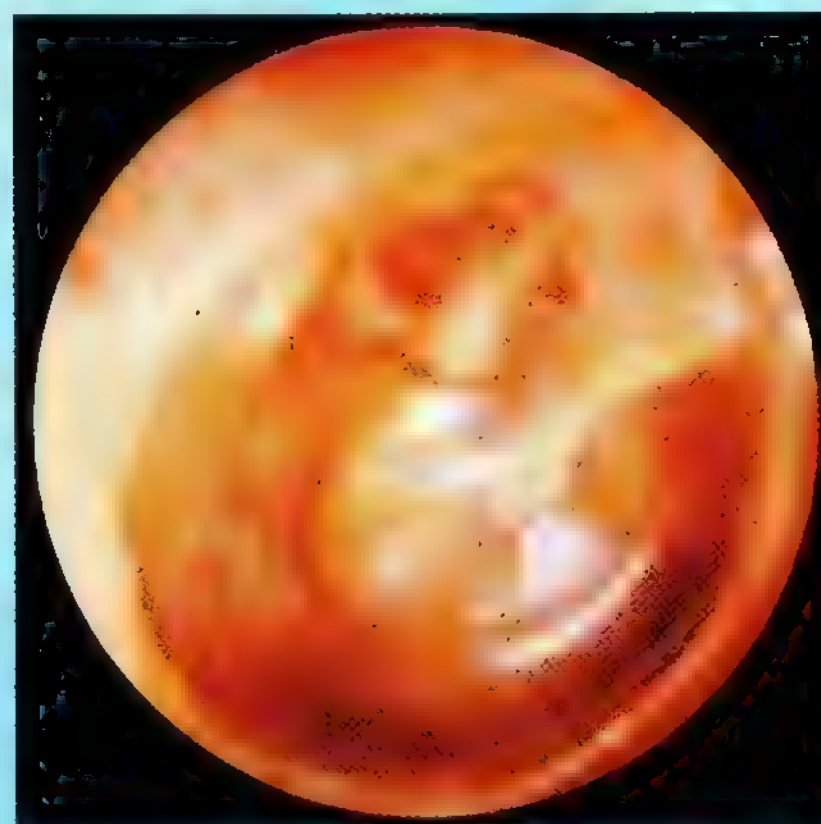
La otitis externa es una infección bacteriana de la piel del conducto auditivo externo. Esta infección suele ocurrir en los nadadores que no se secan el conducto auditivo después de nadar o que utilizan colirios óticos. La persona suele quejarse de picor y dolor en el oído externo. Al traccionar el pabellón, el dolor aumenta. Si bien la piel del pabellón no contiene terminaciones nerviosas organizadas, percibe el estiramiento, el dolor, el frío y el calor.

Perforación de la membrana timpánica

La perforación de la membrana timpánica (“rotura del tímpano”) puede obedecer a una otitis media y es una de las diversas causas de sordera del oído medio. La perforación del tímpano también ocurre por cuerpos extraños en el conducto auditivo externo, traumatismos o presión exagerada (p. ej., en las inmersiones con un equipo de buceo). Las roturas pequeñas del tímpano curan casi siempre de manera espontánea, pero las grandes requieren reparación quirúrgica. Como la mitad superior de la membrana timpánica está mucho más vascularizada que la inferior, las incisiones para liberar el pus de un absceso del oído medio, por ejemplo, se efectúan en sentido posteroinferior. Con esta incisión se evita, además, la lesión del nervio de la cuerda del tímpano y de los huesillos del oído. ➔



(A) Examen otoscópico



(B) Membrana timpánica normal

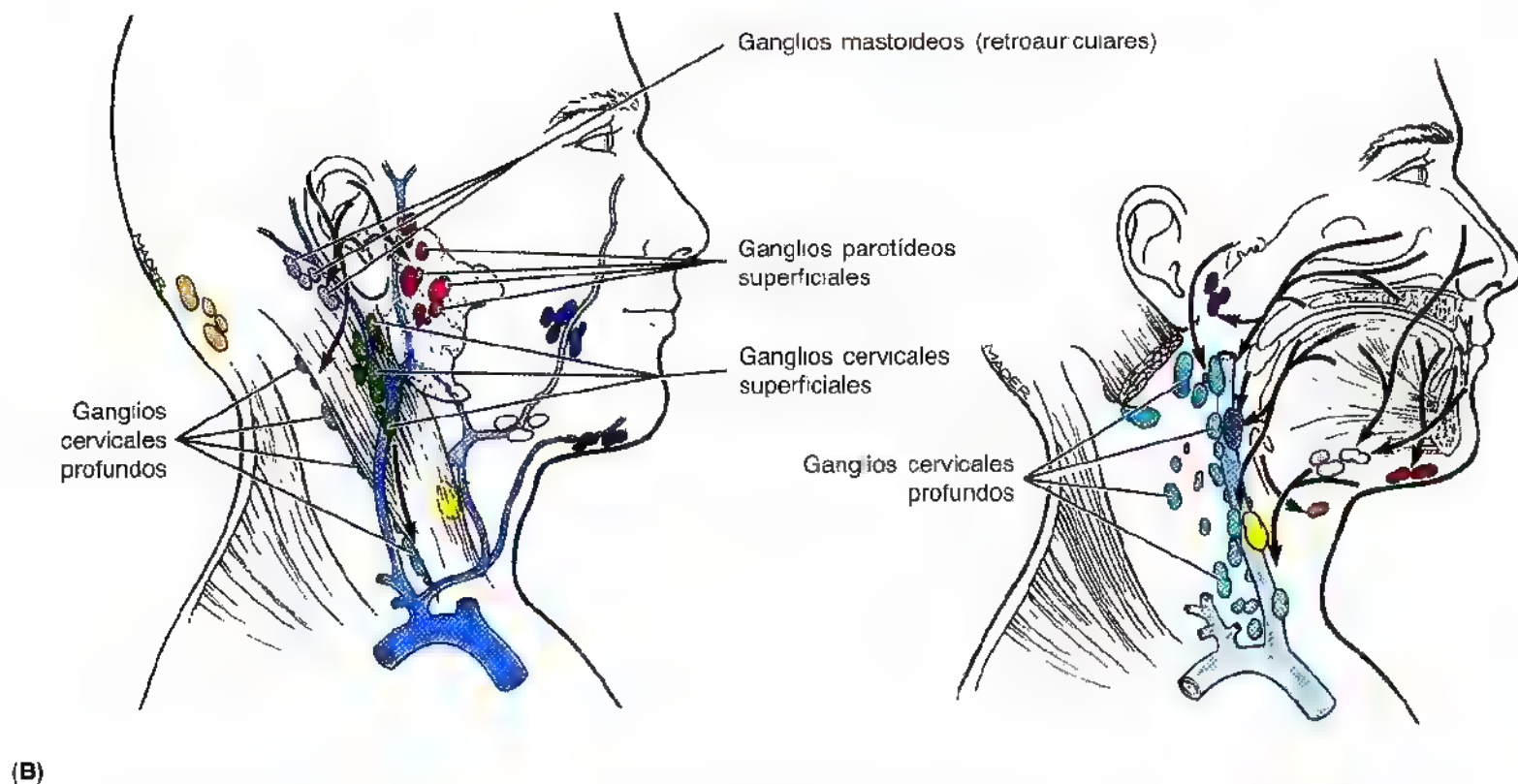
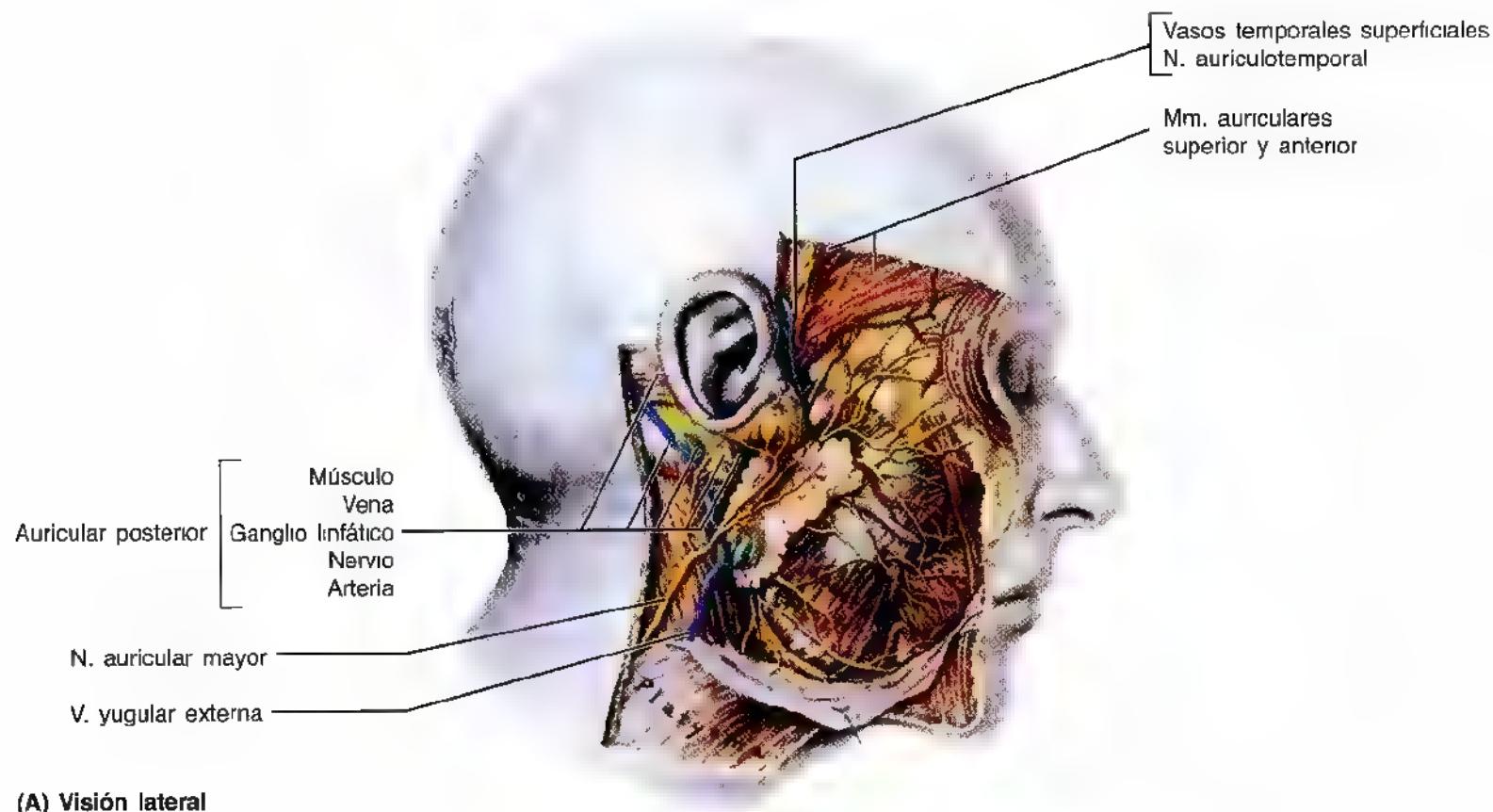


Figura 7.74. Disección de la cara y del drenaje linfático de la cabeza. **A.** Visión lateral. Nótese las arterias y las venas auriculares posteriores y temporales superficiales, y los nervios auricular mayor y auriculotemporal, que proporcionan la irrigación y la innervación del pabellón auricular. Uno de los músculos asociados al pabellón, el músculo auricular posterior, también se visualiza. **B.** Drenaje linfático. El drenaje llega primero a los ganglios linfáticos parotídeos (en particular a un ganglio situado delante de trago) y a los ganglios mastoideos y cervicales superficiales, que drenan por último a los ganglios cervicales profundos.

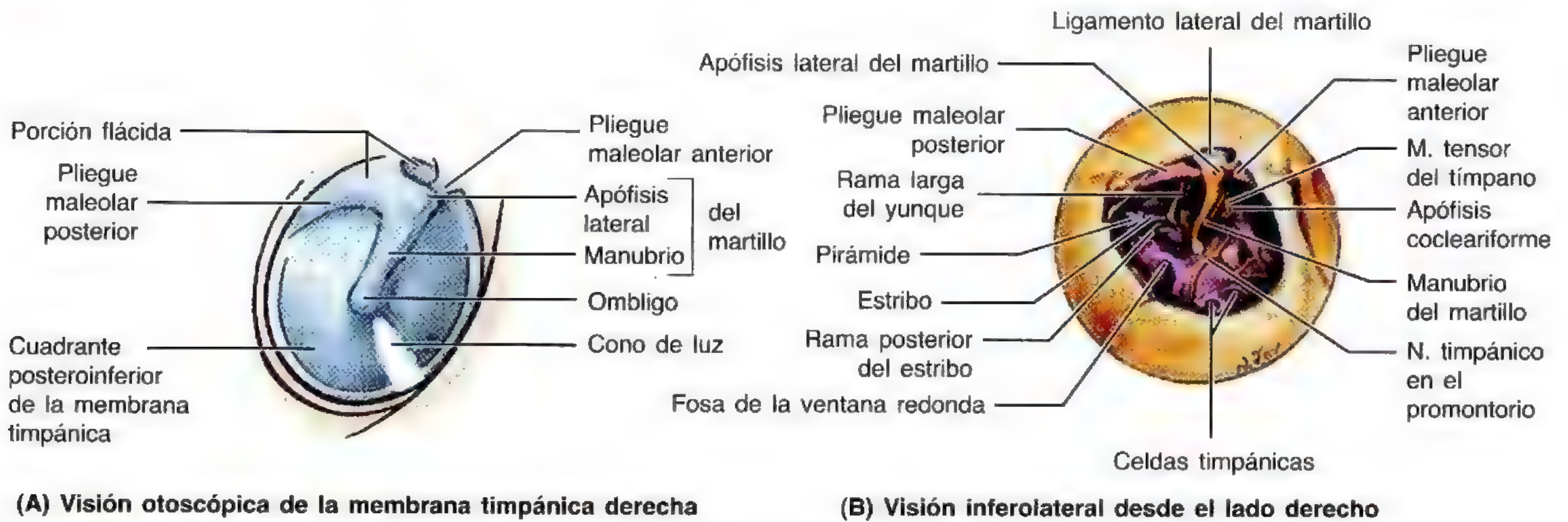
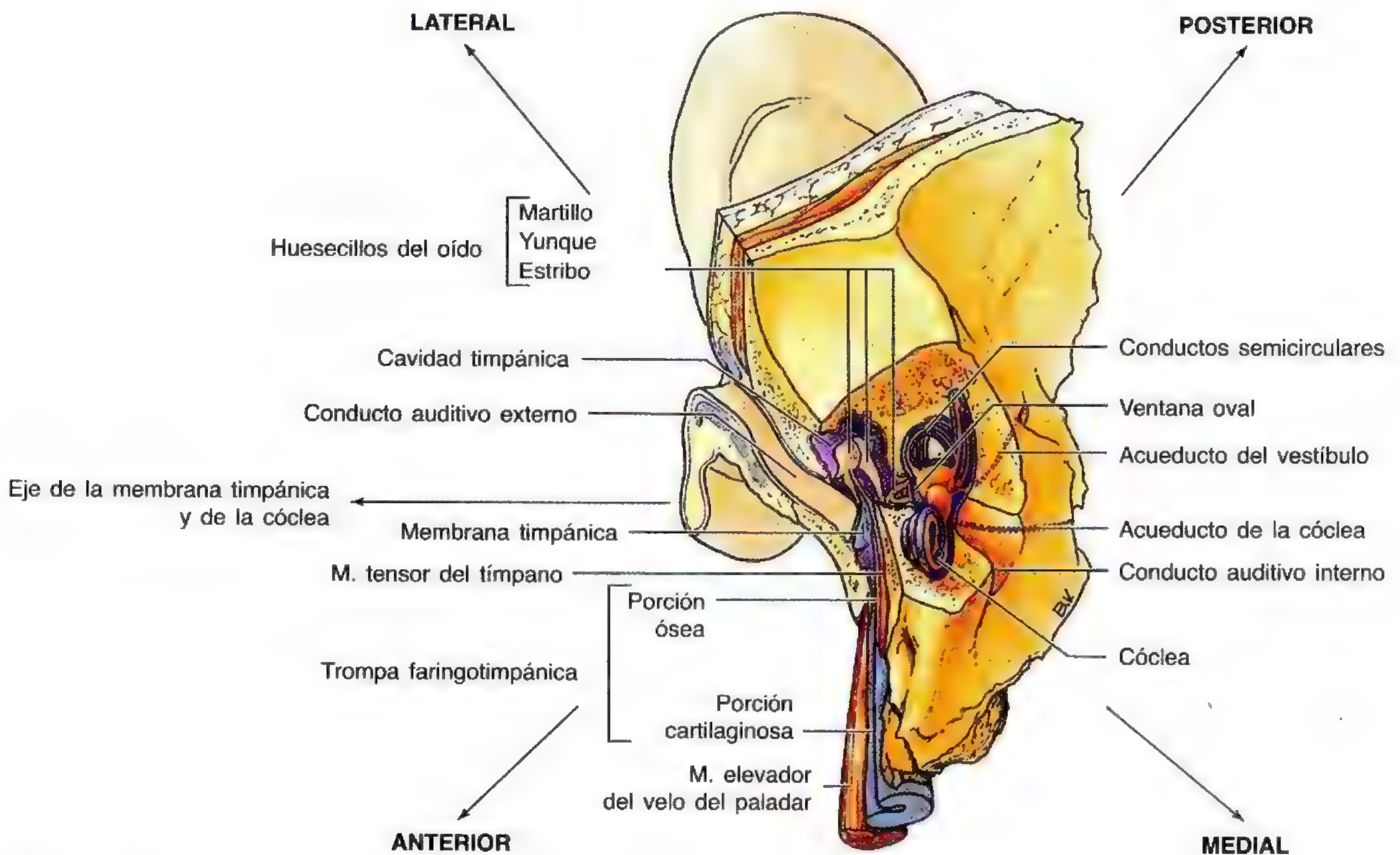
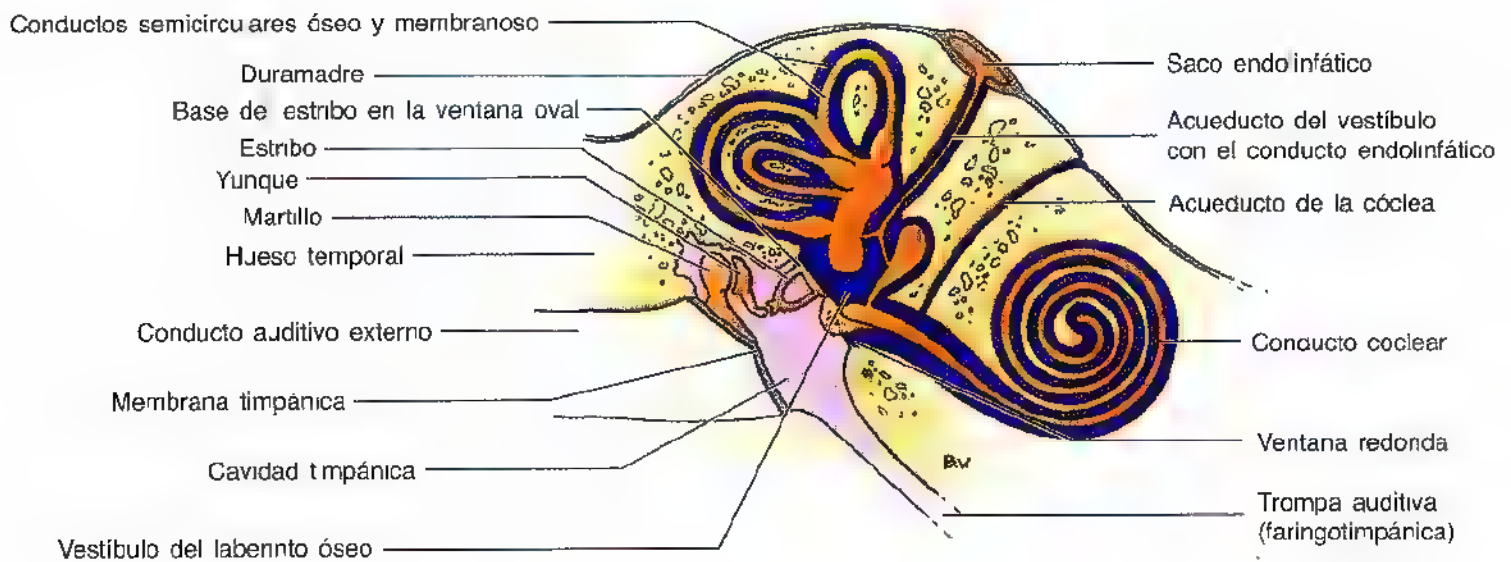


Figura 7.75. La membrana y la cavidad timpánica. A. Visión otoscópica de la membrana timpánica derecha. El "cono de luz" es un reflejo de la luz del otoscopio. B. Cavidad timpánica después de extirpar la membrana timpánica. Obsérvese la plenitud del promontorio, que da un surco para el nervio timpánico (ramo del NC IX, nervio glossofaríngeo) y sus comunicaciones.



(A) Visión superomedial

Figura 7.76. Esquema general del oído. A. El oído en su posición. Obsérvese la disposición de los distintos elementos que forman las porciones del oído. El conducto auditivo externo se dirige de la parte lateral a la medial; el eje de la membrana timpánica y el eje sobre el que gira la cóclea se dirigen en sentido inferior y anterior hacia el lado. El eje longitudinal de los laberintos óseo y membranoso y de la trompa faringotimpánica (auditiva), así como de los músculos paralelos tensor del tímpano y elevador del paladar, es perpendicular al de la membrana timpánica y la cóclea (es decir, tiene un curso inferior y anterior en su trayecto medial).



(B)

Figura 7.76. (Continuación) **B.** El oído medio y el oído interno. El oído medio (cavidad timpánica) se encuentra entre la membrana timpánica y el oído interno. Existen tres huesecillos, el martillo, el yunque y el estribo, que se extienden de la pared lateral a la medial de la cavidad timpánica. El martillo se une a la membrana timpánica. La base de estribo está conectada a la ventana oval a través de un ligamento anular y el yunque une los dos huesecillos citados. La trompa auditiva es una comunicación entre la pared anterior de la cavidad timpánica y la pared lateral de la nasofaringe. El oído interno se compone de un sistema cerrado de tubos y ampollas membranosos, el laberinto membranoso, relleno de un líquido conocido como endolinfa (en naranja) y bañado en un líquido circundante denominado perlinfa (en púrpura).

El oído medio

El oído medio se encuentra en la porción petrosa del hueso central (figs. 7.72 y 7.76), contiene la **cavidad timpánica**, el espacio situado inmediatamente dentro de la membrana timpánica, y el **receso epitimpánico** o espacio superior a esta membrana. El oído medio se comunica por delante con la nasofaringe a través de la **trompa faringotimpánica** o auditiva. La cavidad timpánica se comunica en la zona poserosuperior con las celdas mastoideas a través del **antro mastoideo** (fig. 7.77A). La cavidad timpánica está tapizada de mucosa y se continúa con la de la trompa auditiva, celdas mastoideas y antro mastoideo. *El contenido del oído medio es el siguiente:*

- Los huesecillos del oído, martillo, yunque y estribo (fig. 7.76).
- Los músculos del estribo y tensor del tímpano.
- El nervio de la cuerda del tímpano, ramo del facial (fig. 7.77B).
- El plexo nervioso timpánico.

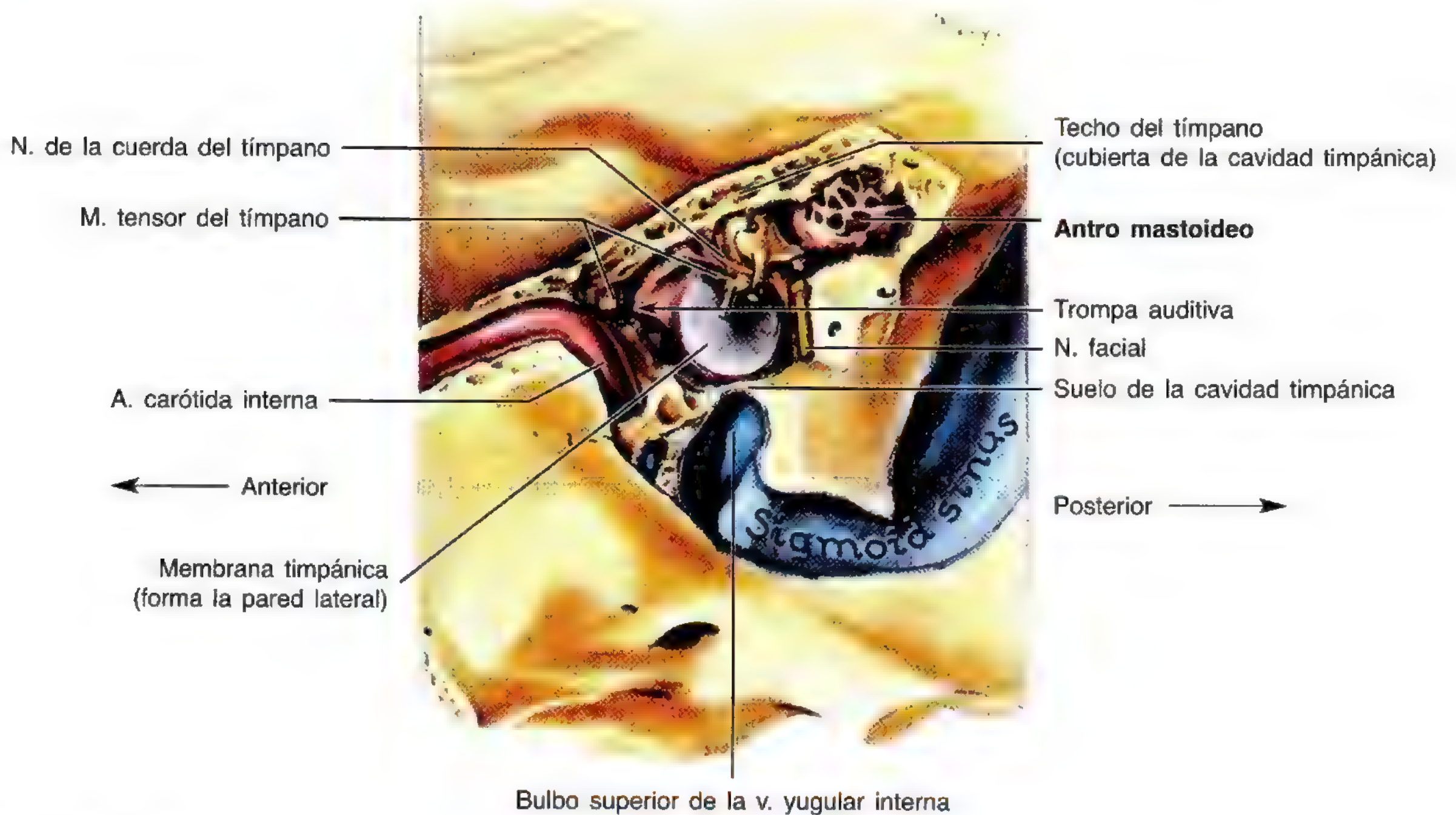
Las paredes de la cavidad timpánica

El oído medio, que tiene la forma de una pastilla o caja estrecha de lados cóncavos, cuenta con techo, suelo y cuatro paredes (fig. 7.77B).

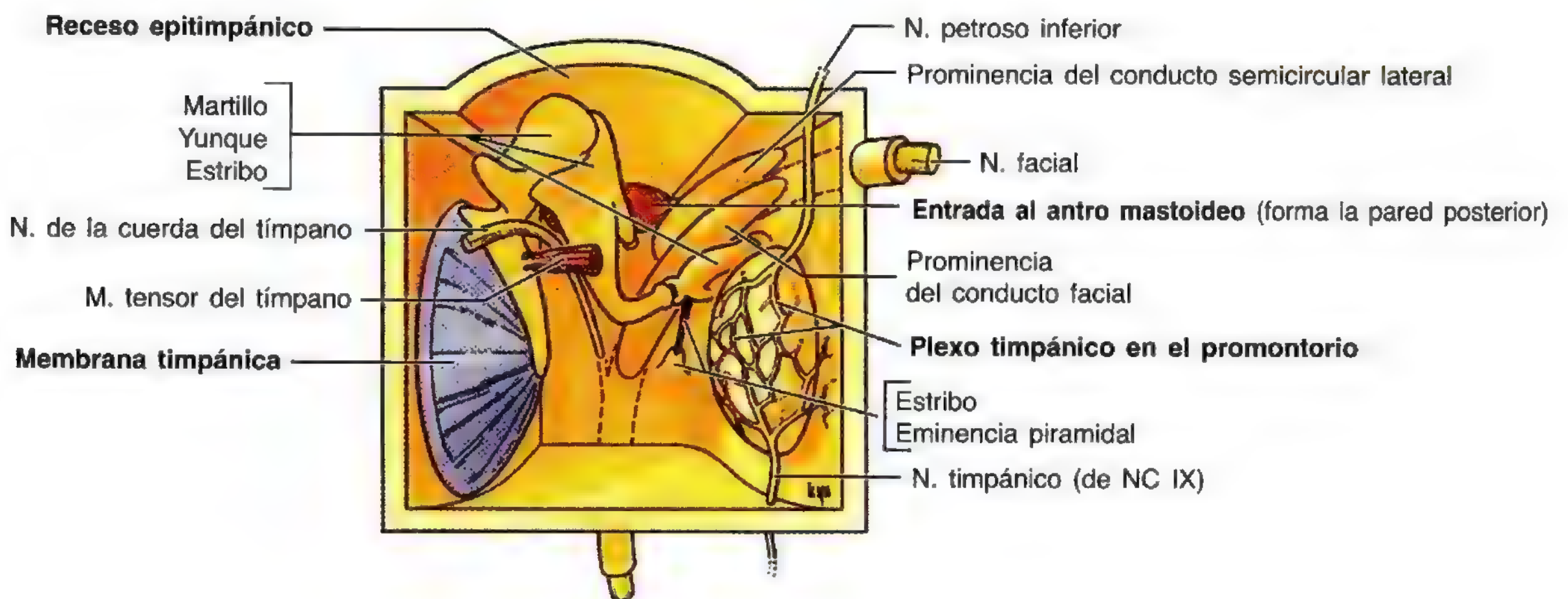
- El **techo tegmentario** lo forma una fina lámina de hueso, el **tegmen tympani**, que separa la cavidad timpánica de la duramadre en el suelo de la fosa craneal media.

- El **suelo** (pared yugular) se forma por una capa de hueso que separa la cavidad timpánica del bulbo superior de la vena yugular interna.
- La **pared lateral (membranosa)** está creada casi en exclusiva por la convexidad picuda de la membrana timpánica; la parte superior la forman la pared ósea lateral del **receso epitimpánico**. El manubrio del martillo se encuentra en la membrana timpánica y la cabella se extiende hasta el receso epitimpánico.
- La **pared medial (laberíntica)** separa la cavidad timpánica del oído interno y se caracteriza por el promontorio de la porción inicial (1ª espiral) de la cóclea (fig. 7.76).
- La **pared anterior (carotídea)** separa la cavidad timpánica del conducto carotídeo; en la porción superior se encuentra el orificio de la trompa auditiva y el conducto para el músculo tensor del tímpano.
- La **pared posterior (mastoidea)** dispone de un orificio en la porción superior —la **entrada al antro mastoideo**— que comunica la cavidad timpánica con las células mastoideas; el conducto para el nervio facial desciende entre la pared posterior y el antro, medial a la entrada.

El **antro mastoideo** es una cavidad de la apófisis mastoideas del hueso central (fig. 7.77A). El antro —como la cavidad timpánica— queda separado de la fosa craneal media por un techo óseo delgado, el **tegmen tympani**. El suelo del antro tiene varios orificios por los que se comunica con las celdas mastoideas. El antro y las celdas mastoideas están tapizados de mucosa que se continúa con el revestimiento del oído medio. El antro mastoideo se relaciona con el conducto para el nervio facial en la zona anteroinferior.



(A) Visión superomedial



(B) Visión anterior

Figura 7.77. Las paredes de la cavidad timpánica u oído medio. **A.** Visión superomedial. La muestra se diseccionó desde la cara medial con un taladro. Obsérvense el techo del tímpano, que forma la cubierta de la cavidad timpánica, y el antro mastoideo, que se ve bastante grueso en esta muestra, pero suele ser muy delgado. Como se aprecia, la arteria carótida interna constituye la relación principal de la pared anterior, la vena yugular interna (VYI), la del suelo, y el nervio facial (NC VII), el rasgo esencial de la pared posterior. Se ve cómo el *nervio de la cuerda del tímpano* pasa entre el martillo y el yunque. **B.** Dibujo esquemático del oído medio. Visión anterior. Se ha extirpado la pared anterior del oído medio. La membrana timpánica forma gran parte de la pared lateral; encima de ella se encuentra el receso epitimpánico, que alberga las porciones mayores del martillo y del yunque. Los ramos del plexo timpánico inervan la mucosa del oído medio y la trompa auditiva adyacente, pero uno de ellos, el nervio petroso inferior, conduce fibras parasimpáticas presinápticas al ganglio ótico para la inervación secretomotora de la glándula parótida.

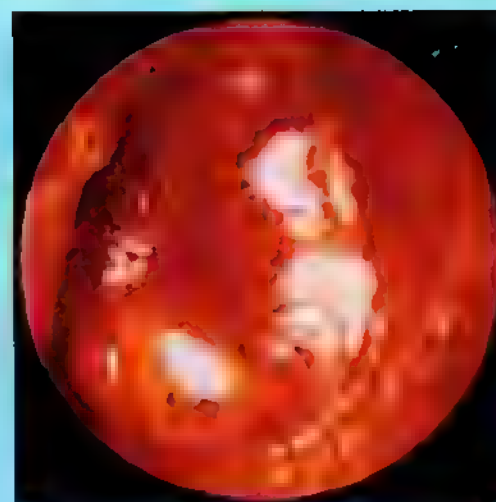
Otitis media

Una membrana timpánica enrojecida y sobresaliente puede revelar la presencia de pus o secreciones en el oído medio, signos de otitis media. La infección del oído medio casi siempre es secundaria a infecciones respiratorias altas. La inflamación y tumefacción de la mucosa que tapiza la cavidad del tímpano puede ocasionar una *obstrucción parcial o completa de la trompa auditiva*. La membrana timpánica se torna roja y sobresale, y la persona se queja de “taponamiento del oído”. A través del tímpano se aprecian secreciones sanguinolentas de color ámbar. Si no se trata la otitis media puede aparecer dificultad para la audición debido a la cicatrización de los huesecillos del oído, que limita su capacidad de desplazamiento en respuesta al sonido.

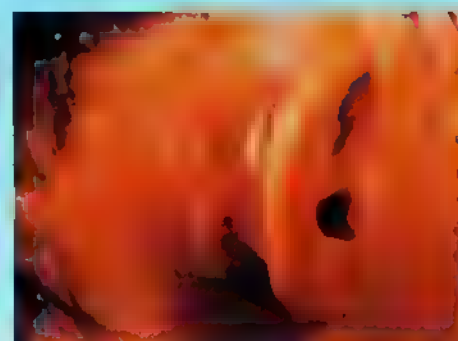
Mastoiditis

Las infecciones del antro y de las células mastoideas (*mastoiditis*) se deben a una infección del oído medio que inflama la apófisis mastoideas. Estas infecciones se propagan hacia arriba hasta la fosa craneal media a través de la fisura petroescamosa en los niños y provoca *osteomielitis* (infección del hueso) del techo del tímpano. La mastoiditis es rara desde la era antibiótica. Durante la cirugía de la mastoiditis, el cirujano debe conocer el trayecto del nervio facial para no lesionarlo.

El antro mastoideo representa una vía de acceso a la cavidad timpánica. En los niños basta con la extirpación de una delgada lámina de hueso de la pared lateral del antro para exponer la cavidad del tímpano. En los adultos hay que penetrar 15 mm o más de hueso. En la actualidad, casi todas las *mastoidectomías* son intraóticas (es decir, se efectúan a través de la pared posterior del conducto auditivo externo).



Otitis media



Mastoiditis (perforación del absceso retroauricular)

Otalgia

La otalgia es un síntoma frecuente, de etiología múltiple; la otitis externa y la otitis media representan dos de las causas. La otalgia también puede constituir un dolor referido de lesiones remotas, como un absceso dental. ☺

La trompa auditiva

La trompa auditiva o faringotimpánica comunica la cavidad timpánica con la nasofaringe (fig. 7.76, A y B), donde se abre detrás del meato inferior de la cavidad nasal. El tercio posterolateral de la trompa es óseo, y el resto, cartilaginoso. La trompa auditiva está tapizada con una membrana mucosa que se continúa por detrás con la de la cavidad timpánica y por delante con la de la nasofaringe.

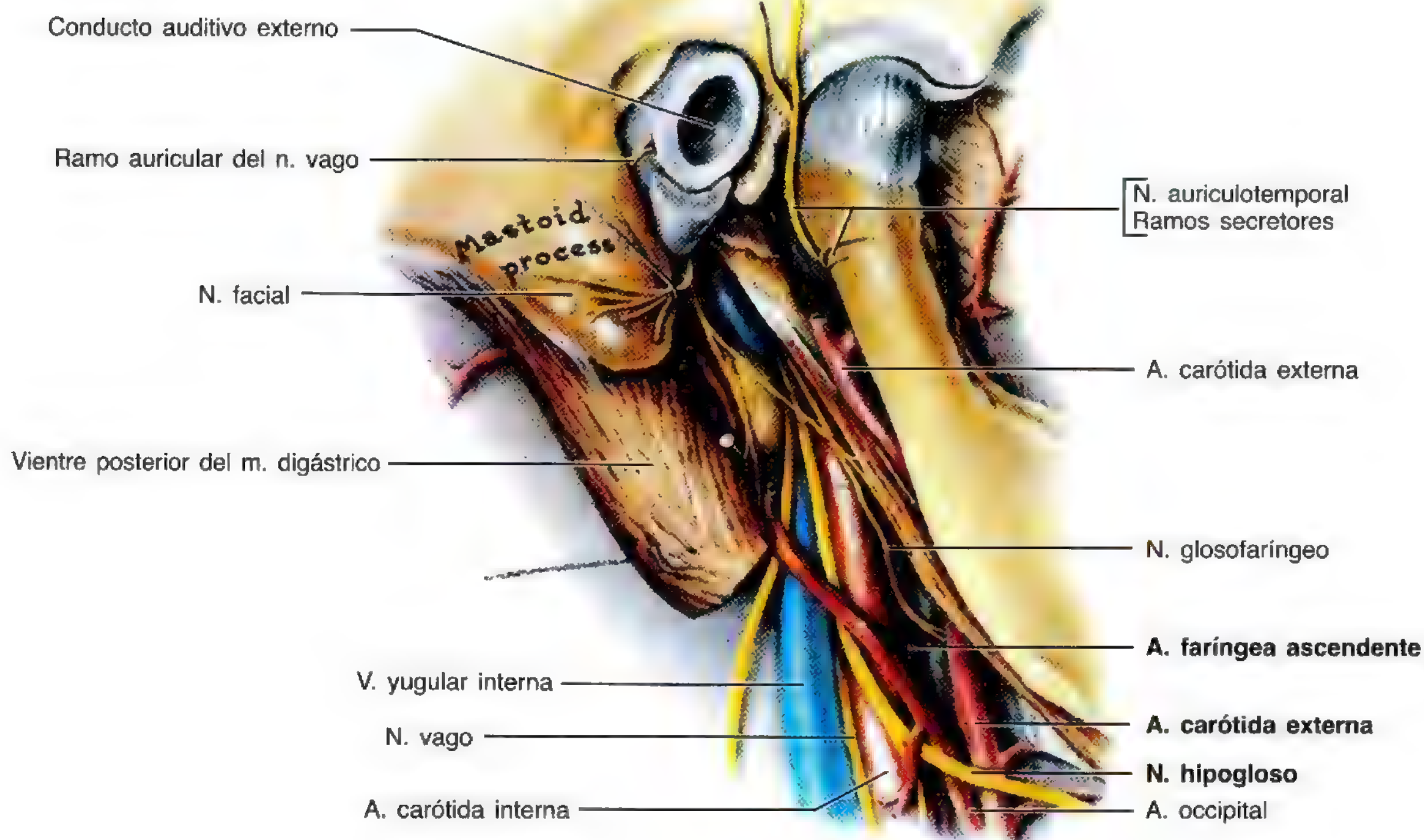
La misión de la trompa auditiva consiste en igualar las presiones del oído medio con la atmosférica, para que la membrana timpánica se mueva sin problemas. Al dejar que el aire entre y salga de la cavidad timpánica, esta trompa equilibra la presión a ambos lados de la membrana. Como las paredes de la porción cartilaginosa de la trompa suelen estar apuestas, es necesario abrir de manera activa la trompa. El vientre ensanchado del músculo elevador del velo del paladar, cuando se contrae, abre la trompa porque empuja una de sus paredes mientras el músculo tensor del velo del paladar tira de la otra. Como estos son músculos del paladar blando, la

igualación de presiones (“taponamiento de los oídos”) es algo común en actos como el bostezo y la deglución.

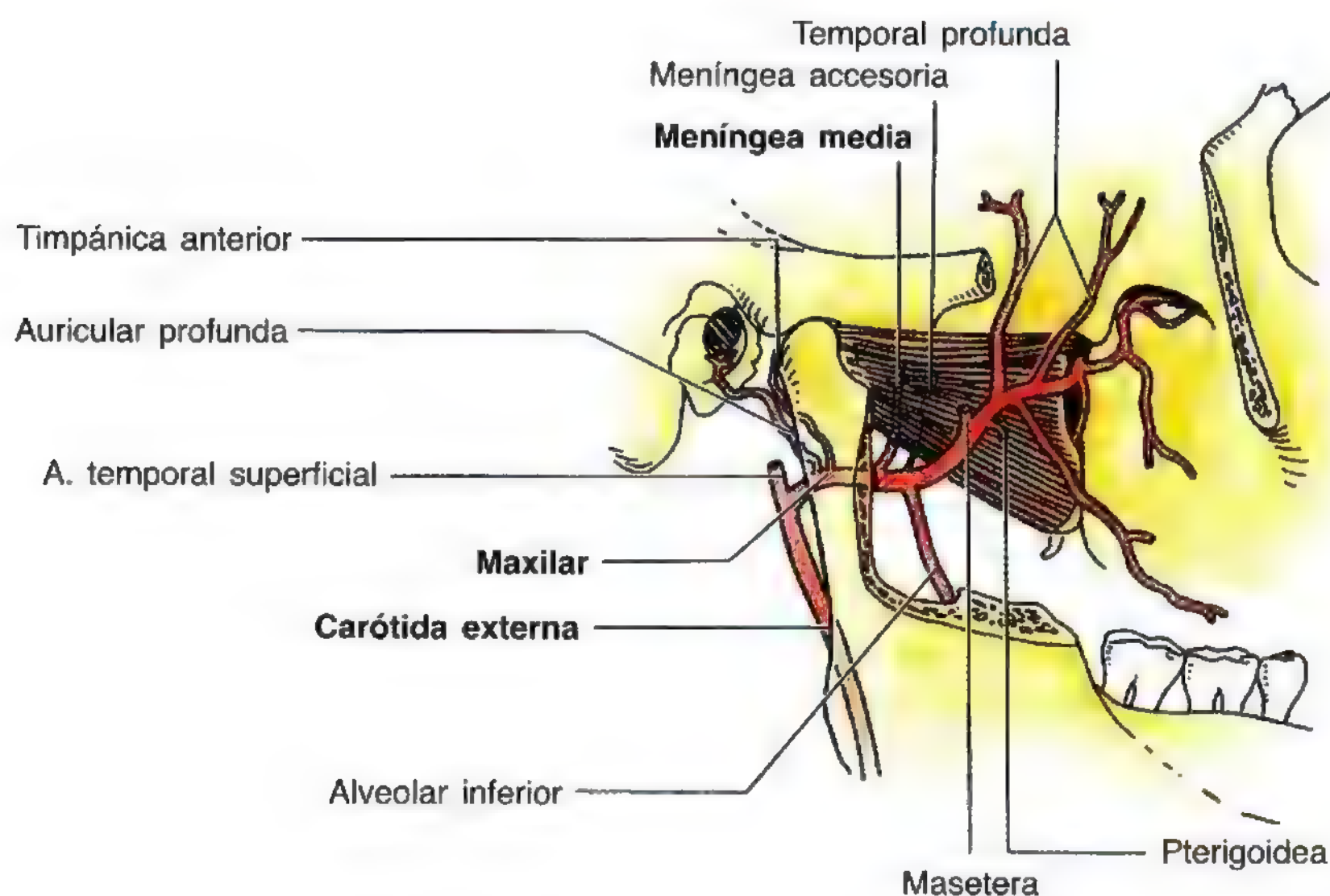
Las **arterias** de la trompa auditiva derivan de la **arteria faríngea ascendente** (fig. 7.78A), rama de la arteria carótida externa, y de la **arteria meníngea media**, así como de la **arteria del conducto pterigoideo**, ramas de la arteria maxilar (fig. 7.78B). Las **venas** drenan en el plexo venoso pterigoideo. Los **nervios** de la trompa auditiva provienen del **plexo timpánico** (fig. 7.77B), formado por fibras de los nervios facial y glossofaríngeo. La trompa recibe además fibras del **ganglio pterigopalatino** (fig. 7.70).

Obstrucción de la trompa auditiva

La trompa auditiva supone una vía para el contagio de las infecciones de la nasofaringe a la cavidad timpánica. La trompa se tapona fácilmente con los edemas de la mucosa, incluso en infecciones leves. ☹ ▶



(A)



(B)

Figura 7.78. Disección de las estructuras situadas en la profundidad del lecho parotídeo. **A.** El nervio facial (NC VII), el vientre posterior del músculo digástrico y el nervio para este músculo se han rechazado. Se observa la arteria faríngea ascendente en la profundidad, la única rama medial de la arteria carótida externa, que perfunde la faringe, la amígdala palatina, la trompa auditiva y la pared medial de la cavidad timpánica antes de terminar enviando ramos meníngneos para la cavidad craneal. **B.** Arteria maxilar y sus ramas. Las ramas de la 1ª porción irrigan el conducto auditivo externo (conducto auditivo) y la membrana timpánica. La arteria meníngnea media envía ramas para la trompa auditiva antes de entrar en el cráneo por el orificio redondo menor.

► (p. ej., resfriados), porque las paredes de la porción cartilaginosa suelen encontrarse apuestas. Si se obstruye la trompa auditiva, el aire residual de la cavidad timpánica se absorbe de ordinario hacia los vasos sanguíneos de la mucosa, con lo que disminuye la presión dentro de la cavidad timpánica, se retrae la membrana y se dificulta su movimiento libre. Por último, se altera la audición. Los cambios de presión más repentinos y, en general, pasajeros debidos a las fugas de aire se equilibran mediante la deglución (se estimula mascando chicle) o el bostezo; con estos movimientos se abren las trompas auditivas. ❖

Los huesecillos del oído

Los huesecillos del oído forman una cadena en la cavidad timpánica que va desde la membrana timpánica hasta la ventana oval, una **abertura ovalada** en la pared medial de la cavidad timpánica que lleva hasta el oído del vestíbulo interno (laberinto óseo). Se cierra con la base del estribo. Los huesecillos son los primeros huesos que se osifican por completo durante el desarrollo, y al nacer se encuentran casi maduros. El hueso del que derivan es muy denso (duro). El **martillo** se inserta en la membrana timpánica y el **estribo** ocupa la ventana oval (figs. 7.76 y 7.79). El **yunque** está situado entre ambos huesecillos y se articula con ellos. Estos pequeños huesos están recubiertos de la mucosa que reviste la cavidad timpánica, pero a diferencia de otros huesos del organismo, no tienen una cubierta perióstica directa.

Martillo. La porción redonda y superior o *cabeza del martillo* se encuentra en el receso epitimpánico (fig. 7.79A). El *cuello* se apoya en la porción flácida de la membrana y el *manubrio* se halla dentro de la membrana timpánica —la punta se encuentra en el ombligo— y se desplaza con él. La cabeza del martillo se articula con el yunque; el tendón del músculo tensor del tímpano se inserta en el manubrio, cerca del cuello del martillo. El *nervio de la cuerda del tímpano* atraviesa la cara medial del cuello del martillo. El martillo actúa como una palanca; la más larga de sus dos apófisis y el manubrio se insertan en la membrana timpánica.

Yunque. El voluminoso *cuerpo del yunque* se encuentra en el receso epitimpánico y se articula con la cabeza del martillo. La *rama larga del yunque* es paralela al manubrio del martillo, y su extremo inferior se articula con el estribo por medio de una proyección en dirección medial (apófisis) lenticular. La *rama corta* se comunica a través de un ligamento con la pared posterior de la cavidad timpánica.

Estribo. El estribo —el huesecillo de menor tamaño— tiene un cuerpo y una base unidos por dos ramas. La **cabeza**, con orientación lateral, se articula con el yunque. La base del estribo encaja en la ventana oval sobre la pared medial de la pared timpánica. La base es mucho más pequeña que la membrana timpánica; por eso, la fuerza vibratoria del estribo aumenta casi 10 veces más con relación a la que ejerce la membrana timpánica. Este es el motivo por el que los huesecillos del oído aumentan la fuerza pero reducen la amplitud de las vibraciones transmitidas por la membrana timpánica.

Los **músculos asociados con los huesecillos del oído.** Dos músculos amortiguan o resisten los movimientos de los huesecillos del oído; uno de ellos amortigua además los movimientos (vibración) de la membrana timpánica: el músculo tensor del tímpano y del estribo.

El **músculo tensor del tímpano** (figs. 7.75B y 7.77) es corto, nace en la parte superior de la porción cartilaginosa de la trompa auditiva, el ala mayor del esfenoides y la porción petrosa del hueso temporal. El músculo se inserta en el manubrio del martillo. El músculo tensor del tímpano tira del manubrio en sentido medial y tensa la membrana timpánica, además de reducir la amplitud de sus oscilaciones. Esta acción trata de evitar el dano del oído interno después de una exposición a tonos muy altos. El músculo tensor del tímpano está innervado por el nervio mandibular.

El **músculo del estribo** (fig. 7.75B) es diminuto —el más pequeño de los músculos voluntarios (estriados) del organismo— y se sitúa dentro de la *eminencia piramidal* (pirámide), una prominencia hueca y cónica de la pared posterior de la cavidad timpánica. El tendón penetra en la cavidad timpánica tras salir de un orificio en punta de alfiler situado en el vértice de la eminencia y se inserta en el cuello del estribo. El nervio para el músculo del estribo nace del nervio facial. El músculo del estribo tira del estribo hacia atrás e inclina su base en la ventana oval, enderezando el ligamento anular y reduciendo la amplitud de las oscilaciones. Asimismo, evita un movimiento excesivo del estribo.

El **músculo del estribo** (fig. 7.75B) es diminuto —el más pequeño de los músculos voluntarios (estriados) del organismo— y se sitúa dentro de la *eminencia piramidal* (pirámide), una prominencia hueca y cónica de la pared posterior de la cavidad timpánica. El tendón penetra en la cavidad timpánica tras salir de un orificio en punta de alfiler situado en el vértice de la eminencia y se inserta en el cuello del estribo. El nervio para el músculo del estribo nace del nervio facial. El músculo del estribo tira del estribo hacia atrás e inclina su base en la ventana oval, enderezando el ligamento anular y reduciendo la amplitud de las oscilaciones. Asimismo, evita un movimiento excesivo del estribo.

Parálisis del músculo estapedio

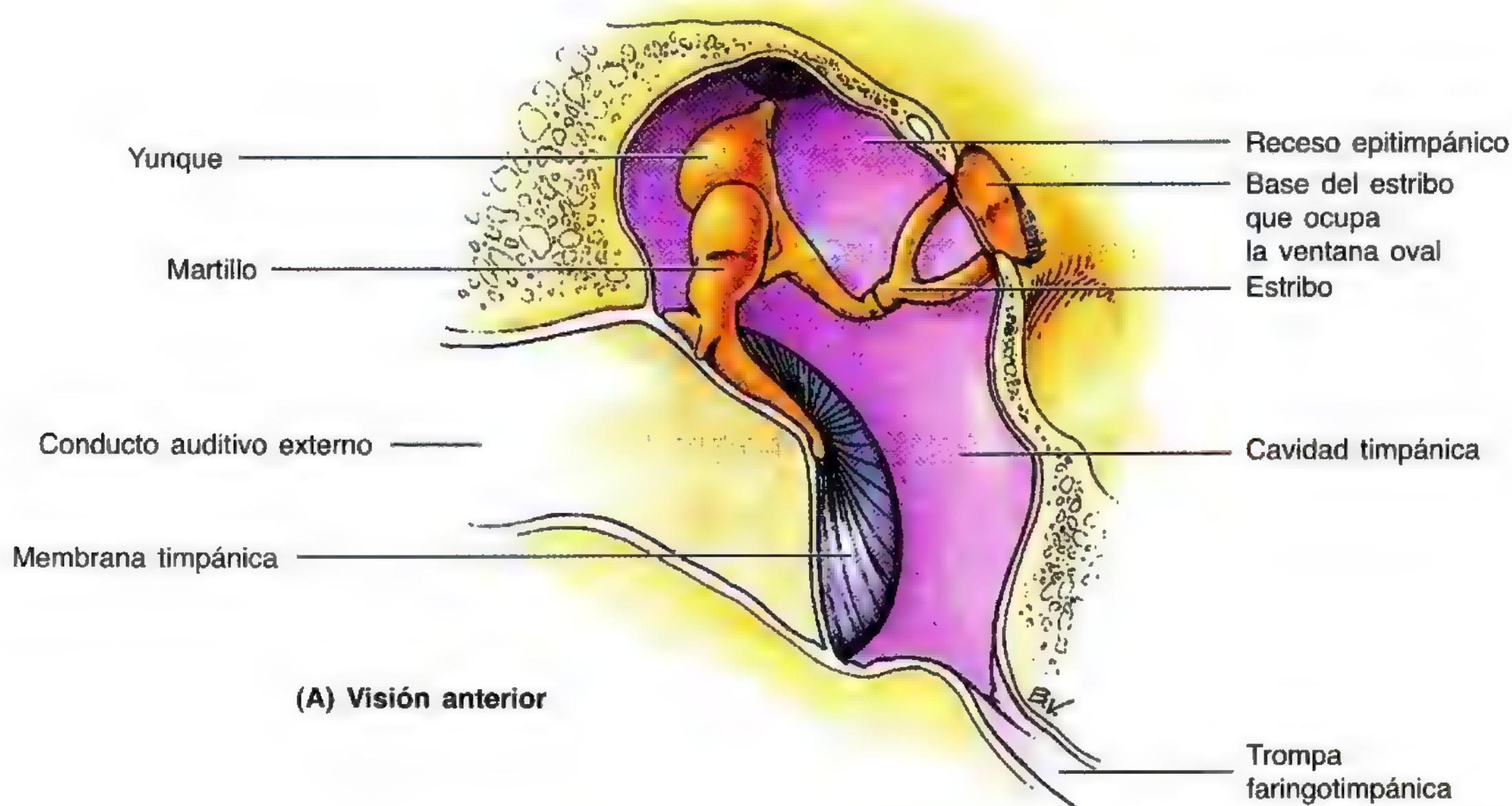
Los músculos del tímpano ejercen una acción protectora porque amortiguan las grandes vibraciones de la membrana timpánica causadas por los grandes ruidos. La parálisis del músculo del estribo (p. ej., por una lesión del nervio facial) se acompaña de una agudeza auditiva exagerada: *hiperacusia*. Este estado obedece a los movimientos desinhibidos del estribo. ❖

El oído interno

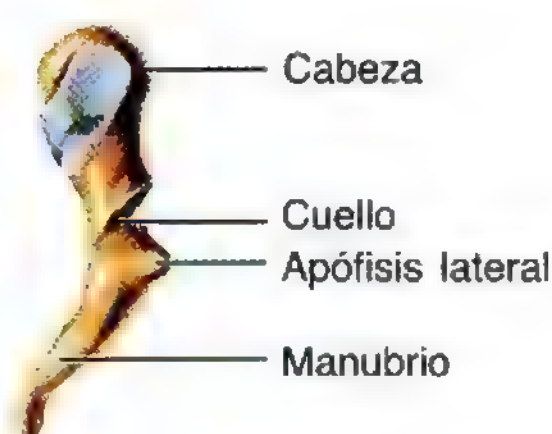
El oído interno contiene el *órgano vestibulococlear*, que se ocupa de la recepción del sonido y del mantenimiento del equilibrio. Enterrado en la porción petrosa del hueso temporal (figs. 7.76A y 7.80A), el oído interno consta de los sacos y conductos del laberinto membranoso. El **laberinto membranoso**, con *endolinfa*, queda suspendido dentro del **laberinto óseo** por la *perilinf*; los dos líquidos transportan las ondasónicas a los órganos terminales para la audición y el equilibrio.

El laberinto óseo

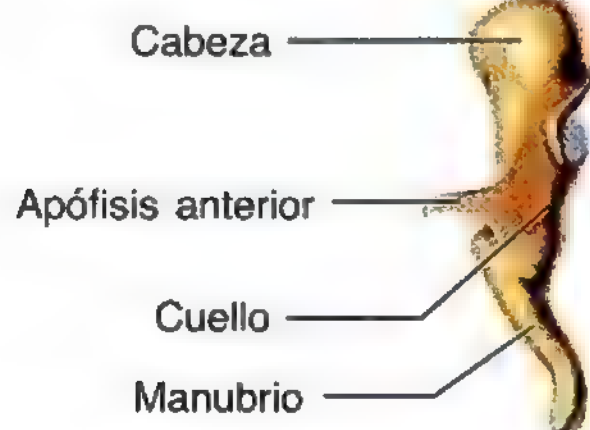
El laberinto óseo del oído interno es una cripta formada por tres elementos: la cóclea, el vestíbulo y los conductos semicirculares óseos. Ocupa gran parte de la porción lateral de



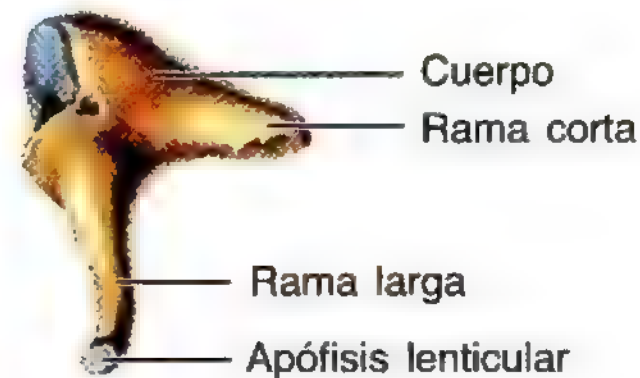
MARTILLO



MARTILLO



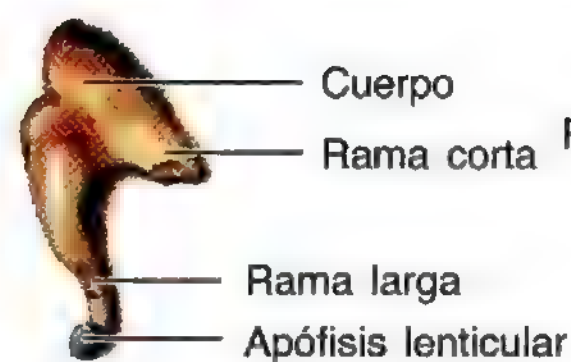
YUNQUE



ESTRIBO



YUNQUE



ESTRIBO

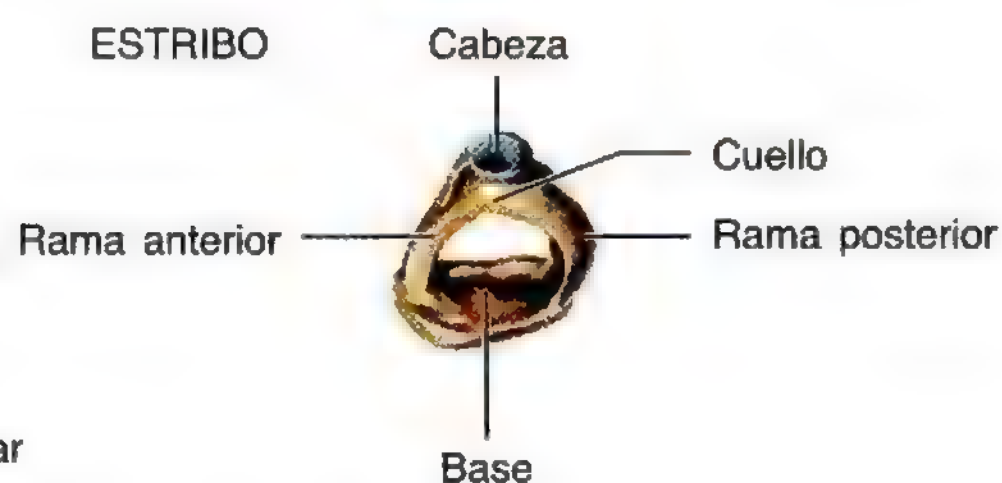
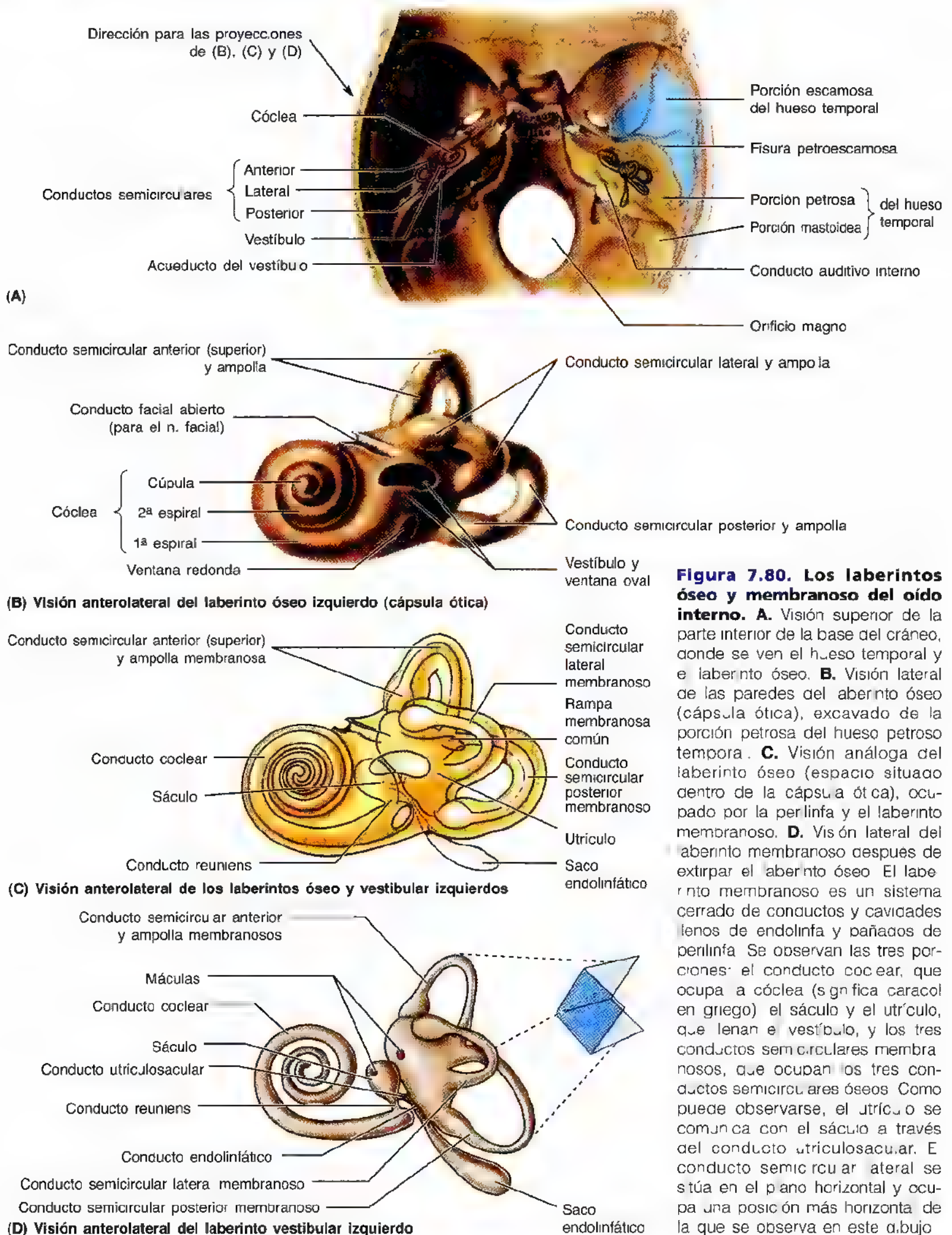


Figura 7.79. Los huesecillos del oído. A. Corte coronal de los huesecillos en su posición. B-E. Huesecillos aislados del oído medio.



la parte petrosa del temporal (figs. 7.76A y 7.80, A y B). Sus paredes constan de un hueso más denso que el del resto de la porción petrosa del hueso temporal y forman la **cápsula ótica** ósea, que se puede aislar (esculpir) de la matriz circundante de hueso con un taladro dental.

La cápsula ótica suele ilustrarse e identificarse con el laberinto óseo; sin embargo, el laberinto óseo es un *espacio lleno de líquido*, rodeado por la cápsula ótica y se representa con más exactitud por un molde de la cápsula ótica después de extirpar el hueso circundante.

La **cóclea**. La cóclea es la porción del laberinto óseo, con forma de caparazón, que contiene el **conducto coclear** (fig. 7.80C), una parte del oído interno relacionada con la audición. El **conducto espiral de la cóclea** empieza en el vestíbulo y da dos vueltas y media alrededor de un centro óseo conocido como **modiolo** (fig. 7.81), un núcleo cónico de hueso esponjoso sobre el que gira el conducto espiral de la cóclea. El modiolo contiene conductos para los vasos sanguíneos y para la distribución del nervio coclear. El vértice del modiolo, cónico, al igual que el eje de la membrana timpánica, se dirige en sentido lateral, anterior e inferior. La 1ª vuelta espiral de la cóclea, grande, da lugar al **promontorio**

de la pared medial de la cavidad timpánica (fig. 7.77B). El laberinto óseo se comunica, en la 1ª espiral, con el espacio subaracnoideo situado encima del orificio yugular a través del **acueducto coclear** (fig. 7.76B); además, contiene la ventana redonda, que se cierra por la membrana timpánica secundaria.

El **vestíbulo**. Esta pequeña cámara ovalada (de unos 5 cm de longitud) contiene el **utrículo** y el **sáculo** (fig. 7.80C), elementos del aparato del equilibrio (laberinto membranoso). El vestíbulo se caracteriza por la ventana oval en su pared lateral, ocupada por la base del estribo. El vestíbulo se continúa con la cóclea ósea por delante, los conductos semicirculares óseos por detrás y la fosa craneal posterior a través del **acueducto del vestíbulo** (fig. 7.80A). El acueducto se extiende hasta la cara posterior de la porción petrosa del hueso temporal, donde desemboca posterolateral al **conducto auditivo interno** (fig. 7.80A). Por el acueducto pasa el **conducto endolinfático** (fig. 7.80D) y dos pequeños vasos sanguíneos.

Los **conductos semicirculares óseos**. Estos conductos (anterior, posterior y lateral) se comunican con el vestíbulo del laberinto óseo. Los conductos se sitúan posterosuperiores al vestíbulo, donde desembocan; se disponen de manera perpendicular (fig. 7.80B) y ocupan los tres planos del

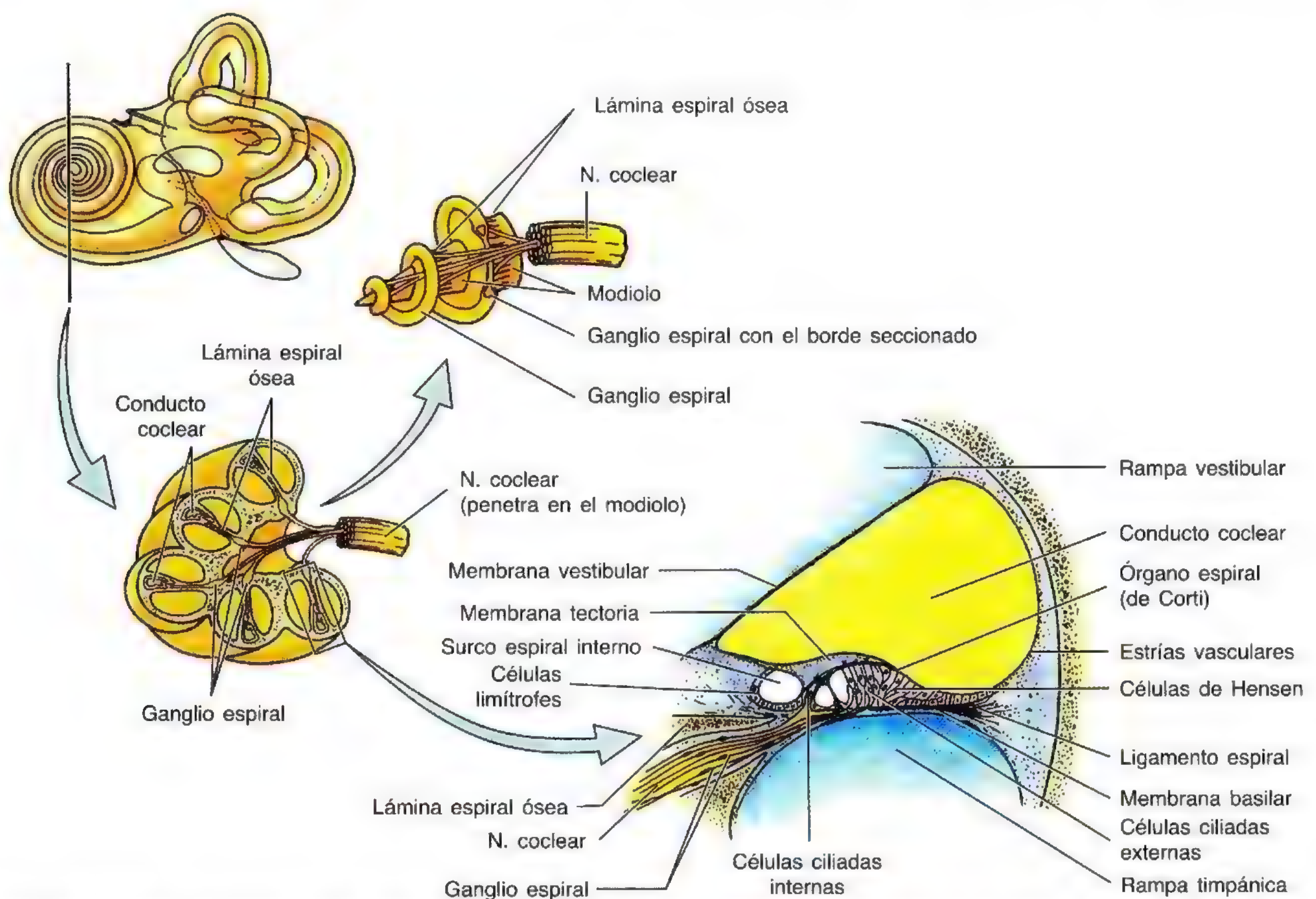


Figura 7.81. Estructura de la cóclea (caracol en griego). Se ha seccionado la cóclea por el eje alrededor del cual gira la cóclea (véase la figura orientativa en el ángulo superior izquierdo). Se muestra el cono óseo central de la cóclea –modiolo– después de extirpar las espirales cocleares y dejar tan sólo la lámina espiral, que lo rodea como la rosca de un tornillo. En el dibujo más grande se aprecian los detalles de la zona rectangular marcada. Se advierten el conducto coclear, la membrana basilar, el órgano espiral (de Corti) y la membrana tectoria.

espacio. Cada conducto semicircular óseo determina unos dos tercios de un círculo y mide casi 1,5 mm de diámetro, excepto en un extremo donde se observa un ensanchamiento, la **ampolla**. Los conductos óseos disponen de cinco orificios en el vestíbulo, porque los conductos anterior y posterior cuentan con una rama común a ambos. Alojados dentro de los conductos se encuentran los **conductos semicirculares membranosos** (fig. 7.80, C y D).

Laberinto membranoso

El laberinto membranoso se compone de una serie de sacos y conductos comunicantes suspendidos en el laberinto óseo (fig. 7.80C). El laberinto membranoso contiene *endolinfa*, un líquido acuoso de composición diferente a la de la *perilinf*a circundante que llena el resto del laberinto óseo. El *laberinto membranoso* que consta de dos divisiones, el laberinto coclear y el laberinto vestibular— *se compone de dos porciones*:

- *El laberinto vestibular*:
 - Utrículo y sáculo, dos pequeños sacos comunicantes del vestíbulo del laberinto óseo.
 - Los tres conductos semicirculares membranosos dentro de los conductos semicirculares óseos.
- *Laberinto coclear*:
 - Conducto de la cóclea.

El laberinto membranoso está suspendido (no “flota”) por el laberinto óseo; sus divisiones esenciales son el laberinto coclear y el laberinto vestibular.

El **ligamento espiral**, un engrosamiento espiral de la túnica perióstica del conducto coclear, *fija el conducto coclear al conducto espiral de la cóclea* (fig. 7.81). Los distintos elementos del laberinto membranoso crean un sistema cerrado de sacos y conductos que se comunican entre sí.

Los **conductos semicirculares membranosos** se abren hacia el utrículo a través de cinco orificios que reflejan el modo en que los conductos semicirculares óseos circundantes desembocan en el vestíbulo. El utrículo se comunica con el sáculo a través del **conducto utriculosacular**, del que emerge el **saco endolinfático** (fig. 7.81). El sáculo se continúa con el conducto coclear a través del **conducto reuniens**.

El **utrículo y el sáculo** disponen de áreas especiales de epitelio sensorial, las **máculas** (fig. 7.80). La **mácula del utrículo** está en el suelo del utrículo, paralelo a la base del cráneo, y la **mácula del sáculo** se coloca vertical en la pared medial del sáculo. Las células ciliadas de las máculas están inervadas por fibras de la división vestibular del **nervio vestibulococlear**. Las neuronas sensoriales primarias radican en los **ganglios vestibulares** (fig. 7.82), que están dentro del conducto auditivo interno. El **conducto endolinfático** atraviesa el *acueducto vestibular del laberinto óseo* (fig. 7.76B) y emerge a través del hueso de la fosa cranial posterior, expandiéndose en una bolsa ciega o **saco endolinfático** (figs. 7.80C y 7.82). Éste se localiza bajo la duramadre, en la cara posterior de la porción petrosa del hueso temporal. El saco endolinfático es un depósito que almacena el exceso de endolinfa producido por los capilares sanguíneos en el laberinto membranoso.

Cinetosis

Las **máculas del laberinto membranoso** representan, en principio, órganos estáticos con pequeñas partículas densas (otolitos) alojados entre las células ciliadas. Los **otolitos** determinan una flexión de las células ciliadas por efecto de la gravedad, que estimula el nervio vestibular y proporciona un conocimiento de la posición espacial de la cabeza; los cilios también responden a los movimientos rápidos de inclinación a la aceleración y deceleración lineales. La **cinetosis** (mareos) se debe sobre todo a la estimulación cambiante de las máculas. ❁

Los **conductos semicirculares membranosos**. Cada conducto semicircular membranoso dispone de una **ampolla** en un extremo (fig. 7.82), que contiene un área sensorial, la **cresta ampular**. Estas crestas son sensores que registran el movimiento de la endolinfa dentro de la ampolla por la rotación de la cabeza en el plano del conducto. Las células ciliadas de las crestas, como las de las máculas, estimulan las neuronas sensoriales primarias, cuyos cuerpos radican en *ganglios vestibulares*.

El **conducto coclear membranoso**. El conducto coclear membranoso es un tubo espiral ciego, con una sección triangular, suspendido con fuerza a través del conducto coclear óseo entre el **ligamento espiral** por la pared externa del conducto coclear óseo (fig. 7.81) y la **lámina espiral ósea** del modiollo. El conducto coclear membranoso y lleno de endolinfa, que se extiende por el conducto espiral de esta manera, divide el conducto espiral lleno de perilinfa en dos canales que se comunican en el vértice de la cóclea por el *helicotrema*. Las ondas de presión hidráulica creadas en la perilinfa del vestíbulo por las vibraciones de la base del estribo, ascienden hasta el vértice de la cóclea por uno de los canales, la *rampa vestibular*, luego pasan por el helicotrema y regresan a la 1ª espiral por el otro canal, la *rampa timpánica*. Aquí las ondas de presión se transforman de nuevo en vibraciones, esta vez de la *membrana timpánica secundaria*, que ocupa la ventana redonda. La energía recibida, en principio, por la membrana timpánica (primaria) se disipa finalmente en este lugar en el aire de la cavidad timpánica. El techo del conducto coclear membranoso está formado por la **membrana vestibular**. El suelo del conducto también lo forma una parte del conducto, la **membrana basilar**, más el borde externo de la lámina espiral ósea. El receptor de los estímulos auditivos es el **órgano espiral** (de Corti), situado en la membrana basilar. Está recubierto por la **membrana tectorial**, gelatinosa. El órgano espiral contiene células ciliadas, cuyas puntas quedan embutidas dentro de la membrana tectorial. El órgano espiral se estimula como consecuencia de la deformación del conducto coclear membranoso inducida por las ondas de presión hidráulica de la perilinfa, que ascienden y descienden por las rampas vestibular y timpánica circundantes.

Mareos y sordera

Las lesiones del sistema auditivo periférico dan tres síntomas fundamentales (Wazen, 1995): *sordera* (casi siempre, de conducción), *vértigo* (mareos), que se localiza en los conductos semicirculares, y *tinnitus* (acúfenos o zumbidos de oídos), si se localiza en el conducto coclear. El tinnitus y la sordera pueden obedecer a lesiones en cualquier parte de las vías auditivas periféricas o centrales. Se conocen dos tipos de sordera:

- La *sordera de conducción*, debida a algún problema del oído externo o medio que dificulte los movimientos de las ventanas oval o redonda. Estos enfermos suelen hablar con voz suave porque, para ellos, su propia voz resuena más que el sonido de fondo.
- La *sordera neurosensitiva* por defectos de la cóclea, nervio coclear, tronco encefálico o conexiones corticales.

Síndrome de Ménière

Este trastorno está relacionado con un *taponamiento del acueducto coclear* y se caracteriza por episodios recidivantes de acúfenos, sordera y vértigo. Los síntomas se acom-

pañan de una sensación de presión dentro del oído, alteración de los sonidos e hipersensibilidad a los ruidos (Wazen, 1995). Las personas afligidas presentan aumento del volumen endolinfático con deformidad en globo del conducto coclear, utrículo y sáculo.

Sordera para los tonos altos

La exposición persistente a tonos muy elevados provoca cambios degenerativos del órgano espiral, con la consiguiente *sordera para tonos altos*. Este tipo de sordera afecta en particular a los trabajadores expuestos a ruidos elevados que no llevan orejeras protectoras (p. ej., personas que trabajan durante mucho tiempo con motores de inyección).

Barotraumatismo ótico

La lesión producida en el oído por un desequilibrio entre la presión ambiental y la presión dentro del oído medio se denomina *barotraumatismo ótico* y suele afectar a los aviadores y buzos. ❀

El conducto auditivo interno

El conducto auditivo interno es un conducto estrecho con un curso lateral de 1 cm aproximadamente en el interior de la porción petrosa del hueso temporal (fig. 7.80A). La abertura del conducto se encuentra en la porción posteromedial del hueso, en línea con el conducto auditivo externo. El conducto auditivo interno está cerrado a los

lados por una fina lámina perforada de hueso que lo separa del oído interno. A través de esta lámina pasan el nervio facial, ramos del nervio vestibulococlear y vasos sanguíneos. El nervio vestibulococlear se divide cerca del extremo lateral del conducto auditivo interno en dos partes, un nervio coclear y un nervio vestibular (fig. 7.82).

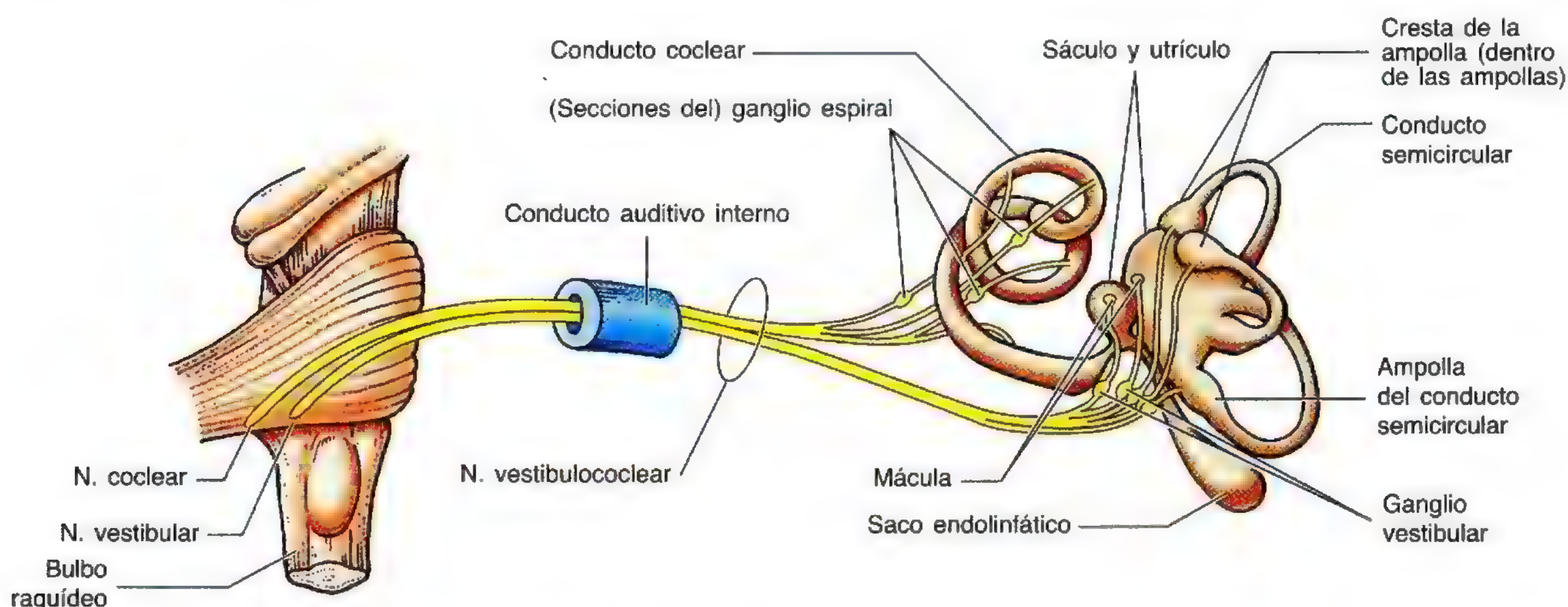


Figura 7.82. El nervio vestibulococlear (NC VIII). Obsérvese que consta de dos porciones: el nervio coclear o nervio de la audición y el nervio vestibular o nervio del equilibrio. Los cuerpos celulares de las fibras sensoriales (y sólo de éstas) que comprenden las dos porciones del nervio constituyen los ganglios espiral y vestibular.

Imágenes médicas de la cabeza

Radiografía

Las proyecciones radiológicas habituales para examinar el cráneo son la lateral, la posteroanterior (PA), la anteroposterior (AP) y la axial. Las radiografías de cráneo representan un método fidedigno para detectar las fracturas de cráneo. Como la forma del cráneo es muy variable, hay

que examinar la radiografía con cuidado para descubrir las anomalías. Algunos estados patológicos producen un aumento de tamaño de la cabeza (*hidrocefalia*) o bien una disminución (*microcefalia*). Muchas veces se requieren proyecciones laterales para examinar la bóveda craneal pero también para el estudio de las estructuras de la base del cráneo (fig. 7.83). El esqueleto de la cara de los adultos corresponde aproximadamente a la mitad del cráneo pero en los niños el área facial es más pequeña.

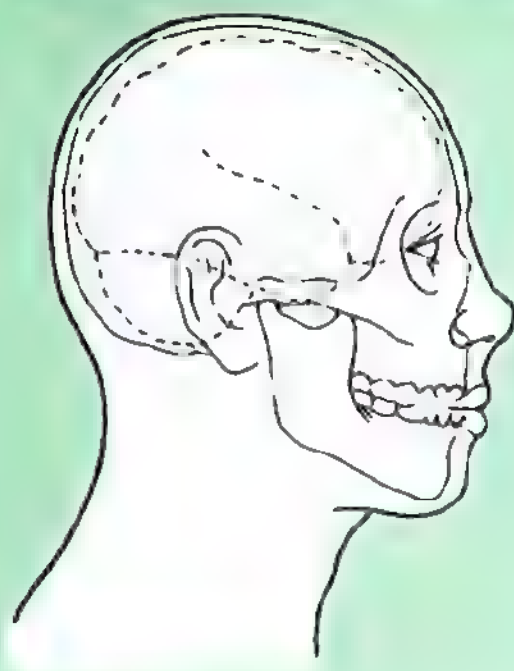


Figura 7.83. Radiografía lateral de cráneo.

Obsérvense los senos paranasales: frontal (F), etmoidal (E), esfenoidal (S) y maxilar (M). Se aprecian también la fosa hipofisaria (H) para la hipófisis, la densidad importante de la porción petrosa del hueso temporal (T) y las celdas mastoideas (Mc). Las porciones o láminas orbitarias derecha e izquierda del hueso frontal no se han superpuesto y, por esta razón, el suelo de la fosa craneal anterior se muestra como dos líneas (L). La figura contiene también los surcos óseos de las ramas de los vasos meníngeos medios (Mn), el arco del atlas (A) y la nasofaringe (N). (Cortesía del Dr. E. Becker, Profesor Ayudante de Imagen Diagnóstica, Universidad de Toronto, Toronto, Ontario, Canadá.)

► La calota de un adulto tiene un grosor de 3 a 8 mm, que aumenta sobre todo en torno a la protuberancia occipital externa. Obsérvense las estructuras de la figura 7.83, en particular la *fosa hipofisaria* (*H*) para la glándula pituitaria y los surcos para las ramas de los *vasos menínges medios* (*Mn*). Estos vasos suelen desgarrarse cuando se recibe un golpe (p. ej., con una piedra) en la fosa temporal. Obsérvense también los senos frontal (*F*), etmoidal (*E*), esfenoidal (*S*) y maxilar (*M*).

Para examinar las órbitas, la región nasal y algunos senos paranasales se emplean, asimismo, proyecciones AP (fig. 7.84). En estas proyecciones, el diente del axis (2ª vértebra cervical) y las masas laterales del atlas (1ª vér-

tebra cervical) se superponen al esqueleto de la cara. Obsérvese cómo los senos frontales derecho e izquierdo tienen un tamaño diferente, algo normal. Nótese, además, el ala menor del esfenoides (*S*), la fisura orbitaria superior (*Sr*) y los cornetes inferior y medio (*I*) en la pared lateral de la nariz.

Para visualizar las arterias cerebrales se inyecta un medio de contraste radiopaco en la arteria carótida y se toman radiografías, es decir, **arteriografías carotídeas** (fig. 7.85). Las cuatro I de la arteriografía indican las partes de la arteria carótida interna. El tipo de radiografía ayuda a detectar los aneurismas cerebrales y las malformaciones arteriovenosas. ►

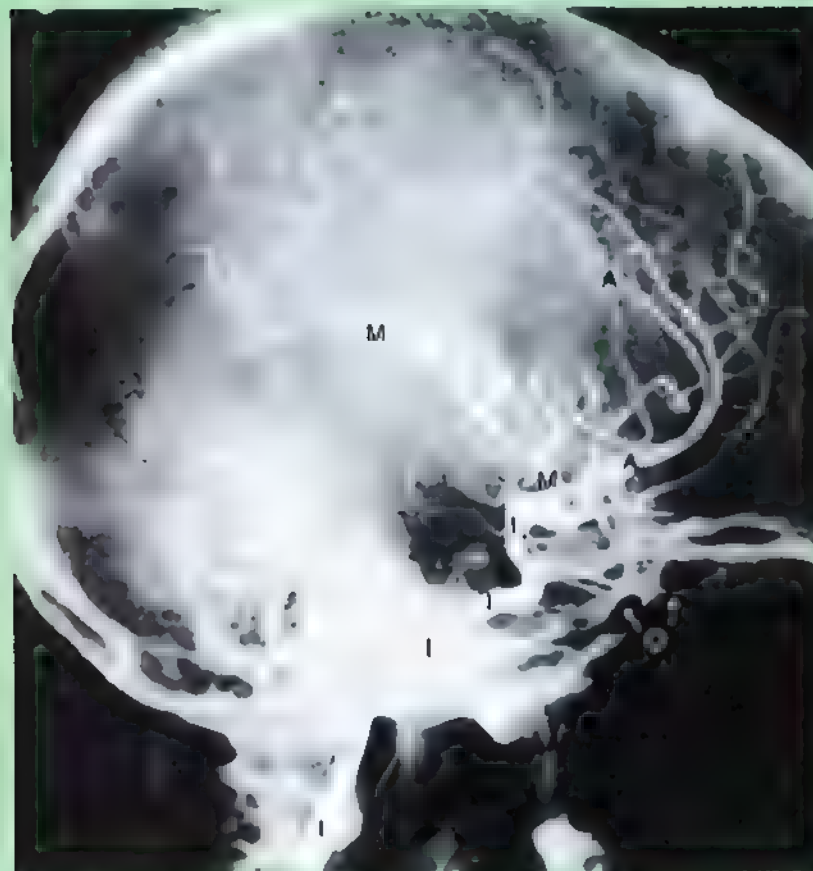


Visión anterosuperior

Figura 7.84. Radiografía de cráneo. Visión anteroposterior (AP). Se aprecian la fisura orbitaria superior (*Sr*), las alas menores del esfenoides (*S*) y la cara superior de la porción petrosa del hueso temporal (*T*). Asimismo, se advierte como el tabique nasal está formado por la lámina perpendicular del etmoides (*E*) y el vómer (*V*). Examínense los cornetes inferior y medio (*I*) de la pared lateral de la nariz, la apófisis *crista galli* (*C*), el seno frontal (*F*) y el seno maxilar (*M*). Superpuesto al esqueleto de la cara (cráneo visceral o esplácnico) se encuentra el diente (*D*) y las masas laterales del atlas (*A*). (Cortesía del Dr. E. Becker, Profesor Ayudante de Imagen Diagnóstica, Universidad de Toronto, Toronto, Ontario, Canadá.)



(A) Visión posteroanterior



(B) Visión lateral

Figura 7.85. Arteriografía carotídea. A. Visión posteroanterior (PA). B. Visión lateral. Observe la columna vertebral que entra en las porciones de la arteria carótida interna (cervical) antes de entrar en el cráneo, penetra dentro de hueso temporal, cavernosa, dentro del seno cavernoso y cerebral dentro del espacio subaracnoideo (leptomeningeo) craneal. Se aprecian también la arteria cerebral anterior y sus ramas (A), la arteria cerebral media y sus ramas (M), la arteria oftálmica (O). (Cortesía de Dr. D. Armstrong, Profesor Ayudante de Imagen Médica, Universidad de Toronto, Toronto, Ontario, Canadá.)

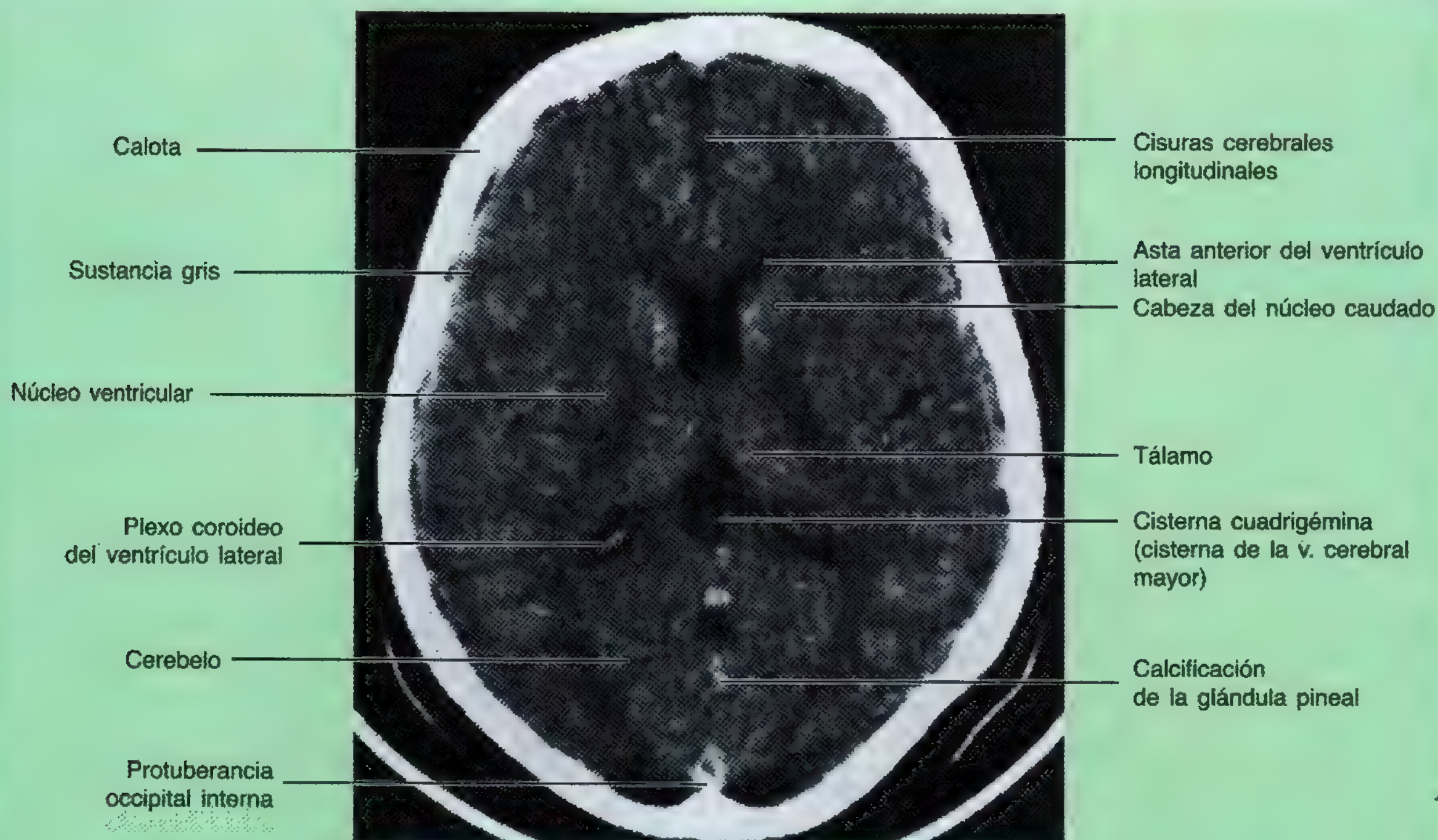


Figura 7.86. Imagen de TC transversal del cerebro. Se observan los ventrículos, algunas porciones del cerebro y el plexo coroideo del ventrículo lateral.

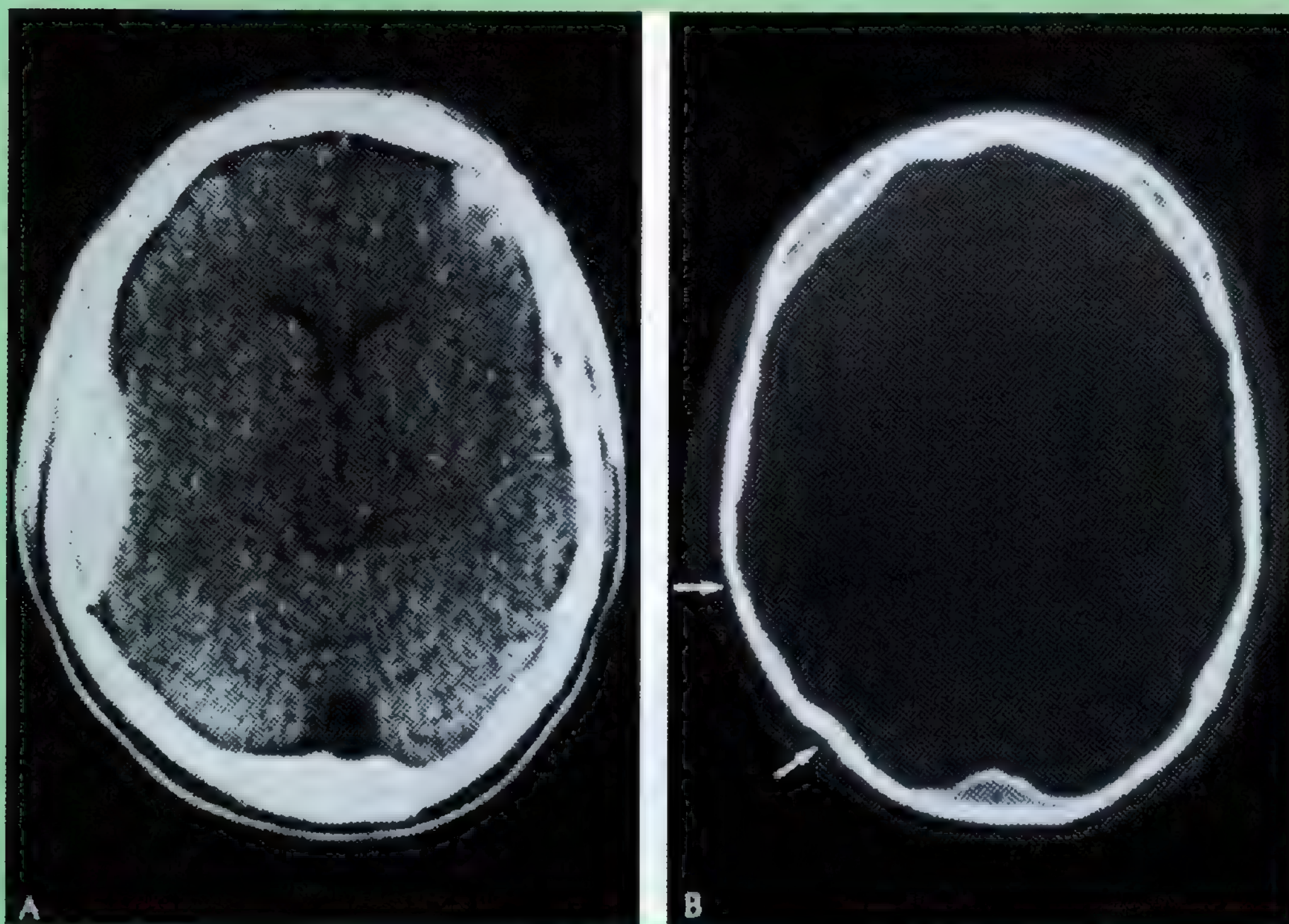


Figura 7.87. Hematoma extradural (epidural). Imagen de TC transversal de la calota y del cerebro. **A.** El área blanca grande de la derecha señala el lugar de la hemorragia extradural. **B.** Esta imagen de TC con ventanas óseas revela dos fracturas adyacentes (*flechas*) de la calota; la fractura anterior se encuentra en el surco de la arteria menígea media.

Tomografía computarizada

La TC es un método privilegiado para el diagnóstico neurológico (fig. 7.86); es más rápido y menos costoso que la resonancia magnética (RM) y proporciona más información que las radiografías simples de cráneo. "Las enormes ventajas de la TC consisten en su velocidad y comodidad para la obtención de cada imagen, es decir, evita molestias y desplazamientos al paciente" (Chan y cols., 1995). Por razones de costo, velocidad y disponibilidad, la TC se utiliza mucho para el estudio de los traumatismos craneales. Resulta muy útil para los pacientes con inestabilidad neurológica o médica, poco colaboradores o claustrofóbicos, así como para aquellos con marcapasos u otros implantes metálicos (Chan y cols., 1995). La TC permite el diagnóstico de *hematoma extradural o epidural* (figs. 7.87 y 7.88). Si la lesión es más grave significa que están desgarradas las meninges y la corteza cerebral. Las hemorragias traumáticas casi siempre provocan hematomas del hemisferio cerebral, ganglios basales y tronco encefálico (fig. 7.89).

Resonancia magnética

La RM ofrece mucho más detalle de los tejidos blandos que la TC (figs. 7.89 y 7.90). "La RM es el patrón oro para la detección y caracterización de las lesiones intra-

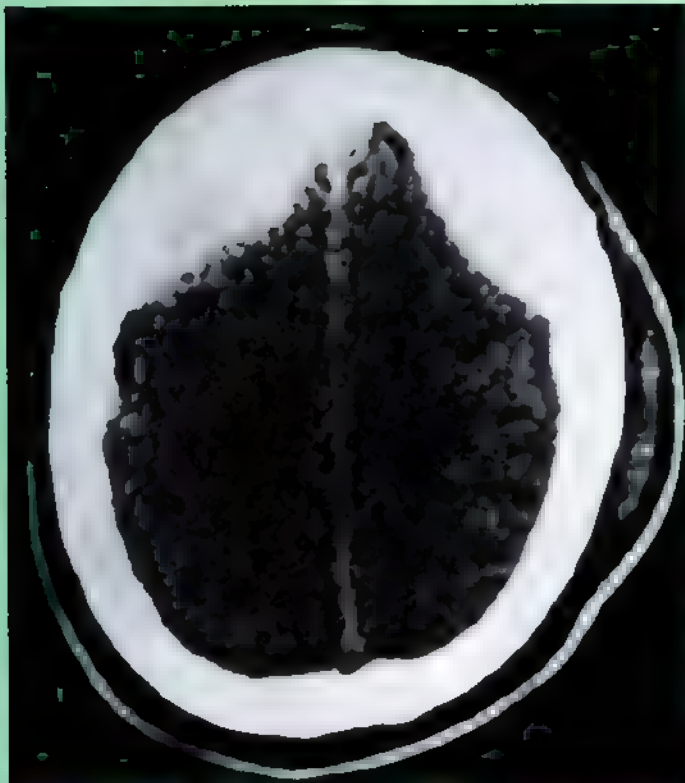


Figura 7.88. Traumatismo cerebral. Esta imagen de TC transversal revela hematomas extradurales (epidurales) agudos y bilaterales. En la izquierda se aprecia, además, un edema extracraneal de los tejidos blandos.

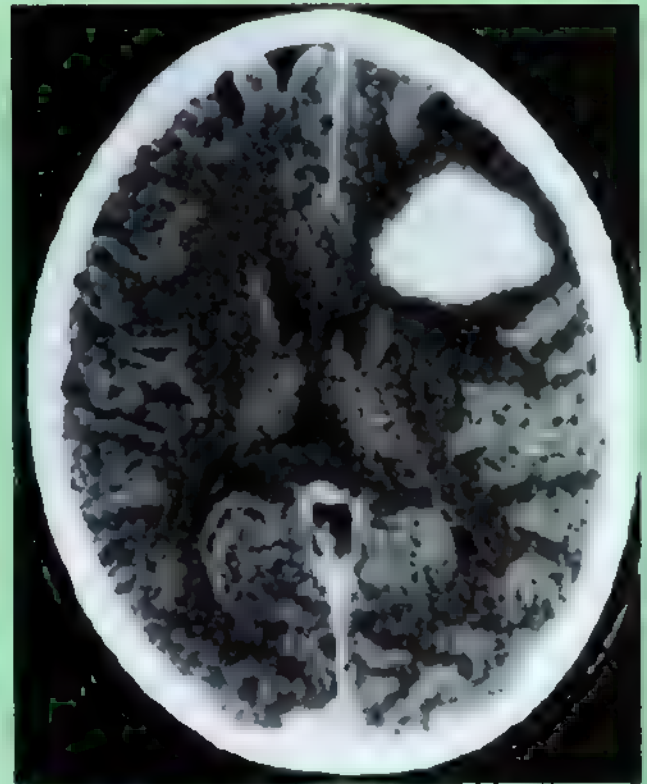


Figura 7.89. Hemorragia traumática del lóbulo frontal. Esta imagen sin contraste de TC muestra una densidad (hemorragia) en el lóbulo frontal izquierdo, una zona circundante transparente (edema) y un efecto de masa (borramiento de los surcos y ventrículos). (Cortesía de los Dres. S.K. Hilal y J.A. Bello.)

craneales y medulares" (Chan y cols., 1995). La RM suministra un contraste adecuado de los tejidos blandos en condiciones normales y patológicas (fig. 7.91). Además, tiene capacidad multiplanar, es decir, suministra una información tridimensional y de las relaciones que no resulta fácil con la TC (Mohr y Prohovnik, 1995). La RM también revela el flujo de sangre y de LCR. La *hidrocefalia normotensa* —una forma oculta de hidrocefalia— es una causa potencialmente tratable de demencia (Prockop, 1995), que se puede detectar en una RM potenciada en T₂ (fig. 7.92). Este síndrome suele seguir a traumatismos craneales, hemorragias subaracnoideas o meningitis. La *angiografía por resonancia magnética* (ARM) ayuda a establecer la permeabilidad de los vasos del circuito arterial del cerebro. Permite detectar obstrucciones agudas de los principales vasos de este circuito y de la arteria basilar, pero no tanto de las pequeñas ramas (Chan y cols., 1995).

Ecografía

La ecografía ayuda a evaluar la hemorragia subependimaria e intraventricular de los lactantes prematuros de alto riesgo y a vigilar la posterior aparición de hidrocefalia. La ecografía exige una manipulación mínima de los lactantes con enfermedades críticas. ☉

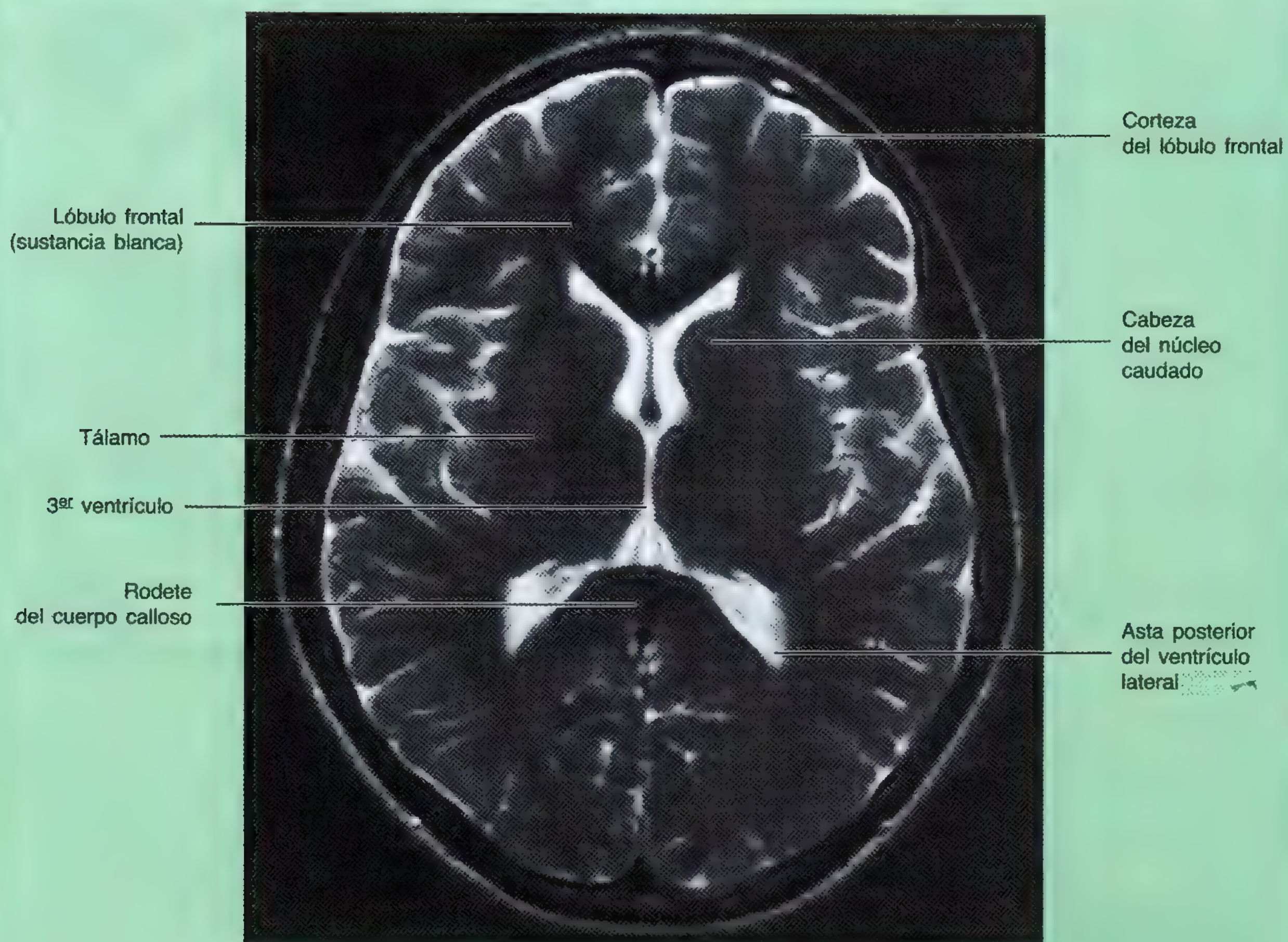


Figura 7.90. RM transversa de cráneo. Obsérvense el tálamo, el núcleo caudado y las porciones del sistema ventricular, por ejemplo, del 3er ventrículo.

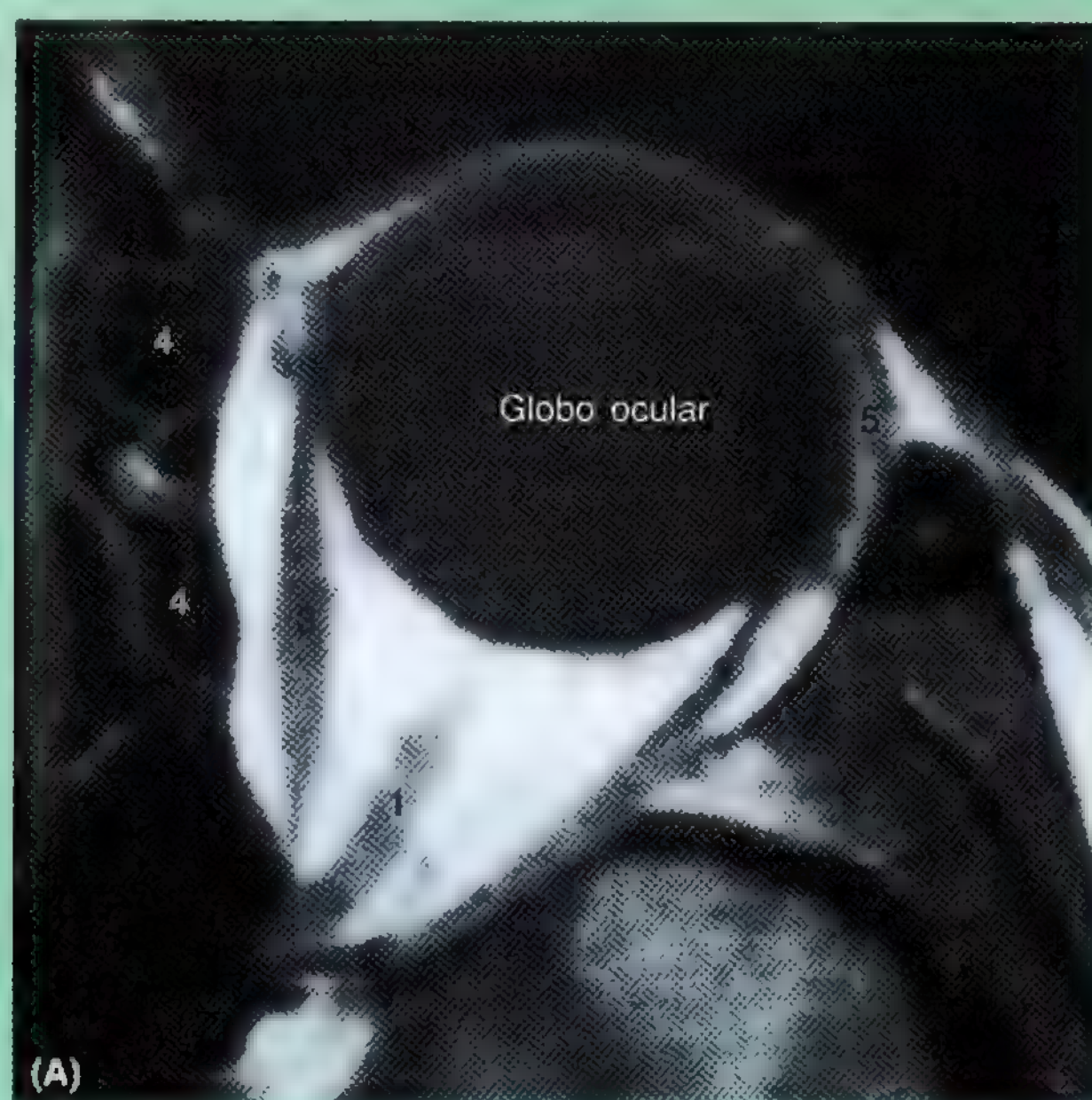


Figura 7.91. RM de la órbita y de la articulación temporomandibular (ATM). A. RM transversal de la órbita. 1, nervio óptico; 2, músculo recto lateral; 3, músculo recto medial; 4, celdas etmoidales; 5, glándula lacrimal.

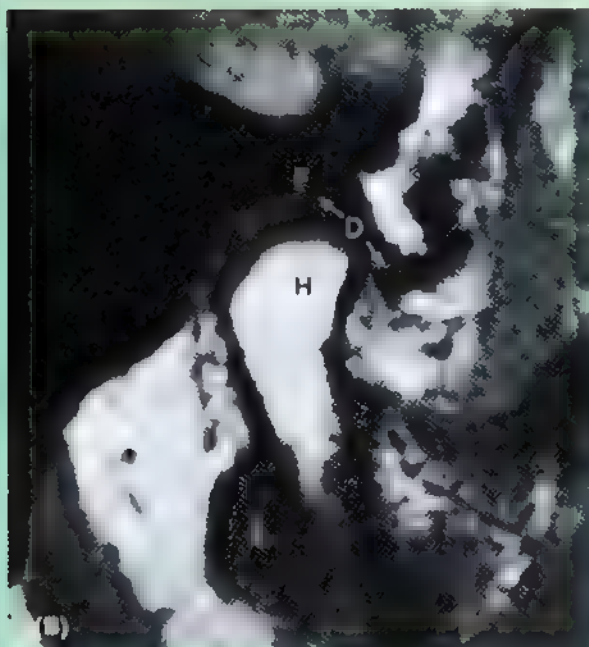


Figura 7.91. (Continuación). **B.** RM sagital de la ATM con la boca cerrada. Nótese la posición del disco articular (D) en relación con la cabeza de la mandíbula (H) y la fosa mandibular (F) del hueso temporal (Cortesía del Dr W Kucharczyk, Director de Centro de Imagen Diagnóstica, Universidad de Toronto y Director Clínico de Centro Tri-hospitalario de Resonancia, Toronto, Ontario, Canadá.)

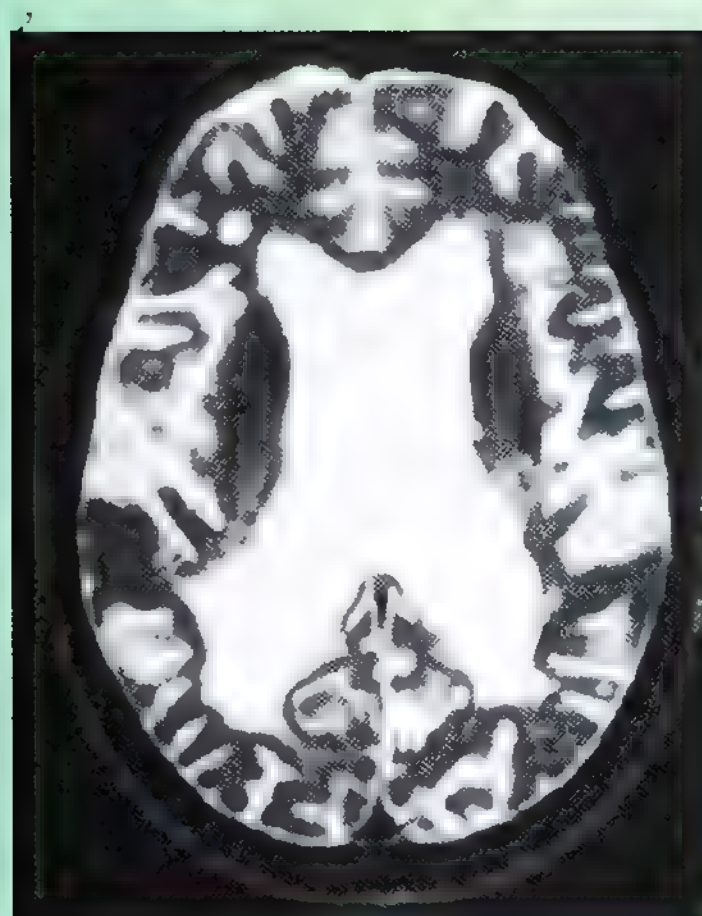


Figura 7.92. Hidrocefalia con presión normal. Esta imagen de RM axial potenciada en T₂ muestra una dilatación bilateral de los ventrículos.

ESTUDIO DE CASOS CLÍNICOS

Caso 7.1

Durante un ejercicio de bateo, una bola con rebote hacia atrás golpeó el lado izquierdo de la cabeza de un jugador cercano. Éste cayó al suelo y perdió el conocimiento durante más de 3 minutos. En la exploración inicial, efectuada por el entrenador, la piel no se había lesionado, aunque había aparecido una tumefacción en la fosa temporal. El jugador refería un intenso dolor de cabeza, desorientación y visión borrosa. La pupila izquierda estaba algo dilatada y respondía de manera perezosa a la luz.

Problemas clinicoanatómicos

- ¿Cuál de los signos mencionados antes indica una posible fractura craneal y hematoma extradural (epidural)?
- ¿Qué rama arterial se ha podido desgarrar? ¿Dónde se localiza? ¿Cuál es el tipo más frecuente de fractura craneal? ¿Dónde se acumula la sangre?
- Si hubiera asistido al entrenamiento y observado los signos citados, ¿cómo habría actuado?
- ¿Cómo cree que el neurocirujano puede extirpar el hematoma?

Estos problemas se comentan en la página 1006.

Caso 7.2

Un joven jugador participaba en un partido de hockey de "repecha" y fue golpeado, cayendo al suelo. No llevaba casco y la cabeza chocó violentamente contra el hielo. Al principio quedó aturdido y dijo que "veía las estrellas". Durante unos 20 segundos estuvo viendo de manera borrosa. Se dirigió patinando hasta el banquillo y no mostró ningún otro signo de lesión, salvo una cefalea persistente.

Problemas clinicoanatómicos

- ¿Cree usted que este jugador se ha fracturado la bóveda del cráneo? Explique su respuesta.
- ¿Qué puede indicar la persistencia del dolor de cabeza?
- Si detectara en esta persona un goteo de líquido claro por la nariz, ¿cuál cree que sería su origen?

Estos problemas se exponen en la página 1006.

Caso 7.3

Un jugador de hockey recibió un codazo violento en la parte inferior de la cara durante una refriega en la esquina de la pista. Empezó a sangrar por la boca de manera profusa y no podía cerrar la mandíbula.

Problemas clinicoanatómicos

- ¿Qué hueso se ha podido fracturar?
- La pérdida de integridad de la mandíbula determina un cambio de la mordida. ¿Cómo se denomina este estado? ¿Cuáles son las consecuencias de esta deformidad?

- ¿Qué otras estructuras se han podido fracturar? Comente estas lesiones.

Estos problemas se describen en la página 1006.

Caso 7.4

Un bateador de béisbol recibió un impacto en la parte superolateral del pómulo derecho por una bola rápida. El pómulo se aplanó y hundió, pero pronto aparecieron tumefacción y equimosis alrededor del ojo. El jugador se quejaba de mareos, visión doble con el ojo derecho y acorchamiento en el pómulo.

Problemas clinicoanatómicos

- ¿Cuál es el hueso que, en principio, se fractura con más frecuencia en estos casos?
- ¿Qué otros huesos han podido fracturarse?
- ¿Cuál es la fractura más común de la parte superior del pómulo?
- ¿Qué síntomas sugieren una lesión del ojo y de la órbita?

Estos problemas se narran en la página 1007.

Caso 7.5

Un torpadero (parador corto o "shortstop") recibió un golpe en la cara lateral de la nariz al atrapar una pelota de campo, debido al rebote inesperado de la misma. Tenía la nariz deformada y los huesos nasales desplazados. Asimismo, presentaba una rotura de los cartílagos de la nariz, *epistaxis* (con sangrado a chorro por la nariz) y obstrucción de la vía respiratoria nasal.

Problemas clinicoanatómicos

- ¿Son frecuentes las fracturas nasales en los deportes de contacto?
- ¿En qué consiste la epistaxis?
- ¿Cuál es la causa del sangrado nasal en chorro?
- ¿Qué vasos suelen desgarrarse?
- ¿Cuál es la causa de la obstrucción de la vía respiratoria nasal?
- Si la fractura nasal se extendiera hasta el cráneo, ¿cuál podría ser la consecuencia?

Estos problemas se comentan en la página 1007.

Caso 7.6

Un joven de 16 años es remitido al dermatólogo para el tratamiento de un acné grave (*acné vulgar*). La médico observa un absceso (forúnculo) en el ala de la nariz con la característica "punta" amarilla. Administra tratamiento antibiótico al muchacho y le previene de que no se suene ni exprima el forúnculo, porque podría propagar la infección a las meninges (meningitis) y al encéfalo (*encefalitis*).

Problemas clinicoanatómicos

- Describa el triángulo peligroso de la cara.

- Explique, en términos anatómicos, cómo se extiende una infección desde la nariz hasta las meninges y el cerebro.
- Exponga las posibles consecuencias de una infección meningea.

Estos problemas se describen en la página 1007.

Caso 7.7

Una patinadora de esquí artístico se cae sobre el hielo, golpeándose la nuca. No pierde el conocimiento, pero se encuentra algo confusa y se queja de mareos pasajeros. Las pupilas parecen normales. El edema de la nuca, del tamaño de un puño, se encuentra tenso. El médico que la examina dice que probablemente sufra un hematoma del cuero cabelludo, pero que vigilará su estado durante algunas horas.

Problemas clínicoanatómicos

- ¿En qué parte del cuero cabelludo parece localizarse el hematoma?
- ¿Qué limita la extensión del hematoma superficial del cuero cabelludo?
- ¿Cuál sería el tratamiento inicial en este caso?

Estos problemas se describen en la página 1007.

Caso 7.8

Una mujer joven se golpea la cabeza con el cuadro de mandos del automóvil durante una colisión frontal. A continuación sufre un desgarramiento de la parte frontal del cuero cabelludo con sangrado abundante. La herida se lava con suero fisiológico y se cubre con una venda estéril. Cuando la mujer llega al hospital tiene los dos ojos morados. En la exploración posterior no se aprecia ninguna lesión ocular.

Problemas clínicoanatómicos

- ¿Cómo se podría controlar la herida del cuero cabelludo?
- ¿Cuál es la base anatómica de esta intervención?
- ¿Cómo puede pasar la sangre a los ojos si no existe una lesión de la región orbitaria?

Estos problemas se exponen en la página 1007.

Caso 7.9

Un hombre de 58 años acude al médico por una tumefacción marcial situada delante del lóbulo de la oreja. Dice que ha crecido mucho en los últimos dos meses y que nota una debilidad en esta parte de la cara, así como dificultades al tratar de sonreír. La exploración física y los estudios anatomopatológicos revelan un carcinoma de la glándula parótida.

Problemas clínicoanatómicos

- ¿Cómo puede causar este tumor una debilidad de la cara y crear dificultades para sonreír?
- ¿Adónde metastatizarían las células tumorales de esta glándula?
- ¿Podría ser permanente la parálisis facial?

Estos problemas se comentan en la página 1007.

Caso 7.10

Un hombre anciano acude al médico con una tumefacción, del tamaño de un guisante, detrás del pabellón auricular. En la exploración física de la oreja y del cuero cabelludo se aprecia un quiste sebáceo infectado en la región temporal.

Problemas clínicoanatómicos

- ¿De qué manera puede una infección en la región temporal causar un edema detrás del pabellón auricular?
- ¿Qué otro tipo de infección podría ocasionar una tumefacción detrás de la oreja?

Estos problemas se exponen en la página 1007.

Caso 7.11

Una mujer joven, en fase de convalecencia de un resfriado grave con "taponamiento" de la nariz, refiere a un médico dolor en el maxilar. Dice que acude al dentista, pero que éste no observó ninguna infección dental.

Problemas clínicoanatómicos

- ¿Qué estructuras del maxilar superior se pueden infectar y ocasionar dolor en esta región?
- ¿Qué estructuras dentales podrían infectarse y producir este tipo de dolor facial?

Estos problemas se exponen en la página 1008.

Caso 7.12

Al cruzar la calle, un hombre de 63 años fue golpeado por una motocicleta. Se queja sobre todo de sangrado en la cabeza. Tras su traslado al servicio de urgencias de un hospital se encuentra una herida profunda del cuero cabelludo, que se trata.

Problemas clínicoanatómicos

- ¿Por qué sangra tanto el cuero cabelludo?
- ¿Por qué las heridas profundas del cuero cabelludo requieren siempre sutura con grapas?
- ¿Por qué las heridas profundas del cuero cabelludo resultan potencialmente graves?

Estos problemas se exponen en la página 1008.

Caso 7.13

Un hombre de 26 años es trasladado al servicio de urgencias tras recibir un golpe en el ojo con un taco de billar durante una reyerta. Al examinar el ojo no se observa ninguna lesión grave, salvo hemorragia en la cámara anterior. El médico, preocupado por el estado ocular, remite al paciente al oftalmólogo.

Problemas clínicoanatómicos

- ¿Qué tipo de fractura orbitaria puede haber sucedido?
- ¿Cómo puede un traumatismo no penetrante ocasionar problemas oculares graves?

Estos problemas se exponen en la página 1008.

Caso 7.14

Un muchacho acude al pediatra por una otalgia grave. En la exploración otoscópica se observa que la membrana timpánica está prominente e inflamada. La madre dice al médico que el muchacho acaba de recuperarse de un resfriado y faringitis graves.

Problemas clinicoanatómicos

- ¿Dónde cree que se encuentra la infección del oído?
- ¿Cómo se denomina este tipo de inflamación?
- Si no se trata de manera adecuada, ¿adónde podría diseminarse la infección del oído?
- ¿Cómo podría una infección faríngea determinar una inflamación y prominencia de la membrana timpánica?

Estos problemas se exponen en la página 1008.

Caso 7.15

Una mujer de 27 años, que ha sufrido un accidente de motocicleta, es trasladada al servicio de urgencias de un hospital. Presenta desgarros faciales, pero sin ninguna fractura aparente. En la exploración ocular se observa un estrabismo interno del ojo derecho.

Problemas clinicoanatómicos

- ¿Qué significado tiene el estrabismo?
- ¿Qué nervio craneal se daña y produce esta anomalía ocular?
- ¿Qué músculo se encuentra paralizado?

Estos problemas se exponen en la página 1008.

Caso 7.16

La esposa de un viajante de comercio de 45 años se despertó asustada al oír la naturaleza tan extraña de su ronquido y cómo dormía con el ojo izquierdo abierto. A la mañana siguiente comprobó que se le caía el lado izquierdo de la cara. El enfermo al tratar de examinar sus dientes observó una parálisis de la mitad izquierda del labio. Además, no podía silbar ni soplar, porque el aire se le escapaba por el lado izquierdo. Tampoco podía levantar las cejas ni fruncir el ceño del lado izquierdo. Al desayunar tuvo problemas para masticar los alimentos, que resbalaban por el lado izquierdo de la boca. Temiendo que hubiera sufrido un leve ictus durante la noche, concertó una cita con su médico.

Exploración física. Durante la exploración, el médico efectuó las siguientes observaciones: falta de expresión y aplanamiento de la hemicara izquierda en reposo; borramiento de las líneas del lado izquierdo de la frente; hundimiento de la mitad inferior izquierda de la cara y salida de saliva por la comisura oral izquierda. Además, el enfermo mostraba una pérdida de la sensación del gusto de los dos tercios anteriores del lado izquierdo de la lengua y una ausencia de control voluntario de los músculos faciales y platismo del lado izquierdo. Al sonreír, la porción inferior de la cara se desvió hacia el lado normal con elevación del ángulo derecho de la boca, pero no del izquierdo. Durante la anamne-

sis, el paciente relató que al regresar en su coche la última noche tuvo que bajar la ventana como consecuencia del mareo que sentía. Asimismo, recordaba que había tenido un importante resfriado y una infección de oído algunos días antes. El médico que le trató le dijo que su proceso obedecía a una infección vírica.

Diagnóstico. Parálisis de Bell.

Problemas clinicoanatómicos

- ¿Qué tipo de nervio provoca los signos que presenta este paciente cuando se paraliza?
- ¿Por qué mantenía el ojo izquierdo abierto, a pesar de estar dormido?
- ¿Cuál es la razón de la pérdida de la sensibilidad y del gusto en los dos tercios anteriores de la mitad izquierda de la lengua?
- ¿Cuál es la localización más probable de la lesión nerviosa?
- ¿Se trata de una parálisis permanente?

Estos problemas se exponen en la página 1008.

Caso 7.17

Un varón de 62 años consultó al dentista por la aparición de brotes súbitos y breves de dolor insoportable en el lado izquierdo de la cara, desde aproximadamente dos meses antes; el dolor había ido aumentando de intensidad. El dentista, después de la exploración, le indicó que la causa del dolor no era dental. Además, en su opinión, el trastorno probablemente era neurológico, por lo que debía acudir al médico.

Exploración física. El enfermo consultó al médico, indicando que el dolor, de naturaleza punzante, duraba 15 a 20 segundos y aparecía varias veces al día. En ocasiones se hacía tan insoportable, que había pensado incluso en el suicidio. Aparentemente, el dolor se iniciaba con la masticación o al recibir un soplo de aire frío en el labio superior. Al preguntar el médico que señalara el punto más doloroso, el enfermo apuntó a la mitad izquierda del labio superior y la mejilla izquierda. Por otra parte, el dolor se irradiaba también al párpado inferior, cara lateral de la nariz y cara interna de la boca. El médico aplicó una compresión constante y firme sobre la mejilla izquierda del paciente y el área infraorbitaria, pero no detectó ninguna respuesta dolorosa que sugiriera una inflamación del seno maxilar. Durante la exploración se observó una hipersensibilidad al tacto (*hiperestesia*) en la mitad izquierda del labio superior y al dolor (pinchazo) en toda la región maxilar izquierda, pero ninguna anomalía en la sensibilidad de la región frontal o mandibular.

Diagnóstico. Neuralgia del trigémino.

Problemas clinicoanatómicos

- ¿Cuál es la rama del nervio craneal que inerva el área de la piel y la mucosa donde ocurrieron los *paroxismos* (ataques bruscos y recidivantes) de dolor punzante?
- ¿Por dónde sale este nervio del cráneo?

- ¿Cuáles son sus ramas y cómo se distribuyen?

Estos problemas se exponen en la página 1009

Caso 7.18

Un granjero de 55 años consultó al médico por una lesión del labio inferior, de 6 meses de evolución. En principio pensó que se trataba de un herpes y después comenzó a preocuparse porque el aspecto era diferente.

Exploración física. A la exploración, el médico observó una lesión ulcerada e indurada en la porción central del labio inferior. Se trataba de un enfermo con una coloración morena de la piel de la cara. La palpación de los ganglios linfáticos cervicales reveló *adenopatías submentonianas duras*. No se observaron adenopatías submandibulares ni tampoco cervicales profundas. Se tomó una biopsia de la lesión labial.

Diagnóstico. El estudio de una pequeña biopsia del borde de la lesión reveló un *carcinoma epidermoide* (tumor maligno de origen epitelial).

Problemas clinicoanatómicos

- ¿En qué ganglios linfáticos drena la rama de labio inferior?
- ¿Entre los vientres de qué músculo se encuentran?
- ¿Qué estructuras, además de la porción central del labio drenan los vasos linfáticos de estos ganglios?
- ¿A qué ganglios linfáticos se dirigen los vasos de la porción lateral del labio?
- Si el cáncer se hubiera extendido desde los ganglios linfáticos submentonianos, ¿dónde cabría esperar metástasis?

Estos problemas se exponen en la página 1009

Caso 7.19

Un estudiante de medicina de 22 años recibió un golpe con un *puck* en la "sena" izquierda durante un partido de hockey de la facultad. Inmediatamente después cayó inconsciente sobre el hielo, pero recuperó el conocimiento al cabo de un minuto. El enfermo mostraba cierta hemorragia a partir de la laceración producida por el golpe y situada aproximadamente 3 cm por encima del arco cigomático izquierdo. La herida se extendía desde la porción superior del pabellón auricular casi hasta la ceja. Al tratar usted de ayudarlo para alcanzar el banquillo le indicó que se sentía débil y mareado. Al darse usted cuenta de que podía haber sufrido una fractura de cráneo, le rogó a un compañero que llamara a un médico mientras usted se lo llevaba al vestuario. Al proseguir la exploración, los reflejos tendinosos profundos eran simétricos en las extremidades superiores e inferiores. Las pupilas se hallaban isocóricas y con buena respuesta fotomotora. Aproximadamente a la media hora comenzó a dormirse y le indicó que quería tumbarse. En ese momento, la pupila izquierda se había dilatado discretamente y mostraba una respuesta perezosa a la luz. En el momento en que llegó el médico su amigo se hallaba inconsciente.

Exploración física. El médico observó que la pupila del lado izquierdo estaba completamente dilatada y no respondía a la luz, mientras que la del lado derecho se hallaba discretamente dilatada y mostraba una respuesta fotomotora normal. El médico advirtió: "¡Debemos llevarle inmediatamente al hospital!"

Estudio radiológico. En el hospital se le practicaron diversas radiografías de cráneo y una TC de la cabeza. El médico, convencido de que el paciente presentaba una hemorragia intracraneal, llamó al neurocirujano. Cuando acudió el especialista, el radiólogo revisó las radiografías e imágenes de la TC con él.

Diagnóstico. Fractura de la escama temporal, posterior al pterión, y hematoma extradural (epidural) (fig. 7.93).

Problemas clinicoanatómicos

- Defina la región conocida como sien.
- Defina la zona craneal conocida como pterión.
- ¿En qué porción de la fosa temporal se encuentra?
- ¿Cuál es la importancia clínica del pterión?
- ¿Cuál es la arteria que con más frecuencia se desgarró?
- ¿Qué otro vaso pudo desgarrarse?
- ¿Dónde se acumula la sangre?
- ¿Cuáles son las diferencias entre el hematoma extradural y subdural?
- ¿Cuál es el efecto más común de hematoma extradural sobre el encéfalo?

Estos problemas se exponen en la página 1009

Caso 7.20

Una mujer de 49 años comenzó con una cefalea pulsátil, de aproximadamente 30 minutos de duración, que fue desapareciendo lentamente. Este mismo dolor se presentó de manera esporádica durante la siguiente semana. Uno de los días, mientras levantaba una silla pesada, experimentó una cefalea brusca e intensa acompañada de náuseas, vómitos y sensación general de debilidad. Por este motivo decidió acudir inmediatamente a su médico.

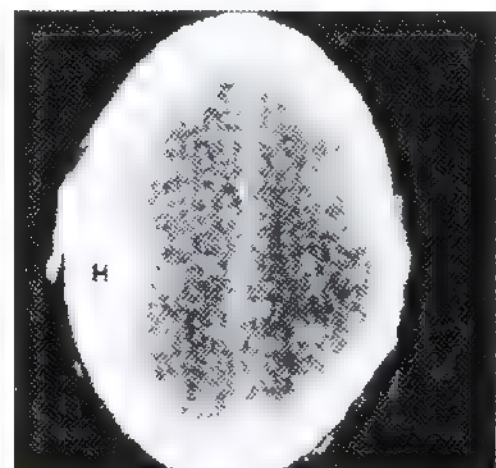


Figura 7.93. TC transversal de la cabeza. Se observa un hematoma extradural (epidural) (H) en la fosa craneal media izquierda.

Exploración física. A la exploración física se observó *rigidez de nuca* y aumento de la presión arterial. El estudio del fondo de ojo con el oftalmoscopio mostró *hemorragia subhialoidea* (entre la retina y el cuerpo vítreo). Los reflejos tendinosos profundos eran simétricos y la sensibilidad se hallaba conservada. Considerando los signos y síntomas de la paciente, el médico efectuó un diagnóstico de probable hemorragia subaracnoidea. Solicitó estudios radiológicos y programó una punción lumbar.

Informe de radiología. La arteriografía reveló un aneurisma sacular de la arteria comunicante anterior. La exploración mostró un LCR sanguinolento. El líquido sobrenadante, después de la centrifugación, era xantocrómico (teñido de amarillo).

Diagnóstico. Hemorragia subaracnoidea por rotura de un aneurisma de la arteria comunicante anterior del círculo arterial del cerebro.

Problemas clinicoanatómicos

- ¿Dónde es más probable que se dirija la sangre del aneurisma roto?
- ¿Cómo se explica en términos anatómicos la aparición de las hemorragias subhialoideas?
- ¿Por qué el sobrenadante del LCR es xantocrómico?
- ¿Dónde ocurre la mayoría de los aneurismas solitarios?

Estos problemas se exponen en la página 1010.

Caso 7.21

Un hombre de 23 años acudió al dentista para la extracción del 3^{er} molar inferior (muela del juicio) con una caries en mal estado. El dentista le explicó que tendría mucho dolor al extraer el diente y le informó de que le inyectaría un anestésico "local" para desensibilizar la pieza dental y los tejidos blandos asociados. Después de dar su conformidad para la extracción, el paciente solicitó que se le administrara suficiente anestésico porque era muy sensible al dolor. El dentista introdujo la aguja por la mucosa de la parte interna de la boca; la aguja se apoyó cerca de la *lingula*, una proyección ósea de la cara medial de la rama de la mandíbula. El paciente señaló, pocos minutos después, que notaba las encías, el labio, el mentón y la lengua del lado afectado acorchados (anestesiados). Durante la extracción, el enfermo se quejó de dolor; el dentista le inyectó más anestésico y extrajo el diente sin nuevos incidentes.

Mientras el paciente se preparaba para salir de la consulta se miró en el espejo y, para su sorpresa, se encontró que no podía cerrar el ojo ni los labios del lado afectado, y que la boca se desviaba hacia el lado, sobre todo al tratar de visualizar los dientes. Asimismo, notó acorchamiento en el lobulillo de la oreja. Al comunicar estos síntomas tan extraños, el dentista le explicó que debido a la gran cantidad inyectada del anestésico se habían anestesiado también otros nervios, además de los distribuidos por los dientes. Luego tranquilizó al paciente y le dijo que esos efectos desaparecerían en 3 a 4 horas.

Problemas clinicoanatómicos

- Cite el nervio que se dirige a los dientes molares y premolares inferiores.
- ¿Por qué este paciente notó una anestesia adicional de la barbilla, labio inferior y lengua del lado afectado?
- ¿Qué otros nervios se pudieron bloquear al anestesiarse el nervio citado?
- ¿Cuál es la causa más probable de la parálisis facial y la anestesia en el lobulillo de la oreja de este enfermo?

Estos problemas se exponen en la página 1011.

COMENTARIO A LOS CASOS

Caso 7.1

La pérdida de conocimiento durante 3 minutos como consecuencia de un golpe sobre la cara lateral de la cabeza indica que se ha producido una fractura de cráneo con hematoma extradural. La dilatación progresiva de la pupila izquierda y la confusión mental también sugieren la presencia de un hematoma expansivo. Sin duda, se desgarró la rama anterior de la arteria meníngea media, que se sitúa en la profundidad del pterión y suele desgarrarse en las fracturas de los huesos que forman esta referencia ósea. La lesión del cráneo se debía, con toda seguridad, a una fractura con depresión de la calota, lo que permite el acúmulo de sangre entre la duramadre y la bóveda del cráneo. Si usted hubiera estado presente y observado los signos descritos, debería haber llamado en seguida a una ambulancia. Lo más probable es que el neurocirujano hubiese operado al paciente de inmediato para la descompresión (evacuación) quirúrgica del hematoma y el control de la hemorragia a partir de los vasos meníngeos.

Caso 7.2

Este joven probablemente no sufre una fractura de la bóveda craneal porque no ha perdido el conocimiento. La caída sobre la cabeza explica las alteraciones ligeras de la función neurológica: "la visión de estrellas" y la visión borrosa. La cefalea persistente podría señalar un incremento de la presión intracraneal debido a una lesión del encéfalo (p. ej., contusión de la corteza cerebral). Es posible que la fractura de la lámina cribiforme del etmoides desgarré las meninges y determine una salida de líquido cefalorraquídeo por la nariz (rinorrea de LCR).

Caso 7.3

Lo más probable es que se haya fracturado la mandíbula de este jugador, por lo que los dientes no encajan (oclusión) de la forma habitual. La fractura de la mandíbula es común en deportes como el hockey, el fútbol americano y el rugby. Muchas veces se producen dos fracturas o una fractura-luxación de la articulación temporomandibular. El lugar más corriente de la fractura se encuentra próximo al ángulo de la mandíbula. Si desaparece la integridad maxilar, los dien-

tes no encajan de la manera habitual, estado que se denomina *maloclusión*. Ello motiva alteraciones del patrón de habla porque la articulación de las palabras resulta complicada (no se pueden emitir de la forma habitual los sonidos dentales como la "S" o se producen de forma inadvertida, y los movimientos correspondientes de los maxilares son complejos y dolorosos). Otras veces ocurren *fracturas dentales* cuando los maxilares reciben un golpe seco y duro. La fractura tiene lugar a través de esmalte, la pulpa o la raíz del diente. Las fracturas con exposición de la pulpa dental provocan un dolor grave, con sensibilidad a frío y a calor. Las fracturas radiculares determinan una movilidad dental.

Caso 7.4

Sin duda, se fracturó el hueso cigomático (o su inserción en los huesos circundantes) o los propios huesos circundantes. Asimismo, se han podido romper los huesos que forman la órbita. Las fracturas del hueso cigomático son las más comunes de la parte superior de los pómulos. La más grave es la fractura en "trípode", con tres líneas de separación de los huesos del cráneo a través de las siguientes estructuras:

- Orificio infraorbitario y conducto para el surco infraorbitario (fractura del maxilar).
- Sutura cigomaticoparietal del borde lateral de la órbita.
- Arco cigomático, generalmente por el punto más estrecho, donde tiene lugar la sutura entre la apófisis cigomática del hueso temporal y la apófisis temporal de hueso cigomático.

La *diplopía* sugiere una lesión del globo ocular y de la órbita e indica una falta de alineamiento de los ejes visuales. La visión borrosa pasajera puede constituir una complicación de las fracturas cigomáticas.

Caso 7.5

Las fracturas de los huesos nasales son las más corrientes en los deportes donde los jugadores no llevan mascarillas protectoras (p. ej., béisbol y boxeo). La *epistaxis* es la hemorragia nasal (sangrado profuso de la nariz). El sangrado obedece a la generosa vascularización de esta mucosa. El *sangrado nasal en chorro* se debe a una rotura arterial, sobre todo de la zona de anastomosis de las arterias esfenopalatina y palatina mayor del tabique nasal (zona de Kesselbach). La vía respiratoria nasal se obstruye a menudo en una fractura nasal porque los fragmentos óseos pueden taponar la nariz. Si la fractura se extiende hasta el suelo de la fosa craneal anterior se puede romper la lámina cribiforme y desgarrar las meninges, con la consiguiente *rinorrea de líquido cefalorraquídeo* (secreción de LCR por la nariz).

Caso 7.6

El *triángulo peligroso de la cara* tiene su base en el borde rojo del labio superior, y el vértice, en el puente de la nariz. La inflamación de la vena facial, junto con la formación de un trombo, puede diseminar la infección desde la vena facial hasta las meninges y el seno cavernoso (compartimiento

lateral de la silla turca) a través de las venas oftálmicas superior e inferior. La *trombosis del seno cavernoso* determina meningitis, tromboflebitis de las venas corticales y *edema cerebral* es decir, aumento del volumen del cerebro como consecuencia de su mayor contenido en agua y en sodio. El edema cerebral, cuando es grave, puede provocar distintos grados de herniación del cerebro y compresión de tronco encefálico, con posible insuficiencia respiratoria y circulatoria.

Caso 7.7

El hematoma probablemente se localizaba en la capa gruesa, subcutánea y ricamente vascularizada, del tejido conjuntivo (2ª capa del cuero cabelludo). El hematoma superficial del cuero cabelludo queda limitado por el tejido fibroso que une la piel a la aponeurosis epicraneal. El tratamiento inicial del hematoma consiste en la aplicación de hielo para controlar la hemorragia y la tumefacción.

Caso 7.8

El sangrado por una herida profunda del cuero cabelludo se puede detener aplicando compresión directa con una gasa estéril. Luego se aplica un apósito circular para el transporte hasta el hospital, donde se prosigue el tratamiento (p. ej., sutura de la aponeurosis epicraneal). Como las arterias penetran por la parte inferior del cuero cabelludo, este tipo de vendaje de la cabeza puede comprimir las. La piel de cuero cabelludo se continúa con la de la frente, motivo por el cual el sangrado por la capa conjuntiva axa puede pasar a la cara, sobre todo alrededor de los ojos, dado que esta 4ª capa de cuero cabelludo se parece a una esponja y se distiende con la sangre causada por la lesión. Conforme se acumula la sangre, ésta gravita sobre la cara y se recoge en torno a los ojos.

Caso 7.9

El nervio facial sale del cráneo por el orificio estilomastoideo y entra casi en seguida en la glándula parótida. Sus ramos se abren de la misma forma que se separan los dedos de la mano. Por eso, los tumores malignos de la parótida invaden el nervio facial y dificultan la innervación de los músculos de la cara, incluidos los que se utilizan para silbar. Las células tumorales del carcinoma metastatizarían en los ganglios cervicales profundos, que forman una cadena en el trayecto de la vena yugular interna desde el cráneo hasta la raíz del cuello. Lo más probable es que la parálisis facial resulte permanente, puesto que los nervios craneales gravemente dañados no se regeneran.

Caso 7.10

El quiste sebáceo infectado de la región temporal puede extenderse por vía linfática hasta los ganglios mastoideos situados detrás del pabellón auricular. El tratamiento inadecuado de una infección del oído medio podría extenderse por el antro mastoideo hasta las células mastoideas (*mastoiditis aguda*) y ocasionar una tumefacción detrás de la oreja.

Caso 7.11

La infección de los senos maxilares –*sinusitis maxilar*– es una complicación frecuente de las infecciones nasales. Estos senos se infectan con asiduidad porque sus orificios de desembocadura se acercan al techo de los senos paranasales. Por eso, el seno de una persona en posición erecta se debe llenar casi por completo antes de que pueda drenar. La infección de un absceso de un molar superior también puede extenderse al seno maxilar, porque el vértice de su raíz se sitúa en el suelo delgado del seno maxilar y la infección puede pasar a éste.

Caso 7.12

Las arterias del cuero cabelludo se insertan en los tabiques fibrosos que unen la piel con la aponeurosis epicraneal. Por eso, una arteria lesionada no puede contraerse para lentificar la circulación y permitir la coagulación. Las heridas profundas del cuero cabelludo que interesan la aponeurosis epicraneal tienden a abrirse por la atracción de las porciones anterior y posterior del músculo occipitofrontal. Por este motivo hay que insertar grapas en la aponeurosis para cerrar la herida. La infección grave del cuero cabelludo puede extenderse a las meninges y al encéfalo –ya que las venas diploicas de la bóveda están comunicadas con los senos venosos de la duramadre– y ocasionar una infección de los huesos de la calota (*osteomielitis*), así como trombosis de los senos de la duramadre que, a su vez, pueden inducir edema cerebral y muerte.

Caso 7.13

Es posible que haya ocurrido una fractura por estallido de la órbita tras el incremento brusco de la presión dentro de la órbita, producido por el golpe con un taco de billar. Una contusión no penetrante del ojo puede causar una herniación inferior del contenido orbitario debido a una fractura por estallido del suelo, tan fino, de la órbita dentro del seno maxilar.

Caso 7.14

En principio, la causa más verosímil de inflamación timpánica es una infección del oído medio. Si no se trata de forma adecuada, la otitis media puede propagarse por el antro mastoideo hasta las celdas mastoideas y ocasionar una *mastoiditis*. De manera análoga, los microorganismos patógenos de la nasofaringe pueden llegar al oído medio a través de la trompa auditiva.

Caso 7.15

El estrabismo es una desviación del ojo que la persona no puede evitar. En este caso se lesionó el nervio abducens derecho, que paralizó el músculo recto lateral derecho. La paciente no puede desviar el ojo hacia fuera porque cuando se paraliza el músculo recto lateral, el músculo recto medial tira del ojo hacia dentro (estrabismo medial).

Caso 7.16

La parálisis de los músculos faciales puede suceder sin una causa conocida. La parálisis de Bell (parálisis facial) sigue casi siempre a la exposición al frío, por ejemplo al conducir un vehículo con las ventanas abiertas o un descapotable. La parálisis de Bell afecta a cualquier edad, pero es más frecuente entre el 3^{er} y 5^o decenios de la vida.

El aspecto característico de la cara es consecuencia de la *lesión del nervio facial*. En este paciente, la inervación motora de los músculos de la hemicara izquierda, frente y párpado izquierdos se hallaba gravemente afectada. La parálisis de los músculos de la expresión facial del lado izquierdo explica la expresión anímica de este lado de la cara y la incapacidad para silbar, soplar o cerrar el ojo izquierdo. La parálisis del nervio facial determina que el ojo se mantenga abierto, incluso durante el sueño, por el efecto (no contrarrestado) del músculo elevador del párpado superior. El babeo y la dificultad para la masticación son consecuencia de la parálisis de los músculos orbicular de la boca y buccinador. La pérdida de la sensación del gusto en los dos tercios anteriores del lado izquierdo de la lengua se explica, en términos anatómicos, porque esta región de la lengua recibe fibras del gusto a través de la cuerda del tímpano, ramo del NC VII. Este síntoma indica, asimismo, que la lesión nerviosa es proximal al origen del nervio en el conducto del nervio facial.

Debido a la parálisis del músculo orbicular del ojo, el punto lacrimal no se halla en contacto con la córnea y, en consecuencia, las lágrimas tienden a rebosar por el párpado inferior izquierdo hacia la mejilla. Además, la córnea puede secarse durante el sueño (si no se aplica ninguna pomada), porque los párpados del lado afectado permanecen abiertos. La córnea también puede secarse durante el día por la ausencia de parpadeo; la sequedad corneal puede asociarse a *ulceración*.



Lesión del nervio abducens

La localización más probable de la lesión es el conducto del nervio facial en la porción petrosa del hueso temporal. La parálisis de los músculos faciales probablemente se debe a la inflamación del nervio facial, por encima del orificio estilomastoideo. En general, se cree que la causa es una infección vírica, que provoca edema del nervio facial y comprime las fibras del conducto del nervio. Si la lesión es completa, todos los músculos faciales del mismo lado se afectan por igual. Los movimientos voluntarios, emotivos o asociados se afectan en todos los casos. En la mayoría de las ocasiones, las fibras nerviosas no sufren una lesión permanente y la degeneración es incompleta. Por eso, la recuperación, aunque muy lenta, suele ser satisfactoria. De todas maneras, en ocasiones se aprecia una cierta asimetría facial (p. ej., ligero hundimiento del ángulo izquierdo de la boca).

Caso 7.17

El área de la piel y de la mucosa donde se manifiesta el dolor punzante es inervada por el nervio maxilar, la 2ª división del nervio trigémino (NC V₂). Este nervio, exclusivamente sensitivo, abandona el cráneo por el agujero redondo mayor. Cuando termina, dando el nervio infraorbitario, emite también ramos que inervan el ala de la nariz, el párpado inferior y la piel y mucosas de las mejillas y labio superior. Los ramos del nervio maxilar también inervan los dientes superiores y la mucosa de la cavidad nasal, paladar, boca y lengua.

Los síntomas descritos por este paciente son característicos de la *neuralgia del trigémino* (tic doloroso), que es más frecuente entre las personas de edad intermedia o avanzada. El dolor resulta a veces tan intenso, que el paciente hace muecas de dolor; de aquí el nombre habitual de *tic* (fasciculación). En ocasiones, el dolor llega a producir cambios del estado de ánimo, con depresión o incluso tentativas de suicidio. La distribución del nervio maxilar, como en el caso presentado, es la más frecuente, seguida del nervio mandibular y, finalmente, de la división oftálmica.

Los paroxismos de dolor punzante agudo, como ocurrían en este enfermo, se inician de manera brusca y suelen desencadenarse al rozar la cara, cepillarse los dientes, beber o masticar. No es raro observar una "zona de estimulación" muy sensible, como podía ser la mitad izquierda del labio superior en este enfermo. Se desconoce la causa definitiva de la neuralgia del trigémino. Algunos investigadores consideran que la mayoría de los pacientes con neuralgia idiopática del trigémino tiene vasos sanguíneos anómalos que comprimen el nervio. Otros científicos creen que esta lesión es debida a un proceso patológico de las neuronas del ganglio trigémino y otros piensan que la lesión ocurre en las neuronas del núcleo del tracto espinal.

Para combatir el dolor se aplica tratamiento médico o quirúrgico, o combinado. En esta sección sólo se describirán los aspectos anatómicos de ambos tratamientos. Se han efectuado intentos de bloquear el nervio con alcohol a la altura del orificio infraorbitario, con lo que habitualmente se obtiene un alivio temporal del dolor. La técnica quirúrgica más sencilla consiste en la avulsión o sección de los ramos nerviosos en el orificio infraorbitario.

La *coagulación selectiva con radiofrecuencia del ganglio trigémino*, introduciendo un electrodo con aguja a través de las mejillas y del agujero oval, también se ha utilizado como terapéutica. Para evitar la regeneración de las fibras nerviosas se puede seccionar parcialmente la raíz sensitiva del nervio trigémino entre el ganglio y el tronco cerebral (*rizotomía*). Aunque los axones regeneren, no lo hacen dentro del tronco cerebral. También se ha intentado diferenciar y seccionar únicamente las fibras sensitivas de la división del nervio trigémino afectado. La sección del tracto espinal del NC V (*tractotomía*) se asocia a los mismos resultados. Después de esta operación desaparece la sensación dolorosa, térmica y del tacto suave en el área de la piel y mucosas inervadas por el nervio maxilar. Esta secuela puede resultar molesta para el paciente, ya que no percibe la presencia de alimento en el labio ni en las mejillas y carece de sensibilidad en el lado de la boca correspondiente a la sección nerviosa, aunque todas estas molestias sean preferibles al dolor insoportable previo.

Caso 7.18

Los *carcinomas* del labio suelen afectar al labio inferior. La exposición exagerada a la luz solar durante muchos años, como sucede en las personas que trabajan al aire libre, como los granjeros, es un rasgo frecuente entre los antecedentes de estos enfermos. La irritación crónica del tabaco en pipa también parece contribuir y se relaciona, al parecer, con el contacto prolongado con el alquitrán del tabaco. Los ganglios linfáticos submentonarios se encuentran en la fascia que cubre el músculo milohioideo, entre los vientres anteriores de los músculos digástricos derecho e izquierdo. La porción central del labio, el suelo de la boca y la punta de la lengua drenan a estos ganglios, mientras que las porciones laterales lo hacen a los ganglios linfáticos submandibulares.

Si las células malignas se hubieran extendido aún más, se habrían producido metástasis en los ganglios linfáticos submandibulares, porque los vasos eferentes de los ganglios submentonarios drenan a ellos. Por otra parte, los vasos linfáticos de los ganglios submentonarios pasan directamente al ganglio yugulomohioideo. Como los ganglios submandibulares están situados bajo la fascia cervical profunda, en el triángulo submandibular, puede ser necesario deprimir el mentón para relajar la fascia y poder palpar estas adenopatías.

Como todas las áreas de la cabeza y del cuello drenan a los ganglios cervicales profundos, éstos podrían también ser asiento de las metástasis. Como el ganglio yugulomohioideo drena la linfa de los ganglios submentonarios y submandibulares, podría verse involucrado en la diseminación de células malignas desde el carcinoma labial. Este ganglio está situado en el cruce del músculo omohioideo con la vena yugular interna.

Caso 7.19

La sien es el área comprendida entre la línea temporal y el arco cigomático, lugar donde el cráneo es menos grueso y

está cubierto por el músculo temporal y la fascia temporal. El *pterión* es una región variable con forma de H situada en la profundidad del músculo temporal, un punto donde se reúnen cuatro huesos (frontal, parietal, temporal y esfenoides). El pterión constituye una importante referencia anatómica, porque indica la posición de la rama frontal de la *arteria meníngica media*. El centro del pterión se encuentra a 4 cm por encima del arco cigomático y 3,5 cm por detrás de la sutura frontocigomática. El pterión se encuentra en la porción anterior de la fosa temporal.

La porción escamosa delgada del hueso temporal se halla surcada por la arteria meníngica media y sus ramas. La escama temporal se fractura con facilidad y los fragmentos reducidos pueden desgarrar esta arteria o sus ramas en su trayecto ascendente sobre la cara externa de la duramadre, con el consiguiente acúmulo de sangre en el espacio extradural, causante del *hematoma extradural* (hematoma epidural). El hematoma se forma de una manera relativamente lenta, porque la duramadre se inserta firmemente al hueso a través de fibras que, hasta cierto punto, impiden el arrancamiento de la duramadre del hueso.

El *hematoma subdural* es una masa localizada de sangre extravasada que se localiza en la superficie del encéfalo, pero en la profundidad de la duramadre. El "espacio subdural" es un espacio virtual de la porción profunda de la duramadre. La lesión de la duramadre causada por un traumatismo craneal crea un espacio subdural –como en este caso–, donde se acumula la sangre formando un hematoma subdural.

La arteria meníngica media, rama de la 1ª porción de la arteria maxilar, penetra en el cráneo por el agujero redondo menor y se divide en los primeros 4 o 5 cm de su trayecto intracraneal. La rama frontal asciende desde el pterión, más o menos paralela a la sutura coronal del cráneo. La rama parietal sigue un curso posterosuperior, que depende de su lugar de origen. En este caso, la rama frontal de la arteria meníngica media había sufrido, sin duda, un desgarramiento. Esta arteria suele acompañarse de la vena meníngica, que también podría haber sido lesionada. El intervalo lúcido, donde el paciente se recuperó de la pérdida transitoria de conciencia (provocada por la conmoción cerebral), se explica por la lenta formación del *hematoma extradural* (epidural). Por otra parte, este tipo de lesión intracraneal expansiva puede tolerarse durante algún tiempo, ya que parte de la sangre y del LCR son evacuados de la bóveda craneal a través de las venas y del espacio subaracnoideo. Sin embargo, como el cráneo es una caja no expansible, la presión intracraneal comienza rápidamente a elevarse, produciendo obnubilación y, finalmente, coma (que significa sueño profundo en griego).

El aumento de la presión intracraneal determina que la porción supratentorial del encéfalo, generalmente el uncus (gancho del hipocampo), se introduzca por la incisura de la tienda del cerebelo, comprimiendo el nervio oculomotor (NC III) entre la zona herniada y el borde punzante libre de la tienda. La compresión del NC III provoca una *parálisis del III nervio craneal*, que determina la dilatación y falta de respuesta pupilar del lado de la lesión. La hemorragia extradural característica, ilustrada en este caso, provoca funda-

mentalmente una compresión del lóbulo temporal, situado bajo el pterión. Es fundamental la intervención quirúrgica inmediata para liberar la presión intracraneal y evitar la compresión mantenida del encéfalo, que podría provocar la muerte al alterar los centros cardíaco y respiratorio del bulbo raquídeo.

Caso 7.20

Los aneurismas saculares suelen ser asintomáticos si no se rompen. En este caso, la cefalea inicial probablemente se debía al aumento intermitente del aneurisma o a una mínima hemorragia desde el aneurisma al espacio subaracnoideo (la denominada fuga premonitoria). La cefalea posterior grave y casi intolerable de esta enferma se produjo como consecuencia de la hemorragia macroscópica del aneurisma al espacio subaracnoideo.

La presencia de sangre en el LCR provoca irritación meníngica y una cefalea intensa. Como la arteria comunicante anterior se encuentra en la cisura longitudinal, rostral al quiasma óptico, la sangre que escapa del aneurisma roto penetra en la cisterna quiasmática y en los demás espacios subaracnoideos que rodean el encéfalo y la médula espinal. Ello explica por qué se obtuvo sangre en el LCR durante la punción lumbar.

Algunos expertos recomiendan no efectuar la punción lumbar en los casos de hemorragia subaracnoidea evidente, como en este caso, por la posibilidad de provocar una herniación del encéfalo. La reducción de la presión del LCR en el espacio subaracnoideo espinal, secundaria a la extracción de LCR, podría provocar un desplazamiento inferior del encéfalo con herniación (p. ej., parte del cerebelo).

La rotura del aneurisma de la arteria comunicante anterior en la porción adyacente de uno de los lóbulos frontales podría causar síntomas de una lesión expansiva o masa hemisférica. En algunos casos, los *hematomas intracraneales* se rompen al sistema ventricular, determinando una expansión aguda del ventrículo que puede causar la muerte del enfermo. El bloqueo del espacio subaracnoideo por el acúmulo importante de sangre en el LCR puede alterar la circulación del líquido y aumentar aún más la presión intracraneal, determinando una herniación de la porción medial del lóbulo temporal (generalmente, del uncus) a través de la incisura de la tienda del cerebelo y de las amígdalas cerebelosas (porciones del lóbulo posterior del cerebelo) a través del orificio magno. La *herniación de las amígdalas cerebelosas* comprime el bulbo raquídeo, que contiene los centros vitales respiratorios y cardiovascular, comprometiendo gravemente la vida del enfermo.

Las hemorragias subhialoideas que se observan durante la *oftalmoscopia* son consecuencia del aumento brusco de la presión intracraneal que se transmite al espacio subaracnoideo que rodea el nervio óptico. La vena central de la retina se comprime y obstruye en este cruce, lo que eleva la presión de los capilares de la retina y produce una hemorragia entre ésta y el cuerpo vítreo. El líquido sobrenadante, después de centrifugar el LCR, tiene un color amarillo (xantocrómico) porque contiene bilirrubina y los productos derivados de los eritrocitos hemolizados. La mayoría de

los aneurismas solitarios se localiza en la circulación anterior, casi siempre en la arteria carótida interna (Brust, 1995). El asiento más conocido es la zona de unión con la arteria comunicante posterior. Los aneurismas de la arteria cerebral anterior suelen localizarse en la arteria comunicante anterior, como en este caso, o cerca de ella.

Caso 7.21

El nervio alveolar inferior inerva los dientes molares y premolares inferiores y sus ramos, los dientes caninos e incisivos. El nervio mentoniano se distribuye en la piel de la barbilla y del labio inferior de ese lado. Por eso, el *nervio alveolar inferior* inerva todos los dientes de la mitad de la mandíbula. Cuando se anestesia este nervio también se anestesia la barbilla y el labio inferior, porque el nervio mentoniano, que llega a estas estructuras, es un ramo terminal del nervio alveolar inferior. Como el *nervio lingual* desciende justo delante del nervio alveolar inferior, cerca del orificio mandibular, también se anestesió. En principio, esto resulta útil porque el nervio lingual emite fibras sensitivas para la parte inferior de la encía y la lengua.

Como se inyectó un volumen relativamente grande de anestésico, es probable que se hubiera dispersado a la glándula parótida. La parálisis de los músculos de la expresión facial se debe a la anestesia de los ramos del *nervio facial*. Como la glándula parótida y estos nervios ocupan el espacio que rodea el borde posterior de la rama de la mandíbula, se afectaron de inmediato al infiltrar la zona con el anestésico. Es muy probable que la inyección se hubiera efectuado en la zona posterior, de suerte que la solución anestésica atravesó el ligamento estilomandibular, una lámina de fascia condensada entre las glándulas parótida y submandibular que se continúa con la fascia que cubre la parótida. Al igual que los efectos anestésicos sobre los dientes y las encías, los efectos sobre los músculos de la expresión facial y de la masticación desaparecen en unas horas.

El acorchamiento del lobulillo de la oreja de este paciente obedecía a la anestesia adicional de los ramos intermedios del *nervio auricular mayor*. Los ramos anteriores de este nervio inervan la piel de la porción posteroinferior de la cara y los ramos intermedios, la parte inferior del pabellón auricular, por ambas caras.

Bibliografía y lecturas recomendadas

- Anderson MK, Hall SJ: *Sports Injury Management*. Baltimore, Williams & Wilkins, 1995.
- Barr ML, Kiernan JA: *The Human Nervous System: An Anatomical Viewpoint*, 6th ed. Philadelphia, JB Lippincott, 1993.
- Behrman RE, Kliegman RM, Arvin AM (eds): *Nelson Textbook of Pediatrics*, 15th ed. Philadelphia, WB Saunders, 1996.
- Berg L, Klebanoff LM: Focal infections. In Rowland LP (ed): *Merritt's Textbook of Neurology*, 9th ed. Baltimore, Williams & Wilkins, 1995.
- Brust JCM: Coma. In Rowland LP (ed): *Merritt's Textbook of Neurology*, 9th ed. Baltimore, Williams & Wilkins, 1995.
- Chan S, Khandji AG, Hilal SK: CT and MRI. In Rowland LP (ed): *Merritt's Textbook of Neurology*, 9th ed. Baltimore, Williams & Wilkins, 1995.
- Corbett JJ, Haines DE, Ard MD: The ventricles, choroid plexus, and cerebrospinal fluid. In Haines DE (ed): *Fundamental Neuroscience*. New York, Churchill Livingstone, 1997.
- Fishman RA: Cerebral veins and sinuses. In Rowland LP (ed): *Merritt's Textbook of Neurology*, 9th ed. Baltimore, Williams & Wilkins, 1995a.
- Fishman RA: Brain edema and disorders of intracranial pressure. In Rowland LP (ed): *Merritt's Textbook of Neurology*, 9th ed. Baltimore, Williams & Wilkins, 1995b.
- Ger R, Abrahams P, Olson T: *Essentials of Clinical Anatomy*, 3rd ed. New York, Parthenon Publishing Group, 1996.
- Haines DE: On the Question of a Subdural Space. *Anat Rec* 230:3-21, 1991.
- Haines DE: *Neuroanatomy. An Atlas of Structures, Sections, and Systems*, 4th ed. Baltimore, Williams & Wilkins, 1995.
- Haines DE (ed): *Fundamental Neuroscience*. New York, Churchill Livingstone, 1997.
- Haines DE, Harkey HL, Al-Mefty O: The "subdural" space: A new look at an outdated concept. *Neurosurgery* 32:111, 1993.
- Lange DJ, Trojaborg W, Rowland LP: Peripheral and cranial nerve lesions. In Rowland LP (ed): *Merritt's Textbook of Neurology*, 9th ed. Baltimore, Williams & Wilkins, 1995.
- Liebgoft B: *The Anatomical Basis of Dentistry*. St. Louis, Mosby, 1986.
- Miller JR, Jubelt B: Bacterial infections. In Rowland LP (ed): *Merritt's Textbook of Neurology*, 9th ed. Baltimore, Williams & Wilkins, 1995.
- Mohr JP, Prohovnik I: Neurovascular imaging. In Rowland LP (ed): *Merritt's Textbook of Neurology*, 9th ed. Baltimore, Williams & Wilkins, 1995.
- Moore KL, Persaud TVN: *The Developing Human: Clinically Oriented Embryology*, 6th ed. Philadelphia, WB Saunders, 1998.
- Mortimer CB, Kraft S: Ophthalmology. In Gross A, Gross P, Langer B (eds): *Surgery: A Complete Guide for Patients and Their Friends*. Toronto, Harper & Collins, 1989.
- Prockop LD: Disorders of cerebrospinal and brain fluids. In Rowland LP (ed): *Merritt's Textbook of Neurology*, 9th ed. Baltimore, Williams & Wilkins, 1995.
- Raskin NH: Headache. In Rowland LP (ed): *Merritt's Textbook of Neurology*, 9th ed. Baltimore, Williams & Wilkins, 1995.
- Rowland LP (ed): *Merritt's Textbook of Neurology*, 9th ed. Baltimore, Williams & Wilkins, 1995.
- Sacco RL: Pathogenesis, classification, and epidemiology of cerebrovascular disease. In Rowland LP (ed): *Merritt's Textbook of Neurology*, 9th ed. Baltimore, Williams & Wilkins, 1995.
- Swartz MH: *Textbook of Physical Diagnosis. History and Examination*, 2nd ed. Philadelphia, WB Saunders, 1994.
- Wazen JJ: Ménière syndrome. In Rowland LP (ed): *Merritt's Textbook of Neurology*, 9th ed. Baltimore, Williams & Wilkins, 1995.
- Williams PL, Bannister LH, Berry MM, Collins P, Dyson M, Dussek JE, Fergusson MWJ (eds): *Gray's Anatomy*, 38th ed. Edinburgh, Churchill Livingstone, 1995.

